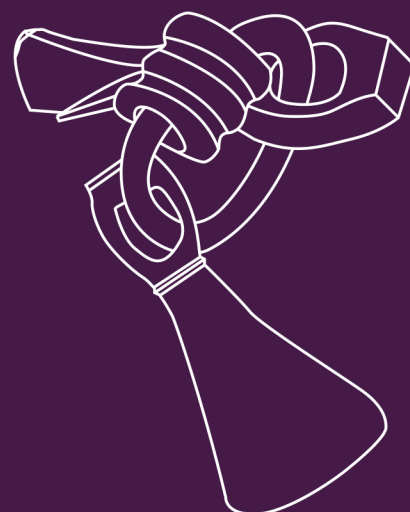
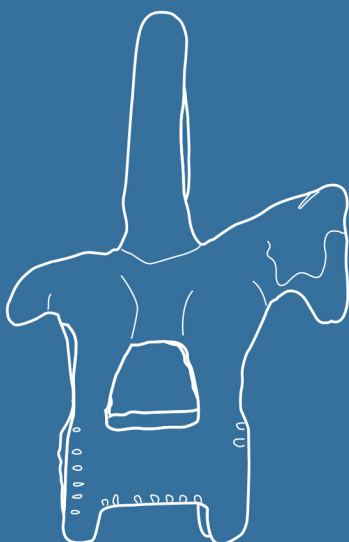
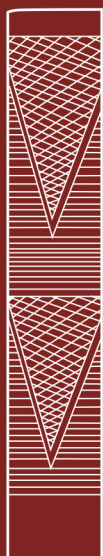


P_{roto}histoire Européenne / 15

texte vol.1

Série : *Oppidum de Corent I*



Caractérisation des assemblages métalliques
d'une agglomération celtique

le centre-ville de l'*oppidum* de Corent (Puy-de-Dôme, France)

Matthieu DEMIERRE



éditions mergoil

Caractérisation des assemblages métalliques d'une agglomération celtique

le centre-ville de l'*oppidum* de Corent (Puy-de-Dôme, France)

Protohistoire Européenne

15



Collection dirigée
par Michel Py

Caractérisation des assemblages métalliques d'une agglomération celtique le centre-ville de l'*oppidum* de Corent (Puy-de-Dôme, France)

Matthieu DEMIERRE

volume 1 : texte

Série : *Oppidum* de Corent I



Editions Mergoïl
Drémil Lafage
2019

Tous droits réservés
© 2019



Diffusion, vente par correspondance

Editions Mergoïl
13 rue des Peupliers
F - 31280 Drémil Lafage
Tél : 0345440444
e-mail : contact@editions-mergoil.com

ISBN : 978-2-35518-063-7

ISSN : en cours

Aucune partie de cet ouvrage ne peut être reproduite sous quelque forme que ce soit (photocopie, scanner ou autre) sans l'autorisation expresse des Editions Mergoïl.

Texte : Matthieu Demierre

Saisie, illustrations, DAO : auteur et Alice Leguen

Mise en page volume 2 : auteur

Mise en page de la couverture : Déborah Demierre

Dessins de couverture : pointe de lance volontairement pliée, fragment de mors de cheval et extrémité de pince d'artisan.

Ouvrage réalisé avec le soutien financier du Fond National Suisse de la recherche scientifique, pour la mise en page des deux volumes.

Avec le soutien du Fonds des publications de l'Université de Lausanne et de la Société Académique Vaudoise pour l'aide à l'impression.

Impression Aquiprint

Dépôt légal novembre 2019

À Francine

SOMMAIRE

REMERCIEMENTS	11
PRÉFACE	13
AVANT PROPOS	15
1. INTRODUCTION	17
1.1. Objectifs et présentation de l'étude	17
1.2. Historique des recherches sur le mobilier métallique	19
1.2.1. Les corpus d'agglomérations : un terrain d'expérimentation méthodologique.....	19
1.2.2. Les contextes de sanctuaire et les dépôts	22
1.2.3. Les assemblages combinant les problématiques de consommation urbaine et cultuelle.....	23
1.2.4. Le mobilier métallique en territoire arverne	24
1.3. Cadres géographique et chronologique	27
1.3.1. Cadre géographique	27
1.3.2. Cadre chronologique.....	29
1.4. Oppidum de Corent : état des questions	32
1.4.1. Historique des recherches sur le site	32
1.4.2. Structures, critères d'identification et de phasage des structures	35
1.4.3. Les principales unités architecturales du site.....	38
1.4.4. L'oppidum de Corent dans son contexte régional	71
2. OPTIONS MÉTHODOLOGIQUES	75
2.1. Acquisition des données : traitement du mobilier et des données de terrain	75
2.2. Analyses fondamentales des mobiliers	78
2.2.1. Les analyses qualitatives	78
2.2.2. Les analyses quantitatives	81
2.2.3. Les analyses taphonomiques.....	82
2.2.4. Les analyses spatiales	84
2.3. Analyses des assemblages	86
2.3.1. Définition de la notion d'assemblage.....	86
2.3.2. Contextualisation et traitement des assemblages	87
2.3.3. Traitement des assemblages	87
3. ÉTUDE DU CORPUS	91
3.1. Les parures et les accessoires vestimentaires	95
3.1.1. Les fibules.....	95
3.1.2. Les bracelets.....	136
3.1.3. Les bagues	148
3.1.4. Les parures de cou	153
3.1.5. Les parures de tête	159
3.1.6. Les vêtements.....	160

3.2. L'armement	162
3.2.1. L'épée et son fourreau	162
3.2.2. Les armes d'hast	176
3.2.3. L'armement défensif	181
3.2.4. Les <i>militaria</i> , l'équipement militaire de tradition romaine	186
3.3. La production	189
3.3.1. L'artisanat du métal	190
3.3.2. L'artisanat du bois et des matières dures animales	219
3.3.3. L'artisanat du cuir ou du bois	230
3.3.4. L'artisanat du cuir	235
3.3.5. L'artisanat du textile	236
3.3.6. L'agriculture et l'entretien paysager	238
3.3.7. Les outils liés aux matières plastiques	241
3.3.8. Les outils liés au travail de la pierre et à la construction	241
3.3.9. Les outils trop fragmentaires et polyvalents	242
3.4. Les activités culinaires	247
3.4.1. Les couteaux	248
3.4.2. Les instruments du foyer et les ustensiles culinaires	252
3.4.3. Les récipients servant à la préparation de nourriture	257
3.4.4. Les récipients liés au service de la boisson	261
3.5. La toilette et la médecine	269
3.5.1. Les trousseaux de toilette	270
3.5.2. Les pinces à épiler	271
3.5.3. Les sondes	271
3.5.4. Les cure-oreilles	272
3.5.5. Le <i>scalptorium</i>	272
3.5.6. Le mortier à fard	272
3.5.7. Les ustensiles de toilette indéterminés	272
3.5.8. Les miroirs	273
3.5.9. Les rasoirs	274
3.5.10. Les spatules-sondes	275
3.5.11. Les scalpels	276
3.6. Le transport	276
3.6.1. Les pièces de char	277
3.6.2. Le harnachement	283
3.6.3. Les pièces de transport accessoires	289
3.7. L'écriture	291
3.7.1. Les boîtes à sceau	292
3.7.2. Les stylets	292
3.8. Les poids et mesures	294
3.8.1. Les balances	295
3.8.2. Les poids et les contrepoids	295
3.9. Le jeu et les loisirs	302
3.10. Les objets à caractère religieux	302
3.11. Les objets polyvalents et divers	303
3.11.1. Les éléments de réparation de vaisselle	304
3.11.2. Les entraves	304
3.11.3. Les anneaux à hache et herminette miniatures	305
3.11.4. L'applique zoomorphe	306
3.11.5. La quincaillerie polyvalente	307
3.11.6. La quincaillerie décorative	309
3.11.7. Les autres objets polyvalents	311

3.12. L'ameublement et la construction	311
3.12.1. La serrurerie et l'huissierie	314
3.12.2. Les pièces liées à l'ameublement	320
3.12.3. Les pièces de quincaillerie	321
3.12.4. Les clous	323
3.13. Les objets indéterminés	327
3.13.1. Les objets indéterminés en fer	327
3.13.2. Les objets indéterminés en alliage cuivreux	328
4. ANALYSE : SYNTHÈSE CHRONOLOGIQUE ET ANALYSE DES ASSEMBLAGES	329
4.1. Synthèse chronologique	329
4.1.1. De rares traces d'activité à LTB2-LTC1	332
4.1.2. L'état 1	333
4.1.3. L'état 2.1	335
4.1.4. L'état 2.2	337
4.1.5. L'état 2.3	338
4.1.6. L'état 3	340
4.1.7. L'état 4	341
4.1.8. Synthèse et critique des résultats	341
4.2. Caractérisation des assemblages par type de contexte	342
4.2.1. Les niveaux de sols et les épandages	342
4.2.2. Les trous de poteau	359
4.2.3. Les structures longilignes : sablières et fossés de palissades	364
4.2.4. Les fosses artisanales	369
4.2.5. Les structures de stockage : caves et celliers	376
4.2.6. Les structures liées à la gestion de l'eau : puits, bassins et citernes	379
4.2.7. Les fosses de fonction indéterminée	380
4.2.8. Bilan des interprétations liées aux activités profanes	383
4.2.9. Du cultuel au profane : bilan des critères interprétatifs des assemblages cultuels	387
4.3. Caractérisation des bâtiments et fonctionnement des quartiers	396
4.3.1. Des lieux de métiers et des habitats	396
4.3.2. Le quartier est	400
4.3.3. Le quartier nord	411
4.4. Fonctionnement du site et aspects sociaux	427
4.4.1. Organisation interne des bâtiments, fonctionnement et évolution du site	427
4.4.2. Aspects sociologiques	437
4.4.3. Interactions des groupes sociaux : économie, politique et religion	449
5. CONCLUSIONS	453
5.1. Acquis et perspectives de recherche	453
5.2. Conclusion	457
SUMMARY	459
ZUSAMMENFASSUNG	465
BIBLIOGRAPHIE	471

REMERCIEMENTS

Cet ouvrage est le fruit d'un travail de thèse qui a, en quelque sorte, débuté il y a une quinzaine d'années. Je devais passer des examens durant trois semaines et les aléas de la planification universitaire ont concentré les épreuves prévues sur cinq jours. J'avais alors du temps libre pour aller fouiller à Corent...

Cette étude n'aurait pas pu aboutir sans le soutien et les encouragements de nombreuses personnes, à commencer par mes directeurs de thèse, Thierry Luginbühl et Matthieu Poux, qui ont su me communiquer leur passion et m'ont accordé leur confiance dans plusieurs projets communs. Mon jury de thèse a également une place particulière, car ses membres reflètent aussi des jalons dans mon parcours. Initiateur des fouilles sur le site de Corent, Vincent Guichard m'a ouvert les portes du Centre archéologique européen de Bibracte pour donner le véritable coup d'envoi à cette thèse en 2011. Durant mes études, j'ai toujours trouvé un interlocuteur au Musée cantonal d'archéologie et d'histoire de Lausanne (MCAH) en la personne de Gilbert Kaenel, qui m'a fait connaître nombre de publications incontournables et me fait l'honneur de préfacer cet ouvrage. Enfin, je tiens à remercier Eckhard Deschler-Erb, dont les ouvrages ont accompagné mes débuts dans le domaine, d'avoir accepté d'expertiser ce travail.

Mes conditions de travail se sont améliorées grâce au soutien du Fonds national suisse de la recherche scientifique (FNS), qui m'a attribué par deux fois des bourses : une première de mobilité pour un séjour de six mois à Bibracte et la seconde dans le cadre d'un projet de recherche d'une année et demie. Cette institution ainsi que la Société académique vaudoise et le Fonds des publications de l'Université de Lausanne ont contribué financièrement à la réalisation de cet ouvrage.

Tout le matériel collecté, dans le cadre de cette recherche, est le fruit du travail assidu d'une équipe de fouilles dont de nombreux membres sont devenus des amis. Leur liste exhaustive serait difficile à fournir. Merci à vous, Audrey, Hélène, Romain, François, Nicolas, Sylvain, Arthur, Pierre-Yves pour l'investissement consenti, année après année, qui a fait évoluer considérablement la connaissance d'un site qui nous tient tous à cœur. L'association LUERN, hébergée par la mairie des Martres-de-Veyre, m'a aussi permis de réaliser chaque année un stage d'initiation à l'analyse du petit mobilier avec des étudiants de Lyon, de Lausanne et de Toulouse. Ils ont tous contribué, par leur dessin et leur soif d'apprendre, à faciliter l'acquisition des données et à revoir certains de mes questionnements.

Une aide précieuse m'a été fournie pour différents aspects techniques et scientifiques par plusieurs collègues et spécialistes, dont la longue liste reflète les étapes de mon travail. François Voegeli m'a orienté lors des demandes de bourse. Les collaborateurs du Centre de restauration et d'études archéologiques municipal « Gabriel-Chapotat » de Vienne (CREAM) ont assuré, sous la direction de Véronique Langlet-Marzloff, la conservation et le dégagement des objets issus des fouilles de 2004 à 2007. Le docteur Roland Musso m'a permis de profiter des installations du Cabinet de Radiologie de Pont-du-Château. Alice Leguen a vectorisé la majeure partie des dessins. Gweltaz Sanceau et Guilhem Turgis m'ont aidé à élaborer le système d'information géographique (SIG). Sylvie Barrier m'a fourni d'avisés conseils pour les analyses statistiques. Elsa Mouquin

s'est occupée d'homogénéiser la bibliographie. Pascal Brand a traqué avec un œil attentif les erreurs sur les planches, tandis que j'ai pu compter sur Aurélie Crausaz pour l'encadrement de plusieurs stages. Il convient enfin de souligner le bon accueil qui m'a été réservé par Chantal Lamesch et Marie Bèche-Wittmann et leurs collaborateurs, au Musée Bargoin et par Fabienne Gateau, au Musée départemental de la céramique de Lezoux, où la majeure partie des collections est conservée.

Ce livre a été monté par Daniel Beucher qui a su faire preuve de patience et de professionnalisme lors des multiples allers et retours qu'exige la mise en page d'un tel ouvrage.

Un grand merci à Claire Léger des éditions Mergoïl, qui a accepté de me publier.

J'ai eu la chance durant ce parcours d'échanger sur diverses problématiques liées à mon sujet, avec de nombreux collègues, autant de personnes qui ont aidé à forger ma réflexion : Guillaume Verrier, Hugo Amoroso, Thibaud Constantin, Gérard Bataille, François Blondel, Caroline Brunetti, David Cuendet, Yves Dubois, Émilie Dubreucq, Clément Feliu, Magali Garcia, Cédric Grezet, Katherine Gruel, Romain Guichon, Jacques Monnier, Pierre Nouvel, Fabienne Olmer, Rebecca Perruche, Stéphanie Raux, Gianna Reginelli Servais, Réjane Roure, Émilie Roux, Vincent Serneels, Valérie Taillandier, Matthieu Thivet, Marquita Volken, ainsi que mes collègues d'Archeodunum et de l'Université de Lausanne.

Je tiens à adresser mes plus chaleureux remerciements à tous les relecteurs qui ont contribué à améliorer la qualité rédactionnelle de ce travail : Anika Duvauchelle, Fanny Lanthemann, Lionel Pernet, Sandrine Reymond et Richard Sylvestre.

Mon éternelle gratitude à Benjamin Girard, interlocuteur scientifique stimulant et relecteur de confiance qui m'a beaucoup apporté dans des situations où s'expriment les amitiés réciproques.

À ma famille et à mes amis pour leurs encouragements sans faille et leur assistance de tout instant. À ma maman, pour sa relecture assidue et ses conseils avisés dans les moments de doute. À mon papa, qui m'a donné le goût de l'endurance et a toujours eu foi en moi. À ma sœur pour les discussions qui ont mené à l'idée et à la réalisation de la couverture.

Enfin, à toi, Francine, pour les sacrifices consentis, pour ton soutien indéfectible, ta patience et ta complicité.

PRÉFACE

Avec cette volumineuse publication, Matthieu Demierre offre à la communauté scientifique une étude de grande qualité, innovante, consacrée aux objets métalliques recueillis sur le site de Corent. À la suite des opérations de 1992-93, les fouilles et recherches dirigées par Matthieu Poux depuis 2001 sur cet *oppidum* du Puy-de-Dôme contribuent pleinement au profond renouvellement des connaissances sur la fin de l'âge du Fer et les débuts de l'époque romaine. Comme Bibracte au cours des dernières décennies et bien d'autres établissements et *oppida* de Gaule (pour se limiter à cette frange occidentale du monde celtique), Corent, avec son sanctuaire, ses espaces publics, son théâtre, ses secteurs résidentiels, ses ateliers d'artisans aux métiers variés... est un acteur privilégié permettant d'étudier les changements politiques, sociétaux, culturels qui interviennent entre la fin du II^e et la seconde moitié du I^{er} siècle av. J.-C.

Il convient tout d'abord de souligner l'envergure du travail mené à bien avec ténacité et persévérance par Matthieu Demierre. L'analyse précise et méticuleuse des observations stratigraphiques et des structures mises au jour à Corent, dans un terrain difficile compte tenu d'états de conservation différenciés affectant la lisibilité des vestiges architecturaux, débouche sur la restitution d'ensembles clos, contextualisés, de mobiliers archéologiques. Le corpus ainsi établi sert de référence fondamentale pour les autres études en cours et à venir consacrées à cet important *oppidum* d'Auvergne.

Le « petit mobilier » pris en compte (« Kleinfunde », *instrumentum* métallique dans le cas présent) comprend plus de 43'000 fragments. L'inventaire suit les traditionnelles catégories fonctionnelles déclinées selon les différentes familles d'objets. L'ampleur du catalogue et des planches de mobilier (3827 artefacts illustrés dont 2602 objets !) soutient la comparaison avec les plus célèbres *oppida* de la fin de La Tène (Manching en Bavière ou Bibracte en Bourgogne). L'« Étude du corpus » (chapitre 3), centrale dans la démarche de l'auteur, présente des qualités de mise en forme suivant un traitement systématique des données pour chaque type d'objet étudié (morphologie, typo-chronologie, historique de la recherche et bibliographie) qui lui confèrent la valeur d'un manuel. Un chapitre qui sera sans nul doute très prisé des étudiants et autres spécialistes !

La datation des objets, en particulier des éléments de parure emblématiques comme les fibules (plus de 700, par comparaison plus de la moitié de la collection de Bibracte), constitue le fondement de la chronologie générale du site, plus largement du I^{er} s. av. J.-C. dans son cadre régional (voir à cet égard Menessier-Jouannet et Deberge 2017), chronologie que l'on peut d'ailleurs sans autre étendre à l'ensemble de la Gaule. À Corent, la succession des états laténiens définis (dont les subdivisions se superposent aux phases traditionnelles de La Tène D1 et D2) présente une remarquable continuité de réaménagements des différents quartiers entre la fin du II^e et la seconde moitié du I^{er} s. av. J.-C., qui accrédite les interprétations concernant la dynamique de l'habitat déjà abordée dans l'importante publication du sanctuaire par Matthieu Poux et Matthieu Demierre en 2015.

La méthode développée par Matthieu Demierre pour appréhender ce « petit mobilier » (exposée au chapitre 2) est résolument innovante, combinant analyse qualitative, quantitative, sériations, recours aux calculs de NMI, NMO (nombre minimum d'individus, d'objets)... Ces différents outils lui permettent de définir le concept central d' « assemblage » de mobiliers, au-delà des traditionnelles descriptions et études morpho-techno-typo-chronologiques. La prise en compte de la taphonomie (du comportement, ô combien essentiel, de l'objet dans le terrain) apporte un argument de poids dans la formalisation des règles de composition de ces assemblages, tout en participant aux réflexions visant à interpréter ces règles en termes d' « agencement ». Au plan explicatif, l'organisation, consciente ou non de ces assemblages, conduit Matthieu Demierre à franchir un nouveau pas et tenter de décrypter certains aspects du fonctionnement de la société, autant dans les registres du rituel ou du cultuel, que des comportements domestiques courants.

La « caractérisation des assemblages par type de contexte » (au chapitre 4.2) poursuit la démarche de l'auteur de manière décisive. Il distingue une quarantaine de classes reposant sur différents registres de contextes (sols et épandages, trous de poteau, sablières et fossés palissadés, fosses artisanales, structures de stockage...), suivant une procédure de décomposition de l'information relative aux associations, en contexte toujours, des mobiliers, qui lui permet de mettre en évidence différentes activités des Arvernes de Corent.

L'auteur recourt de manière judicieuse nous l'avons relevé, et grâce à l'informatique, aux outils de traitement des observations multiples, statistiques et bases de données associées à un système d'information géographique. Sa démarche débouche sur l'interprétation de la fonction des bâtiments en regard des activités qui s'y déroulaient et, partant, sur la restitution, dans le temps et dans l'espace, de secteurs « de nature religieuse, économique, domestique, édilitaire ou politique ». L'analyse spatiale est étayée par de nombreuses illustrations de qualité, une cartographie très riche en informations essentielles pour la connaissance de l'*oppidum*, du développement de son centre urbain et des activités de ses habitants. Même si la fouille extensive d'une agglomération comme celle de Corent est privilégiée pour s'avancer aussi loin dans les tentatives d'explication, nous sommes persuadé qu'en appliquant les mêmes outils à d'autres sites, on parviendra à mieux comprendre le mode de vie des Gaulois.

À propos de la société gauloise, l'auteur insiste par ailleurs dans ses réflexions sur le rôle des élites, des aristocrates *versus* celui des artisans et de leurs nombreux métiers exercés à Corent. En termes très modernes de mixité sociale, il envisage que les changements observés dans l'organisation de l'*oppidum* puissent correspondre à des « luttes de pouvoir ». Et les prolongements en direction des « entités politiques » des cités gauloises, qu'il évoque avec prudence dans la foulée, s'inscrivent comme autant de pistes à explorer à l'avenir. Que de questions fondamentales abordées par le biais de modestes témoins matériels !

La publication du petit mobilier de Corent, issue de la thèse de Matthieu Demierre soutenue le 1^{er} décembre 2017 à Lausanne, figure d'ores et déjà comme un jalon incontournable de la recherche sur le monde des *oppida* de la fin de l'âge du Fer en Europe tempérée.

GILBERT KAENEL

Ancien directeur du Musée cantonal d'archéologie et d'histoire de Lausanne
et professeur à l'Université de Genève

AVANT-PROPOS

Les fouilles de l'*oppidum* de Corent s'apprêtent à célébrer l'an prochain leurs vingt ans d'existence. En 2001, la première campagne de sondages entreprise au centre de son sanctuaire livrait déjà son lot d'objets hétéroclites : pièces de monnaies, de parure et d'armement, fragments d'amphores et ossements animaux, dont l'abondance et la diversité exceptionnelles ont fait la notoriété d'un site identifié depuis à l'une des capitales de la cité arverne. Ce potentiel a très tôt attiré l'attention d'un jeune étudiant de l'Université de Lausanne, Matthieu Demierre, qui a rejoint l'équipe de fouille l'année suivante. Mû par un enthousiasme, une rigueur et une force de travail hors du commun, il y a rapidement endossé des responsabilités sur le terrain, formé plusieurs générations d'étudiants et assuré la coédition de l'intégralité des vestiges et des mobiliers mis au jour sur le sanctuaire, dans un supplément de la revue *Gallia* paru en 2016.

Tandis que les fouilles progressaient dans les quartiers qui s'étendaient au nord, à l'est et à l'ouest du sanctuaire, Matthieu Demierre a poursuivi son patient travail d'inventaire, d'identification et d'analyse des petits mobiliers recueillis chaque année, dont le nombre cumulé donne le vertige : plus de soixante mille objets ou fragments d'objets recueillis sur une surface de fouille inférieure à deux hectares, ressortissant à plusieurs centaines de catégories et sous-catégories typologiques couvrant tous les aspects de la vie quotidienne, économique ou institutionnelle du peuple arverne à la fin de l'âge du Fer.

De mémoire de protohistorien, une telle somme de données n'avait pas été réunie depuis la publication, par Gerhard Jacobi en 1974, du corpus des *Werkzeuge und Geräte aus dem Oppidum von Manching*. Cet ouvrage ne lui cède rien en sérieux ni en finesse d'analyse, qui procède chapitre après chapitre à un examen systématique et critique des catégories et des assemblages dans leur contexte de fouille. Mais il met aussi en œuvre plusieurs approches innovantes, comme l'analyse spatiale de plusieurs dizaines de milliers d'objets localisés au centimètre près, qui a permis de différencier, dans les quartiers centraux de l'*oppidum*, plusieurs espaces fonctionnels ou sociaux distincts ; ou encore, le recours à l'analyse factorielle (AFC) pour le classement et la sériation de certaines catégories typologiques sensibles, comme les fibules. Auxquels s'ajoutent un inventaire illustré de l'intégralité du corpus étudié, des comparaisons à l'échelle européenne, étayées par des références bibliographiques parfaitement à jour, qui lui confèrent la valeur d'un manuel des petits objets en Gaule à la fin de l'âge du Fer.

Le lecteur attentif notera que ses conclusions sont porteuses d'un avertissement. De par la nécessité d'arrêter le corpus aux découvertes antérieures à 2013, l'étude n'a pu tenir compte de l'évolution des connaissances induite par la poursuite et l'élargissement des fouilles, relatives notamment au devenir du site dans les décennies qui ont succédé à la guerre des Gaules. La mise en évidence, dans un périmètre élargi du centre-ville, de bâtiments et de niveaux appartenant à la période de transition entre La Tène D2b et l'époque julio-claudienne, est venue éclairer sous un jour nouveau le processus de transformation de l'*oppidum* gaulois en agglomération romaine, qui s'est prolongé sans interruption jusqu'au milieu du II^e s. apr. J.-C. Cette extension de la focale chronologique et géographique apporte quelques réponses à certaines questions laissées ici en suspens, mais

soulève aussi de nouveaux questionnements. Ils seront abordés dans d'autres publications, auxquelles le spécialiste de l'*instrumentum* ne manquera pas d'apporter son expertise en collaboration avec Aurélie Crausaz, doctorante FNS à l'Université de Lausanne qui a repris le flambeau des études en 2013.

Inutile d'en dire plus. Tout le bien qu'il y aurait à écrire de ce travail s'expose dans les centaines de pages qui composent ces deux volumes. Après quinze ans de recherche, Matthieu Demierre signe là une œuvre magistrale qui vient consacrer des compétences unanimement reconnues, en France comme en Suisse et dans la plupart des pays de l'arc celtique européen. Ces dernières années l'ont vu se démultiplier sur tous les fronts, dans la grotte du Rajal del Gorp, à Toulouse, sur les sites helvètes de Vufflens ou du Mormont, autant de sites majeurs qui ont bénéficié ou bénéficieront des différentes approches élaborées à Corent et nourriront, on l'espère, la poursuite de son parcours académique.

Un dernier mot reste à écrire de la série qu'inaugure cet ouvrage, consacrée comme son intitulé l'indique aux découvertes de Corent. La poursuite des fouilles et le traitement à flux-tendu des masses de mobiliers qu'elles génèrent ont débouché sur la réalisation de plusieurs études prêtes à publication, consacrées par exemple au théâtre gallo-romain et à l'édifice à gradins qui l'a précédé, aux quartiers d'habitat fouillés à l'ouest du sanctuaire, aux occupations de l'âge du Bronze, ou encore, au corpus de vaisselles d'époque gauloise et romaine recueillies dans les quartiers centraux de l'*oppidum*. Du fait de leur complémentarité, il nous a paru utile de regrouper ces monographies dans une série prenant la suite du supplément de *Gallia* évoqué plus haut. Alors que paraît son premier volume, je tiens à remercier vivement le directeur de collection Michel Py, ainsi que Claire Léger, directrice des éditions Mergoïl, pour la confiance et la place qu'ils nous ont accordées.

Matthieu Poux
Professeur d'archéologie gallo-romaine
Université Lumière Lyon 2

CHAPITRE I.

INTRODUCTION

*Toute coïncidence, se dit Miss Marple,
mérite d'être étudiée.
Il sera toujours temps plus tard de l'oublier
s'il ne s'agissait que d'une coïncidence.*

AGATHA CHRISTIE

1.1. OBJECTIFS ET PRÉSENTATION DE L'ÉTUDE

Il peut paraître audacieux de tenter d'améliorer la compréhension des assemblages de mobilier métallique laténien à partir du corpus de mobilier d'un seul site, au regard des mobiliers représentés et de la diversité des options interprétatives. L'*oppidum* de Corent offre pourtant la possibilité de confronter de nombreux ensembles à une grande variété de contextes. La zone de fouille, qui s'étend aujourd'hui sur plus de trois hectares, permet d'appréhender les divers bâtiments constitutifs d'un centre-ville gaulois, avec son sanctuaire, ses places publiques, son lieu de réunion et plusieurs zones d'habitat occupées par des populations aristocratiques ou d'un niveau social moins élevé, ainsi qu'un centre à vocation artisanale et commerciale. Ces espaces architecturaux impliquent en effet un vaste champ d'activités reflétées par le mobilier métallique. Construite sur cette conjecture, la réflexion sera donc conçue comme un va-et-vient entre le mobilier et les données de terrain, afin qu'ils contribuent mutuellement à une meilleure interprétation du site et de ses activités.

La démarche repose sur l'étude d'un corpus de mobilier métallique composé de 43'521 fragments, correspondant à 2'602 objets. Issue des fouilles menées entre 2001 et 2012 et des opérations effectuées en 1992-1993, la collection traitée comprend le mobilier mis au jour sur une surface de 1,37 ha, dans les principaux espaces publics de l'*oppidum* et celui des habitats environnants. Par sa qualité et sa quantité, cet ensemble d'artefacts constitue une masse d'informations dont l'analyse détaillée doit mettre en lumière les spécificités typologiques et fonctionnelles.

L'objectif principal de ce travail consiste en l'établissement d'un référentiel des types d'assemblage d'objets métalliques gaulois à la fin de l'âge du Fer, dont les règles de constitution sont actuellement encore mal comprises. Dans cette optique, l'identification des ensembles profanes et religieux est primordiale, tant leurs principes de formation répondent à des modes de consommation et à des activités distinctes. Dans un environnement culturel où les sphères religieuses et profanes s'entremêlent, la distinction s'avère particulièrement difficile à opérer au vu de l'implication de la majorité des objets dans les deux domaines. Leur étude s'attachera à éclairer les raisons de leur enfouissement et leurs particularités, en évaluant en premier lieu leur pertinence pour caractériser les activités ayant eu lieu sur le site et pour identifier les différents pôles fonctionnels de l'*oppidum*. Pour ce faire, il s'agira ensuite d'établir les critères pour déterminer qu'un assemblage résulte d'une pratique artisanale, d'une occupation domestique avec de simples pertes d'objets ou d'un geste ritualisé. Comme la composition d'un

ensemble ne permet pas toujours de dissocier pratiques profanes et religieuses, la question de leur interprétation sera donc interdépendante des connaissances de leur contexte. Cette confrontation forme le socle de l'approche interprétative.

La juxtaposition de l'étude des assemblages contribuera enfin à dresser un bilan complet des activités réalisées dans ce centre-ville gaulois, qu'elles aient été de nature religieuse, économique, domestique, édilitaire ou politique. La grande variété des contextes de découverte permettra également d'esquisser une étude des liens entre les classes distinctes de la population, grâce à la confrontation des faciès des différents bâtiments du centre-ville.

Les enjeux principaux de cette thèse sont donc de traiter, d'identifier et d'analyser un important lot d'objets, de développer une méthodologie pour mieux appréhender leurs associations et de qualifier, par ce biais, les bâtiments et le fonctionnement du site, autant d'aspects qui se retrouvent dans la structure de ce travail.

Afin de remplir ces objectifs, une démarche méthodologique complexe est formulée dans la deuxième partie du travail, après une présentation détaillée du site (chap. 1). Divisée en deux sections, la méthode porte tout d'abord sur les processus utilisés lors des analyses fondamentales que sont les approches qualitatives, quantitatives, taphonomiques et spatiales, pour se concentrer ensuite sur l'analyse des assemblages (chap. 2). Après la définition de cette notion, cette partie comprend l'approche mise en œuvre pour leur contextualisation ainsi que les traitements envisagés pour générer une sériation et un référentiel interprétatif. Au risque de certaines redondances, nous avons opté pour une méthode intégrant la totalité des qualités intrinsèques des objets et des assemblages. Seule la combinaison des différents facteurs que sont la qualité d'un objet ou la composition d'un ensemble, sa taphonomie, sa représentation quantitative et son contexte, est à même de refléter l'image fournie par le mobilier.

L'étude du corpus est ensuite exposée suivant un développement des aspects typo-chronologiques et fonctionnels par domaines d'activités (chap. 3). Le recours à des cartes de répartition est effectué selon la pertinence de l'apport de ces analyses spatiales à la chronologie des différents types de mobilier et à leur compréhension fonctionnelle. Dans la même optique, des études d'ordre taphonomique examinent ponctuellement la fragmentation et les manipulations des artefacts.

Fondée sur les chapitres précédents, l'analyse des assemblages à proprement parler est structurée en quatre parties dédiées aux principales problématiques de cette étude. La première définit l'ancrage chronologique des séquences d'occupation du site à l'aide d'ensembles pertinents riches en mobilier datant (chap. 4.1). Le système de contextualisation est élaboré en deux étapes avec, tout d'abord, une analyse correspondant à une vision détaillée des assemblages par type de contextes, structures ou sols (chap. 4.2). Les ensembles y sont comparés afin de fournir un cadre fonctionnel et interprétatif fondé sur leur composition, leur taphonomie et leur distribution spatiale pour générer des grilles de lecture. Elles permettent la qualification des gestes religieux et des activités profanes, selon des critères standardisés. Les interprétations retenues sont ensuite utilisées pour caractériser les bâtiments en confrontant les associations de contextes au sein d'une même unité architecturale (chap. 4.3). Ce développement conduit à la définition de divers lieux de métiers qui se regroupent ponctuellement par domaine de spécialisation. Les implications économiques et sociologiques inhérentes au fonctionnement du site sont abordées dans le cadre d'une synthèse qui s'appuie sur le croisement des données fournies par la caractérisation des bâtiments et des marqueurs statutaires (chap. 4.4).

1.2. HISTORIQUE DES RECHERCHES SUR LE MOBILIER MÉTALLIQUE

Longtemps cantonnées à l'exposition d'objets d'art ou de forme particulière, les études sur le mobilier métallique sont considérées comme une discipline à part entière depuis un peu plus d'une vingtaine d'années (Berthon *et al.* 2013). Elles s'intègrent dans le champ d'analyse de l'« *instrumentum* » ou des petits mobiliers, dérivant de l'allemand « Kleinfunde » ou de l'anglais « small finds », qui comprend l'ensemble des objets manufacturés, à savoir produits et façonnés de main d'homme, hors matériaux de construction, céramiques et monnaies. Le traitement de cette catégorie de mobilier a évolué, depuis les premières présentations d'objets exceptionnels dérivées de la tradition des cabinets de curiosité, vers une analyse technique du matériel souvent limitée à l'exploitation d'une seule catégorie de mobilier (outillage, parure, armement, etc.). La démarche aboutit actuellement à une prise en charge de la totalité des artefacts d'un site reliés à leur contexte de découverte, dans un dialogue incessant entre problématiques liées aux vestiges et au mobilier (Guillaumet 2003, Feugère 2007 et 2018, Berthon *et al.* 2013). Elle s'attache de plus en plus à définir des faciès dont l'analyse touche à des domaines variés tels que la chronologie, les relations interculturelles, la sphère religieuse ou encore la définition d'assemblages fonctionnels (Demierre et Raux 2015).

L'évolution des méthodologies mises en œuvre démontre à elle seule les dynamiques de recherche de la discipline. D'objets traités pour leurs seules caractéristiques intrinsèques, techniques ou fonctionnelles, la spécialisation s'est orientée vers une présentation des artefacts en contexte, prenant en considération les notions d'ensembles clos et d'assemblages pertinents, selon des protocoles d'étude standardisés, tant sur le plan des méthodes de quantification que sur celui du traitement des données taphonomiques et contextuelles (Guillaumet 2003, Feugère 2007). Ces aspects détaillés dans la méthodologie appliquée à ce travail ont tout particulièrement été développés dans le cadre de l'archéologie protohistorique portant sur les sanctuaires, les dépôts, les habitats ruraux et les agglomérations de l'âge du Fer. À ces recherches focalisées sur un choix de contextes s'ajoutent nombre de contributions portant sur une thématique particulière. Ces axes de recherche englobent les techniques utilisées pour produire un objet, l'étude d'une catégorie de mobilier dans un environnement donné ou encore l'évolution des faciès mobiliers d'une zone déterminée sur une longue séquence chronologique.

L'analyse du corpus de Corent se focalisera sur l'interprétation du mobilier métallique, tant dans sa consommation quotidienne que dans son utilisation dans un cadre ritualisé, soit deux problématiques intimement liées à la nature des vestiges qui comprennent un lieu de culte et son pourtour urbain. L'historique de la recherche est organisée selon ces deux thématiques, à savoir la consommation d'objets métalliques en contexte d'agglomération et l'analyse des assemblages dans la sphère culturelle, qu'il s'agisse de dépôts ou d'ensembles issus de sanctuaires. La confrontation de ces deux volets permet de développer une vision intégrant la globalité des gestes et des habitudes de consommation menant à la constitution des assemblages de mobilier métallique. Cette partie se termine par un état des lieux des connaissances du domaine en territoire arverne.

1.2.1. LES CORPUS D'AGGLOMÉRATIONS : UN TERRAIN D'EXPÉRIMENTATION MÉTHODOLOGIQUE

Par leur richesse et la quantité des objets récoltés, les agglomérations laténiennes ont focalisé l'attention des chercheurs de la discipline, dès le début du XX^e siècle. Elles bénéficient d'une très bonne documentation grâce aux travaux

fondateurs dédiés aux *oppida* de Bohême comme Stradonice (Píř 1906) ou Velem-Szentvid (von Miske 1908). Les corpus de nombreux habitats illustrant l'évolution de la spécialité, du bel objet à l'analyse technique et typologique des mobiliers, ont par la suite été publiés pour des sites de référence, tels que Manching (Jacobi 1974, Gebhard 1991b, Van Endert 1991), le Magdalensberg (Deimel 1987, Dolenz 1998, Schütz 2003), les habitats bâlois de Gasfabrik et de Münsterhügel (Furger-Gunti et Berger 1980, Deschler-Erb 2011), Lezoux (Buchsenschutz *et al.* 1994, Buchsenschutz *et al.* 2000) ou encore Lacoste (Derion 2006). Ces ouvrages de référence, utilisés pour la qualité de leur présentation typologique, constituent une assise documentaire dont la présentation, réalisée dans un premier temps par type d'objet, évolue vers des planches montées par assemblage intégrant l'ensemble des mobiliers d'un contexte (Bâle, Lezoux). Si l'étude de ces deux derniers sites ne fait pas encore appel à des analyses d'assemblage, elle décrit les aspects techniques et typologiques des mobiliers et initie la réflexion par ensemble, notamment à l'échelle du site, pour en tirer des conclusions principalement chronologiques. Ces thématiques, qualifiées de traditionnelles par Vincent Serneels (2007), se déclinent jusqu'à nos jours en de nombreuses variantes : études typologiques, consommation d'un type d'objet selon son contexte ou analyses techno-typologiques.

Une évolution notable apparaît au début des années 1990 avec l'utilisation de la base de données référencée par ensemble et son traitement statistique informatisé (Syslat). Ce mode de fonctionnement est initié par l'équipe de recherches de Lattes, sous l'égide de Michel Py (Py *et al.* 1997) et plus particulièrement, pour les problématiques liées à l'*instrumentum*, par Michel Feugère (1990). L'utilisation de statistiques et la présentation de mobilier par ensemble clos permettent de traiter des faciès de petit mobilier et de caractériser la consommation de mobilier métallique avec une vision diachronique justifiée par une pondération contextuelle des données. De plus, les méthodes de comptage utilisées y sont standardisées en nombre d'objets réels de manière à confronter les faciès d'*instrumentum* à la quantification en nombre minimum d'individus (NMI) de la céramique. Ces approches mènent à scinder les problématiques du domaine en deux pans : l'un technique et voué à l'identification de l'apparition de technologies, d'usages des matériaux, le second ethnographique et dévolu à l'étude fonctionnelle et à la répartition des artefacts dans le temps et dans l'espace.

Orientée en fonction d'un métal ou d'un type de production, la première thématique s'applique à caractériser les productions et les technologies mises en œuvre à une époque. Elle passe souvent par des expérimentations servant à mieux percevoir les techniques de fabrication d'un type d'objet (Rolley *et al.* 1988, Hamm 2003, Armbruster 2000) ainsi que par la confrontation entre déchets, objets en cours de fabrication, outils et structures d'atelier (Armbruster 2000, Hamm 2005, Chardron-Picault *et al.* 1999). Grâce à des études interdisciplinaires combinant données archéométriques et archéologiques, ces analyses qualifient le degré technique d'une production. Elles peuvent englober la totalité des questionnements liés à un matériau, de la matière première à sa consommation. En témoignent les nombreux colloques et ouvrages de synthèse englobant l'ensemble de ces problématiques, dédiés au fer (Mangin 2004, Milcent 2007, Berranger 2014), aux alliages cuivreux (Mordant *et al.* 1998) ou encore à l'or (Cauuet 1999). Certains de ces travaux touchent à la consommation culturelle des objets métalliques en abordant les répercussions de l'afflux de métal, dans une culture donnée, à l'aide de leur quantification souvent établie à partir de leur masse (Orengo 2003, Dubreucq 2013). Les agglomérations laténiennes d'Auvergne sont particulièrement bien documentées sur ce point grâce aux travaux de Lionel Orengo (2003) qui définissent les modes de consommation du fer en territoire arverne.

L'analyse de mobilier en contexte a également bénéficié de l'influx méthodologique des études consacrées par Jean-Paul Guillaumet à la standardisation des modes de classification et de comptage à partir d'expérimentations menées lors du traitement post-fouille du mobilier de l'*oppidum* de Bibracte (Guillaumet 2003, Bataille 2008). L'intégralité des artefacts est comprise dans cette méthode. Elle vise à confronter des éléments sur la base de la composition des assemblages afin de générer des données interprétatives. Selon l'optique choisie, elle comporte aussi des objectifs ethnographiques, aptes à parfaire nos connaissances économiques, sociales ou encore culturelles des civilisations antiques. En témoigne, par exemple, l'étude des faciès métalliques provençaux du Second âge du Fer de Benjamin Girard (2010), qui développe des thématiques comme la typo-chronologie et la consommation de mobilier métallique, avec une vision diachronique pour aborder la question des influences culturelles perceptibles dans cette région et leurs implications historiques.

Les études récentes, dédiées à la caractérisation des agglomérations et de leurs quartiers à l'aide du petit mobilier, appliquent ces méthodes avec des variantes adaptées aux corpus en question. Ainsi, les faciès d'habitat urbain laténiens commencent à être de mieux en mieux définis, grâce à la thèse de doctorat d'Emilie Roux consacrée aux faciès du petit mobilier de douze agglomérations gauloises et romaines des territoires turons, bituriges et carnutes (Roux 2013). Pour la période romaine, le travail d'Aurélie Ducreux (2013) compare les faciès de sites de statut différent du territoire arverne (cf. chap. 1.2.3) ; celui d'Anne Wilmouth (2014) confronte les assemblages de deux quartiers de Bliesbruck. Ces études de mobilier en contexte urbain s'inscrivent dans la continuité de publications de quartiers d'agglomérations antiques comme celles de *Vitudurum* (Deschler-Erb 1996, Schaltenbrand Obrecht 1996), du Centre-Ouest (Bertrand 2007-2008) ou de Bordeaux (Raux 2013), pour ne citer que quelques exemples. L'évolution de la consommation de l'*instrumentum* en contexte urbain y est détaillée dans une optique diachronique portant autant sur l'utilisation des matériaux que sur la distribution fonctionnelle du mobilier. La caractérisation fonctionnelle et hiérarchique des différents types d'occupation y est détaillée selon le contexte sélectionné.

Les méthodes d'exploitation de ces importants lots de mobilier comprennent une pondération en fonction des surfaces fouillées, de l'utilisation de SIG et de cartes de répartition et de l'emploi de méthodes statistiques qui représentent les tendances actuelles liées au traitement du mobilier et de l'*instrumentum*. Elles s'inscrivent dans la vision évolutive et interprétative de la consommation des objets métalliques dans le cadre urbain initiée par M. Feugère, sur le site de Lattes (Feugère 1990) ou par Patrick Pion sur l'agglomération celtique de Condé-sur-Suippe (Pion *et al.* 1997). Ces approches sont également développées par Eckhard Deschler-Erb qui traite du faciès des objets métalliques non ferreux des agglomérations romaines de Suisse orientale (Deschler-Erb 2006a). L'ampleur quantitative des corpus étudiés, leur diversité chronologique et les brassages de mobilier résultant de la sous-représentation des structures en creux, pour la période romaine, complexifient toutefois les approches contextuelles et taphonomiques à cette même époque dans l'habitat, alors que ces aspects figurent dans les recherches portant sur les ensembles en contexte cultuel ou funéraire. Les travaux dédiés aux habitats fournissent cependant un vaste panel d'assemblages qui établit les bases de la consommation d'objets métalliques dans la sphère profane, ou pour reprendre la notion de L. Orengo (2003, p. 130-133), des objets en fin de vie « technique », par opposition aux objets déposés volontairement, dont le dépôt est « symbolique ».

1.2.2. LES CONTEXTES DE SANCTUAIRE ET LES DÉPÔTS

Le retrait intentionnel d'un objet des processus de recyclage et d'abandon observés en contexte d'habitat implique des gestes absents de la sphère profane, souvent codifiés dans un cadre religieux. Ce volet de l'étude des mobiliers métalliques laténiens s'est particulièrement développé sous l'impulsion des fouilles du sanctuaire de Gournay-sur-Aronde, dès la fin des années 1970 (Brunaux *et al.* 1985). Identifiés dans un premier temps en Picardie et dans le Nord-Est de la France, ces lieux de culte sont marqués par la présence récurrente d'armes interprétées comme les vestiges de trophées offerts aux divinités. Ce nouveau pan de recherche sur la religion gauloise a donné lieu à la publication de nombreux corpus de mobilier métallique, parmi lesquels Gournay-sur-Aronde (Brunaux *et al.* 1985, Brunaux et Rapin 1988, Lejars 1994), Bennecourt (Bourgeois 1999), Fesques (Mantel 1997), Montmartin (Brunaux *et al.* 1997) ou La Villeneuve-au-Châtelot (Bataille 2008), et la reprise des données de plusieurs ensembles découverts anciennement (Bataille et Guillaumet 2006) comme ceux du site de La Tène (Lejars 2013) ou de Berne-Tiefenau (Müller 1990), pour ne citer que les plus célèbres.

La recherche focalisée sur les aspects taphonomiques et contextuels de ces assemblages s'est cantonnée, dans un premier temps, à l'étude d'un type de matériel ou encore d'ensembles à vocation religieuse issus d'un contexte particulier, qu'il s'agisse des habitats, des milieux souterrains et aquatiques ou encore des sanctuaires. Ces recherches comprennent les travaux fondateurs consacrés aux dépôts d'armes, à leur typologie jusqu'alors balbutiante et à leur taphonomie (Lejars 1994, Brunaux et Rapin 1988) ; d'autres sont dédiés à la place réservée aux demi-produits en fer dans ces dépôts (Berranger 2006, 2014) ou encore à l'étude des contextes de découverte des instruments du banquet (Poux 2004). Par leur richesse et leur nombre, les dépôts en milieu humide ont concentré l'attention, faisant l'objet de nombreuses publications, dont le colloque de l'Association Française pour l'Étude de l'Âge du Fer (AFEAF) de Bienne (Barral *et al.* 2007) fournit une illustration. Les ouvrages monographiques de Felix Müller consacrés aux ensembles métalliques en milieu aquatique suisse (Müller 1990, Wyss *et al.* 2002, Müller 2007) ou de Louis Bonnamour (Bonnamour 1990) traitant des découvertes de la Saône étayent de même cette thématique. Plus récemment, Caroline von Nicolai (2014) a dédié ses recherches à des assemblages ciblés, localisés dans et à proximité des fortifications de l'âge de Fer. Ce choix lui permet d'aborder la problématique des limites symboliques des agglomérations qui ne saurait aboutir sans une contextualisation détaillée des dépôts (von Nicolai 2009).

Le traitement des mobiliers des sanctuaires, avec une approche impliquant une méthodologie de quantification standardisée, constitue un développement de l'étude des faciès des lieux de culte menant à l'identification de compositions standardisées des assemblages (Bataille 2008). Utilisant le sanctuaire de La Villeneuve-au-Châtelot comme point de départ à cette réflexion, Gérard Bataille le compare ensuite à d'autres lieux de culte pour définir des faciès récurrents et leur évolution. Depuis, la corrélation des assemblages de sanctuaire et de dépôts d'objets particuliers issus d'autres contextes constitue son sujet de prédilection (Bataille 2006, 2007, 2009b) et mène à une meilleure compréhension de la répartition chronologique et spatiale des phénomènes à l'échelle européenne. Les avancées méthodologiques dans le domaine du traitement des dépôts ont fait l'objet, à Bibracte, d'une table ronde qui compile les approches actuelles des ensembles à connotation religieuse en contexte de sanctuaire, de nécropole ou d'habitat (Kaurin *et al.* 2015). Les assemblages de mobilier du sanctuaire de Corent se retrouvent en partie dans les faciès définis par G. Bataille.

La configuration du site permet en outre l'exploitation de cartes de répartition qui constituent une aide précieuse pour l'identification des pratiques rituelles résultant de l'accumulation d'une catégorie de mobilier, dans un espace donné. Rarement mise en oeuvre sur d'autres sites en raison des conditions de dépôt secondaire de la majorité des mobiliers, l'approche spatiale, couplée à une quantification standardisée et une analyse taphonomique, crée ou représente une nouveauté dans l'étude des dépôts de sanctuaire. Une confrontation des ensembles du sanctuaire et du quartier nord de l'*oppidum* a été testée en appliquant cette méthode dans le cadre de la table ronde d'INCUBO de Dijon (Demierre et Poux 2012). Elle souligne à la fois les potentiels d'une telle démarche, l'omniprésence des pratiques religieuses dans l'habitat et leurs points communs et différences avec celles du sanctuaire.

1.2.3. LES ASSEMBLAGES COMBINANT LES PROBLÉMATIQUES DE CONSOMMATION URBAINE ET CULTUELLE

La très grande diversité des types de dépôt dans les habitats met en lumière les difficultés qui entravent leur interprétation. Cette variabilité s'exprime tant sur le plan de leur composition et de leur chronologie que sur celui de leur contexte. En effet, même si quelques règles évolutives ont été mises en évidence par Jean-Louis Brunaux (Brunaux 1996, 2004) et G. Bataille (2008), il est encore très difficile de comprendre les principes régissant la constitution de la plupart des assemblages métalliques. De même, s'il est vrai que certains types d'assemblages, composés par exemple d'armes ou encore d'instruments culinaires, ont été attribués à des pratiques de trophées ou de banquets (Brunaux 1996, 2004, Poux 2004), la portée symbolique et l'objectif des gestes relevés dans ces ensembles hétéroclites (actes propitiatoires, votifs, consécatoires, offrandes, divination, superstition, magie, etc...) restent encore compliqués à déterminer. Si la compréhension des dépôts de matériel métallique a fortement progressé grâce à l'étude des sanctuaires, l'interprétation des lots qui comportent des objets de fonctions diverses (outillage, parure...) demeure encore difficile.

Il en est de même pour les assemblages de mobilier en contexte d'habitat dont la signification varie selon les ensembles. Ils peuvent être le signe d'une activité domestique ou artisanale, les reliefs de pratiques cultuelles au sein de la maison-née, révéler une cache, un trésor de crise ou encore l'accumulation de matériel en vue d'un recyclage, des champs d'hypothèses postulés tant pour l'âge du Fer (Orengo 2003, 2007) que pour l'âge du Bronze (Pennors 2004). L'interprétation des collections d'objets issus de contextes profanes se heurte à la difficulté de trouver des assemblages comparables. Elle peut diverger, selon les chercheurs, entre la simple perte, l'abandon d'un objet ou son dépôt volontaire. Un objet isolé déposé dans des conditions particulières peut ainsi être le signe d'un dépôt à caractère religieux, qui ne saurait être identifié sans une approche contextuelle détaillée. Seule la comparaison avec les pratiques recensées dans les sanctuaires et la mise en évidence normalisée de dépôts propres à l'habitat peut conduire à l'identification de gestes rituels dans la sphère domestique (Bataille 2015, p. 146-148).

Quel que soit leur contexte de découverte, dans un milieu profane ou cultuel, les dépôts d'objets métalliques gaulois posent quatre sortes de questions, soulignées par Patrice Méniel, lors de la conclusion de la table ronde du Mont-Beuvray consacrée aux dépôts métalliques au cours du Second âge du Fer (Méniel 2006, p. 334) : les modalités et la composition des dépôts, la définition de leur nature, les relations qu'ils entretiennent au plan régional avec d'autres dépôts et enfin, les relations qui les lient à divers événements d'ordres historique ou économique.

Les modalités de dépôt soulèvent le problème des gestes ayant mené à leur constitution. Leur composition implique un descriptif et une identification des objets ainsi qu'une analyse qualitative qui vise à définir la rareté et la valeur des artefacts déposés.

Il convient également d'évaluer la nature du dépôt sur deux plans, le premier consistant à déterminer si ce dépôt est le résultat d'une activité collective ou individuelle et le second cherchant à préciser sa nature rituelle ou profane.

La question des relations régionales entre les différents dépôts peut alors être envisagée, en mettant en regard des dépôts issus de contextes différents (zone d'habitat, quartier artisanal, sanctuaires, etc.).

La dernière problématique porte sur la relation qu'entretient le dépôt avec des événements historiques violents (voir par ex. Deschler-Erb 2005) ou locaux comme des incendies ou l'abandon du site. L'influence de facteurs d'ordre économique peut également être soulignée en considérant la relation entre les masses d'objets déposés et les masses en usage.

Ces différents aspects n'ont qu'exceptionnellement été abordés à l'échelle d'une agglomération gauloise. Ils sont analysés à Acy-Romance, où les ensembles particuliers du village sont confrontés aux assemblages de ses lieux de cultes et de ses nécropoles (Lambot *et al.* 1994, Lambot et Méniel 2000, Lambot 2006). Cette problématique est également traitée à Manching, où la consommation des armes est comparée à d'autres ensembles (Sievers 2009, 2010, 2014). Ces sites fournissent des points de comparaison où les relations entre des dépôts métalliques, issus de contextes différents au sein d'un espace urbain, sont traitées de manière systématique, sans toutefois définir les modes de consommation standard. Ce point de vue est nettement mieux connu pour les faciès d'établissements ruraux, grâce aux travaux d'Olivier Nillesse qui fournissent tant les données englobant l'intégralité des corpus de nombreux sites (Guillaumet et Nillesse 2000, Nillesse 2009) que celles démontrant des pratiques culturelles qui apparaissent de plus en plus clairement au fil des publications (Nillesse 2006, Nillesse 2007).

1.2.4. LE MOBILIER MÉTALLIQUE EN TERRITOIRE ARVERNE

Le mobilier métallique en territoire arverne a fait l'objet d'une attention toute particulière, dès le milieu du XIX^e siècle qui coïncide avec la mise en culture des plateaux de Corent et de Gergovie, menant à la découverte fortuite de nombreux artefacts. Les mélanges archéologiques de l'antiquaire Gustave Granges (1857) reflètent ce premier engouement. Ils regroupent des découvertes d'Auvergne de toute période. En témoigne l'extrait des quelques pièces recueillies à Corent, où figurent aussi bien une épingle à tête oblongue faiblement évasée du Bronze final II ou III (Faye 1995, p. 26, pl. 1, n° 8) qu'une agrafe à double crochet d'époque carolingienne, datée entre 750 et 1000 ap. J.-C. (Artefacts : AGR-5012) (fig. 1).

Viennent ensuite les travaux des pionniers de l'archéologie protohistorique locale, tel que Jean Pagès-Allary qui, conscient de l'importance du lot d'outils mis au jour lors de la fouille du tumulus de Celles, le fait déposer, dès 1902, au Musée des Antiquités Nationales (Pagès-Allary *et al.* 1902, 1903). Il intègre, dans sa publication du matériel de Chastel-de-Murat, de nombreuses planches de mobilier métallique organisées selon les standards de l'époque, soit par matériau, indépendamment de leur datation (époques gauloise, romaine et haut Moyen Âge) (Pagès-Allary 1908). Plusieurs pièces issues du territoire arverne, dont une tête de poignard anthropomorphe, la mention de fibules de Nauheim, des clous à tête émaillée, un fléau de balance ou encore des porte-aiguilles à bélière figurent également dans le Manuel de Joseph Déchelette (1914), même si leur provenance exacte, Corent ou Gergovie, demeure souvent incertaine.

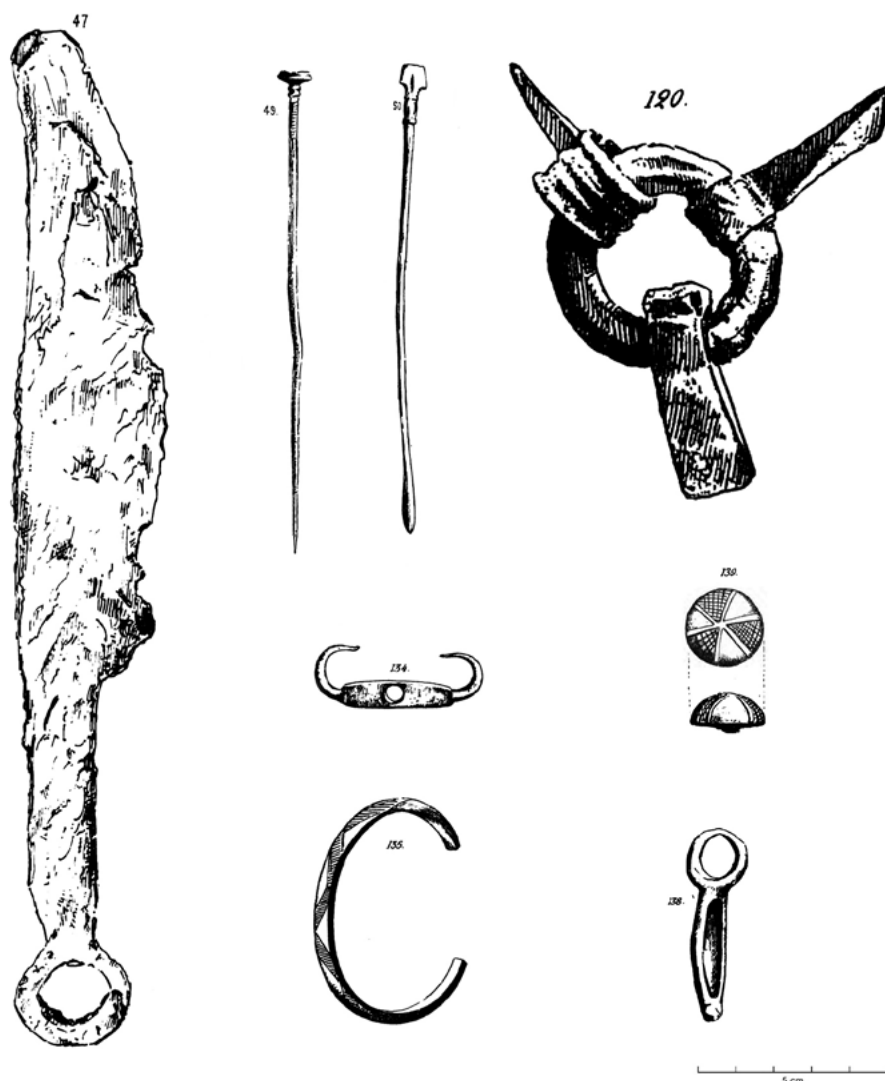


Fig. 1. Sélection de mobiliers métalliques de l'ouvrage de 1857 de Gustave Granges avec leur numéro d'origine.

Les rapports de fouilles réalisées à Gergovie par Jean-Jacques Hatt (1943, 1947) et Michel Labrousse (1948, 1950), dans les années 1940, livrent également du mobilier métallique, présenté par matière, où figurent déjà les principaux marqueurs en alliage cuivreux du site, parmi lesquels des fibules de la seconde moitié du I^{er} s. av. J.-C. (fibules à collerette, à fixe-corde et à cache-ressort), des pièces d'armement romain (agrafe et boucle de ceinturon), des instruments de toilette (pince, spatule-sonde) et des pièces de vaisselle métallique importée (poucier de passoire, pied de récipient). Également étudié, le mobilier en fer comporte des outils (ciseau, serpes, dolabre), des ustensiles culinaires (couteaux, gril) ou encore un stylet. La reprise de l'étude de cet ensemble et du matériel issu des fouilles récentes du sanctuaire de Gergovie par Morgan Millet (2014) regroupe les données disponibles à Gergovie et fournit une vision actuelle de ce corpus.

Peu de documents sont disponibles pour la période entre la Seconde Guerre mondiale et la fin des années 1960, phase durant laquelle Robert Périchon intervient sur le site d'Aulnat/Gandaillat, déjà abordé précédemment par Jean-Jacques Hatt. Les opérations, auxquelles se joindra John Collis et son équipe, dureront jusqu'en 1981 (Collis 2007). R. Périchon n'exploitera guère le mobilier métallique de sa fouille (Périchon 1983), qui sera traité par L. Orengo (2003), dans sa thèse de doctorat. Les conditions de conservation de ce mobilier, sa dispersion et la difficulté à exploiter les données de terrain ont malheureusement conduit L. Orengo à considérer hors contexte l'ensemble de ce corpus, alors que le matériel issu des fouilles de J. Collis a pu être exploité de manière satisfaisante (Orengo 2003, p. 24).

L'arrivée de J. Collis en Auvergne inaugure le développement d'un réseau de chercheurs qui donnera naissance à l'Association pour la Recherche sur l'Âge du Fer en Auvergne (ARAFA). Cette dernière mènera de nombreuses activités scientifiques (fouilles, prospections, publications) jusqu'à nos jours. Les principales fouilles réalisées sur des sites de cette période depuis les années 1970, à savoir les agglomérations d'Aulnat/Gandaillat, d'Aigueperse et de Corent, les fouilles de l'A710, ainsi que la ferme aristocratique du Pâtural, sont l'œuvre des membres de cette association. La majorité, voire la totalité des ensembles de mobilier métallique issu de ces opérations, a été exploitée par L. Orengo, dans le cadre de rapports de fouille ou de son doctorat qui fournissent les bases de la documentation pour toute étude traitant ce sujet, en Auvergne. Ce travail de référence est exploité non seulement pour la comparaison typologique, mais aussi pour la définition des modalités de consommation du mobilier ferreux à l'échelle régionale.

Lionel Orengo a également participé activement à l'étude des corpus étudiés dans le cadre du Programme Collectif de Recherche (PCR), dédié à la chrono-typologie des mobiliers du Second âge du Fer en Auvergne et dirigé par Christine Mennessier-Jouannet et Yann Deberge (2017). Outre les données des sites cités précédemment, des assemblages complémentaires, tels que ceux de la nécropole de Sarliève, des tombes d'Aulnat-Gandaillat et de Malintrat ou encore des ensembles de Gergovie, sont intégrés à la réflexion. L. Orengo a participé à une première synthèse des étapes définies dans le PCR, cosignée avec Yann Deberge, Matthew Loughton et Guillaume Verrier, dans les actes du colloque AFEAF de Clermont-Ferrand (Deberge *et al.* 2007a). Cette publication fournit en outre un très bon référentiel pour d'autres aspects liés à la consommation du mobilier métallique en contexte funéraire (Deberge et Orengo 2007) ou en milieu rural (Deberge 2007). Pour cette dernière thématique, l'ouvrage monographique de la ferme indigène du Pâtural (Deberge *et al.* 2007b) constitue également un document indispensable.

Parmi les références récentes, l'article et le rapport de synthèse sur les faubourgs artisanaux de l'*oppidum* de Gondole, situé au bord de l'Allier sur la commune du Cendre, présentent de même une synthèse sur le corpus d'*instrumentum*, dont la qualité et la quantité soutiennent la comparaison avec celui de Corent (Deberge *et al.* 2009, 2013). Étoffée de carte de répartition et d'une distribution stratigraphique, cette étude aborde toutes les catégories de mobilier. Le corpus comporte de nombreuses pièces d'importations et de l'armement de tradition romaine. Ce dernier sujet a fait l'objet d'une publication spécialisée dans le cadre de la table ronde de Glux-en-Glenne consacrée aux « *Militaria* tardorépublicains en contexte gaulois » (Deberge 2008). À la même occasion, cette thématique, prégnante en territoire arverne, a été abordée dans une contribution détaillant les découvertes liées à la bataille de Gergovie et à ses répercussions à l'échelle locale (Poux *et al.* 2008a). Une synthèse récente regroupe l'ensemble des *militaria* liés à cet événement et les dernières données relatives aux découvertes du Grand Camp d'Orcet, ainsi que celles liées aux sépultures multiples d'hommes et de chevaux réalisées dans la plaine, devant l'*oppidum* de Gondole (Deberge *et al.* 2014).

L'étude du petit mobilier de Corent peut également s'appuyer sur de nombreux travaux universitaires portant sur le site ou sur des ensembles arvernes, dont les thèses de David Lallemand (2008) traitant des occupations de l'âge du Fer, au nord de la plaine de Limagne, et d'Aurélié Ducreux (2013) sur la consommation des mobiliers métalliques dans la cité arverne, durant le Haut Empire. Ce dernier travail fournit un historique de la recherche sur le matériel romain, auquel on se reportera pour plus de détails. Il présente l'analyse de sites inédits, tout comme une réactualisation d'études en lien avec le site de Corent, dont notamment les corpus de la nécropole (Audollent 1912) et de l'habitat des Martres-de-Veyre

situé en contrebas de l'*oppidum* (Romeuf 2001). Il offre également la possibilité de comparer les assemblages romains de Corent à un vaste panel de sites (établissements ruraux, capitale de cité, sanctuaire, agglomérations secondaires, etc.).

À l'échelle du site de Corent, la compilation par Sandrine Faye (1995) des parures et des objets de toilette issus des fouilles et des prospections réalisées jusqu'en 1993 récapitule la grande majorité des données disponibles avant la reprise des fouilles (voir chap. 1.4.1), sans citer le corpus étudié par L. Orengo (2003). L'*instrumentum* des opérations récentes a permis la réalisation de travaux universitaires dédiés à l'un ou l'autre type de mobilier, dont les fibules du sanctuaire (Garcia 2002), les parures en verre (Matsuo 2004, Duchamp 2010, 2012), les éléments de serrurerie (Garsaud 2012), les clous (Blondel 2007), les mortiers et leurs accessoires (Constant 2014), les meules documentées par François Boyer, les outils liés à l'artisanat textile (Avon 2015), qui constituent autant d'études utilisées dans la réalisation du catalogue des autres petits mobiliers associés. Il en est de même pour l'identification préliminaire des monnaies effectuée par Katherine Gruel lors des rapports annuels.

1.3. CADRES GÉOGRAPHIQUE ET CHRONOLOGIQUE

1.3.1. CADRE GÉOGRAPHIQUE

Le site de Corent est situé sur un plateau à une quinzaine de kilomètres de la ville de Clermont-Ferrand, au centre de l'Auvergne, dans le département du Puy-de-Dôme (fig. 2). Le « Puy-de-Corent » est une formation volcanique datant de près de trois millions d'années, caractéristique des paysages auvergnats. Ce promontoire surplombe de quelque 270 m la plaine de Limagne qui se développe au nord, tandis que l'Allier s'écoule en méandres sur son flanc oriental, en contrebas du village actuel de Corent. D'une surface proche de 70 ha, le plateau est protégé naturellement par des falaises, sur ses versants sud et est. Le cheminement pour gagner le site comprend actuellement deux itinéraires : une route et plusieurs chemins pédestres au nord-ouest permettant la progression à flanc de coteau, depuis Veyre-Monton en passant par Soulasse ou une route goudronnée, au départ des Martres-de-Veyre donnant accès à l'angle nord-est du plateau.

Vu du ciel, le site forme un « 8 », orienté sud-ouest/nord-est, dont le cercle occidental correspond au cône d'éruption qui atteint l'altitude de 628 m, tandis que le replat oriental, où se sont concentrées les investigations archéologiques, est issu de la coulée de lave générée par le volcan (fig. 3). Cet espace compris entre les altitudes de 570 m et de 590 m présente un substrat basaltique. Sa lente érosion a conduit à la formation de terre végétale d'une épaisseur évaluée entre 20 cm et 80 cm, selon les variations morphologiques des différentes coulées. C'est également sur la partie inférieure du promontoire que se trouve une petite mare au centre de laquelle apparaît une source. L'exploitation par les populations protohistoriques de cette ressource en eau n'a toutefois pas dû perdurer plus longtemps que le Néolithique, comme en témoignent les fouilles récentes qui démontrent que l'habitat de l'âge du Bronze se retrouve aussi à cet emplacement. L'étude des sédiments fournit des données environnementales riches en enseignements (Ledger *et al.* 2015). Si ce point d'eau constitue la seule ressource pérenne sur le site, d'autres sources sont documentées sur les pentes, sous la forme de résurgences. L'approvisionnement en eau est garanti par le ruissellement en surface de la table basaltique, accessible sur la quasi-totalité du plateau, à moins d'un mètre de profondeur. Il suffit donc d'excaver ce niveau pour générer un puits ou une autre structure de stockage des eaux (puisard, citerne, bassin) (Poux et Pranyies 2015).

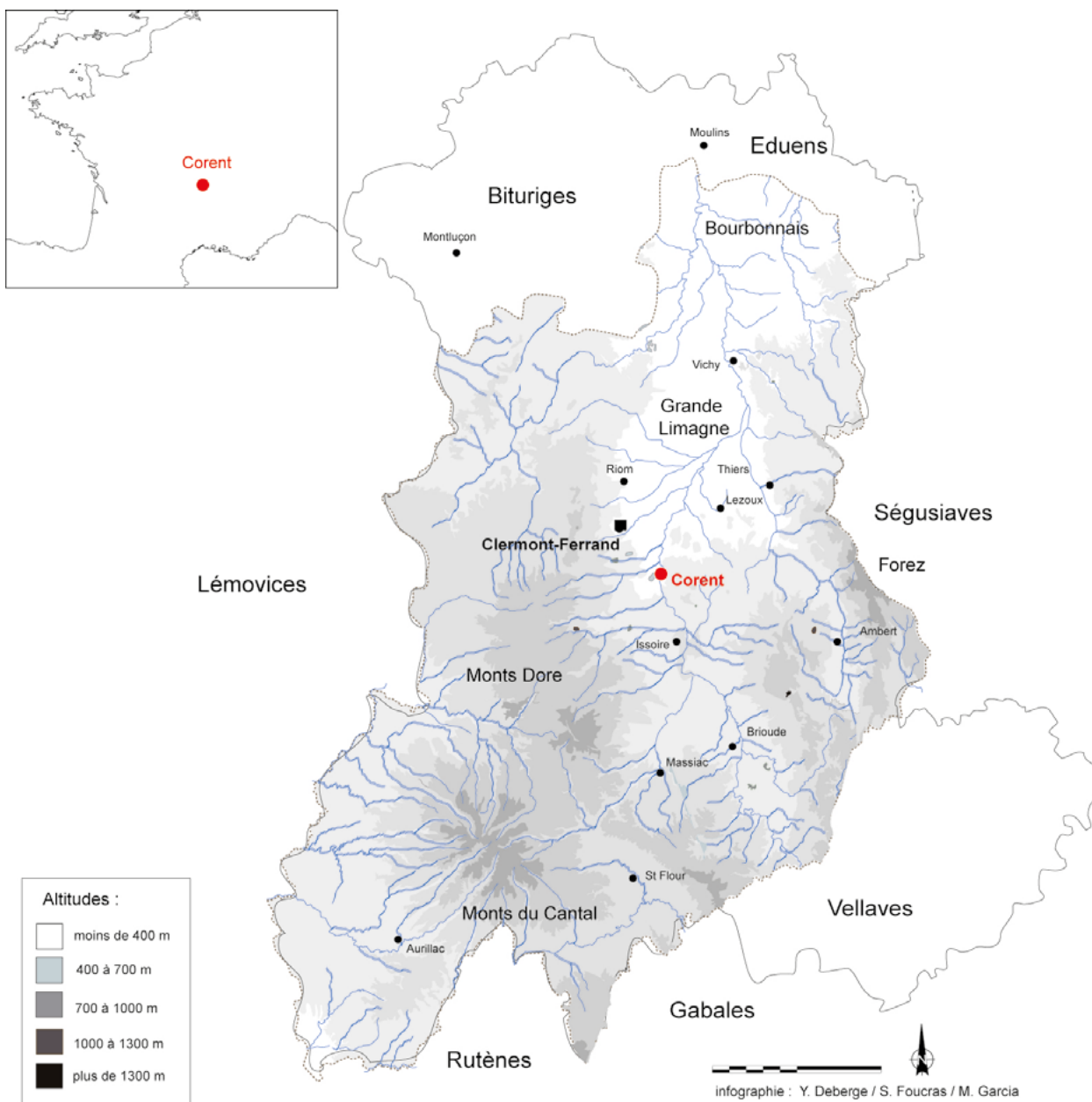


Fig. 2. Carte de localisation du site de Corent.



Fig. 3. Photographie aérienne du plateau de Corent orientée vers la plaine de Limagne (cliché F. Lontcho).

Au vu de ces atouts géostratégiques, il n'est pas surprenant que le plateau de Corent ait attiré les populations de la Protohistoire. Il forme en effet une position facile à défendre, permettant de contrôler l'accès à la plaine de Limagne, par le sud. À la fin de l'époque gauloise, le site fonctionne avec celui du Bay, situé au bord de l'Allier sur les communes de Longues et des Martres-de-Veyre. Sa position dans un passage obligé entre l'Allier et les falaises du Puy-de-Corent permet de garantir une certaine mainmise sur le commerce fluvial et terrestre à destination du nord (Lauranson 2014).

1.3.2. CADRE CHRONOLOGIQUE

Cette étude porte sur l'ensemble du matériel métallique laténien et romain du site et a pour but d'exploiter sur le plan typologique la totalité des objets issus des fouilles réalisées entre 2001 et 2012. Le mobilier issu de prospection ainsi que celui des campagnes récentes ne seront utilisés qu'en complément aux séries typologiques. L'analyse exclut donc de la réflexion le mobilier attribuable à des périodes antérieures à La Tène. Les occupations de l'âge du Bronze sont en cours d'étude, par l'équipe dirigée par Pierre-Yves Milcent et chargée de la fouille des niveaux antérieurs à l'occupation laténienne. Un bilan substantiel de l'occupation du site, entre le Néolithique moyen et la fin de la Protohistoire, fournit les arguments des grands ancrages chronologiques de l'occupation du site ainsi que leur cadre évolutif (Milcent *et al.* 2014, p. 182-185, fig. 3) (fig. 4). Pour plus de détails, on se reportera à cette publication retraçant l'occupation du Premier âge du Fer 2, aux rapports de fouille ainsi qu'au chapitre dédié à ces séquences chronologiques dans l'ouvrage consacré au sanctuaire (Poux et Demierre 2015, p. 21-36).

Périodes chronologiques	Aménagements	Lithique	Céramique	Métal	Mode d'occupation supposé
Néolithique moyen (- 4300 - 3500)	palissades monumentales	X	X		Camp fortifié ?
Néolithique récent et Chalcolithique (- 3500 - 2500)	sépulture collective	X			Nécropole
Campaniforme (- 2500 - 2200)		?			Fréquentation ?
Âge du Bronze ancien (- 2200 - 1600)	bâtiments ?	X	X	X	Habitat ? Dépôts rituels
Âge du Bronze moyen (- 1600 - 1300)			X	X	Habitat
Âge du Bronze final 1 (- 1300 - 1125)			?	X	Dépôts rituels
Âge du Bronze final 2 (- 1125 - 950)	bâtiments, foyers	X	X	X	Habitat, dépôts rituels
Âge du Bronze final 3 (- 950 - 800)	bâtiments, foyers	X	X	X	Habitat aggloméré, dépôts rituels
Premier âge du Fer 1 (- 800 - 625)	enclos funéraire ?			X	Nécropole ?
Premier âge du Fer 2 (- 625 - 510)	bâtiments, foyers, atelier	X	X	X	Habitat aggloméré
Premier âge du Fer 3 (- 510 - 425)			X	X	Fréquentation
La Tène A2-La Tène B1 (-425 - 350)				?	Fréquentation ?
La Tène B2-La Tène C1 (-350 - 200)				X	Fréquentation
La Tène C2-La Tène D1a (- 200 - 130/120)	espace cultuel et de rassemblement		X	X	Sanctuaire
La Tène D1b (- 130/120 - 90/80)	constructions publiques et privées	X	X	X	Agglomération urbaine
La Tène D2 (-90/80 - 30)	constructions publiques et privées	X	X	X	Agglomération urbaine
Haut-Empire (-30 -275 ap.)	constructions publiques et privées	X	X	X	Agglomération secondaire
Bas-Empire (275 - 450)	constructions légères		X	X	Fréquentation, occupation?
Haut Moyen Âge	sépultures		X	X	Fréquentation, occupation?

Fig. 4. Synthèse diachronique des différentes occupations du site de Corent (d'après Milcent et al. 2014, fig. 3).

Historique des problématiques liées à la datation du site dans son contexte régional

Étudiée depuis les fouilles des années 1990, la chronologie du site de Corent a fortement évolué ces dernières années à la suite des travaux dirigés par Matthieu Poux et a fait l'objet de plusieurs développements, dont ce chapitre constitue la synthèse (pour plus de détails, voir Poux et Demierre 2015, p. 505-506). La séquence d'occupation de l'*oppidum* de Corent a longtemps servi de référence dans le cadre de l'établissement de la chronologie régionale de l'âge du Fer en Auvergne. Le riche mobilier découvert lors des premières campagnes a en effet permis la confrontation avec les données des autres grands sites auvergnats, dont les *oppida* de Gergovie et de Gondole, ainsi que les habitats de la plaine de Limagne, tels que ceux d'Aulnat/Gandaillat ou du Patural. L'analyse du corpus mis au jour en 1992 a démontré leur postériorité par rapport aux sites de plaine, tout comme leur antériorité par rapport aux deux *oppida*, pour lui attribuer une durée d'occupation d'une génération, située dans LTD1b, entre 110/100 et 80/70 av. notre ère, avec comme premier argument la différence de faciès monétaire (Guichard *et al.* 1993), puis l'étude de l'ensemble du mobilier. Cette datation définit l'étape 9 de la chronologie régionale réalisée entre 1998 et 2003, dans le cadre du PCR dirigé par Christine Mennessier-Jouannet (Mennessier-Jouannet et Deberge 1999-2003) et publié récemment (Mennessier-Jouannet et Deberge 2017) (fig. 5). Cette étape, principalement fondée sur les corpus des sites de Corent et du Bay, présente une relative cohérence avec les marqueurs traditionnels de LTD1b que sont les fibules de Nauheim, les bracelets tubulaires en alliage cuivreux, une majorité de perles toriques par rapport aux bracelets en verre en association avec des céramiques campaniennes A et B, des amphores de type Dressel 1A et des potins et bronzes frappés anépigraphes. Ces éléments sont associés à des marqueurs plus tardifs comme des bronzes épigraphes, des amphores Dressel 1B ou encore des fibules filiformes à arc cambré et à ressort à corde externe. La faible représentation de ces éléments caractéristiques de LTD2a dans ce corpus justifie la chronologie proposée.

La reprise des fouilles en 2001 a rapidement conduit à remettre en question cette datation jusqu'alors extrapolée à l'ensemble de l'occupation laténienne du gisement, au vu des différents marqueurs chronologiques retrouvés et de la complexité de la séquence stratigraphique. La chronologie établie précédemment reposait sur le mobilier provenant d'un épandage de matériel, issu d'une tranchée de 4 m de large par 12 m de longueur, où la poursuite de la fouille a permis d'identifier deux, voire trois états de bâtiments successifs. Fondée sur le matériel de sols et d'épandages, la datation proposée à partir de ce lot représente celle définie actuellement pour les deux premiers états du site, dont la chronologie est évaluée entre le début de LTD1b et le début de LTD2. Cet état de la recherche constitue le point de départ de toute étude sur les aspects chronologiques liés au site de Corent qui seront affinés au cours de cette étude.

Choix du système chronologique

Dans ces conditions, le système chronologique utilisé sera avant tout fondé sur la définition des différents états du site et sur l'étude réalisée dans la monographie du sanctuaire, qui démontre la durée de l'occupation gauloise du site pour mener à une confrontation et une intégration des différents états de Corent dans la chronologie auvergnate. Le système rhénan, initié par Paul Reinecke (1902) et affiné par Miron (1991), servira de socle pour la formulation des datations typologiques à partir des marqueurs chrono-culturels, comme la parure et l'armement. Avant de procéder à une sériation des assemblages pertinents pour mettre en exergue les particularités chrono-typologiques des différentes

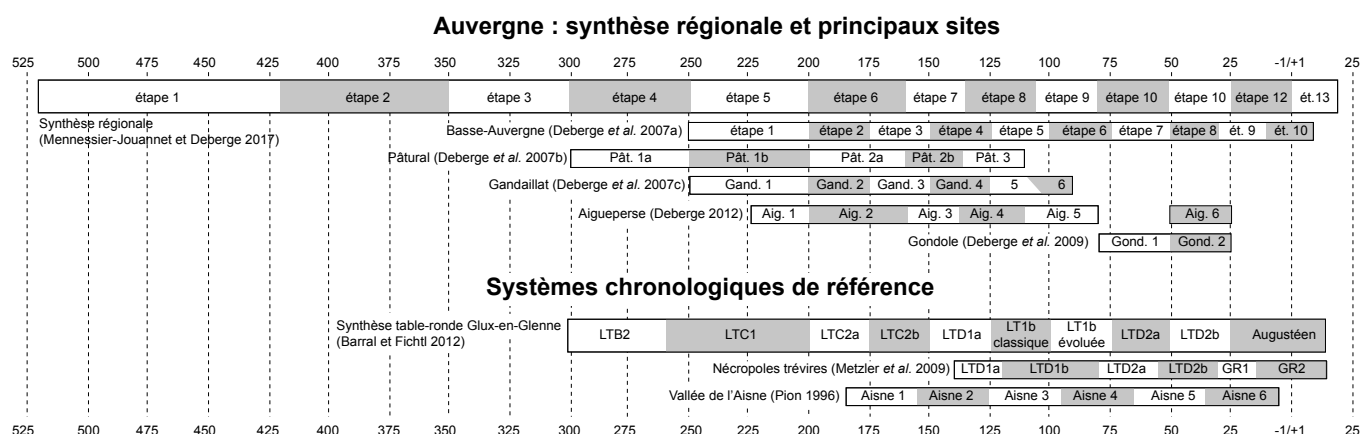


Fig. 5. Tableau récapitulatif des étapes de périodisation chrono-culturelle régionale proposées pour La Tène et chronologie des principaux sites auvergnats (en haut). Principaux systèmes chronologiques de référence utilisés dans le cadre de cette étude (en bas) (d'après Mennessier-Jouannet et Deberge 2017, fig. 491).

séquences d'occupation, les attributions aux cinq phases de La Tène finale (LTD1a, LTD1b classique, LTD1b évoluée, LTD2a, LTD2b) définies lors de la récente table ronde de Glux-en-Glenne (Barral et Fichtl 2012) seront utilisées comme points d'ancrage (fig. 5).

L'horizon LTD1a, situé entre 150 et 125 av. J.-C., comprend les premières fibules de schéma La Tène finale à pied ajouré comportant encore un ressort à corde externe basse, souvent long, associé à des bracelets en verre à jonc lisse et à des fibules à pied rattaché sur l'arc ou de schéma La Tène moyenne. Ces parures de tradition LTC perdurent jusqu'à la fin de la séquence suivante, dont le marqueur principal est la fibule de Nauheim (LTD1b classique). La concomitance de ce fossile directeur de la totalité de la phase LTD1b avec des fibules à ressort à quatre spires, à arc filiforme et pied ajouré marque la fin de cette séquence (LTD1b évoluée) et, dans de nombreuses régions, le passage des agglomérations de plaine aux *oppida*.

La publication de table-ronde de Glux-en-Glenne comporte très peu d'ensembles clairement attribués à LTD2a, séquence pour laquelle nous nous référons aux travaux de Jeannot Metzler établis selon les marqueurs observés dans les nécropoles trévires (Metzler et al. 1991, Metzler 1995, Metzler 1996) et de Patrick Pion sur les sites de la vallée de l'Aisne (Pion 1996). Cette phase est marquée par une recrudescence des fibules à arc interrompu ou à nodosités, déjà attestées à la fin de LTD1b. Toujours présentes dans les ensembles, les fibules de Nauheim sont nettement moins bien représentées que les fibules filiformes en fer, dont la morphologie évolue vers des formes dont l'arc est plus cambré, le ressort principalement à corde externe haute et des pieds relativement courts.

La distinction de LTD2b sur la base des parures demeure encore sujette à caution car les mêmes marqueurs sont souvent évoqués. Néanmoins, l'évolution morphologique des fibules filiformes fournit encore des pistes permettant de caractériser cette période où ces parures comportent un arc outrepassant le ressort et ayant tendance à devenir rubané, des pieds triangulaires, parfois pleins ou encore multifenestrés sur les exemplaires en alliage cuivreux.

Les datations seront formulées dans un premier temps uniquement à l'aide des marqueurs chrono-culturels. Les confrontations de ces éléments avec les ensembles céramiques, le numéraire romain et leurs imitations feront l'objet d'une attention particulière, afin de fournir des datations absolues aux ensembles présentant une telle configuration. Le recours aux étapes du système régional sera également effectué en gardant à l'esprit les remarques formulées précédemment et fera l'objet d'une discussion dans le cadre de la synthèse chronologique.

1.4. *OPPIDUM* DE CORENT : ÉTAT DES QUESTIONS

Résumer en quelques lignes l'état de nos connaissances sur l'*oppidum* de Corent relève de la gageure tant la masse de données accumulées est importante. Le propos s'appuie sur plus d'une dizaine de rapports de fouilles (Poux 2001, Poux *et al.* 2002b, 2003, 2004, 2005, 2006, 2007b, 2008b, 2010, 2011, 2012, 2013, 2014b, Garcia 2009) ainsi que sur de nombreuses contributions qui abordent diverses problématiques liées au site (Poux *et al.* 2002a, Poux 2004, Poux *et al.* 2007a, Poux et Pranyies 2009, Demierre et Poux 2012, Poux 2014b, Milcent *et al.* 2014, Poux *et al.* 2014a, Poux et Pranyies 2015, Poux 2005, Ledger *et al.* 2015, Poux 2015). Ces articles, combinés à la synthèse « Corent, Voyage au cœur d'une ville gauloise » (Poux 2012) réalisée dans le cadre de l'exposition au Musée de la céramique de Lezoux, fournissent un point de départ pour aborder le site dans son ensemble. Les principaux résultats des opérations menées à Corent y sont regroupés sous la forme de diverses contributions fournissant l'état des recherches sur le site, avec des éclairages sur des aspects particuliers allant des découvertes inédites de mobilier aux lignes directrices aidant à la compréhension des vestiges. La publication du sanctuaire (Poux et Demierre 2015) fournit les données primaires et la synthèse interprétative du lieu de culte, tandis que le théâtre romain et l'hémicycle d'assemblée laténien antérieur sont en cours d'édition (Poux *et al.* sous presse), après un article de synthèse récemment publié (Poux 2016).

Afin de fournir un état des connaissances sur le site, cette partie est divisée en quatre sections, avec tout d'abord un historique des recherches (chap. 1.4.1). Avant de procéder à la présentation des vestiges par bâtiment (chap. 1.4.3), les méthodes et critères utilisés pour les identifier sont présentés en parallèle de l'explication du séquençage stratigraphique du site (chap. 1.4.2). Un exposé du contexte archéologique de l'Auvergne à la fin de l'âge du Fer fournit ensuite le cadre dans lequel s'inscrit l'occupation laténienne de Corent (chap. 1.4.4).

1.4.1. HISTORIQUE DES RECHERCHES SUR LE SITE

Cet aspect a fait l'objet d'une notice détaillée en introduction de la monographie du sanctuaire dont nous résumons les grandes lignes et à laquelle le lecteur se référera pour plus de détails (Poux et Demierre 2015, p. 3-15). Les premières découvertes d'artefacts archéologiques remontent au XIX^e siècle, avec une récolte de surface dont le fruit a abouti dans les collections de prospecteurs et des musées régionaux et nationaux. Par chance, le site était alors découpé en petites parcelles de superficie restreinte, souvent laissées en pâturage ou en friche, une configuration qui a contribué à préserver le sous-sol des ramassages systématiques et des ravages que peut engendrer l'agriculture moderne. En 1936, Auguste Perreau dresse un bilan des prospections et fouilles pratiquées sur le site, dont la première, à la localisation incertaine, a été réalisée par Guillaume Fabre et Gustave Grange en 1856. Il mentionne également des fonds de cabane ainsi que la fouille d'une cave effectuée par M. Peyrou et M. Grassion, en 1935. Par la suite, des structures maçonnées, dont des bâtiments gallo-romains sur cave et une nécropole, sont observées entre 1937 et 1939 par P.-F. Fournier ainsi que par J.-R. Terrisse, lors de prospections et de fouilles. A. Perreau est le premier à qualifier le site d'*oppidum* et à reconnaître l'ampleur des différentes occupations du plateau.

Ce n'est qu'à partir du remembrement parcellaire des années 1950-1960 que le défrichage et la culture sur de grandes surfaces offrent alors la possibilité, aux prospecteurs à vue ou équipés de détecteurs à métaux, de récupérer de nombreux objets. En résultent des publications traitant d'un aspect ou l'autre du mobilier

récolté ainsi que des cartes de répartition diachroniques des différentes occupations du site (voir (Provost et Mennessier-Jouannet 1994, Darteville *et al.* 2007), qui servent aujourd'hui encore à caractériser les zones éloignées des fouilles récentes (voir par ex. Poux 2012, p. 272).

La richesse du mobilier issu des ramassages de surface va ensuite inciter des programmes de prospection, puis de fouilles initiées par John Collis et Vincent Guichard. Après une première phase de prospections pédestres, géophysiques et aériennes (1988-1990), le potentiel stratigraphique du site est évalué, dès 1991, à l'aide d'une vingtaine de sondages de 4 m², effectués sur les secteurs livrant le plus de mobiliers en prospection. Selon les résultats de ces opérations, des fouilles de plus grande envergure sont ensuite menées sous la direction de V. Guichard, dans le sanctuaire et ses abords, en 1992 et 1993.

Après une période sans fouilles, les opérations archéologiques reprennent en 2001, à l'initiative de M. Poux, dans le cadre des problématiques liées à la consommation de nourriture et de boissons dans la sphère religieuse. Ce sont avant tout les dépôts de mâchoires de caprinés, découvertes en 1993, sélectionnées et identifiées par Patrice Méniel, qui orientent la recherche vers la parcelle du sanctuaire. Suivent cinq campagnes de fouilles (2001-2005) dédiées à l'exploration du lieu de culte. Elles sont complétées en 2009 par une fouille menée par Magali Garcia, lors de la surveillance des travaux liés à la mise en valeur du lieu de culte. Cette opération permet de documenter l'aile ouest de la galerie romaine ainsi qu'un dépôt comprenant plusieurs pièces d'armement et interprété comme un trophée. Les données de terrain ainsi que l'intégralité du mobilier recueilli sont présentées dans la monographie dédiée au lieu de culte.

En parallèle aux dernières campagnes sur le sanctuaire, un sondage de 60 m² est effectué en 2004 au nord pour évaluer la faisabilité d'une fouille consacrée à l'habitat. Il s'agissait alors de tester si les méthodes utilisées dans le sanctuaire étaient à même de fournir des informations exploitables sur le reste du gisement. Au vu des résultats encourageants, la parcelle au nord du lieu de culte (ZA 20) est ensuite explorée, entre 2005 et 2008. Elle livre une série d'habitats ainsi qu'une place à ciel ouvert entourée de bâtiments dédiés à l'artisanat et au commerce (fig. 6). La périphérie du sanctuaire apparaît alors comme un habitat structuré comportant des zones fonctionnelles distinctes séparées par des espaces de voiries et des places publiques. La partie septentrionale de cette parcelle comporte l'enceinte d'un bâtiment romain, sans doute à vocation cultuelle ainsi qu'une cave de 18 m de long sur 2 m de large pour 2 m de profondeur. Cette dernière structure livre des amphores républicaines entières qui mènent à une interprétation d'entrepôt à vin, peut-être lié à une taverne (Poux et Pranyies 2009).

Entre 2010 et 2012, les recherches abordent la parcelle à l'est du lieu de culte afin de poursuivre la documentation du centre urbain et de l'esplanade faisant face à l'entrée du sanctuaire, partiellement observée en 2007. Ce grand espace ouvert se révèle entouré d'habitats structurés similaires aux bâtiments documentés au nord. Une meilleure conservation des sols permet de mieux comprendre les différentes phases de construction des bâtiments situés dans la partie orientale du secteur, qui constitue la zone la mieux documentée de l'*oppidum*, sur le plan stratigraphique. Les opérations à proximité de l'angle sud-est du sanctuaire conduisent à la découverte d'un théâtre gallo-romain à *orchestra* en fer à cheval précédé d'un édifice de réunion laténien, de plan similaire et décalé d'une dizaine de mètres au sud. Ce bâtiment à fonction politique constitue le premier exemple d'aménagement communautaire gaulois de ce type (Poux *et al.* sous presse).

La campagne de 2013 a pour objectif la documentation d'une zone menacée par les travaux agricoles, dans la parcelle ZA 28. Cet espace livre plusieurs bâtiments gallo-romains sur caves qui font écho aux mentions de J.-R. Terrisse.

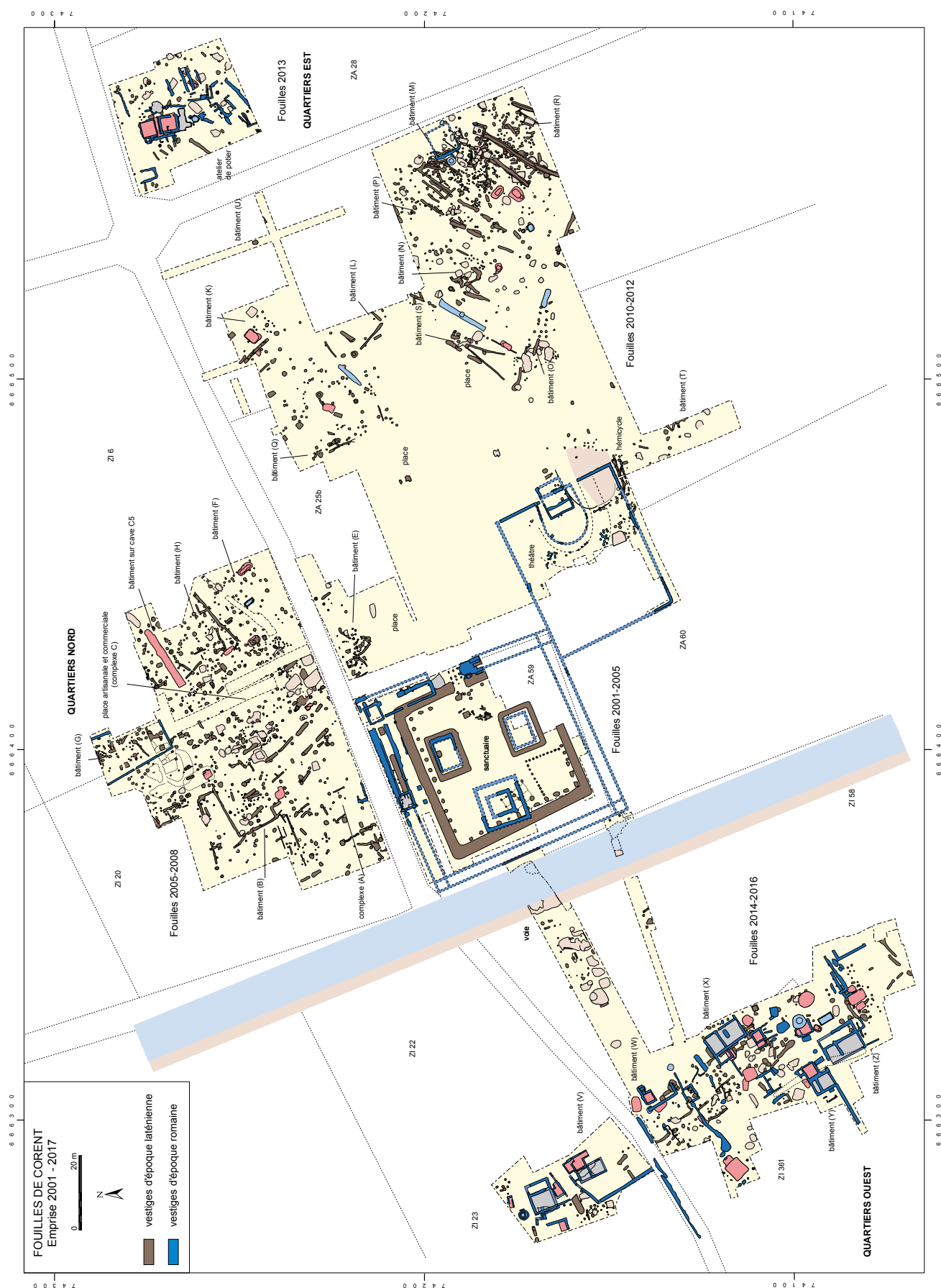


Fig. 6. Aire explorée depuis la reprise des fouilles récentes jusqu'en 2017.

Un atelier de potier augustéen avec ses installations spécialisées (four, fosse de tournage, bassin de marchage, etc.) et de nombreux ratés de production sont identifiés, dans la partie méridionale du secteur (Poux *et al.* 2014a). L'occupation laténienne, fortement perturbée par les installations postérieures, y est peu structurée et s'apparente à des vestiges d'habitat. Elle livre les reliefs d'une production monétaire sous la forme d'un coin fixe, de flancs monétaires en chapelet et de creusets. Conjointement aux recherches effectuées sur l'habitat gallo-romain, les fouilles abordent aussi la parcelle située dans la pente occidentale, au-dessus du sanctuaire. Elle est sondée à l'aide de tranchées de diagnostic qui permettent de documenter une voie longeant le sanctuaire gallo-romain ainsi que des constructions maçonnées sur une terrasse naturelle. Les vestiges laténiens et antérieurs sont également présents sur toutes les zones où des couches archéologiques sont conservées.

Suite à ces tranchées de diagnostic, les fouilles se concentrent dès 2014 sur la terrasse située à une cinquantaine de mètres de la bordure ouest de la galerie du lieu de culte. Elles mettent au jour des vestiges d'époque romaine composés de bâtiments sur cave disposés de part et d'autre d'un axe de circulation. Latrines, citernes, bassins, canalisation atypique et cuisine étoffent la variété des structures connues sur le site. Elles constituent autant de caractéristiques de cette agglomération dont l'activité demeure difficile à cerner en raison de la rareté des traces d'artisanat. Tel n'est pas le cas toutefois des niveaux laténiens, mieux conservés dans la partie nord du secteur fouillé et dans la tranchée reliant ce dernier au sanctuaire. Cet espace livre des aménagements de voie bordés par plusieurs grandes fosses à fond plat. Ces structures artisanales procurent des mobiliers caractéristiques du travail du bois, de l'os et des alliages cuivreux. La partie supérieure semble correspondre à plusieurs bâtiments résidentiels associés à des structures à vocation artisanale et à une cave. L'absence de recoupement et l'homogénéité du matériel laissent penser que l'occupation laténienne de cette zone fut plus brève que celle des autres secteurs.

1.4.2. STRUCTURES, CRITÈRES D'IDENTIFICATION ET DE PHASAGE DES STRUCTURES

Avant de décrire les principales unités architecturales du site, la présentation des méthodes de fouille et des critères permettant la reconnaissance des bâtiments de Corent est primordiale, pour une bonne compréhension de la constitution des ensembles. Elle est formulée ici sur la base de la synthèse méthodologique réalisée dans le cadre du rapport de fouille 2014 (Poux *et al.* 2014b) et focalisée sur les vestiges d'époque laténienne (fig. 7).

La morphologie du substrat volcanique de Corent se présente de prime abord comme une séquence ininterrompue de terre noire meuble. Seule la présence d'inclusions de mobilier caractéristique – éclats d'amphore et de faune pour La Tène finale, mortier, tuiles et calcaire pour l'époque romaine – offre la possibilité de différencier les couches et les structures, lorsque leur juxtaposition le permet. La tâche se complexifie pour les couches d'occupation laténienne de faible épaisseur, dont la superposition est souvent difficile à démontrer sur le terrain. L'identification des structures en creux et des sols dépend donc de la réalisation de plusieurs passes de décapage. Leur objectif est de dégager la surface des couches marquées par du matériel disposé à plat pour un niveau de sol, alors que les structures en creux apparaissent grâce à du mobilier orienté de chant et inséré dans un encaissant antérieur. Un tesson d'amphore incliné dans une couche à matrice graveleuse, caractéristique de l'âge du Bronze, indiquera ainsi une structure en creux laténienne.

Sanctuaire				Habitat				
État	Phase	Niveau	Caractéristiques	État	Niveau	Caractéristiques	Orientation	Datation
1	1.1	construction	Fossé palissadé	1	construction	Poteaux porteurs et sablières, sols de cailloutis	Nord-sud, est-ouest selon le parcellaire	fin LTD1a (130/120 av. J.-C.)
	1.2	démolition	Démantèlement de la palissade		démolition			LTD1b classique (120-100/90 av. J.-C.)
2	2.1	reconstruction	Galerie périphérique, aménagement des niveaux de sol	2.1	reconstruction	Poteaux porteurs, sablières, sols de cailloutis	Nord-ouest/ sud-est	LTD1b évoluée (100/90-80/70 av. J.-C.)
	2.2	occupation	Occupation	2.2	reconstruction	Poteaux porteurs, sablières, solins et radiers de basalte, chapes de pouzzolane, sols de cailloutis	Nord-ouest/ sud-est	LTD2a (80/70-60/50 av. J.-C.)
	2.3	abandon	Radiers de basalte	2.3	abandon		Nord-ouest/ sud-est	LTD2a-LTD2b (70/60-50/40 av. J.-C.)
3	3.1	reconstruction	Solin en pierre sèche et paroi d'argile	3.1	reconstruction	Solin en pierre sèche et paroi d'argile, trou de poteau, caves parementées		LTD2b-Auguste (40/30-20/10 av. J.-C.)
	3.2	occupation	Solin en pierre sèche et paroi d'argile	3.2	abandon			Fin du règne d'Auguste (20/10 av. J.-C.-10/20 ap. J.-C.)
4	4.1	reconstruction	Galerie périphérique maçonnée	4.1	reconstruction	Théâtre, agglomération romaine, murs, sols et caves maçonnés		I ^{er} s. ap. J.-C.
	4.2	reconstruction	Galerie périphérique et <i>fanum</i>	4.2	reconstruction	Mur de scène du théâtre		II ^e s. ap. J.-C.
	4.3	abandon	Réfection, abandon	4.3	abandon	Abandon du plateau		III ^e -IV ^e s. ap. J.-C.

Ces difficultés de lecture de terrain, de même que la conservation inégale des vestiges, ont engendré de nombreux tâtonnements pour établir le phasage du site, dont le nombre de séquences est passé d'une seule à cinq, dans les zones les plus préservées d'époque gauloise. Ce phasage peut désormais s'appuyer sur la publication du sanctuaire, où deux états laténiens divisés en cinq phases sont individualisés (état 1 et 2, phases 1.1 ; 1.2 ; 2.1 ; 2.2 et 2.3) ainsi que sur l'étude stratigraphique détaillée du bâtiment M. Cet édifice, fouillé entre les années 2010 et 2012, fournit un référentiel comparable pour l'habitat. Les critères d'identification de ces phases se fondent, dans un premier temps, sur les juxtapositions des sols corrélés à la morphologie, à l'orientation et aux recouvrements des structures.

Sur ces bases, les données de terrains peuvent être divisées en quatre familles de structures qui fournissent les critères déterminants pour le phasage du site :

- Les radiers empierrés massifs constitués de gros blocs de basalte et de pouzzolane, parfois mêlés à des tessons d'amphores, soigneusement imbriqués pour former une chape régulière de 10 à 30 cm d'épaisseur, sur une surface comprise entre quelques mètres et plusieurs dizaines de mètres carrés, caractérisant en règle générale les états d'aménagement et d'occupation les plus récents de l'*oppidum* (états 2.2 et 2.3, La Tène D2) ;
- Les niveaux de sols formés par des cailloutis denses mêlant graviers de basalte et de pouzzolane de petit module à des tessons d'amphore et de céramique, ainsi que des ossements animaux disposés à plat, de faible épaisseur (5 à 10 cm) mais couvrant souvent des aires importantes, identifiés dans toute la séquence d'occupation de l'*oppidum* (états 1 et 2, La Tène D1 et D2) avec une surreprésentation durant les deux premiers états (états 1 et 2.1, La Tène D1b) ;

Fig. 7. Tableau de synthèse des modes d'identification des états reconnus sur le site et de leur datation.

- Les épandages de mobiliers, constitués de fragments d'amphore, de céramique et de faune répartis de façon plus ou moins dense et homogène sur une épaisseur oscillant entre quelques centimètres et plus de 20 cm et sur une surface comprise entre quelques mètres et plusieurs dizaines de mètres carrés, attestés dans tous les états d'occupation de l'*oppidum* (états 1 et 2, La Tène D1 et D2) ;
- Les structures en creux, qui présentent des modules (de 0,10 à 18 m), des formes (circulaire, ovoïde, quadrangulaire, rectangulaire, polylobée) et des fonctions très variées (trous de poteau, empreintes de sablières basses, tranchées de palissade, fosses dépotoir, celliers, citernes, etc.), également présentes dans tous les états d'occupation de l'*oppidum* (états 1 et 2, La Tène D1 et D2).

Si les relations stratigraphiques entre les différents niveaux de sols sont facilitées par les radiers qui scellent un sol ou un épandage, l'association de ces niveaux de circulation avec des structures en creux relève d'une méthodologie reposant sur les orientations respectives des structures longilignes telles que les sablières, les palissades ou les fossés ou encore sur les alignements et les rythmes de disposition des trous de poteaux de morphologie similaire. L'insertion stratigraphique de chaque structure est également analysée, de même que leurs recoupements et les reprises de trou de poteau. Enfin, la proximité de négatifs de même type indique souvent leur appartenance à deux phases différentes. Cette méthode conduit à la distinction de deux grands états établis à partir de l'orientation des vestiges.

État 1

Le premier état correspond, dans le sanctuaire, à l'aménagement de l'enceinte palissadée. Il y est divisé en deux phases, liée pour la première à la construction de la palissade (état 1.1), tandis que la seconde correspond à son remplissage détritique, lors de son démantèlement (état 1.2). Le mobilier de cette deuxième phase équivaut à l'ensemble de l'horizon (occupation et destruction), incluant la majeure partie des reliefs de son activité collectés pour être jetés dans le vide laissé par les poteaux de la palissade. Dans l'habitat, cet état se matérialise grâce à son orientation proche de celle des points cardinaux, dans le prolongement des branches du fossé du sanctuaire et du parcellaire actuel. Les niveaux d'occupation attribués à cet état sont particulièrement fugaces avec, pour corollaire, un corpus de matériel issu principalement du remplissage des structures en creux. Le mobilier de cet état illustre par conséquent principalement la fin de cette première séquence d'occupation.

État 2

L'état 2 coïncide avec de grands remaniements, qui se distinguent par la construction de la galerie périphérique, dans le lieu de culte et un changement d'orientation, dans l'habitat par rapport à l'état précédent. Trois phases sont identifiées dans le sanctuaire. La première (état 2.1) correspond au remblai et à l'installation des sols et des aménagements (foyer, cloisons) dans la galerie. Pauvres en mobilier, les couches liées à cette phase reçoivent les niveaux d'occupation (état 2.2), eux-mêmes recouverts par endroits par des radiers de basalte. Ces derniers sont interprétés comme des réaménagements des sols de la galerie et représentent l'état 2.3 du lieu de culte. Les mobiliers des niveaux scellés par ces basaltes agencés sont attribués à l'état 2.2 et à l'ensemble de l'état 2, lorsque tel n'est pas le cas. Le corpus attribuable à l'état 2.3 comprend les mobiliers en surface des radiers et ceux piégés dans les palissades extérieures de la galerie, lors de sa destruction.

Dans l'habitat, ces différentes séquences équivalent à des états de bâtiment *lato sensu* sans possibilité de définir leurs phases architecturales (construction, occupation et destruction). L'identification de la totalité de ces états n'est effective que dans la partie orientale du site, au sein des bâtiments M et R ainsi que, partiellement, dans le corps de bâtiment A. Certaines constantes permettent néanmoins de qualifier ces différents états, à commencer par l'orientation des éléments structurants (sols, palissades, fossés, sablières) et le mode de construction

des sols. Les niveaux de circulation de l'état 2.1 sont constitués de cailloutis, plus ou moins denses, jonchés de tessons d'amphore associés à des bâtiments dont les structures porteuses sont principalement constituées de poteaux et de sablières. Ce mode de construction perdure jusqu'à la fin de l'état 2. L'architecture se diversifie dans la parcelle orientale, dès l'état 2.2, avec la construction de bâtiments à parois sur solin et à sol rehaussé par un radier de blocs de basalte parfois recouvert d'une chape de pouzzolane damée. Ainsi, selon ces principes, les épandages de mobilier scellés par les radiers de la parcelle nord ont été attribués arbitrairement à l'état 2.1, bien qu'il soit probable que certains radiers ne soient installés qu'à partir de l'état 2.3. Ils correspondent à des couches des états 1 et 2.1 lorsque les premiers niveaux de sol n'ont pas été individualisés et que des structures d'orientations divergentes sont documentées sous ces semelles de fondation. Cette phase est d'une grande importance pour l'analyse chronologique, car elle présente des quantités importantes de mobilier utilisables comme ensemble clos. Tel n'est pas le cas des mobiliers mis au jour à la surface des radiers dont la chape a disparu et qui sont majoritairement en contact direct avec les terres cultivées. Correspondant à une diminution de l'occupation du site, l'état 2.3 comprend donc de rares ensembles clos ainsi que le matériel récolté sur les radiers.

État 3

L'état 3, daté de l'extrême fin de La Tène finale à la fin du règne d'Auguste, est bien représenté par le matériel des dernières campagnes de fouille, notamment par l'occupation dense liée à la production céramique fouillée en 2013. Il est caractérisé par des solins en pierre sèche liés à l'argile et des structures porteuses en terre et bois. Peu recensée dans le corpus exploité dans ce travail, cette phase a été observée ponctuellement dans le sanctuaire, à l'extrémité orientale de la zone est et dans le théâtre. Des éléments sont également attribuables à cette phase dans le quartier nord, notamment dans les complexes A, C et D.

État 4

L'ensemble de la période romaine est regroupé dans l'état 4 qui a pu être subdivisé en trois phases dans l'enceinte du sanctuaire, à savoir l'état 4.1, lorsque la première galerie maçonnée est bâtie dans le courant du I^{er} s. ap. J.-C., la phase de monumentalisation du sanctuaire avec notamment la construction du temple à galerie périphérique (état 4.2) et les dernières modifications du plan associées aux couches d'abandon du complexe religieux, dans le courant des III^e et IV^e s. ap. J.-C. (état 4.3). Cette période est fort peu représentée dans le corpus de l'habitat à l'exception du théâtre, dont le phasage sera développé dans le chapitre suivant, et dans la partie septentrionale de la zone nord où un mur d'enclos associé à quelques structures (bâtiment G) ainsi qu'une zone de remblai riche en mobilier (espace D) ont été identifiés. Ces constructions sont attribuées à l'état 4 *lato sensu*.

1.4.3. LES PRINCIPALES UNITÉS ARCHITECTURALES DU SITE

La distinction des principales unités architecturales a été établie en fonction du parcellaire identifié grâce aux espaces non bâtis et aux cloisons, palissades et autres structures fossoyées de bordure de voie. Ces éléments marquent des complexes architecturaux constitués d'ensembles de bâtiments cohérents, des bâtiments isolés ou encore des espaces plus difficilement qualifiables. Quelles que soient leur taille et leur complexité, ces différentes unités spatiales sont désignées en premier lieu par une lettre à laquelle est juxtaposé un chiffre, dans le cas des complexes architecturaux dotés de plusieurs édifices. Ainsi, le complexe A est subdivisé en dix bâtiments aux codes exprimés de A1 à A10. La même dénomination a été utilisée pour les bâtiments successifs disposés au même emplacement, quel que soit leur phasage.

Les secteurs traités dans ce travail se répartissent entre trois grandes parcelles, à savoir, la partie nord regroupant les opérations effectuées entre 2004 et 2008, le secteur oriental (campagnes 2007 à 2012) et le sanctuaire exploré entre 2001 et 2009 (fig. 6). La présentation des vestiges s'organise selon la même logique que celle du catalogue, soit en commençant par les complexes occidentaux de chaque zone puis en évoluant dans le sens des aiguilles d'une montre. La succession chronologique des différents états d'un complexe architectural est présentée dans un souci de compréhension générale du site, sans pour autant s'attarder sur l'argumentaire de la chronologie relative à chaque bâtiment. Le catalogue du mobilier présente, pour chaque complexe architectural, un récapitulatif du phasage des assemblages. Dans le même ordre d'idée, la description qui suit se focalise sur les assemblages relevant un intérêt particulier, fonctionnel ou chronologique. La présentation de chaque parcelle est précédée d'une introduction méthodologique qui explique les choix opérés pour le phasage et montre l'hétérogénéité des données à disposition.

Le quartier nord

Ce secteur de l'*oppidum* est le premier sur lequel ont été effectuées des fouilles en aire ouverte dès les années 1990, sous la direction de V. Guichard puis, dès 2004, par l'équipe actuelle. Les méthodes d'enregistrement et de fouilles (par décapage artificiel en m², puis par unités de fouille) ont évolué entre ces deux opérations et ont fait l'objet d'expérimentation et d'adaptation pour optimiser la compréhension du terrain. En résultent certaines difficultés d'identification de bâtiment et de comparaison avec le séquençage de la parcelle orientale qui bénéficie d'une meilleure documentation. Dans le même ordre d'idée, cette zone souffre encore d'un déficit d'étude céramique pour valider la mise en phase proposée et d'un morcellement des opérations sur l'emprise de certaines zones, comme le complexe A, qui n'en facilitent pas l'analyse.

Les unités architecturales du quartier nord diffèrent grandement, tant sur le plan de leur superficie, que sur celui des séquences identifiées ou encore de leurs fonctions respectives (fig. 8 et fig. 9). Ainsi, les complexes A et C comportent plusieurs bâtiments, alors qu'une seule unité d'habitat est relevée pour les bâtiments B, F ou H. De même, les complexes A et C présentent trois à quatre états, alors que seuls deux états peuvent être individualisés dans le bâtiment B.

Le complexe A

Situé au nord du sanctuaire, le complexe A présente trois états laténiens et quelques structures romaines localisées à sa bordure sud. L'ensemble est conditionné par des espaces ouverts et des radiers de l'état 2.2 à 2.3 qui scellent les deux premiers niveaux d'occupation (fig. 10).

Relativement mal identifié dans la partie orientale du complexe (bâtiment A1), l'état 1 y est principalement marqué par des structures rectilignes, sablières et palissades ainsi que par quelques trous de poteau et un cellier (14047) orientés selon les axes directeurs fournis par les fossés d'enclos du sanctuaire. À cette phase, il demeure difficile de générer le plan d'un ou de plusieurs édifices sous ce qui deviendra les bâtiments A1 et A2. L'alignement de structures à l'est du côté de la voie, dans l'axe des fossés d'enclos des bâtiments B et D, suggère néanmoins la présence de constructions. Les bâtiments sur poteaux A7 et A8 situés à l'ouest, aux extrémités nord et sud du complexe, sont mieux identifiés. De petite taille, ce dernier est orienté sur l'axe des palissades marquant la césure entre la cour ouest du bâtiment B et le complexe A. Situées à l'extérieur de cet ensemble, les fosses (16134 et 16146) sont aussi attribuées à cette phase, en raison de leur alignement avec la palissade (16541). Le bâtiment A7 apparaît sous la forme de sablières formant un angle droit et de poteaux disposés à leur jonction. Cet édifice est prolongé au nord par une palissade qui doit correspondre à une limite du parcellaire.

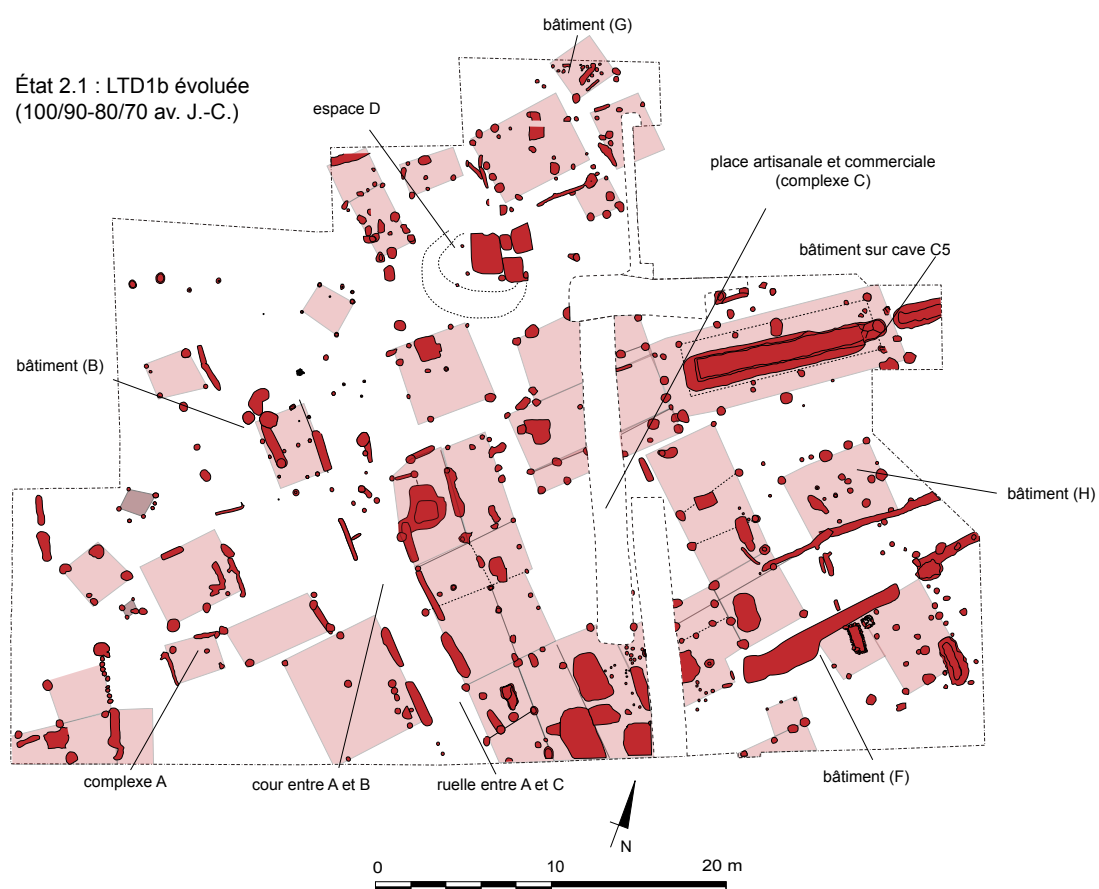
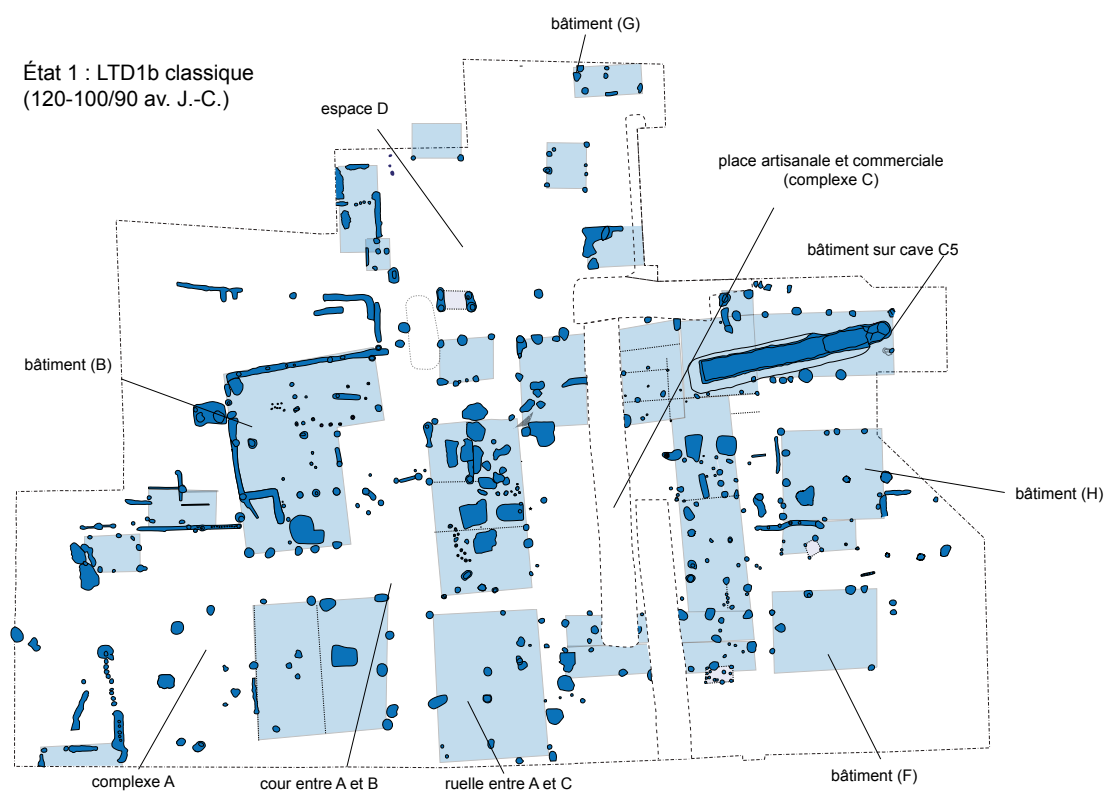


Fig. 8. Plans de synthèse du quartier nord aux états 1 et 2.1.

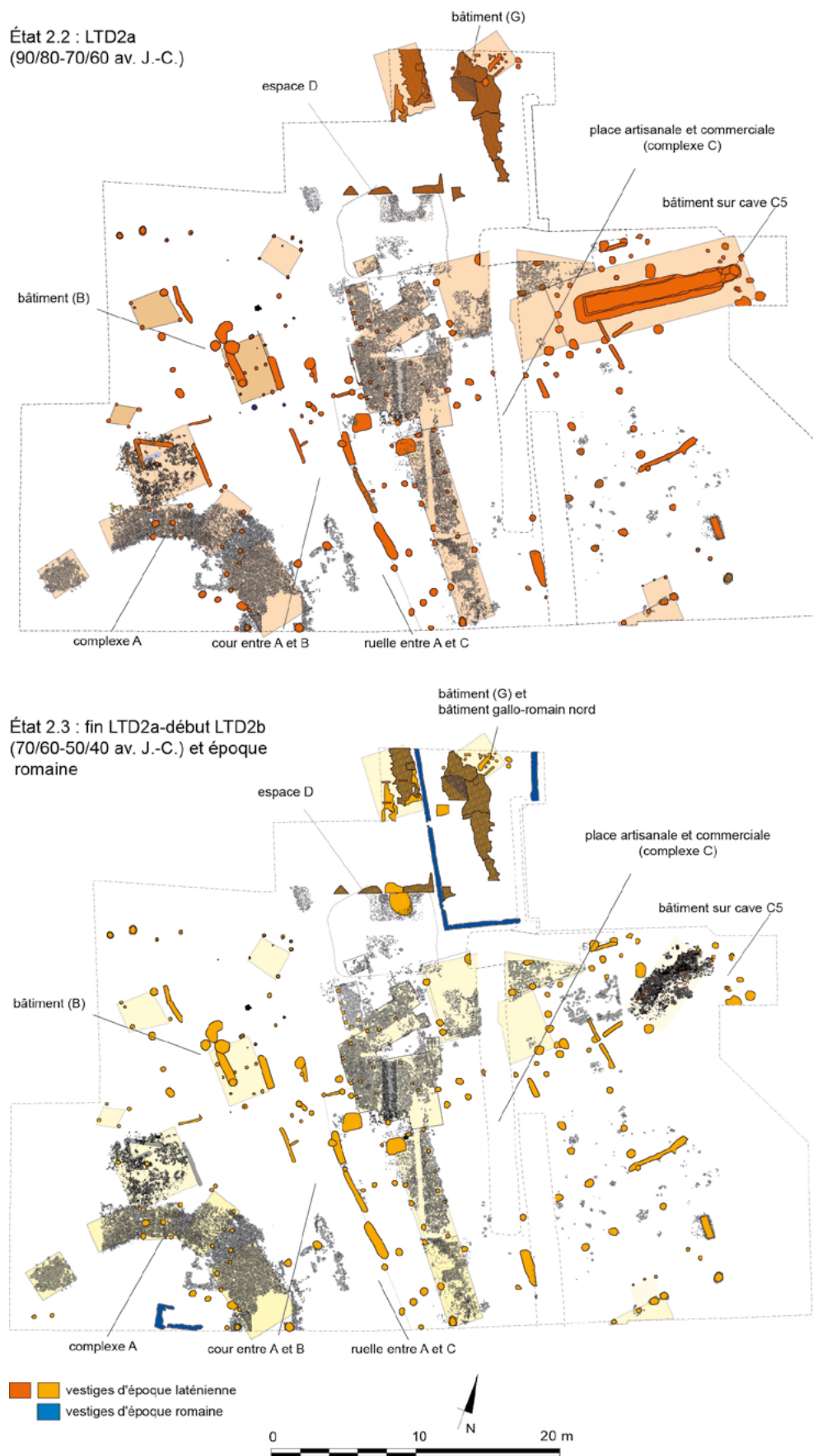


Fig. 9. Plans de synthèse du quartier nord aux états 2.2 et 2.3 ainsi qu'à l'époque romaine (état 4).

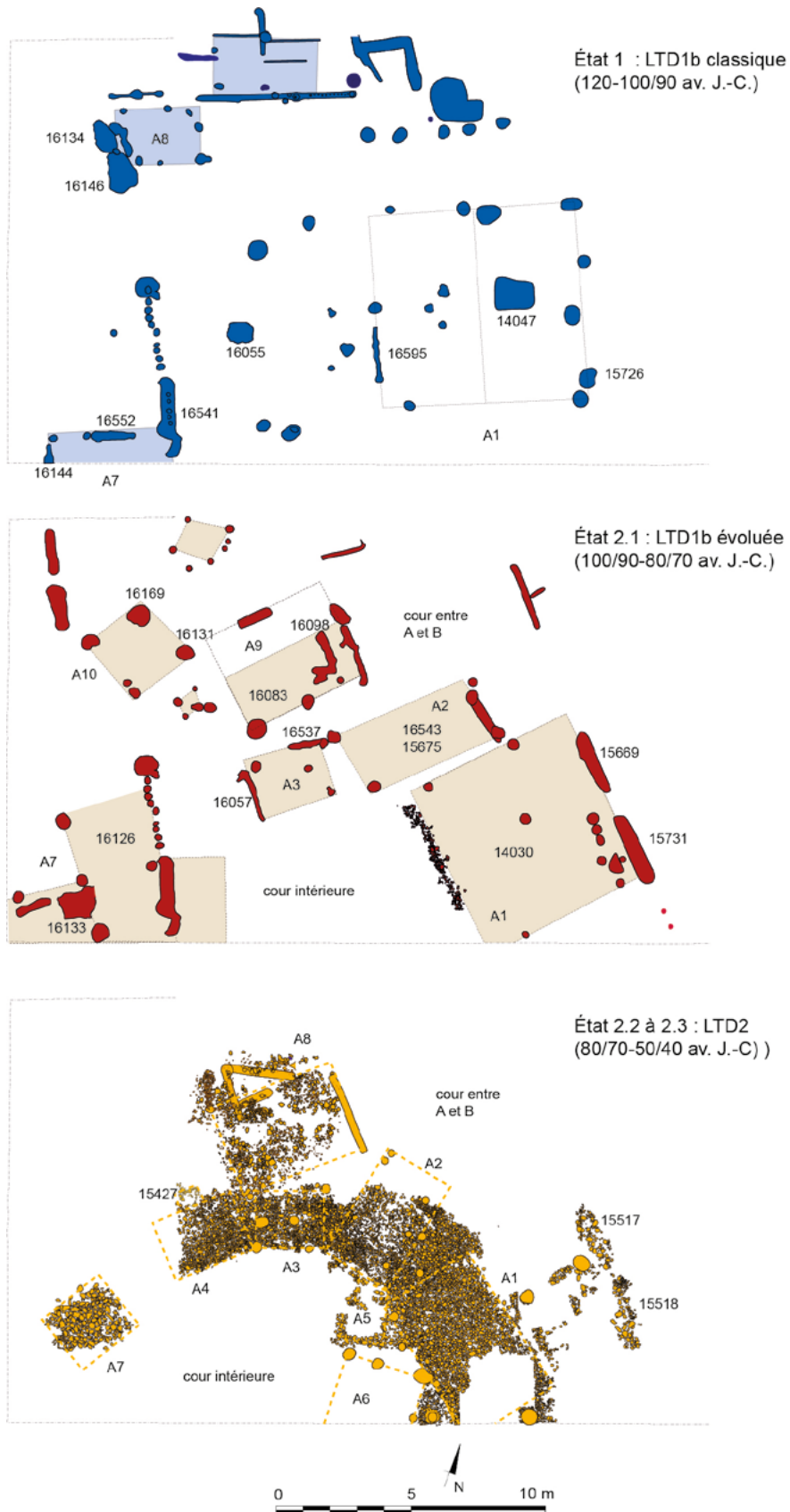


Fig. 10. Plans de synthèse des trois états du complexe A.



Fig. 11. *Détails du sol 14030 (à gauche) et vue aérienne des radiers de l'état 2.2 à 2.3 (à droite).*



La structuration de cet espace apparaît plus clairement à partir de l'état 2.1, avec l'identification des principaux bâtiments du complexe organisés autour d'une cour dont le tracé est repris par les radiers postérieurs. Situé à l'extrémité est du complexe, le bâtiment A1 est matérialisé par un sol de cailloutis structuré (14030) constituant une sorte de pavement où s'entremêlent amphores, céramiques, ossements et mobilier métallique (fig. 11). Déjà exploré en 1992, ce niveau est notamment caractérisé par la découverte de dépôts d'armement (orles ployés, umbos de bouclier) et de trois fragments de voûte crânienne humaine, à la surface incisée à de nombreuses reprises évoquant le prélèvement d'un scalp. Bordée par des fossés palissadés, cette unité architecturale devait être dotée d'un portique dans sa partie orientale soulignée par un ensemble de trous de poteau, dont l'un a livré une pointe de lance et une herminette à la base de son remplissage (15726). En l'absence de structures porteuses, il demeure pour l'heure difficile de déterminer si la partie occidentale du bâtiment était à l'air libre ou couverte. La présence de nombreux clous et d'un solin à l'ouest suggère néanmoins la présence d'une toiture.

Repris par un radier de même orientation à l'état 2.2, le bâtiment A1 présente au moins une phase plus récente (fig. 11). C'est vraisemblablement à ce moment, voire plus tardivement, que sont adossés les solins et les trous de poteau matérialisant l'emprise des bâtiments A5 et A6 ainsi que les structures empierrées reprenant à l'est le tracé des palissades de l'état précédent (15517, 15518). Apparaissant directement sous les niveaux de décapage, ces derniers édifices demeurent difficiles à caractériser, tant sur le plan de leur datation que sur celui de leur fonction. Il pourrait s'agir d'annexes accolées dans un second temps au bâtiment A1.

Un peu plus au nord, le bâtiment A2 est marqué à l'état 2.1 par un niveau de sol (16543) et d'épandage (15675) ainsi que par deux trous de poteau disposés en regard d'une sablière. Le plan de cet édifice d'identification difficile est repris par un radier de basalte à l'état suivant. Ce dernier comporte encore son niveau de circulation qui devait être damé et qui livre plusieurs parures en verre. La paire de fibules en or découverte à proximité, dans le décapage de surface, pourrait provenir d'un appentis ou d'un porche doté d'un sol de tessons d'amphores relevé au nord, dans l'axe du radier.

Matérialisé aussi par des radiers quadrangulaires à la fin de l'occupation laténienne (état 2.2 à 2.3), le bâtiment A3 est nettement moins bien lisible dans sa phase antérieure. Une construction de l'état 2.1, marquée par deux sablières perpendiculaires (16057, 16537), peut être restituée sous le sol empierré de l'état 2.2 à 2.3. Le bâtiment A4 n'est connu que dans cette phase récente où une structure de quatre amphores imbriquées (15427), interprétée comme une cuve de collecte des eaux, est accolée à sa paroi nord.

Également de l'état 2.2 à 2.3, le radier du bâtiment A7 se singularise par sa construction mettant en œuvre des modules de basalte au diamètre nettement plus important que ceux des édifices voisins. Ce mode de construction laisse supposer une assise pour une plus haute élévation. Il scelle un sol antérieur et un niveau de remblai rapporté, riche en mobilier métallique (16126). La partie sud du secteur présente plusieurs niveaux de sol et des structures obliques de l'état 2.1 qui se développent sous la limite de fouilles et reprennent l'emprise du bâtiment de l'état 1.

L'espace délimité par les constructions sur radiers des états 2.2 à 2.3 apparaît comme une zone vide de vestiges, interprétée comme la cour intérieure du complexe. Les couches de ce secteur sont formées par des épandages livrant un riche mobilier caractéristique de la fin de l'occupation laténienne, avec notamment une boîte à sceau et des clous de chaussure tardo-républicains.

Attribuable à la fin de l'occupation laténienne sur la base d'éléments de datation similaire et de son mode de construction, le bâtiment A8 de l'état 2.2 à 2.3 est caractérisé par une zone de plusieurs radiers de petits modules peu structurés et touchés par les labours. Cet ensemble comprend principalement des épandages de pieds et de crânes de bovidés qui ont permis l'identification d'une activité bouchère.

Sous ce niveau de radier, le bâtiment A9 attribué à l'état 2.1 est matérialisé par un sol de cailloutis de basalte (16083), délimité au sud par un alignement de trois trous de poteau, parallèle à une sablière marquant le bâtiment au nord et perpendiculaire à une cloison également perceptible grâce à la présence d'une sablière à l'est.

Au même état, le bâtiment de construction simple sur quatre poteaux A10 recouvre en partie l'édifice A8 de l'état 1. Les deux trous de poteau occidentaux de l'édifice (16169 et 16131) livrent des outils liés à l'artisanat du cuir qui suggèrent une fonction d'atelier pour cette construction.

Le bâtiment B

Définies dès l'état 1, les limites du bâtiment B sont structurées par des palissades organisant les espaces externes et internes de cette unité architecturale (fig. 12). Ainsi, celles au nord (16303, 16309) et au sud (15591, 16037) marquent l'emprise de l'intégralité de l'ensemble avec ses cours occidentale et septentrionale et son bâtiment principal, tandis que la limite orientale est signalée par l'alignement des structures longilignes (15561, 16328). L'accès à la cour nord est indiqué par deux trous de poteau (16531, 16349), dans l'axe de la palissade 16309. Peu de mobilier provient de ce secteur fortement arasé, où des activités

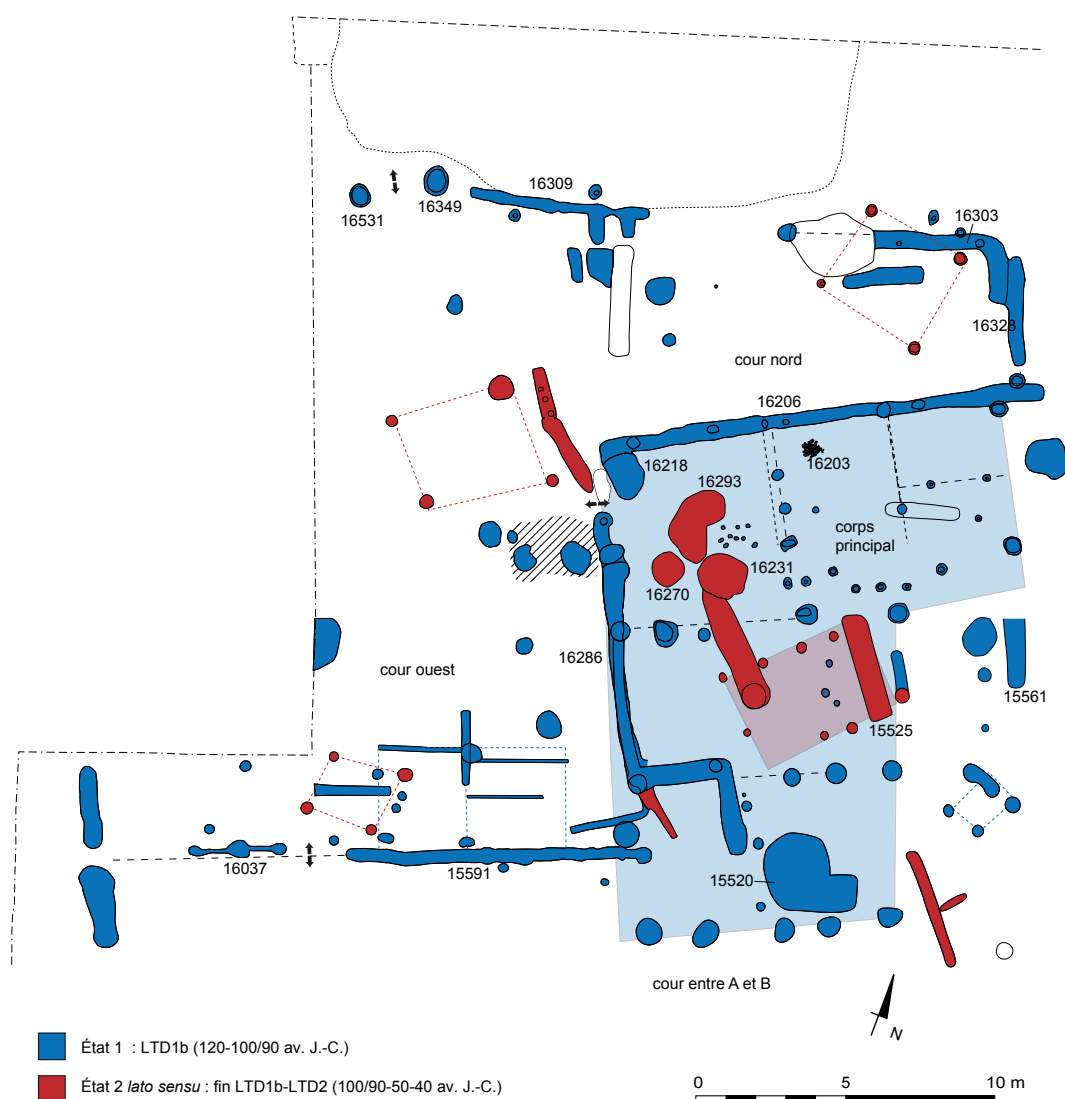


Fig. 12. Plan de synthèse du bâtiment B avec ses deux états.

artisanales ont pu avoir lieu comme en témoigne la présence d'un ensemble de demi-produits et d'une hachette. La cour ouest livre aussi des traces d'artisanat (fibule de Nauheim en cours de fabrication, demi-produits, lime) issues des épandages et des décapages de surface. Cet espace ouvert reçoit à l'état 1 une construction accolée à la palissade 15591, perceptible grâce à des vestiges de solives et de poteaux. À l'état 2, deux constructions sur quatre poteaux, interprétables comme des greniers ou des séchoirs, occupent les secteurs nord et ouest de la cour.

Une interruption, dans la paroi du corps principal du bâtiment, signale son entrée dont l'identification est renforcée par la découverte d'une plaque d'entrée de serrure à cet emplacement (fig. 13). Les sablières (16206 et 16286) constituent les structures porteuses de cet habitat qui comporte cinq à six pièces délimitées par des alignements de trous de poteau. Un foyer interne à sole en tessons d'amphore (16203) (fig. 13) ainsi qu'un cellier de forme quadrangulaire (15520), à emmarchement dans sa partie orientale, démontrent l'aspect résidentiel de ce bâtiment qui peut avoir perduré pendant une partie de l'état 2. Cet espace de stockage, qui livre un crâne humain et un corpus de petit mobilier fourni (fibules, umbo de bouclier), devait comporter une superstructure comme l'atteste l'ensemble de poteaux qui l'entoure. La fosse dépotoir (16218) comprend un grand ensemble de mobilier (bracelet en verre à couverture interne jaune, fibule, pied de cruche Kelheim) et entame l'angle nord-ouest du bâtiment. Elle marque par la même la fin de l'occupation de cet habitat à la fin de LTD1b,



Fig. 13. *Entrée du bâtiment B
vue du nord (à gauche) et
foyer 16203 (à droite).*

une datation avancée grâce au riche ensemble de céramiques comprenant tant des caractéristiques du II^e s. av. J.-C. (jatte d'Aulnat) que du début du I^{er} s. av. J.-C. (majorité des céramiques importées en Campanienne B).

Contrairement à la plupart des autres complexes architecturaux, ce bâtiment n'est pas repris par des radiers postérieurs. Il est marqué à l'état 2 par une petite construction sur poteau accolée à la sablière 15525 ainsi que par des fosses (16231, 16270, 16293) et des structures longilignes, dans l'axe des fossés palissadés du complexe A.

Le complexe C

Ce complexe est défini comme une place entourée de bâtiments et installée dès le premier état. Elle comporte au moins deux phases (états 1 et 2.1) avant d'être reprise dans sa partie occidentale et septentrionale par des radiers des états 2.2 à 2.3. La bordure est de l'ensemble architectural présente des épandages dépourvus d'empierrements. Ces semelles de fondation ont pu y être démantelées, si l'on considère les deux tranchées d'épierrement modernes remplies de basaltes qui scindent la place en deux.

Un cailloutis dense mêlé à des tessons d'amphores de petit module, caractéristique des espaces extérieurs, forme le sol de la place aménagée dès l'état 1 (fig. 14). Sa bordure légèrement inclinée suggère une installation comprenant un terrassement préalable suivi d'un damage des matériaux. Cette cour de 15 m sur 20 m est recouverte par un épandage de mobilier correspondant au niveau d'occupation de la place, mais aussi des bâtiments adjacents. Le grand nombre de monnaies et de rondelles en céramique, mises au jour dans ces couches, atteste l'intense activité commerciale des lieux. Ces niveaux livrent également de nombreux outils et déchets résultant du travail du métal réalisé dans les ateliers adjacents.

Dès l'état 1, quatre ensembles de bâtiments se dégagent autour de la place avec, au nord-ouest, les bâtiments C1, C2 et C3, au sud, le bâtiment C4, à l'est les bâtiments C7 et C6, tandis que la partie septentrionale comprend le bâtiment C5 auquel s'accroche le bâtiment érigé sur la grande cave interprétée comme un entrepôt à vin (17047) (fig. 15). L'architecture de ces édifices repose principalement sur des poteaux avec de rares sablières de petite taille. Côté cour, ces bâtiments présentent des alignements de poteaux implantés dans le sol de la place qui laissent supposer la présence de portique ou d'appentis. À l'état 2, la façade occidentale du complexe est soulignée par un alignement de fossés de palissade et de sablières qui signalent le passage entre espace construit et voirie.



Fig. 14. *Épandage et cailloutis
à l'ouest de la place du complexe C.*



Fig. 15. Plans de synthèse du complexe C aux états 1 et 2.1.

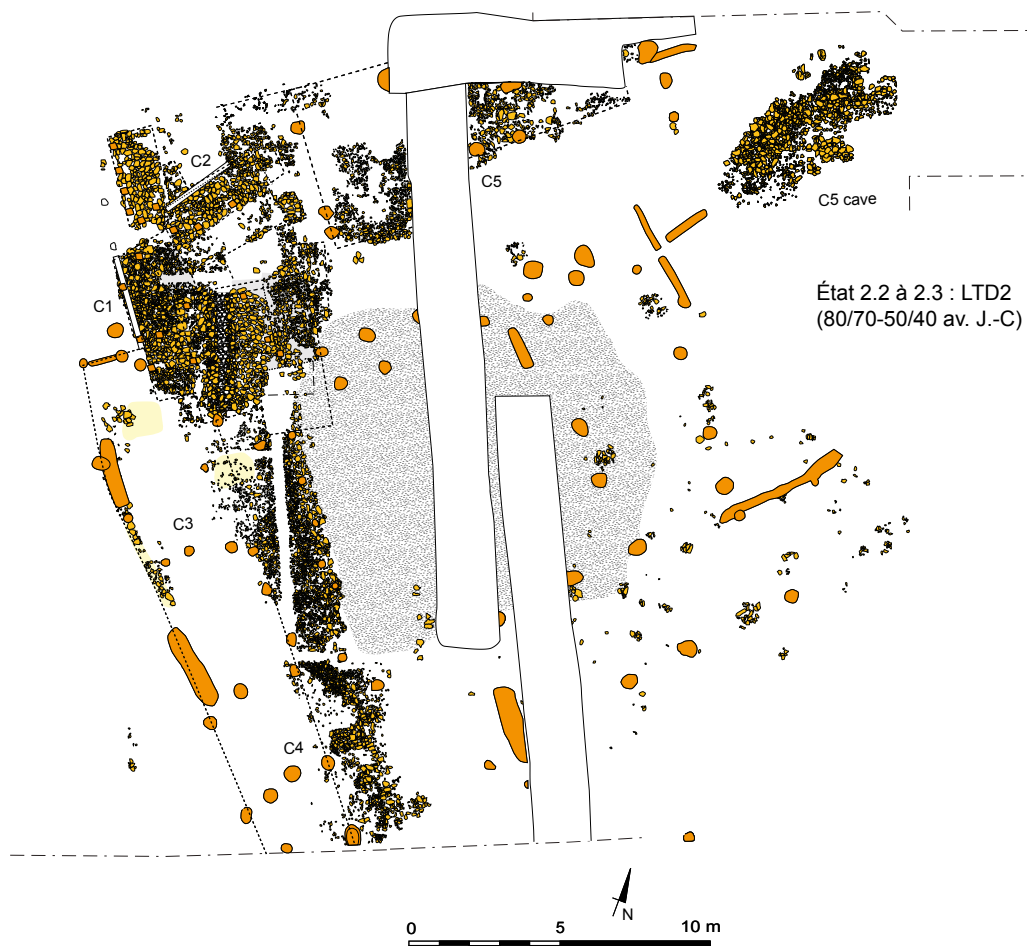


Fig. 16. Plan du complexe C à l'état 2.2 à 2.3.

Durant les deux premières phases, les bâtiments C1 et C3 sont recouverts de niveaux d'épandage et de sols scellés par les semelles de fondation postérieures en basalte. Leur organisation interne est caractérisée par de nombreuses structures en creux qui permettent de leur attribuer une fonction d'atelier. En témoignent plusieurs fosses artisanales à fond plat de faible profondeur et à bords verticaux (17093, 18676, 16418). Une couche de limaille d'alliage cuivreux tapisse le sol de la fosse la plus emblématique, dotée d'un billot dans sa partie ouest (18668). Plus au nord, plusieurs structures allongées (17084, 17091, 18684) pourraient répondre à la même utilisation artisanale. Ces aménagements dévolus à l'artisanat sont localisés en bordure de la cour du complexe, tandis que la partie occidentale de ces bâtiments comporte des celliers aux ensembles de mobilier relativement fournis (15540, 17405). Nettement moins bien structuré et fondé sur poteau, le bâtiment C2 comporte également un cellier attribué à l'état 2.1 (16620).

Le bâtiment C4 présente, dès sa phase initiale, un ensemble de trous de poteau côté cour qui laisse supposer un porche ou un portique. Son équipement interne comprend une fosse à profil en cuvette (17361). Son comblement verdâtre livre des creusets ainsi que des lingotières, qui permettent de présumer qu'il s'agit soit du lieu où se déroulait le travail du bronzier, soit d'une structure recueillant ses déchets. À l'état 2.1, l'ensemble est entamé par d'autres fosses de grande taille également interprétées comme des structures à vocation artisanale (17698, 17323).

Toute la partie occidentale du complexe est recouverte par des bâtiments sur radier à l'état 2.2 à 2.3, sans qu'il soit possible d'établir de manière assurée une continuité fonctionnelle avec les phases précédentes, notamment pour le bâtiment C1 (fig. 16). Cet édifice est construit sur radiers de basaltes et d'amphores



Fig. 17. Vue aérienne du bâtiment C1.



Fig. 18. Amphores retrouvées sur le niveau d'utilisation de la cave 17047.

densément agencés dont l'étude des dimensions permet de restituer des parois sur solin qui dévoilent sa structuration interne (fig. 17). Plusieurs pièces distinctes, une cour médiane sur amphores et une façade occidentale dotée d'un portique apparaissant sous la forme de blocs de calcaire, constituent un plan unique sur le site. Cette organisation n'est pas sans rappeler celle des bâtiments sur cour méditerranéens privés ou communautaires de Lattes, Martigues ou Entremont. Sa datation obtenue à partir de l'étude du rare matériel issu des nettoyages des radiers est située durant LTD2 *lato sensu*, avec une perdurance probable jusqu'à l'époque augustéenne, attestée notamment par une boîte à sceau quadrangulaire et un semis à l'autel de Lyon.

La même datation peut être évoquée pour les bâtiments sur radier C3 et C4, dont le plan s'avère plus compliqué à restituer. Leur surface semble en effet touchée par les labours et les structures contemporaines demeurent rares. Tout au plus est-il envisageable d'y associer des solins de basaltes qui reprennent les structures palissadées antérieures, sur la bordure occidentale du complexe.

Au nord, le bâtiment C5 apparaît à l'état 1 sous la forme d'un petit bâtiment de 30 m², fermé par une cloison sur sablière au sud, tandis que le reste du bâtiment repose sur des poteaux. Un portique composé de deux lignes parallèles de trous de poteau marque à l'état 2.1 la façade donnant sur la cour. Son espace interne est doté d'une fosse artisanale à fond plat de forme quadrangulaire munie d'un emmarchement (17214). Cette unité architecturale présente, dans sa partie septentrionale, un second alignement de trous de poteau qui laisse supposer une pièce annexe ou encore une unité d'habitat juxtaposée à un local à vocation artisanale ou commerciale.

Situé dans l'angle du complexe, le bâtiment recouvrant la grande cave 17047 apparaît comme un édifice à trois nefs, fondé sur deux rangées de poteaux extérieures, auxquelles sont adjointes deux lignes de structures porteuses intérieures, vraisemblablement installées dans le prolongement des parois de la cavité. Long de 18 m pour une largeur et une profondeur de 2 m, ce creusement excavé dès l'état 1 est interprété comme un entrepôt à vin, en raison de la présence de près de 5,6 tonnes de tessons d'amphores, dans cette seule structure. Elle présente une stratigraphie complexe comprenant à sa base un niveau inférieur lié à son utilisation, qui livre plusieurs amphores ainsi qu'un lot de céramiques intactes, recouvert par une couche médiane de matériel détritique, elle-même scellée par le comblement supérieur de nature identique. Ce remplissage comporte des crânes de jeunes moutons qui laissent supposer une clôture ritualisée de la structure, au même titre que les traitements de destruction volontaire observés sur certaines amphores. Un bâtiment sur radier de l'état 2.3 scelle cet ensemble dont la datation établie à partir d'un très riche corpus céramique et amphorique est située dans le courant de LTD2a.

Localisés sur la bordure extérieure est du complexe, les bâtiments C6 et C7 sont fondés uniquement sur poteau durant l'état 1. Le bâtiment C6 comprend plusieurs fosses artisanales pauvres en mobilier et apparaissant sous la forme de creusements quadrangulaires de faible profondeur (17171, 17156). Le fond d'une de ces structures est doté d'un radier de basalte qui permet d'imaginer une superstructure particulière (billot, foyer surélevé ?). Un cellier (17589) est aménagé à l'est en bordure du complexe à l'état 2.1. Sans aménagement interne spécifique durant la première phase, le bâtiment C7 comporte deux structures de stockage excavées (17595, 17522), à nouveau localisées dans la partie du bâtiment opposée à la place. Il présente en outre de nombreux trous de piquet qui laissent envisager la présence de plans de travail structurés, notamment à proximité du cellier (17595), au sud du bâtiment. Côté place, des alignements de poteaux permettent la restitution d'un portique, dans la continuité des aménagements postulés devant l'édifice adjacent C4.

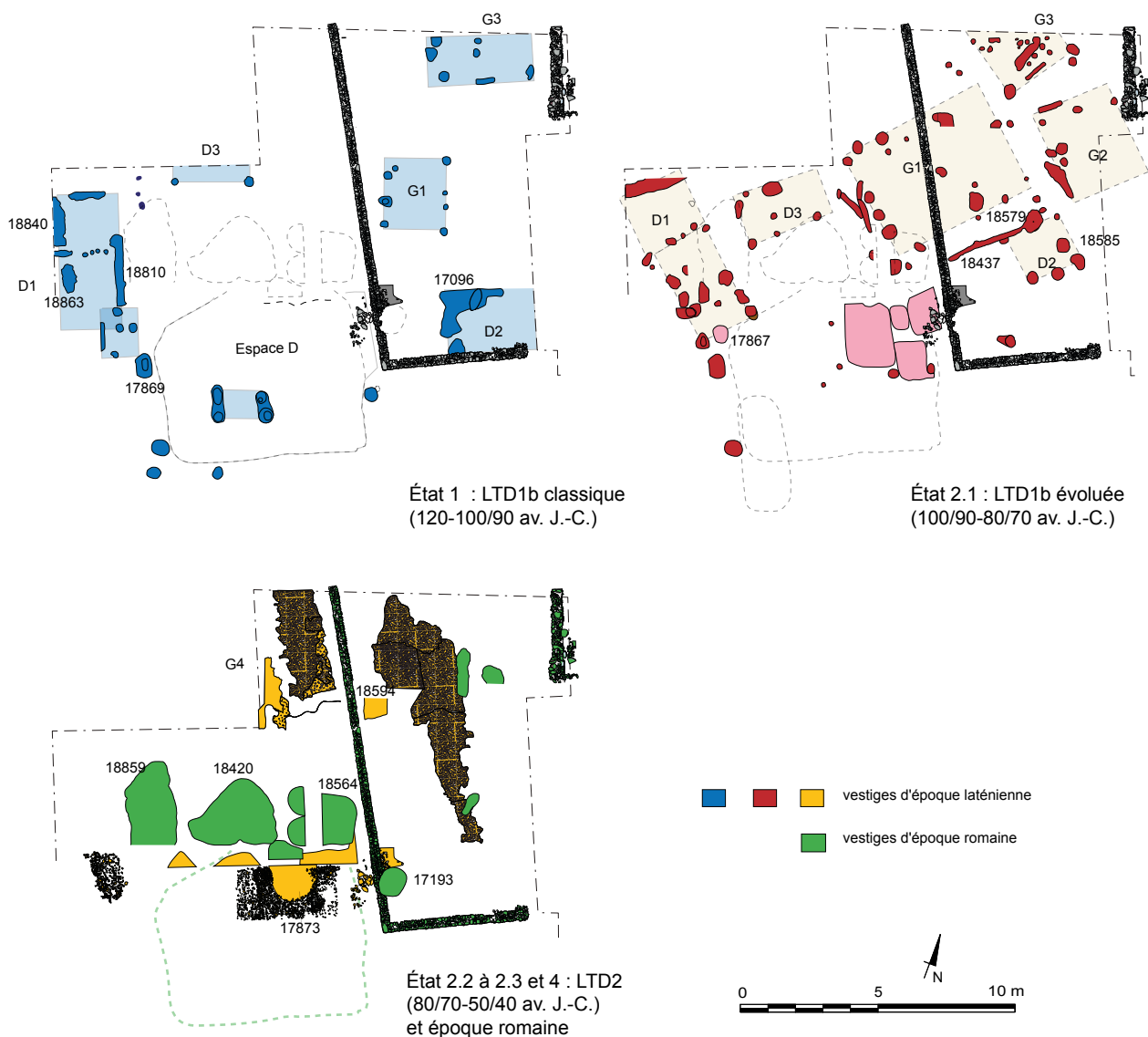


Fig. 19. Plans de synthèse des bâtiments D et G.

L'espace D

Situé au nord du complexe C, l'espace D s'étend sur une surface de 270 m². Au centre de cette unité architecturale, les couches laténiennes sont entamées par des fosses d'époque romaine formant en surface un remblai où il demeure difficile d'individualiser les différents creusements (fig. 19). La composition de ces ensembles riches en petit mobilier (nombreuses fibules et monnaies, antéfixe, balsamaire en verre) laisse supposer une accumulation d'objets liés à une activité cultuelle. Elles recouvrent deux niveaux juxtaposés de radiers de basalte de petit module, attribuables à la fin de la séquence laténienne ou au début du règne d'Auguste, d'où provient vraisemblablement un pendentif en or en forme de lunule. Perforés par les niveaux supérieurs, ces aménagements de sols scellent des cuvettes d'époque laténienne, au remplissage charbonneux, marquées dans le substrat. Les irrégularités de celui-ci, constitué de gravier de pouzzolane utilisé pour la couverture des sols, laissent à penser que l'origine de ces excavations résulte de l'extraction de ce matériau.

Tronqués, les bâtiments laténiens adjacents (D1 et D3) se développent en bordure de fouille au nord et à l'ouest de l'espace central et présentent deux phases distinctes (état 1 et 2). Les ensembles de mobilier du bâtiment D1 et son plan trop lacunaire empêchent de qualifier sa fonction. Le même constat peut être formulé pour l'édifice adjacent (D3), dont les structures et les sols livrent, de manière récurrente, des déchets liés à l'artisanat du fer. Il pourrait donc correspondre à une portion d'atelier.

Au sud du bâtiment D1, une structure interprétée dans un premier temps comme trou de poteau de l'état 2.1 (17867) participe au plan d'un bâtiment quadrangulaire de petite taille. Son comblement propose un dépôt atypique : un crâne humain posé sur un bassin en connexion anatomique avec deux fémurs ainsi que le fémur d'un autre individu. La mise en scène de ces ossements humains renvoie à des pratiques culturelles, relativement fréquentes en contexte d'habitat urbain laténien. Ce postulat est par ailleurs renforcé par la découverte, dans ses environs immédiats, de six crânes de bovidés qui peuvent également refléter des pratiques d'exposition d'ossements à caractère religieux.

Le bâtiment gallo-romain nord et le complexe G

À l'instar des édifices voisins de l'espace D, la majeure partie des bâtiments laténiens du complexe G (G1 à G4) offre des plans lacunaires, en raison de perturbations liées à la construction d'un mur d'enclos et de tranchées romaines et modernes (fig. 19). Quelques pièces singulières telles qu'un denier de Vespasien serti sur une monture en argent ou encore quelques *militaria* d'époque impériale proviennent des niveaux romains du secteur, dont la fonction reste à établir. Ce bâtiment pourrait correspondre au lieu de culte d'où provient le matériel récolté dans l'espace D.

L'ensemble des constructions laténiennes à l'intérieur de l'enceinte romaine est recouvert par un empierrement de cailloux ou éléments de petite taille touché par les labours. Son fonctionnement est attribuable à l'ensemble de LTD2, comme en témoigne la découverte d'une dizaine de fibules filiformes à corde externe et deux monnaies postérieures ou contemporaines de la Guerre des Gaules aux légendes VERCA et EPAD « au guerrier ». Leur est associée la fosse (18594) qui livre un des rares ensembles cohérents attribuables à LTD2b, tant sur le plan céramique que métallique (fibules à pied multifenestré).

Les différentes phases des bâtiments G1 à G3 ont par conséquent été attribuées aux états 1 et 2.1. Le plan de l'état 2.1 du bâtiment G1 montre une construction sur poteau, avec une cloison sud constituée de planches de fine épaisseur. Elle présente vraisemblablement un appentis (G1/D2) dont l'orientation suit cette cloison. À l'intérieur de cet ouvrage, le trou de poteau de grande taille (18585) livre un ensemble atypique. L'assemblage de cette structure comprend en effet 10 kg de fer, principalement des clous, dont la corrosion montre des traces d'exposition à une forte chaleur (voir *infra*, fig. 244). À l'exception de quelques pièces, la totalité du calage de la structure est tapissée de fer laissant penser à une récupération ou à un dépôt volontaire de métal inutilisable. Cet ensemble regroupe la majeure partie du corpus de la zone. La faiblesse quantitative des lots de mobilier métallique est notamment éloquent pour les bâtiments G2 et G3 au plan, il est vrai, lacunaire. Le bâtiment G3 comprend des alignements de structures qui laissent envisager deux à trois phases d'occupation (état 1 à 2.2), tandis que seul l'état 2 est représenté dans les rares vestiges de l'édifice G2. Connu uniquement par un nettoyage de surface, le bâtiment G4 est attribué à l'état 2.2 à 2.3, grâce à son radier de basalte de grand module recouvert d'une chape de pouzzolane damée, une caractéristique des sols de cette phase.

Les bâtiments H et F

Ces deux édifices sont matérialisés uniquement par des structures en creux dans un secteur où les niveaux de sols sont arasés, la majorité du corpus étant issu de niveaux de décapage de surface (fig. 20). Le bâtiment H de l'état 1 comporte une structuration simple, caractéristique d'un habitat avec un foyer médian et un cellier livrant deux amphores en position primaire (18075) (fig. 21). Sa constitution et sa surface de 60 m² évoquent des plans fréquemment documentés dans les *oppida*, notamment à Besançon. Une petite cour, d'où provient une clavette de char, se développe au nord, entre l'entrepôt 17047 et cette construction.

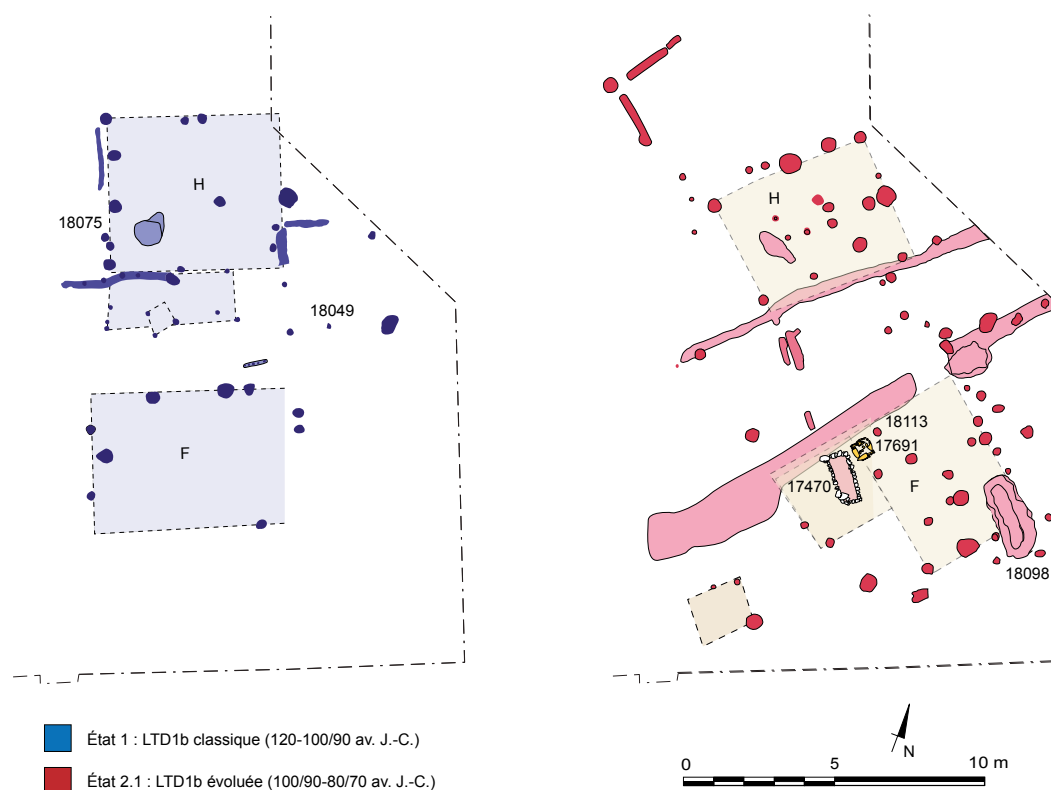


Fig. 20. Plans de synthèse des bâtiments F et H aux états 1 et 2.1.

Fig. 21. Cellier 18075 du bâtiment H.

À l'état 2, elle est adossée à une palissade profondément implantée, alors que les vestiges du premier état fonctionnent avec des parois porteuses et des trous de poteaux. Ce bâtiment livre un anneau en or issu d'un trou de poteau de son premier état (18049) ainsi qu'un anneau passe-guide de type Verna, découvert dans le comblement d'une amphore du cellier (18075).

Plus au sud, le bâtiment F est séparé de l'habitat H par un espace vide de structure, bordé de palissades matérialisant une voie secondaire (fig. 20). Cette unité architecturale comporte également deux phases dont la restitution en élévation demeure relativement difficile. À l'état 2, le corpus de ce bâtiment est concentré dans deux structures qui regroupent la quasi-totalité du matériel de la zone. Il s'agit tout d'abord d'une fosse-atelier atypique de forme oblongue de 4,6 m sur une largeur moyenne de 1,8 m à 2 m, au fond relativement plat et aux parois évasées (18098). Datée de LTD2a, cette fosse présente un remplissage marqué



Fig. 22. Citerne 17470 et bac en amphores 17692 du bâtiment F.

par plusieurs strates de déversement de mobilier signalées par des pendages, en direction du centre de la structure. L'ensemble recueilli dans son comblement comporte plusieurs outils (marteau, moule à alvéoles, ciseaux...) ainsi qu'un assemblage de pièces de char, dont des boîtes et des frettes de moyeu.

La seconde structure particulière du secteur est une citerne parementée (17470) à laquelle est adossé un bac de récupération des eaux (17692) formé de quatre amphores disposées tête-bêche, en carré (fig. 22). Sise sous un appentis, cette citerne présente des parois au parement doublé par des moellons de basalte. Unique pour l'heure sur le site, cette structure peut être datée de la transition entre LTD2a et LTD2b, grâce à son mobilier céramique. Une dizaine de monnaies agglomérées des types aux légendes PICTILOS et ADCANAVNOS, retrouvées dans son comblement, semble constituer un dépôt volontaire réalisé lors de la fermeture de la structure.

Le quartier est : l'esplanade et les habitats

Fouillée sur une petite surface en 2007, puis explorée de manière intensive entre 2010 et 2012, la parcelle ZA25b à l'est du sanctuaire bénéficie d'une documentation homogène ainsi que d'une très bonne compréhension de sa stratigraphie (fig. 23 et fig. 24). La conservation des niveaux de sols varie toutefois grandement entre les zones situées à proximité immédiate de l'esplanade centrale et les secteurs périphériques. Ainsi, cinq états sont relevés dans les bâtiments M et R, dans la partie sud-est de la parcelle, alors que seuls un ou deux états se distinguent dans la partie nord (bâtiments E, Q et K). La quinzaine d'unités architecturales correspondent, dans leur grande majorité, à des ensembles cohérents dont la restitution du bâti ne peut toutefois pas être proposée systématiquement. À nouveau, la reconstitution des bâtiments R et M en élévation ne pose guère de problème, alors que d'autres ensembles moins bien compris ou lacunaires n'offrent pas cette possibilité. C'est notamment le cas des bâtiments U, T ou L, dont seule une petite portion du plan est connue.

L'esplanade

Cet élément conditionnant l'organisation de la parcelle se développe à l'est du sanctuaire sous la forme d'un espace trapézoïdal vide de structures, dont la taille évolue entre le premier état du site et l'état 2. Interprétée comme une grande place publique, cette zone est délimitée par un réseau de fossés palissadés qui marquent la reprise des habitats au niveau du bâtiment Q, L et N à l'état 1. L'espace dévolu à l'esplanade est légèrement décalé à l'est à l'état 2, avec des limites signalées par un réseau de palissades ainsi que par des trous de poteau de grandes dimensions (22022, 22023 et 22058). L'hémicycle de réunion préfigurant le théâtre gallo-romain est implanté dès l'état 1, dans son angle sud-ouest, à proximité immédiate du sanctuaire.

Les bâtiments E et Q

Situées au nord-ouest de l'esplanade, ces deux unités architecturales ont en commun l'absence de sols conservés qui oblige à restituer des bâtiments sur la seule base de leur orientation et des rythmes des structures en creux. Une construction tronquée par la limite de fouille est connue pour la première phase du bâtiment E, tandis que trois édifices construits sur des cloisons porteuses sont documentés à l'état 2. Le peu de mobilier de cette unité architecturale comprend plusieurs outils lithiques qui laissent supposer une fonction artisanale.

Trois ensembles de structures, pouvant correspondre à trois bâtiments, sont documentés derrière la palissade de l'état 1 (20660) qui marque la limite entre l'esplanade et la zone dévolue au bâtiment Q (fig. 25). Ce passage est par ailleurs souligné par deux trous de poteau situés à l'interruption de la palissade (20653 et 20680), qui livrent chacun un dépôt primaire d'objets métalliques, en regard de l'entrée du sanctuaire (fig. 26). Relativement riche, le corpus des structures en creux résulte en partie du piégeage du matériel reposant sur les sols alentour.

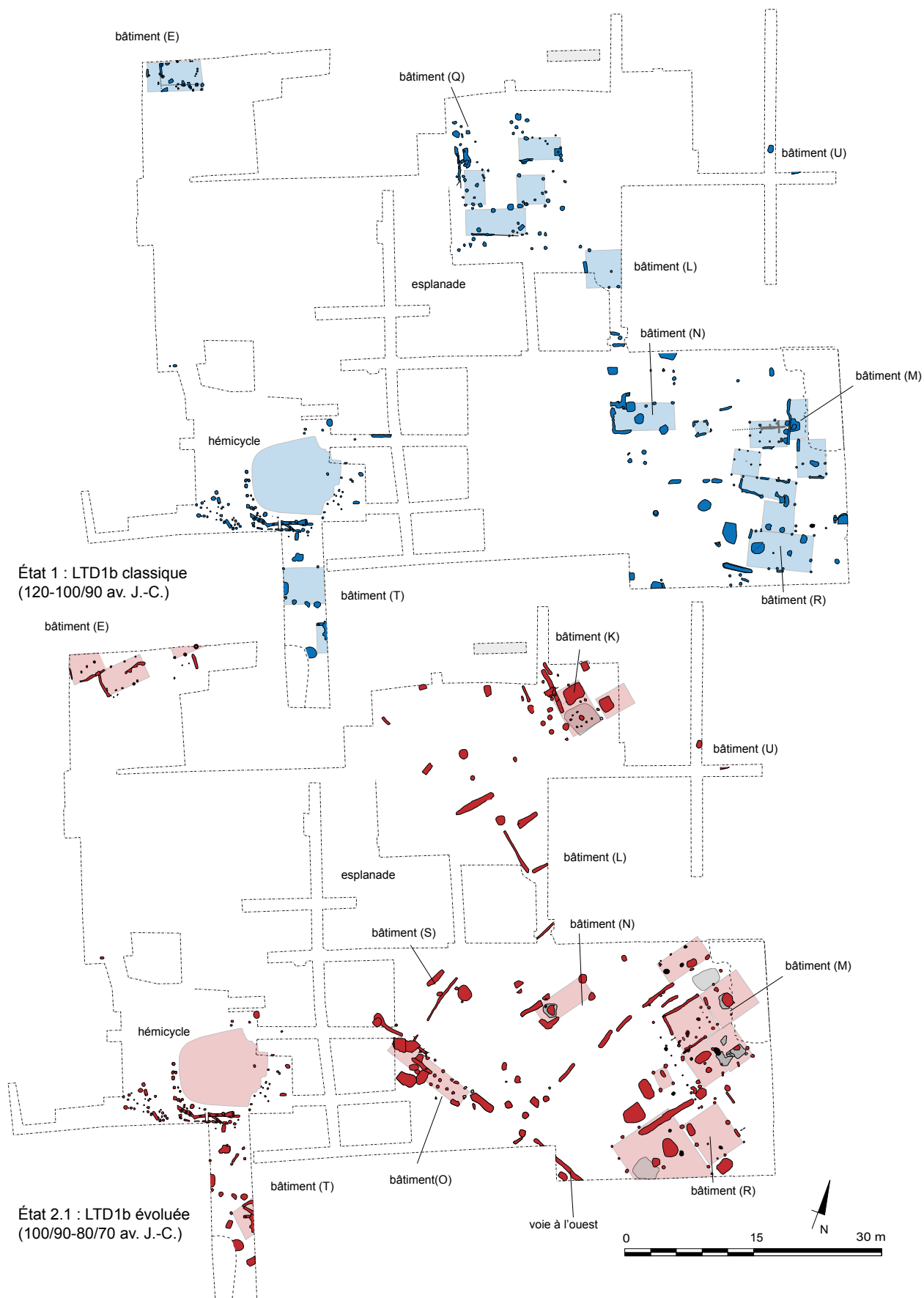


Fig. 23. Plans de synthèse du quartier est aux états 1 et 2.1.

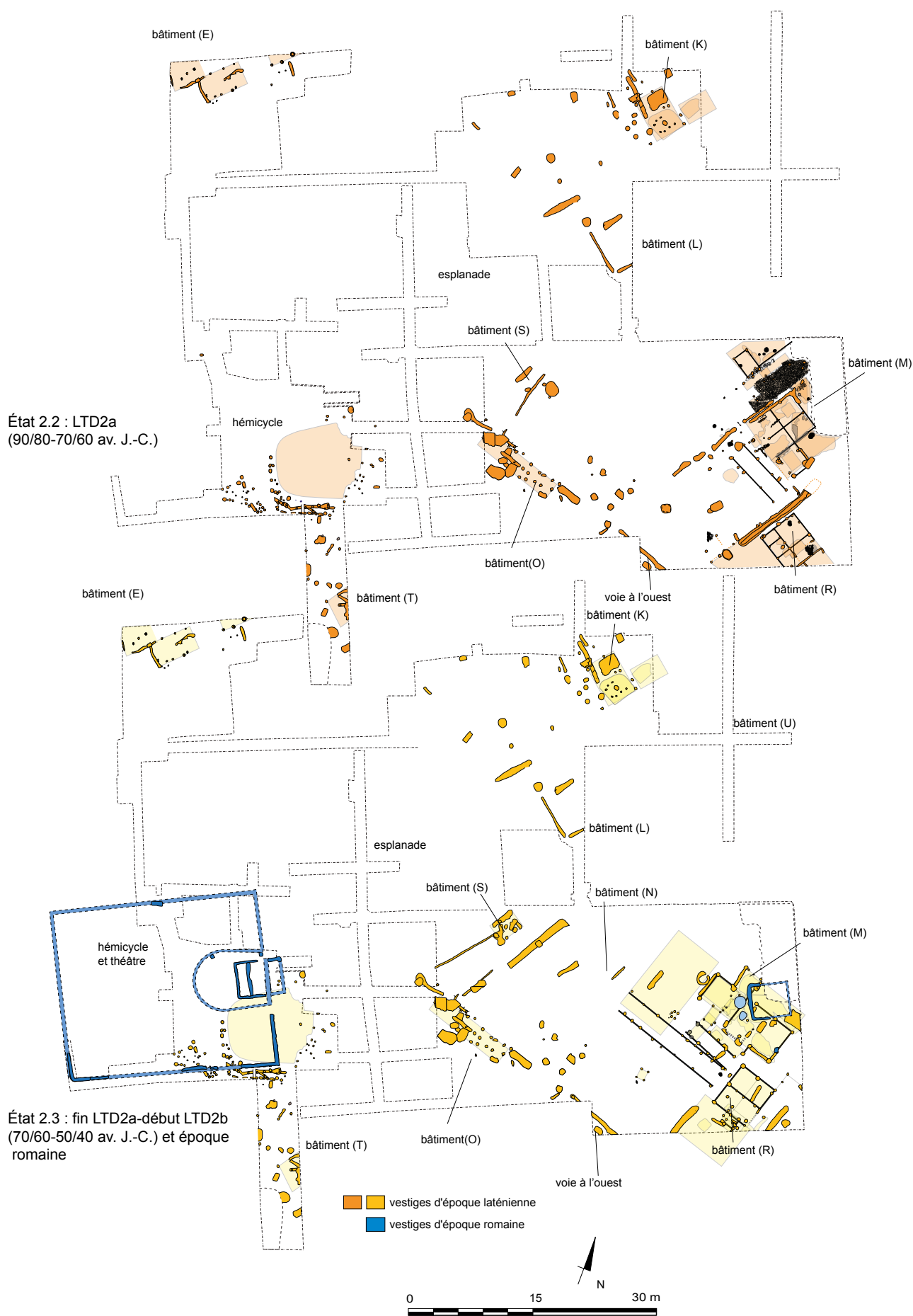
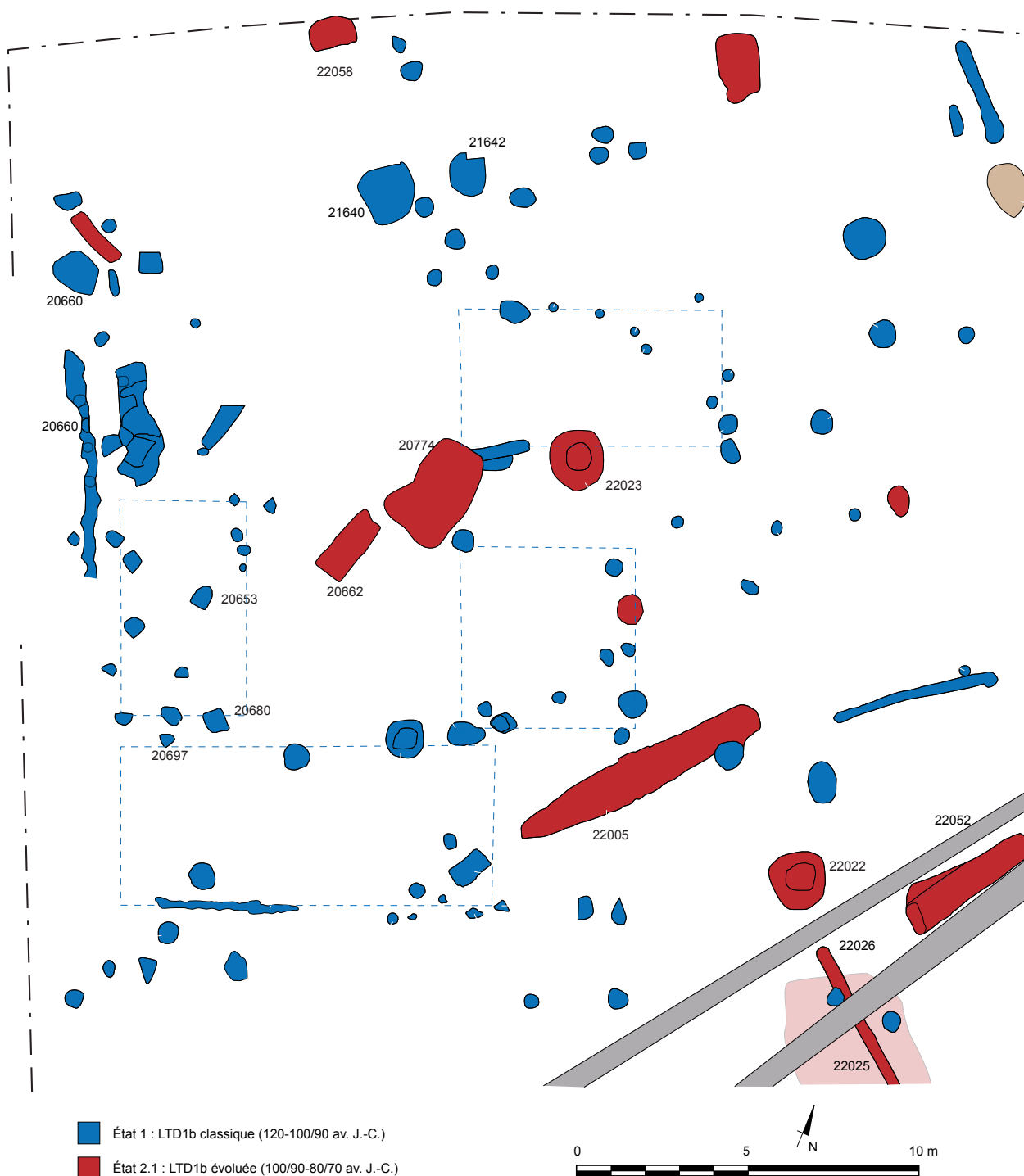


Fig. 24. Plans de synthèse du quartier est aux états 2.2, 2.3 ainsi qu'à l'époque romaine (états 3 et 4).



Le secteur ne semble pas construit durant l'état 2, à l'exception de deux aménagements hydrauliques: un bassin ou abreuvoir longiligne (22005) de plus de 8 mètres de long et la citerne (20662). Datée de LTD2a grâce à un corpus céramique représentatif, cette structure présente dans son comblement sommital deux fibules postérieures (LTD2b-Auguste) dont le dépôt résulte vraisemblablement d'un glissement de sédiment (Poux et Pranyies 2015, p. 401). La fosse 20774 complète ce lot de structures liées à l'état 2, ainsi que les grands trous de poteau (22022, 22023 et 22058) signalant la bordure de l'esplanade.

Les bâtiments K, L et U

Plus à l'est, deux palissades parallèles (26019, 20605) délimitent l'espace dédié au bâtiment K où aucune occupation n'est connue avant l'état 2 (fig. 27). Elles sont bordées par un cellier (20607) dont le comblement évoque un rejet d'activité lié au travail du fer, avec notamment un tas et des chutes scorifiées.

Fig. 25. Plan de l'ensemble de constructions Q.



Fig. 26. Dépôt du trou de poteau 20653.

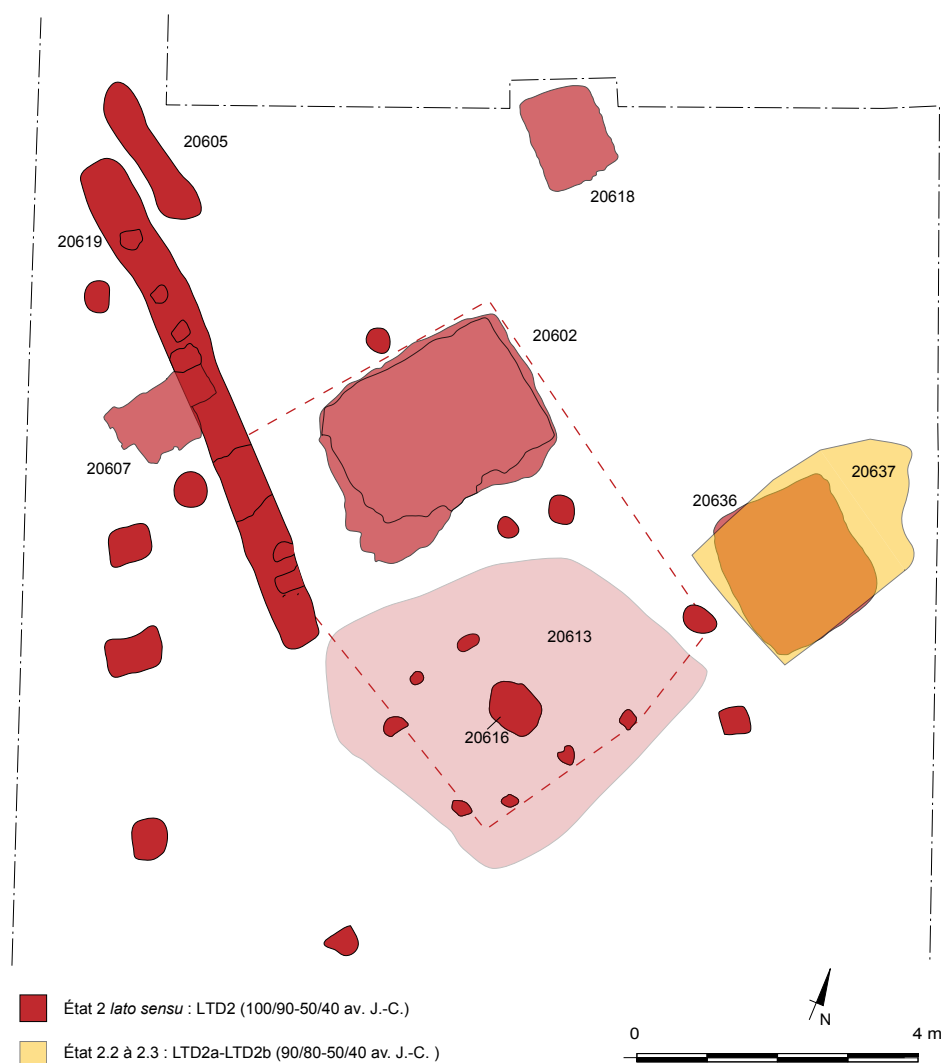


Fig. 27. Plan du bâtiment K.



Fig. 28. Racloir lié au travail du cuir ou du bois in situ sur le sol 20613.

Le corps principal de 27 m² s'organise autour de la cave 20602, de bonnes dimensions (3,8 m sur 3 m de côté pour 1,5 m de profondeur), et du radier de sol associé (20613) qui livre un ensemble d'outils correspondant à l'activité d'un artisan du cuir ou du bois (fig. 28). La disposition des poteaux mène à restituer l'élévation d'un bâtiment sur poteaux, avec une pièce dotée d'un poteau faitier central (20616), avec des cloisons extérieures suivant les alignements de poteaux entourant le sol 20613 et une seconde abritant la cave voisine. En bordure de fouille, la fosse 20636 est recouverte par un radier, lui-même tapissé d'une chape en pouzzolane caractéristique de la fin de l'état 2 (20637). Cette structure, interprétée comme une fosse artisanale, livre des outils liés à la découpe des flans monétaires, attestés dans la structure par un raté de coulée en chapelet.

Tant le travail du cuir ou du bois que celui de la frappe monétaire se retrouvent dans le comblement de la cave, sous la forme de dépôt secondaire d'un chapelet de monnaie et d'un cylindre en grès interprété comme un outil d'aiguisage des lames. Présentant de grandes similarités avec la cave du complexe C (voir *infra*, p. 43), son riche comblement, divisé en trois couches successives de LTD2a, recouvre un niveau de marche interne (fig. 29). L'ensemble est scellé par une couche colluvionnée de pouzzolane et date la clôture de l'ensemble au plus tôt dans les années 50 avant notre ère, au vu des monnaies découvertes (EPAD au guerrier et as de Nîmes). La désaffectation de cette structure a également pu être ritualisée avec un dépôt de nombreux crânes d'ovicaprinés mis au jour dans son comblement principal, une pratique également observée dans la grande cave du complexe C.



Fig. 29. *Comblement médian de la cave 20602 du bâtiment K.*

Situées au sud et à l'est du bâtiment K, les unités architecturales L et U présentent un plan lacunaire dû à leur situation en bordure de fouille (L) et à leur investigation partielle (U). La première livre un des rares niveaux de sol ainsi que des palissades de l'état 2 (20100) qui signalent la bordure de l'esplanade. L'unité architecturale U est principalement constituée d'un radier de basalte de grand module et de quelques structures éparses associées.

Le bâtiment N

Durant le premier état du site, cet ensemble architectural, qui comporte plusieurs bâtiments, marque l'étendue occidentale de l'habitat à proximité de l'esplanade (fig. 30). Le premier bâtiment de l'état 1 est caractérisé par des sablières (20019), des fosses (20031, 20061) et des trous de poteaux qui dessinent le plan d'une construction à plusieurs pièces, de facture similaire à celles observées dans les bâtiments B et H. La construction semble moins bien structurée à l'état 2.1 (fig. 30), avec un mode de construction basé uniquement sur des poteaux et des sablières formant un angle droit (20143). Elle est dotée d'une fosse (20034) et d'un foyer en son centre. L'absence de radier et de mobilier caractéristique ne permet guère de cerner l'évolution de ce bâtiment aux états 2.2 et 2.3. Durant le premier état, à l'est de cet ensemble, des sablières forment un édifice quadrangulaire atypique de taille réduite (9 m²), dont le plan rappelle celui de petits lieux de culte ou d'enclos funéraires. Cette interprétation ne peut toutefois pas s'appuyer sur des vestiges matériels concordants et reste tributaire des nombreux recoupements postérieurs qui empêchent de la valider.

Les bâtiments M et P

L'étude de ces bâtiments bénéficie d'une très bonne conservation des sols, de changements d'orientation définis par de nombreuses structures longilignes (fossés de palissade, sablières) ainsi que de nombreux recoupements qui favorisent leur phasage.

La surface dévolue au bâtiment M et au bâtiment P, accolé au nord, est estimée à près de 800 m², où se succèdent cinq états de construction (fig. 30, 31 et 33).

Fortement perturbés par les aménagements postérieurs, les trois édifices du premier état apparaissent sous la forme de structures orientées selon les points cardinaux, aucun sol ne pouvant leur être attribué de manière assurée (fig. 30). Le premier bâtiment est situé au nord de l'ensemble et se développe autour de la palissade 20299 et des sablières (20212, 20214 et 21526), selon un mode de construction qui s'apparente à celui des zones résidentielles mises en évidence sur la ferme indigène du Pâtural. La fosse artisanale 20204, accolée à la palissade 20299, participe à la même occupation. Elle livre une perle à protubérances en verre brun et quelques déchets liés au travail du bronze (scories et coulures), qui se retrouvent également dans les rares lambeaux de sols conservés à proximité. Plus au sud en bordure de fouille, un bâtiment de 40 m² est fondé sur sablières (20818, 21699-50) et poteaux. Il comporte en son centre une fosse au remplissage charbonneux pauvre en mobilier (21699-21). À l'ouest s'étend sur 25 m² une construction marquée par trois rangées de poteaux alignés, de fonction indéterminée. Elle jouxte un ensemble de tranchées interprété comme un enclos à bétail ou une limite de parcelle. Les sablières 21161, 21056 et 21073 doivent également avoir servi au découpage de l'espace, à l'instar des tranchées de palissade documentées dès l'état suivant. Isolée à l'ouest de ces structures, la structure 21097, vraisemblablement un trou de poteau, livre un dépôt atypique : une pointe de lance de type baïonnette, de 85 cm de long, repliée plusieurs fois sur elle-même. L'arme a ensuite été recouverte par trois cols d'amphore, avant que la structure ne reçoive un comblement détritique.

L'aire dévolue à l'habitat M à l'état 2.1 est ensuite délimitée par un système de fossés vraisemblablement palissadés, dont le tracé sera repris jusqu'à l'état 2.3. (fig. 30). Cette structuration, perceptible au nord par l'alignement des palissades 21388, 21131, 20842 et 21169 et au sud par le fossé 22228, définit un espace extérieur où figurent un bâtiment sur poteau de 9 m² interprété comme un grenier, deux structures de stockage excavées (cave 21341 et cellier 22204) et des foyers.

Le corps principal du bâtiment, vraisemblablement dévolu à l'habitat, est une construction dont l'élévation repose sur des parois matérialisées par des sablières au nord, à l'ouest et au sud. Le sol intérieur en cailloutis de basalte 20084 est doté de plusieurs foyers. Son accès est identifié à l'ouest par l'arrêt de la sablière et la présence d'un dépôt d'une brebis éviscérée (21699-166). Plus au sud, deux annexes sont aménagées sur poteaux porteurs. Orientée dans l'axe du corps principal, la première comprend en son centre un cellier 21201 et un poteau faîtier, tandis que la seconde se développe à sa perpendiculaire et présente une juxtaposition de sols légers, riches en charbon de bois (21699-9, 21699-80, 21699-6, 21699-8), qui suggèrent une fonction annexe artisanale pour cette partie du bâtiment. Un alignement d'une dizaine des poteaux décalés de 1,5 m par rapport à la façade occidentale laisse supposer l'aménagement d'un portique qui pourrait avoir encadré trois côtés du bâtiment, si l'on considère d'hypothétiques retours au nord et au sud.

Localisé au nord du corps principal, le sol 21167 est scellé par le radier 20080 de l'état 2.2. (fig. 31). Ce niveau livre un riche ensemble de mobilier métallique comprenant des outils (douille d'herminette ou de houe, faux, ciseaux, burin, émondoir) et des ustensiles culinaires (chaudron, crémaillère, croc à viande). Il demeure toutefois difficile de le rattacher à un bâtiment cohérent. Il en est de même pour le bâtiment P dont les vestiges se résument à quelques structures en creux et à deux foyers.

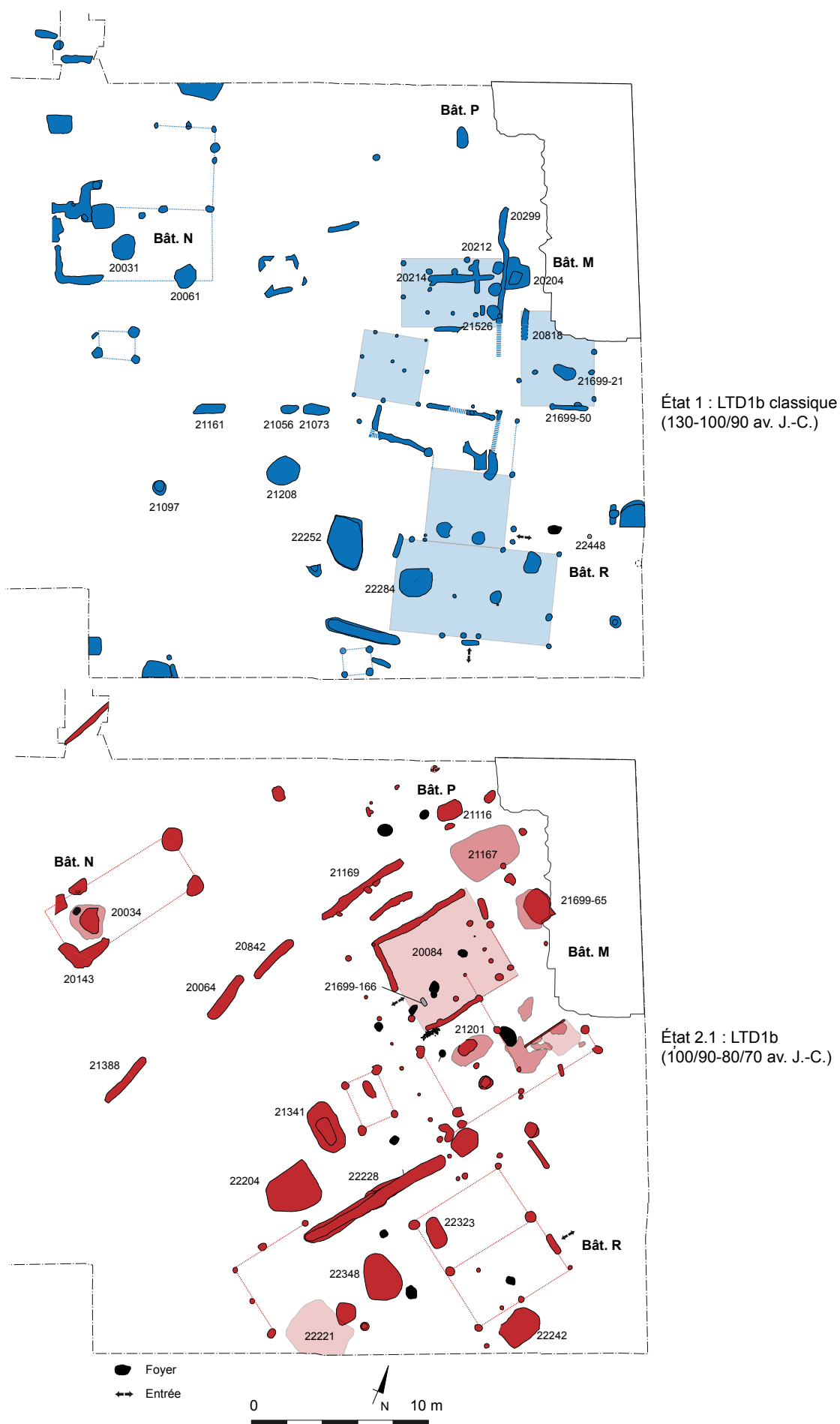


Fig. 30. Plans de synthèse des bâtiments M, N, P et R aux états 1 à 2.1.

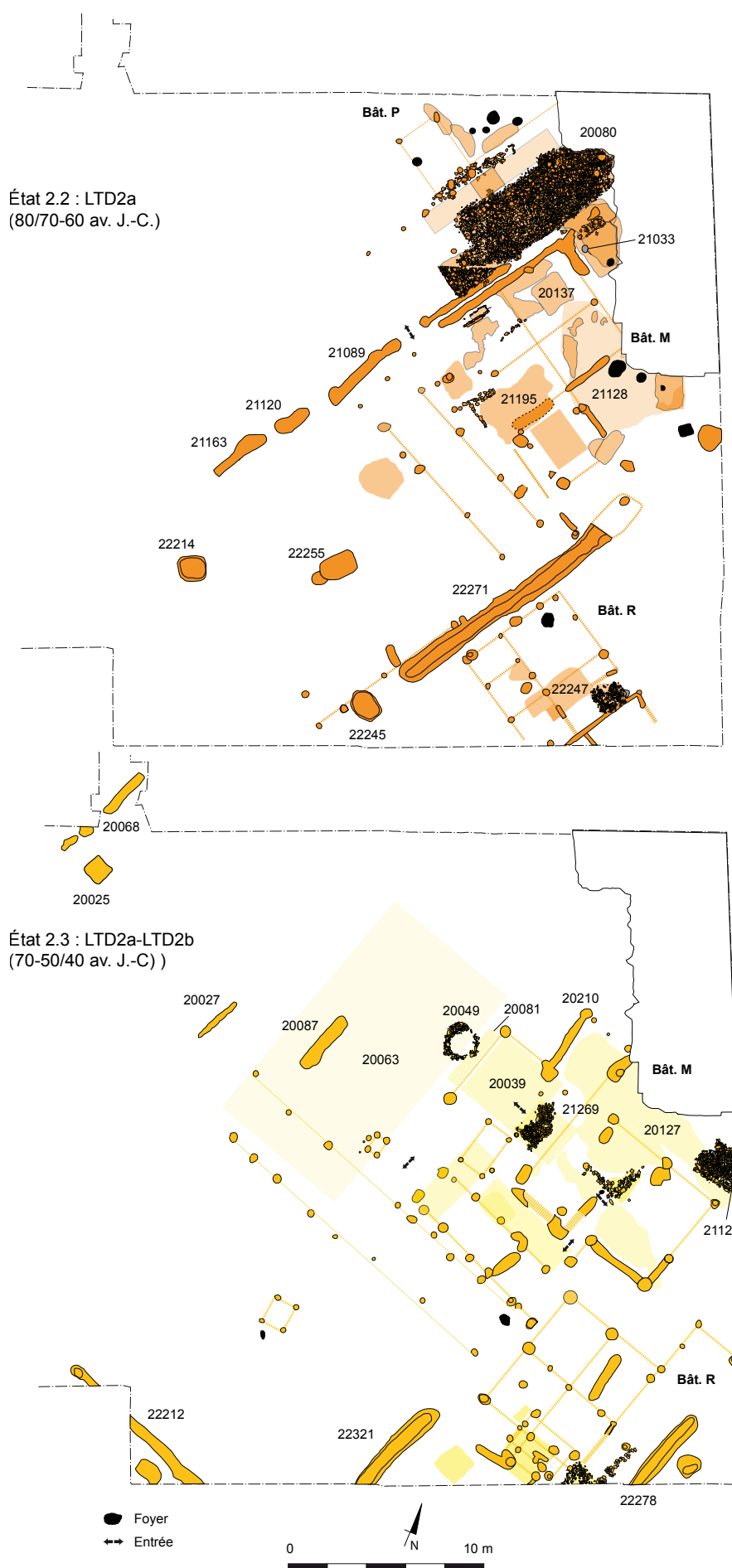


Fig. 31. Plans de synthèse des bâtiments M, N, P et R aux états 2.2 à 2.3.

L'occupation du secteur reprend la même organisation à l'état 2.2, avec une cour bordée par des alignements de tranchées de palissade au nord (21163, 21120, 21089) et au sud (22271) et un corps principal d'habitat sur parois porteuses de 90 m², avec une annexe au mode de construction plus léger au sud (fig. 31). C'est à cette phase qu'apparaît un nouveau mode de construction, les radiers de basalte densément agencés (20080). Un de ces aménagements recouvre le sol 21167 et constitue la semelle de fondation d'un bâtiment supplémentaire. Reconnue directement sous la couche de labours, sa surface a pu recevoir un sol de pouzzolane damée, si on se réfère au mode de construction des bâtiments sur radier, du quartier nord. Bien conservés, les sols de cet état sont construits en amphores (21195) ou en cailloutis, avec parfois des traces de rubéfaction qui suggèrent le déroulement de pratiques artisanales (20128). C'est lors du démontage d'un de ces sols (21137) qu'un dépôt métallique (21033) composé d'outils liés au travail du bois (coins, herminettes, hache) et d'une masse métallique de 3,8 kg a été mis au jour (fig. 32).

Mieux conservé qu'à l'état précédent, le bâtiment P est séparé du radier 20080 du bâtiment M par une ruelle (21139) et par une palissade (21021), à laquelle il s'adosse. Il comprend plusieurs foyers si proches qu'il est possible qu'ils n'aient pas tous fonctionné en même temps.

À l'ouest, deux alignements de quatre à cinq poteaux, légèrement désaxés par rapport au corps de bâtiment principal, sont interprétés comme les vestiges d'un portique ou d'un bâtiment à une nef. Deux structures sont encore à mentionner dans la partie occidentale du secteur, à savoir le cellier 22255 et le puits 22214 qui livrent de riches ensembles de mobilier de LTD2a.

Très bien conservé, l'état 2.3 du bâtiment apparaît sous la forme de radiers structurés, de solins et de sablières qui reprennent le plan et l'orientation des constructions des états précédents (fig. 31). Un système d'entrée constitué de deux radiers (20039, 20081) encadrés par des trous de poteau est jouté au nord par l'épandage quadrangulaire 20063, visible en photographie aérienne et par un aménagement circulaire de fonction indéterminée (20049). Ces sols mènent à un radier (21269) recouvrant une sépulture d'immature qui devait constituer l'entrée du corps principal. Ce dernier présente des façades ouest et sud matérialisées par des sablières, tandis que la cloison orientale est perceptible grâce à l'alignement de trois trous de poteau. Son intérieur semble divisé en deux à trois pièces par des sablières et des solins. À l'est, un sol de pouzzolane borde le bâtiment jusqu'à un radier de basalte 21124 qui se développe sous la limite de fouille. Deux constructions, constituées pour la première d'un ensemble de quatre poteaux et pour la seconde de deux rangées de quatre poteaux, laissent imaginer la présence d'un bâtiment léger ou d'un portique similaire à ceux documentés durant les phases précédentes. Deux greniers ou structures de séchage sont aussi à signaler à l'ouest, l'un relativement éloigné du complexe et le deuxième à proximité de deux lignes de huit à neuf poteaux. Ces alignements, qui devaient constituer des cloisons légères, sont interprétés comme des limites d'axe de circulation reprenant les fonctions des fossés palissadés des états antérieurs.

Concentré dans la partie orientale du secteur, l'état 3 comprend un bâtiment quadrangulaire de 54 m² dont l'orientation reprend celle du sanctuaire (fig. 33). Son plan est matérialisé par des solins sur trois côtés, tandis que sa façade est peut être restituée grâce au négatif perceptible dans le radier sous-jacent. Les sols sont constitués de radiers de pouzzolane et de basalte (21052, 20129) qui recouvrent les niveaux antérieurs. À l'ouest du bâtiment, la citerne 21279 de 1,6 m de profondeur présente un cuvelage carré, réalisé en bois à sa base et maintenu dans sa partie supérieure par des aménagements d'amphores formant un fer à cheval.



Fig. 32. Dépôt 21033 in situ, avec au premier plan, la hache à oeil et au second, le coin et une herminette.

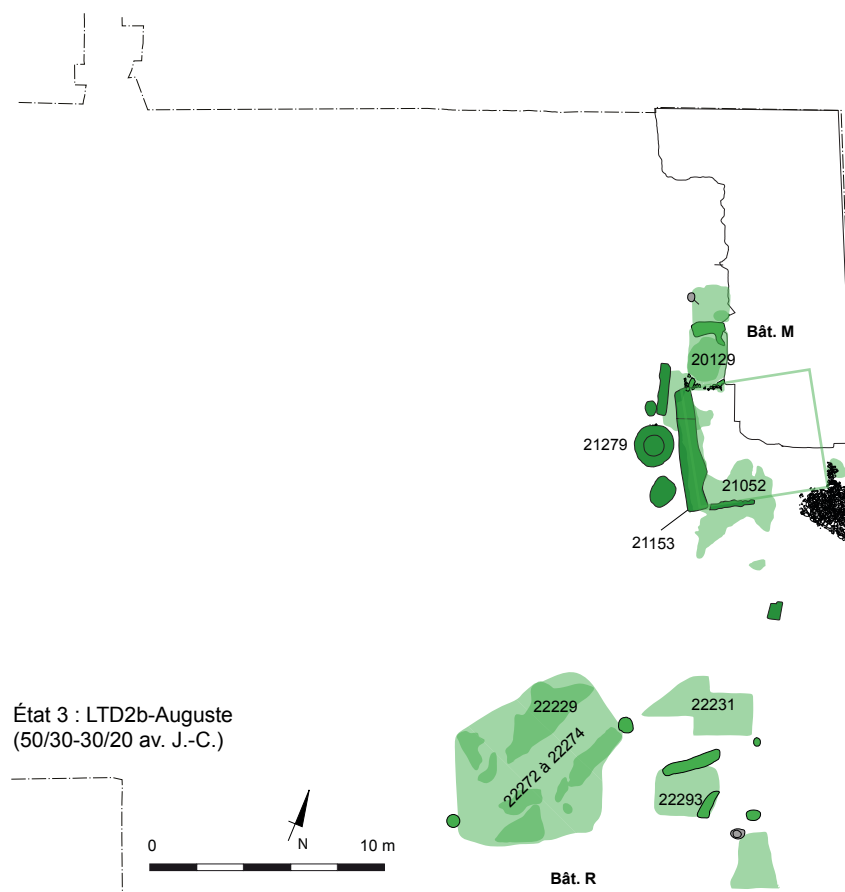


Fig. 33. Plan des bâtiments M, N, P et R à l'état 3.

Le bâtiment R

Le bâtiment R présente une conservation des sols moins bonne que le bâtiment M, notamment pour les premiers états (fig. 30, 31 et 33). À l'état 1, les alignements de poteaux du secteur fournissent les plans de deux bâtiments accolés. Le plus méridional s'étend sur une surface de 84 m². Son entrée est rendue au sud, grâce à la combinaison d'une petite sablière comprise comme une barre de seuil située en regard de deux trous de poteau. Une cloison interne, signalée également par deux trous de poteau, devait scinder son espace intérieur qui comportait, en outre, une fosse interprétée comme une structure de stockage semi-enterrée (22284).

Une seconde construction est restituée au nord en lien avec une entrée à l'est postulée sur la base de deux trous de poteau rapprochés. Cet édifice de fonction indéterminée relie le premier bâtiment à des structures dessinant un enclos rectangulaire. Formé de tranchées de sablières ou de palissade, cet ensemble lacunaire est considéré comme des vestiges de parcellaire ou un enclos à bétail. Un foyer ainsi qu'un dépôt de restes d'une brebis consommée et partiellement rejetée (22448) apparaissent à l'est, en dehors de toute construction, tandis qu'une fosse artisanale (22252) est restituée à l'ouest, sous le fossé 22228.

Dès l'état 2.1, les limites entre les espaces dévolus aux bâtiments M et R sont soulignées par des structures fossoyées dont la palissade 22228 représente le premier exemple. Elle est prolongée au sud-ouest par un ensemble de cinq trous de poteau formant un angle droit et participant à la même délimitation. Le corps principal du bâtiment R, à l'élévation reposant sur des poteaux porteurs, mesure 73 m². L'espace intérieur comporte une fosse-cellar (22323), dans son angle nord-ouest, tandis qu'un foyer fait face à l'entrée restituée dans l'angle sud-est du bâtiment grâce à la présence d'une petite sablière. Comme à l'état précédent, une fosse-atelier (22348) est localisée à l'extérieur, entre le bâtiment et la limite parcellaire, tandis qu'une grande fosse (22242), interprétée comme une structure de stockage, est accolée à la cloison sud de l'édifice.

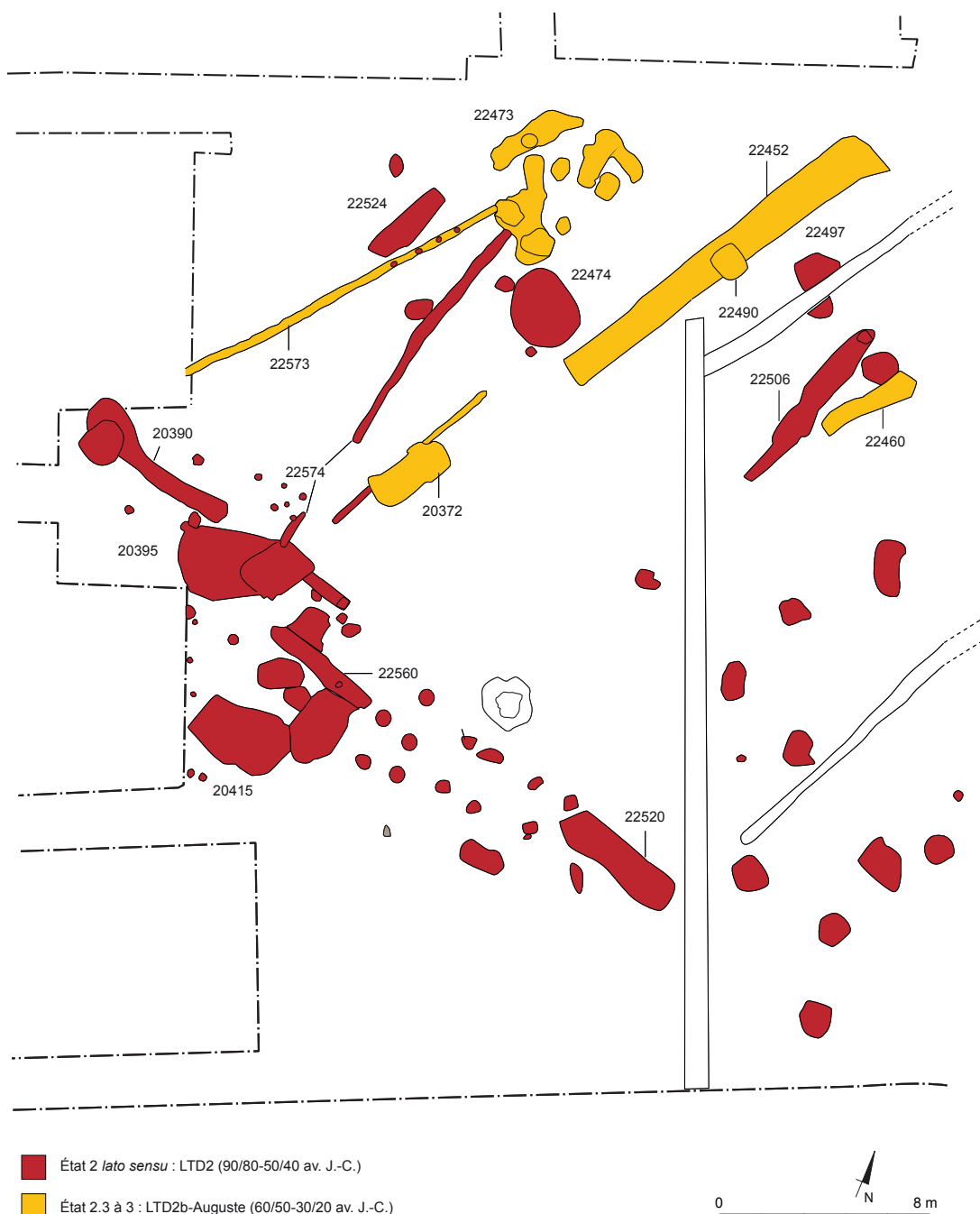


Fig. 34. Plan de synthèse des bâtiments O et S.

Le bâtiment se décale d'environ 3 m vers le sud à l'état suivant (état 2.2), tout en gardant un plan et une orientation relativement similaires (fig. 31). La construction est disposée parallèlement au fossé ouvert 22271 qui regroupe la majeure partie du corpus du secteur. Le rythme des poteaux porteurs permet d'identifier cinq pièces au sol d'amphore recouvert de pouzzolane. La plus grande est dotée d'un foyer dans son angle nord-est. À l'est, une entrée est suggérée par un radier d'amphore recouvrant un dépôt de faune, si l'on se réfère à la logique mise en évidence dans le bâtiment M. Cet édifice de 70 m² semble se prolonger au-delà de la limite sud de la fouille.

À la phase suivante, l'espace dévolu au corps principal du bâtiment R est bordé par deux fossés parallèles aménagés à l'est et à l'ouest (22321 et 22278). À intervalles réguliers, les structures en creux dessinent un plan de quatre parties de surface équivalente. La cloison sud-est se prolonge par un alignement de poteaux. Un sol d'amphore et un ensemble de trous de poteau formant deux rectangles imbriqués sont joints à la cloison sud du bâtiment. La fonction de cet ensemble de même que sa liaison avec le corps principal demeurent incertaines.

L'état 3 apparaît principalement sous la forme de radier de tessons d'amphores et de cailloutis juxtaposés et de quelques structures en creux avec lesquels il est impossible de dresser le plan d'un bâtiment cohérent (fig. 33).

Les bâtiments O, S et les structures de bordures de voies à l'ouest du secteur

Ces deux unités architecturales se développent à l'ouest d'une voie dont le tracé est matérialisé par l'interruption des fossés délimitant les bâtiments M et R et par une succession d'autres structures perpendiculaires à cet axe (fig. 34). La grande majorité de ces aménagements présente un faciès récent, marqué par des bronzes frappés d'épigraphes, des amphores de type Dressel 1B ou originaires de Tarraconaise ou encore de la céramique Campanienne B et des gobelets à paroi fine, qui caractérisent les derniers états d'occupation de l'*oppidum*, à savoir les états 2.2 et 2.3.

Les structures regroupées dans le bâtiment O s'articulent au sud de la voie, le long de ses fossés de bordure (22520). Trop fugaces pour permettre la restitution d'un plan de bâtiment, elles pourraient correspondre à des aménagements ponctuels dédiés à une activité artisanale, marquée dans ce secteur par deux fosses-ateliers (20415, 20395), à fond plat et parois rectilignes, qui livrent plusieurs demi-produits en fer et en alliage cuivreux et d'autres outils éloquents (scie, ciseaux, mèche).



Fig. 35. Bassin 22452.

Les vestiges du bâtiment S se développent au nord de la voie et se démarquent par un ensemble de structures dédiées à la gestion de l'eau, signalées par un puits et un grand bassin longitudinal parementé de 14 m de long (22452), doté d'un puisard en son centre (22490) (fig. 35). L'étude détaillée de l'articulation des structures environnantes permet de restituer un système de puits à balancier, aussi appelé puits à bascule, où un poteau adjacent sert d'axe à un mécanisme de puisage qui permet de transvaser l'eau du puits dans le bassin, pour lequel une fonction d'abreuvoir est proposée. Plus à l'ouest, plusieurs clôtures de faible largeur et d'orientations divergentes, et par conséquent de datation différente, interrompent la voie. Ce dispositif en chicane correspond aux états successifs d'un aménagement marquant l'emprise de la place publique et permettant la gestion de la circulation du bétail. Ces structures, ainsi que les fossés de limites postérieures livrent la grande majorité du petit mobilier de la zone, pour laquelle la fonction d'habitat n'est pas assurée, en l'absence de mobilier et de structures caractéristiques (foyer, cave, cellier). À l'instar du bâtiment O, cette entité peut en effet également correspondre à des installations ponctuelles liées aux activités commerciales et artisanales de l'esplanade.

Le bâtiment T

Reconnue dans une tranchée au sud du théâtre, cette unité architecturale livre des vestiges attribuables à la totalité des séquences d'occupation de l'*oppidum*. Leur aspect lacunaire empêche la restitution d'un bâtiment. Le type de structure représenté (cellier, fosse-atelier et fosse dépotoir) de même que le matériel (outils, demi-produits) laissent postuler un habitat avec une composante artisanale, durant les premières phases d'occupation de l'*oppidum*. La morphologie du radier aménagé dans la partie sud de la tranchée et la composition du matériel associé suggèrent que cette fonction demeure toujours de mise à la fin de la séquence (état 2.2 à 2.3).

L'hémicycle de réunion, le théâtre

Ce bâtiment fait l'objet d'une publication monographique à paraître, à laquelle on se reportera pour plus de détails et pour une interprétation plus complète (Poux *et al.* sous presse). Nous présentons ici les lignes directrices de l'évolution de cet édifice, ainsi que ces principaux éléments de datation (fig. 36 et fig 37).



Fig. 36. Vue aérienne du théâtre en cours de fouille.

Les premiers aménagements de cet édifice apparaissent sous la forme d'un sol de cailloutis (21780) installé une trentaine de centimètres sous les niveaux adjacents. En forme de fer à cheval, ce niveau damé à la poutre, à l'instar d'autres sols de l'*oppidum*, est bordé d'amphores presque complètes qui soulignent le tracé de son arc de cercle. Construit à la fin de LTD1b, au début du I^{er} s. avant notre ère (état 2.1), cet aménagement est bordé par un système de structures en creux, composé de sablières à encoche, de longues tranchées et de trous de poteau dont l'implantation suit l'emprise du sol de l'hémicycle. En l'absence de comparaison probante, la restitution de ce mode de construction inédit sur le site s'inspire d'édifices en bois de tradition méditerranéenne et des reconstitutions de théâtres gallo-romains, dont le bâtiment décrit peut être considéré comme le prototype. Par similitude, une hypothétique estrade en bois y est proposée, en regard d'une *orchestra* délimitée par les amphores. Des gradins sur échafaudage, munis de deux dispositifs d'entrée sur les côtés longilignes de l'hémicycle, devaient recevoir les participants aux réunions publiques.

L'occupation du sol s'étend sur la totalité de la première moitié du I^{er} s. av. J.-C., sur la base des études de l'ensemble de marqueurs chronologiques (présence de Dr. 1b, bronzes épigraphes, faciès céramique, fibules filiformes). Il se distingue par la rareté des éléments liés aux sphères domestique et artisanale, tant sur le plan du petit mobilier (absence de meule, rareté des outils et des instruments de cuisine) que sur celui du faciès céramique (absence de pot de stockage et de céramique destinée à la préparation de nourriture solide, surreprésentation inédite sur le site de vaisselle à boire).

L'homogénéité de cet état de construction est garantie par l'apport, dans le courant de LTD2b, d'un puissant radier composé de blocs de basalte et de pouzzolane attribuable aux états 2.3 ou 3 du site. Outrepassant les limites de l'hémicycle antérieur, cet aménagement est interprété comme un remblai de nivellement destiné à favoriser l'implantation de la construction du premier théâtre d'époque romaine. Il est perforé par plusieurs trous de poteau dont les alignements suivent celui d'un agencement linéaire de pouzzolane mis au jour dans la *cavea*. L'utilisation de calcaire dans l'un des solins, de même qu'un sol antérieur à la chape de pouzzolane de l'*orchestra* de l'état 4 justifient la restitution d'un théâtre d'époque augustéenne, dont l'indigence des vestiges est comparable à celle d'autres édifices contemporains.

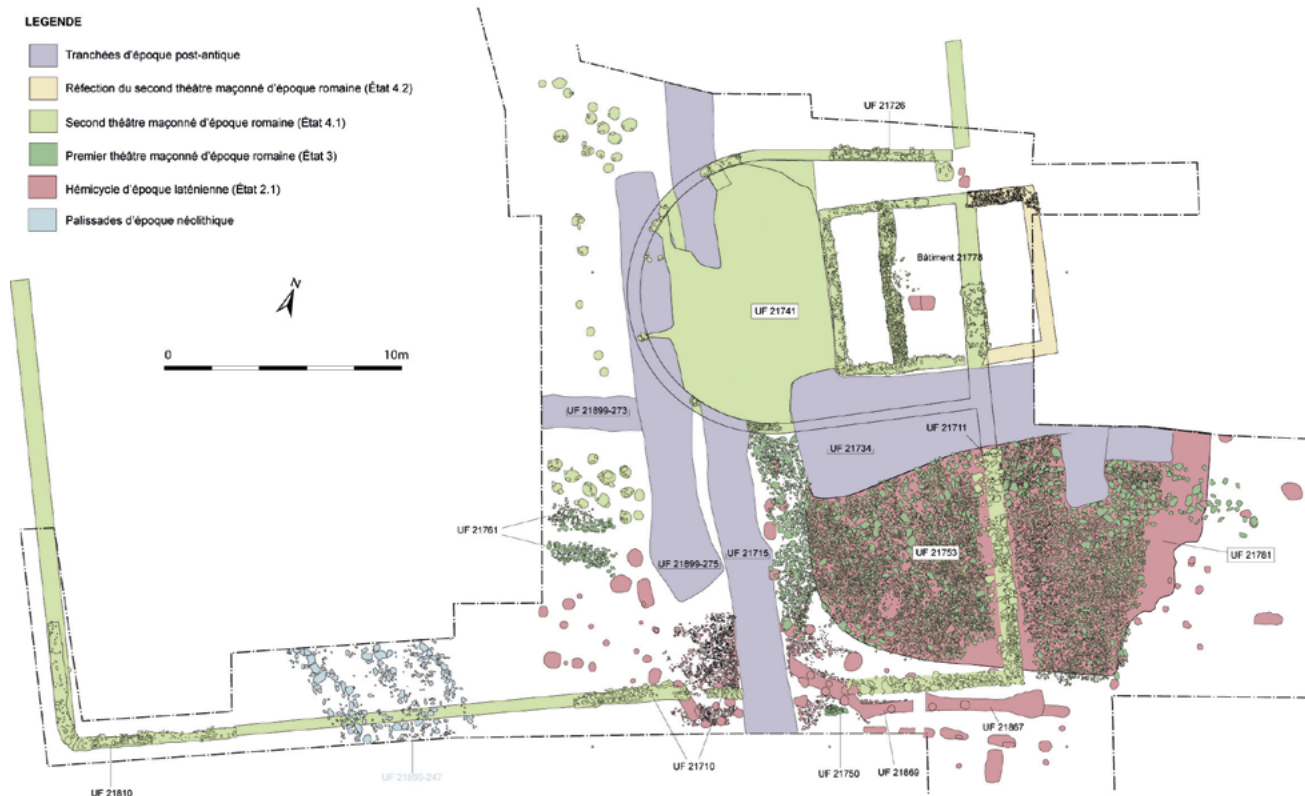


Fig. 37. Plan cumulé des différentes phases du théâtre et de l'hémicycle de réunion.

Le théâtre maçonné attribuable au Haut-Empire (état 4) est édifié dans le courant du I^{er} s. de notre ère, vraisemblablement à partir du règne de Claude, comme l'attestent plusieurs marqueurs issus des niveaux de destruction observés dans l'*orchestra*. À cette première phase de construction (état 4.1), où figurent déjà l'intégralité des éléments constitutifs d'un théâtre gallo-romain (*orchestra*, bâtiment de scène, mur de la *cavea*), succèdent une réfection ponctuelle des murs du bâtiment de scène et un rechapage du sol de l'*orchestra* (état 4.2), effectué au début du II^e s. ap. J.-C. La fréquentation de l'édifice s'étend jusqu'à la fin de ce siècle, sans pour autant continuer au siècle suivant, comme c'est le cas dans le sanctuaire adjacent. En témoignent le faciès céramologique ainsi que les monnaies les plus tardives (sesterce et dupondius de Marc-Aurèle de 168 et 172) issues des niveaux de destruction.

Le bâtiment de scène est un espace quadrangulaire de 50 m², scindé en deux parties par un solin maçonné. Sa façade occidentale présente une maçonnerie soignée composée de panneaux où sont intercalés des moellons quadrangulaires, dans un appareillage proche de l'*opus reticulatum*. Le mur de scène du premier état a été entièrement récupéré lors de sa réfection à l'état 4.2, où est également rajouté le *postscaenium*. Même si l'absence de sol empêche d'en estimer la hauteur exacte par rapport au sol de l'*orchestra*, le bâtiment surplombe celle-ci d'au moins 60 cm. L'*orchestra* est bordée de trois témoins du mur périmétral, qui marquait sa limite avec la *cavea*, et est dotée d'un sol en chape de pouzzolane damée de 80 m². Ce niveau de marche légèrement incliné scelle les couches de l'état précédent composées de dalles de calcaire récupérées. Les niveaux de destruction piégés, dans cette partie de l'édifice ainsi que dans l'*aditus*, livrent la majeure partie du corpus d'époque romaine. La *cavea* maçonnée est marquée par un mur partiellement récupéré qui délimite un espace de 34 m sur 40 m. Parsemée de trous de poteau dans sa partie orientale, elle devait comporter des gradins en bois, pour lesquels plusieurs restitutions en plan (circulaire ou polygonale à gradins intérieurs ou extérieurs) peuvent être proposées au vu de l'arasement des structures à l'ouest.

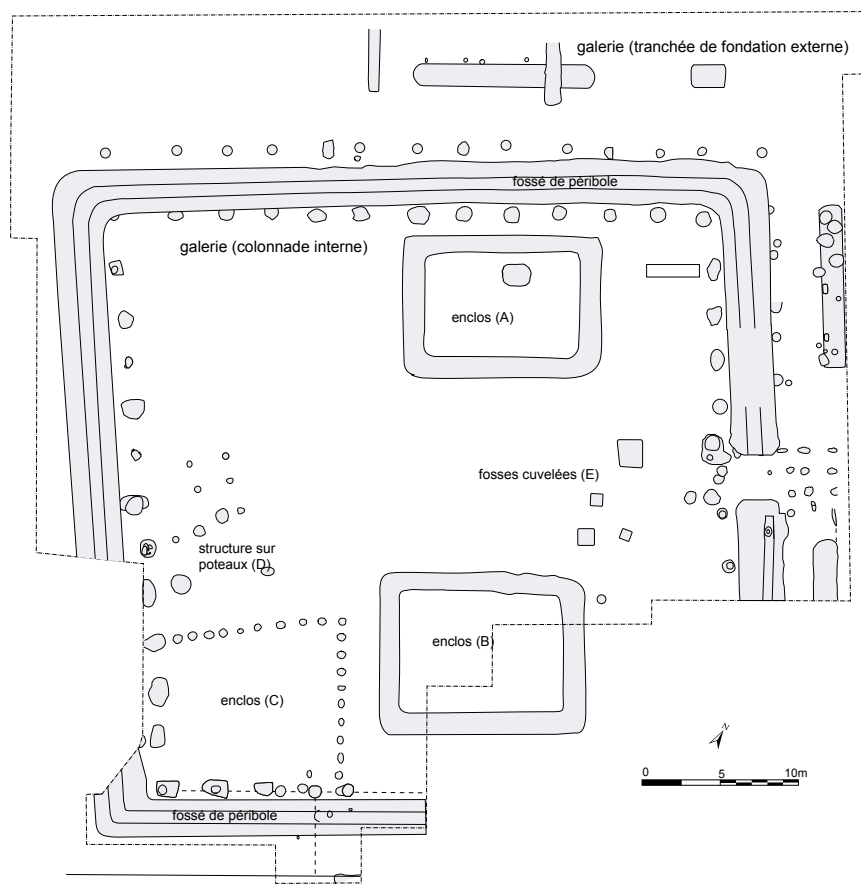


Fig. 38. Plan général non phasé du sanctuaire à l'époque laténienne.

Le sanctuaire

Le sanctuaire a fait l'objet d'une publication monographique qui fournit une vision exhaustive de nos connaissances sur cet édifice public. Le lieu de culte bénéficie en outre d'une analyse chronologique englobant l'ensemble des catégories de mobilier qui établit le cadre général de toute approche de ce type sur le site (fig. 38). L'argumentaire chronologique sera par conséquent synthétisé à la suite de la description succincte du plan et du phasage principalement fondé sur l'analyse stratigraphique de son fossé périphérique.

L'enclos définissant le *temenos* du lieu de culte est un profond fossé au profil en « Y » qui a dû recevoir les poteaux d'une palissade. Cette structure dessinant un quadrilatère d'environ 45 m de côté s'observe sur l'intégralité du pourtour du lieu de culte, l'entrée située à l'est ayant été symboliquement creusée dans une veine de basalte, puis remblayée avec de la pouzzolane damée. Les ensembles de mobilier de cet état correspondent principalement à des rejets réalisés dans le fossé d'enclos, lors du démantèlement de la palissade. La clôture de cet état est datée de la fin du II^e s. av. J.-C. avec un faciès situé dans la partie médiane de LTD1b. La présence dans ces ensembles de mobilier caractéristique de la fin de LTC2 et de LTD1a suggère que l'activité du lieu de culte a dû commencer dans le troisième quart du II^e s. avant notre ère. Quelques céramiques, un bracelet méandrique ainsi qu'une bouterolle à extrémité ajourée laissent toutefois supposer que les premières formes de fréquentation laténienne du lieu du culte ont débuté à LTB2-LTC1 (fin IV^e-III^e s. av. J.-C.), sans qu'il soit possible de la qualifier. Elle renvoie peut-être aux prémices du développement urbain du gisement, si on se réfère aux postulats énoncés à partir de l'organisation du site du Titelberg (Metzler *et al.* 2016, p. 301-307). Les assemblages de cette phase présentent une bonne proportion d'armements volontairement détruits, dont le dépôt composé d'une cotte de mailles, d'un fragment de fourreau, de quatre umbos de bouclier et d'une crête

de sanglier-enseigne, mis au jour sous la cloison extérieure de la galerie périphérique. Les dépôts de parures de cette période comprennent principalement des bracelets, alors que les fibules demeurent rares. Les autres catégories de mobilier sont peu représentées.

Des niveaux de remblais recouvrent par endroits les niveaux de comblement détritique du premier état et signalent en stratigraphie le passage à l'état 2, le sanctuaire à galerie périphérique. L'enceinte du lieu de culte est alors construite sur une cloison externe matérialisée par des tranchées de fondation, ainsi que par des lignes de 13 poteaux de 80 à 120 cm de diamètre, espacés de 3,2 m côté cour. Des poteaux de plus faibles dimensions sont installés à l'intérieur du portique formé par ces deux ensembles de structures porteuses.

L'accès au lieu de culte s'effectue à l'est par un porche en forme de tour aux fondations assurées par un ensemble de trous de poteau alignés, au mode de construction similaire à celui observé à la porte des *oppida*. Les niveaux en lien avec ce passage livrent de nombreux objets circulaires, monnaies, jetons, anneaux et perles en alliage cuivreux, en os ou en verre, dont l'interprétation oscille entre accumulations de dépôts individuels, pratiques de vote et thésaurisation. Les zones médianes des autres branches de la galerie sont dotées d'aménagements culinaires, sous la forme de foyers auxquels sont associés des ustensiles de cuisine (couteaux, crocs à viande, potence, crémaillère et chaudrons). Très bien conservées dans le portique nord, ces installations s'avèrent plus fugaces au centre des branches sud et ouest de la galerie. Les couches d'occupation liées à l'activité du deuxième état du sanctuaire sont datées de la fin de LTD1b et de LTD2a. Elles sont par endroits recouvertes d'empierrements qui constituent des réaménagements caractéristiques de l'extrême fin de l'activité laténienne du sanctuaire. Leur surface, ainsi que les faciès documentés dans le remplissage des cloisons extérieures de la galerie périphérique situent cette baisse de fréquentation au début de LTD2b.

L'intérieur de l'enclos comporte cinq unités architecturales déconnectées, sur le plan stratigraphique, du phasage effectué à l'aide de la stratigraphie du fossé périphérique. Elles structurent l'espace et le fonctionnement des pratiques rituelles, à commencer par les enclos A et B aux origines de la fouille du sanctuaire. Ces deux bâtiments quadrangulaires de 13 m sur 9 m sont enceints par des fossés palissadés au comblement rempli de mâchoires et de crânes de moutons. Le mieux conservé, l'enclos A, présente en son centre une fosse interprétée comme un autel creux ou une fondation de statue (Poux 2019), ainsi qu'une pierre dont la surface striée plaide pour une utilisation dans le cadre sacrificiel. Le corpus métallique de ces enclos comporte principalement des parures, fibules et perles, ainsi que quelques pièces d'équipement militaire. Leur comblement est situé dans le courant de LTD2. Localisé à l'angle sud-ouest dans une zone arasée, l'enclos C matérialisé par des alignements de poteaux correspond à un espace dévolu au stationnement du bétail.

À l'ouest, un épandage d'ossements animaux et de céramiques forme un rectangle encadré de trous de poteau. L'analyse du spectre faunique souligne le déroulement de pratique bouchère, vraisemblablement de la découpe des carcasses, signalée par un alignement de crânes de caprinés et des ossements animaux impropres à la consommation, tels que des fœtus caprins et porcins. La fugacité des vestiges mène à la restitution d'une construction légère, sous la forme d'une « pergola » dont le rôle dans le fonctionnement du lieu de culte restent problématique. De même, le temple à galerie périphérique d'époque romaine reprend l'emprise de ce bâtiment situé dans l'axe de l'entrée et dont l'importance ne doit pas être minimisée.

Au centre de la cour, le sol est constitué d'un cailloutis dont le faciès chronologique couvre l'intégralité de l'activité laténienne du sanctuaire. Il est doté, à proximité de l'entrée, de quatre structures quadrangulaires bordées d'amphores

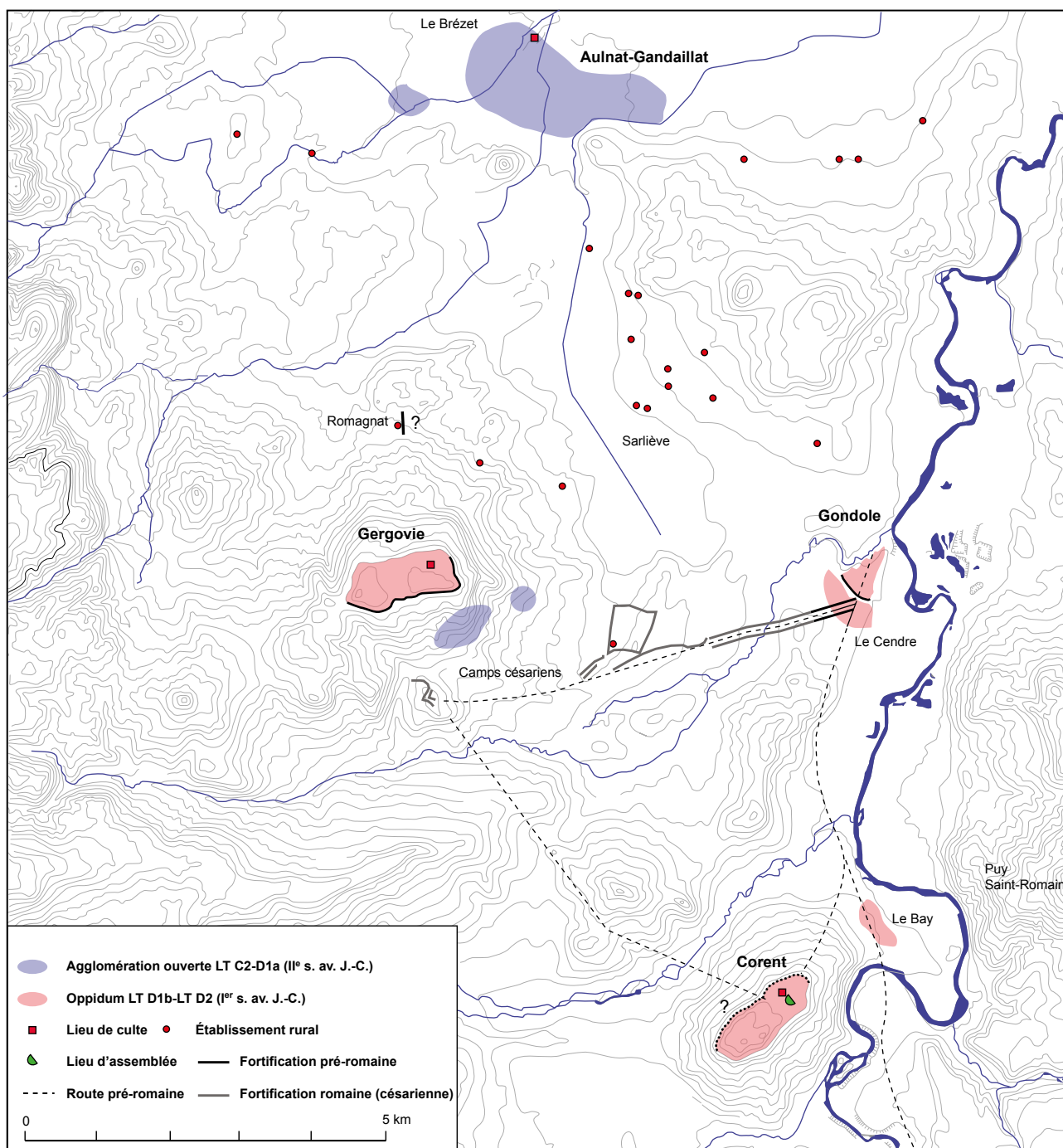
du sanctuaire, avec une réfection de la galerie qui s'élargit de quelques mètres et devient une galerie ouverte. Quelques fragments d'architrave sculptée semblent avoir orné son portique, tandis que le portique supplémentaire, identifié au nord, a pu être muni d'une colonnade d'ordre toscan. Une citerne au parement constitué de quart de colonne en remploi est aménagée à l'entrée. Le plan de la galerie est encore modifié par l'ajout de pièces adventices à l'angle nord-est et au milieu de la branche septentrionale, une construction qui peut marquer un nouvel accès au lieu de culte (état 4.3). Les sols, identifiés jusqu'alors par des niveaux de circulation à la surface des couches de démolition, sont par endroits construits en *terrazzo*. La datation de ces modifications est évaluée entre l'état précédent et la destruction du lieu de culte à l'extrême fin du Haut-Empire, dans les années 270-280 ap. J.-C. Le matériel mis au jour en surface de démolition (antoninien de Dioclétien, petits bronzes constantiniens, perle en verre noir à filament blanc) atteste une fréquentation durant l'Antiquité tardive.

1.4.4. L'OPPIDUM DE CORENT DANS SON CONTEXTE RÉGIONAL

Les dynamiques de peuplement du territoire arverne sont bien documentées en plaine de Limagne et ont fait l'objet d'une recherche de longue haleine, fondée sur la datation des différents pôles urbanisés (Aulnat-Gandaillat, Aigueperse, Corent, Gondole, Gergovie, Clermont-Ferrand) de ce terroir particulièrement riche (fig. 40). Après une vision séquencée de l'évolution de ce peuplement, où les agglomérations étaient perçues comme successives et en compétition (Collis *et al.* 1994), la recherche tend actuellement à relativiser ce schéma pour le nuancer avec des périodes où plusieurs agglomérations sont occupées concomitamment et participent au même centre urbain multipolaire, dont chaque entité revêt des fonctions complémentaires (Poux 2005, Darteville *et al.* 2009, Poux 2014b). Les études sur le site de Corent fournissent certaines clés de compréhension de cette évolution schématique que nous présenterons de manière synthétique, sans procéder à la critique de ces systèmes.

Le premier pôle de concentration d'habitat se situe en plaine de Limagne, avec notamment les sites d'Aulnat-Gandaillat et d'Aigueperse. Les recherches de R. Périchon et J. Collis se sont tout d'abord focalisées sur la première agglomération de plaine, au lieu-dit La Grande Borne (Deberge *et al.* 2007c), en référence au menhir redressé à La Tène finale, encore en place actuellement (Poux 2014c). Cette agglomération de plaine a fait l'objet de multiples opérations de fouilles programmées et préventives qui permettent d'en cerner la chronologie (III^e et II^e s. avant notre ère) et l'organisation caractérisée par une densité relativement lâche de zones résidentielles et artisanales. Ce maillage comprend des sépultures qui sont parfois intercalées au sein même de l'habitat. L'occupation première du site, dans le courant de LTB2-LTC1, présente des objets de qualités, de l'armement ainsi qu'un artisanat de luxe qui suggèrent une impulsion due à une présence aristocratique ; cette dernière aurait fourni un cadre propice à l'installation d'une population plus nombreuse. L'occupation se densifie et les activités observées s'y diversifient pour constituer un site de référence pour les agglomérations de plaine antérieures aux oppida (Fichtl 2013).

Nettement moins bien connu, le site d'Aigueperse a récemment fait l'objet d'une fouille préventive (Deberge 2012) qui enrichit le dossier de cette agglomération. D'une surface d'environ 8 ha, située au nord de la plaine de Limagne, elle était connue jusqu'alors par une seule opération (Mennessier-Jouannet et Dunkley 1996) ayant mise en évidence des activités de forge spécialisée (production de fourreaux) (Orengo 2003, p. 84-88). Les fouilles récentes livrent les vestiges d'un habitat, occupé depuis la fin de LTC1 avec un pic d'occupation au milieu du II^e s. avant notre ère et une réoccupation à LTD2b, après une période d'abandon.



Les traces d'artisanat sont marquées principalement sur le site par des déchets liés au travail des métaux (creusets, scories, lingotières...), qui suggèrent la pratique de telles activités à proximité.

Ces deux agglomérations, de même que la plupart des fermes documentées en plaine de Limagne comme Le Pâtural, Gerzat ou Malintrat (Deberge 2007), auraient été abandonnées au profit du site de Corent dans le courant de LTD1b, vers la fin du II^e s. avant notre ère, selon des modalités qui restent à définir. Leur synchronie avec le premier état de construction du sanctuaire et de l'habitat de Corent suggère que cet abandon a dû être progressif. Il semble toutefois peu probable que l'ensemble de la population du Bassin clermontois se soit déplacé sur l'*oppidum*. Toujours est-il que les traces d'occupation de la première moitié du I^{er} s. avant notre ère sont particulièrement rares, en plaine de Limagne, malgré l'intensité des recherches et des aménagements modernes dans ce secteur.

Fig. 40. Principaux centres urbains à proximité de l'oppidum de Corent (d'après Poux 2014, fig. 14.4).

La séquence de la fin de LTD1b est attestée presque exclusivement sur les sites de Corent et du Bay, situés au bord de l'Allier, en contrebas de l'*oppidum*. Son étude reprise récemment par R. Lauranson (2012, 2014, 2015) démontre une occupation relativement courte, centrée sur LTD1b *lato sensu*, sans perduration durant LTD2a. La situation de ce site laisse imaginer une fonction de pôle économique et de port en lien avec l'*oppidum*. Il devait vraisemblablement aussi regrouper des activités artisanales dangereuses ou incommodes, peu fréquentes sur le plateau à cette période (forge, tannerie, poterie, etc.).

L'abandon du site du Bay avant LTD2a, vers 80 av. J.-C., période qui correspond au pic d'occupation de l'*oppidum* de Corent, demeure pour l'heure difficile à expliquer. Cette séquence chronologique se rapporte au premier état de construction de l'*oppidum* de Gondole, dont les faubourgs fouillés par Y. Deberge (Deberge *et al.* 2009, p. 89, Deberge *et al.* 2013) présentent une occupation centrée sur le milieu du I^{er} s. avant notre ère (LTD2 *lato sensu*, abandon vers 30/20 av. J.-C.). Cet *oppidum* de 70 ha, défendu par un rempart à talus massif de type Fécamp, peut tout à fait revêtir les mêmes fonctions économiques que le site du Bay dans l'optique d'une ville multipolaire. L'artisanat y constitue une activité très bien représentée avec plusieurs fours de potiers et de multiples traces de travail des métaux. Le site est également caractérisé par de nombreuses pièces d'importation et d'équipement militaire romain, qui laissent supposer la présence d'individus d'origine italique et un lien fort avec les événements de 52 av. notre ère. La bataille de Gergovie se retrouve également en filigrane dans les nombreuses fosses à chevaux disposées autour du site qui peuvent correspondre aux charniers de cet affrontement célèbre (Deberge *et al.* 2014). L'*oppidum* de Gondole est à son apogée, au moment où la raréfaction des traces d'occupation du site de Corent dénote une perte de puissance ou du moins une baisse de sa population (LTD2b).

Une configuration similaire s'observe sur le site de Gergovie où les éléments antérieurs à la conquête césarienne sont presque inexistants (Poux 2014b), du moins sur le plan du mobilier métallique (Millet 2014). Il n'est pas lieu ici de revenir sur la question de la bataille de Gergovie et des implications historiques des datations formulées jusqu'à présent pour ce site. Retenons qu'il représente très vraisemblablement le lieu de la célèbre bataille, sur la base de fortifications mises en évidence par V. Guichard et Y. Deberge (2000, Deberge *et al.* 2014), même s'il livre très peu de traces d'habitat contemporain. Son faciès mobilier comporte principalement des marqueurs de la seconde moitié du I^{er} s. avant notre ère et du début de l'époque augustéenne. Sa position défensive stratégique et les éléments fugaces attribuables à la Conquête ont conduit M. Poux à proposer une fonction de citadelle réinvestie et renforcée au moment de la Guerre des Gaules. Elle ferait alors partie à cette période d'une ville multipolaire où le pouvoir politique et aristocratique devait demeurer à Corent, tandis que l'*oppidum* de Gondole était focalisé sur le contrôle de l'Allier, avec une dimension économique basée sur le commerce et les productions artisanales (Poux 2014b). Cette interprétation n'empêche pas qu'une certaine compétition ait eu lieu entre les différents pôles urbains (Guichard *et al.* 1993). Gergovie se développe par la suite très vraisemblablement au détriment de Corent, où les vestiges post-conquête sont nettement moins bien représentés. Une interprétation de colonie, ou du moins d'une population fortement romanisée ou comportant des individus italiques, a été formulée pour le site de Gergovie à partir de l'analyse du mobilier métallique (Millet 2014). Ce lieu est ensuite en grande partie abandonné, dès le début de notre ère, pour Clermont-Ferrand/*Augustonemetum* qui deviendra la capitale de cité romaine.

L'extrême fin de l'époque gauloise et le début de l'Empire romain sont toutefois représentés à Corent, notamment par un atelier de potier mis au jour dans la partie orientale du site, dans le centre cultuel et sur la terrasse fouillée entre 2014 et 2016. Une agglomération se développe ainsi à nouveau sur le site à l'époque romaine, de part et d'autre du complexe religieux formé par le sanctuaire et le théâtre. Cet ensemble est intégré à ce travail alors que les zones

d'habitat et d'atelier de potier ne sont pas prises en compte. La construction de ce complexe s'inscrit dans un système intégrant des lieux de mémoires d'époque protohistorique (Grande-Borne), des géosymboles (Puy-de-Dôme, Puy-Saint-Romain), des sanctuaires et des espaces de réunion autour du caput civitatis d'*Augustonemetum*, dont l'articulation est développée dans un article récent (Poux *et al.* 2015b). Les liens visuels entretenus de longue date entre l'agglomération et le sanctuaire de Corent et les agglomérations de plaine protohistorique (Aulnat-Gandaillat) et romaine (*Augustonemetum*) dénotent un système d'implantation impliquant une symbolique territoriale d'origine protohistorique, pour l'ensemble du bassin clermontois.

Le dossier des nécropoles associées à l'*oppidum* de Corent comporte peu d'éléments probants, même si quelques tombes attribuables à La Tène finale sont documentées au pied du plateau, aux Martres-de-Veyre, au lieu-dit Chaume d'Allios (Lauranson 2012, p. 115-131). Fouillée anciennement, cette nécropole livre principalement du matériel de l'époque romaine avec quelques éléments plus anciens qui peuvent se rattacher à La Tène finale : un casque de tradition italique, qui constitue le point le plus septentrional de la carte de répartition du type (Pernet 2010, p. 74, fig. 38), quelques parures (fibules de Nauheim, bracelets à épissures et tubulaires à décor de chevrons) (Ducreux 2013, pl. 122, n^{os} 1, 3 et 11) et céramiques (trois individus dont une bouteille peinte à décor géométrique). Ces mobiliers peuvent se rapporter à la première phase d'occupation de l'*oppidum* (LTD1), ou encore à celle du site du Bay qui livre également une sépulture et des restes humains épars. Sur le plan régional, les pratiques funéraires du II^e s. avant notre ère (LTC2-LTD1) sont nettement mieux connues que celles du I^{er} s. av. J.-C. qui ne sont attestées que dans la nécropole de Malintrat-Chaniat. La nécropole de Sarliève et les tombes de Gandaillat (Mennessier-Jouannet et Deberge 2017, 407-421) ou encore l'ensemble aristocratique de Pulvèrières (Blaizot *et al.* 2014) fournissent les seuls éléments de comparaison pour générer une hiérarchisation sociale (Deberge et Orenge 2007) qui fournira le référentiel de comparaison lorsque ce thème sera abordé en synthèse (voir *infra*, chap. 4.4.2). Si l'absence de données de LTD2a invite à la prudence, le corpus découvert à Malintrat-Chaniat, attribué à LTD2b et à l'époque augustéenne, montre une perdurance des pratiques observées au II^e s. avant notre ère qui permet d'extrapoler une configuration similaire, durant la phase d'occupation de Corent. De même, les ensembles mis au jour en territoire arverne sont trop lacunaires pour pratiquer une confrontation chronologique avec les assemblages d'habitat. Les nécropoles adéquates les plus proches sont en territoire turon, avec celles de Vaugrignon à Esvres-sur-Indres (Riquier 2004) ou en pays ségusiave, à Feurs, un ensemble funéraire inédit dont la documentation a été mise à notre disposition par V. Guichard et que nous n'utiliserons qu'à titre exceptionnel.

CHAPITRE II.

OPTIONS MÉTHODOLOGIQUES

Pour les personnes peu familiarisées avec la cuisine, il ne suffit point de lire une recette par-ci, par-là, pour se rendre compte de sa valeur, encore moins pour l'exécuter. Non.

Il faut, avant tout, lire l'ouvrage dès le commencement, en faisant d'abord connaissance avec le vocabulaire des termes employés dans la cuisine.

Puis on lira attentivement tout ce qui a rapport aux bouillons, fonds et sauces qui sont la base de la bonne cuisine.

LOUIS MAILLARD, *La Cuisine des Familles*, 1919.

Le protocole d'étude du mobilier métallique s'articule en trois phases, conduisant à une interprétation générale du corpus, dans l'objectif de contribuer à mieux caractériser le fonctionnement du centre-ville de Corent. La première étape d'acquisition des données est centrée sur l'identification, l'inventaire et la mise en contexte du mobilier (chap. 2.1). Dans un deuxième temps, les analyses fondamentales traitent tant des aspects qualitatifs, quantitatifs et taphonomiques des objets que de leur distribution spatiale, dans l'optique d'une présentation des caractéristiques intrinsèques du corpus (chap. 2.2). Elles s'effectuent en interaction avec la phase d'acquisition du corpus dont elles améliorent la compréhension (fig. 41). L'étude peut ensuite s'orienter vers l'interprétation des assemblages, en intégrant les résultats des analyses fondamentales et en confrontant de manière normalisée les données liées à leur composition, à leur importance quantitative, à la taphonomie des objets qu'ils contiennent et à leur contexte (chap. 4.3).

2.1. ACQUISITION DES DONNÉES : TRAITEMENT DU MOBILIER ET DES DONNÉES DE TERRAIN

Les objets sortis de terre, la première opération consiste à sélectionner et à nettoyer les éléments trop corrodés pour être identifiés de manière assurée, afin d'en réaliser l'inventaire dans une base de données. Cette étape a nécessité le recours à des dégagements pour identification effectués à la microsableuse sur les objets ferreux, une intervention qui constitue la première phase du protocole d'étude (fig. 41). Ces opérations ont été en grande partie réalisées par nos soins en 2011, dans le cadre d'une bourse du Fonds national suisse de la recherche scientifique (FNS), au Centre archéologique européen de Bibracte. Une sélection du corpus acquise par le Musée Bargoin de Clermont-Ferrand (fouilles 2005-2007) a été radiographiée et restaurée à Vienne, par le Centre de Restauration et d'Etudes Archéologiques Municipales « Gabriel-Chapotat » (CREAM). Nous avons également pu bénéficier de l'apport de radiographies complémentaires, grâce à la bonne volonté du Dr Roland Musso du Centre de radiologie de Pont-du-Château, notamment pour le matériel de la campagne 2012, dont très peu de pièces ont pu être traitées à la microsableuse. Dans l'ensemble, les opérations effectuées sur le matériel ferreux et sa bonne lisibilité à la sortie de la fouille garantissent une identification homogène du corpus, bien que le matériel récolté depuis 2008 ne

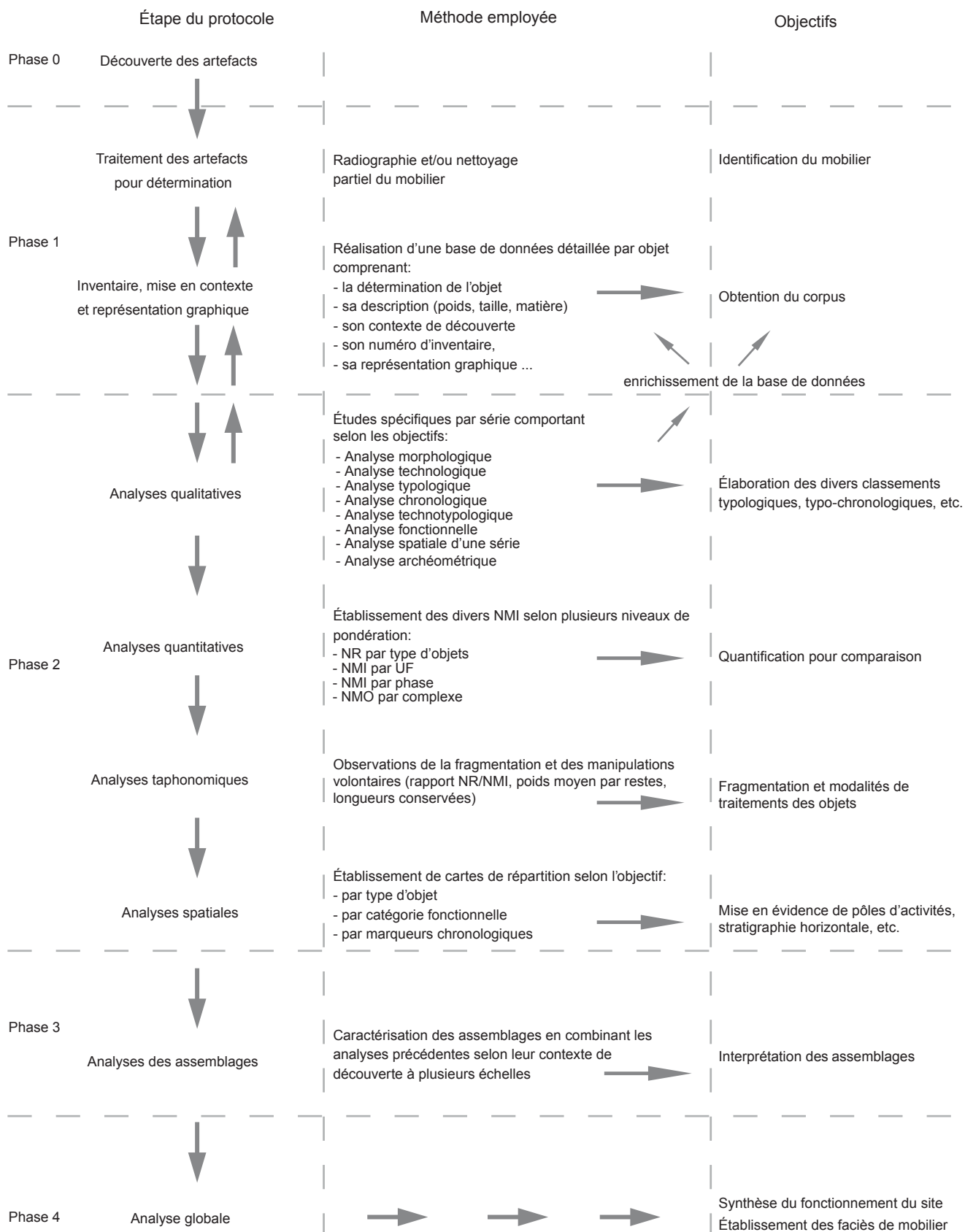


Fig. 41. Protocole d'étude du mobilier métallique.

soit pas encore restauré. À l'exception de certaines pièces présentées dans le cadre de l'exposition de Levroux, la plupart des artefacts en alliage cuivreux n'ont pas encore fait l'objet de restaurations et de consolidation. Ces derniers s'avèrent par chance le plus souvent facilement identifiables, sans dégagement de surface.

La réalisation de la documentation graphique peut commencer après cette phase dédiée à la détermination des objets. La technique du dessin au trait a été choisie en raison de la masse de relevés à effectuer. De plus, l'utilisation de la technique au point ne se justifiait guère compte tenu de la rareté des restaurations, notamment sur des objets en alliage cuivreux. Ce travail a été effectué par nos soins pour le matériel issu du sanctuaire ainsi que pour les objets non représentés dans les rapports annuels. Les artefacts illustrés dans ces derniers ont été dessinés par des étudiants, lors de stages de formation réalisés dans les locaux de l'association LUERN aux Martres-de-Veyre. Cette première prise en charge du mobilier a permis à la fois d'initier de futurs archéologues à l'étude du petit mobilier, mais aussi de sauvegarder le plus rapidement possible les informations livrées par un corpus qui se dégrade assez rapidement. Il faut souligner ici le travail d'Alice Leguen qui a assuré le dessin assisté par ordinateur (DAO) des pièces absentes des rapports de fouilles, soit plus de 140 planches au crayonné. Au total, le catalogue comprend 3847 objets dessinés.

Parallèlement à ces opérations, la mise en contexte du mobilier a été effectuée à l'aide des rapports et des publications, qui fournissent la base de la documentation concernant les vestiges. Il s'agissait ici d'attribuer un état aux objets et aux assemblages, selon les principes décrits dans le chapitre 1.4.2 et de les localiser. Cette démarche repose principalement sur la chronologie relative des vestiges. Lorsque les données étaient disponibles, elle a été complétée par une confrontation aux datations fournies par les ensembles de céramiques, étudiés dans le cadre de la thèse de doctorat de Romain Lauranson en cours de finalisation au moment d'écrire ces lignes. Le quartier est (fouilles 2010-2012), le sanctuaire et le théâtre bénéficient sur ce point d'une mise en phase plus assurée que le quartier nord. Les unités de fouille ont ensuite pu être intégrées, dans un système d'information géographique (SIG), bien que cet outil n'ait pas été prévu dès le commencement de la fouille. Les plans ont par conséquent nécessité un traitement *ad hoc* réalisé avec l'aide de Gweltaz Sanceau. Cette phase du travail permet de disposer d'une documentation primaire fiable avec très peu d'ensembles non géoréférencés (88) ou attribués à aucune phase du site (158).

Ces données collectées, les objets remarquables identifiés dans des lots de mobilier ont été repositionnés, sur le plan, en leur attribuant des coordonnées aléatoires au sein de la surface de leur unité de fouille. Ils apparaissent dans le catalogue avec des coordonnées suivies d'une étoile (*). Le travail inverse a été effectué pour restituer une unité de fouille aux objets connus uniquement par leurs coordonnées. La mention « UF » a été apposée à leurs coordonnées dans le catalogue, lorsque tel était le cas. Seuls 33 objets dessinés n'ont pas pu être replacés sur le plan ou réattribués à une unité de fouille. La grande majorité de ces éléments proviennent de décapages trop étendus pour fournir des informations exploitables ou de contextes à l'écart des bâtiments.

Le mobilier intégré dans le catalogue provient des campagnes 1992 à 2012, soit une surface de 1,37 ha, qui peut être subdivisée en trois grandes zones correspondant aux trois secteurs fouillés de manière contiguë au centre de l'*oppidum*, à savoir l'emprise du sanctuaire au centre, le quartier nord comprenant la place de marché (complexe C) et les bâtiments environnants (A, B, D, F, G et H) et la zone est avec l'esplanade en face de l'entrée du sanctuaire, un nouveau quartier d'habitat (bâtiments E, Q, K, L, M, N, R, T et U) ainsi que l'édifice public laténien et le théâtre gallo-romain lui succédant. Chacune de ces zones comprend des unités architecturales définies d'après les limites de parcelles, qui peuvent

compter un seul bâtiment ou plusieurs, jusqu'à une dizaine. Ils sont présentés dans le catalogue par zone suivant leur ordre de découverte, en commençant par les premiers bâtiments au nord du sanctuaire, puis par quartier dans le sens des aiguilles d'une montre. Les assemblages de chaque unité architecturale y sont présentés en commençant par le haut de la stratigraphie, avec une mention de leur mise en phase retenue pour chaque assemblage, avant les descriptifs et les planches.

Le petit mobilier non métallique associé à chaque ensemble est fourni à la suite des descriptions d'objets de chaque assemblage. Inventoriée, cette catégorie de matériel n'a pas été intégrée à ce travail en raison d'autres recherches universitaires en cours, notamment sur les parures en verre. De même, ces objets n'ont été exploités sur le plan de leur apport fonctionnel et spatial que de manière ponctuelle afin d'éviter de les utiliser sans procéder à une étude qualitative approfondie. Les artefacts métalliques non illustrés sont regroupés dans le catalogue par unité architecturale, au sein de listes à la suite des planches.

2.2. ANALYSES FONDAMENTALES DES MOBILIERS

Les analyses fondamentales regroupent l'ensemble des traitements utilisés pour aborder un corpus à partir des données intrinsèques de chaque objet. Au contraire de l'examen des assemblages, les choix interprétatifs n'ont que peu d'influence dans ces analyses qui constituent le socle de toute démarche abordant un ensemble de mobilier métallique, soit la deuxième phase du protocole d'étude (fig. 41). Elles sont mises en œuvre dans le chapitre dédié à l'étude du corpus (chap. 3).

2.2.1. LES ANALYSES QUALITATIVES

Les analyses qualitatives impliquent un vaste panel d'études portant sur les caractéristiques intrinsèques des objets. Elles comprennent la recherche de parallèles servant à l'identification du mobilier et à la mise en évidence de typologies, qui peuvent être couplées à des perspectives chronologiques ou technologiques. La datation du corpus est effectuée dans ce cadre à l'aide d'ensemble clos, de références locales ou au besoin d'ensembles issus d'une plus vaste aire géographique. Les aspects liés au mode de fabrication des objets dans une optique technotypologique (Guillaumet 2003, p. 89-110) ne seront pas ou peu exploités lors de l'étude du corpus.

Dans un autre ordre d'idée, la définition de la fonction permet d'affiner le cadre d'utilisation de certains mobiliers et de caractériser les activités documentées sur le site. Les données fournies par la recherche de bibliographie spécialisée seront étayées, pour certains types d'objet, par des cartes de répartition destinées à mettre en lumière certaines particularités fonctionnelles.

Après l'identification, les principes taxinomiques de l'analyse qualitative du petit mobilier reposent principalement sur la définition de la fonction de l'objet et des activités humaines dont il témoigne, indépendamment de son contexte d'origine. Cette méthode de classement, plus subjective que celles utilisées par d'autres spécialistes comme les céramologues ou encore les archéozoologues, a donné lieu à d'intenses débats pour aboutir à une multiplicité de systèmes, propres à chaque spécialiste. Un certain consensus a toutefois été trouvé récemment dans le cadre d'un groupe de travail dédié aux méthodes appliquées à l'étude de l'*instrumentum* (Briand *et al.* 2013). Le système proposé correspond à une synthèse des classifications développées à Bibracte et utilisées en Gaule interne et de celles appliquées à Lattes et plus largement dans le Sud de la France. Fondé sur trois niveaux de classification (objet, catégorie et domaine), il est actuellement mis en œuvre par de nombreux spécialistes et devrait permettre, à moyen terme,

de comparer les corpus de différentes aires géographiques. Cette perspective justifie à elle seule la mise en pratique de ce système.

Cet article de référence réalisé par une communauté de chercheurs (Briand *et al.* 2013) propose de distribuer le matériel par domaine fonctionnel, correspondant à une analyse plus anthropologique montrant les relations de l'homme à ces semblables et à l'environnement. L'attribution d'une catégorie ou d'un objet à un domaine inclut un degré d'analyse interprétatif, dans lequel sont intégrés à la réflexion sa relation à son contexte de découverte et les éléments associés. Ainsi, selon son environnement une plaque de serrure pourra être attribuée tant au domaine domestique qu'à celui de l'immobilier ou demeurer inclassable. De même, des éléments liés à la mouture peuvent tout à fait être intégrés à la sphère culinaire et domestique, si leur distribution montre une répartition centrée sur l'habitat, mais aussi correspondre à des objets destinés à la transformation de matière première à classer dans la catégorie « production ». La subjectivité de l'attribution d'un objet à un domaine nécessite une argumentation fondée sur l'ensemble des données à disposition et participant tant à l'analyse des assemblages qu'à son étude qualitative, raison pour laquelle ce degré de classement ne sera pas utilisé.

Notre étude repose ainsi avant tout sur la distribution du mobilier par catégorie fonctionnelle, c'est-à-dire selon la fonction et l'activité humaine que l'objet sous-entend, sans tenir compte de sa provenance (fig. 42). D'éventuelles utilisations secondaires ou particulières d'un artefact ne sont pas intégrées à la réflexion, à ce stade du classement. Le corpus de Corent comprend presque la totalité des catégories fonctionnelles définies par le groupe de recherche (Briand *et al.* 2013). Il en diffère tout de même sous certains aspects de détail

Catégories	Définition	Fonction
Parure et accessoires vestimentaires	Objets de parure ainsi que les éléments de costume et les accessoires vestimentaires (clous de chaussure, notamment)	Se vêtir, paraître
Armement	Armement offensif et défensif ainsi que toute pièce d'équipement liée à la sphère militaire	S'équiper, combattre
Production	Extraction, fabrication et transformation des ressources naturelles et des produits agro-pastoraux ; inclut tous les objets relatifs à l'artisanat (outils, matière première) et les outils liés à l'agriculture et à l'entretien paysager	Extraire, transformer, fabriquer, entretenir
Activités culinaires	Objets liés à l'alimentation, à la sphère culinaire, de la préparation à la consommation (ustensiles, vaisselle, stockage)	Conserver, préparer/cuire, manger/boire, servir
Toilette et médecine	Objets de la toilette, de l'hygiène et de la médecine	(S') entretenir, (se) soigner
Transport	Pièces d'attelage, de charonnerie, harnachement et autres pièces relatives au transport	Se déplacer, transporter
Écriture	Objets liés à l'écriture et à la correspondance	Écrire, dessiner, communiquer
Poids et mesures	Objets liés au commerce et aux mesures (balances, poids, plombs fiscaux, jetons...)	Commercer, échanger, peser
Jeu et loisirs	Pièces de jeu, jouets et instruments de musique	Se divertir, fêter
Objets à caractère religieux	Objets liés à toute pratique cultuelle (religion, magie, divination) indépendamment du contexte	Croire, rendre hommage, prier, consacrer, sacrifier
Ameublement et construction	Regroupe les pièces de quincaillerie et d'huissierie difficiles à attribuer à l'ameublement ou à la construction	S'abriter, habiter, aménager, ranger
Ameublement	Pièces de meubles, leurs décors, ainsi que leurs éléments d'assemblage et leurs systèmes de fermeture lorsqu'il est possible de les attribuer à un meuble	Aménager, ranger
Construction	Clouterie, pièces de quincaillerie et d'huissierie utilisées pour la construction et l'aménagement du bâti	S'abriter, habiter
Objets polyvalents et divers	Objets identifiés mais dont la fonction précise n'est pas ou ne peut pas être assurément attribuée à une catégorie	
Objets indéterminés	Objets dont l'identification est inconnue ou difficilement réalisable	

Fig. 42. Catégories fonctionnelles et leur définition succincte sur le site de Corent (d'après Briand *et al.* 2013).

relevant de la réalisation de sous-catégories. Ainsi, les éléments de harnachement et les pièces d'attelage ont été regroupés dans la même catégorie « Transport », mais correspondent à des sous-catégories. De même, la catégorie « Production » comprend également les déchets artisanaux qui constituent une sous-catégorie, alors que ces derniers sont individualisés au sein d'une catégorie propre dans le classement du groupe de recherche. Ces différences minimales n'empêchent toutefois pas la comparaison avec des corpus traités selon cette méthode, les majorités des informations étant disponibles dans les comptages en sous-catégorie.

Cette notion de sous-catégorie a été créée afin de classer, de la manière la plus précise possible, le matériel et de faciliter les analyses d'assemblages ainsi que les répartitions spatiales. Les catégories fonctionnelles ont donc été à leur tour subdivisées en deux échelles de classement, à savoir : la sous-catégorie qui permet de regrouper les objets par groupe cohérent au sein d'une même catégorie (fig. 43) et le type d'objet. Ainsi, une pointe de lance sera classée dans la catégorie « Armement », dans la sous-catégorie « Armement offensif » et dans le type d'objet « Lance ». La définition et la description des champs d'activités relatifs à chaque catégorie et aux sous-catégories et types d'objets qu'elle comporte sont exposées, en introduction de chaque chapitre de l'étude du corpus, structurée par catégories fonctionnelles (chap. 3).

Catégorie	Sous-catégorie	Catégorie	Sous-catégorie
Parure et accessoires vestimentaires	Fibules	Transport	Pièces de char
	Parures de bras		Harnachement
	Parures de doigt		Pièces de transport accessoires
	Parures de cou	Écriture	Instruments liés à l'écriture
	Parures de tête		
	Vêtements		
Armement	Armement offensif	Poids et mesures	Poids
	Armement défensif		Instruments de mesure
	Fourniment	Jeu et loisirs	Jeu et loisirs
Production	Outils liés au travail du métal	Objets à caractère religieux	Statuaire et mobilier liturgique
	Demi-produits et chutes (métaux fusibles)		Autres mobiliers à caractère religieux
	Déchets liés au travail des métaux fusibles	Objets polyvalents et divers	Objets divers et polyvalents
	Demi-produits et chutes (fer)		Quincaillerie polyvalente
	Déchets liés au travail du fer		Quincaillerie décorative
	Outils liés au travail du bois et de l'os	Ameublement et construction	Serrurerie et huisserie
	Déchets de tabletterie		Pièces de meuble
	Outils liés au travail du bois ou du cuir		Assemblage du bâti et des meubles
	Outils liés au travail du cuir	Indéterminé	Indéterminé objet
	Outils liés au travail du textile		Indéterminé tige
	Outils liés à l'agriculture et à l'entretien		Indéterminé barre
	Outils liés aux matières plastiques		Indéterminé tôle
	Outils liés au travail de la pierre		Indéterminé plat
	Outils polyvalents ou trop fragmentaires		Indéterminé informe
Activités culinaires	Récipients		
	Couteaux		
	Ustensiles culinaires		
Toilette et médecine	Toilette		
	Médecine		

Fig. 43. Sous-catégories fonctionnelles.

2.2.2. LES ANALYSES QUANTITATIVES

Les analyses quantitatives forment le deuxième socle de la réflexion sur le mobilier métallique et permettent de confronter les assemblages les uns aux autres dans une optique chronologique, fonctionnelle, économique ou encore socio-culturelle. Elles offrent en outre la possibilité de pondérer les interprétations et de normaliser les données primaires fournies par les analyses qualitatives. Nous avons récemment participé à un article de synthèse (Demierre *et al.* 2013) décrivant les méthodes applicables pour mener à bien ce genre d'analyse et dont nous reprenons ici les grandes lignes, tout en soulignant les particularités du traitement réservé au corpus de Corent.

Notions fondamentales

Comme pour la plupart des études spécialisées, la méthode standard de comptage est établie en nombre de restes (NR) et en masse exprimée en gramme au sein de l'unité de fouille (UF), sans tenir compte des cassures fraîches. La pesée est réalisée sur le mobilier corrodé à l'aide d'une balance précise au dixième de gramme. Ces deux données élémentaires relevées pour l'ensemble du corpus peuvent ensuite être complétées par une méthode de quantification plus approfondie qui dépend de la nature des artefacts métalliques.

Ces objets revêtent en effet des statuts différents lors des comptages, s'ils constituent en eux-mêmes un objet fini en une seule pièce, appelé objet « simple », ou s'ils sont une partie d'un artefact comportant plusieurs pièces métalliques ou organiques (Guillaumet 2003, p. 76-79), nommé objet « complexe ». À titre d'exemple, une fibule filiforme est un objet fonctionnel en lui-même et appartient à la première catégorie, alors qu'une pointe de lance, fixée à l'origine à une hampe en bois ou un bouton de meuble, appartient à un objet complexe, à savoir une lance ou un coffret. Cette distinction reste également valable lorsque sont considérées la conservation et la fragmentation du mobilier. Le corpus sera alors divisé en cinq catégories, à savoir les objets simples complets, des fragments d'objets simples, des objets complexes complets, des parties complètes d'objets complexes, et enfin des fragments de parties d'objets complexes.

Dans le même ordre d'idée, on distinguera l'individu de l'objet réel. La notion d'individu s'applique à tous les restes d'un corpus. Au contraire, la définition d'un objet réel porte uniquement sur les objets finis complets, simples ou complexes, et exclut de fait les déchets artisanaux et les indéterminés, ainsi que la majorité des pièces de quincaillerie (voir *infra*, le nombre minimum d'objets réels).

Le regroupement des mobiliers en quatre grandes familles, selon le système utilisé actuellement pour le métal et l'*instrumentum* de Bibracte, les objets d'*instrumentum*, les matériaux artisanaux, la quincaillerie et les indéterminés, permet de livrer une première vision globale et synthétique du corpus.

Le nombre minimum d'individus (NMI)

Depuis quelques années, l'utilisation du nombre minimum d'individus (NMI), fréquent dans les autres domaines d'étude de mobilier archéologique, est également devenue la règle dans le traitement de l'*instrumentum*. Les deux types de NMI utilisés dans ce travail diffèrent simplement selon l'ordre de grandeur des ensembles considérés et leur fiabilité. Ainsi, le NMI de base ou maximal appliqué à l'échelle de l'unité de fouille est une notion nettement plus objective, tandis que les NMI pondérés sont établis à la suite de regroupements artificiels d'ordre chronologique, stratigraphique, spatial ou encore une combinaison de plusieurs de ces variables. Les NMI maximaux peuvent englober le matériel de plusieurs unités de fouilles, lorsque celles-ci sont jugées équivalentes et participent de ce fait au même assemblage. Cette notion est utilisée dans les chapitres de présentation du corpus ainsi que dans l'analyse des structures,

tandis que l'analyse de la composition des assemblages d'un bâtiment est réalisée avec des NMI pondérés. Les deux angles d'approche diffèrent uniquement sur la taille de l'ensemble, mais suivent les mêmes principes que ceux utilisés pour la réalisation du NMI maximal.

Le NMI de base ou maximal consiste en un dénombrement des individus par matière, par catégorie et par type d'objet au sein de chaque unité de fouille, en prenant en considération les associations fonctionnelles et typologiques. Le processus commence par la comptabilisation des individus entiers, qu'il s'agisse d'un objet simple ou complexe ou encore d'une partie complète d'objet complexe. S'y ajoute l'estimation du nombre d'individus illustrés par les fragments d'objets identifiés en comptant la partie caractéristique la mieux représentée de l'objet complet et en prenant garde à respecter les typologies. Ainsi, dans le cas d'un pied et d'un ressort de fibule pouvant participer au même type, on comptera un individu et deux dans le cas contraire. Dans le même ordre d'idée, c'est la somme des parties qui prévaut dans le comptage en présence de plusieurs éléments d'un objet complexe. Ainsi deux extrémités distales de pointe de lance, une douille de fixation à la hampe et un talon issus d'un même ensemble donneront trois individus. La dernière étape procède au dénombrement des individus indéterminés, qui sont séparés ici selon six types d'objet : les objets non identifiés, puis les fragments indéterminables classés en barre, tige, tôle, plat et fragment informe. Chaque objet non identifié est compté comme un individu, tandis que les autres fragments sont traités par type et par matière, trois fragments de tôle valant par exemple un individu.

Le nombre minimum d'objets réels (NMO)

Selon la définition donnée à l'objet réel, le nombre minimum d'objets réels est une variable explicite correspondant à un NMI pondéré, excluant les matériaux artisanaux, les indéterminés et la majorité des pièces de quincaillerie. En effet, tous les éléments liés à l'artisanat qui ne sont pas des outils, soit les matériaux artisanaux (matières premières, demi-produits, déchets et ratés de fabrication), sont considérés comme des objets en devenir et ne correspondent donc pas à la notion d'objet réel. De même, la plupart des pièces de quincaillerie entrant dans la réalisation et l'assemblage de l'ameublement et de l'immobilier (clous, ferrures, crampons, etc.) ou d'autres types d'objet (rivets, anneaux, clous de chaussure, etc.) représentent uniquement des parties de systèmes difficiles à restituer, raison pour laquelle ils sont comptabilisés en tant qu'individu et non en tant qu'objet réel, à l'exception de certaines pièces d'ameublement dont l'association en contexte permet de déterminer la présence d'un meuble ou d'un coffret.

L'objectif de l'utilisation du NMO est d'une part d'affiner l'analyse du faciès d'un assemblage en se focalisant sur les objets les plus significatifs de la vie quotidienne, en évacuant le problème de la surreprésentation de la quincaillerie et des déchets artisanaux. Ces différentes notions fournissent les outils fondamentaux pour la comparaison et la quantification des assemblages, mais aussi pour la pondération des résultats obtenus. Ces aspects entrent en considération tant dans l'analyse taphonomique des assemblages et du mobilier que dans celle de la composition des assemblages dont les processus seront développés ultérieurement (chap. 2.3).

2.2.3. LES ANALYSES TAPHONOMIQUES

La taphonomie est la science des lois de l'enfouissement. En archéologie, elle regroupe des champs d'application variés, de la formation des sols à l'étude des assemblages osseux, en passant par les apports de la paléoécologie (Denys et Patou-Mathis 2014, p. 9-10). Utilisée en premier par l'anthropologie physique et par les sciences de la terre, cette démarche sert à expliquer ce qu'il

advient d'un homme, d'une plante ou d'un animal peu avant sa mort et après son enfouissement. En archéologie, elle sert avant tout à discriminer les anomalies non anthropiques (pédogénèse, animaux fouisseurs, etc.) pour dégager une image plus claire des faits imputables à l'homme, tout en intégrant les analyses taphonomiques à la compréhension générale d'un gisement.

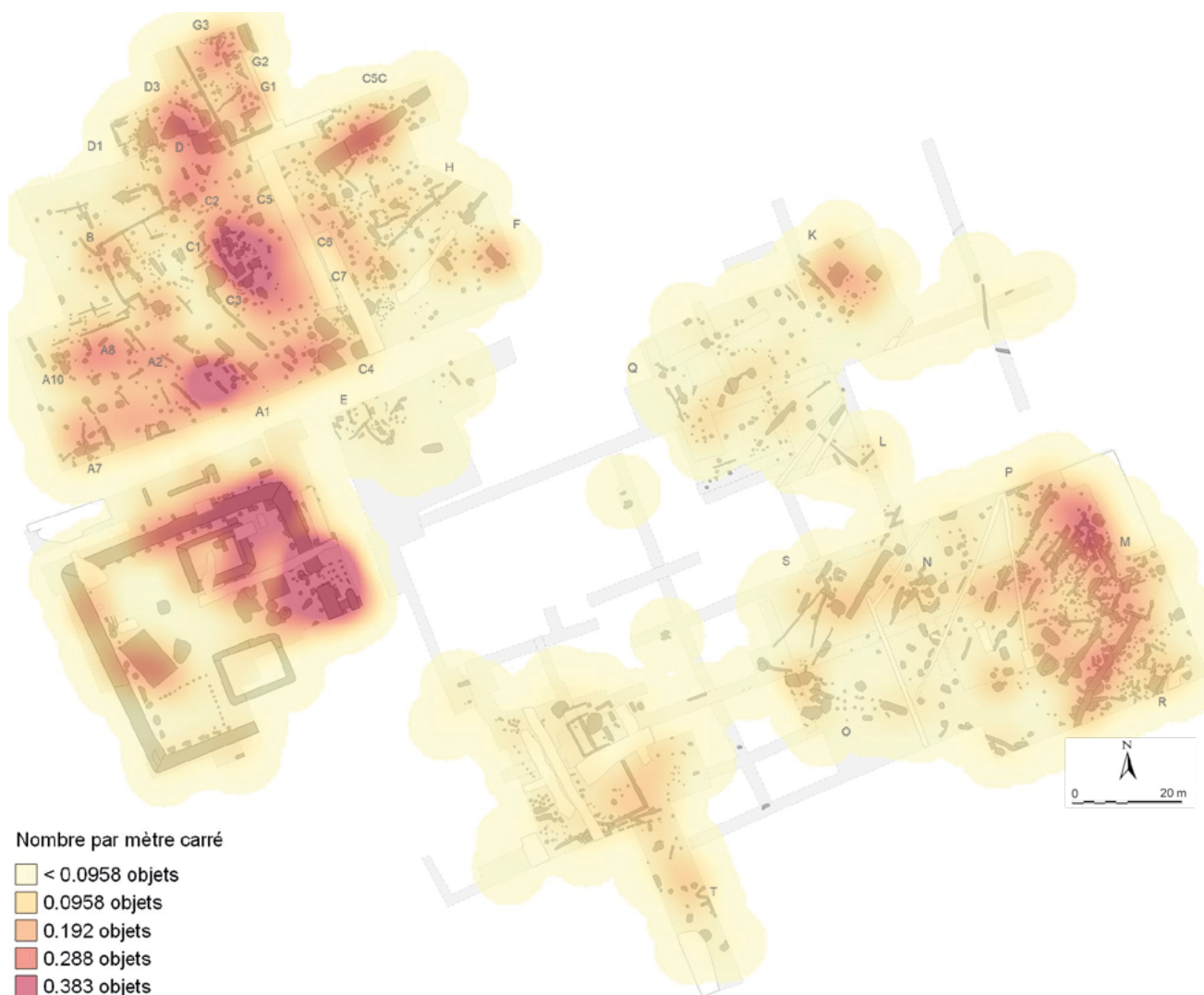
Appliquées au mobilier métallique, les analyses taphonomiques cherchent à mettre en évidence les traitements qu'ont subis les objets peu avant et après leur enfouissement. Si l'étude des processus de corrosion pré- et post-inhumation, telle que celle réalisée sur le site de Gournay-sur-Aronde (Lejars 1996b, p. 621-629), n'a pas pu être effectuée sur le mobilier de Corrent, l'analyse taphonomique s'est concentrée sur les modalités de traitements des objets en abordant les manipulations qu'ils ont pu subir ou encore leur fragmentation.

Au vu des destructions volontaires observées sur la parure et l'armement déposés dans le sanctuaire (Poux et Demierre 2015, fig. 351 et 355), une attention particulière a été portée sur ces catégories de mobilier dans l'habitat, afin de mettre en évidence d'éventuelles traces de manipulation, souvent synonymes de pratiques à caractère religieux. Force est de constater que la majorité des traitements recensés dans le sanctuaire ont pu être mis en évidence dans l'habitat. Leur interprétation doit toutefois être corrélée à leur distribution spatiale et dépend également de la fragmentation usuelle des objets manipulés pour permettre une caractérisation des pratiques à l'échelle du site.

Ce dernier critère peut être évalué à l'aide de méthodes dont l'utilisation s'adapte au type de mobilier ainsi qu'à la taille et à la nature des assemblages. Ainsi, la fragmentation peut être analysée grâce à un indice qui correspond à la moyenne du nombre de restes pour un individu. Appliqué par catégorie ou par type de mobilier, il se calcule par le rapport entre le nombre de restes et le nombre minimum d'individus et permet de mettre en évidence la fragmentation des différentes catégories d'artefact à l'échelle du site, tout comme à l'échelle de l'assemblage. Cette démarche se heurte toutefois souvent dans l'habitat à une très forte fragmentation et à une faible représentativité du matériel avec un rapport NR/NMI souvent égal à 1. Elle est nettement plus pertinente dans le cadre de l'analyse des sanctuaires à armes où de nombreux restes constituent souvent un seul individu, une méthode que nous avons testée avec Thierry Lejars (2015, p. 34-35), sur le site de Tintignac.

Afin d'adapter l'analyse à notre corpus, la fragmentation a principalement été réalisée de manière simple, en comparant les nombres d'objets complets et le nombre d'objets fragmentaires, une donnée qui laisse déjà entrevoir des conditions de conservation et de consommation différenciées selon les types d'objets. Ce premier degré d'interprétation est ensuite complété à l'aide de diagrammes en boîte, aussi appelée boîtes à moustache, pour mettre en évidence les standards de masse et de longueur, lorsque le nombre d'objets d'un type le permet. Ce mode de représentation génère la division de données chiffrées en quartiles exprimés sous la forme d'un rectangle central décrivant les deux quartiles médians. Ce mode de représentation comprend également leur médiane traduite par une barre et une moyenne figurée par une croix (voir par ex. fig. 62).

Corrélée à une carte de répartition, la masse par nombre de restes et par matériau offre la possibilité de souligner les zones du site où les objets sont les moins fragmentés. Elle peut être confrontée à la longueur conservée des artefacts qui devrait mettre en évidence une carte relativement similaire et qui fournit les standards de conservation d'un type d'objet. Les mesures de longueur ne sont toutefois accessibles que pour le mobilier individualisé, la tâche ayant été jugée trop longue à mettre en œuvre pour l'ensemble du corpus.



Certains types de mobilier se prêtent enfin mieux que d'autres à l'utilisation d'un indice de fragmentation établie à partir du nombre de parties de l'objet représenté. C'est notamment le cas des fibules, dont la longueur ne peut pas être considérée comme un élément fiable compte tenu de la disparité des types. Testé lors de l'étude des parures du sanctuaire (Poux et Demierre 2015, p. 258-259), leur indice de fragmentation correspond au nombre de parties représentées (arc, ressort, pied, ardillon). Il est égal à cinq lorsque la fibule est complète.

Combinés et adaptés selon les artefacts analysés, ces différents traitements participent à une meilleure compréhension des modes de consommation des objets métalliques et fournissent un support pour pondérer l'interprétation des assemblages.

2.2.4. LES ANALYSES SPATIALES

Les cartes de répartition servent avant tout de support à la réflexion pour d'autres types d'analyse. Leur champ d'application porte sur des problématiques variées allant de la répartition d'un type d'objet pour des aspects fonctionnels ou chronologiques, à l'interprétation de particularités taphonomiques ou encore à l'analyse des compositions des assemblages. Leur subjectivité, qu'elles soient réalisées en intra-site ou à l'échelle de l'Europe, procède des mêmes contingences,

Fig. 44. Estimation de la densité d'objets issus de niveaux de sols selon la méthode du noyau (cercle de 5 m de rayon). Les zones de chaleur représentent les emplacements à la stratigraphie complexe où plusieurs niveaux de sols sont documentés.

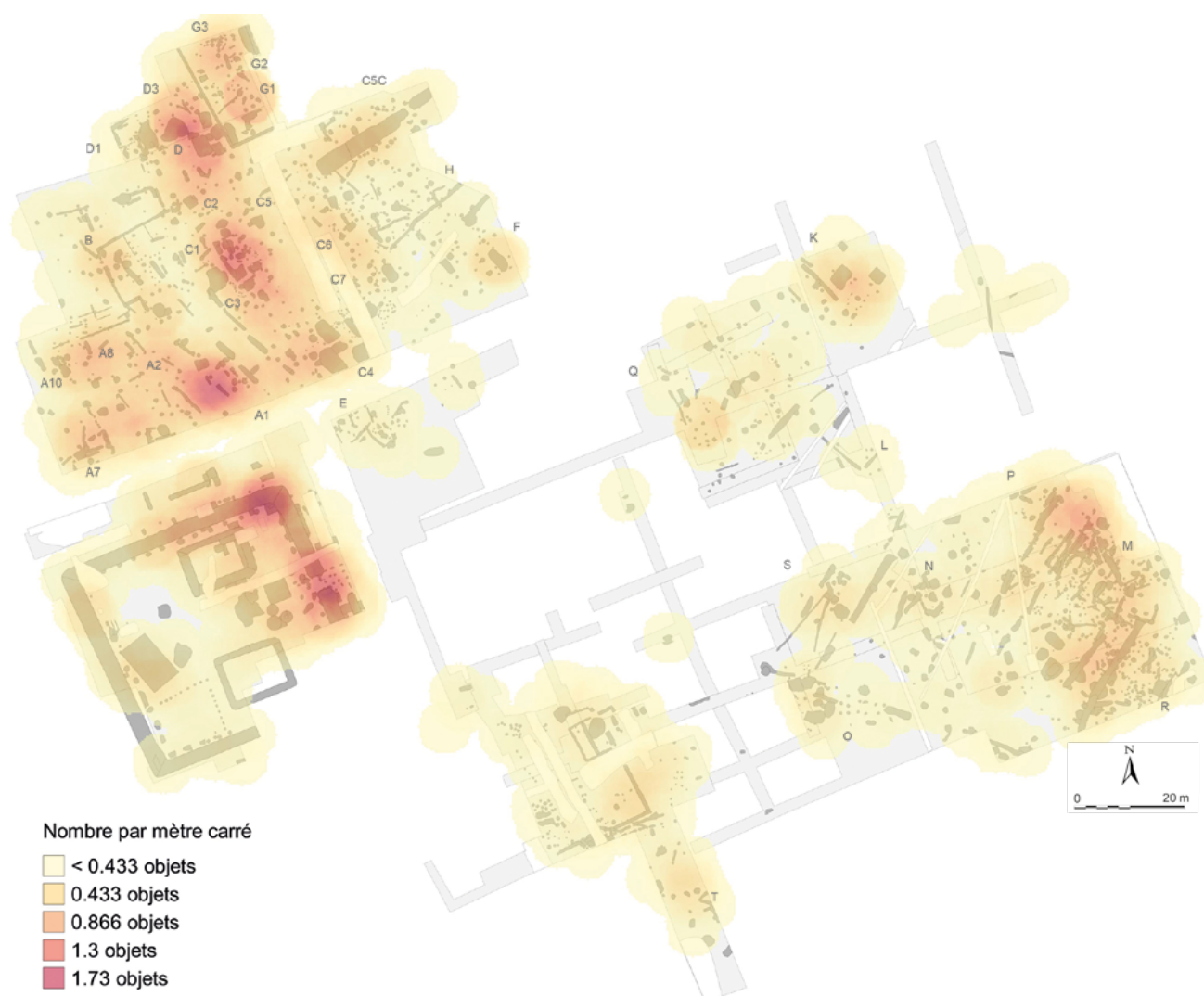


Fig. 45. Estimation de la densité d'objets illustrés dans le catalogue selon la méthode du noyau (cercle de 5 m de rayon).

à savoir qu'une carte de répartition est tributaire des choix effectués et de la qualité des données à disposition (Adam 2011). Dans le cadre d'un site archéologique, sa taphonomie générale, le mode d'enregistrement du mobilier et sa contextualisation constituent les premières pierres d'achoppement qui conditionnent l'utilisation de cet outil imparfait, mais indispensable (Adam 2011, p. 405).

La stratification irrégulière du site de Corent implique en effet une analyse pondérée de la spatialisation du mobilier. Certaines zones présentent une succession complexe de niveaux archéologiques, alors que les niveaux de sols laténiens sont absents en d'autres endroits. Cet aspect, déjà souligné lors d'un article de comparaison entre les mobiliers du sanctuaire et du quartier nord (Demierre et Poux 2012, fig. 9 et 10), est aussi à relever dans le quartier est, dont les parties occidentales et septentrionales présentent presque exclusivement des structures en creux, alors que la zone orientale livre une séquence stratigraphique complexe (fig. 44). Ces particularités taphonomiques ressortent également clairement de la carte de densité de mobilier métallique illustré dans le catalogue (fig. 45).

Sur le plan de l'enregistrement sur le terrain, un soin particulier a été porté aux objets individualisés qui sont référencés, d'après un carroyage interne au site, par des coordonnées Est, Nord et par leur altitude. Ces prélèvements correspondent au meilleur degré de précision disponible pour la spatialisation. Traités en lot, les objets restants ont subi un nettoyage pour identification, mettant en lumière des

éléments complémentaires. Des coordonnées incluses dans l'aire de leur unité de fouille ont été attribuées arbitrairement à ces artefacts non individualisés sur le terrain. La spatialisation de la quincaillerie et des déchets artisanaux a été effectuée par lot et par unité de fouille, en attribuant de manière aléatoire des points à l'intérieur de l'objet géographique représentant l'ensemble de leur couche d'origine ou à l'aide de symboles proportionnels placés au milieu de ce dernier.

La différenciation des contextes requiert habituellement une certaine finesse lors de la réalisation de cartes de répartition, afin de ne pas générer des associations indues. Cet écueil a été évité dans l'étude du sanctuaire en différenciant, par un code couleur, les objets en position de dépôt primaire, secondaire et tertiaire (Poux et Demierre 2015, p. 139). Conscient de cet impératif méthodologique, nous avons opté ici pour la réalisation de cartes combinant plusieurs types de mobilier ou plusieurs aspects d'analyse (quantification, taphonomie...), au détriment d'une représentation graphique des conditions de dépôts, afin de faciliter la lecture des figures et de ne pas les multiplier à l'excès. La présence systématique de listes fournies en annexe, où apparaissent le contexte et le phasage des lots regroupés par type d'objet, permet néanmoins au lecteur d'évaluer la pertinence des associations et des interprétations relevées lors de l'analyse spatiale. Ces listes récapitulatives sont disponibles sur le serveur des Éditions Mergoïl à l'adresse : <https://www.editions-mergoil.com/fr/protohistoire-europeenne/226-caracterisation-des-assemblages-metalliques-dune-agglomeration-celtique.html>.

De manière traditionnelle, les études spatiales du mobilier en intra-site consistent très souvent en la réalisation de cartes de distribution avec des données de départ qui peuvent être qualitatives ou quantitatives (Deweirdt 2010, p. 93-94). Les cartes proposées dans la présentation du corpus exploitent ces deux types de données, en ajoutant parfois des paramètres pour exprimer la fragmentation des objets. Les images générées à partir de données qualitatives apparaissent principalement sous la forme de cartes de symboles servant à repérer des concentrations significatives d'un type d'objet, tandis que les cartes de chaleur, basées sur une estimation par noyau au caractère plus aléatoire, sont utilisées uniquement dans le but de dresser un bilan provisoire de la distribution d'une donnée, le plus souvent dans le cas d'une catégorie fonctionnelle bien représentée en termes d'effectifs.

Les données quantitatives sont quant à elles exploitées sous la forme de symboles proportionnels permettant une bonne visualisation des valeurs. Ce type de représentation introduit l'inconvénient de réduire parfois la lisibilité de la carte, lorsque la variabilité des données est grande, et la situation toujours centrée du symbole qui peut déformer une réalité (Deweirdt 2010, p. 99). Il est principalement utilisé pour l'étude des assemblages dont la composition est exprimée grâce à des classes obtenues par sériation, un procédé développé dans le prochain chapitre.

2.3. ANALYSES DES ASSEMBLAGES

2.3.1. DÉFINITION DE LA NOTION D'ASSEMBLAGE

Utilisée dans de nombreux domaines, la notion d'assemblage revêt une multitude de sens, dont les deux premières définitions du Larousse reflètent le caractère artificiel (« action d'assembler les éléments d'un tout, montage ») avec une réflexion englobante (« tout formé d'éléments assemblés »), qui mettent en lumière, à la fois la manière de procéder pour constituer des assemblages en archéologie, et l'objectif interprétatif de la démarche. La troisième définition résume particulièrement bien le point de départ de ce travail, puisqu'elle consiste en la « réunion inattendue ou disparate de choses ou de personnes », qu'il s'agira ici de tenter d'interpréter.

Dans la droite ligne de ces définitions, l'étude d'un assemblage procèdera donc tout d'abord par un choix arbitraire du contexte à traiter, dont la taille va de la structure, au bâtiment, au complexe architectural ou au site. Quelle que soit l'échelle choisie, la composition de l'assemblage constitue la première étape de cette analyse. Elle comprend une réflexion sur la qualité et la quantité des objets mis au jour, la cohérence des activités représentées et la manière dont elles s'organisent au sein de l'ensemble. Les conditions de dépôt de l'assemblage sont ensuite perceptibles à l'aide des données de terrain et des informations fournies par l'étude de la fragmentation et des manipulations subies par les artefacts. Cette démarche permet d'identifier la dynamique et le rythme de constitution de l'assemblage et de restituer les gestes qui l'ont engendré.

2.3.2. CONTEXTUALISATION ET TRAITEMENT DES ASSEMBLAGES

Les assemblages présentés dans le catalogue relèvent tous d'une construction plus ou moins arbitraire, selon l'ordre de grandeur choisi pour leur analyse. À l'échelle de la structure ou du niveau de sol, soit la vision microscopique pour ce type d'analyse, la constitution de l'assemblage est très fidèle et proche des observations de terrain, puisqu'elle résulte d'une mise en contexte principalement basée sur l'unité de fouille, avec parfois des regroupements de couches jugées équivalentes lors de cette étape.

Au contraire, le degré d'analyse supérieur, par bâtiment et par complexe architectural, porte en lui le tribut des choix réalisés lors de la mise en contexte. L'ensemble des structures et des niveaux de sols d'un bâtiment sont présentés par état à ce degré d'analyse, en excluant le matériel issu des décapages de surface.

2.3.3. TRAITEMENT DES ASSEMBLAGES

La démarche pour aboutir à la réflexion à l'échelle d'un complexe architectural procède par une première étape qui analyse les assemblages par types de structure définis en sept groupes : les trous de poteau, les fosses artisanales, les structures hydrauliques et de stockage, les fosses indéterminées, les structures longilignes (fossés, palissades et sablières) et les sols qui regroupent les niveaux de circulation, les épandages et les radiers structurés (fig. 46).

Elle procède toujours en deux étapes similaires confrontant la composition et la quantité d'objets réunis dans un ensemble à la taphonomie de l'assemblage. Afin d'intégrer une dimension spatiale et contextuelle à cette démarche, ces deux aspects sont abordés à l'aide de cartes de répartition. La première est établie à l'aide des coordonnées centroïdes des structures, dont la taille représente les données quantitatives de l'assemblage et la couleur sa composition. Cette première analyse de la composition de l'assemblage est effectuée à l'aide d'une matrice de présence/absence, pour les structures en creux, et à l'aide d'une classification hiérarchique ascendante pondérant les données absentes par la moyenne, pour les sols aux ensembles plus fournis. Cette étude itérative regroupant les ensembles par similarité a été effectuée sur les comptages en NMI, sans un passage par une analyse factorielle des correspondances en raison des faibles effectifs à disposition. Seules les catégories amenant des données fonctionnelles sont incluses dans l'analyse de la composition qui exclut donc les objets attribués à la quincaillerie (ameublement et construction, objets polyvalents) et les indéterminés. Ces éléments sont toutefois intégrés au comptage en NMI effectué en amont, afin de les intégrer dans l'analyse quantitative et de fournir une vision globale de l'importance quantitative de l'assemblage.

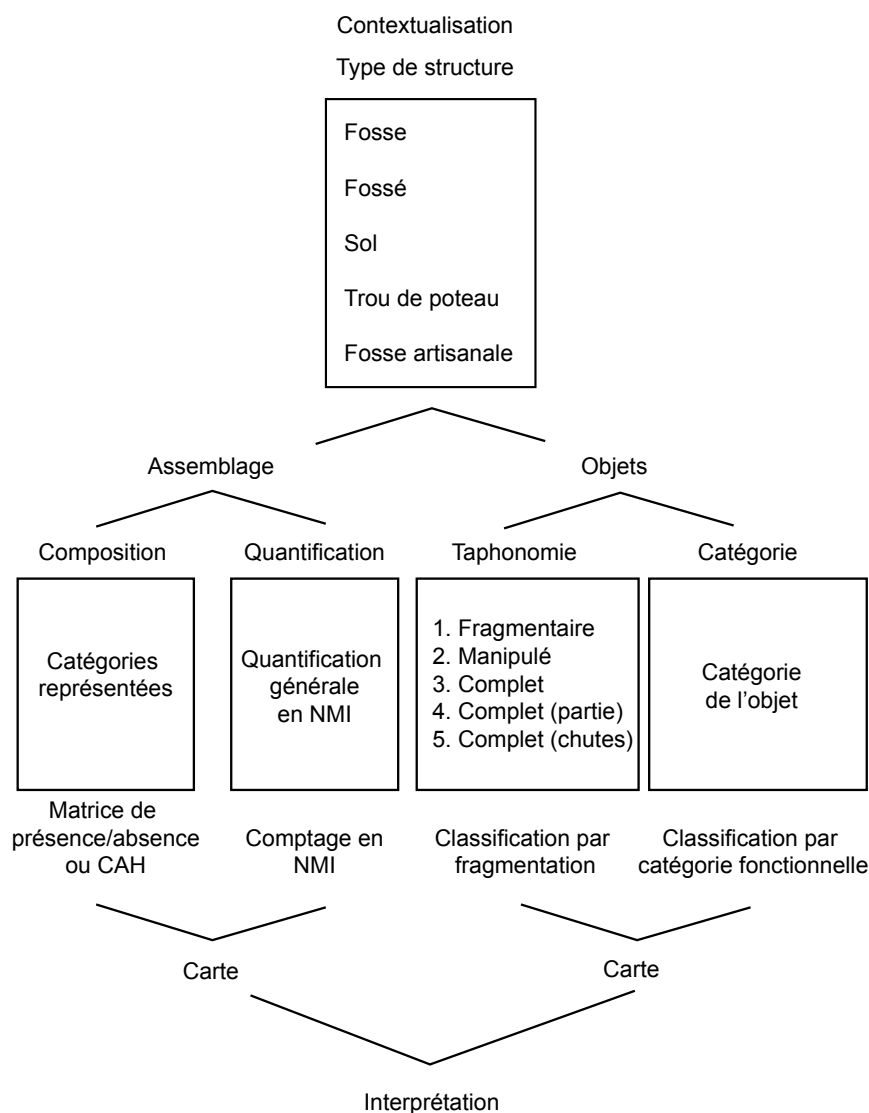


Fig. 46. *Protocole d'étude des assemblages.*

Les aspects taphonomiques de chaque assemblage sont ensuite analysés en générant une répartition par catégorie fonctionnelle intégrant les données de fragmentation du mobilier. À ce stade, cinq classes de fragmentation ont été réalisées : les objets complets, les objets complets faisant partie d'un tout, les chutes et les déchets artisanaux, les fragments ainsi que les objets volontairement mutilés. Cette classification a été effectuée dans l'optique de donner un poids différent à un objet complet comme un bracelet ou un outil par rapport à une perle ou une chute artisanale, qui ne relèvent pas des mêmes processus taphonomiques et des mêmes modes de consommation. Chaque classe est représentée par un sigle dont la couleur illustre la catégorie fonctionnelle de l'objet.

La confrontation des deux répartitions fondées sur des données objectives mène à la caractérisation des assemblages dont les problématiques sont adaptées au type de structure en question. Il semble en effet vain d'appliquer le même canevas interprétatif à des sols ouverts sur toute la séquence laténienne d'occupation du site et à un trou de poteau ou à une cave. Explicitées au fur et à mesure du développement par type de contextes (chap. 4.2), les méthodes mises en œuvre reposent avant tout sur la contextualisation des assemblages et leurs conditions de dépôts. Elles distinguent tout d'abord les assemblages liés à une consommation profane des mobiliers de ceux relevant d'une pratique rituelle.

Pour ce faire, le corpus du sanctuaire est utilisé comme référence, afin d'identifier les gestes menant à un dépôt à caractère religieux. La composition du corpus, les conditions de dépôts et la taphonomie des ensembles du sanctuaire participent alors, par un jeu de miroir, à l'identification des ensembles à connotation religieuse de l'habitat (Bataille 2015, p. 146-148, fig. 1). Le propos se focalise donc, dans un premier temps, sur les marqueurs traditionnels de pratiques rituelles que sont les armes ployées, les concentrations de parure ou encore les ustensiles du banquet, autant d'indices déjà relevés dans l'habitat et dans le sanctuaire, comme les signes d'une activité religieuse (Demierre et Poux 2012, p. 225-226). Les assemblages à la composition divergente par rapport à ce référentiel sont encore analysés dans l'optique d'identifier les dépôts rituels répondant à des règles connues uniquement dans l'habitat. Un regard attentif mêlant spatialisation et conditions de dépôt est ainsi posé sur les objets complets, et par conséquent retirés des cycles de recyclage et de récupération usuels, ainsi que sur les ensembles mêlant marqueurs fiables d'un geste à connotation religieuse (armes ployées, crâne humain, etc.) et objets atypiques dans la composition des ensembles du lieu de culte (outils, pièces de char, etc.). Les assemblages d'interprétation ambiguë ou mêlant activités religieuses et profanes sont intégrés à l'étude des assemblages à caractère religieux, afin de refléter la diversité des ensembles et de ne pas cristalliser les interprétations.

Ce premier tri permet ensuite de focaliser l'analyse sur les assemblages non rituels avec deux objectifs distincts : une interprétation ciblée interne à chaque type de structure et la confrontation des faciès des différentes structures. La première option vise à définir la variété des champs interprétatifs des assemblages d'une même catégorie de structures, avec une problématique adaptée. Il s'agira par exemple de confronter les sols extérieurs et intérieurs, les fossés palissadés de bordure de voie des cloisons des bâtiments ou d'analyser finement l'artisanat représenté dans les fosses-ateliers. Une fois ces aspects développés, les faciès des sols pourront être confrontés à ceux des caves ou encore des fosses indéterminées, afin de générer des grilles de lecture standardisées.

Ces premières étapes à échelle réduite établissent le socle de la réflexion sur les assemblages des bâtiments et des complexes architecturaux qui sont définis en fonction de la sériation interprétative des contextes qu'ils abritent. Il s'agit ici de traiter les assemblages constitutifs d'un bâtiment, en retranchant les dépôts qui correspondent à des gestes ponctuels, pour dresser un bilan de son activité et parvenir à une définition de sa fonction. Cette démarche aboutit à une qualification des unités architecturales en fonction de leur phasage et des métiers qui y sont pratiqués. Elle intègre parfois à ce stade de la réflexion les données des autres mobiliers associés et leur contexte général.

CHAPITRE III.

ÉTUDE DU CORPUS

Quand il y a la marchandise...

Mes grands-mamans
après un compliment sur leur cuisine.

En préambule à l'étude détaillée des objets par catégorie fonctionnelle, des informations générales concernant le mobilier sont présentées afin de fournir les clés de compréhension de sa composition, de sa fragmentation, de sa distribution chronologique et de la nature des contextes rencontrés.

Le corpus comprend 43'521 restes en métal et en terre cuite artisanale, pour un total de 22'368 individus et de 2'602 objets réels, et une masse de plus de 351 kg (fig. 47). Si l'on rapporte globalement ces données quantitatives à la surface fouillée (13'735 m²), le site livre donc 3 fragments par mètre carré, environ un individu tous les deux mètres carrés (0,61/m²) et un objet réel tous les six mètres carrés. Cette distribution générale n'intègre évidemment pas la taphonomie du terrain, de grandes zones étant exemptes de vestiges (voir *supra*, fig. 6 et fig. 44 et 45).

Avec près de 40'000 restes, le fer est le matériau le mieux représenté, loin devant les alliages cuivreux (NR 3'062) et le plomb (NR 136). Les objets en fer pèsent en moyenne 8,5 g, une masse tout à fait en adéquation avec les observations concernant les seuils de récupération du fer en territoire arverne à l'âge du Fer (Orengo 2003, p. 130-133). Cette masse moyenne descend à 7,3 g lorsque les scories sont extraites des comptages et augmente à 35,4 g pour les objets illustrés dans le catalogue. Les trois quarts d'entre eux restent inférieurs à cette donnée pondérale et mesurent moins de 71 mm (fig. 48), la moitié des pièces ayant une taille inférieure à 55 mm et pesant moins de 14 g. Au regard de ces données chiffrées, la fragmentation des artefacts ferreux est éloquente et s'exprime aussi par la faible proportion d'objets réels complets avec 139 individus, soit 11,3 % du NMO total. La part importante de la quincaillerie dans le corpus apparaît aussi très clairement avec le rapport entre le NR total et le NMO total qui s'établit à 32,7, à savoir qu'il faut traiter près de 33 fragments pour obtenir un objet réel.

Sans surprise, ce rapport est nettement meilleur pour les objets en alliage cuivreux (2,3), une matière peu utilisée dans le cadre d'assemblages de pièces de bois. La récupération et le recyclage systématique du bronze apparaissent encore plus accentués que celui du fer avec une masse moyenne par reste de 2,7 g. Les pièces illustrées dans le catalogue demeurent nettement moins lourdes et moins volumineuses que celles en fer, avec 75 % du corpus inférieur à 39 mm et à 3,7 g. Les données extrêmes situées à 228 g et 35,5 mm sont nettement inférieures à celles de l'élément en fer le plus volumineux, la cotte de mailles du sanctuaire (environ 5 kg pour 62 cm).

Rare en comparaison des autres métaux, le plomb s'avère plutôt bien représenté pour un corpus de mobilier majoritairement attribué à l'âge du Fer. Il comporte des pièces relativement lourdes, notamment des coulures et des lingots correspondant à une moyenne de 19,1 g par reste. Les 25 objets en argent, en or et leurs alliages (billon, électrum) constituent un lot important par rapport aux faciès habituels d'agglomération qui comportent, de manière très sporadique, des parures et des demi-produits en métaux précieux.

Composition des objets	NR	% NR	NMI	% NMI	NMO	% NMO	Masse (g)	% Masse	Masse/NR
Fer	39966	91.83	19521	87.27	1221	46.93	337937.8	96.06	8.5
Base-cuivre	3062	7.04	2629	11.75	1334	51.27	8347.4	2.37	2.7
Plomb	136	0.31	102	0.46	14	0.54	2598.8	0.74	19.1
Fer et base-cuivre	64	0.15	53	0.24	14	0.54	1078.6	0.31	16.9
Fer, base-cuivre et plomb	1	<0.01	1	<0.01	1	0.04	121	0.03	121.0
Argent	12	0.03	12	0.05	9	0.35	14.5	<0.01	1.2
Or	11	0.03	10	0.04	8	0.31	48.1	<0.01	4.4
Billon	1	<0.01	1	<0.01	1	0.04	3.9	<0.01	3.9
Électrum	1	<0.01	1	<0.01	0	<0.01	9.8	<0.01	9.8
Terre cuite artisanale	267	0.61	38	0.17	0	<0.01	1627.8	0.46	6.1
Total	43521	100	22368	100	2602	100	351787.7	100	

Le faciès général du site en NMI montre une bonne représentation des objets d'*instrumentum* et une proportion moindre de déchets artisanaux par rapport à la quincaillerie qui domine largement l'ensemble (fig. 49). Il est caractérisé par un taux de détermination de 91,33 %, évalué d'après le rapport entre le nombre de restes déterminés et indéterminés, qui constitue une valeur de bon augure pour la suite de l'étude. La variété de la composition du corpus fournit un argument supplémentaire pour souligner la richesse et la diversité des activités ayant eu cours au centre-ville de l'*oppidum* (fig. 50). Toutes les catégories fonctionnelles représentées dans une agglomération de la fin de l'âge du Fer sont attestées dans le corpus qui bénéficie de la bonne conservation générale des objets métalliques. Loin derrière la quincaillerie regroupant les clous et les autres éléments permettant l'assemblage de pièces de bois, la parure et la production sont les deux catégories les mieux représentées en termes de nombres de restes, d'individus ou d'objets réels. La parure regroupe plus de 55 % des objets réels, un chiffre qui s'explique par les quantités élevées de fibules et de perles recueillies en nombre, tant dans le sanctuaire que dans l'habitat. La diminution des données entre le nombre d'individus et le nombre d'objets est due au retranchement des clous de chaussure, exclus des comptages en NMO. Elle est nettement plus accentuée pour la production dont le NMO n'intègre que les outils, alors que le NMI comporte encore les déchets liés au travail des métaux. Avec 14,5 % du NMO, le corpus lié aux activités artisanales demeure toutefois très bien doté, d'autant plus que cette catégorie n'apparaît guère dans le faciès du sanctuaire. Avec près de 10 % du NMO, les éléments d'armement sont proportionnellement nombreux dans le lieu de culte, une configuration qui explique sa bonne représentation dans le corpus par rapport aux standards des habitats de la fin de l'âge du Fer. Les objets liés aux activités culinaires sont documentés dans des proportions comparables (10,7 % du NMO) avec une distribution englobant l'ensemble du site avec des faciès différenciés entre sanctuaire et habitat (voir *infra*, chap. 3.4). Peu représentées dans le corpus, les catégories de la toilette et du transport, comptant respectivement 52 et 85 objets réels, peuvent pourtant être considérées comme relativement importantes compte tenu de la rareté de ces artefacts à l'époque laténienne. Dénombrés dans la composition en NMI, les clous de ferrure et fers à cheval modernes ont été exclus des totaux en NMO. Reste à mentionner les objets liés à la religion, au jeu et aux loisirs et à l'écriture, trois champs d'activité qui comprennent majoritairement des objets métalliques d'époque romaine. L'analyse de ces catégories a été complétée par le corpus d'objets en os, qui comprend quelques artefacts (dés parallélépipédiques, stylets, boîte à sseau) attribuables à la séquence laténienne d'occupation du site.

Lorsque le corpus est distribué en fonction de la mise en phase (fig. 51), l'époque laténienne apparaît sans surprise comme la période la mieux représentée avec près de 60 % des totaux de NR, de NMI et de NMO. Pondéré par la durée

Fig. 47. Tableau de représentation des métaux en NR, NMI, NMO et en masse. La masse moyenne par reste et par matériau figure dans la dernière colonne du tableau.

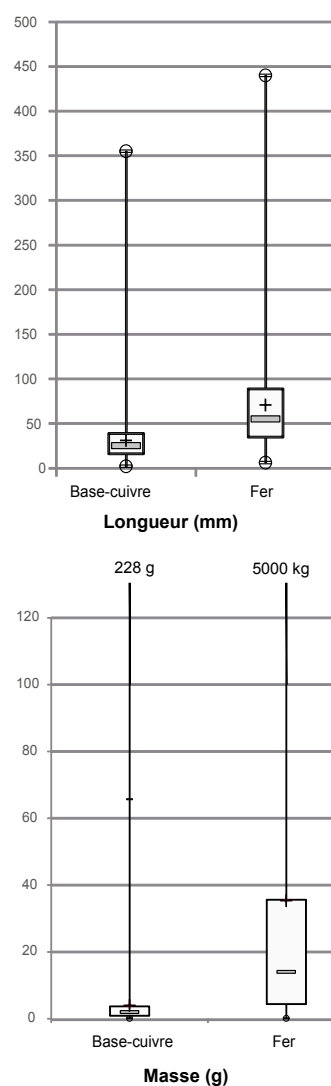


Fig. 48. Analyse à l'aide de diagrammes en boîte de la fragmentation des objets illustrés en fer et en alliage cuivreux selon leur longueur conservée (en haut) et leur masse (en bas).

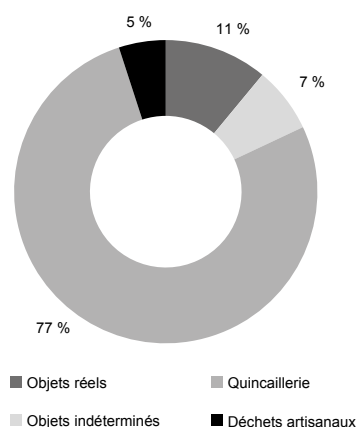
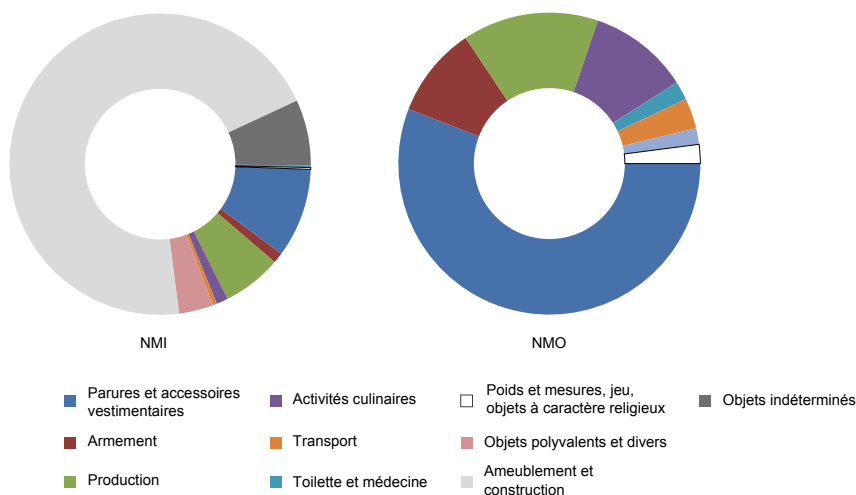


Fig. 49. Faciès général en NMI.

d'occupation du site, soit près de 75 ans, le corpus laténien résulte de la fin de vie technique ou symbolique de 21 objets réels par année ou encore de 173 individus. Cette quantification inclut uniquement les artefacts issus de contextes des états 1 et 2 et constitue une donnée sous-évaluée. Elle ne correspond pas à la datation des artefacts, mais bien à leur distribution dans la stratigraphie. Si elle rend compte de la fiabilité du corpus, elle illustre mal la composition des lots hors contexte et issus de décapages de surface (25 % des NR, NMI et NMO) qui comportent majoritairement des objets laténiens. De même, cette donnée surestime les ensembles d'époque romaine (environ 15 % des NR, NMI, NMO) qui présentent de nombreux objets résiduels, notamment dans le sanctuaire et l'espace D.

Le matériel est principalement issu de niveaux de sols et de structures en creux, des types de contexte qui regroupent près de 60 % des effectifs quelle que soit la méthode de quantification choisie (fig. 52). Ces données induisent une assez bonne fiabilité des cartes de répartition qui reposent sur 26 à 31 % d'éléments en contexte primaire (sols et niveaux d'occupation) et près d'un tiers de pièces dans des conditions de dépôt secondaire (comblements de structures en creux). Environ un quart du corpus est issu de décapages artificiels, tandis que peu de mobilier provient des autres unités de fouilles positives comme les remblais et les niveaux de démolition, rarement identifiés pour la période laténienne.



Catégories fonctionnelles	NR	% NR	NMI	% NMI	NMO	% NMO
Parures et accessoires vestimentaires	2225	5.11	2141	9.57	1454	55.88
Armement	316	0.73	254	1.14	254	9.76
Production	2181	5.01	1420	6.35	379	14.57
Activités culinaires	359	0.82	280	1.25	280	10.76
Toilette	64	0.15	52	0.23	52	2.00
Transport	114	0.26	102	0.46	85	3.27
Écriture	6	0.01	6	0.03	6	0.23
Poids et mesures	38	0.09	29	0.13	29	1.11
Jeu et loisirs	1	0.00	1	0.00	1	0.04
Objets à caractère religieux	10	0.02	7	0.03	7	0.27
Objets polyvalents	898	2.06	823	3.68	10	0.38
Ameublement et construction	33540	77.07	15678	70.09	45	1.73
Objets indéterminés	3769	8.66	1575	7.04	0	0.00
Totaux	43521	100	22368	100.00	2602	100

Fig. 50. Composition du corpus d'objets métalliques en NR, NMI en NMO.

Datation des contextes	NR	% NR	NMI	% NMI	NMO	% NMO	Masse (g)	% Masse
Époque laténienne (états 1 à 2.3)	26276	60.4	13020	58.2	1576	60.6	237543.8	67.5
Époque romaine (états 3 et 4)	6639	15.3	3657	16.3	369	14.2	41314.2	11.7
Décapages de surface	9649	22.2	4944	22.1	482	18.5	63852.7	18.2
Hors contexte et moderne	957	2.2	747	3.3	175	6.7	9076.9	2.6
	43521	100	22368	100	2602	100	351787.7	100

Fig. 51. Répartition des objets du corpus d'après la mise en phase de leur contexte.

Provenance du mobilier	NR	% NR	NMI	% NMI	NMO	% NMO	Masse (g)	% Masse
Complements de structures en creux	14452	33.2	6904	30.9	711	27.3	127795.3	36.3
Sols, niveaux d'occupation et épandages	11653	26.8	5987	26.8	815	31.3	110559.5	31.4
Décapages artificiels	10918	25.1	5655	25.3	591	22.7	71518.3	20.3
Remblais	4202	9.7	2288	10.2	245	9.4	24548.6	7.0
Murs, solins et foyers	373	0.9	209	0.9	18	0.7	3417.0	1.0
Niveaux de démolition	795	1.8	490	2.2	47	1.8	4309.7	1.2
Autres contextes	197	0.5	109	0.5	3	0.1	1416.5	0.4
Hors contexte et structures modernes	931	2.1	726	3.2	172	6.6	8222.8	2.3
	43521	100	22368	100	2602	100	351787.7	100

Fig. 52. Distribution des objets par type de contexte.

Réunissant les objets retrouvés au détecteur à métaux sur les tas de terre, le corpus d'objet hors contexte correspond à 6,6 % du NMO total. Ces données dessinent le cadre général de ce chapitre consacré à l'étude du corpus qui comprend l'ensemble des analyses fondamentales décrites dans la méthodologie (chap. 2.2). Les objets regroupés selon la classification fonctionnelle exposée en introduction y sont traités sur les plans typologique, quantitatif, taphonomique et spatial. Des figures récapitulatives par types d'objet illustrent au cas par cas la diversité du corpus. Afin de faciliter le recours à la documentation primaire, des listes regroupent l'attribution typologique de chaque pièce, son insertion spatiale et stratigraphique et la référence à son assemblage dans les planches du catalogue général. Disponibles sur le serveur des Éditions Mergoïl¹, ces listes ou catalogues sommaires thématiques apparaissent sous la dénomination « cat. » au début de l'analyse de chaque catégorie d'artefacts. Le corpus étudié a en outre été complété selon les problématiques abordées par des objets non métalliques. Les déchets de tabletterie et quelques outils lithiques ont par exemple été intégrés à l'analyse de l'outillage et la typologie des poids a été étoffée par quelques pièces en grès et en basalte. Ces données apparaissent en italique dans les tableaux de présentation des objets liés à chaque catégorie fonctionnelle, mais ne sont pas comptabilisées dans la quantification générale. De même, quelques artefacts issus des prospections anciennes ou des campagnes récentes sont présentés, lorsqu'ils complètent une typologie ou qu'il semblait pertinent de quantifier l'ensemble des pièces connues pour des thèmes comme les importations de vaisselle métallique ou l'armement. Ces données exclues des comptages généraux apparaissent entre parenthèses dans les tableaux figurant au début de chaque chapitre.

¹ <https://www.editions-mergoil.com/fr/protohistoire-europeenne/226-caracterisation-des-assemblages-metalliques-dune-agglomeration-celtique.html>

3.1. LES PARURES ET LES ACCESSOIRES VESTIMENTAIRES

Cette catégorie d'objets livre le plus grand nombre d'éléments de datation, notamment les fibules et les bracelets. L'ensemble du corpus fait l'objet d'un classement typologique dont le calage chronologique fournit un premier aperçu du séquençage du site. Dans une optique fonctionnelle, les 1703 parures sont classées ici selon la partie du corps où elles sont portées (fig. 53), tandis que les 703 accessoires du vêtement sont traités indépendamment. Les parures non métalliques sont exclues des comptages bien qu'elles soient mentionnées lors de la présentation des bracelets et des perles. Sans surprise, les fibules sont très bien représentées devant les colliers, perceptibles grâce aux nombreuses perles caractéristiques de la période. Moins fréquents, les bracelets et les bagues constituent un lot de référence pour un site de La Tène finale. Classés parmi les accessoires du vêtement, les clous de chaussure principalement issus du sanctuaire, du théâtre et de l'espace D marquent les niveaux gallo-romains.

	NR	NMI		NR	NMI
Fibules	767 (21)	714	Parures de tête	5	5
Parures de bras	138	118	Boucles d'oreille	2	2
Bracelets et brassards	138 (15)	118	Épingles gallo-romaines	3	3
Parures de doigt	42	40	Vêtements	703	697
Bagues	42 (1)	40	Clous de chaussure	693	687
Parures de cou	570	567	Appliques vestimentaires	8	8
Perles	547	544	Ferrets	2	2
Pendeloques	18 (2)	18			
Espaceurs de collier	3	3			
Torques	2	2			

Fig. 53. Tableau général de comptage des parures et des accessoires vestimentaires.

3.1.1. LES FIBULES

Le corpus de fibules s'élève à 767 restes pour un NMI maximal de 714 individus, répartis de manière équilibrée entre le fer (326 ind.) et les alliages cuivreux (383 ind.), tandis que les métaux précieux ne sont attestés que par trois parures en argent et la paire de fibules en or publiées en 2007 (Poux *et al.* 2007a). Le tiers de cet ensemble (254 ind.) a fait l'objet d'une étude en collaboration avec Magali Garcia lors de la publication monographique du sanctuaire (Poux et Demierre 2015, p. 244-271). Cette contribution, dont quelques éléments ont été redessinés et réinterprétés, constitue une première synthèse typologique sur le sujet et servira de référence pour tous les types absents en d'autres endroits du site et dont l'analyse n'a pas lieu d'être développée de manière plus approfondie.

La répartition des fibules montre de grandes disparités (fig. 54). Le sanctuaire concentre une part importante des découvertes. En effet, le lieu de culte, l'espace D et le complexe A constituent des lieux de dépôts privilégiés, alors que la parcelle ouest et le complexe C sont nettement moins bien dotés. Sur cette base, une consommation accrue de ces parures dans le cadre religieux, où elles font l'objet de dépôts volontaires, peut être postulée. La distribution spatiale agglomère toutefois des individus dont le spectre chronologique couvre la totalité de La Tène finale et des deux premiers siècles de notre ère. Ces grandes disparités entre les différentes unités architecturales sous-entendent également une base documentaire très disparate selon les bâtiments qui ne bénéficient pas tous d'un référentiel pertinent pour établir leur chronologie à l'aide des fibules.

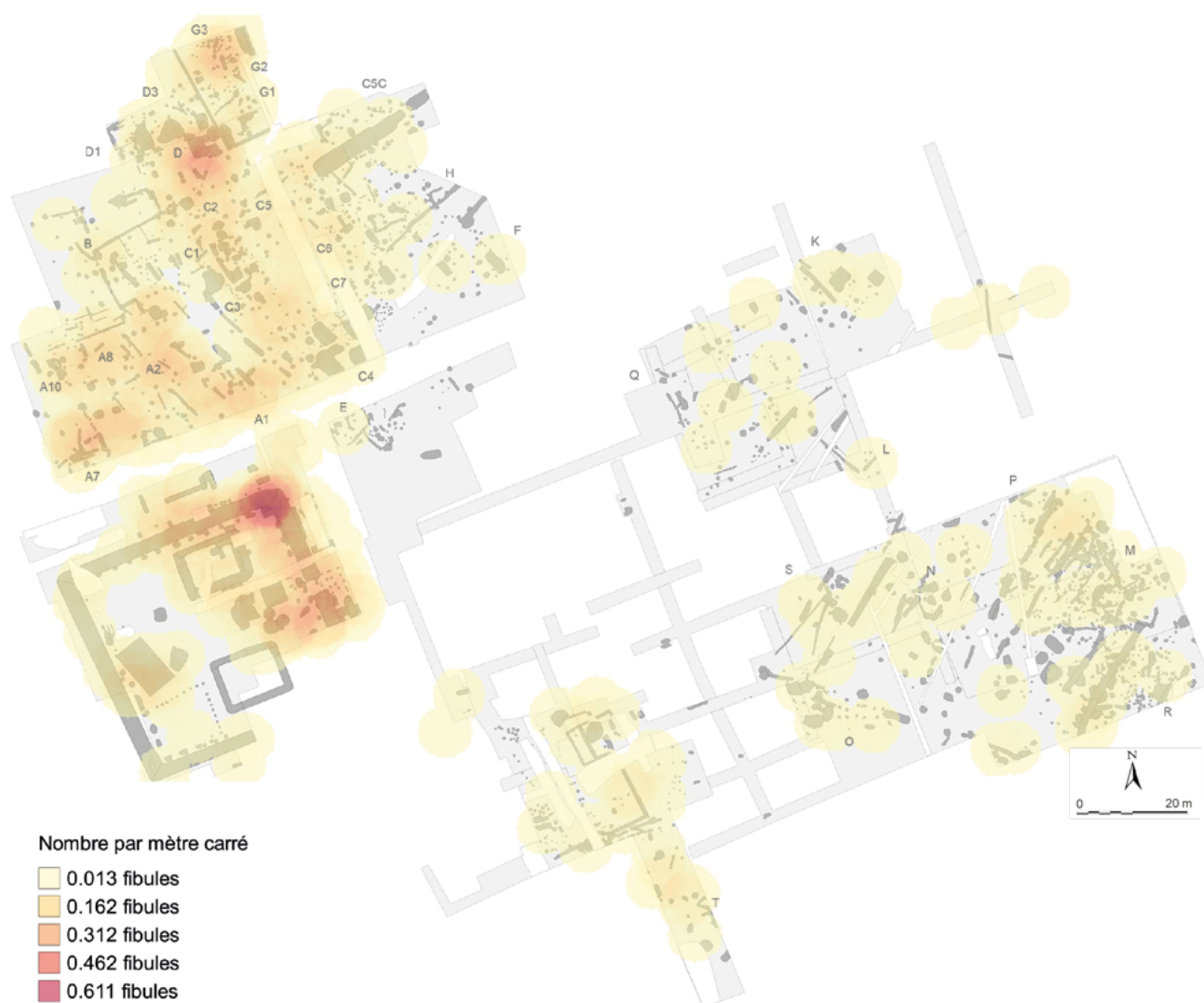


Fig. 54. Estimation de la densité de fibules selon la méthode du noyau (cercle de 5 m de rayon).

Malgré son importance quantitative qui est à relever, le corpus se distingue également par une forte fragmentation, notamment dans la zone d'habitat. En témoigne une masse médiane de 3,2 g par reste pour les exemplaires en fer et de 1,3 g par reste pour les fibules en alliage cuivreux (fig. 55). Leur analyse par diagrammes en boîte est encore plus révélatrice : 75 % des parures en bronze ont une masse inférieure à 2,1 g, tandis que les trois quarts du corpus en fer pèsent moins de 5,6 g. Cette meilleure conservation du fer doit être pondérée par l'analyse des longueurs conservées qui montre des données très proches pour les deux matières, avec un troisième quartile fixé à 45 mm pour les alliages cuivreux et 54 mm pour le fer. Leurs longueurs maximales (102 et 105 mm) sont également similaires, à l'exception d'un individu en fer de près de 15 cm.

Afin de mieux rendre compte de l'état du corpus, dont les variations de dimension et de masse peuvent résulter de contraintes typologiques, ces données pondérales et métriques sont encore à contrebalancer avec un indice de fragmentation établi selon le principe défini dans la publication du sanctuaire. Ce dernier opère par le décompte des éléments constitutifs d'une fibule (tête, pied, arc, ardillon) avec une valeur de cinq, lorsque la fibule est complète. Reportée à l'ensemble du corpus, la moyenne de cet indice n'est que de 2,5, tandis que sa médiane s'élève à 2, c'est-à-dire que la moitié du corpus est conservée par une ou deux parties constitutives au maximum. Malgré cette donnée qui semble

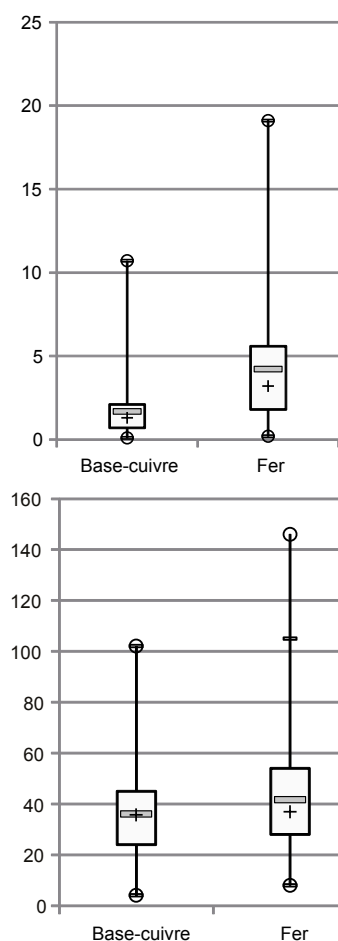


Fig. 55. Analyse par diagrammes en boîte de la fragmentation du corpus de fibules selon leur masse (en bas) et leur longueur conservée (en haut).

basse de prime abord, l'attribution typologique de près de 60 % du corpus a pu être réalisée, tandis que 81 % du corpus recèle au moins une information typologique exploitable sur le plan de la morphologie du ressort ou de l'arc par exemple. L'importance quantitative du corpus a conduit à l'établissement d'une typologie adaptée à cette fragmentation et intégrant chaque information disponible.

Établissement de la typologie

La typologie est centrée sur les fibules laténiennes mais intègre également les parures romaines qui font cependant l'objet d'une analyse plus succincte, compte tenu de la pauvreté du corpus et de l'intérêt restreint de leur dispersion stratigraphique. La méthode inspirée d'autres typologies comme celle de M. Feugère (1985b) ou plus récemment de B. Girard (2010) procède par arborescence, en commençant par le mode de fabrication de la tête. Ce premier critère conduit à l'individualisation de huit familles (fig. 56) dont les trois premières à ressort à corde externe basse, à corde interne ou à corde externe haute regroupent l'écrasante majorité du corpus. Les quatre familles suivantes représentent des technologies d'époque romaine, à savoir les fibules à fixe-corde, à cache-ressort et à charnière dans le prolongement de l'arc ou rapportée. Deux exemplaires sont affiliés à la famille particulière des fibules pénannulaires, un mode de fermeture attesté en Gaule, du début de La Tène finale à l'époque impériale.

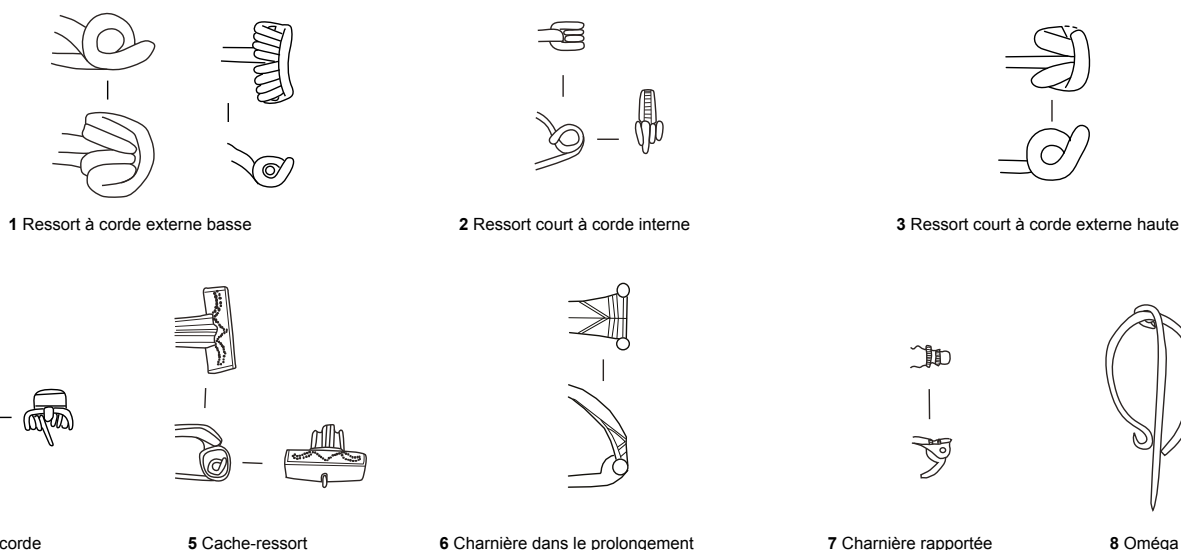
La classification menant à la réalisation de groupes typologiques est établie par la suite selon des critères hiérarchisés au sein de chaque famille, dans l'ordre suivant : le schéma du pied combiné aux caractéristiques simplifiées de l'arc et enfin le métal constitutif de la fibule (fig. 56). Ainsi, la première étape mène à l'individualisation de neuf combinaisons, dont cinq morphologies de tradition laténienne. La première comprend des fibules de schéma La Tène moyenne. Viennent ensuite les fibules à pied dans le prolongement de l'arc, aussi appelées de schéma La Tène finale, classées selon les caractéristiques générales de leur arc de tôle triangulaire, filiforme, interrompu ou à coquille. De même, quatre formes synthétiques d'arc (en bandeau, à disque médian, mouluré en arc de cercle et géométrique) ont été retenues pour les fibules romaines. Le métal constitutif de chaque exemplaire représente le dernier critère appliqué pour ce classement menant à l'individualisation de 25 groupes, dont sept d'époque romaine (fig. 57).

Cette hiérarchisation interne de chaque famille mène à une codification de groupe, à une lettre pour la matière et deux chiffres, le premier représentant la famille et le second le schéma du pied, ainsi que la morphologie de l'arc. Elle est transposable à chaque famille dans l'optique de faciliter une analyse portée sur des critères morphologiques ciblés et l'utilisation de la typologie. Ainsi, le groupe B23 représente les fibules filiformes, à corde interne, en alliage cuivreux, tandis que le groupe F33 correspond aux mêmes traits typologiques à l'exception du ressort à corde externe haute et de sa constitution métallique.

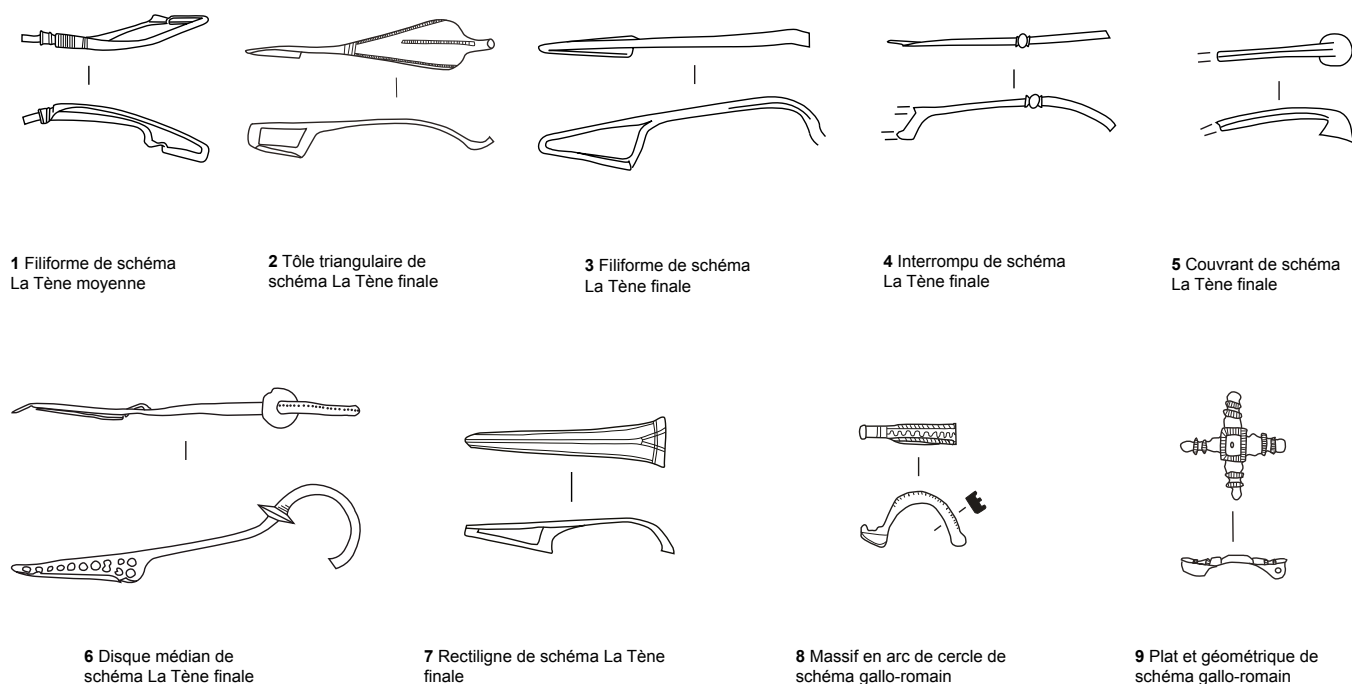
Au sein de chacun des groupes définis, leurs caractéristiques intrinsèques sont exploitées dans le but de favoriser la détermination de types précis. Par souci de détail, la notion de type représente ici des exemplaires en tout point identiques. Ainsi, si le groupe B22 se rapporte aux fibules de Nauheim, leur type est déterminé par des décors strictement identiques. De même, la distinction typologique des fibules filiformes en fer à corde externe (groupe F33) est définie grâce à la cambrure de l'arc et à sa section. Le type est exprimé à la suite de la codification du groupe, séparé par un tiret, le code B22-1 correspondant au premier type des fibules de Nauheim, tandis que le code F33-1 aux exemplaires à arc filiforme tendu de section circulaire. Les catalogues en annexe² fournissent par type les listes récapitulant l'ensemble des données contextuelles de chaque fibule.

² <https://www.editions-mergoil.com/fr/prothistoire-europeenne/226-caracterisation-des-assemblages-metalliques-dune-agglomeration-celtique.html>

Famille Tête



Pied et arc



Métal

B
Base-cuivre et métaux fusibles

F
Fer

Dans le même souci d'efficacité et afin d'alléger le texte, les références aux typologies courantes établies sur des zones géographiques élargies, telles que celle de M. Feugère (1985b), pour la Gaule méridionale ou de S. Demetz (1999), pour la zone sud-alpine, figurent en dessous de la description des types. Il en est de même pour les typologies établies à l'aide des corpus d'habitats laténiens comme les *oppida* de Manching (Gebhard 1991b) et du Titelberg (Metzler 1995), ainsi que les agglomérations proches de Feurs (Vaginay et Guichard 1988) et de Roanne (Lavendhomme et Guichard 1997). Les typologies d'E. Riha (1979, 1994) et de M. Feugère (1985b) ont été principalement utilisées pour les fibules datées de l'époque romaine. Les références aux types utilisés dans la publication du sanctuaire (Demierre et Garcia *in* Poux et Demierre 2015, p. 244-270) figurent également dans ces renvois typologiques, sous l'appellation « Sanctuaire », lorsque leur cohérence avec la nouvelle typologie est avérée.

Fig. 56. Synthèse récapitulative du mode de codification des fibules pour la définition des groupes.

Code	Matière	Famille	Groupe	NMI
B10	Base-cuivre	Corde externe basse	Indéterminé	6
B11	Base-cuivre	Corde externe basse	Indéterminé	1
B20	Base-cuivre	Ressort à corde interne	Indéterminé	34
B21	Base-cuivre	Ressort à corde interne	Schéma La Tène moyenne	13
B22	Base-cuivre	Ressort à corde interne	Tôle triangulaire	181
B23	Base-cuivre	Ressort à corde interne	Filiforme	20
B24	Base-cuivre	Ressort à corde interne	Interrompu	13
B30	Base-cuivre	Ressort à corde externe	Indéterminé	6
B33	Base-cuivre	Ressort à corde externe	Filiforme	5
B34	Base-cuivre	Ressort à corde externe	Interrompu	10
B46	Base-cuivre	Fixe-corde	Disque médian	3
B47	Base-cuivre	Fixe-corde	Rubané mouluré	5
B56	Base-cuivre	Cache-ressort	Disque médian	3
B57	Base-cuivre	Cache-ressort	Rectiligne	4
B59	Base-cuivre	Cache-ressort	Géométrique	1
B68	Base-cuivre	Charnière dans le prolongement	Divers formes	11
B78	Base-cuivre	Charnière rapportée	Divers formes	1
B79	Base-cuivre	Charnière rapportée	Divers formes	6
B01	Base-cuivre	Indéterminé	Schéma La Tène moyenne	3
B03	Base-cuivre	Indéterminé	Filiforme	1
F10	Fer	Corde externe basse	Indéterminé	21
F11	Fer	Corde externe basse	Schéma La Tène moyenne	7
F12	Fer	Corde externe basse	Tôle triangulaire	2
F20	Fer	Ressort à corde interne	Indéterminé	15
F21	Fer	Ressort à corde interne	Schéma La Tène moyenne	2
F22	Fer	Ressort à corde interne	Tôle triangulaire	19
F23	Fer	Ressort à corde interne	Filiforme	24
F24	Fer	Ressort à corde interne	Interrompu	12
F25	Fer	Ressort à corde interne	Couvrant	4
F30	Fer	Ressort à corde externe	Indéterminé	20
F31	Fer	Ressort à corde externe	Schéma La Tène moyenne	2
F32	Fer	Ressort à corde externe	Tôle triangulaire	1
F33	Fer	Ressort à corde externe	Filiforme	86
F34	Fer	Ressort à corde externe	Interrompu	13
F01	Fer	Indéterminé	Schéma La Tène moyenne	6
F03	Fer	Indéterminé	Filiforme de schéma La Tène finale	39
F04	Fer	Indéterminé	Interrompu	1
F80	Fer	Pénannulaire	Pénannulaire	2

Fig. 57. Tableau récapitulatif de la distribution des fibules par famille et par groupe.

Famille 1. Les fibules à ressort à corde externe basse

Cette technologie regroupe essentiellement des parures très fragmentaires dont ne subsiste que le ressort caractéristique des fibules de La Tène moyenne et du début de La Tène finale. Ce mode de fabrication de la tête connaît une baisse de fréquence à partir de LTD1b où il est concurrencé par les ressorts à corde interne. Encore attestée à la fin du II^e siècle avant notre ère, cette famille de fibules à corde externe basse ([cat. 1](#)) caractérise les premières phases d'occupation de l'*oppidum*. Elle présente une fragmentation importante (indice de 1,82) sans doute imputable aux remaniements liés aux occupations postérieures.

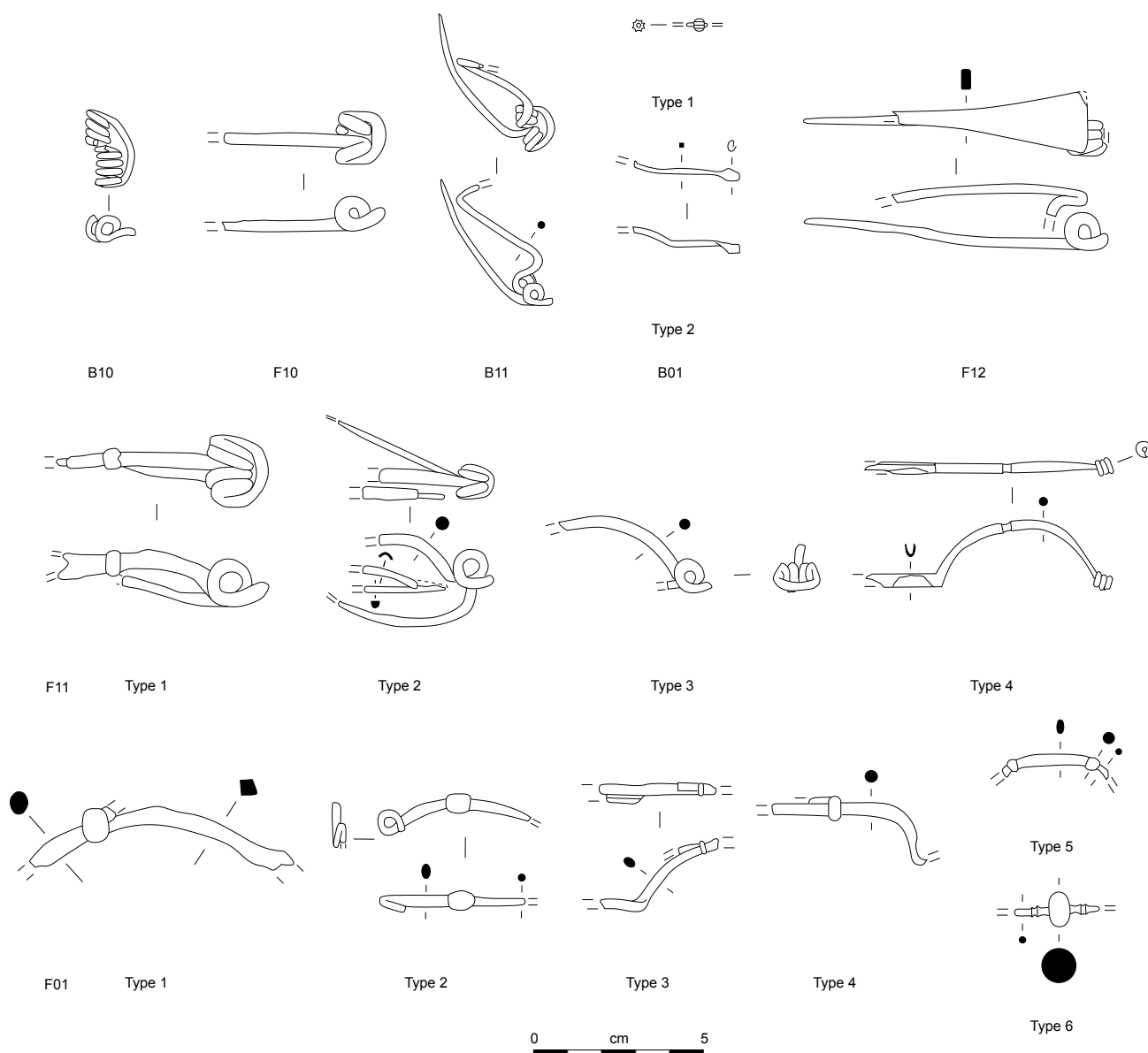


Fig. 59. Types de fibules à ressort à corde externe basse (groupes B10, F10, B11, F11, F12 et F01).

finale ou moyenne en bronze se rencontre presque exclusivement en association avec les fibules de Nauheim, entre 125 et 100 av. notre ère (Demierre 2015, p. 161). Distribuées en type selon le nombre de spires observées, entre quatre et huit (fig. 59), les six parures proviennent essentiellement de contextes anciens de l'*oppidum*, dont le sol 14030 scellé par le radier de basalte du bâtiment A1 et diverses structures attribuées à l'état 1 ou à l'état 2.1.

Groupe F10. Les ressorts de fibules en fer à corde externe basse

Comme le groupe précédent, les 21 ressorts à corde externe basse sont classés par type selon le nombre de spires de leur ressort, allant de deux spires (type 1), à quatre (type 2), six (type 3) et huit ou plus (type 4). La morphologie la plus courante en Auvergne, à quatre ou six spires, est attestée durant la totalité de La Tène moyenne et le début de LTD1, tandis que le passage à des ressorts à plus de huit spires marque l'extrême fin de La Tène C2 et la seconde moitié du II^e s. av. J.-C. (Deberge *et al.* 2007a, p. 187-190). Plusieurs exemplaires présentent enfin des ressorts à deux spires et corde externe basse, attestés dans des ensembles de datation similaire. La fragmentation des parures de ce groupe suggère une position résiduelle pour la grande majorité des éléments qui proviennent rarement d'épandages attribués à l'état 1 à 2.1.

Groupe B11. Les fibules en alliage cuivreux à ressort à corde externe basse et arc filiforme

Typologie : Gebhard 3, Feugère 1b

La seule fibule en alliage cuivreux, dont la conservation ne permet pas de définir le schéma du pied (fig. 59), provient d'un radier empierré du sanctuaire, voire plus précisément de son démontage au vu de son altitude nettement inférieure à celle de la surface de cet aménagement. Attribuable au groupe 3 de Gebhard, elle peut être datée du II^e s. avant notre ère *lato sensu*, avec une préférence pour le début de LTD1, en considération de la répartition des fibules en bronze à ressort à corde externe basse de Toulouse (Demierre 2015, p. 161). Une fibule à pied attaché sur l'arc par un enroulement et datée de LTC2 à Varennes-sur-Allier pourrait constituer un parallèle probant (Lallemant et Orengo 2007, p. 140, fig. 18, n° 125). L'absence du pied sur l'exemplaire de Corent empêche toutefois de lui attribuer une datation précise.

Groupe F11. Les fibules en fer à ressort à corde externe basse et arc filiforme de schéma La Tène moyenne

Typologie : Feugère 1a

Seuls sept exemplaires sont suffisamment bien conservés pour permettre une distinction fondée sur la cambrure de l'arc et le nombre de spires du ressort (fig. 59). La morphologie de l'arc permet d'emblée d'individualiser le **type 1**, qui présente un arc tendu et un ressort à quatre spires (groupe 16 de Gebhard), alors que seule la taille du ressort différencie les trois types suivants à arc en anse de panier. Le premier type mis au jour sur le sol de la cour du sanctuaire correspond sans doute à l'une des pièces les plus anciennes du site, puisqu'il est daté de LTC2 à Manching (Gebhard 1991b, p. 81). La courbure prononcée des arcs des **types 2 à 4** constitue une caractéristique des dernières fibules de schéma La Tène moyenne, comme l'attestent plusieurs occurrences de la plaine de Limagne (Deberge *et al.* 2007a, fig. 14, n°s 31 à 34 et 64) où cette morphologie est attribuée à des ensembles des étapes 4 et 5 de la chronologie auvergnate de la seconde moitié du II^e s. avant notre ère. Dans le domaine funéraire, les tombes de Gandaillat (Deberge *et al.* 2007a, fig. 14, sép. 17) ou de Pulvérières (Blaizot *et al.* 2014, structure 91) montrent des associations avec le type de Nauheim ou encore avec les premières fibules à pied de schéma La Tène finale et à ressort à corde externe basse attribuées à LTD1a. De même, l'augmentation du nombre de spires du ressort constitue également une caractéristique des fibules de la fin de La Tène moyenne et du début de La Tène finale. Ce groupe est attesté dans les rares niveaux d'occupation liés à l'état palissadé du sanctuaire, ainsi que dans le complexe A.

Groupe F12. Les fibules en fer à ressort à corde externe basse et arc triangulaire couvrant

Typologie : Gebhard 27d, Feurs 2, Roanne 5, Feugère 7a

Particulièrement rare en Auvergne, ce groupe est recensé dans les agglomérations de plaine de Feurs et de Roanne en territoire ségusiave et s'avère particulièrement courant en Gaule méridionale, en territoire rutène ou encore dans l'agglomération toulousaine (Demierre 2015, p. 161). Des exemplaires en cours de fabrication sont recensés à Toulouse ainsi qu'à Bibracte. Deux variantes y sont définies selon le mode de construction du ressort, dans le prolongement de l'arc replié (variante 1) ou à angle droit sous la tête de la fibule (variante 2) (Backhaus 2016, fig. 3). Les deux exemplaires de Corent appartiennent à la première variante réalisée en une pièce (fig. 59).

Systématiquement associé aux fibules de Nauheim dans les ensembles de ces habitats, ce groupe connaît toutefois une longévité plus restreinte, centrée sur le

dernier quart du II^e s. avant notre ère. Cette courte durée d'utilisation s'explique par son mode de fabrication fragile qui crée une zone de faiblesse sur la tête, au niveau du repli de la tôle de l'arc. Son apparition est estimée avant 125 av. J.-C. grâce à un contexte d'Entremont antérieur à la destruction de l'*oppidum* salyen (Girard 2010, p. 435-436). Une apparition au tout début de LTD1b est envisageable en Auvergne, au regard du faciès d'une tombe aristocratique de Pulvérières (Blaizot *et al.* 2014, st. 91, pl. 3, n° 130) où une occurrence est associée à une fibule de Nauheim, mais également à plusieurs exemplaires de schéma La Tène moyenne. Cette attribution à LTD1b est renforcée par le seul contexte exploitable, à savoir un niveau scellé de l'état 1 à 2.1 du bâtiment A7, où la fibule en question accompagne des fibules de Nauheim et à arc interrompu en alliage cuivreux (pl. 24).

Groupe F01. Les arcs de fibules de schéma La Tène moyenne

Ce groupe réunit six arcs de fibule qui présentent encore des vestiges de l'attache du pied (fig. 59). Les exemplaires les mieux conservés présentent une grande variation morphologique sur le plan de la cambrure de l'arc qui peut être tendu (type 1 et 2), en arc de cercle (type 3) ou coudé (type 4). Les deux premiers types, individualisés d'après leur taille proviennent du sanctuaire et pourraient représenter des fibules de La Tène moyenne. Des fragments d'arc sont attestés à l'état 1 dans une fosse-atelier en association avec une bouterolle à extrémité naviforme, ainsi qu'à l'intérieur d'une sablière du bâtiment C5. Les autres occurrences proviennent de sols ouverts sur l'intégralité de l'occupation laténienne et d'un contexte de l'état 2.3 du sanctuaire. L'arc coudé à deux perles au pied accolé à l'arc (type 5) présente des similarités avec les fibules des groupes F21 et F31, attribuables à LTD1b *lato sensu*.

Un fragment à grosse perle cernée de fines moulures (type 6), dont l'attribution demeure incertaine entre un exemplaire à pied libre ou à pied rattaché sur l'arc, pourrait également être rattaché à ce groupe et renvoyer aux premières fibules de schéma La Tène moyenne. La nécropole de Cournon Sarliève ou les premiers niveaux de l'agglomération de La Grande Borne (Augier *et al.* 2007, fig. 12, n°s 10, 14, 37 et 42) fournissent en effet des exemplaires comparables, à pied libre ou attaché sur l'arc, tant de LTC1 que de LTB2. Cette période est par ailleurs représentée sur le site par quelques objets erratiques mis au jour dans le sanctuaire et à proximité (Poux et Demierre 2015, p. 516-517, voir *infra*, chap. 4.1.1). Dans le même ordre d'idée, un arc coudé de section lenticulaire pourrait correspondre à une fibule à pied libre de la fin de La Tène ancienne ou encore à une parure du Premier âge du Fer (pl. 221, n° 19).

Famille 2. Les fibules à ressort à corde interne court

Cette technologie du ressort à quatre spires est la mieux représentée sur le site avec 331 individus, pour lesquels elle est attestée ou peut être restituée (cat. 2). Elle se décline avec toute la gamme d'associations de types d'arc et de pied de schéma La Tène moyenne et La Tène finale, dont les fibules de Nauheim et les fibules à arc filiforme, interrompu ou encore à coquille (fig. 60). Ce mode de fermeture apparaît dans les faciès du début de LTD1b dont il constitue l'une des principales caractéristiques. Il perdure durant la totalité de La Tène finale jusqu'à la période augustéenne, voire jusqu'à la fin du I^{er} s. de notre ère, si l'on considère son utilisation dans les modèles à manchette, aussi appelés de schéma pseudo-La Tène moyenne.

Groupe B21. Les fibules en alliage cuivreux à ressort à corde interne de schéma La Tène moyenne

Typologie : Feugère 3, Gebhard 4

Ce groupe est réparti en quatre types qui peuvent être divisés en deux sous-groupes. Le premier comprend les types 1 et 2 qui présentent un arc tendu filiforme caractéristique de LTD1b (Feugère 3a) et le second est illustré par les

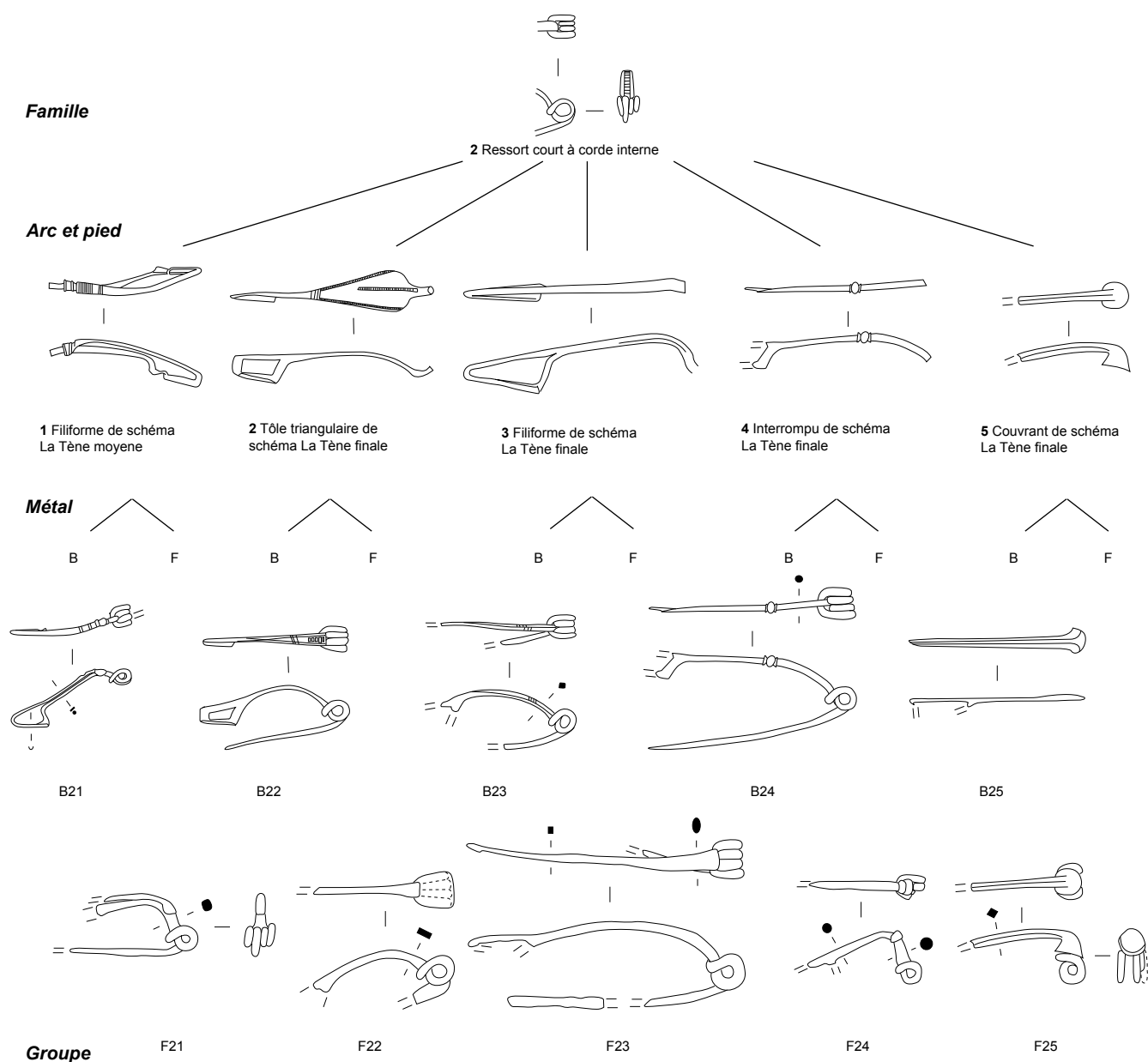


Fig. 60. Arborescence des fibules à ressort à corde interne (famille 2).

types 3 à arc filiforme coudé (Feugère 3b1) et 4 à bandeau mouluré en arc de cercle (Feugère 3b2) qui constituent un renouveau apparaissant à l'extrême fin du règne d'Auguste.

Le mode de fabrication des types 1 et 2 forme une fibule hybride avec une association d'un pied de schéma La Tène moyenne et d'un ressort à corde interne caractéristique de LTD1b. Systématiquement associées à celles de Nauheim à Toulouse (Demierre 2015, p. 161), ces fibules absentes des sites de plaine arverne constituent un bon marqueur du début de LTD1b. En témoignent également deux occurrences de Bâle-Gasfabrik (Furger-Gunti et Berger 1980, pl. 1, n^{os} 4 et 5), leur association avec un fourreau de type Ludwigshafen à Wederath (Haffner 1971, pl. 73, tombe 296) ou leur attribution à l'étape 3 de la vallée de l'Aisne (Pion 1996, H. T., fig. 19). Le **type 1**, dont l'attache sur le pied peut être ornée d'incisions, apparaît dans le cellier 17405 du bâtiment C3, attribué à l'état 1 ou 2.1 scellé par le radier postérieur. Il est relativement fréquent en Gaule méridionale, notamment à Toulouse ainsi que dans les grottes-sanctuaires rutènes qui en livrent plusieurs occurrences (Feugère 1985b, p. 195, fig. 8).

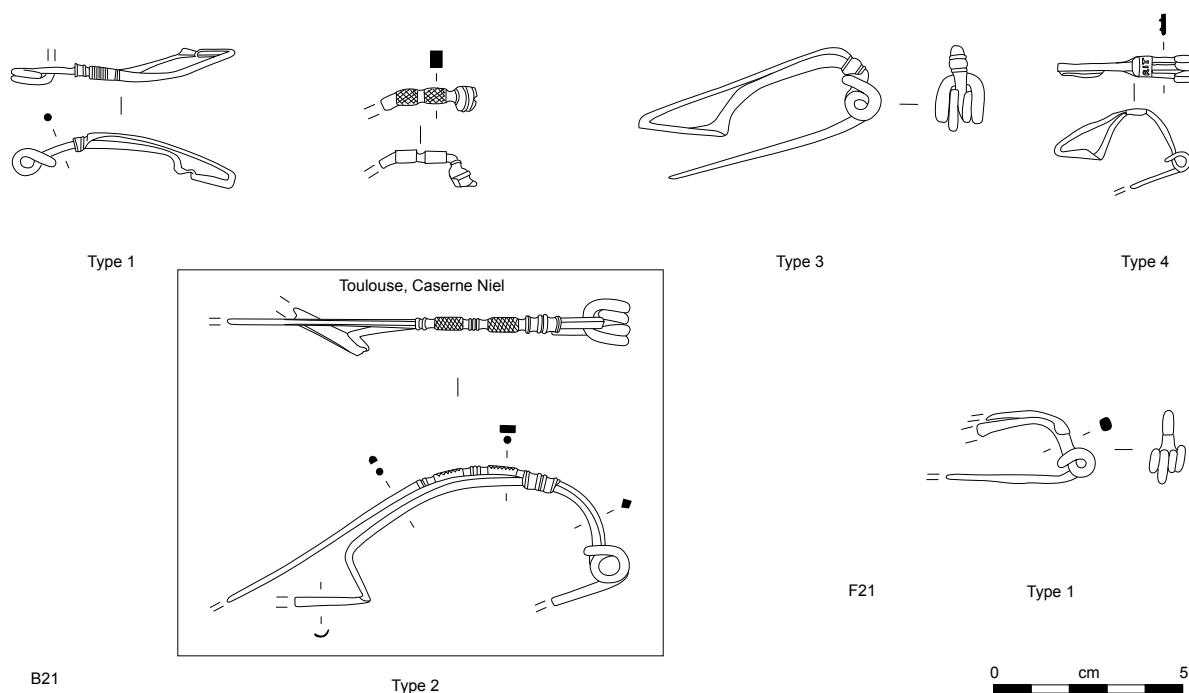


Fig. 61. Types de fibules à ressort à corde interne et pied de schéma La Tène moyenne (groupe 21). La fibule complète à pied orné d'un décor de damier provient du quartier Saint-Roch à Toulouse.

Plus rare, le **type 2**, à pied muni de loges rectangulaires ornées d'un décor de damier incisé, peut être doté d'un ressort à corde interne tout comme à corde externe haute, mais toujours d'un arc hypertrophié en arc de cercle (fig. 61). Sa distribution spatiale couvre une aire géographique relativement large, puisqu'il est attesté dans la région toulousaine à Vieille-Toulouse (Fouet et Savès 1971, fig. 18, J56) et dans le quartier Saint-Roch (Demierre 2015, p. 161 et fig. 7), mais également dans les Pyrénées sur l'*oppidum* du Mayne à Belestia (Feugère 1985b, pl. 9, n° 127), à l'ouest de l'axe Aude-Garonne dans la tombe aristocratique de Saint-Georges-les-Baillargeaux (Le Ray 2013, fig. 6, n° 3 et fig. 7) ou encore sur l'*oppidum* de Murcens (comm. orale F. Lamard). L'exemplaire le plus éloigné provient du bâtiment V du camp de Caceres el Viejo, interprété comme un prétoire (Ulbert 1985, p. 50-51, pl. 7, n° 1). Ces occurrences fournissent une datation dans le courant de LTD1b avec une perduration à LTD2a si l'on considère le parallèle du camp républicain, daté des guerres sertoriennes. L'exemplaire de Corent issu d'une couche de remblai du sanctuaire n'est d'aucune aide pour préciser cette datation.

Considéré comme un marqueur claudien, le **type 3** présente à Corent une grande variété sur le plan du mode de fixation du pied, toujours constitué d'une pince qui peut être moulurée, incisée ou inornée. Ce type de fibules récurrent dans les contextes gallo-romains du site est attesté dans le théâtre, l'espace D et le sanctuaire. Les mêmes remarques peuvent être formulées pour les exemplaires à bandeau mouluré (**type 4**), tant sur le plan de la variété du mode de fabrication que sur celui de la distribution spatiale. Une estampille inédite avec la mention « RIT » figure sur un exemplaire du théâtre. La fibule de ce type, issue de l'occupation ouest de la place du complexe C, est vraisemblablement une intrusion qui laisse planer un doute sur l'homogénéité de cet ensemble.

Groupe F21. Les fibules en fer à ressort court à corde interne de schéma La Tène moyenne

Typologie : Gebhard 21b

De morphologie similaire aux fibules en alliage cuivreux du groupe précédent, les deux exemplaires en fer du groupe F21, issus de contextes inexploitable, présentent un pied attaché sur la tête à proximité du coude que forme leur arc. Caractéristique des fibules du groupe 21b de Manching, leur apparition peut être située au plus tard à la fin du II^e s. avant notre ère, grâce à la datation dendrochronologique (104 av. J.-C. plus ou moins 10 ans) du renfort en bois de la porte est de cet *oppidum*. Un exemplaire de Roanne (Lavendhomme et Guichard 1997, pl. 111, n° 24) provient des horizons de la fin de LTD1b et de LTD2 (horizons 4 ou 5), alors que les autres occurrences de Manching plaident pour une apparition dans le courant de LTD1.

Groupe B22. Les fibules en alliage cuivreux à ressort à corde interne et à arc de tôle triangulaire et pied de schéma La Tène finale

Typologie : Feugère 5a et c, Metzler 3a ; Gebhard 6a, 7, 8 et 27, Sanctuaire 2

Ce groupe réunit la totalité de la famille des fibules de Nauheim dont les critères morphologiques sont les suivants : une fibule en alliage cuivreux, à ressort à quatre spires et corde interne et à arc de tôle triangulaire la plupart du temps décoré et terminé par un pied trapézoïdal ajouré (Werner 1955, p. 170). Y sont également intégrés les exemplaires à arc échancré, quadrangulaire, mouluré ou à légère nodosité, dérivant du type classique. Les variantes, dont le fil de l'arc présente un bouton massif, sont par contre classées avec les fibules à arc interrompu (groupe B24). La classification par type a été réalisée en premier lieu en considérant la robustesse et la morphologie de l'arc. Ainsi, cette partie est en tôle triangulaire pour les types 1 à 15, alors que les formes moulurées et dérivées sont regroupées à partir du type 20. L'interruption de la numérotation laisse ici la possibilité d'ajouter de nouveaux types. Le second critère comprend le décor dont chaque variation mène à l'individualisation d'un type.

Il semble vain de réaliser à nouveau un état documentaire de la question concernant la datation de ce type de fibules. Elle fait l'objet d'une notice complète dans la publication du sanctuaire (Poux et Demierre 2015, p. 245-246) dont les grandes lignes sont reprises ici avant d'aborder les particularités du corpus de Corent. De nombreuses dates dendrochronologiques de Besançon (109 av. J.-C.), Fellbach-Schmiden (123 av. J.-C.) ou encore du site du Mormont (107-106, 106-105 et 103-102 av. J.-C. (Brunetti *et al.* 2014) permettent de situer l'apparition de ces fibules au plus tard dans le dernier quart du II^e s. avant notre ère, soit dans LTD1b, dont ce type constitue le marqueur principal des deux phases, classique et évoluée, définies récemment (Barral et Fichtl 2012, p. 13). Si le type est toujours fréquemment observé dans des contextes de LTD2 et parfois de l'époque augustéenne, il demeure encore difficile de mettre en évidence si cette perdurance est liée à des phénomènes de résidualité ou si la production de ce type de fibules subsiste à cette période. Un objet en cours de fabrication de Gergovie, issu d'un contexte de LTD2b et interprété avec réserve comme un fabricant de fibule de Nauheim, le suggère (Mennessier-Jouannet et Deberge 2017, fig. 451, pl. II, n° 6). Quoi qu'il en soit, ce type de fibules continue à être porté sporadiquement au moins jusqu'au début du I^{er} s. de notre ère (Zanier 2004).

Le corpus de Corent livre des parures de ce groupe typologique dans des contextes de la totalité de l'occupation laténienne. À l'échelle du territoire arverne, elles constituent le point d'ancrage commun aux sites de plaine et à l'*oppidum*, tout comme l'un des marqueurs qui, bien que rare, est présent sur les habitats de LTD2 de Gondole et de Gergovie. Afin de générer une discussion

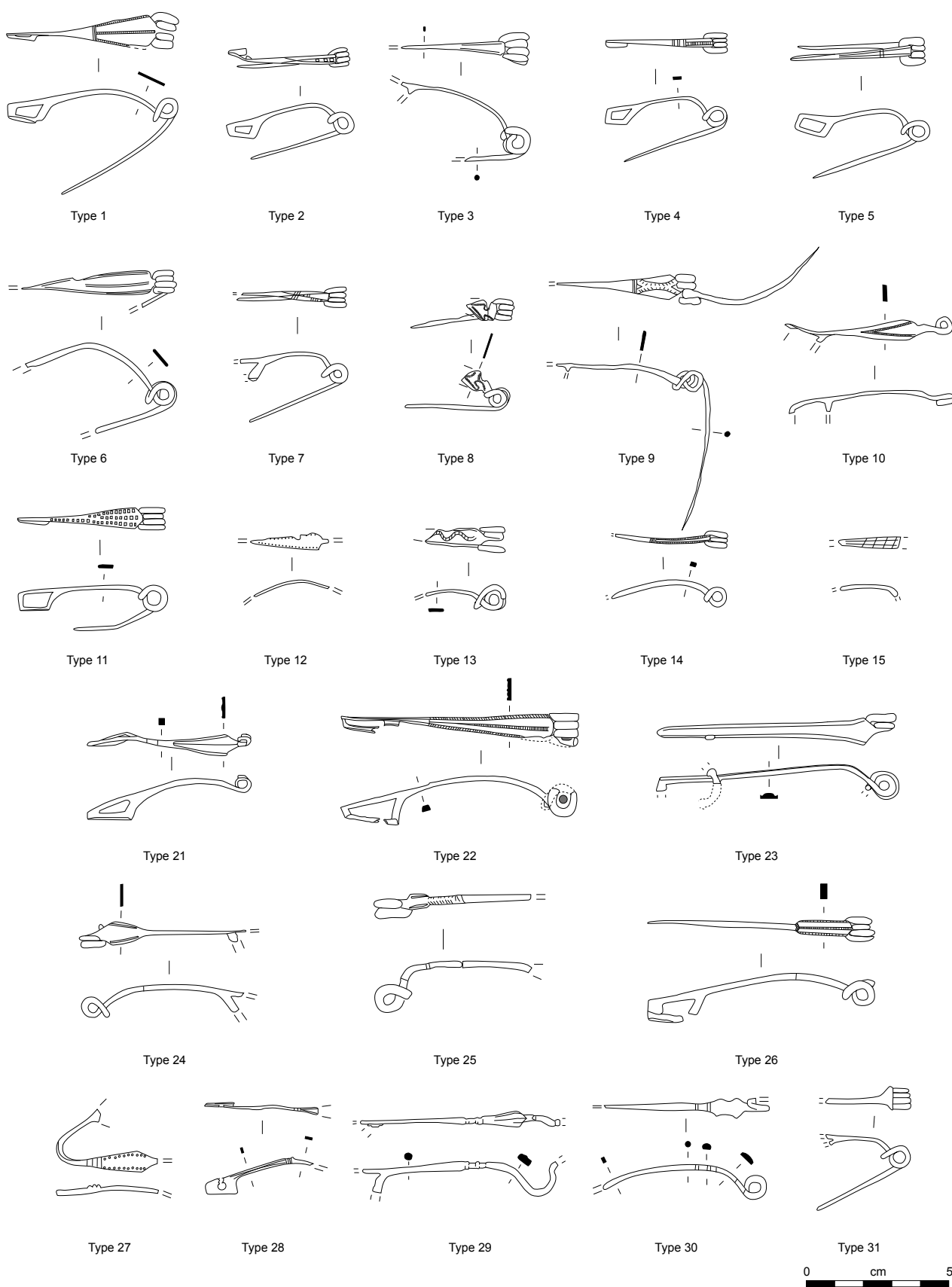


Fig. 62. Types de fibules à ressort à quatre spires et corde interne et arc triangulaire (groupe B22, fibules de Nauheim et apparentées).

sur la chronologie fine des types, deux options ont été testées : la première consiste en la variation générale du rapport entre la longueur et la largeur de l'arc indépendamment du type, mesurée de façon standardisée (fig. 63), tandis que la seconde, plus classique, tente de souligner les marqueurs typologiques significatifs. Une synthèse analyse les potentiels de ces deux approches et porte la discussion sur la provenance des différents types.

Dans une optique chronologique, l'utilisation des dimensions de l'arc de la fibule de Nauheim se heurte à plusieurs écueils qu'il convient de mentionner ici, avant d'entrer dans le résultat de l'analyse confrontant les dimensions observées à Corent et celles des exemplaires issus des sites de plaine régionaux. En premier lieu, la variation de taille des fibules peut être due à une fonction particulière comme celle de fixation de coiffe ou de voile qui diffère de l'utilisation traditionnellement restituée, à savoir un maintien sur le corps de vêtements relativement épais. De même, la miniaturisation des fibules est attestée en contexte funéraire dans le cadre de sépultures d'enfants qui reçoivent des fibules de plus petite taille que celles observées dans les tombes d'adultes. Cette pratique particulière est relevée en territoire biturige, dans la nécropole de Vaugrignon à Esvres-sur-Indre, ainsi qu'en territoires arverne et ségusiave (Riquier 2004, p. 88). La faiblesse quantitative des corpus des sites utilisés pour les comparaisons métriques peut également apparaître comme un biais méthodologique à cette démarche dont la pertinence devrait encore être validée par une confrontation de ces résultats à plus large échelle.

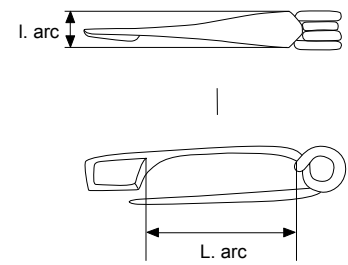


Fig. 63. Mesures de longueurs et de largeurs effectuées sur les fibules de Nauheim.

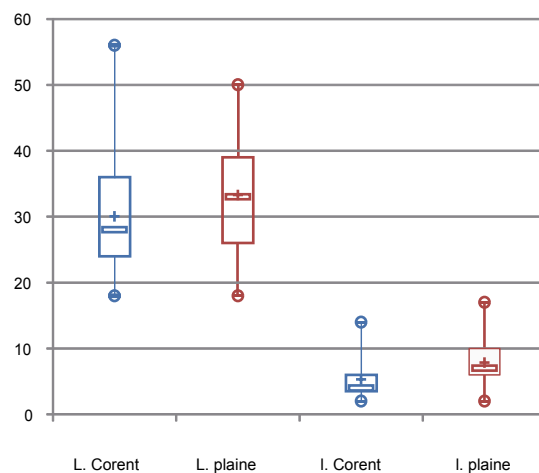
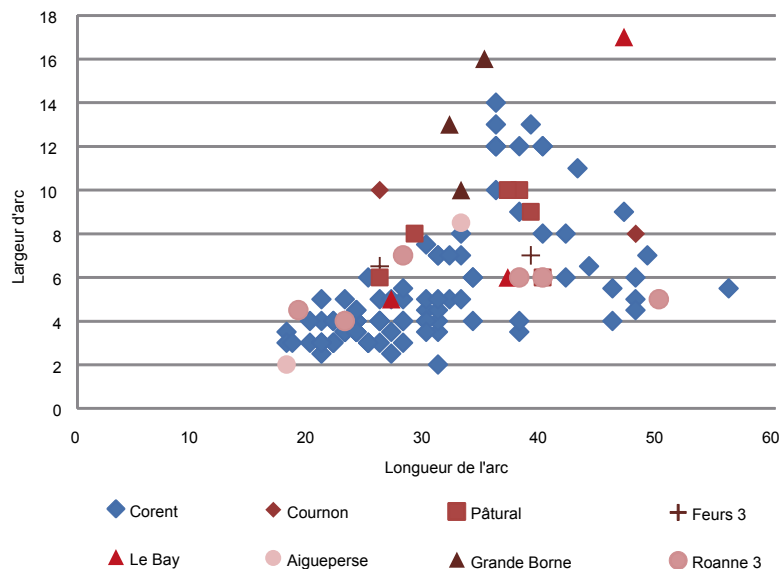


Fig. 64. Diagramme du rapport entre la longueur de l'arc et sa largeur dans les corpus laténiens auvergnats et ségusiaves (à gauche) et son équivalent à l'aide d'une analyse par diagrammes en boîte regroupant l'intégralité des sites de plaine cités (à droite).

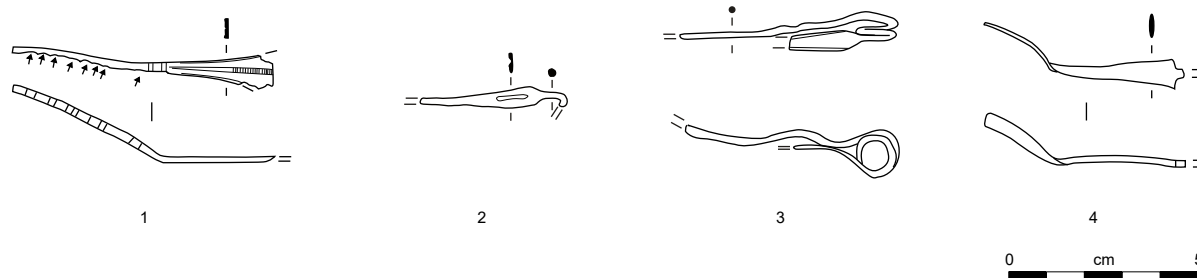
Malgré ces limites à garder à l'esprit, la particularité première des fibules de Nauheim de Corent, en comparaison avec les sites de plaine, serait une petite taille, avec une très grande majorité du corpus comprise dans des dimensions inférieures à 35 mm de longueur pour 7 mm de large (fig. 64). Cette caractéristique se dégage tout spécialement de la courbe de tendance du rapport longueur/largeur du corpus de l'*oppidum*, qui crée une très nette différenciation entre le corpus de Corent et les sites de plaine comme le Pâtural, Feurs ou encore celui de la Grande Borne. Les fibules de l'horizon 3 de Roanne, dont la fourchette médiane est située vers 110-100 av. J.-C., de même que les rares exemplaires du Bay, contemporains de la première phase d'occupation de Corent, présentent un spectre similaire. Les individus de taille supérieure attestés sur le site corroborent également la synchronie entre la dernière phase d'occupation de ces sites et la première de Corent. Ces observations vont dans le sens d'une partition de LD1b en deux phases, la première dans la fin du II^e s. av. J.-C., tandis que la seconde phase, marquée par des fibules de Nauheim de plus petite taille, correspond au début, voire à toute la première moitié du I^{er} s. avant notre ère. L'étude typologique approfondie du corpus va dans le même sens et renforce ce premier constat.

Avant de procéder à la confrontation des types avec les contextes d'origine, la diversité des décors et des formes de fibules affiliées au type de Nauheim est à souligner, même si ces grandes variations typologiques cachent une représentation des types fortement inégale. Les cinq premiers types regroupent en effet plus de 80 % du corpus, alors que les autres décors ornent au maximum trois individus. Ce rapport disparate ne saurait s'expliquer uniquement en termes d'apports exogènes, mais pourrait également être le fruit d'une situation socio-culturelle où la concurrence et l'envie de personnaliser sa production incitent à l'innovation (Djindjian 2014, p. 159). En parallèle de la datation, l'analyse qui suit tentera de trancher entre les deux hypothèses, qui ne peuvent être abordées qu'à l'aide des distributions spatiales à large échelle des types et de leurs liens stylistiques, une étude réalisée principalement d'après le travail de K. Striwe (1996) et de M. Feugère (1985) (fig. 65).

Types	Nombre	Feugère	Striwe	Types	Nombre	Feugère	Striwe
1	16	5a30	C3.3	21	3	5c11	
2	30	5a33	B4.10	22	1		
3	49	5a12	B3.1	23	(1)	6a2?	
4	23	5a31	B4.3	24	2		Type Amöneburg
5	13	5a13	A3.5	25	2	5c16	
6	3	5a14	A4.1 à 3	26	1	5c14-15	
7	2			27	1		Biewer 1.3
8	1			28	1		
9	1		C5.5	29	(1)		
10	1	5a26		30	2	5c19	
11	1	5a30	A16.1	31	1	5c5	
12	1	5a28	A12.1				
13	1	5a46					
14	1	5a27					
15	1		A16.7				

Fig. 65. Tableau de corrélation des types de fibules de Nauheim attestés à Corent avec les typologies de M. Feugère (1995) et de K. Striwe (1996).

Caractérisé par un décor à trois lignes d'échelles estampées et un arc large, le **type 1** apparaît comme une des formes les plus anciennes du type avec plusieurs occurrences issues d'ensembles de l'état 1 du site. Il fait partie des variantes du groupe B22 dont la fabrication est attestée à Corent par une fibule en cours de fabrication dont le pied n'a pas été terminé (fig. 66, n° 1). Cette datation est corroborée par des exemplaires issus de la majeure partie des sites de plaine auvergnats, au Pâtural (Deberge *et al.* 2007b, pl. 82, n°s 17 à 19), à la Grande Borne (Deberge *et al.* 2007a, fig. 14, n°s 68 et 69) ou à Aigueperse (Orengo 2003, pl. 38, n° 1). Le décor est par ailleurs également documenté sur une fibule à tête couvrante correspondant à la version en alliage cuivreux du groupe F12, dans des niveaux datés de LTD1b, à Feurs (Vaginay et Guichard 1988, fig. 127, n° 11). Si l'apparition ancienne de ce type est démontrée, une longévité relative peut être postulée, en regard des exemplaires bien conservés issus de niveaux de l'état 2 et surtout des recensions à Gergovie (Millet 2014, pl. 25, n°s 1 et 2) et à Gondole (Deberge *et al.* 2009, fig. 67, fo 534 et ca 244) où ce décor apparaît sur les deux seules fibules de Nauheim des sites en question.



Le **type 2** constitue une simplification du premier avec un décor central d'échelle estampée et un arc fin. Les contextes les plus anciens proviennent de couches attribuées à l'état 1 à 2.1 et majoritairement d'ensembles de l'état 2.2 et 2.3 ou de la séquence laténienne du site *lato sensu*. Absent des sites de plaine, il est connu à Roanne (Lavendhomme et Guichard 1997, pl. 112, n° 5) par un exemplaire perdu issu des fouilles anciennes. La standardisation du type et son importante représentation (30 ex.) laissent envisager une production locale concevable à la vue d'une hypothétique fibule en cours de fabrication présentant une rainure centrale (fig. 66, n° 2). Cet exemplaire pourrait toutefois aussi être attribué au type 4.

Avec son décor simple à bordures soulignées par une rainure incisée, le **type 3** représente l'une des formes les plus courantes de la fibule de Nauheim à l'échelle européenne. Fréquent dans le corpus de Corent, sa production est attestée par une fibule en cours de fabrication (fig. 66, n° 3) de la collection Charvilhat (Faye 1995, pl. 11, n° 94), récoltée en surface en 1907. Au contraire des types précédents, ce décor présente une grande variation, sur le plan du rapport de la largeur et de la longueur de l'arc, qu'il demeure toutefois difficile d'exploiter sur le plan chronologique. Ce type est bien représenté dans tous les états de l'*oppidum*, avec une diminution de l'effectif à partir de l'état 2.3. Il apparaît également à l'échelle régionale dans l'habitat du Pâtural (Deberge *et al.* 2007b, pl. 82, n° 11), dans des ensembles funéraires des Martres-de-Veyre et du Bay (Lauranson 2012, fig. 18 et 73) ou encore à Roanne (Lavendhomme et Guichard 1997, pl. 112, n°s 1, 3, 6 et 12) et à Feurs (Vaginay et Guichard 1988, fig. 127, n° 14).

Très standardisé, le **type 4** présente un arc fin orné d'un décor central à échelle estampée et de lignes perpendiculaires à l'axe de l'arc dont la fréquence laisse

Fig. 66. Fibules de Nauheim (groupe B22) en cours de fabrication documentées sur le site.

supposer une fabrication locale. Dérivant également du décor du type 1, il semble aussi légèrement plus tardif, comme en témoignent son absence des sites de plaine ainsi que ses contextes d'origine. Il est en effet majoritairement documenté dans des contextes de l'état 2, avec seulement deux individus issus d'ensembles attribués à l'état 1 à 2.1.

Le même constat peut être formulé à propos du **type 5**, à bordures soulignées par une rainure et lignes perpendiculaires et du **type 6**, à trois lignes incisées. Les contextes de provenance du **type 7** ne permettent pas d'attribution chronologique fine, même si l'on notera leur filiation avec les types précédents et leur présence dans le fossé de l'enclos A du sanctuaire.

Représentés par une seule occurrence, les **types 8 à 15** ne peuvent que difficilement être confrontés à leur contexte d'origine. Précisons néanmoins que les types 8, 12 et 13 sont tous issus de contextes attribués à l'état 1. Certaines de ces formes peuvent être considérées comme des apports extérieurs, tel le type 13 à décor d'échelle méandrique, très fréquemment observé dans la partie orientale de l'Europe celtique, dont le Plateau suisse, la région du Rhin ainsi que dans la vallée du Rhône (Striwe 1996, cartes 8 et 9). Il en est de même pour le type 12 dont la répartition, bien que peu fournie, semble se concentrer en Gaule septentrionale et dans la région du Rhin (Striwe 1996, type A12.1, carte 15), ou encore pour le type 11, relativement rare (Striwe 1996, type A16.1) et attesté dans les agglomérations de Berching-Pollanten et de Stradonitz, ainsi que dans la nécropole de Wederath.

L'origine du type 8 à décor complexe en écailles de poisson, documenté à une seule reprise par K. Striwe (1996, type C5.5), ne peut être localisée. La présence des types 9 et 14 au Pâtural (Deberge *et al.* 2007b, pl. 82, n°s 14 et 15) laisse supposer une production régionale. Le propos est plus nuancé en ce qui concerne le type 15, à décor de damier, dont l'ornementation se révèle comme une variante de celle des types 4 et 7, même si plusieurs parallèles sont recensés dans la région rhénane (Striwe 1996, type A16.7).

Les types 21 à 31 regroupent les fibules dont la forme ou le mode de fabrication par coulée (Feugère type 5c) diffèrent des standards à arc de tôle triangulaire martelée présentés précédemment. À nouveau, il s'agit principalement de modèles très mal représentés puisqu'aucun n'est attesté par plus de trois individus. Ils sont répartis en fonction de leur forme générale : les types 21 à 23 correspondent à des exemplaires moulurés triangulaires, les types 24 à 26 à des formes dont l'arc est marqué par un rétrécissement, les types 27 à 29 à des arcs interrompus par une mouluration et les deux derniers à des formes à encoches (type 30) ou à ergots latéraux à proximité de la tête (type 31).

S'il n'est attesté qu'à partir de l'état 2 à Corent, le **type 21** à arête centrale et bordures moulurées trouve des parallèles à Toulouse, dans des ensembles de la fin du II^e s. av. J.-C., où il apparaît avec les toutes premières formes de fibules de Nauheim (Demierre 2015, p. 161). Les **types 22 et 23**, représentés par un seul individu, sont à rapprocher d'un exemplaire mouluré de Larina (Perrin 1990, fig. 18, n° 85). Le type 23 s'en distingue toutefois par son pied surmonté d'un plateau prolongeant la partie centrale de l'arc, qui n'est pas sans rappeler les fibules à arc rubané, documentées dès l'époque augustéenne. Cette fibule de Corent ne diffère qu'au niveau de son pied ajouré d'un exemplaire de Saint-Michel-du-Touch à Toulouse, attribuable au type 6a2 de M. Feugère (1985a, pl. 65, 901) et daté au plus tôt de l'époque augustéenne. Son ensemble d'origine, un décapage, ne permet toutefois pas de trancher entre une attribution à la famille des fibules de Nauheim ou à celle des exemplaires plus récents.

L'extrémité allongée de l'arc des **types 24 à 26** permet de les affilier au groupe d'Amöneburg défini par K. Striwe. Ces formes peu communes demeurent toutefois difficiles à dater précisément en l'absence de contexte de référence fiable. Un exemplaire du type 25 issu de l'état 2.1 permet d'amener un indice supplémentaire pour la datation de ce type, par ailleurs attesté dans la grotte-sanctuaire du Rajal del Gorp (Feugère 1985a, pl. 63, n° 875). La forme rectangulaire du type 26 évoque également des exemplaires méridionaux (Feugère 5c14-15), sans qu'il soit possible de fournir un parallèle probant.

Les **types 27 à 29** sont caractérisés par une interruption de l'arc en relief, d'ordre ornemental, qui permet de les considérer comme des variantes du type 3b de J. Metzler. Ce décor peut être confondu avec celui des fibules à nodosités plus prononcées de la transition LTD1b-LTD2a dont l'arc est nettement plus incurvé (Metzler type 3d, voir groupe B24). Cette caractéristique morphologique est en fait une composante plus ancienne de même datation que la fibule de Nauheim classique, par ailleurs déjà recensée en Auvergne dans la tombe 17 de Gandaillat (Deberge *et al.* 2007a, fig. 14, n° 93), en association avec un bracelet tubulaire et une fibule à ressort à six spires et corde externe basse. Les contextes de l'ensemble de ces types ne sont d'aucune aide pour leur datation. Notons encore l'ajour circulaire du type 28 qui pourrait constituer un argument pour une provenance extrarégionale de cette fibule. Cette particularité est en effet considérée comme une caractéristique des Alpes orientales (Striwe 1996, p. 66), un postulat également soutenu par S. Demetz (Demetz 1999, type Nauheim II.1, p. 86-87, carte 25)

Une importation peut aussi être évoquée pour les deux fibules à encoches latérales (type 30), dont la répartition montre une concentration en Languedoc et particulièrement dans le Toulousain, où des exemplaires en cours de fabrication sont documentés (Demierre 2015, fig. 8, n° 16). Une remarque comparable peut être formulée concernant la fibule en argent de type Lauterach (Poux et Demierre 2015, p. 246-247, type 3) qui est la seule représentante de cette variante de la fibule de Nauheim, par ailleurs très fréquente en Gaule orientale, en Provence et sur le Plateau suisse (Striwe 1996, carte 30, Perrin 1990, fig. 20).

L'analyse comparant les largeurs et les longueurs d'arc des fibules de Nauheim des faciès régionaux montre une évolution du type vers des formes de petites dimensions. Si cette donnée semble devoir être intégrée pour affiner les datations, on se gardera néanmoins de transposer cette chronologie relative à une échelle suprarégionale pour laquelle la pertinence de la comparaison doit encore être prouvée. La confrontation de ces dimensions à la typochronologie fine suggère également qu'une certaine méfiance doit être de rigueur en face d'exemplaires isolés qui peuvent avoir été portés longtemps ou constituer une variante pérenne durant la totalité de la séquence d'utilisation du type. Les fibules à arc large et décors central et latéral d'échelle estampée (type 1) constituent sur ce point des exemples éloquentes puisqu'elles fournissent les données supérieures de l'analyse métrique, mais sont documentées tant dans les sites de plaine que dans les habitats de LTD2.

Facilitée grâce à l'ampleur du corpus et à la présence de fibules en cours de fabrication, l'analyse des provenances amène des informations complémentaires à celles fournies par le biais des importations méditerranéennes et de l'étude du monnayage. Bien que les zones d'origine de nombreux types restent souvent peu précises, elles suggèrent des contacts au sein du monde celtique aussi divers que la vallée du Rhône, la région rhénane, le Languedoc ou les Alpes orientales. Leur répartition marque des mouvements de personnes, dont l'interprétation peut ne pas se limiter à de simples échanges commerciaux mais aussi relever de comportements variés, comme des liens maritaux à longue distance, la présence d'otages ou le retour au pays d'un commerçant ou d'un mercenaire.

Groupe F22. Les fibules en fer à ressort à corde interne et à arc de tôle triangulaire et pied de schéma La Tène finale

Typologie : Feugère var. 5a, Gebhard 27a, b et d, Roanne 8, Feurs 3a

Considéré comme une variante de la forme canonique de Nauheim en raison de sa matière, ce groupe, absent des sites de plaine auvergnats, apparaît un peu plus tardivement que la fibule de Nauheim, très vraisemblablement dans le courant de LTD1b (fig. 67). Relativement peu commun, il est attesté au plus tard dès les horizons 3 de Roanne et de Feurs, mais aussi dans le dépôt allobroge de Sainte-Blandine, ou encore à Cavaillon où un exemplaire présente des bordures soulignées par une rainure (Feugère 1985, pl. 53, 756) de même facture que celle du type 2. Aucun parallèle ne peut être fourni pour le type 3 qui se distingue par une arête médiane. Les ensembles de l'*oppidum* livrant ces fibules montrent une apparition avant l'état 2.2, dans le sol 14030 du complexe A, avec une majorité de contextes de la fin de l'état 2. Cette répartition stratigraphique plaide pour une attribution à l'extrême fin de LTD1b et surtout à LTD2. Elle est renforcée par la découverte d'un exemplaire, à la porte de Babylone de l'*oppidum* de Cordes-Chateloi à Hérissou, daté de LTD2 *lato sensu* (Lallemant 2008, pl. 130, n° 26).

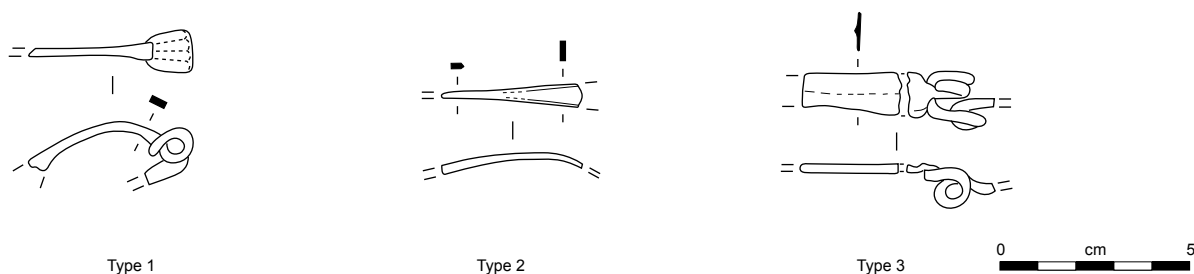


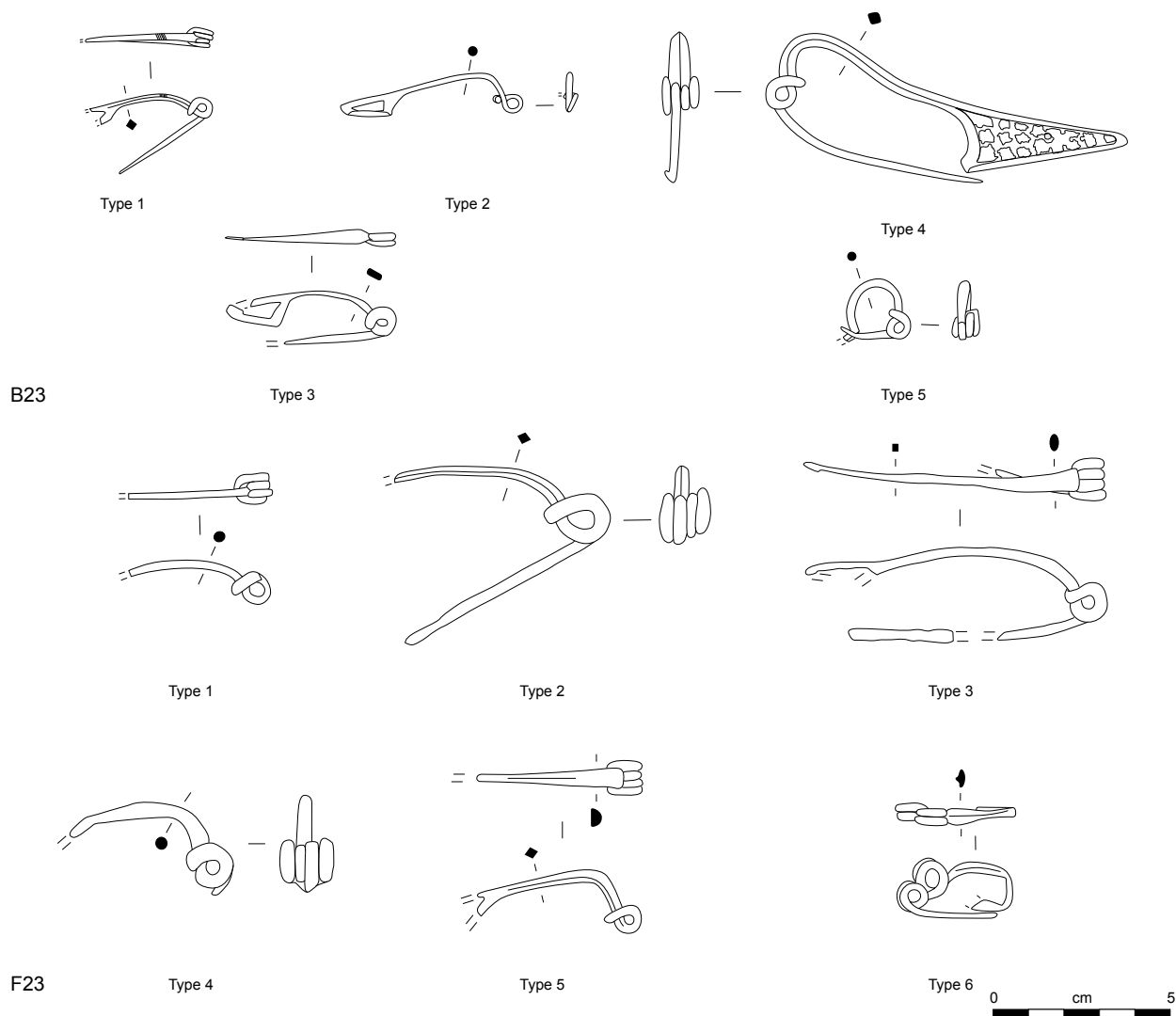
Fig. 67. Types de fibules à ressort à corde interne et arc triangulaire en fer (groupe F22).

Groupe B23. Les fibules en alliage cuivreux à ressort à corde interne, à arc filiforme et pied de schéma La Tène finale.

Typologie : Feugère 5b et 9a, Gebhard 5, Roanne 6, Sanctuaire 4 et 8, Metzler 7

L'établissement des types de ce groupe comprenant une vingtaine d'individus a été effectué en prenant en considération d'abord la courbure de l'arc, puis sa section (fig. 68). Les **types 1 à 3** correspondent à des fibules à arc tendu de section losangique (type 1), circulaire (type 2) ou ovale (type 3). Ils sont parfois considérés comme des variantes de la fibule de Nauheim tant leur forme et leur datation sont proches. Une légère antériorité est parfois proposée pour le type de Nauheim malgré leur association récurrente dans les agglomérations de plaine. En témoigne, par exemple, leur présence à Roanne ou à Feurs ou encore dans la vallée de l'Aisne (Pion 1996) ou à Toulouse (Demierre 2015, fig. 3, groupe 8), dans des contextes du dernier quart du II^e s. avant notre ère. Leur absence des sites de plaine arvernes pourrait refléter un léger décalage entre les deux groupes sur le plan régional. Les deux premiers types confirment ce postulat puisqu'ils apparaissent fréquemment dans des contextes de l'état 1 et de l'état 2.1 pour devenir moins récurrents par la suite. La datation du type 3 représenté uniquement par deux individus ne peut être confirmée par des ensembles fiables.

Les **types 4 et 5** montrent un changement radical dans la morphologie de l'arc et du pied qui s'exprime très clairement sur le plan chronologique, comme l'a démontré M. Feugère qui situe ces fibules durant LTD2b, pour l'exemplaire à pied multifenestré, voire durant l'époque augustéenne pour les fibules à arc à large courbure. Les contextes du sanctuaire, où ces deux exemplaires font l'objet d'un développement plus approfondi (Demierre et Garcia *in* Poux et Demierre 2015, p. 247-249 et 251), corroborent ce postulat.



Groupe F23. Les fibules en fer à ressort à corde interne et à arc filiforme et pied de schéma La Tène finale

Typologie : Feugère 4, Gebhard 26c, Feurs 3b

Les fibules filiformes à ressort à corde interne en fer s'inscrivent dans la continuité des fibules de Nauheim et des parures similaires en alliage cuivreux. Elles constituent l'évolution des parures de schéma La Tène finale à ressort à corde externe basse, attestées dès LTD1a et par ailleurs très rares sur le plan régional. Absentes des sites de plaine arvernes, elles sont caractéristiques de la totalité du I^{er} s. avant notre ère, avec une régression au profit des exemplaires à corde externe à partir de LTD2a, comme en témoigne par exemple leur distribution sur le site de Gondole (Deberge *et al.* 2009, fig. 69). Leur apparition dans les faciès de LTD1b marque à notre sens la transition entre LTD1b classique et LTD1b évoluée selon les appellations définies lors de la table ronde de Bibracte (Barral et Fichtl 2012, p. 13). La sériation des nécropoles d'Acy-Romance fournit un point d'ancrage tout à fait probant, évalué au plus tard dans la dernière décennie du II^e s. avant notre ère (Lambot *et al.* 1994, p. 168-169, phase 4, Friboulet 2013, type F6, phase 3).

La discrimination typologique est fondée ici sur la courbure de l'arc puis sur sa section et mène à l'individualisation de six types (fig. 68) : à arc tendu de section circulaire (type 1) parfois à ressort à trois spires (pl. 202, n° 2 et pl. 229, n° 7), losangique (type 2) ou ovale (type 3) et à arc cambré de section circulaire

Fig. 68. Types de fibules à ressort à corde interne et arc filiforme (groupes F23 et B23).

(type 4) ou lenticulaire (type 5). Signalons encore que le pied de seulement cinq exemplaires est conservé et que l'attribution à une forme de schéma La Tène moyenne est envisageable pour certains d'entre eux. Cela peut notamment être le cas pour la seule fibule issue d'une structure du premier état, à savoir une sablière du bâtiment R (pl. 165, n° 5). À cette exception près, l'ensemble des types provient de niveaux attribués à la première moitié du I^{er} s. avant notre ère, avec une bonne représentation des couches d'occupation du sanctuaire et de l'état 2 *lato sensu*. Atypique, le type 6 à arête centrale ou à section trilobée pourrait être une version en fer des fibules en alliage cuivreux du type Feugère 5b2, dont les célèbres variantes à masques du dépôt de Sainte-Blandine (Chapotat 1970, pl. 6) constituent la forme la plus complexe. Il provient d'une zone perturbée du fossé du sanctuaire et pourrait être attribué au premier état du lieu de culte.

Groupe B24. Les fibules en alliage cuivreux à ressort à corde interne et à arc interrompu et pied de schéma La Tène finale

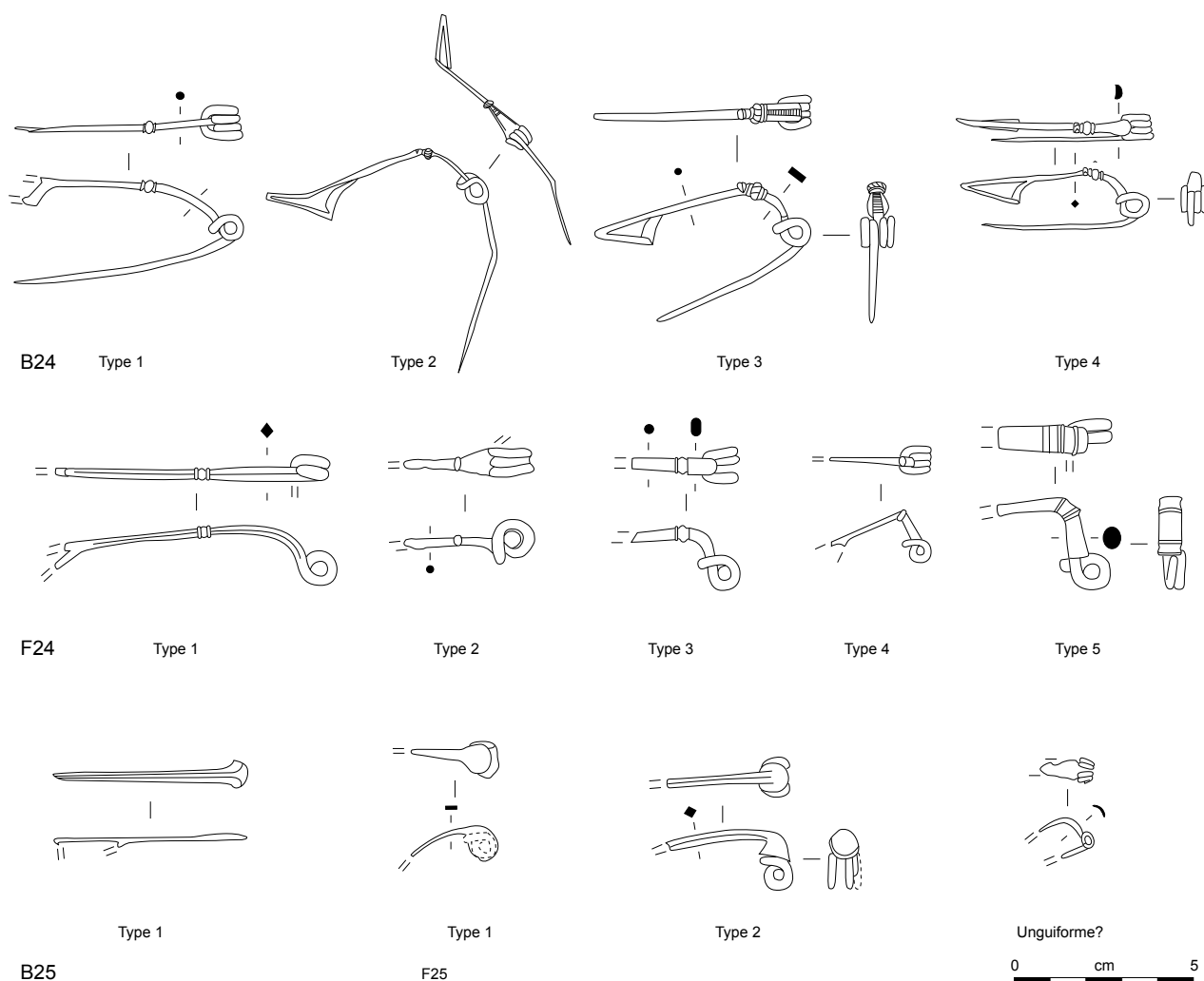
Typologie : Metzler 4 et 3d, Almgren 65

Ce groupe de 12 individus est réparti en quatre types représentatifs de l'évolution de l'interruption de l'arc (fig. 69). Viennent tout d'abord les formes à nodosité ou bouton fixé sur un arc filiforme (type 1) ou de tôle triangulaire (type 2), puis celles comportant des ailettes naissantes plus ou moins prononcées en alliage cuivreux (type 3). L'origine de ce trait morphologique est à chercher dans les fibules de schéma La Tène moyenne dont la nodosité représenterait la perle stylisée. Son évolution, argumentée par J. Metzler (1995, fig. 114), présente en effet, à partir de LTD1b, un arc tendu interrompu par une nodosité de petite taille dont les dimensions vont s'agrandir pour mener aux fibules à ailettes proéminentes de l'époque augustéenne, par ailleurs absentes à Corent.

Le premier type à nodosité (type 1) apparaît dans le courant de LTD1b comme en témoignent quelques exemplaires des agglomérations de Toulouse (Demierre 2015, groupe 9) ou encore de Bâle-Gasfabrik (Furger-Gunti et Berger 1980, pl. 2, n°s 18 et 21) et leur association avec des fibules de Nauheim en contexte funéraire. Les deux premières occurrences sur le plan stratigraphique sont justement issues des niveaux scellés par les radiers du complexe A (état 1 à 2.1) où elles accompagnent ce type de fibule.

Interprété comme une variante de la fibule de Nauheim par J. Metzler, le type 2 constitue une version évoluée de ce type qui n'apparaît pas avant l'extrême fin de LTD1b, voire le début de LTD2a. La seule parure issue d'un contexte fiable a été récoltée sur le radier de l'état 2.2 à 2.3 du bâtiment C3.

Les exemplaires à ailettes naissantes (**type 3**) proviennent de contextes attribuables aux états 2.3 à 3 confirmant la datation tardive de ces éléments proposée par M. Poux, lors de l'étude de la paire de fibules en or du site (Poux 2007). La présence d'un décor d'échelle central similaire à celui observé sur les fibules du type précédent et sur des fibules de Nauheim pourrait indiquer un lien de filiation entre ces différents types. La morphologie de l'ailette varie quelque peu, selon les individus, avec de véritables ailettes naissantes sur l'exemplaire issu du bâtiment C1 et des boutons moulurés pour la fibule issue du sanctuaire et celle en argent. Complète, cette dernière provient du comblement supérieur d'une citerne de l'état 2 où elle était associée à un prototype de la fibule d'Aucissa intact et daté du début du règne d'Auguste. Cette association indiquerait un dépôt volontaire réalisé à proximité et remanié dans cette structure, comme le suggère l'absence de marqueur de LTD2b dans le mobilier céramique (Poux et Pranyies 2015, p. 328). C'est bien l'association des deux fibules qu'il faut considérer ici pour la datation et non le reste du matériel de la structure.



Groupe F24. Les fibules en fer à ressort à corde interne et à arc interrompu et pied de schéma La Tène finale

Typologie : Metzler 4, Gebhard 26b, Sanctuaire 5

Bien qu'il soit moins fréquemment représenté, ce groupe offre des variations typologiques similaires au groupe précédent avec des exemplaires à arc filiforme tendu (type 1), triangulaire (type 2) ou à arc cambré (type 3) ou coudé (types 4 et 5) (fig. 69). Seul le type 4 à arc coudé orné d'une perle, correspondant au type allemand des « Knickfibeln », est représenté par plus d'un individu. Ce type est étudié dans une notice de la publication du sanctuaire à laquelle on se référera, les exemplaires de l'habitat étant issus des niveaux inexploitable sur le plan chronologique. Pour rappel, ce type est daté par divers contextes de LTD2 *lato sensu*, comme l'atteste notamment sa découverte dans le puits du Sénat à Paris, où sa chronologie fait l'objet d'une étude détaillée (Poux 1999, p. 87).

Les autres types recensés également tardifs proviennent de contextes à datation large ou attribués au plus tôt à l'état 2.2 (type 1). Signalons encore l'interruption moulurée du type 4 ainsi que son arc couvrant qui constituent autant de marqueurs morphologiques de la fin de La Tène finale pour cet exemplaire issu de la cour interne du complexe A.

Fig. 69. Types de fibules à ressort à corde interne et à arc interrompu ou à coquille (groupes B24, F24, B25 et F25).

Groupe B25. Les fibules en alliage cuivreux à ressort à corde interne et à coquille

Typologie : Feugère 7d1, Metzler 9b, Demetz, Schüsselfibel Ib2, Gebhard 10

La seule fibule de ce groupe retrouvée pliée, dont le dessin restitue sa forme initiale, est une découverte ancienne référencée par Sandrine Faye (1995, pl. 13, n° 124) et intégrée à la collection Daniel (fig. 69). Cette fibule est ornée d'une ligne incisée soulignant sa bordure et d'un décrochement au niveau de la tête qui forme une coquille, appelée « Schüsselfibel » en allemand. Rare dans les oppida de Gaule, ce type est considéré comme un marqueur de LTD2 en Celtique orientale, où il est très fréquemment documenté. Plus précisément, la variante à pied multifenestré est plus tardive, de LTD2b, voire du début du règne d'Auguste (Demetz 1999, p. 70-72).

Groupe F25. Les fibules en fer à ressort à corde interne et à arc couvrant et pied de schéma La Tène finale

Typologie : Feugère 7b, Metzler 9, Sanctuaire 6

Ce schéma de fibule habituellement en alliage cuivreux est relativement rare en fer, comme en atteste par exemple son absence au Titelberg (fig. 69). Présent dans la nécropole de Biewer, ce groupe de fibules suit la même datation que les exemplaires en alliage cuivreux, à savoir l'extrême fin de La Tène finale et le début de l'époque romaine. Majoritairement hors contexte ou issus de fouilles anciennes, les exemplaires de Corent fournissent toutefois un jalon supplémentaire avec la découverte d'un individu sur le radier du bâtiment C3 daté des états 2.2 à 2.3, soit au plus tard au milieu du I^{er} s. avant notre ère. La découverte au détecteur à métaux de trois individus similaires à Alésia va dans le même sens (Brouquier-Reddé et Deyber 2001, pl. 90, n°s 43 à 45).

Une fibule de type unguiforme (fig. 69) à ressort à corde interne (Feugère 11a) ou à enroulement autour de l'arc (Feugère 11b) pourrait également être rattachée à cette famille. Issue de la place du complexe C, cette forme est attribuable à la seconde moitié du I^{er} s. avant notre ère, d'après la datation des contextes de Nîmes et de Nages (Feugère 1985, p. 251). Elle semble rare en dehors de la Gaule méridionale.

Famille 3. Les fibules à ressort à corde externe haute

Bien que parfois la différenciation entre cette famille et la première demeure difficile, la position de la corde constitue un élément déterminant pour l'attribution typologique. Si ce mode de fermeture apparaît également durant LTD1b, il ne devient majoritaire qu'à partir de la fin de cette séquence, voire dès le courant de LTD2a. Il est attesté en Auvergne, sur les sites de plaine, avec un exemplaire en fer à arc de tôle triangulaire, dans la dernière phase de la ferme indigène du Pâtural (phase 3) attribuée au milieu de LTD1b (Deberge *et al.* 2007b, p. 175, pl. 82, n° 8). Les fibules de schéma La Tène moyenne et encore les formes fili-formes du site de Bâle-Gasfabrik (Furger-Gunti et Berger 1980, pl. 6, n°s 69 et 70) ou du quartier Saint-Roch à Toulouse (Demierre 2015, fig. 3, n° 24) correspondent également aux premières occurrences apparaissant entre l'extrême fin du II^e s. et le début du I^{er} s. av. J.-C.

Dans le corpus de Corent, cette famille présente une variation typologique moins importante que la précédente et s'en distingue par une surreprésentation des individus en fer ([cat. 3](#)). À l'exception des fibules à coquille, exclusivement à ressort à corde interne, elle montre des associations avec l'intégralité des formes d'arc, uniquement en fer, dans le cas des morphologies de schéma La Tène moyenne ou de tôle triangulaire (fig. 70).

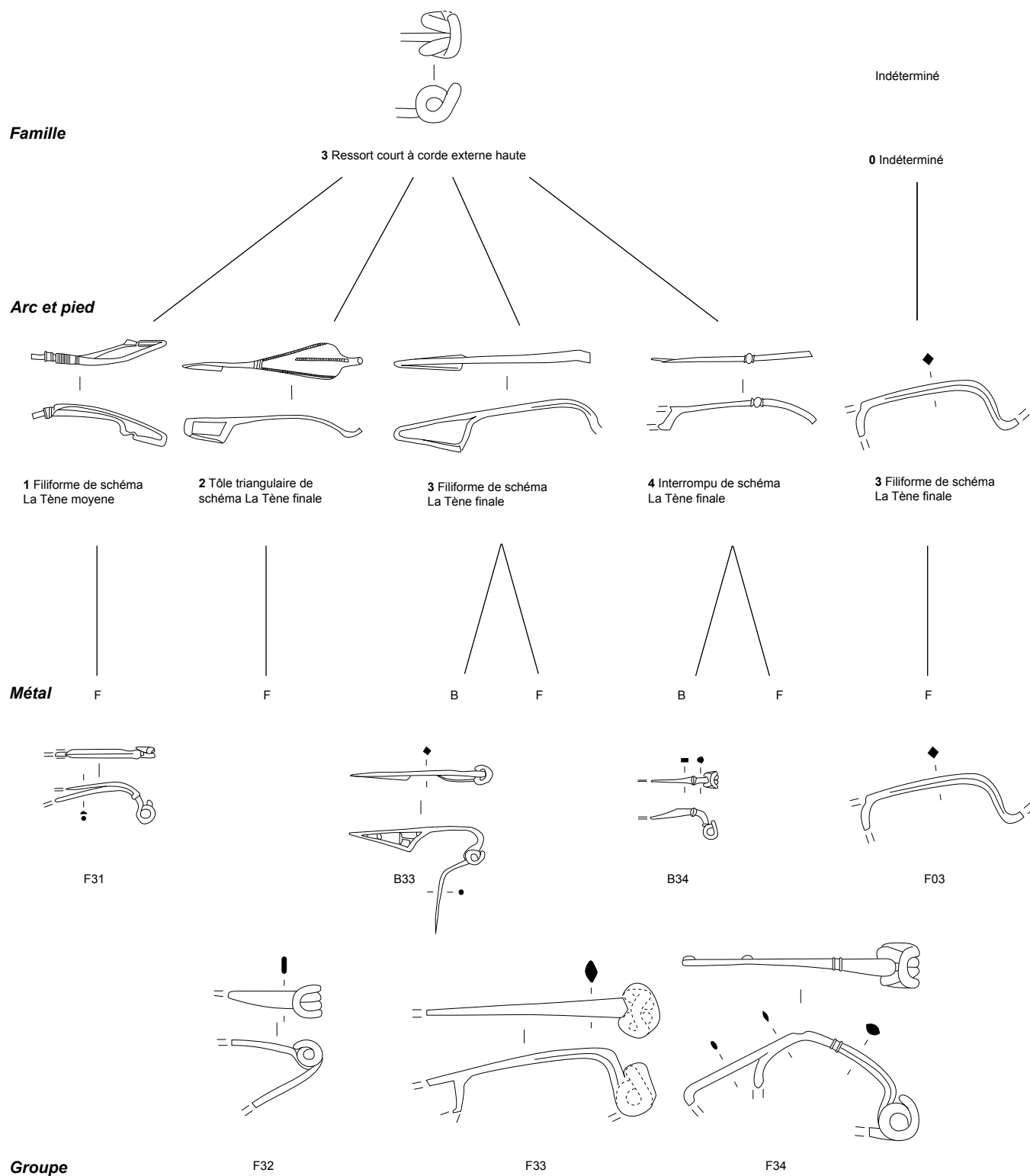


Fig. 70. Arborescence des fibules à ressort à corde externe.

Groupe F31. Les fibules en fer à ressort court à corde externe de schéma La Tène moyenne

Typologie : Gebhard 21a

Avec son arc coudé et son pied fixé par une bague au-dessus de la tête (fig. 71), ce groupe relativement rare peut être rattaché au groupe 21a Gebhard, qui diffère toutefois sur le plan de l'emplacement de l'attache du pied située au milieu d'un arc tendu à Manching. Les occurrences les plus proches sont répertoriées dans la nécropole de Verna avec deux exemplaires de taille différente (Perrin et Schönfelder 2003, p. 37-38, fig. 13 a et b). Le type y est daté de LTD1 *lato sensu* sur la base d'ensembles de datation large. Complétant ces références, plusieurs exemplaires retrouvés sur le territoire de la Suisse actuelle suggèrent de préciser cette datation pour situer le pic de fréquence de ce type au milieu de LTD1b. En témoignent des occurrences mises au jour à l'arrière du deuxième rempart du Mont-Vully (Kaenel *et al.* 2004, p. 126, fig. 182, n° 4), dans l'horizon C de la rue des Philosophes 21 à Yverdon (Brunetti 2007, n° 942) ou encore des découvertes de surface d'Altenburg (Lauber 2012, fig. 13, n° 3) et du Mormont (Duvauchelle *et al.*, à paraître, EMT06/19713-16). La même chronologie peut être proposée au vu du contexte d'un individu de Corent issu de l'occupation de la galerie datée de la fin de LTD1b et du début de LTD2, tandis que le contexte du second exemplaire, un trou de poteau de l'état 3 du bâtiment R recoupant plusieurs structures antérieures, n'est guère utilisable.

Groupe F32. Les fibules en fer à ressort à corde externe et à arc de tôle triangulaire et pied de schéma La Tène finale

Typologie : Feugère 2a

Une seule fibule a été retenue pour ce groupe pour lequel la distinction avec les fibules filiformes à arc rubané (groupe F33) peut s'avérer difficile à estimer. Elle est établie d'après la courbure de l'arc, en l'occurrence tendu (fig. 71), qui demeure particulièrement peu commune sur les exemplaires du groupe F33 présentant ce genre de section. La rareté du type attesté dès la fin du II^e s. avant notre ère, dans la troisième phase de la ferme indigène du Pâtural (Deberge *et al.* 2007b, p. 175, pl. 82, n° 8), peut être due à une expérimentation technique peu concluante.

Groupe B33. Les fibules en alliage cuivreux à ressort à corde externe et à arc filiforme et pied de schéma La Tène finale

Typologie : Feugère 5b, Feurs 3b, Roanne 6, var. 1

En comparaison avec les exemplaires de morphologie en fer (groupe F33), les fibules filiformes en alliage cuivreux sont particulièrement peu représentées. Seuls cinq individus composent ce groupe (fig. 71) auquel peuvent être rajoutés quatre exemplaires des fouilles récentes³. Quatre fibules attribuables au type 5b de M. Feugère (**type 1**) présentent un arc coudé polyédrique à pied multifenestré caractéristique de LTD2b. Ce type est documenté en Auvergne, à Gergovie (Millet 2014, pl. 25, n°s 3 à 5), tandis qu'il est attesté dans la seconde phase de Gondole, en association avec la variante à ressort à corde interne de type Feugère 9a (Deberge *et al.* 2009, fig. 67, voie 48, fig. 69). Il apparaît à Corent, dans une fosse de l'état 2.3 dont la datation céramique correspond à ce même état 2 de Gondole, ainsi que dans plusieurs ensembles des campagnes 2013 à 2015, notamment dans les niveaux d'atelier de poterie du début de l'époque augustéenne, explorés en 2013 (état 3).

En argent et à arc coudé, le seul individu du **type 2** provient du comblement supérieur de la grande cave du complexe C, soit de la fin de l'état 2.2. La petite taille de cet individu laisse présumer que cette parure ne devait pas servir au maintien des pans d'un manteau, mais pouvait plutôt être utilisée comme support de tissus plus légers comme des voiles.

3 UF 25008/77, 25334-2/534, 23012-2/531, 23030/71.

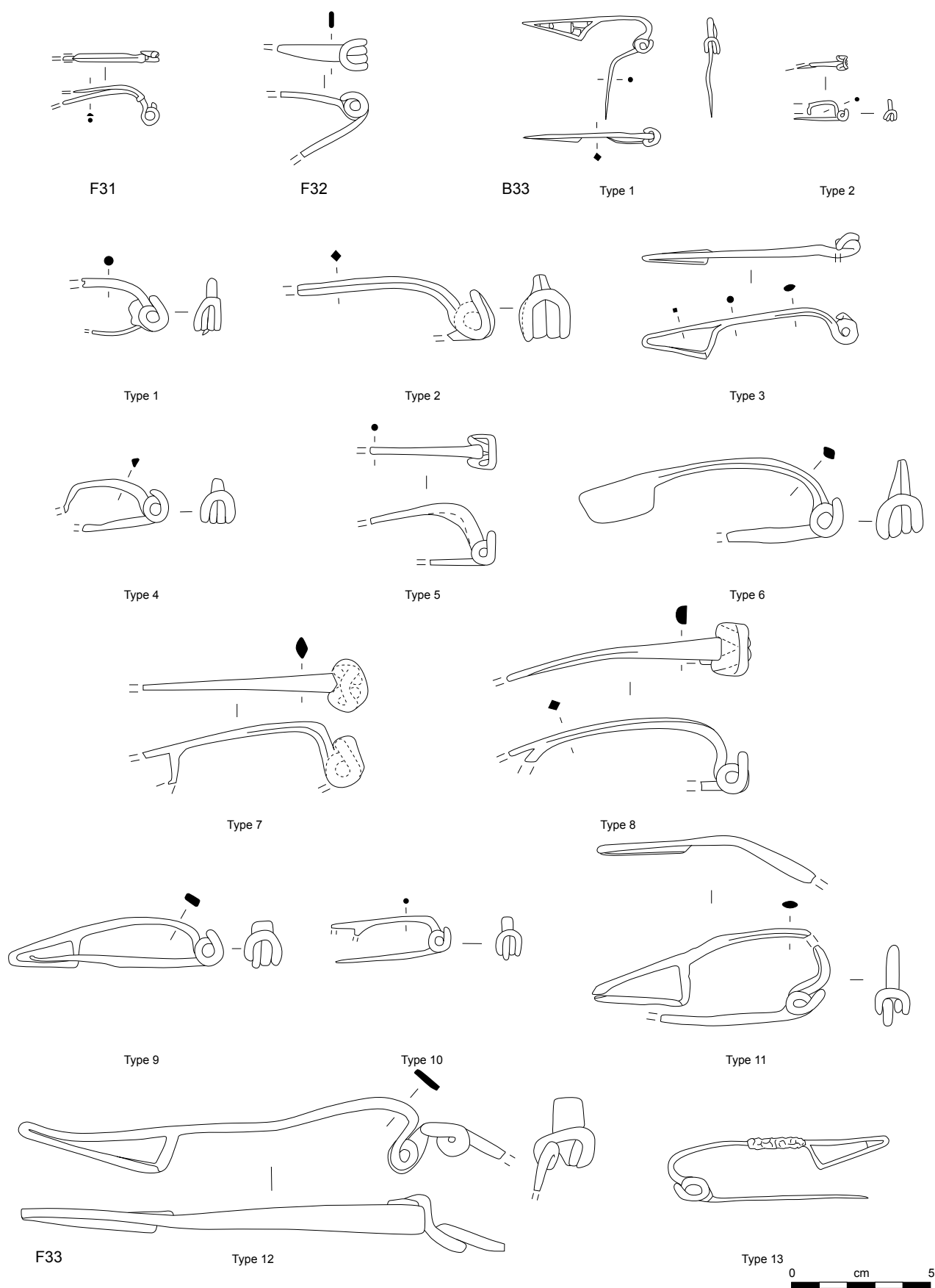


Fig. 71. Types de fibules à ressort à corde externe haute et à arc filiforme de schéma La Tène moyenne et de La Tène finale et à arc de tôle triangulaire (groupes F31, F32, B33 et F33).

Groupe F33. Les fibules en fer à ressort à corde externe et à arc filiforme et pied de schéma La Tène finale

Typologie : Feugère 4c, Gebhard 26c, Metzler 7, Feurs 3a et b, Roanne 6, Sanctuaire 4

Avec 86 individus, ce groupe est le deuxième en termes de fréquence sur le site après les fibules de Nauheim (groupe B22). Deux variables morphologiques ont été prises en considération pour la définition des types, à savoir la cambrure de l'arc et sa section (fig. 71). Ainsi, les quatre premiers types comprennent des fibules à arc tendu de section circulaire (type 1), losangique (type 2), lenticulaire (type 3) ou polyédrique (type 4). L'arc des types 5 à 8 est cambré, celui des types 9 et 10 coudé, tandis que les types 11 à 13 englobent les fibules à arc outrepassant le ressort (fig. 71).

Si la chronologie relative aux fibules filiformes a déjà fait l'objet d'un développement dans la publication du sanctuaire, le corpus de l'habitat permet d'approfondir cette démarche et d'affiner certaines hypothèses. De manière générale, l'ensemble du corpus corrobore les postulats proposés précédemment, même s'il apporte quelques modifications. Inconnues, sur le site avant l'état 2, les fibules de ce groupe demeurent très rares avant l'état 2.2, que cela soit dans l'habitat ou dans le sanctuaire. Les seules occurrences issues de contextes antérieurs (état 2.1) ne sont représentées que par des ressorts à corde externe avec un départ d'arc filiforme dont le type demeure indéterminé en raison de sa fragmentation, ainsi que par deux fibules de section losangique à arc tendu (type 2) ou cambré (type 6). Les types 7 et 8, à arc cambré et de section lenticulaire ou hémisphérique, sont très fréquents dans les niveaux tardifs de l'état 2 du site (états 2.2 et 2.3), avec plusieurs occurrences dans les couches d'occupation du sanctuaire ou encore en surface et dans les démontages des radiers empierrés de plusieurs bâtiments (T, R, C4, G). Les contextes des fibules à arc coudé (types 9 et 10) sont quant à eux difficilement exploitables sur le plan chronologique, même si l'on mentionnera un exemplaire dès l'état 1 (pl. 36, n° 17) dont le ressort fragmentaire ne permet pas d'exclure une interprétation comme fibule filiforme de LTD1a. Représentatives de la dernière évolution des fibules filiformes, les parures à arc outrepassant (types 11 à 13) n'apparaissent qu'à l'extrême fin de la séquence, dans des contextes majoritairement de l'état 3 et gallo-romains. Deux exemplaires proviennent notamment de niveaux de sol où ils accompagnent des monnaies à légendes épigraphes (EPOS, VERCA, EPAD au guerrier) dont l'assemblage marque les faciès régionaux de LTD2.

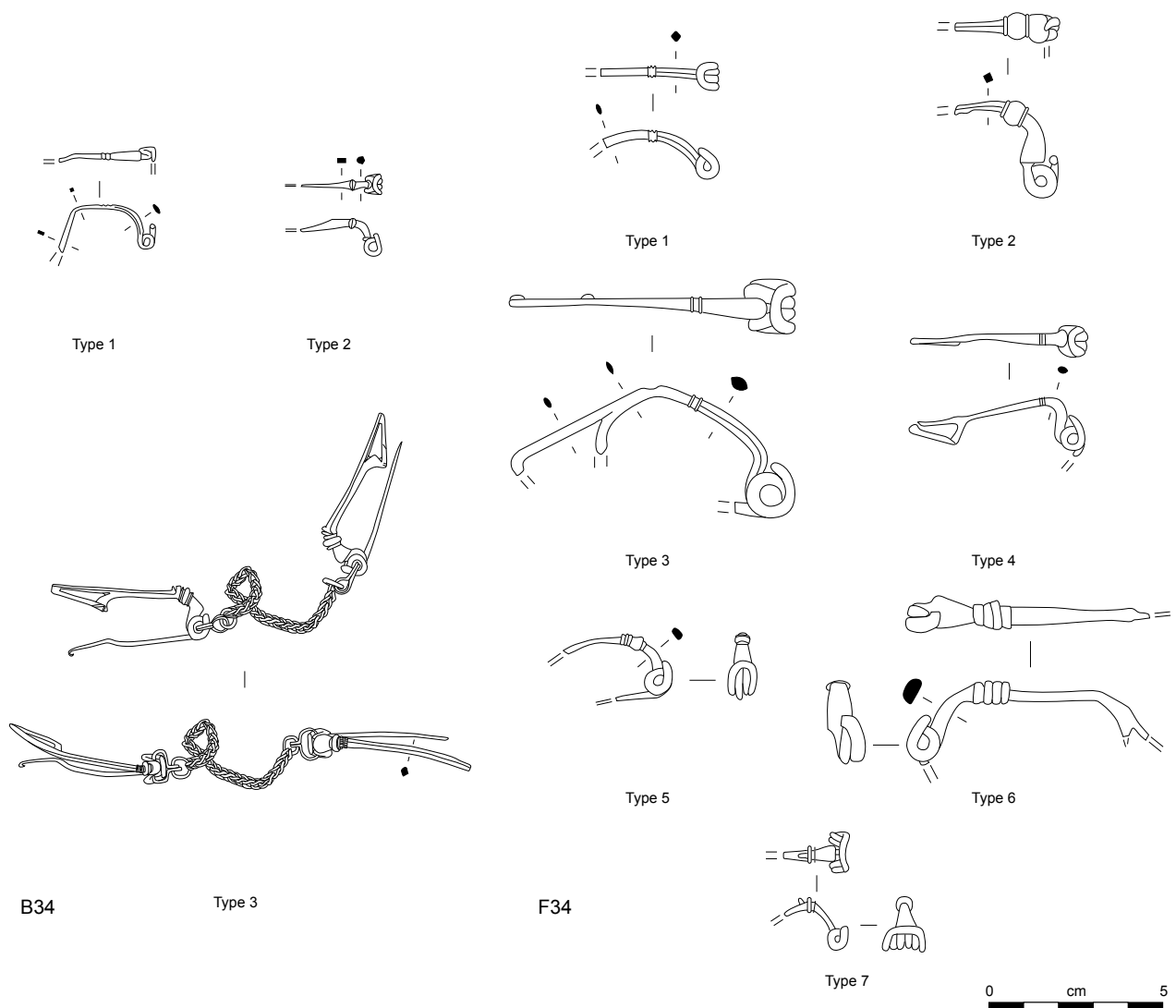
Groupe B34. Les fibules en alliage cuivreux à ressort à corde externe et à arc interrompu et pied de schéma La Tène finale

Typologie : Poux 2007, var. Metzler 4-5, Almgren 65

Trois types composent ce groupe comprenant dix individus (fig. 72). À l'instar des autres fibules à arc interrompu, ils sont classés en fonction de l'évolution de cette partie de l'arc, la présence d'un ressort à corde externe haute marquant les fibules à nodosité de LTD2 (Poux *et al.* 2007a, p. 205-207). Ainsi, l'interruption de l'arc sur le premier type n'est marquée que par trois lignes incisées et souligne le passage d'une section lenticulaire à une section circulaire (**type 1**). La finesse du décor laisse envisager que ces fibules n'ont pas toujours été identifiées correctement pour être interprétées comme des fibules filiformes. C'est notamment le cas pour certains exemplaires du sanctuaire, dont l'identification typologique a été reprise. De taille très standardisée, ces fibules sont attestées dès l'état 2.2, notamment dans le comblement inférieur de la grande cave du complexe C, ainsi que dans une fosse artisanale du bâtiment O. Elles perdurent vraisemblablement jusqu'à la fin de LTD2. Leur rareté permet de supposer une fabrication locale, même si leur forme générale s'apparente aux fibules à nodosité plus fréquemment dotées d'un ressort à corde interne (Metzler 4 et 3d).

Le **type 2** n'est connu que par deux exemplaires éloignés de 70 cm qui pourraient avoir constitué une paire fonctionnelle. Il comporte une nodosité prononcée sur l'arc ainsi qu'un anneau surmontant le ressort qui, dans la tradition des fibules à coquille, peut être interprété comme les prémices des plaquettes documentées peu avant le début du règne d'Auguste. Ces particularités morphologiques, leur rareté sur le site ainsi que leur association avec des monnaies de types VERCA et EPAD au guerrier laissent envisager une datation dans une phase avancée de LTD2, au plus tôt à la transition entre LTD2a et LTD2b.

Le dernier type référencé concerne la paire de fibules en or à ailettes naissantes, reliées par une chaînette (**type 3**). On se reportera à leur publication spécifique (Poux *et al.* 2007a), tant pour les aspects liés à la datation relative du type (milieu LTD2) que pour ceux illustrant les implications historiques de cette découverte.



Groupe F34. Les fibules en fer à ressort à corde externe et à arc interrompu et pied de schéma La Tène finale

Typologie : Gebhard 26b, Poux 2007, Almgren 65, Demetz Almgren 65

Selon le même principe, les 13 fibules en fer à arc interrompu suivent une évolution liée à leur cambrure ainsi qu'à la variation de la nodosité observée sur l'arc (fig. 72). À nouveau, la confrontation avec leurs contextes d'origine conduit à une chronologie centrée sur la fin de l'occupation laténienne, au plus tôt au début de LTD2.

Fig. 72. Types de fibules à ressort à corde externe et arc interrompu (groupes B34 et F34).

Issu d'un niveau de voirie ouvert durant toute l'occupation laténienne, le **type 1** à arc tendu et nodosité ne peut toutefois être daté précisément, même si la morphologie de son bouton sommital plaide pour une attribution aux premières formes du groupe. Tel n'est pas le cas du **type 2** à arc cambré couvrant et à nodosité marquée qui provient d'un niveau de sol de l'état 2.1 du bâtiment R, clairement recoupé par une fosse de l'état 2.2 et recouvert par un niveau de sol de l'état 2.3. Sa typologie est proche des derniers types de fibules à nodosité ou des premiers types de fibules à ailettes naissantes, notamment sur le plan de la cambrure de l'arc et du ressort à corde externe. Ces fibules sont datées d'une phase évoluée de LTD1b et surtout de LTD2, selon l'argumentaire dédié à leur évolution dans le cadre de la publication de la paire de fibules en or découverte sur le site (Poux *et al.* 2007a, p. 205-207).

Les **types 3 et 4** présentent également une forte courbure et diffèrent uniquement sur le plan de leur taille dont la variation et la standardisation justifient la création de deux variantes, même si cette distinction résulte très vraisemblablement d'aspects fonctionnels. La rareté des contextes fiables permettant de cerner la chronologie du type 3 plaide pour une attribution à la fin de l'occupation dans une phase évoluée de LTD2, corroborée par l'exemplaire issu du cailloutis du bâtiment G. Cet ensemble livre en effet quatre bronzes épigraphes de types MOTUIDIACA, EPOS et VERCA et EPAD (au guerrier). Ce faciès monétaire oriente vers LTD2b leur datation qui est corroborée par les contextes de découverte des exemplaires du type 4, attribuables à l'état 2.3. Par sa taille et sa morphologie, ce dernier évoque le type B34-1 en alliage cuivreux dont les premières occurrences sont datées de LTD2a. La seule parure issue d'un contexte antérieur provient d'un trou de poteau scellé par ce niveau de sol au riche faciès monétaire. La totalité des 10 kg de quincaillerie que livre cette structure est brûlée, alors que la fibule en question n'a pas été exposée au feu et peut raisonnablement être considérée comme une intrusion du niveau supérieur.

Mis au jour dans les niveaux de remblais de la cour du sanctuaire, les **types 5 et 6** diffèrent uniquement sur le plan de leur bouton peu développé (type Demetz 65a1a) ou à bouton décoratif typique (type Demetz 65b1a). L'apparition de ces fibules est à placer dans le courant de LTD2a, même si leur pic de fréquence se situe durant LTD2b.

Avec son ailette relativement développée et surtout son ressort à six spires et corde externe, la fibule hors contexte du **type 7** est apparentée aux exemplaires en fer de la forme Almgren 65b1b. Ces caractéristiques suggèrent une datation postérieure à la conquête romaine, entre LTD2b et le règne d'Auguste.

Famille 4. Les fibules à ressort à fixe-corde

Le corpus de cette famille comprend huit fibules. Il est complété par quelques individus issus des prospections anciennes et des campagnes réalisées entre 2013 et 2015. Ce mode de fabrication caractérise les fibules de l'extrême fin de La Tène finale et de l'époque augustéenne (40-30 av. J.-C.). Trois groupes sont documentés sur le site selon la morphologie de leur arc : filiforme, à disque interrompu ou à bandeau rectiligne ([cat. 4](#)).

Groupe 43. Les fibules à fixe-corde et à plaquettes et à arc filiforme de schéma La Tène finale

Typologie : Ettlinger 9, Feugère 14a, Metzler 16

Ce groupe s'affilie aux fibules à plaquettes ou encore gauloises simples, selon l'appellation allemande (*einfache gallische Fibeln*), caractérisées par un ressort à fixe-corde surmonté par deux ergots latéraux appelés plaquettes ou protège-ressort. Elles constituent la dernière évolution des fibules filiformes laténiennes, attestées paradoxalement à partir de l'extrême fin de l'époque laténienne ou du

début du règne d'Auguste. Deux fibules issues de la campagne 2015, un exemplaire de la campagne 2013 et un dernier de la collection Daniel (Faye 1995, pl. 14, n° 132) représentent les seules occurrences de ce type à Corent. Ce dernier est très fréquent dans la partie occidentale de la Suisse et dans le Languedoc (Feugère 1985, p. 264) et demeure relativement rare en Auvergne où il est attesté dans des ensembles des trois dernières décennies avant le changement d'ère, à Varennes-sur-Allier et à Gergovie (Mennessier-Jouannet et Deberge 2017, fig. 461, n° 30 et fig. 484, n° 2).

Groupe 46. Les fibules à fixe-corde et plaquettes et à disque médian

Typologie : Feugère 10, Metzler 4, 10 et 11, Sanctuaire 9

Ce groupe réunit des fibules à ressort protégé par des plaquettes comportant un arc interrompu par un disque médian. Elles se répartissent en deux grands types, à savoir les fibules à disque médian (type 1 et 2) ou à collerette (type 3) selon la morphologie de leur arc (fig. 73). La technologie du ressort protégé avec ou sans fixe-corde constitue un marqueur de l'extrême fin de La Tène et du début du règne d'Auguste, caractéristique de la phase GR1 de J. Metzler (1995, p. 241-243). Les nombreux ajours de leur pied vont également dans le même sens bien que cette caractéristique apparaisse dès le milieu du I^{er} s. av. J.-C.

La fibule du **type 1**, à arc filiforme orné d'une ligne de points, appartient au type 4c de Metzler qui les considère comme une évolution des modèles à arc interrompu par un bouton. Rarement attesté sans fixe-corde (Lerat 1979, pl. 5, n° 49), ce type est relativement précoce puisqu'il est déjà recensé dans des niveaux datés de la première décennie après la conquête césarienne. Cet exemplaire provient d'une fosse perforant les radiers de l'espace D qui représente l'un des rares ensembles de l'état 2.3 de la parcelle située au nord du sanctuaire. L'absence de fixe-corde sur cet élément ainsi que la morphologie de l'arc constituent un argument pour attribuer une apparition légèrement plus tardive que celle du **type 2**, caractérisé par un arc à bandeau mouluré et un fixe-corde (Metzler, type 11a). Le seul exemplaire du type, attesté dans les ramassages de surface (Faye 1995, pl. 14, n° 133) et par plusieurs exemplaires à Gergovie (Millet 2014, pl. 27, 6-9), provient des remblais gallo-romains de l'espace D. Caractéristique de LTD2b et du début de l'époque romaine, le **type 3** de ce groupe est affilié aux fibules à collerette, les « Kragenfibeln » des typologies allemandes. Issu du sanctuaire, le seul exemplaire du corpus attribué au type 10a de J. Metzler ou 10a3 de M. Feugère y fait l'objet d'une notice complète. Une occurrence en tout point similaire est recensée à Gergovie (Millet 2014, pl. 27, n° 4), tandis qu'un cellier fouillé en 2013 et daté de la première moitié du II^e s. ap. J.-C. fournit un autre individu qui se distingue par son ressort à corde interne⁴. Cette particularité, de même que la petite taille de cette fibule sont caractéristiques d'imitations languedociennes (Feugère, type 10b), sans grande incidence sur la chronologie retenue. Leurs dimensions suggèrent également un usage civil alors que les parures canoniques semblent avoir été introduites en Gaule interne sous l'impulsion des soldats romains (Poux 2008, p. 381).

Groupe 47. Les fibules à fixe-corde et arc de tôle rubané

Typologie : Feugère 9b, Metzler 15, Sanctuaire 10

Ce groupe se divise en deux types définis selon le mode de fabrication du fixe-corde, soit partant du sommet de l'arc pour attacher la corde (type 1) ou maintenant cette partie du ressort en passant sous cette dernière (type 2) (fig. 73). Ces deux types correspondent respectivement aux variantes A et B du type 15 de J. Metzler dont l'articulation chronologique est présentée dans la publication

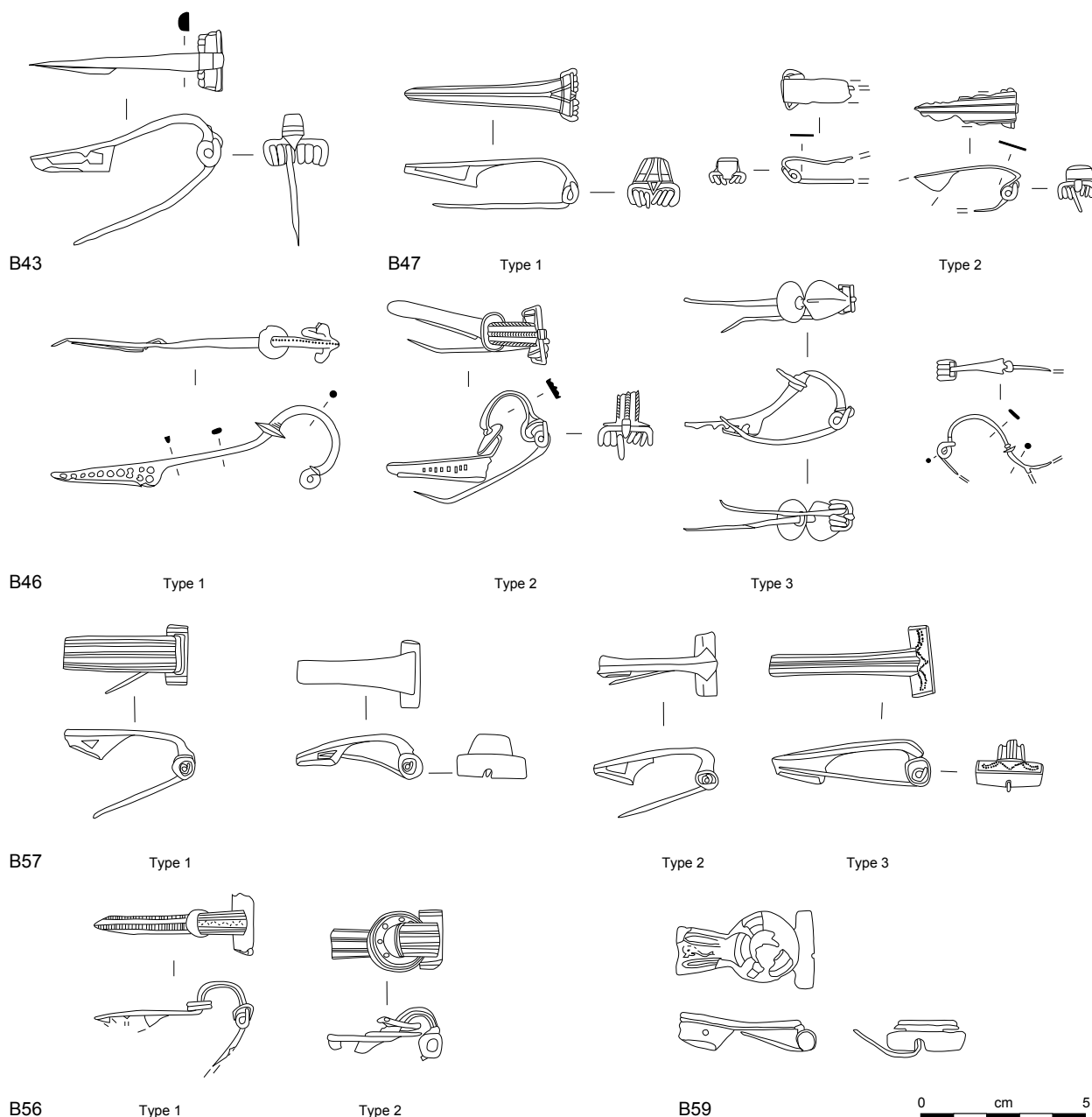


Fig. 73. Types de fibules à ressort à fixe-corde et à cache-ressort (groupes B43, B47, B46, B56, B57 et B59).

du sanctuaire. Leur attribution à l'extrême fin de La Tène finale et du début de l'époque romaine (**type 1**) et au règne d'Auguste *lato sensu* (**type 2**) est confirmée par les ensemble régionaux. Un exemplaire du type 1 est issu d'une fosse perforant les niveaux les plus récents du site de Gondole (Deberge *et al.* 2009, p. 111) tandis que sept exemplaires du type 2 sont recensés à Gergovie (Millet 2014, pl. 3, n^{os} 3 à 9) et que trois autres proviennent du radier 23086 de l'atelier de potier augustéen de Corent⁵. Les autres spécimens intégrés au corpus ne sont d'aucune aide pour compléter cette confrontation chronologique. Ils proviennent essentiellement de décapages de surface.

Quelques ressorts larges à plusieurs spires fines récoltés dans les mêmes contextes superficiels peuvent également résulter du bris de fibules à fixe-corde ou encore à cache-ressort, sans qu'il soit possible de déterminer plus précisément leur affiliation ([cat. 4](#)).

⁵ 23112/643, 23112/711 et 23151/818.

Famille 5. Les fibules à ressort à cache-ressort

Caractéristique du règne d'Auguste et du début du I^{er} s. de notre ère, cette famille est très peu représentée dans le corpus (8 ind.) et son étude n'est pas à même de compléter nos connaissances en la matière ([cat. 5](#)). Le corpus s'est étoffé lors des dernières campagnes de fouille qui livrent sept nouvelles fibules, dont un exemplaire léontiforme (Feugère 18a4).

Groupe 56. Les fibules à fixe-corde et à disque médian

Typologie : Feugère 15, 16 et 19, Metzler 11a, 12-13, Sanctuaire 12

Les trois types de ce groupe présentent un disque médian dont le mode de fabrication a défini la classification. De petite taille sur le type 1, où il s'apparente à un disque inorné à rainure latérale, le disque se développe et se complexifie pour les types 2 et 3. De facture atypique, le **type 1** semble dériver des fibules à disque médian (groupe 46, Metzler 11a), qui comportent plus fréquemment un ressort à fixe-corde. La technologie du cache-ressort, qui paraît mal maîtrisée sur cet exemplaire, laisse envisager qu'il peut s'agir d'une expérimentation peut-être légèrement plus ancienne que les types 2 et 3. Son contexte, un niveau d'épandage, n'est toutefois d'aucune aide pour l'affirmer.

Les fibules à queue de paon classique du type 2 représentent une parure très commune dont la datation s'étale entre le milieu et la fin de la période augustéenne jusqu'au début du règne de Tibère. Les deux exemplaires du type 13a de J. Metzler ou 19a2 de M. Feugère proviennent de niveaux inexploitable sur le plan chronologique (niveaux de démolition du sanctuaire et de remblai de l'espace D). Deux occurrences proches au disque coulé dans la masse de l'arc (Feugère 16a2) sont issues des ramassages de surface (Faye 1995, pl. 15, n^{os} 139 et 140) et complètent le spectre typologique (**type 3**). Ce type serait légèrement postérieur aux fibules à queue de paon classiques.

Groupe 57. Les fibules à cache-ressort et à arc rectiligne

Typologie : Feugère 14b, Metzler 17 et 19, Ettlinger 21 et 23, Riha 4.2 et 4.4, Sanctuaire 11 à 13

Dans la continuité des fibules à fixe-corde et à arc rubané (groupe 47), ce groupe est un bon marqueur du milieu de l'époque augustéenne et de la première moitié du I^{er} s. de notre ère. L'ensemble des fibules s'y rapportant provient du sanctuaire où chaque type (Langton-Down, simple à cache-ressort et Nertomarus) a déjà fait l'objet d'une notice à laquelle le lecteur est invité à se référer (Poux et Demierre 2015, p. 252-253). Précisons encore que cet ensemble peut être complété par cinq nouvelles fibules à arc simple et de type Langton-Down issues des fouilles récentes⁶.

Groupe 59. Les fibules à cache-ressort et à pied figuré

Typologie : Feugère 20c

Cette fibule issue des fouilles de 1991 (Faye 1995, pl. 15, n^o 141) constitue une variante du type à cache-ressort, sans arc et terminé par un large pied triangulaire figurant généralement à sa surface un combat de gladiateurs. Ici, le motif représente un dauphin, pour lequel nous ne pouvons pas fournir de parallèle exact, même si une occurrence du type classique est à relever au sommet du Puy-de-Dôme dans les collections du musée Bargoin (Fauduet 1982, pl. 14, n^o 124). Ce type est généralement daté du deuxième tiers du I^{er} s. ap. J.-C.

Famille 6. Les fibules à charnière dans le prolongement de l'arc

La technologie de cette famille apparaît lors de la Conquête césarienne avec les célèbres fibules de type Alésia, pour l'heure absentes du corpus de Corent, pour perdurer jusqu'à une phase avancée de l'époque romaine. Peu représentée, elle n'est attestée que par des fibules à arc en anse de panier ou en arc de cercle qui

.....
⁶ 24106-6, HC2014/821, HC2014/447, HC2014/1052, 23059/775.

dérivent de la fibule de type Alésia et de son évolution, la fibule de type Aucissa. Pour cette raison, seul un groupe a été individualisé au sein de cette famille qui doit être principalement analysée à l'échelle du type, souvent représenté par un seul exemplaire (fig. 74 et [cat. 6](#)).

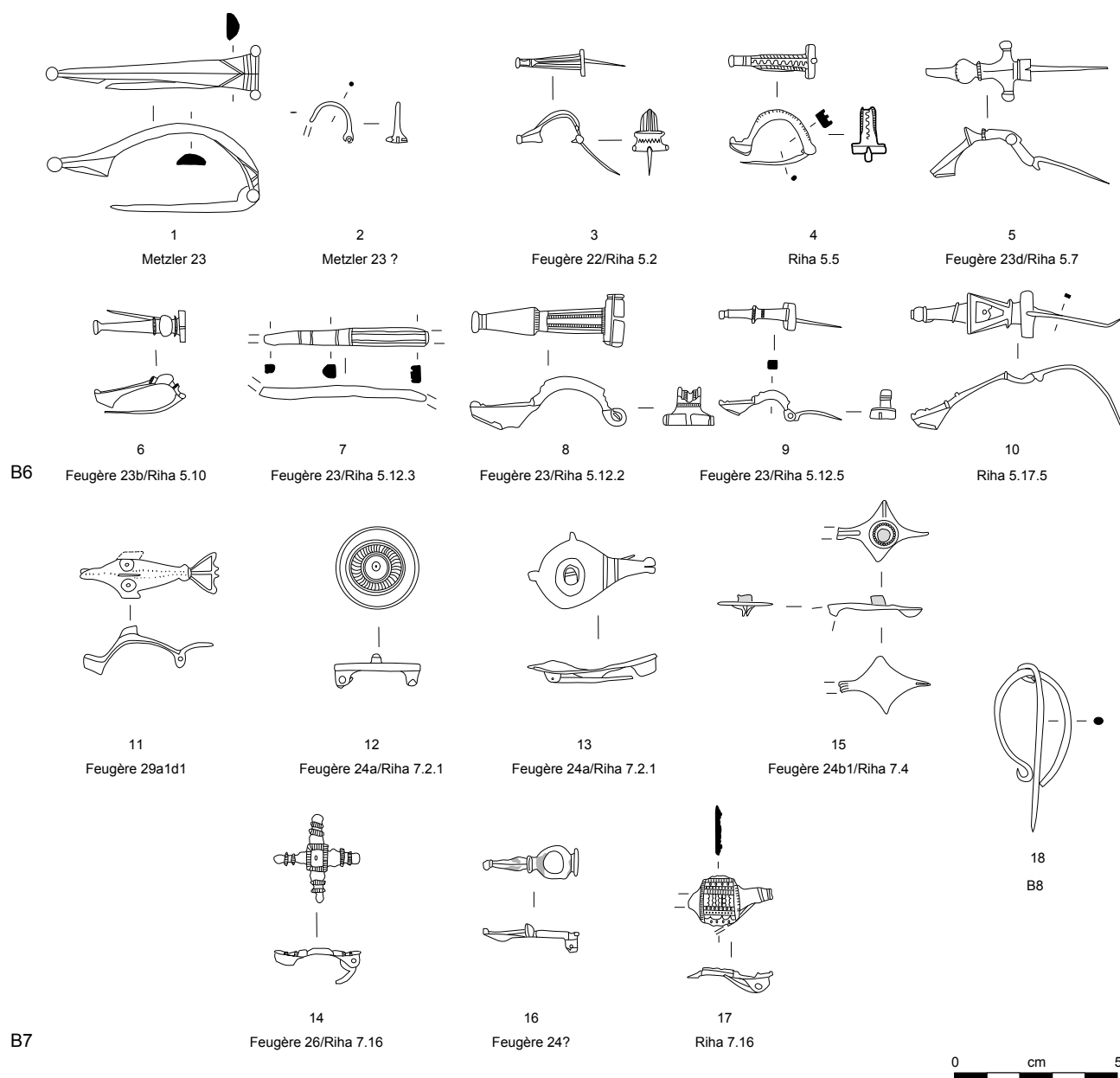


Fig. 74. Fibules à charnières dans le prolongement de l'arc, à charnière rapportée et de forme pénannulaire (familles 6 à 8).

Les différents types de fibules à charnière de Corent sont représentatifs de l'évolution de ce groupe, entre la fin du I^{er} s. av. J.-C. et le début du II^e s. ap. J.-C. Forme de transition entre la fibule d'Alésia et la fibule d'Aucissa, les caractéristiques techniques, la parure à arc lisse (fig. 74, n° 1) se rapprochent des fibules du type 23 de J. Metzler considérées comme un marqueur de la phase GR1 du territoire trévire et datées de l'extrême fin de LTD2b et du début de l'époque augustéenne. Elle provient de la surface d'une citerne de LTD2a où elle est associée à une fibule complète à ailettes naissantes en argent (type B24-3). Cette configuration laisse envisager un dépôt volontaire qui se serait déplacé dans la structure sous l'effet des labours ou des remaniements de terrain (Poux et Pranyies 2015, p. 328). De datation similaire au vu des parallèles recensés à Dangstetten (Metzler 1995, fig. 119, n°s 12 à 16), la petite fibule à charnière très mal conservée (fig. 74, n° 2) pourrait être affiliée au même type. Provenant des premiers décapages de la partie occidentale

du complexe C, elle peut également être considérée comme un prototype de la fibule d'Aucissa dont la parure à arc mouluré et bouton rapporté (fig. 74, n° 3), issue d'un niveau de démolition du sanctuaire, constitue une version de taille réduite voire miniaturisée. La majorité des fibules des types suivants correspondent à des dérivés de ce type classique de la totalité du I^{er} s. ap. J.-C.

Ainsi, la fibule de dimension restreinte à pied terminé par un bouton coulé dans la masse (fig. 74, n° 4) entre dans le type 5.5 d'E. Riha (1979, 1994), appelé dérivé d'Aucissa (*Aucissa-Nachbildungen*) de la seconde moitié du I^{er} s. de notre ère. Attesté dans des ensembles de fouilles récentes⁷, ce type peut être considéré comme relativement courant sur le site. Les fibules à protubérances latérales (fig. 74, n° 5, Feugère 23d1, Riha 5.7) et à arc continu orné d'un bulbe (fig. 74, n° 6, Feugère 23b, Riha 5.10) font l'objet d'une notice dans la publication du sanctuaire (Demierre et Garcia *in* Poux et Demierre 2015, types 17 et 18). Tout comme les fibules à arc continu mouluré (fig. 74, n° 7 à 9) de type Riha 5.12 et Feugère 23a, ces fibules, auxquelles peuvent être rajoutés des exemplaires des collections anciennes (Faye 1995, pl. 17, n° 163 à 165), constituent des types récurrents des deux derniers tiers du I^{er} s. ap. J.-C., en Auvergne. Plus tardive, la fibule à arc émaillé triangulaire interrompu (fig. 74, n° 10) peut être affiliée au type 5.17.5 de E. Riha (Riha 1979, pl. 48, n° 1413). Des parallèles proches au Titelberg (Gaspar 2007, p. 85, n° 1867 à 1869) permettent de proposer une datation à la fin du I^{er} s. et surtout au début du II^e s. de notre ère pour cet exemplaire issu de l'espace D.

Famille 7. Les fibules à charnière rapportée

La même remarque que celle formulée pour les fibules à charnière dans le prolongement de l'arc s'applique aux fibules à charnière rapportée, dont le système de fermeture est brasé sous un arc, la plupart du temps plat ou géométrique ([cat. 7](#)). Cette technologie apparaît dans le deuxième quart du I^{er} s. de notre ère pour perdurer jusqu'au Haut Moyen Âge. Les types présentés ci-dessous comprennent uniquement les pièces issues des fouilles antérieures à 2013. Le corpus est à même d'être complété par les ensembles découverts récemment qui livrent plusieurs fibules à arc émaillé à charnière rapportée.

Une seule parure présente un arc en anse de panier. Il s'agit d'une fibule delphiniforme, du type 29a1d1 de M. Feugère (1985, p. 382-394), qui provient de l'*aditus* du théâtre (fig. 74, n° 11). Elle peut être datée de la seconde moitié du II^e ap. J.-C. et du siècle suivant, si l'on se réfère aux procédés utilisés pour son décor et à la découverte d'un exemplaire en contexte daté à Mâlains en Côte-d'Or (Philippe 2000, p. 173, n° 533; , Gaspar 2007, pl. 94, n° 2130 à 2132).

L'ensemble des autres fibules à charnière rapportée présente des arcs plats de forme géométrique. Tous les types ne comprennent que des parures représentées par un unique exemplaire, la plupart déjà commentées (fig. 74, n° 12 à 14, Demierre et Garcia *in* Poux et Demierre 2015, types 19 et 20). Les trois formes restantes correspondent à des exemplaires hors contexte (fig. 74, n° 15) ou issus de remblais de l'espace D (fig. 74, n° 16 et 17). Dans le même esprit que les parures à arc plat géométrique (fig. 74, n° 12 et 13), la fibule à arc plat à motif à bords concaves, déjà connue sur le site (Faye 1995, pl. 17, n° 168), est attribuable au type Feugère 24b1 ou Riha 7.4. Il est considéré comme un marqueur claudien, parfois encore attesté dans des niveaux flaviens. Il en est vraisemblablement de même pour la parure à arc circulaire ajouré recouvert de métal blanc (fig. 74, n° 16). Cet exemplaire, pour lequel aucun parallèle ne peut être fourni, pourrait en effet s'apparenter au type 24 de M. Feugère dont il revêt plusieurs attributs (charnière rapportée, arc plat, géométrique, étamage). Enfin la surface de l'exemplaire à arc à lignes moulurées en relief (fig. 74, n° 17) devait comporter un émaillage qui a disparu et qui permettrait de l'attribuer au type 7.16 d'E. Riha (1994, pl. 43, n° 2864), même si cette parure est également

7 UF 23087/584 ; UF 24704/715

proche d'une fibule du type 37a de Gaspar (2007, pl. 91, n° 1813) dont la charnière est cependant dans le prolongement de l'arc.

Famille 8. Les fibules pénannulaires

Les deux fibules attribuables à cette famille (fig. 74, n° 1 et [cat. 8](#)) proviennent du sanctuaire où elles ont déjà fait l'objet d'une notice détaillée (Poux et Demierre 2015, type 21).

Sériation et évolution typochronologique

Comme toute étude portant sur la chronologie du site, l'étude typochronologique des fibules nécessite une première scission du corpus en deux parties, l'habitat d'un côté et le sanctuaire de l'autre. Les différences observées lors de la mise en phase de ces deux entités peuvent en effet occasionner des distorsions lors de l'étude statistique des ensembles et justifient un premier traitement indépendant (voir *supra*, chap. 1.4.2). Réalisée à l'échelle du groupe, en intégrant toutes les fibules présentant au moins deux critères morphologiques (matière, ressort ou arc et pied), cette analyse fournit une première étude typochronologique des deux entités, pour ensuite les comparer et les regrouper afin d'établir l'évolution typologique générale du corpus du site. Cette seconde phase permet ensuite d'aborder la datation des types au sein de chaque groupe. En raison des effectifs – souvent inférieurs à cinq individus – qui demeurent trop restreints pour réaliser une analyse factorielle efficiente des correspondances, la méthode comprend une première vision par matrice graphique permettant d'observer la présence des types par phase, puis une seconde à l'aide d'un sériographe EPPM servant à visualiser l'écart positif au pourcentage à la moyenne de chaque groupe et de chaque état (Desachy 2004).

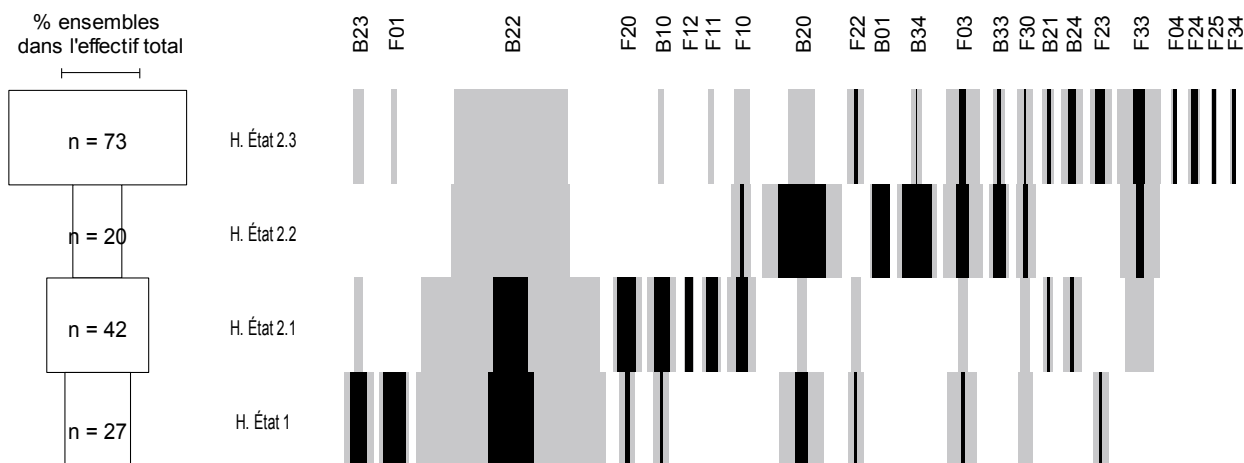
Évolution des faciès de fibules de l'habitat

L'analyse du faciès de l'habitat est effectuée en trois phases distinctes comprenant tout d'abord une matrice graphique établie uniquement sur les ensembles attribués à une seule phase du site, de l'état 1 à l'état 2.3 (fig. 75, A et [cat. 9](#)). Les contextes relatifs à plusieurs états, par exemple à l'état 1 à 2.1, 2.2 à 2.3 ou encore 2 *lato sensu* sont ensuite intégrés dans une analyse par sériographe en attribuant ces derniers à l'état le plus récent (fig. 75, B et [cat. 10](#)). Un ensemble de l'état 1 à 2.1 sera donc replacé dans l'état 2.1 lors de ce traitement. Afin de générer une image complémentaire, un nouveau tableau d'analyse divise les contributions de ces contextes ambivalents et les distribue à parts égales entre les deux états en question, à partir des mêmes données ([cat. 10](#)). Dans ce cas de figure, deux fibules d'un ensemble de l'état 1 à 2.1 sont réparties entre un individu à l'état 1 et un autre à l'état 2.1, ou encore les contributions des ensembles de l'état 2 *lato sensu* sont par exemple divisées par trois entre les états 2.1, 2.2, et 2.3. Ce traitement pondère les informations disponibles et offre une vision complémentaire de la sériation générale du corpus d'habitat (fig. 75, C). S'il dilue les données exploitables et suggère parfois une apparition précoce pour un groupe donné, il permet néanmoins de comparer des ensembles de même poids dans l'analyse statistique, au contraire de l'analyse précédente où l'état 2.3 est surreprésenté alors que les états 1 et 2.2 sont sous-évalués.

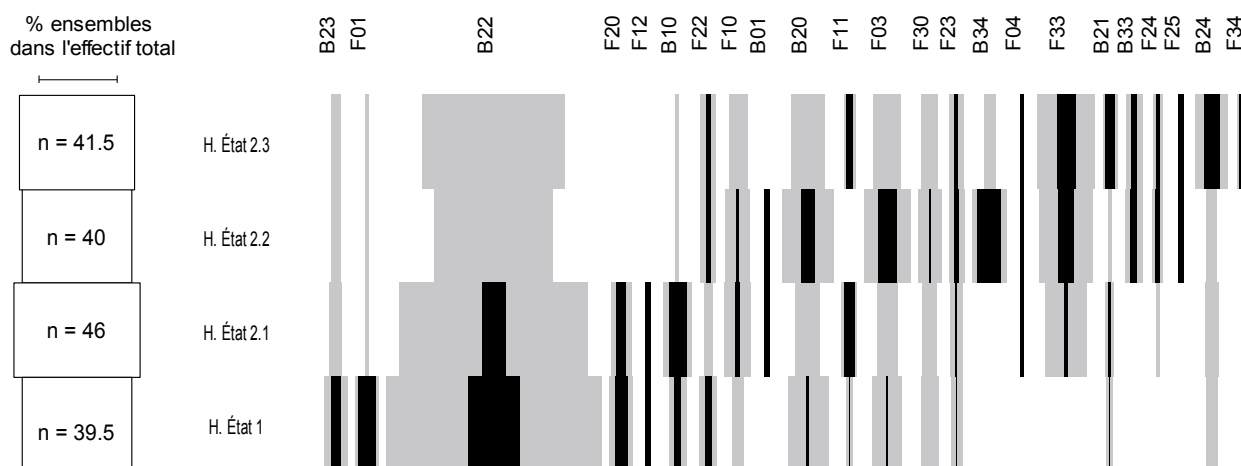
Ces analyses complémentaires fournissent une vision cohérente de l'évolution typologique du corpus de l'habitat avec, pour corollaire, une définition du faciès de chaque état. Le premier état, dont seul l'abandon peut être abordé, est ainsi avant tout caractérisé par les fibules en bronze à ressort à corde interne des types de Nauheim et à arc filiforme (groupes B20, B22, B23), associées aux fibules de tradition plus ancienne, à ressort à corde externe basse (groupes F10, B10) et de schéma La Tène moyenne (groupes F01 et F11) dont la présence est en partie restituée ici, grâce à leur recension à l'état suivant (fig. 75, A, cases en grisé).

	F01	F22	F23	B10	B23	F20	F03	F30	B22	F10	B20	B34	F11	F33	B33	B21	B24	F34
H. État 1																		
H. État 2.1																		
H. État 2.2																		
H. État 2.3																		

A. Sériation des fibules en présence/absence en utilisant uniquement les ensembles attribués à un seul état. Les cases en gris illustrent les types dont la présence est supposée durant cette phase.



B. Sériation des fibules en attribuant l'ensemble des contextes ambivalents à l'état le plus récent



C. Sériation des fibules en pondérant les contributions ambivalentes entre les états recensés.

Cette association, mieux perceptible au regard du sériographe pondérant les contributions ambivalentes (fig. 75, C), signale les marqueurs anciens de cet horizon, alors que les fibules filiformes et à arc triangulaire à corde interne (groupes F20, F22, F23) caractérisent la fin de cet état. Bien que minoritaires, ces marqueurs sont représentatifs de l'extrême fin du II^e s. av. J.-C. ou du début du siècle suivant (milieu de LTD1b), datation qui sera retenue pour la clôture de cet état dont le commencement est évalué au début de LTD1b. Les ensembles du cellier 15520 ou de la fosse 16218 du bâtiment B, constitués lors de la désaffectation de l'édifice, illustrent tout particulièrement cette séquence avec autant des marqueurs anciens (fibules de Nauheim, bracelet en verre incolore à couverte interne jaune) que des traits évolués comme des fibules filiformes (groupes F23 et F03) ou un ressort à corde externe haute (groupe F30).

Fig. 75. Sériation du corpus de fibules de l'habitat.

Au regard de l'analyse statistique, l'état 2.1 se révèle toujours marqué par l'association entre fibules de Nauheim (groupe B22) et de schéma La Tène moyenne (groupes F11, F10, B10, B21), une composition résultant vraisemblablement des épandages attribués à l'état 1 à 2.1 et scellés par les radiers postérieurs. Le faciès se diversifie toutefois avec l'apparition de fibules à ressort à corde interne et à arc interrompu en alliage cuivreux (groupe B24) et surtout de fibules filiformes à corde externe (groupe F33). La fibule de Nauheim et l'ensemble des fibules à corde interne demeurent majoritaires par rapport à ce dernier type dont la présence laisse postuler une datation à la transition entre LTD1b et LTD2a, pour la fin de cette séquence.

C'est précisément le basculement dans le rapport entre les ressorts à corde interne (groupes B20, F20) et externe (groupes F33, F30, B33) et surtout entre les fibules de Nauheim (groupe B22) et les fibules filiformes à corde externe (groupe F33) qui constitue la spécificité des états 2.2 et 2.3. Sans disparaître des faciès, les formes caractéristiques de LTD1b comme les fibules filiformes à corde interne (groupes B23, F23) semblent en effet remplacées par leur pendant à corde externe (F33, B33). Peu documenté de façon indubitable dans l'habitat en raison des nombreux ensembles attribués à l'état 2.2 et 2.3 dans la zone nord du site, le faciès diversifié de l'état 2.2 est notamment marqué par la régression notable, voire la disparition de la majorité des marqueurs les plus anciens (groupes F11, F12, B10, F01) et par l'arrivée de nouveaux types dont les fibules à arc interrompu à corde externe en alliage cuivreux (groupe B34). Cette évolution suggère un faciès centré sur toute la séquence de LTD2a alors que l'état suivant semble devoir être évalué entre la fin de cette séquence et le début de la suivante (fin LTD2a-LTD2b).

La tendance observée précédemment s'accroît encore durant cette phase caractérisée par une surreprésentation des fibules filiformes à corde externe (groupe F33), par l'apparition de nouveaux types dont la fibule à coquille (groupe F25) et surtout par la bonne représentation des fibules à arc interrompu (groupes B24, F24, B34, F34). Ces formes, également très présentes dans les décapages de surface, sont notamment caractérisées par des exemplaires à ailettes naissantes en alliage cuivreux (types B24-3 et 4) ou encore par les fibules en fer à arc coudé interrompu par une perle (type F24-4), tout à fait représentatives de cette transition. Leur surreprésentation s'affirme notamment à la vision des rares faciès de l'état 3 qui comprennent encore souvent de tels éléments.

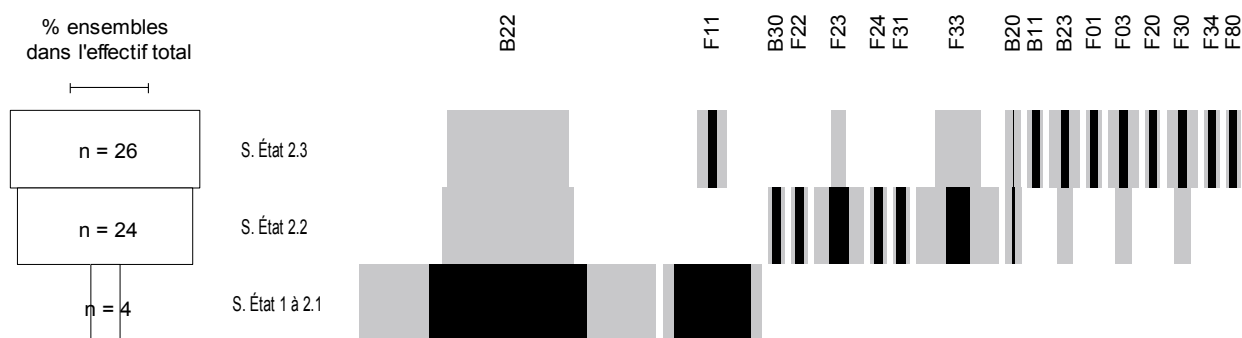
Évolution des faciès de fibules du sanctuaire

Afin de permettre la comparaison avec la sériation fournie par le corpus de l'habitat, l'évolution typologique du corpus du sanctuaire a été effectuée selon le même processus, avec des choix de regroupement qui relèvent de l'effectif inégal des phases du sanctuaire et de la confection d'horizons. L'analyse a été réalisée, dans un premier temps, à l'aide d'une matrice graphique et une sériation générale du corpus par phase, en attribuant les ensembles de datation large à l'état le plus récent (fig. 76, A et B et [cat. 11](#)). La pondération a ensuite été effectuée pour former un horizon cohérent de quatre fibules en regroupant l'occupation et la destruction de l'état palissadé du sanctuaire (état 1.1 et 1.2) et les remblais liés à la construction de la galerie (état 2.1) qui apparaissent ensuite sous l'appellation de l'état 1. Dans la même optique, les contributions des ensembles attribués à l'état 2 *lato sensu* ont été divisées entre les phases de l'état 2.2 et 2.3 (fig. 76, C).

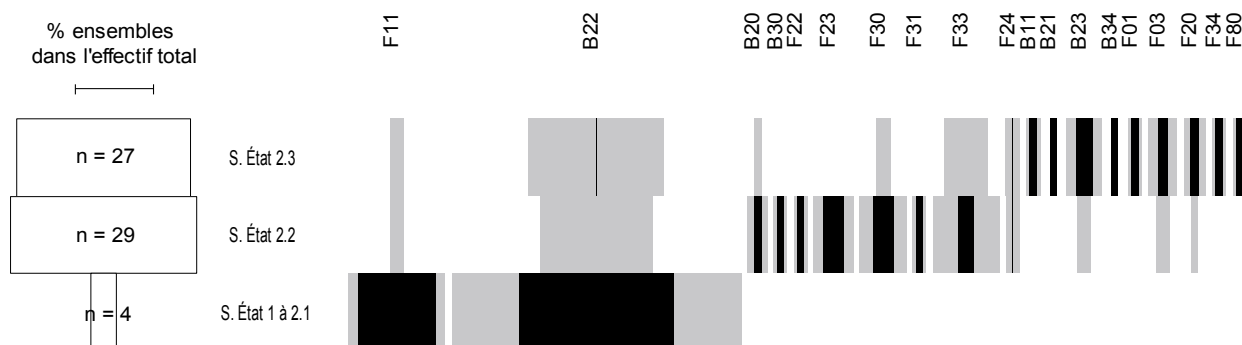
Les fibules sont sous-représentées durant le premier état du sanctuaire, période où elles ne sont pas encore déposées intentionnellement. Le faciès de cette période est constitué essentiellement de fibules de Nauheim (groupe B22) et de fibules de schéma La Tène moyenne (F11) auxquelles pourraient être ajoutées deux fibules à ressort à corde externe, exclues de l'analyse en raison du risque d'intrusion que relevaient leurs contextes. Sa composition, nettement moins diversifiée que celle

	F11	B22	B20	B30	F22	F23	F24	F31	B23	F03	F30	F33	B11	F01	F34	F80
S. État 1.1																
S. État 1.2																
S. État 2.1																
S. État 2.2																
S. État 2.3																

A. Sériation des fibules en présence/absence en utilisant uniquement les ensembles attribués à un seul état. Les cases en gris illustrent les types dont la présence est supposée durant cette phase.



B. Sériation des fibules en attribuant l'ensemble des contextes ambivalents à l'état le plus récent.



C. Sériation des fibules en pondérant les contributions ambivalentes entre les états recensés.

du premier état de l'habitat, pourrait indiquer une datation plus ancienne pour le démantèlement de la palissade du sanctuaire (LTD1b classique) par rapport à la fin de l'occupation du premier état du secteur environnant (transition entre LTD1b classique et récente). La faible représentativité de l'ensemble (4 ind.) et l'analyse des mobiliers associés qui plaident pour une attribution au milieu de LTD1b, relativement proche de celle formulée pour l'habitat, incitent toutefois à la prudence. Si l'on outrepassait ces restrictions méthodologiques, le décalage observé pourrait être formulé de la sorte : une datation dans l'extrême fin du II^e s. av. J.-C. similaire à celle proposée pour les sites de plaine arvernes pour le sanctuaire, alors que la fin de la première séquence de l'habitat se situerait plutôt après 100 av. J.-C.

Nettement mieux attestée, l'occupation du sanctuaire (état 2.2) avant les aménagements de radiers (état 2.3) présente les caractéristiques réunies des ensembles de l'état 2.1 et 2.2 de l'habitat, à savoir un faciès dominé par les fibules filiformes avec encore une très bonne représentation des fibules de Nauheim. L'équilibre entre les fibules filiformes à corde externe et à corde interne (F23, F33), clairement séparées dans les faciès de l'habitat, constitue également un argument en faveur d'une datation regroupant l'intégralité des deux états de l'habitat.

Fig. 76. Sériation du corpus de fibules du sanctuaire.

C'est aussi durant cette phase qu'apparaissent les fibules à arc interrompu à corde interne (groupe F24) qui font écho aux exemplaires similaires en bronze (groupe B24), documentés dès la phase 2.1 de l'habitat.

Le faciès de l'état 2.3 du sanctuaire soutient la comparaison avec celui de la même phase dans l'habitat, même si le poids des marqueurs anciens, comme les fibules de schéma La Tène moyenne en alliage cuivreux (B11, B21, F01), très vraisemblablement résiduelles, y demeure important. En effet, cet ensemble est avant tout caractérisé par les fibules à arc interrompu (B34, F34, F24) qui illustrent également cette séquence de la fin de LTD2a et du début de LTD2b dans l'habitat.

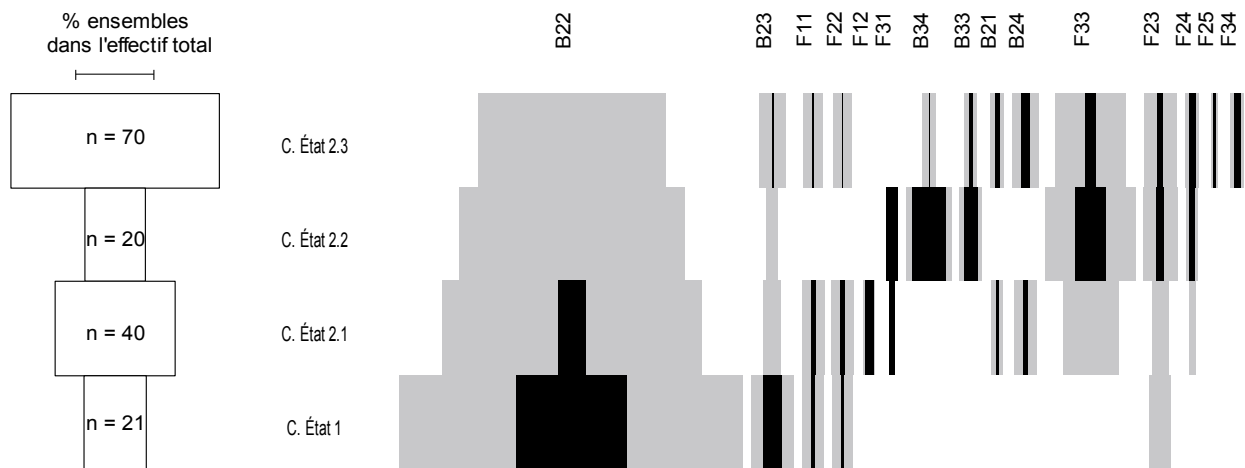
Évolution typochronologique des fibules de Corent

Cette évolution transparaît également de la sériation générale des fibules regroupant trois critères morphologiques (matière, ressort et association pied/arc) et de celle où tous les critères sont juxtaposés (fig. 77, A et B). Pour les deux cas de figure, le faciès de l'état 2 du sanctuaire a été réparti entre les faciès de l'état 2.1 et 2.2 de l'habitat, sur la base de la comparaison effectuée précédemment en intégrant uniquement les données de l'état le plus récent. L'image fournie par la sériation des critères indépendants les uns des autres (fig. 77, B) résulte de la prise en considération de chacun d'eux, pour chaque état. Elle compare la contribution de l'ensemble des critères afin de donner une tendance globale de l'évolution des fibules de Corent. Ces analyses fournissent un premier aperçu de l'évolution du groupe dont la séquence correspond souvent à la datation de plusieurs types particuliers. L'insertion chronologique de chacun d'entre eux peut maintenant être effectuée à l'aune de la réflexion typologique réalisée précédemment.

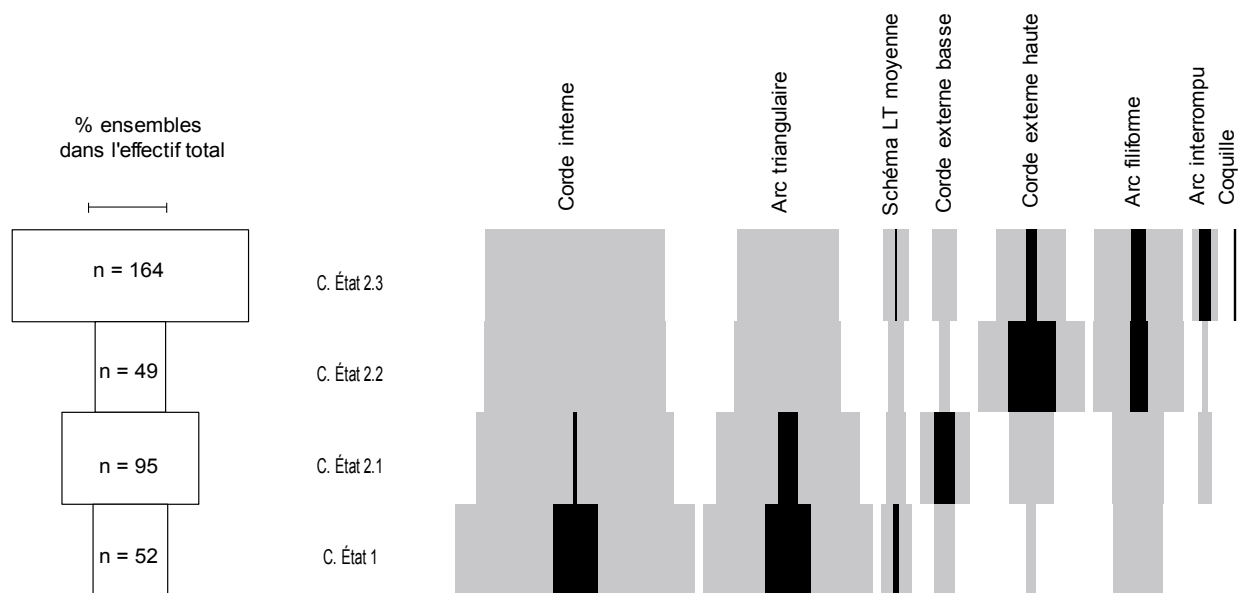
Ces deux sériations contiennent le cadre général d'une figure de synthèse présentant les types par catégorie, le parti pris étant de fournir une évolution des types à partir du critère de l'arc et de la matière (fig. 78). Elle constitue la synthèse typochronologique des différents types documentés précédemment en juxtaposant l'apport de la mise en phase du site de Corent et les données bibliographiques pour les types retenus.

De fer ou de bronze, les fibules de schéma La Tène moyenne classique à ressort à corde externe basse (groupes F11, B11) ne sont pas suffisamment bien représentées pour permettre une analyse chronologique détaillée. La rareté des arcs tendus caractéristiques du début et du milieu de La Tène moyenne est à relever et contraste avec la prédominance des formes fortement incurvées de la seconde moitié du II^e s. av. J.-C. Bien que ces types apparaissent majoritairement dans les deux premiers états du site, ils se retrouvent relativement souvent en position résiduelle. Par leur contexte, les exemplaires à corde interne (groupes F21, B21) ou à corde externe haute (groupe F31) se retrouvent systématiquement dans des ensembles postérieurs aux premiers types à corde externe basse. De nombreuses attestations recensées en d'autres sites (Manching, Toulouse), dès la séquence classique de LTD1b pondèrent toutefois cette comparaison. La bonne représentation des fibules à corde externe basse, dans les faciès de l'état 2.1, résulte très vraisemblablement des nombreux niveaux scellés attribués à l'état 1 et 2.1 et démontre encore, s'il le fallait, le fort lien entre cet état et le II^e s. av. J.-C.

Discutée en détail précédemment, l'évolution de la fibule de Nauheim (groupe B22), typique de LTD1b, montre en Auvergne une diminution progressive de la taille de l'arc et principalement de sa largeur. Mal référencée sur le site, la relation entre le type classique en alliage cuivreux et sa variante en fer (groupe F22) demeure difficile à établir étant donné son apparition dès la première phase du site et leur association dans les mêmes contextes, tant à Feurs qu'à Roanne. De même, la provenance de la seule fibule à tête couvrante et arc triangulaire (état 2.1) n'est d'aucune aide pour évaluer sa relation avec ces deux types principaux, même si une



A. Sériation des principaux groupes en réunissant les données de l'ensemble du site de Corent (sanctuaire et habitat).



B. Sériation des critères utilisés pour la définition des groupes typologiques.

apparition synchrone, voire une légère antériorité pour ce prototype d'utilisation courte, semble se dégager au vu des ensembles de références précités (Entremont, Pulvérières). Élevé jusqu'à la fin de l'état 2.1, le nombre de fibules de Nauheim régresse à partir de la phase médiane du site (état 2.2), sans pour autant diminuer au point de postuler l'abandon de leur production qui semble avoir perduré dans une partie de LTD2a. Cette hypothèse est par ailleurs corroborée par les nombreuses variantes de petite taille, peu courantes sur les sites de plaine.

La perte de vitesse de la fibule de Nauheim s'effectue dans un premier temps au profit des fibules filiformes. Synchrones de la fibule de Nauheim, et parfois considérées comme une variante de ce type, les premières formes à ressort à corde interne en bronze à arc de section circulaire ou losangique (types B23-1 et 2) sont également concentrées dans les deux premières phases du site. Parfois à corde externe, elles se raréfient au début de LTD2a pour réapparaître à l'extrême fin de la séquence (état 2.3 et 3), sous la forme de fibules à pied multifenestré et arc outrepassant (type B23-4). Ce sont toutefois surtout les fibules filiformes en fer (groupes F23 et F33) qui éclipsent la position dominante de la fibule de Nauheim à partir de l'extrême fin du II^e s. av. J.-C. Absentes des sites de plaine du II^e s. av. J.-C., ces parures, déjà attestées de façon sporadique durant la première phase

Fig. 77. Sériation des types complets corrélée à la sériation des critères de définition des groupes de la typologie.

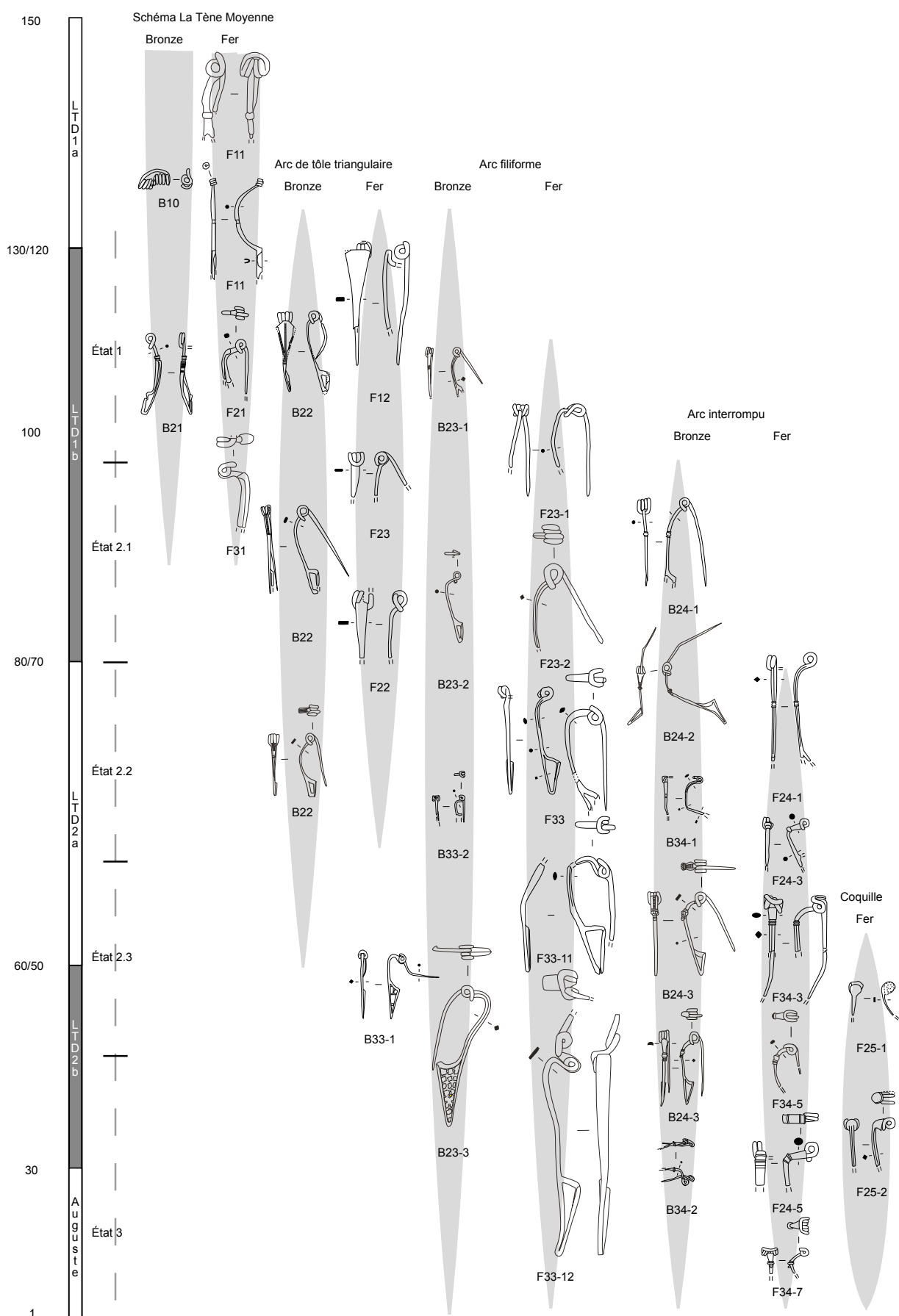


Fig. 78. Évolution typochronologique des fibules de Coeur de France.

du site, prennent une part importante dans le faciès à partir de l'état 2.1, sous leur forme à corde interne et arc tendu de section circulaire ou losangique (types F23-1 et 2). Les ressorts à corde externe haute (groupes B33 et F33) remplacent ensuite progressivement ceux à corde interne, dès l'état 2.2, pour constituer le marqueur le plus significatif de LTD2 *lato sensu*. Cette évolution, également perceptible sur le site de Gondole, est par ailleurs assortie d'une évolution de la cambrure de l'arc qui se courbe de plus en plus pour outrepasser le ressort, à la fin de l'époque laténienne et au début de l'époque romaine (types F33-11 à 13). De même, la section simple de forme circulaire ou losangique des premiers types filiformes devient lenticulaire dans sa phase médiane (type F33-7) puis rubanée à la fin de leur évolution (type F33-12). Les fibules de Nauheim représentent donc les premières phases d'occupation du site, tandis que les fibules filiformes caractérisent sa phase médiane et que celles à arc interrompu signalent la fin de la séquence laténienne d'occupation du site.

Dans ce groupe marqué par une évolution constante depuis LTD1b, les fibules à ressort à corde interne et à arc filiforme et à nodosité en alliage cuivreux (type B24-1) constituent les premières formes d'une morphologie qui va perdurer durant la totalité du I^{er} s. av. J.-C. Recensée sur le site au plus tard lors de l'état 2.1, cette forme apparaît dès la fin du II^e s. av. J.-C., au vu des rares exemplaires connus dans des agglomérations de plaine comme Toulouse ou Bâle-Gasfabrik. Si la forme hybride entre les fibules de Nauheim et celles à nodosité (type B24-2) apparaît légèrement plus tôt en d'autres régions (fin de LTD1b), les autres types à arc interrompu s'avèrent peu documentés avant une phase évoluée de LTD2, comme en témoigne leur fréquence durant l'état 2.3 et surtout dans les décapages de surface. Seul le type B34-1 de petite taille à arc cambré et corde externe est connu antérieurement, à savoir dans deux contextes clairement attribués à LTD2a (état 2.2).

L'évolution des exemplaires en fer à nodosité demeure difficile à évaluer en raison de la faible représentation de la plupart des types. Si le même schéma évolutif que celui proposé pour les fibules en alliage cuivreux peut être envisagé, les premières formes ne permettent pas de postuler une apparition avant LTD2a. Ainsi, seules les fibules dont l'arc coudé est orné d'une perle (type F24-4) sont clairement documentées avant l'état 2.3. La forme la plus fréquente, constituée des exemplaires à arc de section lenticulaire, puis losangique (types F34-3 et 4), est clairement majoritaire dans la phase finale de l'*oppidum* (état 2.3) et dans des niveaux de décapage. Cette recension, à laquelle peut être ajoutée une parure issue de la destruction de la palissade extérieure du sanctuaire, constitue un argument pour interpréter ces fibules comme de bons marqueurs d'une phase évoluée de LTD2. De même, par leur rareté et leur contexte d'origine, les quelques fibules à coquille (F25 et B25) caractérisent LTD2b et l'époque augustéenne.

3.1.2. LES BRACELETS

Avec 118 individus, les bracelets métalliques s'affichent comme une part non négligeable de la parure de La Tène finale, qui comprenait moins fréquemment des parures en verre (19 ind.) ou en roche noire (33 ind.). Si la majorité des types sont traités dans le cadre de la publication du sanctuaire, la variété typologique s'est diversifiée avec des apports ponctuels provenant tant du corpus de l'habitat traité dans ce travail que lors des campagnes récentes ([cat. 12](#)). Par conséquent, il nous a semblé adéquat d'exposer une typologie détaillée de ces parures qui constituent parfois de bons marqueurs typochronologiques.

Ce classement typologique procède en trois phases, selon une méthode inspirée de celle effectuée par Pierre-Yves Milcent sur les parures du Premier âge du Fer

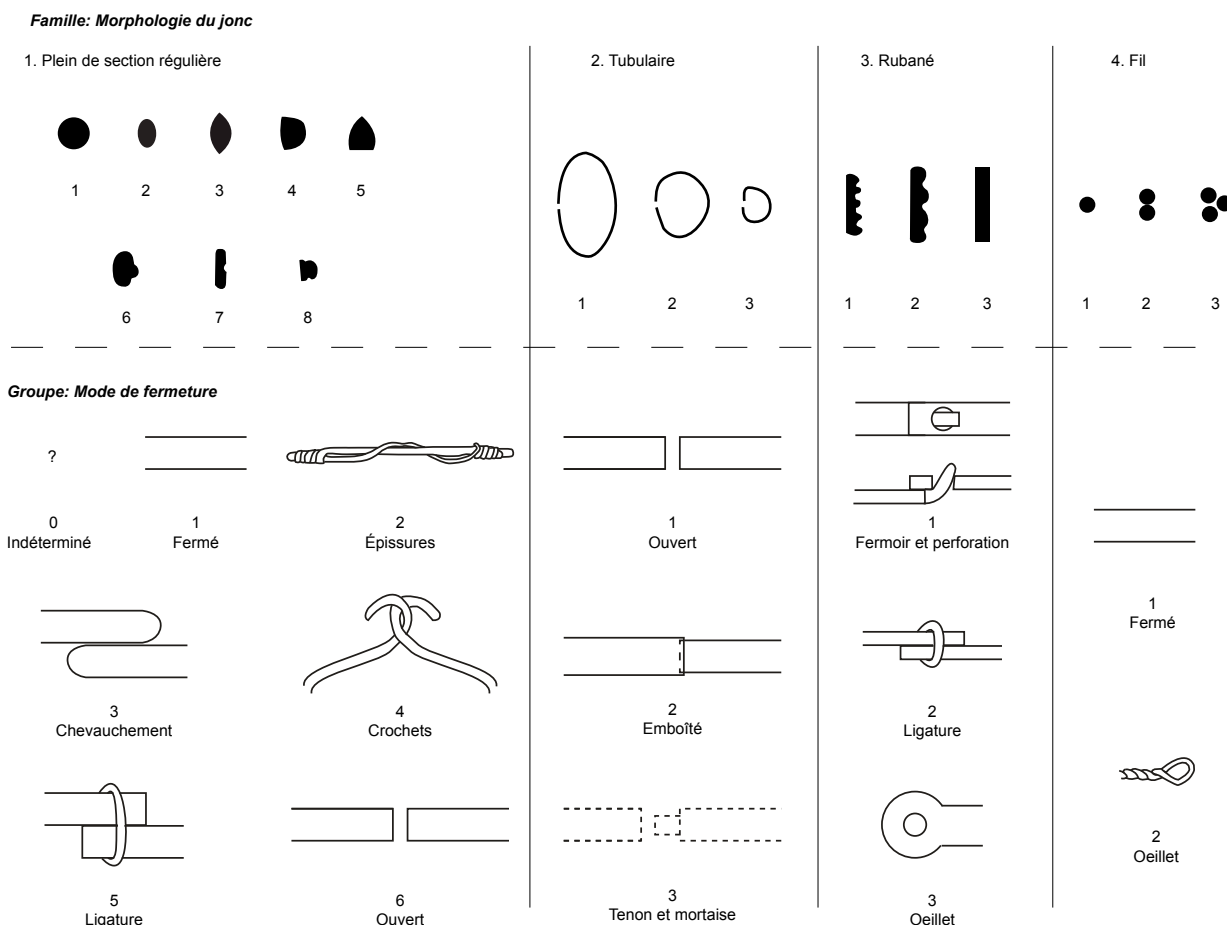


Fig. 79. Principes du classement typologique des bracelets.

(Milcent 2004, p. 147-152). Le premier critère définissant les grandes familles réside dans la forme du jonc (fig. 79), subdivisée en quatre classes, à savoir : les joncs pleins de section régulière (famille 1), tubulaires (famille 2), rubanés (famille 3) ou constitués d'un fil ou de plusieurs fils (famille 4).

Le mode de fermeture forme le deuxième critère pour l'élaboration de groupes au sein de chaque famille. La première famille de bracelets à jonc lisse présente la plus grande variabilité sur ce point, avec des bracelets à jonc continu ou fermé par un système d'épaisures, par chevauchement, par crochets et par une ligature. Ils peuvent également être ouverts et ce critère demeure souvent indéterminé lorsque l'objet est fragmentaire. Le mode de fermeture des bracelets tubulaires est très mal connu sur le site avec seulement quelques extrémités finies qui laissent supposer des bracelets ouverts, emboîtés ou encore ligaturés au vu d'une terminaison perforée (pl. 29, n° 3). Le système de tenon et mortaise, avéré en d'autres sites (voir par ex. Devilliers 1997, fig. 2, n° 318-14), n'est pour l'heure pas représenté, bien qu'il puisse avoir été en usage sur certaines parures tubulaires fragmentaires. Il en est de même pour la fermeture à épissures attestée sur un bracelet en argent de Gandaillat (Orengo 2002, pl. 12). Les bracelets rubanés, le plus souvent cannelés, sont majoritairement clos par un fermoir inséré dans une perforation. L'utilisation d'une ligature organique est également avérée sur une parure dont la perforation est trop fine pour y insérer un fermoir. La dernière famille comprend les bracelets à fermeture continue ou à œillet. La définition des types repose ensuite sur les caractéristiques intrinsèques de chaque groupe. La variation de section exposée dans la présentation des familles et la présence de décors incisés constituent autant de spécificités exploitées à ce stade. Un code métal est rajouté à chaque élément afin d'intégrer les rares individus en fer.

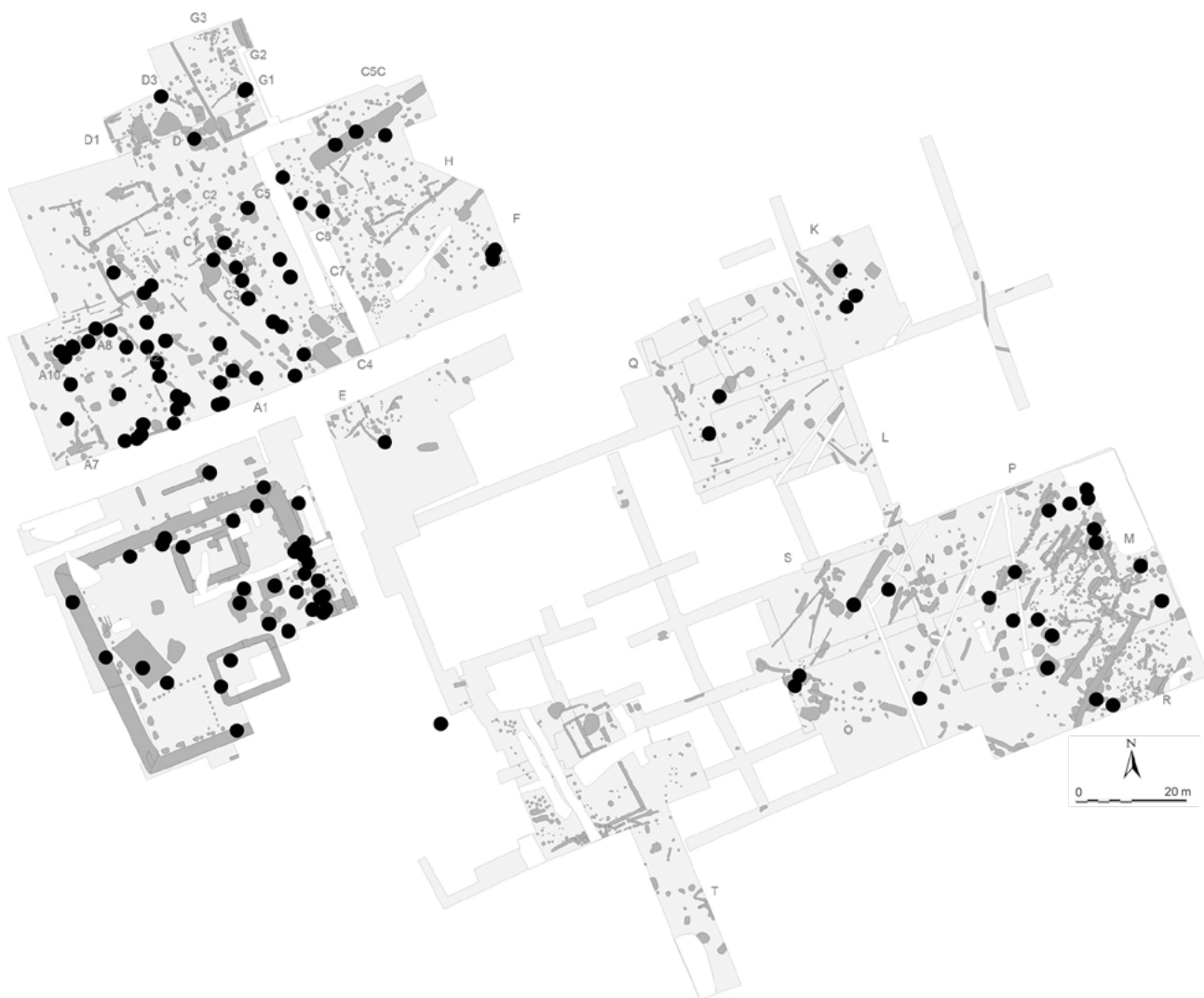


Fig. 80. Répartition spatiale des bracelets.

Sur le plan de la fragmentation, les données moyenne et médiane des longueurs conservées se situent à un peu plus de 40 mm, avec des extrema à 5 mm et 120 mm (fig. 81). Les artefacts les plus grands se retrouvent, la plupart du temps, sous la forme de bracelets dépliés qui peuvent correspondre à des objets en cours de fabrication, de recyclage ou volontairement manipulés. Leur masse moyenne est évaluée à 4,5 g, alors que leur masse médiane est inférieure à 2,5 g. Ces deux données très basses résultent vraisemblablement de la fréquence des bracelets tubulaires réalisés en tôle sur une âme en matériau organique. Le nombre des individus complets s'élève à 11 dans l'habitat alors qu'il est moins important dans le sanctuaire (4 ind.). Ce phénomène est d'autant plus prononcé que le prélèvement des bracelets tubulaires très fragiles, a pu endommager certains individus complets (voir par ex. pl. 137, n° 8 ; pl. 157, n° 3 ou pl. 63, n° 9) qui nous parviennent rarement intacts. Ce bon état de conservation général suggère que ces parures ont fait l'objet de dépôts intentionnels, aussi bien dans l'habitat que dans le sanctuaire dont le corpus présente non seulement des objets complets, mais aussi des parures volontairement détruites (Poux et Demierre 2015, fig. 355).

Une consommation préférentielle de ces parures dans la sphère religieuse est également perceptible à l'aide des distributions spatiales (fig. 80) qui montrent clairement une surreprésentation à l'entrée du sanctuaire ainsi qu'au nord dans le bâtiment A. Elles se répartissent autrement de manière éparse sur le reste du site où les rares concentrations enregistrées peuvent correspondre à la proximité d'un atelier (bâtiments C et F) ou encore à des dépôts isolés (bâtiment M et G).

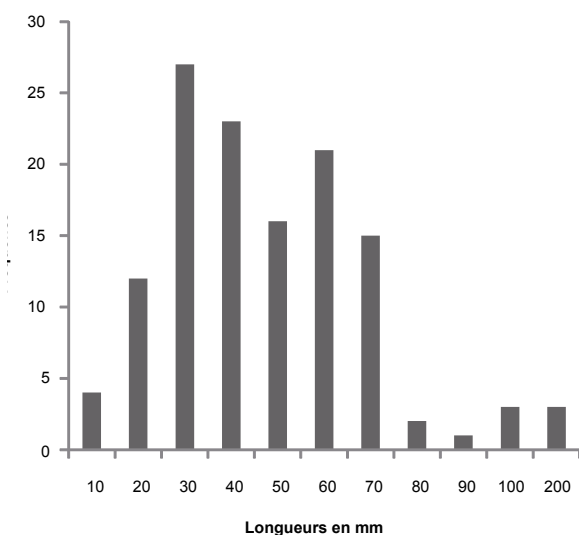


Fig. 81. Répartition par classe de la longueur conservée des bracelets.

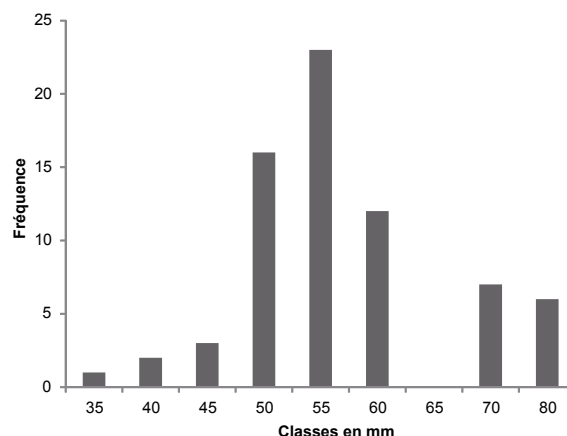


Fig. 82. Répartition par classe du diamètre interne des bracelets.

L'étude de leur diamètre interne, obtenu sans prendre en considération leur hauteur interne compte tenu de la fragmentation du corpus (Millet 2008, fig. 11), révèle un standard situé entre 45 et 60 mm, conforme aux normes actuelles pour la parure féminine (fig. 82). Les rares exemplaires inférieurs à ces mesures sont interprétables comme des parures d'enfant, alors que celles de dimensions supérieures pourraient être le signe d'un port masculin. En admettant ce postulat, l'absence de parure entre 60 et 65 mm refléterait la différence actuelle entre parures féminines et masculines. Si cette hypothèse se justifie, les parures destinées aux hommes seraient les rares bracelets en fer, tubulaires et à jonc plein triangulaire (groupes F1 et F2), l'individu à terminaison de palmipède (type B16-2), les deux bracelets tubulaires dont un de section fine (groupes B21 et B22) et le bracelet à jonc tressé de fil (type B4-2). La confrontation aux données disponibles en contexte funéraire (Millet 2008, p. 60-61 et fig. 12-13) soutient ce discours sur le plan de la norme en y apportant certains bémols, notamment pour les parures annulaires portées par des enfants. Si ces dernières présentent en effet des dimensions plus réduites, leur diamètre interne recouvre également les normes observées pour les adultes (Millet 2008, fig. 14). À la vue de cette comparaison et malgré l'image de la répartition par classe des diamètres, l'exploitation du diamètre interne des bracelets demeure problématique pour obtenir une attribution de genre ou de classe d'âge.

Groupe B10. Les bracelets à jonc plein à mode de fermeture indéterminé

Ce groupe rassemble les fragments de bracelets qui ne peuvent être différenciés qu'à l'aide de leur section ou grâce à la présence d'un décor, leur fragmentation empêchant de recourir à leur mode de fermeture (fig. 83). Sur cette base, il peut être divisé en trois sous-groupes : les types 1 à 5 comportant les exemplaires à jonc lisse de section circulaire (type 1), ovale (type 2), lenticulaire (type 3), hémisphérique ou en « D » (type 4) ou encore ogivale (type 5) ; les bracelets cannelés à une arête centrale (type 6), une rainure centrale (type 7) ou à rainures latérales (type 8) ; le dernier sous-groupe correspondant aux joncs ornés de lignes de points (type 9), des incisions obliques à section en « D » (type 10) ou ovale (type 11) et à fausse torsade (type 12).

Par leur simplicité et l'absence de mode de fermeture, les parures à jonc lisse (**types 1 à 5**) demeurent particulièrement difficiles à dater. Elles sont attestées, sur l'ensemble des phases du site, avec une bonne représentation dans les premiers états et une répartition chronologique logique au vu de leur fréquence sur

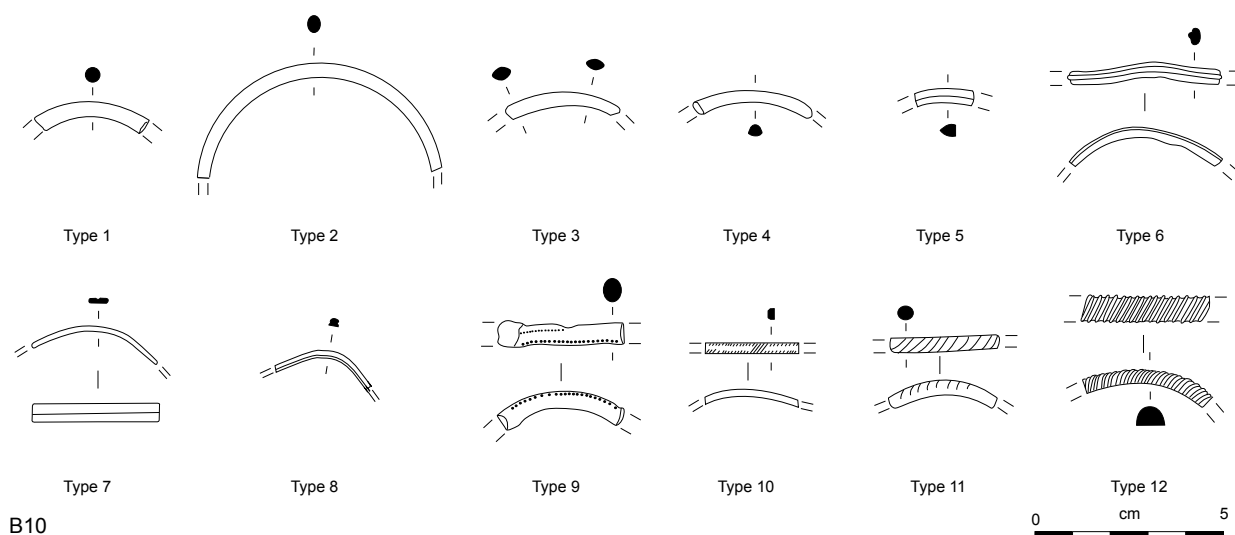


Fig. 83. Types de bracelets à jonc plein à mode de fermeture indéterminé (groupe B10). Alliage cuivreux.

les sites d'habitats de plaine, comme celui d'Aulnat/Gandaillat ou du Pâtural (Deberge *et al.* 2007a, p. 166). Leur perduration durant LTD2 ne résulte vraisemblablement pas d'un quelconque phénomène de résidualité, compte tenu de leur fréquence dans l'habitat de plaine de Villeneuve-Saint-Germain (Pion 1996, p. 292) ou encore dans celui de Gondole (Deberge *et al.* 2009, p. 111).

La période de consommation des bracelets à jonc cannelé à arête centrale (**type 6**) semble plus restreinte et concentrée sur LTD1b, comme en témoignent les huit exemplaires issus de la dernière phase d'occupation de la Caserne Niel à Toulouse (Demierre 2016b, p. 626) ou encore l'exemplaire de la dernière phase de comblement du ruisseau 5557 du Pâtural (Deberge *et al.* 2007b, p. 166, pl. 78, n° 9). Cette datation est corroborée par un seul individu (pl. 143, n° 2 et 3) mis au jour sous le radier 21080 du bâtiment M et attribué à l'état 2.1. Les bracelets à rainure centrale (**type 7**) ou incisée sur chaque flan (**type 8**) sont affiliés au type 1b de Devilliers. Les parallèles exacts de Fesques permettent de les dater de LTC2 à LTD2 (Devilliers 1997, p. 223, fig. 5, CS-82, SURF-12). Une datation durant LTD2 pourrait même être proposée au vu des contextes de Corent, même si des parallèles proches sont connus depuis LTD1a (Nillesse 2012b, p. 285-286, annexe 8, n° 42).

Au sein des bracelets à jonc plein orné, seul l'exemplaire hors contexte décoré d'une ligne de points (**type 9**) peut être considéré comme une parure laténienne de manière assurée. En effet, ce décor est relevé sur une parure à jonc lenticulaire (type B16-1) également recensée à Fesques (Devilliers 1997, fig. 5, SURF-3), alors que les autres types proviennent tous de contextes gallo-romains. À section en « D » et orné de lignes obliques, le **type 10** est attesté au début IV^e s. ap. J.-C. à Augst (Riha 1990, pl. 23, n° 600), tandis que l'ornementation d'incisions, donnant un effet torsadé au bracelet à section ovale du **type 11**, se retrouve sur des parures à terminaisons ouvertes simples (Crausaz 2014, pl. 7, n° 152 et 153) ou de tête de serpent (Swift 2000, fig. 211, type 28) de datation similaire, voire plus tardive (Swift 2000, p. 119, 350-410 ap. J.-C.). La tombe B des Martres-de-Veyre, fouillée en 1851 par A. Audollent, livre par ailleurs une parure de ce type en association avec un bracelet à épissures (Ducreux 2013, pl. 122, n° 1 et 12). S'il se rapproche de l'effet visuel recherché dans les exemplaires précédents, le décor mouluré du **type 12** évoque celui des bracelets en verre gallo-romains datés de la seconde moitié du II^e s. au IV^e s. ap. J.-C. (Riha 1990, pl. 25-26).

De sections lenticulaires ou ovales caractéristiques, quelques occurrences issues de ce groupe présentent une courbure trop faible ou trop irrégulière pour former le jonc d'un bracelet (fig. 84, n° 1 à 4) et sont interprétables comme le

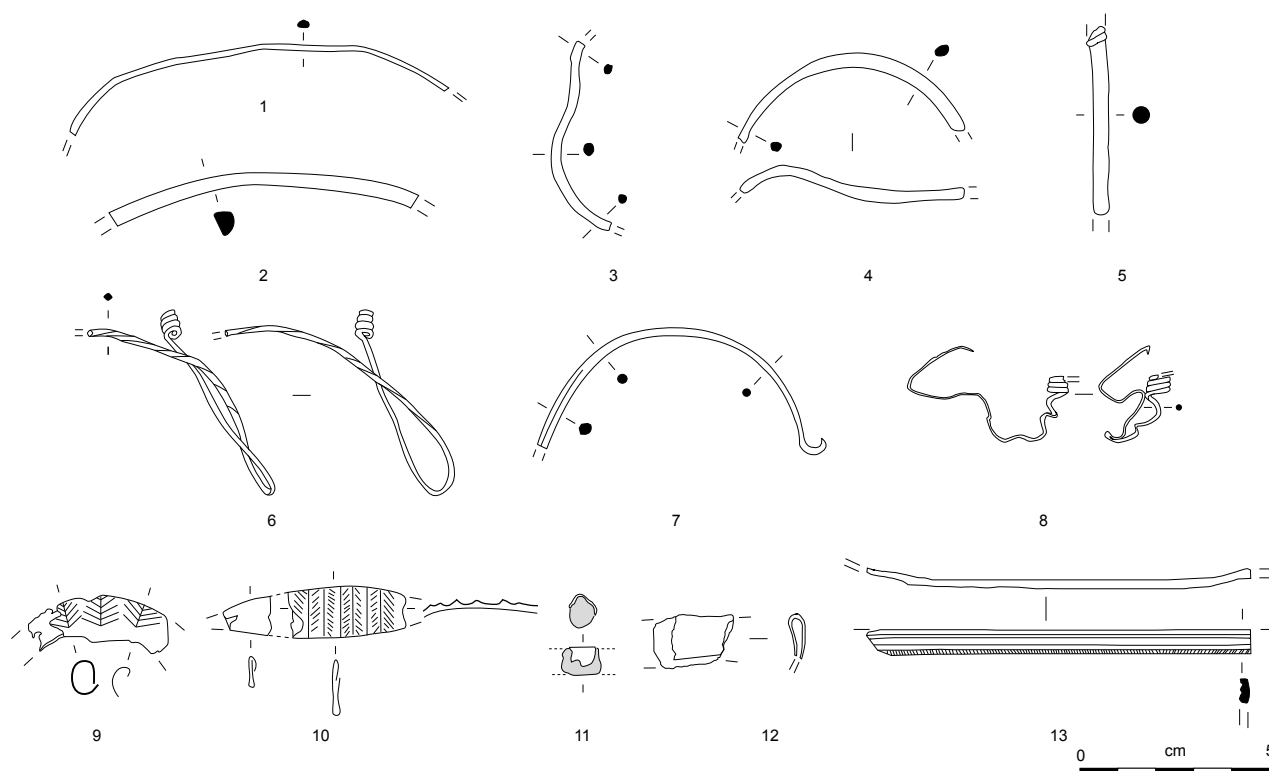


Fig. 84. *Bracelets en cours de fabrication et autres éléments suggérant leur production sur le site. Alliage cuivreux.*

relief d'une fabrication interrompue. Ce postulat se justifie d'autant plus si ces parures proviennent de contextes artisanaux. De telles associations sont à relever dans la bordure ouest du complexe C ([pl. 43](#) et [60](#)), ainsi que dans la fosse 18098 du bâtiment F ([pl. 106](#)) où un fil de section lenticulaire (fig. 84, n° 1), interprété comme un bracelet, est mêlé à des fragments de bracelets tubulaires (fig. 84, n°s 11 et 12), à une lingotière et à des outils liés à l'artisanat du métal, dont un marteau de dinanderie à longue panne, un hypothétique martyr et un ciselet ([pl. 107](#)).

Groupe B11. Les bracelets à jonc lisse fermé

Si de nombreux éléments du groupe précédent peuvent avoir été, à l'état neuf, fermés de manière continue, seuls quatre bracelets complets entrent dans ce groupe (fig. 85). Issus de l'habitat, ils sont classés selon leur section circulaire (type 1) ou hémisphérique (type 2). La même remarque sur l'ampleur chronologique (LTC2-LTD *lato sensu*) que celle exprimée au sujet du groupe précédent s'applique à ces bracelets fermés. Les deux contextes d'origine exploitables sont attribués à l'état 1 et 2.1, dont un probable dépôt volontaire dans un poteau du bâtiment A10 où le bracelet accompagne une perle et un fragment d'orle ([pl. 33](#), n°s 6 à 8).

Groupe F11. Les bracelets à jonc lisse fermé

Particulièrement rares et difficiles à différencier de simples anneaux de quincaillerie, les bracelets en fer ne sont représentés que par deux individus dont la forme elliptique et la section triangulaire (type 1) ou en « D » (type 2) ne laissent que peu de doute quant à leur attribution fonctionnelle (fig. 85). Par leur taille, ces parures pourraient aussi être interprétées comme des brassards (Orengo 2002, pl. 57, sép. 416, n° 10), en particulier le bracelet à section planiconvexe (type 2), ou des bijoux destinés à une clientèle masculine (Millet 2008, p. 59-62 et p. 162). Rarement reconnues en contexte d'habitat (Pion 1996, p. 151), elles sont parfois recensées en contexte funéraire, notamment à Feurs où des exemplaires à épissures ou fermés par chevauchement sont documentés à LTD1 (Guichard, com. oral., sép. 7, 39 et 50) ou à Gandaillat (Orengo 2002, pl. 57, sép. 189, n° 4, sép. 435, n° 11 et sép. 297, n° 8). Un parallèle exact de section triangulaire apparaît

hors stratigraphie au Pâtural (Deberge *et al.* 2007b, pl. 78, n° 4). La rareté des études détaillées de ce type de mobilier et leur forme simple incitent à dater ces parures par leur contexte, en l'occurrence des ensembles de LTD2, même si l'exemplaire du Pâtural laisse supposer une apparition plus ancienne.

Groupe B12. Les bracelets à jonc lisse à épissures

Ce mode de fermeture, caractérisé par un ou deux systèmes de fils enroulés sur le jonc, appelés épissures, servant à ajuster le diamètre de la parure au poignet, est récurrent en Auvergne à partir de l'extrême fin de LTC2 et perdure à l'époque romaine (Poux et Demierre 2015, p. 140). En témoignent par exemple des sépultures des Martres-de-Veyres où les associations des deux exemplaires (Ducieux 2013, pl. 122, n°s 1 et 11) laissent envisager, pour le premier, une attribution à La Tène finale grâce à un bracelet tubulaire à chevrons (type B21-2) et pour le second, issu d'une tombe livrant un bracelet à jonc torsadé ouvert, une datation dans le courant du IV^e. s. ap. J.-C. (type B10-11). Les bracelets à épissures sont particulièrement fréquents dans les habitats de LTD1 comme le Pâtural, qui livre notamment une sépulture avec un bracelet à double système d'épissures (Deberge *et al.* 2007b, pl. 78, n° 25), le quartier Saint-Roch de Toulouse (Demierre 2016b, fig. 5.2.1-23, type 1.3.2) ou encore Bâle-Gasfabrik (Furger-Gunti et Berger 1980, pl. 10, n°s 197 et 198).

Le nombre de systèmes d'épissures a prévalu dans l'établissement des deux types de référence à simple (type 1) ou double (type 2) fermeture, les exemplaires fragmentaires étant considérés comme appartenant au premier type (fig. 85). La répartition par phase des parures complètes des deux types conforte l'idée d'une attribution chronologique large avec deux occurrences issues de trous de structures de l'état 1 (bâtiment C3 et M), tandis qu'une autre parure intacte a été récoltée en surface d'un radier de sol de l'état 3 du bâtiment M (pl. 134, n° 10). Bien qu'il puisse s'agir de matériel en position résiduelle, la découverte de deux bracelets en cours de fabrication dans la cave 25334 fouillée en 2015, dont la première occupation est estimée à l'état 2.3, soutient également l'idée d'une utilisation longue de ce type de bracelet (fig. 84, n°s 6 et 7). Quelle que soit la datation retenue pour cet ensemble, auquel peut être ajouté un autre raté issu des décapages du même secteur (fig. 84, n° 8), ces pièces attestent la production de ce type de parure sur le site.

Groupe B13. Les bracelets à jonc lisse fermé par chevauchement

Attestée dès LTC2 (Devilliers 1997, p. 219-223), la fermeture par chevauchement des terminaisons perdure au moins jusqu'à LTD1. En témoignent les corpus de Corent et des sites de plaine arvernes qui livrent des exemplaires à terminaisons simples (type 1) ou bouletées et moulurées (type 2), dans des ensembles de LTD1b (Poux et Demierre 2015, p. 141 et fig. 85). Leur port est certifié dès le premier état du sanctuaire, si l'on considère l'association des deux bracelets intacts de la branche ouest originaires du même dépôt (Poux et Demierre 2015, p. 141-142). La production du type 2 à extrémité bouletée peut aussi être postulée, au plus tard dans le courant de LTD1b, grâce à une tige moulurée rectiligne dont l'extrémité bouletée a dû se rompre lors de son façonnage (fig. 84, n° 5). Mis au jour sur le sol de l'atelier C3, cet objet est interprété comme un raté de fabrication, compte tenu de l'absence de parures intactes de morphologie concordante. Une réserve doit cependant être émise concernant la datation des terminaisons bouletées fragmentaires qui peuvent également correspondre à des bracelets ouverts, attestés à LTD2 à Gondole (Deberge *et al.* 2009, fig. 67, ca 244).

Groupe B14. Les bracelets à jonc lisse fermé par crochet

Représenté à deux reprises, ce groupe se rapproche des bracelets à épissures sur le plan du mode de fermeture qui, simplifié, ne repose que sur deux crochets opposés, un système déjà connu au Premier âge du Fer (Milcent 2004, fig. 76, n° 7).

Il semble également précoce à la vue du seul contexte utilisable, soit un trou de poteau attribué à l'état 1 ou 2.1 du bâtiment S. La taille réduite de cette pièce (36 x 26 de diamètre interne) et son association avec un miroir laissent envisager une parure féminine ou d'enfant. De dimensions standards, le deuxième individu est recensé sur l'*oppidum* de Jastres-Nord (Lefebvre 2006, pl. 20, n° 277).

Groupe B15. Les bracelets à jonc lisse fermé par ligature

Les meilleurs parallèles pour cette parure fermée par une ligature en matériau organique ou métallique, à terminaisons ornées de quelques lignes incisées (fig. 85), sont attribués à LTA (Millet 2008, type E1a, p. 209 et fig. 79). Sa découverte, dans une sablière de l'état 2.1 du bâtiment à vocation artisanale C3, pose la question de la validation d'une telle datation. Comme la fabrication de parure fermée par un œillet est par ailleurs déjà attestée sur le site à l'époque laténienne (voir groupe B3), ce bracelet pourrait tout autant correspondre à une production ponctuelle ou unique d'un artisan laténien qu'à un élément récupéré. Rare sur le site, le V^e siècle av. J.-C. n'est représenté que par quelques objets issus de prospection ancienne, dont des fibules du Golfe du Lion et à double timbale (Milcent 2004, pl. 114). Bien que la section demeure bombée et non rubanée, l'hypothèse d'une boucle d'oreille du Hallstatt D1-D2 récent mérite

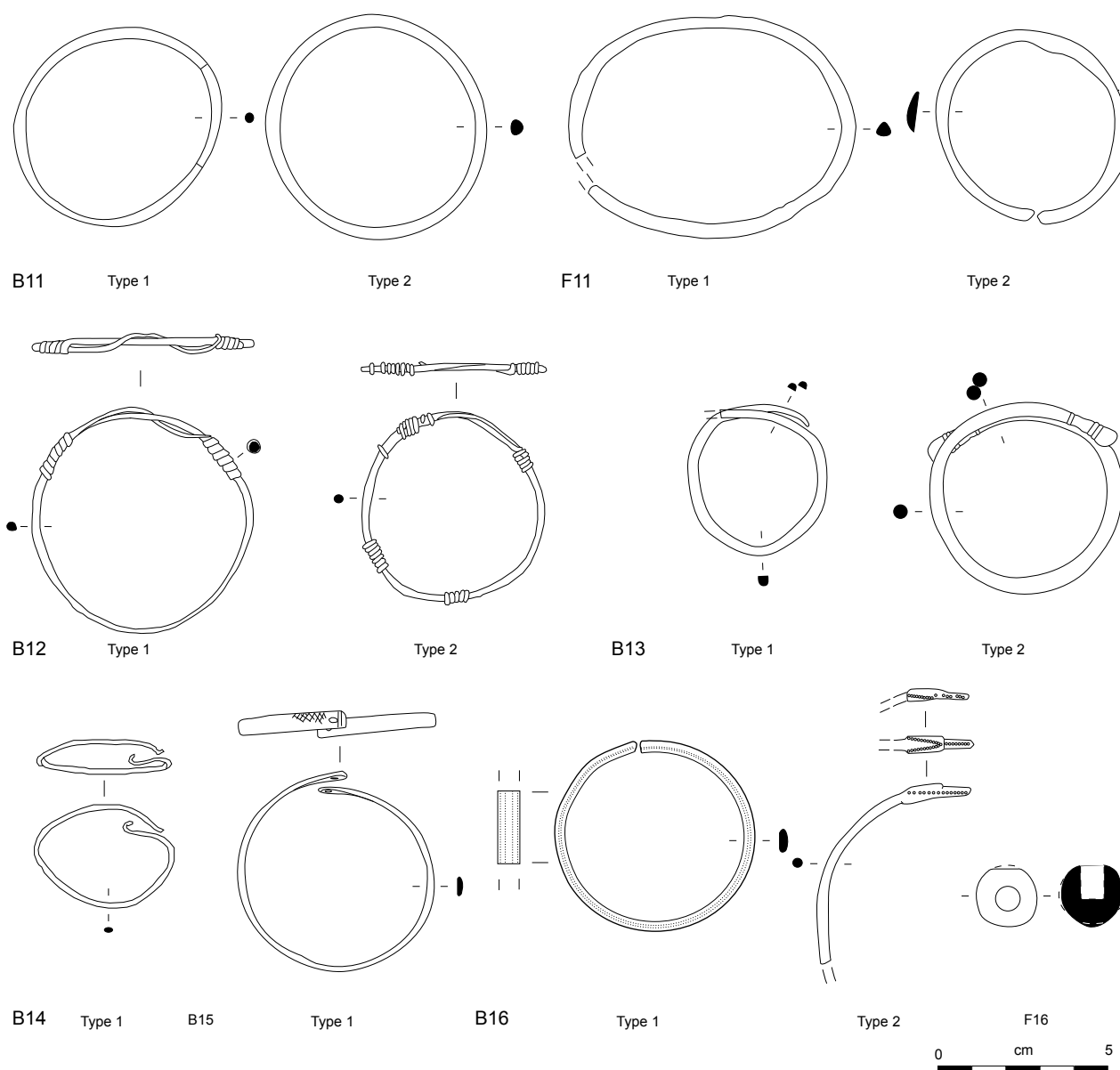


Fig. 85. Types de bracelets à jonc plein fermé (groupes B11, F11, B12 à B16 et F16).

également d'être mentionnée (Milcent 2004, p. 166 et pl. 36, n^{os} 6 et 7). Elle pourrait même avoir notre préférence, au vu de la bonne représentation de la période sur le site et de la présence d'une parure identique sous les niveaux du sanctuaire laténien (Milcent *et al.* 2014, fig. 7, 2004, obj. 402).

Groupe B16 et F16. Les bracelets ouverts

Les trois bracelets à terminaisons ouvertes proviennent du sanctuaire (fig. 85). Il ne semble guère nécessaire d'apporter des précisions à l'analyse qualitative (Poux et Demierre 2015, p. 141) de l'exemplaire à jonc orné de points et de la terminaison bouletée en fer qui pourrait également avoir appartenue à une parure laténienne (Orengo 2002, pl. 57, sép. 189, n^o 4). Un complément peut toutefois être abordé au sujet du bracelet à terminaisons de palmipède (type 2), d'une facture proche des anneaux porte-strigile tardo-républicains, à l'exception des emblématiques crochets bouletés manquants. Jan Kysela s'interroge en effet sur l'utilisation des anneaux porte-strigile au nord des Alpes, en l'absence de strigile avant la Conquête et de l'huile contenue dans l'aryballe suspendu à ce type d'anneau (Kysela 2012, p. 342, Kysela 2014, p. 459). Il se demande en effet si les rares exemplaires observés en Celtique orientale n'étaient pas portés comme bracelet et non utilisés dans le cadre de la toilette. Cet argumentaire irait dans le sens d'une importation méditerranéenne qui paraît tout à fait probable pour cette parure atypique.

Groupe B21 et B22. Les bracelets tubulaires en alliage cuivreux

Très fragiles, les bracelets tubulaires ou à jonc creux sont constitués d'une tôle d'alliage cuivreux recouvrant le plus souvent une âme organique parfois en fer, comme dans le cas d'un exemplaire du dépôt vénète de Brech (Clément et Galliou 1985, fig. 7, n^o 58). Le mode de fermeture peut être réalisé par emboîtement simple, par un système de tenon et mortaise, très rarement par épissures, tout comme être ouvert (fig. 79). Par sa fragmentation, le corpus en question ne permet pas de restituer un mode préférentiel puisque seules quelques rares terminaisons, dont une perforée (pl. 23, n^o 3), sont conservées. La datation large de la fin de LTC2-LTD1, proposée lors de la publication du sanctuaire (Poux et Demierre 2015, p. 140, fig. 132), est corroborée par la confrontation des contextes d'habitat qui démontre la rareté des occurrences après l'état 2.1. S'ils continuent à être portés à LTD2, leur fréquence baisse considérablement à cette période, comme en témoignent les rares occurrences documentées sur le site de Gondole (Deberge *et al.* 2009, p. 111) ou leur absence à Villeneuve-Saint-Germain (Pion 1996, p. 292) ou à Gergovie.

La distinction entre les deux groupes de bracelets tubulaires est fondée sur la dimension du jonc (fig. 79), même si les deux tailles supérieures à jonc ovale ou en « D » ont été regroupées en raison de la mauvaise conservation des pièces et de la difficulté d'évaluer la forme de leur section. Ainsi, le premier groupe, le mieux représenté et comportant des bracelets aux jongs de grande taille, a été divisé en sept types en fonction des décors (fig. 86):

- 0 : décor ininterprétable, souvent de lignes obliques (5 ind.)
- 1 : jonc lisse (15 ind.)
- 2 : chevrons (4 ind.)
- 3 : chevrons et lignes perpendiculaires à l'axe du jonc (1 ind.)
- 4 : lignes longitudinales (5 ind.)
- 5 : rectangle de lignes obliques (1 ind.)
- 6 : triangle rempli de damier et lignes perpendiculaires à l'axe du jonc (1 ind.)
- 7 : lignes de points (1 ind.)

Les différents types de décor devraient permettre, à moyen terme, de mieux sérier ces parures annulaires dont la fourchette chronologique demeure relativement grande. Si les exemplaires à lignes obliques fragmentaires (type 0), à

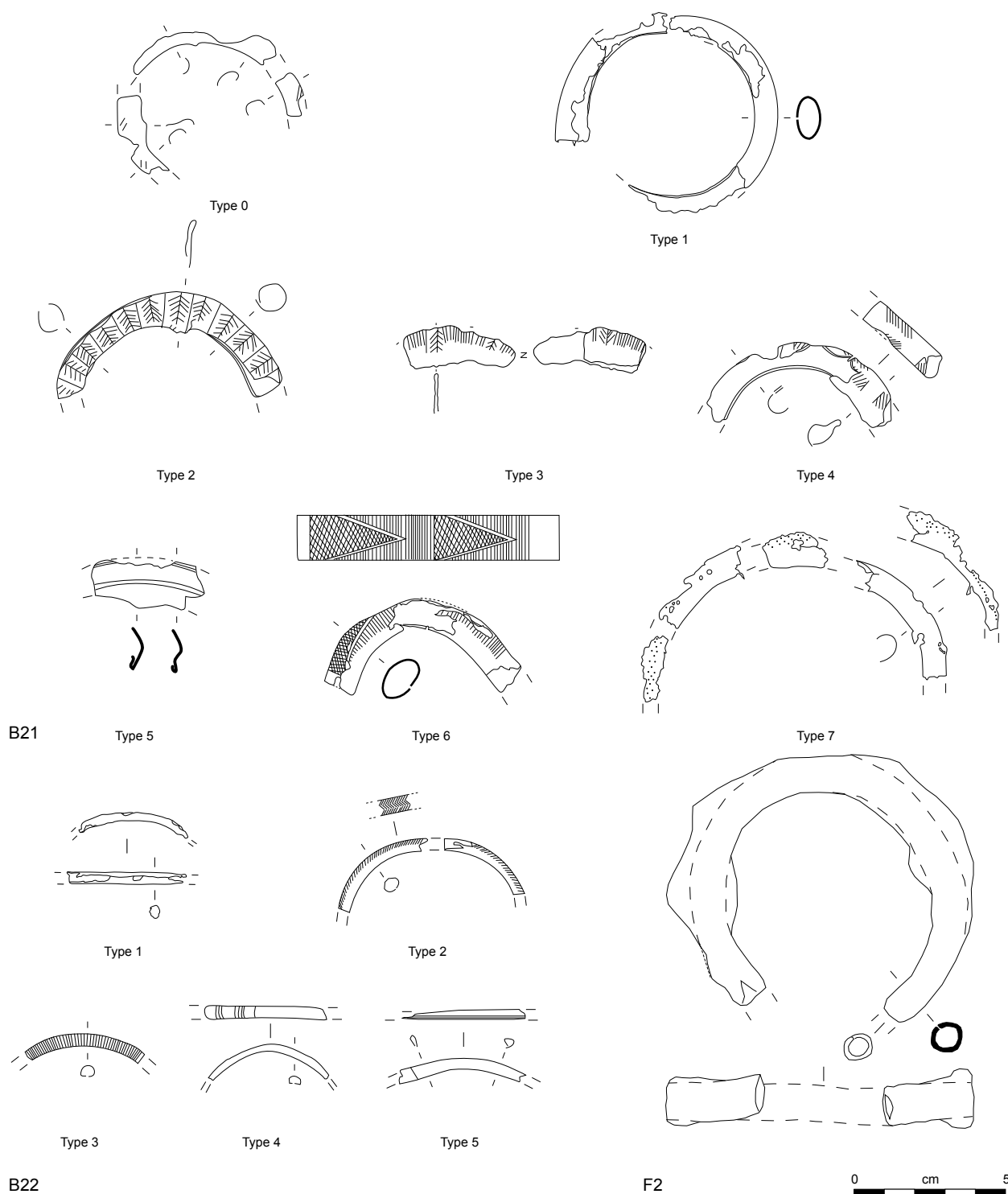


Fig. 86. Types de bracelets tubulaires (groupes B21, B22 et F2).

jonc lisse (type 1) ou encore à lignes longitudinales (type 4) demeurent inexploitable sur ce point, en raison de leur fréquence et de leur représentation dans des contextes de datation variée (LTD1-LTD2), les décors spécifiques semblent pouvoir être exploités sur ce plan, tout comme sur celui de leur provenance.

Ainsi, le décor de chevrons peut être considéré comme un bon marqueur d'une phase LTD1b évoluée comme en témoignent son absence des sites de plaine et sa fréquence à Corent. Aux quatre individus recensés dans ce corpus peuvent être rajoutés un exemplaire issu de prospection (collection Daniel, n° 15), trois autres provenant des fouilles récentes⁸ et une parure presque complète mise au jour dans une tombe des Martres-de-Veyres, en association avec un bracelet à épissures (Ducreux 2013, p. 122, n° 3). La datation tardive évoquée précédemment (Poux et Demierre 2015, p. 140) doit être remise en cause en raison de la provenance d'un

⁸ UF 25000/43, UF 25068/657 et UF 25334-2/552

individu récolté dans une fosse-atelier de l'état 1 (fig. 84, n° 9). Cette structure livre également les vestiges de creusets, de lingotières et d'outils liés à l'artisanat du bronze (pl. 68) qui suggèrent la coulée d'objets en alliage cuivreux. Le diamètre restreint du bracelet issu de cet ensemble pourrait correspondre à un raté de fabrication tout comme résulter d'une récupération en vue d'une refonte. La même interprétation peut être formulée au sujet d'une pièce retrouvée à proximité du bâtiment C4 et comportant des traces de repli et de martelage en surface, ainsi qu'une forme en ogive qui exclut une déformation fortuite (fig. 84, n° 10). La bonne représentation générale de ces bracelets corrobore l'idée d'une production sur le site. L'exemplaire à chevrons et lignes perpendiculaires à l'axe du jonc (type 5) ne semble être qu'une variation sur le même thème, par ailleurs attestée sur l'*oppidum* de Jastres-Sud (Lefebvre 2006, pl. 5, 28).

Représenté par un seul individu dans le corpus, le bracelet orné de rectangles remplis de lignes obliques (type 4) est attesté sur l'*oppidum* de Chastel-sur-Murat dans le Cantal (Pagès-Allary 1908, fig. 7, B1). Le décor complexe de triangles remplis par des lignes obliques du type 6 à section ovale se rapproche de celui d'une parure de Bâle-Gasfabrik (Furger-Gunti et Berger 1980, pl. 10, n° 207), tandis que les lignes de points (type 7), aussi observées sur un exemplaire des fouilles récentes⁹, se trouvent sur le même site (Furger-Gunti et Berger 1980, pl. 10, n° 206), tout comme à Fesques (Devilliers 1996, fig. 1, n° 60-7). Les motifs peu fréquents de ces bracelets issus de contextes des états 1 et 2.1 peuvent être interprétés aussi bien dans le sens de variantes liées aux envies créatives d'un artisan local, que dans celui d'apports extérieurs, sans qu'il soit pour l'heure possible de trancher entre ces deux hypothèses.

De section fine, de l'ordre de 4 mm d'épaisseur, le second groupe comprend uniquement des bracelets représentés par une seule occurrence et répartis selon leur traitement de surface (fig. 86) :

- 0 : inorné
- 1 : lignes perpendiculaires à l'axe du jonc sur l'ensemble de ce dernier
- 2 : groupe de trois lignes perpendiculaires à l'axe du jonc
- 3 : trois rangées de lignes obliques en quinconce
- 4 : lignes longitudinales

Les dimensions de la section ne semblent pas avoir d'incidence sur la datation de ces parures. Des exemplaires de toutes tailles sont en effet recensés, tant dans les premiers niveaux du site ou au Pâtural (Deberge *et al.* 2007b, pl. 78, n° 17) qu'à l'extrême fin de la séquence d'occupation laténienne. Les parures sans décor (type 0) ou à incisions longitudinales (type 4) demeurent difficiles à exploiter en raison de leur forme simple. Au contraire, le décor à lignes perpendiculaires sur tout l'axe du jonc (type 1) pourrait être tardif au vu de son contexte, un niveau de l'espace D, où cette parure est associée à une fibule à disque médian (type B43-1). Si le décor de groupes de lignes perpendiculaires (type 2) rappelle les parures du HaD1 de Dun-sur-Auron ou de Bourges (Milcent 2004, pl. 38, n° 14 et pl. 21, n° 9 et 6), le contexte du bracelet en question, le sol 14030 du bâtiment A1, permet bien de l'attribuer à la période laténienne. Il en est de même pour le bracelet à trois rangées de lignes obliques (type 3), issu du même assemblage.

Groupe F2. Les bracelets tubulaires en fer

Quoique bien plus rares que leurs homologues en alliage cuivreux, les bracelets tubulaires en fer (fig. 86) ont la même chronologie (fin LTC2-LTD1). Un exemplaire attribué à l'horizon 1 de Roanne (Lavendhomme et Guichard 1997, p. 157, pl. 109, n° 27) atteste le début de cette séquence tandis que des occurrences sont relevées à LTD1b à Feurs, dans la nécropole (Guichard, com. orale, sép. 15) et

.....
9 UF 24504/479

dans l'habitat (Vaginay et Guichard 1988, pl. 131, n° 17), ou encore à Wederath (Haffner 1971, tombe 1190). Cette datation est confirmée par le contexte d'un exemplaire de Corent issu d'un niveau de sol de l'état 2.1. L'absence de terminaison conservée empêche d'établir le mode de fermeture de cette parure.

Groupe B3. Les bracelets rubanés

Ce groupe est principalement constitué de parures dont le jonc présente quatre à cinq cannelures longitudinales ornées par endroits d'incisions à l'effet guilloché (fig. 87). Si ces caractéristiques se rapprochent d'objets indéterminés de l'âge du Bronze final (Cordier 2002, fig. 11, n°s 1 à 5), la confrontation à leur contexte de provenance et la recherche bibliographique conduisent à valider une attribution à La Tène finale. Ces parures sont en effet relativement communes à Corent, avec six exemplaires dans les campagnes récentes de 2013 à 2015 et cinq autres récoltées lors des premières prospections (Faye 1995, pl. 24, n°s 207 à 211). Leur diamètre standardisé autour de 55 mm¹⁰ s'inscrit parfaitement dans les dimensions des bracelets. Leur mode de fermeture se présente le plus souvent sous la forme d'un fermoir en languette associé à un œillet (fig. 87, B31), ou sous la forme d'œillet ligaturé (fig. 87, B32). Ce dernier mode de fermeture est attesté dès LTD1 sur un exemplaire collé aux clous brûlés mis au jour dans le trou de poteau 18575 du bâtiment G1/D2, ainsi que dans d'autres ensembles du premier état. Une perduration du type semble envisageable, avec une occurrence de l'état 2.2. Il est recensé dans des corpus de Gaule centrale et occidentale, sur les *oppida* de Chastel-sur-Murat (Pagès-Allary 1908, fig. 7, P1), du Puy-du-Tour (Hatt 1941, pl. 2, n° 12, Pesteil 2007, fig. 83) et de Jastres (Lefebvre 2006, pl. 26, n° 459), ainsi que dans les niveaux laténiens ou antiques de la Grotte de Rochefort en Mayenne (Colleter *et al.* 2007, fig. 13, n° 3). Reste à signaler une parure en tout point similaire, fermée par un système de double crochet et déposée dans les collections du musée Sainte-Croix à Poitiers (Bertrand 2003, p. 50, fig. 54 et pl. 13, n° 29). Hors contexte, elle pourrait tout autant constituer une variante gallo-romaine du type qu'un autre mode de fermeture laténien. Le nombre d'occurrences permet d'envisager une production locale ; une hypothèse qui pourrait être renforcée par la découverte, dans une cave gallo-romaine, d'un fragment rectiligne dont la cassure longitudinale peut être due à l'application du décor lors de sa fabrication (fig. 84, n° 13).

¹⁰ Diamètre des bracelets rubanés :
UF 25002/192, diam. 55 mm ;
UF 25300/423, 66 mm ; 23003/309,
diam. 55 mm ;
UF 17010/1653, diam. 54 mm ; Faye
1995, pl. 24, n° 210, diam. 54 mm

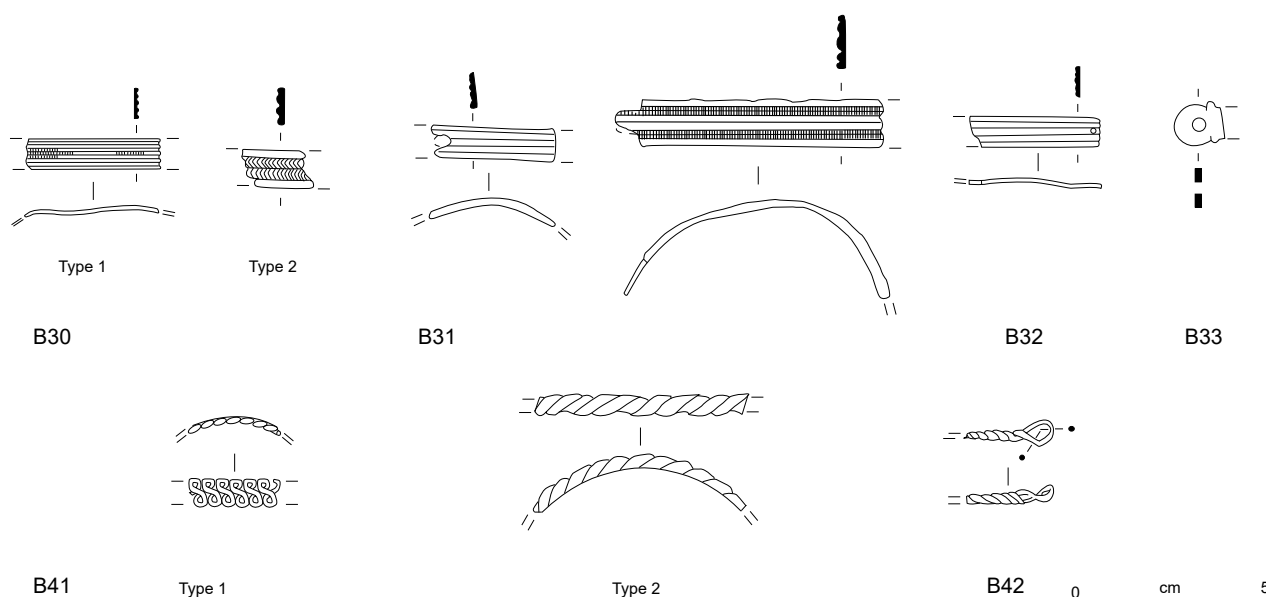


Fig. 87. Types de bracelets à jonc rubané, composés de fil et mouluré (groupes B30, B31 à B33, B41 et B42).

Seule l'extrémité à œillet du type B33 est conservée et la restitution d'un jonc rubané reste sujette à caution. Issue de l'édicule attribué au I^{er} s. ap. J.-C. sur la base d'une concentration de mobilier caractéristique, cette terminaison peut tout autant correspondre à une parure gallo-romaine (Riha 1990, pl. 20, n° 558) que laténienne (Devilliers 1996, p. 219-221, fig. 5, n° 318-164).

Groupe B4. Les bracelets composés de fil

Les trois bracelets composés de fils correspondent à trois types distincts (fig. 87), à commencer par les bracelets méandriques caractéristiques de LTB2-C1, dont la seule occurrence provient du sanctuaire (Poux et Demierre 2015, p. 141). Le nombre de fils tressés distingue le type 2, constitué de trois fils au mode de fermeture inconnu, du type 3, composé de deux fils et fermé par un système à œillet. Les bracelets à trois fils sont attestés depuis La Tène ancienne (Millet 2008, type E2) et se retrouvent très fréquemment durant l'Antiquité tardive (Riha 1990, type 23). Seul leur contexte, un niveau de la fin de la séquence laténienne (état 2.2 à 2.3), permet par conséquent d'évaluer leur datation. Le même problème se pose pour le bracelet formé de deux fils tressés et terminé par un œillet (type 3), issu du décapage de la fouille 2013. Ce type est en effet tout aussi bien attesté en contexte laténien, comme à Gondole à LTD2 (Deberge *et al.* 2009, fig. 67, p. 51) ou dans la vallée de l'Aisne à LTD1b (Pion 1996, type B4), qu'à la fin de l'époque romaine (Swift 2000, p. 118-119, fig. 144).

3.1.3. LES BAGUES

Les parures de doigt sont recensées à hauteur de 42 d'individus, parmi lesquels 39 bagues métalliques et 3 intailles ([cat. 13](#)). Les ensembles du sanctuaire livrent la majeure partie des types, dont l'étude sera complétée si nécessaire ou simplement utilisée comme référence afin d'éviter les redites. L'analyse des intailles n'a volontairement pas été développée de manière approfondie, en raison de l'étude en cours réalisée par Aurélie Crausaz pour la publication monographique de l'habitat gallo-romain de Corent.

La définition typologique a été élaborée selon le degré de complexité des bagues ou anneaux en partant des anneaux simples (groupe 1), coudés (groupe 2) ou décorés (groupe 3) pour terminer par les bagues à chaton (groupes 6 à 9), en passant par les bagues à terminaisons ouvertes (groupe 4) ou fermées par un système à épissures (groupe 5) (fig. 88). Les bagues à chaton peuvent être subdivisées en deux sous-groupes selon la présence ou l'absence d'une intaille. Ainsi, les groupes 6 et 7 représentent des exemplaires sans intaille, différenciés selon l'aspect de leur chaton, décoré ou inorné. Les parures munies d'une pierre, classées selon la typologie d'Hélène Guiraud (1989), se répartissent en trois grands groupes d'après la morphologie générale de l'anneau, qui peut se développer verticalement (groupes 8 et 9, Guiraud 1b et 1c) ou horizontalement (groupe 10, Guiraud 2a). Les variantes internes des groupes sont définies selon le métal utilisé, la section et les spécificités ornementales.

Le mode de fabrication des bagues trahit souvent une culture matérielle, les bagues à chaton étant considérées comme des importations de la sphère méditerranéenne, tandis que d'autres appartiennent uniquement au répertoire laténien (fig. 88). Comme on le verra, ce schéma généralisant est parfois mis à mal par les contextes de découverte des objets ou leur facture particulière, sans parler des formes ubiquistes, comme les anneaux-bagues, attestées de longue date dans les deux traditions d'orfèvrerie. Les bagues à intailles constituent néanmoins un bon marqueur de contact entre la sphère méditerranéenne et la Gaule interne et demeurent relativement rares avant la conquête césarienne, avec seulement une quinzaine d'occurrences issues de contextes fiables (Barbau 2015, p. 296-298, fig. 108).

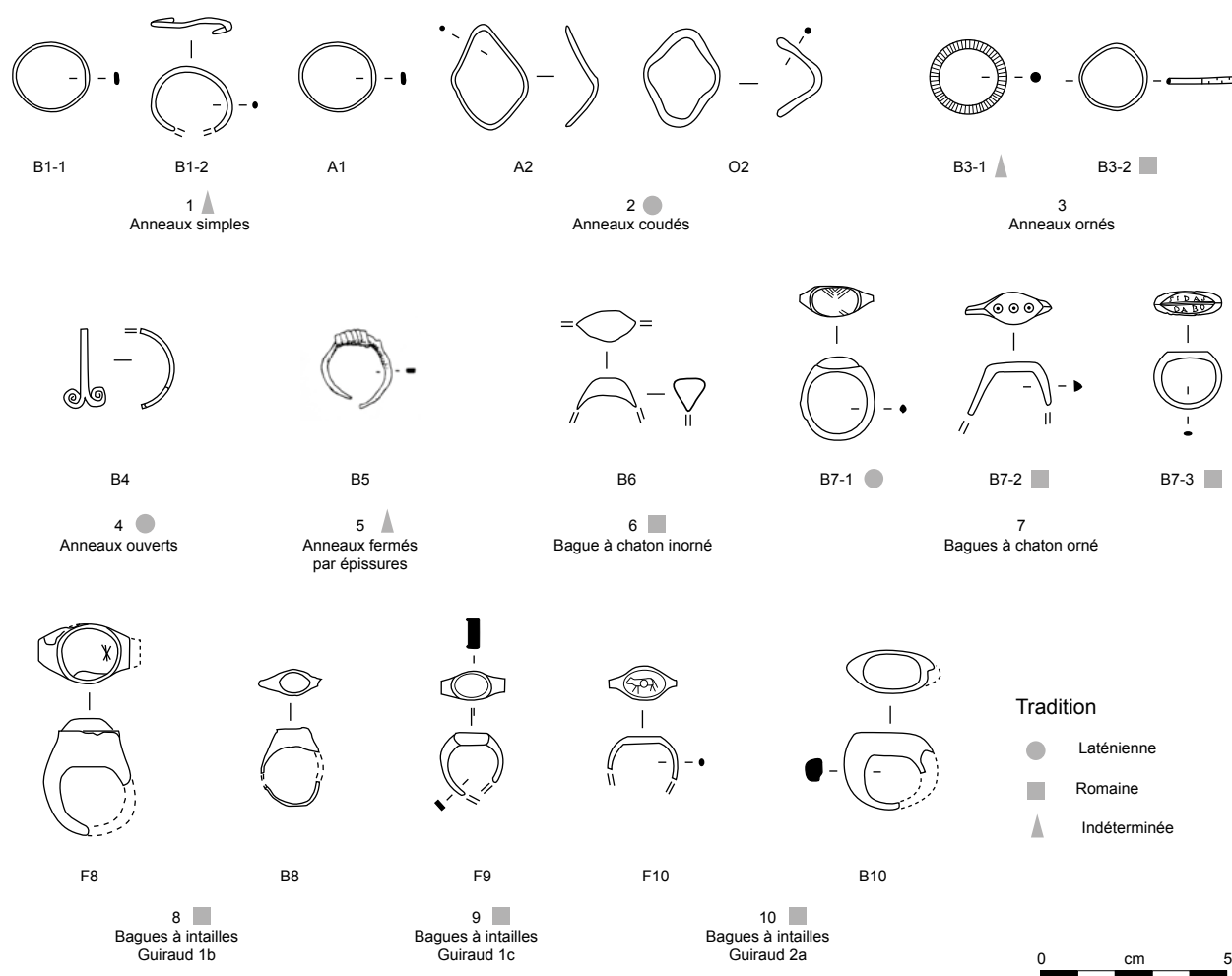


Fig. 88. Typologie des anneaux et des bagues.

Leur distribution spatiale est relativement homogène sur l'ensemble du site avec une bonne représentation dans les contextes à connotation religieuse comme le sanctuaire, le théâtre ou encore l'espace D qui regroupent un tiers des individus (fig. 89). Ces lieux sont de plus marqués par une meilleure conservation des bagues, alors que seules trois bagues intactes, sur les 13 dénombrées, sont issues de contextes d'habitat. Quel que soit leur contexte de provenance, les parures en métaux précieux se distinguent également sur le plan taphonomique : l'ensemble des anneaux en or (5 ind.) n'est pas ou peu fragmentaire tandis qu'une seule parure en argent sur quatre est cassée. À titre de comparaison, uniquement cinq exemplaires en alliage cuivreux sont intégralement conservés, dont un en contexte d'habitat, et aucun individu en fer.

L'analyse des diamètres internes maximaux du corpus, correspondant à l'espace nécessaire pour faire passer la jointure des phalanges dans l'anneau, montre deux pics de fréquence : le premier proche de 15 mm et le second à 17 et 18 mm (fig. 90). Ces deux données s'appliquant aux normes actuelles, il est tentant d'interpréter les bagues supérieures à 17 mm de diamètre comme des bagues masculines et le reste du corpus comme des parures féminines ou d'enfants. Ce postulat n'exprime néanmoins pas la complexité du port de ces parures, qui peuvent être mises à plusieurs phalanges et doigts différents, sans parler des variations physiologiques de l'être humain (Crausaz 2014, p. 91). En faisant fi de cette réserve, la grande taille des parures en métaux précieux, notamment des anneaux coudés préférentiellement associés aux femmes à LTB2/LTC1 en contexte funéraire (Poux et Demierre 2015, p. 274), est à mettre ici en relation avec un port masculin déjà relevé sur une statue de guerrier de La Cloche, au doigt orné d'une de ces bagues particulières (Girard 2013, p. 155-156).

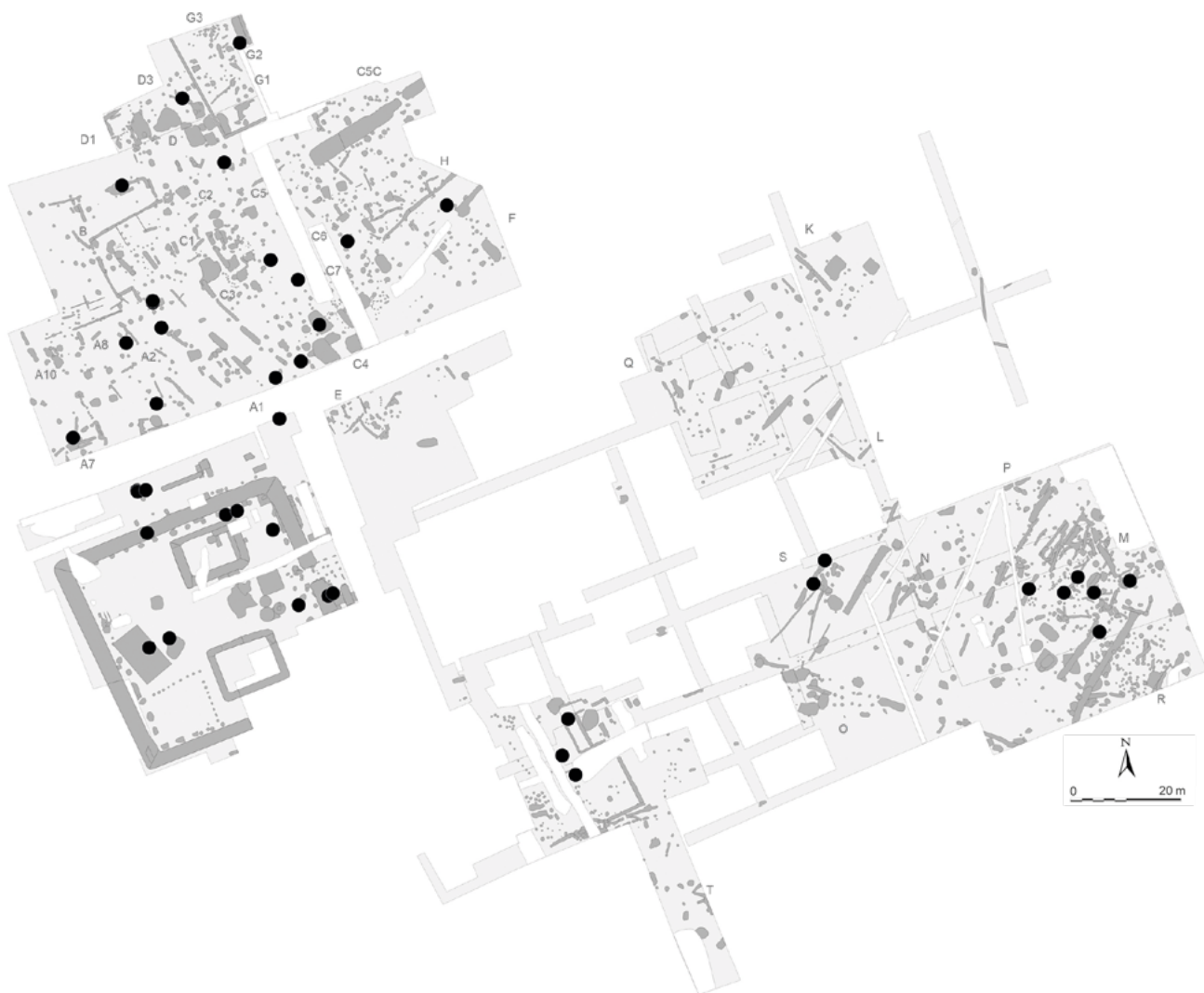


Fig. 89. Répartition spatiale des anneaux et des bagues.

Groupe 1. Les anneaux-bagues

De facture simple et datables uniquement d'après leur contexte d'origine, les anneaux-bagues de type 8 d'H. Guiraud sont répartis selon trois variantes (fig. 88) : en alliage cuivreux de section lenticulaire (B1-1) ou circulaire (B1-2) ou en argent de section lenticulaire (A1). Elles sont attestées, dès les premières phases d'occupation, avec notamment deux exemplaires issus d'un niveau scellé par le radier du bâtiment A2 (état 2.1), jusqu'à la fin du Haut-Empire, au vu d'un exemplaire issu de l'état 4.2 du théâtre. L'anneau en or (pl. 105, n° 11,) provenant d'un poteau du bâtiment H (voir *infra*, fig. 273) n'a volontairement pas été affilié à ce type en raison des traces d'écrasement qui laissent envisager une attribution au groupe suivant des anneaux coudés.

Groupe 2. Les anneaux coudés

Ces parures en argent (fig. 88, A2) et en or (fig. 88, O2) font l'objet d'une étude approfondie d'Adeline Richard, dans la publication du sanctuaire (Poux et Demierre 2015, p. 272-275). Y figurent trois anneaux coudés issus de la même structure et potentiellement de la même parure digitale, ainsi qu'un fil d'or qui a pu appartenir à une bague coudée. L'anneau écrasé de l'état 1 du bâtiment H est également intégré à ce type en raison de sa matière et des manipulations observées. Les bagues coudées sont attestées fréquentes à La Tène B et perdurent jusqu'à La Tène finale, à Corent mais aussi à Villeneuve-Saint-Germain qui livre des occurrences en alliage cuivreux (Debord 1998, pl. 20, n°s 16 à 21) et à

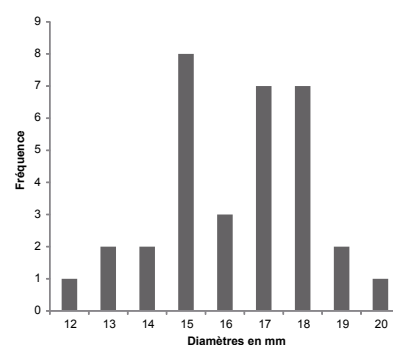


Fig. 90. Diamètres internes des anneaux et des bagues.

Altenburg, où deux exemplaires en argent sont recensés (Lauber 2012, fig. 17, n^{os} 82 et 83). Ces anneaux coudés se distinguent des parures plus anciennes à section planiconvexe par une section circulaire. Des dépôts volontaires doivent être postulés pour l'ensemble des bagues en or, retrouvées groupées dans le comblement d'une palissade du sanctuaire ou écrasées au fond d'un trou de poteau. Les deux anneaux en argent complètent le corpus des bagues en métaux précieux, même si leurs conditions de dépôt ne semblent pas aussi significatives que celles relevées pour les homologues en or.

Groupe 3. Les anneaux ornés

Les variantes de ce groupe présentent, pour la première, un décor perlé attesté dès La Tène finale (fig. 88, B3-1), tandis que le jonc de la seconde est orné d'incisions alternées (fig. 88, B3-2) caractéristiques de l'Antiquité tardive. Elles peuvent être attribuées à l'état 2 du sanctuaire, ainsi qu'à la fin de l'époque romaine (Poux et Demierre 2015, p. 145-146).

Groupe 4. Les bagues à terminaisons ouvertes

La seule bague à terminaisons ouvertes, issue du sanctuaire, présente des terminaisons enroulées en deux spirales. Elle connaît des parallèles dans des contextes funéraires de LTD1a à Wederath ou encore à Chevilly (Poux et Demierre 2015, p. 145).

Groupe 5. Les anneaux-bagues à épissures

Les anneaux fermés par un fil entrelaçant chaque partie du jonc sont attestés dès La Tène ancienne (Waldhauser 1998, type 730) et perdurent jusqu'à l'époque romaine (Guiraud 1989, type 6). Trop fragmentaire, la parure datée du I^{er} s. ap. J.-C. d'après son contexte (Faye 1995, p. 79, n^o 339) ne peut être attribuée à l'une ou l'autre des variantes plus précises définies par H. Guiraud.

Groupe 6. Les bagues à chaton inorné

Très bien représentées avec six individus, ces bagues peuvent être affiliées au type 2g d'H. Guiraud qui évalue leur apparition dans la seconde moitié du I^{er} s. av. J.-C. Elles sont toutefois ici documentées dès l'état 1, dans le cellier 15520 du bâtiment B en association avec des fibules de Nauheim et un umbo à ailettes courtes (pl. 36), bien que la majeure partie des occurrences proviennent d'ensembles postérieurs ou proches de la conquête césarienne (états 2.3 et 3). Les mentions de ces bagues en contexte précoce posent la question d'une importation ou d'une production locale pour ces parures de fabrication simple, par ailleurs attestées sur l'*oppidum* de La Cloche (Girard 2010, type B63). L'idée d'une production gauloise de bagues à chaton se perçoit également à l'étude des parures à chaton métallique gravé.

Groupe 7. Les bagues à chaton gravé

Parmi les trois variantes de ce groupe, la première peut être considérée comme une production laténienne, en raison de son chaton muni de lignes incisées (fig. 88, B7-1). Ce mode de fabrication évoque la technique mise en œuvre pour fixer l'émail des rivets décoratifs très communs à La Tène finale (Challet 1992), que nous proposons de restituer en surface de cette bague à chaton proéminent. Cette parure a été trouvée grâce au détecteur à métaux, sous un niveau de sol de l'état 2.1 du bâtiment M, contexte confirmant une datation dans la première phase du site. Bien qu'aucun parallèle exact ne puisse être fourni, des exemplaires d'Entremont en fer à chaton en relief (Girard 2010, type F61, pl. 328) constituent des références proches sur le plan morphologique et chronologique.

La bague à décor de trois ocelles (fig. 88, B7-2) se rapproche du type Guiraud 2h, qui comprend des bagues à chaton souvent gravé et à épaulement rectiligne,

datées de la fin du I^{er} s. ap. J.-C au II^e s. ap. J.-C., période où elles sont les plus fréquentes. L'ornementation de cette parure issue des remblais de l'espace D s'inscrit tout à fait dans la tradition iconographique des bijoux de cette époque. Nous ne reviendrons pas sur l'analyse qualitative de la bague gallo-romaine à l'inscription « SI DAS, DABO » (fig. 88, B7-3, Demierre et Poux 2014, Poux et Demierre 2015, p. 147-148).

Groupe 8. Les bagues à intaille de type Guiraud 1b

Ces bagues tardo-républicaines sont caractérisées par un anneau et un chaton formant un tout avec une verticalité prononcée de l'objet. Le type 1b d'H. Guiraud présente une épaule proéminente, alors que le chaton du type 1c est plus ramassé sur le cercle de l'anneau. Ces parures et les intailles associées font partie des premiers types de parures importées en Gaule interne, à l'instar d'une intaille d'Aulnat où figure un personnage de théâtre portant une lanterne dans un style globulaire italique caractéristique du II^e s. av. J.-C. (Henig et Collis 1987)¹¹.

Les quatre parures en fer de ce groupe (fig. 88, F8) sont toutes issues de contextes attribués au plus tard à l'état 2 *lato sensu*, avec une pièce mise au jour dans un fossé de l'état 2.2 (bâtiment M). Les niveaux d'épandage de la place du complexe C livrent deux bijoux encore munis de leur intaille (pl. 47, n° 10 et pl. 46, n° 4). La pâte de verre fragmentaire du premier demeure illisible, tandis que sur l'agate rubanée du second figure, dans sa partie gauche, un masque de théâtre grotesque de Silène barbu surmontant ce qui paraît être, de prime abord, un foudre ailé (en pleine page dans Poux 2012, p. 218) (fig. 91). En l'observant de plus près, la gravure se révèle nettement plus complexe avec, dans la partie droite de la pierre, une tête de béliet dont la corne sert également à représenter la chevelure éparse du Silène. En miroir de ces deux figurations, un masque du parasite, identifiable par son nez aquilin et ses oreilles déformées, se dissimule au centre de ce qui ressemble à un foudre, mais qui pourrait également être envisagé comme un nœud formé par les bandelettes des masques. Cette composition permet d'interpréter cette pièce comme un grylle, une composition iconographique juxtaposant plusieurs motifs, dans la plus pure tradition du théâtre grotesque. Sans parallèle probant dans les masques de la Comédie Nouvelle, cette construction de masques de Silène et de béliet est interprétée par Marie-Louise Vollenweider comme la représentation de festivités populaires, de jeux italiques, d'une ville du Latium (Vollenweider 1979, p. 339-342, pl. 107, n°s 377 et 379). Elle date les deux pierres citées en exemple d'après leur iconographie et leur style de fin du II^e s. et du début du I^{er} s. av. J.-C. L'ajout du masque du parasite n'est pas en contradiction avec cette interprétation tant son utilisation dans la comédie latine évoque les liens sociaux de clientélisme fréquents dans la Rome républicaine (Roman *et al.* 2001, p. 29-33). Cette pierre en style perlé gros abordant le thème des masques de théâtre récurrent à l'époque hellénistique, ainsi que les deux autres intailles traitant du même sujet découvertes anciennement (Faye 1995, p. 81, n°s 351 et 352) feront l'objet d'une étude spécifique par A. Crausaz. La présence de motifs iconographiques aussi particuliers en contexte laténien pose bien évidemment la question de la compréhension de sa symbolique par son propriétaire, s'il s'agit d'un Arverne ou suggère la présence d'individus de culture italique. Cette bague peut en effet être envisagée comme un simple bijou exotique, comme un moyen d'afficher sa compréhension des us et coutumes romains, tout comme une marque d'un nouveau statut lié à une relation commerciale privilégiée ou à des tractations diplomatiques.

Les niveaux du second état de Gondole livrent également trois bagues de typologie semblable, munies de paillon d'or, dans des contextes de LTD2b (Deberge *et al.* 2009, p. 11, fig. 76, ca 13 et 244). C'est par ailleurs la datation qui peut être retenue pour l'exemplaire en alliage cuivreux (fig. 88, B8) issu d'un assemblage fournissant des marqueurs d'une séquence évoluée de LTD2, comme des fibules à corde externe haute et arc interrompu (type B33-1) et une monnaie à la légende VERCA.



Fig. 91. Grylle en agathe rubanée figurant des têtes de Silène et de béliet ainsi que le personnage de théâtre du parasite.

11 La datation du contexte de cette bague permet de l'attribuer à la seconde moitié du II^e s. av. J.-C. contrairement à la datation formulée dans l'article de 1987 (Barbau 2015, p. 297).

Groupe 9. Les bagues à intaille de type Guiraud 1c

Provenant du sol laténien du sanctuaire, la seule pièce clairement attribuable à cette variante peu commune du type 1 d'H. Guiraud, de même datation que le type précédent, fait partie des rares objets importés dans le sanctuaire (fig. 88, F9). La seconde pièce (pl. 168, n° 3), dont l'articulation entre l'épaule et le chaton semble significative, se révèle trop mal conservée pour conclure à une attribution typologique fine. Son contexte d'origine, le décapage de surface du bâtiment S, n'est également d'aucune aide pour préciser sa datation.

Groupe 10. Les bagues à intailles de type Guiraud 2a

Plus larges que hautes, ces bagues (fig. 88, F10) sont essentiellement considérées comme des marqueurs des deux derniers tiers du I^{er} s. av. J.-C. et perdurent jusqu'au début du II^e s. ap. J.-C. Une datation durant le pic de fréquence du type au I^{er} s. ap. J.-C. peut être retenue pour la parure issue du sanctuaire à motif de taureau (fig. 88, F10) et pour celle issue du théâtre (pl. 175, n° 20).

La datation de la bague en alliage cuivreux mise au jour dans la place de marché (fig. 88, B10) demeure sujette à caution, compte tenu de son association avec du matériel de LTD2b (monnaie à la légende EPAD au guerrier) ou encore claudien (fibule à manchette). Au contraire des parures des groupes 8 et 9, elle ne peut être considérée comme un apport antérieur à la conquête césarienne.

3.1.4. LES PARURES DE COU

Mis à part deux torques filiformes en fer (Poux et Demierre 2015, p. 145), les parures de cou sont essentiellement composées d'éléments de collier, que cela soit des perles ou des pendeloques. La variété des matériaux en usage pour les perles est à relever avec des parures en alliages cuivreux, en verre, en fer, ainsi qu'en ambre, en roche noire, en os animal ou encore en gypse (fig. 92). L'ensemble des perles et des pendentifs a été intégré ici à la parure de cou, tout en gardant à l'esprit leur utilisation, par ailleurs nettement moins fréquente, comme pendant de bracelets. Les perles sont extrêmement mieux représentées que les pendentifs, connus uniquement par une quinzaine de pièces.

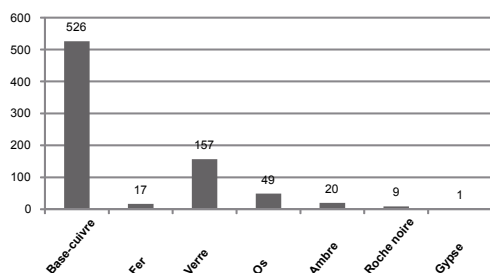


Fig. 92. Quantification des perles par matériau.

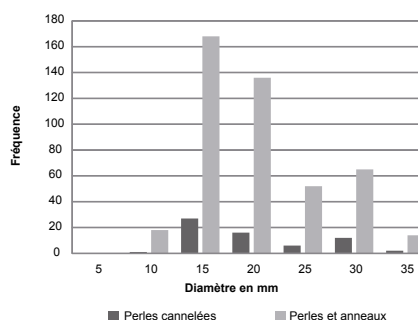


Fig. 93. Diamètre extérieur des perles cannelées comparé à celui de l'ensemble des perles et anneaux du corpus.

Les perles et les anneaux en alliage cuivreux

Bien que des fonctions alternatives puissent être proposées, la totalité des anneaux en alliage cuivreux est interprétée comme des éléments constitutifs d'un collier, compte tenu des associations relevées localement en contexte funéraire, à Pontcharaud (Loison *et al.* 1991, fig. 8, sép. 6) et dans le sanctuaire (Poux et Demierre 2015, p. 143). Ce parti pris se vérifie également par le spectre du diamètre extérieur des perles cannelées, dont l'interprétation ne souffre aucune discussion, qui suit les dimensions mesurées pour l'ensemble des perles et des anneaux, avec des résultats oscillant entre 15 et 30 mm (fig. 93).

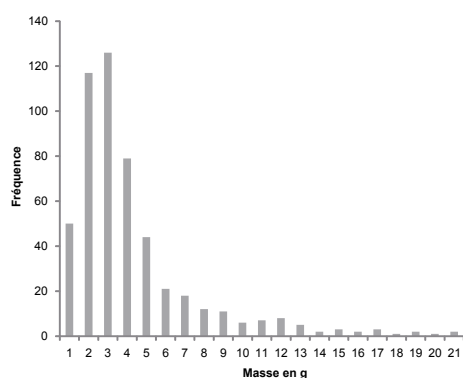


Fig. 94. Répartition de la masse des perles et des anneaux par classe.

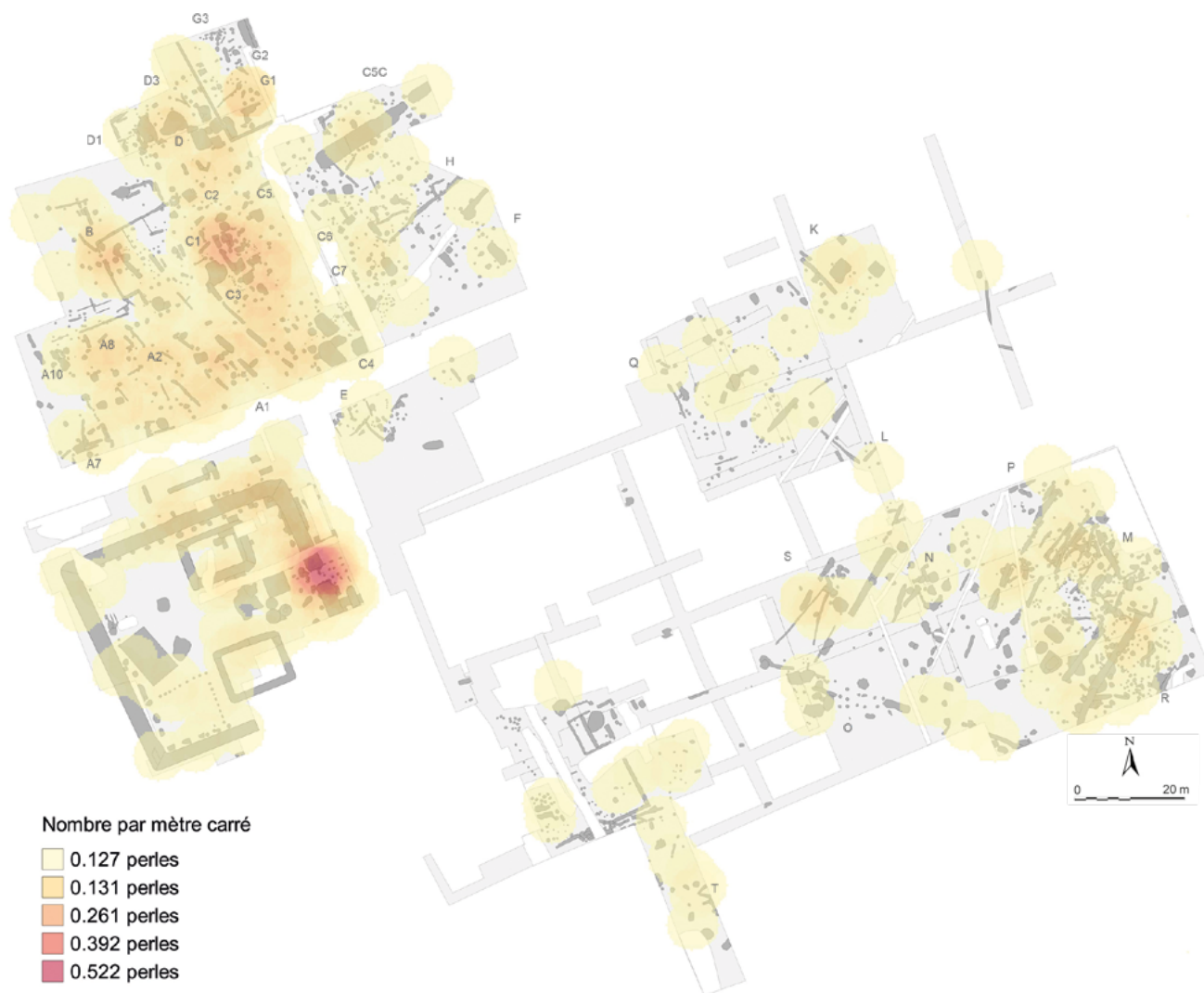


Fig. 95. Estimation de la densité de perles et anneaux selon la méthode du noyau (cercle de 5 m de rayon).

Très peu fragmentaires (20% du corpus) en raison de leur taille, ces parures présentent parfois un ou deux canaux d'usure dus au frottement avec le lien organique du collier. Leurs masses médiane (2,8 g) et moyenne (3,8 g), très basses, expliquent vraisemblablement pourquoi elles n'ont pas fait l'objet d'une récupération systématique (fig. 94). Leur consommation ne semble toutefois pas résulter uniquement de pertes involontaires, mais également de pratiques de dépôt, notamment à l'emplacement de l'entrée du sanctuaire et peut-être même aux accès à ses enclos internes (fig. 95). D'autres concentrations sont observables dans le quartier nord au niveau des bâtiments A, B et C, ainsi que dans un trou de poteau du bâtiment G1/D2, tandis que le quartier ouest est nettement moins bien doté. Aucun dépôt de collier entier, perceptible grâce à une concentration de plusieurs perles dans une même structure comme celle recensée

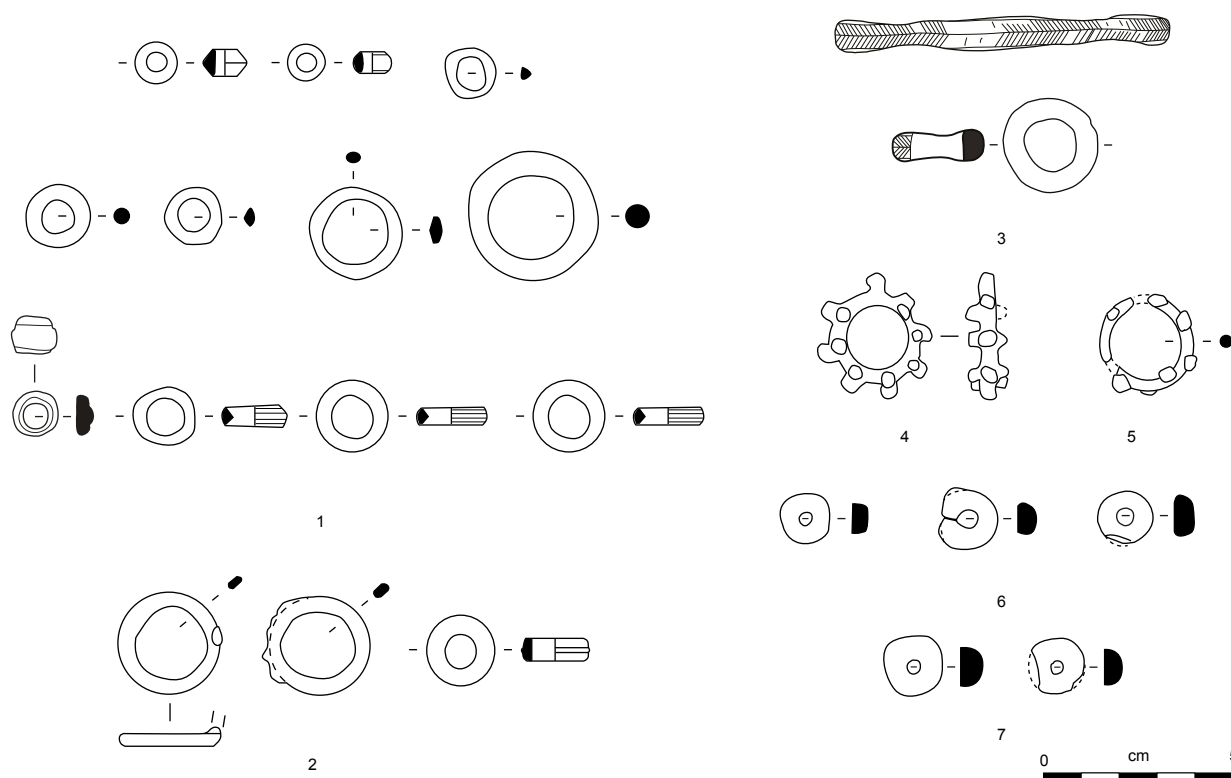


Fig. 96. Perles, anneaux à protubérances et perles en fer.
1-5: alliage cuivreux; 6-7: fer.

à Villeneuve-Saint-Germain (Debord 1998, p. 75, fig. 16, n° 1), ne peut être identifié dans l'habitat. Trois perles, dont une cannelée et une autre avec un appendice cassé, ont été retrouvées groupées sur le sol du bâtiment A1 et peuvent être considérées comme une partie significative mais somme toute fragmentaire d'un même collier (fig. 96, n° 2). Cette hypothèse peut également être avancée à propos des pièces brûlées recueillies dans le comblement atypique du trou de poteau 18585 (pl. 99 et 100). Cette absence laisse supposer que la réalisation de dépôts volontaires de perles est principalement liée à l'activité du sanctuaire, sans être relayée dans la sphère privée.

Compte tenu des arguments précédents, il a semblé vain de réaliser une typologie détaillée des perles et des anneaux en alliage cuivreux (cat. 14) dont la présence est attestée durant toutes les phases du site. Ces éléments de collier peuvent se différencier selon leur diamètre interne ou externe et d'après la forme de leur section circulaire, en « D », en quart de rond, lenticulaire, ovale ou cannelée (fig. 96, n° 1). L'absence de raté de production sous la forme de grappe de coulée, souvent identifiée sur les habitats de ces périodes (Demierre 2015, p. 165-169), est à relever pour ces parures, pourtant très communes.

Une seule perle est ornée d'un décor plus complexe que des cannelures, constitué, sur tout le pourtour de l'objet, d'incisions (fig. 96, n° 3) qui s'inscrivent dans un schéma similaire à celui observé sur les bracelets tubulaires. Issue du niveau de sol de l'hémicycle gaulois de réunion, cette parure d'exception présente également deux canaux d'usure qui laissent supposer une fixation double. Les anneaux à protubérances (fig. 96, nos 4 et 5) ne sont connus que dans le sanctuaire à LTD2 (Poux et Demierre 2015, p. 143). Cette répartition pourrait relever d'une pratique ou d'une symbolique particulière liée à ces objets.

Les perles en fer

Moins communes que leurs homologues en alliage cuivreux, les perles en fer sont régulièrement identifiées à La Tène finale. Elles le sont plus rarement en contexte d'habitat, en raison de leur mauvaise conservation et de leur surface souvent très corrodée (Pion 1996, type F1) qu'au sein des nécropoles, par

exemple à Feurs, où la sépulture 30 d'une phase évoluée de LTD2 livre 14 perles en fer, associées à des fibules filiformes (V. Guichard, com. orale). Ces parures apparaissent, dès l'état 2.1, avec une concentration à proximité du bâtiment K qui pourrait correspondre à un collier démantelé, dont les six perles sont réparties entre les différentes structures de la zone, la cave 20602 (fig. 96, n° 6), la fosse artisanale 20636 (fig. 96, n° 7) et la fosse-cellier 20608.

Les rouelles

Avec une rouelle complète et quatre fragments, auxquels peut être ajoutée une parure découverte hors contexte (Faye 1995, pl. 33, n° 345), ces parures sont rares en territoire arverne, en comparaison avec les faciès régionaux de parures comme ceux observés sur le Plateau suisse à LTD1 (Furger-Gunti et Berger 1980, pl. 9, n°s 124 à 135, 12 ind. ou Vufflens-la-Ville, 10 ind.) et surtout en Gaule Belgique (Debord 1998, p. 82, 267 ind.). Dans la riche sépulture 2213 de LTD1a de Cournon-Sarliève (Deberge et Orengo 2002, fig. 4, n° 14), une rouelle faisait vraisemblablement partie d'un collier comprenant dix perles – trois en verre, trois en roche noire, deux en ambre, une en gypse ou en marbre et un anneau en alliage – et peut-être même une petite clef.

Les rouelles s'inscrivent parfaitement dans la typologie réalisée à partir du corpus de référence de Villeneuve-Saint-Germain (Debord 1998, p. 82 à 85) et peuvent être attribuées au type B3b pour l'exemplaire à quatre rayons (fig. 97, n° 1), au type B1c pour celui à huit rayons (fig. 97, n° 2) et au type B1b pour le moyeu d'une rouelle à dix rayons (fig. 97, n° 3). Les cerclages de jante sont lisibles sur un fragment, tandis que le dernier est lisse (fig. 97, n°s 4 et 5). Les parallèles locaux et les contextes de provenance de ces objets ne permettent pas de proposer une datation plus précise que La Tène finale *lato sensu*. Si nous souscrivons à une interprétation d'amulette pour ces parures, nous ne reviendrons pas sur d'autres questions symboliques liées à ce motif, qu'il soit interprété comme une proto-monnaie ou encore un attribut divin (Debord 1989).

Les espaceurs de collier

Bien qu'ils puissent aisément être confondus avec des épissures de bracelet, ces tubes formés d'une tige enroulée (fig. 97, n°s 6 à 8) peuvent être considérés comme des espaceurs de collier ou des perles hélicoïdales sur la base de découvertes en contexte funéraire (Poux et Demierre 2015, p. 146) et de leur association probable avec des perles en verre sur le site de La Tène (Lejars 2013, p. 208-213, fig. 183-184). Également attestées au Premier âge du Fer et à l'âge du Bronze, ces parures ne peuvent être datées que d'après leur contexte.

Les pendentifs-haches

Ces pendentifs en fer en forme de hache à douille, déjà recensés dans le sanctuaire (Poux et Demierre 2015, p. 147), présentent un système de suspension simplement perforé à proximité du tranchant avec, dans un cas, un anneau encore en connexion (fig. 97, n°s 9 à 13). Leur vue latérale montre une forme générale de triangle rectangle, vraisemblablement pour éviter de blesser leur propriétaire. Constituée d'une tôle découpée, la variante la plus simple de ce type de pendeloque devait être accrochée au lien d'un collier par un tube réalisé à l'aide du repli de la tôle, conférant un aspect général de hache à œil (fig. 97, n° 14).

Ces parures, absentes des nécropoles locales, s'inscrivent dans la continuité formelle de petits pendentifs en alliage cuivreux du milieu et de la fin du II^e s. av. J.-C. connus à Aulnat/Gandaillat (Orengo 2002, pl. 50, n° 2 et pl. 55, n° 3). Elles proviennent de contextes attribués au plus tard à l'état 2.1 et sont recensées dans le sanctuaire et le quartier nord sur l'ensemble de la séquence chronologique.

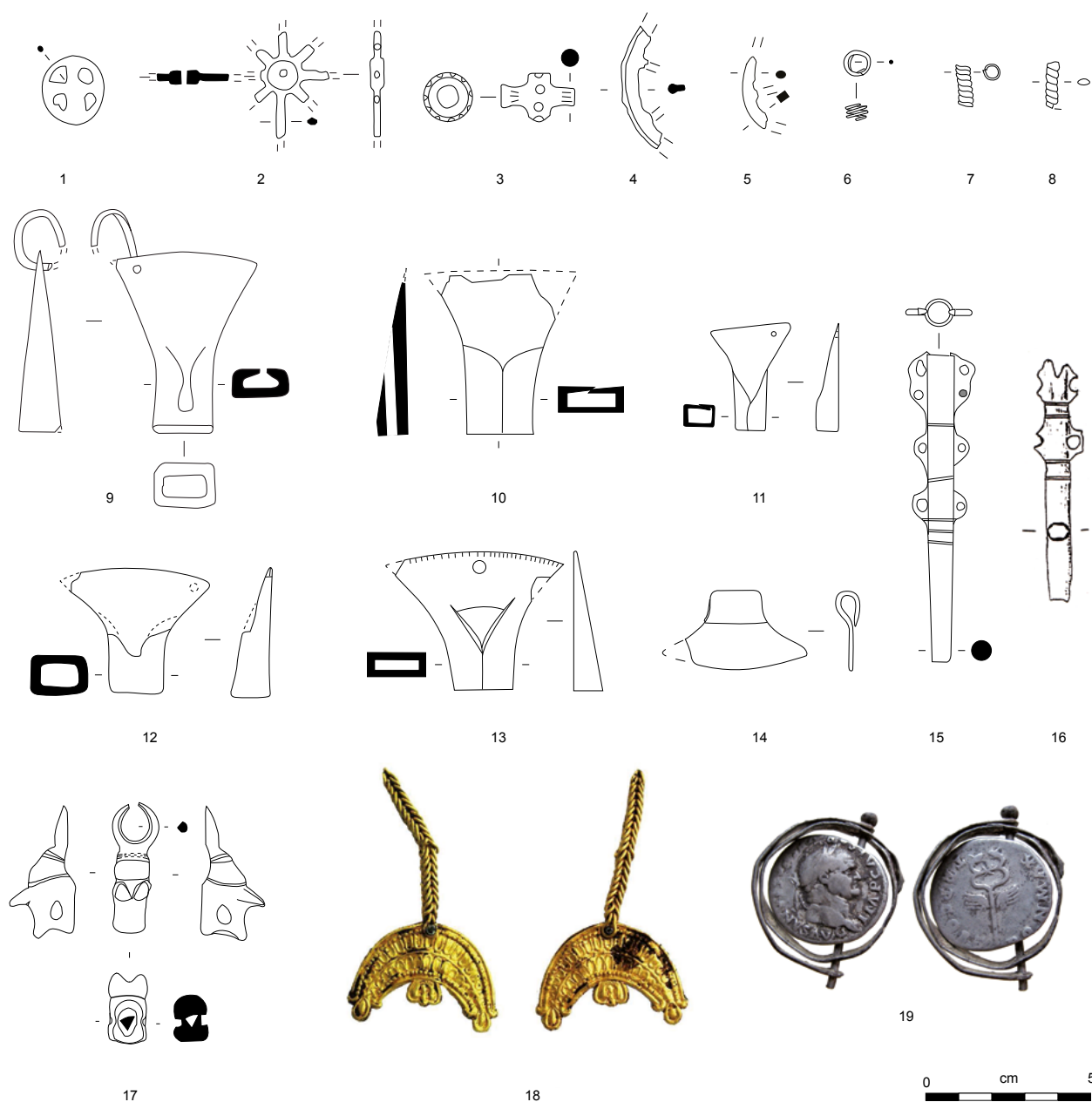


Fig. 97. Pendentifs et autres éléments de collier. 1-8 et 15-17 : *alliage cuivreux* ; 9-14 : *fer* ; 18 : *or* ; 19 : *argent* (16, tiré de Faye 1995, n° 356).

Une hache à œil en bronze de 4,8 cm découverte sur le site de La Tène (Lejars 2013, p. 209, fig. 182) peut aussi être proposée comme parallèle pour ces pendoques atypiques. Sa forme reproduit fidèlement les exemplaires de taille standard, issus des dépôts du site éponyme, au contraire des parures de Corent avec lesquelles aucune hache à douille ne peut être mise en regard. Le choix figuratif du mode d'emmanchement s'inscrit dans une symbolique implicite, la forme emmanchée à œil étant plus pratique à suspendre à un collier. La hache revêt un symbolisme spécifique durant toute la Protohistoire où elle est fréquemment recensée dans les dépôts à caractère cultuel et utilisée dans le cadre du sacrifice, de préférence avec un emmanchement à œil (Lejars 2013, p. 236-239). Le symbolisme de ces parures s'exprime donc dans cette continuité qui suggère une fonction apotropaïque ou propitiatoire. Interprétées comme des amulettes, elles pourraient tout aussi bien signifier une appartenance de leur propriétaire à une classe sociale ou à une corporation. Leur répartition dans le sanctuaire et le quartier nord se calque sur celle des anneaux à hache et herminette à œil miniaturisées et à piton à fixation cannelée, interprétés, faute de mieux, comme des heurtoirs ou des ornements de char (voir *infra*, chap. 3.11.3). Que ces deux types d'objets spécifiques au corpus de Corent revêtent la même symbolique, mélangeant aspects religieux et sociaux, ne surprendrait guère.

L'étui tubulaire à bélière

Ces objets, auxquels la fonction de porte-aiguille a été attribuée sur la base de la découverte d'aiguille dans leur tube à La Tène ou à Toulouse, sont caractéristiques de La Tène finale. Leur typologie fine a été récemment développée par A. Courtot (2015) qui postule pour leur port en sautoir, avec un maintien réalisé à l'aide des anneaux fixés dans les bélières. L'exemplaire de Corent (fig. 97, n° 15) appartient à sa variante 1b à deux oeillets sommitaux surmontant un tube incisé muni de deux œillets disposés le long de sa partie centrale. Il peut être daté de LTD1b ou du début de LTD2 d'après son contexte, un niveau d'épandage scellé par un radier du bâtiment C2, une datation en accord avec celles des autres occurrences du type. Une autre parure à deux bélières (fig. 97, n° 16) avait déjà été recueillie sur le site (Faye 1995, pl. 34, n° 356), tandis qu'une variante à bélières constituée d'une tige rapportée provient de la fosse 1081 du Bay, datée de LTD1 (Lauranson 2012, fig. 40).

Le pendentif zoomorphe

Également mise au jour hors stratigraphie à Gondole (Deberge *et al.* 2009, p. 111, fig. 68), cette pendeloque en ronde-bosse zoomorphe (fig. 97, n° 17), interprétée comme une tête de suidé (?), constitue très vraisemblablement une production locale réalisée à LTD2. Dans les deux cas, elle est surmontée d'un anneau lacunaire, dû à la fracture du canal d'usure si prononcée qu'elle laisse envisager sa suspension à l'aide d'un autre élément métallique. Une autre hypothèse serait la fixation de l'objet, sur un support organique, par emmanchement de la gueule de l'animal qui réaliserait l'effet d'un sceptre ou d'un bâton orné. Cette partie a également pu servir une pierre ou une dent animale à l'instar de certains pendentifs figurés de la nécropole de Vadenay (Frézouls 1977, p. 405-406) ou de l'*oppidum* de La Cloche (Chabot 2004, fig. 237, J8-009) avec lesquels cette pièce comporte certaines similitudes.

Le pendentif en forme de lunule

Cette parure en or exceptionnelle (fig. 97, n° 18), représentant une lunule ornée par la technique hellénistique de la granulation, fait l'objet d'une étude approfondie réalisée par M. Poux (Poux 2007), synthétisée par la suite (Poux 2012, p. 243). Découverte dans les déblais de fouille grâce au détecteur à métaux, elle a pu être repositionnée dans son contexte, en l'occurrence un radier de sol de la seconde moitié du I^{er} s. av. J.-C., qui livre également une monnaie nîmoise à la légende NEM COL. Par sa richesse et les rares parallèles connus pour ce genre de parure avant le Haut-Empire, ce pendentif féminin revêt un fort caractère aristocratique et évoque des pratiques cultuelles et une symbolique empreintes de culture méditerranéenne.

La monnaie sertie en pendentif ou en bague

Cette monnaie en argent de Vespasien émise en 74 (RIC 75, COHEN 362, identification N. Dubreu) devait être sertie à l'aide d'un bandeau en argent traversé par une tige bouletée à une extrémité (fig. 97, n° 19), retrouvée à son contact. Ce procédé pourrait être documenté sur une bague monétaire de Tetricus en or d'Autun où sont visibles deux cerclages de la serte et deux rivets (constitués de la même tige ?) opposés (Besson 2010, p. 324-325, fig. 1) ou encore sur un aureus de Marc Aurèle du British Museum (Marshall 1968, n° 260). L'absence de brasure apparente, qui serait la preuve de sa fixation à une bague, incite à considérer cette pièce comme un élément intégré dans un collier plus complexe ou encore porté en sautoir. Cette utilisation des monnaies en métaux précieux se retrouve relativement souvent depuis l'époque hellénistique et, comme les pendants de lunule, apparaît à trois reprises au cou de portraits féminins du Fayoum (Vermeule 1975, p. 31-32). La longueur de la tige médiane semble toutefois problématique pour l'une et l'autre attribution fonctionnelle. Cet artefact peut-être inachevé pourrait représenter une autre catégorie de parure (épingle, boucle d'oreille ?), l'axe médian servant alors de bélière.

3.1.5. LES PARURES DE TÊTE

Les parures ornant les oreilles et la chevelure sont très mal représentées sur le site avec uniquement deux boucles d'oreille et quatre épingles gallo-romaines.

Les boucles d'oreille

De facture simple, ces deux boucles d'oreille proviennent toutes deux de niveaux laténiens qui fournissent leur datation. Le premier exemplaire (fig. 98, n° 1) présente des terminaisons appointées caractéristiques (Poux et Demierre 2015, p. 146), tandis que la courbure du fil de la seconde (fig. 98, n° 2) est spécifique à la suspension de ce type de parure (voir par ex. Riha 1990, pl. 30, n° 699). Cette dernière boucle d'oreille devait comporter à l'origine un pendentif ou une perle ornementale qui a aujourd'hui disparu.

Les épingles

Les épingles retrouvées uniquement dans le sanctuaire et dans le théâtre aidaient à la confection de coiffures sophistiquées selon les canons romains de la mode. Commune, la tête moulurée des deux exemplaires complets (fig. 98, n° 3 et 4) permet de les attribuer à la variante 1 du type 26 d' E. Riha (1990, p. 111, pl. 59-60, n° 2535 à 2564), datée du II^e s. ap. J.-C. et de la première moitié du siècle suivant. La tige appointée issue du théâtre (fig. 98, n° 5) doit également correspondre à une épingle gallo-romaine compte tenu de son contexte. La bonne conservation de ces parures laisse supposer leur dépôt volontaire. Leur absence de l'espace D, où un grand nombre de fibules gallo-romaines est recensé, peut paraître surprenante mais aussi être liée à des questions chronologiques, les épingles demeurant moins fréquentes que les fibules au I^{er} s. de notre ère.

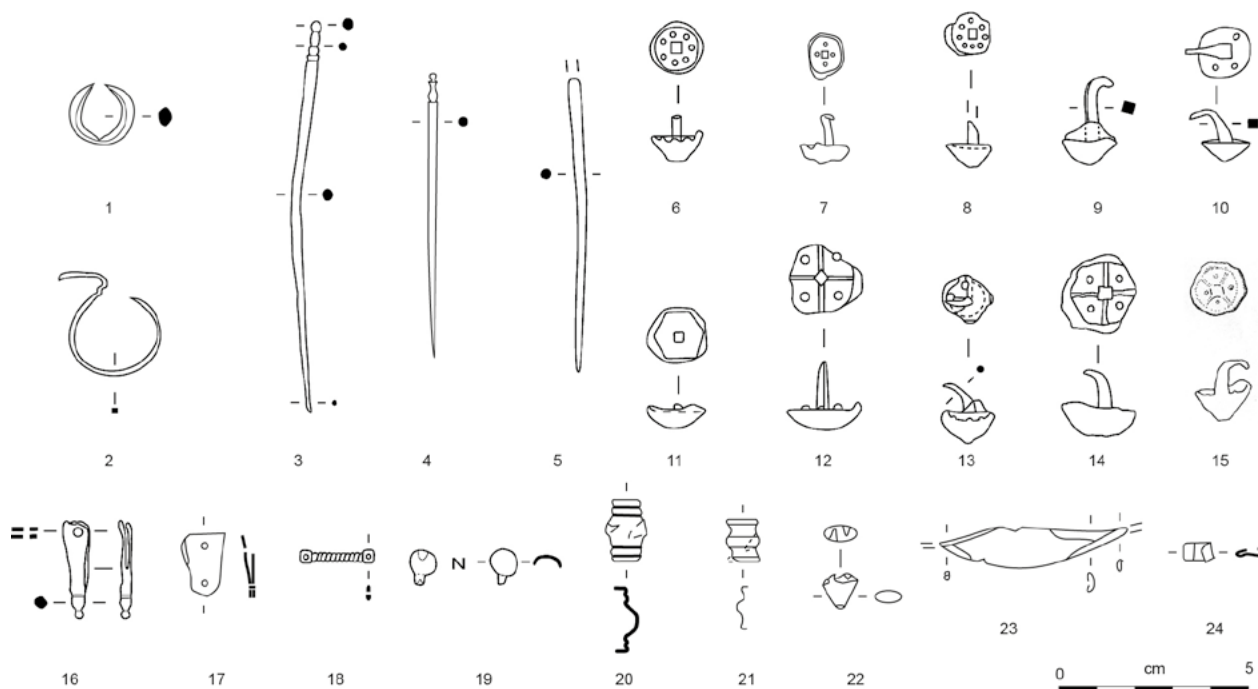


Fig. 98. Parures de tête et accessoires vestimentaires. 1-5 et 16 à 24: alliage cuivreux ; 6-15: fer.

3.1.6. LES VÊTEMENTS

Cette sous-catégorie comprend essentiellement des clous de chaussure et des appliques vestimentaires et deux ferrets de ceinture de forme variée.

Les clous de chaussure

Apparaissant en Gaule au pied des troupes romaines et reconnus en premier lieu sur le site d'Alésia (Brouquier-Reddé et Deyber 2001), les clous de chaussure constituent un marqueur des niveaux postérieurs à la conquête, à l'exception du site de la bataille d'Orange où des éléments seraient documentés à la fin du II^e s. av. J.-C. (Deyber et Luginbühl 2017). Les fondements de leur étude typologique ont été développés par M. Volken (2011) qui démontre, à l'aide des mesures pondérales, une évolution suivant les grands changements monétaires et les réformes militaires de la fin de la République et du début de l'Empire romain. Un traitement statistique confrontant les reliefs situés sous la tête des clous et leur diamètre a été proposé récemment pour comparer les corpus autour de *Nasium* (Pieters *et al.* 2016). Cette contribution fait également le point sur la chaîne opératoire de fabrication.

L'état de conservation du corpus du Corent ainsi que sa distribution stratigraphique ne se prêtent toutefois guère à une analyse approfondie selon ces méthodes, raison pour laquelle nous nous sommes tenus à une description morphologique des éventuels reliefs présents sous leur tête et à la mesure du diamètre externe selon la méthode définie par M. Poux (Poux 2008, p. 376-381). Une fois confrontés, ces deux critères offrent en effet la possibilité de cibler les clous de chaussure les plus anciens, qui présentent généralement un diamètre supérieur à 15 mm et des reliefs de globules et de croix. Ce type de décor disparaissant au milieu de la période augustéenne marque les clous des semelles des chaussures de l'armée tardo-républicaine. Ces souliers d'extérieurs appelés *caligae* se retrouvent ensuite dans la sphère civile durant le Haut-Empire. Ils ont fait l'objet d'une documentation détaillée dans le cadre de la publication du sanctuaire (Poux et Demierre 2015, p. 148-150 et pl. 5-7), ne sont exploités ici que pour leur contribution à l'analyse spatiale (fig. 99).

La distribution des clous de chaussure sur le site montre une répartition qui suit fidèlement les endroits présentant des radiers de la fin de l'état 2, mais surtout les zones où les structures romaines sont bien conservées ([cat. 15](#)). Certaines concentrations, comme celle de la grande cave du complexe C ou encore des décapages du bâtiment E résultent également d'un piégeage de mobiliers dans des structures profondes. Sur le plan de la distribution stratigraphique, toutes les pièces issues d'ensembles antérieurs à l'état 2.3 se révèlent systématiquement des pièces intrusives. À titre d'exemple, aucun niveau scellé par un radier de cette phase ne livre de clou de chaussure et la plupart des pièces en question proviennent d'ensembles à la validité douteuse ou présentant des recoupements.

Si l'on se concentre sur les clous de chaussure de diamètre important présentant des reliefs sous la tête, force est de constater qu'ils sont présents sur la totalité des espaces ouverts du site, que cela soit dans la cour intérieure du complexe A (fig. 98, n° 6), la place du complexe C (fig. 98, n° 7 et 8) ou encore la cour du sanctuaire (fig. 98, n° 15). Ces contextes démontrent que ces lieux de passage et de circulation fonctionnaient toujours comme tels au plus tôt à LTD2b, si l'on se réfère au diamètre réduit de certains exemplaires. La dernière constatation concernant la distribution stratigraphique de ces clous est leur récurrence en surface des radiers comme au sein des structures de l'état 2.3. Ainsi, la grande majorité des bâtiments présentant cette phase livre au moins un clou de chaussure tardo-républicain. Ils sont en effet recensés, en plus des complexes A et C précédemment cités, à proximité de l'espace D (fig. 98, n° 10), dans les bâtiments M (fig. 98, n° 11 et 12) et R (fig. 98, n° 13) de même qu'en surface de l'aménagement de pierre recouvrant l'hémicycle du théâtre (fig. 98, n° 14). Signalons

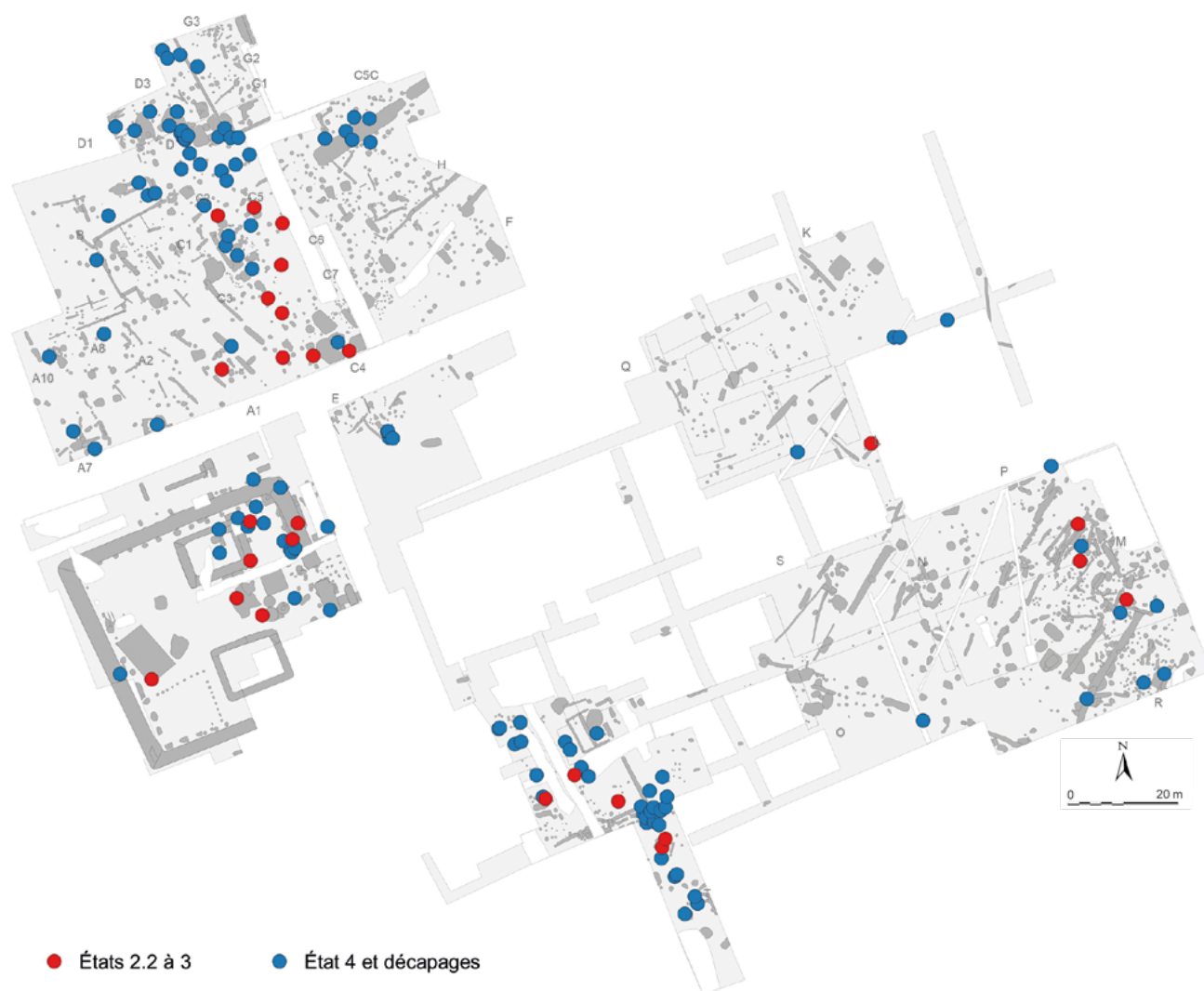


Fig. 99. Répartition des clous de chaussure dont les coordonnées ont été relevées sur le terrain.

encore que les reliefs à croix (fig. 98, n^{os} 12 à 15), clairement antérieurs au milieu du règne d'Auguste, demeurent très peu représentés et que certains exemplaires présentent des bols – l'empreinte de la matrice selon la terminologie de M. Volken – de forme hexagonale assez atypique (fig. 98, n^{os} 11 et 14).

Ces éléments laissent entrevoir une empreinte de l'armée romaine dès LTD2b, déjà soulignée par ailleurs (Poux *et al.* 2008a) sur la majorité des bâtiments du site. Bien que leur nombre demeure nettement moins fréquent qu'à Gergovie, où plus d'une soixantaine d'exemplaires sont recensés sur une seule des voies principales du site (Dacko et Ducreux 2014), ces pièces caractéristiques de l'équipement des militaires romains de la seconde moitié du I^{er} s. avant notre ère peuvent suggérer plusieurs interprétations, de l'occupation du site par des troupes pendant et après la Guerre des Gaules à sa destruction lors d'un épisode violent. La première hypothèse semble primer en l'absence de niveaux caractéristiques d'une telle violence, même si ce postulat se devrait d'être abordé de manière plus détaillée à la lumière des *militaria* mis au jour sur le site.

Les ferrets de ceinture

Les deux ferrets de ceinture comportent une fixation rivetée caractéristique. Si la forme simple issue du sanctuaire ne permet pas une analyse approfondie (fig. 98, n^o 17), l'autre exemplaire à terminaison bouletée (fig. 98, n^o 16) constitue un élément récurrent du costume féminin de Celtique orientale au vu du nombre d'occurrences au Magdalensberg (Deimel 1987, p. 77, pl. 57) ou encore à Stradonitz (Píč 1906, pl. 23). Issu d'un niveau de radier de LTD2b ou

de l'époque augustéenne, le ferret de l'espace D à extrémité courte et bouletée s'apparente aux formes recensées au Magdalensberg à la même période. La rareté de ce type d'objet en Celtique occidentale à La Tène finale interpelle et pourrait constituer un indice en faveur d'un apport exogène. Il pourrait même être le fait de militaires, dont la fréquentation du secteur est attestée par plusieurs *militaria*, si l'on se réfère aux doutes qu'émet S. Sievers quant à une utilisation purement féminine de ces accessoires du vêtement (Sievers 2010, p. 21-22).

Les appliques vestimentaires et les objets de parures indéterminés

La grande majorité des objets interprétés comme des appliques vestimentaires proviennent du sanctuaire où ils ont fait l'objet d'une notice (fig. 98, n^{os} 20 à 24). Parmi les formes nouvelles, une tige torsadée perforée à ses deux extrémités (fig. 98, n^o 18), également documentée sur l'*oppidum* de Jastres (Lefebvre 2006, pl. 24, n^o 408), peut avoir servi d'espaceur de collier, mais également de partie mobile de boucle d'oreille ou encore de simple applique vestimentaire. Issue d'une fosse postérieure à l'utilisation du théâtre, la cupule fixée par deux crochets repliés (fig. 98, n^o 19) aussi connue à Villeneuve-Saint-Germain (Debord 1998, fig. 10, n^{os} 19 et 20) s'insère dans la continuité des autres éléments ornementaux cités précédemment. Ce mode de fixation à griffes impliquant une accroche dans du tissu ou du cuir est relevé dès la fin de l'âge du Bronze (voir par ex. Bernatzky-Goetze 1987, pl. 118, n^{os} 12 à 37).

3.2. L'ARMEMENT

Le corpus d'armes est composé de 315 restes pour 255 individus (NMI maximal), qui sont classés dans un premier temps en grande famille fonctionnelle regroupant l'armement offensif et défensif et les pièces d'équipement annexes aussi appelées fourniment (fig. 100). D'hast ou de poing, les armes destinées à blesser l'adversaire ne sont représentées que par 63 individus alors que l'équipement défensif et le fourniment le sont respectivement par 86 et 88 individus. Ces chiffres pourraient naturellement être pondérés en tentant par exemple de restituer des panoplies complètes, qui ne seraient par exemple évaluées qu'à une douzaine d'équipements en regard du nombre d'épées conservées sur le site. Malgré une fragmentation prononcée, l'accent a été mis dans ce chapitre sur la classification typologique du corpus qui présente l'ensemble des catégories d'armement de La Tène finale. L'utilisation de cartes de répartition par type d'objet et l'analyse taphonomique systématique du corpus posent les premières bases destinées à améliorer notre compréhension des pratiques culturelles liées à l'armement dans le centre urbain. L'équipement militaire de tradition romaine nettement plus rare (NMI, 18) est traité à part afin d'éviter de générer des associations artificielles, notamment dans la distribution spatiale des différents types d'objets.

Les clous de chaussures tardo-républicains à globules et à croix, caractéristiques des chaussures de soldats de la seconde moitié du I^{er} s. avant notre ère et les éperons, un attribut des troupes montées, sont classés selon leur fonction première et apparaissent donc dans les chapitres consacrés aux vêtements (chap. 3.1.6) et aux accessoires liés au transport (chap. 3.6.3).

3.2.1. L'ÉPÉE ET SON FOURREAU

Sur le plan fonctionnel, l'épée fait partie de l'armement offensif, alors que l'ensemble des pièces servant à sa suspension est affilié aux pièces d'équipement militaire annexe. Si cette classification demeure justifiée, la présentation de l'ensemble des éléments liés au port de l'épée permet de relever des associations

Armement gaulois

	NR	NMI
Armement offensif	69	63
Épées et armes de poing	13	13
Fragments proximaux et croisière	2	2
Fragments médians de lame d'épée	4	4
Fragments distaux de lame d'épée	4 (1)	4 (1)
Poignard	1	1
Fragments de manche de poignard	2 (1)	2 (1)
Lances	48	42
Pointes de lance	28	23
Talons	20	19
Pointes de flèche	8 (2)	8 (2)
Armement défensif	113	86
Boucliers	100	73
Orles	66	42
Umbos	19	16
Clous-rivets	4	4
Manipules	8	8
Casques	5	5
Couvre-nuque	1	1
Paragnathide et sa fixation	4	4
Cottes de mailles	8	8
Fragments	6	6
Rivets	2	2
Fourniment	116	87
Fourreaux	95	68
Pontets	6 (2)	5 (2)
Frettes de fourreau	7	6
Bouterolles	48	36
Plaques	32	19
Fourreau de poignard	1	1
Bouterolle de fourreau de poignard	1	1
Agrafes de ceinturon	15	15
Agrafes de ceinturon à bouton circulaire	9 (6)	9 (6)
Boutons à oeillet et à languette rectangulaire	6 (2)	6 (2)
Chaînes de suspension	5	3
Sanglier-enseigne	1	1

Armement romain

	NR	NMI
Armement offensif	3	3
Pointe de <i>pilum</i>	1	1
Viroles de <i>pilum</i>	2	2
Armement défensif	6	6
Casque	1	1
Éléments de cuirasse	3	3
Orles de bouclier	2	2
Fourniment	9	9
Frettes de suspension de fourreau	3	3
Suspension de <i>pugio</i>	1	1
Éléments de harnais/ceinturon	4	4
Attache de ceinturon	1	1

Fig. 100. Tableau général de présentation du corpus d'armement.

pertinentes dont il serait dommage de se priver, ce parti pris est par ailleurs très fréquent (voir par ex. Lejars 2013, Pernet et Carlevaro 2006). Ces différentes pièces d'équipement militaire comportent néanmoins des particularités, tant sur le plan taphonomique que spatial, qui sont détaillées au fur et à mesure de leur étude.

Les fragments d'épée et autres armes de poing

Les épées et les autres armes de poing du même type sont particulièrement rares sur le site avec uniquement 12 fragments ([cat. 16](#)), auxquels s'ajoutent une partie distale exhumée en 2014¹² et une tête de poignard anthropomorphe découverte anciennement (Déchelette 1914, p. 1139-1143, fig. 475). Les fragments se répartissent entre des poignées, une croisière et des fragments médians et distaux de lame. Leur distribution éparse et leur faible nombre

12 UF 25427/924.

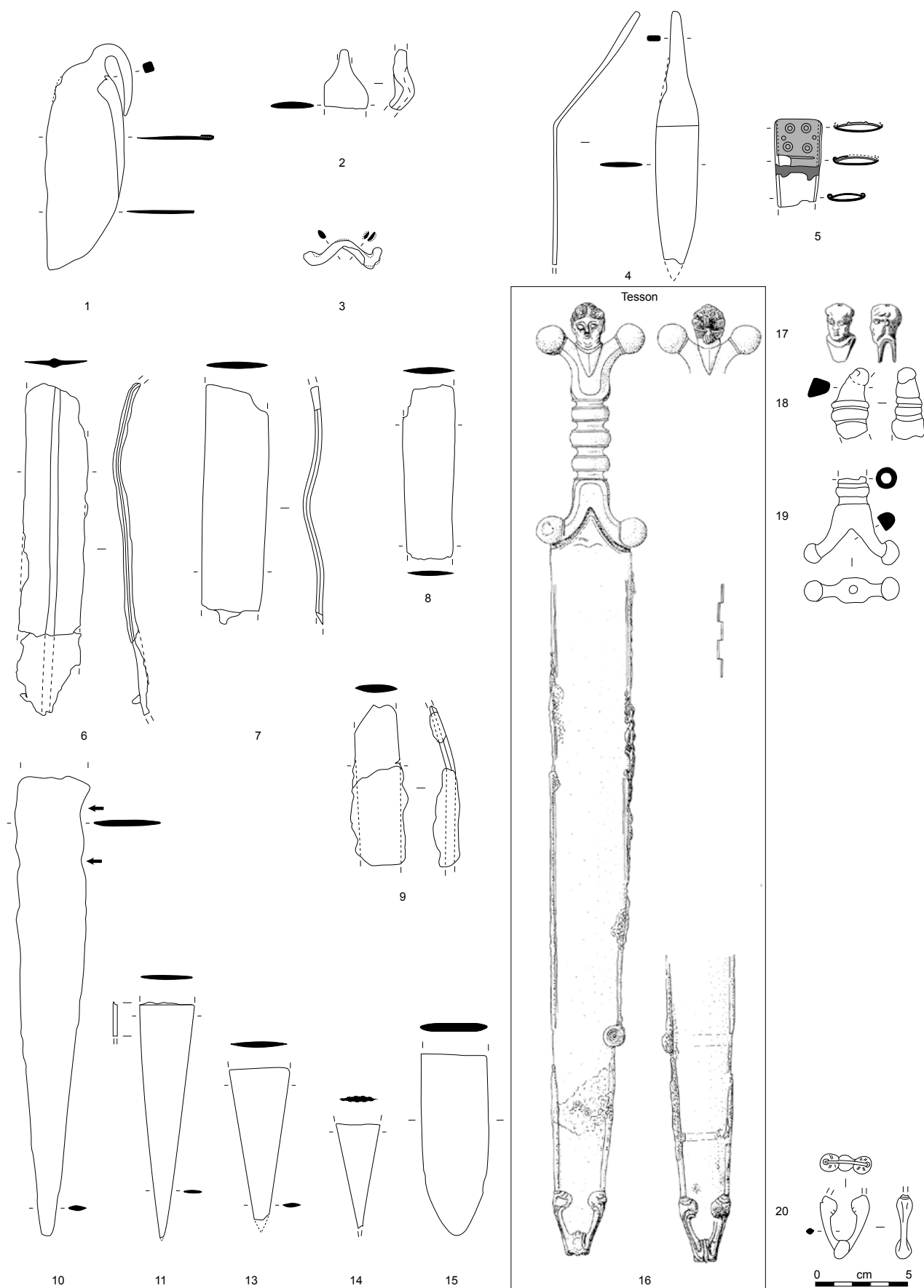


Fig. 101. Planche récapitulative des fragments d'épée et des fourreaux qui peuvent leur être associés. 1-4 et 6-15 : fer ; 5 et 16 : fer et alliage cuivreux ; 17-20 : alliage cuivreux (16, tiré de Duval et al. 1986, fig. 6).

n'apportent guère d'information exploitable contrairement à l'observation ciblée de la répartition des parties conservées. Le sanctuaire livre en effet uniquement deux extrémités distales volontairement découpées ou endommagées, alors que l'ensemble des composants est documenté dans le reste du site. Cette particularité soutient l'idée d'une récupération ou d'un dépôt différencié des parties proximales d'épée (Poux et Demierre 2015, p. 569-570, fig. 354). Leurs masses moyenne (47 g) et médiane (39,4 g) importantes et leur longueur conservée, majoritairement supérieure à 83 mm, qui s'avèrent supérieures aux standards du corpus, illustrent néanmoins une forte fragmentation si l'on se réfère à la taille des artefacts complets.

Les parties proximales d'armes de poing comprenant la fusée, la croisière et la soie ne sont documentées que sous la forme de quatre éléments peu significatifs sur le plan typo-chronologique, à commencer par un fragment d'épée récupéré en rasoir ou en couteau (fig. 101, n° 1). Cette modification se lit au niveau du tranchant replié pour constituer le dos de la lame, tandis que la soie semble recourbée volontairement (fig. 102).



Fig. 102. Partie proximale d'épée récupérée en rasoir.

Le fragment de soie avec le début d'une lame de section lenticulaire (fig. 101, n° 2) pourrait correspondre à une portion d'épée ou de poignard, au vu de l'exemplaire mis au jour dans le bâtiment A7 (fig. 101, n° 4). Presque complète, cette arme de poing, qui pourrait aussi être qualifiée de coutelas ou de dague, présente une lame de faible dimension (env. 11 cm), légèrement asymétrique, pliée au niveau de sa jonction avec la soie. Contrairement à l'époque romaine où le *pugio* fait partie intégrante de l'ensemble de l'équipement du légionnaire, ce type d'arme d'appoint demeure peu fréquent en contexte laténien (voir par ex., Pernet et Carlevaro 2006, p. 52-53, tombes 17 et 444).

Il est tentant de mettre en relation cet élément avec un fourreau atypique (fig. 101, n° 5) retrouvé à proximité (bâtiment A10). La largeur de son entrée est similaire à celle observée au niveau du pli de la dague. Cette pièce attribuée à l'état 1 présente un mode de fabrication de facture laténienne, avec un sertissage avers sur revers de ses deux plaques en fer. Son entrée se distingue des standards par l'ajout d'une plaque en alliage cuivreux ornée de quatre ocelles en relief et de deux points latéraux (fig. 103). Cette partie décorée munie d'une butée dans sa section inférieure lui permet de s'emboîter sur la plaque avers plus courte que celle du revers. En l'absence de traces de fixation d'un pontet, l'identification de son système de fixation demeure sujette à discussion. Il pourrait être tout simplement fixé à l'aide d'une lanière sur les ponctuations latérales de la plaque en alliage cuivreux qui se retrouvent notamment sur un fourreau de type Ludwigshafen de Conthey (Curdy *et al.* 2009, pl. 20, SLM A-3277.1). La hauteur de ces ergots semble toutefois trop peu importante pour assurer une suspension pérenne. La seconde hypothèse pour comprendre le mode de suspension serait la restitution d'un anneau riveté à proximité de la gouttière sur la base d'un hypothétique rivet de lecture difficile, à la jonction entre les plaques avers en alliage cuivreux et en fer. Ces caractéristiques ne sont pas sans évoquer les poignards à poignées globulaires de tradition celtibère (Fillooy Nieva 2002, fig. 2 et 3) qui sont considérées comme les ancêtres des *pugiones* de l'armée romaine (Quesada Sanz 1997). Leur mode de fabrication composé d'une âme en bois maintenue par un système de gouttières et de frettes et recouverte par une plaque décorative en alliage cuivreux appliquée sur l'ensemble de la face avers diffère toutefois grandement de l'exemplaire de Corent. Malgré ces spécificités, ce fourreau de coutelas découle d'une tradition indigène tant sur le plan du mode de fabrication que sur celui du décor d'ocelles (voir par ex. Van Endert 1991, pl. 33, nos 486 à 489). Les parallèles demeurent toutefois rares.



Fig. 103. Fourreau de coutelas en fer à plaque décorée d'ocelles en alliage cuivreux.

Tout au plus, pouvons-nous citer un étui de couteau intégralement en alliage cuivreux de l'agglomération de Bâle-Gasfabrik qui présente également un décor ocellé et un montage laténien, en l'occurrence de la plaque avers sur la plaque revers (Furger-Gunti et Berger 1980, pl. 11, n° 242) ou la plaque de coutelas de Manching au motif de graine de café (Van Endert 1991, pl. 14, n° 254). La présence d'un anneau de suspension dans la tradition du *pugio* tardo-républicain pourrait refléter une influence méditerranéenne, mais aussi résulter d'une adaptation liée à la petitesse du fourreau, un pontet devenant trop encombrant et peu fonctionnel. La conservation de l'objet empêche de restituer de manière assurée ce mode de suspension qui semble néanmoins plus probable qu'une fixation à l'aide des ergots de la plaque en alliage cuivreux.

Identifiées en raison de leurs bords parallèles, les parties médianes d'épée présentent toutes une section lenticulaire (fig. 101, n°s 7 à 9), à l'exception d'un profil nervuré (fig. 101, n° 6). La projection de la largeur de l'intégralité des armes de poing montre un décalage prononcé avec celle des fourreaux, notamment au niveau des plus grandes dimensions (fig. 104). Dans la majorité des cas, les épées ne sont donc pas associées à leur fourreau lors de leur perte ou de leur dépôt. Cette différence pourrait aussi être interprétée comme le résultat d'une fragmentation proche de l'extrémité ou encore mener à douter de l'identification d'épée pour favoriser celle de lance, pour les exemplaires de largeur réduite (voir par ex. fig. 101, n°s 8, 9 et 11). C'est néanmoins précisément dans cette partie du graphique que la courbe des largeurs d'épée suit celle des fourreaux. Si l'on excepte ces quelques éléments inférieurs à 30 mm, les largeurs des lames de Corent, avec une amplitude comprise entre 34 et 48 mm, illustrent les standards de l'époque, aussi perceptibles à Alésia (Sievers 2001, p. 150, entre 33 et 51 mm).

Il demeure pour l'heure difficile d'aborder les extrémités distales d'épée sur un angle typo-chronologique (Bataille 2008, p. 24-25), d'autant plus lorsqu'elles sont déconnectées de leur étui. La majorité présente une pointe triangulaire (fig. 101, n°s 10 à 13) tandis qu'un seul fragment offre une extrémité arrondie (fig. 101, n° 14, 25427/924).

Trois fragments de manche comprenant la garde (fig. 101, n° 19), la partie supérieure de la fusée (fig. 101, n° 18) et la tête rapportée (fig. 101, n° 17) ainsi qu'une extrémité de bouterolle (fig. 101, n° 20) attestent de la présence d'une épée à manche anthropomorphe. Découverte anciennement, la tête à yeux en amande déjà mentionnée par J. Déchelette (1914, fig. 475, n° 2) s'insère dans une série stylistique connue à Châtillon-sur-Indre, Tesson (fig. 101, n° 16), Stradonitz, Stare Hradisko, Manching et Besançon (Pierrevelcin 2012, p. 131-134, fig. 49b). S'il demeure difficile de la repositionner sur le site, cette tête en ronde bosse complète le lot découvert sur les sols de l'état 3 des bâtiments M et R, ainsi qu'à l'intérieur d'une structure proche non phasée. Malgré une certaine dispersion de ces éléments, la rareté de ce type d'arme incite à les considérer comme les composants d'un seul et même poignard associé à son fourreau. Les deux éléments en contexte – l'extrémité de fourreau et la garde bouletée – sont attribués à l'extrême fin de la période laténienne et au début de l'époque augustéenne (état 3). Cette datation est postérieure à celle des exemplaires en contexte, synthétisée par L. Pernet (Richard Ralite *et al.* 2014, p. 26) pour les poignards dont la bouterolle bouletée et incisée est conservée comme pour ceux de Tesson (Duval *et al.* 1986, fig. 6, LTD1b) et de Châtillon-sur-Indre (Ferdrière et Villars 1993, p. 96-107, fig. 2-11, LTD1b). Le fourreau de Mirebeau (Bonnamour 1990, fig. 72, n° 89, I^{er} s. av. J.-C.), dont le pontet à palmettes est similaire à celui de cette tombe biturige, s'apparente au poignard anthropomorphe dans son fourreau acquis par le Metropolitan Museum, en 1998 (Megaw 2002). Cet exemplaire pourrait provenir de Suisse et présente également une pièce de renfort ajourée en « Union Jack » ainsi qu'une bouterolle à entrée à boutons et à extrémité distale bouletée munie de pinces incisées semblables à

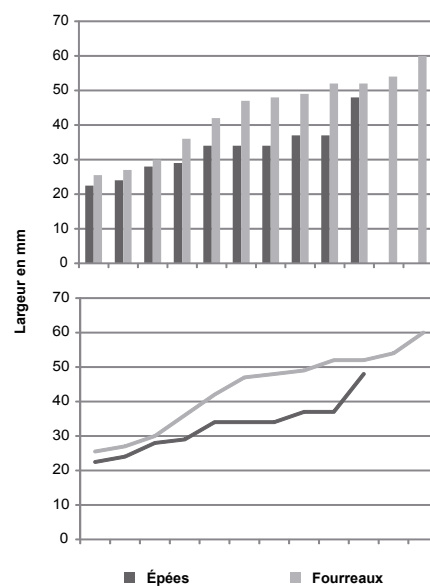


Fig. 104. Largeurs des épées comparées à celles des fourreaux.

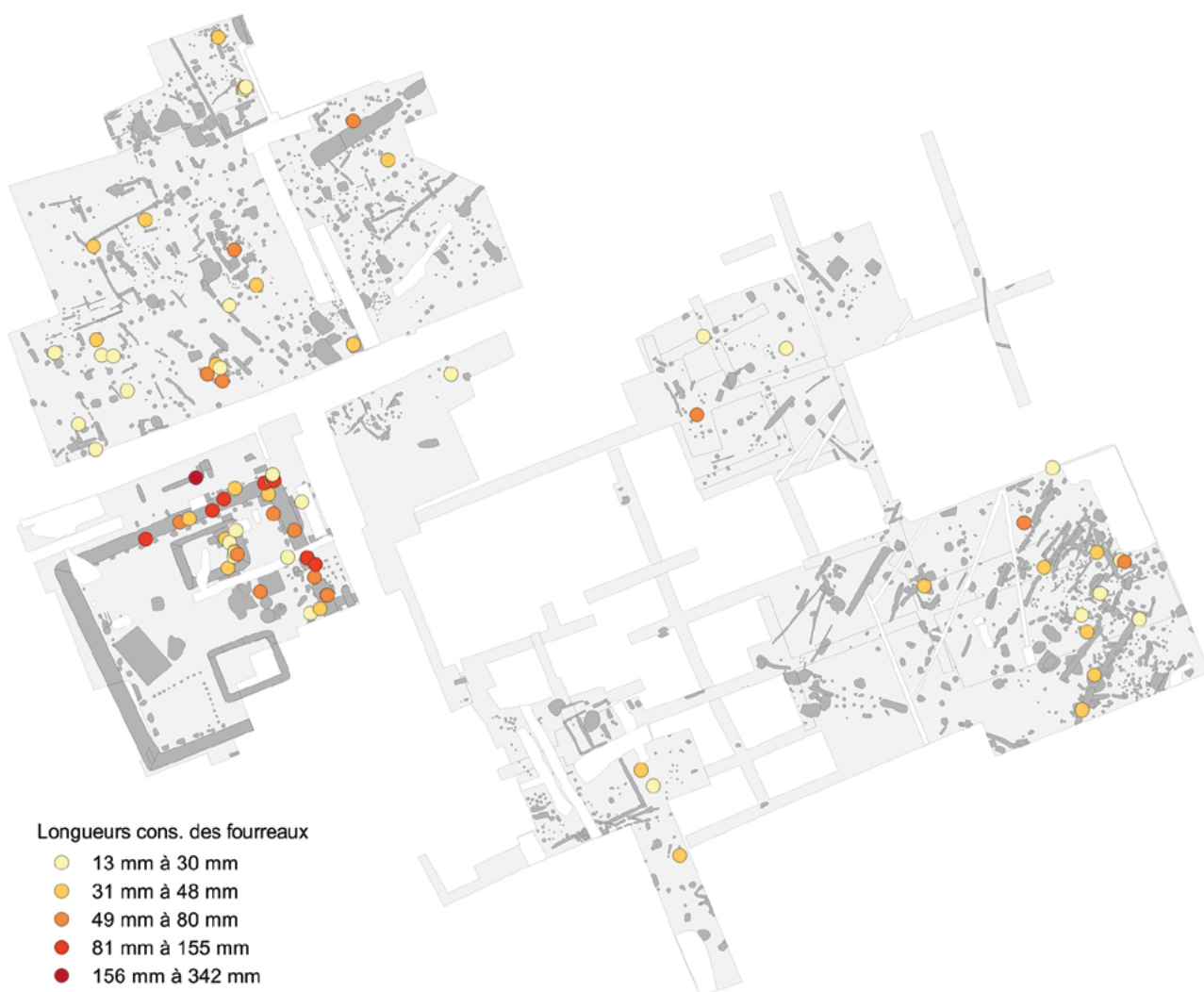


Fig. 105. Répartition spatiale des fourreaux pondérée par leur longueur conservée selon le principe des ruptures naturelles.

celles de Corent¹³. Il demeure toutefois probable que les deux pièces en contexte soient en position résiduelle, un postulat impossible à vérifier en l'absence d'autres éléments de datation pour la fosse 22482 qui livre le troisième fragment.

Les fourreaux

Avec un nombre de restes de 95, les fourreaux constituent une part non négligeable de l'armement laténien documenté sur le site (cat. 17). Très fragmentaire, le corpus se caractérise par une surreprésentation des parties distales avec principalement des fragments de bouterolles et de plaques. Aucune pièce d'entrée n'est recensée tandis que les pontets demeurent rares (5 ind.). Cette conservation différentielle peut s'interpréter en termes de bris et de pertes de la majeure partie des éléments en contexte d'habitat, tandis que des dépôts volontaires sont perceptibles dans le sanctuaire, avec une densité forte et des pièces de taille plus importante (fig. 105). De même, la masse moyenne par reste, évaluée à près de 11 g sur l'ensemble du site, augmente à 18.5 g lorsque seuls les fragments du sanctuaire sont pris en considération et passe sous les 6 g, lorsque seuls ceux de l'habitat sont retenus.

En raison de la fragmentation générale du corpus, tant dans le sanctuaire que dans les quartiers environnants, la présentation des fourreaux est réalisée à partir de l'extrémité proximale, à savoir par les pontets pour terminer par les bouterolles, elles-mêmes exposées selon leurs éléments constitutifs (entrée, pince, extrémité). Elle est fondée sur les typologies développées par T. Lejars (1994, 1996) pour les exemplaires les plus anciens et surtout, sur celles constituées plus récemment par L. Pernet, dans le cadre de l'étude des tombes de Giubiasco (Pernet et Carlevaro 2006), du territoire sédune (Curdy *et al.* 2009), ainsi que des sépultures

13 Documentation graphique à l'échelle 1/1 et littérature disponible sur <http://www.metmuseum.org/art/collection/search/470298>.

d'auxiliaires (Pernet 2010) pour l'armement de La Tène finale. Tenter une nouvelle classification semblait peu judicieux au vu de la conservation générale du corpus et du manque d'associations entre les différentes parties de fourreau.

Absents dans le sanctuaire, les **pontets**, au nombre de sept fragments en incluant les deux exemplaires issus des campagnes 2014 et 2015, accompagnent très rarement les autres constituants du fourreau. Leur mauvaise conservation empêche une analyse typo-chronologique détaillée.

Issu d'un décapage, le premier type présente une patte en ogive prolongée par les excroissances de la pièce de renfort (fig. 106, n° 1). Cette morphologie apparaît autant sur des fourreaux de La Tène moyenne (Pernet et Carlevaro 2006, type 1, p. 35-37, fig. 2.5 et 2.7) que sur des fourreaux à bouterolle en échelle de LTD2 (Sievers 2001, pl. 30, n° 141). Meilleurs marqueurs typologiques, les pontets à pattes circulaires embouties (fig. 106, n°s 2 et 3) se retrouvent fréquemment sur des fourreaux de la seconde moitié du II^e s. av. J.-C. (fin LTC2-LTD1) comme en témoigne l'exemplaire issu du sol de l'hémicycle laténien. En l'absence des pattes, le pontet à attache échancrée (fig. 106, n° 4) demeure difficilement exploitable, alors que les deux pontets à pattes longilignes terminées par une partie emboutie circulaire (fig. 106, n°s 5 et 6) peuvent être rapprochés des grands systèmes de suspension référencés sur les fourreaux de LTD2 (Sievers 2001, pl. 52, n° 149). Un pontet-plaque semble volontairement replié sur lui-même dans les sens horizontal et vertical (fig. 106, n° 7). Il constitue une pièce de suspension fréquente sur les fourreaux du groupe Ludwigshafen (Curdy *et al.* 2009, fig. 205). Issu d'un comblement de poteau comportant plusieurs plaques de fourreau, cet élément est attribué à la première phase du site.

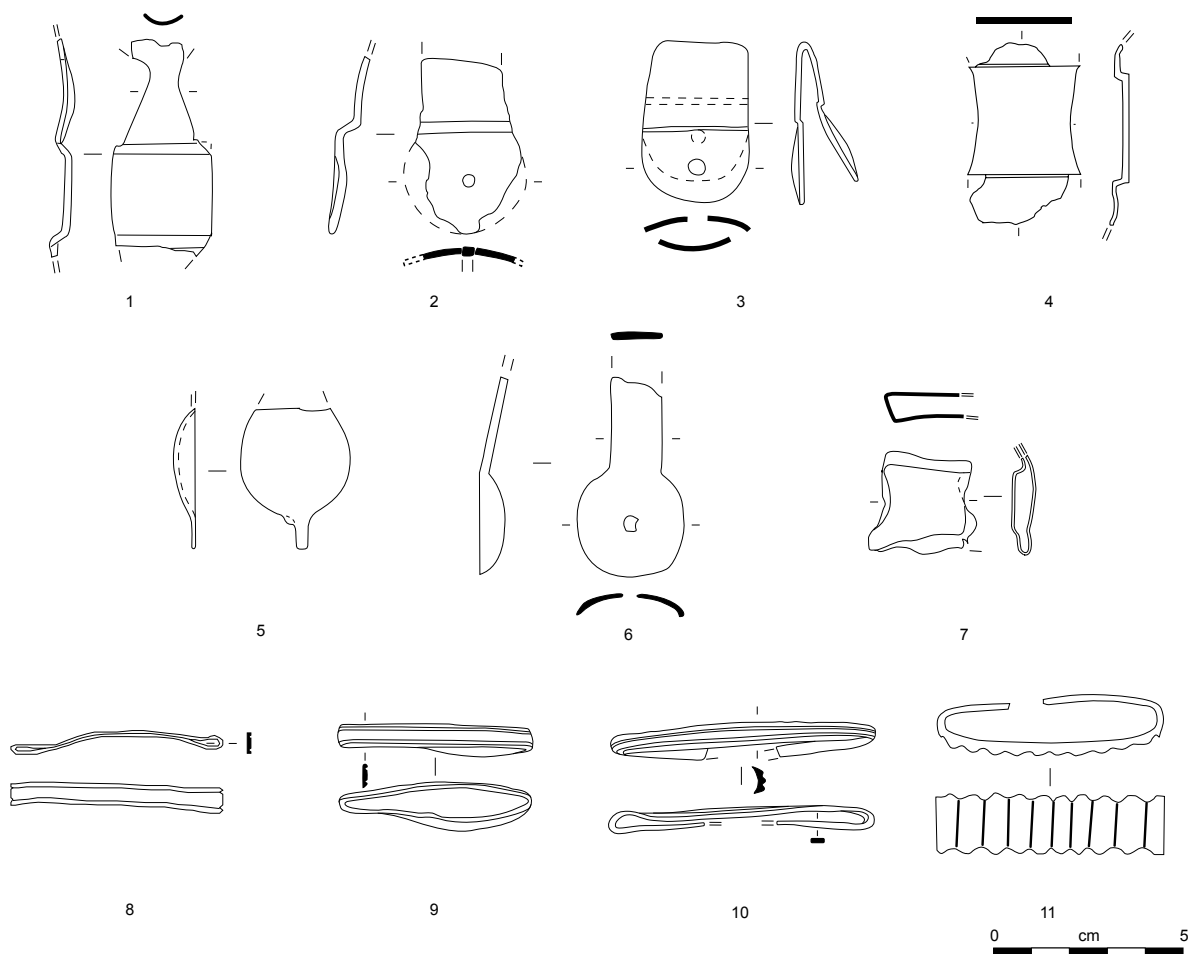


Fig. 106. Pontets et frettes de fourreaux. 1-7 et 11 : fer ; 8-10 : alliage cuivreux.

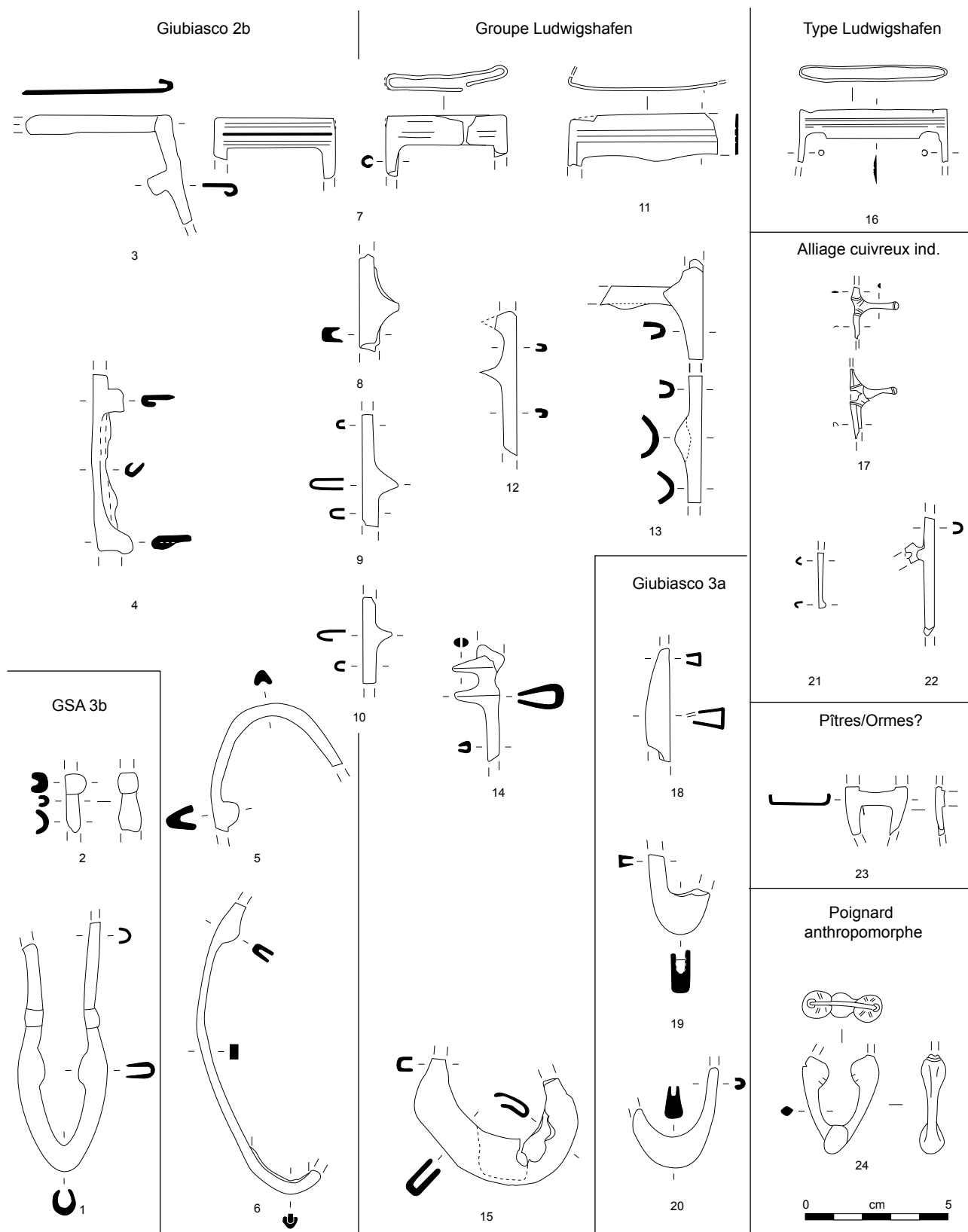
Par leur dimension comprise entre 51 et 68 mm, quatre bandeaux métalliques moulurés issus de contextes laténiens pourraient être interprétés comme des frettes de fourreau en alliage cuivreux (fig. 106, n° 8 à 10) ou en fer (fig. 106, n° 11). Ces éléments peuvent avoir fonctionné comme renfort médian ou proximal d'un fourreau métallique (Sievers 2010, pl. 22, n° 181) ou en matière organique si l'on se réfère aux frettes du fourreau de Stanwick (Pernet 2010, p. 101, fig. 67). Une frette très proche est attestée dans le corpus contemporain de Larina (Perrin 1990, fig. 98, n° 358). La frette en fer à moulurations transversales se rapproche d'un artefact de Berching-Pollanten de facture similaire, auquel il manque les rabats (Schäfer 2010, pl. 72, n° 4049).

En dehors des associations établies dans le sanctuaire, qui démontrent la présence de fourreaux à extrémités triangulaire ou arrondie et de tailles variables (Poux et Demierre 2015, p. 152-153), les plaques de fourreau ne sont guère exploitables dans l'habitat où seuls quelques fragments munis d'une gouttière latérale sont recensés. Il en est de même pour les exemplaires en alliage cuivreux à bordure en gouttière (pl. 33, n° 1, pl. 161, n° 3, pl. 179, n° 5) dont l'interprétation demeure sujette à caution. De la même manière, les dimensions d'une extrémité triangulaire issue du sol 14030 du bâtiment A1 (pl. 9, n° 8) pourraient tout aussi bien correspondre à un fourreau de coutelas (voir *supra*, p. 149).

À l'instar des pontets, la fragmentation des **bouterolles** se prête mal à l'application d'une typologie fine souvent établie sur la base de leurs dimensions générales et internes. Plusieurs types situés uniquement dans le sanctuaire font ici l'objet d'une présentation succincte afin d'éviter les redites. C'est notamment le cas pour la bouterolle la plus ancienne à ajours et globules (fig. 107, n° 1), de type **Gournay 3b** (fig. 108), datée de la fin de LTB2 et du début de LTC1 (Lejars 1994, p. 22). Un autre fragment de bouterolle à globules (fig. 107, n° 2), retrouvé à proximité d'un pied de fibule à perle moulurée (pl. 32, n° 8), pourrait également appartenir à une extrémité de fourreau de la même période en position résiduelle. Sa fragmentation empêche toutefois de lui attribuer un type précis.

Représenté de manière assurée uniquement dans le sanctuaire, le type **Giubiasco 2b** est caractérisé par des bouterolles longues à bords parallèles et à extrémité arrondie, par une ou deux pinces circulaires ou triangulaires massives et le plus fréquemment, par une entrée à boutons (Pernet et Carlevaro 2006, p. 37-40). Daté de l'extrême fin de LTC2 et du début de LTD1, ce type est illustré par des fragments du premier état du sanctuaire (fig. 107, n° 3 à 6) dont les regroupements cohérents permettent une attribution typologique assurée pour trois individus (pl. 208, n° 10 à 12, pl. 209, n° 3 à 6 et pl. 215, n° 1 à 6). Plusieurs pièces de l'habitat comportent des spécificités communes à ce type et au groupe Ludwigshafen défini par L. Pernet (Curdy *et al.* 2009, p. 162-171). Il s'agit notamment d'une entrée de bouterolle à barrette incisée sur les plaques avers et revers (fig. 107, n° 7), issue d'une palissade de l'état 1 du bâtiment N, ainsi que de trois fragments munis d'une pince triangulaire (fig. 107, n° 8 à 10) qui peuvent avoir été associés à une seconde pince.

Le doublement des pinces de la bouterolle constitue en effet l'un des traits majeurs menant à l'identification des bouterolles du **groupe Ludwigshafen**, par ailleurs attestées à trois reprises (fig. 107, n° 12 à 14). Le remplissage du fossé du sanctuaire (état 1.2) livre les deux éléments à bordure rectiligne (fig. 107, n° 12 et 13), tandis que le fragment à mouluration externe (fig. 107, n° 14) provient du remplissage d'une fosse artisanale de l'état 2.1. Ces contextes sont dans la fourchette chronologique du groupe évaluée entre l'extrême fin de LTC2 et la fin de LTD1, avec une variation qui pourrait résulter des évolutions internes du groupe divisé en deux types. Les pinces droites, plus fréquentes sur le type Montmartin, apparaissent au plus tard durant LTD1a, tandis que des moulurations s'observent plus régulièrement sur le type Ludwigshafen (LTD1b), postérieur et principalement en bronze.



Si distinguer les types Montmartin et Ludwigshafen d'après des bouterolles fragmentaires demeure difficile, l'entrée de bouterolle à élargissement central et la bouterolle naviforme tordue (fig. 107, n^{os} 11 et 15) paraissent représentatives des exemplaires en fer du type Ludwigshafen, comme ceux de Beaucaire (Pernet 2010, pl. 50, n^o 1) ou du lac du Morat (Curdy *et al.* 2009, fig. 209). Ces deux fragments proviennent de structures attribuées à l'état 1 de l'habitat. Emblématique, l'entrée de bouterolle en alliage cuivreux à barrette

Fig. 107. Sélection des fragments de bouterolles répartis par type. 1-16 et 18-20 : fer; 16-17 et 21-24 : alliage cuivreux.

moulurée et échancrée dans sa partie basse (fig. 107, n° 15) est recensée sur la bouterolle du fourreau du site éponyme de Ludwigshafen, sur un exemplaire de la Saône (Guillaumet 2003, type B2, fig. 61) et encore sur un exemplaire de Riedelmoosgraben, à proximité de la porte sud de Manching (Sievers 2010, p. 89, fig. 48). Elle constitue l'une des occurrences les plus occidentales référencée actuellement en alliage cuivreux. Cette constatation résulte très vraisemblablement de l'état actuel des données : une frette en double esse de l'*oppidum* de Belestia en Ariège (Rancoule 1976, p. 130, n° 4) pourrait être également affiliée au type Ludwigshafen et constituerait de facto la limite ouest de la répartition du type.

Deux pinces ornées d'incisions de forme triangulaire surmontée d'un cercle se rapprochent des pinces recensées sur certains fourreaux du type Ludwigshafen en bronze comme celui de Wederath (Lejars 1996a, fig. 4, tombe 296) ou de Manching (Sievers 2010, pl. 24, n°s 283 et 284). Leur contexte de découverte – la surface du radier du bâtiment C3 (état 2.2 au plus tôt) – et leur constitution en tôle très fine plaident cependant en faveur d'une forme tardive atypique illustrée par le fourreau à décor incisé de Sigoyer (Mahieu *et al.* 2005) ou encore par la bouterolle issue d'un niveau augustéen du rempart de Bibracte (Pernet *et al.* 2008, fig. 1, n° 8).

Seules deux extrémités massives de bouterolle (fig. 107, n°s 19 et 20) au profil angulaire caractéristique (Lejars 1996a, p. 92-93) peuvent être attribuées au type à échelle, aussi regroupées dans le **type 3 de Giubiasco** (Pernet et Carlevaro 2006, p. 40-42). Caractéristique des niveaux de la guerre des Gaules au vu des nombreux exemplaires d'Alésia (Sievers 2001, pl. 49-52) ou encore du corpus fourni de Bibracte (Pernet *et al.* 2008, pl. 1, n°s 3 à 6), ce type de bouterolle provient de niveaux d'épandage et de décapage indatables à Corent. Un fragment de gouttière anguleux pourrait également être affilié à ce groupe typologique (fig. 107, n° 18).

Les fragments de gouttière rectiligne ou avec un départ d'entretoise ainsi qu'une entrée de fourreau comportant encore des plaques en connexion et sa barrette (pl. 9, n° 7) ne peuvent pas être exploités sur le plan typologique. Il en est de même pour les gouttières en alliage cuivreux (fig. 107, n°s 20 et 21) qui présentent les vestiges d'une entretoise ou d'une pince. La fragmentation de ces pièces découvertes en contexte laténien (état 1) empêche de proposer une identification assurée, à l'exception peut-être du fragment perforé du bâtiment B qui rappelle les faux rivets documentés sur les fourreaux de poignard anthropomorphe comme celui de Tesson (Duval *et al.* 1986, fig. 6). Notons encore que la grande majorité des gouttières en alliage cuivreux ne présentant pas de départ de frette ou d'entretoise n'a pas été intégrée dans l'armement en raison d'autres interprétations possibles pour ces éléments (Sievers 2010, p. 34-35).

Nous ne revenons pas ici sur le fragment de fourreau en alliage cuivreux de type Ormes ou Pîtres (fig. 107, n° 22), trouvé hors contexte dans le sanctuaire, (Poux et Demierre 2015, p. 153), ni sur l'extrémité de fourreau de poignard anthropomorphe (fig. 107, n° 23, voir *supra*, p. 150).

Au regard de l'analyse typo-chronologique, le corpus des fourreaux de Corent peut se séparer en deux groupes distincts, à savoir les marqueurs de la fin de LTC2 et de LTD1 (Giubiasco 2, groupe Ludwigshafen) très bien représentés, tandis que La Tène D2 n'offre que deux, voire trois fragments de fourreau à échelle (Giubiasco 3), caractéristiques d'une phase avancée de cette séquence (LTD2b) (fig. 108). Ce faciès souligne le problème de l'identification des fourreaux de LTD2a, période fréquente sur le site, pour laquelle peu d'éléments sont disponibles. Un facteur de réponse peut provenir de la consommation accrue d'armement dans le sanctuaire durant sa première phase ou encore de la facilité d'identification des pinces de bouterolles des premiers types. Cette répartition chronologique peut également être le résultat, dans l'habitat, de pratiques de dépôts différenciées qui sont suggérées par les ensembles issus de structures en creux ou encore des sols du bâtiment A1 (voir *infra*, chap. 4.2).

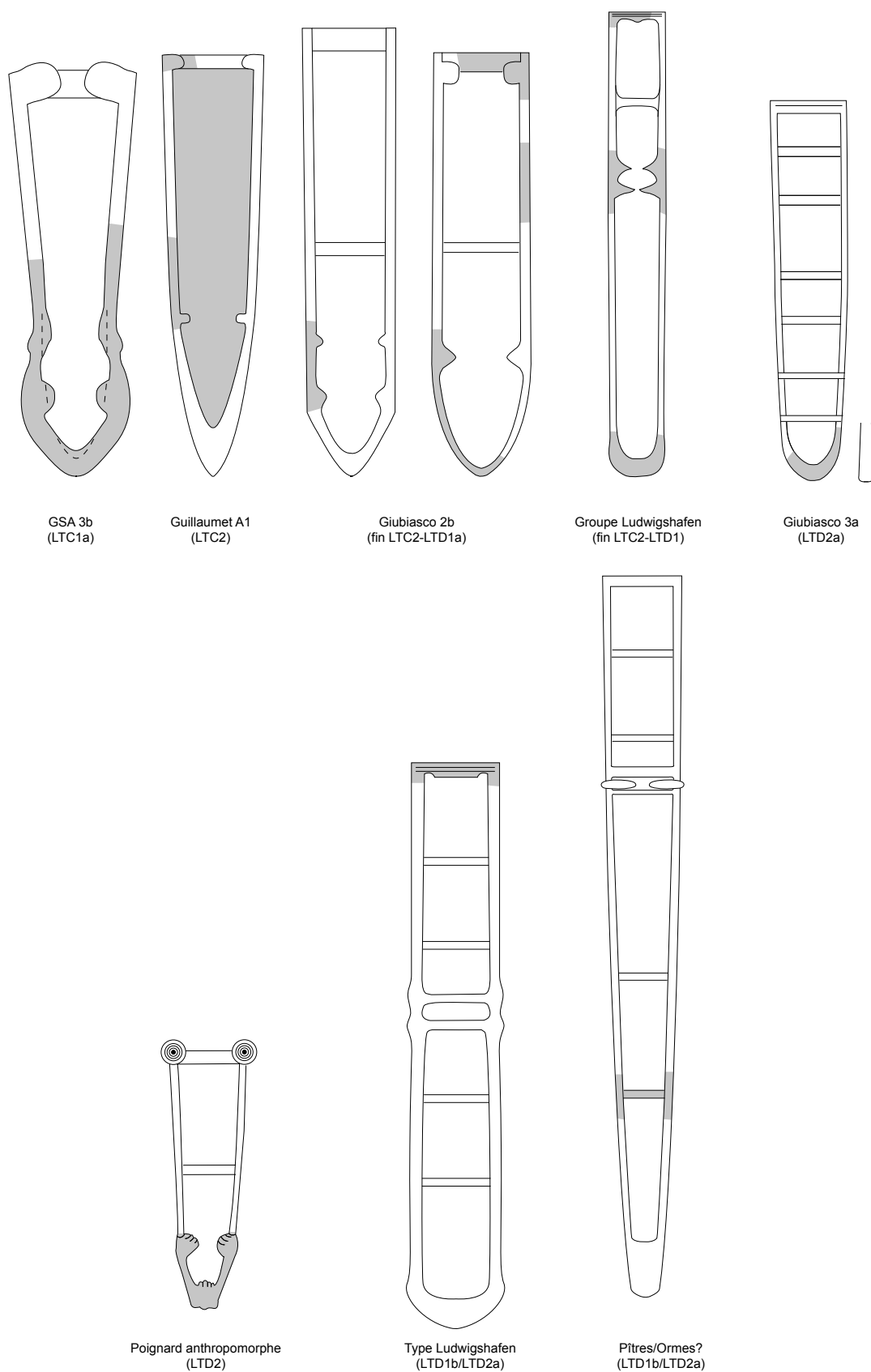


Fig. 108. *Récapitulatif des types de bouterolles.*

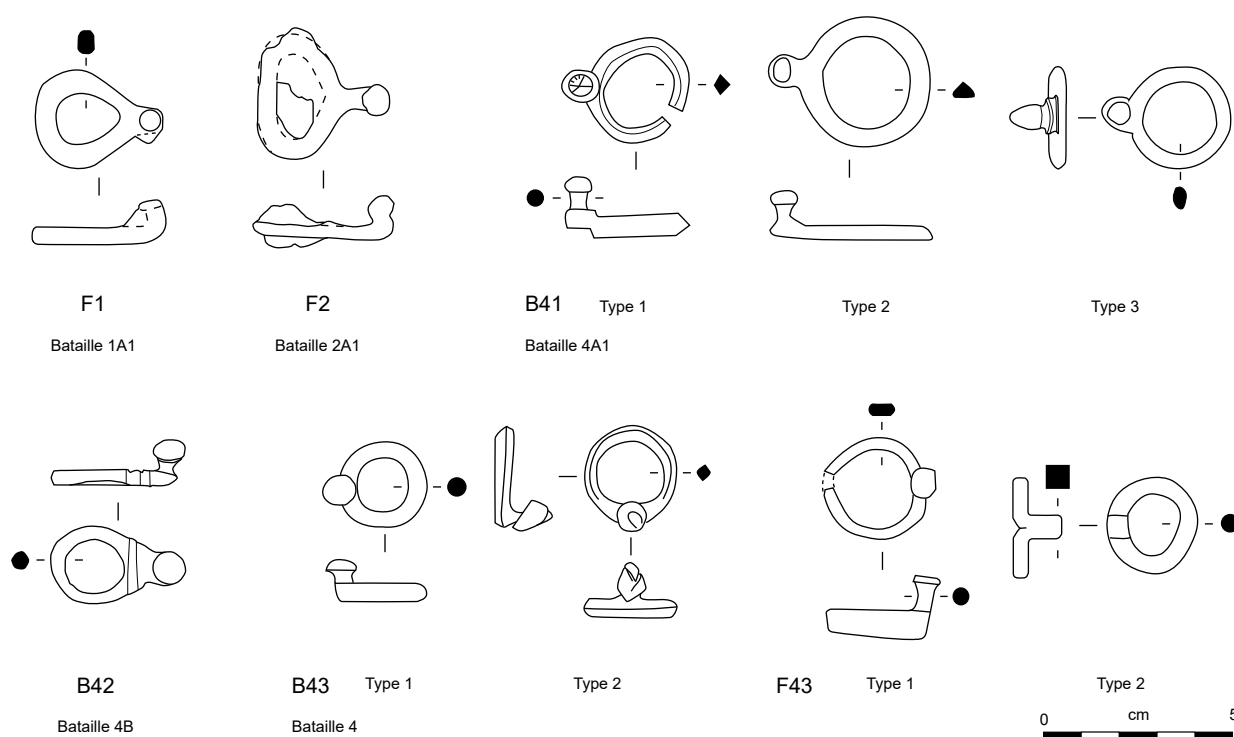


Fig. 109. Typologie des agrafes de ceinturon.

Les agrafes de ceinturon

Avec 15 individus auxquels peuvent être ajoutées six autres références dans le mobilier des prospections anciennes et trois issus des fouilles récentes, le corpus des agrafes de ceinturon se révèle relativement important et très diversifié ([cat. 18](#)). Très bien conservées dans l'ensemble avec seulement six exemplaires dont la cassure est vraisemblablement due à une tension excessive sur l'anneau, les agrafes de ceinturon se comportent, sur le plan de la taphonomie, de la même manière que les anneaux en alliage cuivreux dont la robustesse et la petite taille expliquent la bonne conservation (voir *supra*, p. 138). Ils présentent une distribution éparse, avec une seule occurrence dans le sanctuaire.

Fondée sur la morphologie de l'anneau dans un premier temps, puis sur celle de la languette, leur présentation typologique reprend celle de G. Bataille (2001) qu'elle complète avec l'ajout de quelques types (fig. 109). L'absence d'individus à anneau carré est également à relever. Ces critères descriptifs forment des groupes, complétés parfois par la morphologie de l'anneau qui mène à l'établissement de types plus précis et par l'adjonction d'une lettre signifiant leur matière. Les exemplaires à œillet et à boutons rectangulaires sont isolés compte tenu de leurs attributions fonctionnelle (harnachement ou suspension de fourreau) et culturelle (laténien ou romain) qui exigent une attention particulière (Poux 2008, p. 324-327, fig. 17).

Peu représentées avec trois exemplaires, les agrafes en fer à anneau en forme de goutte (**F1**) et de triangle (**F2**) constituent les types les plus anciens datés de la fin LTC2 et de LTD1 selon G. Bataille (2001, types 1A1 et 2A1), une datation confirmée par le seul exemplaire issu d'un contexte fiable (état 1 à 2.1).

Nettement mieux documentées, les agrafes de ceinturon à anneau circulaire du groupe 4 peuvent être scindées en trois classes selon la morphologie du pied, muni d'une fine languette (**groupe B41**, Bataille 4A1), en forme de « V » (groupe B42, Bataille 4B) ou sans pied avec un bouton directement posé sur l'anneau (groupes B43 et F43).

Au sein du groupe Bataille 4A1, la première variante à bouton émaillé et languette rapportée (type 1) s'avère la plus ancienne au vu de son contexte, le

premier état du sanctuaire et des datations fournies par des parallèles de la fin de LTC2 et le début de LTD1. Une datation similaire pourrait être envisagée pour le type 3 à languette de même morphologie et bouton ogival. Une apparition durant LTD2 semble plus judicieuse pour le type 2 à languette sur le même axe, attesté à Alésia (Sievers 2001, pl. 53, n° 155).

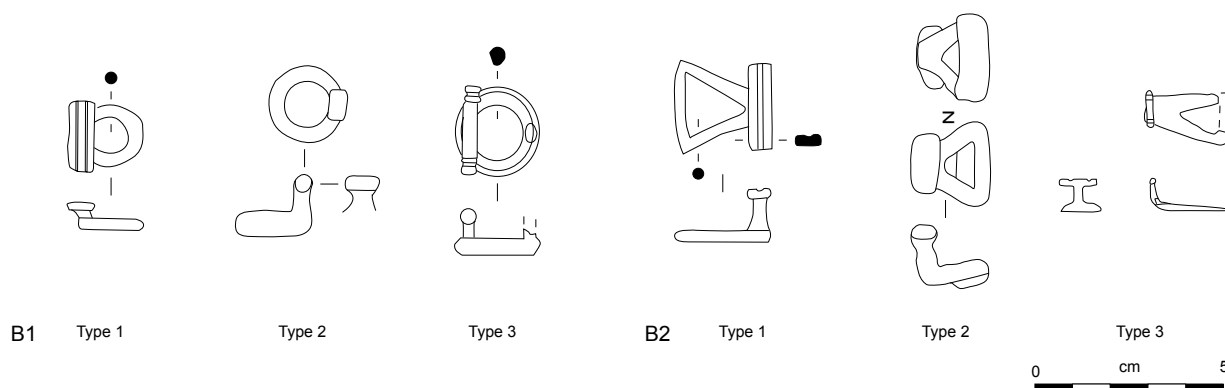
Le seul exemplaire du **groupe B42** (Bataille 4B) à languette en « V » provient d'une cave romaine dont l'implantation est située après la Conquête. Cette datation est corroborée par celle d'un exemplaire de Nages de la deuxième moitié du I^{er} s. av. J.-C. Une agrafe de ceinturon identique de l'horizon 3 de Roanne suggère toutefois une apparition plus précoce (Lavendhomme et Guichard 1997, p. 160, pl. 113, n° 7.).

Les agrafes de ceinturon sans languette des **groupes B43 et F43** datent majoritairement de la première moitié du I^{er} s. av. J.-C., au vu de leurs contextes d'origine. Ce mode de fabrication apparaît toutefois déjà à LTD1 sous la forme du type 2 à bouton ogival orné d'incisions issu d'une structure de l'état 1, qui s'avère en effet plus récent que les autres types du groupe. Ces derniers, en particulier ceux en fer, semblent par ailleurs marquer une phase avancée de LTD2 comme en témoignent les individus d'Alésia (Sievers 2001, pl. 53, n° 153), ceux provenant des horizons 4 ou 5 de Roanne (Lavendhomme et Guichard 1997, p. 160, pl. 113, n° 5 et 6) ou certains ensembles augustéens du sanctuaire du Martberg où ces éléments de LTD2 sont associés à des fibules filiformes ou à ailettes naissantes (Nickel *et al.* 2008, fig. 118 et 119).

Les boutons à œillet et à languette rectangulaire

Les boutons à œillet s'apparentent aux agrafes de ceinturon sur le plan morphologique ([cat. 19](#)). L'usage des exemplaires à bouton rectangulaire demeure encore débattu tant leur utilisation comme élément de suspension de spatha ou de *pugio* ou comme pièce de harnachement (Maier *et al.* 1992, p. 145) trouve des arguments convaincants (Poux 2008, p. 325-327, fig. 326). De même, l'attribution culturelle de ces artefacts particuliers demeure problématique.

À l'instar des agrafes de ceinturon, ces artefacts en alliage cuivreux sont classés d'après la forme de leur anneau, circulaire (groupe B1) ou triangulaire (groupe B2), puis pour la détermination de type précis, selon la morphologie du bouton rectangulaire qui peut être de section quadrangulaire ou circulaire, orné de lignes longitudinales ou encore présenter des extrémités bouletées (fig. 110).



Le groupe à anneau circulaire (**groupe B1**), le mieux représenté, se décline en trois types dont le premier, à bouton orné de lignes gravées est recensé à trois reprises sur le site. Le seul exemplaire en contexte provient d'une fosse livrant une fibule à quatre spires et corde interne et arc triangulaire (groupe F22), ainsi que les fragments d'un éperon et d'un distributeur de courroie ([pl. 38](#), n° 4 et 5).

Fig. 110. Boutons à œillet circulaire (groupe 1) ou triangulaire (groupe 2) et à languette rectangulaire. Alliage cuivreux.

Bien que ce contexte soit déconnecté du reste de la stratigraphie, cette association nous incite à le considérer comme une pièce de harnachement de tradition laténienne datée au plus tard de LTD2, une fonction par ailleurs postulée par S. Sievers pour l'agrafe triangulaire de Manching (Maier *et al.* 1992, p. 145). Cette interprétation fonctionnelle peut aussi s'appuyer sur une boucle de LTD1b de Bâle-Gasfabrik retrouvée dans le même comblement de fosse qu'un éperon (Jud 2008, p. 137-141, pl. 32, fosse 255, n^{os} 299 et 300). Ces associations n'empêchent toutefois pas d'exclure l'hypothèse d'une pièce de suspension de spatha, l'épée du cavalier par excellence, qui repose sur une tombe de Feurs (Riquier 2008, fig. 14) où une épée longue de typologie romaine est associée à un anneau de typologie similaire d'un diamètre, il est vrai, plus important¹⁴.

Si une tradition laténienne s'impose pour ce premier type, les contextes de découvertes des anneaux à petit bouton (type 2) et à bouton à terminaisons boutelées (type 3) plaident en faveur d'une datation tardive (état 3 et décapage), qui laisse supposer des pièces liées à l'équipement militaire romain. Dans le même ordre d'idée, les boutons terminaux du type 3 se retrouvent sur des pièces de ceinturon et de harnachement de tradition romaine (Unz et Deschler-Erb 1997, pl. 63, 1802-1806). À notre connaissance et à l'exception de l'exemplaire de Feurs cité précédemment, leur absence, dans des contextes funéraires en association avec des fourreaux, constitue un argument de poids pour considérer ces objets comme des pièces de harnachement et non comme des agrafes de ceinturon. De même, l'absence de languette sur les éléments du Titelberg ou de Lyon, clairement associés à la suspension du fourreau (Poux 2008, fig. 17), pourrait aussi constituer un facteur discriminant. La tige fragmentaire située à l'opposé du bouton terminal de type 3 suggère une fixation sur une courroie de harnais, le doublement de l'attache n'étant pas recensé sur les ceinturons laténien ou romain.

Cette morphologie constitue par ailleurs le trait caractéristique du type 3 des boutons à anneau triangulaire (**groupe B2**) dont la seule occurrence a été découverte anciennement. De même, le premier type présente un bouton orné de lignes incisées identiques à celles observées sur les exemplaires à anneau circulaire. L'ensemble des pièces à bouton triangulaire provient de contextes de décapage qui complexifient leur qualification d'un point de vue fonctionnel, mais ne vont pas à l'encontre d'une datation centrée sur LTD2b, fondée sur de rares contextes exploitables (Poux 2008, p. 326-327). Une occurrence découverte au sommet du Col des Etroits, sur la commune de Sainte-Croix, dans un site dont l'occupation est située entre la Guerre des Gaules et le milieu de l'époque augustéenne, renforce cette attribution chronologique (Demierre *et al.* 2015, fig. 4, n^o 1). L'association de la pièce du premier type avec un élément de frette de fourreau de tradition romaine dans les décapages de surface du bâtiment M (pl. 131) irait dans le sens d'une utilisation dans le cadre de la suspension d'une arme de poing de tradition romaine (*gladius*, *pugio*, etc.), comme le suggère M. Poux (2008, p. 326-327).

Les chaînes de suspension

Après un floruit à La Tène moyenne, les chaînes de suspension, fonctionnant dans le cadre de la ceinture semi-rigide de cette période, ne sont guère utilisées dans les panoplies guerrières de La Tène finale où elles tendent à disparaître (Lejars 1996a, p. 93-94). Les trois pièces documentées s'inscrivent parmi les dernières évolutions de ce type d'équipement militaire, attribuées à la fin de LTC2 et au début de LTD1 (fig. 111). Le premier type est constitué de maillons réalisés par la torsade d'un même fil, qui sont classés dans le type 5 d'A. Rapin (1987) daté de la fin du III^e s. av. J.-C. Ce type de chaîne est encore documenté dans une sépulture à arme à Wederath, au milieu du II^e s. av. J.-C (Haffner 1971, tombe 1178) et des doutes sont émis à Manching quant à l'identification des éléments fragmentaires (Sievers 2010).

14 L'anneau mesure 40 cm de diamètre alors que le plus grand des trois exemplaires de Corent présente un diamètre de 25 mm.

Permettant une suspension moins rigide que la chaîne à maillons torsadés, le deuxième type comprend des maillons en forme de huit indépendants et renforcés par une bague médiane. Il se retrouve dans la nécropole d'Acy-Romance, en association avec un fourreau de type Montmartin (Lejars 1996a, fig. 3, tombe I.14).

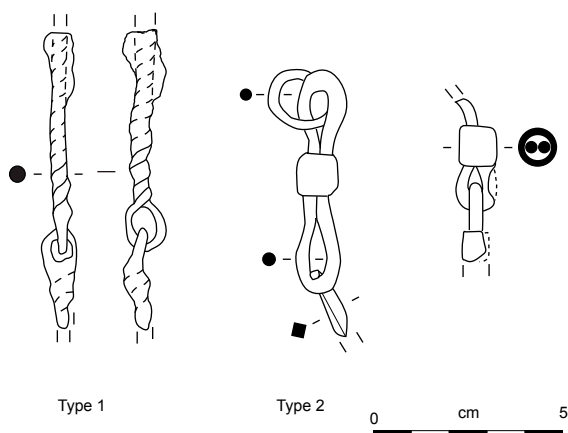


Fig. 111. Chaînes de suspension de La Tène finale.

3.2.2. LES ARMES D'HAST

Les fers de lance

Le corpus de pointes de lance comporte 28 fragments dans des conditions de conservation très variables, avec deux exemplaires complets et une dizaine d'extrémités distales, difficiles à classer. Les quelques armes issues des fouilles récentes n'étoffent en rien la typologie et sont simplement présentées dans la liste ([cat. 24](#)).

Ces armes d'hast et de jet ont été triées par famille, selon la section de la flamme, puis par type, en fonction de la forme générale de la flamme et de son rapport à la longueur de la douille, d'après le classement des fers de lance de Giubiasco (Pernet et Carlevaro 2006, p. 53-58). Les quatre grandes morphologies de section du site tessinois se retrouvent à Corent avec des formes : lenticulaire, losangique ou avec une arête, à arête à flancs concaves et à nervure centrale. Elles génèrent quatre groupes, dont l'étude typologique fine ne peut être effectuée que dans de rares cas en raison de la fragmentation du corpus.

Le **groupe 1**, à section lenticulaire, comprend quatre individus (fig. 112, n° 1 à 4), dont une extrémité difficile à exploiter (fig. 112, n° 4, type 0). Bien conservés, les deux premiers sont caractérisés par une douille de grande dimension (68 mm) par rapport à la longueur de la flamme (L. rest. 81 mm), et une forme de flamme soit triangulaire (type 11), soit losangée (type 12). Ces deux variantes correspondent à celles définies à Giubiasco 1t et 1l, pour des armes de jet montées sur des hampes de petite taille. Bien qu'elle entre encore dans les critères du type 1 de Giubiasco, la taille plus grande de la flamme (fig. 112, n° 3) issue d'un trou de poteau du bâtiment R incite à générer un troisième type dans ce groupe. Cette arme fragmentaire peut tout aussi bien être lancée qu'utilisée au corps à corps.

Les **groupes 2 et 3** de section losangée (fig. 112, n° 5) ou à arête à flancs concaves (fig. 112, n° 6 à 9) sont composés d'extrémités distales trop fragmentaires pour en proposer une étude typologique.

Au contraire, le **groupe 4** à nervure médiane, interprétée comme une caractéristique des armes servant à réduire l'impact d'un assaut ennemi (Pernet et Carlevaro 2006, p. 57-58), livre une plus grande variété de formes. La majorité des individus de ce groupe demeurent néanmoins difficiles à exploiter en l'absence de leur douille ou d'un contour clairement identifiable.

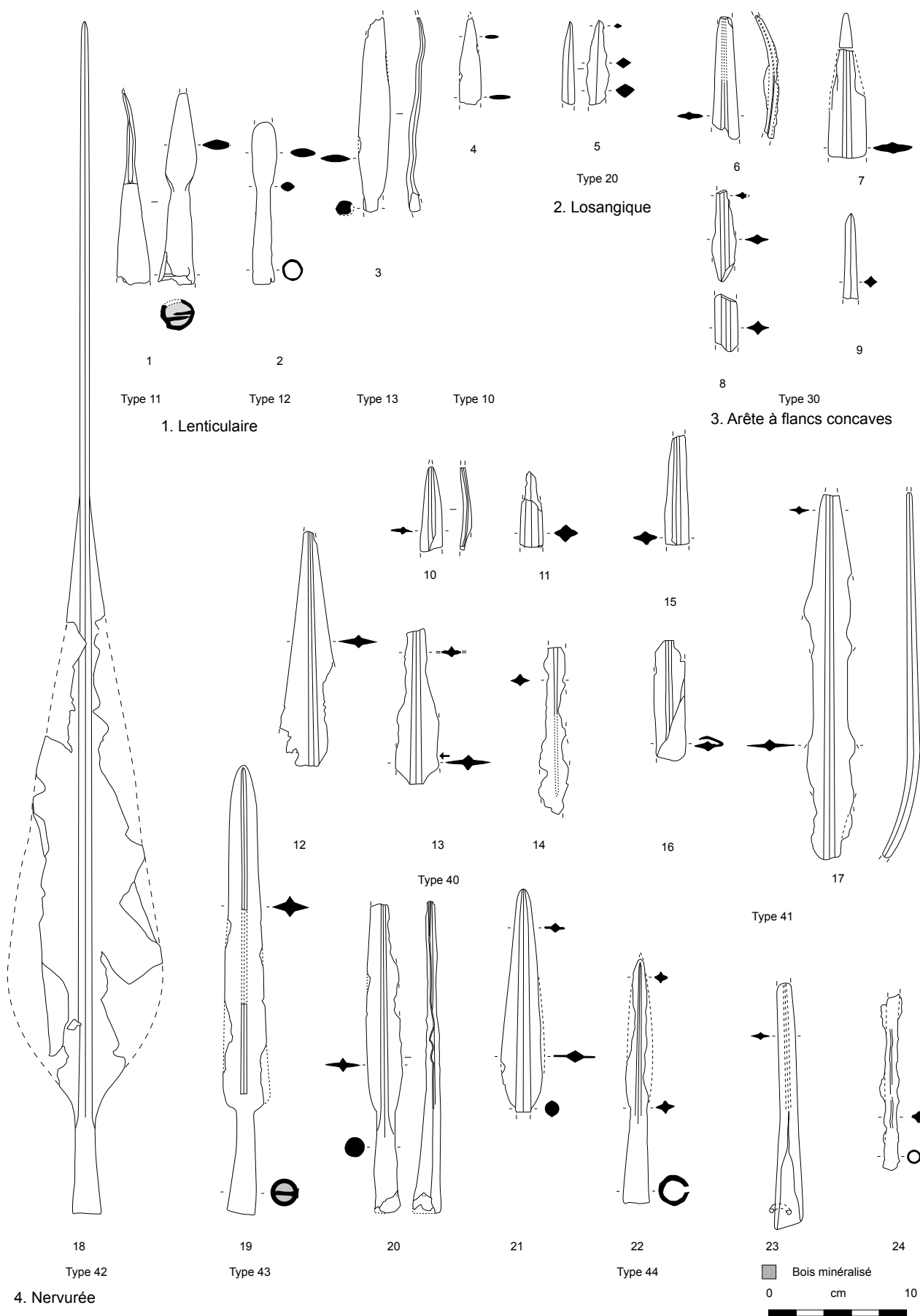


Fig. 112. Types de pointes de lances classés par groupe selon la morphologie de la section de la flamme.

La fragmentation des individus (fig. 112, n^{os} 10 à 14) empêche par exemple une analyse détaillée. De même, le dessin des échancrures et le mode de fixation des exemplaires à flamme asymétrique (fig. 112, n^{os} 15 et 16) ne permettent ni de les comparer à des exemplaires complets ni de définir plus précisément leur fonction. Malgré sa fragmentation, il est tentant de rapprocher la pointe de lance (fig. 112, n^o 17) de la variante allongée des fers de lance à échancrures définie par S. Sievers, également attestée dans les dépôts du site de Port (Sievers 2001, p. 156, pl. 55-56). Ces lances à flamme asymétrique (**type 41**) se retrouvent durant toute La Tène finale avec des occurrences dans les structures de l'état 1 comme sur les radiers de l'état 3.

Issu du comblement inférieur d'un trou de poteau, sous un aménagement de pierre et de tronçons de col d'amphore, le seul exemplaire du **type 42** est plié sur lui-même dans le sens de la longueur tandis que son empennage est en partie rabattu vers sa nervure (pl. 154). Dépliée, cette pointe de lance de 86 cm présente une douille courte (60 mm), un large empennage de plus grande taille que la pointe effilée qui le prolonge de près de 35 cm (fig. 112, n^o 19). Ce rapport entre la pointe et l'empennage permet de l'affilier aux lances de type Gournay IVa, datées du début de LTC2 (Brunaux et Rapin 1988, p. 124-126 et 134, fig. 66). La forme en baïonnette perdure toutefois jusqu'à LTD1, une insertion chronologique qui pourrait par ailleurs être confirmée par son association avec un timbre d'amphore rhodienne du fabricant Diodotos dont l'activité est évaluée entre 145 et 108 av. J.-C. (Duchamp *in* Poux *et al.* 2011, vol. II, p. 16, fig. 14, Conovici et Garlan 2004, p. 113, n^o 27, Diodotos 2). Il reste néanmoins difficile d'estimer le laps de temps entre le dépôt volontaire de la lance dans la structure lors de son creusement et l'apport de l'anse d'amphore découverte dans le comblement lié à son démantèlement. Les traitements observés sur cet exemplaire s'inscrivent dans la droite ligne des mutilations documentées sur d'autres sanctuaires comme Gournay-sur-Aronde ou encore La Villeneuve-au-Châtelot (Bataille 2008, p. 156, fig. 95), alors qu'ils demeurent rares dans le lieu de culte de Corent. D'autres pointes de lances, issues de structures de l'habitat, offrent la même configuration sur laquelle nous reviendrons lors de l'analyse taphonomique et spatiale de cette catégorie de mobilier.

Les fers du **type 43** appartiennent au type 1 à flamme biconvexe de Gournay-sur-Aronde (Brunaux et Rapin 1988, p. 133). De forme triangulaire selon les critères de Giubiasco (voir Pernet et Carlevaro 2006, fig. 2.17), la flamme de ces trois armes (fig. 112, n^{os} 19 à 21), qui mesure entre 16 et 25 cm, semble peu propice au lancer et plus adaptée au corps à corps. Elles se rapprochent, au même titre que le type suivant, des fers lancéolés d'Alésia, datés de La Tène finale *lato sensu* (Sievers 2001, p. 159, pl. 59, n^{os} 234 à 237). Les contextes de Corent confirment cette datation lâche.

À flamme de taille plus réduite et longue douille, le **type 44** regroupe trois individus, dont deux très mal conservés¹⁵, à flamme mince lancéolée (fig. 112, n^o 22), voire rectiligne (fig. 112, n^{os} 23-24) et à nervure médiane. Ces armes utilisées durant toute La Tène finale servaient pour la taille, mais pouvaient également être jetées (Sievers 2001, p. 159, pl. 59, n^o 240).

Si l'analyse typologique des fers de lance n'a guère d'intérêt typo-chronologique, leur taphonomie montre plusieurs particularités qui méritent d'être examinées. Tout d'abord, leur fragmentation est en moyenne meilleure que la plupart des catégories de mobilier avec plus de la moitié des pièces supérieures à 12 cm et à 39 g. Cette bonne conservation apparente constitue un leurre puisque seuls huit individus sont encore munis de leur douille. Avec cinq individus, l'ensemble du lieu de culte se révèle particulièrement pauvre en comparaison avec les

.....
15 Les deux fers
 (Fig. 112. Types de pointes de lances classés par groupe selon la morphologie de la section de la flamme., n^{os} 23-24) se sont malheureusement désagrégés après leur radiographie, n'ont pu être nettoyés et ont été documentés qu'à l'aide de cette dernière.

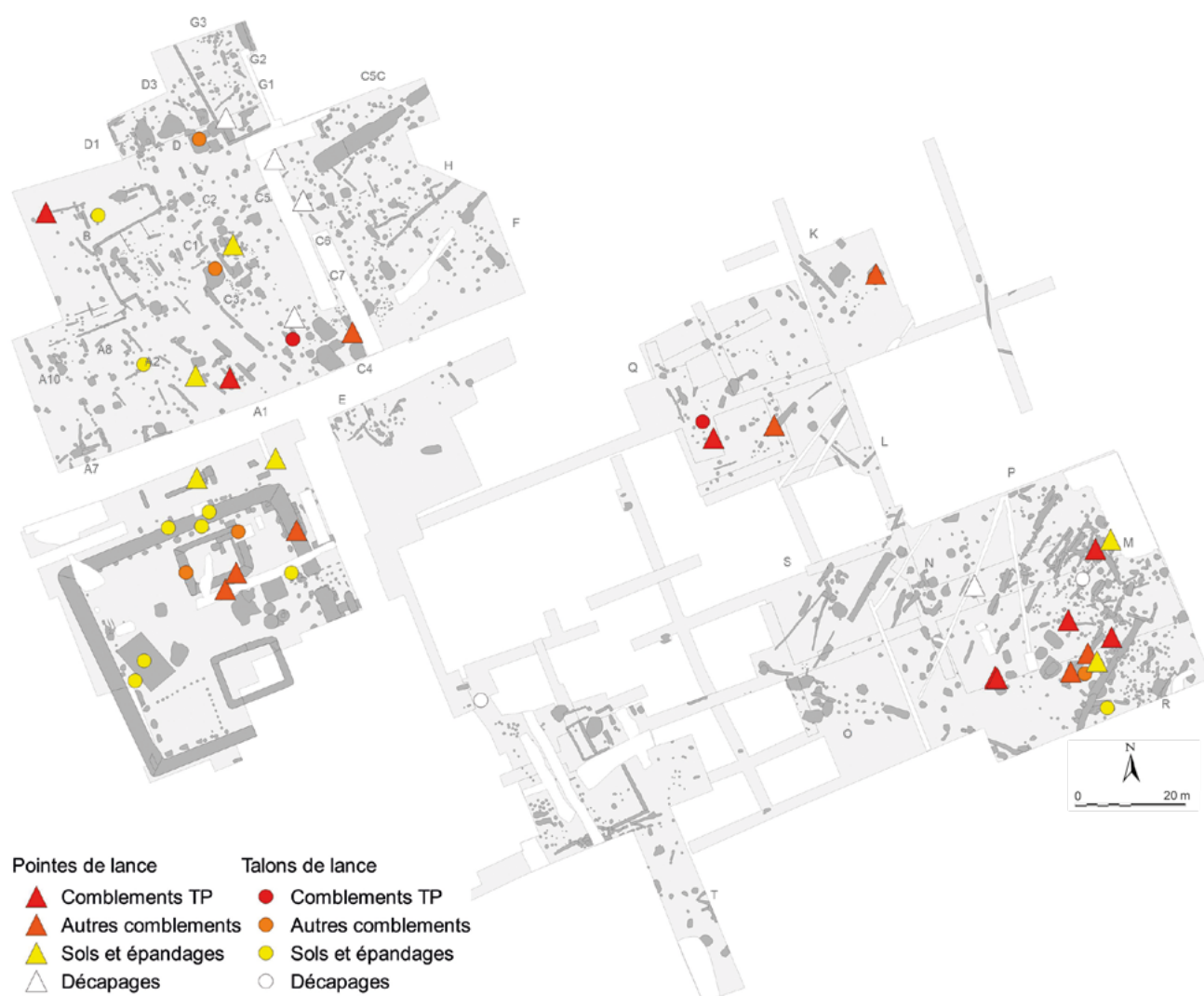


Fig. 113. Répartition des pointes et des talons de lances.

concentrations observées pour d'autres catégories d'armement comme les umbos de bouclier (voir *infra*, p. 117) ou les fourreaux (voir *supra*, p. 105), un phénomène moins marqué lorsque les talons de lance sont pris en considération (fig. 113). Par contre, bien que fragmentaires, les pièces du lieu de culte (fig. 112, n^{os} 1-2, 5, 9 et 21) se distinguent également par des dégradations volontaires moins spectaculaires que celles observées sur les fers de lance des quartiers environnants. En témoignent la pointe de lance baïonnette de grande taille décrite précédemment (fig. 112, n^o 18), mais également la flamme de section lenticulaire (fig. 112, n^o 3) à l'ondulation longitudinale suspecte, l'extrémité ployée à arête médiane (fig. 112, n^o 6), le fer asymétrique à empennage replié sur son arête centrale (fig. 112, n^o 16) ou encore le fer biconvexe au tranchant ondulé et à la douille désaxée (fig. 112, n^o 20). La volonté affichée de détruire ces armes s'avère d'autant plus flagrante que l'intégralité des exemples décrits provient de trous de poteau, attribués aux premières occupations du site (états 1 et 2.1), une période qui coïncide avec la prédominance des pratiques de dépôts à consonance guerrière dans le sanctuaire. L'habitat apparaît, au vu de ces données, comme un lieu de dépôt préférentiel pour les pointes de lance avec une prédilection pour les trous de poteau situés à proximité des axes de communication ou au niveau de portique manifestant le passage entre une voie et un complexe architectural. Elles rejoignent en ce point d'autres pièces d'armement et d'autres types d'objets dont l'interprétation sera élaborée en synthèse (voir *infra*, chap. 4.2.8).

Tout comme les flèches, dont l'analyse suit, les lances et en particulier leurs extrémités distales constituent également de bons marqueurs d'événements violents (Deschler-Erb 2005, p. 48). L'absence de concentration significative, de même que la distribution stratigraphique éparse vont à l'encontre d'une telle démonstration.

Les talons de lances

Le talon à soie, considéré comme un marqueur de La Tène moyenne, n'est représenté sur le site que par un individu collecté au sein du sanctuaire (fig. 114 et [cat. 25](#), type 1). Il fournit la longueur conservée la plus grande du graphique (fig. 115, 94 mm).

Les talons de lance à douille peuvent s'avérer d'identification incertaine lorsqu'ils ne sont représentés que sous la forme d'un simple fragment ([cat. 25](#)). Cette catégorie de talons de lance la mieux représentée ne comprend donc que les exemplaires complets ou en association avec d'autres pièces d'armement (fig. 114, type 2). D'une masse médiane proche de 26 g, leur longueur varie entre 49 et 88 mm avec une moyenne de 7 cm et des diamètres compris entre 10 et 36 mm, avec une moyenne de 18 mm. Le rapport entre le diamètre et la longueur des talons (fig. 115) montre une certaine standardisation des tailles, relativement proche de celle documentée à Staré Hradisko, Manching et Alésia (Sievers 2010, p. 26-27, fig. 13). Ces sites livrent toutefois plus d'exemplaires supérieurs à 9 cm, absents du corpus de Corent. Hors des standards, le talon au diamètre le plus grand (36 mm) accompagne dans un fossé proche du bâtiment R deux fragments de flamme qui justifient son identification ([pl. 163](#)). Cet assemblage correspond toutefois aux rejets d'un atelier de forge, qui suggèrent une identification d'objet en cours de fabrication dont la douille n'aurait pas été fermée.

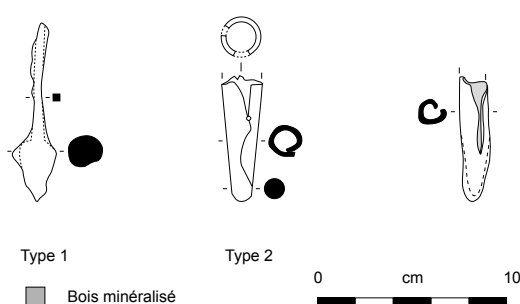


Fig. 114. Types de talons de lance. Fer.

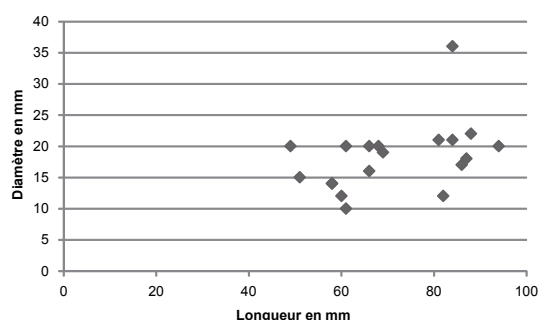


Fig. 115. Rapport entre la longueur et le diamètre des talons de lance.

Les flèches

Dix pointes de flèches sont recensées à l'heure actuelle, dont deux découvertes récemment. S'il montre une répartition spatiale éparse, l'ensemble de ces projectiles comporte soit des traces d'utilisation (fig. 116, n° 6), soit des extrémités blessantes fragmentaires (fig. 116, n°s 2 à 5) à l'exception d'une pointe de flèche bipenne intacte (type 1, fig. 116, n° 1). Ce premier type précoce (fig. 116, n°s 1 et 2) est documenté dès la première phase d'occupation, soit au plus tard durant LTD1b, une datation confirmée par les parallèles des agglomérations de Lacoste (Derion 2006, pl. 34, n° 337) ou de Manching (Sievers 2010, pl. 51, n°s 688 à 692).

Le **type 2** à pointe asymétrique de section triangulaire ou lenticulaire présente une seule barbelure (fig. 116, n°s 3 et 4). Il correspond au type C d'Alain Duval, dont la typologie a été affinée par S. Sievers (2001, p. 170-172). Cette forme unipenne est considérée comme une pièce d'équipement celtique à Alésia (Sievers 2001, p. 171 et fig. 14). Ce postulat est aussi évoqué à propos du corpus de Bourguignon-les-Morey pour lequel les contextes clos manquent pour valider son attribution à LTB2-LTC1 (Dubreucq 2008). Leur présence dans le corpus de

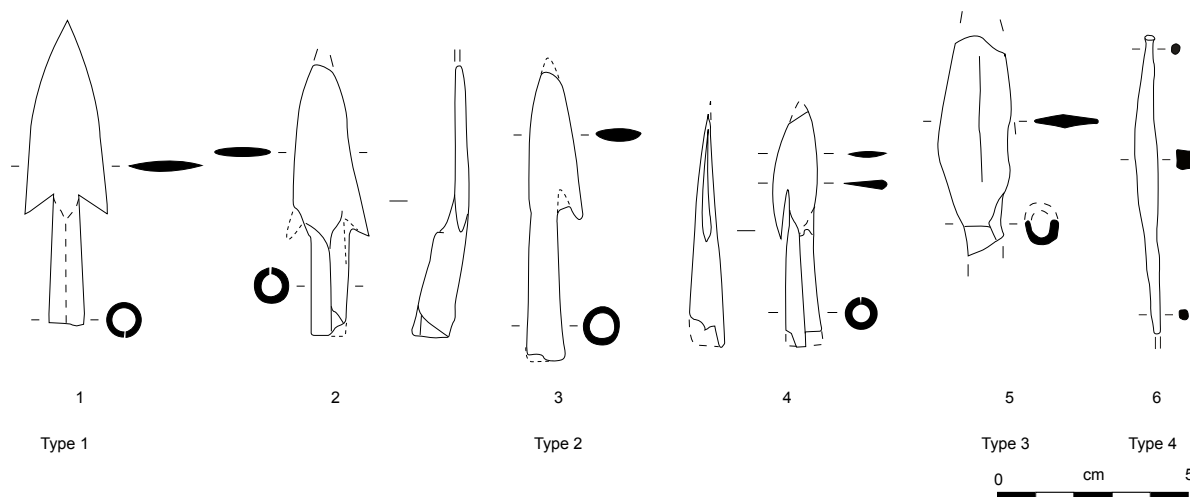


Fig. 116. Types de pointes de flèches. Fer.

la Fontaine de Loulié à Uxellodunum (Girault 2013, fig. 28, n^{os} 89, 91, 200 et 209), de même que leur surreprésentation dans d'autres sites de LTD2 liés à la guerre des Gaules incitent M. Poux à les considérer comme un projectile romain ou, du moins, à postuler son utilisation par l'armée romaine, peut-être par des corps d'auxiliaires (Poux 2008, p. 363-365). Les contextes de Corent, attribués à l'état 2 *lato sensu*, empêchent de préciser leur chronologie, même s'ils confirment une datation durant LTD2.

Caractéristiques du type E d'A. Duval, les deux exemplaires à pointe foliacée de section losangique ou lenticulaire sont relativement mal conservés (fig. 116, n^o 5, **type 3**). Il pourrait même s'agir d'extrémité de javeline si le diamètre interne de leur douille ne validait pas leur identification. L'origine de ces projectiles, attestés au plus tard à l'état 2.1, peut difficilement être établie.

Issue d'un décapage de surface du théâtre, la pointe de flèche à soie et extrémité circulaire matée (fig. 116, n^o 6, **type 4**) semble absente du répertoire laténien. Elle se rapproche des pointes de flèches tardo-républicaines de type Numance (Deyber 2008, fig. 1 et 2) ou impériales à soie relativement fréquentes (Unz et Deschler-Erb 1997, pl. 20, n^{os} 379 à 382), voire de certains traits de catapulte de cette période (Unz et Deschler-Erb 1997, pl. 22, n^{os} 421 à 426). La fonction de ces flèches à extrémités circulaires est de faire céder les mailles d'une cotte de mailles, sous la violence de leur impact.

Le sanglier-enseigne

Associée au dépôt de type trophée, la crête de sanglier-enseigne (pl. 197, n^o 1) est traitée dans le cadre de la publication du sanctuaire (Poux et Demierre 2015, p. 160, pl. 15, n^o 1). Le choix spécifique de la crête du sanglier, pour représenter l'animal dans le dépôt, mène Éloïse Vial (2015, p. 174-175) à se demander si cette sélection résulte d'un simple prélèvement porteur de sens ou si elle doit être perçue comme une iconoclastie volontaire.

3.2.3. L'ARMEMENT DÉFENSIF

Les boucliers

En termes de nombres de fragments, les boucliers constituent le type d'armement le mieux représenté avec 100 restes. Cette bonne représentation est principalement due aux nombreuses portions d'orles (NR, 66), tandis que les fragments d'umbo (NR, 19), les clous-rivets (NR, 4) et les manipules (NR, 8) demeurent plus rares. Des fragments de bouclier se retrouvent dans les ensembles de la plupart des bâtiments avec une surreprésentation dans le sanctuaire et dans le quartier nord (fig. 117). Les umbos rarement identifiés dans le quartier oriental sont généralement

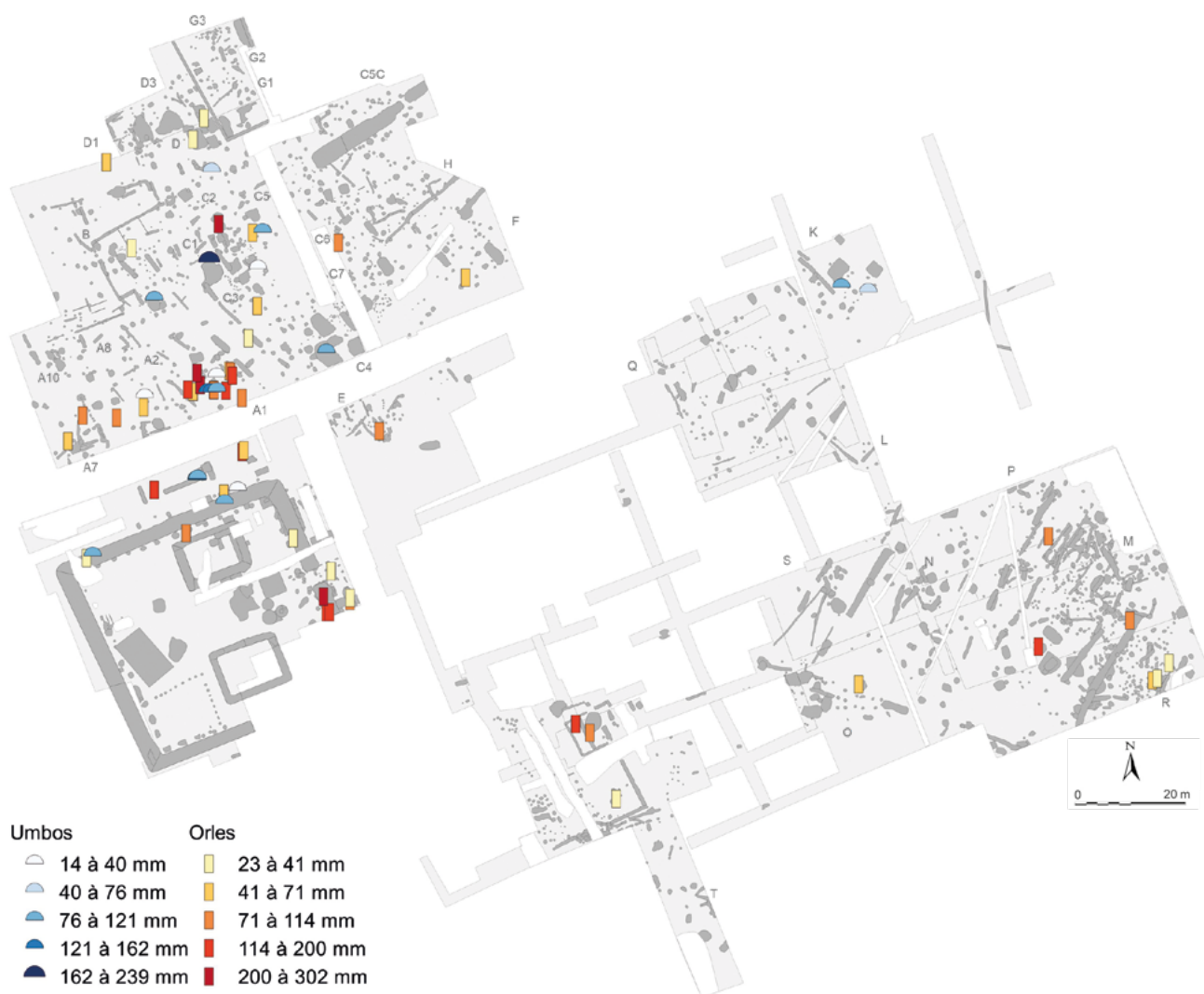


Fig. 117. Répartition spatiale des pièces de bouclier.

bien conservés avec des longueurs et des masses majoritairement supérieures à 104 mm et à 46 g. Si l'on excepte le niveau de sol particulier du bâtiment A1 et le dépôt de type « trophée » du sanctuaire, qui concentrent plusieurs pièces, aucun mode de dépôt préférentiel ne se dégage. Les éléments du bouclier peuvent ainsi être issus de celliers, de fosses artisanales et de sols, pour des raisons pragmatiques (espace à disposition, etc.) ou relevant de pratiques rituelles. Nettement moins bien conservés, les fragments d'orles pèsent en moyenne 25 g pour une longueur de 101 mm et sont distribués sur l'ensemble du site.

Les orles se distinguent par la morphologie du pourtour en deux types de section rectangulaire ou curviligne ([cat. 20](#)). Relativement rares à l'échelle de la Gaule, mais très fréquents à Corent, les orles à pourtour de section rectangulaire (type 1, fig. 118, n°s 1 et 2) sont très standardisés avec une largeur de 6 à 7 mm et une épaisseur de 3 à 4 mm. Ils sont également attestés en territoire allobroge, notamment dans les dépôts de Sainte-Blandine (Chapotat 1970, pl. 1, n° 12) ou de Larina (Perrin 1990, fig. 102, n°s 372 et 373) et datent de La Tène finale, au vu de leur présence sur toute la séquence chronologique du site.

Le type 2 à gouttière, moins bien représenté, est nettement plus commun (fig. 118, n°s 3 et 4) avec une largeur de 4,5 à 11 mm et une ouverture utile comprise entre 3 et 8 mm. Il présente quelques fragments rectilignes qui pourraient également correspondre à des boucliers à bords droits (fig. 118, n° 5). Ces pièces peuvent parfois être réparées à l'aide d'un orle identique (fig. 118, n° 2) mais le recours à un renfort d'un type différent (fig. 118, n° 4) est aussi possible.

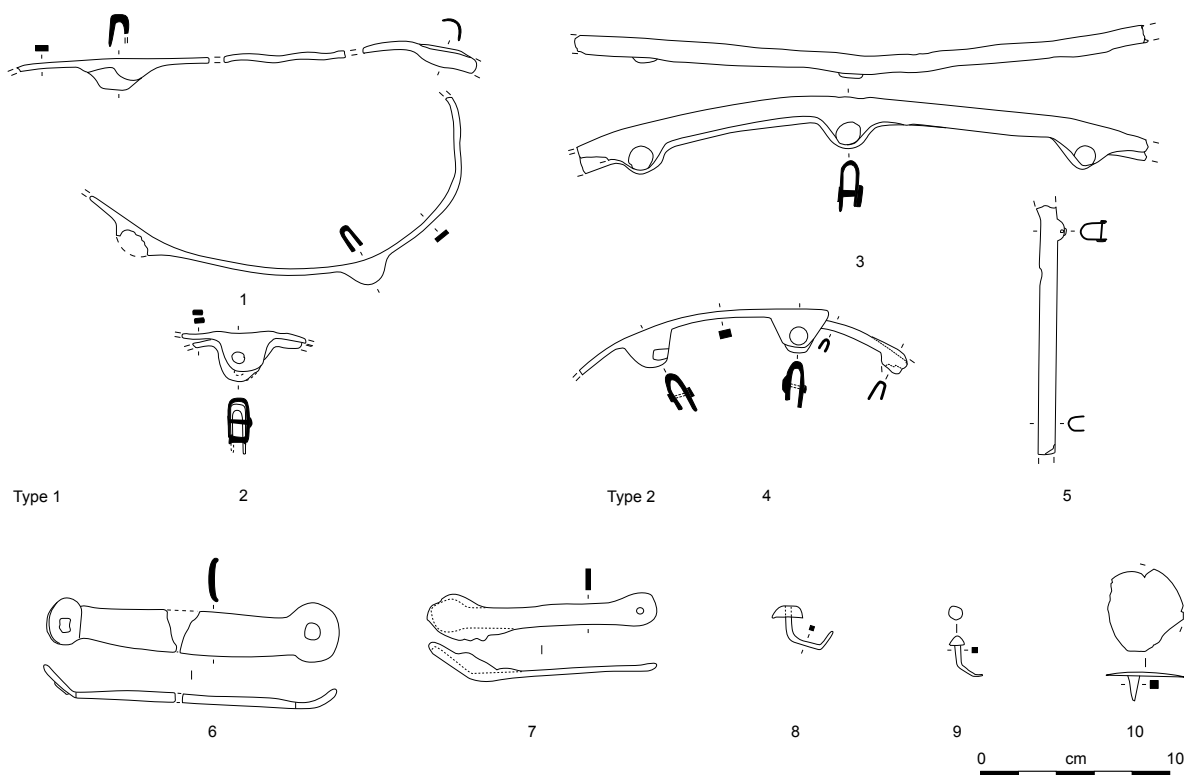


Fig. 118. Orles, manipules et clous-rivets.

Rarement identifiés à l'état fragmentaire, les manipules présentent parfois une section incurvée épousant la pièce de préhension en bois (fig. 118, n° 6) ou encore une section rectangulaire (fig. 118, n° 7) ([cat. 21](#)). La majorité des exemplaires recensés proviennent de contextes qui livrent d'autres pièces de bouclier justifiant leur interprétation. Les clous-rivets d'umbo relèvent de la même problématique et seules une association claire et une épaisseur utile proche d'un centimètre valident leur identification (Brunaux et Rapin 1988, p. 32, fig. 20). Leurs têtes peuvent être hémisphériques creuses (fig. 118, n° 8), circulaires de grande taille (fig. 118, n° 10), et à tête massive et conique (fig. 118, n° 8) ou circulaire plate, de taille standard, à la vue des éléments encore en place sur une ailette (fig. 119).

Les umbos suffisamment bien conservés pour une étude typologique ([cat. 22](#)) proviennent avant tout de deux contextes, déjà publiés par ailleurs, à savoir l'épandage de 1992 (Orengo 2003, p. 121-122, pl. 54) et le dépôt de type trophée (Poux et Demierre 2015, p. 156-157, pl. 13). Ils appartiennent pour la plupart aux types de LTD1, à umbos à coque de petite taille et ailettes courtes rectilignes, regroupés dans le type IV de Gournay-sur-Aronde dont l'étude détaillée a été synthétisée par M. Schönfelder (Perrin et Schönfelder 2003, p. 80-85, fig. 49) et complétée par L. Pernet (Curdy *et al.* 2009, p. 178-180). Ils sont caractérisés par une faible hauteur de coque, entre 56 et 86 mm, souvent à bordure épaissie, et des ailettes rectilignes dont le nombre et la position des rivets définissent les variantes. L'ensemble des variations de la forme est documenté avec le type Nîmes, présentant trois rivets disposés au centre et dans les angles des ailettes (fig. 119, n° 1), le type Sion, à une fixation centrale (fig. 119, n° 2 à 3)¹⁶ et le mieux représenté, le type Nierstein, à deux rivets centraux alignés (fig. 119, n° 4 à 7). Cette dernière variante présente des ailettes plus ou moins allongées dont la forme varie entre le trapèze et le rectangle. La majorité de ces parties de bouclier provient des couches des premières phases du site (états 1 et 2.1), à l'exception de pièces des types Nîmes ([pl. 118](#), n° 4 et 5) et Nierstein (fig. 119, n° 5) issues d'ensembles attribués à l'état 2 *lato sensu*.

¹⁶ Les perforations des ailettes de l'umbo (Fig. 119, n° 3) ne sont pas lisibles. Il pourrait tout aussi bien s'agir d'une autre variante.

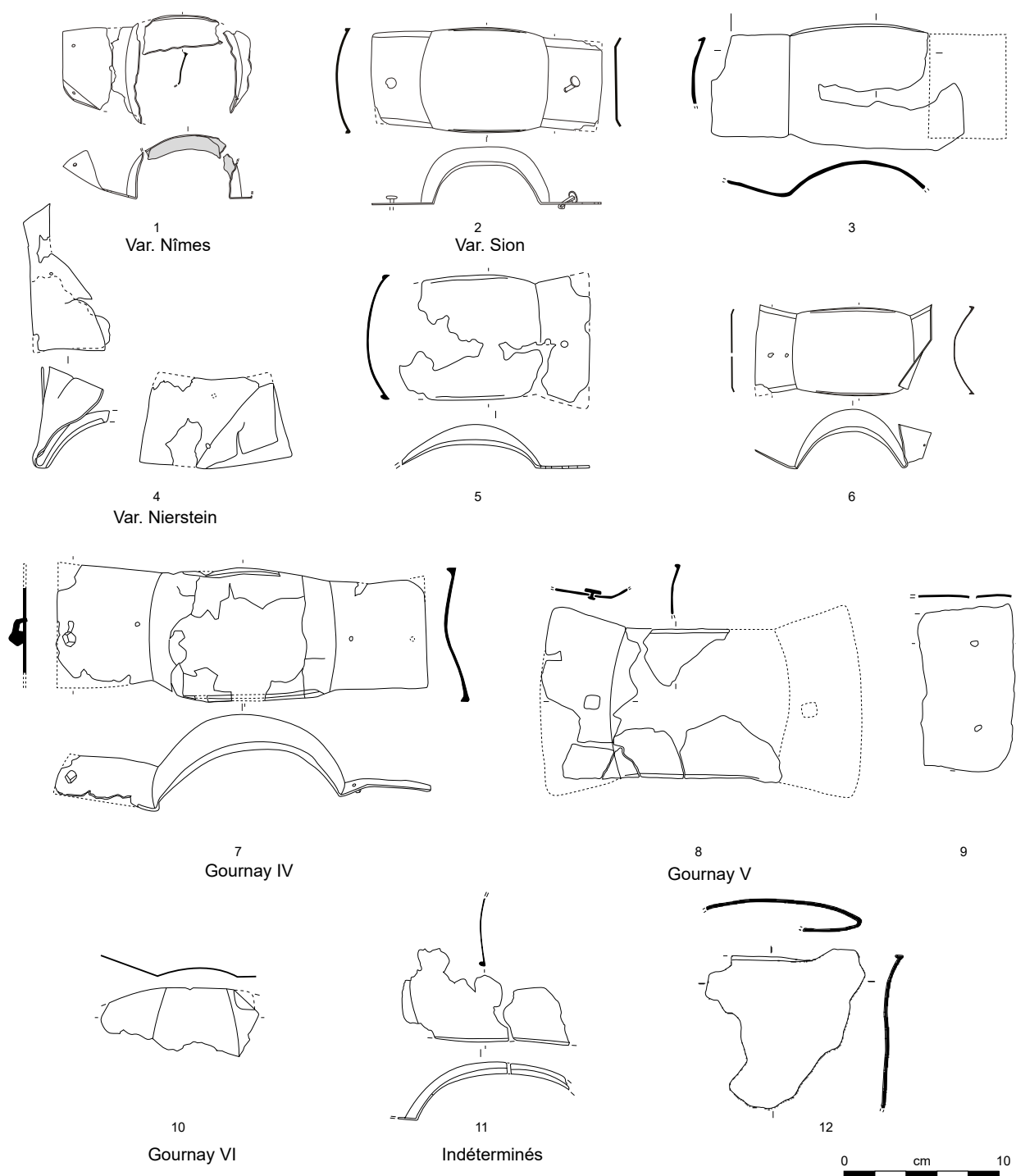


Fig. 119. Types d'umbos de boucliers (3, 4 et 12 d'après Orengo 2003, pl. 54). Fer.

Les autres variations morphologiques d'umbos peuvent être attribuées au type V de Gournay-sur-Arond de LTC2 et de LTD1, caractérisé par des ailettes trapézoïdales et des hauteurs de coque plus importantes que le type précédent, ici près de 10 cm (fig. 119, n^{os} 8 et 9) ainsi qu'au type VI à faible section de spina (fig. 119, n^o 10), de même datation (Brunaux et Rapin 1988, p. 81, fig. 39). À ces objets provenant du sanctuaire et de l'épandage du bâtiment A1 s'additionnent divers fragments de coque à bordure épaissie, qui ne peuvent être attribués à un type précis en l'absence de leurs ailettes (fig. 119, n^{os} 11 et 12).

Les cottes de mailles

Les fragments de cotte de mailles constituent une pièce de protection pectorale rare en contexte d'agglomération laténienne avec par exemple, trois fragments recensés à Manching (Sievers 2010, pl. 59, n^{os} 796 à 798) ou encore un seul

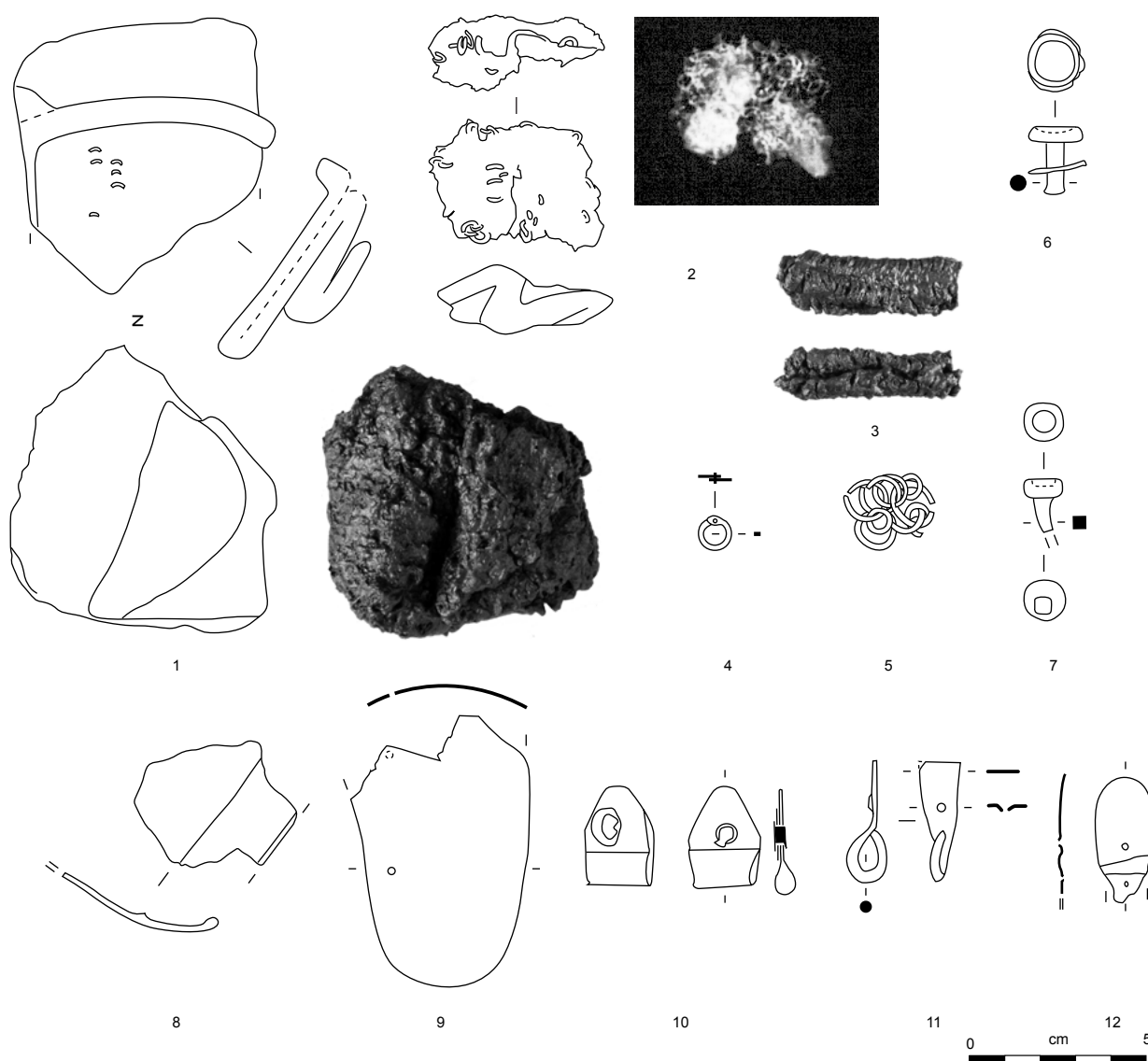


Fig. 120. Fragments de cottes de mailles et de casques. 1-9 : fer ; 10-12 : alliage cuivreux.

individu à Berching-Pollanten (Schäfer 2010, p. 96-97, fig. 65, n° 3489) ou au Titelberg (Metzler *et al.* 2016, p. 260, fig. 261). Si l'on met à part les trois fragments du sanctuaire (fig. 120, n°s 4 et 5), dont la cotte de mailles du dépôt de type trophée (pl. 195, Poux et Demierre 2015, p. 157-160, pl. 14), les quartiers environnant le lieu de culte livrent quatre fragments de mailles assemblées (fig. 120, n°s 1 et 2), dont un fragment de grande taille, en cours de restauration, issu de la campagne 2015¹⁷ (cat. 23). Leur nettoyage superficiel et leur radiographie n'offrent pour l'heure pas la possibilité de qualifier le type d'assemblage des mailles. Les diamètres de 6 et 7 mm des pièces issues d'un trou de poteau du bâtiment M (fig. 120, n° 2) et de la place du complexe C (fig. 120, n° 1) démontrent qu'il s'agit d'artefacts différents. Leur mode de fermeture semble simple, aucun rivetage n'étant observable à leur surface. Il en est de même pour l'exemplaire issu du cellier 22242 au diamètre de 7 mm. La fermeture entre le couvre-nuque et le maillot principal de la cotte de mailles apparaît sous la forme d'un rivet à cupule (fig. 120, n° 6) (Viand 2008, fig. 8), tandis qu'une seconde pièce sans contreplaque (fig. 120, n° 7) a tout aussi bien pu maintenir une ailette d'umbo (voir par ex. Schäfer 2010, fig. 65).

Les fragments de casques

Seuls cinq éléments peuvent avoir appartenu à des casques, dont une bordure de couvre-nuque caractérisée par un bourrelet et une cannelure (fig. 120, n° 7) qui se retrouvent sur les casques de LTD2 des types Port ou Alésia (Pernet 2010, fig. 80).

¹⁷ UF 25408-5/988, voir Poux *et al.* 2015a, pl. 22.

Les autres fragments participent à la protection de la joue avec un hypothétique fragment de paragnathide (fig. 120, n° 8), une charnière de fixation au casque (fig. 120, n° 9) et une attache rivetée en alliage cuivreux (fig. 120, n° 10) attestée sur des parties internes de paragnathides d'Allonnes (Pernet 2010, pl. 146). La même fonction peut être postulée pour un fragment de charnière rivetée et ouverte en alliage cuivreux (fig. 120, n° 11) qui a été récolté lors du décapage du bâtiment A. Ce mode d'attache de la jugulaire du casque est documenté tant à l'époque romaine (voir par ex. Unz et Deschler-Erb 1997, pl. 27, n°s 571 et 572) qu'à la fin de La Tène finale, par exemple à Allonnes (Pernet 2010, pl. 146). Il demeure difficile sur cette base de définir si ces pièces appartiennent à des casques de tradition romaine ou celtique. Tel n'est pas le cas pour la partie inférieure de calotte de casque de tradition étrusco-italique présentée avec l'équipement militaire de tradition romaine (voir *infra*, chap. 3.2.4).

3.2.4. LES *MILITARIA*, L'ÉQUIPEMENT MILITAIRE DE TRADITION ROMAINE

Sont classées dans cette catégorie les pièces d'équipement militaire de tradition romaine qui constituent des marqueurs primaires de l'armée romaine, comme l'armement offensif et défensif (cat. 26). Rares, les quelques éléments de harnachement gallo-romains y sont également intégrés, alors que d'autres marqueurs secondaires (Poux 2008, p. 308-312), comme les clous de chaussure ou encore les objets liés à l'écriture, sont présentés respectivement dans le chapitre consacré à la parure et aux accessoires du vêtement, tandis que les boîtes à sseau apparaissent dans celui dédié à l'écriture.

Les éléments de harnais ou de ceinturon

Si elles se révèlent bien de tradition méditerranéenne (Poux 2008, p. 373), les boucles réalisées en une pièce, qu'elles soient en forme de « D » (fig. 121, n°s 1 et 2) ou quadrangulaires (fig. 121, n°s 3 et 4), en fer (fig. 121, n°s 2 et 3) et en alliage cuivreux (fig. 121, n°s 1 et 4), posent un problème quant à leur fonction. Elles peuvent en effet tout aussi bien avoir réuni les lanières en cuir de ceinturons militaires que celles de harnais de chevaux. Leur facture se distingue des boucles de cingulum en deux pièces rivetées pour lesquelles la même réserve relative à leur fonction a été émise par M. Feugère, sur la base du corpus d'une écurie de Pompéi (Feugère 2002, p. 63, fig. 2). À l'exception d'un individu issu du décapage du bâtiment M (fig. 121, n° 2), l'ensemble de ces fragments provient de niveaux romains de l'espace D et du bâtiment G. Ces contextes incitent à considérer la majeure partie de ces pièces comme des sous-ventrières et non comme des fermetures de ceinture militaire. Seule la boucle quadrangulaire de section triangulaire (fig. 121, n° 4) peut indubitablement être interprétée comme un élément de cingulum tardo-républicain. Sa taille et sa section l'apparentent à des exemplaires documentés à LTD2b, à Gondole ou encore à Bibracte (Poux 2008, p. 373-376, fig. 51).

Les remblais de l'espace D livrent également une attache de ceinture à tête zoomorphe rivetée (fig. 121, n° 5) dont la surface à patine bleutée est très vraisemblablement niellée en référence aux parallèles les plus proches. Ces derniers sont à chercher à l'époque augustéenne sur le limes dans les camps d'Halter (Müller 2002, p. 38, pl. 42, n° 453) et de Xanten (Hanel 1995, pl. 37, B 199), ainsi que dans la base logistique d'Augsburg-Oberhausen (Hübener 1973, pl. 12, n°s 11 et 22). Ces pièces se distinguent toutefois de l'exemplaire de Corent par la présence de moulurations à la jonction entre l'attache et la partie rivetée. S'il propose une fonction de ceinturon sur la base de l'absence de décor au niveau de la fixation, Martin Müller, à la suite de Norbert Hanel, émet aussi l'hypothèse d'une utilisation comme élément de harnachement ou de *balteus* pour les variantes plus étroites et décorées. Il rejoint en cela l'attribution fonctionnelle d'agrafe de harnais proposée par Mike Bishop (1988, fig. 55, types 5b ou 5c), qui demeure la plus vraisemblable pour ce type d'objet.

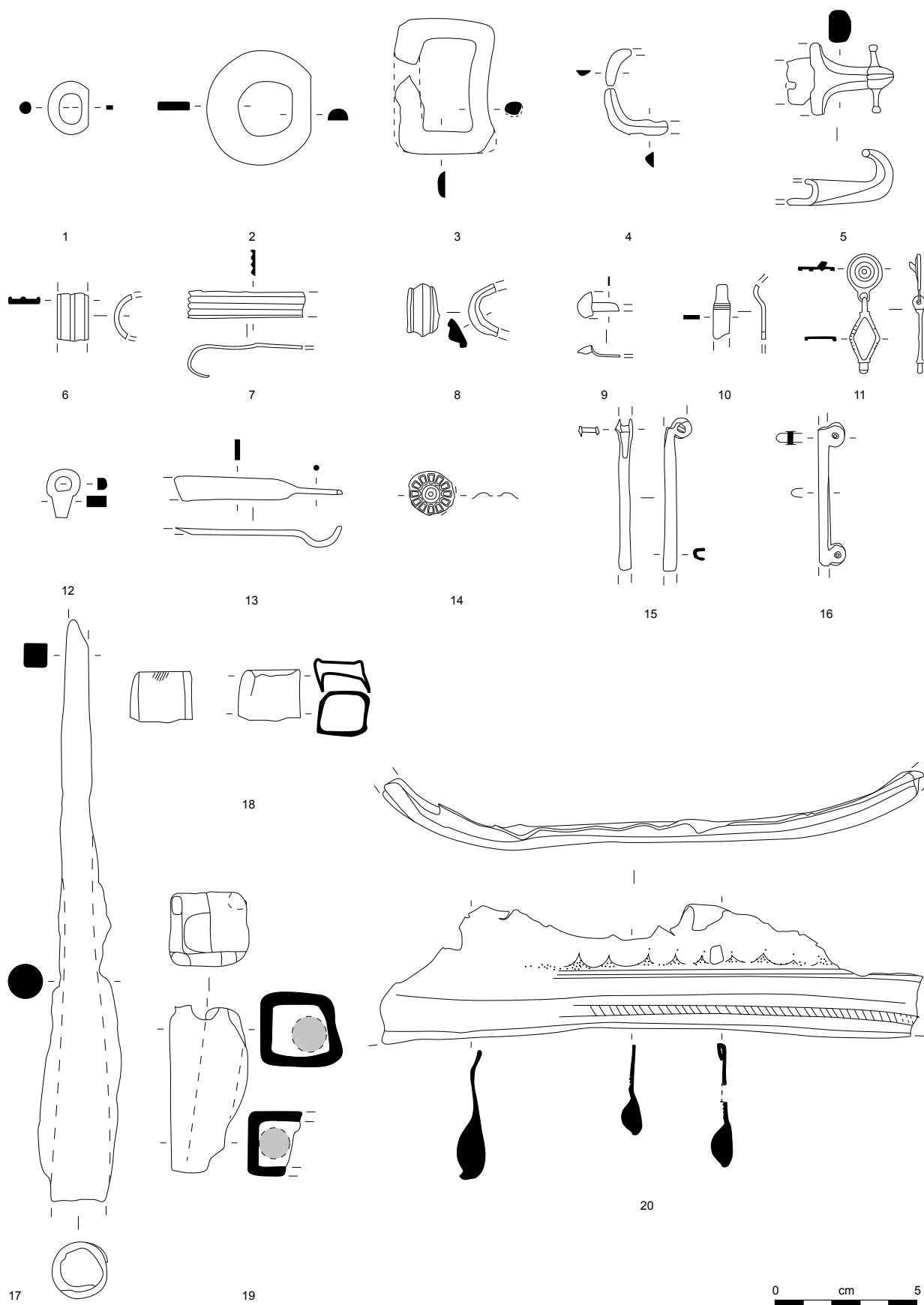


Fig. 121. Armement de tradition romaine. 1-3 et 17-19: fer; 4-16 et 20: alliage cuivreux.

Les fragments de fourreau et leur suspension

En sus des deux fragments de frettés moulurés du sanctuaire (fig. 121, n^{os} 6 et 7), un seul nouvel élément peut se rapporter au fourreau romain, sous la forme d'une boucle moulurée de frette (fig. 121, n^o 8). La découverte de cette pièce peut être due à une cassure d'usure fréquente sur ce type d'objet comme en témoignent les nombreux fragments du camp de Haltern (Müller 2002, pl. 37, n^{os} 401 à 411). La suspension du *pugio*, à l'aide d'un bouton à œillet (Deschler-Erb 1999, pl. 41), pourrait aussi être soutenue sur la base d'une cupule fragmentaire dont la partie inférieure comporte une tige de section rectangulaire (fig. 121, n^o 9). Cette dernière est associée à une hypothétique boucle de paragnathide et à un élément riveté en forme de « Y » pour lequel une interprétation de croc à viande a été préférée à celle d'aigrette de casque (pl. 74, n^{os} 16 et 18). Son état de conservation laisse toutefois planer un doute sur cette identification.

Les pendants de harnais

Les deux pendants de harnais gallo-romains proviennent de remblais de l'espace D. Si le premier n'est identifiable qu'en raison des moulurations situées à proximité de son système de suspension (fig. 121, n^o 10), le deuxième exemplaire bipartite comporte une partie circulaire à l'origine rivetée à une courroie et connectée par une boucle à un pendant losangique émaillé (fig. 121, n^o 11). Ce type, daté entre 100 et 250 ap. J.-C., se retrouve notamment à Oberwinterthur (Deschler-Erb 1996, p. 94, fig. 83, pl. 24, n^o 348). Son utilisation exclusive par des militaires n'est cependant pas établie.

Les fragments de cuirasse

Les rares éléments de cuirasse segmentée (fig. 121, n^{os} 12 à 14) proviennent du sanctuaire où ils ont déjà fait l'objet d'une notice (Poux et Demierre 2015, p. 161, pl. 16, nos-10-13). L'identification de crochet de cuirasse pour la languette munie d'un crochet (fig. 121, n^o 13) doit être revue en raison de sa taille trop longue et de l'absence de perforation pour sa fixation, sans pouvoir proposer d'interprétation alternative. D'autres éléments de cuirasse sont par ailleurs attestés dans le corpus des fouilles récentes, sous la forme de boucles à charnière caractéristiques (Deschler-Erb 1999, pl. 13)¹⁸.

Les fragments d'orle

Les deux fragments d'orle en alliage cuivreux (fig. 121, n^{os} 15 et 16) proviennent des décapages de surface et d'un drain moderne à proximité du bâtiment M. La rareté de l'utilisation de l'alliage cuivreux pour la réalisation de ces renforts de bouclier à La Tène finale et le doute qui subsiste quant à leur interprétation (voir Sievers 2010, p. 34-35) incitent à les classer dans l'armement défensif romain, en référence aux exemplaires du Titelberg (Metzler 1995, p. 354, fig. 188, n^{os} 8 et 9) et de Dangstetten (Fingerlin 1986, Komplex 374, 2, n^o 360). La présence probable d'émail en surface d'une des deux pièces conforte cette idée (fig. 121, n^o 16), de même que le faciès général de la zone qui livre plusieurs pièces d'armement à l'état 3 et dans ses niveaux de surface (voir par ex., pl. 131).

L'armement offensif

L'armement offensif de tradition romaine est particulièrement rare sur le site avec trois fragments d'armes d'hast et quatre hypothétiques balles de fronde. Caractéristique des armes de jet de l'armée tardo-républicaine, la pointe à douille à extrémité de section quadrangulaire (fig. 121, n^o 17) peut être identifiée comme un *pilum* à douille, aussi appelé javelin head. Considérées comme les ancêtres du *pilum* du Haut-Empire, ces armes d'hast se retrouvent sur les champs de bataille impliquant l'armée romaine de la fin de la République (Pernet 2010, p. 68, fig. 31). Présentes dans les Alpes dès la fin de LTC2, elles sont absentes

18 Objets suivants : 23018/397, 24094/66 et 25334/1039.

de Gaule interne avant la Conquête césarienne, une datation corroborée par le contexte de cet exemplaire, un trou de poteau de l'état 2.3 du bâtiment M.

Nous ne reviendrons pas sur la datation de la virole de *pilum* ornée d'incisions (fig. 121, n° 18) qui, avec l'exemplaire de Lyon-Cybèle, pourrait constituer l'une des toutes premières attestations de ce mode de fixation durant LTD2b (Poux 2008, p. 334-335). Avec ses angles surmontés par une protubérance, la seconde virole de *pilum* (fig. 121, n° 18) représente une variante purement augustéenne de ce mode de fixation, comme le prouve sa présence à Dangstetten, Haltern ou encore Kalkriese (Deschler-Erb 1999, p. 20).

Le casque de tradition étrusco-italique

La bordure inférieure de casque (fig. 121, n° 23) constitue l'une des très rares pièces d'équipement militaire de tradition étrusco-italique attestées au nord de la Narbonnaise. Cet armement défensif, dont seules une portion du couvre-nuque et la partie basse de la coque sont conservées, présente un bourrelet orné d'une ligne de traits obliques et surmonté d'une frise de vagues en pointillé réalisé en trois opérations. La première consiste en l'application de points à intervalle régulier pour faciliter le marquage des tronçons de vague par un ciselet à tranchant incurvé qui délimite les surfaces à remplir de points. Bien qu'aucun parallèle exact ne puisse être fourni, ces caractéristiques ornementales plaident pour une attribution à la variante légère des casques étrusco-italiques à bouton dont l'origine est située au IV^e s. av. J.-C. en Italie (Pernet 2010, p. 72-75). L'arrêt de la fabrication de ce type d'armement défensif est situé dans le premier quart du I^{er} s. avant notre ère, sur la base de leur découverte dans le camp des guerres sertoriennes de Cáceres el Viejo ou de l'ensemble funéraire de Saint-Laurent-des-Arbres dont la céramique est datée vers 100 av. J.-C. (Pernet 2010, p. 75). Ces comparaisons renforcent l'idée d'une datation dans la première moitié du I^{er} s. av. J.-C. Le casque de Saint-Laurent-des-Arbres a un parallèle exact aux Martres-de-Veyre, dans une tombe découverte en 1850 au pied de l'*oppidum*. Point le plus septentrional de la répartition du type, ce casque se distingue de l'exemplaire de Corent par un décor pointillé de frise de postes sur le couvre-nuque qui demeure illisible sur ce dernier. Leur parenté est soulignée par la ligne de traits obliques resserrés qui est située au-dessus du bourrelet de cette trouvaille ancienne et au milieu du bourrelet sur le casque issu de l'hémicycle d'assemblée.

3.3. LA PRODUCTION

La production regroupe une grande variété d'activités d'acquisition et de transformation de matière première qui peuvent se dérouler au sein d'un atelier, dans le cadre domestique ou en extérieur. Cette catégorie fonctionnelle englobe à dessein le rare matériel agricole, qui peut tout aussi bien représenter des travaux d'entretien dans le domaine urbain que compléter la trousse à outils d'un artisan. Elle exclut les artefacts liés à la sphère culinaire comme les instruments de mouture, malgré leur fonction première, la transformation des céréales. Les outils et déchets qu'elle comporte illustrent un travail, spécialisé ou non, dont les reliefs archéologiques diffèrent selon le matériau façonné : la plupart des artisanats ne laissent que des déchets organiques, qui ne nous parviennent pas, tandis que le travail des métaux fournit son lot de scories, chutes, demi-produits et ratés de production.

Ces objets sont répartis ici selon l'artisanat ou la matière, pour laquelle ils sont habituellement utilisés, indépendamment de leurs assemblages de provenance. Si cette approche fait fi de la variété des matières travaillées dans le cadre d'un même atelier et que la notion même d'artisanat peut sembler réductrice (Monteix 2011), elle fournit d'emblée une première vision des champs d'activités rencontrés. Elle sera complétée en synthèse par une analyse associant l'ensemble des données disponibles par zones afin de caractériser les métiers perceptibles dans le centre urbain

selon la définition exposée par Nicolas Monteix (voir *infra*, chap. 4.3). Ce chapitre englobera également les déchets et outils artisanaux non métalliques, dont l'outillage lithique incorporé à ce corpus. Il a été traité avec l'aide de Sylvain Mader qui, dans une thèse en cours, analyse les objets lithiques de l'âge du Bronze. Afin de générer un panorama complet des métiers pratiqués sur le site, il sera complété par les objets liés à des activités représentées uniquement dans les fouilles

	NR	NMI		NR	NMI
Artisanat du métal	1898	1142	Artisanat du bois et de l'os	110	109
Outils liés à la frappe	37	36	Mèches	3	3
Marteaux	17 (1)	16	Poinçon	1	1
Enclumes et tas (fer)	18 (2)	18	Scies	4	3
Martyr (pb)	2	2	Gouges	8	8
Percuteur/marteaux lithiques	6	6	Bédanes	3 (1)	3
Enclumes lithiques	6	5	Ciseau droits	23 (2)	23
Outils liés à la préhension	9	7	Ciseau de tourneur	2	2
Pinces	9 (1)	7	Ciseaux courbes	2	2
Outils liés à la découpe	16	16	Déchets de tabletterie	42	42
Ciseaux droits	11 (2)	11	Artisanat du cuir ou du bois	5	5
Tranche	1	1	Racloirs	2 (1)	2
Poinçons	3	3	Couteaux à deux mains	2	2
Emporte-pièce	1	1	Valet d'établi, tas de cordonnier	1	1
Outils liés à la finition	38	37	Artisanat du cuir	10	10
Ciselets	9	9	Alènes	4 (2)	4
Poinçons	10	10	Emporte-pièce	4	4
Limes	19	18	Lancette	2	2
Abraseurs et tablettes abrasives	22	22	Artisanat textile	51	51
Outils liés à la gestion du foyer	9	7	Aiguilles	51 (1)	51
Pelles à feu	7	5	Fusaïoles	131	131
Tuyères	2	2	Pesons	3	2
Déchets liés à la coulée	479	244	Agriculture	29	28
Creusets	178	29	Serpes et serpettes	16 (3)	15
Lingotières	9	5	Emondoirs	2	2
Coulures, gouttes, scories	210	204	Curettes	4	4
Ratés de coulée	4	4	Dents de râteau	4	4
Moules et terre artisanales	78	2	Faux	3	3
Demi-produits et chutes (bc)	206	195	Soc d'araire	(1)	0
Chutes	127	117	Travail des matières plastiques	6	6
Demi-produits	62	62	Spatules	6	6
Objets en cours de fabrication	17	16	Artisanat de la pierre	2	2
Demi-produits et chutes (or, ar, pb)	32	23	Ciseau	1	1
Chutes et demi-produits (pb)	26	26	Pièce de louve ?	1	1
Chutes et demi-produits (ar)	3	3	Outils polyvalents et fragmentaires	112	109
Chute et coulures (or)	3	3	Rabot ou racloir?	2	2
Demi-produits et chutes (fer)	322	286	Forces	27	24
Chutes	312	276	Meulets	5	5
Demi-produits et ébauches	10	10	Aiguisoirs	28	28
Déchets (fer)	750	291	Viroles	39	39
Scories	726	269	Angrois	8	8
Déchets brûlés	24	22	Douille d'outil	5	5
Artisanat du bois et de l'os	110	109	Tête percutée d'outil	10	10
Outils	68	67	Outil à soie	14	14
Haches et hachettes	4	4	Corps d'outil	4	4
Herminettes	13	13	Yeux d'outil	3	3
Haches/herminettes	3	3	Table de travail (lithique)	18	18
Coins	2	2			

Fig. 122. Tableau de comptage des objets liés aux activités de production.

récentes dont l'outillage n'est utilisé ici que dans la perspective d'enrichir une série typologique.

L'essentiel des activités de production de l'époque laténienne apparaît ici à la lumière d'outils et de déchets caractéristiques (fig. 122). Sans surprise, le travail des métaux représente la majorité du corpus avec 1142 individus, dont 136 outils en métal et en pierre et 1039 déchets artisanaux et demi-produits résultant de l'artisanat du fer, des alliages cuivreux, du plomb ou encore des métaux précieux. Vient ensuite le travail du bois et de l'os qui s'illustre par une grande variété d'outils spécifiques à des activités allant de la découpe de l'arbre à la finition des planches, en passant par le tournage des matières dures animales. Moins bien attesté, le travail du cuir apparaît sous la forme d'une dizaine d'emporte-pièces, lancettes et alènes, alors que la couture est perceptible grâce à la découverte de 51 aiguilles en alliage cuivreux et en fer. L'indigence de l'outillage agricole (NMI, 28) reflète avant tout un corpus urbain et sa présence illustre plus la polysémie des outils en question que la pratique d'une agriculture sur le plateau de l'*oppidum*. Aucun outil aratoire ne provient de l'aire fouillée, et seul un soc d'araire indatable et récolté anciennement est attesté. La rareté des outils caractéristiques du travail de la pierre ou des matières plastiques, communs à l'époque romaine, s'explique par la chronologie du corpus majoritairement attribué à La Tène finale. Bien représentés, les outils polyvalents et fragmentaires regroupent une série d'outils (forces, angrois, viroles, meulets) qui participent à une activité productrice qu'il demeure difficile de caractériser.

L'étude de la longueur conservée des outils se heurte à la grande diversité morphologique du corpus : les dimensions d'une hache n'ont rien en commun avec celles d'une aiguille. Malgré ce constat, la petite taille des éléments se dégage avec les trois quarts du corpus aux dimensions inférieures à 97 mm (fig. 123). Leur masse montre une très grande amplitude avec des pièces variant entre 0,2 g et 1235 g. Les deux quartiles médians indiquent une norme située entre 6,2 et 46,9 g, ce qui est relativement bas pour des outils. Les objets intacts (24 %) se caractérisent par des tailles supérieures à l'ensemble du corpus tandis que leur masse, bien que plus élevée que celle des outils fragmentaires, reste dans des fourchettes relativement proches. Cette confrontation aux données disponibles pour l'ensemble du corpus témoigne d'une récupération systématique de l'outillage de grande taille, tandis que les outils plus petits sont moins systématiquement recherchés. Leur répartition met en lumière des dépôts volontaires d'outils souvent volumineux comme les haches ou les

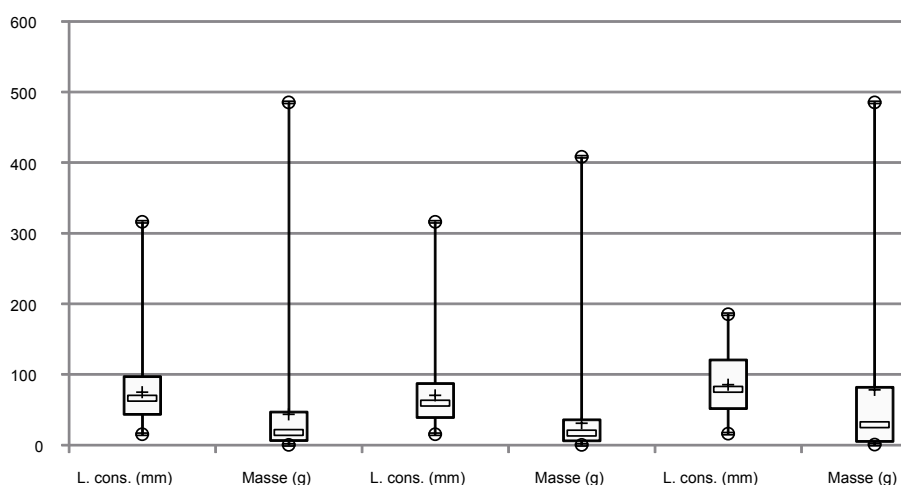
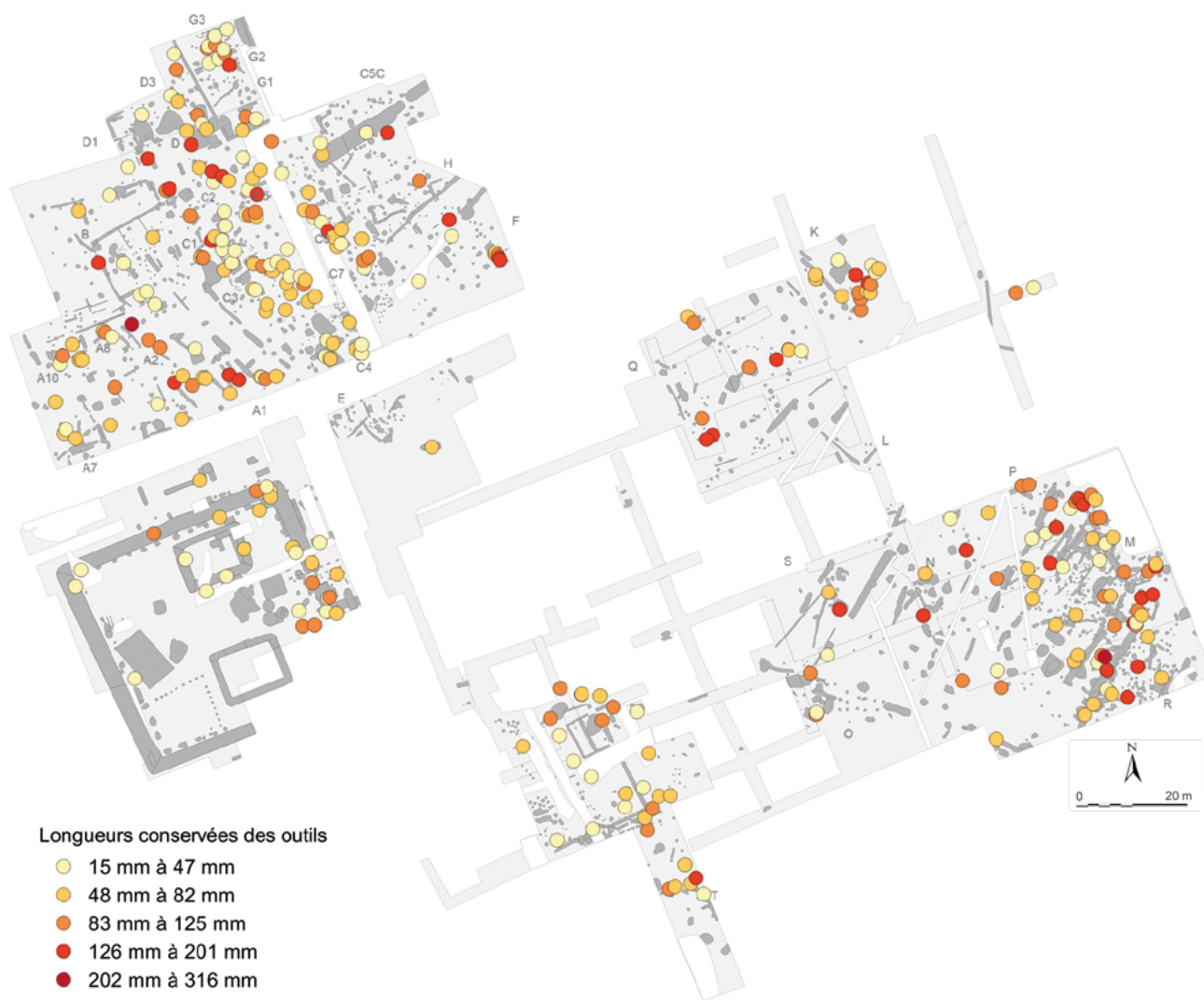


Fig. 123. Analyse par diagrammes en boîte de la conservation des outils selon leur longueur conservée et leur masse. Une hache de 1235 g n'apparaît pas dans la représentation graphique. Les viroles et angrois ne sont pas intégrés à cette analyse.



herminettes (fig. 124). En témoigne par exemple la bonne préservation des outils du bâtiment A1 ou encore un ensemble éloquent du bâtiment M ([pl. 141](#)), qui peut être interprété comme une cache de matière première ou encore un dépôt à connotation religieuse. A *contrario*, la concentration d'outils brisés et de petite taille du complexe C illustre l'intensité de la pratique de l'artisanat dans cet espace et montre l'abandon de fragments qui n'ont pas été récupérés.

Fig. 124. Répartition taphonomique de l'outillage à l'exception des angrois et des viroles. Les longueurs conservées sont réparties en classe selon le principe des ruptures naturelles.

3.3.1. L'ARTISANAT DU MÉTAL

Les artisans spécialisés dans le travail du métal utilisent un fonds commun d'outils servant à la frappe de la matière à chaud, à la préhension du métal en cours de façonnage, à sa découpe et aux finitions que constituent le décor ou le rendu de surface. Les variations morphologiques d'outils parfois regroupés sous le même vocable marquent la diversité de ces activités, qui peuvent aussi être réparties entre travaux à chaud et à froid, entre façonnage grossier et travail fin. Obtenir une caractérisation détaillée ne saurait toutefois être argumentée sans une comparaison entre les différents outils participant à chacune de ces étapes du travail. C'est dans cette optique qu'est structurée leur présentation, abordée à la fois par l'activité représentée et par type d'outils. Après ce premier tour d'horizon, les déchets et les chutes générés lors de la production d'objets métalliques et les demi-produits sont exposés par catégorie et par métal travaillé. Complémentaires, ces vestiges donnent du relief aux faciès dessinés par

l'outillage et facilitent l'identification d'artisanats spécialisés. Ils ne sont toutefois abordés ici que pour leur apport intrinsèque, la confrontation avec le corpus d'outils étant traitée dans la caractérisation des assemblages (chap. 4.2 et 3.3).

Les outils liés à la frappe : marteaux, tas, enclumes et pinces

Utile à de nombreux artisans, le marteau constitue l'outil de frappe universel, dont la fonction est précisée grâce à l'analyse morphologique croisée de ses constituants que sont les pannes, les tables et l'emmanchement ([cat. 27](#)). L'ensemble des marteaux de Corent peut être attribué à l'artisanat du métal avec une prédominance marquée pour des travaux fins, façonnage de la tôle ou orfèvrerie, au détriment de la mise en forme du fer nécessitant des outils plus lourds. Cette répartition s'explique par une récupération accrue des marteaux lourds, très rarement documentés sur les sites où l'activité du fer est prédominante (Tisserand 2010, p. 253), ainsi que par une meilleure représentation du travail du bronze dans le corpus de déchets à l'échelle du site.

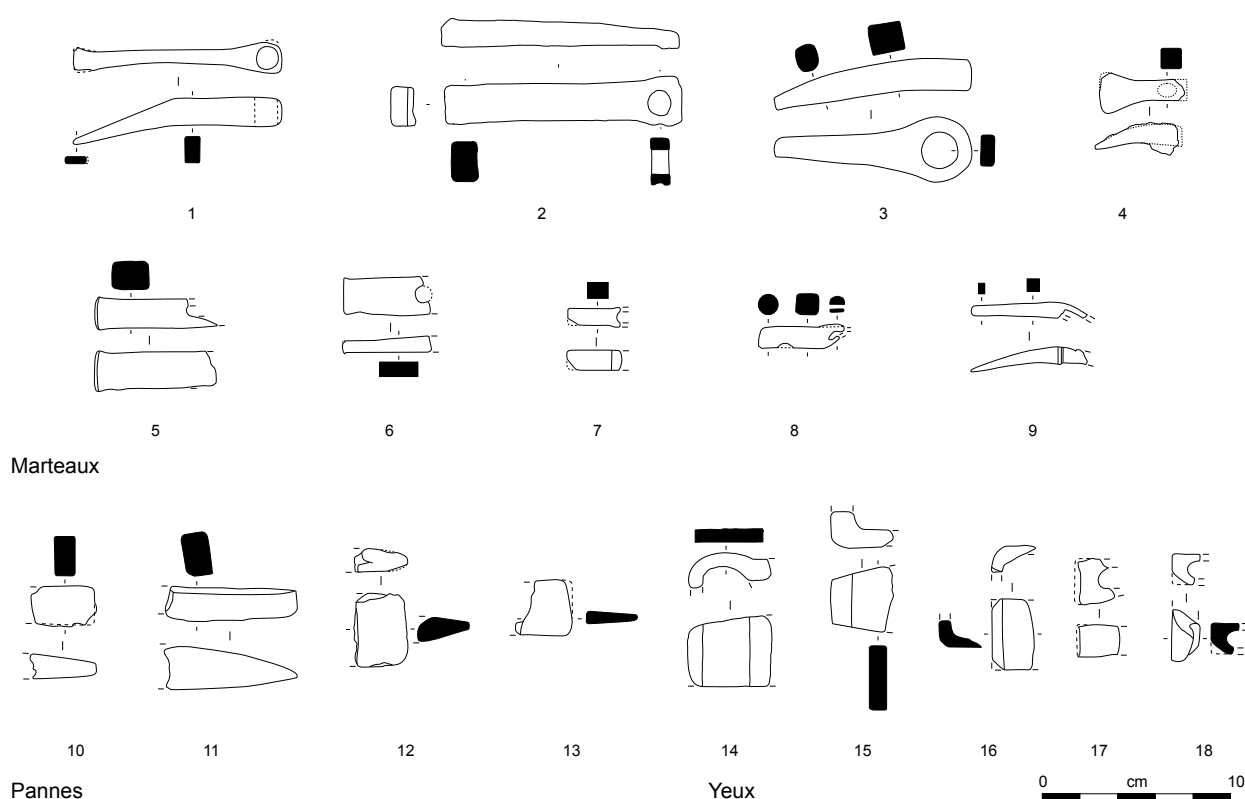


Fig. 125. Marteaux et fragments de marteau. Fer.

Avec une masse légère, inférieure à 200 g, un œil excentré et des pannes arrondies empêchant de blesser le métal, les trois marteaux complets (fig. 125, n^{os} 1 à 3) sont caractéristiques du travail de la tôle (Guillaumet 2000, p. 111, fig. 8, n^{os} 1 et 2). Le marteau à panne rectangulaire (fig. 125, n^o 2), issu de la fosse 18098 du bâtiment F, a pu servir à dresser la tôle. La finesse de son œil empêche de l'interpréter comme une chasse, outil posé sur le métal et percuté par un autre marteau. L'emboutissage ou la retreinte, consistant en une déformation de la tôle par martelage interne ou externe d'éléments creux comme des récipients, peuvent être proposés pour les deux marteaux à panne incurvée (fig. 125, n^{os} 1 et 3). Le marteau le plus fin à panne rectangulaire évasée (fig. 125, n^o 1) a pu servir au repoussé de fines tôles dans le cadre de l'orfèvrerie, aussi signalée dans le bâtiment C5 par un ciselet en alliage cuivreux (fig. 131, n^o 8). L'outil à panne circulaire (fig. 125, n^o 3) se rapproche d'un outil de Vertault (Tisserand 2010, pl. 1, n^o 3). Il peut être lié aux chutes documentées dans le bâtiment M durant la même phase (état 2.2).

Mis au jour en 2013 à proximité d'une fosse artisanale dédiée à la confection de petits rivets, le marteau d'orfèvre à la panne évasée (fig. 125, n° 4) connaît des parallèles à Lacoste (Derion 2006, pl. 33, n° 324) ainsi qu'au Gué-des-Sciaux (Eneau 2002). Sa taille implique un travail fin au même titre que les trois tables et pannes fragmentaires (fig. 125, n° 7 à 9). Issu des niveaux de la place du complexe C, le petit marteau à table rectangulaire (fig. 125, n° 7) est associé à toute une gamme d'objets – limes, tas, ciselets, chutes d'alliage cuivreux – illustrant l'activité d'un orfèvre (pl. 44). Les deux autres outils proviennent d'ensembles du Haut-Empire (espace D et comblement supérieur du fossé du sanctuaire).

La panne rectangulaire (fig. 125, n° 6) est issue d'un niveau de destruction du théâtre antique. La morphologie commune de cet outil de frappe empêche de lui attribuer une fonction précise. La masse (265 g) et les dimensions d'un marteau à œil et panne rectangulaire (fig. 125, n° 5) hors contexte suggèrent une utilisation dans le cadre de la forge (voir par ex. Mölders 2010, pl. 1, n° 1).

L'interprétation des fragments de panne et d'œil se justifie au regard des associations récurrentes entre ces deux parties constitutives de marteau (fig. 125, n° 11 et 15) et des tas (fig. 125, n° 16) ou encore des demi-produits (fig. 125, n° 12, 14, 17 et 18). Tant les pannes à extrémités arrondies que les yeux excentrés constituent des traits communs aux formes observées pour les marteaux intacts destinés à la dinanderie et à de fins travaux.

Six outils lithiques complètent le corpus d'objets reflétant la percussion. Il s'agit de marteaux parallélépipédiques à pannes arrondies munis d'encoche facilitant leur préhension ou leur fixation à un manche. Majoritairement en granit, ces artefacts proviennent de secteurs – la partie occidentale du complexe C (pl. 53, n° 14, pl. 59, n° 18, pl. 65, n° 23), la fosse 18099 du bâtiment F (pl. 107, n° 4) et l'état 2.3 du bâtiment R (pl. 161, n° 6) – où l'artisanat du métal est perceptible grâce à d'autres vestiges. Ces associations plaident en faveur d'une utilisation durant La Tène finale, bien qu'il demeure difficile d'établir s'ils ont été fabriqués à cette période ou s'il s'agit d'un réemploi opportuniste d'outils de l'âge du Bronze ou du Premier âge du Fer.

Tout comme les marteaux, les outils passifs que constituent les enclumes et les tas du corpus servent principalement à la réalisation d'un travail fin (cat. 27). Bien qu'attestés dans les dépôts d'outils du Nikolausberg bei Gölling (Moosleitner 1999, fig. 2, n° 1) ou d'Echiré (Bertrand et Maguer 2007, p. 212-213), p. 212-213), les grands supports de frappe entièrement métalliques demeurent rares à l'époque laténienne où les enclumes lithiques sont préférées (Mölders 2010, p. 39, Pieters 2013a, p. 32, outillage lourd). Anika Duvauchelle distingue deux sortes d'enclumes romaines, les tas et les bigornes, distinguées selon la forme de la table et le mode de fixation, posé et calé ou fiché dans le billot ou dans l'œillet porte-outil d'un support de frappe plus massif (Duvauchelle 2005, p. 17-20). Maxence Pieters propose une différenciation fondée sur la capacité multifonctionnelle de l'enclume, qui est considérée comme le support de frappe principal, alors que le tas, muni d'une seule surface utile, est perçu comme un outil complémentaire (Pieters 2013a, p. 23). Sa typologie établie à partir des ensembles de Bibracte et de Stradonitz procède en une division des supports de frappe entre outillages lourd et léger, cette dernière catégorie regroupant l'ensemble des exemplaires métalliques de Corent.

Munies d'une table rectangulaire ou ovale, horizontale ou légèrement incurvée, les cinq enclumes (fig. 126, n° 1 à 5) entrent dans la catégorie des enclumes légères bigornes, définies par M. Pieters (Pieters 2013a, p. 37-38). Communes à La Tène finale avec des occurrences à Bibracte, à Lacoste (Derion 2006, pl. 38, n° 375) ainsi qu'à Manching (Jacobi 1974, pl. 75, n° 1468 à 1478), ces petites enclumes, dont la plus grande mesure 86 mm pour une masse inférieure à 100 g, doivent principalement servir dans le cadre de la fabrication de petits objets,

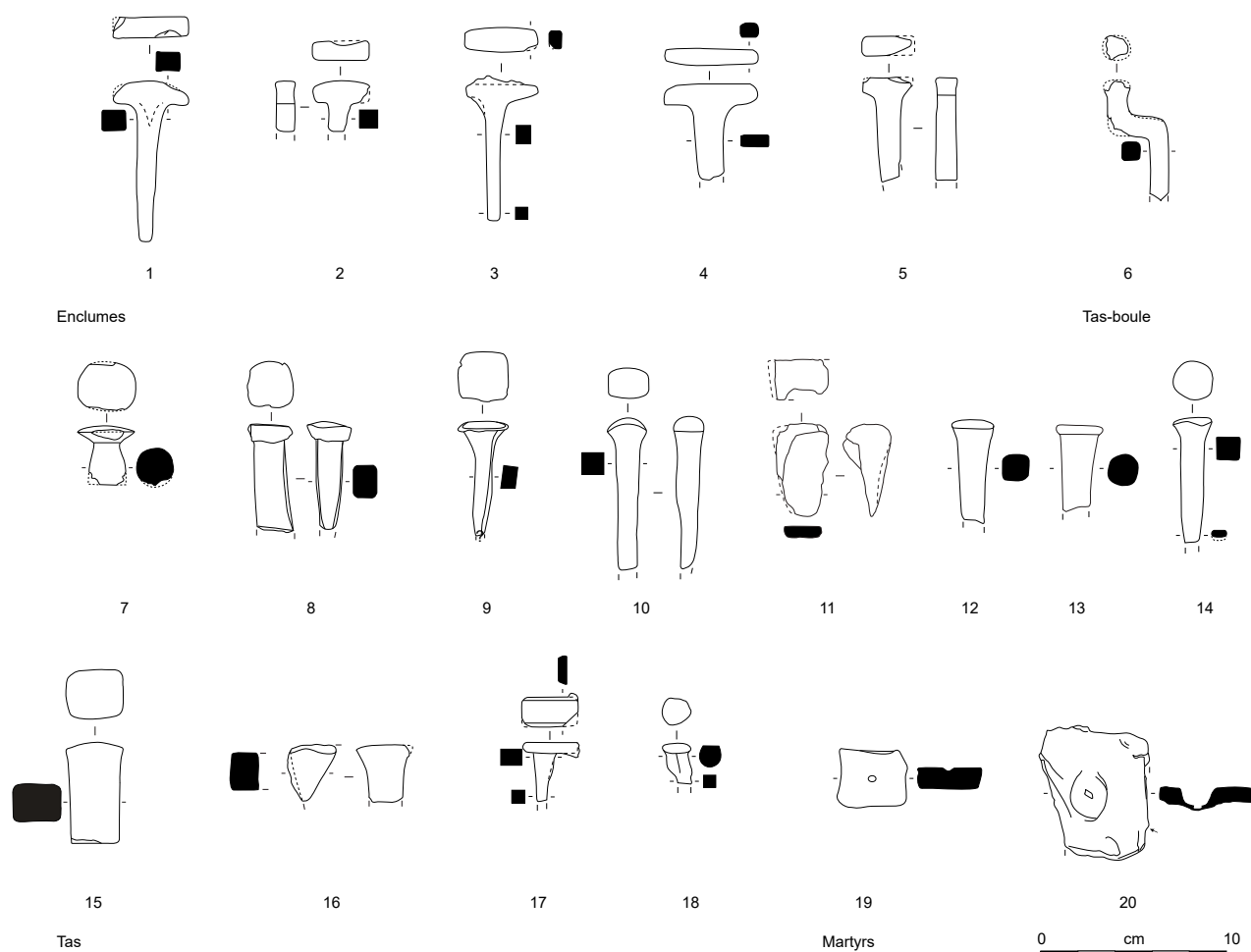


Fig. 126. *Supports de frappe.*
1-18: fer; 19-20: plomb.

par exemple de bijouterie ou d'orfèvrerie. Cette hypothèse est renforcée par l'association de deux pièces avec des outils et des demi-produits liés au travail du bronze dans la partie occidentale du complexe C. Les angles arrondis de la bordure de la majorité des tables de frappe vont également dans le sens d'une utilisation visant à ne pas marquer le métal. La mise en forme des fines tôles comme celles qui constituent les bracelets tubulaires pourrait être un champ d'application de ces formes d'outils.

Le tas-boule à queue contrecoudée (fig. 126, n° 6) sert aussi à la mise en forme de tôles selon les parallèles modernes où cette forme d'outils est utilisée par le chaudronnier ou le ferblantier. Malgré l'absence d'objets antiques comparables, son association dans l'est de la place du complexe C avec de nombreuses chutes de tôle valide son identification. La forme de l'exemplaire à tête hémisphérique débordante (fig. 126, n° 7) de très petite taille (32 mm) pourrait être utilisée actuellement en bijouterie et en orfèvrerie. Elle est connue à Pompéi dans un contexte interprétable comme un atelier de la Porta del Vesuvio (Gaitzsch 1978, pl. 2, n° 14). L'interprétation fonctionnelle de cet objet demeure toutefois sujette à caution en raison de son contexte de découverte, le décapage de surface du bâtiment M.

Les tas à queue sont classés d'après la forme de leur table de frappe, quadrangulaire (fig. 126, n°s 8 à 12) ou circulaire (fig. 126, n°s 13 et 14) (Pieters 2013a, p. 38, fig. 26). Très proches des outils de ferblantiers et de chaudronniers actuels, ils font partie de la trousse du dinandier de la tombe 87 de la nécropole orientale du Titelberg qui livre de grandes chutes de tôle et de l'outillage spécifique à cette activité (Kaurin 2009, p. 54). Un tas circulaire provient aussi du dépôt illyrien d'Ošanići bei Stolac, qui comprend toute la trousse à outils d'un orfèvre, une spécialisation qui peut par conséquent également être évoquée à propos de ces

instruments (Gebhard 1991a, fig. 3, n° 125). Ces fonctions se justifient d'autant plus pour les exemplaires à la surface de frappe arrondie (fig. 126, n° 10). Leur association avec des chutes de tôle dans les niveaux de circulation du complexe C (fig. 126, n° 8) va dans le même sens. Deux exemplaires issus des fouilles de 1992 (fig. 126, n°s 12 et 13) interprétés comme des têtes de burin (Orengo 2003, p. 124) sont attribués à ce type d'objet, bien que leur fragmentation de même que le fait de ne pas les avoir documentés de visu laissent envisager la première interprétation. Cette réserve peut s'appliquer à la majorité des tas fragmentaires.

Deux supports de frappe sont caractéristiques des tas à queue ordinaires multifonctionnels (fig. 126, n°s 15 et 16), définis par M. Pieters (Pieters 2013a, p. 38, fig. 25). Les deux tas du sanctuaire (fig. 126, n°s 17 et 18) sont installés sur des tiges fines qui laissent planer un doute quant à leur identification. L'exemplaire hors contexte (fig. 126, n° 18) connaît des parallèles à l'époque romaine (Pietsch 1983, pl. 18, n°s 438 et 439), tandis que les doutes émis à propos du petit tas à queue (fig. 126, n° 17), prélevé dans les fossés de l'enclos A, restent de rigueur (Poux et Demierre 2015, p. 173).

Utilisés comme support de découpe ou de frappe, les deux martyrs en plomb (fig. 126, n°s 19 et 20) présentent des traces d'impacts et de découpe en surface (fig. 127). Ils accompagnent le marteau de dinanderie dans la fosse 18098 (fig. 126, n° 20, pl. 107) ainsi que deux ciseaux droits ou poinçons et un chapelet de flans monétaires dans la structure artisanale 20636 du bâtiment K (fig. 126, n° 19, pl. 123). La petite cupule de cette pièce épouse parfaitement le tenon observé sur une face de ces ratés de coulée. Cette particularité et la composition de l'assemblage laissent envisager une utilisation dans le cadre de la découpe des flans après la coulée, une opération réalisée à proximité voire directement dans la fosse artisanale. La cupule centrale de l'autre martyr peut résulter d'un impact trop puissant, mais également servir de forme pour la déformation de tôle circulaire de petite taille, proche de la morphologie des têtes des clous-rivets en alliage cuivreux.

Les supports de frappe lithiques attribuables au travail des métaux apparaissent majoritairement sous la forme de fragments de table de frappe en basalte ou en grès, regroupés dans le complexe C, notamment dans le bâtiment C1. Un éclat de table d'enclume y est associé dans la fosse artisanale 18676 à un lingot plano-convexe et à une chute de tôle pliée en alliage cuivreux et une tablette abrasive en grès (pl. 57). L'enclume complète a été découverte en position secondaire dans la citerne documentée en bordure de fouille au nord du bâtiment K. En plus des traces de martelage, sa table de frappe présente le négatif d'un cadre en bois sur sa surface de frappe ainsi qu'une mortaise latérale (pl. 120, n° 18). Par ses dimensions, elle peut être affiliée aux enclumes communes de la période (Pieters 2013a, p. 32-33).

Issu du cellier 17522 du bâtiment C7, le second support de frappe intact en basalte à grain fin pèse moins de 700 g (pl. 72, n° 7). Malgré cette masse qui rend son identification problématique, il peut correspondre à un tas mobile, compte tenu de la présence de traces de percussion sur ses deux faces, une caractéristique qu'il partage avec les enclumes de l'âge du Bronze mises au jour en 2011 (Poux *et al.* 2011, p. 256 et 274). Il a dû servir à la réalisation de petits objets ou de tôles, par ailleurs fréquentes dans le faciès des chutes du secteur. Hormis ces six supports de frappe avérés, le corpus livre également plusieurs éléments lithiques avec des surfaces planes qui suggèrent une utilisation en tant que table de travail. Ces objets, qui apparaissent parfois dans des structures à vocation artisanale (fosses 17478 et 20395), n'ont pas été jugés suffisamment éloquents pour pouvoir leur attribuer une fonction artisanale et demeurent classés dans les objets polyvalents, tant ils peuvent avoir servi de supports pour de nombreuses activités (découpe bouchère, cuisine...).



Fig. 127. Détail de la surface de frappe des martyrs en plomb.

Les outils liés à la préhension : les pinces

Les pinces font partie intégrante des outils de l'artisan du métal, mais peuvent également servir dans le cadre d'autres artisanats (Duvauchelle 2005, p. 22). Les associations des pinces du corpus avec d'autres outils et déchets liés à l'artisanat du métal justifient néanmoins leur attribution à ce domaine d'activité ([cat. 28](#)).

Aucun outil complet n'est documenté. Le corpus se compose essentiellement d'éléments qui ont cédé à l'articulation des mors, séparant les mâchoires du système de préhension. Deux branches pouvant appartenir à la même pince (fig. 128, n^{os} 1 et 2) proviennent du bâtiment R, qui livre également de nombreuses scories. Leur extrémité appointée les distingue des deux exemplaires terminés par une boule massive caractéristique (fig. 128, n^{os} 3 et 5). L'une de ces terminaisons coniques (fig. 128, n^o 5) est issue du même assemblage que la seule gueule de pince intacte (fig. 128, n^o 4) dont elle complète la forme. Les mâchoires droites (fig. 128, n^{os} 4 et 6 à 9) constituent un trait morphologique commun à de nombreux artisans (métal, cuir, os) et ne permettent pas de qualifier plus précisément leur fonction (Duvauchelle 2005, fig. 10). L'unique mors de pince circulaire (fig. 128, n^o 10), dont le diamètre de 80 mm n'exclut pas la manipulation de creusets, reste d'identification douteuse en raison de son contexte, un niveau de décapage de surface et de l'aspect peu lisible du rivet permettant son articulation. Il est proche d'un élément fragmentaire de Manching (Jacobi 1974, pl. 2, n^o 12).

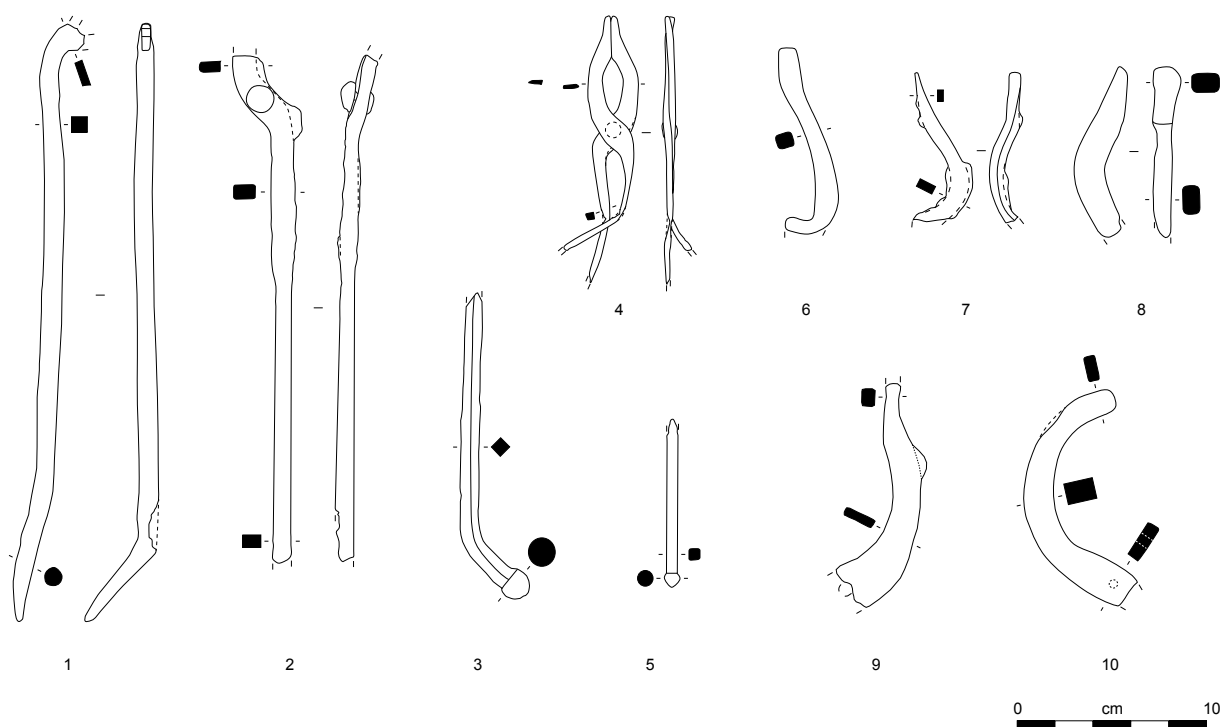


Fig. 128. Pinces. Fer.

Les outils liés à la découpe : ciseaux droits, poinçons, emporte-pièce

La découpe du métal, qui peut être réalisée à chaud comme à froid, mobilise une gamme d'outils dont la morphologie est adaptée à l'épaisseur et à la taille de l'objet en cours de fabrication. Le corpus comprend des ciseaux droits, une hypothétique tranche, des poinçons utilisés pour le perçage à chaud ainsi qu'un emporte-pièce ([cat. 29](#)).

Aussi appelé burin, le ciseau droit constitue l'un des outils pour lesquels la distinction entre artisanats du métal et du bois demeure difficile à établir selon des critères fiables. Les caractéristiques retenues ici sont un corps massif et une tête percutee (Dolenz 1998, p. 179, Nillesse 2009p. 60), auxquels peut s'ajouter un tranchant à deux biseaux (Tisserand 2001, p. 25), bien que ce dernier critère ne constitue pas une condition obligatoire (Duvauchelle 2005, p. 23-24). La taille du corps du ciseau droit détermine son utilisation : à froid pour un outil de petite dimension ou à chaud lorsque le corps de l'outil est imposant (Duvauchelle 2005, p. 25). En se tenant à la limite de 12 cm retenue pour les distinguer (Dolenz 1998, p. 179), la majorité du corpus doit par conséquent être destinée à des découpes à froid à l'exception d'un individu (fig. 129, n° 14). Les parallèles de Sainte-Blandine (Chapotat 1970, pl. 13, n° 1) ou encore de Manching (Jacobi 1974, pl. 6, n° 75) corroborent une identification comme ciseau ou poinçon pour cet outil dont le tranchant est manquant. Elle se justifie d'autant plus que l'outillage lié au travail de la pierre s'avère rare en contexte laténien, bien que cet objet en présente également certaines spécificités.

La fonction des autres ciseaux droits varie selon la taille de leur tranchant relativement stable entre 8 et 18 mm pour la majorité des individus, qui peuvent être considérés comme des outils polyvalents (fig. 129, n°s 1 à 4). Les pièces au tranchant inférieur à 8 mm sont impliquées dans une chaîne opératoire destinée à la production de petits objets, où ils peuvent avoir participé à la confection de décors (Dolenz 1998, p. 189-190). En témoignent les deux individus (fig. 129, n°s 12 et 13) du bâtiment C5, qui fournit entre autres le marteau de dinanderie ou d'orfèvrerie ou le tranchant (fig. 129, n° 7) associé à plusieurs outils destinés à un travail fin. Les pièces fragmentaires apparaissent comme révélatrices de la découpe dans des contextes comme la fosse artisanale 20636 du bâtiment K ou encore la fosse 22329 où le ciseau (fig. 129, n° 9) accompagne des scories.

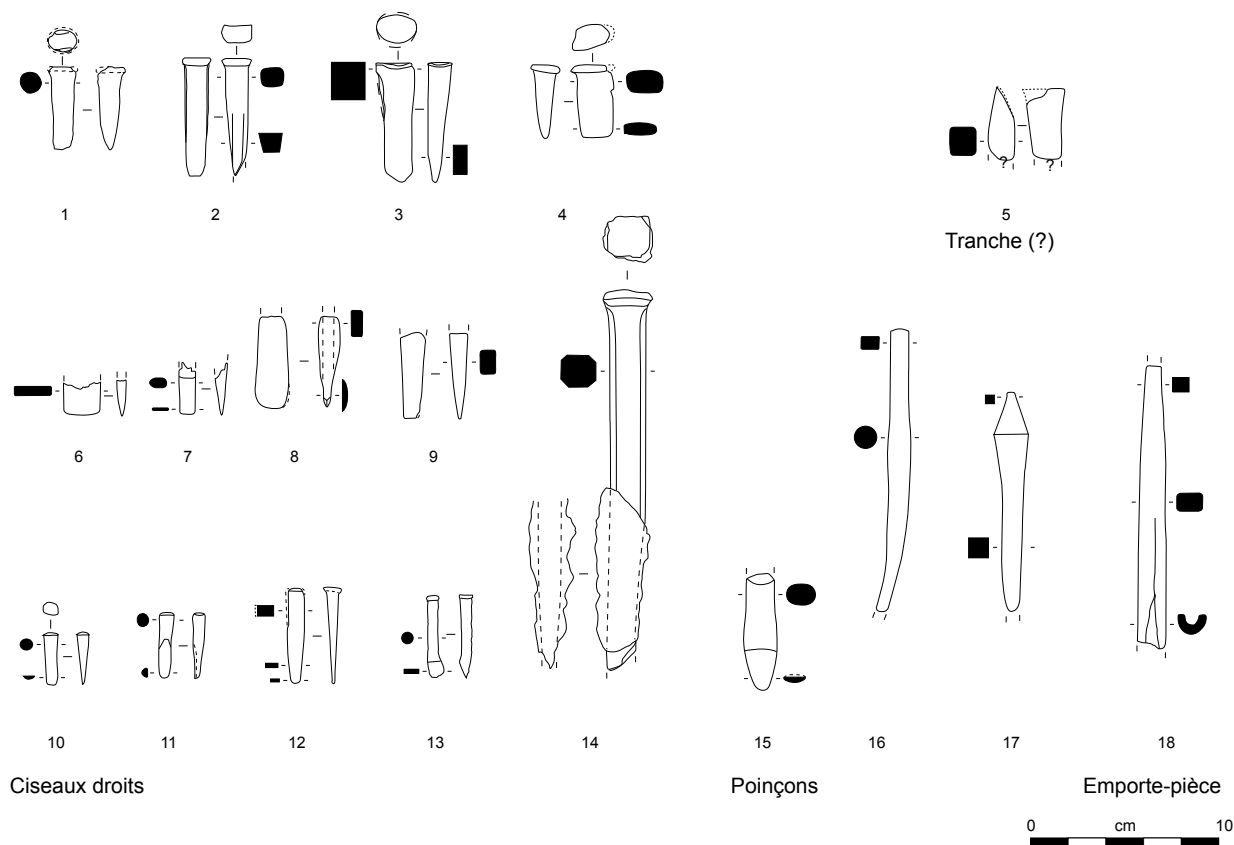


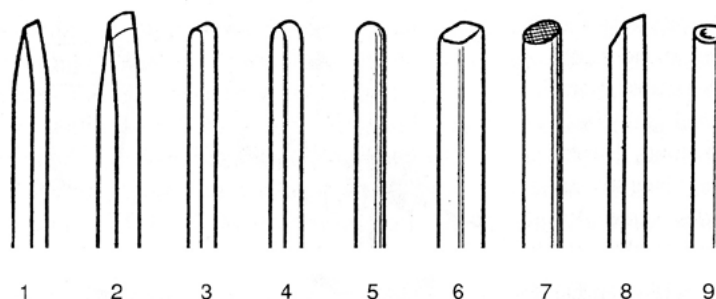
Fig. 129. Outils liés à la découpe du métal. Fer.

Fragmentaires, les poinçons à percer à chaud font partie des outils dont l'interprétation demeure problématique. Ils proviennent tous de contextes où ils accompagnent d'autres outils liés à l'artisanat du métal. L'extrémité renforcée de section ovale (fig. 129, n° 15), qui peut aussi correspondre à un simple ciseau, provient de la structure livrant le martyr et le tranchant de ciseau droit. Le poinçon bipyramidal à deux pointes et à tête matée (fig. 129, n° 17) est documenté à Bibracte (Mölders 2010, pl. 56, n° 61) et à Larina (Perrin 1990, fig. 92, n° 331). Il est associé à des outils d'orfèvres dans le bâtiment C5 alors que le poinçon à renflement central (fig. 129, n° 16) a été découvert dans le cailloutis de l'hémicycle gaulois à proximité d'un tas (fig. 126, n° 15). Bien que leur partie active soit manquante, la fonction supposée de ces éléments consiste en la perforation ou en la découpe de tôle ou de métal peu épais. Il en est de même pour l'emporte-pièce (fig. 129, n° 18), d'une forme documentée à Levroux (Guillaumet 2000, fig. 10, n° 9). Cet outil peut aussi être lié à l'orfèvrerie comme en témoigne le parallèle issu du dépôt d'Ošanići bei Stolac (Gebhard 1991a, fig. 6, n° 178).

Les outils liés à la finition : ciselets, poinçons, limes

De forme très proche des ciseaux droits, les ciselets sont de petits ciseaux servant à décorer voire à mater de petits trous sur une pièce métallique (Duvauchelle 2005, p. 26) ([cat. 30](#)). Ils s'en distinguent par la taille du tranchant, très réduite et jamais supérieure à 3,5 mm, ainsi que par un corps plus grand permettant une préhension à trois doigts, similaire à celle d'un crayon actuel (Armbruster 2000, fig. 62). La littérature allemande regroupe poinçons et ciselets de différentes morphologies sous le terme de « Punze » qui désigne l'ensemble de ces outils de précision (Armbruster 2000, p. 57-59). La forme de leur tranchant détermine leur fonction : un tranchant à double biseau sert à réaliser des incisions, une extrémité mousse à du modelage ou du travail au repoussé, une tête plate à aplanir, un tranchant à un seul biseau à graver ou exciser, tandis que les extrémités creuses permettent de réaliser un décor standardisé ou une perforation (fig. 130).

Fig. 130. *Formes et fonctions des ciselets. 1-2 : inciser, 3-5 : emboutir, 6 : aplanir, 7 : mater, 8 : graver, 9 : creuser* (tiré de Armbruster 2000, fig. 61).



S'il demeure difficile de garantir l'identification des extrémités actives fragmentaires, les ciselets en fer présentent des tranchants à deux biseaux, servant à l'application d'un décor incisé, ou à simple biseau pour la réalisation de gravure sur des alliages cuivreux (fig. 131, n°s 1 à 7). Des formes similaires sont attestées au II^e s. av. J.-C. à Berching-Pollanten (Schäfer 2010, fig. 98) ou plus tardivement au Magdalensberg (Dolenz 1998, pl. 64-65). Les outils fragmentaires (fig. 131, n°s 4 à 7) ainsi que l'exemplaire presque intact (fig. 131, n° 1) proviennent du complexe C et de ses abords, tandis que l'outil plié à proximité de son tranchant est issu d'un épandage proche du théâtre gaulois.

Spécifiques à la bijouterie et à l'orfèvrerie, les ciselets en alliage cuivreux permettent soit de graver (fig. 131, n° 8), soit d'inciser (fig. 131, n° 9). Un parallèle exact à l'outil à tête débordante et corps chanfreiné est recensé en fer au Magdalensberg, où il est mis en relation avec la décoration des bracelets tubulaires (Dolenz 1998, W211). À nouveau, le dépôt d'Ošanići bei Stolac fournit les meilleures comparaisons avec trois exemplaires similaires en alliage

cuivreux (Gebhard 1991a, fig. 6, n^{os} 103, 104 et 107). Ces outils de finition proviennent du bâtiment C5 et de la fosse artisanale 18098, où d'autres outils comme des marteaux et des ciseaux droits de petite taille orientent l'interprétation vers la dinanderie ou le travail des métaux précieux.

Également en alliage cuivreux, les deux poinçons (fig. 131, n^{os} 10 et 11) ont pu servir à l'application de décors sur des pièces plus massives et à la perforation de tôle dans le cadre du travail fin des alliages cuivreux et des métaux précieux. Leur morphologie laisse aussi envisager une fonction de pointeau, un outil utilisé pour réaliser un tracé préparatoire avant la réalisation d'un décor. Les deux outils fins en fer (fig. 131, n^{os} 12 et 13) revêtent très vraisemblablement la même fonction (Duvauchelle 2005, p. 27), quelle que soit la section de leur extrémité travaillante, triangulaire (fig. 131, n^o 12) ou circulaire (fig. 131, n^o 13). Leur fragmentation empêche néanmoins d'affirmer une fonction dans le cadre du travail des métaux précieux.

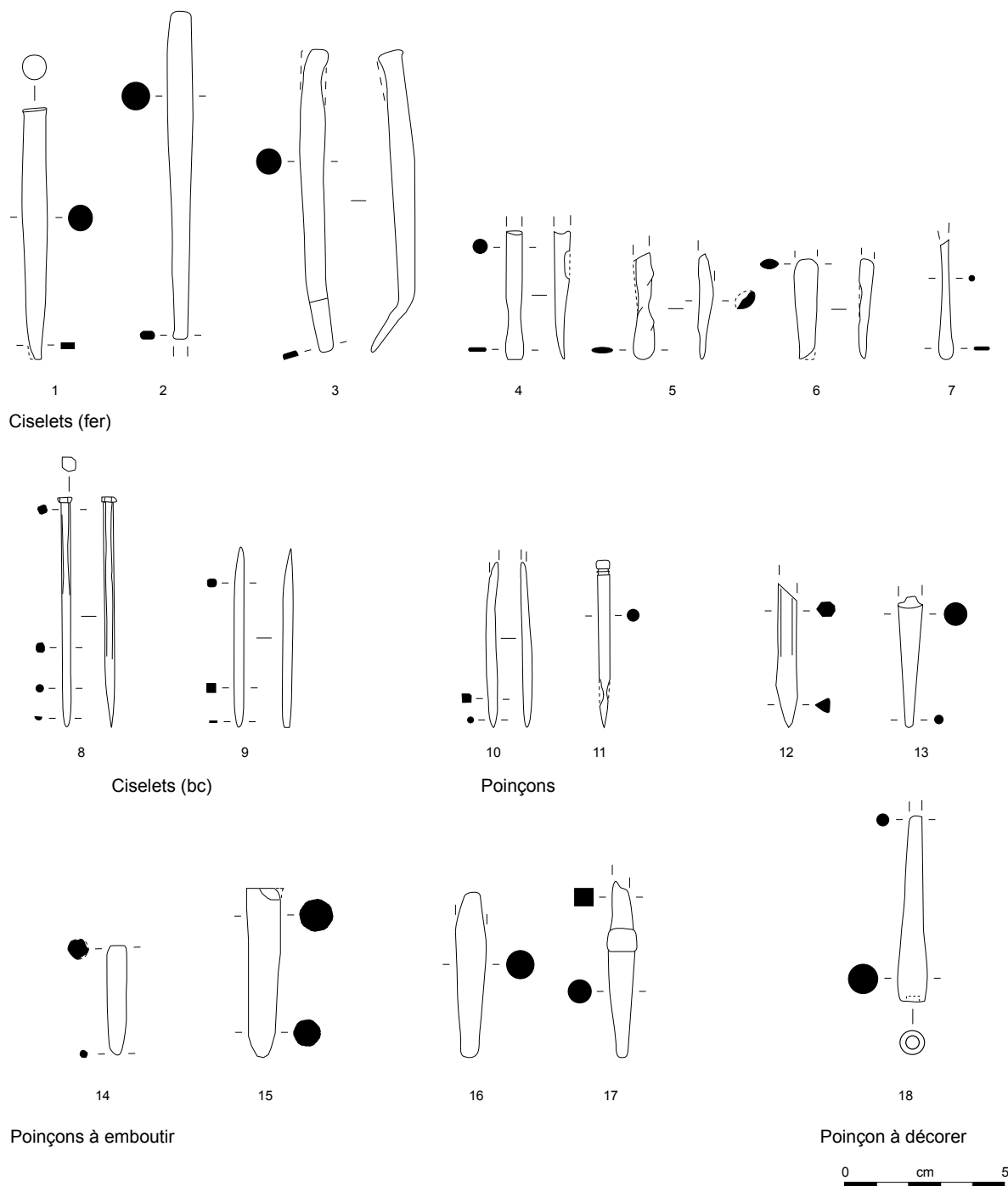


Fig. 131. Ciselets et poinçons. 1-7, 12-13 et 15-18 : fer ; 8-11 et 14 : alliage cuivreux.

Avec leurs extrémités mousses, les poinçons à emboutir sont utilisés dans la mise en forme de tôle et de petits objets. L'individu en alliage cuivreux (fig. 131, n° 14) provient de l'est du complexe C, dont les épandages livrent également un tas à table circulaire (fig. 126, n° 14) et l'emporte-pièce (fig. 129, n° 18). Le poinçon en fer (fig. 131, n° 15) est issu des radiers du bâtiment R de l'état 3, qui fournit également quelques scories ferreuses. Les deux autres fragments (fig. 131, n°s 16 et 17) proviennent d'ensembles pauvres en matériel lié à la production artisanale et leur identification demeure sujette à caution. Le renflement de la pièce (fig. 131, n° 17) évoque néanmoins d'autres pièces appointées documentées à Lacoste (Derion 2006, pl. 39, n°s 377 et 384) et à Berching-Pollanten (Schäfer 2010, fig. 134, n° 1511).

L'extrémité creuse du poinçon (fig. 131, n° 18) suggère une utilisation pour la réalisation de décors ocellés, la perforation ou le sertissage de rivet. L'aspect plat de la cupule et l'absence de tranchants saillants diffèrent des outils du Magdalensberg (Dolenz 1998, pl. 53) servant au rivetage et incitent à interpréter cette pièce comme un poinçon décoratif d'orfèvrerie.

Destinées à la finalisation des productions grâce au frottement de leurs entailles, les limes entrent dans la trousse à outils des spécialistes travaillant le métal, mais aussi le bois, l'os ou encore la pierre (Duvauchelle 2005, p. 28-30) (cat. 30) (fig. 132). Leur répartition spatiale éparse reflète également la polysémie de cet outil, qui est toutefois préférentiellement associé aux zones liées à l'artisanat du métal (voir *infra*, fig. 135). Le dessin et la profondeur des dents, dont l'ensemble est appelé taille, permettent de préciser le travail effectué : fin lorsque les entailles sont rapprochées, grossier dans le cas de dents profondes espacées. Lorsqu'elles sont lisibles¹⁹, les tailles du corpus sont soit horizontales, soit transversales. La lime est l'un des

¹⁹ Trois limes à taille illisible (21707/5, 18803/1687 et 21779/335) ont tout de même été intégrées à ce type d'outil en raison de leurs forme et section, en demi-rond ou rectangulaire.

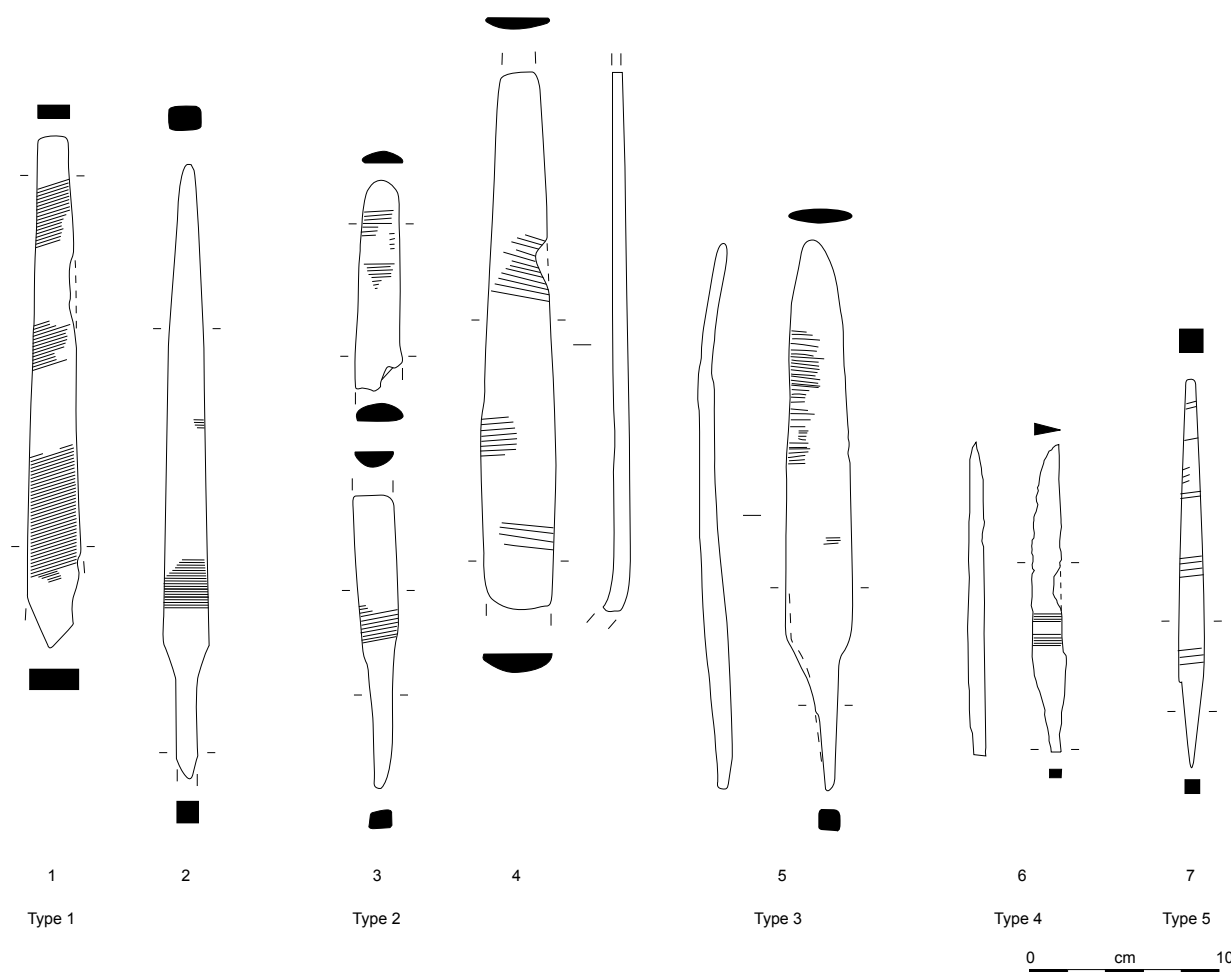


Fig. 132. Types de limes. Fer.

rares outils qui se prête à un classement par type, effectué sur la base de sa section, rectangulaire (type 1, 6 ind.), en demi-rond (type 2, 7 ind.), lenticulaire (type 3, 3 ind.), triangulaire (type 4, 1 ind.) ou carrée (type 5, 1 ind.). Les limes rectangulaires et carrées (types 1 et 5) induisent un travail à plat tandis que les outils de section hémisphérique et lenticulaire (types 2 et 3) façonnent des moulurations et des perforations. Représentée par un seul outil issu de la place du complexe C, la lime de section triangulaire, aussi appelée lime-scie ou lime-couteau, sert à aiguiser les tranchants d'outils déformés par des impacts ou à reprendre les dents d'une scie (Dolenz 1998, p. 173-174). Sa taille et son association avec de petits outils tranchants, dont des ciseaux droits et des ciselets ([pl. 44](#)), plaident en faveur de la première utilisation.

Complémentaires aux limes, les abraseurs lithiques jouent également un rôle en améliorant le rendu de surface par tribo-finitions, et participent à l'ébarbage des objets bruts de coulée ou au nettoyage des découpes ([cat. 30](#)). La typologie de M. Pieters (2013a) est utilisée comme référentiel pour leur classement. Le corpus comprend tout d'abord 11 abraseurs polyédriques en grès et en basalte à grain fin. Ces outils mobiles sont répartis dans les zones livrant des traces d'artisanat du fer (fig. 133, n° 1), comme le bâtiment R ou des alliages cuivreux, notamment les bâtiments C1 et C3 ainsi que le bâtiment K (fig. 133, n° 2). Une pièce issue du décapage du bâtiment A (fig. 133, n° 3) se distingue par la présence de cupules, parfois partiellement disparues sous l'effet du frottement de leur surface. Interprétable comme un abraseur spécialisé, il a pu servir à la finition de pièces sphériques. Il demeure par contre plus difficile d'établir si la cupule de l'outil issu d'une fosse artisanale du bâtiment O (fig. 133, n° 4) constitue une surface active ou un simple aménagement destiné à favoriser la préhension. Nous proposons la fonction d'abraseurs convexes pour deux pierres circulaires en basalte à grain fin. Munies d'une encoche liée à leur préhension, elles comportent des traces d'utilisation sur une seule face (fig. 133, n° 5). Cette interprétation, qui reste à vérifier, se justifie au vu de leur contexte qui suggère le travail de tôles en alliage cuivreux. En forme polyédrique ou de plaque

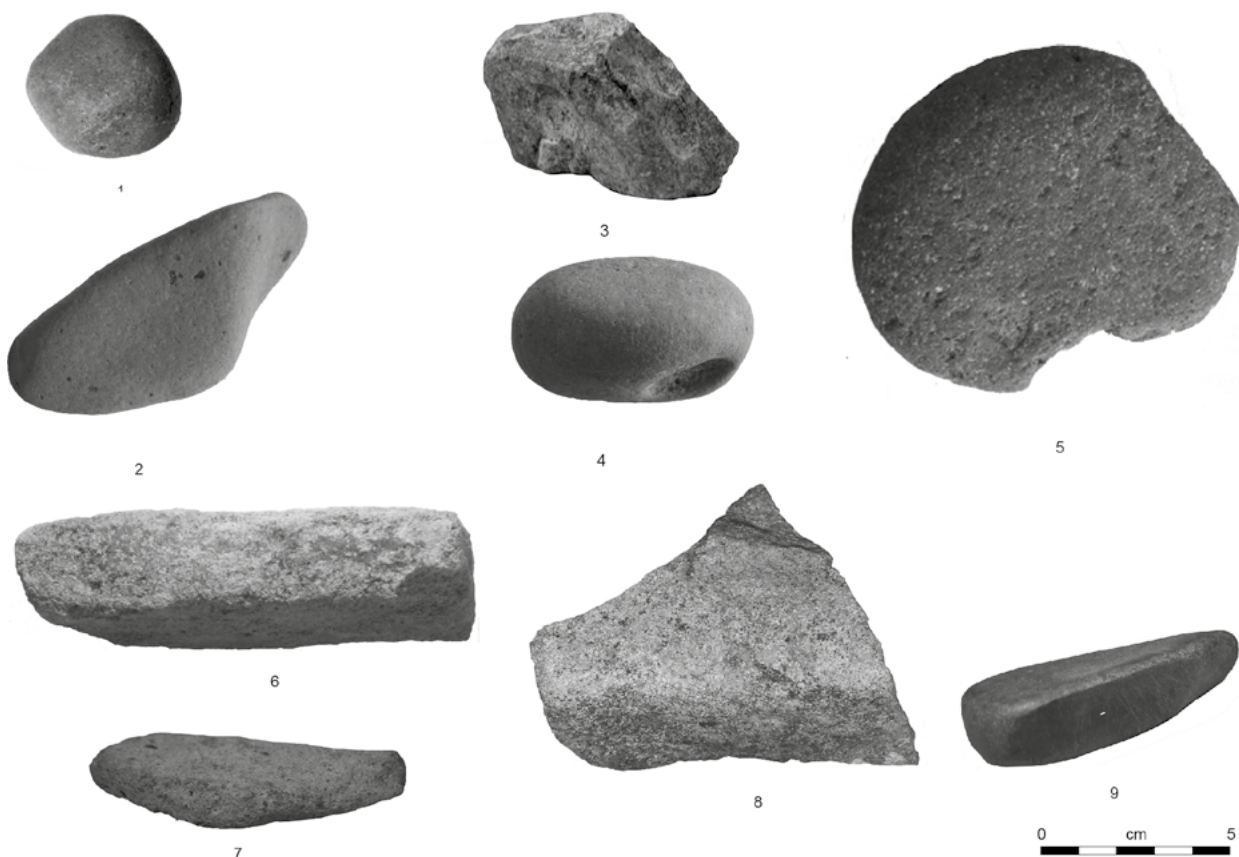


Fig. 133. Abraseurs et tablettes abrasives en pierre.

utilisée sur sa face latérale, les abraseurs opportunistes sont essentiellement en tuf (fig. 133, n° 6) avec une occurrence de pouzzolane très vacuolaire (pl. 140, n° 8).

Outils fixes, les tablettes abrasives présentent des surfaces planes ou creusées. Elles sont également en grès et en basalte fin (fig. 133, n° 7 et 8). Le poli des faces latérales d'une tablette plate atteste sa réutilisation comme abraseur mobile (fig. 133, n° 7), tandis qu'une pièce en basalte a également pu servir de support de frappe au vu des impacts visibles sur sa surface (fig. 133, n° 8). Un outil de forme triangulaire présente, sur sa petite face, des stries qui démontrent son utilisation dans le cadre artisanal (fig. 133, n° 9). En gneiss, une matière peu ou pas abrasive, il pourrait s'agir d'un brunissoir servant à aplanir les tôles. Cet outil de fonction incertaine et presque toutes les tablettes sont localisés dans la partie ouest du complexe C, où le travail des alliages cuivreux est omniprésent.

Les outils liés à la gestion du foyer

Les pelles à feu (cat. 31) sont traditionnellement associées au travail de métal et plus particulièrement à celui du fer, en raison de leur association avec les outils de forgeron (pinces, marteau, tas) dans des dépôts comme celui du Nikolausberg bei Gölling (Moosleitner 1999). Ils servent néanmoins avant tout à gérer et à approvisionner un foyer artisanal ou domestique. Le dépôt du Zénith de Strasbourg qui comprend un chaudron et une pelle à feu (Bataille 2014, fig. 4) et l'individu intact posé à côté d'un foyer culinaire de l'agglomération de Vufflens-la-Ville (Crausaz, Demierre, étude en cours) démontrent cette polyvalence. À Corent, ces instruments ne sont jamais associés à des foyers culinaires qui sont pourtant reconnus dans le sanctuaire et de nombreux habitats (B, M, H et R). Révélées uniquement par leurs extrémités actives, les pelles à feu sont associées ici au travail du métal, car leur distribution spatiale montre une association récurrente avec les zones où des déchets attestent l'artisanat du fer, dans le bâtiment R et au nord de l'espace D (fig. 134, n° 1 à 3) et la coulée des alliages cuivreux dans le bâtiment C4 (fig. 134, n° 4 et 5) (voir *infra*, chap. 4.3).

La distribution spatiale fonctionnelle des outils liés au travail du métal souligne des activités différenciées selon les associations observées (fig. 135). Réunissant de l'outillage lié à la frappe, à la découpe et surtout à la finition, le complexe C apparaît comme un lieu principalement dédié à du travail fin, soit des artisans spécialisés des alliages cuivreux et des métaux précieux comme ceux de l'orfèvrerie, de la bijouterie ou de la dinanderie. Bien que le phénomène puisse résulter d'une récupération de l'outillage de grande taille, la rareté des outils de préhension et l'absence de pelle à feu interpellent et posent la question de leur utilisation dans le cas de l'orfèvrerie, qui pourrait tout à fait se passer de ce type d'instrument. Cette observation va de pair avec l'absence, dans ce secteur, de foyer aménagé ou en fosse qui soulève l'hypothèse de structures de combustion en élévation. L'activité se concentre dans la partie nord-ouest et sud-est de cette unité architecturale et se raréfie au sud et au nord-est. L'absence d'outils dans le bâtiment C4, qui livre une fosse remplie de déchets consécutifs à la coulée du bronze (voir *infra*, p. 190), démontre la complexité de l'identification des lieux

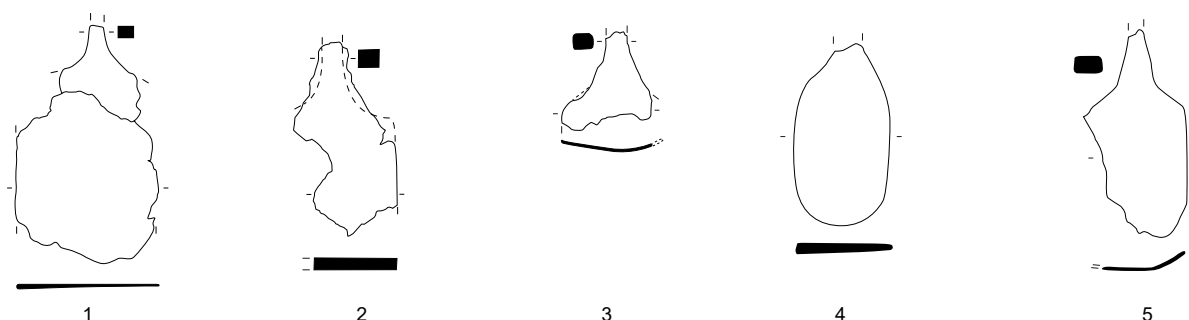
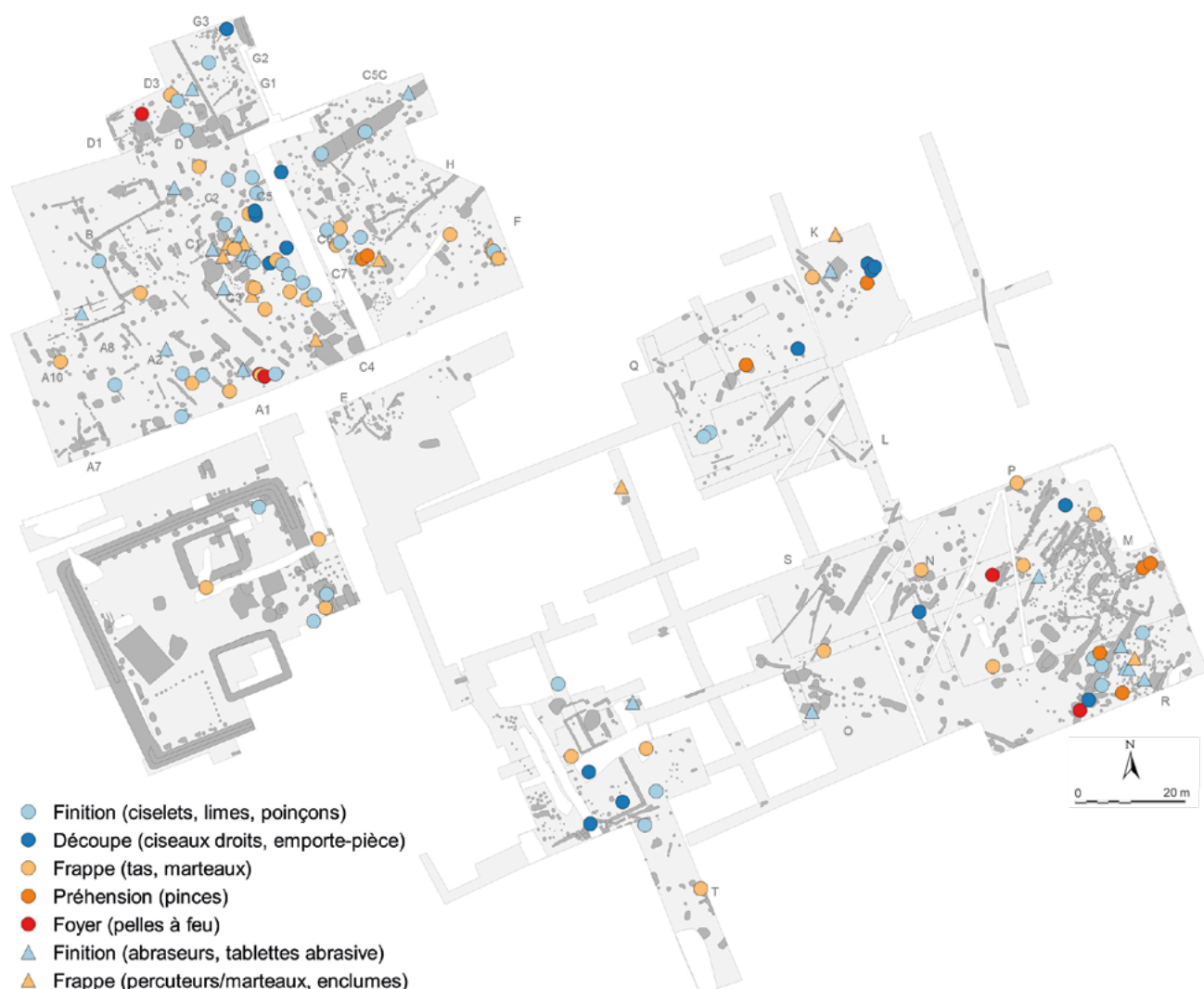


Fig. 134. Pelles à feu. Fer.



de travail à l'aide du seul outillage. La concentration de deux pelles à feu, d'un tas et d'un poinçon à emboutir au sud du bâtiment A1 peut correspondre à un atelier tandis que la fosse 18099 du bâtiment F livre un ensemble caractérisé par des outils de frappe et de finition. Au nord, le bâtiment D3, qui contient de nombreuses chutes et scories ferreuses, ne livre que trois outils : une pelle à feu, une lime et un marteau. La pelle à feu marque aussi l'artisanat du fer puisqu'un élément est également associé à l'autre zone de concentration de scories, à savoir le bâtiment R (voir *infra*, fig. 151). Situé en bord de fouille, ce secteur présente de nombreux objets liés à la finition ainsi que trois fragments de pince, alors que le martelage demeure rare avec un tas et un hypothétique marteau lithique. La découpe constitue l'activité principale détectée dans la fosse 20636 du bâtiment K, où les ciseaux et martyrs sont associés à un raté de coulée de flans monétaires en chapelet (pl. 123). Si la frappe est documentée dans le secteur par un tas et l'enclume lithique la mieux préservée du site, l'arasement des vestiges empêche l'identification d'ateliers qui pourraient être liés au travail du fer comme en témoigne l'assemblage du cellier 20607 qui livre plusieurs chutes ferreuses de grande taille. Il en est de même dans le bâtiment Q qui fournit des limes dans deux trous de poteau adjacents. La distribution éparse dans la stratigraphie des outils du sanctuaire et du théâtre empêche l'identification d'une activité artisanale pérenne pour interpréter ces éléments comme des vestiges liés à leur construction et à leur entretien.

Fig. 135. Répartition des outils liés au travail du métal selon leur fonction.

La fonte des métaux : creusets, moules et déchets

Les artefacts liés à la coulée des métaux se séparent en deux catégories : d'un côté, les instruments en terre cuite artisanale liés à la fonte du métal et à la coulée à la cire perdue que sont les creusets, les moules et les lingotières et de l'autre, les déchets générés lors de la coulée, les coulures, les gouttes et les scories (fig. 136). Cette activité nécessite de la matière première, apparaissant ici sous la forme de demi-produits aussi impliqués dans le travail par martelage, et d'éléments recyclés partiellement refondus. Intégrés aux déchets, les ratés de coulée offrent la possibilité de qualifier la production des ateliers. Un tableau synthétise l'ensemble des données relatives à l'artisanat des alliages cuivreux par bâtiment et par état pour offrir une vision diachronique de cette activité ([cat. 32](#)).

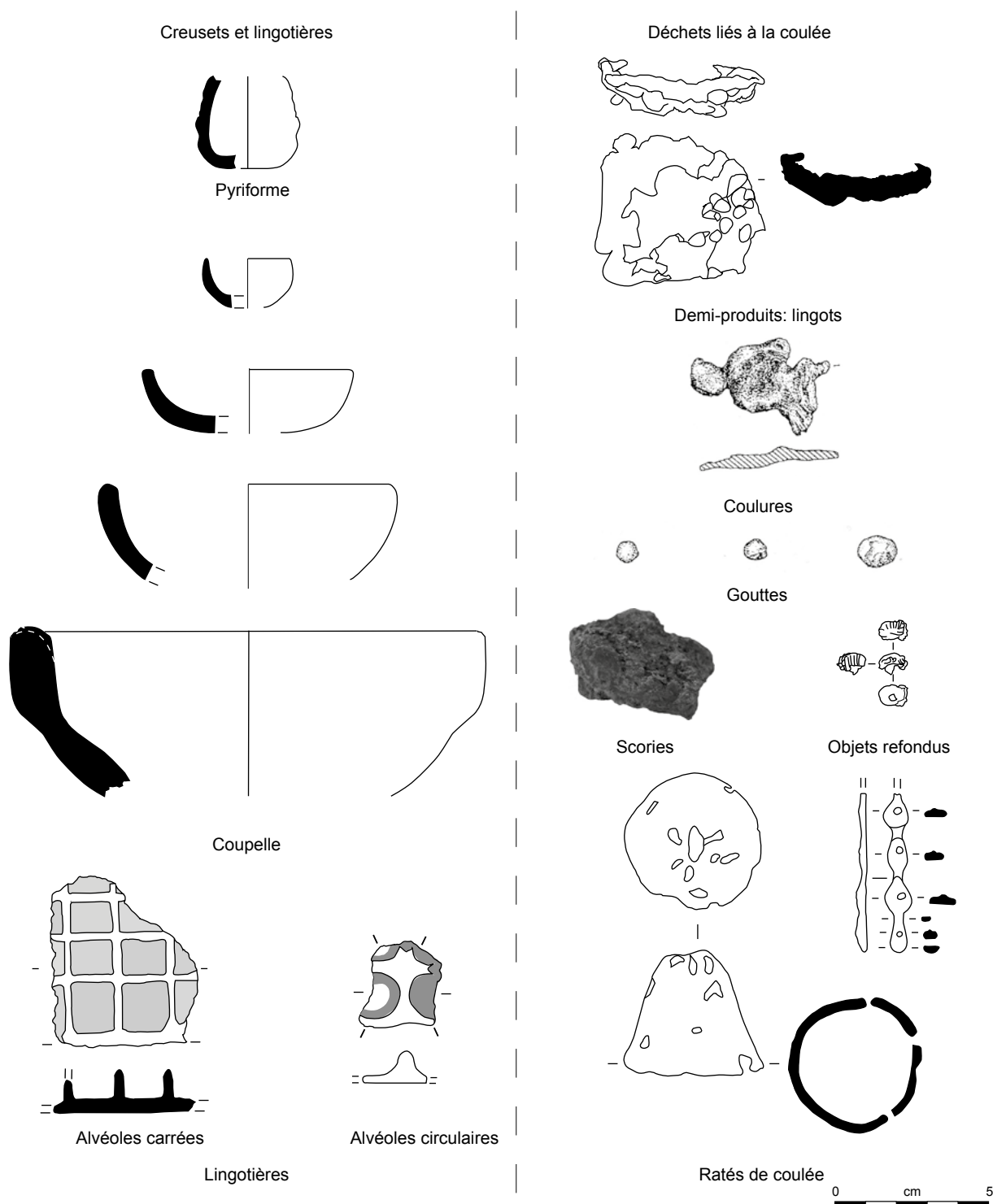


Fig. 136. Creusets, lingotières et déchets liés à la coulée (gouttes et coulures tirées de Guillaumet 2003, fig. 20).

La durée d'utilisation restreinte des creusets implique un statut intermédiaire entre l'outil façonné dans un but précis pour transformer la matière et le déchet artisanal. Ces instruments servant à la fonte des métaux ne sont représentés que par une trentaine d'individus (NM, 29, [cat. 33](#)), principalement issus de deux fosses artisanales des bâtiments C4 et C3. Les creusets piriformes, fréquents à Gondole (Deberge *et al.* 2009, fig. 38), sont représentés par un seul individu issu de la fosse 18668, tandis que la forme de coupelle est plus commune. Cette morphologie, qui se retrouve sur la majorité des instruments de coulée de La Tène finale, est connue sur toute l'aire géographique laténienne de Staré Hradisko (Čižmář 2002, fig. 4) à Toulouse (Demierre 2015, fig. 10). Ces creusets à lèvre biseautée ou en bourrelet montrent une grande variation de diamètre – de 3 à 20 cm – et par conséquent de volume de matière fondue. La vitrification de leur surface piège parfois le métal en fusion laissant apparaître des gouttelettes en alliage cuivreux ou en or. Ces dernières constituent souvent les seules traces générées par le travail des métaux précieux. Elles sont attestées sur deux creusets de la fosse 17361 du bâtiment C4 ainsi que sur un fragment de 20 cm de diamètre de la campagne 2013 (fig. 137). Cet élément, dont la taille pourrait résulter d'une déformation, a dû servir dans le cadre de la production monétaire qui est signalée par une quinzaine d'autres fragments de creuset (6 ind.), un coin dormant et des flans en chapelet (Gruel *et al.* 2017, fig. 11). Ses dimensions relativisent l'extrapolation selon laquelle les creusets à la faible contenance servent à la confection de petits objets. Les instruments des fosses artisanales du complexe C présentent néanmoins des diamètres inférieurs à 12 cm. Cette taille contraste avec celles des deux instruments mis au jour dans la fosse 18232, à l'est de la grande cave du complexe C, dont la capacité devait être nettement plus importante compte tenu de leur diamètre (15,5 et 16,5 cm) et de leur hauteur (au moins 44 et 54 mm). Associés à une tuyère coudée et à un demi-produit en plomb de 288 g ([pl. 80](#), n^{os} 1 et 10), ils ont servi à la fonte de ce métal. L'absence de coulure et de goutte en alliage cuivreux, fréquentes à proximité des deux autres concentrations de creuset, renforce l'identification d'un artisanat du plomb dans ce secteur (fig. 138).

Identifiés grâce à la terre cuite artisanale rubéfiée à dégraissants organiques, les moules sont si fragmentaires qu'aucun ne peut être illustré. Leur identification, de même que celle des fragments de terre artisanale indéterminée, restent sujettes à caution bien qu'ils accompagnent fréquemment les creusets dans les fosses susmentionnées. Les fragments attribués aux moules peuvent également être rapportés aux lingotières retrouvées dans les contextes similaires et élaborées avec le même type de pâte. Ces moules à alvéoles circulaires ou quadrangulaires, connus par quatre individus, accompagnent les creusets dans

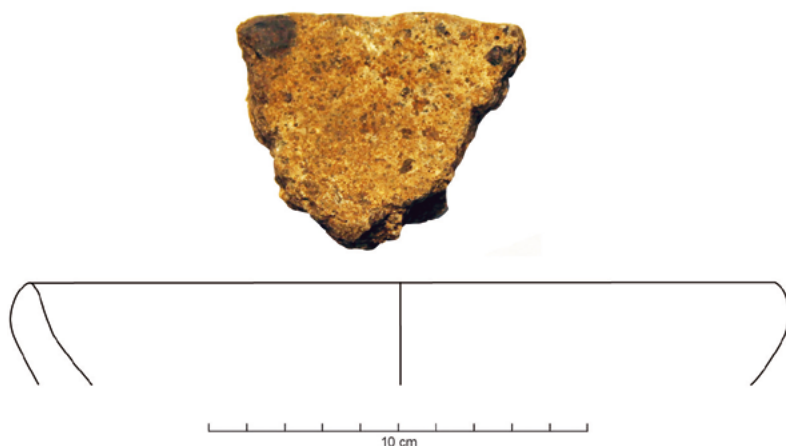


Fig. 137. Creuset avec gouttelettes d'or prises dans la vitrification de la campagne 2013.



Fig. 138. Répartition des creusets, des lingotières et des déchets liés à la coulée.

les fosses artisanales et se retrouvent parfois isolés. Ils servent à la récupération de métal en fusion en surplus lors de la coulée, tout comme à la production d'alliage d'une teneur donnée (Gruel *et al.* 2017). En grand nombre à Roggwil ou à Old Sleaford, les lingotières y reflètent la réalisation de flans, alors qu'elles ne sont jamais associées à Corent aux autres indices de production monétaire, comme les flans coulés en chapelet ou les coins de frappe (Gruel *et al.* 2017, fig. 11).

Nettement plus communes, les coulures et les gouttes tombent au sol lors de la coulée. Informes, les coulures présentent une surface plane et une autre face boursouflée en raison du refroidissement du métal à l'air libre, tandis que les gouttes sont projetées sous la forme de billes lors de la coulée (Guillaumet 2003, p. 48-49). Elles sont en principe récupérées pour être refondues. Le nombre et la masse des coulures, 144 individus pour une masse totale de 556 g, montre en effet un recyclage systématique de ces déchets : seules deux coulures par an ne sont pas récupérées si leur nombre est rapporté à l'ensemble de l'occupation laténienne, soit environ 75 ans. Cette donnée correspond à une masse de 4,7 g de métal non recyclé par année en tenant compte de leur masse médiane (2,35 g). Au nombre de 35, les gouttes représentent 20 g de métal, soit une quantité négligeable.

Obtenues en enlevant les impuretés d'un alliage flottant en surface du métal en fusion, les scories en alliage cuivreux s'avèrent particulièrement rares. Elles sont paradoxalement absentes des fosses livrant des creusets, une observation qui suggère leur mise au rebut à l'écart de l'emprise fouillée. Elles sont associées à d'autres déchets de coulée dans le bâtiment K ou dans les premiers et derniers niveaux du bâtiment M et à des demi-produits dans la fosse artisanale 20415 du bâtiment O.

La distribution spatiale de ces déchets montre une véritable corrélation avec les structures livrant des creusets qui apparaissent comme deux épicentres dans le complexe C (fig. 138). Les déchets liés à la coulée s'observent dans les bâtiments et dans la ruelle entre A et C et ne sont pas rejetés sur la place. Une concentration significative est également perceptible en bordure de fouille, dans le bâtiment K, à proximité de la fosse 20636 qui livre les ratés de coulée de flans en chapelet ([pl. 123](#)). Les concentrations observées dans le corps de bâtiment M correspondent à deux périodes distinctes : la première très marquée au centre de l'édifice est en lien avec les fosses artisanales 20204 et 20291 du premier état, tandis que les éléments localisés dans la partie sud-est du bâtiment sont attribués à une activité de l'annexe à l'état 2.3. La clochette aux panses ajourées brute de coulée issue du décapage du secteur pourrait être reliée à ces déchets (fig. 136). Sa technique de la coulée sans noyau interne correspond à celle documentée sur plusieurs moules des ateliers du site du Lycée militaire à Autun (Chardron-Picault *et al.* 1999, p. 164-167, fig. 134). Les éléments résultant du travail du bronze dans le sanctuaire sont dispersés sur des couches d'états trop distincts pour permettre l'identification d'une zone de travail. Les indices retrouvés à proximité de l'entrée peuvent être mis en relation avec le recyclage de vaisselle métallique, aussi représentée dans le secteur (Poux et Demierre 2015, p. 177-178).

Les chutes et les demi-produits en alliage cuivreux et en métaux précieux

La classification des chutes et des demi-produits en alliage cuivreux est fondée sur les mêmes principes que les référentiels réalisés par Anika Duvauchelle (2005) et par Marion Berranger (2014) pour les déchets ferreux (fig. 139 et [cat. 34](#)). Elle distingue les demi-produits complets des demi-produits en cours de façonnage et des chutes, terme qui s'applique uniquement aux éléments portant des traces de découpes. Les chutes conditionnées pour leur recyclage et les objets en cours de fabrication complètent cette typologie qui regroupe soit de la matière première impliquée dans les coulées, soit le résultat du travail d'un artisan spécialisé dans le martelage, chaudronnier, dinandier ou orfèvre. L'ensemble de ces chutes et demi-produits représente une masse de 552 g, soit une donnée très proche de celle relevée pour les rejets de coulée.

Les objets interprétés comme des lingots présentent une surface convexe et une surface plane bulleuse, signe du refroidissement du métal à l'air libre (fig. 139). Au nombre de quatre, dont deux hors contexte, ils peuvent atteindre jusqu'à plus de 150 g et représentent à eux seuls 45 % de la masse totale des demi-produits et des chutes en alliage cuivreux (251 g). Ils peuvent toutefois aussi correspondre à du métal recyclé figé au fond d'un creuset (Dubreucq 2013, p. 64). Cinq demi-produits complets se présentent sous la forme d'une tige effilée à chaque extrémité avec une partie centrale de section carrée ou hémisphérique. Des barres similaires sont interprétées comme des lingots à Bibracte (Hamm 2005, p. 70) et sont également attestées dans la structure artisanale 375D de Villeneuve-Saint-Germain (Debord 1993, fig. 15, n^{os} 14 et 15). Trois demi-produits intacts d'une masse de 1,7 g, 1,9 g et 2,3 g et d'une longueur de 134 à 147 mm ([pl. 39](#), n^{os} 8 à 10) ont été retrouvés à proximité d'un trou de poteau au nord de la cour du bâtiment B (fig. 140). Ils pourraient y avoir constitué une cache de matière première ou un dépôt volontaire. D'une longueur variant entre 105 et 121 mm, les barres de section hémisphérique à circulaire apparaissent dans les ensembles artisanaux du bâtiment K et O.

Les demi-produits et les chutes se répartissent selon le rapport entre leur largeur et leur épaisseur (fig. 139). Seules des chutes sont représentées parmi les déchets larges, de tôle avec une épaisseur en dessous de 2 mm, et de plaque ou de bande pour les éléments supérieurs à cette mesure. Les chutes de plaque et de bande apparaissent sous la forme de fragments souvent triangulaires de taille et de masse inférieures à 48 mm et 6,1 g, avec une médiane à 18 mm et à 1,6 g.

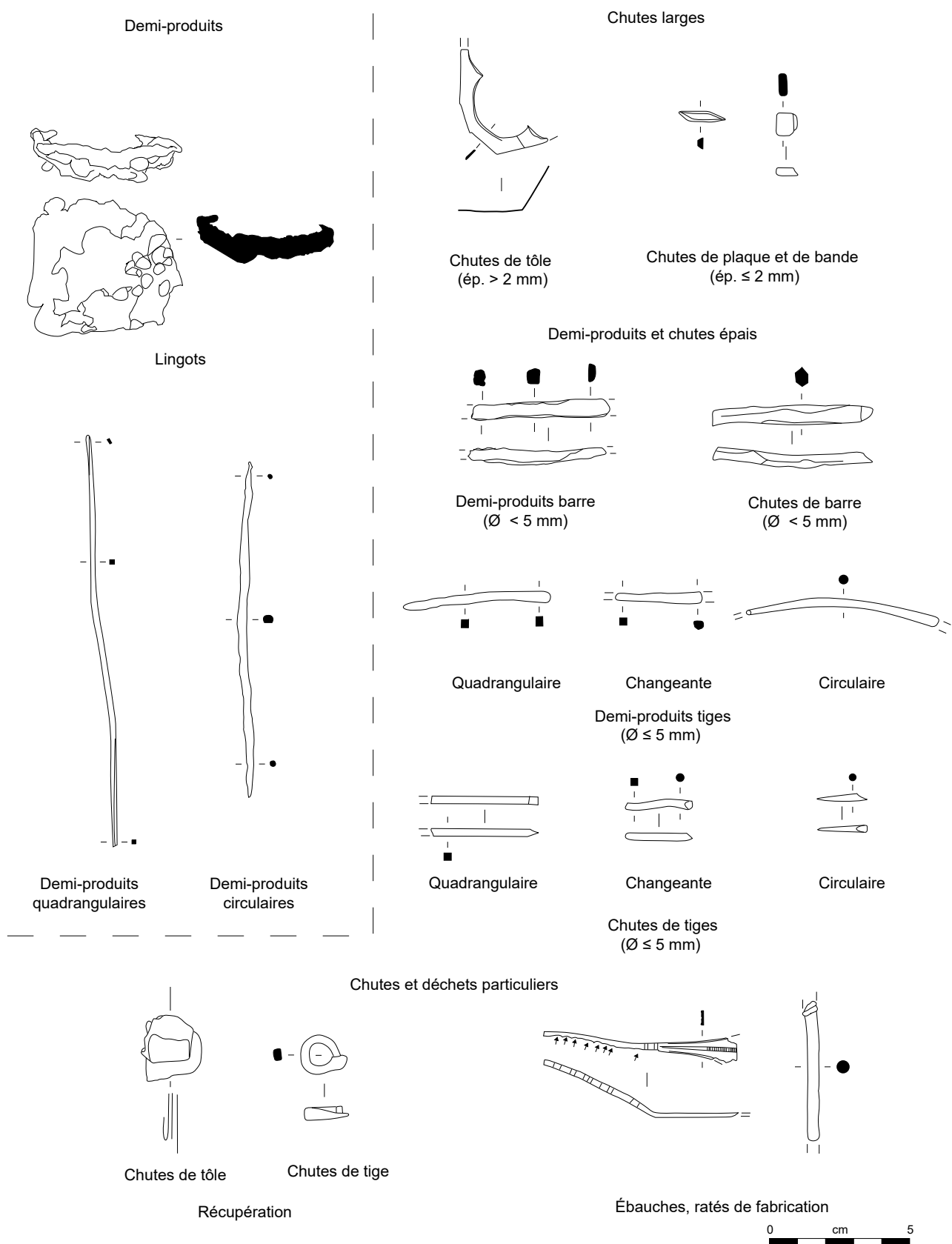


Fig. 139. Typologie des chutes et des demi-produits en alliage cuivreux.

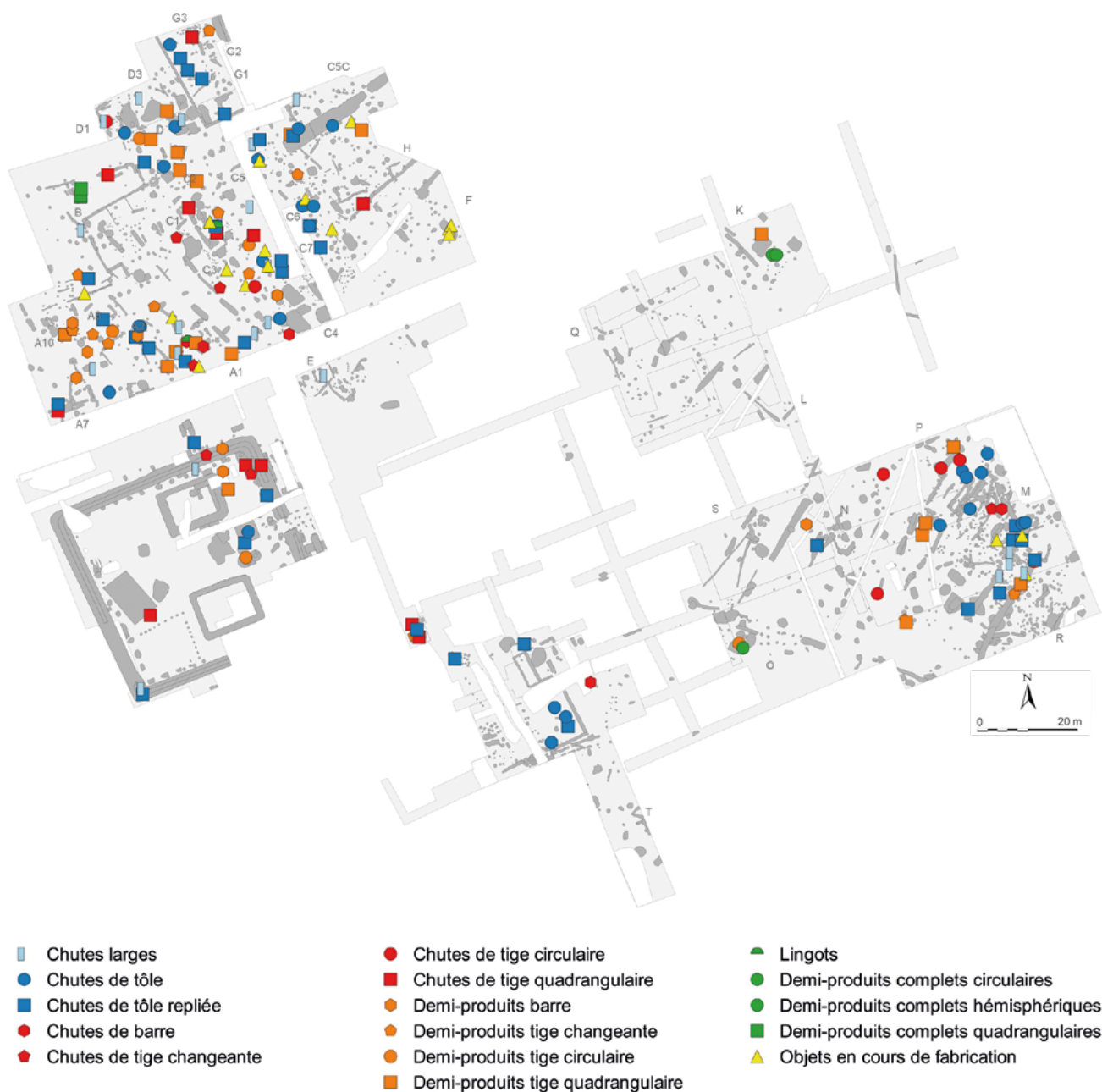


Fig. 140. Répartition des chutes et des demi-produits en alliage cuivreux.

Les chutes de tôle présentent des traces de découpe qui peuvent être rectilignes, circulaires ou crénelées lorsqu'elles sont réalisées à l'aide d'une cisaille (fig. 139). Elles sont souvent pliées sur elles-mêmes afin de faciliter leur recyclage et d'éviter les blessures (Mordant *et al.* 1998, p. 114, fig. 4). De plus grande taille que les autres déchets larges, elles présentent une longueur médiane de 24 mm, qu'elles soient pliées ou non. Les déchets pliés ont une masse médiane proche des chutes de bande (1,55 g), tandis que les chutes non recyclées sont nettement moins lourdes (0,4 g).

Les chutes de tôle se retrouvent sur la totalité du site et témoignent surtout de la récupération d'objets comme de la vaisselle, notamment près de l'entrée du sanctuaire ou très vraisemblablement dans le théâtre (fig. 140). Leur concentration à l'est du complexe C pourrait indiquer des activités de dinanderie compte tenu de l'absence de chutes et de demi-produits épais dans ce secteur, alors qu'ils sont communs dans la partie occidentale de cette unité architecturale. Cette distribution spatiale peut être mise en relation avec des outils liés à la frappe du métal, relativement fréquents à cet emplacement (voir *supra*, fig. 135). Les chutes sont également bien représentées au sud du bâtiment M, notamment à l'état 2.2.

Les chutes et demi-produits épais sont scindés en deux groupes selon l'épaisseur de leur section, inférieure à 5 mm pour les tiges et supérieure à cette mesure pour les barres (fig. 139). Ces vestiges artisanaux sont classés parmi les chutes présentant des traces de découpe, au contraire des demi-produits qui comportent uniquement des impacts dus à leur martelage. La forme de leur section différencie chaque catégorie en trois sous-groupes de section quadrangulaire, changeante ou circulaire. Si les demi-produits de section quadrangulaire correspondent à de la matière première commercialisée, cette classification se rapporte aux différentes étapes pour aboutir à la fabrication d'une section circulaire. Peu représentés, les cinq chutes et les neuf demi-produits de barre fournissent des valeurs médianes très proches de 28 mm de longueur et de 5,3 g et 5,8 g. Il en est de même concernant les tiges, dont les 27 chutes et 38 demi-produits ont une médiane entre 31 et 35 mm de longueur pour des masses de 0,8 et 0,9 g. Le recyclage est parfois également perceptible sur certaines chutes de tige, dont l'enroulement vise les mêmes objectifs que ceux décrits pour les tôles.

Ces éléments sont très bien représentés dans la partie occidentale du complexe C ainsi que dans le bâtiment A (fig. 140). Si leur fréquence dans les zones d'atelier travaillant les alliages cuivreux, déjà mentionnés dans les chapitres consacrés aux outils et aux déchets liés à la coulée du bronze, n'est guère surprenante, leur présence récurrente dans le complexe A est plus difficile à interpréter. Elle peut résulter d'activités artisanales ponctuelles ou de récupération dans la partie nord du complexe ou de dépôts volontaires dans le bâtiment A1.

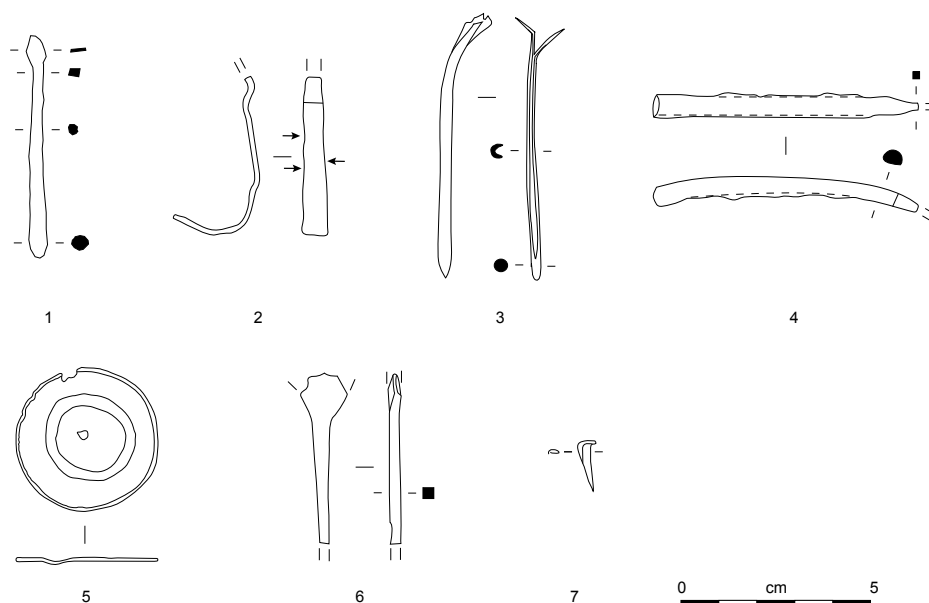


Fig. 141. Objets en cours de fabrication en alliage cuivreux.

- 1 : sonde ;
- 2 : pince à épiler ;
- 3 : gouttière ;
- 4 et 6 : demi-produits atypiques ;
- 5 : phalère ;
- 7 : rivet de tôle.

Les objets en cours de fabrication

Les ébauches et les ratés résultant d'un travail de martelage se distinguent difficilement des objets récupérés et destinés à une refonte ([cat. 35](#)). En plus des bracelets et des fibules déjà décrits lors de la présentation de la parure (voir *supra*, fig. 64 et 82), le corpus présente quelques pièces dont la réalisation n'a pas abouti. Deux fragments d'ustensile de toilette, à savoir une extrémité de sonde ovale aplatie et découpée (fig. 141, n° 1) ainsi qu'un mors de pince à épiler (fig. 141, n° 2), dont la bordure irrégulière et martelée atteste une fabrication interrompue, proviennent des radiers du bâtiment C5. Une gouttière du bâtiment C1 à extrémité pleine (fig. 141, n° 3) pourrait également être interprétée comme un objet inachevé. Il en est de même pour le disque perforé (fig. 141, n° 5), identifié comme une phalère, dont l'ornementation de

cercles concentriques irréguliers pourrait être due à un travail non maîtrisé, peut-être celui d'un apprenti. D'autres demi-produits atypiques, comme une tige de section hémisphérique terminée par une soie de section carrée issue d'un trou de poteau de la cave 17047 (fig. 141, n° 4) ou encore une tige de section quadrangulaire à l'extrémité évasée et aplatie, peuvent aussi entrer dans cette catégorie (fig. 141, n° 6). La seconde pourrait se rapporter aux premières étapes de fabrication d'une fibule de Nauheim, une production par ailleurs attestée dans ce secteur situé au sud du bâtiment M (fig. 140). Au même endroit, un rivet de tôle enroulé (fig. 141, n° 7) n'a pas été écrasé pour réparer ou solidariser deux tôles dont la mise en forme est aussi confirmée, dans le secteur, par de plusieurs chutes larges.

Les chutes et demi-produits en plomb

La matière première et les déchets liés au travail du plomb sont très peu documentés sur le site et l'essentiel du lot, dont les 11 coulures, a été retrouvé hors contexte au détecteur à métaux ([cat. 36](#)). Cette faible représentation s'explique par une utilisation peu fréquente du plomb à La Tène finale, où il entre dans la composition des alliages monétaires et de quelques types d'objets comme les agrafes de réparation de récipient, la fixation des cabochons et rivets en alliage cuivreux, les martyrs et les poids de pesée. Seuls trois objets proviennent de contextes laténiens assurés, à commencer par un demi-produit trapézoïdal de 288 g (fig. 142, n° 7) dont l'association avec deux creusets de grande capacité incite à restituer le travail du plomb au nord-est du complexe C (fig. 143). Les chutes de tôle et de tige (fig. 142, n° 1 à 6) apparaissent dès l'état 1 dans l'espace D. L'absence de concentration empêche de les relier à une activité artisanale, à l'exception peut-être du demi-produit ovalaire découpé à son extrémité, issu de la partie orientale du complexe C (fig. 142, n° 10). Leur présence résulte principalement de la récupération de matière première, comme en témoigne la tôle repliée du bâtiment N (fig. 142, n° 5).

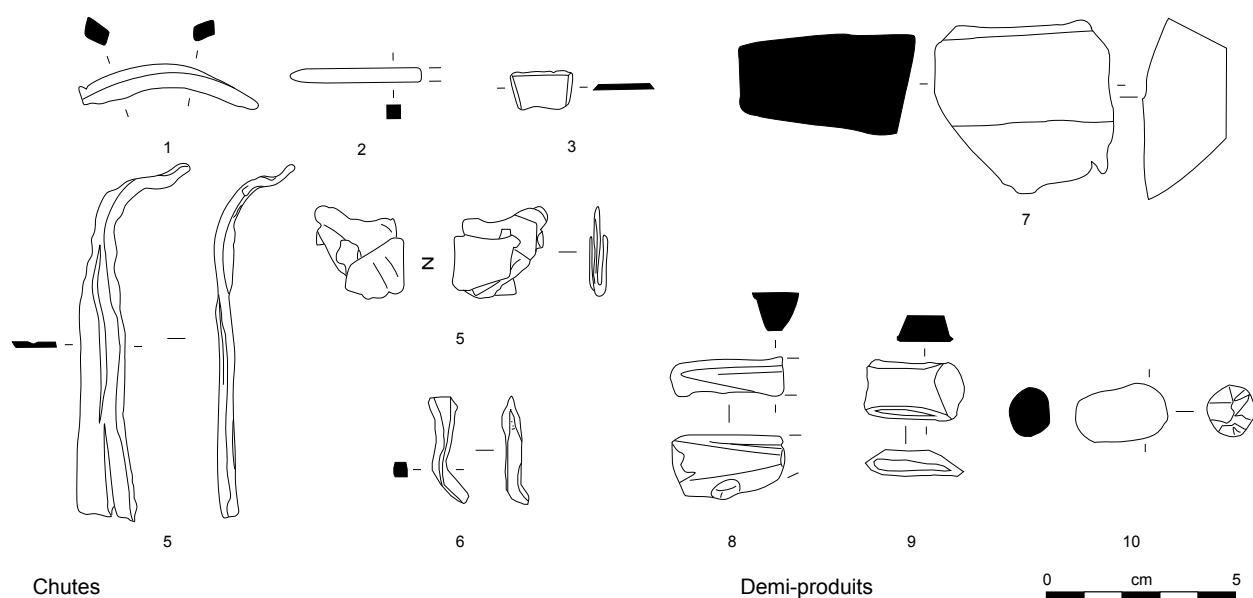


Fig. 142. Chutes et demi-produits en plomb.



Fig. 143. Répartition des déchets en plomb et en métaux précieux.

Les déchets en métaux précieux

Les déchets liés au travail des métaux précieux font l'objet d'une récupération encore plus systématique que les autres matières ([cat. 37](#)). Il est donc déjà exceptionnel de disposer de six éléments relatifs à cet artisanat soit : un fond de creuset d'électrum (fig. 144, n° 1) dont l'alliage présente 68 % d'argent, 21 % d'or et 11 % de cuivre (Nieto-Pelletier 2013, p. 106), une coulure d'or et une chute de plaque en or (fig. 144, n°s 2 et 3) ainsi que deux chutes de tige (fig. 144, n°s 4 et 5) et un demi-produit en argent (fig. 144, n° 6). La seule concentration significative est issue de l'angle nord-est du sanctuaire (fig. 143) qui livre la coulure d'or, le fond de creuset en électrum et un cylindre en fer trop fragmentaire pour assurer son interprétation comme coin monétaire ([pl. 195](#), n° 7). Ces éléments laissent supposer une production monétaire, dont l'identification demeure sujette à caution. Le demi-produit en argent provient d'une couche d'occupation de la galerie du sanctuaire alors qu'une chute de tige en argent est issue du sol de l'état 1 du bâtiment C1. Les autres éléments sont hors contexte.

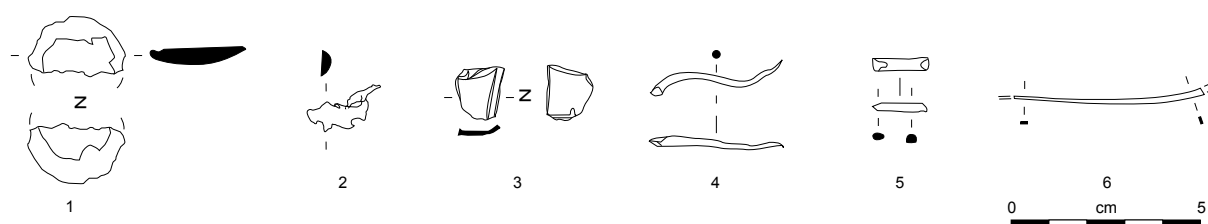


Fig. 144. Chutes et demi-produit en métaux précieux. 1 : électrum ; 2-3 : or ; 4-6 : argent.

Les demi-produits et chutes en fer

Le classement typologique des chutes et demi-produits ferreux s'appuie sur les travaux d'Anika Duvauchelle, réalisés à partir du corpus de la forge gallo-romaine de Châbles (Anderson *et al.* 2003) et de Marion Berranger portant sur les demi-produits de l'âge du Fer (Berranger 2014). Adapté au corpus de Corent ([cat. 38](#)), il intègre la notion de chutes de demi-produit de M. Berranger, difficile à établir pour l'époque romaine, et garde l'appellation de chute de bande pour les produits à bords rectilignes parallèles ou légèrement convergents (fig. 145). Ces derniers peuvent tout autant correspondre à des demi-produits façonnés par un artisan local qu'à la forme sous laquelle le fer était commercialisé.

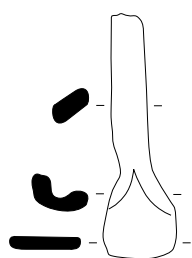
Les demi-produits intacts ne sont pas représentés. Tout au plus est-il possible de mentionner une masse ferreuse de 3,5 kg déposée en association avec une hache, deux herminettes et un coin à fendre (fig. 146). Cet objet non restauré et trop massif pour être observé en radiographie peut correspondre à un produit de bas fourneau en cours de raffinage tout comme au compactage de plusieurs objets à des fins de recyclage. Les **chutes de demi-produit** se reconnaissent grâce à leur extrémité enroulée qui ne permet pas pour autant l'identification d'une des variantes typologiques définies par M. Berranger (fig. 145). Au nombre de six, elles ne montrent aucune concentration particulière et peuvent facilement se confondre avec des fers en cours de compactage.

En procédant du plus fin au plus épais, les **chutes larges** sont réparties entre chutes de tôle d'une épaisseur inférieure à 5 mm, chutes de plaque de taille supérieure à 5 mm et à bords irréguliers et chutes de bande comportant deux bordures parallèles ou légèrement convergentes (fig. 145). Représentées par sept individus de 33 à 79 mm, les chutes de tôle présentent parfois des formes triangulaires éloquentes, des bords biseautés dont l'irrégularité témoigne d'une découpe à la cisaille. L'absence de concentration empêche de restituer une activité spécialisée à Corent, comme dans l'habitat d'Aigueperse où la fabrication de fourreau est pressentie en raison de la présence d'une soixantaine de chutes de tôle d'une épaisseur inférieure à 1 mm (Orengo 2003, p. 83-88). De forme irrégulière, parfois triangulaire, les huit chutes de plaque comportent des découpes perceptibles sur au moins une de leurs bordures. Réparties sur l'ensemble du site, elles présentent des tailles relativement standardisées, entre 39 et 52 mm et des épaisseurs entre 5 et 10 mm.

Nettement mieux documentées, les 31 chutes de bande se prêtent à une comparaison de leur masse et de leur longueur ainsi qu'à l'étude du rapport entre leur épaisseur et leur largeur (fig. 147). La première confrontation montre des chutes de qualité avec des dimensions entre 24 et 69 mm et deux éléments atypiques de 135 et 161 mm issus du cellier 20607 du bâtiment K qui livre deux autres chutes plus petites ([pl. 121](#)). L'hétérogénéité du corpus plaide en faveur de chutes de quantité, à l'exception du fragment le plus grand et le plus lourd issu de cette structure. Cet objet présente en effet une surface scorifiée typique d'une surexposition au feu et pourrait par conséquent représenter une chute de qualité (Anderson *et al.* 2003, p. 117).

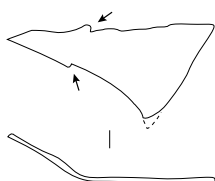
Compte tenu de la commercialisation du fer sous forme de barres à l'époque laténienne, il est tentant d'essayer d'identifier des largeurs et des épaisseurs standards au sein du corpus (fig. 147). Leur rapport permet l'identification de deux groupes. Le premier de largeur inférieure à 12 mm et d'épaisseur en dessous de 4 mm se concentre dans le sanctuaire, principalement dans les niveaux gallo-romains. Il peut correspondre à des activités de démantèlement d'assemblages fer/bois. Le second groupe comprend le reste du corpus marqué par une absence de standardisation. Aucune autre association qui conjuguerait des éléments de largeur et d'épaisseur comparables ou une distribution spatiale éloquente n'est à relever, même dans les zones riches en déchets métalliques comme les bâtiments R, D3 ou le cellier 20607 (fig. 149 et 150). Ces deux derniers ensembles montrent *a contrario* des chutes de bande de largeur et d'épaisseur hétérogène.

Chutes de demi-produit

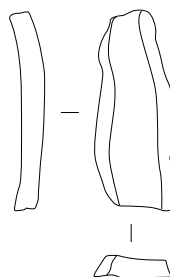


Chutes larges

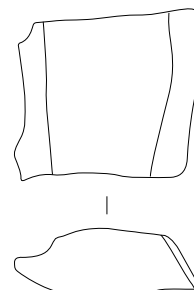
Chutes de tôle
(ép. ≤ 5 mm)



Chutes de plaque
(ép. ≥ 6 mm)

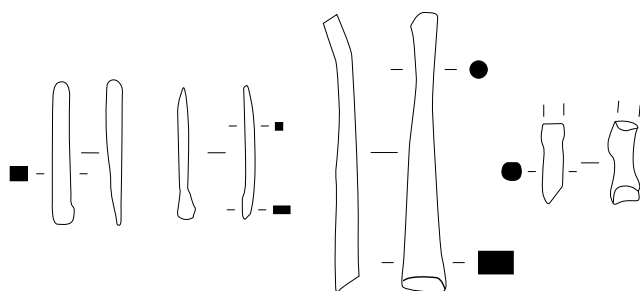


Chutes de bande

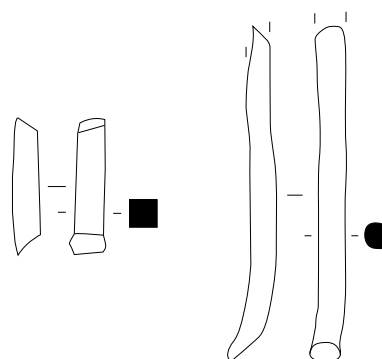


Chutes épaisses

Chutes de tige ($\varnothing \leq 5$ mm)



Chutes de barre ($\varnothing \geq 6$ mm)



Quadrangulaire

Carrée
appointée

Changeante

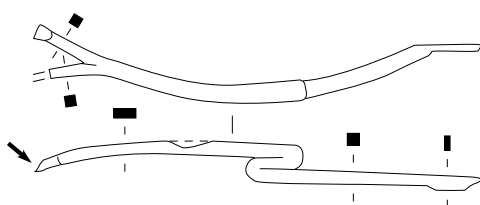
Circulaire

Quadrangulaire

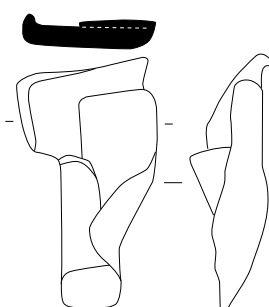
Circulaire

Chutes et déchets particuliers

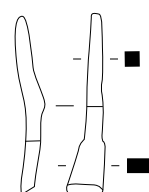
Chutes atypiques



Fers en cours de compactage



Chutes à soie de préhension



Ébauches, ratés de fabrication

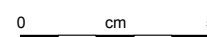
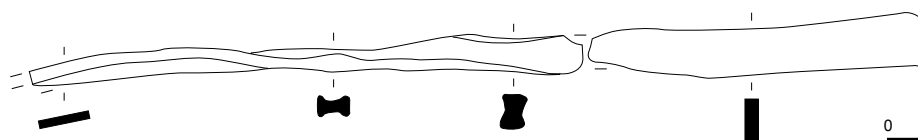


Fig. 145. Typologie des chutes et des demi-produits en fer.



Fig. 146. Dépôt du bâtiment M brut de fouille. 1 : hache. 2 : herminette ou houe à douille ouverte. 3 : coin à fendre. 4 : masse métallique. 5 : herminette à œil. Fer.

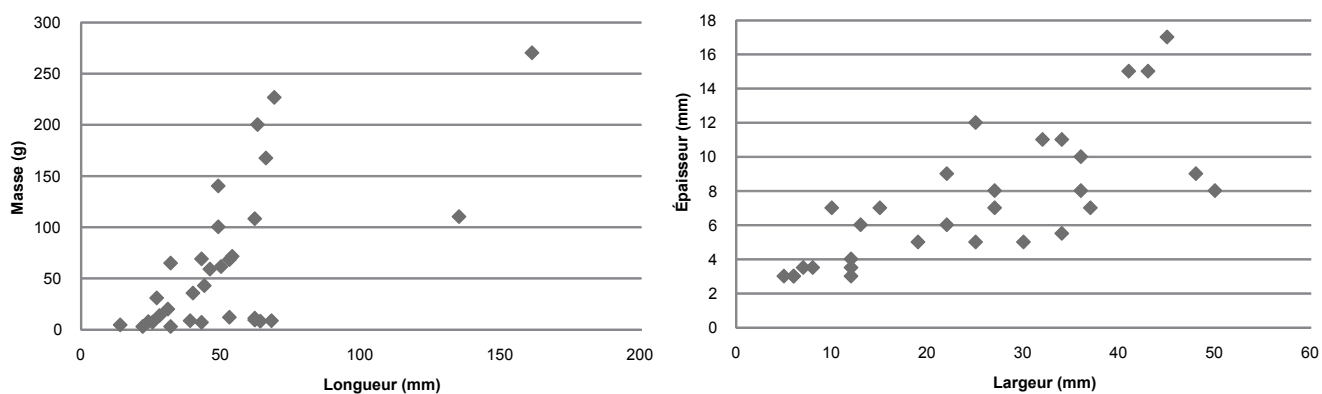


Fig. 147. Diagrammes comparant les longueurs et la masse des chutes bandes (à droite) et le rapport entre leur épaisseur et leur largeur (à gauche).

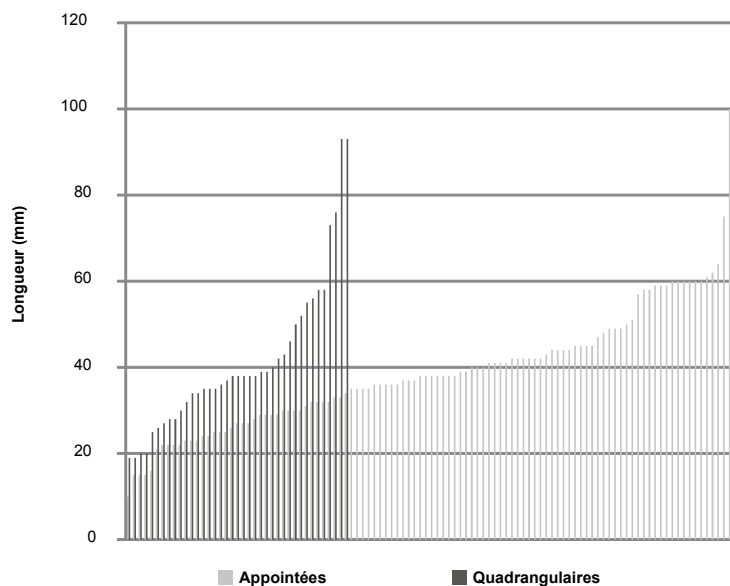


Fig. 148. Diagramme comparant les longueurs conservées des chutes de tige de section quadrangulaire appointée (en gris clair) ou non appointée (en gris foncé).

Cette absence de standardisation peut résulter de la diversité des demi-produits à La Tène finale (Berranger 2014, fig. 26-28) comme de la confection de bande adaptée au produit final à réaliser par les artisans locaux (Anderson *et al.* 2003, p. 116-117).

Les **chutes épaisses** se répartissent entre les chutes de tiges et les chutes de barre d'une épaisseur supérieure à 5 mm (fig. 145). Les premières sont divisées selon leur section et leur morphologie en quatre catégories : chute de tige quadrangulaire appointée (111 ind.), chute de tige quadrangulaire (39 ind.), chute de tige circulaire (5 ind.) et chute de tige de section changeante (6 ind.). L'argumentaire présenté dans la publication du sanctuaire concernant les chutes de tige de section quadrangulaire, appointée ou non (Poux et Demierre 2015, p.174-175) est confirmé par le corpus de l'ensemble de l'habitat. L'interprétation de chutes liées à la fabrication de clou semble en effet difficile à postuler pour préférer l'identification de démantèlement d'assemblage réalisé avec des clous. Cette option se justifie au vu de la longueur non standardisée de ces chutes dont la taille empêche souvent la formation de la tête d'un clou, ainsi que par le manque de maîtrise des artisans induit par le nombre de chutes. La taille des chutes de section quadrangulaire, qu'elles soient appointées ou non, suit la même répartition (fig. 148) avec une médiane à 38 mm et des quartiles très proches (29,25 et 31 mm ainsi que 45 et 48 mm). Ces données suggèrent de retirer ces éléments de la catégorie fonctionnelle de l'artisanat pour les placer dans les objets polyvalents et divers. Ce choix se justifie pleinement pour les chutes appointées pour lesquelles la suspicion de découpe de clou au burin est la plus probable, mais il est sujet à caution pour les chutes de section quadrangulaire non appointée dont le classement dans la catégorie « production » est maintenu. Il est également soutenu par la confrontation des répartitions spatiales des chutes avec (fig. 149) et sans les tiges appointées (fig. 150), avec la distribution des scories (fig. 151) qui montrent clairement l'absence d'associations. La rareté des chutes de section circulaire (8 ind.) ou changeante (6 ind.), leur longueur peu standardisée (entre 15 et 57 mm) et l'absence de concentration notable suggèrent que très peu d'objets de petite taille tels que des fibules ont été produits sur l'aire explorée, bien qu'un hypothétique exemplaire en cours de fabrication soit issu du bâtiment R (pl. 159, n° 7). Le corpus de déchets diffère beaucoup sur ce point d'un site comme Lacoste, où la densité de chutes de section circulaire et de fibules en cours de fabrication permet d'identifier ce type d'artisanat spécialisé (Nillesse 2012a, p. 122-125).

Comme les chutes de tige, les chutes de barre sont plus fréquemment de section quadrangulaire (15 ind.) que circulaire (2 ind.). Une dizaine provient de niveaux de décapage ainsi que des remblais gallo-romains du sanctuaire. Leurs dimensions entre 23 et 63 mm s'accordent avec celles documentées pour les autres types de chute et plaident pour des chutes de quantité à une exception près, issue d'un trou de poteau du bâtiment D3, d'une longueur de 130 mm (pl. 92, n° 16). Cet édifice est le seul qui fournisse l'association de chutes de barre, de plaques et de tôle.

Les déchets en fer

Obtenues par fusion du fer et des matériaux environnants lors de leur passage dans le foyer, les scories ont été triées en calottes ou en scories informes, selon leur morphologie générale. De forme hémisphérique et résultant de l'amalgame de matériau au fond du foyer, les premières correspondent à une unité de travail du foyer (Mangin 2004, p. 100-102). Les scories informes se développent en périphérie de la calotte et ne peuvent que difficilement être reliées à une activité précise. Faute de compétence, l'analyse archéométrique de leur composition n'a pas été effectuée, de même que leur classification par classe de masse. La quantification des scories est réalisée en comptant 1 individu par calotte et 0 pour les scories informes associées, tandis que ces dernières sont comptées comme un individu lorsqu'elles sont isolées (cat. 39). Au vu des comptages, le travail du fer s'élève à 25 kg de scories pour 100 calottes, soit une centaine de journées, de séquences de travail. À première vue, ces données livrent une image d'une activité sporadique.

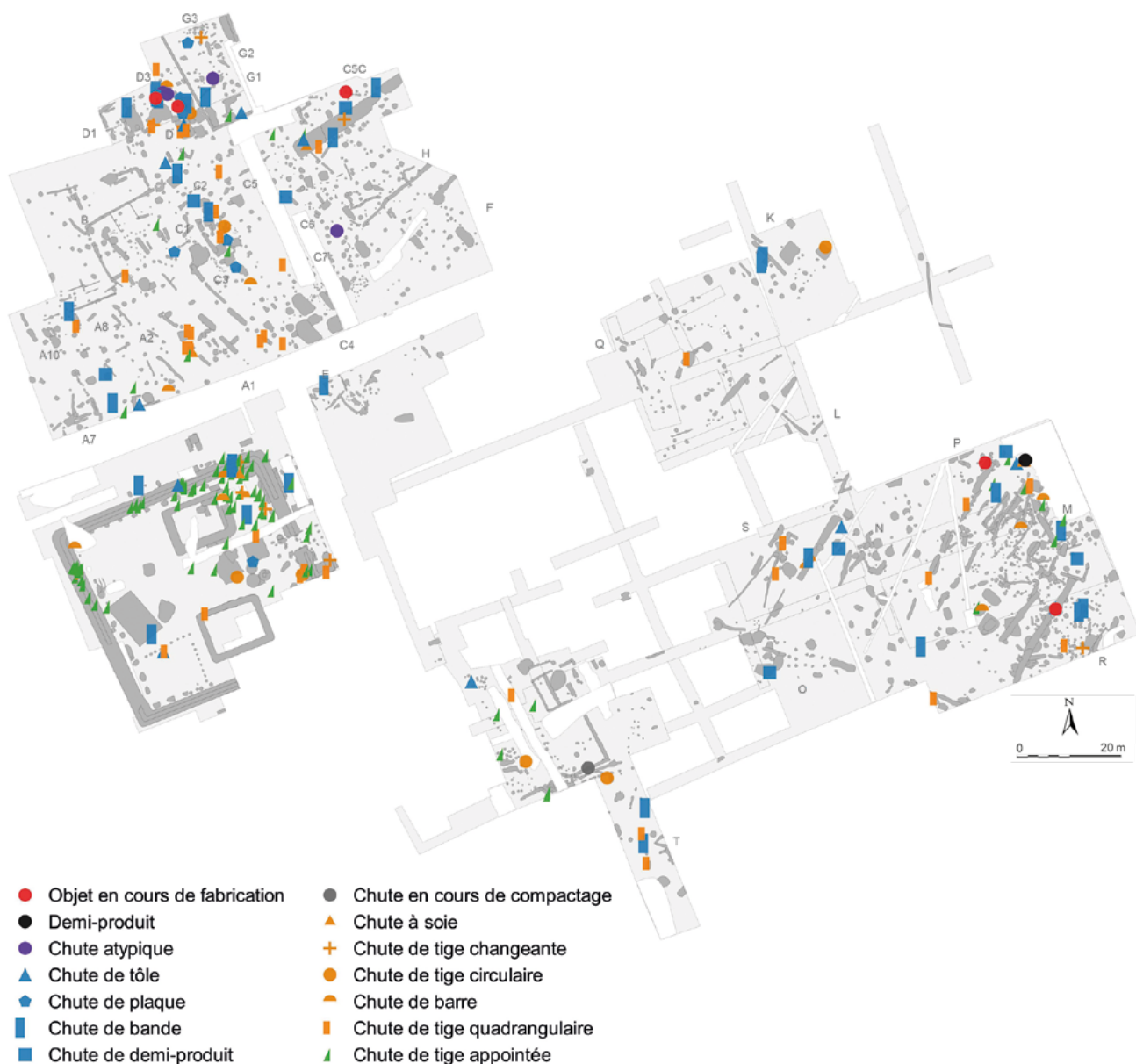


Fig. 149. Répartition des chutes avec les chutes de tige de section quadrangulaire appointée.

Elles sous-entendent pourtant très vraisemblablement une gestion concertée des déchets, qui devaient être évacués à l'extérieur du centre-ville. Dans le même ordre d'idée, les scories sont généralement retrouvées dans des conditions de dépôt secondaire dans la majorité des bâtiments livrant des scories. Leur présence dans le remblai du bâtiment A7 ou sur les radiers du bâtiment G semble tout à fait révélatrice de l'évacuation de ces matériaux irrécupérables.

Trois concentrations signalent la proximité d'atelier à commencer par celles du bâtiment R qui livrent 35 individus majoritairement attestés sur les radiers et à l'intérieur des fossés des états 2.2, 2.3 et 3 (fig. 151). La composition des ensembles de ce bâtiment, sans chutes ni demi-produits associés, pourrait conduire à les interpréter comme un dépotoir lié à un atelier qui devait fonctionner à proximité. Le faciès des outils de la zone et l'absence de battitures incitent toutefois à proposer *a contrario* que seules les pièces dédiées à la finition de l'atelier aient été abordées ou alors que les chutes aient fait l'objet d'une gestion différenciée des scories. Les vestiges du bâtiment D3 situé au nord de l'espace D présentent un assemblage comportant de nombreuses scories accompagnant plusieurs chutes caractéristiques et quelques outils. Malgré la fugacité des découvertes, cet ensemble peut également correspondre à une portion d'atelier dont le plan doit se développer au nord, en dehors de l'emprise de fouille. Il est également envisageable qu'il ait été tronqué lors du creusement de l'espace D. La dernière concentration illustre l'activité pratiquée dans le bâtiment C1 à l'état 2.1, où des scories sont associées à des supports de frappe et des chutes de tiges en fer, mais aussi en alliage cuivreux et en argent.



Fig. 150. Répartition des chutes sans les chutes de tige de section quadrangulaire appointée.

3.3.2. L'ARTISANAT DU BOIS ET DES MATIÈRES DURES ANIMALES

Les artisans du bois et des matières dures animales utilisent une gamme d'outils similaires, comme les scies, les planes ou encore les gouges et les ciseaux. Pour cette raison, les deux domaines d'activité sont présentés conjointement en adjoignant l'étude des déchets de tabletterie qui offre la possibilité de mieux comprendre certains assemblages ([cat. 40](#)).

Les haches et les herminettes

La question d'une attribution à l'artisanat du bois ou de l'os ne se pose pas concernant les haches, les herminettes et leurs tranchants, parfois difficiles à classer entre l'un ou l'autre type d'outil. Le corpus de haches se démarque d'un faciès laténien classique par l'absence d'exemplaires à emmanchement à douille caractéristique de la période (Tisserand 2011, p. 892). Cette morphologie apparaît toutefois sur les haches miniatures portées en pendentifs (voir fig.94). Les haches à œil revêtent une multitude d'aspects tant fonctionnels (abattage des arbres, fendage des bûches, guerre) que symboliques (instrument de sacrifice, de magistrat) (Lejars 2013, p. 236-239). La grande taille (18,5 mm), la masse (1250 g) et la largeur uniforme de la hache la plus grande, l'outil le plus lourd du corpus (fig. 152, n° 1), la rapprochent de la forme 1B de la typologie avenchoise (Duvauchelle 2005, p. 36-39). Outil multifonctionnel, il

a pu servir à fendre le bois, une fonction par ailleurs renforcée par le large coin qui compose, avec deux herminettes, le dépôt d'où provient cet exemplaire (fig. 146). Les deux hachettes (fig. 152, n^{os} 2 et 3) peuvent servir à un travail spécialisé dans le domaine artisanal ou encore à la production de petit bois pour le feu. Elles se retrouvent à La Tène finale dans le dépôt de Sainte-Blandine (Chapotat 1970, pl. 12, n^o 1) ou à l'époque romaine dans le vicus de *Vitudurum*, où elles sont interprétées comme des outils spécialisés de tourneur ou de sculpteur (Schaltenbrand Obrecht 1996, p. 145-146, pl. 37, n^o 4). La provenance de l'exemplaire de taille moyenne, la place du complexe C, renforce cette idée et va à l'encontre des hypothèses de jouet d'enfant ou d'instrument votif parfois évoquées à propos des outils de petite taille.



Utilisées pour creuser le bois ou pour dresser des planches, les herminettes se distinguent des haches par leur tranchant horizontal (Duvauchelle 2005, p. 43-45). Nettement mieux représentés que les précédents (NMI 13), ces outils sont classés par groupe morphologique selon leur mode d'emmanchement, à douille horizontale (type 1), à œil (type 2), à douille verticale ouverte côté tranchant (type 3) ou sur la face externe de l'outil (type 4). Documentées par une occurrence du complètement romain du fossé du sanctuaire (fig. 152, n^o 4), les herminettes à douille (type 1) se retrouvent communément durant tout l'âge du Fer et disparaissent à l'époque romaine. Comme les haches, elles sont paradoxalement moins bien représentées que les outils à œil (3 ind.) attestés dès le premier état.

Fig. 151. Répartition des scories d'après un NMI réalisé à l'aide du nombre de calottes.

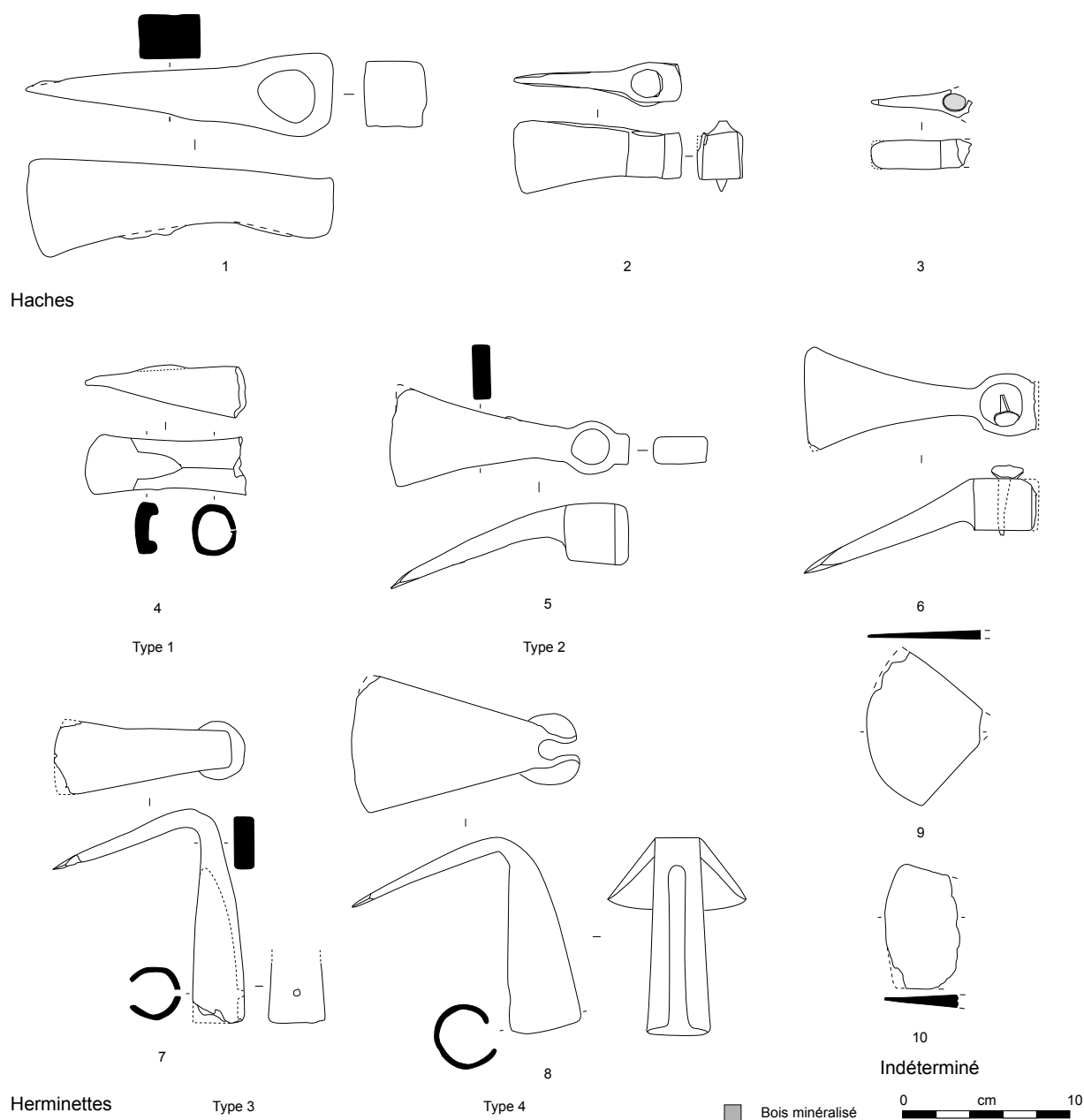


Fig. 152. Haches et herminettes. Fer.

Munies d'un marteau aussi appelé talon, les herminettes à œil (**type 2**) sont caractéristiques des formes 4A et 4B d'Avenches (Duvauchelle 2005, p. 44, fig. 26). Les deux variantes se différencient grâce à la courbure de leur tranchant, qui peut être continue (fig. 152, n° 5) ou rectiligne et présenter un angle au niveau de sa connexion avec l'œil (fig. 152, n° 6). La convergence des faces inférieure et supérieure de l'œil observée sur un exemplaire (fig. 152, n° 5) n'est pas attestée sur les formes romaines, mais se retrouve sur un exemplaire de Bibracte (Mölders 2010, fig. 62, n° 94). Il s'avère compliqué de différencier les herminettes de ce type, ainsi que celles des types 3 et 4, des houes à la morphologie très similaire. La cohérence fonctionnelle du dépôt 21033 (pl. 141, voir *supra*, fig. 146) de même que la rareté des outils agricoles sur l'ensemble du site plaident toutefois en faveur de l'herminette. L'aspect polyvalent de cet outil est à relever au vu d'autres interprétations comme celle formulée à Larina, où elles ont pu servir à l'extraction de lauzes de calcaire (Perrin 1990, p. 90, fig. 93-94).

Caractérisé par un emmanchement à douille ouverte du côté du tranchant (fig. 152, n° 7), le **type 3** n'est connu que par un exemplaire. Aucun parallèle

probat ne peut être fourni pour cet élément qui, au même titre que le **type 4** à douille ouverte à l'opposé du tranchant (fig. 152, n° 8), préfigure les exemplaires romains à long œil vertical (Duvauchelle 2005, fig. 26, formes 1, 2 et 5). Ce dernier mode d'emmanchement est attesté dans le dépôt 21033 (pl. 141, fig. 146) en association avec une herminette à œil. Une occurrence de Lacoste au tranchant, il est vrai plus large au niveau de sa connexion avec la douille, est interprétée comme une houe (Derion 2006, pl. 27, n° 286) et démontre la difficulté de trancher entre ces deux types d'outils sans une restauration de la lame. Les variations dans la dimension de l'emmanchement laissent supposer que ces outils remplissent des fonctions distinctes, les outils à longue douille verticale impliquant un long manche et un travail plus grossier (écorçage, équarrissage) que les herminettes à œil.

Les formes illustrées dans la typologie représentent les seuls exemplaires complets du corpus qui comprend aussi des tranchants cassés à proximité de l'extrémité active ou de l'emmanchement (fig. 152, n°s 9 et 10) et une longue douille fermée. Ces éléments fragmentaires soulignent de notre point de vue les lieux de travail d'un artisan du bois, tandis que les herminettes complètes marquent des conditions de dépôt particulières, vraisemblablement à vocation cultuelle. En témoignent leurs contextes de découverte, le dépôt 21033 cité précédemment, le sanctuaire et deux ensembles du bâtiment A1, soit un trou de poteau de son portique où l'herminette accompagne une lance et enfin le solin bordant le sol 14030 qui livre plusieurs orles ployés et un masque facial humain.

Les coins à fendre

Deux objets du bâtiment M sont interprétés comme des coins à fendre. Le premier associé à la cognée (fig. 153, n° 1) présente une forme classique (Mölders 2010, fig. 65). La largeur de la deuxième pièce (fig. 153, n° 2) est trop importante pour entrer dans l'œil d'un outil, ce qui aurait mené à une interprétation d'angrois. Elle justifie cette identification même si celle de coin de calage demeure envisageable.

Les mèches

Servant à perforer des pièces d'assemblage en bois, les mèches ne sont représentées que par des extrémités actives cassées, de section lenticulaire (fig. 153, n° 3) ou à gorges symétrique (fig. 153, n° 4) ou asymétrique (fig. 153, n° 5). De petite taille, elles s'inscrivent dans la même gamme d'outils perforants que les tarières, par ailleurs absentes du corpus. La mèche de section lenticulaire (fig. 153, n° 3) attestée au Magdalensberg (Dolenz 1998, pl. 73, W284) provient d'un décapage de surface et demeure d'identification sujette à caution, tandis que les deux exemplaires à gouttière (fig. 153, n°s 4 et 5) sont connus à Berching-Pollanten (Schäfer 2010, pl. 134, n° 6357). Proches des gouges à soie, elles s'en différencient par une extrémité appointée et par une gouttière qui prend dans un cas la forme d'une virgule. Une seule provient d'un contexte fiable à savoir la fosse artisanale 22545 du bâtiment O.

Les scies

Deux lames rectilignes (fig. 153, n°s 6 et 7) s'ajoutent à la scie égoïne (fig. 153, n° 8) mise au jour dans le sanctuaire et servant à la réalisation de fines découpes (Poux et Demierre 2015, p. 171). La perforation de fixation et la largeur de la lame du premier fragment suggèrent une interprétation de scie à refendre, le modèle le plus commun (Duvauchelle 2005, p. 40-43), tandis que le deuxième demeure trop fragmentaire pour justifier une attribution typologique.

Les gouges

Les gouges servent à creuser le bois pour lui donner des moulurations et présentent généralement un tranchant formant une gorge et un corps à tête percutée, ainsi qu'un emmanchement à douille, non recensé ici, ou plus rarement à soie (Duvauchelle 2005, p. 48-49). Le corpus peut se scinder en deux groupes entre les tranchants

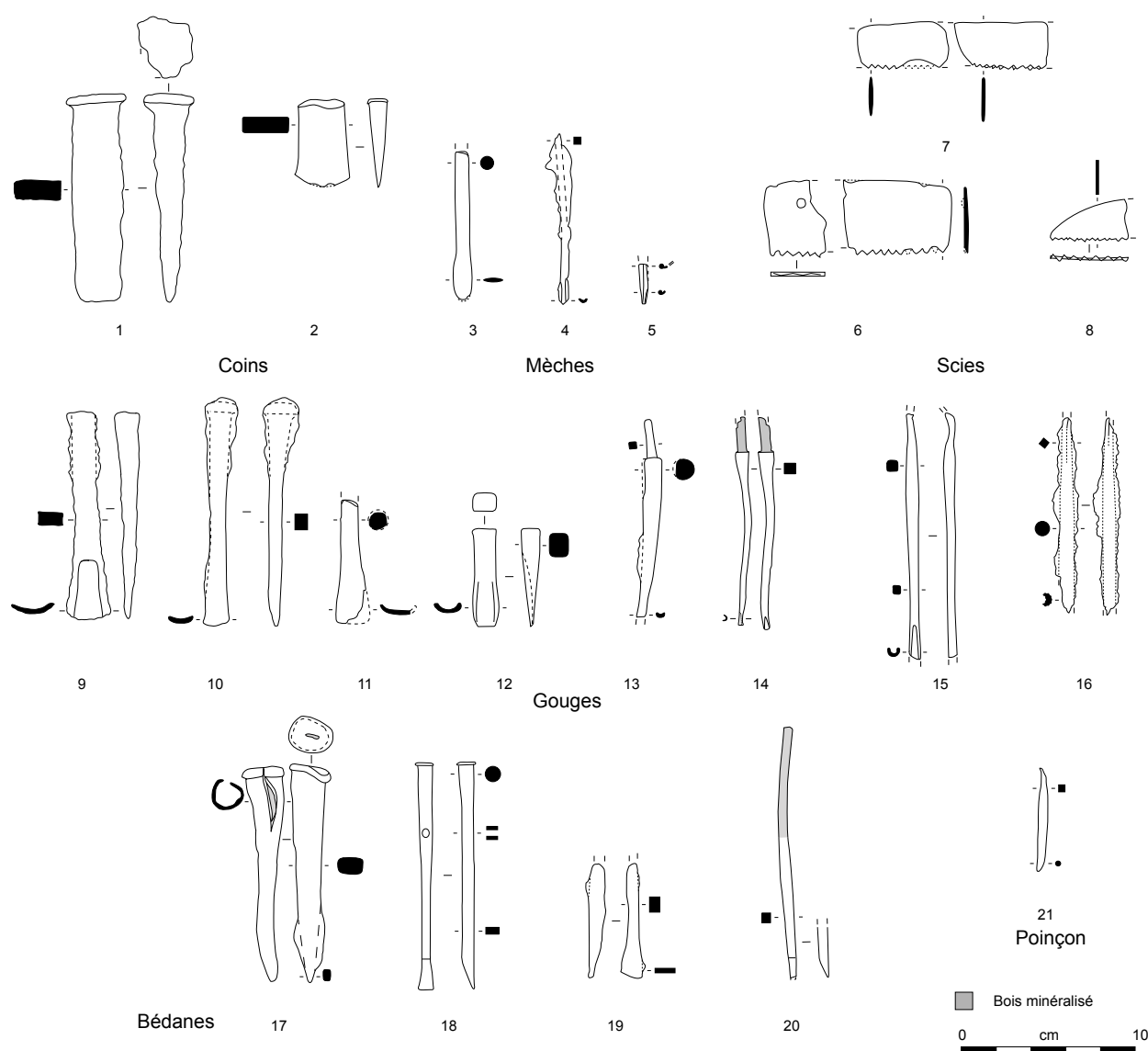


Fig. 153. *Outils liés au travail du bois et des matières dures animales. Fer.*

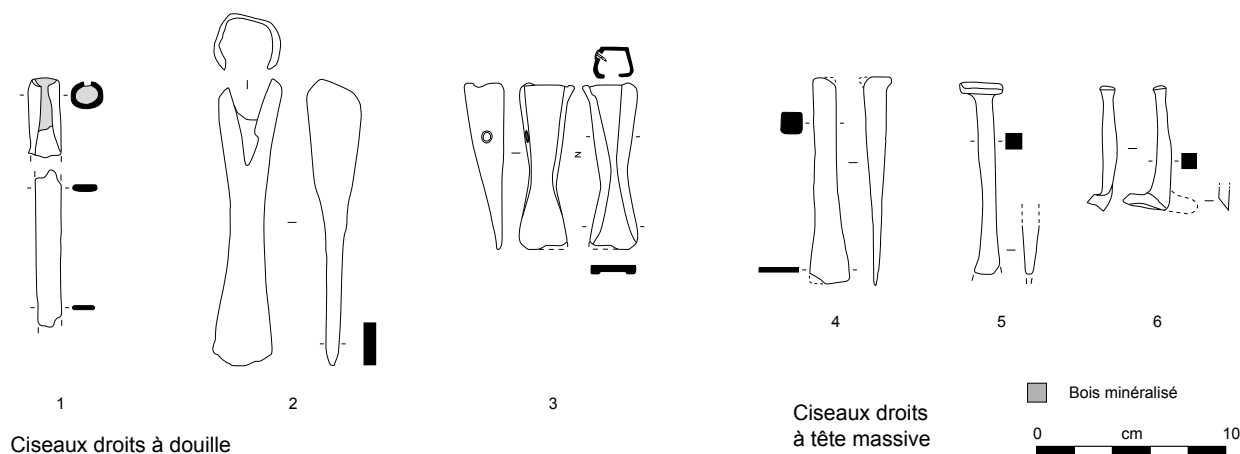
larges à manche massif et les outils à soie à partie active fine. La largeur du tranchant détermine la finesse du travail à effectuer de même que la longueur du manche (Schäfer 2010, p. 184). Les outils à tête écrasée au corps de plus de 12 cm (fig. 153, n^{os} 9 et 10) s'adaptent par exemple plus facilement à une percussion forte, tandis que la gouge à manche court (fig. 153, n^o 12) implique du travail plus délicat.

Les gouges à soie (fig. 153, n^{os} 13 à 16) comportent habituellement un manche fin conique qui s'adapte à la sculpture, mais aussi au travail au tour. En témoigne le corpus du tumulus de Celles (Guillaumet 1983, fig. 9, n^o 16) ainsi que la trousse d'artisan de La Tène (Vouga 1923a, pl. 46, et 1923b, fig. 2) où figurent des pièces similaires. La taille de l'outil permet peut-être une distinction, plus petit dans le cas de la sculpture et plus grand dans le cadre du travail au tour. Il pouvait alors être appliqué sur l'objet en cours de façonnage sur le tour, avec le pied (Feugère 2004, fig. 4). Le tranchant fragmentaire permet de douter de l'identification de l'outil (fig. 153, n^o 15) qui se rapproche d'emporte-pièce de taille plus petite de l'agglomération de Lacoste (Derion 2006, pl. 39, n^{os} 381 et 382). Il provient toutefois d'une fosse artisanale du bâtiment C1 où il est associé à un bédane à soie (fig. 153, n^o 20), d'où son attribution au travail du bois.

Les bédanes et les fermoirs

Les bédanes et les fermoirs sont des ciseaux dont le profil du tranchant forme un triangle rectangle. L'extrémité active des bédanes, plus épaisse que large, les différencie des fermoirs au tranchant plus large qu'épais. Ces outils

servent en premier lieu à obtenir les parois verticales des mortaises pour les assemblages à tenon. Leur douille, principal mode d'emmanchement de ce type d'outil, est souvent écrasée (Schäfer 2010, fig. 134, n° 127) lorsqu'elle n'est pas renforcée par une virole (Pieta 2010, fig. 98, n° 2). Le seul exemplaire de ce type relativement commun (Mölders 2010, fig. 57, n° 68) est issu des fouilles récentes (fig. 153, n° 17). Avec sa tête percutée, le bédane originaire des remblais de l'espace D (fig. 153, n° 18) présente une largeur de tranchant d'une moitié de digitus (18 mm), une mesure fréquemment observée à l'époque gallo-romaine (Duvauchelle 2005, p. 47). La perforation centrale du corps de l'outil pourrait correspondre à une butée pour réaliser des mortaises standardisées. Elle s'explique mal, car elle fragilise l'outil et aucun parallèle ne peut être cité en comparaison. L'outil au tranchant le plus mince (fig. 153, n° 20) a pu servir à la réalisation d'assemblage de fine épaisseur ou encore dans le cadre de la sculpture ou du travail au tour sur bois ou sur os. Il provient de la même fosse artisanale que la gouge (fig. 153, n° 15). Le poinçon de menuisier à extrémité pointue sert à marquer le bois avant d'effectuer une perforation (fig. 153, n° 21). Il s'agit d'un outil relativement fréquent (Guillaumet 1983, fig. 9, n°s 18, 19, 22 et 23) qui reste difficile à identifier lorsqu'il est fragmentaire.



Les ciseaux droits

Les critères pour l'identification de la matière travaillée par un ciseau droit, de même que la notion même de ciseau droit caractérisé ici par « un tranchant rectiligne situé dans l'axe central longitudinal de l'outil » (Duvauchelle 2005, p. 49) diffèrent selon les spécialistes. Nous retenons pour le travail du bois un emmanchement à douille ou à soie, un tranchant évasé à simple biseau ou encore continu. Ces critères ne sont toutefois pas réunis sur la totalité des ciseaux attribués au bois, notamment les exemplaires fragmentaires pour lesquels un seul critère pertinent a parfois semblé suffisant. Le corpus de ciseaux se démarque par la petitesse des outils concernés, qui impliquent un travail d'ébéniste ou de menuisier, alors que les outils permettant des activités plus grossières, comme la charpenterie, ne sont que très peu représentés. Cette composition peut tout autant résulter d'une conservation préférentielle des outils de petite taille et d'une récupération des plus lourds que d'une polarisation des activités spécialisées, dédiées à du travail fin au centre de l'agglomération.

La rareté des ciseaux droits à douille illustre particulièrement cet aspect, puisqu'une seule pièce fragmentaire (fig. 154, n° 1) est attestée dans le corpus des fouilles antérieures à 2012 et que seuls deux outils sont issus des campagnes récentes (fig. 154, n°s 2 et 3). Ces ciseaux constituent l'une des formes les plus répandues à La Tène finale, avec des parallèles directs pour les exemplaires du corpus à Lacoste (Derion 2006, pl. 36), Manching (Jacobi 1974, pl. 9) ou Bibracte (Mölders 2010, pl. 57).

Fig. 154. Ciseaux droits à douille et à tête massive. Fer.

Trois ciseaux à tête matée sont intégrés à cette catégorie en raison de leur tranchant à simple biseau, de leur corps fin et de leur tranchant évasé. Le ciseau (fig. 154, n° 4) est associé dans une structure à vocation artisanale à des demi-produits en fer et en alliage cuivreux qui inciteraient à préférer une fonction dans le cadre du travail des métaux. La présence dans la même structure d'une extrémité de mèche, la fragilité de son corps, les parallèles d'Avenches (Duvauchelle 2005, pl. 23, n° 125 et pl. 24, n° 126) et de la tombe 2095 de Wederath, où un outil proche est associé à une lame de rabot, deux gouges et des pointes à percer (Kaurin 2009, p. 52) confirment cette attribution fonctionnelle. Un autre ciseau de ce type est issu d'une sablière de l'hémicycle de réunion. De mauvaise facture, il pourrait s'agir d'un outil de fortune réalisé à partir d'un clou de construction (fig. 154, n° 5). Avec son tranchant large déformé, le ciseau (fig. 154, n° 6) ressemble à un outil d'Avenches (Duvauchelle 2005, pl. 24, n° 127). La morphologie de sa lame implique une utilisation pour aplanir ou rectifier des surfaces planes et non creuser le bois. Elle est à rapprocher de certains tranchants de rabot toutefois plus massifs (Tisserand 2010, pl. 6, n° 65).

Attribuables au type 2 des poinçons de menuiserie à Bibracte (Mölders 2010, fig. 58), les ciseaux droits à soie présentent des tranchants de petite taille et des corps frêles qui impliquent une utilisation dans le cadre de travaux fins, comme la gravure ou la sculpture. La première série comprend des outils au corps conique et au tranchant effilé, évasé dans un cas (fig. 155, n° 1). L'extrémité active de cet outil suggère une utilisation comme ciseau à bois standard, tandis que les autres exemplaires peuvent servir à graver des rainures de petite taille ou être utilisés dans le cadre du tournage sur bois (Mölders 2010, p. 53). Les deux tailles représentées dans le corpus pourraient par ailleurs correspondre à ces deux fonctions, les exemplaires les plus grands ayant la préférence pour le travail au tour (fig. 155, n° 2 et 3), tandis que les plus petits serviraient à la gravure (fig. 155, n° 4 à 6). L'association de l'outil à tranchant fragmentaire, encore muni de sa virole (fig. 155, n° 3), avec un tranchet à pied interprété comme un instrument de tourneur et des déchets de tabletterie tournée, renforcerait cette idée. Les deux ciseaux à petit tranchant évasé (fig. 155, n° 7 et 8) recensés au Magdalensberg (Dolenz 1998, pl. 75, W306) peuvent aussi avoir servi à la réalisation de rainures et de fines incisions. Tous les petits ciseaux ont aussi pu faire office de ciselets pour graver le bronze ou les métaux précieux. Si aucune association de ciseau complet ne permet de le postuler de manière assurée, des corps coniques d'outils à soie sans leur partie active apparaissent dans un ensemble éloquent de la place du complexe C (pl. 44).

Les ciseaux droits à lame rectangulaire (fig. 155, n° 9 à 11) appartiennent au type 1 des poinçons de menuisier de Bibracte (Mölders 2010, p. 52) communs au Magdalensberg (Dolenz 1998, p. 202, pl. 71, n° W263, W270). La largeur de leur tranchant empêche de creuser profondément le bois et conduit à restituer une utilisation dans le cadre de colmatage ou de l'aplanissement de surface. L'identification de l'outil le plus grand (fig. 155, n° 12), initialement interprété comme une pelle à feu (Orengo 2003, p. 122), demeure sujette à caution. Une interprétation de lame de rabot pourrait même être proposée sur la base d'une pièce proche au tranchant incurvé de Divinka (SLO) (Pieta 2010, fig. 76, n° 2). Cet outil demeure toutefois très rare avant l'époque romaine. Quelle que soit la dénomination choisie, la fonction de l'outil est identique.

Bien que leur mode d'emmanchement demeure lacunaire, les outils restants sont attribués à la catégorie des ciseaux droits en raison de leur tranchant évasé (fig. 155, n° 13 à 17), le plus fréquemment à un seul biseau ou de leur lien avec d'autres outils liés au travail du bois (fig. 155, n° 18 et 19). La dimension de leur tranchant et leur finesse appellent une utilisation dans le cadre du creusement d'étroites rainures ou de traitements de surface décoratifs comme de la gravure ou de la sculpture. Ils présentent des similitudes avec des objets parfois interprétés comme des ciselets (Derion 2006, pl. 39, n° 383), une interprétation plausible, non retenue ici en l'absence d'associations pertinentes.

Les ciseaux à tranchant oblique, tranchets à pied et ciseaux courbes

Deux ciseaux issus du décapage et de l'état 2.3 du bâtiment M peuvent être attribués au travail au tour en raison de leur tranchant oblique, qui se retrouve notamment dans le corpus du tumulus de Celles (Guillaumet 1983, fig. 16, n^{os} 20 et 21). Il s'agit de deux outils à soie au corps de grande taille (fig. 156, n^{os} 1 et 2). Des pièces comparables apparaissent dans une trousse d'outil de la sépulture 615 de Bois-Guillaume « Les Bocquet » (Dilly 2002, p. 189-193, fig. 116). Piriforme, le fantôme de leur manche ligneux exclut une utilisation par percussion pour préférer la restitution d'un travail de gravure ou d'incision tout à fait compatible avec le travail au tour. Les ciseaux de cette sépulture sont collés par la corrosion à un couteau à douille et à un tranchet à pied.

Ces outils, aussi appelés couteaux à pied (fig. 156, n^{os} 3 et 4), sont fréquemment associés au travail du cuir en raison de leur tranchant incurvé qui les rapprochent des demi-lunes, l'outil symbolique du cordonnier, figurant par exemple sur une plaque en terre cuite d'Ostie (Tisserand 2010, fig. 5). Leur long manche ainsi que l'épaisseur de leur tranchant exclut toutefois la possibilité d'appliquer la pression nécessaire pour couper du cuir (Anastassov 2017, p. 55). L'exemplaire similaire de la trousse à outil de La Tène correspond de ce fait à la désignation de ciseau à large tranchant convexe, dans la publication récente de cet ensemble réinterprété comme l'outillage d'un artisan du bois, voire d'un tourneur sur bois (Anastassov 2017, p. 62-63). Une trousse d'outils inédite de Vufflens-la-Ville livre également une association d'un tranchet à pied avec de longs ciseaux qui corroborerait cette interprétation (Crausaz et Demierre, en cours). Un outil proche à l'identification de trusquin, soit un outil de mesure à tracer, provient de l'ensemble du tumulus de Celles, qui correspond vraisemblablement à l'outillage d'un tabletier. Cette attribution au travail de l'os est confirmée par le contexte du seul exemplaire de Corent qui livre également des déchets de tournage en bois de cerf.

Le corps angulaire ou incurvé de deux ciseaux (fig. 156, n^{os} 5 et 6) ne semble pas résulter d'une déformation due à une percussion trop violente. Ces ciseaux courbes sont utilisés actuellement dans la sculpture sur bois. Ils pourraient être rapprochés des outils appelés repoussoirs, qui sont connus dans l'outillage des boisseliers et des tonneliers (Diderot et D'Alembert 1763, boisselier, pl. 1, fig. 18b). Ils apparaissent aussi chez les cordonniers-bottiers sous l'appellation de tranchets (Diderot et D'Alembert 1763, cordonnier-bottier, fig. 1, n^o 6). Le ciseau à simple biseau (fig. 156, n^o 6) provient du bâtiment K en association avec un racloir et un couteau à deux mains, autant d'éléments qui soutiennent cette ambiguïté fonctionnelle. Provenant d'un épandage, le deuxième exemplaire (fig. 156, n^o 5) accompagne des objets liés au travail du métal (pelle à feu, demi-produit, fragment de tuyère). Il est en revanche très proche sur le plan spatial d'un racloir issu d'une couche antérieure.

Les deux derniers objets, peut-être attribués à l'artisanat du bois, demeurent classés dans les outils indéterminés ou polyvalents en raison de leur identification problématique. Il s'agit d'un fer plat incurvé comportant un tranchant à une extrémité et un écrasement à l'opposé, suggérant une utilisation comme outil de découpe (pl. 175, n^o 12). Trop large pour être considéré comme un angrois, trop petit pour servir de lame de rabot, cet objet issu d'un décapage de surface a pu servir d'outil opportuniste ou encore de coin de calage. Également problématique, le fer plat muni d'un tranchant à simple biseau est associé à d'autres outils liés au travail du bois (pl. 144, n^o 13). Il a aussi pu fonctionner comme racloir, petit coin ou spatule, sans pour autant identifier la matière travaillée qui pourrait également être un matériau plastique.

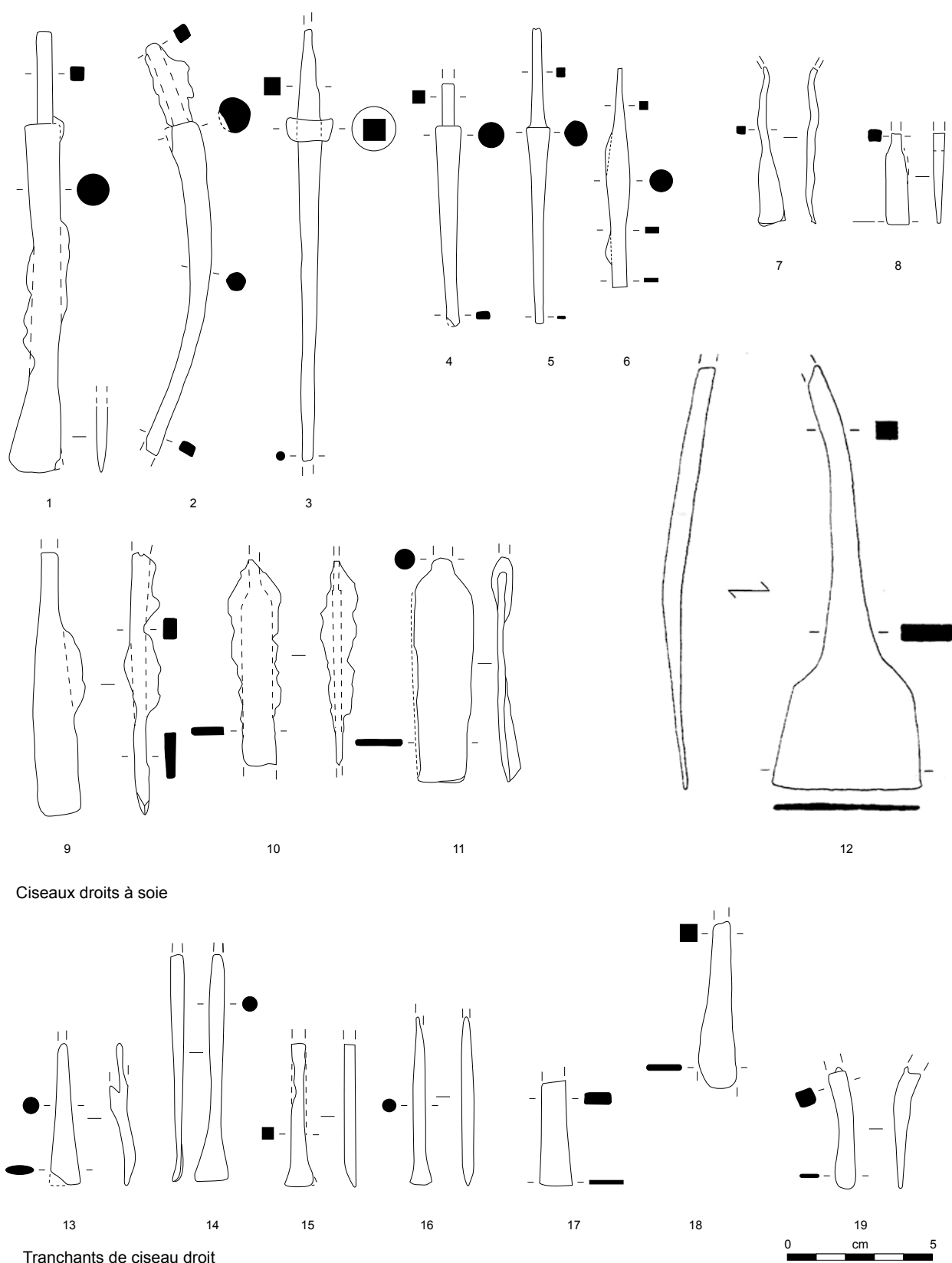


Fig. 155. Ciseaux droits à soie. Fer.

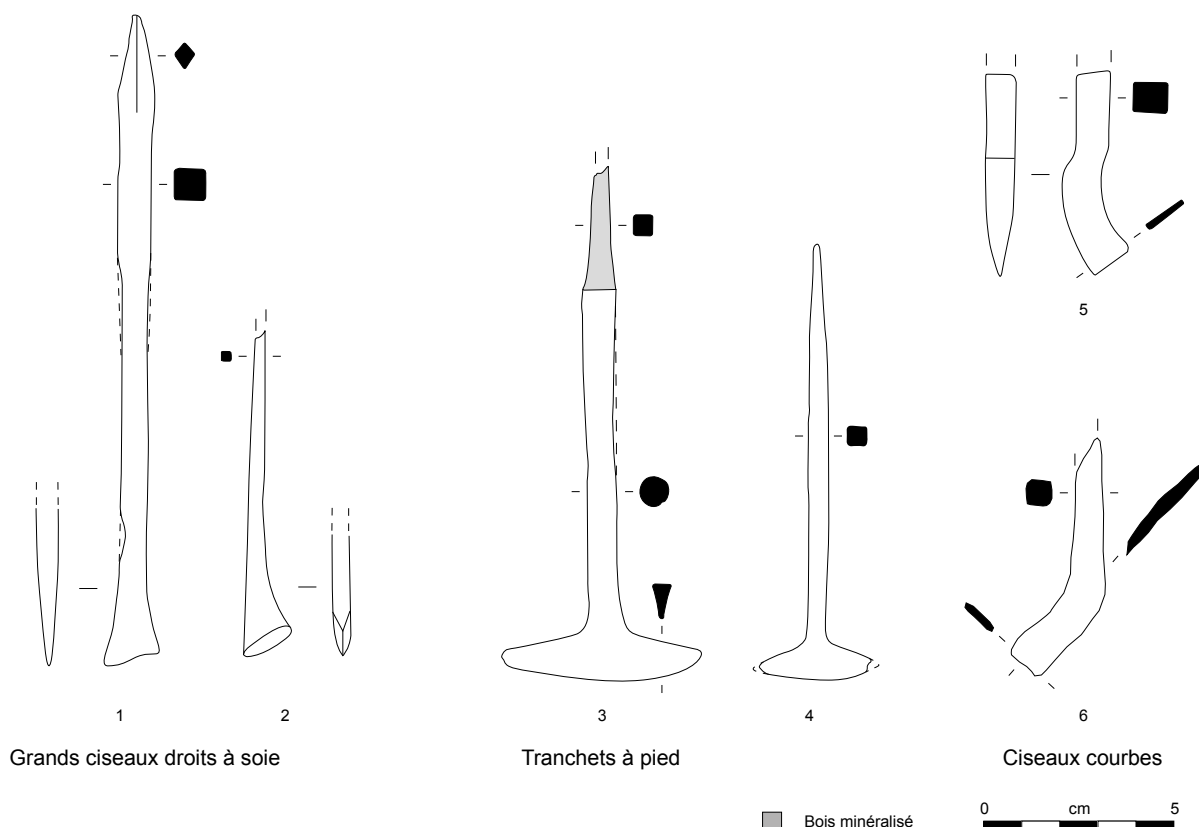


Fig. 156. Grands ciseaux à tranchant oblique, tranchets à pied et ciseaux courbes. Fer.

Les déchets de tabletterie

La réflexion sur les outils du bois souligne leur similarité avec les instruments utilisés par le tabletier ou le tourneur sur matière dure animale. Il a par conséquent semblé opportun d'intégrer les déchets de tabletterie à la réflexion, afin de ne pas générer une classification faussée des outils et d'intégrer cet artisanat spécialisé dans la démarche visant à l'identification de métiers ([cat. 41](#)). Ce parti pris se justifie également à l'examen des répartitions qui montrent une association, dans la partie sud-est du bâtiment M, entre les ciseaux de grande taille et un couteau à pied (fig. 156, n^{os} 1 à 3) avec les rares déchets en os et en bois de cerf recensés sur le site (fig. 157, n^{os} 1 à 3).

Tout à fait éloquent, le raté de tournage (fig. 157, n^o 1) présente une partie finie de section circulaire perforée à son extrémité, tandis que la seconde, facettée, témoigne de l'abandon d'un travail en cours. On retrouve ce type de déchets dans les ateliers du Magdalensberg ou d'Augst (Deschler-Erb et Gostenčnik 2008, fig. 15 et 17) ou encore à Manching (Jacobi 1974, pl. 82, n^o 1639). L'extrémité d'andouiller (fig. 157, n^o 2) présente une surface partiellement retouchée ainsi qu'une entaille à sa pointe qui attesterait un aménagement en vue de sa fixation sur le tour. Il pourrait être interprété comme un demi-produit tant il est peu façonné, ou comme un objet dont la fonction nous échappe (poinçon ?). Les cannelures situées à l'extrémité du fragment tubulaire (fig. 157, n^o 3) incitent à le considérer comme une charnière de meuble connue par des exemplaires complets à Corent ou encore à Manching (Jacobi 1974, pl. 82, n^{os} 1620 à 1626). L'interprétation de raté de fabrication reste conjecturale bien que l'absence de décor incisé – ocelles, lignes – puisse constituer un argument en ce sens.

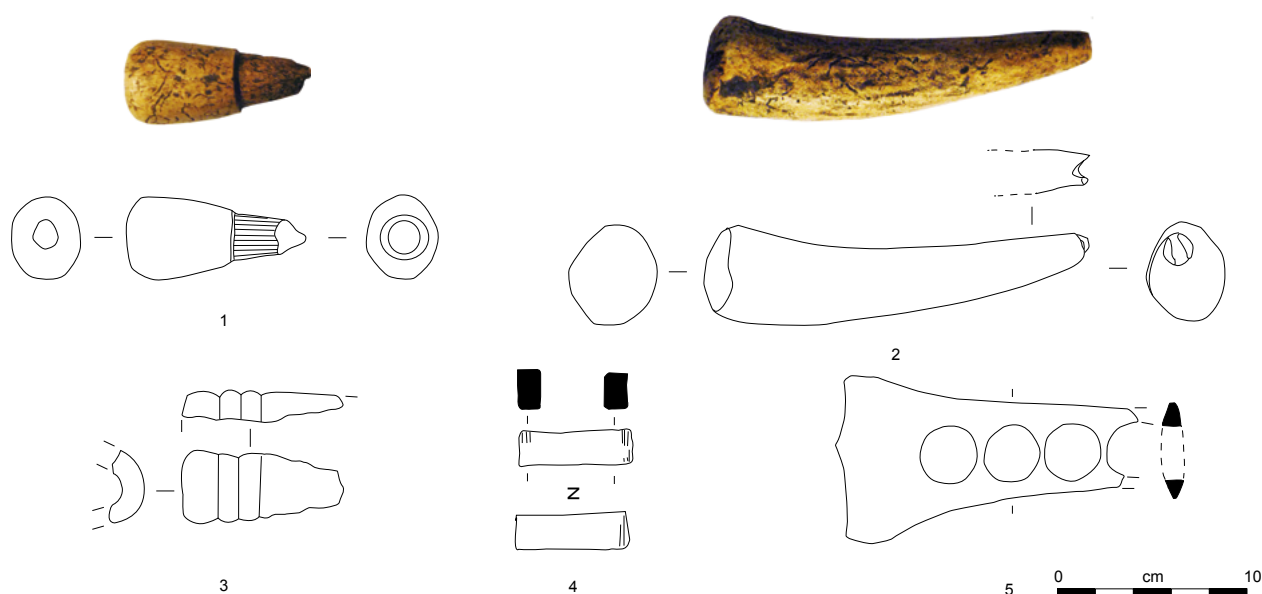


Fig. 157. Déchets liés au travail des matières dures animales.
1, 3-5 : os ; 2 : bois de cerf.

Deux autres types d'attestation du travail de l'os sont recensés à commencer par des fragments d'os long réalisées à l'aide d'une plane et présentant des perforations circulaires (fig. 157, n° 5). Bien connus notamment sur le site de la Grande Borne (Minni 2004, p. 120-123, fig. 11 et 12), ces déchets résultent de la découpe au tour de perles à l'aide d'une mèche à percer, dont le site d'Aigueperse fournit un exemple, malheureusement dissocié du travail de l'os (Orengo 2003, p. 117, pl. 36, n° 7 et pl. 39, n° 4). Ils sont communs sur les autres sites arvernes avec une vingtaine d'exemplaires à Corent et une dizaine à Gondole (Deberge *et al.* 2009, p. 87, fig. 40). La production de dés parallélépipédiques, autres objets en os récurrents dans les agglomérations de la région, est perceptible grâce à la présence de baguettes de petite taille, où les ocelles des points ne sont pas marqués (fig. 157, n° 4). Certains exemplaires présentent encore des entailles non dégrossies après leur sciage.

Les déchets de tabletterie se concentrent à quelques endroits du site qui pourraient correspondre aux zones de dépotoir liées à une activité artisanale, à commencer par le fossé 22271 qui livre les rares traces de travail au tour des matières dures animales (bois de cerf et os) à l'état 2.2 (fig. 158). Ce regroupement corrobore les observations effectuées à partir du corpus d'outils où quelques pièces relevant de la même spécialisation sont localisées à proximité. Ce n'est qu'en juxtaposant la totalité des objets que d'autres groupements se dessinent au nord du bâtiment C2 ainsi qu'à l'entrée et dans la structure D du sanctuaire, caractérisée par un faciès faunique laissant entrevoir des activités de boucherie. La même association est perceptible au nord du bâtiment C2, où la présence de nombreux crânes de bœuf et de chevaux a conduit à restituer la zone comme un dépotoir lié à cette activité (voir *infra*, chap. 3.4, fig. 175). La structure D livre des fragments de plaquettes servant de matière première pour la découpe des perles, tandis que l'épandage au nord du bâtiment C2 fournit également d'autres artefacts fragmentaires, dont un stylet, une perle et un peigne en os dont la facture n'exclut pas qu'il s'agisse de raté de fabrication (Poux 2012, p. 69). Cette hypothèse est renforcée par la rareté des objets en os à proximité des déchets de tabletterie, à l'exception de l'entrée du sanctuaire. Cette dichotomie est particulièrement frappante dans le complexe C qui livre quelques déchets, mais aucun artefact terminé.

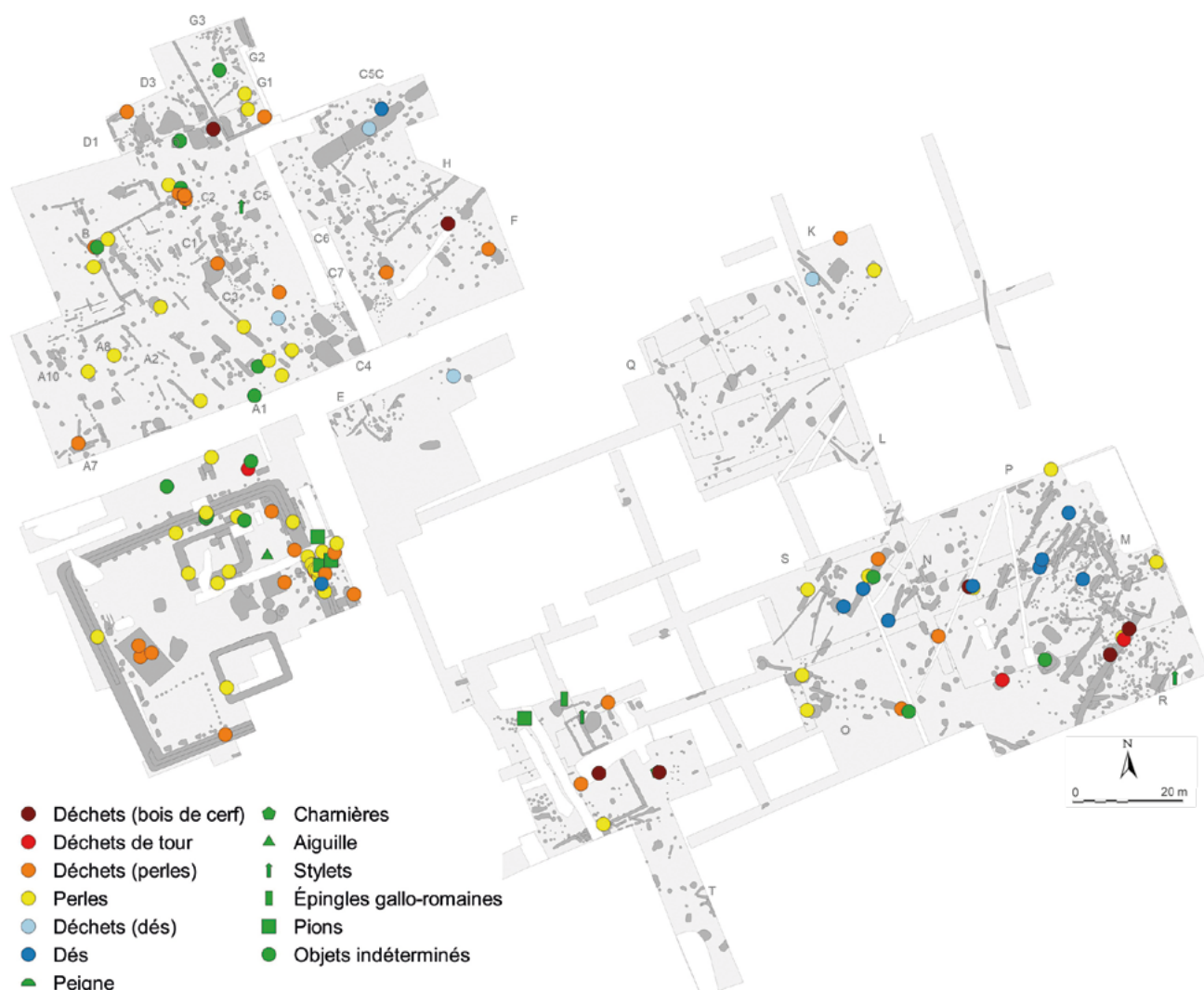


Fig. 158. Répartition des objets et déchets en os et en bois de cerf.

3.3.3. L'ARTISANAT DU CUIR OU DU BOIS

Certains outils présentent une morphologie qui empêche de déterminer de manière assurée s'ils servent à l'artisanat du cuir ou du bois (fig. 159). Il s'agit tout d'abord de racloirs dotés d'un emmanchement à douille (fig. 159, n° 1), d'un manche massif de section quadrangulaire (fig. 159, n° 2) ou d'un manche massif élargi à son extrémité et doté d'une soie se développant vers le haut à la perpendiculaire de l'axe principal (fig. 159, n° 3). Ils comportent des lames triangulaires à fil rectiligne (fig. 159, n° 3) ou en croissant de lune (fig. 159, nos 1 et 2). L'angle formé entre l'axe du manche et la lame peut être à angle droit ou relativement aigu. Ces variations morphologiques impliquent des fonctions distinctes dont l'identification fait débat. Ces racloirs peuvent en effet correspondre soit à la préparation des peaux tannées lors du corroyage des cuirs, soit à la rectification de surfaces planes en bois à la manière d'un rabot lors de la confection de planches ou de douelles.

Fixés à une hampe en bois dont la longueur est difficile à estimer, les exemplaires à douille sont attribués de haute date à l'artisanat du cuir sur la base d'une découverte de Mayence de 1857 (fig. 160, n° 1), où ils accompagnaient des déchets de tannerie (Daremberg *et al.* 1877, Coriarius, fig. 1949). Munis d'un tranchant perpendiculaire à l'axe du manche (Leguilloux 2004, p. 17-18), ils sont alors appelés queurse, queursoir ou étire, un outil utilisé pour enlever les poils des peaux côté fleur après leur tannage (Maguer *et al.* 2015, p. 190-191). Cette préparation finale des peaux utilise souvent des pierres en gneiss, en ardoise ou des plaques de fer ou de cuivre qui doivent comporter un tranchant mousse. Un exemplaire du camp de Cáceres el Viejo (fig. 160, n° 2) remplit tout

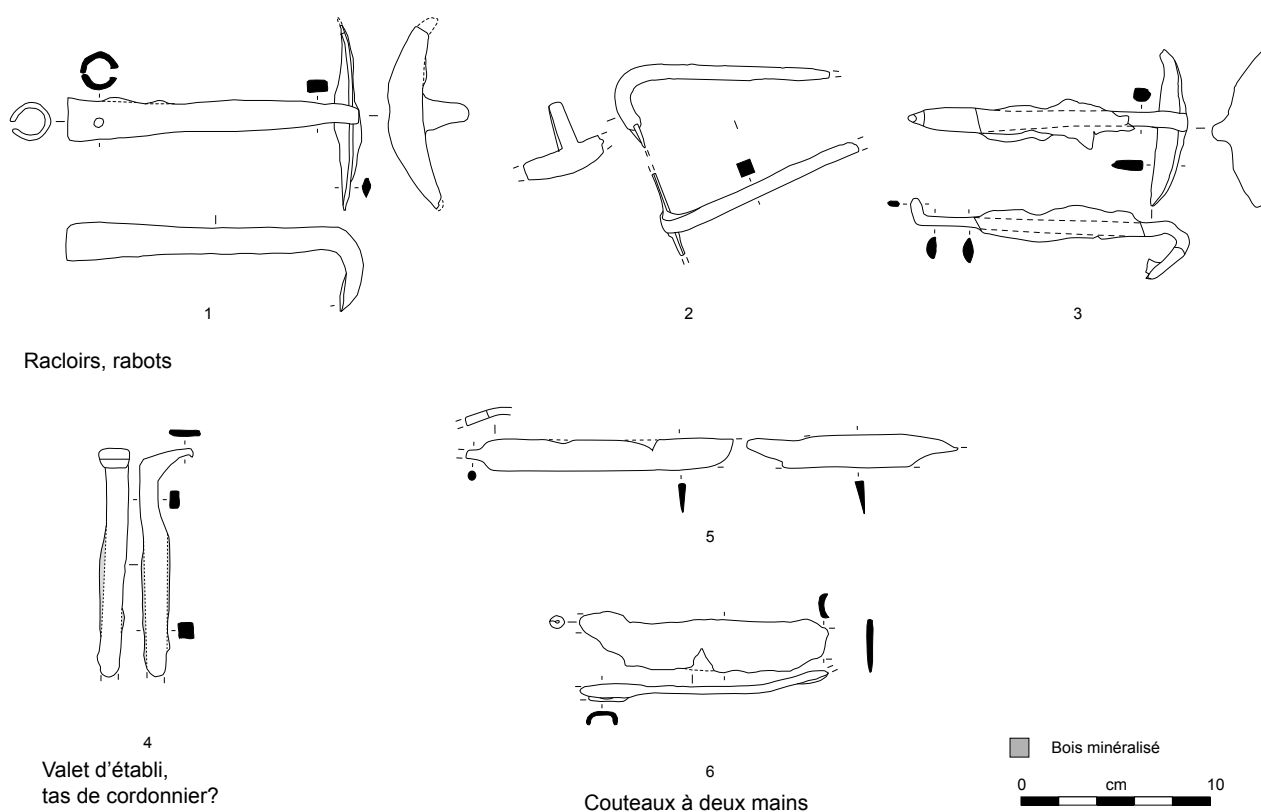


Fig. 159. Outils liés au travail du bois ou du cuir. Fer.

à fait ces conditions avec sa lame de section rectangulaire et perpendiculaire à la douille (Ulbert 1985, pl. 31, n° 305). Des formes similaires sont aussi documentées dans l'*oppidum* d'Essalois (Preynat 1962, fig. 19) avec une attribution au travail du cuir, tandis qu'une utilisation pour la gestion du foyer dans le cadre de l'artisanat du métal est postulée pour un exemplaire de Levroux (fig. 160, n° 3) (Guillaumet 2000, p. 111, fig. 10, n° 14).

Une interprétation de couteau à écharner ou d'étire est aussi proposée pour deux objets de Saalburg à lame en demi-lune à manche massif coudé (fig. 160, n° 6 à 7) qui s'avèrent proches d'un exemplaire mis au jour dans le décapage de surface de 2015 (fig. 159, n° 2). Les dimensions du manche impliquent ici un travail plus fin que les exemplaires à douille. L'argumentaire repose sur la base de l'angle entre la poignée et le tranchant qui serait peu propice au travail du bois (Pietsch 1983, p. 59-60, n° 501 et 502). La même interprétation est également proposée au Magdalensberg pour un outil, issu d'un contexte laténien, à lame rectangulaire et au manche incurvé en son centre pour former un angle droit à son extrémité (Dolenz 1998, p. 213, n° W323). Sur cette base, une identification similaire pourrait de même être postulée pour un objet identique du site de la Rue Kessler à Clermont-Ferrand (Ducreux 2013, pl. 35, n° 1). Interprété comme une pelle à feu pliée, cet outil provient d'un gisement qui livre de très nombreuses alènes ainsi que des restes de cuirs et de bois en bordure de la rivière Tiretaine.

Sur la base de ces éléments, plusieurs indices laissent à penser que l'hypothèse d'une attribution au travail du cuir ou plus précisément au corroyage destiné à améliorer la surface des cuirs demeure plausible pour les deux premiers objets du corpus. Cette interprétation se heurte pour La Tène finale au fait que l'écharnage de même que le corroyage impliquent un travail du cuir traité par tanin végétal, une technique pour l'heure inconnue pour la période (Volken 2010, p. 417-419). Les populations protohistoriques préfèrent le chamoisage, réalisé principalement avec la graisse de l'animal ou alors le mégissage effectué à l'aide d'alun. Les cuirs traités ainsi nécessitent en effet moins de corroyage que les cuirs traités par tannage végétal.

Les arguments pour le travail du bois ne manquent également pas pour ces outils, en particulier pour les formes aux tranchants rectilignes qui pourraient servir à aplanir des planches à la manière des planes. Elles coïncident avec des outils similaires à douille de l'époque moderne comme la curette ou la plane à gouge du tonnelier²⁰, ou la plane utilisée pour égaliser les faces internes de douelles de seau (Diderot et D'Alembert 1763, boisselier, pl. 2, fig. 2) qui comportent un tranchant moins rabattu sur le manche que les outils de tonnelier. La courbure observée pour la facture de tonneau est notamment proposée à l'époque romaine pour un outil à lame formant un angle plus aigu et à l'emmanchement massif (Pietsch 1983, pl 29, n° 567). Deux dépôts laténiens de l'*oppidum* du Klein Gleisberg à Steinsburg bei Römhild mentionné par Déchelette (1914, pl. 603, n°s 1 et 3) fournissent un argument-clé pour attribuer le racloir du bâtiment M (fig. 159, n° 3) à l'artisanat du bois (Spehr 2007, fig. 8 et 9). Hormis deux racloirs (fig. 160, n°s 9 et 10), ils se caractérisent par la cohérence des assemblages d'outils qui comportent, pour le premier, trois haches à douille, une gouge, une herminette à creuser qui peut fonctionner comme une asse, et un objet qui ressemble fortement à une lame de rabot. Moins éloquent, le second ensemble livre 18 objets dont trois haches à œil, un ciseau droit à douille et un ciseau à soie. Les tranchants des racloirs associés s'avèrent droits ou incurvés, une forme aussi documentée sur un exemplaire à manche massif du Mont-Beuvray (fig. 160, n° 11) (Déchelette 1914, fig. 603, n° 2) ainsi que dans le dépôt de Bourg-sur-Suippe (fig. 160, n° 11) qui livre principalement des outils liés au travail du bois (râpe, scie, serpette servant de paroir), mais aussi des formes qui pourraient correspondre au travail du cuir (couteaux à lame fortement incurvée, à tranchant mousse ?) (Girard et Tisserand 2015, fig. 7, n° 940-20). Le manche de l'exemplaire à tranchant incurvé du dépôt du Klein Gleisberg (fig. 160, n° 10) présente également une soie à son extrémité à l'instar de l'exemplaire du bâtiment M. Cette morphologie implique deux points de préhension, un pour effectuer une pression et le second pour racler ou raboter.

Au vu de ce tour d'horizon, les arguments pour classer les racloirs selon leur morphologie manquent. Il serait tentant d'attribuer à l'artisanat du cuir le premier exemplaire de Corent dont la partie active devrait être restaurée afin de déterminer si son fil est aiguisé, car la forme en croissant de lune de son tranchant ne constitue pas un critère décisif. L'identification du deuxième exemplaire demeure aussi problématique compte tenu de son contexte de découverte, mais pourrait tout à fait correspondre aux deux fonctions. La forme des tranchants impliquerait que le corroyage ou l'écharnage soit réalisé à la verticale sur une peau tendue, une hypothèse également formulée à propos de couteau à deux manches de la ferme aristocratique de Saint-Georges-les-Baillargeaux (Maguer *et al.* 2015, p. 191). Le mode de préhension du racloir à tranchant rectiligne et les parallèles en contexte de dépôt de Steinsburg bei Römhild plaident par contre en faveur d'une attribution au travail du bois, cette forme pouvant être l'antécédent du rabot, attesté à partir de l'époque romaine (Tisserand 2011, p. 892).

Les deux couteaux à deux mains peuvent poser le même genre de problème, du moins en ce qui concerne un exemplaire. Le couteau à deux mains (fig. 159, n° 5) accompagne une virole qui a pu participer à son emmanchement dans le trou de poteau du bâtiment B. Son tranchant droit gracile le rapproche des exemplaires documentés à Manching (Jacobi 1974, pl. 23, n°s 382 à 384) ou à Levroux (Guillaumet 2000, fig. 10, n° 10) et le différencie des paroirs ou couteaux à ébourrer le cuir d'époque romaine au tranchant incurvé plus massif et à la lame plus longue (Volken 2010, fig. 1). La position parallèle à la lame des soies fragmentaires de cet outil incite toutefois à la prudence, car elle ne coïncide pas avec les formes de planes les plus communes dont les soies se développent à la perpendiculaire de la lame. Cette particularité incite aussi à émettre l'hypothèse du corroyage ou de l'écharnage des peaux pour

.....
²⁰ Voir par exemple les sites décrivant les outils du tonnelier : <http://www.outils-anciens.com/tonnelier.htm> ou encore <http://le50enlignebis.free.fr/spip.php?article1938>. Consultés le 27.10.2016.

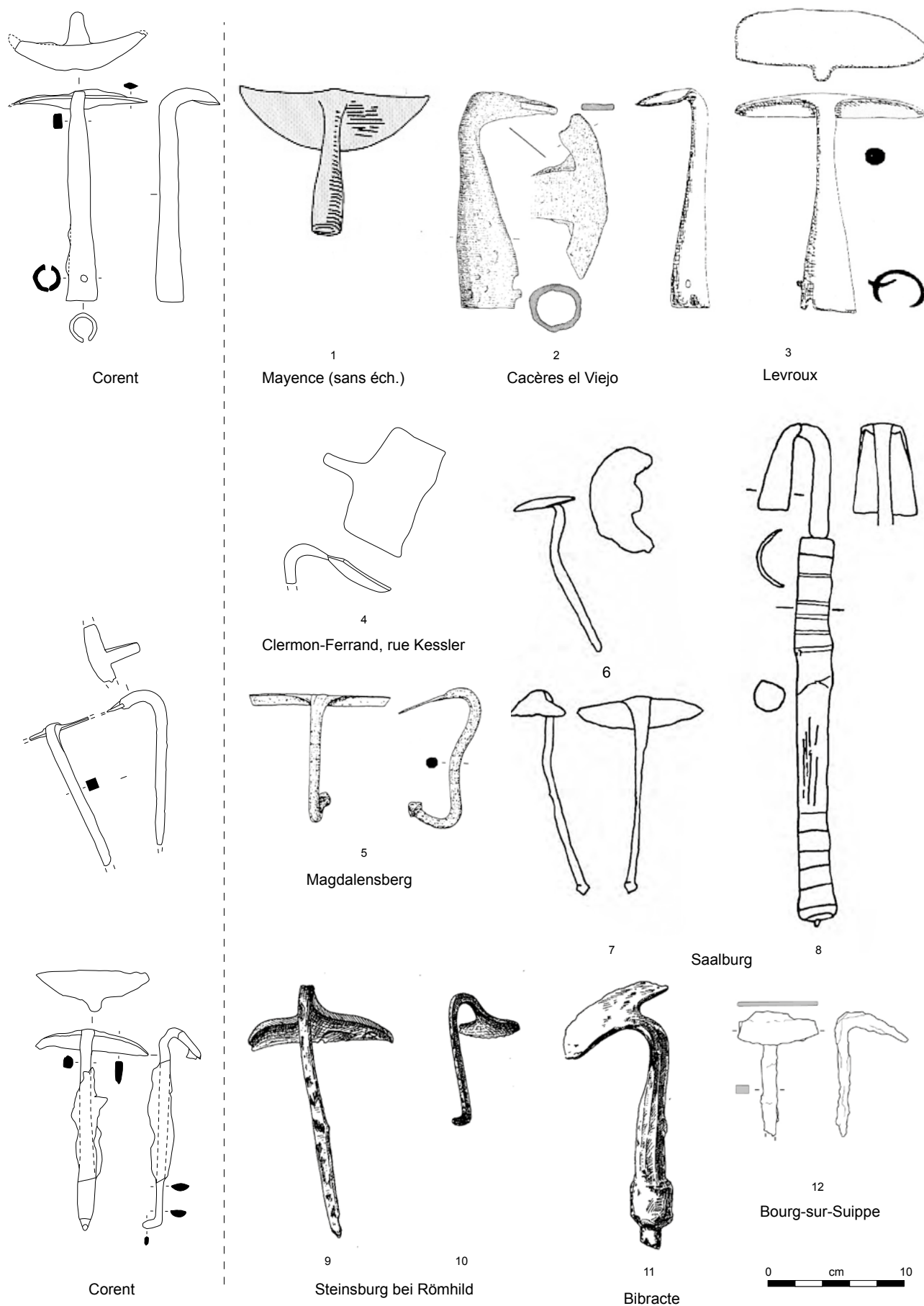


Fig. 160. Éléments de comparaison pour les racloirs. Fer.

cet exemplaire, une activité il est vrai peu documentée à l'époque laténienne, mais qui pourrait se justifier ici par la présence, à proximité, de dépôts d'ossements de pieds et de crânes caractéristiques d'une activité bouchère. Interprété comme outil du bois, cet objet servirait au traitement de surface de planches et constitue un outil commun à plusieurs artisans du bois comme le charpentier, le charron ou le menuisier (Pietsch 1983, p. 73).

Le deuxième exemplaire, légèrement incurvé et fragmentaire (fig. 159, n° 6), provient du sol du bâtiment K, où il est associé au racloir à douille (fig. 159, n° 1). Si la dénomination de couteau à deux manches lui convient, son tranchant peu marqué pourrait tout aussi bien correspondre à une étire pour le corroyage du cuir qu'à une fonction de plane. À nouveau, la fragmentation de l'emmanchement empêche de restituer le fonctionnement de l'outil. Des exemplaires proches, dont les soies se développent au-dessus de la lame, proviennent du site de Saint-Georges-les-Baillargeaux où leur interprétation comme plane et comme étire est postulée avec une préférence pour cette dernière (Maguer *et al.* 2015, p. 190-191, fig. 9, n°s 51 et 52). En l'absence d'une restauration plus poussée et compte tenu de l'état de fragmentation de l'objet, il demeure néanmoins impossible de définir s'il est préférable de retenir une interprétation de plane.

Du même contexte provient l'objet fixé dans du bois surmonté d'une table rectangulaire dotée d'un petit crochet (fig. 159, n° 4), pour lequel nous proposons tout d'abord l'identification d'un valet d'établi (Schaltenbrand Obrecht 1996, pl. 37, n° 7). Rarement déterminés à La Tène finale, ces outils présentent habituellement une partie supérieure avec deux griffes et une forme générale en « T » (Schaltenbrand Obrecht 1996, pl. 37, n° 7, Pietsch 1983, pl. 17, n°s 409 à 413). Ils servent de butée destinée à maintenir sur l'établi les planches et autres pièces en bois lors de leur façonnage (Duvauchelle 2005, p. 56-57). L'hypothèse de tas de cordonnier peut également être évoquée bien que le référentiel formel soit absent à La Tène finale et que les occurrences d'époque romaine présentent des dimensions légèrement supérieures (Pietsch 1983, pl. 19, n°s 441 à 444).

Hormis l'ensemble lié au travail du tour relevé précédemment, plusieurs assemblages cohérents relatifs au travail du bois doivent être soulignés (fig. 161). Le bâtiment K livre un assemblage qui pourrait relever de l'artisanat du bois, bien que l'hypothèse d'un artisanat du cuir reste plausible pour cet ensemble qui évoque indubitablement la présence d'un atelier spécialisé dans la boissellerie ou dans le traitement des cuirs après leur tannage (corroyage, cordonnerie). La fosse 17093 du bâtiment C1 présente une gouge et un bédane permettant la réalisation de gravures ou de sculptures qui pourraient être reliées à l'activité des bronziers du secteur ou même correspondre à la préparation de formes. Le même type de travail fin peut être évoqué à propos de l'assemblage du bâtiment A7, dont les objets proviennent d'un remblai, tandis que la fosse artisanale 20415 du bâtiment O regroupe deux outils, long ciseau droit et mèche qu'on ne peut rattacher à une activité précise. À l'opposé de ce type de spécialisation, le dépôt 21033 regroupe des outils liés à l'acquisition de la matière première et à la mise en forme du bois (hache, herminettes, coin). Il demeure toutefois très difficile d'estimer s'ils représentent l'activité d'un atelier *in situ* ou plutôt une cache à des fins de récupération. Si l'on exclut les objets rassemblés dans cette optique ou déposés volontairement, le reste du corpus peut relever d'activités ponctuelles liées à la construction ou à l'entretien de bâtiments, tout comme représenter des outils d'appoint utilisés par un artisan spécialisé dans le travail du métal.

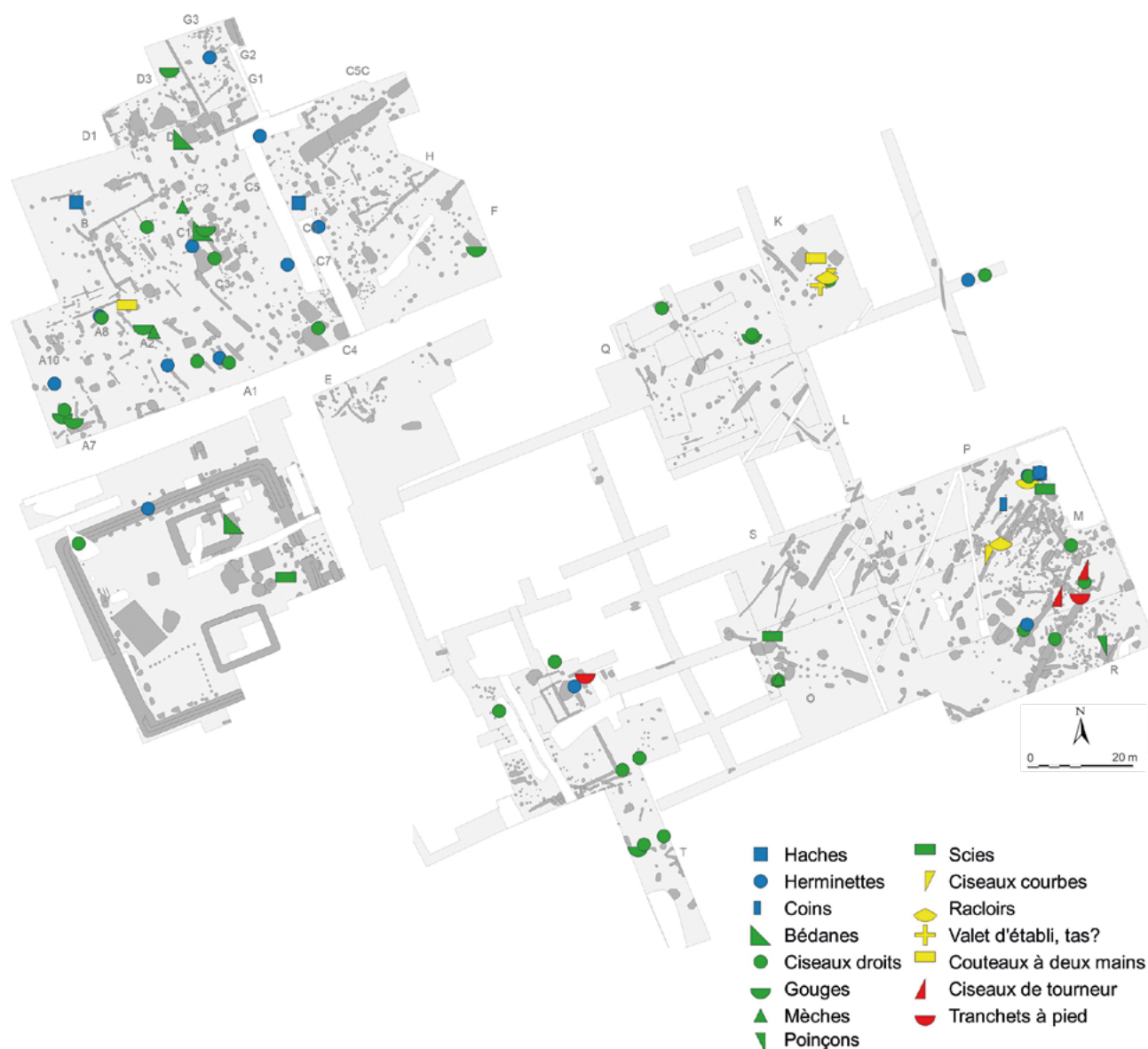


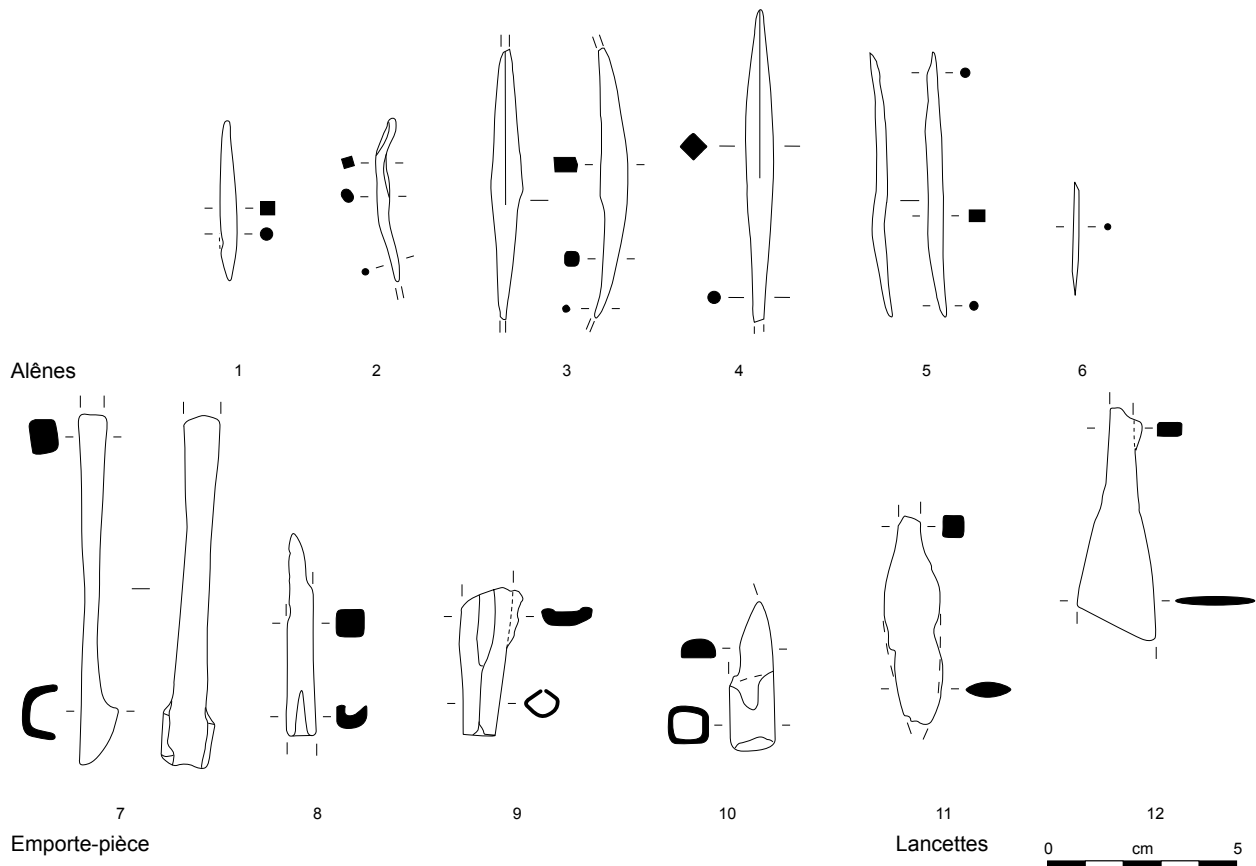
Fig. 161. Répartition des outils liés au travail du bois par fonction.

3.3.4. L'ARTISANAT DU CUIR

Les outils liés à cet artisanat peuvent rarement être identifiés avec certitude, notamment les alènes dont la morphologie simple est commune à de nombreux outils comme les pointeaux utilisés dans le travail du métal ou du bois ou encore les dents de râteau ([cat. 42](#)). Leur interprétation est de même sujette à caution lorsque ces éléments sont en alliage cuivreux et peuvent représenter des outils résiduels du Premier âge du Fer ou de l'âge du Bronze. Qu'elles soient en fer (fig. 162, n^{os} 1 à 4) ou en bronze (fig. 162, n^{os} 5 et 6), les alènes posent problème, car elles ne sont pas associées à d'autres objets clairement attribués à cet artisanat.

Le travail du cuir peut être postulé sans trop de doute dans le bâtiment A10, qui livre deux emporte-pièces (fig. 162, n^{os} 7 et 8), dont l'un est associé à un outil à tranchant de section lenticulaire, appelé lancette (fig. 162, n^o 11). Servant à réaliser des perforations par enlèvement de matière, les deux emporte-pièces de ce bâtiment, de même que l'outil hors contexte du sanctuaire (fig. 162, n^o 9) présentent une gorge caractéristique relevée au moins sur la moitié de la hauteur de la section. Très fragmentaire et avec une gorge quadrangulaire, l'emporte-pièce (fig. 162, n^o 10) se rapproche d'un exemplaire de Vertault (Tisserand 2010, pl. 2, n^o 24). Comme l'alène (fig. 162, n^o 1), il provient du bâtiment C2. L'interprétation de la lancette repose aussi sur une association, en l'occurrence un emporte-pièce (fig. 162, n^{os} 8 et 11). Ces outils permettent de réaliser les ajours

triangulaires dans les chaussures d'extérieur comme les caligae à semelle clouée ou leur équivalent grec à semelle lacée (Volken 2010, p. 420-422, fig. 6). L'apparition de ces outils en Gaule est située à la fin du I^{er} s. av. J.-C., grâce aux nombreuses occurrences documentées dans les camps augustéens du limes rhénan (Dangstetten, Haltern, Magdalensberg). Le contexte du bâtiment A10 attribué au début du I^{er} s. av. J.-C. semble très précoce et incite à émettre une réserve quant à l'identification de cet outil. La cohérence de l'assemblage plaide toutefois en faveur de l'interprétation retenue. La fosse non phasée dont provient le deuxième exemplaire (fig. 162, n° 12) appartient au bâtiment S, dont la majeure partie de l'occupation est située dans le second tiers du I^{er} s. av. J.-C., une datation plus en adéquation avec l'apparition habituellement retenue de ces outils.



3.3.5. L'ARTISANAT DU TEXTILE

Si l'on s'en tient seulement au mobilier métallique, les outils liés à l'artisanat textile s'avèrent relativement peu représentés avec 51 aiguilles (cat. 43), auxquelles pourraient être ajoutées 25 forces dont les caractéristiques ont mené à une classification dans les outils polyvalents (voir *infra*, chap. 3.3.9). Ce corpus est complété par les fusaïoles, sous la forme de jetons perforés ou d'éléments en terre cuite, par les aiguilles en os et par les deux pesons en terre cuite. Ces objets, étudiés par Estelle Avon (2015) dans le cadre d'un mémoire universitaire, ne sont donc utilisés ici que pour leur apport aux cartes de répartition.

Le corpus des aiguilles compte 28 petits exemplaires en alliage cuivreux (fig. 163, n°s 1 à 6) à chas circulaire de taille standardisée entre 27 et 36 mm, qui sont regroupés dans un premier type. Leurs dimensions impliquent une

Fig. 162. Outils liés au travail du cuir. 1-4, 7-12 : fer; 5-6 : alliage cuivreux.

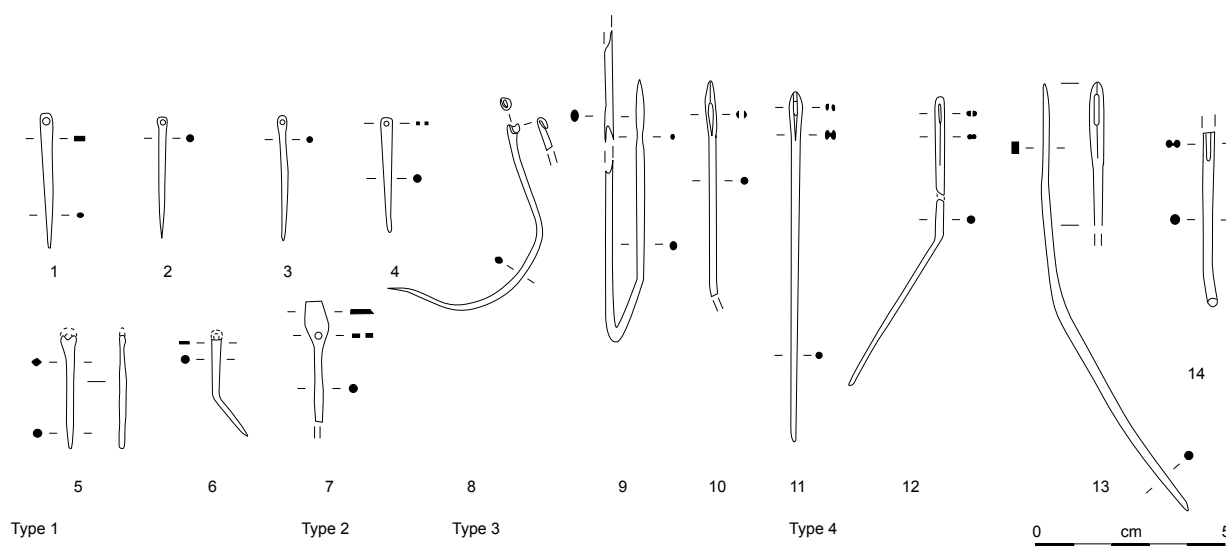


Fig. 163. Aiguilles. 1-10 : alliage cuivreux ; 11-14 : fer.

utilisation pour des travaux de couture fins. Ces instruments bien conservés (25 % intacts) se cassent néanmoins souvent au niveau du chas, tout comme les individus en fer rarement complets (3 ind.). Une aiguille en alliage cuivreux présente un coupe-fil en bordure du chas (type 2) (fig. 163, n° 7). Les chas rectangulaires et la taille supérieure des six exemplaires en alliage cuivreux du type 3 (fig. 163, n° 8 à 10) suggèrent une utilisation semblable à celle des aiguilles en fer (type 4) inconnues sous la version réduite du type 1 et représentées par 16 individus (fig. 163, n° 11 à 14). En outre, leur chas propose relativement souvent une gouttière pour guider le fil lors du passage dans le tissu (Duvauchelle 2005, p. 75). L'absence des aiguilles en fer de l'état 1, alors que les exemplaires en alliage cuivreux y sont fréquents, suggère une évolution ou une adaptation des instruments de couture. Elle ne constitue pas pour autant une révolution technique, les aiguilles en fer étant connues de haute date (Dubreucq 2013, p. 73-74).

Le complexe G livre cinq aiguilles en fer, une concentration qui peut correspondre à une activité spécialisée liée à la couture de matériau plus épais (fig. 164). La même interprétation pourrait être déduite de la présence de trois petites aiguilles en bronze dans les fosses artisanales du bâtiment C4, où elles sont associées à des forces.

Au contraire du filage qui apparaît dans tous les édifices résidentiels, la couture n'est pas recensée sur les abords de l'esplanade du sanctuaire (bâtiments Q ; K, N, O, S) ainsi que dans les constructions à l'est de la place du complexe D. S'il est vrai qu'il s'agit des zones les plus arasées, cette absence demeure difficile à expliquer tant les aiguilles sont récurrentes ailleurs sur le site. Une réserve doit également être émise à propos de l'interprétation des jetons percés comme fusaïole (Nillesse 2009, p. 53), puisque leur répartition se cale fidèlement sur celle des rondelles en céramique qui ont pu servir dans le cadre du commerce ou de pratiques rituelles. Les concentrations de l'entrée du sanctuaire ou encore du bâtiment C1 en sont l'illustration et empêchent de les intégrer aux vestiges liés à l'artisanat textile de manière assurée. De même, en l'absence d'une typologie fine, certaines fusaïoles peuvent provenir des niveaux de l'âge du Bronze et du Premier âge du Fer. Le tissage est très mal documenté avec uniquement deux pesons, issus du bâtiment C7 et de l'espace D. Ce lot ne suffit pas pour identifier un lieu de production qui peut néanmoins être proposé compte tenu des aménagements de la fosse 17522 du bâtiment C7 (voir *infra*, p. 403).

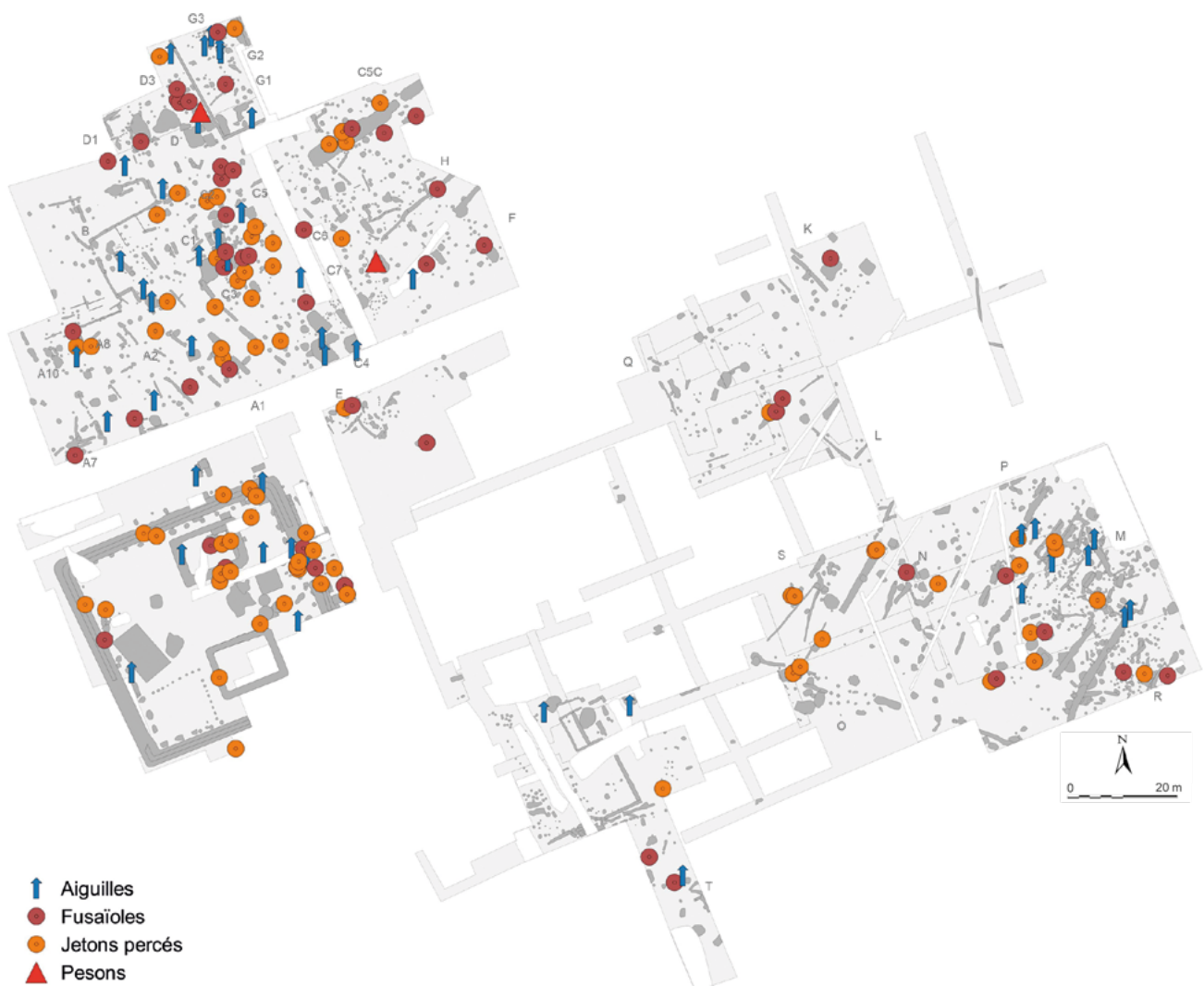


Fig. 164. Répartition des objets liés à l'artisanat textile.

3.3.6. L'AGRICULTURE ET L'ENTRETIEN PAYSAGER

Le faible nombre des ustensiles à vocation agricole incite à les percevoir plus comme des moyens d'entretien paysager et des outils polyvalents que comme des moyens de production (cat. 44). C'est notamment le cas des serpes qui servent à la coupe, à la taille et à l'émondage des arbres ou des serpettes utilisées lors de la récolte et de l'entretien de végétaux fragiles (Nillesse 2009, p. 48-49). Leur utilisation dans le cadre de la gestion de jardin domestique, comme celui des thermes de la villa gallo-romaine d'Orbe (Demierre 2016a, p. 345), ou comme outils annexes d'un artisan spécialisé (Tisserand 2010, p. 254-255) en fait des outils très polyvalents.

Les serpes et les serpettes

La longueur de la lame inférieure ou supérieure à 15 cm différencie les serpes des serpettes (Girard 2010, p. 292) et mène à l'individualisation d'une serpe (fig. 165, n° 1). Cet outil, dont la fracture de la lame peut être liée à une percussion lancée, provient d'un trou de poteau du bâtiment Q (état 1). Bien que l'essentiel de sa partie active manque, la largeur de la lame (47 mm) ainsi que l'emmanchement à douille ouverte laissent supposer une utilisation proche de celle du vouge, un outil destiné à la découpe de branche épaisse et aussi utilisé pour fendre du bois.

Les 17 serpettes peuvent être classées selon la morphologie de leur lame et leur mode d'emmanchement (Girard 2010, p. 292-295) (fig. 165). À Corent, elles peuvent être réparties en quatre types : à emmanchement à douille ouverte ou

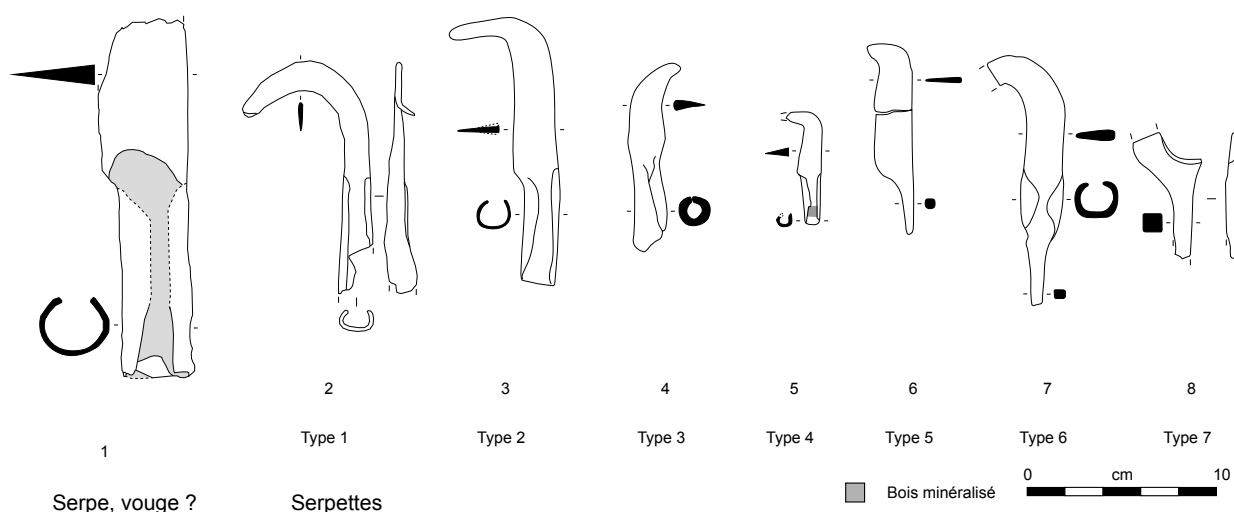


Fig. 165. *Serpes et serpettes. Fer.*

fermée, à lame de taille moyenne en croissant de lune (type 1) ou à croc (type 2) et à lame de petite taille en croissant de lune ouvert (type 3) ou à croc (type 4). Le type 5 présente un outil à soie et à lame à croc et le type 6 des exemplaires à fixation à ailerons et à soie. Il demeure difficile de caractériser la forme du dernier type très fragmentaire (fig. 165), à lame en croissant et à emmanchement à soie, qui peut aussi correspondre à un outil plus grand (serpe, faucille, ébranchoir) (Perrin 1990, p. 74-77, fig. 67 à 69).

La fonction d'outils d'appoint ressort des ensembles auxquels sont associées les serpettes, notamment le sol du bâtiment K (type 1), la fosse artisanale 17698 ou encore les trois outils issus des épandages de la place du complexe C (types 3 à 5). Il serait tentant de postuler une utilisation dans le cadre de travail fin comme la vannerie pour les serpettes des types 3 et 4, sans que cela soit possible de valider cette interprétation, les outils de vannier ne différant guère de ceux servant à la cueillette. Le mode d'emmanchement à ailerons des serpettes du type 7, également documentées à Alésia (Brouquier-Reddé et Deyber 2001, p. 313, type A), suggère une fonction particulière qu'aucun contexte ne permet de préciser. Deux serpettes complètes (fig. 165, n°s 3 et 6) du nord du complexe C (bâtiments C5C et G1) sont issues de trous de poteau des états 1 et 2.1., des contextes qui laissent envisager un probable dépôt volontaire pour ce type d'objets. Il demeure toutefois impossible de préciser si ces outils étaient déposés au fond de la structure ou proviennent de son comblement en l'absence de relevés altimétriques.

Les autres outils liés à l'agriculture et à l'entretien paysager

Les trois objets interprétés comme des faux proviennent du quartier est, d'un puits de l'état 2.2 du bâtiment S (fig. 166, n° 1) et de l'état 2.1 du bâtiment M (fig. 166, n°s 2 et 3). Identifiés grâce à leur courbure et à leur tranchant renforcé, les fragments de lame ne peuvent être classés sur le plan typologique alors que l'emmanchement à queue droite et à ergot (fig. 166, n° 3) permet d'attribuer cet objet au type le plus commun des faux laténiennes (Nillesse et Buchsenschutz 2009, p. 159, type 2.2, fig. 2 et 6). L'exemplaire de Corent constitue l'un des points les plus occidentaux de ce type recensé dans toute l'Europe.

Les émondoirs reprennent la forme des serpes, mais s'en distinguent par un tranchant tourné vers l'extérieur de la lame. Fixés à une longue hampe par un emmanchement à plaquettes (fig. 166, n° 4) ou à douille (fig. 166, n° 5), ces outils servent à émonder les arbres, à savoir à se débarrasser des parasites comme le gui et à couper depuis le sol les branches lors de la taille, dans l'optique de fournir un complément de fourrage aux animaux (Malrain 2006, p. 154, fig. 111, n° 3). Ils présentent une lame fortement incurvée et parfois anguleuse, adaptée pour tirer les éléments découpés vers le bas.

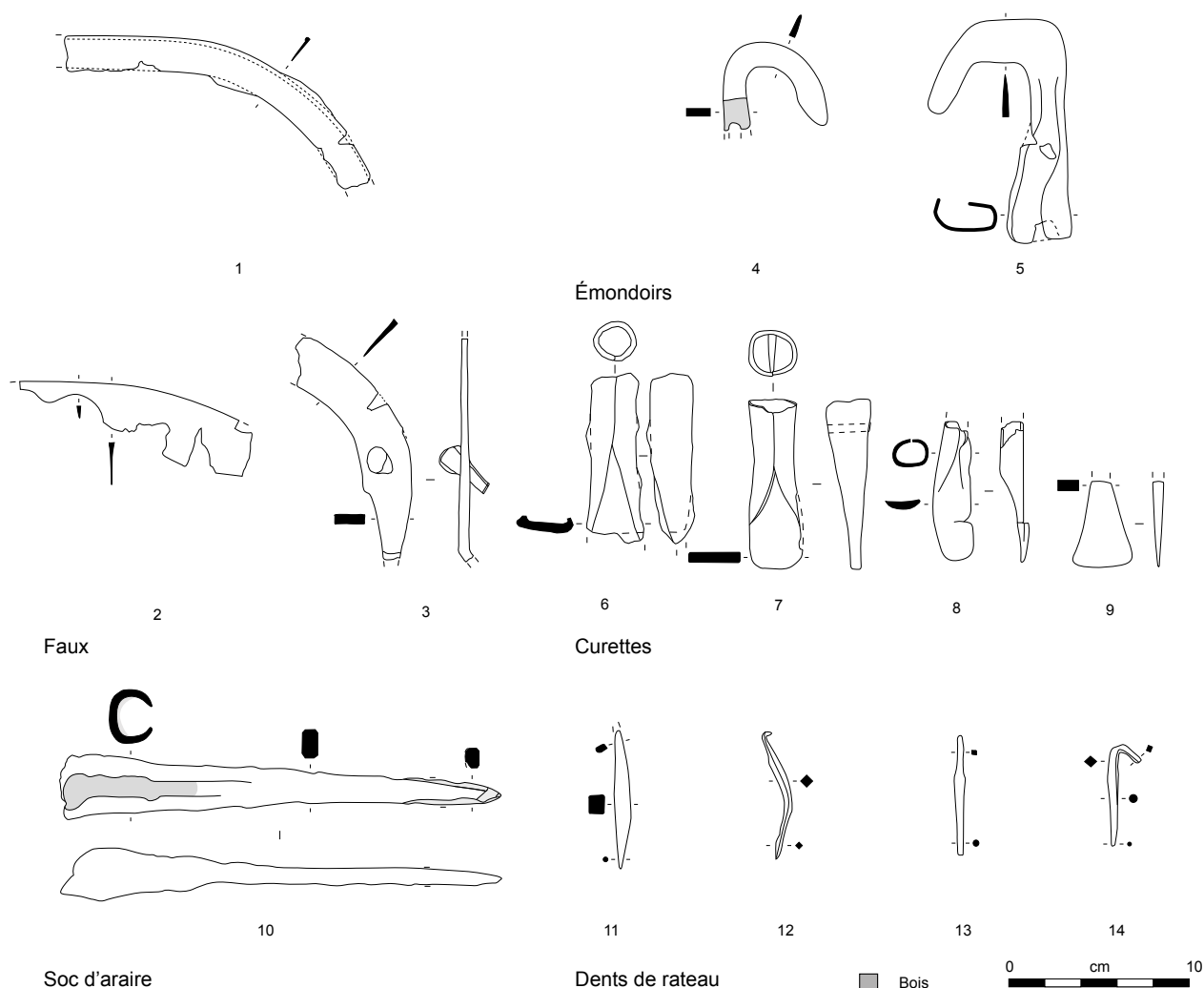


Fig. 166. Autres instruments liés à l'agriculture : faux, émondoir, curettes, soc d'araire et dents de râtelier. Fer.

Les curettes (fig. 166, n^{os} 6 à 9), aussi appelées décrottoirs, ont un emmanchement à douille à tranchant mousse droit (Goguy *et al.* 2010, fig. 21, CHA-22.01 ; fig. 29, BOU-01.05 ; fig. 72, GRA-01. 01) ou évasé (Nillesse 2009, p. 50, fig. 2, n^o 19). Elles servent à ôter la terre des outils aratoires ou des roues du char et se retrouvent dans le premier et dans le dernier état laténien.

Le seul outil aratoire du site a été récolté lors de prospections au sol. Ce soc d'araire étroit (fig. 166, n^o 10) émiette la terre, creuse de petits sillons pour les semailles ou sert à les recouvrir (Nillesse 2009, p. 50). La faible évolution morphologique de cet outil, identique de La Tène au Moyen Âge, empêche toutefois de le dater.

Servant à l'entretien et à maintenir la propreté d'un sol tout comme à ramasser du fourrage, les râteliers ne sont connus qu'à travers leurs dents, qui apparaissent sous la forme de tiges asymétriques bipyramidales munies d'un crochet servant à leur fixation (fig. 166, n^{os} 11 à 14). Ils ne sont pas reconnus sur le site avant la fin de La Tène finale (état 2.3) et proviennent principalement du sanctuaire et de l'espace D. Le site du Magdalensberg fournit des éléments de comparaison pour l'ensemble des formes connues (Dolenz 1998, pl. 41), tandis que le dépôt de Liptovská Mara livre un râtelier complet d'époque laténienne (Pieta 2000, fig. 5 et 6).

3.3.7. LES OUTILS LIÉS AUX MATIÈRES PLASTIQUES

Seules des spatules sont documentées dans le corpus d'outils servant à modeler, lisser ou encore mettre en forme des matières plastiques (cat. 45). Une truelle des fouilles récentes²¹, en lien avec l'activité de l'atelier de potier fouillé en 2013 (Poux *et al.* 2014a, fig. 5) complète ce corpus. Toutes les spatules proviennent d'ensembles d'époque augustéenne ou postérieure ou de décapages de surface. La spatule composée d'un manche à œil terminal et à longue lame rectangulaire (fig. 167, n° 1) résulte, par exemple, du premier nettoyage sur le bâtiment R. La forme et l'anneau terminal induisent une utilisation dans le modelage ou le lissage et excluent une fonction de découpe qui nécessiterait une percussion pour cet objet également recensé dans l'*oppidum* de Jastres-Nord (Lefebvre 2006, pl. 16, n° 178). Les exemplaires à lame triangulaire (fig. 167, n°s 2 à 5) et manche rectangulaire se rapprochent du type 1 de Manning (1985) lorsqu'elles présentent une seule lame ou au type 3 lorsque les deux lames sont séparées par un manche de section circulaire (fig. 167, n°s 5 et 6). Des exemplaires similaires sont attestés dans le corpus du Magdalensberg (Dolenz 1998, pl. 84 et pl. 85, W433 et W435). Une partie de ces outils a tout à fait pu servir de spatule à cire et pourrait de ce fait être intégrée aux objets d'écriture (Feugère 1995, type B1 et C). Cette remarque est particulièrement valable pour les exemplaires (fig. 167, n°s 3 et 4).

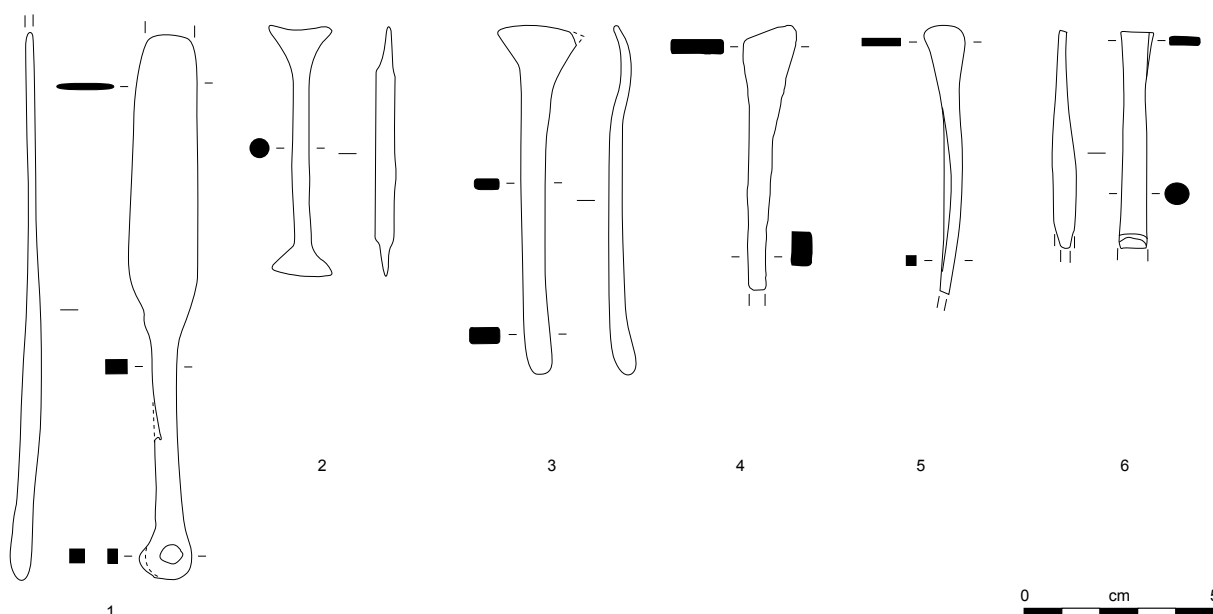


Fig. 167. Spatules. Fer.

3.3.8. LES OUTILS LIÉS AU TRAVAIL DE LA PIERRE ET À LA CONSTRUCTION

Comme souvent dans les corpus majoritairement laténiens, l'artisanat de la pierre et les outils liés à la construction sont peu représentés, avec ici uniquement deux artefacts : un ciseau et une hypothétique partie de louve. Avec son tranchant large et sa tête percutee, l'outil hors contexte destiné à mettre en forme la pierre (fig. 168, n° 1) dispose de caractéristiques fréquemment observées pour les outils liés à cet artisanat (Duvauchelle 2005, pl. 31, n°s 168 à 170). La pièce de louve (fig. 168, n° 2) provient d'une interface entre niveaux laténiens et romains du sanctuaire. Composée d'une partie active triangulaire massive pliée et munie d'un puissant anneau excentré, cette pièce d'identification sujette à caution pourrait avoir participé à une louve simple, en combinaison avec une autre pièce identique (Loiseau 2009, fig. 6).

21 UF 23057/816.

étant classés dans les objets polyvalents. Il serait tentant de rattacher ces derniers de même que les exemplaires à soie à l'artisanat du bois dont les outils comportent souvent ce mode d'emmanchement. La multiplicité des outils restituables (artisanat du cuir, du métal, agriculture) incite toutefois à maintenir un classement neutre pour ces artefacts. Le même raisonnement pourrait être formulé concernant les outils à tête percutee principalement reliés à l'artisanat du métal.

Les viroles sont également considérées comme des parties constitutives d'outils tant il est rare de constater leur utilisation sur d'autres formes d'objets à La Tène finale. Au nombre de 37, elles comportent parfois encore une soie à l'intérieur et sont constituées de tôle écrasée, d'un fil enroulé ou peuvent être en alliage cuivreux et rivetées (fig. 169, n^{os} 14 à 17). Rares, les corps d'outils sont uniquement représentés par des tiges de section facettée ou subcirculaire (fig. 169, n^{os} 18 et 19). La plupart des yeux d'outil ont pu être attribués à un outil, en l'occurrence aux marteaux, en fonction des associations de leur contexte. Deux éléments, pour lesquels la distinction entre marteau, hache ou herminette demeure difficile à établir, restent classés ici (fig. 169, n^{os} 20 et 21). Jamais retrouvés en position fonctionnelle, les angrois (fig. 169, n^{os} 22 et 23) apparaissent comme de petits coins servant à élargir le bois d'un manche d'outil à œil afin d'optimiser sa fixation (Anderson *et al.* 2003, p. 259, fig. 327). Ils participent de ce fait à l'emmanchement de plusieurs sortes d'outils (haches, herminettes, marteaux).

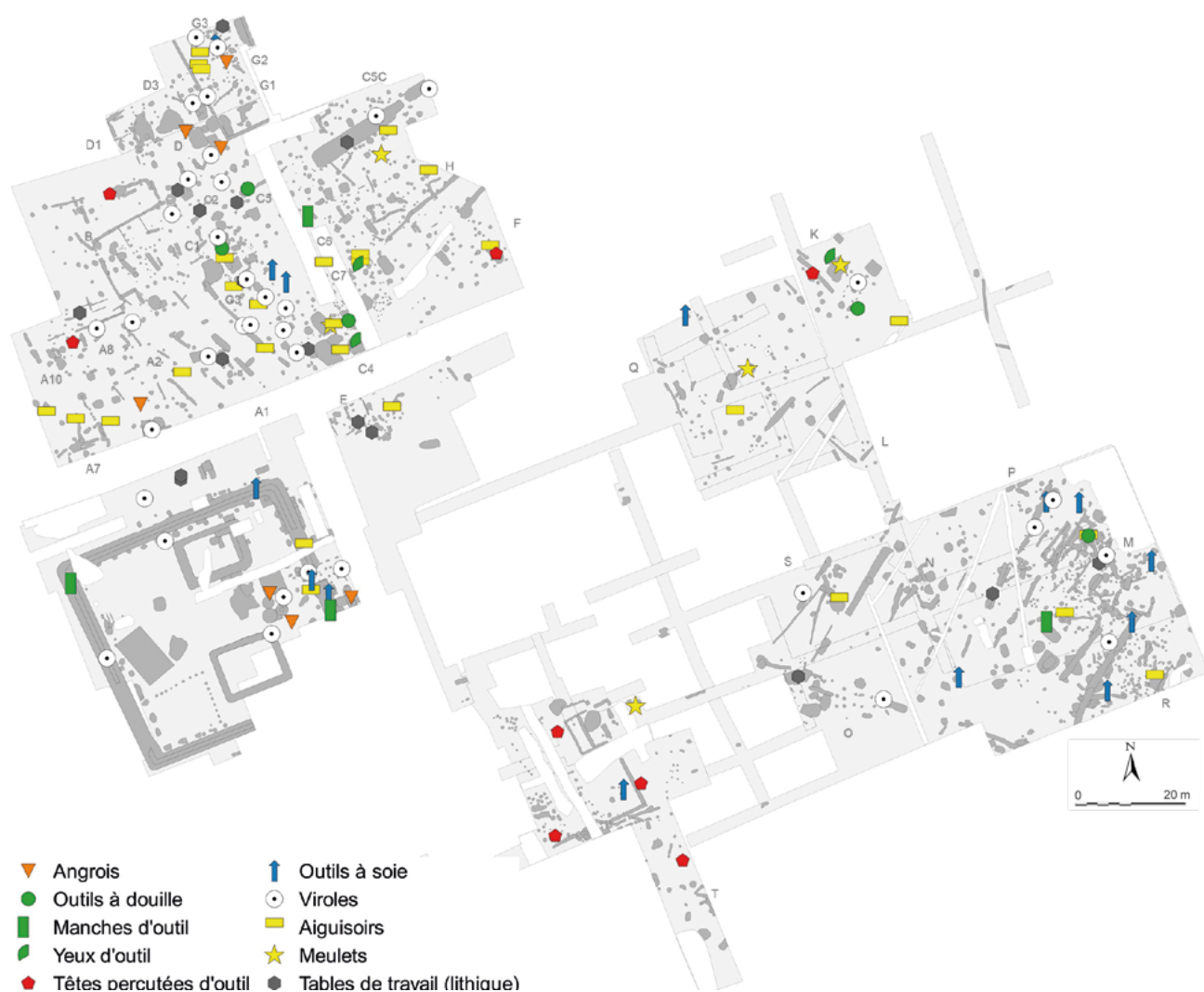


Fig. 170. Répartition des outils polyvalents et fragmentaires.

S'ils peuvent apparaître comme peu éloquents, ces fragments d'outils marquent fréquemment l'emplacement de leur utilisation, car ils sont abandonnés lors de leur bris au contraire des outils complets récupérés (fig. 170). Ils se retrouvent donc souvent dans les fosses artisanales et les zones où un travail spécialisé est suspecté comme la partie occidentale du complexe C, où de nombreuses viroles sont associées à des outils à soie, le bâtiment K ou encore la fosse livrant les creusets liés au travail du plomb. À l'instar des outils mieux conservés, leur découverte ne permet toutefois pas d'estimer la durée, qui peut être très réduite, du travail effectué sur place, notamment dans le cadre de la construction ou de l'entretien des bâtiments. La concentration observée à l'entrée du sanctuaire pourrait en être l'illustration. Ces fragments répartis entre l'état 2 et l'époque romaine constituent en effet la majorité des outils documentés dans le lieu de culte.

Les meulets, tables abrasives et aiguisoirs

Indispensables à l'aiguisage de lames d'outils comme les ciseaux, les meulets apparaissent généralement sous la forme de petites tables comparables aux pierres à huile modernes. Ils sont également présentés en raison de l'impossibilité de discerner les outils servant à l'émouillage et à l'affilage de ceux destinés à l'entretien des tranchants (Pieters 2013b, p. 106). Quatre exemplaires apparaissent sous la forme d'une tablette rectangulaire de grès au grain plus ou moins fin munie d'une concavité centrale due à l'usure sur une ou deux faces. Ils sont connus dans une sablière du théâtre, un trou de poteau du bâtiment Q en association avec des lames de couteau ou de force et une pince (fig. 171, n° 1), ainsi que dans le bâtiment C4 (fig. 171, n° 2) et un trou de poteau de la grande cave du complexe C. Le cylindre de grès de 34 cm découvert dans la

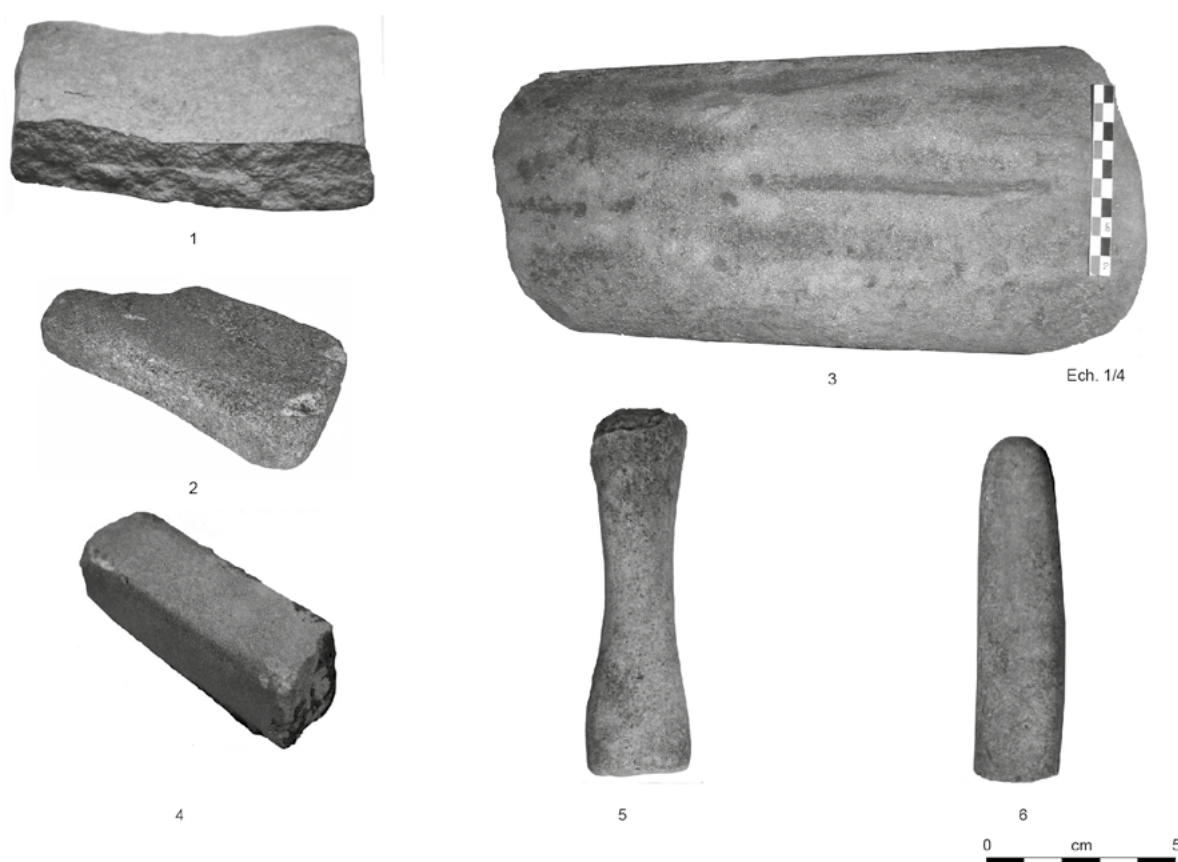


Fig. 171. Meulets, table abrasive de la cave du bâtiment K et aiguisoirs. 1-5: grès; 6: basalte fin.

cave du bâtiment K présente les caractéristiques d'une table abrasive ou d'un grand meulet (fig. 171, n° 3). Sa proximité avec un sol livrant plusieurs outils tranchants (couteaux à deux mains, racloirs, ciseaux à bois, pl. 119) incite à proposer son utilisation dans le cadre de l'entretien de ces outils particuliers, dont l'aiguisage de leurs différentes lames peut engendrer des rainures tout comme des traces plus larges.

Les aiguisoirs se présentent comme des baguettes allongées de section carrée à circulaire avec des traces d'usure sur leur partie médiane (fig. 171, n° 4 à 6), qui témoignent de leur utilisation, tenue dans le creux de la main pour faire passer le fil de la lame à aiguiser sur sa surface (Pieters 2013a, p. 103). Ces outils servent à l'entretien des lames comme celles de couteaux et d'autres outils à tranchant relativement long et ne conviennent pas à l'aiguisage des outils à petit tranchant comme les ciseaux droits. Leur répartition spatiale montre une association assez claire avec la partie ouest du complexe C (fig. 170), qui pourrait être due à l'identification d'un étal de boucher dans sa partie médiane, comme en témoigne un couteau de boucher retrouvé à proximité d'un rachis de bœuf (voir *infra*, chap. 3.4.1). Des liens similaires peuvent être mentionnés dans les bâtiments S et A1 qui livrent également des couteaux spécialisés. Ils demeurent rares dans les bâtiments résidentiels M, B ou H.

Les forces

Présentées dans ce chapitre, les forces revêtent une multitude de fonctions, de la toilette domestique à la tonsure des moutons en passant par la découpe de tissus, sans parler des usages opportunistes. Il demeure malheureusement difficile de caractériser l'usage précis des forces avant LTD2b, qui voit le corpus d'outils spécialisés s'étoffer, alors que ces outils semblent principalement à vocation domestique ou de fonction indéterminée avant cette période (Kaurin 2011, p. 242-244). La chronologie du corpus très fragmentaire de Corent, avec seulement un exemplaire complet et cinq dont la longueur de la lame est restituable sur 25 individus, se prête en conséquence mal à la caractérisation fonctionnelle proposée d'après les associations et les spécificités techniques des objets découverts en contexte funéraire trévire (Kaurin 2011).

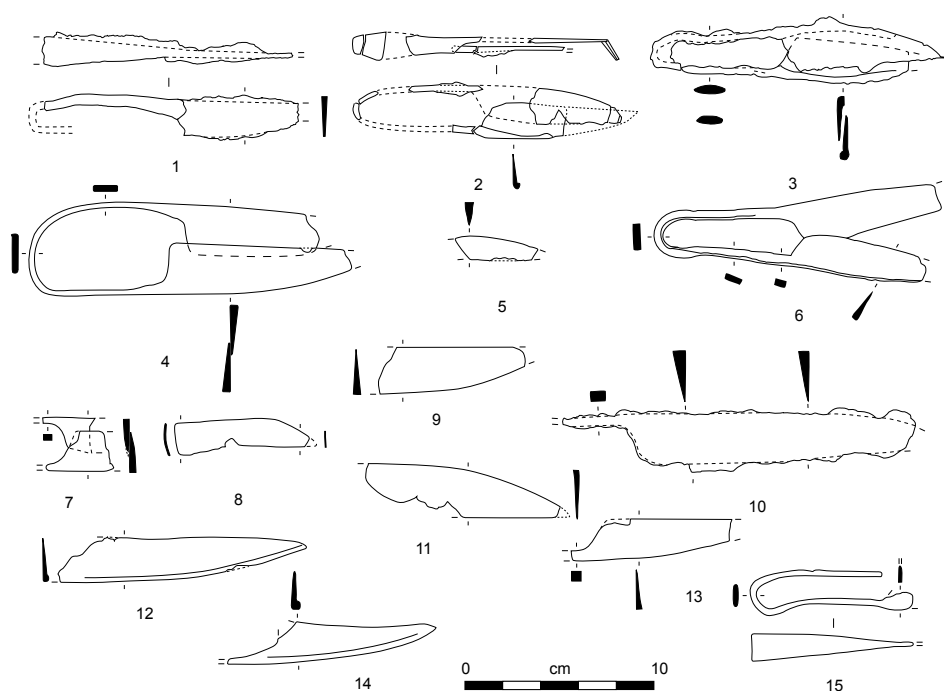


Fig. 172. Forces. Fer.

Selon cette typologie, la majorité du corpus serait des forces à usage domestique ou de toilette compte tenu de la longueur totale des forces toujours inférieure à 20 cm (fig. 172, n^{os} 1 à 5). Ces objets présentent néanmoins des ressorts en « U » et des lames courtes parfois munies d'une butée, une caractéristique peu commune pour les forces servant à la toilette. La seule exception est une lame de plus de 16 cm de long (fig. 172, n^o 10) dont la taille suggère une utilisation dans le cadre domestique ou artisanal. Cette ambivalence peut également être retenue pour les exemplaires issus de contextes à forte consonance artisanale comme les fosses du bâtiment C4 (fig. 172, n^{os} 7 à 9) ou C5. Un grand nombre de forces provient en outre de niveaux de décapage ou de l'espace D qui empêchent une confrontation à leur assemblage d'origine. Pour ces raisons, la prudence mène à considérer l'ensemble du lot comme des outils domestiques sans tenter de leur attribuer une fonction précise. Cette interprétation peut aussi s'appuyer sur leur répartition (fig. 173) qui montre une association préférentielle avec les bâtiments résidentiels comme le bâtiment M et les habitats H et F à l'est de la parcelle nord, tandis que les forces sont peu représentées dans les zones à connotation publique et religieuse (sanctuaire, théâtre et bâtiment A). Deux fosses artisanales de grande taille du bâtiment C4 (Fo 17323 et 17698) livrent une association de forces et d'aiguilles qui suggèrent la pratique de la couture dans ces espaces et pourraient correspondre à un artisanat spécialisé (voir *infra*, chap. 4.3.3).

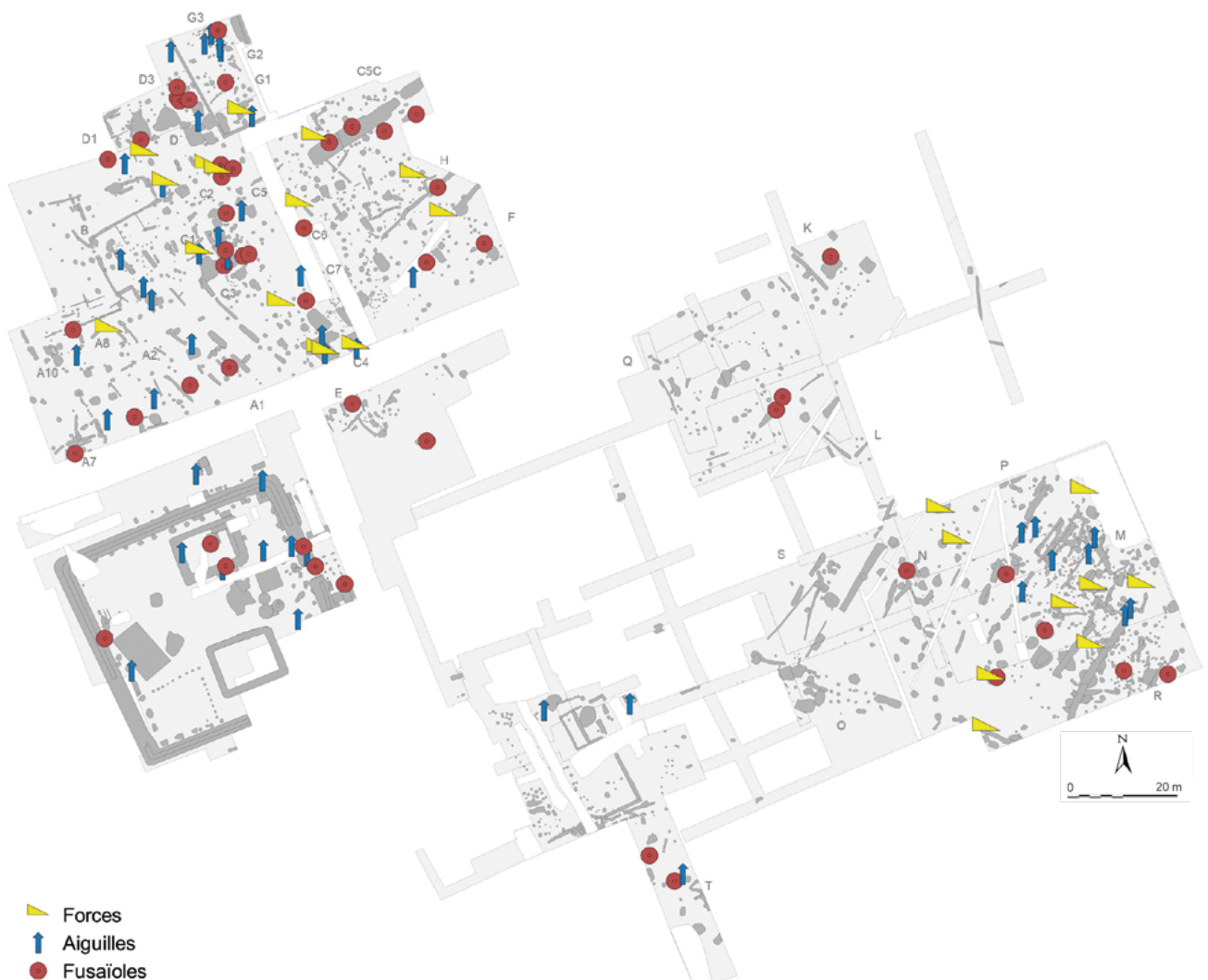


Fig. 173. Répartition des forces au regard de la répartition des outils liés à l'artisanat textile.

3.4. LES ACTIVITÉS CULINAIRES

Cette catégorie fonctionnelle regroupe tous les objets qui ont trait à la préparation plus ou moins élaborée des aliments ainsi qu'à leur service. Elle pourrait aussi être désignée sous le terme d'alimentation, tant elle englobe un champ d'activités vaste, de la boucherie à la cuisine, à l'approvisionnement en eau et à la consommation de boissons.

Le mobilier relatif à la sphère culinaire comprend 280 individus, auxquels ont été adjoints une vingtaine d'objets issus des campagnes récentes et des prospections de surface afin de compléter le corpus, notamment de vaisselle d'importation (fig. 174). Les objets liés à l'alimentation sont divisés en quatre sous-catégories : les couteaux, les ustensiles culinaires, les récipients liés à la préparation de la nourriture et ceux liés à la consommation de boissons. Chaque ensemble est caractérisé par une très grande variété de formes qui reflète la totalité de l'équipement de cuisine de La Tène finale. Les couteaux présentent, par exemple, une telle diversité qu'une étude morphologique et contextuelle a été entreprise afin de préciser leur fonction. Toute la gamme des récipients et instruments utilisés pour la cuisson et le service de la nourriture est représentée et la majorité des importations connues (*cruche*, *situle*, *simpulum*, *bassin*, etc.) forme un lot de vaisselle de qualité.

Ce corpus a servi de support de réflexion à un article de synthèse récent dédié à la confrontation des acquis sur le banquet gaulois et le *symposion* méditerranéen en Gaule interne (Poux 2015). Cette contribution démontre à quel point le milieu religieux est empreint d'un certain conservatisme marqué par l'utilisation de la vaisselle indigène dans le sanctuaire. L'adoption par les élites des pratiques de tradition gréco-romaine, auxquelles participent les récipients et ustensiles importés, a cours dans la sphère privée, dès la première phase d'occupation. Le recours aux instruments les plus emblématiques (*simpulum*) de cette influence méditerranéenne se généralise tardivement. Sans le remettre en cause, l'étude réalisée ici complète cette vision par l'ajout de quelques artefacts alors indéterminés et par quelques précisions typologiques. Cette analyse doit toutefois être pondérée par l'apport récent de Quentin Sueur (2018) à la compréhension des modes d'utilisation et de diffusion de la vaisselle importée. Loin de constituer des traces de l'adoption des pratiques de consommation de culture méditerranéenne par les élites, ces récipients peuvent en effet également être perçus comme des objets exotiques, déviés de leur fonction première dans le cadre des banquets de l'élite laténienne. Reste à déterminer si les arguments développés pour la Gaule septentrionale s'appliquent également aux Arvernes.

Fig. 174. Tableau de comptage des objets liés aux activités culinaires.

	NR	NMI		NR	NMI
Couteaux	57	56	Récipients	223	152
Ustensiles culinaires	79	72	Chaudrons	85	47
Crocs à viande	11 (2)	11 (2)	Poêles	27	2
Grils	35 (3)	32 (3)	Seaux	18	18
Broche	1	1	Situles	19	19
Brochette	1	1	Seaux/Situles	6	6
Louches	5	4	Passoires	22 (7)	17 (7)
Cuillères	6	6	<i>Simpulums</i> -passoires	2	2
Crémaillères	8 (4)	5 (4)	<i>Simpulums</i>	3 (2)	3 (2)
Potence	1	1	Cruches	11 (2)	11 (2)
Chenet	1	1	Gobelets	4	4
Trépied	1	1	Bassin	1	1
Ustensiles indéterminés	9	9	Vaisselle indéterminée	25	22

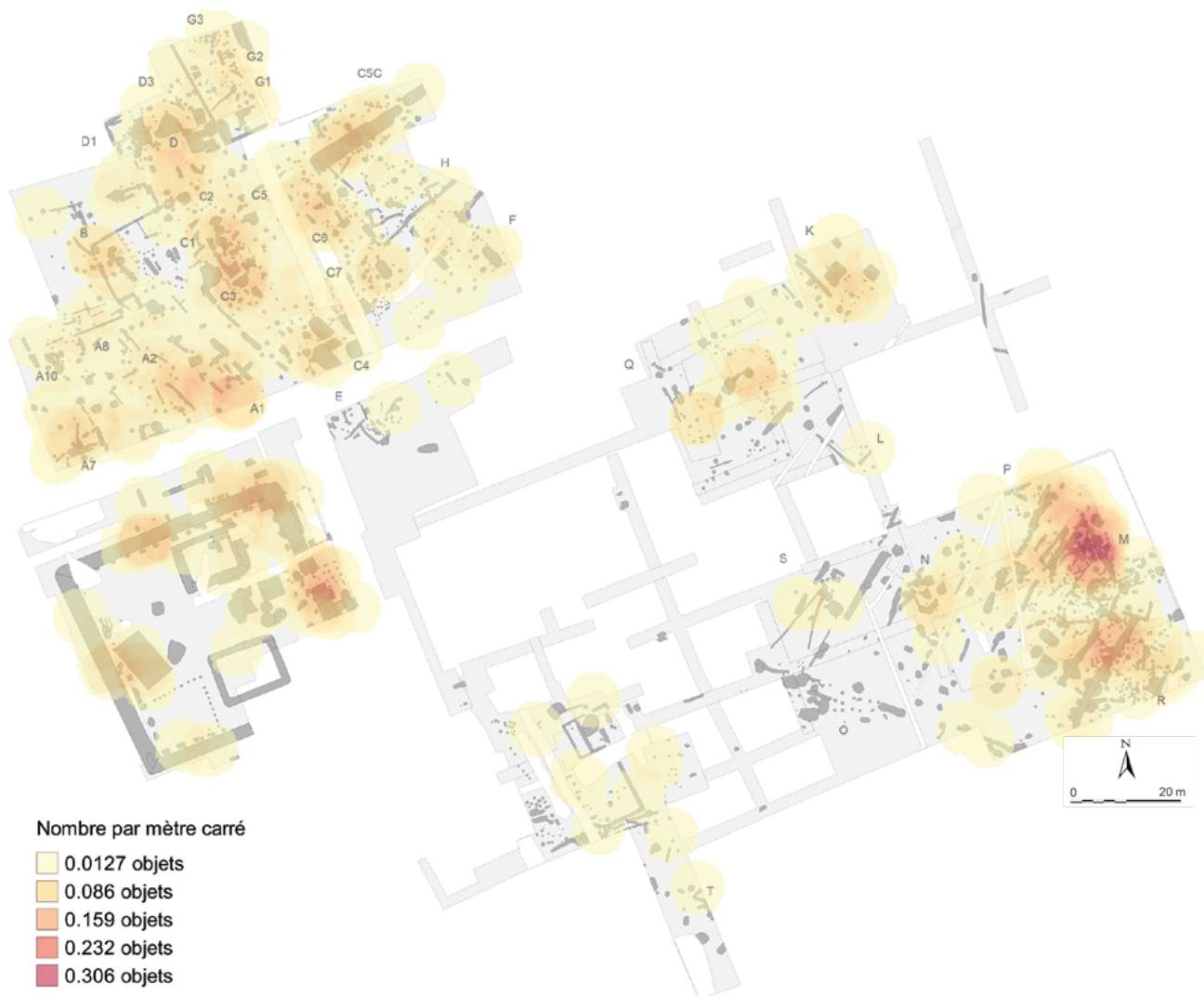


Fig. 175. Estimation de la densité d'objets liés aux activités culinaires et à l'alimentation selon la méthode du noyau (cercle de 5 m de rayon).

Qu'il s'agisse des instruments liés à la préparation de la nourriture ou à la consommation de boissons, les objets relatifs aux activités culinaires s'avèrent omniprésents (fig. 175). Des concentrations se dessinent en effet sur la majorité des bâtiments où ils peuvent correspondre à des activités quotidiennes (complexe C, bâtiments R, B et K) tout comme refléter des pratiques de banquet et des dépôts volontaires (sanctuaire, bâtiment A1, A7 et Q). Significative, leur absence de l'hémicycle de réunion apparaît ici comme un trait marquant des activités réalisées dans ce lieu à vocation politique et administrative. Si manger ne devait pas jouer un rôle-clé dans son fonctionnement, la consommation de boissons représentée par deux éléments métalliques (poucier de passoire et manche de *simpulum*) y est avérée avec une tonne et demie de tessons d'amphores mis au jour dans son emprise et un faciès céramique majoritairement composé de formes hautes à boire (voir *supra* p. 59-61, Poux *et al.* sous presse, p. 11 et 18, 1447 kg d'amphores pour 403 individus). Plus parlants que le faciès métallique, ces éléments y démontrent l'importance des pratiques collectives de consommation de boissons qui apparaissent comme un trait commun à ce lieu et au sanctuaire (Poux *et al.* sous presse, p. 61-62).

3.4.1. LES COUTEAUX

L'analyse des couteaux ([cat.47](#)) se borne souvent à une approche traditionnelle typologique réalisée sur la morphologie des lames et peine à formuler une classification fonctionnelle, dont l'approche diffère grandement selon les chercheurs. Une démarche consistant à confronter classement morphologique, approche contextuelle et comparaison avec le référentiel moderne a été réalisée

récemment par J. Kaurin (2008) afin de clarifier cet aspect. L'étude présentée ici s'inspire de la méthode testée sur la nécropole orientale du Titelberg en procédant par la réalisation d'un classement morphologique fondé sur les dimensions des lames et leur forme, le mode d'emmanchement servant uniquement à l'individualisation de variantes. Leur attribution fonctionnelle est fondée tant sur leur morphologie que sur leur répartition spatiale qui montrent des associations éloquentes avec des ensembles fauniques ou des zones à vocation culinaire attestées par des foyers.

Sur cinq groupes morphologiques, les quatre premiers se retrouvent au Titelberg avec quelques variations liées aux dimensions de la lame. Le cinquième intègre des couteaux de forme particulière, absents du référentiel trévière. Sur les 56 éléments concernés, 37 couteaux présentent un état de conservation propice à un classement dans un groupe ; 30 individus peuvent être attribués à une variante, et seulement 25 lames classées en fonction du rapport entre la longueur et la largeur de la lame (fig. 176).

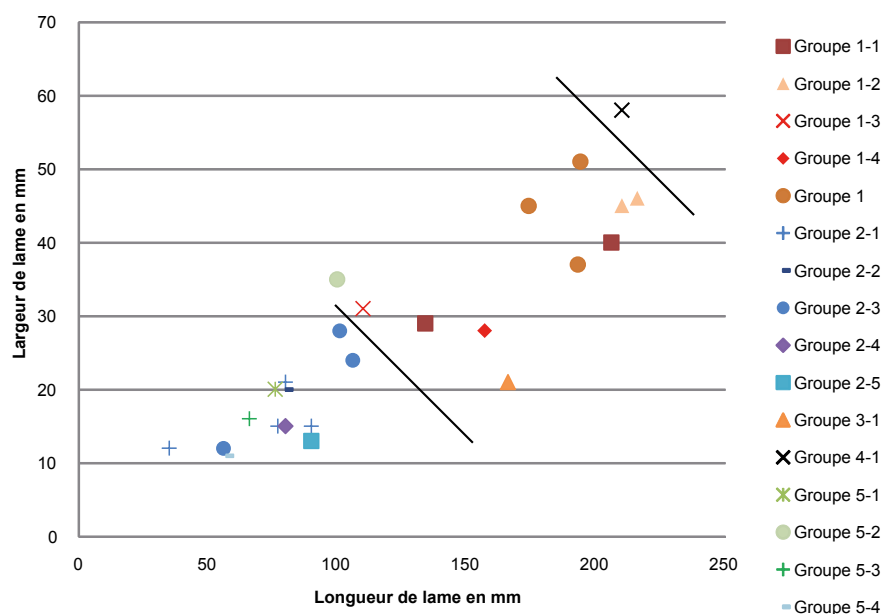


Fig. 176. Tableau exprimant le rapport entre la largeur et la longueur de la lame des couteaux.

Le premier lot regroupe des couteaux à lame d'une largeur supérieure à 30 mm et d'une longueur supérieure à 10,5 cm, à dos rectiligne ou légèrement concave et à tranchant droit s'effilant vers la pointe (fig. 177) (**groupe 1**). L'ensemble de ces couteaux présente une soie qui devait être recouverte de lanières ou dotée de plaquettes en bois rivetées. Ils comportent dans la majorité des cas un anneau de suspension. La présence d'une mitre à la jonction entre la lame et le manche est avérée dans les trois premières variantes, alors que la dernière n'en dispose pas et présente un tranchant arrondi. La première variante regroupe deux couteaux à lame de grande taille, tranchant rectiligne et effilé. Leur manche à soie pourvue d'un anneau diffère tant sur le mode d'emmanchement dans la variante 2 que sur celui de sa longueur totale inférieure à 85 mm, alors qu'elle peut atteindre 105 mm sur les exemplaires à plaquettes. Cette taille optimise la préhension pour la réalisation de travaux nécessitant plus de force, comme ceux liés à des activités de boucherie (Nillesse 2009, p. 63, fig. 5, n° 82), tandis que les couteaux à soie et anneau servent à la découpe de la viande ou des légumes dans le cadre de la cuisine (Kaurin 2008, fig. 8, groupe b1). La lame des exemplaires au tranchant arrondi de plus petite taille (var. 4) et dont la largeur est supérieure à 30 mm est adéquate pour un couteau de cuisine. Leur morphologie demeure trop peu significative pour leur assigner une fonction précise.

Les couteaux du **groupe 2** présentent une lame courte inférieure à 10 cm et d'une largeur inférieure à 25 mm. Ces dimensions se rapprochent de celles du groupe 2 du Titelberg, où le curseur est situé à une longueur inférieure à 13 cm.


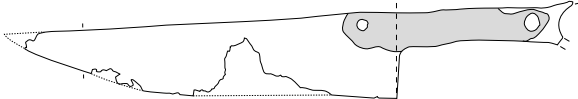


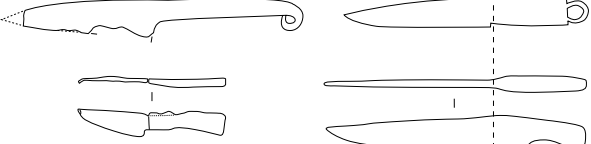





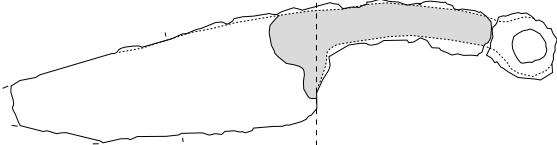



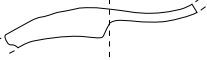
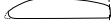
Cet ensemble comprend des couteaux à dos rectiligne ou légèrement convexe dont l'emmanchement peut être à soie rectangulaire, avec ou sans anneau terminal. La taille maximale des manches des exemplaires complets (75 mm) permet d'intégrer des couteaux fragmentaires à ce groupe. Les variantes sont obtenues selon la forme du tranchant : rectiligne ou rectiligne s'affinant à sa pointe avec mitre (var. 1), tranchant incurvé (var. 2), tranchant concave, avec ou sans mitre (var. 3). Deux formes gallo-romaines présentent un tranchant sinueux (var. 4) ou un manche en alliage cuivreux et un tranchant à dos droit et fil rectiligne s'affinant vers la pointe (var. 5). Ce dernier type connu par un exemplaire issu du théâtre est apparenté au type C2 d'une famille de couteaux du Limousin (Lintz et Vuailat 1987). Caractéristique des sépultures de la seconde moitié du II^e ap. J.-C., le dépôt en tombe de ces objets non fonctionnels est perçu comme celui d'*ex-voto* offerts en lieu et place des véritables objets qu'ils représentent (Lintz et Vuailat 1987, p. 170-176). Les autres dépôts réalisés dans l'hémicycle de réunion – parures intactes, couteau de cuisine complet (fig. 177, n° 1) – suggèrent le même type de pratiques. Leur valeur symbolique à connotation aristocratique pourrait être aussi évoquée en référence aux poignards miniatures de la nécropole d'Esvres-sur-Indre ou de Gandaillat où ces objets sont déposés aux côtés d'enfants en bas âge, vraisemblablement pour marquer leur appartenance à l'élite guerrière (Poux 2014a).

Ces couteaux peuvent pour la plupart être interprétés comme des couteaux de poche selon la classification proposée par J. Kaurin. Ils restent utilisables comme des instruments de cuisine d'appoint servant à éplucher, à réaliser des découpes fines, voire à désosser si on se rapporte au référentiel gallo-romain (Leconte 2013, fig. 236, n°s 1 à 4). Deux exemplaires de la variante 2.3 comportent une lame plus grande que le reste du groupe et sont à rapprocher des couteaux multifonctionnels.

Représenté par une seule occurrence, le **groupe 3** est défini par sa lame fine au dos convexe puis concave, au fil rectiligne légèrement concave qui remonte à sa pointe. Son manche présente une soie plate terminée par un élargissement. Interprété dans la publication du sanctuaire comme un couteau à décharner, cet instrument pourrait aussi servir à la découpe des viandes à la manière des couteaux à jambon actuel, ou tranche-lard d'O. Nillesse (2009, p. 63, fig. 5, n° 81). Cette distinction typologique résulte peut-être de la datation de cet objet issu d'un niveau de l'état 2.3.

Caractérisé par des couteaux à large lame à dos plongeant, formant une courbure marquée avec le manche, le **groupe 4** présente deux variantes définies selon le mode d'emmanchement, à soie et plaquettes (var. 1) ou à douille (var. 2). Issu d'une sablière du bâtiment S, l'exemplaire le mieux conservé de la première variante comporte un manche massif d'au moins 9 cm qui garantit une bonne préhension pour effectuer des découpes nécessitant de la force. La douille ne semble pas être un emmanchement commun à La Tène finale à Corent puisque les deux exemplaires de la seconde variante du groupe proviennent d'un décapage et d'un remblai romain de l'espace D. Les largeurs de lame des exemplaires de ce groupe dépassent à deux reprises cinq centimètres (50 et 56 mm) et impliquent une utilisation comme couteau de boucherie, une fonction proposée tant pour les occurrences laténiennes ou romaines précoces du Titelberg (Kaurin 2008, fig. 8, groupe c) que pour celles du Haut-Empire (Leconte 2013, fig. 236, n° 7).

Sont classés dans le **groupe 5** quatre exemplaires à dos très convexe ou anguleux et à la préhension assurée par une soie. Les trois premières variantes, à tranchant rectiligne (var. 1), anguleux (var. 2) ou concave (var. 3) correspondent à des couteaux dont la fonction demeure indéterminée. Ils pourraient même être en lien avec une autre activité, probablement artisanale. Ainsi, le couteau à dos anguleux provient du trou de poteau central du bâtiment K, d'où proviennent de nombreux outils, tandis que le couteau issu du décapage du bâtiment P est interprété comme un couteau de récolte en Slovénie (Pieta 2010, p. 139, fig. 108).

Groupes morphologiques		Interprétation fonctionnelle
Groupe 1		
Var. 1		Couteau de cuisine
Var. 2		Couteau de boucherie
Var. 3		Couteau de fonction indéterminée
Var. 4		Couteau de cuisine
Groupe 2		
Var. 1		Couteau de poche
Var. 2		Couteau de poche
Var. 3		Couteau de poche
Var. 4		Couteau de poche (GR)
Var. 5		Couteau de poche (GR)
Groupe 3		
		Couteau de cuisine, désosseur?
Groupe 4		
Var. 1		Couteau de boucherie
Var. 2		Couteau de boucherie (GR)
Groupe 5		
Var. 1		Couteau de fonction indéterminée artisanat?
Var. 2		Couteau de fonction indéterminée artisanat?
Var. 3		Couteau de fonction indéterminée artisanat?
Var. 4		Couteau de poche pliant (?) (GR)

Bois minéralisé

0 cm 5

Fig. 177. Typologie et fonction des couteaux. Fer.

L'exemplaire à tranchant rectiligne (var. 1) n'est pas sans évoquer le couteau de chef, il est vrai de plus grande taille, défini par O. Nillesse (Nillesse 2009, p. 63, fig. 5, n° 79). La petite lame à dos arrondie issue des niveaux gallo-romains de l'espace D suggère une participation à un couteau de poche pliant d'époque romaine.

La répartition spatiale par type corrobore en grande partie les interprétations fonctionnelles déduites de la morphologie des couteaux et de la recherche de parallèles (fig. 178). En premier lieu, il est assez surprenant de constater que la zone de rejets de boucherie caractérisée au nord du complexe A par de nombreux bas de pattes et crânes (Foucras 2011, fig. 68) ne livre pas de couteaux, comme c'est le cas à Toulouse-Caserne Niel où ils sont surreprésentés dans les zones de rejets de boucherie (Demierre 2015, p. 171). Plus en adéquation avec les répartitions du matériel faunique (fig. 179), un couteau à dos arqué (groupe 4, var. 1) est documenté à proximité du secteur interprété comme un étal de boucher grâce à la découverte d'un plan de travail marqué au sol par de petits piquets et par un rachis de bœuf en position de dépôt primaire. De même, un exemplaire de la variante 2 du groupe 1 et un fragment de lame sont associés à deux crânes de bœuf sur le radier du bâtiment C5 (état 2.2 à 2.3). Aucun couteau de grande taille des groupes 1, 3 ou 4 n'est documenté dans les habitats orientaux M et R qui livrent plusieurs exemplaires du groupe 2 à proximité de foyers, en particulier dans le bâtiment R. Cette concentration suggère que ces couteaux de poche servaient à la découpe d'aliments dans la cuisine domestique. L'association d'un exemplaire de la variante 1 du groupe 2 et d'un couteau de cuisine (groupe 1, var. 4), à proximité du foyer de la branche nord du sanctuaire, corrobore cette hypothèse. Les nombreuses occurrences du bâtiment Q pourraient suggérer une activité artisanale que l'absence de niveaux de sols et leur fragmentation empêchent de mieux caractériser.

La question du dépôt volontaire des couteaux doit à notre avis être revisitée malgré l'absence de concentration dans le sanctuaire (Poux et Demierre 2015, p. 169 et fig. 180). Les instruments de découpe y sont mieux conservés que dans l'habitat avec cinq objets intacts sur sept, alors que seuls 14 couteaux archéologiquement complets sur 55 individus sont attestés sur l'ensemble du site. En témoignent les deux couteaux découverts à l'entrée du lieu de culte ainsi que l'assemblage avec un couteau de cuisine et un couteau de poche à proximité d'un foyer des cuisines de la branche nord du sanctuaire. Les deux instruments de boucherie du sol 14030 du bâtiment A1 et le couteau du trou de poteau 20653 du bâtiment Q, associés à des pièces d'armement volontairement détruites et à d'autres instruments culinaires (chaudrons, barres de grils), corroborent cette idée de dépôt intentionnel. La présence d'un élément complet encore fonctionnel dans l'hémicycle de réunion, où des pratiques religieuses sont aussi suggérées, va dans le même sens. Ce postulat se trouve renforcé par l'absence de couteau fonctionnel de grande taille dans les autres espaces du site. La pointe des instruments de découpe bouchère des bâtiments C5 et S ou encore le manche de la grande lame du bâtiment H manquent en effet.

3.4.2. LES INSTRUMENTS DU FOYER ET LES USTENSILES CULINAIRES

Les ustensiles liés à la cuisson et à la préparation de la nourriture ([cat. 48](#)) peuvent être divisés entre instruments mobiles (croc à viande, broche, louche, cuillère, gril) et fixes (crémaillère, potence). Leur fonction a toutefois servi ici à leur classement avec d'un côté les ustensiles utilisés pour rôtir et griller la viande comme les grils, les broches ou encore les crocs à viande, ceux servant de support comme les potences, les crémaillères et les trépieds ou encore les objets liés au service et à la préparation comme les louches et les cuillères. Leur dépôt dans le domaine religieux exprime la distribution et la consommation de viande, dans le cadre de

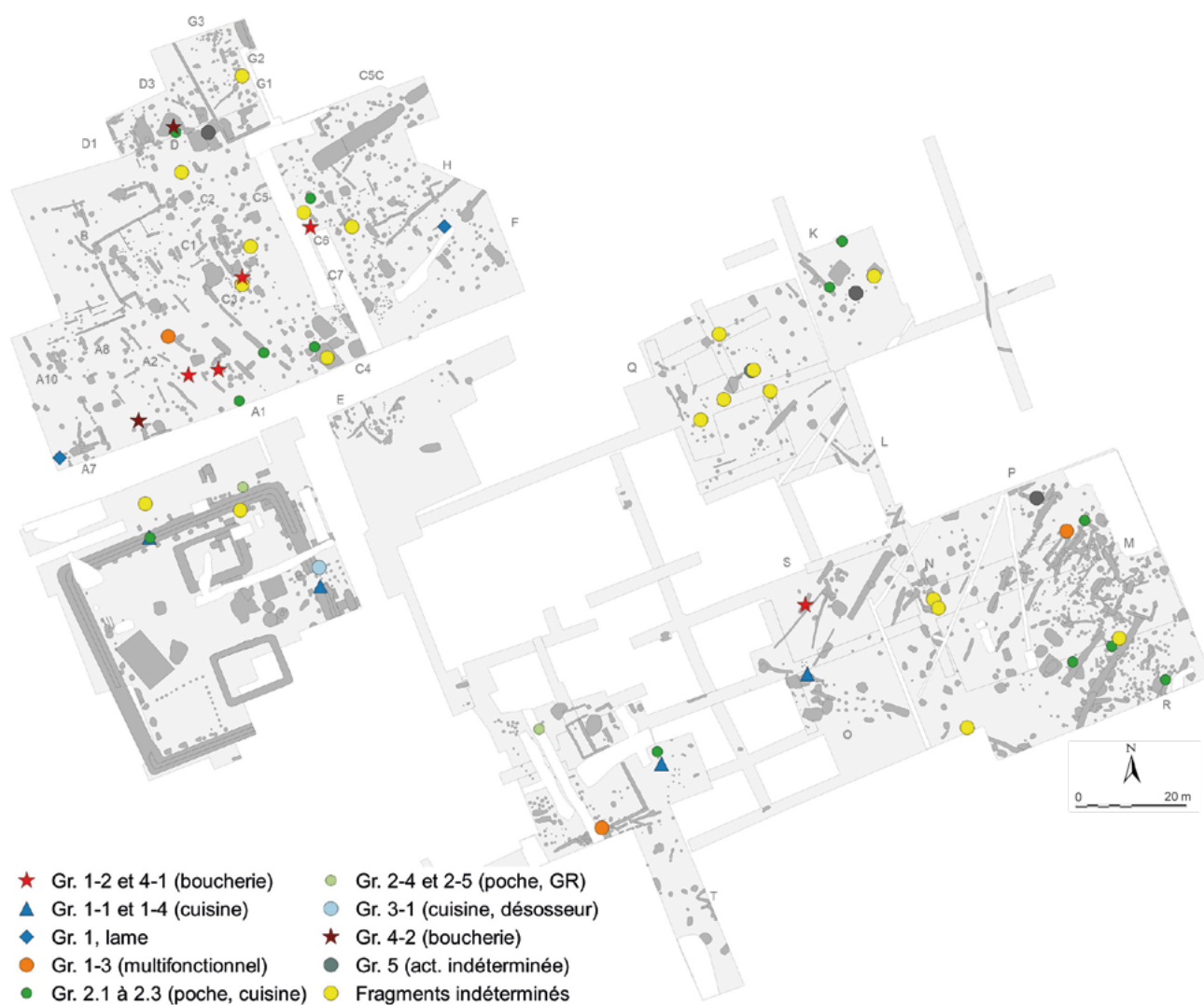


Fig. 178. Répartition des couteaux par type.

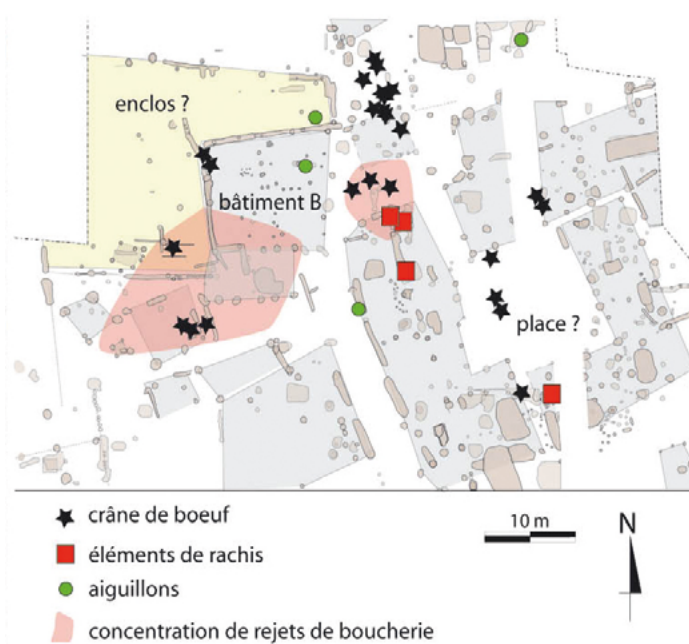


Fig. 179. Répartition des restes osseux attestant des activités de boucherie dans la parcelle nord (tiré de Foucras 2011, fig. 68)

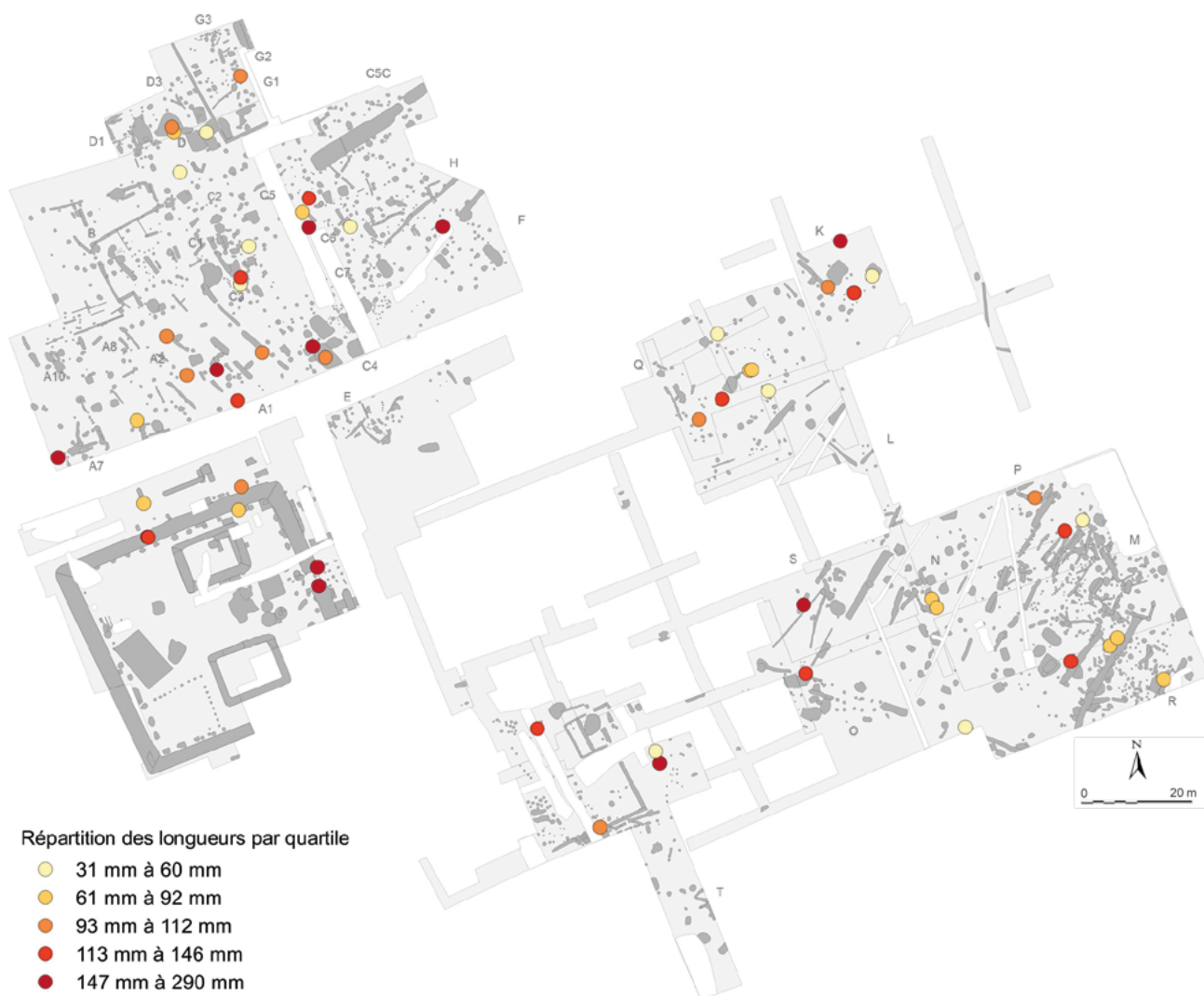


Fig. 180. Répartition taphonomique des couteaux.

cérémonie publique, et marque les tombes les plus prestigieuses, dans la sphère funéraire (Poux 2004, p. 246). Il reflète bien souvent des pratiques aristocratiques liées au banquet, qui se retrouvent dans le sanctuaire où ces éléments sont communément associés aux foyers culinaires (Poux et Demierre 2015, fig. 151).

Interprétés parfois comme des fourchettes à chaudron, les crocs à viande accompagnent fréquemment les grils dans le domaine funéraire, une association qui suggère qu'ils servaient à tourner la viande ou à la faire cuire directement sur le feu (Poux 2004, p. 265-266). Nombre de ces instruments sont attestés dans les dépôts de Larina (Perrin 1990, p. 63-69, fig. 51-57) et de Sainte-Blandine (Chapotat 1970, pl. 20-21) qui fournissent le référentiel typologique pour les différentes variantes du corpus. Elles se distinguent sur le plan du mode de fixation du croc et sur le nombre de dents, deux ou trois. Deux exemplaires à deux dents présentent un manche métallique (fig. 181, n^{os} 1 et 2) tandis que les neuf autres pièces étaient rivetées dans une hampe en bois (fig. 181, n^{os} 3, 5 et 6). Ils se retrouvent principalement durant l'état 2. Les crocs à douille ou fixés par enroulement des dents autour de leur support ne sont pas attestés.

Le fragment de broche (fig. 181, n^o 8) se présente comme une tige pourvue d'une extrémité plate arrondie et d'une large section quadrangulaire (8 mm), conforme aux dimensions observées dans le référentiel établi à partir des occurrences collectées dans la Saône (Guillaumet 1996b, pl. 1 et 2, n^{os} 1 à 8). Autre instrument servant à rôtir la viande, la brochette (fig. 181, n^o 9) est caractérisée par ses deux extrémités, biseautée et recourbée, et sa longueur de 344 mm. Ces deux objets attribués à des ensembles de l'état 1 à 2.1 sont associés à un pousier de passoire dans le bâtiment A7 et à d'autres instruments culinaires dans le bâtiment P (fragment de crémaillère, crocs à viande).

Très bien représentés avec 34 individus, les grils apparaissent les plus souvent sous la forme de barres rectilignes à l'extrémité écrasée (fig. 181, n^{os} 10 à 13). Leur taille permet de restituer la longueur des grils qui oscille entre 21 et 37 cm. Plus rares, les supports latéraux (NMI, 7) se présentent comme des barres de section rectangulaire dont les nombreuses perforations reçoivent les barres du gril (fig. 181, n^o 16), parfois encore en position fonctionnelle (fig. 181, n^o 15). Le pied des exemplaires les mieux conservés se développe à angle droit du support latéral (fig. 181, n^o 14).

Quelques fragments sont attribués à des instruments culinaires en raison de la présence d'une torsade, apport technique servant à limiter la propagation de la chaleur dans le métal et d'un manche à anneau de suspension (fig. 181, n^{os} 17 à 21). Ces caractéristiques se retrouvent aussi bien sur des crocs à viande, des tisonniers ou des éléments de crémaillère. La tige appointée et torsadée (fig. 181, n^o 20) se rapproche par exemple d'une extrémité de tisonnier ou d'une brochette.

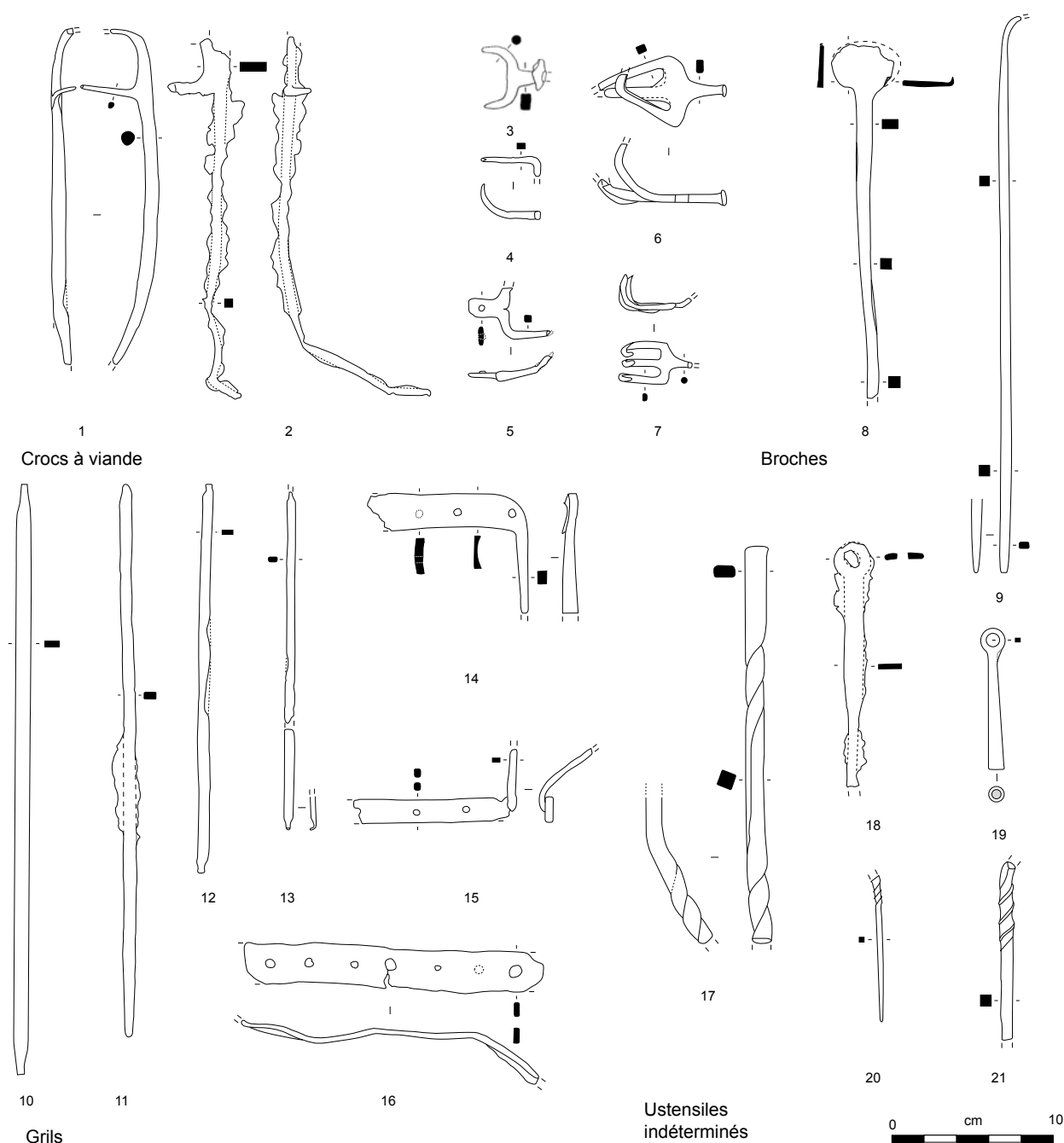


Fig. 181. Instruments à griller et à rôtir : crocs à viande, broches, grils et ustensiles indéterminés. Fer.

Les six cuillères peuvent être séparées en deux types selon la présence d'un anneau de suspension à leur extrémité (fig. 182, n^{os} 1 et 2) et de leur manche plus ou moins coudé (fig. 182, n^{os} 3 et 4). L'interprétation fonctionnelle de ces objets relativement rares, dont la forme commune devait être en bois, varie selon les auteurs entre instrument de toilette (Schäfer 2010, p. 110, fig. 75, n^o 989) et cuillère servant à épicer des plats lors de la cuisson (Chabot 2004, pl. 22, fig. 260, VH6-003) ou à mélanger les aliments (Leconte 2013, p. 249, fig. 246, n^o 1). Elles pourraient même participer au service à table de mets fins, d'œuf ou de douceur à l'instar des *ligulae* et *cochlearia* de tradition romaine (Riha et Stern 1982, p. 10). La cuillère retrouvée à proximité d'un foyer du sanctuaire, en association avec un croc à viande et un manche de couteau, souligne une utilisation culinaire tandis que les autres cuillères proviennent d'ensembles moins explicites. La présence d'un individu dans la fosse artisanale 18232 dédiée au travail du plomb (pl. 80) suggère que ces cuillères puissent aussi servir dans un cadre artisanal, peut-être pour le dosage des métaux lors de la réalisation d'alliage.

Également peu communes, les louches peuvent être composées d'une seule pièce (fig. 182, n^o 5) ou être rivetées à leur manche comme l'indiquent les perforations retrouvées sur deux cuillerons dont l'un comportait encore une bande de plat rivetée à l'intérieur (fig. 182, n^{os} 6 et 7). Ce mode de fixation est attesté sur un ustensile de la tombe aristocratique de Maizy, où il peut correspondre à une réparation (Sueur 2018, p. 187-189, fig. 132). Ces instruments servent à puiser la nourriture et sont parfois perforés de manière à laisser s'écouler le jus de cuisson à la façon des écumoirs. Une fonction de poêle pourrait aussi être évoquée pour l'exemplaire du théâtre dont la panse carénée se retrouve sur des exemplaires dotés d'un long manche à extrémité repliée, dans les enclos de LTD1 et de LTD2a de Décines (Ferber 2014, p. 17, fig. 2, n^o 8) et de Cleppé (Poux 2004, fig. 87), de même que sur le site du Mormont à LTD1b (Collectif 2009, p. 3, Duvauchelle *et al.*, à paraître, pl. 43, n^o 390), réunis sous le type Andernach par Q. Sueur (2018, p. 187-194). Les dimensions de la vasque semblent néanmoins trop réduites pour affirmer cette hypothèse. Ces objets se retrouvent souvent en association avec d'autres instruments culinaires, dans le domaine funéraire (tombes de Fléré-la-Rivière, Celles) et dans des dépôts comme celui de Sainte-Blandine (Ferdrière et Villars 1993, p. 70-71).

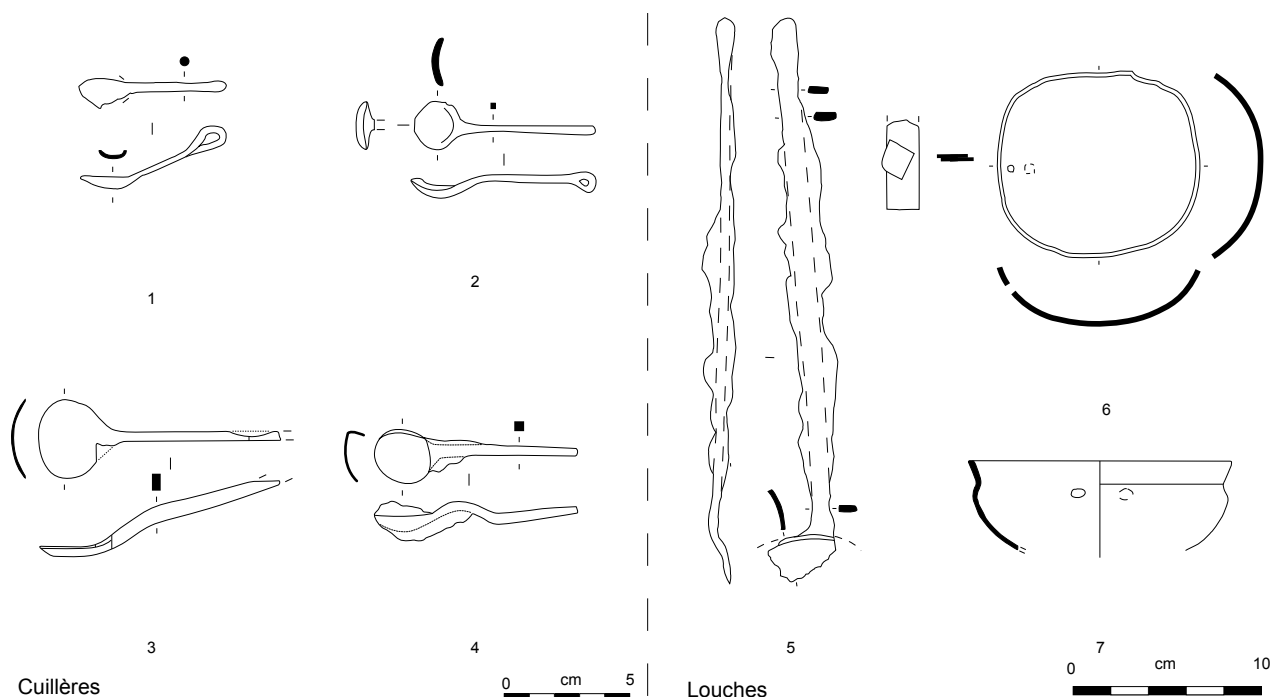


Fig. 182. Instruments liés au service et à la préparation : cuillères, louches et poêles (?). Fer

Issus du sanctuaire, la potence et l'hypothétique fragment de chenet ou de landier (fig. 183, n^{os} 1 et 2) n'appellent pas de commentaire supplémentaire (Poux et Demierre 2015, p. 167-168). Le pied de trépied (fig. 183, n^o 3), caractérisé par son extrémité rivetée provient du trou de poteau au riche dépôt de clous du bâtiment G (pl. 99-100). Des supports de facture proche pour porter sur le feu des récipients se retrouvent dans le dépôt de Larina (Perrin 1990, p. 62-63. fig. 50) ainsi qu'à Bibracte à la Porte du Rebout et à la Pâturage du Couvent (comm. orale B. Girard).

Le corpus de pièces de crémaillères est relativement limité avec une tige articulée intermédiaire entre la chaîne et le crochet (fig. 183, n^o 4), un hypothétique fragment de chaîne associé à un chaudron dans le sanctuaire (fig. 183, n^o 5) et trois crochets de suspension, dont deux torsadés (fig. 183, n^{os} 6 et 7). Trois autres crochets issus des fouilles récentes, dont un exemplaire à l'extrémité enroulée (fig. 183, n^o 8), complètent ce corpus. Au vu de leur état de fragmentation, il demeure difficile d'estimer à quel type de crémaillère ils appartiennent (Jacobi 1974, fig. 28). La faible représentation de ces éléments servant à la suspension des chaudrons, par ailleurs relativement fréquents, indique leur récupération systématique en raison de la grande quantité de matière qui les compose.

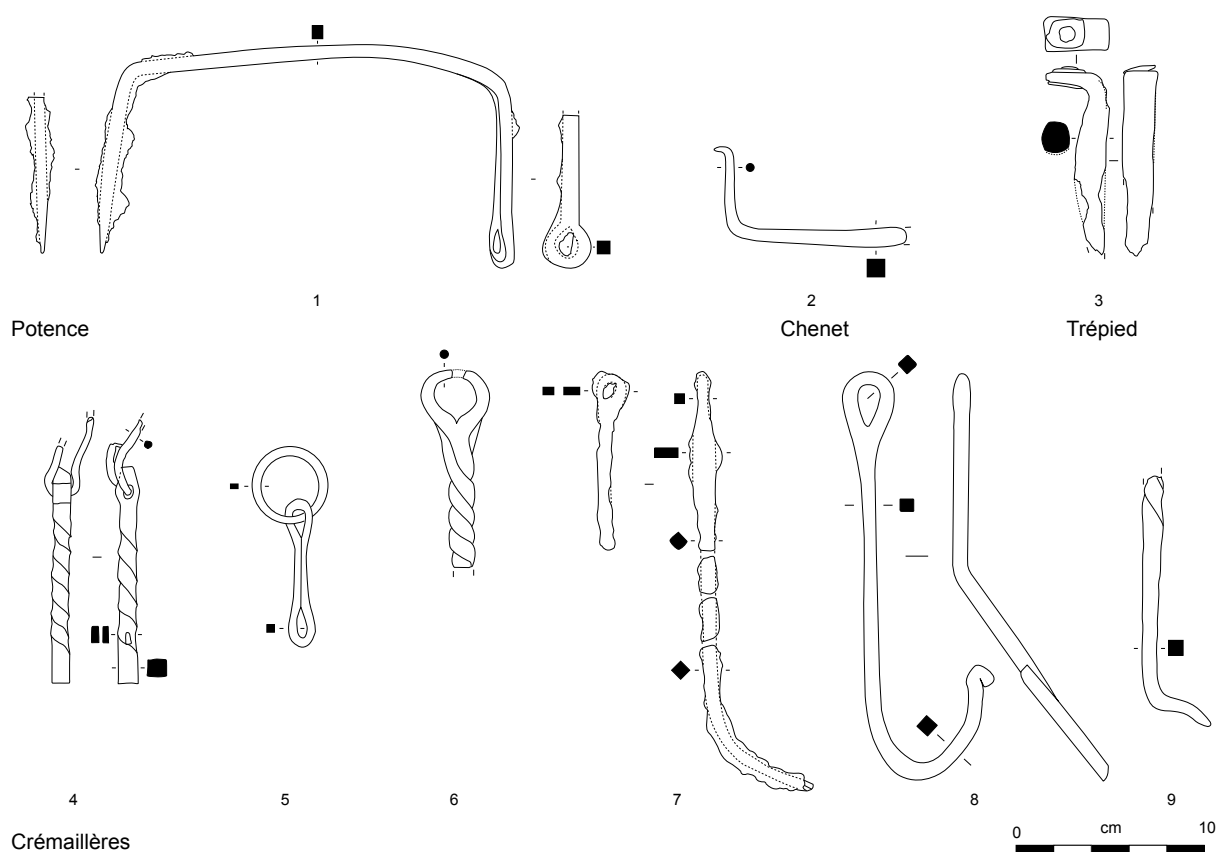


Fig. 183. Instruments liés au foyer : potence, chenet, trépied et fragments de crémaillères. Fer.

3.4.3. LES RÉCIPIENTS SERVANT À LA PRÉPARATION DE NOURRITURE

Utilisés pour bouillir la nourriture, les chaudrons bimétalliques se retrouvent exclusivement à l'état fragmentaire. Ils ne font pas l'objet de dépôt volontaire, comme c'est le cas dans d'autres contextes d'habitat comme Eckbolsheim (Bataille 2014) ou de lieu de culte comme Tintignac (Maniquet 2008, p. 299-300) et semblent récupérés pour leur grande majorité. Cet état de conservation empêche de les traiter d'un point de vue typologique pour préférer une approche basée sur leurs différentes parties, à commencer par leur collerette en fer. Attestées par 25 individus, ces pièces se présentent comme des bandes de tôle plus ou moins larges (60 à 75 mm) dont une bordure est repliée sur elle-même et perforée à espaces réguliers pour la fixation de la cuve, conservée ici uniquement

sous la forme de vestiges de tôle de bronze en position fonctionnelle (fig. 184, n^{os} 1 à 5). Elles ne sont jamais surmontées d'une lèvre en bourrelet comme c'est le cas pour d'autres individus complets. Cette absence suggère soit que les exemplaires de Corent n'étaient pas dotés d'une lèvre tubulaire, soit que cet élément rapporté a été systématiquement récupéré. Des assemblages de tôle de fer comportant plusieurs épaisseurs rivetées ont également été attribués au chaudron en raison de leur format se rapportant à un récipient de grande taille, ou encore de la présence de rivets à tête enroulée en alliage cuivreux, caractéristiques de ce mode de réparation (Orengo 2003, p. 122).

Les attaches des poignées de chaudron sont des tubes cannelés dotés d'un rivet refoulé de petite taille (fig. 184, n^{os} 12 et 13), dans lequel était inséré l'anneau de préhension. Attribuables aux types de La Tène finale (Jacobi 1974, p. 106-110), elles sont nettement moins bien représentées (NR, 2) que les butées ou tampons qui empêchaient l'anneau de meurtrir la panse du chaudron. Ces éléments circulaires ou polyédriques connus par 19 individus se retrouvent déconnectés sur de nombreux habitats (voir par ex., Schäfer 2010, p. 166-117, fig. 81) ou en position fonctionnelle à Roanne (Lavendhomme et Guichard 1997, pl. 116, n^o 1) ou dans la tombe B de Göbblingen-Nospelt (Metzler *et al.* 2009, p. 306-310). L'hypothèse de poids basée sur l'association de deux éléments circulaires plats avec une balance à Lezoux (Guillaumet 2000, fig. 12, n^{os} 6 à 8) a été proposée dans la monographie du sanctuaire (Poux et Demierre 2015, p. 180-181). Elle ne résiste pas à la confrontation des associations entre collerette et butée, qui est avérée au moins à deux reprises (fig. 184, n^{os} 1, 2, 6 et 7). La bonne représentation de ces butées s'explique par la fragilité de leur fixation sur la tôle de la collerette. Leur masse ainsi que les vibrations sur la panse du récipient ont dû disloquer nombre de butées. Cette aberration technique évoque une utilisation nettement plus fréquente du chaudron que ne le suggèrent les autres parties constitutives.

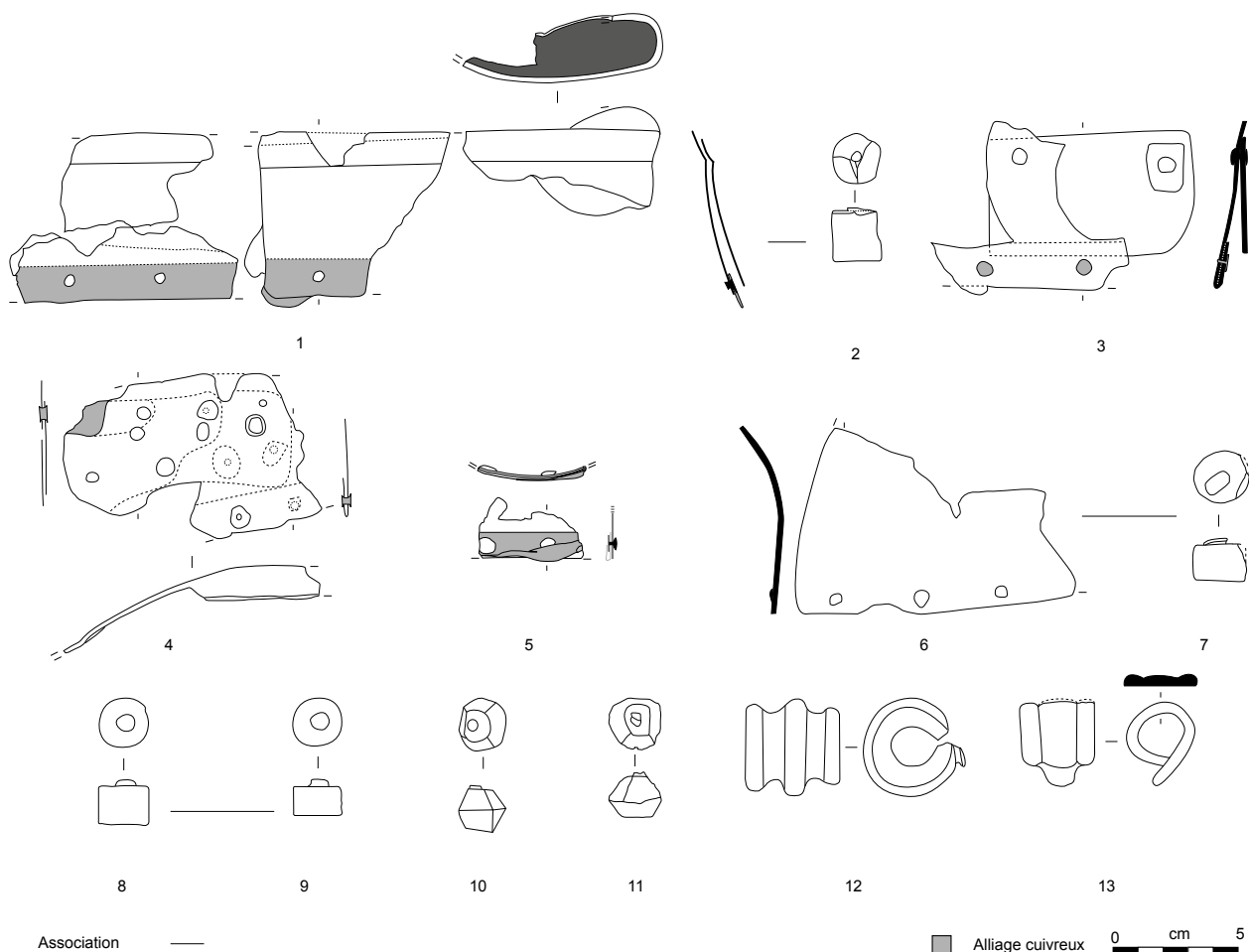


Fig. 184. Chaudrons. 1, 3-5 : fer et alliage cuivreux. 2, 6-13 : fer.

Nos connaissances des récipients en fer demeurent très lacunaires et l'identification de leur fonction pose encore de nombreux problèmes. L'utilisation du fer pour la cuisson s'avère nettement plus fréquente à l'époque romaine. Il entre dans la confection des poêles à frire au long manche incurvé servant de support ou bipartites, la vasque étant fixée à l'aide d'un tenon sur un trépied perforé (Leconte 2013, fig. 241). La forme est attestée dès LTD2 à Alésia qui livre deux exemplaires à long manche, interprétés comme des louches, dont un issu du fossé 4 du camp A (Brouquier-Reddé et Deyber 2001, p. 308, pl. 95, n^{os} 164 et 165). La fonction de poêle à frire semble ici préférable à celle de louche en tenant compte de leurs similitudes avec les exemplaires du Haut-Empire. Une telle utilisation est retenue pour la grande vasque à fond plat, découverte en surface du bâtiment A8 (fig. 185, n^o 1). Il en est de même pour le fragment mis au jour dans un riche assemblage de l'état 2.1 du bâtiment M (fig. 185, n^o 2) où il est associé à un fragment de crémaillère, des éléments de chaudron et un croc à viande (pl. 145). L'absence du manche ou d'un système central de fixation empêche néanmoins d'assurer la validité de cette interprétation.

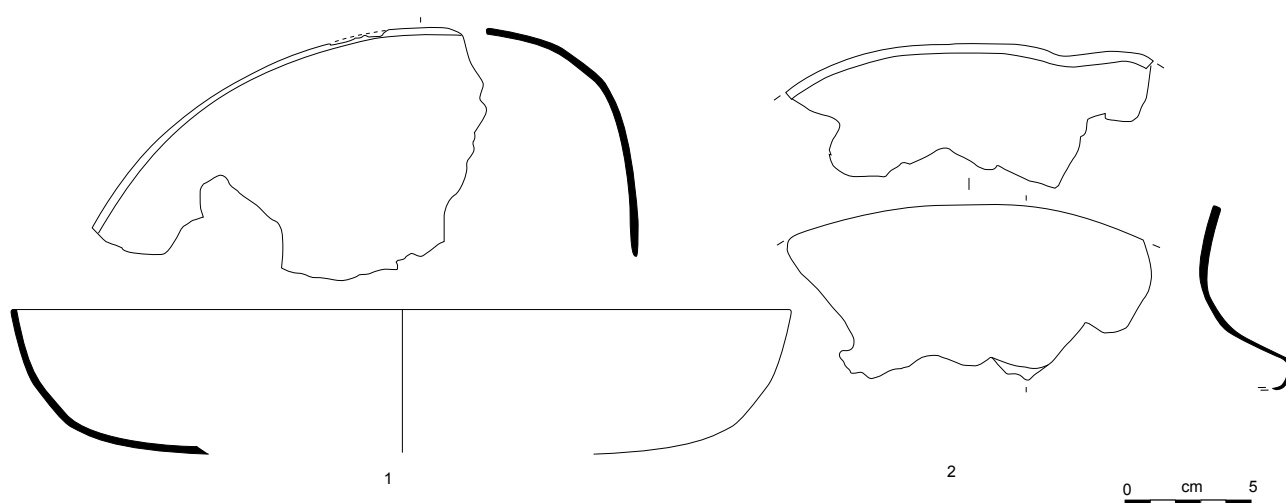


Fig. 185. Fragments de récipients en fer, de poêles (?). Fer.

L'analyse spatiale (fig. 186) et statistique (fig. 187) des modes de cuisson reflétés par chaque instrument suggère des habitudes alimentaires différenciées selon les secteurs. Les plats mijotés ou bouillis, inhérents à l'utilisation de chaudrons, louches, crémaillères et potence, devaient avoir la faveur du public dans le sanctuaire et caractérisent les faciès des bâtiments M et surtout A1 et B. La présence de ces éléments dans les dépôts du bâtiment A1 et M pourrait refléter une consommation collective, tout comme indiquer un statut social plus élevé, notamment dans le bâtiment B. Attestée sur la totalité de l'emprise de fouille, la consommation de viande grillée, suggérée par les grils et les crocs à viande, marque tout particulièrement le nord du complexe C et le bâtiment R, deux secteurs à vocation artisanale. Elle peut souligner ici une préférence alimentaire, une utilisation opportuniste liée à la place disponible dans l'atelier, tout comme refléter une condition sociale différente.

Les ustensiles servant à frire (poêle) et à rôtir (broche et brochette) demeurent très peu représentés et sont associés à d'autres instruments culinaires, tant dans les bâtiments A7 que dans le bâtiment P qui est caractérisé par une grande diversité d'objets assimilés à une batterie de foyers. Cette dernière association pourrait refléter une cuisine plus sophistiquée, peut-être professionnelle, tout comme indiquer des dépôts réalisés lors d'une cérémonie religieuse ponctuelle. La grande poêle à frire du bâtiment A8 accompagne de nombreux restes de boucherie (bas de pattes, parties de crâne). Ce contexte laisse imaginer son utilisation dans le cadre de la friture de la graisse afin de récupérer le suif, une activité associée à celle des bouchers au XVIII^e siècle (Diderot et D'Alembert 1763, pl. 11). Cette matière première aux multiples usages a pu servir à la confection de savon dont Plinie (*Histoire Naturelle*, XXVIII) attribue l'invention aux Gaulois.

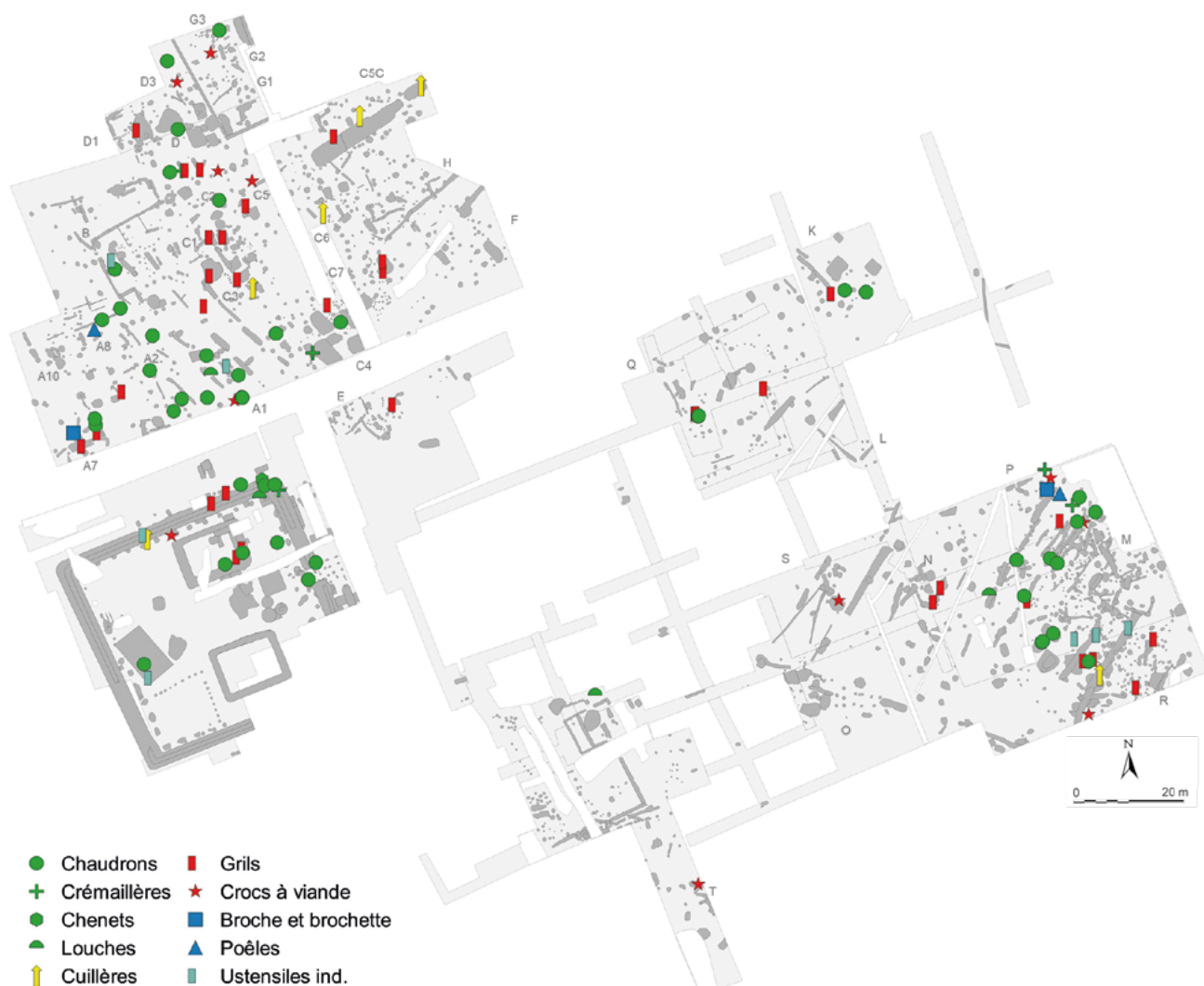


Fig. 186. Répartition des instruments de cuisine.

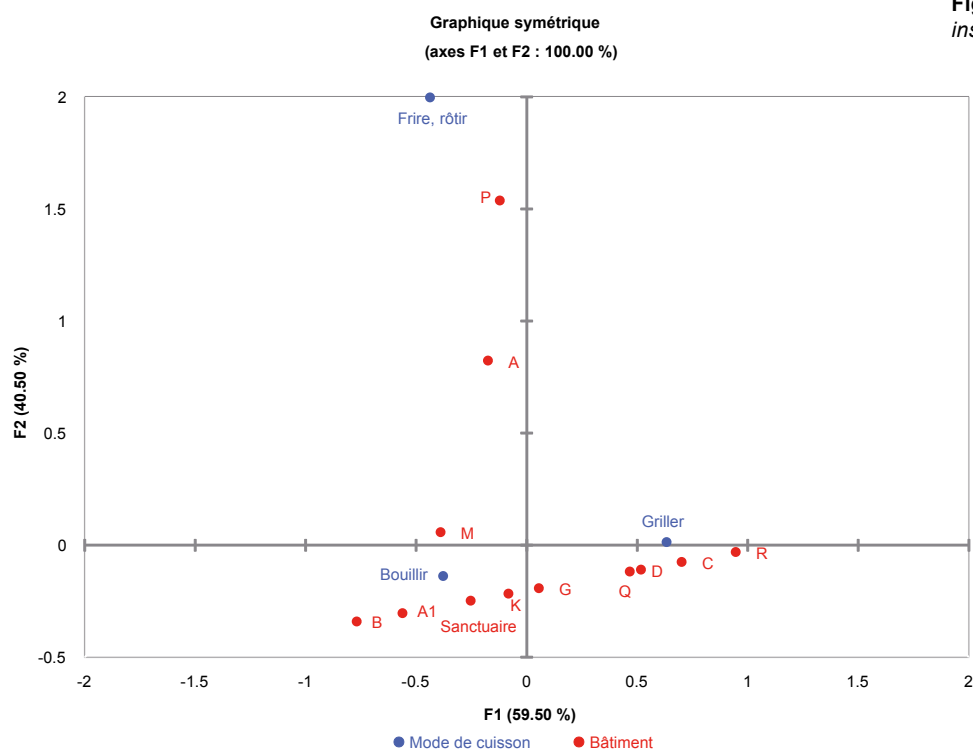


Fig. 187. Analyse factorielle des correspondances comparant les attestations des différentes modes de cuisson par bâtiment du site. Les ensembles comportant moins de trois individus ont été exclus.

La rareté des ustensiles liés à la cuisson de la nourriture dans l'environnement immédiat de la grande cave du complexe C est à relever. Ce faciès pourrait être le signe d'un lieu tourné vers la consommation de boissons marquée par plusieurs fragments de vaisselle. Les trois cuillères retrouvées à proximité auraient alors leur place en tant qu'ustensile pour le service de mets d'accompagnement et reflèteraient des habitudes de table de tradition méditerranéenne.

3.4.4. LES RÉCIPIENTS LIÉS AU SERVICE DE LA BOISSON

Les récipients indigènes utilisés pour le service de la boisson sont peu diversifiés avec uniquement des éléments de seau. Plus variée, la vaisselle importée représente une grande partie des formes répertoriées dans l'ouvrage de référence (Feugère et Rolley 1991). Elle a fait l'objet d'un recensement récent, réalisé par B. Girard à l'échelle de la Gaule (Olmer *et al.* 2013), auquel on se référera pour la distribution spatiale et chronologique des différentes sortes de récipients et pour son apport sur certaines formes rares. Avec l'étude menée sur la Gaule septentrionale par Q. Sueur (2018), ces contributions forment le référentiel typologique pour les importations, dont la fragmentation empêche souvent une attribution à des types précis.

Les seaux et les situles

Servant à l'approvisionnement en eau et en boisson, les seaux et les situles sont regroupés en raison de leur fonction et de leurs constituants en partie similaires, à savoir les attaches et les anses. Ces deux termes techniques différencient les récipients constitués d'un assemblage de douelles en bois et les seaux métalliques regroupés sous l'appellation latine de *situla*, dont la signification est également seau. Si les seaux en bois sont interprétés comme des productions indigènes, l'attribution aux artisans laténiens ou méditerranéens des situles pose encore quelques problèmes, tant l'imitation et leur confection, notamment des attaches d'anses, sont probables dans la sphère laténienne (Girard *et al.* 2008, p. 86). Les premières occurrences de LTC2 de Levroux pourraient être le fruit d'un savoir-faire local alors que les exemplaires postérieurs sont considérés comme des importations (Guillaumet 2000, p. 104).

Composites et très fragmentaires, les seaux sont présentés selon le mode de fixation des anses en suivant les critères typologiques proposés par Q. Sueur et M. Garcia (2015 Sueur 2018). Les trois grandes familles d'anses, impliquant des systèmes d'attache différents sont documentés avec tout d'abord le type le plus commun, à savoir les attaches d'anse en crochet (fig. 188, n°s 1 à 3). Représentées par quatre éléments en fer et deux en alliage cuivreux, ces attaches peuvent tout aussi bien avoir servi à la préhension de seaux que de situles. Ils devaient être connectés à des attaches à œil en alliage cuivreux (fig. 188, n°s 4 et 5) ou en fer (fig. 188, n°s 6 à 8). Les deux exemplaires en alliage cuivreux n'ont à notre connaissance pas de parallèles exacts connus. La pièce avec deux trous de fixation et un anneau coulé dans la masse (fig. 188, n° 5) pourrait aussi bien être une fixation d'anse de situle, à l'instar d'une attache en fer proche de Levroux (Guillaumet 2000, fig. 5, n° 2c). De même, la seconde attache issue d'un contexte gallo-romain (fig. 188, n° 4) est proche d'un exemplaire du dépôt du Leisenhart à Manching (Van Endert 1991, pl. 25, n° 398) ou évoque encore les attaches d'anse de situle de type Mahdia 2 (Petrovsky 1994, p. 667, fig. 5), qui diffèrent par leur mode de fabrication par coulée et sont nettement plus épaisses. Sa morphologie impliquerait un récipient à deux anses dont l'attache en bois serait recouverte de l'applique en question.

De facture simple, les attaches en fer sont constituées d'une languette surmontée d'un anneau (fig. 188, n°s 6 à 8). Les anses à tenons (fig. 188, n°s 10 à 12) sont représentées par trois exemplaires, dont un en alliage cuivreux caractérisé par son décor de lunule (fig. 188, n° 10) qui se retrouve sur des exemplaires de Manching (Van Endert 1991, pl. 24, no 392), du Dünsberg (Schlott 1999, pl 32, n° 2), de Sainte-Blandine (Feugère 1984, fig. 7, n°s 2 et 3) ou encore de la ferme indigène de Montaudran-Aerospace à Toulouse (A. Filippini *in* Delsol 2014, p. 191. fig. 125, n° 71 et fig. 126). Ce système recensé dès la fin de LTC2 n'est pas attesté à Corent avant LTD2 (état 2.2).

Les anses à charnière, décrites sur un seau intact de Roanne par M. Feugère (1984), ne sont attestées que par un exemplaire mis au jour en 2013 à proximité de l'atelier de potier augustéen (fig. 130, n° 13). Cette datation semble pouvoir être retenue pour la majorité des seaux munis d'un système de charnière, aussi représentés dans les tombes de Goeblingen-Nospelt (Metzler *et al.* 2009) ou de Fléré-la-Rivière (Ferdrière et Villars 1993).

Une anse comporte une gouttière (fig. 188, n° 9), un apport ergonomique absent du référentiel laténien (Leconte 2013, fig. 234, n° 3). Les cerclages apparaissent comme des bandes incurvées difficiles à identifier lorsqu'elles sont fragmentaires. La présence de cannelures ou d'une bordure emboutie est généralement considérée comme un bon marqueur des cerclages de seaux laténiens (Van Endert 1991, pl. 31, n°s 471 à 478). Ces cerclages, connus en Auvergne dans la sépulture 474 de Gandaillat (Mennessier-Jouannet et Deberge 2017, fig. 322, n° 17), sont parfois associés à d'autres constituants de seau à l'entrée du sanctuaire ou encore en surface du bâtiment A10.

Les anses des situles sont connectées à des attaches formant un arc de cercle muni de pattes triangulaires, quadrangulaires ou arrondies à leurs extrémités (fig. 188, n°s 23 à 26). Ces systèmes de fixation documentés à l'état 1 se retrouvent durant toutes les phases du site. Par leur diamètre supérieur à 125 mm, plusieurs lèvres de récipients (fig. 188, n°s 17 à 22) légèrement déversées pourraient être attribuées à ces récipients bimétalliques et plus précisément au type Eggers 16 (Feugère et Rolley 1991, p. 8-12, fig. 2). Il en est de même pour une tôle comportant un pli et un rivet en position fonctionnelle issue du bâtiment M (pl. 142, n° 1). Si l'identification comme fragments de vaisselle est indéniable, leur état de conservation complexifie leur classification typologique fine. Trois éléments d'attache à cerclage (fig. 188, n°s 28 à 30) permettent de restituer la présence de situle à corps ovoïde. Une grande tige incurvée en alliage cuivreux surmontée par un anneau (fig. 188, n° 27) pourrait également correspondre à une anse de récipient. Aucun parallèle probant ne peut être attribué à cette pièce qui diffère des exemplaires connus, comme ceux du type de Beaucaire, par la position de son anneau médian, perpendiculaire à l'axe de l'anse. Cette particularité laisse envisager une production locale ou du moins une adaptation laténienne pour un récipient, situle ou seau.

Les passoires et les *simpula*

L'origine culturelle des passoires demeure un sujet à controverse tant elles sont fréquentes en milieu laténien. Leur présence dans l'épave d'Orbetello, découverte au large de l'Etrurie, conforte l'idée qu'une partie, voire la totalité d'entre elles sont importées (Olmer *et al.* 2013, p. 686). Les artisans gaulois ont pu en produire, notamment à Bibracte où la fosse dépotoir d'un atelier du Champlain livre un fragment de moule dont le négatif évoque un poucier de passoire (Girard *et al.* 2008, p. 86). Cet *unicum*, qui pourrait aussi répondre à une volonté de réparer un récipient importé, demeure néanmoins trop isolé pour démontrer une production laténienne de passoire. La totalité des composants de ces récipients servant à filtrer le vin ou des breuvages indigènes est documentée ici avec quatre doigtiers (fig. 189, n°s 1 et 2), six pouciers (fig. 189, n° 3) et sept parties inférieures et supérieures de vasque (fig. 189, n°s 4 à 6), auxquels peuvent être ajoutés quatre fragments issus des fouilles anciennes et des campagnes récentes.

Les multiples perforations d'une vasque en fer (fig. 189, n° 7) suggèrent une utilisation en tant que filtre ou passoire pour cet objet, pour lequel aucun parallèle ne peut être proposé. Issu de la fosse 21077 de l'état 2 du bâtiment N, il n'est pas sans évoquer les pommelles en plomb d'époque romaine, disposées au fond des structures hydrauliques telles que les fontaines ou encore les bassins pour filtrer l'eau (Demierre 2016a, p. 358-359, fig. 635).

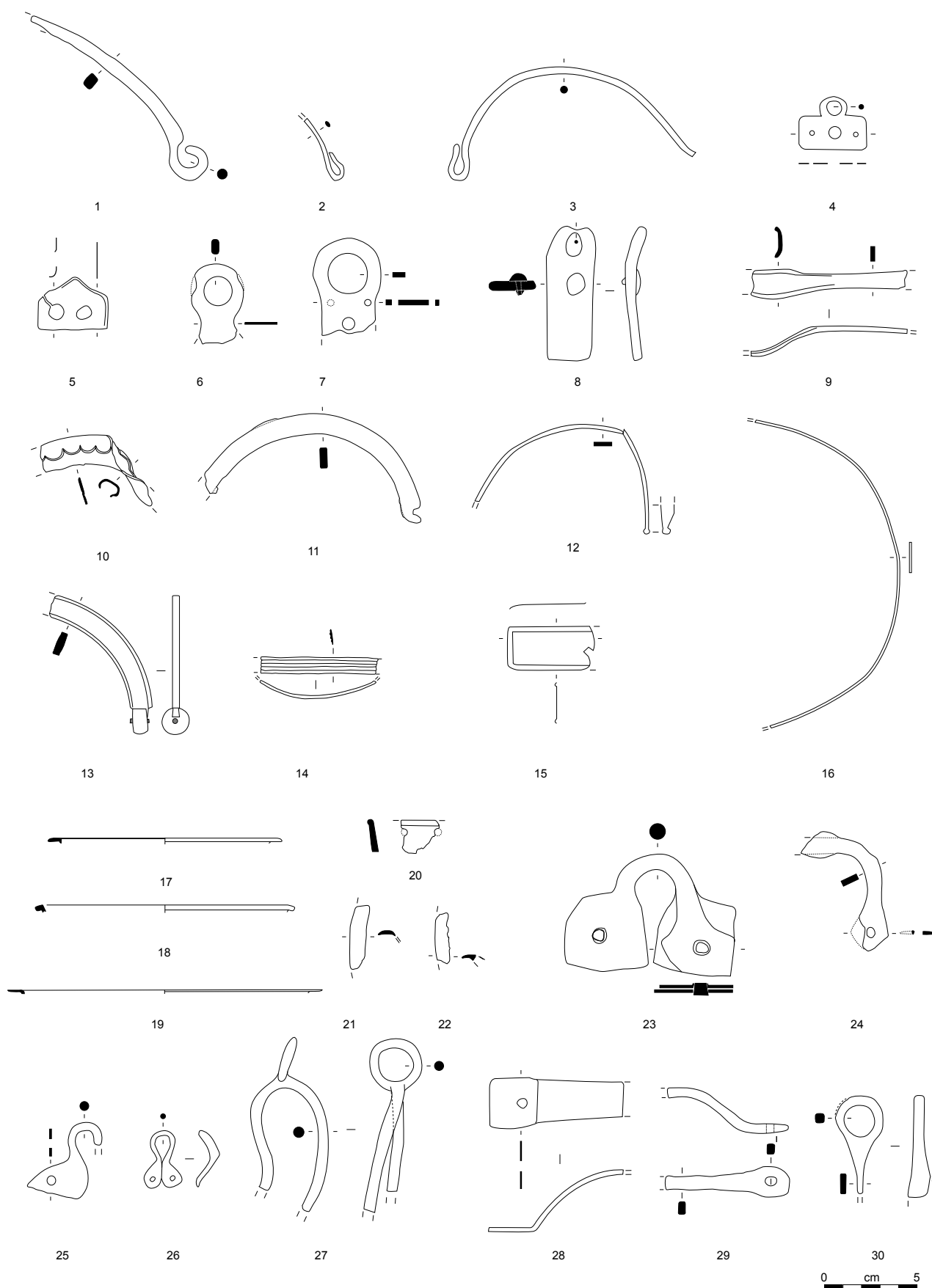


Fig. 188. *Vaisselle pour l'approvisionnement en eau et en boisson : seaux et situles.*
 1, 6-9, 11-12, 16, 23-26, 28-30 ; fer ; 2-5, 10, 13-15, 17-22, 27 : alliage cuivreux.

Deux fragments de passoire présentent les vestiges d'un manche ou des dimensions qui laissent supposer qu'ils ont appartenu à l'extrémité d'un *simpulum* (fig. 189, n^{os} 8 et 9). Présentant de nombreuses perforations, l'exemplaire muni d'un manche (fig. 189, n^o 8) provient d'une sablière de l'état 2.2 à 2.3 du bâtiment A1, qui suggère une datation similaire à celle retenue pour ce type de *simpulum* (Feugère et Rolley 1991, type 4, p. 81-83). Moins caractéristique, le second individu (fig. 189, n^o 9) est issu d'une fosse-atelier du bâtiment C4, recoupée par des empièvements postérieurs. Bien que l'objet puisse être intrusif, ce contexte plaide en faveur d'une datation précoce pour cet élément dont l'apparition ne semble pas devoir être antérieure à LTD2a. Les *simpula* particuliers dotés d'une suspension à tête de canidé, de Constantine et de la nécropole de Mouriès-Servans I de la même période, laissent néanmoins envisager cette attribution chronologique (Olmer *et al.* 2013, p. 684-685, fig. 15).

Deux fragments de faible diamètre (50 et 55 mm) à cannelures interne et externe sont à affilier à des vasques de *simpulum* (fig. 189, n^{os} 10 et 11). Ils sont aussi datés de la fin de la séquence laténienne du site (état 2.2 à 2.3 et décapage). Deux extrémités à tête de canidé proviennent des ramassages de surface (fig. 189, n^o 12) et d'un décapage des fouilles récentes (fig. 189, n^o 13, UF 24024/200). Leur morphologie suggère pour le premier une attribution aux ustensiles à manche vertical (types 2 ou 3). Le développement parallèle de la tête de canidé et du crochet du second plaide en faveur d'une attribution à la famille des *simpula* à manche horizontal, aussi appelés de type Pescate (Feugère et Rolley 1991, p. 63-69). Mis au jour sur l'empierrement du théâtre, un fragment d'extrémité de manche de *simpulum* (fig. 189, n^o 14) ne peut être attribué à un type précis.

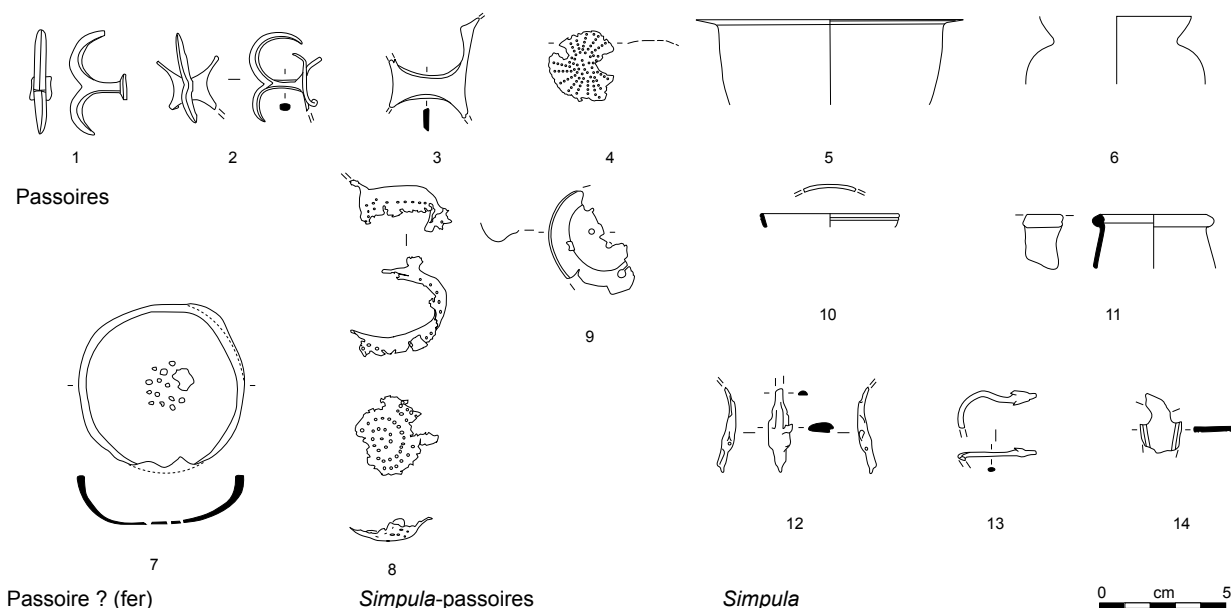


Fig. 189. Vaisselle pour le service des boissons : passoires et simpula. 1-6, 8-14 : alliage cuivreux ; 7 : fer.

Les cruches, les gobelets et les bassins

Participant au service de la boisson, les cruches n'apparaissent que sous la forme de fragments qui se répartissent entre une attache de couvercle (fig. 190, n^o 1), une lèvre (fig. 190, n^o 2), des pieds (fig. 190, n^{os} 3 à 9) et un hypothétique fragment de col (fig. 190, n^o 10). Avec ces quatre points d'ancrage, l'attache de couvercle (fig. 190, n^o 1) est restituée en position fonctionnelle sur un couvercle de cruche de type Kelheim à Verna (Perrin et Schönfelder 2003, p. 46-47, fig. 19). Rares, les couvercles ne sont connus que par quelques occurrences avant l'époque augustéenne à Numance et à Toulouse (Perrin et Schönfelder 2003, p. 46, Demierre 2015, fig. 18, n^o 7). Une datation à La Tène finale est assurée par la fixation par des rivets émaillés de l'exemplaire de Verna et par son contexte, une fosse attribuée à l'état 2 *lato sensu*, qui livre également une

fibule de Nauheim (type B22-03) et un petit poignard (pl. 25). La lèvre verticale soulignée par un bourrelet (fig. 190, n° 2) peut s'apparenter à des cruches bitronconiques de type Gallarate ou piriformes de type Ornavasso (Feugère et Rolley 1991, p. 29, fig. 6 et p. 33-34, fig. 6 et 7). Elle provient du comblement médian de la cave du bâtiment C5, tandis que le fragment de panse déversée est issu du remplissage inférieur (fig. 190, n° 10). Ces deux éléments pourraient correspondre au même individu. Il est aussi possible que la pièce déversée appartienne à un pied de bassin ou encore à une amphore.

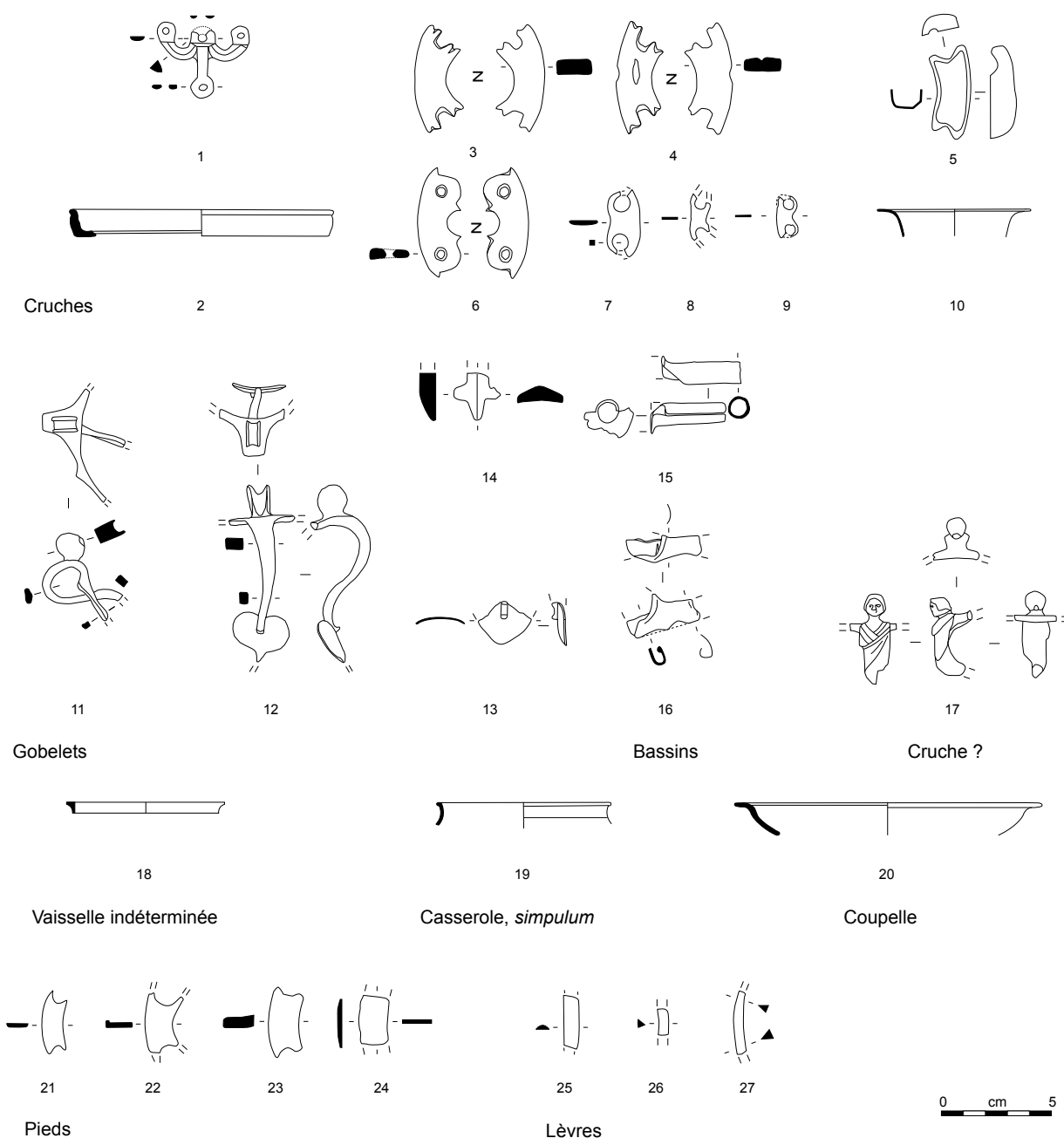


Fig. 190. Vaisselle pour le service des boissons : cruches, gobelets, bassins et vaisselle indéterminée. Alliage cuivreux.

La morphologie des pieds de cruche est très diversifiée avec des extrémités ornées de picots (fig. 190, n°s 3 et 4), un élément creux (fig. 190, n° 5) et quatre éléments à double perforation entourée par des appendices (fig. 190, n°s 6 à 9). Ces derniers exemplaires doivent très vraisemblablement être rapprochés des supports de cruches de type Kelheim, au référentiel morphologique relativement standardisé (Feugère et Rolley 1991, p. 39-41, fig. 18). Les supports de plus petite taille (fig. 190, n°s 7 à 9) apparaissent également sous des cruches de type Gallarate (Feugère et Rolley 1991, p. 28, fig. 5, n° 24), tandis que le poêlon de la tombe B de Göbblingen-Nospelt présente un pied similaire à l'individu le plus massif (Metzler *et al.* 2009, p. 277, fig. 243). Le premier provient

d'une structure de la fin de l'état 1 où il est associé à un bracelet côtelé en verre incolore à couverture interne jaune et une fibule à arc filiforme, tandis que le deuxième pied en contexte est attribué au plus tôt à l'état 3 (bâtiment R). Ce type de cruche se retrouve régulièrement en Gaule interne à partir de LTD1b.

Les deux pieds de cruche massifs en forme de faséole à appendices en éventail (fig. 190, n° 3 et 4) ont été découverts au détecteur au même endroit et peuvent difficilement être attribués à un contexte clos. Tout au plus est-il possible de relever qu'ils apparaissent sous un sol de l'état 2.3. Leur forme suggère une attribution au type Gallarate documenté dès LTD1b, au nord des Alpes (Feugère et Rolley 1991, p. 28, fig. 5, n° 1b). Interprété d'abord comme un pied de situle (Poux et Demierre 2015, p. 166), le pied creux (fig. 190, n° 5) doit être remis en cause en raison de sa taille pour le restituer sous une cruche (Barbau 2015, p. 113).

Caractérisés par leurs anses à doigtier surmonté d'une poulie et par leur attache cordiforme, les gobelets de type Idria apparaissent sur le site dès LTD1b avec une occurrence issue de la fosse 20288 du bâtiment M (état 1) (fig. 190, n° 12). Une autre anse (fig. 190, n° 11) provient des radiers de l'espace M (état 2.3 à 3), tandis que l'attache cordiforme (fig. 190, n° 13) a été découverte hors contexte. Ces gobelets s'utilisent dans le service de la boisson et se rencontrent dès le II^e s. av. J.-C., notamment dans les camps militaires de Numance ou dans des lieux de commerce comme Toulouse. Mise au jour lors du décapage de surface, l'attache d'anse pointue à deux appendices latéraux (fig. 190, n° 14) peut tout aussi bien correspondre au système de préhension d'un gobelet de type Idria (Ulbert 1985, pl. 15, n° 91) qu'à une extrémité d'attache de cruche de type Gallarate (Feugère et Rolley 1991, p. 28, fig. 5, n° 24) ou de situle de type Beaucaire (Feugère et Rolley 1991, fig. 11), bien que ces dernières semblent d'une dimension supérieure.

Les bassins sont représentés par deux becs verseurs fixés à l'aide d'une plaquette rivetée sur la panse du récipient. Ces récipients rares sont documentés à LTD1 dans le lieu de culte du Mormont (Brunetti *et al.* 2014, p. 57) ainsi qu'en milieu funéraire à Verna, Raillencourt-Saint-Olle et Wiebendorf (Perrin et Schönfelder 2003, p. 52-53, fig. 23 et 24). Si l'interprétation du premier élément mis au jour dans une palissade de l'état 2.1 est assurée par son rebord (fig. 190, n° 15), le mauvais état de conservation du deuxième issu du puits 22214 du bâtiment M empêche de garantir son identification (fig. 190, n° 16). Le doute subsiste encore sur l'origine de ce récipient dont la forme renvoie à des exemplaires méditerranéens, tandis que la présence d'un anneau en fer sous la lèvre suggère une production celtique. L'état de conservation de ces deux exemplaires ne permet pas non plus d'exclure une interprétation de bec verseur lié à un récipient celtique en bois ou en tôle épaisse tels que ceux de Manching (Van Endert 1991, pl. 27, n° 448).

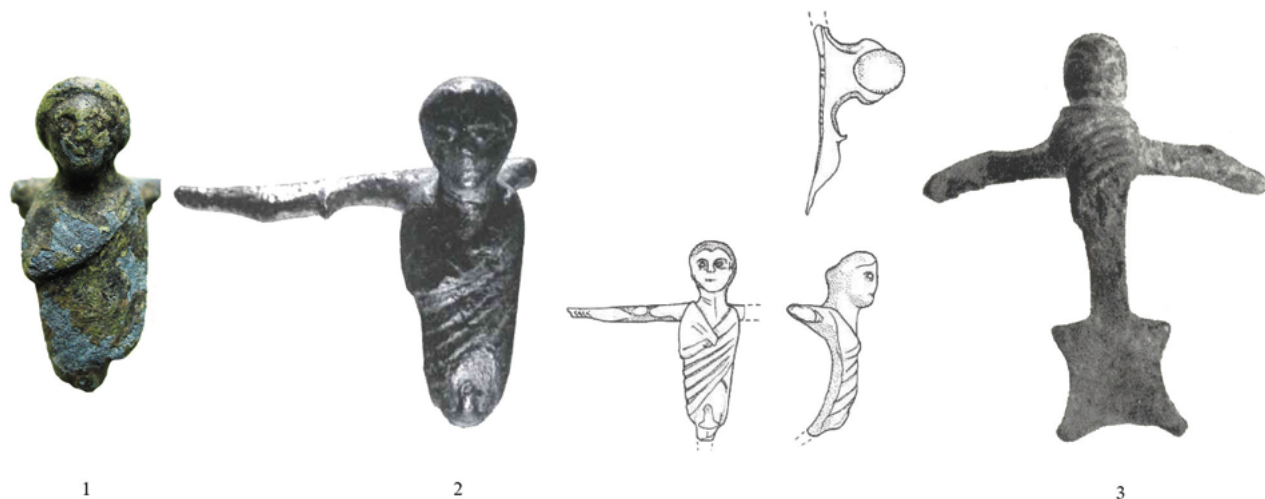


Fig. 191. Anses au buste masculin drapé de Corent (n° 1), de Milan (n° 2) et de Pecs (n° 3).

Éch. : 1/1 sauf 3, sans échelle. Alliage cuivreux (tiré de Bolla 1994, pl. 84, n° 89 et de Radnóti 1938, pl. 52, n° 6).

L'anse ornée d'un buste (fig. 190, n° 17, fig. 191, n° 1) est connue dans la collection G. I. Seletti du Musée d'archéologie de Milan (Bolla 1994, pl. 84, n° 89). Attribuée à une cruche, elle comporte également un drapé évoquant des bras en croix, tandis que des organes génitaux masculins apparaissent dans la partie inférieure de l'anse (fig. 191, n° 2). Elle est datée du début de l'Empire sur la base de la morphologie de son attache inférieure, quadrangulaire à bords concaves (fig. 191, n° 3), et d'un autre parallèle découvert à Pecs en Hongrie (Radnóti 1938, pl. 52, n° 6). Cet objet a été mis au jour sur la chape en pouzzolane du radier du bâtiment C5 attribuée à l'état 2.3. Ce contexte suggère une apparition du type à la fin de LTD2, qui est par ailleurs corroborée par la présence d'un clou de chaussure et d'une fibule à arc interrompu et ressort à corde externe haute dans le même contexte. Il demeure toutefois possible que cet objet soit intrusif ou reflète une perdurance de l'occupation jusqu'à l'époque impériale.

Les autres éléments de vaisselle

La lèvre de récipient triangulaire retrouvée dans l'enclos B (fig. 190, n° 18) se rapporte à une des rares coupelles celtiques connues telle que celle de la nécropole de Tartigny (Rapin 1986, fig. 46, f). Issue des remblais de l'espace D, la lèvre légèrement déversée surmontant une cannelure (fig. 190, n° 19) pourrait s'apparenter à une vasque de casserole ou de *simpulum* (Bienert 2007, forme 29, p. 86-87, forme 93, p. 228). Si l'attribution à un *simpulum* semble la plus probable (voir aussi Kapeller 2003, pl. 4, n° 23), son diamètre (75 mm) demeure toutefois trop important pour valider cette hypothèse et trop petit pour lui préférer celle de casserole. La lèvre déversée hors contexte (fig. 190, n° 20) semble aussi appartenir à une coupelle des III^e et IV^e s. ap. J.-C. (Bienert 2007, forme 72, type H, p. 186-187). Également hors stratigraphie, les fragments de pieds aux extrémités concaves (fig. 190, n°s 21 à 23) peuvent tout aussi bien renforcer le fond de récipients (cruches de type Gallarate, Ornavasso, situle de type Eggers 18, poêlon de type Aylesford) d'époque tardo-républicaine que du début de l'Empire romain (Sedlmayer 1999, p. 115, pl. 51, n°s 2, 3 et 5). Il demeure aussi vain de tenter d'identifier le pied lacunaire (fig. 190, n° 24) ou la forme des récipients auxquels appartiennent les lèvres triangulaires issues des niveaux gallo-romains du sanctuaire (fig. 190, n°s 25 à 27).

Mises en regard, les distributions chronologique (fig. 192) et spatiale (fig. 193) de la vaisselle témoignent des phénomènes évoqués en introduction (voir *supra*, p. 231), à propos de l'utilisation restreinte des récipients importés dans le sanctuaire en comparaison du reste du site. Hormis une anse de seau, la vaisselle métallique n'y est en effet pas recensée durant la première phase et cet instrument de vaisselle indigène constitue, avec les situles de fonction identique, l'objet le mieux représenté dans la deuxième phase d'occupation. L'impression de conservatisme dans la sphère religieuse ressort de l'absence des importations dans les dépôts en structure en creux de l'habitat, où sont associés armement, outillage et instruments culinaires (grils, fragments de chaudron). Seules les situles, également nombreuses dans le sanctuaire, semblent y jouer un rôle, notamment dans deux poteaux du bâtiment Q.

La vaisselle importée est *a contrario* déjà utilisée dans l'habitat, notamment dans les bâtiments B et M qui livrent un pied de cruche et une anse de gobelet de type Idria. Ces éléments demeurent toutefois rares avant la fin de LTD1b et LTD2a (état 2.1 et 2.2), où l'apport d'importations s'accélère tant sur le plan quantitatif que qualitatif, avec un bassin, des cruches et des passoires. Ce n'est toutefois qu'à partir de la dernière phase qu'apparaissent les *simpula*, qui pourraient représenter le *symposion* méditerranéen comme des ustensiles détournés de leur fonction initiale et utilisés dans le cadre du banquet de tradition laténienne (voir *supra*, p. 231). Dans le sanctuaire, le seul fragment de cruche, un pied, apparaît durant l'état 2.2, tandis que les passoires proviennent de contextes attribués à l'état 2 *lato sensu*.

Type d'objet	État (habitat)								État (sanctuaire)							
	1	2,1	2,2	2,3	3	4	Décapage	HC	1	2,1	2,2	2,3	3	4	Décapage	HC
Chaudron	7	11	4	9		1	7	2			2	3	2	2	1	1
Situle	2	5	2	3		1	1	2		1	1					1
Seau/Situle		1	1	1					1			1	1			1
Seau		1	1	2			5				1	2	1	5		
Cruche	1		2	2	1			3			1					
Gobelet	1				1			2								
Bassin		1														
Passoire		3	3	3			5					3				
Récipient en fer		1		1												
Simpulum-passoire		1?		1												
Simpulum		0		1	1		1	1								
Vaisselle ind. (bc)	1	3					3	2		1	1	3		1	1	
Vaisselle ind. (bc) GR						2	1	1				1		1	1	

Fig. 192. Répartition chronologique de la vaisselle métallique.



Fig. 193. Répartition de la vaisselle métallique indigène (en orange) et importée d'époque tardo-républicaine (en bleu). La vaisselle gallo-romaine est illustrée en rose.

	NR	NMI
Toilette	57	44
Trousses de toilette	10 (3)	8 (3)
Pincettes	13 (3)	13 (3)
Sondes	5 (2)	5 (2)
Cure-oreille	3	3
Scalptorium	1	1
Palette à fard	(1)	(1)
Ustensile indéterminé	1	1
Miroirs	24	13
Rasoirs	6	6
Médecine	4	4
Spatules-sondes	2 (3)	2 (3)
Scalpels	2	2

Fig. 194. Tableau de comptage des instruments de toilette et de médecine.

3.5. LA TOILETTE ET LA MÉDECINE

Le corpus d'instruments liés à l'hygiène personnelle et à la médecine se révèle particulièrement riche et varié avec 48 individus répartis en onze types d'objets (fig. 194). La distinction entre ces deux fonctions demeure parfois problématique : les sondes olivaires peuvent ainsi être utilisées pour broyer des cosmétiques, tout comme pour sonder ou cautériser des plaies ; les pincettes peuvent avoir servi dans le domaine médical. En raison de leur fragmentation, nous avons pris le parti de les placer dans la catégorie de la toilette, qui constitue un classement *a minima*.

Ces ustensiles représentent une catégorie d'objets peu diversifiée par rapport à l'époque romaine où le référentiel d'objets augmente de manière exponentielle (Roux 2015, p. 87-91). À La Tène finale, ces éléments constituent très fréquemment un indice de contacts avec le monde méditerranéen (Poux 2012, p. 231-232 et 239, Demierre 2015, p. 176). Avec onze individus avant l'état 2.3, le lot de Corent témoigne à la fois d'une certaine acculturation et un niveau social relativement élevé (Deberge et Orengo 2007, p. 358-359), que révèle aussi la diversité des objets de tradition laténienne recensés (fig. 195). Leur augmentation en nombre et en variété dès l'état 2.3 atteste les changements en cours, au milieu du I^{er} s. av. J.-C. dans les gestes du quotidien. La même évolution est perceptible sur le site de Gondole dont le corpus d'objets de toilette est très diversifié dès LTD2a (Deberge *et al.* 2009, p. 113-114, fig. 70).

Fig. 195. Répartition chronologique des instruments de toilette et de médecine. Quelques objets (spatule-sonde, sonde de trousse de toilette) issus de contextes fiables des fouilles récentes sont intégrés à ces comptages. Les ensembles ambigus sont attribués à la phase la plus récente.

Type d'objet	État							
	1	2,1	2,2	2,3	3	4	Décapage	HC
Pincettes	1	1	1	4	1		5	2
Spatules-sondes	2			1			1	
Trousses de toilette	1			1	2	2	4	
Miroirs		2	1	1		2	5	2
Rasoirs		1		1	1	1	1	
Scalptorium		1						
Cure-oreilles				2				1
Scalpels				1				1
Sondes				2	1		4	
Ustensile ind.							1	

Cette catégorie ne se prête guère à une étude de fragmentation tant elle est variée et constituée d'objets de petite taille. Seuls neuf éléments sont complets dont les deux spatules-sondes, trois pinces à épiler, deux rasoirs, le grattoir et une trousse de toilette. Sans surprise, les miroirs, très cassants en raison de leur composition métallique riche en étain, sont très fragmentaires tandis que les trousse de toilette sont attestées la plupart du temps par des ustensiles désolidarisés. De même, ces instruments se prêtent mal à une étude spatiale (fig. 196), dont il ressort tout de même une surreprésentation des fragments de miroirs dans les niveaux romains du sanctuaire, ainsi que des pincettes à proximité de son entrée. Cette dernière concentration peut toutefois s'avérer factice tant les différents éléments sont issus de niveaux non contemporains. Présentées dans le cadre de l'étude des activités artisanales (voir *supra*, p. 195-196, fig. 141), la pincette et la sonde en cours de fabrication peuvent être associées à des niveaux d'atelier à proximité du bâtiment C5.

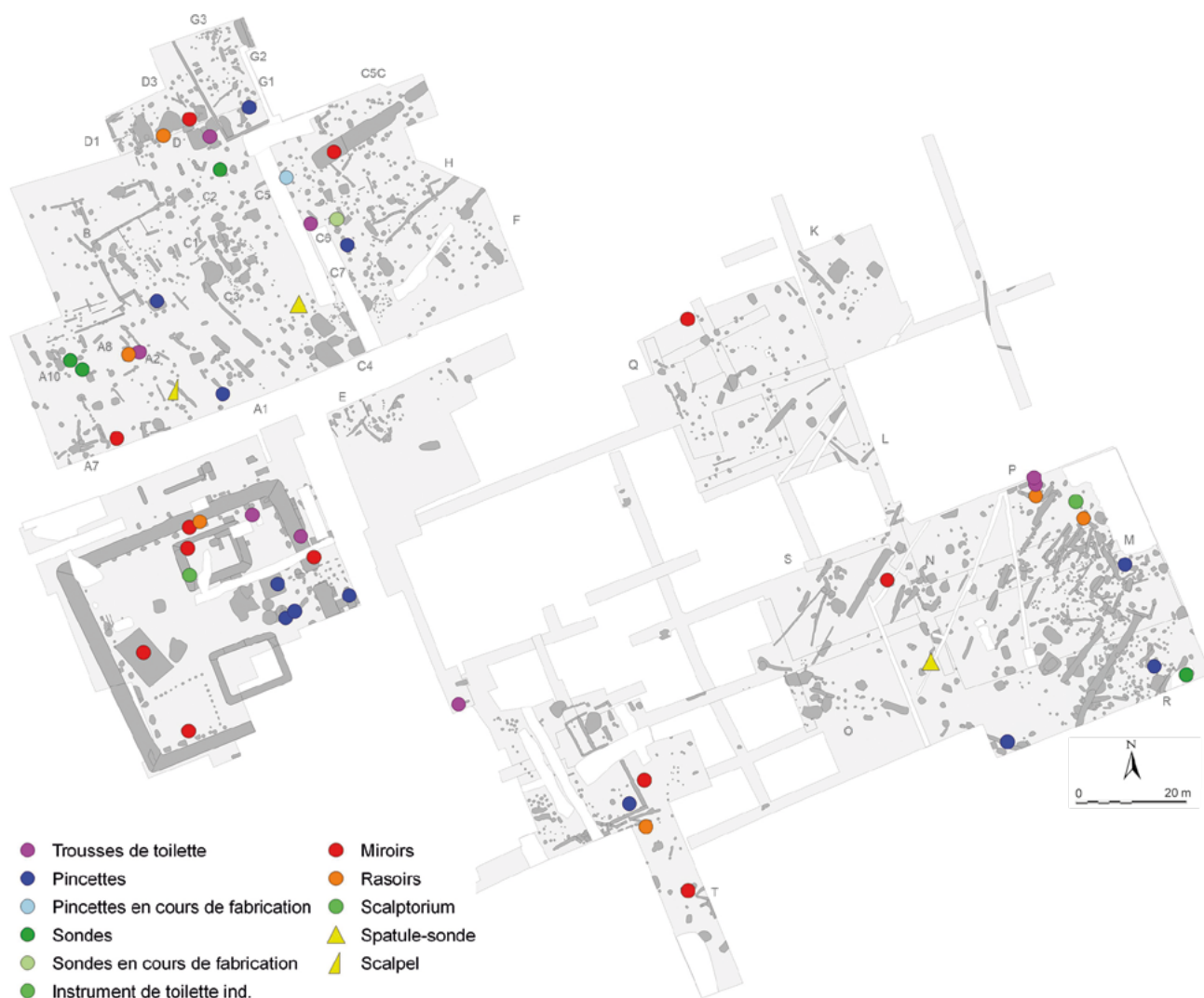


Fig. 196. Répartition des instruments de toilette et de médecine par type d'objet.

3.5.1. LES TROUSSES DE TOILETTE

Les nécessaires de toilette et leurs composants isolés ([cat. 50](#)) représentent huit individus auxquels peuvent être rajoutés trois éléments issus des prospections anciennes et des fouilles récentes. Rares à La Tène finale, les nécessaires de toilette de cette période apparaissent sous la forme d'instruments solidarités par un rivet central ou par un anneau. Connue notamment à Manching, à Stradonitz ou à Bâle-Gasfabrik, la première forme, du type D de A. Miron (1989, fig. 5), est attestée par une pince à épiler munie d'un rivet central (fig. 197, n° 1), à laquelle pouvaient être connectés un cure-ongle, un cure-oreille ou encore une sonde si l'on se réfère aux troussees complètes. Issu du radier du bâtiment A2 (état 2.3), cet objet semble relativement plus récent que le parallèle bâlois (LTD1b), tandis que le deuxième fragment ([pl. 110](#), n° 15) provient d'un décapage de surface. La petite taille de l'anneau du cure-oreille (fig. 197, n° 9) découvert en prospection et de la sonde (fig. 197, n° 5) du fossé du sanctuaire (état 1) incite à les associer à un assemblage riveté. *A contrario*, le cure-ongle (fig. 197, n° 7) retrouvé à quelques centimètres de son anneau de fixation (fig. 197, n° 6) et l'anneau à tige rectangulaire (fig. 197, n° 8) s'apparentent plutôt aux troussees solidarités par un anneau, comme celles de Sainte-Blandine (Chapotat 1970, pl. 11, n°s 6 et 7) et de Roanne (Lavendhomme et Guichard 1997, pl. 113, n°s 28 et 29). Deux anneaux présentant le début d'une tige de section circulaire ([pl. 48](#), n° 8 et pl. 174, n° 23) pourraient avoir appartenu à des instruments de toilette. Ils restent néanmoins classés dans les indéterminés en raison de leur similarité avec

des pendeloques du Bronze final ou des extrémités de fléau de balance. À l'exception de la sonde du sanctuaire (état 1) et de la pince à épiler rivetée (état 2.3), ces pièces proviennent de contextes peu exploitables.

Documentée grâce à une radiographie lors de sa découverte, la trousse de toilette en fer (fig. 197, n° 2) a été mise au jour lors d'un sondage au sud du sanctuaire, en 1992. Composée d'une pince à épiler, d'un cure-ongle, d'une sonde ou d'un cure-oreille, maintenus par un anneau riveté, elle s'apparente au type C d'A. Miron. En témoigne une trousse de la nécropole orientale du Titelberg (Metzler *et al.* 2009, p. 234, fig. 207, n° 17) datée du début du règne d'Auguste. D'autres exemplaires en fer sont connus dans des contextes de la fin du I^{er} s. et du début du II^e s. ap. J.-C., notamment à Augst (Riha 1986, p. 27, pl. 9, n° 78). De conception proche avec un anneau inséré dans le ressort d'une pincette à élargissement médian, la trousse de toilette (fig. 197, n° 3) est attribuée à l'époque romaine en raison de son contexte, les niveaux de remblais de l'espace D. La sonde à extrémité moulurée (fig. 197, n° 4) a dû appartenir à un nécessaire de toilette à charnière, caractéristique de l'époque augustéenne (Miron 1989, type E, fig. 6-7). Elle est issue d'un ensemble à l'interface entre les couches laténiennes et romaines du sanctuaire. Une sonde identique (23155-1/861) provient d'un cellier fouillé en 2013 qui livre un ensemble céramique et une forme évoluée de fibule à collerette typique du règne d'Auguste. Le décapage de surface de cette campagne livre également une pince à épiler (23006/642) dont l'anneau terminal témoigne de sa fixation à une trousse de toilette (voir par ex. Metzler *et al.* 2009, fig. 207, n° 21).

3.5.2. LES PINCES À ÉPILER

Les pinces à épiler, aussi appelées pincettes ou brucelles, peuvent être divisées en trois types (fig. 197, n°s 10 à 12), les exemplaires inornés en alliage cuivreux (type 1) ou à bordures soulignées par une rainure (type 2) et les individus en fer (type 3). Il s'agit des instruments de toilette non seulement les plus communs sur le site avec 12 individus, auxquels peuvent être ajoutés trois éléments découverts anciennement ou issus des fouilles récentes, mais également ceux qui sont représentés dans tous les états du site. L'ensemble des types appartient aux formes à mors fins de La Tène finale (voir par ex. Van Endert 1991, pl. 16, n°s 293 à 297), tandis que les brucelles larges, fréquentes à La Tène moyenne, sont absentes (voir par ex. Schäfer 2010, fig. 75, n°s 317, 711, 1354 et 1750).

3.5.3. LES SONDES

Utilisées dans le cadre de l'hygiène personnelle comme dans celui de la médecine, les sondes constituent des objets difficiles à qualifier sur le plan typologique lorsqu'elles ne sont représentées que par leur extrémité active (fig. 197, n°s 13 à 15). Ces fragments peuvent en effet avoir terminé un ustensile de trousse de toilette tout comme une spatule-sonde dont la fonction est principalement médicale. Leurs contextes ne sont également d'aucune aide pour aborder leur datation, à l'exception d'un pavage de l'espace D attribué entre la fin de La Tène et le début de l'époque romaine.

Une datation à l'état 2.3 peut toutefois être formulée pour la sonde à tige à bouton mouluré issue de la fosse 22316 du bâtiment R (fig. 197, n° 16). La situation des cannelures médianes sur la tige distingue cet élément des *spathomèles* (fig. 199, n°s 1 et 2) dont la mouluration est située à la jonction entre la sonde et la spatule. L'interprétation comme sonde ou sonde à cuilleron de tradition méditerranéenne peut donc être postulée sur cette base, bien que les seuls parallèles connus à LTD2b soient dépourvus de bouton médian (voir par ex. Debord 1998, fig. 5). Une sonde à cuilleron de Dangstetten à bouton médian atteste toutefois leur utilisation dès le début de l'époque augustéenne (Fingerlin 1986, Fundstelle 178, n° 1).

3.5.4. LES CURE-OREILLES

Caractérisés par leur cuilleron proximal et leur manche de section circulaire, les fragments de cure-oreilles peuvent avoir appartenu à des trousse de toilette (Deberge *et al.* 2009, fig. 70, fo 30) tout comme constituer un ustensile en soi, associé ou non à une sonde (voir par ex. Debord 1998, fig. 5, n° 1). Leurs contextes de provenance, une palissade de l'état 2.2 à 2.3 du bâtiment S (fig. 197, n° 17) et le sol laténien de la cour occidentale du bâtiment B (fig. 197, n° 18), ne permettent pas de définir si ces éléments représentent des cure-oreilles importés ou se rapportent à des trousse de toilette laténiennes.

3.5.5. LE SCALPTORIUM

Nous proposons d'interpréter l'objet (fig. 197, n° 19) comme un cure-ongle, grattoir, tire-tique ou *scalptorium* en raison de la présence d'une incision triangulaire de chaque côté de sa palette trapézoïdale. Bien qu'aucun parallèle exact ne puisse être fourni, cet artefact se rapproche des grattoirs triangulaires à anneau de Stradonitz (Pič 1906, pl. 12, n°s 39, 40, 44 et 45) ou d'un exemplaire de Manching (Van Endert 1991, pl. 17, n° 300). La forme avec une partie active plus fine se retrouve sur les *scalptoria* des trousse de toilette d'Augst, de Colchester (Riha 1986, pl. 9, n° 78 et fig. 9), de Niort ou de Saintes (Bertrand 2003, pl 28, n°s 8 et 10). Issu d'un niveau scellé par un radier de l'état 2.2, cet instrument, dont l'interprétation prête à discussion, peut être attribué à LTD1b et pourrait constituer un prototype des exemplaires attestés dès le I^{er} s. de notre ère.

3.5.6. LE MORTIER À FARD

Une palette à fard découverte au XIX^e siècle (Grange 1857, pl. 19, n° 138, Faye 1995, pl. 33, n° 343) apparaît sous la forme d'une gouttière aux extrémités munies d'un anneau de suspension et d'un bouton terminal (fig. 197, n° 20). Utilisée en conjonction avec un pilon, la gouttière sert de mortier pour broyer des cosmétiques (Jackson 2010, p. 10-14). Cet instrument de toilette est une production spécifique des îles britanniques de la fin de l'âge du Fer et de l'époque romaine. Il a fait l'objet d'une typologie détaillée, qui permet d'attribuer cet exemplaire aux mortiers à boucle terminale et à extrémité en bouton (Jackson 2010, *end-looped mortar with knobbed terminals*). Déjà relevé par J.-P. Guillaumet et A. Eugène (2009, p. 243, fig. 4), cet artefact constitue l'une des rares traces de contacts avec les îles britanniques relevées en Gaule. En effet, seuls cinq autres éléments de nécessaire à fard (palette et/ou pilon) sont connus à l'extérieur des îles bretonnes : trois nécessaires complets en contexte funéraire à Théroüanne et à Saintes, un mortier dans l'*oppidum* de Bibracte et un pilon sur la ferme indigène d'Echiré dans un contexte LTC2/LTD1 (Guillaumet et Eugène 2009, p. 243). Cet objet révèle des contacts à longue distance, déjà identifiés grâce à la découverte de trois *tin coins* attribués au peuple des *Cantii* (Poux *et al.* 2007a, p. 218, fig. 15, n° 2). À l'instar de ces éléments, il implique des mouvements de personnes qui pourraient résulter du transfert d'otages confiés à la tutelle des Arvernes, lors de l'incursion de César en territoire breton (Poux *et al.* 2007a, p. 219-220).

Un autre élément en gouttière de facture proche (fig. 197, n° 21) pourrait être affilié à ce type d'objet et correspondre à un exemplaire à terminaison simple (Jackson 2010, *end-looped mortar with plain or spouted terminals*, fig. 10). Sa fragmentation empêche toutefois de valider complètement l'interprétation de cet objet qui reste classé dans les indéterminés.

3.5.7. LES USTENSILES DE TOILETTE INDÉTERMINÉS

Un manche facetté du sanctuaire appartient à un instrument de toilette ou de médecine indéterminé en l'absence de ses parties actives (fig. 197, n° 22).

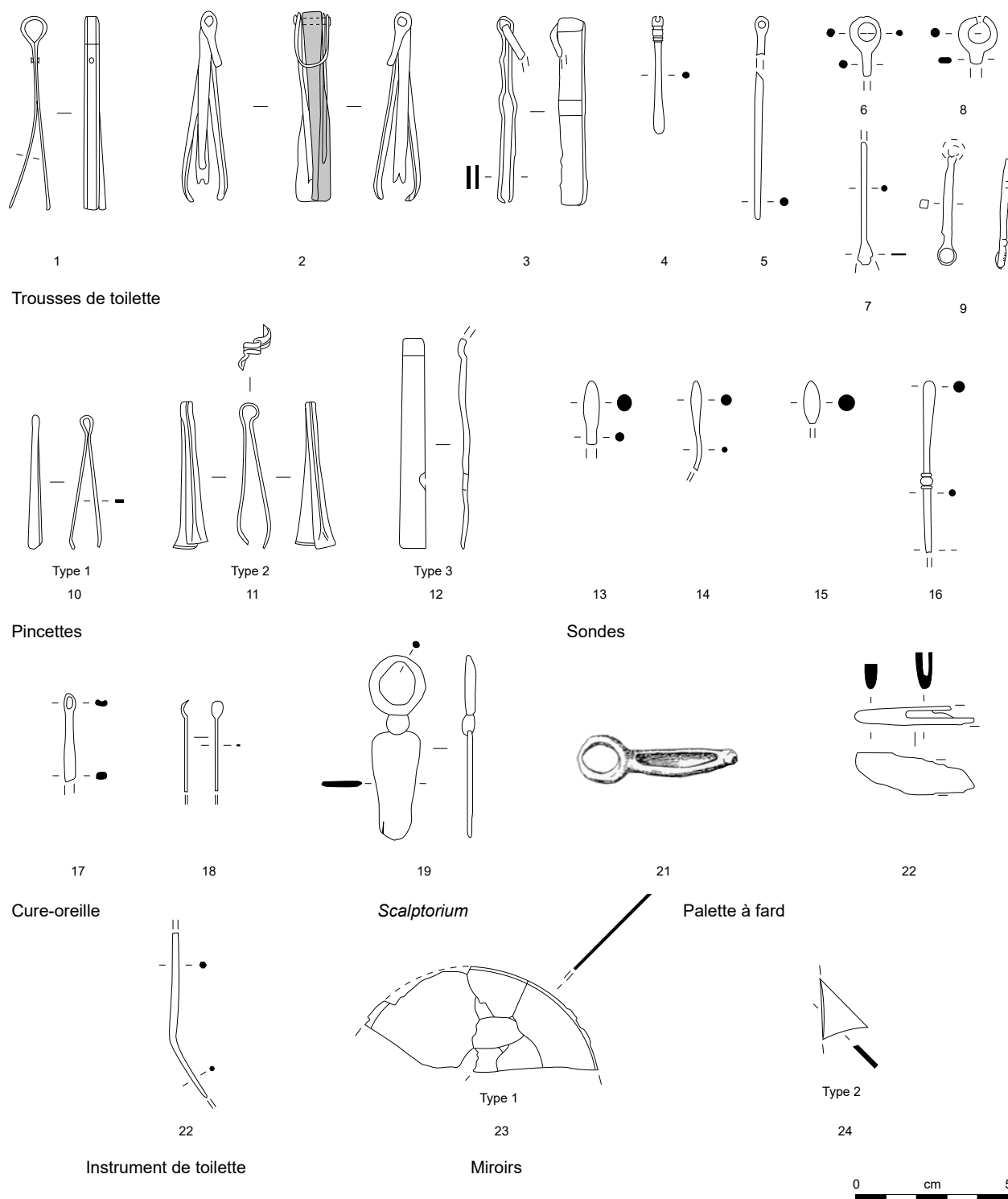


Fig. 197. Ensemble des instruments de toilette à l'exception des rasoirs. 1, 3-11, 13-24 : alliage cuivreux ; 2, 12 : fer (21, tiré de Granges 1857, pl. 19, n° 138).

3.5.8. LES MIROIRS

Très fragmentaire, le corpus de miroirs ([cat. 51](#)) peut être divisé en trois types (fig. 197, n°s 23 et 24) selon leur forme indéterminée (type 0), circulaire (type 1) ou carrée (type 2). Bien qu'ils demeurent assez rares avant l'époque romaine, ces instruments de toilette sont attestés dans le domaine celtique dès LTC2, avec la très riche tombe féminine de Dühren découverte au XIX^e s. qui en livre deux exemplaires (Polenz 1982, p. 58-65, fig. 6, n°s 1 et 2). Loin de la diversité des formes connues à l'époque romaine (voir par ex. Lloyd-Morgan 1981), les miroirs de La Tène finale, le plus souvent très fragmentaires, apparaissent sous l'aspect de plaque circulaire à bordure biseautée et au poli de surface emblématique. À l'exception des exemplaires des îles bretonnes, ils se caractérisent

par l'absence d'encadrement ou de poignée, ce qui laisse supposer une insertion dans une boîte en bois (Van Endert 1991, p. 62-63). Le miroir du dépôt de Sainte-Blandine constitue l'un des rares exemplaires complets de La Tène finale. Sa datation durant LTD2a est proche de celle des fragments les plus anciens de Corent, où cet ustensile de toilette est attesté dès LTD1b, comme en témoignent deux contextes de l'état 1 à 2.1, dont le sol du théâtre laténien scellé par le radier postérieur. S'ils apparaissent également dans des contextes de l'état 2 *lato sensu*, les fragments de miroir sont très fréquents à l'époque romaine dans le sanctuaire et l'espace D, deux lieux où ils ont pu jouer un rôle dans la sphère religieuse, avec une utilisation, par ailleurs fréquemment relevée, durant l'Antiquité (Barrauol 1985, p. 371). Le sanctuaire livre le seul exemplaire à bordure rectiligne qui laisse envisager un miroir carré inséré dans une boîte. Ce type de miroir principalement représenté au I^{er} s. de notre ère (Lloyd-Morgan 1981, groupe A) est connu dès le premier quart du I^{er} s. av. J.-C. en Gaule, où il apparaît en association avec un umbo fusiforme, dans la tombe de Campagnac (Girard *et al.* 2016, p. 824-826).

3.5.9. LES RASOIRS

La distinction entre rasoirs et couteaux de poche s'avère particulièrement difficile en contexte d'habitat en raison de la fragmentation du corpus et en l'absence des associations courantes en milieu funéraire avec d'autres ustensiles de toilette (forces, pince à épiler). Les critères retenus ici sont une lame à tranchant convexe et un manche de petite taille, inférieur à 4 cm, et replié ou terminé par un anneau. Malgré leur état de conservation, quatre exemplaires (fig. 198, n^{os} 1 à 4) s'inscrivent dans les formes généralement recensées à La Tène finale (Jacobi 1974, p. 91-94, fig. 25). Les deux rasoirs issus de niveaux exploitables proviennent de contextes de LTD1b (fig. 198, n^o 1) et de la fin de la séquence laténienne d'occupation du site (fig. 198, n^o 3). Nous ne reviendrons pas sur la poignée d'épée récupérée de la cour intérieure du complexe A (voir *supra*, chap. 3.2.1, fig. 102) et sur le rasoir atypique (fig. 198, n^o 5) issu des niveaux romains du sanctuaire (Poux et Demierre 2015, p. 184).

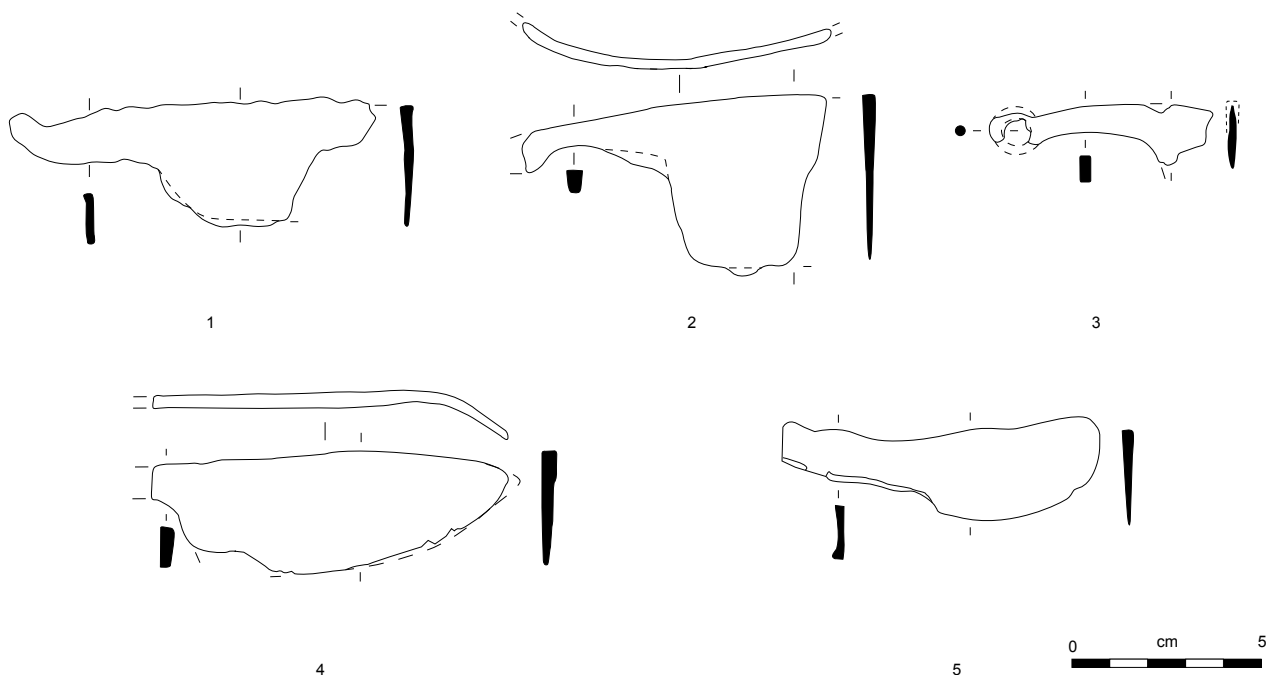


Fig. 198. Rasoirs. Fer.

3.5.10. LES SPATULES-SONDES

Les deux extrémités des spatules-sondes, aussi appelées *spathomèles* d'après leur étymologie grecque, servent dans le domaine médical : la sonde en olive peut sonder ou nettoyer une plaie, broyer des substances médicamenteuses, appliquer une préparation, alors que la spatule sert à écarter les bords d'une blessure, à la nettoyer ainsi qu'à appliquer un traitement (E. Vigier, dans Poux 2012, p. 239). Issus de la médecine gréco-romaine, ces objets sont interprétés comme des importations en Gaule, où ils apparaissent dès LTD1 dans des agglomérations comme Manching (Van Endert 1991, pl. 17, n^{os} 324 et 325), Toulouse (Demierre 2015, fig. 19, n^{os} 13 à 16), Bâle-Gasfabrik (Furger-Gunti et Berger 1980, pl. 12 n^o 270) ou encore Vufflens-la-Ville (Crausaz, Demierre, étude en cours). Ces exemplaires anciens (fig. 199, n^o 1) sont recensés à trois reprises à Corent, dont deux individus issus de contexte de l'état 1, où ils sont associés à des variantes de fibule de Nauheim en fer. Ils présentent une spatule en forme de rame à angles appointés dont la jonction avec la tige de la sonde est munie d'un bouton mouluré. Sur la base de ces parallèles, ce premier type, également attesté dans le camp tardo-républicain de Numance (Luik 2002, fig. 352, n^o 82 et fig. 82, n^{os} 94 et 95), semble plus ancien que le deuxième type dépourvu de moulurations à la spatule dotée d'une bordure arrondie. Connue par deux individus dont un issu d'un contexte de l'état 2 *lato sensu* (fig. 199, n^o 2), il est recensé dès LTD2a dans le camp des guerres sertoriennes de Cáceres el Viejo (Ulbert 1985, pl. 20, n^{os} 126 et 127) et dans le dépôt de Sainte-Blandine (Chapotat 1970, pl. 11, n^{os} 6 et 8), mais également dans les camps augustéens de Dangstetten (Fingerlin 1986, Fundstelle 367, n^o 1) et de Haltern (Müller 2002, pl. 75, n^o 807). Si elle semble cohérente sur la base des ensembles présentés, cette distinction typochronologique devra être validée par l'apport d'éléments de comparaison et d'une réflexion intégrant les instruments moulurés romains (voir par ex. Riha 1986, variantes C et E).

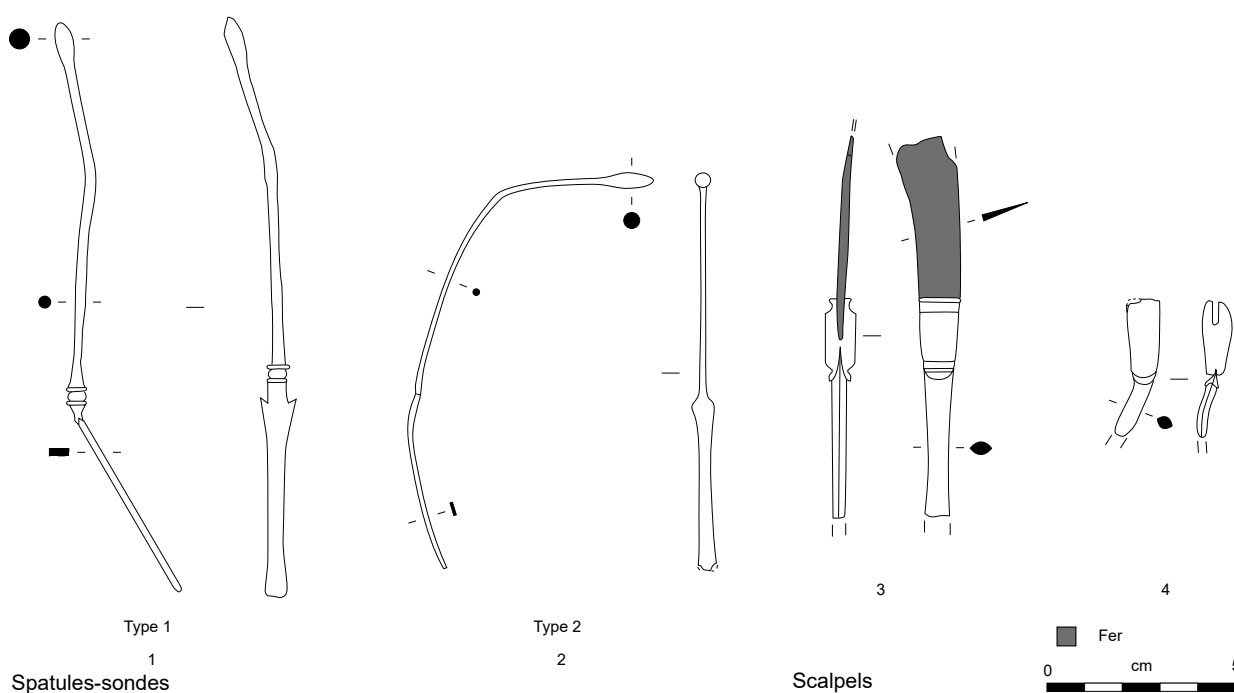


Fig. 199. Instruments relatifs à la médecine, spatules-sondes et scalpels. 1-2, 4 : alliage cuivreux ; 3 : alliage cuivreux et fer.

3.5.11. LES SCALPELS

Au même titre que les spatules-sondes, les scalpels bimétalliques à manche en alliage cuivreux et lame en fer appartiennent à la médecine de tradition gréco-romaine. Ils apparaissent en Gaule interne lors l'installation du *limes* avec une première occurrence datée de l'époque tibérienne à Augsburg-Oberhausen (Künzl 1996, p. 2449, Krause 2009, p. 78). Le scalpel monométallique est attesté dès La Tène moyenne en Gaule. Ce type d'objet est recensé dans deux tombes de Tartigny, où il est associé à des brucelles et interprété comme un objet à la fonction tant religieuse que chirurgicale (Rapin 1986, p. 73-75, fig. 45-46). S'il se rapproche des formes classiques de l'époque augustéenne et du I^{er} s. de notre ère (Künzl 1983, p. 15-16, fig. 5), le scalpel (fig. 199, n° 3) s'en différencie au niveau de la partie inférieure de la fixation de la lame qui est munie d'ailettes et de son manche plus fin. Les exemplaires très proches de l'époque tibérienne du Madgalensberg (Gostenčnik 2002, p. 145-147, fig. 1, n° 2), du camp d'Augsburg-Oberhausen (Hübener 1973, pl. 13, n° 42) et de la fin du I^{er} s. ap. J.-C. d'Augst (Riha 1986, pl. 56, n° 619 et 625) remettent en cause la datation fournie par le contexte de cet objet pris dans les pierres du radier du bâtiment A1 (état 2.3) (fig. 200). Au vu de ces données, ce scalpel constituerait une des premières attestations de la pratique de la chirurgie gréco-romaine en Gaule interne, mais également une des toutes premières attestations de scalpel bimétallique. Ces instruments ne semblent en effet pas prendre cette forme avant le règne d'Auguste, comme en témoignent les exemplaires monométalliques des tombes hellénistique et républicaine de Volterra et d'Ephèse (Künzl 1983, p. 15-16) ou celui, vraisemblablement de fabrication gauloise, d'Entremont (Girard 2010, fig. 460, n° 2). Cette confrontation typologique suggère une intrusion qui semble difficile à justifier compte tenu des conditions de découverte de l'objet (fig. 200). Le scalpel hors contexte (fig. 199, n° 4) présente une morphologie similaire qui laisse envisager un approvisionnement identique ou leur appartenance à la trousse du même chirurgien.



Fig. 200. Scalpel bimétallique du bâtiment A1 in situ.

3.6. LE TRANSPORT

Les 86 éléments liés au transport ([cat. 52](#)) sont divisés en trois sous-catégories, à savoir les pièces de char, les éléments de harnachement et enfin les objets accessoires (fig. 201). Leur analyse qualitative est marquée par une forte proportion d'objets dont la fonction exacte et l'interprétation sont sujettes à discussion, tant il est vrai que la production de cette catégorie de mobilier correspond souvent à une production régionale peu standardisée. Certains choix interprétatifs et taxinomiques seront donc peut-être à revoir à la lumière de nouvelles découvertes d'ensembles cohérents permettant de fournir des explications, pour un certain nombre d'artefacts dont la fragmentation et l'absence de parallèle probant laissent planer le doute sur leur identification. Les rares éléments de harnachement de l'époque romaine, dont d'hypothétiques boucles de sous-ventrières et un pendant de harnais, sont intégrés au chapitre consacré aux *militaria* (voir *supra*, chap. 3.2.4).

Le nombre restreint d'objets de chaque type empêche une réflexion taphonomique liée à la fragmentation. Leur répartition spatiale et leur distribution par type de structure soulignent les espaces ouverts ainsi que les voies de circulation interne de l'*oppidum* (fig. 202). Hormis les sols extérieurs, cette catégorie apparaît en effet fréquemment dans les fossés bordiers de voie et les cloisons de bâtiment, alors qu'elle est plus rarement observée à l'intérieur des constructions. Leur distribution montre également quelques concentrations qui sont autant d'assemblages cohérents, comme la fosse 18098 du bâtiment F ou encore la fosse 16231 du bâtiment B.

	NR	NMI		NR	NMI		NR	NMI
Pièces de char	44	39	Harnachement	36	29	Pièces accessoires	18	18
Bandages de roue	15	12	Distributeurs de courroie	2	2	Éperons	4 (1)	4 (1)
Boîtes à moyeu	4	4	Boucles de harnais	4	4	Pique-bœufs	14	14
Frettes de moyeu	5	3	Mors	4	4	Éléments récents	18	18
Renforts d'essieu	2	2	Applique de harnais	1	1	Clous de ferrure	14	14
Clavettes	4	4	Agrafes de harnais	2 (1)	2 (1)	Fers à cheval	3	3
Appliques de caisse	4	4	Pendants de harnais	8	8	Fer à bœuf	1	1
Bouton de caisse	1	1	Phalères	15	8			
Piton coudé	5	5						
Embouts de timon	2 (1)	2 (1)						
Passe-guides	2 (1)	2 (1)						

Fig. 201. Tableau de comptage des pièces liées au transport.

3.6.1. LES PIÈCES DE CHAR

Les pièces métalliques de char constituent les marqueurs aristocratiques par excellence au vu de leur découverte dans les tombes les plus riches et dans les *oppida* (Schönfelder 2002). Elles sont relativement fréquentes à Corent avec plus d'une quarantaine d'éléments, qui sont présentés d'après la classification fonctionnelle proposée par M. Schönfelder (2002), à savoir les parties constitutives de la roue et de sa fixation à l'essieu, les éléments de la caisse du char et ceux relatifs au joug. Même si le corpus de Corent comprend de nombreuses particularités typologiques et unicas, nous serons amenés à revenir sur les répartitions spatiales et recensions de cet auteur en complétant, dans certains cas, les données à disposition pour les types les plus fréquents.

La roue et sa fixation à l'essieu

À l'exception des agrafes de jante, tous les constituants métalliques de la roue sont représentés à l'état fragmentaire, à commencer par quatre tronçons de frettes de moyeu en alliage cuivreux à nervures triangulaires (fig. 203, n^{os} 1 à 4), dont trois fondus issus du bâtiment L (fig. 203, n^{os} 2 à 4). Rare à La Tène finale, ce type de renfort favorisant la solidité du moyeu est attesté à LTD1 (Schönfelder 2002, p. 150-155), notamment dans les ensembles funéraires aristocratiques les plus proches comme ceux de Pulvérières (Blaizot *et al.* 2014, fig. 14, st. 87, pl. 4, n^o 106-164, st. 91, pl. 3, n^{os} 136-138) et de Verna (Perrin et Schönfelder 2003, p. 87-90). La rainure sommitale du premier élément, d'un diamètre externe de 9,8 cm (fig. 203, n^o 1), pourrait avoir été remplie d'émail au regard des frettes du site allobroge. Le groupe de fragments exposés au feu du bâtiment L permet de restituer une frette à bordure externe triangulaire, tandis que la nervure centrale semble rainurée. Les déformations dues au feu, très proches de celles observées à Verna et à Pulvérières, peuvent expliquer son diamètre inférieur aux standards (7 cm). Le conglomerat partiellement fondu, où apparaît une bordure externe de frette, comporte en surface une gouttelette d'or (fig. 203, n^o 4) qui laisse envisager une dorure à la feuille. Cette technique, appliquée notamment sur l'arbre cultuel de Manching (Maier 1991), est aussi postulée sur le char de la tombe aristocratique de Warcq (LTD1b) dont la caisse et les roues sont recouverts de feuilles d'or (Nicolas *et al.* 2018)²². Cet ajout ornemental, dont l'éclat devait impressionner, peut faire écho à la mention de Florus (III, 3) qui évoque l'exposition de Bituit sur un char d'argent, lors du triomphe de D. Ahenobarbus et F. Maximus. La présence de cette dorure, dont le procédé peut être restitué grâce aux moules à la cire perdue d'un atelier de bronzier de Kelheim (Schäfer et Scharff 2003), infirme l'hypothèse d'un raté de fabrication pour privilégier celle d'un élément récupéré destiné à la refonte. Dans ce cas, il demeure toutefois encore envisageable qu'un autre objet en or se soit aggloméré lors de cette opération de recyclage.

²² Voir aussi : <http://www.inrap.fr/une-exceptionnelle-tombe-char-dans-les-ardennes-9572>.

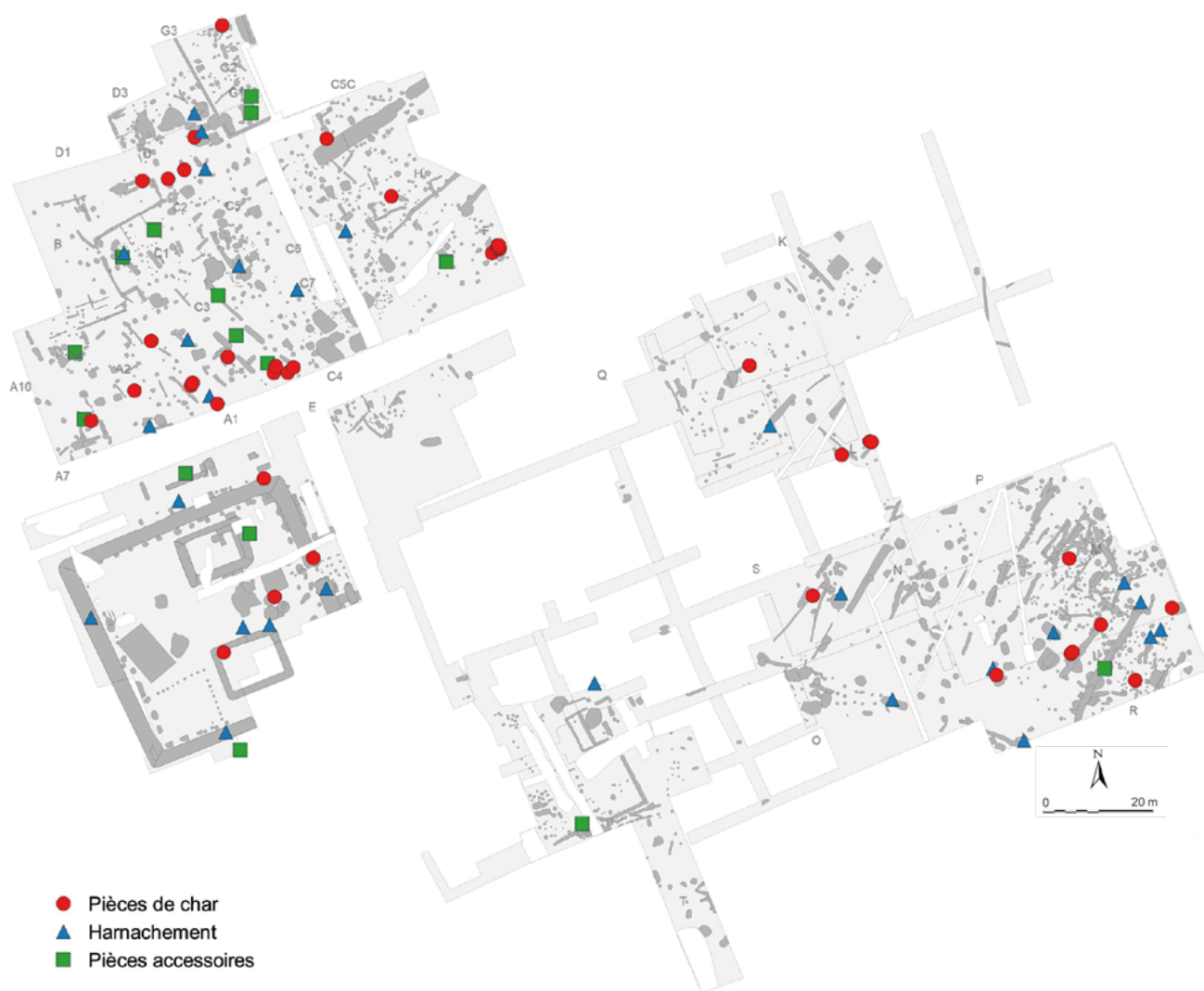


Fig. 202. Répartition spatiale des objets liés au transport

Issues de la fosse 18098 de LTD1b du bâtiment F, deux pièces retrouvées très proches l'une de l'autre pourraient correspondre à un moyeu de roue avec sa frette et sa boîte (fig. 203, n^{os} 5 et 6). Inédite, la frette d'un diamètre interne de 10 cm est maintenue avec un système de tenon riveté et comporte un aileron sommital. Cette particularité morphologique peut correspondre à un ajout technique inséré dans le bois du moyeu pour éviter le déplacement de la pièce sous l'effet de la rotation, selon le même principe que certaines boîtes à moyeu ou pour faciliter le sertissage de la frette. Avec sa perforation et ses extrémités jointives, la boîte à moyeu (fig. 203, n^o 6) est connue à Manching (Jacobi 1974, pl. 55, n^o 833), dans le dépôt de LTD1 de Boult-sur-Suippe (Girard et Tisserand 2015, fig. 8, n^o 940-47). L'ensemble du milieu du I^{er} s. ap. J.-C. de Saintes livre la meilleure comparaison avec deux pièces identiques associées à des frettes (Bouchette *et al.* 1998, p. 82-83, fig. 57, n^{os} 182 à 185).

Selon M. Schönfelder, les boîtes à moyeu (fig. 203, n^{os} 6 à 9) seraient un apport technique de tradition alpine daté de l'Empire romain. Il propose d'interpréter les rares pièces découvertes hors de cette zone géographique comme des indices menant à l'identification du commerce de marchandises à longue distance, par la voie terrestre. Si cette proposition peut s'accorder avec la boîte à moyeu à ailettes rabattues (fig. 203, n^o 9) issue d'un contexte de LTD2b et attestée dans le camp de Haltern dès l'époque augustéenne (Harnecker 1997, p. 24, Taf. 53-54) et demeure séduisante pour celle associée à la frette de moyeu (fig. 203, n^o 6), l'attribution à LTD1b d'au moins deux exemplaires à Corent (fig. 203, n^{os} 6 et 7) pose problème, mais reste plausible à la vue de la boîte à moyeu de LTD1 du dépôt de Boult-sur-Suippe (Girard et Tisserand 2015,

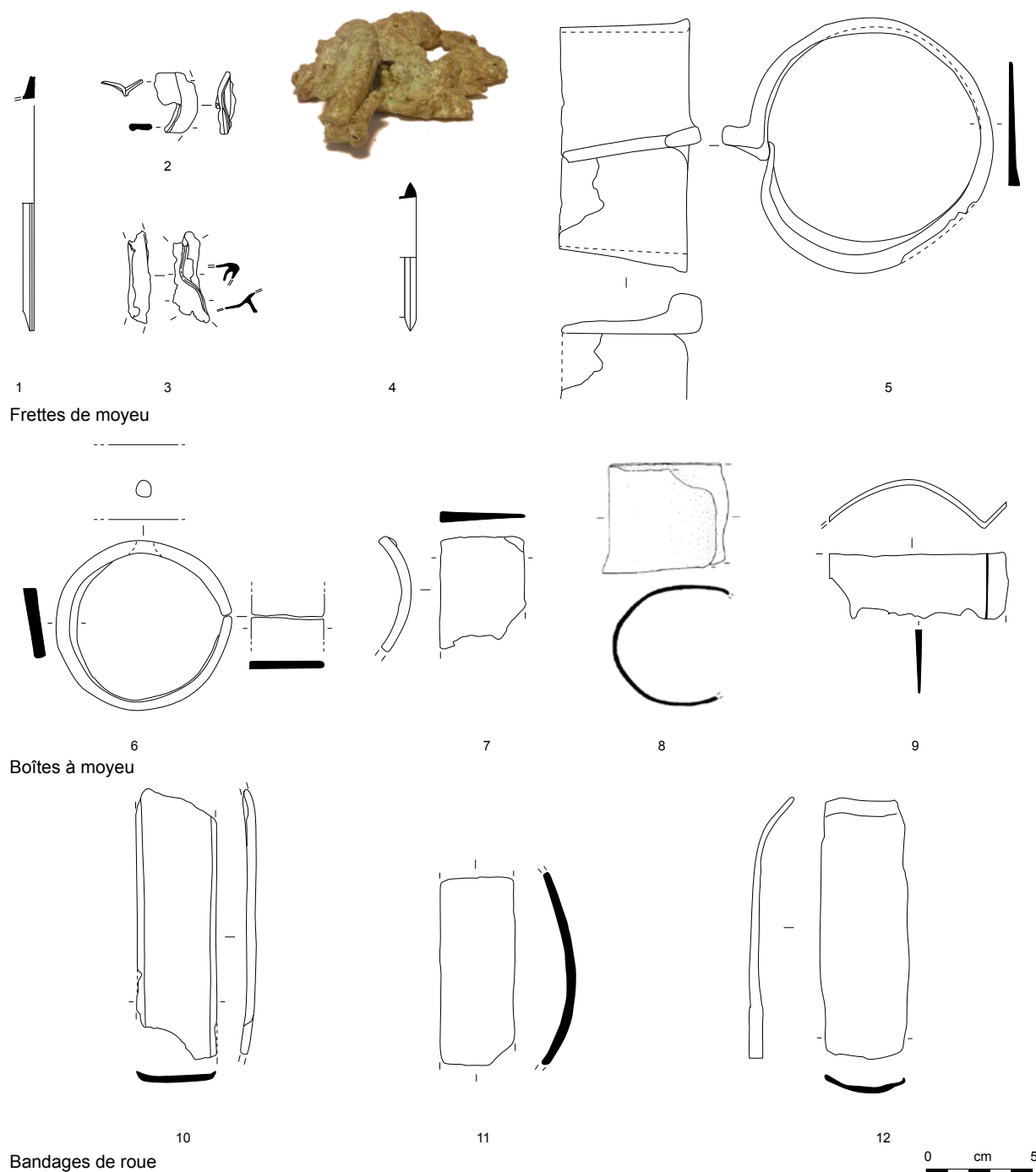


Fig. 203. *Éléments constitutifs d'une roue de char : frettes de moyeu, boîtes à moyeu et bandages de roues. 1-4 : alliage cuivreux ; 5-12 : fer.*

fig. 8, n° 940-47). Une datation similaire peut par ailleurs être proposée pour au moins une des boîtes à moyeu recensées à Berching-Pollanten (Schäfer 2010, p. 122-123, fig. 83, n°s 3739 et 1747), ainsi que pour l'exemplaire de Manching (Jacobi 1974, pl. 55, n° 833). Ces différentes occurrences relativisent l'absence d'utilisation des boîtes à moyeu à La Tène finale, même si leur rareté renforce l'hypothèse d'un apport lié à des échanges commerciaux.

Constitués d'une bande de fer plat à bordure incurvée, les bandages de roue (fig. 203, n°s 10 à 12) demeurent souvent difficiles à identifier à l'état fragmentaire en contexte d'habitat où ils peuvent être confondus avec des renforts d'essieu ou certains demi-produits. Ainsi, n'ont été retenus que les exemplaires présentant encore un vestige de la courbure de la jante et une section à bordure incurvée. La longueur conservée des fragments oscillant entre 4 et 16 cm montre que ces éléments sont fréquemment récupérés (Schäfer 2010, p. 122). Les deux fragments issus d'une fosse artisanale du bâtiment R attribuée à

l'état 1 (pl. 165, n^{os} 1 et 2) pourraient répondre à la même logique. Leur participation à des dépôts volontaires, avec une symbolique de *pars pro toto* attestée en Auvergne dans une sépulture d'Aulnat/Gandaillat (Orengo 2002, sép. 366, pl. 50, n^{os} 4 à 8), ne peut pas être démontrée ici au vu des contextes de provenance et des associations de mobilier.

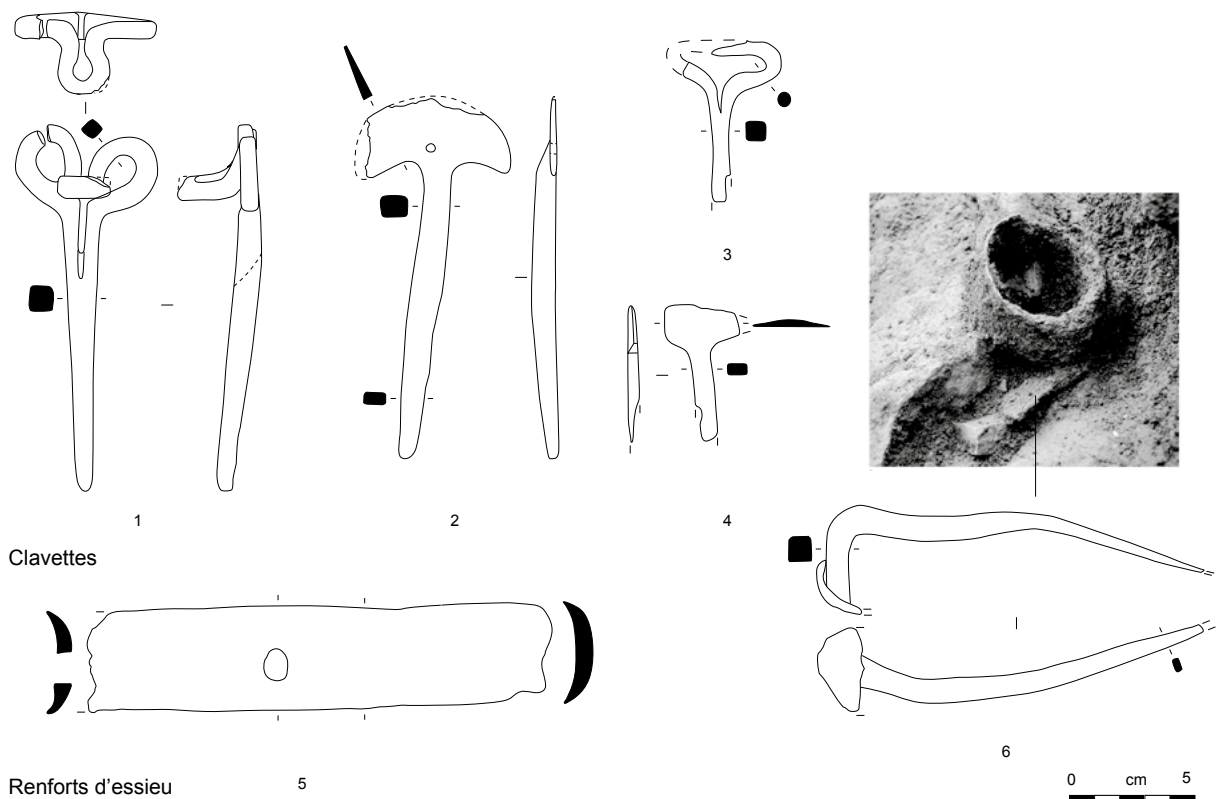


Fig. 204. Pièces de char servant à la fixation de la roue : clavettes et renforts d'essieu. En haut à droite, renfort d'essieu in situ. Fer.

Utilisées pour la fixation du moyeu de la roue sur l'essieu, les clavettes peuvent parfois se désolidariser de ce dernier, lors des déplacements du char et se retrouvent relativement souvent dans les corpus d'*oppidum*. Elles sont représentées à Corent par quatre types distincts, à commencer par une clavette à tête en forme de lunette à tige droite (fig. 204, n^o 1) (Schönfelder 2002, p. 171-175, *Achsnagel mit brillenförmigen Kopf und gerade Stift*). Le recensement de ce type relativement rare montre une concentration dans la Celtique centrale et orientale. Les exemplaires les plus proches proviennent de Bibracte (Schönfelder 2002, tableau 19) et du Puy-du-Tour (Pesteil 2007, fig. 66). Un individu du sanctuaire d'Alençon (Pernet et Méniel 2009, fig. 12, cat. 45) complète cet inventaire.

Également principalement réparti en Allemagne et en Autriche, le deuxième type documenté provient aussi de la fosse 18098 (fig. 204, n^o 2) et s'apparente aux clavettes à tête en demi-lune et tige incurvée (Schönfelder 2002, p. 171-175, *Achsnagel mit halbmondförmigen Kopf und gebogenem Stift*), desquelles il diffère légèrement par sa tige relativement droite. Plus fréquent et de datation lâche (LTC et LTD), ce type est connu en Auvergne dans l'habitat aristocratique de Riom « Le Couriat » (Demierre 2008, pl. 1, n^o 6), tandis que les exemplaires les plus proches, également à tige rectiligne, se trouvent dans l'*oppidum* de Lacoste (Derion 2006, pl. 20, n^{os} 211 et 212). Le corpus funéraire aristocratique de Verna livre également deux occurrences qui se distinguent par une tête à rebord débordant. L'association de cet individu avec d'autres pièces de char et d'outillage et sa tige droite suggèrent que cette pièce n'a jamais été assemblée. Cette dernière caractéristique commune à de nombreux types semble néanmoins insuffisante pour identifier une clavette neuve.

Comme les types précédents, les deux derniers exemplaires sont de datation large (LTC-LTD), qui ne peut être précisée que par leur contexte. Ainsi, la clavette à tête à simple boucle très proche d'un exemplaire de Numance (Schönfelder 2002, p. 176-177, *Achsnagel mit einfachen Schlaufenkopf*) est issue d'un fossé du bâtiment S, des dernières phases de l'occupation laténienne (fig. 204, n° 3), alors qu'une attribution à LTD1 peut être postulée pour l'exemplaire à tête semi-circulaire pleine (fig. 204, n° 4) (Schönfelder 2002, p. 181, *Achsnagel mit halbrundigem Kopf und gerade Stift*) dont l'interprétation doit cependant être prise avec réserve.

Deux hypothétiques fragments de renfort d'essieu complètent le lot d'objets attribués à la roue et à sa fixation. Cette identification se justifie pour la longue barre rectiligne de section incurvée présentant une perforation (fig. 204, n° 5), tandis qu'elle est postulée en raison de son association avec les frettes et moyeux de la fosse 18098, pour le second fragment (fig. 204, n° 6). Cette tige de section rectangulaire peut en effet correspondre à l'extrémité fixée dans l'essieu de ces renforts dont la partie massive épouse la base de l'axe (Schönfelder 2002, fig. 100, p. 162-165).

Les pièces de la caisse

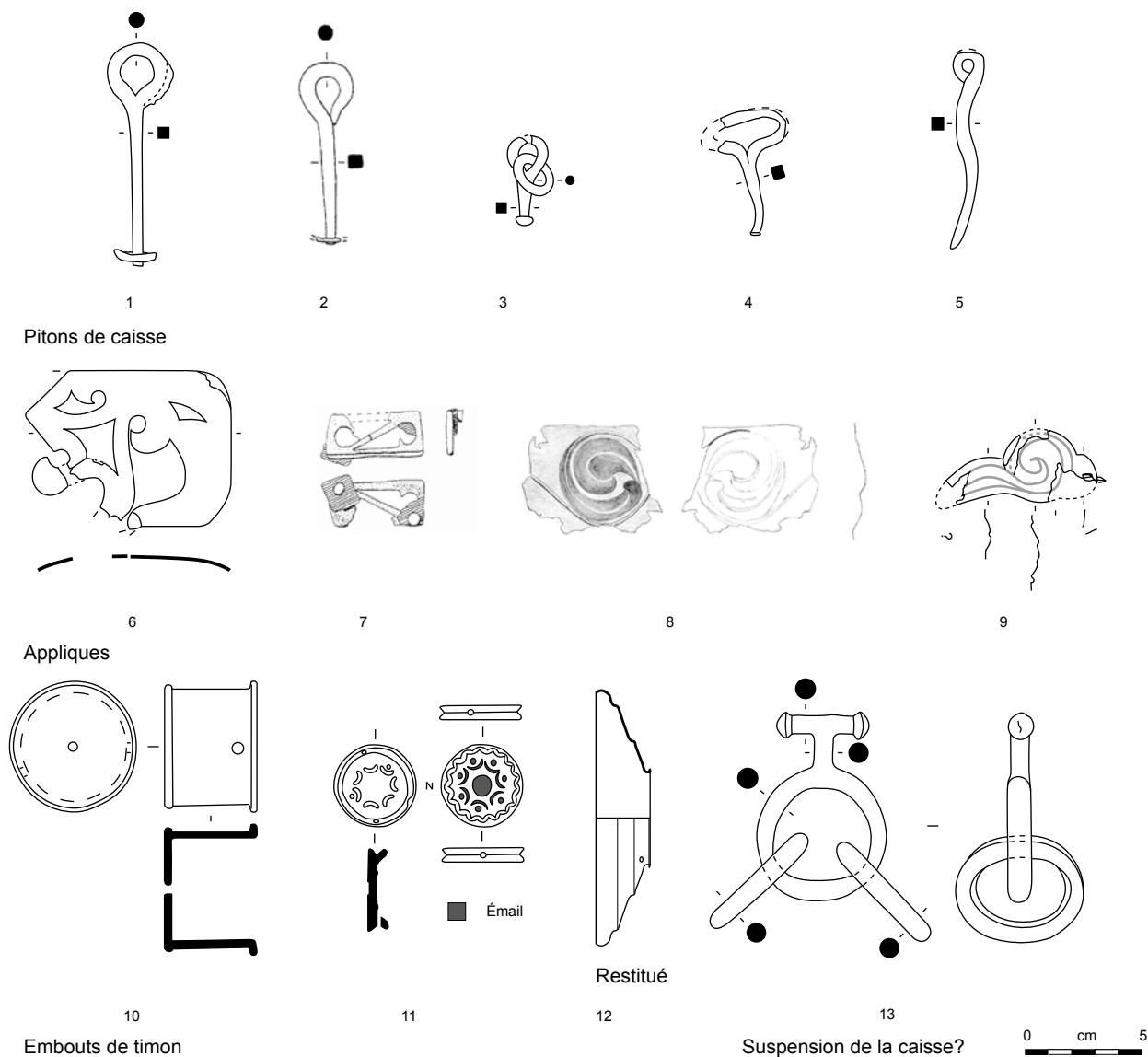
Servant à la fixation de la caisse du char à deux roues, les pitons à contreplaque, relativement courants (Schönfelder 2002, *Ösenstifte mit Nietplatte*, p. 188-196), présentent des œillets circulaires (fig. 205, n°s 1 à 3) ou ovales (fig. 205, n° 4). La fonction des pitons à tige médiane coudée (fig. 205, n° 5) demeure encore discutée, entre clavette et élément de fixation de la caisse (Schönfelder 2002, *gekröpfte Ösenstifte*, p. 200-204).

Caractérisées par une fixation rivetée, les quatre appliques de parois latérales de la caisse se divisent en deux groupes, ajourés ou ornés au repoussé. Rectangulaire, la première applique (fig. 205, n° 6) présente des similarités avec des pièces de la tombe d'Heimbach-Weis ou de l'agglomération de Staré Hradisko (Schönfelder 2002, fig. 131 et 132, n°s 9, 10, 13 et 14). L'interprétation de la seconde pièce (fig. 205, n° 7), avec ses contreplaques en fer et une épaisseur plus importante, reste conjecturale même si son association avec d'autres constituants de char (bandage de roue, frette de moyeu) et ses similitudes indéniables avec une applique d'Alésia (Brouquier-Reddé et Deyber 2001, pl. 161, n° 2) la renforcent.

Le décor au repoussé de yin-yang des deux autres appliques (fig. 205, n°s 8 et 9) se retrouve sur de nombreux fragments de Verna (Perrin et Schönfelder 2003, fig. 67) dont la similarité permet d'évoquer le même artisan, si ce n'est le même patron ou la même forme. Ils se distinguent par une forme rectangulaire (fig. 205, n° 8) ou polylobée (fig. 205, n° 9) avec, dans un cas, des perforations servant à leur fixation. Ces appliques doivent participer à un ensemble ornemental plus complexe qu'il demeure difficile de restituer.

En raison de leur rareté, aucune typologie n'est disponible pour les autres ornements de la caisse du char ou les embouts de timon. Cette fonction ubiquiste peut être attribuée à trois objets (fig. 205, n°s 10 à 12), dont deux boîtes cylindriques ouvertes et munies de perforations latérales. Cette morphologie se retrouve en effet sur des pièces du Premier âge du Fer ou de l'époque romaine (voir par ex. Chytráček 1999, fig. 4, n°s 9 et 10, Bouchette *et al.* 1998, fig. 55), tant au niveau de l'extrémité du timon que sur les montants du cadre de la plateforme du char. En témoigne notamment la restitution du véhicule de la fin de l'âge du Fer de Djebjerg (Schönfelder 2002, p. 97-107). La fonction d'embout de timon est très vraisemblable pour la première pièce (fig. 205, n° 10) qui se démarque des hypothétiques extrémités d'aiguillon par son ourlet soulignant la jointure du cylindre, sa perforation centrale et un diamètre de 42 mm (Schönfelder 2002, p. 97-107).

Le deuxième exemplaire (fig. 205, n° 11) présente un décor estampé émaillé, dont les motifs de lunules et les cercles évoquent le décor de la tôle d'or froissée découverte dans la fosse 230 de Bâle-Gasfabrik (Furger-Gunti et Berger 1980, pl. 13, n° 287). Son ornementation, la présence d'émail et son faible diamètre (int. 28 mm) orientent vers une fixation à la base de la caisse ou sur les parois latérales. Nous ne reviendrons pas sur l'interprétation conjecturale d'embout de timon, de fusée ou de phalère basée sur des parallèles discutables de la troisième pièce moulurée en fer (fig. 205, n° 12), issue de la cour du sanctuaire (Poux et Demierre 2015, p. 181).



Également surprenante, la dernière pièce participant peut-être à la caisse du char est composée d'un anneau muni d'une tige en forme de « T », aux extrémités terminées par des boutons et assemblée à deux autres anneaux circulaires légèrement déformés (fig. 205, n° 13). Si une attribution dans le champ d'activité du transport, harnachement ou char, semble prévaloir, aucun parallèle recevable ne peut être fourni, si ce n'est une pièce de taille nettement inférieure du camp de Cáceres el Viejo (Ulbert 1985, pl. 17, n° 109). Reste à établir une fonction et un emplacement précis que nous proposons à l'avant de la caisse d'un char à deux roues, en dessus du timon, à l'articulation des cordes utilisées pour la suspension de la plateforme (voir par ex. Furger-Gunti 1993, fig. 5). Cette pièce peut également avoir servi à la suspension de la caisse à l'arrière du char, à l'instar des pitons en fourche (*gegabelte Ösenstifte*) ou encore à une distribution particulière des rênes. Par sa taille, une fonction dans le cadre du harnachement,

Fig. 205. Pièces de la caisse du char : pitons, appliques, embouts de timon et élément liés à la suspension de la caisse (?). 1-5, 12 : fer ; 6-11, 13 : alliage cuivreux. (7, tiré de Faye 1995, pl. 33, n° 348)

à la manière des attaches latérales des mors de type Hofheim (Girard à paraître, fig. 10-12), semble peu probable, à moins de postuler pour une partie constitutive d'un mors de bride complexe inédit.

Les pièces fixées au joug

Les deux premiers passe-guides ou anneaux de joug du corpus peuvent être attribués aux types Verna et Hoppstädten (Schönfelder 2002, p. 236-241). Le premier type du site éponyme allobroge (fig. 206, n° 1) a été recueilli dans la panse d'une amphore du cellier 18075 du bâtiment H, des conditions de découverte qui laissent envisager un dépôt volontaire. Ce contexte permet en outre de préciser la datation de ce type de passe-guide durant LTD1b, grâce à la présence de plusieurs amphores de type Dr.1A de typologie tardive. Cette datation corrobore celle proposée à Verna, alors que les rares autres occurrences proviennent d'ensembles peu fiables (Perrin et Schönfelder 2003, p. 98-99). Elle peut être élargie à LTD2, au vu de la fosse-dépôt de LTD2a d'Avenches-Sur Fourches qui comporte huit anneaux de joug, dont quatre de type Verna (Bündgen *et al.* 2008, p. 72-74, fig. 37).

Plus courant et fréquemment représenté par sa tige à mouluration médiane et son bouton sommital émaillé, le type Hoppstädten (fig. 206, n° 2) semble plus récent, comme en témoigne la chronologie de la tombe éponyme (LTD2a). Des exemplaires en cours d'émaillage sont toutefois recensés à Bibracte (Hamm 2005, p. 62-63, fig. 2) et en Auvergne sur le site d'Aulnat-Gandaillat, dans des contextes qui seraient attribuables à LTD1. Une datation englobant la totalité de La Tène finale semble donc s'imposer pour cet exemplaire issu d'une couche de décapage artificiel de la campagne 2015. Trois boutons terminaux émaillés de Gergovie sont à rapprocher de ce type ou de celui dit du Titelberg (Millet 2014, pl. 43, n°s 5 à 7, Schönfelder 2002, p. 245, fig. 154).

En raison de sa fragmentation, le troisième anneau de joug (fig. 206, n° 3), dont seule subsiste la plaque trapézoïdale à bordures rainurées, ne peut être attribué précisément à un type. Cette configuration de la base de l'anneau de joug se retrouve en effet autant sur les types Bechtheim, Estinnes ou Kappel définis par M. Schönfelder (2002, p. 229-235).

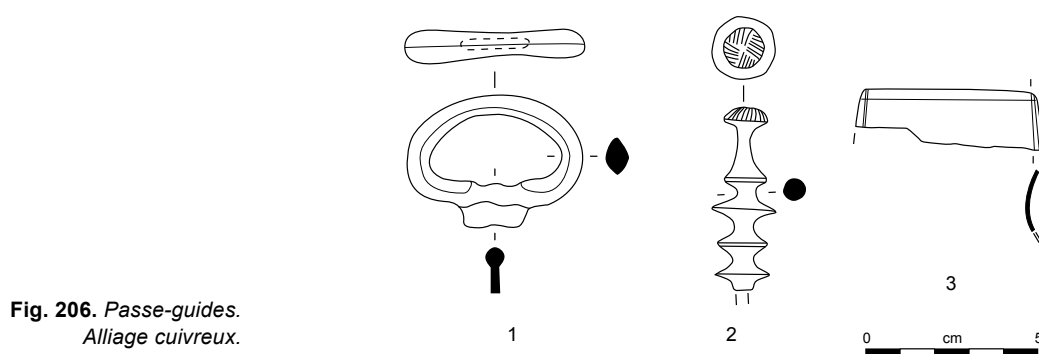


Fig. 206. Passe-guides.
Alliage cuivreux.

3.6.2. LE HARNACHEMENT

De morphologie variée, les pièces liées au harnachement sont subdivisées en quatre grandes familles selon le type d'objet et sa position sur l'équidé. Elles sont donc classées entre les mors placés dans la bouche de l'animal, les phalères utilisées principalement au niveau de la tête du cheval et les agrafes servant au maintien des courroies. Les autres éléments du harnais peu représentés dans les corpus de La Tène finale constituent une dernière catégorie regroupant des pièces atypiques participant parfois au décor du harnais.

Les mors

Le corpus d'objets servant à guider et à contrôler les montures s'élève à quatre individus qui diffèrent fortement. Il est composé d'un mors de filet à canon brisé à anneaux fermés (fig. 207, n° 1), d'une boucle rectangulaire de caveçon (fig. 207, n° 2), d'un mors à canon droit (fig. 207, n° 3) (Poux et Demierre 2015, p. 182) et d'un mors de bride atypique (fig. 207, n° 4). Trois agrafes de harnais pourraient aussi être rattachées à ce type d'objet, même si une utilisation dans le cadre de la fixation de pendants demeure plausible.

En raison de ces dimensions qui permettent de restituer une largeur de mors à canons brisés d'environ 9 cm, l'identification du fragment de mors de la cave 21314 (fig. 207, n° 1) peut paraître problématique. Cette mesure coïncide néanmoins avec celle des mors de poney actuel et semble tout à fait réaliste pour un petit cheval de La Tène finale. La conservation de l'objet ne permet pas non plus de réfuter l'hypothèse d'un canon de mors à double brisure, une morphologie attestée sur un objet de l'*oppidum* du Dünsberg (Schlott 1999, pl. 14, n° 1 et 2). La largeur du mors avec l'anneau en position centrale devrait être, dans ce cas, tout à fait conforme aux dimensions standard (Perrin et Schönfelder 2003, fig. 104, entre 9.9 et 12.6 cm). Issue d'un épandage de la fin de l'époque laténienne ou du début de l'époque romaine (état 2.3 à 3), la boucle rectangulaire (fig. 207, n° 2) peut correspondre à l'extrémité d'un caveçon, comme le confirme un parallèle du camp romain de Haltern (Harnecker 1997, pl. 64, n° 710).

Trouvé dans la cour du complexe C, le mors (fig. 207, n° 4) présente des particularités typologiques qui laissent envisager un type inédit. Fragmentaire, il comporte sur son canon brisé un jouet constitué d'une tôle enroulée, une particularité qui se retrouve fréquemment sur les mors de bride (Perrin et Schönfelder 2003, fig. 74), alors que cet ajout destiné à décontracter la bouche du cheval est rare sur les mors de filet laténien. Cet *unicum* se distingue toutefois des formes connues de mors sur le plan de son système latéral articulé. Il comprend une première pièce à partie centrale moulurée munie d'ergots latéraux rappelant la morphologie des tiges latérales de mors de bride (Perrin et Schönfelder 2003, fig. 72 et 74) et connectés par une sphère perforée massive à l'anneau du mors et par une boucle triangulaire à la suite de l'articulation. Cet élément est assemblé à une pièce similaire à un canon de mors brisé de section quadrangulaire, elle-même fixée à un anneau fragmentaire.

La boucle triangulaire empêche d'interpréter la deuxième articulation comme un second canon servant à coincer la bouche du cheval, à l'instar d'un exemplaire de l'agglomération de Lacoste (Derion 2006, p. 36-37, pl. 21, n° 219, fig. 28). L'hypothèse d'un mors de bride s'en trouve renforcée et pourrait être restituée de deux, voire trois manières. La solution la plus simple utilise le système articulé comme une tige latérale pour mener jusqu'aux rênes, tandis que la pièce triangulaire est reliée à une gourmette en matériau organique (fig. 208, n° 1). Sur la seconde proposition, la tige latérale sert de gourmette, tandis que les rênes sont connectées à l'anneau triangulaire (fig. 208, n° 2). Si la deuxième solution semble la plus probable en raison de l'efficacité relative d'une tige latérale métallique articulée, il demeure problématique de valider ces restitutions, tant il est vrai que la présence de la totalité des constituants du mors n'est pas assurée.

Les phalères

Avec des diamètres évalués entre 37 et 62 mm, les phalères présentent des dimensions, un pourtour bombé et une perforation centrale qui justifient leur identification, même si les pièces les plus petites peuvent orner d'autres emplacements du harnais (Deimel 1987, p. 97), voire des pièces de meuble à l'époque romaine (Riha 2001, pl. 11, n° 161 à 166). La surface de ces ornements restitués au niveau de la tête du cheval peut être lisse (fig. 207, n° 5 et 7) ou simplement gravée de cercles concentriques (fig. 207, n° 6 et 8). Les agglomérations de Manching ou encore de Berching-Pollanten fournissent des parallèles, tant pour l'exemplaire en fer (fig. 207, n° 5) que pour les phalères en alliage cuivreux

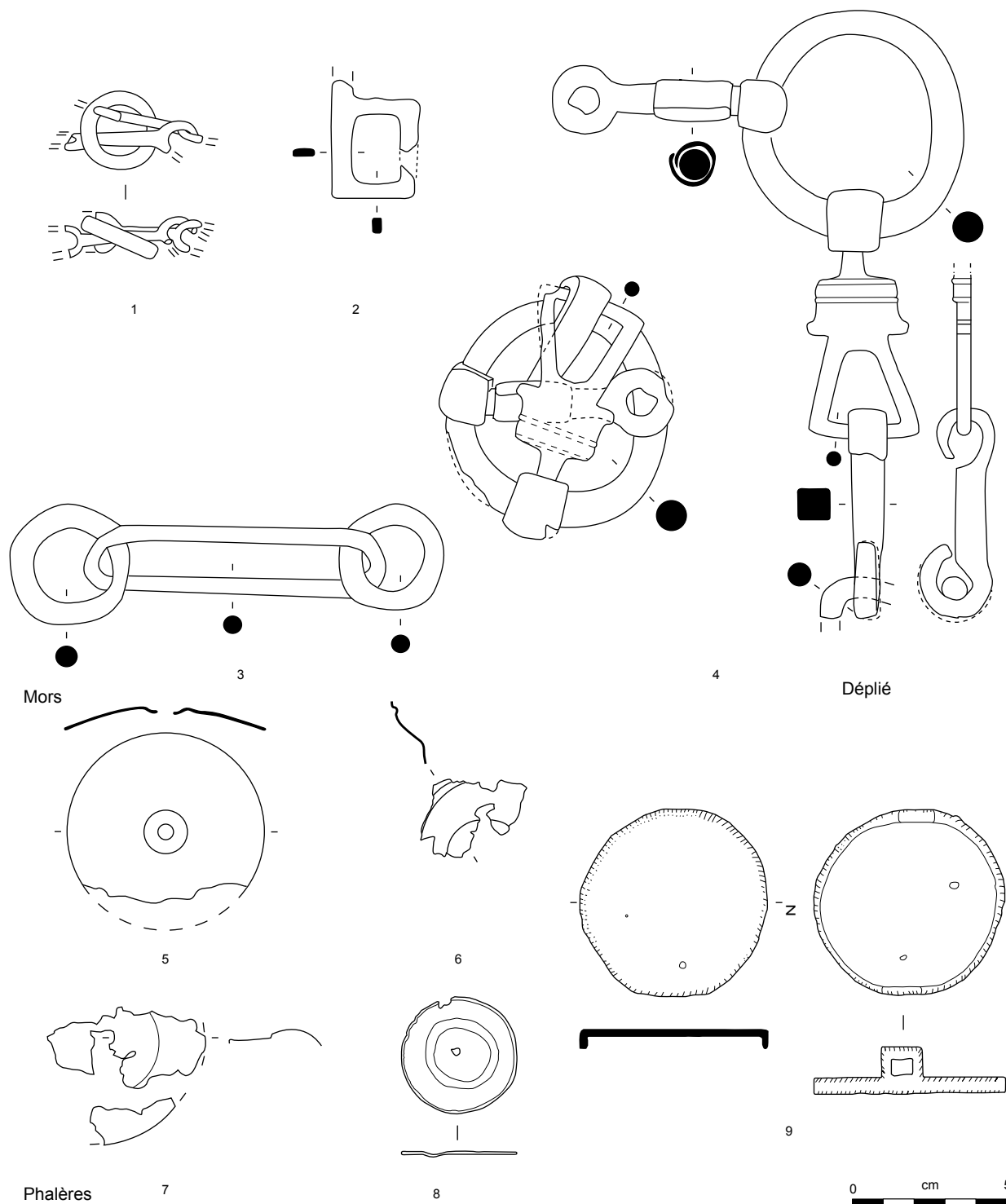


Fig. 207. Mors et phalères. 1-4 : fer ; 5-9 : alliage cuivreux.

ornées de cercles concentriques (Jacobi 1974, pl. 51, n^{os} 794, 795 et 799, Schäfer 2010, fig. 83, n^{os} 5077 et 5078). Les incisions dissymétriques de la phalère issue des ateliers nord-ouest du complexe C (fig. 207, n^o 8), qui se retrouvent sur certaines pièces du Magdalensberg (Deimel 1987, pl. 84-85), pourraient signifier une pièce ratée, sans que ces irrégularités soient suffisantes pour l'affirmer.

L'interprétation de phalère ou d'applique de harnais, pour le disque au pourtour incisé issu d'une structure non phasée de la zone du théâtre (fig. 207, n^o 9), repose sur les deux petites attaches à bélière rectangulaire qui ne sont pas sans évoquer certaines pièces de harnachement du Dünsberg (Schlott 1999, pl. 13, n^o 9, pl. 14 n^{os} 3 à 7). Seule son absence des typologies de harnachement militaire romain (Bishop 1988) suggère une datation laténienne pour cet objet, même si une production locale à des fins civiles durant la période romaine n'est pas exclue (voir par ex. Deschler-Erb 2003).

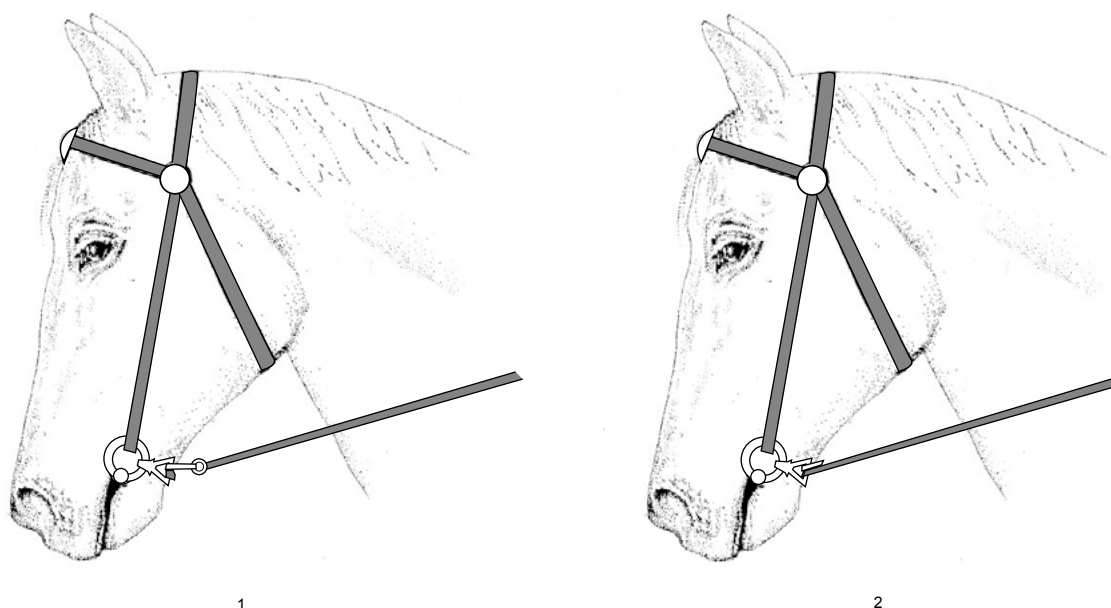


Fig. 208. Hypothèses de restitution du mors de bride (dessin du cheval tiré de Perrin et Schönfelder 2003, fig. 73).

Les agrafes de harnais

Trois agrafes de harnais (fig. 209, n^{os} 1 à 3) sont composées de deux bandes de tôle ornées d'incisions et reliées dans deux cas par une boucle à leurs extrémités (fig. 209, n^{os} 1 et 2). L'épaisseur utile de leur rivet suggère une attache sur un support fin tel qu'une lanière en cuir ou une tôle métallique qui conforte cette interprétation. Issues d'ensembles de la fin de l'époque laténienne, les deux agrafes de harnais (fig. 209, n^{os} 2 et 3) présentent à leur extrémité le même décor incisé et appliqué sur une seule face, pour l'exemplaire complet (fig. 209, n^o 1). Leur utilisation dans le cadre d'un mors de type Hofheim, en particulier de l'exemplaire fragmentaire (fig. 209, n^o 3), est envisageable si l'on considère les agrafes disposées dans les canons du spécimen du Dünsberg (Schlott 1999, pl. 16 n^o 9). Une fixation dans l'anneau du mors reste plausible à la vue des mors celtibères, certes plus anciens (IV^e et III^e av. J.-C.) et généralement en fer, à l'ornementation incisée identique (Alvarez Gracia *et al.* 1990, fig. 18), dont au moins une occurrence en alliage cuivreux est recensée au Musée d'Ampurias (Artefacts-AGH-4016). Malgré ces ressemblances morphologiques flagrantes, il n'est pas possible de garantir une origine ou une influence celtibère au vu des parallèles du Dünsberg ou encore de la tombe 441 de Giubiasco (Pernet et Carlevaro 2006, p. 281-282) qui ne permettent pas de réfuter une production de tradition laténienne. Ces objets ont également pu servir de renforts de pendant de harnais circulaire ou de type Pîtres (Schönfelder 2002, fig. 164, n^{os} 1 à 3 et fig 166, n^{os} 1 et 2), même si leur renfort central n'apparaît généralement que sur leur face visible. Dans le même registre, il convient également d'évoquer l'attache de couvercle à quatre rivets émaillés de Verna (pl. 25, n^o 6), dont l'identification est remise en cause par D. Bozic (2003) pour lui préférer celle d'attache de pendant de harnais circulaire.

Les autres éléments du harnais : distributeur de courroie, appliques et pendants de harnais

Moins caractéristiques, les autres parties du harnais sont représentées par des pièces pour lesquelles nous ne pouvons pas fournir de parallèles exacts. Leur interprétation repose sur la comparaison avec des pièces romaines ou découle d'une certaine logique fonctionnelle. Le distributeur de courroie constitue un bon exemple de ce type de raisonnement puisque des pièces de fonction similaire nous sont inconnues pour La Tène finale, alors que des parallèles, certes de construction plus complexe, peuvent être fournis dès l'époque augustéenne (Müller 2002, pl. 53, n^{os} 587 et 588). L'exemplaire de Corent est composé d'un anneau connecté à trois fragments de tôle enroulée autour de son jonc dont l'un est maintenu jointif par un rivet (fig. 209, n^o 4). L'identification et la datation

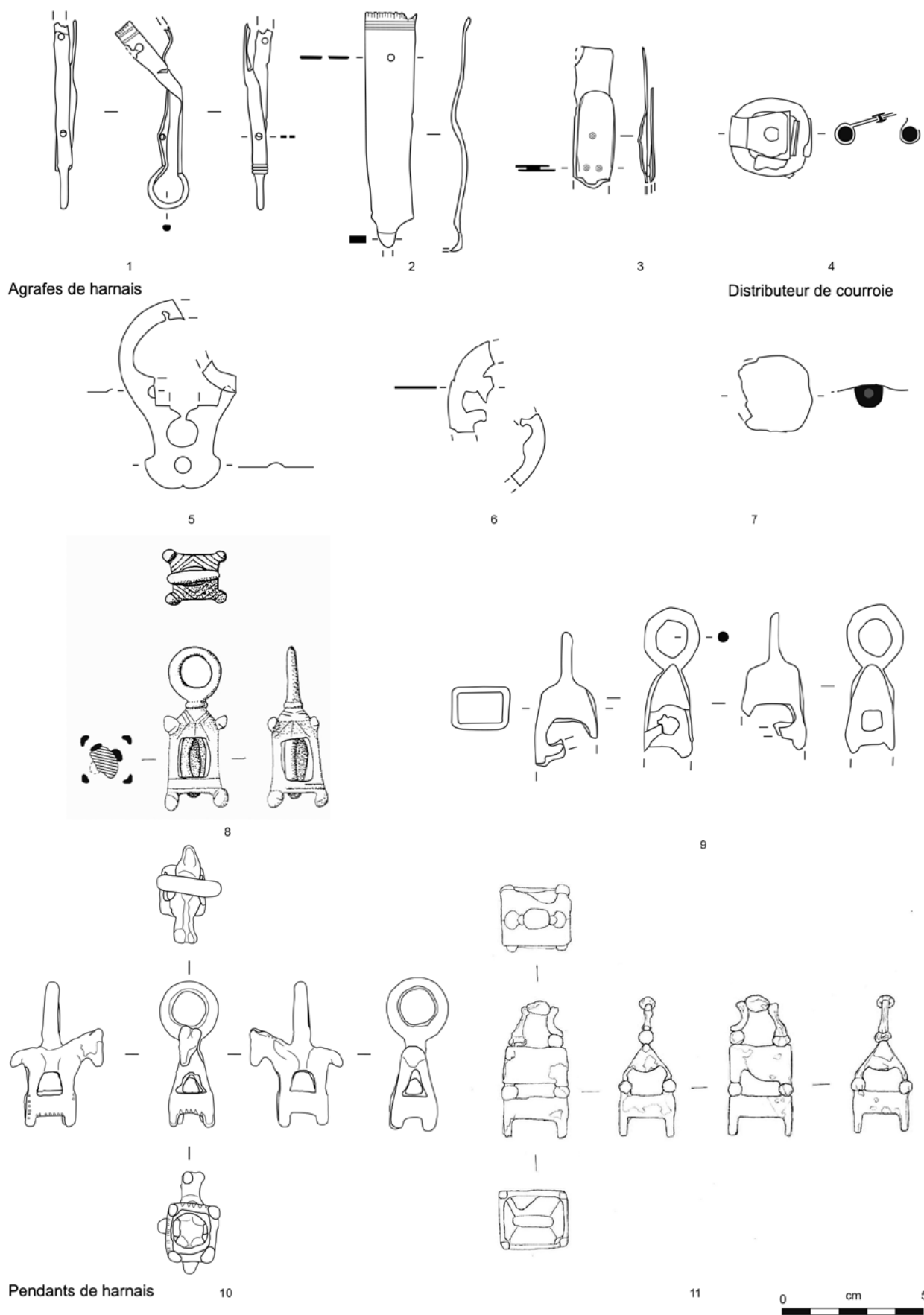


Fig. 209. Agrafes de harnais, distributeur de courroie, appliques et pendants de harnais. Alliage cuivreux excepté n° 7, alliage cuivreux et fer. (8, d'après Faye 1995, pl. 33, n° 342).

durant La Tène finale de cet objet sont par ailleurs renforcées par la présence d'un anneau à bouton rectangulaire, d'un fragment d'éperon et d'une fibule filiforme à corde interne ([pl. 38](#)). Une pièce en fer du dépôt de Sainte-Blandine pourrait être interprétée de la sorte au vu des similarités avec ce distributeur de courroie (Chapotat 1970, pl. 16, n° 19), tandis qu'un élément à attaches de fixation plus massives est recensé au Dünsberg (Schlott 1999, pl. 9, n° 2).

Les deux pendants de harnais ajourés de forme foliacée d'une variante du type Pîtres (fig. 209, n° 5 et 6) peuvent également correspondre à des appliques de la caisse du char (Schönfelder 2002, fig. 166, fig. 132, n° 12 et fig. 134, n° 4). L'absence de trace de rivet conduit toutefois à préférer la première hypothèse. La datation de leurs ensembles, LTD1b (état 1) et LTD2 (état 2 *lato sensu*), semble assez précoce pour un type d'objet relativement rare avant LTD2 (Poux 2008, p. 384-385). L'applique circulaire à bélière (fig. 209, n° 7) semble également servir dans le cadre du harnachement, sans qu'il soit possible de préciser sa datation (Poux et Demierre 2015, p. 182).

L'hypothèse d'une fonction de pendant de harnais est préférée à celle d'élément de parures pour l'ensemble des pendentifs-cages en ronde-bosse (fig. 209, n° 8 à 11) compte tenu de leur poids, de leur encombrement et de leur iconographie (Poux 2008, p. 386-387, fig. 60). Découvert en 1992 dans le sol du bâtiment A1, un pendentif (fig. 209, n° 8) présente en son centre un quartz cerclé de filaments et sa cage comporte à sa base et dans ses angles supérieurs des nodosités proéminentes. Il diffère sur ce point des autres exemplaires dont le socle est assuré par un cadre où la jonction des montants est munie de pieds rectangulaires. Cette pièce s'apparente à des pendentifs de plus petite taille, comme ceux de la sépulture augustéenne à l'origine du sanctuaire d'Avenches-En Chaplix (Castella 1993, p. 235, fig. 4b, n° 25) ou de l'établissement rural gallo-romain de Pouzay-Varennes des Pierres Levées (Boucher 2004, fig. 5, n° 1). Le parallèle le plus proche a été découvert lors de prospections au détecteur à métaux, au nord de Paris (Berthon 2009). Ces moulurations extérieures l'apparentent aux pendentifs à nodosités de la région de la Hesse (Schlott 1999, p. 41, fig. 16), tandis que la présence d'une pierre sertie, dont le quartz travaillé du bâtiment B pourrait constituer un exemple brut ([pl. 35](#), n° 23), est connue sur quelques parures d'époque celtique, comme le célèbre ensemble de Vadenay (Frézouls 1977) et d'époque romaine (Artefacts AML-3008). Un galet ovoïde entouré de fils de bronze découvert récemment dans un contexte du I^{er} s. ap. J.-C. en est l'illustration, à Corent (Poux *et al.* 2015a, pl. 16, 25371/554). Quelle que soit la fonction première retenue, la symbolique de ce type d'amulette de même que leur typologie fine exigeraient un développement qui n'a pas lieu d'être ici²³. La datation de cet artefact, issu d'un sol de LTD1b, doit être envisagée avec prudence, tant il est vrai que les parallèles les plus proches proviennent de niveaux romains et que l'altitude de cet objet n'a pas pu être vérifiée²⁴. Une datation laténienne est cependant tout à fait envisageable au vu des parures documentées en contexte funéraire.

La similarité de construction de la base des autres pendants (fig. 209, n° 9 à 11) évoque une même famille de production qui peut être postulée grâce à la découverte de la seule pièce fragmentaire, dans une fosse artisanale du bâtiment C1 (état 1). Cet objet présente en effet une surface ainsi que des bordures rugueuses qui suggèrent l'identification d'un brut de coulée (fig. 209, n° 9). La découverte toute proche à l'intérieur d'un cellier de l'exemplaire surmonté d'un cheval (fig. 209, n° 10) constituerait, de ce point de vue, un argument supplémentaire pour envisager la production de ces artefacts dans la partie septentrionale du complexe C. La représentation du cheval renforce l'idée de parures fixées au harnais, par exemple au mors, à l'instar d'autres pendants en ronde bosse pour lesquels E. Vial (2001, p. 31) souligne le déséquilibre de leur fixation par bélière et l'inutilité de la ronde-bosse pour un objet visible sur une seule face. Cette spécialiste émet aussi l'hypothèse tout à fait plausible d'une fixation sur un couvercle de récipient maintenu à l'anse par une chaînette connectée à la bélière du pendentif.

23 L'inventaire est en cours dans le cadre du projet Artefacts, dont la notice (AML-3008) répertorie déjà une dizaine d'individus.

24 Cet objet provient du troisième décapage réalisé en 1992, soit de l'empierrement du bâtiment A1, soit du sol sous-jacent. L'ensemble des contextes de ce décapage est issu des couches inférieures à l'empierrement et justifie son attribution à ce niveau de sol, même si aucune altitude de référence ne permet de le valider totalement et que rien n'exclut une intrusion.

Si le dernier exemplaire présente le cadre inférieur commun, sa bélière tripartite le distingue des autres pendentifs et doit faire partie intégrante de la représentation du bâtiment qui constitue le thème de l'objet (fig. 209, n° 11). Cet édifice à toit à deux pans repose sur quatre sphères disposées à chaque angle de la construction, qui ne sont pas sans évoquer les palets destinés à protéger les greniers des rongeurs. Cette première hypothèse fonctionnelle ne prend toutefois pas en considération la partie supérieure d'un objet qui constitue l'une des seules images de bâtiment d'époque celtique et demande une étude iconographique plus approfondie.

3.6.3. LES PIÈCES DE TRANSPORT ACCESSOIRES

Attributs de la cavalerie, un corps d'armée composé de l'élite des combattants, les éperons sont documentés à hauteur d'au moins cinq individus, dont un mis au jour en 2015. En alliage cuivreux et en fer, ce corpus est l'un des plus riches de Gaule interne même s'il n'atteint pas les proportions que connaissent certains sites de Celtique orientale comme ceux de Stradonitz (Pič 1906, pl. 31) ou de Manching (Sievers 2010, pl. 60), où les éperons à branches moulurées sont fréquents. Cette rareté et l'absence de parallèles exacts pour de nombreuses pièces de Gaule résultent très vraisemblablement de productions spécialisées dont la distribution est avant tout régionale (Girard 2010, p. 521).

Le corpus comprend tout d'abord une pièce en bronze à boutons latéraux et à élargissement central et branche de section hémisphérique (fig. 210, n° 1) trouvée en surface d'une fosse laténienne de la campagne 2015, livrant entre autres une entrée de bouterolle de type Ludwigshafen. Sa morphologie générale est comparable à celle d'une occurrence de l'*oppidum* de La Cloche (Chabot, Feugère 1993, fig. 12, n° 46). Son talon la rapproche d'un exemplaire de l'habitat ouvert de La Capelière (Girard 2010, p. 521, fig. 490), dont le contexte situé entre 75 et 40 av. J.-C. fournit une datation des plus plausibles. Cet objet pourrait aussi être légèrement plus ancien si l'on considère la datation généralement admise pour le fourreau associé (LTD1b).

Le mode de fixation est absent sur les trois exemplaires suivants dont la datation ne peut être fournie que par leur contexte, en l'occurrence l'état 2 (fig. 210, n°s 2 et 3), tandis que l'hypothétique fragment comportant encore sa tige (fig. 210, n° 4) est hors contexte (Poux et Demierre 2015, p. 183). Leur état de conservation sans leur aiguillon ne permet pas de préciser s'il faut les rapprocher des types à passants de courroie et à tige rivetée, documentés par exemple à Sainte-Blandine, à Berching-Pollanten ou à Bâle-Gasfabrik (Schäfer 2010, p. 98-100, fig. 70, n°s 1 à 3) ou de ceux réalisés d'un seul tenant et à boutons latéraux (voir par ex. Sievers 2010, pl. 60). Leur interprétation est par ailleurs corroborée par leur contexte d'origine (fossé de bordure de voie) et par les pièces associées (distributeur de courroie, anneau à bouton).

Récolté lors du nettoyage de surface du théâtre, l'éperon en fer à tige moulurée rivetée et branches en bandeau terminées par un œillet (fig. 210, n° 5) apparaît déjà dans la monographie consacrée à l'édifice (Poux *et al.* sous presse). Il appartient aux pièces d'équipement du cavalier romain, car il diffère des éperons laténiens par son mode de fixation à passants de courroie. Qu'ils soient en fer ou en bronze, les éperons laténiens sont en outre majoritairement fabriqués en une seule pièce (Sievers 2001, p. 174-175), alors que l'exemplaire mis au jour à Corent est bipartite, l'aiguillon étant riveté sur les branches. Ces modes de construction et de fixation se rapprochent des exemplaires en alliage cuivreux provenant des camps militaires tardo-républicains de Numance (Luik 2002, p. 91-93, fig. 81, n°s 85 à 87). M. Luik les apparente aux éperons à fixation rivetée qui apparaissent à l'extrême fin de la période laténienne dans les tombes A et B de Göbblingen-Nospelt (Metzler *et al.* 2009, p. 257-259) ou dans l'agglomération du Magdalensberg (Dolenz 1998, p. 98, M247). Au vu de ces affiliations et des rares références connues en contexte clos, l'exemplaire de Corent peut être daté à la transition entre les époques laténienne (La Tène D2b)

et romaine. Cette attribution chronologique est renforcée par un parallèle en alliage cuivreux très proche sur le plan morphologique provenant de l'*oppidum* de la Lagaste (Rancoule 1980, p. 85, fig. 38, n° 11).

Servant à stimuler l'arrière-train de bœufs attelés, les aiguillons, aussi nommés pique-bœufs, présentent une facture simple (fig. 210, n°s 6 à 11). Leur fonction a parfois été remise en cause par certains auteurs pour lui préférer celle de chandelier ou d'instrument d'écriture (Poux et Demierre 2015, p. 183). Ils proviennent systématiquement de cloisons de bâtiment ainsi que d'espaces extérieurs, voiries ou cours, si besoin était encore de souligner leur interprétation fonctionnelle à La Tène finale (voir *supra*, fig. 202). Majoritairement composés d'une tige appointée enroulée en spirale, ils peuvent plus rarement être réalisés à l'aide d'une tôle (fig. 210, n° 11).

D'époque moderne, les autres éléments liés aux transports tels que les 13 clous de ferrure, les trois fragments de fer à cheval ou encore le fer à bœuf (pl. 233, n° 11) ont tous été récoltés lors de décapages de surface ou trouvés hors contexte, à l'exception d'un clou de ferrure intrusif, mis au jour dans une structure de l'état 2.1.

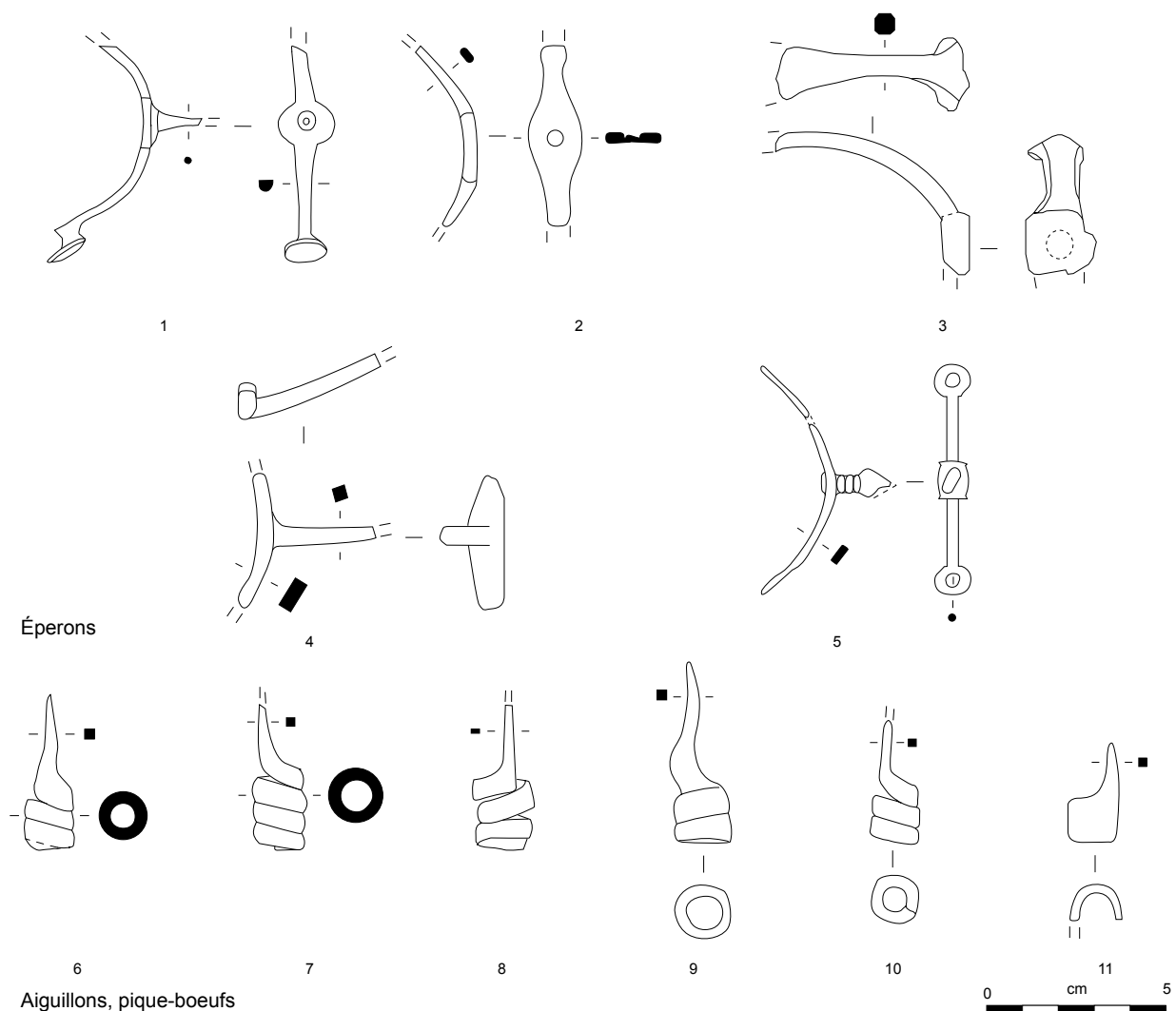


Fig. 210. Éperons et aiguillons. 1 : alliage cuivreux ; 2-11 : fer.

3.7. L'ÉCRITURE

	NR	NMI
Écriture	6	6
Boîtes à sceau	2 (1)	2 (1)
Stylets (fer)	4	4
Stylets (os)	4 (1)	4 (1)

Fig. 211. Tableau de comptage des artefacts liés à l'écriture.

Les instruments associés à l'écriture sont encore peu diffusés en Gaule avant la période augustéenne. Ce mode d'expression a pu toutefois être utilisé par les Gaulois dans des contextes privés, administratifs ou politiques, dès le début du II^e s. av. J.-C. (Bats 2004, p. 19, Poux 2012, p. 187-188, 231 et 240). Deux boîtes à sceaux et quatre stylets issus de contextes d'époque romaine représentent les seuls objets métalliques caractéristiques de cette catégorie, dont le corpus comporte également un couvercle de boîte à sceau et quatre stylets en os qui illustrent la pratique de l'écriture à l'époque laténienne (fig. 211). Sans surprise, les campagnes 2013-2016 concentrées sur l'agglomération romaine de Corent livrent un lot plus important de stylets, non traités ici.

Les objets relatifs à l'écriture sont classés dans une catégorie ([cat. 53](#)) qui leur est propre, tant il est vrai que cette activité regroupe à la fois des aspects commerciaux, administratifs ou relatifs à la correspondance privée. En témoigne la répartition des stylets en os (fig. 212) : leur présence à proximité du complexe C relève a priori d'activités commerciales, alors que l'individu du sol de l'hémicycle laténien précédant le théâtre gallo-romain peut être considéré comme un objet utilisé dans un cadre administratif. Les stylets en fer apparaissent uniquement dans les contextes gallo-romains, dans le sanctuaire, le bâtiment nord et un niveau de décapage de la cour interne du complexe A.

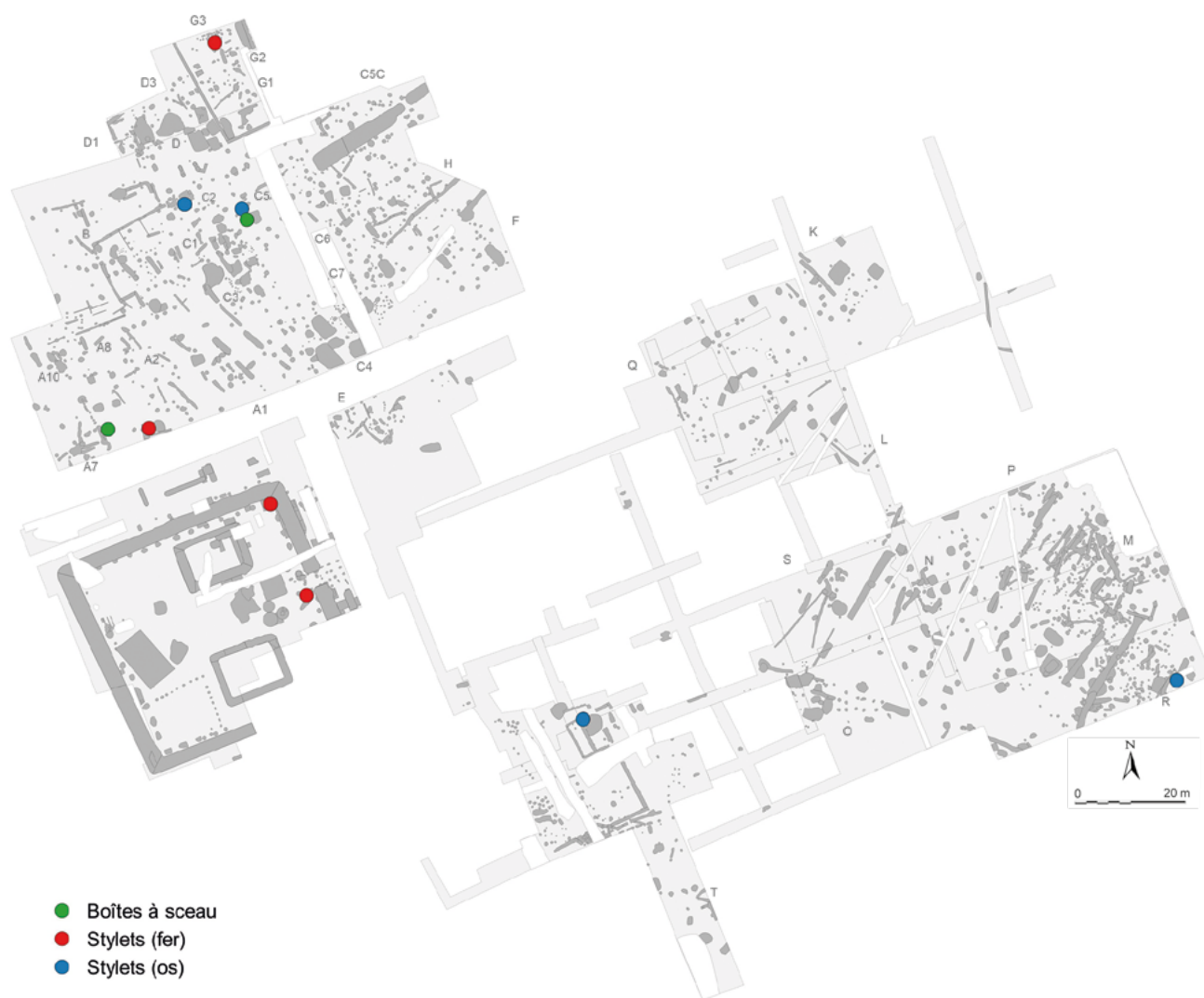


Fig. 212. Répartition des artefacts liés à l'écriture.

3.7.1. LES BOÎTES À SCEAU

Avec un fonctionnement garantissant leur inviolabilité, les boîtes à sceau attestent l'échange de courrier à longue distance, qu'il soit d'ordre commercial ou militaire (Abauzit et Feugère 1993). En os ou en bronze, les trois boîtes à sceaux appartiennent à des formes précoces documentées dans l'ouvrage de synthèse réalisé à partir du corpus d'Augst (Furger *et al.* 2009). Appartenant à la variante 1a de cette typologie, le couvercle de boîte à sceau en forme de bourse (fig. 213, n° 1) représente la forme la plus précoce, attestée avant 100 av. J.-C., dans l'épave de Spargi et les agglomérations de Stradonitz (Furger *et al.* 2009, p. 52) et de Toulouse (Demierre 2015, fig. 19, n° 10). Documenté sur quelques exemplaires, le décor d'ocelles et de lignes incisées apparaît dans des milieux d'influence grecque, Ampurias en Espagne, la ville de Temesa (Nocera Terinese, Calabre) en Grande Grèce, Corinthe et Délos (Demierre 2015, p. 176). Sa présence à Toulouse fait exception bien que des contacts avec le monde hellénistique y soient attestés par plusieurs mobiliers caractéristiques (céramique non tournée massaliète, importations métalliques). C'est également son décor au repoussé, représentant Mercure, qui singularise la boîte à sceau en forme de bourse (fig. 213, n° 2) des exemplaires inornés du type 1b d'Augst. Découvert lors du décapage de surface de la cour intérieure du bâtiment A, cet exemplaire est très proche d'une boîte à sceau de LTD2b de l'*oppidum* d'Altenburg (Furger *et al.* 2009, p. 52-53, fig. 24, n° 2). Recensé sur de nombreux sites à vocation militaire de la seconde moitié du I^{er} s. av. J.-C., ce type est caractéristique des faciès tardo-républicains et du début du règne d'Auguste où les boîtes à sceaux prennent des formes plus variées, à commencer par la forme quadrangulaire de petite taille (Furger *et al.* 2009, type 7a/b). Attestée notamment à Haltern ou à Dangstetten, cette morphologie est représentée par un individu en tôle fine à charnière enroulée issu de la surface du bâtiment C1 (fig. 213, n° 3). Cet exemplaire présente à sa base sept perforations qui laissent supposer une réutilisation, à moins qu'il s'agisse d'une variante inédite.

3.7.2. LES STYLETS

Bien que quelques pièces soient parfois interprétées avec caution comme des stylets en milieu laténien (voir par ex. Nillesse 2009, p. 65, fig. 6, n° 102), la forme métallique est très rarement attestée avant le règne d'Auguste, où elle apparaît dans des ensembles augustéens anciens et moyens de Bibracte (comm. orale B. Girard). Compte tenu des contextes de provenance du corpus (décapages de surface et remblais du sanctuaire) et de leur fragmentation, les quatre stylets en fer, aussi appelés styles en référence à l'appellation latine « *stylus* », sont traités selon les principes typologiques basés sur la forme de la tige, de la spatule et de la pointe et définis à partir du corpus d'Augst (Schaltenbrand Obrecht 2012). Ainsi, le premier exemplaire de la cour du bâtiment A (fig. 213, n° 4) présente un décor attribuable au début de l'Empire, tandis que sa spatule se retrouve sur les groupes formels H34 (75-150 ap. J.-C.) et H35 (50-300 ap. J.-C.). Cassé ou découpé à proximité du bâtiment gallo-romain nord, le stylet à spatule trapézoïdale sans épaulement (fig. 213, n° 5) pourrait être attribué au type P52 daté entre la seconde moitié du II^e s. ap. J.-C. et la première moitié du siècle suivant. La tige à renflement médiane excentrée en direction de la spatule d'un exemplaire des remblais de la cour du sanctuaire (fig. 213, n° 6) caractérise les stylets antérieurs à l'époque flavienne, tandis que la forme de sa spatule constitue un facteur relativement fréquent qui n'invalide pas cette datation. Issue d'un contexte similaire, la forme simple sans épaulement à spatule dans le prolongement de la tige (fig. 213, n° 7) constitue une des caractéristiques principales des instruments de l'Antiquité tardive, comme le groupe formel W95 d'Augst.

De forme conique et de grande taille lorsqu'ils sont bien conservés, les stylets en os appartiennent tous à la forme 2 de K. Gostenčnik (Gostenčnik 2005, p. 47 et 66-68, pl. 11), à savoir la forme la plus ancienne recensée dès le III^e s. av. J.-C. L'ensemble des exemplaires de Corent semble pouvoir s'y rattacher, avec des extrémités à boule de biffure (fig. 213, n° 9) et à spatule biseautée (fig. 213, n° 8). Si le premier type, plus commun, se retrouve dans les *oppida* de Gaule du Sud ou encore à Manching (Deschler-Erb et Gostenčnik 2008, p. 291), le second à spatule biseautée semble nettement plus rare avec, à notre connaissance, une occurrence dans un contexte de LTD1 à Toulouse (Demierre 2015, fig. 19, n° 9). La majorité des pièces peuvent être attribuées à l'époque celtique avec des contextes datés de l'état 1 pour l'exemplaire à pointe retaillée (fig. 213, n° 10), de l'état 2.1 pour le stylet fragmentaire (fig. 213, n° 11) et de l'état 2.3 pour l'individu à spatule (fig. 213, n° 8). Le stylet à boule de biffure (fig. 213, n° 9) doit également être considéré comme précoce, compte tenu de son association avec d'autres objets et déchets de tabletterie de facture laténienne (peigne et plaque perforée liée à la confection de perles) dans l'espace D à proximité du bâtiment C2 (voir *supra*, fig. 158).

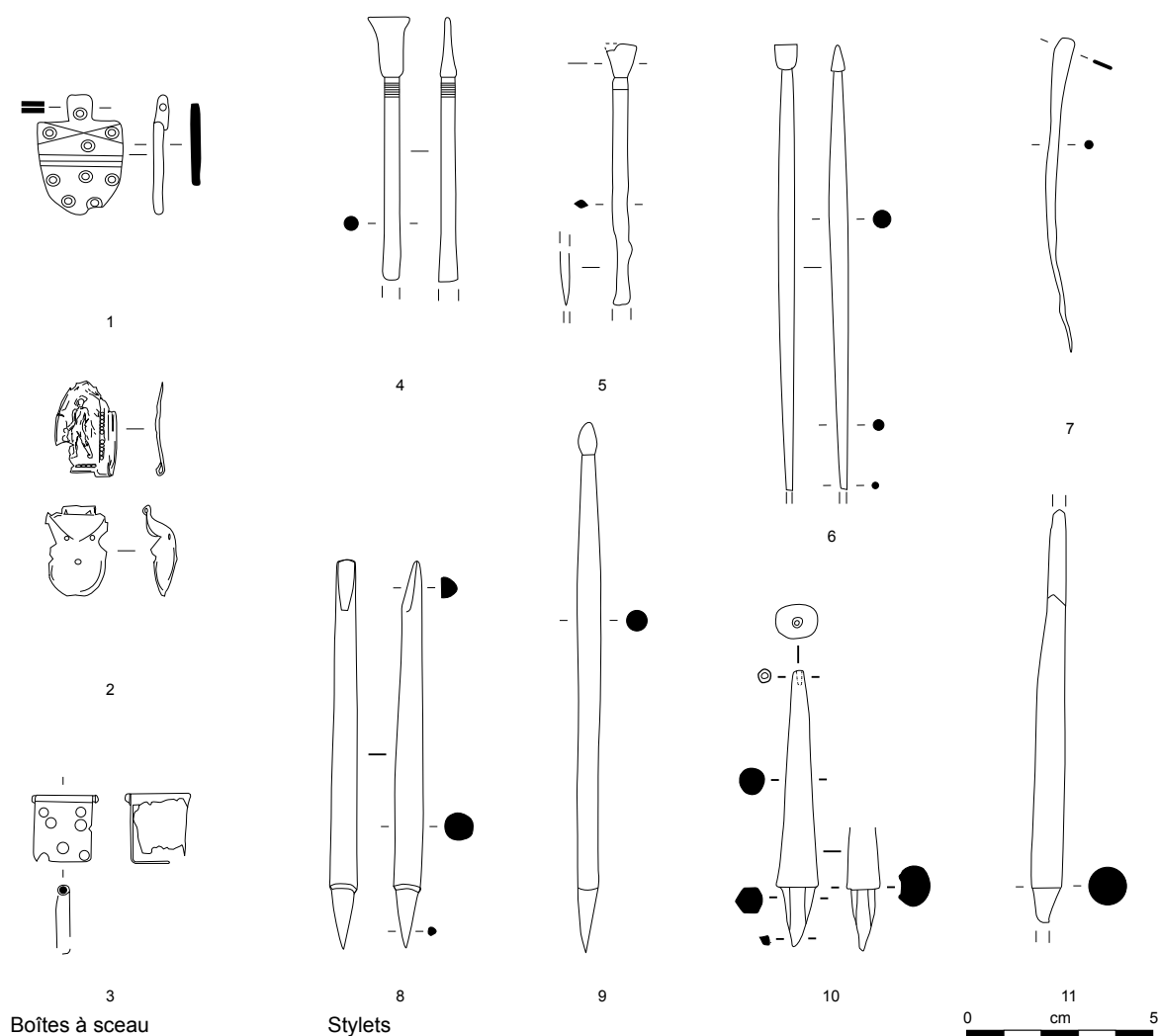


Fig. 213. Objets liés à l'écriture. 1, 8-11 : os ; 2-3 : alliage cuivreux ; 4-7 : fer.

3.8. LES POIDS ET MESURES

Cette catégorie fonctionnelle regroupe 14 éléments de balance (fléau et plateau) et 16 poids en alliage cuivreux, en plomb et en pierre (fig. 214, [cat. 54](#)). Caractéristiques des faciès d'agglomération (Fichtl 2000, p. 130), les balances n'apparaissent que très rarement dans les fermes comme le démontre leur absence dans la recension des corpus de l'Ouest de la France (Nillesse 2009). Il est en de même des poids de précision.

La répartition des balances montre des concentrations qui reflètent leurs deux champs d'utilisation, les opérations de change et la pesée des métaux dans le cadre de l'orfèvrerie, de la fabrication monétaire et du travail du bronze. Le change est postulé grâce à une balance et à ses deux plateaux à l'entrée du sanctuaire, où ces éléments sont associés à des nombreuses monnaies (Gruel *in* Poux et Demierre 2015, p. 323-325), tandis qu'un plateau provient d'une couche de limaille de bronze d'une fosse atelier du bâtiment C1 (fig. 215). Les poids et les éléments de balance se retrouvent souvent ensemble à l'entrée du sanctuaire (fig. 216, n^{os} 1, 4 à 7), à l'est et à l'ouest du complexe A (fig. 216, n^{os} 10, 11, 17 et 18), mais également dans une fosse artisanale du complexe C (fig. 216, n^{os} 12 et 13) et en surface du bâtiment M (fig. 216, n^{os} 19 et 20).

	NR	NMI
Balance	14	14
Fléaux de balance	8 (4)	8 (4)
Plateaux de balance	6	6
Poids	16	16
Poids (bc)	3	3
Poids (pb)	9	9
Poids (lithique)	3	3
Poids (billon)	1	1

Fig. 214. Tableau de comptage des instruments de pesée et de mesure.

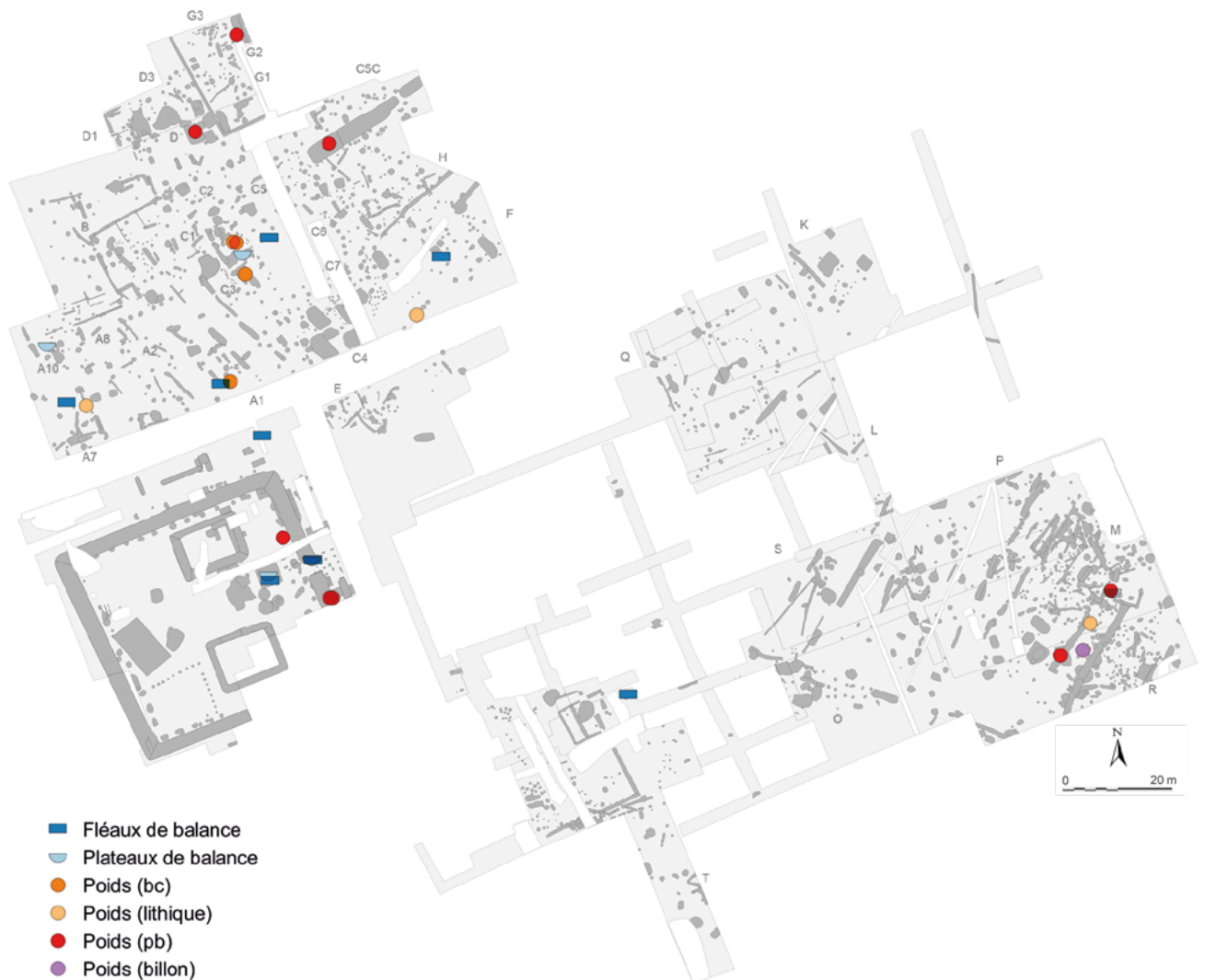


Fig. 215. Répartition des instruments de pesée et de mesure.

Ces associations constituent le premier pas pour valider l'identification des poids, pour ensuite tenter de restituer le ou les systèmes pondéraux qu'ils représentent. Ce sujet est en effet peu abordé pour La Tène finale en comparaison avec l'âge du Bronze (voir par ex. Pare 1999, Rahmstorf 2010) ou l'époque romaine (Corti et Giordani 2001). En l'absence de connaissances du système métrologique, ces associations orientent la recherche typologique et permettent la création d'un référentiel morphologique. Sur cette base, le système métrologique impliqué doit encore être validé par l'intuition et des méthodes statistiques selon les préceptes de L. Rahmstorf (2010, p. 99-100). Les poids reposant sur la métrique méditerranéenne demeurent plus facilement identifiables grâce à notre connaissance de leur système de référence et de leur forme relativement standardisée (Corti et Giordani 2001). Cette méthode est appliquée à ce corpus de poids dont l'exploitation met en évidence deux systèmes métrologiques laténiens et l'utilisation précoce de l'once²⁵.

3.8.1. LES BALANCES

Les trois types de fléau de balance en alliage cuivreux se distinguent sur le plan de la morphologie de leur anneau central : inorné (fig. 216, n° 1), entouré de deux triangles rectangles (fig. 216, n° 2) ou de crêneaux en escalier (fig. 216, n° 3). Si les autres formes n'appellent guère de commentaires, la balance à œillet en forme d'hélice tronquée (fig. 216, n° 2) pourrait s'apparenter aux rares balances à fléau pliable, en référence à l'exemplaire aux branches articulées de Roanne (Lavendhomme et Guichard 1997, pl. 120, n° 1). Il semble illusoire de distinguer sur le plan chronologique ces types communs à La Tène finale (voir par ex. Debord 1998, p. 59-60, fig. 7).

Très fragiles, les plateaux apparaissent sous la forme de coupelle perforée, parfois à panse cannelée (fig. 216, n° 4), ou munie d'anneaux brasés en surface pour garantir la fixation d'une chaînette ou d'un lien organique (fig. 216, n° 9). L'absence d'association entre chaînette et autres constituants de balance suggère par ailleurs que la suspension des plateaux reposait principalement sur des liens organiques.

L'interprétation de fléau de balance en fer reste sujette à caution pour le fragment à œillet issu d'une sablière de l'édifice public laténien (fig. 216, n° 8). Sa morphologie le rapproche de l'une des rares balances laténiennes de grande taille connues, comme celles du dépôt 4 de Plavecke Pohradie (Paulík et Tomčíková 2005, fig. 9 et pl. 4, n° 1, Pieta 2010, p. 212, fig. 117, n° 1) ou de la fosse 270 du site du Mormont (Duvauchelle *et al.*, à paraître, Brunetti *et al.* 2014, p. 59).

3.8.2. LES POIDS ET LES CONTREPOIDS

Comme cela a été souligné, l'identification des poids laténiens repose avant tout sur leur association avec d'autres instruments de mesure, qui dégage des groupes morphologiques, eux-mêmes validés ensuite par une recherche de parallèles. La démarche tient également compte des formes connues concernant les poids pour lesquels aucune association notable n'est relevée.

Les poids de forme hémisphérique

Le premier groupe morphologique identifié, de forme hémisphérique, est déduit de l'association de deux poids en plomb (fig. 216, n°s 6 et 7) retrouvés à l'entrée du sanctuaire, à proximité et dans le même état que la balance et ses deux plateaux (fig. 216, n°s 1, 4 et 5). Cette forme est attestée en grand nombre sur le forum de Clermont-Ferrand/*Augustonemetum* (Galtier *et al.* 2015, p. 51-54, fig. 28). Elle existe aussi en bronze à l'époque laténienne en Pologne du Sud et en Autriche (Rudnicki 2014, pl. 8, n°s 11 à 18, Jandrasits 2003, n°s 1 à 9).

25 Les résultats de cette étude ont fait l'objet d'un article de synthèse cosigné avec B. Girard dans le cadre des mélanges offerts à Katherine Gruel (Demierre et Girard 2018).

Leur masse comparable à celle des monnaies locales indique qu'ils servaient au change, une fonction qui ne peut être validée ici. Les autres pastilles hémisphériques en plomb découvertes hors contexte ou dans les décapages de surface²⁶ n'ont pas été intégrées en raison du risque de confusion avec des balles de mousquet (Brand 2014, p. 58). Leur interprétation pourrait être revue, après une pesée précise qui montrerait des concordances avec la métrologie suggérée par le reste du corpus.

Les poids en forme d'olive ou de datte

Découvert dans le bâtiment A1, le fléau de balance associé à un artefact en forme d'olive en alliage cuivreux (fig. 216, n° 10 et 11) définit un deuxième groupe morphologique. Deux autres éléments identiques (fig. 216, n° 12 et 13) proviennent du bâtiment C1 (fig. 215), dans le comblement de la fosse artisanale 18676, non loin d'une autre fosse-atelier 18668 (bâtiment C3) dont le fond tapissé de limaille de bronze livre le plateau de balance à anneau brasé (fig. 216, n° 9). La même identification peut être proposée pour un exemplaire en plomb fragmentaire de l'état 2 du sanctuaire (fig. 216, n° 14) – trop léger pour correspondre à une balle de fronde (17,9 g) – ainsi que pour un autre artefact bitronconique en billon ou en argent (fig. 216, n° 15) issu d'un radier de l'état 3 (bâtiment R).

Cette forme d'olive ou de datte se retrouve sur cinq objets en or et en alliage cuivreux du site de La Tène (Allen 1972, pl. 4, n° 151 à 155), sur deux individus de l'agglomération de Vufflens-la-Ville (Crausaz, Demierre, étude en cours) (fig. 217, n° 1 à 7) et sur trois occurrences à Altenburg (Lauber 2012, fig. 26, n° 766-769). Ils sont interprétés sur le site éponyme comme des monnaies primitives locales dont le poids forme une séquence indépendante des étalons monétaires (Allen 1972, p. 494-495). Les instruments de mesure de ces deux sites présentent une surface polie avec parfois une ou plusieurs lignes incisées sur leur pourtour (fig. 217, n° 3, 5, 6 et 7). Ces marques pourraient exprimer le nombre d'unités de l'étalon métrologique, si l'on se réfère aux points et lignes incisées des instruments de pesée de l'époque romaine (voir par ex. Corti et Giordani 2001, fig. 204) ou de l'âge du Bronze (Rahmstorf 2010, fig. 8.1 et 8.2, table 8.2). Les masses de l'ensemble de ces poids forment un groupe cohérent dont le développement est abordé après la présentation typologique du corpus.

Les poids à bordure biseautée ou incurvée

Également issue d'un contexte de LTD1b (état 1 à 2.1), la pastille circulaire à bordure biseautée de 2,1 g (fig. 216, n° 16) provient aussi du nord-est du complexe C (bâtiment C3). Sa forme est en outre documentée par des poids monétaires laténiens d'Autriche (Jandrasits 2003, n° 1 à 9) et d'époque romaine (Corti et Giordani 2001, fig. 203, n° 2 à 10). Elle est proche d'un exemplaire à bords incurvés de la Caserne Niel à Toulouse (fig. 217, n° 8) qui présente une masse identique (Demierre 2016b, fig. 5.2.1-74).

Cette morphologie en « coussin », sphéroïde aplatie ou tronquée, se retrouve sur un poids en marbre ou en obsidienne fragmentaire de 24,4 g et marqué de trois points vraisemblablement liés à son façonnage au tour. Il est lié, dans un remblai de l'état 1 à 2.1 recouvert par le radier du bâtiment A7 postérieur, à un fléau de balance de précision qui semble toutefois trop frêle pour soutenir un tel poids (fig. 216, n° 17 et 18). Le mobilier associé – fibules de Nauheim, à tête couvrante, petits bronzes au renard – confirme une datation à la fin de LTD1b (pl. 24). La conjonction de cette forme et d'un tel matériau demeure à notre connaissance absente du référentiel laténien, alors que le type est commun en contexte romain, dès la période républicaine (Corti et Giordani 2001, fig. 207, Poux 2012, p. 138-139). En témoigne par exemple un poids en plomb de 67,7 g soit 2,5 onces (fig. 216, n° 21) des niveaux gallo-romains du bâtiment nord. La masse de 24,4 g de cet objet fragmentaire proche de l'once (27 g) de même que son matériau constitutif plaident, par conséquent, en faveur d'un apport exogène qui refléterait la présence de marchands romains et impliquerait l'once comme une base commune pour les transactions.

26 Voir par ex. pl. 58, no 12, pl. 220, no 25 et HC2007/448, HC2011/474 et HC(sanctuaire)/480, 488 et 1032.

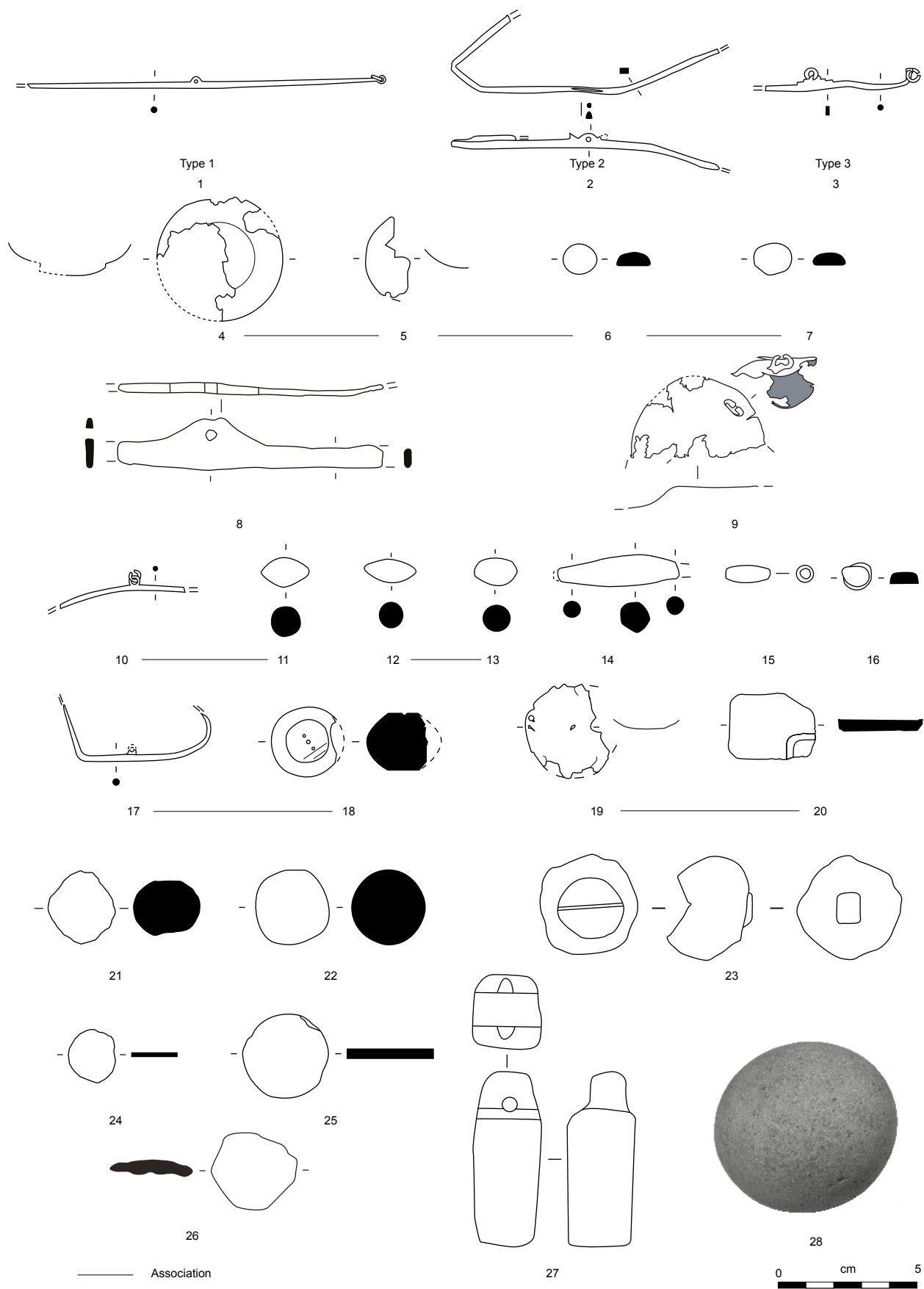


Fig. 216. Typologie des balances et des poids. 1-5, 9-13, 16-17, 19 : alliage cuivreux ; 6-7, 14, 20-26 : plomb, 7, fer ; 15 : billon ; 18 : marbre (?) ; 27 : grès ; 28 : basalte.

Les poids discoïdaux

L'idée d'une utilisation des unités de mesure romaine se trouve renforcée par le disque (fig. 216, n° 25) mis au jour dans le comblement inférieur de la grande cave du bâtiment C5 (LTD2a), dont la masse de 26,6 g correspond aussi à l'once. Il en est de même pour l'exemplaire rectangulaire à incision incurvée du bâtiment M (26,5 g), associé à un fléau de balance (fig. 216, n°s 19 et 20), issu d'un décapage de surface. Également de forme circulaire aplatie, deux exemplaires de Gondole, dont un issu de la voie 124 (Deberge *et al.* 2009, fig. 38, Deberge *et al.* 2013, p. 193), viennent confirmer au niveau local une adoption précoce du système pondéral romain. Leurs masses (162 g et 167 g) correspondent peu ou prou à un semis, soit 6 onces ou une demi-livre (Corti et Giordani 2001, fig. 201).

La forme en disque est aussi représentée par un poids de l'état 2.1 (fig. 216, n° 24) dont la masse ne s'inscrit pas dans la métrique romaine (3,9 g). Cette forme simple est attestée au plus tard au II^e s. avant notre ère, à Entremont (Girard 2010, pl. 376, ENT.1006), ainsi que dans le dépôt d'Ošanići bei Stolac (fig. 217, n°s 11 et 12), très riche, qui livre deux artefacts en bronze associés avec une balance et des outils d'orfèvre (Marić 1978, p. 31, pl. 27, n°s 90 et 91). Plus tardivement, elle apparaît dans la fosse artisanale 375D de Villeneuve-Saint-Germain (fig. 217, n°s 10 et 12) (Debord 1993, fig. 15, n° 39).

L'identification du poids ou du contrepoids hors contexte tronqué (fig. 216, n° 23) reste sujette à caution, malgré la présence d'un tenon de préhension ou de suspension. Il en est de même pour la plaque de 24,8 g (fig. 216, n° 26) qui, bien qu'éloignée de l'once, présente une masse très proche d'un poids en forme de coussin d'Haltern (Müller 2002, pl. 82, n° 888). Les mêmes réserves peuvent être émises à propos du plomb sphérique hors contexte (fig. 216, n° 22), dont la masse (102 g) représente le double d'un artefact du même site (Müller 2002, pl. 82, n° 890).

Le contrepoids à bélière

Le contrepoids en grès de la sablière de l'état 2.1 du bâtiment R (fig. 216, n° 27) présente une forme parallélépipédique avec une bélière sommitale qui se retrouve sur des exemplaires en plomb des II^e-I^{er} s. av. J.-C., dans les *oppida* d'Entremont (fig. 217, n° 15) (Girard 2010, pl. 376, n° ENT.1007) et de La Cloche (Chabot 2004, fig. 290). La contemporanéité de cet objet n'est toutefois pas assurée en raison des traits morphologiques qu'il partage avec des instruments de pesée de l'âge du Bronze, qui comportent toutefois une base plus globulaire. Ces instruments de mesure sont établis sur un système proche, avec un étalon évalué à 488 g dont le huitième est estimé vers 61 g (Pare 1999, fig. 40, table 15).

Un poids sphérique en basalte ?

Un basalte sphérique, à la surface au polissage soigné, peut également être interprété comme un contrepoids de 399,3 g (fig. 216, n° 28) qui devait être enveloppé par un plateau en matériau organique, selon le principe figuré sur le relief d'Augst (Corti et Giordani 2001, fig. 246). Cet objet issu d'un trou de poteau de l'état 2.1 pourrait être considéré comme résiduel ou ne pas être identifié comme un poids. Il ne correspond toutefois pas non plus aux métrologies de l'âge du Bronze (Rahmstorf et Pare 2007) fondées sur un référentiel certes éloigné (Plateau suisse, Italie du Nord). Du travail reste à effectuer sur les poids et contrepoids de grande taille laténiens qui apparaissent de plus en plus souvent avec des occurrences à Manching (Jacobi 1974, pl. 107), dans les dépôts de Plavecke Pohradie (Pieta 2010, pl. 117) et du Mormont (Brunetti *et al.* 2014, p. 59) ou dans certains établissements ruraux (Nillesse 2009, fig. 6, n° 113). Plusieurs individus en plomb de l'*oppidum* de La Cloche (Chabot 2004, fig. 290, Girard 2010, pl. 215, n° CLO.539, -541, et -543) présentent, par exemple, une séquence pondérale (100, 200 et 400 g) qui pourrait être en adéquation avec celle de ce poids en basalte.

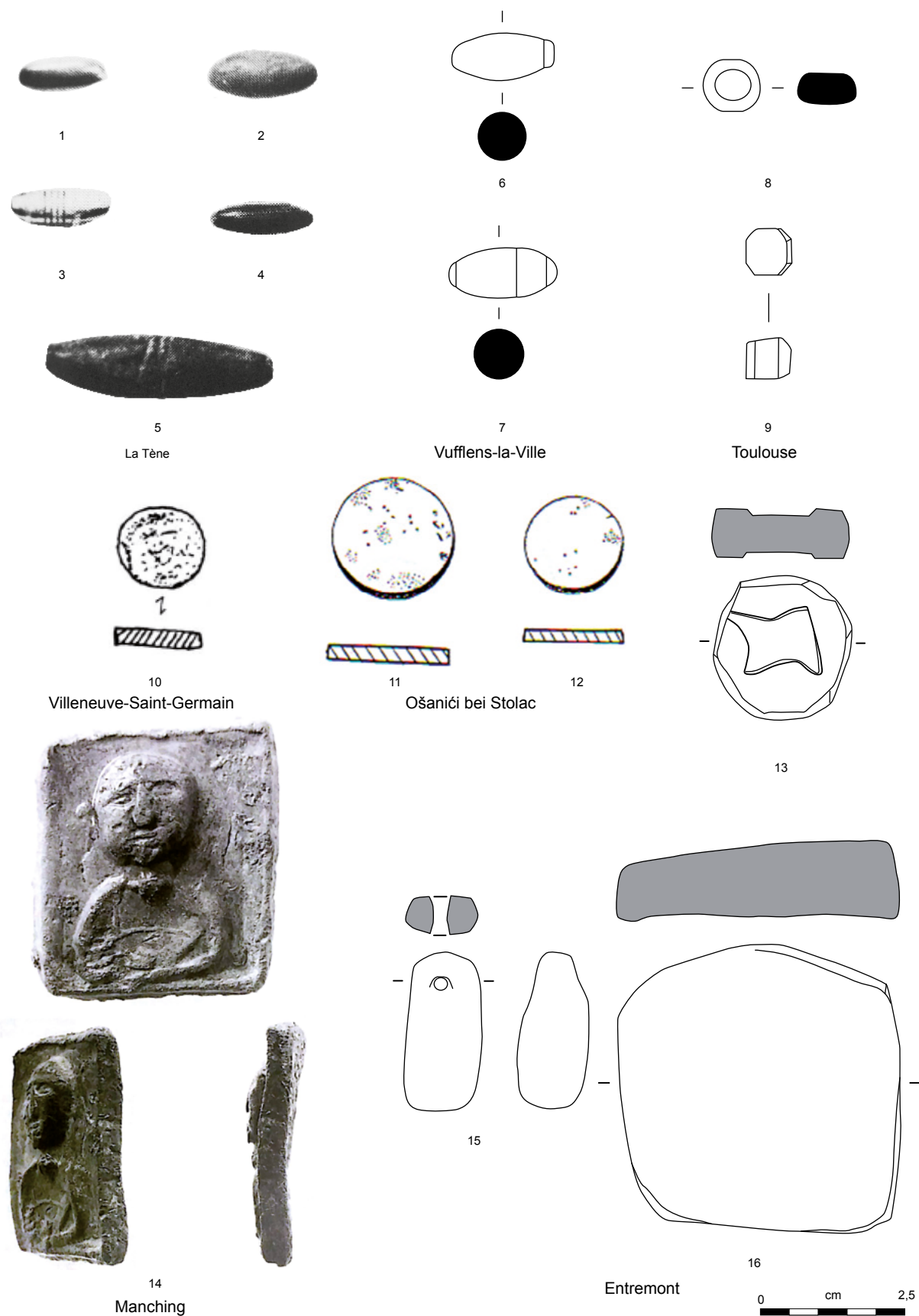


Fig. 217. Poids utilisés comme éléments de comparaison. 1, 3 : or ; 2, 4-9 : alliage cuivreux ; 10-16 : plomb.

Des systèmes métrologiques

Une fois l'identification des poids assurée, l'analyse de leur masse peut être envisagée dans l'optique de la restitution de systèmes métrologiques (fig. 218). Le corpus étudié souffre de la disparité des pesées, réalisées selon un degré de précision variant entre le gramme et le millième de gramme, qui peuvent occasionner des erreurs à une échelle aussi fine. De même, la corrosion pourrait fausser les masses des objets lors de leur pesée. Malgré ces limites, plusieurs concordances éloquentes offrent l'opportunité de traiter ce sujet en utilisant, comme point de référence, les deux poids en or en forme d'olive du site de La Tène. Ces deux objets présentent en effet l'avantage d'avoir été pesés au millième de gramme, par Victor Gross (1886, pl. XI, n^{os} 30 et 31), dès leur découverte et de ne pas avoir subi les éventuelles modifications de masse liées à l'action de la corrosion.

Garni en son centre de quatre lignes perpendiculaires incisées, le premier poids en or pèse 2,496 g selon V. Gross et 2,50 g selon D. F. Allen (1972), soit 4 x 0,624/0,625 g si l'on considère les lignes incisées comme une indication de multiplication. L'unité identifiée ici correspond au dixième de la masse (6,27 g) des deux poids en alliage cuivreux en forme d'olive de Corent et de Vufflens-la-Ville, ce dernier exemplaire comportant une seule ligne incisée à son extrémité. Ce décor permet de proposer la masse de ces objets comme unité de référence évaluée entre 6,25 et 6,27 g. Cette interprétation est confortée par l'identification de fractions et de multiples, à commencer par le contrepoids en grès du bâtiment R.

Figure	Site	Datation	Type	Marques	Masse	Unité 6.26 g	Unité 2.558 g	Once/obole
217, n° 3	La Tène	LTC1	Olive (or)	4	2.50	4 x 0.624		
216, n° 16	Corent	LTD1b	Circulaire (bc)		2.1	0.33 x 6.3		
217, n° 8	Toulouse	LTD1b	Sphère tronquée (bc)		3.1	0.5 x 6.2		
216, n° 7	Corent	LTD1b-LTD2a	Hémisphérique (pb)		3.2	0.5 x 6.4		
216, n° 6	Corent	LTD1b-LTD2a	Hémisphérique (pb)		3	0.5 x 6		
216, n° 12	Corent	LTD1b	Olive (bc)		6.27	1 x 6.27		
217, n° 6	Vufflens-la-Ville	LTD1b	Olive (bc)	1	6.27	1 x 6.27		
216, n° 13	Corent	LTD1b	Olive (bc)		7.86	1.25 x 6.288		
217, n° 5	La Tène	LTC1	Olive (bc)	4	12.5	2 x 6.25/4 x 3.125		
216, n° 27	Corent	LTD1b	Contrepoids (grès)		62.6	10 x 6.26		
217, n° 14	Manching	LTD?	Plomb figuré		125.25	20 x 6.26		
217, n° 1	La Tène	LTC1	Olive (or)		2.56		1 x 2.558	
217, n° 2	La Tène	LTC1	Olive (bc)	4?	2.5	4 x 0.625	1 x 2.5	
217, n° 9	Toulouse	LTD1b	Octogonal (bc)		2.5	4 x 0.625	1 x 2.5	
216, n° 15	Corent	Auguste	Olive (billon)		3.9		1.5 x 2.6	
216, n° 24	Corent	LTD1b	Disque (pb)		3.9		1.5 x 2.6	
217, n° 12	Ošanići bei Stolac	III ^e -II ^e s. av. J.-C.	Disque (bc)		4.5		1.75 x 2.57	
217, n° 10	Villeneuve-St-Germain	LTD2b	Disque (pb)		5.1		2 x 2.55	
217, n° 10	Ošanići bei Stolac	III ^e -II ^e s. av. J.-C.	Disque (bc)		7.52		3 x 2.51	
217, n° 7	Vufflens-la-Ville	LTC2-LTD1	Olive (bc)	3	7.67		3 x 2.556	
217, n° 15	Entremont	LTD?	Contrepoids (pb)		23		9 x 2.555	
217, n° 13	Entremont	LTD?	Hexagonal (pb)		36		14 x 2.57	
217, n° 16	Entremont	LTD?	Pentagonal (pb)		257		100 x 2.57	
217, n° 4	La Tène	LTC1	Olive (bc)		1.12			2 oboles (2 x 0.56)
216, n° 18	Corent	LTD1b	Sphère tronquée (marbre)	2?	24.4 (l)			1 once ? (27 g)
216, n° 25	Corent	LTD2a	Circulaire plat (pb)		26.6			1 once ? (27 g)
Non ill.	Gondole	LTD2	Circulaire plat (pb)		162			6 onces (6 x 27 g)
Non ill.	Gondole	LTD2	Circulaire plat (pb)		167			6 onces (6 x 27.8 g)

Fig. 218. Tableau de synthèse restituant les systèmes métrologiques.

Cet élément à la masse fiable pèse en effet 62,6 g, soit dix fois l'unité de référence. Plus surprenante et impliquant une application de cette unité pondérale à l'échelle de l'Europe celtique, la masse du célèbre poids à la tête de divinité de l'*oppidum* de Manching (fig. 217, n° 11) (Krämer 1997, fig. 1) correspond à 20 fois cette valeur, tandis qu'un poids en forme d'olive de La Tène vaut le double. Ce dernier objet comporte toutefois quatre lignes incisées qui impliqueraient une unité de 3,125 g, soit la moitié de 6,25 g. Cette masse peut aussi être restituée sur les deux poids hémisphériques en plomb du sanctuaire et sur celui en forme de sphère tronquée de Toulouse. Cette occurrence constituerait alors le point le plus occidental du système métrologique. En l'état de nos recherches, on ne peut exclure qu'il s'agisse en fait de l'unité de base, bien que le système reste cohérent quelle que soit l'unité retenue. En témoignent le poids circulaire à bordure biseautée de 2,1 g, soit un tiers de 6,3 ou deux tiers de 3,125 g, ou encore le poids en forme d'olive de 7,86 g, soit $5/4$ de 6,26 ou $5/2$ de 3,125 g.

La deuxième olive en or du site de La Tène fournit des pistes pour un second système pondéral utilisé de la Suisse au Sud de la France ou à la Picardie. Utilisée comme unité de référence, sa masse de 2,558 g se retrouve en effet sur la forme de multiples sur un poids à trois lignes incisées de Vufflens-la-Ville de 7,67 g, soit trois fois 2,556 g (fig. 217, n° 7). Cet étalon peut être restitué pour les poids circulaires plats en plomb de Villeneuve-Saint-Germain de 5,1 g ($2 \times 2,55$ g) et de Corent 3,9 g ($3/2$ de 2,6). Du même poids, l'exemplaire bitronconique en argent/billon entre également dans ce système, tout comme vraisemblablement les exemplaires illyriens d'Ošanići bei Stolac qui correspondent à des multiples de 3 et de $7/8$. Plus problématiques, une olive du site de La Tène ainsi qu'un poids octogonal en bronze de Toulouse (fig. 217, n° 9) pèsent tous les deux 2,50 g et pourraient tout autant être attribués au premier qu'au second système, selon la marge d'erreur tolérée. Il est à souligner qu'aucun décor n'est mentionné pour l'exemplaire de La Tène, qui devrait être revu pour s'assurer de l'absence de marques. Les trois exemplaires d'Entremont semblent aussi se rattacher à ce système, bien que leur pesée réalisée au gramme doive encore être effectuée avec plus de précision pour valider cette interprétation. Le poids pentagonal le plus lourd correspondrait dans ce cas à cent fois 2,57 g et validerait à nouveau un système décimal.

La métrique gréco-romaine pourrait avoir cours anciennement comme l'indiquerait le poids en forme d'olive le plus léger du site de La Tène, à la masse de 1,12 g équivalant à deux oboles. Il n'est par conséquent pas si surprenant que ce référentiel transparaisse dans les instruments de pesée de Corent, dès LTD1b ou encore de Gondole, un peu plus tardivement. Ces objets attestent la pratique du commerce à longue distance. L'objet de La Tène reflèterait aussi une utilisation probable dans le cadre d'activité de change qui est démontrée, en Pologne et en Autriche, par de nombreux poids basés sur le statère d'Athéna Alkidemos (Jandrasits 2003).

La cohérence des masses des deux systèmes métrologiques laténiens et leur aire de répartition géographique plaident néanmoins en faveur d'une application des poids de plus petites tailles dans le domaine artisanal plutôt que dans des activités de change. En effet, comme l'avait déjà souligné D. J. Allen (1972, p. 495), ces poids semblent déconnectés du système monétaire de la zone économique du denier (territoires éduen, séquane et lingon), basé sur le quinaire romain (Gruel et Haselgrove 2006, p. 126), tout comme du système proche des Arvernes, Bituriges et Lémovices dont le référentiel évolue entre 2,3 g et 9 g (Gruel *in* Poux et Demierre 2015, p. 319). Leur découverte, dans un bâtiment dédié au travail des alliages cuivreux à Corent, dans la fosse 375D de Villeneuve-Saint-Germain remplie de chutes et de déchets artisanaux et dans le dépôt contenant de nombreux outils d'orfèvre d'Ošanići bei Stolac, laisse entrevoir leur utilisation dans la réalisation d'alliage nécessitant une pesée minutieuse. Il ne serait dans ce cadre pas surprenant que ces systèmes pondéraux stables et pérennes reflètent une koinè technique et ne soient pas ou peu influencés par les fluctuations des systèmes monétaires.

Cette contribution ne fait évidemment qu'effleurer une problématique aux enjeux cruciaux. Les résultats présentés ici ne sauraient se passer de l'apport d'autres artefacts, d'une pesée plus précise de certains objets et d'une recherche bibliographique plus approfondie pour être validés. De même, le fonctionnement décimal relatif aux deux unités de poids est en contradiction avec la plupart des systèmes antiques duodécimaux, soit en base 12. Ils seraient selon ce principe envisageable de les réunir, certes de manière imprécise, grâce au rapport de 10/12 qu'entretiennent 3,125 g et 2,6 g.

3.9. LE JEU ET LES LOISIRS

Aucun objet métallique relatif au jeu ou au loisir n'est identifié pour La Tène sur le site. Cette activité est en revanche représentée par dix dés parallélépipédiques, un hochet en céramique et trois pions, un en os et deux en verre. Bien connus en Auvergne avec de nombreuses occurrences à la Grande Borne (Mennessier-Jouannet et Deberge 2017, fig. 201, n^{os} 10 à 12), les dés se répartissent sur l'ensemble de la zone fouillée et dès l'état 1 (fig. 219, n^{os} 1 et 2). Le pion en os et le hochet proviennent du sanctuaire et n'appellent pas de commentaire supplémentaire (Poux et Demierre 2015, p. 306-307 et p. 312, pl. 2). Issus de l'épandage de faune du bâtiment A8 et d'un fossé de l'état 2.2 (bâtiment R), les pions en verre (fig. 219, n^o 3) reflètent un certain degré d'acculturation ou du moins de contacts avec le monde méditerranéen mis en évidence dès La Tène moyenne, en contexte transalpin, notamment à la Grande Borne (Diliberto et Lejars 2011, p. 449). Le troisième pion en verre incolore hors contexte ne peut pas être attribué à l'époque laténienne compte tenu de la perdurance de ce type d'objet. Le corpus d'époque romaine comprend cinq pions ou jetons en os (fig. 219, n^{os} 3 et 4) mis au jour dans le sanctuaire, un dé cubique (Poux et Demierre 2015, p. 306) et un grelot issu du bâtiment gallo-romain nord (fig. 219, n^o 6). Cet objet sphérique fragmentaire présente une patine étamée qui confirme son identification (Meylan Krause 2008, p. 61, fig. 8).

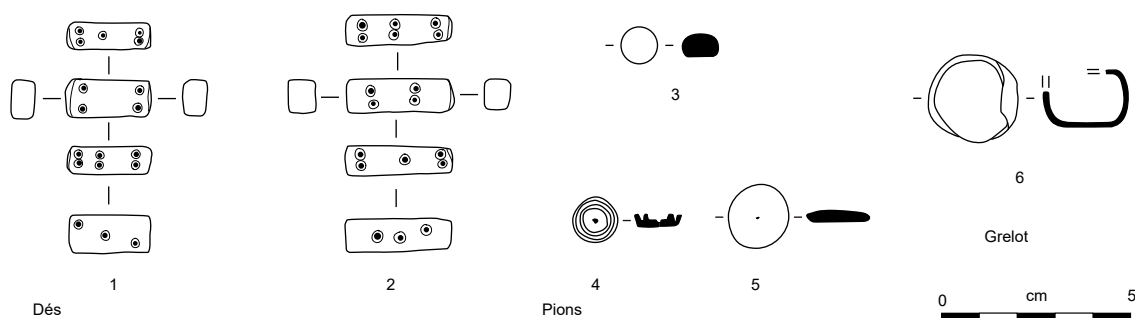


Fig. 219. Objets liés au jeu et aux loisirs. 1-2, 4-5 : os ; 3 : verre ; 6 : alliage cuivreux.

3.10. LES OBJETS À CARACTÈRE RELIGIEUX

Très rares à l'époque laténienne, les objets à connotation ou fonction religieuse sont représentés par un petit corpus issu des niveaux gallo-romains du sanctuaire, composé d'un sanglier en ronde bosse, d'un battant et de fragments de clochette ou *tintinnabulum* (pl. 183, n^o 11), de deux feuilles d'arbre métallique et de statuettes en terre blanche (Poux et Demierre 2015, p. 184 et p. 306, pl. 31, n^{os} 1 à 4). Trois autres fragments de figurines en terre blanche sont également recensés dans les remblais de l'espace D.

Témoignant de la pratique de la magie, deux tablettes en plomb repliées et perforées (fig. 220) ont été retrouvées au détecteur, dans la démolition du théâtre



Fig. 220. Tablettes magiques du théâtre (tiré de Cléménçon 2014, p. 163).

(Cléménçon et Poux 2014). Comportant encore des restes organiques à l'intérieur (tissus, ficelles, cheveux) et quelques lettres au texte peu lisible, ces éléments prouvent que des professionnels de la magie étaient parfois appelés pour faire appel aux forces des divinités chtoniennes.

Un trou de poteau de la façade sud du bâtiment recouvrant la grande cave du complexe C a livré un fragment d'autel portatif de tradition méditerranéenne, appelé *arula* en latin (Poux 2012, p. 217). Réalisée en terre cuite, cette pièce fragmentaire comporte une surface brûlée et une bordure moulurée (fig. 221). Tout à fait exceptionnelle en milieu laténien, elle constitue un indice pour restituer le déroulement de cultes méditerranéens avant la Conquête césarienne, si tant est que le phasage du trou de poteau ne doive pas être remis en cause. Cet autel pourrait alors représenter les activités religieuses d'une maisonnée ou des pratiques collectives réalisées par des gaulois adeptes des rites de tradition gréco-romaine, par des marchands établis sur l'*oppidum* ou par des voyageurs de passage. Autant de questions qui restent en suspens.

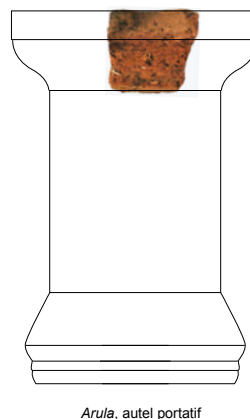
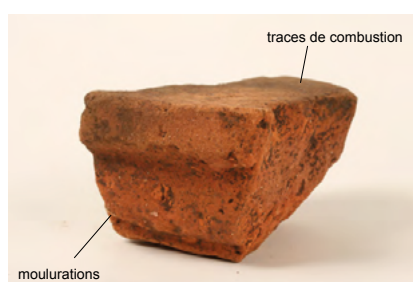


Fig. 221. Fragment d'*arula*, d'autel portatif issu d'un trou de poteau proche de la grande cave du complexe C (tiré de Poux 2012, p. 217).

	NR	NMI
Objets polyvalents	39	40
Agrafe de réparation	32	28
Entraves	2	2
Anneaux à hache miniature	5 (1)	5
Applique zoomorphe	1	1
Coin de calage	2	2
Étuis	2	2
Quincaillerie polyvalente	272	251
Anneaux	127	124
Maillons rapides	31	31
Anneau de sertissage, frettes	22	21
Chaînes	27	21
Chaînettes	14	13
Gouttières	18	13
Douilles	22	22
Tôles de renfort	11	6
Quincaillerie décorative	577	529
Cabochons	221	206
Rivets en alliage cuivreux	237	219
Rivets émaillés	30	30
Appliques	50	37
Ferrures décoratives	39	37

Fig. 222. Tableau de comptage des objets polyvalents et de fonctions diverses.

3.11. LES OBJETS POLYVALENTS ET DIVERS

Les objets de fonction polyvalente ou trop spécifique pour constituer une catégorie fonctionnelle à part entière sont regroupés ici (fig. 222, [cat. 55](#)). Parmi les artefacts d'utilisations diverses figurent des éléments de réparation de vaisselle, des anneaux particuliers connectés à des outils de petite taille, une applique zoomorphe, des étuis ou encore d'hypothétiques fragments d'entraves. Le reste du corpus de cette catégorie est majoritairement composé de quincaillerie utilisée comme composant de nombreux objets (anneaux divers, chaînes, fragments de douille) avec parfois une fonction décorative (cabochons, rivets en alliage cuivreux, ferrures décoratives).

3.11.1 LES ÉLÉMENTS DE RÉPARATION DE VAISSELLE

Les pièces en plomb servant à la réparation de la vaisselle céramique se retrouvent fréquemment en Gaule méditerranéenne, alors qu'elles demeurent rares en Gaule interne (Girard 2010, p. 340-342). Elles pourraient à ce titre être interprétées comme un procédé qui souligne des contacts avec la sphère méditerranéenne. Seules des agrafes à deux points de fixation (fig. 223, type 1) sont attestées à Corent, alors que les corpus provençaux se distinguent par une plus grande diversité typologique (Girard 2010, fig. 324). Ce mode de construction apparaissant dès l'état 2.1 à Corent devait principalement servir à réparer de la vaisselle au vu des dimensions des longueurs utiles des attaches internes, bien qu'au moins un élément soit connecté à une lèvre de dolium (pl. 82, n° 10). Les fractures dans les récipients peuvent également être comblées à l'aide d'une masse en plomb dont les bords sont appliqués sur les faces internes et externes de la panse en céramique encore présente sur quelques pièces (fig. 223, type 2). Un élément isolé constitué d'une plaque à bordure rivetée selon des espacements variant entre 24 et 36 mm est également interprété comme une réparation de céramique en raison de la longueur utile des rivets (6 mm), trop importante pour s'appliquer à une tôle métallique (fig. 223, type 3). Sa forme circulaire laisse envisager que cette pièce ait été appliquée sur un fond de récipient.

Une écuelle du type 2d du référentiel céramique du site est issue du bâtiment E. Cette forme commune à LTD2a a été réparée à l'aide d'un système d'agrafes en alliage cuivreux, constituées de bandes rivetées (fig. 223, type 4). Cette technique rare, documentée sur une assiette en sigillée italique de type Consp. 12.4, avait permis d'émettre l'hypothèse d'un atelier spécialisé dans la réparation de vaisselle de valeur à Bâle-Münsterhügel (Deschler-Erb 2006b, fig. 3). Cette proposition peut difficilement être retenue ici compte tenu de la banalité de la céramique en question.

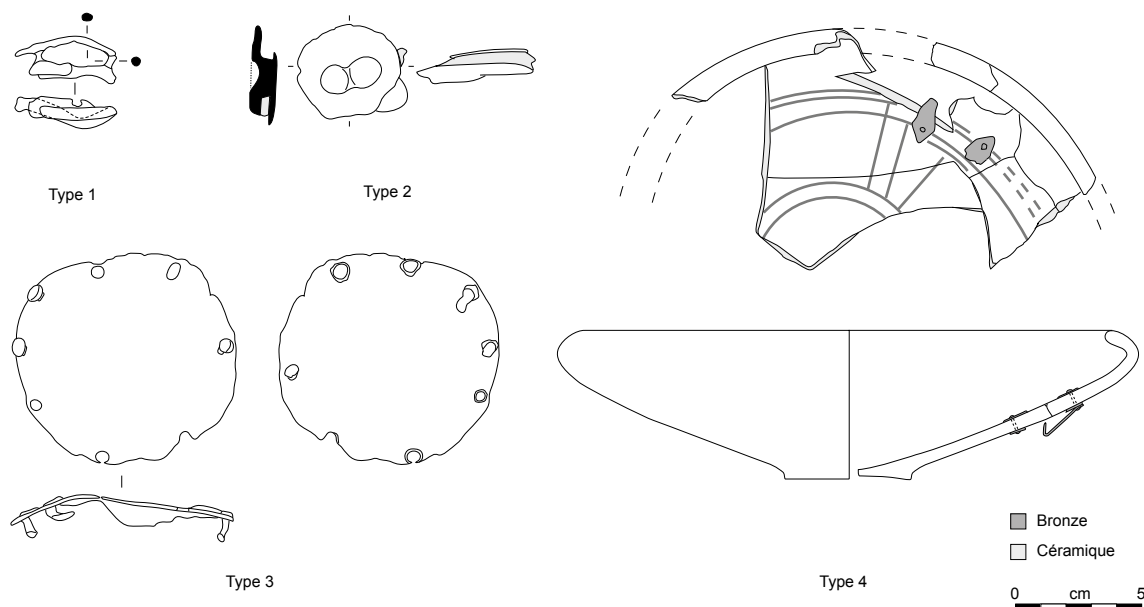


Fig. 223. Agrafes de réparation de vaisselle en céramique. Types 1 à 3 : plomb ; type 4 : alliage cuivreux.

3.11.2. LES ENTRAVES

Les deux fragments interprétés comme des parties d'entraves représentent la partie utile de l'objet servant à maintenir attaché un prisonnier. Massif, le premier élément (fig. 224, n° 1) montre une perforation en deux temps qui n'est pas sans évoquer le mode de fermeture à rivet maté des entraves de type Sanzeno (Nothdurfter 1979, pl. 78, n° 1286a). Il provient du sol 14030 du bâtiment A1 où il est associé à des pièces d'armement volontairement détruites, une association fréquemment recensée pour ces objets. Au même titre que les armes,

les entraves évoquent les prisonniers de guerre, qui font partie du trophée du vainqueur (Barral et Daubigney 2012) et participent à l'enrichissement de l'élite (Schönfelder 2015). Son diamètre interne similaire à celui de la seconde pièce (env. 80 mm) est compatible avec une fixation à la cheville (Girard 2010, p. 535).

Issue du bâtiment M (état 2.1 à 2.2), le deuxième anneau de fermeture (fig. 224, n° 2) comporte une extrémité recourbée et perforée et une hypothétique articulation à son autre extrémité conservée. Cette morphologie se retrouve sur les menottes d'une entrave de Bâle-Gasfabrik, en deux parties articulées (Spichtig 1995), ainsi que sur une pièce à anneau simple du camp militaire augusto-tibérien d'Aulnay-de-Saintonge (Feugère *et al.* 1992, p. 52, n° 101). Une clé à pression de lame (pl. 37, n° 7), système de fermeture des entraves à cadenas d'époque laténienne, doit aussi être mentionnée bien que cet élément ait pu servir dans un autre cadre.

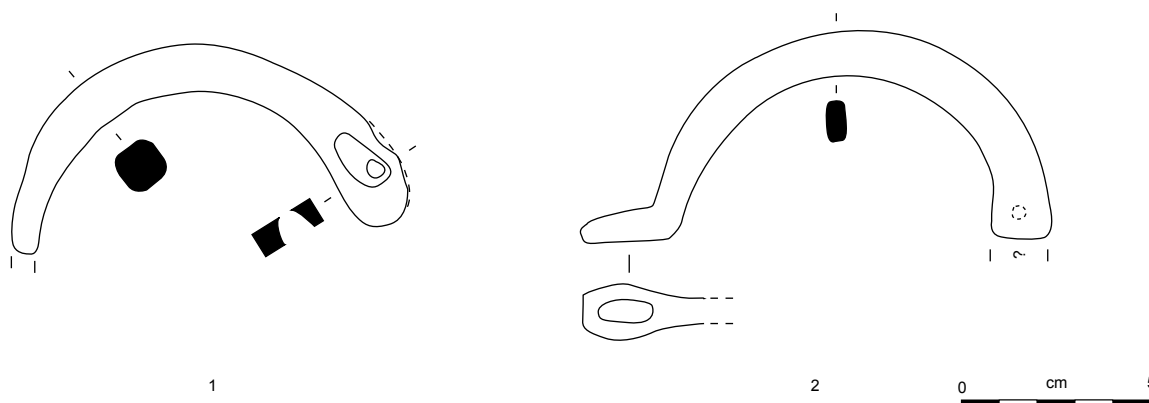


Fig. 224. Hypothétiques fragments d'entraves. Fer.

3.11.3. LES ANNEAUX À HACHE ET À HERMINETTE MINIATURES

Les cinq anneaux connectés à une hache et une herminette miniatures ainsi qu'à un piton cannelé, auxquels peut être ajoutée une découverte ancienne similaire (Grange 1857, pl. 14, n° 120, voir *supra*, fig. 1), constituent un type d'objet particulier recensé uniquement à Corent. L'interprétation de cumangle ou de coin à traîner servant au débardage du bois proposée pour ces artefacts atypiques (Poux 2012, p. 52) doit être nuancée en raison de la petitesse des haches et des herminettes sensées servir à la traction de tronc d'arbre, de la présence du piton qui suggère une fixation pérenne dans du bois et de l'absence de comparaison fiable pour ce type d'objet avant l'époque médiévale. À cette période, le déplacement des grumes de bois est majoritairement réalisé à l'aide de trinquébilles, un dispositif muni de deux roues et d'un axe central, auquel est attaché le billot. Ce mode de transport favorise leur déplacement sur de longues distances et en particulier en montée, alors que la traîne est plutôt utilisée en descente (Py 2009). L'usage de ces charrettes semble plus approprié à l'approvisionnement en bois de construction qui implique très vraisemblablement l'ascension de la colline de l'*oppidum* et illustrerait la diversité des moyens de transport utilisés dans l'agriculture laténienne (Buchsenschutz 2009).

La finesse de leur confection perceptible entre autres par des moulurations sur les outils miniatures suggère une fonction décorative qu'il s'agit encore de préciser. Les associations avec des bandages de roue et un piton de caisse de char pourraient permettre d'évoquer des appliques de char similaires, aux anneaux rivetés à l'aide de pitons cannelés à deux branches, de l'ensemble de Verna (Perrin et Schönfelder 2003, fig. 66). Une fixation aux portes avec une fonction de heurtoir semblerait également envisageable. Leur concentration dans le quartier nord avec des occurrences issues des bâtiments C3 et A1 laisse aussi imaginer qu'il puisse s'agir de marqueurs corporatifs au même titre que les pendentifs en forme de hache à douille miniature qui présentent la même répartition.

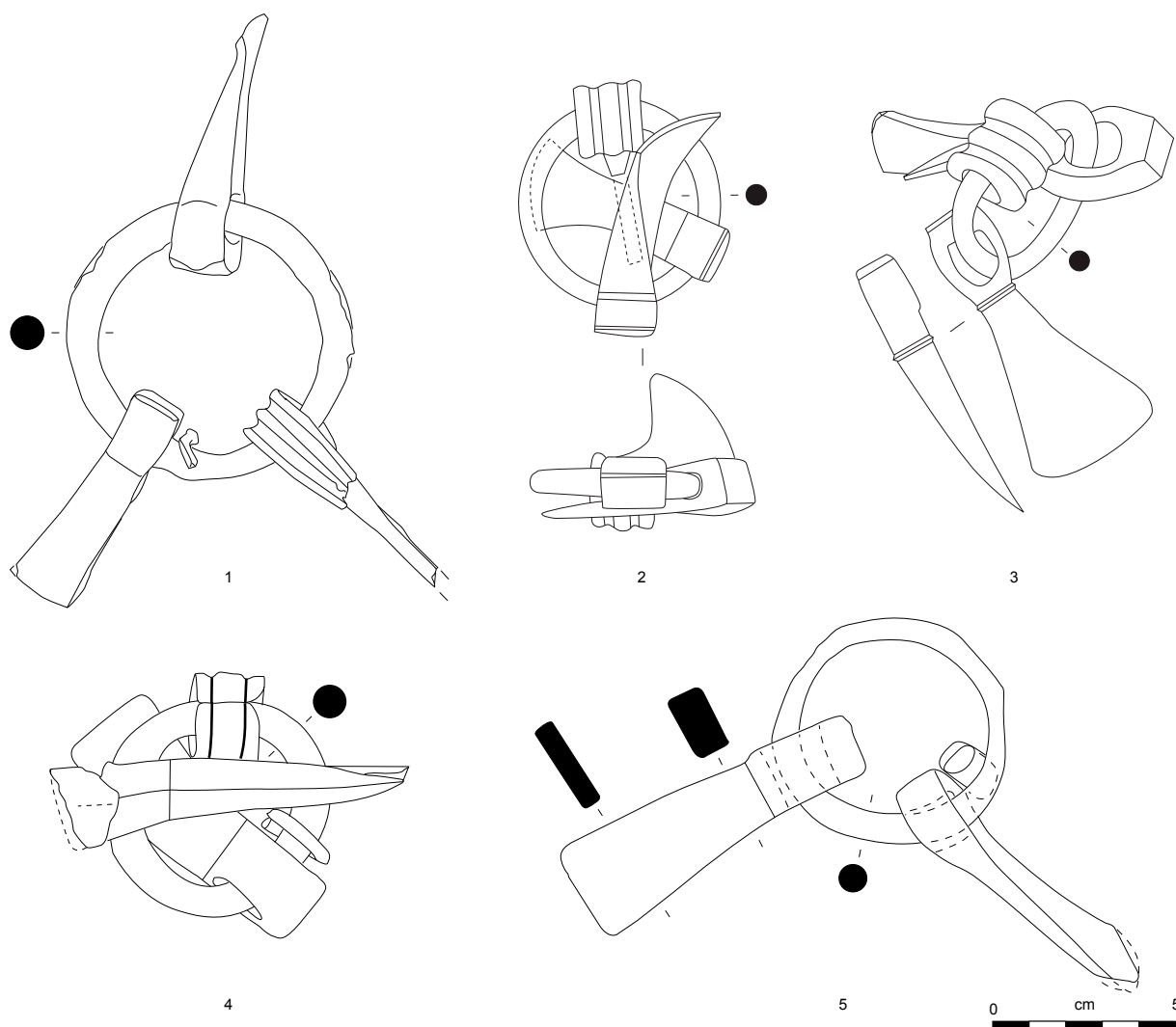


Fig. 225. Anneaux connectés à une hache et à une herminette miniatures ainsi qu'à un piton à anneau cannelé. Fer.

3.11.4. L'APPLIQUE ZOOMORPHE

Une applique ou une statuette d'oiseau, de canard, au bec aplati et au plumage du dos et de la queue marquée par des incisions est issue de la partie orientale de la place du complexe C (fig. 226). Un autre artefact représentant un oiseau de style similaire a été découvert récemment dans la fosse atelier 24526, à l'ouest du sanctuaire (fig. 226). Cette figurine est dotée de pattes stylisées, alors que la base de l'exemplaire du complexe C n'est pas suffisamment bien conservée pour permettre de restituer la partie inférieure de la statuette, qui a aussi pu être brasée sur un support. Rares à l'époque laténienne, les représentations aviformes figurent principalement sur des instruments culinaires en fer (landiers, broche et trépieds) et sur des objets uniques tels que l'attache de seau de Bucy-le-Long, l'ornement du couvercle de la cruche de Brno, le carnyx de la tombe de Castiglione delle Stiviere ou le casque de Ciumești (Vial 2005, n^{os} 289 à 300). Les pièces les plus proches, au style marqué par l'aspect globulaire ou annelé des yeux des oiseaux et au corps généralement inorné (Jandrasits 2003, p. 81-83), proviennent de Celtique orientale. Certaines de ces figurines correspondent à des poids de balance, une hypothèse qui ne peut être retenue ici, la masse de l'objet ne correspondant à aucun multiple des référentiels soulignés précédemment (voir *supra*, chap. 3.8). À l'époque romaine, les oiseaux apparaissent sur des supports variés tels que les couvercles de cruche (Bienert 2007, p. 47 et 51) ou encore des plaques décoratives de meuble (Riha 2001, pl. 35, n^o 413). L'assemblage d'où provient cet objet est attribuable à La Tène finale (bracelet tubulaire, potin), une datation confirmée par le parallèle récolté récemment. Pour ces raisons, il a semblé préférable de classer cet objet dans la catégorie des objets polyvalents et de se questionner sur l'origine de ces deux pièces, qui pourraient aussi être des productions d'Italie tardo-républicaine.



Fig. 226. *Figurines de canard issues du complexe C (à gauche) et de la fosse artisanale 24526 (à droite). Les deux figurines mesurent 35 mm de longueur. Alliage cuivreux.*

3.11.5. LA QUINCAILLERIE POLYVALENTE

Cette sous-catégorie regroupe les pièces de quincaillerie participant à des assemblages variés qui empêchent de leur attribuer une fonction précise.

Les anneaux, maillons rapides, frettes et anneaux de sertissage

Partie intégrante d'une multitude d'objets, les anneaux peuvent difficilement être attribués à une catégorie fonctionnelle (fig. 227, n^{os} 1 à 5). Leur diamètre varie entre 7 mm et 84 mm, tandis que leur section peut être de forme quadrangulaire, circulaire ou encore hémisphérique. Les anneaux sont très majoritairement circulaires avec au moins une occurrence ovale pliée qui pourrait correspondre à un anneau d'entrave (fig. 227, n^o 6). De même fonction, les maillons rapides diffèrent simplement des anneaux sur le plan de leur fermeture par chevauchement (fig. 227, n^{os} 7 et 8).

Les frettes et anneaux de sertissage servent à solidariser des éléments d'assemblages en bois ou en métal. En fer, ils peuvent être constitués d'une simple tige aux terminaisons enroulées (fig. 227, n^o 9) ou d'une bande de tôle à fermeture continue ou rivetée (fig. 227, n^{os} 11 et 12). Plus rarement, les frettes de renfort comportent deux pièces aux extrémités repliées et rivetées. Un anneau en alliage cuivreux issu de la surface du bâtiment C1 (fig. 227, n^o 10) a pu appartenir à un système de suspension de luminaire ou de balance, comme en témoigne une bande repliée connectée à cet objet (Artefacts : ANO-4003).

Les chaînes et chaînettes

Les chaînes sont majoritairement composées de maillons en huit (NR, 19) qui sont ajourés ou jointifs dans leur partie centrale (fig. 227, n^{os} 13 à 16) et parfois connectés à des maillons ovales (fig. 227, n^o 17). Les maillons doubles en huit étranglés (fig. 227, n^o 16) demeurent nettement plus rares. L'absence de chaîne complète ou encore d'objet comportant une partie en chaîne, comme des crémaillères ou encore des entraves, est à relever.

Les chaînettes sont attestées par 14 ensembles qui présentent de un à trois maillons pour les exemplaires en alliage cuivreux (fig. 227, n^{os} 21 et 22) et jusqu'à une dizaine pour ceux en fer (fig. 227, n^{os} 18 à 20), où les maillons sont parfois doublés (fig. 227, n^o 20). Les anneaux peuvent être simplement constitués d'un fil ouvert ou encore comporter une bague centrale à l'instar d'un exemplaire en fer de Berching-Pollanten (Schäfer 2010, pl. 93, n^o 5759). Si leur utilisation dans le cadre de la parure semble la plus fréquente, en particulier pour les exemplaires en fer (voir par ex. la fibule pl. 152, n^o 7), il s'agit néanmoins d'objets polyvalents aussi utilisés pour solidariser de petits objets comme des couvercles ou encore des plateaux de balance. La rareté des anneaux fragmentaires inclus dans les ressorts de fibule confirme également cette classification.

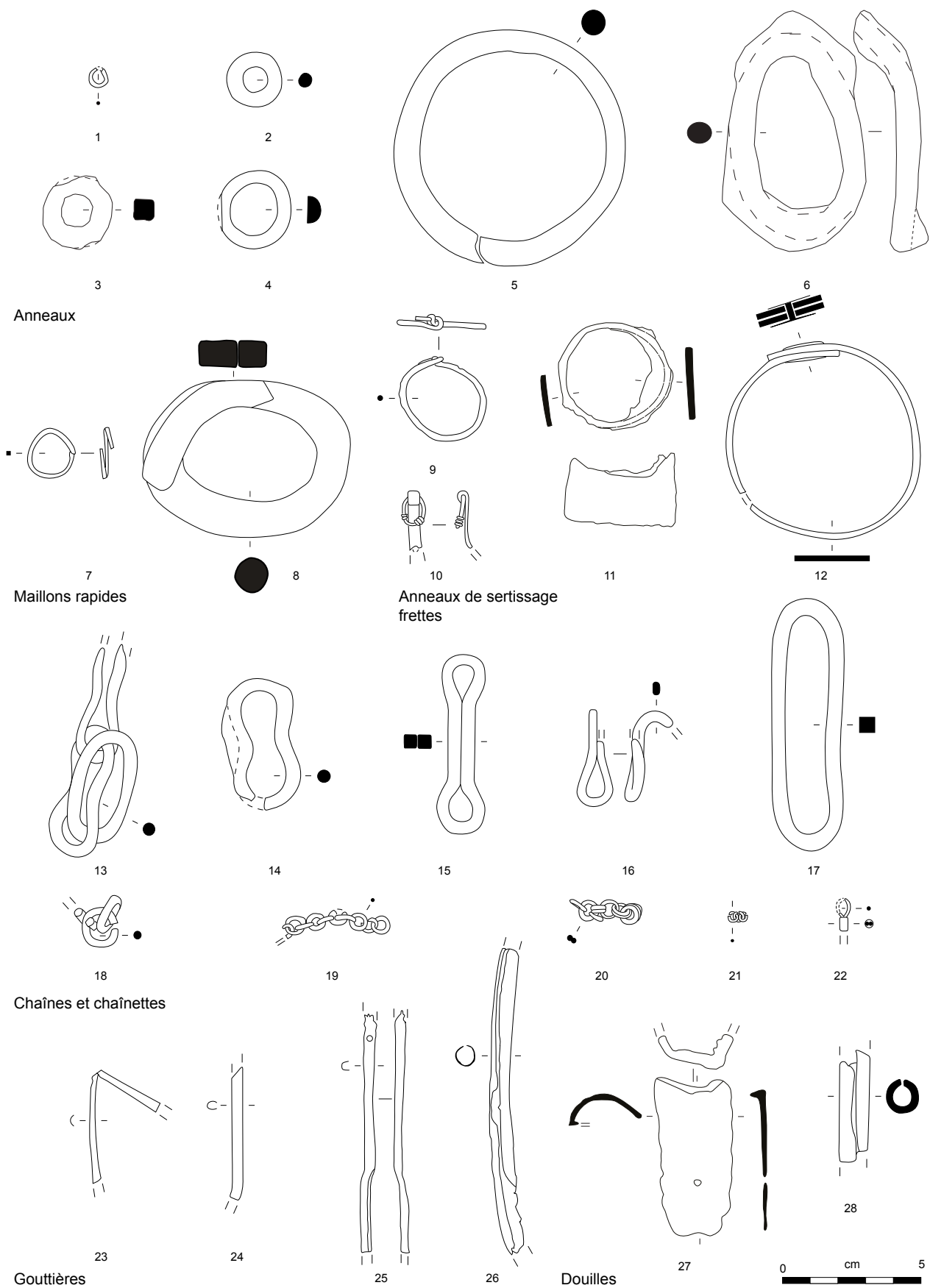


Fig. 227. Autres objets polyvalents : anneaux, maillons rapides, anneaux de sertissage, chaînes et chaînettes, gouttières en alliage cuivreux. 1-9, 11-20, 27-28 : fer ; 10, 22-26 : alliage cuivreux.

Les gouttières en alliage cuivreux

Les gouttières en alliage cuivreux peuvent revêtir plusieurs fonctions, bouterolle de fourreau, éléments d'anse de seau ou simple renfort décoratif de meuble ou de récipient (Van Endert 1991, p. 104). Elles varient sur le plan de l'ouverture de la gouttière, plus ou moins prononcée, ainsi que sur leur diamètre compris entre 3 et 8 mm (fig. 227, n^{os} 23 à 26). La fonction d'un ensemble de gouttières rectilignes issu du bâtiment M (pl. 143 et 146) intrigue par son diamètre important (8 mm), ses grandes dimensions²⁷ et le fait que la tubulure soit presque fermée sur certains fragments (fig. 227, n^o 26). Trop larges pour une bouterolle de fourreau d'épée et trop rectilignes pour être appliqués sur une anse de seau, ces éléments ont pu participer au renfort d'une crête de carnyx ou de sanglier-enseigne, le seul objet du corpus qui livre une gouttière comparable (pl. 197). Interpréter ce lot comme tel demeure toutefois problématique, compte tenu de son contexte qui ne comporte pas d'autres pièces d'armement ou éléments susceptibles d'appartenir à l'un ou l'autre de ces rares objets guerriers. Une gouttière similaire provient du puits 228 de Gondole, où ne figurent pas non plus d'autres pièces d'armement (Mennessier-Jouannet et Deberge 2017, fig. 387, pl. VIII, n^o 1).

Les douilles

Cette entrée regroupe les fragments de douille pour lesquels il est impossible de trancher entre talon de lance, fixation d'extrémité d'arme d'hast (lance, flèche) et emmanchement d'outil (fig. 227, n^{os} 27 et 28).

3.11.6. LA QUINCAILLERIE DÉCORATIVE

La quincaillerie décorative comprend majoritairement des pièces en alliage cuivreux qui ornent divers types d'objets qu'il demeure impossible à identifier.

Les cabochons et les rivets

Fréquents dans le sanctuaire (Poux et Demierre 2015, p. 187, pl. 38), les cabochons peuvent être utilisés comme applique maintenue grâce à du plomb ou à une colle organique (fig. 228, n^{os} 1 à 3) ou, encore plus rarement, orner la tête d'un clou. Deux occurrences relatent ces modalités d'assemblage, avec un individu collé à une tôle de fer (fig. 228, n^o 5), tandis qu'un autre est fixé sur un clou (fig. 228, n^o 4). Bien qu'un seul objet puisse générer la découverte de nombreux cabochons, leur présence accrue dans le sanctuaire indique peut-être qu'ils prenaient part à l'ornementation des meubles et instruments liés au lieu de culte (fig. 229).

Il en est de même pour les rivets en alliage cuivreux dont la répartition reproduit le même schéma (fig. 230). Ces derniers sont classés selon la typologie de J.-P. Guillaumet (2003, p. 139-140) qui divise ces pièces d'assemblage en clous-rivets (fig. 228, n^{os} 6 à 10), rivets refoulés (fig. 228, n^o 11), rivets à contreplaque (fig. 228, n^o 12) et rivets de tôle enroulée (fig. 228, n^o 13). Ce dernier type servant principalement à l'assemblage et à la réparation de tôle de vaisselle n'est attesté que par un individu non riveté, dans le bâtiment M. La tête des rivets refoulés comporte parfois un creusement qui a pu recevoir de l'émail, tandis que de rares clous-rivets sont surmontés d'une tête moulurée. Deux, voire trois métaux entrent dans la confection de clous-rivets à tête hémisphérique creuse, avec une tige en fer parfois renforcée par une fixation en plomb à la manière des cabochons.

La production de ces rivets particuliers et peut-être également de cabochons est envisagée dans la fosse-atelier 23889, fouillée en 2013, à une trentaine de mètres à l'ouest du sanctuaire (Poux *et al.* 2013, p. 127, pl. 20). Cette structure livre des rivets en alliage cuivreux dont la tige en fer est parfois fixée à la tête par du plomb, des demi-produits de tiges en cours de martelage ou encore des chutes de tôle à perforations circulaires vraisemblablement obtenues lors de la confection de rivets ou de cabochons (fig. 231). Le travail conjoint du fer et des alliages cuivreux est révélé ici par une scorie bimétallique retrouvée dans la même fosse.

27 La longueur cumulée de tous les fragments est estimée à 463 mm.

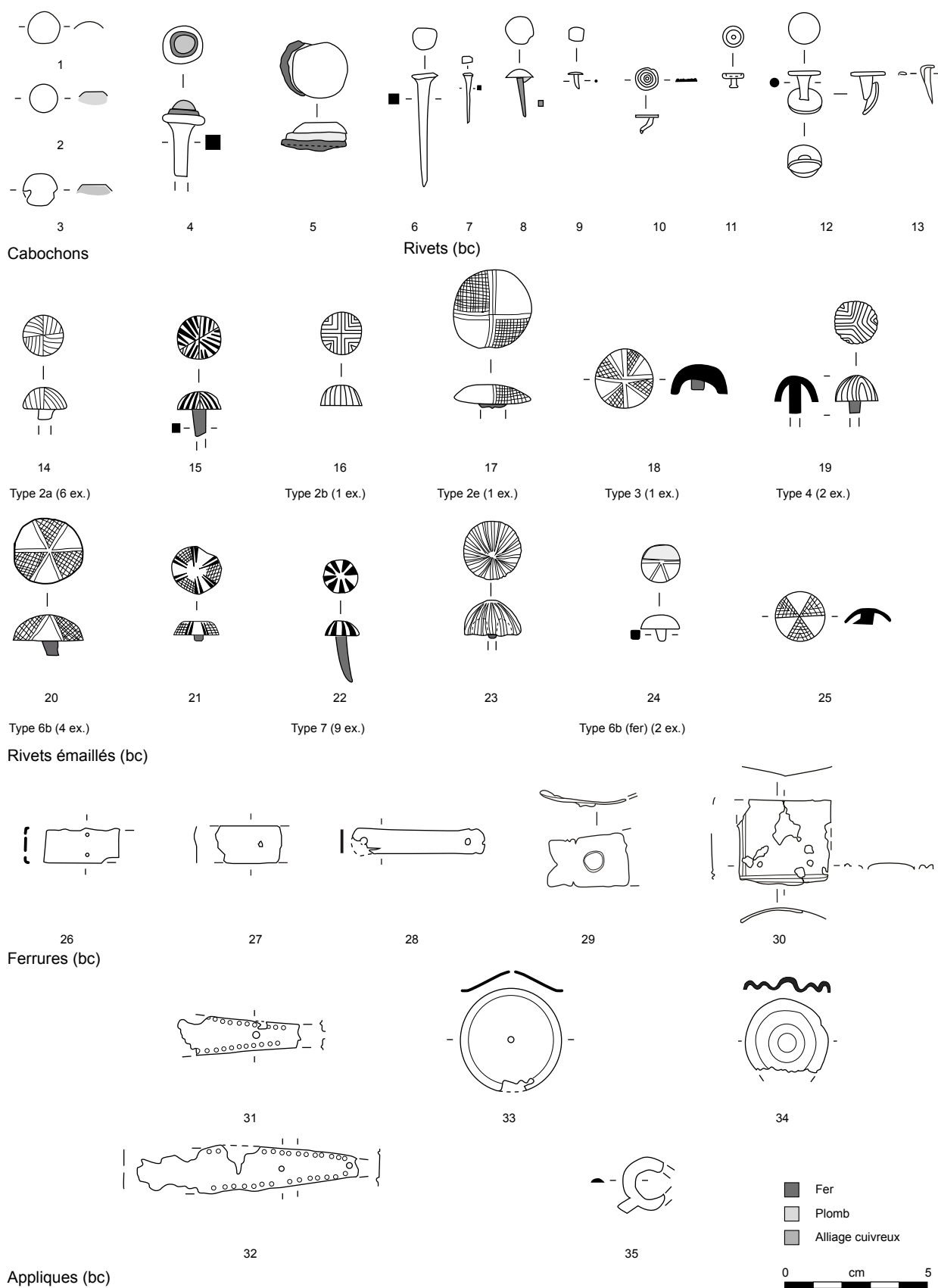


Fig. 228. Éléments décoratifs de quincaillerie : cabochons, rivets en alliage cuivreux, clous et ferrures décoratives, rivets émaillés.
 1, 6-7, 9-14, 16-17 : alliage cuivreux ; 2-3 : alliage cuivreux et plomb ; 4-5 : alliage cuivreux, fer et plomb ;
 8, 15, 18-23 : alliage cuivreux et fer ; 24-25 : fer.

Les ensembles des niveaux de décapage et le remplissage des structures associées²⁸ livrent des cabochons de bronze, des chutes de tôle et des déchets caractéristiques (gouttes, scories, tôles repliées) qui concordent pour restituer un atelier produisant ces pièces de quincaillerie décorative.

Les rivets émaillés

Plus complète que celle de V. Challet (1992), la typologie de M. Schönfelder (2002, p. 216-219, fig. 135) a été appliquée ici pour trier les rivets émaillés. Elle est fondée sur la division du décor en trois (type 4), quatre (type 2), six (type 6), huit (type 3) rayons ou en étoile (type 7), tandis que la façon dont sont remplis les quartiers détermine les variantes (fig. 228, n°s 14 à 25). Les types 2a, 6b et 7 sont les plus courants, tandis que les autres variantes ne sont connues que par un ou deux individus. Majoritairement en bronze, ces pièces sont parfois en fer ou comportent aussi, relativement souvent, une tige en fer.

Ces objets caractéristiques de La Tène finale servent de pièces d'assemblage ornementales aussi bien pour des éléments de harnachement et de char, de casques et de vaisselle, mais encore dans le cadre du mobilier. C'est du moins ce que suggère le seul exemplaire en position fonctionnelle fixé à une cornière ou ferrure d'angle (pl. 122, n° 17). Bien représentées dans le sanctuaire, ces pièces décoratives présentent une répartition éparse sur le site (fig. 230).

Les appliques et ferrures décoratives

Cet ensemble d'objets en alliage cuivreux regroupe les ferrures composées d'une bande rivetée (fig. 228, n°s 26 à 30) et les autres appliques de tôle (fig. 228, n°s 31 à 35). Ces dernières peuvent prendre une forme triangulaire ou circulaire et sont très rarement ajourées (fig. 228, n° 35). Attestées relativement fréquemment (Perrin 1990, fig. 110, n° 423), les appliques triangulaires ornées de lignes d'ocelles (fig. 228, n°s 31 et 32) pourraient être liées à des meubles, mais surtout à des récipients en matériau organique comme le suggère une découverte du site du Mormont. Ces appliques composent la fixation et le décor rayonnant d'un récipient organique, voire du couvercle du chaudron dans lequel elles ont été découvertes (Duvauchelle *et al.*, à paraître, fosse 479). Les éléments circulaires perforés et pleins (fig. 228, n°s 33 et 34) ont pu servir à l'ornementation de meuble, si on se réfère notamment aux poignées et appliques munies d'un tel système (Riha 2001, pl. 11).

3.11.7. LES AUTRES OBJETS POLYVALENTS

Un coin de calage issu de l'hémicycle gaulois (pl. 180, n° 10), deux étuis provenant du sanctuaire (pl. 188, n° 23 et pl. 211, n° 8) ainsi que quelques tôles de renfort comportant de nombreux rivets sont également attribués à cette catégorie d'objets.

.....
28 US 23825 et 23828
et TP 23890, Sb 23892



Fig. 229. Répartition des cabochons.

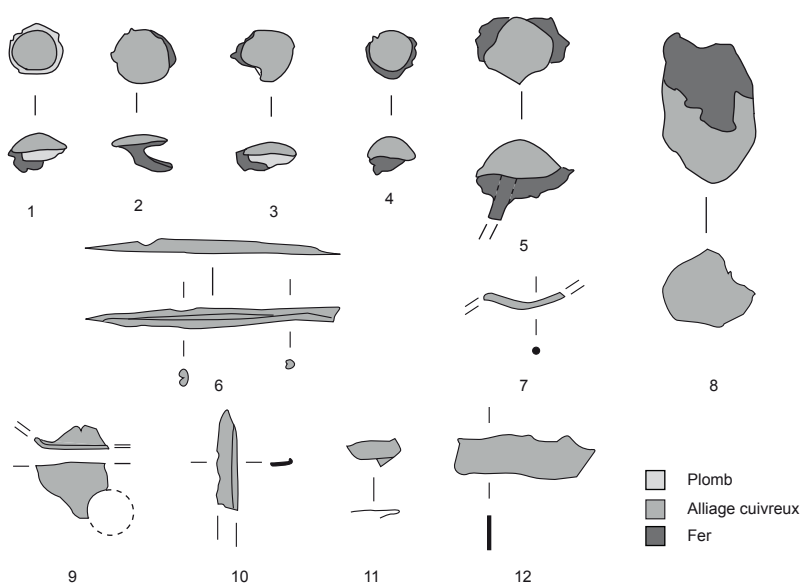


Fig. 231. Ensemble de la fosse artisanale 23889.
1-5 : cabochons.
6-7 : chutes de tige.
8 : scorie bimétallique.
9-12 : chutes de tôle. Éch. : 1/1. 1, 3 : alliage cuivreux, plomb et fer ; 2, 4-5, 8 : alliage cuivreux et fer ; 6-7, 9-12 : alliage cuivreux.



Fig. 230. Répartition des rivets inornés et des rivets émaillés.

3.12 L'AMEUBLEMENT ET LA CONSTRUCTION

Cette catégorie regroupe tous les objets entrant dans la réalisation des meubles et des bâtiments. Elle comprend donc les pièces de serrurerie et les clés, les pièces décoratives de meuble ainsi que toute la quincaillerie utilisée dans le cadre de la construction et de l'aménagement. Cette catégorie, pour laquelle la dénomination de mobilier et immobilier est aussi parfois utilisée, est la mieux représentée du corpus avec 15914 individus dont près de 15754 clous (fig. 232). Estimer si un élément de quincaillerie a appartenu à un meuble ou à un bâtiment relève souvent de la gageure, raison pour laquelle la majorité des pièces n'ont pas été attribuées à une catégorie plus précise. C'est notamment le cas pour les parties constitutives de serrure pour lesquelles seule une confrontation avec leur contexte d'origine permet d'orienter l'interprétation vers l'une ou l'autre catégorie fonctionnelle.

	NR	NMI		NR	NMI
Serrurerie et huisserie	135	130	Quincaillerie	33345	15754
Clés	45	45	Clous de menuiserie	32038	14783
Foncets de serrure	36	31	Clous de construction	279	271
Pênes	21	21	Rivets (fer)	159	139
Gonds	3	3	Ferrures	719	416
Pentures	4	4	Crampons	70	66
Gâches de verrou	4	4	Crampons de charpente	12	12
Verrous	2	2	Anneaux d'écurie	17	17
Plaques à gouttière	12	12	Pitons	38	37
Autres éléments de serrure	8	8	Fiches	11	11
Les pièces de meuble	30	30	Crochets	2	2
Pitons et anneaux	4	4			
Poignée de coffre	3	3			
Crampon de meuble	1	1			
Boutons de meuble	1	1			
Charnières	9	9			
Ferrures d'angle	12	12			

Fig. 232. Tableau de comptage des objets liés à l'ameublement et à la construction.

3.12.1. LA SERRURERIE ET L'HUISSERIE

Les clés et les éléments de serrure de Corent ([cat. 56](#)) ont fait l'objet de travaux de Master réalisés par Sandra Garsaud (2013) dont nous reprenons ici en partie l'étude, elle-même fondée sur la technotypologie obtenue à partir du corpus de Vertault (Guillaumet et Laude 2009). L'évolution technique proposée pour les serrures de même que le fonctionnement de plusieurs d'entre elles sont remis en cause par M. Linlaud, qui travaille actuellement sur le sujet (Maguer *et al.* 2015, p. 191-195). Il convient donc de garder à l'esprit que la typologie appliquée pourrait devenir obsolète prochainement. De même, la fonction exacte de certaines pièces de serrures doit faire l'objet ultérieurement d'une recherche plus approfondie.

Les clés

Les clés sont présentées par mode de fonctionnement, à commencer par les clés du type 1 activant une serrure à rotation (fig. 233, n^{os} 1 et 2). Ces dernières ne sont attestées que par trois individus issus des niveaux romains du sanctuaire, dont l'un comportant un manche en bronze maintenu à sa tige forée en fer par un scellement en plomb. Ses extrémités bouletées constituent une ornementation fréquente en Auvergne avec des occurrences à Clermont-Ferrand, Romagnat, Vichy ou encore au Col de Ceysat, qui laissent envisager une production locale (Ducreux 2013, p. 912, pl. 22, n^o 1856, pl. 58, n^o 1182, pl. 145, n^o 38, pl. 183, n^o 1228, pl. 85, n^o 205).

Aussi appelées clés palafittes ou lève-loquets, les clés à translation (type 2) sont relativement bien représentées avec onze individus (fig. 233, n^{os} 3 et 4). Connu dès l'âge du Bronze, ce mode de fonctionnement est caractérisé par des clés au manche muni d'un anneau le plus souvent perpendiculaire à l'axe d'un panneton présentant deux coudes. Généralement de grande taille, elles sont fréquemment interprétées comme des clés de porte. Ce mode de fonctionnement par translation ainsi que son application dans le cadre de la fermeture d'un bâtiment ne semblent toutefois pas être les seules restitutions idoines pour ce type de clés, qui peuvent aussi activer des serrures à pression de lame de ressort, principalement utilisées dans la fermeture de coffres (Maguer *et al.* 2015, fig. 14). Deux exemplaires comportent un anneau connecté dans l'anneau du manche (fig. 233, n^o 4).

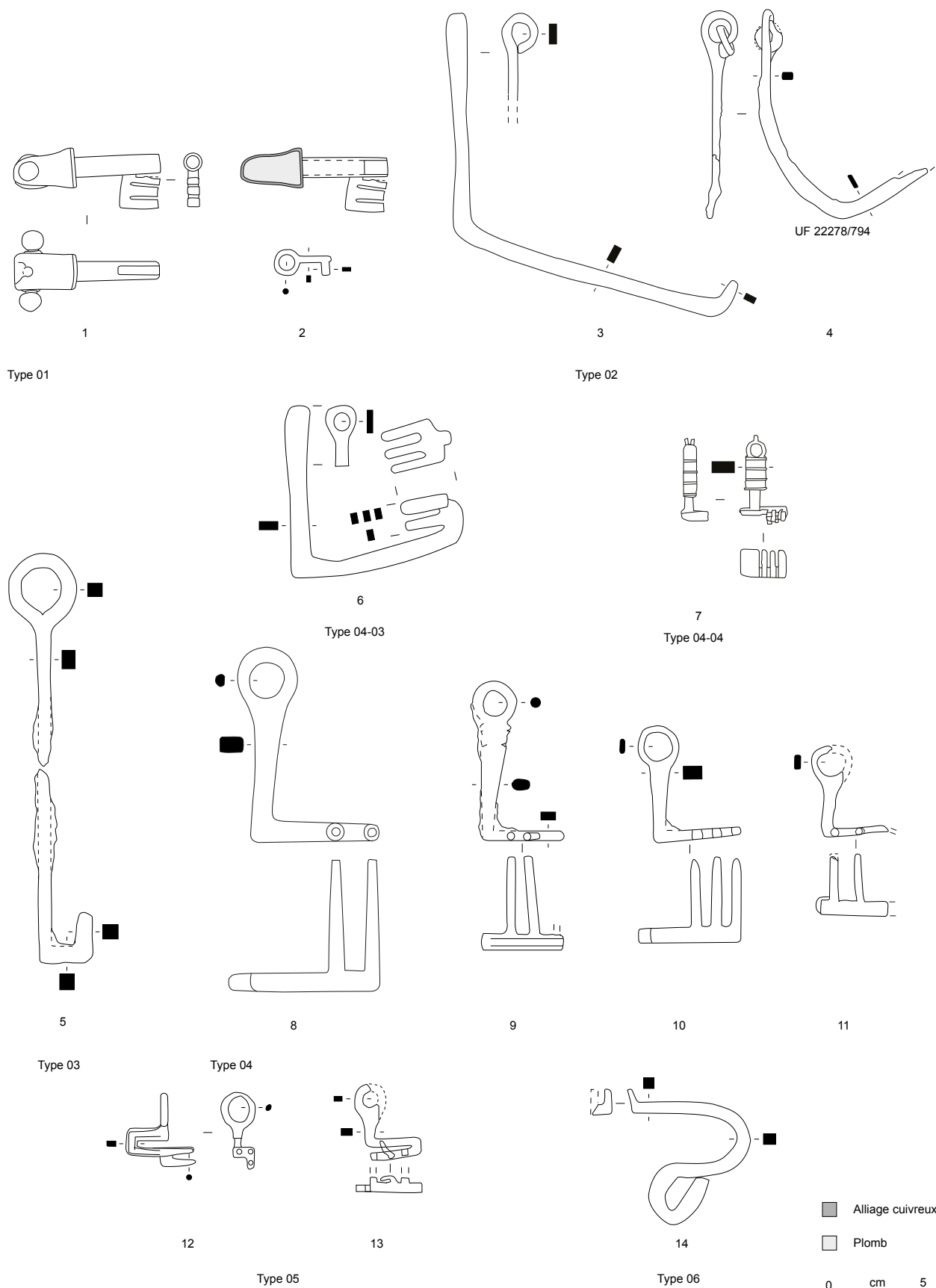


Fig. 233. Clés. 1 : alliage cuivreux, plomb et fer ; 2, 7, 9, 12 : alliage cuivreux ; 3-6, 8, 10-11, 13-14 : fer.

Deux clés et un hypothétique panneton appartiennent au type 3 activé par retrait de lames de ressort et translation (fig. 233, n° 5). Ces deux exemplaires à panneton à une dent tournée vers le haut se singularisent des occurrences classiques qui comportent habituellement deux dents disposées de chaque côté du panneton. Les pièces de ce type apparaissant à LTD2b (Guillaumet et Laude 2009, p. 31) sont issues des décapages de surface.

Avec 22 individus, les clés à soulèvement de cheville et translation (type 4) sont les plus communes. Deux clés d'époque romaine du sanctuaire et de l'espace D présentent l'une des dents tournées vers le panneton (type 04-03), l'autre un manche en bronze et un panneton contrecoudé à dents tournées vers le haut (type 04-04) (fig. 233, n°s 6 et 7). De tradition laténienne, les autres occurrences sont absentes à Vertault mais fonctionnent selon ce même principe. Elles sont dotées d'un panneton coudé terminé par un anneau et muni de deux à trois dents orientées vers le haut (fig. 233, n°s 8 à 11). Elles apparaissent dès l'état 1 et sont majoritairement en fer avec un individu en bronze au panneton doté de deux lignes incisées ornementales ou fonctionnelles (fig. 233, n° 9).

Les clés utilisées avec des serrures à soulèvement de lame de ressort et translation (type 05) sont représentées par deux individus, dont un hors contexte (fig. 233, n° 13). En bronze, la seconde clé (fig. 233, n° 12) vient d'un épandage de mobilier antérieur à l'état 2.3 qui laisse supposer une apparition de ce mode de fonctionnement de serrures avant LTD2b, soit avant celle proposée à Vertault (Guillaumet et Laude 2009, p. 43-44). Son ensemble d'origine comporte un étui tubulaire à bélière ainsi qu'un potin qui confirment cette datation. Son panneton présente un décor ou un ajout technique de lignes incisées, qui se retrouve aussi sur un exemplaire du type 4 (fig. 233, n° 19) issu d'un ensemble précoce (état 1 à 2.1).

Surtout utilisé pour la fermeture de cadenas et d'entraves, le type 6 fonctionnant par compression et extraction de lames de ressort n'est connu que par un élément provenant d'un épandage de la cour du bâtiment B (fig. 233, n° 14). Il est associé à une entrée de serrure à accueilage en « L » dont le mode de fonctionnement ne peut guère être relié à cette clé du type 6.

Les foncecs de serrures

Au nombre de 32, les foncecs de serrure apparaissent généralement sous la forme d'une plaque quadrangulaire munie d'une entrée de serrure ou accueilage de forme rectangulaire (fig. 234, n°s 1 et 2) ou en « L » (fig. 234, n°s 4 à 6). Plus rarement, ils comportent deux perforations, accueilage et auberonnière, de forme rectangulaire (1 ind., fig. 234, n° 3), ou circulaire (2 ind., fig. 234, n° 7). Leur bordure peut être doublée par un repli de la tôle rivetée (2 ind., fig. 234, n° 5). La forme de l'accueilage demeure pour la plupart du temps difficile à estimer, tant ces éléments sont fragmentaires. Des plis documentés sur au moins quatre individus (fig. 234, n° 4) laissent supposer qu'ils ont été arrachés de leur support.

Les autres éléments d'huissierie et de serrurerie.

Une interprétation comme foncec de serrure ou renfort de garde peut être postulée pour la plaque (fig. 235, n° 1) retrouvée collée à une seconde plaque à gouttière (fig. 235, n° 2), dans le trou de poteau 22058 du bâtiment Q (état 1). Cette association laisse supposer que ces tôles à gouttière servent dans le cadre de la fermeture de coffre ou de bâtiment. Au nombre de 13, ces pièces particulières présentent systématiquement des perforations, avec parfois un rivet en connexion fonctionnelle et une ou deux gouttières obtenues par repli de la tôle. Elles pourraient jouer un rôle dans des serrures à lame de ressort à la manière de celles documentées à Saint-Georges-les-Baillargeaux (Maguer *et al.* 2015, fig. 14). La gouttière servirait alors de butée qui se libérerait sous la pression de la clé. Elle pourrait aussi être connectée à un pêne en bois actionné par translation. Ces plaques particulières se retrouvent à Feurs (Vaginay et Guichard

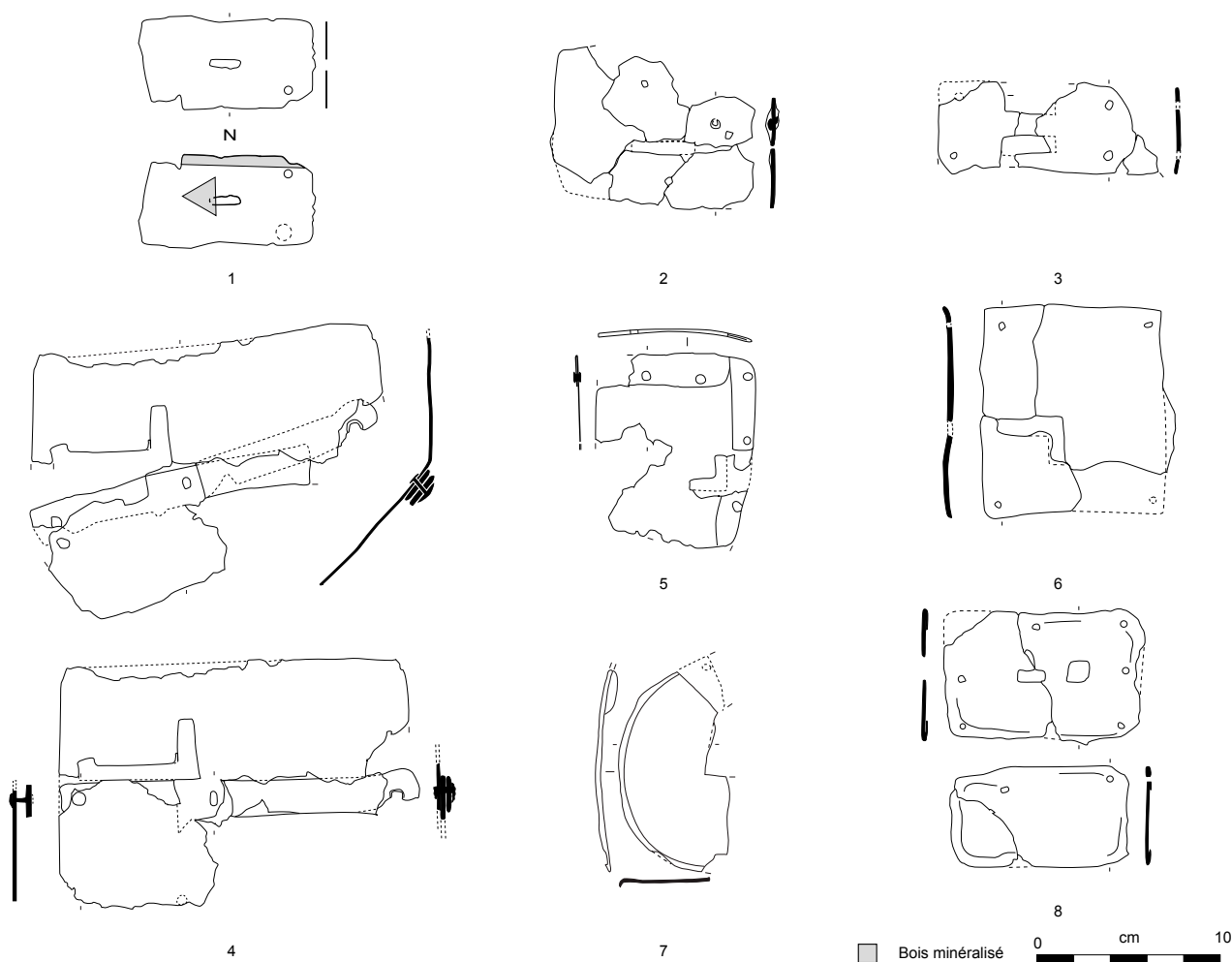


Fig. 234. Foncets de serrure.

1988, fig. 131, n° 24) et dans le dépôt de Sainte-Blandine (Chapotat 1970, pl. 18, nos 16 et 18), dont les exemplaires non commentés apparaissent sur la planche consacrée aux clés et aux éléments de serrure. Les fouilles récentes livrent aussi une association d'un de ces éléments avec un foncet de serrure à accueilage en « L » qui tendrait à valider l'identification proposée (Poux *et al.* 2015a, pl. 19, Fo 25416).

Les autres éléments de serrure d'époque laténienne se répartissent entre un ressort de serrure à deux lames activées par compression (fig. 235, n° 3) (Jacobi 1974, p. 163, fig. 41), quatre gâches de verrou par glissement (fig. 235, n° 4) (Guillaumet 2003, p. 135) et un cache ou un pêne de serrure (fig. 235, n° 5) documenté en position fonctionnelle sur un foncet de l'*oppidum* de Jastres (Lefebvre 2006, pl. 18, n° 229).

Deux pièces correspondent à des verrous ou des boîtiers de serrure. La première se présente sous la forme de deux tôles quadrangulaires, l'une plate et l'autre bombée, rivetées pour former une boîte fixée dans ses angles par des rivets (fig. 235, n° 6). L'ouverture pour permettre le coulissement du pêne n'est pas lisible ici en raison d'une corrosion trop dure à dégager, mais pourrait être restituée grâce à un objet identique mis au jour dans la cave 13 de Gondole (Mennessier-Jouannet et Deberge 2017, fig. 416, n° 4). Datées de l'état 3 de Corent et de l'état 2 de Gondole, ces pièces constituent une production locale attribuable à la seconde moitié du I^{er} s. av. J.-C. Issu d'un décapage, le deuxième verrou est réalisé à l'aide de tôles dont les plis forment un espace permettant de recevoir le pêne (fig. 235, n° 7). Provenant d'un décapage du bâtiment M, il est associé à l'un des rares fragments de peinture (fig. 235, n° 8). Ces deux pièces de quincaillerie constituent, grâce à leur association avec un gond, l'articulation de portes qui devait être en bois à l'époque laténienne, compte tenu des contextes principalement romains d'où proviennent les peintures et les

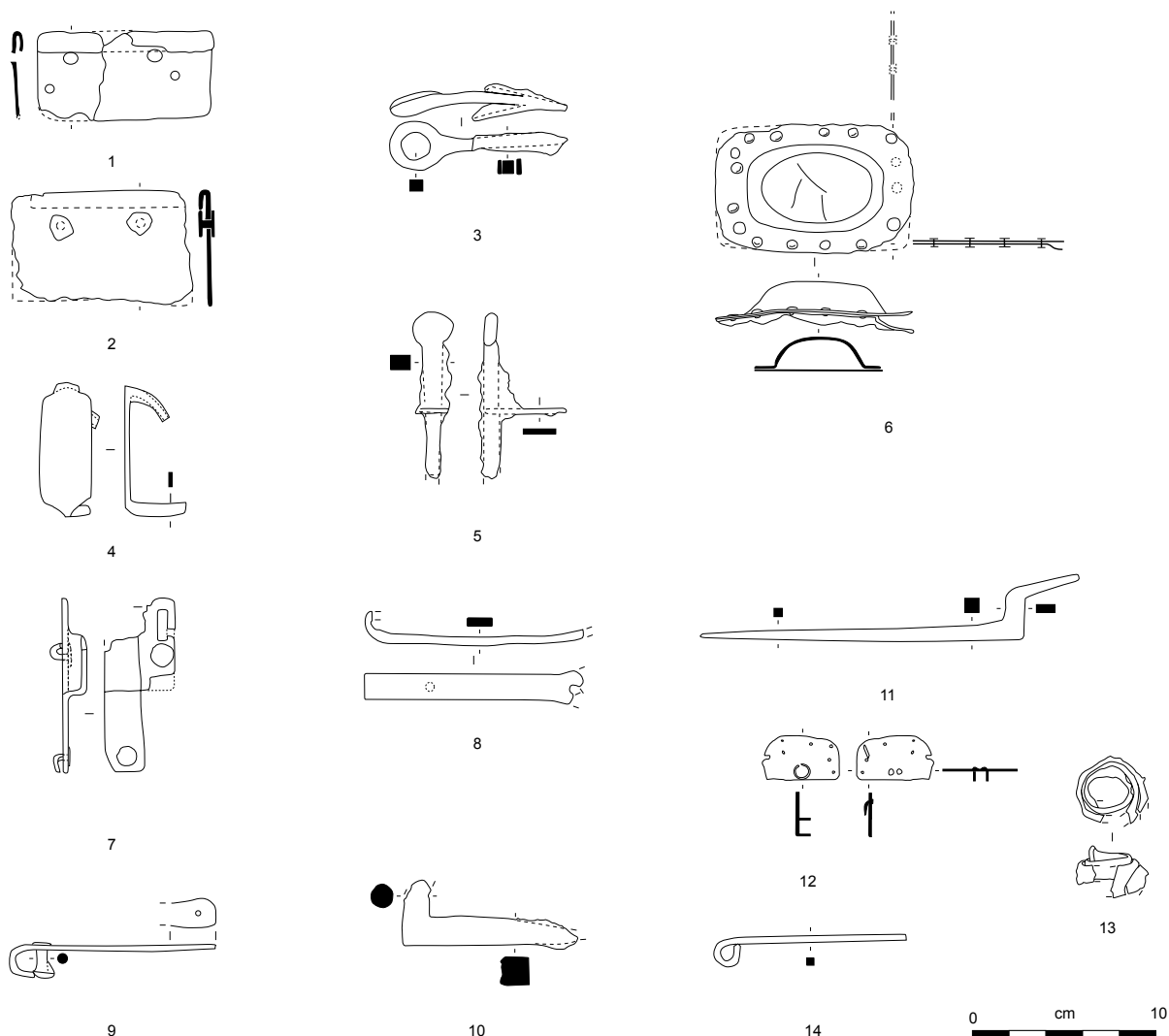


Fig. 235. Autres éléments d'huissierie et de serrurerie. Fer.

gonds. Au nombre de trois, ces derniers présentent une tige coudée de section carrée à l'articulation de section circulaire (fig. 235, n° 10). Ils ne sont jamais documentés avant l'état 3. De même datation, les pènes contrecoudés (fig. 235, n° 11) devaient actionner des serrures à rotation fonctionnant par glissement (Guillaumet et Laude 2009, p. 58, n° 24). Ils se retrouvent dans le sanctuaire, l'espace D ainsi qu'en surface du bâtiment C1. Le palâtre à bouterolle et l'hypothétique ressort (fig. 235, n°s 12 et 13) proviennent du sanctuaire et correspondent à des serrures à rotation d'époque romaine. Les aubérons, constitués d'une tige à extrémité repliée pour former un anneau (fig. 235, n° 14), sont majoritairement issus de contexte du Haut-Empire avec une occurrence précoce (état 2.1 à 2.2).

Dans l'habitat, les foncecs de serrure proviennent le plus souvent de niveaux de sols, de décapages ou d'épandages et ne sont que rarement documentés dans des structures en creux (3 ind. sur 26). Soulignant les jonctions entre espaces ouverts et bâtiments (fig. 236), leur distribution spatiale plaide en faveur d'une interprétation de systèmes de fermeture de portes dans des conditions de dépôt primaire. La répartition des exemplaires du complexe C illustre particulièrement ce point, avec des mentions tant du côté de la place que du côté de la voirie située à l'ouest du complexe. La présence de foncecs de serrure pliés, à

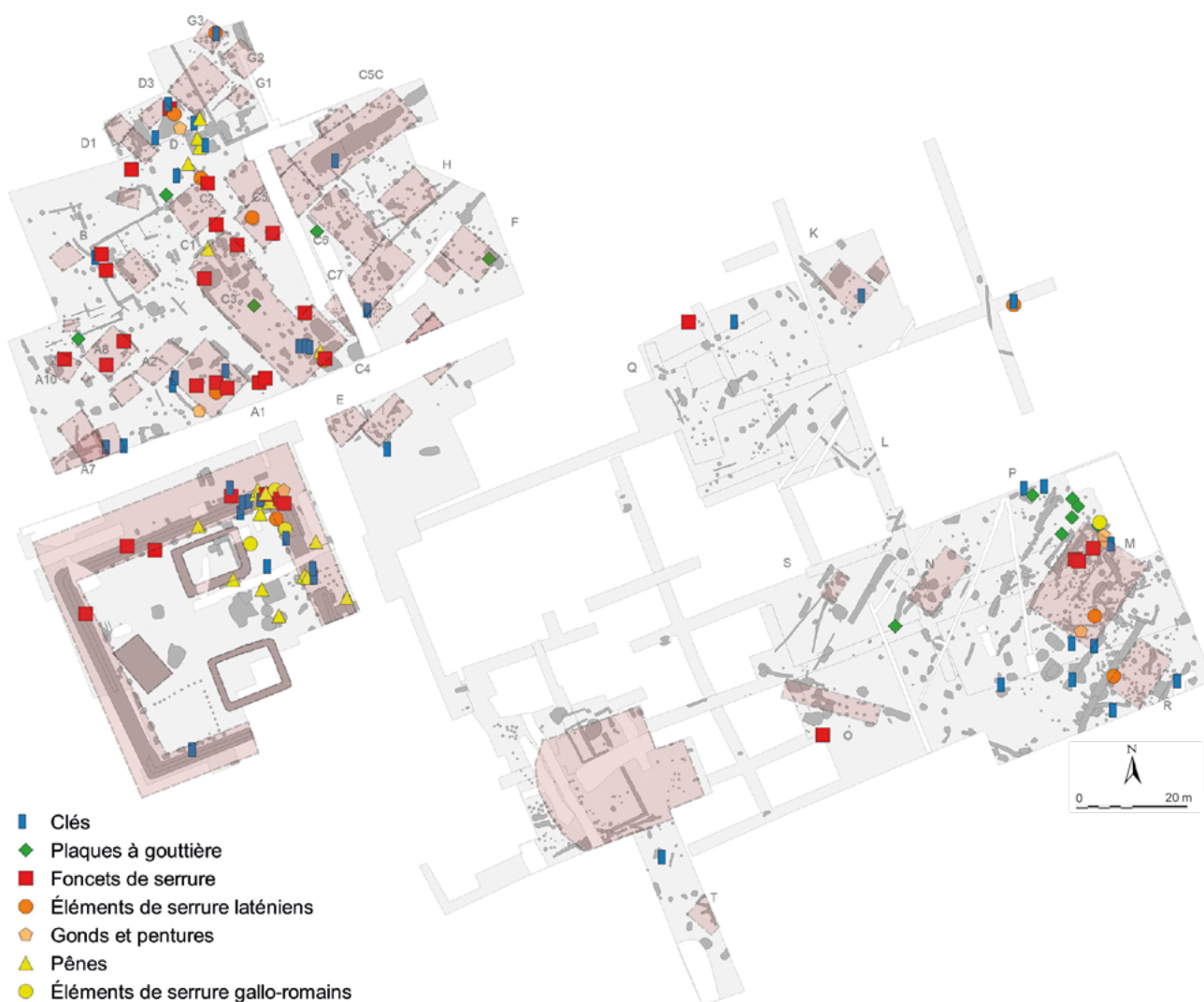


Fig. 236. Répartition des clés, foncets de serrure et des autres éléments d'huissierie.

l'interruption des cloisons occidentales du bâtiment B ou de part et d'autre de la voirie des bâtiments A1, A8, A10 et A9, va dans le même sens. Une plaque de serrure apparaît à l'intérieur du bâtiment M sur le sol de son état 2.1, tandis que les autres occurrences de ce bâtiment proviennent des espaces extérieurs. La répartition des exemplaires du sanctuaire demeure peu éloquent en raison de leurs conditions de dépôt, principalement liées à l'arrachage de la palissade du premier état et à des comblements gallo-romains du fossé. La distribution des gâches de verrou et des autres éléments de serrures souligne les mêmes phénomènes, au contraire des clés mobiles et portées dont la répartition diffère grandement. Ces dernières ne sont en effet que rarement associées aux foncets, à l'exception de l'angle nord-est du sanctuaire. Elles sont recensées dans la plupart des bâtiments. Leur participation à des dépôts ne peut guère être envisagée tant elles font défaut dans les trous de poteau et dans les autres ensembles de l'habitat où une interprétation religieuse est envisagée. La concentration de l'angle nord-est du sanctuaire pourrait relativiser ce premier constat, bien que leurs conditions de dépôt secondaire empêchent d'effectuer un choix entre aménagements internes du lieu de culte et dépôt volontaire. Il en est de même pour la clé en alliage cuivreux découverte sur le sol du bâtiment A1, en association avec des armes ployées et un fragment de calotte crânienne humaine.

3.12.2. LES PIÈCES LIÉES À L'AMEUBLEMENT

Relativement rares à l'époque laténienne, les pièces ornementales de meuble ([cat. 58](#)) ne sont connues que par neuf individus répartis entre trois poignées de coffre (fig. 237, n^{os} 1 à 3), quatre pitons et anneaux décoratifs en alliage cuivreux (fig. 237, n^{os} 4 à 7), un crampon en alliage cuivreux (fig. 237, n^o 8) et un bouton mouluré (fig. 237, n^o 9). Ce dernier élément issu des remblais de l'espace D présente des similitudes avec d'autres éléments de décoration (Riha 2001, pl. 47), sans pour autant qu'un parallèle exact puisse être fourni. Retrouvés dans une couche de démolition étendue sur le bâtiment G (fig. 238), le piton en alliage cuivreux et l'extrémité de poignée à bouton proximal, connus à Augst (Riha 2001, pl. 8, n^{os} 90 à 104), ont pu être assemblés sur le même coffret. Le comblement inférieur de la grande cave du complexe C (état 2.2) livre également deux pièces de meuble en alliage cuivreux, à savoir un anneau connecté à un piton en tôle et un piton à deux branches à œillet mouluré, d'une facture connue à l'époque romaine (Riha 2001, pl. 11, n^{os} 152, 156 et 159), notamment dans l'agglomération des Martres-de-Veyre (Ducreux 2013, pl. 117, n^o 293). Malgré son contexte précoce, l'interprétation de cet objet se justifie toutefois au vu de la datation d'un autre anneau à piton fermé en alliage cuivreux (fig. 237, n^o 4) et de la poignée de coffret (fig. 237, n^o 5) issus d'ensembles attribués à l'état 2.1. Doté d'extrémités moulurées, cet élément peut être compris comme le vestige d'un coffret importé destiné à la conservation de biens de valeur, dont la carte de répartition démontre la facture méditerranéenne (Kysela 2012, p. 344, fig. 3). La datation de ces pièces de meuble luxueux remonte au IV^e s. av. J.-C. et s'étend jusqu'au I^{er}, voire jusqu'au II^e s. de notre ère.

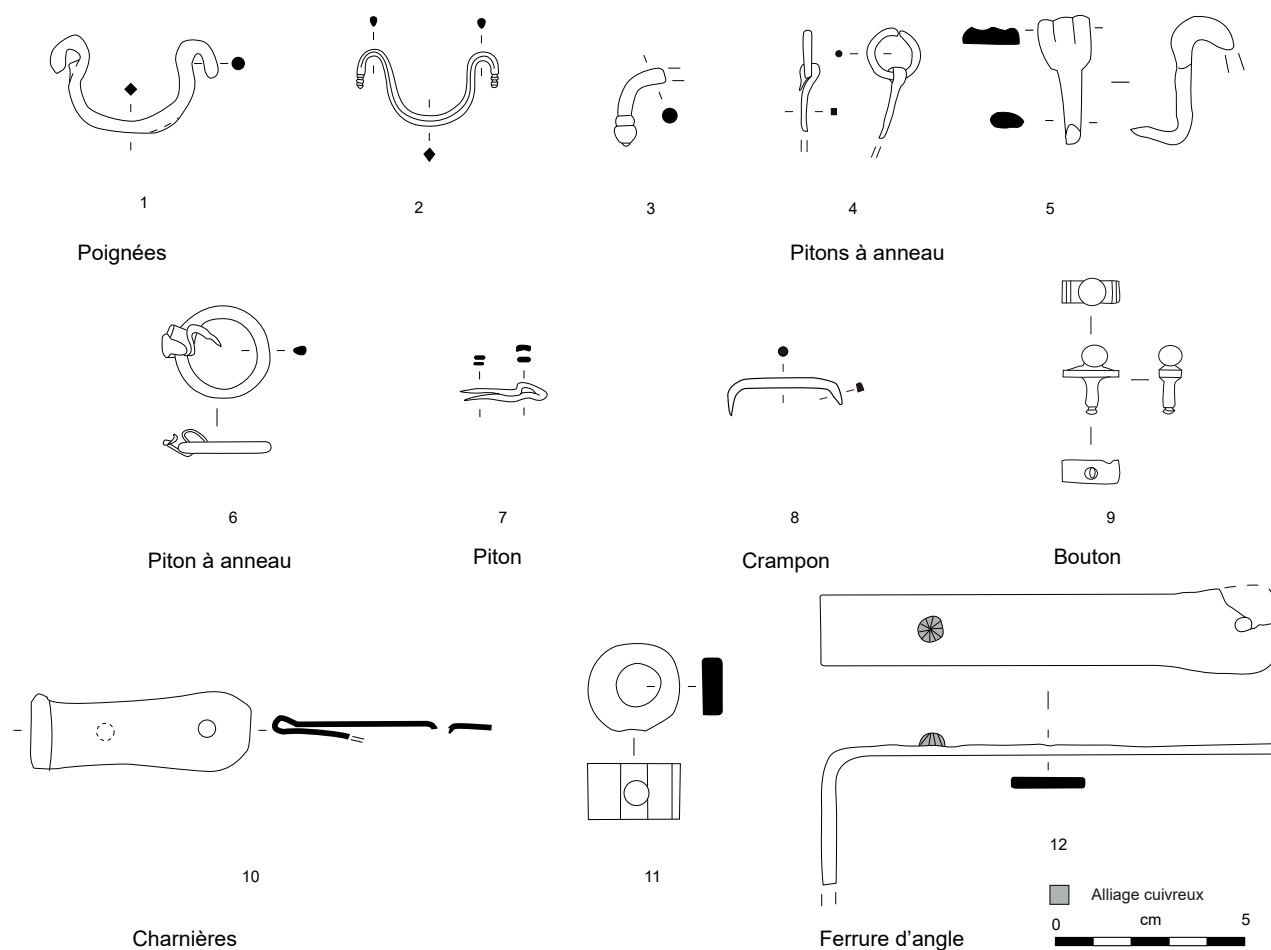


Fig. 237. Pièces de meubles : poignées, pitons à anneau, crampon, bouton, charnières et ferrures d'angle. 1, 10 : fer ; 2-9 : alliage cuivreux ; 11 : os ; 12 : fer et alliage cuivreux.

Renforçant les parois et les couvercles de coffres, les ferrures d'angle ou cornières sont relativement mal représentées avec seulement 12 individus connus dès l'état 2.2. La fixation à l'aide d'un rivet émaillé d'un exemplaire (fig. 237, n° 12) atteste le soin particulier mis en œuvre dans la décoration d'un meuble de fabrication laténienne. Il provient de la cave du bâtiment K, où il est associé à une ferrure décorative en alliage cuivreux (pl. 123, n° 1). Les neuf éléments interprétables comme des charnières ne sont attestés à l'époque laténienne que sous leur forme la plus simple, à savoir une bande de tôle formant une boucle pour finalement être rivetée (fig. 237, n° 10). La charnière tubulaire en os (fig. 237, n° 11), relativement peu commune à cette période (Jacobi 1974, p. 242-243. fig. 56, pl 82, n°s 1620 à 1629) provient d'un sol de l'édifice de réunion. Elle sert à l'articulation d'un couvercle ou d'une porte de meuble de bonne facture.

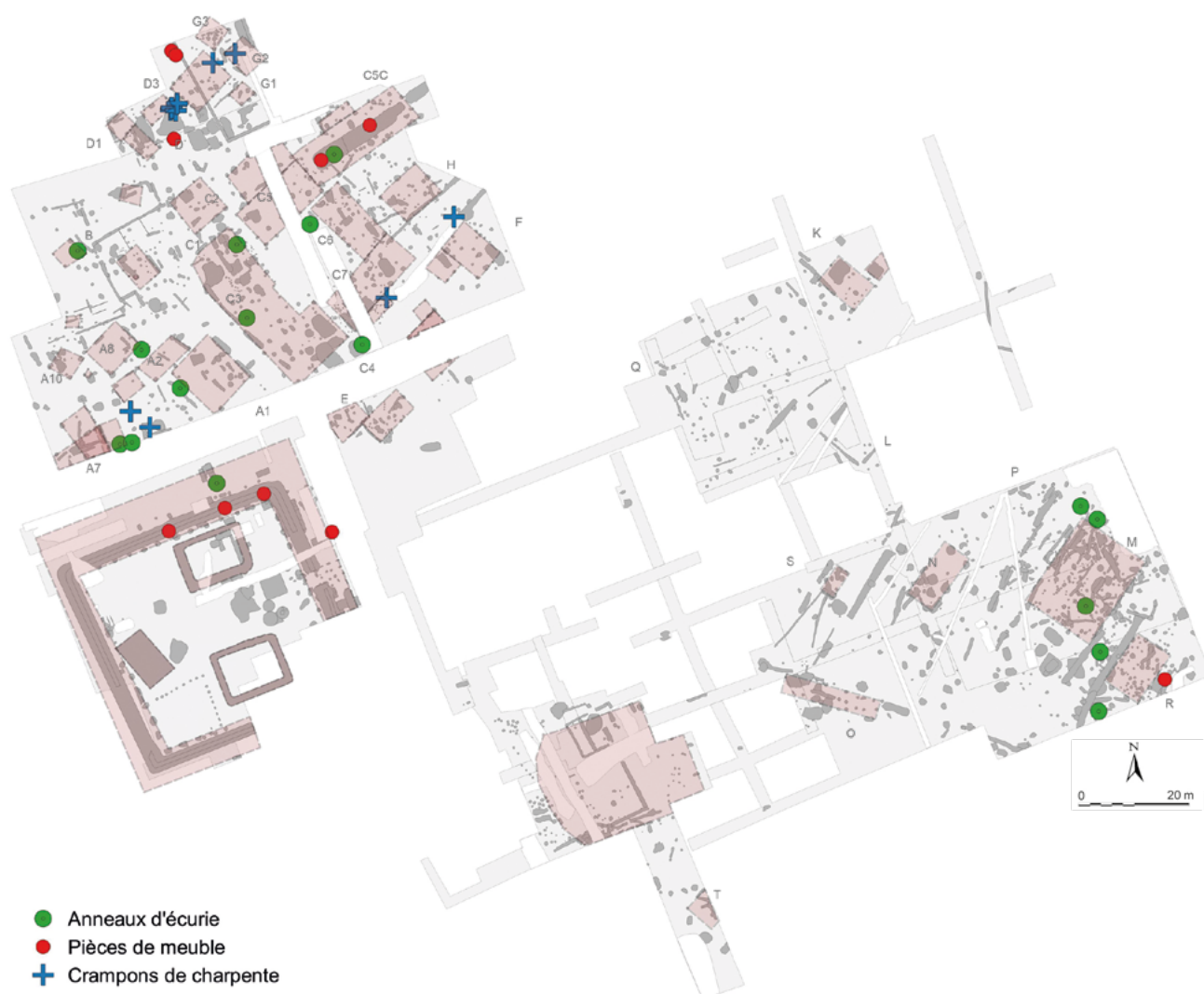


Fig. 238. Répartition des pièces liées à l'ameublement, des anneaux d'écurie et des crampons de charpente.

3.12.3. LES PIÈCES DE QUINCAILLERIE

Les autres pièces de quincaillerie (cat. 57) sont traitées selon la typologie et la nomenclature de J.-P. Guillaumet (2003, p. 129-141). Cette sous-catégorie comprend des crampons servant à l'assemblage de meubles, mais aussi de pièces en bois dans le cadre du bâti (fig. 239, n°s 1 à 3). Les crampons de charpente caractérisés par un dos rectangulaire vertical (fig. 239, n°s 4 et 5) se retrouvent principalement dans la partie septentrionale de la parcelle nord, dans les bâtiments de l'espace D et G (fig. 238). Servant de crochets de suspension, les pitons ouverts sont caractérisés par une partie incurvée centrale parfois terminée par un enroulement (fig. 239, n° 6). Les pitons fermés sont munis

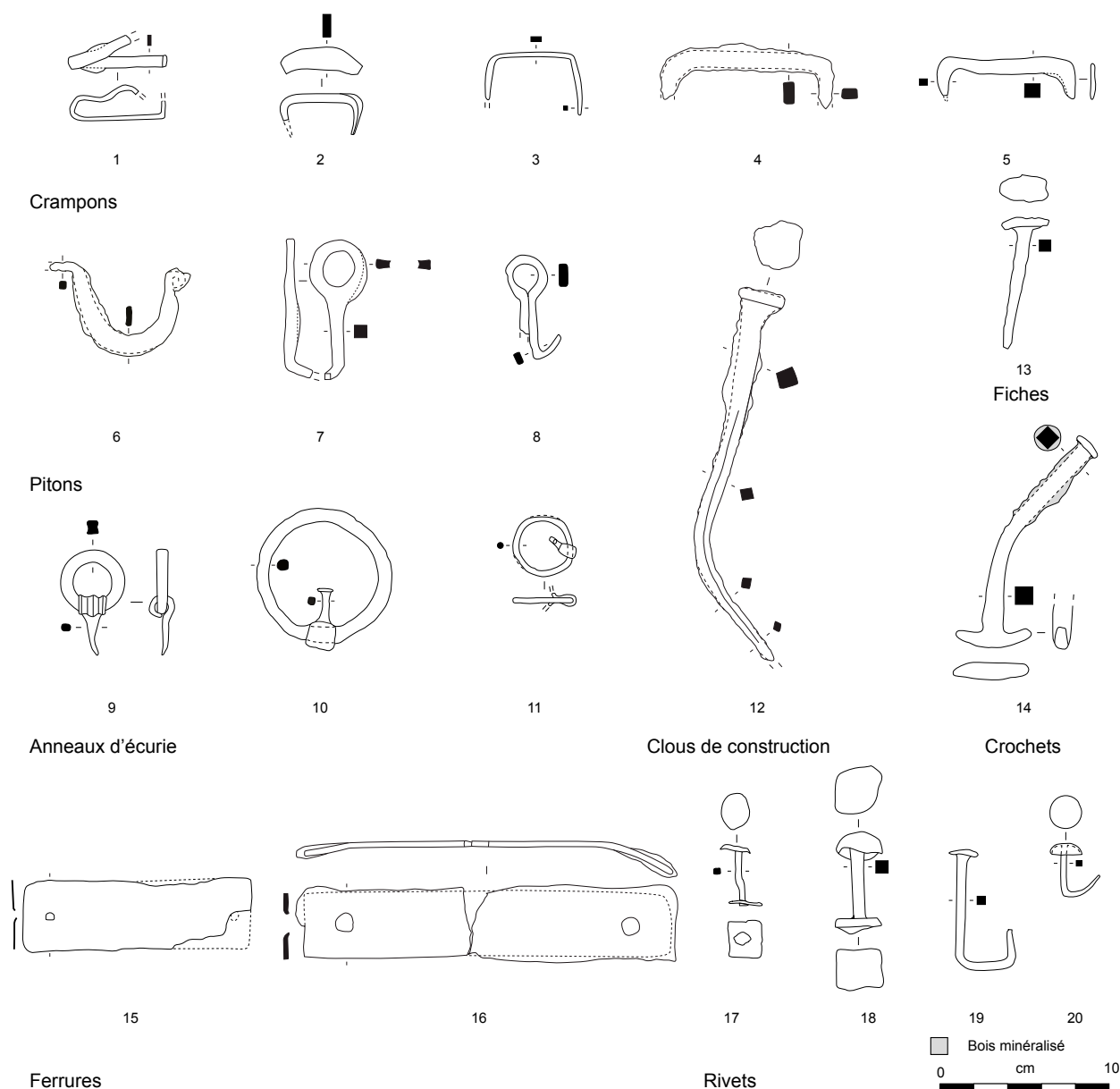


Fig. 239. *Typologie de la quincaillerie liée à l'ameublement et à la construction. Fer.*

d'anneau perforé à chaud ou obtenu par repli de la tige et comportent une ou deux branches de fixation (fig. 239, n^{os} 6 à 8). Relativement rares, les fiches d'utilisation semblables à celle des clous supportent une tête rectangulaire (fig. 239, n^o 13).

Les anneaux d'écurie sont principalement fixés à l'aide de pitons fermés dont l'anneau peut être cannelé (fig. 239, n^{os} 9 et 10). Quelques éléments sont dotés d'un pignon à deux pointes (fig. 239, n^o 11). Ils sont fixés dans des parois de bâtiment pour servir à l'attache du bétail (Guillaumet 2003, p. 129), mais peuvent aussi figurer sur des meubles (Riha 2001, pl. 11) ou encore des baquets en bois (Ferdrière et Villars 1993, fig. 1-98 et 99). Leur association avec les cloisons et les espaces de rue plaide en faveur de la première hypothèse à savoir un élément de fixation servant au stationnement des bestiaux (fig. 238). Les ferrures constituées d'une bande de tôle perforée à chaque extrémité (fig. 239, n^{os} 15 et 16) sont intégrées à cette catégorie, bien qu'elles puissent aussi servir dans le cadre de l'assemblage d'autres objets. Quelques éléments atypiques sont à mentionner tels qu'un crochet à terminaison en « T » riveté dans sa partie supérieure où du bois est minéralisé par la corrosion (fig. 239, n^o 14). Il a aussi dû servir à la suspension d'objets ou de victuailles au plafond, mais pourrait également avoir maintenu un faux plafond en bois, à l'instar des pattes en « T » d'époque romaine (Loiseau 2009, fig. 275). Le mode d'assemblage des rivets en fer peut

être soit à contreplaqué (fig. 239, n^{os} 17 et 18), soit obtenu par simple ou double repli de la tige et prendre alors l'appellation de clou-rivet (fig. 239, n^{os} 19 et 20). Les deux variantes techniques sont connues avec des têtes plates circulaires ou hémisphériques creuses, une forme qui atteste un soin particulier, mis en oeuvre sur des portes comme sur des coffres.

3.12.4. LES CLOUS

Les clous du sanctuaire font l'objet d'une étude spécialisée réalisée par François Blondel (Blondel *in* Poux et Demierre 2015, p. 231-243). En raison du temps imparti et de la complexité de la méthode impliquant la restitution des dimensions de chaque clou, il n'a pas été possible de l'appliquer à l'ensemble du corpus qui a simplement été divisé entre pièces de menuiserie et de construction. Le corpus de clous comporte 32317 fragments, pour un NMI de 14783, soit un taux de fragmentation de 2,186. Leur masse médiane, établie à l'aide des moyennes des masses par fragment et par ensemble, correspond à 6,04 g avec des quantiles médians situés entre 4,35 g et 9 g, conformes aux observations réalisées par L. Orenge concernant le seuil de récupération et la fin de vie technique des objets en fer dans les agglomérations arvernes (Orenge 2003, p. 130-133).

Leur répartition a été obtenue en générant un point aléatoire par individu, à l'intérieur des polygones représentant l'emprise de chaque couche. Les cartes de densité ont été établies ainsi pour les structures en creux (fig. 240), les sols (fig. 241), les décapages artificiels (fig. 242) et la conjonction des sols et des structures laténiennes (fig. 243). Elles fournissent un premier éclairage soulignant

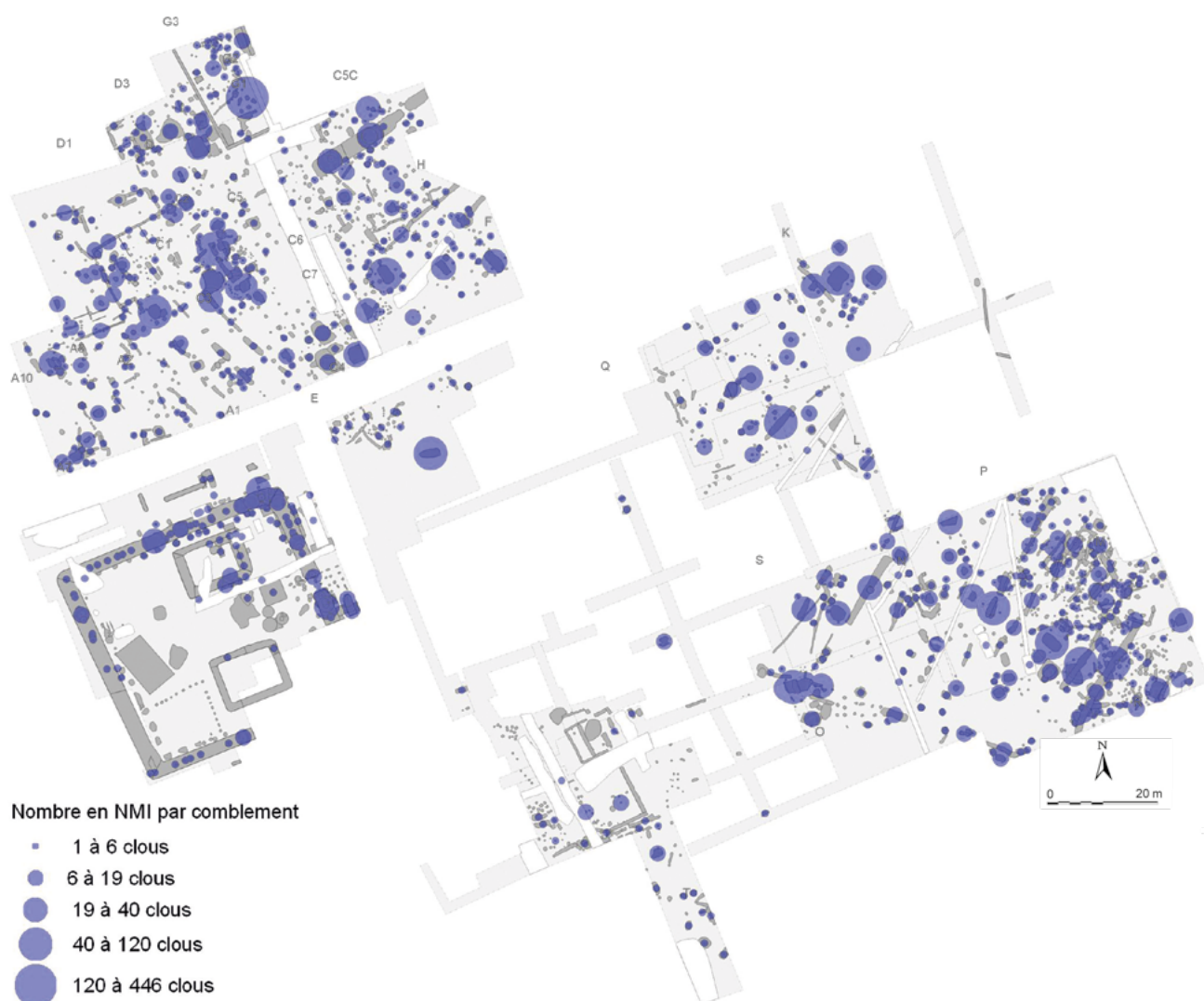
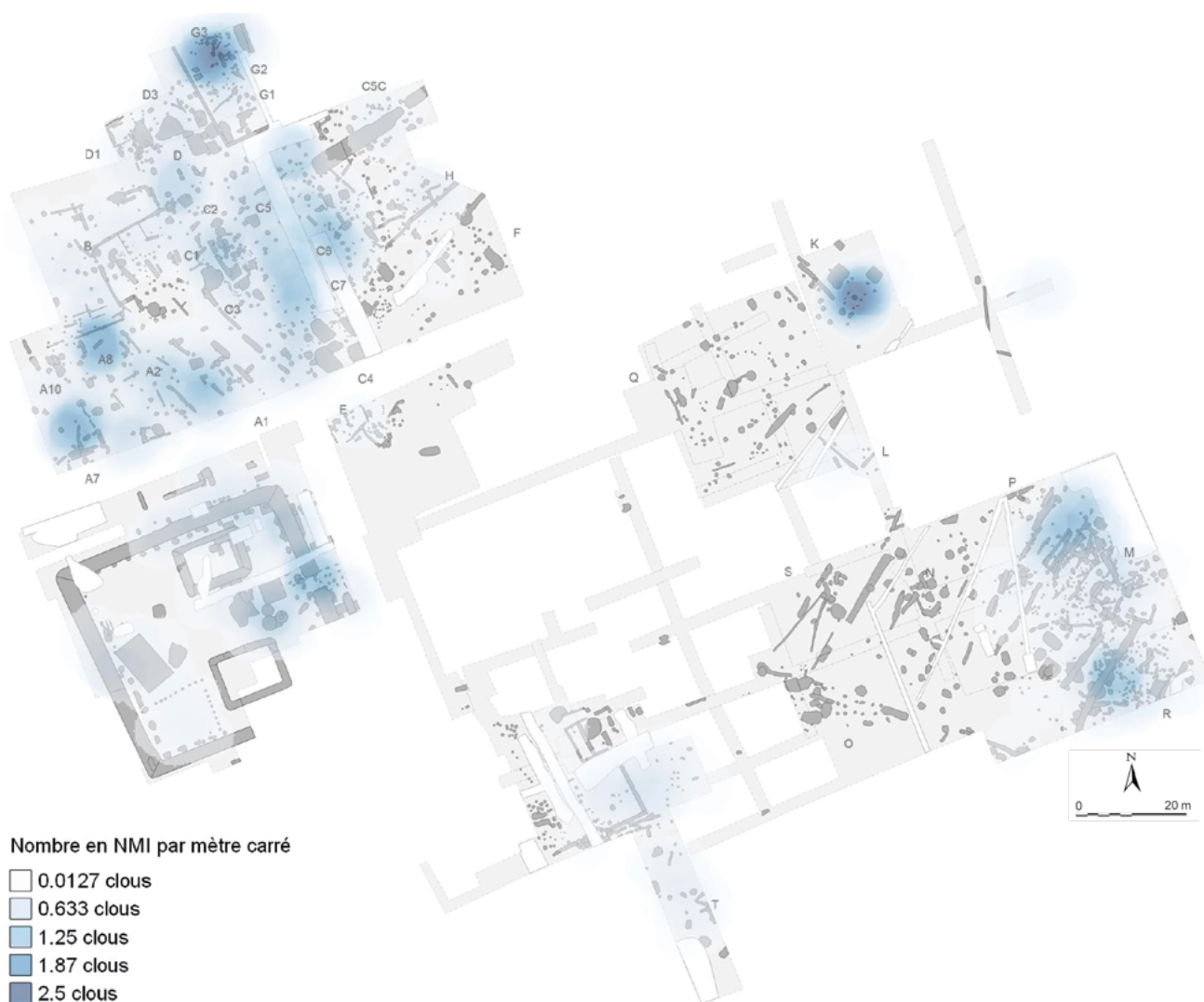


Fig. 240. Répartition des clous pondérée par leur nombre en NMI à l'intérieur des comblements des structures en creux..



l'emprise des bâtiments et questionnent sur les modalités d'utilisation des clous et sur l'interprétation de certaines couches. La sédimentologie particulière de l'*oppidum* empêche l'identification des niveaux de destruction qui sont susceptibles d'apparaître grâce à cette méthode. Elle devrait encore être appliquée par état afin de générer une vision diachronique.

La répartition des clous à l'intérieur des structures en creux génère plusieurs phénomènes qui renseignent sur leur utilisation et leur consommation, à commencer par leur collecte et leur dépôt volontaire (fig. 240). Cette pratique transparaît dans la concentration du bâtiment G, dont le trou de poteau 18585 réunit 446 individus, pour près de 7 kg de métal (6976 g). L'ensemble du matériel qui présente des traces d'exposition au feu était disposé dans le comblement du trou de poteau (fig. 244). Cette configuration laisse envisager une récupération des clous après un incendie, avant leur dépôt à l'intérieur de la structure. Des ensembles comparables ont été observés dans les trous de poteaux du bâtiment E1 de Saint-Georges-les-Baillargeaux (Maguer *et al.* 2015, p. 185-188), dont les trous de poteau du bâtiment central livrent 982 clous issus de la toiture de bardeaux incendiée et piégés par l'affaissement de la couche, lors du pourrissement du bois. Une autre ferme aristocratique, en l'occurrence celle de Batilly-en-Gatinais, présente plusieurs structures aux fortes concentrations de clous collectés lors d'un ramassage, après l'incendie du bâtiment (Fichtl *et al.* 2008, p. 129-137) et interprétées comme des réserves de métal. Cette hypothèse pourrait également s'appliquer ici bien qu'elle demeure difficile à envisager, tant le métal des clous semble avoir été détérioré. L'exposition prolongée à la chaleur, qu'a dû subir la quincaillerie de cette structure, apparaît en effet sous la forme de cloques visibles à la surface de nombreux exemplaires. Cette surchauffe a dû endommager le grain du fer au

Fig. 241. Estimation de la densité de clous issus des sols selon la méthode du noyau (cercle de 5 m de rayon).

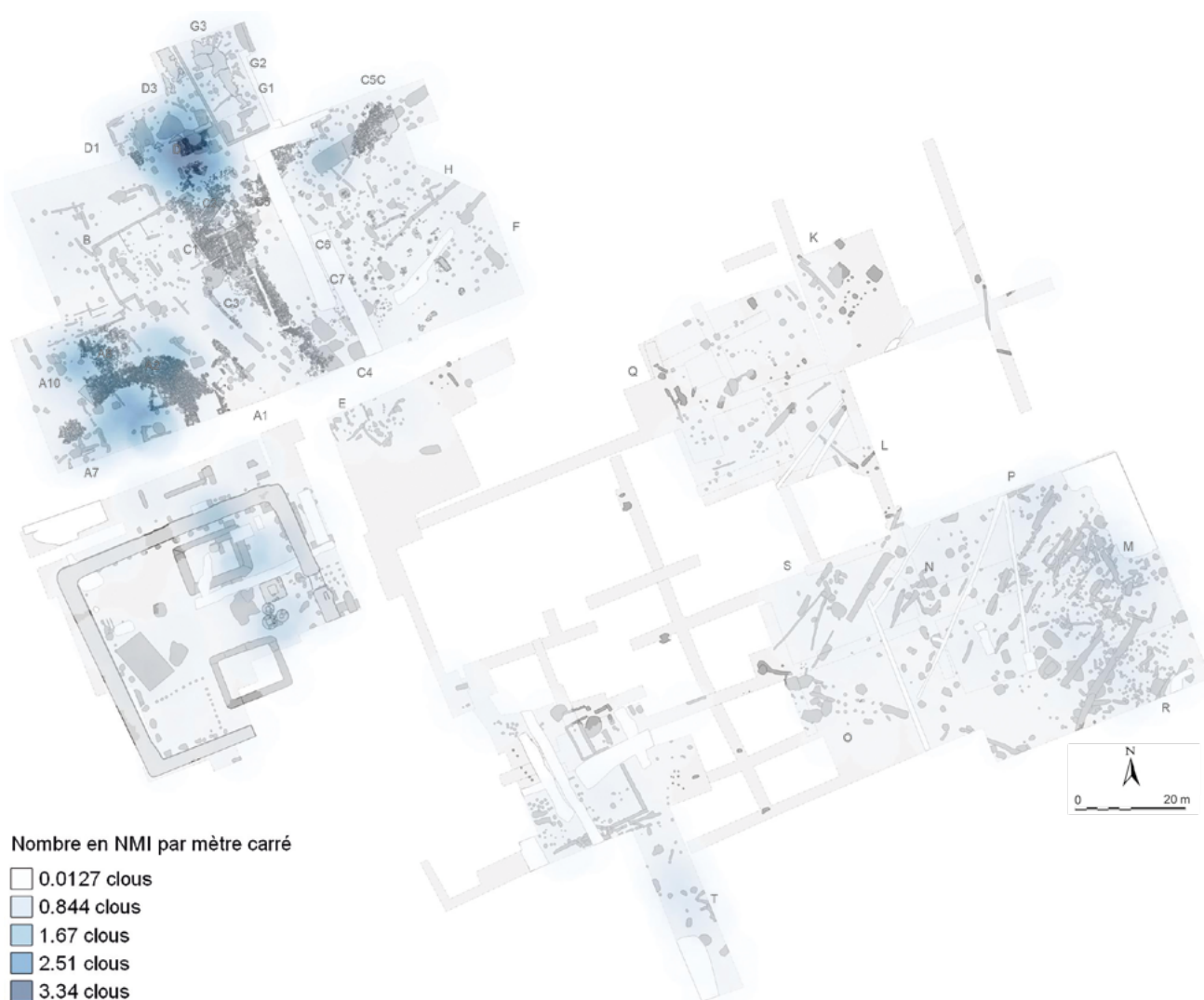
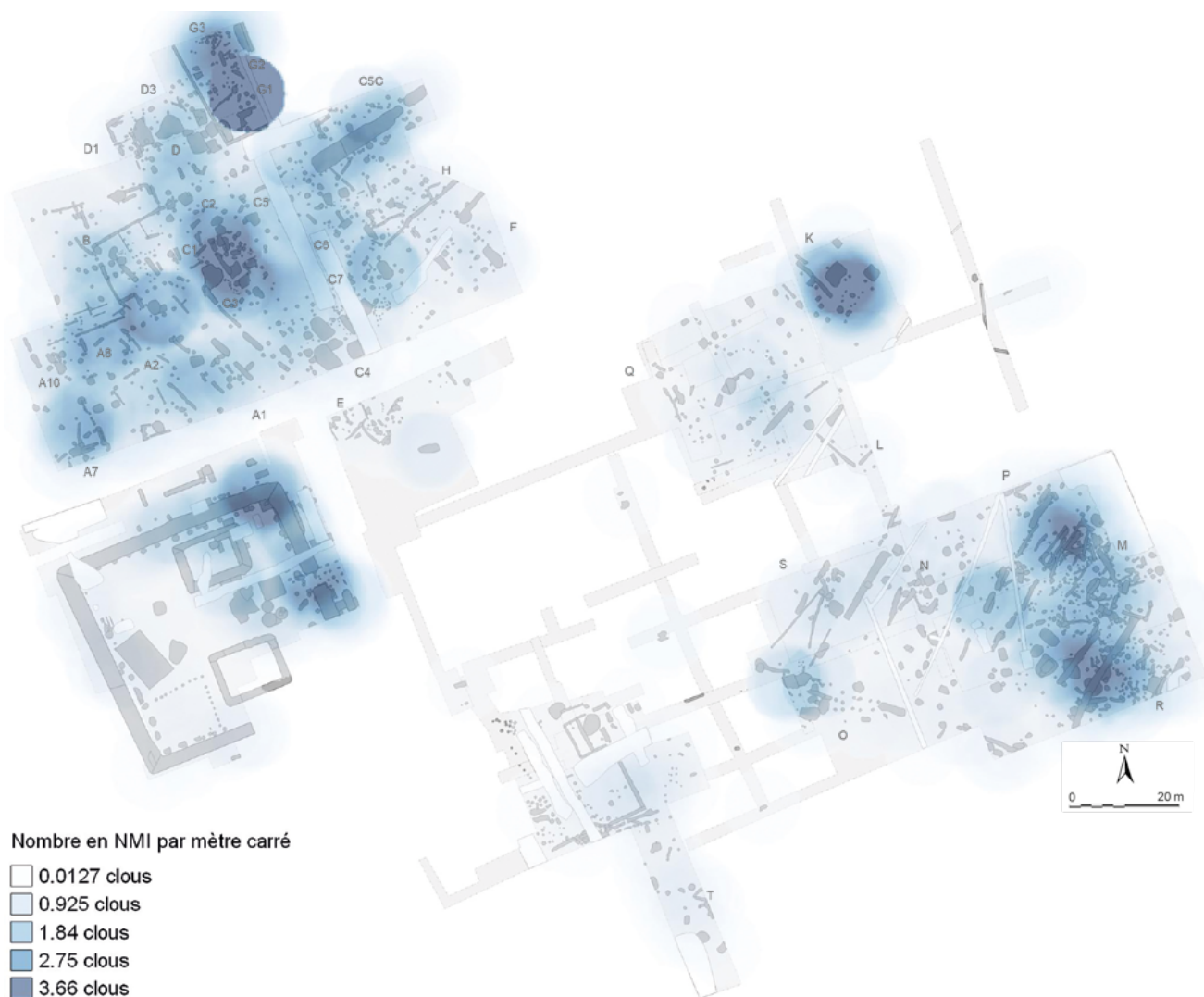


Fig. 242. Estimation de la densité de clous issus de décapages artificiels selon la méthode du noyau (cercle de 5 m de rayon).

point de le rendre irrécupérable. Dans ces conditions, il semble plus vraisemblable que la collecte de ces clous et du matériel associé résulte simplement de la mise au rebut de matériel inutilisable ou, plus vraisemblablement, de pratiques rituelles liées à la construction d'un nouveau bâtiment après que l'ancien eût été incendié.

Les structures de stockage concentrent de nombreux clous, comme en témoignent les ensembles des celliers des bâtiments B, C1, C7, des caves du bâtiment K, de la cour du bâtiment M ou du grand entrepôt du complexe C (fig. 240). Une étude typologique détaillée de ces ensembles serait peut-être à même de déterminer si cette surreprésentation résulte de l'opportunité de rassembler des déchets, dans un grand volume, ou si elle est liée à l'aménagement des parois boisées ou des superstructures de ces unités de stockage. La même observation peut être formulée à propos des bassins et des citernes disposés sur le pourtour de l'esplanade et des fosses artisanales des bâtiments C1, C3 et O. Située entre les bâtiments M et N, la palissade 21131 livre un corpus atypique de 82 individus. Ce faciès s'explique relativement mal en raison de la distance de cette structure avec des bâtiments et de la rareté des clous dans les autres palissades de bordure de voie. Là encore, il demeure difficile de déterminer s'il s'agit d'un dépôt opportuniste réalisé lors du démantèlement d'un édifice ou si les clous participent à l'assemblage de la cloison.

La distribution spatiale des clous recueillis sur les niveaux de sols et les épanchages laténiens (fig. 241) souligne un grand nombre de bâtiments. L'emprise des constructions apparaît en effet clairement dans les complexes A et C et s'avère particulièrement éloquent pour les bâtiments G2, G3 et K. Ce dernier édifice à poteau porteur central est marqué par le corpus issu du radier de cail-loutis qui doit regrouper les niveaux d'occupation et de destruction du bâtiment.



La concentration observée pourrait résulter d'une utilisation accrue des clous dans la construction de ce type d'architecture, par ailleurs peu commun sur le site. Des proportions élevées de clous caractérisent certains niveaux scellés par des radiers, documentés dans les bâtiments A7, M et dans une moindre mesure A1, qui soulignent la difficulté d'interpréter ces ensembles, qui peuvent correspondre à des remblais détritiques ou à des niveaux de destruction remaniés, lors de la fondation des radiers. Ces concentrations posent d'autant plus question qu'elles ne sont pas ou peu relevées dans le complexe C. Dans cette unité architecturale, ce sont bien les sols de la place qui livrent la plus grande quantité de matériel, alors que les autres espaces ouverts en fournissent très peu en comparaison. Cette particularité peut s'expliquer par la proximité des radiers situés à l'est de la place pour lesquels les couches d'occupation et de destruction manquent et pourraient avoir été remaniées et s'être effondrées, sur la place. Ce postulat se renforce lorsque l'on considère la distribution des clous issus des décapages de surface (fig. 242). Elle souligne tout particulièrement les niveaux situés de part et d'autre des radiers du complexe A, ainsi que la densité des trouvailles en surface de l'espace D.

La carte combinant les clous issus des structures en creux et des sols laténiens montre de manière éloquent l'emprise au sol des constructions soulignées par de fortes concentrations, tandis que les espaces extérieurs sont marqués par une densité moindre. La voie située entre les complexes A et C ainsi que les cours localisées au nord et à l'intérieur de ce complexe apparaissent ainsi très clairement. La conservation différenciée des sols biaise en partie ce premier constat et explique pourquoi cette distribution spatiale ne fait pas ressortir l'emplacement de certains édifices (bâtiments H, F, E, Q).

Fig. 243. Estimation de la densité de clous issus de sols et de structures en creux laténiens selon la méthode du noyau (cercle de 5 m de rayon).



Fig. 244. Trou de poteau 18585 en cours de fouille (à gauche) et détail de son comblement (à droite).

3.13. LES OBJETS INDÉTERMINÉS

Comme dans toute étude de mobilier métallique, l'identification d'un certain nombre d'artefacts demeure impossible. La catégorie des indéterminés regroupe d'une part des éléments trop fragmentaires pour être interprétés, et d'autre part des objets complets ou non, qui n'ont pas pu l'être (fig. 245). Les premiers sont divisés à la manière des demi-produits et déchets artisanaux, selon leur morphologie générale : tiges et barres pour les fragments épais, tôles et plats pour les éléments larges, enfin les fragments informes. Ces éléments indéterminables représentent 85 % du NMI des indéterminés. Ils s'opposent aux objets indéterminés, qui comportent des éléments dont la fragmentation laisse le choix entre plusieurs identifications plausibles et des pièces pour lesquelles nous n'avons aucune interprétation fondée à proposer. Dans cette sous-catégorie, les objets en fer sont nettement mieux représentés (166 ind.) que ceux en alliage cuivreux (53 ind.) (cat. 59). Proportionnellement, le nombre total d'indéterminés en plomb (34 ind.) est également important, si on le compare à la totalité des artefacts de cette matière (102 ind.), attestée principalement par des pièces hors contexte mal conservées.

Indéterminés	Fer		Base-cuivre		BC et fer		Plomb		Totaux		
	NR	NMI	NR	NMI	NR	NMI	NR	NMI	NR	NMI	% NMI
Indéterminés objet	216	166	73	53	2	2	27	19	318	240	15,2
Indéterminés tige	413	211	135	94			2	2	550	307	19,5
Indéterminés barre	21	17							21	17	1,1
Indéterminés tôle	1711	450	371	189	2	1	14	3	2098	643	40,8
Indéterminés plat	589	276	26	22			12	7	627	305	19,4
Indéterminés informes	121	55	25	5			9	3	155	63	4,0
Total	3071	1175	630	363	4	3	64	34	3769	1575	100,0

Fig. 245. Tableau de comptage des objets indéterminés par matière et selon leur morphologie générale.

3.13.1. LES OBJETS INDÉTERMINÉS EN FER

Une grande majorité des objets indéterminés en fer présentent des formes qui peuvent correspondre à plusieurs objets réels, comme ces tiges terminées par un anneau qui s'apparentent autant à la terminaison d'un manche de couteau ou d'ustensile culinaire qu'à des pitons fermés (voir par ex. pl. 3, n° 15 ; pl. 23, n° 14). Dans le même ordre d'idée, il n'est guère possible de dire si l'objet doté de deux anneaux terminaux (fig. 246, n° 12) correspond à un canon de mors ou bien à un élément d'entrave ou de chaîne particulière, si la douille munie de picots (fig. 246, n° 5) est une partie de joug du Premier âge du Fer ou un talon de lance laténien, ou encore si la tige de section circulaire, surmontée

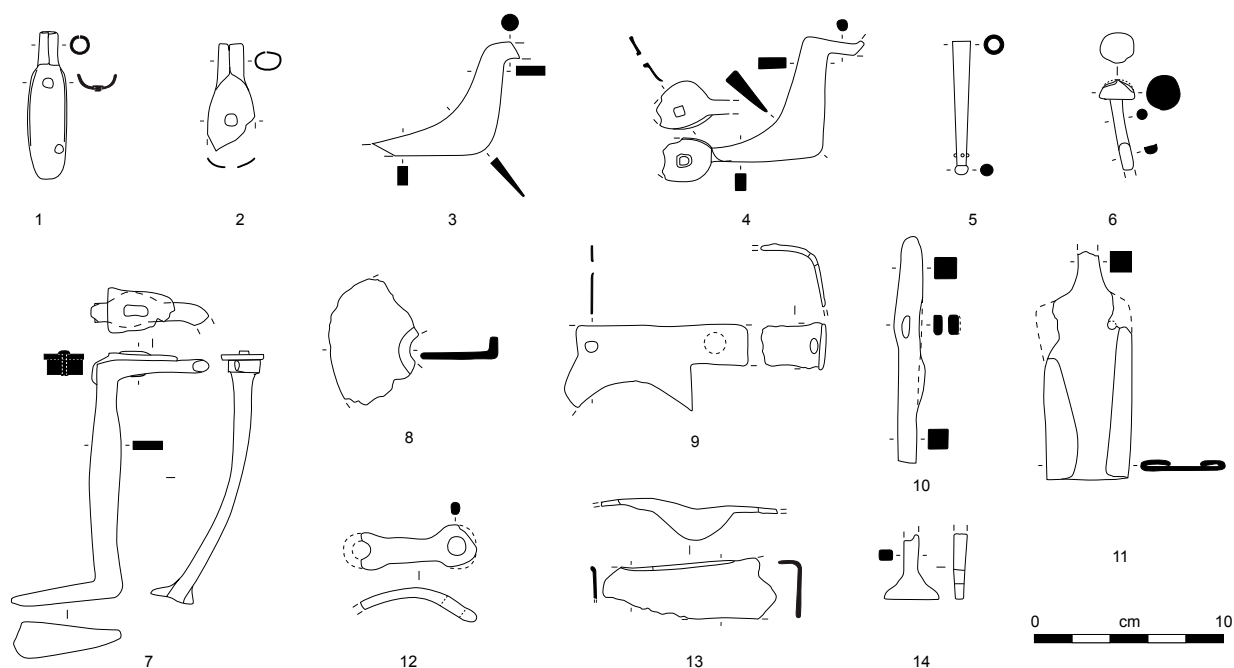


Fig. 246. Sélection d'objets indéterminés en fer.

d'une tête hémisphérique (fig. 246, n° 6) issue d'un décapage, est un outil, une extrémité d'objet laténien (landier ?) ou un élément moderne intrusif. Aucun parallèle probant ne peut également être fourni pour deux types d'objets pourtant représentés à deux reprises. Il s'agit tout d'abord de languettes de tôle incurvées, perforées et dotées d'une douille ouverte à leur sommet (fig. 246, n°s 1 et 2). Cette morphologie laisse envisager une fixation rivetée et le maintien d'un élément organique (aigrette de casque, torche ?). Deux éléments en « L » de section triangulaire, dont une extrémité est rivetée et la seconde présente le début d'une tige de section circulaire (fig. 246, n°s 3 et 4), pourraient être rapprochées à des pièces de quincaillerie, de fonction cependant indéterminée (construction, élément de serrure ?). La même interprétation ou celle de support d'un ustensile comme un trépied semble pouvoir se dessiner pour la pièce doublement contrecoudée et surmontée par une tôle rivetée (fig. 246, n° 7). En contexte majoritairement laténien, les autres éléments pourraient correspondre à des pièces de char (fig. 246, n°s 8 et 10), une applique particulière (fig. 246, n° 9) ou encore des outils ou des demi-produits d'interprétation incertaine (fig. 246, n°s 11, 13 et 14).

3.13.2. LES OBJETS INDÉTERMINÉS EN ALLIAGE CUIVREUX

Les objets en alliage cuivreux sont moins représentés que leurs équivalents en fer vraisemblablement en raison de la conservation de ce métal, pour lequel il est plus facile d'identifier les demi-produits et les chutes. Le lot d'objets présentés ici comprend des éléments hors contexte ou issus de décapage de surface d'interprétation difficile et qui peuvent être récents (fig. 247, n°s 1, 3 et 11), ou encore des pièces avec plusieurs identifications possibles : pince à épiler ou quincaillerie liée à l'ameublement (fig. 247, n° 4) ; ardillon de fibule, de ceinturon ou *scalptorium* (fig. 247, n° 5) ; demi-produit ou anse de récipient (fig. 247, n° 6). Trois éléments pourraient correspondre à des ratés de coulées ou à des objets indéterminés (fig. 247, n°s 7 à 9), tandis qu'aucune interprétation valable ne peut être proposée pour les deux dernières pièces en tôle, l'une enroulée de façon à former une charnière (paragnathide ?), l'autre décorée de cinq ocelles (fig. 247, n°s 10 et 11).

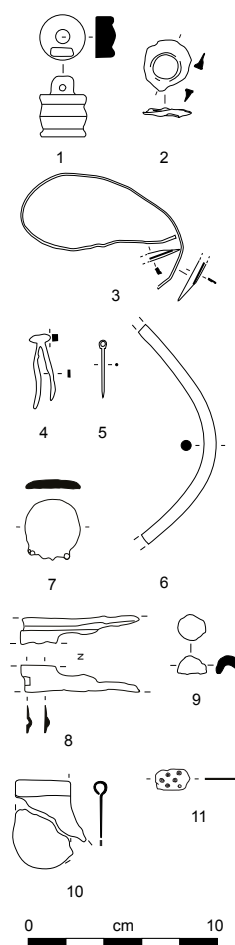


Fig. 247. Sélection d'objets indéterminés en alliage cuivreux.

CHAPITRE IV. ANALYSE SYNTHÈSE CHRONOLOGIQUE ET ÉTUDE DES ASSEMBLAGES

*La sérialité est omniprésente
et continue dans la nature et dans le cosmos.
C'est le cordon ombilical qui relie
la pensée, le sentiment, la science
et l'art aux entrailles de l'univers
qui leur a donné naissance.*

PAUL KAMMERER

4.1. SYNTHÈSE CHRONOLOGIQUE

La synthèse chronologique des quartiers nord et est du centre-ville, établie à partir du seul mobilier métallique, constitue une pierre à la fondation d'un édifice plus important qui ne saurait se passer de l'intégration d'autres marqueurs tels que les monnaies, la parure en verre, la céramique et les amphores. Cette approche dépendante de l'avancée des autres études en cours devra être peaufinée en collaboration avec les autres spécialistes de l'équipe de fouille.

L'analyse qui suit est fondée sur une sélection d'ensembles clos auxquels ont été ajoutés des niveaux ouverts, sols et épandages, indispensables à la caractérisation des dernières phases d'occupation. Nombre de marqueurs tardifs n'apparaissent pas en effet que dans ces ensembles et doivent être pris en compte, pour éviter de fausser l'analyse en oblitérant une partie du matériel à disposition. Le peu d'ensembles fiables pour certaines unités architecturales empêche de procéder à une analyse bâtiment par bâtiment. Cette configuration mène à proposer une vision générale, qui fait malheureusement fi des éventuelles disparités de rythme de construction des différents édifices.

Les datations proposées reposent principalement sur l'analyse typochronologique des fibules, dont la sériation constitue la pierre d'angle de cette démarche. Présentés en détail précédemment (voir *supra*, chap. 3.1.1), les principaux acquis de cette étude sont résumés en début de présentation de chaque état. La chronologie proposée est complétée par l'apport des autres parures, notamment les bracelets. Sont également intégrés à l'analyse les pièces d'armement exploitables sur le plan chronologique, ainsi que les marqueurs significatifs identifiés dans les autres catégories de mobilier.

Après la présentation de ces données liées au corpus de Corent, l'analyse tente de confronter la séquence proposée pour chaque état à la périodisation de la chronotypologie régionale (Mennessier-Jouannet et Deberge 2017, voir *supra*, chap. 1.3.2). À nouveau, l'étude porte sur le faciès de fibules qui est comparé aux ensembles utilisés, pour la périodisation régionale, ainsi qu'à ceux de Feurs et de Roanne. Les corpus à disposition s'avèrent peu fournis et de constitution très variée. Ils comprennent des ensembles phasés issus d'habitats (Gondole, Feurs, Roanne, Pâtural, ensembles de Gergovie de l'étape 11), mais aussi des assemblages regroupant l'ensemble du mobilier de prospection et de fouille (Le Bay) et le comblement d'une maison-fosse de l'*oppidum* vellave de la Roche-Blanche, à Marcilhac.

Afin de générer des données comparables, ces corpus ont tout d'abord été sériés à l'aide d'une matrice de présence/absence, en attribuant aux objets issus de contexte ambivalent l'état le plus récent (fig. 248) ([cat. 60](#)). Les fibules y sont traitées par groupe, parfois associé selon leur attribution chronotypologique.

	F11 Schéma La Tène moyenne (fer)	B11 et F12 Schéma La Tène moyenne (bc) et tête couvrante	B12 Nauheim (bc)	F22 Nauheim (fer)	B24-1 à 3 Arc interrompu à corde interne	B23 Filiforme à corde interne (bc)	F23 Filiforme à corde interne (fer)	B21, F21 et F31 Schéma La Tène moyenne à corde interne ou externe haute (bc et fer)	F34 et B34 Arc interrompu à corde externe haute (bc et fer)	F33/B33 Filiforme à corde externe haute (bc et fer)	F24 Arc interrompu à corde interne (fer)	B4/F25/B24-4/5 À fixe-corde, à coquille et à ailettes naissantes
Pâtural 2b												
Pâtural 2a												
Pulvérières 1												
Roanne 1												
Feurs 1												
Roanne 2												
Pulvérières 2												
S. État 1 à 2.1												
Feurs 2												
Pâtural 3												
Roanne 3												
Feurs 3												
H. État 1												
Le Bay												
H. État 2.1												
H. État 2.2												
S. État 2.2												
H. État 2.3												
S. État 2.3												
Marcilhac												
Gondole 1												
Gergovie												

Ainsi, les marqueurs de LTD2b, comme les fibules à coquille en fer (F25), à ailettes naissantes (B24-4/5) ou à fixe-corde (B4) ainsi que les fibules de schéma La Tène moyenne à ressort à corde interne ou externe haute (B21, F21 et F31), ont été regroupés. Les cases en grisé dans la sériation correspondent soit à des objets fragmentaires (ressort incomplet), soit à des fibules attestées sur le même site, dans une phase précédente ou encore à une restitution des fibules en fer à arc interrompu par une nodosité (F24 et F34). Non représenté à Gergovie et à Gondole, alors qu'il marque une phase avancée de LTD2 à Corent et à Marcilhac, ce type est en effet difficilement identifiable sans procéder à des radiographies ou des restaurations systématiques, qui n'ont pu être entreprises sur ces deux sites (comm. orale M. Garcia). De même, les fibules de Gondole à arc coudé, systématiquement perlé à Corent, ont été traitées comme des fibules du groupe F24.

Deux analyses factorielles des correspondances ont ensuite été testées afin de rendre compte de cette sériation ([cat. 61](#)). La première inclut les ensembles ségusiaves et le matériel issu des décapages de Corent. La méthode envisagée correspond à celle mise en œuvre pour le traitement des faciès de fibules, en répartissant les contributions issues de contextes ambivalents et en divisant leur apport aux différents états en question. Dans un deuxième temps, les fibules fragmentaires ont été réparties entre les groupes attestés durant l'état étudié.

Fig. 248. Sériation des faciès régionaux en matrice de présence/absence en attribuant le mobilier issu d'un contexte ambivalent à l'état le plus récent. Les cases en grisé expriment une présence supposée.

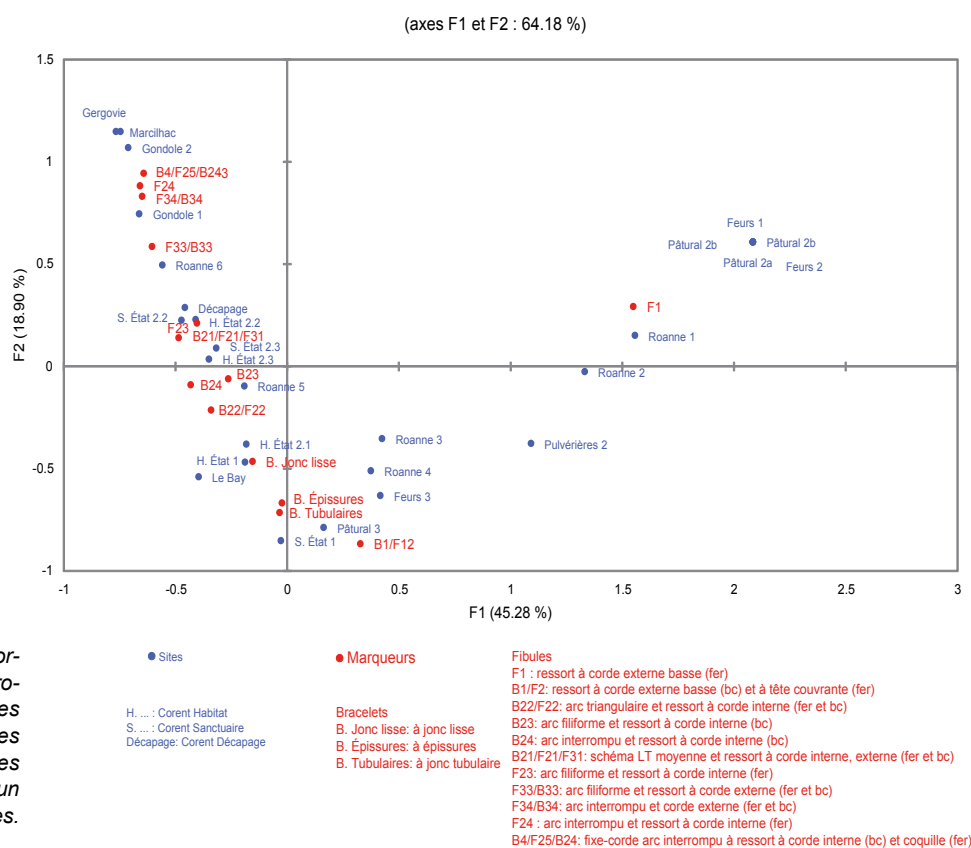


Fig. 249. Analyse factorielle des correspondances des marqueurs chronologiques arvernes et séguisiaves pondérés par état en distribuant les contextes ambigus dans les phases correspondantes et en attribuant un type aux éléments fragmentaires.

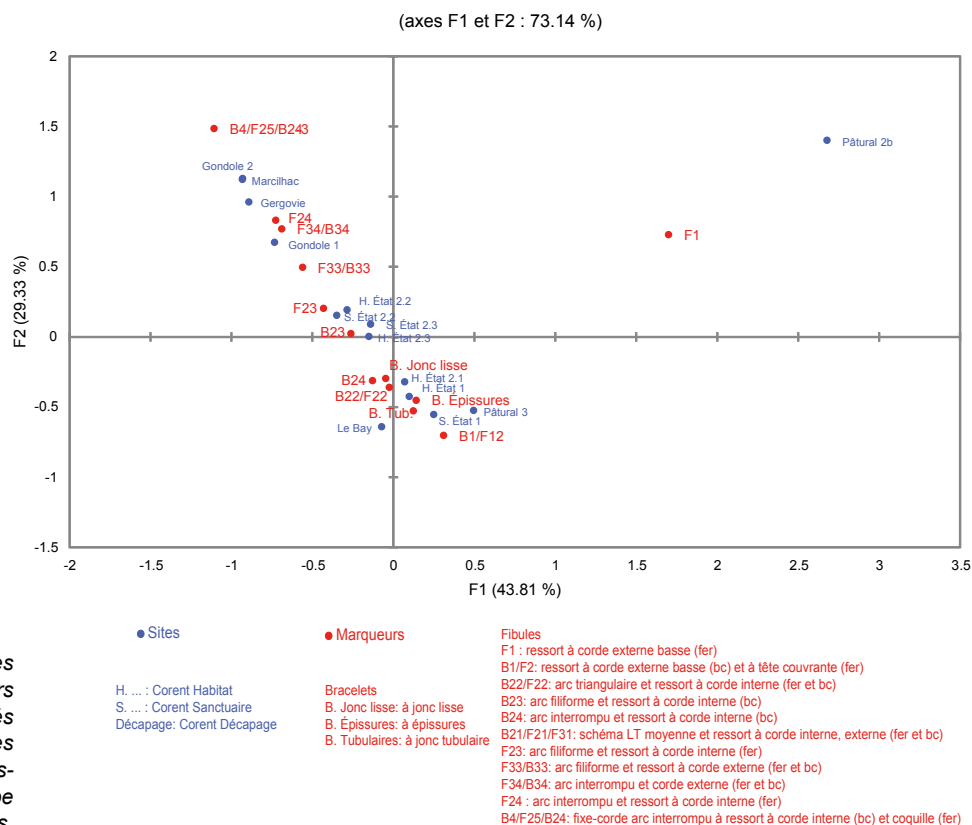


Fig. 250. Analyse factorielle des correspondances des marqueurs chronologiques arvernes pondérés par état en distribuant les contextes ambigus dans les phases correspondantes et en attribuant un type aux éléments fragmentaires.

Ainsi, un arc à nodosité en alliage cuivreux peut avoir été attribué arbitrairement au groupe B24 ou B34, si ces derniers étaient déjà recensés dans l'état en question (fig. 249). L'analyse est enfin concentrée sur les faciès arvernes, afin de réduire l'influence de marqueurs typologiques culturels (fig. 250).

Bien qu'imparfaites, les deux images obtenues fournissent une première approche synthétique de l'insertion du phasage de Corent dans la périodisation régionale. Cette analyse est tributaire des phénomènes de résidualité inhérents aux contextes d'habitat et à la faiblesse quantitative des corpus étudiés. De ce fait, les méthodes utilisées et les conclusions émanantes sont à concevoir comme une approche chronologique, à compléter et à amender par l'apport des autres catégories de mobiliers et non comme une synthèse aboutie.

4.1.1. DE RARES TRACES D'ACTIVITÉ À LTB2-LTC1

Déjà relevée lors de la publication du sanctuaire, une fréquentation ou une occupation difficilement qualifiable (tombes remaniées, premières activités religieuses ?) est attestée dans le lieu de culte dès LTB2-LTC1. Elle y est marquée par une bouterolle ajourée à globules (fig. 251, n° 1), un bracelet méandrique (fig. 251, n° 2), une probable fibule à pied libre (fig. 251, n° 3) ainsi qu'un lot de cinq céramiques mises au jour dans la branche nord du fossé du sanctuaire (Poux et Demierre 2015, p. 516-517, fig. 318). À ces éléments peuvent être ajoutés un second hypothétique fragment de bouterolle à globule (fig. 251, n° 4) et un pied à perle sphérique moulurée d'une fibule de schéma La Tène moyenne ou ancienne (fig. 251, n° 5), issus du bâtiment A. Un bracelet à protubérances ou à jonc perlé (fig. 251, n° 6) caractéristique de LTB2 (Kaenel 1990, p. 242), recueilli anciennement lors des ramassages de surface (Faye 1995, pl. 24, n° 212), complète le lot de mobilier attribuable à cette période. La faiblesse quantitative de ces éléments empêche d'identifier les modalités d'occupation ou de fréquentation du plateau de Corent aux IV^e-III^e s. avant notre ère, une période pour laquelle aucune structure synchrone n'est connue. Si une séquence laténienne antérieure est régulièrement mise en évidence dans les agglomérations des II^e et I^{er} s. av. J.-C., l'interprétation du phénomène doit encore être évaluée, à l'aune de nouveaux corpus, afin de mieux les qualifier.

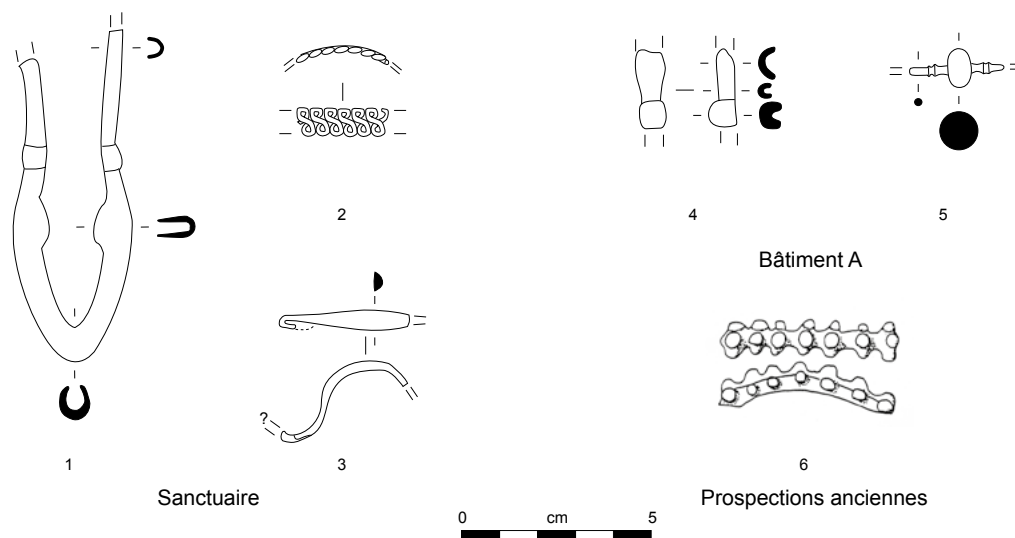


Fig. 251. Marqueurs d'une activité à LTB2/LTC1 (325 à 200 av. J.-C.).
1, 3-5: fer; 2 et 6: alliage cuivreux (6, tiré de Faye 1995, pl. 24, n° 212).

4.1.2. L'ÉTAT 1

La datation du premier état de l'habitat repose principalement sur des ensembles issus de structures en creux qui illustrent la désaffectation des bâtiments de cette période. La problématique réside principalement dans l'évaluation de l'articulation entre ce premier état et les sites de LTD1b classique de la plaine de Limagne. La destruction des bâtiments de cet état peut être estimée au milieu de LTD1b, soit vers le début du I^{er} s. avant notre ère. Son faciès de parures est caractérisé par :

- une bonne proportion de fibules en fer de schéma La Tène moyenne, dont des exemplaires à ressort large et arc en anse de panier caractéristique de la seconde moitié du II^e s. av. J.-C. (fig. 252, n° 1),
- une majorité de fibules de Nauheim, dont des types larges attestés au Pâtural et dans la nécropole de Sarliève (fig. 252, n°s 2 à 5),
- de rares occurrences de fibules à arc filiforme tendu de section circulaire ou losangique en alliage cuivreux (fig. 252, n° 5) et en fer (fig. 252, n° 6) apparaissant à l'extrême fin du II^e s. av. J.-C. et absentes des sites de plaine,
- des bracelets tubulaires, à jonc lisse et à épissures, des types de parure attestés à l'échelle locale et européenne dès la fin de LTC2 (fig. 252, n°s 7 à 10),
- un fragment de bracelet à jonc rubané, rainuré et incisé absent des sites de plaine (fig. 252, n° 11).

À ces éléments peuvent être ajoutées quelques pièces d'armement :

- des entrées rainurées, une bouterolle naviforme et des pinces triangulaires (fig. 252, n°s 12 à 16) de bouterolle du groupe Ludwigshafen ou du type Giubiasco 2, connus dès la fin de LTC2 et perdurant durant la totalité de LTD1,
- des agrafes de ceinturons de type Bataille 1A1, 2A1 et 4 (fig. 252, n°s 17 à 19), à la datation similaire,
- des umbos de bouclier à ailettes courtes, typiques de LTD1 (fig. 252, n° 20),
- une pointe de lance de type baïonnette du type Gournay IVa, caractéristique de LTC2.

La confrontation avec les ensembles régionaux mène à individualiser le premier état de l'habitat de Corent des ensembles de la fin de LTC2 et de LTD1a, tels que Feurs 1 et 2, Roanne 1 et 2 ou encore la tombe aristocratique de Pulvérières datée de la transition entre LTD1a et LTD1b.

De même, la fin du premier état de l'habitat semble légèrement plus tardive que l'occupation de la dernière phase de la ferme aristocratique du Pâtural, située à la fin du II^e s. av. J.-C et que le comblement du fossé du sanctuaire (état 1), de datation similaire. Basée, il est vrai, sur un faible corpus dans le sanctuaire, cette relation pourrait également se justifier au vu de l'armement recensé dans le lieu de culte, qui livre notamment des fragments de type Giubiasco 2, difficiles à identifier de manière assurée dans l'habitat.

L'état 1 présente des caractéristiques communes (association de fibules filiformes et de Nauheim) avec les faciès des horizons 3 de Feurs et de Roanne, dont il diffère par un nombre restreint de fibules de schéma La Tène moyenne. Le poids de ces éléments, qui peuvent être en partie résiduels, semble important sur ces deux sites et conditionne leur distribution dans l'analyse factorielle. De même, les faciès régionaux influencent les résultats, notamment par la fréquence des fibules à tête couvrante, rarement attestées en contexte arverne, alors qu'elles sont communes chez les Ségusiaves.

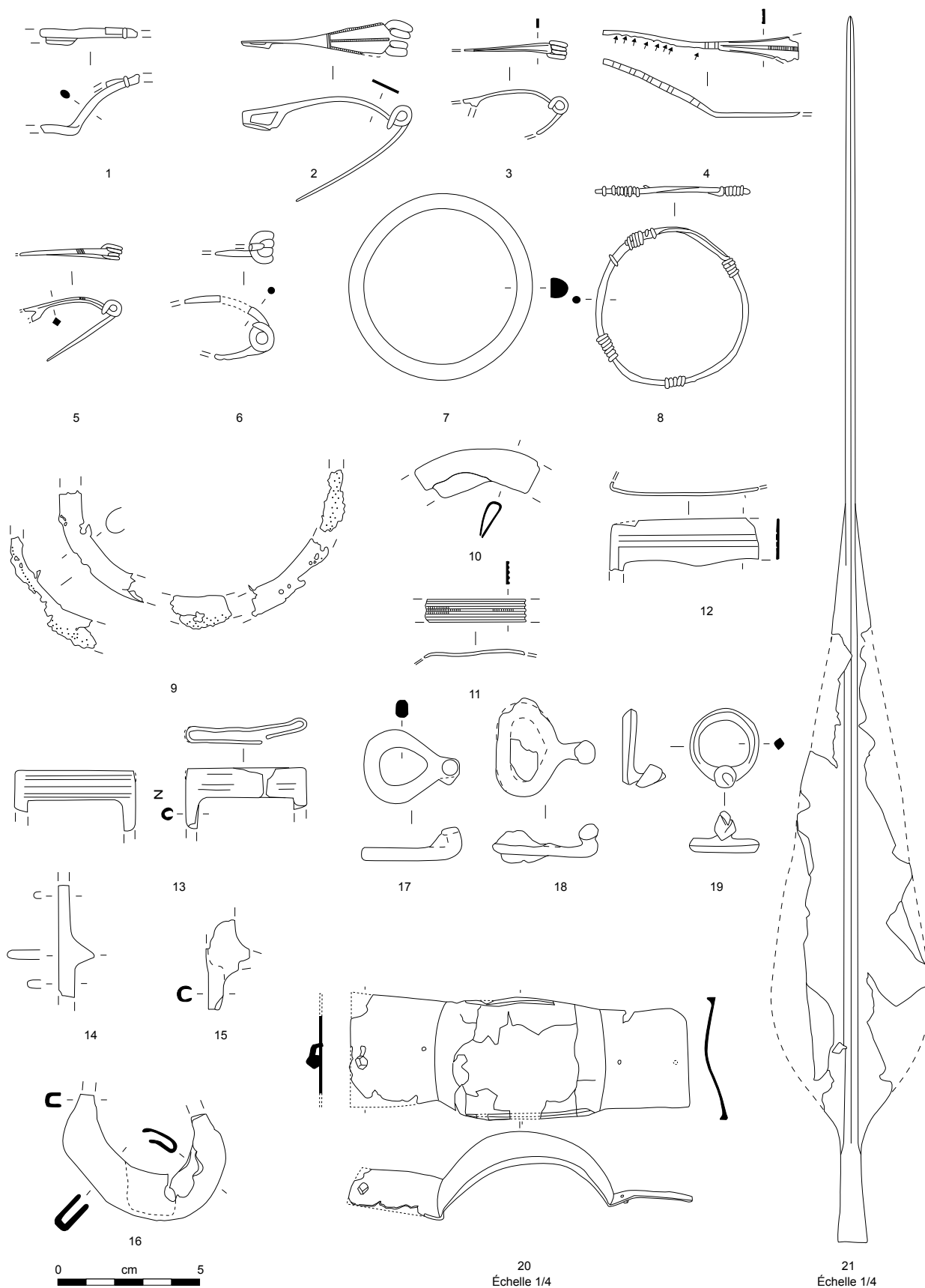


Fig. 252. Plaque récapitulative des marqueurs chronologiques de l'état
 1. 1, 6, 12-18, 20-21 : fer ; 2-5, 7-11, 19 : alliage cuivreux.

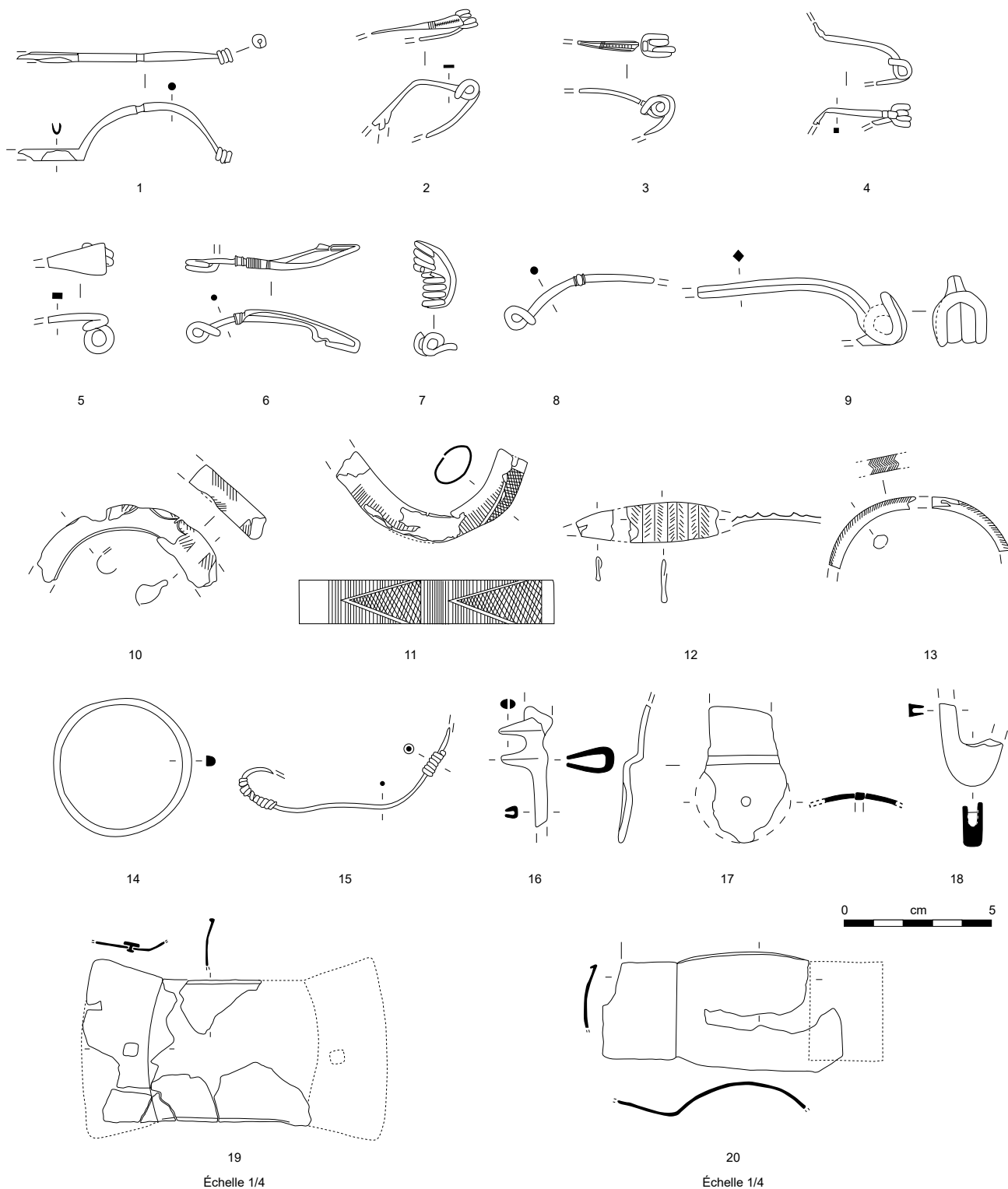
Il reste à estimer le début de l'occupation de l'*oppidum*. Elle remonte au II^e s. avant notre ère, au vu de la présence de marqueurs connus, dès la fin de La Tène moyenne, mais aussi en raison de la datation retenue pour l'état suivant, également situé dans LTD1b. Un léger recoupement des occupations des sites de plaine et de Corent pourrait être proposé au vu des concordances typologiques fines observées sur les décors des bracelets et des fibules de Nauheim (voir *supra*, p. 128-130 et p. 90-96). Le corpus de Corent comprend en effet autant des types à arc large, communs sur les sites de plaine, que des parures plus fines observées uniquement plus tardivement. Dans le même ordre d'idée, le fabricant de fibule de Nauheim à décor à arc large et à échelle centrale, d'un type recensé sur la majorité des sites arvernes de l'étape 8 (type B22-1), pourrait constituer un argument supplémentaire. La production probable du type en plusieurs emplacements et sur une longue période relativise toutefois ce facteur.

Au vu du faciès, de l'absence d'ensemble de la transition entre LTD1a et LTD1b et de son insertion dans la périodisation régionale, les débuts de l'occupation de l'habitat sont à situer, au plus tôt, dans une phase évoluée de LTD1b classique, dans les dernières décennies du II^e s. av. J.-C. Les sites de plaine fonctionneraient durant cette phase avec les prémices de l'occupation de Corent et seraient déjà abandonnés, lors de la réorganisation de l'*oppidum* intervenant à l'état 2.1. Le faciès de l'état 1 de Corent correspond donc à une phase médiane de LTD1b, à cheval entre les étapes 8 et 9 de la périodisation régionale, s'intercalant entre les assemblages des sites de plaine et ceux de l'état 2.1, correspondant à l'horizon classique de Corent.

4.1.3. L'ÉTAT 2.1

Le matériel attribué à l'état 2.1 apparaît nettement plus riche que celui de l'état précédent, grâce aux nombreux épandages scellés par les radiers postérieurs. Ces épandages comprennent toutefois souvent du matériel regroupant les sols des deux premiers états du site. Ce faciès de l'état 2.1 s'avère donc très similaire au précédent, compte tenu du traitement réalisé. Les fibules de schéma La Tène moyenne (fig. 253, n° 1) y sont associées à des fibules de Nauheim à arc fin (fig. 253, n°s 2 et 3) et des fibules filiformes en alliage cuivreux à corde interne (fig. 253, n° 4). Ce sont principalement ces niveaux qui livrent aussi quelques marqueurs rares tels que les fibules à tête couvrante (fig. 253, n° 5) et les fibules en alliage cuivreux de schéma La Tène moyenne à ressort à corde interne (fig. 253, n° 6) ou à corde externe basse (fig. 253, n° 7), qui représentent autant de marqueurs relatifs au II^e s. av. J.-C. *A contrario*, les différences principales résident dans la présence d'éléments caractéristiques d'un faciès de la fin de LTD1b et de LTD2a tels que les fibules à arc interrompu en alliage cuivreux (fig. 253, n° 8) et d'une part plus importante de fibules filiformes en alliage cuivreux et en fer (fig. 253, n° 9). Ces parures présentent majoritairement un ressort à corde interne, un arc tendu et des sections simples, circulaires ou losangiques, bien que les exemplaires à ressort à corde externe haute commencent à être plus présents.

La bonne représentation des fibules de Nauheim trahit l'appartenance de ce corpus à la fin de LTD1b et au début de LTD2. Ce faciès est comparable, sur de nombreux points, à celui de l'état 4 du site de Roanne, qui diffère toutefois par une présence accrue de marqueurs plus tardifs ainsi que par l'absence de fibule filiforme à corde externe en contexte stratifié. Son attribution à LTD1b se justifie également par la présence récurrente de bracelets tubulaires, souvent avec des motifs absents des sites de plaine (fig. 253, n°s 10 à 12), à jonc lisse (fig. 253, n° 3) et à épissures (fig. 253, n° 14), dont la rareté sur le site de Gondole souligne encore cette datation. De même, l'armement présente un assemblage similaire à celui proposé durant la phase antérieure, avec des umbos à ailettes courtes (fig. 253, n°s 18 et 19), des fragments de fourreau du groupe Ludwigshafen (fig. 253, n° 15) ou de pontet caractéristique de LTD1 (fig. 253, n° 16). Cette phase voit l'apparition des bouterolles angulaires (fig. 253, n° 17), caractéristiques des fourreaux à échelle de type Giubiasco 3 qui signalent aussi la transition avec LTD2.



Cette phase correspond à l'étape 9 de la périodisation régionale, soit au faciès classique de Corent, situé entre 100 et 75 av. notre ère. Les analyses factorielles placent clairement cet état entre les sites de plaine de LTD1b classique et les ensembles de LTD2 de Corent et du premier état de Gondole. Il est particulièrement proche du faciès du Bay, attribué à la même étape dans la périodisation régionale et marqué par un corpus comparable avec des fibules de Nauheim, des fibules filiformes à ressort à corde interne et à arc à nodosité à corde interne et des bracelets tubulaires.

Fig. 253. Planche récapitulative des marqueurs chronologiques de l'état 2.1. 1, 5, 9, 16-20 : fer ; 2-4, 6-8, 10-15 : alliage cuivreux.

4.1.4. L'ÉTAT 2.2

Représenté par un nombre réduit d'ensembles clos, l'état 2.2 recouvre une partie de LTD2a. Sa principale caractéristique réside dans le passage des fibules à corde interne à des fibules à corde externe haute. Si les fibules de Nauheim y sont toujours attestées (fig. 254, n° 5), elles deviennent minoritaires par rapport aux fibules filiformes dont l'arc se cambre et présente souvent une section lenticulaire (fig. 254, n°s 1 à 4). Les fibules à arc interrompu (fig. 254, n°s 7 et 8) sont toujours représentées, sans que les formes à ailettes naissantes ne soient encore attestées. Les bracelets se raréfient durant cette période. Les marqueurs de LTD2b sont absents de ces ensembles qui montrent de nombreux points communs avec ceux de la première phase de Gondole et de l'étape 10 de la périodisation régionale. En témoigne, par exemple, le pendentif zoomorphe (fig. 254, n° 8), un objet rare qui trouve aussi un parallèle sur cette agglomération arverne de LTD2. Si le rapport entre les fibules filiformes en fer et les fibules de Nauheim se ressemble sur les deux sites, la rareté des fibules à arc interrompu à Gondole engendre des problèmes dans l'analyse factorielle des correspondances. Ce type apparaît en effet proche de ce site, dans l'analyse statistique, alors qu'il n'y est pas attesté. À nouveau, le poids des éléments résiduels, comme les fibules de Nauheim ou celles de schéma La Tène moyenne, amène des distorsions qui amalgament les deux derniers états de Corent. Elles sont aussi dues au phasage du quartier nord où les deux phases n'ont guère pu être différenciées. En résulte un traitement homogénéisant les contributions des deux états dans l'analyse statistique. Il demeure par conséquent difficile d'estimer la relation entre le faciès de l'état 2.2 et celui de la première phase de Gondole. Elle y apparaît comme légèrement postérieure, peut-être en raison de la présence de marqueurs de la transition entre LTD2a et LTD2b (fibules à arc coudé et à tête mordante) qui n'apparaissent qu'à l'état 2.3 à Corent. Sur cette base, il est probable que la fin de l'état 2.2 de Corent soit légèrement antérieure à celle du premier état de Gondole.

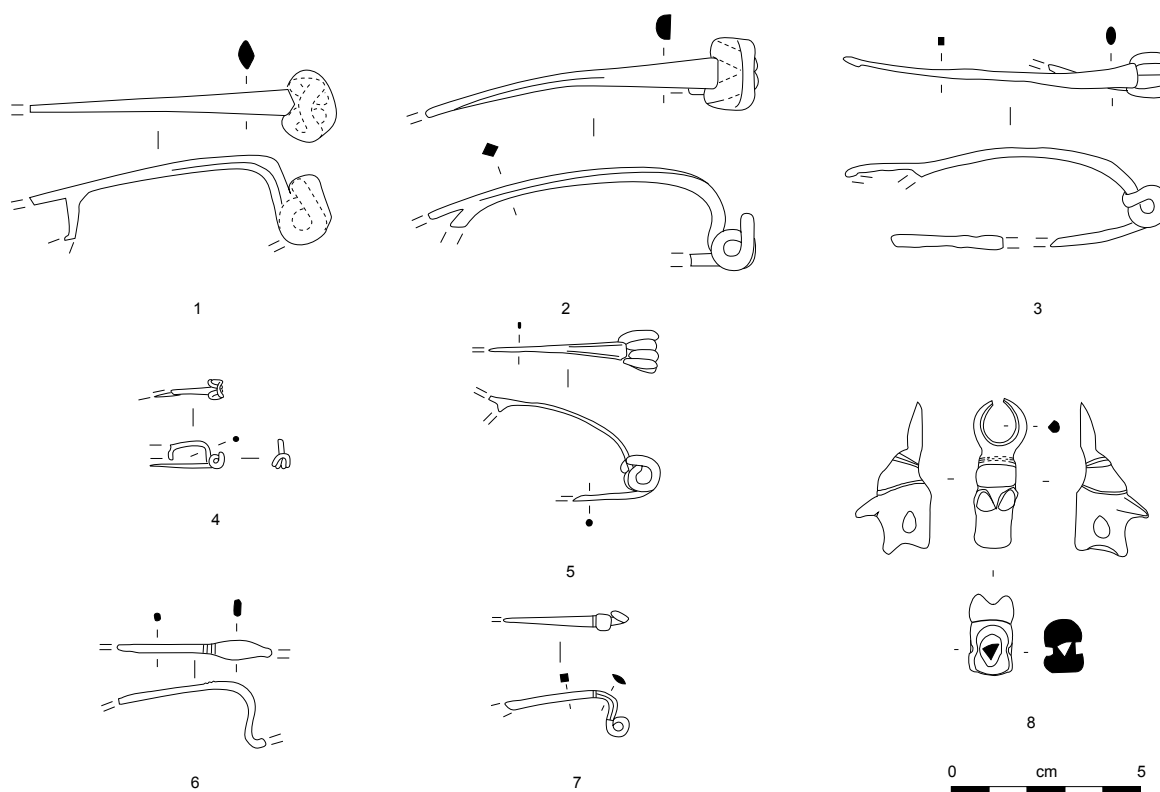


Fig. 254. Planche récapitulative des marqueurs chronologiques de l'état 2.2. 1-3 : fer, 4 : argent ; 5-8 : alliage cuivreux.

4.1.5. L'ÉTAT 2.3

Interprété comme la dernière séquence laténienne du site, l'état 2.3, dans le quartier nord, est principalement souligné par des niveaux d'occupation liés aux radiers, alors qu'il est caractérisé par un plus grand nombre d'ensembles clos, dans le quartier est. Il présente un faciès de LTD2 relativement similaire au précédent, avec des marqueurs tardifs caractéristiques débordant légèrement sur la fin de cette séquence (LTD2b). Les parures comportent notamment :

- des fibules de Nauheim (fig. 255, n° 1) minoritaires par rapport aux fibules filiformes en fer, majoritairement à ressort à corde externe haute et à arc cambré de section lenticulaire (fig. 255, n°s 2 et 3),
- des fibules à ressort à corde interne et à coquille en fer, connues à Alésia, dont une occurrence recueillie en surface du radier du bâtiment C3 (fig. 255, n° 4),
- des fibules à arc interrompu en fer à ressort à corde externe haute (fig. 255, n° 5) ou à corde interne (fig. 255, n° 6) en alliage cuivreux, dont deux avec ressort surmonté d'un anneau évoquant les prémisses des plaquettes, un ajout technique apparaissant durant la seconde moitié du I^{er} s. av. J.-C. (fig. 255, n°s 7 et 8),

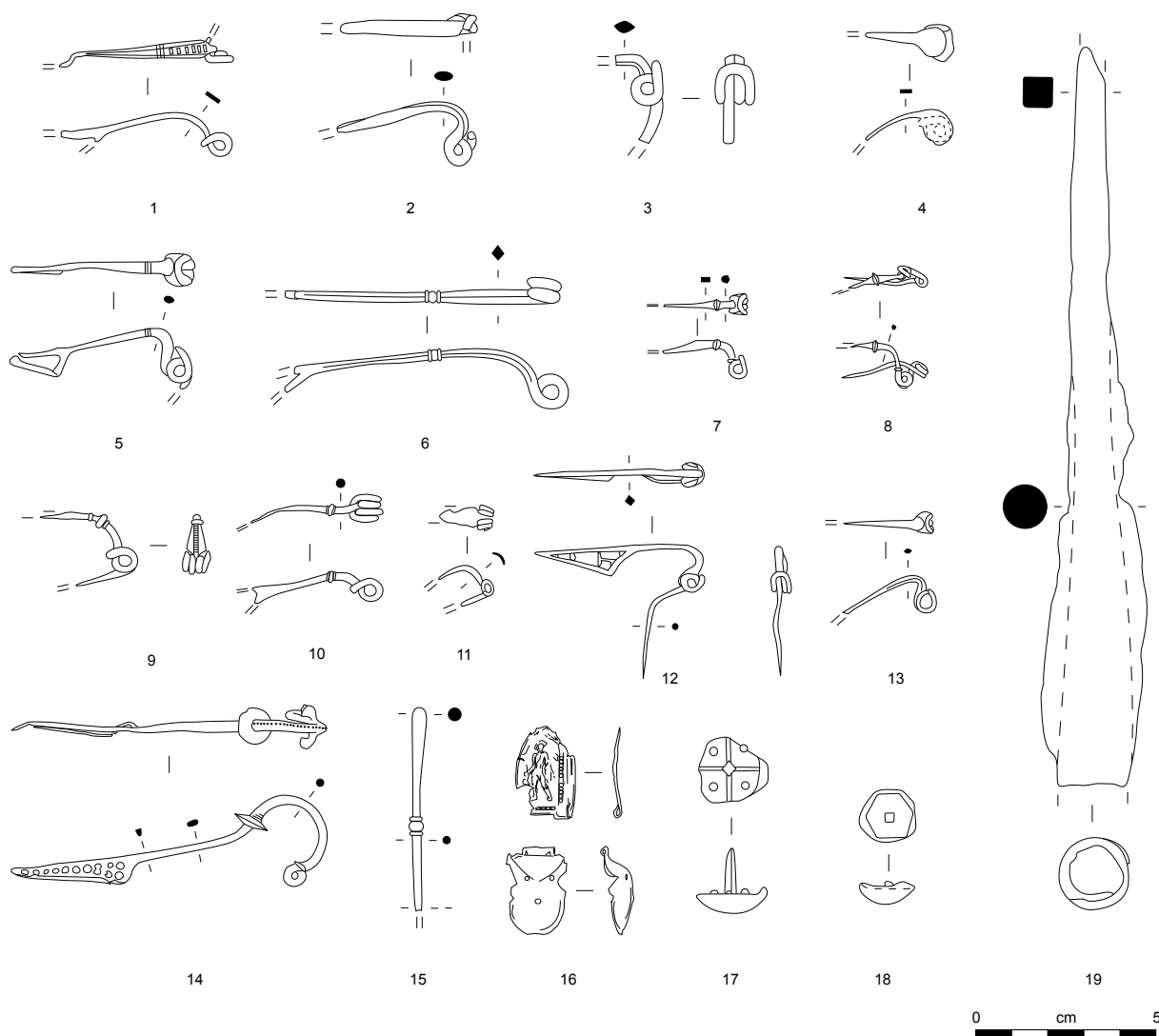


Fig. 255. Planche récapitulative des marqueurs chronologiques de l'état 2.3. 1, 7-16 : alliage cuivreux ; 2-6 ; 17-19 : fer.

- des fibules à nodosité et à ailettes naissantes, caractéristiques d'une phase avancée de LTD2 (fig. 255, n^{os} 9 et 10), dont la paire complète en or est issue du décapage de surface du bâtiment A,
- une fibule unguiforme de type Feugère 11 (fig. 255, n^o 11), particularité de la seconde moitié du I^{er} s. av. J.-C., en France méridionale,
- des fibules à arc polyédrique outrepassant et pied multifenestré du type Feugère 5b (fig. 255, n^{os} 12 et 13), attestées à Gergovie et dans des ensembles de l'état 2 de Gondole, dont deux issues d'une fosse à l'assemblage céramique concordant,
- une fibule à disque médian et à plaquettes attribuable au type 4c de J. Metzler (fig. 255, n^o 14), dont l'apparition est évaluée vers 60/50 av. notre ère, et qui est associée à un ensemble de céramiques de la transition entre LTD2a et LTD2b.

À ces parures de tradition laténienne peuvent être ajoutés des éléments liés à la fréquentation de troupes romaines, suggérée par des marqueurs primaires et secondaires :

- des clous de chaussure tardo-républicains associés aux mouvements de troupe, lors de la Guerre des Gaules et à la conquête romaine, dont deux exemplaires du bâtiment M à bol hexagonal et à relief de croix et de globules (fig. 255, n^{os} 17 et 18),
- une pointe de *pilum* à douille, attribuable à l'armée de la République romaine (fig. 255, n^o 19),
- une sonde à tige moulurée (fig. 255, n^o 15) attestée par un parallèle proche, dans l'agglomération de LTD2 de Villeneuve-Saint-Germain,
- une boîte à sceau en forme de bourse au couvercle orné d'un Mercure au repoussé (fig. 255, n^o 15), dont le seul parallèle connu provient de l'*oppidum* d'Altenburg et qui représente les premières formes métalliques de ces objets liés au courrier à longue distance.

Si la majorité de ces marqueurs souligne une perduration de l'occupation durant LTD2b, les ensembles céramiques relatifs à cette phase s'avèrent particulièrement peu fréquents et plaident pour une diminution de la densité, voire un arrêt de l'occupation de l'habitat à cette période. Les similitudes des principaux marqueurs des états 2.2 et 2.3 suggèrent une datation très proche, dont l'enchaînement doit encore être mieux cerné. Ces points concordants laissent supposer que la séquence de l'état 2.3 comprend encore une partie de LTD2a, avec une fin difficile à cerner, vraisemblablement postérieure à la Guerre des Gaules. Les marqueurs les plus probants de LTD2b tels que les fibules à arc outrepassant et à pied multifenestré, la fibule à disque médian et la boîte à sceau proviennent en effet de rares structures en creux (Fo 17873, Fo 18594) et de décapages de surface.

Au même titre que l'état précédent, le traitement réalisé sur les effectifs et le poids des éléments résiduels empêchent une comparaison efficiente de l'état 2.3 avec la périodisation régionale. Les fibules à arc polyédrique à pied multifenestré, à ailettes naissantes et à tête couvrante, à arc interrompu en fer marquent l'étape 11 de la chronologie régionale. Elles sont notamment recensées à Gondole (état 2), sur l'*oppidum* de La Roche-Lambert à Marcilhac daté entre 75 et 25 av. J.-C. et dans les ensembles de LTD2b de Gergovie. Ces parallèles locaux renforcent le postulat d'une continuité d'occupation durant une partie de LTD2b, bien que le dynamisme de l'agglomération ait dû s'affaiblir. Les fouilles récentes à l'ouest et à l'est du secteur étudié montrent toutefois une continuité d'occupation entre les époques gauloise et romaine qui relativise ce dernier postulat.

4.1.6. L'ÉTAT 3

Les ensembles clairement attribués à l'état 3 sont très peu représentés dans le mobilier métallique du centre-ville, avec seulement quelques objets issus des bâtiments M et R et l'hémicycle de réunion. Si les édifices à l'est ne livrent pas d'ensemble exploitable, le théâtre fournit une bague à chaton inornée, un fragment de *simpulum*, une fibule à arc interrompu et des clous de caligae précoces (fig. 256, n°s 1 à 5), autant d'éléments difficiles à exploiter pour qualifier la datation de cet état. Il est nettement mieux défini dans les fouilles récentes, notamment dans l'atelier de potier fouillé en 2013 où il a pu être scindé en deux phases : une première équivalente à l'horizon GR1 du Titelberg (Metzler 1996) daté entre la fin de LTD2b et le début du règne d'Auguste, tandis que la seconde regroupe le reste de l'époque augustéenne (Poux *et al.* 2014a). Ces ensembles, de même que les mobiliers réunis dans les étapes 11 à 13 de la périodisation régionale, comprenant notamment des ensembles de Gergovie et de la deuxième phase d'occupation de Gondole, offrent la possibilité d'identifier certains marqueurs dans les décapages superficiels, le matériel hors contexte et les niveaux du Haut-Empire.

Ainsi, les niveaux de surface du complexe C livrent : une petite fibule à charnière et une boîte à sceau quadrangulaire, deux éléments attestés à l'époque augustéenne, dans les camps de Dangstetten et de Haltern (fig. 256, n°s 7 et 8), une fibule à disque médian et à cache-ressort mal maîtrisé (fig. 256, n° 9) et une fibule à ailettes naissantes de facture évoluée (fig. 256, n° 10), caractéristique de LTD2b et de l'époque augustéenne. Ces objets apparaissent de façon intrusive dans la citerne 20662 au faciès céramique attribuable à LTD2a, alors qu'elle livre une fibule de type 23 de J. Metzler datée de la transition entre les types Alésia et Aucissa (fig. 256, n° 12) et une fibule à ailettes naissantes en argent (fig. 256, n° 11).

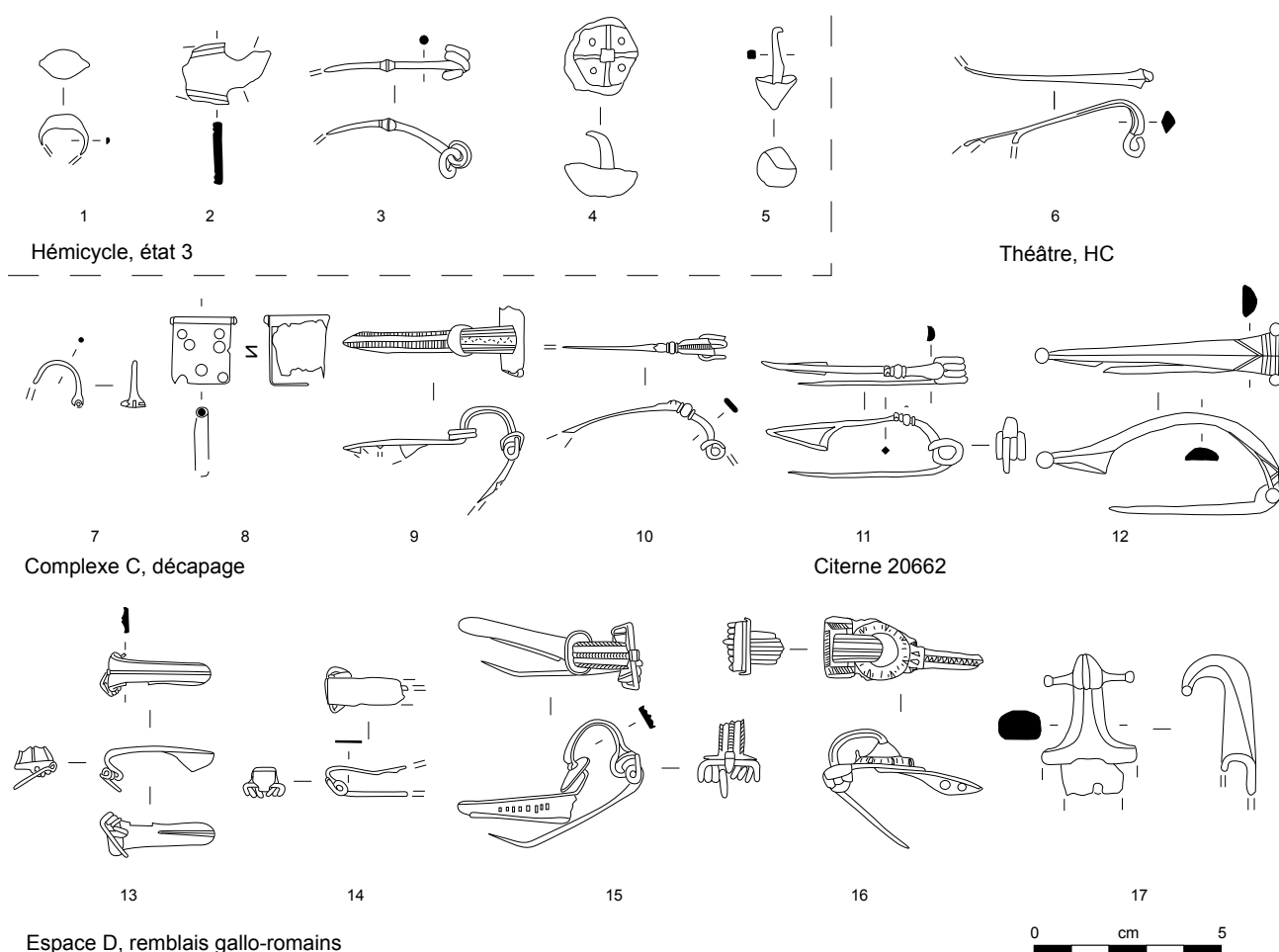


Fig. 256. Planche récapitulative des marqueurs chronologiques de l'état 3. 1-3, 7-17 : alliage cuivreux ; 4-5 : fer.

Les remblais de l'espace D fournissent au contraire du matériel de cette période en position résiduelle, au vu de son association avec des éléments du II^e s. ap. J.-C. Il s'agit notamment de fibules à fixe-corde à arc rubané des variantes A et B du type 15 du Titelberg (fig. 256, n^{os} 13 et 14), retrouvées en trois exemplaires dans la première phase (état 3.1) de l'atelier de potier, ou une fibule à disque médian de type Metzler 11a (fig. 256, n^o 15). Ce faciès peut également comprendre des fibules filiformes en fer et en bronze à arc outrepassant et pied multifenestré (fig. 256, n^o 6), déjà documentées dans l'état précédent et fréquentes tant à Gergovie qu'à Gondole. La fin de la séquence (état 3.2) est représentée par des fibules à queue de paon emblématiques, du milieu du règne d'Auguste à l'époque tibérienne (fig. 256, n^o 16) ou encore par une agrafe de ceinturon ou de baudrier connue dans les camps militaires de même datation de Haltern et d'Augsburg-Oberhausen (fig. 256, n^o 17).

4.1.7. L'ÉTAT 4

Les niveaux de l'époque romaine postérieurs à Auguste (état 4) sont également très peu représentés dans le centre-ville, avec des occurrences dans le sanctuaire, le théâtre, le bâtiment nord et l'espace D. Quelques mobiliers épars sont également recensés dans la partie méridionale du complexe A. Les corpus du sanctuaire et du théâtre sont publiés ou en cours de publication, tandis que les ensembles du nord du site (espace D et bâtiment nord) présentent une stratification trop faible pour permettre une analyse chronologique détaillée. Cette dernière gagnera à être confrontée avec le matériel des fouilles récentes réalisées depuis 2013.

4.1.8. SYNTHÈSE ET CRITIQUE DES RÉSULTATS

Cette étude chronologique repose sur la sériation des parures, principalement des fibules, dont l'évolution typologique détaillée et le nombre offrent l'opportunité de caractériser les différents états du site. Au contraire des nécropoles où les parures sont bien conservées et en contexte primaire, les zones d'habitats présentent toutefois des éléments fragmentaires, dans des conditions de dépôts résiduels ou dans des couches attribuées à plusieurs phases du site. Les méthodes envisagées pour contrecarrer ces pertes d'informations chronologiques ont permis de dégager de grandes tendances sur le plan de la sériation. Ces traitements ont conduit à étoffer l'effectif sur lequel portait l'analyse statistique, mais également à amalgamer et à lisser certaines informations. Ils génèrent une image qui divise le corpus laténien en deux groupes distincts, les deux premiers états du site (état 1 et 2.1) centrés sur LTD1b et les deux derniers (états 2.2 et 2.3) appartenant principalement à LTD2a.

Dans le détail, le premier état apparaît ainsi comme un faciès de transition entre les sites de plaine de la fin du II^e s. av. J.-C. aux corpus emblématiques de LTD1b classique et LTD1b évoluée, illustrés dans la périodisation régionale par l'état 2.1 de Corent (fig. 257). Comme souvent, l'évaluation des prémices de l'occupation s'avère particulièrement ardue à mettre en évidence, l'argumentaire reposant uniquement sur la présence de marqueurs anciens, dont on peine à caractériser la fin de l'utilisation. L'état 2.1 présente encore du matériel du II^e s. av. J.-C. et comporte déjà les premiers marqueurs de LTD2. Proche du faciès du Bay, il se distingue clairement de l'état 2.2 et du premier horizon de Gondole aux nombreux points communs signalant un faciès de LTD2a. Ces similitudes s'observent aussi dans le faciès de l'état 2.3 et laissent supposer que le premier état de l'*oppidum* de plaine est synchrone avec les deux derniers états laténiens de Corent. Ce dernier état continue en partie à LTD2b, une période pour laquelle la rareté des marqueurs atteste une baisse de la densité de l'occupation. Le centre-ville est toujours fréquenté à la fin de LTD2b et à l'époque augustéenne (état 3), bien que les ensembles clos manquent pour le démontrer.

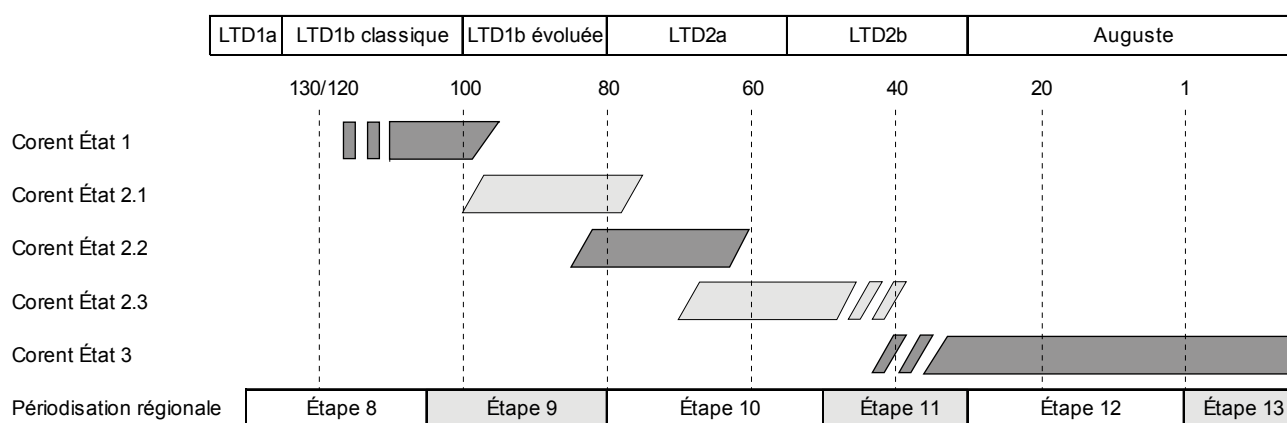


Fig. 257. Tableau de synthèse de la datation retenue pour les différents états du site et leur confrontation à la périodisation régionale.

Au vu de la courte durée de chaque état, la caractérisation de leur chronologie arrive, de notre point de vue, à un degré de précision inférieur à la génération qui constitue souvent une limite à toute étude typo-chronologique. Si ces résultats semblent en adéquation avec les datations établies à l'aide du corpus du sanctuaire et revêtent une certaine cohérence, leur analyse statistique présente encore des faiblesses et des points de discussions liés à la méthode destinée à mettre en valeur la sériation. Pour l'améliorer, l'intégration de l'ensemble des mobiliers et la confrontation des résultats des différents spécialistes apparaît indispensable. Il s'agira alors de procéder à une sélection de contextes. Cette démarche nécessitera peut-être aussi de redéfinir certains marqueurs utilisés ici, de travailler à la chronologie relative de chaque bâtiment et de réévaluer la mise en contexte de certains ensembles. Il conviendra aussi d'effectuer une répartition spatiale des ensembles et des marqueurs les plus anciens et les plus récents afin de mieux cerner les dynamiques d'occupation du plateau. C'est avec ce travail de confrontation que la datation générale du site et la caractérisation des critères pertinents gagneront en justesse et en précision.

4.2. CARACTÉRISATION DES ASSEMBLAGES PAR TYPE DE CONTEXTE

Le cadre chronologique établi, l'étude est axée sur la caractérisation des assemblages à l'échelle des structures et des sols, afin de générer une grille de lecture. Le questionnement et la méthodologie s'adaptent ici aux lots à disposition et aux types de structures. L'analyse est conçue comme un va-et-vient entre la composition de l'ensemble, son insertion spatiale et la taphonomie des objets qu'il recèle, pour générer une interprétation normée. Cette démarche fournit le cadre général pour l'étude des bâtiments et des complexes architecturaux (chapitre 4.3).

4.2.1. LES NIVEAUX DE SOLS ET LES ÉPANDAGES

Les grandes quantités de mobilier issues des sols et des épandages constituent l'une des particularités taphonomiques du site. Elle permet l'analyse de mobilier dans des conditions de dépôt primaire. Il s'agit ici de souligner les spécificités des sols intérieurs et extérieurs et de qualifier l'activité qu'ils renseignent. En quoi les niveaux de circulation du sanctuaire diffèrent-ils des sols de la place de marché ? est-il possible de mettre en lumière les différences entre sols d'habitat et d'atelier ? existe-t-il un moyen d'identifier des pratiques religieuses dans l'habitat sur la base du référentiel fourni par le sanctuaire ? sont autant de problématiques développées dans ce chapitre.

L'importance quantitative des assemblages des sols se prête à une classification ascendante hiérarchique qui génère des classes de composition (fig. 258) ([cat. 62](#)).

Fig. 258. Dendrogramme résultant de la classification hiérarchique ascendante.

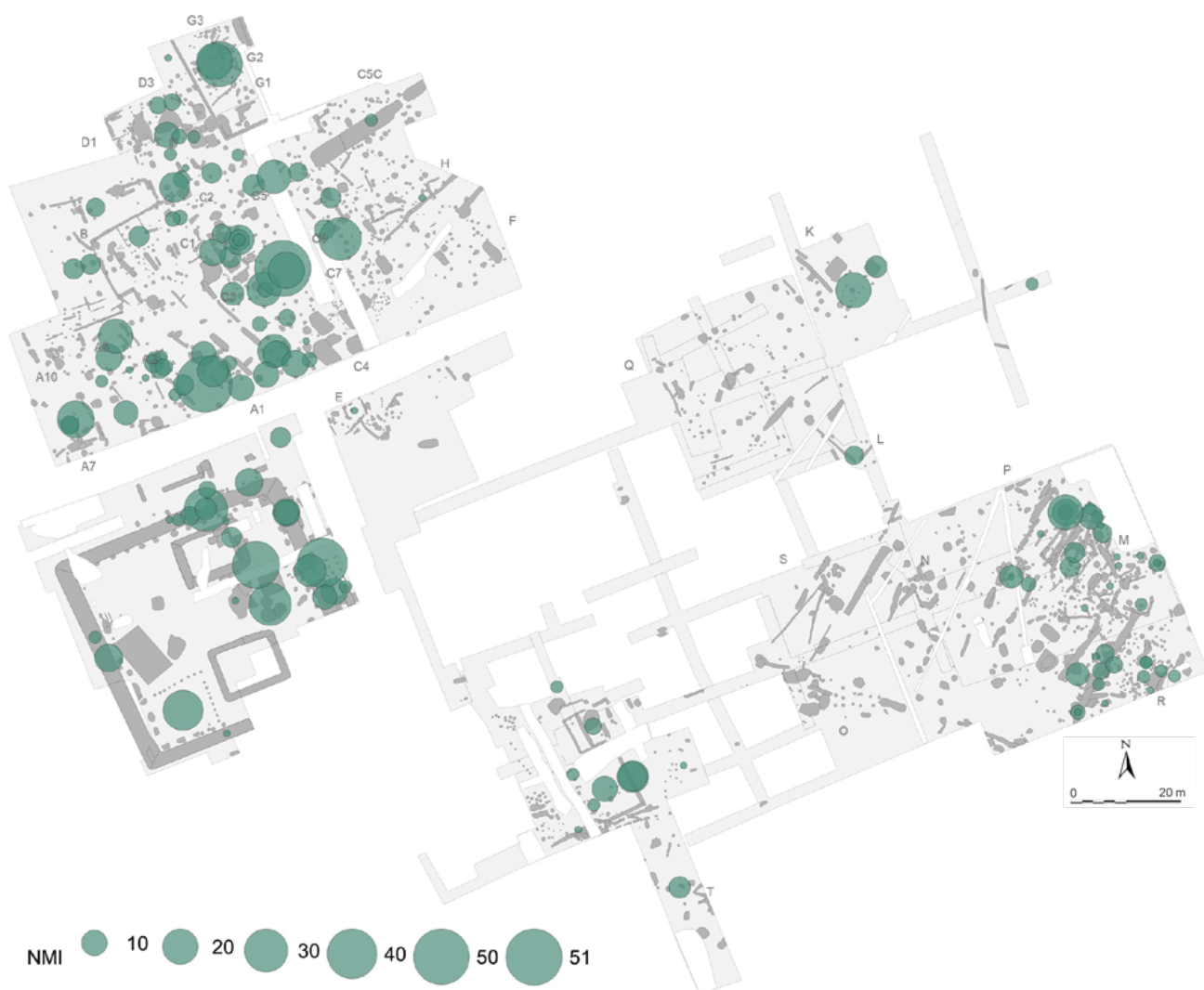
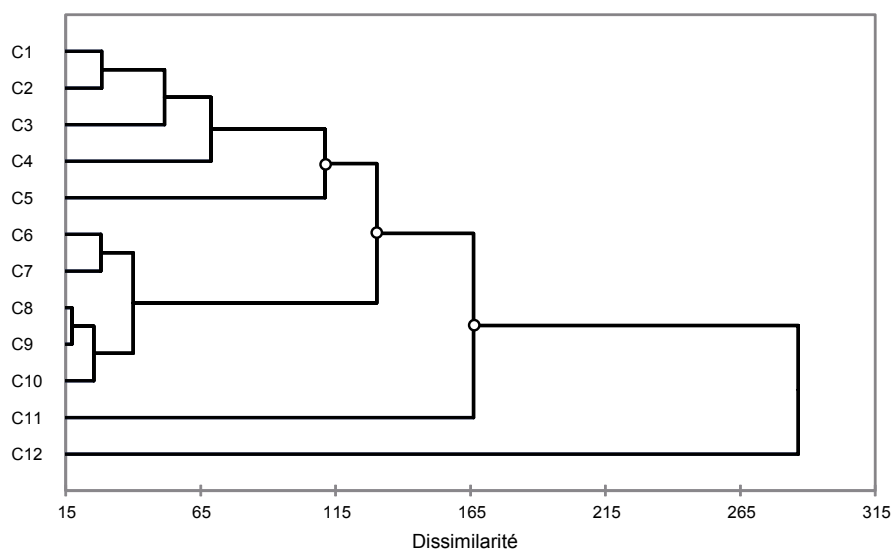


Fig. 259. Quantification des ensembles en fonction des NMI sans l'ameublement et la construction, les objets polyvalents et les indéterminés.

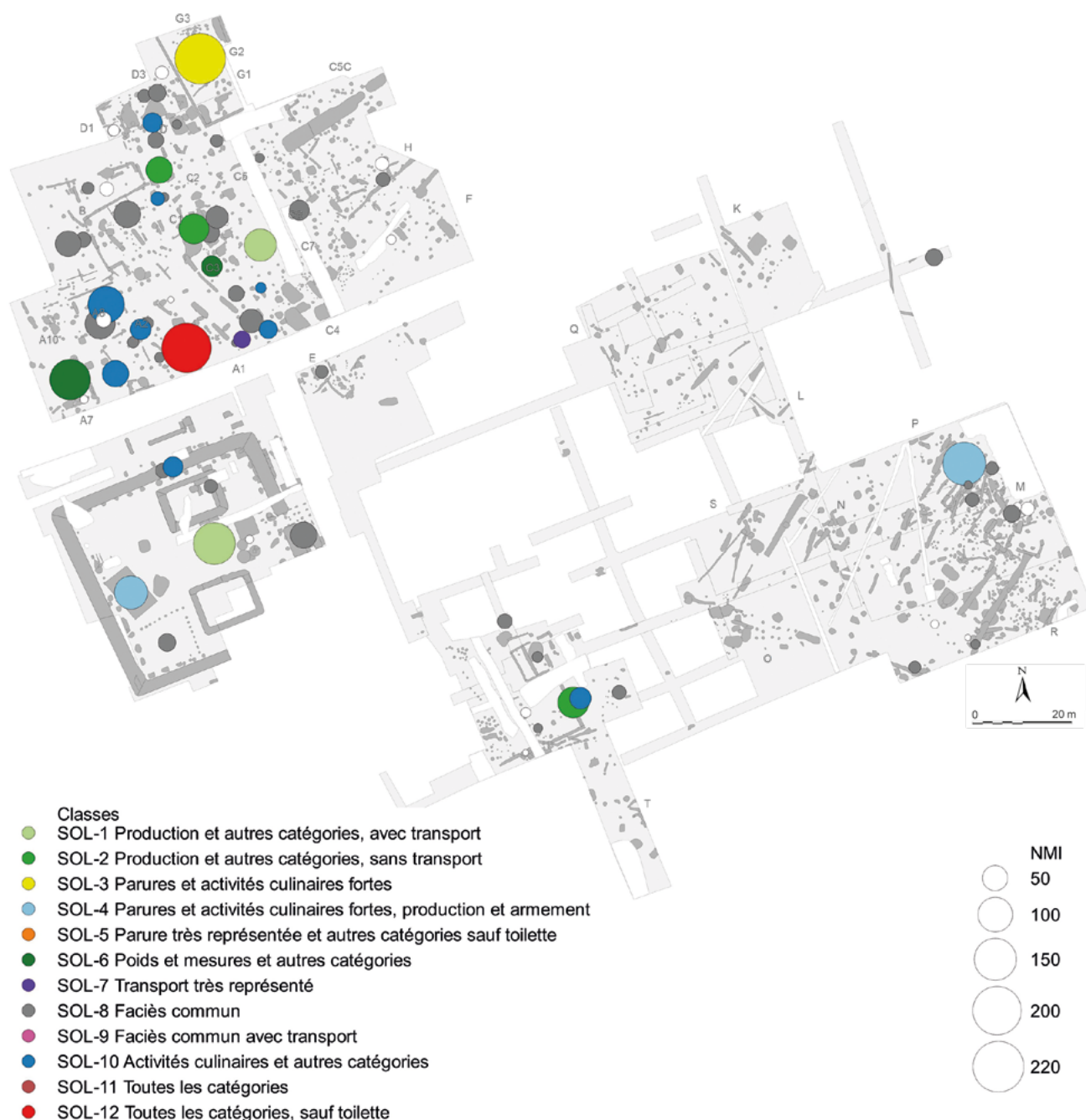


Fig. 260. Composition et quantification des assemblages des niveaux de sols et des épandages des états 1 et 2.1.

Afin de focaliser l'analyse sur les activités recensées, toutes les catégories fonctionnelles sont intégrées, à l'exclusion de l'ameublement et de la construction, des objets polyvalents et des indéterminés. Servant de support pour le reste de l'analyse, une première carte exprime l'importance quantitative des ensembles, en utilisant les nombres minimums d'individus des objets réels et des déchets artisanaux (fig. 259). Les catégories fonctionnelles mises de côté sont ensuite intégrées afin de rendre compte de leur importance dans la composition de l'assemblage. Cette démarche est complétée par l'analyse taphonomique des mobiliers, afin de mettre en lumière les manipulations subies par les artefacts et d'hypothétiques dépôts d'objets complets. Si l'étude de composition a été appliquée à la totalité des ensembles, leur représentation cartographique a été scindée en deux figures afin de gagner en lisibilité. La première carte représente les sols et épandages des états 1 à 2.1 et des ensembles laténiens non phasés (fig. 260), tandis que la seconde illustre les niveaux des états 2.2 à 3 (fig. 262), en excluant l'époque romaine (état 4). La même division a été réalisée pour les cartes illustrant la taphonomie (fig. 261 et fig. 263). Les ensembles de datation large (état 1 à 2) sont reportés sur toutes les cartes de répartitions.



Fig. 261. *Taphonomie des objets issus des niveaux de sols des états 1 et 2.1.*

Portant sur 208 assemblages, l'analyse de composition mène à l'identification de 12 classes présentées selon leur similarité dans le dendrogramme de la classification ascendante hiérarchique. Le dendrogramme de la classification révèle quatre nœuds principaux qui indiquent la dissimilarité des ensembles (fig. 258). Le premier groupe identifié comprend les classes SOL-1 à SOL-5 qui comportent les corpus les plus importants sur le plan quantitatif. Le deuxième rassemble les classes SOL-6 à SOL-10, avec un corpus généralement moins fourni. Les deux derniers sont composés chacun d'un seul ensemble (classes SOL-11 et SOL-12). S'y ajoute une dernière classe de 49 assemblages, composés uniquement d'objets attribués à l'ameublement et à la construction ainsi que des pièces de quincaillerie. Cette dernière n'a de ce fait pas été intégrée dans l'analyse statistique.

Assemblages de classe SOL-1 (5)

La composition de la première classe est conditionnée par de fortes proportions de parures et d'objets liés aux activités artisanales avec, dans cinq cas sur six, une pièce liée au transport (fig. 264). Les autres catégories sont parfois représentées, mais jamais par plus de deux individus. Ces assemblages illustrent les ensembles extérieurs de la cour du sanctuaire (SCTE-7-sol de cailloutis), de la place du complexe C (CPL-4-épandage est et CPL-3-sol ouest) et de la ruelle attenante (AC-4-épandage). Par analogie, le radier touché par les labours en surface du bâtiment G (G-1-radier) pourrait aussi correspondre à un niveau extérieur. Dans le détail, la cour du sanctuaire diffère par une présence très majoritaire des parures (24 ind.) et une plus faible proportion d'éléments liés à la sphère artisanale (9 ind.), tandis que le rapport entre ces deux catégories demeure très équilibré dans les autres assemblages. Ce sol du lieu de culte se

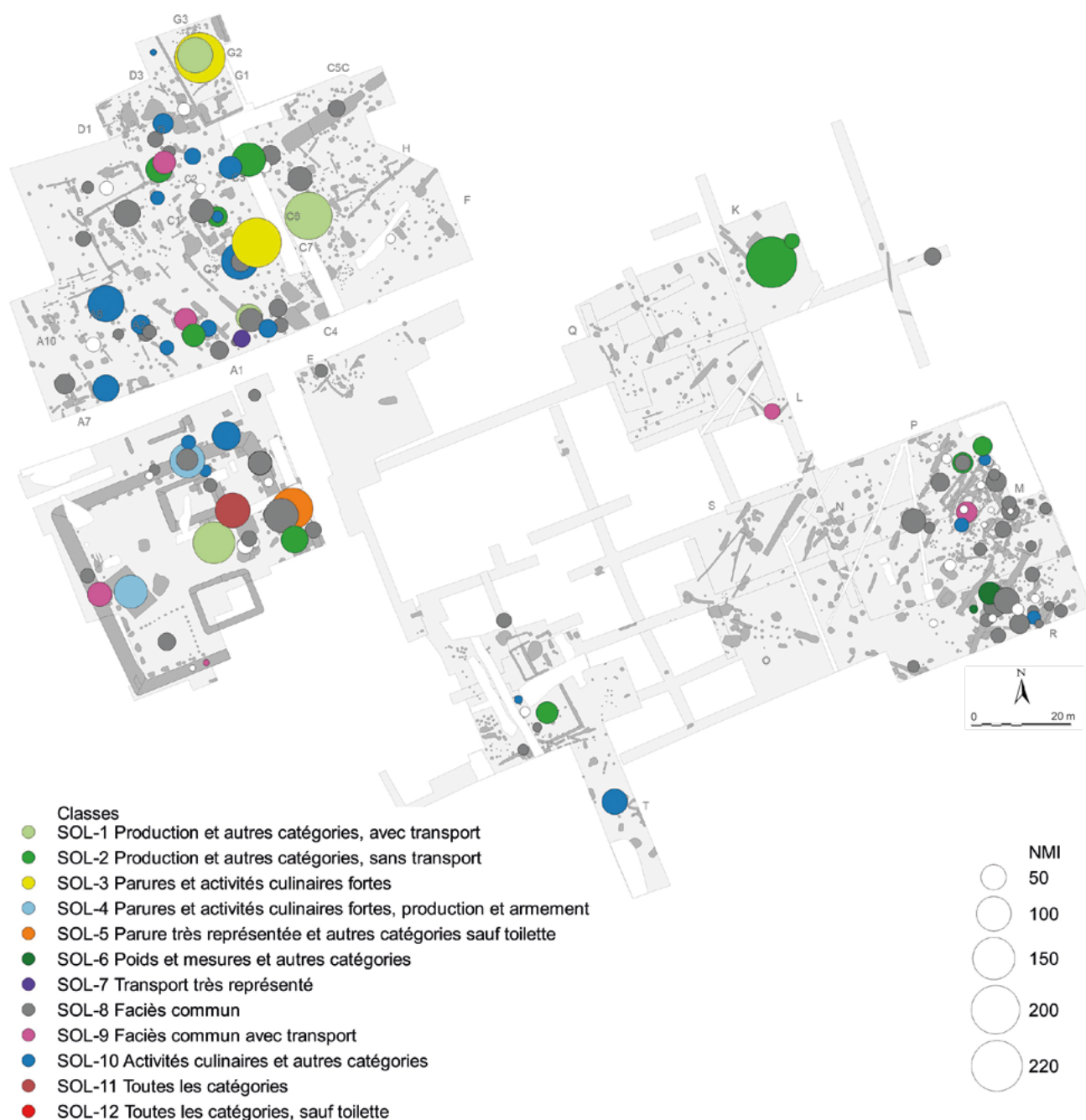


Fig. 262. Composition et quantification des assemblages des niveaux de sols et des épandages des états 2.2 à 3.

distingue aussi par la présence d'une fibule de Nauheim complète, alors que seuls des outils et une phalère offrent cet état de conservation dans les autres ensembles. Ces compositions distinctes et ces observations taphonomiques incitent à considérer le sol du sanctuaire comme un espace extérieur où figurent les vestiges de dépôts, bien qu'une part importante des parures fragmentaires puisse aussi relever d'une perte liée à la fréquentation des lieux. C'est bien le nombre élevé des accessoires vestimentaires, combiné à la présence d'éléments de transport, qui marque les espaces extérieurs, tandis que les autres catégories recensées signalent les rejets d'une forte activité artisanale pratiquée à proximité ou sur le sol même. Rétroactivement, les décapages à l'intérieur et au nord du complexe A (ACI-1-décapage et AB-1-décapage) peuvent être attribués à cette classe, au vu de leur composition riche en parures fragmentaires associées à des pièces de char.

Assemblages de classe SOL-2 (12)

La deuxième classe comprend des ensembles caractérisés par une forte proportion d'outils et de déchets, fréquemment associés à des accessoires

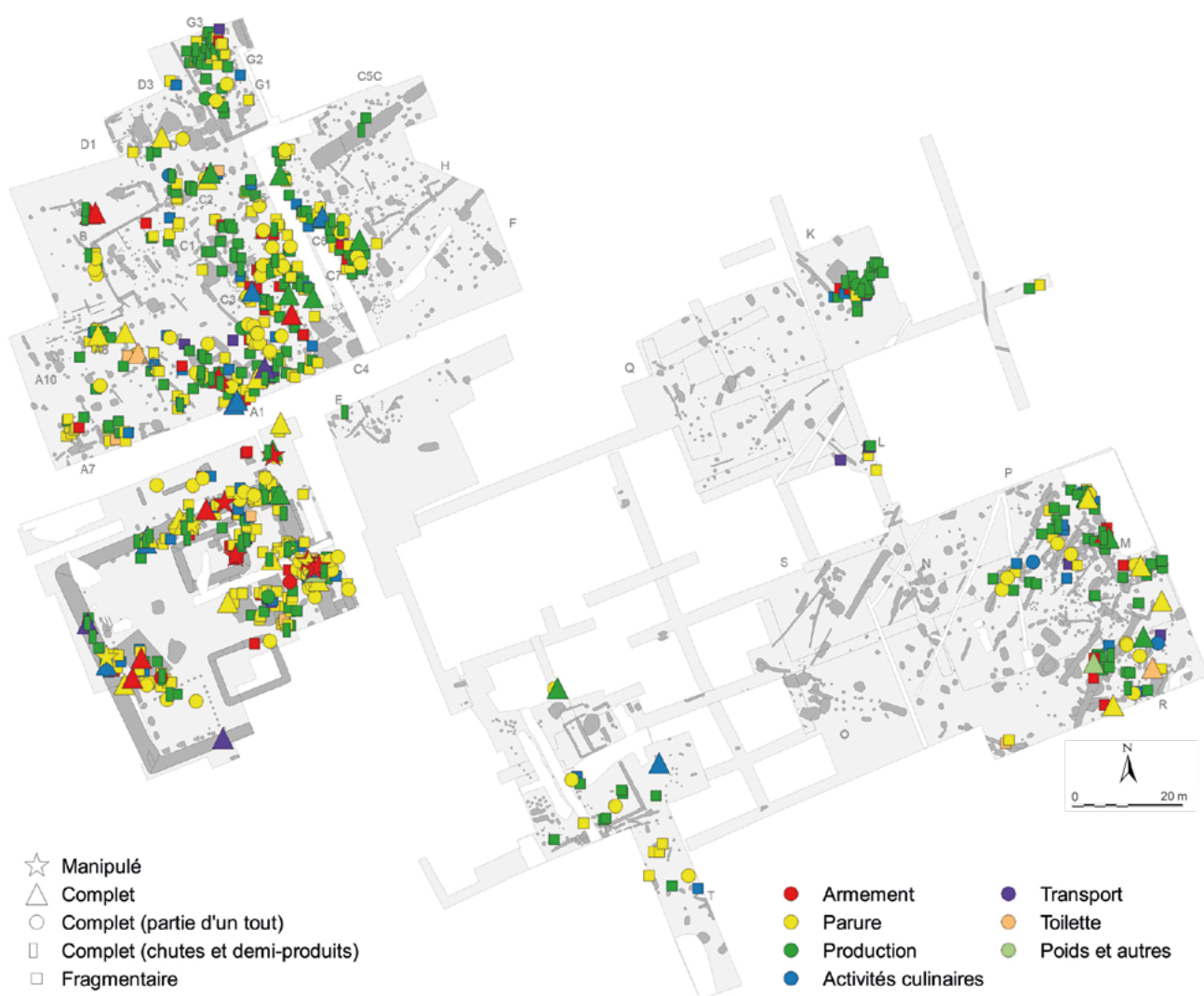


Fig. 263. *Taphonomie des objets issus des niveaux de sols des états 2.2 à 3.*

vestimentaires et parfois à de l'armement et à des ustensiles culinaires (fig. 264). Contrairement à la classe précédente, la catégorie fonctionnelle du transport est absente, tandis que la parure demeure minoritaire par rapport à la production. Les effectifs des corpus de cette classe incitent à distinguer les ensembles de 14 à 94 individus d'un assemblage isolé, le sol du bâtiment K (K-2-radier de sol), qui présente 220 individus. Emblématique de cette classe, ce niveau de sol livre les outils complets et fragmentaires d'un artisan du cuir ou du bois, corroyeur ou boisselier, selon l'interprétation de l'assemblage d'outils (voir *supra*, p. 215-217, fig. 159). L'importance quantitative de cet ensemble est principalement due aux nombreux clous qui reflètent très vraisemblablement une utilisation accrue dans l'architecture de ce bâtiment sur poteaux, mais qui peuvent aussi être reliés à l'artisanat pratiqué.

Les assemblages moins bien dotés reflètent des zones de travail ou de rejets artisanaux, selon la localisation intérieure ou extérieure du sol et la fragmentation des objets à leur surface. Ainsi, les niveaux des bâtiments C1 et C4 ou de l'annexe du bâtiment K correspondent à l'activité d'un atelier avec des outils fragmentaires et complets. Les deux ensembles situés à l'extérieur des bâtiments illustrent des zones de rejets comprenant des déchets métalliques divers ainsi que, dans un cas, des déchets de tabletterie (D-8-amas de mobilier 17231). Les sols d'ateliers identifiés de cette classe ne sont toutefois pas forcément pérennes. En témoignent les sols du théâtre à la composition cohérente pour attester le travail du fer (tas, poinçon, marteau, chutes, scories), durant le premier état (TH-30-démontage cailloutis 21780), et même celui du bronze (chutes, coulures), pour le radier supérieur (TH-18-radier 21753). Leur situation dans

Critères					
Composition (nbre)	NMI	Taphonomie	Contexte	Interprétation	Exemples
SOL-1 Production et parures en grande quantité et autres catégories, transport (5)	55 à 192	Tous sauf manipulé	Primaire, extérieur	Sols extérieurs proches de zones artisanales	CPL-3-sol ouest, CPL-4-épandage est, AC-4-épandage, G-1-radier
		Tous sauf manipulé	Primaire, extérieur	Sols extérieurs avec pratiques cultuelles	SCTE-7-sol de cailloutis
SOL-2 Production en grande quantité et parures en moins grande quantité et autres catégories, sans transport (12)	14 à 94	Tous sauf manipulé et complet	Primaire, extérieur	Sols extérieurs proches de zones artisanales	D-8-amas de mobilier 17231, A1-7-épandage 14010
		Tous sauf manipulé	Primaire, intérieur	Espace de travail	C1-17-sol 17343, TH-30-démontage cailloutis 21780
		Complet	Primaire, sanctuaire	Activité du sanctuaire, artisanat	SCTG-12-occupation est sud entrée
		Complet	Primaire, intérieur	Dépôt simple d'outils	M-72-sol 21033
	220	Tous sauf manipulé	Primaire, intérieur	Espace de travail	K-2-radier de sol
SOL-3 Parures et production fort, activités culinaires et armement faible (2)	208	Tous sauf manipulé	Primaire, extérieur	Sols extérieurs proches de zones artisanales	CPL-2-occupation ouest
	217	Tous sauf manipulé et complet	Primaire	Sols extérieurs (?) proches de zones artisanales	G-2-cailloutis
SOL-4 Parures et activités culinaires forte, production et armement faible (3)	92 à 102	Tous	Primaire, sanctuaire	Cuisine communautaire dans un cadre religieux	SCTD-2-épandage, SCTG-8-occupation nord
	157	Tous sauf manipulé et complet	Primaire	Cuisine communautaire et rejets artisanaux/accumulation de dépôts?	M-211-sol 21167
SOL-5 Parures très fortes, toutes les autres catégories représentées sauf toilette (1)	144	Tous	Primaire, entrée du sanctuaire	Dépôt par amoncellement	SCTPE-3-occupation
SOL-6 Poids et mesures et autres catégories (4)	32 à 44	Tous sauf manipulé	Primaire	Espace de travail	C3-15-sol 16411, R-4-radier 22229, SCTG-19-sol d'amphore est nord entrée
	139	Tous sauf manipulé	Primaire/secondaire	Commerce, extérieur	A7-10-remblai 16126
SOL-7 Transport fort (1)	19	Fragmentaires et complet (chute)	Primaire	Voie, espace extérieur	AC-2-sol

un édifice à vocation politique et dans ses semelles de fondation suggère une interprétation comme zones de travail ponctuelles liées aux différentes phases de construction du bâtiment public. Le dépôt d'un grand couteau complet, découvert sur la semelle de fondation du théâtre (TH-18-radier 21753), peut de même être évoqué. Il apporte encore plus de relief à l'analyse de ce niveau arasé qui comprend, probablement aussi, un peu de mobilier lié à l'activité des lieux. Une pratique artisanale de courte durée peut aussi être évoquée pour l'ensemble du sanctuaire, avec des coulures, un poinçon et des poids hémisphériques en plomb qui occultent ici le dépôt d'un couteau complet relatif à l'activité des lieux (SCTG-12-occupation est sud entrée).

Si son interprétation est orientée vers l'artisanat, cette classe comporte aussi d'autres catégories de mobilier. Elles expriment fréquemment des activités moins spécifiques, qui transparaissent grâce à une bonne représentation des objets de fonction culinaire. Couvrant une grande surface, le radier du bâtiment C5 est sur ce point éloquent, avec une concentration d'outils dans sa partie occidentale,

Fig. 264. Grille de lecture des assemblages des sols et des épandages des classes SOL-1 à SOL-7.

tandis qu'un couteau de boucher est associé à des crânes de bovidés, à l'angle de la place (C5-3-radier). Dans le même ordre d'idée, la très bonne représentation de parures fragmentaires, dans les deux zones de rejets artisanaux (D-8-amas de mobilier 17231, A1-7-épandage 14010), corrobore l'idée d'un faciès extérieur.

Représenté uniquement par des objets intacts, l'ensemble composé d'outils liés au travail du bois (herminettes, hache et coin), d'un bracelet en fer, d'un anneau de sertissage et d'une masse métallique ferreuse (M-72-sol 21033) appartient aussi à cette classe de composition (voir *supra*, fig. 142). Le retrait des cycles de consommation et de récupération de 6,3 kg de fer oriente l'interprétation de cet assemblage vers une cache de matière première ou un dépôt à connotation religieuse. La première hypothèse se justifierait dans une période de conflit ou au sein d'un atelier de forge. L'attribution de cet ensemble à l'état 2.2 dans un bâtiment sans discontinuité jusqu'à l'état 3 et la rareté des déchets artisanaux ferreux dans le secteur incitent à préférer l'hypothèse d'un acte ritualisé. Sa composition permet d'identifier cet ensemble comme l'un des rares dépôts complexes monométalliques du site (Bataille 2015, p. 156). Le bracelet en fer renforce l'interprétation religieuse de l'ensemble, puisque ces parures intactes se retrouvent fréquemment dans le sanctuaire, comme dans les autres dépôts de l'habitat.

Assemblages de classe SOL-3 (2)

Très proche de celle de la classe SOL-1, la composition de la troisième classe est caractérisée par une très forte représentation de la production (23 ind.) combinée à une bonne quantité de parures fragmentaires et systématiquement à de rares pièces d'équipement militaire et à des objets liés à la sphère culinaire (1 à 3 ind.) (fig. 264). Les deux ensembles relatifs à cette classe divergent toutefois sur la quantité de parures, nettement plus importantes dans la cour du complexe C, ainsi que sur la qualité des vestiges artisanaux. La place du complexe C est, en effet, caractérisée par de nombreuses parures, une très bonne proportion d'outils, dont certains complets, et des déchets liés au travail du bronze (CPL-2-occupation ouest), alors que le corpus des sols du bâtiment G est principalement composé de scories et de chutes, avec de rares outils fragmentaires (G-2-cailloutis). Bien que cet assemblage englobe à la fois des sols de bâtiments (G1 à G3) et l'espace de voirie intermédiaire, la distribution des parures et des vestiges artisanaux au centre de la zone, entre les bâtiments, justifie l'interprétation d'une zone extérieure située à proximité d'ateliers dans des conditions de rejets proches des celles documentées à Condé-sur-Suippe (Pion *et al.* 1997, p. 300-302). Aisés à identifier dans le complexe C, ils sont localisés de manière moins assurée dans le bâtiment G, tant les ensembles des bâtiments adjacents sont lacunaires. Tout au plus est-il possible de mentionner l'artisanat du fer omniprésent dans le bâtiment D3, dont une partie des déchets a pu être évacuée sur ce niveau de circulation.

Assemblages de classe SOL-4 (3)

Cette classe comprend trois ensembles caractérisés par de nombreux objets liés à l'activité culinaire, à hauteur d'au moins 4 individus, et par une bonne représentation de la parure (fig. 264). Avec un corpus inférieur à 103 individus, les deux niveaux d'occupation du sanctuaire (SCTD-2-épandage, SCTG-8-occupation nord) marquent les cuisines du lieu de culte. Ces emplacements dédiés à la préparation de la nourriture sont illustrés par des couteaux, dont un intact, une cuillère, un croc à viande au nord et des fragments de chaudrons et de passoire dans la structure sur poteau D à l'ouest du sanctuaire. Ces assemblages comprennent également des parures intactes et mutilées ainsi que de l'armement qui caractérise le faciès de l'état 2 du sanctuaire (fig. 265). Importants dans la définition de la classe, les objets artisanaux n'y sont représentés que par des chutes de tiges et des coulures, indiquant très vraisemblablement l'activité de récupérateurs (Poux et Demierre 2015, p. 179).



Fig. 265. Sol des cuisines du portique nord de la galerie du sanctuaire.

Ces assemblages du sanctuaire sont sur ce point très éloignés de l'ensemble du bâtiment M, au faciès artisanal principalement composé d'outils, dont de rares instruments agraires (faux, émondoir), mais aussi des outils liés à l'artisanat du bois (herminette, racloir ?) et du métal (ciseau droit) (M-211-sol 21167). Le niveau en lien avec le démontage du radier (M-111-radier), individualisé pour des questions d'insertion stratigraphique, s'apparente à cet ensemble et le complète avec notamment un coin et des chutes en alliage cuivreux. Leur réunion se justifie ici aussi au vu des fragments d'objets communs, dont des fragments d'une gouttière de grande taille qui pourraient avoir appartenu à un carnyx ou à une enseigne (voir *supra*, p. 293). Hormis cet objet à l'identification sujette à caution, aucune pièce d'équipement militaire n'est recensée dans ces assemblages, au contraire de ceux du sanctuaire. Les ressemblances sont en revanche manifestes sur le plan de la composition de l'*instrumentum* culinaire constitué d'un couteau presque intact, d'un croc à viande et de fragments de chaudron, d'une passoire, d'une pièce articulée de crémaillère et d'un gril. L'importance de l'effectif du corpus culinaire et sa diversité indiquent une cuisine communautaire, à l'activité similaire à celle restituée dans le sanctuaire. La situation de l'assemblage, à proximité immédiate du bâtiment P aux nombreux foyers et au corpus complémentaire (broche, croc à viande, chaudron, crémaillère), ne saurait y être étranger.

Cet assemblage pourrait tout autant être le fruit des rejets d'une intense activité culinaire et artisanale qu'un dépôt à connotation religieuse. Les arguments pour l'un comme pour l'autre ne manquent pas. La diversité des activités de production recensées (agriculture, bois, métal), la présence d'un dépôt d'outil au même emplacement à la phase suivante, ainsi que la taille générale des artefacts incitent à envisager un lieu de dépôt. Il s'apparenterait par sa composition aux ensembles de Larina (Perrin 1990) et de Sainte-Blandine (Chapotat 1970), qui diffèrent néanmoins par une meilleure conservation de leurs constituants et des corpus nettement plus importants, sur le plan quantitatif. Déterminer s'il s'agit d'une accumulation de plusieurs gestes successifs ou d'un lieu de circulation recevant un dépôt lors de la construction du radier de la phase suivante reste compliqué à évaluer en l'état. L'interprétation profane de l'ensemble, corroborée notamment par la fragmentation du corpus, inviterait à restituer les vestiges d'une cuisine spécialisée, voire professionnelle, dans le bâtiment P adjacent et une mise au rebut d'outillage inutilisable, lors de la construction du radier supérieur. La présence dans le bâtiment M de plusieurs autres outils liés au travail du bois à la même période (racloir, ciseau à bois) rajoute de la substance à cette hypothèse.

Assemblage de classe SOL-5 (1)

Seul représentant de cette classe, le niveau d'occupation sous le porche d'entrée du sanctuaire présente un faciès atypique, principalement constitué d'éléments circulaires (fig. 264). En témoignent les 86 monnaies, 65 jetons et la trentaine de perles en os, en verre et en bronze découverts dans ce seul ensemble. S'y ajoutent des pièces d'armement mutilées (fourreau et épée), des bracelets, dont un intact et un second volontairement détruit, des fibules ou encore un fléau de balance avec ses plateaux. Cette prédilection pour les éléments circulaires à l'entrée du sanctuaire fait l'objet d'une analyse qui a conclu à plusieurs possibilités d'interprétation : un amoncellement de dépôts individuels, des pratiques de vote, une marque des liens de clientélisme ou encore le recensement de la population (R. Guichon et K. Gruel *in* Poux et Demierre 2015, p. 591-609).

Assemblages de classe SOL-6 (4)

Deux ordres de grandeur ont été définis pour cette classe, caractérisée par la présence systématique d'instruments de mesure et une bonne proportion de vestiges artisanaux (fig. 264). Le premier désigne des ateliers d'artisans spécialisés qui emploient des instruments de pesée. Particulièrement éloquents, les assemblages des sols intérieurs du bâtiment C3 sont composés d'un ciselet et de fragments de marteau suggérant la pratique de l'orfèvrerie. De même, le sol du sanctuaire livre un poids, un fond de creuset en électrum et un hypothétique coin monétaire, qui pourraient constituer un ensemble cohérent lié à la production de numéraire, malgré une répartition lâche au sein de la couche. Le contexte cultuel y est marqué par une fibule à arc outrepassant au ressort démantelé. Issus d'un radier de l'état 3 du bâtiment R, le poids en billon, les manches d'une pince de forgeron, un fragment de douille, une chute de tôle de bronze repliée et des forces invitent également à y restituer le sol d'un atelier.

Plus riche, le dernier ensemble (A7-10-remblai 16126) est recouvert par le radier du bâtiment A7, dont il forme soit l'assise de fondation, soit le sol antérieur. Ce niveau, qui fournit un fléau de balance et un poids en pierre de facture romaine, est le seul à comporter des pièces de transport (embout de timon, aiguillon) et sept parures, ce qui le rapproche des assemblages de la classe SOL-1 et laisse envisager un niveau extérieur. La production y est principalement représentée par des scories et par deux outils liés au travail du bois (gouge et ciseau droit) qui évoquent des rejets artisanaux non spécifiques. Compte tenu de ces éléments, cet ensemble se rapproche plus d'un espace extérieur, avec une connotation commerciale et des rejets artisanaux, que d'un sol d'atelier.

Assemblage de classe SOL-7 (1)

Un contexte provenant de la ruelle entre les complexes C et A fournit une frette de moyeu et une applique de caisse de char ainsi qu'un aiguillon (AC-2-sol) (fig. 264). Ces trois pièces liées au transport marquent la composition et l'interprétation de cette classe. L'ensemble comprend encore trois parures (fibules et perle) ainsi que des rejets liés au travail des métaux situé à proximité (pelle à feu, tas, chute de tôle).

Assemblages de classe SOL-8 (93)

Cette classe représente les faciès les moins spécifiques du corpus avec des proportions de matériel peu représentatif, proches des normes observées sur la totalité des sols (fig. 266). Ils peuvent intégrer l'ensemble des catégories, à l'exception des instruments de pesée et du transport dont la présence sur un niveau de sol a mené à l'établissement des classes SOL-6, SOL-7 et SOL-9. Cette classe peut comprendre des instruments liés à la sphère culinaire, alors représentée par deux individus, les assemblages avec un seul artefact étant affiliés à la classe SOL-10. Afin de générer une réflexion sur ces assortiments peu significatifs, trois groupes ont été distingués, selon les ruptures naturelles

Critères					
Composition (nbre)	NMI	Taphonomie	Contexte	Interprétation	Exemples
SOL-8 Faciès commun avec toutes les catégories représentées en faible nombre sauf transport et poids et mesures (93)	1 à 30	Fragmentaire, complet (tout)	Primaire/secondaire	Activité courante	C1-16-sol 16608, D-15-épandage 17283, R-20-sol 22236
		Fragmentaire, complet (chute) (prod. seule)	Primaire, habitat	Activité artisanale peu marquée	D3-5-épandage 18531, M-53-radier 21124, R-19-sol 22234, R-8-radier 22272
		Complet (outils)	Primaire, extérieur	Sols extérieurs proches de zones artisanales	CPL-5-sol est
		Complet (outils)	Primaire, habitat	Activité artisanale	M-117-sol 20084, R-6-radier 22231, M-118-sol 21699-80
		Complet (autres)	Primaire, habitat	Dépôts ambigu/ activité courante	BCN-1-épandage 16340, M-13-radier 20052, M-21-remblai 21102, A1-25-épandage est
		Fragmentaire, complet	Primaire, sanctuaire	Activité du sanctuaire	SCTFN-7-occupation piégée, SCTG-20-sol d'amphore sud entrée, SCTX-3-Sol 19035
		Manipulé	Primaire, sanctuaire	Activité du sanctuaire, dépôt complexe	SCTGRN-11-niveaux laténiens, SCTA-9-sol laténien, TH-40-sol 20343
	35 à 57	Tous sauf manipulé et complet	Primaire	Activité courante, avec le plus souvent une part artisanale	C3-3-interface 17307, BCP-6-épandage, M-4-radier d'amphore 20099, C6-22-épandage, M-27-épandage 20063, R-9-radier 22273, SCTG-26-remblai sol est, AC-5-épandage
		Complet, manipulé	Primaire	Activité du sanctuaire	SCTG-13-sol d'amphore nord, SCTG-11-occupation est nord entrée
	74 à 97	Tous sauf manipulé et complet	Primaire	Activité courante avec une part artisanale	A9-4-sol 16083
		Tous	Primaire, sanctuaire	Activité du sanctuaire	SCTG-5-empièvements sud entrée

dans l'effectif : de 1 à 30 individus, de 35 à 57 individus et de 74 à 97 individus. Plus que pour les autres classes, la taphonomie et la mise en contexte semblent primordiales pour tenter d'interpréter ces ensembles, en particulier les plus pauvres en mobilier. La majorité des assemblages comportant de **1 à 30 individus** présente uniquement des objets fragmentaires ou des chutes et des objets complets faisant partie d'un tout. Ces ensembles peu fournis représentent une activité courante, avec souvent une part artisanale, où figurent aussi parfois des parures, de l'armement, des instruments de toilette et dans un cas, deux objets liés à la sphère culinaire. Ces assemblages peu éloquents correspondent généralement à des sols intérieurs dont l'entretien et le nettoyage ont conduit à générer ce type de faciès.

Parmi ceux-ci se retrouvent des ensembles qui comportent uniquement des objets liés aux activités de production (outils fragmentaires et déchets), le plus souvent en petit nombre. Il peut s'agir d'outils fragmentaires ou de déchets. Ces ensembles peuvent donc refléter tant des activités artisanales occasionnelles que signaler le sol d'un atelier ou une zone de rejet. Dans un bâtiment, leur nombre et la cohérence des assemblages à la même phase signalent un atelier. Ces associations de sols peu fournis s'observent par exemple dans le bâtiment R, qui livre des chutes et des scories sur ses radiers de l'état 2.3 (R-21-radier 22243, R-19-sol 22234), tandis qu'une fibule en cours de fabrication et des scories sont recensées à l'état 3 (R-8-radier 22272, R-15-radier 22274). De même, le

Fig. 266. Grille de lecture des assemblages des sols et des épandages de la classe SOL-8.

lot de demi-produits et de scories de l'épandage en surface du bâtiment D3 (D3-5-épandage 18531) marque l'activité des lieux. Celle-ci est aussi signalée, à cet endroit, par la présence de nombreuses pièces de quincaillerie (crampons, ferrures, fonceur de serrure), qui laissent supposer une collecte en vue d'un recyclage ou peuvent être interprétées comme la production non commercialisée de l'atelier.

Dans le même ordre d'idée, d'autres ensembles livrent des outils intacts, à commencer par la partie orientale de la place du marché (CPL-5-sol est) qui n'apparaît pas dans les classes 1 ou 3, en raison du faible nombre de parures recensées (1 ind.). La concentration d'outils emblématiques de la mise en forme de la tôle (tas, emporte-pièce, poinçon à emboutir), en face du bâtiment C6, illustre l'activité des lieux, tandis que la serpette et la hachette apparaissent plus au nord, à proximité du bâtiment C5. À nouveau, la cohérence des assemblages et leur position conduisent à identifier les rejets d'un atelier spécialisé.

Situés à l'intérieur de bâtiments, les autres assemblages avec un outil complet pourraient aussi être interprétés comme le témoignage de l'activité des lieux. L'appellation d'objet intact se révèle toutefois trompeuse, tant les outils concernés sont pour la plupart petits (ciselets, alène, poinçon à emboutir, ciseau droit) et peuvent tout à fait correspondre à des pertes ou des abandons peu significatifs. De ce point de vue, l'hypothèse de dépôt volontaire semble pouvoir être exclue. Là encore, l'homogénéité des activités documentées, sur un même sol ou sur plusieurs sols d'un même bâtiment et d'une même phase, renforce l'interprétation. Ainsi, le poinçon à emboutir associé à de nombreuses scories du bâtiment R (R-6-radier 22231) étaye l'identification d'un atelier à cet emplacement. Il en est de même pour le ciselet du bâtiment C5 associé à une pince à épiler en cours de fabrication (C5-7-remblai 17069). Dans le même ordre d'idée, la présence d'un racloir intact lié au travail du bois et d'un ciseau droit à soie, à l'état 2.1 du bâtiment M, oriente vers l'identification d'une activité artisanale (M-117-sol 20084, M-118-sol 21699-80). La difficulté réside ici dans l'absence de déchets organiques qui impose de réfléchir avec des corpus moins éloquents que ceux concernant l'artisanat du métal. L'hypothèse d'un objet rangé et abandonné dans un contexte domestique, une observation fréquemment réalisée en ethnoarchéologie, ne peut toutefois pas être totalement exclue. Un outil complet sur un sol ne marque donc pas forcément un atelier pérenne, comme en témoigne par exemple le ciselet issu d'un épandage de l'hémicycle de réunion (TH-45-épandage 20417).

Lorsque l'on se concentre sur les autres types d'objets complets, l'interprétation varie selon le contexte et la nature des artefacts. Le premier ensemble à mentionner regroupe trois demi-produits intacts accompagnant une agrafe de ceinturon et un talon de lance à proximité immédiate d'une fosse de la cour nord du bâtiment B (BCN-1-épandage 16340). Déconnectée de tout contexte artisanal, cette concentration de matière première demeure inédite et n'est pas recensée dans les ensembles d'ateliers. Cet assemblage pourrait de ce fait constituer une cache ou un dépôt volontaire réalisé le long de la palissade bordant la cour. Déterminer si l'agrafe de ceinturon et le talon de lance intègrent ce dépôt ou s'ils ont été perdus à proximité demeure hypothétique. De même, il est probable que cet ensemble résulte de l'érosion du comblement de la fosse adjacente, de seulement 12 cm de profondeur, à la surface de laquelle a été retrouvée l'agrafe de ceinturon.

Un autre épandage atypique s'étend à l'est du bâtiment A1 (A1-25-épandage est). Avec un couteau et un croc complets, des fragments de chaudron, des outils (tas et ciseau) et demi-produits, des parures et de l'armement, cet assemblage demeure difficile à interpréter et semble correspondre tant à une activité artisanale qu'au relief de l'activité religieuse documentée à proximité (voir *infra*, classe SOL-12). Il est probable qu'il englobe plusieurs niveaux différenciés d'occupation, une interprétation qui est aussi évoquée pour le sol 14030 du bâtiment A1 (voir *infra*, classe SOL-12).

Deux ensembles (A2-2-radier, R-36-radier 22247) livrent des pinces à épiler complètes, un type d'objet documenté dans le sanctuaire, dont la petite taille n'exclut pas la perte. Elles sont accompagnées par des parures, constituant ainsi un faciès domestique sans aucun élément artisanal. Plus ambigus, les deux bracelets, à épissures et tubulaire, des états 2.3 et 3 du bâtiment M (M-13-radier 20052, M-21-remblai 21102), interpellent par la datation de leur contexte postérieure à la chronologie usuelle retenue pour leur type (LTD1). Ils pourraient constituer des dépôts au regard du référentiel du sanctuaire, bien qu'il puisse aussi s'agir d'éléments oubliés. Un bracelet à épissures complet est par exemple documenté, dans la ferme du Pâtural (Deberge *et al.* 2007b, pl. 77, n° 25).

Le sanctuaire livre plusieurs niveaux de circulation avec des objets intacts ou comportant des traces de destruction volontaire. Ces pratiques portent ici essentiellement sur les parures, une bague en or ployée (SCTGRN-11-niveaux laténiens) et une boucle d'oreille (SCTG-20-sol d'amphore sud entrée) et sur l'armement avec le sol du bâtiment A, qui livre plusieurs fragments de bouterolle avec des traces de torsions (SCTA-9-sol laténien). Ces aspects taphonomiques révèlent des pratiques culturelles fréquemment observées dans le sanctuaire et aussi reconnues dans les assemblages des autres ordres de grandeur de la classe SOL-8. Malgré l'absence de traitement, l'extrémité de pointe de lance retrouvée à proximité du dépôt de type trophée (SCTX-3-sol 19035) et les trois fragments de bouterolle d'un niveau d'occupation du premier état (SCTFN-7-occupation piégée) correspondent aussi vraisemblablement au même type d'activité. Un seul ensemble à l'extérieur du sanctuaire présente aussi les vestiges de telles manipulations (TH-40-sol 20343). Ce sol, situé au nord de l'*orchestra* de l'hémicycle de réunion, livre deux fragments d'orles arrachés. Il constitue, avec le niveau inférieur du bâtiment A1 (voir *infra*, classe SOL-12), les seules occurrences de destruction volontaire d'armement documentées sur les sols à l'extérieur du sanctuaire. Cette pratique est toutefois plus fréquemment observée dans les structures en creux.

Le deuxième ordre de grandeur (**35 à 57 individus**) englobe douze assemblages qui, à une exception près (BCO-3-lambeaux de sol), livrent des objets liés à la production. Dix ensembles ne fournissent que des pièces fragmentaires, des objets faisant partie d'un tout et des chutes. Ils correspondent principalement à des reliefs d'activités courantes, avec une part artisanale qu'il demeure difficile de qualifier dans la plupart des cas. Se dégagent néanmoins les ensembles comportant des assemblages cohérents tels que le radier 22273 avec un fragment de lime, un demi-produit en alliage cuivreux et de nombreuses scories (R-9-radier 22273). De même, les sept parures et les chutes de l'épandage de la ruelle entre les complexes A et C attestent un faciès extérieur proche de celui de la classe SOL-3 (AC-5-épandage).

Deux ensembles du sanctuaire présentent un bracelet à extrémité bouletée complet (SCTG-11-occupation est nord entrée) et une plaque de fourreau repliée à deux reprises sur elle-même (SCTG-13-sol d'amphore nord), deux éléments qui soulignent les faciès typiques du lieu de culte.

La même réflexion peut être réalisée pour les deux ensembles aux corpus les mieux dotés (**74 à 97 individus**). Le sol du bâtiment A9 (A9-4-sol 16083) ne contient pas d'objets complets ou manipulés. Il présente des traces d'activité artisanale peu représentative (coulure et demi-produit en alliage cuivreux, chute en fer), alors que le corpus du radier, à proximité de l'entrée du lieu de culte, illustre à nouveau l'activité du sanctuaire avec un couteau intact, une extrémité distale d'épée comportant des traces de coups sur sa lame et sept parures, dont cinq perles (SCTG-5-empierrements sud entrée).

Assemblages de classe SOL-9 (7)

Très proche de la précédente, cette classe s'en distingue par la présence systématique d'une pièce liée au transport, une catégorie qui signale souvent les

espaces ouverts (fig. 267). Elle comprend tout d'abord deux assemblages (1 et 2 ind.) difficilement interprétables (R-17-épandage 22232, SCTG-18-sol d'amphore sud). Les assemblages de taille médiane (18 à 66 ind.) sont situés dans des espaces extérieurs (A1-26-épandage nord, C2-12-épandage 16307), dont ils sont représentatifs à un degré moindre que les assemblages des classes 1 à 3. La frette de moyeu de char brûlée du sol du bâtiment L (L-2-sol) interpelle, car elle ne signale pas un niveau de voie, mais bien un rejet artisanal ou alors une pratique religieuse ou funéraire, tant cet élément ressemble aux pièces de char recueillies dans une tombe de Pulvérières (Blaizot *et al.* 2014, st. 87, pl. 8).

L'attribution de l'occupation de la branche ouest du sanctuaire (SCTG-9-occupation ouest) à cette classe repose sur l'unique présence d'une boucle de harnais. Cet assemblage comprend une potence complète, un fond de récipient en alliage cuivreux, un fragment de manipule et plusieurs parures dont un bracelet à terminaisons bouletées aux joncs volontairement écartés. Il s'agit bien là d'un ensemble caractéristique de l'activité du lieu de culte, comparable aux observations réalisées pour l'épandage de la structure de boucherie adjacente ou du niveau d'occupation de la branche nord de la galerie périphérique (voir *supra*, classe SOL-4).

Critères					
Composition (nbre)	NMI	Taphonomie	Contexte	Interprétation	Exemples
SOL-9 Identique SOL-1 avec une pièce de transport (7)	1 à 2	Complet (chute), fragmentaire	Primaire/secondaire	Extérieur? peu représentatif	R-17-épandage 22232
	16 à 40	Complet (chute), fragmentaire	Primaire	Espace extérieur	A1-26-épandage nord, C2-12-épandage 16307
		Brûlé	Primaire	Dépôt ambigu?	L-2-sol
	46	Tous, complet et manipulé	Primaire, sanctuaire	Cuisine communautaire dans un cadre religieux	SCTG-9-occupation ouest
SOL-10 Identique SOL-1 avec une pièce liée aux activités culinaires (28)	1 à 12	Tous sauf manipulé et complet	Primaire, habitat	Activité courante, culinaire	M-69-radier 20249, R-37-sol d'amphore 22233, A1-2-radier
			Primaire, faune	Boucherie	C1-5-épandage 18652
		Tous sauf manipulé	Primaire, communautaire	Cuisine/consommation communautaire	TH-21-radier 21832, SCTG-14-sol d'amphore 10192
	18 à 66	Tous sauf complet et manipulé	Primaire/secondaire	Activité courante, culinaire	A2-10-sol 16543, D-3-radiers
		Manipulé	Primaire, communautaire	Cuisine/consommation communautaire	TH-29-cailloutis 21780, SCTG-1-interface LT-GR, SCTG-25-remblai sol nord
		Tous sauf complet et manipulé	Primaire, habitat	Espace de travail	C1-15-épandage 18662
	112 à 115	Tous sauf manipulé	Primaire, habitat	Activité courante, culinaire	C3-2-radier
			Primaire, faune	Boucherie ?	A8-2-épandage
SOL-11 Toutes les catégories représentées (1)	121	Complet (chute), fragmentaire	Primaire/secondaire	Activité du sanctuaire	SCTE-6-interface LT-GR
SOL-12 Armement, toutes les catégories représentées sauf toilette (1)	207	Manipulé et complet ou fragmentaire	Primaire	Dépôt mixte par accumulation	A1-20-sol 14030

Fig. 267. Grille de lecture des assemblages des sols et des épandages des classes SOL-9 à SOL-13.

Assemblages de classe SOL-10 (28)

La composition de cette classe se rapproche du faciès standard (classe SOL-8) avec la particularité de présenter systématiquement un individu dans les activités culinaires (fig. 267). Trois ordres de grandeur d'effectifs sont retenus selon les ruptures naturelles observées: de 1 à 12, de 18 à 66 et de 112 à 115 individus. Ces sols sont très souvent localisés à l'intérieur de bâtiments, avec une exception, un épandage de la cour du complexe A à proximité du bâtiment A7 (ACI-2-épandage). Ils indiquent des ensembles à consonance domestique où les activités de production jouent un rôle secondaire, dans la plupart des cas (fig. 267).

Cette interprétation est particulièrement valide pour les ensembles d'habitat de petite taille aux objets fragmentaires qui livrent très rarement des vestiges artisanaux. Ils peuvent toutefois aussi représenter des activités de production, comme en témoigne le couteau à dos arqué associé à un rachis de bœuf dans le bâtiment C1 (C1-5-18652). Leur recension dans la branche nord du sanctuaire est tout à fait cohérente avec les cuisines et les foyers identifiés dans cette zone du lieu de culte et qui apparaissent dans l'ordre de grandeur suivant. Y figurent alors des éléments complets (couteau) ou manipulés (flamme de lance pliée) et d'assez nombreuses parures (SCTG-1-interface LT-GR, SCTG-25-remblai sol nord).

Il est à première vue surprenant de voir figurer dans cette classe deux ensembles de l'hémicycle de réunion (TH-29-cailloutis 21780, TH-21-radier 21832), un lieu où la faiblesse de l'effectif lié aux activités culinaires a déjà été relevée (voir *supra*, chap. 3.4). Dans le détail, il apparaît que cette classification s'avère tout à fait en adéquation avec la consommation de boisson, marquée ici par un fragment de *simpulum* et un poucier de passoire. Elle corrobore ainsi les observations réalisées à l'aide du faciès céramique (majorité de vases à boire) et la quantité de fragments d'amphores recueillie sur et en bordure du sol de ce lieu de réunion (fig. 268).



Fig. 268. Sol de l'hémicycle de réunion.

La dimension domestique que revêt ce type de composition occulte parfois des faciès d'atelier spécialisé qui sont des lieux de travail, mais aussi de vie. Un assemblage dans lequel la dimension artisanale est prépondérante illustre tout particulièrement bien ce propos (C1-15-épandage 18662). Dans ce bâtiment, le sol livre un fragment de marteau, des demi-produits en fer et en alliage cuivreux, une gouttière en cours de fabrication ainsi que plusieurs outils lithiques représentant l'activité principale des lieux, alors qu'un infime fragment de lèvre de situle est documenté. Il convient donc de lui restituer une fonction de sol d'atelier, malgré sa composition.

Avec 112 et 115 individus, les deux derniers assemblages reflètent des activités peu spécifiques. Le radier du bâtiment C3, qui comporte une part artisanale faible (chutes et scories résiduelles), appartient à cette classe, soulignée ici par la présence d'une cuillère (C3-2-radier). Une pointe de lance intacte et les fragments de bouterolle et d'épée recueillis à sa surface illustrent probablement une fonction particulière ou des traces de violence, tant il est rare de disposer d'un tel corpus d'équipement militaire, en contexte d'habitat. À ces éléments peuvent s'ajouter les fragments d'umbo, la pointe de flèche à barbelure et le fragment de casque issu du sol adjacent (CPL-2-occupation ouest). L'épandage du bâtiment A8 présente un lot d'outils hétérogène (ciseau à bois, herminette, forces, demi-produits, scories). L'attribution à cette classe de cet ensemble mal compris à la fouille réside dans la présence de l'une des rares poêles en fer du site. La fonction de récipient servant à recueillir le suif, lors des activités bouchères identifiées dans la zone par des restes fauniques éloquentes, pourrait s'en trouver renforcée (voir *supra*, p. 243). Sa présence dans l'ensemble constituerait alors un argument pour identifier un lieu de découpe et de valorisation des produits carnés.

Assemblage de classe SOL-11 (1)

Regroupant les objets à l'interface entre les sols laténiens de la cour du sanctuaire et les remblais postérieurs, le seul assemblage de cette classe est caractérisé par un corpus riche où figurent toutes les catégories fonctionnelles (fig. 267). Sur de nombreux points, il est très similaire à l'assemblage de la cour du sanctuaire (SCTE-7-sol de cailloutis), même si aucun instrument de toilette ou de pesée n'y a été recensé et que la proportion de parures, parfois complètes, y est nettement plus importante. Composé uniquement d'objets fragmentaires et de chutes, cet ensemble présente un mélange peu pertinent entre pratiques de dépôt liées au lieu de culte, reliefs d'activité artisanale (chutes, angrois) et éléments marquants des niveaux extérieurs, comme des objets liés au transport.

Assemblage de classe SOL-12 (1)

La dernière classe ne comprend qu'un ensemble (A1-20-sol 14030), qui se démarque par la fréquence de l'armement (fig. 267). Ces pièces d'équipement militaire sont associées à de nombreuses parures, des ustensiles culinaires et des outils et déchets artisanaux, ainsi qu'à des éléments liés au transport et à la pesée. Cet assemblage détonne également sur le plan taphonomique. Un objet complet est attesté pour chaque catégorie fonctionnelle, tandis que plusieurs parures et pièces d'équipement militaire présentent des traces de manipulation volontaire : le pied de deux fibules a été replié vers l'arc (pl. 6, n^{os} 1 et 4), tandis que des pièces de bouclier (umbos et orles) ont été arrachées de leur support organique (pl. 7 et 8). À ces objets indiquant des pratiques de dépôt, s'ajoutent plusieurs instruments culinaires (deux couteaux, dont un intact, louche, collerette de chaudron et cerclage de seau) significatifs de la consommation de nourriture et de boisson. En prenant en considération ces seuls éléments, cet assemblage constitue un condensé des pratiques documentées dans le sanctuaire au regard de sa composition et de sa taphonomie. Il s'en différencie néanmoins par la présence d'outillage (limes, ciseau à bois complet, outils fragmentaires) et de demi-produits, dont un lingot en alliage cuivreux planiconvexe de 152 g, qui constituent autant d'éléments exclus des pratiques de dépôt, dans le

sanctuaire. Ces éléments pourraient correspondre à un changement d'affectation du secteur, qui aurait fonctionné comme atelier durant l'état 1 pour devenir un lieu de dépôt à l'état suivant. Néanmoins, les outils, auxquels peuvent être ajoutées deux herminettes intactes issues d'un trou de poteau et d'un solin du bâtiment (pl. 4 et 5), semblent bien faire l'objet de dépôt dans le secteur. Ces mêmes outils se retrouvent dans des dépôts réalisés dans le bâtiment Q. Le même postulat pourrait être avancé pour les objets de transport qui ne participent pas aux assemblages recueillis dans le sanctuaire. Cette catégorie permet d'aborder le sujet épineux du contexte dans lequel ce sol s'inscrit. Les structures manquent en effet pour former un bâtiment cohérent et les pièces de char et de harnais indiquent un espace extérieur. *A contrario*, les nombreuses pièces de quincaillerie, parmi lesquelles des éléments de serrure, évoqueraient plutôt un édifice couvert, où les éléments liés au transport auraient été déposés. Certaines incertitudes demeurent concernant cet assemblage qui évoque un lieu de dépôts, dont l'activité comprend des dépositions de parure, d'armement volontairement détruit et des objets complets, ainsi qu'une part non négligeable d'instruments culinaires permettant la consommation de nourriture, dans un cadre ritualisé. Il serait de ce point de vue tentant d'interpréter ce sol et par extension le bâtiment A1 à cette phase comme un lieu de culte annexe au sanctuaire principal. On pourrait opposer à cette interprétation la possibilité d'un dépôt d'objets liés à



Fig. 269. Composition et quantification des assemblages issus des trous de poteaux.

l'activité même du sanctuaire situé à quelques mètres. La possibilité d'extraire des objets de l'enceinte sacrée y est en effet concevable, grâce à l'identification de tri, notamment sur l'armement (extrémité proximale d'épée et de fourreau, corps du carnyx) (Poux et Demierre 2015, p. 569-570). Si l'hypothèse est séduisante pour les pièces volumineuses, elle l'est nettement moins pour les fibules et les perles de petite taille qui jonchent ce sol, qui n'a pas d'équivalent dans le lieu de culte.

4.2.2. LES TROUS DE POTEAU

L'étude des trous de poteau s'inscrit dans la continuité des travaux de P. Trebsche (2005), d'O. Nillesse (2006) ou de C. von Nicolai (2014) qui soulignent que ces structures peuvent être le réceptacle de pratiques ritualisées. La réflexion porte sur l'identification de dépôts volontaires, lors de la construction et de la désaffectation du trou de poteau. Elle est orientée tout d'abord en fonction des données du sanctuaire, qui indiquent les catégories de mobilier (armement, parures, activités culinaires) utilisées de manière préférentielle dans un cadre religieux. La caractérisation des gestes propres à l'habitat peut ensuite être effectuée par un jeu de comparaisons entre marqueurs assurés et éléments moins spécifiques. La grande majorité des trous de poteau a toutefois piégé du matériel détritique lié aux activités ayant cours à leur proximité, reliefs de vie quotidienne ou reliquats de travail artisanal, qu'il s'agira d'identifier à l'aide de la composition et de la taphonomie des objets issus de leur comblement.

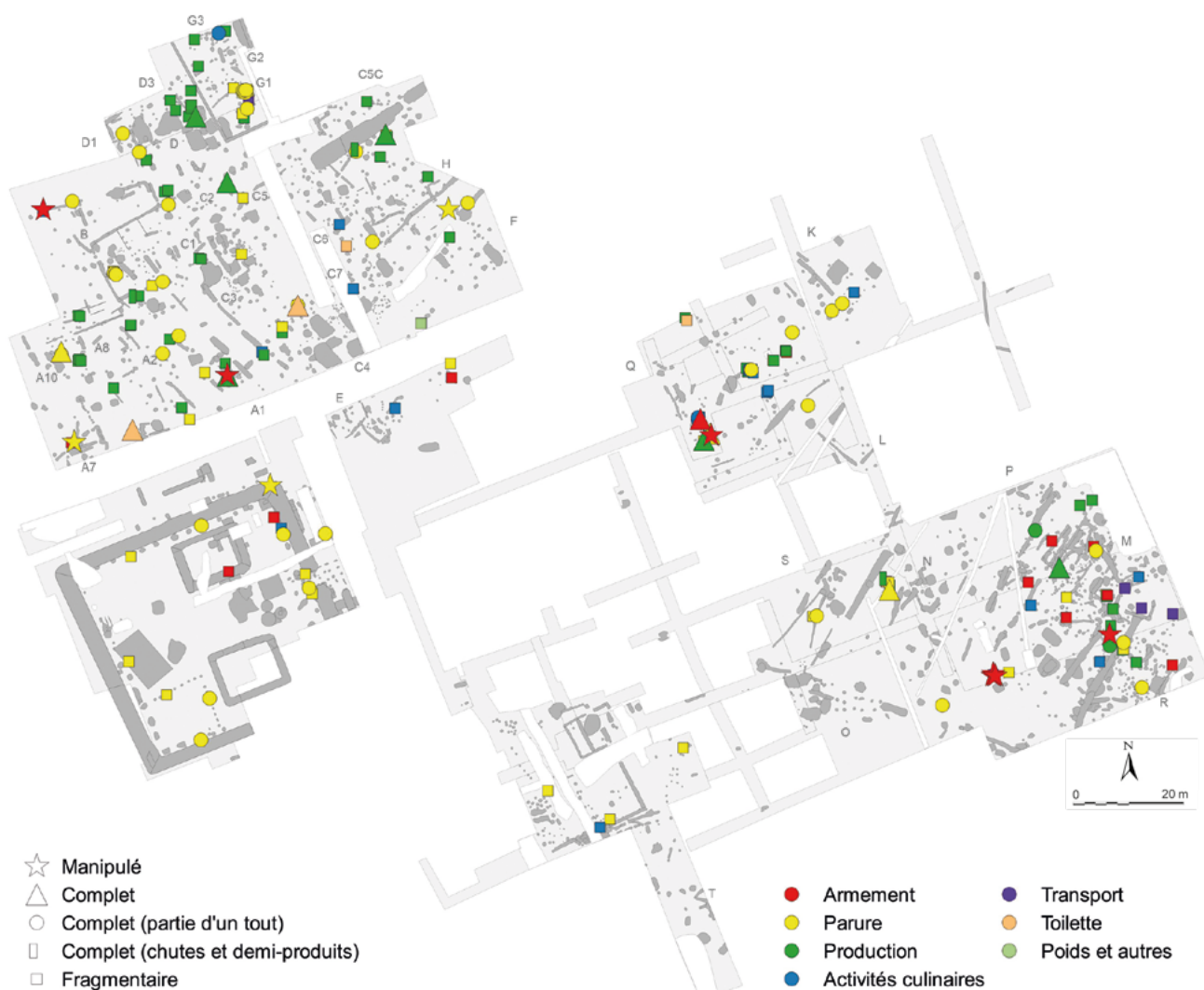


Fig. 270. Taphonomie des objets issus des trous de poteaux.

Cette démarche interprétative comprend, dans un premier temps, la définition de dix classes de composition à l'aide d'une matrice de présence/absence (cat. 63 et 64). La méthode opère de manière hiérarchique en commençant par les catégories signifiant souvent un acte rituel. Ainsi, la définition des classes débute par l'individualisation des assemblages de composition diversifiée, avec de l'armement (classe TP-1) et ceux livrant uniquement des pièces d'équipement militaire (classe TP-2). Elle continue par catégorie de mobilier représentée seule, puis en association avec d'autres et procède par élimination. Ainsi, la troisième classe (classe TP-3) présente uniquement des objets liés aux activités culinaires tandis que la quatrième (classe TP-4) comporte des artefacts relatifs aux activités culinaires et à d'autres catégories, à l'exception de l'armement. Ces classes définies, l'analyse série ensuite l'importance quantitative des ensembles (fig. 269) et prend en considération la fragmentation et les éventuelles manipulations des lots en question. Leur distribution spatiale offre enfin l'opportunité de les contextualiser et de les interpréter (fig. 270 et fig. 271).

Critères					
Composition (nbre)	NMI	Taphonomie	Contexte	Interprétation	Exemples
TP-1 Armement et autres (10)	2 à 6	Manipulé et complet ou fragmentaire	Passage, primaire ou secondaire	Dépôt complexe	A1-24-TP 15729, BCN-13-TP 16349, M-170-TP 21097, A7-5-TP 16140
		Fragmentaire	Secondaire	Dépôt simple d'armement	M-180-TP 20230
	9 à 21	Manipulé, complet	Primaire	Dépôt complexe	Q-10-TP 20653, Q-11-TP 20680, M-125-TP 21558
		Fragmentaire	Secondaire	Activité artisanale	Q-27-TP 22036
	501	Brûlé, fragmentaire	Primaire, collecte longue	Dépôt ambigu	G1/D2-1-TP18585
TP-2 Armement (7)	1	Manipulé	Passage	Dépôt d'armement	R-56-TP 21395
	2 à 14	Fragmentaire	Secondaire, dans le sanctuaire	Activité du sanctuaire	SCTG-37-TP 11243, SCTA-7-TP 10218
		Fragmentaire	Secondaire	Dépôt ambigu	M-78-TP 21193, M-23-TP 21355
TP-3 Activités culinaires (9)	1 à 6	Fragmentaire	Secondaire	Activité courante, culinaire	Q-8-TP 20701, K-6-TP 20616, C7-7-TP 17547
TP-4 Activités culinaires et autres (5)	3 à 7	Fragmentaire	Secondaire	Activité courante culinaire	E2-4-TP 17766, SCTG-38-TP 11244
	16 à 53	Fragmentaire et complet (tout)	Secondaire	Activité courante culinaire et/ou artisanale	Q-4-TP 22023, BCP-7-TP 15443
TP-5 Parures (38)	1 à 13	Manipulé	Primaire	Dépôt de parure	H-21-TP 18049
		Complet (tout), fragmentaire	Secondaire	Activité courante	Q-28-TP 22038, SCTG-33-TP 11216, BCN-11-TP 16353
TP-6 Parures et production (8)	2 à 5	Complet (tout), fragmentaire	Secondaire	Activité courante avec une part artisanale	M-143-TP 20813, A10-4-TP 16169, C4-21-TP 16452
	10 à 18	Complet (tout), fragmentaire	Secondaire	Activité courante peu marquée	A2-14-TP 15713, Q-32-TP 22061
		Complet et fragmentaire	Primaire/secondaire	Dépôt d'outil, de parure ou ambigu	A10-4-TP 16169, C5C-19-TP 18104, Q-18-TP 20697
TP-7 Production (46)	1 à 37	Complet (chute), fragmentaire	Primaire/secondaire	Activité artisanale peu marquée	A10-8-TP 16131, R-75-TP 22385, BCP-19-TP 15618, F-16-TP 18113
		Complet	Secondaire	Activité artisanale	C5-33-TP 17224, M-176-TP 20165
		Complet	Primaire/secondaire	Dépôt ambigu	G1-1-TP 18806
TP-8 Toilette et autres (6)	2 à 16	Fragmentaire	Primaire/secondaire	Activité courante, domestique	S-23-TP 22497, C6-2-TP 17659, Q-6-TP 22058
		Complet	Primaire	Dépôt ambigu/mixte	ACI-7-TP 16046, C4-18-TP 17301, S-23-TP 22497
TP-9 Transport (4)	1 à 6	Fragmentaire	Secondaire	Activité courante à proximité d'un espace extérieur	G1/D2-2-TP 18573, M-26-TP 21699-19
TP-10 Quincaillerie (320)		Fragmentaire	Primaire/secondaire	Pas d'activité	

Fig. 271. Grille de lecture des assemblages issus des trous de poteau.

Les trous de poteau représentent le type de structure le plus fréquent, avec 453 assemblages, dont 320 livrent uniquement des pièces de quincaillerie, représentées par un seul élément dans 196 cas. Cette composition constitue le standard pour les trous de poteau (classe TP-10), dont l'analyse s'est focalisée sur les 133 ensembles restants plus significatifs (classes TP-1 à TP-9).

Assemblages de classe TP-1 (10)

Avec 10 assemblages, la première classe comporte de l'armement associé à d'autres catégories de mobilier, dont le NMI total permet de distinguer trois ordres de grandeur : de 2 et 6 individus, de 9 à 21 individus et un assemblage comportant 501 individus (fig. 271). À une exception près, les ensembles de petite taille comprennent systématiquement des objets manipulés et complets et sont situés dans des lieux de passage donnant souvent accès à des unités architecturales. Le dépôt d'une lance et d'une herminette (A1-24-TP 15729) est ainsi localisé à l'emplacement du portique permettant d'entrer dans le bâtiment A1 (fig. 272), la pointe de lance pliée associée à une lèvre de récipient (BCN-13-TP16349) apparaît dans la continuité de la palissade délimitant la cour nord du bâtiment B, tandis que l'orle et la bague déformée (A7-5-TP 16140) ont été prélevés à l'entrée nord du bâtiment A7. Le trou de poteau (M-170-TP 21097) est inclu en raison de sa composition qui comprend un fragment de phalère, dans son comblement supérieur. Sa présence est vraisemblablement consécutive à l'emplacement de la structure au milieu d'un niveau de voie postérieur. Ce trou de poteau est avant tout le lieu d'un dépôt simple d'une pointe de lance de type baïonnette pliée dans le sens de la longueur et aux ailettes découpées et rabattues. Cet objet apparaît au fond du creusement dans des conditions de dépôt primaire, au même titre que le dépôt du trou de poteau du bâtiment A1 (A1-24-TP 15729) (voir *infra*, fig. 272). Les modalités d'enfouissement des autres ensembles ne peuvent être restituées. La cohérence de ces assemblages sur le plan de leur localisation, de leur attribution chronologique (états 1 et 2.1) et de leur composition permet de les interpréter comme des dépôts au faciès complexe, soit composés d'objets de plusieurs catégories fonctionnelles. Appartenant également à l'état 1, le trou de poteau 20230 a livré un fragment d'épée pliée pouvant être interprété comme un dépôt simple d'armement ainsi qu'une chute de tige qui peut être intrusive ou résulter de l'activité environnante.



Fig. 272. Dépôt du trou de poteau 15729.

Les assemblages constitués de 9 à 21 individus comprennent trois dépôts complexes à la composition variée associant objets complets et volontairement manipulés (Q-10-TP 20653, Q-11-TP 20680, M-125-TP 21558) et un ensemble ne livrant que des pièces fragmentaires. Deux assemblages de l'état 1 situés à l'entrée du bâtiment Q (Q-10-TP 20653, Q-11-TP 20680) fournissent des lots d'objets déposés au fond et contre les parois du creusement (voir *supra*, fig. 26). Ils sont caractérisés par la juxtaposition d'éléments d'armement (entrée de boulerolle, talon de lance), parfois volontairement détruits (pointe de lance à ailette repliée), d'ustensiles culinaires intacts (barre de grill) ou fragmentaires (couteau, collerette de chaudron), d'outils (limes et décrottoir), de pièces de quincaillerie (ferrures, clous) et dans un cas, d'un bracelet à épissures complet. La composition affiche des traits communs avec les activités documentées dans la première phase du sanctuaire et caractérisées par des dépôts d'armement manipulé et des parures, principalement sous la forme de bracelets. Ils s'en distinguent par le dépôt volontaire d'instruments culinaires rares durant cette phase du lieu de culte et par l'ajout d'outillage, un type d'objet n'intervenant pas dans les pratiques de dépôt du sanctuaire. Situé sur l'accès ouest au bâtiment M, le dernier assemblage est interprété comme un dépôt complexe. Il comporte une extrémité distale d'épée, un ressort de fibule ainsi que des éléments indéterminés tordus volontairement (M-125-TP 21558). Cette composition regroupe à la fois des traitements caractéristiques du sanctuaire – les extrémités distales d'épée y sont le seul mode de dépôt recensé pour les épées – et une localisation cohérente avec les assemblages documentés précédemment. Le mobilier du dernier trou

de poteau de cet ordre de grandeur (Q-27-TP 22036), composé d'une bordure de plaque de fourreau de petite taille, d'une gouge et d'un outil fragmentaire, résulte vraisemblablement d'une activité artisanale pratiquée à proximité.

Le trou de poteau 18585 constitue un assemblage inédit regroupant 501 individus brûlés, dont quelques pièces d'armement (fragments de fourreau), des parures (fibule, perles et bracelet) et des éléments liés à la sphère culinaire (panse de récipient, trépied). Il livre principalement des clous et des pièces de quincaillerie (voir *supra*, chap. 3.12.4, fig. 239). Il se rapproche sur le plan de sa composition d'ensembles de Bâtilly-en-Gatinais et de Saint-Georges-les-Baillargeaux, interprétés comme une collecte de métal réalisée après un incendie des bâtiments, dans l'optique d'une récupération future. À cette interprétation tout à fait plausible peut être juxtaposée celle d'un regroupement ritualisé de l'*instrumentum* d'un édifice brûlé. Les dégradations subies par les pièces de quincaillerie et leur petite taille semblent en effet peu propices à une récupération. Dans ces conditions, elles correspondraient plus à une collecte d'objets consécutive à un incendie, éventuellement à une exposition volontaire au feu, hypothèse cependant la moins vraisemblable.

Assemblages de classe TP-2 (7)

Avec sept assemblages livrant uniquement de l'armement, la deuxième classe présente une moins grande variabilité sur le plan quantitatif avec deux ordres de grandeur retenus (fig. 271). Le premier est constitué d'un objet situé à l'entrée ouest du bâtiment R et le second comprend des ensembles livrant entre 2 et 14 individus. L'ensemble du trou de poteau du bâtiment R est interprété comme un dépôt d'armement grâce à une pointe de lance dont l'ondulation constitue une trace de manipulation volontaire (R-56-TP 21395). Les ensembles mieux fournis comportent uniquement des éléments fragmentaires. L'armement correspond à des parties lacunaires de bouterolles qui ne semblent pas déposées volontairement. Il atteste plutôt le piégeage de mobilier cassé, lors de bris inhumatoires, dans le sanctuaire (SCTG-37-TP 11243, SCTA-7-TP 20218) (Poux et Demierre 2015, p. 566-570). La pointe de *pilum* à douille, les fragments d'orle et de cotte de mailles situés dans des structures orientales du bâtiment M (M-231-TP 20091, M-78-TP 21193, M-23-TP 21355, R-38-TP 22394) sont considérés comme des dépôts ambigus correspondant soit à un acte volontaire, soit à une simple perte.

Assemblages de classe TP-3 (9)

Neuf trous de poteau n'offrent que des objets fragmentaires liés à la sphère culinaire, dont des couteaux, plusieurs barres de gril, un cerclage de seau et une panse de récipient (fig. 271). Malgré la participation de certains de ces instruments de cuisine aux dépôts complexes documentés dans le bâtiment Q et dans le sanctuaire, prouver que ces éléments font l'objet d'un dépôt volontaire isolément et à l'état fragmentaire demeure difficile. Pour cette raison, les ensembles de cette classe sont interprétés comme résultant d'une perte sporadique ou de la mise au rebut d'objets liés à la consommation et à la préparation de nourriture. Le contexte extérieur, suggéré par les assemblages livrant des barres de grils localisés dans le bâtiment Q et dans la cour du bâtiment M (Q-8-TP 20701, R-58-TP 22317, M-29-TP 21674), démontre que la sphère domestique n'a pas l'apanage de ce type d'assemblage.

Assemblages de classe TP-4 (5)

Plus rares, les assemblages associant des objets liés à la sphère culinaire et d'autres catégories, à l'exception de l'armement, sont divisés en deux tailles distinctes : de 3 et 7 individus et de 16 et 53 individus (fig. 271). Des couteaux, des barres de gril se retrouvent fréquemment dans leur composition, tandis que deux ensembles livrent aussi une attache d'anse de situle (Q-4-TP 22023) et une collerette de chaudron (BCP-7-TP 15443). Les lots concernés semblent

correspondre à des dépôts de surface fossilisés dans le négatif de la structure. Les ensembles ne comprennent pas d'objets intacts à l'exception de quelques perles. Leur bonne conservation n'indique par conséquent que rarement un dépôt volontaire (voir *supra*, p. 138). Caractéristique de ce questionnement, le trou de poteau (BCP-7-TP 15443) livre un fragment de collerette de chaudron, un fragment de bracelet, trois perles et une rouelle qu'il serait tentant d'interpréter comme les reliquats d'un dépôt volontaire. L'interprétation se heurte ici à la situation des perles dans la partie supérieure du comblement de la structure. Dans le même ordre d'idée, le piton de char et les outils artisanaux du trou de poteau (Q-4-TP 22023) pourraient orienter l'interprétation vers un dépôt ritualisé. Leur présence dans la partie supérieure de la structure et leur fragmentation invalident toutefois cette hypothèse. Dans ce cas précis, comme dans la structure du bâtiment B, la taille du poteau explique l'importance quantitative de l'assemblage. L'hétérogénéité des catégories représentées correspond à des activités artisanale et domestique effectuées en bordure de la place, tandis que la présence d'une pièce liée au transport indique la proximité de la voie adjacente. L'exclusion des pratiques de dépôt volontaire des ustensiles culinaires, sans une association avec des mobiliers plus représentatifs, semble être, au vu de cet argumentaire, l'un des éléments marquants de l'utilisation de cette catégorie, qui n'est pas déposée volontairement dans le sanctuaire, à l'exception des couteaux (voir *supra*, p. 236). L'absence de dépôts significatifs d'instruments culinaires ne signifie pas pour autant qu'ils n'ont pas participé à des pratiques de consommation collective de nourriture et de boisson, dans l'habitat comme dans le sanctuaire.

Assemblages de classe TP-5 (38)

Pourtant très bien représentés, les assemblages comportant uniquement des parures sont peu diversifiés, avec une taille inférieure à 14 individus (fig. 271). Ils livrent des parures annulaires et des fibules fragmentaires ou des perles complètes, qui sont les seuls éléments intacts. Au vu de ces données, cette classe de composition peut relever d'activité courante peu spécifique consécutive à la mise au rebut et surtout au piégeage de mobilier. Un seul objet pourrait être le fruit d'un dépôt volontaire piégé dans son comblement. Il s'agit d'une perle issue d'un trou de poteau (SCTPE-5-TP 13067) soutenant le porche du sanctuaire, lieu privilégié de dépôts d'éléments circulaires. Un autre assemblage se distingue par la présence d'un anneau coudé en or écrasé (H-21-TP 18049), qui évoque des pratiques documentées dans le sanctuaire (pl. 183, n° 6) et de trois parures regroupées dans une palissade (pl. 228, n°s 2 à 4). Le référentiel du lieu de culte suggère un dépôt volontaire, dans ce trou de poteau du bâtiment H (fig. 273). Sa position dans le comblement, à trois centimètres du niveau d'apparition de la structure, privilégie un dépôt de clôture plutôt qu'un geste réalisé lors de son creusement. Le contexte des trois bagues coudées du sanctuaire, issues du comblement supérieur d'une palissade, laisse envisager le même rite.



Fig. 273. Anneau en or écrasé issu du trou de poteau 18049 in situ.

Assemblages de classe TP-6 (8)

Les ensembles regroupant des objets de parure et des artefacts liés à la production artisanale sont subdivisés en deux tailles : de 2 à 5 individus et de 10 à 18 individus (fig. 271). Les corpus les plus faibles sur le plan quantitatif livrent uniquement des outils et des parures fragmentaires ou encore des parties d'objets complexes. Ils sont interprétés comme le relief d'activités courantes avec une dimension artisanale, au même titre que les assemblages à taphonomie similaire de plus grande taille. Trois ensembles livrent des objets intacts, sous la forme d'une serpe (C5C-19-TP 18104) et d'une lime (Q-32-TP 22061), tandis qu'un bracelet à jonc lisse (A10-4-TP 16169) constitue la seule parure complète. Ces assemblages peuvent être interprétés comme le relief de dépôts volontaires en regard des assemblages livrant les mêmes types d'objets (lime, bracelet), comme le trou de poteau 20680, situé à 1,5 m de l'ensemble avec l'outil de finition. Aussi documentée isolément, la serpe est l'un des seuls outils retrouvés

entiers dans les trous de poteau. En l'absence de données altimétriques permettant de définir la position de ces objets dans la structure, il semble plus judicieux de ne pas statuer et d'évoquer la possibilité de dépôts mixtes, regroupant un geste rituel et des activités profanes. Cette proposition pourrait tout à fait se valider pour le poteau du bâtiment A10 qui, outre le bracelet, livre un emporte-pièce fragmentaire lié au travail du cuir. Cette activité est par ailleurs corroborée par la composition de la structure adjacente qui contient un autre emporte-pièce et une lancette. Ces ensembles demeurent néanmoins classés dans la catégorie des dépôts d'interprétation ambiguë, compte tenu du faible nombre d'ensembles soutenant la comparaison.

Assemblages de classe TP-7 (46)

Cette classe regroupe des assemblages comportant uniquement des outils et des déchets artisanaux (fig. 271). Paradoxalement, elle est peu documentée dans le complexe C, tandis que les bâtiments M, D et G livrent de nombreuses structures avec ce faciès relevant principalement d'une activité artisanale peu marquée. En témoigne la fragmentation des outils qui, lorsqu'ils sont complets, sont de petite dimension (aiguille et ciselet) et les rares attestations de chutes et de demi-produits recueillies dans ces structures. Le seul ensemble considéré comme un dépôt ambigu (G1-1-TP 18806) livre une serpette intacte, qui pourrait y avoir été déposée volontairement.

Assemblages de classes TP-8 (8)

Cette classe comprend des assemblages avec des ustensiles de toilette associés à d'autres catégories (fig. 271). La majorité des objets liés aux soins du corps sont fragmentaires et résultent de pertes occasionnelles. Deux ensembles présentent néanmoins une spatule-sonde intacte et un rasoir réalisé à l'aide d'une lame d'épée. Bien qu'absent du corpus du sanctuaire, l'instrument médical a pu être déposé volontairement, au vu de sa présence dans le dépôt de Sainte-Blandine (Chapotat 1970, pl. 11, n^{os} 6 et 8). De même, l'isolement du trou de poteau livrant l'épée remaniée en rasoir pourrait correspondre à une structure destinée à recevoir un dépôt ponctuel. Si l'identification d'instrument de toilette est remise en question, il s'agirait alors d'un dépôt d'armement volontairement détruit. Cette hypothèse est privilégiée en raison de sa situation au fond de la structure, dans des conditions qui rappellent d'autres dépôts (voir par ex. M-170-TP 21097). Un dernier trou de poteau (S-23-TP 22497) interpelle par la présence d'un bracelet intact associé à un grand fragment de miroir, un arc de fibule et des forces, dépôt volontaire ou relief d'activité domestique.

Assemblages de classes TP-9 (4)

Les trous de poteau procurant uniquement des pièces de transport sont situés dans la partie orientale du bâtiment M et en bordure du passage restituable entre les bâtiments G1 et G2 (G1/D2-2-TP18573, R-74-TP 21108, M-213-TP 21259, M-26-TP 21699-19). Leur localisation signale la proximité du réseau viaire et implique un dépôt fortuit (fig. 271).

4.2.3. LES STRUCTURES LONGILIGNES : SABLIÈRES ET FOSSÉS DE PALISSADES

Éléments structurants du plan de l'*oppidum*, les fossés ouverts, les palissades et les sablières regroupent des ensembles au corpus importants sur les plans quantitatif et qualitatif. Dans le sanctuaire, comme dans les quartiers environnants, ces corpus de mobilier répondent à la même logique de constitution. Ils correspondent en effet à des conditions de dépôt secondaire, la structure étant comblée lors de la désaffectation de la cloison qu'elle matérialisait ou tout au long de son ouverture, pour les rares cas de fossés ouverts. Ces structures fossilisent donc des assemblages, le plus souvent détritiques, liés aux activités

réalisées à proximité, qu'elles soient profanes ou rituelles. Leur étude est à nouveau axée vers l'identification des faciès culturels pour ensuite s'orienter vers les spécificités de ces structures dans l'habitat. Leur interprétation vise à la distinction des cloisons de bâtiments et de parcelles ainsi qu'à l'identification des activités documentées dans ces structures, témoignages de mise au rebut opportuniste ou d'une gestion planifiée des déchets.

La méthode d'analyse procède de la même manière que celle utilisée pour les trous de poteau, avec la définition des classes de composition à l'aide d'une matrice graphique, puis une sériation reposant sur la quantification et la taphonomie des pièces du corpus (fig. 274 à fig. 276) ([cat. 65](#) et [66](#)).

Elle porte sur 175 ensembles, dont 95 ne livrent que des pièces de quincaillerie peu abondantes (de 1 à 22 ind.), à l'exception de la palissade 21131, dont la richesse (95 ind.) laisse supposer un rejet détritique atypique lié au démantèlement d'un bâtiment (voir *supra*, p. 309) (classe SLG-8). À la première lecture de la carte de répartition, il apparaît clairement que les structures fossoyées, liées au parcellaire, comportent plus de mobilier que les négatifs de sablières, pour des raisons évidentes de volume à disposition.

Assemblages de classe SLG-1 (13)

Réunissant les ensembles avec de l'armement et d'autres catégories de mobilier, la première classe se divise en deux groupes d'après la taille des ensembles, de moins de 17 individus et de 24 à 87 individus (fig. 276). Les assemblages les moins bien dotés comportent principalement des fragments d'armement (orle de bouclier, gouttière de bouterolle et flamme de pointe de lance) et d'autres éléments de petite taille, disséminés dans l'habitat, sans logique aucune. Ces objets difficilement récupérables peuvent être considérés comme des pertes liées à l'activité courante du site. Le seul ensemble présentant une pièce d'armement complète (talon de lance) est le fossé est de l'enclos A (SCTA-11-fossé branche est), un contexte qui laisse supposer son lien avec les pratiques culturelles de valorisation de l'élite guerrière, déjà identifiées sur les sols de cette structure emblématique du sanctuaire (Poux et Demierre 2015, p. 163, fig. 145). La même interprétation est proposée pour les autres fossés de l'enclos qui livrent peu d'armement, mais plusieurs parures intactes (fibules et perles). Attribuées au même ordre de grandeur, les branches ouest, nord et est du fossé périphérique du sanctuaire participent à une dynamique identique, avec des ensembles comportant des pièces d'armement ayant subi les affres du bris inhumatoire, un bracelet et un torque en fer intacts, ainsi qu'une fibule au ressort démantelé. Mélangés à des restes de consommation de boisson et de nourriture, ils résultent du rejet de dépôt accumulé lors de la première phase du sanctuaire et lors de l'arrachage des bois de la palissade (fig. 277). Dans ces faciès, les rares pièces liées à la production sont des chutes de tige dont l'interprétation polyvalente a déjà été soulignée (voir *supra*, p. 198-201). Présentant de l'armement associé à des parures et des vestiges artisanaux, le fossé 22321 contigu au bâtiment R ne comporte aucun reste complet ou mutilé (R-26-Pal 22321). Avec plusieurs calottes (786 g de scories), une pelle à feu et une coulure, il correspond à une zone de rejets artisanaux, liée à l'activité de l'édifice adjacent.



Fig. 277. Comblement de la branche nord du fossé du sanctuaire, d'où proviennent des pièces d'armement et de parures volontairement détruites.

Assemblages de classe SLG-2 (5)

L'interprétation d'activité peu spécifique peut être formulée pour la quasi-totalité des ensembles de cette classe, qui livrent tous une seule pièce d'équipement militaire et sont situés dans l'habitat (fig. 276). Ils n'ont en effet rien en commun avec le dépôt de type trophée et ses quatre umbos mutilés, sa cotte de mailles déchirée et ses parties de sanglier-enseigne et de fourreau (SCTG-29-Pal ext. nord). Cet assemblage particulier résulte d'une accumulation de pièces d'équipement militaire déposées, sous la cloison extérieure de la galerie du sanctuaire, après leur exposition probable sous la forme d'un trophée et leur destruction

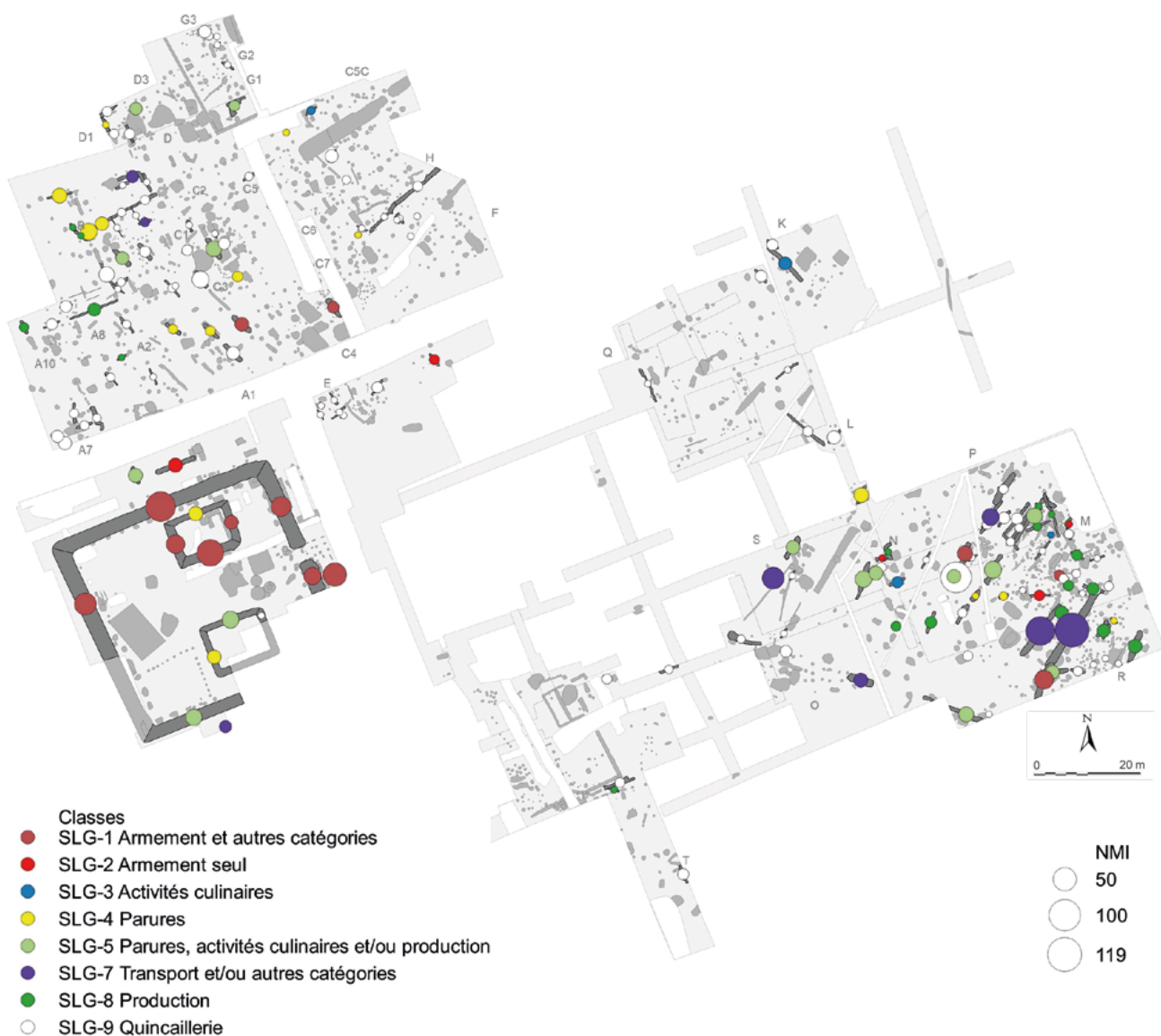


Fig. 274. Composition et quantification des structures longilignes.

ritualisée. Pour plus de détails, on se reportera à la monographie du sanctuaire (Poux et Demierre 2015, p. 155-160 et p. 566-570) et à un article de synthèse traitant du trophée gaulois et de ses influences (Roure *et al.*, sous presse).

Assemblages de classe SLG-3 (4)

Les quatre assemblages composés uniquement d'instruments culinaires ne sont documentés que dans l'habitat, où ils correspondent au rejet ou à la perte d'ustensiles fragmentaires, plus fonctionnels (fig. 276).

Assemblages de classe SLG-4 (15)

Une interprétation d'activité courante, peu caractéristique, peut être proposée pour les ensembles de cette classe, dont les seuls composants sont de la parure fragmentaire ou des éléments de collier (fig. 276). S'il est vrai qu'ils ne diffèrent guère des faciès reconnus dans les fossés communs, la meilleure représentation des parures dans les deux ensembles du sanctuaire (SCTB-4-comblement branche ouest, SCTA-12-fossé branche nord) et leur participation à un tout cohérent incitent à maintenir une interprétation d'accumulation de dépôts en raison de leur contexte.

Assemblages de classe SLG-5 (15)

Les ensembles de cette classe sont composés d'objets d'au moins deux catégories parmi lesquelles, la parure et les activités artisanales et culinaires, la

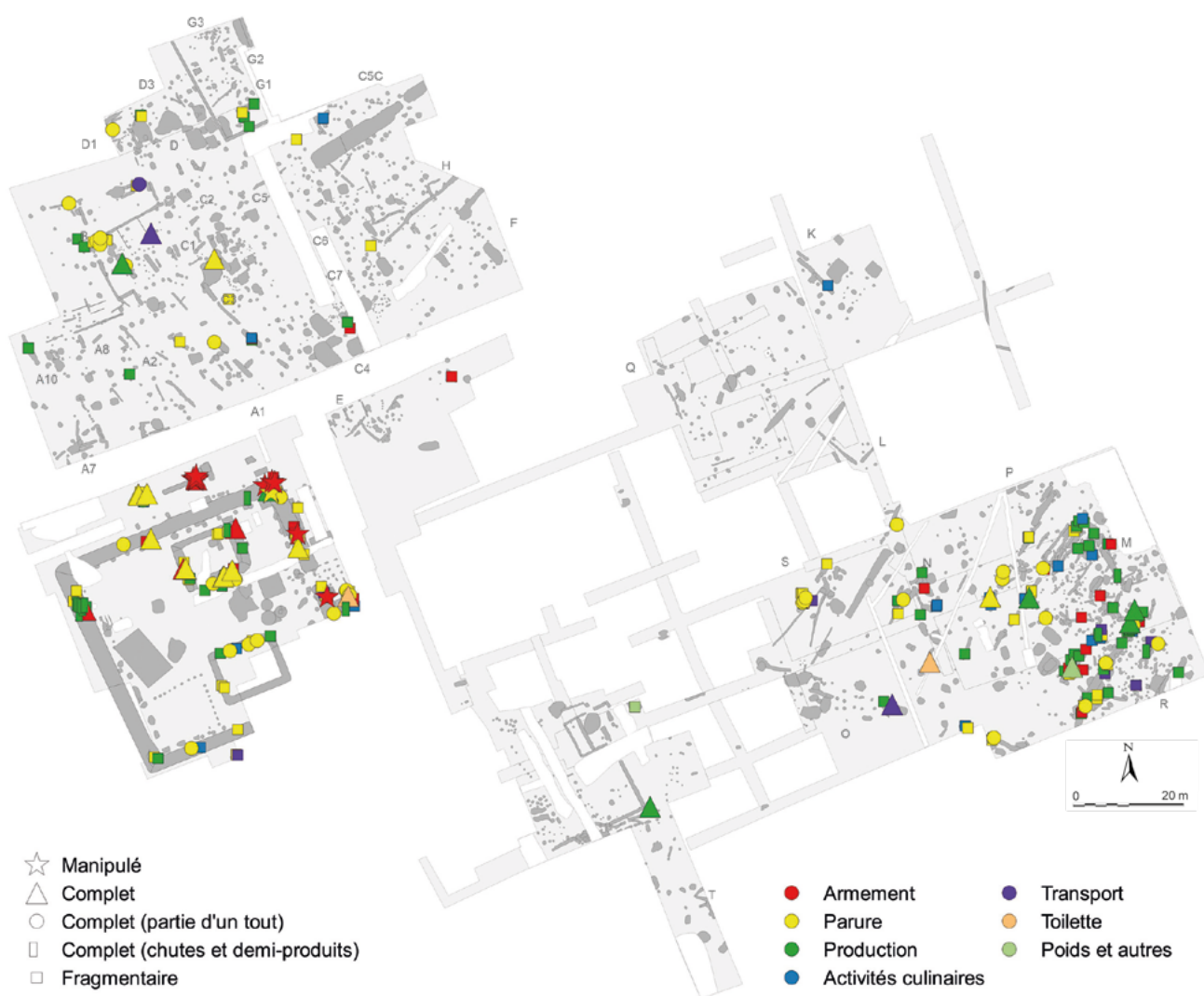


Fig. 275. *Taphonomie des objets issus des structures longilignes.*

production étant presque toujours présente (fig. 276). Divisés en deux classes quantitatives de 5 à 12 individus et de 13 à 23 individus, ils sont interprétés comme les résultats d'une activité courante avec une composante artisanale. Les ensembles provenant de l'habitat livrent régulièrement des outils, alors que seuls quelques déchets sont documentés dans les ensembles du sanctuaire. Rares, les objets complets apparaissent sous la forme de parures et d'outils, sans pour autant permettre de restituer des pratiques de dépôts volontaires. Ainsi, le bracelet à jonc lisse à terminaison ouverte perforée, issu de la sablière 17359, peut correspondre à une parure d'une période antérieure (voir *supra*, p. 127), tandis que la petite taille des ciseaux droits retrouvés dans les structures du théâtre et du bâtiment M (TH-32-Sb 21899-7, M-30-Sb 21175) suggère une perte dans le cadre d'une activité artisanale peu spécifique. La grande majorité des assemblages correspond donc à une activité courante profane, hormis ceux des deux fossés du sanctuaire qui font partie d'un ensemble cohérent (SCTFS-6-Arrachage palissade, SCTB-2-comblement branche nord). Un dépôt volontaire de bagues en or peut en outre être évoqué dans la palissade se développant à la perpendiculaire du fossé périphérique nord du sanctuaire (SCTX-1-Pal 19034). Cet ensemble est constitué de trois anneaux coudés en or, dont les conditions de dépôt secondaire suggèrent la collecte d'un ensemble cohérent remanié dans cette structure ou encore un dépôt de parure réalisé lors de la clôture de la structure, du même type que celui documenté dans un trou de poteau du bâtiment H (H-21-TP 18049).

Critères					
Composition (nbre)	NMI	Taphonomie	Contexte	Interprétation	Exemples
SLG-1 Armement et autres (13)	2 à 16	Fragmentaire	Secondaire	Activité courante	M-161-Sb 21592, C7-2-Pal 17684, C3-5-Pal 16443
		Complet	Secondaire	Activité du sanctuaire	SCTA-11-fossé branche est
	24 à 87	Fragmentaire	Secondaire	Espace de rejets artisanaux	R-26-Pal 22321
		Manipulé et complet	Secondaire	Accumulation de dépôts cultuels	SCTFN-5-arrachage de la palissade, SCTFO-3-arrachage palissade, SCTFE-5-arrachage palissade nord entrée, SCTFE-6-arrachage palissade sud entrée, SCTA-10-fossé branche sud
SLG-2 Armement (5)	1 à 5	Fragmentaire	Secondaire	Activité courante	N-11-Sb 20017, M-19-Pal 20816, E3-3-Pal 17727, M-168-Pal 21343
	13	Manipulé	Secondaire	Accumulation de dépôts cultuels	SCTG-29-Pal ext. nord
SLG-3 Activités culinaires (4)	1 à 10	Fragmentaire	Secondaire	Activité courante, culinaire	K-8-Pal 20619, N-28-Sb 20011
SLG-4 Parures (15)	1 à 5	Fragmentaire	Secondaire	Activité courante	C6-18-Sb 17607, A1-17-Pal 15669
	11 à 22	Fragmentaire	Secondaire	Activité courante	BCP-22-Sb 16210, BCP-11-Sb 16212, N-42-Pal 20029
		Fragmentaire	Fossés des enclos A et B	Accumulation de dépôts cultuels	SCTB-4-comblement branche ouest, SCTA-12-fossé branche nord
SLG-5 Parures, activités culinaires et/ou production (15)	5 à 12	Tous sauf manipulé et complet	Secondaire	Activité courante	M-116-Pal 20064, M-77-Sb 21174
	13 à 23	Tous sauf manipulé	Secondaire	Activité courante avec une part artisanale	C3-8-Sb 17359, N-5-Pal 22506, N-7-Pal 22460, M-116-Pal 20064
		Tous sauf manipulé et complet	Secondaire, sanctuaire	Accumulation de dépôts cultuels	SCTB-2-comblement branche nord, SCTFS-6-arrachage palissade
		Tous	Secondaire, sanctuaire	Dépôt de parure, activité du sanctuaire	SCTX-1-Pal 19034
SLG-6 Production (19)	1 à 12	Fragmentaire, complet (chute)	Secondaire	Activité artisanale peu marquée	M-30-Sb 21175, N-40-Sb 21112, R-11-Pal 22386
SLG-7 Transport et autres (9)	2 à 23	Fragmentaire, complet (chute)	Secondaire	Activité courante, extérieure	O-17-Pal 22520, BCN-8-Pal 16303, BCP-28-Sb 16228
	43 à 119	Tous sauf manipulé	Secondaire	Zone extérieure avec rejets d'activité artisanale	R-54-Pal 22228, S-10-Pal 22473, R-40-Pal 22271
SLG-8 Quincaillerie (95)	1 à 22	Fragmentaire	Primaire/secondaire	Pas d'activité	
	95	Fragmentaire	Primaire/secondaire	Démantèlement d'un bâtiment?	M-120-Pal 21131

Assemblages de classe SLG-6 (19)

Les assemblages ne livrant que des objets liés à la production se retrouvent uniquement dans l'habitat (fig. 276). Peu fournis et caractérisés exclusivement par une seule pièce, ils comprennent majoritairement des déchets métalliques (chutes et scories) et dans deux cas un outil, en l'occurrence un ciseau droit à soie (M-30-Sb 21175) et un tas (N-40-Sb 21112). Ils attestent une activité artisanale ponctuelle ou peu qualifiable en l'état. À l'instar des trous de poteau de même composition, leur rareté dans le complexe C met en lumière une gestion différenciée des déchets dans ce secteur, par rapport au reste de l'habitat. Dans cette unité architecturale, les déchets se concentrent sur la place et les sols, alors

Fig. 276. Grille de lecture des assemblages des structures longilignes.

que dans les autres secteurs, ces éléments sont plus fréquemment piégés dans les structures en creux.

Assemblages de classe SLG-7(9)

Le même constat se dégage de la distribution des assemblages caractérisés par la présence de pièces liées au transport, qui ont été divisés en deux ordres de grandeur quantitatifs (fig. 276). Le premier regroupe des ensembles comportant des pièces de transport et quelques autres éléments. Cette composition marque les bordures de voies et suggère ainsi la présence d'espaces de circulation, à proximité. En témoignent, par exemple, les ensembles bordant les bâtiments B et R (R-25-Sb 22313, BCP-28-Sb 16228).

Le second groupe présente des assemblages pour lesquels la même interprétation peut être suggérée avec quelques nuances. La très grande diversité des catégories fonctionnelles recensées, avec notamment une part importante de déchets et d'outils artisanaux variés (travail des métaux et du bois), laisse en effet envisager que ces structures extérieures servent également de dépotoirs, lors des remaniements architecturaux (R-54-Pal 22228, S-10-Pal 22473, R-40-Pal 22271). Particulièrement significatif, le fossé ouvert 22271 est caractérisé par l'association d'outils liés au travail du bois (tranchet à pied, ciseau), de déchets en lien avec des artisanats divers (scories, demi-produits en alliage cuivreux, déchets de tabletterie) et d'instruments liés à la sphère domestique, comme des plaques de foyer ou un couteau.

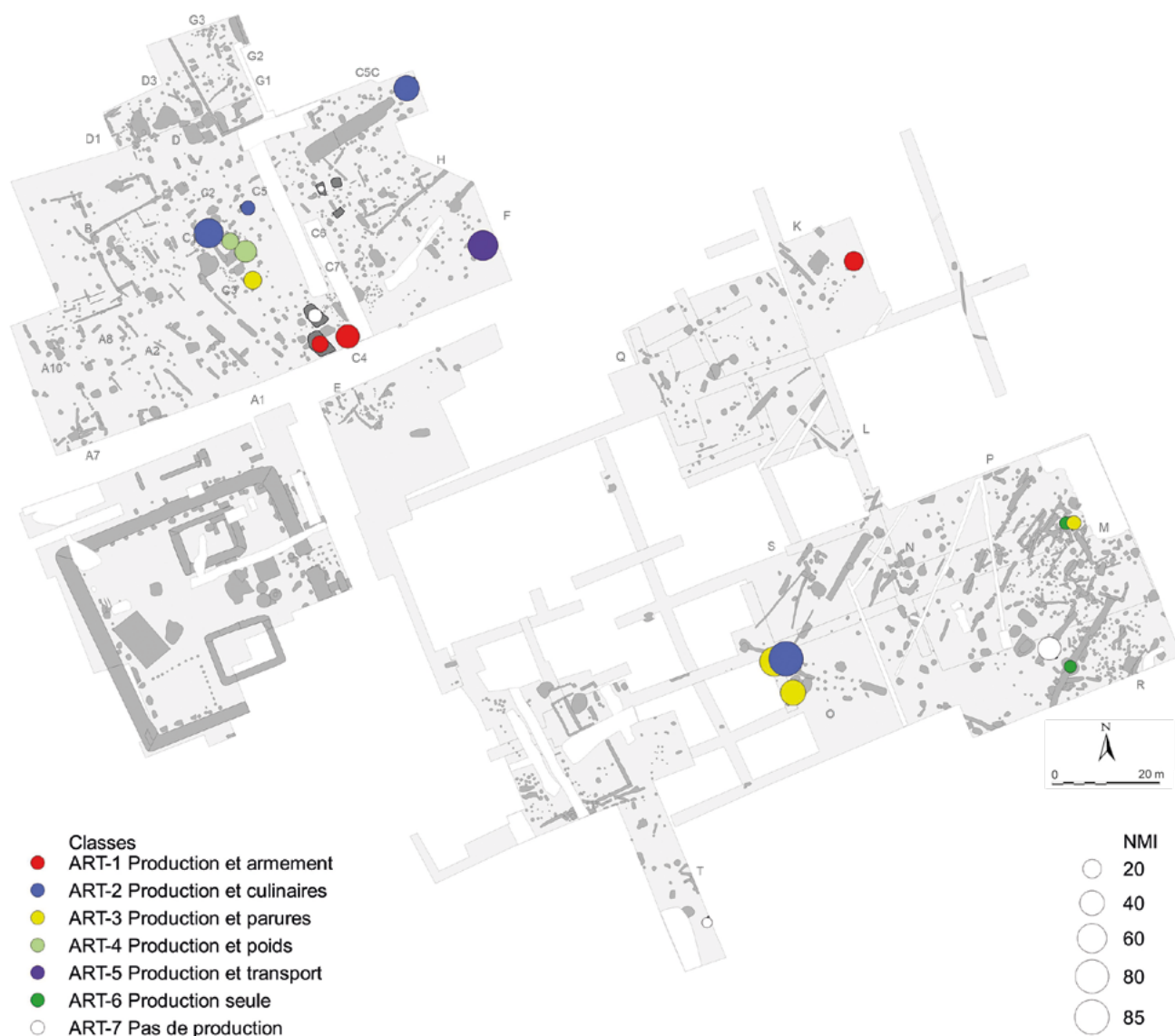
4.2.4. LES FOSSES ARTISANALES

Apparaissant sous la forme de structures peu profondes aux bords verticaux et au fond plat, les fosses artisanales fournissent presque systématiquement des outils et des déchets artisanaux. La problématique porte en premier lieu sur la caractérisation du matériel associé. La méthode appliquée est la même que pour les structures en creux traitées précédemment ([cat. 67](#) et [68](#)). Elle est abordée ici de manière sommaire, afin de rendre compte des autres activités recensées dans ces fosses qui représentent des espaces de travail (fig. 278 à fig. 280). L'analyse est ensuite orientée sur l'identification du travail pratiqué, dans le but de mieux cerner le fonctionnement de ces structures emblématiques de l'artisanat de l'âge du Fer. La réflexion portera sur le nombre d'outils et de déchets nécessaires pour restituer l'activité d'un atelier et sur les critères d'identification retenus pour qualifier un artisanat pour lequel les déchets manquent.

Seuls trois assemblages ne livrent pas d'élément lié à la production (classe ART-7). Il se peut que ces fosses n'aient pas servi dans un cadre artisanal ou encore que l'absence d'éléments liés à l'artisanat résulte d'une perturbation postérieure. La fosse-atelier 22252 du bâtiment R, recoupée par le fossé 22228 qui livre de nombreux vestiges artisanaux, pourrait en être l'illustration (R-70-Fo art 22252).

Assemblages de classe ART-1(3)

La présence de pièces d'équipement militaire, dans ces structures, pourrait correspondre à des rejets détritiques suggérant la fréquentation des lieux par des hommes d'armes (fig. 280). Il est bien sûr tentant de postuler la présence de gardes armés, dans l'atelier d'orfèvre signalé par des poids de précision (C1-22-Fo art 18676) ou à proximité du lieu dédié à la frappe monétaire (K-21-Fo art 20636). Ces assemblages permettent aussi d'évoquer un contrôle de la production, un aspect développé lors de l'analyse du fonctionnement du site (voir *infra*, chap. 4.4.3). *A contrario*, les deux fosses artisanales du bâtiment C4 (C4-10-Fo art 17698, C4-13-Fo art 17323), dont l'une présente un hypothétique dépôt d'umbo à l'ailette arrachée, livrent des traces d'artisanat moins sensible (artisanat textile). La présence d'armement dans ces structures pourrait alors s'expliquer à la lumière de la fosse adjacente livrant des creusets avec des gouttelettes d'or incrustées dans la vitrification de surface.



Assemblages de classe ART-2(3) et ART-3 (4)

Les autres fosses-atelier présentent des faciès qui attestent le plus souvent une activité courante combinée à la fonction artisanale de la structure (fig. 280). En témoigne tout particulièrement la fosse 18668 dont le fond et l'extrémité sont tapissés de limaille de bronze et de reste d'outils en terre cuite artisanale (lingotière, creuset, moule), tandis que le remplissage supérieur comprend une fusaïole ou encore une plaque-foyer (fig. 281). Cette configuration montre que ces structures contiennent bien souvent les reliefs de l'activité artisanale qui s'y est déroulée et fonctionnent aussi comme réceptacle de déchets, lors de leur désaffectation. Ainsi, ces ensembles livrent des fragments de parure (fibules, perles, fragments de bracelet), des instruments culinaires (gril, attache de situle, passoire, *simpulum*). Ces artefacts semblent résulter soit d'une volonté de récupération de matériel dans le cadre d'une pratique artisanale, soit, et plus vraisemblablement, d'un apport détritique.

Assemblages de classe ART-4 (2)

Deux fosses artisanales des ateliers de la partie occidentale du complexe C contiennent des instruments de mesure ou des poids (fig. 280). Elles peuvent être perçues dans ce contexte comme une partie de l'outillage utilisé dans ces lieux de production, notamment dans le cadre de la pesée pour composer les alliages.

Fig. 278. Composition et quantification des assemblages issus des fosses artisanales.

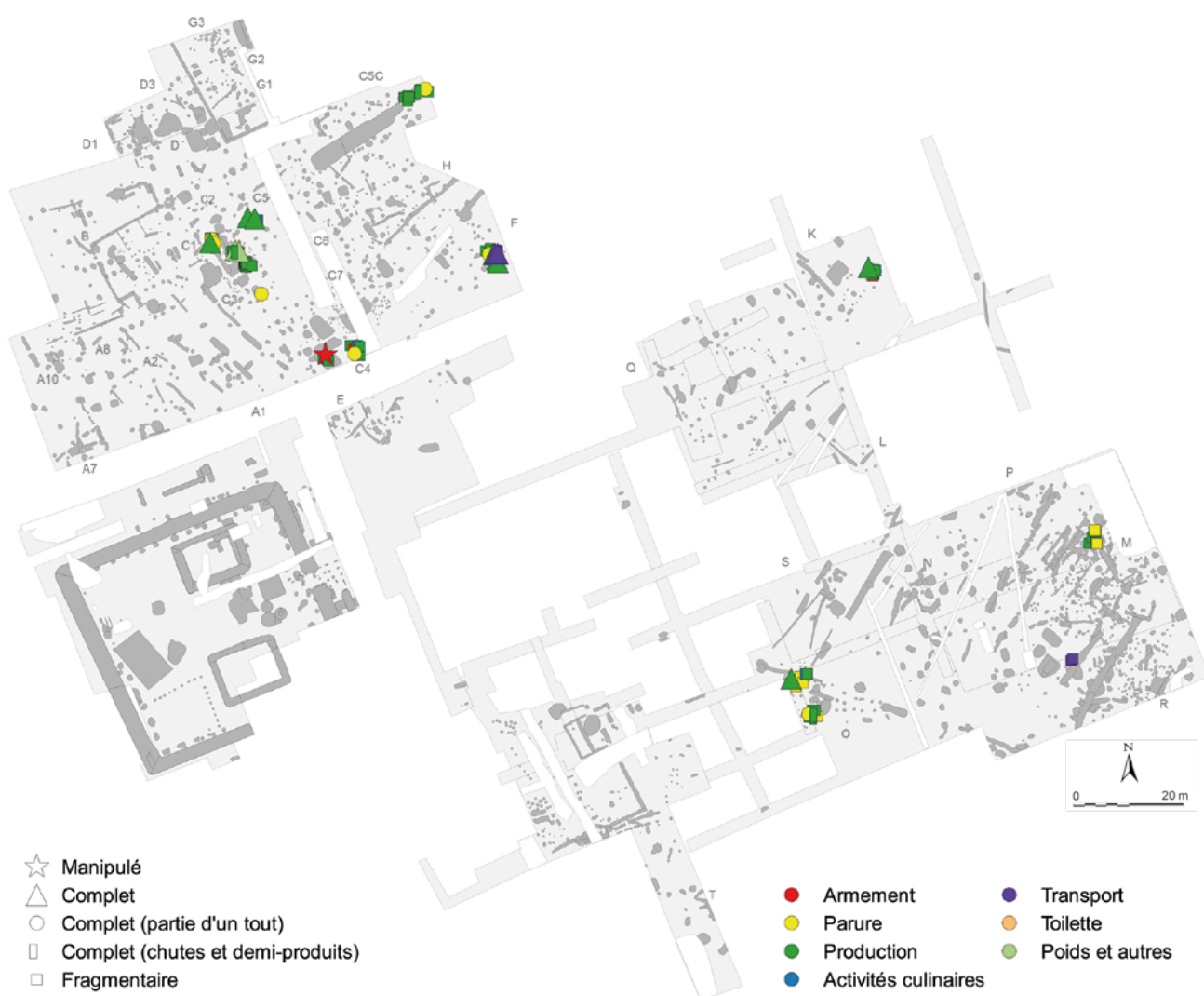


Fig. 279. Taphonomie des objets des assemblages issus des fosses artisanales.

Assemblages de classe ART-5(1)

Un assemblage livre un groupe cohérent de pièces de char (fragments d'un essieu et de bandages de roue), retrouvé dans la structure Fo 18098 (fig. 280). Il pourrait correspondre à un dépôt particulier de type *pars pro toto* similaire aux pratiques documentées dans les tombes (Schönfelder 2002, p. 311-315). L'absence d'assemblage similaire et la position médiane de ces artefacts dans le comblement de la fosse incitent cependant à les interpréter plutôt comme un ensemble fortuit lié au comblement de la structure.

Assemblages de classe ART-6(3)

Les assemblages comportant uniquement des outils et des déchets sont aussi les plus pauvres sur le plan quantitatif (fig. 280). Ils sont interprétés comme des espaces de travail à l'activité peu marquée.

Après ce tour d'horizon de la diversité de composition des fosses artisanales, la qualification de l'activité dont témoignent les artefacts artisanaux peut être envisagée (fig. 282). La faiblesse quantitative des corpus mène à un premier constat : aucune trousse complète d'outil n'est attestée. La réflexion porte donc uniquement sur des assemblages tronqués, qu'il s'agit de qualifier grâce à la cohérence et à la taphonomie de l'outillage et des déchets associés. Les assemblages liés au travail des métaux s'avèrent sur ce point d'une approche nettement plus facile, avec parfois la possibilité d'identifier précisément une séquence du travail réalisé dans la structure. Au même titre que dans la sphère religieuse, les assemblages adjacents soutiennent parfois la caractérisation de leur activité, qui peut être réduite sur le plan matériel dans la fosse même, alors que son pourtour offre des déchets cohérents.

Critères					
Composition (nbre)	NMI	Taphonomie	Contexte	Interprétation	Exemples
ART-1 Production et armement (3)	22 à 36	Tous sauf manipulé	Secondaire	Espace de travail, gardé?	K-21-Fo art 20636, C4-10-Fo art 17698
	15	Manipulé	Secondaire	Espace de travail et dépôt?	C4-13-Fo art 17323
ART-2 Production et activités culinaires et/ou parures (4)	9	Tous sauf manipulé	Passage	Espace de travail et domestique	C5-17-Fo 17214
	43 à 85	Tous sauf manipulé	Secondaire	Espace de travail et domestique	C1-18-Fo art 17093, O-4-Fo art 22545, HB-10-Fo 18232
ART-3 Production et parures (4)	9	Fragmentaire	Secondaire	Espace de travail à l'activité artisanale peu marquée	M-178-Fo art 20204
	18 à 60	Tous sauf manipulé	Secondaire	Espace de travail	C3-11-Fo art 17418, O-2-Fo art 20415, O-3-Fo art 20395
ART-4 Production et poids et mesures (2)	15 à 17	Tous sauf manipulé	Primaire/secondaire	Espace de travail	C1-22-Fo art 18676, C3-26-Fo art 18668
ART-5 Production et transport (1)	15 à 17	Tous sauf manipulé	Primaire/secondaire	Espace de travail proche de l'extérieur, dépôt?	F-10-Fo art 18098
ART-6 Production seule (3)	1 à 16	Fragmentaire	Primaire/secondaire	Espace de travail à l'activité artisanale peu marquée	R-60-Fo art 22348, M-174-Fo art 20291, C6-15-Fo art 17156
ART-7 Pas de production (3)		Fragmentaire	Primaire/secondaire	Espace de travail non utilisé/remanié	C4-11-Fo art 17686, T-6-Fo art 21783, R-70-Fo art 22252

Fig. 280. Grille de lecture des assemblages issus des fosses artisanales.

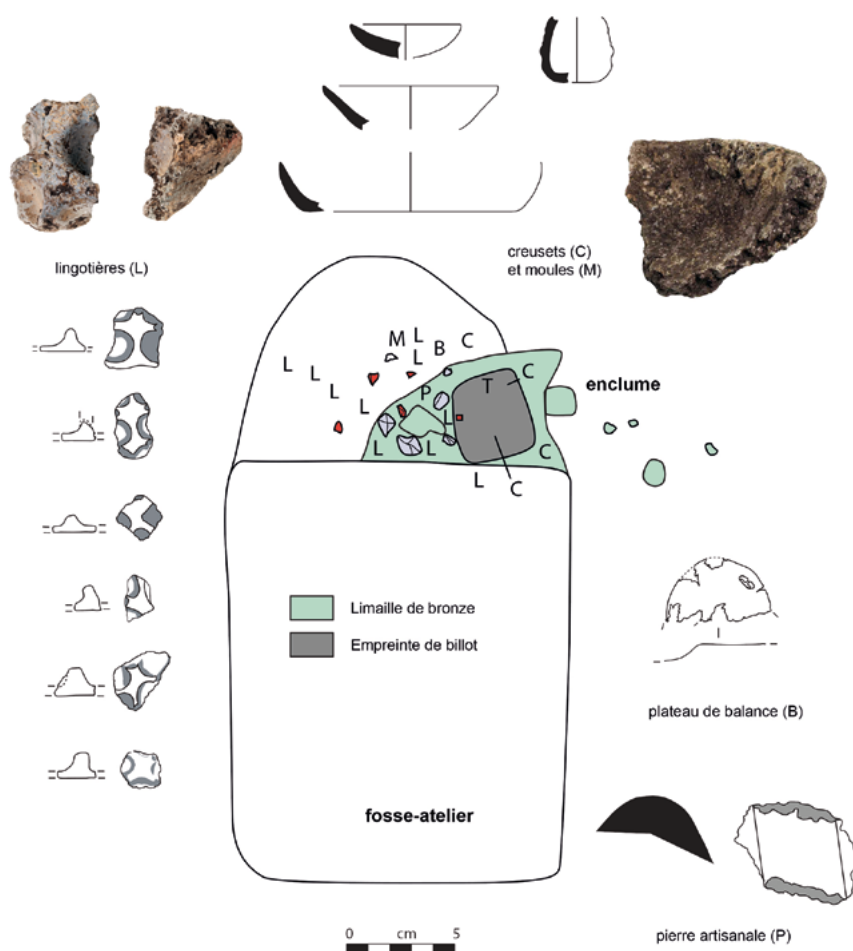


Fig. 281. Fosse artisanale 18668 et matériel associé (tiré de Poux 2012, p. 110).

Fosse artisanale	NMI (production)	Outils	Déchets	Autres	Artisanat
C4-10-Fo art 17698	5	Œil d'outil, serpette, forces, aiguille	Scorie bimétallique	Bouterolle, simpulum, parures	Textile? Métal?
C4-13-Fo art 17323	3	Forces, aiguille		Umbo démantelé	Textile
K-21-Fo art 20636	5	Martyr*, tranchants de ciseau droit et de poinçon	Raté de coulée de flan monétaire, coulures	Parures, passoire, fragments de lance	Monnaie (découpe)
C5-17-Fo art 17214	2	Ciseau droit*, marteau*		Attache de situle	Métal (tôle, finition)
M-174-Fo art 20291	3	Aiguiseur	Terre artisanale, coulure	Foncet de serrure	Alliage cuivreux
C1-18-Fo art 17093	3	Bédane*, gouge	Raté de coulée de pendant de harnais ?, chute de tôle	Gril, parures	Alliage cuivreux
HB-10-Fo art 18232	7	Virole, creusets, tuyère, brunissoir	Lingot de plomb, chute de bande (fer)	Cuillère, anneau	Plomb
O-4-Fo art 22545	1	Scie		Parures, couteau	Bois?
C3-11-Fo art 17418	1		Scorie (fer)	Perle	Indéterminé
M-178-Fo art 20204	3		Coulure, scories (bc), calotte (fer)	Bracelet	Alliage cuivreux (coulée)
O-2-Fo art 20415	8	Ciseau droit, abraseur, mèche	Demi-produits (bc), coulures, scories (bc), scories (fer), chute de demi-produit (fer)	Parures	Atelier peu spécialisé ou mixte
O-3-Fo art 20395	4	Table de travail, aiguille	Coulure (bc), scories (fer)	Parures	Indéterminée
C1-22-Fo art 18676	5	Tablette abrasive, enclume	Lingot (bc), chutes de tôle (bc), coulures (bc)	Poids, bouterolle, fibule	Alliage cuivreux
C3-26-Fo art 18668	13	Creusets, lingotières, lime, abraseur	Limaille, moule, déchet de fabrication (fer)	Plateau de balance	Alliage cuivreux (coulée et finitions)
F-10-Fo art 18098	13	Marteau*, gouge*, ciselet*, abraseur, perceur, martyr, lingotière, tête d'outil, aiguiseur	Coulures (bc), bracelets en cours de fabrication, déchets de tabletterie, terre artisanale	Parures, pièces de char	Alliage cuivreux (tôle, coulée), bois, os
R-70-Fo art 22252	0			Bandage de roue	Indéterminé

Fig. 282. Synthèse de la composition et de l'interprétation des mobiliers recensés dans les fosses artisanales. Les étoiles * indiquent les outils complets.

Tel est par exemple le cas des fosses artisanales du premier état du bâtiment M (Fo art 20204 et Fo art 20291), dont les quelques coulures et scories d'alliage cuivreux trouvent un écho dans les sols et les structures environnants (voir fig. 138). La présence d'outils illustre les activités qui ont pu avoir cours dans les fosses et aide à les qualifier précisément. L'outillage fragmentaire s'avère particulièrement précieux, car il peut correspondre à des bris occasionnés lors du travail, alors que des outils intacts peuvent indiquer des conditions de dépôt secondaire ou une perte occasionnelle. Ces derniers se retrouvent néanmoins fréquemment dans ces contextes artisanaux et ne doivent pas être négligés, d'autant plus s'il s'agit d'artefacts de petite taille qui ont pu se perdre lors du travail.

La cohérence de l'activité révélée par les outils et par les déchets constitue un point crucial pour caractériser le travail effectué dans une fosse. Certains ensembles s'y prêtent toutefois mieux que d'autres, en livrant des mobiliers caractéristiques d'artisanats distincts. La fosse artisanale 18668 représente l'un des meilleurs exemples de conjonction entre outils et déchets, signalant la coulée du bronze, matérialisée par des fragments de creuset et des lingotières ainsi que la finition, marquée par de la limaille de bronze, une lime et un abraseur (C3-26-Fo art 18668). Le plateau de balance illustre ici la confection des alliages. Il est surprenant que cet assemblage ne livre aucune coulure ou goutte. Si ces dernières ont certes pu être récupérées méthodiquement, leur absence peut suggérer que la coulée était réalisée à proximité et non au sein de la structure. De même, des outils et des déchets (enclume, tablette abrasive, chute de tôle, lingot et coulure), caractéristiques à la fois du travail de la tôle et de la coulée, apparaissent dans l'assemblage C1-22-Fo art 18676, bien qu'il demeure difficile d'y restituer le travail de coulée. À nouveau, la présence de poids peut être considérée comme un marqueur complémentaire d'un artisanat spécialisé des alliages cuivreux.

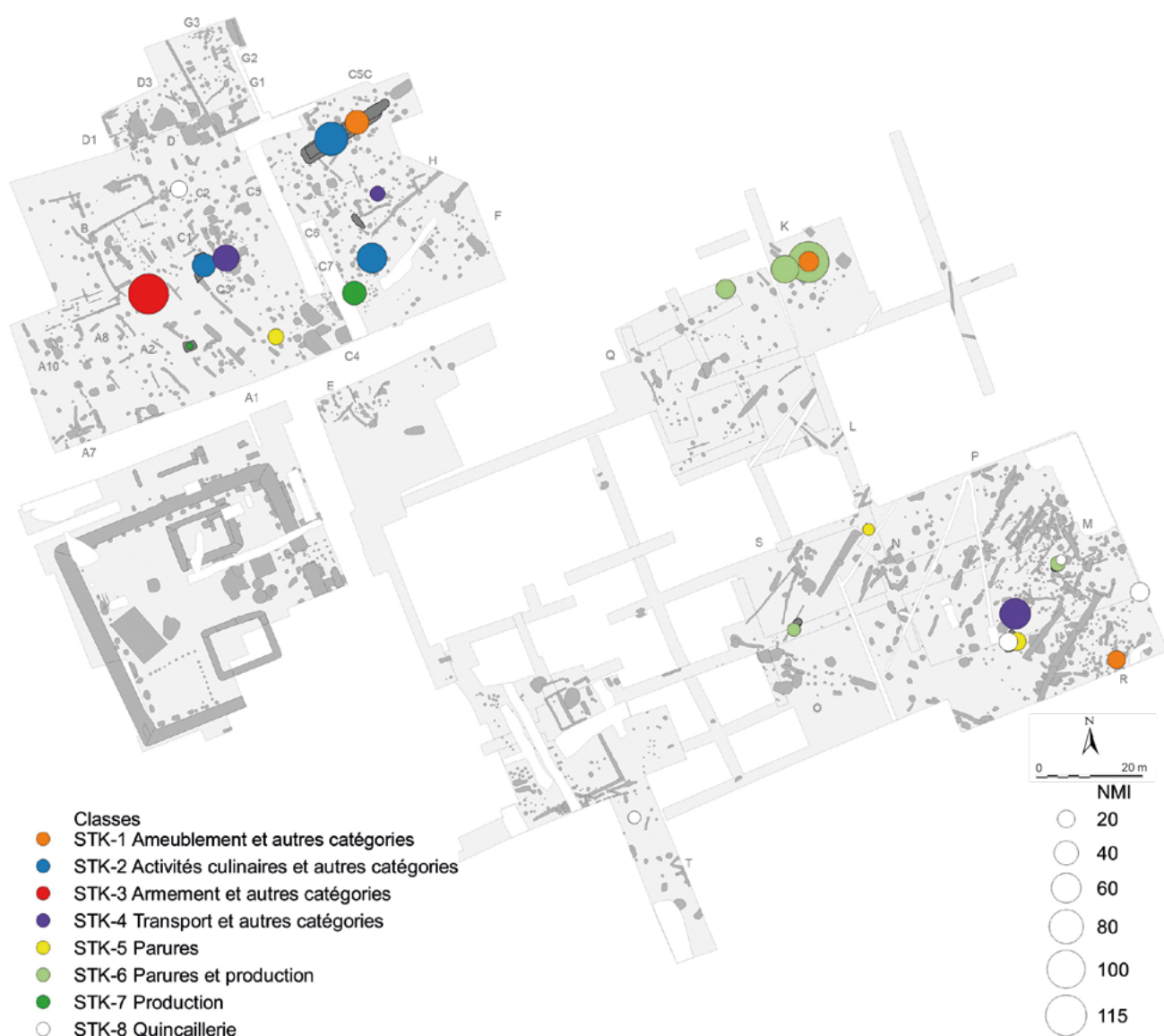


Fig. 283. Composition et quantification des assemblages issus des structures de stockage.

Également très cohérente, l'association de tranchants de ciseau, de poinçon avec un martyr et d'un raté de coulée de flan monétaire dans la fosse 20636 représente un assemblage lié à la découpe des flans avant de frapper monnaie (K-21-Fo art 20636). Déjà relevée, la fosse 18232 permet de restituer un artisanat du plomb matérialisé par un lingot, des creusets de grandes dimensions et une tuyère coudée atypique (HB-10-Fo art 18232). L'ensemble est complété par une virole, vestige d'un outil utilisé dans la structure. En l'absence de foyer et de coulures, la restitution de la chaîne opératoire de la coulée dans la fosse-atelier s'avère hypothétique et peut avoir été effectuée à proximité, l'ensemble ayant été déposé en condition de dépôt secondaire. Très riche, la fosse 18098 comprend un ensemble d'outils et de déchets relatifs à la fois au travail de la tôle (marteau, martyr, ciselet, bracelet en cours de fabrication), du bois (gouge), de l'os (déchet de tabletterie) et à la coulée des alliages cuivreux (lingotière, coulure). Cette composition empêche de restituer l'activité réalisée dans la structure, dont le comblement a dû résulter de l'activité de plusieurs artisans ou suggère un artisanat polyvalent lié à la réalisation d'objets composites (F-10-Fo art 18098). La cohérence des outils associés au travail des alliages cuivreux laisse toutefois envisager qu'elle a pu fonctionner dans ce cadre, bien que les activités représentées évoquent plus un remplissage détritique, regroupant l'ensemble des artisanats pratiqués dans le secteur, que la fonction primaire de la structure.

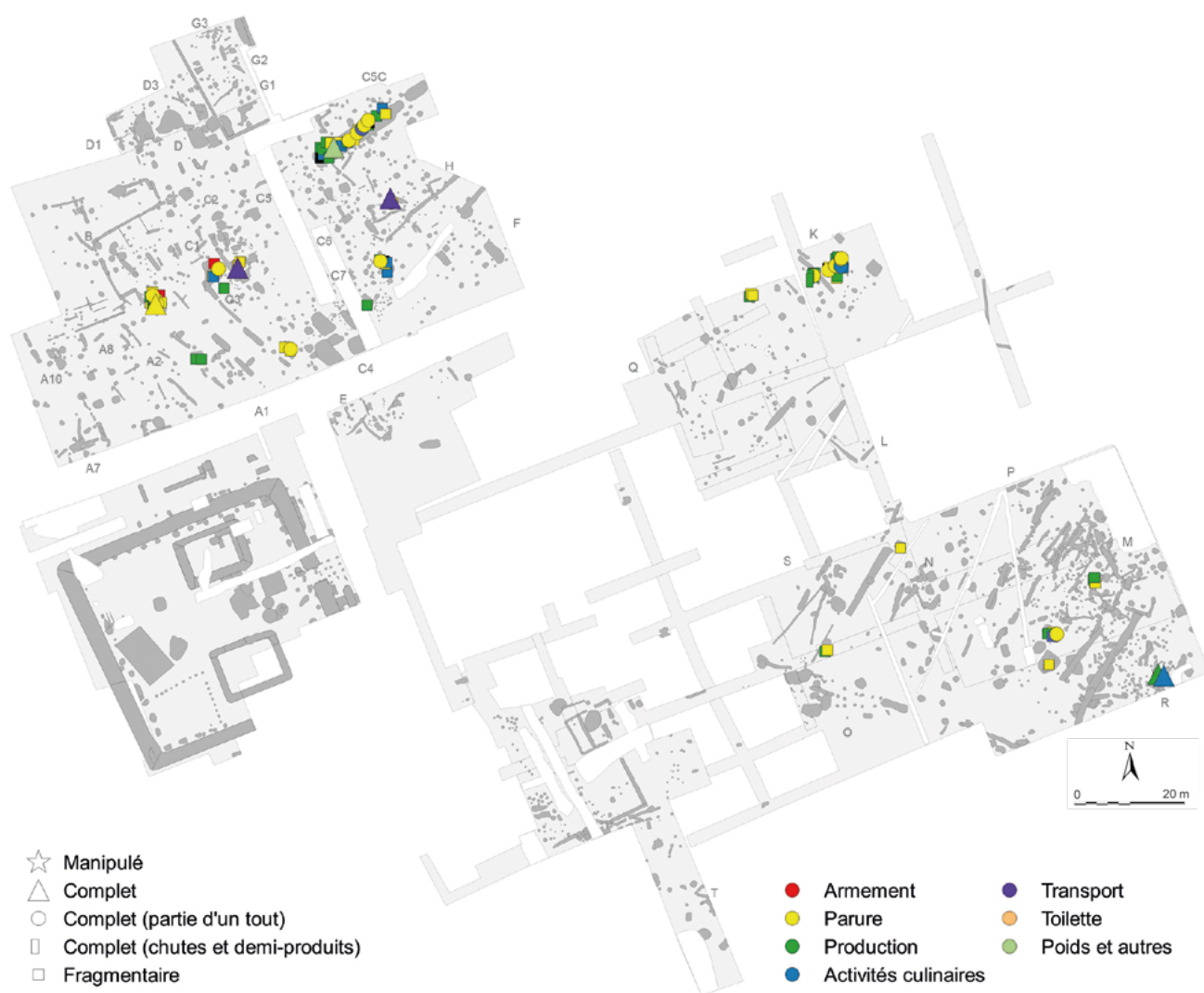


Fig. 284. *Taphonomie des objets issus des structures de stockage.*

D'autres ensembles sont caractérisés par l'hétérogénéité des artisanats représentés par leur faciès d'outillage et de déchets. C'est notamment le cas des fosses du bâtiment O (O-2-Fo art 20415, O-3-Fo art 20395), où sont associés des scories ferreuses, des coulures, des demi-produits en alliage cuivreux et des outils liés au travail du bois (scie, ciseau à bois, mèche). Ces assemblages peuvent correspondre à l'activité d'ateliers peu spécialisés mettant en œuvre l'ensemble de ces matériaux, tout comme illustrer un artisanat spécifique, réalisant des objets composites et nécessitant le recours à des techniques variées. Le même constat peut être proposé pour la fosse 17093 du bâtiment C1 qui fournit une gouge et un bédane associés au raté de coulée de pendant de harnais (C1-18-Fo art 17093). Compte tenu du contexte où l'artisanat des alliages cuivreux est prépondérant, les outils liés au travail du bois représentent peut-être ici des activités annexes, telles que la sculpture de formes, de patrons ou de moule à la cire perdue. Bien que ces outils demeurent caractéristiques du travail du bois, ils peuvent également avoir servi lors de la réparation d'un objet coulé, une opération qui consiste à retirer les canaux de coulée, colmater les surfaces ou encore ébarber les bavures situées aux jonctions du moule. Dans le même ordre d'idée, l'artisanat du textile (forces, aiguille) et des métaux (œil d'outil, scorie) sont recensés dans l'une des deux grandes fosses du bâtiment C4 (Fo art 17698), alors que la seconde (Fo art 17323) livre une aiguille et des fragments de forces qui constituent un assemblage cohérent.

Au terme de cette démonstration, la difficulté de déterminer précisément l'activité exercée au sein des fosses artisanales est patente, en l'absence de l'identification des niveaux de fonctionnement de la structure. Le plus fréquemment, ces espaces de travail regroupent des objets dans des conditions secondaires de dépôt qui

illustrent le travail effectué à proximité ou uniquement une partie d'une chaîne opératoire réalisée dans la fosse. Même lorsque les conditions sont réunies pour identifier un artisanat précis (artisanat des métaux), voire une séquence de ce dernier (découpe des flans monétaires, finition), les vestiges ne couvrent qu'une portion de l'activité de l'atelier, qu'il s'agit de compléter par l'étude des niveaux de sols associés. Un autre constat peut être formulé à partir de ce corpus regroupé. Ces structures servent principalement à l'artisanat des métaux fusibles, tandis que les fosses où le travail du fer est postulé présentent des assemblages moins marqués. Leur fonctionnement dans le cadre de l'artisanat textile peut aussi être évoqué dans deux cas.

4.2.5. LES STRUCTURES DE STOCKAGE : CAVES ET CELLIERS

De grands volumes, les structures de stockage livrent des ensembles riches en petit mobilier, notamment en quincaillerie (voir *supra*, chap. 3.12.4), mais surtout en amphores et en céramique. Caves et celliers comportent des amphores peu fragmentées et des céramiques complètes dans leurs niveaux d'utilisation, tandis que les comblements supérieurs livrent leur lot de matériel détritique, où se mêlent parfois des dépôts d'ossements animaux. La place du matériel métallique doit par conséquent être évaluée au regard de ces dynamiques, en essayant de percevoir si des faciès particuliers ressortent de l'étude du remplissage de ces structures.

La distinction des classes a été effectuée en excluant, dans un premier temps, la parure et la production, deux catégories communes à la majorité des assemblages, pour se concentrer sur les autres catégories plus à même de générer une sériation fonctionnelle (fig. 283 à fig. 285) ([cat. 69](#) et [70](#)). Il s'agit aussi de mettre l'accent sur les différences de faciès entre les couches associées à l'utilisation de la structure de stockage et celles générées par son comblement lors de sa désaffectation.

Assemblages de classe STK-1(3)

Disponibles uniquement dans la grande cave-entrepôt du complexe C et dans celle du bâtiment K, ces niveaux d'utilisation présentent la particularité de fournir des pièces de meuble, un type d'objet rare à La Tène finale (fig. 285). Une poignée de coffret provient du cellier 22242 du bâtiment R, qui doit ainsi être attribué à cette première classe (R-55- St 22242). Ces attestations de petite caissette de rangement illustrent peut-être la volonté de stocker ou de cacher des biens de valeur. Ces éléments d'ameublement vont bien entendu de pair avec d'autres catégories qui illustrent le fonctionnement de la structure et apportent des éléments complémentaires pour caractériser l'activité environnante. Ainsi, le grand meulet cylindrique et le raté de coulée de flan de la cave du bâtiment K (K-10/13/14-Cave combl ind) reflètent les activités artisanales documentées à proximité (artisanat du bois ou du cuir, production monétaire).

Assemblages de classe STK-2(3)

Dans le même ordre d'idée, les attestations de vaisselle et le poids cylindrique provenant des couches d'utilisation de la cave 17070 (C5C-6-combl inf) vont de pair avec la lèvre de cruche de son comblement médian (C5C-4/5-combl sup/med), tout à fait en adéquation avec les pratiques commerciales et la consommation de vin suggérées par les amphores intactes retrouvées dans ce grand entrepôt (fig. 285).

Les deux autres ensembles du complexe C de cette classe livrent des barres de gril (C3-12-Ce 15540, C7-10-Ce 17522). Fragmentaires, ces éléments, qui révèlent les habitudes alimentaires de ce secteur (voir *supra*, p. 243), attestent l'activité courante à connotation culinaire se déroulant à proximité. Un assemblage de cette classe livre de l'armement, à savoir un talon de lance fragmentaire, qui n'a pas été jugé suffisamment pertinent pour cataloguer cette structure dans la classe STK-3.

Critères					
Composition (nbre)	NMI	Taphonomie	Contexte	Interprétation	Exemples
STK-1 Ameublement et autres (3)	22 à 39	Tous sauf manipulé	Utilisation, primaire	Activité courante avec une part artisanale, stockage	K-15/16-Cave combl inf, R-55-St 22242, C5C-6-combl inf
STK-2 Activités culinaires (3)	62 à 77	Fragmentaire	Secondaire	Activité courante, culinaire	C3-12-Ce 15540, C7-10-Ce 17522
		Fragmentaire, complet	Secondaire, entrepôt	Consommation de boisson et commerce	C5C-4/5-combl sup/med
STK-3 Armement (1)	111	Fragmentaire et complet (tout)	Secondaire	Activité courante avec une part artisanale	BCP-1-Ce 15520
STK-4 Transport (3)	65	Fragmentaire	Secondaire	Activité courante proche de l'extérieur	M-123-Cave 21341
	15 à 47	Complet	Secondaire	Activité courante proche de l'extérieur	C3-7-Ce 17405, H-20-Ce 18075
STK-5 Parures (3)	10 à 17	Complet (tout), fragmentaire	Secondaire	Activité courante	C4-14-Ce 16449, M-65-Ce 22255, N-38-Ce 20026
STK-6 Parures et production (5)	12 à 25	Complet (tout), fragmentaire	Secondaire	Activité courante avec une part artisanale	M-134-Ce 21201, Q-24-Ce 22007, S-4-Ce 20372
	52 à 115	Complet (tout), fragmentaire	Secondaire	Activité courante, rejets artisanaux?	K-10/13/14-Cave combl ind, K-4-Ce 20607
STK-7 Production (2)	6 à 38	Complet (chute), fragmentaire	Primaire/secondaire	Activité artisanale peu marquée	A1-30-Ce 14047, C7-3-Ce 17595
STK-8 Quincaillerie (5)	8 à 24	Fragmentaire	Primaire/secondaire	Pas d'activité	M-121-Ce 22204, T-10-Ce 21759,

Fig. 285. Grille de lecture des assemblages issus des structures de stockage.

Assemblages de classe STK-3(1)

Caractérisée par la présence d'armement, cette classe est illustrée par le cellier du bâtiment B (BCP-1-Ce 15520) (fig. 285). Il renfermait un umbo de bouclier fragmentaire associé à un crâne humain, ainsi que de nombreuses parures (fibules, bagues, perles) et des vestiges artisanaux (aiguilles, lingotière). S'il est indéniable que les comblements de cette structure correspondent vraisemblablement aux reliefs d'activités pratiquées à proximité, l'association de cet élément de bouclier et du crâne humain laisse envisager des pratiques de valorisation de l'élite guerrière, qui ont pu participer au décor du bâtiment ou à une cérémonie liée à la condamnation de la structure. De telles configurations se retrouvent tant dans le sanctuaire que dans le sol 14030 du bâtiment A1 (A1-20-sol 14030).



Fig. 286. Passe-guide de type Verna in situ.

Assemblages de classe STK-4(3)

Trois ensembles livrent des pièces de transport qui suggèrent leur proximité avec des espaces ouverts (fig. 285). C'est notamment le cas de la cave sise au milieu de la cour délimitée par les palissades du bâtiment M. Attribuée à l'état 2.1, elle comporte un élément de mors fragmentaire qui a pu être piégé dans la structure après sa désaffectation (M-123-Cave 21341). Le même postulat peut être proposé pour les deux autres ensembles qui livrent des pièces complètes (passe-guide de type Verna, pendant de harnais). La présence de pièces de transport dans ces structures également attribuées aux états initiaux du site (états 1 et 2.1) peut s'expliquer par leur proximité avec des espaces de voirie et des apports détritiques liés à leur comblement pour aplanir la zone, lors des états postérieurs. Une pratique de dépôt aurait pu aussi être évoquée pour le passe-guide issu du comblement d'une amphore dressée dans le cellier 18075, mais son emplacement conduit à préférer *a posteriori* une position fortuite (fig. 286).

Assemblages de classe STK-5(3)

Les assemblages ne livrant que des éléments de parures sont souvent de petite taille (NMI entre 10 et 17) et n'appellent pas de commentaire particulier (fig. 285).

Assemblages de classe STK-6 (5)

Les ensembles de petite taille de cette classe (M-134-Ce 21201, Q-24-Ce 22007 S-4-Ce 20372) présentent des parures, des outils fragmentaires (faux, tas) et des

déchets artisanaux (scories) en petit nombre (fig. 285). Ils correspondent très vraisemblablement à des comblements détritiques résultant d'activités artisanales avoisinantes.

Les structures mieux dotées sur le plan quantitatif suivent le même schéma interprétatif. Les comblements supérieurs du cellier du bâtiment K (K-10/13/14-Cave combl ind.) apparaissent ici identiques à ses niveaux d'utilisation. Le cellier 20607 comprend un assemblage lié au travail du fer (outils et chutes) et de l'os (barrette inachevée pour la réalisation d'un dé), qui suggère la même interprétation (K-4-Ce 20607). L'absence de scorie, dans cet assemblage pourtant cohérent, affaiblit l'interprétation de comblement détritique lié à une activité artisanale adjacente. Elle incite à proposer l'abandon de matière première stockée dans la structure et finalement jugée de trop mauvaise qualité pour être travaillée, comme l'indique la scorification de surface de trois chutes de l'ensemble (voir *supra*, p. 198).

Assemblages de classe STK-7(2)

Les assemblages de cette classe (A1-30-Ce 14047, C7-3-Ce 17595) livrent de rares objets liés à la production (coulure, ciseau), qui illustrent une activité artisanale peu marquée effectuée à proximité (fig. 285).



Fig. 287. Composition et quantification des assemblages issus des structures liées à la gestion de l'eau.

4.2.6. LES STRUCTURES LIÉES À LA GESTION DE L'EAU : PUIS, BASSINS ET CITERNES

Un article de synthèse est consacré aux aménagements liés à l'eau et aux caractéristiques de leurs assemblages (Poux et Pranyies 2015). Ce catalogue raisonné met en évidence des pratiques de dépôts de céramiques, de meules, de monnaies et de faune. Le petit mobilier ne semble pas participer à ces actes à vocation religieuse, à l'exception de la citerne 20662 qui livre deux fibules intactes, dont une en argent au sommet de son comblement (Q-2-Cit 20662). La datation de la céramique de la structure (LTD2a), nettement antérieure à la chronologie retenue pour les parures (fin LTD-début du règne d'Auguste), suggère un apport colluvionnaire postérieur au fonctionnement et à l'abandon de la structure. La problématique liée à l'identification d'activité culturelle se résume, pour le mobilier métallique, à cet ensemble déplacé. Il reste à essayer de souligner les caractéristiques fonctionnelles de ces assemblages, en signalant d'emblée qu'aucune pièce de seau ou de récipient servant au puisage de l'eau n'est attestée au fond de ces structures.

Les huit assemblages livrant du matériel métallique proviennent des comblements supérieurs pourvus de matériel détritique, dans des conditions secondaires de dépôt (fig. 287 à fig. 289). La diversité de composition des huit ensembles contenant d'autres catégories que de la quincaillerie en témoigne : chaque ensemble

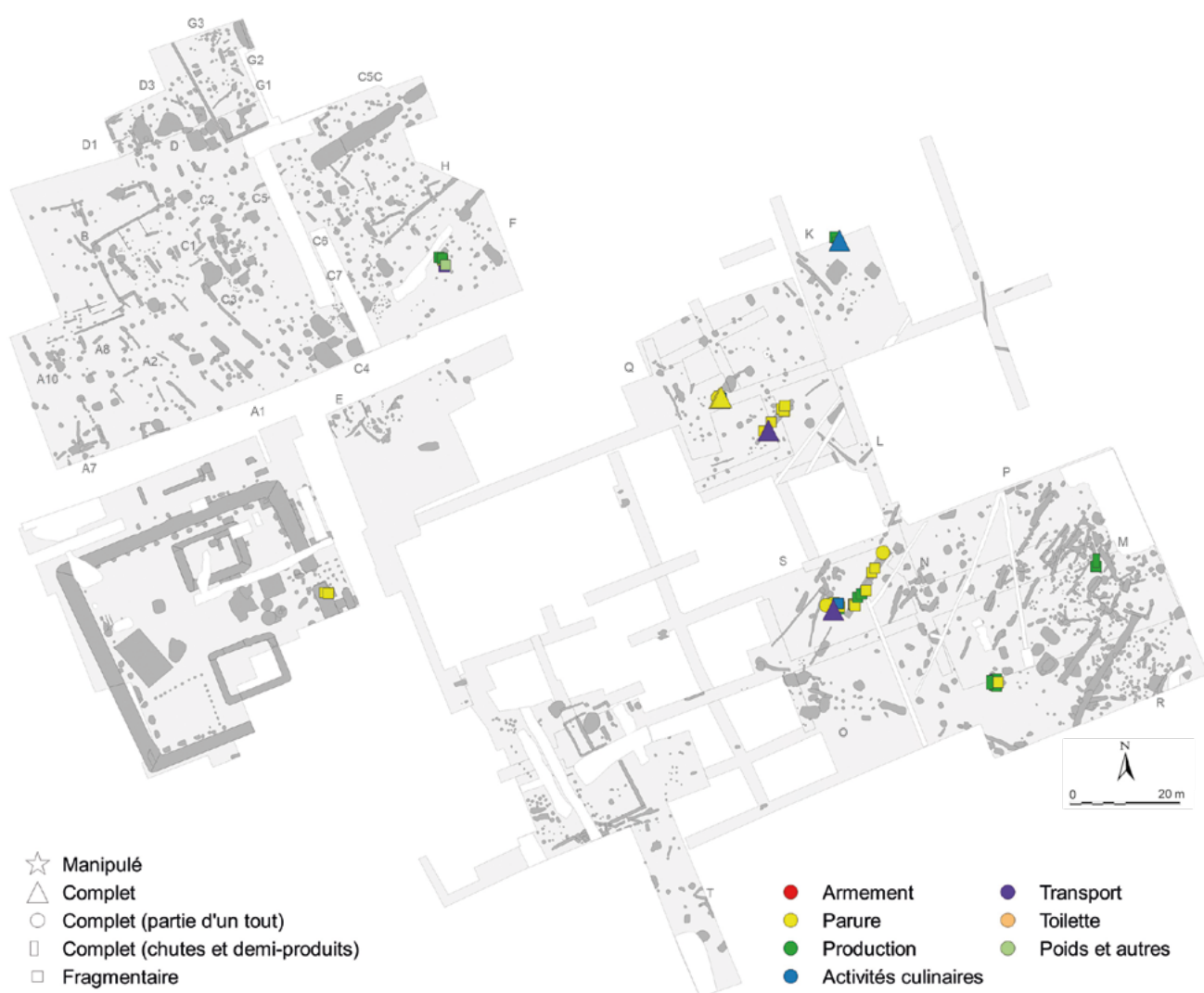


Fig. 288. Taphonomie des objets issus des structures liées à la gestion de l'eau.

est différent (cat. 71 et 72). Lorsque l'on tente tout de même de les ordonner, trois classes apparaissent : les assemblages avec des vestiges artisanaux liés à de la parure ou à des instruments de cuisine (classe EAU-1), un ensemble avec au moins une de ces deux dernières catégories (classe EAU-2) et quatre autres comportant des éléments liés au transport et d'autres catégories (classe EAU-3).

Assemblages de classe EAU-1 (3) et EAU 2(1)

Les deux premières compositions représentent la mise au rebut de déchets artisanaux peu spécifiques (chutes et scories) et d'objets du quotidien, pour la plupart fragmentaires (fig. 289). L'un des rares couteaux complets à l'extérieur du sanctuaire est issu de la citerne 20618 (K-3-Cit 20618) et le dépôt de fibules mentionné précédemment provient du sommet du remplissage de la citerne 20662, qui livre aussi un instrument de découpe (Q-2-Cit 20662). Leur situation à l'écart des zones de circulation explique en partie l'absence d'éléments liés au transport (classe EAU-3), récurrents dans le reste des assemblages.

Critères					
Composition (nbre)	NMI	Taphonomie	Contexte	Interprétation	Exemples
EAU-1 Production et parures ou activité culinaire (3)	13 à 56	Tous sauf manipulé	Secondaire	Activité courante avec une part artisanale/culinaire	K-3-Cit 20618, S-6-Bs 22452, M-6-Cit 21279
EAU-2 Activité culinaire et parure (1)	11	Tous sauf manipulé	Secondaire	Activité courante, culinaire	Q-2-Cit 20662
EAU-3 Transport et autres (4)	31 à 52	Tous sauf manipulé	Secondaire	Activité courante extérieur avec une part artisanale	F-3-Ct 17470, S-7-Pt 22474, Q-3-Bs 22005, M-66-Puits 22214
EAU-4 Quincaillerie (1)	3	Fragmentaire	Secondaire	Activité courante	S-5-P 22490

Assemblages de classe EAU-3(4)

Cette classe est caractérisée par la présence de pièces liées au transport. Elles apparaissent principalement dans les structures situées en bordure de voie, dans les bâtiments F, Q M ou S (F-3-Ct 17470, S-7-Pt 22474, Q-3-Bs 22005, M-66-Puits 22214) (fig. 289). Deux éléments intacts, un distributeur de courroie en alliage cuivreux et une agrafe de harnais, proviennent de ces structures. Elles livrent aussi systématiquement des parures fragmentaires (1 à 3 ind.), un argument supplémentaire pour interpréter ces structures comme le réceptacle de matériel issu d'espaces de circulation avoisinants (voir *supra*, chap. 4.2.1). L'activité artisanale y est représentée par des chutes et un fragment de faux.

Fig. 289. Critères et interprétation des assemblages des structures liées à la gestion de l'eau.

4.2.7. LES FOSSES DE FONCTION INDÉTERMINÉE

La problématique consiste ici à proposer une interprétation pour le remplissage des fosses de fonction indéterminée. Cette catégorie de structures regroupe des creusements au profil évasé ou dont la morphologie simple n'a pas permis une interprétation. Il s'agit bien souvent de structures dont le creusement avait un objectif défini (extraction de matériau, aménagement indéterminé, etc.) et qui a pu s'altérer, en occultant leur fonction première ou comporter des recreusements non perçus à la fouille. Elles peuvent aussi s'être créées naturellement dans des inégalités du terrain naturel et des voies.

Leur étude procède selon la même méthode que celles des trous de poteau, avec une analyse de classe de composition et de quantification (cat. 73 et 74), puis une confrontation à la taphonomie des objets contenus dans la structure (fig. 290 à fig. 292). Le corpus de fosses peut d'emblée être subdivisé en deux groupes, le premier comprenant 60 structures avec uniquement de la quincaillerie, tandis que l'étude se concentre sur les 62 structures laténiennes restantes.

Assemblages de classe FO-1(13)

La première classe de composition comprenant des pièces d'armement et d'autres catégories a été divisée en trois tailles : de 2 à 9 individus, de 13 à 29 individus et un ensemble de 73 individus (fig. 292). La grande majorité des assemblages renferme uniquement des pièces fragmentaires, à l'exception d'une pointe de flèche (A10-3-Fo 16146) et d'une agrafe de ceinturon ou de harnais à bouton rectangulaire (BCP-5-Fo 16231), deux objets qui n'impliquent pas forcément de dépôt volontaire. Un doute demeure pour l'assemblage le plus important sur le plan quantitatif (C3-10-17478). Ce dernier livre en effet un bracelet à épissures complet, un support latéral de gril, un fragment de couteau et un fragment médian d'épée voilée. La taille de l'assemblage et sa composition laissent envisager une interprétation de cellier pour cette structure, qui a pu recevoir un dépôt volontaire si l'on se réfère à la composition des assemblages du sanctuaire ou de certains trous de poteau. L'hypothèse d'une fosse artisanale ne peut toutefois pas être écartée compte tenu de sa profondeur (30 cm) et de la présence d'une virole et de terre cuite artisanale. À l'exception de cette structure, les autres ensembles sont interprétés comme des fosses dépotoirs d'activité courante, parfois liées à des espaces extérieurs. C'est du moins l'interprétation proposée pour la fosse de l'état 2 du bâtiment B (BCP-5-Fo 16231). Un éperon ainsi qu'un distributeur de courroie de harnais accompagnent en effet l'agrafe de ceinturon ou de harnais, dans cette fosse située dans le prolongement d'une structure longiligne.

Assemblages de classe FO-2(8)

Les fosses avec des ustensiles culinaires et d'autres catégories fournissent uniquement des éléments fragmentaires (fig. 292). Les assemblages sont interprétés comme le relief d'activités liées à l'alimentation. Trois zones concentrent ces assemblages, à savoir les bâtiments N, Q et P, pour lesquels la cuisine est très bien représentée (voir *infra*, chap. 4.3.2), notamment par une attache de situle (Q-15-Fo 20711), des fragments de couteau (Q-23-Fo 21642), une barre de gril (N-23-Fo 20031) ou encore une brochette (P-10-Fo 21116).

Assemblages de classe FO-3(9)

Les assemblages avec des parures fragmentaires ou des perles s'apparentent à ceux décrits précédemment et matérialisent des activités communes (fig. 292). Tel n'est pas le cas des deux fosses avec des fibules intactes du sanctuaire (SCTA-14-Fo 10058, SCTE-5-Fo 13035). Interprétée comme l'autel creux ou le support de statue de l'enclos A (Poux, sous presse), la première correspond à la désaffectation du lieu de culte et peut être comprise comme un dépôt primaire. La seconde parure intacte, une fibule à ailettes naissantes attribuée à l'état 3, est localisée à proximité de l'entrée. Son type et sa situation ne sont pas sans rappeler le dépôt recensé dans la citerne 20662 (voir *supra*, p 363).

Assemblages de classe FO-4(6)

La composition des structures de cette classe comprend des objets systématiquement fragmentaires associés à la parure et à la production (fig. 292). La même pratique de dépôt que celle évoquée pour les deux ensembles du sanctuaire de la classe FO-3 peut être envisagée dans la fosse de LTD2b, située dans le bâtiment G (G-3-18594), qui comporte une fibule complète à arc filiforme et pied grillagé. À nouveau, il demeure difficile de l'affirmer compte tenu du bon état de conservation des parures de cette période, un phénomène lié à la baisse de fréquentation du site, déjà démontrée dans le sanctuaire (Poux et Demierre 2015, p. 258-259).

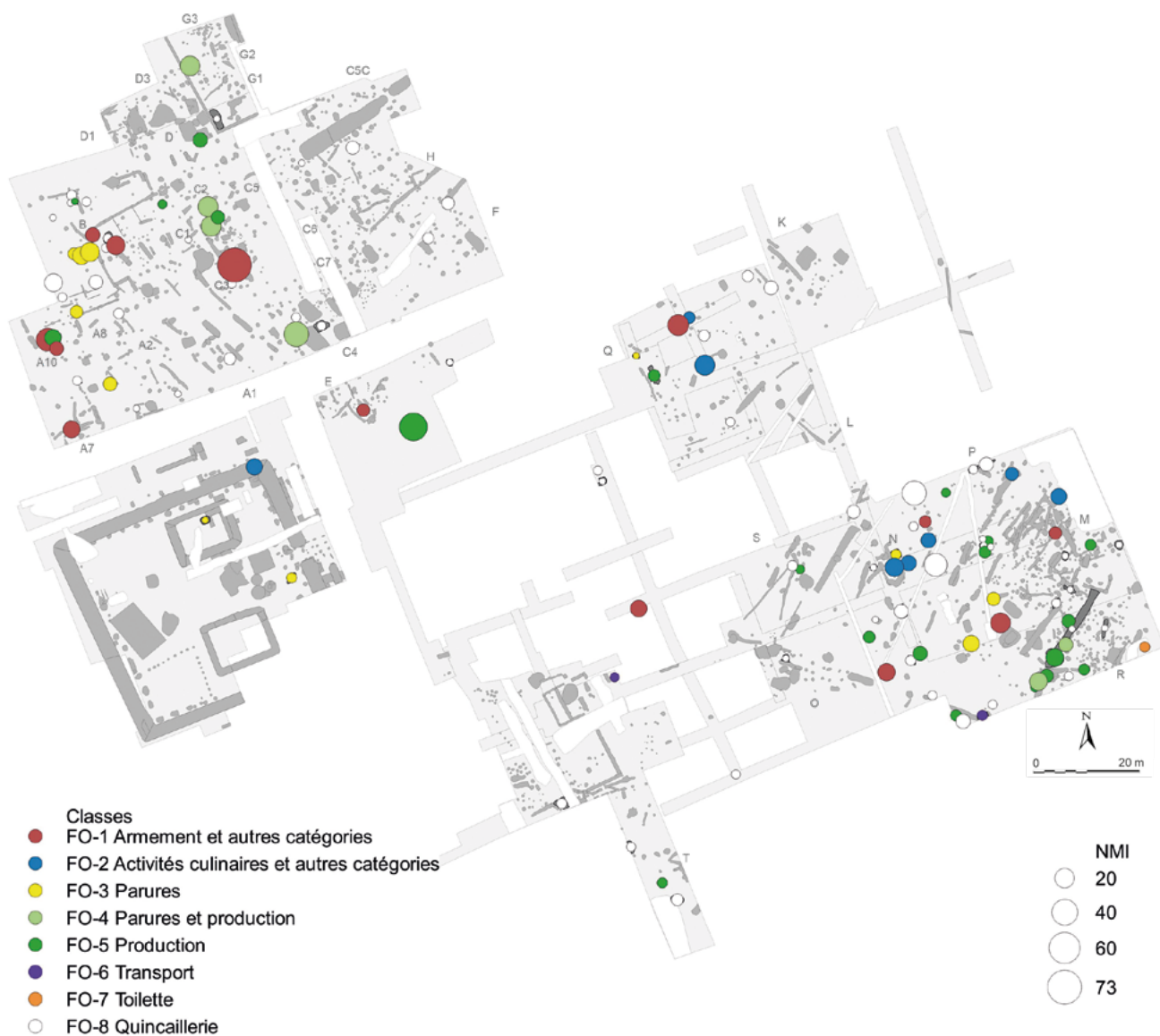


Fig. 290. Composition et quantification des assemblages issus des fosses.

Les cinq autres fosses de cette classe sont réparties entre trois secteurs, soit les bâtiments C1 et C4 liés à l'artisanat des alliages cuivreux et la partie méridionale du bâtiment R, où apparaissent de nombreux éléments se rapportant au travail du fer. Les fosses de C1 et de R, qui livrent quelques déchets (coulures, scories) et outils (ciseau, virole), ont dû participer aux aménagements relatifs au fonctionnement des ateliers de ces secteurs. Ils diffèrent grandement de la fosse 17361 de C4 qui se démarque par une grande quantité de fragments de creusets et de lingotières (C4-15-Fo 17361). La répartition spatiale des coulures et des gouttes, dans le secteur, fait apparaître cette structure comme l'épicentre de l'activité de coulée et implique qu'elle a pu fonctionner comme fosse-atelier.

L'absence de déchets caractéristiques dans son remplissage incite néanmoins à pondérer cette hypothèse, pour préférer celle d'une fosse de rejet où ont terminé les outils de coulée devenus inutilisables.

Assemblages de classe FO-5(38)

Les fosses au faciès caractérisé uniquement par des vestiges artisanaux sont pour la plupart trop mal dotées, pour permettre la qualification d'une activité, avec seulement quatre ensembles qui livrent plus d'un individu de cette catégorie (fig. 292). De plus, les outils sont rarement documentés dans ces structures qui ont dû recevoir des déchets de manière sporadique. Signalons tout de même la bonne

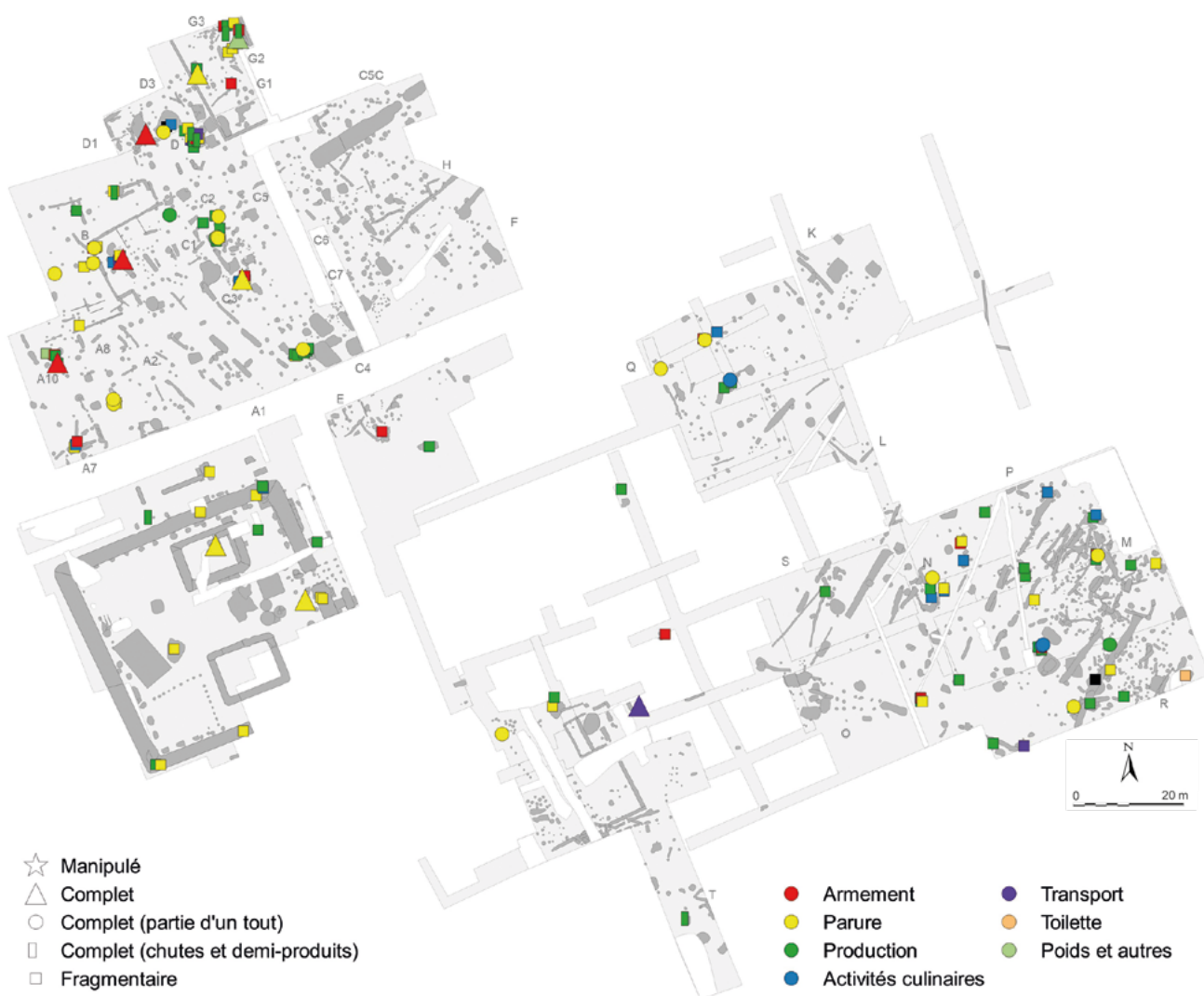


Fig. 291. *Taphonomie des objets issus des fosses.*

représentation du bâtiment R pour cette classe de composition. La fosse à fond plat 22348 et la structure 22329 contiennent en effet plusieurs scories, dont trois calottes et un ciseau droit, qui laissent supposer que ces aménagements ont pu fonctionner comme des fosses artisanales, avant d’être recoupés par les fossés postérieurs (R-59-Fo 22329, R-60-Fo 22348).

Assemblages de classe FO-6(2)

Les deux assemblages avec des pièces de transport sont situés dans des espaces de voirie (VO-13-Fo 22269, TH-49-Fo 21899-196) et dénotent une activité extérieure (fig. 292).

Assemblages de classe FO-7(1)

Une seule fosse contient un instrument de toilette qui reflète un assemblage à connotation domestique (fig. 292).

4.2.8. BILAN DES INTERPRÉTATIONS LIÉES AUX ACTIVITÉS PROFANES

La synthèse de la caractérisation des différents contextes du site est abordée en deux temps. Il s’agit tout d’abord de qualifier les faciès qui marquent les assemblages situés à l’extérieur ou à l’intérieur des bâtiments, pour ensuite aborder la question de la grille interprétative des activités représentées (fig. 293).

Critères					
Composition (nbre)	NMI	Taphonomie	Contexte	Interprétation	Exemples
FO-1 Armement et autres (13)	2 à 9	Fragmentaire	Secondaire	Activité courante avec/ sans part artisanale	BCP-2-Fo 16218, E1-10-Fo 17762, M-175-Fo 20288, VO-9-Fo 22482, N-37-Fo 21452
		Complet	Secondaire	Activité courante avec une part artisanale	A10-3-Fo 16146
	13 à 29	Fragmentaire	Secondaire	Activité courante	A7-8-Fo 16133, ESP-2-Fo 22481, VO-9-Fo 22482, M-169-Fo 21208, Q-22-Fo 21640, A10-2-Fo 16134
		Complet	Secondaire	Activité courante extérieure	BCP-5-Fo 16231
	73	Complet	Secondaire	Dépôt ambigu	C3-10-Fo 17478
FO-2 Culinaires et autres (8)	5 à 22	Fragmentaire	Secondaire	Activité courante, culinaire	Q-15-Fo 20711, Q-23-Fo 21642, N-23-Fo 20031
FO-3 Parure (9)	1 à 37	Fragmentaire, complet (tout)	Secondaire	Activité courante	BCO-6-Fo 16239, BCO-8-Fo 16252, ACI-6-Fo 16055
	1 à 3	Complet	Primaire?	Dépôt simple de parure	SCTA-14-Fo 10058, SCTE-5-Fo 13035
FO-4 Parure et production (6)	9 à 36	Fragmentaire	Secondaire	Activité artisanale	C4-15-Fo 17361, C1-8-Fo 17084, C1-19-Fo 17091, R-73-Fo 22284, R-41-Fo 22245
	21	Complet, fragmentaire	Primaire?	Dépôt ambigu	G-3-Fo 18594
FO-5 Production (38)	1 à 47	Fragmentaire	Secondaire	Activité artisanale peu marquée	R-59-Fo 22329, R-75-Fo 22385, R-23-Fo 22285, A10-6-Fo 16577
FO-6 Transport (2)	2 à 3	Complet et fragmentaire	Secondaire	Activité courante extérieure	VO-13-Fo 22269, TH-49-Fo 21899-196
FO-7 Toilette (1)	3	Fragmentaire	Secondaire	Activité courante domestique	R-24-Fo 22316
FO-8 Quincaillerie (60)		Fragmentaire	Secondaire	Pas d'activité	

Faciès des sols extérieurs et des structures proches d'espaces de circulation

Fig. 292. Grille de lecture des assemblages issus des fosses.

L'analyse statistique restitue des traits communs aux sols extérieurs, qui présentent de nombreuses parures fragmentaires, des éléments liés au transport ainsi que, pour la majorité des sols étudiés, une part importante de rejets artisanaux et une faible représentation des ustensiles culinaires (classe SOL-1 et SOL-3). Cette composition, commune aux couches de la place du complexe C, illustre les **sols extérieurs proches de zones artisanales**, c'est-à-dire les niveaux conservés à proximité d'ateliers signalés par des outils et des déchets de production. Il est cependant tout aussi possible que le travail ait été effectué sur le sol même, bien que l'artisanat du métal nécessite des conditions de travail en espace clos. Les niveaux du complexe C se distinguent notamment de ceux de l'intérieur du sanctuaire par une meilleure représentation des outils, par rapport aux déchets, ainsi que par des proportions moindres de parures. Ce faciès se retrouve aussi dans les décapages des cours à l'intérieur des bâtiments du complexe A et entre cet ensemble architectural et le bâtiment B, des assemblages représentatifs des **sols extérieurs** qui livrent peu de matériel relatif à l'artisanat. Une interprétation de **voie** a été retenue pour un ensemble isolé par l'analyse statistique (classe SOL-7) et marqué par une surreprésentation de pièces relatives au transport.

	Interprétation	Contexte	Critères	Exemples
Extérieur	Sols extérieurs proches de zones artisanales	Sols	Parures fragmentaires nombreuses et pièces liées au transport, production très représentée, activités culinaires faibles	Sols du complexe C
	Sols extérieurs	Sols	Parures fragmentaires nombreuses et pièces liées au transport, production peu représentée, activités culinaires faibles	Cour du sanctuaire et du bâtiment A
	Voie	Sols	Forte proportion d'éléments liés au transport	AC-2-sol
	Structure à proximité d'un espace extérieur, activité courante	Structures longilignes et liées à l'eau, autres	Présence de pièces de transport avec autres catégories d'objets peu spécifiques	O-17-Pal 22520, BCN-8-Pal
	Structure à proximité d'un espace extérieur, rejets artisanaux	Structures longilignes et liées à l'eau, autres	Présence de pièces de transport avec forte présence d'éléments artisanaux	R-54-Pal 22228, R-40-Pal 22271
Intérieur	Activité courante	Sols	Pas de marqueur d'une activité spécifique, souvent avec des parures fragmentaires	D-15-épandage 17283, R-20-sol 22236
	Activité courante avec une part artisanale	Sols	Parures fragmentaire et rares objets artisanaux (outils fragmentaires ou uniquement des déchets)	M-53-radier 21124, R-19-sol 22234
	Activité artisanale peu marquée	Sols	Ensemble de petite taille avec uniquement de la production (outils fragmentaires et déchets)	R-19-sol 22234, R-8-radier 22272
	Activité artisanale	Sols	Ensemble de petite taille avec uniquement de la production ou des outils complets, cohérence de l'artisanat représenté	M-117-sol 20084, R-6-radier 22231
	Espace de travail	Sols	Surreprésentation de la production, outils complets et fragmentaires, cohérence de l'artisanat représenté	K-2-radier de sol, C1-17-sol 17343
	Activité courante, culinaire	Sols	Activités culinaires représentatives sous la forme d'objets fragmentaires	R-37-Sol d'amphore 22233, A1-2-radier
	Activité bouchère	Sols avec rejets de boucherie	Activités culinaires représentatives, couteau de boucher, association avec les ossements animaux caractéristiques	C1-5-épandage 18652, A8-2-épandage
	Consommation communautaire	Sols du théâtre	Activités culinaires représentatives, uniquement liées à la boisson	TH-29-cailloutis 21780
	Cuisine communautaire	Bâtiment M	Activité culinaire surreprésentée et variée sous la forme de fragments	M-211-sol 21167
	Activité courante	Structures en creux	Pas de marqueur d'une activité spécifique, souvent avec de la parure fragmentaire	Q-28-TP 22038, BCN-11-TP 16353
	Activité courante avec une part artisanale	Structures en creux	Parures fragmentaires et peu d'objets artisanaux (outils fragmentaires ou uniquement des déchets)	M-143-TP 20813, K-15/16-Cave combl inf
	Activité artisanale peu marquée	Structures en creux	Ensemble de petite taille avec uniquement de la production (outils fragmentaires et déchets)	BCP-19-TP 15618, F-16-TP 18113
	Activité artisanale	Structures en creux	Ensemble de petite taille avec uniquement de la production (outils complets et déchets) ou avec la production dominante et cohérente	C4-15-Fo 17361, C5-33-TP 17224, M-176-TP 20165
	Espace de travail	Fosses artisanales	Contexte, surreprésentation de la production, outils complets et fragmentaires, déchets	K-21-Fo art 20636, C3-26-Fo art 18668
	Activité courante, culinaire	Structures en creux	Activités culinaires uniquement ou avec des parures	N-28-Sb 20011, C3-12-Ce 15540
	Consommation collective de boisson/commerce	Cave 17070	Surreprésentation des activités culinaires uniquement dédiées à la boisson	Entrepôt 17070
	Activité courante, domestique	Trous de poteau, fosses	Présence d'instruments de toilette	

Fig. 293. Synthèse des grilles de lecture liées à l'activité profane.

Cette catégorie fonctionnelle est aussi utilisée pour qualifier les structures proches d'espaces de circulation, tant elle se retrouve de manière récurrente dans les palissades de bordures de voie et les aménagements liés à la gestion de l'eau, notamment sur le pourtour de l'esplanade, en face du sanctuaire. À nouveau, ces assemblages détritiques ont été différenciés selon les domaines d'activités représentés, entre les **structures à proximité d'un espace extérieur, avec activité courante** et les **structures à proximité d'un espace extérieur, avec rejets artisanaux** correspondant à la mise au rebut de nombreux outils et déchets artisanaux. Ces choix permettent d'intégrer les corpus en question dans l'étude générale du fonctionnement du site.

Faciès des sols intérieurs et des structures de l'habitat

L'interprétation des sols et des structures liés aux bâtiments procède par une classification hiérarchique du degré de spécialisation d'un champ d'activité, dédié à l'artisanat, à l'alimentation ou à la sphère domestique. Les critères d'identification diffèrent quelque peu entre les niveaux de circulation, dont la composition résulte d'une classification ascendante hiérarchique, et les structures en creux traitées grâce à une matrice de présence/absence. Huit types d'interprétation ont été retenus pour les niveaux d'occupation et les sols à l'intérieur des bâtiments ou ne relevant pas des critères caractérisant les espaces extérieurs.

Hiérarchisation des faciès artisanaux

Apparaissant dans la classe de composition SOL-8, les ensembles les plus communs sont marqués uniquement par des parures fragmentaires. Ils relèvent d'une **activité courante**, appellation marquant les faciès les moins spécifiques. Le second degré d'interprétation présente la même configuration avec de rares objets artisanaux, trop peu significatifs en eux-mêmes pour exprimer une spécialisation du sol en question. Ces ensembles relevant d'une **activité courante avec une part artisanale** comprennent généralement de petits corpus avec des chutes et de rares fragments d'outils liés à la production artisanale. Cette dernière a très bien pu être réalisée sur le sol même, de manière ponctuelle, et ne présume guère de la fonction des lieux. Jugés plus représentatifs, les assemblages regroupés sous l'interprétation d'**activité artisanale peu marquée** ont une composition similaire, dans laquelle seule la catégorie de la production est documentée. Ils diffèrent des ensembles identifiés comme les reliefs d'une **activité artisanale** probante, qualifiés par des outils complets ou une certaine cohérence dans l'artisanat pratiqué, alors marqué par une association de déchets et d'outils fragmentaires. Le meilleur degré de spécialisation est l'**espace de travail**. Il est caractérisé par une composition de la classe SOL-2, où la catégorie fonctionnelle de la production est surreprésentée, avec une certaine cohérence de l'artisanat documenté par des outils, complets et fragmentaires, et des déchets. Ces ensembles illustrent le plus souvent des sols d'ateliers, bien que l'activité puisse être ponctuelle. Cette interprétation est proposée notamment pour les sols de l'hémicycle de réunion vraisemblablement liés à sa construction ou à un lieu de production antérieur.

La même hiérarchisation des interprétations a été appliquée aux structures en creux pour lesquelles le meilleur représentant d'une activité de production demeure les fosses-ateliers. Ce type de contexte indique généralement un **espace de travail**, souvent caractérisé par des outils complets et fragmentaires et des déchets particuliers, bien que le remplissage de ces structures ait aussi parfois une connotation domestique (voir *supra*, chap. 4.2.4). D'un degré de spécialisation moins important, les identifications utilisées pour les structures en creux comprennent des ensembles détritiques, en position secondaire, qui reçoivent les mêmes dénominations que les sols. Sont qualifiés comme représentatifs d'une **activité artisanale** les ensembles peu fournis, où seule la catégorie de la production est représentée avec des outils complets et des déchets. Les assemblages, où les vestiges d'artisanat sont dominants et cohérents, sont également versés dans cette catégorie interprétative. Les ensembles, auxquels est attribuée la dénomination d'**activité artisanale peu marquée** et celle d'**activité courante avec ou sans part artisanale**, répondent aux mêmes conditions que celles attribuées aux sols.

Hiérarchisation des faciès liés à l'alimentation

Les activités relatives à la sphère culinaire recensées sur les niveaux d'occupation sont caractérisées par deux regroupements dans l'analyse statistique (classes SOL-4 et SOL-10). Plus commune, la première classe comprend des ensembles où cette catégorie est dominante, illustrant ainsi les faciès où la catégorie fonctionnelle des activités culinaires caractérise l'ensemble par rapport aux autres niveaux de sols. Les ensembles liés à une **activité courante, culinaire** comprennent aussi régulièrement d'autres catégories de mobilier. Elle n'a délibérément pas été qualifiée

de domestique, afin de ne pas présumer de l'interprétation de l'ensemble dans son contexte et de permettre l'ouverture vers d'autres attributions fonctionnelles. Les assemblages de cette classe peuvent en effet aussi illustrer des pratiques de **consommation collective de boisson** postulée pour les niveaux d'occupation de l'hémicycle de réunion, ou encore pour la grande cave du complexe C, grâce à la présence d'ustensiles liés au service de boisson, à l'exclusion des autres instruments culinaires. De même, des **activités bouchères** sont identifiées grâce aux associations avec des ossements animaux caractéristiques. La classe de composition des sols 4 comprend un seul ensemble, le sol M-211-Sol 21167, où les instruments de cuisine figurent en nombre en association avec des outils. Cet assemblage figure dans la même classe de composition que les sols des cuisines du sanctuaire. Il peut relever tant d'une **cuisine communautaire et rejets artisanaux** que résulter de pratiques religieuses (voir *supra*, chap. 4.2.1, classe SOL-4). Les structures en creux livrant uniquement des ustensiles de cuisine et de la parure sont aussi désignées par l'appellation d'**activité courante, culinaire**.

Les faciès domestiques

N'influant guère dans l'analyse statistique des sols en raison du faible nombre d'objets recensés, les ustensiles de toilette caractérisent uniquement de rares structures en creux, dont les ensembles sont regroupés sous l'appellation d'**activité courante, domestique**.

4.2.9. DU CULTUEL AU PROFANE : BILAN DES CRITÈRES INTERPRÉTATIFS DES ASSEMBLAGES CULTUELS

La caractérisation des assemblages par type de contexte a mis en évidence les particularités des ensembles avec pratiques religieuses, en confrontant leur composition, la taphonomie des objets et leur insertion spatiale. Les grilles de lecture font ressortir plusieurs types d'interprétation fondés sur des critères, dont voici la synthèse, en commençant par les ensembles emblématiques du sanctuaire. La désignation des assemblages reprend en partie les critères définis par G. Bataille (2015) pour qualifier les dépôts à connotation religieuse (fig. 294).

Les faciès du sanctuaire

L'analyse des compositions couplée à celle de la taphonomie permet de sérier les assemblages, dans l'optique de créer un référentiel pour traiter l'habitat. Signalant l'activité du lieu de culte, le premier type correspond à une **accumulation de dépôts** en position secondaire. Représentant des assemblages illustrant des pratiques sur le long terme, réunies en une seule fois, il est caractérisé par le dépôt d'armement et de parures complets ou portant des traces de manipulation, recueillis notamment dans le fossé d'enceinte et ceux des enclos A et B. Dans le détail, les objets impliqués dans les ensembles liés au démantèlement de la palissade sont principalement des bracelets et des éléments de boucliers, de lances et de fourreaux ainsi qu'une agrafe de ceinturon (fig. 295). Le corpus se diversifie dans les remplissages de la fin de l'état 2 des fossés d'enclos centraux, où figurent des fibules intactes et des perles en nombre important, tandis que des quantités moindres d'armement sont constatées.

Les observations taphonomiques réalisées dans les structures fossoyées fournissent le cadre pour qualifier les sols du sanctuaire. Ces derniers apparaissent de manière ponctuelle dans plusieurs classes de composition, en raison de leur morcellement. Ces niveaux de circulation comprennent de manière très systématique des objets complets ou volontairement détruits, qui signalent l'activité cultuelle. Ils contiennent les traces de pratiques liées à la destruction volontaire d'armement et au dépôt de parures. Celles-ci illustrent l'**activité du sanctuaire** à l'état 2 et se retrouvent principalement sous les portiques de la galerie (fig. 295). Apparaissent aussi sous cette appellation les comblements détritiques de trous de poteau caractérisés par de petits fragments d'armement, en position secondaire de dépôt.

Interprétation	Contexte	Composition	Condition de dépôt	Situation
Accumulation de dépôts	Fossés	Armement et parures mutilés et complets	Secondaire	Sanctuaire
Activité du sanctuaire	Sols, structure en creux	Armement et parures mutilés et complets	Primaire, secondaire (rare)	Sanctuaire
Cuisine communautaire	Sols	Nombreux instruments culinaires avec dépôts de parures et d'armement	Primaire	Sanctuaire
Amoncellement de dépôts	Sols	Parures circulaires, armement mutilés et autres	Primaire	Porche du sanctuaire
Sols extérieurs du sanctuaire	Sols extérieurs	Nombreuses parures fragmentaires, transport et autres	Primaire	Cour du sanctuaire
Accumulation, amoncellement de dépôts	Sol A1	Armement et parures mutilés et complets, activités culinaires, outillage et transport	Primaire	A1
Dépôt complexe en position primaire	Trous de poteau, sols	Armement et parures mutilés et complets, activités culinaires, outils	Primaire	Passage, divers
Dépôt complexe ambigu	Structures en creux, sol	Armement et parures mutilés et complets, activités culinaires, outils	Primaire, secondaire ou indéterminée	Divers
Dépôt simple de parure en position primaire	Structures en creux	Parures complètes	Secondaire	Sanctuaire, A10
Dépôt simple de parure en position primaire ambigu	Sol	Bracelets intacts	Primaire	M
Dépôt simple de parure en position secondaire de dépôt	Structures en creux	Parures complètes ou détruites	Secondaire	Q, H
Dépôt simple d'armement	Structures en creux	Armement manipulé	Primaire	Divers
Dépôt simple d'armement ambigu	Trous de poteau	Armement non détruit	Indéterminée	Divers
Dépôt d'outil ambigu	Trous de poteau	Outils (serpe, lime)	Indéterminée	Q, G1
Dépôt de pièces de transport ambigu	Structures en creux	Outils (serpe, lime)	Indéterminée	Q, G1

Fig. 294. Synthèse des grilles de lecture des assemblages liés à des pratiques rituelles.

L'analyse statistique de composition mène à l'identification de quatre autres types d'interprétation, qui illustrent les particularités fonctionnelles des différents pôles d'activité du lieu de culte. Ainsi, les niveaux de **cuisine communautaire** se distinguent dans une classe qui leur est propre, à l'exception d'un autre ensemble. Elles sont caractérisées par une grande diversité d'ustensiles culinaires (couteaux complets, crocs à viande, cuillère, potence, passoire, etc.), auxquels se juxtaposent des dépôts de parures et d'armement constituant le fonds commun des assemblages des lieux. Quelques ensembles de la classe SOL-10, caractérisés par la présence d'un élément culinaire, répondent à la même logique.

Doté de sa propre classe statistique (classe SOL-5), l'assemblage du porche d'entrée se distingue par la juxtaposition de dépôts de parure, dont principalement des perles associées à des pièces d'armement et à une balance de précision. Il correspond à un **amoncellement de dépôts** en position primaire, selon les critères définis par G. Bataille (2015, p. 156-157), à savoir un ensemble à la composition complexe regroupant plusieurs gestes, sur une longue période, au même emplacement.

Les sols de la cour de l'époque laténienne et de la transition avec l'époque romaine sont associés à deux classes de composition distinctes (classes SOL-1 et SOL-11), qui illustrent toutes deux le faciès des **sols extérieurs du sanctuaire**, avec la présence de nombreuses parures fragmentaires et de pièces de transport. Déterminer si ces deux assemblages correspondent uniquement à des niveaux à l'intense fréquentation ou s'ils reflètent aussi en partie l'activité cultuelle demeure impossible à établir, sur la base des critères proposés et des comparaisons avec la place du complexe C. L'absence d'objets complets peut s'expliquer ici par la perdurance du lieu de culte, qui a mené à une fragmentation plus grande du corpus de la cour que ceux des portiques protégés par les niveaux postérieurs et par l'affaissement des sols lié au pourrissement des éléments organiques, dans le comblement du fossé périmétrique.

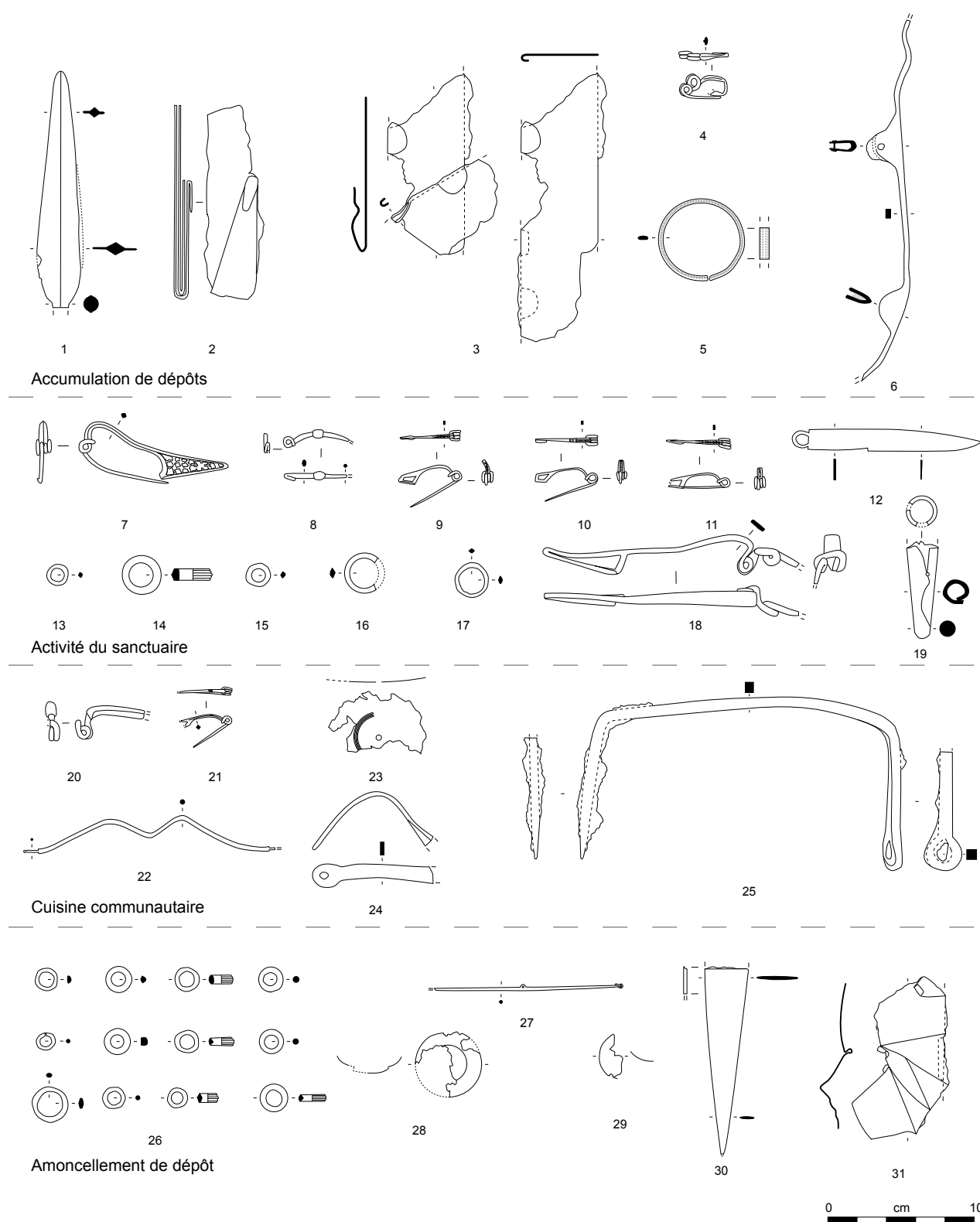


Fig. 295. Synthèse des assemblages caractéristiques du lieu de culte. 1-4, 6, 8, 12, 18-20, 24-25, 30-31 : fer ; 5, 9-11, 13-17, 21-23, 25-29 : alliage cuivreux ; 7 : alliage cuivreux et or.

Les structures en creux du sanctuaire permettent encore d'identifier trois autres types de dépôts, à commencer par les dépôts simples de parure en position primaire ou secondaire. Le premier cas de figure est documenté par des fibules intactes, issues d'une fosse de la cour et de la fosse centrale de l'enclos A (**dépôt simple de parure en position primaire**). Le deuxième cas est connu grâce aux bagues coudees en or, dont une ployée, recueillies au sommet d'une palissade (**dépôt simple de parure en position secondaire**). Par ailleurs, le dépôt de type trophée, apparu sous la cloison extérieure nord de la galerie, constitue un assemblage emblématique des pratiques de valorisation de l'élite guerrière liée à l'armement. Il est caractérisé par une composition comportant uniquement de l'armement, révélant

un bris inhumatoire vraisemblablement consécutif à l'exposition des armes. Au même titre que les dépôts de parure précédents, cet ensemble illustre un seul type de pratique, les **dépôts simples d'armement** en position secondaire, qui apparaît de manière diffuse dans la plupart des niveaux du sanctuaire.

Les critères retenus pour identifier un assemblage à connotation religieuse n'ont en soit rien de surprenant, tant ils sont récurrents dans de nombreux lieux de culte, et ont déjà été soulignés pour le site de Corent (Demierre et Poux 2012). Armement volontairement détruit, parures intactes ou manipulées et ustensiles culinaires constituent en effet un point commun aux pratiques collectives et individuelles recensées dans les sanctuaires de La Tène finale. L'intérêt des modèles interprétatifs soulignés réside ici dans la validité de la méthode proposée, qui qualifie les zones fonctionnelles déjà relevées par un autre biais dans le sanctuaire. Ils démontrent aussi que les assemblages du sanctuaire se démarquent de manière évidente des ensembles profanes relatifs à l'activité des édifices privés (fig. 296).

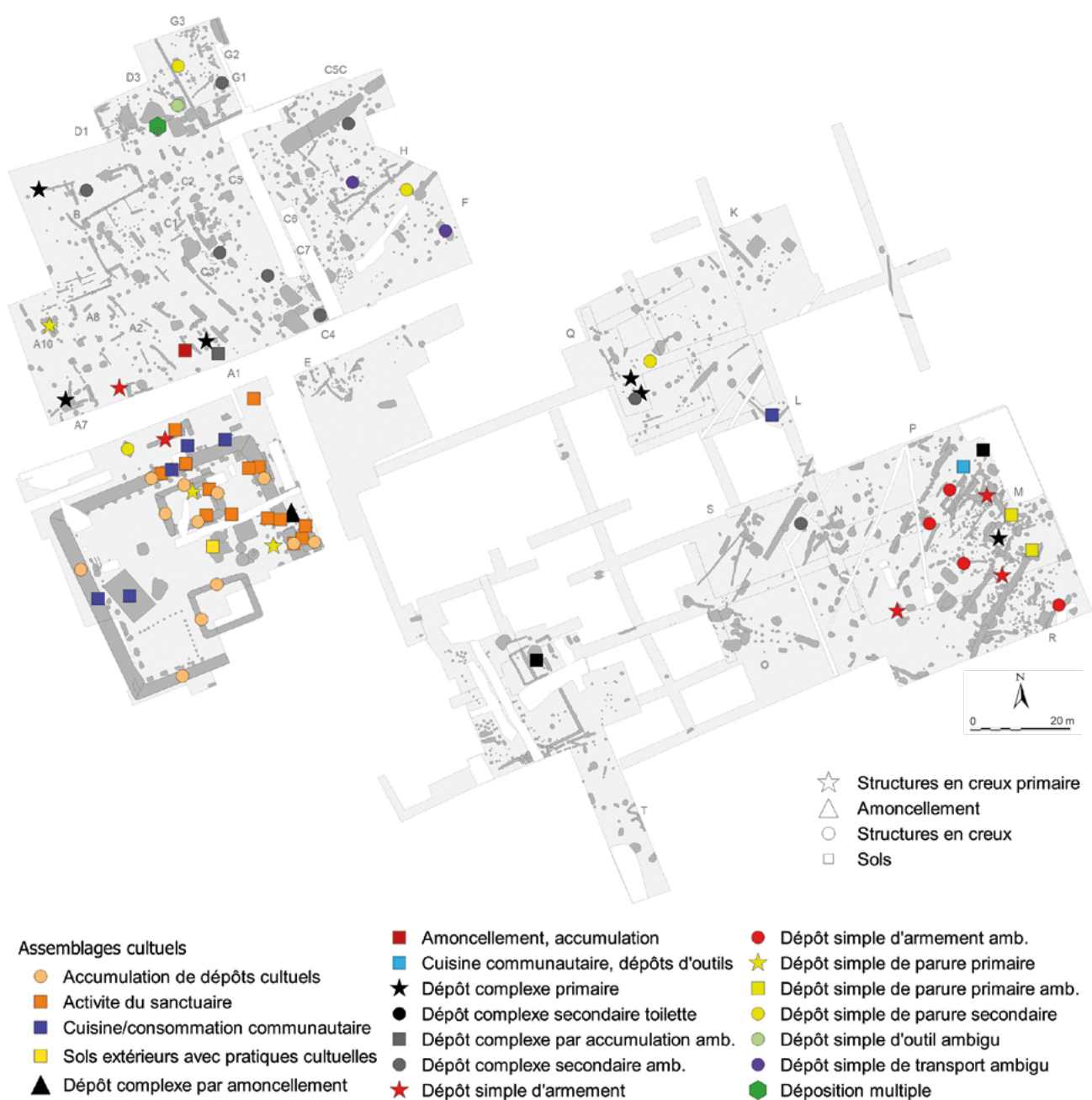


Fig. 296. Répartition spatiale des assemblages liés à des pratiques rituelles selon leur interprétation normalisée.

Les faciès des dépôts dans l'habitat

Appliquée à l'habitat, l'analyse peut donc se fonder sur ce référentiel pour identifier les pratiques rituelles qui peuvent s'y être déroulées. Elle procède en partant de ces acquis pour ensuite traiter les assemblages jugés ambigus, lors de la caractérisation par type de contexte. Deux groupes se distinguent selon la complexité de l'assemblage, composé de plusieurs catégories de mobilier pour les dépôts complexes et d'une seule pour les dépôts simples.

Les dépôts complexes

S'il reste d'interprétation délicate, le sol du bâtiment A1 représente de ce point de vue un faciès caractéristique d'une activité religieuse, avec de nombreuses similarités avec le lieu de culte. Il s'apparente à un sol du sanctuaire regroupant des caractéristiques communes d'une **accumulation ou d'un amoncellement de dépôts**, s'il est considéré comme un lieu de dépôt primaire ou secondaire. De nombreuses pièces d'équipement militaire et de parure y ont été retrouvées détruites, ainsi qu'une grande variété d'ustensiles culinaires (couteaux, louche, chaudron, chaudron) (fig. 297). Unique dans sa classe de composition (classe SOL-12), il présente la spécificité de livrer des pièces de transport et surtout des reliefs artisanaux, dans des quantités sans commune mesure avec les assemblages du lieu de culte. Parmi ceux-ci, figurent notamment des fragments de lime, une herminette et un ciseau droit intact, un lingot plano-convexe et des demi-produits en alliage cuivreux. Leur intégration aux pratiques de dépôt est discutable et peut aussi résulter d'activité de production, avant l'apport de l'armement manipulé.

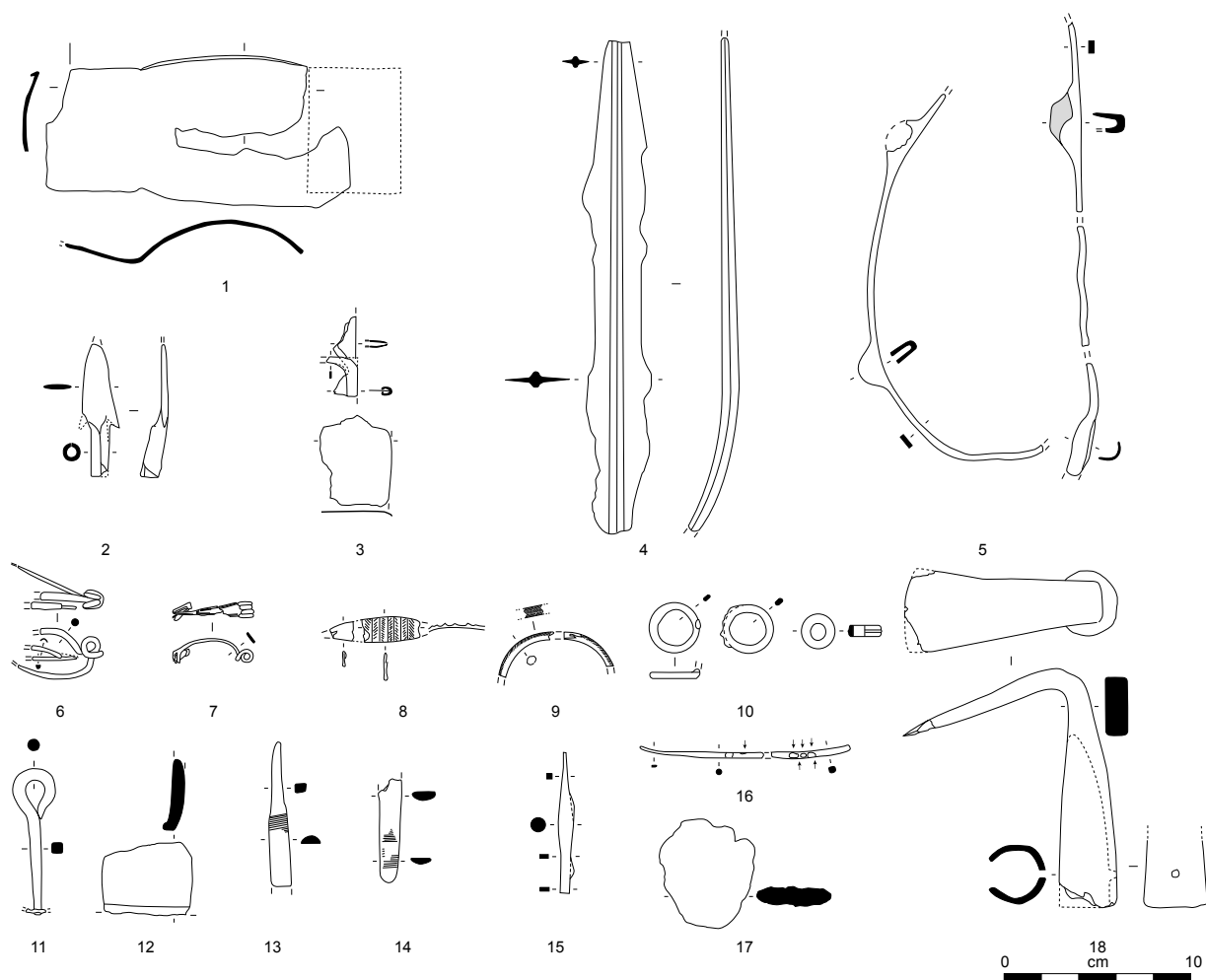


Fig. 297. Figure récapitulative du corpus du bâtiment A1. 1-6, 11-15, 18 : fer ; 7-10, 16-17 : alliage cuivreux.

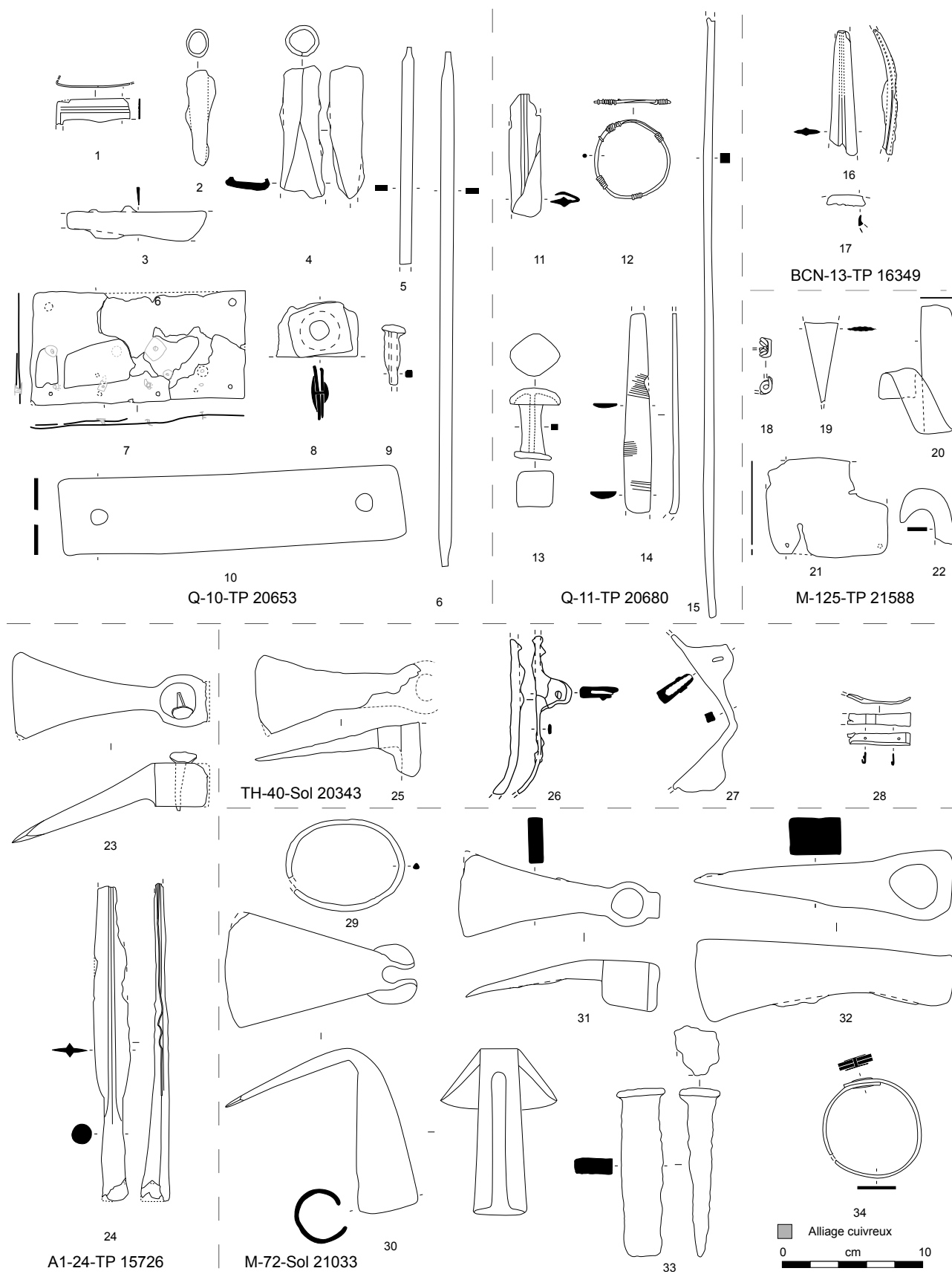
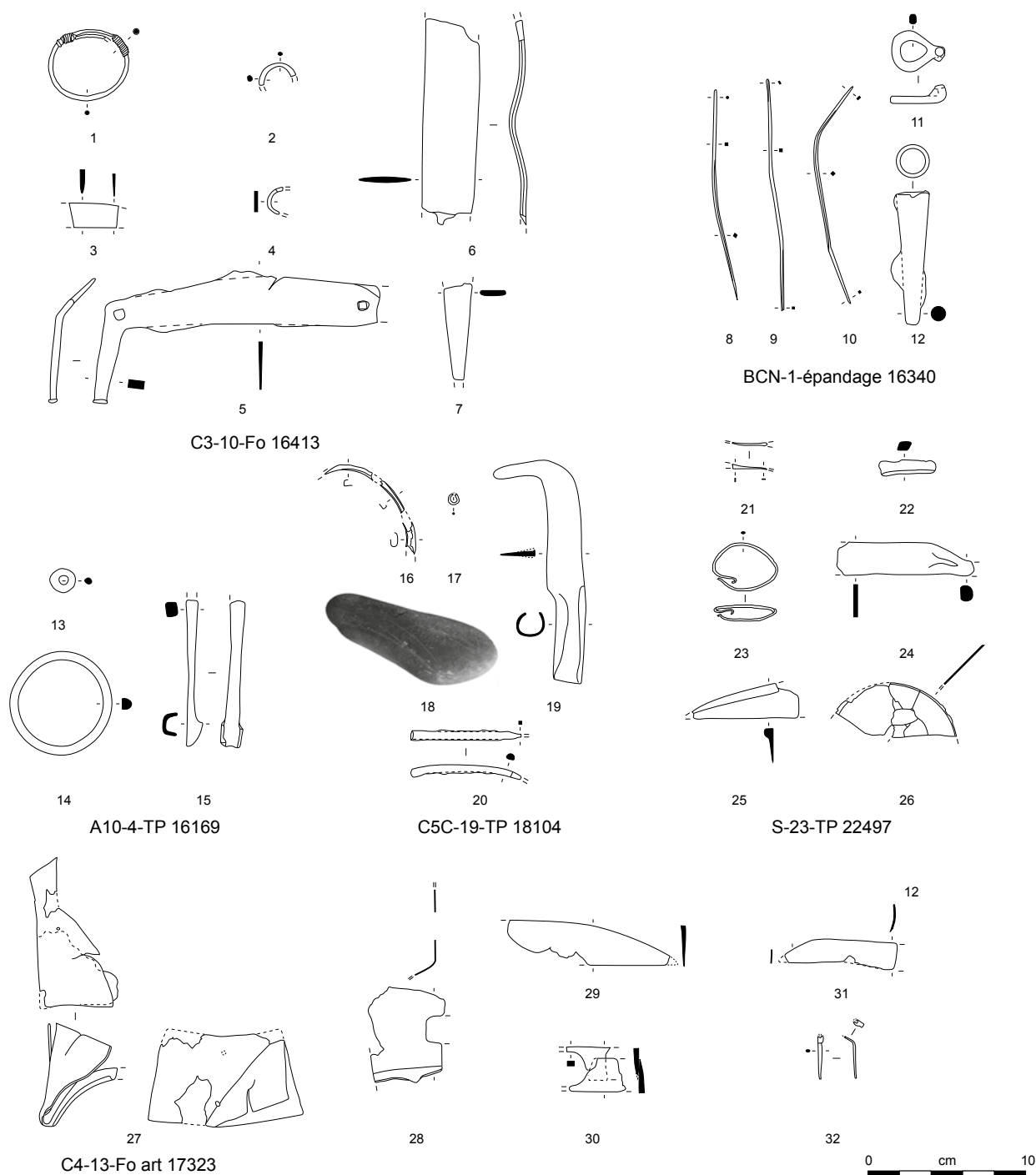


Fig. 298. Figure récapitulative des dépôts complexes en conditions primaires de dépôt. 1-6, 8-11, 13-16, 18-27, 29-34 : fer ; 7 : fer et alliage cuivreux ; 12, 17, 28 : alliage cuivreux.

Comme on le verra, cette réserve perd un peu de sa pertinence lorsque sont analysés les **dépôts complexes en position primaire** de l'habitat. Cette interprétation, retenue pour six structures, est attribuée aux comblements inférieurs de trous de poteau localisés de manière récurrente dans des espaces extérieurs ou des lieux de passage. Leurs assemblages sont marqués par un ou plusieurs critères relevés dans le sanctuaire (fig. 298). Pointes manipulées et talon de lances, extrémité distale d'épée, fragment de bouterolle, orle arraché, bracelet à épissures complet, bague ouverte et écrasée y côtoient fragments de couteau, de chaudron ou de situle, broche (?) et barres de gril. Ces ensembles présentent de manière récurrente des éléments de quincaillerie (ferrure, clous, rivets) et surtout des outils spécifiques : herminette à œil, écorçoir ou herminette à douille et lime. Ils se distinguent en cela du faciès observé dans le sanctuaire, où la seule trace d'un hypothétique dépôt d'outillage apparaît sous la forme d'une herminette à douille complète issue des remplissages d'époque romaine du fossé périphérique. Cette observation laisse supposer qu'une sélection d'outils particuliers intervient dans les pratiques cultuelles. Ce postulat est renforcé par les dépôts complexes recueillis à la surface de sols, qui présentent les mêmes associations : bracelet complet, outillage et matière première dans le bâtiment M ou orle désolidarisé et herminette fragmentaire dans l'hémicycle de réunion.

Ces ensembles éloquents élargissent le référentiel pour caractériser les gestes religieux effectués dans l'habitat, en y amenant des objets liés aux activités de production. Ils entrent en considération pour identifier des **dépôts complexes d'interprétation ambiguë** en raison d'une présence insuffisante de critères concordants ou de l'impossibilité de définir leurs conditions de dépôt. Ces ensembles au caractère ambivalent sont intégrés à la réflexion sur les pratiques cultuelles, tout comme à celle dédiée à la caractérisation des activités profanes.

Entre dans cette catégorie le sol 21167 du bâtiment M, dont l'analyse de composition a montré les points communs avec le faciès des cuisines communautaires du sanctuaire, caractérisé par la diversité et la quantité de leurs instruments culinaires (voir *supra*, p. 333-334). La présence de nombreuses pièces d'outillage et l'absence de parure ou d'armement complet ou volontairement détruit le distinguent des assemblages du lieu de culte. Le faciès de l'épandage situé à proximité du bâtiment A1 présente les mêmes problèmes d'identification. De même, les dépôts ambigus issus des structures en creux, livrant des parures, des pièces d'armement, des outils ou des pièces de transport, regroupent souvent au moins un critère d'identification relevé précédemment : bracelets complets et fragmentaires, talon de lance, umbo arraché et épée pliée, éléments de grils, matière première et outils intacts (fig. 299). Malgré ces traces, leurs contextes et les autres mobiliers associés, ainsi que leur composition relèvent plutôt d'activités profanes, parfois peu communes (cache, nécessaire de toilette et de parure, etc.). Unique par sa composition et la taphonomie de son corpus, le trou de poteau du bâtiment G1/D2, au remplissage résultant d'un incendie, est aussi intégré à cette catégorie (voir *supra*, p. 308). Ces assemblages reflètent très vraisemblablement aussi pour certains une mixité des activités religieuses et profanes, dans et à proximité de la structure dont ils peuvent illustrer une condamnation ritualisée. Ainsi, la fosse du bâtiment C3 livre plusieurs jetons, une plaque de foyer, des fragments de tables lithiques et une virole, alors que son comblement de clôture pourrait montrer un ensemble caractéristique d'une activité cultuelle. L'assemblage situé à proximité de l'entrepôt à amphores illustre aussi ce cas de figure, avec un bracelet recueilli au fond de la structure, tandis que l'altitude, non référencée de l'outillage composé d'une serpette, d'un aiguiseur et peut-être d'une lime, ne permet pas de confirmer l'hypothèse d'un dépôt complexe primaire. Il pourrait tout aussi bien être l'écho des activités artisanales adjacentes. C'est aussi l'hypothèse retenue pour le trou de poteau du bâtiment A10 qui livre un bracelet à jonc lisse complet et un outil fragmentaire et peut être interprété comme un dépôt simple de parure en position primaire.



Une dernière catégorie de dépôt intégrant des objets de plusieurs catégories fonctionnelles est reflétée par les ensembles d'époque romaine de l'espace D (pl. 83 à 86). Leur composition aux nombreuses fibules et autres parures comporte plusieurs points communs avec les remblais antiques du sanctuaire. Leur faciès chronologique comprenant des objets romains et laténiens signale des **dépôts multiples** réalisés dans un cadre qui nous échappe (Bataille 2015, p. 158-160).

Les dépôts simples

Les dépôts simples sont composés d'une seule catégorie de mobilier, le plus souvent représentée par une pièce, intacte ou volontairement détruite. Particulièrement durs ou complexes à mettre en évidence dans l'habitat, ils sont souvent interprétés comme des ensembles pour lesquels il demeure difficile de trancher entre une pratique ritualisée et une composition due au hasard des rejets d'une activité profane.

Fig. 299. Figure récapitulative des dépôts complexes d'interprétation ambiguë. 1-2, 8-10, 13-14, 16-17, 20-23, 26, 32 : alliage cuivreux ; 3-7, 11-12, 15, 19, 24-25, 27-31 : fer ; 18 : basalte.

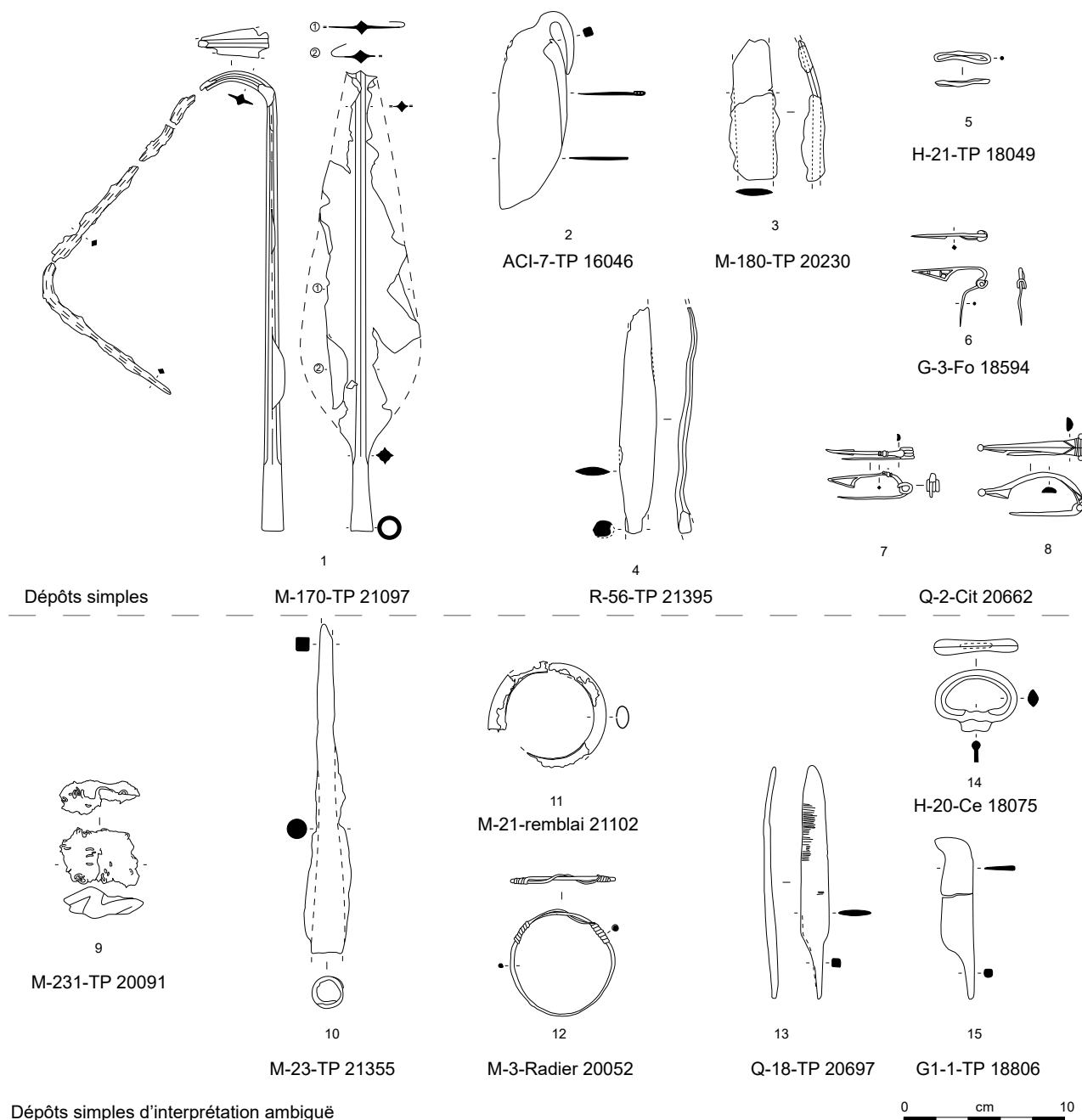


Fig. 300. Figure récapitulative des dépôts simples. 1-4, 9-10, 13, 15 : fer ; 5 : or ; 6, 8, 11-12, 14 : alliage cuivreux ; 7 : argent.

Les **dépôts de parure** en position primaire sont peu représentés et caractérisés uniquement par des bracelets complets (fig. 300). Les deux exemplaires du bâtiment M, à la datation typologique (LTD1) en contradiction avec celle de leur contexte (fin LTD2-Auguste), se rattachent également à cette catégorie, mais de manière moins assurée. Trois ensembles livrent des parures intactes dans des conditions de dépôt secondaire. Ces pratiques fréquentes dans le sanctuaire sont matérialisées par les deux fibules de la fin du I^{er} s. av. J.-C., de la citerne 20662 et une fibule à arc outrepassant issue de la fosse 18594, du bâtiment G. La bague en or écrasée du bâtiment H relate des pratiques ayant cours dans le sanctuaire et complète ce corpus.

L'armement apparaît aussi parfois isolément dans les trous de poteau de l'habitat, sous la forme d'éléments volontairement détruits, emblématiques de ces pratiques de **dépôts simples d'armement**. La structure à la pointe de lance de type baïonnette illustre tout particulièrement ces gestes recensés principalement dans des espaces extérieurs, en l'occurrence la cour occidentale du bâtiment M. Les armes issues de contexte similaire, sans traces de bris volontaire, ont été considérées comme d'hypothétiques dépôts.

Une interprétation difficile à rapporter de manière indubitable à un geste rituel se rapporte aux deux ensembles livrant une serpette et une lime complète. Ils sont considérés comme des **dépôts d'outil** d'interprétation ambiguë, en référence aux ensembles au faciès complexe où figurent les mêmes instruments artisanaux.

La dernière catégorie interprétative de dépôts simples dans l'habitat comprend d'éventuels **dépôts de pièces de transport**. Ils peuvent résulter de pertes ou de comportement opportuniste, ou encore exprimer des gestes pour lesquels aucune explication satisfaisante ne peut être formulée, comme dans le cas des fragments de frette de moyeu exposé au feu de bâtiment L. Leur connotation religieuse se fonde ici sur leur présence dans l'assemblage du sol du bâtiment A1 (voir *supra*, p. 375).

4.3. CARACTÉRISATION DES BÂTIMENTS ET FONCTIONNEMENT DES QUARTIERS

Les grilles de lecture des assemblages par type de contexte fournissent le référentiel pour envisager la fonction des bâtiments à l'appui de la confrontation des ensembles relatifs à une même activité. Elles offrent l'opportunité d'identifier des lieux de métier, de distinguer les zones artisanales des secteurs domestiques et d'aborder le fonctionnement des deux quartiers situés au nord et au sud du sanctuaire.

4.3.1. DES LIEUX DE MÉTIERS ET DES HABITATS

Préférée à la notion d'artisanat, le terme de métier est proposé par N. Monteix (2011, p. 13) pour qualifier une « activité fondée sur la mise en œuvre d'un savoir technique, nécessitant l'emploi d'outils (cognitifs ou matériels) et qui tend au dégagement d'une plus-value ». Ce concept adapté au milieu urbain permet d'évaluer la fonction des bâtiments en incluant dans la réflexion les commerces et les métiers de bouche. Il convient tout particulièrement au centre-ville de Corent, dont les édifices peuvent être interprétés comme des ateliers, des lieux de convivialité, des commerces ou de simples espaces résidentiels. Il demeure à définir les critères pour caractériser ces fonctions grâce au matériel métallique, à la temporalité difficile à évaluer, qui s'avère plus complexe à traiter que les aménagements pérennes d'époque romaine.

La définition de la fonction des bâtiments est établie à partir des interprétations normées réalisées pour les sols et les structures en creux. Elles sont exploitées à l'aide de cartes, par état et par quartier, qui fournissent une vision diachronique de l'activité de chaque bâtiment étudié. Les critères retenus pour tout corps de métier s'adaptent aux fonctions recherchées. La démarche procède toutefois toujours selon le même schéma : confronter les différents types d'interprétation retenus pour les contextes d'un bâtiment à la même période et tenter d'y trouver une cohérence. Les ensembles qualifiés d'ambigus et répondant à des activités liées à la sphère profane ou cultuelle sont intégrés à cette démarche.

Les différents artisanats du métal recensés se prêtent tout particulièrement bien à cet exercice en raison des déchets qu'ils génèrent, alors que les métiers du bois ou du cuir sont plus difficiles à mettre en évidence (Guillaumet 1996a, p. 42-55). Les ateliers de forgerons et d'artisans du bronze sont caractérisés par l'association de sols et de fosses artisanales interprétés comme des espaces de travail, qui accompagnent des aménagements au faciès marqué par les activités de production. Les zones de dépotoir dans les environs immédiats des bâtiments complètent l'analyse et aident à l'identification des ateliers. La spécialisation de l'artisan peut ensuite être envisagée en observant les déchets et les outils spécifiques issus de ces contextes. Les éventuelles concentrations d'artefacts, qui peuvent illustrer la production des lieux (Guillaumet 1996a, p. 60), sont aussi exploitées de manière complémentaire.

Ce cas de figure ne peut toutefois guère s'appliquer aux secteurs les plus arasés et s'avère plus difficile à mettre en oeuvre pour les artisanats engendrant des déchets organiques. Dans ces situations, l'identification d'un atelier ne peut se fonder que sur les remplissages de structures en creux où des associations d'outils significatives seront recherchées. Le même principe est retenu pour les secteurs mieux conservés où une certaine cohérence dans l'outillage qualifiera un lieu de métier dédié à la fabrication d'objets en matière organique.

Certains bâtiments livrent enfin des traces d'activité, pour lesquelles la spécialisation est moins flagrante en raison de l'incohérence des vestiges artisanaux. Ils seront traités selon le même principe, une concentration d'ensembles à consonance artisanale restant éloquente, même si la qualification de l'activité pratiquée demeure problématique. La distinction entre outillages variés servant à l'entretien domestique et à de menus travaux (Guillaumet 1996a, p. 44) ou à la fabrication d'objets composites (Berranger 2014, p. 174-175) repose ici principalement sur la présence d'installations spécialisées, plutôt que sur le faciès même des vestiges artisanaux.

La question de la durée et de l'intensité de l'activité est un aspect difficile à aborder, tant la faible quantité de déchets, notamment métalliques, semble répondre à une gestion urbaine qui mène à la constitution de dépotoirs en périphérie de la ville, à l'instar des pratiques observées notamment à Autun aux II^e et III^e s. de notre ère (Kasprzyck et Labaune 2003, p. 102-103). Les zones de rejet identifiées sont par conséquent à percevoir comme le résultat d'une mise au rebut opportuniste de déchets lors de changements architecturaux et ne représentent qu'une infime part des reliquats artisanaux produits (Leroy et Merluzzo 2010, p. 320). Il demeure vain de vouloir essayer d'estimer la période d'une activité d'après ce critère. La continuité fonctionnelle d'un local ou d'un bâtiment semble sur ce point plus pertinente.

Mettre en évidence les métiers de bouche à l'aide du seul mobilier métallique relève de la gageure sans le confronter à son contexte et aux autres mobiliers associés (Monteix 2010, p. 72-80 et p. 113-132). Ce domaine comprend en effet une multitude d'activités, du boucher au restaurateur en passant par le tavernier ; leur qualification nécessite le recours aux assemblages de faune et de céramique qui seront exploités dans la mesure des données à disposition. Les interprétations normées fournies précédemment pour les professions liées à la transformation et à la consommation de nourriture démontrent néanmoins que certains ensembles se démarquent grâce à leur composition et à leur contexte. La démarche repose donc ici sur l'identification d'une meilleure représentation de l'activité culinaire, notamment sur les sols, ainsi que sur le postulat que les instruments culinaires en métal demeurent peu fréquents dans la sphère domestique (Poux 2004, p. 40-42). En sus des assemblages illustrant une activité identifiée grâce à des faciès et des associations caractéristiques (boucherie, restauration, débit de boisson), une attention particulière sera portée aux bâtiments où l'activité culinaire est surreprésentée.

La fonction résidentielle s'exprimera ici par l'absence ou la faiblesse quantitative des marqueurs liés à l'artisanat en association avec des ensembles relatifs à l'alimentation ou à la sphère domestique. Les bâtiments présentant cette configuration ou qualifiés uniquement par des ensembles à l'activité courante devront encore être confrontés à leur contexte, pour ne pas préjuger d'une qualification d'habitat. Enfin, des concentrations d'instruments de mesure, de monnaies et de jetons suggèrent le déroulement de pratiques commerciales.

La méthode envisagée repose sur une qualification des assemblages constitutifs de chaque bâtiment dont l'interprétation du faciès met en évidence l'activité dominante sur la base de traitements statistiques qui occultent parfois une partie des composants de l'assemblage. La qualification des bâtiments doit par conséquent être perçue comme une manière d'exposer la fonction principale d'un édifice. Ainsi, un atelier comporte souvent une dimension résidentielle et constitue aussi un point de vente.



Fig. 301. Caractérisation des bâtiments du quartier est aux états 1 et 2.1.



Fig. 302. Caractérisation des bâtiments du quartier est aux états 2.2 et 2.3.

4.3.2. LE QUARTIER EST

Appliquée au quartier est, cette approche permet la caractérisation de la fonction de la majorité des bâtiments (fig. 301 et fig. 302). La qualification fonctionnelle des édifices dotés de plusieurs pièces, tels que les bâtiments M et R, ne saurait toutefois se passer de l'étude détaillée de chaque local, dont l'interprétation mène à une vision détaillée de leur organisation interne. Ces deux unités architecturales nécessitent donc un développement plus approfondi que les autres édifices aux associations d'ensembles plus aisément compréhensibles.

Les bâtiments K, N, O, P, Q et S

Le **bâtiment K** est en un bon exemple. Son sol interprété comme un espace de travail offre la trousse d'outils spécialisés d'un boisselier ou d'un corroyeur selon l'interprétation retenue pour le racloir, le couteau à deux mains, le tas, la pince, les serpettes et les ciseaux issus de cet ensemble (voir *supra*, p. 214-218) (fig. 303). La caractérisation de cet atelier de l'état 2 est complétée par un couteau à lame angulaire à vocation artisanale, ainsi que par les comblements détritiques de sa cave où figure un imposant instrument d'aiguisage utilisé pour l'entretien des lames de ces outils.

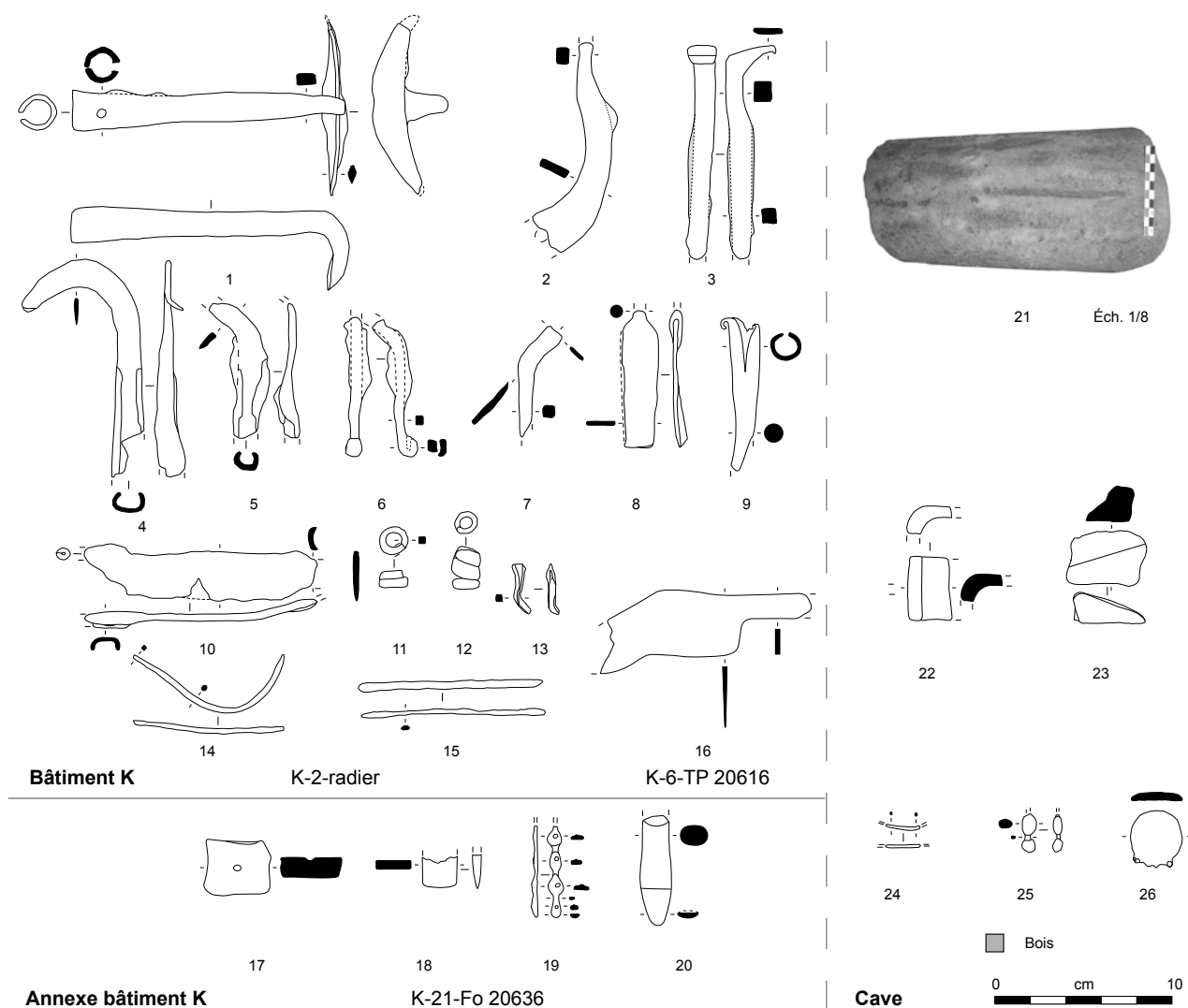


Fig. 303. Éléments représentatifs de l'activité d'un artisan du cuir ou du boisselier du bâtiment K et de l'atelier de frappe monétaire de l'annexe du bâtiment K. 1-13, 16, 18, 20, 22 : fer ; 14-15, 19, 24-26 : alliage cuivreux ; 17 : plomb ; 21, 23 : grès.

Les remplissages de cette structure de stockage comprennent également un abra-seur, un œil d'outil, une coulure ainsi qu'un raté de coulée de flans monétaires. Cet ensemble signale la proximité d'un second atelier voué à la production de monnaies et localisé dans l'**annexe du bâtiment K**. Il est aussi signalé par une concentration de coulures (voir *supra*, fig. 138) et par une fosse artisanale où la présence d'un martyr en plomb, d'un burin et d'un autre chapelet de flans monétaires indique le lieu où les flans étaient séparés avant la frappe. Le qualificatif d'annexe semble devoir être abandonné pour cet édifice qui se développe au-delà des limites de fouille dans un secteur où les prospections anciennes ont permis de recueillir deux des quatre coins monétaires de l'*oppidum* (Gruel *et al.* 2017, p. 39-41, fig. 11).

Les deux séquences successives d'activité du bâtiment O de l'état 2 sont uniquement caractérisées par trois fosses-ateliers qui laissent restituer un lieu de production situé en bordure de voie (pl. 166-167). Son activité témoigne de savoir-faire dans le travail des métaux (alliage cuivreux et fer) et du bois, qui laissent supposer la confection d'objets composites.

L'identification de lieux de restauration peut être proposée au vu des associations relevées dans les bâtiments P et N (fig. 301 et 302). Souligné par la carte de chaleur des activités culinaires (voir *supra*, fig. 175), le **bâtiment N** comporte, à l'état 1 comme à l'état 2.1, deux assemblages marqués par la sphère culinaire avec des éléments de gril, un couteau et une étrange passoire en fer qui a pu servir dans le cadre de la réalisation de mets particuliers (fig. 304). Complémentaires, les premières analyses du faciès fonctionnel de la céramique (Lauranson 2017, p. 30) démontrent une surreprésentation des récipients liés à la cuisson dans une fosse adjacente (Fo 20007). De même, cette étude suggère la préparation de mets carnés grâce à une association de céramiques culinaires et d'un important lot d'ossements animaux dans la palissade 20064. Située en face de la cloison orientale du bâtiment, cette structure, où sont recensés un bec verseur de bassin et un manche de louche ou de poêlon, pourrait correspondre au dépotoir lié à l'activité du bâtiment N. Au vu de ce faisceau d'indices concordants, cet édifice apparaît comme un lieu de commerce alimentaire ou de restauration, qui dispose en outre de trois fragments de plaques de foyer évoquant aussi la préparation de nourriture. Son emplacement en bordure de l'esplanade et au carrefour de deux voies favorise son activité économique.

La même attribution fonctionnelle est proposée pour le **bâtiment P**, qui apparaît aussi clairement sur la carte de répartition des ustensiles culinaires (voir *supra*, fig. 175). Muni de nombreux foyers, cet édifice comporte des structures qui livrent des ustensiles rares sur le site tels qu'une brochette, un croc et un élément de crémaillère. Cette hypothèse se trouve renforcée à l'état 2.1 par l'ajout du sol situé entre cet édifice et le bâtiment M, lorsque ce niveau est considéré comme un assemblage détritique caractéristique d'une cuisine communautaire (voir *supra*, p. 334). La composition de cet ensemble, qui s'illustre par la variété et le nombre d'ustensiles culinaires, peut en effet correspondre aux rejets liés au lieu de restauration adjacent, qualifié par un équipement qui ne se retrouve que dans les cuisines du sanctuaire.

Sur cette base, une fonction relative aux métiers liés à l'alimentation pourrait aussi être restituée dans le **bâtiment Q**, malgré le degré de conservation très arasé des vestiges. Cette unité architecturale, qui se dégage aussi sur la carte de répartition des objets liés à la sphère culinaire (voir *supra*, fig. 175) présente des similitudes avec le faciès du bâtiment N. L'interprétation de plusieurs structures est en effet marquée par la présence d'ustensiles culinaires. Leur association offre de nombreux points communs avec le faciès observé dans le bâtiment N, composé de plusieurs couteaux fragmentaires, d'une barre de gril et d'une attache de situle. Ce faciès oriente la fonction du bâtiment vers un métier lié à la réalisation de mets carnés, un postulat par ailleurs renforcé à l'état 2 par le faciès fonctionnel de la citerne 20662, caractérisé par une surreprésentation de céramiques de cuisson similaire à celle documentée dans la fosse 20007, à proximité du bâtiment N (Lauranson 2017, p. 30).

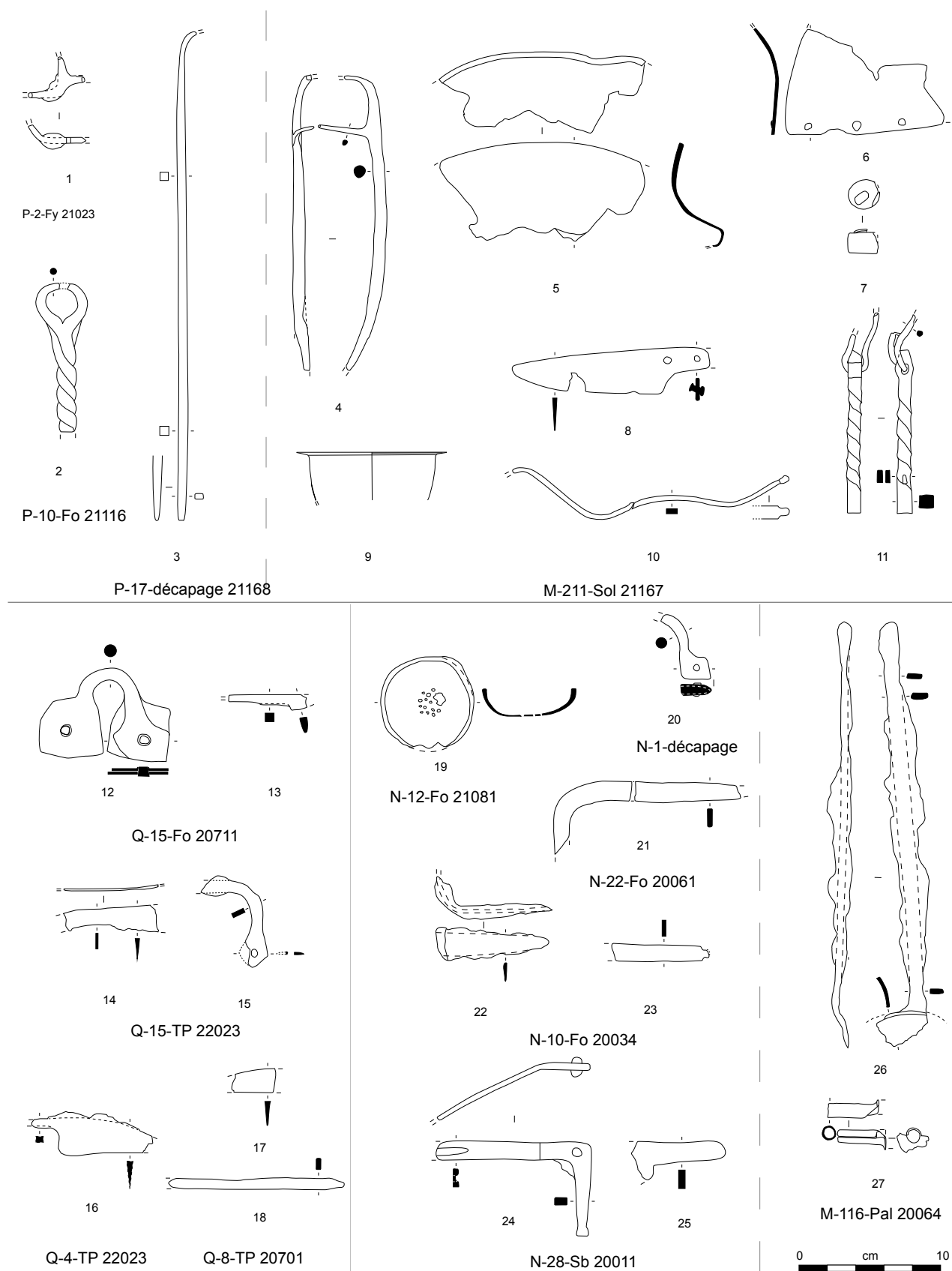
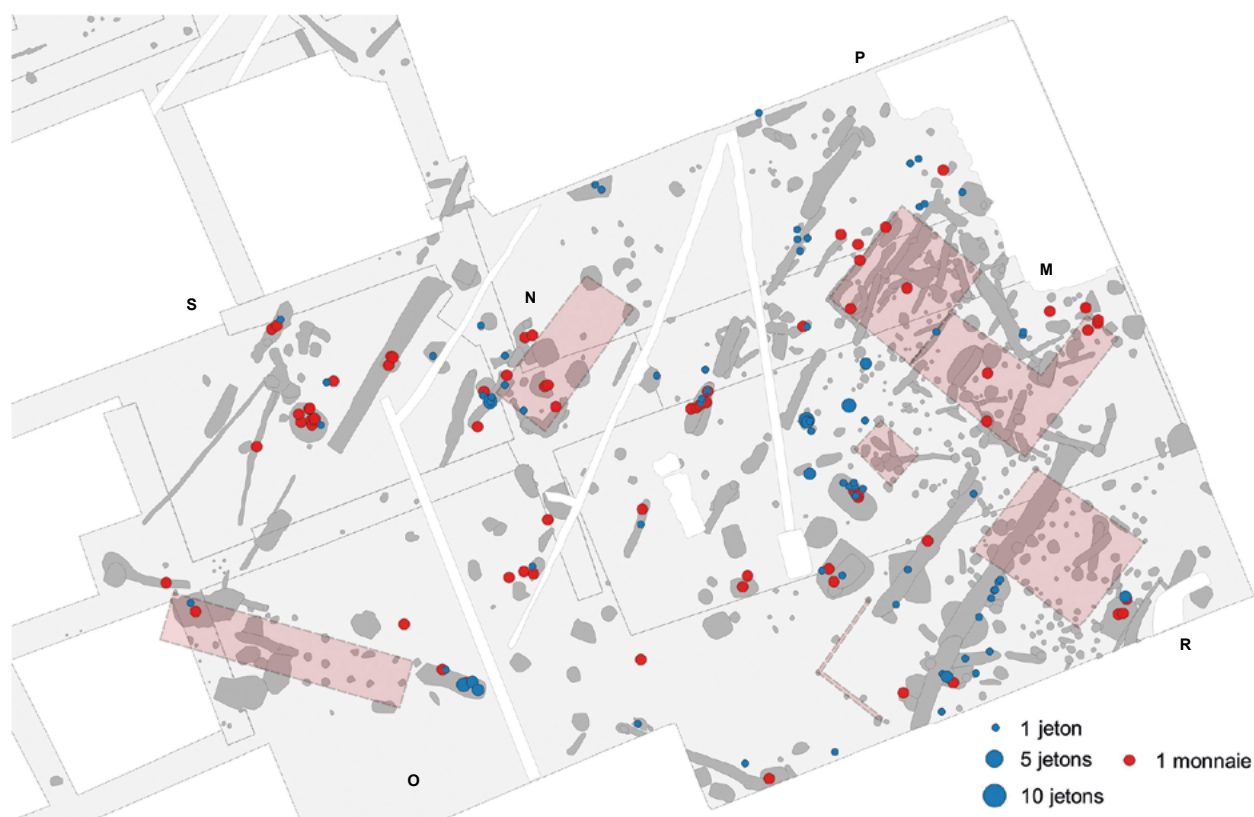
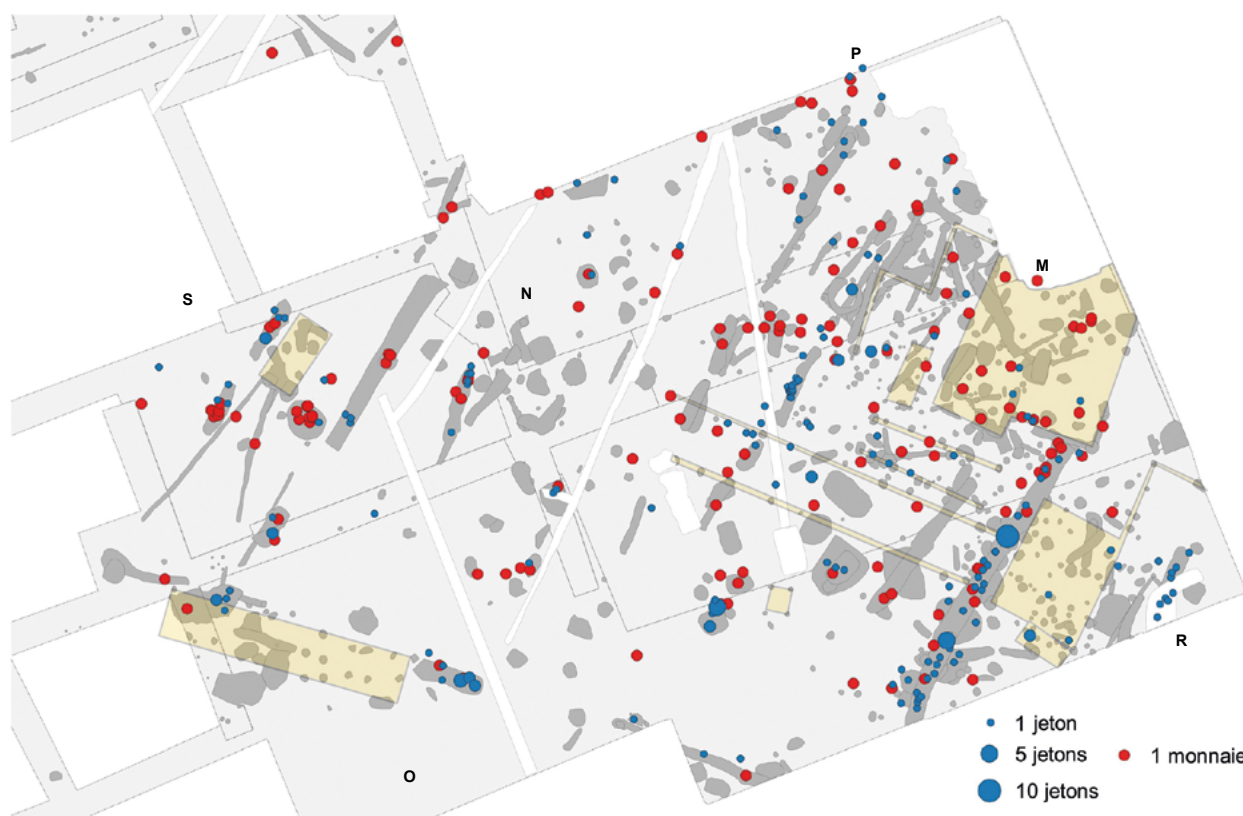


Fig. 304. Éléments représentatifs de l'activité des restaurants et des commerces alimentaires des bâtiments P, N et Q. 1-8, 10-26 : fer ; 9, 27 : alliage cuivreux.



États 1 et 2.1 et contextes ambivalents (états 1 et 2 lato sensu)



États 2.2 à 2.3, contextes ambivalents (états 1 et 2 lato sensu) et décapages

Fig. 305. Carte de répartition des monnaies et des jetons dans le quartier est.

Dans le même ordre d'idée, un local ou un bâtiment de cette unité architecturale a pu fonctionner comme atelier dédié à la production d'objets métalliques au vu des limes, du mors de pince et du meulet retrouvés dans le secteur ([pl. 112](#), Q-4-TP 22023 et [pl. 116](#), Q-18-20697). L'arasement des vestiges ne permet toutefois pas d'assurer le caractère pérenne de ces activités et empêche de valider ces attributions fonctionnelles, dont la pertinence pourrait par ailleurs être renforcée par la composition des dépôts identifiés à l'entrée de l'unité architecturale (voir *supra*, chap. 4.2.9., fig. 298).

Une fonction commerciale pourrait être attribuée au **bâtiment S**, dont les palissades et structures adjacentes liées à l'eau présentent des concentrations de jetons et de monnaies (fig. 305). Son emplacement stratégique, à l'angle de l'esplanade du sanctuaire, confère plus de crédibilité à cette interprétation, bien que les arguments manquent pour établir la nature des produits vendus ou des services rendus. La découverte d'un couteau de boucher et d'un aiguiseur laisse évoquer une pratique bouchère qu'il demeure impossible à prouver en l'absence de faciès faunique éloquent et d'autres éléments concordants.

Le corpus d'outils issus des décapages et du radier du **bâtiment T** atteste l'activité d'un atelier spécialisé dans la manufacture d'objets composites, au vu des marqueurs liés au travail du fer (marteau, lime, chutes et scories) et du bois (ciseaux) ([pl. 172-173](#)).

L'hémicycle de réunion

Ce lieu d'assemblée est caractérisé par une succession d'assemblages relatifs à la sphère artisanale et à la consommation collective de boisson. Identifiés dans la masse des radiers de sol, les ensembles interprétés comme des espaces de travail résultent des différents chantiers de construction de l'édifice. Représentée par un pucier de passoire (état 2.1) et un fragment de *simpulum* (état 3), la consommation de boissons souligne un des aspects du fonctionnement de l'édifice qui concorde avec le faciès céramique majoritairement constitué de formes à boire et les grandes quantités d'amphores retrouvées (fig. 306). Des fragments d'orles ployés, associés à une herminette et un couteau complet, attestent le déroulement de pratiques cultuelles dès l'état 1. Elles trouvent un écho à l'époque romaine où plusieurs parures intactes sont recensées. La réalisation de documents administratifs peut aussi être évoquée grâce à la découverte d'un stylet en os, sur le même sol que les éléments de bouclier.

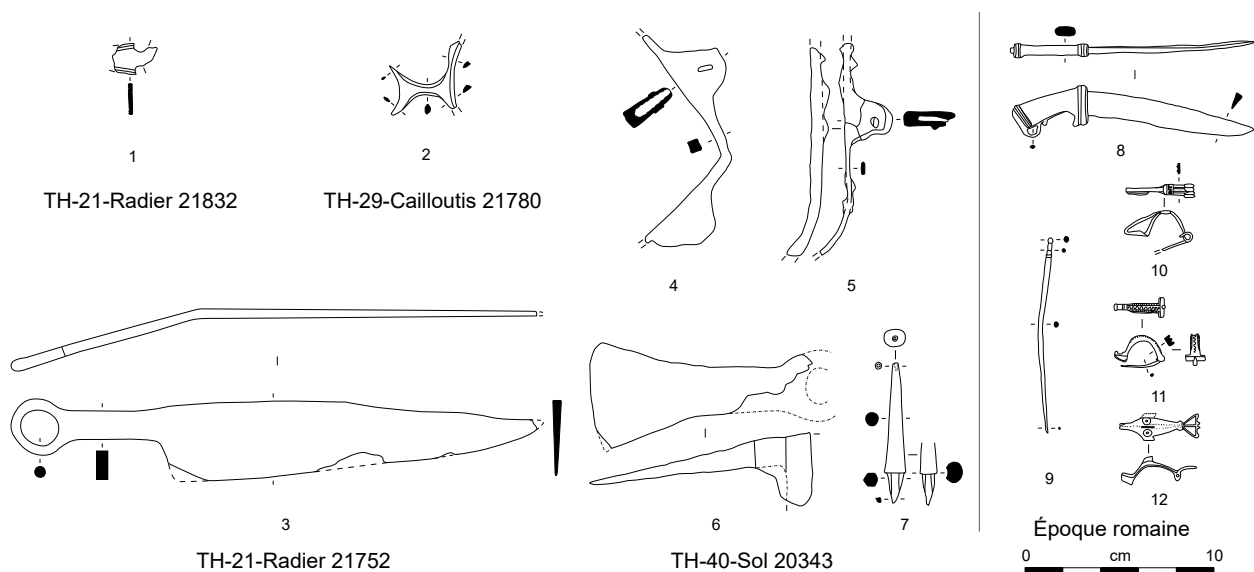


Fig. 306. Éléments représentatifs de l'activité de l'hémicycle de réunion. 1-2, 9-12 : alliage cuivreux ; 3-6 : fer ; 7 : os ; 8 : alliage cuivreux et fer.

Le bâtiment M

À l'état 1, le bâtiment M comprend une série d'édifices au faciès peu significatif. Une seule construction offre des reliefs d'activité exploitables. Scindée en deux par une palissade, elle comprend un local occidental spécialisé marqué par deux espaces de travail ; il démontre la pratique d'un métier incluant la manufacture du bronze et peut-être celle du fer. Ces activités se manifestent dans deux fosses artisanales comprenant des coulures et des scories de bronze ainsi qu'un tas de dinanderie à tête incurvée associé à un fragment de bracelet à épissures inorné écrasé (en cours de fabrication ?), tandis qu'une chute de tôle a été retrouvée dans une structure adjacente (fig. 307). Une calotte ferreuse et une chute de tige attestent que des activités de forge étaient aussi pratiquées.

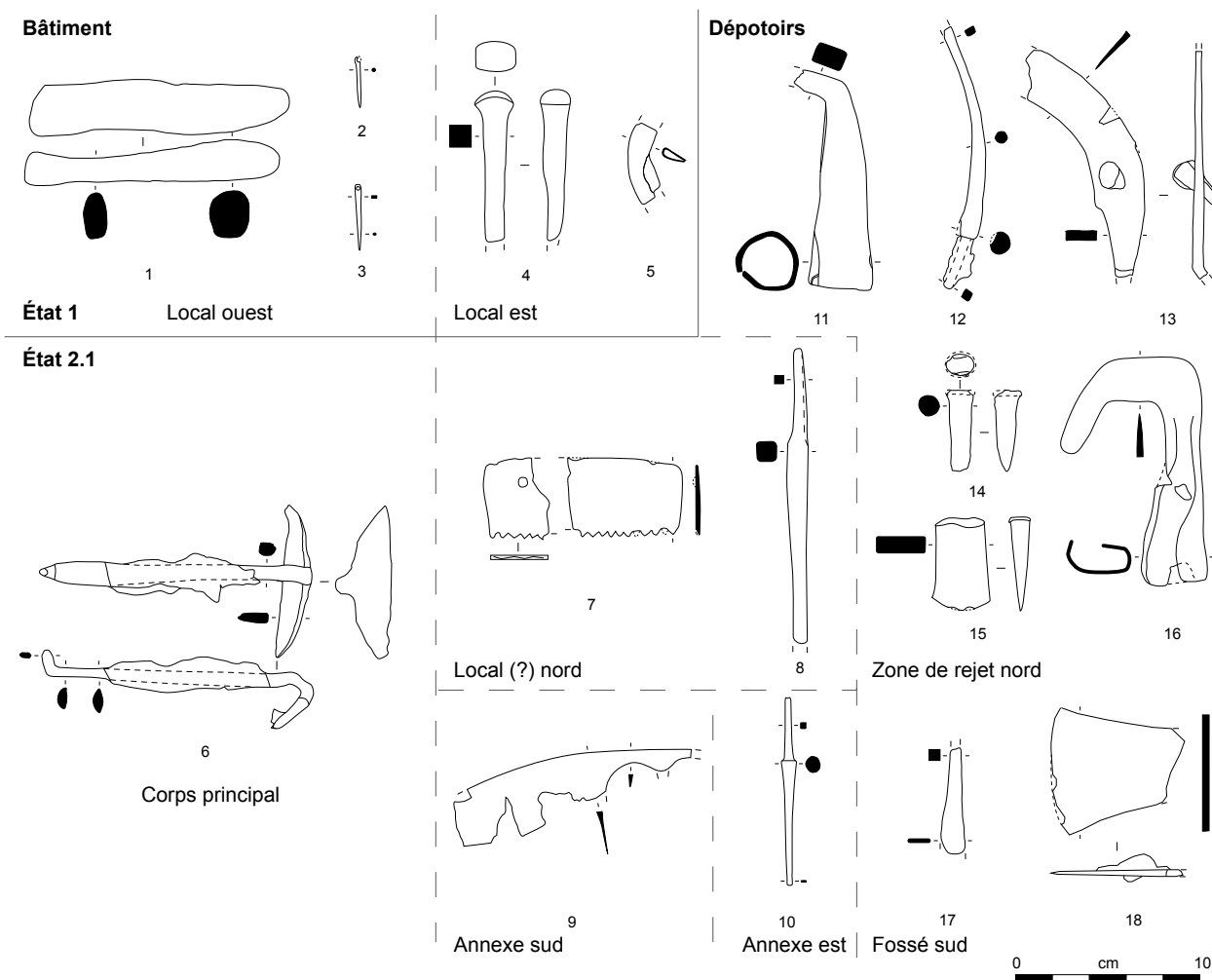


Fig. 307. Éléments représentatifs de l'activité du bâtiment M aux états 1 et 2.1. 1 : grès ; 2-3, 5 : alliage cuivreux ; 4, 6-18 : fer.

Cette partie du bâtiment se distingue de la pièce située à l'est, dont les seules traces d'artisanat, peu marquées, sont deux aiguilles et un aiguiseur. Ces éléments laissent supposer une fonction domestique, aussi signalée par un ensemble à vocation culinaire, bien que l'artisanat textile puisse aussi représenter une activité rémunératrice.

Le travail de forge et celui des alliages cuivreux se retrouvent à la phase suivante (état 2.1), dans des structures en creux caractérisées par une activité artisanale peu prononcée au nord de l'édifice. Juxtaposés au bâtiment de l'état antérieur, ces creusements au faciès comprenant scorie bimétallique et de bronze, terre artisanale et embouchure de moule soulignent encore le travail exercé à l'état 1. Ils déforment la vision de l'activité du bâtiment qui est orientée à cette période vers les métiers du bois, signalés dans le corps principal par la découverte d'un rabot complet. Cet artisanat spécialisé est aussi attesté, autour de ce bâtiment, sur les sols et dans les structures en creux du local nord, par un fragment de scie,

un long outil à soie fragmentaire et une virole, tandis que le sol de l'annexe livre un ciseau à bois. L'identification d'un atelier d'artisan spécialisé se matérialise encore mieux pour cette phase à la vue des dépotoirs associés. Le sol 21167, interprété ici comme un espace extérieur marqué par des rejets d'atelier et de cuisine communautaire (voir *supra*, p. 334), comporte plusieurs outils (manche d'herminette, grand ciseau à bois, faux, émondoir, burin, coin) qui font écho à l'activité des lieux. L'annexe méridionale est peu caractérisée durant cette phase où le seul outil documenté est un fragment de faux. Avec un tranchant d'herminette et un autre ciseau, le fossé attenant complète l'équipement de l'atelier à la fin de LTD1b.

L'image dégagée par l'analyse du bâtiment montre donc un corps principal qui, malgré la présence d'un rabot, a essentiellement une fonction résidentielle, tandis que les pièces environnantes, au nord et dans l'annexe, servent de lieux de production. L'outil marque ici le lien entre les différents locaux et laisse envisager des travaux de finition à l'intérieur de l'espace domestique, une activité complémentaire qui se retrouve aussi dans les pièces résidentielles du bâtiment R (voir *infra*, p. 393).

Une fonction commerciale pourrait être proposée pour la construction sur quatre poteaux du centre de la cour, à quelques mètres de la cloison ouest du bâtiment M, grâce à la présence d'un poids en plomb dans le fossé palissadé et d'un autre exemplaire en grès issu d'une petite structure localisée à proximité. La cave adjacente livre trois monnaies et sept jetons qui correspondent à l'une des rares concentrations d'objets de ce type dans le secteur (voir *supra*, fig. 305). Cet édifice peut être perçu comme le point de vente des artefacts fabriqués dans les bâtiments M et R, où les marqueurs du commerce demeurent rares en comparaison avec les ateliers du complexe C. Leur distribution aux états postérieurs dans la cour du bâtiment M semble indiquer que les aménagements de cet espace servaient aussi au négoce à la fin de la séquence d'occupation du secteur.

Une organisation similaire se dégage à l'état 2.2, pour lequel le corps principal ne comprend aucun signe particulier d'activité. Au nord, un marteau de dinandier complet peut être relié au dépôt composé d'outils associés au travail du bois et d'une masse métallique qui, au-delà de sa dimension religieuse, illustre aussi très vraisemblablement l'activité des lieux, dans la continuité du métier pratiqué à la phase précédente et localisé au même emplacement (fig. 308). En bordure de fouilles, divisée en deux pièces, l'annexe nord comprend plusieurs foyers, une chute de tige et une coulure ainsi qu'un sol extérieur (?), où une pince accompagnant une chute de tôle suggère la pratique d'un artisanat du métal. Difficile à qualifier en raison de son aspect lacunaire, le recours au faciès du fossé-dépotoir adjacent permet d'y postuler la mise en forme de petits objets par martelage. Cette activité est en effet attestée dans ce lieu par plusieurs chutes de tige associées à deux aiguilles en fer et en bronze pouvant correspondre au produit fini.

Le local sud ne fournit *a priori* aucune trace d'activité. Un tourneur sur os, et aussi probablement sur bois, peut toutefois y avoir travaillé sur la base des déchets de tabletterie et des outils spécifiques (tranchet, grand ciseau de tourneur, andouiller de cerf et ratés de tournage) de la tête du fossé servant d'espace de rejet, situé à proximité immédiate. Un ciseau de tourneur à tranchant oblique retrouvé lors d'un décapage de surface, entre ce bâtiment et le fossé, complète le lot d'outils liés à cet artisanat spécialisé. Les traces de ce métier apparaissent aussi dans un trou de poteau de la phase suivante, sous la forme d'un autre ciseau de tourneur à tranchant oblique, qui semble aussi devoir être attribué à l'état 2.2, tant les activités documentées durant cette phase diffèrent de celles observées précédemment.

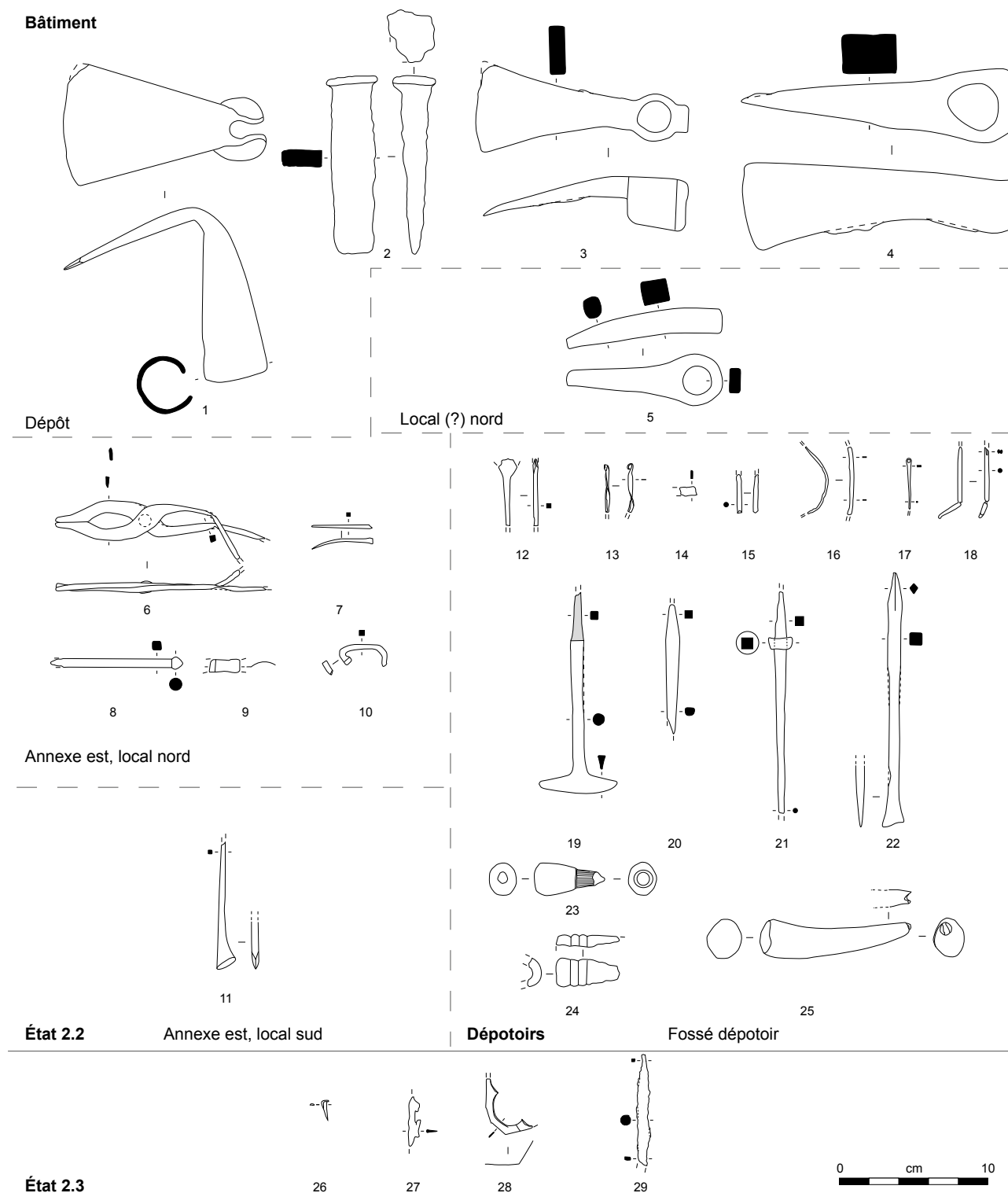
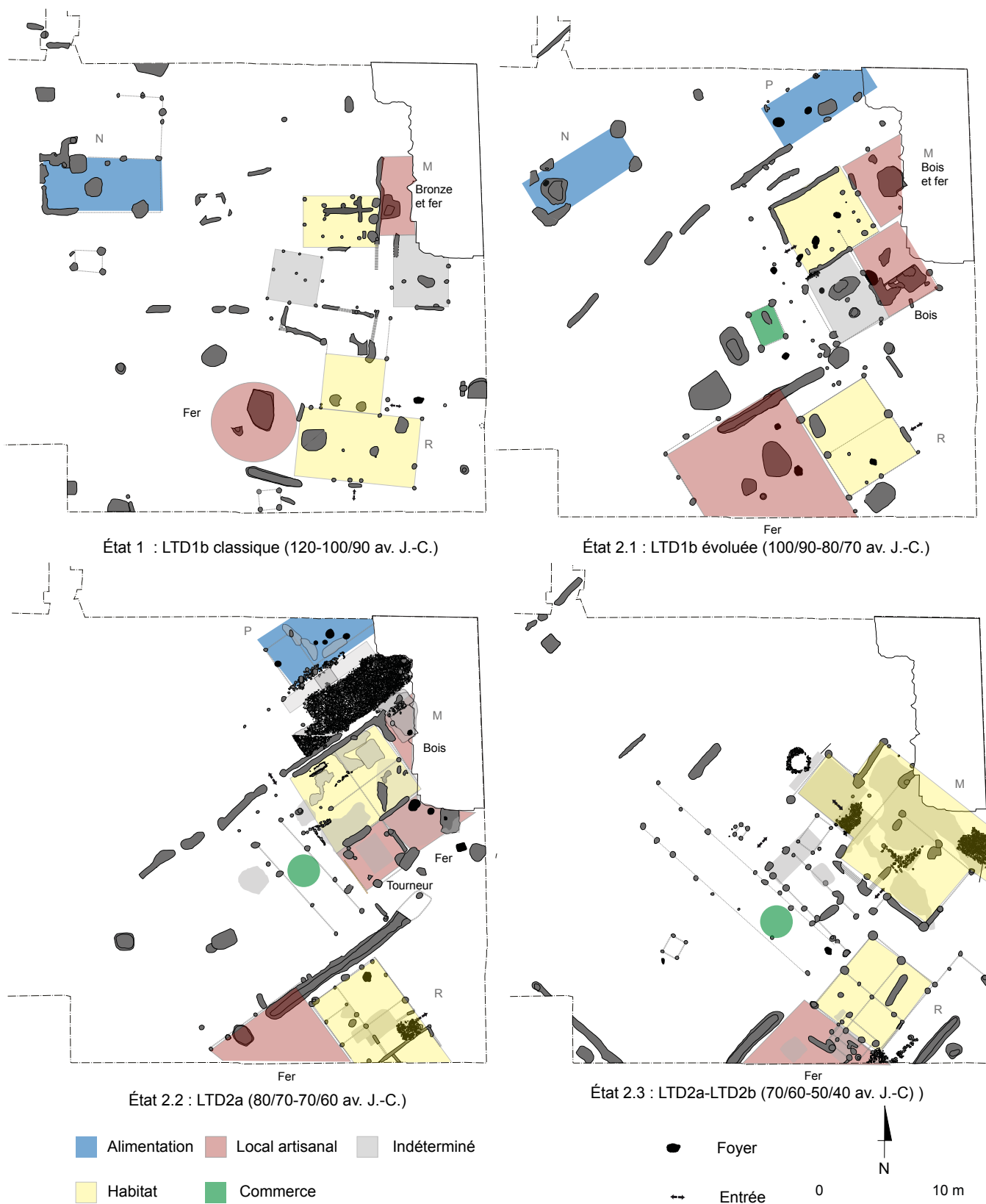


Fig. 308. Éléments représentatifs de l'activité du bâtiment M aux états 2.2 et 2.3. 1-8, 10-22, 29 : fer ; 9, 26-28 : alliage cuivreux ; 23-24 : os ; 45 : bois de cerf.

À l'état 2.3, l'édifice apparaît en effet comme un lieu domestique marqué par la juxtaposition d'ensembles caractéristiques d'activités courante et culinaire. Les seules traces fugaces d'artisanat apparaissent sous la forme de quelques coulures et d'une chute de tôle issues des portiques et des structures adjacentes, ainsi que d'un rivet de tôle enroulée mis au jour sur un sol intérieur. Bien que cohérents, ces éléments peuvent correspondre à des réparations effectuées de manière ponctuelle sur un récipient de la maisonnée (Guillaumet 1996a, p. 48-49) et demeurent insuffisants pour exprimer un lieu de production. L'activité du bâtiment à l'état 3 s'avère difficile à qualifier en raison de la faiblesse quantitative du corpus.



Au vu de ces arguments, l'organisation interne du bâtiment M permet l'identification récurrente de pièces résidentielles et d'espaces de production voués à un artisanat spécifique (fig. 309). Elle met en lumière les lieux de métiers d'artisans spécialisés, avec des discontinuités dans l'activité pratiquée. Après une période d'occupation par un spécialiste du métal englobant plusieurs champs d'activité (coulée et martelage de la tôle en bronze et travail du fer), le secteur oriental du bâtiment est dédié à l'artisanat du bois, avec un atelier qui se situerait entre

Fig. 309. Plans de synthèse de la fonction des locaux des bâtiments M, R, N et P.

le corps principal et la bordure de fouille. L'annexe semble servir à la même production au vu de la composition des assemblages du fossé dépotoir adjacent. Une structuration identique de l'espace se retrouve à l'état 2.2, avec des activités dédiées au travail du bois et du fer au nord, tandis qu'un local de l'annexe est utilisé par un travailleur du métal et qu'une pièce est dédiée au façonnage au tour sur os et peut-être aussi sur bois. Seule la fonction résidentielle peut être proposée à l'état 2.3, où des traces fugaces d'artisanat du bronze sont attestées, sans qu'il soit possible d'identifier un lieu de métier.

La structuration de ce bâtiment et la diversité des spécialisations artisanales documentées invitent à réfléchir sur l'interprétation générale de l'édifice, durant les états 2.1 et 2.2. Parmi les explications plausibles, le regroupement de divers corps de métier pourrait être le fruit d'une volonté de mettre en commun des ressources et des savoir-faire. Dans ce cadre, chaque local représenterait le lieu de production d'un artisan spécialisé indépendant, forgerons et travailleurs du bois ayant « pignon sur rue ».

Fondée sur la présence d'une pièce domestique commune et communicante, la seconde hypothèse serait de concevoir la structuration de ce bâtiment comme un seul ensemble dédié à la production d'objets composites, comme des meubles, qui nécessite l'exercice des professions relevées. La fabrication de ce type d'artefacts semble envisageable dans un schéma interprétatif où chaque local illustrerait une portion de la chaîne de production. Le gros-œuvre et la finition des planches seraient alors réalisés dans le local nord, tandis qu'une pièce serait dédiée à la fabrication de petits éléments d'assemblage en fer et qu'un tourneur effectuerait les charnières en os et les décors dans le local adjacent. Chaque pièce représenterait alors le travail d'un artisan dévolu à une partie de la chaîne opératoire, dans l'objectif de concentrer toutes les étapes de fabrication. L'archéologie arrive à ses limites, lorsqu'il s'agit de déterminer si cette organisation résulte d'un consortium de spécialistes sans aucun lien de parenté réunis par des liens corporatifs ou de clientélisme ou si elle reflète le travail d'une maisonnée, avec une tâche dévolue à chaque membre de la famille.

Le bâtiment R

La même configuration avec une scission entre parties domestique et artisanale ressort de l'étude du bâtiment R, qui se caractérise par la continuité des fonctions identifiées, dédiées au travail du fer, à l'ouest, et à l'habitat, à l'est (fig. 310). La fugacité des témoins de production de la première période (état 1), peu représentatifs à première vue, s'explique en particulier par le recoupement de la fosse artisanale principale par un fossé postérieur. Quelques scories et une virole apparaissent toutefois dans les structures orientales, alors qu'un abraseur est issu d'un trou de poteau du corps principal. À l'état 2.1, tous les aménagements de ce local muni d'une fosse artisanale fournissent des scories, tandis qu'un ciseau droit à tranchant à double biseau pour la découpe du métal, y est aussi recensé. La caractérisation du local est complétée par le fossé-dépotoir délimitant la parcelle où figurent des scories (env. 900 g) et un manche d'outil torsadé (pelle à feu, pince ?). Un lot d'objets, qui pourraient être perçus comme des ratés de fabrication, accompagne ces vestiges artisanaux. Deux fragments de flamme et un talon de lance, dont la douille trop large semble mal terminée, y sont associés à une clé à la dent tordue et à une ferrure rivetée présentant des torsions atypiques. Le corps principal est à nouveau marqué par une conjonction d'assemblages interprétés comme des activités culinaires et courantes, qui laissent supposer une fonction domestique.

À l'état 2.2, le corps principal reflète toujours une fonction résidentielle avec des sols au corpus signifiant une activité domestique et culinaire tandis qu'un abraseur en tuf reflète le polissage ou la finition d'artefacts dans cet espace. La forge est toujours pratiquée dans l'annexe avec des structures aux assemblages caractérisés par une présence récurrente de déchets scorifiés.

4.3.3. LE QUARTIER NORD

Les unités architecturales de ce quartier présentent aussi des configurations variées, qui nécessitent différents degrés d'analyses pour identifier les corps de métiers représentés et les habitats (fig. 311 à 313). Ainsi, le complexe C et ses divers ateliers font l'objet d'une étude plus détaillée que les bâtiments environnants.

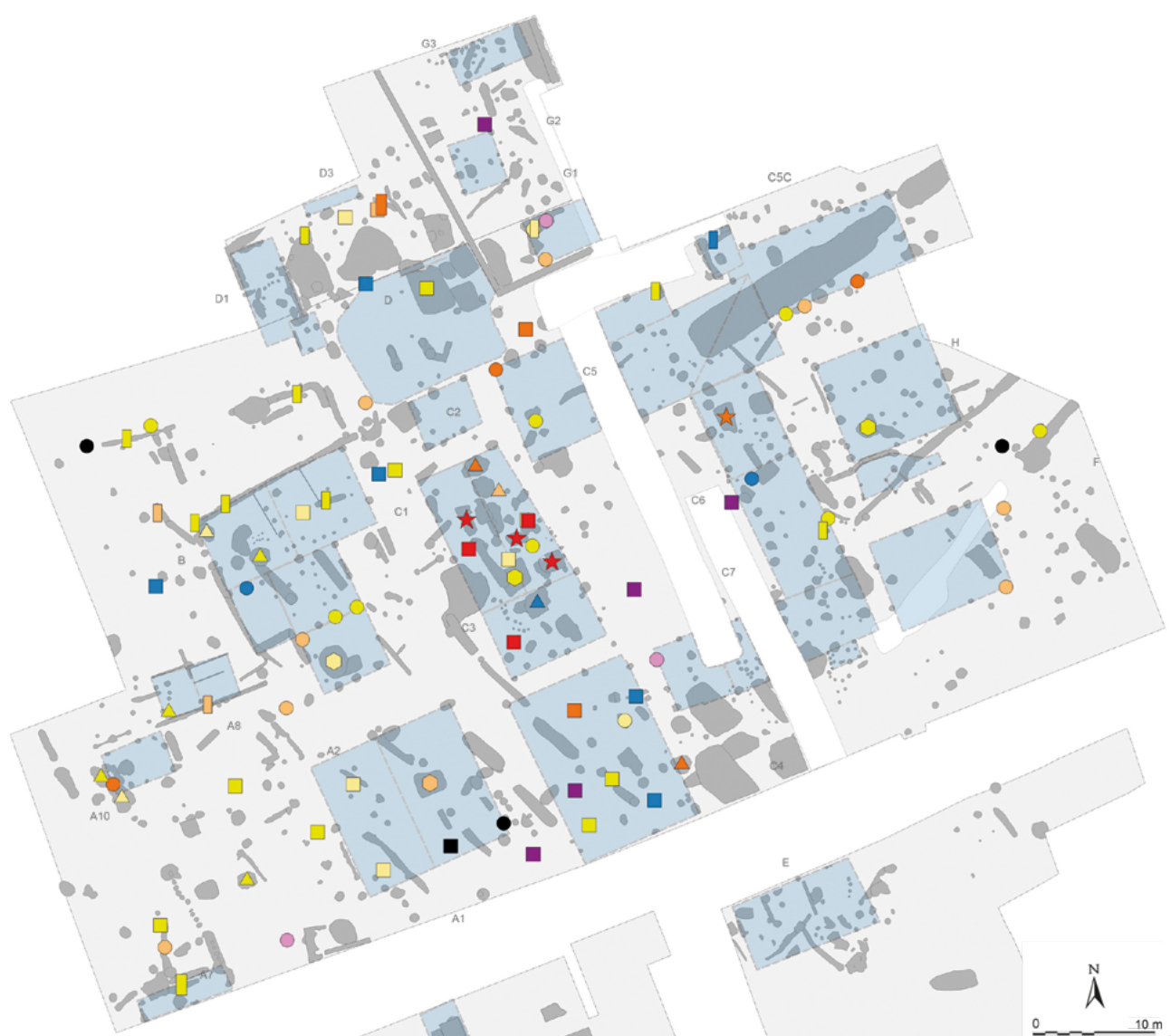
Le complexe A

Le complexe A est marqué dans sa première phase par des vestiges ténus dont la caractérisation s'avère difficile. Tout au plus est-il possible de percevoir, dans les outils et déchets retrouvés sur le sol du **bâtiment A1**, les reliquats d'une activité artisanale avant l'apport de dépôts. Si cette hypothèse est privilégiée, les demi-produits en alliage cuivreux, limes, chutes de tôle et ciseau droit peuvent être mis en relation avec les outils retrouvés à quelques mètres dans l'épandage (A1-25-épandage est) : un tas, un autre ciseau à tranchant large et des tiges de bronze martelées qui signalent le travail d'un artisan du bronze et du bois, dont l'activité serait localisée dans le bâtiment C4 (voir *supra*, p. 337). Ces ensembles trouvent un écho dans le cellier du bâtiment A1 qui livre des chutes liées au façonnage du fer et du bronze.

Durant cette phase, la majorité des autres constructions du complexe ne fournissent que des reliefs d'activité courante. Une fonction artisanale peut être proposée dès l'état 1 pour le **bâtiment A10**, où figurent une panne de marteau et un emporte-pièce issus d'un trou de poteau de petite taille (fig. 314). Cet objet a pu aussi être piégé à l'état 2.1 où l'hypothèse d'un atelier d'artisan du cuir est confortée par la présence d'une lancette et d'un second emporte-pièce. La trousse à outils restituée dans ce petit édifice n'est pas sans rappeler la composition *a minima* de celle d'un cordonnier proposée par M. Volken (2010, fig. 4 à 6).

L'artisanat du cuir pourrait se retrouver aussi dans le poteau d'angle du bâtiment B, où figure un couteau à deux mains, d'interprétation ambivalente (travail du cuir ou du bois) à proximité du **bâtiment A8**. Cette construction est caractérisée par la pratique de la boucherie signalée par des ossements animaux caractéristiques, activité à laquelle est associée la poêle en fer, peut-être utilisée pour produire du suif (fig. 314). Il serait tentant d'envisager une complémentarité des activités relevées dans la zone, bien que des problèmes de chronologie relative restent à résoudre. Durant cette phase, les monnaies et les jetons apparaissent en grand nombre dans le bâtiment qui fait aussi office de point de vente pour les quartiers de viande (fig. 315). La diversité du faciès (bronze frappé, monnaie en argent, potin) exprimerait ici la variation des transactions commerciales en fonction de la qualité des pièces achetées, selon des principes relevés pour l'assemblage monétaire de la structure sur poteaux D du sanctuaire (Gruel *in* Poux et Demierre, p. 323).

Dans la partie méridionale du complexe architectural, les traces de métier demeurent rares à l'état 2. Les faciès des sols, intérieurs comme extérieurs, et des structures en creux sont presque exclusivement composés d'assemblages relatifs à des activités culinaires et courantes qui indiquent une fonction domestique. Les **bâtiments A1 à A4** semblent donc pouvoir être considérés comme des habitats à l'activité peu spécifique. Le plateau de balance, le poids de tradition romaine et les monnaies issus de la couche (remblai ou sol ?) de l'état 2.1, au nord du **bâtiment A7**, suggèrent toutefois une fonction commerciale pour un édifice de la zone. Son emplacement ne peut être restitué avec assurance, compte tenu de la nature de leur contexte de provenance. De même, la bonne représentation des monnaies dans la cour du complexe laisse supposer des transactions commerciales dans le secteur qu'il demeure difficile à attribuer à un bâtiment précis.



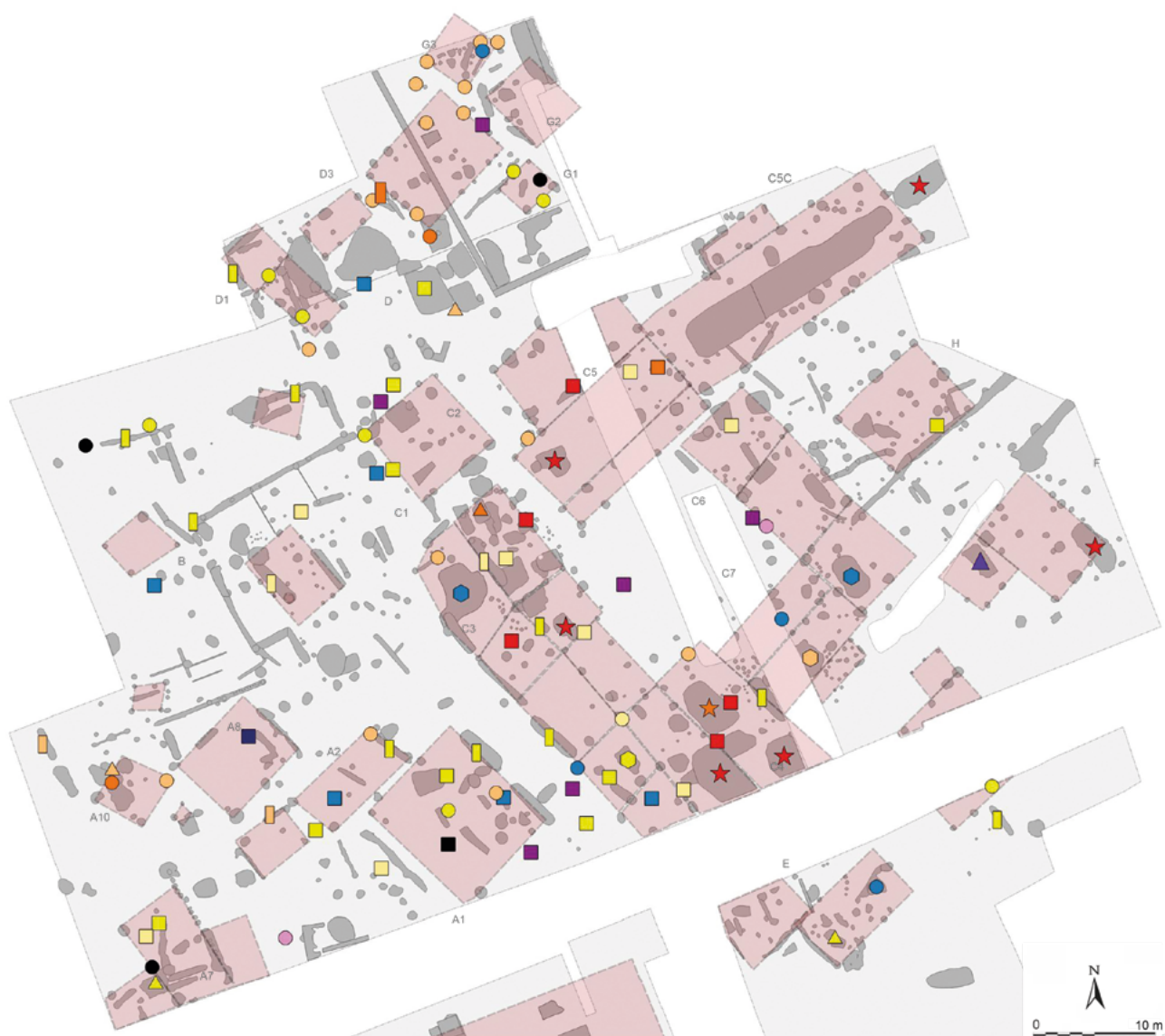
Interprétations

- | | | |
|--|---------------------------------------|----------------------------|
| ● Activité courante | ● Activité courante, culinaire | □ Sols |
| ● Activité courante avec une part artisanale | ● Activité courante, domestique | ☆ Fosses artisanales |
| ● Activité artisanale peu marquée | ● Cuisine communautaire | △ Fosses |
| ● Activité artisanale | ● Dépôts culturels | ◻ Stockage |
| ● Espace de travail remanié | ● Consommation collective de boissons | △ Structures liées à l'eau |
| ● Espace de travail | ● Boucherie | □ Structures longilignes |
| ● Espace de rejets artisanaux | | ○ Trous de poteau |

Les bâtiments B, D, E, F, G, H

Avec des assemblages caractéristiques d'une activité courante ou culinaire, les faciès recensés dans les **bâtiments B, H et D1** répondent à la même logique de constitution que la majeure partie des édifices du complexe A et peuvent être considérés comme des habitats. Le **bâtiment B** fournit par exemple de très rares attestations artisanales, sous la forme d'un tas fragmentaire issu d'un trou de poteau situé à proximité du cellier, où figurent une lingotière et des aiguilles. Emblématique des assemblages d'habitat, la fosse dépotoir de l'angle nord-ouest de l'édifice confirme sa fonction principalement résidentielle marquée par un chenet en terre cuite, des fragments de plaque-foyer, un pied de cruche de type Kelheim, des parures (fibule, perle et bracelet) et un hypothétique fragment de gouttière de fourreau. Avec un ensemble caractéristique d'une activité domestique signalée par une pince à épiler, le **bâtiment G1/**

Fig. 311. Caractérisation de l'activité du quartier nord à l'état 1.



Interprétations

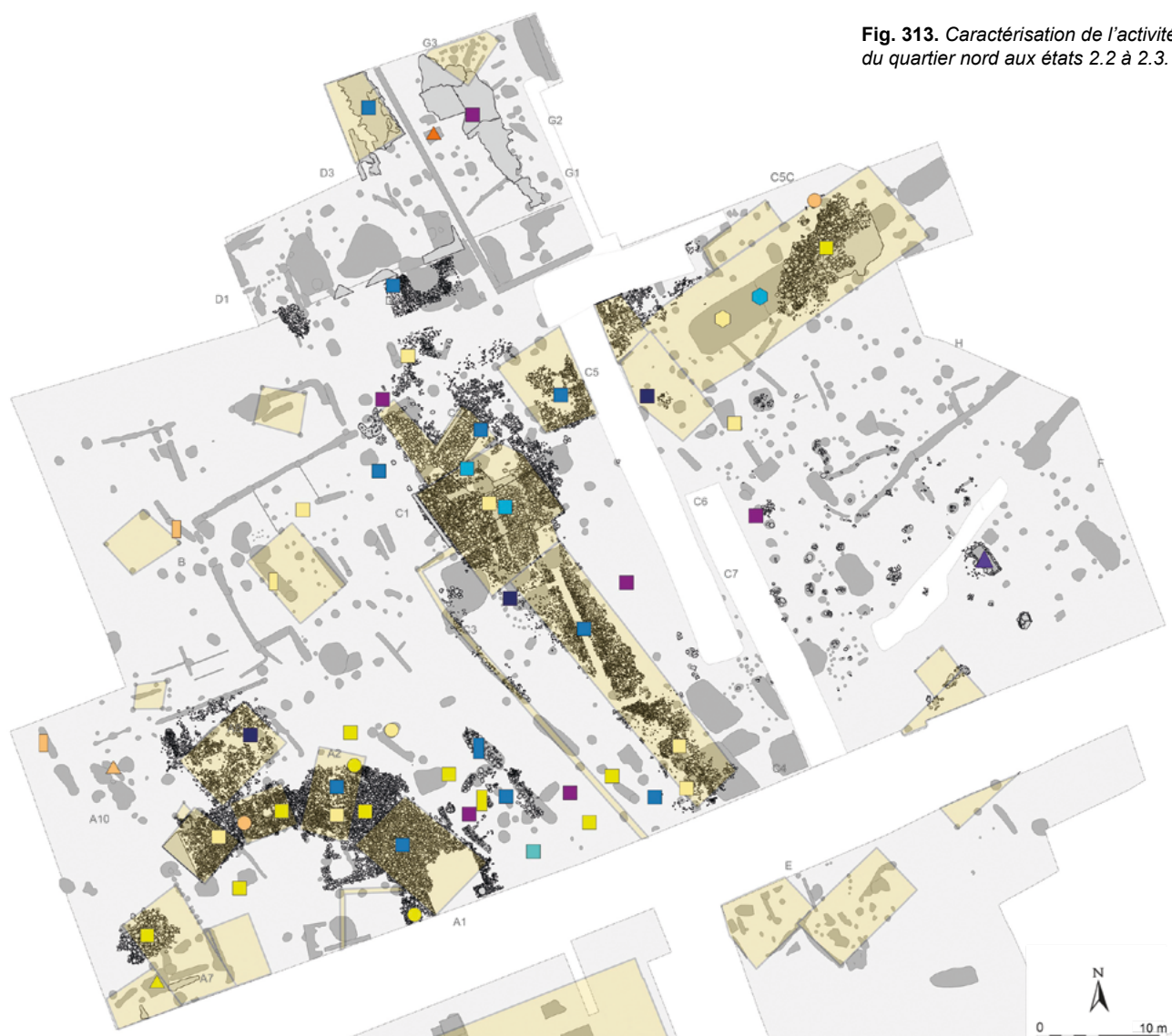
- | | | |
|--|---------------------------------------|----------------------------|
| ● Activité courante | ● Activité courante, culinaire | □ Sols |
| ● Activité courante avec une part artisanale | ● Activité courante, domestique | ☆ Fosses artisanales |
| ● Activité artisanale peu marquée | ● Cuisine communautaire | △ Fosses |
| ● Activité artisanale | ● Dépôts culturels | ○ Stockage |
| ● Espace de travail remanié | ● Consommation collective de boissons | △ Structures liées à l'eau |
| ● Espace de travail | ● Boucherie | □ Structures longilignes |
| ● Espace de rejets artisanaux | | ○ Trous de poteau |

Fig. 312. Caractérisation de l'activité du quartier nord à l'état 2.1.

D2 de l'état 1, connu de façon lacunaire, peut aussi être considéré comme un habitat, tandis que seul le plan du **bâtiment H** doté d'une cave et d'un foyer permet de le caractériser.

Un atelier d'artisan spécialisé dans la manufacture d'objets composites peut être envisagé pour le **bâtiment F**, en raison de la présence d'un espace de travail matérialisé par une fosse artisanale à l'outillage varié (état 2.1). Majoritaire, le travail du bronze par coulée et martelage est matérialisé par un marteau de dinandier, des outils lithiques, un moule à alvéole, des demi-produits, d'hypothétiques bracelets en cours de fabrication ainsi qu'un ciselet. Le travail du bois est attesté par un ciseau et la tabletterie par une plaquette perforée (pl. 107). Malgré l'état de conservation des vestiges dans ce secteur, la production dans ces lieux est aussi reflétée dès l'état 1 par la composition de deux trous de poteau à l'activité artisanale peu marquée, dont l'un comportant notamment un œil de marteau.

Fig. 313. Caractérisation de l'activité du quartier nord aux états 2.2 à 2.3.



Interprétations

- | | | |
|--|---------------------------------------|----------------------------|
| ● Activité courante | ● Activité courante, culinaire | □ Sols |
| ● Activité courante avec une part artisanale | ● Activité courante, domestique | ☆ Fosses artisanales |
| ● Activité artisanale peu marquée | ● Cuisine communautaire | △ Fosses |
| ● Activité artisanale | ● Dépôts culturels | ○ Stockage |
| ● Espace de travail remanié | ● Consommation collective de boissons | △ Structures liées à l'eau |
| ● Espace de travail | ● Boucherie | □ Structures longilignes |
| ● Espace de rejets artisanaux | | ○ Trous de poteau |

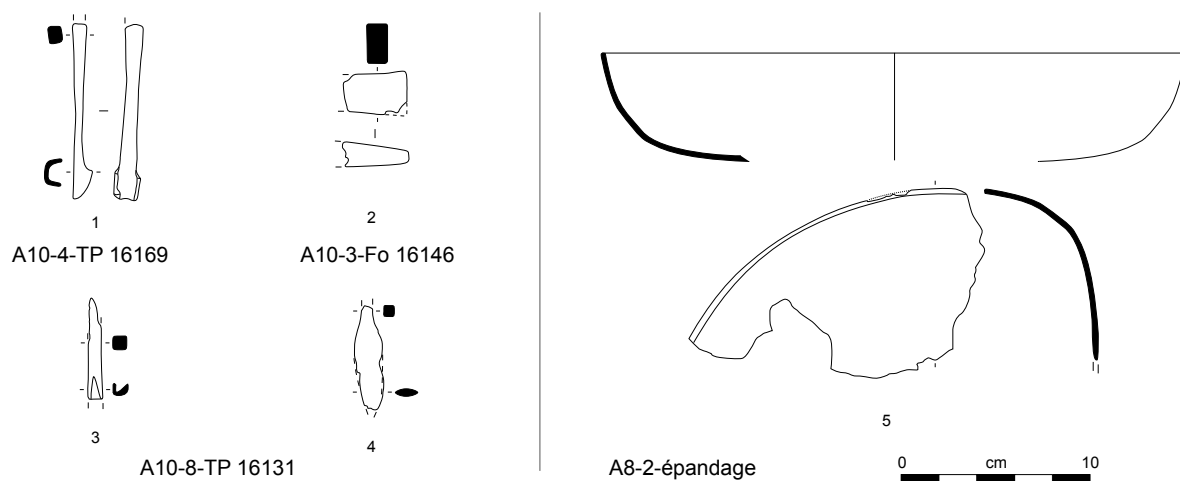
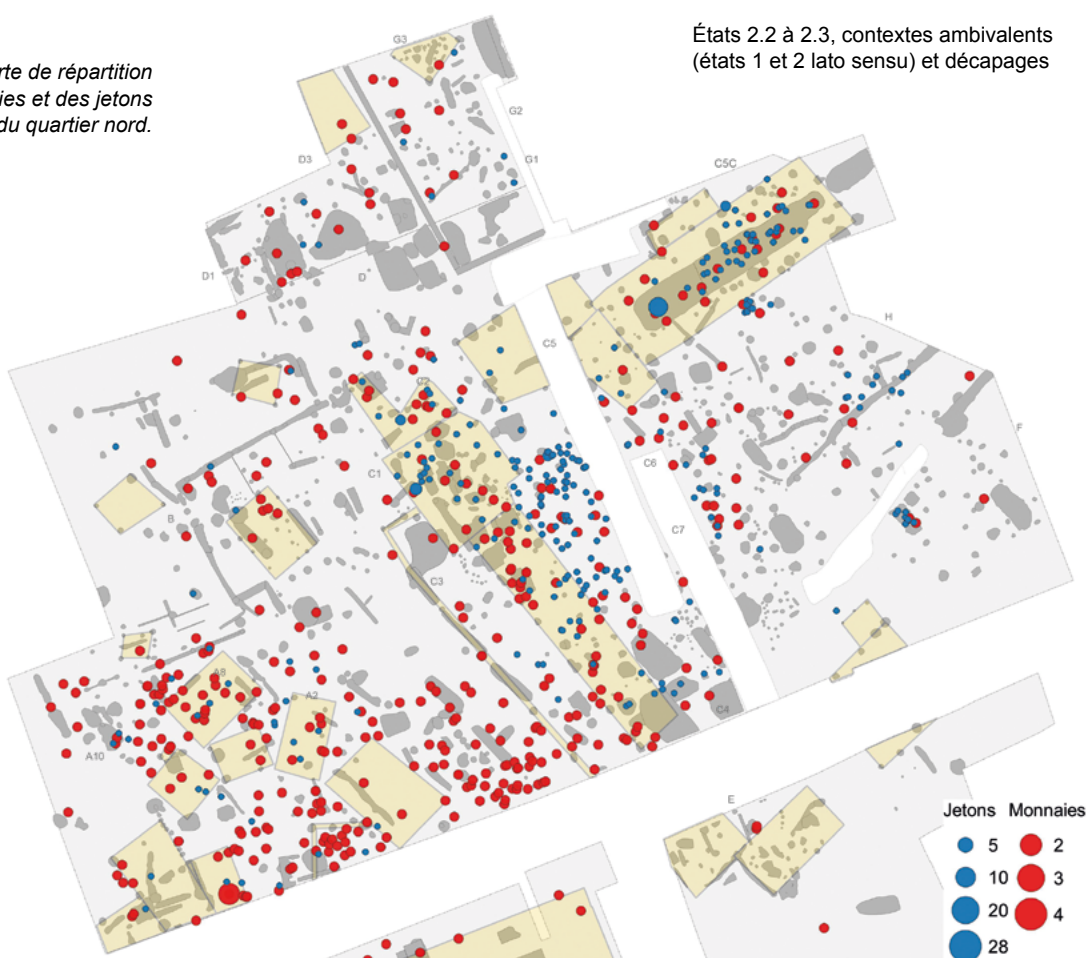
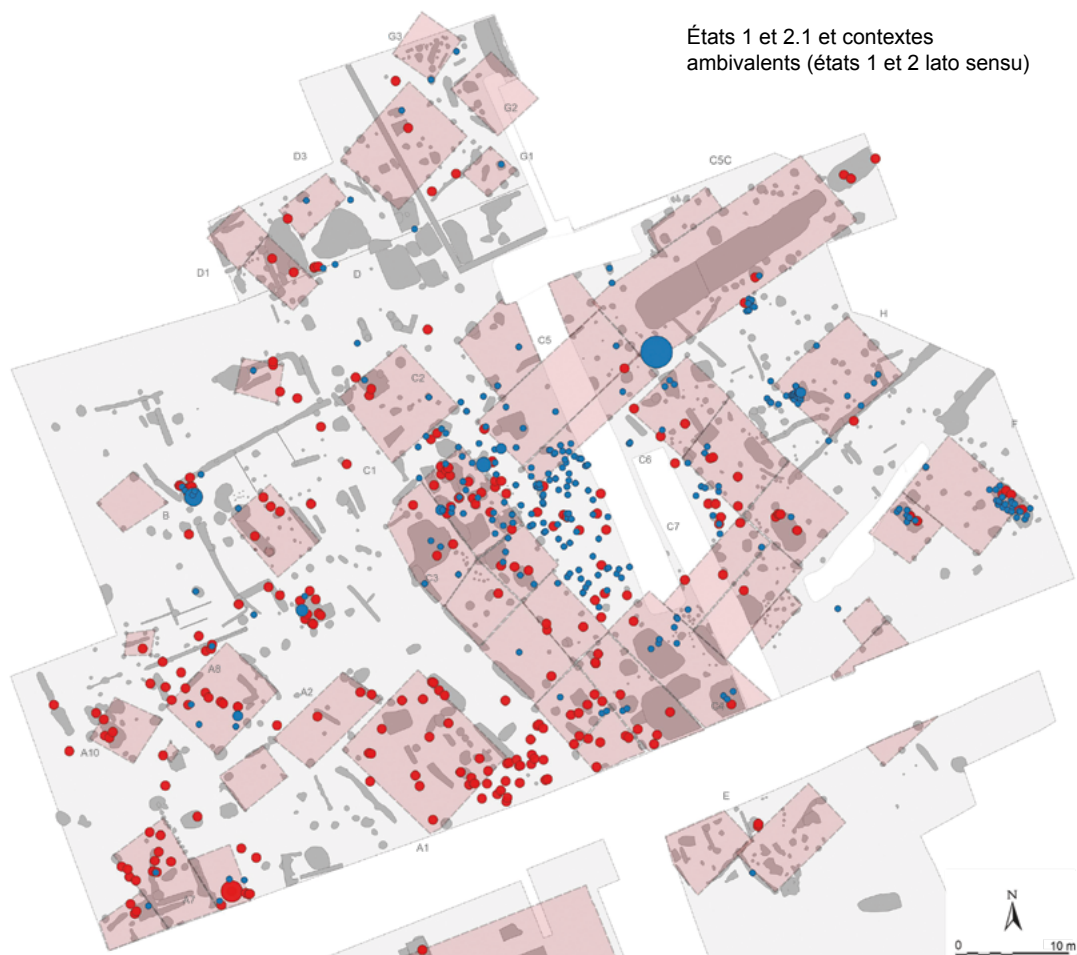


Fig. 314. Éléments représentatifs de l'activité des bâtiments A8 et A10. Fer.

Fig. 315. Carte de répartition des monnaies et des jetons du quartier nord.



États 1 et 2.1 et contextes ambivalents (états 1 et 2 lato sensu)



Bâtiment D3

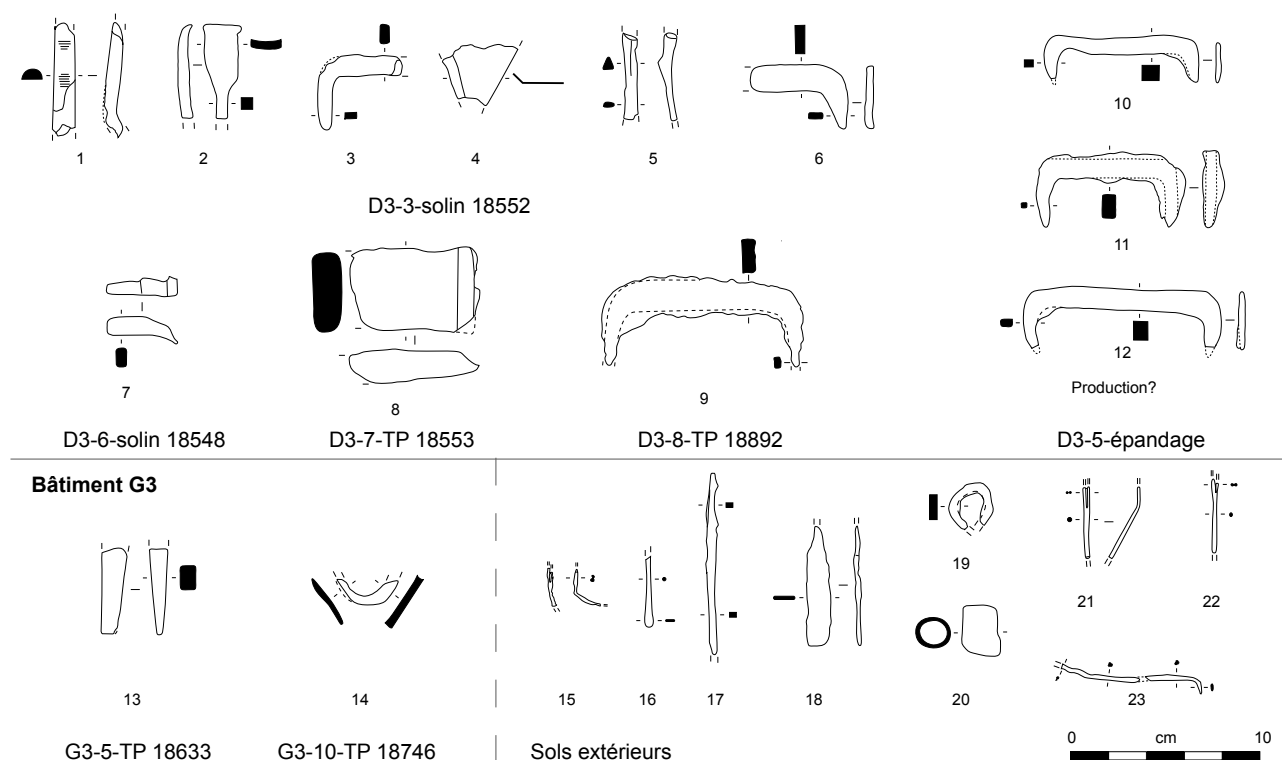


Fig. 316. Éléments représentatifs des forges des bâtiments G3 et D3. Fer.

Selon la même logique et en dépit de l'aspect lacunaire de son plan, une fonction de local artisanal dédié à la forge peut aussi être proposée pour le **bâtiment G3** dont les trous de poteau et sablières livrent de manière récurrente des outils fragmentaires (tranchant de ciseau droit, virole) et des scories (fig. 316). Le faciès des sols extérieurs comporte des déchets qui comprennent notamment de fines tiges en cours de martelage ainsi que plusieurs aiguilles, qui peuvent illustrer un type de production réalisé sur place, à moins que ces dernières ne se rattachent à une autre activité spécialisée. Selon le principe qu'une concentration d'objets est à même de refléter une production, le nombre élevé de fibules en fer sur les sols du secteur (voir fig. 54) pourrait aussi illustrer un autre type de réalisation de cet atelier, bien que cette fréquence puisse s'expliquer aussi par des pertes liées à la circulation sur les espaces extérieurs. La juxtaposition de plusieurs ensembles à faible caractère artisanal et d'une zone de rejet confirme ici l'identification d'un atelier, en admettant toutefois que ce corpus provienne bien de cet édifice et non du bâtiment D3 aussi localisé dans le secteur.

En bordure de l'emprise et partiellement exploré, le **bâtiment D3** est caractérisé par l'association de divers assemblages (structures et sols) au corpus emblématique d'un artisanat du fer déjà relevé à partir de la répartition des scories de forge (fig. 151). Y figurent notamment plusieurs chutes et objets en cours de fabrication ainsi qu'une lime (fig. 316). Un ensemble de pièces de quincaillerie, dont des crampons de construction, peut illustrer ici un stock de matière première récupérée ou des marchandises destinées à la vente. À nouveau, les environnements immédiats présentent les seules concentrations de ces éléments d'assemblage documentées sur le site (voir *supra*, fig. 238).

Compte tenu de son environnement et de la rareté des artefacts reconnus sur son aire de répartition, la fonction du **bâtiment G1** ne peut être attribuée à la sphère artisanale sur la simple base de l'interprétation de la composition de ses structures. Il est tout à fait plausible que ce soit cet édifice qui ait été incendié et ses pièces d'assemblage regroupées dans le trou de poteau adjacent (G1/D2-1-TP 18585). Sans outils, l'assemblage en question laisse envisager une fonction résidentielle, caractérisée par des parures et des instruments culinaires.

Les **bâtiments E1 et E2** livrent des corpus trop peu fournis pour leur attribuer une fonction de manière assurée, bien qu'ils soient caractérisés par des assemblages liés à des activités courante ou culinaire suggérant un habitat. Il est probable que le **bâtiment E3**, situé de part et d'autre du chemin moderne, ait une fonction commerciale au vu de la découverte d'un poids sphérique en basalte et de son implantation en bordure de la place.

Le complexe C

Ce complexe architectural est organisé autour d'une cour bordée de lieux de production dont les déchets jonchent le sol. La caractérisation des métiers des artisans comportera donc une nouvelle fois des allers-retours entre les niveaux observés dans les bâtiments et les zones de rejet qui sont coupées en deux par des tranchées modernes. Elle recourt aussi à l'utilisation des répartitions d'outils et de déchets distribués en fonction de la stratigraphie (fig. 317 à fig. 319). Il convient encore de préciser que ces sols, restés ouverts depuis l'état 1, pourraient aussi résulter d'un travail réalisé à même le sol dans la cour, hypothèse qui s'avère néanmoins peu probable en raison de la nature des artisanats pratiqués et de l'intense fréquentation de l'espace.

L'étude de cet ensemble de bâtiments est aussi tributaire des conditions de conservation de ses parties orientale et occidentale qui diffèrent grandement avec deux niveaux de sol conservés à l'ouest, alors qu'un épandage recouvre la cour et une partie de la surface des **bâtiments C6 et C7**, à l'est. Qualifier les métiers représentés dans ce secteur ne souffre toutefois d'aucune ambiguïté tant les vestiges découverts sur ces sols sont représentatifs de l'activité d'un spécialiste du martelage de fins objets en alliage cuivreux (fig. 320). Le mobilier issu de l'angle de la cour permet la restitution d'une trousse à outils représentant plusieurs maillons de la chaîne opératoire. Le martelage est attesté par deux tas en fer à table circulaire et quadrangulaire, un support de frappe lithique, la préhension par deux mors de pince, la découpe par un emporte-pièce et le travail fin de décoration et de mise en forme par un ciselet en fer et un poinçon à emboutir en alliage cuivreux. Le corpus de déchets illustrant ce travail est composé de chutes de tôle, dont une trapézoïdale, qui n'est pas sans rappeler la dernière étape du processus de réalisation d'une fibule dont le pied doit encore être ajouré pour terminer l'ouvrage (Hamm 2003, p. 171-177, fig. 11). La confection de fibules se confirme par la présence d'une parure en cours de fabrication dont le pied et le ressort ne sont pas terminés. La production d'ustensiles de toilette peut aussi être proposée grâce à la découverte d'une sonde ovalaire à l'extrémité martelée retrouvée à la limite entre les deux locaux du bâtiment C6, et d'un fragment de pince à épiler issu d'un trou de poteau qui pourrait aussi correspondre à un objet en cours de fabrication. La répartition du mobilier désigne le **local sud du bâtiment C6** comme le lieu de production de ces objets. L'absence de vestiges artisanaux dans le cellier de l'état 2.1 constitue un argument *a silentio* pour restituer cet artisanat spécialisé durant l'état 1, un postulat par ailleurs renforcé par la répartition des outils qui couvrent la majeure partie de la surface de l'édifice de cette période (voir *supra*, fig. 317).

La distribution montre également que le corpus d'outils relatif à d'autres artisanats se concentre à l'intérieur et en face du **local nord du bâtiment C6**. Ce lot comprend deux fragments de serpette, une petite hache, un tranchant d'herminette et un œil d'outil d'herminette ou de hache (fig. 320). Ils permettent de restituer le lieu de métier d'un artisan du bois ou d'objets composites organiques (vannerie ?) pour cette pièce dotée d'une structure artisanale particulière, au fond recouvert par un radier de basalte. La stratigraphie ne permet pas ici d'identifier l'état auquel attribuer cette activité (état 1 ou 2.1).

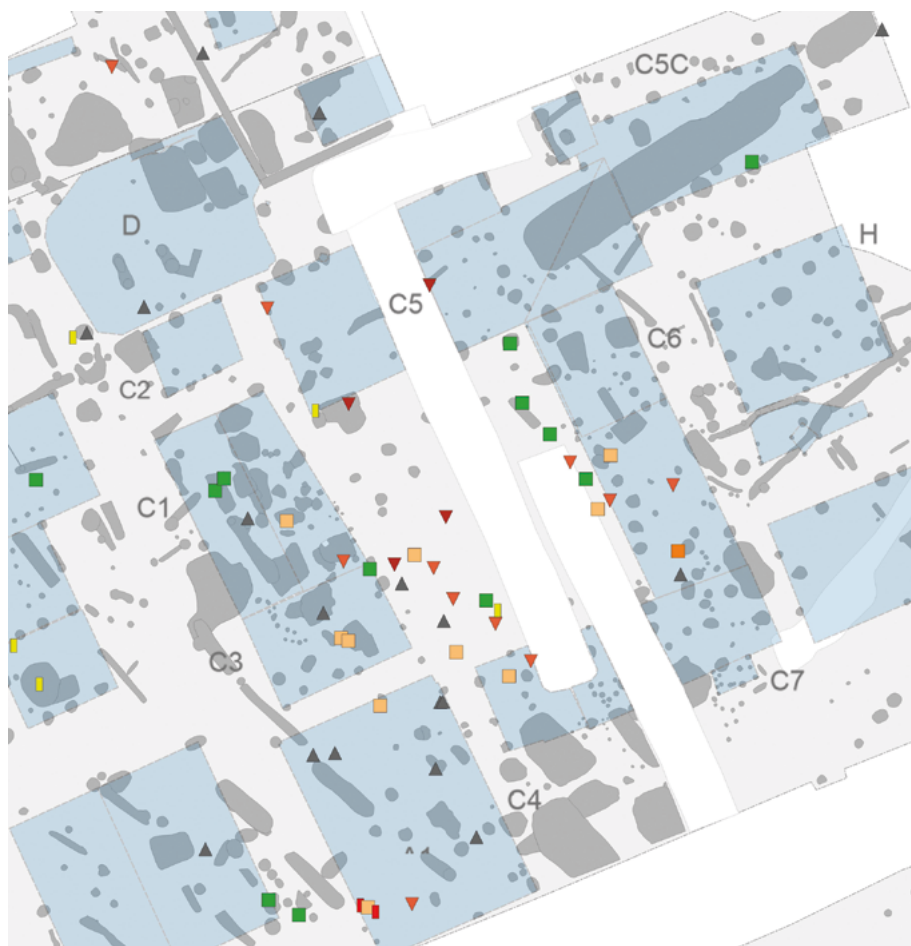


Fig. 317. Répartition des outils à l'état 1 et dans les niveaux ambivalents (états 1 à 2.1, état 1 et 2 lato sensu).

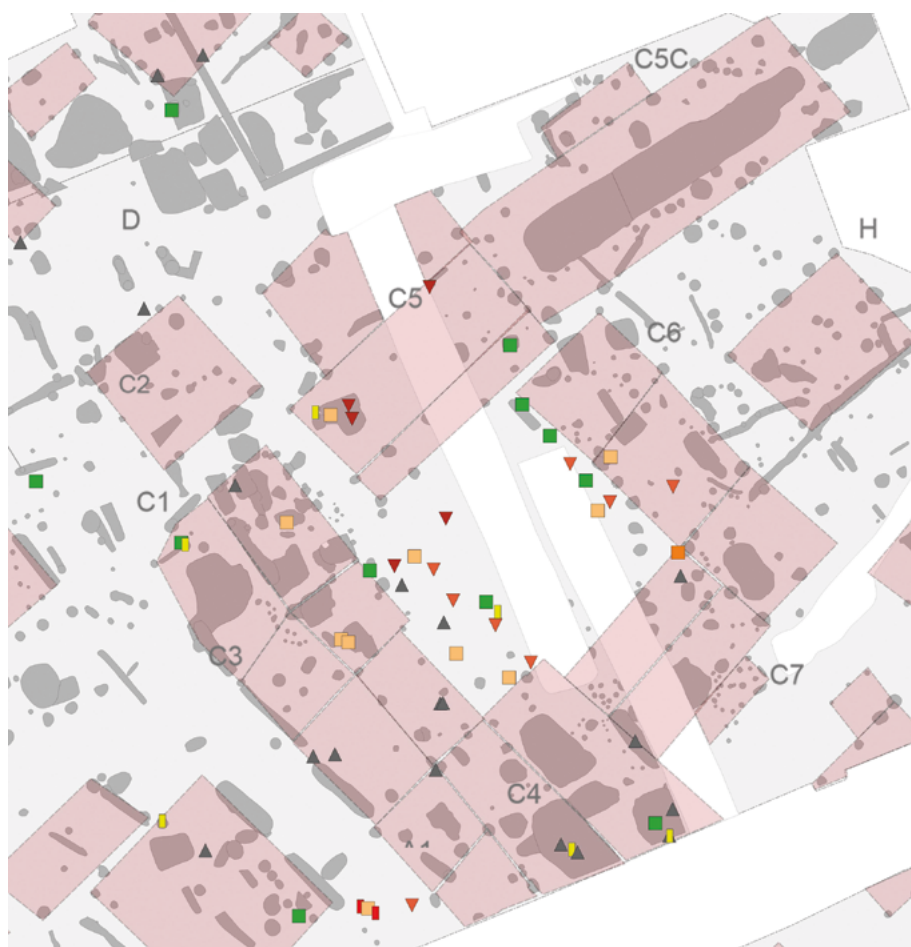
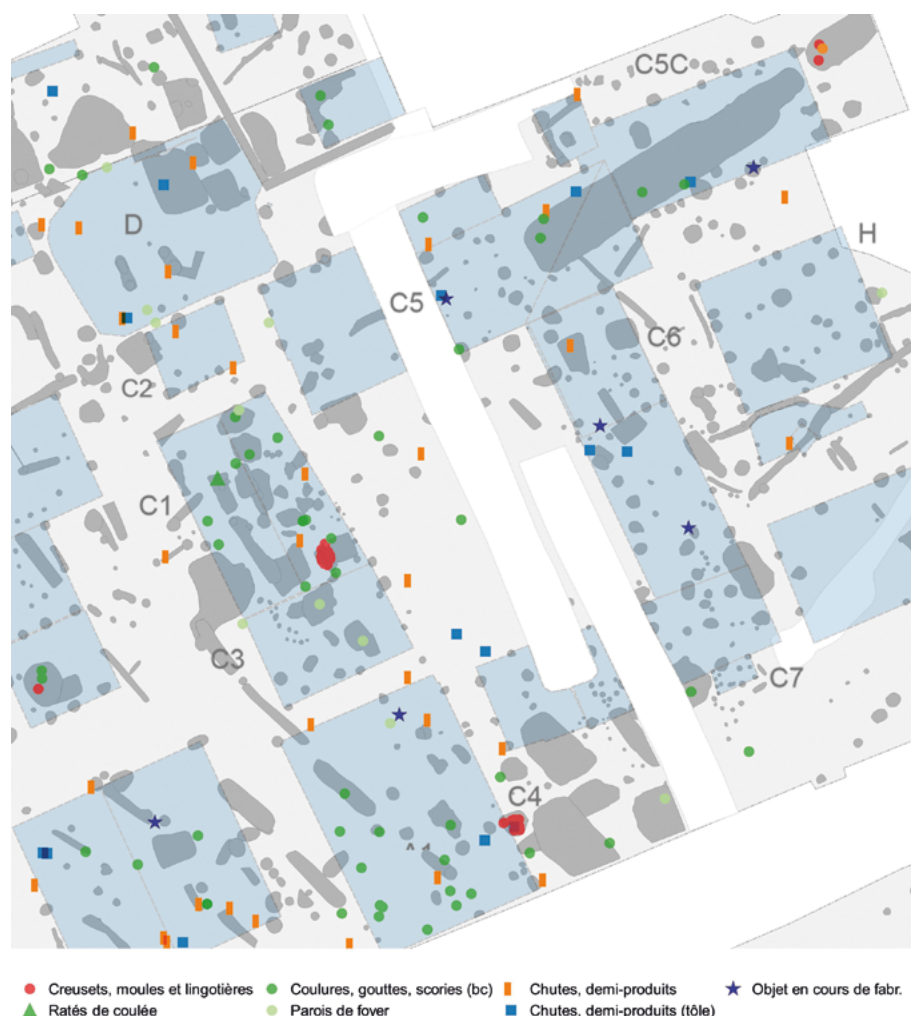


Fig. 318. Répartition des outils à l'état 2.1 et dans les niveaux ambivalents (états 1 à 2.1 et état 1 et 2 lato sensu).

- | | | | |
|---------------------|------------------|----------------------|------------------------------|
| ▼ Métal (découpe) | ■ Métal (foyer) | ■ Métal (préhension) | ▲ Fragmentaire et polyvalent |
| ▼ Métal (finition) | ■ Métal (frappe) | ■ Bois | ■ Textile |

Fig. 319. Répartition des déchets en alliage cuivreux dans le complexe C.



Le **bâtiment C7** ne semble pas être un lieu de production au vu de la composition de ses celliers qui livrent des reliefs d'activités domestiques, culinaires ou à faible connotation artisanale, marqués par des fragments de peson, un déchet de tabletterie et une coulure. La présence, à l'état 2.1, de deux fragments de peson sur les trois pesons de l'ensemble du corpus pourrait aussi correspondre à un artisanat spécialisé dans le tissage. Ils proviennent d'un cellier aménagé d'une rigole médiane, interprétable comme le négatif du cadre d'un métier à tisser vertical à deux barres. La morphologie de la fosse n'est en effet pas sans évoquer celle d'une structure laténienne de Jublains attribuée à un tisserand (Bocquet 2010, fig. 2). Si cette interprétation est retenue, le tissage relevé dans le bâtiment C7 serait alors tout à fait complémentaire de la pratique de la couture documentée dans deux fosses artisanales du bâtiment C4, à la même période. Dans le même ordre d'idée, l'une des rares spatules-sondes du site a été prélevée dans un trou de poteau du bâtiment de l'état 1. Elle oriente l'interprétation de l'édifice vers un lieu où l'on exerçait la médecine, hypothèse qui ne peut être démontrée en l'absence d'autres objets concordants.

Les bâtiments du secteur oriental et de la partie nord du complexe présentent des sols mieux conservés, avec un premier niveau recouvrant des structures des états 1 et 2.1 et des radiers de basalte formant la semelle de fondation des constructions de l'état 2.2 à 2.3. Au vu du faciès riche en vestiges artisanaux des assemblages de la cour, l'analyse consiste, une fois encore, à essayer de trouver le lieu d'origine de ces déchets qui sont concentrés dans la partie sud. Des instruments très spécialisés signalent un travail par martelage de fins objets en bronze ou en métal noble. Ce métier s'exprime ici par une enclumette, un tas à table sphérique et à queue contrecoudée, la panne d'un petit marteau pour le martelage, un petit ciseau droit et une tranche pour les découpes ainsi que des ciselets, un poinçon à estamper et une lime pour l'ajout de décor et les finitions (fig. 321). Le corpus d'outils est complété par des demi-produits en alliage et une phalère dont le décor mal assuré indique un raté de fabrication.

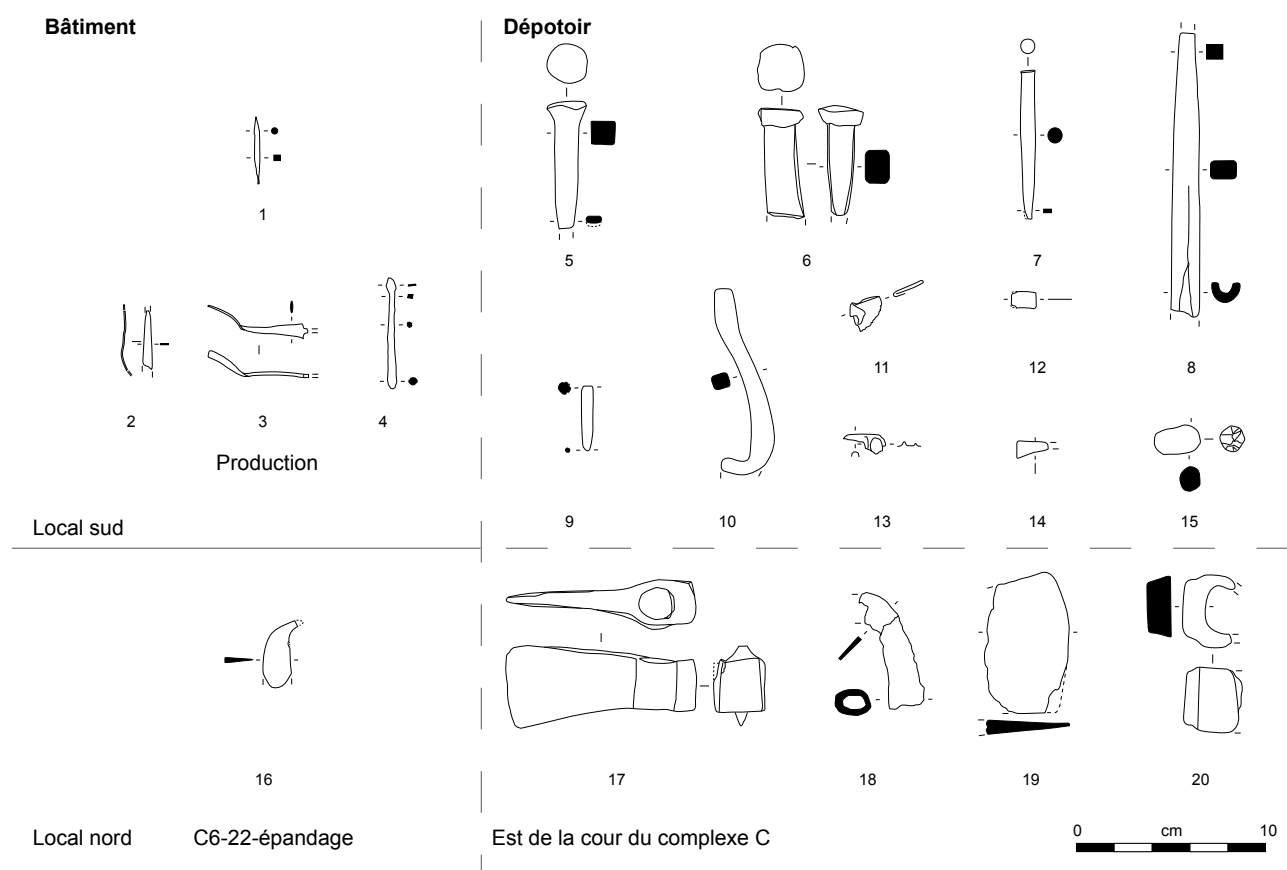


Fig. 320. Éléments représentatifs des ateliers de martelage de la tôle et du bois du bâtiment C6.

1-4, 9, 11-14 : alliage cuivreux ;
5-8, 10, 16-20 : fer ; 15 : plomb.

Au vu de la répartition des demi-produits en alliage cuivreux, l'atelier de provenance de ces outils est à localiser dans le **local sud du bâtiment C3** à l'état 1. Son sol, interprété comme un espace de travail, livre un ciselet, un poids de précision et des fragments de marteau qui complètent le corpus d'outillage lié à ce local (fig. 321). Ces éléments renvoient à un métier caractérisé par le martelage de petits objets et par la réalisation de parure. Un bracelet aux extrémités bouletées et moulurées en cours de fabrication et un bracelet tubulaire presque intact illustrent très vraisemblablement les bijoux façonnés en ces lieux. L'absence de fosse artisanale trouve un parallèle dans le local sud de C6 où le même type de métier est documenté.

Le bâtiment C3 est doté à l'état 1 d'un **second local au nord** muni d'une fosse-atelier avec des fragments de creusets et de lingotières, une lime et un plateau de balance (fig. 321). La répartition des coulures montre que ce lieu de production fonctionne avec le **bâtiment C1** (voir *supra*, fig. 319). Il semble judicieux pour cette période de restituer un atelier principalement actif dans la coulée du bronze et d'attribuer l'ensemble à un seul et même bâtiment. La proposition de restitution effectuée ici scinde cet atelier lié à la coulée en deux parties : un premier local, côté cour, utilisé pour la coulée et les finitions et un second, côté voie, destiné uniquement aux finitions, une occupation matérialisée dans ce bâtiment par de nombreux abraseurs. Des travaux complémentaires y sont signalés par une gouge et un bédane. Ces outils ont pu servir à dégrossir le pendant de harnais brut de coulée associé qui permet l'identification de l'une des productions de cet atelier.

Une partie de l'outillage de la cour pourrait aussi être reliée à l'activité du **bâtiment C4** durant l'état 1, qui se distingue par un faciès lié à la coulée des alliages cuivreux et de l'or. Cette spécialisation se matérialise dans une fosse de rejet dotée de creusets avec des gouttelettes d'or prises dans la vitrification des parois ainsi que de lingotières (pl. 68). La carte de répartition des coulures montre une dispersion vers l'est qui incite à réviser le plan de ce bâtiment pour le faire correspondre à la surface couverte par ces déchets. Cette observation se retrouve aussi dans le bâtiment C1, dont la répartition des gouttes et des coulures montre le même effet de contention des cloisons. Cette restitution se justifie de même par la présence de trous de poteau

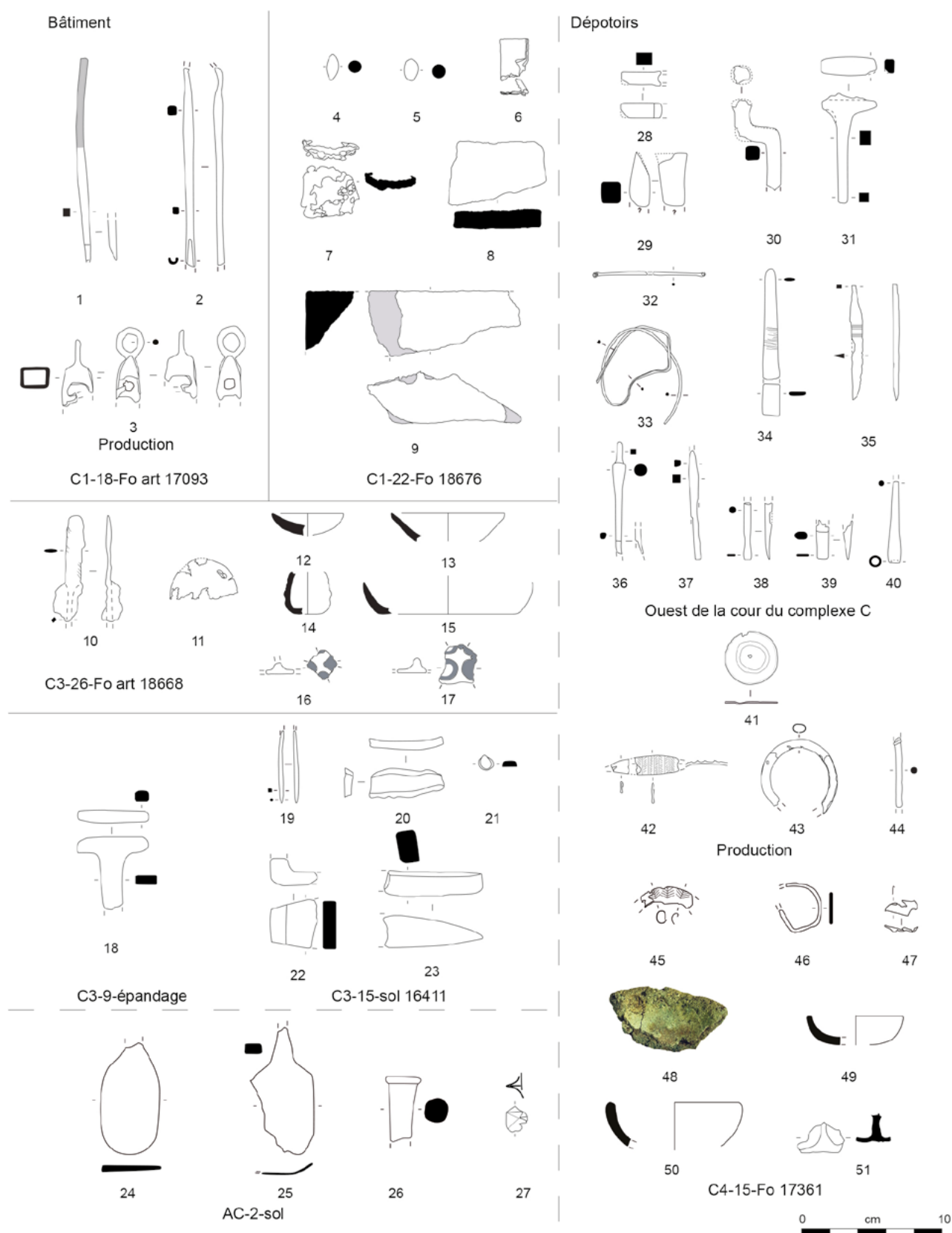


Fig. 321. Éléments représentatifs des ateliers de bijouterie et de fonte des alliages cuivreux des bâtiments C1, C3 et C4 à l'état 1. 1-2, 10, 18, 20, 22-26, 28-31, 34-40, 46 : fer ; 3, 4-7, 11, 19, 21, 27, 32-33, 41-45, 47 : alliage cuivreux ; 8-9 : basalte ; 12-17, 48-51 : terre cuite artisanale.

non attribués, dans chaque angle de l'édifice. Elle permet d'intégrer à ce bâtiment l'outillage découvert dans l'épandage de la route, interprété comme un espace de voirie proche d'une zone artisanale. Cet ensemble aide aussi à la compréhension de l'activité de l'atelier. Il comprend en effet deux pelles à feu et un tas à table circulaire démontrant que la chaîne opératoire de ce lieu de travail impliquait aussi un travail de martelage de la tôle. Cette observation prend plus de relief avec la découverte d'un bracelet tubulaire à décor de chevrons inachevé, dans la fosse dépotoir. Ce type de bracelet en cours de fabrication se retrouve aussi sur le sol 14030 du bâtiment A1, dont une partie du faciès artisanal pourrait résulter de l'activité de l'atelier du bâtiment C4. L'assemblage de la totalité des vestiges artisanaux conduit donc à restituer un atelier de bijouterie travaillant l'or et le bronze.

L'activité du **bâtiment C1** change à l'état 2.1 pour s'orienter vers un travail spécialisé de martelage du fer, du bronze et de l'argent. Ce changement s'observe en premier lieu dans les couches d'épandage au contact des radiers supérieurs qui livrent de nombreuses chutes de tiges, tandis qu'un seul déchet figure dans la fosse artisanale (fig. 322). Il s'observe également par la présence de plusieurs fragments de support de frappe et d'un percuteur lithique, d'un fragment de marteau, de scories et de nombreuses chutes principalement en fer, mais aussi en alliage cuivreux et en argent. Deux gouttières d'interprétation sujette à caution (fourreau ?) peuvent illustrer une partie de la production réalisée dans cet atelier. La fosse atelier du **bâtiment C3** dotée d'une unique chute de tige en fer pourrait aussi être rapportée à cette activité, une hypothèse qui souligne à nouveau le lien entre ces deux édifices, qui semblent constituer un même espace artisanal à l'état 2.1.

À cette même période, les assemblages des trois fosses artisanales du **bâtiment C4** laissent supposer que le métier pratiqué change pour s'orienter vers l'artisanat textile, plus précisément la couture attestée par une concentration d'aiguilles en alliage cuivreux (voir *supra*, fig. 164), ainsi que par leur association avec des forces dans deux des trois espaces de travail (fig. 322). Il est à souligner que ces derniers se distinguent des structures liées au travail du métal par une taille nettement plus grande, un argument qui incite à réfuter l'hypothèse d'un lieu de production d'instruments de couture. La partie arrière de l'édifice est dédiée à une fonction résidentielle, marquée par des assemblages à connotation domestique interprétés comme le fruit d'activités courantes et culinaires.

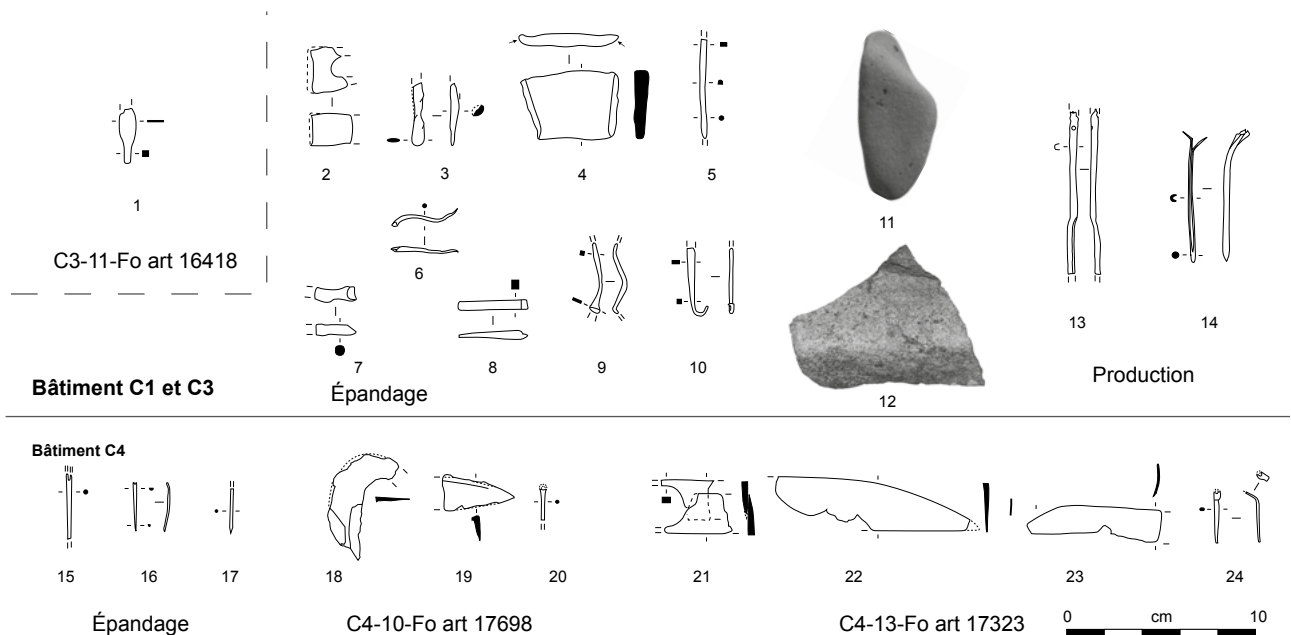


Fig. 322. Éléments représentatifs des ateliers de martelage des métaux et de couturier des bâtiments C1, C3 et C4 à l'état 1. 1-4, 7-10, 18-19, 21-23 : fer ; 5, 10, 13-17, 20, 24 : alliage cuivreux ; 6 : argent ; 11-12 : basalte.

L'activité du **bâtiment C5** se rapporte à l'artisanat du bronze à l'état 1 et peut-être aussi à l'état 2.1. Doté côté cour d'une fosse artisanale comprenant un marteau destiné à un travail fin ou à un martelage de la tôle, d'un petit ciseau et vraisemblablement d'un poinçon bipyramidal, ce lieu de production comporte, à l'arrière, un second local au corpus illustrant le même type d'activité (fig. 323). Les assemblages environnants comportent en effet deux ciselets, dont un en alliage cuivreux, mis au jour dans un trou de poteau de l'état 1, un marteau, deux limes et une table de travail issue d'un sondage proche de la fosse. Quelques chutes de tôle illustrent le corpus de déchets, tandis qu'une pince à épiler en cours de fabrication permet d'évoquer l'une des formes d'objets produites dans cet atelier. Son outillage atteste une certaine spécialisation dans la réalisation de petits objets décorés, très vraisemblablement en tôle, voire d'orfèvrerie en se référant aux parallèles du dépôt d'Ošanići bei Stolac relevés pour le ciselet en alliage cuivreux et le marteau (Gebhard 1991a, fig. 4 et fig. 6, n^{os} 103 à 105).

Le sol du **bâtiment C2** livre une alène à l'état 1 ou 2.1, qu'il est tentant de relier à l'emporte-pièce issu du décapage de surface de cet espace et à une autre alène issue de la zone de dépotoir adjacente (fig. 324). Cet ensemble comprend en outre de nombreux rejets de boucherie (voir *supra*, fig. 179) et plusieurs déchets et objets en tabletterie (stylet, peigne) qui reflètent très vraisemblablement l'activité de la dernière phase du bâtiment, au vu de la présence d'une mèche retrouvée en surface du radier. L'ensemble de ce dépotoir illustre une association de métiers complémentaires autour de la valorisation de rejets de boucherie, qui n'est pas sans rappeler la configuration documentée au nord du complexe A.

Les niveaux de radiers postérieurs (état 2.2 à 2.3) sont caractérisés par un corpus diamétralement opposé à celui des périodes antérieures, avec des sols systématiquement attribués à des activités liées à l'alimentation. Ainsi, le décapage de surface du **bâtiment C1** livre un assemblage caractéristique des faciès de sols, interprété comme la marque d'une consommation collective de boissons aussi documentée dans le théâtre. Cet ensemble comprend une anse de seau, un fragment de vasque de *simpulum* ainsi qu'un poucier de vaisselle, auxquels peut être ajoutée une portion de panse de récipient en roche noire. Il se rapproche du faciès des comblements de la grande cave-entrepôt (**bâtiment C5 cave**) interprétés comme les reliefs de la même activité (cruche, situle, panse de vaisselle, cuillère) et du

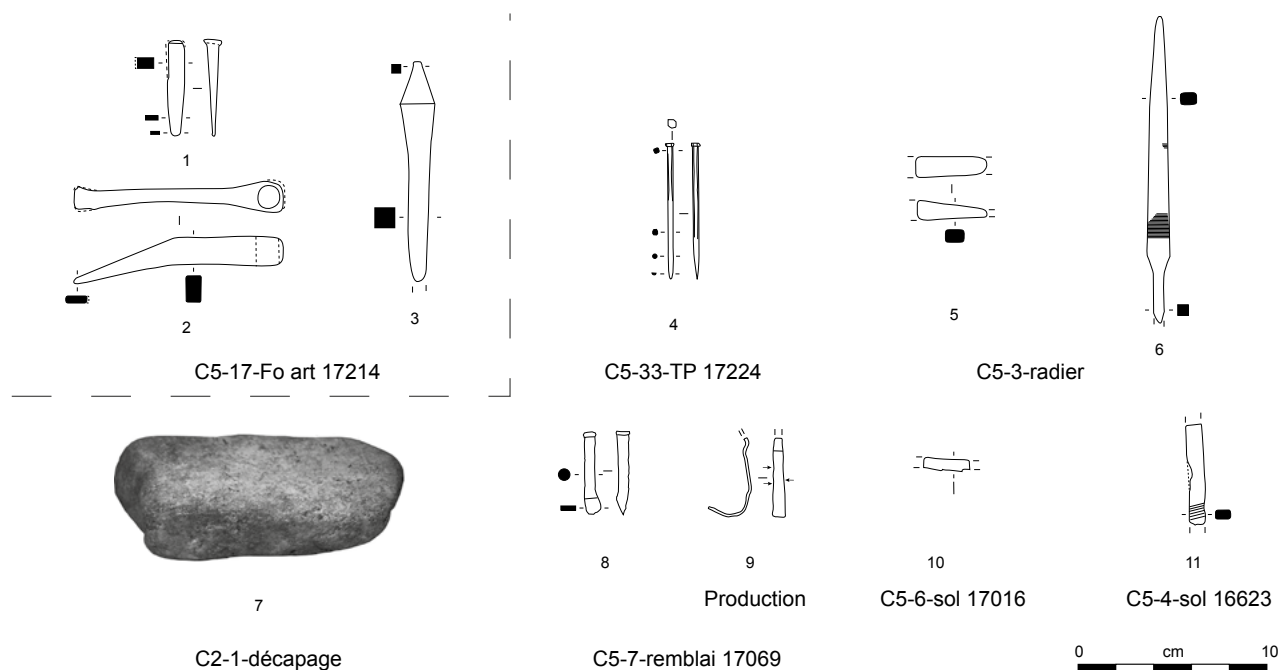


Fig. 323. Éléments représentatifs de l'atelier du travail fin des métaux et de la tôle dans le bâtiment C5. 1-3, 5-6, 8, 11 : fer ; 4, 9-10 : alliage cuivreux ; 7 : basalte.

commerce (poids) (fig. 325). Transposé en milieu méditerranéen, cet ensemble réunit une bonne partie des critères relevés à Pompéi pour qualifier un débit de boissons sans restauration (Monteix 2010, type 4, p. 124-125), à savoir la présence d'un entrepôt à vin, la surreprésentation des céramiques et ustensiles liés au service et la rareté des aménagements pour la cuisson. Si ce dernier point peut être contrebalancé par les quelques fragments de plaque-foyère documentés dans les comblements de la cave, le manque d'instruments de cuisine, le stock d'amphores de la cave et surtout la forte proportion de vaisselle céramique liée au service (Lauranson 2017, p. 31) confortent cette interprétation. La comparaison avec les débits de boissons d'Herculanum laisse aussi imaginer des clients jouant aux dés (Monteix 2010, fig. 58), attestés par une occurrence dans le comblement de la cave. Elle pourrait aussi être restituée pour les restaurants des bâtiments N et P, dont les dépotoirs comportent aussi des pièces de jeu. Le changement radical d'activité du secteur est aussi perceptible ici par la rareté des vestiges artisanaux retrouvés dans cet ensemble, alors qu'ils sont fréquents dans les structures de stockage adjacentes à des espaces de travail artisanal (voir *supra*, p. 384, bâtiment K). Ces édifices peuvent être perçus comme des lieux de convivialité avec une part liée à la vente, vraisemblablement de boissons, que reflètent les nombreuses monnaies principalement issues des sols des bâtiments, tandis que les jetons à la fonction plus ambivalente se retrouvent essentiellement sur les niveaux de circulation de la place (voir *supra*, fig. 315).

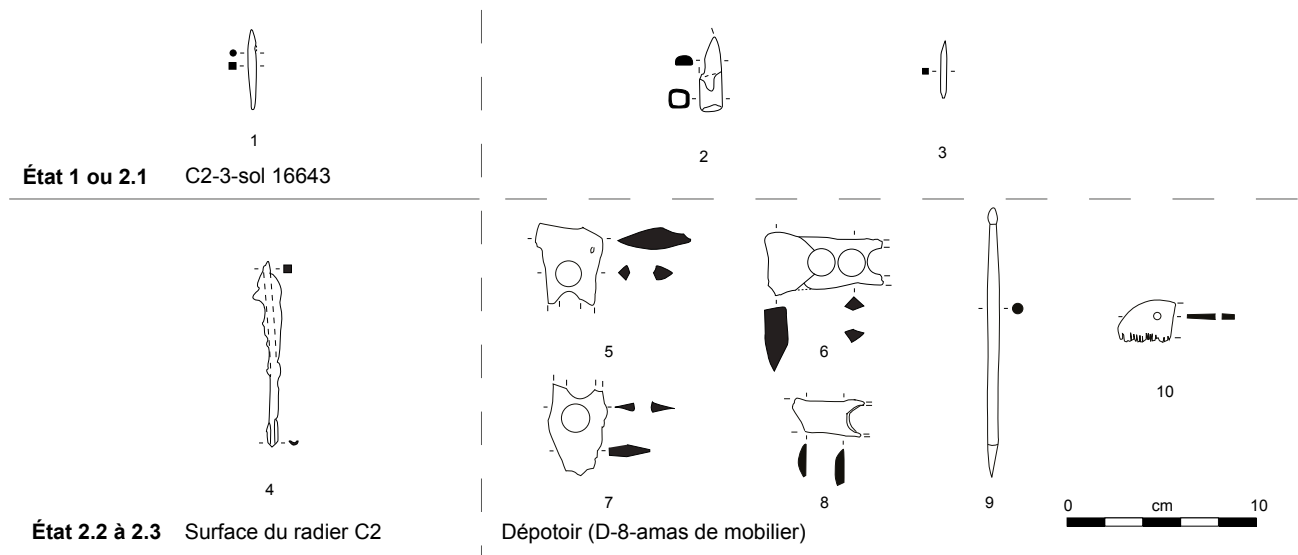


Fig. 324. Éléments représentatifs de l'artisanat du cuir et de la tabletterie dans le bâtiment C2. 1-4 : fer ; 5-10 : os.

Avec sur son sol un faciès représentatif de la sphère culinaire grâce à la présence d'une cuillère en fer, le **bâtiment C3** répond lui aussi probablement au même genre d'activité. La pratique de la boucherie documentée entre cet édifice et le bâtiment C1, ainsi que sur les radiers au sud du **bâtiment C5**, laisse envisager qu'une part importante du commerce de cette phase reposait sur la vente de produits carnés. La surreprésentation des monnaies à proximité des vestiges liés à la boucherie entre les édifices C1 et C3 évoque en effet des pratiques commerciales similaires à celles documentées dans le bâtiment A8 (voir *supra*, p. 395). Le **bâtiment C4**, au sol représentatif d'une activité courante, reste difficile à qualifier sur le plan fonctionnel. Il en est de même pour le radier recouvrant l'entrepôt à amphores de l'état 2.3.

L'identification des métiers réalisée selon la méthode consistant à réunir les assemblages issus des espaces de travail et des zones de rejet extérieures pour déterminer des lieux de production mène à une interprétation qui contraste avec la désignation de place de marché à l'activité variée et très hétérogène retenue jusqu'à présent pour qualifier le complexe C (fig. 326).

L'image dégagée conduit à restituer pour la **première phase** un ensemble spécialisé constitué d'ateliers voués à la production de petits objets et de parures. Un bijoutier utilisant des techniques de fonte et de martelage de l'or

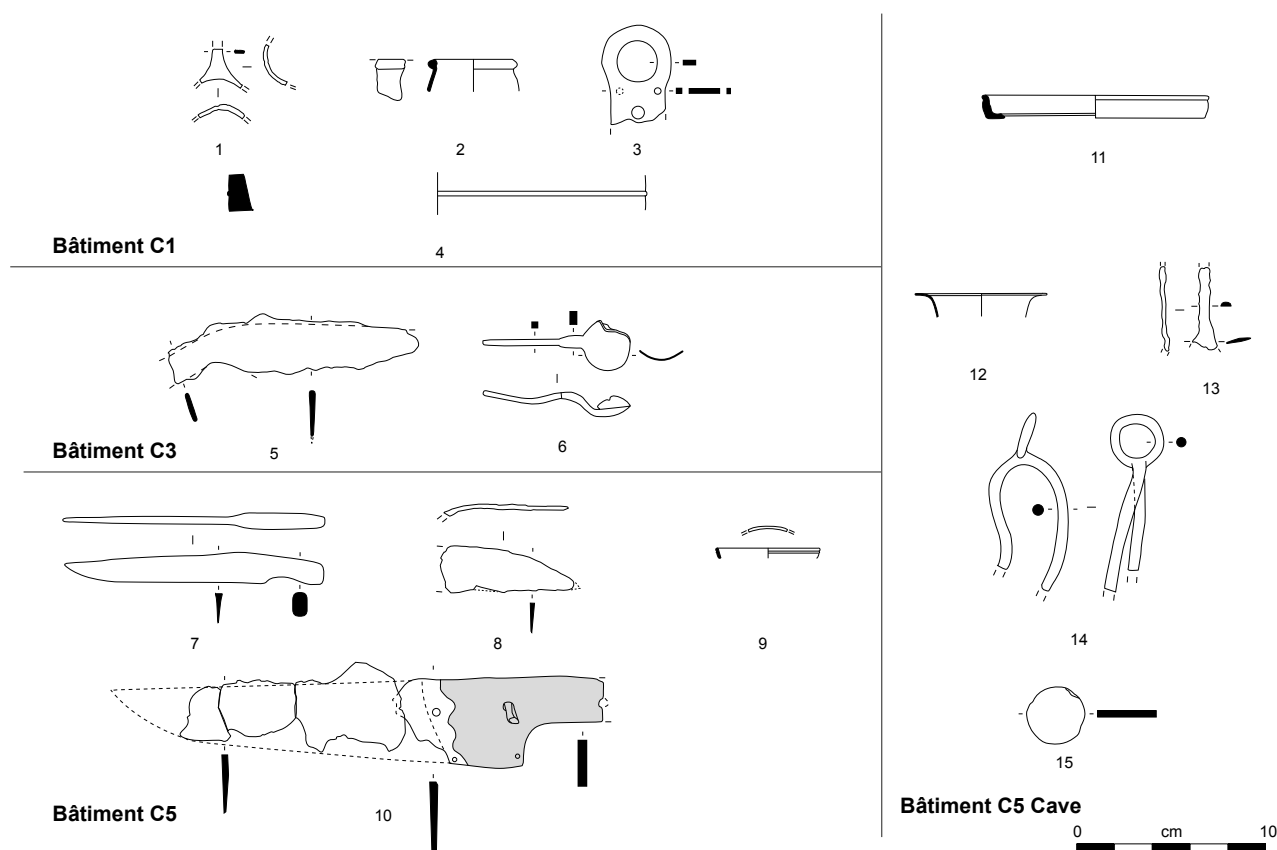


Fig. 325. *Éléments représentatifs des débits de boissons et de la boucherie dans le complexe C à l'état 2.2 à 2.3. 1-2, 9, 11-12, 14 : alliage cuivreux ; 3, 5-8, 10, 13 : fer ; 4 : roche noire ; 15 : plomb.*

et des alliages cuivreux travaille alors dans le bâtiment C4. Il opère à proximité d'autres spécialistes à l'activité similaire, qui œuvrent dans les bâtiments C1 et C3, avec un travail porté sur les processus de coulée dans le bâtiment C1 et sur la déformation plastique dans le bâtiment C3. Accolés, ces deux locaux peuvent être complémentaires si l'on considère l'architecture du bâtiment et les fabricats du secteur qui fournissent un pendant de harnais non terminé, dans le bâtiment C1 et une phalère au décor raté, sur le sol de la cour. Leur répond, à l'est dans le bâtiment C6, un artisan spécialisé dans le travail de la tôle et des parures connues à cet emplacement par un raté de fabrication de fibule de Nauheim et des ustensiles de toilette (pince à épiler, sonde). Un artisanat, caractérisé par de la mise en forme fine et l'application de décors ciselés, s'observe enfin dans le bâtiment C5 à la même phase, un atelier qui livre aussi une pincette.

L'organisation de ces corps de métiers spécialisés dans le même genre d'artisanat au sein de cet ensemble architectural exprime une volonté de créer des synergies visant à mettre en commun des savoir-faire et des ressources. Cette optimisation permet d'offrir à la clientèle un vaste choix de produits, dans un emplacement favorable à une commercialisation directe. La production de pièces de transport et d'ustensiles de toilette, rares sur le site, et l'utilisation de l'or dans la bijouterie suggèrent qu'une partie de la production visait une clientèle aristocratique ou à fort pouvoir d'achat. Les transactions financières, symbolisées par les monnaies, semblent avoir principalement lieu au sein des ateliers avec des concentrations durant cette phase pour les artisans pratiquant la coulée, dans le bâtiment C1 et C4.

Les domaines de spécialisation changent à l'état 2.1, dans la partie occidentale du complexe qui n'est plus dédiée essentiellement au travail des alliages cuivreux. Un artisan façonnant le fer et le bronze par martelage reprend l'espace des bâtiments C1 et C3, tandis qu'un spécialiste du textile s'installe à l'emplacement du bâtiment C4. Ce professionnel de l'artisanat textile a peut-être œuvré de concert avec le tisserand identifié, avec réserve, dans le bâtiment adjacent (C7). La documentation ne permet pas d'établir si l'activité des artisans du bronze a continué dans les parties nord et est de la zone (bâtiment C5 et C6), ni de préciser si



Fig. 326. Plans de synthèse de la fonction des locaux du complexe C.

c'est à cette phase ou à la précédente que travaille l'artisan du bois, attesté dans le local nord du bâtiment C6. La diversité des métiers alors représentés tranche avec la forte spécialisation de l'état 1. La pratique de mise en commun de ressources et de savoir-faire dans l'optique de fournir aux clients une large gamme de produits est toujours avérée, mais touche cette fois-ci l'artisanat textile. Sur l'ensemble du complexe, l'activité de cette phase demeure la moins spécialisée des trois périodes représentées.

La séquence suivante, correspondant aux états 2.2 et 2.3, est marquée par des métiers liés au commerce de la boisson ou à la découpe et la vente de produits carnés, postulés pour l'ensemble des bâtiments. On retrouve ici la volonté de créer des synergies en regroupant des domaines d'activité complémentaires, dans un espace voué à la consommation et au négoce du vin et à la commercialisation de viande. Exploitant les ressources et les rejets à disposition, l'atelier de tabletterie du bâtiment C2 s'insère de manière logique dans ce contexte.

4.4. FONCTIONNEMENT DU SITE ET ASPECTS SOCIAUX

La caractérisation des bâtiments contribue à percevoir le milieu de vie et de travail d'une population urbaine d'artisans et de commerçants qui procurent nourriture, boissons, objets du quotidien et biens de prestiges à leurs clients. Ils occupent la majeure partie du quartier à l'est de l'esplanade où peu de locaux résidentiels sont recensés et sont omniprésents sur le pourtour de la place du complexe C. La distribution de certains ateliers et commerces semble répondre à des logiques de regroupement par corps de métier, qui impliquent des mécanismes d'artisanat groupé. Leur étude peut encore être approfondie afin de dégager une image générale de l'organisation interne des bâtiments selon leur rôle principal, leur fonctionnement et l'évolution générale du centre-ville de l'*oppidum*.

Les gens de métiers y côtoient des aristocrates, qui devaient fréquenter le sanctuaire et l'hémicycle de réunion. La présence de l'élite apparaît dans les constructions privées par nombre de marqueurs (armement, parures en métaux précieux, vaisselle importée, pièces de char) utilisés comme signes de richesse et de statut social élevé. Le questionnement porte ici sur la validité de ces marqueurs et leur distribution sur le site afin d'aborder la sociologie de cet espace urbain, au regard des ensembles funéraires et de leur fréquence à La Tène finale.

Les expressions des relations entre ces deux groupes sociaux dans la société en mutation de La Tène finale seront enfin au cœur d'un chapitre portant sur leurs liens économiques et politiques, ainsi que sur leurs implications respectives dans le domaine religieux. Fondé sur la mise en perspective des marqueurs statutaires et de l'évolution du site, le propos abordera alors les dynamiques sociétales perceptibles à l'aide du mobilier métallique.

4.4.1. ORGANISATION INTERNE DES BÂTIMENTS, FONCTIONNEMENT ET ÉVOLUTION DU SITE

Les ateliers et les lieux de métiers identifiés répondent à des logiques d'organisation propres à chaque artisanat avec des structurations différenciées selon les corps de métiers représentés et leur séquence d'activité. Avant de traiter du fonctionnement et de l'évolution du site, un premier tour d'horizon expose leurs particularités sur les plans de l'architecture des bâtiments, de leur position dans la trame urbaine, de leur degré de spécialisation et des modalités des transactions commerciales qu'ils effectuent.

Cette synthèse est établie à l'aide des répartitions fonctionnelles des locaux et des bâtiments (fig. 327 à fig. 330). Réalisées par état, ces cartes récapitulatives expriment la fonction des locaux selon les professions qui y étaient pratiquées (alimentation, artisanat ou commerce), en y juxtaposant les habitats et les pièces domestiques ainsi que les bâtiments publics.

Les ateliers liés au travail des alliages cuivreux

Les lieux de production d'artefacts en alliage cuivreux se retrouvent durant les premières phases de l'*oppidum*, principalement à l'état 1 et de manière plus rare à l'état 2.1. Regroupés autour du complexe C à l'état 1, ils constituent un quartier artisanal hautement spécialisé où un système d'entraide et de transmission des savoir-faire peut être restitué. Cet ensemble rappelle des constatations réalisées à Villeneuve-Saint-Germain où les artisans du bronze et de l'os sont rassemblés au centre de l'agglomération (Debord 1993, p. 94, fig. 33).

Les professions représentées dans le complexe C à l'état 1 peuvent être divisées sur le plan de l'organisation interne des ateliers entre des spécialistes de la fonte et d'autres fabricants de petits objets par martelage uniquement. Les lieux de production des fondeurs apparaissent plus structurés que ceux des travailleurs réalisant des petits objets par déformation plastique.

Ainsi, le bâtiment C1 présente à l'état 1 quatre pièces distinctes. Dans sa partie nord, une première pièce sombre est destinée à la coulée à la cire perdue et le local adjacent, à l'ouest, sert au décochage et à la réalisation de travaux annexes nécessitant le recours à des outils relatifs au travail du bois. Ce lieu, dont la

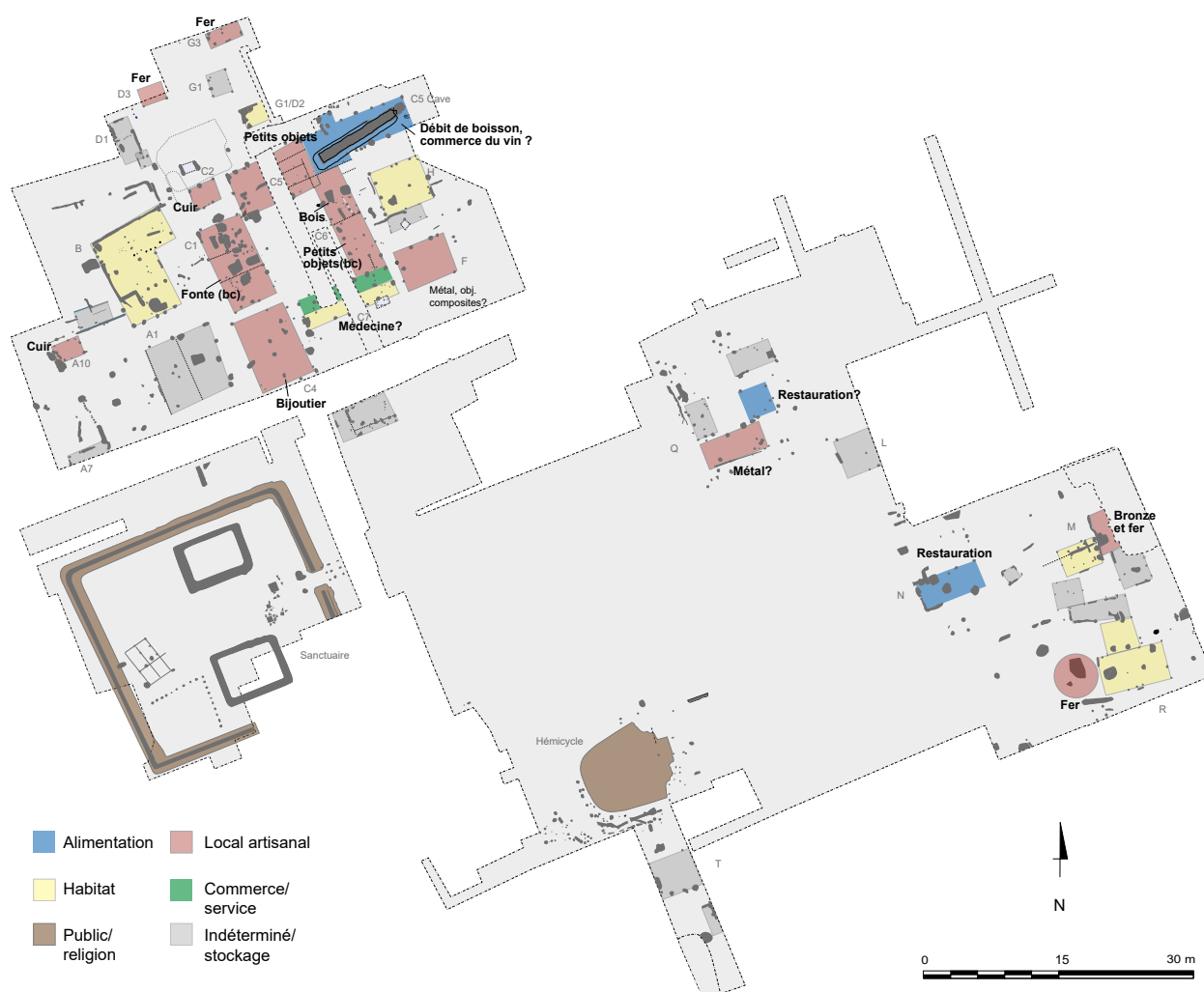


Fig. 327. Synthèse fonctionnelle des bâtiments de l'état 1.

production comprend des pièces de harnachement, est doté au sud d'une partie plus lumineuse, qui devait servir aux finitions attestées par des abraseurs et une couche de limaille. D'autres activités complémentaires de martelage et de décors sont restituées dans un local distinct situé à proximité de l'atelier d'orfèvre, identifié dans le bâtiment C4, qui révèle la même structuration. La pièce nord-est est ici dédiée à la finition, tandis que la coulée est réalisée dans la partie méridionale de l'édifice.

Cette configuration se retrouve à Bibracte, dans le quartier artisanal du Champlain, où les ateliers les mieux documentés ont très fréquemment une distribution bipartite de pièces claire et sombre selon les étapes de la chaîne opératoire à réaliser (Chardon-Picault *et al.* 2010, p. 110, Guillaumet et Dhennequin 2008, p. 68-75). Une organisation similaire semble se justifier aussi dans l'atelier monétaire du bâtiment K, dont la fosse artisanale traduit une partie de la chaîne opératoire, en l'occurrence, la découpe des flans monétaires, alors que la frappe restituée par deux coins issus de la parcelle adjacente et la coulée devaient être effectuées dans des locaux hors emprise.

Un agencement de l'espace identique est reconnu pour les ateliers spécialisés dans le martelage des petits objets comme le bâtiment C5 qui comporte une fosse dédiée au martelage, côté cour, tandis que les finitions sont réalisées dans un local, au nord. Cet édifice se distingue du bâtiment C6 dont le plan ne comporte qu'une seule pièce exempte d'aménagements particuliers. La structuration simple de ce lieu de production de fibules et d'objets de toilette rappelle celle des pièces dédiées au martelage et aux finitions des bâtiments C1 et C4 et de



Fig. 328. Synthèse fonctionnelle des bâtiments de l'état 2.1.

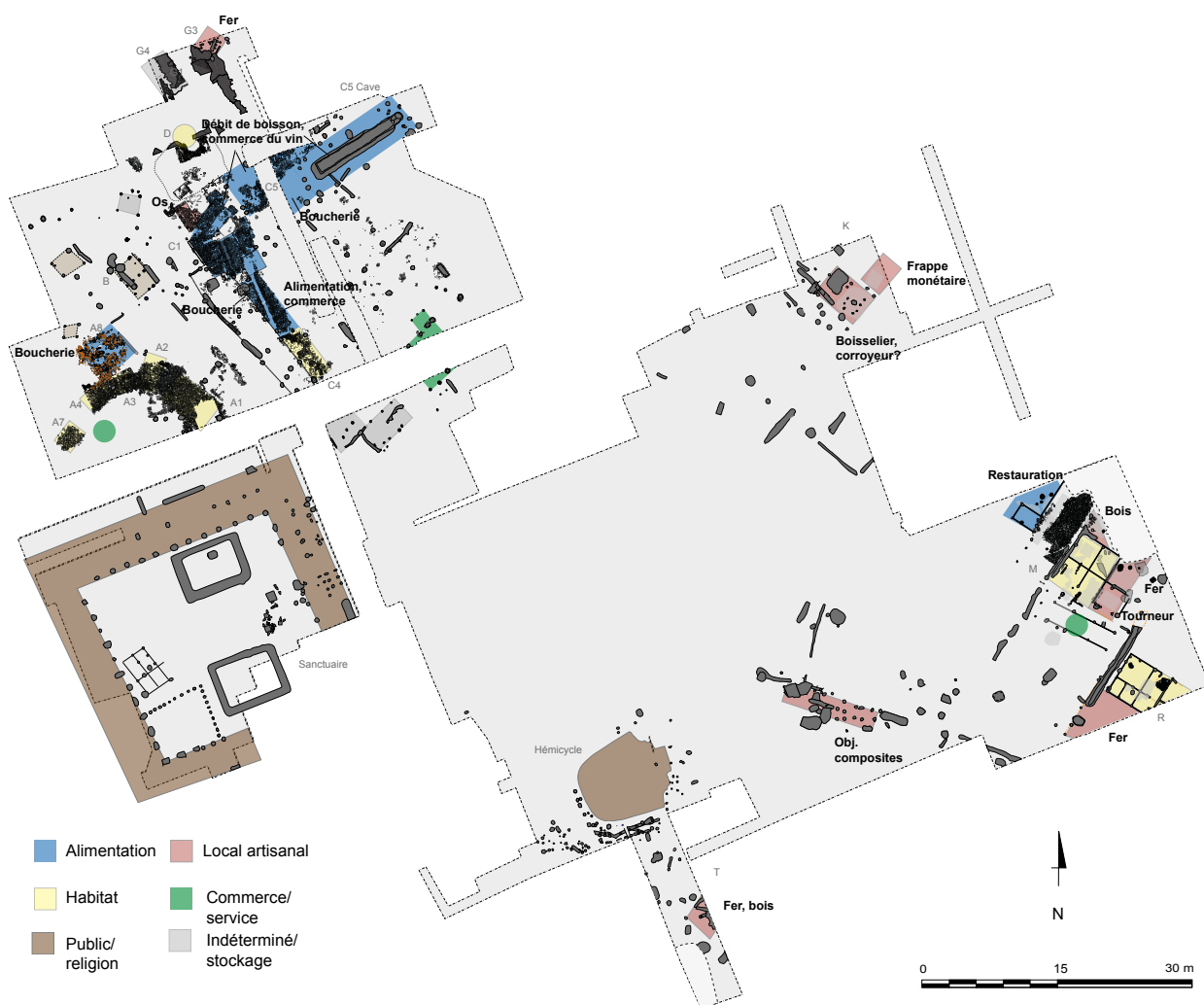


Fig. 329. Synthèse fonctionnelle des bâtiments de l'état 2.2.

l'atelier du bâtiment F, doté d'une seule fosse artisanale. Bien que partiellement exploré, l'espace de production du bâtiment M à l'état 1 présente plusieurs structures liées au travail des métaux, qui témoignent vraisemblablement de la diversité de son activité, matérialisée par des traces de fonte et de martelage des alliages cuivreux ainsi que de mise en forme du fer.

La distribution des monnaies, majoritaires à l'intérieur des ateliers des travailleurs du bronze du côté de la cour du complexe C, démontre que ces lieux étaient aussi le théâtre de transactions commerciales. Leur surreprésentation dans les deux ateliers de fondeurs, produisant des pièces de harnachement et des parures, laisse supposer que le commerce de ces artisans était florissant et que les biens à haute valeur ajoutée devaient être payés en espèce.

L'absence de pièce à vocation strictement résidentielle au sol, dans les bâtiments en question, laisse supposer que les espaces domestiques doivent être restitués à l'étage ou dans d'autres bâtiments adjacents. La relative fréquence des instruments culinaires, notamment les grils (voir *supra*, fig. 186), suggère que les ateliers servaient aussi de pièces à vivre. Le local artisanal du bâtiment M à l'état 1 constitue la seule exception à cette règle, avec un espace à vocation domestique clairement séparé de la pièce d'habitat par une palissade.

Les ateliers liés au travail du fer

L'analyse des aménagements internes des forges souffre du recoupement des vestiges dans le bâtiment R et des plans lacunaires des bâtiments D3 et G3 et des locaux artisanaux du bâtiment M. Les ateliers dédiés à l'artisanat du fer des bâtiments R et C1 à l'état 2.1 sont caractérisés par une juxtaposition de locaux artisanaux et



Fig. 330. Synthèse fonctionnelle des bâtiments de l'état 2.3.

domestiques. La pièce d'habitat du bâtiment R, où des travaux de finitions sont postulés, jouxte en effet une forge durant toute la séquence d'occupation. Le travail du fer apparaît aussi dans des ateliers dédiés à la manufacture d'objets composites où il côtoie d'autres activités. Les bâtiments en question peuvent présenter une organisation complexe avec une séparation claire entre les différents locaux artisanaux et les pièces d'habitat, comme c'est le cas pour le bâtiment M à l'état 2.1 et 2.2, où le forgeron est associé à des artisans du bois, ou encore pour le bâtiment C1 et C3 à l'état 2.1 dont l'activité comprend aussi le travail des alliages cuivreux. La partie occidentale de cet édifice semble en effet être réservée à l'habitat compte tenu de l'absence de chutes bien représentées dans l'espace artisanal. Le plan tronqué du bâtiment O, où la confection d'objets composites est restituée, ne laisse pas percevoir une distinction entre les locaux artisanaux et les pièces à vivre. L'atelier du complexe C est orienté vers la cour à l'instar du schéma souligné précédemment pour les artisans du bronze, alors que les forges des autres bâtiments, où la pratique de la forge est documentée, donnent sur des voies.

Au contraire de l'artisanat des alliages cuivreux, l'implantation des forges à la répartition éparse ne semble pas régie par une planification menant à l'identification d'un quartier artisanal. Ce constat pourrait orienter vers une interprétation de forges polyvalentes principalement dédiées à des travaux d'entretien et de réparation (Berranger 2014, p. 188). Pourtant, plusieurs critères vont à l'encontre de ce constat, à commencer par les productions relativement standardisées qui sont documentées pour la plupart des ateliers. Ainsi, l'activité de la forge du bâtiment G3 semble orientée vers la production de petits objets (aiguilles et fibules ?) tandis que la mise en forme d'éléments de plus grande taille, tels que des pièces de quincaillerie, notamment des

crampons de construction, est postulée dans le bâtiment D3. Dans le même ordre d'idée, un certain degré de spécialisation dans un type de production pourrait être proposé lorsque les forgerons travaillent dans une chaîne de production menant à la confection d'objets composites (Berranger 2014, p. 174-175), une constatation relevée dans l'atelier polymétallique C1 et C3 et dans le bâtiment M.

La forge du bâtiment R pourrait être le lieu d'un atelier polyvalent au regard des productions recensées dans cet édifice, qui comprennent tant de l'armement (lance) que des parures (fibules) ou des pièces de quincaillerie (ferrures, clés). Ce point de vue doit toutefois être nuancé par la structuration du bâtiment, où la partie résidentielle est clairement différenciée de la forge, et en référence au nombre d'aménagements internes. Ces deux critères traduisent généralement une spécialisation de la production ou de la chaîne opératoire dont les types d'objets fabriqués ont pu évoluer. La pérennité de son activité, durant toute la séquence d'occupation laténienne du site, conforte cette interprétation et s'applique à tous les ateliers travaillant uniquement le fer.

Au regard de ces éléments, les professions liées à la manufacture des objets ferreux apparaissent comme tout aussi spécialisées que celles documentées pour le travail des alliages cuivreux. Malgré l'absence de quartiers artisanaux, elles constituent réellement des lieux de métiers où le savoir technique des artisans dépasse les critères d'identification d'un atelier polyvalent, un constat qui s'applique à la majeure partie des ateliers en contexte d'*oppidum* (Berranger 2014, p. 180). Le degré de spécialisation des artisans du fer devrait toutefois être complété et amendé par des données archéométriques pour être validé.

Les ateliers liés au travail du bois

L'artisanat du bois apparaît principalement dans des ateliers voués à la réalisation d'objets composites comme ceux identifiés dans les bâtiments M, à l'état 2.1 et 2.2, dans les bâtiments F et O ou encore le bâtiment C6, à l'état 1 ou 2.1. Les éléments observés montrent une association récurrente avec le travail des métaux (M, F, O), plus rarement avec d'autres activités de transformation d'éléments organiques, telles que la vannerie (bâtiment C6). Les édifices en question présentent soit une séparation nette entre pièce à vivre et locaux artisanaux (bâtiments M et C6), soit une seule pièce (bâtiments F et O) qui implique un fonctionnement différencié (étage, lieu de résidence distinct de l'atelier).

Seul l'atelier du bâtiment K, où aucune structure artisanale n'est détectée, serait consacré à la pratique exclusive du travail du bois. Ce local, dont la partie résidentielle pourrait être restituée au-dessus de la cave attenante, peut aussi être interprété comme le lieu de travail d'un boisselier ou d'un corroyeur.

Les ateliers liés au travail du cuir

Si l'on excepte cet atelier du bâtiment K d'interprétation ambivalente, les autres bâtiments dédiés à la réalisation d'objets en cuir apparaissent comme de petites constructions à une seule pièce (bâtiments A8 et C2 à l'état 1 et 2.1). Leur implantation semble résulter de la nécessité d'un travail en commun, dont témoignent les associations probables avec la boucherie dans le complexe A et avec la réalisation de pièces de harnachement identifiées dans le bâtiment C1 à l'état 1. L'activité de cet espace artisanal refléterait alors une partie de la chaîne opératoire menant à la fabrication de harnais, alors que l'activité de l'atelier du complexe A se concentre sur la production d'objets en cuir.

Les ateliers liés au travail du textile

L'artisanat du textile est majoritairement pratiqué dans la sphère domestique au vu de la répartition diffuse de ses marqueurs sur le site (voir *supra*, fig. 164). Seuls deux ateliers spécialisés peuvent être restitués sur la base d'aménagements et d'assemblages spécifiques dans les bâtiments C4 et C7 à l'état 2.1. Ces lieux de métiers illustrent une certaine synergie entre un tisserand (C7) et un couturier

ou un tailleur (C4). Leurs espaces artisanaux comportent une séparation claire entre pièce à vivre et local artisanal, renforçant le caractère spécialisé de leur activité. La partie domestique de ces constructions est située du côté de la voie pour le bâtiment C6, tandis qu'elle est orientée sur la cour dans le bâtiment C7.

Les ateliers liés au travail de l'os et de la matière dure animale

À l'instar des outils liés à l'artisanat textile, les déchets de tabletterie présentent une dispersion sur l'ensemble du site (voir fig. 158). Les deux concentrations notables indiquent l'emplacement des lieux de production fixes identifiés dans le bâtiment C2 à l'état 2.2 à 2.3 et dans un local du bâtiment M à l'état 2.2. Le premier s'intègre dans les réseaux de distribution de produits carnés dont l'artisan exploite les restes osseux pour fabriquer des objets en os (perles, stylets, peigne). En témoignent aussi les associations de déchets liés à ces deux activités. Le second atelier est spécialisé dans le travail au tour sur la matière dure animale (os et bois de cerf) et vraisemblablement sur le bois. Sa production peut être intégrée dans un réseau impliquant d'autres métiers (artisanat du fer ou du bois) menant à la réalisation d'objets composites, ou avoir œuvré de manière indépendante.

Les professions liées à l'alimentation

Les métiers de bouche peuvent être divisés en trois catégories : les restaurants ou les commerces alimentaires, les débits de boissons ou les commerces de vin ainsi que les boucheries.

Recensés dans le quartier est en bordure de voie (bâtiments N et P) et vraisemblablement dans le bâtiment Q, les restaurants et les commerces alimentaires dédiés à la préparation de mets carnés présentent des plans rectangulaires de petite taille (60 m²). Cette disposition évoque celle des commerces alimentaires et restaurants de Pompei et Herculaneum, où le manque de place laisse supposer que les clients devaient manger debout au comptoir (Monteix 2010, type 1 et 2, p. 114-120). Un étage peut être restitué dans ces édifices qui devaient servir de lieu de résidence. Ces bâtiments connaissent une bonne longévité : de l'état 1 à l'état 2.1 pour le bâtiment N et durant tout l'état 2 pour le bâtiment P.

De plus grandes tailles, les bâtiments liés au débit de boisson et au commerce du vin sont identifiés dans le complexe C au plus tard à l'état 2.1 ou 2.2 et devaient accueillir des clients dans des salles spécifiques. Le bâtiment sur cave C5, le plus emblématique, présente un entrepôt à vin et un faciès de mobilier (surreprésentation de la vaisselle de service, absence d'instruments culinaires et d'aménagements liés à la cuisson, dés à jouer) qui confirment une interprétation comme lieu de convivialité (Monteix 2010, p. 124-125). Le volume de la cave et les quantités d'amphores recensées démontrent aussi le négoce de vin au détail ou en gros. Des activités similaires sont restituées pour le bâtiment C1, dont la partition interne complexe implique une fonction particulière pour chaque pièce, impossible à préciser avec la documentation à disposition. L'absence de local de stockage remet ici en cause la détermination d'un débit de boisson fondée sur le mobilier métallique. Ce constat est contrebalancé par l'hypothèse d'un entreposage des amphores à l'étage de cet édifice fondé sur de solides semelles de fondations réalisées en partie à l'aide d'amphores récupérées. Dans ce bâtiment et le bâtiment C3 aux états 2.2 à 2.3, le négoce du vin peut aussi refléter la vente de produits dérivés comme la céramique d'importation, très bien représentée sur les sols de la place (Lauranson, thèse en cours).

Le commerce du vin va de pair, à la fin de l'occupation, avec celui de pièces de viande, attesté dans les bâtiments C3 et C5 par les rachis et des crânes de bovidés associés à des couteaux spécialisés. La structuration interne et la taille de ces boucheries échappent à une analyse plus détaillée, de même que celle du bâtiment A8 de fonction similaire. Ils témoignent de pratiques bouchères de grande envergure avec un haut degré de spécialisation proche des observations réalisées dans les dépotoirs de restes osseux d'époque romaine (Foucras 2011, p. 126-128).

Tous ces lieux de commerce alimentaire donnent sur des voies ou des cours avec un système d'interdépendance et de complémentarité dans le complexe C dédié au commerce de boissons et de viande non transformée. Une relation étroite avec l'artisanat du cuir s'avère de même vraisemblable pour la boucherie du complexe A, bien qu'elle ne puisse être confirmée pour des raisons de chronologie relative.

Quel que soit le métier de bouche pratiqué, ces commerces ont pignon sur rue et réalisent des ventes attestées par des concentrations de monnaies et de jetons observées dans l'ensemble des constructions les mieux conservées.

Boutiques et commerces

Les boutiques à vocation strictement commerciale sont complexes à mettre en évidence avec seulement trois bâtiments dont l'identification repose sur une surreprésentation des monnaies et des jetons accompagnant des instruments de pesée. Cette interprétation est retenue pour des édifices de petite taille (10 à 12 m²), tels que le bâtiment S et les aménagements au centre de la cour du bâtiment M à l'état 2. Elle est aussi postulée de manière moins assurée dans le bâtiment E3 et pour un édifice situé dans la partie occidentale du complexe A à l'état 2, sans qu'il soit possible de l'individualiser précisément (bâtiments A7, A3, A4 ?). L'activité de la petite construction de la cour du bâtiment M correspond vraisemblablement au point de vente des réalisations des ateliers du corps principal. L'intégration des autres boutiques dans un réseau de production et la nature des biens échangés demeurent difficiles à déterminer.

Bâtiments résidentiels

Les bâtiments à vocation strictement résidentielle demeurent relativement rares en comparaison des édifices liés à des métiers clairement identifiés. Leurs tailles et leurs organisations internes témoignent d'une grande diversité. Ainsi, les bâtiments B, M et H apparaissent comme des édifices munis de plusieurs pièces à la structuration complexe, tandis que les habitats A2, A3, A4 ou encore G1/D2 sont caractérisés par une surface restreinte. L'identification des espaces fonctionnels repose principalement sur l'analyse détaillée de leurs aménagements internes. Ces aspects ne font pas ici l'objet d'une étude précise, par ailleurs déjà effectuée sur les édifices à la structuration la plus évidente (Poux 2012, p. 66-77).

Quelle que soit la séquence retenue, ces édifices et les locaux domestiques montrent une répartition éparse à l'exception de la partie méridionale du complexe A à l'état 2 *lato sensu*. Cet ensemble de bâtiments constituerait le seul quartier réservé à l'habitat, bien que des activités de commerce puissent aussi s'y être déroulées et que les aménagements significatifs de la sphère domestique (structures de stockage, foyers) n'y soient pas attestés. La constance de l'habitat dans le secteur plaide toutefois en faveur de cette qualification, par comparaison avec l'évolution de la majorité des autres secteurs caractérisés par des ruptures fonctionnelles dans leur mode d'occupation (voir *infra*, p. 433-436).

Des locaux domestiques sont recensés dans un grand nombre de bâtiments à caractère artisanal avec une partition claire entre ces deux domaines d'activité. Cette configuration évoque les prototypes des maisons longues urbaines ou *strip houses* des *vici* de l'époque romaine, aussi postulés au Titelberg (Metzler *et al.* 2016, p. 306-307). Ces édifices de tradition gallo-romaine sont toutefois définis par une pièce de travail et de commerce disposée sur le côté étroit du bâtiment, en face du réseau viaire. Bien qu'ils donnent aussi sur l'extérieur, les espaces artisanaux de Corent sont au contraire généralement localisés sur la longueur du bâtiment, notamment dans le complexe C.

Fonctionnement et évolution du site

L'étude des bâtiments du centre-ville reflète à la fois des lieux de vie et de métiers très spécialisés et très diversifiés sur le plan de l'organisation interne et de la continuité fonctionnelle des activités pratiquées. Elle illustre les dynamiques

d'occupation d'un centre-ville en perpétuelle mutation et pourtant régi par une véritable planification urbaine. Cette dernière se perçoit tout particulièrement par la pérennité des places principales et des bâtiments publics comme le sanctuaire et l'hémicycle de réunion politique qui constituent deux des principales caractéristiques des agglomérations protohistoriques (Galinié 2009, p. 201-202, Metzler *et al.* 2016, p. 406).

Le regroupement par professions, dès la première phase d'occupation, des artisans du bronze sur le pourtour de la place du complexe C illustre lui aussi ce projet d'urbanisme. Il démontre la prise en compte des facteurs menant à une optimisation de la production, concentrée au même emplacement avec des motivations visant à diminuer les coûts, à faciliter l'échange de savoir-faire et à contrôler les échanges (Duvauchelle 2010, p. 53, Berranger 2014, p. 187-188). Ces quartiers artisanaux spécialisés dans le travail des métaux se retrouvent fréquemment dans les agglomérations de la fin de l'âge du Fer comme à Bibracte, à Condé-sur-Suippe ou encore à Entremont. Dans le cadre du complexe C, comme souvent dans d'autres sites urbanisés de la période, ils accompagnent d'autres ateliers spécialisés qui témoignent en l'occurrence d'une certaine complémentarité avec, par exemple, un artisan du cuir à proximité d'un producteur de pièces de harnais métalliques.

Malgré les fluctuations d'activité, le mode de fonctionnement du complexe C reste orienté vers une optimisation des ressources et du commerce, que ce soit durant la phase 2.1 caractérisée par des professionnels pratiquant des métiers variés (artisanat polymétallique, textile et du bois) ou durant l'état 2.2 à 2.3 dédié au commerce de boisson et de viande et à des domaines d'activités interdépendants comme la tabletterie. Cette diversification des métiers n'engendre visiblement pas une différence fondamentale dans les modalités de fonctionnement du complexe C. Elle atteste au contraire une complémentarité, une mise en commun de ressources et une volonté de favoriser les échanges qui se retrouvent aussi dans la configuration du bâtiment M, aux états 2.1 et 2.2. Lieu de production d'artisans œuvrant de manière indépendante ou en commun pour la réalisation d'objets composites, cet édifice témoigne de toutes les composantes d'un artisanat groupé avec, peut-être, un point de vente mutualisé dans sa cour. Son fonctionnement économique se distinguerait donc de celui des ateliers du complexe C, où chaque unité architecturale semble être le lieu de transactions financières.

Paradoxalement, des modifications de fonctions, de plan et de structuration interne sont fréquemment observées dans ces quartiers artisanaux (complexe C et bâtiment M) (fig. 331). Ils s'opposent en cela aux forges disséminées de manière éparse sur le site. Bien que la plupart soient situés en bordure de fouille et peuvent appartenir à des quartiers spécialisés non explorés, ces espaces dédiés au travail du fer ne suivent pas en effet cette logique. Ils sont au contraire caractérisés par une certaine pérennité du plan, observée dans le bâtiment R, et de manière moins probante dans le bâtiment G3. L'atelier du cuir de l'édifice A10 et l'atelier de production d'objets composites F sont aussi peu touchés par le changement d'orientation du plan de l'*oppidum*, entre les états 1 et 2.1. Les lieux de commerce alimentaire du quartier est connaissent aussi une certaine continuité fonctionnelle entre les deux premiers états du site, dans le bâtiment N et durant tout l'état 2, pour le bâtiment P. Il en est de même pour le débit de boisson lié au commerce du vin (bâtiment C5 Cave), dont l'activité est attestée depuis le premier état du site, si la construction de cet édifice à l'orientation particulière a véritablement lieu durant cette séquence. La faible stratification des bâtiments K et O de l'état 2 *lato sensu* empêche toute analyse de leur évolution.

Ces observations sur la pérennité fonctionnelle des constructions conduisent à s'interroger sur les raisons des ruptures observées et à évoquer le rapport entre les gens de métier et les aristocrates. Ces réaffectations répercutent très vraisemblablement, dans les quartiers artisanaux, des décisions politiques liées à des problématiques de planification urbaine, dont les incidences sont observées dès la première phase du site.

	État 1	État 2.1	État 2.2	État 2.3
Bâtiment	Fonction/métier	Fonction/métier	Fonction/métier	Fonction/métier
A1		Dépôt? Extérieur?	Habitat	Habitat
A2		Habitat	Habitat	Habitat
A3		Habitat	Habitat, commerce?	Habitat, commerce?
A4			Habitat, commerce?	Habitat, commerce?
A7	Habitat, commerce?	Habitat, commerce?	Habitat, commerce?	Habitat, commerce?
A8		Boucherie ?	Boucherie	Boucherie
A10	Cuir	Cuir		
B	Habitat	Habitat?		
C1	Fonte et martelage (bc)	Martelage (bc et fer)	Commerce de boissons	Commerce de boissons
C3	Bijouterie	Martelage (bc et fer)	Commerce, boucherie	Commerce, boucherie
C4	Bijouterie (or et bc)	Couture	Commerce, habitat?	Commerce, habitat?
C7	Habitat, médecine?	Tissage		
C6 sud	Tôle, petits objets (bc)	Tôle, petits objets (bc)		
C6 nord	Bois, vannerie	Bois, vannerie?		
C5	Petite objets (bc)	Petite objets (bc)	Commerce, boucherie	Commerce, boucherie
C5 Cave	Commerce de boissons?	Commerce de boisson?	Commerce de boissons	Commerce de boissons
C2	Cuir	Cuir	Tabletterie	Tabletterie
D1	Habitat, indéterminé	Habitat, indéterminé		
D3	Fer (quincaillerie ?)	Fer (quincaillerie ?)		
G1	Habitat?	Habitat?		
G2	Habitat?	Habitat?		
G3	Fer (aiguilles, fibules ?)	Fer (aiguilles, fibules ?)	Fer (aiguilles, fibules ?)	Fer (aiguilles, fibules ?)
H	Habitat	Habitat		
F	Indéterminé	Fer, bois, bc (bracelets)		
E	Indéterminé	Indéterminé	Indéterminé	Indéterminé
E3		Commerce?		
Q	Métal?	Culinaire?		
K		Boisselier, corroyeur	Boisselier, corroyeur	Boisselier, corroyeur
K (annexe)		Monnaies	Monnaies	Monnaies
N	Culinaires, commerce?	Culinaires, commerce?		
P		Restauration	Restauration	
M	Métal, fonte et martelage	Habitat, bois	Habitat, bois	Habitat
M (nord)		Bois, métal	Bois, métal	
M (l. nord)		Bois	Martelage (fer, bc)	
M (l. sud)			Tournage	
R	Habitat, fer	Habitat, fer	Habitat, fer	Habitat, fer
S			Commerce?	Commerce?
O		Composite (fer, bc, bois)	Composite (fer, bc, bois)	Composite (fer, bc, bois)
T	Indéterminé	Indéterminé	Fer et bois	Fer et bois

Fig. 331. Tableau synoptique des modalités d'occupation de chaque bâtiment et leur évolution. Les cases en gris expriment les changements de fonction.

Leurs causes peuvent relever de choix économiques à l'échelle de la ville, visant à remplacer les gains liés à la production artisanale de biens à haute valeur ajoutée, destinés à l'élite, par des activités commerciales plus lucratives. Ce schéma évolutif se retrouve fréquemment dans les villes romaines où les ateliers de production sont progressivement déplacés du centre-ville à la périphérie pour installer des boutiques plus rentables (voir par ex. Flutsch *et al.* 2002, p. 213). Si cette hypothèse s'applique de manière probante pour la transition entre l'état 2.1 et 2.2 dans le complexe C, elle explique mal les changements opérés entre l'état 1 et 2.1, tant à cet emplacement que dans le bâtiment M. Dans les deux cas, des lieux de production variée (artisanat polymétallique, du fer, du textile et du bois) succèdent en lieu et place aux ateliers de spécialistes des alliages cuivreux. La particularité de cette évolution s'oppose à la longévité des autres lieux de métier moins agglomérés, comme les forges ou les commerces alimentaires.

À la lumière de ces arguments, les causes économiques ne résolvent pas toute la question des changements fonctionnels observés qui peuvent résulter du contexte social et politique dans lequel ils s'inscrivent. Une forte emprise des élites sur les artisans, s'appuyant sur des liens de clientélisme économique et politique (André 2001a, p. 18), est en effet postulée pour la société gauloise de la fin de l'âge du Fer. Les zones caractérisées par un artisanat groupé peuvent dans ce cadre représenter le milieu de vie et de travail de la clientèle d'un membre de l'élite, dans l'optique d'optimiser les profits. Ce schéma implique une sensibilité accrue aux fluctuations de la position politique de leur patron qui seraient alors la cause des discontinuités relevées dans les quartiers artisanaux. Il génère une réflexion sur le degré de dépendance des gens de métier aux élites, qui ne saurait être abordée sans établir les relations entre ces deux groupes sociaux dans l'habitat, à l'aide de la répartition des marqueurs statutaires (chap. 4.4.2), pour les insérer ensuite dans leurs contextes historique et culturel (chap. 4.4.3).

4.4.2. ASPECTS SOCIOLOGIQUES

La sociologie du centre-ville de Corent a déjà fait l'objet d'une étude détaillée qui démontre la mixité des groupes sociaux représentés (Poux 2012, p. 193-209). Complémentaire, ce chapitre tente une exploitation raisonnée des marqueurs de l'élite, qualifiée d'aristocratie sans toutefois présumer des liens de parenté qu'implique une telle notion (Verger 2009), en les confrontant aux attributions fonctionnelles retenues pour les bâtiments. Elle procède en quatre points, en commençant par un cadre général pour passer à la définition de ces objets liés à la classe dirigeante, pour remettre ensuite ceux-ci dans leur contexte. Une synthèse établit un bilan de ces données.

Cadre

Lorsqu'il décrit la société gauloise de son époque, César (*BG*, VI, 13) opère quatre distinctions de classes sociales : l'aristocratie guerrière qualifiée d'*equites*, les druides, membres de la classe sacerdotale et le reste du peuple pétri de dettes et accablé par les impôts, avec une condition proche de celle des esclaves. Maintes fois commenté (voir par ex. André 2001a, 2001b, Verger 2009), ce passage constitue le point de départ classique pour toute étude consacrée à la sociologie de La Tène finale. Il expose une pyramide sociale fortement hiérarchisée sans opérer de distinctions internes au sein du peuple ou de la classe guerrière.

Abordée en archéologie, la question du statut social des artisans dans les sociétés de l'âge du Fer a particulièrement été développée pour les forgerons, notamment en territoire arverne (Orengo 2003, p. 211-215). Diverses études révèlent que ces spécialistes entretiennent des relations privilégiées avec l'élite, dès l'époque hallstattienne, sans toutefois acquérir un haut rang social (Berranger 2014, p. 196-202, Orengo 2003, p. 211-213). Très dépendants de cette relation au début de l'époque laténienne, les artisans semblent s'en affranchir en partie, dès le milieu du II^e s. av. J.-C., lorsque les dépôts d'outils dans les domaines funéraire et cultuel illustrent une manière de s'affirmer en tant que classe sociale à part entière et de valoriser leur statut (Bataille 2009a, p. 48-49, Kaurin 2009, p. 54-55). Un statut d'homme libre est envisagé pour certains artisans, une condition qui pourrait être restituée de haute date au vu des tribulations de l'Helvétie Helico (Vitali et Kaenel 2000). Le degré de dépendance à l'élite peut être analysé à l'aune du contrôle exercé sur la distribution finale des productions réalisées (Berranger 2014, p. 188-191) : un artisan est indépendant lorsqu'il commercialise lui-même ses produits, tandis que sa dépendance sera élevée quand l'aristocratie contrôle les débouchés de ses réalisations. À La Tène finale, la multiplicité des produits manufacturés en fer, la démocratisation de l'accès à des objets ferreux et la diversité des pratiques artisanales excluent un contrôle de l'ensemble des échanges, qui reste plausible pour des productions ciblées, comme l'armement. Moins traitée, la question du statut social des

autres artisans et des commerçants peut être analysée selon les mêmes schémas. Des différences de rangs sociaux par corps de métier peuvent toutefois être envisagées au sein de la classe laborieuse.

Les sources antiques et l'archéologie nous renseignent également sur une certaine hiérarchisation de l'élite (Guichard et Perrin 2002, Brunaux 1996 et 2004). Les aristocrates de haut rang caractérisés par des tombes à char, dans le domaine funéraire, apparaissent dans les sources littéraires comme des utilisateurs de ce moyen de transport (Schönfelder 2002). Les textes sont particulièrement éloquents sur ce sujet, à propos de l'élite arverne de la fin du II^e et du début I^{er} s. av. J.-C. : leur roi Luern emprunte un char lors de tournées électorales (Strabon, *Géographie*, IV, 3), tandis que son fils devait combattre sur un char orné d'argent (Florus, *Histoire romaine*, III, 3) (Poux 2012, p. 210). Les cavaliers dotés d'une épée longue et de lourdes protections de corps représenteraient la crème des armées gauloises, proche des principaux dirigeants, au vu de leur position dans le banquet décrit par Poseidonios (*Histoires*, XXIII, 2). Ils diffèrent en cela des porteurs de boucliers et de lances relégués aux deuxième et troisième rangs du cercle des convives, qui illustreraient un troisième rang social au sein de l'élite. Ce schéma se retrouve dans les pratiques funéraires aristocratiques liées au banquet, qui expriment cette hiérarchie sociale à l'aide des mobiliers funéraires, subdivisés entre quatre groupes, des organisateurs du festin aux convives répartis en trois cercles (Poux 2004, p. 222-226).

Ce tableau très schématique de la société laténienne établit les fondations de la définition des marqueurs statutaires à l'aide du mobilier métallique. La démarche vise ici à définir le rang social des différents acteurs de la société dans le paysage urbain et d'analyser leurs liens en confrontant la répartition des marqueurs statutaires à la fonction des bâtiments où ils apparaissent.

Définition des marqueurs statutaires

La définition de ces marqueurs repose sur le référentiel funéraire régional réalisé à l'échelle du territoire arverne avec des ensembles de l'époque laténienne *lato sensu*. Il propose une hiérarchisation sociale des 235 sépultures du II^e s. avant notre ère (Deberge et Orengo 2007). La démarche intègre l'architecture des tombes et les assemblages de mobiliers pour distinguer cinq classes sociales, de l'indigent enterré sans matériel dans une fosse peu structurée, à l'aristocrate dont la sépulture aménagée avec soin et à l'architecture parfois complexe présente de riches dépôts d'armes, de céramiques, de vaisselle métallique et de parures. Ce classement est employé pour établir des indices exprimant la force d'un marqueur statuaire de 1 pour les plus faibles et de 5 pour les plus forts (fig. 332). La formulation des indices est étoffée par la fréquence des objets dans les sites ruraux à partir des travaux d'O. Nillesse (2009) et des études consacrées à la hiérarchie des tombes aristocratiques (Poux 2004) et de l'anthropologie guerrière (Brunaux 1996 et 2004).

Les individus des deux premiers rangs de ce classement ne comportent pas d'objets en métal dans leurs sépultures. Les parures apparaissent dans les dépôts funéraires des individus du troisième rang qualifié de classe intermédiaire basse. Elles prennent un indice de 1. Elles se retrouvent en plus grand nombre dans les tombes de la classe intermédiaire haute (rang 4), où figurent aussi d'autres marqueurs métalliques, comme les instruments de toilette, auxquels est attribué un indice de 2.

Les tombes aristocratiques sont caractérisées par de la vaisselle métallique et de l'armement. L'attribution d'un indice de 3 ou de 4 a été appliquée en fonction du type d'objet représenté. Ainsi, les éléments des lances et des boucliers reçoivent un indice de 3, alors que les autres pièces d'armement sont considérées comme des indicateurs d'un statut plus important (indice 4). Cette différenciation découle d'une fréquence moins prononcée dans les habitats

Fig. 332. Tableau récapitulatif des marqueurs statutaires utilisés pour l'analyse d'après le référentiel funéraire local (rang), leur fréquence dans les habitats et le contexte anthropologique.

Rang	Interprétation	Marqueurs métalliques	Indices
1	Indigents	Aucun	0
2	Pauvres	Aucun	0
3	Classe intermédiaire basse	Parure	1
4	Classe intermédiaire haute	Parure	1
		Instruments de toilette	2
5	Aristocratie	Parure	1
		Instruments de toilette	2
		Vaisselle métallique (service et consommation)	3
		Armes (lance, bouclier)	3
		Armes (épée, fourreau, casque, cotte de mailles, flèche)	4
		Harnachement et éperons	4
6	Haute aristocratie	Parure	1
		Instruments de toilette	2
		Vaisselle métallique (service et consommation)	3
		Armes (lance, bouclier)	3
		Vaisselle métallique (préparation et consommation)	4
		Armes (épée, fourreau, casque, cotte de mailles, flèche)	4
		Harnachement et éperons	4
		Pièces de char	5
		Parures en métaux précieux	5

ruraux (Nillesse 2009, p. 67-68) et des synthèses consacrées à l'anthropologie guerrière (Brunaux 1996, 2004). Aussi rares à Corent que dans la plupart des sites, les épées, fourreaux, casques et cotte de mailles sont plus à même de représenter la cavalerie gauloise, une entité guerrière au statut plus élevé que les fantassins (voir *supra*, fig. 100). Selon le même principe, un indice de 4 est attribué aux éperons et aux pièces de harnachement, reliés aux *equites* (Nillesse 2009, p. 67-68).

La vaisselle métallique est classée en fonction de son rôle dans le banquet, d'après la hiérarchisation interne des tombes aristocratiques proposée par M. Poux (2004, p. 226-228). Illustrant le service et la consommation des convives du premier cercle, les pièces de seau, de cruche et les *simpula* prennent un indice de 3. Les chaudrons, bassins et situles caractérisent les organisateurs du banquet et prennent un indice de 4. Les autres instruments de cuisine, notamment les grils et les crocs à viande participant à cette classification, ont été exclus compte tenu de leur répartition éparse et de leur fréquence sur le site (voir *supra*, fig. 186). La vaisselle en verre de tradition hellénistique y est en revanche intégrée.

Attribué aux tombes de la haute aristocratie, le sixième rang était absent du référentiel régional jusqu'à la découverte de l'ensemble funéraire de Pulvérières dans les Combrailles (Blaizot *et al.* 2014). Dans cette nécropole aristocratique, deux tombes associent tous les marqueurs des classes précédentes à l'exception de la vaisselle métallique. Elles comportent des pièces de char qui attestent un statut plus élevé que les tombes de la classe précédente au vu de leur rareté en Gaule du Centre. Un indice de 5 est par conséquent attribué aux pièces de char qui apparaissent également peu en milieu rural (Nillesse 2009, p. 64). La classification est retenue pour les parures en métaux précieux presque inexistantes, tant dans les tombes qu'au sein des habitats. Elles se chiffrent sur le site à 13 individus, alors que l'ensemble des parures métalliques comprend 1 454 objets.

Cette hiérarchisation des indices sera utilisée pour déterminer le statut social des habitants dans les bâtiments en essayant de mettre en évidence la diversité des facteurs, d'identifier les lieux de résidence de l'élite et les relations qu'elle entretient avec le reste de la population.

Analyse de la répartition des marqueurs statutaires

Si le recours aux assemblages funéraires constitue un des seuls angles d'approche pour analyser les composantes de la société en contexte d'habitat, plusieurs limites sont à évoquer avant d'étudier les répartitions des marqueurs statutaires. La qualification du statut social des habitants d'un bâtiment à l'aide du mobilier se heurte à la taphonomie générale du site et des objets, à leurs modalités de dépôt et à la variété des champs interprétatifs impliqués pour chaque pièce de mobilier (Adam et Fichtl 2014, p. 49-50). Selon son contexte, une pièce d'armement signifiera par exemple les vestiges d'un rituel, une perte liée à une présence ou une fréquentation de la gent guerrière, une récupération ou une fabrication d'armement, dans un atelier ou encore la trace d'un évènement violent.

Dans le même ordre d'idée, certains objets comme les outils, le harnachement, la vaisselle et les instruments culinaires peuvent avoir été utilisés dans un cadre domestique, sans être intégrés à la sphère funéraire pour des questions religieuses ou économiques. Le statut des objets peut aussi varier selon la disponibilité des produits et la datation de leur contexte de provenance (Olmer *et al.* 2013). L'afflux accru d'importations de vaisselle métallique au I^{er} s. av. J.-C. constituerait une restriction pour déterminer le statut de ses utilisateurs, qui devaient être plus nombreux à cette période qu'au II^e s. avant notre ère. Ces biens importés sont par ailleurs absents des nécropoles régionales de LTC2-LTD1.

Ces limites à l'étude de la répartition des marqueurs statutaires sont prises en compte dans la détermination de la position sociale des habitants d'un bâtiment. L'analyse qui suit soulignera à la fois les concentrations éloquentes tout en critiquant les interprétations plausibles, à l'aide de l'étude de leur contexte. Pour plus de lisibilité, elle exclut des répartitions les parures omniprésentes sur le site, intégrées à la démarche au cas par cas. Les crânes humains, emblématiques à l'âge du Fer des pratiques de valorisation aristocratique liée à la mémoire de la lignée ou au souvenir d'une victoire de prestige (voir par ex. Ciesielski *et al.* 2011, Dedet 2011), sont par contre intégrés à la réflexion.

État 1

En comparaison des phases suivantes, l'état 1 comprend nettement moins de matériel. Son analyse établie à l'aide d'un corpus restreint témoigne pourtant d'une forte présence de l'élite à cette période (fig. 333).

Elle est particulièrement probante dans le **bâtiment B**, un habitat à plusieurs pièces, dont les dépotoirs et les sols livrent à la fois des traces d'armement (umbo, fourreau), de vaisselle métallique (pied de cruche de type Kelheim, chaudron) et une bonne représentation des parures de tout type (perles et bracelets en verre et en roche noire, fibules, éléments de colliers). Le caractère aristocratique de l'édifice s'affirme par la découverte, au fond d'un cellier, d'un crâne humain qui laisse évoquer les pratiques décrites précédemment. Un dépôt ritualisé d'une pointe de lance et d'un fragment de situle est en outre situé à l'entrée de sa cour. Malgré l'arasement des vestiges, le même statut social pourrait être évoqué à l'état 2 grâce au faciès d'une fosse comprenant une agrafe de ceinturon ou de harnais à bouton rectangulaire, un éperon et un distributeur de courroie, autant d'éléments cohérents de l'équipement d'un cavalier.

Une partie de ces critères se retrouve dans le **bâtiment H** implanté dans un secteur caractérisé par un fort degré d'arasement des vestiges. Le statut des habitants est marqué par deux dépôts : un crâne humain et un anneau en or écrasé selon des modalités relevées dans le sanctuaire (voir *supra*, chap. 4.2.9). Le corpus du bâtiment comprend un passe-guide de type Verna, pièce de char rare, qui évoque les liens entre l'aristocratie arverne et allobroge à la fin du II^e s. av. J.-C. (Poux 2012, p. 210). Bien que la présence de cet élément puisse résulter d'un apport postérieur à l'occupation, le petit nombre d'objets issus de cette unité architecturale constitue un argument supplémentaire en faveur de l'interprétation d'une résidence de l'élite.



Fig. 333. Répartition des marqueurs aristocratiques de l'état 1 et des niveaux ambivalents (état 1 à 2.1 et état 1 et 2 lato sensu), reportée sur la carte de synthèse fonctionnelle.

Les tentatives de détermination du statut social reflété par les bâtiments de l'état 1, dans le complexe A, sont conditionnées par une compréhension restreinte de la nature des vestiges. Tout au plus est-il possible de relever la présence du dépôt d'une lance et d'une herminette, dans un trou de poteau à l'entrée du **bâtiment A1**, et d'un fourreau de poignard à tôle décorée en alliage cuivreux et d'une pointe de flèche à deux barbelures, dans les structures connexes à l'atelier d'artisanat du cuir (**bâtiment A10**).

Dans le quartier nord, une troisième concentration apparaît dans l'atelier de fondeur **du bâtiment C1 et C3**. Localisée côté cour, elle comporte tous les éléments d'une panoplie d'un porteur d'épée (épée, lance, fourreau, agrafes de ceinturon et éléments de bouclier) accompagnant une lèvre de situle et un fragment de récipient en verre mosaïqué hellénistique. L'interprétation de l'armement dans des locaux artisanaux, où la fabrication de pièces de harnais est postulée, peut correspondre à la fréquentation de clients, tout comme à un certain contrôle exercé sur la diffusion de la production. Les éléments de vaisselle en métal et en verre permettent d'évoquer une présence aristocratique dans le bâtiment, tout comme d'imaginer l'accès des fondeurs à des pièces d'exception ou la récupération d'éléments en bronze. Cet assemblage témoigne tout du moins d'un contact privilégié avec l'élite en tant que client ou patron de cet atelier. Il constitue une des rares traces de la classe guerrière attestée dans les constructions du complexe artisanal durant cette phase.

Les marqueurs de l'élite dans le quartier est sont dispersés de manière éparse et apparaissent principalement dans des ensembles à connotation religieuse. Ils sont recensés, par exemple, dans les dépôts complexes du **bâtiment Q** et dans la partie

ouest de la cour du **bâtiment M**, où est déposée la pointe de lance de type baïonnette repliée sur elle-même (voir *supra*, chap. 4.2.9). Un troisième dépôt d'une épée ployée est situé à la jonction entre les locaux domestiques et la partie dédiée à l'artisanat polymétallique de cet édifice. Il accompagne, dans la pièce résidentielle, un fragment de fourreau et une anse de gobelet de type Idria, tandis qu'un élément de crâne humain a été mis au jour à proximité. Cette configuration distingue ce bâtiment de la répartition des traces de l'élite, dans le complexe C, avec une séparation claire entre l'atelier et l'espace domestique. Un niveau social différent pourrait être postulé pour chaque pièce et laisse supposer une présence aristocratique plus prononcée qu'à l'intérieur de l'atelier de fondeurs du bâtiment C1 et C3.

Les données permettent difficilement d'analyser le corpus du **bâtiment R**, dont le seul élément à caractère aristocratique est un bandage de roue issu de la fosse-atelier de la forge, un objet qui illustre ici une récupération de matériau ou une pièce fabriquée dans cet espace artisanal.

Le **sanctuaire** s'affirme comme un des lieux de représentation de l'élite avec des dépôts composés majoritairement d'armes et de parures annulaires qui comportent des pratiques liées à la confection de trophées ou d'amas d'armement (Poux et Demierre 2015, p. 566-572).

État 2.1

Les dépôts réalisés dans le **bâtiment A1** s'inscrivent en droite ligne de ceux observés dans le sanctuaire, auxquels participent des éléments de vaisselle métallique, peu représentés dans le lieu de culte à l'état 1. Ils reflètent des pratiques aristocratiques qui peuvent se dérouler dans un cadre public ou privé (voir *supra*, chap. 4.2.9) (fig. 334).

Toujours dans ce complexe architectural, les **bâtiments A2 et A7** présentent plusieurs marqueurs de l'élite à cette phase et à la phase suivante (état 2.2 à 2.3). À l'état 2.1, le bâtiment A2 livre dans sa sablière extérieure un pendant de harnais ajouré, tandis qu'un anneau-bague en argent et un talon de lance ont été recueillis sur son sol. Ces éléments soulignent un statut social élevé, confirmé durant la phase suivante par la découverte de la paire de fibules en or. Ce bâtiment se distingue par la qualité des marqueurs, alors que leur diversité nous renseigne sur le statut social des résidents de l'**habitat A7**. En témoignent un poignard, l'attache de couvercle de cruche lyriforme issu de ses sols, tandis qu'un fragment d'orle accompagnant une bague ployée en alliage cuivreux figure dans un trou de poteau du bâtiment. Les sols extérieurs étoffent le corpus de ce bâtiment complété par un embout de timon ou une fusée de caisse de char, un autre fragment d'orle et un pousier de passoire.

Dans le complexe C, les marqueurs se retrouvent principalement sur la place, avec toujours une concentration dans sa branche occidentale, dans l'**atelier polymétallique C1 et C3** et dans l'**atelier d'artisanat textile C4**. Les marqueurs similaires à ceux de la phase précédente (armement, bol hellénistique, pointe et talon de lance) peuvent être interprétés de façon identique. Ils illustrent un contrôle des lieux, le passage des clients ou la résidence des membres de la classe aisée. Une fois encore, ces éléments sont concentrés dans les locaux artisanaux et commerciaux de ces bâtiments, tandis que les pièces domestiques n'en présentent guère. Le faciès de la **cour du complexe C** (armement, pièces de harnachement) indique plus la fréquentation des lieux par une population variée que le véritable statut des artisans exerçant autour de la place. Un constat identique s'applique à la **ruelle entre A et C**, signalée par une concentration de pièces de char liée à la circulation sur cet axe viaire.

Un statut élevé pourrait être attribué aux résidents de l'**habitat G1** sur la base du mobilier brûlé retrouvé dans le trou de poteau adjacent. Cet assemblage, dont l'origine reste à confirmer, comporte en effet des éléments de fourreau et de vaisselle métallique.



Fig. 334. Répartition des marqueurs aristocratiques de l'état 2.1 et des niveaux ambivalents (état 1 à 2.1, état 1 et 2 lato sensu), reportée sur la carte de synthèse fonctionnelle.

Le dépôt de pièces de char retrouvées dans la fosse artisanale du **bâtiment F** représente un assemblage constitué d'une partie de roue mise au rebut (voir *supra*, chap. 4.2.4). Si elle démontre un contact avec des individus de haut rang, elle ne préjuge pas du statut de ses habitants.

Le faciès de la forge du **bâtiment R**, dont les éléments de lance sont issus du dépotoir lié à l'atelier, où leur production est attestée par la présence d'un talon en cours de fabrication, amène à un constat similaire. Le corpus du cellier de la partie domestique de ce bâtiment (fragment de cotte de mailles enroulé et orle de bouclier) peut représenter l'artisanat pratiqué dans le secteur, tout comme la fréquentation des lieux par un aristocrate.

Durant cet état, le **bâtiment M** ne livre guère de traces de l'élite, qui apparaissent uniquement sous forme d'un dépôt comportant un fragment d'épée et des pièces de quincaillerie. Les éléments de vaisselle métallique, le bol hellénistique et le scalptorium recensés au nord et à l'ouest du bâtiment pourraient toutefois se rapporter à l'activité du bâtiment. Les contextes de découverte des portions de colerette de chaudron de la cour et d'une fosse du local artisanal ne constituent pas non plus des éléments probants pour déterminer le statut de ses habitants.

Les indices de la classe aisée (éléments de boucliers, de lance et de passoire) sont faibles dans l'atelier de corroyeur ou de boisselier (**bâtiment K**) et dans l'**atelier monétaire** (état 2 *lato sensu*) adjacent. La notion de contrôle de la production et de la distribution pourrait s'appliquer tout particulièrement à la fosse-atelier de l'atelier monétaire de l'état 2.1 qui livre une pointe et un talon de lance. La présence d'armement se retrouve de manière récurrente dans

les rares contextes artisanaux liés à la fabrication de monnaies. Un umbo de bouclier est par exemple recensé dans la fosse artisanale des Rochereaux, à Migné-Auxances (Toledo i Mur et Pernot 2008, p. 254, fig. 19, n° 10), tandis qu'une pointe de lance provient du dépôt d'outils ou de l'atelier de Szalacska (Déchelette 1914, p. 1376-1377, fig. 609, n° 18). Ces éléments offrent l'opportunité d'aborder la question de l'affermage de cette production (Gruel 1989, p. 135-136), un aspect qui sera développé en synthèse (voir *infra*, p. 431).

Les concentrations observées dans les **structures extérieures** en bordure de la place reflètent la fréquentation des lieux par des membres de la classe supérieure comme le démontre, par exemple, l'assemblage de la citerne situé entre les bâtiments K et Q (agrafe de harnais, fragments de bouclier et de lance, flèche).

Le faciès de l'**hémicycle de réunion** témoigne d'une fréquentation de l'élite marquée par le casque de tradition étrusco-italique ainsi que des fragments de fourreau et d'épée. Cette interprétation est par ailleurs renforcée par le dépôt d'orles ployés, issu du sol de l'état 1, et par le faciès de consommation de boissons représenté sur le plan du mobilier métallique par un pucier de passoire à cette phase et par un fragment de *simpulum* à l'état 3. Un éperon issu du décapage de surface et un distributeur de courroie, emblématiques de l'équipement du cavalier, renforcent encore le fort statut social inhérent au fonctionnement de ce bâtiment public.

État 2.2

Le quartier nord est caractérisé par la rareté de l'état 2.2 *stricto sensu* avec une majorité de contextes attribués aux états 2.2 à 2.3. Le **bâtiment sur cave C5** constitue le seul édifice recouvert par un radier de l'état postérieur qui justifie une attribution à cette séquence. Cet édifice interprété comme un débit de boisson et un espace commercial est caractérisé par l'absence d'armement et par la présence de vaisselle de service métallique (éléments de cruche et de situle) et céramique en lien avec l'activité des lieux. Le seul bien de prestige est une fibule de très petite taille en argent, qui serait la seule trace d'une fréquentation aristocratique. La composition de cet ensemble plaide en faveur d'un lieu de convivialité et de commerce destiné à une clientèle qui regroupe l'ensemble de la population. Une autre proposition serait de le percevoir comme l'établissement d'un riche commerçant, voire d'un aristocrate, dont le statut ne s'exprime pas uniquement par ses compétences à la guerre (Olmer 2002, p. 297) (fig. 335).

Le **bâtiment R** fournit dans sa partie domestique un ensemble relativement riche avec un orle de bouclier, un fragment de bol moulé hellénistique, une pince à épiler et une applique de caisse de char. Le pourtour de cette pièce livre un fragment d'éperon, une petite frette de fourreau et un autre fragment d'orle issus du fossé de limite parcellaire adjacent, alors que la forge est vide de marqueurs. Leur diversité au sein de cet assemblage plaide *a priori* pour un habitat à caractère aristocratique. Cette interprétation peut toutefois être contrebalancée par la présence d'abraseurs au sein de l'espace domestique, qui laisse supposer que du travail était aussi réalisé à cet endroit. Cette observation amène une qualification ambivalente pour cet édifice. Il peut en effet avoir servi de pied-à-terre (Fichtl *et al.* 2016, p. 88-89) ou de résidence à un membre de l'élite, tout comme illustrer le lieu de vie d'un riche forgeron, si les pièces liées à l'aristocratie sont considérées comme des objets en cours de fabrication.

Un mode d'interprétation similaire pour être formulé pour le **bâtiment M**, durant cette phase. Les marqueurs aristocratiques représentés sont des récipients liés au service (vaisselle en verre mosaïqué, passoire) ou à la cuisson de la nourriture (chaudron) et un fragment d'orle de bouclier. Ces éléments sont concentrés dans le local domestique et dans la zone de rejet d'activité liée à la restauration et à l'artisanat au nord. Ils posent à nouveau la question de l'accès à ces biens par les artisans du bois et du fer ou, dans le schéma contraire, illustrent l'endroit où séjournait le patron des artisans de cette unité architecturale. Attribués à

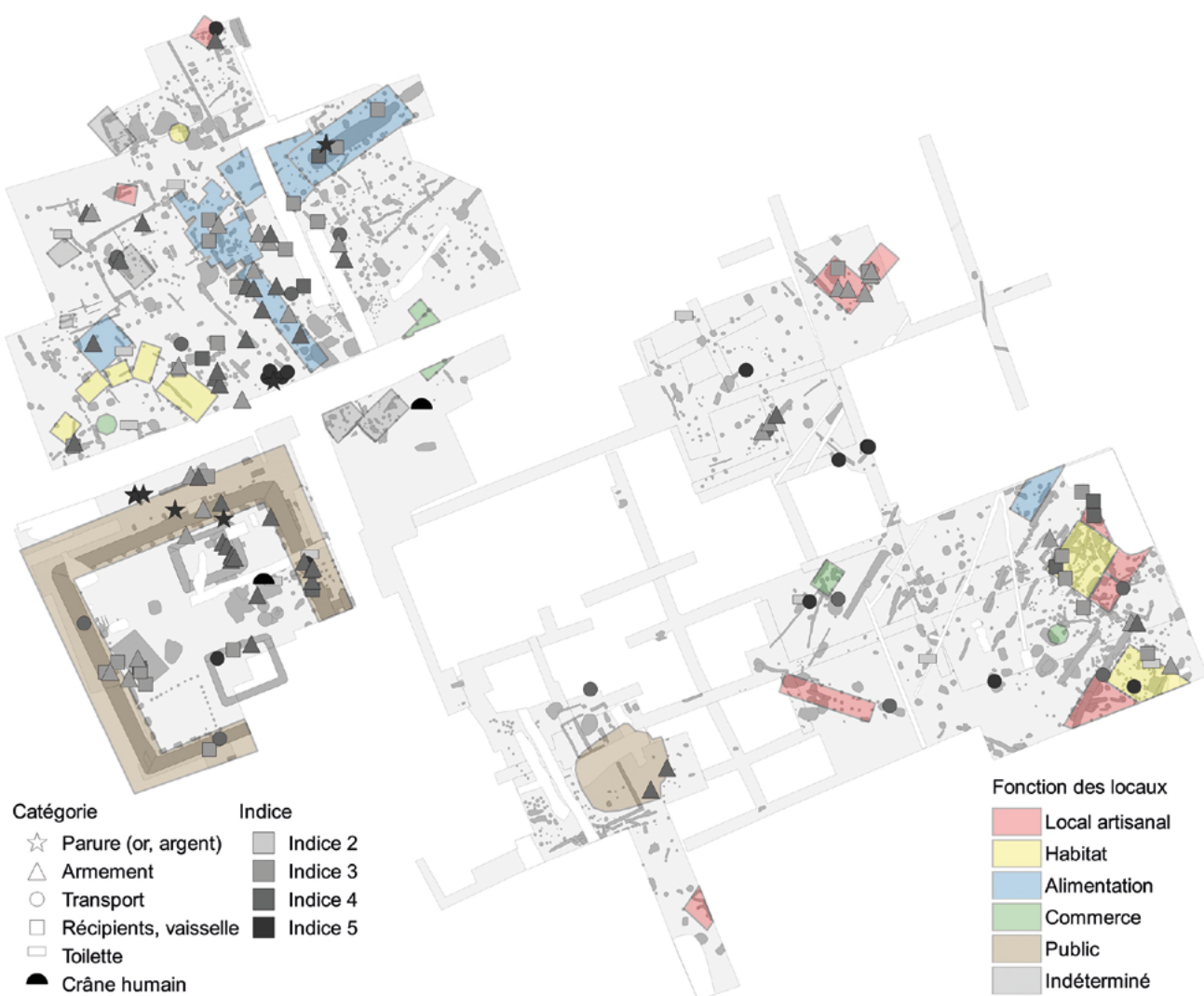


Fig. 335. Répartition des marqueurs aristocratiques de l'état 2.2 et des niveaux ambivalents (état 1 et 2 lato sensu), reportée sur la carte de synthèse fonctionnelle.

l'état 2.2 ou 2.3, les pieds de cruche de type Gallarate et la phalère découverts dans la partie sud de l'édifice peuvent être rapportés à ce schéma ou illustrer la condition sociale des habitants de la séquence suivante.

État 2.3

L'artisanat ne semble plus pratiqué dans le **bâtiment M**, alors considéré comme un espace domestique. Dans sa pièce principale, le faciès comprend de la vaisselle (seau et cruche), une pince à épiler, une croisière d'épée et un pontet de fourreau. Les pourtours est et sud de l'édifice fournissent encore d'autres fragments de fourreau, une applique de char et des éléments de lance (talon et pointe). Ce faciès diversifié plaide en faveur d'une résidence aristocratique et se retrouve par ailleurs à la phase suivante (état 3) et dans les décapages de surface. Une garde de poignard anthropomorphe, deux fragments de verre mosaïqué, une agrafe de ceinturon ou de harnais à bouton rectangulaire ainsi qu'une pointe de lance proviennent en effet de ces contextes (fig. 336).

L'interprétation des marqueurs statutaires du **bâtiment R** durant cette phase est conditionnée par la situation du mors de cheval, de l'agrafe de harnais et du pied de cruche Kelheim, regroupés au nord de la pièce de vie, où des activités de finition sont restituées selon le même principe qu'à la phase précédente. Ces pièces de transport peuvent être liées à la fréquentation des lieux par l'aristocratie ou au stationnement des chevaux. Quant au pied de cruche, il peut aussi avoir été acquis par le forgeron. Évaluer le rang social des habitants dans ces conditions semble difficile.

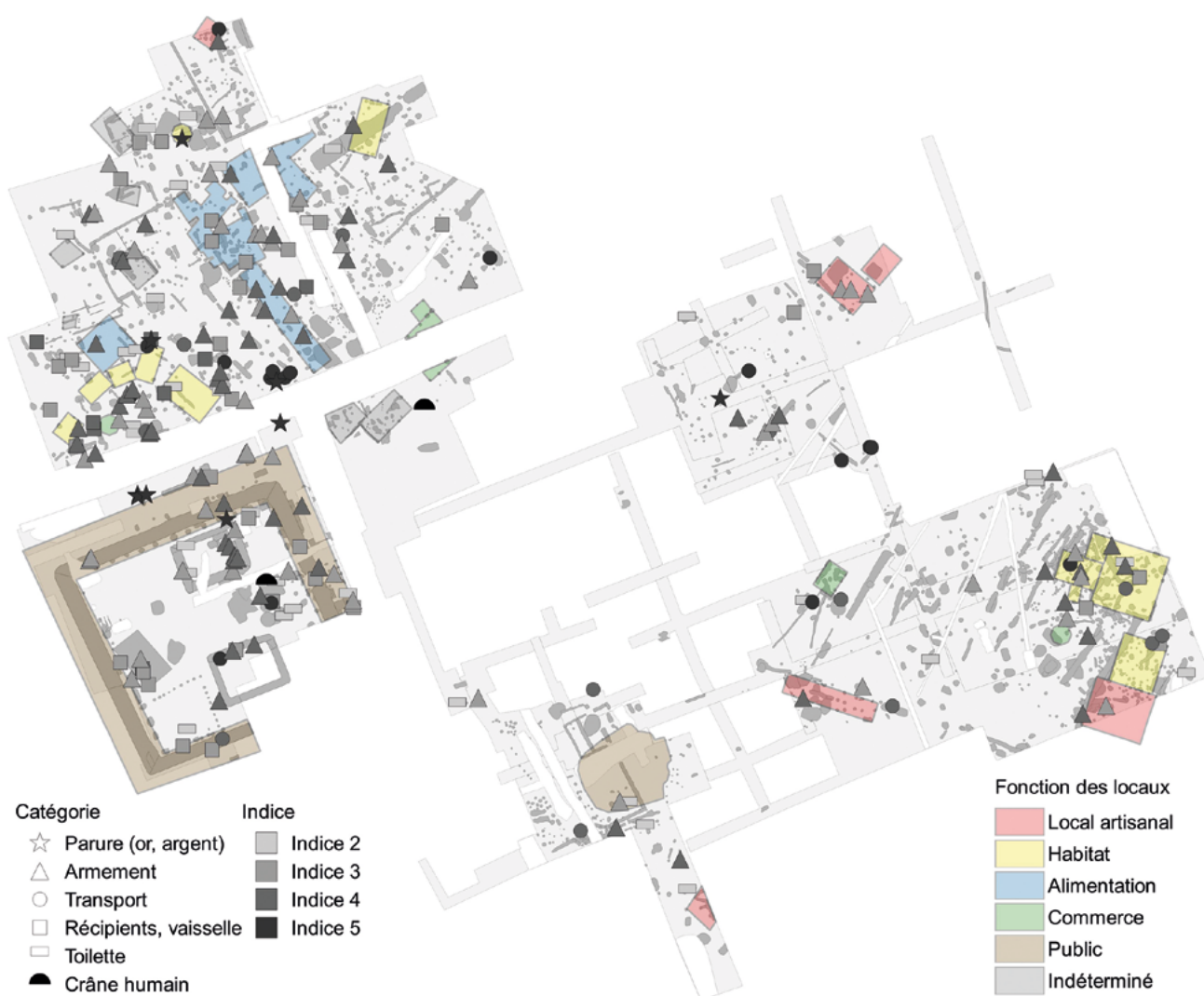


Fig. 336. Répartition des marqueurs aristocratiques de l'état 2.3, des niveaux ambivalents (état 1 et 2 lato sensu) et des décapages, reportée sur la carte de synthèse fonctionnelle.

Dans le quartier nord, les **habitats A1 et A2** présentent une conjonction d'indices forts pour attester la présence d'aristocrates. Le faciès de ces constructions est caractérisé par la diversité des marqueurs tant sur les radiers que dans la cour adjacente où figurent plusieurs pièces d'armement et de char. Le bâtiment A2 livre la paire de fibules en or, certes issue d'un décapage. Cette découverte peut toutefois résulter d'une cache effectuée dans les parois de ce bâtiment (Poux *et al.* 2007a, p. 196-197). Le caractère aristocratique des habitants apparaît par ailleurs sur son sol, où figurent plusieurs perles en verre, un fragment de chaudron ainsi qu'un bandage de roue. Dans le **bâtiment A1**, des éléments de chaudron, de *simpulum*-passoire, d'armement (fourreau, agrafe de ceinturon, lance) et des ustensiles de toilette (pince à épiler, scalpel ?) corroborent aussi cette caractérisation.

L'analyse des résultats est plus contrastée dans le complexe C. Les marqueurs statutaires apparaissent en plus grand nombre dans le **bâtiment C3**, au faciès souligné par une grande variété de pièces d'équipement militaire (casque, pointe de lance intacte, épée et fourreau, orle de bouclier). Cet édifice interprété comme un débit de boisson ou un commerce alimentaire peut aussi être la caserne d'une garde armée chargée de contrôler les échanges autour de la place, durant cette phase (voir *supra*, chap. 4.2.1).

Dans le **bâtiment C1**, les récipients importés (vasque de *simpulum*, baquet en roche noire, pucier de passoire) évoquent plus l'activité d'un négoce du vin qu'une présence aristocratique. L'interprétation de ce bâtiment à l'architecture de tradition méditerranéenne oscillerait entre le lieu de métier et de résidence d'un riche commerçant. L'hypothèse d'une fréquentation ou d'une présence d'aristocrates à la richesse fondée sur le commerce peut aussi être proposée, selon le schéma interprétatif exposé pour le bâtiment sur cave C5 (voir *supra*, p. 428).

Préservés sur la forme de quelques lambeaux de sols, les niveaux de l'espace D de cette période livrent le pendentif-lunule en or ainsi qu'une anse de gobelet de type Idria. Il est tentant de leur attribuer un caractère aristocratique compte tenu des surfaces exploitables à la manière des observations formulées pour le bâtiment H. La présence, dans les niveaux romains, d'une applique de char similaire aux ornements d'une caisse de char à Verna corroborerait cette interprétation.

De la variété des champs interprétatifs par contexte

L'analyse de la répartition des marqueurs statutaires traduit avant tout la variété des champs interprétatifs lorsqu'ils sont exploités comme des révélateurs du statut social des habitants d'un bâtiment. Selon les fonctions générales des locaux et des unités architecturales, quelques résultats se recoupent pour déterminer l'empreinte de l'élite au sein de l'agglomération.

Les habitats

Pour les édifices considérés comme des habitats, la notion de résidence aristocratique s'exprime de la manière la plus claire dans les édifices caractérisés par la variété des facteurs retenus dans l'analyse, la présence de dépôts de crânes humains ou d'armement. Ces critères ont déjà été formulés pour le site de Montmartin (Brunaux *et al.* 1997) et lors de l'étude des pratiques culturelles dans le sanctuaire et le quartier nord de Corent (Demierre et Poux 2012). Selon ces principes, cette qualification s'applique au bâtiment B (état 1 et 2), au bâtiment G1 (état 2.1), au bâtiment M (état 2.3 et 3) ainsi que dans le complexe A, aux bâtiments A1 (état 2.2 à 2.3), A2 et A3 (état 2 *lato sensu*). Moins bien caractérisés en raison d'une mauvaise conservation des vestiges, les niveaux de la fin de la séquence de l'espace D ainsi que le bâtiment H présentent des marqueurs forts (parures en métaux précieux, pièces de char, crâne humain) qui suggèrent une interprétation similaire.

Les locaux artisanaux

L'analyse des marqueurs aristocratiques dans les locaux artisanaux s'avère plus périlleuse. Elle peut refléter, selon les contextes, la fréquentation des clients aristocratiques d'un espace artisanal, un contrôle des échanges liés à sa production, un accès des artisans à des biens de prestige, tout comme leur recyclage ou leur fabrication. Les différentes hypothèses peuvent être formulées de manière plus ou moins assurée selon les types de mobilier représentés.

Considérés comme l'apanage de l'élite, l'armement et les pièces de harnachement et de char suivent la même logique. Ils peuvent illustrer le contrôle de la production, appelé affermage, dans le cadre de la production monétaire, selon des modalités relevées par K. Gruel (1989, p. 135-136). Dans ce cadre, un aristocrate est chargé de la bonne marche de l'atelier par le pouvoir émetteur et obtient en contrepartie des revenus issus de cette activité. Ce principe pourrait être évoqué à propos des éléments de lance de l'atelier monétaire (annexe du bâtiment K). La concentration de pièces d'équipement militaire dans les locaux artisanaux dédiés à la production de pièces de harnais (bâtiment C1 et C3) pourrait exprimer le même genre de contrôle. Dans cet atelier, choisir entre cette proposition et celles d'une certaine mixité sociale avec des individus de classe sociale élevée résidant à l'étage ou encore de la simple fréquentation de clients demeure difficile.

Dans le cadre des ateliers du métal, ces marqueurs peuvent aussi illustrer l'entretien, le recyclage ou la fabrication des pièces de harnais ou de char. Ces activités, qui ne présument aucunement du statut des habitants mais attestent un contact avec des classes sociales élevées, peuvent être restituées dans le bâtiment (R). Des bandages de roue proviennent en effet d'une des fosses artisanales (état 1), tandis que de l'armement a pu être produit à l'état 2.1. De même, le pendant de harnais à protomé de cheval du bâtiment C1 illustre très vraisemblablement la production de cet atelier.

La vaisselle métallique importée et les objets de toilette demeurent rares dans ces contextes artisanaux. Leur interprétation suit la même logique et varie entre les accessions à ce type de biens par les artisans ou les relations avec l'élite. À nouveau, ils peuvent avoir été fabriqués sur place comme l'atteste la production d'ustensiles liés au soin du corps dans les ateliers C5 et C6.

Les locaux artisanaux à l'intérieur d'unités architecturales liées à l'artisanat

L'interprétation des marqueurs issus de locaux domestiques dans les unités architecturales dédiées à l'artisanat reprend en partie ces mêmes schémas. Deux principales hypothèses peuvent être formulées pour expliquer leur présence dans ces espaces, principalement documentés dans les bâtiments M et R ainsi que dans le complexe C à l'état 2.1.

La première proposition serait d'évoquer la pièce de vie d'artisans ayant accès à des importations de vaisselle en verre et en métal. Elle serait envisageable dans les locaux domestiques du bâtiment M, qui ne livrent guère d'armement, aux états 2.1 et 2.2, à l'exception d'un dépôt métallique et d'un fragment d'orle. Elle pourrait également être postulée pour le bâtiment R dont l'analyse est plus contrastée. Ces biens importés accompagnent aussi des pièces d'équipement militaire et équestre qui signalent un caractère aristocratique plus prononcé, bien qu'ils puissent aussi représenter les productions de l'atelier. Le faciès documenté dans la pièce domestique du bâtiment M à l'état 1 mène au même constat.

Ces observations conduisent à une seconde interprétation. Ces locaux pourraient être en effet la résidence ou le pied-à-terre de membres de l'élite gérant le complexe artisanal. Elle impliquerait une certaine mixité sociale si l'on considère que ces pièces sont communicantes avec les ateliers et que des activités artisanales (finitions) y sont recensées. L'aspect lacunaire des bâtiments M et R empêche une vision complète de leur fonctionnement qui pourrait éclairer ce postulat sous un autre jour.

Les bâtiments liés aux métiers de bouche et au commerce

Les restaurants, les débits de boisson et les commerces sont caractérisés par de la vaisselle métallique qui témoigne de leur activité plus que du statut de leurs habitants. Cette interprétation fonctionnelle est notamment perceptible dans l'entrepôt à vin C5 et dans le bâtiment C1. Ces ensembles ne livrent guère d'autres traces de l'aristocratie et peuvent exprimer le cadre de vie de négociants au commerce florissant. La rareté des pièces d'armement dans ces contextes pose la question de leur statut et de leur rapport avec l'élite, peut-être régi selon d'autres principes que ceux appliqués aux artisans. Attribué à la même fonction, le faciès du bâtiment C3 diffère grandement de ces deux unités architecturales par la diversité de l'armement qu'il comporte. Cet ensemble à connotation guerrière peut exprimer un contrôle ou une surveillance des transactions économiques réalisées dans le complexe C à la fin de la séquence d'occupation. La question de l'origine et du statut des marchands devrait encore être analysée à l'aune des traces d'acculturation perçues dans le mobilier, tout comme dans l'architecture de certains bâtiments (Olmer 2002, p. 294-295). À ce titre, la présence de l'autel portatif de tradition méditerranéenne, dans un trou de l'entrepôt à vin, pourrait mettre en lumière, sous réserve de la datation de ce contexte, un commerçant étranger établi dans l'*oppidum* (voir *supra*, chap. 3.10).

Espaces publics

Dans les **espaces publics extérieurs, le sanctuaire et l'hémicycle de réunion**, les fortes concentrations de marqueurs de l'élite attestent une fréquentation accrue du centre-ville par les dirigeants. Elles démontrent leur emprise sur la religion dans le sanctuaire et leur implication politique.

Bilan

Si elle permet de formuler quelques hypothèses sur le statut social de la population du centre-ville de Corent, cette démarche souligne la polysémie des marqueurs aristocratiques, dans l'espace urbain, plus qu'elle ne produit de résultats concluants pour la totalité des bâtiments. Elle met en lumière la grande mixité sociale de cet espace urbain tout en soulignant des contextes où le statut des habitants demeure difficile à démontrer. Sans présumer de la confrontation de l'habitat avec la sphère funéraire, l'ensemble des classes de la société, de la haute aristocratie à l'esclave, résidait et fréquentait le centre-ville, bien que les édifices liés à l'élite ne soient pas encore identifiés sur le plan architectural. Pour mener à une évaluation plus aboutie du statut social des habitants, la démarche devrait encore intégrer d'autres catégories de mobilier (monnaies, amphores, céramiques importées, etc.). De même, la prise en considération des aspects d'acculturation et un meilleur traitement de l'architecture des habitats permettraient d'affiner le propos.

À l'examen de ces données, les interactions entre les différentes classes de la société se traduisent par l'expression de liens dont la nature économique et politique demeure relativement difficile à cerner. Le prochain chapitre tente de remettre les résultats des analyses précédentes dans leur contexte historique et social.

4.4.3. INTERACTIONS DES GROUPES SOCIAUX : ÉCONOMIE, POLITIQUE ET RELIGION

Aux dires de César (*BG*, VI, 15, 1-2), les liens de clientélisme agissent comme le principal élément structurant de la société laténienne du I^{er} s. avant notre ère. Il nous indique que les aristocrates refusent que quiconque nuise à leur clientèle, que leur honneur incite à préserver au mieux des puissants. D'un autre côté, il mentionne aussi la condition du peuple proche de celle de l'esclave, tant il est surchargé de dettes et d'impôts et sujet aux vexations de l'élite. Les sources historiques nous renseignent également sur l'omniprésence des conflits internes pour le pouvoir à tous les niveaux de la société : de la *familia*, à la faction du *pagus*, au *pagus* et à la *ciuitas*. La société patrilinéaire gauloise repose donc sur des aspects unificateurs et créateurs de liens sociaux régis par des codes de l'honneur qui imposent aussi le recours relativement fréquent à la violence (Verger 2009).

Ce chapitre essaie de mettre en perspective les dynamiques d'évolution des édifices du centre-ville, la tentative de caractérisation sociologique des bâtiments et les pratiques religieuses dans leur contexte sociologique et historique, à la lumière des liens supposés entre la classe dirigeante et le peuple. Le propos se focalisera dans un premier temps sur les changements opérés dans l'organisation du site, notamment dans les zones d'artisanat groupé qui témoignent des plus flagrantes ruptures fonctionnelles. Elles sont perçues ici comme le résultat d'événements liés aux luttes de pouvoir internes au sein de l'aristocratie et non comme des choix d'ordre économique (voir *supra*, p. 420-421).

Comme décrit précédemment (voir *supra*, chap. 4.3.3.), l'évolution de la fonction des bâtiments artisanaux du complexe C est caractérisée par une succession d'ensembles qui diffèrent sur le plan des métiers pratiqués (artisanat du bronze, artisanat varié, commerce de nourriture et de boisson). Cet emplacement privilégié au centre de l'*oppidum* est le résultat d'une planification urbaine, dès la première phase du site. Il pourrait être au cœur de conflits pour maîtriser les échanges et les revenus que génèrent ses activités artisanales et commerciales.

Les acteurs de la lutte pour la possession de ce point de vente lucratif pourraient être des artisans ou des commerçants, regroupés selon des principes corporatifs si l'existence de telles organisations est acceptée à La Tène finale. Il nous semble cependant plus probable que les changements opérés résultent des luttes des patrons de ces artisans, clients regroupés ou non, dans un cadre associatif. Les activités recensées illustreraient alors les principales sources de revenus d'un aristocrate à la tête d'un réseau économique aux objectifs proches des trusts de l'époque actuelle à la concentration horizontale.

Anachronique, le parallèle prend un peu de substance avec l'apport de l'onomastique des aristocrates arvernes, où on trouve la mention de *Gobannitio*, oncle de *Vercingétorix* (César, *BG*, VII, 4). Son nom signifiant « artisan du métal » n'indique très vraisemblablement pas son métier, mais bien l'origine de ses revenus (Orengo 2003, p. 214). Cette hypothèse est aussi formulée à propos des aristocrates bituriges dont les tombes comportent des biens de prestige et des outils emblématiques du travail du métal (Ferdrière et Villars 1993, p. 283-285). Ces dépôts funéraires sont reliés à la mainmise du pouvoir sur la production de fer dans cette région minière. Dans ces conditions, il est envisageable que la concentration d'artisans du bronze à l'état 1, dans le complexe C, reflète l'emprise d'un aristocrate sur un secteur d'activité, sans toutefois la rapprocher directement de *Gobannitio*.

Elle pourrait aussi s'exprimer par la pratique de l'affermage, qui consiste en l'attribution à un aristocrate de la charge de collecter les taxes et les impôts sur le commerce, une tâche confiée à l'Éduen *Dumnorix* dont il tire une richesse considérable (César, *BG*, I, 18) (Fichtl 2014). Son expression sur le plan du mobilier pourrait relever de la présence d'armement dans les locaux artisanaux, bien que ce contrôle n'implique pas forcément une présence militaire sur place et constitue un des nombreux champs interprétatifs envisageables dans ce contexte (voir *supra*, p. 431). La concentration de marqueurs aristocratiques des bâtiments C1 et C3 (états 1 et 2.1) et celle observée dans le bâtiment C3 (état 2.2 à 2.3) constitueraient sur ce point la marque de l'emprise de l'aristocratie sur les échanges réalisés tant par les artisans que par les commerçants. Il est sur ce point judicieux de mentionner l'amphore figurant sur les monnaies d'aristocrates comme *Vercingétorix*, qui peut évoquer la pratique du banquet ou exprimer sa source de revenus, en l'occurrence, le commerce (Olmer 2002, p. 297). La même ambiguïté est relevée à propos de la fibule illustrée sur les monnaies de l'aristocrate suession CRICIRV, symbole d'un contact privilégié avec Rome, signe de richesse ou emprise sur un artisanat donné (Poux *et al.* 2007a).

L'évolution du bâtiment M est aussi caractérisée par des fluctuations de ses fonctions de manière encore plus variée que dans le complexe C. La première phase est matérialisée par un atelier polymétallique séparé d'un habitat au caractère aristocratique relativement bien marqué. Lui succède un bâtiment composé d'une juxtaposition de locaux artisanaux et domestiques, qui sont remplacés par une résidence d'individus de haut statut, aux états 2.3 et 3. Chaque phase y est soulignée par des réaffectations drastiques de la fonction des pièces, moins accentuées entre l'état 2.1 et 2.2. Envisager les interactions entre les différents membres de la société dans ce bâtiment s'avère plus complexe en raison de sa situation en bordure de fouilles, qui génère une vision tronquée de la dynamique évolutive de cette unité architecturale. Les ruptures fonctionnelles indiquent néanmoins que son évolution est sujette à des changements majeurs. Ceux-ci impliquent peut-être aussi le pouvoir politique à l'échelon de la cité ou de la ville. D'un autre côté, ils peuvent plus simplement illustrer une volonté de modification de la part du propriétaire de la parcelle, sa vente ou encore résulter d'une perte d'influence de ce dernier qui engendrerait des conséquences pour les clients résidants.

Les luttes internes connues dans l'aristocratie gauloise et tout particulièrement en pays arverne peuvent, selon cette hypothèse, être reflétées dans les réaffectations fonctionnelles opérées dans le bâtiment M et le complexe C. Il ne

semble pas anodin que les aristocrates emblématiques d'une source de revenus basée sur le commerce ou l'artisanat mentionnés dans les sources, *Dumnorix* et *Gobannitio*, apparaissent justement dans le récit de César lors de conflits pour la primauté dans leur *ciuitas*. Selon ce schéma, la décrédibilisation, la mort politique ou réelle d'un aristocrate auraient pour conséquences la reprise d'une partie de ses biens et des répercussions sur sa clientèle, exprimés sous la forme des ruptures fonctionnelles observées dans ces complexes architecturaux.

Certains bâtiments ne sont en effet pas touchés par ces modifications de plan et d'affectation et présentent une certaine longévité dans leur architecture et leur fonction (bâtiments N, P, O, A10, H, F). Ce constat semble tout particulièrement pertinent lors du remaniement du plan directeur de l'*oppidum* perceptible par un changement de l'orientation des axes directeurs entre les états 1 et 2.1. Exemple le plus probant, le bâtiment R comporte une pièce domestique et une forge qui cohabitent durant toute la séquence d'occupation. Reporté à la grille de lecture proposée, cet édifice représenterait le lieu de vie d'un artisan libre, client d'une famille aristocratique au pouvoir pérenne ou encore la résidence d'un membre de l'élite, au milieu de sa clientèle, selon l'interprétation retenue pour la caractérisation du statut social des habitants de la pièce domestique. Soulignons encore que cette pérennité est rarement observée dans les habitats à consonance aristocratique qui semblent eux aussi influencés par les transformations de la trame urbaine.

Ces propositions formulées pour expliquer les modifications de la fonction et de l'architecture des bâtiments sont toutefois à considérer avec prudence. Comme nous l'avons déjà précisé, elles peuvent aussi résulter de choix opérés à l'échelle de la cité, répondre à des impératifs économiques publics ou privés. Malgré ces limites, il semble pertinent d'intégrer à la réflexion nos connaissances de l'anthropologie et de la sociologie laténienne. Paradoxalement, les interactions entre les différents acteurs de la société apparaissent de manière plus claire dans le domaine de la religion.

Les rites observés dans le sanctuaire à l'état 1 attestent des pratiques de valorisation de l'élite exprimée principalement à l'aide de dépôts d'armes et de parures. Ils évoluent ensuite vers une intégration plus grande de l'ensemble de la société qui participe aux cultes par le biais d'offrandes individuelles et de cérémonies liées au banquet (état 2), sous l'égide de l'aristocratie (Poux et Demierre 2015, p. 620-621). Cette démocratisation du lieu de culte va de pair avec les observations réalisées dans la sphère artisanale. La production de biens de prestige en alliage cuivreux et en métaux précieux est en effet centrée sur le premier état, alors que les métiers pratiqués ensuite (travail du bois, tabletterie, commerces alimentaires) semblent pouvoir recruter leurs clients au sein d'une large population.

De même, les dépôts à caractère religieux dans l'habitat sont principalement recensés durant le premier état, où leur composition reflète une bonne partie des pratiques du sanctuaire, tandis que les traces de gestes ritualisés se font rares par la suite. Les ensembles de l'état 1 apparaissent sous la forme de dépôts simples d'armement ou d'ensembles à la composition complexe, où l'empreinte de l'élite est relativement forte. L'armement y est documenté de manière récurrente, sous la forme de lance ployée, de fragment de fourreau ou d'épée. De même, les ustensiles et les récipients culinaires (grils, situles et chaudrons) pourraient signifier la participation des organisateurs d'un banquet religieux selon les principes mis en évidence dans la sphère funéraire (Poux 2004, p. 222-226). Contrairement aux dépôts du sanctuaire, ces reliefs de pratiques cultuelles livrent aussi fréquemment une sélection d'outils spécifiques qui représenteraient à leur tour une valorisation du statut d'artisan dans le domaine religieux (Bataille 2009a). Ces ensembles reflètent des rites codifiés où s'expriment les liens entre les artisans représentés par les outils et l'élite impliquée par d'autres types de déposition. La présence d'une arme dans les dépôts de l'âge du Bronze et du début de l'âge du Fer mène à les interpréter comme l'expression de la validité du rituel accompli.

(Verger 1992, p. 146-147). Elle manifesterait dans ce cadre l'acceptation de l'élite lors de pacte ou d'une transaction. L'ajout de l'épée sur la balance par Brennus, lors de la paie de la rançon à l'occasion de la prise du Capitole par les Gaulois, représenterait alors un geste codifié plus qu'une fourberie pour augmenter la masse d'or à fournir. Selon ces principes, ces dépôts évoqueraient un rapport avec l'achat ou l'octroi d'une parcelle d'habitat, dans le cadre d'une cérémonie religieuse contractuelle réalisée sur place ou dans le sanctuaire.

Sans exclure ces pistes interprétatives, ils peuvent aussi illustrer des actes de fondation en lien avec l'activité de lieux, qui s'exprimeraient dans la sphère aristocratique par des compositions mêlant armement et instruments du banquet, tandis que les outils seraient intégrés au dépôt lors de la fondation d'espaces artisanaux. Ce schéma justifierait les différences observées entre les dépôts de l'entrée du bâtiment B (lance et situle), dans la construction du bâtiment M (épée) et dans sa cour (lance) ainsi qu'au milieu de la cour du complexe A avec ceux des bâtiments Q et A1, où figurent des outils (voir *supra*, fig. 296). Réalisés à l'entrée des bâtiments et dans des espaces extérieurs, ces dépôts peuvent aussi représenter plus simplement une sacralisation des espaces de passage selon les concepts développés par C. von Nicolai (2014). Elle met en évidence des pratiques liées au franchissement des limites symboliques à l'entrée des villes et de certains établissements ruraux, des gestes qui sont aussi envisageables à l'emplacement des accès aux parcelles urbaines. Cette interprétation conférée par la localisation des dépôts ne demeure toutefois pas incompatible avec les schémas interprétatifs à portée plus économique évoqués plus haut.

Au vu de leur composition, les dépôts de l'habitat reflètent aussi la mixité sociale de l'espace urbain. Leurs symboliques revêtent une polysémie dont ces tentatives d'explication n'illustrent qu'une portion des champs interprétatifs envisageables.

CHAPITRE V. CONCLUSIONS

*Un naturaliste
a entrepris récemment
de subordonner les faits
à certaines lois de manière telle
que l'impression d'étrangeté
devrait disparaître.
Je n'ose décider
s'il y a réussi ou non.*

ALBERT EINSTEIN,
À PROPOS DE PAUL KAMMERER.

5.1 ACQUIS ET PERSPECTIVES DE RECHERCHE

Vecteur d'informations sur la vie quotidienne et spirituelle des peuples laténiens et porteurs d'indications chronologiques, le mobilier métallique revêt une importance toute particulière dans l'archéologie de l'âge du Fer. Il offre en effet l'opportunité de traiter des problématiques variées, de l'identification des gestes religieux à la qualification d'un artisanat spécialisé, en passant par l'analyse des éléments de datation. Nous avons abordé ces différentes facettes avec un regard nouveau, en mettant au cœur de notre réflexion la notion d'assemblage, dont nous avons tenté de comprendre les règles de constitution, dans une démarche interprétative. La méthode pour qualifier ces ensembles de mobilier métallique conduit à une meilleure compréhension de cet espace urbain, mais amène aussi son lot de thématiques à explorer, tant au sein de l'*oppidum* de Corent qu'à plus large échelle.

UN CORPUS D'EXCEPTION

L'acquisition et le traitement du corpus ont nécessité un effort considérable. Exposé dans un catalogue qui comprend 3'827 artefacts illustrés, dont 2'602 objets, cet ensemble de mobilier constitue les fondations de ce travail. L'ampleur de la collection soutient la comparaison avec celles des agglomérations laténiennes les mieux connues comme Manching, Levroux, Berching-Pollanten, Lacoste ou le Titelberg. Sa diversité génère un référentiel incluant toute la gamme d'objets de la période, accessibles selon deux modes de lecture, par ensemble dans le catalogue et par type dans le corps du texte.

Réalisée avec une méthodologie traitant toutes les qualités intrinsèques des artefacts (chap. 2), l'étude du corpus (chap. 3) permet d'englober une gamme variée de problématiques qui, si elles portent une part d'analyse descriptive traditionnelle, amènent des réflexions ciblées sur les modes de consommation et les activités reflétées par chaque catégorie fonctionnelle.

Ainsi, l'analyse des 1'454 parures (chap. 3.1), au travers de la création de typologies des fibules et des bracelets, pose les fondements de la synthèse chronologique. Elle se penche aussi sur les thèmes liés aux mouvements de personnes et à l'acculturation de la population grâce aux répartitions des types de fibules de Nauheim ou à un développement sur les bijoux importés comme les bagues à intaille.

Fondé sur des typologies existantes, le chapitre consacré à l'armement (chap. 3.2) se révèle particulièrement instructif concernant les modes de consommation de cette catégorie de mobilier au regard de sa taphonomie. Étudié en détail, cet aspect souligne des fragmentations et des manipulations différenciées entre les ensembles du sanctuaire et de l'habitat, et donne un premier aperçu des processus à mettre en œuvre pour identifier les assemblages à connotation religieuse, à l'extérieur du lieu de culte.

L'importance qualitative et quantitative de l'outillage (NMO, 379) a conduit à une classification fonctionnelle détaillée, de façon à qualifier avec précision les métiers pratiqués sur le site (chap. 3.3). Les différents secteurs de production ressortent grâce à des répartitions d'outils et de déchets par type de matière ouvragée, qui traduisent l'activité de professionnels spécialisés dans l'ensemble des artisanats de La Tène finale. Ces distributions constituent un point d'appui pour la catégorisation des bâtiments effectuée ensuite.

La partie consacrée au matériel relatif à l'alimentation (chap. 3.4) caractérise sur le plan fonctionnel les couteaux, les ustensiles culinaires et les récipients, où apparaît également une part non négligeable de vaisselle de tradition méditerranéenne, soit 68 objets à l'échelle du site. Distribués sur les plans spatial et chronologique, ces mobiliers soulignent des habitudes différenciées selon les secteurs et montrent le conservatisme observé dans la sphère religieuse, alors que les habitats sont ouverts à l'utilisation de vaisselle importée.

Parmi les autres catégories fonctionnelles, l'analyse de certains types de mobilier amène aussi son lot de surprises inhérentes au traitement d'artefacts inédits, au nombre desquels figurent plusieurs pièces de char ou de harnachement et des instruments de pesée.

Cette thématique sur les poids, méconnue pour La Tène finale, ouvre des champs de recherche insoupçonnés à approfondir afin de valider la présomption de systèmes pondéraux applicables à l'Europe celtique (chap. 3.8). À la même échelle, la confrontation du faciès général du site avec celui d'autres agglomérations est encore à effectuer. Cette démarche nécessite une reprise des données quantitatives des corpus pour évaluer les particularités et les points communs de Corent avec d'autres sites urbains, dans la continuité des recherches menées notamment par E. Roux (2013) ou O. Nillesse (2009, 2012a). En parallèle de ces aspects focalisés sur le domaine laténien, l'analyse des importations méditerranéennes relevées pourrait s'inscrire dans un projet commun intégrant toutes les catégories de mobilier (céramiques, amphores, verre) et l'architecture des bâtiments afin de mieux cerner le degré d'acculturation de la population du centre-ville de Corent.

UN RÉFÉRENTIEL CHRONOLOGIQUE

Les résultats de la synthèse chronologique fondée principalement sur la typologie des parures et de l'armement ont permis de qualifier les faciès de quatre états laténiens du site (chap. 4.4.1). Leur sériation fine mène à des datations inférieures à la durée d'une génération, souvent évoquée comme une limite critique à ce type de démarche en archéologie. La juxtaposition de ces faciès établit les jalons chronologiques pour chaque phase à l'aide d'une approche statistique pondérant la représentation de chacun des marqueurs. Les résultats sont ensuite confrontés aux étapes de la chronologie régionale (Mennessier-Jouannet et Deberge 2017). Des figures de synthèse restituent l'image générale des différentes séquences d'occupation réparties entre LTD1b classique et le début de LTD2b, soit entre la fin du II^e s. et le milieu du I^{er} s. avant notre ère. Cet argumentaire établit les bornes et les critères de définition de quatre états pour une période qui s'avère encore relativement méconnue en comparaison avec la fin du II^e s. av. J.-C. et la seconde moitié du I^{er} s. av. J.-C. En témoigne par exemple le faible nombre de contributions consacrées à cette séquence lors de

la dernière table ronde dédiée à la chronologie des deux derniers siècles avant notre ère (Barral et Fichtl 2012).

L'intégration dans la sériation des données fournies par la céramique, les amphores, les monnaies et les parures en verre apportera plus de précision encore dans cette caractérisation des phases chronologiques de l'*oppidum*. L'étude de la répartition des marqueurs anciens et récents incluant l'ensemble des fouilles réalisées depuis 2012 offrira peut-être l'opportunité de préciser les dynamiques d'occupation du site. Elle permettra aussi de mieux cerner la transition entre l'occupation des sites de plaine du II^e s. avant notre ère et de Corent, ainsi que celle entre l'*oppidum* et l'agglomération gallo-romaine installée dès la période augustéenne, voire la fin de LTD2b. Les résultats obtenus s'appliquent en effet au seul corpus du centre-ville qui reflète mal la chronologie des quartiers mis au jour depuis 2013, non traités dans ce travail et caractérisés par la présence de bâtiments d'époque romaine.

À plus grande échelle, un travail de confrontation des faciès chronologiques de régions distinctes reste à effectuer afin de souligner d'un côté les marqueurs communs et de l'autre, les productions liées à des entités politiques. Ce champ de recherche, qui dépasse les questions de chronologie, conduirait à la mise en évidence de faciès culturels à l'aide des parures, fibules et bracelets notamment. Cette problématique fait partie des options choisies par le groupe de recherche sur les II^e et I^{er} s. av. J.-C. en Suisse (GR2-1). Au vu des corpus à disposition, elle pourrait intégrer des données de l'Allemagne du Sud jusqu'à Toulouse, en passant par le Centre et l'Est de la France (territoires éduen, allobroge, séquane et ségusiave).

DES GRILLES DE LECTURES DES ASSEMBLAGES

L'analyse de 1012 assemblages est élaborée par type de contexte en confrontant leur composition, la taille de l'ensemble et la taphonomie des objets qu'il contient. Elle conduit à la création de grilles de lecture, qui forment un référentiel interprétatif pour qualifier les gestes religieux et les ensembles illustrant les activités économique et domestique du centre urbain (chap. 4.4.2).

À l'appui de la confrontation des assemblages du sanctuaire et de l'habitat, les pratiques culturelles ont pu être identifiées et leur codification soulignée. L'activité du sanctuaire se distingue alors clairement de l'habitat. Utilisés comme point de repère, les faciès du lieu de culte permettent l'identification de gestes ritualisés au sein de la sphère domestique. Ces assemblages suivent en partie la composition et la taphonomie des pratiques observées dans le sanctuaire, dont ils se distinguent par la présence récurrente d'une gamme d'outils sélectionnés.

Les vastes champs d'interprétation des assemblages du domaine profane ont mené à la caractérisation des espaces extérieurs et intérieurs, puis à une sériation hiérarchique par type de contexte de l'importance des activités artisanales, culinaires ou domestiques relevées dans chaque assemblage. Cette caractérisation a permis de reconnaître les espaces de travail, les cuisines communautaires ou encore les sols d'habitat, dont les critères d'identification sont synthétisés dans les grilles de lecture.

La méthodologie utilisée pour aboutir à ce résultat revêt des aspects subjectifs liés à la connaissance du contexte ou encore à l'étude d'autres catégories de mobilier associé (faune, céramique, autres petits mobiliers...). Certaines interprétations, comme l'activité de boucherie, la consommation collective de boissons ou le commerce, n'auraient pas pu être proposées sans l'apport d'autres études spécialisées. Cette observation souligne la difficulté de qualifier un assemblage sans une connaissance approfondie de son contexte. De même, malgré la rigueur de la méthode, force est de constater que le sens donné aux

ensembles de faibles effectifs est sujet à caution, lorsque la détermination d'une classe de composition repose sur un unique objet représentatif. Ces retenues sur la méthode semblent toutefois inhérentes aux études sur l'*instrumentum*, dont les principes taxinomiques, basés sur une classification fonctionnelle, revêtent eux-mêmes d'aspects interprétatifs.

La méthode et les interprétations retenues doivent par conséquent encore être testées sur d'autres sites afin d'améliorer le caractère heuristique de la démarche. Cette perspective de recherche peut être envisagée sur des corpus de sites publiés par ensemble, dont l'analyse requiert un traitement préalable de quantification des données et d'intégration des informations de terrain et de mobilier dans un système d'information géographique (SIG). Elle semble plus aisément applicable sur des corpus d'agglomérations en cours d'étude, comme ceux de Vufflens-la-Ville ou de Toulouse, aux faciès comparables en termes de volumes de données, qu'il s'agira de traiter selon les procédés mis en oeuvre dans ce travail. Ces confrontations incluant la totalité des petits mobiliers pourront étoffer les champs interprétatifs, notamment pour la sphère domestique avec l'intégration des instruments de mouture et les fusaïoles. Elles permettront aussi d'évaluer si les résultats obtenus avec le seul mobilier métallique demeurent pertinents. De même, l'application des principes relevés dans le domaine religieux pourra être évaluée prochainement à l'aune de l'exploitation taphonomique, statistique et spatiale des mobiliers déposés dans les fosses du Mormont.

Un autre angle d'approche pour évaluer la pertinence de la méthode serait de l'éprouver sur des corpus d'établissements ruraux afin d'établir si les interprétations retenues par type de contexte sont aussi valables à la campagne ou s'ils ne s'appliquent qu'en milieu urbain. La mise en oeuvre de mathématiques et de statistiques plus complexes que celles utilisées dans ce travail et leur répercussion dans le système d'information géographique (SIG) seraient peut-être également à même de compléter et de vérifier les résultats obtenus dans le cadre de l'interprétation des contextes, tout comme dans ceux de l'analyse chronologique et de la qualification des bâtiments.

DES BÂTIMENTS AUX MULTIPLES FONCTIONS

Les interprétations standardisées par type de contexte se combinent de manière probante pour définir la fonction des unités architecturales en dépit des aspects à approfondir et des limites relevées (chap. 4.4.3). Elles ont conduit à l'identification de lieux de métiers, un thème qui s'est imposé à la vue du potentiel relevé par la confrontation des espaces de travail et des zones de dépôt associées. En ressort un référentiel inédit d'assemblages illustrant des professions variées, du bijoutier au restaurateur en passant par le forgeron, le négociant en vin ou le tourneur sur bois. Les résultats s'avèrent particulièrement porteurs de sens dans le pourtour du complexe C, dont l'évolution des activités amène à renouveler son interprétation générale. Qualifié de place de marché à l'activité hétéroclite mêlant artisanat et métiers de bouche, il apparaît désormais comme un quartier artisanal avec trois phases distinctes, dont deux très spécialisées, la première dans l'artisanat des alliages cuivreux et la dernière dans le commerce de boissons et de viande. Identifiés grâce leurs faciès d'outils et de déchets, les autres ateliers de travailleurs du métal témoignent aussi d'un fort degré de spécialisation qui pourrait être confirmé en recourant à des études archéométriques complémentaires. Le travail réalisé jusqu'ici permet d'orienter les angles de recherche et de cibler les ensembles adéquats pour mieux qualifier les productions à l'aide d'analyses de composition des déchets (scories, creusets) et des demi-produits utilisés. Cette caractérisation des bâtiments pourra vraisemblablement s'affiner par l'apport des contributions fonctionnelles d'autres catégories de mobilier comme la céramique, la faune ou encore l'étude fine du faciès numismatique pour les espaces où des transactions commerciales sont postulées.

UN FONCTIONNEMENT URBAIN À LA LUMIÈRE DE LA SOCIOLOGIE DE SES HABITANTS

Le fonctionnement des lieux de métiers et des habitats du centre urbain est examiné en comparant leurs spécificités sur le plan de l'organisation interne, du degré de spécialisation ou encore des modalités de commerce (chap. 4.4.1). Il se focalise sur les ateliers et lieux de métiers regroupés par domaine de spécialisation, dans des configurations permettant d'évoquer des systèmes d'entraide, de transmission de savoir-faire et d'optimisation des ressources. Il tente ensuite d'expliquer leur évolution caractérisée par des changements de plan et de fonction.

Dans cette perspective, une tentative de détermination du statut social des habitants de chaque bâtiment est formulée à partir de la création d'indices attribués aux marqueurs aristocratiques établis à partir du référentiel du domaine funéraire régional (chap. 4.4.2). Cette analyse amène des résultats ambigus, qui soulignent la difficulté d'appliquer cette démarche à l'habitat en raison des multiples facteurs à prendre en considération pour interpréter les traces laissées par l'élite. Quelques bâtiments apparaissent toutefois comme des lieux de résidence plausibles pour des individus de haut rang, alors que d'autres peuvent avoir servi de pied-à-terre au sein de complexes artisanaux.

Les interactions entre gens de métiers et classe supérieure sont ensuite étudiées à l'aune des résultats obtenus et de nos connaissances des liens de clientélisme pour expliquer les changements fonctionnels opérés dans l'habitat (chap. 4.4.3). En ressort un schéma interprétatif qui mêle politique, économie et société et postule que certaines réaffectations de bâtiments peuvent résulter des luttes de pouvoir au sein de l'aristocratie, une hypothèse parmi toutes les explications concevables.

Les conclusions et la méthode utilisée pour construire la réflexion sur les marqueurs aristocratiques montrent, à diverses étapes de l'analyse, une multitude de choix délicats à effectuer pour construire le discours qui s'appuie par conséquent sur des valeurs discutables. Le recours à d'autres modes d'étude intégrant une pondération ou l'adjonction d'autres catégories de mobilier sera peut-être à même de compléter et de critiquer les résultats proposés.

5.2. CONCLUSION

Au terme de ce travail, le centre-ville de l'*oppidum* de Corent apparaît comme un terrain d'expérimentation exceptionnel, marqué par la qualité et la variété des vestiges (chap. 1). Cette configuration idéale constitue le fruit de fouilles programmées d'envergure, qui offrent l'opportunité d'aborder toutes les facettes de l'activité urbaine de la fin de l'âge du Fer. La diversité de son corpus de matériel métallique génère un référentiel typologique, qui comprend la totalité des objets connus à La Tène finale (chap. 3). Cette collection désormais mise à la disposition de la communauté scientifique est exploitée avec une approche méthodologique innovante (chap. 2), qui intègre dans l'analyse l'ensemble des informations chronologiques, fonctionnelles et taphonomiques, que fournit un artefact en archéologie.

Point d'orgue de cette thèse, la caractérisation des assemblages est construite selon le même principe en incluant les notions de composition, de taille de l'ensemble et d'état des objets qu'il contient. Elle est envisagée comme un système de poupée russe, suivant une logique du particulier au général. Après une étude portée sur la datation des différents états du site (chap. 4.1), la démarche propose tout d'abord des interprétations standardisées par type de contexte (chap. 4.2). Cette échelle d'analyse représente la vision microscopique des assemblages,

qui établit le cadre pour déterminer la fonction des bâtiments (chap. 4.3). Le fonctionnement de l'agglomération apparaît alors sous un jour nouveau avec ses composantes économiques et sociologiques (chap. 4.4).

Nous étions loin de penser en commençant ce travail que cette approche nous conduirait à renouveler de manière aussi profonde la compréhension du centre-ville de Corent. La désignation même d'assemblage, cette réunion disparate d'objets ou de personnes, apparaît au premier regard comme le fruit de coïncidences qui échappent à toute volonté de classement ou d'interprétation. Notre approche montre qu'il est possible de les classer et de leur donner du sens pour mieux comprendre la société qui les a générés. Les assemblages deviennent alors des agencements, un terme qui implique une idée d'arrangement et d'ordre.

En philosophie, cette notion, par ailleurs traduite en anglais par « assemblage », est définie par le penseur Gilles Deleuze. Selon ses préceptes, tout concept s'insère dans la temporalité et constitue un ensemble qui réunit la perception que l'on a d'une chose et la chose elle-même. Notre vision est donc établie à partir de présupposés fondés sur une certaine matérialité, dont la représentation évolue lorsqu'on les aborde avec un nouveau regard. Avec un peu de recul, le chemin parcouru a fait changer notre compréhension du site et de son corpus à plusieurs degrés. La somme des interprétations recueillies établit un nouvel agencement ou assemblage qui constitue une strate de connaissances. Elle s'ajoute à celles obtenues par le passé et sera elle-même amenée à être modifiée.

Au vu de ces résultats, l'étude des assemblages apparaît comme un pan de recherche à développer afin d'appréhender de manière encore plus précise les activités humaines, à l'aide du mobilier métallique. Nous espérons que la méthode inspirera les spécialistes de l'*instrumentum* afin d'affiner les grilles de lecture avancées et de tester les propositions d'interprétation, non seulement dans d'autres agglomérations celtiques, mais aussi en contexte rural. Notre travail pose en effet un jalon pour mieux comprendre les ensembles et le fonctionnement d'un centre urbain, qui ne saurait s'appliquer sans retenue à d'autres situations. Dans le même ordre d'idée, des études similaires consacrées à des collections d'autres époques permettraient d'évaluer la pertinence et le caractère heuristique de notre démarche.

Les perspectives de recherche évoquées précédemment impliquent très souvent la collaboration de plusieurs spécialistes pour améliorer notre compréhension des assemblages et leur interprétation (chap. 5.1). Elles mettent en lumière la nécessité d'effectuer des études pluridisciplinaires pour optimiser les résultats dans notre domaine. Ce constat commun à de nombreuses thèses spécialisées suscite une soif de travail collectif. Si les ensembles de mobilier métallique apparaissent mieux compris aujourd'hui, la méthode pour interpréter les assemblages de matériel, en englobant la totalité des catégories d'artefacts, constitue un défi à relever.

SUMMARY

This book, originating as a doctoral thesis at the University of Lausanne, is based on the observation that the small metal find assemblages are often poorly understood because of the multitude of compositions present in the Late Iron Age and the need to consider numerous interpretive possibilities. Questions on the subject led to the development of a methodology for a better understanding of these assemblages.

The *oppidum* of Corent appeared to be an ideal framework in which to carry out such research because it permitted a great number of artefact ensembles to be confronted with a large variety of contexts. The excavation zone, extending over more than three hectares, allows the identification of various buildings comprising the Gaulish town centre: the town's sanctuary, public spaces, meeting places and several residential zones. In effect, these architectural spaces imply a broad field of activities reflected by the small metal finds. Based on this supposition, the research has been thus conceived as process of passing back and forth between the small finds and the information from the find places, in order that they mutually contribute to a better interpretation of the activities and the site.

The approach is based on the study of the corpus from the excavations between 2001 and 2012 and the surveys from 1992-1993. The collection examined includes the small finds from one of the *oppidum*'s principal public spaces (1.37 hectares) and the surrounding residential zones. The quality and quantity of the ensemble of the artefacts constitutes a large bulk of information, of which its detailed analysis should shed light on typological specificities and functionalities in order to furnish the data necessary for the analysis of the assemblages.

The subject is presented in classical order with an introduction establishing the parameters of the research (chap. 1), a chapter on the methodology (chap. 2), a study of the corpus (chap. 3), the site's relative chronology and the analysis of the assemblages (chap. 4), and the conclusion (chap. 5).

1. INTRODUCTION

After a general presentation of the research goals, the first chapter then covers the history of the research on small metal finds, focusing the discourse on urban area collections, the composition of sanctuaries and deposits to then addresses the issues of intermingling urban and religious consumption. This is followed by the delineation of the geographic area and the chronological system used in the research, specifically the markers and chronological attributions proposed during the round table discussion at Bibracte (Barral et Fichtl 2012) as well as those from regional chronology (Mennessier-Jouannet et Deberge 2017).

The ruins of Corent's town centre are then presented by each architectural unit, followed by a recapitulation of the history of the research and the identification criteria for the different phases of the deposits. The neighbourhood development is explored through the stratigraphic evolution of each building. It furnishes the elements for understanding the buildings by emphasising the key features and provides the floor plans of each level and the arguments that led to the establishment of the phases. This provides the general framework for the study of the small metal finds.

2. CHOICE OF METHODOLOGY

The first step in the research project was establishing the corpus. The catalogue contains 43,521 fragments and 2,602 objects distributed among 1,455 assemblages, of which 1,012 are from La Tène period contexts. The analysis of the objects was then carried out and included the complete information provided by the object. These fundamental analyses are as follows:

- Qualitative analysis consisting in artefact identification, determination of their function, date, and type of use category /classification, which illustrates all domains of human activity.
- Quantitative analysis that include the enumerations of NR, MNI and MNO, performed on the corpus according to different sizes for comparison.
- Taphonomic analysis for examination of the condition of the artefacts: as intact, fragmentary and occasionally voluntarily damaged. These observations helped reveal the deposit methods.
- Spatial analysis that supported the previous stages of research, leading to the identification of activity areas and responses to specific questions.

The function category was the first to be applied to the corpus, which also provided different degrees of analysis for the interpretation of the assemblages. The artefact groups were examined according to three levels, starting with an overview of the type of context (pit, trench, ground, post hole, etc.). The compositions of the groups were sorted by class according to the graphic overlays of presence/absence (structures) or the ascending hierarchical classification (ground levels). They were then quantified by the minimum number of individuals (MNI). These analyses led to the construction of a first distribution map combining the latter two criteria, which is juxtaposed by a second illustration of the taphonomic indications of the artefacts found in each complex. The comparison between the two maps permits a general view of the finds groups and to interpret them in light of their contexts as well as proposed subjects for interpretive tools. The interpretations developed here were then divided by context in order to identify the activities associated with the buildings. The summarisation of these research methods led to an analysis of the organisation of the function of the different neighbourhoods in the town.

3. STUDY OF THE CORPUS

The illustrated catalogue contains 3,827 artefacts, showing similarities to the immense collections from other notable La Tène period sites such as Manching, Berching-Pollanten, Bibracte, Lacoste or Titelberg. This diversity encompasses the entire range of objects from the La Tène period, and can be consulted in two ways: by complex in the catalogue (vol. 2) or by typological group in this volume. The specific catalogues indicated by «Cat.» in the text are available at the internet link¹, permitting the reader to provenance each object in its context. The methodology examined the intrinsic qualities of the artefacts, and when applied to the study of the corpus, it permitted a wide variety of research questions to be addressed. While also employing the traditional descriptive approach, the methodology was used to attempt to generate precise understanding of consumption and use patterns of the artefacts by using fragmentation analysis and spatial distribution as well the activities reflected by each function category.

.....
¹ <https://www.editions-mergoil.com/fr/protohistoire-europeenne/226-caracterisation-des-assemblages-metalliques-dune-agglomeration-celtique.html>

Thus the study of 1,454 personal ornaments, including the development of typologies for fibula brooches and bracelets, forms the base of the relative chronology. It also relies on subjects such as movement of individuals and population acculturation, a phenomenon shown by the distribution of the Nauheim type fibulae or by the analysis of certain imported jewellery items such as intaglio rings.

Based on existing typologies, the chapter covering weaponry is particularly instructive concerning the consumption modalities of this category of small finds with regard to the taphonomic findings. Studied in detail, this aspect underlines the role of different types of fragmentation and manipulations visible on the artefacts found in either the sanctuary areas or the residential areas, thus providing a first view of the criteria necessary for identification of assemblages with a religious connotation, even outside the sanctuary areas.

The qualitative and quantitative importance of the small finds of tools led to the development of a detailed classification based on function, so as to accurately identify the trades practised at the site.

The different production sectors were made apparent by the distribution of tools and by the type of worked material waste products. These represent the activity of specialised professional workers from the range of crafts known for the final phase of La Tène period. The distribution of these artefacts constituted the foundation for the categorisation of the buildings examined in a later research phase.

The section concerning material related to preparing food presents knives, cooking utensils and containers, among which appear a considerable number of Mediterranean style dishes (MNI 68). On the spatial and chronological distribution maps, these small finds underline the differences of behaviour in various sectors of the site. In the sanctuary the artefacts are relatively conservative but in the residential areas show more openness to using imported dishes.

The analysis of other functional categories also produced its share of surprises among the study of unusual artefacts, including several fittings for a wagon or a harness, utensils associated with body care and weighing instruments. The study of scale weights opened a new field of unexpected research to be broadened in order to validate the hypothesis of the weight systems used in all of Celtic Europe.

4. RELATIVE CHRONOLOGY AND ANALYSIS OF THE ASSEMBLAGES

The study of the corpus established the foundations of the chapter about chronology and lays the first stones for the classification analysis of the assemblages. Divided into three sections, first is the interpretation of the groups by primary context (ground or structures), secondly is the function of the area and lastly the identification of the building's use and surrounding areas.

4.1 RELATIVE CHRONOLOGY

The results of the relative chronology based on the typology of the personal ornaments and weapons permitted the profile identification of four La Tène sub-periods. Fine seriation led to datation periods of less than one human generation, a feat considered as the critical limit for this type of archaeological dating method. The juxtaposition of these profiles established the chronological markers for each phase with the help of a statistical approach that evaluated the representation of each marker by the use of a presence/absence matrix and

a factorial analysis of correspondences. The results were then compared to the stages of regional (Mennessier-Jouannet and Deberge 2017). The illustrations of the relative chronology reconstruct a general image of the different occupation sequences, distributed between the classical phase of LTD1b and the beginning of phase LTD2b, either between the end of the second century BCE and the middle of the first century BCE. This argumentation establishes the boundaries and the criteria for defining the four phases of a period that is still relatively undefined in comparison to the second century BCE to the second half of the first century BCE.

4.2. CONSTRUCTING THE INTERPRETIVE TOOLS

The analysis of the La Tène period assemblages was developed by type of context by defining the context composition, the groups size, and the taphonomic condition of the artefacts, in accordance with the methodology outlined above (chap. 2). This information was used to construct a table as an interpretive tool in order to qualitatively estimate the evidence of religious actions and the groups that illustrate domestic and economic activities in the urban centre.

With help from assemblage comparisons from the sanctuary and the residential areas, religious practices could be identified plus emphasising aspects of its codification. The activity in the sanctuary is clearly distinguishable from the residential areas. The place of worship artefact profiles serves as starting point for identifying ritualized gestures within the domestic sphere. The domestic assemblages follow in part the composition and the taphonomy of the practices observed in the sanctuary (ornaments and weapons intact or voluntarily destroyed, fragmentary culinary utensils). The residential contexts differ with the recurrent presence of a range of selected tools (adzes, files).

The wide range of interpretation of the assemblages from the profane domain led to the definition of identification criteria for interior and exterior domestic spaces. This is followed by a hierarchical seriation in which the importance of artisan's activities, cooking or domestic activities was revealed in each ensemble. This characterisation permitted an understanding of the workspaces, the communal kitchens or even the floor levels of the houses. These identification criteria are resumed in the interpretive tool table.

4.3. CHARACTERISATION OF THE ARTISANS' WORKSHOPS

The standardised interpretations by type of context were combined in a conclusive manner for defining the functions of the architectural units and led to the identification of the artisans' workshops (Monteix 2010 and 2011). This subject arose from potential results seen in the comparison of the work areas and the deposit zones. It also offers the opportunity to include the alimentary professions in the discussion. The research results show a wide range of professions, from metal smiths/ jewellers, restaurants and blacksmiths, to a wine dealer or a wood turner. The results from complex C are particularly interesting in that the evolution of the activities led to a new interpretation of its function. Initially identified as a market place with a heteroclite array of artisans and food services, this sector appears to have had workshops with three distinct phases. Two of which are very specialised; one a copper alloy workshop and the other in the beverage and meat trade. Other metal working shops were identified by the groups of tools and the waste products and also show a high degree of specialisation.

4.4. FUNCTION OF THE SITE

The operating modes of the workshops and the living quarters of the urban centre of Corent were subsequently examined by comparing the specificities of the internal organisation of the floor plan, the degree of specialisation and the modalities of commercial activity. The artisan's areas appeared in the form of collective groups based on specialisations, and in patterns that suggest mutual aid systems, transmission of skills and optimisation of resources. The evolution of these grouped arrangements of artisans workshops is characterised by the floor plan changes; the use was analysed afterwards.

In this perspective, the social status of the inhabitants of each building was tentatively identified by a formulation of an aristocratic marker index based on the regional funerary references (Deberge and Orengo 2007). This analysis led to nuanced results that highlight the difficulty of applying this approach to buildings because of the multiple factors to consider in interpreting the traces left by the elite. A few buildings certainly appeared to be the residences of high ranking individuals, while others may have served as temporary lodging for the same individuals among the work shop district.

Interactions between the artisan /working class and the upper class were studied in light of the results obtained, an understanding of how clientelism works may explain the functional changes made in the building. The result is an interpretive system that combines politics, economy and society. Among the other possible explanations the proposed hypothesis is that some reallocations of the building's function may result from power struggles within the aristocracy.

5. CONCLUSION

Following a recapitulation of the research results, a final section explores the future research directions in order to open the discussion and revisit assemblage concepts. The research results allow a reconsideration of this notion, which is often taken as a random illustration of artefacts, to be replaced with positioning, a term implying a better understanding of deposit composition and interpretation. The groups of objects take on a new meaning when viewed as an arrangement of material to which meaning can be applied. The overall results obtained from the *oppidum* of Corent demonstrate the validity of the methodology proposed. It remains to be seen whether this can be applied to other sites and periods. The research on the assemblages should also attempt to fully encompass all categories of small finds, a challenge that remains to be met.

Traduction de **MARQUITA VOLKEN**

ZUSAMMENFASSUNG

Diesem Buch, das aus einer Doktorarbeit an der Universität Lausanne entstanden ist, liegt die Beobachtung zu Grunde, dass die Ensembles von Metallfunden der späten Eisenzeit aufgrund der Vielzahl von Kompositionen und der zahlreichen zu berücksichtigenden Interpretationsrichtungen bisher nur wenig verstanden wurden. Es wurde deshalb ein Verfahren zum besseren Verständnis der Fundgruppen ausgearbeitet.

Das *oppidum* von Corent ist der ideale Rahmen für die Durchführung einer solchen Untersuchung, da es die Möglichkeit bietet, zahlreiche Fundgruppen aus sehr unterschiedlichen Kontexten einander gegenüberzustellen. In der mehr als drei Hektar grossen Grabungszone können verschiedene aufeinanderfolgende Gebäude einer gallischen Innenstadt mit einem Heiligtum, öffentlichen Gebäuden, einem Versammlungsort und mehreren Wohngebieten rekonstruiert werden. Diese architektonischen Räume bieten einer Vielzahl von Aktivitäten Platz, die von den Metallfunden widerspiegelt werden. Die folgenden Überlegungen basieren nicht nur auf dieser Annahme, sondern verknüpfen auch Fund- und Feldarbeitsdaten, die somit beide zu einer besseren Interpretation des Fundorts und der dort stattgefundenen Aktivitäten beitragen.

Die Vorgehensweise stützt sich auf die Studie aller Metallfunde aus den Grabungen zwischen 2001 und 2012 sowie denjenigen von 1992 und 1993. Die behandelte Sammlung besteht aus den Funden, die auf einer Oberfläche von 1,37 ha in den wichtigsten öffentlichen Räumen des *oppidums* und dem umliegenden Wohngebiet freigelegt wurden. Dank der Qualität und Quantität der Artefakte liefert dieses Ensemble eine Menge Informationen, deren detaillierte Analyse die typologischen und funktionellen Besonderheiten der Objekte hervorheben soll, um so Daten für die Fundgruppenuntersuchung hervorzubringen.

Die Argumentation folgt einem klassischen Aufbau mit einer Einführung, in welcher der Rahmen der Studie festgelegt wird (Kap. 1), einem methodologischen Kapitel (Kap. 2), einer Korpusstudie (Kap. 3), dem chronologischen Überblick über die Grabungsstätte sowie der Fundgruppenuntersuchung (Kap. 4), die der Schlussfolgerung (Kap. 5) vorangehen.

EINLEITUNG

Nach einer allgemeinen Präsentation der Studienziele geht das Einleitungskapitel auf die Forschungsgeschichte der Metallfunde ein, wobei zunächst die Sammlungen der Agglomeration und der Heiligtümer sowie die Deponierungen im Fokus stehen, während später Problematiken im Zusammenhang mit dem städtischen und kultischen Konsum behandelt werden. Darauf folgt die Definition des geografischen Rahmens sowie des verwendeten chronologischen Systems, d.h. die am Runden Tisch in Bibracte vorgeschlagenen chronologischen Leitfunde und Zuordnungen (Barral et Fichtl 2012) sowie jene der regionalen Chronotypologie (Mennessier-Jouannet et Deberge 2017).

Nach der Übersicht über die Forschungsgeschichte sowie der Identifizierungskriterien der verschiedenen Siedlungsphasen werden die Überreste der Innenstadt von Corent in architektonischen Einheiten vorgestellt. Diese Ausführungen fassen die Entwicklung sämtlicher Gebäude innerhalb der verschiedenen Stadtteile zusammen. Sie liefern die nötigen Elemente zum Verständnis der Bauten, heben die dafür wichtigsten Elemente hervor, stellen für jede Bauphase Pläne zur Verfügung und präsentieren die Argumente zur Definition dieser Phasen. Somit bieten sie den allgemeinen Rahmen für diese Metallfundstudie.

2. METHODOLOGISCHE VORGEHENSWEISE

Die Studie präsentiert zuerst die Korpuserfassung. Dabei wird ein Katalog von 43'521 Fragmenten und 2'602 Objekten aus 1'455 Fundgruppen zusammengetragen, wovon 1'012 aus latènezeitlichen Kontexten stammen. Die folgende Objektuntersuchung erfolgt durch die Integration sämtlicher so gewonnener Informationen in die weiteren Überlegungen. Zu den grundlegenden Analysen gehören:

- Qualitative Untersuchungen, bestehend aus der Identifizierung der Artefakte, der Bezeichnung ihrer Funktion, ihrer Datierung und Klassifizierung in funktionelle Kategorien, die sämtliche Bereiche der menschlichen Aktivitäten veranschaulichen.
- Quantitative Untersuchungen, Bestimmung der Anzahl, der Mindestindividuenzahl (MIZ) und Mindestobjektzahl umfassen, die in verschiedenen Grössenordnungen zu Vergleichszwecken am Bestand durchgeführt werden.
- Taphonomische Analysen, die den Zustand der Objekte, d.h. ob sie intakt, fragmentarisch oder manchmal absichtlich zerstört wurden, untersuchen, um die Deponierungsweise zu beobachten.
- Räumliche Untersuchungen, welche die vorhergenannten Interventionen unterstützen und somit zur Identifizierung der Aktivitätszentren beitragen sowie gezielte Fragen beantworten können.

Ursprünglich auf die Untersuchung des Bestands nach Funktionskategorien angewandt, werden diese unterschiedlichen Untersuchungsgrade auch zur Interpretation der Fundgruppen benutzt. Die Fundgruppen werden auf drei verschiedenen Niveaus behandelt, beginnend bei der kleinsten Betrachtung nach Art des Fundkontexts (Grube, Graben, Boden, Pfostenloch usw.). Die Zusammensetzung der Fundgruppen wird gemäss den Ergebnissen der grafischen Matrizen nach Präsenz/Absenz (Strukturen) oder hierarchischer Aufwärtsklassifizierung (Böden) in Gruppen eingeteilt. Sie werden danach nach der minimalen Anzahl der Individuen quantifiziert (MIZ). Aufgrund dieser Untersuchungen wurde eine erste Verteilungskarte erstellt, die diese zwei Aspekte vereint. Daneben stellt eine zweite Abbildung die Taphonomie der gefundenen Objekte sämtlicher Ensembles dar. Ihre Gegenüberstellung bietet einen allgemeinen Überblick über die Fundgruppe und erlaubt es, sie in Bezug auf ihren Kontext zu interpretieren sowie Leseraster vorzuschlagen. Die berücksichtigten Interpretationen werden nachher den Bauphasen zugeteilt, um so die Funktion des Gebäudes zu definieren. Die Synthese der vorhergehenden Schritte führt zu einer Untersuchung der Organisation und Funktionsweise der verschiedenen Stadtteile.

3. KORPUSSTUDIE

Der Korpus wird in einem Katalog von 3'827 Artefakten präsentiert und ist vergleichbar mit den bestbekanntesten Sammlungen der latènezeitlichen Siedlungen wie etwa Manching, Levroux, Berching-Pollanten, Bibracte, Lacoste oder Titelberg. Seine Vielfalt umfasst die gesamte Bandbreite von Objekten aus dieser Epoche, die sowohl als Ensembles im Katalog (Vol. 2) als auch als typologische Darstellung in diesem Band zugänglich sind. Ausgewählte Kataloge, „Cat.“ im Textkörper, sind im Internet zugänglich¹ und ermöglichen es, sämtliche Objekte in ihren ursprünglichen Fundkontext zu setzen. Dank einer Methodologie, die alle inhärenten Qualitäten der Artefakte berücksichtigt, kann eine Vielzahl von Problematiken in der Korpusstudie behandelt werden. Obwohl sie einen Teil der traditionellen deskriptiven Untersuchung sind, ermöglichen sie mit Hilfe von Fragmentierungsuntersuchungen und räumlicher Verteilung gezielte Überlegungen zum Verbrauchsverhalten mit den Artefakten sowie auch zu den Aktivitäten, die durch die einzelnen funktionellen Kategorien widerspiegelt werden.

So bildet die Studie der 1'454 Schmuckstücke dank der erarbeitenden von Fibel- und Armbandtypologien das Fundament des chronologischen Überblicks. Sie behandelt auch Themen wie Personenmobilität und Bevölkerungsakkulturation, die dank der Verteilung der Nauheim-Fibeln oder durch die Untersuchung von bestimmten importierten Schmuckstücken wie Intaglio-Ringen beobachtet werden können.

Aufgrund bereits bestehender Typologien erweist sich das Kapitel über Bewaffnung als besonders instruktiv, was das Konsumverhalten zu dieser Fundgruppe in Bezug auf ihre Taphonomie angeht. Dieser ausführlich untersuchte Aspekt unterstreicht die unterschiedlichen Fragmentierungen und Manipulationen der Ensembles aus Heiligtümern und Wohngebieten und liefert so einen ersten Überblick der Identifizierungskriterien von religiös geprägten Fundgruppen ausserhalb der Kultstätten.

Die qualitative und quantitative Bedeutung der Werkzeuge hat zu einer detaillierten funktionalen Klassifizierung geführt, um die auf der Fundstelle ausgeführten Berufe mit Genauigkeit zu charakterisieren. Die verschiedenen Produktionsbereiche sind durch die Verteilung von Werkzeugen und Abfällen je nach Arbeitsmaterial ersichtlich, da sie die Aktivitäten von Fachleuten in allen Handwerksbereichen der späten Latènezeit widerspiegeln. Diese Verteilungen bilden die Grundlage für die folgende Kategorisierung der Gebäude.

Der Abschnitt über die mit der Ernährung zusammenhängenden Funde behandelt Messer, Kochutensilien und Gefässe, zu denen auch eine nicht zu vernachlässigende Menge von Geschirr der mediterranen Tradition zählt (MIZ 68). Durch ihre räumliche sowie chronologische Verteilung heben diese Funde von Sektor zu Sektor unterschiedliche Gewohnheiten hervor und beweisen einen gewissen Konservatismus im Heiligtum, während die Wohngebiete offener in der Verwendung von importiertem Geschirr sind.

Die Untersuchungen der anderen Funktionskategorien birgt ebenfalls einige Überraschungen durch die Behandlung unveröffentlichter Artefakte, zu denen mehrere Wagen- oder Zaumstücke sowie Gerätschaften zur Körperpflege und zum Wiegen zählen. Die Untersuchung der Gewichte ermöglicht einen tieferen Einblick in unerwarteten Forschungsbereichen, um die Hypothese von einheitlichen Gewichtssystemen für das ganze keltische Europa zu stützen.

1 <https://www.editions-mergoil.com/fr/protohistoire-europeenne/226-caracterisation-des-assemblages-metalliques-dune-agglomeration-celtique.html>

4. CHRONOLOGISCHE SYNTHESE UND FUNDGRUPPENUNTERSUCHUNG

Die Korpusstudie bildet die Grundlage des Kapitels über die chronologische Synthese und ist so der erste Schritt zur Charakterisierung der Fundgruppen. Die Untersuchung ist in drei Teile gegliedert und befasst sich mit der Interpretation der Ensembles nach Primärkontexten (Strukturen oder Böden), der Funktionsbestimmung der Gebäude und Stadtteile sowie der Organisation des Fundorts.

4.1 CHRONOLOGISCHE SYNTHESE

Die Ergebnisse der chronologischen Synthese, die hauptsächlich auf der Typologie von Schmuckstücken und der Bewaffnung basiert, haben eine Beschreibung der Leitfunde von vier latènezeitlichen Bauphasen ermöglicht. Dank ihrer feinen Abfolge wurden Datierungen von weniger als einer Generationsdauer erreicht, die oft als kritische Grenze für diese Vorgehensweise in der Archäologie gilt. Die Gegenüberstellung dieser Ensembles legt durch eine statistische Vorgehensweise die chronologischen Meilensteine für jede Bauphase fest, bei der das Vorkommen jedes Leitfundes durch Anwesenheits-/Abwesenheitsmatrizen und eine Faktorenanalyse der Übereinstimmungen gewichtet werden. Die Ergebnisse werden schliesslich den Phasen der regionalen Chronologie gegenübergestellt (Mennessier-Jouannet und Deberge 2017). Zusammenfassende Abbildungen rekonstruieren die allgemeine Abfolge der verschiedenen Besiedlungsphasen zwischen dem klassischen LTD1b und dem Anfang von LTD2b, d.h. zwischen dem Ende des 2. Jh. und der Mitte des 1. Jh. v. Chr. Die Argumentation legt die Beschränkungen und die Kriterien für die Definition von vier Bauphasen in einer Epoche fest, die im Gegensatz zum Ende des 2. Jh. v. Chr. und der zweiten Hälfte des 1. Jh. v. Chr. noch recht schlecht bekannt ist.

4.2. VON DER FUNDGRUPPE BIS ZUR INTERPRETATIONSTABELLE

Die Untersuchung der latènezeitlichen Fundgruppen ist nach Kontextarten aufgebaut, wobei die Zusammensetzung, die Grösse des Ensembles und die Taphonomie der enthaltenen Objekte gemäss der oben erwähnten Methodologie (siehe Kap. 2) verglichen werden. Die Ergebnisse werden in Tabellen wiedergegeben, die so als Interpretationsreferenz für die Beschreibung von Ensembles, die wirtschaftlichen und häuslichen Aktivitäten im Stadtzentrum veranschaulichen, sowie für das Hervorheben von religiösen Handlungen dienen.

Um die Gegenüberstellung der Fundgruppen des Heiligtums und des Wohngebiets zu unterstützen, wurden Kultpraktiken identifiziert und ihre Organisation hervorgehoben. Die Aktivität in einem Heiligtum kann somit klar vom Wohngebiet unterschieden werden. Die Ensembles der Kultstätte dienen als Stütze für die Identifizierung der rituellen Handlungen im privaten Bereich. Die entsprechenden Fundgruppen folgen teilweise der Zusammensetzung und der Taphonomie der in Heiligtümern beobachteten Praktiken (intakte oder absichtlich zerstörte Schmuckstücke und Waffen, fragmentarische Küchenutensilien), unterscheiden sich jedoch durch häufige Vorkommen einer Reihe von ausgewählten Werkzeugen (Dechseln, Feilen).

Durch die weiten Interpretationsmöglichkeiten der Fundgruppen mit profanem Hintergrund wurden Identifizierungskriterien für Innen- und Aussenräume sowie auch eine Rangordnung nach der Bedeutung der in jedem Ensemble hervorgehobenen handwerklichen, kulinarischen oder häuslichen Aktivitäten definiert. Dank dieser Charakterisierung wurden Arbeitsräume, Gemeinschaftsküchen oder die Böden der Wohnräume erkannt, deren Erkennungskriterien in den Interpretationstabellen zusammengefasst sind.

4.3. CHARAKTERISIERUNG DER ARBEITSRÄUME

Die standardisierten Interpretationen innerhalb einer Kontextart werden überzeugend verknüpft, um die Funktion von Architektureinheiten zu definieren und somit die Arbeitsräume zu identifizieren (Monteix 2010 und 2011). Dieses Thema wurde aufgrund seines Potenzials durch die Gegenüberstellung von Arbeitsräumen und ihren Abfallzonen gewählt. Es bietet ausserdem die Möglichkeit, die Lebensmittelverarbeitung in die Überlegungen mit einzubeziehen. Die Arbeit wird so zu einer unpublizierten Referenz für Fundgruppen, die verschiedene Berufe, vom Schmuckmacher über den Schmied, Weinhändler und Drechsler bis hin zum Wirt, widerspiegeln. Insbesondere die Ergebnisse der Umgebung von Komplex C sind vielversprechend, da die Entwicklung der dort stattgefundenen Aktivitäten zu einer Neuinterpretation führen. Dieses Gebiet, das bis jetzt stets als Marktplatz mit vielfältigen Tätigkeiten in Handwerk und Lebensmittelverarbeitung bezeichnet wurde, erscheint nun als Handwerksviertel mit drei verschiedenen Phasen. Zwei davon zeichnen sich durch Spezialisierungen aus: die eine auf das Kupferhandwerk, die andere auf den Getränke- und Fleischhandel. Andere Metallverarbeitungswerkstätten, die dank ihrer Werkzeug- und Abfallensembles identifiziert werden konnten, zeugen ebenfalls von einem grossen Spezialisierungsgrad.

4.4. ORGANISATION DES FUNDORTS

Die Funktionsweise der Werkstätten und der Wohngebiete des Stadtzentrums von Corent wird daraufhin durch den Vergleich ihrer Besonderheiten in der internen Organisation, ihres Spezialisierungsgrads oder auch der Handelsbedingungen untersucht. Die Arbeitsorte treten so in Form von „Fachgebietsgruppen“ auf, deren Umstände an Organisationen für gegenseitige Unterstützung, Know-how-Weitervermittlung und Ressourcenoptimierung erinnern. Die Evolution dieser Handwerkszusammenschlüsse, die sich durch Änderungen von Plan und Funktion auszeichnen, wird daraufhin analysiert.

Mit diesem Ziel wird versucht, den Sozialstatus der Bewohner sämtlicher Gebäude durch die Beschaffung von Hinweisen zu ermitteln, die entsprechend den regionalen Begräbnisritualen als aristokratisch erkannt wurden (Deberge und Orenge 2007). Diese Analyse liefert nuancierte Ergebnisse: Aufgrund der zahlreichen zu berücksichtigenden Faktoren, die für eine Interpretation der Spuren der Elite berücksichtigt werden müssen, unterstreichen sie die Schwierigkeit, diese Vorgehensweise auf Wohngebiete anzuwenden. Einige Gebäude scheinen trotzdem plausible Residenzen für hochrangige Individuen zu sein, während andere der gleichen Elite als Bleibe in Handwerksvierteln gedient haben könnten.

Die Interaktionen zwischen Handwerkern und der Oberschicht werden schliesslich auf Basis der gewonnenen Ergebnisse und unserem Wissen über Kundenbeziehungen untersucht, um die Funktionsänderungen im Wohngebiet zu erklären. Daraus entsteht ein Interpretationsschema, bei dem Politik, Wirtschaft und Gesellschaft vermischt werden. Neben anderen möglichen Erklärungen wird die Hypothese aufgestellt, dass gewisse Wiederverwendungen von Häusern eine Folge von Machtkämpfen in der Aristokratie sind.

FAZIT

Nach der Zusammenfassung der gewonnenen Ergebnisse werden im letzten Teil die Forschungsperspektiven erörtert, um die Diskussion zu öffnen und auf den Begriff der Fundgruppe zurückzukommen. Durch die Erkenntnisse der Studie sollte in Betracht gezogen werden, diesen Begriff, der den zufälligen Charakter der Fundensembles widerspiegelt, durch den Ausdruck „Anordnung“ zu ersetzen; hierdurch würde ein besseres Verständnis ihrer Entstehungsregeln und ihrer Interpretation erreicht

werden. Die Fundgruppen bekommen so ein neues Gesicht und erscheinen als strukturierte Fundanordnungen, denen eine Bedeutung zugewiesen werden kann. Die Gesamtergebnisse für das *oppidum* von Corent beweisen die Gültigkeit der vorgeschlagenen Methodologie. Es bleibt abzuwarten, ob Letztere auch auf andere Fundorte und Zeiträume angewendet werden. Die Fundgruppenforschung muss ebenfalls versuchen, sämtliche Fundkategorien einzuschliessen, um völlig zufriedenstellende Ergebnisse liefern zu können; dies ist eine Herausforderung, die noch nicht gemeistert wurde.

Traduction de **DANIELA GREGER**

BIBLIOGRAPHIE

AFEAF : Association Française pour l'Étude de l'Âge du Fer

CNRS : Centre National de la Recherche Scientifique

DRAC : Direction Régionale des Affaires Culturelles

SFECAG : Société Française pour l'Étude de la Céramique Antique en Gaule

SRA : Service Régional de l'Archéologie

Abauzit et Feugère 1993 : ABAUZIT P., FEUGÈRE M., « La correspondance au I^{er} s. av. J.-C. Les boîtes à sceau en forme de bourse » in MONTEIL M. (dir.), *Les fouilles de la ZAC des Halles à Nîmes (Gard)*, Nîmes, Ecole antique de Nîmes, p. 305-306.

Adam 2011 : ADAM A.-M., « Profits et pièges d'un outil incontournable: la carte de répartition » in Colin et Verdin 2011, p. 439-458.

Adam et Fichtl 2014 : ADAM A.-M., FICHTL S., « L'aristocrate des villes et l'aristocrate des champs. Où les élites celtiques habitaient-elles? » in BOURDIN, S. et al. (dir.), *Peupler et habiter l'Italie et le monde romain. Etudes d'histoire et d'archéologie offertes à Xavier Lafon*, Archéologies méditerranéennes, Aix-en-Provence, Presses universitaires de Provence, p. 41-50.

Alberti et al. 2014 : ALBERTI G., FÉLIU C., PIERREVELCIN G. (dir.), *Transalpinare, Mélanges offerts à Anne-Marie Adam*, Mémoire, 36, Bordeaux, Ausonius.

Allen 1972 : ALLEN D. F., « The coins found at La Tène », *Études celtiques*, 13, p. 478-521.

Alvarez Gracia et al. 1990 : ALVAREZ GRACIA A., CEBOLLA BERLANGA J. L., BLANCO MORTE A., « Elementos metálicos de tipo celtibérico: la colección Pérez Aguilar » in BURILLO MOZOTA F. (coord.), *Necrópolis celtibéricas : II Simposio sobre los celtiberos del 28 al 30 de abril de 1988*. Zaragoza, Institución Fernando el Católico, p. 287-304.

Anastassov 2017 : ANASTASSOV J., *La Tène : les collections de Genève (Suisse). La Tène, un site, un mythe 5*, Cahiers d'archéologie romande, 166, Lausanne, Cahiers d'archéologie romande.

Anderson et al. 2003 : ANDERSON T. J., AGUSTONI C., DUVAUCHELLE A., SERNEELS V., CASTELLA D., *Des artisans à la campagne : carrière de meules, forge et voie gallo-romaines à Châbles (FR)*, Archéologie fribourgeoise, 19, Fribourg, Service archéologique de l'État de Fribourg : Academic Press / Saint-Paul.

André 2001a : ANDRÉ J.-M., « Ethnographie et sociologie « barbare » chez César (I) », *Vita Latina*, 161, p. 15-28.

André 2001b : ANDRÉ J.-M., « Ethnographie et sociologie « barbare » chez César (II) », *Vita Latina*, 162, p. 2-10.

Armbruster 2000 : ARMBRUSTER B. R., *Goldschmiedekunst und Bronzetechnik: Studien zum Metallhandwerk der Atlantischen Bronzezeit auf der Iberischen Halbinsel*, Monographies Instrumentum, 15, Montagnac, M. Mergoil.

Audollent 1912 : AUDOLLENT A., « Nécropole des Martres-de-Veyre (Puy-de-Dôme) », *Comptes-rendus des séances de l'Académie des Inscriptions et Belles-Lettres*, 56, p. 77-82.

Augier et al. 2007 : AUGIER L., MENNESSIER-JOUANNET C., MILCENT P.-Y., ORENGO L., RIQUIER S., « La France centrale au IV^e-III^e s. avant notre ère (Auvergne, Berry, Orléanais) » in MENNESSIER-JOUANNET C., et al. (dir.), *La Gaule dans son contexte européen au IV^e et III^e s. av. notre ère, Actes du XXVII^e colloque international de l'AFEAF (Clermont-Ferrand, 2003)*, Monographies d'archéologie méditerranéenne, Hors-série 3, Lattes, Éd. de l'Association pour le développement de l'archéologie en Languedoc-Roussillon, p. 118-176.

Avon 2015 : AVON E., *L'artisanat textile sur l'oppidum de Corent, de La Tène D1 à la fin de l'époque romaine*. Mémoire de Master I, Université Lumière Lyon 2.

Backhaus 2016 : BACKHAUS C., « Les fibules à tête couvrante (Feugère 7a) : réflexions sur la technique de fabrication » in VITALI D. et

GOUDINEAU C. (dir.), *Le monde celtique avant et après la Conquête romaine. Mélanges en l'honneur de Jean-Paul Guillaumet*. Bologna, Museo archeologico Luigi Fantini, p. 257-270.

Barbau 2015 : BARBAU C., *Romanisation et vie quotidienne, le petit mobilier de type italique en Gaule interne (II^e s. av. J.-C.-I^{er} s. ap. J.-C.)*. Thèse de doctorat, Université de Strasbourg et Université de Lausanne.

Barral et Daubigny 2012 : BARRAL P., DAUBIGNY A., « Les entraves laténiennes des vallées de la Saône et du Doubs : nouvelles données » in CABOURET B., et al. (dir.), *Visions de l'Occident romain. Hommages à Yann Le Bohec*. Collection du Centre d'études et de recherches sur l'Occident romain, 40, Paris, De Boccard, p. 687-701.

Barral et Fichtl 2012 : BARRAL P., FICHTL S., *Regards sur la chronologie de la fin de l'âge du Fer (III^e - I^{er} siècle avant J.-C.) en Gaule non méditerranéenne : actes de la table ronde tenue à Bibracte, 15-17 octobre 2007*. Bibracte, 22, Glux-en-Glenne, Centre archéologique européen.

Barral et al. 2007 : BARRAL P., DAUBIGNY A., DUNNING C., KAENEL G., (éd.), *L'âge du fer dans l'arc jurassien et ses marges : dépôts, lieux sacrés et territorialité à l'âge du fer. Actes du XXIX^e Colloque international de l'AFEAF, (Bienne, 2005)*. Collection Annales littéraires de l'Université de Franche-Comté, 826, Série Environnement, sociétés et archéologie, 11, Besançon, Presses universitaires de Franche-Comté.

Barruol 1985 : BARRUOL G., « Miroirs votifs découverts en Provence et dédiés à Sélène et à Aphrodite », *Revue archéologique de Narbonnaise*, 18, p. 343-373.

Bataille 2001 : BATAILLE G., « Les agrafes de ceinturon du sanctuaire de la Villeneuve-au-Châtelot (Aube) », *Archäologisches Korrespondenzblatt*, 31, p. 443-460.

Bataille 2006 : BATAILLE G., « Dépôts de mobiliers métalliques de la période de La Tène. Premiers essais de classement » in Bataille et Guillaumet 2006, p. 247-256.

Bataille 2007 : BATAILLE G., « Dépôts de sanctuaire et dépôts particuliers : comparaisons des assemblages de mobiliers métalliques » in Barral et al. 2007, p. 699-708.

Bataille 2008 : BATAILLE G., *Les Celtes : des mobiliers aux cultes*, Art, archéologie et patrimoine, Dijon, Éd. universitaires de Dijon.

Bataille 2009a : BATAILLE G., « Artisans et artisanat dans les pratiques rituelles celtiques », *Dossiers d'Archéologie*, 335, p. 44-49.

Bataille 2009b : BATAILLE G., « Histoires de dépôts » in Honegger et al. 2009, p. 151-156.

Bataille 2014 : BATAILLE G., « Vestiges de rituels de La Tène D1 sous les parkings du Zénith de la Communauté Urbaine de Strasbourg (Bas-Rhin) » in Alberti et al. 2014, p. 247-257.

Bataille 2015 : BATAILLE G., « Approches des pratiques rituelles. Proposition de restitution à partir des dépôts terrestres non funéraires à composante métallique » in Kaurin et al. 2015, p. 145-164.

Bataille et Guillaumet 2006 : BATAILLE G., GUILLAUMET J.-P., *Les dépôts métalliques au second âge du fer en Europe tempérée : actes de la table ronde organisée par l'UMR 5594, Glux-en-Glenne, 13-14 octobre 2004*, Bibracte, 11, Glux-en-Glenne, Centre archéologique européen.

Bats 2004 : BATS M., « Grec et gallo-grec : les graffites sur céramique aux sources de l'écriture en Gaule méridionale (II^e-I^{er} s. av. J.-C.) », *Gallia*, 61, p. 7-20.

Bernatzky-Goetze 1987 : BERNATZKY-GOETZE M., *Mörigen : die spätbronzezeitlichen Funde*, Antiqua, 16, Basel, Schweizerische Gesellschaft für Ur- und Frühgeschichte.

Berranger 2006 : BERRANGER M., « Les dépôts de demi-produits de fer (VIII^e-I^{er} siècle av. J.-C.) : contextes et associations de mobiliers » in Bataille et Guillaumet 2006, p. 211-220.

Berranger 2014 : BERRANGER M., *Le fer, entre matière première et moyen d'échange, en France, du VII^e au I^{er} siècle avant J.-C.*, Art, archéologie et patrimoine, Dijon, Éd. universitaires de Dijon.

Berthon 2009 : BERTHON L., « Cailloux, coquillages, amulettes et talismans », *Détection Passion*, 84, p. 15-16.

Berthon et al. 2013 : BERTHON A., CHANSON-BERTOLIO K., FEUGÈRE M., KAURIN J., « Projet de charte pour l'étude des objets archéologiques », *Les Nouvelles de l'archéologie*, 131, p. 5-6.

Bertrand 2003 : BERTRAND I., *Objets de parure et de soins du corps d'époque romaine dans l'Est picton (Deux-Sèvres, Vienne)*, Mémoire, 23, Chauvigny, Association des publications chauvinoises.

Bertrand 2007-2008 : BERTRAND I., « Les mobiliers domestiques en contexte urbain dans le Centre-Ouest des Gaules (fin I^{er} s. av. J.-C.-III^e s. ap. J.-C.) : problématique et exemples », *Anales de Prehistoria y Arqueología*, 23-24, p. 161-197.

Bertrand et Maguer 2007 : BERTRAND I., MAGUER P. (dir.), *De pierre et de terre : les Gaulois entre Loire et Dordogne : catalogue de l'exposition présentée par les musées de la Ville de Chauvigny (Vienne) du 15 mai au 14 octobre 2007, Donjon de Gouzou*, Mémoire 30, Chauvigny, Association des publications chauvinoises.

Bertrand et al. 2009 : BERTRAND, I., MAGUER P., GOMEZ DE SOTO J., DUVAL A. (dir.), *Habitats et paysages ruraux en Gaule et regards sur d'autres régions du monde celtique. Actes du XXX^e colloque international de l'AFEAF, 17-20 mai 2007, Chauvigny (Vienne, F)*, Mémoire, 35, Chauvigny, Association des publications chauvinoises.

Besson 2010 : BESSON C., « Influence ou diversité dans la bijouterie d'Augustodunum et de Lugdunum » in Chardon-Picault 2010, p. 323-336.

Bet et Doustessier 2014 : BET, P. et DOUSTESSIER, B. (dir.), *Éclats arvernes. Fragments archéologiques (I^{er}-I^{er} siècles apr. J.-C.)*, Clermont-Ferrand, Presses universitaires Blaise Pascal.

Bienert 2007 : BIENERT B., *Die römischen Bronzegefässe im Rheinischen Landesmuseum Trier*, Trierer Zeitschrift für Geschichte und Kunst des Trierer Landes und seiner Nachbargebiete Beiheft, 31, Trier, Selbstverl. des Rheinischen Landesmuseums.

Bishop 1988 : BISHOP M. C., « Cavalry Equipment of the Roman Army in the First Century A.D. » in COULSTON, J. C. N. (ed.), *Military Equipment and the Identity of Roman Soldiers. Proceedings of the Fourth Roman Military Equipment Conference. British Archaeological Reports, International Series*, 394, Oxford, p. 67-195.

Blaizot et al. 2014 : BLAIZOT F., DUNKLEY J., DEBERGE Y., CAILLAT P., PERRIN F., « L'ensemble funéraire aristocratique de la Cime des Bruyères à Pulvérières (Puy-de-Dôme) : un témoignage des élites arvernes du II^e s. av. J.-C. », *Documents d'Archéologie méridionale*, 35, p. 301-376.

Blondel 2007 : BLONDEL F., *Contribution à l'étude architecturale des sanctuaires laténiens de Corent (Puy-de-Dôme) et Mirebeau-sur-Bèze (Côte-d'Or) : l'exemple des clous*. Mémoire de Master II, Université Le Mirail de Toulouse.

Bocquet 2010 : BOCQUET A., « Données nouvelles sur un quartier à vocation artisanale, son évolution et son impact sur l'urbanisme de Jublains (Noviodunum), Mayenne » in Chardon-Picault 2010, p. 123-134.

Bolla 1994 : BOLLA M., *Vasellame romano in bronzo nelle civiche raccolte archeologiche di Milano*, Rassegna di Studi del Civico Museo Archeologico e del Civico Gabinetto Numismatico di Milano, suppl., 11, Milano, Rassegna di Studi del Civico Museo Archeologico e del Civico Gabinetto Numismatico di Milano.

Bonnamour 1990 : BONNAMOUR L. (dir.), *Du silex à la poudre... 4000 ans d'armement en val de Saône. Catalogue d'exposition*, Chalon-sur-Saône, 1990-1991. Montagnac, M. Mergoil.

Boucher 2004 : BOUCHER T., « Quelques objets provenant de la civitas des Turones (Indres-et-Loire, F) », *Bulletin Instrumentum*, 20, p. 20-24.

Bouchette et al. 1998 : BOUCHETTE A., BOULESTIN B., BOURHIS J.-R., BUISSON J.-F., DUFFAULT C., GOMEZ DE SOTO J., LEMOINE S., TOURNÉPICHE J.-F., VERNOU C., VIEAU M., *Le char romain du musée archéologique de Saintes*, Saintes, Musées de la Ville de Saintes.

Bourgeois 1999 : BOURGEOIS L., *Le sanctuaire rural de Bennecourt (Yvelines) : du temple celtique au temple gallo-romain*, Documents d'archéologie française, 77, Paris, Éd. de la Maison des sciences de l'homme.

Božić 2003 : BOŽIĆ D., « L'aiguère en bronze de la tombe à char de Verna (Isère) : une composition tripartite », *Arheološki vestnik*, 54, p. 259-269.

Brand 2014 : BRAND P., *Bibracte, le sommet du Theurot de la Roche (2008-2013), mise en phase et analyse du mobilier métallique*. Mémoire de Master, Université de Lausanne.

Briand et al. 2013 : BRIAND A., DUBREUCQ É., DUCREUX A., FEUGÈRE M., GALTIER C., GIRARD B., JOSSET D., MULOT A., TAILLANDIER V., TISSERAND N., « Le classement fonctionnel des mobiliers d'instrumentum », *Les Nouvelles de l'archéologie*, 131, p. 14-19.

Brouquier-Reddé et Deyber 2001 : BROUQUIER-REDDÉ V., DEYBER A., « Fourniment, harnachement, quincaillerie, objets divers » in Reddé et von Schnurbein 2001, p. 293-362.

Brunaux 1996 : BRUNAUX J.-L., *Les religions gauloises : rituels celtiques de la Gaule indépendante*, Paris, Errance.

Brunaux 2004 : BRUNAUX J.-L., *Guerre et religion en Gaule : essai d'anthropologie celtique*, Paris, Errance.

Brunaux et al. 1985 : BRUNAUX J.-L., MÉNIEL P., POPLIN F., *Gournay 1, Les fouilles sur le sanctuaire et l'oppidum : (1975 - 1984)*, Gournay, 1, Revue archéologique de Picardie, no spécial 4, Amiens, s.n.

Brunaux et Rapin 1988 : BRUNAUX J.-L., RAPIN A., *Gournay 2, Boucliers et lances, dépôts et trophées*, Gournay, 2, Paris, Errance.

Brunaux et al. 1997 : BRUNAUX J.-L., MÉNIEL P., BOULESTIN B., *La résidence aristocratique de Montmartin (Oise) du III^e au I^{er} s. av. J.-C.*, Documents d'archéologie française, 64, Paris, Éd. de la Maison des sciences de l'homme.

Brunetti et al. 2014 : BRUNETTI C., KAENEL G., MÉNIEL P., *Les Helvètes au Mormont. Une énigme dans le monde celtique*, Archéothéma, Hors-série, 7, Fontaine-lès-Dijon, Archéothéma.

Brunetti 2007 : BRUNETTI C., *Yverdon-les-Bains et Sermuz à la fin de l'âge du Fer*, Cahiers d'archéologie romande, 107, Lausanne, Cahiers d'archéologie romande.

Buchsenschutz 2009 : BUCHSENSCHUTZ O., « Chars, charrettes et transport dans l'agriculture celtique » in Bertrand et al. 2009, p. 85-92.

Buchsenschutz et al. 1994 : BUCHSENSCHUTZ O., COLIN A., KRAUSZ S., LEVÉRY M., SOYER C., *Le village celtique des Arènes à Levroux : description du mobilier*, Levroux, 3, Supplément Revue archéologique du Centre de la France, 10, Levroux, Association pour la défense et l'étude du canton de Levroux.

Buchsenschutz et al. 2000 : BUCHSENSCHUTZ O., COLIN A., FIRMIN G., *Le village celtique des Arènes à Levroux : synthèses*, Levroux, 5, Supplément Revue archéologique du Centre de la France, 19, Levroux, Association pour la défense et l'étude du canton de Levroux.

Buchsenschutz et al. 2009 : BUCHSENSCHUTZ O., CHARDENOUX M.-B., KRAUSZ S., VAGINAY M. (dir.), *L'âge du Fer dans la boucle de la Loire, Les Gaulois sont dans la ville, Actes du XXXIX^e Colloque de l'AFEAF (Bourges, 2008)*, Supplément Revue archéologique du Centre de la France, 35, Tours.

Bündgen et al. 2008 : BÜNDGEN S., BLANC P., DUVAUCHELLE A., FREY-KUPPER S., MAZUR A., MÉNIEL P., MEYLAN KRAUSE M.-F., VANDORPE P., « Structures et mobilier de La Tène finale à Avenches-Sur Fourches », *Bulletin Pro Aventico*, 50, p. 39-176.

Castella 1993 : CASTELLA D., « Un sanctuaire augustéen autour d'une sépulture à incinération à Avenches, Canton de Vaud (Suisse) » in STRUCK, M. (Hrsg.), *Römerzeitliche Gräber als Quellen zu Religion*,

- Bevölkerungsstruktur und Sozialgeschichte*, Archäologische Schriften des Instituts für Vor- und Frühgeschichte der Johannes Gutenberg-Universität Mainz, 3, Mainz, Institut für Vor- und Frühgeschichte, p. 229-244.
- Cauuet 1999** : CAUUEB B. (dir.), *L'or dans l'antiquité : de la mine à l'objet*, Supplément Aquitania, 9, Talence, Fédération Aquitania.
- Chabot 2004** : CHABOT L., *L'oppidum de La Cloche (Les Pennes-Mirabeau, Bouches-du-Rhône)*, Protohistoire européenne, 7, Montagnac, M. Mergoïl.
- Challet 1992** : CHALLET V., *Les Celtes et l'émail*, Documents préhistoriques, 3, Paris, Éd. du Comité des travaux historiques et scientifiques.
- Chapotat 1970** : CHAPOTAT G., *Vienne gauloise : le matériel de la Tène III trouvé sur la colline de Sainte-Blandine*, Publications du Centre d'études romaines et gallo-romaines de la Faculté des lettres et sciences humaines de Lyon, fasc 2, Lyon, Centre d'études romaines et gallo-romaines.
- Chardon-Picault et Pernot 1999** : CHARDRON-PICAULT P., PERNOT M. (dir.), *Un quartier antique d'artisanat métallurgique à Autun, le site du lycée militaire (Saône-et-Loire)*, Document d'Archéologie Française, 76, Paris, Éd. de la Maison des Sciences de l'Homme.
- Chardon-Picault 2010** : CHARDRON-PICAULT P. (dir.), *Aspects de l'artisanat en milieu urbain : Gaule et Occident romain. Actes du colloque international d'Autun, 20-22 sept. 2007*, Supplément Revue archéologie de l'Est, 28, Dijon.
- Chardon-Picault et al. 2010** : CHARDRON-PICAULT P., LABAUNE Y., GUILLAUMET J.-P., « De Bibracte à Augustodunum : permanences et évolutions des activités manufacturières » in Chardon-Picault 2010, p. 415-424.
- Chytráček 1999** : CHYTRÁČEK M., « Élite burials in Bohemia from the 6th-5th century B.C. and the beginnings of a new art-style » in VILLES, A. et BATAILLE-MELKON, A. (dir.), *Fastes des Celtes entre Champagne et Bourgogne aux VII^e-III^e siècles avant notre ère. Actes du colloque AFEAF (Troyes 1995)*, Mémoire de la Société Archéologique Champenoise, 15, Bulletin de la Société Archéologique Champenoise, supplément, 4, Reims, Société Archéologique Champenoise, p. 359-377.
- Ciesielski et al. 2011** : CIESIELSKI E., DUDAY H., GIRARD B., ROURE R., MARTIN A., AGUSTI B., « La pratique des têtes coupées et les dépôts d'armes en Gaule méditerranéenne et dans le nord-est de la Péninsule Ibérique » in ROURE, R. et PERNET, L. (dir.), *Des rites et des Hommes*. Paris, Errance, p. 113-164.
- Čižmář 2002** : ČIŽMÁŘ M., « Ökonomische Struktur des Oppidums Staré Hradisko » in DOBIAT C., et al. (Hrsg.), *Dürrnberg und Manching. Wirtschaftarchäologie im ostkeltischen Raum, Akten des Internationalen Kolloquiums in Hallein/Bad Dürrnberg, 7 bis 11 Oktober 1998*, Bonn, R. Habelt, p. 297-313.
- Cléménçon et Poux 2014** : CLÉMENÇON B., POUX M., « Tablettes magiques de Corent » in Bet et Doustessier 2014, p. 162-163.
- Clément et Galliou 1985** : CLÉMENT M., GALLIOU P., « Le dépôt gaulois de Brech (Morbihan) », *Revue archéologique de l'Ouest*, 2, p. 65-71.
- Colin et Verdin 2011** : COLIN A. et VERDIN F. (dir.), *L'âge du Fer en Aquitaine et sur ses marges. Mobilité des hommes, diffusion des idées, circulation des biens dans l'espace européen à l'âge du Fer, Actes du 35^e colloque international de l'AFEAF (Bordeaux, 2011)*, Supplément Aquitania, 30, Bordeaux, Fédération Aquitania.
- Collectif 2009** : COLLECTIF, *Le Mormont. Un sanctuaire des Helvètes en terre vaudoise vers 100 avant J.-C.*, Lausanne, Archeodunum SA.
- Colleter et al. 2007** : COLLETER R., AUBIN G., CHEREL A.-F., HINGUANT S., PEUZAT J., SELLAMI F., « Un ensemble funéraire de la transition âge du Fer-Antiquité en contexte karstique : la grotte Rochefort à Saint-Pierre-sur-Erve (Mayenne) », *Revue archéologique de l'Ouest*, 24, p. 89-109.
- Collis 2007** : COLLIS J., « Du V^e colloque de l'AFEAF à l'ARAF au XXVII^e colloque. L'archéologie de l'âge du Fer en Auvergne (1973-2003) » in Mennessier-Louannet et Deberge 2007, p. 7-22.
- Collis et al. 1994** : COLLIS J., DUNKLEY J., GUICHARD V., MENNESSIER-JOUANNET C., « Les Arvernes » in MUSÉE DES ANTIQUITÉS NATIONALES, *Vercingétorix et Alésia. Catalogue d'exposition, Saint-Germain-en-Laye, 1994*. Paris, Réunion des musées nationaux, p. 124-136.
- Conovivi et Garlan 2004** : CONOVICI N., GARLAN Y., « Les timbres amphoriques étrangers trouvés à Sinope (I) », *Anatolia Antiqua*, 12, p. 105-122.
- Constant 2014** : CONSTANT P., *Les mortiers lithiques en Gaule : catalogue et essai typologique des mortiers de Corent et de Gondole*, Mémoire de Master 1, Université Lumière Lyon 2.
- Cordier 2002** : CORDIER G., « Le dépôt de l'âge du Bronze final des Châtelliers à Amboise (Indre-et Loire) / The late Bronze Age deposit «Les Châtelliers» at Amboise (Indre-et-Loire) », *Revue archéologique du Centre de la France*, 41, p. 5-34.
- Corti et Giordani 2001** : CORTI C., GIORDANI N. (dir.), *Pondera : pesi e misure nell'antichità*, Grandezze e misure della storia, Campogalliano, Museo della Bilancia/Centro di Documentazione.
- Courtot 2015** : COURTOT A., « Les étuis tubulaires à bélières en bronze de l'âge du Fer » in Raux et al. 2015, p. 653-663.
- Crausaz 2014** : CRAUSAZ A., *Les parures gallo-romaines du site d'Aventicum (Avenches). Bling-bling dans la capitale helvète*, Mémoire de Master, Université de Lausanne.
- Crausaz et Demierre, en cours** : CRAUSAZ A., DEMIERRE M., Étude du mobilier métallique de l'agglomération celtique de Vufflens-la-Ville, étude en cours dans le cadre du rapport de fouilles.
- Curdy et al. 2009** : CURDY P., MARIÉTHOF F., PERNET L., RAST-EICHER A., *Rituels funéraires chez les Séduens : les nécropoles du second âge du fer en Valais central (IV^e-I^{er} siècle av. J.-C.)*, Archaeologia Vallesiana, 3, Cahiers d'archéologie romande, 112, Lausanne.
- Dacko et Ducreux 2014** : DACKO M., DUCREUX A., « Caligae romaines » in Bet et Doustessier 2014, p. 118-119.
- Daremberg et al. 1877** : DAREMBERG C. V., SAGLIO E., POTTIER E., *Dictionnaire des antiquités grecques et romaines*, Paris, Hachette.
- Dartevelle et al. 2007** : DARTEVELLE H., LIABEUF R., RIALLAND Y., « Vingt ans après... J.-C. » in Mennessier-Louannet et Deberge 2007, p. 23-42.
- Dartevelle et al. 2009** : DARTEVELLE H., MENNESSIER-JOUANNET C., ARBERET N., « La capitale des Arvernes, une histoire en boucle » in Buchsenschutz et al. 2009, p. 293-315.
- Deberge 2007** : DEBERGE Y., « Les établissements ruraux fossoyés en Basse Auvergne du III^e au II^e s. av. n. è. » in Mennessier-Louannet et Deberge 2007, p. 221-242.
- Deberge 2008** : DEBERGE Y., « Armement et romanisation sur le site de Gondole (Puy-de-Dôme) » in Poux 2008, p. 225-237.
- Deberge 2012** : DEBERGE Y., *Aigueperse, Puy-de-Dôme, Auvergne. Avenue de Lattre. Le site laténien d'Aigueperse. Un nouveau secteur de l'agglomération gauloise (fin III^e-fin I^{er} s. av. J.-C.)* Rapport de fouille Inrap, Clermont-Ferrand.
- Deberge et Guichard 2000** : DEBERGE Y., GUICHARD V., « Nouvelles recherches sur les travaux césariens devant Gergovie (1995-1999) », *Revue archéologique du Centre de la France*, 39, p. 83-111.
- Deberge et Orenge 2002** : DEBERGE Y., ORENGE L., « La nécropole de Sarliève à Cournon (La Tène D1a et LTD1a/LTD1b) » in MENNESSIER-JOUANNET, C. et DEBERGE Y. (dir.), *Chronotypologie des mobiliers du second Âge du Fer en Auvergne*. Mirefleurs, Association pour la Recherche sur l'Âge du Fer en Auvergne, p. 99-119.
- Deberge et Orenge 2007** : DEBERGE Y., ORENGE L., « Les mobiliers en contexte funéraire en Basse-Auvergne (du III^e au I^{er} s. av. notre ère) : nouvel état des connaissances » in Mennessier-Louannet et Deberge 2007, p. 333-364.
- Deberge et al. 2007a** : DEBERGE Y., ORENGE L., LOUGHTON M., VERRIER G., « La culture matérielle de la Grande Limagne d'Auvergne du III^e au I^{er} s. av. J.-C. » in Mennessier-Louannet et Deberge 2007, p. 167-204.
- Deberge et al. 2007b** : DEBERGE Y., COLLIS J., DUNKLEY J., *Le Pâtural (Clermont-Ferrand, Puy-de-Dôme) : un établissement agricole gaulois en Limagne d'Auvergne*, Documents d'archéologie en Rhône-Alpes

et en Auvergne, 30, Lyon, Association de liaison pour le patrimoine et l'archéologie en Rhône-Alpes et en Auvergne.

Deberge et al. 2007c : DEBERGE Y., VERMEULEN C., COLLIS J., « Le complexe de Gandaillat/La Grande Borne : un état de la question » in Mennessier-Louannet et Deberge 2007, p. 267-290.

Deberge et al. 2009 : DEBERGE Y., CABEZUELO U., MANON C., FOUCRAS S., GARCIA M., GRUEL K., LOUGHTON M., BLONDEL F., CAILLAT P., « L'oppidum arverne de Gondole (Le Cendre, Puy-de-Dôme). Topographie de l'occupation protohistorique (La Tène D2) et fouille du quartier artisanal : un premier bilan », *Revue archéologique du Centre de la France*, 48, p. 33-130.

Deberge et al. 2013 : DEBERGE Y., BLONDEL F., FOUCRAS S., GARCIA M., GRUEL K., LOUGHTON M., *Gondole 2007. Recherche aux abords de l'oppidum (5). Le faubourg artisanal gaulois. Rapport de synthèse de fouille pluriannuelle*, Mirefleurs, Clermont-Ferrand, Association pour la Recherche sur l'Âge du Fer en Auvergne, SRA Auvergne.

Deberge et al. 2014 : DEBERGE Y., BAUCHERON F., CABEZUELO U., CAILLAT P., GATTO E., LANDRY C., LEGUET D., PASTY J.-F., PERTLWEISER T., VERMEULEN C., VERNET G., « Témoignages de la Guerre des Gaules dans le bassin clermontois, nouveaux apports », *Revue archéologique du Centre de la France [En ligne]*, 53, mis en ligne le 15 avril 2015, consulté le 10 juin 2015. URL : <http://racf.revues.org/2071>.

Debord 1989 : DEBORD J., « Les rouelles de Villeneuve-Saint-Germain (Aisne) », *Bulletin de la Société Archéologique Champenoise*, 82/4, p. 25-31.

Debord 1993 : DEBORD J., « Les artisans gaulois de Villeneuve-Saint-Germain (Aisne). Structures, production, occupation du sol », *Revue archéologique de Picardie*, 3, p. 71-110.

Debord 1998 : DEBORD J., « Le mobilier en bronze du site gaulois de Villeneuve-Saint-Germain (Aisne) », *Revue archéologique de Picardie*, 3, p. 53-91.

Déchelette 1914 : DÉCHELETTE J., *Manuel d'archéologie préhistorique, celtique et gallo-romaine*, Paris, Auguste Picard.

Dedet 2011 : DEDET B., « La tête coupée, symbole de mise à mort suprême en Gaule méridionale ? Des textes anciens aux données de l'archéologie », *Documents d'Archéologie méridionale*, 34, p. 281-289.

Deimel 1987 : DEIMEL M., *Die Bronzekleinfunde vom Magdalensberg*, Archäologische Forschungen zu den Grabungen auf dem Magdalensberg, 9, Kärntner Museumsschriften, 71, Klagenfurt, Verlag des Landesmuseums für Kärnten.

Delsol 2014 : DELSOL N., *Montaudran Aérospatiale, Toulouse, rapport final d'opération*, Toulouse, Communauté urbaine Toulouse Métropole.

Demetz 1999 : DEMETZ S., *Fibeln der spälatène- und frühen römischen Kaiserzeit in den Alpenländern*, Frühgeschichtliche und provinzialrömische Archäologie, 4, Rahden/Westf., M. Leidolf.

Demierre 2008 : DEMIERRE M., « Le petit mobilier » in PRANYIES A. (dir.), *Riom « Le Couriat », Lycée du bâtiment. Rapport de fouille inédit*, Lyon, Archeodunum SA, p. 242-263.

Demierre 2015 : DEMIERRE M., « Le petit mobilier des fouilles récentes de la ZAC Niel à Toulouse (Haute-Garonne). Chronologie, caractérisation des assemblages et contacts avec le monde méditerranéen » in Raux et al. 2015, p. 157-180.

Demierre 2016a : DEMIERRE M., « Le mobilier métallique » in PAUNIER D. et LUGINBÜHL T. (dir.), *URBA I. La villa romaine d'Orbe-Boscéaz. Genèse et devenir d'un grand domaine rural*, Cahiers d'archéologie romande 162, Lausanne, p. 334-404.

Demierre 2016b : DEMIERRE M., « Le petit mobilier » in VERRIER G. (dir.), *Toulouse (Haute-Garonne 31), ZAC Niel, Rapport d'Opération d'Archéologie Préventive. Volume II*, Toulouse, p. 597-692.

Demierre et Poux 2012 : DEMIERRE M., POUX M., « Du cultuel au profane : essai d'analyse taphonomique et spatiale des petits mobiliers du sanctuaire de Corent et de ses abords » in DE CASANOVE O. et MÉNIEL P. (dir.), *Étudier les lieux de culte de Gaule romaine, Actes de la table ronde de Dijon des 18 et 19 septembre 2009*. Archéologie et histoire romaine, 24, Montagnac, M. Mergoïl, p. 209-226.

Demierre et Poux 2014 : DEMIERRE M., POUX M., « Si tu donnes... » in Bet et Doustessier 2014, p. 116-117.

Demierre et Raux 2015 : DEMIERRE M., RAUX S., « Quelques pistes de réflexion contribuant à la définition de « faciès » en archéologie, à partir de l'instrumentum », *Bulletin Instrumentum*, 41, p. 35-37.

Demierre et al. 2013 : DEMIERRE M., DUBREUCQ E., GIRARD B., ROUX E., « La quantification des mobiliers d'instrumentum », *Les Nouvelles de l'archéologie*, 131, p. 10-14.

Demierre et al. 2015 : DEMIERRE M., LUGINBÜHL T., MONTANDON M., « Militaria tardo-républicains au Col des Etroits (Jura vaudois, Suisse). Données et essai d'analyse » in LEHMANN G. A. et WIEGELS R. (Hrsg.), „Über die Alpen und über den Rhein...“ : Beiträge zu den Anfängen und zum Verlauf der römischen Expansion nach Mitteleuropa, Abhandlungen der Akademie der Wissenschaften zu Göttingen, Neue Folge, 37, Berlin, De Gruyter, p. 283-298.

Denys et Patou-Mathis 2014 : DENYS C., PATOU-MATHIS M., *Manuel de taphonomie*, Archéologiques, Arles, Errance.

Derion 2006 : DERION B., *Objets métalliques gaulois du site de Lacoste (Mouliets-et-Villemartin, Gironde)*, Bordeaux, Musée d'Aquitaine.

Deschler-Erb 1996 : DESCHLER-ERB E., « Die Kleinfunde aus Edelmetall, Bronze und Blei » in DESCHLER-ERB E. (Hrsg.), *Ausgrabungen im Unteren Bühl. Die Funde aus Metall. Ein Schrank mit Lararium des 3. Jahrhunderts*, Monographien der Kantonsarchäologie Zürich, 27, Zürich und Egg, Direktion der öffentlichen Bauten des Kantons Zürich, p. 3-139.

Deschler-Erb 1999 : DESCHLER-ERB E., *Ad arma! : römisches Militär des 1. Jahrhunderts n. Chr. in Augusta Raurica*, Forschungen in Augst, 28, Augst, Römermuseum.

Deschler-Erb 2003 : DESCHLER-ERB E., « Une applique de bride découverte à Biberist SO », *Annuaire de la Société Suisse de Préhistoire et d'Archéologie*, 86, p. 186-190.

Deschler-Erb 2005 : DESCHLER-ERB E., « Militaria aus Zerstörungshorizonten-grundsätzliche Überlegungen », *Carnuntum Jahrbuch*, p. 43-54.

Deschler-Erb 2006a : DESCHLER-ERB E., « Die Funde aus Bronze und Blei » in SCHUCANY C., *Die römische Villa von Biberist-Spitalhof/SO (Grabungen 1982, 1983, 1986-1889). Untersuchungen im Wirtschaftsteil und Überlegungen zum Umland*, Ausgrabungen und Forschungen, 4, Remshalden, Bernhard Albert Greiner, p. 417-458.

Deschler-Erb 2006b : DESCHLER-ERB E., « Gefässflicker auf dem Basler Münsterhügel », *Bulletin Instrumentum*, 23, p. 25-26.

Deschler-Erb 2011 : DESCHLER-ERB E. avec une contr. de STOPP B., *Der Basler Münsterhügel am Übergang von späteltischer zu römischer Zeit : ein Beispiel für die Romanisierung im Nordosten Galliens*, Materialhefte zur Archäologie in Basel, 22, Basel, Archäologische Bodenforschung des Kantons Basel-Stadt.

Deschler-Erb et Gostenčnik 2008 : DESCHLER-ERB S., GOSTENČNIK K., « Différences et identités de la vie quotidienne dans les provinces romaines : l'exemple de la tabletterie » in BERTRAND, I. (dir.), *Le travail de l'os, du bois de cerf et de la corne à l'époque romaine : un artisanat en marge ? Actes de la table ronde instrumentum, Chauvigny (Vienne, F), décembre 2005*. Monographies Instrumentum, 34, Montagnac, M. Mergoïl, p. 283-309.

Devilliers 1997 : DEVILLIERS S., « Les bracelets, les perles, les anneaux, les bagues, le pendant d'oreille du sanctuaire de Fesques », in Mantel 1997, p. 213-250.

Deweydt 2010 : DEWEYDT E., *De l'analyse spatiale à la caractérisation de sites de la fin de l'âge du fer et du début de l'époque gallo-romaine dans le nord et l'est de la Gaule*, Thèse de doctorat, l'Université de Gand et de Bourgogne.

Deyber 2008 : DEYBER A., « Les pointes de traits en fer de "type Numance" (Espagne, province de Soria) à Alésia (Côte-d'Or) et à Montmartin (Oise) » in Poux 2008, p. 173-180.

Diderot et D'Alembert 1763 : DIDEROT D., D'ALEMBERT J. L. R., *Recueil de planches sur les sciences, les arts libéraux, et les arts mécaniques, avec leur explication. Première partie.*, Paris.

- Diliberto et Lejars 2011** : DILIBERTO M., LEJARS T., « Un cas de mobilité individuelle aux IV^e et III^e s. a.C. : l'exemple des pièces de jeu d'origine italique trouvées au nord des Alpes » in Colin et Verdin 2011, p. 439-458.
- Dilly 2002** : DILLY G., *Six nécropoles du second âge du fer en Haute-Normandie : Saint-Riquier-en Rivière «Au-dessus du Val d'Aulnoy» : Bois-Guillaume «Les Bocquets», «Les Terres Rouges», «Le Point du Jour» : Cottévrard «La Plaine de la Bucaille» et Saint-Aubin-Routot «Le Four à Chaux», Nord-Ouest Archéologie, 13, Berck-Sur-Mer, Centre de Recherches Archéologiques et de Diffusion Culturelle.*
- Djindjian 2014** : DJINDJIAN F., « Invention and Innovation Processes in Prehistoric Societies » in KAMERMANS H., et al. (eds.), *A Sense of the Past, Studies in current archaeological applications of remote sensing and non-invasive prospection methods*, British Archaeological Reports, International Series, 2588, Oxford, Archaeopress, p. 155-163.
- Dolenz 1998** : DOLENZ H., *Eisenfunde aus der Stadt auf dem Magdalensberg*, Archäologische Forschungen zu den Grabungen auf dem Magdalensberg, 13, Kärntner Museumsschriften, 75, Klagenfurt, Verlag des Landesmuseums für Kärnten.
- Dubreucq 2013** : DUBREUCQ E., *Métal des premiers Celtes : productions métalliques sur les habitats des provinces du Hallstatt centre-occidental*, Art, archéologie et patrimoine, Dijon, Éd. universitaires de Dijon.
- Duchamp 2010** : DUCHAMP H., *Les parures en verre d'époque préromaine en Gaule du Centre-Est, l'exemple de l'oppidum de Corent* Mémoire de Master I, Université Lumière Lyon 2.
- Duchamp 2012** : DUCHAMP H., *Les parures en verre d'époque préromaine en Gaule du Centre-Est*. Mémoire de Master II, Université Lumière Lyon 2.
- Ducreux 2013** : DUCREUX A., *Le mobilier métallique dans la cité arverne et ses confins septentrionaux à l'époque romaine, études quantitatives et qualitatives*. Thèse de doctorat en archéologie, Université Blaise Pascal, Clermont-Ferrand II.
- Duval et al. 1986** : DUVAL A., GOMEZ DE SOTO J., PERRICHET-THOMAS C., « La tombe à char de Tesson » in DUVAL A. et GOMEZ DE SOTO J. (dir.), *Actes du VIII^e colloque sur les âges du Fer en France non méditerranéenne*. Supplément Aquitania, 1, Bordeaux, Fédération Aquitania, p. 35-45.
- Duvauchelle 2005** : DUVAUCHELLE A., *Les outils en fer du Musée romain d'Avenches*, Documents du Musée romain d'Avenches, 11, Avenches, Association Pro Aventico.
- Duvauchelle 2010** : DUVAUCHELLE A., « L'artisanat dans les villes romaines de Suisse » in Chardron-Picault 2010, p. 47-54.
- Duvauchelle et al., à paraître** : DUVAUCHELLE A., KAENEL G. ET DEMIERRE M., *Mormont V*, Lausanne, Cahiers d'archéologie romande.
- Eneau 2002** : ENEAU T., *Les objets en fer du sanctuaire gallo-romain du Gué-de-Sciaux (Antigny, Vienne)*, Mémoire 21, Chauvigny, Association des publications chauvinoises.
- Ettlinger 1973** : ETTLINGER E., *Die römischen Fibeln in der Schweiz*, Handbuch der Schweiz zur Römer- und Merowingerzeit, Bern, Francke.
- Fauduet 1982** : FAUDUET I., *Les fibules des collections archéologiques du Musée Bargoin*, Études d'histoire et d'archéologie, Clermont-Ferrand, Musées d'Art de Clermont-Ferrand.
- Faye 1995** : FAYE S., *Les objets de parure et de toilette de l'oppidum de Corent*. Mémoire de maîtrise en Histoire ancienne, Université Blaise Pascal, Clermont-Ferrand II.
- Ferber 2014** : FERBER E., « Le trophée de Décines en territoire allobroge. Un témoignage des pratiques guerrières gauloises », *Archéopages*, 39, p. 16-21.
- Ferdière et Villars 1993** : FERDIÈRE A., VILLARS A., *La tombe augustéenne de Fléré la Rivière et les sépultures aristocratiques de la Cité des Bituriges* Supplément Revue archéologique du Centre de la France, 7, St Marcel/Tours.
- Feugère 1984** : FEUGÈRE M., « Le seau en bois de la nécropole gauloise et gallo-romaine de Roanne », *Cahiers Archéologiques de la Loire*, 4, p. 71-78.
- Feugère 1985** : FEUGÈRE M., *Les fibules en Gaule méridionale de la conquête à la fin du I^{er} s. ap. J.-C.*, Supplément Revue archéologique de Narbonnaise, 12, Paris, CNRS.
- Feugère 1990** : FEUGÈRE M., « Petits mobiliers, faciès et comparaisons » in PY M. (dir.), *Fouilles dans la ville antique de Lattes, les îlots 1, 3 et 4-nord du quartier Saint-Sauveur*, 1990, Lattara 3, Lattes, Éd. de l'Association pour la recherche archéologique en Languedoc oriental, p. 357-375.
- Feugère 1995** : FEUGÈRE M., « Les spatules à cire à manche figuré. » in CZYSZ W., et al. (Hrsg.), *Provinzialrömische Forschungen. Festschrift für Günter Ulbert zum 65. Geburtstag*, Espelkamp, M. Leidorf, p. 321-338.
- Feugère 2002** : FEUGÈRE M., « Le mobilier militaire romain dans le département de l'Hérault (F) », *Gladius*, 22, p. 73-126.
- Feugère 2004** : FEUGÈRE M., « Le tournage : une technique, une histoire, un colloque » in FEUGÈRE M. et GÉROLD J.-C. (dir.), *Le tournage des orgines à l'an Mil. Actes de colloque de Niederbronn (octobre 2003)*, Monographies Instrumentum, 27, Montagnac, M. Mergoïl, p. 9-16.
- Feugère 2007** : FEUGÈRE M., « Techniques, productions, consommations : le sens des objets », *Facta*, 1, p. 21-30.
- Feugère 2018** : FEUGÈRE M., *Protocoles d'étude des objets archéologiques*, Toulouse, Mergoïl.
- Feugère et Rolley 1991** : FEUGÈRE M., ROLLEY C., *La vaisselle tardorépublicaine en bronze : actes de la table-ronde CNRS organisée à Lattes du 26 au 28 avril 1990 par l'UPR 290 (Lattes) et le GDR 125 (Dijon)*, Centre de recherches sur les techniques gréco-romaines, 13, Dijon, Université de Bourgogne.
- Feugère et al. 1992** : FEUGÈRE M., THAURÉ M., VIENNE G., *Les objets en fer dans les collections du Musée Archéologique de Saintes (I^{er}-XI^e siècle)*, Saintes, Éd. Musées de Saintes.
- Fichtl 2000** : FICHTL S., *La ville celtique : les oppida de 150 av. J.-C. à 15 ap. J.-C.*, Collection des Hespérides, Paris, Errance.
- Fichtl 2013** : FICHTL S., « Les agglomérations gauloises de la fin de l'âge du Fer en Europe celtique (III^e-I^{er} siècle av. J.-C.) : domaines urbains » in GARCIA D. (dir.), *L'habitat en Europe celtique et en Méditerranée préclassique*, Collection des Hespérides, Paris, Errance, p. 19-44.
- Fichtl 2014** : FICHTL S., « Dumnorix, un nouveau riche ? Portrait d'un aristocrate gaulois » in Alberti et al. 2014, p. 171-180.
- Fichtl et al. 2008** : FICHTL S., BARRIER S., BOËL L., ROUX E., *L'habitat rural de Batilly-en-Gâtinais « Les Pierrières » (Loiret). Rapport de fouilles programmées*, Tours, Université François-Rabelais.
- Fichtl et al. 2016** : FICHTL S., LE GOFF E., MATHIAUT-LEGROS A., MENEZ Y., *Les premières villes de l'Ouest. Agglomérations gauloises de Bretagne et Pays de la Loire*, Jublains, Musée archéologique de Jublains.
- Filloy Nieva 2002** : FILLOY NIEVA I., « Los puñales con empuñadura globular-de frontón en la necrópolis de la II^a edad del hierro de la Hoya (Laguardia, Alava) », *Gladius*, 22, p. 57-72.
- Fingerlin 1986** : FINGERLIN G., *Dangstetten I, Katalog der Funde (Fundstellen 1 bis 603)*, Forschungen und Berichte zur Vor- und Frühgeschichte in Baden-Württemberg, 22, Stuttgart, Theiss.
- Flutsch et al. 2002** : FLUTSCH L., NIFFELER U., ROSSI F., *La Suisse du Paléolithique à l'aube du Moyen-Âge : de l'homme de Néandertal à Charlemagne 5. Époque romaine*, Bâle, Société suisse de préhistoire et d'archéologie.
- Foucras 2011** : FOUCRAS S., *Animaux domestiques et faunes sauvages en territoire arverne*, Archéologie des plantes et des animaux, 3, Montagnac, M. Mergoïl.
- Fouet et Savès 1971** : FOUET G., SAVÈS G., « Le bronze à Vieille-Toulouse : trouvailles anciennes », *Revue archéologique de Narbonnaise*, 4, p. 47-92.
- Frézouls 1977** : FRÉZOULS E., « Circonscription de Champagne-Ardenne », *Gallia*, 35.2, p. 389-418.
- Friboulet 2013** : FRIBOULET M., *Le site protohistorique d'Acy-Romance (Ardenne) V. Les cimetières du village gaulois*, Mémoires de la Société Archéologique Champenoise, 21, Reims, Société Archéologique Champenoise.

- Furger-Gunti 1993** : FURGER-GUNTI A., « Der keltische Streitwagen im Experiment : Nachbau eines «essedum» im Schweizerischen Landesmuseum », *Revue suisse d'art et d'archéologie*, 50, p. 213-222.
- Furger-Gunti et Berger 1980** : FURGER-GUNTI A., BERGER L., *Katalog und Tafeln der Funde aus der spätkeltischen Siedlung Basel-Gasfabrik*, Basler Beiträge zur Ur- und Frühgeschichte, 7, Derendingen, Habegger.
- Furger et al. 2009** : FURGER A. R., WARTMANN M., RIHA E., *Die römischen Siegelkapseln aus Augusta Raurica*, Forschungen in Augst, 44, Augst, Römerstadt Augusta Raurica.
- Gaitzsch 1978** : GAITZSCH W., *Römische Werkzeuge*, Kleine Schriften zur Kenntnis der römischen Besetzungsgeschichte Südwestdeutschlands, 19, Stuttgart, Gesellschaft für Vor- und Frühgeschichte in Württemberg und Hohenzollern.
- Galinié 2009** : GALINIÉ H., «Vers une appréhension partagée de l'archéologie des villes...» in Buchsenschutz et al. 2009, p. 199-206.
- Galtier et al. 2015** : GALTIER C., WIRTZ B., ALFONSO G., BADUEL N., « Une place publique à Augustonemetum (Clermond-Ferrand, Puy-de-Dôme) : apports de l'instrumentum » in Raux et al. 2015, p. 33-59.
- Garcia 2002** : GARCIA M., *Le sanctuaire de Corent (Puy-de-Dôme) : les fibules de l'enclos cultuel et les offrandes de parures en contexte de sanctuaires*, Mémoire de maîtrise, Université Lumière Lyon 2.
- Garcia 2009** : GARCIA M., *Corent, Festins et pratiques religieuses*. Surveillance des travaux pour la mise en valeur du sanctuaire du Puy-de-Corent (Veyre-Monton, Puy-de-Dôme), Rapport de fouille préventive, Lyon.
- Garsaud 2012** : GARSAUD S., *Contribution à la serrurerie arverne du début de l'âge du Fer à la fin de l'époque romaine. Étude du mobilier provenant de Corent, Puy-de-Dôme (63), Campagnes de fouille 2001 à 2011*. Mémoire de Master I, Université Lumière Lyon 2.
- Garsaud 2013** : GARSAUD S., *Contribution à l'étude de la serrurerie arverne du début de l'âge du Fer à la fin de l'époque romaine*. Mémoire de Master II, Université Lumière Lyon 2.
- Gaspar 2007** : GASPAR N., *Die keltischen und gallo-römischen Fibeln vom Titelberg = Les fibules gauloises et gallo-romaines du Titelberg*, Dossiers d'archéologie du Musée national d'histoire et d'art, 11, Luxembourg, Musée national d'histoire et d'art.
- Gebhard 1991a** : GEBHARD R., « Aus der Werkstatt eines antiken Feinschmiedes - Zum Depotfund von Ošanici bei Stolac in Jugoslawien », *Revue suisse d'art et d'archéologie*, 48, p. 2-11.
- Gebhard 1991b** : GEBHARD R., *Die Fibeln aus dem Oppidum von Manching*, Die Ausgrabungen in Manching, 14, Stuttgart, F. Steiner.
- Girard 2010** : GIRARD B., *Le mobilier métallique de l'âge du Fer en Provence (VI^e-I^{er} s. av. J.-C.)*, Contribution à l'étude des Celtes de France méditerranéenne, Thèse de doctorat en archéologie, Universités de Bourgogne et de Provence.
- Girard 2013** : GIRARD B., *Au fil de l'épée : armes et guerriers en pays celtique méditerranéen : catalogue de l'exposition du 4 mai au 31 décembre 2013 au Musée archéologique de Nîmes*, Bulletin de l'Ecole antique de Nîmes, 30, Nîmes, Ecole antique de Nîmes.
- Girard, à paraître** : GIRARD B., « Le mobilier métallique » in LANDURÉ C., et al. (dir.), *Le village de La Capelière en Camargue (Arles, Bouches-du-Rhône) du début du I^{er} s. av. n. è. à la période du Haut Moyen âge*. Aix-en-Provence, Centre Camille Jullian, Errance/Actes Sud.
- Girard et Tisserand 2015** : GIRARD B., TISSERAND N., « Les objets métalliques d'époque gauloise de Boulton-sur-Suippe (Marne) : indices d'un établissement lié à un gué ? » in Olmer et Roue 2015, p. 1111-1130.
- Girard et al. 2008** : GIRARD B., GUILLAUMET J.-P., HAMM G., « La vaisselle métallique », *Acta Archaeologica*, 59/1, p. 83-87.
- Girard et al. 2016** : GIRARD B., PERNET L., MÉRIGEAUD S., « L'umbo de bouclier fusiforme de la tombe de Campagnac (Gard) : gaulois, ibérique ou romain ? » in CHAZELLES C.-A. et SCHWALLER M. (dir.), *Vie quotidienne, tombes et symboles des sociétés protohistoriques de Méditerranée nord-occidentale, Mélanges offerts à Bernard Dedet*, Monographies d'Archéologie Méditerranéenne, Hors-Série 7, Lattes, Éd. de l'Association pour le Développement de l'Archéologie en Languedoc-Roussillon, p. 811-830.
- Girault 2013** : GIRAULT J.-P., *La Fontaine de Loulié au Puy d'Issolud (Saint-Denis-lès-Martel et Vayrac, Lot) : le dossier archéologique du siège d'Uxellodunum*, Bibracte, 23, Glux-en-Glenne, Centre archéologique européen.
- Goguet et al. 2010** : GOGUET D., PAUTRAT Y., GUILLAUMET J.-P., THEVENOT J.-P., POPOVITCH L., « Dix ans d'archéologie forestière dans le Châtillonnais (Côte-d'Or) : enclos, habitats, parcellaires », *Revue Archéologique de l'Est*, 59 (1), p. 99-209.
- Gostenčnik 2002** : GOSTENČNIK K., « Medizinische Instrumente aus dem römischen Kärnten », *Carinthia*, 192, p. 139-164.
- Gostenčnik 2005** : GOSTENČNIK K., *Die Beinfunde vom Magdalensberg*, Kärntner Museumsschriften, 78, Klagenfurt, Verlag des Landesmuseums Kärnten.
- Grange 1857** : GRANGE G., *Mélanges archéologiques ou recueil de dessins d'objets, vases, sceaux, monnaies et fragments antiques trouvés dans différentes localités d'Auvergne accompagnés de quelques notes en regard*, Clermond-Ferrand, Imprimerie de Ferdinand Thibaud.
- Gross 1886** : GROSS V., *La Tène : un oppidum helvète*, Supplément aux Protohelvètes, Paris, F. Fetscherin & Chuit.
- Gruel 1989** : GRUEL K., *La monnaie chez les Gaulois*, Collection des Hespérides, Paris, Errance.
- Gruel et Haselgrove 2006** : GRUEL K., HASELGROVE C., « Le développement de l'usage monétaire à l'âge du Fer en Gaule et dans les régions voisines » in HASELGROVE C. (dir.), *Celtes et Gaulois, l'Archéologie face à l'Histoire*, 4 : les mutations de la fin de l'âge du Fer. Actes de la table ronde de Cambridge, 7-8 juillet 2005. Bibracte, 12, Glux-en-Glenne, Centre archéologique européen, p. 117-138.
- Gruel et al. 2017** : GRUEL K., NIETO-PELLETIER S., DEMIERRE M., HIRIART E., « Évaluation des indices de métallurgie monétaire au second âge du Fer » in MARION S. et al. (dir.), *Production et proto-industrialisation aux âges du Fer. Perspectives sociales et environnementales, Actes du 39^e colloque international de l'AFEAF*, (Nancy, 2015), Mémoires, 47, Bordeaux, Ausonius, p. 25-46.
- Guichard et al. 1993** : GUICHARD V., PION P., COLLIS J., MALACHER F., « À propos de la circulation monétaire en Gaule chevelue aux II^e et I^{er} siècles av. J.-C. », *Revue archéologique du Centre de la France*, 32, p. 25-55.
- Guillaumet 1983** : GUILLAUMET J.-P., « Le matériel du tumulus de Celles (Cantal) » in COLLIS J., et al. (dir.), *Le deuxième âge du Fer en Auvergne et en Forez et ses relations avec les régions voisines*, Sheffield, Saint-Etienne, Université de Sheffield, Centre d'Études Foréziennes, p. 189-213.
- Guillaumet 1996a** : GUILLAUMET J.-P., *L'artisanat chez les Gaulois*, Collection des Hespérides, Paris, Errance.
- Guillaumet 1996b** : GUILLAUMET J.-P., « Ustensiles à rôtir de la Saône au Musée Denon à Châlon-sur-Saône » in GROENEN M. (dir.), *La préhistoire au quotidien : Mélanges offerts à Pierre Bonenfant*, Grenoble, Millon, p. 311-321.
- Guillaumet 2000** : GUILLAUMET J.-P., « Le mobilier métallique » in BUCHSENSCHUTZ O., et al. (dir.), *Le village celtique des Arènes à Levroux : synthèses*, Levroux, 5, Supplément Revue archéologique du Centre de la France, 19, Levroux, Association pour la défense et l'étude du canton de Levroux, p. 101-120.
- Guillaumet 2003** : GUILLAUMET J.-P., *Paléomanufacture métallique : méthode d'étude*, Vestigia, Gollion, Infolio.
- Guillaumet et Nillesse 2000** : GUILLAUMET J.-P., NILLESSE O., « Les petits objets de quelques fermes gauloises : approche méthodologique », *Étude d'Histoire et d'Archéologie*, 6, p. 251-276.
- Guillaumet et Dhennequin 2008** : GUILLAUMET J.-P., DHENNEQUIN L., « Les ateliers du métal et leur production », *Acta Archaeologica*, 59/1, p. 68-77.
- Guillaumet et Eugène 2009** : GUILLAUMET J.-P., EUGÈNE A., « À propos de trois objets métalliques, témoins des relations entre le pays éduen

et les Iles Britanniques » in COONEY G., *et al.* (eds.), *Relics of Old Decency : archaeological studies in later prehistory : Festschrift for Barry Raftery*, Dublin, Wordwell, p. 241-248.

Guillaumet et Laude 2009 : GUILLAUMET J.-P., LAUDE G., *L'art de la serrurerie gallo-romaine : l'exemple de l'agglomération de Vertault (France, Côte-d'Or)*, Art, archéologie et patrimoine, Dijon, Éd. universitaires de Dijon.

Guiraud 1989 : GUIRAUD H., « Bagues et anneaux à l'époque romaine en Gaule », *Gallia*, 46, p. 173-211.

Haffner 1971 : HAFNER A., *Das Keltisch-römische Gräberfeld von Wederath-Belginum*, Trierer Grabungen und Forschungen, 6, Mainz am Rhein, Philipp von Zabern.

Hamm 2003 : HAMM G., « La fabrication de la fibule de Nauheim au Fossé des Pandours (Col de Saverne, Bas-Rhin) », *Archaeologia Mosellana*, 5, p. 161-178.

Hamm 2005 : HAMM G., « L'artisanat des alliages base cuivre à Bibracte, exploitation des données anciennes » in GUILLAUMET J.-P. et SZABO M. (dir.), *Étude sur Bibracte - 1. Bibracte*, 10, Glux-en-Glenne, Centre archéologique européen, p. 61-80.

Hanel 1995 : HANEL N., *Vetera I : die Funde aus den römischen Lagern auf dem Fürstenberg bei Xanten*, Rheinische Ausgrabungen, 35, Köln, Rheinland.

Harnecker 1997 : HARNECKER J., *Katalog der Eisenfunde von Haltern aus den Grabungen der Jahre 1949-1994*, Bodentalerümer Westfalens, 35, Mainz am Rhein, Philipp von Zabern.

Hatt 1941 : HATT J.-J., « Quelques objets de la Tène III, trouvés au Puy-du-Tour près d'Argentat (Corrèze) », *Bulletin de la Société Scientifique, Historique et Archéologique de la Corrèze*, 63, p. 13-27.

Hatt 1943 : HATT J.-J., « La campagne de 1942 », *Gallia*, 1, p. 97-124.

Hatt 1947 : HATT J.-J., « Les fouilles de Gergovie », *Gallia*, 5, p. 271-300.

Henig et Collis 1987 : HENIG M., COLLIS J., « L'intaille d'Aulnat (Puy-de-Dôme) », *Revue archéologique du Centre de la France*, 26, p. 207-209.

Honegger et al. 2009 : HONEGGER M., RAMSEYER D., KAENEL G., ARNOLD B., KAESER M.-A. (éd.), *Le site de La Tène : bilan des connaissances - état de la question : actes de la Table ronde internationale de Neuchâtel, 1^{er} au 3 novembre 2007*, Archéologie neuchâteloise, 43, Hauterive, Office et musée cantonal d'archéologie de Neuchâtel.

Hübener 1973 : HÜBENER W., *Die römischen Metallfunde von Augsburg-Oberhausen : ein Katalog*, Materialhefte zur bayerischen Vorgeschichte, 28, Kallmünz, M. Lassleben.

Jackson 2010 : JACKSON R., *Cosmetic Sets of Late Iron Age and Roman Britain*, British Museum Research Publication, 181, London, The British Museum.

Jacobi 1974 : JACOBI G., *Werkzeug und Gerät aus dem Oppidum von Manching*, Die Ausgrabungen in Manching, 5, Wiesbaden, F. Steiner.

Jandrastis 2003 : JANDRASITS H., « Keltische Münzgewichte und Tierfiguren mit möglicher Gewichtsfunktion aus Österreich », *Römisches Österreich*, 26, p. 75-84.

Jud 2008 : JUD P., *Die Töpferin und der Schmied: Basel-Gasfabrik, Grabung 1989/5*, Materialhefte zur Archäologie in Basel, 20, Basel, Archäologische Bodenforschung des Kantons Basel-Stadt.

Kaenel et al. 2004 : KAENEL G., CURDY P., CARRARD F., *L'oppidum du Mont Vully : un bilan des recherches 1978-2003*, Archéologie fribourgeoise, 20, Fribourg, Service archéologique de l'Etat de Fribourg : Academic Press Fribourg.

Kapeller 2003 : KAPPELLER A., « La vaisselle en bronze d'Avenches/Aventicum », *Bulletin Pro Aventico*, 45, p. 83-146.

Kasprzyck et Labaune 2003 : KASPRZYCK M., LABAUNE Y., « La gestion des déchets à Augustunum (Autun, Saône-et-Loire) durant l'époque romaine : les données archéologiques » in BALLET P., *et al.* (dir.), *La ville et ses déchets dans le monde romain : rebuts et recyclages, Actes du Colloque de Poitiers (19-21 septembre 2002)*, Montagnac, Monnique Mergoïl, p. 99-116.

Kaurin 2008 : KAURIN J., « Approche fonctionnelle des couteaux de la fin de l'âge du fer : l'exemple de la nécropole orientale de l'oppidum du Titelberg (G.-D. de Luxembourg) », *Archäologisches Korrespondenzblatt*, 38, p. 521-536.

Kaurin 2009 : KAURIN J., « La place des artisans dans les tombes gauloises. L'exemple de la cité trévire », *Dossiers d'Archéologie*, 335, p. 50-55.

Kaurin 2011 : KAURIN J., « Approche fonctionnelle des forces de la fin de l'âge du fer et du début de l'époque romaine : l'exemple des forces dans les nécropoles trévires », *Archäologisches Korrespondenzblatt*, 41, p. 231-247.

Kaurin et al. 2015 : KAURIN J., MARION S., BATAILLE G., *Décrire, analyser, interpréter les pratiques de dépôt à l'âge du Fer : actes de la table ronde tenue à Bibracte les 2 et 3 février 2012*, Bibracte, 26, Glux-en-Glenne, Centre archéologique européen.

Krämer 1997 : KRÄMER W., « Keltische Gewichte aus Manching », *Archäologischer Anzeiger*, 1, p. 73-78.

Krause 2009 : KRAUSE O., *Der Artz und sein Instrumentarium in der Römischen Legion*, Provinzialrömische Studien, 3, Remshalden, Bernhard Albert Greiner.

Künzl 1983 : KÜNZL E., *Medizinische Instrumente aus Sepulkralfunden der römischen Kaiserzeit*, Kunst und Altertum am Rhein, 115, Köln, Bonn, Rheinland, R. Habelt.

Künzl 1996 : KÜNZL E., « Forschungsbericht zu den antiken medizinischen Instrumenten » in HASSE W. (Hrsg.), *Aufstieg und Niedergang der römischen Welt (ANRW) II, Bd. 37/3*, Berlin, New York, De Gruyter, p. 2433-2639.

Kysela 2012 : KYSELA J., « Drei neue Südimporttypen aus dem Oppidum von Stradonitz » in BREZINOVÁ G. et VARSÍK V. (éd.), *Archeológia na praha histórie, K životnému jubileu Karola Pietu*, Archaeologica Slovaca Monographiae Communicationes, 15, Nitra, p. 339-348.

Kysela 2014 : KYSELA J., « Est-ce que les Boïens se lavaient ? Objets de toilette méditerranéens en Bohême à la Tène finale » in Alberti et al. 2014, p. 455-468.

Labrousse 1948 : LABROUSSE M., « Les fouilles de Gergovie », *Gallia*, 6, p. 31-95.

Labrousse 1950 : LABROUSSE M., « Les fouilles de Gergovie. Campagnes de 1947 et de 1949 », *Gallia*, 8, p. 14-53.

Lallemant 2008 : LALLEMAND D., *Le département de l'Allier au carrefour des Arvernes, des Bituriges et des Eduens : III^e-I^{er} siècles avant J.-C.* Thèse de doctorat en archéologie, Université de Paris-I-Panthéon-Sorbonne.

Lallemant et Orengo 2007 : LALLEMAND D., ORENGO L., « Les ensembles de mobilier de La Tène moyenne de l'habitat groupé de Varennes-sur-Allier (Allier, Bourbonnais) : premières analyses » in Mennessier-Louannet et Deberge 2007, p. 135-166.

Lambot 2006 : LAMBOT B., « Assemblages métalliques dans les structures du village d'Acy-Romance (Ardennes) » in Bataille et Guillaumet 2006, p. 193-209.

Lambot et Méniel 2000 : LAMBOT B., MÉNIEL P., « Le centre communautaire et culturel du village d'Acy-Romance dans son contexte régional » in VERGER S. (dir.), *Rites et espaces en pays celtique et méditerranéen : étude comparée à partir du sanctuaire d'Acy-Romance (Ardennes). Actes de la table ronde de Rome des 18-19 avril 1997*, Collection de l'École française de Rome, 276, Rome, École française de Rome, p. 7-139.

Lambot et al. 1994 : LAMBOT B., MÉNIEL P., FRIBOULET M., *Le site protohistorique d'Acy-Romance (Ardennes) II. Les nécropoles dans leur contexte régional : (Thugny-Trugny et tombes aristocratiques), 1986-1988-1989*, Mémoires de la Société Archéologique Champenoise, 8, Bulletin de la Société archéologique champenoise, Supplément 2, Reims, Société Archéologique Champenoise.

Lauber 2012 : LAUBER J., « Kommentierter Katalog zu den Kleinfunden (ohne Münzen) von der Halbinsel Schwaben in Altenburg, Gemeinde Jestetten, Krs Waldshut », *Fundberichte aus Baden-Württemberg*, 32/1, p. 717-803.

- Lauranson 2012** : LAURANSON R., « Le Bay » (Les Martres-de-Veyre, 63) : Occupation laténienne. Rapport de prospection thématique. Opération 2012 : bilan de la documentation bibliographique et matérielle, prospections pédestres. Rapport de prospection thématique, Martres-de-Veyres.
- Lauranson 2014** : LAURANSON R., « Le Bay » (Les Martres-de-Veyre, 63) : Occupation laténienne. Rapport de prospection thématique. Opération 2013 : prospections pédestres et géophysiques. Martres-de-Veyres.
- Lauranson 2015** : LAURANSON R., « Le Bay » (Les Martres-de-Veyre, 63) : Occupation laténienne. Opération 2014 : Sondages d'évaluation géophysiques. Martres-de-Veyres.
- Lauranson 2017** : LAURANSON R., *La vaisselle céramique de l'oppidum de Corent*, Rapport de bilan d'état des recherches dans le cadre d'une thèse de doctorat à l'Université Lumière Lyon 2 sous la direction de M. Poux, Issoire.
- Lauranson, en cours** : LAURANSON R., *La vaisselle céramique de l'oppidum de Corent*, Thèse de doctorat à l'Université Lumière Lyon 2 sous la direction de M. Poux.
- Lavendhomme et Guichard 1997** : LAVENDHOMME M.-O., GUICHARD V., *Rodumna (Roanne, Loire), le village gaulois*, Documents d'archéologie française, 62, Paris, Éd. de la Maison des sciences de l'homme.
- Le Ray 2013** : LE RAY J., « La sépulture de La Tène finale de Saint-Georges-lès-Baillargeaux (Vienne) », *Aquitania*, 29, p. 43-65.
- Leconte 2013** : LECONTE L., « L'instrumentum métallique lié à la cuisine en Gaule romaine », *Gallia*, 70.1, p. 233-252.
- Ledger et al. 2015** : LEDGER P. M., MIRAS Y., POUX M., MILCENT P. Y., « The palaeoenvironmental Impact of Prehistoric Settlement and Proto-Historic Urbanism: Tracing the Emergence of the Oppidum of Corent, Auvergne, France », *PLoS One*, 10.
- Lefebvre 2006** : LEFEBVRE C., *Oppida helvetica : les sites fortifiés de hauteur du plateau de Jastres (Ardèche)*, Gallia romana, 7, Paris, De Boccard.
- Leguilloux 2004** : LEGUILLOUX M., *Le cuir et la pelletterie à l'époque romaine*, Collection des Hespérides, Paris, Errance.
- Lejars 1994** : LEJARS T., *Les fourreaux d'épée : le sanctuaire de Gournay-sur-Aronde et l'armement des Celtes de La Tène moyenne*, Gournay, 3, Paris, Éd. IRRAP, Errance.
- Lejars 1996a** : LEJARS T., « L'armement des Celtes en Gaule du Nord à la fin de l'époque gauloise », *Revue archéologique de Picardie*, 3, p. 79-103.
- Lejars 1996b** : LEJARS T., « Les armes en fer : une source d'information privilégiée pour l'étude du fonctionnement des sanctuaires celtiques », *Mélanges de l'Ecole française de Rome. Antiquité*, 108, p. 607-630.
- Lejars 2013** : LEJARS T., *La Tène : la collection Schwab (Bienne, Suisse)*, La Tène, un site, un mythe, 3, Cahiers d'archéologie romande, 140 et 141, Lausanne.
- Lejars 2015** : LEJARS T., « Les armes laténiennes en contexte cultuel, Au-delà de la rouille et des apparences » in Kaurin et al. 2015, p. 29-40.
- Lejars et Metzler 1996** : LEJARS T., METZLER J., « La chronologie du second Âge du Fer en Gaule du Nord : bilan d'une rencontre », *Revue archéologique de Picardie*, 3, p. 233-242.
- Lerat 1979** : LERAT L., *Les fibules d'Alésia dans les musées d'Alise-Sainte-Reine*, Bibliothèque Pro Alésia, Dijon, Université de Dijon Faculté des sciences humaines.
- Lintz et Vauillat 1987** : LINTZ G., VUAILLAT D., « Les poignards et les coutelas dans les sépultures gallo-romaines du Limousin », *Gallia*, 45, p. 165-188.
- Lloyd-Morgan 1981** : LLOYD-MORGAN G., *The mirrors: including a description of the Roman mirrors found in the Netherlands, in other Dutch museums*, Description of the collections in the Rijksmuseum G.M. Kam at Nijmegen, 9, Nijmegen, Rijksmuseum G.M. Kam.
- Loiseau 2009** : LOISEAU C., *Le métal dans l'architecture publique de l'ouest de la Gaule lyonnaise : approches méthodologiques, techniques de construction et structures de production (I^{er}-III^e siècles après J.-C.)*. Thèse de doctorat, Université du Maine.
- Loiseau et al. 1991** : LOISON G., COLLIS J., GUICHARD V., MARCHIANTI D., PELISSIER E., BENSIHAMED L., « Les pratiques funéraires en Auvergne à la fin du second Âge du Fer : nouvelles données », *Revue archéologique du Centre de la France*, 30, p. 97-111.
- Luik 2002** : LUIK M., *Die Funde aus den römischen Lagern um Numantia im Römisch-Germanischen Zentralmuseum*, Kataloge Vor- und frühgeschichtlicher Altertümer, 31, Bonn, R. Habelt.
- Maguer et al. 2015** : MAGUER P., LINLAUD M., BERTRAND I., « Parure, éléments de serrure et autre mobilier métallique de l'établissement rural des Gains à Georges-lès-Baillargeaux (LTD1b-LTD2b) (Vienne, F) : morceaux choisis » in Raux et al. 2015, p. 33-59.
- Mahieu et al. 2005** : MAHIEU E., BARGE H., MAHIEU F., *La sépulture celte de Sigoyer, Hautes-Alpes*, Theix, Actilia multimédia.
- Maier 1991** : MAIER F., « Le petit arbre cultuel de Manching » in BRUNAUX J.-L. (dir.), *Les sanctuaires celtiques et le monde méditerranéen. Actes du colloque de Saint-Riquier (8-11 novembre 1990)*, Archéologie Aujourd'hui, Dossiers de Protohistoire, 3, Paris, Errance, p. 241-249.
- Maier et al. 1992** : MAIER F., GEILENBRÜGGE U., HAHN E., KÖHLER H.-J., SIEVERS S., *Ergebnisse der Ausgrabungen 1984-1987 in Manching*, Die Ausgrabungen in Manching, Bd 15, Stuttgart, F. Steiner.
- Malrain 2006** : MALRAIN F., *Les sites laténiens de la moyenne vallée de l'Oise du I^{er} au I^{er} s. avant notre ère : contributions à l'histoire de la société gauloise*, Revue archéologique de Picardie, no spécial 23, 2006, Amiens, Société archéologique de Picardie.
- Mangin 2004** : MANGIN M. (dir.), *Le fer*, Archéologiques, Paris, Errance.
- Maniquet 2008** : MANIQUET C., « Le dépôt cultuel du sanctuaire gaulois de Tintignac à Naves (Corrèze) », *Gallia*, 65, p. 273-326.
- Manning 1985** : MANNING W. H., *Catalogue of the Romano-British iron tools, fittings and weapons in the British Museum*, London, British Museum.
- Mantel 1997** : MANTEL E. (dir.), *Le sanctuaire de Fesques « Le Mont du Val aux Moines » (Seine-Maritime)*, Nord-Ouest Archéologie, Berck-sur-Mer.
- Marić 1978** : MARIĆ Z., « Depo pronadem u ilirskom gradu Daors (2. st. pr. n. e.) - The Hoard Found at the Illyrian Town of Daors (the 2nd century B. C.) », *Glasnik Sarajevo Arheologija*, 33, p. 23-113.
- Marshall 1968** : MARSHALL F. H., *Catalogue of the finger rings, Greek, Etruscan, and Roman, in the Departments of Antiquities, British Museum*, London, British Museum.
- Matsuo 2004** : MATSUO T., *Les parures en verre du sanctuaire de Corent (Puy-de-Dôme), Un regard sur l'artisanat verrier préromain en Auvergne et en Rhône-Alpes*. Mémoire de maîtrise, Université Lumière Lyon 2.
- Megaw 2002** : MEGAW J. V. S., « A Late La Tène Anthropoid Grippled Sword in New York » in KUZMORA, K., et al. (Hrsg.), *Zwischen Rom und dem Barbaricum. Festschrift für Titus Kolnik zum 70. Geburtstag*, Communicationes instituti archaeologici nitriensis Academiae Scientiarum Slovacae. Archaeologica Slovaca Monographiae Communicationes, 5, Nitra, p. 407-418.
- Méniel 2006** : MÉNIEL P., « Conclusions de la table ronde » in Bataille et Guillaumet 2006, p. 327-334.
- Mennessier-Jouannet et Deberge 1999-2003** : MENNESSIER-JOUANNET C., DEBERGE Y., *Rapports intermédiaires du PCR « Chrono-typologie des mobiliers du Second âge du Fer en Auvergne » (rapports annuels 1999, 2000, 2001, 2002 et 2003)*, Mirefleurs, Clermont-Ferrand, Association pour la Recherche sur l'Âge du Fer en Auvergne, SRA-DRAC Auvergne.
- Mennessier-Jouannet et Deberge 2007** : MENNESSIER-JOUANNET C. et DEBERGE Y. (dir.), *L'archéologie de l'âge du Fer en Auvergne, Actes du XXVII^e colloque international de l'AFEF (Clermont-Ferrand, 2003)*, Monographies d'archéologie méditerranéenne, Hors-série 2, Lattes, Éd. de l'Association pour le Développement de l'Archéologie en Languedoc-Roussillon.

- Mennessier-Jouannet et Deberge 2017** : MENNESSIER-JOUANNET C., DEBERGE Y., *Chronologie du mobilier du second âge du Fer en Auvergne. Volume 1, Monographie des ensembles de référence*, Supplément. Revue archéologique du Centre de la France, 65, Joué-lès-Tours, FERACF.
- Mennessier-Jouannet et Dunkley 1996** : MENNESSIER-JOUANNET C., DUNKLEY J., *Le site laténien d'Aigueperse (Puy-de-Dôme) «Le Clos Clidor», document final de synthèse de la fouille archéologique préventive*, Clermont-Ferrand, Service régional de l'archéologie d'Auvergne.
- Leroy et Merluzzo 2010** : LEROY M., MERLUZZO P., « Les déchets des activités de métallurgie du fer dans les agglomérations de Gaule romaine : ateliers, dépotoirs et rebuts déplacés » in Chardon-Picault 2010, p. 305-321.
- Metzler 1995** : METZLER J., *Das treverische Oppidum auf dem Titelberg (G.-H. Luxemburg) : zur Kontinuität zwischen der spätkeltischen und der frühromischen Zeit in Nord-Gallien*, Dossiers d'archéologie du Musée national d'histoire et d'art, 3, Luxembourg, Musée national d'histoire et d'art.
- Metzler 1996** : METZLER J., « La chronologie de la fin de l'Âge du Fer et du début de l'époque romaine en pays trévire », *Revue archéologique de Picardie*, 3, p. 153-163.
- Metzler et al. 1991** : METZLER J., BIS R., METZLER-ZENS N., WARINGO R., *Clémency et les tombes de l'aristocratie en Gaule Belgique*, Dossiers d'archéologie du Musée national d'histoire et d'art, 1, Luxembourg, Musée national d'histoire et d'art.
- Metzler et al. 2009** : METZLER J., GAENG C., LE GOFF I., MARTIN-KILCHER S., MÉNIEL P., TRETOLA MARTINEZ D. C., VOGT R., WEILLER R., WELTER J.-M., *Goebange-Nospelt : une nécropole aristocratique trévire*, Dossiers d'archéologie du Musée national d'histoire et d'art, 13, Luxembourg, Musée national d'histoire et d'art.
- Metzler et al. 2016** : METZLER J., GAENG C., MÉNIEL P., DARBLADE-AUDOUIN M.-P., GASPAR N., HOMAN L., KREMER G., METZLER-ZENS N., *L'espace public du Titelberg*, Dossiers d'Archéologie, 17, Luxembourg, Centre National de Recherche Archéologique.
- Meylan Krause 2008** : MEYLAN KRAUSE M.-F. (dir.), « Des dieux et des hommes. Cultes et rituels dans les sanctuaires d'Aventicum » in CASTELLA D. et MEYLAN KRAUSE M.-F. (dir.), *Topographie sacrée et rituels : le cas d'Aventicum, capitale des Helvètes : actes du colloque international d'Avenches, 2-4 novembre 2006*, Antiqua, 43, Bâle, Archéologie Suisse, p. 59-78.
- Milcent 2004** : MILCENT P.-Y., *Le premier âge du Fer en France centrale*, Mémoire de la société préhistorique française, 34, Paris, Société préhistorique française.
- Milcent 2007** : MILCENT P.-Y. (dir.), *L'économie du fer protohistorique. De la production à la consommation du métal*, Actes du XXVIII^e colloque AFEAF (Toulouse, 2004), Supplément Aquitania, 14.2, Bordeaux, Fédération Aquitania.
- Milcent et al. 2014** : MILCENT P.-Y., POUX M., MADER S., TORRES M., TRAMON A., « Une agglomération de hauteur autour de 600 a.C. en Gaule centrale : Corent (Auvergne) » in Alberti et al. 2014, p. 181-204.
- Millet 2008** : MILLET E., *Parures et accessoires vestimentaires : Le costume funéraire dans les régions du Rhin moyen et supérieur, du I^{er} au III^e siècle avant J.-C.* Thèse de doctorat, Université de Bourgogne, Johannes Gutenberg Universität.
- Millet 2014** : MILLET M., *Le petit mobilier métallique de Gergovie, essai d'analyse et d'interprétation*. Mémoire de Master en Archéologie et Histoire des Mondes Anciens, Université Lumière Lyon 2.
- Minni 2004** : MINNI D., « Le tournage du bois, des lignites, de l'ambre et des matières dures d'origine animale à l'Âge du Fer » in FEUGÈRE M. et GÉROLD J.-C. (dir.), *Le tournage, des origines à l'an Mil*, actes du colloque de Niederbronn, octobre 2003, Monographies Instrumentum, 27, Montagnac, M. Mergoïl, p. 113-126.
- Miron 1989** : MIRON A., « Toilettebestecke mit Scharnierkonstruktion », *Archaeologia Mosellana*, 1, p. 41-65.
- Miron 1991** : MIRON A., « Die späte Eisenzeit im Hunsrück-Nahe-Raum. Mittel- und spätlätènezeitliche Gräberfelder » in HAFNER A. et MIRON A. (dir.), *Studien zur Eisenzeit im Hunsrück-Nahe-Raum. Symposium Birkenfeld 1987*, Trierer Zeitschrift für Geschichte und Kunst des Trierer Landes und seiner Nachbargebiete, 13, Trier, Rheinisches Landesmuseum, p. 151-169.
- Mölders 2010** : MÖLDERS D., *Die eisernen Werkzeuge aus Bibracte: ein Beitrag zur Erforschung des keltischen Handwerks nach den Arbeiten von Jacques-Gabriel Bulliot und Joseph Déchelette = L'outillage en fer de Bibracte : une contribution à l'étude de l'artisanat celtique d'après les travaux de Jacques-Gabriel Bulliot et Joseph Déchelette*, Bibracte, 18, Glux-en-Glenne, Centre archéologique européen.
- Monteix 2010** : MONTEIX N., *Les lieux de métier : boutiques et ateliers d'Herculaneum*, Bibliothèque des Écoles françaises d'Athènes et de Rome, fasc. 344, Rome, École française de Rome.
- Monteix 2011** : MONTEIX N., « De « l'artisanat » aux métiers. Quelques réflexions sur les savoir-faire du monde romain à partir de l'exemple pompéien » in MONTEIX N. et TRAN N. (dir.), *Les savoirs professionnels des gens de métier : études sur le monde du travail dans les sociétés urbaines de l'empire romain*, Archéologie de l'artisanat antique, 5, Collection du Centre Jean Bérard, 37, Naples, Centre Jean Bérard, p. 7-26.
- Moosleitner 1999** : MOOSLEITNER F., « Eisendepotfunde aus Salzburg » in URBAN, O. (Hrsg.), „und sie formten das Eisen“. *Ur-, frühgeschichtliche und mittelalterliche Eisengewinnung und -verarbeitung. Internationales ÖGUF-Symposium in Linz-Freinberg, 27.-30.10.1998*, Archaeologia Austriaca, 82, Wien, Deuticke, p. 500-511.
- Mordant et al. 1998** : MORDANT C., PERNOT M., RYCHNER V., *L'atelier du bronzier en Europe du XX^e au VII^e siècle avant notre ère*, Actes du colloque international « Bronze 96 » de Neuchâtel et Dijon, 1996, Paris, Éd. du Comité des travaux historiques et scientifiques.
- Müller 1990** : MÜLLER F., *Der Massenfund von der Tiefenau bei Bern: zur Deutung latènezeitlicher Sammelfunde mit Waffen*, Antiqua, 20, Basel, Schweizerische Gesellschaft für Ur- und Frühgeschichte.
- Müller 2007** : MÜLLER F., « Les dépôts en milieu humide dans la région des Trois-Lacs (Suisse) : un bilan de l'information disponible » in Barral et al. 2007, p. 347-356.
- Müller 2002** : MÜLLER M., *Die römischen Buntmetallfunde von Haltern*, Bodenaltertümer Westfalens, 37, Mainz am Rhein, Philipp von Zabern.
- Nicolas et al. 2018** : NICOLAS T., GAUGNE R., TAVERNIER C., MILLET É., BERNADET R., GOURANTON V., « Lift the veil of the block samples from the Warcq chariot burial with 3D digital technologies », *Digital Heritage 2018 - 3rd International Congress (octobre 2018)*, San Francisco, United States. <hal-01875702>
- Nickel 2008** : NICKEL C., THOMA M., WIGG-WOLF D., *Martberg, Heilighum und Oppidum der Treverer I, Der Kultbezirk, Die Grabungen 1994-2004*, Berichte zur Archäologie an Mittelrhein und Mosel, 14, Koblenz, Gesellschaft für Archäologie an Mittelrhein und Mosel und Direktion Archäologie.
- Nieto-Pelletier 2013** : NIETO-PELLETIER S., *Catalogue des monnaies celtiques I – Arvernes (Centre Gaule)*, Paris, Bibliothèque Nationale de France.
- Nillesse 2006** : NILLESSE O., « Les dépôts d'objets en fer dans les établissements ruraux gaulois de l'ouest de la France : le rituel est-il au fond de la poubelle ? » in Bataille et Guillaumet 2006, p. 221-246.
- Nillesse 2007** : NILLESSE O., « Note à propos des armes de trois établissements ruraux de l'Ouest de la France » in Milcent 2007, p. 355-363.
- Nillesse 2009** : NILLESSE O., « Activités, métiers, vie quotidienne dans les établissements ruraux de l'Ouest de la France à travers l'instrumentum (Hallstatt D/début du Haut-Empire) » in Bertrand et al. 2009, p. 45-83.
- Nillesse 2012a** : NILLESSE O., « Activités, métiers et vie quotidienne à Lacoste à travers l'instrumentum : approche préliminaire » in SIREIX C. (dir.), *Aquitaine, Gironde, Moullets-et-Villemartin, Lacoste. Rapport d'opération. Études de mobilier. Volume III*. Institut National de Recherches Archéologiques Préventives Grand Sud-Ouest, p. 89-172.
- Nillesse 2012b** : NILLESSE O., « Éléments pour une chronologie des établissements ruraux de la fin de l'âge du Fer dans le sud du Bas-

Poitou » in BARRAL P., et al. (dir.), *L'Âge du fer en Basse-Normandie* :

Nillesse et Buchsenschutz 2009 : NILLESSE O., BUCHSENSCHUTZ O., « Les faux et la datation de l'outillage agricole des dépôts de l'âge du Fer » in Honegger 2009, p. 157-166.

Nothdurfter 1979 : NOTHDURFTER J., *Die Eisenfunde von Sanzeno im Nonsberg*, Römisch-germanische Forschungen, 38, Mainz am Rhein, Philipp von Zabern.

Olmer 2002 : OLMER F., « Les aristocrates éduens et le commerce » in GUICHARD V. et PERRIN F. (dir.), *L'aristocratie celtique à la fin de l'âge du fer : (du II^e siècle avant J.-C. au I^{er} siècle après J.-C.) : actes de la table ronde organisée par le Centre archéologique européen du Mont Beuvray, Glux-en-Glenne, 10-11 juin 1999*, Glux-en-Glenne, Centre archéologique européen du Mont Beuvray, p. 412 p.

Olmer et al. 2013 : OLMER F., GIRARD B., VERRIER G., BOHBOT H., « Voies, acteurs et modalités du grand commerce en Europe occidentale » in Colin et Verdin 2011, p. 665-691.

Olmer et Roure 2013 : OLMER F. et ROURE R. (éd.), *Les Gaulois au fil de l'eau : actes du 37^e colloque international de l'AFEAF*, (Montpellier 2013), Mémoires 39/1 et 2, Bordeaux, Ausonius.

Orengo 2002 : ORENGO L., « Le petit mobilier » in VERMEULEN C., et al. (dir.), *Puy-de-Dôme - Clermont-Ferrand (63) : Gandaillat : rapport sur l'opération préventive de fouille archéologique*, Clermont-Ferrand, Association pour la Recherche sur l'Âge du Fer en Auvergne, SRA Auvergne, p. 117-128.

Orengo 2003 : ORENGO L., *Forges et forgerons dans les habitats laténiens de la grande Limagne d'Auvergne : fabrication et consommation de produits manufacturés en fer en Gaule à l'âge du fer*, Monographies Instrumentum, 26, Montagnac, M. Mergoïl.

Orengo 2007 : ORENGO L., « Hallstatt/La Tène : un «sous-âge» du Fer ? Qu'en est-il à la période romaine » in Milcent 2007, p. 381-392.

Pagès-Allary 1908 : PAGÈS-ALLARY J., « Fouilles de Chastel-sur-Murat (Cantal) 1907-1908 », *Bulletin de la Société Préhistorique de France*, 5, p. 474-493.

Pagès-Allary et al. 1902 : PAGÈS-ALLARY J., DELORT J.-B., LAUBY A. « Note sur les premières fouilles du tumulus de Celles près de Neussargues (Cantal) », *Association française pour l'Avancement des Sciences*, 31, p. 249-250.

Pagès-Allary et al. 1903 : PAGÈS-ALLARY J., DECHELETTE J., LAUBY A., « Le tumulus arverne de Celles près de Neussargues (Cantal) », *L'Anthropologie*, XIV, p. 859-895.

Pare 1999 : PARE C. F. E., « Weights and Weighing in Bronze Age Central Europe » in MAINZ R.-G. Z. (dir.), *Eliten in der Bronzezeit, Ergebnisse zweier Kollquien in Mainz und Athen, Teil 2*, Monographien, Mainz, Römisch-Germanischen Zentralmuseums, p. 421-513.

Paulík Tomčíková 2005 : PAULÍK J., TOMČÍKOVÁ K., « Další hromadný nález železných predmetov v Plaveckom Podhradí », *Slovenská Archeológia*, 53, p. 85-117.

Pennors 2004 : PENNORS F., « La signification des objets en bronze : une approche statistique des dépôts et trouvailles isolées en France, à l'Âge du Bronze » in BODU P. et CONSTANTIN C. (dir.), *Approches fonctionnelles en préhistoire, XXV^e Congrès préhistorique de France, Nanterre, 24-26 novembre 2000*, Joué-Les-Tours, Société préhistorique française, p. 203-216.

Périchon 1983 : PÉRICHON R., « Le site de Clermont-Ferrand-Aulnat : les fouilles de la Grande Borne » in COLLIS J., et al. (dir.), *Le deuxième âge du Fer en Auvergne et en Forez et ses relations avec les régions voisines*, Sheffield, Saint-Etienne, Université de Sheffield, Centre d'Études Foréziennes, p. 30-47.

Pernet 2010 : PERNET L., *Armement et auxiliaires gaulois*, Protohistoire européenne, 12, Montagnac, M. Mergoïl.

Pernet et Carlevaro 2006 : PERNET L., CARLEVARO E., *La Necropoli di Giubiasco (TI), volume 2 : les tombes de la Tène finale et d'époque romaine*, Collectio archaeologica, 4, Zurich, Musée national suisse.

Pernet et Méniel 2009 : PERNET L., MÉNIEL P., « Le site cultuel gaulois d'Alençon « Les Grouas » (Orne) (fouilles Mercier 1978-

1987) » in BARRAL P., et al. (dir.), *L'Âge du fer en Basse-Normandie : Gestes funéraires en Gaule au Second Âge du fer, Actes du XXXIII^e colloque international de l'AFEAF* (Caen, 2009), Annales littéraires de l'Université de Franche-Comté, 883, Caen, France, Presses universitaires de Franche-Comté, p. 261-286.

Pernet et al. 2008 : PERNET L., POUX M., TEEGEN W.-R., « Militaria gaulois et romains sur l'oppidum de Bibracte, Mont-Beuvray (Nièvre) » in Poux 2008, p. 103-139.

Perrin 1990 : PERRIN F., *Un dépôt d'objets gaulois à Larina : Hières-sur-Amby, Isère*, Documents d'archéologie en Rhône-Alpes, 4, Lyon, Circonscription des antiquités historiques.

Perrin et Schönfelder 2003 : PERRIN F., SCHÖNFELDER M. (dir.), *La tombe à char de Verna (Isère) : témoignage de l'aristocratie celtique en territoire allobroge*, Documents d'archéologie en Rhône-Alpes et en Auvergne, 24, Lyon, Association lyonnaise pour la promotion de l'archéologie en Rhône-Alpes.

Pesteil 2007 : PESTEIL F., *Le Puy du Tour : oppidum gaulois, commune de Monceaux-sur-Dordogne*, Tulle, Mille sources.

Petrovsky 1994 : PETROVSKY R., « Die Bronzegefässe » in HELLENKEMPER SALIES G., et al. (Hrsg.), *Das Wrack. Der antike Schiffsfund von Mahdia*, Köln, Rheinland, p. 663-700.

Philippe 2000 : PHILIPPE J., *Les fibules de Seine-et-Marne : du 1^{er} siècle av. J.-C. au 5^e siècle ap. J.-C.*, Mémoires archéologiques de Seine-et-Marne, 1, Nemours, Dammarie-les-Lys, Groupement archéologique de Seine-et-Marne : Musée de préhistoire d'Ile-de-France, Service départemental d'archéologie de Seine-et-Marne.

Pič 1906 : PIČ J. L., *Le Hradischt de Stradonitz en Bohême*, (trad. J. Déchelette), Leipzig, K. W. Hiersemann.

Pierrelvein 2012 : PIERREVELCIN G., *Les relations entre la Bohême et la Gaule du IV^e au I^{er} siècle avant J.-C.*, Thèse de doctorat Sciences de l'antiquité, Antiquités nationales, Université de Strasbourg et Université Karlova v Praze.

Pieta 2000 : PIETA K., « Ein Depot latènezeitlicher Eisengegenstände aus Liptovská Mará » in PIETA K., et al. (dir.), *Metallgewinnung und -verarbeitung in der Antike (Schwerpunkt Eisen)*, Archaeologica Slovaca Monographiae Communicationes, 3, Nitra, Archeologický Ústav SAV, p. 135-160.

Pieta 2010 : PIETA K., *Die keltische Besiedlung der Slowakei. Jüngere Latènezeit*, Archaeologica Slovaca Monographiae Communicationes, 12, Nitra, Archäologisches Institut Slowakischen Akademie der Wissenschaften.

Pieters 2013a : PIETERS M., *Les outils comme traceurs des activités de transformation des métaux ? : supports de frappe, abrasifs et brunissoirs, outils d'aiguillage et outils de broyage*, Thèse de doctorat en archéologie, Université de Bourgogne.

Pieters 2013b : PIETERS M., « Outils et ustensiles lithiques. Méthodes de reconnaissance et problématiques », *Nouvelles de l'archéologie*, 131, p. 29-34.

Pieters et al. 2016 : PIETERS M., RODRIGUEZ M., ENCELOT G., « Les caboches romaines de Nasium : approche technique et typologique (I^{er} siècle av. J.-C. - I^{er} siècle ap. J.-C.) » in ROUX E. et LUSSON D. (dir.), *L'artisanat dans le contexte de recherche archéologique préventive : approches pluridisciplinaires. Actes de la table-ronde CORPUS : étude du mobilier métallique et de l'instrumentum*, Orléans, 2 et 3 octobre 2014, Revue archéologique du Loiret, Hors-série 3, Neuville-aux-Bois, Fédération archéologique du Loiret, p. 27-36.

Pietsch 1983 : PIETSCH M., « Die römischen Eisenwerkzeuge von Saalburg, Feldberg und Zugmantel », *Saalburg Jahrbuch*, 39, p. 5-32.

Pion 1996 : PION P., *Les habitats laténiens tardifs de la vallée de l'Aisne : contribution à la périodisation de la fin du second âge du Fer en Gaule nord-orientale*. Thèse de doctorat, Paris I.

Pion et al. 1997 : PION P., POMMEPUY, C., AUXIETTE, G., HÉNON, B., GRANSAR, F., « L'oppidum de Condé-sur-Suippe/Variscourt (Aisne) (fin II^e-début I^{er} siècle av. J.-C.) : approche préliminaire de l'organisation fonctionnelle d'un quartier artisanal » in AUXIETTE G., et al. (dir.), *Espaces physiques espaces sociaux dans l'analyse interne des sites*

du Néolithique à l'Âge du Fer, 119^e congrès du CTHS, Amiens, 26-30 octobre 1994, Éd. du CTHS, Paris, p. 275-309.

Polenz 1982 : POLENZ H., « Münzen in latènezeitlichen Gräbern Mitteleuropas aus der Zeit zwischen 300 und 50 v. Chr. », *Bayerische Vorgeschichtsblätter*, 47, p. 27-222.

Poux 1999 : POUX M., *Puits funéraire d'époque gauloise à Paris (Sénat) : une tombe d'auxiliaire républicain dans le sous-sol de Lutèce*, Protohistoire européenne, 4, Montagnac, M. Mergoïl.

Poux 2001 : POUX M., *Corent. Festins et pratiques religieuses*. Rapport de la campagne 2001, Lyon.

Poux 2004 : POUX M., *L'âge du vin : rites de boisson, festins et libations en Gaule indépendante*, Protohistoire européenne, 8, Montagnac, M. Mergoïl.

Poux 2005 : POUX M., *Convergence et confrontation. Processus d'urbanisation et conquête romaine en territoire arverne*. Mémoire d'Habilitation à Diriger des Recherches (HDR), Université d'Aix-en-Provence.

Poux 2007 : POUX M., « La lunule en or de l'espace D : étude préliminaire » in POUX M., et al. (dir.), *Corent. Oppidum et sanctuaire (III). Campagne 2007- Rapport final d'opération*, p. 166-168.

Poux 2008 : POUX M., *Sur les traces de César, Militaria tardo-républicains en contexte gaulois : actes de la table ronde organisée par Bibracte, Centre archéologique européen, Glux-en-Glenne, 17 octobre 2002*, Bibracte, 14, Glux-en-Glenne, Centre archéologique européen.

Poux 2012 : POUX M., *Corent : voyage au coeur d'une ville gauloise*, Paris, Errance.

Poux 2014a : POUX M., « Coutelas miniature » in Bet et Doustessier 2014, p. 144-145.

Poux 2014b : POUX M., « Enlarging Oppida: Multipolar Town Patterns in Late Iron Age Gaul » in FERNÁNDEZ-GÖTZ M., et al. (eds.), *Paths to complexity. Centralisation and Urbanisation in Iron Age Europe*. Oxford, Oxbow Books, p. 157-167.

Poux 2014c : POUX M., « Le retour des mégalithes gaulois » in PECHOUX, L. (dir.), *Tumulte gaulois : représentations et réalités. Catalogue d'exposition, Clermont-Ferrand, 20 juin au 23 novembre 2014*. Clermont-Ferrand, 2014, p. 59-62.

Poux 2015 : POUX M., « Banquet gaulois et symposion méditerranéen : rétrospective et perspectives » in ESPOSITO A. et WIRTH S. (dir.), *Autour du banquet. Modèles de consommation et usages sociaux*, Dijon, Éditions Universitaires de Dijon, p. 283-298.

Poux 2016 : POUX M., « Früheste Theater und theaterartige Bauten in Gallien: Neue Ansätze » in HUFSCMID T. (Hrsg.), *Theaterbauten als Teil monumentaler Heiligtümer in den nordwestlichen Provinzen des Imperium Romanum: Architektur, Organisation, Nutzung: Internationales Kolloquium in Augusta Raurica, 18.-21. September 2013*, Augst, Augusta Raurica, p. 95-114.

Poux 2019 : POUX M., « Huius sunt plurima simulacra (BG VI, 17) : l'absence de statues de culte dans les sanctuaires gaulois » in BARRAL PH. et THIVET M. (dir.), *Sanctuaires de l'âge du Fer. Actes du 41^e colloque de l'AFEAF, Dôle, 24-27 mai 2017*, AFEAF, 1, AFEAF, Bordeaux.

Poux et Pranyies 2009 : POUX M., PRANYIES A., « Taverne à la gauloise à Corent (Puy-de-Dôme) », *L'archéologue*, p. 2-5.

Poux et Demierre 2015 : POUX M., DEMIERRE M., *Le sanctuaire de Corent (Puy-de-Dôme, Auvergne). Vestiges et rituels*, Supplément Gallia, 62, Paris, CNRS éditions.

Poux et Pranyies 2015 : POUX M., PRANYIES A., « Acquisition, gestion, usages et statuts de l'eau en milieu urbain : l'exemple de l'oppidum de Corent (Auvergne) » in Olmer et Roue 2015, p. 375-406.

Poux et al. 2002a : POUX M., DEBERGE Y., FOUCRAS S., GASC J., PASQUIER D., « L'enclos cultuel de Corent (Puy-de-Dôme) : festins et rites collectifs », *Revue archéologique du Centre de la France*, 41, p. 57-110.

Poux et al. 2002b : POUX M., FOUCRAS S., GARCIA M., GASC J., *Corent. Festins et pratiques religieuses (II). Rapport de la campagne 2002*.

Poux et al. 2003 : POUX M., DEMIERRE M., GARCIA M., GASC J.,

VERRIER G., *Corent. Festins et pratiques religieuses (III). Rapport de la campagne 2003*.

Poux et al. 2004 : POUX M., DEMIERRE M., GARCIA M., GASC J., VERRIER G., *Corent. Festins et pratiques religieuses (IV). Rapport de la campagne 2004*.

Poux et al. 2005 : POUX M., DEMIERRE M., GARCIA M., FOUCRAS S., GASC J., GRUEL K., MILCENT P.-Y., *Corent. Oppidum et sanctuaire (I). Rapport de la campagne 2005*.

Poux et al. 2006 : POUX M., DEMIERRE M., GUICHON R., GARCIA M., GASC J., GRUEL K., MILCENT P.-Y., VERRIER G., *Corent. Oppidum et sanctuaire (II). Rapport de la campagne 2006*.

Poux et al. 2007a : POUX M., avec la coll. de DEMIERRE M., GRATUZE B., GRUEL K., NIETO-PELLETIER S., GARCIA M., GUICHON R., « Paire de fibules en or du I^{er} s. av. J.-C. Autour d'une découverte de l'oppidum de Corent (Puy-de-Dôme) », *Gallia*, 64, p. 191-225.

Poux et al. 2007b : POUX M., DEMIERRE M., GUICHON R., PRANYIES A., MILCENT P.-Y., *Corent. Oppidum et sanctuaire (III). Campagne 2007- Rapport final d'opération*.

Poux et al. 2008a : POUX M., FEUGÈRE M., DEMIERRE M., « Autour de Gergovie. Découvertes anciennes et récentes » in Poux 2008, p. 203-224.

Poux et al. 2008b : POUX M., DEMIERRE M., PRANYIES A., GUILLAUD L., RAMONA J., LAURANSON R., VAUDABLE E., *Corent et Veyre-Monton (63). Rapport de fouille 2008*.

Poux et al. 2010 : POUX M., MILCENT P.-Y., PRANYIES A., COLLET A., GUILLAUD L., VAUDABLE E., SAINT-SEVER G., DEMIERRE M., LAURANSON R., GRUEL K., BOCHATON C., FILET C., PASSEMARD B., *Corent et Veyre-Monton (63). Rapport de fouille 2010*, Martres-de-Veyres.

Poux et al. 2011 : POUX M., MILCENT P.-Y. D., PRANYIES A. D., COLLET A., GUILLAUD L., LEMAISTRE C., PASSEMARD B., SAINT-SEVER G., VAUDABLE E., VERRIEZ Q., VIGIER E., *Corent et Veyre-Monton (63). Rapport de fouille 2011*.

Poux et al. 2012 : POUX M., MILCENT P.-Y., PRANYIES A., GUICHARD-KOBAL L., GUILLAUD L., LEMAISTRE C., MILLET M., PASSEMARD B., MADER S., TRAMON A., *Corent et Veyre-Monton (63). Rapport de fouille 2012*.

Poux et al. 2013 : POUX M., MILCENT P.-Y., PRANYIES A., PRIoux F., CRAUSAZ A., MILLET M., BROSSARD C., DUBREU N., TRAMON A., MADER S., DEMIERRE M., DUCHAMP H., DUFAUD S., LAURANSON R., *Corent et Veyre-Monton (63). Rapport de fouille 2013*, Martres-de-Veyre.

Poux et al. 2014a : POUX M., LAURANSON R., DUFAUD S., « L'atelier de potiers de Corent : structures et productions », in SFECAG, *Actes du congrès de Chartres, 2014*, Marseille, SFECAG, p. 401-418.

Poux et al. 2014b : POUX M., MILCENT P.-Y., PRANYIES A., BROSSARD C., CRAUSAZ A., DUBREU N., MADER S., MILLET M., TRAMON A., VALFORT P., DUCHAMP H., LAURANSON R., *Corent et Veyre-Monton (63). Fouille pluriannuelle 2014-2016. Rapport intermédiaire (2014)*, Martres-de-Veyre.

Poux et al. 2015a : POUX M., MILCENT P.-Y., PRANYIES A., (dir.), LAURANSON R., DUBREU N., CHORIN A., EVRARD M., HÉMAR D., MADER S., PHILIBEAUX R., TRAMON A., VALFORT P., DUCHAMP H., DEMIERRE M., CRAUSAZ A., GRUEL K., *Corent et Veyre-Monton (63). Fouille pluriannuelle 2014-2016. Rapport intermédiaire (2015)*, Martres-de-Veyre.

Poux et al. 2015b : POUX M., avec la coll. GARCIA M., BECK N., « De Mercure Arverne à Mercure Dumias. Sanctuaires périurbains, géosymboles et lieux de mémoire en Basse Auvergne » in DECHEZLEPRÊTRE T., et al. (dir.), *Agglomérations et sanctuaires. Réflexions à partir de l'exemple de Grand, Actes du colloque de Grand, 20-23 octobre 2011*, Épinal, Conseil départemental des Vosges, p. 319-347.

Poux et al., sous presse : POUX M., GUILLAUD L., PASSEMARD B., « De l'hémicycle gaulois au théâtre gallo-romain : l'édifice d'assemblée de Corent (Puy-de-Dôme), Cité des Arvernes », Mergoïl.

Preynat 1962 : PREYNAT J.-P., « Un site de La Tène en Forez : l'Oppidum d'Essalois », *Ogam - Tradition celtique*, 14, p. 287-314.

- Provost et Mennessier-Jouannet 1994** : PROVOST M., MENNESSIER-JOUANNET C., *Carte archéologique de la Gaule, 63/2, Le Puy-de-Dôme*, Paris, Éd. Académie des Inscriptions et Belles-Lettres, Fondation Maison des sciences de l'homme (diff.).
- Py et al. 1997** : PY M., ADROHER A., BARBERAN S., BUXO R., CONCHE F., FEUGÈRE M., GARDESEIN A., JANDOT C., LOPEZ J., MATHIEU V., MONTEIL M., POMARÈDES H., RAUX S., RINALDUCCI V., SOUQ F., *Syslat 3.1 : système d'information archéologique : manuel de référence*, Lattara, 10, Lattes, Association pour la recherche archéologique en Languedoc oriental.
- Py 2009** : PY V., *Mine, bois et forêt dans les Alpes du Sud au Moyen Âge. Approches archéologique, bioarchéologique et historique*. Thèse de doctorat à l'Université de Provence, Aix-en-Provence.
- Quesada Sanz 1997** : QUESADA SANZ F., « *Gladius hispaniensis*: an archaeological view from Iberia » in FEUGÈRE M. (dir.), *L'équipement militaire et l'armement de la République*. Proceedings of the tenth International Roman Military Equipment Conference, Montpellier, France, 26th-28th September 1996, Journal of Roman Military Equipment Studies, 8, Oxford, Oxbow Books, p. 251-270.
- Radnóti 1938** : RADNÓTI A., *Die römischen Bronzegefäße von Pannonien*, Dissertationes Pannonicae, ser 2, fasc 6, Budapest, Institut für Münzkunde und Archäologie der P. Pázmány-Universität.
- Rahmstorf 2010** : RAHMSTORF L., « The concept of weighing during the Bronze Age in the Aegean, the Near East and Europe » in MORLEY I. et RENFREW C. (éd.), *The Archaeology of Measurement, Comprehending Heaven, Earth and Time in Ancient Societies*, Cambridge, Cambridge University Press, p. 88-105.
- Rahmstorf et Pare 2007** : RAHMSTORF L., PARE C. F. E., « Zu Gewichtssteinen der Späthallstatt- und Latènezeit », *Jahrbuch des Römisch-Germanischen Zentralmuseums Mainz*, 54, p. 265-295.
- Rancoule 1976** : RANCOULE G., « Une série d'objets antiques provenant de l'oppidum du Mayne (Belesta, Ariège) », *Revistes Catalanes amb Accés Obert*, 1, p. 129-135.
- Rancoule 1980** : RANCOULE G., *La Lagaste, agglomération gauloise du Bassin de l'Aude*, Atacina, 10, Carcassonne, Laboratoire de Préhistoire et de Paléontologie.
- Rapin 1986** : RAPIN A., « Étude du mobilier métallique », *Revue archéologique de Picardie*, 3, p. 59-78.
- Rapin 1987** : RAPIN A., « Le système de suspension des fourreaux d'épées laténiens au III^e s. av. J.-C. » in VITALI D. (éd.), *Celti ed Etruschi nell'Italia centro-settentrionale dal V secolo a. C. alla romanizzazione. Atti del colloquio internazionale Bologna 12-14 aprile 1985*, Realtà regionale, Fonti e studi, 10, Imola, p. 529-539.
- Raux 2013** : RAUX S., « Étude de l'*instrumentum* du site de l'Auditorium à Bordeaux. Quelques exemples d'exploitation chronologique et spatiale d'un corpus urbain antique », *Les Nouvelles de l'archéologie*, 131, p. 53-57.
- Raux et al. 2015** : RAUX S., BERTRAND I., FEUGÈRE M. (dir.), *Actualité de la recherche sur les mobiliers non céramiques de l'Antiquité et du haut Moyen Âge, Actes de la table ronde européenne Instrumentum*, Lyon (F, Rhône), 18-20 octobre 2012, Mémoire, 49, Monographies Instrumentum, 51, Montagnac, Chauvigny, M. Mergoïl, Association des Publications Chauvinoises.
- Reddé et von Schnurbein 2001** : REDDÉ, M. et VON SCHNURBEIN, S. (dir.), *Alésia, Fouilles et recherches franco-allemandes sur les travaux militaires romains autour du Mont-Auxois (1991-1997)*. Mémoires de l'Académie des Inscriptions et Belles-Lettres, 22, Paris, De Boccard.
- Reinecke 1902** : REINECKE P., « Zur Kenntnis der La Tène-Denkmal der Zone nordwärts der Alpen » in *Festschrift zur Feier des fünfzigjährigen Bestehens der Römisch-Germanischen Centralmuseums zu Mainz*. Mainz am Rhein, Philipp von Zabern, p. 53-109.
- Richard Ralite et al. 2014** : RICHARD RALITE J.-C., GENTRIC G., BRIQUEL D., PERNET L., « Les monnaies à légende lépontique de la Gaule du Sud-Est », *Cahiers numismatiques*, 202, p. 9-28.
- Riha 1979** : RIHA E., *Die römischen Fibeln aus Augst und Kaiseraugst*, Forschungen in Augst, 3, Augst, s.n.
- Riha 1986** : RIHA E., *Römisches Toilettgerät und medizinische Instrumente aus Augst und Kaiseraugst*, Forschungen in Augst, 6, Augst, Römermuseum Augst.
- Riha 1990** : RIHA E., *Der römische Schmuck aus Augst und Kaiseraugst*, Forschungen in Augst, 10, Augst, Römermuseum Augst.
- Riha 1994** : RIHA E., *Die römischen Fibeln aus Augst und Kaiseraugst: die Neufunde seit 1975*, Forschungen in Augst, 18, Augst, Römermuseum.
- Riha 2001** : RIHA E., *Kästchen, Truhen, Tische - Möbelteile aus Augusta Raurica*, Forschungen in Augst, 31, Augst, Römerstadt Augusta Raurica.
- Riha et Stern 1982** : RIHA E., STERN W. B., *Die römischen Löffel aus Augst und Kaiseraugst: archäologische und metallanalytische Untersuchungen*, Forschungen in Augst, 5, Augst, Schaub.
- Riquier 2004** : RIQUIER S., « La nécropole gauloise de "Vaugrignon" à Esvres-sur-Indre (Indre-et-Loire) », *Revue archéologique du Centre de la France*, 43, p. 21-113.
- Riquier 2008** : RIQUIER S., « L'armement républicain dans les sépultures de Gaule centrale » in Poux 2008, p. 181-202.
- Rolley et al. 1988** : ROLLEY C., BOYER R., MOURET W., BLYTH P. H., PERNOT M., DUBOS J., GUILLAUMET J.-P., *Techniques antiques du bronze : faire un vase, faire un casque, faire une fibule*, Centre de recherches sur les techniques gréco-romaines, 12, Dijon, Centre de recherches sur les techniques gréco-romaines.
- Roman et al. 2001** : ROMAN M., TOMICHE A., DUCREY G., *Figures du parasite*, Collection littéraires, Clermont-Ferrand, Presses universitaires Blaise Pascal.
- Romeuf 2001** : ROMEUF A.-M., *Les Martres-de-Veyre (Puy-de-Dôme), le quartier artisanal gallo-romain*, Cahier du Centre Archéologique de Lezoux, 2, Lezoux, Laboratoire de Céramologie Antique.
- Roure et al., sous presse** : ROURE R., DEMIERRE M. ET PERNET L., « Le trophée gaulois et ses influences », in GALLINIÉ M. (dir.), *Trophées et monuments de victoire romains*, Actes du colloque de Perpignan organisé par le CRHiSM-CRESEM-UPVD (21-23 octobre 2015).
- Roux 2013** : ROUX E., *Approche qualitative et quantitative de l'usage du mobilier non céramique dans les agglomérations (II^e s. av. J.-C. - III^e s. apr. J.-C.), L'exemple des territoires turon, biturige et carnute*, Thèse de doctorat, Université François Rabelais de Tours.
- Roux 2015** : ROUX E., « Approche qualitative et quantitative de la consommation d'*instrumentum* dans les agglomérations : l'exemple des territoires carnute, biturige et turon (200 av. - 300 ap. J.-C.) » in Raux et al. 2015, p. 81-94.
- Rudnicki 2014** : RUDNICKI M., « Nowa Cerekwia. A Celtic Centre for Craft and Commerce of Interregional Importance North of the Carpathians » in BERECKI S. (éd.), *Iron Age Crafts and Craftsmen in the Carpathian Basin. Proceedings of the International Colloquium from Târgu Mureş (10-13 October 2013)*, Bibliotheca Musei Marisiensis. Seria archaeologica, 7, Târgu Mureş, Editura MEGA, p. 33-70.
- Schäfer 2010** : SCHÄFER A., *Die Kleinfunde der jüngerenlatènezeitlichen Siedlung von Berching-Pollanten, Lkr. Neumarkt i.d. Oberpfalz*, Marburger Studien zur Vor- und Frühgeschichte, 24, Rahden/Westf., M. Leidorf.
- Schäfer et Scharff 2003** : SCHÄFER A., SCHARFF W., « The ceramics of a Celtic Bronze foundry from the Oppidum of Kelheim, Germany » in DI PIERRO S., et al. (éd.), *Ceramic in the Society, Proceedings of the 6th European Meeting on Ancient Ceramics, Fribourg, 3-6 October 2001*, Fribourg, Université de Fribourg, Département des Géosciences, p. 261-266.
- Schaltenbrand Obrecht 1996** : SCHALTENBRAND OBRECHT V., « Die Eisenfunde » in DESCHLER-ERB E. (Hrsg.), *Ausgrabungen im Unteren Bühl. Die Funde aus Metall. Ein Schrank mit Lararium des 3. Jahrhunderts*, Zürich und Egg, Direktion der öffentlichen Bauten des Kantons Zürich, p. 141-228.
- Schaltenbrand Obrecht 2012** : SCHALTENBRAND OBRECHT V., *Stilus: kulturhistorische, typologisch-chronologische und technologische Untersuchungen an römischen Schreibgriffeln von Augusta Raurica und weiteren Fundorten*, Forschungen in Augst, 45, Augst, Augusta Raurica.

- Schlott 1999** : SCHLOTT C., *Zum Ende des spälatènezeitlichen Oppidum auf dem Dünsberg (Gem. Biebertal-Fellingshausen, Kreis Giessen, Hessen)*, Forschungen zum Dünsberg, 2, Montagnac, M. Mergoil.
- Schönfelder 2002** : SCHÖNFELDER M., *Das spätkeltische Wagengrab von Boé (Dép. Lot-et-Garonne): Studien zu Wagen und Wagenrädern der jüngeren Latènezeit*, Monographien, Römisch-Germanisches Zentralmuseum, Forschungsinstitut für Vor- und Frühgeschichte, 54, Mainz, Römisch-Germanischen Zentralmuseums.
- Schönfelder 2015** : SCHÖNFELDER M., « Sklaven und Sklavenketten in der jüngeren Latènezeit: zu neuen Nachweismöglichkeiten » in WEFERS S., et al. (Hrsg.), *Waffen – Gewalt – Krieg, Beiträge zur Internationalen Tagung der AG Eisenzeit und des Institut Archeologii Uniwersytetu Rzeszowskiego – Rzeszów, 19.-22. September 2012*, Beiträge zur Ur- und Frühgeschichte Mitteleuropas, 79, Langenweissbach, Beier & Beran, p. 83-91.
- Schütz 2003** : SCHÜTZ N. M., *Eisenfunde aus der Stadt auf dem Magdalensberg II*, Archäologische Forschungen zu den Grabungen auf dem Magdalensberg, 14, Klagenfurt, Verlag des Landesmuseums für Kärnten.
- Sedlmayer 1999** : SEDLMAYER H., *Die römischen Bronzegefäße in Noricum*, Monographien Instrumentum, 10, Montagnac, M. Mergoil.
- Serneels 2007** : SERNEELS V., « Remarque conclusive. L'économie du fer protohistorique (VIII^e-I^{er} s. a. C.). De la production à la consommation du métal » in Milcent 2007, p. 425-434.
- Sievers 2001** : SIEVERS S., « Les armes d'Alésia » in Reddé et von Schnurbein 2001, p. 121-292.
- Sievers 2009** : SIEVERS S., « Les dépôts de Manching » in Honegger 2009, p. 177-183.
- Sievers 2010** : SIEVERS S., *Die Waffen aus dem Oppidum von Manching: Text und Tafeln*, Die Ausgrabungen in Manching, 17, Wiesbaden, Reichert.
- Sievers 2014** : SIEVERS S., « Manching : un champ de bataille ? » in KRAUSZ S., et al. (dir.), *L'âge du Fer en Europe. Mélanges offerts à Olivier Buchsensschutz*, Bordeaux, Ausonius, p. 645-650.
- Spehr 2007** : SPEHR R., « Zur Niederlegung von Waffen und Werkzeugen im Steinsburg-Oppidum bei Römhild » in MÖLLERS S., et al. (Hrsg.), *Keltische Einflüsse im nördlichen Mitteleuropa während der mittleren und jüngeren vorrömischen Eisenzeit. Akten des Internationalen Kolloquiums in Osnabrück (avril 2006)*, Kolloquien zur Vor- und Frühgeschichte, 9, Bonn, R. Habelt, p. 185-209.
- Spichtig 1995** : SPICHTIG N., « Eine eiserne Handfessel aus der spälatènezeitlichen Siedlung Basel-Gasfabrik », *Archéologie suisse*, 18, p. 118-124.
- Striwe 1996** : STRIEWE K., *Studien zur Nauheimer Fibel und ähnlichen Formen der Spätlatènezeit*, Internationale Archäologie, 29, Espelkamp, M. Leidolf.
- Sueur 2018** : SUEUR Q., *La vaisselle métallique de Gaule septentrionale à la veille de la Conquête : typologie, fonction et diffusion*, Monographien Instrumentum, 55, Drémil-Lafage, Mergoil.
- Sueur et Garcia 2015** : SUEUR Q., GARCIA M., « Les seaux en bois à cerclages métalliques de La Tène finale et du début de la période romaine. Observations techniques et typologiques », *Bulletin Instrumentum*, 41, p. 48-54.
- Swift 2000** : SWIFT E., *Regionality in dress accessories in the late Roman west*, Monographien Instrumentum, 11, Montagnac, M. Mergoil, Librairie Archéologique (diff.).
- Tisserand 2001** : TISSERAND N., *Les outils en fer du site de Vertault-Vertillum (Côte d'Or)*, Mémoire de maîtrise en archéologie, Université de Bourgogne.
- Tisserand 2010** : TISSERAND N., « Les outils en fer du site de Vertault-Vertillum (Côte d'Or) » in Chardon-Picault 2010, p. 251-265.
- Tisserand 2011** : TISSERAND N., « Le concept de romanisation peut-il s'appliquer à l'outillage ? » in REDDÉ M., et al. (dir.), *Aspects de la Romanisation dans l'Est de la Gaule*, Bibracte, 21, Glux-en-Glenne, Centre archéologique européen, p. 887-894.
- Toledo i Mur et Pernot 2008** : TOLEDO I MUR A., PERNOT M. (dir.), « Un atelier monétaire gaulois près de Poitiers, Les Rochereaux à Migné-Auxances (Vienne) », *Gallia*, 65, p. 231-272.
- Ulbert 1985** : ULBERT G., *Cáceres el Viejo : ein spätrepublikanisches Legionslager in Spanisch-Extremadura*, Madrider Beiträge, 11, Mainz am Rhein, Philipp von Zabern.
- Unz et Deschler-Erb 1997** : UNZ C., DESCHLER-ERB E., *Katalog der Militaria aus Vindonissa: militärische Funde, Pferdegeschirr und Jochteile bis 1976*, Veröffentlichungen der Gesellschaft Pro Vindonissa, 14, Brugg, Gesellschaft Pro Vindonissa.
- Vaginay et Guichard 1988** : VAGINAY M., GUICHARD V., *L'habitat gaulois de Feurs (Loire) : fouilles récentes (1978-1981)*, Documents d'archéologie française, 14, Paris, Éd. de la Maison des sciences de l'homme.
- Van Endert 1991** : VAN ENDERT D., *Die Bronzefunde aus dem Oppidum von Manching: kommentierter Katalog*, Die Ausgrabungen in Manching, 13, Stuttgart, F. Steiner.
- Verger 1992** : VERGER S., « L'épée du guerrier et le stock de métal : de la fin du Bronze ancien à l'Âge du Fer » in KAENEL G. et CURDY P. (dir.), *L'Âge du Fer dans le Jura*, Lausanne, p. 135-151.
- Verger 2009** : VERGER S., « Société, politique et religion en Gaule avant la Conquête. Éléments pour une étude anthropologique », *Pallas*, 80, p. 61-82.
- Vermeule 1975** : VERMEULE C. C., « Numismatics in antiquity: the preservation and display of coins in ancient Greece and Rome », *Revue suisse de numismatique*, 54, p. 5-32.
- Vial 2001** : VIAL E., « La petite ronde-bosse animalière en métal chez les Celtes », *Histoire de l'Art*, 49, p. 29-37.
- Vial 2005** : VIAL E., *Les représentations animales en métal du second Âge du Fer en Europe moyenne tempérée*. Thèse de doctorat en archéologie, Université de Besançon.
- Vial 2015** : VIAL E., « Les mobiliers zoomorphes mis en scène dans les dépôts au second âge du Fer » in Kaurin et al. 2015, p. 165-188.
- Viand 2008** : VIAND A., « Les fragments de cotte de mailles de Vernon. Armure souple vélocasse ou présence romaine aux portes de l'oppidum » in Poux 2008, p. 33-46.
- Vitali et Kaenel 2000** : VITALI D., KAENEL G., « Un Helvète chez les Étrusques vers 300 av. J.-C. », *Archéologie suisse*, 23/3, p. 115-122.
- Volken 2010** : VOLKEN M., « Le fer et la peau: le cuir et ses outils en milieu urbain romain » in Chardon-Picault 2010, p. 415-424.
- Volken et Paccolat 2011** : VOLKEN M., PACCOLAT O., « Les clous de chaussures du site de Pfyngut : Les bases d'une typo-chronologie » in PACCOLAT O. (dir.), *Pfyn / Finges, évolution d'un terroir de la plaine du Rhône, le site archéologique de 'Pfyngut' (Valais, Suisse)*, Archaeologia Vallesiana, 4, Cahiers d'archéologie romande, 121, Lausanne, p. 315-405.
- Vollenweider 1979** : VOLLENWEIDER M.-L., *Catalogue raisonné des sceaux, cylindres, intailles et camées. Vol. 2. Les portraits, les masques de théâtre, les symboles politiques : une contribution à l'histoire des civilisations hellénistique et romaine*, Genève, Mainz am Rhein, Musée d'art et d'histoire de Genève, Philipp von Zabern.
- von Miske 1908** : VON MISKE K. F., *Die prähistorische Ansiedlung Velem St. Vid. 1. Band: Die Beschreibung der Raubbaufunde*, The Prehistoric Collection Velem St. Vid, Vienne, Carl Konegen et Ernst Stülpnagel.
- von Nicolai 2009** : VON NICOLAI C., « Pour une « contextualisation » des dépôts du deuxième âge du Fer en Europe tempérée », *Revista d'Arqueologia de Ponent*, 19, p. 75-90.
- von Nicolai 2014** : VON NICOLAI C., *Sichtbare und unsichtbare Grenzen: Deponierungen an eisenzeitlichen Befestigungen in Mittel- und Westeuropa*, Universitätsforschungen zur prähistorischen Archäologie, 247, Bonn, R. Habelt.
- Vouga 1923a** : VOUGA P., *La Tène : Monographie de la station publiée au nom de la Commission des fouilles de la Tène*, Leipzig, K. W. Hiersemann.

Vouga 1923b : VOUGA P., « Trousse d'outils trouvée à la Tène », *Genava, Bulletin du musée d'art et d'histoire*, 1, p. 113-117.

Waldhauser 1998 : WALDHAUSER J., « Die Goldfingerringe von Münsingen-Rain und ihre Vergleichsstücke aus Flachgräberfeldern im Gebiet zwischen dem schweizerischen Mittelland und dem Karpatenbecken » in MÜLLER F. (dir.), *Münsingen-Rain, ein Markstein der keltischen Archäologie. Funde, Befunde und Methoden im Vergleich, Akten des Internationalen Kolloquiums „Das keltische Gräberfeld von Münsingen-Rain 1906-1996“*, Münsingen/Bern, 9.-12. Oktober 1996, Schriften des Bernischen Historischen Museums, 2, Bern, Bernisches Historisches Museum, p. 85-121.

Werner 1955 : WERNER J., « Die Nauheimer Fibel », *Jahrbuch des*

Römisch-Germanischen Zentralmuseums, 2, p. 170-195.

Wilmouth 2014 : WILMOUTH A., *Caractérisation des objets métalliques dans les quartiers est et ouest du vicus gallo-romain de Bliesbruck (Moselle)*, Thèse de doctorat en archéologie, Université de Bourgogne.

Wyss et al. 2002 : WYSS R., REY T., MÜLLER F., *Gewässerfunde aus Port und Umgebung: Katalog der latène- und römerzeitlichen Funde aus der Zihl*, Schriften des Bernischen Historischen Museums, 4, Bern, Bernisches Historisches Museum.

Zanier 2004 : ZANIER W., « Ende der Nauheimer Fibeln in früher römischer Kaiserzeit? », *Archäologisches Korrespondenzblatt*, 34/1, p. 65-80.

Quatre têtes de clous, deux tiges, trois tôles, un ressort de fibule, une poignée de chaudron, un talon de lance, un fragment de panne de marteau... la composition des ensembles archéologiques ressemble souvent à un obscur inventaire à la Prévert auquel il est difficile de donner du sens.

Fruit d'une thèse de doctorat, cet ouvrage essaie de fournir des pistes pour mieux les interpréter en s'appuyant sur le corpus d'objets métalliques de l'*oppidum* de Corent. L'auteur exploite cette riche collection pour affiner notre compréhension du fonctionnement du centre de cette ville considérée comme la capitale des Arvernes avant la Conquête césarienne. Les ensembles de ses édifices publics sont confrontés aux assemblages des ateliers et des bâtiments résidentiels. La démarche conduit à la création d'un référentiel interprétatif. L'analyse souligne le dynamisme de l'activité économique du cœur de l'agglomération gauloise, dont l'évolution est abordée au regard de la sociologie des différents acteurs de la société laténienne.

Pour mener à bien cette réflexion, le propos se fonde dans un premier temps sur l'observation de quelque 43'000 fragments, dont 3'847 illustrés. L'étude vise à la collecte de l'ensemble des informations contenues dans chaque artefact pour traiter des problématiques variées, de la chronologie des principaux marqueurs de la période à la fonction de pièces particulières d'outillage ou de harnachement. Ces analyses s'appuient systématiquement sur la distribution spatiale et la taphonomie des mobiliers, des options qui offrent un éclairage supplémentaire sur les modes de consommation des objets métalliques à la fin de l'époque gauloise.



50€ TTC
dépôt légal novembre 2019

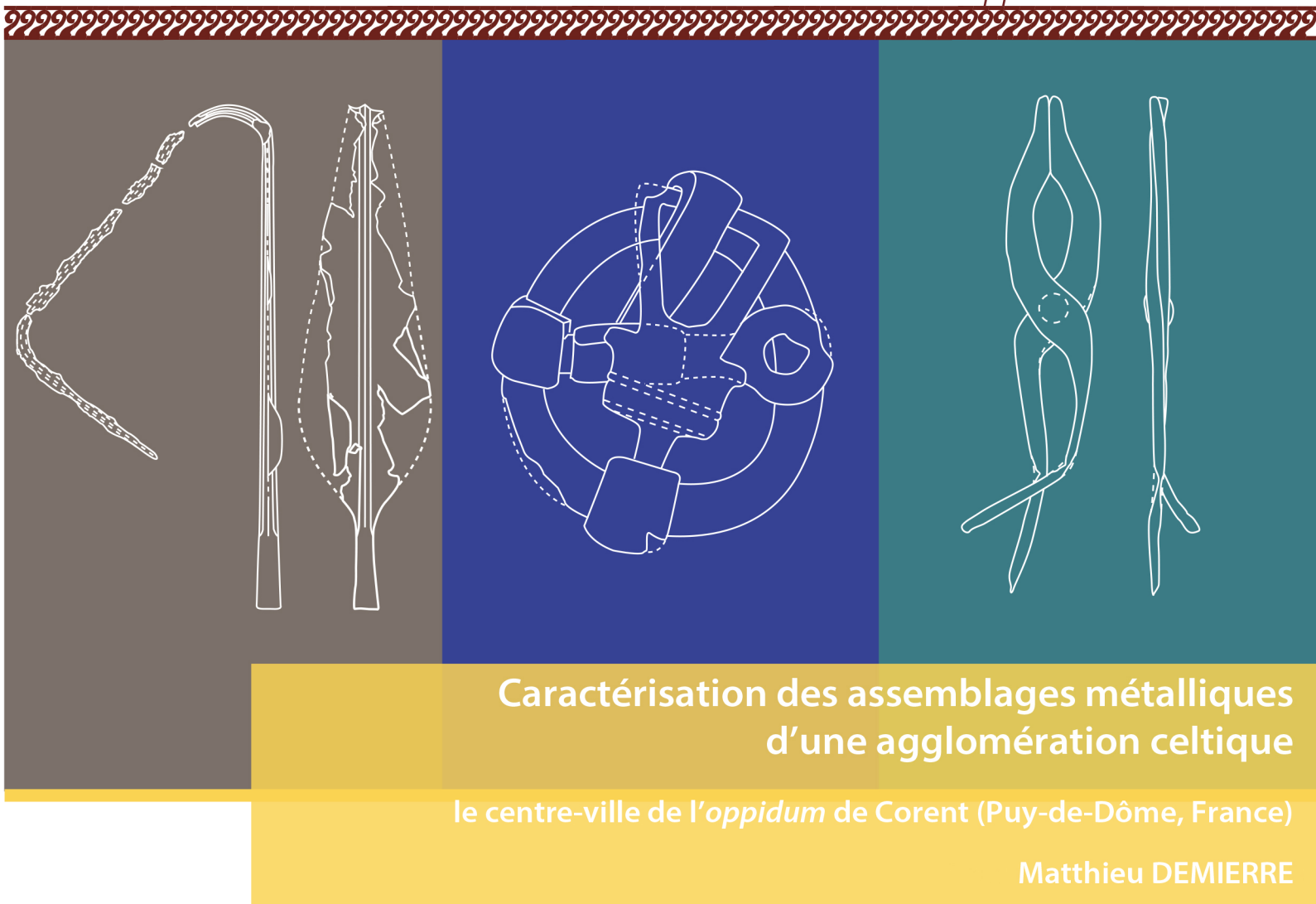
ISSN en cours
ISBN 978-2-35518-063-7



P_{roto}histoire E_{uropéenne} / 15

catalogue vol.2

Série : Oppidum de Corent I



**Caractérisation des assemblages métalliques
d'une agglomération celtique**

le centre-ville de l'*oppidum* de Corent (Puy-de-Dôme, France)

Matthieu DEMIERRE



éditions mergoil

Caractérisation des assemblages métalliques d'une agglomération celtique

le centre-ville de l'*oppidum* de Corent (Puy-de-Dôme, France)

Protohistoire Européenne

15



Collection dirigée
par Michel Py

Caractérisation des assemblages métalliques d'une agglomération celtique le centre-ville de l'*oppidum* de Corent (Puy-de-Dôme, France)

Matthieu DEMIERRE

volume 1 : texte

Série : *Oppidum* de Corent I



Editions Mergoïl
Drémil Lafage
2019

Tous droits réservés
© 2019



Diffusion, vente par correspondance

Editions Mergoil
13 rue des Peupliers
F - 31280 Drémil Lafage
Tél : 0345440444
e-mail : contact@editions-mergoil.com

ISBN : 978-2-35518-063-7

ISSN : en cours

Aucune partie de cet ouvrage ne peut être reproduite sous quelque forme que ce soit (photocopie, scanner ou autre) sans l'autorisation expresse des Editions Mergoil.

Texte : Matthieu Demierre

Saisie, illustrations, DAO : auteur et Alice Leguen

Mise en page volume 2 : auteur

Mise en page de la couverture : Déborah Demierre

Dessins de couverture : pointe de lance volontairement pliée, fragment de mors de cheval et extrémité de pince d'artisan.

Ouvrage réalisé avec le soutien financier du Fond National Suisse de la recherche scientifique, pour la mise en page des deux volumes.

Avec le soutien du Fonds des publications de l'Université de Lausanne et de la Société Académique Vaudoise pour l'aide à l'impression.

Impression Aquiprint

Dépôt légal novembre 2019

SOMMAIRE

Note introductive et abréviations	7
Complexe A	8
Bâtiment B	90
Complexe C	110
Espace D	208
Bâtiment gallo-romain nord et bâtiment G	240
Bâtiment H	266
Bâtiment F	272
Bâtiment E	280
Bâtiment Q	286
Bâtiment K	302
Bâtiment U	318
Bâtiment L	320
Bâtiment N	322
Bâtiment P	332
Bâtiment M	338
Bâtiment R	402
Bâtiment O	428
Bâtiment S	434
Voies à l'ouest de R	442
Bâtiment T	446
Hémicycle de réunion et théâtre	452
Sanctuaire	474
Structures hors bâtiment et mobilier hors contexte	606

NOTE INTRODUCTIVE

Ce catalogue est organisé en fonction de la situation des différentes unités architecturales du site. La présentation des objets débute par la parcelle au nord du sanctuaire dont le corpus est exposé en commençant par les assemblages du bâtiment A, puis procède bâtiment par bâtiment, dans le sens des aiguilles d'une montre jusqu'au bâtiment F. La parcelle occidentale est traitée de manière similaire. Les ensembles du bâtiment E apparaissent alors en premier, puis le catalogue aborde les bâtiments situés autour de l'esplanade, pour terminer par le corpus de l'hémicycle de réunion. Le sanctuaire apparaît en fin d'ouvrage avant le matériel hors contexte.

La disposition des ensembles au sein de chaque bâtiment suit la mise en phase des assemblages en débutant par les décapages de surface et en terminant par l'état 1. Les objets illustrés sont ensuite disposés par catégorie fonctionnelle en commençant par la parure et l'armement, qui fournissent un premier éclairage sur la chronologie de l'ensemble. Le petit mobilier non métallique associé apparaît à la suite du mobilier illustré dans la description en regard des planches. Le matériel métallique non illustré de l'assemblage se retrouve dans les inventaires sommaires disponibles à la fin du corpus de chaque unité architecturale. Tous les ensembles sont traités ainsi à l'exception de ceux du sanctuaire, qui sont présentés sans le reste du petit mobilier, pour lequel on se référera à la monographie dédiée au lieu de culte (Poux et Demierre 2015).

Afin de faciliter les recherches thématiques, des listes regroupant les objets par type sont disponibles sur le site des Éditions Mergoïl à l'adresse suivante : <https://www.editions-mergoil.com/fr/protohistoire-europeenne/226-caracterisation-des-assemblages-metalliques-dune-agglomeration-celtique.html>.

ABRÉVIATIONS

L. : longueur conservée

l. : largeur conservée

S. : dimensions de la section

diam. : diamètre

ép. : épaisseur

E : coordonnées Est

N : coordonnées Nord

Alt. : altitude

* : objet dont les coordonnées ont été extrapolées d'après la position de l'unité de fouille

UF : objet dont l'unité de fouille (UF) a été restituée d'après ses coordonnées

TP : trou de poteau

Sb : sablière

Fo : fosse indéterminée

Fo art : fosse artisanale

Fé : fossé

Pal : fossé de palissade

Ce : cellier

Bs : bassin

Cit : citerne

Pt : puits

COMPLEXE A

Bâtiment A1 et A2

Décapage

A1 et A2-1-décapage

Planche 1, 1. 15724, n° 1718.

Ardillon et ressort de fibule à corde externe basse et au moins six spires, dont trois conservées unilatéralement. Fer.

L. 37 mm. 5.1 g.

E : 1129.5. N : 1159.7.*

Type : F10-3.

Planche 1, 2. 15724, n° 1189.

Fibule à ressort à quatre spires et corde interne et à arc mouluré rectangulaire puis de section carrée, à bordures soulignées par une rainure et à ligne centrale finement incisée. L'interruption de l'arc est ornée de stries obliques. Le pied est trapézoïdal ajouré et l'ardillon manquant. Base-cuivre.

L. 78 mm, l. arc 6 mm, L. arc 48 mm. 3.2 g.

E : 1129.8. N : 1155.7. Alt. : 573.14.

Type : B22-26.

Planche 1, 3. 15724, n° 1184.

Fragment de bracelet à jonc lisse de section lenticulaire avec un fermoir en crochet. Base-cuivre.

Diam. int. 58 mm, S. 4 x 3 mm. 2.7 g.

E : 1127.12. N : 1163.42. Alt. : 573.31.

Type : B14-1.

Planche 1, 4. 15724, n° 1186.

Perle de section ovale. Base-cuivre.

Diam. 13 mm, S. 3 x 4,5 mm. 2.4 g.

E : 1129.37. N : 1158.37. Alt. : 573.32.

Planche 1, 5. 15411, n° 1148.

Chute de bande. Base-cuivre.

L. 9 mm, l. 7 mm, ép. 3,5 mm. 0.7 g.

E : 1129.3. N : 1152.9. Alt. : 576.34.

Bâtiment A1 et A2

État 2.2 : LTD2a

A1 et A2-2-radier

Planche 1, 6. 16067, n° 222.

Anneau à section en quart de rond avec une arête centrale. Base-cuivre.

Diam. 28 mm, S. 4 x 5 mm. 7.3 g.

E : 1128. N : 1163.7. Alt. : 573.30.

Planche 1, 7. 16067, n° 197.

Fragment de demi-produit constitué d'une tige de section rectangulaire incurvée avec trace de martelage. Base-cuivre.

L. 22 mm, S. 3 x 2 mm. 0.4 g.

E : 1128.5. N : 1153.5. Alt. : 573.30.

Planche 1, 8. 16067, n° 223.

Couteau à plaquettes et à dos anguleux et tranchant droit et voilé. Trace de bois minéralisé sur le manche. Fer.

L. 113 mm, l. (lame) 32 mm, S. (manche) 3 x 13 mm. 42 g.

E : 1127.5. N : 1164.3. Alt. : 573.30.

Type : 1-3.

Planche 1, 9. 16067, n° 215.

Fragment d'anse de seau constituée d'une bande de plat tordue présentant en son centre un décor de lunules. Base-cuivre.

L. 64 mm, l. 15 mm. 8.7 g.

E : 1127.9. N : 1157.4. Alt. : 573.19.

Planche 1, 10. 16067, n° 214.

Fragment distal de lance de section lenticulaire cassée à ses deux extrémités. Fer.

L. 62 mm. 11 g.

E : 1128.15. N : 1158.1. Alt. : 573.14.

Type : 10.

Planche 1, 11. 16067, n° 212.

Tôle quadrangulaire repliée sur elle-même avec une perforation dans chaque angle. Fer.

L. dépliée 94 mm, l. 46 mm, ép. 2 mm. 77.5 g.

E : 1124.8. N : 1160.2. Alt. : 573.26.

Planche 1, 12. 16067, n° 213.

Fragment de tôle avec deux rivets en position fonctionnelle. Fer.

L. 64 mm. 23.8 g.

E : 1128.17. N : 1158.3. Alt. : 573.25.

Planche 1, 13. 15724, n° 1185.

Abraseur polyédrique spécialisé en grès fin avec nombreuses cupules avec trace d'abrasion sur la quasi totalité des faces. Certaines cupules sont même effacées par l'utilisation d'une des faces. Lithique.

L. 69 mm, l. max. 44 mm. 81.2 g.

E : 1126.15. N : 1161.64. Alt. : 573.3.

Autres petits mobiliers

16067, n° 198. Jeton.

16067, n° 202. Monnaie.

16067, n° 242. Deux fragments de perle en verre.

Décapage

A2 à A4-1-décapage

Planche 1, 14. 15423, n° 559.

Perle à section en "D". Base-cuivre.

Diam. 10 mm, S. 6 x 2.5 mm. 1.9 g.

E : 1124. N : 1159.7. Alt. : 573.61.

Planche 1, 15. 15423, n° 1750.

Demi-produit constitué d'une tige de section trapézoïdale qui s'affine à une extrémité. Base-cuivre.

L. 24 mm. 0.7 g.

E : 1116.5. N : 1160.*

Planche 1, 16. 15423, n° 1729.

Objet indéterminé constitué d'une tige formant un "Y". Maillon de chaîne, de manche de clé? Fer.

L. 42 mm. 5.4 g.

E : 1124.5. N : 1160.1.*

Planche 1, 17. 15423, n° 1732.

Piton dont la tige est repliée sur l'anneau. Fer.

L. 36 mm, diam. (anneau) 16 mm. 10 g.

E : 1110.8. N : 1159.3.*

Autres petits mobiliers

15423, n° 560. Jeton.

15423, n° 561. Jeton.

15423, n° 546. Jeton.

15423, n° 1200. Fragment de meule en grès grossier.

15423, n° 550. Monnaie.

15423, n° 548. Monnaie.

15423, n° 544. Monnaie.

15423, n° 545. Monnaie.

15423, n° 553. Monnaie.

15423, n° 567. Monnaie.

15423, n° 554. Fragment de perle torique en verre bleu cobalt à décor de damier blanc et pourpre (Gebhard VIIde).

15423, n° 558. Perle en verre vert clair opaque à décor de fils jaune opaque en spirale.

Bâtiment A2

Décapage

A2-1-décapage

Planche 1, 18. 16001, n° 1705.

Mèche constituée d'une tige de section circulaire terminée par un plat foliacé de section lenticulaire. Fer.

L. 84 mm, S. 8 mm, l. (extrémité) 11 mm. 19.5 g.

E : 1125.3. N : 1162.7.*

Planche 1, 19. 15737, n° 1724.

Fragment de maillon de chaîne en huit ouvert en son centre. Fer.

L. 95 mm. 14.6 g.

E : 1123.3. N : 1156.*

Autres petits mobiliers

15699, n° 1142. Jeton.

16001, n° 1608. Monnaie.

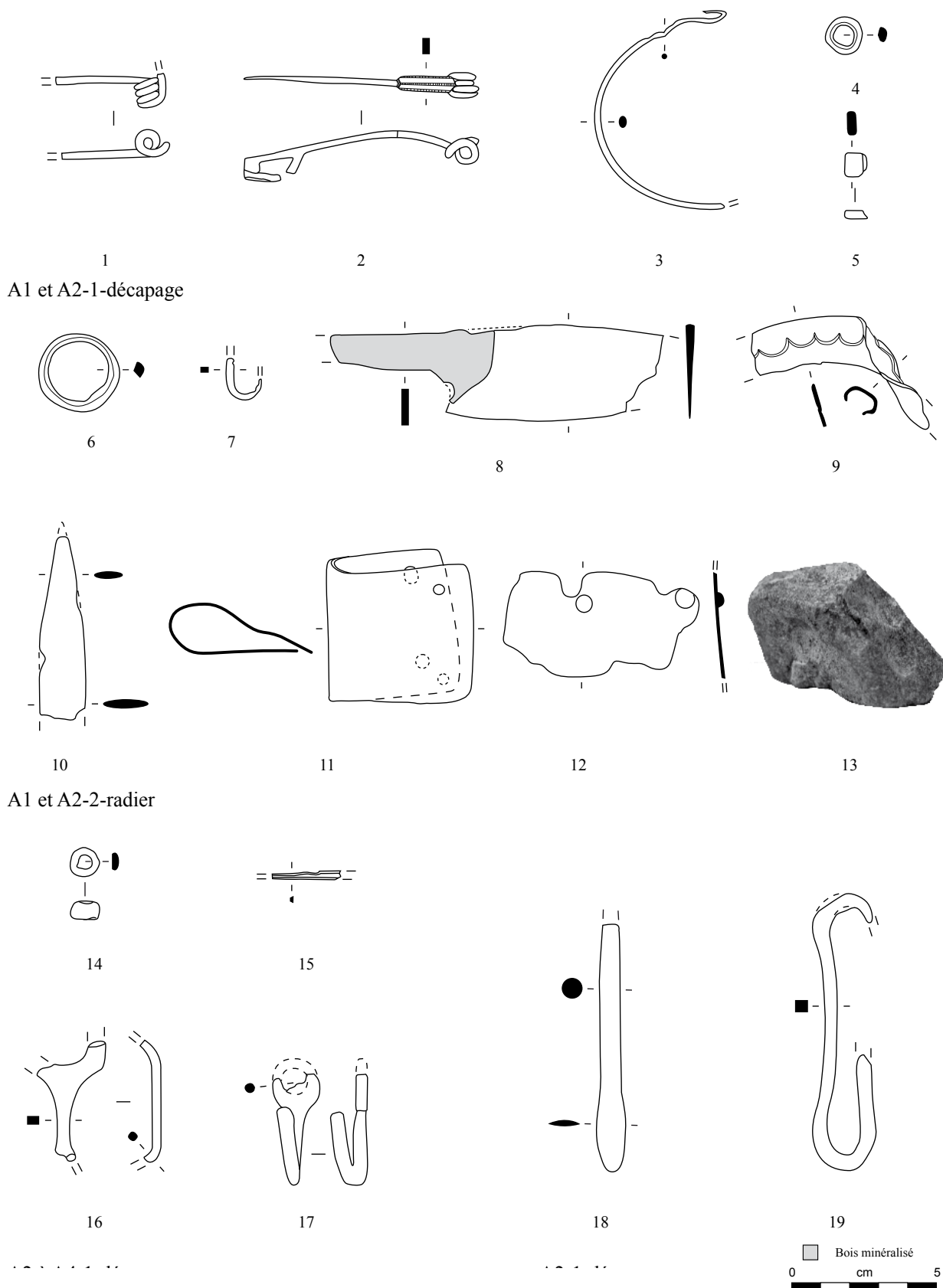


Planche 1. Bâtiments A1 à A4, décapages

1, 8, 10-12, 16-19 : fer; 2-7, 9, 14-15 : alliage cuivreux; 13 : grès fin.

Bâtiment A1

Décapage

A1-1-décapage

Planche 2, 1. 8305.

Fibule à ressort à une spire conservée et à arc de section ovale à encoches latérales. Des lignes soulignent la bordure de l'arc et celui-ci est interrompu par des lignes à deux reprises. Base-cuivre.

L. 78 mm, L. (arc) 56 mm. NP.

E : 1134.1. N : 1150.3.

Type : B22-29.

Planche 2, 2. 8330, n° 1.

Fibule à ressort à quatre spires et corde interne et à arc triangulaire rubané à bordures soulignées par une rainure. Le pied et l'ardillon sont manquants. Base-cuivre.

L. 25 mm, l. (arc) 3 mm. NP.

E : 1139.1. N : 1149.1.

Type : B22-03.

Planche 2, 3. 8302, n° 1.

Ressort long étroit à corde externe à quatre spires conservées à chaque extrémité. Base-cuivre.

L. 12 mm. NP.

E : 1130.2. N : 1150.4.

Planche 2, 4. 14001, n° 423.

Agrafe de ceinturon à bouton rectangulaire à terminaisons cannelées et à anneau à section facettée muni d'une tige fragmentaire en regard du bouton. Base-cuivre.

Diam. 24 mm, L. (bouton) 24 mm, ht. 12 mm. 9.8 g.

E : 1134. N : 1162.

Type : B44-3.

Planche 2, 5. 8324.

Rivet par refoulement à tête plate circulaire fixé à deux fragments de tôle. Base-cuivre.

L. 13 mm. 1 g.

E : 1134.46. N : 1149.18.

Planche 2, 6. 8323.

Fragment de mors de pince à épiler cassé à proximité du ressort. Base-cuivre.

L. 35 mm, l. 7 mm. 2 g.

E : 1132.85. N : 1150.5.

Planche 2, 7. 8032.

Tige de section circulaire appointée. Base-cuivre.

L. 32 mm, S. 3 mm. 3 g.

E : 1128.7. N : 1151.3.*

Planche 2, 8. 15402, n° 812.

Fragment de bandage de roue de section incurvée. Fer.

L. 120 mm, l. 49 mm, ép. 6 mm. 106 g.

E : 1135.65. N : 1155.9. Alt. : 573.18.

Planche 2, 9. 15400, n° 1770.

Fragment d'aiguisoir en schiste vert en forme de banane avec trace d'abrasion sur deux faces et trace de percussion à une extrémité (bouchardé?). Lithique.

L. 93 mm, l. 25 mm, ép. 15 mm. 81.2 g.

E : 1127. N : 1156.*

Planche 2, 10. 16012, n° 100.

Gouge à soie à manche conique de section carrée dans sa partie proximale puis de section ronde. La soie comporte encore du bois minéralisé. Fer.

L. 121 mm, L. (partie active) 105 mm, L. (soie) 16 mm, S. (manche) 7 mm, l. (tranchant) 4.5 mm. 22.8 g.

E : 1123.9. N : 1164.67. Alt. : 573.27.

Planche 2, 11. 16016, n° 219.

Enclumette en forme de "T" dont la table est légèrement fragmentaire. Fer.

L. 86 mm, L. (table) 40 x 11 mm, S. 13 x 11 mm. 92.1 g.

E : 1128.23. N : 1154.07. Alt. : 573.22.

Autres petits mobiliers

8330, n° 2. Fragment de tige en os de section ronde.

8309, n° 8309-1. Monnaie.

15400, n° 511. Monnaie.

8323, n° 8323-1. Monnaie.

15402, n° 860. Monnaie.

8061, n° 8061-1. Monnaie.

8305, n° 8305-1. Monnaie.

8324, n° 8324-1. Monnaie.

8330, n° 8330-1. Monnaie.

15723, n° 1183. Monnaie.

8310, n° 8310-1. Monnaie.

8313, n° 8313-1. Monnaie.

8330, n° 8330-2. Monnaie.

15402, n° 807. Monnaie.

15400, n° 513. Monnaie.

15402, n° 861. Monnaie.

15402, n° 862. Monnaie.

16012, n° 76. Perle en os.

16012, n° 69. Fragment de plaque de foyer.

État 2.3 : fin LTD2a-LTD2b

A1-2-radier

Planche 2, 12. 16066, n° 191.

Fragment de bracelet à épissures à jonc lisse de section lenticulaire. Base-cuivre.

L. 59 mm, S. 3 x 2 mm. 2 g.

E : 1124.47. N : 1151.1. Alt. : 573.29.

Type : B12-1.

Planche 2, 13. 16066, n° 194.

Fragments de bracelet à jonc lisse à section en "D". Base-cuivre.

L. 41, diam. int. 52 mm, S. 4 mm. 3.3 g.

E : 1125.32. N : 1153.3. Alt. : 573.18.

Type : B10-4.

Planche 2, 14. 16066, n° 1622.

Fragment de bracelet tubulaire constitué d'une tôle écrasée et décorée de lignes longitudinales. Base-cuivre.

L. 50 mm. 1.4 g.

E : 1126.2. N : 1152.3.

Type : B21-5.

Planche 2, 15. 16066, n° 1763.

Fragment de collerette de chaudron constituée d'une tôle de fer rivetée à une tôle en alliage cuivreux. Fer et base-cuivre.

L. 22 mm. 7.4 g.

E : 1125.5. N : 1152.*

Planche 2, 16. 16062, n° 187.

Scalpel à manche en alliage cuivreux fusiforme de section lenticulaire. La fixation de la lame en fer est assurée par une insertion dans le manche. Cette partie est dotée d'ailettes de chaque côté du système de fixation. Fer et base-cuivre.

L. 100 mm, L. lame 42 mm, S. 3 mm. 15.6 g.

E : 1125. N : 1154.5. Alt. : 573.29.

Planche 2, 17. 16066, n° 1611.

Demi-produit constitué d'une tige de section carrée appointée. Base-cuivre.

L. 38 mm, S. 2,5 mm. 0.5 g.

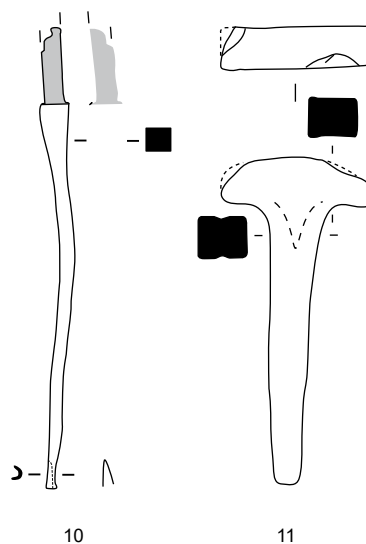
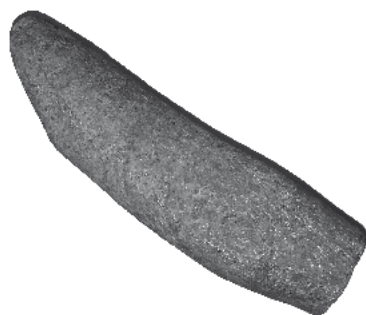
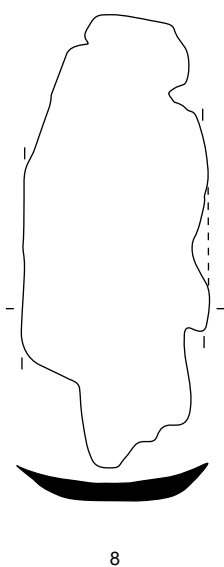
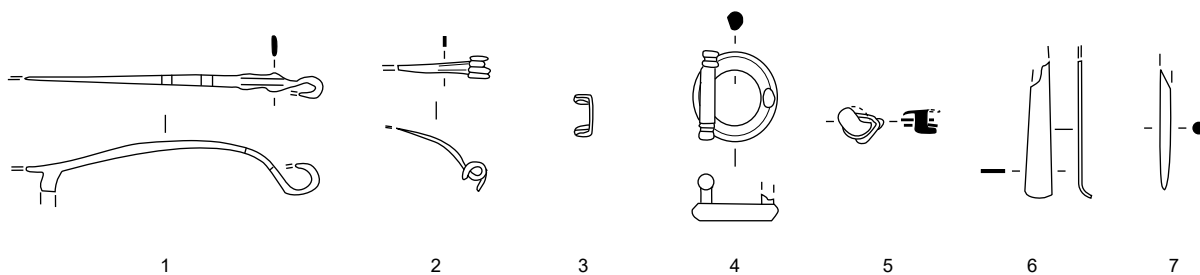
E : 1125.8. N : 1151.4.*

Planche 2, 18. 16066, n° 185.

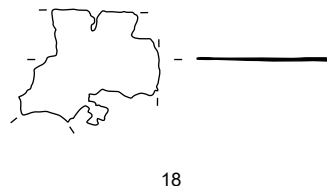
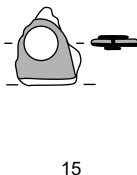
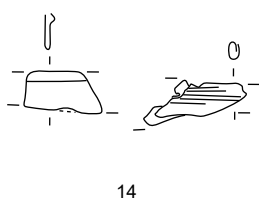
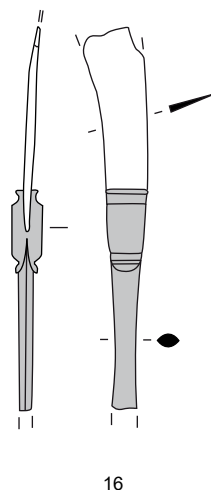
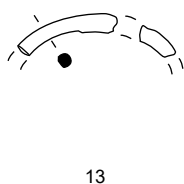
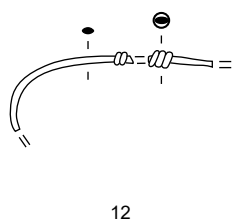
Fragment de tôle indéterminée comportant une découpe circulaire. Base-cuivre.

L. 38 mm, ép. 0,5 mm. 1.8 g.

E : 1126.4. N : 1152. Alt. : 573.24.



A1-1-décapage



A1-2-radier

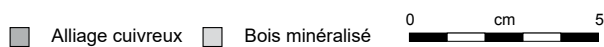


Planche 2. A1-1-décapage et A1-2-radier

1-7, 12-14, 17-18 : alliage cuivreux; 8, 10-11 : fer; 9 : schiste vert; 15-16 : fer et base-cuivre.

Bâtiment A1

État 2.3 : fin LTD2a-LTD2b

A1-4-TP 8365

Planche 3, 1. 8365.

Fibule à ressort à quatre spires et corde externe fragmentaire et à arc cambré de section lenticulaire. Fer.

L. 58 mm, L. (arc) 51 mm, S. (arc) 5 x 2 mm. 9 g.

E : 1125.8. N : 1148.6.

Type : F33-7.

Autres petits mobiliers

8365, n° 8365-1. Monnaie.

A1-5-Fo 15735

15736, n° 1190. Jeton.

État 2.2 à 2.3 : LTD2

A1-6-Solin 14026

Planche 3, 2. 14026, n° 2069.

Gouttière de bouterolle de fourreau à une pince triangulaire. Fer.

L. 30 mm. 2.1 g.

E : 1134.3. N : 1154.6.*

Autres petits mobiliers

14026, n° 428. Monnaie.

A1-7-épandage 14010

Planche 3, 3. 14008, n° 522.

Ardillon complet et ressort de fibule à quatre spires et corde interne. Base-cuivre.

L. 70 mm. 1.3 g.

E : 1131.08. N : 1155.44. Alt. : 573.18.

Type : B20-0.

Planche 3, 4. 14006, n° 437.

Fragment de bracelet constitué de trois fils tressés dont un est manquant. Base-cuivre.

L. 56 mm, diam. int. 70 mm. 4.4 g.

E : 1133.6. N : 1152.7. Alt. : 573.21.

Type : B42-2.

Planche 3, 5. 14008, n° 473.

Grand anneau de section ronde. Base-cuivre.

Diam. 21 mm, S. 3,5 mm. 4 g.

E : 1130.94. N : 1154.81. Alt. : 573.28.

Planche 3, 6. 14006, n° 420.

Agrafe de ceinturon à anneau de section ronde surmonté par un bouton sans languette. Base-cuivre.

Diam. 24mm, S. 5 mm, ht. 11 mm. 7.8 g.

E : 1133.50. N : 1153.65. Alt. : 573.20.

Type : B43-1.

Planche 3, 7. 14006, n° 442.

Frette de fourreau (?) constituée d'une languette repliée à ces deux extrémités. La surface plane de l'objet est marquée par un décor mouluré en relief tandis que sa bordure est ondulée. Fer.

L. 60 mm, l. 16 mm, ht 16 mm. 16.6 g.

E : 1133.8. N : 1152.2. Alt. : 573.2.

Planche 3, 8. 14008, n° 644.

Chute de barre de section circulaire facettée à découpe en biseau. Base-cuivre.

L. 28 mm, S. 8 mm. 14 g.

E : 1131.2. N : 1154.6.

Planche 3, 9. 14006, n° 419.

Demi-produit constitué d'une tige de section rectangulaire alternée entre ses deux extrémités. Une petite gorge est encore visible au centre de l'objet. Base-cuivre.

L. 56 mm, S. 1 x 2 mm. 1.2 g.

E : 1132.85. N : 1153.70. Alt. : 573.22.

Planche 3, 10. 14008, n° 2059.

Chute de tige de section carrée. Fer.

L. 20 mm, S. 4 mm. 0.9 g.

E : 1131.5. N : 1155.*

Planche 3, 11. 14008, n° 2060.

Chute de barre de section carrée. Fer.

L. 28 mm, S. 2,5 mm. 0.7 g.

E : 1131.5. N : 1155.5.*

Planche 3, 12. 14008, n° 2061.

Chute de barre de section carrée. Fer.

L. 46 mm, S. 3 mm. 1.2 g.

E : 1130.7. N : 1155.8.*

Planche 3, 13. 14008, n° 2058.

Chute de tige à extrémité aplatie et soie de préhension. Fer.

L. 34 mm, S. 3 mm. 1.2 g.

E : 1131. N : 1154.5.*

Planche 3, 14. 14009, n° 2063.

Rivet à contreplaque et tête hémisphérique creuse. Fer.

L. 39 mm, L. utile 30 mm. 10.1 g.

E : 1132.7. N : 1154.8.*

Planche 3, 15. 14009, n° 2062.

Fragment indéterminé constitué d'une tige de section rectangulaire terminée par un anneau ovale. Extrémité de manche, pignon? Fer.

L. 58 mm. 12.4 g.

E : 1133. N : 1155.*

Planche 3, 16. 14007, n° 415.

Fragment de foncet de serrure avec un accueilage rectangulaire. Fer.

L. 90 mm, l. 75 mm, ép. 2 mm. 43.5 g.

E : 1134.50. N : 1152.

Planche 3, 17. 14008, n° 2070.

Fragments de ferrure avec un élargissement et une perforation. Fer.

L. 71 mm. 34.8 g.

E : 1131.45. N : 1155.4. Alt. : 573.21.

Planche 3, 18. 14008, n° 2070b.

Fragment indéterminé plié de section triangulaire incurvé. Frette, fragment de lame pliée? Fer.

L. 30 mm. 35 g.

E : 1131.32. N : 1155.50. Alt. : 573.21.

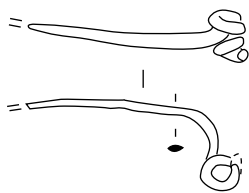
Autres petits mobiliers

14006, n° 416. Monnaie.

14009, n° 422. Monnaie.

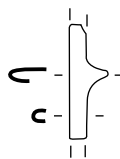
14007, n° 414. Monnaie.

14009, n° 547. Monnaie.



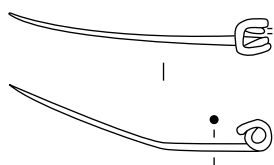
1

A1-4-TP 8365

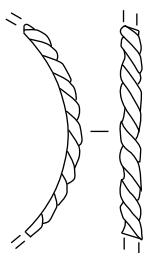


2

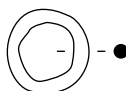
A1-6-Solin 14026



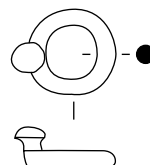
3



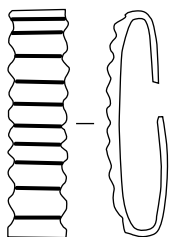
4



5



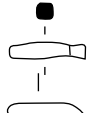
6



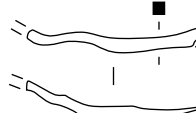
7



8



10



12



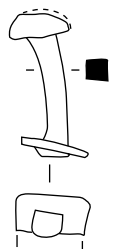
9



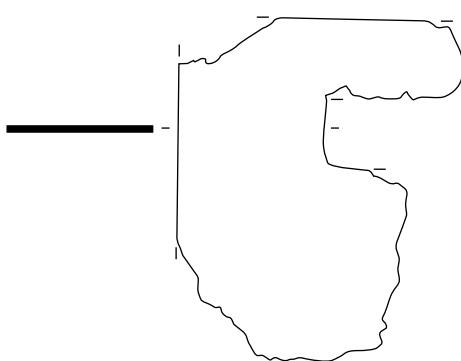
11



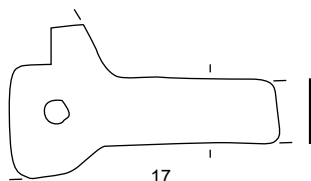
13



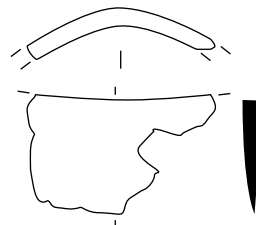
14



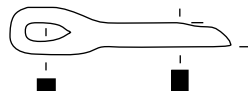
16



17



18



15

A1-7-épandage 14010

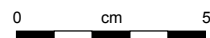


Planche 3. A1-4-TP 8365 à A1-7-épandage 14010

1-3, 7, 10-18 : fer; 4-6, 8-9 : alliage cuivreux.

Bâtiment A1

État 2.2 à 2.3 : LTD2

A1-8-nettoyages solins

Planche 4, 1. 15518, n° 790.

Fragment de bracelet à épissures à jonc de section ovale avec la jonction de deux terminaisons à épissures. Base-cuivre. L. 64 mm, diam. int. 52 mm, S. 1,5 x 2,5 mm. 3.1 g.
E : 1136.1. N : 1159.25. Alt. : 573.16.
Type : B12-1.

Planche 4, 2. 15518, n° 792.

Fragment indéterminé constitué d'une tôle de forme ovale asymétrique avec un repli formant une charnière. Paragnathide, charnière? Base-cuivre. L. 47 mm. 11.1 g.
E : 1135.94. N : 1159.23. Alt. : 573.15.

Planche 4, 3. 15518, n° 785.

Perle à section en quart de rond. Base-cuivre. Diam. 14 mm, S. 6,5 x 3 mm. 3.8 g.
E : 1137. N : 1158. Alt. : 572.19.

Planche 4, 4. 15518, n° 797.

Perle à section en quart de rond. Base-cuivre. Diam. 18 mm, S. 5 mm. 6.5 g.
E : 1135.65. N : 1157.07. Alt. : 573.04.

Autres petits mobiliers

15518, n° 789. Jeton percé, fusaïole.
15518, n° 791. Monnaie.
15518, n° 794. Monnaie.
15518, n° 796. Monnaie.
15518, n° 808. Monnaie.
15518, n° 786. Monnaie.

A1-9-Solin 15517

Planche 4, 5. 15517, n° 522.

Vasque de simpulum-passoire perforée avec début du manche du simpulum qui se développe à la perpendiculaire de la vasque. Base-cuivre. Diam. (base) 40 mm. 0.5 g.
E : 1136.2. N : 1159.3.*

État 2.2 : LTD2a

A1-11-Solin 17704

Planche 4, 6. 17704, n° 618.

Anneau d'écurie constitué d'un anneau fragmentaire avec un piton dont l'extrémité de la tige est manquante. Fer. L. 82 mm, diam. 78 mm, S. 5 mm. 57.9 g.
E : 1126. N : 1154.58.

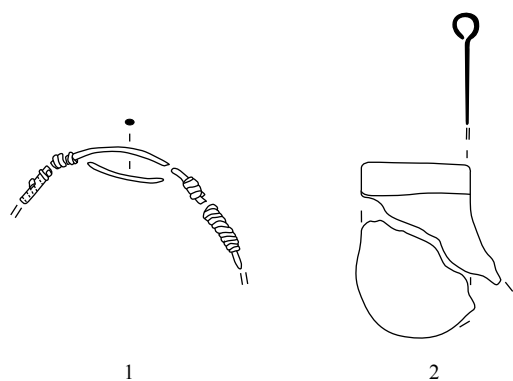
Planche 4, 7. 17704, n° 619.

Herminette à douille ouverte en regard du tranchant droit incliné légèrement fragmentaire. Fer. L. 128 mm, diam. (douille) 31 mm, L. tranchant 45 mm. 218.5 g.
E : 1125.4. N : 1155.78.

État 2.1 : LTD1b évoluée

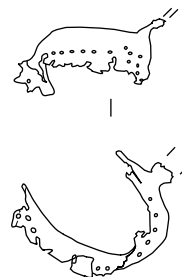
A1-13-TP 16433

16434, n° 361. Grosse perle à section en "D" en verre brun (Gebhard VIIIId).



1

2



3

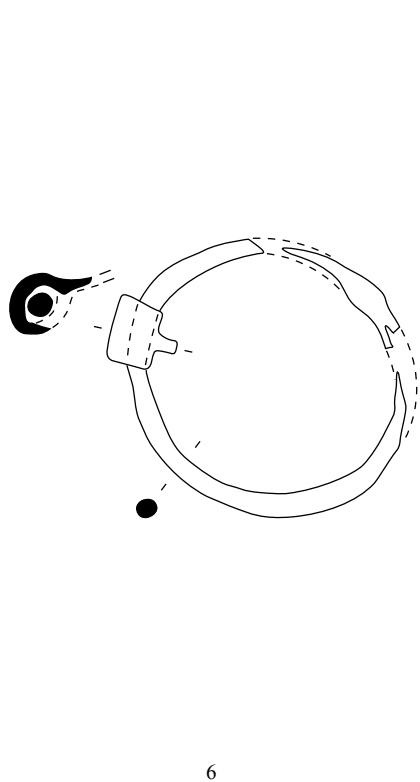
4



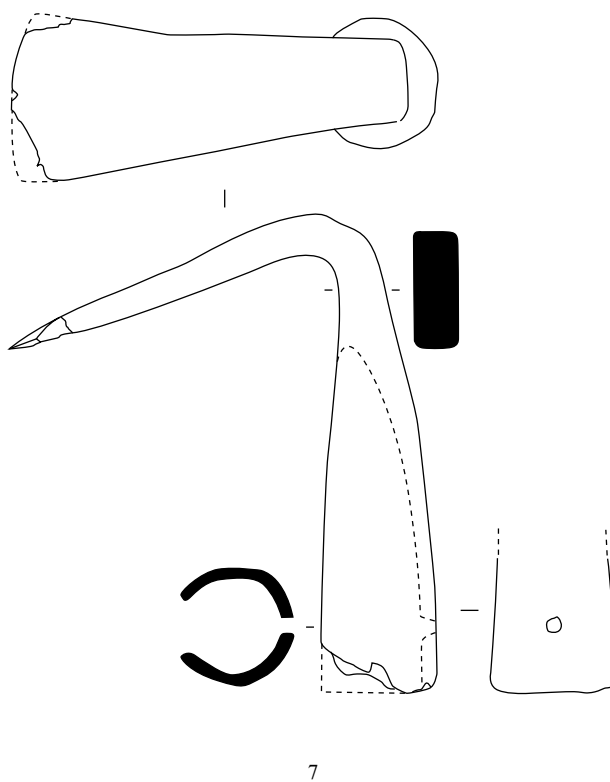
5

A1-8-solin 15518

A1-9-solin 15517



6



7

A1-11-solin 17704

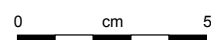


Planche 4. A1-8-nettoyages solins à A1-11-Solin 17704

1-5 : alliage cuivreux; 6-7 : fer.

Bâtiment A1

État 2.1 : LTD1b évoluée

A1-17-Fé 15669

Planche 5, 1. 15669, n° 1562.

Anneau de section ovale. Base-cuivre.

Diam. 17 mm, S. 5 x 3 mm. 2.5 g.

E : 1135.1. N : 1159.8. Alt. : 573.01.

Autres petits mobiliers

15669, n° 1067. Monnaie.

15669, n° 1109. Monnaie.

15669, n° 1066. Monnaie.

15669, n° 1563. Monnaie.

A1-18-TP 15708

Planche 5, 2. 15708, n° 1187.

Chute de bande à section rectangulaire et départ d'une tige de section quadrangulaire. La découpe est en bec de dauphin. Fer.

L. 72 mm, S. 8 x 5 mm. 26 g.

E : 1135.6. N : 1155.7.*

Autres petits mobiliers

15708, n° 1188. Jeton percé, fusaïole.

A1-23-TP 14027

Planche 5, 3. 14027, n° 2074.

Fibule à ressort à trois spires conservée unilatéralement et arc en anse de panier de section circulaire avec trace d'un rétrécissement qui laisse imaginer la place de la bague de fixation d'un pied de schéma La Tène moyenne. Seule une partie du porte-ardillon est conservée. Fer.

L. 71 mm, L. (arc 47 mm, S (arc) 2 mm. 3.3 g.

E : 1131.5. N : 1155.5.*

Type : F11-4.

État 1 : LTD1b classique

A1-24-TP 15726

Planche 5, 4. 15727, n° 1571.

Herminette à oeil à tranchant oblique formant un angle aigu avec l'axe du manche. Un clou est encore inséré dans l'oeil de l'outil. Fer.

L. 140 mm, diam. (oeil) 25 x 26 mm, L. (tranchant) 62 mm. 303.8 g.

E : 1135.15. N : 1153.4. Alt. : 573.05.

Planche 5, 5. 15727, n° 1570.

Pointe de lance à flamme à nervure centrale en forme de feuille de laurier, un tranchant de la lance est volontairement mutilé. L'extrémité de la pointe est manquante. Aucune trace de rivet observée sur la douille. Fer.

L. 224 mm, L. (douille) 57 mm, diam. (douille) 20 mm, l. (flamme) 25 mm. 101.7 g.

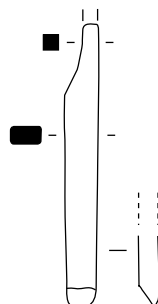
E : 1135.15. N : 1153.5. Alt. : 573.05.

Type : 43.



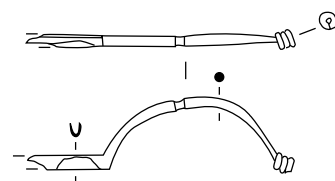
1

A1-17-Pal 15669



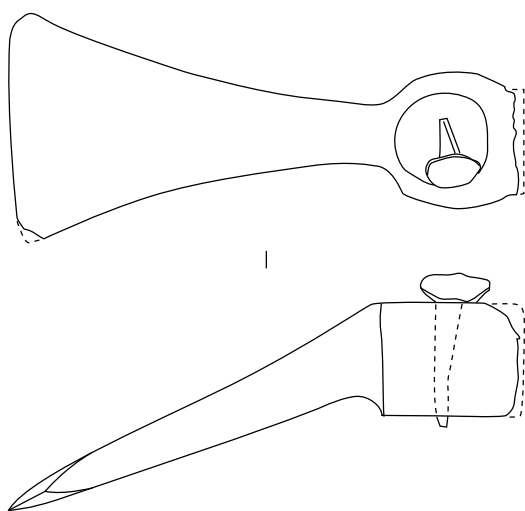
2

A1-18-TP 15708



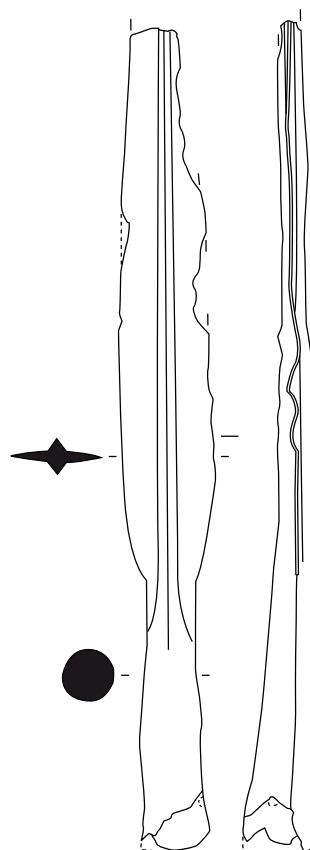
3

A1-23-TP 14027



4

A1-24-TP 15726



5

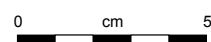


Planche 5. A1-17-Fé 15669 à A1-24-TP 15726

1 : alliage cuivreux; 2-5 : fer.

Bâtiment A1

État 1 à 2.1 : LTD1b

A1-20-sol 14030

Planche 6, 1. 14030, n° 583.

Fibule de schéma La Tène moyenne à ressort à deux spires et corde externe basse et à arc filiforme en arc de cercle replié volontairement (?) au niveau du pied. Fer.

L. 46 mm. 33 g.

E : 1131.36. N : 1153.87.

Type : F11-2.

Planche 6, 2. 14030, n° 2073.

Ressort de fibule à deux grandes spires conservées. Fer.

L. 17 mm, diam. (spire) 16 mm. 2.6 g.

E : 1130. N : 1152.

Type : F10-2.

Planche 6, 3. 14030, n° 549.

Ressort de fibule à huit spires et corde externe basse. Base-cuivre.

L. (ressort) 23 mm. 5.7 g.

E : 1130.1. N : 1152.6. Alt. : 573.13.

Type : B10-3.

Planche 6, 4. 17703, n° 636.

Fibule à ressort à quatre spires et corde interne et à arc tendu de tôle triangulaire fin à bordures soulignées par une rainure. Le pied est rabattu vers l'arc (volontairement?). Base-cuivre.

L. 44 mm, L. déplié 54 mm, L. (arc) 31 mm, l. (arc) 7 mm. 2.4 g.

E : 1125.13. N : 1156.98.*

Type : B22-05.

Planche 6, 5. 8343, n° 2.

Ressort de fibule à quatre spires et corde interne avec départ d'un arc de tôle. Fer.

L. 28 mm, l. (arc) 5 mm. 6 g.

E : 1132. N : 1150.*

Type : F22-1.

Planche 6, 6. 8343, n° 1.

Pied ajouré de forme trapézoïdale. Fer.

L. 36 mm. 2 g.

E : 1134. N : 1151.9.

Planche 6, 7. 8342.

Fragment de bracelet tubulaire écrasé à décor de chevrons. Des traces de martelage en surface laissent envisager un objet récupéré ou en cours de fabrication.

Base-cuivre.

L. 48 mm, l. 14 mm. 2 g.

E : 1131.5. N : 1148.4.

Type : B21-2.

Planche 6, 8. 8344, n° 1.

Fragment de bracelet tubulaire fin à section facettée au décor de trois rangées de stries obliques alternées. Base-cuivre.

Diam. int. 50 mm, S. 4 x 5 mm. 2 g.

E : 1132.6. N : 1149.

Type : B22-2.

Planche 6, 9. 8344.

Fragment d'anneau à section en "D".

Base-cuivre.

Diam. 25 mm, S. 2 x 4 mm. 2 g.

E : 1132.55. N : 1148.6.

Planche 6, 10. 8343.

Fragment d'anneau à section en "D".

Base-cuivre.

Diam. 30 mm, S. 2x 3 mm. 1 g.

E : 1132.55. N : 1148.6.

Planche 6, 11. 8064.

Perle à section en "D". Base-cuivre.

Diam. 14 mm, S. 3 mm., 2 g.

E : 1129. N : 1151.*

Planche 6, 12. 8064.

Anneau de section ovale. Base-cuivre.

Diam. 31 mm, S. 5 x 4 mm., 10 g.

E : 1129.2. N : 1150.7.*

Planche 6, 13. 8362.

Fragment d'anneau en quart de rond.

Base-cuivre.

Diam. 23 mm, S. 4 mm., 3 g.

E : 1131.9. N : 1148.3.

Planche 6, 14. 8064.

Fragment de perle de section ronde. Base-cuivre.

Diam. 22 mm, S. 3 mm., 4 g.

E : 1128.5. N : 1151.3.

Planche 6, 15. 16030, n° 91.

Anneau de section ronde. Base-cuivre.

Diam. 22 mm, S. 3 mm. 3.8 g.

E : 1129.95. N : 1155.36. Alt. : 573.1.

Planche 6, 16. 8361.

Perle à section en quart de rond. Base-cuivre.

Diam. 15 mm, S. 4,5 x 3 mm., NP.

E : 1126.57. N : 1148.3.

Planche 6, 17. 16560, n° 1330.

Trois perles retrouvées collées de section ovale et à arête centrale. Un anneau présente un début de tige ou une boule de corrosion? Base-cuivre.

Diam. 27 mm, S. 4 x 2 mm. Diam. 26 mm, S. 4 x 2 mm. Diam. 19 mm, S. 6 x 3 mm., 30 g.

E : 1126.87. N : 1153.11.

Planche 6, 18. 14031, n° 546.

Perle de section ronde. Base-cuivre.

Diam. 14 mm, S. 2 mm. 0.4 g.

E : 1132.40. N : 1153.1. Alt. : 573.16.

Planche 6, 19. 14017, n° 434.

Perle section à trois cannelures. Base-cuivre.

Diam. 14 mm, S. 3 x 6 mm. 2.2 g.

E : 1134.5. N : 1159.2.*

Planche 6, 20. 16560, n° 1317.

Espaceur de collier constitué d'un tube réalisé à l'aide d'une tige enroulée. Base-cuivre.

L. 14 mm, diam. 4 mm. 0.2 g.

E : 1129.21. N : 1154.79.

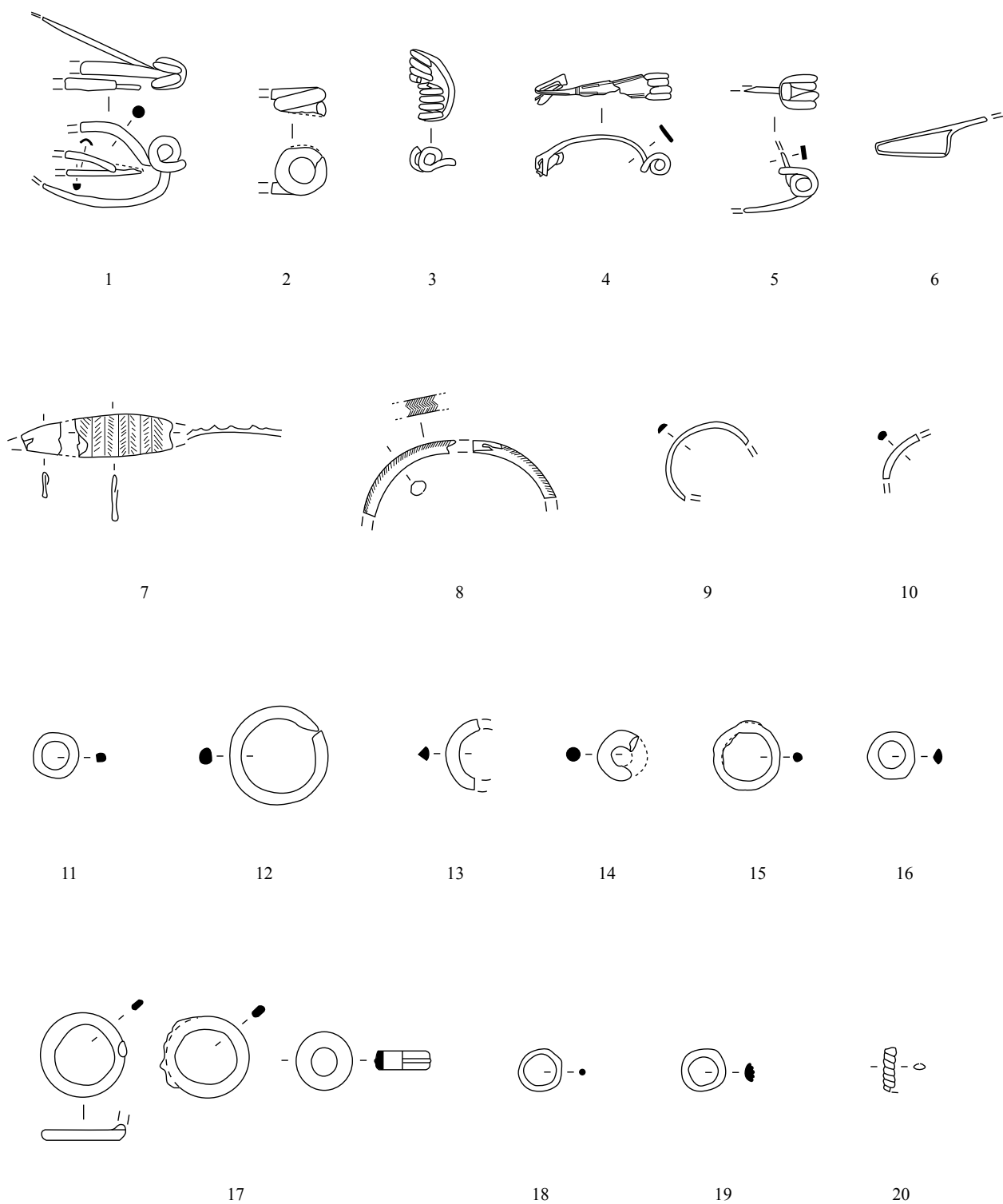


Planche 6. A1-20-sol 14030 (parures)

1-2 : fer; 3-20 : alliage cuivreux.

Bâtiment A1

État 1 à 2.1 : LTD1b

A1-20-sol 14030

Planche 7, 1. 8422, n° 22.

Umbo de bouclier à ailettes courtes trapézoïdales et fixation par un rivet médian. La coque présente une bordure épaissie. Fer.

L. 156 mm, L. rest. 208 mm, L. (aillette) 122 x 48 mm, h. (coque) 98 mm, S. (spina) 92 mm. 120 g.

E : 1130.4. N : 1151.75.

Type : Gournay V.

Planche 7, 2. 8342, n° 20.

Umbo de bouclier à ailettes courtes rectangulaires et à coque bordée d'un épaississement. Une ailette est manquante. Fer.

L. 162 mm, L. rest. 190 mm, L. (aillette) 66 x 50, ht (coque) 80 mm. 170 g.

E : 1131.1. N : 1151.5.

Type : Sion?

Planche 7, 3. 8343, n° 23.

Fragment d'umbo de bouclier dont il ne subsiste que la coque à bordure soulignée par un épaississement et une partie d'aillette repliée sous cette dernière. Fer.

L. 103 mm, h. min. (coque) 98 mm. 233 g.

E : 1132.05. N : 1151.3.

Type : Indéterminé.

Planche 7, 4. 14030, n° 585.

Clou-rivet d'umbo à tête conique pleine.

Fer.

L. 27 mm, L. utile 10 mm. 0.9 g.

E : 1133. N : 1153.8.

Type : Clou-rivet.



Planche 7. A1-20-sol 14030 (armement)

Fer (1-3, d'après Orengo 2003, pl. 58).

Bâtiment A1

État 1 à 2.1 : LTD1b

A1-20-sol 14030

Planche 8, 1. 8343.

Fragment d'orle de section rectangulaire avec deux pattes de fixation dont une présentant encore un rivet. Fer.

L. 270 mm, S. 7 x 4 mm. 57 g.

E : 1132.3. N : 1151.4.

Type : Rectangulaire.

Planche 8, 2. 8343.

Fragment d'orle de section rectangulaire avec deux pattes de fixation. Fer.

L. 172 mm, S. 7 x 4 mm. 40 g.

E : 1132.3. N : 1151.4.

Type : Rectangulaire.

Planche 8, 3. 8343.

Fragment d'orle de section rectangulaire avec une patte de fixation. Fer.

L. 138 mm, S. 7 x 4 mm. 13 g.

E : 1132.3. N : 1151.45.

Type : Rectangulaire.

Planche 8, 4. 8343.

Fragment d'orle de section rectangulaire avec une patte de fixation. Fer.

L. 88 mm, S. 7 x 4 mm. 13 g.

E : 1132.35. N : 1151.4.

Type : Rectangulaire.

Planche 8, 5. 8343.

Fragment d'orle de section rectangulaire avec deux pattes de fixation. Fer.

L. 183 mm, S. 8 x 4 mm. 36 g.

E : 1134.36. N : 1150.5.

Type : Rectangulaire.

Planche 8, 6. 14030, n° 556.

Fragment d'orle en gouttière avec trois pattes de fixation. Fer.

L. 302 mm, S. 14 x 11 mm. 87.7 g.

E : 1130.7. N : 1155.45.

Type : Gouttière.

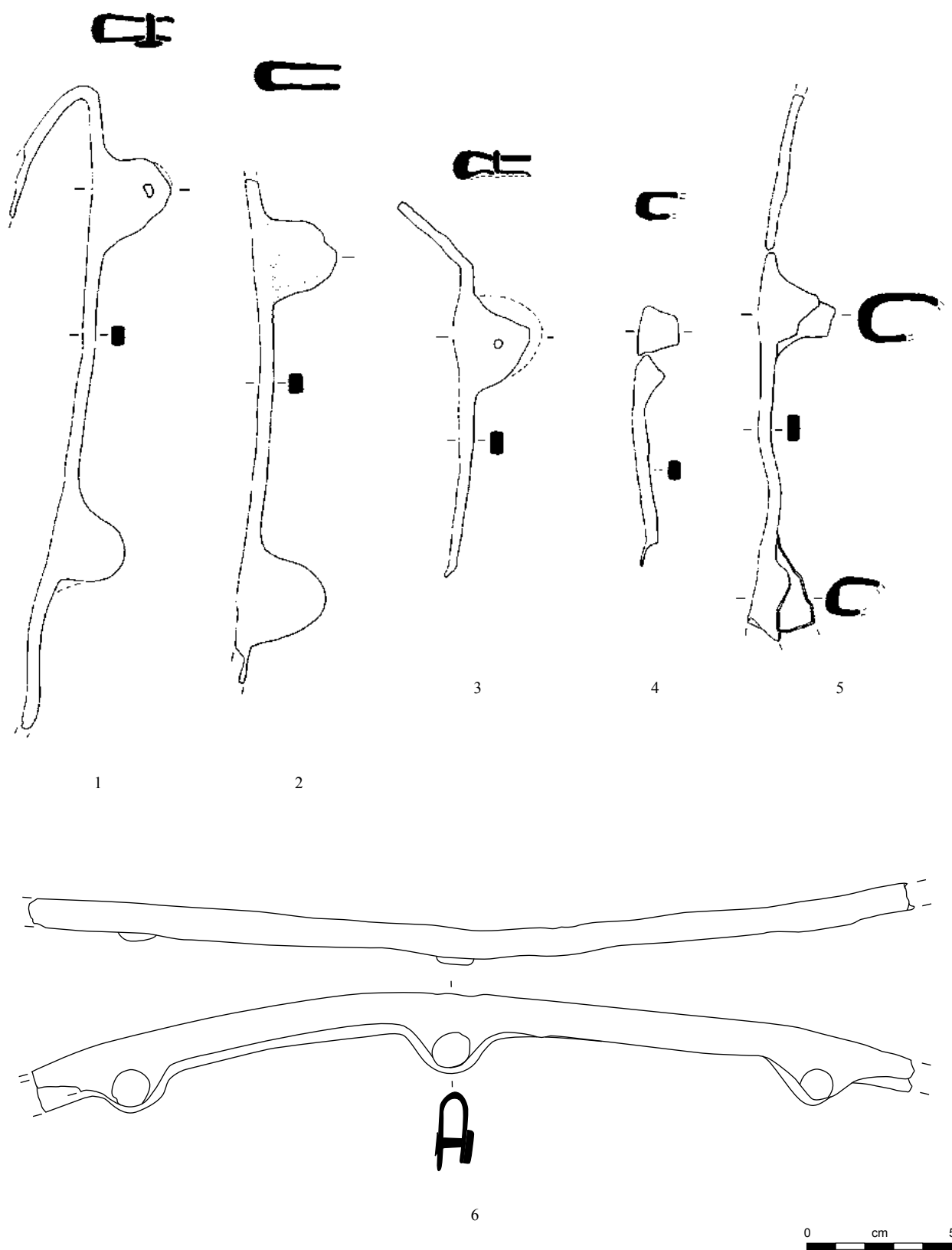


Planche 8. A1-20-sol 14030 (armement)

Fer (1-5, tiré de Orengo 2003, pl. 55).

Bâtiment A1

État 1 à 2.1 : LTD1b

A1-20-sol 14030

Planche 9, 1. 14030, n° 2068.

Trois fragments d'orle de section rectangulaire avec départ de la patte de fixation. Fer.

L. 250 mm, S. 7 x 4 mm. 19.6 g.

E : 1130.4. N : 1153.2. Alt. : 573.11.

Type : Rectangulaire.

Planche 9, 2. 16560, n° 1320.

Fragment d'orle avec patte de fixation avec rivet en position fonctionnelle et section rectangulaire. Fer.

L. 59 mm, S. 6 x 4 mm. 28.4 g.

E : 1128.7. N : 1152.47.

Type : Rectangulaire.

Planche 9, 3. 16560, n° 1321.

Fragment d'orle de section rectangulaire avec deux pattes de fixation juxtaposées pour réaliser une réparation. Fer.

L. 64 mm, S. 6 x 4 mm. 36.4 g.

E : 1128.7. N : 1152.59.

Type : Rectangulaire.

Planche 9, 4. 16560, n° 189.

Deux fragments d'orle de bouclier de section rectangulaire avec quatre pattes de fixation. La courbure d'un fragment en direction de l'extérieur du bouclier suggère un arrachage volontaire. (UF réattribuée, ancien no UF 16066). Fer.

L. 200 mm et L. 224 mm, S. 4 x 2 mm. 184 g.

E : 1128. N : 1153.21. Alt. : 573.23.

Type : Rectangulaire.

Planche 9, 5. 16560, n° 1390.

Flamme de pointe de lance à nervure centrale à tranche arrondie dont la forme devait très vraisemblablement être échancrée. Fer.

L. 268 mm, l. 34 mm. 135 g.

E : 1129.5. N : 1156.2. Alt. : /.

Type : 41.

Planche 9, 6. 14030, n° 611.

Pointe de flèche à douille et à deux barbelures dont une fragmentaire. Fer.

L. 71 mm, diam. (douille) 10 mm, L. (douille) 28 mm, L. (flamme) 43 mm. 16.3 g.

E : 1130.78. N : 1153.91.

Planche 9, 7. 14030, n° 639.

Fragments de plaque de fourreau avec une partie de bouterolle à gouttière et de barrette en position fonctionnelle. Fer.

L. 48 mm et 42 mm, l. cons. (plaque) 39 mm. 25.4 g.

E : 1133.8. N : 1155.41. Alt. : 573.16.

Planche 9, 8. 14030, n° 630.

Fragment de plaque de fourreau étroite (coutelas?) constituée d'une tôle à gouttière de forme triangulaire. Fer.

L. 71 mm, l. 26 mm, ht. 6 mm. 17 g.

E : 1131.75. N : 1154.42.

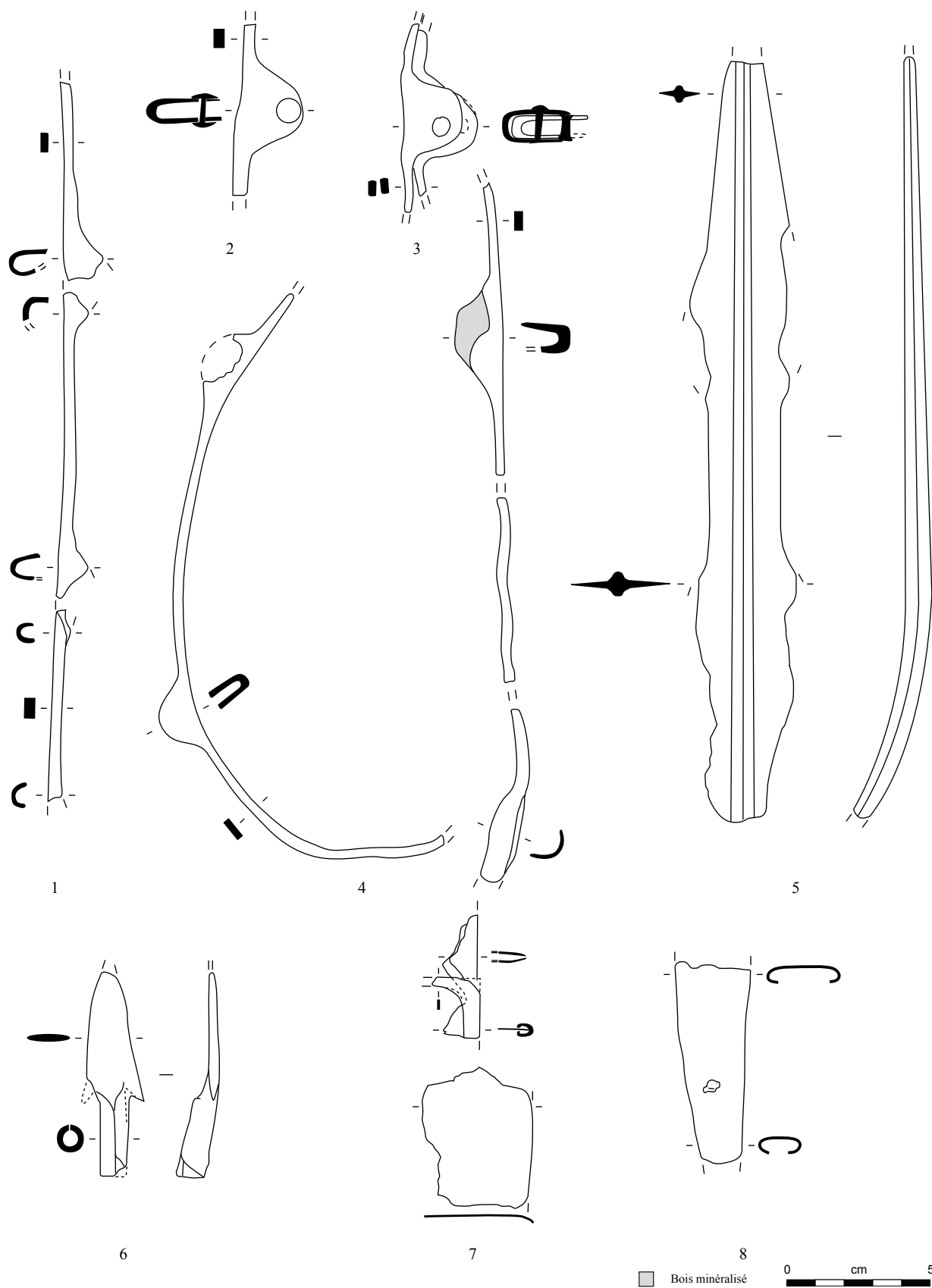


Planche 9. A1-20-sol 14030 (armement)

Fer.

Bâtiment A1

État 1 à 2.1 : LTD1b

A1-20-sol 14030

Planche 10, 1. 17703, n° 609.

Fragment de lime à soie cassée au niveau de la partie active de section hémisphérique. Fer.

L. 77 mm, S. 11 x 4 mm. 89.9 g.

E : 1127.25. N : 1156.37.

Planche 10, 2. 14030, n° 632b.

Partie active de lime de section hémisphérique. Fer.

L. 55 mm, S. 11 x 4 mm. 10.3 g.

E : 1130.5. N : 1154.7.

Planche 10, 3. 17703, n° 610.

Fragment d'objet indéterminé constitué d'une tige terminée par un plat triangulaire massif. Fer.

L. 34 mm, S. 7 x 6 mm. 19.4 g.

E : 1127.37. N : 1157.34.

Planche 10, 4. 14030, n° 557.

Lingot à fond convexe et surface irrégulière bulleuse. Base-cuivre.

L. 58, ép. 11 mm. 152.2 g.

E : 1131.5. N : 1154.5.

Planche 10, 5. 8341.

Chute de tôle repliée et formant un ourlet. Base-cuivre.

L. 31 mm. 2 g.

E : 1129.5. N : 1151.*

Planche 10, 6. 8362.

Chute de tige de section circulaire puis rectangulaire coupée à son extrémité.

Base-cuivre.

L. 35 mm, S. 2 mm. 1 g.

E : 1130.8. N : 1149.6.

Planche 10, 7. 16560, n° 1341.

Demi-produit constitué d'une tige de section quadrangulaire à section et rectangulaire dans sa partie appointée. Impacts de martelage sur la plupart des faces. Base-cuivre.

L. 109, S. 4 mm. 5.6 g.

E : 1128.6. N : 1153.2.

Planche 10, 8. 14030, n° 561.

Ciseau droit à soie, à manche conique et à tranchant droit fin. Fer.

L. 76 mm, S. 8 mm. 11.6 g.

E : 1130.92. N : 1154.38.

Planche 10, 9. 8343.

Fragment de fléau de balance avec anneau de suspension en connexion cassé à ces deux extrémités. Base-cuivre.

L. 44 mm. 2 g.

E : 1133.1. N : 1150.7.*

Planche 10, 10. 8345.

Poids en forme d'olive. Base-cuivre.

L. 17 mm, S. 5 mm. 8 g.

E : 1134.99. N : 1150.54.

Planche 10, 11. 14030, n° 632a.

Objet constitué d'un anneau avec trois éléments connectés soit, une hache et une herminette miniatures et un piton fermé à anneau mouluré. Fer.

L. 170 mm, diam. (anneau) 78 mm, S. (anneau) 9 mm, L. (hache) 62 mm, L. (herminette) 62 mm, L. (piton) 68 mm. 214.5 g.

E : 1130.5. N : 1154.7.

Planche 10, 12. 8341.

Pendant de harnais, pendentif (?) en forme de cage aux angles bouletés avec un fragment de quartz en son centre et un anneau de suspension. Base-cuivre.

L. 57 mm. 38 g.

E : 1129.9. N : 1150.5.*

Planche 10, 13. 8372.

Piton à oeillet et à contreplaque. Fer.

L. 68 mm, L. utile 46 mm. 16 g.

E : 1130.7. N : 1148.65.

Planche 10, 14. 16560, n° 1325.

Fragment de bandage de roue à bordure épaissie. Fer.

L. 49 mm, ép. 7,5 mm. 69.4 g.

E : 1127.91. N : 1153.92.

Planche 10, 15. 17703, n° 604.

Fragment de bandage de roue pliée avec bordures relevées. Fer.

L. 124 mm, l. 38 mm, ép. 4 mm. 133.4 g.

E : 1127.46. N : 1153.54.

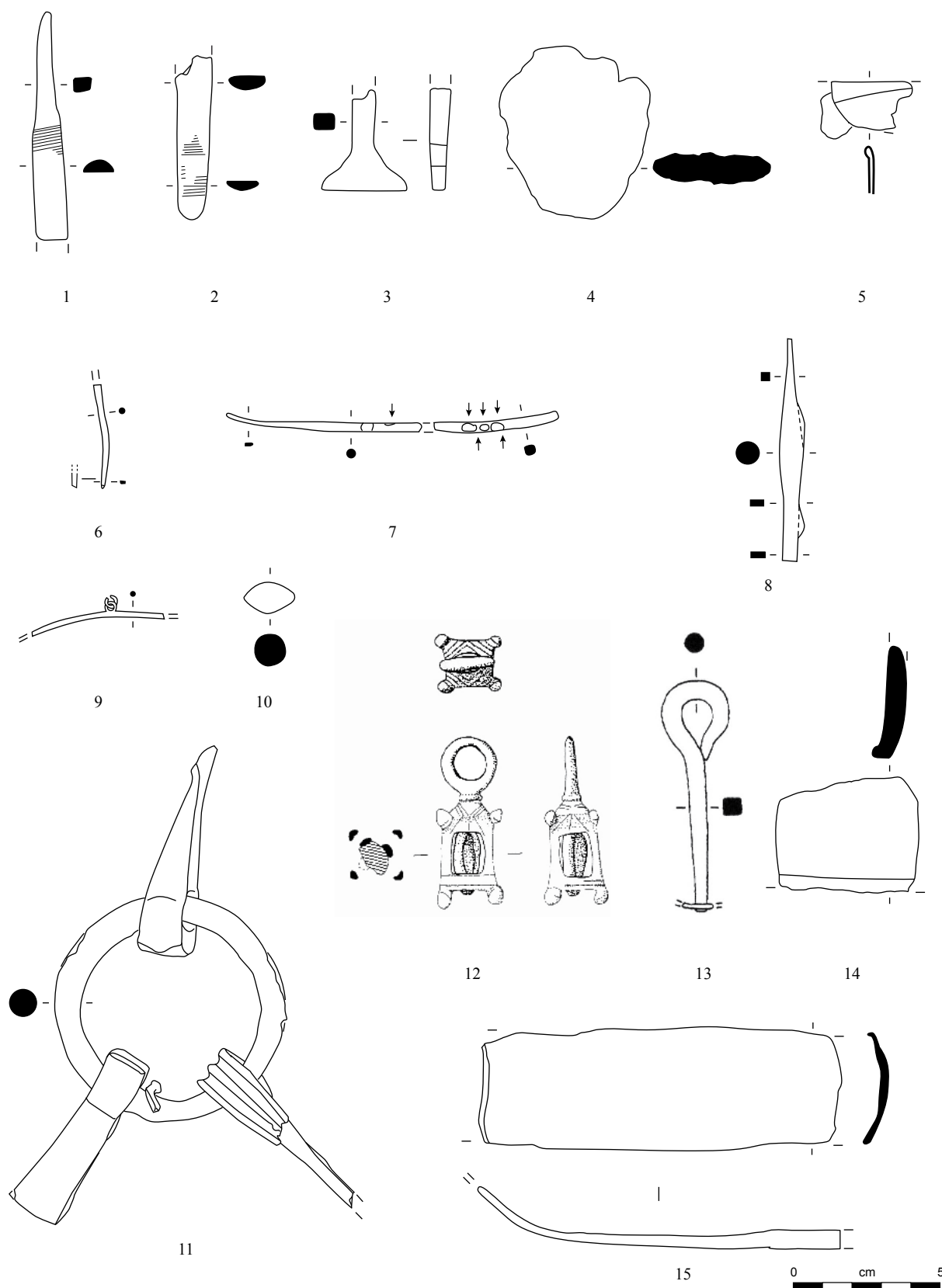


Planche 10. A1-20-sol 14030 (production, transport, poids et mesures)

1-3, 8, 11, 13-15 : fer; 4-7, 9-10 : alliage cuivreux; 12 : alliage cuivreux et quartz (tiré de Faye 1995, no 342)

Bâtiment A1

État 1 à 2.1 : LTD1b

A1-20-sol 14030

Planche 11, 1. 16560, n° 1319.

Couteau à manche à plaquettes, fragmentaire convexe avec trace de bois minéralisé et rivets de fixation. Fer.

L. 94 mm, l. (manche) 18 mm, l. min. (lame) 37 mm. 58 g.

E : 1128.32. N : 1156.33.

Type : 4-1.

Planche 11, 2. 14030, n° 638.

Couteau à manche à plaquettes à deux rivets et bois minéralisé et à lame à dos droit et tranchant incurvé. Fer.

L. 290 mm, L. (lame) 210 mm, l. (lame) 45

mm, l. (manche) 17 mm. 147.1 g.

E : 1133.75. N : 1155.24.

Type : 1-1.

Planche 11, 3. 14030, n° 543.

Cerclage de seau constitué d'une fine bande de fer plat incurvée. Fer.

L. 165 mm, diam. int. 160 mm, S. 16 x 1,5 mm. 73.7 g.

E : 1131.7. N : 1152. Alt. : 573.08.

Planche 11, 4. 14030, n° 577.

Fragment de cuilleron de louche avec une voire deux perforations. La bande de fer plat rivetée (fixation du manche ?) a été retrouvée dans le cuilleron. Fer.

Diam. 108 x 98 mm, ht. 30 mm. L. (fer plat) 47 mm. 55.7 g.

E : 1132.05. N : 1154.19.

Planche 11, 5. 8342, n° 21.

Fragment de collerette de chaudron composée de tôles de fer rivetée à une tôle en alliage cuivreux. Fer et base-cuivre.

L. 118 mm. 290 g.

E : 1129.9. N : 1150.5.

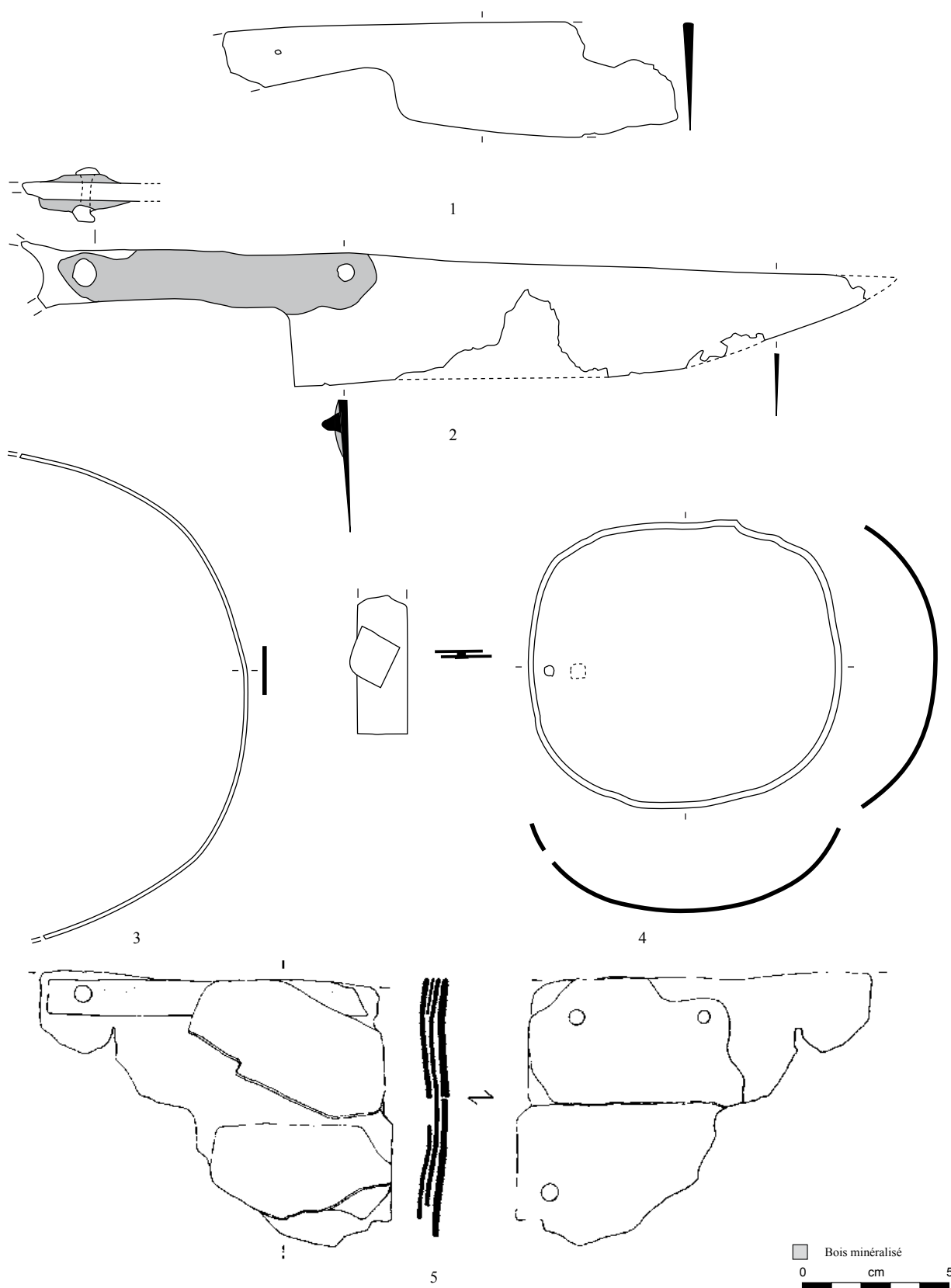


Planche 11. A1-20-sol 14030 (activités culinaires)

Fer (5, tiré de Orengo 2003, pl. 56).

Bâtiment A1

État 1 à 2.1 : LTD1b

A1-20-sol 14030

Planche 12, 1. 16560, n° 1315.

Foncet de serrure rectangulaire à accueillage rectangulaire. Quatre trous de fixation sont attestés, dont un contenant encore son rivet. Une cinquième perforation presque carrée pourrait servir d'auberonnière. Fer.

L. 110 mm, l. 82 mm, L. (accueillage) 35 x 7 mm. 75 g.

E : 1129.50. N : 1154.47.

Planche 12, 2. 14030, n° 584.

Fragment de foncet de serrure à accueillage rectangulaire. Fer.

L. 47 mm, l. (accueillage) 8 mm. 37.8 g.

E : 1133.08. N : 1153.66.

Planche 12, 3. 16560, n° 1370.

Clé à soulèvement de cheville et translation à panneton à trois dents rainurées. Le manche est orné de moulurations. Base-cuivre.

L. 84 mm, L. (dent) 41 mm, diam. (anneau) 24 mm. 53.9 g.

E : 1126.13. N : 1155.88.

Planche 12, 4. 8064.

Fragment de penture constituée d'une bande de tôle formant une boucle. Fer.

L. 35 mm, diam. int. 18 mm. 15 g.

E : 1128.3. N : 1150.

Planche 12, 5. 14030, n° 607.

Ferrure complète avec perforation aux deux extrémités. Fer.

L. 136 mm, l. 41 mm, ép. 1 mm. 39.5 g.

E : 1131.02. N : 1154.78.

Planche 12, 6. 14030, n° 603.

Ferrure pliée à extrémité affinée et perforée. Fer.

L. 114 mm, l. 28 mm, ép. 3 mm. 51.3 g.

E : 1132. N : 1153.

Planche 12, 7. 14030, n° 571.

Fragment de ferrure incurvée. Fer.

L. 87 mm, l. 25 mm, ép. 2 mm. 53.3 g.

E : 1131.92. N : 1153.95.

Planche 12, 8. 14030, n° 575.

Fragment de ferrure avec clou en position fonctionnelle. Fer.

L. 96 mm, l. 12 mm, ép. 4 mm. 34.4 g.

E : 1132.09. N : 1154.44.

Planche 12, 9. 14030, n° 581.

Fragment de ferrure pliée à deux reprises.

La tête du rivet est encore en position fonctionnelle à une extrémité. Fer.

L. 122 mm, l. 22 mm, ép. 2 mm. 47.6 g.

E : 1132.63. N : 1153.68.

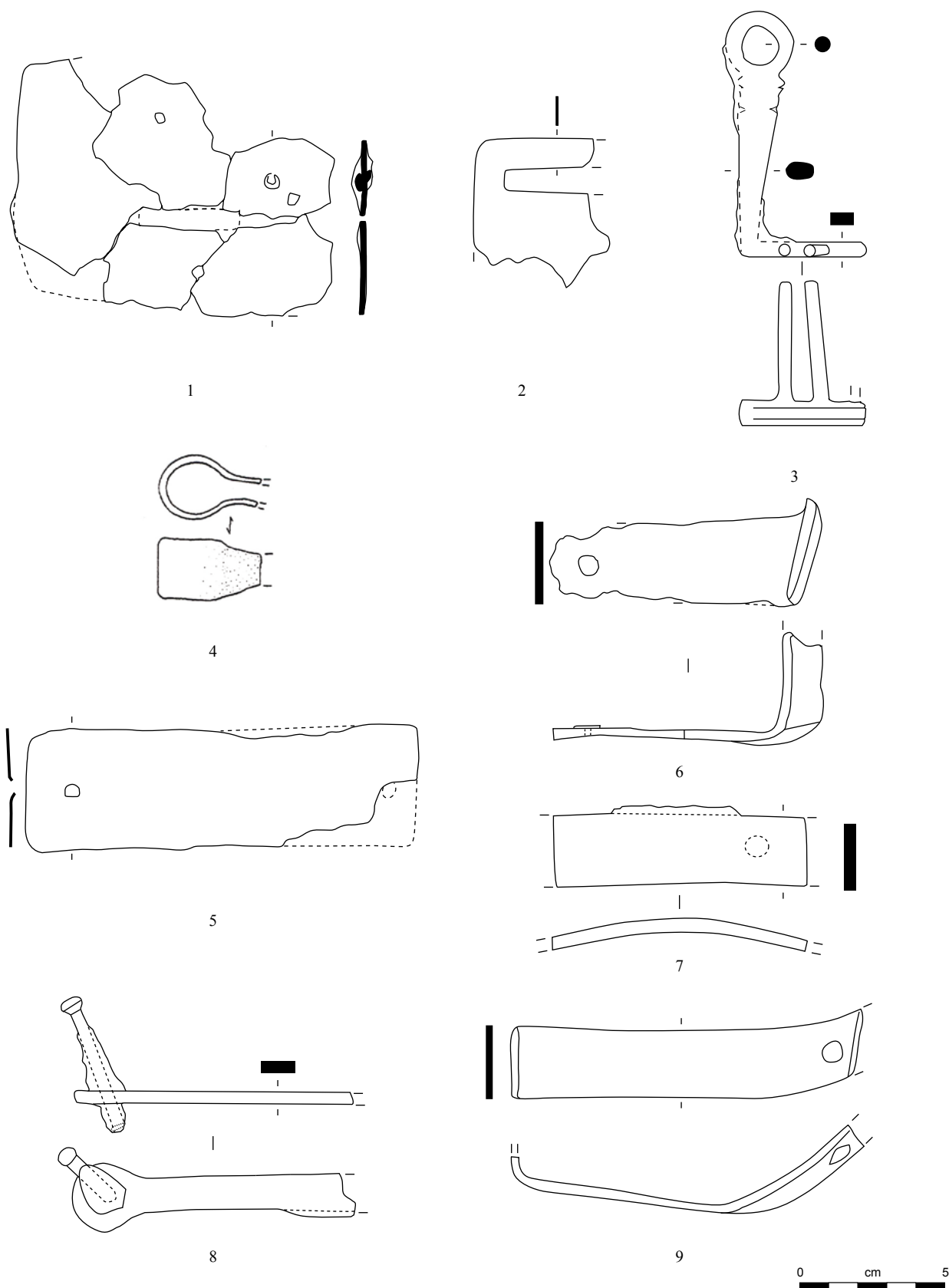


Planche 12. A1-20-sol 14030 (ameublement et construction)

Fer, excepté 13, alliage cuivreux.

Bâtiment A1

État 1 à 2.1 : LTD1b

A1-20-sol 14030

Planche 13, 1. 14030, n° 551.

Fragment d'applique avec quatre trous de fixation et les bords présentant un renflement. Base-cuivre.

L. 78 mm, l. 46 mm. 8.2 g.

E : 1130.7. N : 1153.5. Alt. : 573.12.

Planche 13, 2. 16560, n° 1326.

Applique trapézoïdale perforée à bordures soulignées par une ligne de bossettes. Base-cuivre.

L. 78 mm, l. 17 mm. 2.2 g.

E : 1127.12. N : 1154.77.

Planche 13, 3. 8345.

Fragment de ferrure décorative d'angle constituée d'une bande de tôle perforée. Base-cuivre.

L. 38 mm, l. 18 mm. 2 g.

E : 1134.2. N : 1151.56.

Planche 13, 4. 14030, n° 2066.

Fragment de bande de tôle repliée sur elle-même. Fer.

L. 45 mm, l. 15 mm. 10.8 g.

E : 1131. N : 1152.

Planche 13, 5. 14030, n° 579.

Contreplaque de rivet. Fer.

L. 12 mm. 3.5 g.

E : 1132.4. N : 1153.59.

Planche 13, 6. 14030, n° 618.

Clou à tête hémisphérique creuse. Fer.

L. 27 mm. 13.1 g.

E : 1131.45. N : 1153.88.

Planche 13, 7. 16560, n° 1846.

Rivet à contreplaque fortement incurvée vers la tête. Fer.

L. 44 mm, L. utile 30 mm. 24 g.

E : 1127.5. N : 1155.*

Planche 13, 8. 8374.

Anneau ouvert de section rectangulaire. Fer.

Diam. int. 46 mm, S. 7 x 3 mm. 10 g.

E : 1132.96. N : 1149.77.

Planche 13, 9. 16560, n° 1314.

Grand fragment de tôle avec un angle droit conservé et deux rivets en position fonctionnelle. Fer.

L. 127 mm, ép. 2 mm. 115 g.

E : 1128.78. N : 1153.42.

Planche 13, 10. 14030, n° 580.

Crampon à dos plat. Fer.

L. 56 mm, S. 6 x 2 mm. 9.7 g.

E : 1132.5. N : 1153.67.

Planche 13, 11. 17703, n° 603.

Anneau de sertissage constitué d'une bande de tôle formant un rectangle. Fer.

Diam int. 53 x 16 mm, S. 20 x 1 mm. 62.6 g.

E : 1126.94. N : 1152.7.

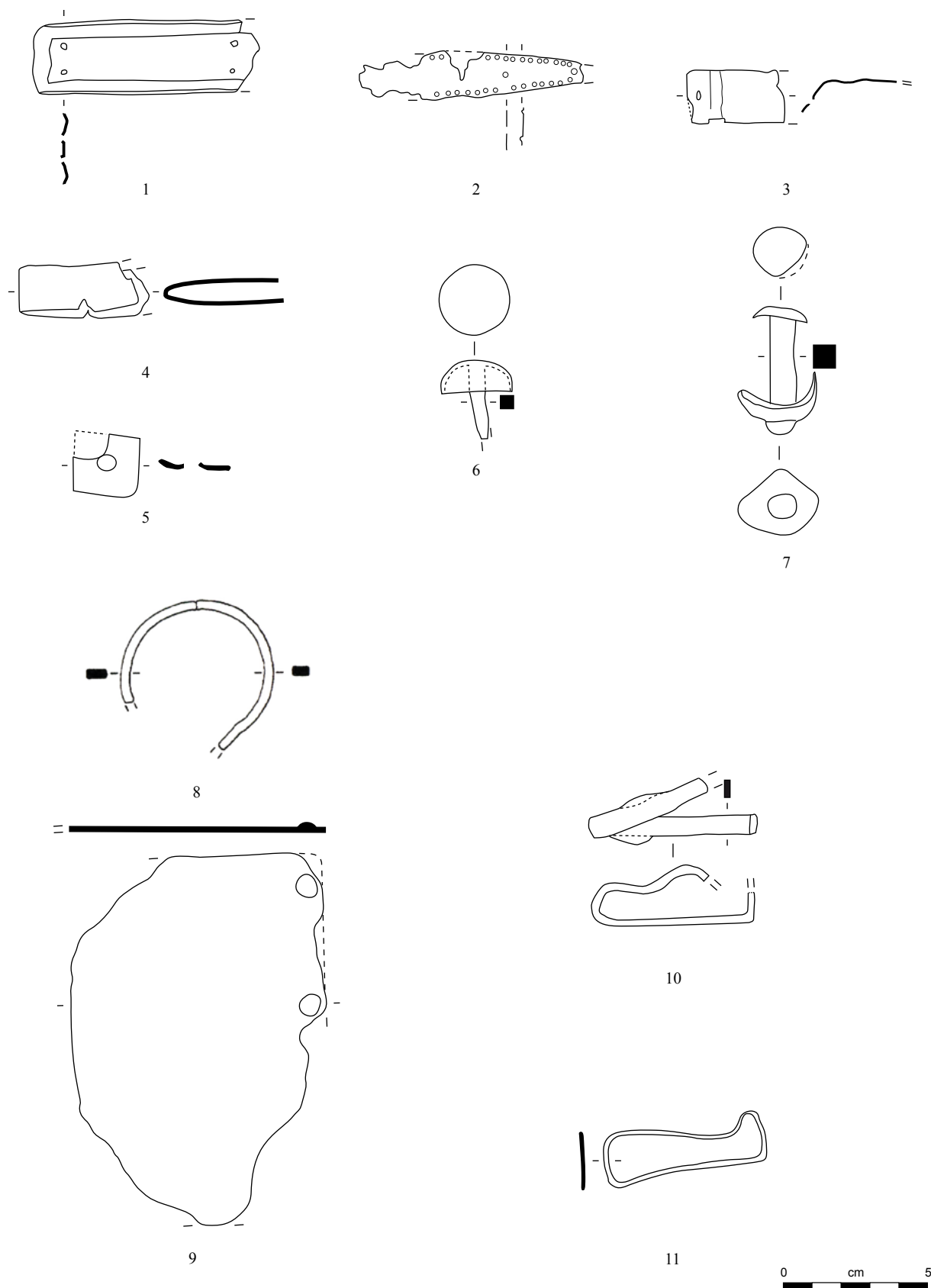


Planche 13. A1-20-sol 14030 (objets polyvalents)

1-3 : alliage cuivreux; 4-11 : fer (5, d'après Orengo 2003, pl. 57, n° 3).

Bâtiment A1

État 1 à 2.1 : LTD1b

A1-20-sol 14030

Planche 14, 1. 16560, n° 1316.

Fragment d'entrave constituée d'une tige de section ronde terminée par une perforation précédée d'une gorge relativement prononcée. Fer.
L. 105 mm, diam. int. 80 mm, S. 13 mm. 85.6 g.
E : 1129.45. N : 1154.48.

Planche 14, 2. 14030, n° 560.

Objet indéterminé constitué d'une tôle formant un "Y". Agrafe de ceinture, anneau de suspension de manche? Fer.
L. 22 mm. 3.9 g.
E : 1130.98. N : 1154.41.

Planche 14, 3. 16560, n° 1371.

Fragment indéterminé en forme d'échelle. Clé, gril, bouterolle avec départ de frettes? Fer.
L. 69 mm. 29 g.
E : 1126.52. N : 1153.47.

Planche 14, 4. 14031, n° 620.

Fragment d'outil à tête massive et à manche facetté à proximité de la tête et de section circulaire. La partie active est manquante. Fer.
L. 80 mm, diam. 6 mm. 14.6 g.
E : 1131.82. N : 1153.95.

Planche 14, 5. 8374.

Fragment de plat de section trapézoïdale, demi-produit? Fer.
L. 67 mm, l. 40 mm, ép. 4 mm. 66 g.
E : 1139.28. N : 1148.13.

Planche 14, 6. 14030, n° 544.

Fragment d'objet indéterminé constitué d'un plat en forme de "L" avec une section triangulaire en son centre et un départ de tige de section ronde. Pied de gril, de trépied, huisserie? Fer.
L. 90 mm, S. (angle) 25 x 5 mm. 44.6 g.
E : 1131. N : 1154. Alt. : 573.12.

Planche 14, 7. 17703, n° 606.

Fragment indéterminé constitué d'un fer plat bombé. Fragment de demi-produit, de bandage de roue? Fer.
L. 98 mm, l. 27 mm, ép. 3 mm. 47.4 g.
E : 1127.25. N : 1153.27.

Planche 14, 8. 17703, n° 605.

Deux fragments de tôles dont une triangulaire rivetée à l'aide de trois rivets. Fer.
L. 40 mm. 46.4 g.
E : 1127.18. N : 1153.65.

Planche 14, 9. 17703, n° 601.

Fragment de tige incurvée de section ovale irrégulière. Bracelet, demi-produit? Base-cuivre.
L. 18 mm, diam. 36 mm, S. 5 x 3 mm. 1.6 g.
E : 1127.28. N : 1152.31.

Planche 14, 10. 14030, n° 562.

Fragment de tôle à bords convergents avec une découpe latérale repliée. Fer.
L. 61 mm. 14.6 g.
E : 1131.13. N : 1154.4.

Planche 14, 11. 14030, n° 569.

Fragment indéterminé constitué d'une barre de section rectangulaire de forme

ogivale dont la section s'inverse en son centre. Objet, demi-produit? Fer.
L. 146, S. 18 x 4 mm et 10 x 5 mm. 53.9 g.
E : 1131.36. N : 1153.9.

Autres petits mobiliers

8411, n° 2. Fragment de bracelet en roche noire.

17703, n° 607. Fragment de chenet en terre cuite.

16560, n° 1334. Fusaïole en terre cuite.

17703, n° 611. Fragment de hache polie.

8345, n° 8345-1. Monnaie.

14030, n° 548. Monnaie.

16030, n° 92. Monnaie.

16560, n° 1329. Monnaie.

16560, n° 1372. Monnaie.

8372, n° 8372-1. Monnaie.

17703, n° 608. Monnaie.

8345, n° 8345-2. Monnaie.

14030, n° 550. Monnaie.

8342, n° 1. Grain de collier sphérique bleu à section en "D" (Gebhard VIb).

16560, n° 1339. Fragment de verre mosaïqué violet et blanc.

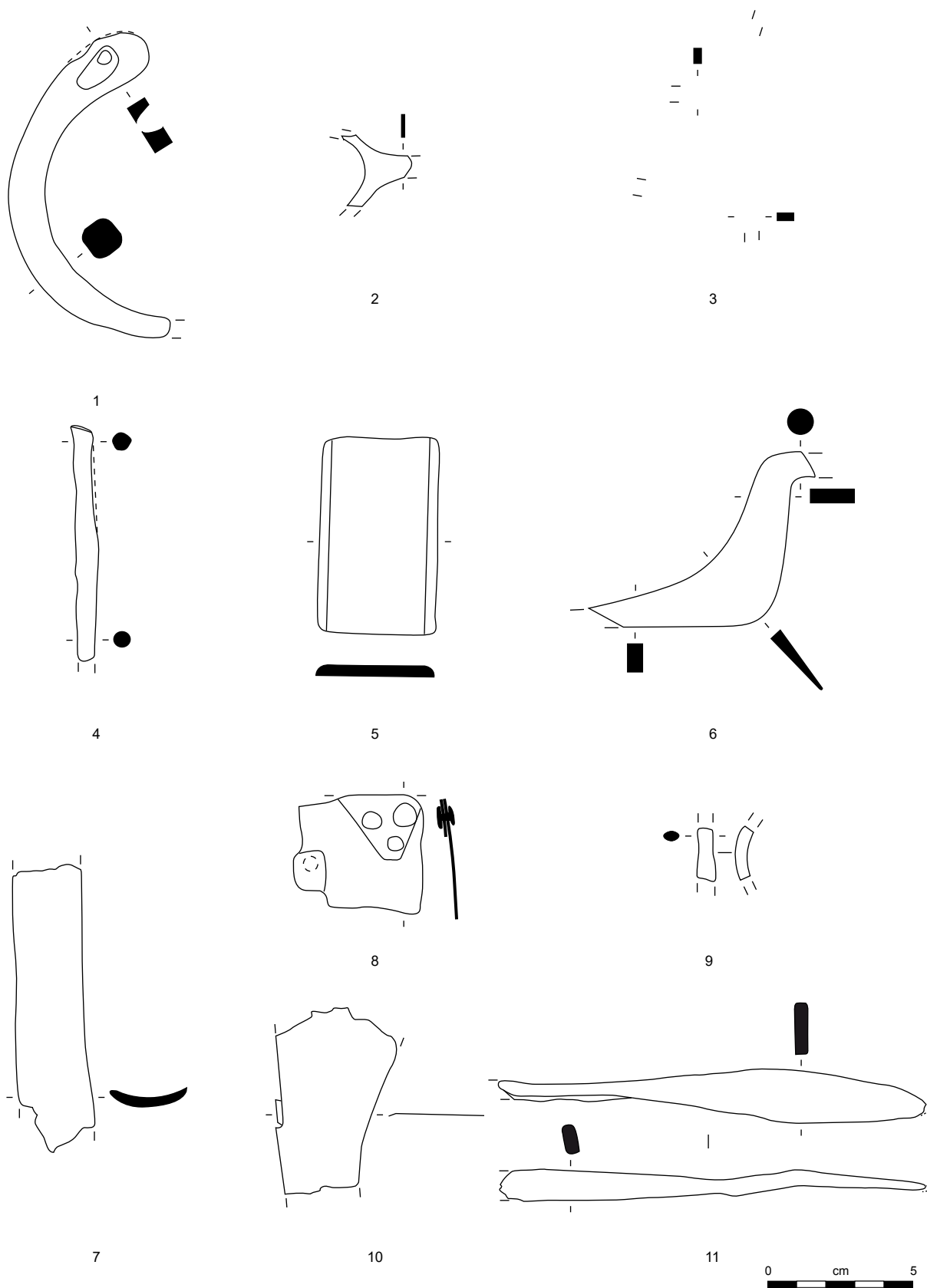


Planche 14. A1-20-sol 14030 (divers et indéterminés)

Fer, excepté 9, alliage cuivreux (5, d'après Orengo 2003, pl. 59, n° 9).

Bâtiment A1

État 1 à 2.1 : LTD1b

A1-21-décapage 15590

Planche 15, 1. 15590, n° 1226.

Terminaison de bracelet tubulaire dont seule la moitié de la section est conservée.

Base-cuivre.

L. 25 mm, S. 9 x 5 mm. 1.2 g.

E : 1136.5. N : 1153.8. Alt. : 573.17.

Type : B21-1.

Planche 15, 2. 15590, n° 1560.

Anneau à section en quart de rond. Base-cuivre.

Diam. 14 mm, S. 4 x 2 mm. 2.6 g.

E : 1136.7. N : 1155.8. Alt. : 573.14.

Planche 15, 3. 15590, n° 1178.

Anneau de section lenticulaire. Base-cuivre.

Diam. 16 mm, S. 4 x 2 mm. 3 g.

E : 1135.85. N : 1154.4. Alt. : 573.14.

Planche 15, 4. 15590, n° 1146.

Manipule de section hémisphérique avec une perforation pour un rivet. Fer.

L. 125 mm, S. 16 x 8 mm. 46.4 g.

E : 1135.93. N : 1152.31.

Type : Manipule.

Planche 15, 5. 15590, n° 1169.

Fragment d'orle de section rectangulaire avec patte de fixation. Fer.

L. 102 mm, S. 8 x 4 mm. 18.3 g.

E : 1136.4. N : 1153.4. Alt. : 573.14.

Type : Rectangulaire.

Planche 15, 6. 15590, n° 1232.

Fragment d'orle en deux parties de section rectangulaire avec deux pattes de fixation circulaires dont une comportant encore un rivet en position fonctionnelle. Fer.

L. 134 mm, l. 4 x 8 mm. 17 g.

E : 1136.5. N : 1152.6. Alt. : 573.22.

Type : Rectangulaire.

Planche 15, 7. 15590, n° 1167.

Fragment d'orle de section rectangulaire avec départ de la patte de fixation. Fer.

L. 68 mm, S. 6 x 4 mm. 12 g.

E : 1136.2. N : 1153.7. Alt. : 573.14.

Type : Rectangulaire.

Planche 15, 8. 15590, n° 1229.

Extrémité de lève-loquet constitué d'un fer plat en forme de "U". Fer.

L. 42 mm, S. 4 x 9 mm. 6.7 g.

E : 1136. N : 1154.8. Alt. : 573.2.

Planche 15, 9. 15590, n° 1174.

Fragment de collerette de chaudron avec fixation de rivets en alliage cuivreux. La tôle de la collerette est repliée sur elle-même et sa lèvre est déversée. Fer.

L. (lèvre conservée) 313 mm, L. (fixation tôle) 428 mm, l. (collerette) 66 mm, ép. 1,5 mm. 233 g.

E : 1136.85. N : 1152.3. Alt. : /.*

Planche 15, 10. 15590, n° 1228.

Tampon de chaudron cylindrique. Fer.

Diam. 20 mm, ht. 21 mm. 33 g.

E : 1136.7. N : 1152.2. Alt. : 573.18.

Autres petits mobiliers

15590. Fusaïole en terre cuite.

15590, n° 863. Monnaie.

15590, n° 852. Perle indéterminée perdue.

15590, n° 1202. Table de travail en basalte avec traces de peinture ou de corrosions.

A1-22-sol 16559

Planche 15, 11. 16559, n° 1337.

Fragment de ferrure décorative à bordures ornées de lignes de points au repoussé.

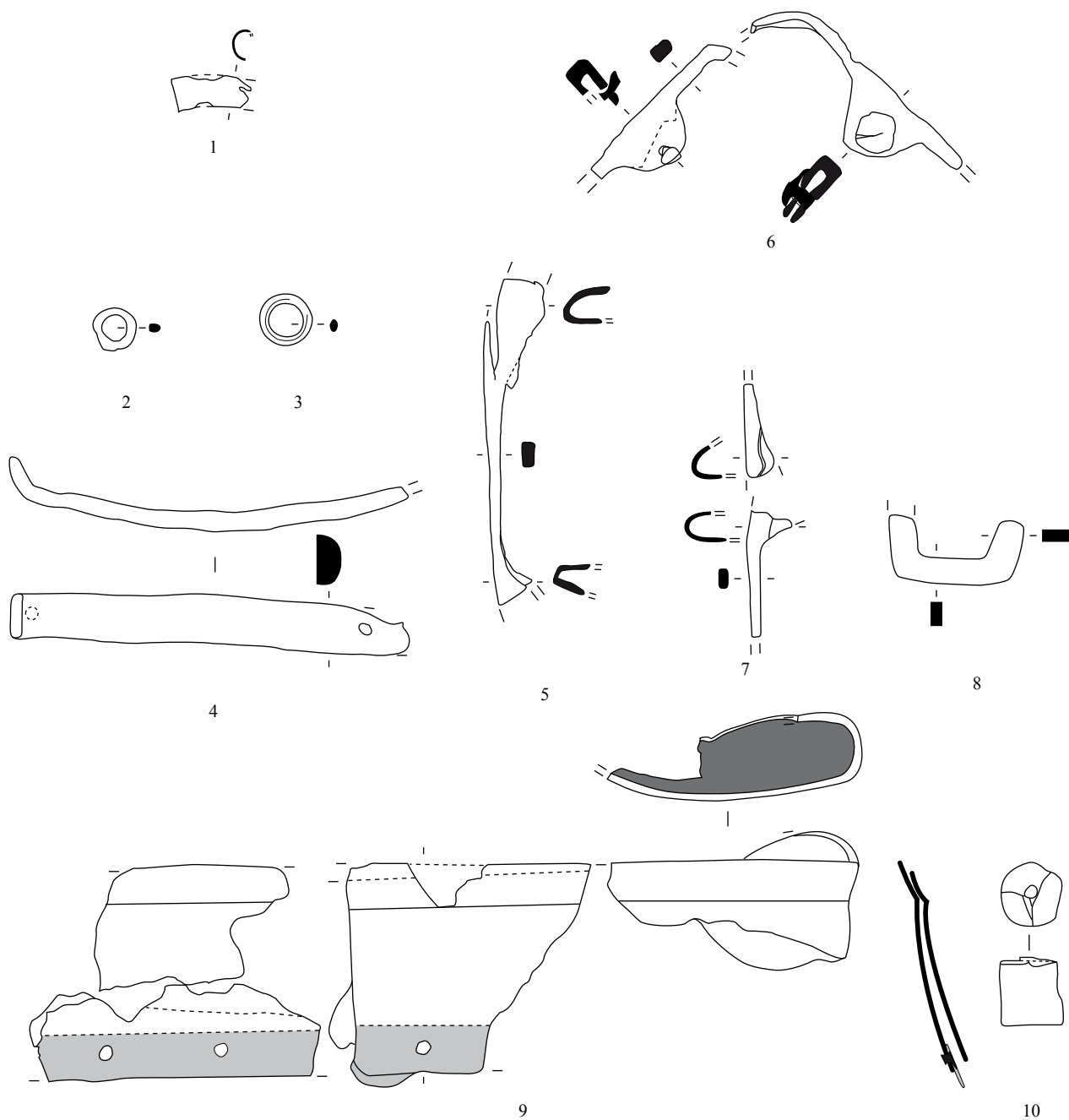
Base-cuivre.

L. 36 mm, l. 10 mm. 0.7 g.

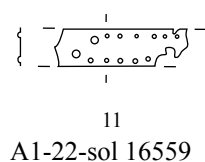
E : 1125.18. N : 1153.84.

Autres petits mobiliers

16559, n° 1338. Fragment de bracelet en roche noire.



A1-21-décapage 15590



A1-22-sol 16559

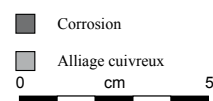


Planche 15. A1-21-décapage 15590 et A1-22-sol 16559

1-3, 22 : alliage cuivreux; 4-8, 10 : fer; 9 : fer et alliage cuivreux.

Bâtiment A1

État 2 lato sensu : LTD1b évoluée-LTD2

A1-25-épan dage est

Planche 16, 1. 8328.

Fibule à ressort à quatre spires et corde interne et à arc triangulaire rubané à décor d'échelle médian. Le pied et l'ardillon sont manquants. Base-cuivre.

L. 43 mm, L. (arc) 31 mm, l. (arc) 7 mm. NP.

E : 1137.6. N : 1148.3.

Type : B22-04.

Planche 16, 2. 8346.

Fibule à ressort à quatre spires et corde interne et à arc triangulaire rubané à décor d'échelle médian interrompu par deux lignes perpendiculaires à l'axe de l'arc. Le pied est fragmentaire. Base-cuivre.

L. 45 mm, L. (arc) 21 mm, l. (arc) 2.5 mm. 3 g.

E : 1132.8. N : 1149.1.

Type : B22-04.

Planche 16, 3. 14003, n° 431.

Arc de fibule de schéma La Tène moyenne avec deux attaches bouletées. Fer.

L. 32 mm. 1 g.

E : 1134.3. N : 1152. Alt. : 572.22.

Type : F01-5.

Planche 16, 4. 8347.

Ressort à quatre spires et corde externe haute. Fer.

L. 39 mm. 5 g.

E : 1136. N : 1150.

Type : F30.

Planche 16, 5. 8325.

Perle à section en quart de rond. Base-cuivre.

diam. 16 mm, S. 2,5 x 5 mm. 4 g.

E : 1135.12. N : 1151.2.

Planche 16, 6. 8348.

Fragment d'orle en gouttière. Fer.

L. 85 mm, S. 7 x 10 mm. 11 g.

E : 1136.58. N : 1148.15.

Type : Gouttière.

Planche 16, 7. 8347.

Fragment de ciseau droit constitué d'une tige de section carrée terminée par un tranchant rectangulaire en biseau. Fer.

L. 146 mm, l. 51 mm, S. (manche) 6 x 8 mm. 64 g.

E : 1136.5. N : 1151.9.

Planche 16, 8. 8375.

Tas à table de section carrée et base lacunaire. Fer.

L. 57 mm, S. 15 mm, L. (table) 23 mm. 76 g.

E : 1134.05. N : 1150.18.

Planche 16, 9. 14003, n° 438.

Chute de barre de section facettée variable avec trace de martelage. Base-cuivre.

L. 57 mm, l. 7 x 4 mm. 7.9 g.

E : 1134. N : 1152.40. Alt. : 573.22.

Planche 16, 10. 8350.

Fragment de demi-produit constitué d'une tige de section rectangulaire. Base-cuivre.

L. 47 mm, S. 1 x 2 mm. 0.8 g.

E : 1138.7. N : 1149.*

Planche 16, 11. 8346.

Couteau à manche à soie de section rectangulaire et lame à tranchant et à dos droit. Fer.

L. 146 mm, L. (lame) 101 mm, l. (lame) 28 mm, L. (manche) 45 mm. 26 g.

E : 1135.2. N : 1148.6.

Type : 2-3.

Planche 16, 12. 8326.

Croc à viande à fixation rivetée par une contreplaque et à deux dents de section circulaire. Fer.

L. 39 mm, L. fixation 12 mm. 12 g.

E : 1134.36. N : 1148.15.

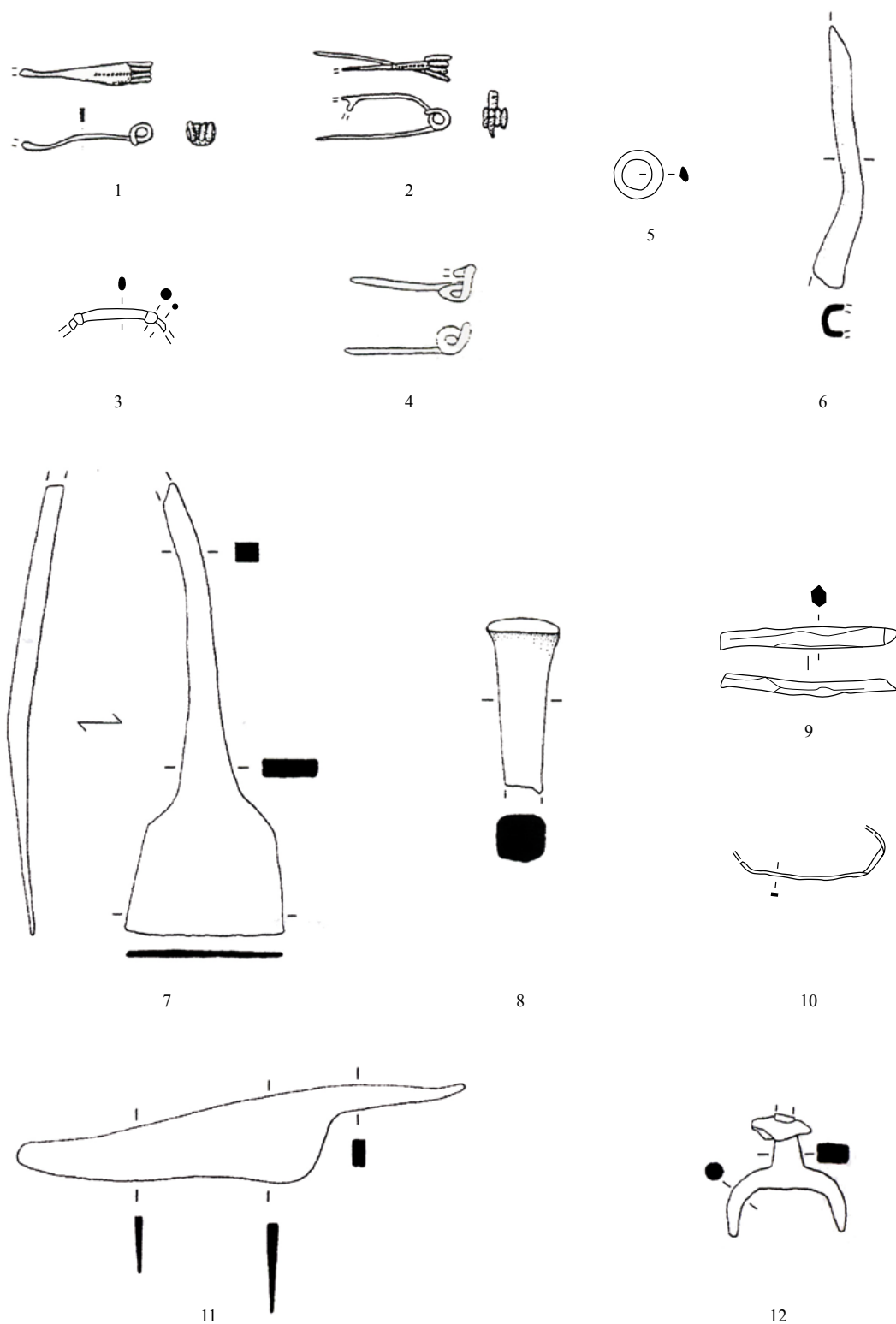


Planche 16. A1-25-épandage est

Fibules de Nauheim (bc); fibule de schéma La Tène moyenne (fer); ressort de fibule (fer); perle (bc); gouttière (fer); ciseau droit à soie (fer); pas, tête d'outil? (fer); demi-produits (bc); couteau (fer); croc à viande (fer).

Planche 16. A1-25-épandage est

1-2, 5, 9-10 : alliage cuivreux; 3-4, 6-8, 11-12 : fer (1-2, tiré de Faye 1995, no 107 et 110; 6-8, 11-12, tiré d'Orengo 2003, pl. 55).

Bâtiment A1

État 2 lato sensu : LTD1b évoluée-LTD2

A1-25-épandage est

Planche 17, 1. 8376.

Fragment de collerette de chaudron, de récipient (?) constitué d'un grand fragment de tôle rivetée. Fer.

L. 212 mm. 217 g.

E : 1135.8. N : 1148.15.

Planche 17, 2. 8376.

Fragment de collerette de chaudron, de récipient (?) constitué d'un grand fragment de tôle rivetée. Fer.

L. 89 mm. 43 g.

E : 1135.85. N : 1148.15.

Planche 17, 3. 8376.

Fragment de collerette de chaudron, de récipient (?) constitué d'un grand fragment de tôle rivetée. Fer.

L. 76 mm. 35 g.

E : 1135.8. N : 1148.20.

Planche 17, 4. 14003, n° 424.

Fragment de ferrure pliée. Fer.

L. 94 mm, l. 10 mm, ép. 5 mm. 30.3 g.

E : 1134.20. N : 1152. Alt. : 573.22.

Planche 17, 5. 8348.

Grande ferrure complète et pliée

présentant deux rivets en position fonctionnelle et une perforation sans rivet de maintien. Fer.

L. 172 mm, L. dépliée 368 mm, l. 24 mm, ép. 2 mm. 102 g.

E : 1134.25. N : 1149.7.

Planche 17, 6. 14003, n° 430.

Gâche de verrou par glissement. Fer.

L. 73 mm, S. 8 x 2 mm. 55.2 g.

E : 1132.40. N : 1152. Alt. : 573.22.

Planche 17, 7. 8350.

Fragment indéterminé en forme de "Y" dont les différentes tiges sont de section ronde. Fer.

L. 43 mm, S. 20 mm. 73 g.

E : 1136.2. N : 1148.28.

Planche 17, 8. 8329.

Fragment de tige de section ronde. Base-cuivre.

L. 36 mm, S. 2 mm. 1 g.

E : 1139.4. N : 1151.85.

Autres petits mobiliers

8346, n° 2. Fragment de bracelet en roche noire.

8326, n° 8326-1. Monnaie.

14003, n° 426. Monnaie.

8350, n° 8350-1. Monnaie.

14003, n° 426. Monnaie.

8328, n° 8328-1. Monnaie.

8329, n° 8329-1. Monnaie.

8347, n° 8347-1. Monnaie.

8348, n° 8348-1. Monnaie.

8349, n° 8349-2. Monnaie.

8325, n° 8325-2. Monnaie.

8308, n° 8308-1. Monnaie.

8308, n° 8308-2. Monnaie.

8325, n° 8325-1. Monnaie.

8329, n° 8329-2. Monnaie.

8329, n° 8329-3. Monnaie.

8349, n° 8349-1. Monnaie.

8327, n° 8327-1. Monnaie.

8378, n° 8378. Monnaie.

8327, n° 1. Fragment de grosse perle en verre bleu cobalt à section en "D" et décor spiralé de filament blanc (Gebhard Villed).

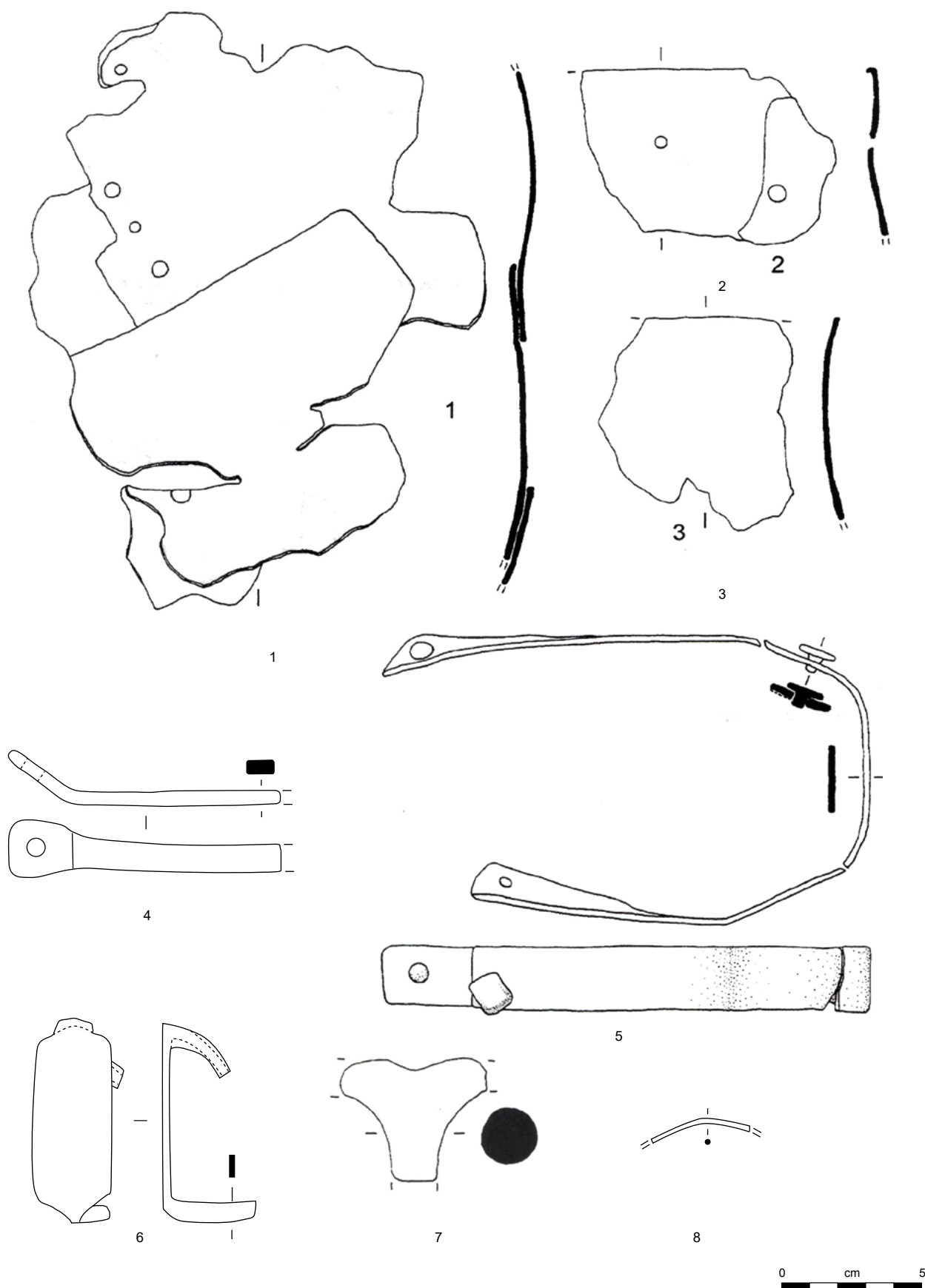


Planche 17. A1-25-épandage est

Fer, excepté 8, alliage cuivreux (1-3, 5, 7 tiré d'Orengo 2003, pl. 56).

Bâtiment A1

État 2 lato sensu : LTD1b évoluée-LTD2

A1-26-épan dage nord

Planche 18, 1. 14018, n° 439.

Fragment de bracelet en cours de fabrication constitué d'une tige ployée à section irrégulière en "D". Base-cuivre.

L. 82 mm, S. 7 x 5 mm. 14 g.

E : 1130.40. N : 1160.2. Alt. : 573.32.

Planche 18, 2. 14016, n° 2003.

Perle à section en quart de rond. Base-cuivre.

Diam. 15 mm, S. 4 x 6 mm. 1.5 g.

E : 1134. N : 1160.1. Alt. : 573.25.

Planche 18, 3. 14013, n° 432.

Grand anneau à section en quart de rond. Base-cuivre.

Diam. 26 mm, S. 3 x 5 mm. 7.9 g.

E : 1130. N : 1156.

Planche 18, 4. 14021, n° 433.

Fragments de pendant de harnais à décor ajouré. Base-cuivre.

L. 33 mm. 0.8 g.

E : 1130. N : 1161.60. Alt. : 573.38.

Planche 18, 5. 14016, n° 2064.

Chute de tige de section carrée découpée à chaque extrémité. Fer.

L. 76 mm, S. 4 mm. 8 g.

E : 1132.8. N : 1158.1.*

Planche 18, 6. 14016, n° 2065.

Chute de tige de section carrée. Fer.

L. 30 mm, S. 3 mm. 1.6 g.

E : 1132.3. N : 1158.7.*

Planche 18, 7. 14014, n° 467.

Fragment de grande virole avec vestiges de bois minéralisé. Fer.

L. 31 mm, diam. int. 22 mm, ht. 36 mm. 17.5 g.

E : 1132.76. N : 1157.60. Alt. : 573.11.

Planche 18, 8. 14014, n° 468.

Fragment de collerette de chaudron constituée d'une tôle en alliage cuivreux avec un rivet en fer. Fer et base-cuivre.

L. 24 mm. 2.7 g.

E : 1132.6. N : 1157.7. Alt. : 573.28.

Planche 18, 9. 14016, n° 553.

Fragment de bande de tôle presque jointive. Maillon de chaînette? Base-cuivre.

L. 10 mm, l. 4 mm. 0.1 g.

E : 1131.5. N : 1153.

Autres petits mobiliers

14016, n° 264. Monnaie.

14038, n° 554. Monnaie.

État 1 à 2.1 : LTD1b

A1-29-seuil 14012

14012, n° 412. Monnaie.

14012, n° 413. Monnaie.

État 1 : LTD1b classique

A1-30-Ce 14047

Planche 18, 10. 14047, n° 2067.

Chute de tige de section ronde terminée par une découpe à simple biseau. Fer.

L. 110 mm, S. 4 mm. 7.8 g.

E : 1130.5. N : 1158.*

Planche 18, 11. 14047, n° 642.

Fragment de chute de bande repliée sur elle-même à bordure irrégulière. Base-cuivre.

L. 42 mm, S. 7 x 2 mm. 3 g.

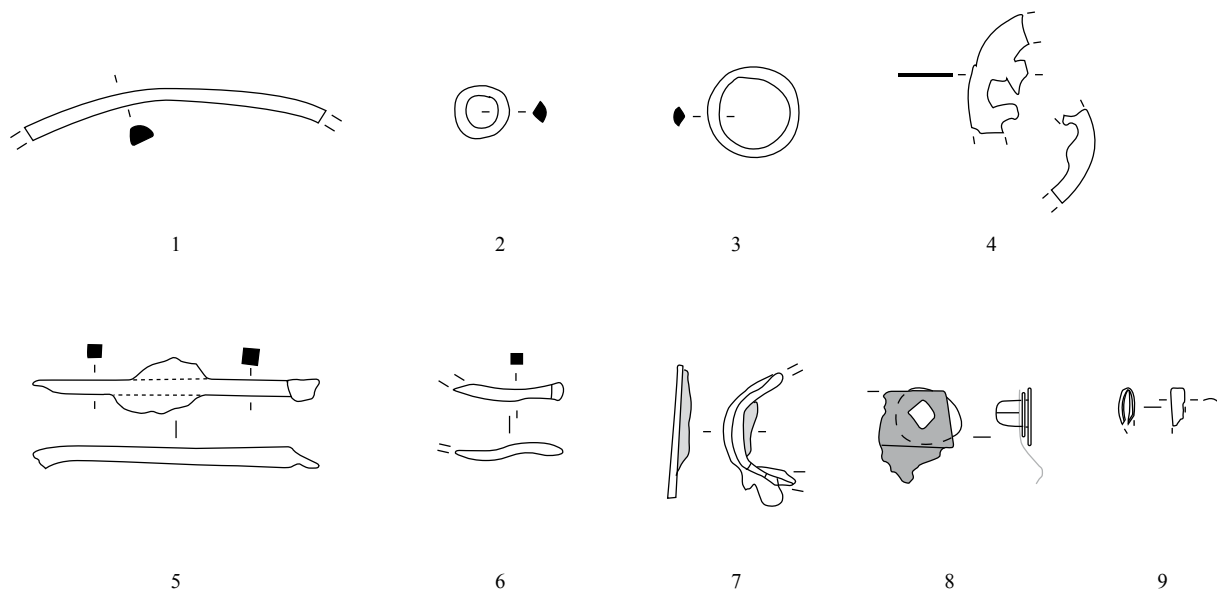
E : 1131.4. N : 1157.62.*

Planche 18, 12. 14047, n° 663.

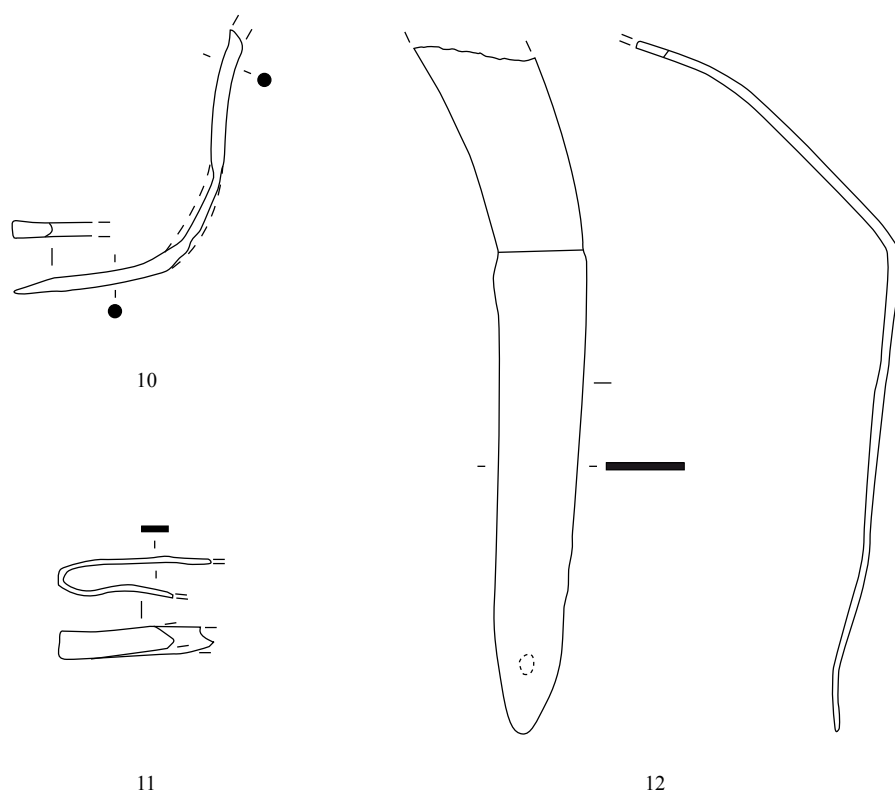
Fragment plié de grande ferrure à extrémité triangulaire. Fer.

L. 220 mm, l. 23 mm, ép. 2 mm. 37 g.

E : 1131.3. N : 1157.8.*



A1-26-épandage nord



A1-30-Ce 14047

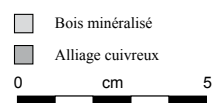


Planche 18. A1-26-épandage nord et A1-30-Ce 14047

1-4, 9, 11 : alliage cuivreux; 5-7, 10, 12 : fer; 8 : fer et alliage cuivreux.

Bâtiment A2

État 2.3 : fin LTD2a-LTD2b

A2-2-radier

Planche 19, 1. 15611, n° 883.

Fibule à ressort à quatre spires et corde interne et à arc tendu de tôle triangulaire fin à bordures soulignées par une rainure. Seul le pied est manquant. Base-cuivre.
L. 37 mm, l. (arc) 3 mm. 1.4 g.
E : 1123.9. N : 1158.7. Alt. : 573.35.
Type : B22-03.

Planche 19, 2. 15611, n° 884.

Fibule à ressort à quatre spires et corde interne et à arc tendu de tôle triangulaire fin à décor d'échelle et à bordures soulignées par une rainure. Base-cuivre.
L. 23 mm, l. (arc) 4 mm. 1.4 g.
E : 1123.7. N : 1158.9. Alt. : 573.35.
Type : B22-02.

Planche 19, 3. 15739, n° 1197.

Fibule à ressort à quatre spires et corde interne et à arc tendu filiforme de section ronde interrompu par une nodosité. Le pied et l'ardillon sont manquants. Base-cuivre.
L. 37 mm, l. (arc) 26 mm. 1.7 g.
E : 1124.2. N : 1162.2. Alt. : 573.43.
Type : B24-1.

Planche 19, 4. 15611, n° 864.

Pince à épiler complète de trousse de toilette à rivet de maintien à proximité du ressort et à mors à bordures soulignées par une rainure. Base-cuivre.
L. 64 mm, l. 5 mm. 3.3 g.
E : 1121.55. N : 1163.2. Alt. : 573.33.

Planche 19, 5. 15611, n° 866.

Fragment de tôle semi-circulaire avec deux perforations. Tôle de renfort ? Fer.
L. 89 mm, ép. 1 mm. 40.7 g.
E : 1122.65. N : 1161.86. Alt. : 573.33.

Autres petits mobiliers

15611, n° 876. Fragment de bracelet en verre bleu à quatre côtes (Gebhard 18).

15611, n° 881. Jeton.

15611, n° 1194. Monnaie.

15611, n° 865. Monnaie.

15611, n° 1199. Fragment de grosse perle en verre bleu cobalt à section en "D" (Gebhard Vid).

15611, n° 1195. Moitié de perle en verre vert clair opaque à décor de fils jaune opaque en spirale.

15611, n° 882. Perle en verre brun à section en "D" et décor de mouchetis blanc opaque (Gebhard IXd).

15611, n° 825. Perle en verre vert clair opaque à décor ocellé jaune, bleu et blanc opaque.

A2-3-sol 16017

Planche 19, 6. 16017, n° 86.

Fragment d'anneau de section ronde. Base-cuivre.

L. 12 mm, diam. 34 mm, S. 2 mm. 0.9 g.

E : 1122.83. N : 1158.35. Alt. : 573.36.

Planche 19, 7. 16017, n° 1616.

Demi-produit constitué d'une barre de forme quadrangulaire et de section trapézoïdale. Base-cuivre.

L. 14 mm, ép. 4 mm. 1.2 g.

E : 1122.5. N : 1159.3.*

Planche 19, 8. 16017, n° 84.

Cerclage de situle ovoïde composé d'une tige incurvée de section rectangulaire à bordure arrondie terminée par un plat perforée. Fer.

L. 68 mm, S. 4 x 7 mm. 17.9 g.

E : 1123.5. N : 1160.2. Alt. : 573.4.

Autres petits mobiliers

16017, n° 85. Fragment de perle en verre brun à section en "D" et décor de mouchetis jaune opaque (Gebhard IXd).

État 2 à 3 : fin LTD1b-Auguste

A2-4-TP 15713

Planche 19, 9. 15721, n° 1177.

Anneau de section ovale. Base-cuivre.

Diam. 17 mm, S. 4 x 3 mm. 3.7 g.

E : 1129.5. N : 1163.3.*

État 2.3 : fin LTD2a-LTD2b

A2-5-St 15631

15631, n° 897. Fragment de perle oculée à protubérances en verre bleu et à filament jaune opaque.

État 2.1 : LTD1b évoluée

A2-6-TP 15696

Planche 19, 10. 15697, n° 1765.

Fragment de demi-produit constitué d'une tige de section ronde terminée par un plat. Base-cuivre.

L. 18 mm. 0.2 g.

E : 1127.8. N : 1163.5.*

Planche 19, 11. 15697, n° 1149.

Tête de rivet collée à un plat relativement massif. Base-cuivre.

L. 28 mm. 9.8 g.

E : 1127.78. N : 1160.65. Alt. : 573.

A2-7-Sb 15687

Planche 19, 12. 15688, n° 1130.

Ressort de fibule à quatre spires (deux conservées) et corde interne et début d'un arc de tôle fin. Base-cuivre.

L. 12 mm. 0.5 g.

E : 1129.3. N : 1162.2.*

Type : B22-0.

Autre petits mobiliers

15688, n° 1128. Monnaie.

15688, n° 1129. Monnaie.

A2-8-15412

Planche 19, 13. 15412, n° 508.

Aiguille cassée au niveau du chas. Base-cuivre.

L. 34 mm. 0.5 g.

E : 1131.2. N : 1160.1.

État 2.2 à 2.3 : LTD2

A2-9-TP 15614

Planche 19, 14. 15613, n° 885.

Anneau de section ronde. Base-cuivre.

Diam. 15 mm, S. 3 mm. 1.2 g.

E : 1125.65. N : 1161.55. Alt. : /.*

État 1 : LTD1b classique

A2-12-sol 16580

16580, n° 1303. Monnaie.

État 1 à 2.1 : LTD1b

A2-13-épandage 15675

Planche 19, 15. 15675, n° 1734.

Ressort de fibule à deux spires et corde externe basse avec départ d'arc filiforme. Fer.

L. 15 mm. 4.4 g.

E : 1128.5. N : 1161.3.*

Type : F10-1.

Planche 19, 16. 15675, n° 1735.

Ressort de fibule à quatre spires et corde externe haute. Fer.

L. 10 mm. 3.7 g.

E : 1128.7. N : 1161.7.*

Type : F30.

Planche 19, 17. 15675, n° 1114.

Fibule à ressort à quatre spires et corde interne et à arc filiforme tendu de section ronde interrompu par un bouton bordé de moulures. Le pied fragmentaire est ajouré. Base-cuivre.

L. 64 mm, l. (arc) 47 mm, S. 2 mm. 4 g.

E : 1123.4. N : 1164.3.

Type : B24-1.

Planche 19, 18. 15675, n° 1132.

Fibule à ressort à quatre spires et corde interne et à arc de tôle triangulaire dont la partie sommitale est illisible et séparée du pied par des lignes perpendiculaires. Seul le pied est manquant. Base-cuivre.

L. 46 mm, l. (arc) 34 mm, l. (arc) 6 mm. 3.1 g.

E : 1122.15. N : 1162.4.

Type : B22-04.

Planche 19, 19. 15675, n° 1117.

Fragment de bracelet à jonc lisse de section ogivale. Base-cuivre.

L. 17 mm, diam. 60 mm, S. 3 x 4 mm. 1.2 g.

E : 1120.1. N : 1165.

Type : B10-5.

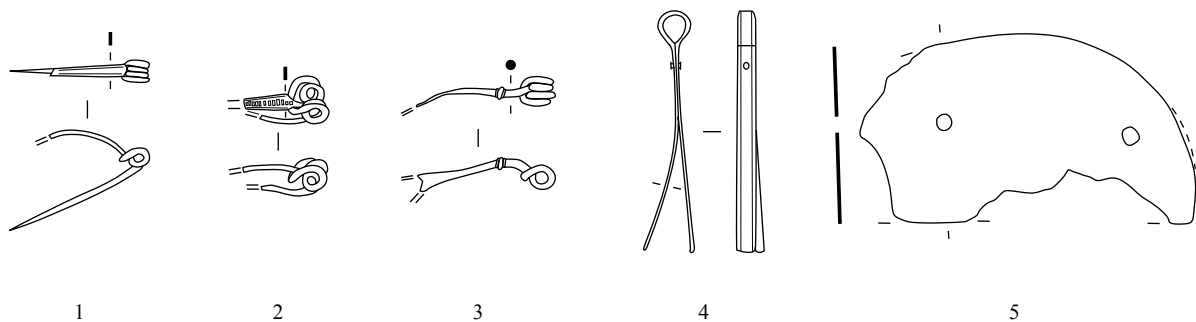
Planche 19, 20. 15675, n° 1118.

Anneau-bague de section lenticulaire. Argent.

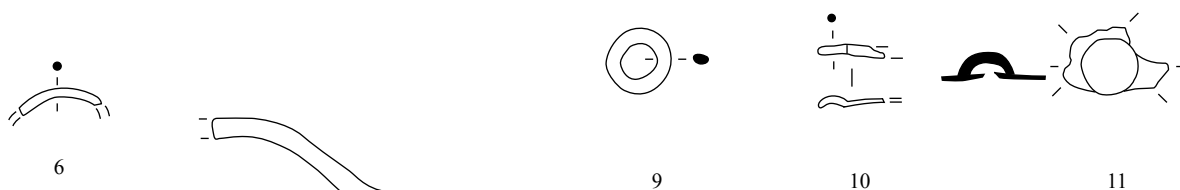
Diam. 21 mm, S. 3 x 2 mm. 1 g.

E : 1127.1. N : 1165.2.

Type : 1.

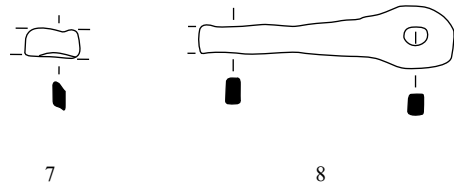


A2-2-radier

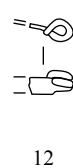


A2-4-TP 15713

A2-6-TP 15696



A2-3-sol 16017



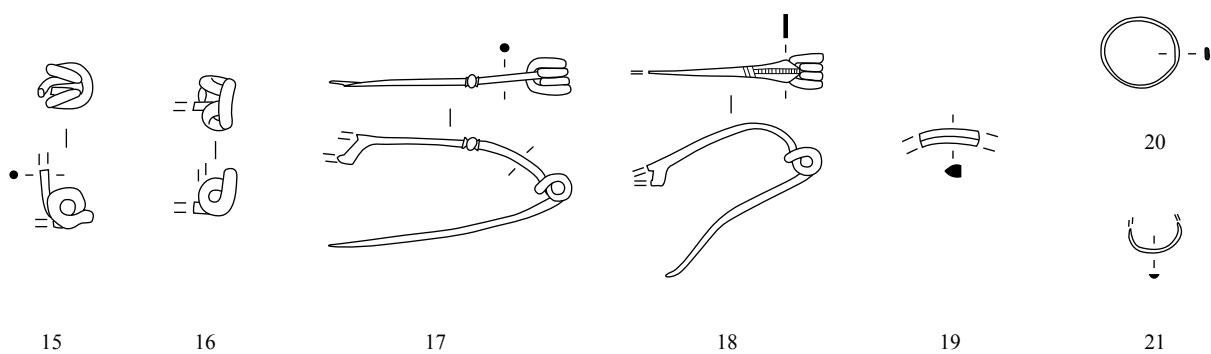
A2-7-Sb 15687



A2-8-15412



A2-9-TP 15614



A2-13-épandage 15675

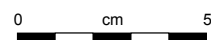


Planche 19. A2-2-radier à A2-13-épandage 15675

1-4, 6-7, 9-14, 17-19, 21 : alliage cuivreux; 5, 8, 15-16 : fer; 20 : argent.

Planche 19, 21. 15675, n° 1116.

Fragment de bague de section hémisphérique. Base-cuivre.

Diam in. 15 mm, S. 2 x 1 mm. 0.3 g.

E : 1120.1. N : 1165.

Type : 1.

Autres petits mobiliers

15675, n° 1143. Petite perle en verre blanc opaque à section en "D" et trois ocelles bleu opaque et blanc opaque.

Bâtiment A2

État 2.1 : LTD1b évoluée

A2-10-sol 16543**Planche 20, 1.** 16543, n° 1363.

Fragment de bracelet tubulaire avec décor de rectangles composés d'incisions obliques. Base-cuivre.

L. 61 mm, diam. int. 50 mm, S. 12 x 7 mm. 6.2 g.

E : 1123.78. N : 1157.84.

Type : B21-4.

Planche 20, 2. 16543, n° 1364.

Fragment de bracelet tubulaire. Base-cuivre.

L. 24 mm, S. 6 x 10 mm. 1.2 g.

E : 1124.21. N : 1160.32.

Type : B21-1.

Planche 20, 3. 16543, n° 1360.

Talon de lance à douille, plié avec trace de bois minéralisé. Fer.

L. 52 mm, L déplié 60 mm, diam. 12 mm. 15.4 g.

E : 1121.41. N : 1161.6.

Type : 2.

Planche 20, 4. 16543, n° 1358.

Chute de tôle avec trace de découpe circulaire. Base-cuivre.

L. 16 mm. 0.3 g.

E : 1123. N : 1160. Alt. : /.*

Planche 20, 5. 16543, n° 1362.

Chute de tôle à découpe circulaire. Base-cuivre.

L. 31 mm, diam. (perforation) 66 mm. 0.7 g.

E : 1123.5. N : 1160.98.

Planche 20, 6. 16543, n° 1843.

Fragment de panneton de clé à deux dents. Fer.

L. 28 mm. 12.6 g.

E : 1127. N : 1157.*

Planche 20, 7. 16543, n° 1357.

Objet indéterminé constitué d'une tige de section ronde terminée par un plat. Outil, fragment de pelle à feu? Fer.

L. 55 mm, S. (plat) 20 x 3 mm, S. (tige) 6 mm. 23.6 g.

E : 1122.7. N : 1160.5.*

Planche 20, 8. 16543, n° 1844.

Fragment de collerette de chaudron constitué d'une bande de tôle avec rivets enroulés en alliage cuivreux sur un bord et rivet à contreplaque en fer sur l'autre bord. Fer.

L. 240 mm, l. 75 mm, ép. 1 à 2 mm. 275 g.

E : 1122. N : 1159.*

État 1 à 2.1 : LTD1b

A2-11-sol 16025**Planche 20, 9.** 16582, n° 1310.

Fibule à ressort à quatre spires et corde interne et à arc tendu de tôle triangulaire fin à bordures soulignées par une rainure.

Le pied fragmentaire est ajouré. L'arc est plié vers le ressort. Base-cuivre.

L. 20 mm, L. (arc) 22 mm, l. (arc) 3 mm. 0.8 g.

E : 1120.9. N : 1158.5. Alt. : 573.34.

Type : B22-03.


État 1 : LTD1b classique

A2-12-sol 16580**Planche 20, 10.** 16580, n° 1606.

Perle à section en quart de rond. Base-cuivre.

Diam. 17 mm, S. 5 mm. 5 g.

E : 1122.7. N : 1159.*

 Bois minéralisé
 Alliage cuivreux

47

Bâtiment A2 et A3

Décapage

A3 et A2-1-décapage

Planche 21, 1. 16018, n° 88.

Fragment de perle à trois cannelures. Base-cuivre.

L. 13 mm, diam. 16 mm, S. 5 x 3 mm. 1.1 g.

E : 1122.35. N : 1159.3. Alt. : 573.4.

Planche 21, 2. 16018, n° 87.

Chute de tôle repliée sur elle-même. Base-cuivre.

L. 26 mm. 4.4 g.

E : 1122.1. N : 1159.2. Alt. : 573.42.

Autres petits mobiliers

16018, n° 83. Monnaie.

Bâtiment A3

État 2 lato sensu : LTD1b évoluée-LTD2b

A3-2-radier

Planche 21, 3. 16116, n° 248.

Demi-produit constitué d'une tige de section ronde irrégulière. Base-cuivre.

L. 77 mm, S. 4 mm. 5.5 g.

E : 1118.2. N : 1162. Alt. : 573.47.

A3-3-décapage 16588

Planche 21, 4. 16588, n° 1313.

Fragment de perle à section en quart de rond. Base-cuivre.

L. 11 mm, diam. 18 mm, S. 2 x 1,5 mm. 0.2 g.

E : 1120. N : 1160.8. Alt. : 573.29.

État 2.3 : fin LTD2a-LTD2b

A3-6-TP 15738

Planche 21, 5. 15738, n° 1721.

Fragment de lime de section rectangulaire avec voie oblique sur les deux faces. Fer.

L. 107 mm, S. 4 x 10 mm. 16.2 g.

E : 1115. N : 1159.*

Bâtiment A4 et A7

Décapage

A4 et A7-1-décapage

Planche 21, 6. 16002, n° 13.

Fibule à ressort à quatre spires et corde interne et à arc triangulaire fin cambré interrompu par un bouton. Base-cuivre.

L. 21 mm. 1 g.

E : 1109.82. N : 1156.72. Alt. : 574.76.

Type : B24-2.

Planche 21, 7. 16115, n° 235.

Fibule à ressort à quatre spires (deux conservées) et corde interne et à arc de tôle triangulaire large avec un décor d'échelle au centre et sur les bords de l'arc. Base-cuivre.

L. 26 mm, l. (arc) 12 mm. 1 g.

E : 1106.3. N : 1160.4. Alt. : 573.71.

Type : B22-01.

Planche 21, 8. 16002, n° 1609.

Fragment de pied annulaire ou de fond de récipient constitué d'un plat incurvé. Base-cuivre.

L. cons. 18 mm, diam. 59 mm, ht. 4 mm. 0.9 g.

E : 1103. N : 1159.5.*

Planche 21, 9. 16002, n° 20.

Tronçon d'aiguiseur en schiste de section trapézoïdale. Lithique.

L. 37 mm, l. 39 mm, ép. 18 mm. 49.6 g.

E : 1101.33. N : 1158.49. Alt. : 575.05.

Planche 21, 10. 16002, n° 1703.

Deux tôles rivetées par quatre rivets. Fer.

L. 64 mm. 17.1 g.

E : 1104.5. N : 1160.*

Planche 21, 11. 16002, n° 12.

Petite douille. Fer.

L. 56 mm, diam. 10 mm. 12.3 g.

E : 1109.9. N : 1156.74. Alt. : 574.75.

Autres petits mobiliers

16115, n° 236. Monnaie.

16115, n° 233. Monnaie.

16002, n° 14. Monnaie.

16002, n° 11. Perle indéterminée perdue.

Bâtiment A4

État 2.2 à 2.3 : LTD2

A4-2-radier

Planche 21, 12. 16068, n° 200.

Anneau de section lenticulaire. Base-cuivre.

Diam. 25 mm, S. 3 x 6 mm. 6.2 g.

E : 1114.15. N : 1162.55. Alt. : 573.53.

Planche 21, 13. 16075, n° 1615.

Fragment de tige indéterminée de section hémisphérique avec une terminaison en fourche. Pied de récipient, applique? Base-cuivre.

L. 15 mm, S. 2 x 2,5 mm. 0.8 g.

E : 1113. N : 1159.*

Planche 21, 14. 16068, n° 195.

Applique de tôle avec un bord droit comportant un décor de cercle fragmentaire au repoussé. Base-cuivre.

L. 32 mm. 0.7 g.

E : 1112. N : 1160.2. Alt. : 573.6.

Planche 21, 15. 16068, n° 196.

Demi-produit constitué d'une barre de section irrégulière avec trace de martelage. Base-cuivre.

L. 49 mm, S. 5 x 6 mm. 8.9 g.

E : 1112. N : 1160. Alt. : 573.6.

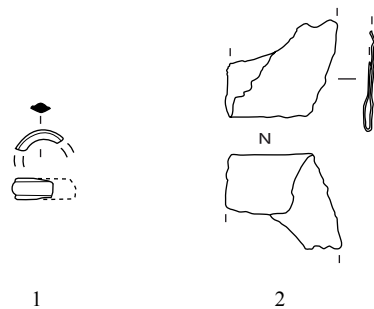
Autres petits mobiliers

16075, n° 209. Jeton.

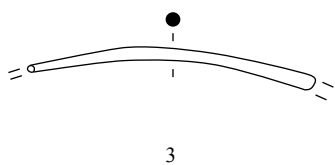
État 1 : LTD1b classique

A4-3-TP 16124

16124. Monnaie.



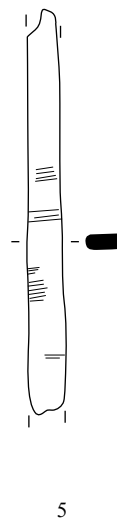
A3 et A2-1-décapage



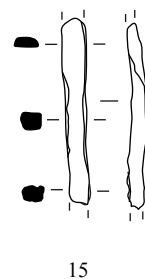
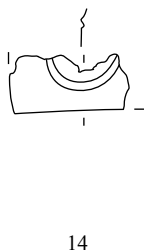
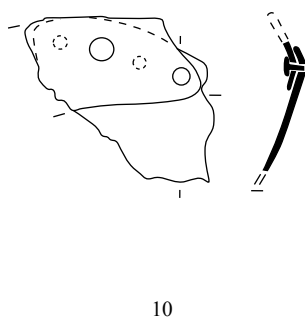
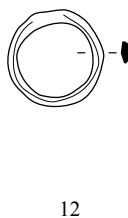
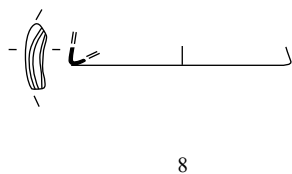
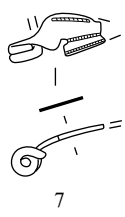
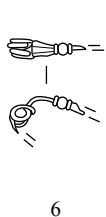
A3-2-radier



A3-3-décapage 16588



A3-6-TP 15738



A4 et A7-1-décapage

A4-2-radier

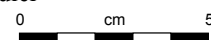


Planche 21. A3 et A2-1-décapage à A4-2-radier

1-4, 6-8, 12-15 : alliage cuivreux; 5, 10-11 : fer; 9 : schiste.

Bâtiment A7

Décapage

A7-1-décapage

Planche 22, 1. 16003, n° 147.

Arc de fibule rubané à long pied ajouré. Fer.

L. 35 mm. 0.3 g.

E : 1103.8. N : 1150.95. Alt. : 573.95.

Type : F03.

Planche 22, 2. 16003, n° 40.

Anneau cassé à section lenticulaire. Base-cuivre.

Diam. 22 mm, S. 2 x 2,5 mm. 2.8 g.

E : 1105.09. N : 1152.98. Alt. : 574.96.

Planche 22, 3. 16127, n° 1770.

Pendentif en forme de tranchant de hache avec suspension assurée par un repli de la tôle. Fer.

L. 24 mm, diam. int. 4 mm. 5.2 g.

E : 1106.5. N : 1149.8.*

Planche 22, 4. 16127, n° 1301.

Anneau de section lenticulaire. Base-cuivre.

Diam. 23 mm, S. 2 x 6 mm. 5.3 g.

E : 1108. N : 1150.*

Planche 22, 5. 16003, n° 137.

Manipule de bouclier constitué d'un fer plat terminé par un cercle perforé et de section lenticulaire. Chaque extrémité est repliée. Fer.

L. 155 mm, l. 23 mm, S. 3 mm. 57.5 g.

E : 1105.5. N : 1148.92. Alt. : 573.85.

Type : Manipule.

Planche 22, 6. 16127, n° 1769.

Fragment de plaque de fourreau à gouttière. Fer.

L. 30 mm. 1.9 g.

E : 1107.7. N : 1149.2.*

Planche 22, 7. 16003, n° 170.

Fragment de collerette de chaudron constitué de tôles de fer et en bronze maintenus par un rivet en alliage cuivreux.

Fer et base-cuivre.

L. 21 mm. 2.3 g.

E : 1109.4. N : 1154.5. Alt. : 573.88.

Planche 22, 8. 16127, n° 254.

Fragment de collerette de chaudron constitué d'une tôle en alliage cuivreux avec un rivet en fer. Fer et base-cuivre.

L. 30 mm. 7.7 g.

E : 1109.1. N : 1153.4. Alt. : 573.64.

Planche 22, 9. 16003, n° 43.

Grande lame de couteau légèrement pliée et cassée à proximité du manche. Fer.

L. 174, l. 45 mm. 122 g.

E : 1100.93. N : 1151.04. Alt. : 575.22.

Type : 1-0.

Planche 22, 10. 16003, n° 138.

Tranchant fragmentaire de gouge à manche de section circulaire. Fer.

L. 71 mm, S. 11 mm, L. (tranchant) 19 mm. 32 g.

E : 1104.92. N : 1152.95. Alt. : 573.95.

Planche 22, 11. 16003, n° 41.

Chute de tige de section carrée. Base-cuivre.

L. 19 mm, S. 1,5 mm. 0.4 g.

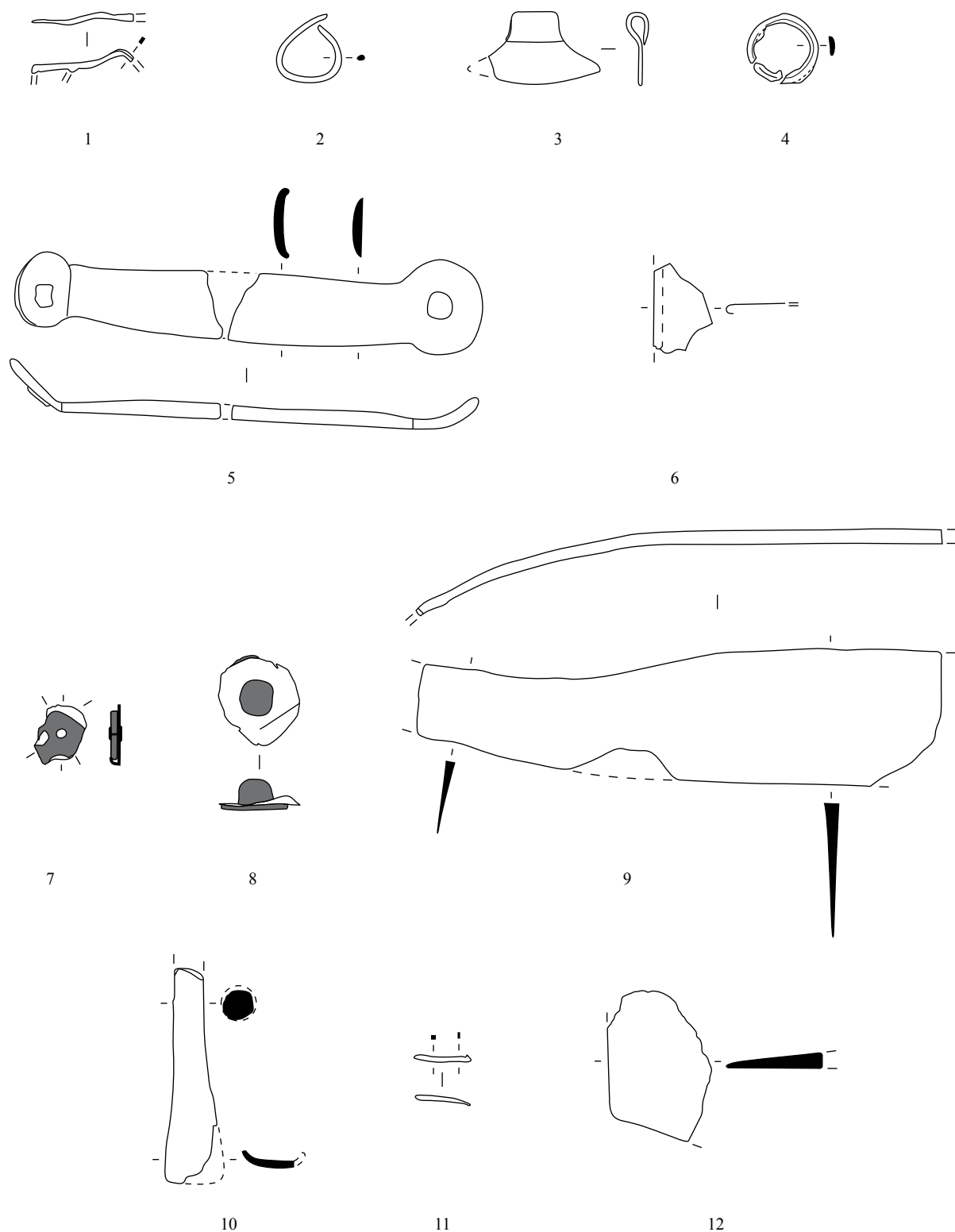
E : 1102.16. N : 1151.16. Alt. : 575.16.

Planche 22, 12. 16568, n° 1771.

Fragment de tranchant de hache ou d'herminette. Fer.

L. 50 mm. 31.6 g.

E : 1104. N : 1160.5.*



A7-1-décapage

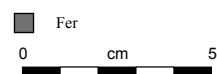


Planche 22. A7-1-décapage

1, 3, 5-6, 9-10, 12 : fer; 2, 4, 11 : alliage cuivreux; 7-8 : fer et alliage cuivreux.

Bâtiment A7

Décapage

A7-1-décapage sud

Planche 23, 1. 16065, n° 181.

Support de grill constitué d'un fer plat avec une perforation associée à une barre de section circulaire qui devait initialement être en connexion. Fer.
L. 216 mm, S. (support) 9 x 3 mm, L. (barre) 132, S. (barre) 6 mm. 62.3 g.
E : 1109.3. N : 1151.7. Alt. : 573.82.

Planche 23, 2. 16065, n° 182.

Fragment de barre de grill de section rectangulaire amincie et matée (?) à une extrémité. Fer.
L. 132 mm, L. (partie active) 106 mm, L. (soie) 26 mm, S. 3 x 8 mm. 13.7 g.
E : 1105.8. N : 1150.5. Alt. : 572.93.

Planche 23, 3. 16065, n° 175.

Fragment de bande de fer plat rivetée à une autre bande de fer plat. Cerclage? Fer.
L. 48 mm. 14.3 g.
E : 1106.84. N : 1148.64. Alt. : 573.75.

Autres petits mobiliers

16003, n° 73. Fragment de fusaïole à section en "D" en terre cuite.
16127, n° 281. Jeton.
16003, n° 26. Fragment de perle en ambre.
16003, n° 42. Fragment de récipient en verre.
16065, n° 174. Monnaie.

A7-2-décapage nord

Planche 23, 4. 16004, n° 15.

Fibule à ressort à quatre spires et corde interne et à arc tendu de tôle triangulaire à décor d'échelle séparé du pied par des lignes perpendiculaires. Seul le pied est manquant. Base-cuivre.
L. 34 mm, l. (arc) 4 mm. 2.1 g.
E : 1104.58. N : 1154.7. Alt. : 575.02.
Type : B22-04.

Autres petits mobiliers

16004, n° 48. Fond de récipient en verre.

État 2.1 à 2.2 : LTD1b évoluée-LTD2a

A7-4-radier

Planche 23, 5. 16118, n° 1634.

Fibule à ressort à quatre spires et corde interne et à arc tendu mouluré triangulaire à bordures soulignées par une rainure. Base-cuivre.
L. 22 mm. 2.7 g.
E : 1105.5. N : 1154.5.*
Type : B22-21.

Planche 23, 6. 16118, n° 1632.

Arc de fibule triangulaire fin en tôle à décor d'échelle et pied fragmentaire ajouré. Base-cuivre.
L. 26 mm. 0.2 g.
E : 1103.8. N : 1154.*
Type : B22-04.

Planche 23, 7. 16118, n° 1826.

Fragment de demi-produit constitué d'une barre facettée de section irrégulière. Base-cuivre.
L. 24 mm, S. 4 mm. 3.6 g.
E : 1108. N : 1156. Alt. : 574.65.*

Autres petits mobiliers

16118, n° 1415. Déchet de tabletterie à découpes circulaires.
16118, n° 1834. Monnaie.

État 2.3 : fin LTD2a-LTD2b

A7-3-sol

Planche 23, 8. 16022, n° 1753.

Ressort de fibule à huit spires et corde externe basse avec un axe de renfort. L'arc est filiforme en arc de cercle. Fer.
L. 33 mm, S. (arc) 3 mm. 8.3 g.
E : 1104.8. N : 1154.1.*
Type : F11-4.

Planche 23, 9. 16022, n° 1391.

Fibule à arc de tôle triangulaire fin et bordures soulignées par une rainure avec une spire du ressort. Base-cuivre.
L. 29 mm, l. (arc) 3 mm. 0.7 g.
E : 1105. N : 1155.2.*
Type : B22-03.

Planche 23, 10. 16022, n° 107.

Fibule à ressort à quatre spires et corde interne et à arc tendu de tôle triangulaire fin orné d'une ligne incisée centrale. Base-cuivre.
L. 22 mm, l. (arc) 2,5 mm. 0.5 g.
E : 1106. N : 1154.75. Alt. : 573.80.
Type : B22-05.

Planche 23, 11. 16022, n° 132.

Fragment de bracelet tubulaire à décor incisé fragmentaire de lignes obliques. Base-cuivre.
L. 25 mm, diam. int. 56 mm, S. 8 x 9 mm. 2 g.
E : 1105.2. N : 1156.8. Alt. : 573.80.
Type : B21-0.

Planche 23, 12. 16022, n° 1755.

Fragment de gouttière de fourreau avec pince ou départ d'entretoise. Fer.
L. 14 mm. 1.6 g.
E : 1106.5. N : 1154.6.*

Planche 23, 13. 16022, n° 125.

Éclat d'angle droit de schiste à grain très fin. Lithique.
L. 42 mm. 12.5 g.
E : 1105. N : 1156.47. Alt. : 572.77.

Planche 23, 14. 16022, n° 113.

Tige indéterminée de section carrée terminée par un anneau. Piton, manche d'objet à anneau de suspension? Fer.
L. 110 mm, S. 6 mm. 37.2 g.
E : 1107.1. N : 1158. Alt. : 574.12.

Autres petits mobiliers

16022, n° 130. Monnaie.
16022, n° 108. Monnaie.
16022, n° 119. Monnaie.

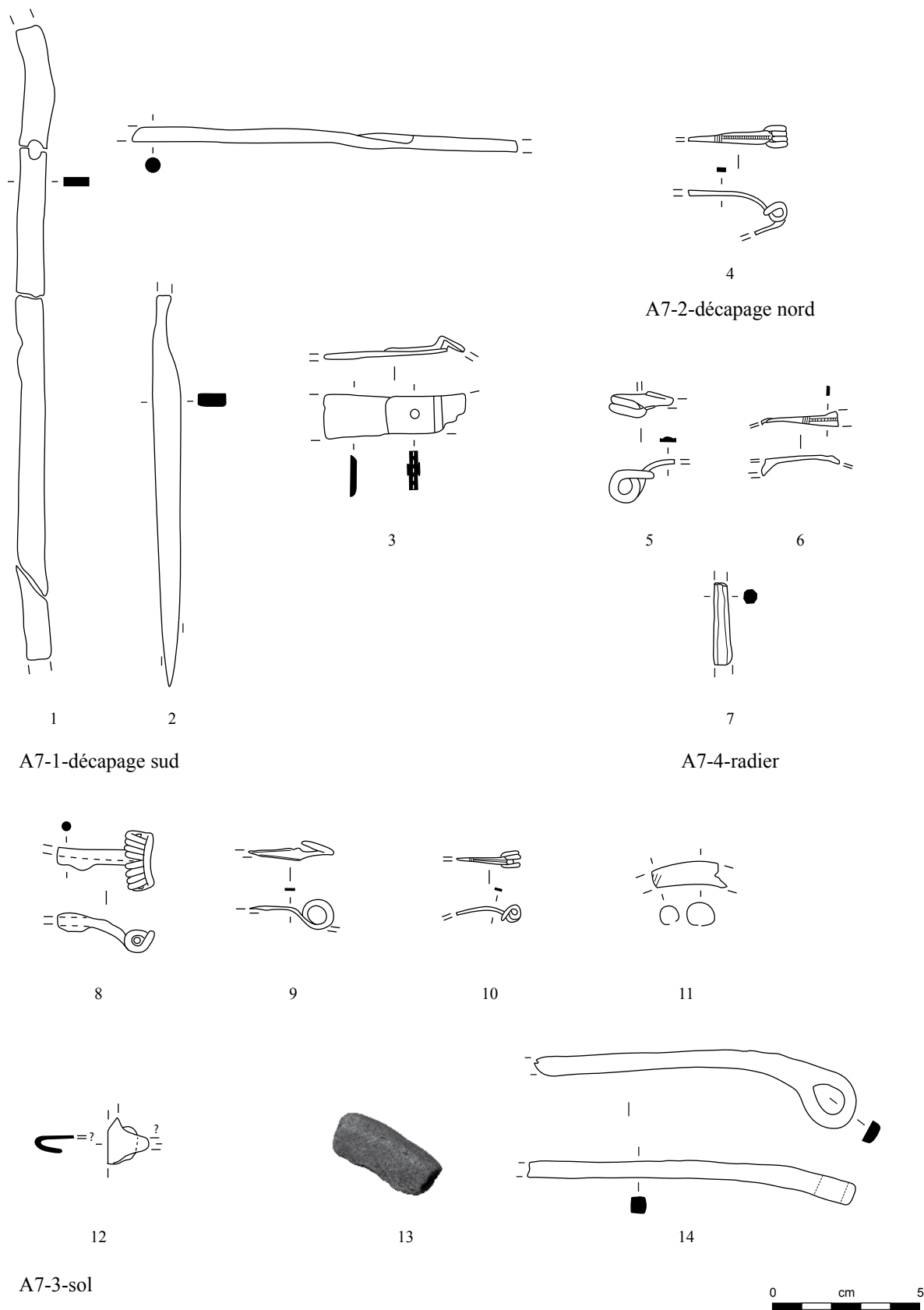


Planche 23. A7-1-décapage sud à A7-4-radier

1-3, 8, 12, 14 : fer; 4-7, 9-11 : alliage cuivreux; 13 : schiste.

Bâtiment A7

État 1 à 2.1 : LTD1b

A7-10-remblai 16126

Planche 24, 1. 16023, n° 1756.

Fibule à tête couvrante à ressort à deux spires conservées. Fer.

L. 22 mm. 3.2 g.

E : 1109. N : 1156.5.*

Type : F12-1.

Planche 24, 2. 16023, n° 111.

Fibule à ressort à quatre spires et corde interne et à arc de tôle triangulaire fin avec un décor à échelle et des lignes séparant le pied de l'arc. Seul le pied est manquant. Base-cuivre.

L. 36 mm, L. (arc) 31 mm, l. (arc) 3,5 mm. 1.5 g.

E : 1108.8. N : 1156. Alt. : 573.58.

Type : B22-04.

Planche 24, 3. 16126, n° 253.

Fibule à ressort à quatre spires (deux conservées) et corde interne et arc tendu filiforme de section ronde à bouton entouré par deux moulures, Le pied et l'ardillon sont manquants. Base-cuivre.

L. 51 mm, S. (arc) 2,5 mm. 1.8 g.

E : 1106.7. N : 1156. Alt. : 573.65.

Type : B24-1.

Planche 24, 4. 16126, n° 264.

Fibule à ressort à quatre spires et corde interne et à arc tendu de tôle triangulaire fin à décor d'échelle, bordures soulignées par une rainure et lignes perpendiculaires au niveau du pied. Le pied et l'ardillon sont manquants. Base-cuivre.

L. 33 mm, l. (arc) 3,5 mm. 1.5 g.

E : 1105.65. N : 1153.92. Alt. : 573.67.

Type : B22-02.

Planche 24, 5. 16126, n° 266.

Fragment de perle à section en "D". Base-cuivre.

Diam. 18 mm, S. 2 x 4 mm. 1 g.

E : 1104.4. N : 1153.8. Alt. : 573.67.

Planche 24, 6. 16126, n° 1631.

Pendentif en forme de hache miniature à douille cassée au niveau de son tranchant. Fer.

L. 48 mm, L. (tranchant) 47 mm. 34.3 g.

E : 1104.6. N : 1154.5. Alt. : 573.63.

Planche 24, 7. 16059, n° 249.

Fragment d'orle de section rectangulaire avec deux pattes de fixation et rivet en position fonctionnelle. Fer.

L. 114 mm, S. 6 x 3 mm. 32.5 g.

E : 1108.4. N : 1155.9.*

Type : Rectangulaire.

Planche 24, 8. 16126, n° 1388.

Fragment de broche constitué d'une tige de section rectangulaire terminée par une extrémité circulaire plate. Fer.

L. 219 mm, S. 7 mm. 61.8 g.

E : 1104.8. N : 1153.5. Alt. : 573.62.

Planche 24, 9. 16126, n° 1612.

Doigtier de passoire. Base-cuivre.

L. 30 mm. 2.9 g.

E : 1105.8. N : 1154.1. Alt. : 573.63.

Planche 24, 10. 16126, n° 274.

Petite gouge à tête massive matée, corps de section rectangulaire chanfreinée et à tranchant droit précédé d'une gorge. Fer.

L. 56 mm, S. 14 x 11 mm. 31.3 g.

E : 1103.3. N : 1154.58. Alt. : 573.65.

Planche 24, 11. 16126, n° 1807.

Tranchant de ciseau droit constitué d'une tige de section carrée à tranchant évasé à simple biseau. Fer.

L. 41 mm, S. 7 mm. 3.5 g.

E : 1103.9. N : 1155.15.*

Planche 24, 12. 16023, n° 112.

Poids de forme bitronconique en basalte, marbre, obsidienne (?), avec trois petites cupules, dont une centrale plus épaisse ou creusée, alignées sur une des faces supérieures. Lithique.

Diam. 27 mm, ht. 20,5 mm. 24.8 g.

E : 1108.7. N : 1156.2. Alt. : 573.58.

Planche 24, 13. 16126, n° 1630.

Fragment de fléau de balance cassé aux deux extrémités et au niveau de l'anneau central. Base-cuivre.

L. 54 mm, L. déplié 74 mm, S. 2,5 mm. 1 g.

E : 1105.5. N : 1158. Alt. : 573.62.

Planche 24, 14. 16059, n° 238.

Fusée ou embout de timon de char constitué d'une boîte cylindrique avec des rebords marqués et deux perforations sur les faces latérales. Base-cuivre.

Diam. 54 mm, L. 40 mm, ép. 3 mm, diam. int. 44 mm. 170 g.

E : 1108.1. N : 1154.3. Alt. : 573.64.

Planche 24, 15. 16059, n° 1748.

Fragment de pique-boeuf réalisé par enroulement d'une tige. Fer.

L. 30 mm. 4.5 g.

E : 1107. N : 1155.*

Planche 24, 16. 16059, n° 238.

Fragment de ferrure décorative constituée d'une bande de tôle avec une perforation. Base-cuivre.

L. 25 mm. 1.2 g.

E : 1108.1. N : 1154.3. Alt. : 573.64.

Planche 24, 17. 16126, n° 1394.

Fragment de chaîne à trois maillons en huit ou ovale. Fer.

L. 78 mm, L. (maillon en "8") 48 mm, L. (maillon ovale) 42 mm. 57.1 g.

E : 1106.3. N : 1154.*

Planche 24, 18. 16059, n° 1750.

Objet indéterminé constitué d'une tige de section rectangulaire avec un anneau terminal formé par repli. Manche de clé, d'ustensile, piton? Fer.

L. 65 mm. 11.9 g.

E : 1107.5. N : 1154.*

Planche 24, 19. 16023, n° 1757.

Fragment de tige indéterminée conique de section circulaire. Outil, extrémité de talon de lance ? Fer.

L. 57 mm, S. 10 mm. 13.7 g.

E : 1108. N : 1156.*

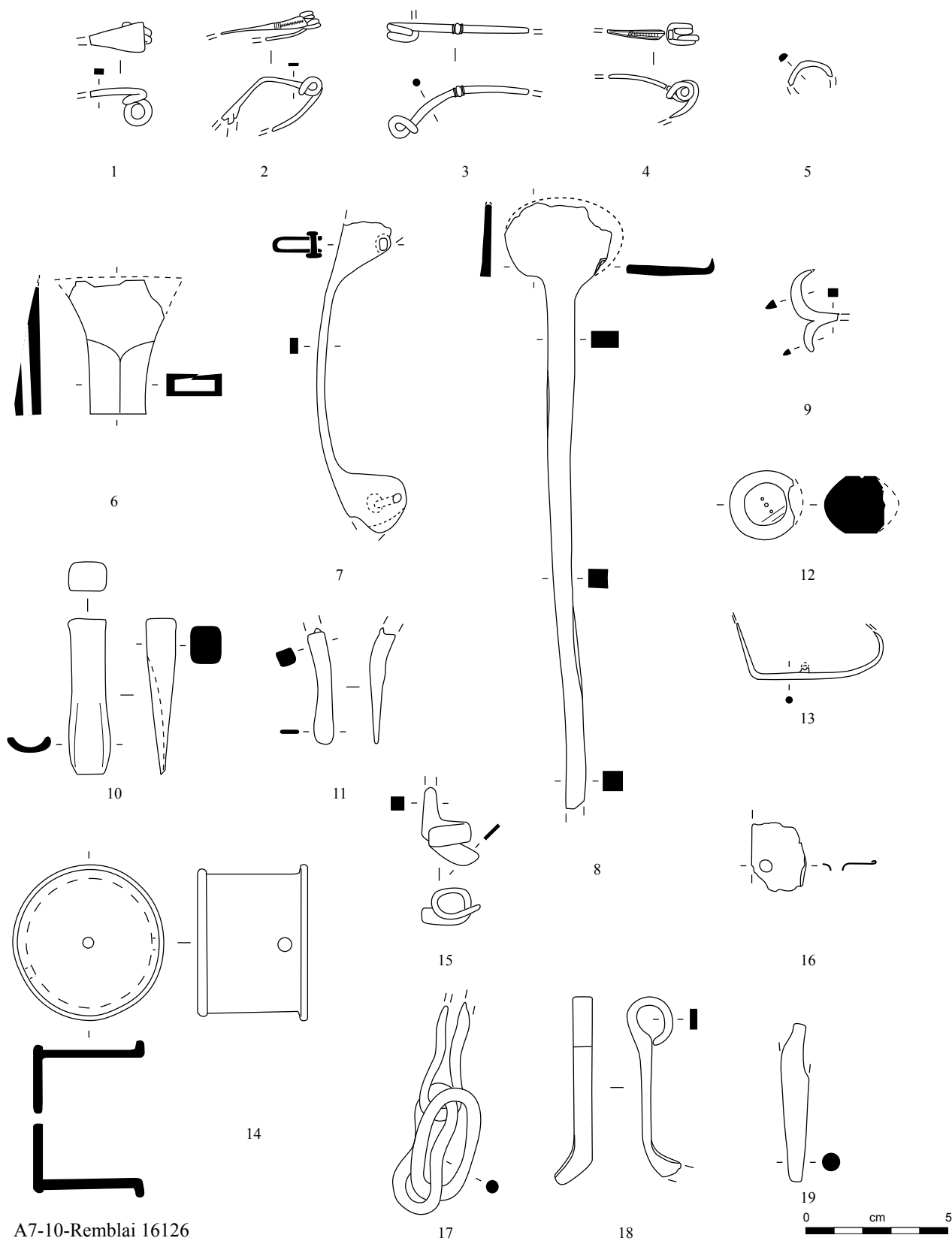


Planche 24. A7-10-remblai 16126

1, 6-8, 10-11, 15, 17-19 : fer; 2-5, 9, 13-14, 16 : alliage cuivreux; 12 : marbre (?).

Bâtiment A7

État 1 à 2.1 : LTD1b

A7-10-remblai 16126

Planche 25, 1. 16126, n° 1626.
Fragment de tôle indéterminée rectangulaire avec trois perforations latérales et une centrale. Pièce de renfort, entrée de serrure? Fer.
L. 150, l. 58 mm, ép. 1 mm. 95.6 g.
E : 1102.3. N : 1154.5. Alt. : 573.63.

Planche 25, 2. 16126, n° 1624.
Fragment de barre indéterminée de section rectangulaire pliée à deux reprises. Fer.
L. 85 mm, l. 16 mm, ép. 4 mm. 36.5 g.
E : 1105. N : 1154. Alt. : 573.62.

Autres petits mobiliers

16126, n° 295. Aiguiseur non retrouvé.
16126, n° 252. Jeton en amphore.
16126, n° 1583. Monnaie.
16126, n° 1584. Monnaie.
16059, n° 239. Monnaie.
15426, n° 682. Monnaie.
16126, n° 1586. Monnaie.
16059, n° 162. Monnaie.
16059, n° 164. Monnaie.
16059, n° 165. Monnaie.
16059, n° 166. Monnaie.
16059, n° 167. Monnaie.
16126, n° 1585. Monnaie.
16126, n° 1587. Monnaie.

État 2.1 : LTD1b évoluée

A7-5-TP 16140

Planche 25, 3. 16141, n° 1799.
Fragment de bague (?) de section hémisphérique dépliée et écrasée. Base-cuivre.
L. 30 mm, S. 4 x 2 mm. 0.3 g.
E : 1104.7. N : 1152.5.*

Planche 25, 4. 16141, n° 1798.
Fragment d'orle de section rectangulaire avec départ d'une pince. Fer.
L. 71, S. 7 x 3 mm. 9.5 g.
E : 1104.2. N : 1152.6.*
Type : Rectangulaire.

État 2 lato sensu : LTD1b évoluée-LTD2

A7-8-Fo 16133

Planche 25, 5. 16133, n° 265.
Fragments de fibule dont un arc de tôle triangulaire à bordure soulignée par une rainure et une spire (non illustrée). Base-cuivre.
L. 18 mm. 0.3 g.
E : 1104.42. N : 1151.34. Alt. : 573.77.
Type : B22-03.

Planche 25, 6. 16133, n° 272.
Attache de couvercle de cruche en forme de "Y" de section triangulaire avec perforation pour une fixation rivetée à

chaque extrémité. Base-cuivre.
L. 42 mm. 8.9 g.
E : 1104.85. N : 1151.65. Alt. : 573.75.

Planche 25, 7. 16133, n° 278.
Fragment de douille écrasée dont la section devient quadrangulaire à sa base. Fer.
L. 48 mm, diam. rest. 14 mm. 17.7 g.
E : 1104.8. N : 1150.65. Alt. : 573.80.

Planche 25, 8. 16133, n° 292.
Petit poignard à soie excentrée de section rectangulaire et à lame de forme ogivale et de section lenticulaire. La lame est courbée et lacunaire à son extrémité distale. Fer.
L. 138 mm, L. rest. 147 mm, S. (lame) 23 x 3 mm, S. (soie) 7 x 3 mm. 27.2 g.
E : 1105.3. N : 1152.11. Alt. : 573.66.

Autres petits mobiliers

16133, n° 291. Jeton.

État 1 à 2.1 : LTD1b

A7-9-Pal 16541

16542, n° 123. Jeton.

État 1 : LTD1b classique

A7-11-Solin 16552

Planche 25, 9. 16531, n° 1348.
Fibule à ressort à quatre spires et corde interne et à arc tendu de tôle triangulaire à bordures soulignées par une rainure. Le pied et une partie de l'ardillon sont manquants. Base-cuivre.
L. 32 mm, l. (arc) 7 mm. 1.4 g.
E : 1106.4. N : 1150.3. Alt. : /.
Type : B22-03.

Planche 25, 10. 16531, n° 1640.
Fibule complète à ressort à quatre spires et corde interne et à arc tendu de tôle triangulaire large à bordures et partie centrale soulignées par une ligne de points. Des lignes perpendiculaires marquent le départ du pied trapézoïdal ajouré. Base-cuivre.
L. 60 mm, L. (arc) 36 mm, l. (arc) 12 mm, L. (pied) 17 mm. 3 g.
E : 1106.6. N : 1150.5.*
Type : B22-01.

A7-16-TP 16167

Planche 25, 11. 16168, n° 1302.
Grande tige indéterminée de section carrée. Barre de gril? Fer.
L. 175 mm, S. 6 mm. 24 g.
E : 1106.16. N : 1152. Alt. : /.

A7-20-TP 16144

Planche 25, 12. 16145, n° 1800.
Fragment de chaîne constitué d'un fragment de trois anneaux de section ronde ouvert, et de trois autres fragments (non ill.) plus fragmentaires. Fer.

L. 20 mm, diam. (anneau) 15 mm, S. 3 mm. 8.8 g.
E : 1102.4. N : 1149.7.*

Planche 25, 13. 16145, n° 1801.
Objet indéterminé constitué d'une tige présentant un angle droit. Crampon, mors de pince ou de support de gril? Fer.
L. 48 mm. 5.7 g.
E : 1102. N : 1148.9.*

A7-22-Sb 16137

Planche 25, 14. 16138, n° 285.
Applique de tôle rivetée triangulaire à bordure soulignée par une ligne en relief et ligne centrale de points au repoussé. Base-cuivre.
L. 25 mm. 0.4 g.
E : 1107. N : 1151.9. Alt. : 573.97.

A7-23-sol 16218

16128, n° 263. Monnaie.

État 2 lato sensu : LTD1b-évoluée-LTD2

A7-24-Fo 16129

16015, n° 80. Monnaie.
16015, n° 81. Monnaie.

État 1 : LTD1b classique

A7-25-Sb 16028

Planche 25, 15. 16029, n° 126.
Clé complète à soulèvement de cheville et translation, à panneton à deux dents et à manche massif terminé par un anneau. Fer.
L. 104 mm, diam. (anneau) 32 mm, L. (dent) 60 mm. 120.1 g.
E : 1110.7. N : 1149.9. Alt. : 573.49.

Autres petits mobiliers

16029, n° 122. Monnaie.

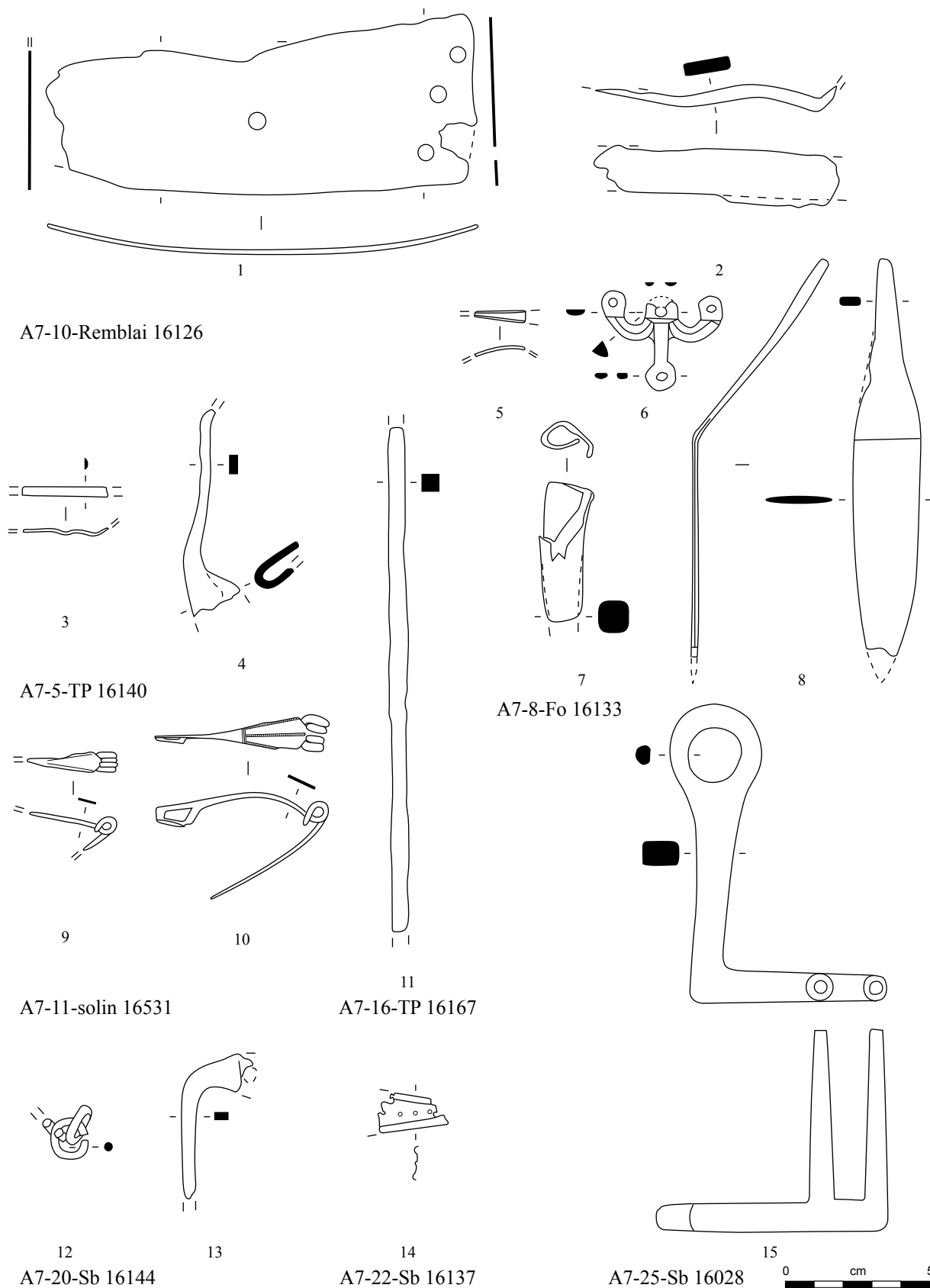


Planche 25. A7-5-TP 16140 à A7-25-Sb 16028

1-2, 4, 7-8, 11, 12-13, 15 : fer; 3, 5-6, 9-10, 14 : alliage cuivreux.

Cour intérieure du complexe A

Décapage

ACI-1-décapage

Planche 26, 1. 15646, n° 1103.

Arc de tôle triangulaire fin à bordures soulignées par une rainure. Base-cuivre.
L. 34 mm, l. (arc) 6 mm. 0.8 g.
E : 1111.9. N : 1153.3. Alt. : 573.58.
Type : B22-03.

Planche 26, 2. 15646, n° 1105.

Extrémité d'arc de fibule triangulaire de tôle à bordures soulignées par une ligne de points. Base-cuivre.
L. 20 mm. 0.2 g.
E : 1111.35. N : 1154. Alt. : 573.63.
Type : B22-01.

Planche 26, 3. 15646, n° 1107.

Fragment de fibule de Nauheim dont une spire et l'extrémité de l'arc à décor de lignes incisées en bordure et à la perpendiculaire de l'axe sont conservées. Base-cuivre.
L. 22 mm. 0.2 g.
E : 1113.7. N : 1156.3. Alt. : 573.5.
Type : B22-05.

Planche 26, 4. 15646, n° 1753.

Pied et fragment d'arc de fibule du Nauheim. Base-cuivre.
L. 14 mm. 0.3 g.
E : 1113.4. N : 1153.5. Alt. : 573.52.
Type : B22-0.

Planche 26, 5. 15646, n° 1744.

Fibule à ressort à quatre spires (une conservée) et corde interne et à arc tendu de tôle triangulaire fin à bordures soulignées par une rainure. Base-cuivre.
L. 40 mm, l. (arc) 5 mm. 1.2 g.
E : 1119.2. N : 1155.6.*
Type : B22-03.

Planche 26, 6. 15646, n° 1057.

Ressort de fibule à quatre spires (deux conservées) et corde interne. Base-cuivre.
L. 9 mm. 1.3 g.
E : 1115. N : 1155.6. Alt. : 573.39.
Type : B20-0.

Planche 26, 7. 15646, n° 1097.

Ardillon et ressort de fibule à quatre spires (deux conservées) et corde interne. Base-cuivre.
L. 45 mm. 1.3 g.
E : 1110.6. N : 1154.7. Alt. : 573.63.
Type : B20-0.

Planche 26, 8. 16014, n° 1759.

Fibule à ressort à quatre spires (deux conservées) et corde interne et à arc coudé ornée d'une perle fragmentaire. Fer.
L. 30 mm. 1.7 g.
E : 1119.4. N : 1148.8.*
Type : F24-4.

Planche 26, 9. 15428, n° 738.

Arc de fibule de section lenticulaire. Fer.
L. 47 mm, S. 7 x 3 mm. 2 g.

E : 1113.5. N : 1153.4.

Type : F03.

Planche 26, 10. 15646, n° 1714.

Arc filiforme de fibule de section lenticulaire avec pied ajouré dans le prolongement de l'arc. Fer.
L. 53 mm, S. 6 x 3 mm. 2.1 g.
E : 1118. N : 1155.*
Type : F03.

Planche 26, 11. 15428, n° 719.

Ressort de fibule à au moins huit spires dont quatre conservées unilatéralement. Fer.
L. 16 mm. 3.7 g.
E : 1114.1. N : 1153. Alt. : 573.64.
Type : F10-4.

Planche 26, 12. 15646, n° 1715.

Ressort de fibule à quatre spires (deux conservées) et corde externe basse. Fer.
L. 52 mm. 4.9 g.
E : 1117. N : 1154.2.*
Type : F10-2.

Planche 26, 13. 15428, n° 750.

Ressort de fibule à quatre spires (deux conservées) et corde externe haute avec départ de l'ardillon. Fer.
L. 20 mm. 8.9 g.
E : 1112.3. N : 1152.6. Alt. : 573.69.
Type : F30.

Planche 26, 14. 15428, n° 766a.

Fragment de pied de fibule ajouré. Fer.
L. 20 mm. 1 g.
E : 1112. N : 1153.1. Alt. : 573.7.

Planche 26, 15. 15646, n° 1752.

Anneau de section ronde. Base-cuivre.
Diam. 15 mm, S. 3 mm. 2.3 g.
E : 1113.8. N : 1155.5. Alt. : 573.6.

Planche 26, 16. 15646, n° 993.

Fragment d'anneau de section ronde. Base-cuivre.
Diam. 22 mm, S. 3,5 mm. 3.3 g.
E : 1117. N : 1155.4. Alt. : 573.48.

Planche 26, 17. 15428, n° 604.

Anneau de section en quart de rond. Base-cuivre.
Diam. 16 mm, S. 4 x 3 mm. 4.3 g.
E : 1119.5. N : 1153.7. Alt. : 573.53.

Planche 26, 18. 15646, n° 1106.

Anneau de section ronde. Base-cuivre.
Diam. 13 mm, S. 2 x 1,5 mm. 1 g.
E : 1112.7. N : 1156.3. Alt. : 573.55.

Planche 26, 19. 15646, n° 994.

Fragment de bracelet tubulaire de section fine avec deux petites incisions obliques. Base-cuivre.
L. 15 mm, diam. int. 46 mm, S. 6,5 x 4 mm. 0.4 g.
E : 1115.6. N : 1157.5. Alt. : 573.53.
Type : B21-0.

Planche 26, 20. 16532, n° 1614.

Fragment de bracelet tubulaire à jonc lisse. Base-cuivre.

L. 40 mm, diam. int. 52 mm, S. 6 mm. 1.7 g.

E : 1116.7. N : 1149.2.*

Type : B21-1.

Planche 26, 21. 16532, n° 1367.

Fragment de bracelet à jonc lisse et section en D. Une face semble polie. Base-cuivre.
L. 40 mm, diam. int. 52 mm, S. 5 x 6 mm. 8.8 g.
E : 1115.8. N : 1148.3. Alt. : /.
Type : B10-4.

Planche 26, 22. 15428, n° 655.

Pendentif en forme de hache miniature à douille stylisée avec, dans l'angle du tranchant, une perforation dont une comportant encore un anneau de suspension. Fer.
L. 55 mm, L. (tranchant) 44 mm, diam. (anneau) 18 mm. 38.5 g.
E : 1111.6. N : 1155. Alt. : 573.78.

Planche 26, 23. 16014, n° 1758.

Clou de chaussure à huit globules et bol relativement bien marqué. Fer.
Diam. 14 mm. 2.4 g.
E : 1119.2. N : 1149.3.*

Planche 26, 24. 15646, n° 1754.

Applique circulaire percée en son centre à bordure soulignée par une rainure. Base-cuivre.
Diam. 14 mm. 0.5 g.
E : 1115.6. N : 1155.2. Alt. : 573.5.

Planche 26, 25. 15646, n° 989.

Agrafe de ceinturon avec un anneau de section ronde avec un bouton sommital sans languette. Fer.
Diam. 25 mm, ht. 14 mm, S. 5 mm. 8.8 g.
E : 1118.3. N : 1157.5. Alt. : 573.44.
Type : F43-2.

Planche 26, 26. 16048, n° 1754.

Fragment de gouttière de bouterolle avec plaque encore en connexion. Fer.
L. 26 mm, S. (gouttière) 4 mm. 2.6 g.
E : 1117. N : 1157.*

Planche 26, 27. 15428, n° 589.

Fragment d'orle en gouttière. Fer.
L. 51 mm, S. 8 x 10 mm. 13.3 g.
E : 1119.3. N : 1153.2. Alt. : 573.53.
Type : Gouttière.

Planche 26, 28. 15646, n° 1246.

Fragment d'orle de section rectangulaire cassé au niveau de sa patte de fixation. Fer.
L. 93 mm, S. 4 x 7 mm. 17.9 g.
E : 1114. N : 1153.3. Alt. : 573.52.
Type : Rectangulaire.

Planche 26, 29. 15428, n° 1761.

Clou-rivet d'umbo par repli à tête hémisphérique creuse. Fer.
L. 32 mm, L. utile 10 mm. 7.5 g.
E : 1119.4. N : 1155.1.*
Type : Clou-rivet.

Planche 26, 30. 16014, n° 1760.

Trois fragments de chaîne de suspension

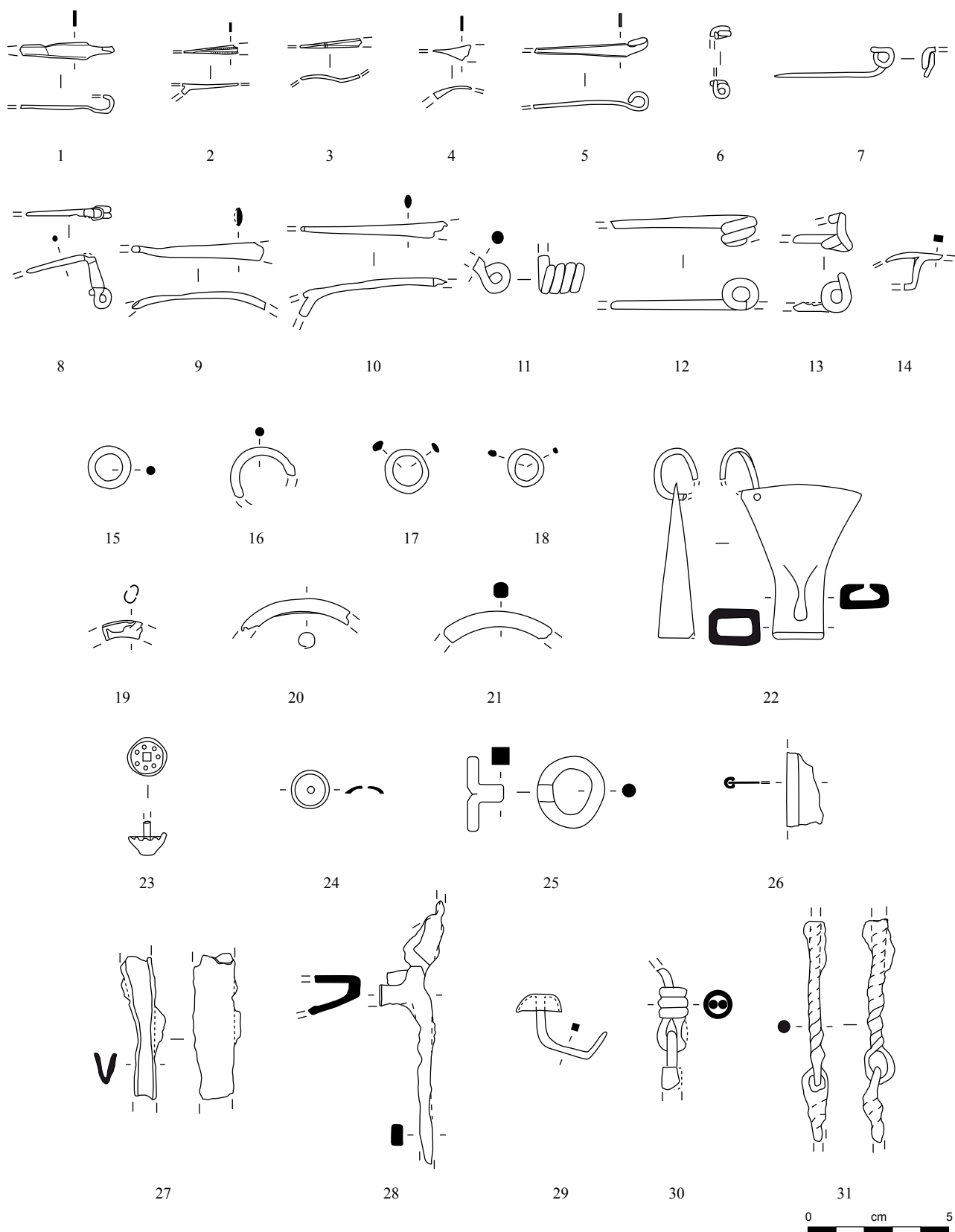


Planche 26. ACI-1-décapage (parures et armement)

1-7, 15-21, 24 : alliage cuivreux; 8-14, 22-23, 25-31 : fer.

à maillon en huit et bague centrale moulurée. Un seul fragment est illustré. Fer.
L. 43 mm, diam. (bague) 10 mm. 18.5 g.
E : 1118.7. N : 1149.2.*

Planche 26, 31. 15646, n° 1056.
Maillons de chaîne de suspension de fourreau constituée d'une tige tressée terminée par un anneau qui est liée à un autre maillon de même constitution. Fer.
L. 78 mm. 6.3 g.
E : 1115. N : 1155.6. Alt. : 573.39.

Cour intérieure du complexe A

Décapage

ACI-1-décapage

Planche 27, 1. 15428, n° 575.
Chute de plat à découpe latérale. Base-cuivre.
L. 48 mm, ép. 2 mm. 2.5 g.
E : 1112.3. N : 1156.2. Alt. : 573.88.

Planche 27, 2. 15428, n° 1703.
Angrois à tête matée et tranchant oblique. Fer.
L. 53 mm, S. 9 x 6 mm, L. (tranchant) 11 mm. 12.7 g.
E : 1118. N : 1154.*

Planche 27, 3. 15428, n° 579.
Chute de demi-produit à extrémité enroulée avec trace de découpe à une extrémité. Fer.
L. 45 mm, S. 10 x 4 mm. 9.4 g.
E : 1113.9. N : 1157. Alt. : 573.82.

Planche 27, 4. 15428, n° 587.
Objet constitué d'un anneau auquel sont maintenus une petite hache, une petite herminette ainsi qu'un piton fragmentaire à anneau cannelé. Les deux outils présentent un décor de rainures entourant l'oeil qui les fixe à l'anneau. L'herminette est un peu tordue dans le sens de la longueur. Fer.
L. 70 mm, diam. (anneau) 55 mm, S. (anneau) 6 mm, L. (hache) 58 mm, L. (herminette) 58 mm. 145 g.
E : 1120.1. N : 1154.3. Alt. : 573. 54.

Planche 27, 5. 15646, n° 1092.
Objet constitué d'un anneau de section ronde connecté à trois éléments, une hache et une herminette miniature et un piton à anneau mouluré. La jonction entre l'œil, le tranchant et le marteau de l'herminette est marquée par deux lignes incisées. Fer.
L. 112 mm, diam. (anneau) 54 mm, S. (anneau) 6 mm, L. (hache) 80, L. (herminette) 80 mm, L. (piton). 200 g.
E : 1113.3. N : 1155.9. Alt. : 573.55.

Planche 27, 6. 15646, n° 1233.
Clavette composée d'une tige de section rectangulaire terminée par un plat quadrangulaire de section lenticulaire. Fer.

L. 54 mm, S. 4 x 8 mm. 14.2 g.
E : 1117.5. N : 1156.5. Alt. : 573.47.

Planche 27, 7. 15646, n° 1717.
Fragment de lame de couteau terminée par une douille ouverte. Fer.
L. 70 mm, l. 22 mm. 23.4 g.
E : 1116.8. N : 1152.*
Type : 4-2.

Planche 27, 8. 15428, n° 1702.
Fragment de stylet à spatule lyriforme précédée de sept cannelures. Fer.
L. 78 mm, S. 4 mm. 5.8 g.
E : 1118. N : 1150.*

Planche 27, 9. 15428, n° 758.
Boîte à sceau en forme de bourse à couvercle à décor de Mercure entouré d'un grenetis et fond à trois perforations disposées en triangle. Base-cuivre.
L. 26 mm, l. 17 mm, ht 7 mm. 1 g.
E : 1111. N : 1152.6. Alt. : 573.74.*

Planche 27, 10. 15428, n° 783.
Butée de poignée de chaudron cylindrique. Fer.
Diam 20 mm, ht. 14 mm. 21.2 g.
E : 1123.3. N : 1150.46.

Planche 27, 11. 15428, n° 1758.
Fragment de lèvres de situle déversée à l'horizontale. Base-cuivre.
L. 30 mm, diam. 171 mm. 1.1 g.
E : 1123.4. N : 1154.7. Alt. : 573.36. UF.

Planche 27, 12. 15646, n° 1716.
Extrémité matée de barre de gril de section rectangulaire. Fer.
L. 44 mm, S. 7 x 3 mm. 3.9 g.
E : 1116.3. N : 1157.*

Planche 27, 13. 15646, n° 990.
Crampon fragmentaire et déplié. Fer.
L. 101 mm, S. 6 x 3 mm. 17 g.
E : 1117.3. N : 1155.7. Alt. : 573.57.

Planche 27, 14. 16007, n° 1840.
Fragment de crampon de charpente. Fer.
L. 36 mm. 5.7 g.
E : 1116. N : 1154.*

Planche 27, 15. 16599, n° 1351.
Fragment de crampon de charpente. Fer.
L. 112 mm. 32.2 g.
E : 1118.2. N : 1150. Alt. : /.

Planche 27, 16. 16599, n° 1355.
Fragment de crampon. Fer.
L. 106 mm, S. (partie active) 14 x 2,5 mm. 24.8 g.
E : 1118.7. N : 1152.9. Alt. : 573.4.

Planche 27, 17. 16599, n° 1350.
Piton constitué d'une tige de section circulaire enroulée. Fer.
L. 72 mm. 8.2 g.
E : 1117.3. N : 1157.3.*

Planche 27, 18. 15428, n° 612.
Fragment d'anneau de sertissage, de petite frette constituée d'une bande de tôle perforée et incurvée. Fer.

L. 29 mm, diam. rest. 36 bmm, ht. 29 mm. 16.2 g.
E : 1118.6. N : 1154.35.*

Planche 27, 19. 15646, n° 1073.
Fragment d'applique décorative constituée d'une bande de tôle avec une rainure centrale. Base-cuivre.
L. 22 mm, l. 6 mm, ép. 2 mm. 0.5 g.
E : 1114.2. N : 1155.7. Alt. : 573.27.

Planche 27, 20. 15428, n° 720.
Tige de section circulaire indéterminée terminée par un cône massif. Rivet, extrémité de parure ? Base-cuivre.
L. 19 mm. 2.5 g.
E : 1114.9. N : 1153.1. Alt. : 573.6.

Autres petits mobiliers

16532, n° 1620. Bracelet en roche noire.
15646, n° 1093. Fragment de broyon subtriangulaire en basalte fin dense avec une surface abrasée à sa base.
16599, n° 1349. Fusaïole en terre cuite.
15428, n° 753. Fragment de tige en verre.
15646, n° 992. Fragment de verre indéterminé.
16532, n° 1369. Jeton.
16599, n° 1354. Jeton.
15646. Fragment de catillus en grès grossier.
15646, n° 1094. Monnaie.
15646, n° 1102. Monnaie.
15646, n° 1053. Monnaie.
16007, n° 55. Monnaie.
15428, n° 582. Monnaie.
15635, n° 930. Monnaie.
15646, n° 1055. Monnaie.
16532, n° 1368. Monnaie.
15428, n° 617. Monnaie.
15428, n° 732. Monnaie.
15428, n° 784. Monnaie.
15646, n° 1100. Monnaie.
15646, n° 991. Monnaie. 15646, n° 1013. Monnaie.
16007, n° 173. Monnaie.
16007, n° 58. Fragment de grosse perle en verre bleu cobalt à section en "D" et décor spiralé de filament blanc (Gebhard VIIcd).
15646, n° 1098. Fragment de grosse perle en verre incolore translucide à décor de lignes spiralées jaunes (Gebhard IIIad).
16048, n° 146. Fragment de perle en verre bleu cobalt à section en "D" de type Gebhard VIc.
15646, n° 1099. Fragment de perle torique en verre vert "bouteille" à section en "D" (Gebhard IVD).
15428, n° 656. Perle indéterminée (perdue?).
15428, n° 761. Perle indéterminée (perdue?).

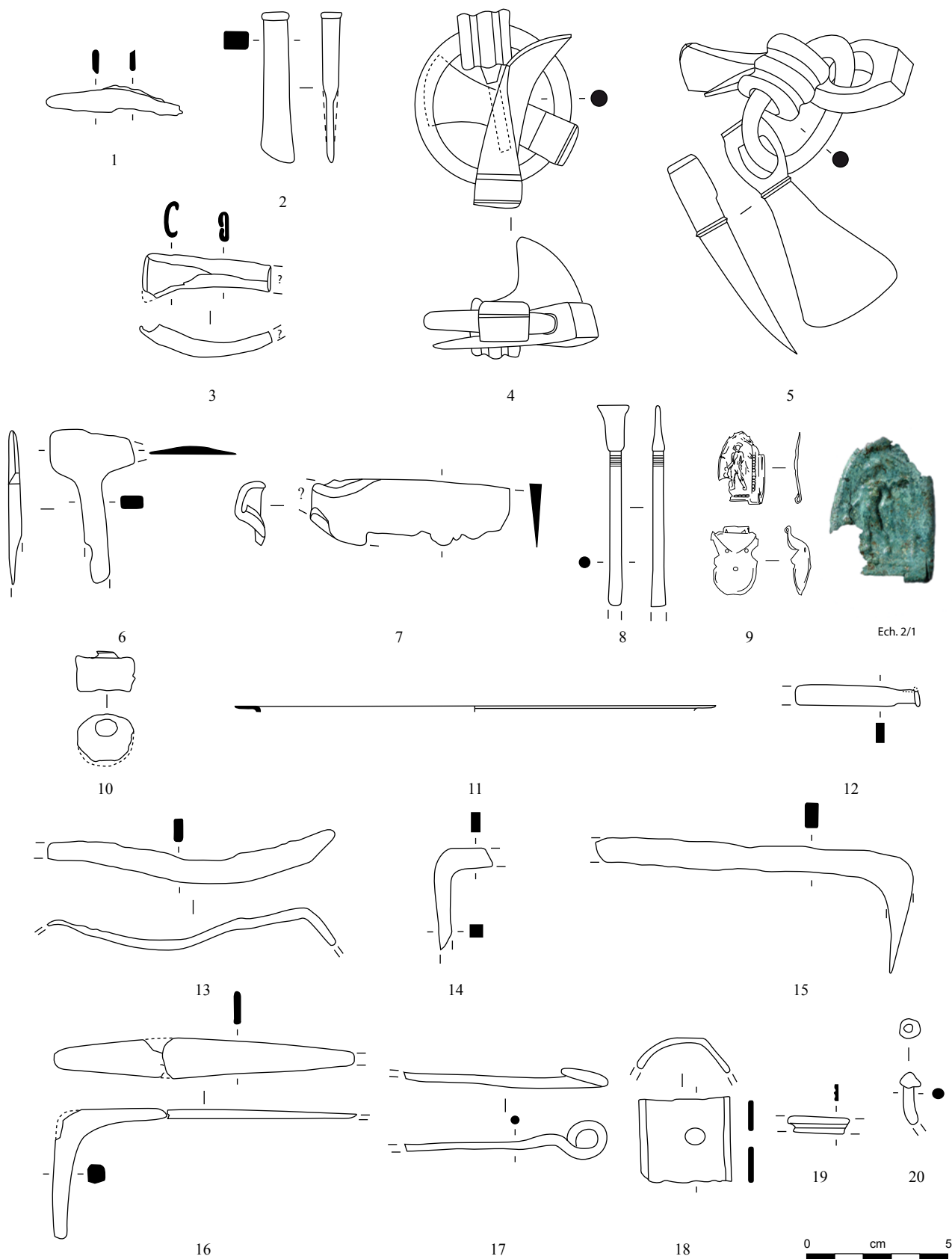


Planche 27. ACI-1-décapage (autres catégories)

1, 9, 11, 19-20 : alliage cuivreux; 2-8, 10, 12-18 : fer.

Cour intérieure du complexe A

Non phasé

ACI-2-épandage

Planche 28, 1. 15665, n° 1048.

Pied de fibule triangulaire long ajouré. Fer.

L. 48 mm. 3.1 g.

E : 1113.95. N : 1150.85. Alt. : 573.2.

Planche 28, 2. 16008, n° 52.

Fibule à ressort à quatre spires et à corde interne et à arc coudé avec un perle décorative et cannelure sur la tête et stries perpendiculaires après l'interruption de l'arc. Fer.

L. 32 mm. 7.5 g.

E : 1111.3. N : 1152.35. Alt. : 573.81.

Type : F24-5.

Planche 28, 3. 16019, n° 1621=96.

Fragment de bracelet tubulaire à jonc lisse. Base-cuivre.

L. 50 mm, diam. int. 50 mm, S. 5 x 6 mm. 1.5 g.

E : 1113.5. N : 1149.2. Alt. : 573.77.

Type : B21-1.

Planche 28, 4. 16008, n° 1828.

Fragment d'anneau de section ronde. Base-cuivre.

Diam. 15 mm, S. 2 mm. 0.8 g.

E : 1110.7. N : 1150.3.*

Planche 28, 5. 16008, n° 51.

Aiguille à chas rectangulaire cassée au niveau de la pointe. Fer.

L. 50 mm. 1.4 g.

E : 1111.7. N : 1152.9. Alt. : 573.76.

Planche 28, 6. 15665, n° 1047.

Fragment de chute de tôle avec trace de découpe à la cisaille. Base-cuivre.

L. 29 mm. 0.6 g.

E : 1113.1. N : 1150.9. Alt. : 573.54.

Planche 28, 7. 15665, n° 1249.

Attache d'anse de récipient (situle, cruche, gobelet) en forme de lys, cassée au début de la partie servant à la préhension. Base-cuivre.

L. 21 mm, ép. 8 mm. 10.2 g.

E : 1114.5. N : 1150.4. Alt. : 573.52.

Planche 28, 8. 15665, n° 1046.

Fragment de manche de clé cassé au niveau de l'anneau de suspension et au coude du panneton. Fer.

L. 101 mm. 30 g.

E : 1113.8. N : 1149. Alt. : 573.59.

Planche 28, 9. 16008, n° 56.

Fragment d'aiguiseur cylindrique en grès brûlé et délité de section ronde. Lithique.

L. 89 mm, l. max. 40 mm. 113.3 g.

E : 1111.56. N : 1152.52. Alt. : 573.76.

Planche 28, 10. 16008, n° 57.

Aiguiseur, polissoir en schiste très délité de forme rectangulaire et de surface

bombée. Lithique.

L. 94 mm, ép. 24 mm. 408 g.

E : 1113.6. N : 1153.01. Alt. : 573.68.

Planche 28, 11. 16008, n° 61.

Fragment de miroir étamé. Base-cuivre.

L. 18 mm, ép. 1.5 mm. 0.7 g.

E : 1111.88. N : 1150.1. Alt. : 573.57.

Planche 28, 12. 15665, n° 1042.

Anneau de sertissage constitué d'une tige de section ronde enroulée à son extrémité. Fer.

Diam. 31 mm, S. 2 mm. 3 g.

E : 1111.7. N : 1149.3. Alt. : 573.66.

Planche 28, 13. 15665, n° 1045.

Fragment de ferrure cassée à chaque extrémité. Fer.

L. 60 mm, l. 11 mm, ép. 3 mm. 6.5 g.

E : 1113.6. N : 1149.3. Alt. : 573.54.

Planche 28, 14. 16019, n° 89.

Piton d'anneau d'écurie à boucle cannelée. Fer.

L. 57 mm, L. (utile) 30 mm. 35.4 g.

E : 1114.25. N : 1148.18. Alt. : 573.65.

Planche 28, 15. 16019, n° 93.

Anneau d'écurie ovale de section ronde avec le vestige d'une bague de fixation. Fer.

Diam. 68 x 55 mm, S. 6 mm. 29 g.

E : 1112. N : 1149.16. Alt. : 573.55.

Autres petits mobiliers

16008, n° 70. Jeton.

16008, n° 71. Jeton.

15665, n° 1044. Monnaie.

15665, n° 1043. Monnaie.

15665, n° 1052. Monnaie.

15666, n° 1051. Monnaie.

15665, n° 1075. Monnaie.

16019, n° 94.1. Monnaie.

16019, n° 94.2. Monnaie.

16008, n° 63. Fragment de mortier non étudié.

16019, n° 97. Perle en verre bleu-vert clair opaque légèrement écrasée à deux côtes latérales.

État 1 à 2.1 : LTD1b

ACI-4-16557

Planche 28, 16. 16557, n° 1353.

Perle cannelée à section en quart de rond. Base-cuivre.

Diam. 14 mm, S. 3 x 4 mm. 2.4 g.

E : 1120.1. N : 1152. Alt. : 573.38.

Planche 28, 17. 16557, n° 1617.

Fragment d'anneau de section ovale. Base-cuivre.

Diam. 27 mm, S. 4 x 2 mm. 0.9 g.

E : 1125. N : 1150.5.*

ACI-6-Fo 16055

Planche 28, 18. 16056, n° 163.

Fibule à ressort à quatre spires et corde

interne et à arc tendu de tôle triangulaire à décor complexe en écailles de poisson. Base-cuivre.

L. 37 mm. 0.9 g.

E : 1114.5. N : 1156. Alt. : 573.37.

Type : B22-08.

Planche 28, 19. 16056, n° 172.

Anneau de section ovale. Base-cuivre.

Diam. 16 mm, S. 3 x 2 mm. 2.5 g.

E : 1114. N : 1156.04. Alt. : 573.39.

Planche 28, 20. 16056, n° 171.

Anneau de section ronde. Base-cuivre.

Diam. 17 mm, S. 3 mm. 1.6 g.

E : 1114.27. N : 1156.84. Alt. : 573.48.

État 1 et 2 lato sensu : LTD1b-LTD2

ACI-7-TP 16046

Planche 28, 21. 16047, n° 145.

Rasoir réalisé en récupérant une extrémité proximale d'épée dont la soie a été recourbée sur le dos de la lame, elle-même obtenue en repliant un tranchant de l'épée pour constituer le dos de la lame. Le tranchant de la lame est légèrement convexe et le dos très concave. Fer.

L. 123 mm, L. lame 112, l. (lame) 42 mm, S. (manche) 6 mm. 63 g.

E : 1115.2. N : 1151.2. Alt. : 573.39.

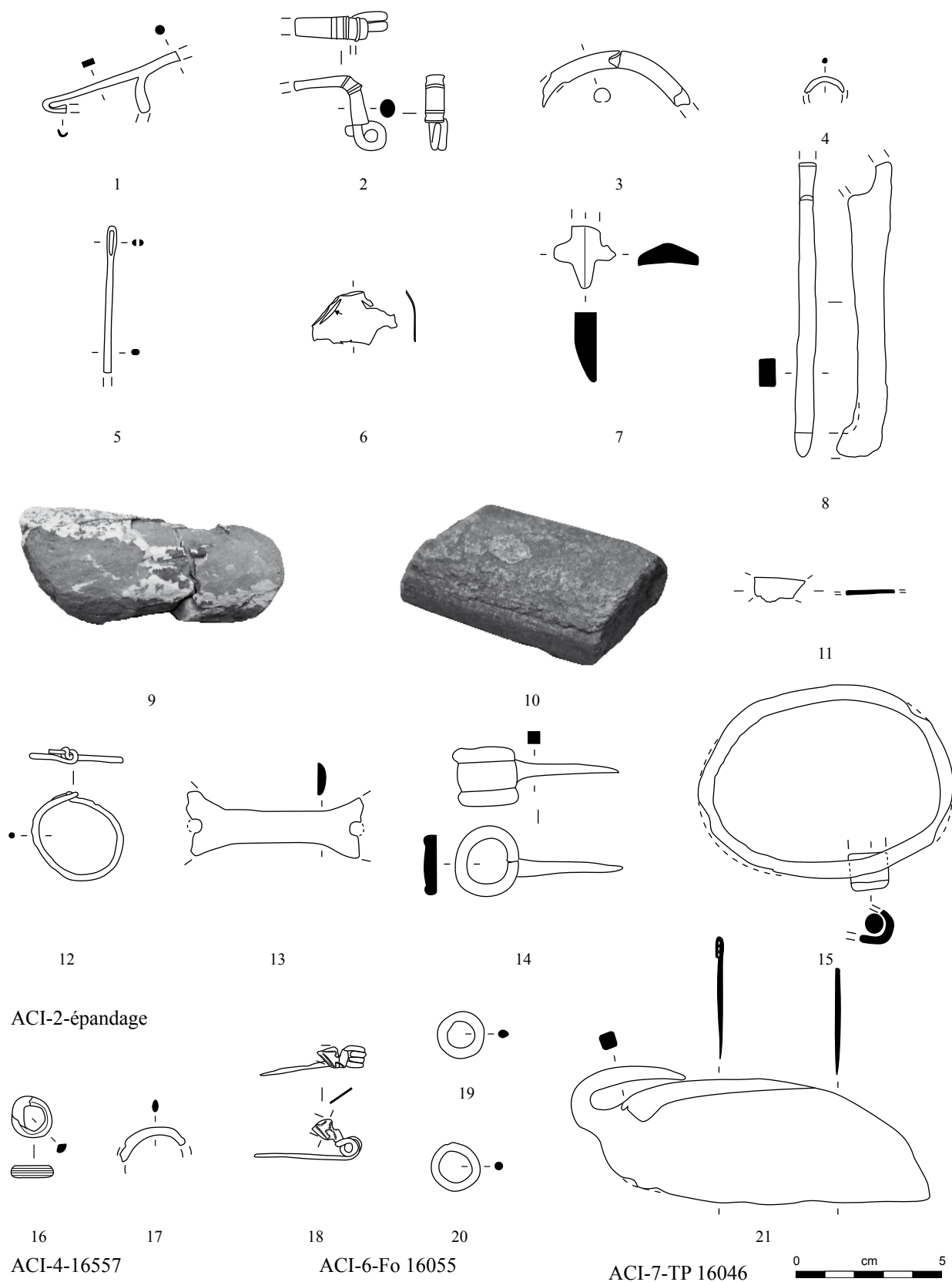


Planche 28. ACI-2-épandage à ACI-7-TP 16046

1-2, 5, 8, 12-15, 21 : fer; 3-4, 6-7, 11, 16-20 : alliage cuivreux; 9 : grès; 10 : schiste.

Bâtiment A5

Décapage

A5-1-décapage

Planche 29, 1. 15637, n° 933.

Arc de fibule filiforme de section lenticulaire. Fer.

L. 33 mm, S. 4 x 2 mm. 0.6 g.

E : 1120.1. N : 1155.6. Alt. : 573.19.

Type : F03.

Planche 29, 2. 16074, n° 229.

Fragment d'anneau de section lenticulaire. Base-cuivre.

Diam. 26 mm, S. 6 x 2,5 mm. 4.6 g.

E : 1121.5. N : 1152.3. Alt. : 573.22.

Planche 29, 3. 15588, n° 872.

Fragment de bracelet tubulaire à section en "D" à décor de chevrons. Une terminaison du bracelet est conservée et comporte une perforation volontaire qui suggère un lien organique. Base-cuivre.

Diam. int. 51 mm, S. 7 x 8,5 mm. 9.1 g.

E : 1122.98. N : 1148.9. Alt. : 573.85.

Type : B21-2.

Planche 29, 4. 16072, n° 206.

Fragment d'aiguille cassée au niveau du chas et de la tige. Base-cuivre.

L. 17 mm. 0.3 g.

E : 1121.1. N : 1153.3. Alt. : 573.43.

Planche 29, 5. 15588, n° 1759.

Fragment d'applique décorative constituée d'une tôle quadrangulaire terminée par une tige et ornée d'ocelles au repoussé. Base-cuivre.

L. 17 mm. 0.2 g.

E : 1121.6. N : 1150.9. Alt. : 573.44.

Planche 29, 6. 15637, n° 1719.

Tige indéterminée appointée fendue et recourbée. Elle est terminée par deux boutons à son extrémité non pointue. Éperon de petite taille, clou coupé en deux dans le sens de la longueur? Fer.

L. 33 mm. 4.8 g.

E : 1120.8. N : 1156.*

Autres petits mobiliers

16074, n° 240. Jeton.

16072, n° 204. Monnaie.

15588, n° 1212. Monnaie.

15636, n° 932. Monnaie.

15636, n° 935. Monnaie.

15636, n° 936. Monnaie.

15636. Monnaie.

15636, n° 934. Monnaie.

15637, n° 931. Monnaie.

État 2.3 : fin LTD2a-LTD2b

A5-2-sol 15615

Planche 29, 7. 15615, n° 839.

Fragment de bague à épissures constituée d'une très fine tige de section ronde avec deux enroulements. Base-cuivre.

L. 17 mm, S. 1 mm. 0.2 g.

E : 1121.15. N : 1152.65. Alt. : 573.51.

Type : B12-1.

Autres petits mobiliers

15615, n° 892. Monnaie.

15615, n° 914. Monnaie.

15615, n° 894. Monnaie.

15615, n° 895. Monnaie.

15615, n° 893. Monnaie.

Bâtiment A6

Décapage

A6-1-décapage

Planche 29, 8. 15466, n° 727.

Fragment d'anneau de section lenticulaire.

Base-cuivre.

Diam. 24 mm, S. 4 x 3 mm. 4.7 g.

E : 1121.6. N : 1150. Alt. : 573.57.

Planche 29, 9. 15633, n° 923.

Perle de section ronde. Base-cuivre.

Diam. 18 mm, S. 5 x 4 mm. 7.4 g.

E : 1118.2. N : 1149.6. Alt. : 573.28.

Planche 29, 10. 15466, n° 723.

Perle à section en "D". Base-cuivre.

Diam. 9 mm, S. 2 x 3 mm. 14 g.

E : 1121.6. N : 1150. Alt. : 573.57.

Planche 29, 11. 8339.

Ciselet à tête précédée de deux cannelures et tige de section ronde terminée par une pointe. Base-cuivre.

L. 53 mm, S. 4 mm. 4 g.

E : 1124.15. N : 1149.1.

Planche 29, 12. 15633, n° 929.

Chute de tôle avec trace latérale de découpe en biseau. Fer.

L. 33 mm, ép. 2 mm. 1.5 g.

E : 1117.8. N : 1149.2. Alt. : 573.23.

Planche 29, 13. 15633, n° 926.

Virole ouverte constituée d'une bande de tôle. Base-cuivre.

Diam. int. 13 mm, ht. 10 mm. 0.9 g.

E : 1118.25. N : 1149. Alt. : 573.30.

Planche 29, 14. 15466, n° 704.

Chute de barre de section quadrangulaire irrégulière. Fer.

L. 45 mm, S. 12 mm. 27.3 g.

E : 1124. N : 1149.5. Alt. : 573.53.

Planche 29, 15. 15633, n° 925.

Fragment de charnière de paragnathide (?) constituée d'une tôle en forme de goutte perforée qui devait initialement être appliquée sur un support relativement fin. Base-cuivre.

L. 36 mm, l. 16 mm. 1 g.

E : 1118.2. N : 1149. Alt. : 573.27.

Autres petits mobiliers

15466, n° 701. Jeton.

15466, n° 721. Monnaie.

15466, n° 684. Monnaie.

15466, n° 689. Monnaie.

15466, n° 695. Monnaie.

15466, n° 706. Monnaie.

15466, n° 730. Monnaie.

15466, n° 736. Monnaie.

8319, n° 8319. Monnaie.

15466, n° 716. Monnaie.

15645, n° 1211. Monnaie.

15466, n° 710. Monnaie.

15466, n° 712. Monnaie.

État 2 lato sensu : LTD1b évoluée-LTD2

A6-2-décapage 16053

Planche 29, 16. 16053, n° 159.

Fragment d'épissure de bracelet. Base-cuivre.

L. 6 mm. 0.1 g.

E : 1117.7. N : 1150.8. Alt. : 573.43.

Type : B12-1.

État 2 à 3 : LTD2b-Auguste

A6-4-sol 15523

Planche 29, 17. 15523, n° 1709.

Fragment de ressort de fibule à quatre spires (deux conservées) et corde externe haute. Fer.

L. 15 mm. 5.6 g.

E : 1116.2. N : 1149.4.*

Type : F30-0.

Planche 29, 18. 15523, n° 1708.

Petit manche de rasoir à anneau de suspension et lame fragmentaire. Fer.

L. 60 mm, L. (manche) 42 mm, S. (manche) 7 x 3 mm. 5.3 g.

E : 1115.5. N : 1149.2.*

Planche 29, 19. 16013, n° 66.

Phalère constituée d'une tôle circulaire avec une perforation centrale et un léger enfoncement aux abords de la perforation. Fer.

Diam. 64 mm, ht. 7 mm. 24.1 g.

E : 1117.7. N : 1149.5. Alt. : 573.43.

État 2.3 : fin LTD2a-LTD2b

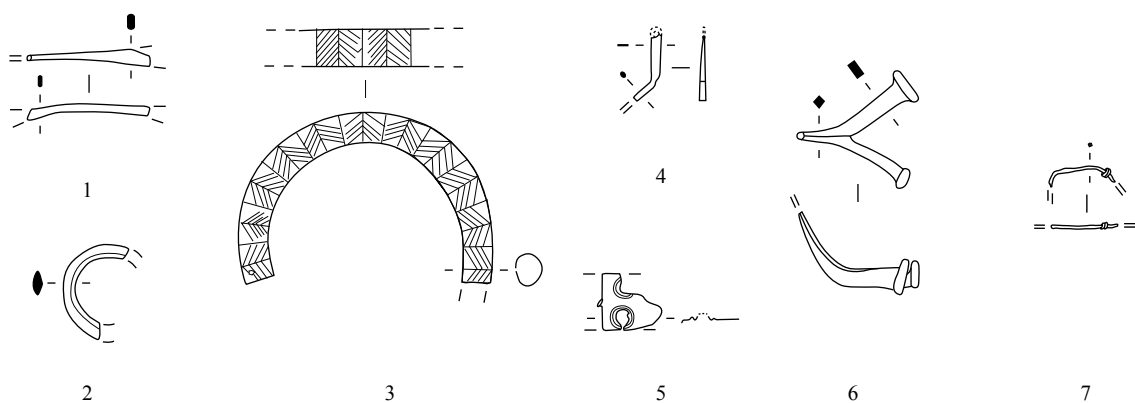
A6-5-TP 15584

Planche 29, 20. 16584, n° 1385.

Hache ou herminette polie en roche verte veinée avec un tranchant à simple biseau et trace d'abrasion à la naissance du biseau. Réutilisation comme lisseur? Lithique.

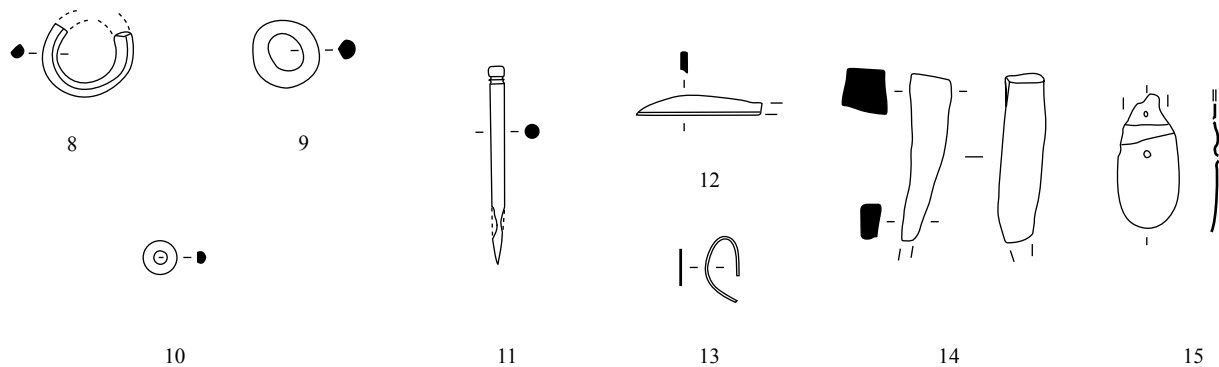
L. 55.5 mm, l. tranchant 31.5 mm. 31.6 g.

E : 1125.25. N : 1151.1. Alt. : /.*

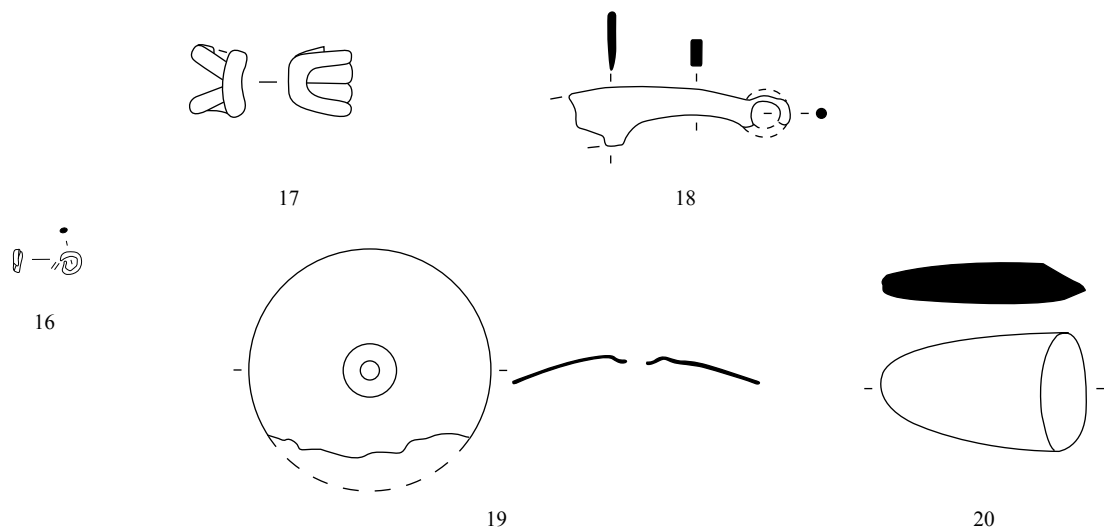


A5-1-décapage

A5-2-sol 15615



A6-1-décapage



A6-2-décapage 16053

A6-4-sol 15523

A6-5-TP 15584

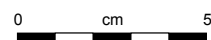


Planche 29. A5-1-décapage à A6-5-TP 15584

1, 6, 12, 14, 17-19 : fer; 2-5, 7, 8-11, 13, 15-16 : alliage cuivreux; 20 : roche verte.

Bâtiment A8

Décapage

A8-1-décapage

Planche 30, 1. 15429, n° 625.

Ressort de fibule démantelé. Base-cuivre.
L. 18 mm. 0.9 g.
E : 1118. N : 1169.7. Alt. : 573.62.

Planche 30, 2. 16000, n° 1704.

Ressort de fibule à quatre spires et corde interne et départ d'arc tendu de section losangique. Fer.
L. 22 mm. 4.7 g.
E : 1115. N : 1165.*
Type : F23-2.

Planche 30, 3. 15559, n° 1010.

Arc tendu de tôle triangulaire large à décor de 3 lignes de points sur les bords et au centre de l'arc. Base-cuivre.
L. 49 mm, L. (arc) rest. 36 mm, l. (arc) 12 mm. 2.3 g.
E : 1114.83. N : 1166.3. Alt. : 573.42.
Type : B22-01.

Planche 30, 4. 15559, n° 1008.

Fibule à ressort à quatre spires et corde interne et à arc tendu de tôle triangulaire fin à bordures soulignées par une rainure. Base-cuivre.
L. 21 mm, l. (arc) 4 mm. 1.4 g.
E : 1115.57. N : 1166.3. Alt. : 573.49.
Type : B22-03.

Planche 30, 5. 15429, n° 1746.

Fragment de bracelet à jonc lisse à section en "D". Base-cuivre.
L. 31 mm, diam. int. 52 mm, S. 4 x 5 mm. 2.6 g.
E : 1111. N : 1168.45. Alt. : 573.92.
Type : B10-4.

Planche 30, 6. 15429, n° 1248.

Fragment de bracelet à jonc lisse de section lenticulaire à rainure centrale. Base-cuivre.
L. 37 mm, diam. int. 52 mm, S. 2 x 3 mm. 2.1 g.
E : 1111. N : 1168.65. Alt. : 573.92.
Type : B10-7.

Planche 30, 7. 15429, n° 651.

Anneau de section lenticulaire. Base-cuivre.
Diam. 14 mm, S. 3 x 2 mm. 1.6 g.
E : 1112.72. N : 1166.9. Alt. : 573.72.

Planche 30, 8. 15429, n° 632.

Anneau de section en quart de rond. Base-cuivre.
Diam. 18 mm, S. 3 mm. 3 g.
E : 1115.15. N : 1167.35. Alt. : 573.63.

Planche 30, 9. 15429, n° 744.

Anneau à trois cannelures. Base-cuivre.
Diam. 16 mm, S. 4 x 4,5 mm. 3.3 g.
E : 1119.2. N : 1165.07. Alt. : 573.55.

Planche 30, 10. 15429, n° 619.

Anneau à trois cannelures. Base-cuivre.

Diam. 13 mm, S. 3 x 4 mm. 1.7 g.
E : 1117. N : 1167. Alt. : 573.56.

Planche 30, 11. 16000, n° 17.

Anneau de section lenticulaire. Base-cuivre.
Diam. 14 mm, S. 6 x 2 mm. 2 g.
E : 1122. N : 1164. Alt. : 574.37.

Planche 30, 12. 15559, n° 1033.

Anneau de section en "D". Base-cuivre.
Diam. 13 mm, S. 3 x 4 mm. 2.9 g.
E : 1116.9. N : 1165.55. Alt. : 573.5.

Planche 30, 13. 15429, n° 1756.

Fragment de gouttière. Base-cuivre.
L. 25 mm. 0.3 g.
E : 1116. N : 1170. Alt. : 573.52.

Planche 30, 14. 15429, n° 1237.

Chute de tige de section rectangulaire. Fer.
L. 27 mm, S. 2 x 1 mm. 0.6 g.
E : 1112.6. N : 1167.5.*

Planche 30, 15. 15429, n° 671.

Fragment de ferrure décorative constituée de deux bandes de tôle en fer et en alliage cuivreux rivetées par un rivet en alliage cuivreux. Fer et base-cuivre.
L. 62 mm. 32.3 g.
E : 1111.4. N : 1163.5. Alt. : 573.77.

Planche 30, 16. 15429, n° 607.

Tige indéterminée de section ronde terminée par un hémisphère plein. Terminaison d'objet, outil? Fer.
L. 48 mm. 27.3 g.
E : 1117.6. N : 1164.45. Alt. : 573.73.

Planche 30, 17. 15429, n° 659.

Piton fermé à oeillet percé constitué d'un fer plat perforé et plié. Fer.
L. 74 mm, l. 14 mm, ép. 4 mm. 22.5 g.
E : 1112. N : 1167.2. Alt. : 573.75.*

Planche 30, 18. 15429, n° 677.

Piton à oeillet par enroulement et tige de section rectangulaire. Fer.
L. 82 mm, S. 9 mm. 47 g.
E : 1113.5. N : 1166.3. Alt. : 573.19.

Planche 30, 19. 15429, n° 681.

Plaque de serrure avec entrée en "L" et une découpe (?) sur un bord. Une trace de perforation pour rivet est localisée dans l'angle replié. D'autres hypothétiques perforations sont visibles en radiographie. Fer.
L. 1600 mm, ép. 2 mm. 236 g.
E : 1120.2. N : 1166.84.

Autres petits mobiliers

16000, n° 19. Fragment de bracelet en verre bleu à section triangulaire (Gebhard 39).

15429, n° 686. Fragment de verre bleu.

15429, n° 593. Jeton.

15429, n° 594. Jeton.

15429, n° 748. Jeton.

16000, n° 10. Jeton.

16000, n° 3. Fragment de meule non étudié.

15659, n° 1133. Fragment de meule ou de mollette à va-et-vient en grès grossier.

16000, n° 4. Monnaie.

15429, n° 688. Monnaie.

15559, n° 1007. Monnaie.

15429, n° 605. Monnaie.

16000, n° 18. Monnaie.

15429, n° 654. Monnaie.

15429, n° 685. Monnaie.

15429, n° 731. Monnaie (?).

15429, n° 673. Monnaie.

16000, n° 5. Monnaie.

16000, n° 5. Monnaie.

16000, n° 9. Monnaie.

15429, n° 670. Perle en os constituée d'une récupération de la partie centrale d'un anneau plus grand. Bords biseautés.

Bâtiment A8 et A4

Décapage

A8 et A4-1-décapage

Planche 30, 20. 15629, n° 1726.

Fibule à ressort à quatre spires et corde interne et à arc rubané triangulaire. Fer.
L. 22 mm, l. (arc) 7 mm. 3.8 g.
E : 1112.5. N : 1165.4.*
Type : F22-1.

Planche 30, 21. 15629, n° 902.

Fibule à ressort à quatre spires et corde interne (deux conservées) et arc filiforme de section losangique et pied ajouré. L'ardillon et le pied sont manquants. Base-cuivre.
L. 40 mm, S. 2 mm. 1 g.
E : 1111.75. N : 1163.55.
Type : B23-1.

Planche 30, 22. 15629, n° 1002.

Anneau de section en quart de rond. Base-cuivre.
Diam. 14 mm, S. 4 x 2 mm. 2.7 g.
E : 1111.1. N : 1163.9. Alt. : 573.62.

Planche 30, 23. 15629, n° 969.

Anneau de chaînette de section lenticulaire. Base-cuivre.
Diam. 6 mm, S. 0.5 x 3 mm. 0.2 g.
E : 1113.95. N : 1159.67. Alt. : 573.71.

Planche 30, 24. 15629, n° 1001.

Extrémité de sonde ovale. Base-cuivre.
L. 30 mm, S. (sonde) 3 mm. 1.1 g.
E : 1110.7. N : 1164.09. Alt. : 573.69.

Planche 30, 25. 15629, n° 1090.

Rivet à contreplaque constitué de deux tôles ogivales. Rivet de faux? Fer.
L. 37 mm, L. utile 31 mm. 18.8 g.
E : 1112.3. N : 1165.55. Alt. : 573.58.

Planche 30, 26. 15629, n° 966.

Fragment indéterminé constitué d'une tige de section hémisphérique avec une mouluration. Applique? Base-cuivre.
L. 12 mm. 1.3 g.
E : 1114.3. N : 1159.36. Alt. : 573.73.

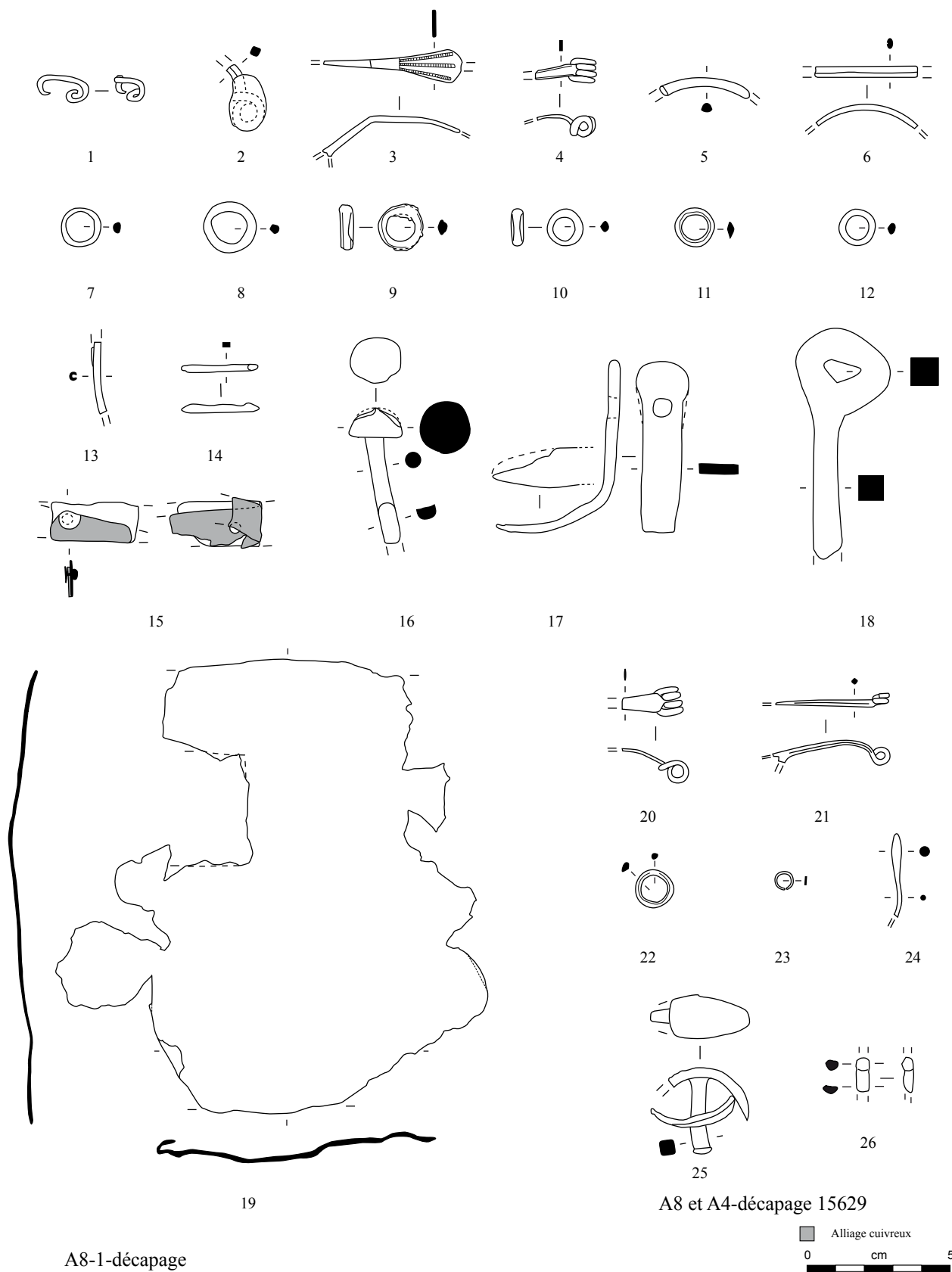


Planche 30. A8-1-décapage et A8 et A4-1-décapage

1, 3-13, 21-24, 26 : alliage cuivreux; 2, 14, 16-20, 25 : fer; 15 : fer et alliage cuivreux.

Autres petits mobiliers

15629, n° 1029. Jeton percé, fusaïole.
15629, n° 1060. Jeton percé, fusaïole.
15629, n° 1059. Jeton.
15629, n° 901. Monnaie.
15629, n° 1039. Monnaie.
15629, n° 1061. Monnaie.
15629, n° 1004. Monnaie.
15629, n° 968. Fragment de grosse perle en verre bleu cobalt à section en "D" et décor de damier de filament blanc (Gebhard VIIed).
15629, n° 1005. Fragment de grosse perle en verre bleu cobalt à section en "D" et décor spiralé de filament blanc (Gebhard VIIbd).
15629, n° 905. Perle en ambre.

Bâtiment A8

État 1 et 2 lato sensu : LTD1b-LTD2

A8-2-épan dage

Planche 31, 1. 15616, n° 1722.
Fibule à ressort à quatre spires et corde interne et arc de tôle triangulaire. Fer.
L. 28 mm. 2.3 g.
E : 1121.5. N : 1163.2.*
Type : F22-1.

Planche 31, 2. 15667, n° 1741.
Ressort de fibule à deux spires conservée et départ de l'arc. La section de l'arc est trop endommagée pour déterminer la section. Fer.
L. 40 mm. 5.6 g.
E : 1117.8. N : 1165.3.*
Type : F03.

Planche 31, 3. 16026, n° 1751.
Ressort de fibule à quatre spires et corde interne. Fer.
L. 21 mm. 3.3 g.
E : 1115. N : 1167.*
Type : F20.

Planche 31, 4. 16039, n° 144.
Fibule presque complète à ressort à quatre spires (deux conservées) et corde interne, à arc tendu de section ovale et à pied trapézoïdal ajouré. Base-cuivre.
L. 48 mm, L. (arc) 22 mm, l. (arc) 4 mm. 1.7 g.
E : 1120.73. N : 1167.61. Alt. : 573.15.
Type : B23-3.

Planche 31, 5. 16009, n° 129.
Fibule complète à ressort à quatre spires et corde interne et à arc de tôle triangulaire fin avec un décor à échelle et des lignes séparant le pied de l'arc. Le pied est trapézoïdal ajouré. Base-cuivre.
L. 64 mm, L. (arc) 38 mm, l. (arc) 3,5 mm. 3.7 g.
E : 1116. N : 1169.*
Type : B22-04.

Planche 31, 6. 16026, n° 135.
Fragment de bracelet à jonc lisse de section ovale. Base-cuivre.
L. 31 mm, diam. int. 50 mm, S. 4 x 3 mm. 1.1 g.

E : 1114. N : 1168.5. Alt. : 573.64.
Type : B10-2.

Planche 31, 7. 16009, n° 78.
Fragment de bracelet à épissures avec deux enroulements conservés et une section circulaire. Base-cuivre.
L. 28 mm, S. 2 mm. 0.6 g.
E : 1116.61. N : 1169.25. Alt. : 573.36.
Type : B12-1.

Planche 31, 8. 15667, n° 1058.
Fragments de bracelet tubulaire à section en "D" et à jonc lisse. Base-cuivre.
L. 26 mm, S. 7 x 8 mm. 3.3 g.
E : 1118.5. N : 1168.9. Alt. : 573.45.
Type : B21-1.

Planche 31, 9. 15667, n° 1110.
Fragment d'anneau de section rectangulaire. Base-cuivre.
Diam. 17 mm, S. 4 x 2 mm. 1.2 g.
E : 1114.36. N : 1166.1. Alt. : 573.32.

Planche 31, 10. 16026, n° 157.
Anneau de section ovale. Base-cuivre.
Diam. 15 mm, S. 4 x 3 mm. 2.1 g.
E : 1121.5. N : 1162.15. Alt. : 573.48.

Planche 31, 11. 15667, n° 1742.
Fragments de gouttière de fourreau avec fragment de tôle en position fonctionnelle. Fer.
L. 38 mm, S. 7 x 5 mm. 3.1 g.
E : 1115.2. N : 1167.7.*

Planche 31, 12. 16009, n° 1778.
Fragment de force avec départ de la lame et cassure au niveau du ressort. Fer.
L. 36 mm, S. (ressort) 4 mm. 4.4 g.
E : 1115.4. N : 1169.8.*

Planche 31, 13. 15616, n° 889.
Rasoir à lame dos droit et à tranchant convexe et à manche à plaquettes cassé au niveau de son contact avec la lame. Fer.
L. 98 mm, L. (lame) 90 mm, l. (lame) 31 mm. 33.9 g.
E : 1119.55. N : 1163.5. Alt. : 573.55.

Planche 31, 14. 15667, n° 1040.
Fragment d'agrafe de réparation de céramique constituée d'un plat riveté replié sur un autre fragment. Plomb.
L. 32 mm. 46.3 g.
E : 1113.7. N : 1169.65. Alt. : 573.52.

Planche 31, 15. 15667, n° 1034.
Fragment de ferrure décorative constituée d'une bande perforée. Base-cuivre.
L. 42 mm, l. 24 mm. 5.1 g.
E : 1116.4. N : 1162.5. Alt. : 573.5.

Planche 31, 16. 16009, n° 1775.
Tranchant d'herminette. Fer.
L. 66 mm. 63 g.
E : 1117.3. N : 1169.4.*

Planche 31, 17. 16009, n° 1777.
Fragment de virole avec bois minéralisé à l'intérieur. Fer.
Diam. 11 mm, ht. 10 mm. 4 g.
E : 1114.5. N : 1169.*

Planche 31, 18. 16026, n° 161.
Fragment de demi-produit constitué d'une barre de section carrée à angles chanfreinés avec traces de martelage. Base-cuivre.
L. 33 mm, S. 8 mm. 5.8 g.
E : 1111.37. N : 1166.5. Alt. : 573.58.

Planche 31, 19. 16026, n° 124.
Fragment indéterminé de tôle hémicirculaire avec deux perforations très proches. Attache de seau, ferrure? Fer.
L. 37 mm. 3.5 g.
E : 1114. N : 1167.5. Alt. : 573.44.

Planche 31, 20. 16009, n° 1776.
Fragments de ciseau droit à douille ouverte avec trace de bois minéralisé à l'intérieur avec une partie active de section rectangulaire qui s'affine à son extrémité. La partie active n'est pas jointive et le tranchant manquant. Fer.
L. 125 mm, diam. (douille) 17 x 14 mm, S. (partie active) 13 x 4 mm. 14.2 g.
E : 1117.5. N : 1169.*

Planche 31, 21. 16009, n° 95.
Fragments de récipient, de poêle constituée d'une tôle circulaire à panse incurvée et lèvre simple. Fer.
L. 186 mm, diam. 310 mm, ht. 58 mm. 274 g.
E : 1114.82. N : 1169.93. Alt. : 573.72.

Planche 31, 22. 15616, n° 953.
Foncet de serrure plié et fragmentaire avec une entrée centrale en forme de "L" et deux perforations de fixation. Fer.
L. cons. 107 mm, L. déplié 113 mm, l. 89 mm. 192 g.
E : /. N : /. Alt. : /.

Autres petits mobiliers

15667, n° 1070. Fusaïole en terre cuite.
16026, n° 136. Fragment de verre indéterminé.
15616, n° 886. Jeton.
15667, n° 1064. Jeton.
16009, n° 82. Jeton.
16026, n° 128. Fragment de meule non étudié.
16026, n° 118. Monnaie.
16039, n° 153. Monnaie.
16009, n° 77. Monnaie.
15667, n° 1036. Monnaie.
15667, n° 1065. Monnaie.
15667, n° 1071. Monnaie.
16026, n° 117. Monnaie.
16026, n° 133. Monnaie.
15667, n° 1041. Monnaie.
15667, n° 1111. Monnaie.
16039, n° 154bis. Monnaie.
16026, n° 121. Monnaie.
16026, n° 127. Monnaie.
16026, n° 139. Monnaie.
16039, n° 142. Monnaie.
15667, n° 1201. Fragment de mortier en basalte.
15667, n° 1201. Fragment de mortier en roche volcanique finement vacuolaire.

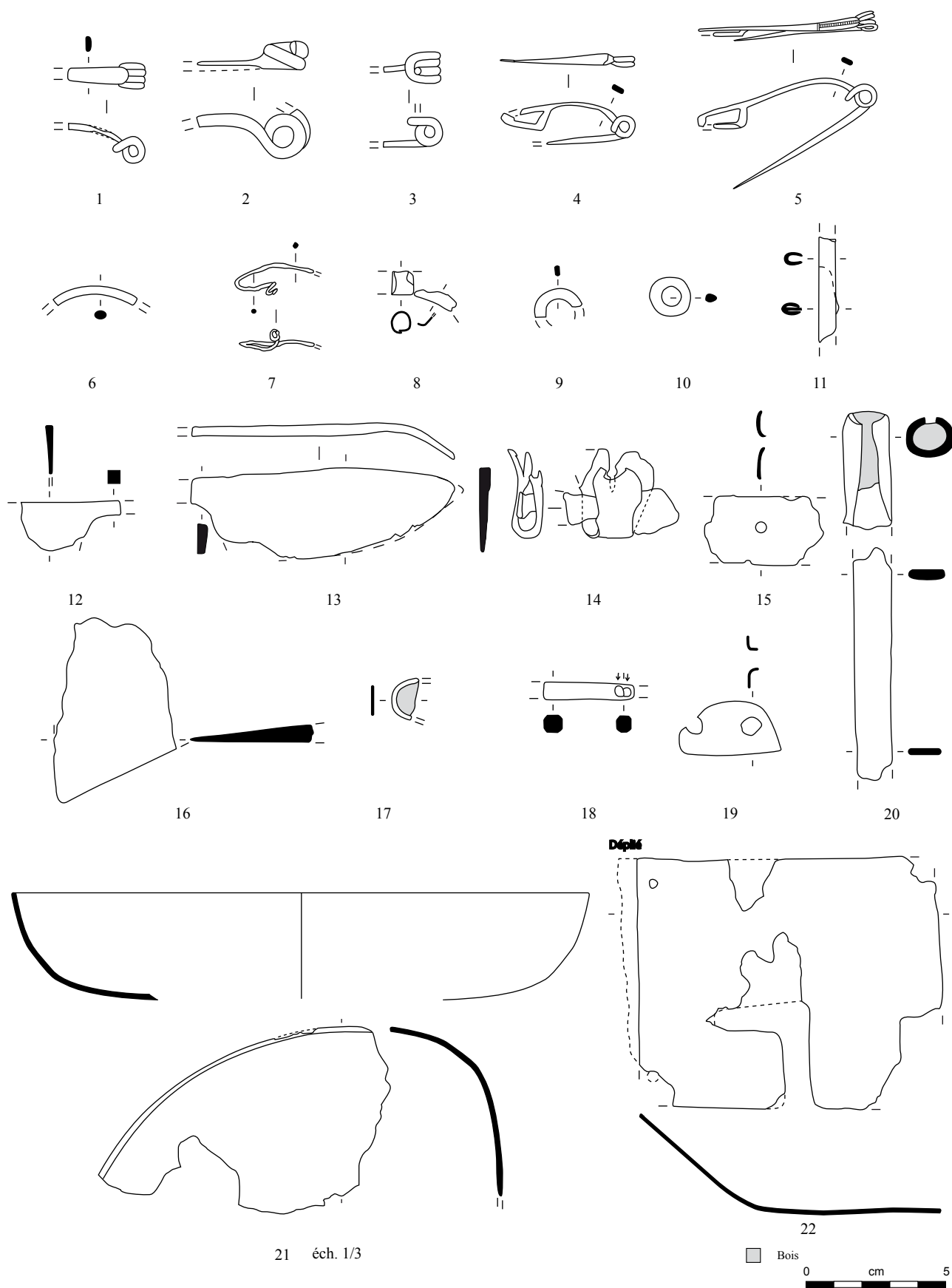


Planche 31. A8-2-épandage

1-3, 11-13, 16-17, 19-22 : fer; 4-10, 15, 18 : alliage cuivreux; 14 : plomb.

15667, n° 1072. Fragment de perle torique en verre vert "bouteille" à section en "D" (Gebhard IVd).
16026, n° 134. Pion en verre.

Bâtiment A10

Décapage

A10-1-décapage

Planche 32, 1. 16006, n° 23.

Fibule à ressort à quatre spires et corde interne et à arc de tôle triangulaire fin à bordures soulignées par une rainure. Seul le pied est manquant. Base-cuivre.
L. 32 mm, L. (arc) 18 mm, l. (arc) 3,5 mm. 0.7 g.
E : 1107. N : 1174. Alt. : 574.76.
Type : B22-03.

Planche 32, 2. 16049, n° 150.

Fibule à ressort à quatre spires et corde interne et à arc tendu de tôle triangulaire fin et décor d'échelle. Seul le pied est manquant. Base-cuivre.
L. 40 mm, L. (arc) 26 mm, l. (arc) 4 mm. 2.2 g.
E : 1106.45. N : 1168.2. Alt. : 573.68.
Type : B22-02.

Planche 32, 3. 16121, n° 270.

Fibule à ressort à quatre spires et corde interne et à arc de tôle triangulaire fin à bordures soulignées par une rainure. Seul le pied est manquant. Base-cuivre.
L. 33 mm, L. (arc) 22 mm, l. (arc) 3 mm. 2 g.
E : 1109. N : 1166. Alt. : 573.6.
Type : B22-03.

Planche 32, 4. 16049, n° 154.

Fragment de ressort de fibule à quatre spires (deux conservées) et corde interne. Base-cuivre.
L. 44 mm. 1.1 g.
E : 1107.6. N : 1168. Alt. : 573.67.
Type : B20-0.

Planche 32, 5. 16121, n° 256.

Ardillon et départ de ressort. Base-cuivre.
L. 30 mm. 0.2 g.
E : 1110.51. N : 1164.71. Alt. : 573.53.

Planche 32, 6. 16121, n° 1441.

Fragment de pied de fibule de schéma La Tène moyenne à bague enroulée. Base-cuivre.
L. 32 mm. 0.6 g.
E : 1106.5. N : 1166. Alt. : 573.5.
Type : B01-0.

Planche 32, 7. 16061, n° 1708.

Ressort de fibule à quatre spires et corde interne et départ d'arc de section lenticulaire. Fer.
L. 23 mm. 5.9 g.
E : 1108.5. N : 1165.5.*
Type : F23-0.

Planche 32, 8. 16121, n° 288.

Pied de fibule de schéma La Tène moyenne ou ancienne constitué d'une tige de section circulaire munie d'un cylindre

entouré de moulures. Fer.
L. 25 mm, diam. (perle) 10 mm. 4.1 g.
E : 1107.5. N : 1168. Alt. : 573.6.

Planche 32, 9. 16005, n° 29.

Extrémité d'un pied de fibule de forme trapézoïdale. Fer.
L. 19 mm. 0.3 g.
E : 1108.59. N : 1166.82. Alt. : 574.76.

Planche 32, 10. 16005, n° 39.

Fragment de bracelet à jonc lisse à section en "D". Base-cuivre.
L. 23 mm, S. 4 x 3 mm. 1.1 g.
E : 1108.1. N : 1162.44. Alt. : 574.80.
Type : B10-4.

Planche 32, 11. 16005, n° 33.

Fragment de bracelet à jonc lisse à section en "D". Base-cuivre.
L. 27 mm, S. 4 x 3 mm. 0.7 g.
E : 1109.01. N : 1167.37. Alt. : 574.73.
Type : B10-4.

Planche 32, 12. 16121, n° 269.

Perle à section en quart de rond. Base-cuivre.
Diam. 15 mm, S. 4 x 3 mm. 3 g.
E : 1111.61. N : 1165.21. Alt. : 573.57.

Planche 32, 13. 16005, n° 1701.

Perle de section hémisphérique. Fer.
Daim. 16 mm, S. 11 x 6 mm. 5.4 g.
E : 1116. N : 1163.5.*

Planche 32, 14. 16005, n° 24.

Fragment de sonde ovulaire. Base-cuivre.
L. 14 mm, S. 5 mm. 1.5 g.
E : 1109.27. N : 1166.44. Alt. : 574.69.

Planche 32, 15. 16121, n° 258.

Cerclage de seau constitué d'une bande plate avec décor de rainures longitudinales en relief. Base-cuivre.
L. 64 mm, diam. int. 120 mm, l. 8 mm, ép. 2 mm. 5.6 g.
E : 1110. N : 1166.54. Alt. : 573.53.

Planche 32, 16. 16005, n° 1707.

Fragment de tôle en fer rivetée à une tôle en alliage cuivreux dont une bordure est conservée. Chaudron, moderne? Fer et base-cuivre.
L. 0 mm. 9.9 g.
E : 1109. N : 1162.5.*

Planche 32, 17. 16006, n° 35.

Attache de seau, de situle constituée d'une plaque rectangulaire avec trois perforations dont une centrale plus importante. Elle est surmontée par un anneau sommital de section circulaire. Base-cuivre.
L. 36 mm, diam. int. (anneau) 8 mm, ép. 1 mm. 9.4 g.
E : 1105.25. N : 1171.92. Alt. : 574.85.

Planche 32, 18. 16121, n° 280.

Doigtier de passoire. Base-cuivre.
L. 21 mm. 2.6 g.
E : 1107.37. N : 1166.34. Alt. : 573.52.

Planche 32, 19. 16121, n° 262.

Demi-produit constitué d'une tige de section circulaire puis rectangulaire. Base-cuivre.
L. 35 mm, S. 2 x 2,5 mm. 0.6 g.
E : 1110.75. N : 1165.21. Alt. : 573.53.

Planche 32, 20. 16121, n° 262b.

Demi-produit constitué d'une tige de section triangulaire. Base-cuivre.
L. 30 mm, S. 2 mm. 0.5 g.
E : 1110.8. N : 1165.1. Alt. : 573.53.

Planche 32, 21. 16121, n° 1431.

Demi-produit constitué d'une tige de section carrée appointée irrégulière et comportant des traces de martelage. Base-cuivre.
L. 25 mm, S. 4 mm. 1.1 g.
E : 1109.1. N : 1164.88. Alt. : 573.59.

Planche 32, 22. 16049, n° 151.

Tête d'outil constitué d'une tige facetée épaissie en son centre et d'une tête circulaire. Fer.
L. 56 mm, S. 11 mm. 24.5 g.
E : 1110.7. N : 1169.1. Alt. : 573.6.

Planche 32, 23. 16121, n° 1797.

Pique-boeuf fragmentaire constitué d'une tôle terminée par une pointe. Fer.
L. 28 mm, diam. int. 10 mm. 2.9 g.
E : 1110. N : 1167.*

Planche 32, 24. 16061, n° 1783.

Fragment de fonceur avec une entrée lacunaire à angle droit. Fer.
L. 61 mm, ép. 1 mm. 26.4 g.
E : 1109. N : 1167.8.*

Planche 32, 25. 16121, n° 276.

Fragment indéterminé constitué d'un plat massif incurvé terminé par un anneau à chaque extrémité. Élément d'entrave, mors, moderne? Fer.
L. 60 mm, L. rest. 70 mm, ép. 6 mm. 27.2 g.
E : 1109. N : 1168.1. Alt. : 573.64.

Autres petits mobiliers

16006, n° 22. Cristal de roche taillé.

16121, n° 271. Jeton.

16121, n° 282. Jeton.

16121, n° 283. Jeton.

16006, n° 1851. Monnaie.

16006, n° 8. Monnaie.

16006, n° 21. Monnaie.

16121, n° 255. Monnaie.

16121, n° 259. Monnaie.

16005, n° 5. Monnaie.

16121, n° 284. Monnaie.

16006, n° 115. Monnaie.

16006, n° 37. Monnaie.

16006, n° 54. Monnaie.

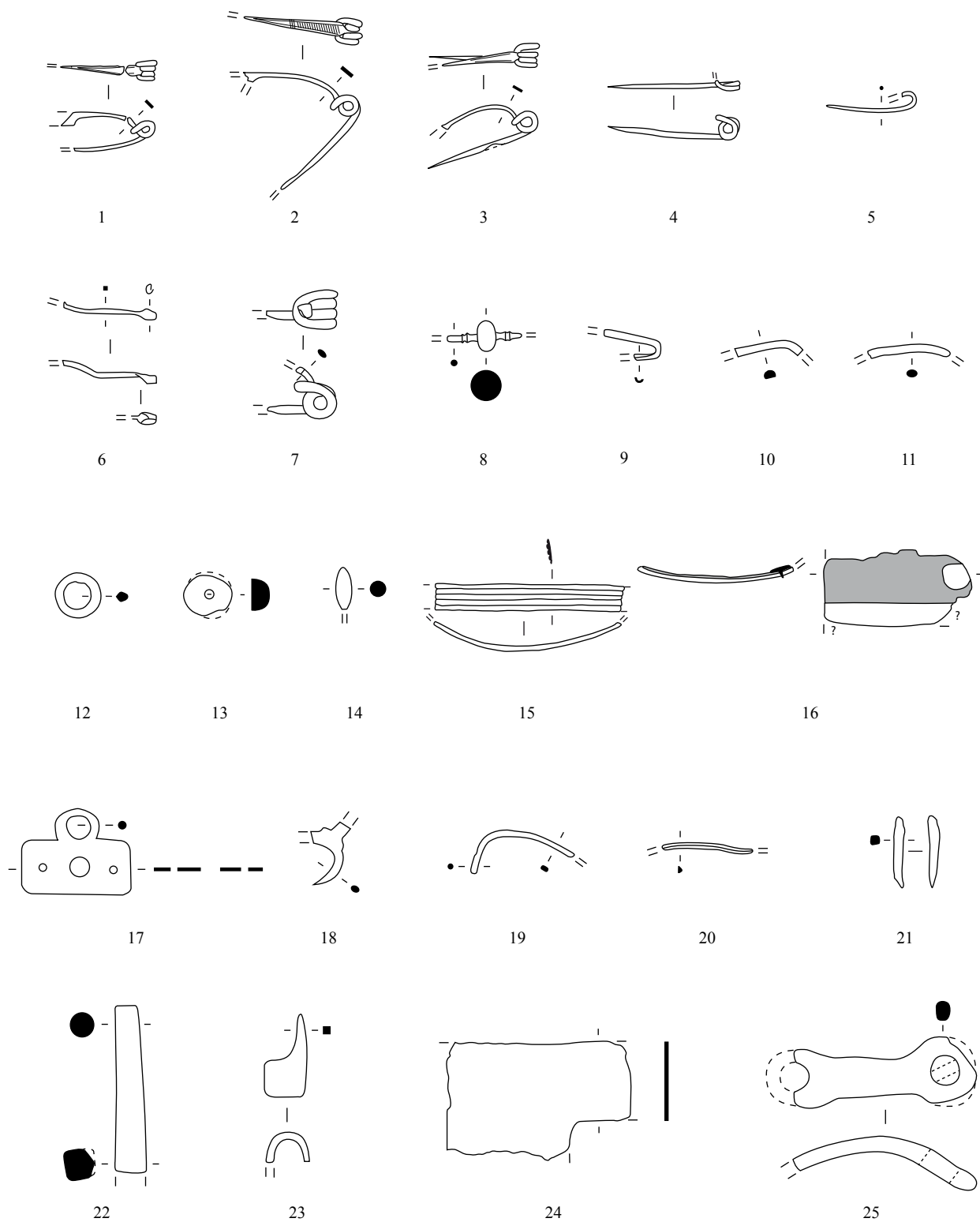
16121, n° 289. Monnaie.

16121, n° 257. Monnaie.

16006, n° 36. Monnaie.

16005, n° 26. Fragment de perle en ambre.

16005, n° 32. Petite perle sphérique en verre bleu à section en "D" et décor à quatre ocelles jaunes, bleu et blanc opaque.



A10-1-décapage

Planche 32. A10-1-décapage

1-6, 10-12, 14-15, 17-21 : alliage cuivreux; 7-9, 13, 22-25 : fer; 16 : fer et alliage cuivreux.

Bâtiment A10

État 1 : LTD1b classique

A10-2-Fo 16134

Planche 33, 1. 16135, n° 290.

Partie proximale de fourreau de coutelas constitué de deux tôles de fer serties revers sur avers. Une applique en alliage cuivreux munie d'une butée à sa jonction avec la plaque avers orne l'entrée du fourreau. Cette plaque décorative présente quatre ocelles disposées en carré et deux petits ergots en relief. L'extrémité distale est manquante. Fer et base-cuivre.

L. 28 mm, l. 26 mm. 14.3 g.

E : 1107.3. N : 1168.3. Alt. : 573.26.

Planche 33, 2. 16135, n° 275.

Fragment de plateau de balance avec une perforation. Base-cuivre.

L. 44, diam. 50 mm, ht. 5 mm. 6.5 g.

E : 1106. N : 1169.08. Alt. : 573.51.

Planche 33, 3. 16135, n° 1803.

Fragment d'anneau de sertissage constitué de deux tôles rivetées. Fer.

L. 38 mm, diam. int. 34 mm, ht 26 mm. 42.55 g.

E : 1106.4. N : 1168.3.*

Autres petits mobiliers

16135, n° 1304. Monnaie.

16135, n° 277. Monnaie.

A10-3-Fo 16146

Planche 33, 4. 16147, n° 1305.

Pointe de flèche à douille et à deux barbelures. Fer.

L. 77 mm, L. (douille) 34 mm, L. (flamme) 43 mm, diam.(douille) 10 mm. 17 g.

E : 1107.3. N : 1166.8. Alt. : /.

Planche 33, 5. 16147, n° 1802.

Fragment de panne de marteau constitué d'une barre de section rectangulaire légèrement chanfreinée. Fer.

L. 34 mm, S. 22 x 11 mm. 22.4 g.

E : 1107.3. N : 1166.6.*

Autres petits mobiliers

16147, n° 1393. Fragment de catillus en roche volcanique grise peu vacuolaire.

16147, n° 1307. Fragment de meule non étudié.

16147, n° 297. Monnaie.

16147, n° 1306. Monnaie.

16147, n° 293. Monnaie.

A10-4-TP 16169

Planche 33, 6. 16169, n° 1300.

Anneau de section ronde. Base-cuivre.

Diam. 15 mm, S. 4 mm. 2.5 g.

E : 1108.45. N : 1168.23. Alt. : /.

A10-4-TP 16169

Planche 33, 7. 16169, n° 298.

Bracelet à jonc lisse complet à section en "D". Base-cuivre.

Diam. int. 54 mm, S. 6 x 7 mm. 48.8 g.

E : 1108.6. N : 1168.69. Alt. : /.

Type : B11-2.

Planche 33, 8. 16169, n° 299.

Fragment d'emporte-pièce à tige de section rectangulaire à angles arrondi et tranchant lacunaire sous la forme d'une gorge profonde. Fer.

L. 93 mm, S. 9 x 7 mm. 23.3 g.

E : 1108.3. N : 1167.83. Alt. : /.

État 2 lato sensu : LTD1b évoluée-LTD2

A10-6-Fo 16577

16578, n° 1309. Monnaie.

État 2.1 : LTD1b évoluée

A10-8-TP 16131

Planche 33, 9. 16132, n° 1781.

Fragment d'aiguille dont la tige est carrée aux angles arrondis. Cassée au niveau du chas. Fer.

L. 50 mm, S. 4 mm. 5.7 g.

E : 1110.8. N : 1166.*

Planche 33, 10. 16132, n° 1782.

Lancette constituée d'une tige de section carrée terminée par un élargissement de section lenticulaire. Fer.

L. 56 mm, S. (extrémité) 15 x 4 mm, S. (base) 6 mm. 10.6 g.

E : 1111.12. N : 1166.2.*

Planche 33, 11. 16132, n° 1780.

Fragment d'emporte-pièce à manche de section carrée à angles arrondis et à tranchant à gorge asymétrique et haute lacunaire. Fer.

L. 54 mm, S. 8 mm. 9.2 g.

E : 1111.3. N : 1165.8.*

Planche 33, 12. 16132, n° 1804.

Clou avec cabochon décoratif fixé à l'aide de plomb. Fer, plomb et base-cuivre.

L. 27 mm, S. 5 mm, diam. (cabochon) 6 mm. 8.1 g.

E : 1111.3. N : 1166.2.*

Bâtiment A9

Décapage

A9-1-décapage

16107, n° 231. Hache polie néolithique.

État 2.1 : LTD1b évoluée

A9-2-épandage

16021, n° 102. Jeton.

16021, n° 148. Jeton.

16021, n° 101. Perle en os.

A9-4-sol 16083

Planche 33, 13. 16083, n° 1392.

Arc de fibule mouluré rectangulaire à bordures soulignées par une rainure et

décoré d'écailles obliques. Base-cuivre.

L. 41 mm. 0.9 g.

E : 1114.5. N : 1164.*

Type : B22-25.

Planche 33, 14. 16083, n° 1633.

Fibule à ressort à quatre spires et corde interne avec le départ d'un arc de tôle.

L'ardillon est complet. Base-cuivre.

L. 33 mm, l. (arc) 3 mm. 1.6 g.

E : 1115.7. N : 1164.1.*

Type : B22-0.

Planche 33, 15. 16083, n° 1765.

Fibule à ressort à quatre spires et corde externe haute et départ d'un arc filiforme de section circulaire. Fer.

L. 20 mm. 4.4 g.

E : 1117.8. N : 1162.8.*

Type : F33-0.

Planche 33, 16. 16083, n° 1613.

Fragment d'anneau de section circulaire. Base-cuivre.

Diam. 17 mm, S. 2,5 mm. 0.9 g.

E : 1115. N : 1163.5.*

Planche 33, 17. 15658, n° 1247.

Fragment d'anneau avec une côte centrale. Base-cuivre.

L. 13 mm, diam. 34 mm, S. 5 x 4 mm. 2 g.

E : 1115.6. N : 1163.*

Planche 33, 18. 15658, n° 1091.

Anneau de section circulaire. Base-cuivre.

Diam. 11 mm, S. 3 mm. 2.1 g.

E : 1118.2. N : 1162.4. Alt. : 573.43.

Planche 33, 19. 16083, n° 1764.

Extrémité distale de bouterolle triangulaire avec des gouttières de section quadrangulaire. Fer.

L. 28 mm, S. (gouttière) 2,5 x 4,5 mm. 6.2 g.

E : 1117. N : 1163.8.*

Planche 33, 20. 15658, n° 1031.

Gouttière de bouterolle de fourreau à bouton de La Tène ancienne ou moyenne. Fer.

L. 21 mm, S. (bouton) 8x 8 mm. 2.1 g.

E : 1115.1. N : 1164.7. Alt. : 573.46.

Planche 33, 21. 16083, n° 1766.

Tige indéterminée de section rectangulaire terminée par un anneau. Piton, manche d'ustensile? Fer.

L. 51 mm, diam. int. 10 x 11 mm. 9.4 g.

E : 1116.8. N : 1164.6.*

Planche 33, 22. 16083, n° 1767.

Fragment de foncet de serrure replié sur lui-même avec bordure doublée par plusieurs rivets et entrée en "L". Fer.

L. 68 mm. 26.6 g.

E : 1115.7. N : 1164.*

Planche 33, 23. 15658, n° 1712.

Demi-produit constitué d'une tige de section trapézoïdale avec trace de martelage. Base-cuivre.

L. 27 mm, S. 2 x 3 mm. 0.7 g.

E : 1114.3. N : 1162.85.*

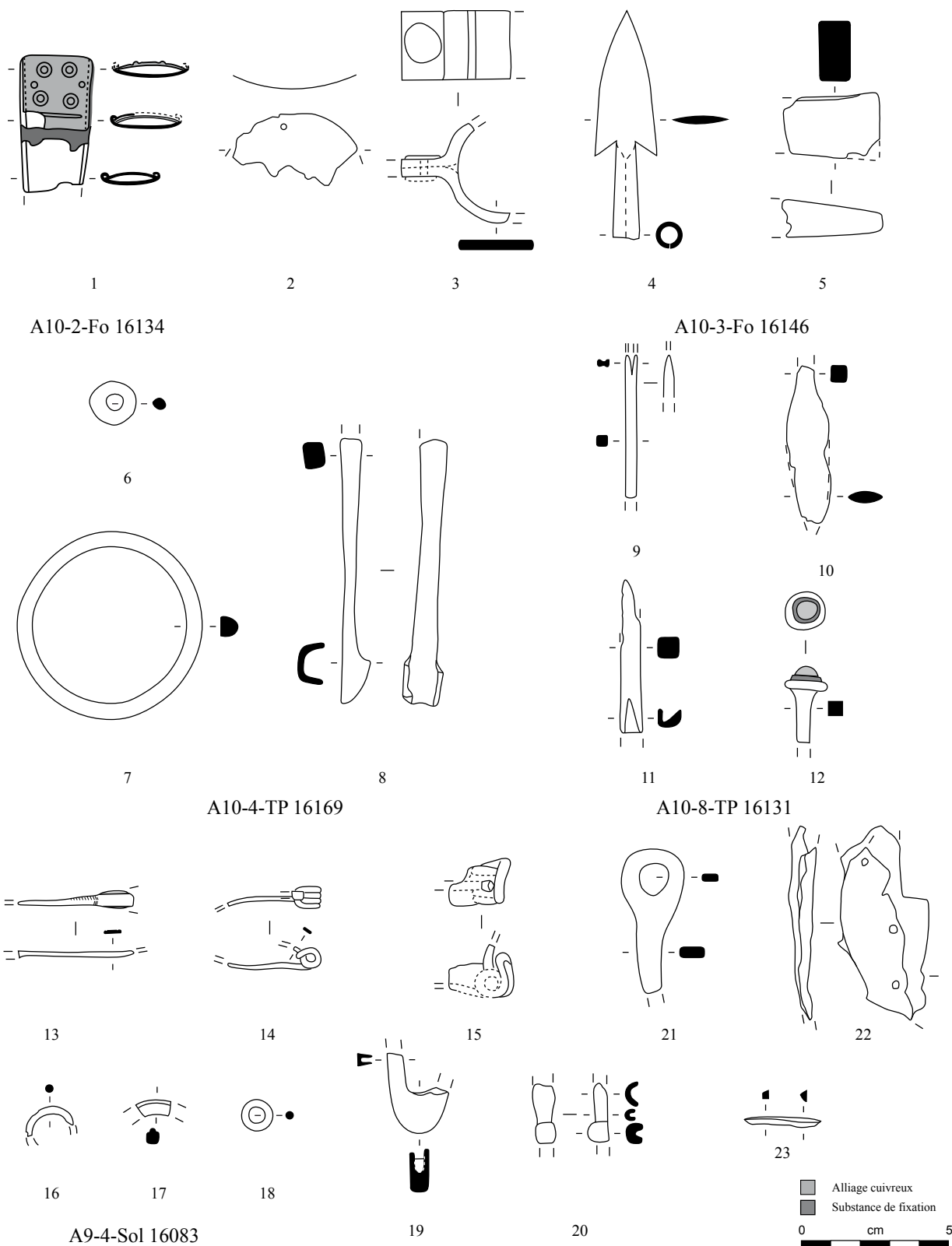


Planche 33. A10-2-Fo 16134 à A9-4-sol 16083

1 : fer et alliage cuivreux; 2, 6-7, 13-14, 16-18, 23 : alliage cuivreux; 3-5, 8-11, 15, 19-22 : fer; 12 : fer, plomb et alliage cuivreux.

Autres petits mobiliers

15658, n° 1035. Deux jetons.
15658, n° 1121. Monnaie.
15658, n° 1087. Monnaie.
15658, n° 1088. Monnaie.
15658, n° 1122. Monnaie.
15658, n° 1138. Monnaie.
15658, n° 1139. Monnaie.
15658, n° 1120. Fragment de récipient en verre mosaïqué.

Cour entre le complexe A et le bâtiment B

Décapage

AB-1-décapage

Planche 34, 1. 15420, n° 530.

Paire de fibules à ailettes naissantes à ressort à quatre spires et corde externe haute, arc coudé élargi au-dessus de la tête puis aminci jusqu'aux nodosités. Le pied est triangulaire ajouré dans un cas et trapézoïdal dans l'autre. Il est orné de stries obliques à la jonction avec l'ardillon. La chaîne qui lie les deux fibules est réalisée à l'aide d'un tressage de double maillon du type queue de renard double. Or.
L. (fibules) 47 mm, L. (chaîne) 64 mm. 22 g.
E : 1124.7. N : 1164.45.*
Type : B34-3.

Planche 34, 2. 15612, n° 871.

Fibule à ressort à quatre spires et corde interne et à arc de tôle triangulaire fin avec un décor à échelle et des lignes séparant le pied de l'arc. Seul le pied est manquant. Base-cuivre.
L. 33 mm, L. (arc) 21 mm, l. (arc) 4 mm. 2.1 g.
E : 1123.4. N : 1160.9.
Type : B22-04.

Planche 34, 3. 15612, n° 1224.

Fibule à ressort à quatre spires (deux conservées) et corde interne et à arc tendu de tôle triangulaire fin à bordures soulignées par une ligne. Base-cuivre.
L. 64 mm, L. (arc) 33 mm, l. (arc) 7 mm. 1.8 g.
E : 1128.4. N : 1158.7.
Type : B22-03.

Planche 34, 4. 15612, n° 1345.

Arc de fibule de tôle triangulaire tendu très mal conservé. Base-cuivre.
L. 47 mm. 0.8 g.
E : 1128.77. N : 1160.18.
Type : B22-0.

Planche 34, 5. 15612, n° 878.

Ardillon et ressort d'une grande fibule à quatre spires (deux conservées) et corde interne. Base-cuivre.
L. 94 mm. 6.2 g.
E : 1125.65. N : 1160.5. Alt. : 573.39.
Type : B20-0.

Planche 34, 6. 15612, n° 1219.

Fibule filiforme à ressort à quatre spires et corde interne et arc tendu de section

losangique avec une interruption de lignes incisées. Base-cuivre.
L. 20 mm, S. (arc) 3 mm. 1 g.
E : 1126.6. N : 1161.4.
Type : B23-1.

Planche 34, 7. 15612, n° 821.

Arc tendu de fibule de section circulaire puis carrée interrompu par une nodosité, cassé au niveau du départ du ressort et du pied ajouré. Base-cuivre.
L. 58 mm, S. 3 mm. 1.8 g.
E : 1123.75. N : 1165.7. Alt. : 573.31.
Type : B24-1.

Planche 34, 8. 15612, n° 1222.

Pied de fibule trapézoïdal ajouré. Base-cuivre.
L. 13 mm. 0.3 g.
E : 1126. N : 1162.

Planche 34, 9. 15612, n° 877.

Fibule à ressort à quatre spires (deux conservées) et corde externe haute et à arc cambré de section lenticulaire. Fer.
L. 42 mm, S. 3 x 7 mm. 5.3 g.
E : 1124.95. N : 1161.25. Alt. : 573.39.
Type : F33-7.

Planche 34, 10. 15612, n° 868.

Fibule à ressort à quatre spires et corde externe et à arc triangulaire de section lenticulaire puis losangique interrompu par une perle cannelée. Fer.
L. 75 mm, S. 3 x 6 mm et 4 mm. 13.2 g.
E : 1124.3. N : 1162.25. Alt. : 573.35.
Type : F34-3.

Planche 34, 11. 15420, n° 581.

Bracelet complet à jonc lisse à section ovale. Base-cuivre.
Diam. int. 50 mm, S. 2,5 mm. 13.9 g.
E : 1125.2. N : 1167.8.*
Type : B11-1.

Planche 34, 12. 15420, n° 634.

Fragment de bracelet à jonc lisse de section ovale. Base-cuivre.
L. 57 mm, S. 3 x 2 mm. 2.4 g.
E : 1123.7. N : 1116.15.
Type : B10-2.

Planche 34, 13. 15612, n° 1134.

Fragment de bracelet à jonc lisse de section lenticulaire. Base-cuivre.
L. 60 mm, diam. int. 54 mm, S. 2 x 3 mm. 7 g.
E : 1123.6. N : 1163.6. Alt. : 575.42.
Type : B10-3.

Planche 34, 14. 15612, n° 1123.

Anneau à section en quart de rond. Base-cuivre.
Diam. 30 mm, S. 4 x 5 mm. 13 g.
E : 1128. N : 1160.

Planche 34, 15. 15420, n° 538.

Perle à section en quart de rond. Base-cuivre.
Diam. 14 mm, S. 3 x 4 mm. 2.7 g.
E : 1124. N : 1163.*

Planche 34, 16. 15420, n° 638.

Fragment de chaudron constitué d'une tôle de fer rivetée à une tôle en alliage cuivreux

par des rivets en alliage cuivreux. Fer et base-cuivre.
L. 36 mm. 5.9 g.
E : 1124.8. N : 1164.7.

Planche 34, 17. 15420, n° 600.

Fragment de bandage de roue constitué d'une bande épaisse incurvée. Fer.
L. 40 mm, l. 39 mm, ép. 6 mm. 73.2 g.
E : 1123.7. N : 1163.8. Alt. : 573.62.

Planche 34, 18. 15612, n° 1220.

Fragment de ferrure décorative avec une perforation et un pli au niveau de la cassure. Base-cuivre.
L. 122 mm, l. 22 mm, ép. 1 mm. 5.6 g.
E : 1124.9. N : 1162.7.

Planche 34, 19. 15420, n° 541.

Anneau d'écurie, de meuble de section circulaire avec un piton à deux branches. Fer.
L. 38 mm, diam. 36 mm, S. 3 mm. 17.5 g.
E : 1122. N : 1163.7.*

Planche 34, 20. 15420, n° 1730.

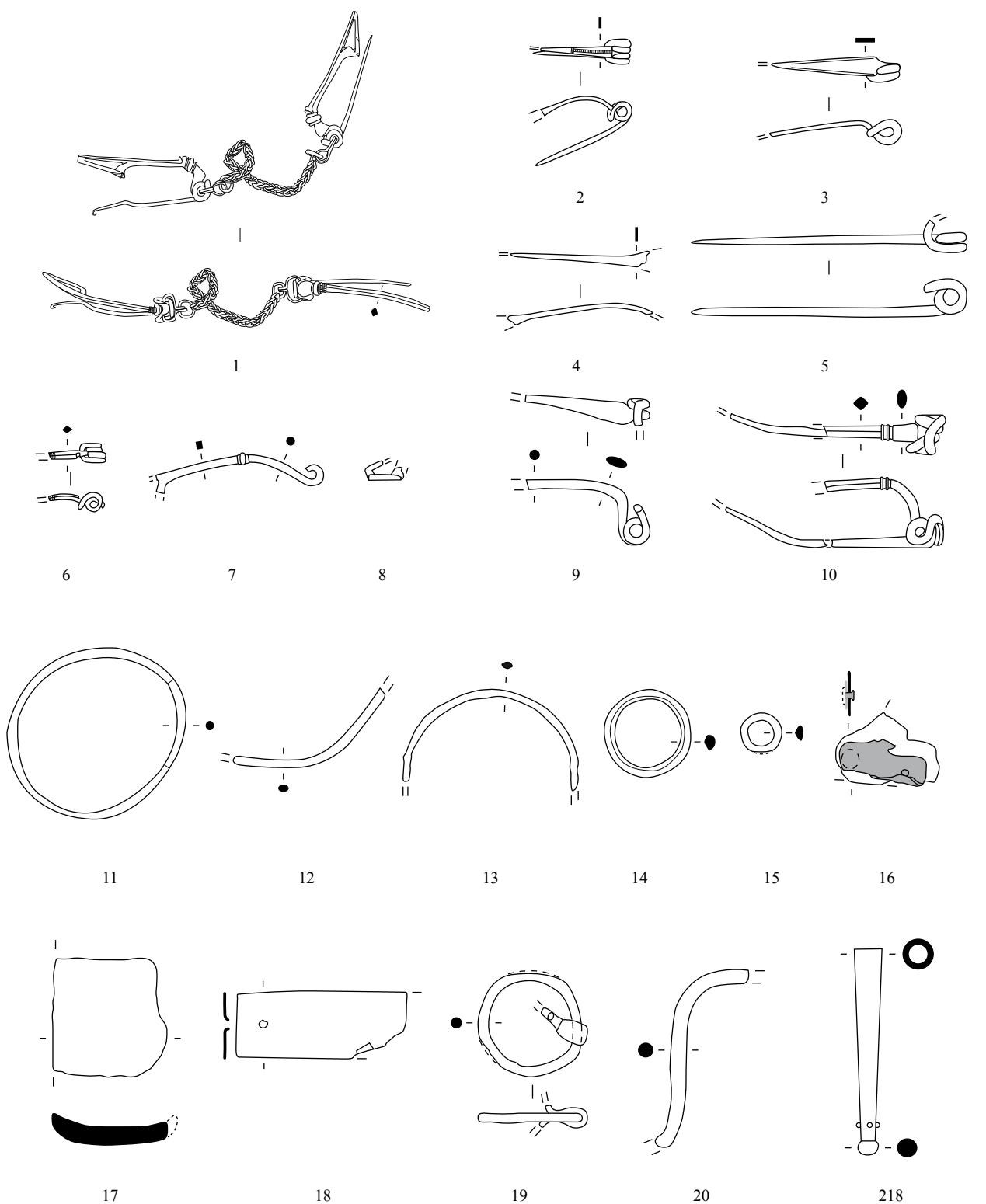
Fragment indéterminé de tige de section circulaire formant un "S". Crochet de boucher? Fer.
L. 68 mm, S. 5 mm. 9.4 g.
E : 1123. N : 1165.*

Planche 34, 21. 15612, n° 1250.

Douille indéterminée dotée de quatre picots et d'une extrémité bouletée. Élément d'arc, pièce de char hallstattienne? Fer.
L. 70 mm, diam. 10 mm. 16.7 g.
E : 1126. N : 1166.*

Autres petits mobiliers

15420, n° 1085. Jeton percé, fusaïole.
15420, n° 539. Fragment d'anse côtelée en verre translucide.
15420, n° 535. Fragment de verre.
15612, n° 1217. Jeton.
15612, n° 874. Jeton.
15612, n° 875. Moitié de jeton.
15420, n° 629a. Monnaie.
15420, n° 531. Monnaie.
15612, n° 838. Monnaie.
15612, n° 1127. Monnaie.
15420, n° 592. Monnaie.
15420, n° 628. Monnaie.
15612, n° 1205. Monnaie.
15612, n° 835. Monnaie.
15612, n° 841. Monnaie.
15612, n° 880. Monnaie.
15676, n° 1206. Monnaie.
15420, n° 509. Monnaie.
15420, n° 653. Monnaie.
15612, n° 1108. Monnaie.
15612. Fragment de perle en verre bleu et jaune à décor oculé protubérant.
15420, n° 754. Perle indéterminée (perdue?).



AB-1-décapage

Planche 34. AB-1-décapage

1 : or; 2-8, 11-15, 18 : alliage cuivreux; 9-10, 17-21 : fer; 16 : fer et alliage cuivreux.

Type d'objet	UF	No	Description	Métal	NR	NMI	M(g)
A-1-décapage	<i>Décapage</i>						
Ferrure	16073		Fragment de ferrure	Fer	1	1	12.1
Clou	16073		Men.: 5 frgts; 10 tiges	Fer	15	5	73
Clou	16071		Tige	Fer	1	1	5
A1 et A2-1-décapage	<i>Décapage</i>						
Cabochon	15724	1192	Cabochon avec substance de fixation	Base-cuivre	1	1	0.4
Ferrure	15674		Fragment de ferrure	Fer	1	1	9.2
Ferrure	15724	1191	Fragment de ferrure avec trois perforations	Fer	1	1	61.3
Indéterminé plat	15674		Fragments de bande de fer plat	Fer	4	1	22.5
Indéterminé tôle	15724	1182	Fragment de bande de tôle	Base-cuivre	1	1	0.7
Indéterminé tôle	15724		Fragment de tôle	Fer	1	1	3
Indéterminé tôle	15674		Fragments de tôle	Fer	15	1	69
Clou	15724		Men.: 10 frgts; 14 tiges	Fer	24	10	113
Clou	15674		Men.: 43 frgts; 67 tiges	Fer	110	43	478
Scorie (bc)	15674		Scorie en alliage cuivreux	Base-cuivre	1	1	10.4
A1 et A2-2-radier	<i>État 2.2 : LTD2a</i>						
Cabochon	16067	218	Cabochon avec trace de plomb	Base-cuivre	1	1	1.2
Chute de tôle repliée	16067	216	Chute de tôle repliée	Base-cuivre	1	1	2.1
Ferrure	16067	199	Fragment de ferrure	Fer	1	1	47.2
Indéterminé objet	16067		Fragment informe	Fer	1	1	9.7
Indéterminé tige	16067		Fragments de tige	Fer	2	0	8
Indéterminé tôle	16067	217	Fragment de bande de fer plat	Fer	1	0	96
Clou	16067	203	Men.: 1 frgt	Fer	1	1	22
Clou	16067		Men.: 7 frgts dont un à tête hémisphérique creuse; 15 tiges	Fer	22	7	105
A1-1-décapage	<i>Décapage</i>						
Cabochon	8031		Cabochon	Base-cuivre	1	1	0.4
Cabochon	8074		Cabochon	Base-cuivre	1	1	0.4
Clou de chaussure	15400	514	Clou de chaussure sans décor	Fer	1	1	1.6
Coulure	8309		Coulure	Base-cuivre	1	1	4
Ferrure	15722	118	Ferrure complète pliée avec deux perforations à chaque extrémité	Fer	1	1	179
Ferrure	16012		Fragment de ferrure	Fer	1	1	34.6
Ferrure	16016	208	Fragment de ferrure d'angle avec une double épaisseur au centre	Fer	1	1	143
Indéterminé objet	14000		Fragment de bande de tôle	Fer	1	1	9.6
Indéterminé objet	15402		Fragment informe	Fer	1	1	26
Indéterminé plat	8313		Fragment de bande de fer plat repliée à une extrémité	Fer	1	1	43
Indéterminé plat	15400		Fragments de plat	Fer	2	1	9.7
Indéterminé tôle	15722	1180	Fragment de tôle plié	Base-cuivre	1	1	4.1
Indéterminé tôle	15400		Fragment de tôle	Fer	1	1	2.2
Indéterminé tôle	16016	207	Fragment de tôle	Fer	1	1	21
Indéterminé tôle	15722		Fragment de tôle	Fer	1	1	6.5
Indéterminé tôle	15400		Fragment de tôle très corrodé	Fer	1	0	28.8
Clou	15722		Men.: 1 frgt	Fer	1	1	11
Clou	16012		Men.: 1 frgt	Fer	1	1	21
Clou	15400		Men.: 14 frgts; 25 tiges	Fer	39	14	238
Clou	16016		Men.: 4 frgts; 2 tiges	Fer	6	4	32
Clou	14000		Men.: 4 frgts. 11 tiges	Fer	15	4	60.5
A1-2-radier	<i>État 2.3 : fin LTD2a-LTD2b</i>						
Anneau (fer)	16066	184	Anneau de section rectangulaire	Fer	1	1	77.5
Indéterminé objet	16066	190	Fragment de tige de section rectangulaire	Fer	1	1	48
Indéterminé tôle	16066		Fragment de tôle	Fer	3	0	7.3
Indéterminé tôle	16066	193	Fragment de tôle	Fer	1	0	11.5
Indéterminé tôle	16066	186	Fragment de tôle avec bois minéralisé et une perforation	Fer	1	0	50.5
Indéterminé tôle	16066	192	Fragments de bande de tôle	Fer	1	1	13
Clou	16066	188	Clou de construction	Fer	1	1	63
Clou	16563		Tige	Fer	1	1	16
Scorie (fer)	14005	471	Calotte avec une surface de fond plane convexe	Fer	1	1	209.9
A1-3-TP 15425	<i>État 2.3 : fin LTD2a-LTD2b</i>						
Clou	15424		Men.: 1 frgt	Fer	1	1	5
A1-5-Fo 15735	<i>État 2.3 : fin LTD2a-LTD2b</i>						
Clou	15736		Tige	Fer	1	1	5
A1-6-Solin 14026	<i>État 2.2 à 2.3 : LTD2</i>						
Indéterminé tôle	14026		Frgt de tôle	Fer	1	1	2.9
Clou	14026		Men.: 2 frgts	Fer	2	2	17.2
A1-7-épandage 14010	<i>État 2.2 à 2.3 : LTD2</i>						
Anneau (fer)	14009	427	Fragment de petit anneau	Fer	1	1	2.4

Type d'objet	UF	No	Description	Métal	NR	NMI	M(g)
Clou de chaussure	14009	429	Clou de chaussure à décor de globule illisible	Fer	1	1	1.7
Ferrure	14007		Fragment de ferrure avec deux rivets en position fonctionnelle	Fer	1	1	7.8
Fibule	14008	2071	Ardillon de fibule	Base-cuivre	1	1	0.3
Indéterminé objet	14008		3 fragments de tôle	Fer	3	1	7.3
Indéterminé objet	14006		Fragment de bande de tôle	Fer	1	1	5.8
Indéterminé plat	14009	425	Fragment de bande de plat	Fer	1	1	5.6
Indéterminé tôle	14008	470	Fragments de tôle	Fer	7	1	37.1
Clou	14006		Constr.: 1 tige, Men.: 6 frgts, 10 tiges	Fer	17	6	66.4
Clou	14007		Men.: 1 frgt, 3 tiges	Fer	4	1	15
Clou	14008		Men.: 3 frgts, 4 tiges	Fer	7	3	29.5
Clou	14009		Men.: 4 frgts, 6 tiges	Fer	10	4	44.2
Scorie (fer)	14006		1 déchet de fabrication, 1 petite scorie (6,4g)	Fer	2	1	9.6
Scorie (fer)	14009	441	Calotte avec une surface de fond plano-convexe et une surface supérieure rugueuse.	Fer	1	1	115.1
A1-8-nettoyages solins	<i>État 2.2 à 2.3 : LTD2</i>						
Indéterminé tige	15518	810	Tige de section ronde	Base-cuivre	1	1	0.3
A1-10-Solin 15701	<i>État 2.2 à 2.3 : LTD2</i>						
Cabochon	15701	1175	Cabochon avec trace de plomb	Base-cuivre	1	1	0.9
Indéterminé tôle	15701	527	Fragment de tôle avec bordure repliée	Fer	1	1	12.5
Clou	15701		Men.: 4 frgts; 5 tiges	Fer	9	4	36
A1-11-Solin 17704	<i>État 2.2 : LTD2a</i>						
Coulure	17704	615	Coulure massive	Base-cuivre	1	1	11.8
Clou	17704	616	Tige de clou	Fer	1	1	22.4
A1-12-Solin 16556	<i>État 2.2 : LTD2a</i>						
Indéterminé tôle	16556		Fragment de tôle avec une tige collée	Fer	1	1	4.5
Clou	16556		Men.: 3 frgts; 3 tiges	Fer	6	3	33
A1-13-TP 16433	<i>État 2.1 : LTD1b évoluée</i>						
Anneau (fer)	16434	359	Anneau de section ronde	Fer	1	1	20.7
Indéterminé objet	16434	358	Tige coudée et fragments de tôle	Fer	5	1	73
Clou	16434		Men.: 2 frgts; 4 tiges	Fer	6	2	35
Indéterminé tôle	16436		Fragment de bande de tôle	Fer	1	1	7.3
A1-15-Pal 15404	<i>État 2.1 : LTD1b évoluée</i>						
Anneau (fer)	15732	1193	Anneau de section ronde	Fer	1	1	18.2
Clou	15732		Men.: 8 frgts; 12 tiges	Fer	20	8	100
Rivet (fer)	15732		Contreplaque de rivet	Fer	1	1	7
A1-16-TP 15709	<i>État 2.1 : LTD1b évoluée</i>						
Clou	15709		Men.: 3 frgts; 1 tige	Fer	4	3	9
A1-17-Fé 15669	<i>État 2.1 : LTD1b évoluée</i>						
Clou	15669		Men.: 3 frgts; 7 tiges	Fer	10	3	60
A1-20-sol 14030	<i>État 1 à 2.1 : LTD1b</i>						
Chute de tige appointée	14030		Chute de tige appointée	Fer	1	1	3.2
Ferrure	14030	591	Fer plat troué	Fer	1	0	9.1
Ferrure	14030	592	Fer plat troué	Fer	1	0	8.9
Ferrure	14030	624	Fer plat troué, ferrure	Fer	1	0	27.2
Ferrure	16560	1322	Ferrure avec un clou à tête hémisphérique creuse en position fonctionnelle	Fer	1	1	58
Ferrure	14030	567	Ferrure repliée	Fer	1	1	79.8
Ferrure	14030	568	Fragment de ferrure	Fer	1	0	32.2
Ferrure	16560		Fragment de ferrure	Fer	1	0	15.7
Ferrure	16560		Fragment de ferrure avec clou en position fonctionnelle	Fer	1	1	24.4
Ferrure	14030	622	Fragment de ferrure repliée	Fer	1	0	17.3
Ferrure	16560	1333	Fragment de ferrure repliée sur elle-même.	Fer	1	0	41.9
Ferrure	14030	590	Fragment de ferrure.	Fer	1	0	18
Ferrure	17703	613	Fragment de large ferrure avec deux vestiges de clou de fixation	Fer	1	1	320
Ferrure	17703		Fragments de ferrure dont un avec contreplaque de rivet en place	Fer	4	1	71
Indéterminé barre	16560	1323	Fragment de barre de section rectangulaire	Fer	1	1	28
Indéterminé objet	14030	631	Deux tôles rivetées	Fer	1	1	9.6
Indéterminé objet	16560	1345	Fragment de tige massive formant un crochet	Fer	1	1	32.5
Indéterminé objet	16560	1346	Fragment indéterminé, plus de métal à l'intérieur	Fer	1	1	33
Indéterminé objet	16560		Fragment informe	Fer	1	1	20.5
Indéterminé plat	16560	1343	Fragment de bande de fer plat	Fer	1	0	18.4
Indéterminé plat	16560		Fragment de bande de fer plat (ép. barre de gril, orle)	Fer	1	0	7.3
Indéterminé plat	16560	1342	Fragment de bande de fer plat repliée à une extrémité	Fer	1	1	60

Type d'objet	UF	No	Description	Métal	NR	NMI	M(g)
Indéterminé plat	14030	565	Fragment de bande de plat	Fer	1	1	4.1
Indéterminé plat	14030	582	Fragment de fer plat fendu	Fer	1	0	6.6
Indéterminé tige	8341		Deux fragments de tige de section circulaire	Base-cuivre	2	1	0.5
Indéterminé tige	8345		Fragment de tige de section circulaire	Base-cuivre	1	1	1
Indéterminé tige	16560	1328	Tige de section ronde appointée	Base-cuivre	1	1	0.6
Indéterminé tige	16560	1327	Fragment de tige massive de section carrée	Fer	1	1	50.8
Indéterminé tige	16560		Tige de section ronde	Fer	1	0	2.1
Indéterminé tôle	16560	1332	Fragment de tôle	Base-cuivre	1	1	5.8
Indéterminé tôle	8344		Fragment de tôle	Base-cuivre	1	1	0.2
Indéterminé tôle	8374		Fragment de tôle	Base-cuivre	1	1	1
Indéterminé tôle	8361		Fragment de tôle bombée	Base-cuivre	1	1	1
Indéterminé tôle	14030		13 frgts de tôle dont des fragments de bande et des fragments plus larges	Fer	13	1	8.6
Indéterminé tôle	14030	623	Fragment de bande de tôle repliée sur elle-même	Fer	1	1	28.1
Indéterminé tôle	14030	596	Fragment de large tôle très fine sans bord conservé	Fer	1	0	23.4
Indéterminé tôle	14030	599	Fragment de tôle	Fer	1	0	3.8
Indéterminé tôle	14030	605	Fragments de tôle pliée	Fer	2	0	22.3
Indéterminé tôle	16030		Fragments de tôle repliée	Fer	4	1	33.4
Indéterminé tôle	16560		Fragments de tôles indéterminées	Fer	29	0	170.2
Indéterminé tôle	14030	595	Frgt de tôle	Fer	1	0	1.9
Clou	16560	1318	Clou de construction	Fer	1	1	64
Clou	16560	1340	Clou de construction	Fer	1	1	35
Clou	16560	1324	Clou de construction	Fer	1	1	59
Clou	16560		Constr. 4 frgts; men.: 47 frgts; 70 tiges	Fer	121	51	875
Clou	14030	619	Constr.: 1 frgt	Fer	1	1	27.3
Clou	14030	601	Constr.: 1 frgt	Fer	1	1	20.5
Clou	14030	593	Frgt de tige	Fer	1	0	2.7
Clou	14030	594	Frgt de tige	Fer	1	0	1.8
Clou	14030	600	Frgt de tige	Fer	1	0	9.3
Clou	14030	604	Frgt de tige	Fer	1	0	1.2
Clou	14030	608	Frgt de tige	Fer	1	0	4.2
Clou	14030	626	Frgt de tige	Fer	1	0	7.9
Clou	14030	634	Frgt de tige	Fer	1	0	2.6
Clou	14030	635	Frgt de tige	Fer	1	0	2.2
Clou	14030	558	Men.: 1 frgt	Fer	1	1	6.4
Clou	14030	559	Men.: 1 frgt	Fer	1	1	18.9
Clou	14030	564	Men.: 1 frgt	Fer	1	1	13.2
Clou	14030	566	Men.: 1 frgt	Fer	1	1	12.8
Clou	14030	570	Men.: 1 frgt	Fer	1	1	7.4
Clou	14030	572	Men.: 1 frgt	Fer	1	1	11.4
Clou	14030	573	Men.: 1 frgt	Fer	1	1	5.7
Clou	14030	574	Men.: 1 frgt	Fer	1	1	5.7
Clou	14030	576	Men.: 1 frgt	Fer	1	1	17.3
Clou	14030	586	Men.: 1 frgt	Fer	1	1	5.9
Clou	14030	587	Men.: 1 frgt	Fer	1	1	7.5
Clou	14030	588	Men.: 1 frgt	Fer	1	1	10.8
Clou	14030	589	Men.: 1 frgt	Fer	1	1	6.6
Clou	14030	597	Men.: 1 frgt	Fer	1	1	5.3
Clou	14030	598	Men.: 1 frgt	Fer	1	1	5
Clou	14030	602	Men.: 1 frgt	Fer	1	1	11.4
Clou	14030	606	Men.: 1 frgt	Fer	1	1	5.1
Clou	14030	609	Men.: 1 frgt	Fer	1	1	55.9
Clou	14030	610	Men.: 1 frgt	Fer	1	1	9.5
Clou	14030	613	Men.: 1 frgt	Fer	1	1	6.5
Clou	14030	614	Men.: 1 frgt	Fer	1	1	5.4
Clou	14030	615	Men.: 1 frgt	Fer	1	1	6.4
Clou	14030	625	Men.: 1 frgt	Fer	1	1	14.5
Clou	14030	627	Men.: 1 frgt	Fer	1	1	10.5
Clou	14030	628	Men.: 1 frgt	Fer	1	1	16.5
Clou	14030	629	Men.: 1 frgt	Fer	1	1	12.6
Clou	14030	633	Men.: 1 frgt	Fer	1	1	4.7
Clou	14030	636	Men.: 1 frgt	Fer	1	1	4.8
Clou	14030	637	Men.: 1 frgt	Fer	1	1	14.3
Clou	17703	614	Men.: 1 frgt	Fer	1	1	20
Clou	16030		Men.: 1 frgt; 4 tiges	Fer	5	1	27
Clou	14031		Men.: 5 frgts, 1 tige	Fer	6	5	33

Type d'objet	UF	No	Description	Métal	NR	NMI	M(g)
Clou	14030		Men.: 7 frgts, 9 tiges	Fer	16	7	64.1
Clou	16560	1347	Tête de clou	Fer	1	1	10.7
Clou	17703	602	Tête de clou	Fer	1	1	13.6
Clou	16560		Tête de gros clou hémisphérique creux	Fer	1	1	11.1
Clou	14030	552	Tige	Fer	1	0	3.2
Clou	14030	563	Tige	Fer	1	0	6.8
Clou	14030	616	Tige	Fer	1	0	9.3
Clou	14030	617	Tige	Fer	1	0	4.7
Clou	16560	1331	Tige de clou	Fer	1	0	48.5
Rivet (bc)	8343		Rivet à tête circulaire plate	Base-cuivre	1	1	1
Rivet (fer)	14030	621	Clou-rivet à tête hémisphérique creuse	Fer	1	1	8.3
Rivet (fer)	14030	578	Clou-rivet à tête rectangulaire	Fer	1	1	12.3
Rivet (fer)	16560		Fragment de tige de clou rivet par repli	Fer	1	1	15
Scorie (fer)	17703	612	Fragment de calotte	Fer	1	1	123.6
A1-21-décapage 15590 <i>État 1 à 2.1 : LTD1b</i>							
Anneau (bc)	15590	1560	Anneau de section ronde	Base-cuivre	1	1	1.7
Ferrure	15590	1179	Fragment de ferrure	Fer	1	1	55.3
Ferrure	15590	1230b	Fragment de ferrure	Fer	1	0	24.5
Ferrure	15590	1230a	Fragment de ferrure, de tôle perforée	Fer	1	0	4.4
Indéterminé objet	15590	1176	Fragment de bande de fer plat	Fer	1	1	20.2
Indéterminé tige	15590	1230	Tige de section ronde tordue	Fer	1	0	4.3
Indéterminé tôle	15590	1227	Tôle indéterminée	Fer	1	1	45
Clou	15590	1231	Clou à tête hémisphérique creuse	Fer	1	1	10
Clou	15590	1168	Men.: 1 frgt	Fer	1	1	6.6
Clou	15590	1144	Tige	Fer	1	0	4
Rivet (fer)	15590	1145	Rivet à contreplaque	Fer	1	1	32
A1-22-sol 16559 <i>État 1 à 2.1 : LTD1b</i>							
Fibule	16559	1336	Deux spires de ressort de fibule	Fer	1	1	0.2
Goutte	16559	1815	Goutte	Base-cuivre	1	1	1
Indéterminé tôle	16559		Fragment de tôle	Base-cuivre	1	1	0.8
A1-23-TP 14027 <i>État 2.1 : LTD1b évoluée</i>							
Anneau (fer)	14027	472	Anneau fermé	Fer	1	1	4.4
A1-24-TP 15726 <i>État 1 : LTD1b classique</i>							
Indéterminé informe	15727		Fragment informe	Base-cuivre	1	1	0.3
Indéterminé tôle	15727		Fragments de tôle	Fer	2	1	11.3
Clou	15727		Men.: 1 frgt; 1 tige	Fer	2	1	10
A1-25-épandage est <i>État 2 lato sensu : LTD1b évoluée-LTD2</i>							
Fibule	8348	1	Ardillon de fibule	Base-cuivre	1	1	
Clou	14003		Constr. : 1 frgt; men.: 6 frgts, 7 tiges	Fer	14	7	82.5
Rivet (bc)	8346		Clou-rivet en une pièce à tête plate circulaire	Base-cuivre	1	1	1
Rivet (bc)	8346		Rivet par refoulement à tête plate circulaire	Base-cuivre	1	1	1
A1-26-épandage nord <i>État 2 lato sensu : LTD1b évoluée-LTD2</i>							
Coulure	14016	2001	Coulure	Base-cuivre	1	1	0.6
Ferrure	14021	440	Fragment de ferrure avec deux rivets en position fonctionnelle	Fer	1	1	19.1
Ferrure	14039	2072	Fragments de ferrure avec un rivet en position fonctionnelle	Fer	4	1	20.4
Indéterminé plat	14014	478	Bande de fer plat	Fer	1	1	10
Indéterminé tôle	14015		2 frgts de tôle	Fer	2	1	4.4
Indéterminé tôle	14014	466	Fragment de tôle avec un épaissement sur le bord conservé bourrelet	Fer	1	1	5.3
Clou	14036		Men.: 1 frgt	Fer	1	1	7.3
Clou	14032		Men.: 3 frgts, 3 tiges	Fer	6	3	15.5
Clou	14033		Tige	Fer	1	1	2.6
Clou	14015		Men.: 6 frgts, 9 tiges	Fer	15	6	44.7
Clou	14018		Men.: 1 frgt	Fer	1	1	5.5
Clou	14019		Men.: 1 frgt	Fer	1	1	5.7
Clou	14039		Men.: 2 frgts, 3 tiges	Fer	5	2	17.8
Clou	14038		Men.: 3 frgt, 3 tiges	Fer	6	3	25.3
Clou	14014		Men.: 5 frgts, 12 tiges	Fer	17	5	47.9
A1-27-Solin 15710 <i>État 2 lato sensu : LTD1b évoluée-LTD2</i>							
Scorie (fer)	15711		Calotte	Fer	1	1	127
A1-28-Fo 15707 <i>État 1 à 2.1 : LTD1b</i>							
Clou	15707		Men.: 5 frgts; 2 tiges	Fer	7	5	44
A1-29-seuil 14012 <i>État 1 à 2.1 : LTD1b</i>							
Clou	14012		Men.: 1 frgt	Fer	1	1	4.4
A1-30-Ce 14047 <i>État 1 : LTD1b classique</i>							
Clou	14047		Constr.: 1 frgt, men.: 1 frgt, 3 tiges	Fer	5	2	46.4

Type d'objet	UF	No	Description	Métal	NR	NMI	M(g)
Clou	15415		Tige	Fer	1	1	5
A1-32-TP 16586	<i>État 1 : LTD1b classique</i>						
Clou	16587		Men.: 1 frgt	Fer	1	1	18
A1-34-Sb 16595	<i>État 1 : LTD1b classique</i>						
Clou	16595		Constr.: 1 frgt	Fer	1	1	36
A2 à A4-1-décapage	<i>Décapage</i>						
Anneau (fer)	15423	1731	Anneau de section rectangulaire	Fer	1	1	4.1
Cabochon	15423	547	Cabochon	Base-cuivre	1	1	0.3
Ferrure	15423		Fragments de ferrure	Fer	3	0	50.4
Ferrure	15423	551	Large ferrure avec un trou de fixation	Fer	1	1	42
Fibule	15423	557	Ardillon et spire de fibule	Base-cuivre	1	1	0.5
Fibule	15423	608	Spire de fibule	Base-cuivre	1	0	0.1
Indéterminé plat	15423	845	Fragment de fer plat	Fer	1	1	26.3
Indéterminé tige	15423	569	Tige de section carrée, tige de clou ou de rivet	Base-cuivre	1	1	0.7
Indéterminé tige	15423	564	Tige de section ronde	Base-cuivre	1	1	0.4
Indéterminé tôle	15423	568	Fragment de bande de tôle repliée	Base-cuivre	1	1	0.3
Indéterminé tôle	15423	565	Fragment de tôle	Base-cuivre	1	0	1.4
Indéterminé tôle	15423		Fragment de tôle	Fer	13	0	53
Indéterminé tôle	15423	549	Fragment de tôle	Fer	1	1	2.5
Indéterminé tôle	15423	908	Fragment de tôle	Fer	1	0	0.1
Clou	15423		Men.: 18 frgts; 30 tiges	Fer	48	18	201
A2-1-décapage	<i>Décapage</i>						
Ferrure	16001		Ferrure de petite taille tordue avec un clou en position fonctionnelle	Fer	1	1	2.7
Indéterminé plat	15737		Fragment de bande de fer plat	Fer	1	0	21.4
Indéterminé plat	15737	1196	Fragment de bande de fer plat	Fer	1	1	14.9
Indéterminé tige	16001		Tige indéterminée de section ronde	Fer	1	1	10.6
Indéterminé tôle	16001		Fragments de tôle	Fer	3	1	6.3
Clou	15737		Men.: 1 frgt; 4 tiges	Fer	5	1	22
Clou	16001		Men.: 46 frgts; 34 tiges	Fer	80	46	443
Rivet (fer)	16001		Clou rivet à tige maté et tête hémisphérique creuse	Fer	1	1	12.4
Rivet (fer)	16001		Tige de rivet à contreplaque	Fer	1	0	6.1
A2-2-radier	<i>État 2.3 : fin LTD2a-LTD2b</i>						
Indéterminé plat	15611	867	Fragment de bande de fer plat	Fer	1	1	17.2
Indéterminé tôle	15739		Fragments de tôle	Fer	4	1	11
Clou	15739		Men.: 3 frgts; 11 tiges	Fer	14	3	51
Clou	15611		Tige	Fer	1	1	2
A2-3-sol 16017	<i>État 2.3 : fin LTD2a-LTD2b</i>						
Indéterminé tôle	16017		Fragments de tôle	Fer	7	1	56
Clou	16017		Men.: 22 frgts; 35 tiges	Fer	57	22	223
A2-4-TP 15713	<i>État 2 à 3 : fin LTD1b-Auguste</i>						
Indéterminé tôle	15721		Fragment de tôle	Fer	1	1	2
Clou	15721		Men.: 7 frgts; 8 tiges	Fer	15	7	55
A2-5-St 15631	<i>État 2.3 : fin LTD2a-LTD2b</i>						
Coulure	15631	922	Coulure	Base-cuivre	1	1	4
Clou	15631		Men.: 3 frgts; 7 tiges	Fer	10	3	33
A2-6-TP 15696	<i>État 2.1 : LTD1b évoluée</i>						
Indéterminé tôle	15697		Fragments de tôle	Fer	4	1	7
Indéterminé tôle	15697		Fragments de bande de tôle	Fer	3	0	15
Clou	15697		Men.: 6 frgts; 15 tiges	Fer	21	6	78
A2-7-Sb 15687	<i>État 2.1 : LTD1b évoluée</i>						
Ferrure	15688	1131	Fragment de ferrure repliée sur elle-même	Fer	10	1	98.2
Clou	15687		Men.: 1 frgt	Fer	1	1	4
A2-10-sol 16543	<i>État 2.1 : LTD1b évoluée</i>						
Ferrure	16543	1359	Fragment de ferrure avec perforation quadrangulaire tordue et arrachée	Fer	1	1	73
Indéterminé objet	16543	1845	Fragment de plomb informe	Plomb	1	1	11
Indéterminé plat	16543		Fragment de plat	Fer	4	1	29.1
Indéterminé tige	16543	1366	Grande tige de section quadrangulaire	Fer	1	1	71.3
Indéterminé tôle	16543	1361	Fragment de bande de tôle	Base-cuivre	1	0	2.1
Indéterminé tôle	16543		Fragment de bande de tôle très corrodée	Fer	1	0	41.3
Indéterminé tôle	16543		Fragment de tôle	Fer	1	0	13
Indéterminé tôle	16543		Fragment de tôle incurvée fine	Fer	2	1	22.3
Indéterminé tôle	16543		Fragments de tôle	Fer	5	0	24
Clou	16543		Constr.: 1 frgt; men.: 19 frgts; 30 tiges	Fer	50	20	312
A2-11-sol 16025	<i>État 1 à 2.1 : LTD1b</i>						
Clou	16025		Men.: 5 frgts; 1 tige	Fer	6	5	37

Type d'objet	UF	No	Description	Métal	NR	NMI	M(g)
A2-12-sol 16580	<i>État 1 : LTD1b classique</i>						
Ferrure	16580	1335	Fragment de ferrure massive	Fer	1	1	54.5
Indéterminé plat	16580		Fragments de bande de fer plat	Fer	1	0	27.5
Indéterminé tôle	16580		Fragments de tôle	Fer	5	1	24
Clou	16580		Men.: 3 frgts; 6 tiges	Fer	9	3	66
Scorie (fer)	16580	1603	Fragment de scorie	Fer	1	1	12.5
A2-13-épan dage 15675	<i>État 1 à 2.1 : LTD1b</i>						
Clou de chaussure	15675		Clou de chaussure à globules illisibles	Fer	1	1	1.2
Indéterminé plat	15675	1115	Fragment de bande de fer plat	Fer	1	1	43.7
Indéterminé plat	15675	1141	Fragment de fer plat	Fer	1	0	19.9
Indéterminé tige	15675		Tiges de section lenticulaire	Fer	1	1	1.5
Indéterminé tôle	15675		Fragments de tôle	Fer	3	1	3.9
Indéterminé tôle	15675		Fragments de tôle	Fer	4	0	21.4
Clou	15675		Men.: 28 frgts; 66 tiges	Fer	94	28	375
A2-14-TP 15713	<i>État 1 : LTD1b classique</i>						
Cabochon	15714	1561	Cabochon avec trace de plomb	Base-cuivre	1	1	0.2
Coulure	15714		Coulure	Base-cuivre	1	1	1
Indéterminé plat	15714		Fragment de bande de plat	Fer	1	1	8
Clou	15714		Men.: 3 frgts	Fer	3	3	20
A3 et A2-1-décapage	<i>Décapage</i>						
Clou	16018		Men.: 3 frgts; 3 tiges	Fer	6	3	27
A3 et A4-1-décapage	<i>Décapage</i>						
Indéterminé tôle	15617		Fragment de tôle	Fer	1	0	4.8
Indéterminé tôle	15617	888	Fragment de tôle circulaire	Fer	1	1	0.5
Clou	15617		Men.: 15 frgts; 11 tiges	Fer	26	15	97
A3-2-radier	<i>État 2 lato sensu : LTD1b évoluée-LTD2</i>						
Indéterminé objet	16078		Fragment informe	Fer	1	1	3.9
Indéterminé plat	16078	221	Fragment de fer plat perforé	Fer	1	1	13.6
Indéterminé tôle	16078	220	Fragment de tôle avec deux perforations rapprochées	Fer	1	1	44.5
Indéterminé tôle	16078		Fragment de tôle repliée	Fer	1	0	5.5
Clou	16078		Men.: 10 frgts; 10 tiges	Fer	20	10	107
Clou	16116		Men.: 5 frgts; 8 tiges	Fer	13	5	75
A3-3-décapage 16588	<i>État 2 lato sensu : LTD1b évoluée-LTD2</i>						
Indéterminé tôle	16588	1311	Fragment de tôle	Base-cuivre	1	0	0.7
Indéterminé tôle	16588	1312	Fragment de tôle	Base-cuivre	1	1	0.6
A3-4-Sb 16538	<i>État 2.1 : LTD1b évoluée</i>						
Scorie (fer)	16538	1398	Fragment de scorie	Fer	1	1	26
A3-6-TP 15738	<i>État 2.3 : fin LTD2a-LTD2b</i>						
Clou	15738		Men.: 1 frgt	Fer	1	1	17
A3-7-Sb 16058	<i>État 2.1 : LTD1b évoluée</i>						
Indéterminé tige	16058	168	Tige de section ronde	Fer	1	1	8
Clou	16058		Men.: 1 frgt	Fer	1	1	8
A4 et A7-1-décapage	<i>Décapage</i>						
Clou de chaussure	16002		Clou de chaussure	Fer	1	1	1.6
Coulure	16115	234	Coulure	Base-cuivre	1	1	0.9
Indéterminé plat	16115		Languette de fer plat repliée sur elle-même	Fer	1	1	23
Indéterminé tige	16002	1833	Fragment de tige de section ronde	Base-cuivre	1	1	1.8
Indéterminé tige	16002		Tige en «L» de section rectangulaire	Fer	1	1	1.5
Indéterminé tige	16115		Tige indéterminée de section rectangulaire	Fer	1	1	35
Indéterminé tôle	16002	141	Fragment de tôle	Base-cuivre	1	1	0.4
Indéterminé tôle	16002		Fragment de tôle	Fer	3	1	5.8
Clou	16002		Men.: 17 frgts; 25 tiges	Fer	42	17	171
Clou	16115		Men.: 5 frgts; 4 tiges	Fer	9	5	61
Scorie (fer)	16002		Scorie	Fer	1	1	49
A4-2-radier	<i>État 2.2 à 2.3 : LTD2</i>						
Indéterminé objet	16070	210	Fragments de bande de tôle et tôles brûlées très mal conservé (plusieurs fragments d'env. 70 mm)	Fer	23	1	338
Indéterminé tôle	16075		Fragment de tôle	Fer	1	0	13
Indéterminé tôle	16075		Fragments de tôle	Fer	4	0	17
Indéterminé tôle	16075	211	Fragment de tôle avec une perforation	Fer	1	1	36.1
Clou	16076	186	Men.: 1 frgt	Fer	1	1	28
Clou	16076	187	Men.: 1 frgt	Fer	1	1	11
Clou	16111		Men.: 1 frgt	Fer	1	1	9
Clou	16075		Men.: 4 frgts; 3 tiges	Fer	7	4	34
Rivet (bc)	16076	184	Clou-rivet en une pièce à tête hémisphérique creuse	Base-cuivre	1	1	2.1
A4-3-TP 16124	<i>État 1 : LTD1b classique</i>						
Clou	16125		Men.: 1 frgt	Fer	1	1	8

Type d'objet	UF	No	Description	Métal	NR	NMI	M(g)
A4-4-sol	<i>État 2.3 : fin LTD2a-LTD2b</i>						
Indéterminé tôle	16024		Fragments de tôle	Fer	2	1	18.3
Clou	16024		Men.: 12 frgts; 15 tiges	Fer	27	12	108
A4-5-structure 15427	<i>État 2.3 : fin LTD2a-LTD2b</i>						
Clou	15427		Men.: 1 frgt	Fer	1	1	10
A5-1-décapage	<i>Décapage</i>						
Indéterminé plat	16072	205	Fragment de fer plat	Fer	1	1	9
Indéterminé tige	16074		Tige	Fer	1	1	1
Indéterminé tôle	16074	228	Fragment de tôle	Fer	1	1	14.8
Clou	15588	826	Men.: 1 frgt	Fer	1	1	10
Clou	15588	827	Men.: 1 frgt	Fer	1	1	10
Clou	15588	828	Men.: 1 frgt	Fer	1	1	5
Clou	15588	829	Men.: 1 frgt	Fer	1	1	6
Clou	15588	830	Men.: 1 frgt	Fer	1	1	8
Clou	15588	831	Men.: 1 frgt	Fer	1	1	3
Clou	16072		Men.: 1 frgt; 4 tiges	Fer	5	1	21
Clou	15637		Men.: 18 frgts; 9 tiges	Fer	27	18	148
Clou	16074		Men.: 2 frgts; 3 tiges	Fer	5	2	29
Clou	15588	832	Men.: 3 frgts; 3 tiges	Fer	6	3	29.5
Clou	15588		Men.: 7 frgts; 12 tiges	Fer	19	7	62
Clou	15588	833	Tige	Fer	1	0	2.5
Clou	15637	970	Tige	Fer	1	0	0.6
Rivet (bc)	15588	1755	Rivet par refoulement en une pièce	Base-cuivre	1	1	1
Fibule	15615	915	Ardillon de fibule	Fer	1	1	0.3
Indéterminé tige	15615	891	Tige de section ronde	Base-cuivre	1	1	0.5
Indéterminé tôle	15615	890	Fragment de bande de tôle	Base-cuivre	1	1	0.5
Clou	15615		Men.: 19 frgts; 24 tiges	Fer	43	19	211
A5-3-TP 16535	<i>État 2.3 : fin LTD2a-LTD2b</i>						
Clou	16535		Men.: 1 frgt	Fer	1	1	13
A6-1-décapage	<i>Décapage</i>						
Clou de chaussure	15466		Clou de chaussure	Fer	1	1	2.5
Fibule	15466	700	Ardillon et spire de fibule	Base-cuivre	1	1	0.5
Fibule	15633	924	Ardillon de fibule	Fer	1	1	0.5
Indéterminé plat	15645		Fragment de plat	Fer	1	1	5
Indéterminé tige	15633	928	Tige de section ronde appointée	Base-cuivre	1	1	0.2
Indéterminé tige	15466	715	Fragment de tige coupée en deux, formant un «Y»	Fer	1	0	1.6
Indéterminé tôle	15466		Fragment de tôle	Base-cuivre	1	1	0.3
Clou	15645		2 tiges	Fer	2	1	6
Clou	16060		Men.: 1 frgt; 2 tiges	Fer	3	1	31
Clou	15466		Men.: 5 frgts; 13 tiges	Fer	18	5	56
Clou	15466	742	Tige	Fer	1	0	6.3
Rivet (bc)	8366		Rivet en une pièce à tête circulaire plate	Base-cuivre	1	1	1
Rivet (fer)	16060	169	Rivet à contreplaque	Fer	1	1	20
Scorie (fer)	15633	927	Scorie de foyer vitrifiée	Fer	1	1	32
A6-2-décapage 16053	<i>État 2 lato sensu : LTD1b évoluée-LTD2</i>						
Chute de tige appointée	16053	156	Chute de tige de section carrée appointée	Fer	1	1	2.3
A6-3-sol 16054	<i>État 2 lato sensu : LTD1b évoluée-LTD2</i>						
Clou	16054		Men.: 1 frgt	Fer	1	1	11
A6-4-sol 15523	<i>État 2.3 à 3 : fin LTD2a-Auguste</i>						
Chute de tige appointée	15523	1710	Chute de tige appointée de section carrée	Fer	1	1	0.8
Clou de chaussure	15523		Clous de chaussure dont un à globules illisibles	Fer	3	3	2.9
Clou de chaussure	15523		Clous de chaussure dont un à globules illisibles	Fer	3	3	5.4
Indéterminé tôle	16013		Fragment de tôle	Fer	1	1	7.41
Maillon rapide	16013		Maillon rapide	Fer	1	1	2.8
Clou	16013		Men.: 1 frgt; 2 tiges	Fer	3	1	22
Clou	15523		Men.: 27 frgts; 31 tiges	Fer	58	27	262
A6-5-TP 15584	<i>État 2.3 : fin LTD2a-LTD2b</i>						
Clou	16585		Men.: 6 frgts; 7 tiges	Fer	13	6	79
A6-6-démolition	<i>État 2.3 à 3 : fin LTD2a-Auguste</i>						
Clou	15662		Men.: 2 frgts	Fer	2	2	12
A6-7-Fo 15634	<i>État 4 lato sensu : époque romaine</i>						
Crampon	15634		Crampon	Fer	1	1	3.6
Clou	15634		Men.: 2 frgts	Fer	2	2	9
A7-1-décapage	<i>Décapage</i>						
Anneau (bc)	16127	1739	Fragment d'anneau de section lenticulaire	Base-cuivre	1	1	0.1
Clou de chaussure	16003		Clou de chaussure	Fer	1	1	2

Type d'objet	UF	No	Description	Métal	NR	NMI	M(g)
Clou de chaussure	16003	131	Clou de chaussure	Fer	1	1	1.4
Clou de chaussure	16003		Clous de chaussure	Fer	2	2	3.5
Ferrure	16003		Fragments de ferrure	Fer	4	1	57.4
Ferrure	16127		Fragment de ferrure	Fer	1	1	28
Ferrure	16568	1772	Fragment de ferrure	Fer	1	1	29.5
Fibule	16127	1818	Ressort de fibule à quatre spires et corde interne	Base-cuivre	1	1	1
Indéterminé plat	16094		Fragment de plat incurvé	Base-cuivre	1	0	0.6
Indéterminé plat	16127		Fragment de bande de fer plat	Fer	1	1	11
Indéterminé plat	16127		Fragments de plat	Fer	2	0	9.6
Indéterminé plat	16003	44	Fragment de plat terminé par un élargissement	Fer	1	1	15.2
Indéterminé plat	16094	1602	Fragments de bande de fer plat	Fer	5	1	52.5
Indéterminé tige	16003	47	Fragment de tige	Fer	1	1	2
Indéterminé tôle	16127	1819	Fragment de tôle rivetée	Base-cuivre	2	1	1
Indéterminé tôle	16127		Fragment de bande de tôle	Fer	2	1	8.7
Indéterminé tôle	16003	74	Fragment de tôle	Fer	10	1	51
Indéterminé tôle	16568		Fragment de tôle	Fer	1	1	4.5
Indéterminé tôle	16127		Fragments de tôle	Fer	6	0	23.4
Clou	16127		Constr.: 1 frgt; men.: 28 frgts; 26 tiges	Fer	55	29	343
Clou	16568		Men.: 1 frgt; 2 tiges	Fer	3	1	21
Clou	16003		Men.: 23 frgts; 46 tiges	Fer	69	23	312
Clou	16094		Men.: 9 frgts; 2 tiges	Fer	11	9	86
Rivet (fer)	16003		Rivet à contreplaque	Fer	1	1	13.2
Scorie (fer)	16127	296	Scorie	Fer	1	1	0
Scorie (fer)	16127		Scorie informe	Fer	1	0	18
A7-1-décapage sud	<i>Décapage</i>						
Ferrure	16065	178	Fragment de ferrure	Fer	1	1	12.8
Indéterminé plat	16065		Fragment de bande de fer plat	Fer	1	1	4.9
Indéterminé tige	16065	177	Tige enroulée à une extrémité	Fer	1	0	15.2
Clou	16065		Men.: 9 frgts dont deux à tête hémisphérique creuse; 13 tiges	Fer	22	9	106
Rivet (bc)	16065	183	Clou-rivet en une pièce à tête hémisphérique creuse	Base-cuivre	1	1	0.8
A7-2-décapage nord	<i>Décapage</i>						
Chute de tôle repliée	16004	16	Chute de tôle repliée	Base-cuivre	1	1	1.2
Clou de chaussure	16004	45	Clous de chaussure	Fer	2	2	3.5
Indéterminé tige	16004	46	Tige de section ronde	Base-cuivre	1	1	0.3
Indéterminé tôle	16004		Fragment de tôle	Fer	1	1	4
Clou	16004		Men.: 3 frgts; 4 tiges	Fer	7	3	43
A7-3-sol	<i>État 2.3 : fin LTD2a-LTD2b</i>						
Indéterminé tôle	16022	110	Fragment de bande de tôle	Fer	1	0	10.5
Indéterminé tôle	16022	109	Fragment de tôle	Fer	1	1	1.3
Clou	16022		Men.: 17 frgts; 31 tiges	Fer	48	17	205
Rivet (bc)	16022	106	Clou-rivet en une pièce à tête hémisphérique creuse	Base-cuivre	1	1	0.4
Rivet (bc)	16022	114	Clou-rivet en une pièce à tête hémisphérique creuse	Base-cuivre	1	1	0.5
A7-4-radier	<i>État 2.1 à 2.2 : LTD1b évoluée-LTD2a</i>						
Ferrure	16118		Fragment de ferrure	Fer	1	1	22.8
Fibule	16118	1635	Ressort de fibule à quatre spires (deux conservées) et corde interne	Base-cuivre	1	1	0.3
Indéterminé objet	16118		Fragment de plat circulaire	Fer	1	1	11.5
Indéterminé tôle	16118		Fragment de tôle	Base-cuivre	1	1	0.1
Clou	16118		Men.: 21 frgts; 27 tiges	Fer	48	21	323
Rivet (bc)	16118	1610	Rivet par refoulement en une pièce	Base-cuivre	1	1	0.2
A7-5-TP 16140	<i>État 2.1 : LTD1b évoluée</i>						
Indéterminé tôle	16141		Fragments de tôle	Fer	5	1	25
Clou	16140		Men.: 1 frgt	Fer	1	1	10
Clou	16141		Men.: 1 frgt; 5 tiges	Fer	6	1	17
Rivet (fer)	16141		Rivet à contreplaque et tête hémisphérique creuse	Fer	1	1	31.7
A7-6-TP 16555	<i>État 2.1 : LTD1b évoluée</i>						
Indéterminé tôle	16555		Fragment de tôle	Fer	1	1	11
A7-7-TP 16550	<i>État 2.1 : LTD1b évoluée</i>						
Clou	16551		Men.: 1 frgt	Fer	1	1	14
A7-8-Fo 16133	<i>État 2 lato sensu : LTD1b évoluée-LTD2</i>						
Ferrure	16133		Fragment de ferrure	Fer	10	1	51.3
Indéterminé tôle	16133	286	Grand fragment de tôle avec un bord conservé	Fer	1	1	43
Clou	16133		Men.: 7 frgts; 9 tiges	Fer	16	7	89
Piton	16133	294	Piton fermé par perforation	Fer	1	1	40
A7-9-Pal 16541	<i>État 1 à 2.1 : LTD1b</i>						
Clou	16542		Men.: 2 frgts	Fer	2	2	19

Type d'objet	UF	No	Description	Métal	NR	NMI	M(g)
A7-10-Remblai 16126	<i>État 1 à 2.1 : LTD1b</i>						
Cabochon	16059	245	Cabochon avec substance de fixation	Base-cuivre	1	1	1.4
Coulure	16059	247	Coulure	Base-cuivre	1	1	5
Déchet de fabrication	16126		Déchet de fabrication	Fer	1	0	6.3
Ferrure	16126	1626	Fragments de ferrure dont au moins deux différentes	Fer	7	2	188
Fibule	16126	1813	Ardillon et une spire de ressort de fibule	Base-cuivre	1	1	2
Indéterminé objet	16023		Fragment informe	Fer	1	1	17.7
Indéterminé plat	16126		Fragment de bande de fer plat	Fer	1	1	5.2
Indéterminé plat	16023		Fragments de bande de plat	Fer	2	1	3.6
Indéterminé tige	16023		Fragments de tige indéterminée	Fer	2	1	8.5
Indéterminé tôle	16023		Fragment de tôle	Base-cuivre	1	1	0.2
Indéterminé tôle	16126		Fragment de tôle	Base-cuivre	1	0	0.3
Indéterminé tôle	16126	1605	Fragment de tôle perforée	Base-cuivre	10	1	6
Indéterminé tôle	15426		Fragment de tôle	Fer	1	0	3
Indéterminé tôle	16023		Fragments de tôle	Fer	4	1	40
Clou	16126	1628	Clou de menuiserie plié	Fer	1	1	23
Clou	16126		Constr.: 1 frgt; men.: 48 frgts; 73 tiges	Fer	122	49	794
Clou	16023		Constr.: 2 frgts; men.: 22 frgts; 43 tiges	Fer	67	24	284
Clou	15426		Men.: 12 frgts; 17 tiges	Fer	29	12	129
Clou	16059		Men.: 13 frgts; 15 tiges	Fer	28	13	130
Rivet (bc)	16126	1601	Clou-rivet en une pièce à tête hémisphérique creuse	Base-cuivre	1	1	0.3
Rivet (bc)	16059	246	Tête de rivet	Base-cuivre	1	1	0.5
Scorie (fer)	16126	1396	Calotte	Fer	1	1	240
Scorie (fer)	16059	251	Calotte, voire double calotte	Fer	1	1	251
Scorie (fer)	16059	250	Fragment de calotte	Fer	1	1	151
Scorie (fer)	16126	1625	Fragments de calotte	Fer	10	1	211
Scorie (fer)	16126	1627	Fragments de calotte	Fer	3	1	261
Scorie (fer)	16126		Fragments de scorie informe très métallique	Fer	7	1	288
A7-13-St 16063	<i>Non phasé</i>						
Clou	16064		Men.: 10 frgts; 12 tiges	Fer	22	10	124
Clou	16064	180	Tige	Fer	1	0	6.4
Scorie (fer)	16064	179	Calotte	Fer	1	1	165
A7-14-Fo 16194	<i>État 1 à 2.1 : LTD1b</i>						
Ferrure	16195		Fragment de ferrure	Fer	1	1	19.5
Clou	16195		Men.: 1 frgt; 1 tige	Fer	2	1	19
A7-15-Fo 16597	<i>État 1 : LTD1b classique</i>						
Indéterminé tôle	16567		Fragment de bande de tôle	Fer	1	1	7
Clou	16567		Men.: 1 frgt	Fer	1	1	2
Clou	16168		Tige	Fer	1	1	11
A7-17-Sb 16165	<i>État 1 : LTD1b classique</i>						
Clou	16166		Men.: 3 frgts	Fer	3	3	37
Clou	16164		Men.: 2 frgts; 5 tiges	Fer	7	2	26
Scorie (fer)	16164	1395	Petite calotte	Fer	1	1	43
A7-19-TP 16148	<i>État 1 : LTD1b classique</i>						
Clou	16149		Men.: 2 frgts	Fer	2	2	14
A7-20-Sb 16144	<i>État 1 : LTD1b classique</i>						
Ferrure	16145		Fragment de ferrure	Fer	1	0	30.1
Ferrure	16145	1600	Fragment de ferrure et fragment de plat	Fer	2	1	34.5
Ferrure	16145		Fragment de fine ferrure	Fer	1	0	2.8
Indéterminé tôle	16145		Fragments de tôle	Fer	5	1	15.5
Clou	16145		Men.: 6 frgts; 7 tiges	Fer	13	6	72
A7-21-Sb 16142	<i>État 1 : LTD1b classique</i>						
Clou	16143		Men.: 3 frgts; 1 tiges	Fer	4	3	37
A7-22-Sb 16137	<i>État 1 : LTD1b classique</i>						
Clou	16137		Men.: 2 frgts	Fer	2	2	12
A7-23-sol 16218	<i>État 1 : LTD1b classique</i>						
Indéterminé tige	16128		Tiges de section rectangulaire et de section ronde	Fer	2	1	1.2
Clou	16128		Men.: 1 frgt; 5 tiges	Fer	6	1	26
A7-24-Fo 16129	<i>État 2 lato sensu : LTD1b évoluée-LTD2</i>						
Clou	16015		2 tiges	Fer	2	1	37
Piton	16015	79	Piton fermé à deux pointes parallèles	Fer	1	1	23.4
A7-25-Sb 16028	<i>État 1 : LTD1b classique</i>						
Clou de chaussure	16029		Clou de chaussure	Fer	1	1	0.5
Clou	16029		Men.: 9 frgts; 7 tiges	Fer	16	9	70
A7-26-Sb 16119	<i>État 1 : LTD1b classique</i>						
Indéterminé plat	16120		Fragment de plat	Fer	4	1	27.1

Type d'objet	UF	No	Description	Métal	NR	NMI	M(g)
Clou	16120		Men.: 7 frgts; 9 tiges	Fer	16	7	102
A7-27-TP 16122	<i>État 1 : LTD1b classique</i>						
Indéterminé tôle	16123		Fragment de tôle	Fer	1	1	2
Clou	16123		Tige	Fer	1	1	5
ACI-1-décapage	<i>Décapage</i>						
Anneau (fer)	16532		Anneau de section carrée	Fer	1	1	19.6
Anneau (fer)	15428	599	Fragment d'anneau de section ronde	Fer	1	1	3.7
Cabochon	15646	1101	Cabochon avec substance de fixation	Base-cuivre	1	1	0.6
Cabochon	15646	1095	Cabochon avec trace de plomb	Base-cuivre	1	1	0.9
Chute de tige appointée	15428	1704	Chute de tige de section carrée appointée	Fer	1	1	2.5
Chute de tige appointée	16014	1762	Chutes de tige appointée de section carrée (2 fois 38 mm)	Fer	2	2	2.5
Clou de chaussure	15646		Clous de chaussure	Fer	4	4	7
Clou de chaussure	15428		Clous de chaussure	Fer	7	7	13.9
Crampon	15428	615	Fragment de crampon	Fer	1	1	5.6
Ferrure	15646	995	Fragment de bande de fer plat	Fer	1	1	77.3
Ferrure	15428		Fragment de ferrure	Fer	3	0	17
Ferrure	15428	725	Fragment de ferrure	Fer	1	0	9
Ferrure	15646	1050	Fragment de ferrure	Fer	1	0	5.2
Ferrure	15428	526	Fragment de ferrure avec un clou en position fonctionnelle	Fer	1	1	41
Ferrure	15428	614	Fragment de ferrure avec un clou en position fonctionnelle	Fer	1	0	25.8
Fibule	16014	1761	Ressort de fibule à quatre spires (deux conservées) et corde indéterminée.	Fer	1	1	2.5
Indéterminé objet	16599	1355	Fragment de plat triangulaire avec une perforation	Fer	1	1	18.5
Indéterminé plat	16014		Fragment de plat	Fer	1	1	10
Indéterminé plat	16048		Fragment de plat	Fer	1	1	3.6
Indéterminé tige	15428		Fragment de tige de section ronde	Fer	1	1	1.4
Indéterminé tige	15646		Fragment de tige de section ronde	Fer	1	0	0.5
Indéterminé tige	16048	155	Tige	Fer	1	1	4.2
Indéterminé tige	15646		Tige de section ronde	Fer	2	1	0.9
Indéterminé tige	16014		Tige de section ronde	Fer	1	1	0.2
Indéterminé tige	16048		Tige en crochet indéterminée	Fer	1	0	1.8
Indéterminé tôle	15428	756	Fragment de tôle	Base-cuivre	1	0	2
Indéterminé tôle	15646	1104	Fragment de tôle	Base-cuivre	1	1	1.4
Indéterminé tôle	15646	1747	Fragment de tôle	Base-cuivre	1	0	0.3
Indéterminé tôle	15428	909	Fragments de tôle	Base-cuivre	1	1	0.4
Indéterminé tôle	15428	601	Fragment de bande de fer plat	Fer	1	0	27
Indéterminé tôle	15428	1244	Fragment de bande de tôle	Fer	1	0	41.4
Indéterminé tôle	15428	584	Fragment de tôle	Fer	1	1	5
Indéterminé tôle	15646	1054	Fragment de tôle	Fer	1	1	7.5
Indéterminé tôle	16532	1604	Fragment de tôle avec deux bords conservés dont un relevé	Fer	1	0	38
Indéterminé tôle	15428	590	Fragments de tôle avec un rivet en une pièce	Fer	2	0	7.5
Indéterminé tôle	15646		Fragment de tôle dont une repliée et une bande de tôle	Fer	8	0	22
Indéterminé tôle	15646	1074	Fragment de tôle incurvée	Fer	1	0	11.8
Indéterminé tôle	16014		Fragment de tôle perforée	Fer	2	1	23.3
Indéterminé tôle	16532	1352	Fragment de tôle perforée	Fer	1	1	38
Indéterminé tôle	15635		Fragments de tôle dont une pliée	Fer	4	1	35
Maillon rapide	15428	578	Fragment de maillon rapide de section ronde	Fer	1	1	2.8
Clou	15428	616	Clou de construction	Fer	1	1	73
Clou	15428		Constr.: 3 frgts; men.: 97 frgts dont un à tête hémisphérique creuse; 155 tiges	Fer	255	100	1038
Clou	15428	586	Men.: 1 frgt	Fer	1	1	7.2
Clou	15428	917	Men.: 1 frgt	Fer	1	1	14.2
Clou	15646		Men.: 134 frgt; 160 tiges	Fer	294	134	1050
Clou	16599		Men.: 14 frgts; 8 tiges	Fer	22	4	137
Clou	16048		Men.: 19 frgts; 29 tiges	Fer	48	19	301
Clou	16594		Men.: 3 frgts; 2 tiges	Fer	5	3	24
Clou	16014		Men.: 53 frgts; 63 tiges	Fer	116	53	534
Clou	15635		Men.: 6 frgts; 13 tiges	Fer	19	6	68
Clou	16007		Men.: 8 frgts; 8 tiges	Fer	16	8	92
Clou	15428	765	Tige	Fer	1	0	4
Clou	15646	996	Tige de clou	Fer	1	0	7
Rivet (bc)	15428	583	Clou-rivet à tête hémisphérique creuse	Base-cuivre	1	1	0.4
Rivet (bc)	15646	1096	Rivet par refoulement avec trace de tôle en fer	Base-cuivre	1	1	0.7
Rivet (fer)	15635		Contreplaque de rivet	Fer	1	1	1.2
Rivet (fer)	15646	988	Rivet en une pièce par refoulement	Fer	1	1	5.1
Rivet (fer)	15428	618	Tête de rivet hémisphérique creuse	Fer	1	1	3.7

Type d'objet	UF	No	Description	Métal	NR	NMI	M(g)
Rivet (fer)	15428		Tige de clou-rivet par repli	Fer	1	0	6.3
Scorie (fer)	15428	602	Fragment de scorie	Fer	1	0	26
Scorie (fer)	15428	722	Scorie informe	Fer	1	1	23
Scorie (fer)	15428	737	Scorie informe	Fer	1	0	6
ACI-2-épannage	<i>Non phasé</i>						
Cabochon	16008	65	Cabochon	Base-cuivre	1	1	0.4
Chute de tige appointée	15665	1738	Chute de tige appointée de section carrée	Fer	1	1	0.4
Ferrure	15665	1026	Ferrure triangulaire	Fer	1	1	36
Indéterminé plat	16019	90	Fragment de plat triangulaire	Fer	1	1	14.5
Indéterminé tôle	16019	98	Fragment de tôle	Base-cuivre	1	1	0.1
Indéterminé tôle	16019		Fragment de bande de tôle	Fer	1	1	5.8
Indéterminé tôle	16008		Fragment de tôle	Fer	10	1	35
Clou	16008		Constr. 1 frgt: men.: 21 frgts; 29 tiges	Fer	51	22	216
Clou	16019		Men.: 7 frgts; 5 tiges	Fer	12	7	73
Clou	15665		Men.: 8 frgts; 11 tiges	Fer	19	8	76
Clou	15665	1049	Tige	Fer	1	0	5.7
ACI-3-Mur 15702	<i>État 4 lato sensu : époque romaine</i>						
Piton	15702	72	Piton fermé par enroulement	Fer	1	1	6
ACI-4-16557	<i>État 1 à 2.1 : LTD1b</i>						
Indéterminé tôle	16557	1824	Fragment de bande de tôle	Base-cuivre	1	1	0.3
Clou	16557		Men.: 10 frgts; 8 tiges	Fer	18	10	106
Scorie (fer)	16557	1397	Fragment de scorie	Fer	1	1	18
ACI-5-Fo 16520	<i>État 1 : LTD1b classique</i>						
Clou	16521		Men.: 1 frgt	Fer	1	1	16
ACI-6-Fo 16055	<i>État 1 : LTD1b classique</i>						
Clou	16056		Men.: 5 frgts; 7 tiges	Fer	12	5	81
ACI-7-TP 16046	<i>État 1 et 2 lato sensu : LTD1b-LTD2</i>						
Clou	16047		Men.: 1 frgt	Fer	1	1	14
A8 et A4-1-décapage	<i>Décapage</i>						
Cabochon	15629	969	Cabochon	Base-cuivre	1	1	0.3
Cabochon	15629	900	Cabochon avec trace de plomb	Base-cuivre	1	1	0.4
Ferrure	15629	904	Fragment de ferrure	Fer	1	0	70.4
Ferrure	15629	1089	Tôle repliée sur elle-même avec trace de rivet. Ferrure.	Fer	1	1	73.4
Indéterminé plat	15629		Fragments de plat	Fer	5	1	34
Indéterminé tôle	15629	965	Fragment de tôle	Base-cuivre	1	1	0.3
Indéterminé tôle	15629	919	Fragments de tôle	Base-cuivre	2	0	0.6
Clou	15629		Men.: 38 frgts dont un à tête hémisphérique creuse; 64 tiges	Fer	102	38	483
Rivet (bc)	15629	921	Clou-rivet à tête hémisphérique creuse	Base-cuivre	1	1	0.2
Scorie (fer)	15629	903	Scorie	Fer	1	1	15.2
A8-1-décapage	<i>Décapage</i>						
Anneau (fer)	15429	718	Anneau de section lenticulaire	Fer	1	1	13.8
Cabochon	16000	17	Cabochon avec substance de fixation	Base-cuivre	1	1	1.2
Chute de tôle repliée	16000	2	Chute de tôle repliée	Base-cuivre	1	1	2.8
Clou de chaussure	15429		Clou de chaussure	Fer	1	1	2.1
Clou de chaussure	15471	707	Clou de chaussure	Fer	1	1	0.6
Clou de chaussure	15471		Tête de clou de chaussure très usée, présence de globules	Fer	1	1	0.2
Indéterminé plat	15429	680	Fragment de plat	Fer	1	0	5.6
Indéterminé tige	15429		Tige de section ronde	Base-cuivre	1	1	0.9
Indéterminé tige	15429	651	Tige	Fer	1	0	1.9
Indéterminé tige	15429		Tige de section rectangulaire	Fer	1	0	0.9
Indéterminé tige	15471		Tige de section rectangulaire	Fer	1	1	2.2
Indéterminé tige	15429	603	Tige de section ronde	Fer	1	1	4.5
Indéterminé tôle	16000	8	Fragment de tôle perforée	Base-cuivre	1	1	0.9
Indéterminé tôle	15429	631	Fragment de bande de tôle enroulé	Fer	1	1	7.6
Indéterminé tôle	15429		Fragment de tôle	Fer	1	0	9.9
Indéterminé tôle	15429	620	Fragment de tôle	Fer	1	1	26.2
Indéterminé tôle	16000	1	Fragment de tôle	Fer	1	1	104
Clou	15429		Men.: 24 frgts; 61 tiges	Fer	85	24	410
Clou	15559		Men.: 6 frgts; 12 tiges	Fer	18	6	85
Clou	15471		Men.: 9 frgts; 14 tiges	Fer	23	9	86
Clou	15429	652	Tige	Fer	1	0	1.1
Clou	15608		Tige	Fer	1	1	4
Rivet (bc)	15429	606	Rivet par refoulement	Base-cuivre	1	1	0.4
Scorie (fer)	15429		Fragment de scorie	Fer	1	1	33
A8-2-épannage	<i>État 1 et 2 lato sensu : LTD1b-LTD2</i>						
Cabochon	15667	1112	Cabochon	Base-cuivre	1	1	0.6

Type d'objet	UF	No	Description	Métal	NR	NMI	M(g)
Cabochon	16009	1829	Cabochon	Base-cuivre	1	1	0.6
Clou de chaussure	15616		Clou de chaussure	Fer	1	1	1.6
Clou de chaussure	15667		Clou de chaussure	Fer	1	1	2
Clou de chaussure	16009		Clou de chaussure	Fer	1	1	0.3
Ferrure	15667		Fragment de ferrure replié sur lui-même	Fer	1	1	5
Fibule	16009	1779	Fragment de ressort de fibule (deux spires conservées)	Fer	1	1	1.8
Indéterminé informe	15667	1080	Fragment informe	Fer	1	1	7.5
Indéterminé objet	15616	949	Tôle	Fer	1	0	65
Indéterminé objet	15616	950	Tôle	Fer	1	0	199
Indéterminé objet	15616	951	Tôle	Fer	1	0	90
Indéterminé objet	15616	952	Tôle	Fer	1	0	120
Indéterminé objet	15616	954	Tôle	Fer	1	0	15
Indéterminé objet	15616	956	Tôle	Fer	1	0	101
Indéterminé objet	15616	957	Tôle	Fer	1	0	233
Indéterminé objet	15616	958	Tôle	Fer	1	0	205
Indéterminé objet	15616	959	Tôle	Fer	1	0	48
Indéterminé objet	15616	960	Tôle	Fer	1	0	240
Indéterminé objet	15616	961	Tôle	Fer	1	0	143
Indéterminé objet	15616	962	Tôle	Fer	1	0	12
Indéterminé objet	15616	963	Tôle	Fer	1	0	10
Indéterminé objet	15616	964	Tôle	Fer	1	0	125
Indéterminé plat	16039	143	Fragment de bande de fer plat	Fer	1	1	59
Indéterminé plat	15616		Fragment de fine bande de fer plat	Fer	1	1	9.3
Indéterminé plat	16009		Fragment de bande de fer plat pliée sur elle-même	Fer	1	1	6
Indéterminé plat	16009		Fragment de fer plat	Fer	1	0	14
Indéterminé plat	16026		Fragments de bande de fer plat	Fer	3	1	21.3
Indéterminé tige	16009	68	Tige de section ronde pliée à l'angle droit.	Fer	1	1	34.5
Indéterminé tige	16009		Tige indéterminée	Fer	1	0	5.5
Indéterminé tôle	15667	1037	Fragment de tôle	Base-cuivre	1	1	0.6
Indéterminé tôle	16009	75	Fragment de tôle	Base-cuivre	1	1	0.1
Indéterminé tôle	15616		Fragment de tôle	Fer	1	0	1.8
Indéterminé tôle	15667	1038	Fragment de tôle	Fer	1	1	7.9
Indéterminé tôle	15667	1069	Fragment de tôle	Fer	1	0	20.1
Indéterminé tôle	15667	1077	Fragments de tôle	Fer	2	0	5.4
Indéterminé tôle	16039		Fragments de tôle	Fer	4	0	18.1
Indéterminé tôle	15616		Fragments de tôle avec un bord plié	Fer	2	1	64.7
Indéterminé tôle	15667		Fragments de tôle	Fer	13	1	55.4
Indéterminé tôle	15667	1068	Fragments de tôle	Fer	3	0	21.5
Indéterminé tôle	15667	1241	Fragments de tôle	Fer	4	0	26
Indéterminé tôle	16039	224	Fragments de tôle avec trace de rivet et de perforation	Fer	8	1	95
Indéterminé tôle	15667	1243	Grand fragment de tôle	Fer	1	1	32.7
Indéterminé tôle	16009		Fragments de tôle dont un plié	Fer	12	1	75
Clou	15667	1239	Men.: 1 frgt	Fer	1	1	9
Clou	15616		Men.: 18 frgts; 29 tiges	Fer	47	18	172
Clou	15644		Men.: 3 frgts	Fer	3	3	35
Clou	15667		Men.: 41 frgts; 87 tiges	Fer	128	41	549
Clou	16039		Men.: 7 frgts; 17 tiges	Fer	24	7	114
Clou	15667	1247	Tige	Fer	1	0	5
Clou	16009		Men.: 30 frgts; 41 tiges	Fer	71	30	388
Clou	15668		Tige	Fer	1	1	1
Clou	16026		Men.: 25 frgts dont un à tête hémisphérique creuse; 35 tiges	Fer	60	25	269
Clou	16026	140	Tige	Fer	1	0	13
Clou	16026	160	Tige	Fer	1	0	14.3
Rivet (fer)	15616	950	Clou-rivet à contreplaque	Fer	1	1	15
Rivet (fer)	15667		Tige et contreplaque de rivet	Fer	1	1	12.1
Scorie (fer)	15667		Scorie	Fer	1	1	18.6
Scorie (fer)	16009		Scorie	Fer	1	1	25.9
Scorie (fer)	16026		Fragment de scorie	Fer	1	1	10
A8-4-Sb 16038			<i>État 1 : LTD1b classique</i>				
Clou	16038		Men.: 6 frgts; 1 tige	Fer	7	6	49
A9-2-épandage			<i>État 2.1 : LTD1b évoluée</i>				
Cabochon	16021	104	Cabochon avec trace de plomb	Base-cuivre	1	1	0.3
Indéterminé plat	16021	116	Fragments de bande de fer plat	Fer	2	1	16.7
Indéterminé tige	16021		Fragment de tige de section rectangulaire	Fer	1	1	8
Indéterminé tôle	16021	103	Fragment de tôle perforée	Base-cuivre	1	1	0.1
Indéterminé tôle	16021		Fragment de tôle	Fer	1	1	12

Type d'objet	UF	No	Description	Métal	NR	NMI	M(g)
Clou	16021		Men.: 8 frgts; 15 tiges	Fer	23	8	89
Rivet (bc)	16021	105	Clou-rivet	Base-cuivre	1	1	0.7
A9-3-TP 16533	<i>État 1 à 2.1 : LTD1b</i>						
Ferrure	16534		Fragment de ferrure	Fer	1	1	19
Clou	16534		Men.: 2 frgts	Fer	2	2	12
A9-4-sol 16083	<i>État 2.1 : LTD1b évoluée</i>						
Anneau (fer)	15658		Fragment d'anneau de section carrée	Fer	1	1	6
Chute de tige appointée	15658	1711	Chute de tige de section carrée appointée	Fer	1	1	0.7
Coulure	15658	1032	Coulure	Base-cuivre	1	1	2.7
Indéterminé plat	16083		Fragment de bande de fer plat	Fer	3	1	20
Indéterminé tige	16083	1768	Fragment de tige de section ronde	Base-cuivre	1	1	0.3
Indéterminé tige	16083		Fragment de tige de section ronde	Fer	2	1	1
Indéterminé tige	15658		Tige de section ronde	Fer	2	1	0.9
Indéterminé tôle	16083	1618	Fragment de bande de tôle perforée	Base-cuivre	1	1	1.2
Indéterminé tôle	15658	1119b	Fragment de tôle	Fer	2	1	5.5
Indéterminé tôle	15658		Fragments de tôle	Fer	4	1	12
Indéterminé tôle	15658		Fragments de tôle	Fer	11	1	37
Indéterminé tôle	16083		Fragments de tôle	Fer	5	1	10
Clou	15658	1119a	Men.: 1 frgt	Fer	1	1	21
Clou	16083		Men.: 23 frgts; 28 tiges	Fer	51	23	302
Clou	15658		Men.: 26 frgts; 56 tiges	Fer	82	26	305
Rivet (bc)	15658	1140	Clou-rivet en une pièce	Base-cuivre	1	1	1
A9-5-TP 16100	<i>État 2.1 : LTD1b évoluée</i>						
Clou	16099		Men.: 1 frgt	Fer	1	1	7
A10-1-décapage	<i>Décapage</i>						
Anneau (fer)	16005	27	Anneau de section ronde	Fer	1	1	11.5
Cabochon	16121	273	Deux cabochons avec substance de fixation	Base-cuivre	2	2	0.9
Clou de chaussure	16005	31	Clou de chaussure	Fer	1	1	2.3
Crampon	16121		Crampon	Fer	1	1	7.8
Ferrure	16049	152	Fragment de ferrure	Fer	1	1	13.4
Ferrure	16121		Fragments de ferrure	Fer	4	1	23.8
Goutte	16006	64	Goutte	Base-cuivre	1	1	0.8
Indéterminé objet	16061	1784	Fragments de tige terminée par un plat	Fer	3	1	4.8
Indéterminé plat	16121		Fragment de plat	Fer	1	1	10.8
Indéterminé tôle	16005	28	Fragment de tôle	Base-cuivre	1	1	0.2
Indéterminé tôle	16121		Fragment de tôle perforée	Base-cuivre	2	0	1
Indéterminé tôle	16121	1805	Fragments de tôle perforée	Base-cuivre	2	1	0.1
Indéterminé tôle	16005		Fragments de tôle	Fer	7	1	39
Indéterminé tôle	16006	49	Fragments de tôle	Fer	5	1	21.1
Indéterminé tôle	16061		Fragments de tôle	Fer	4	1	11
Clou	16061		Men.: 44 frgts; 48 tiges	Fer	92	44	476
Clou	16006		Men.: 5 frgts; 10 tiges	Fer	15	5	71
Clou	16005		Men.: 52 frgts; 77 tiges	Fer	129	52	546
Clou	16121		Men.: 71 frgts, dont un à tête hémisphérique creuse; 91 tiges	Fer	162	71	1044
Rivet (bc)	16121	267	Clou-rivet à tête hémisphérique pleine et tige en fer	Base-cuivre	1	1	4.5
Rivet (bc)	16005	50	Clou-rivet en une pièce	Base-cuivre	1	1	0.6
Rivet (fer)	16121		Contreplaque de rivet	Fer	1	1	3
Scorie (fer)	16121	279	Fragment de calotte	Fer	1	1	46
A10-2-Fo 16134	<i>État 1 : LTD1b classique</i>						
Ferrure	16135		Fragment de ferrure	Fer	1	1	10
Indéterminé plat	16135		Fragment de bande de fer plat	Fer	1	1	9.6
Indéterminé tôle	16135		Fragment de tôle	Fer	1	1	4.6
Clou	16135		Men.: 23 frgts; 35 tiges	Fer	58	23	358
A10-3-Fo 16146	<i>État 1 : LTD1b classique</i>						
Clou	16147		Men.: 6 frgts; 16 tiges	Fer	22	6	112
A10-4-TP 16169	<i>État 1 : LTD1b classique</i>						
Clou	16174		Men.: 1 frgt; 2 tiges	Fer	3	1	18
Piton	16174		Fragment de piton	Fer	1	1	8.6
A10-5-TP 16579	<i>État 1 : LTD1b classique</i>						
Clou	16581		Men.: 3 frgts	Fer	3	3	30
A10-6-Fo 16577	<i>État 2 lato sensu : LTD1b évoluée-LTD2</i>						
Indéterminé barre	16578	1774	Fragment de barre informe	Fer	2	1	26.2
Clou	16578		Men.: 10 frgts; 12 tiges	Fer	22	10	94
Piton	16578	1773	Fragment de piton à oeillet	Fer	1	1	14.3
Scorie (fer)	16578	1399	Scorie informe	Fer	1	1	41.3

Type d'objet	UF	No	Description	Métal	NR	NMI	M(g)
A10-7-Sb 16085	<i>État 2.1 : LTD1b évoluée</i>						
Clou	16084		Men.: 2 frgts; 2 tiges	Fer	4	2	33
A10-8-TP 16131	<i>État 2.1 : LTD1b évoluée</i>						
Indéterminé tôle	16132		Angle de tôle	Fer	1	1	8.5
Indéterminé tôle	16132		Fragments de tôle	Fer	5	0	20.6
Clou	16132		Constr.: 1 frgt	Fer	1	1	41
Clou	16132		Men.: 8 frgts; 6 tiges	Fer	14	8	85
A10-9-TP 16160	<i>État 2.1 : LTD1b évoluée</i>						
Indéterminé plat	16160		Fragment de plat	Fer	1	1	18.4
Indéterminé tôle	16161		Fragment de bande de tôle	Fer	4	1	21.8
Clou	16161		Men.: 3 frgts; 3 tiges	Fer	6	3	32
Clou	16160		Tige	Fer	1	1	5
AB-1-décapage	<i>Décapage</i>						
Cabochon	15612	1218	Cabochon	Base-cuivre	1	1	0.5
Cabochon	15420	595	Cabochon avec plomb de fixation	Base-cuivre	1	1	
Cabochon	15420	596	Cabochon avec substance de fixation	Base-cuivre	1	1	0.3
Cabochon	15420	597	Cabochon avec substance de fixation	Base-cuivre	1	1	0.3
Clou de ferrure	15612		Clou de ferrure	Fer	1	1	2.4
Coulure	15612	1751	Coulure	Base-cuivre	1	1	0.4
Crampon	15612		Fragment de crampon	Fer	1	1	3
Ferrure	15628		Fragment de bande de ferrure	Fer	1	1	30.8
Indéterminé plat	15612		Fragment de bande de fer plat pliée	Fer	1	1	3.5
Indéterminé tige	15420	652	Fragment de tige de section indéterminée appointée	Base-cuivre	1	0	2.3
Indéterminé tige	15420	591	Tige de section ronde	Base-cuivre	1	1	0.3
Indéterminé tige	15420	636	Tige de section ronde	Base-cuivre	1	0	0.5
Indéterminé tige	15612		Tige de section rectangulaire	Fer	1	1	7.2
Indéterminé tige	15612		Tige de section ronde	Fer	1	1	1.5
Indéterminé tôle	15612	1221	Fragment de tôle	Base-cuivre	1	1	0.6
Indéterminé tôle	15420	650	Fragment de tôle	Fer	1	0	4.5
Indéterminé tôle	15612	1135	Fragment de tôle	Fer	1	1	13.9
Indéterminé tôle	16080	226	Fragment de tôle	Fer	1	0	36.4
Indéterminé tôle	16080	226	Fragment de tôle	Fer	1	1	36.4
Indéterminé tôle	15420		Fragment de tôle avec trace d'alliage cuivreux	Fer	1	1	4
Indéterminé tôle	15420	635	Fragment de tôle incurvée	Fer	1	1	23.9
Indéterminé tôle	15420		Fragments de tôle	Fer	8	0	42.7
Maillon rapide	16080	227	Maillon rapide de section ronde	Fer	1	1	19.8
Clou	16080		Men.: 1 frgt à tête hémisphérique creuse	Fer	1	1	19
Clou	15628		Men.: 2 frgts	Fer	2	2	23
Clou	15612		Men.: 29 frgts dont un à tête hémisphérique creuse; 36 tiges	Fer	65	29	288
Clou	15420		Men.: 9 frgts; 16 tiges	Fer	25	9	114
Clou	16080	225	Tige	Fer	1	0	23.8
Rivet (bc)	15612	1225	Clou-rivet à tête hémisphérique creuse	Base-cuivre	1	1	0.6
Rivet (fer)	15420		Fragment de contreplaque de rivet	Fer	1	1	3.4
Scorie (fer)	15420	639	Calotte	Fer	1	1	65
Scorie (fer)	15420	598	Calotte avec objet à l'intérieur (?)	Fer	1	1	224
Scorie (fer)	15420	637	Scorie d'alliage cuivreux et de fer	Fer	1	1	69.9
AB-2-épandage	<i>État 1 à 2.1 : LTD1b</i>						
Clou	14042		Men.: 1 frgt, 1 tige	Fer	2	1	5.1
AB-2-Fo 16089	<i>État 2.1 : LTD1b évoluée</i>						
Indéterminé plat	16090		Fragment de plat	Fer	1	1	28.2
Clou	16090		Men.: 2 frgts; 4 tiges	Fer	6	2	37

BÂTIMENT B

Décapage

B-1-décapage

Planche 35, 1. 15472, n° 627.

Fibule à ressort à quatre spires (deux conservées) et corde interne, à arc tendu filiforme de section circulaire et à pied rattaché sur l'arc par une pince à petites lignes incisées. Base-cuivre.
L. 46 mm, L. (arc) 28 mm, S. 2,5 mm. 1.5 g.
E : 1122.6. N : 1171.25. Alt. : 573.44.
Type : B21-1.

Planche 35, 2. 15473, n° 803.

Fragment de fibule à ressort à quatre spires (deux conservées) et corde interne et départ d'arc de tôle triangulaire fin. Base-cuivre.
L. 14 mm, l. (arc) 3 mm. 0.5 g.
E : 1126.3. N : 1169.4. Alt. : /.
Type : B22-0.

Planche 35, 3. 16201, n° 825.

Arc de fibule de tôle triangulaire fin à bordures soulignées par une rainure et lignes interrompant le décor. Base-cuivre.
L. 23 mm. 0.3 g.
E : 1120. N : 1183.*
Type : B22-05.

Planche 35, 4. 16201, n° 862.

Fibule à ressort à quatre spires et corde interne et à arc de tôle triangulaire fin à bordures soulignées par une rainure. Base-cuivre.
L. 33 mm, L. (arc) 22 mm, l. (arc) 3 mm. 0.8 g.
E : 1116.7. N : 1191.8. Alt. : 573.87.
Type : B22-03.

Planche 35, 5. 16201, n° 829.

Fragment de ressort de fibule à ressort à six spires (trois conservées unilatéralement) et corde externe basse. Fer.
L. 37 mm. 17.4 g.
E : 1133.15. N : 1187.65. Alt. : 573.6.
Type : F10-3.

Planche 35, 6. 15472, n° 763.

Fibule à ressort à quatre spires et corde externe et à arc rubané coudé de section rectangulaire. Fer.
L. 18 mm, S. 3 x 5 mm. 2.8 g.
E : 1126.12. N : 1176.05.
Type : F33-10.

Planche 35, 7. 15428, n° 527.

Fibule à ressort à quatre spires et corde interne et à arc coudé décoré d'une perle. Fer.
L. 35 mm, L. (arc) 23 mm. 1.6 g.
E : 1123.2. N : 1152.3. Alt. : 573.49. UF.
Type : F24-4.

Planche 35, 8. 15472, n° 978.

Fragment de bracelet à épissures à jonc de section ovale. Base-cuivre.
L. 25 mm, S. 3 x 2 mm. 1.2 g.
E : 1126.7. N : 1172.96. UF.
Type : B12-1.

Planche 35, 9. 16201, n° 933.

Anneau-bague constitué d'une tige de section

ronde appointée à chaque extrémité. Bague à épissures? Base-cuivre.
Diam. int. 17 mm, S. 2 mm. 0.6 g.
E : 1130. N : 1192.*
Type : 1.

Planche 35, 10. 15473, n° 793.

Perle de section hémisphérique. Base-cuivre.
Diam. 9 mm, S. 3 x 2 mm. 1.2 g.
E : 1129.57. N : 1172.13. Alt. : 573.32.

Planche 35, 11. 16257, n° 884.

Anneau de section ronde. Base-cuivre.
Diam. 14 mm, S. 2 mm. 0.9 g.
E : 1121.5. N : 1189.6.*

Planche 35, 12. 15472, n° 729.

Perle cannelée avec une cannelure centrale. Base-cuivre.
Diam. 15 mm, S. 4 x 3 mm. 2.6 g.
E : 1127.72. N : 1170.41.

Planche 35, 13. 15472, n° 743.

Applique vestimentaire constituée d'une tige torsadée avec une perforation à chaque extrémité. Base-cuivre.
L. 20 mm. 0.4 g.
E : 1125. N : 1177.8. Alt. : 573.45.

Planche 35, 14. 16201, n° 917.

Espaceur de collier constitué d'une tige enroulée. Base-cuivre.
L. 13 mm, diam. 2,5 mm. 0.7 g.
E : 1117.5. N : 1191.8. Alt. : 573.43.

Planche 35, 15. 16201, n° 852.

Fragment d'orle en gouttière avec trace de bois minéralisé. Fer.
L. 64 mm, S. 6 x 12 mm. 14.2 g.
E : 1129.5. N : 1197.3. Alt. : 573.63.
Type : Gouttière.

Planche 35, 16. 16201, n° 1752.

Fragment d'orle en gouttière avec trace de bois minéralisé à l'intérieur. Fer.
L. 23 mm, S. 10 x 6 mm. 2.5 g.
E : 1128. N : 1181.*
Type : Gouttière.

Planche 35, 17. 16201, n° 846.

Aiguille cassée au niveau du chas. Base-cuivre.
L. 34 mm. 0.3 g.
E : 1132. N : 1195.3. Alt. : 573.63.

Planche 35, 18. 16201, n° 849.

Extrémité matée d'outil de section circulaire. Fer.
Daim. 16 mm, ht. 22 mm. 26.3 g.
E : 1127. N : 1191.8. Alt. : 573.71.

Planche 35, 19. 15473, n° 1700.

Chute de plaque de section rectangulaire. Fer.
L. 42 mm, l. 20 mm, ép. 10 mm. 40 g.
E : 1135. N : 1174.*

Planche 35, 20. 16201, n° 845.

Poucier de passoire fragmentaire. Base-cuivre.
L. 23 mm, ép. 1,5 mm. 3 g.
E : 1130.4. N : 1193.85. Alt. : 573.65.

Planche 35, 21. 15472, n° 728.

Mors de pince à épiler à bordures soulignées

par une ligne incisée. Base-cuivre.
L. 40 mm, l. 9 mm. 1.1 g.
E : 1127.95. N : 1170.67.

Planche 35, 22. 16201, n° 828.

Pique-bœuf réalisé par l'enroulement d'une tige. Fer.
L. 43 mm, diam. 14 mm. 9.9 g.
E : 1131.7. N : 1182.5. Alt. : 573.7.

Planche 35, 23. 15473, n° 782.

Quartz taillé et usé, avec trace de sertissage central. Incrustation centrale de pendentif-cage? Lithique.
L. 23 mm. 2.9 g.
E : 1132.79. N : 1170.44. Alt. : 573.23.

Planche 35, 24. 16200, n° 820.

Fragment de cerclage de seau avec bordures en relief et perforation centrale. Base-cuivre.
L. 24 mm, l. 30 mm. 1.6 g.
E : 1125. N : 1180.2.*

Planche 35, 25. 16201, n° 823.

Fragment indéterminé comprenant un plat de section lenticulaire avec une découpe circulaire. Chute? Fer.
L. 23 mm. 1.5 g.
E : 1123. N : 1186.*

Planche 35, 26. 16201, n° 1795.

Clou à tête hémisphérique pleine. Fer.
L. 92 mm, S. 5 mm. 15.3 g.
E : 1131. N : 1179.

Planche 35, 27. 16201, n° 821.

Fragment de foncet de serrure à entrée rectangulaire. Deux petits trous de fixation sont présents le long de sa bordure conservée et une plus grande perforation (auberonnière) est alignée avec l'entrée. Fer.
L. 88 mm, ép. 2 mm. 16.6 g.
E : 1122. N : 1180.*

Planche 35, 28. 16201, n° 843.

Fragment plié de foncet de serrure avec trois perforations pour garantir sa fixation et entrée en "L". Fer.
L. 73 mm, ép. 2 mm. 54.2 g.
E : 1133.05. N : 1195.3. Alt. : 573.6.

Autres petits mobiliers

15473, n° 768. Fragment de bracelet en verre pourpre à section en "D" (Gebhard 36).
16201, n° 890. Fusaïole en terre cuite légèrement cassée de section triangulaire concave puis convexe.
15473, n° 776. Jeton percé, fusaïole.
16201, n° 815. Jeton.
16201, n° 841. Jeton.
16201, n° 860. Jeton.
16201, n° 961. Monnaie.
15473, n° 802. Monnaie.
16201, n° 801. Monnaie.
16201, n° 806. Monnaie.
16201, n° 816. Monnaie.
16201, n° 856. Monnaie.
15473, n° 775. Monnaie.
16201, n° 807. Monnaie.
16201, n° 813. Monnaie.

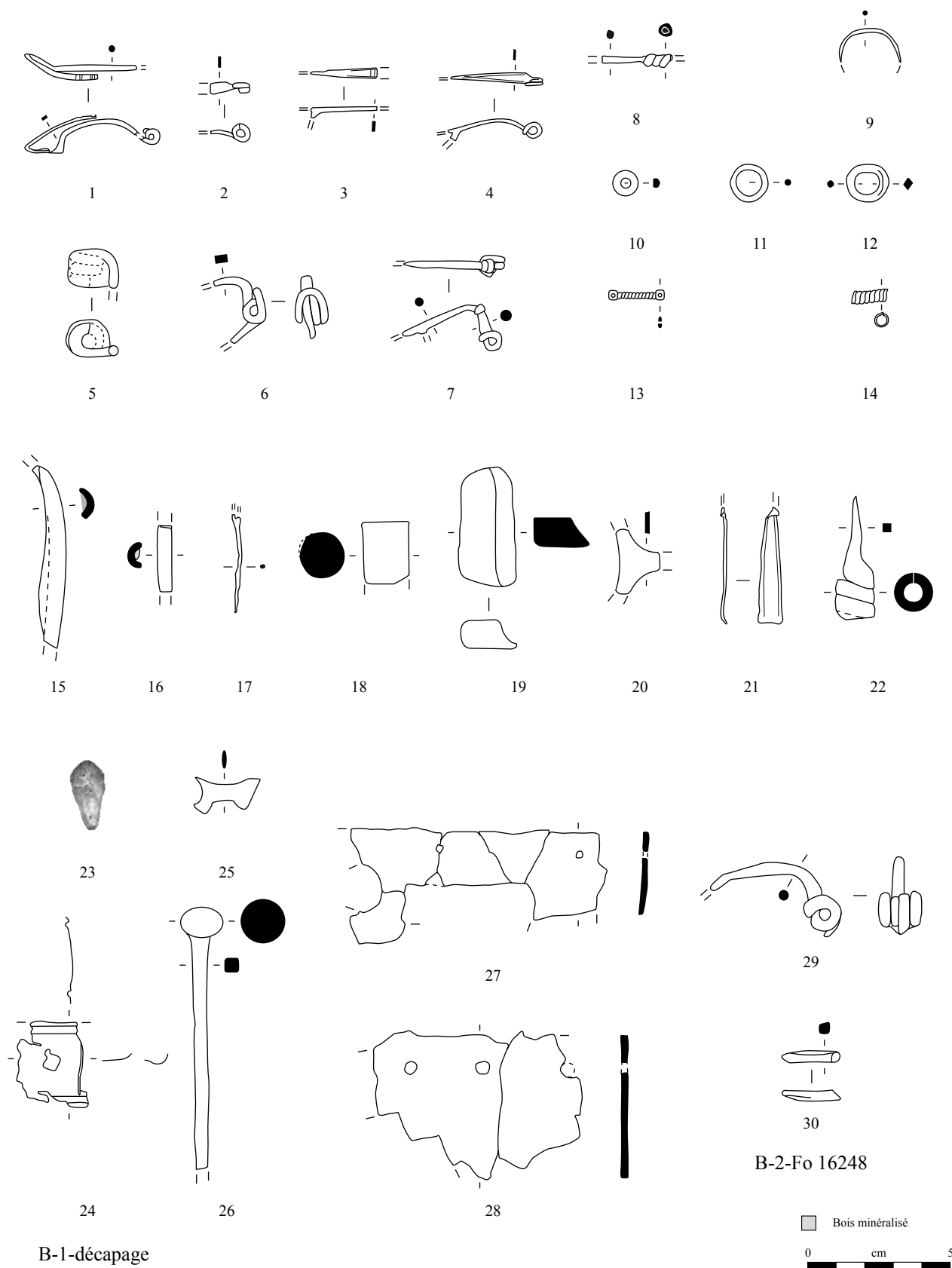


Planche 35. B-1-décapage et B-2-Fo 16248

1-4, 8-14, 17, 20-21, 24, 30 : alliage cuivreux; 5-7, 15-16, 18-19, 25-29 : fer; 23 : quartz.

16201, n° 842. Monnaie.
 15472, n° 733. Monnaie.
 16200, n° 881. Monnaie.
 16200, n° 945. Monnaie.
 16201, n° 842. Monnaie.
 16201, n° 865. Monnaie.
 16201, n° 805. Fragment de grosse perle en verre bleu cobalt à section en "D" et décor spiralé de filament jaune de type Gebhard VIIbd.
 16201, n° 814. Perle en os.
 16201, n° 802. Perle en roche noire.
 16200, n° 880. Perle indéterminée (perdue?).
 16201, n° 851. Anse de balsamaire en verre.
 16201, n° 831. Fragment de verre moulé.

État 4 lato sensu : époque romaine

B-2-Fo 16248

Planche 35, 29. 16249, n° 882.
 Fibule à ressort à quatre spires et corde interne et à arc cambré de section ronde. Fer.
 L. 46 mm, S. 4 mm. 6.4 g.
 E : 1128.3. N : 1192. Alt. : 573.69.
 Type : F23-4.

Planche 35, 30. 16249, n° 983.
 Chute de tige de section quadrangulaire découpée à une extrémité. Base-cuivre.
 L. 20 mm, S. 4 mm. 1.3 g.
 E : 1128.9. N : 1191.5.*

Autres petits mobiliers

16249, n° 847. Balsamaire en verre bleu.
 16249, n° 987. Col de balsamaire en verre.
 16249, n° 985. Fragment de balsamaire en verre bleu en forme d'ampoule avec panse globulaire et début du col.
 16249, n° 986. Jeton.
 16249, n° 990. Monnaie.
 16249, n° 989. Monnaie.
 16249, n° 864. Col de récipient en verre.

Bâtiment B, corps principal

État 1 : LTD1b classique

BCP-1-Ce 15520

Planche 36, 1. 15520, n° 532.
 Fibule à ressort à quatre spires et corde interne et à arc tendu de tôle triangulaire fin à bordures soulignées par une rainure. Base-cuivre.
 L. 37 mm, L. (arc) 24 mm, l. (arc) 3 mm. 0.8 g.
 E : 1127.8. N : 1170.7.*
 Type : B22-03.

Planche 36, 2. 15630, n° 940.
 Ressort de fibule à quatre spires et corde interne et départ d'arc de tôle. Base-cuivre.
 L. 10 mm, l. (arc) 4 mm. 0.3 g.
 E : 1127.4. N : 1170.29.
 Type : B22-0.

Planche 36, 3. 15630, n° 972.
 Fibule à ressort à quatre spires et corde interne et à arc tendu de tôle triangulaire cassé à proximité de la tête. Base-cuivre.
 L. 12 mm, l. (arc) 12 mm. 0.6 g.

E : 1127.53. N : 1170.56.
 Type : B22-0.

Planche 36, 4. 15630, n° 973.
 Fibule à ressort à quatre spires et corde interne et à arc tendu de tôle triangulaire cassé à proximité de la tête. Base-cuivre.
 L. 15 mm, l. (arc) 6 mm. 1.3 g.
 E : 1127.72. N : 1170.7.
 Type : B22-0.

Planche 36, 5. 15663, n° 1019.
 Ardillon et ressort de fibule à quatre spires (deux conservées) et corde interne. Base-cuivre.
 L. 36 mm. 0.9 g.
 E : 1128.36. N : 1169.93.
 Type : B20-0.

Planche 36, 6. 15630, n° 1725.
 Ressort de fibule à quatre spires et corde externe. Fer.
 L. 35 mm. 5 g.
 E : 1127.2. N : 1169.4.*
 Type : F30.

Planche 36, 7. 15630, n° 1763.
 Ardillon et une spire de ressort. Fer.
 L. 50 mm. 1 g.
 E : 1126.5. N : 1170.6.

Planche 36, 8. 15630, n° 939.
 Bague à plateau massif fissuré et anneau cassé au niveau des épaules. Base-cuivre.
 L. 12 mm. 0.9 g.
 E : 1127.43. N : 1170.3.
 Type : 6.

Planche 36, 9. 15630, n° 983.
 Anneau constitué d'une tige de section circulaire irrégulière. Très vraisemblablement l'anneau de la bague 15630/939. Base-cuivre.
 Diam. int. 17 mm, S. 1,5 mm. 0.4 g.
 E : 1127.34. N : 1170.05.
 Type : 1.

Planche 36, 10. 15663, n° 1015.
 Anneau de section lenticulaire. Base-cuivre.
 Diam. 14 mm, S. 5 x 2,5 mm. 3.1 g.
 E : 1128.14. N : 1171.73.

Planche 36, 11. 15519, n° 912.
 Perle à trois cannelures. Base-cuivre.
 Diam. 14 mm, S. 4,5 x 3 mm. 2.7 g.
 E : 1127.6. N : 1170.02.

Planche 36, 12. 15630, n° 977.
 Aiguille cassée au niveau du chas. Base-cuivre.
 L. 30. 0.8 g.
 E : 1126.8. N : 1173.03.

Planche 36, 13. 15630, n° 941.
 Aiguille cassée au niveau de son chas circulaire. Base-cuivre.
 L. 32 mm. 0.6 g.
 E : 1127.37. N : 1170.33.

Planche 36, 14. 15519, n° 1769.
 Broyeur de forme parallélépipédique en granit avec trace de percussion et d'abrasion aux extrémités. Deux traces d'impacts symétriques sur la surface la plus bombée. Lithique.
 L. 78 mm, l. 48 mm, Ép. 35 mm. 85.5 g.
 E : 1126.9. N : 1170.3.*

Planche 36, 15. 15663, n° 1739.
 Fragment de coque d'umbo à rebord épaissi avec le début de l'aillette. Fonctionne avec 15663/1023. Fer.
 L. 104 mm, S. (spina) 110 mm. 8 g.
 E : 1127.6. N : 1171.*
 Type : Indéterminé.

Planche 36, 16. 15663, n° 1023.
 Fragment de coque d'umbo à rebord épaissi. Fer.
 L. 76 mm. 54 g.
 E : 1127.6. N : 1171.*
 Type : Indéterminé.

Planche 36, 17. 15519, n° 896.
 Fragment de lingotière à alvéoles circulaires. Terre cuite.
 L. 39 mm, diam. (alvéole) 17 mm. NP.
 E : 1126.86. N : 1170.2.

Autres petits mobiliers

15519, n° 799. Jeton.
 15519, n° 913. Jeton.
 15519, n°. Trois jetons.
 15630, n° 976. Monnaie.
 15519, n° 804. Monnaie.
 15664, n° 1740. Monnaie.
 15630, n° 938. Monnaie.
 15519, n° 805. Monnaie.
 15630, n° 1021. Monnaie.
 15663, n° 1017. Monnaie.
 15663, n° 1020. Monnaie.
 15519, n° 846. Monnaie.
 15519, n° 798. Fragment de perle oculée à protubérances en verre bleue et à filament jaune opaque.
 15663, n° 1018. Perle en os.
 15630. Fragment de plaque de foyer.

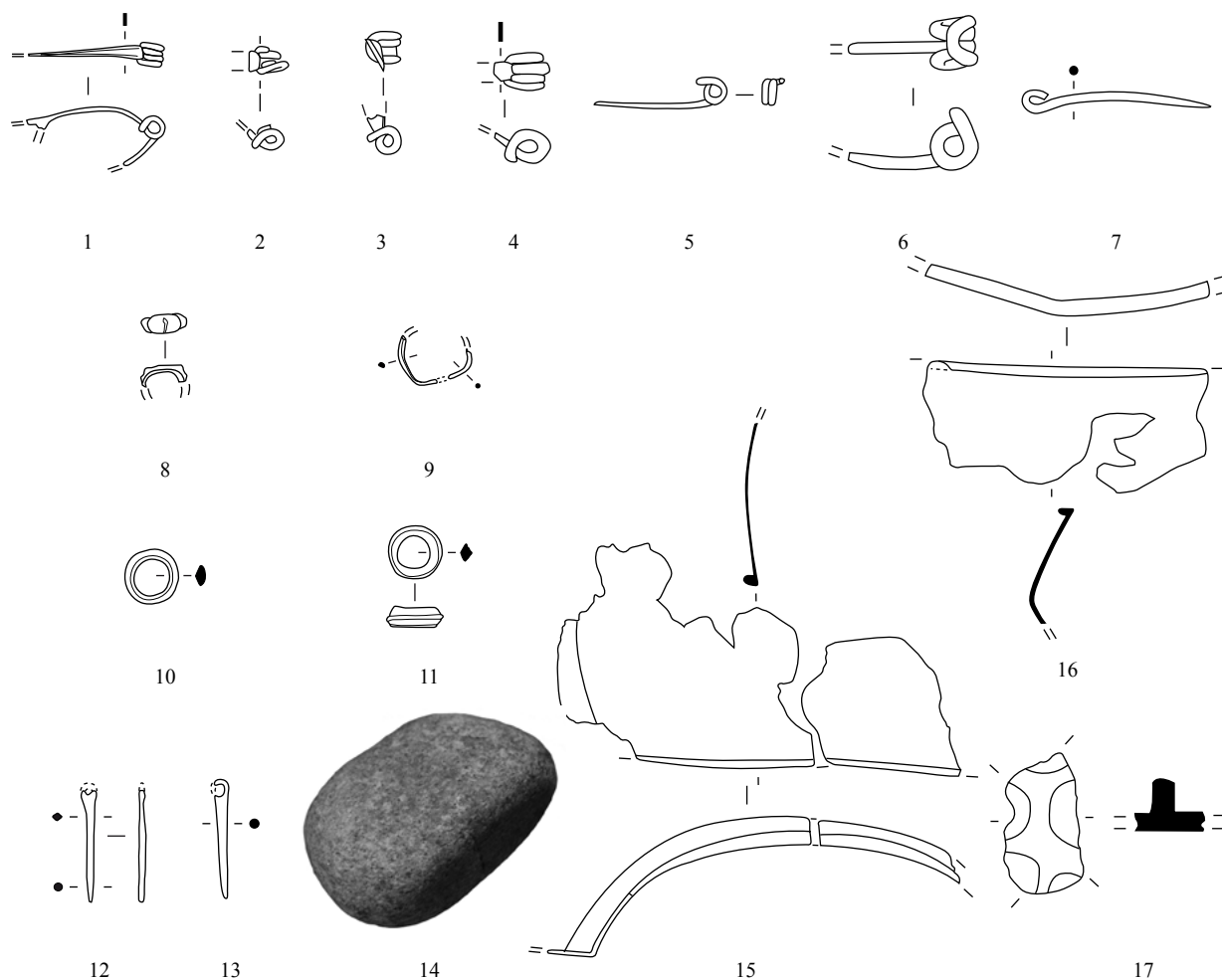
BCP-2-Fo 16218

Planche 36, 18. 16219, n° 994.
 Fibule à ressort à deux spires conservées et à arc coulé de section ronde et pied de schéma La Tène finale. Fer.
 L. 29 mm, L. (arc) 26 mm, S. 2,5 mm. 1 g.
 E : 1121.8. N : 1183.75. Alt. : 573.22.
 Type : F03.

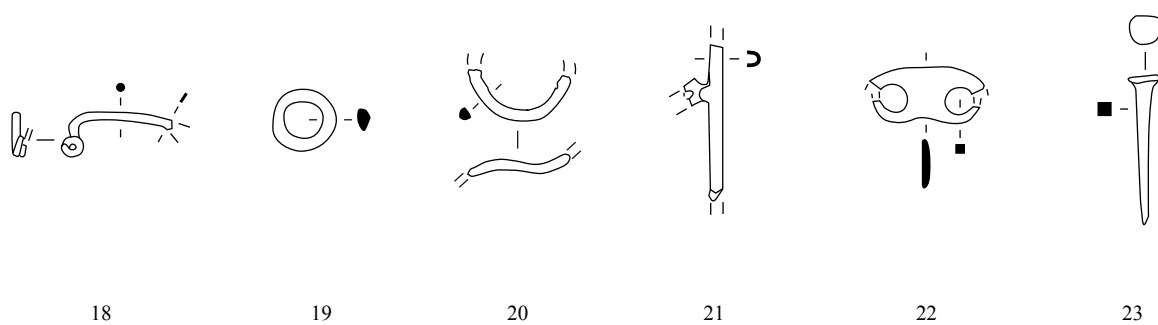
Planche 36, 19. 16219, n° 1008.
 Anneau à section en "D". Base-cuivre.
 Diam. 17 mm, S. 6 x 3 mm. 5.2 g.
 E : 1121.2. N : 1183.7.*

Planche 36, 20. 16219, n° 997.
 Fragment d'anneau à section en "D". Base-cuivre.
 Diam. 28 mm, S. 3 mm. 2 g.
 E : 1121.5. N : 1183.8. Alt. : 573.18.

Planche 36, 21. 16219, n° 993.
 Gouttière de fourreau avec bouton et départ d'entretoise. Base-cuivre.
 L. 42 mm. 1.3 g.
 E : 1121. N : 1183.7.*



BCP-1-Ce 15520



BCP-2-Fo 16218

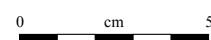


Planche 36. BCP-1-Ce 15520 et BCP-2-Fo 16218

1-5, 8-13, 19-23 : alliage cuivreux; 6-7, 15-16, 18 : fer; 14 : granit; 17 : terre cuite.

Planche 36, 22. 16219, n° 995.

Pied de cruche de type Kelheim avec deux perforations circulaires. Base-cuivre.

L. 31 mm, ép. 2 mm. 2.4 g.

E : 1121.4. N : 1183.7. Alt. : 573.2.

Planche 36, 23. 16219, n° 1001.

Grand clou-rivet en une pièce. Base-cuivre.

L. 40 mm, diam. (tête) 8 mm, S. 4 mm. 4.3 g.

E : 1121.7. N : 1183.7. Alt. : /.

Autres petits mobiliers

16219, n° 1007. Fragment de bracelet en verre bleu à cinq côtes et décor de filament (Gebhard 20).

16219, n° 1035. Chenet pyramidal en terre cuite.

16219, n° 1004. Déchet de tabletterie à découpe circulaire.

16219, n° 1005. Fragment de fuseau ou de stylet en os constitué d'un fragment de tige conique.

16219, n° 1009. Huit jetons.

16219, n° 1002. Jeton.

16219, n° 998. Jeton.

16219, n° 999. Monnaie.

16219, n° 1000. Monnaie.

16219, n° 67. Monnaie.

16219, n° 1015. Fragment de perle torique en verre bleu cobalt à décor de damier blanc et pourpre (Gebhard VIIde).

16219, n° 1014. Nodule de pigment rouge.

16219, n° 1013. Fragment de plaque de foyer.

16219, n° 1016. Fragment de plaque de foyer.

Bâtiment B, corps principal

État 1 et 2 lato sensu : LTD1b-LTD2

BCP-6-épandage

Planche 37, 1. 16246, n° 1744.

Arc coudé de fibule de schéma La Tène moyenne avec fixation du pied par une perle. Fer.

L. 46 mm, S. 3,5 mm. 2.8 g.

E : 1134.9. N : 1181.3.*

Type : F01-3.

Planche 37, 2. 16246, n° 930.

Fibule à ressort à quatre spires (deux conservées) et corde interne et à arc tendu de tôle triangulaire rétréci au milieu de l'arc pour terminer par un fil de section carrée. Le pied est ajouré et partiellement conservé et l'ardillon est manquant. Base-cuivre.

L. 59 mm, L. (arc) 40 mm, l. (arc) 8 mm. 2 g.

E : 1132. N : 1182.*

Type : B22-24.

Planche 37, 3. 16246, n° 935.

Bouterolle triangulaire à gouttière angulaire. Fer.

L. 35 mm, S. (gouttière) 4,5 mm x 4,5 mm. 7.7 g.

E : 1131.6. N : 1184.7. Alt. : 573.24.

Planche 37, 4. 16246, n° 932.

Tranchant de ciseau droit évasé à simple biseau à manche de section carrée. Fer.

L. 50 mm, S. 4 mm, L. (tranchant) 11 mm. 4.2 g.

E : 1131.5. N : 1181.8. Alt. : 573.15.

Planche 37, 5. 16233, n° 972.

Foncet de serrure arrachée composé d'une plaque rectangulaire avec une entrée formant un "L" et rivetée à deux ferrures sur la face avers de la plaque. Aucune perforation n'a pu être décelée dans les angles. Fer.

L. 196 mm, L. (plaque) 191 mm, l. (plaque) 140

mm, L. (ferrure) 196 mm, l. (ferrure) 19 mm, L. (accueillage) 66 et 33 mm. 273 g.

E : 1122.3. N : 1183. Alt. : 573.80.

Planche 37, 6. 16235, n° 867.

Clou de construction à grosse tête plate. Fer.

L. 62 mm, S. 9 mm. 52 g.

E : 1122.05. N : 1181.25. Alt. : 573.79.

Planche 37, 7. 16233, n° 1050.

Clé à pression de lame à corps en "S et anneau terminal. Fer.

L. 76 mm, S. 6 mm. 38.8 g.

E : 1121.6. N : 1182.6. Alt. : 573.78.

Autres petits mobiliers

16237, n° 923. Fragment de bracelet en verre pourpre à section triangulaire (Gebhard 37).

16246, n° 934. Jeton percé, fusaïole.

16245, n° 944. Monnaie.

16237, n° 936. Monnaie.

16245, n° 916. Monnaie.

16245, n° 928. Monnaie.

16246, n° 918. Monnaie.

16235, n° 874. Monnaie.

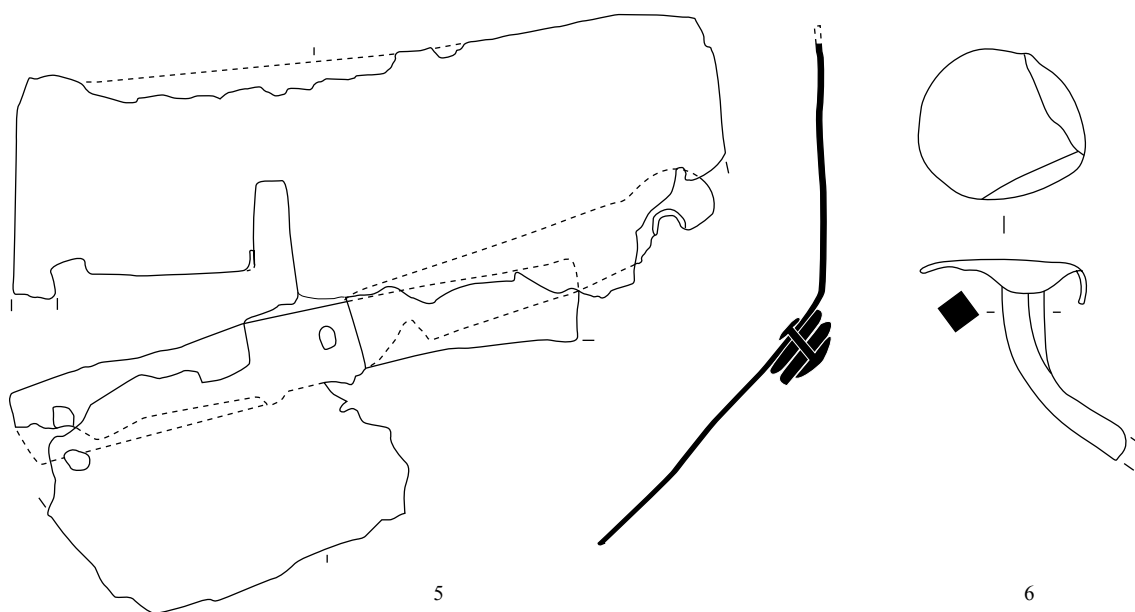
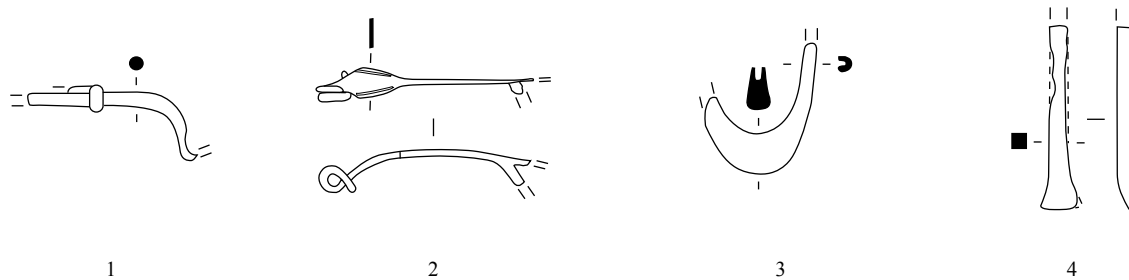


Planche 37. BCP-6-épandage

1, 3-7: fer; 2 : alliage cuivreux.

Bâtiment B, corps principal

État 1 : LTD1b classique

BCP-3-Sb 15441

Planche 38, 1. 16287, n° 1747.

Fragment indéterminé de tôle ondulée avec une perforation. Base-cuivre.

L. 19 mm. 0.4 g.

E : 1121.2. N : 1180.2.*

État 2 lato sensu : LTD1b évoluée-LTD2

BCP-5-Fo 16231

Planche 38, 2. 16232, n° 1749.

Fragment de fibule à ressort à quatre spires et corde interne et à arc plié vers l'extérieur de section lenticulaire. Fer.

L. 28 mm, S. 2 x 5 mm. 3 g.

E : 1125. N : 1180.7.*

Type : F23-0.

Planche 38, 3. 16232, n° 943.

Attache de ceinturon à anneau circulaire et bouton rectangulaire ornée de rainures longitudinales. Base-cuivre.

L. 20 mm, diam. 18 mm, S. 3 mm, L. (bouton) 18 mm. 7 g.

E : 1125.3. N : 1179.9. Alt. : 573.19.

Type : B44-1.

Planche 38, 4. 16232, n° 1025.

Fragment d'éperon constitué d'un plat incurvé avec un élargissement central, dont la perforation contient encore de la matière. Fer.

L. 51 mm, ép. 3 mm. 5.5 g.

E : 1124.5. N : 1180.*

Planche 38, 5. 16232, n° 1003.

Distributeur de courroie constitué d'un anneau quadrangulaire avec trois attaches de tôles rivetées. Base-cuivre.

L. 28 mm, diam. 27 mm, S. 5 mm. 14.2 g.

E : 1125. N : 1180.6. Alt. : 573.13.

Autres petits mobiliers

16232, n° 953. Jeton.

16231, n° 866. Monnaie.

État 1 : LTD1b classique

BCP-7-TP 15443

Planche 38, 6. 15444, n° 749.

Fragment de bracelet à jonc lisse à section ovale. Base-cuivre.

L. 53 mm, diam. int. 60 mm, S. 4 x 3 mm. 2.7 g.

E : 1122.9. N : 1178.5. Alt. : 573.52.

Type : B10-2.

Planche 38, 7. 15444, n° 755.

Rouelle à quatre rayons. Base-cuivre.

Diam. 20 mm. 1 g.

E : 1122.8. N : 1178.43. Alt. : 573.26.

Planche 38, 8. 15444, n° 752.

Perle de section ronde. Base-cuivre.

Diam. 14 mm, S. 4,5 mm. 3.6 g.

E : 1123.04. N : 1178.2. Alt. : 573.54.

Planche 38, 9. 15443, n° 746.

Fragment d'anneau de section ronde. Base-cuivre.

Diam. 20 mm, S. 4,5 mm. 2.3 g.

E : 1122.8. N : 1178.82. Alt. : 573.71.

Planche 38, 10. 15444, n° 751.

Anneau cannelé très abîmé. Base-cuivre.

Diam. 30 mm, S 6 x 4 mm. 10.1 g.

E : 1123.06. N : 1178.04. Alt. : 573.5.

Planche 38, 11. 15444, n° 760.

Fragment de collerette de chaudron réparée constituée d'une tôle repliée à sa base présentant des multiples perforations et des rivets en alliage cuivreux. Fer.

L. 97 mm, l. 66 mm, ép. 0,5 mm. 22.5 g.

E : 1122.88. N : 1178.5. Alt. : 573.2.

Planche 38, 11. 15444, n° 759.

Fragment de collerette de chaudron réparée constituée d'une tôle repliée à sa base présentant des multiples perforations et des rivets en alliage cuivreux. Fer et base-cuivre.

L. 97 mm, l. 66 mm. 21.8 g.

E : 1122.88. N : 1178.5. Alt. : 573.2.

BCP-8-Sb 15483

15484, n° 747. Monnaie.

BCP-11-Sb 16212

Planche 38, 12. 16213, n° 1741.

Ressort de fibule à quatre spires et corde interne. Fer.

L. 19 mm. 3 g.

E : 1121.3. N : 1184.9.

Type : F20.

Planche 38, 13. 16213, n° 966.

Ardillon et ressort de fibule à quatre spires (deux conservées) et corde interne. Base-cuivre.

L. 36 mm. 0.7 g.

E : 1123.1. N : 1184.7. Alt. : 573.23.

Type : B20-0.

Planche 38, 14. 16213, n° 952.

Fragment d'anneau de section circulaire. Base-cuivre.

L. 23 mm, diam. 30 mm, S. 3 mm. 1.6 g.

E : 1123.8. N : 1184.3. Alt. : 573.25.

Planche 38, 15. 16213, n° 949.

Anneau à section en "D". Base-cuivre.

Diam. 14 mm, S. 4,5 x 2 mm. 2.6 g.

E : 1122.3. N : 1184. Alt. : /.

Autres petits mobiliers

16213, n° 951. Jeton.

16213, n° 967. Jeton.

16213, n° 955a. Monnaie.

BCP-17-TP 15584

Planche 38, 16. 15584, n° 823.

Anneau à section en quart de rond. Base-cuivre.

Diam. 24 mm, S. 5 x 2 mm. 4.5 g.

E : 1130.5. N : 1173.7. Alt. : 573.08.

BCP-18-TP 15586

Planche 38, 17. 15586, n° 853.

Fragment de bracelet à jonc lisse à section ovale. Base-cuivre.

L. 32 mm, diam. int. 72 mm, S. 4 x 2 mm. 3.1 g.

E : 1128.45. N : 1173.73. Alt. : 573.15.

Type : B10-2.

BCP-19-TP 15618

Planche 38, 18. 15619, n° 887.

Fragment de plane à lame de section triangulaire terminé par un tige de section ronde. Fer.

L. 254 mm, l. 17 mm, ép. max. 4,5 mm. 107 g.

E : 1122.1. N : 1168.5.*

Planche 38, 19. 15619, n° 1762.

Virole fragmentaire réalisée avec une bande de tôle. Fer.

Diam. 17 mm, S. 6 x 2 mm. 2.8 g.

E : 1122.2. N : 1168.5.

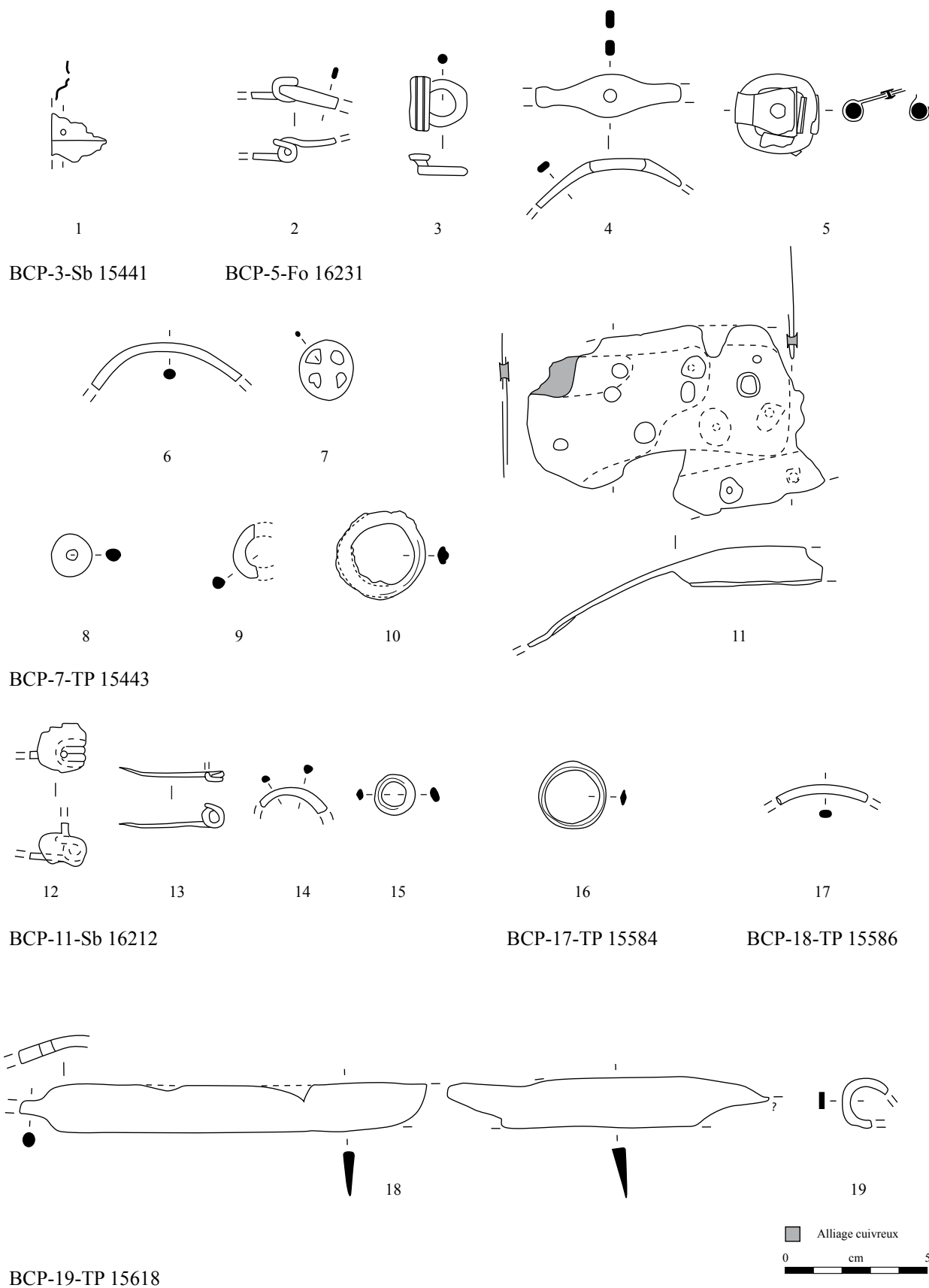


Planche 38. BCP-3-Sb 15441 à BCP-19-TP 15618

1, 3, 5-10, 13-17 : alliage cuivreux; 2, 4, 12, 18-19 : fer; 11 : fer et alliage cuivreux.

Bâtiment B, corps principal

État 1 : LTD1b classique

BCP-21-TP 15679

Planche 39, 1. 15680, n° 1737.
Chute de tige de section carrée. Fer.
L. 38 mm, S. 3 mm. 1.4 g.
E : 1125. N : 1173.*

Planche 39, 2. 15680, n° 1736.
Tas en forme de "T" dont la table est fragmentaire ainsi que la base. Fer.
L. 38 mm, S. (base) 10 mm, L. (table) 30 x 10 mm. 19.3 g.
E : 1125.5. N : 1172.9.*

BCP-22-Sb 16210

Planche 39, 3. 16211, n° 834.
Anneau de section lenticulaire. Base-cuivre.
Diam. 15 mm, S. 4 x 3 mm. 3 g.
E : 1122.8. N : 1185.12. Alt. : 573.74.

Planche 39, 4. 16211, n° 835.
Anneau de section ronde. Base-cuivre.
Diam. 20 mm, S. 4,5 mm. 11 g.
E : 1121.95. N : 1184.89. Alt. : 573.77.

Autres petits mobiliers

16211, n° 1055. Fragment de bracelet en roche noire.
16211, n° 833. Jeton.
16211, n° 836. Monnaie.
16211, n° 946. Fragment de perle en verre bleu cobalt à section en "D" de type Gebhard Vic.

BCP-25-TP 16254

16255, n° 832. Monnaie.

État 2 lato sensu : LTD1b évoluée-LTD2

BCP-27-Sb 15481

Planche 39, 5. 16251, n° 921.
Anneau à section en "D". Base-cuivre.
Diam. 18 mm, S. 5 x 4 mm. 6.7 g.
E : 1120.3. N : 1179.7. Alt. : 573.30.

Planche 39, 6. 16250, n° 873.
Aiguille à chas circulaire. Base-cuivre.
L. 30 mm. 0.7 g.
E : 1117.65. N : 1179.4. Alt. : 573.72.

Autres petits mobiliers

16250, n° 875. Monnaie.

État 1 : LTD1b classique

BCP-28-Sb 16228

Planche 39, 7. 16229, n° 876.
Pique-bœuf constitué d'une tige enroulée. Fer.
L. 41 mm, diam. 15 mm. 7.2 g.
E : 1131.7. N : 1182.5. Alt. : 573.7.

BCP-34-Sb 15499

15500, n° 767. Monnaie.

BCP-35-TP15609

15610, n° 824. Perle indéterminée (perdue?).

BCP-36-TP15529

15530, n° 1199. Deux fragments de meule indéterminée en roche volcanique vacuolaire.

Bâtiment B, cour nord

État 1 et 2 lato sensu

BCN-1-épandage 16340

Planche 39, 8. 16340, n° 853a.
Demi-produit complet constitué d'une tige de section carrée appointée à chaque extrémité. Base-cuivre.
L. 147 mm, S. 2 mm. 2.3 g.
E : 1122.2. N : 1189.45. Alt. : 573.4.

Planche 39, 9. 16340, n° 853b.
Demi-produit complet constitué d'une tige de section carrée appointée à chaque extrémité. Base-cuivre.
L. 134 mm, S. 2 mm. 1.9 g.
E : 1122.25. N : 1189.5. Alt. : 573.4.

Planche 39, 10. 16340, n° 855.
Demi-produit complet constitué d'une tige de section carrée appointée à chaque extrémité et pliée. Base-cuivre.
L. 147 mm, S. 2 mm. 1.7 g.
E : 1122.9. N : 1190.9. Alt. : 573.42.

Planche 39, 11. 16247, n° 854.
Agrafe de ceinturon à anneau ogival et bouton circulaire. Fer.
L. 34 mm, diam. 26 mm, ht. 12 mm. 9.8 g.
E : 1122.8. N : 1190.1. Alt. : 573.78.
Type : F1-1.

Planche 39, 12. 16247, n° 941.
Talon de lance à douille. Fer.
L. 84 mm, diam. 21 mm. 48 g.
E : 1123.75. N : 1189.9. Alt. : 573.5.
Type : 2.

Autres petits mobiliers

16247, n° 940. Fragment de bracelet en roche noire.

Non phasé

BCN-3-Fo 16319

Planche 39, 13. 16320, n° 1040.
Fragment de petite hache dont l'oeil fragmentaire présente du bois minéralisé. Fer.
L. 60 mm, diam. oeil. 15 x 10 mm. 46.3 g.
E : 1120.7. N : 1191.2.*

État 1 à 2.1 : LTD1b

BCN-8-Pal 16303

Planche 39, 14. 16304, n° 1796.
Piton coudé constitué d'une tige de section carrée avec un coude médian. Fer.
L. 86 mm, S. 6 mm. 10.2 g.

E : 1133. N : 1191.6.

Autres petits mobiliers

16304, n° 979. Jeton.
16304, n° 1578. Monnaie.
16304, n° 1623. Monnaie.

BCN-9-Pal 16310

Planche 39, 15. 16310, n° 1010.
Anneau de section losangique. Base-cuivre.
Diam. 21 mm, S. 3 x 2,5 mm. 3.3 g.
E : 1119.8. N : 1193.1. Alt. : /.

BCN-11-TP 16353

Planche 39, 16. 16354, n° 1816.
Perle de section lenticulaire. Base-cuivre.
Diam. 21 mm, S. 3 x 2,5 mm. 1 g.
E : 1120.6. N : 1193.4.*

BCN-13-TP 16349

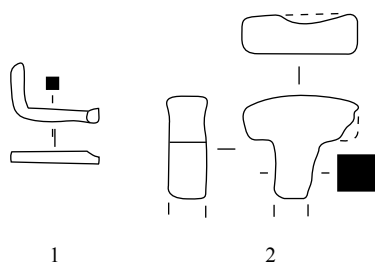
Planche 39, 17. 16349, n° 1847.
Extrémité de pointe de lance à section à nervure centrale et flancs concaves. Fer.
L. 89 mm, l. max. 19 mm. 32.6 g.
E : 1115.1. N : 1193.92.*
Type : 30.

Planche 39, 18. 16349, n° 1848.
Fragment de lèvres de situle déversée. Base-cuivre.
L. 27 mm. 2 g.
E : 1114.91. N : 1193.65.*

État 1 et 2 lato sensu : LTD1b-LTD2

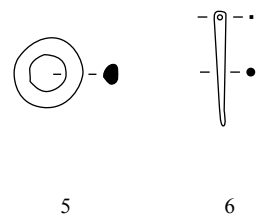
BCN-14-épandage 16263

16263, n° 1588. Monnaie.
16263, n° 1057. Monnaie.

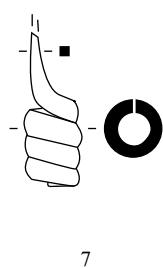


BCP-21-TP 15679

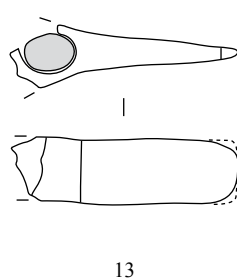
BCP-22-Sb 16210



BCP-27-Sb 15481



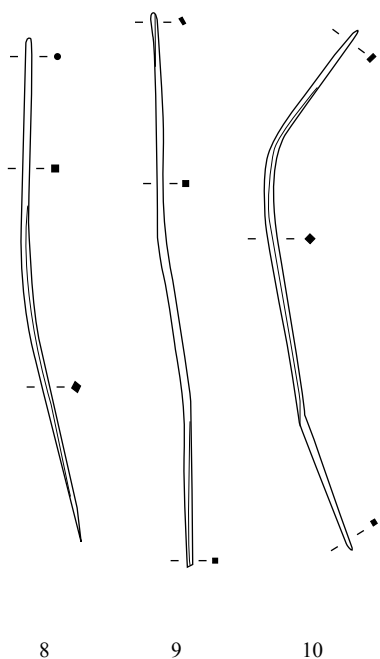
BCP-28-Sb 16228



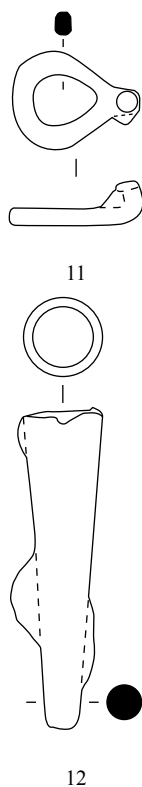
BCN-3-Fo 16319



BCN-8-Pal 16303

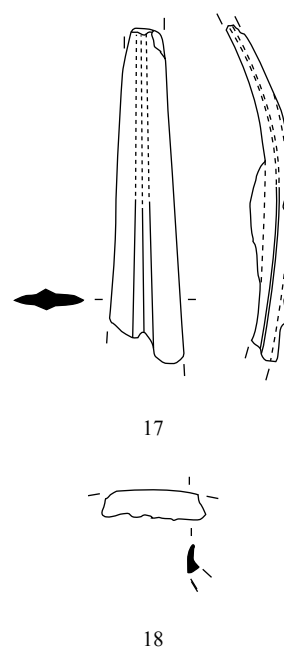


BCN-1-épandage 16340



BCN-9-Pal 16310

BCN-11-TP 16353



BCN-13-TP 16349

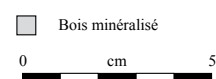


Planche 39. BCP-21-TP 15679 à BCP-28-Sb 16228, BCN-1-épandage 16340 à BCN-13-TP 16349

1-2, 7, 11-14, 17 : fer; 3-6, 8-10, 15-16, 18 : alliage cuivreux.

Bâtiment B, cour ouest

Décapage

BCO-1-décapage

Planche 40, 1. 15450, n° 556.

Fabricat de fibule de Nauheim dont le décor à échelle a été réalisé tandis que le pied n'est pas terminé. De nombreuses traces de martelage y sont encore visibles. Base-cuivre.

L. 68 mm. 1.9 g.

E : 1115.8. N : 1171.2. UF.

Type : B22-01.

Planche 40, 2. 15450, n° 858.

Fibule à ressort à quatre spires (deux conservées) et corde indéterminée et à arc rubané triangulaire. Fer.

L. 50 mm, L. (arc) 42 mm, l. (arc) 11 mm. 4.7 g.

E : 1111.6. N : 1171.02. Alt. : 573.80.

Type : F22-1.

Planche 40, 3. 15450, n° 562.

Chute de tôle perforée repliée sur elle-même. Base-cuivre.

L. 25 mm. 1 g.

E : 1117.6. N : 1173.6. UF.

Planche 40, 4. 15450, n° 624.

Chute de bande incurvée de section trapézoïdale. Fer.

L. 62 mm, l. 25 mm, ép. 12 mm. 108 g.

E : 1112.75. N : 1170.55. Alt. : 573.78.

Planche 40, 5. 15450, n° 1766.

Demi-produit constitué d'une tige de section triangulaire. Base-cuivre.

L. 16 mm, S. 6 x 3 mm. 0.8 g.

E : 1116. N : 1175.*

Planche 40, 6. 15450, n° 623.

Élément de serrure constitué d'une plaque quadrangulaire légèrement fragmentaire avec une bordure en gouttière et deux perforations. Fer.

L. 82 mm, l. 48 mm, ép. 1 mm. 42.2 g.

E : 1112.7. N : 1170.3. Alt. : 573.78.

Autres petits mobiliers

15450, n° 629b. Fragment de perle en verre pourpre à décor en damier bleu opaque (Gebhard XIed).

État 1 et 2 lato sensu : LTD1b-LTD2

BCO-2-épandage 16238

Planche 40, 7. 16238, n° 957.

Perle à section en "D". Base-cuivre.

Diam. 11 mm, S. 6 x 3 mm. 3 g.

E : 1119.8. N : 1179.3. Alt. : 573.30.

Planche 40, 8. 16238, n° 996.

Anneau à section en "D". Base-cuivre.

Diam. 12 mm, S. 4 x 2 mm. 1.5 g.

E : 1120.7. N : 1182.1. Alt. : 573.30.

Planche 40, 9. 16238, n° 958.

Fragment d'anneau de section circulaire. Base-cuivre.

Diam. 18 mm, S. 2 mm. 0.5 g.

E : 1121. N : 1183. Alt. : 573.27.

Planche 40, 10. 16236, n° 938.

Anneau de section lenticulaire. Base-cuivre.

Diam. 14 mm, S. 3 x 2 mm. 1.5 g.

E : 1119.8. N : 1180.3. Alt. : 573.34.

Planche 40, 11. 16238, n° 869.

Ferrure terminée par une perforation et un élargissement à son autre extrémité fragmentaire. Fer.

L. 70 mm, l. 9 mm, ép. 4,5 mm, diam. int. 6 mm. 15.2 g.

E : 1120.7. N : 1181.9. Alt. : 573.78.

Planche 40, 12. 16238, n° 870.

Chute de plaque triangulaire. Base-cuivre.

L. 14 mm, ép. 2 mm. 1.6 g.

E : 1120.3. N : 1182.9. Alt. : 573.81.

Planche 40, 13. 16238, n° 968.

Fragment de lime à voie oblique de section rectangulaire. Fer.

L. 135 mm, S. 15 x 5,5 mm. 47 g.

E : 1120.6. N : 1181.1. Alt. : 573.30.

Planche 40, 14. 16238, n° 1049.

Anneau d'écurie à anneau cannelé dont la tige est fragmentaire. Fer.

L. 88 mm, diam. 78 mm, S. 6 mm. 127 g.

E : 1117.85. N : 1184.75. Alt. : 573.25.

Autres petits mobiliers

16238, n° 942. Fragment de perle en verre pourpre à décor en damier bleu et pourpre opaque de type Gebhard XIed.

BCO-3-lambeaux de sol

Planche 40, 15. 15449, n° 675.

Fibule à ressort à quatre spires et corde interne et à arc tendu triangulaire de tôle large à décor de lignes centrales et de bordures soulignées par une ligne de points. Des lignes perpendiculaires séparent l'arc du pied ajouré. Une partie de l'ardillon et du pied manque. Base-cuivre.

L. 55 mm, L. (arc) 36 mm, l. (arc) 13 mm. 2.5 g.

E : 1115.86. N : 1171.1.

Type : B22-01.

Planche 40, 16. 15449, n° 643.

Fibule à ressort à quatre spires et corde externe et à arc triangulaire de tôle. Fer.

L. 32 mm, S. 6 x 2 mm. 4.3 g.

E : 1118.1. N : 1172.81.

Type : F32.

Planche 40, 17. 15449, n° 644.

Fibule filiforme à ressort à quatre spires et corde externe haute et arc tendu de section losangique. Fer.

L. 71 mm, S. 4 mm. 9.7 g.

E : 1117.63. N : 1171.97.

Type : F33-2.

Planche 40, 18. 15449, n° 1706.

Fragment indéterminé de tôle avec une bordure plus épaisse. Fragment d'umbo, de fourreau? Fer.

L. 46 mm. 23.2 g.

E : 1118.1. N : 1171.*

Planche 40, 19. 16308, n° 1746.

Fragment de lame. Fer.

L. 37 mm. 3.1 g.

E : 1140.8. N : 1191.2.*

Type : 0-0.

Planche 40, 20. 16308, n° 857.

Cure-oreille constitué d'une tige de section circulaire terminée par un cuilléron. Base-cuivre.

L. 30 mm. 0.7 g.

E : 1117. N : 1187.4. Alt. : 573.84.

Planche 40, 21. 15449, n° 647.

Butée de poignée de chaudron cylindrique. Le tenon riveté n'est pas lisible. Fer.

Diam. 17 mm, ht. 10 mm. 10.3 g.

E : 1117.3. N : 1170.8.*

Autres petits mobiliers

15449, n° 646. Jeton.

15451, n° 659. Monnaie.

15589, n° 847. Monnaie.

15449, n° 645. Monnaie.

15449, n° 648. Monnaie.

15449, n° 649. Monnaie.

15449, n° 642. Monnaie.

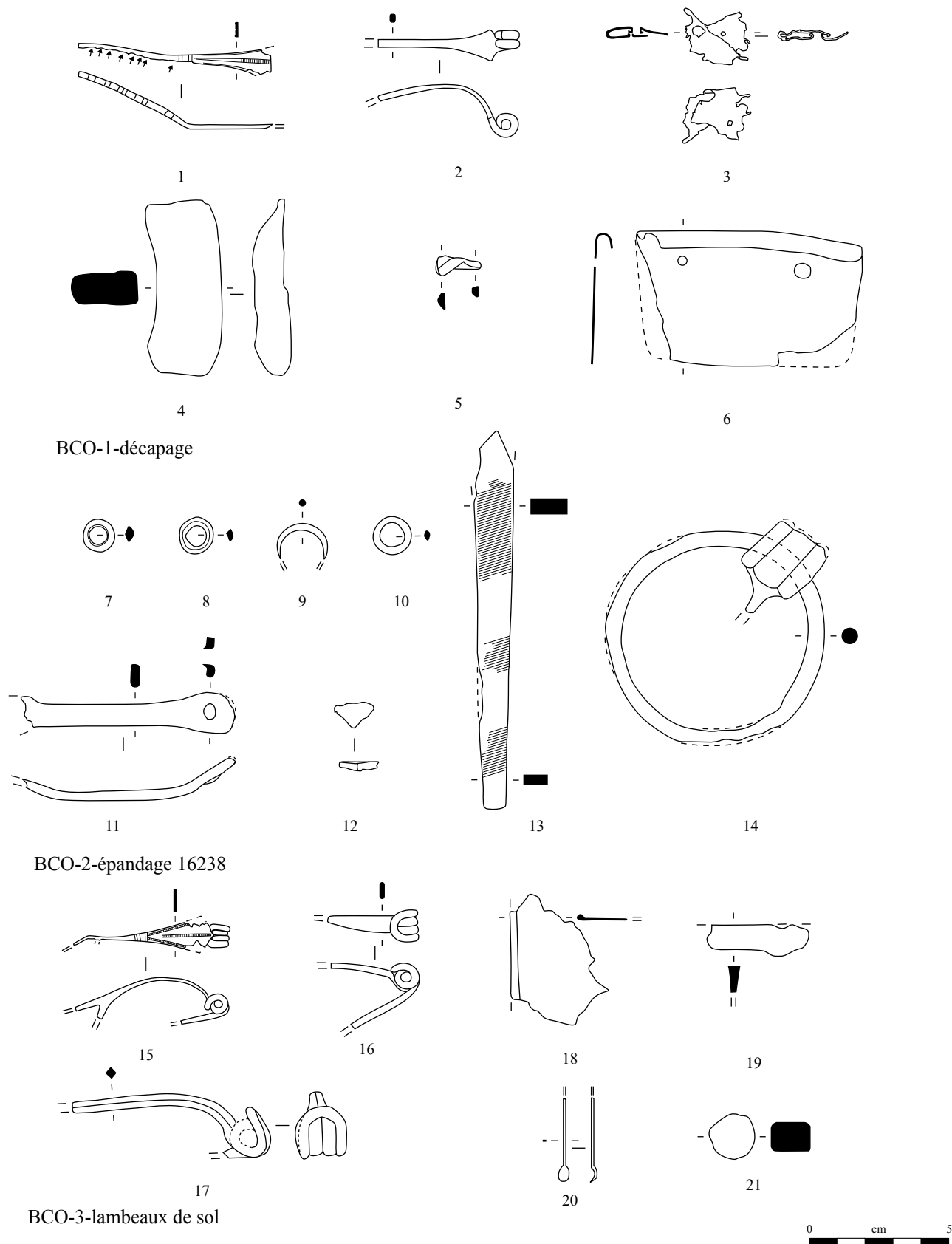


Planche 40. BCO-1-décapage à BCO-3-lambeaux de sol

1, 3, 5, 7-10, 12, 15, 20 : alliage cuivreux; 2, 4, 6, 11, 13-14, 16-19, 21 : fer.

Bâtiment B, cour ouest

Non phasé

BCO-6-Fo 16239

Planche 41, 1. 16239, n° 1023.

Perle à cinq cannelures. Base-cuivre.

Diam. 17 mm, S. 6 x 3 mm. 4.9 g.

E : 1120.5. N : 1181.2.*

Planche 41, 2. 16239, n° 1812.

Fragment d'anneau de section changeante carrée à une extrémité et rectangulaire à l'autre. Fer.

Diam. 68 mm, S. 6 mm. 15.5 g.

E : 1120.5. N : 1181.3.*

Autres petits mobiliers

16239, n° 1022. Fragment de bracelet en roche noire.

16239, n° 1021. Perle en os.

BCO-7-Fo 16322

Planche 41, 3. 16322, n° 1742.

Ressort de fibule à quatre spires et corde interne. Fer.

L. 12 mm. 3.6 g.

E : 1118.2. N : 1181.2.*

Type : F20.

Planche 41, 4. 16322, n° 1017.

Fragment indéterminé de tôle avec un repli formant une gouttière. Lèvre de récipient? Base-cuivre.

L. 69 mm. 2.3 g.

E : 1118.3. N : 1181.2.

BCO-8-Fo 16252

Planche 41, 5. 16253, n° 871.

Anneau à cinq cannelures. Base-cuivre.

Diam. 26 mm, S. 7 x 4 mm. 6.6 g.

E : 1112.8. N : 1182. Alt. : 573.78.

BCO-10-16351

Planche 41, 6. 16352, n° 1032.

Anneau à section circulaire. Base-cuivre.

Diam. 18 mm, S. 4 mm. 5 g.

E : 1112.5. N : 1193.2.*

État 1 : LTD1b classique

BCO-15-15447

Planche 41, 7. 15448, n° 653.

Fragment de collerette de chaudron constituée d'une bande de tôle incurvée avec quatre traces de rivet, dont un en alliage cuivreux à sa base.

Fer et base-cuivre.

L. 83 mm, ép. 0,5 mm. 39.5 g.

E : 1121.2. N : 1171.5.

Autres petits mobiliers

15448, n° 690. Jeton.

BCO-13-15601

Planche 41, 8. 15602, n° 1765.

Fragment d'anneau à section lenticulaire.

Base-cuivre.

Diam. 34 mm, S. 5 x 4 mm. 2 g.

E : 1113.3. N : 1171.6.*

BCO-18-TP 15597

15598, n° 858. Fragment de panse en verre vert olive.

Non phase

BCO-20-Fo 15439

15440, n° 674. Jeton.

État 2 lato sensu : LTD1b évoluée-LTD2

BCO-22-TP 15474

Planche 41, 9. 15475, n° 1767.

Petit abraseur polyédrique de forme rectangulaire avec rétrécissement de préhension en basalte fin. Lithique.

L. 48 mm, l. 40 mm, Ép. 22 mm. 85.5 g.

E : 1114.15. N : 1173.42.*

Planche 41, 10. 15475, n° 1768.

Fragment d'outil pouvant servir de surface de travail et/ou de polissoir en gneiss de forme rectangulaire avec trois côtés conservés. Lithique.

L. 65 mm, l. 64 mm, Ép. 17 mm. 85.5 g.

E : 1113.87. N : 1173.67.*

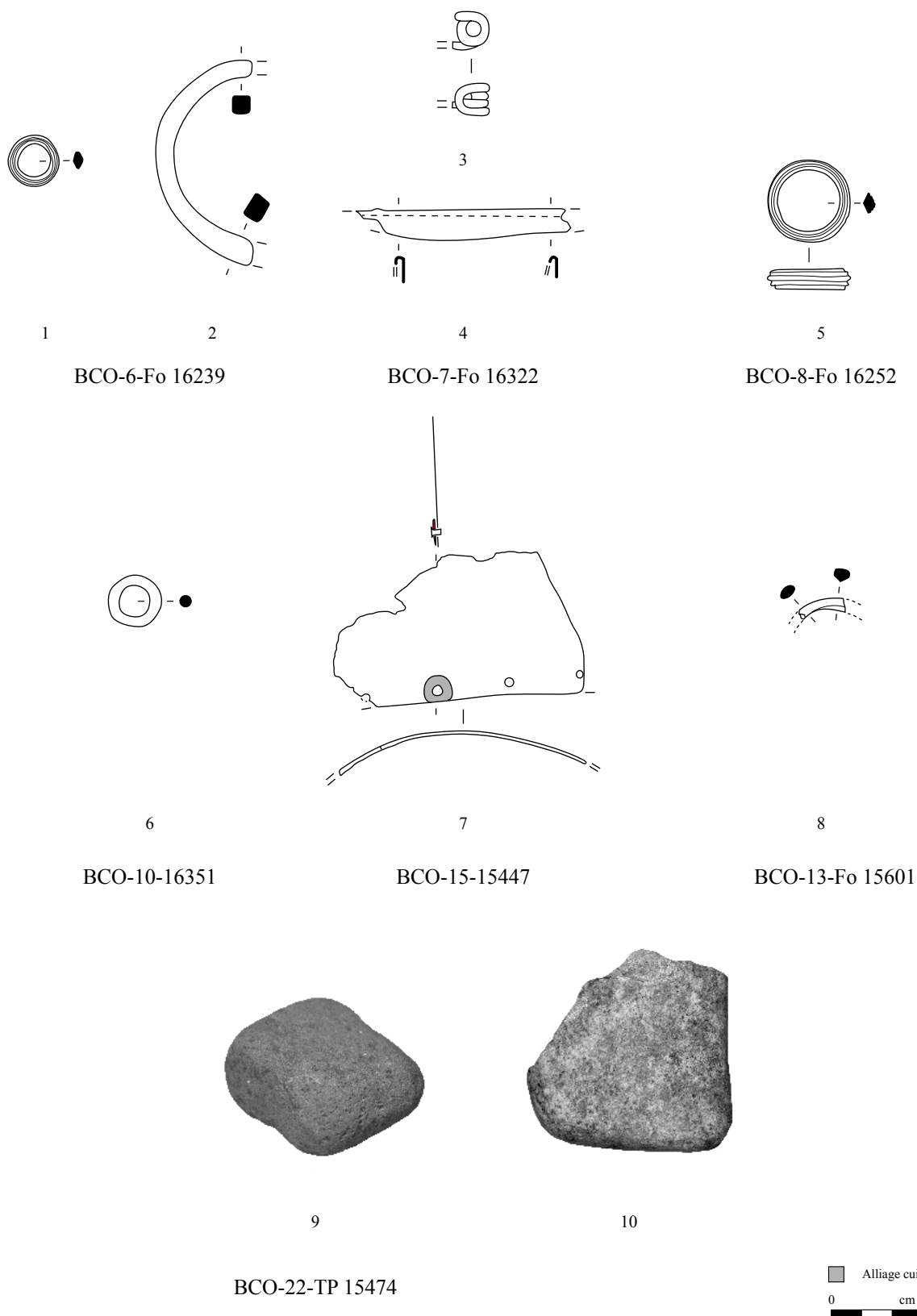


Planche 41. BCO-6-Fo 16239 à BCO-22-TP 15474

1, 4-6, 8 : alliage cuivreux; 2-3 : fer; 7 : fer et alliage cuivreux.

Type d'objet	UF	No	Description	Métal	NR	NMI	M(g)
B-1-décapage	<i>Décapage</i>						
Anneau (fer)	15473		Anneau de section ronde	Fer	1	1	16.7
Cabochon	16201	808	Cabochon	Base-cuivre	1	1	0.9
Cabochon	15472	764	Cabochon avec trace de plomb	Base-cuivre	1	1	1.4
Cabochon	16201	810	Cabochon avec trace de plomb	Base-cuivre	1	1	0.6
Cabochon	16201	824	Cabochon avec trace de plomb	Base-cuivre	1	1	1.2
Cabochon	16201	803	Fragment de cabochon	Base-cuivre	1	1	0.1
Clou de chaussure	16201	826	Clou de chaussure	Fer	1	1	1.6
Clou de chaussure	16201	827	Clou de chaussure	Fer	1	1	1.6
Clou de chaussure	16201		Clous de chaussure	Fer	3	3	6.1
Déchet de fabrication	16201		Déchet	Fer	1	0	8
Ferrure	15472		Ferrure avec clou en position fonctionnelle	Fer	1	1	38.3
Ferrure	15473	777	Ferrure complète pliée avec une perforation à chaque extrémité	Fer	1	1	41.2
Ferrure	15473	806	Fragment de ferrure	Fer	1	1	16.2
Ferrure	16201	822	Fragment de ferrure	Fer	1	1	4
Ferrure	16201	858	Fragment de ferrure	Fer	1	0	23
Fibule	16201	812	Ardillon de fibule	Base-cuivre	1	1	1
Indéterminé objet	16201		Fragments informes dont un perforé	Fer	2	1	34.6
Indéterminé plat	16201	861	Fragment de bande de fer plat	Fer	1	0	30.2
Indéterminé plat	16201	886	Fragment de bande de fer plat	Fer	1	0	12.2
Indéterminé tige	16201	811	Tige de section carrée appointée	Base-cuivre	1	1	0.5
Indéterminé tige	15472		Fragments de tige de section rectangulaire	Fer	2	1	5.2
Indéterminé tige	15473		Tige de section losangique ondulée	Fer	1	1	3.5
Indéterminé tôle	16201	840	Fragment de tôle	Base-cuivre	1	1	0.2
Indéterminé tôle	15473	780	Fragment de tôle brûlée	Base-cuivre	1	1	2.9
Indéterminé tôle	15472		Fragment de bande de tôle	Fer	1	1	4
Indéterminé tôle	15473		Fragment de tôle	Fer	1	1	6.2
Indéterminé tôle	16201	819	Fragment de tôle	Fer	1	0	11
Indéterminé tôle	16201	818	Fragment de tôle perforée	Fer	1	0	24.5
Indéterminé tôle	16201		Fragments de tôle	Fer	38	1	212
Mailion rapide	15472	724	Mailion rapide de section ronde	Fer	1	1	1.3
Mailion rapide	16201	883	Mailion rapide de section ronde	Fer	1	1	3.9
Clou	16201		Men.: 104 frgts; 139 tiges	Fer	243	104	1205
Clou	15473		Men.: 13 frgts; 10 tiges	Fer	23	13	128
Clou	15472		Men.: 15 frgts; 14 tiges	Fer	29	15	201
Rivet (bc)	15473	795	Clou-rivet en une pièce	Base-cuivre	1	1	0.6
Rivet (bc)	16201	1046	Clou-rivet en une pièce	Base-cuivre	1	1	0.5
Rivet (bc)	16201	844	Clou-rivet en une pièce	Base-cuivre	1	1	0.5
Rivet (bc)	16201	950	Clou-rivet en une pièce	Base-cuivre	1	1	0.4
Rivet (bc)	16201	809	Fragment de tôle rivetée	Base-cuivre	1	1	0.9
Rivet (bc)	16201	804	Rivet en une pièce par refoulement	Base-cuivre	1	1	0.7
Rivet (bc)	16200	879	Tête de rivet	Base-cuivre	1	1	0.7
Rivet (fer)	16201		Rivet à contreplaque et à tête hémisphérique creuse	Fer	1	1	13.8
Scorie (fer)	16200	1849	Calotte	Fer	1	1	458
Scorie (fer)	15472		Scorie informe	Fer	1	1	12
B-2-Fo 16248	<i>État 4 lato sensu : époque romaine</i>						
Indéterminé tôle	16249	984	Fragment de tôle perforée	Base-cuivre	1	1	0.3
Clou	16249		9 tiges	Fer	9	1	33
BCN-1-épandage 16340	<i>État 1 et 2 lato sensu : LTD1b-LTD2</i>						
Indéterminé tôle	16247	959	Fragment de tôle replié sur un bord	Base-cuivre	1	1	0.2
Clou	16247		Men.: 1 frgt	Fer	1	1	12
BCN-2-Fo 16275	<i>Non phasé</i>						
Clou	16275		Tige	Fer	1	1	9
BCN-4-Fo 16311	<i>Non phasé</i>						
Clou	16312		Men.: 2 frgts; 6 tiges	Fer	8	2	23
BCN-5-Fo 16325	<i>Non phasé</i>						
Clou	16326		Men.: 2 frgts	Fer	2	2	16
Rivet (fer)	16326		Rivet à contreplaque	Fer	1	1	10.2
BCN-6-Fo 16243	<i>Non phasé</i>						
Clou	16244		Tige	Fer	1	1	13
BCN-7-Fo 16328	<i>État 1 : LTD1b classique</i>						
Clou	16329		Men.: 1 frgt	Fer	1	1	14
BCN-8-Pal 16303	<i>État 1 à 2.1 : LTD1b</i>						
Cabochon	16304	982	Cabochon	Base-cuivre	1	1	0.2
Clou de chaussure	16304	1850	Clou de chaussure	Fer	1	1	1

Type d'objet	UF	No	Description	Métal	NR	NMI	M(g)
Indéterminé tige	16304	977	Tige de section ronde	Base-cuivre	1	1	1.3
Indéterminé tige	16304	978	Tige de section ronde	Base-cuivre	1	0	0.4
Indéterminé tôle	16304	981	Fragment de tôle	Base-cuivre	1	1	0.4
Indéterminé tôle	16304	980	Fragment de tôle avec un bord circulaire	Base-cuivre	1	1	0.8
Clou	16304		Men.: 2 frgts	Fer	2	2	26
BCN-9-Pal 16310 <i>État 1 à 2.1 : LTD1b</i>							
Indéterminé tige	16310	1011	Grande tige de section carrée recourbée	Fer	1	1	22.6
Indéterminé tôle	16310		Fragments de tôle	Fer	2	1	5
Clou	16310		Men.: 12 frgts; 20 tiges	Fer	32	12	147
BCN-10-Sb 16305 <i>État 1 : LTD1b classique</i>							
Rivet (fer)	16306		Rivet à contreplaque	Fer	1	1	26.1
BCN-12-TP 16346 <i>État 2.1 : LTD1b évoluée</i>							
Clou	16347		Men.: 1 frgt	Fer	1	1	6
BCN-14-épandage 16263 <i>État 1 et 2 lato sensu : LTD1b-LTD2</i>							
Indéterminé objet	16263		Fragment de clou de chaussure, tapissier ?	Fer	1	1	0.8
Clou	16263		Men.: 10 frgts; 13 tiges	Fer	23	10	119
BCN-15-Sb 16226 <i>État 1 : LTD1b classique</i>							
Scorie (fer)	16227	1041	Fragment de scorie	Fer	1	1	35
BCO-1-décapage <i>Décapage</i>							
Coulure	15450	563	Coulure	Base-cuivre	1	1	4.5
Creuset	15450	621	Fragment de creuset	Terre cuite	1	1	0
Ferrure	15450	622	Ferrure avec une perforation aux deux extrémités	Fer	1	1	44.3
Indéterminé tige	15450	555	Tige de section ronde appointée	Base-cuivre	1	1	1
Indéterminé tôle	15450		Fragments de tôle	Fer	8	1	18
BCO-2-épandage 16238 <i>État 1 et 2 lato sensu : LTD1b-LTD2</i>							
Indéterminé plat	16236	937	Fragment de bande de fer plat	Fer	1	1	23.7
Indéterminé plat	16238	872	Fragment de bande de fer plat	Fer	1	1	18.5
Indéterminé tôle	16236	939	Fragment de tôle	Fer	1	1	3.1
Indéterminé tôle	16238		Fragment de tôle perforée	Fer	1	1	4
Clou	16236		Men.: 2 frgts	Fer	2	2	19
BCO-3-lambeaux de sol <i>État 1 et 2 lato sensu : LTD1b-LTD2</i>							
Ferrure	15449		Fragments de ferrure	Fer	3	1	28
Ferrure	15449		Fragment de ferrure	Fer	1	0	19.5
Indéterminé objet	15589		Fragment informe	Fer	1	1	7.1
Indéterminé tige	15589	849	Fragment de tige indéterminée	Fer	1	1	13.8
Indéterminé tôle	15449		Fragment de bande de tôle repliée	Fer	1	1	32.7
Indéterminé tôle	15589		Fragment de tôle	Fer	1	1	4.7
Indéterminé tôle	15449	1707	Fragment de tôle pliée	Fer	1	0	73.1
Clou	15449		Men.: 22 frgts; 29 tiges	Fer	51	22	288
Clou	15451		Men.: 3 frgts; 8 tiges	Fer	11	3	47
Clou	15589		Men.: 7 frgts; 5 tiges	Fer	12	5	57
Clou	16308		Men.: 9 frgts; 7 tiges	Fer	16	9	118
Rivet (bc)	15589	822	Clou-rivet en une pièce à tête hémisphérique creuse	Base-cuivre	1	1	0.5
BCO-4-Pal 15647 <i>État 1 : LTD1b classique</i>							
Indéterminé tige	15648		Tige de section rectangulaire	Fer	1	1	0.8
Indéterminé tôle	15648		Fragment de tôle	Fer	1	1	2.1
Clou	15648		Men.: 7 frgts; 12 tiges	Fer	19	7	80
Scorie (fer)	15648		Fragment de scorie	Fer	1	1	1
BCO-5-Fo 15431 <i>Non phasé</i>							
Clou	15431		Men.: 2 frgts	Fer	2	2	23
BCO-6-Fo 16239 <i>Non phasé</i>							
Clou de chaussure	16239		Clou de chaussure	Fer	1	1	1.5
Ferrure	16239		Fragment de ferrure	Fer	2	0	12
Ferrure	16239	1020	Fragment de large ferrure	Fer	1	1	114
Indéterminé plat	16239		Fragments de bande de fer plat	Fer	9	1	45
Indéterminé tôle	16239		Fragments de tôle	Base-cuivre	4	1	1.5
Clou	16239		Men.: 13 frgts; 25 tiges	Fer	38	13	220
BCO-7-Fo 16322 <i>Non phasé</i>							
Clou	16322		Men.: 14 frgts; 14 tiges	Fer	28	14	174
BCO-8-Fo 16252 <i>Non phasé</i>							
Ferrure	16253	1018	Fragment de ferrure	Fer	1	1	54
Clou	16253		Men.: 3 frgts; 6 tiges	Fer	9	3	34
BCO-9-Sb 16313 <i>État 2.3 : fin LTD2a-LTD2b</i>							
Coulure	16314	1012	Coulure	Base-cuivre	1	1	7.4
BCO-10-16351 <i>Non phasé</i>							
Clou	16352		Tige	Fer	1	1	3

Type d'objet	UF	No	Description	Métal	NR	NMI	M(g)
BCO-11-16241	<i>État 2.1 : LTD1b évoluée</i>						
Ferrure	16242		Fragment de ferrure	Fer	1	0	16.7
Clou	16242		Men.: 3 frgts; 7 tiges	Fer	10	3	57
BCO-12-16150	<i>Non phasé</i>						
Clou	16151		Tige	Fer	1	1	10
BCO-13-Fo 15601	<i>État 1 : LTD1b classique</i>						
Ferrure	15602	834	Fragment de ferrure	Fer	1	1	33
Clou	15602		Men.: 4 frgts; 12 tiges	Fer	16	4	62
BCO-14-Fo 15469	<i>Non phasé</i>						
Anneau (fer)	15470	1701	Petit anneau	Fer	1	1	4.7
Ferrure	15470	691	Fragment de ferrure	Fer	1	0	19.3
Ferrure	15470	743	Fragment de ferrure	Fer	1	0	76.3
Ferrure	15470	705	Grand fragment de ferrure cassé au niveau de la seconde perforation	Fer	1	1	80.3
Indéterminé plat	15470	692	Fragment de bande de fer plat	Fer	1	1	22
Indéterminé tôle	15470	690	Fragment de tôle	Base-cuivre	1	1	1.1
Indéterminé tôle	15470		Fragments de tôle	Fer	4	0	5.5
Indéterminé tôle	15470	714	Fragment de tôle	Fer	1	1	2.8
Indéterminé tôle	15470	717	Fragment de tôle	Fer	1	0	5.3
Clou	15470		Men.: 11 frgts; 29 tiges	Fer	40	11	162
BCO-15-15447	<i>État 1 : LTD1b classique</i>						
Indéterminé plat	15448		Fragment de plat triangulaire	Fer	1	1	1.5
Indéterminé tôle	15448		Fragments de tôle	Fer	2	1	7
Clou	15448		Men.: 1 frgt; 2 tiges	Fer	3	1	24
BCO-16-TP 15464	<i>État 1 : LTD1b classique</i>						
Clou	15464		Men.: 1 frgt	Fer	1	1	8
BCO-17-Sb 15467	<i>État 1 : LTD1b classique</i>						
Clou	15468		Men.: 7 frgts; 3 tiges	Fer	10	7	46
BCO-18-TP 15597	<i>État 1 : LTD1b classique</i>						
Indéterminé tôle	15598	855	Fragment de tôle	Base-cuivre	1	1	0.1
BCO-19-TP 15464	<i>Non phasé</i>						
Indéterminé plat	15465	678	Fragment de plat en forme de T avec une perforation	Fer	1	1	18.1
BCO-20-Fo 15439	<i>Non phasé</i>						
Indéterminé tôle	15440		Fragment de tôle indéterminée	Fer	1	1	14
Clou	15440		Men.: 6 frgts; 13 tiges	Fer	19	6	108
Clou	15440		Tige de clou de construction	Fer	1	0	56.6
Clou	15440	630	Tige de clou de construction	Fer	1	1	46.2
BCO-21-Sb 15660	<i>État 1 à 2.1 : LTD1b</i>						
Clou	15661		Men.: 1 frgt	Fer	1	1	14
BCP-1-Ce 15520	<i>État 1 : LTD1b classique</i>						
Anneau (fer)	15664		Fragment d'anneau de section ronde	Fer	1	1	4.3
Cabochon	15663	1027	Cabochon	Base-cuivre	1	1	0.6
Cabochon	15630	1016	Cabochon avec trace de plomb	Base-cuivre	1	1	0.7
Cabochon	15630	975	Cabochon perforé	Base-cuivre	1	1	0.8
Clou de chaussure	15630		Clous de chaussure dont deux avec globules illisibles	Fer	3	3	3.3
Coulure	15630	974	Fragment de coulure	Base-cuivre	1	1	6.4
Ferrure	15630	944	Fragment de ferrure	Fer	1	1	12
Ferrure	15663	1025	Fragment de ferrure	Fer	1	1	76
Ferrure	15664	1014	Fragment de ferrure	Fer	1	1	36.3
Fibule	15630	980	Fragment d'ardillon avec une spire. Très mal conservé.	Fer	1	1	1.7
Goutte	15630	937	Goutte	Base-cuivre	1	1	0.4
Indéterminé objet	15519	1728	Boulon hexagonal intrusif. Moderne!	Fer	1	1	3.5
Indéterminé objet	15519	801	Fragment de fer plat de forme trapézoïdale	Fer	1	1	21.8
Indéterminé objet	15519		Fragment de tige massive	Fer	1	1	7.7
Indéterminé plat	15630	945	Fragment de fer plat incurvé	Fer	1	1	16
Indéterminé plat	15663	1022	Fragment de fer plat tordu	Fer	1	1	5.2
Indéterminé tige	15630	982	Tige dont la surface est très mal conservée	Base-cuivre	1	1	0.3
Indéterminé tige	15630	946	Tige incurvée de section rectangulaire	Fer	1	1	10.7
Indéterminé tige	15519		Tiges de section ronde	Fer	2	1	3.1
Indéterminé tôle	15630	981	Fragment de tôle	Base-cuivre	1	1	0.4
Indéterminé tôle	15630		Fragment de tôle	Base-cuivre	1	0	0.4
Indéterminé tôle	15664		Bande de tôle avec deux perforations	Fer	1	1	6.5
Indéterminé tôle	15663		Fragments de tôle	Fer	2	1	6
Indéterminé tôle	15664		Fragments de bande de tôle dont un plié exposé au feu	Fer	4	1	31.5
Indéterminé tôle	15630		Fragments de tôle	Fer	4	1	6.8

Type d'objet	UF	No	Description	Métal	NR	NMI	M(g)
Clou	15519	800	Men.: 1 frgt	Fer	1	1	6.2
Clou	15519		Men.: 12 frgts; 25 tiges	Fer	37	12	202
Clou	15673		Men.: 3 frgts; 5 tiges	Fer	8	3	30
Clou	15630		Men.: 30 frgts; 30 tiges	Fer	60	30	288
Clou	15664		Men.: 6 frgts, 19 tiges	Fer	25	6	174
Clou	15520		Men.: 8 frgts; 7 tiges	Fer	15	8	80
Clou	15663		Men.: 9 frgts; 12 tiges	Fer	21	9	94
Rivet (bc)	15630	979	Clou-rivet à tête circulaire plate	Base-cuivre	1	1	1.2
Rivet (fer)	15519	942	Rivet à contreplaque	Fer	1	1	19
Scorie (fer)	15630	943	Fragment de scorie ferreuse	Fer	1	1	44
BCP-2-Fo 16218 <i>État 1 : LTD1b classique</i>							
Clou	16219		Men.: 3 frgts; 4 tiges	Fer	7	3	33
BCP-3-Sb 15441 <i>État 1 : LTD1b classique</i>							
Indéterminé plat	15442		Fragment de plat triangulaire	Fer	1	1	9.7
Clou	15442		Constr.: 2 frgts; men.: 7 frgts; 8 tiges	Fer	17	9	115
Clou	16287		Men.: 6 frgts; 6 tiges	Fer	12	6	54
BCP-4-TP 15620 <i>État 1 : LTD1b classique</i>							
Clou	15621		Men.: 5 frgts; 10 tiges	Fer	15	5	72
Clou	15620		Men.: 8 frgts; 24 tiges	Fer	32	8	111
BCP-5-Fo 16231 <i>État 2 lato sensu : LTD1b évoluée-LTD2</i>							
Ferrure	16231	868	Fragment de ferrure	Fer	1	0	26.5
Indéterminé tôle	16232	1825	Fragment de bande de tôle	Base-cuivre	1	1	0.5
Clou	16232		Men.: 13 frgts; 17 tiges	Fer	30	13	163
BCP-6-épandage <i>État 1 et 2 lato sensu : LTD1b-LTD2</i>							
Cabochon	16245	925	Cabochon	Base-cuivre	1	1	0.5
Cabochon	16245	1031	Cabochon avec substance de fixation	Base-cuivre	1	1	0.3
Chute de tige appointée	16246	1745	Chute de tige	Fer	1	1	1.6
Ferrure	16245	931	Fragment de ferrure	Fer	1	1	13.8
Indéterminé plat	16235		Fragment de bande de plat	Fer	1	1	16.8
Clou	15556		Men.: 1 frgt	Fer	1	1	20
Clou	16245		Men.: 2 frgts; 3 tiges	Fer	5	2	9
Clou	16237		Men.: 20 frgts; 12 tiges	Fer	32	20	200
Clou	16235		Men.: 5 frgts; 2 tiges	Fer	7	5	56
Clou	16234		Men.: 6 frgts; 8 tiges	Fer	14	6	56
Clou	16246		Men.: 9 frgts; 5 tiges	Fer	14	9	118
Rivet (bc)	16246	920	Clou-rivet en une pièce	Base-cuivre	1	1	0.7
Rivet (fer)	16235		Contreplaque de rivet	Fer	1	1	4.8
Scorie (fer)	16237		Scorie	Fer	1	1	10
BCP-7-TP 15443 <i>État 1 : LTD1b classique</i>							
Indéterminé tôle	15443		Fragment de tôle	Fer	1	1	5.4
Maillon rapide	15444		Maillon rapide de section ronde	Fer	1	1	17.5
Clou	15443		Men.: 2 frgts; 4 tiges	Fer	6	2	21.6
Clou	15444		Men.: 6 frgts; 8 tiges	Fer	14	6	83
BCP-8-Sb 15483 <i>État 1 : LTD1b classique</i>							
Clou	15483		Men.: 1 frgt	Fer	1	1	10
Clou	15484		Men.: 1 frgt	Fer	1	1	8
BCP-9-Sb 15485 <i>État 2.1 : LTD1b évoluée</i>							
Clou	15486		Men.: 1 frgt; 1 tige	Fer	2	1	11.2
BCP-10-TP 15489 <i>État 2.1 : LTD1b évoluée</i>							
Clou	15489	657	Tige	Fer	1	1	2.2
BCP-11-Sb 16212 <i>État 1 à 2.1 : LTD1b</i>							
Indéterminé tôle	16213		Fragment de bande de tôle	Fer	1	0	8.4
Indéterminé tôle	16213		Fragment de bande de tôle	Fer	3	1	30
Maillon rapide	16213	1702	Maillon rapide	Fer	1	1	2.8
Clou	16213		Men.: 16 frgts; 36 tiges	Fer	52	16	244
Monnaie	16213	955b	Potin illisible	Potin	1	1	
BCP-12-TP 15509 <i>État 1 : LTD1b classique</i>							
Clou	15510		Men.: 1 frgt	Fer	1	1	14
BCP-13-Sb 15525 <i>État 1 : LTD1b classique</i>							
Clou	15526		Men.: 6 frgts; 4 tiges	Fer	10	6	61
BCP-14-TP 15582 <i>État 1 : LTD1b classique</i>							
Indéterminé tôle	15583		Fragment de tôle	Fer	1	1	3.2
Clou	15583		Men.: 1 frgt; 3 tiges	Fer	4	1	13
BCP-15-Sb 15536 <i>État 2.1 : LTD1b évoluée</i>							
Clou	15537		Tige	Fer	1	1	8

Type d'objet	UF	No	Description	Métal	NR	NMI	M(g)
BCP-16-Sb 16206	<i>État 1 à 2.1 : LTD1b</i>						
Clou	16207		Men.: 2 frgts; 5 tiges	Fer	7	2	44
BCP-18-TP 15587	<i>État 1 : LTD1b classique</i>						
Clou	15587		Men.: 1 frgt	Fer	1	1	9
BCP-19-TP 15618	<i>État 1 : LTD1b classique</i>						
Ferrure	15619		Large ferrure	Fer	1	1	86
Indéterminé tôle	15619		Fragments de tôle	Fer	3	1	8.3
Clou	15619		Constr.: 1 tige	Fer	1	1	29
Clou	15619		Men.: 11 frgts; 11 tiges	Fer	22	11	89
BCP-20-TP 15653	<i>État 1 : LTD1b classique</i>						
Clou	15654		Tige	Fer	1	1	4
BCP-21-TP 15679	<i>État 1 : LTD1b classique</i>						
Indéterminé tôle	15680		Fragment de tôle	Fer	1	1	2.6
Clou	15680		Men.: 6 frgts; 3 tiges	Fer	9	6	47
BCP-22-Sb 16210	<i>État 1 : LTD1b classique</i>						
Ferrure	16211	837	Fragment de ferrure pliée	Fer	1	1	81.5
Indéterminé tôle	16211		Fragment de tôle	Fer	1	1	13
Clou	16211		Men.: 7 frgts; 12 tiges	Fer	19	7	83
BCP-23-Fo 16270	<i>État 2 lato sensu : LTD1b évoluée-LTD2</i>						
Clou	16271		Men.: 1 frgt; 4 tiges	Fer	5	1	20
Piton	16271	1038	Piton fermé par enroulement	Fer	1	1	24.2
BCP-24-Sb 16264	<i>État 1 : LTD1b classique</i>						
Clou	16265		Men.: 3 frgts; 3 tiges	Fer	6	3	33
BCP-25-TP 16254	<i>État 1 : LTD1b classique</i>						
Clou	16255		Men.: 2 frgts; 3 tiges	Fer	5	2	39
Indéterminé tôle	16294		Fragment de tôle	Fer	1	1	39
BCP-26-Fo 16293	<i>État 2 lato sensu : LTD1b évoluée-LTD2</i>						
Clou	16294		Men.: 1 frgt; 4 tiges	Fer	5	1	17
BCP-27-Sb 15481	<i>État 2 lato sensu : LTD1b évoluée-LTD2</i>						
Indéterminé tige	15482		Fragments de tige de section carrée massive	Fer	4	1	58.4
Indéterminé tôle	15482		Fragment de bande de tôle	Base-cuivre	1	1	0.5
Indéterminé tôle	16251		Fragment de tôle	Base-cuivre	1	1	0.2
Clou	16250	915	Men.: 1 frgt	Fer	1	1	16
Clou	15482		Men.: 2 frgts	Fer	2	2	21.3
Clou	16251		Men.: 2 frgts; 5 tiges	Fer	7	2	32
BCP-28-Sb 16228	<i>État 1 : LTD1b classique</i>						
Clou	16229		Men.: 2 frgts; 1 tige	Fer	3	2	11
BCP-30-Sb 16216	<i>État 1 : LTD1b classique</i>						
Clou	16217		Tige	Fer	1	1	5
BCP-31-TP16220	<i>État 1 : LTD1b classique</i>						
Clou	16221		Men.: 5 frgts; 5 tiges	Fer	10	5	53
BCP-32-TP 16208	<i>État 1 : LTD1b classique</i>						
Indéterminé tôle	16209	831	Fragment de tôle	Fer	1	1	25
BCP-33-Sb 16214	<i>État 1 : LTD1b classique</i>						
Clou	16215		Men.: 1 frgt	Fer	1	1	5
BCP-37-Sb 15534	<i>État 2 lato sensu : LTD1b évoluée-LTD2</i>						
Indéterminé tôle	15535		Fragments de tôle dont un riveté avec une contreplaque	Fer	4	1	26
Clou	15535		Men.: 1 frgt	Fer	1	1	15
Clou	15535	811	Tige de clou enroulée	Fer	1	0	6
BGS-1-TP 15546	<i>État 2.3 : fin LTD2a-LTD2b</i>						
Clou	15547		Men.: 1 frgt	Fer	1	1	9

COMPLEXE C

Décapage

C-1-décapage

Planche 42, 1. 17400, n° 401.

Fibule à ressort à quatre spires (deux conservées) et corde interne et arc tendu de tôle triangulaire fin avec le début d'un décor en échelle. Base-cuivre.

L. 11 mm, l. (arc) 4 mm. 0.5 g.
E : 1163.15. N : 1169.9. Alt. : 572.94.
Type : B22-02.

Planche 42, 2. 17400, n° 337.

Ardillon et ressort à quatre spires et corde interne et départ d'arc de tôle. Base-cuivre.

L. 36 mm. 2.3 g.
E : 1144. N : 1169.9. Alt. : 573.04.
Type : B22-0.

Planche 42, 3. 16400, n° 1440.

Ressort de fibule à trois spires conservées unilatéralement (minimum six spires). Base-cuivre.

L. 50 mm. 1.1 g.
E : 1140. N : 1161.*

Planche 42, 4. 17400, n° 1745.

Fibule à ressort à quatre spires et corde externe haute et à arc tendu filiforme de section hémisphérique. Fer.

L. 48 mm, S. 4 x 5 mm. 6.5 g.
E : 1157.8. N : 1167.5.*
Type : F33-8.

Planche 42, 5. 16400, n° 460.

Ressort de fibule à quatre spires et corde externe et départ d'arc filiforme de section ovale. Fer.

L. 20 mm, S. 6 x 3 mm. 4.8 g.
E : 1148. N : 1163.3. Alt. : 572.88.
Type : F33-0.

Planche 42, 6. 16400, n° 507.

Ressort de fibule à quatre spires et corde externe haute et à arc filiforme de section ronde. Fer.

L. 36 mm, S. (arc) 6 mm. 7.4 g.
E : 1143.7. N : 1167.7. Alt. : 573.11.
Type : F33-0.

Planche 42, 7. 17400, n° 1061.

Fragment d'arc filiforme de fibule de section ronde avec départ d'un pied ajouré. Fer.

L. 35 mm, S. 2 mm. 0.7 g.
E : 1153. N : 1167.11. Alt. : 573.02.
Type : F03.

Planche 42, 8. 17400, n° 352.

Ressort de fibule à deux spires conservées. Fer.

L. 29 mm. 1.1 g.
E : 1159.16. N : 1155.5. Alt. : 572.88.

Planche 42, 9. 17400, n° 334.

Fragments d'anneau de section ovale.

Base-cuivre.

Diam. 15 mm, S. 3 x 2 mm. 1.3 g.
E : 1162.7. N : 1155.3.*

Planche 42, 10. 16400, n° 629.

Fragment d'anneau cannelé à trois côtes. Base-cuivre.

Diam. 27 mm, S. 6 x 4 mm. 3.8 g.
E : 1144. N : 1170. Alt. : 573.21.

Planche 42, 11. 17400, n° 316.

Perle cannelée avec une cannelure centrale et un canal d'usure. Base-cuivre.

Diam. 15 mm, S. 5 x 4 mm. 3.3 g.
E : 1169.81. N : 1154.07. Alt. : 573.

Planche 42, 12. 17400, n° 309.

Petit maillon de chaînette. Base-cuivre.

Diam. 3,5 mm. 0.1 g.
E : 1145.25. N : 1162.7. Alt. : 572.95.

Planche 42, 13. 17400, n° 326.

Quatre maillons de chaînette. Base-cuivre.

L. 7 mm, diam. 3,5 mm. 0.1 g.
E : 1144.1. N : 1162.82. Alt. : 573.08.

Planche 42, 14. 17400, n° 302.

Fragment d'orle en gouttière avec patte de fixation ouverte. Fer.

L. 50 mm, S. 12 x 8 mm. 15.5 g.
E : 1145.37. N : 1162.77. Alt. : 573.39.
Type : Gouttière.

Planche 42, 15. 17400, n° 331.

Chute de tige de section carrée puis facetée, découpée à son extrémité. Base-cuivre.

L. 77 mm, S. 3 mm. 1.9 g.
E : 1141.43. N : 1162.13. Alt. : 572.88.

Planche 42, 16. 17469, n° 419.

Fragment de mors de pince (?) constitué d'une barre de section rectangulaire courbée massive avec hypothétique trace de rivet à l'extrémité fragmentaire. Fer.

L. 116 mm, S. 16 x 11 mm, S. (articulation) 20 x 8 mm. 136.9 g.
E : 1166.63. N : 1163.92. Alt. : 572.89.

Planche 42, 17. 16400, n° 504.

Fragments de vasque de passoire. Base-cuivre.

L. 22 mm. 0.9 g.
E : 1143.25. N : 1167.5. Alt. : 573.23.

Planche 42, 18. 17400, n° 394.

Manche de couteau de section rectangulaire et début de lame. Fer.

L. 40 mm, l. (lame) 25 mm, S. (manche) 5 x 10 mm. 13.2 g.
E : 1166. N : 1170.5. Alt. : 572.80.
Type : 0-0.

Planche 42, 19. 17400, n° 319.

Objet indéterminé constitué d'une tige surmontée par une partie hémisphérique. Tête d'épingle conique, rivet à tête massive hémisphérique? Base-cuivre.

L. 11 mm. 1.6 g.
E : 1146.15. N : 1165.1. Alt. : 573.13.

Planche 42, 20. 17400, n° 1072.

Fragment d'élément de serrure constitué

d'une tôle rectangulaire avec une gouttière et une perforation. Fer.

L. 65 mm, l. 52 mm, ép. 1 mm. 33.1 g.
E : 1144.6. N : 1164.11. Alt. : 572.96.

Planche 42, 21. 16400, n° 640.

Anneau d'écurie cassé avec bague du piton en connexion. Fer.

L. 58 mm, diam. 58 mm, S. 6 mm. 70.4 g.
E : 1142. N : 1162. Alt. : 573.37.

Planche 42, 22. 17400, n° 348.

Pène contrecoudé de section quadrangulaire. Fer.

L. 186 mm, S. 8 x 6 mm. 59.2 g.
E : 1152.75. N : 1152. Alt. : 572.67.

Autres petits mobiliers

17400, n° 1057. Aiguiseur non retrouvé.

17400, n° 1793. Raté de fabrication de dé constitué d'un os long de section quadrangulaire avec trace de découpe à chaque extrémité.

17400, n° 1073. Jeton percé, fusaïole.

17400, n° 333. Fragment de panse de récipient en verre bleu.

17400, n° 312. Fragment de verre indéterminé.

17400, n° 349. Jeton.

17400, n° 350. Jeton.

17400, n° 338. Monnaie.

17400, n° 415. Monnaie.

17400, n° 305. Monnaie.

17400, n° 339. Monnaie.

16400, n° 639. Monnaie.

17400, n° 313. Monnaie.

17400, n° 327. Monnaie.

17400, n° 307. Monnaie.

17469, n° 509. Monnaie.

16400, n° 708. Monnaie.

17400, n° 300. Monnaie.

17400, n° 329. Fragment de paroi de foyer.

17400, n° 310. Fragments de paroi de foyer.

17400, n° 306. Fragment de verre moulé augustéen.

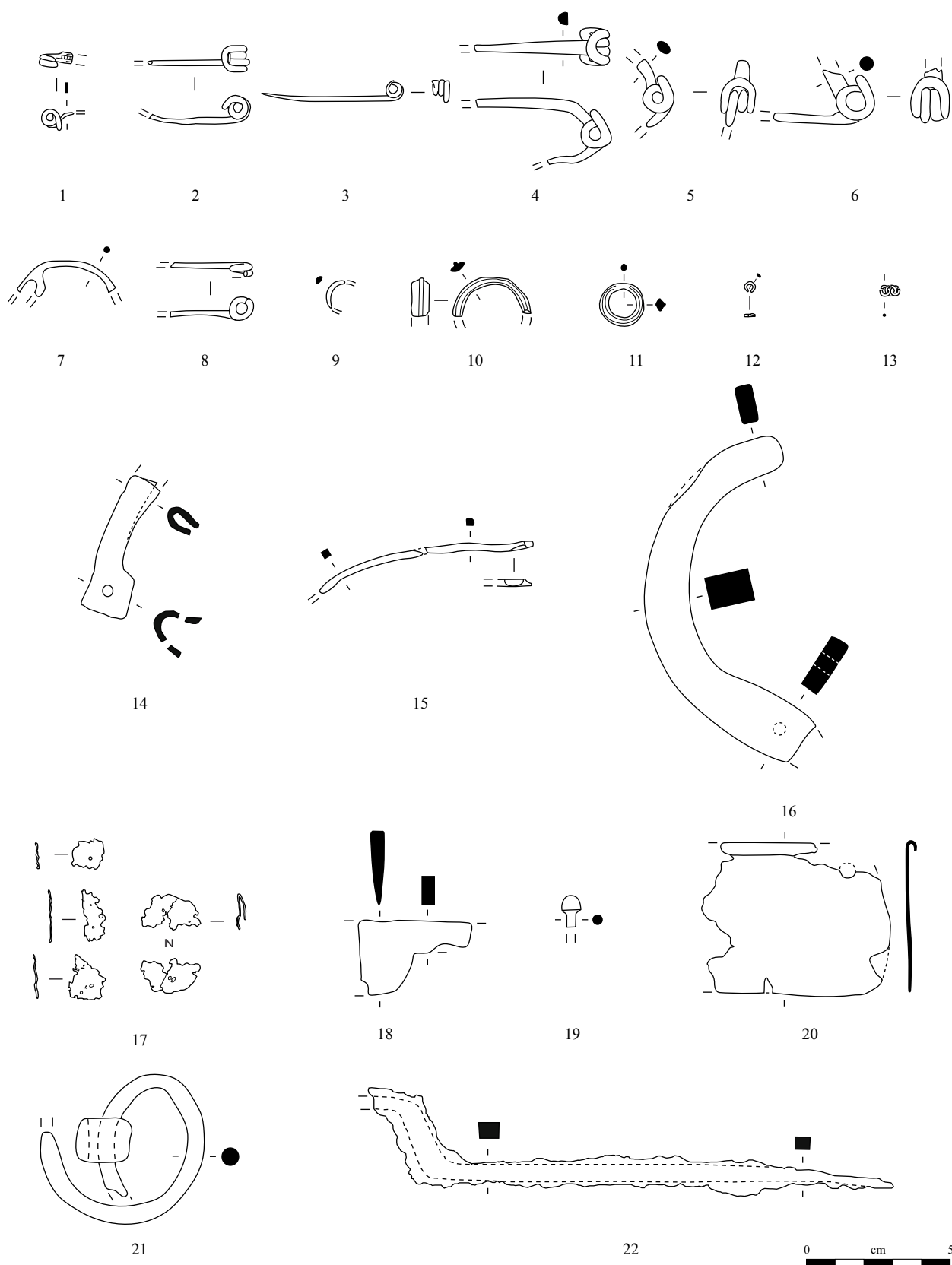


Planche 42. C-1-décapage

1-3, 9-13, 15, 17, 19 : alliage cuivreux; 4-8, 14, 16, 18, 20-22 : fer.

Place du complexe C

Décapage

CPL-1-décapage

Planche 43, 1. 16404, n° 1718.

Ressort de fibule à quatre spires et corde externe et arc cambré de section lenticulaire. Fer.

L. 10 mm, S. 6 x 3 mm. 4.3 g.

E : 1150. N : 1176.*

Type : F33-7.

Planche 43, 2. 16403, n° 318a.

Fragment d'anneau de section ronde. Base-cuivre.

Diam. 25 mm, S. 3 mm. 1.5 g.

E : 1139.79. N : 1173.67. Alt. : 573.13.

Planche 43, 3. 16403, n° 318b.

Perle à trois cannelures. Base-cuivre.

Diam. 25 mm, S. 3 mm. 3.5 g.

E : 1139.85. N : 1173.67. Alt. : 573.13.

Planche 43, 4. 16404, n° 425.

Anneau de section ovale avec canal d'usure. Base-cuivre.

Diam. 26 mm, S. 4 x 3 mm. 4.4 g.

E : 1150.78. N : 1173.1. Alt. : 572.97.

Planche 43, 5. 16404, n° 1700.

Extrémité d'orle en gouttière avec patte oblique très marquée. Fer.

L. 48 mm, S. 14 x 8 mm. 14 g.

E : 1149.5. N : 1175.5.*

Type : Gouttière.

Planche 43, 6. 16403, n° 1720.

Fragment de lame de couteau au dos incurvé. Fer.

L. 60 mm. 11.9 g.

E : 1147.5. N : 1174.*

Type : 0-0.

Planche 43, 7. 16403, n° 326.

Rivet émaillé à tige en fer. Base-cuivre et fer.

L. 15 mm, diam. 14 mm. 5.4 g.

E : 1146.08. N : 1177.39. Alt. : 573.25.

Planche 43, 8. 16404, n° 342.

Boîte à sceau quadrangulaire à charnière bouletée et sept perforations sur le fond de la boîte. Base-cuivre.

L. 18 mm, l. 15 mm, ht. 4 mm. 2.8 g.

E : 1148.63. N : 1178.76. Alt. : 573.07.

Autres petits mobiliers

16403, n° 469. Fusaïole constituée d'un jeton cassé en deux et perforé.

16403, n° 1444. Jeton percé, fusaïole.

16404, n° 413. Fragment de cylindre torsadé en terre cuite perforé à une extrémité.

16404, n° 412. Fragment de tige, d'anse gallo-romaine?

16404, n° 409. Deux jetons.

16403, n° 319. Jeton.

16403, n° 322. Jeton.

16404, n° 389. Jeton.

16404, n° 391. Jeton.

16404, n° 424. Jeton.

16403, n° 329. Monnaie.

16404, n° 426. Monnaie.

16404, n° 411. Monnaie.

16403, n° 1495. Fragment de mortier en basalte non étudié.

État 2 lato sensu : LTD1b évoluée-LTD2

CPL-2-occupation ouest

Planche 43, 9. 16405, n° 677.

Fibule unguiforme à ressort à quatre spires minimum et corde fragmentaire et à arc de tôle triangulaire bombé au-dessus de la tête. Base-cuivre.

L. 14 mm. 0.3 g.

E : 1151.6. N : 1170. Alt. : 572.67.

Planche 43, 10. 16405, n° 506.

Fibule de type pseudo-La Tène moyenne à ressort à quatre spires et corde interne et à arc en arc de cercle, à moulures longitudinales avec un rétrécissement pour la fixation de la bague en son centre. Le pied est manquant. Base-cuivre.

L. 40 mm, l. (arc) 14 mm. 2.9 g.

E : 1148.3. N : 1168.1. Alt. : 573.01.

Type : B21-4.

Planche 43, 11. 17420, n° 1068.

Ressort de fibule à quatre spires et corde interne qui semble démantelé ou non terminé. Base-cuivre.

L. 10 mm. 1 g.

E : 1153.92. N : 1157.54. Alt. : 572.66.

Type : B20-0.

Planche 43, 12. 17504, n° 485.

Arc de fibule de tôle triangulaire à décor de ligne centrale et à bordures de lignes de points. Base-cuivre.

L. 17 mm. 0.2 g.

E : 1153.94. N : 1176.62. Alt. : 572.82.

Type : B22-01.

Planche 43, 13. 17420, n° 407.

Fragment de pied ajouré de fibule de schéma La Tène finale avec début d'arc de section ronde. Fer.

L. 15 mm. 0.6 g.

E : 1154. N : 1175.55. Alt. : 572.99.

Type : F03.

Planche 43, 14. 17497, n° 814.

Fibule à ressort à quatre spires et corde externe haute et à arc cambré de section hémisphérique puis losangique. Fer.

L. 87 mm, L. (arc) 66 mm, S. 4 x 7 mm. 19.1 g.

E : 1153.95. N : 1162.82.

Type : F33-8.

Planche 43, 15. 16405, n° 780a.

Fragment d'anneau de section ronde. Base-cuivre.

Diam. 18 mm, S. 3 mm. 2.6 g.

E : 1151. N : 1175.56. Alt. : 572.91.

Planche 43, 16. 16405, n° 780b.

Perle à section en quart de rond. Base-cuivre.

Diam. 18 mm, S. 5 mm. 4.1 g.

E : 1151. N : 1175.56. Alt. : 572.91.

Planche 43, 17. 16405, n° 505.

Perle de section ronde. Base-cuivre.

Diam. 11 mm, S. 3,5 x 4 mm. 1.1 g.

E : 1148.6. N : 1169.7. Alt. : 572.91.

Planche 43, 18. 16405, n° 631.

Anneau de section lenticulaire. Base-cuivre.

Diam. 14 mm, S. 5 x 2 mm. 2 g.

E : 1152. N : 1180. Alt. : 573.01.

Planche 43, 19. 16405, n° 501.

Anneau à section en «D». Base-cuivre.

Diam. 13 mm, S. 3 x 4 mm. 2 g.

E : 1151.4. N : 1172.1. Alt. : 572.84.

Planche 43, 20. 16405, n° 607.

Anneau à section en quart de rond avec deux canaux d'usure. Base-cuivre.

Diam. 14 mm, S. 6 x 2 mm. 3 g.

E : 1152. N : 1168.2. Alt. : 573.

Planche 43, 21. 16407, n° 682.

Perle à trois cannelures. Base-cuivre.

Diam. 17 mm, S. 6 x 4 mm. 6.2 g.

E : 1147.5. N : 1168. Alt. : 571.9.

Planche 43, 22. 16405, n° 606.

Anneau à section en «D» avec cannelures très usées. Base-cuivre.

Diam. 14 mm, S. 3 x 2 mm. 1.9 g.

E : 1152. N : 1168. Alt. : 572.09.

Planche 43, 23. 17501, n° 492.

Anneau de section en quart de rond. Base-cuivre.

Diam. 20 mm, S. 5 x 4 mm. 5.3 g.

E : 1154.5. N : 1171. Alt. : 572.93.

Planche 43, 24. 16405, n° 1525.

Bague à chaton ovale, à épaulement massif et à anneau fragmentaire à section en «D». Fer.

L. 23 mm, diam. int. 15 x 13 mm, L. (plateau) 15 x 9 mm. 4.8 g.

E : 1150.2. N : 1169.3.*

Type : 10.

Planche 43, 25. 16405, n° 609.

Fragments de bracelet tubulaire avec décor de légères incisions de lignes obliques. Base-cuivre.

L. 62 mm, diam. int. 55 mm, S. max 8 mm. 8.1 g.

E : 1152. N : 1169.5. Alt. : 572.14.

Type : B21-0.

Planche 43, 26. 16407, n° 733.

Fragment de bracelet en cours de fabrication à jonc lisse de section lenticulaire puis circulaire à jonc ondulé. Base-cuivre.

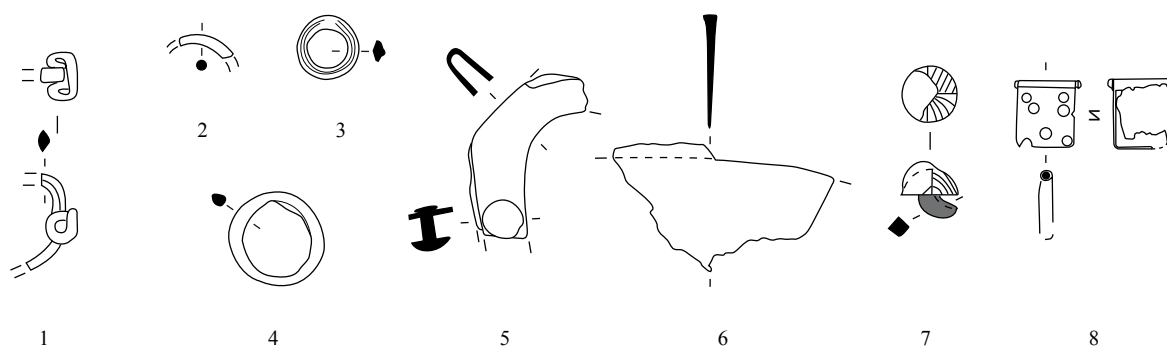
L. 62 mm, diam. int. 57 mm, S. 4 x 3 mm. 5.1 g.

E : 1157.8. N : 1160.6. Alt. : 572.94.

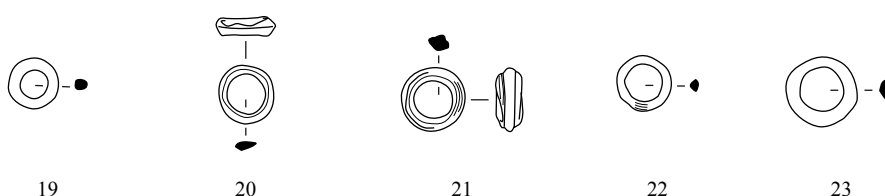
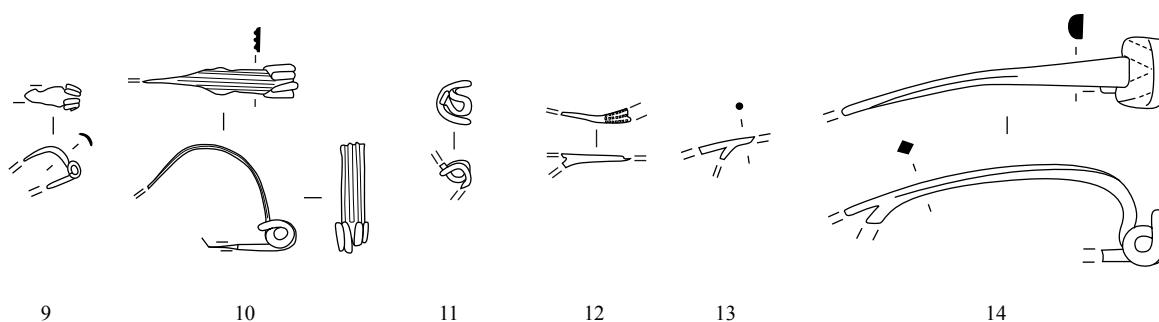
Type : B10-4.

Planche 43, 27. 16405, n° 1573.

Clou de chaussure avec quatre globules.



CPL-1-décapage



CPL-2-occupation ouest

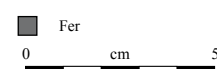


Planche 43. CPL-1-décapage à CPL-2-occupation ouest (parures)

1, 5-6, 13-14, 24, 27 : fer; 2-4, 8, 9-12, 15-23, 25, 26 : alliage cuivreux; 8 : alliage cuivreux et fer.

Fer.
Diam. 10 mm. 1.6 g.
E : 1151. N : 1168.*

Place du complexe C

État 2 lato sensu : LTD1b évoluée-LTD2

CPL-2-occupation ouest

Planche 44, 1. 16407, n° 1434.
Serpette à douille fragmentaire avec lame incurvée. Fer.
L. 90 mm, l. (lame) 20 mm, diam. (douille) 12 mm. 35.2 g.
E : 1148.04. N : 1169.5. Alt. : 572.75.

Planche 44, 2. 16407, n° 1572.
Enclumette en forme de «T» à table rectangulaire. Fer.
L. 72 mm, S. (base) 8 x 9 mm, L. (table) 39 x 15 mm. NP.
E : 1151. N : 1163. Alt. : /.

Planche 44, 3. 16405, n° 1713.
Fragment de petit marteau cassé au niveau de l'oeil à table rectangulaire. Fer.
L. 29 mm, S. 11 x 9 mm. 12.1 g.
E : 1150.83. N : 1169.3.*

Planche 44, 4. 16407, n° 671.
Demi-produit complet (?) constitué d'une tige de section changeante enroulée. Base-cuivre.
L. 60 mm, S. 2 mm, L. déplié 310 mm. 4.7 g.
E : 1147.85. N : 1162.6. Alt. : 572.92.

Planche 44, 5. 16405, n° 489.
Chute de tige de section rectangulaire enroulée en spirale avec traces de martelage. Base-cuivre.
L. 14 mm, S. 2 x 1 mm. 0.6 g.
E : 1151.6. N : 1169.4. Alt. : 572.84.

Planche 44, 6. 16405, n° 597.
Demi-produit constitué d'une tige de section ronde appointée. Base-cuivre.
L. 14 mm, S. 1 mm. 0.1 g.
E : 1150. N : 1168. Alt. : 572.80.

Planche 44, 7. 17503, n° 486.
Chute de plaque. Base-cuivre.
L. 14 mm, ép. 1,5 mm. 0.9 g.
E : 1153.55. N : 1174.76. Alt. : 573.01.

Planche 44, 8. 17420, n° 1765.
Chute de tige de section rectangulaire. Fer.
L. 34 mm, S. 4 x 2 mm. 2.6 g.
E : 1154.1. N : 1163.7.*

Planche 44, 9. 16405, n° 605.
Fléau de balance dont l'anneau central est manquant et qui comporte encore un maillon en position fonctionnelle à une extrémité. Base-cuivre.
L. 75 mm, diam. (anneau) 4 mm. 2.1 g.
E : 1151.4. N : 1172.4. Alt. : 573.04.

Planche 44, 10. 16405, n° 1710.
Outil à soie à manche conique et partie active manquante. Fer.
L. 76 mm, S. 6 mm. 7.6 g.
E : 1151. N : 1165.*

Planche 44, 11. 16405, n° 1709.
Outil à soie à manche bipyramidal. La surface de l'objet est très fragmentée. Fer.
L. 80 mm, S. 9 mm, L. (soie) 15 mm. 7.9 g.
E : 1149.5. N : 1168.*

Planche 44, 12. 16405, n° 1711.
Tranchant renforcé de ciselet à deux biseaux et corps de section ronde. Fer.
L. 40 mm, S. 5 mm, L. (tranchant) 4 mm. 2.1 g.
E : 1152. N : 1166.*

Planche 44, 13. 16405, n° 1714.
Extrémité active d'un ciseau droit à manche de section ovale. Fer.
L. 27 mm, S. 9 x 5 mm, L. (tranchant) 9 mm. 2.8 g.
E : 1149.5. N : 1169.2.*

Planche 44, 14. 16405, n° 1712.
Poinçon à emboutir à extrémité active comportant une cavité circulaire précédée d'un élargissement du manche de section circulaire. Fer.
L. 57 mm, S. 4 mm, diam. (douille) 9 mm, diam. int. 6 mm. 9.4 g.
E : 1151.6. N : 1168.15.*

Planche 44, 15. 17420, n° 1766.
Lime de forme ogivale avec voie perpendiculaire à l'axe et une section lenticulaire. Fer.
L. 103 mm, S. 11 x 4 mm. 16.7 g.
E : 1153.8. N : 1163.7.*

Planche 44, 16. 17496, n° 804.
Lime de section triangulaire avec voie perpendiculaire à l'axe présente sur les deux faces principales et sur le dos avec une soie de préhension légèrement excentrée. Fer.
L. 80 mm, L. (partie active) 60 mm, S. 7 x 4 mm. 9.5 g.
E : 1154.94. N : 1160.85. Alt. : 572.78.

Planche 44, 17. 17420, n° 1065.
Aiguille cassée au niveau du chas. Fer.
L. 65 mm, S. 2 mm. 1.4 g.
E : 1154.4. N : 1164.32. Alt. : 572.67.

Planche 44, 18. 17420, n° 1764.
Tranchant de hache ou d'herminette. Fer.
L. 43 mm. 8.5 g.
E : 1153.8. N : 1165.2.*

Planche 44, 19. 16405, n° 1716.
Chute de tige de section carrée à découpe arrondie. Fer.
L. 36 mm, S. 3 mm. 1.4 g.
E : 1152.4. N : 1167.1.*

Planche 44, 20. 16405, n° 1717.
Chute de tige de section carrée à découpe arrondie. Fer.
L. 24 mm, S. 3 mm. 0.9 g.
E : 1151.4. N : 1168.5.*

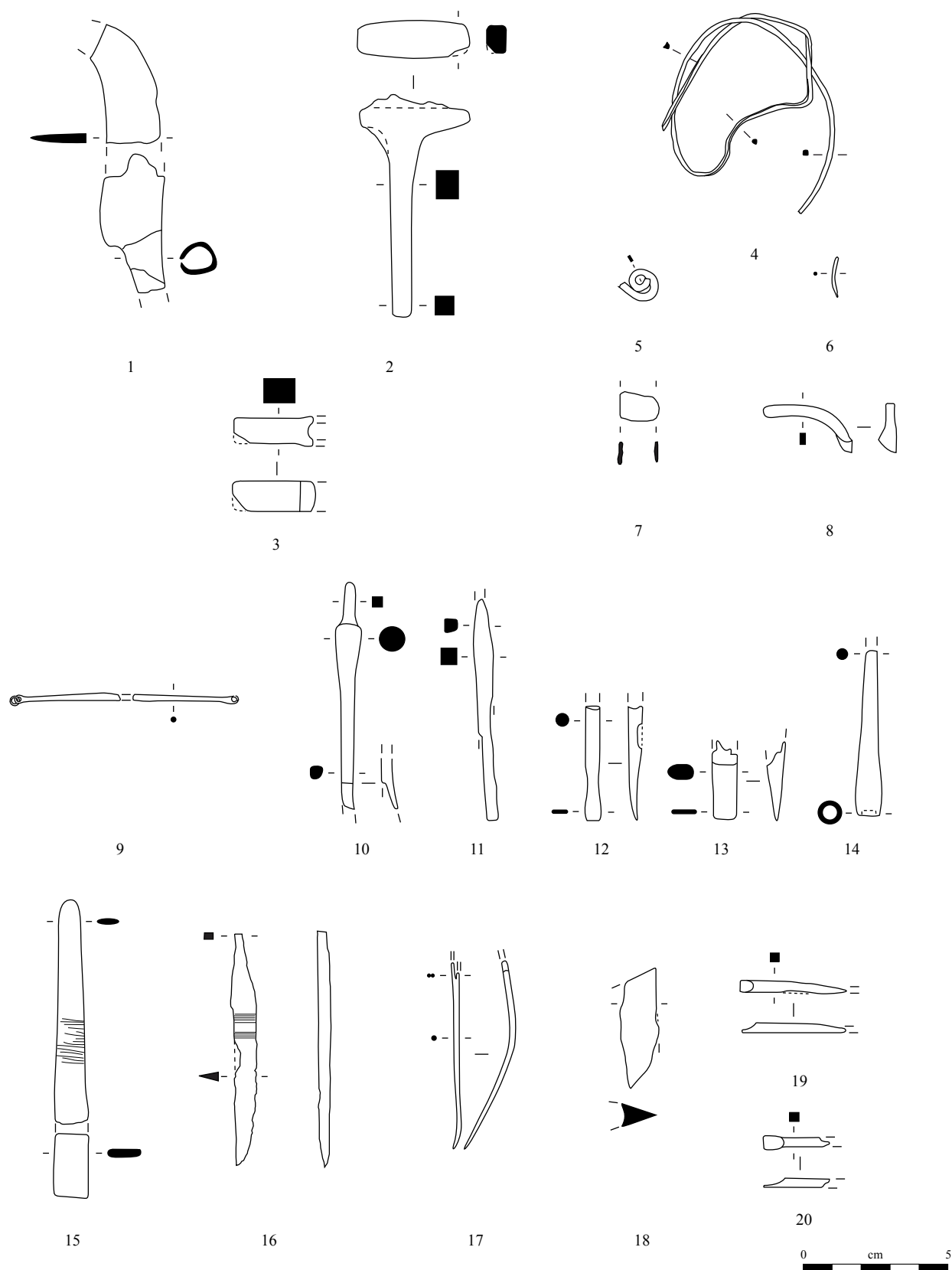


Planche 44. CPL-2-occupation ouest (production)

1-3, 10-20 : fer; 4-9 : alliage cuivreux.

Place du complexe C

État 2 lato sensu : LTD1b évoluée-LTD2

CPL-2-occupation ouest

Planche 45, 1. 16405, n° 520.

Fragment d'umbo à ailettes courtes trapézoïdales à deux perforations centrales et coque avec un rebord prononcé. Seule une ailette est manquante. Fer.
L. 121 mm, L. rest. 156 mm, L. (ailette) 88 mm, l. (ailette) 31 mm, ht. (coque) 80 mm, S. (spina) 90 mm. 78.7 g.
E : 1150.5. N : 1175.2.*
Type : Nierstein.

Planche 45, 2. 16405, n° 610.

Pointe de flèche à flamme de section lenticulaire à une barbelure et à douille. L'extrémité de la pointe ainsi qu'une partie de la douille sont fragmentaires. Fer.
L. 60 mm, L. rest. 68 mm, L. (flamme) 38 mm, L. (douille) 30 mm, diam. (douille) 9 mm. 12.5 g.
E : 1152.5. N : 1174.2. Alt. : 573.28.

Planche 45, 3. 16405, n° 1706.

Fragment de couvre-nuque à cannelure marquée et bordure bouletée de type Alésia ou Port. Fer.
L. 42 mm. 11.9 g.
E : 1150. N : 1165.*

Planche 45, 4. 16405, n° 1715.

Fragment d'objet indéterminé formant un angle droit à l'extérieur et circulaire à l'intérieur. Casque? Fer.
L. 42 mm. 8.5 g.
E : 1151. N : 1163.*

Planche 45, 5. 17420, n° 1066.

Fragment de lèvres de situle arrondie. Base-cuivre.
L. 35 mm. 2.1 g.
E : 1154.6. N : 1163.15. Alt. : 572.73.

Planche 45, 6. 17501, n° 497.

Fragment de tôle de passoire. Base-cuivre.
L. 28 mm. 0.2 g.
E : 1154. N : 1170.62. Alt. : 572.89.

Planche 45, 7. 16407, n° 630.

Fragment de frette constituée de deux bandes de tôles rivetées. Fer.
L. 70 mm, l. 17 mm, ép. 1,5 mm. 44.4 g.
E : 1149. N : 1164. Alt. : 572.66.

Planche 45, 8. 17495, n° 818.

Foncet de serrure doté de deux entrées rectangulaires identiques et fixées par quatre perforations situées aux angles. Fer.
L. 120 mm, l. 46 mm, ép. 2 mm. 67.5 g.
E : 1152.67. N : 1159.52. Alt. : /.

Autres petits mobiliers

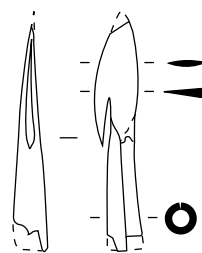
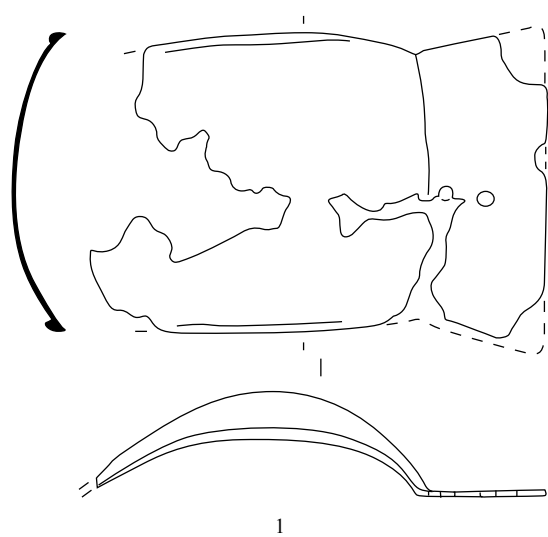
17498, n° 585. Fragment de bracelet en roche noire.
16405, n° 595. Jeton percé, fusaïole.
16407, n° 1462. Jeton percé, fusaïole.
16407, n° 1464. Jeton percé, fusaïole.

17420, n° 1071. Hache polie en jadéite.

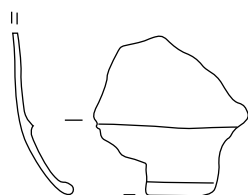
16405, n° 1409. Jeton.
16405, n° 1476. Jeton.
16405, n° 1477. Jeton.
16405, n° 487. Jeton.
16405, n° 488. Jeton.
16405, n° 490. Jeton.
16405, n° 492. Jeton.
16405, n° 493. Jeton.
16405, n° 494. Jeton.
16405, n° 496. Jeton.
16405, n° 497. Jeton.
16405, n° 498. Jeton.
16405, n° 500. Jeton.
16405, n° 502. Jeton.
16405, n° 598. Jeton.
16405, n° 599. Jeton.
16405, n° 600. Jeton.
16405, n° 601. Jeton.
16405, n° 602. Jeton.
16405, n° 603. Jeton.
16405, n° 604. Jeton.
16405, n° 778. Jeton.
16405, n° 779. Jeton.
16405, n° 789. Jeton.
16407, n° 1419. Jeton.
16407, n° 1421. Jeton.
16407, n° 1422. Jeton.
16407, n° 1423. Jeton.
16407, n° 1425. Jeton.
16407, n° 1461. Jeton.
16407, n° 1463. Jeton.
16407, n° 1467. Jeton.
16407, n° 1468. Jeton.
16407, n° 1469. Jeton.
16407, n° 1470. Jeton.
16407, n° 1471. Jeton.
16407, n° 1484. Jeton.
16407, n° 1501. Jeton.
16407, n° 1502. Jeton.
16407, n° 634. Jeton.
16407, n° 635. Jeton.
16407, n° 636. Jeton.
16407, n° 651. Jeton.
16407, n° 654. Jeton.
16407, n° 658. Jeton.
16407, n° 659. Jeton.
16407, n° 660. Jeton.
16407, n° 661. Jeton.
16407, n° 662. Jeton.
16407, n° 663. Jeton.
16407, n° 664. Jeton.
16407, n° 665. Jeton.
16407, n° 670. Jeton.
16407, n° 735. Jeton.
16407, n° 736. Jeton.
17497, n° 466. Jeton.
17497, n° 586. Jeton.
17497, n° 587. Jeton.
17497, n° 597. Jeton.
17498, n° 507. Jeton.
17498, n° 508. Jeton.
17499, n° 477. Jeton.
17500, n° 490. Jeton.
17500, n° 498. Jeton.
17500, n° 593. Jeton.
17501, n° 496. Jeton.

17501, n° 584. Jeton.

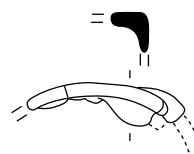
17502, n° 479. Jeton.
17502, n° 481. Jeton.
17502, n° 484. Jeton.
17502, n° 491. Jeton.
17503, n° 480. Jeton.
17503, n° 500. Jeton.
17503, n° 501. Jeton.
17503, n° 592. Jeton.
16405, n° 1479. Jeton en amphore.
16407, n° 1417. Jeton en amphore.
16407, n° 1465. Jeton en amphore.
16405, n° 1517. Fragment de meule non étudié.
16405, n° 678. Fragment de meule non étudié.
16405, n° 495. Monnaie.
17501, n° 588. Monnaie.
16405, n° 1577. Monnaie.
17499, n° 510. Monnaie.
16405, n° 499. Monnaie.
17420, n° 1109. Monnaie.
16407, n° 694. Monnaie.
17497, n° 511. Monnaie.
17498, n° 512. Monnaie.
17499, n° 474. Monnaie.
16405, n° 148. Monnaie.
17497, n° 502. Monnaie.
16405, n° 578. Monnaie.
16405, n° 491. Monnaie.
17499, n° 576. Monnaie.
16405, n° 519. Monnaie.
17420, n° 381. Monnaie.
16405, n° 581. Grosse perle en verre brun à décor en damier jaune et bleu de type Gebhard IXed.
17497, n° 801. Perle en verre bleu clair opaque à décor oculé blanc, bleu et blanc et bleu opaque.
17497, n° 476. Fragment de plaque de foyer.



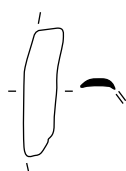
2



3



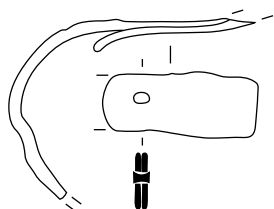
4



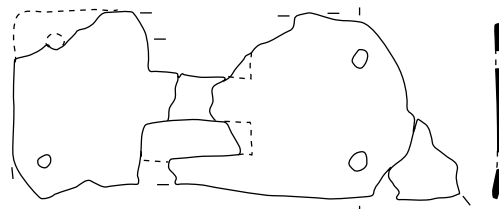
5



6



7



8

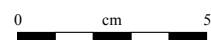


Planche 45. CPL-2-occupation ouest (armement et autres catégories)

1-4, 7-8 : fer; 5-6 : alliage cuivreux.

Place du complexe C

État 1 et 2 lato sensu : LTD1b-LTD2

CPL-3-sol ouest

Planche 46, 1. 16409, n° 666.

Fibule à ressort à quatre spires et corde interne et à arc tendu de tôle triangulaire large à décor de lignes de points incisés sur les bordures et au centre ainsi que des lignes incisées perpendiculairement au niveau du pied. Seul ce dernier et une partie de l'ardillon sont manquants. Base-cuivre.

L. 55 mm, L. (arc) 40 mm, l. (arc) 12 mm. 3.3 g.
E : 1150.7. N : 1163.63. Alt. : 572.92.
Type : B22-01.

Planche 46, 2. 16409, n° 657.

Fragment d'arc de fibule de tôle à décor d'échelle à bordures soulignées par une rainure. Base-cuivre.

L. 14 mm, l. (arc) 12 mm. 1 g.
E : 1152.5. N : 1161.18. Alt. : 572.7.
Type : B22-01.

Planche 46, 3. 17999-8, n° 1761.

Ressort de fibule à quatre spires et corde interne et arc filiforme de section hémisphérique. Fer.

L. 15 mm, S. 4 x 3 mm. 3.9 g.
E : 1148.5. N : 1160.3.*
Type : F23-0.

Planche 46, 4. 17999-10, n° 1792.

Bague à intaille à chaton ovale, épaulement marqué dans le prolongement de l'anneau fragmentaire à section en «D». L'intaille est une agate représentant un masque de théâtre avec un silène à gauche, une tête de béliar à droite surmontant un masque de parasite caché dans les bandelettes du masque. Fer.

L. 31 mm, diam. int. 16 x 17 mm, L. intaille 14 x 15 mm. 9.9 g.
E : 1153.5. N : 1164.1.*
Type : 8.

Planche 46, 5. 17999-12, n° 978.

Anneau de section hémisphérique avec trace d'usure. Base-cuivre.

Diam. 13 mm, S. 2,5 mm. 1.3 g.
E : 1152.7. N : 1172.9. Alt. : 572.89.

Planche 46, 6. 17999-12, n° 981.

Perle de section ronde. Base-cuivre.

Diam. 12 mm, S. 3 mm. 2 g.
E : 1148.5. N : 1169.7. Alt. : 572.72.

Planche 46, 7. 16409, n° 734.

Fragment d'anneau à cinq cannelures très usées et section losangique. Base-cuivre.

Diam. 28 mm, S. 4 x 3 mm. 4.8 g.
E : 1151.6. N : 1161.32. Alt. : 572.82.

Planche 46, 8. 17999-10, n° 972.

Fragment d'anneau de section ronde. Base-cuivre.

Diam. 28 mm, S. 4 mm. 5.4 g.
E : 1152. N : 1162.45. Alt. : 572.57.

Planche 46, 9. 17999-12, n° 982.

Anneau de section ronde. Base-cuivre.

Diam. 25 mm, S. 3 mm. 7.6 g.
E : 1148.5. N : 1169.7. Alt. : 572.72.

Planche 46, 10. 17999-8, n° 1000.

Fragments de lame de forces avec les deux extrémités conservées. Fer.

L. 51 mm, l. (lame) 19 mm. 18.5 g.
E : 1147.41. N : 1160.12. Alt. : 572.87.

Planche 46, 11. 17999-13, n° 1760.

Fragment de tranche (?) constituée d'une barre avec un double biseau prononcé et un tranchant lacunaire. Fer.

L. 37 mm, S. 14 mm. 25.1 g.
E : 1153.4. N : 1170.7.*

Planche 46, 12. 17999-9, n° 2303.

Tas contrecoudé constitué d'une tige massive de section quadrangulaire formant un «Z» terminée par une extrémité sphérique, dont la surface a éclaté sous l'effet de la corrosion. Fer.

L. 68 mm, L. (table) 13 x 15 mm, S. 10 mm. 44.7 g.
E : 1153.4. N : 1160.5.*

Planche 46, 13. 17999-8, n° 1001.

Virole à section en «D». Fer.

Diam. 26 mm, S. 12 x 6 mm. 30.8 g.
E : 1147.56. N : 1160.08. Alt. : 572.9.

Planche 46, 14. 17999-13, n° 975.

Douille avec extrémité massive. Fer.

L. 68 mm, diam. 18 mm. 52.2 g.
E : 1153.9. N : 1166.4. Alt. : 572.7.

Planche 46, 15. 17999-15, n° 1759.

Douille ouverte. Fer.

L. 54 mm, diam. 20 mm. 19.5 g.
E : 1153.7. N : 1173.8.*

Planche 46, 16. 16409, n° 652.

Fragment de chute de tôle triangulaire. Base-cuivre.

L. 24 mm. 0.5 g.
E : 1151.36. N : 1164. Alt. : 572.84.

Planche 46, 17. 16409, n° 656.

Demi-produit constitué d'une bande à bordures biseautées. Base-cuivre.

L. 45 mm, S. 7 x 2 mm. 1.8 g.
E : 1152.58. N : 1162.4. Alt. : 572.67.

Planche 46, 18. 16409, n° 1481.

Fragment de foncet de serrure à entrée rectangulaire avec trois trous de fixation alignés aux bords de la plaque. Fer.

L. 70 mm. 56 g.
E : 1152.65. N : 1175.08. Alt. : 572.79.

Planche 46, 19. 16409, n° 1474.

Fragment de manipule avec une extrémité élargie circulaire et une section hémisphérique. Fer.

L. 48 mm, S. 11 x 5 mm. 33 g.
E : 1151.81. N : 1173. Alt. : 572.78.
Type : Manipule.

Planche 46, 20. 16409, n° 655.

Phalère constituée d'un disque perforé en son centre et orné de cercles concentriques

irréguliers. Raté de fabrication? Base-cuivre.

Diam. 37 mm, ép. 1 mm. 5.3 g.
E : 1152. N : 1162.7. Alt. : 572.63.

Planche 46, 21. 17999-83, n° 999.

Barre de gril complète de section rectangulaire à extrémités matées en trois fragments. Fer.

L. 250 mm, S. 7 x 2 mm. 46.8 g.
E : 1157.06. N : 1157.86. Alt. : 572.82.

Autres petits mobiliers

17999-83, n° 996. Fragment d'antéfixe à tête humaine dont il ne subsiste que l'arcade sourcilière et un double cordon tressé de chevelure.

17999-15, n° 988. Fragment de bracelet en roche noire.

17999-8, n° 967. Fabricat de dé constitué d'un parallélépipède rectangle en os.

17999-9, n° 966. Fusaïole en terre cuite à section en «D».

16409, n° 669. Jeton.

16409, n° 675. Jeton.

17999-13, n° 983. Jeton.

17999-15, n° 987. Jeton.

17999-83, n° 997. Jeton.

17999-83, n° 998. Jeton.

16409, n° 1418. Jeton en amphore.

16409, n° 668. Monnaie.

16409, n° 1426. Monnaie.

16409, n° 683. Monnaie.

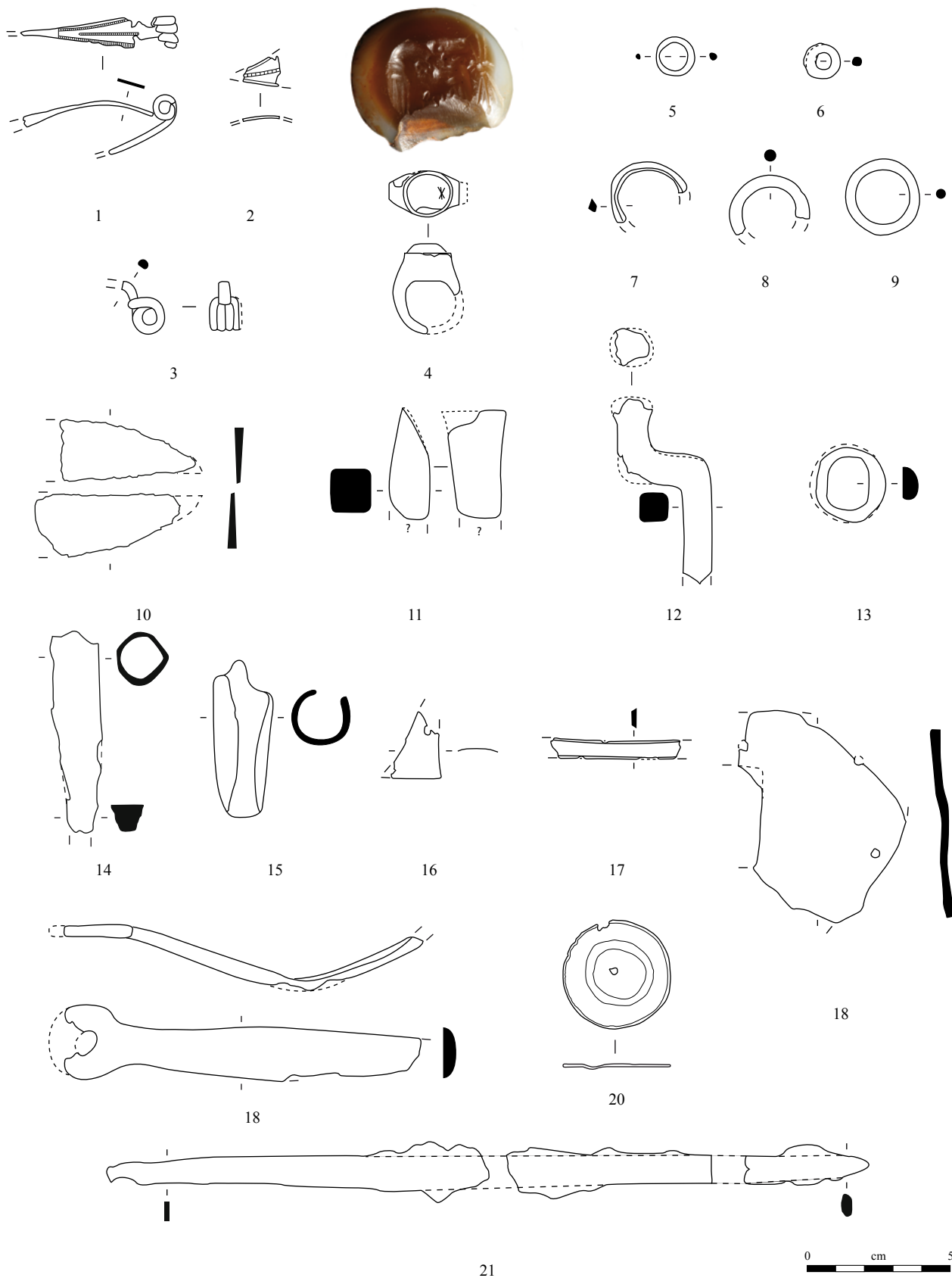


Planche 46. CPL-3-sol ouest

1-2, 5-9, 16-17, 20 : alliage cuivreux; 3, 10-15, 18-19, 21 : fer; 4 : fer et agate.

Place du complexe C

État 2 lato sensu : LTD1b évoluée-LTD2

CPL-4-épan dage est

Planche 47, 1. 17521, n° 527.

Fibule en deux fragments à ressort à quatre spires (deux conservées) et corde interne et arc tendu de tôle triangulaire fin à décor d'échelle et lignes perpendiculaires séparant l'arc du pied. Base-cuivre.
L. 32 mm, L. (arc) 24 mm, l. (arc) 3,5 mm. 1.6 g.
E : 1164.51. N : 1169.68. Alt. : 572.75.
Type : B22-04.

Planche 47, 2. 17430, n° 554.

Ardillon complet et ressort à quatre spires (deux conservées) et corde interne. Base-cuivre.
L. 54 mm. 1.6 g.
E : 1169.36. N : 1165.7. Alt. : 572.7.
Type : B20-0.

Planche 47, 3. 17521, n° 534.

Ardillon et ressort à quatre spires (deux conservées) et corde interne. Base-cuivre.
L. 16 mm. 0.5 g.
E : 1161.93. N : 1168. Alt. : 572.74.
Type : B20-0.

Planche 47, 4. 17430, n° 800.

Ardillon et ressort à trois spires unilatérales. Base-cuivre.
L. 24 mm. 0.5 g.
E : 1163.24. N : 1163.44. Alt. : 572.95.
Type : B10-2.

Planche 47, 5. 17430, n° 556.

Pied ajouré fragmentaire et arc de fibule de section circulaire. Fer.
L. 30 mm, S. 2 mm. 1.8 g.
E : 1162.46. N : 1163.45. Alt. : 572.80.
Type : F03.

Planche 47, 6. 17430, n° 578.

Fibule à ressort à quatre spires et corde externe haute et à arc cambré de section lenticulaire. Fer.
L. 22 mm, S. 3 x 2 mm. 1 g.
E : 1162.85. N : 1171.3. Alt. : 572.940.
Type : F33-7.

Planche 47, 7. 17430, n° 420.

Grand anneau de section sub-triangulaire dont l'arête du jonc est interrompue par deux canaux d'usure. Base-cuivre.
Diam. 28 mm, S. 6 x 9 mm. 16.5 g.
E : 1165.3. N : 1163.4. Alt. : 572.92.

Planche 47, 8. 17430, n° 582.

Anneau de section lenticulaire. Base-cuivre.
Diam. 25 mm, S. 6 x 3 mm. 6.4 g.
E : 1165.33. N : 1171.8. Alt. : 572.96.

Planche 47, 9. 17521, n° 825.

Perle cannelée avec une cannelure centrale. Base-cuivre.
Diam. 13 mm, S. 3 x 4 mm. 2.8 g.
E : 1165.2. N : 1164.8.*

Planche 47, 10. 17521, n° 1768.

Fragment d'anneau de section ronde. Fer.
Diam. 22 mm, S. 6 mm. 4.1 g.
E : 1165.3. N : 1170.2.*

Planche 47, 11. 17521, n° 559.

Fragment d'anneau avec une cannelure latérale. Base-cuivre.
Diam. 13 mm, S. 6 mm. 0.2 g.
E : 1162.03. N : 1173.53. Alt. : 572.75.

Planche 47, 12. 17430, n° 579.

Pendentif en forme de hache à douille avec hypothétique perforation dans l'angle du tranchant. Fer.
L. 38 mm, L. (tranchant) 45 mm, diam. (douille) 17 x 13 mm. 13.6 g.
E : 1164. N : 1170. Alt. : 572.98.

Planche 47, 13. 17521, n° 820.

Bague à chaton ovale et épaulement marqué dans le prolongement de l'anneau cassé et replié dans sa partie inférieure. L'intaille fragmentaire en pâte de verre noire mal conservée est très irisée. Fer.
L. 22 mm, diam. int. (anneau) 17 mm, L. (plateau) 11 x 14 mm. 4.3 g.
E : 1164.5. N : 1167.3.*
Type : 8.

Planche 47, 14. 17521, n° 530.

Fragment de tranchant d'herminette. Fer.
L. 74 mm, L. (tranchant) 74 mm. 99.2 g.
E : 1162. N : 1169.73. Alt. : 572.83.

Planche 47, 15. 17430, n° 410.

Ciselet à tête massive matée, corps de section circulaire avec épaississement central et tranchant droit à double biseau. Fer.
L. 78 mm, S. 7 mm, L. (tranchant) 4 mm. 19.4 g.
E : 1166.7. N : 1167.47. Alt. : 573.84.

Planche 47, 16. 17430, n° 546.

Oeil d'outil doté d'un marteau. Fer.
L. 38 mm, diam. (oeil) 25 mm, L. (table) 30 x 30 mm. 71.5 g.
E : 1165.15. N : 1162.36. Alt. : 572.1.

Planche 47, 17. 17521, n° 545.

Tas à table quadrangulaire et queue de section rectangulaire à angles chanfreinés. Fer.
L. 57 mm, L. (table) 24 mm, S. 14 x 18 mm. 98.6 g.
E : 1163.89. N : 1170.5. Alt. : 572.76.

Planche 47, 18. 17520, n° 516.

Fragment de gueule de pince à mâchoire droite cassée au niveau de l'articulation. Fer.
L. 97 mm. 29.3 g.
E : 1165.53. N : 1163.7. Alt. : /.

Planche 47, 19. 17520, n° 520.

Chute de tôle repliée avec des découpes circulaires. Base-cuivre.
L. 18 mm. 1.3 g.
E : 1163.16. N : 1162.2. Alt. : 572.80.

Planche 47, 20. 17430, n° 591.

Chute de tôle triangulaire. Base-cuivre.
L. 16 mm, ép. 0,5 mm. 0.1 g.
E : 1162.85. N : 1171.3. Alt. : 572.94.

Planche 47, 21. 17521, n° 590.

Chute de tôle quadrangulaire. Base-cuivre.
L. 13 mm. 0.1 g.
E : 1164.9. N : 1170.4. Alt. : 572.68.

Planche 47, 22. 17521, n° 539a.

Chute de tôle repliée avec trace de martelage en surface. Base-cuivre.
L. 22 mm. 0.4 g.
E : 1162.66. N : 1167.05. Alt. : 572.69.

Planche 47, 23. 17430, n° 422.

Fabricat de fibule de Nauheim dont l'arc est formé tandis que le pied est en cours de façonnage. Cette parure est cassée au niveau du départ du ressort. Base-cuivre.
L. 55 mm. 2 g.
E : 1166.63. N : 1164.77. Alt. : 572.86.

Planche 47, 24. 17520, n° 826.

Demi-produit de section circulaire avec trace de découpe à une extrémité. Plomb.
L. 24 mm, S. 13 x 11 mm. 35.6 g.
E : 1164.2. N : 1164.5. Rest

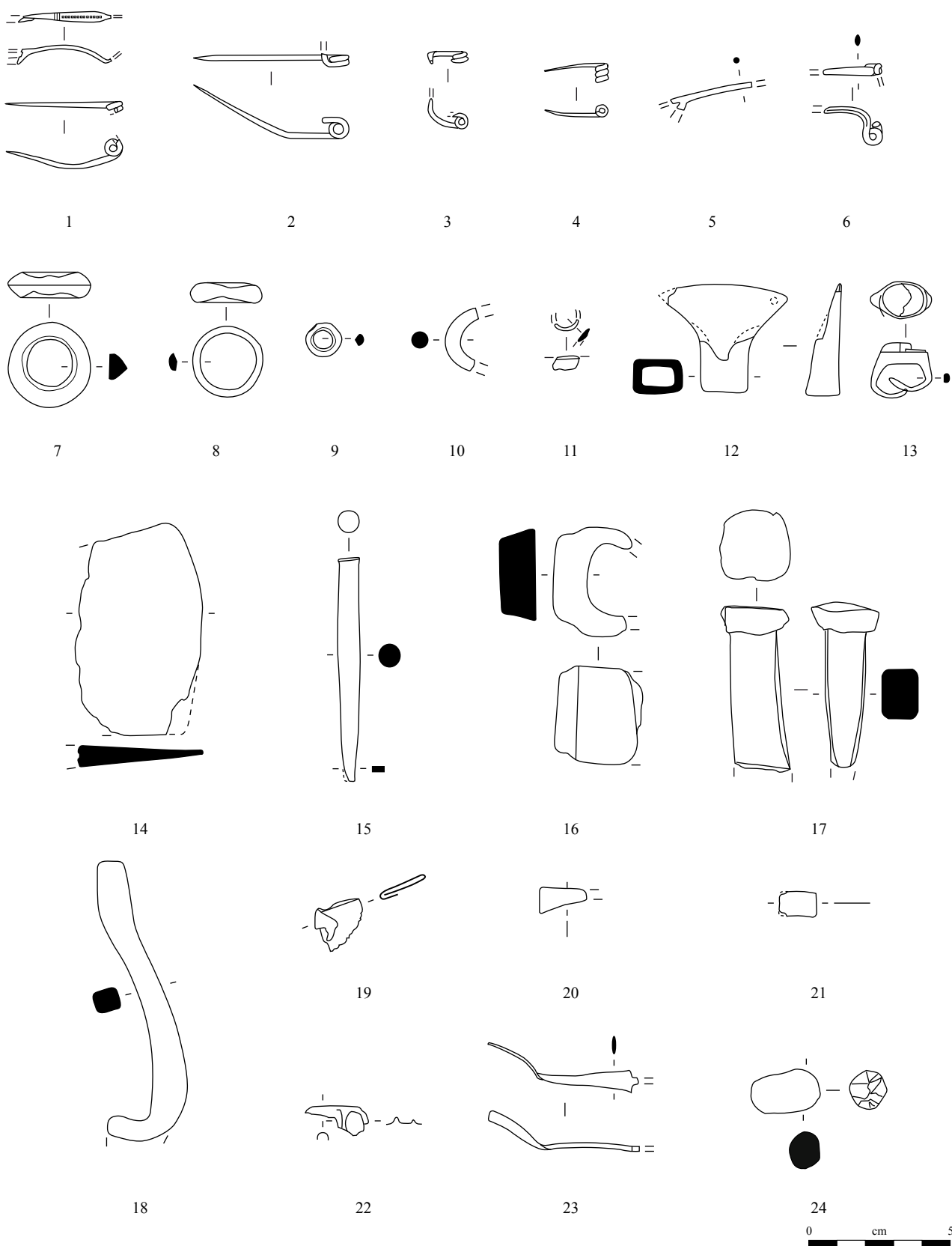


Planche 47. CPL-4-épandage est

1-4, 7-11, 19-23 : alliage cuivreux; 5-6, 12, 14-18 : fer; 13 : fer et pâte de verre; 24 : plomb.

Place du complexe C

État 2 lato sensu : LTD1b évoluée-LTD2

CPL-4-épan dage est

Planche 48, 1. 17521, n° 1037.

Fragment d'aiguiseur parallélépipédique en grès fin de section carrée avec traces de corrosion et de dépôt (caramel?). Lithique. L. 83 mm, S. 29 mm. 140.4 g. E : 1165.2. N : 1164. Alt. : 572.82.

Planche 48, 2. 17521, n° 524.

Fragment de tablette abrasive en basalte fin avec trace d'abrasion, de percussion sur les deux faces et trace de corrosion ferreuse sur un côté. Lithique. L. 135 mm, Ép. 23 mm. 410 g. E : 1164.57. N : 1164.46. Alt. : 572.73.

Planche 48, 3. 17520, n° 958.

Fragment de cotte de mailles simples pliées à plusieurs reprises. Fer. L. 78 mm, ép. 20 mm, diam. (maille) 7 mm. 225.3 g. E : 1163.3. N : 1165. Alt. : 572.76.

Planche 48, 4. 17521, n° 1767.

Fragments d'orle de section rectangulaire avec pince de fixation et rivet encore en position fonctionnelle. Fer. L. 96 mm, S. 6 x 4 mm. 23.4 g. E : 1163.4. N : 1168.* Type : Rectangulaire.

Planche 48, 5. 17521, n° 518.

Mors avec système articulé complexe constitué d'un anneau jointif avec plaque trapézoïdale perforée où est attaché un élément avec deux anneaux ouverts à chaque extrémité et de section quadrangulaire. Le canon du mors se développe avec un élément comportant deux anneaux sur

deux plans perpendiculaires. Fer. L. 80 mm, diam. (anneau) 66 mm, S. 8 mm. 390 g. E : 1164.2. N : 1169.39. Alt. : 572.77.

Planche 48, 6. 17074, n° 289.

Elément de serrure constitué d'une plaque quadrangulaire à gouttière et avec quatre perforations. Fer. L. 95 mm, l. 48 mm, ép. 1,5 mm. 52.4 g. E : 1160. N : 1171.05. Alt. : 572.98.

Planche 48, 7. 17430, n° 423.

Objet indéterminé constitué d'un plat échancré de section ovale avec un décor en écaille de poisson sur les deux faces. Base-cuivre. L. 30 mm, l. 6 mm. 0.7 g. E : 1166.45. N : 1168.12. Alt. : 572.83.

Planche 48, 8. 17430, n° 596.

Objet indéterminé constitué d'un anneau de section circulaire connecté à une tige de section circulaire. Fragment d'instrument de toilette, pendeloque de l'âge du Bronze? Base-cuivre. L. 28 mm, diam. 10 mm, S. 2,5 mm. 1.3 g. E : 1163.66. N : 1167.27. Alt. : 572.96.

Planche 48, 9. 17520, n° 959.

Agrafe de réparation de céramique à deux attaches. Plomb. L. 26 mm. 3.5 g. E : 1163.45. N : 1164.55. Alt. : 572.82.

Planche 48, 10. 17520, n° 521.

Maillon de chaîne en huit. Fer. L. 48 mm, S. 5 mm. 23.1 g. E : 1164.75. N : 1162.86. Alt. : 572.80.

Planche 48, 11. 17430, n° 1770.

Fragment de chute atypique constituée d'une tige avec un épaississement. Objet récupéré? Fer.

L. 37 mm, S. 11 x 6 mm. 10.6 g. E : 1165.7. N : 1166.2.*

Autres petits mobiliers

17430, n° 531. Aiguiseur non retrouvé.
17521, n° 542. Jeton percé, fusaïole.
17074, n° 258. Jeton.
17074, n° 268. Jeton.
17430, n° 576. Jeton.
17430, n° 583. Jeton.
17430, n° 594. Jeton.
17430, n° 595. Jeton.
17520, n° 514. Jeton.
17521, n° 538. Jeton.
17521, n° 541. Jeton.
17521, n° 548. Jeton.
17521, n° 549. Jeton.
17521, n° 551. Jeton.
17521, n° 557. Jeton.
17521, n° 560. Jeton.
17521, n° 540. Moitié de jeton.
17521, n° 817. Monnaie.
17521, n° 555. Monnaie.
17521, n° 553. Monnaie.
17430, n° 558. Monnaie.
17430, n° 421. Monnaie.
17521, n° 543. Monnaie.
17521, n° 544. Monnaie.
17430, n° 411. Monnaie.
17430, n° 581. Monnaie.
17521, n° 526. Monnaie.
17521, n° 1019. Perle indéterminée.

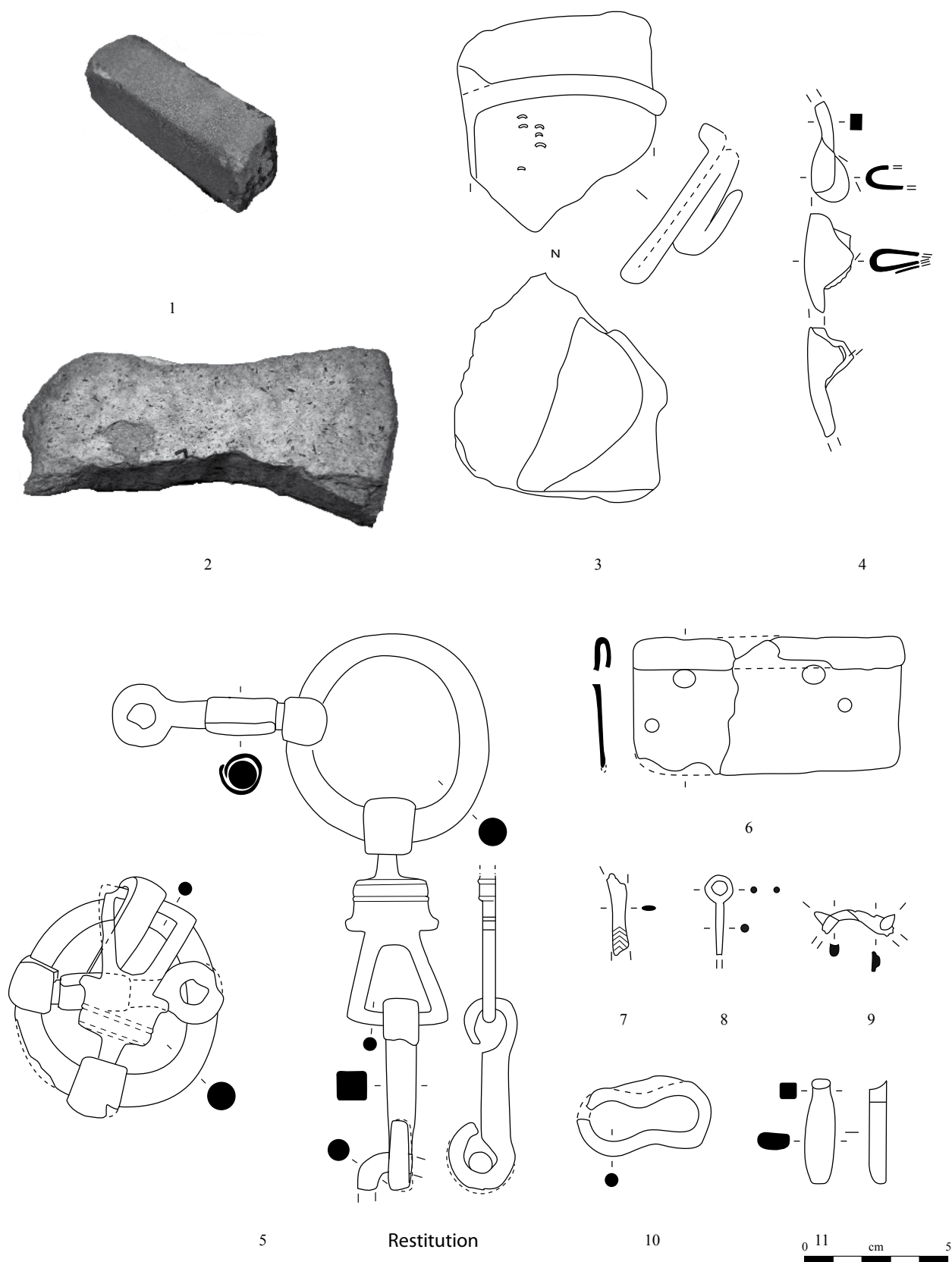


Planche 48. CPL-4-épandage est

1 : grès fin; 2 : basalte fin; 3-6, 10-11 : fer; 7-8 : alliage cuivreux; 9 : plomb.

Place du complexe C

État 1 et 2 lato sensu : LTD1b-LTD2

CPL-5-sol est

Planche 49, 1. 17999-213, n° 1641.

Fragment de bracelet tubulaire avec décor d'incisions indéterminé. Base-cuivre.

L. 40 mm, diam. ext. rest. 66 mm. 0.8 g.

E : 1159.2. N : 1177.6. Alt. : 572.91.

Type : B21-0.

Planche 49, 2. 17155, n° 1403.

Applique zoomorphe en forme de palmipède avec plumage stylisé sur le dos et la queue à l'aide d'incisions. Base-cuivre.

L. 36 mm, ht. 27 mm. 24.4 g.

E : 1160.26. N : 1177.27. Alt. : 572.93.

Planche 49, 3. 17155, n° 1362.

Hache à oeil avec marteau et oeil dégagé par rapport au tranchant. Fer.

L. 100, diam. (oeil) 19 x 17 mm, L. (tranchant)

43 mm, L. (table) 21 x 27 mm. 194.1 g.

E : 1160.15. N : 1175.35. Alt. : 572.91.

Planche 49, 4. 17999-213, n° 1742.

Tas à table circulaire et à base facettée. Fer.

L. 67 mm, diam. (table) 20 x 21 mm, S. 13 mm.

49.5 g.

E : 1162. N : 1167.8.*

Planche 49, 5. 17999-213, n° 1741.

Fragment d'emporte-pièce constitué d'une longue tige de section rectangulaire terminée par une gorge à bordure relevée fragmentaire. Fer.

L. 149 m, S. 14 x 10 mm. 100.8 g.

E : 1161.5. N : 1171.*

Planche 49, 6. 17693, n° 535.

Poinçon à emboutir constitué d'une tige de section ronde. La bordure de la tête est légèrement tronquée. Base-cuivre.

L. 34 mm, S. 7 mm. 8.5 g.

E : 1162.86. N : 1168. Alt. : 572.75.

Planche 49, 7. 17155, n° 1356.

Petite serpette cassée au niveau du départ de la lame. Fer.

L. 66 mm, diam. 14 mm. 28 g.

E : 1160.79. N : 1178.9. Alt. : 572.96.

Planche 49, 8. 17695, n° 868.

Aiguiseur en basalte fin usé jusqu'à ce qu'il ne soit plus fonctionnel. Lithique.

L. 77 mm, Ép. 20 mm. 55.5 g.

E : 1157.4. N : 1165.25. Alt. : 572.78.

Planche 49, 9. 17999-213, n° 1639.

Grand piton à deux pointes. Fer.

L. 70 mm, S. (anneau) 16 x 4 mm. 74.7 g.

E : 1158.3. N : 1173.9. Alt. : 572.82.

Planche 49, 10. 17999-213, n° 1637.

Anneau d'écurie avec fixation à l'aide d'un piton à oeil de section rectangulaire. Fer.

L. 108 mm, diam. (anneau) 60 mm, S. 8 mm. 89 g.

E : 1159. N : 1173.6. Alt. : 572.83.

Autres petits mobiliers

17695, n° 866. Broyon.

17695, n° 863. Monnaie.

17155, n° 1355. Monnaie.

Perturbations modernes

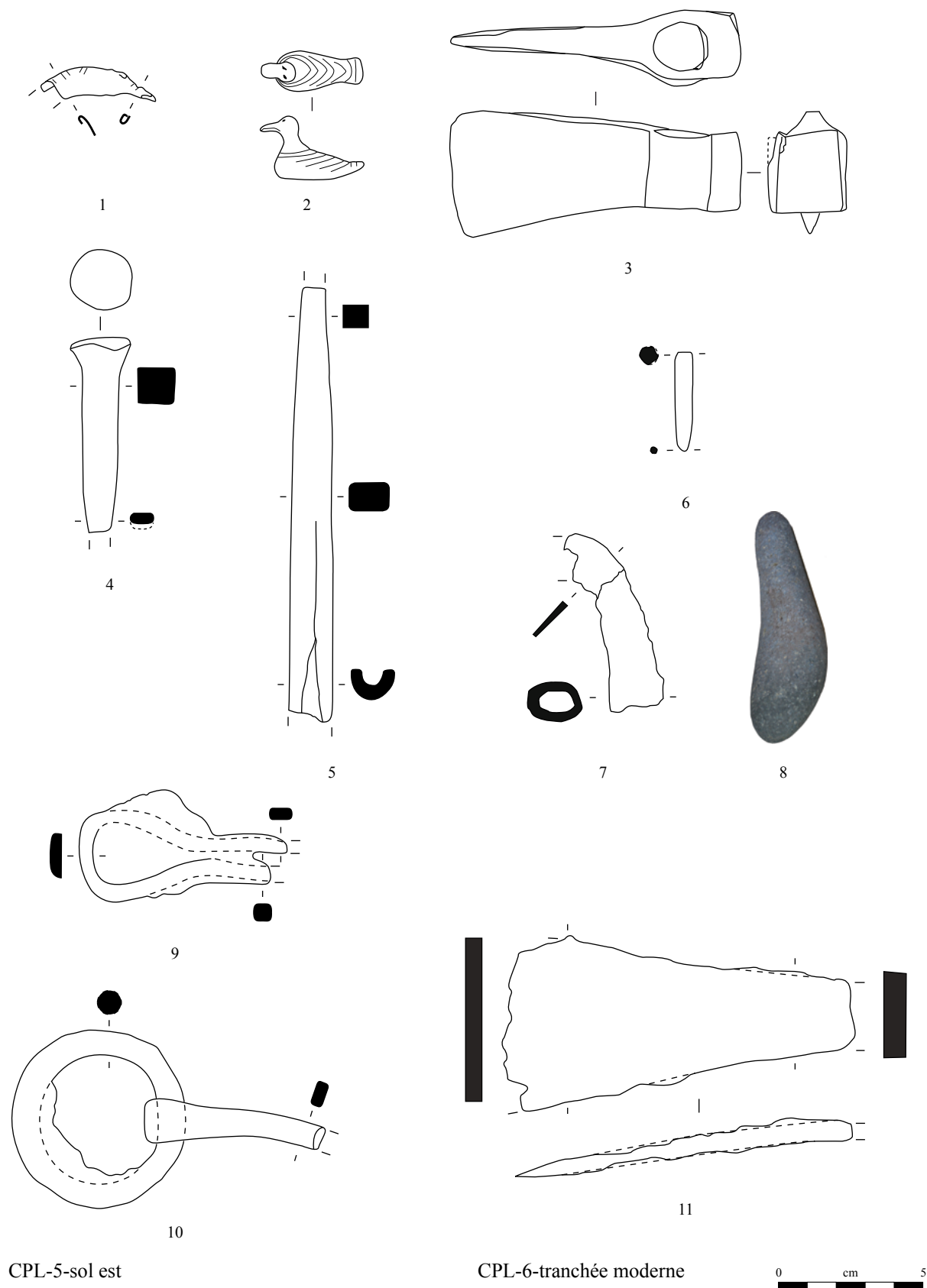
CPL-6-moderne

Planche 49, 11. 17001, n° 343.

Tranchant d'herminette dont l'extrémité active est manquante. Fer.

L. 121 mm, L. (tranchant) 60 mm. 191.9 g.

E : 1158. N : 1190.*



CPL-5-sol est

CPL-6-tranchée moderne

0 cm 5

Planche 49. CPL-5-sol est et CPL-6-moderne

1-2, 6 : alliage cuivreux; 3-5, 7, 9-11 : fer; 8 : basalte fin.

Bâtiment C1

Décapage

C1-1-décapage

Planche 50, 1. 16606, n° 1636.

Fibule à ressort à quatre spires (trois conservées) et corde interne et à arc cambré mouluré triangulaire interrompu par un bouton et deux protubérances, ailettes naissantes. Un décor d'échelle est situé sur la partie proche de la tête. Base-cuivre.

L. 44 mm, L. (arc) 36 mm, l. (arc) 4 mm. 0.9 g.

E : 1146. N : 1179.*

Type : B24-3.

Planche 50, 2. 16606, n° 1637.

Fibule à ressort à quatre spires (trois conservées) et corde interne et à arc tendu de tôle triangulaire fin à décor central d'échelle. Base-cuivre.

L. 27 mm, l. (arc) 3 mm. 0.8 g.

E : 1145.5. N : 1184.85.*

Type : B22-04.

Planche 50, 3. 16605, n° 1785.

Fibule à quatre spires et corde externe haute et arc de section ovale cambré. Fer.

L. 25 mm, S. 4 x 2 mm. 3.4 g.

E : 1143. N : 1183.*

Type : F33-7.

Planche 50, 4. 17050, n° 1721.

Arc de fibule à section en quart de rond et ressort à deux spires conservées. Fer.

L. 22 mm, S. 4 mm. 1.7 g.

E : 1142.6. N : 1181.7.*

Type : F03.

Planche 50, 5. 16606, n° 317.

Moyeu de rouelle avec départ de dix rayons. Base-cuivre.

L. 22 mm. 8.5 g.

E : 1147.36. N : 1182.73. Alt. : 573.05.

Planche 50, 6. 16606, n° 445.

Anneau à section en quart de rond. Base-cuivre.

Diam. 18 mm, S. 3 mm. 2.4 g.

E : 1147.98. N : 1179.3. Alt. : 573.23.

Planche 50, 7. 17050, n° 116a.

Fragment d'un anneau de section ovale. Base-cuivre.

L. 11 mm, diam. 17 mm, S. 1,5 x 2 mm. 0.9 g.

E : 1144. N : 1175.6. Alt. : 572.93.

Planche 50, 8. 17050, n° 157.

Fragment de perle de section ronde. Base-cuivre.

Diam. 20 mm, S. 3 mm. 1.3 g.

E : 1141.35. N : 1179.4. Alt. : 573.03.

Planche 50, 9. 17050, n° 118.

Fragment d'anneau de section ronde. Base-cuivre.

Diam. 24 mm, S. 2 mm. 0.8 g.

E : 1140.3. N : 1177.5. Alt. : 572.98.

Planche 50, 10. 17050, n° 273.

Anneau de section lenticulaire. Base-

cuivre.

Diam. 17 mm, S. 2 x 4 mm. 1.3 g.

E : 1143.63. N : 1183.35. Alt. : 573.17.

Planche 50, 11. 17050, n° 115.

Anneau de section ronde. Base-cuivre.

Diam. 16 mm, S. 2,5 mm. 1.4 g.

E : 1140.7. N : 1177.1. Alt. : 573.02.

Planche 50, 12. 17050, n° 181.

Fragment de poucier de passoire incurvé.

Base-cuivre.

L. 22 mm. 2 g.

E : 1141.62. N : 1177.17. Alt. : 573.05.

Planche 50, 13. 16605, n° 1521.

Lèvre à bordure épaissie de vasque de simpulum. Base-cuivre.

Diam. 47 mm, ht. 17 mm. 4.1 g.

E : 1143. N : 1180.7.*

Planche 50, 14. 17050, n° 140.

Attache de seau composé d'un plat comportant une grande perforation circulaire et deux trous de fixation. Fer.

L. 52 mm, diam. int. 21 mm. 27.3 g.

E : 1142.9. N : 1178.1. Alt. : 573.28.

Planche 50, 15. 17050, n° 255.

Chute de tige de section carrée découpée à une extrémité et enroulée. Base-cuivre.

Diam. 17 mm, S. 3 x 4 mm. 1.6 g.

E : 1141.56. N : 1179.33. Alt. : 573.17.

Planche 50, 16. 16605, n° 1519.

Demi-produit constitué d'une tige de section quadrangulaire avec trace de martelage. Base-cuivre.

L. 20 mm, S. 2,5 mm. 0.2 g.

E : 1145. N : 1183.7.*

Planche 50, 17. 17050, n° 1723.

Chute de plat avec trace de découpe en biseau sur trois bords. Plomb.

L. 16 mm, ép. 2 mm. 1.8 g.

E : 1142.8. N : 1182.1.*

Planche 50, 18. 16402, n° 310.

Aiguille cassée au niveau du chas. Base-cuivre.

L. 28 mm. 0.5 g.

E : 1143.11. N : 1172.12. Alt. : 573.19.

Planche 50, 19. 17050, n° 1724.

Fragment de chaîne avec deux maillons en position fonctionnelle. Fer.

L. 25 mm. 2.7 g.

E : 1140.7. N : 1178.6.*

Planche 50, 20. 16402, n° 570.

Anneau à terminaison à épissures connecté à une bande de plat enroulée au niveau de l'anneau et perforée à son extrémité fragmentaire. Base-cuivre.

L. 22 mm. 0.8 g.

E : 1153.88. N : 1171.95. Alt. : 572.93.

Planche 50, 21. 16604, n° 458.

Pêne contrecoudé de section carrée. Fer.

L. 143 mm, S. 4 x 3 mm. 23.2 g.

E : 1140.6. N : 1176.82. Alt. : 573.94.

Planche 50, 22. 15409, n° 505.

Foncet de serrure avec entrée en «L» et bordure doublée et rivetée. Fer.

L. 106 mm, l. 80 mm. 80 g.

E : 1138. N : 1172.*

Autres petits mobiliers

16605, n° 430. Fragment de bracelet en roche noire.

16606, n° 436. Fusaïole en terre cuite fragmentaire à section trapézoïdale.

17050, n° 259. Jeton percé, fusaïole.

17050, n° 149. Fragment de verre indéterminé.

16603, n° 482. Deux jetons.

16402, n° 311. Jeton.

16603, n° 344. Jeton.

16606, n° 352. Jeton.

16606, n° 435. Jeton.

16606, n° 437. Jeton.

17050, n° 126. Jeton.

17050, n° 182. Jeton.

17050, n° 188. Jeton.

17050, n° 238. Jeton.

17050, n° 246. Jeton.

17050, n° 256. Jeton.

17050, n° 257. Jeton.

17050, n° 260. Jeton.

17050, n° 254. Jeton d'amphore.

17050, n° 184. Moitié de jeton.

17050, n° 1687. Trois jetons en amphore.

16604, n° 308. Monnaie.

16402, n° 1590. Monnaie.

16606, n° 419. Monnaie.

15409, n° 518(3). Monnaie.

15409, n° 518(4). Monnaie.

16605, n° 400. Monnaie.

15409, n° 518(5). Monnaie.

17050, n° 117. Monnaie.

17050, n° 272. Monnaie.

15401, n° 916. Monnaie.

15409, n° 518(2). Monnaie.

15571, n° 843. Monnaie.

17050, n° 183. Monnaie.

15409, n° 518(1). Monnaie.

16604, n° 354. Perle en verre vert-eau opaque, décor de deux fils fins en verre blanc incorporés dans la masse.

16402, n° 312. Petite perle en verre bleu-vert clair.

16402, n° 787. Fragment de lèvre de baquet avec ligne en relief en roche noire.

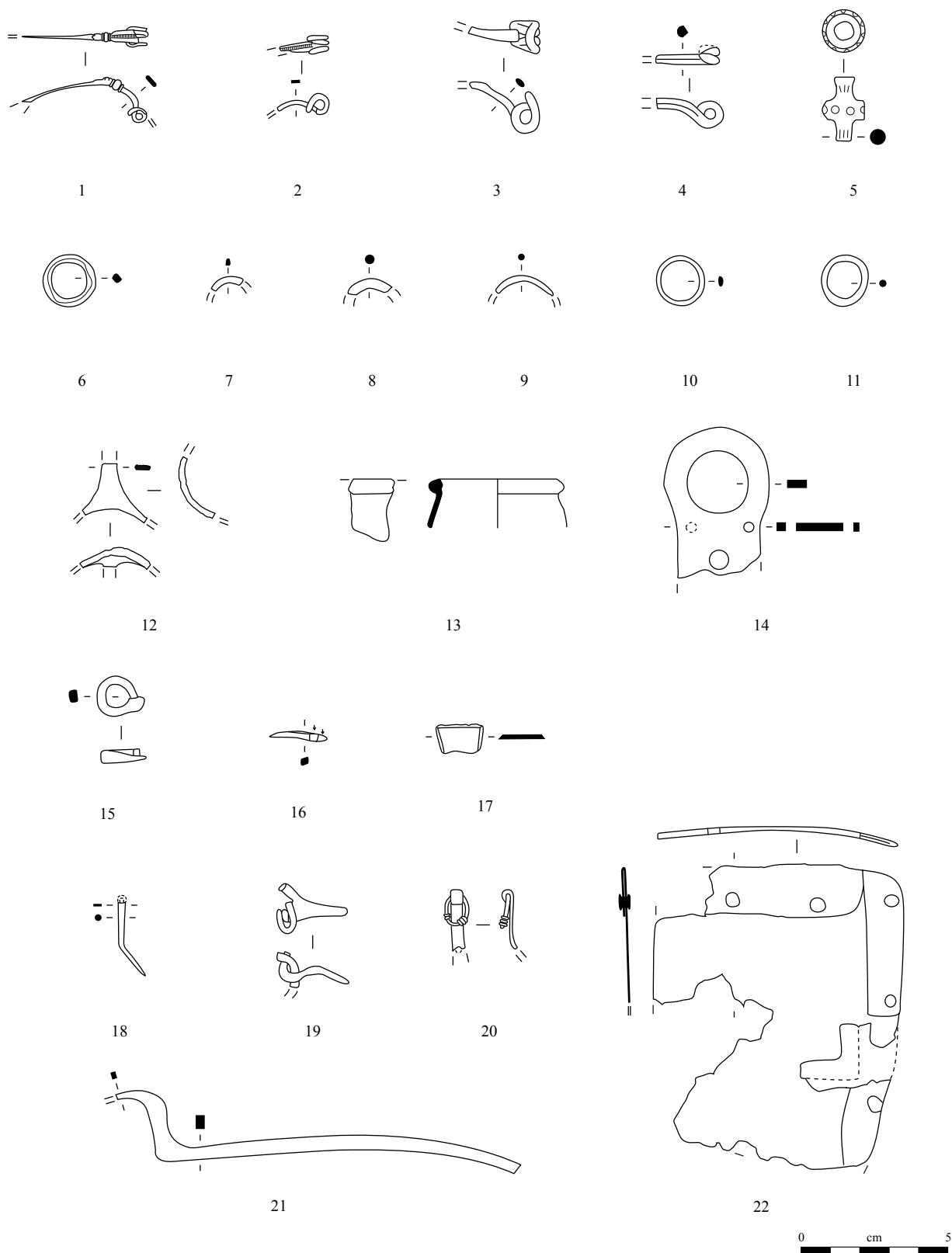


Planche 50. C1-1-décapage

1-2, 5-13, 15-16, 18, 20 : alliage cuivreux; 3-4, 14, 19, 21-22 : fer; 17 : plomb.

Bâtiment C1

État 2.2 à 2.3 : LTD2

C1-2-radier et sols

Planche 51, 1. 16613, n° 401.

Fragment d'orle en gouttière avec patte de fixation fragmentaire. Fer.

L. 276 mm, S. 9 x 7 mm. 99.2 g.

E : 1144.35. N : 1179.28. Alt. : 573.15.

Type : Gouttière.

Planche 51, 2. 18650, n° 3042.

Fragment de chute de plaque de section hémisphérique à bordure relevée. Fer.

L. 30 mm, ép. 10 mm. 27.5 g.

E : 1145.3. N : 1172.41.*

Planche 51, 3. 16651, n° 1852.

Fragment de tablette abrasive informe avec un bord conservé en grès assez grossier comportant des traces d'abrasion sur la face supérieure, le côté et une surface moins lisse sous la face inférieure. Lithique.

L. 93 mm., l. 81 mm, Ép. 45 mm. NP.

E : 1140.7. N : 1175.5.*

Autres petits mobiliers

18653, n° 1523. Jeton.

16655, n° 1437. Meta entière en roche volcanique vacuolaire.

16613, n° 415. Monnaie.

16613, n° 403. Monnaie.

18650, n° 1500. Monnaie.

État 1 à 2.1 : LTD1b

C1 et C3-3-démontage radier

Planche 51, 4. 17046, n° 1780.

Fibule à ressort à quatre spires et corde interne et arc tendu de tôle triangulaire fin à décor d'échelle et de lignes perpendiculaires séparant l'arc et du pied. Seul le pied est fragmentaire. Base-cuivre.

L. 35 mm, L. (arc) 24 mm, l. (arc) 4 mm. 2.4 g.

E : 1145. N : 1163.5.*

Type : B22-02.

Planche 51, 5. 17046, n° 1302.

Anneau de section hémisphérique. Base-cuivre.

Diam. 14 mm, S. 4 x 2 mm. 1.7 g.

E : 1148.9. N : 1161. Alt. : 573.38.

Planche 51, 6. 17046, n° 1301.

Anneau de section ronde. Base-cuivre.

Diam. 22 mm, S. 3 x 2 mm. 3.4 g.

E : 1144. N : 1166. Alt. : 573.45.

Planche 51, 7. 17046, n° 1329.

Fragment de table de frappe en basalte avec un angle et des concrétions rouge orange sur la table qui comporte des traces de percussion et une face latérale bouchardée. Lithique.

L. 61 mm. 324.7 g.

E : 1144.3. N : 1165.*

Autres petits mobiliers

17046, n° 1303. Jeton.

17046, n° 1317. Jeton.

17046, n° 1318. Jeton.

17046, n° 1319. Jeton.

17046, n° 1321. Jeton.

17046, n° 285. Jeton.

17046, n° 284. Jeton d'amphore.

17046, n° 286. Jeton d'amphore.

17046, n° 156. Monnaie.

État 2.1 à 2.2 : LTD1b évoluée-LTD2a

C1-4-remblai

Planche 51, 8. 18651, n° 1507.

Aiguille à chas cassée. Base-cuivre.

L. 18 mm. 0.5 g.

E : 1143. N : 1176.6. Alt. : 573.23.

Planche 51, 9. 18651, n° 1503.

Extrémité de ciselet constitué d'une tige de section ronde aplatie à son extrémité au tranchant incurvé et évasé à deux biseaux. Fer.

L. 33 mm, L. (tranchant) 6 mm, S. 6 mm. 2.7 g.

E : 1144.5. N : 1178.8. Alt. : 573.08.

Planche 51, 10. 18651, n° 1516.

Chute de tige de section rectangulaire découpée et pliée. Base-cuivre.

L. 36 mm, S. 4 x 2 mm. 0.6 g.

E : 1144.88. N : 1172.6. Alt. : 573.06.

Planche 51, 11. 18651, n° 3045.

Chute de tige de section ronde. Fer.

L. 21 mm, S. 5 x 5,5 mm. 2.1 g.

E : 1145.8. N : 1175.*

Planche 51, 12. 18651, n° 3046.

Chute de tige de section rectangulaire. Fer.

L. 37 mm, S. 4 x 5 mm. 3.2 g.

E : 1144.9. N : 1173.2.*

Planche 51, 13. 18651, n° 1505.

Chute de tige de section rectangulaire. Fer.

L. 38 mm, S. 2 mm. 0.5 g.

E : 1145.9. N : 1178.1. Alt. : 573.04.

Planche 51, 14. 18651, n° 1514.

Fragment de gouttière avec une perforation latérale. Base-cuivre.

L. 86 mm, S. 3,5 mm. 1.3 g.

E : 1144.35. N : 1173.8. Alt. : 573.05.

Autres petits mobiliers

18651, n° 1504. Jeton.

18651, n° 1508. Jeton.

18651, n° 1513. Jeton.

18651, n° 1515. Jeton.

18651, n° 1509. Monnaie.

18651, n° 1501. Monnaie.

État 2.2 à 2.3 : LTD2

C1-5-épandage 18652

Planche 51, 15. 18652, n° 1526.

Tranchant de ciseau droit constitué d'une tige de section ronde terminée par un tranchant évasé à deux biseaux. Fer.

L. 49 mm, S. 5 mm, L. (tranchant) 11 mm. 5.4 g.

E : 1141.3. N : 1171.46. Alt. : 572.89.

Planche 51, 16. 18652, n° 1525.

Fragments de ferrure avec perforation et forme en ogive. Fer.

L. 84 mm, l. 29 mm. 15.8 g.

E : 1147. N : 1176.5. Alt. : 572.96.*

Planche 51, 17. 18652, n° 1524.

Couteau à dos incurvé et tranchant droit, manche à plaquettes. Fer.

L. 132 mm, l. (lame) 24 mm, l. (manche) 18 mm. 35.1 g.

E : 1144. N : 1169.3.*

Type : 4-1.

Autres petits mobiliers

18652, n° 1527. Jeton.

18652, n° 1530. Jeton.

18652, n° 1531. Monnaie.

18652, n° 1533. Monnaie.

18652, n° 1528. Monnaie.

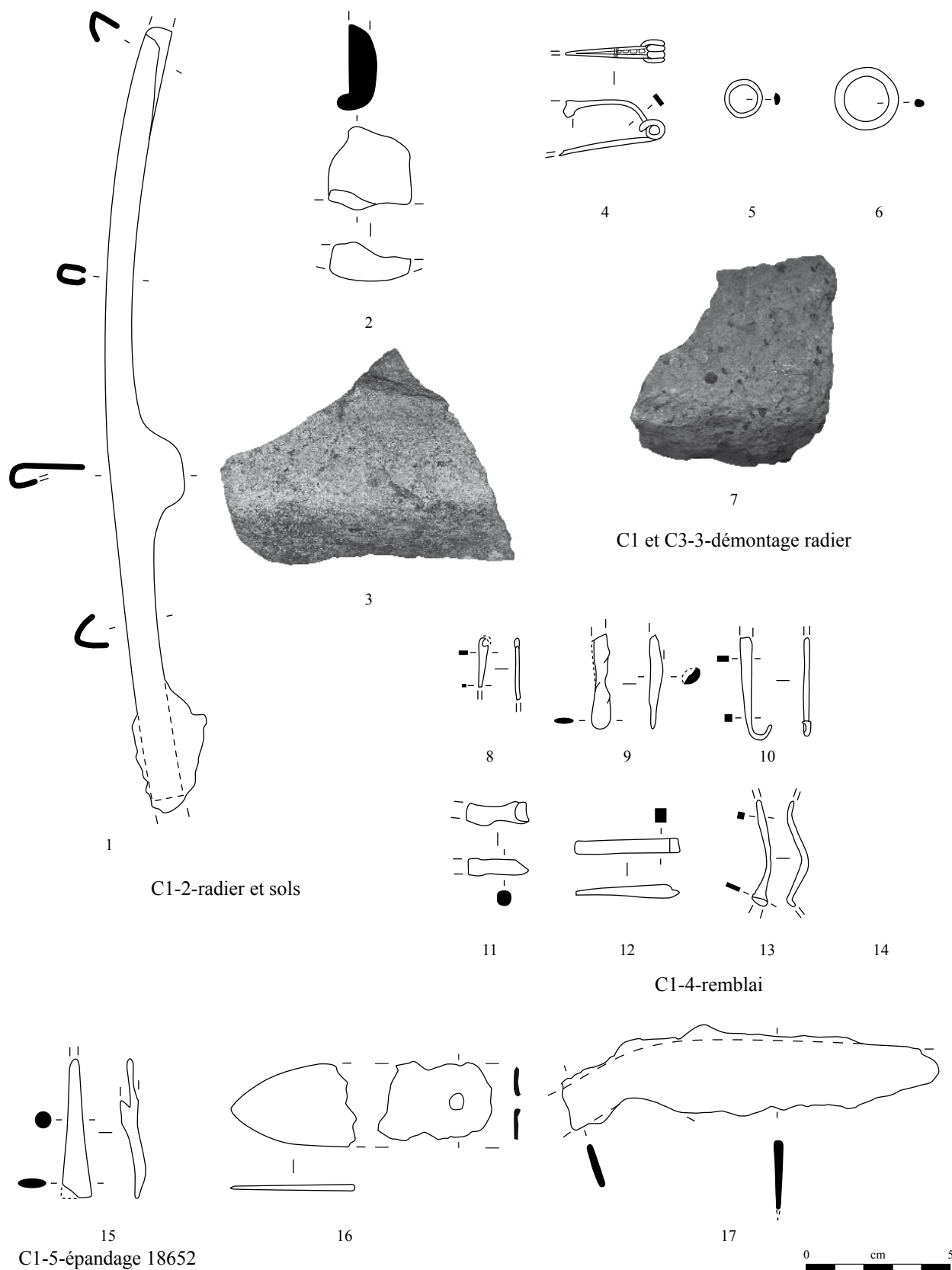


Planche 51. C1-2-radier et sols à C1-5-épandage 18652

1-2, 9, 11-13, 15-17 : fer; 3 : grès; 4-6, 8, 10-14 : alliage cuivreux; 7 : basalte.

Bâtiment C1

État 1 : LTD1b classique

C1-8-Fo 17084

Planche 52, 1. 17083, n° 1464.

Ressort de fibule à quatre spires (deux conservées) et corde interne avec un départ d'arc de tôle. Base-cuivre.

L. 8 mm. 0.3 g.

E : 1143.2. N : 1177.1.*

Type : B22-0.

Planche 52, 2. 18684, n° 3085.

Perle à section cannelée avec trace d'usure. Base-cuivre.

Diam. 16 mm, S. 5 x 2,5 mm. 3.7 g.

E : 1143.5. N : 1176.7.*

Planche 52, 3. 17083, n° 221.

Perle de section hémisphérique. Base-cuivre.

Diam. 13 mm, S. 6 x 3 mm. 3.6 g.

E : 1142.83. N : 1177.1. Alt. : 573.06.

Planche 52, 4. 17083, n° 220.

Perle de section ronde. Base-cuivre.

Diam. 11 mm, S. 4 x 3 mm. 3.7 g.

E : 1142.72. N : 1177.24. Alt. : 573.06.

Planche 52, 5. 18684, n° 3087.

Fragment de bracelet rubané à cinq moulures longitudinales et incisions entre les moulures. Base-cuivre.

L. 25 mm, l. 8 mm, ép. 2 mm. 1.9 g.

E : 1143.7. N : 1176.*

Type : B30-1.

Planche 52, 6. 18684, n° 3086.

Agrafe de ceinturon à anneau circulaire, sans languette à bouton conique avec incision elliptique. Base-cuivre.

Diam. 26 mm, ht. 15 mm, S. 4 x 3 mm. 9.5 g.

E : 1144. N : 1176.6.*

Type : B43-2.

Planche 52, 7. 17083, n° 241.

Virole vaguement angulaire ouverte. Fer.

Diam. 24 mm, ht 22 mm, ép. 2 mm. 14.6 g.

E : 1142.46. N : 1177.2. Alt. : 573.05.

Planche 52, 8. 18684, n° 3066.

Extrémité de barre de gril. Fer.

L. 31 mm, l. 9 mm, ép. 2 mm. 3.5 g.

E : 1143.85. N : 1176.44.*

Planche 52, 9. 18684, n° 3090.

Fragment de tige indéterminée de section circulaire pliée. Fer.

L. 158 mm, S. 7 mm. 39.2 g.

E : 1143.67. N : 1176.3.*

Planche 52, 10. 18692, n° 1599g.

Tôle quadrangulaire indéterminée repliée sur elle-même et présentant au moins deux rivets en position fonctionnelle et une perforation dans un angle. Foncet de serrure? Fer.

L. 102, l. déplié 96 mm, ép. 0,5 mm. 125 g.

E : 1143.85. N : 1177.3.*

Planche 52, 11. 18684, n° 3089.

Grand fragment de barre indéterminée de section rectangulaire. Fer.

L. 273 mm, l. 17 mm, ép. 5 mm. 154.3 g.

E : 1144. N : 1176.9.*

Autres petits mobiliers

17083, n° 1470. Jeton.

17083, n° 251. Monnaie.

17083, n° 248. Monnaie.

17083, n° 219. Monnaie.

17083, n° 243. Monnaie.

17083, n° 249. Monnaie.

État 2.1 : LTD1b évoluée

C1-9-TP 15575

Planche 52, 12. 15576, n° 848.

Aiguille à chas lenticulaire cassée au milieu de la tige. Fer.

L. 31 mm. 0.3 g.

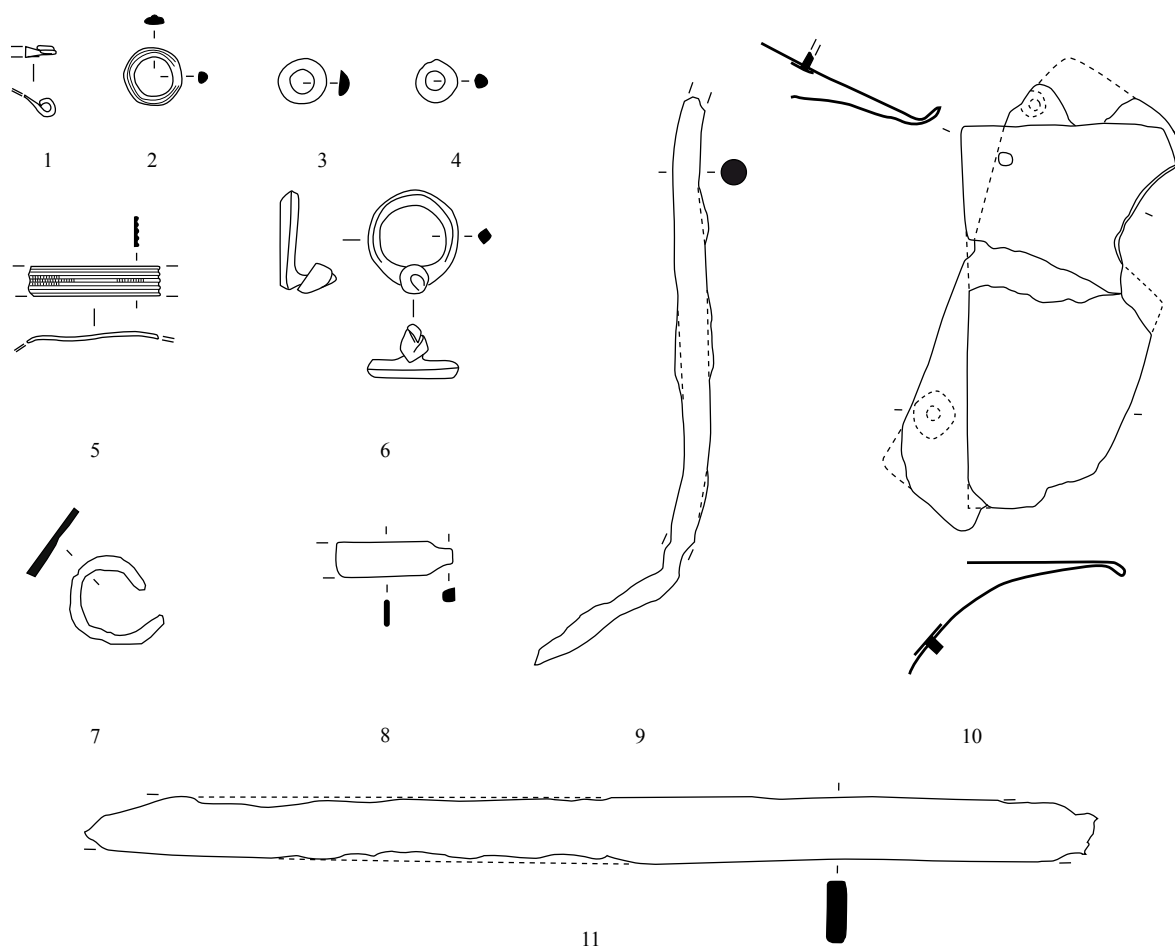
E : 1138.56. N : 1174.93. Alt. : 573.12.

Planche 52, 13. 15576, n° 870.

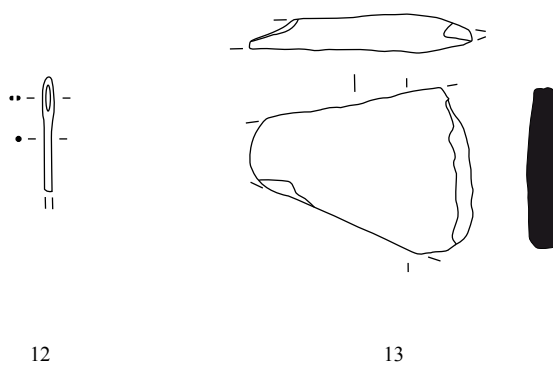
Partie active d'herminette constituée d'un plat de section rectangulaire terminé par un biseau tronqué. Le tranchant est fragmentaire. Fer.

L. 60 mm, ép. 8 mm. 77.7 g.

E : 1138.2. N : 1175.2. Alt. : 573.12.



C1-8-Fo 17084



C1-9-TP 15575

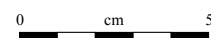


Planche 52. C1-8-Fo 17084 et C1-9-TP 15575

1-6 : alliage cuivreux; 7-13 : fer.

Bâtiment C1

État 1 à 2.1 : LTD1b

C1-15-épan dage 18662

Planche 53, 1. 18662, n° 1580.

Fragment d'arc de fibule de Nauheim avec départ du pied. Base-cuivre.

L. 24 mm. 0.1 g.

E : 1144.4. N : 1178.65. Alt. : 572.98.

Type : B22-0.

Planche 53, 2. 18662, n° 1534.

Fragment d'anneau de section ronde. Base-cuivre.

Diam. 17 mm, S. 4 x 2 mm. 0.5 g.

E : 1146.3. N : 1174.5.*

Planche 53, 3. 18662, n° 1553.

Perle de section losangique avec canal d'usure. Base-cuivre.

Diam. 15 mm, S. 4 x 2 mm. 3 g.

E : 1144.5. N : 1174.85. Alt. : /.

Planche 53, 4. 18662, n° 1546.

Fragment d'anneau de section ronde. Base-cuivre.

L. 17 mm, diam. 22 mm, S. 3 mm. 0.6 g.

E : 1144.5. N : 1177.4. Alt. : 572.97.

Planche 53, 5. 18662, n° 1557.

Perle à section en «D». Base-cuivre.

Diam. 10 mm, S. 5 x 3 mm. 2.3 g.

E : 1144.3. N : 1174.25. Alt. : 573.42.

Planche 53, 6. 18662, n° 1566.

Fragment d'anneau de section lenticulaire avec cannelures peu lisibles. Base-cuivre.

Diam. 28 mm, S. 5 x 2 mm. 1.7 g.

E : 1148.2. N : 1175.7. Alt. : 573.42.

Planche 53, 7. 18662, n° 1571.

Perle à section en «D». Base-cuivre.

Diam. 14 mm, S. 4 x 3 mm. 1.2 g.

E : 1145.85. N : 1174.25. Alt. : 572.96.

Planche 53, 8. 18662, n° 1568.

Extrémité de pointe de lance de section nervurée. Fer.

L. 57 mm, S. 21 x 17 mm. 39.2 g.

E : 1144.65. N : 1175.9. Alt. : /.

Type : 40.

Planche 53, 9. 18662, n° 1554.

Fragment d'oeil de petit marteau dont la table est lacunaire. Fer.

L. 22 mm, ht. 17 mm, diam. (oeil) 11 mm. 44 g.

E : 1144.5. N : 1174. Alt. : /.

Planche 53, 10. 18662, n° 1549.

Chute de bande de section rectangulaire avec découpes à chaque extrémité. Fer.

L. 53 mm, l. 36 mm, ép. 8 mm. 68.1 g.

E : 1144.88. N : 1178.41. Alt. : 573.01.

Planche 53, 11. 18662, n° 1564.

Demi-produit constitué d'une tige de section changeante, circulaire, rectangulaire et facettée. Base-cuivre.

L. 53 mm, S. 4 x 2 mm. 2.2 g.

E : 1146.65. N : 1176.2. Alt. : 573.42.

Planche 53, 12. 18662, n° 1582.

Abraseur convexe circulaire en basalte fin avec une encoche et trace de poli nettement plus marquée sur une face. Lithique.

Diam. 82 x 74 mm, ép. 16 mm. 135.1 g.

E : 1147. N : 1171.9. Alt. : 572.85.

Planche 53, 13. 18662, n° 1559.

Fragment de hache néolithique en roche verte dont ne subsiste que le tranchant. Trace de percussion sur une face latérale. Lithique.

L. 44 mm, l. 4 mm, ép. 16 mm. 53 g.

E : 1146.2. N : 1172. Alt. : 572.92.

Planche 53, 14. 18662, n° 1590.

Marteau de forme oblongue et de section carrée, en granit avec traces d'impacts nettement plus marquées à l'extrémité la plus large et à encoche bouchardée sur le premier tiers de l'objet. Lithique.

L. 205 mm, l. 60 mm, ép. 44 mm. 1167 g.

E : 1143.8. N : 1175.45. Alt. : 572.87.

Planche 53, 15. 18662, n° 1576.

Abraseur polyédrique en basalte fin de forme et de section triangulaire poli sur toutes ces faces. Lithique.

L. 88 mm, l. 38 mm, ht. 30 mm. 132.7 g.

E : 1145.55. N : 1172.55. Alt. : 572.94.

Planche 53, 16. 18662, n° 1575.

Abraseur polyédrique triangulaire fragmentaire en basalte fin. Lithique.

L. 64 mm, l. 37 mm, ép. 13 mm. 64.5 g.

E : 1146.2. N : 1172. Alt. : 572.92.

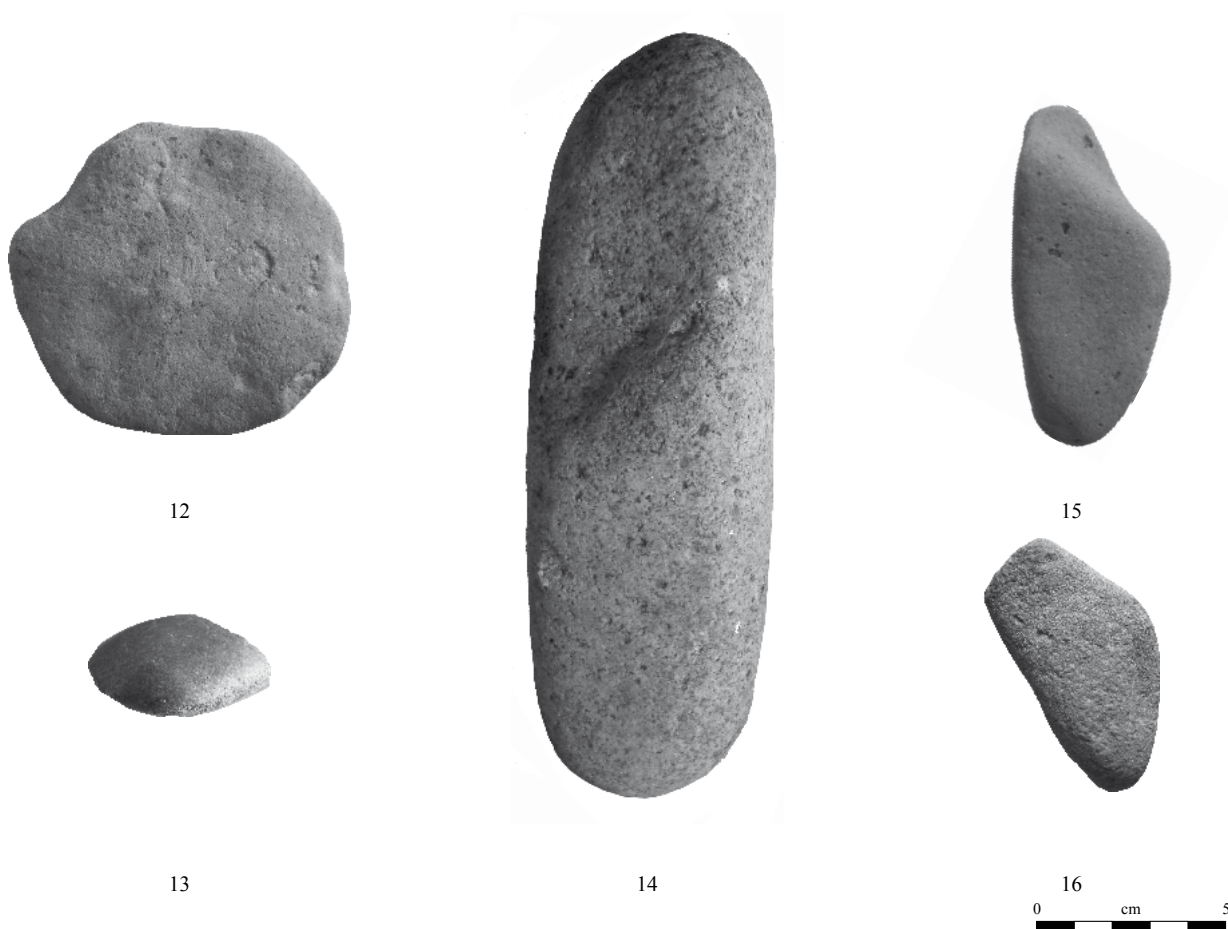
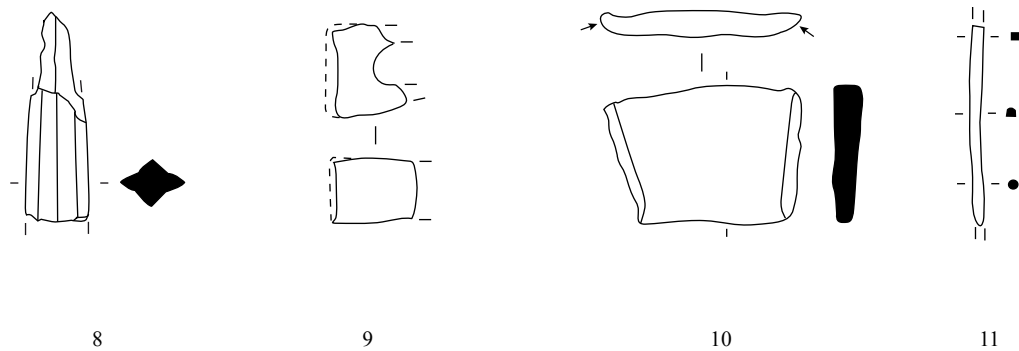
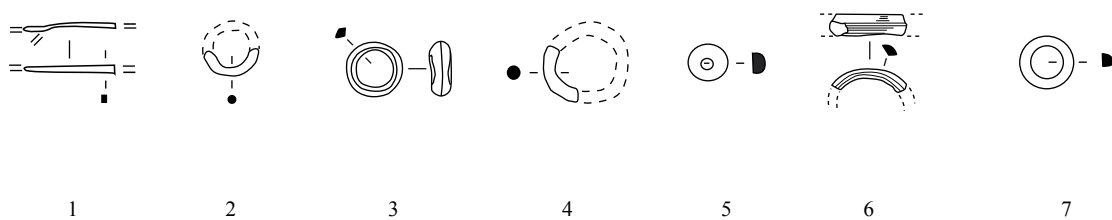


Planche 53. C1-15-épandage 18662

1-7, 11 : alliage cuivreux; 8-10 : fer; 12, 15-16 : basalte fin; 13 : roche verte; 14 : granit.

Bâtiment C1

État 1 à 2.1 : LTD1b

C1-15-épandage 18662

Planche 54, 1. 18662, n° 1551.

Lèvre de situle en bourrelet déversée.
Base-cuivre.

L. 7 mm, diam. rest. 140 mm, ht. 4 mm. 1.6 g.
E : 1146.3. N : 1178.8. Alt. : /.

Planche 54, 2. 18662, n° 1563.

Applique avec trois cercles concentriques
au repoussé. Base-cuivre.

Diam. 29 mm, ht. 4,5 mm. 2.3 g.
E : 1147.7. N : 1176.15. Alt. : 573.42.

Planche 54, 3. 18662, n° 1589.

Fragment de foncet de serrure avec une
entrée en «L». Fer.

L. 95 mm, l. 110 mm, ép. 1 mm. 87 g.
E : 1145.85. N : 1175.5. Alt. : /.

Planche 54, 4. 18662, n° 1591.

Anneau d'écurie de section circulaire avec
un bague de fixation. Fer.

L. 102 mm, diam. 92 mm, S. 12 mm. 213 g.
E : 1145.25. N : 1175.1. Alt. : 572.53.

Planche 54, 5. 18662, n° 1547.

Fragment de charnière, de penture?
constituée d'une bande de tôle repliée et
rivetée avec bois minéralisé dans le pli.
Fer.

L. 32 mm, l. 22 mm. 16.5 g.
E : 1146.13. N : 1177.65. Alt. : 572.96.

Planche 54, 6. 18662, n° 1579.

Fragment de tige indéterminée de section
ronde appointée. Base-cuivre.

L. 31 mm, S. 1,5 mm. 0.1 g.
E : 1145.70. N : 1178.1. Alt. : 572.97.

Planche 54, 7. 18662, n° 1558.

Gouttière en cours de fabrication avec une
extrémité arrachée et l'autre pleine. Base-
cuivre.

L. 70 mm, S. 3 mm. 2 g.
E : 1144.4. N : 1175.2. Alt. : 570.42.

Planche 54, 8. 18662, n° 1541.

Fragment indéterminé de fer plat avec un
rabat latéral. Fer.

L. 55 mm, ht. 28 mm. 54.2 g.
E : 1149.1. N : 1177.55. Alt. : 572.72.

Autres petits mobiliers

18662, n° 1586. Fusaïole en terre cuite.

18662, n° 1535. Cinq jetons.

18662, n° 1585. Deux jetons.

18662, n° 1536. Jeton.

18662, n° 1537. Jeton.

18662, n° 1538. Jeton.

18662, n° 1545. Jeton.

18662, n° 1548. Jeton.

18662, n° 1552. Jeton.

18662, n° 1570. Jeton.

18662, n° 1572. Jeton.

18662, n° 1577. Jeton.

18662, n° 1584. Jeton.

18662, n° 1590. Monnaie.

18662, n° 1554. Monnaie.

18662, n° 1591. Monnaie.

18662, n° 1576. Monnaie.

18662, n° 1556. Monnaie.

18662, n° 1577. Monnaie.

18662, n° 1543. Monnaie.

18662, n° 1557. Monnaie.

18662, n° 1579. Monnaie.

18662, n° 1573. Fragment de perle en verre
pourpre à décor en damier blanc et pourpre
opaque (Gebhard XIed).

18662, n° 1578. Boule de pigment bleu.

18662, n° 1561. Fragment de récipient de
verre violet et blanc.

C1-16-sol 16608

Planche 54, 9. 16608, n° 346.

Perle à section en «D». Base-cuivre.

Diam. 13 mm, S. 3,5 x 4 mm. 3.4 g.
E : 1136.96. N : 1178.85. Alt. : 573.26.

Planche 54, 10. 16608, n° 350.

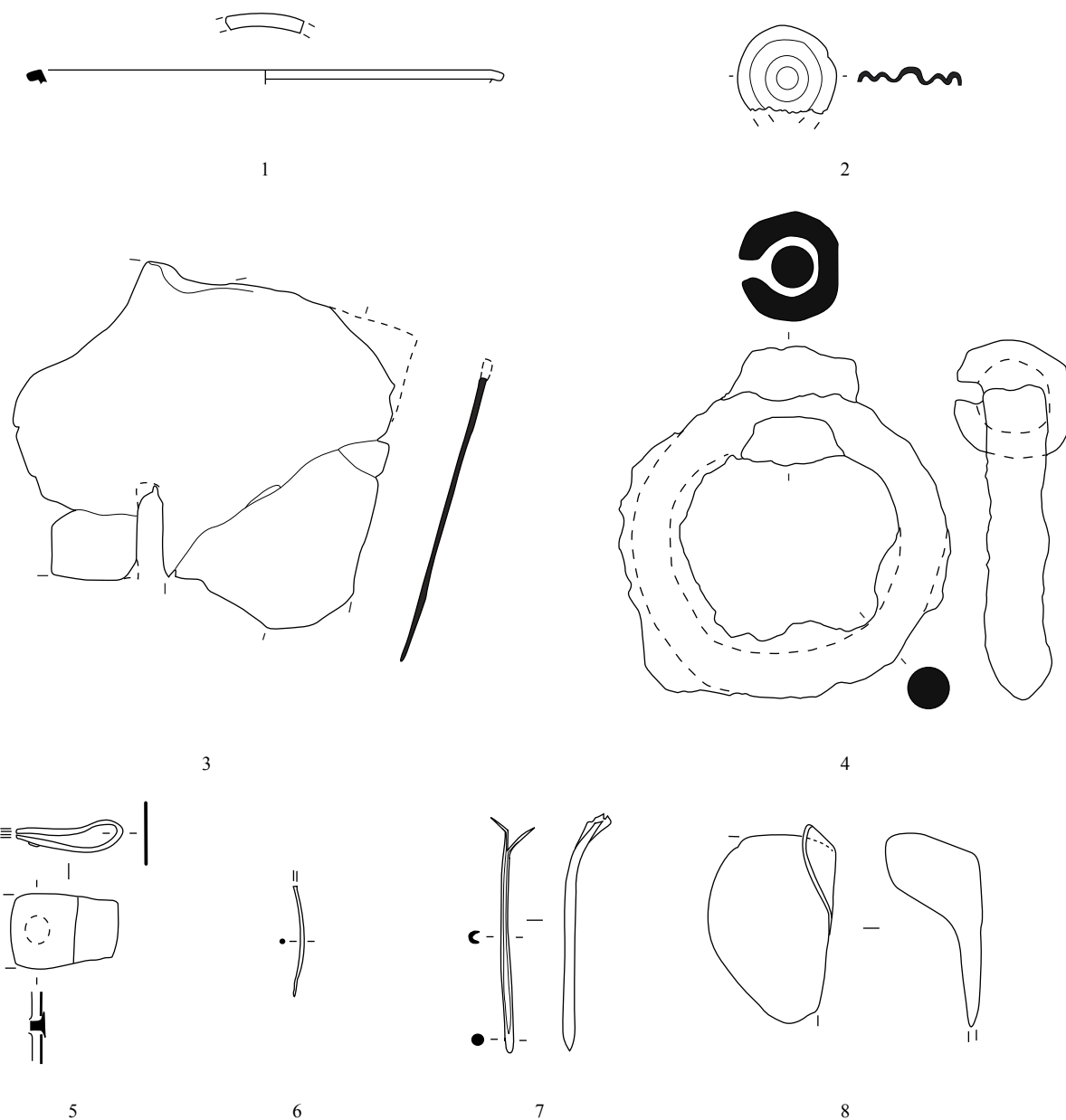
Perle à section en «D». Base-cuivre.

Diam. 16 mm, S. 3 x 4 mm. 2.7 g.
E : 1139.04. N : 1181.9. Alt. : 573.23.

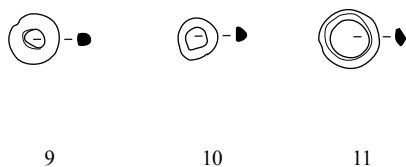
Planche 54, 11. 16608, n° 348.

Anneau à section en quart de rond. Base-
cuivre.

Diam. 10 mm, S. 3 x 4 mm. 4.1 g.
E : 1139.04. N : 1181.9. Alt. : 573.23.



C1-15-épandage 18662



C1-16-sol 16608

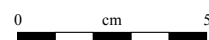


Planche 54. C1-15-épandage 18662 et C1-16-sol 16608

1-2, 6-7, 9-11 : alliage cuivreux; 3-5, 8 : fer.

Bâtiment C1

État 1 : LTD1b classique

C1-17-sol 17343

Planche 55, 1. 17343, n° 917.

Fibule à ressort à quatre spires (deux conservées) et corde interne et arc tendu de tôle triangulaire fin à bordures soulignées par une rainure et pied à ajour circulaire. Base-cuivre.

L. 43 mm, L. (arc) 27 mm, l. (arc) 3,5 mm. 1 g.

E : 1140.3. N : 1178.59. Alt. : 573.2.

Type : B22-03.

Planche 55, 2. 17343, n° 937.

Anneau à cinq cannelures. Base-cuivre.

Diam. 26 mm, S. 8 x 5 mm. 12.8 g.

E : 1142.54. N : 1175.36. Alt. : 572.97.

Planche 55, 3. 17343, n° 941.

Perle de section ovale. Base-cuivre.

Diam. 25 mm, S. 3 x 2 mm. 1.8 g.

E : 1141.48. N : 1173.45. Alt. : 573.07.

Planche 55, 4. 17343, n° 952a.

Demi-produit constitué d'une tige de section triangulaire fragmentaire. Base-cuivre.

L. 27 mm, S. 3 x 4 mm. 1 g.

E : 1140.07. N : 1174.22. Alt. : 573.09.

Planche 55, 5. 17343, n° 931.

Chute de tige de section circulaire. Argent.

L. 36 mm, S. 2 mm. 0.7 g.

E : 1140.3. N : 1173.02. Alt. : 573.02.

Planche 55, 6. 17343, n° 1086.

Aiguiseur en granit de forme parallélépipédique et de section trapézoïdale. Lithique.

L. 137 mm, l. 53 mm, Ép. 21 mm. 350 g.

E : 1141.88. N : 1172.46. Alt. : 573.01.

Planche 55, 7. 17343, n° 1769.

Fragment de petite douille en partie ouverte. Fer.

L. 26 mm, diam. 10 mm. 2.7 g.

E : 1142.4. N : 1175.*

Planche 55, 8. 17343, n° 916.

Anneau de coffre de section circulaire connecté à un piton enroulé. Base-cuivre.

L. 30 mm, diam. 14 mm, S. 2 mm. 1.4 g.

E : 1140.9. N : 1172.7. Alt. : 573.14.

Planche 55, 9. 17343, n° 918.

Rivet émaillé à tige matée. Base-cuivre.

L. 10 mm, diam. 13 mm. 2.9 g.

E : 1138.7. N : 1176.03. Alt. : 573.17.

Planche 55, 10. 15554, n° 869.

Umbo de bouclier à ailettes courtes trapézoïdales à deux rivets médians et à coque à bordure épaissie. Un clou-rivet à tête conique est en position fonctionnelle sur une ailette. Fer.

L. 239 mm, S. (spina) 115 mm, h. (coque) 86 mm, L. (aillette) 58 mm, l. (aillette) 69 mm. 117.2 g.

E : 1139.46. N : 1173.7. Alt. : 573.09.

Type : Nierstein.

Autres petits mobiliers

17343, n° 926. Fusaïole en terre cuite de section triangulaire avec cupule autour de la perforation.

17343, n° 940. Jeton percé, fusaïole.

17343, n° 934. Deux jetons.

17343, n° 1084. Jeton.

17343, n° 1106. Jeton.

17343, n° 935. Jeton.

17343, n° 936. Jeton.

17343, n° 949. Jeton.

17343, n° 914a. Monnaie.

17343, n° 914b. Monnaie.

17343, n° 939. Monnaie.

17343, n° 920. Monnaie.

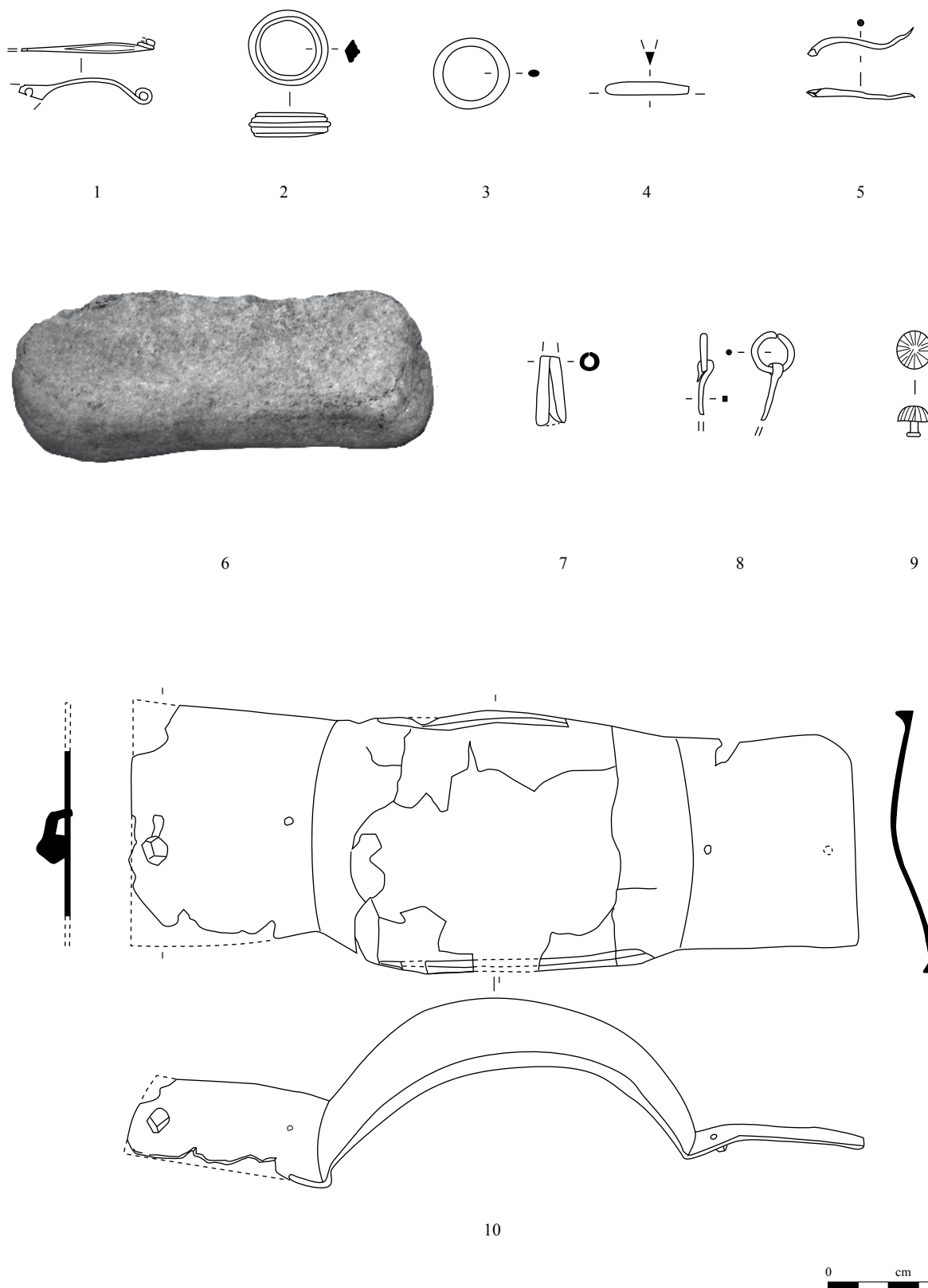


Planche 55. C1-17-sol 17343

1-4, 8-9 : alliage cuivreux; 5 : argent; 6 : granit; 7, 10 : fer.

Bâtiment C1

État 1 : LTD1b classique

C1-18-Fo art 17093

Planche 56, 1. 17063, n° 240.

Fibule à ressort à quatre spires (deux conservées) et corde interne et arc tendu de tôle triangulaire fin à bordures soulignées par une rainure. Base-cuivre.
L. 34 mm, L. (arc) 23 mm, l. (arc) 3,5 mm. 0.6 g.
E : 1141.93. N : 1177.94. Alt. : 573.06.
Type : B22-03.

Planche 56, 2. 17063, n° 175.

Fibule filiforme à ressort à trois spires (une conservée) et corde interne et arc filiforme de section losangique. Base-cuivre.
L. 18 mm, S. 2 mm. 0.4 g.
E : 1141.6. N : 1177.88. Alt. : 573.07.
Type : B23-2.

Planche 56, 3. 17063, n° 179.

Ressort à quatre spires (deux conservées) et corde interne. Fer.
L. 29 mm. 2.3 g.
E : 1141.58. N : 1176.96. Alt. : 573.03.
Type : F20.

Planche 56, 4. 17063, n° 239.

Anneau à trois cannelures et section en quart de rond avec canal d'usure. Base-cuivre.
Diam. 15 mm, S. 6 x 4 mm. 3.1 g.
E : 1141.34. N : 1176.4. Alt. : 572.98.

Planche 56, 5. 17063, n° 151.

Anneau de section ronde. Base-cuivre.
Diam. 16 mm, S. 4 mm. 2.5 g.
E : 1141.72. N : 1177.67. Alt. : 573.09.

Planche 56, 6. 17063, n° 176.

Anneau de section hémisphérique. Base-cuivre.
Diam. 16 mm, S. 3 x 4 mm. 4.6 g.
E : 1141.76. N : 1176.94. Alt. : 573.06.

Planche 56, 7. 17063, n° 152.

Fragment de barre de support de gril avec quatre perforations dont une comportant encore une barre de gril pliée en connexion. Fer.
L. 102 mm, S. 7 x 4 mm, S. (barre) 5 x 3 mm. 44.7 g.
E : 1141.52. N : 1177.35. Alt. : 573.02.

Planche 56, 8. 17063, n° 158.

Pendentif avec un anneau de suspension et une cage ajourée mal terminée et irrégulière. Raté de coulée? Base-cuivre.
L. 48 mm, diam. (anneau) 20 mm, diam. (fond) 20 x 15 mm, S. (anneau) 3,5 mm. 15.6 g.
E : 1141.52. N : 1178. Alt. : 573.05.

Planche 56, 9. 17063, n° 153.

Bédane à tranchant à un seul biseau et à soie dont le manche est encore visible grâce à des traces de bois minéralisé. Fer.
L. 150 mm, L. (soie) 68 mm, L. (partie active) 82 mm, S. 6 x 5 mm. 34.4 g.
E : 1141.19. N : 1177.25. Alt. : 573.09.

Planche 56, 10. 17063, n° 244.

Gouge à manche de section quadrangulaire à tranchant dont la partie active, à gorge, est fragmentaire et la soie recourbée. Fer.
L. 67 mm, S. 10 mm. 36 g.
E : 1141.95. N : 1177.73. Alt. : 572.98.

Autres petits mobiliers

17063, n° 177. Jeton.

17063, n° 173. Monnaie en bronze indéterminée illisible.

C1-19-Fo 17091

Planche 56, 11. 17090, n° 1308.

Anneau de section en quart de rond. Base-cuivre.
Diam. 14 mm, S. 4 mm. 2.7 g.
E : 1144.35. N : 1180.67. Alt. : 573.01.

Planche 56, 12. 17090, n° 275.

Fragment de fonce de serrure quadrangulaire avec entrée rectangulaire et perforations de fixation aux angles. Fer.
L. 100 mm, l. 45 mm, ép. 3 mm. 47.5 g.
E : 1143.65. N : 1180.35. Alt. : 573.03.

Planche 56, 13. 17090, n° 274.

Fragment indéterminé de bande de fer plat. Demi-produit ? Fer.
L. 219 mm, l. 14 mm, ép. 3 mm. 107 g.
E : 1143.3. N : 1180.7. Alt. : 573.11.

Autres petits mobiliers

17090, n° 1309. Jeton.

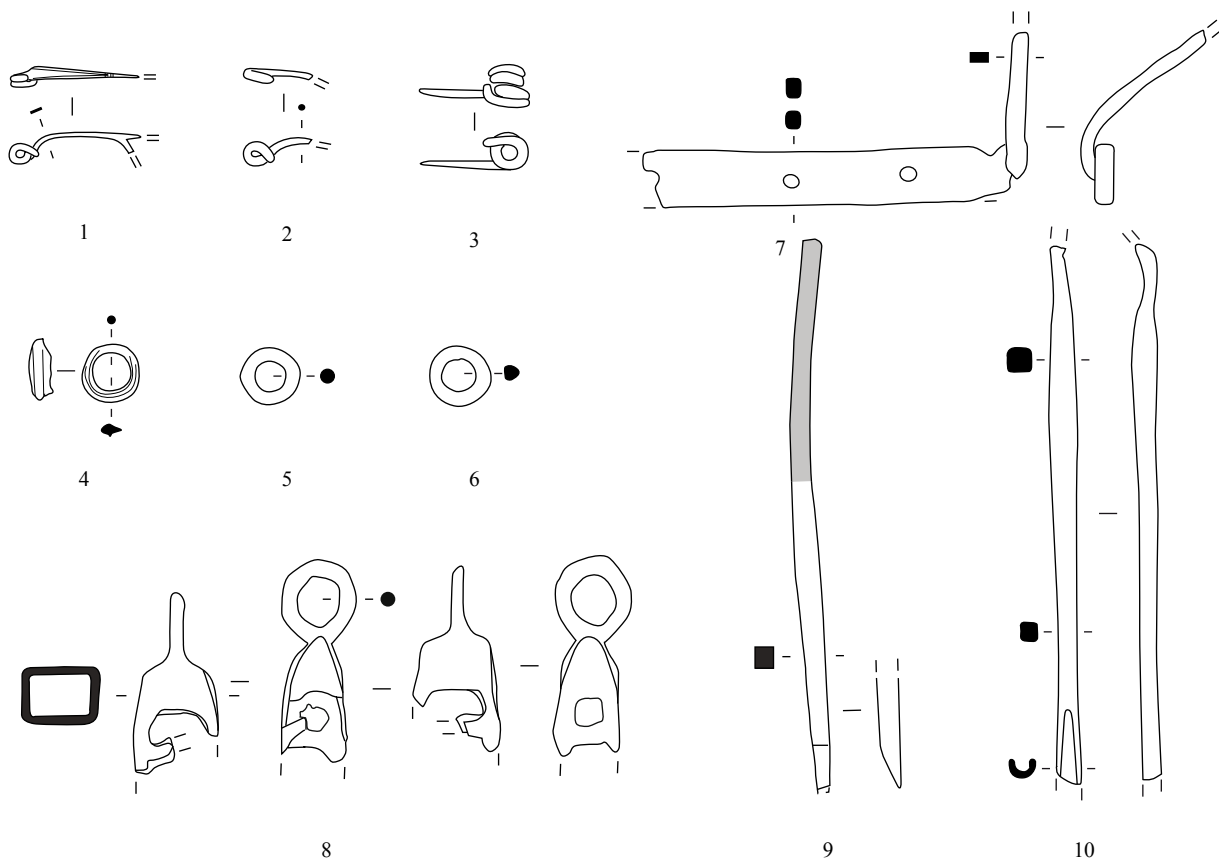
17090, n° 1310. Jeton.

17090, n° 290. Jeton.

17090, n° 292. Jeton.

17090, n° 369. Monnaie.

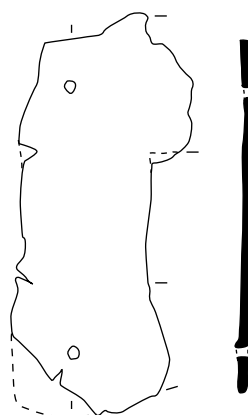
17090, n° 1472. Monnaie.



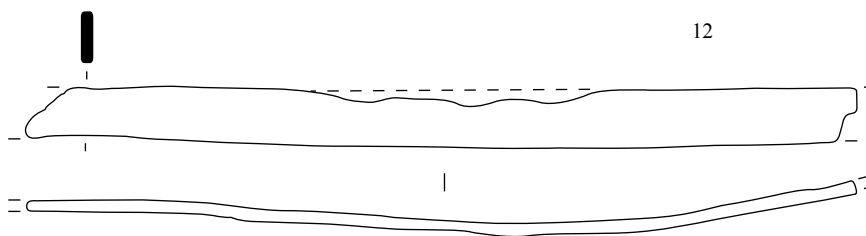
C1-18-Fo art 17093



11



12



13

C1-19-Fo 17091

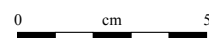


Planche 56. C1-18-Fo art 17093 et C1-19-Fo 17091

1-2, 4-6, 8, 11 : alliage cuivreux; 3, 7, 9-10, 12-13 : fer.

Bâtiment C1

État 1 : LTD1b classique

C1-22-Fo art 18676

Planche 57, 1. 18676, n° 1599d.
Fragment de pied et d'arc de fibule de schéma LT moyenne dont le pied est rattaché sur le sommet de l'arc. Fer.
L. 34 mm. 15 g.
E : 1144.5. N : 1173.9.*
Type : F01-4.

Planche 57, 2. 18676, n° 1596.
Fragment de bouterolle naviforme tordue en son centre avec départ des gouttières de section anguleuse. Fer.
L. 58 mm, L. rest. 64 mm. 32.8 g.
E : 1144.6. N : 1173.65. Alt. : 572.81.

Planche 57, 3. 18676, n° 1599b.
Poids en forme d'olive. Base-cuivre.
L. 19 mm, S. 9 mm. 7.86 g.
E : 1145.5. N : 1173.9. Alt. : 572.85.

Planche 57, 4. 18676, n° 1592.
Poids en forme d'olive. Base-cuivre.
L. 16 mm, S. 10 mm. 6.27 g.
E : 1145. N : 1174.3.*

Planche 57, 5. 18676, n° 1599a.
Chute de tôle à bordure rectiligne repliée sur elle-même. Base-cuivre.
L. 30 mm, l. 20 mm. 4.6 g.
E : 1145.1. N : 1173.9.*

Planche 57, 6. 18676, n° 1599.
Lingot avec surface globulaire. Base-cuivre.
L. 40 mm, ép. 7.5 mm. 40 g.
E : 1145.3. N : 1173.7.*

Planche 57, 7. 18676, n° 1594.
Fragment de tablette abrasive rectangulaire de section rectangulaire en grès très fin. Lithique.
L. 45 mm, l. 75 mm, ép. 13 mm. 74 g.
E : 1144.6. N : 1174.3.*

Planche 57, 8. 18676, n° 2016.
Eclat d'angle supérieur de table de travail en basalte avec surface de travail présentant des traces de poli et de percussion ainsi qu'un dépôt rougeâtre. La face latérale est simplement bouchardée. Lithique.
L. 107 mm, ht. 40 mm. 213.8 g.
E : 1144.2. N : 1174.3.*

Autres petits mobiliers

18676, n° 1595. Monnaie.
18676, n° 1599e. Monnaie.

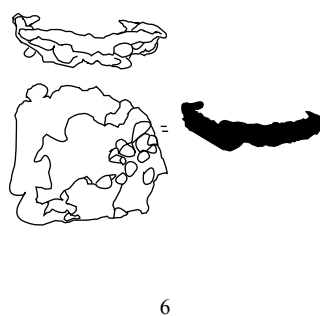
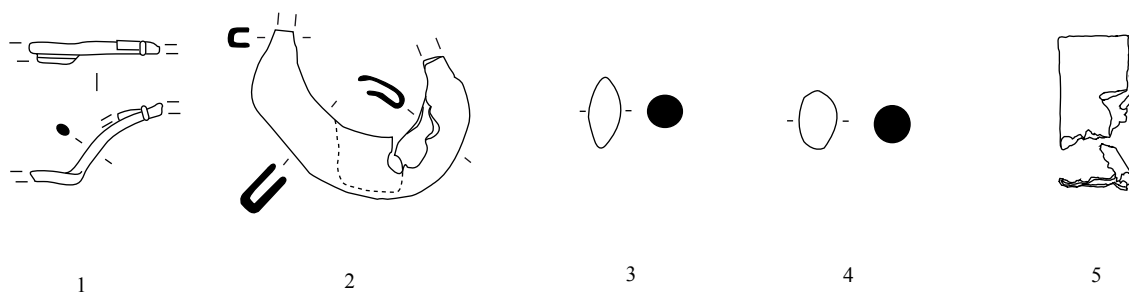
C1-23-Fo 17141

17141, n° 1346. Fragment de perle en verre pourpre à décor en damier blanc et pourpre opaque (Gebhard XIed).

C1-27-épandage 18665

Planche 57, 9. 18665, n° a.
Fragment de petite enclume en grès fin avec traces de percussion sur la face polie supérieure. Lithique.
L. 119 mm, ép. 22 mm. 414 g.
E : 1146.5. N : 1174.3.*

Planche 57, 10. 18665, n° b.
Abraseur convexe circulaire en basalte à grain fin avec une encoche et trace de poli plus marquée sur une face. Lithique.
L. 103 mm. 200 g.
E : 1146.3. N : 1176.*



C1-22-Fo 18676



C1-28-épandage 18665⁹



10

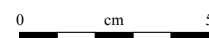


Planche 57. C1-22-Fo art 18676 à C1-27-épandage 18665

1-2 : fer; 3-6 : alliage cuivreux; 7 : grès très fin; 8 : basalte; 9 : grès fin; 10 basalte fin.

Bâtiment C2

Décapage

C2-1-décapage

Planche 58, 1. 17042, n° 125.

Arc de fibule tendu de tôle triangulaire fin à bordures soulignées par une rainure. Base-cuivre.

L. 33 mm, L. (arc) 25 mm, l. (arc) 3 mm. 0.3 g.
E : 1142.8. N : 1181.9. Alt. : 573.22.
Type : B22-03.

Planche 58, 2. 17042, n° 113.

Fibule à ressort à quatre spires (deux conservées) et corde interne et arc tendu de tôle triangulaire large à ligne centrale et bordures soulignées par une rainure. Base-cuivre.

L. 23 mm, l. (arc) 14 mm. 2.5 g.
E : 1144.7. N : 1186. Alt. : 573.03.
Type : B22-06.

Planche 58, 3. 17042, n° 1711.

Fragment de pied ajouré de fibule dans le prolongement de l'arc de section circulaire. Fer.

L. 24 mm, S. 3 mm. 0.9 g.
E : 1145.7. N : 1185.2.*
Type : F03.

Planche 58, 4. 17042, n° 1712.

Virole constituée d'une tige enroulée. Fer.
Diam. 20 mm, ht. 12 mm. 7.1 g.
E : 1146.8. N : 1186.3.*

Planche 58, 5. 17042, n° 288.

Objet indéterminé constitué d'une tige de section carrée terminée par un plat à bordure écrasée. Tête de clou décoratif, d'outil? Base-cuivre.

L. 9 mm, S. 6 x 7 mm. 4.4 g.
E : 1145.2. N : 1184.63. Alt. : 573.13.

Planche 58, 6. 17042, n° 1713.

Petite douille fragmentaire. Fer.
L. 26 mm, diam. 8 mm. 3.7 g.
E : 1145.7. N : 1183.7.*

Planche 58, 7. 16660, n° 1445.

Table de travail parallélépipédique de section rectangulaire en granit poli. Une surface présente des traces d'abrasion. Lithique.

L. 165 mm, l. 80 mm, Ép. 37 mm. <500 g.
E : 1148. N : 1181.8.*

Planche 58, 8. 17042, n° 245.

Chute de demi-produit constitué d'un fer plat muni d'un enroulement avec une extrémité massive oblique. Fer.

L. 64 mm. 23.3 g.
E : 1142.12. N : 1181.8. Alt. : 573.13.

Planche 58, 9. 17042, n° 112.

Mèche à manche de section carrée et tranchant à gorge terminé par une pointe. Fer.

L. 98 mm, S. 4 mm. 17.7 g.
E : 1139.25. N : 1182.9. Alt. : 573.05.

Planche 58, 10. 17042, n° 104.

Fragment de tige indéterminée de section ronde torsadée à une extrémité. Manche d'ustensile, d'outil? Fer.

L. 108 mm, S. 8 mm. 41.4 g.
E : 1145.85. N : 1187.35. Alt. : 573.03.

Planche 58, 11. 16660, n° 1791.

Extrémité active d'emporte-pièce constitué d'une douille carrée prolongée par une tige de section hémisphérique. Fer.

L. 40 mm, S. 11 x 10 mm. 6.5 g.
E : 1145.3. N : 1181.3.*

Planche 58, 12. 16615, n° 1518.

Objet indéterminé constitué d'un disque avec un enfoncement central et une croix incisée. Balle de mousquet? Plomb.

Diam. 12 mm, ép. 4 mm. 2.4 g.
E : 1145. N : 1184.*

Planche 58, 13. 17042, n° 123.

Support de poignée de chaudron cannelé avec tenon à extrémité matée. Fer.

L. 42 mm, l. 38 mm. 130.8 g.
E : 1145.2. N : 1183.2. Alt. : 572.86.

Autres petits mobiliers

17042, n° 121. Jeton percé, fusaïole.

17021, n° 1512. Eclat indéterminé.

17042, n° 103. Jeton.

17042, n° 114. Jeton.

17042, n° 278. Jeton.

17042, n° 279. Jeton.

17042, n° 282. Jeton.

17021, n° 105. Monnaie.

17042, n° 1481. Monnaie.

17042, n° 1465. Monnaie.

17042, n° 119. Monnaie.

17042, n° 280. Monnaie.

17042, n° 120. Monnaie.

17042, n° 1496. Monnaie.

16660, n° 1496. Mortier en basalte.

17042, n° 1520. Fragment de paroi de foyer.

17021, n° 1513. Perle en os.

État 2.2 à 2.3 : LTD2

C2-2-radier

16652, n° 1436. Fragment de *meta* en roche volcanique vacuolaire.

16659. Fragment de paroi de foyer.

16652, n° 1438. Fragment de table de travail sciée en pierre.

État 1 : LTD1b classique

C2-3-sol 16643

Planche 58, 14. 16643, n° 1447.

Alène à soie constituée d'une tige de section ronde pointue avec une soie de section carrée. Fer.

L. 42 mm, S. 4 mm. 1.7 g.
E : 1152.07. N : 1189.18. Alt. : 572.99.

Autres petits mobiliers

16643, n° 1450. Jeton.

État 2.1 : LTD1b évoluée

C2-4-TP 17100

Planche 58, 15. 17099, n° 1305.

Anneau à section en quart de rond. Base-cuivre.

Diam. 15 mm, S. 4 x 3 mm. 2.3 g.
E : 1139.1. N : 1189.4. Alt. : 573.42.

État 1 : LTD1b classique

C2-5-TP 17143

17143, n° 1351. Jeton.

C2-6-TP 17162

Planche 58, 16. 17162, n° 1598.

Objet indéterminé constitué d'un fragment massif incurvé comportant une gouttière. Mortier de tradition britannique? Base-cuivre.

L. 40 mm, ht. 14 mm. 8.1 g.
E : 1140.8. N : 1183.9.*

État 1 et 2 lato sensu : LTD1b-LTD2

C2-8-16268

Planche 58, 17. 16266, n° 970.

Fragment d'attache de seau constituée d'un anneau de section rectangulaire à angles arrondis avec un ressaut cassé au niveau du plat de fixation plus fin. Fer.
L. 44 mm, diam. int. 15 mm, S. 8 x 4 mm. 10.7 g.

E : 1136. N : 1184. Alt. : 573.2.

Planche 58, 18. 16266, n° 1743.

Ressort de fibule à quatre spires et corde externe haute et départ d'arc coudé de section ovale. Fer.

L. 19 mm, S. 5 x 4 mm. 5.5 g.
E : 1136.8. N : 1182.*

Type : F33-9.

Autres petits mobiliers

16266, n° 975. Fragment de bracelet en roche noire.

16266, n° 1006. Fragment de bracelet en verre jaune à section en «D» et ondulation de verre jaune opaque en surface (Haevernick 4).

16266, n° 969. Fragment de verre moulé.

Non phasé

C2-9-Fo 16283

Planche 58, 19. 16283, n° 962.

Virole constituée d'une tige enroulée. Fer.
Diam. 17 mm, ht. 14 mm. 11.4 g.
E : 1136.2. N : 1184.2. Alt. : 573.25.

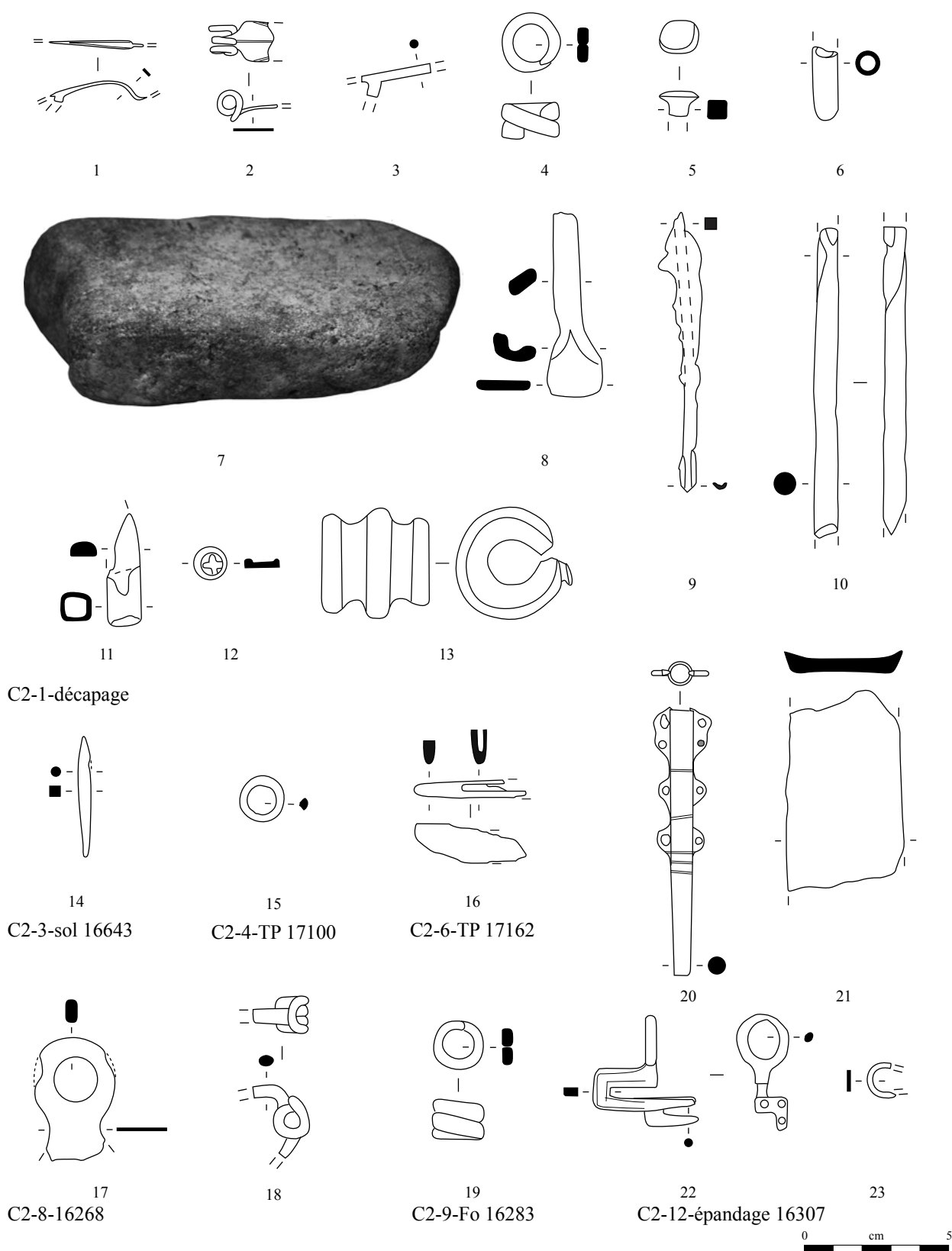


Planche 58. C2-1-décapage à C2-12-épandage 16307

1-2, 5, 15-16, 20, 22 : alliage cuivreux; 3-4, 6, 8-11, 13-14, 17-19, 21, 23 : fer; 7 : granit; 12 : plomb.

C2-10-radier 17027

16285, n° 954. Jeton.
16285, n° 960. Potin à la grosse tête.
16285, n° 1044. Fragment de terre artisanale vitrifiée.

C2-11-radier 17025

17025, n° 1531. Fusaïole en terre cuite.

C2-12-épandage 16307

Planche 58, 20. 16307, n° 1019.
Etui tubulaire à bélière avec quatre bélières opposées dont deux au sommet de l'objet. Une bélière comporte encore un anneau en fer dans l'une de ses perforations. Le fond est plein et la partie supérieure creuse. Un décor incisé est perceptible entre les bélières. Base-cuivre.
L. 94 mm, diam. 6 à 8 mm. 14.4 g.
E : 1140.55. N : 1192.1. Alt. : 572.75.

Planche 58, 21. 16307, n° 1036.
Fragment de bandage de roue à bordure repliée. Fer.
L. 63 mm, l. 40 mm, ép. 5 mm. 90.4 g.
E : 1140.9. N : 1190.65. Alt. : 572.77.

Planche 58, 22. 16307, n° 992.
Clé à manche en forme de «U» orné de rainures et terminée par un panneton à trois dents disposées en «L». Base-cuivre.
L. 41 mm, L. (dent) 12 mm, diam. (anneau) 18 mm. 13.4 g.
E : 1140.8. N : 1191. Alt. : 572.72.

Planche 58, 23. 16307, n° 1835.
Fragment de virole. Fer.
Diam. 12 mm, S. 8 x 1 mm. 1.2 g.
E : 1141.3. N : 1189.*

Autres petits mobiliers

16307, n° 991. Col de balsamaire en céramique campanienne.
16307, n° 1033. Monnaie.

Bâtiment C3

Décapage

C3-1-décapage

Planche 59, 1. 15408, n° 537.
Anneau à section en quart de rond. Base-cuivre.
Diam. 16 mm, S. 4 x 3 mm. 3.2 g.
E : 1139. N : 1164.*

Planche 59, 2. 16410, n° 686.
Anneau de section ronde. Base-cuivre.
Diam. 34 mm, S. 4 x 5 mm. 14.3 g.
E : 1144.85. N : 1163. Alt. : 573.16.

Planche 59, 3. 15683, n° 1733.
Fragment de gouttière de fourreau avec départ d'entretoise. Fer.
L. 28 mm, S. 4,5 x 4 mm. 2.5 g.
E : 1140. N : 1164.5.*

Planche 59, 4. 15480, n° 739.
Chute de tige de section circulaire et rectangulaire avec trace de martelage et de découpe. Base-cuivre.
L. 32 mm, S. 2,5 mm. 0.7 g.
E : 1137.04. N : 1174.69. Alt. : 573.2.

Planche 59, 5. 15480, n° 773.
Pique-bœuf constitué d'une tige enroulée et terminée par une extrémité pointue. Fer.
L. 57 mm, L. déplié 64 mm, diam. 16 mm, S. 6 mm. 14.3 g.
E : 1138.15. N : 1167.05. Alt. : 573.1.

Planche 59, 6. 15408, n° 1234.
Ressort de forces cassé au niveau du départ de la lame. Fer.
L. 86 mm, S. (ressort) 12 x 3 mm. 20 g.
E : 1138.6. N : 1174.92.

Planche 59, 7. 15408, n° 1235.
Tige indéterminée de section rectangulaire pliée à son extrémité. Fer.
L. 125 mm, l. 10 mm, ép. 6 mm. 52 g.
E : 1138. N : 1166.5.*

Planche 59, 8. 15480, n° 774.
Fragment de tôle indéterminée repliée triangulaire avec deux rivets en position fonctionnelle. Fer.
L. 50 mm. 60 g.
E : 1138.15. N : 1167.05. Alt. : 573.1.

Autres petits mobiliers

16410, n° 748. Jeton.
15408, n° 148. Monnaie.
15480, n° 501. Monnaie.

C3-3-interface 17307

Planche 59, 9. 17307, n° 871.
Agrafe de ceinturon cassé au niveau de l'anneau et du bouton. Base-cuivre.
Diam. 21 mm. 3.3 g.
E : 1145. N : 1167. Alt. : 572.96.*
Type : B43-1.

Planche 59, 10. 17307, n° 928.
Fragment de coque d'umbo à bordure épaissie. Fer.
L. 35 mm. 4.4 g.
E : 1147.28. N : 1169.3. Alt. : 572.88.
Type : Indéterminé.

Planche 59, 11. 17307, n° 1782.
Rivet émaillé. Base-cuivre.
Diam. 15 mm. 4.3 g.
E : 1147.6. N : 1169.6. Alt. : 572.88. UF.

Autres petits mobiliers

17307, n° 924. Monnaie.

C3-5-Pal 16443

Planche 59, 12. 16444, n° 1740.
Fragment d'orle de section rectangulaire avec patte de fixation fragmentaire. Fer.
S. 6 x 3 mm. 4.1 g.
E : 1141.7. N : 1157.9.*
Type : Rectangulaire.

Planche 59, 13. 16444, n° 522.
Fragment de lèvres de situle déversée. Base-cuivre.
L. 52 mm, diam. 120 mm. 4.2 g.
E : 1141.7. N : 1158. Alt. : 573.02.

Planche 59, 14. 16444, n° 784.
Rivet à tête hémisphérique creuse. Fer.
L. 43 mm, diam. 31 mm, S. 6 mm. 39.5 g.
E : 1141.6. N : 1158.5. Alt. : 573.

C3-6-Sb 17408

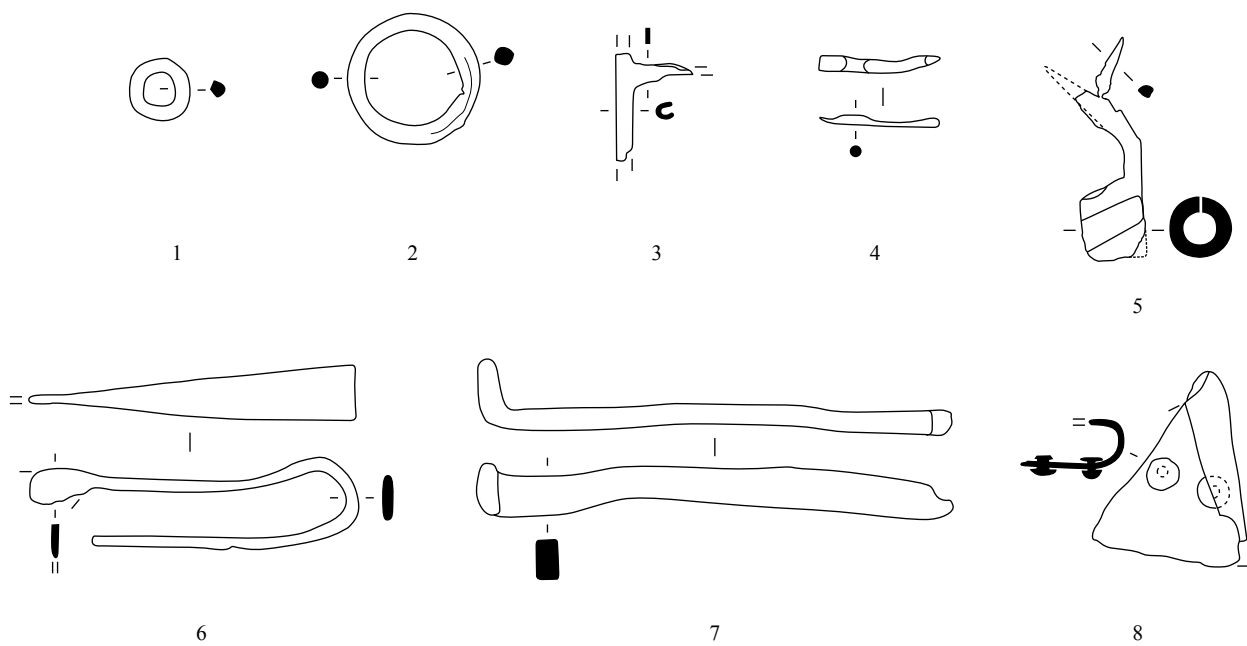
Planche 59, 15. 17409, n° 1020.
Fragment d'anneau à trois cannelures. Base-cuivre.
Diam. 35 mm, S. 5 x 4 mm. 5.7 g.
E : 1140.41. N : 1166.1. Alt. : 573.02.

C3-8-Sb 17359

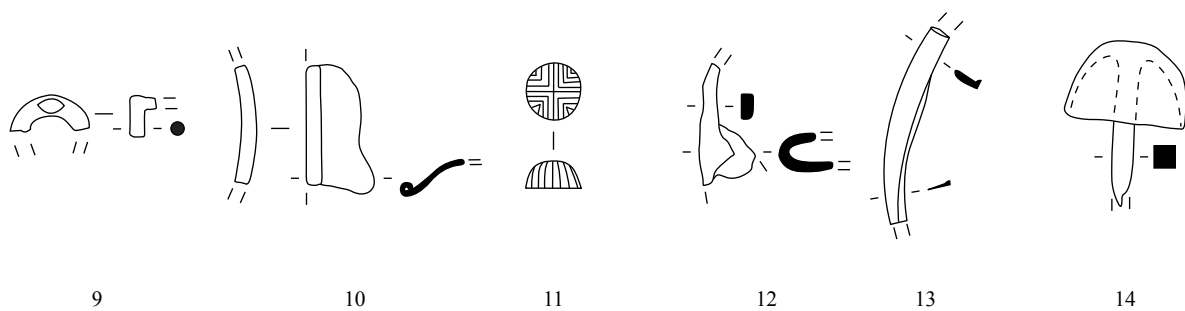
Planche 59, 16. 17360, n° 903.
Bracelet à jonc lisse de section plano-convexe à terminaison ouverte perforée avec décor (?) incisé de lignes et de stries obliques à proximité d'une perforation. Base-cuivre.
Diam. int. 55 mm, l. 2 mm. 10.7 g.
E : 1140.7. N : 1173.9. Alt. : 572.97.
Type : B15-1.

Planche 59, 17. 17360, n° 942.
Fragment d'anneau de section ronde. Base-cuivre.
Diam 18 mm, S. 2 mm. 0.6 g.
E : 1140.65. N : 1172.93. Alt. : 573.04.

Planche 59, 18. 17360, n° 1085.
Extrémité active de marteau en granit de forme ovale et de section ronde avec trace d'utilisation, de percussion à son extrémité active. Lithique.
L. 66 mm, S. 45 mm. 213.8 g.
E : 1142. N : 1173.56. Alt. : 572.97.

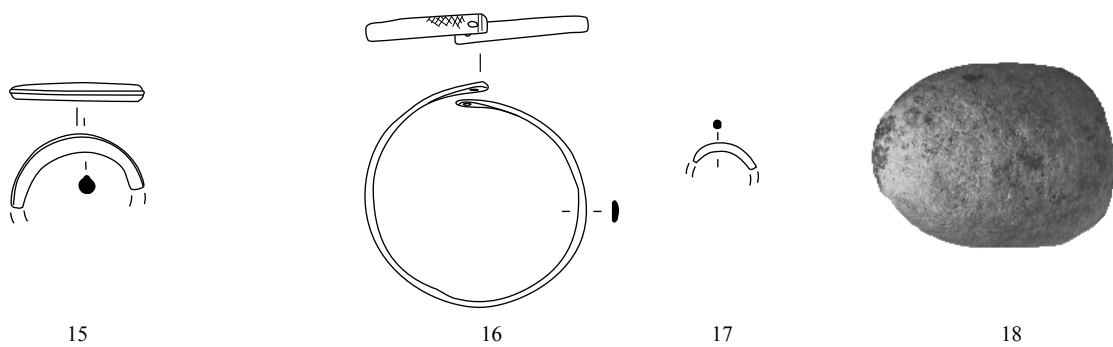


C3-1-décapage



C3-3-interface 17307

C3-5-Pal 16443



C3-6-Sb 17408

C3-8-Sb 17359

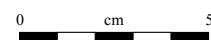


Planche 59. C3-1-décapage à C3-8-Sb 17359

1-2, 3, 9, 11, 13, 15-17 : alliage cuivreux; 3, 5-8, 10, 12, 14 : fer; 18 : granit.

Autres petits mobiliers

17360, n° 943. Déchet de tabletterie à découpes circulaires.

Bâtiment C3

État 2.2 à 2.3 : LTD2

C3-2-radier

Planche 60, 1. 16406, n° 618.

Fibule à ressort à quatre spires et corde interne et à arc filiforme cambré interrompu par un bouton et une protubérance, ailette naissante. Un décor d'échelle est lisible au-dessus de la tête. Le pied et une partie de l'ardillon sont manquants. Base-cuivre. L. 30 mm, l. (arc) 5 mm. 1.7 g. E : 1144. N : 1168.2. Alt. : 572.87. Type : B24-2.

Planche 60, 2. 16406, n° 1570.

Fibule à ressort à quatre spires (deux conservées) et corde interne et à arc triangulaire de tôle orné d'un décor d'échelle, à bordures soulignées par une rainure et à lignes perpendiculaires séparant l'arc du pied. L'ardillon et le pied sont manquants. Base-cuivre. L. 48 mm, l. (arc) 30 mm, l. (arc) 4,5 mm. 1.7 g. E : 1145. N : 1160.* Type : B22-02.

Planche 60, 3. 16406, n° 745.

Fibule à charnière à arc filiforme de section triangulaire puis ronde en anse de panier. Base-cuivre. L. 14 mm. 0.4 g. E : 1138. N : 1173. Alt. : 573.08. Type : B68-2.

Planche 60, 4. 16406, n° 632.

Fibule à coquille à ressort à quatre spires et corde interne et arc de tôle triangulaire couvrant le ressort par un élargissement circulaire. Base-cuivre. L. 24 mm. 2.1 g. E : 1146. N : 1162. Alt. : 573.17. Type : F25-1.

Planche 60, 5. 16406, n° 538.

Ressort à quatre spires et corde interne avec le départ d'un arc de tôle. Base-cuivre. L. 11 mm. 2.1 g. E : 1144.11. N : 1164.36. Alt. : 573.11. Type : B22-0.

Planche 60, 6. 16406, n° 688.

Pied de fibule de schéma La Tène moyenne ou de grand pied triangulaire de schéma La Tène finale. Fer. L. 44 mm. 1 g. E : 1147.63. N : 1161.56. Alt. : 572.98.

Planche 60, 7. 16406, n° 737.

Fragment d'arc filiforme de fibule de section losangique avec départ du ressort. Fer.

L. 34 mm, S. 5 x 4 mm. 3.2 g. E : 1147.69. N : 1161.16. Alt. : 573.11. Type : F03.

Planche 60, 8. 16406, n° 628.

Fragment de bracelet en cours de fabrication à jonc lisse ondulé de section ovale de taille variable. Base-cuivre. L. 50 mm, S. 4 mm. 1.9 g. E : 1144. N : 1165. Alt. : 572. Type : B10-2.

Planche 60, 9. 17300, n° 878.

Fragment d'anneau de section lenticulaire. Base-cuivre. Diam. 26 mm, S. 5 x 2 mm. 4.2 g. E : 1147.4. N : 1164.6. Alt. : 572.88.

Planche 60, 10. 17300, n° 874.

Anneau de section losangique avec une arête arrondie. Base-cuivre. Diam. 30 mm, S. 9 x 4 mm. 19.5 g. E : 1149.35. N : 1169.03. Alt. : 572.78.

Planche 60, 11. 17300, n° 876.

Anneau de section ronde. Base-cuivre. Diam. 26 mm, S. 3 mm. 7.5 g. E : 1148.55. N : 1169.5. Alt. : 572.8.

Planche 60, 12. 17300, n° 875.

Applique vestimentaire composée d'une tôle circulaire avec deux perforations. Base-cuivre. Diam. 22 mm, ép. 0,5 mm. 1.1 g. E : 1148.9. N : 1164.9. Alt. : 572.88.

Planche 60, 13. 16406, n° 633.

Fragment distal de lame d'épée de section lenticulaire dont la pointe est cassée. Fer. L. 83 mm, l. 30 mm, ép. 3 mm. 18.8 g. E : 1146. N : 1162. Alt. : 572.61.

Planche 60, 14. 16406, n° 1439.

Pincettes triangulaires de bouterolle de fourreau décorées d'incisions. Base-cuivre. L. 43 mm. 0.6 g. E : 1146. N : 1166.15. Alt. : 573.

Planche 60, 15. 16406, n° 535.

Cuillère à manche de section carrée formant un coude. Fer. L. 82 mm, S. 4 mm, diam. (cuilléron) 26 x 23 mm. 13.5 g. E : 1145.02. N : 1166.04. Alt. : 573.

Planche 60, 16. 16406, n° 1731.

Chute de barre de forme triangulaire et de section rectangulaire. Fer. L. 38 mm, S. 10 x 6 mm. 11.2 g. E : 1146.4. N : 1162.8.*

Planche 60, 17. 16406, n° 776.

Virole de section rectangulaire de largeur inégale. Fer. Diam. 22 mm, S. 5 x 2 mm. 5.8 g. E : 1146.5. N : 1163.8. Alt. : 573.06.

Planche 60, 18. 16406, n° 746.

Chute de tige de section ronde. Base-cuivre. L. 29 mm, S. 2 mm. 0.2 g. E : 1148. N : 1159.8. Alt. : 572.83.

Planche 60, 19. 16406, n° 1730.

Chute de tige de section carrée appointée. Fer. L. 37 mm, S. 3 mm. 1.1 g. E : 1145.2. N : 1170.3.*

Planche 60, 20. 16406, n° 1427.

Objet constitué d'un anneau de section circulaire avec une hachette et une herminette en connexion, un maillon ouvert ainsi qu'une partie de piton cannelée. La tige du piton est manquante. Fer. L. 90 mm, diam. 58 mm, S. 8 mm. 374 g. E : 1147.63. N : 1170. Alt. : 572.78.

Planche 60, 21. 16406, n° 1719.

Décrottoir, écorçoir constitué d'une douille fragmentaire terminée par un plat de section hémisphérique. Fer. L. 78 mm, diam. (douille) 20 x 15 mm. 26.1 g. E : 1146.3. N : 1162.8.*

Planche 60, 22. 17300, n° 373.

Fer de lance complet à flamme de section nervurée de forme ogivale et à douille relativement courte avec rivet en connexion et trace de bois minéralisé à l'intérieur. Fer. L. 328 mm, diam. (douille) 20 mm, l. (flamme) 35 mm, L. (douille) 75 mm. 220 g. E : 1150.2. N : 1159.5. Alt. : 572.88. Type : 43.

Autres petits mobiliers

17300, n° 855. Déchet de tabletterie à découpes circulaires.

16406, n° 638. Fragment de verre indéterminé.

16406, n° 691. Fragment de verre indéterminé.

16406, n° 1475. Jeton.

16406, n° 692. Jeton.

16406, n° 738. Jeton.

16406, n° 749. Jeton.

16406, n° 777. Jeton.

17300, n° 861. Jeton.

17300, n° 862. Jeton.

17300, n° 867. Jeton.

17300, n° 870. Jeton.

16406, n° 1482. Jeton en amphore.

16406, n° 1499. Jeton en amphore.

16406, n° 782. Jeton en amphore.

16406, n° 614. Monnaie.

16406, n° 591. Monnaie.

16406, n° 788. Monnaie.

16406, n° 537. Monnaie.

16406, n° 624. Monnaie.

16406, n° 625. Monnaie.

17300, n° 877. Monnaie.

16406, n° 685. Monnaie.

16406, n° 637. Perle en verre bleu clair opaque à décor oculé blanc, bleu et blanc et bleu opaque.

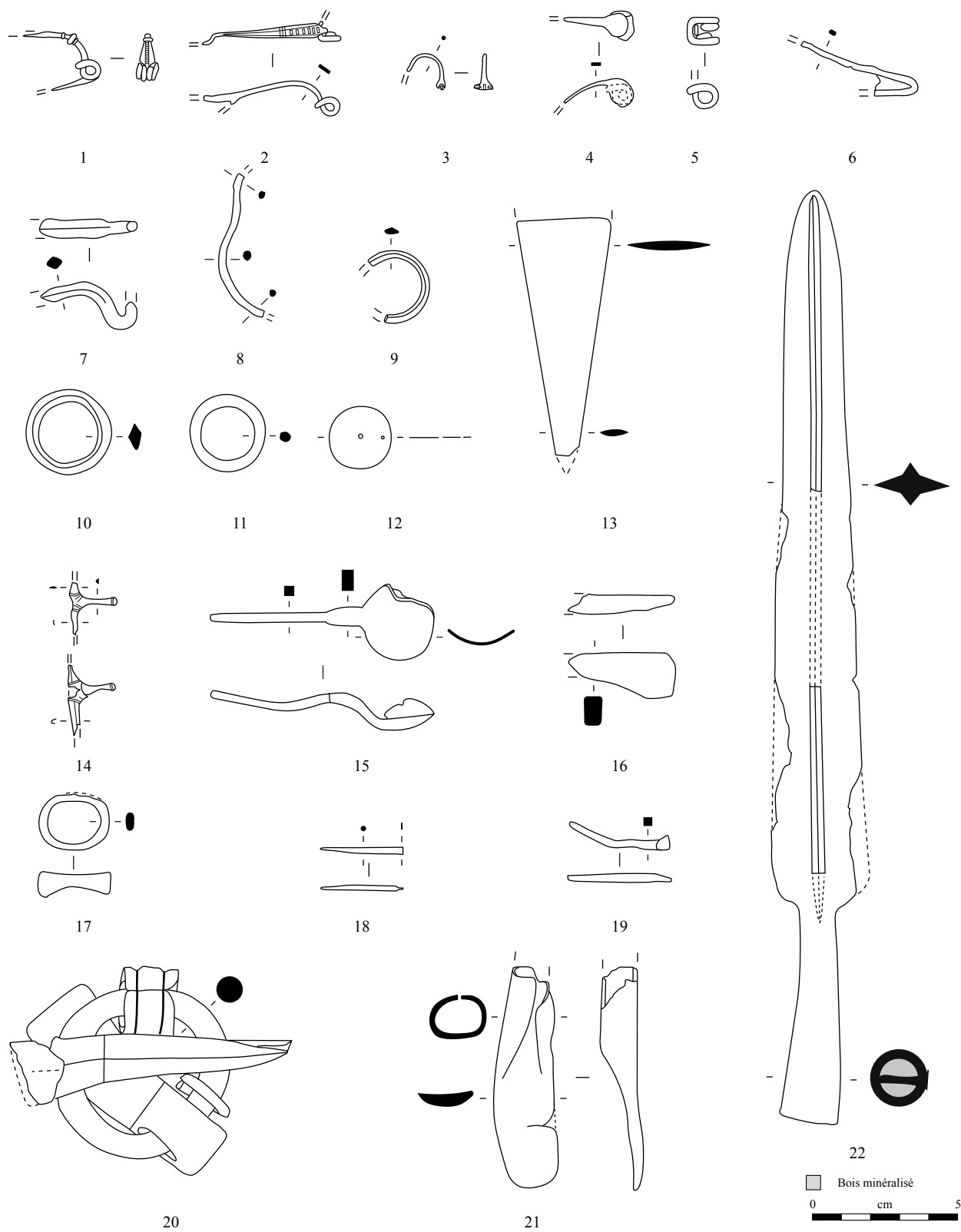


Planche 60. C3-2-radier

1-5, 8-12, 14, 19 : alliage cuivreux; 6-7, 13, 15-18, 20-22 : fer.

Bâtiment C3

État 1 à 2.1 : LTD1b

C3-7-Ce 17405

Planche 61, 1. 16408, n° 613.

Fibule à ressort à quatre spires (deux conservées) et corde interne et à arc filiforme tendu de section ronde et pied rattaché sur l'arc par une pince moulurée précédée d'une loge à décor de lignes perpendiculaires incisées. Base-cuivre.

L. 59 mm. 2.6 g.

E : 1144.5. N : 1171.5. Alt. : 572.89.

Type : B21-1.

Planche 61, 2. 16408, n° 582.

Fragment de bracelet tubulaire à section fine en «D». Base-cuivre.

L. 39 mm, diam. 60 mm, S. 4 x 2 mm. 1 g.

E : 1144. N : 1171.08. Alt. : 573.62.

Type : B22-1.

Planche 61, 3. 16408, n° 577.

Pendentif en forme de lanterne avec cheval à l'arrêt dont l'anneau de suspension est fixé par brasure au sommet du dos de l'animal. La base du pendentif est ornée de petits triangles incisés. Base-cuivre.

Ht. 51 mm, diam. (anneau) 22 mm, diam. (fond) 18 x 20 mm, L. (cheval) 33 mm. 33.3 g.

E : 1143.7. N : 1170.66. Alt. : 572.87.

Planche 61, 4. 16408, n° 576.

Objet constitué d'un anneau de section

circulaire connecté avec deux hachettes déployées et un anneau fragmentaire collé à l'anneau principal. Fer.

L. 162 mm, diam. 61 mm, S. 8 mm, L. (hache) 87 mm, L. (herminette) 87 mm. 385 g.

E : 1143.05. N : 1170.1. Alt. : 573.18.

Planche 61, 5. 17406, n° 1047.

Fragment de tablette abrasive en basalte fin polyédrique dont les tranches latérales sont aussi utilisées. Lithique.

L. 95, l. 39 mm, Ép. 10.5 mm. 73.5 g.

E : 1140.02. N : 1168.1. Alt. : 572.78.

Planche 61, 6. 17406, n° 1747.

Fragment de talon de lance en deux parties non jointives. Fer.

L. 88 mm, S. 22 x 20 mm. 24.8 g.

E : 1140. N : 1173.*

Type : 2.

Autres petits mobiliers

17406, n° 1044. Fragment de bracelet en roche noire.

17406, n° 1042. Jeton.

17406, n° 1043. Jeton.

17406, n° 1050. 12 fragments de paroi de foyer et un déchet de fabrication.

17406, n° 1049. Fragment de plaque de foyer.

C3-9-épandage

Planche 61, 7. 16412, n° 1442.

Enclumette à table rectangulaire en forme de «T» cassée à sa base. Fer.

L. 52 mm, L. (table) 50 x 6 mm, S. 15 x 6 mm. 49.1 g.

E : 1145.61. N : 1161.7. Alt. : 572.92.

Planche 61, 8. 16412, n° 1721.

Objet indéterminé constitué d'une languette de section rectangulaire qui s'élargit à une extrémité. Fer.

L. 67 mm, ép. 3 mm. 10.2 g.

E : 1145.7. N : 1162.*

Planche 61, 9. 17999-85, n° 992.

Aiguiseur en grès de section trapézoïdale. Lithique.

L. 98 mm, l. 30 mm, ép. 13 mm. 69 g.

E : 1144.52. N : 1162.36. Alt. : 572.92.

Autres petits mobiliers

17999-85, n° 989. Fragment de plaque de foyer.

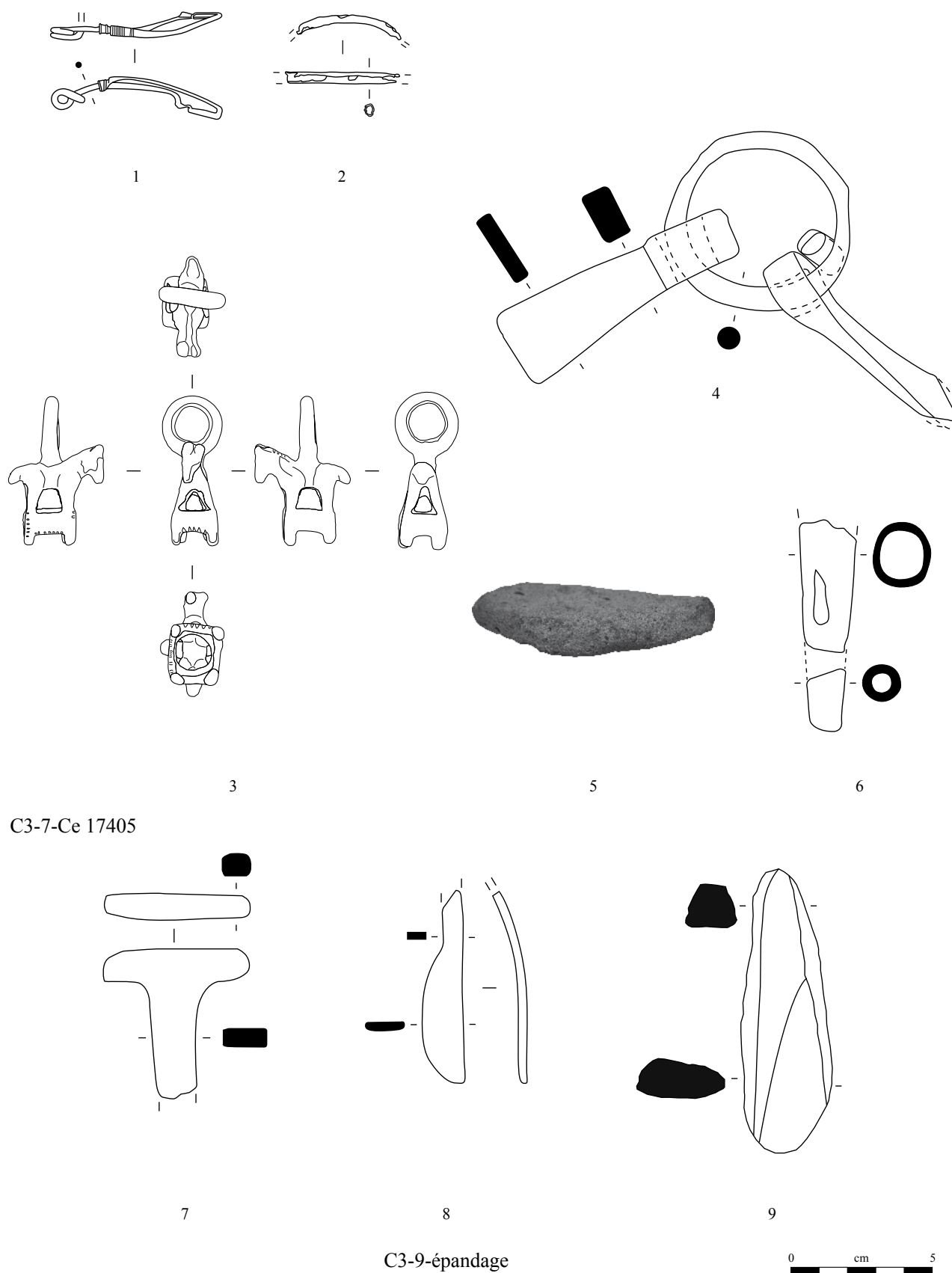


Planche 61. C3-7-Ce 17405 et C3-9-épandage

1-3 : alliage cuivreux; 4, 6-8 : fer; 5 : basalte fin; 9 : grès.

Bâtiment C3

État 1 : LTD1b classique

C3-10-Fo 17478

Planche 62, 1. 17479, n° 200.

Bracelet à épissures complet à jonc de section circulaire. Base-cuivre.

Diam. int. 46 x 40 mm, S. 2,5 mm. 6.1 g.

E : 1144.16. N : 1168.47. Alt. : 572.83.

Type : B12-1.

Planche 62, 2. 16416, n° 1459.

Fragment d'anneau de section ronde. Base-cuivre.

Diam. 28 mm, S. 4 x 3 mm. 1.9 g.

E : 1144.6. N : 1168.2.*

Planche 62, 3. 16413, n° 1722.

Fragment de lame de couteau. Fer.

L. 32 mm, l. 15 mm. 5.7 g.

E : 1143.5. N : 1168.1.*

Type : 0-0.

Planche 62, 4. 16416, n° 1839.

Fragment de virole. Fer.

Diam. 18 mm, ht. 13 mm, ép. 2 mm. 3 g.

E : 1144.5. N : 1168.1.*

Planche 62, 5. 17479, n° 150.

Fragment médian de lame d'épée de section lenticulaire. Fer.

L. 130 mm, l. 35 mm, ép. 4 mm. 120.2 g.

E : 1144.8. N : 1168.88. Alt. : 572.67.

Planche 62, 6. 16413, n° 1433.

Support latéral de gril constitué d'une bande de plat perforée à chaque extrémité avec un pied à extrémité épaissie. La corrosion empêche d'observer si le centre comporte d'autres perforations. Fer.

L. 175 mm, jt. 66 mm, l. 28 mm, S. 10 x 2 mm. 81.8 g.

E : 1143.5. N : 1168.3. Alt. : 572.85.

Planche 62, 7. 16413, n° 1723.

Fragment indéterminé de fer plat triangulaire. Fer.

L. 61 mm, S. 16 x 4 mm. 9 g.

E : 1144.7. N : 1169.*

Autres petits mobiliers

16413, n° 1454. Jeton percé, fusaïole.

17479, n° 196. Jeton percé, fusaïole.

17479, n° 197. Jeton.

16413, n° 1453. Jeton en amphore.

16416, n° 1451. Fragment de plaque de foyer. 16413, n° 1452. Fragments de table de travail en pierre.

16413, n° 1457. Fragments de table de travail en pierre.

16416, n° 1456. Fragment de terre cuite artisanale vitrifiée.

État 2.1 : LTD1b évoluée

C3-11-Fo art 17418

Planche 62, 8. 17419, n° 898.

Perle de section lenticulaire. Base-cuivre.

Diam. 14 mm, S. 3 x 2 mm. 2.8 g.

E : 1146.45. N : 1165.1. Alt. : 573.73.

Planche 62, 9. 17419, n° 1756.

Tige indéterminée de section carrée terminée par un plat. Instrument de toilette, outil, chute ? Fer.

L. 29 mm, S. 3 mm. 1.3 g.

E : 1141.65. N : 1165.9.*

Autres petits mobiliers

17419, n° 899. Jeton.

C3-12-Ce 15540

Planche 62, 10. 15627, n° 948.

Anneau de section ronde. Base-cuivre.

Diam. 20 x 18 mm, S. 5 x 4 mm. 6.6 g.

E : 1140.4. N : 1171.8. Alt. : 572.93.

Planche 62, 11. 15627, n° 1727.

Fragment d'anneau de section ronde. Base-cuivre.

Diam. 16 mm, S. 2,5 mm. 1 g.

E : 1138.9. N : 1171.

Planche 62, 12. 15627, n° 1723.

Petite douille fragmentaire aux deux extrémités. Fer.

L. 28 mm, diam. 10 x 8 mm. 3.1 g.

E : 1139. N : 1170.5.

Planche 62, 13. 15627, n° 1240.

Fragment de barre latérale de support de gril avec sept perforations. Fer.

L. 186 mm, l. 25 mm, ép. 3 mm. 86.6 g.

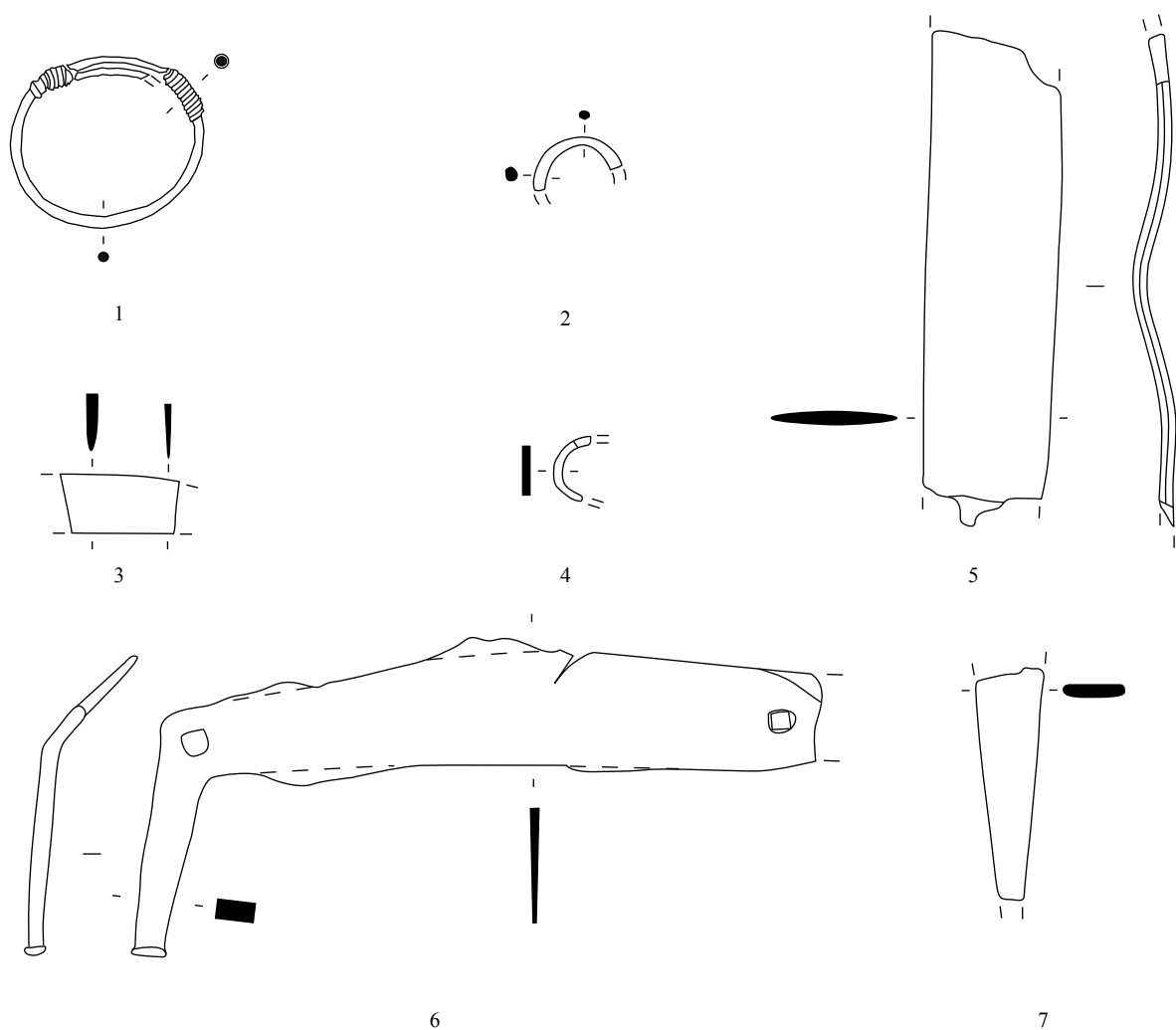
E : 1139. N : 1170.8. Alt. : 573.01. UF.

Autres petits mobiliers

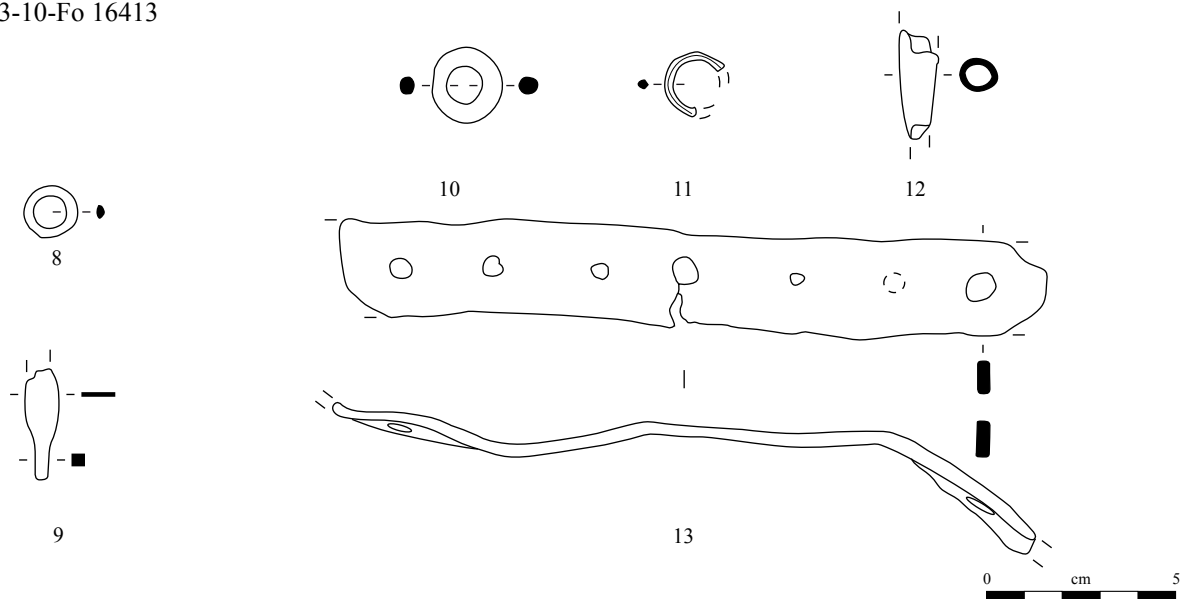
15627, n° 1084. Jeton.

15627, n° 1213. Monnaie.

15627, n° 899. Monnaie.



C3-10-Fo 16413



C3-11-Fo art 16418

C3-12-Ce 15540

Planche 62. C3-10-Fo 17478 à C3-12-Ce 15540

1-2, 8, 10-11 : alliage cuivreux; 3-7, 9, 12-13 : fer.

Bâtiment C3

État 1 à 2.1 : LTD1b

C3-15-Sol 16411

Planche 63, 1. 16411, n° 689.

Anneau cannelé à cinq cannelures peu lisibles de section losangique. Base-cuivre. Diam. 13 mm, S. 4 x 3 mm. 1.6 g.
E : 1145.22. N : 1163. Alt. : 573.15.

Planche 63, 2. 16411, n° 1430.

Fragment d'anneau de section ronde. Base-cuivre.
L. 16 mm, diam. 28 mm, S. 2 x 3 mm. 1.1 g.
E : 1145.1. N : 1165.3. Alt. : 572.71.

Planche 63, 3. 16411, n° 1411.

Agrafe de ceinturon à anneau triangulaire, languette de section ronde et bouton. Fer. L. 37 mm, diam. 39 x 24 mm, ht. 12 mm. 15.3 g.
E : 1144.91. N : 1165.29. Alt. : /.
Type : F2-1.

Planche 63, 4. 16411, n° 1400.

Fragment de poinçon constitué d'une tige de section carrée appointée et terminée par une pointe de section circulaire. Base-cuivre.
L. 52 mm, S. 2,5 mm. 1.9 g.
E : 1144.13. N : 1166.44. Alt. : 572.95.

Planche 63, 5. 16411, n° 1478.

Chute de plaque avec deux découpes latérales. Fer.
L. 52 mm, ép. 5 mm. 33.3 g.
E : 1144.93. N : 1166.86. Alt. : 573.04.

Planche 63, 6. 16411, n° 1497.

Poids circulaire plat à bordure oblique. Base-cuivre.
Diam. 10 mm, ép. 4 mm. 2.1 g.
E : 1144.89. N : 1167.9. Alt. : 572.94.

Planche 63, 7. 16411, n° 1412.

Oeil de marteau dont l'épaisseur devient de plus en plus grande. Fer.
L. 33 mm, ht. 34 mm, ép. 10 mm. 54.2 g.
E : 1145.28. N : 1166. Alt. : /.

Planche 63, 8. 16411, n° 1489.

Fragment de panne de marteau constituée

d'une barre triangulaire de section rectangulaire aux angles chanfreinés. Fer. L. 70 mm, S. 14 x 22 mm. 91 g.
E : 1144.93. N : 1166.31. Alt. : 572.95.

Autres petits mobiliers

16411, n° 1401. Jeton.
16411, n° 1485. Jeton.
16411, n° 1429. Monnaie.
16411, n° 1406. Monnaie.
16411, n° 1491. Boule de pigment bleu.

État 2.1 : LTD1b évoluée

C3-17-Pal 15640

15640, n° 1147. Jeton.

État 2.1 : LTD1b évoluée

C3-19-TP 18693

Planche 63, 9. 18694, n° 1740.

Arc de fibule de tôle triangulaire et bordures soulignées par une rainure à pied ajouré trapézoïdal plié. Base-cuivre. L. 56 mm, L. (arc) 40 mm, l. (arc) 12 mm. 1.6 g.
E : 1145.7. N : 1173.06.*
Type : B22-03.

État 1 : LTD1b classique

C3-21-TP 17999-63

17999-64, n° 986. Jeton.

C3-23-TP 17414

17415, n° 1021. Perle indéterminée (perdue?).

État 1 à 2.1 : LTD1b

C3 et C4-20-Sol 17407

Planche 63, 10. 17407, n° 849.

Bracelet tubulaire à section ovale inorné très peu fragmentaire. Base-cuivre. L. 54 mm, diam. int. 42 mm, S. 9 x 6 mm. 7.6 g.
E : 1146.64. N : 1159.4. Alt. : 571.89.
Type : B21-1.

Planche 63, 11. 17407, n° 869.

Anneau de section lenticulaire. Base-cuivre.
Diam. 27 mm, S. 6 x 3 mm. 8.8 g.
E : 1146. N : 1161.2. Alt. : 572.93.

Planche 63, 12. 17407, n° 872.

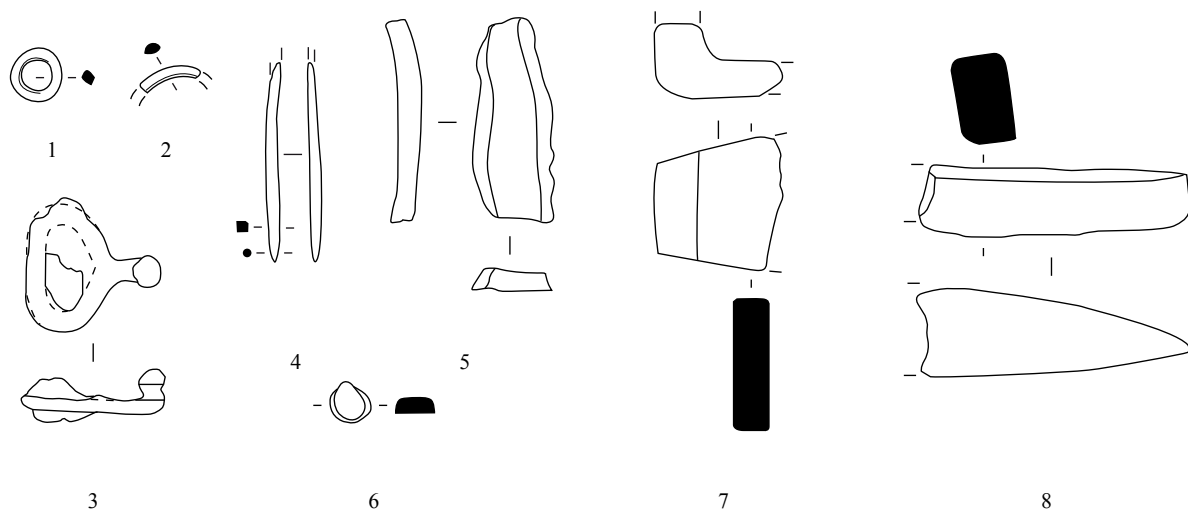
Fragment de crochet de crémaillère constitué d'une longue tige incurvée terminée par un plat à anneau proximal. Fer. L. 242 mm, S. 9 mm, S. (manche) 13 x 5 mm. 55.2 g.
E : 1150.8. N : 1151. Alt. : 572.91.

Planche 63, 13. 17407, n° 889.

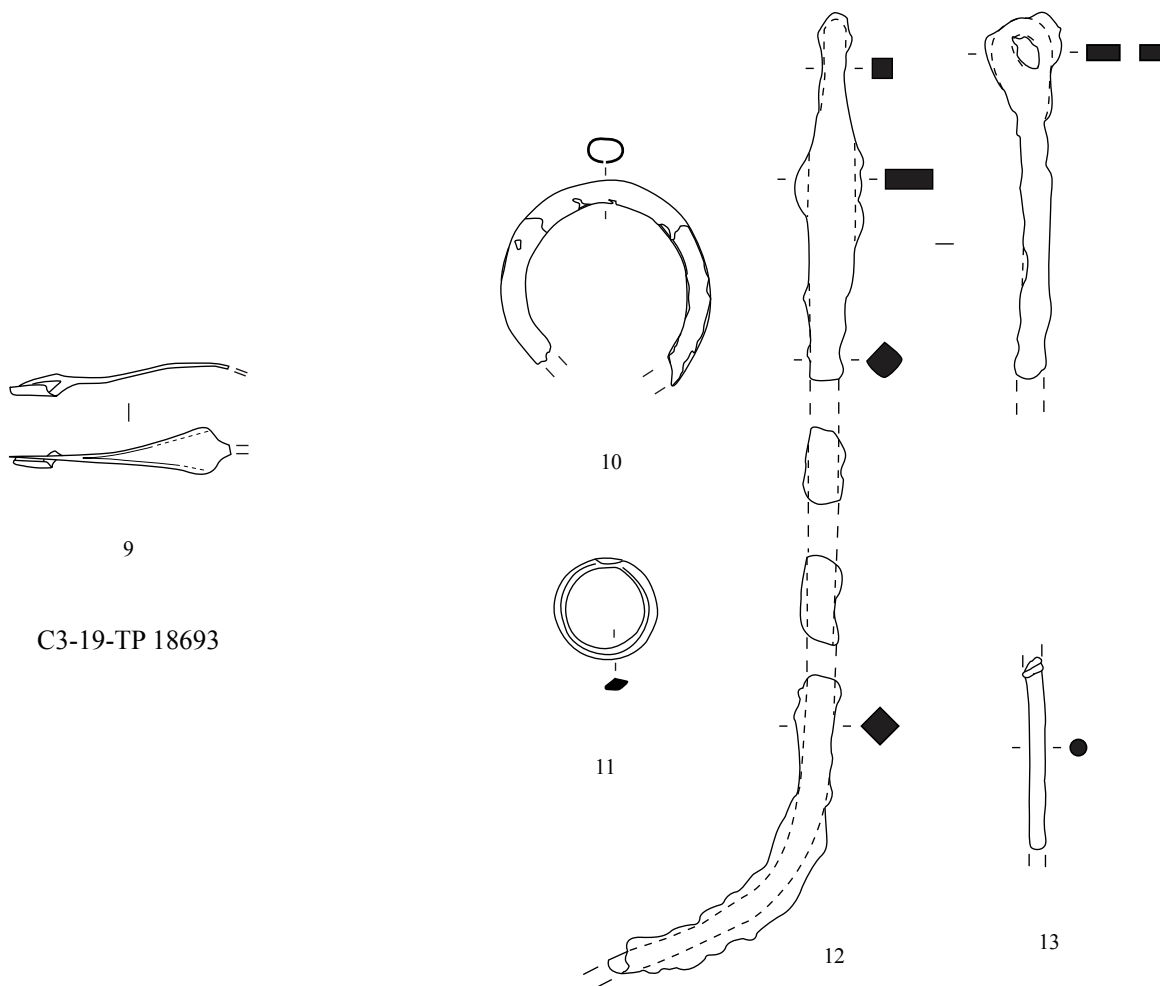
Fragment de bracelet à extrémité bouletée en cours de fabrication constitué d'une tige droite terminée par des moulurations. Base-cuivre. L. 50 mm, S. 4 mm. 7.1 g.
E : 1146.38. N : 1160.78. Alt. : 572.80.

Autres petits mobiliers

17407, n° 321. Jeton.
17407, n° 857. Monnaie.
17407, n° 303. Monnaie.
17407, n° 890. Monnaie.



C3-15-sol 16411



C3-19-TP 18693

C3-20-Sol 17407

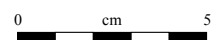


Planche 63. C3-15-sol 16411 à C3 et C4-20-sol 17407

1-2, 4, 6, 9-11, 13 : alliage cuivreux; 3, 5, 7-8, 12 : fer.

Bâtiment C3

État 1 : LTD1b classique

C3-26-Fo art 18668

Planche 64, 1. 18654, n° 1520.

Fragment de lime à soie de section rectangulaire. Fer.

L. 76 mm, L. (partie active) 50 mm, l. 9 mm, ép. 2,5 mm. 16.1 g.

E : 1146.75. N : 1170.5. Alt. : 572.91.

Planche 64, 2. 18404, n° 1720.

Fragment de plateau de balance avec un maillon de chaînette brasé. Base-cuivre.

Diam. 50 mm. 2.1 g.

E : 1145.7. N : 1171.51.*

Planche 64, 3. 18654, n° 1521.

Fragment de fer plat indéterminé en forme d'ogive avec départ de tige et section rectangulaire. Lime? Fer.

L. 74 mm, L. (utile) 84 mm. 23.1 g.

E : 1147.9. N : 1171. Alt. : 572.88.

Planche 64, 4. 18668, n° 1681.

Fragment de tige indéterminée courbée de section ronde. Fer.

L. 99 mm, S. 6 mm. 10.7 g.

E : 1147.3. N : 1171.42.*

Planche 64, 5. 18668, n° 1674.

Fragment de bande de fer plat indéterminée relativement massive. Demi-produit? Fer.

L. 135 mm, l. 16 mm, ép. 5 mm. 77.1 g.

E : 1147. N : 1171.3. Alt. : /.

Planche 64, 6. 18402, n° 1732a.

Fragment de lèvre de creuset en forme de coupelle. Terre cuite.

Diam. 52 mm, ht. 16 mm. 2.2 g.

E : 1145.87. N : 1171.68.

Planche 64, 7. 18402, n° 1732b.

Fragment de lèvre de creuset en forme de coupelle évasée. Terre cuite.

Diam. 80 mm, ht. 20 mm. 2.2 g.

E : 1145.89. N : 1171.70.

Planche 64, 8. 18402, n° 1732c.

Fragment de lèvre de creuset piriforme. Terre cuite.

Diam. 33 mm, ht. 30 mm. 1.9 g.

E : 1145.85. N : 1171.66.

Planche 64, 9. 18402, n° 1732a.

Fragment de creuset en forme de coupelle. Terre cuite.

Diam. 121 mm, ht. 22 mm. 2.7 g.

E : 1145.92. N : 1171.70.

Planche 64, 10. 18404, n° 1724.

Fond de moule ou de creuset circulaire. Terre cuite.

L. 30 mm, diam. rest. 76 mm, ht. 14 mm. 2.9 g.

E : 1145.84. N : 1171.16.

Planche 64, 11. 18404, n° 1711.

Fragment de lingotière à alvéoles circulaires. Terre cuite.

L. 22 mm. 1.4 g.

E : 1145.54. N : 1171.31.

Planche 64, 12. 18404, n° 1722.

Fragment de lingotière à alvéoles circulaires. Terre cuite.

L. 20 mm, diam. int. 16 mm. 1.7 g.

E : 1145.8. N : 1170.95.

Planche 64, 13. 18404, n° 1721.

Fragment de lingotière à alvéoles circulaires. Terre cuite.

L. 31 mm, diam. int. 16 mm. 3.2 g.

E : 1145.7. N : 1170.73.

Planche 64, 14. 18404, n° 1723.

Fragment de lingotière à alvéoles circulaires. Terre cuite.

L. 20 mm, l. 18 mm. 1.2 g.

E : 1145.86. N : 1171.48.*

Planche 64, 15. 18404, n° 1731.

Fragment de lingotière à alvéoles

circulaires. Terre cuite.

L. 31 mm, diam. int. 16 mm. 2.3 g.

E : 1146.01. N : 1171.45.

Planche 64, 16. 18404, n° 2064.

Fragment de lingotière à alvéoles circulaires. Terre cuite.

L. 30 mm, diam. int. 11 mm. 2.8 g.

E : 1145.56. N : 1170.85.

Planche 64, 17. 18404, n° 1717.

Fragment de lingotière à alvéoles circulaires. Terre cuite.

L. 20 mm, diam. int. 5 à 7 mm. 2.1 g.

E : 1146.05. N : 1171.22.

Autres petits mobiliers

18404, n° 1750. Fragment d'abraseur polyédrique en grès rose avec pyroxène.

18404, n° 1709. Fusaïole en terre cuite.

18668, n° 1672. Fusaïole en terre cuite.

18654, n° 1519. Jeton.

18668, n° 1678. Jeton.

18668, n° 1679. Jeton.

18404, n° 1718. Moitié de jeton.

18404. Fragments de lingotière à alvéoles circulaires.

18404, n° 1712. Fragment de moule.

18404, n° 1719. Fragment de moule.

18404, n° 1730. Fragment de moule.

18404, n° 1726. Fragment de bord de plaque de foyer.

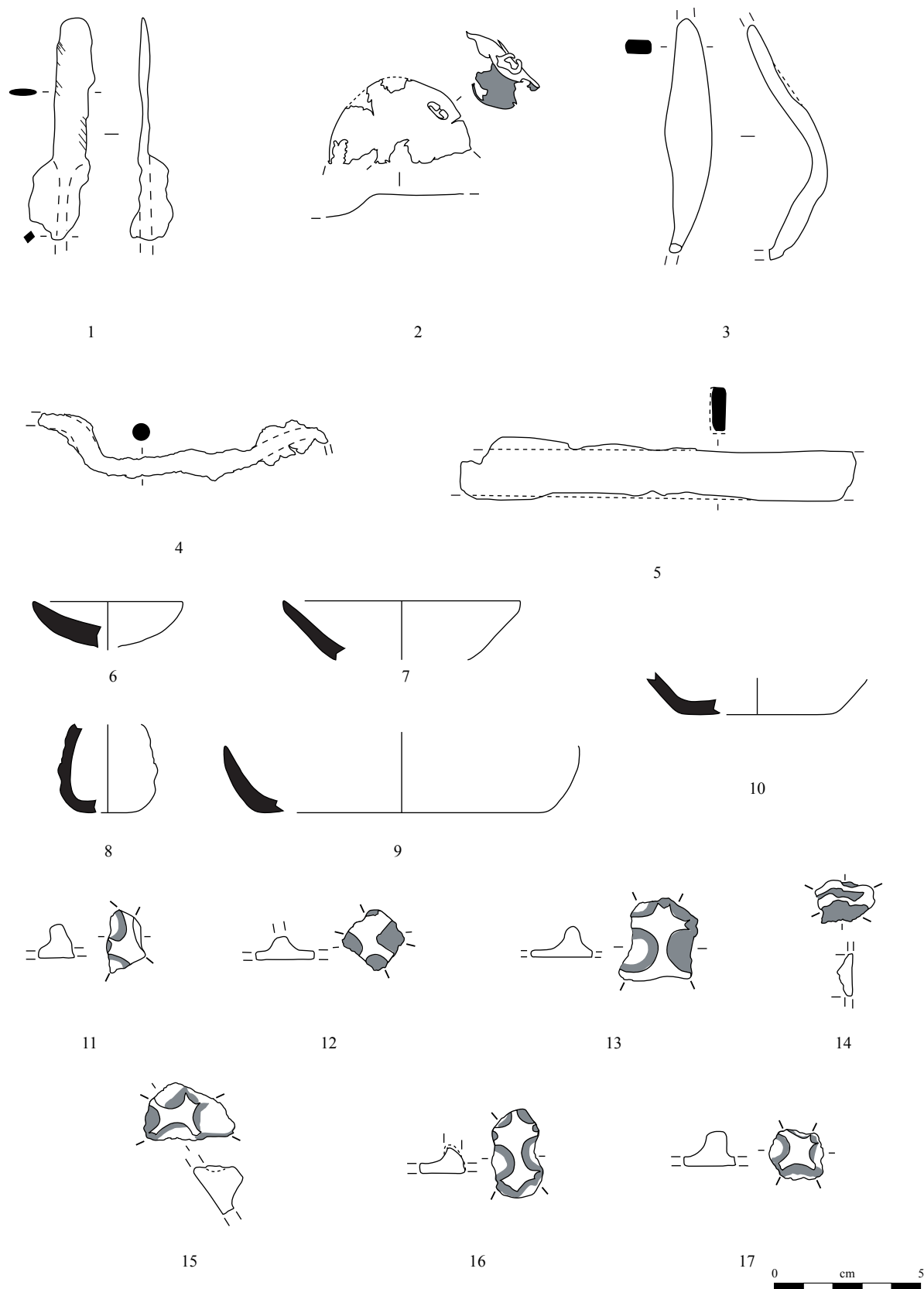


Planche 64. C3-26-Fo art 18668

1, 3, 4-5 : fer; 2 : alliage cuivreux; 6-17 : terre cuite.

Bâtiment C4

Décapage

C4-1-décapage

Planche 65, 1. 8318.

Fragment de bracelet à jonc lisse et section en «D». Base-cuivre.

L. 31 mm, S. 3 x 2 mm. 2 g.

E : 1146.7. N : 1148.8.

Type : B10-4.

Planche 65, 2. 8318.

Fragment d'anneau de section circulaire. Base-cuivre.

Diam. 18 mm, S. 3 mm. 1 g.

E : 1146.9. N : 1148.55.*

Planche 65, 3. 8315.

Perle de section lenticulaire. Base-cuivre.

Diam. 14 mm, S. 4 x 3 mm. 3 g.

E : 1144.6. N : 1151.85.

Planche 65, 4. 8054.

Perle à section en quart de rond. Base-cuivre.

Diam. 16 mm, S. 4 mm. 3 g.

E : 1149.2. N : 1151.4.

Planche 65, 5. 8056.

Bague à chaton plat inorné et à anneau lacunaire. Base-cuivre.

L. 14 mm. NP.

E : 1148.5. N : 1150.1.*

Type : 6.

Planche 65, 6. 8335.

Fragment de chute de plaque triangulaire. Base-cuivre.

L. 15 mm, ép. 2 mm. 2 g.

E : 1145.1. N : 1150.8.

Planche 65, 7. 8337.

Gouttière avec petite patte circulaire à patine jaune brillant. Fragment de bouterolle? Base-cuivre.

L. 20 mm. 0.5 g.

E : 1147. N : 1151.96.

Autres petits mobiliers

8056. Fragment de bracelet en roche noire.

8337, n° 8337-1. Monnaie.

8315, n° 8315-3. Monnaie.

8315, n° 8315-1. Monnaie.

8336, n° 8336-1. Monnaie.

8315, n° 8315-2. Monnaie.

8335, n° 8335-1. Monnaie.

8335, n° 8335-2. Monnaie.

8338, n° 8338-1. Monnaie.

8336. Perle en os.

8337, n° 1. Perle en verre pourpre à section en «D» (Gebhard IXd).

État 2.3 : fin LTD2a-LTD2b

C4-2-radier

Planche 65, 8. 16441, n° 422.

Tige indéterminée de section ronde terminée par une boule et découpée à une

extrémité. Agrafe de ceinturon, extrémité d'objet? Fer.

L. 44 mm, S. 3,5 mm, ht. 11 mm. 3.1 g.

E : 1151.5. N : 1152.5. Alt. : 573.04.

Planche 65, 9. 16441, n° 1735.

Fragment de tôle indéterminée repliée sur elle-même. Virole écrasée? Fer.

L. 25 mm, l. 13 mm, ht. 4 mm. 4 g.

E : 1151.2. N : 1154.1.

Autres petits mobiliers

16441, n° 446. Eclat de verre.

16441, n° 406. Jeton.

16441, n° 448. Monnaie.

16441, n° 447. Monnaie.

16441, n° 442. Fragment de mortier en basalte non étudié.

16441, n° 433. Fragment de mortier en roche volcanique finement vacuolaire.

16441, n° 429. Fragment de perle en verre brun à section en «D» de type Gebhard VIIIc.

État 2.2 à 2.3 : LTD2

C4-3-démontage radier

Planche 65, 10. 17410, n° 1749.

Ressort de fibule à quatre spires et corde externe haute et arc cambré de section lenticulaire. Fer.

L. 13 mm, S. 5 x 3 mm. 4.5 g.

E : 1158. N : 1149.67.*

Type : F33-7.

Planche 65, 11. 17410, n° 358.

Fibule à ressort à quatre spires et corde externe et à arc cambré interrompu par un bouton pour terminer par une section rectangulaire ornée d'une ligne médiane. Le ressort est surmonté par un disque, faisant office de plaquette. Base-cuivre.

L. 22 mm. 0.9 g.

E : 1153.4. N : 1155.5. Alt. : 572.97.

Type : B34-2.

Planche 65, 12. 17310, n° 908.

Anneau de section lenticulaire. Base-cuivre.

Diam. 15 mm, S. 2 x 4 mm. 2.6 g.

E : 1153.07. N : 1152.3. Alt. : 572.82.

Planche 65, 13. 17410, n° 353.

Fragment de perle avec une cannelure centrale. Base-cuivre.

Diam. 15 mm, S. 3 x 10 mm. 1.6 g.

E : 1152.75. N : 1156.4. Alt. : 572.26.

Planche 65, 14. 17410, n° 389.

Anneau cannelé avec une cannelure centrale. Base-cuivre.

Diam. 25 mm, S. 5 x 3 mm. 2.6 g.

E : 1152. N : 1150. Alt. : 572.78.*

Planche 65, 15. 17410, n° 388.

Anneau de section hémisphérique avec une trace d'usure sur le bord inférieur du jonc. Base-cuivre.

Diam. 28 mm, S. 6 x 4 mm. 11.7 g.

E : 1151. N : 1154. Alt. : 572.81.*

Planche 65, 16. 17410, n° 391.

Fragment de jante de rouelle. Base-cuivre.

L. 22 mm, diam. 34 mm, S. 4 x 2 mm. 0.8 g.

E : 1153.9. N : 1150. Alt. : 572.83.*

Planche 65, 17. 17410, n° 383.

Bague à chaton circulaire et à épaulement marqué surmontant un anneau de section rectangulaire. Base-cuivre.

Ht. 20 mm, diam. int. 15 mm, L. (plateau) 8 x 5 mm. 2.3 g.

E : 1154.1. N : 1155.05. Alt. : 572.82.

Type : 8.

Planche 65, 18. 17410, n° 387.

Fragment de demi-produit constitué d'une barre de section ronde avec une extrémité arrachée et une extrémité biseautée de section carrée. Base-cuivre.

L. 22 mm. 5.5 g.

E : 1151.55. N : 1156.54. Alt. : 573.

Planche 65, 19. 17410, n° 356.

Aiguille à chas fragmentaire. Base-cuivre.

L. 35 mm. 0.8 g.

E : 1153.97. N : 1152.67. Alt. : 575.39.

Planche 65, 20. 17410, n° 384.

Fragment d'aiguille cassée au niveau du chas. Base-cuivre.

L. 26 mm. 0.8 g.

E : 1173.45. N : 1156.49. Alt. : 272.98.

Planche 65, 21. 17410, n° 393.

Chute de tôle repliée à plusieurs reprises. Base-cuivre.

L. 23 mm. 3.1 g.

E : 1154.17. N : 1160.6. Alt. : 571.82.

Planche 65, 22. 17410, n° 386.

Rivet émaillé avec tige en fer. Base-cuivre et fer.

L. 22 mm, diam. 12 mm. 2.5 g.

E : 1153.37. N : 1157.18. Alt. : 572.91.

Planche 65, 23. 17310, n° 1014.

Extrémité passive de hache polie réutilisée en marteau en roche verte. Lithique.

L. 73 mm., Ép. 25 mm. 124.1 g.

E : 1152.2. N : 1153.13. Alt. : 572.9.

Planche 65, 24. 17310, n° 892.

Fragment de table de travail en calcaire lité. Lithique.

L. 57 mm, Ép. 16 mm. 49.4 g.

E : 1150.25. N : 1152.12. Alt. : 572.88.

Autres petits mobiliers

17310, n° 894. Jeton.

17310, n° 904. Jeton.

17310, n° 909. Jeton.

17410, n° 354-1. Monnaie.

17410. Monnaie.

17410, n° 390. Monnaie.

17310, n° 923. Monnaie.

17410, n° 354-2. Monnaie.

17410, n° 1058. Monnaie.

17410, n° 363. Monnaie.

17310, n° 895. Fragment de plaque de foyer.

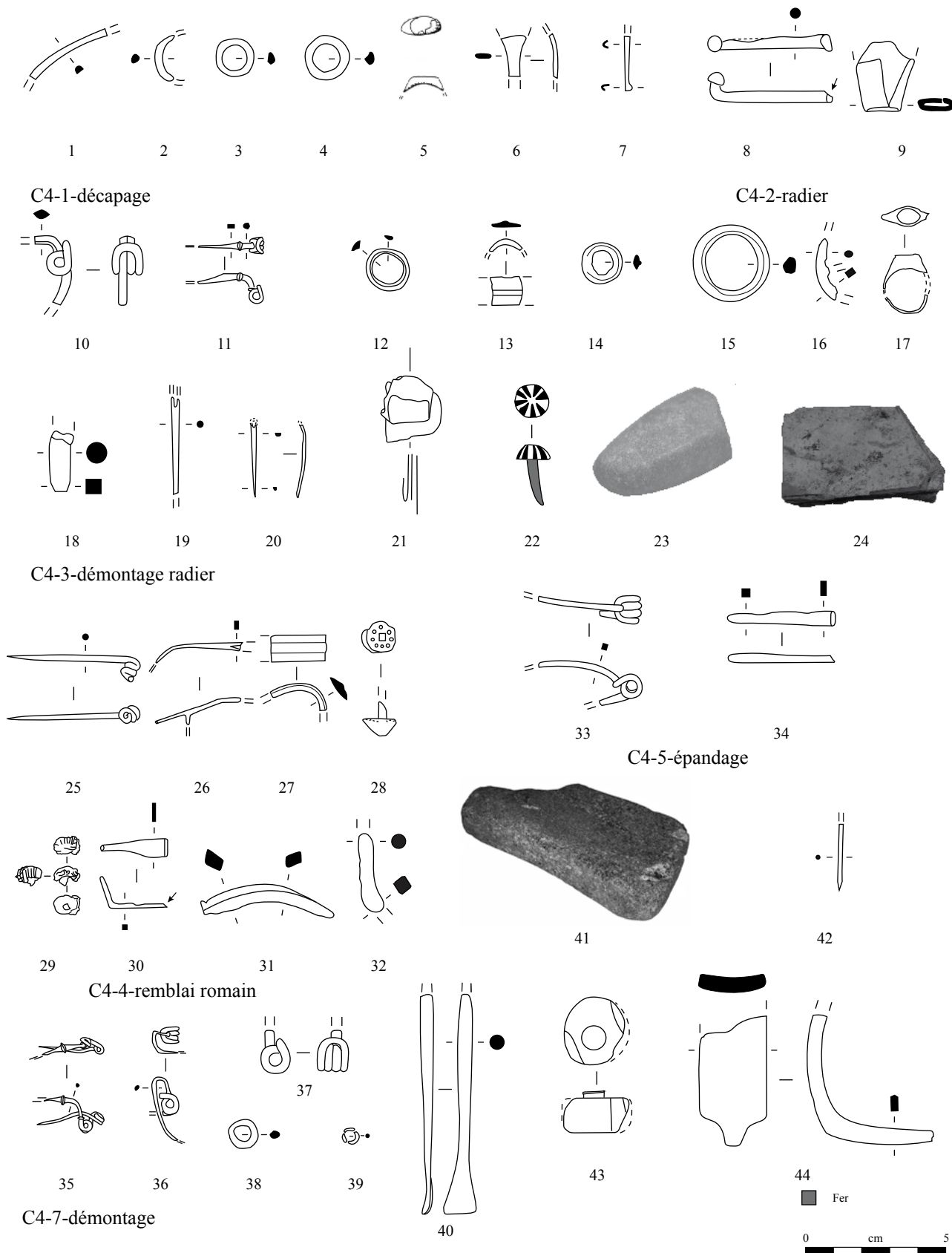


Planche 65. C4-1-décapage à C4-7-démontage

1-7, 11-21, 25-27, 29, 32, 35-36, 38-39, 42 : alliage cuivreux; 8-10, 28, 30, 33-34, 37, 40, 43-44 : fer; 22 : alliage cuivreux et fer; 23 : roche verte; 24 : calcaire; 31 : plomb; 41 : grès très fin.

C4-4-remblai romain

Planche 65, 25. 17411, n° 359.

Ardillon et ressort à trois spires unilatérales. Base-cuivre.

L. 48 mm. 1.8 g.

E : 1154.7. N : 1150.5. Alt. : 573.02.

Planche 65, 26. 17411, n° 1062.

Extrémité d'arc triangulaire fin à bordures soulignées par une rainure et pied de fibule. Base-cuivre.

L. 33 mm. 0.9 g.

E : 1153.87. N : 1149. Alt. : 572.98.

Type : B22-03.

Planche 65, 27. 17411, n° 396.

Fragment de perle déformée de section lenticulaire avec une côte centrale. Base-cuivre.

L. 20 mm, S. 10 x 3 mm. 3.8 g.

E : 1156.73. N : 1148.49. Alt. : 573.07.

Planche 65, 28. 17411, n° 361.

Clou de chaussure à décor de huit globules. Fer.

Diam. 12 mm. 1.7 g.

E : 1155.4. N : 1151.1. Alt. : 573.2.

Planche 65, 29. 17688, n° 1027.

Tête de clou-rivet émaillé refondue et couleure. Base-cuivre.

Diam. 9 mm, L. 7 mm. 13.4 g.

E : 1155.26. N : 1148.98. Alt. : 572.97.

Planche 65, 30. 17411, n° 400.

Chute de tige avec soie de préhension. Fer.

L. 24 mm. 40 g.

E : 1153.55. N : 1149.13. Alt. : 570.95.

Planche 65, 31. 17411, n° 1059.

Fragment de demi-produit constitué d'un plat incurvé avec trace de découpe. Plomb.

L. 48 mm, S. 9 x 5 mm. 10.5 g.

E : 1153.36. N : 1150.07. Alt. : 572.96.

Planche 65, 32. 17411, n° 413.

Chute de barre de section changeante avec une légère trace de découpe à une extrémité. Base-cuivre.

L. 28 mm, S. 5 mm. 4.7 g.

E : 1150.89. N : 1148.34. Alt. : 573.07.

Autres petits mobiliers

17688, n° 1026. Aiguiseur non retrouvé.

17411, n° 494. Monnaie.

État 2 lato sensu : LTD1b évoluée-LTD2

C4-5-épandage

Planche 65, 33. 16421, n° 508.

Fibule à ressort à quatre spires et corde interne et arc tendu de section losangique. Fer.

L. 37 mm, S. 2 mm. 3.3 g.

E : 1150.2. N : 1159.2.*

Type : F23-2.

Planche 65, 34. 16421, n° 1738.

Chute de tige à extrémité de section rectangulaire. Fer.

L. 39 mm, S. 3 et 6 x 2 mm. 1.9 g.

E : 1148.5. N : 1149.6.*

Autres petits mobiliers

16421, n° 372. Fragment de verre indéterminé.

État 2.1 : LTD1b évoluée

C4-6-sol 17342

17342, n° 852. Fragment de verre moulé.

État 2.2 à 2.3 : LTD2

C4-7-démontage

Planche 65, 35. 17482, n° 906.

Fibule à ressort démantelé, à quatre spires et corde externe haute et à arc cambré interrompu par un bouton. Le ressort est surmonté par un disque faisant office de plaquette. Base-cuivre.

L. 21 mm. 0.6 g.

E : 1153.25. N : 1156. Alt. : 572.95.

Type : B34-2.

Planche 65, 36. 17482, n° 456.

Ressort de fibule à quatre spires et corde interne et arc filiforme plié et fortement dégradé, de section ovale. La surface a disparu en grande partie. Base-cuivre.

L. 26 mm. 1 g.

E : 1158.54. N : 1157.03. Alt. : 572.73.

Type : B23-2.

Planche 65, 37. 17482, n° 1752.

Ressort de fibule à quatre spires et corde externe haute et départ d'arc filiforme de section circulaire. Fer.

L. 16 mm. 2.5 g.

E : 1154.6. N : 1154.3.*

Type : F33-0.

Planche 65, 38. 17482, n° 451.

Perle de section ronde avec trace d'usure. Base-cuivre.

Diam. 10 mm, S. 3 x 2,5 mm. 1.2 g.

E : 1159.8. N : 1157.03. Alt. : 572.86.

Planche 65, 39. 17482, n° 459.

Fragment de maillon de chaînette. Base-cuivre.

Diam. 6 mm, S. 1 mm. 0.3 g.

E : 1154.23. N : 1153.88. Alt. : 572.86.

Planche 65, 40. 17482, n° 864.

Ciseau droit à manche de section ronde en forme de fuseau et tranchant évasé légèrement déformé. Fer.

L. 80 mm, l. (tranchant) 14 mm, S. 5 mm. 11.1 g.

E : 1154.8. N : 1151.74. Alt. : 572.96.

Planche 65, 41. 17482, n° 1053.

Meulet rectangulaire en grès très fin dont les longs côtés sont échancrés avec une

cupule centrale comportant des traces d'utilisation sur cette face et un poli très accentué sur la face inférieure. Les côtés latéraux montrent également une usure prononcée. Lithique.

L. 98 mm, l. 49 mm, Ép. 19 mm. 123.5 g.

E : 1155.6. N : 1154.6.*

Planche 65, 42. 17482, n° 1030.

Tige de section ronde appointée. Base-cuivre.

L. 24 mm, S. 1 mm. 0.3 g.

E : 1156.13. N : 1155.2. Alt. : 572.99.

Planche 65, 43. 17482, n° 1753.

Butée de chaudron de forme cylindrique. Fer.

Diam. 23 x 24 mm, ht. 15 mm. 20.6 g.

E : 1157.6. N : 1154.3.*

Planche 65, 44. 17482, n° 1751.

Gâche de serrure constituée d'un plat avec une tige de section rectangulaire se développant à la perpendiculaire. Fer.

L. 44 mm, ht. 42 mm, ép. 6 mm. 18.1 g.

E : 1152.7. N : 1150.2.*

Autres petits mobiliers

17482, n° 473. Aiguiseur non retrouvé.

17482, n° 460. Fragment indéterminé d'objet en roche noire décoré.

17482, n° 1032. Jeton.

17482, n° 1035. Jeton.

17482, n° 1036. Jeton.

17482, n° 1056. Jeton.

17482, n° 462. Jeton.

17482, n° 463. Jeton.

17482, n° 465. Jeton.

17482, n° 467. Jeton.

17482, n° 457. Monnaie.

17482, n° 464. Monnaie.

17482, n° 461. Fragment de paroi de foyer.

Bâtiment C4

État 1 et 2 lato sensu : LTD1b-LTD2

C4-8-épandage

Planche 66, 1. 16442, n° 479.

Ressort de fibule à quatre spires et corde externe haute et départ d'arc filiforme. Fer.

L. 41 mm. 3.6 g.

E : 1151.35. N : 1149.5. Alt. : 573.06.

Type : F33-0.

Planche 66, 2. 16451, n° 747.

Fibule à ressort à quatre spires et corde interne et à arc tendu de tôle triangulaire fin à bordures soulignées par une rainure. Base-cuivre.

L. 15 mm, l. (arc) 4 mm. 1 g.

E : 1149.5. N : 1149. Alt. : 573.17.

Type : B22-03.

Planche 66, 3. 16451, n° 1432.

Perle cannelée de faible diamètre et de large épaisseur. Base-cuivre.

Diam. 13 mm, ht. 11 mm, S. 3 mm. 6.3 g.

E : 1143.5. N : 1165.4. Alt. : 572.49.*

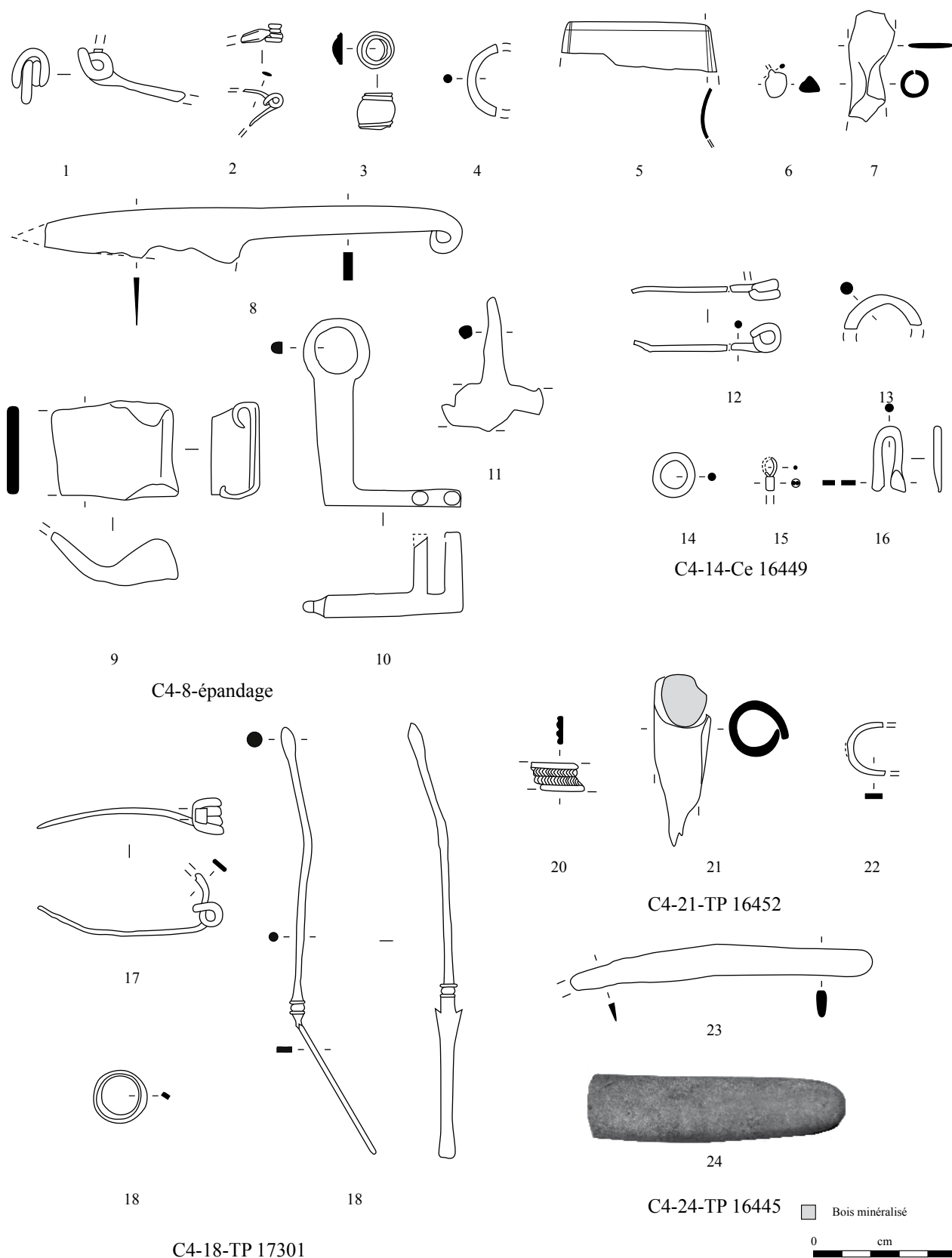


Planche 66. C4-8-épandage à C4-24-TP 16445

1, 7-12, 16-17, 21-23 : fer; 2-6, 13-15, 18-20 : alliage cuivreux; 24 : grès fin.

Planche 66, 4. 8358.

Fragment d'anneau de section ronde.
Base-cuivre.

Diam. 26 mm, S. 3 mm. 2 g.
E : 1146.15. N : 1149.1.

Planche 66, 5. 8388.

Fragment de passe-guide composé d'un plat trapézoïdal dont les bordures sont marquées par des rainures excisées. Base-cuivre.

L. 55 mm, ép. 1 mm. 8 g.
E : 1146.1. N : 1149.7.

Planche 66, 6. 8385.

Coulure ou cône de coulée avec départ d'une tige. Base-cuivre.

L. 10 mm, ép. 6 mm. 2 g.
E : 1145.7. N : 1151.7.

Planche 66, 7. 16442, n° 1736.

Fragment de pointe de flèche à douille dont la flamme fragmentaire est de section lenticulaire. Fer.

L. 40 mm, diam. (douille) 10 mm. 5.6 g.
E : 1150.8. N : 1155.2.*

Planche 66, 8. 16442, n° 456.

Couteau à lame incurvée et manche massif avec un anneau terminal réalisé par repli. Fer.

L. 148 mm, L. rest. 156 mm, L. (lame) 80 mm, l. (lame) 21 mm. 30.6 g.
E : 1151.6. N : 1152.71. Alt. : 572.92.
Type : 2-1.

Planche 66, 9. 16442, n° 611.

Fragment indéterminé de plat massif de section rectangulaire avec deux rabats à son extrémité. Demi-produit? Fer.

L. 46 mm, l. 34 mm, ép. 4 mm. 46 g.
E : 1151.5. N : 1156. Alt. : 572.69.

Planche 66, 10. 16442, n° 612.

Clé à manche à anneau de suspension et à translation et soulèvement de cheville avec un panneton à deux dents dont une légèrement fragmentaire. Fer.

L. 65 mm, L. (dent) 22 mm. 48.3 g.
E : 1151.2. N : 1153.6. Alt. : 572.69.

Planche 66, 11. 16414, n° 1414.

Dent de clé à translation, de section ronde, avec un bout du panneton épais. Fer.

L. 47 mm. 27 g.
E : 1151.78. N : 1153.11. Alt. : 572.9.

Autres petits mobiliers

8355, n° 8355-1. Monnaie.

8355, n° 8355-2. Monnaie.

16442, n° 486. Monnaie.

8356, n° 8356-1. Monnaie.

16442, n° 474. Monnaie.

16442, n° 475. Monnaie.

16442, n° 480. Monnaie.

16451, n° 679. Monnaie.

8355. Perle à verre bleu à filets longitudinaux.

8358. Perle en ambre.

*État 2.1 : LTD1b évoluée***C4-14-Ce 16449****Planche 66, 12.** 16450, n° 1734.

Fragment de ressort de fibule à quatre spires (deux conservées) et corde interne. Fer.

L. 52 mm. 2 g.
E : 1146.3. N : 1154.*
Type : F20.

Planche 66, 13. 16450, n° 586.

Fragment d'anneau de section ronde. Base-cuivre.

Diam. 28 mm, S. 4 mm. 3.1 g.
E : 1147. N : 1153.*

Planche 66, 14. 16450, n° 539.

Anneau de section ronde. Base-cuivre.

Diam. 16 mm, S. 3 mm. 2.3 g.
E : 1147.2. N : 1153.3. Alt. : 573.81.

Planche 66, 15. 16450, n° 556.

Fragment de chaînette avec une bague centrale. Base-cuivre.

L. 12 mm. 0.1 g.
E : 1146.76. N : 1153.5. Alt. : 572.89.

Planche 66, 16. 16450, n° 567.

Tige indéterminée de section circulaire repliée et découpée. Attache de récipient, chute de tige? Fer.

L. 23 mm, S. 3 mm. 2.6 g.
E : 1146.55. N : 1153.7. Alt. : 572.85.

Autres petits mobiliers

16450, n° 580. Jeton percé, fusairole.

16450, n° 557. Monnaie.

16450, n° 554. Perle en os.

*État 1 : LTD1b classique***C4-18-TP 17301****Planche 66, 17.** 17302, n° 853.

Fibule à ressort à quatre spires et corde interne et arc cambré de section rubanée ou lenticulaire relativement mal conservé. Fer.

L. 65 mm, l. (arc) 6 mm. 7.7 g.
E : 1151.8. N : 1160.6. Alt. : 572.65.
Type : F22-1.

Planche 66, 18. 17302, n° 856.

Anneau de section losangique. Base-cuivre.

Diam. 19 mm, S. 3 x 2 mm. 2.1 g.
E : 1151.8. N : 1160.6. Alt. : 572.65.

Planche 66, 19. 17302, n° 365.

Spatule-sonde à sonde ovalaire, séparée de la spatule échancrée par une longue tige munie de cannelures. Base-cuivre.

L. 154 mm, L. rest. 168 mm, S. (sonde) 5 mm. 9.1 g.
E : 1151.8. N : 1160.6. Alt. : 572.65.

C4-16-TP 16447

16448, n° 515. Fragment de verre indéterminé.

*État 1 à 2.1 : LTD1b***C4-21-TP 16452****Planche 66, 20.** 16453, n° 1512.

Fragment de bracelet rubané à quatre cannelures et décor d'incisions obliques. Base-cuivre.

L. 19 mm, l. 10 mm, ép. 2 mm. 1.4 g.
E : 1147.72. N : 1158. Alt. : 572.57.
Type : B30-2.

Planche 66, 21. 16453, n° 676.

Fragment de douille avec bois minéralisé à l'intérieur. Fer.

L. 61 mm, diam. 20 mm. 35.7 g.
E : 1148.4. N : 1155.8. Alt. : 572.87.
Type : 2.

Planche 66, 22. 16453, n° 1841.

Fragment de virole. Fer.
Diam. 19 mm, S. 6 x 2 mm. 1.7 g.
E : 1147.3. N : 1157.*

Autres petits mobiliers

16453, n° 727. Monnaie.

*État 2.1 : LTD1b évoluée***C4-24-TP 16445****Planche 66, 23.** 16446, n° 524.

Couteau à soie massive et à tranchant légèrement concave et dos légèrement convexe. Fer.

L. 108 mm, S. (manche) 10 x 4 mm, L. (lame) 56 mm, l. (lame) 12 mm. 19.4 g.
E : 1142.6. N : 1155.1. Alt. : 573.74.
Type : 2-3.

Planche 66, 24. 16446, n° 503.

Fragment d'aiguiseur en forme de banane en grès fin de section ovale. Lithique.

L. 93 mm, S. 27 x 15 mm. 64.5 g.
E : 1142.7. N : 1154.5. Alt. : 573.05.

Autres petits mobiliers

16446, n° 521. Fragment de perle en os.

Bâtiment C4*État 2.1 : LTD1b évoluée***C4-10-Fo art 17698****Planche 67, 1.** 17699, n° 844.

Grand ardillon de fibule et ressort à deux spires (une conservée) et corde externe basse. Fer.

L. 99 mm. 5.4 g.
E : 1158.3. N : 1148.8. Alt. : 572.88.
Type : F10-1.

Planche 67, 2. 17699, n° 843.

Perle de section losangique cannelée. Base-cuivre.

Diam. 14 mm, S. 4 x 3 mm. 2.2 g.
E : 1158.2. N : 1148.7. Alt. : 572.88.

Planche 67, 3. 17699, n° 1748.

Paire de pinces triangulaires de bouterolle de fourreau du groupe Ludwigshafen. Fer.

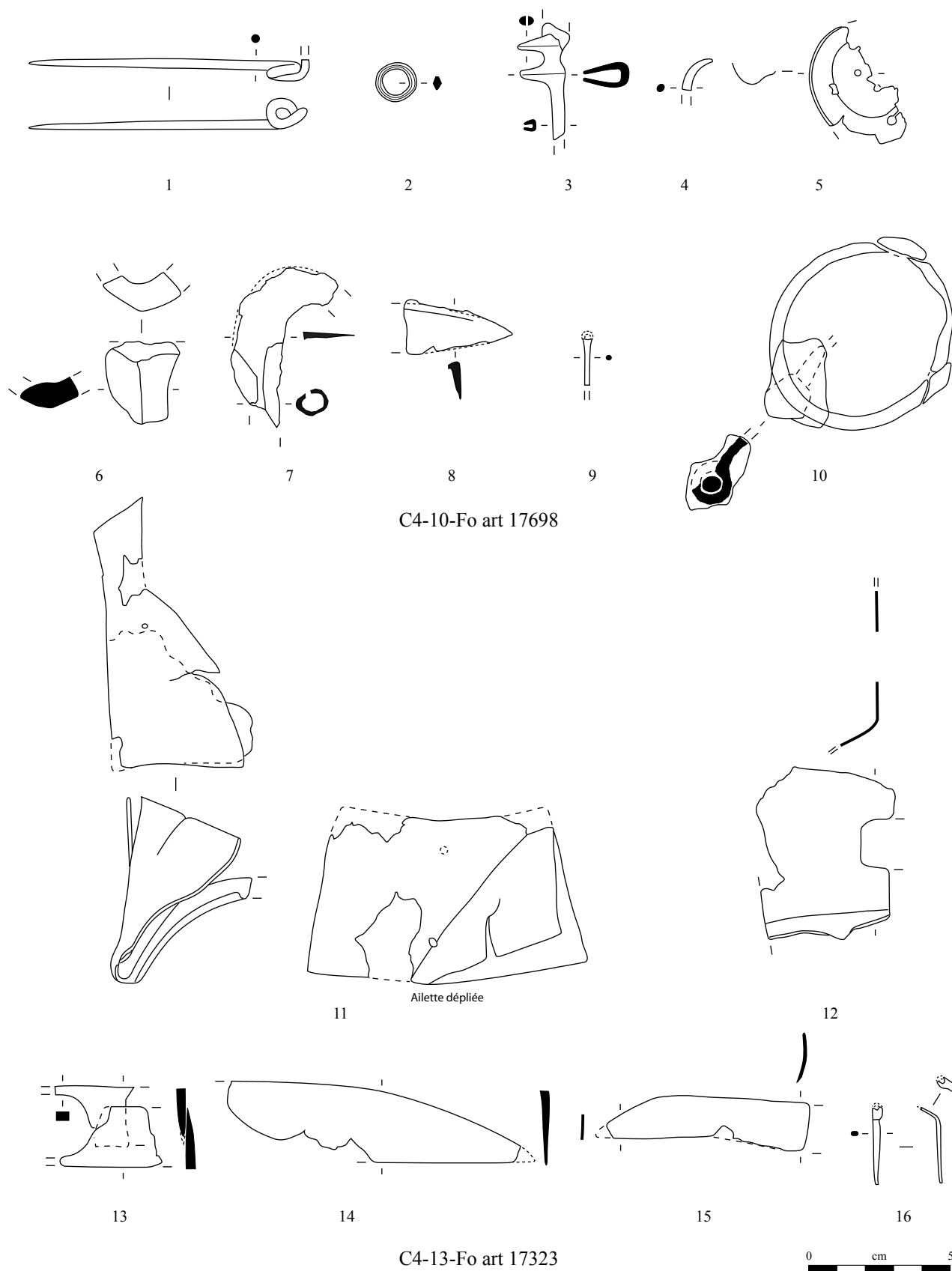


Planche 67. C4-10-Fo art 17698 et C4-13-Fo art 17323

1, 3, 6-8, 10-15 : fer; 2, 4-5, 9, 16 : alliage cuivreux.

L. 41 mm, S. (gouttière) 4 mm. 6.7 g.
E : 1158.4. N : 1149.6.*

Planche 67, 4. 17699, n° 842.

Fragment de tige indéterminée de section circulaire courbée et appointée. Base-cuivre.

L. 14 mm, S. 3 mm. 1.1 g.

E : 1159. N : 1148.1. Alt. : 572.80.

Planche 67, 5. 17698, n° 848.

Fragment de vasque de passoire de simpulum-passoire. Base-cuivre.

Diam. 44 mm, ht. 7 mm. 1.6 g.

E : 1159.25. N : 1149.92. Alt. : 572.94.

Planche 67, 6. 17699, n° 1015.

Fragment d'oeil d'outil avec un angle sur sa face externe. Fer.

L. 29 mm. 28 g.

E : 1159.57. N : 1149.6. Alt. : 572.92.

Planche 67, 7. 17699, n° 841.

Serpette à douille légèrement fragmentaire dont l'extrémité du tranchant en croissant de lune est lacunaire. Fer.

L. 56 mm, diam. 10 x 12 mm. 13.6 g.

E : 1158.3. N : 1149.2. Alt. : 573.88.

Planche 67, 8. 17699, n° 840.

Fragment distale de lame de forces avec dos en butée. Fer.

L. 38 mm, l. 20 mm. 5.4 g.

E : 1158.8. N : 1148.2. Alt. : 572.91.

Planche 67, 9. 17699, n° 1777.

Aiguille cassée au niveau du chas. Base-cuivre.

L. 17 mm, S. 1,5 mm. 10.1 g.

E : 1159. N : 1148.1. Alt. : 572.80.

Planche 67, 10. 17698, n° 851.

Anneau d'écurie avec piton à extrémité matée. Fer.

Diam. 70 x 64 mm, S. 4,5 mm, L. (piton) 26 mm. 66.7 g.

E : 1159.73. N : 1149.7. Alt. : 572.78.

Autres petits mobiliers

17698, n° 850. Jeton.

17699, n° 673. Jeton.

17699, n° 845. Jeton.

17699, n° 1018. Potin au long cou (?).

C4-11-Fo art 17686

17687, n° 885. Jeton.

17687, n° 886. Jeton.

17687, n° 887. Jeton.

17687, n° 888. Jeton.

C4-13-Fo art 17323

Planche 67, 11. 17324, n° 1773.

Fragment d'umbo de bouclier à ailettes trapézoïdales courtes fixées par deux rivets centraux. Le fragment d'ailette conservée a été volontairement arraché. La coque présente un ressaut latéral. Fer.

L. 101 mm, L. (ailette) 98 mm, l. (ailette) 58 mm, ht. rest. (coque) 80 mm, l. (ailette) dépliée

101 mm. 22.9 g.

E : 1153.2. N : 1150.5.*

Type : Nierstein.

Planche 67, 12. 17324, n° 1763.

Fragment de foncet de serrure plié avec entrée quadrangulaire. Fer.

L. 64 mm, l. 48 mm. 29.9 g.

E : 1153. N : 1150.4.*

Planche 67, 13. 17324, n° 1771.

Fragment de forces avec les deux lames collées et le départ du ressort. Fer.

L. 36 mm, l. 22 mm. 8.8 g.

E : 1152.6. N : 1150.1.*

Planche 67, 14. 17324, n° 1772.

Fragment de lame de couteau ou de forces. Fer.

L. 104 mm, l. 26 mm. 24.1 g.

E : 1153. N : 1150.*

Type : 0-0.

Planche 67, 15. 17324, n° 910.

Fragment de lame de forces incurvée dans le sens de la longueur. Fer.

L. 71 mm. 7.8 g.

E : 1153.35. N : 1149.3. Alt. : 574.68.

Planche 67, 16. 17324, n° 911.

Aiguille à chas circulaire. Base-cuivre.

L. 26 mm. 0.5 g.

E : 1153.28. N : 1149.5. Alt. : 574.65.

Autres petits mobiliers

17324, n° 933. Monnaie.

17324, n° 932. Perle en verre brun à section en «D» et décor de mouchetis blanc opaque (Gebhard IXd).

Bâtiment C4

État 1 : LTD1b classique

C4-15-Fo 17361

Planche 68, 1. 17363, n° 1003.

Ardillon et ressort de fibule à quatre spires (deux conservées) et corde interne. Base-cuivre.

L. 40 mm. 1.3 g.

E : 1148. N : 1151.9. Alt. : 572.69.

Type : B20-0.

Planche 68, 2. 17363, n° 964.

Anneau de section hémisphérique exposé au feu. Base-cuivre.

Diam. 22 mm, S. 2,5 x 2 mm. 2.1 g.

E : 1149.75. N : 1152.5. Alt. : 572.76.

Planche 68, 3. 17363, n° 970.

Fragment de bracelet tubulaire avec décor de chevrons dont les deux extrémités de la tôle se chevauchent. En cours de fabrication? Base-cuivre.

L. 38 mm, diam. ext. 60 mm, S. 6 x 9 mm. 1.4 g.

E : 1149.65. N : 1151.8. Alt. : 572.77.

Type : B21-2.

Planche 68, 4. 17362, n° 1002.

Virole ouverte constituée d'une bande de

tôle. Fer.

Diam. int. 22 mm, S. 22 x 2 mm. 33.7 g.

E : 1148.05. N : 1152.3. Alt. : 572.7.

Planche 68, 5. 17362, n° 1007.

Fragment de lingotière à alvéoles circulaires. Terre cuite.

L. 33 mm, ht. 20 mm, diam. int. 24 mm. NP.

E : 1148.2. N : 1152.4. Alt. : 572.67.

Planche 68, 6. 17363, n° 1006.

Chute de bande, de plaque exposée au feu. Base-cuivre.

L. 25 mm. 5 g.

E : 1148.37. N : 1151.9. Alt. : 572.66.

Planche 68, 7. 17363, n° 1008.

Chute de tôle. Base-cuivre.

L. 23 mm. 0.4 g.

E : 1150.3. N : 1152.

Planche 68, 8. 17363, n° 951.

Fragment de barre indéterminée de section rectangulaire arrachée. Demi-produit, outil? Fer.

L. 44 mm, S. 16 x 14 mm. 27 g.

E : 1149. N : 1151.65. Alt. : 572.7.

Planche 68, 9. 17362, n° 1011a.

Lèvre de creuset en forme de coupelle avec gouttelettes d'or prises dans la vitrification. Terre cuite et or.

L. 42 mm. Diam. 97 mm, ht. 34 mm. 2.5 g.

E : 1150.3. N : 1152.4.*

Planche 68, 10. 17362, n° 1011b.

Lèvre de creuset en forme de coupelle. Terre cuite.

Diam. 68 mm, ht. 27 mm. 1.5 g.

E : 1150.6. N : 1151.9.*

Planche 68, 11. 17362, n° 1011c.

Lèvre de creuset en forme de coupelle. Terre cuite.

Diam. 58 mm, ht. 14 mm. 2.1 g.

E : 1150.55. N : 1151.7.*

Planche 68, 12. 17362, n° 1011d.

Fond de creuset en forme de coupelle. Terre cuite.

Diam. 44 mm, ht. 12 mm. 1.9 g.

E : 1150.24. N : 1151.8.*

Planche 68, 13. 17362, n° 1011e.

Creuset en forme de coupelle. Terre cuite.

Diam. 16 mm, ht. 16 mm. 1.5 g.

E : 1150.48. N : 1152.4.*

Planche 68, 14. 17362, n° 1011f.

Creuset avec gouttelettes d'or prises dans la vitrification en forme de coupelle qui s'est affaissée sous l'effet de la chaleur.

Terre cuite et or.

Diam. 42 mm. 2.6 g.

E : 1150.73. N : 1152.3.*

Autres petits mobiliers

17362, n° 1004. Jeton.

17362, n° 969. Jeton.

17363, n° 963. Jeton.

17363, n° 968. Jeton.

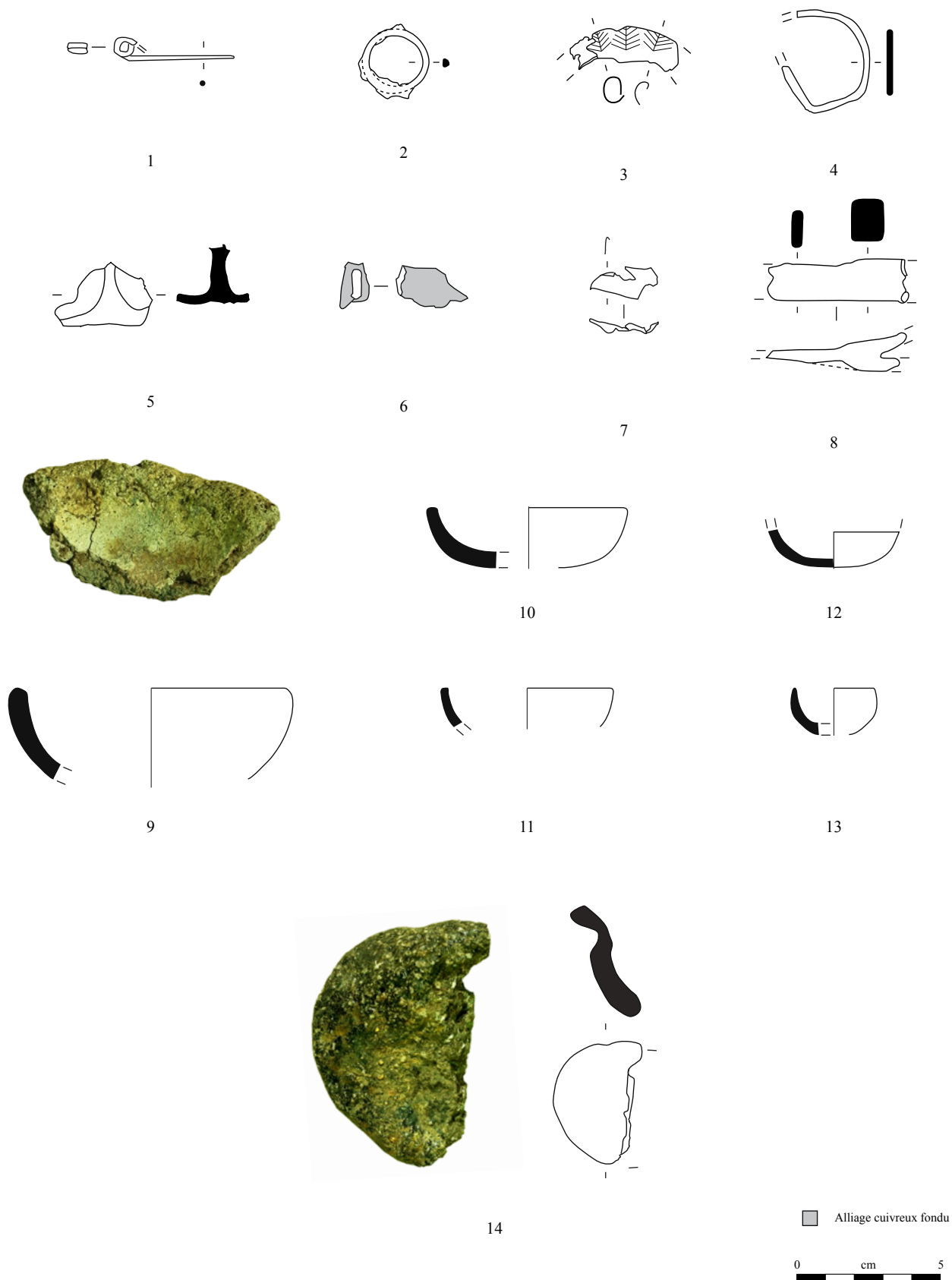


Planche 68. C4-15-Fo 17361

1-3, 6-7 : alliage cuivreux; 4, 8 : fer; 5, 10-13 : terre cuite; 9 et 14 : terre cuite et or.

C4-26-TP 16426

16427, n° 334. Monnaie.

C4-27-TP 17384

17385, n° 1075. Jeton.

C4-28-TP 17380

17381, n° 1029. Hache polie néolithique.

Ruelle entre A et C

Décapage

AC-1-décapage

Ressort de fibule à quatre spires et corde interne. Base-cuivre.

L. 17 mm. NP.

E : 1138.2. N : 1150.15.

Type : B20-0.

Planche 69, 2. 8203, n° 2.

Pied de fibule ajouré. Base-cuivre.

L. 25 mm. NP.

E : 1138.5. N : 1150.24.

Planche 69, 3. 8203, n° 6.

Ressort de fibule à une spire conservée. Base-cuivre.

L. 20 mm. NP.

E : 1138.5. N : 1150.24.

Planche 69, 4. 8202.

Fibule à ressort à quatre spires (deux conservées) et corde interne à arc de tôle triangulaire. Fer.

L. 29 mm. 5 g.

E : 1144.5. N : 1150.5.

Type : F22-1.

Planche 69, 5. 8203, n° 5.

Arc de fibule cambré de section lenticulaire. Fer.

L. 25 mm. 2 g.

E : 1138. N : 1150.

Type : F03.

Planche 69, 6. 15414, n° 1749.

Perle à section en «D». Base-cuivre.

Diam. 10 mm, S. 4 x 3 mm. 1.2 g.

E : 1136.4. N : 1167.2. Alt. : 574.99. UF.

Planche 69, 7. 15414, n° 543.

Anneau de section ovale horizontale. Base-cuivre.

Diam. 27 mm, S. 4 x 2 mm. 3.2 g.

E : 1136. N : 1165.*

Planche 69, 8. 15414, n° 1705.

Fragment indéterminé de tige avec un petit anneau latéral, dû à l'effet de la corrosion? Fer.

L. 62 mm, S. 5 x 4 mm. 6.2 g.

E : 1136. N : 1162.*

Planche 69, 10. 15414, n° 702.

Barre de gril complète de section rectangulaire. Fer.

L. 342 mm, S. 8 x 4 mm. 69.3 g.

E : 1136. N : 1166. Alt. : 573.21.*

Planche 69, 11. 15414, n° 1236.

Grande tige indéterminée de section circulaire puis carrée. Fer.

L. 318 mm, S. 5 mm. 30.4 g.

E : 1138. N : 1157.35. Alt. : 572.15.

Autres petits mobiliers

15414, n° 516. Fragment de bracelet en verre bleu à section en «D» (Gebhard 38).

15414, n° 709. Jeton percé, fusaïole.

15414, n° 711. Monnaie.

15414, n° 708. Monnaie.

8312, n° 8312-1. Monnaie.

15414, n° 762. Fragment de grosse perle en verre bleu cobalt à section en «D» et décor de damier de filament blanc (Gebhard VIIed).

8203, n° 1. Fragment de grosse perle en verre bleu cobalt à section en «D» et décor spiralé de filament blanc (Gebhard VIIed).

8203, n° 4. Fragment de perle en verre pourpre à décor en damier bleu opaque (Gebhard XIed).

État 1 et 2 lato sensu : LTD1b-LTD2

AC-2-sol

Planche 69, 12. 15712, n° 1216.

Fibule filiforme à ressort à quatre spires et corde externe et à arc tendu de section losangique interrompu par des moulures. Fer.

L. 35 mm, S. 2,5 mm. 2.5 g.

E : 1136.6. N : 1152.3. Alt. : 573.19. UF.

Type : F34-1.

Planche 69, 13. 8353.

Fibule à une spire conservée et arc tendu filiforme de section circulaire. Fer.

L. 36 mm. 16 g.

E : 1142. N : 1150.

Type : F03.

Planche 69, 14. 8353.

Fragment d'anneau à section en quart de rond. Base-cuivre.

Diam. 23 mm, S. 5 x 4 mm. 2 g.

E : 1142.55. N : 1151.1.

Planche 69, 15. 8403.

Fragment d'anneau à section en quart de rond. Base-cuivre.

Diam. 29 mm, S. 5 x 3 mm. 2 g.

E : 1142.62. N : 1151.95.

Planche 69, 16. 8351.

Chute de tôle compactée en vue d'une récupération. Base-cuivre.

L. 19 mm, ht. 12 mm. 3 g.

E : 1141.95. N : 1150.15.

Planche 69, 17. 8352.

Fragment de partie active de pelle à feu de forme ovale avec départ du manche. Fer.

L. 79 mm, l. 42 mm, ép. 4 mm. 55 g.

E : 1140.3. N : 1151.

Planche 69, 18. 8352.

Fragment de pelle à feu à manche de section rectangulaire et partie active légèrement incurvée. Fer.

L. 90 mm, S. (manche) 12 x 8 mm. 37 g.

E : 1141. N : 1150.3.

Planche 69, 19. 8351.

Extrémité matée d'un tas à table circulaire. Fer.

L. 47 mm, S. 16 mm, diam. (table) 26 mm. 52 g.

E : 1140.5. N : 1150.8.*

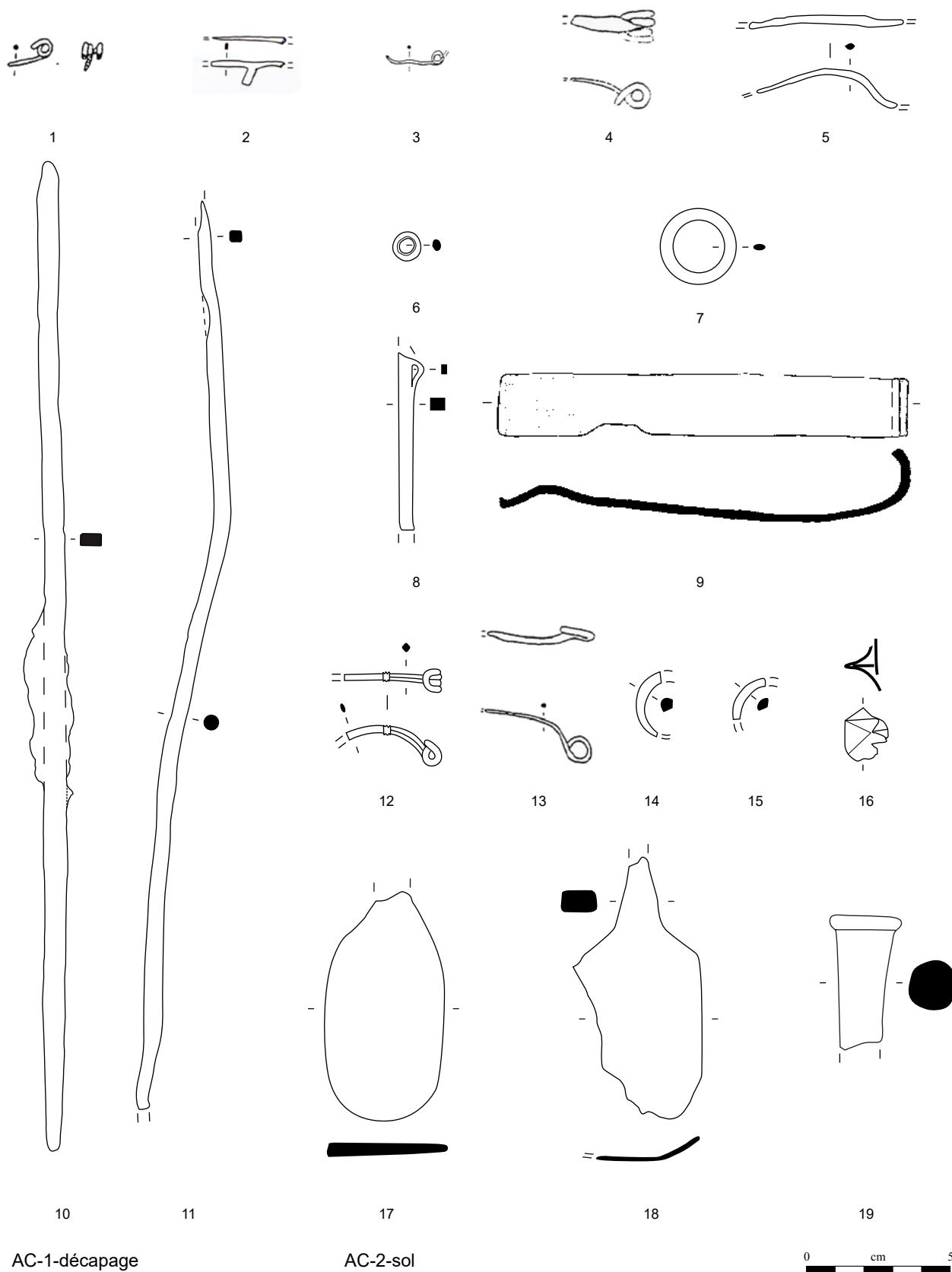


Planche 69. AC-1-décapage et AC-2-sol

1-3, 6-7, 14-16 : alliage cuivreux; 4-5, 8-13, 17-19 : fer (1-4, 9, 13, tiré de Faye 1995, n^{os} 78, 83, 128, 143 et 154 ; 17-19, d'après Orengo 2003, pl. 58).

Ruelle entre A et C

État 1 et 2 lato sensu : LTD1b-LTD2

AC-2-sol

Planche 70, 1. 8386.

Fragment de boîte à de moyeu à bordure renflée. Fer.

Diam. 53 mm, ht. 50 mm. 101 g.

E : 1144.8. N : 1149.2.*

Planche 70, 2. 8353.

Fragment de bandage de roue. Fer.

L. 90 mm, l. 35 mm, ép. 4 mm. 70 g.

E : 1143.2. N : 1151.1.*

Planche 70, 3. 8353, n° 2.

Applique de caisse de char ajourée à décor d'esses en alliage cuivreux rivetée à l'aide de contreplaque en fer. Base-cuivre et fer.

L. 42 mm, l. 20 mm, L. utile (2 mm). NP.

E : 1142.4. N : 1150.1.

Planche 70, 4. 15712, n° 1720.

Pique-boeuf constitué d'une bande enroulée. Fer.

L. 28 mm, diam. int. 10 mm. 7.1 g.

E : 1138.5. N : 1159.*

Planche 70, 5. 8351.

Foncet de serrure à entrée rectangulaire constituée d'une plaque incurvée rectangulaire. Fer.

L. 90 mm, l. 54 mm, ép. 2 mm, L. (perforation) 24 x 8 mm. 34 g.

E : 1141.6. N : 1151.1.

Planche 70, 6. 8352.

Foncet de serrure quadrangulaire à entrée indéterminée. Fer.

L. 96 mm, l. 89 mm, ép. 2 mm. 42 g.

E : 1140.3. N : 1150.8.

Planche 70, 7. 8353.

Fragment indéterminé de gouttière pliée et jointive à une extrémité. Pied de trépied, orle écrasé? Fer.

L. 72 mm, S. 13 x 9 mm. 29 g.

E : 1143.2. N : 1150.8.*

Planche 70, 8. 8353.

Fragment indéterminé de gouttière pliée et jointive à une extrémité par ailleurs perforée. Pied de trépied, orle écrasé? Fer.

L. 79 mm, S. 14 x 6 mm. 37 g.

E : 1142.8. N : 1151.3.*

Autres petits mobiliers

8401, n° 1. Monnaie.

8351, n° 8351-1. Monnaie.

8352, n° 8352-1. Monnaie.

8352, n° 8352-2. Monnaie.

15712, n° 1573. Perle en roche noire ou pommeau d'épée constitué d'un anneau à section en quart-de-rond.

15712, n° 1136. Perle indéterminée (perdue?).

Non phasé

AC-3-épandage

Planche 70, 9. 8332, n° 1.

Fibule à ressort à quatre spires et corde interne et à arc de tôle triangulaire à bordures soulignées par une rainure. Le pied est fragmentaire. Base-cuivre.

L. 38 mm, L. (arc) 23 mm, l. (arc) 3,5 mm. 7 g.

E : 1140.5. N : 1149.9.

Type : B22-03.

Planche 70, 10. 15403, n° 500.

Bracelet à jonc lisse complet à section en «D». Base-cuivre.

Diam. int. 57 mm, S. 5 x 3,5 mm. 19.2 g.

E : 1140. N : 1151.*

Type : B11-2.

Planche 70, 11. 8331.

Fragment d'anneau à section ovale irrégulière en raison de son usure. Base-cuivre.

Diam. 20 mm, S. 3 x 8 mm. 4 g.

E : 1140.3. N : 1151.3.

Planche 70, 12. 16431, n° 360.

Anneau ouvert de section lenticulaire. Base-cuivre.

Diam. 33 mm, S. 3 x 4 mm. 8.8 g.

E : 1135.94. N : 1156.58. Alt. : 573.06.

Planche 70, 13. 8334.

Anneau coudé de section ronde. Argent.

Diam. ext. 21 mm, S. 2 mm. NP.

E : 1143.1. N : 1149.

Type : 2.

Planche 70, 14. 8331.

Fragment d'objet indéterminé en forme de «Y» avec une extrémité bouletée. Pince à épiler? Base-cuivre.

L. 14 mm. 1 g.

E : 1141.8. N : 1150.15.

Planche 70, 15. 16431, n° 1739.

Fragment de bande de tôle avec rivet en alliage cuivreux. Fer et base-cuivre.

L. 106 mm, l. 22 mm, ép. 1 mm. 23.4 g.

E : 1135.7. N : 1153.7. Alt. : 572.99.

Planche 70, 16. 16431, n° 340.

Brunissoir en gneiss de forme et de section triangulaire avec rayures sur la face à la base du triangle ainsi que sur un des grands côtés. Lithique.

L. 85 mm, l. 43 mm, Ép. 22 mm. 133.4 g.

E : 1137.75. N : 1152.94. Alt. : 573.05.

Planche 70, 17. 16431, n° 1842.

Fragment d'ustensile culinaire indéterminé constitué d'une tige torsadée de section carrée. Fer.

L. 116 mm, S. 6 mm. 33.3 g.

E : 1135.8. N : 1154.3. Alt. : 573.08.

Autres petits mobiliers

8332, n° 8332-1. Monnaie.

8331, n° 8331-1. Monnaie.

8311, n° 8311-1. Monnaie.

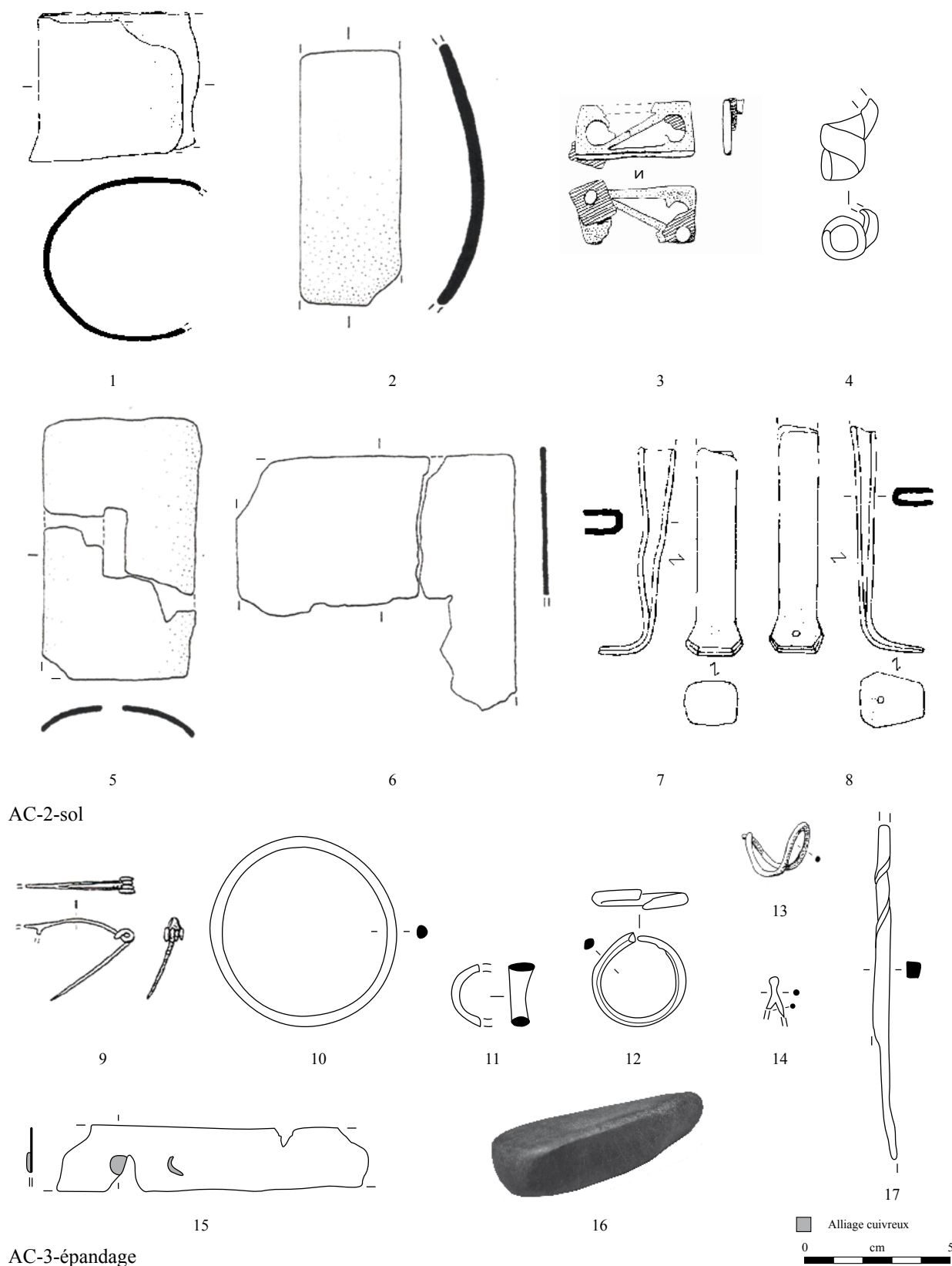


Planche 70. AC-2-sol et AC-3-épandage

1-2; 4-8, 17 : fer; 3, 15 : alliage cuivreux et fer; 9-12, 14 : alliage cuivreux; 13 : argent; 16 : gneiss (1-2, 5-8 tiré d'Orengo 2003, pl. 58; 3, 9, 13, tiré de Faye 1995, n^{os} 91, 348, 341).

Ruelle entre A et C

État 2 lato sensu : LTD1b évoluée-LTD2

AC-4-épan dage

Planche 71, 1. 16420, n° 423.
Fibule à ressort à quatre spires et corde interne et à arc triangulaire tendu et départ de pied ajouré dans le prolongement de l'arc. Fer.
L. 43 mm, S. 4 x 2 mm, L. (arc) 30 mm. 3 g.
E : 1141.7. N : 1158. Alt. : 573.2.
Type : F22-1.

Planche 71, 2. 16420, n° 330.
Arc de fibule filiforme de section lenticulaire. Fer.
L. 32 mm, S. 3 x 2 mm. 0.6 g.
E : 1145. N : 1153.55. Alt. : 573.19.
Type : F03.

Planche 71, 3. 16420, n° 516.
Anneau de section ronde. Base-cuivre.
Diam. 11 mm, S. 2 x 2,5 mm. 1.1 g.
E : 1143.01. N : 1158.6. Alt. : 573.16.

Planche 71, 4. 16420, n° 471.
Anneau à section en «D» avec canal d'usure. Base-cuivre.
Diam. 15 mm, S. 3 x 4 mm. 2.2 g.
E : 1142.14. N : 1160.66. Alt. : 573.17.

Planche 71, 5. 16420, n° 398.
Anneau à section en «D». Base-cuivre.
Diam. 14 mm, S. 2 x 4 mm. 2.1 g.
E : 1142.3. N : 1156.9. Alt. : 573.15.

Planche 71, 6. 16420, n° 304.
Perle à section en «D». Base-cuivre.
Diam. 15 mm, S. 3 x 5 mm. 3.3 g.
E : 1147. N : 1156.45. Alt. : 573.14.

Planche 71, 7. 16420, n° 517.
Anneau à section en «D». Base-cuivre.
Diam. 18 mm, S. 3 x 5 mm. 4.5 g.
E : 1143.14. N : 1158.48. Alt. : 573.18.

Planche 71, 8. 16420, n° 484.
Anneau de section lenticulaire. Base-cuivre.
Diam. 23 mm, S. 4 x 2,5 mm. 3.2 g.
E : 1142.95. N : 1160.02. Alt. : 573.12.

Planche 71, 9. 16420, n° 461.
Agrafe de ceinturon à anneau de section lenticulaire fragmentaire, sans languette et à bouton circulaire. Fer.
Diam. 27 mm, S. 7 x 3,5 mm, ht. 17 mm. 8.9 g.
E : 1141.29. N : 1158.05. Alt. : 573.13.
Type : F43-1.

Planche 71, 10. 16420, n° 1733.
Extrémité mousse de poinçon à emboutir constituée d'une tige de section ronde conique. Fer.
L. 52 mm, S. 9 mm. 12.8 g.
E : 1143. N : 1150.*

Planche 71, 11. 16420, n° 457.
Virole à bordure sommitale matée. Fer.
Diam. 23 mm, ht. 26 mm. 9.8 g.

E : 1140.81. N : 1160.45. Alt. : 573.12.

Planche 71, 12. 16420, n° 464.
Virole constituée d'une tige enroulée. Fer.
Diam. int. 16 mm, ht. 20 mm. 47.2 g.
E : 1142.06. N : 1160.08. Alt. : 573.16.

Planche 71, 13. 16420, n° 1732.
Pique-boeuf constitué d'une tige enroulée. Fer.
L. 50 mm, diam. int. 20 mm. 8.6 g.
E : 1142. N : 1152.2.*

Planche 71, 14. 16420, n° 305.
Butée de poignée de chaudron avec surface partiellement lacunaire. Fer.
Diam. 22 mm, ht. 20 mm. 44.2 g.
E : 1145.52. N : 1156.09. Alt. : 573.08.

Planche 71, 15. 16420, n° 404.
Clé à soulèvement de cheville et translation avec une dent conservée. Fer.
L. 53 mm, L. (dent) 20 mm, diam. (anneau) 25 mm. 22 g.
E : 1150.11. N : 1153.95. Alt. : 573.07.

Planche 71, 16. 16420, n° 367.
Fragment de gouttière pliée. Base-cuivre.
L. 48 mm, S. 4 mm. 1.4 g.
E : 1141.35. N : 1153.85. Alt. : 573.2.

Autres petits mobiliers

16420, n° 380. Broyon en basalte vacuolaire.
16420, n° 388. Jeton percé, fusaïole.
16420, n° 485. Jeton.
16420, n° 376. Monnaie.
16420, n° 370. Monnaie.
16420, n° 302. Monnaie.
16420, n° 373. Monnaie.
16420, n° 377. Monnaie.
16420, n° 379. Monnaie.
16420, n° 378. Monnaie.
16420, n° 1589. Monnaie.
16420, n° 459. Perle en os.

État 1 et 2 lato sensu : LTD1b-LTD2

AC-5-épan dage

Planche 71, 17. 16440, n° 417.
Fibule à ressort à quatre spires et corde interne et à arc tendu de tôle triangulaire à décor central d'échelle à bordures soulignées par une rainure d'échelle. Base-cuivre.
L. 54 mm, L. (arc) 43 mm, l. (arc) 11 mm. 3.1 g.
E : 1143.9. N : 1154.6. Alt. : 573.19.
Type : B22-01.

Planche 71, 18. 16440, n° 439.
Arc de fibule triangulaire de tôle à bordure soulignée par une rainure, interrompu par trois protubérances et terminant en section rectangulaire avec des lignes incisées sur les faces latérales. Le pied trapézoïdal comporte un ajour circulaire. Base-cuivre.
L. 38 mm. 0.8 g.
E : 1144.5. N : 1153.5. Alt. : 573.1.
Type : B22-28.

Planche 71, 19. 16440, n° 449.
Fragment de pied de fibule de schéma La Tène moyenne avec une perle cannelée. Base-cuivre.
L. 6 mm, S. 3 mm. 0.2 g.
E : 1144. N : 1154.1. Alt. : 573.13.
Type : B01-0.

Planche 71, 20. 16440, n° 421.
Anneau de section ronde. Base-cuivre.
Diam. 16 mm, S. 4 mm. 2.7 g.
E : 1144. N : 1154.7. Alt. : 573.22.

Planche 71, 21. 16440, n° 407.
Anneau de section lenticulaire. Base-cuivre.
Diam. 14 mm, S. 3 x 2 mm. 2.3 g.
E : 1142.8. N : 1156.7. Alt. : 573.18.

Planche 71, 22. 16440, n° 1809.
Chute de tige de section rectangulaire à extrémité biseautée. Fer.
L. 38 mm, S. 5 x 4 mm. 3 g.
E : 1144.7. N : 1151.7.*

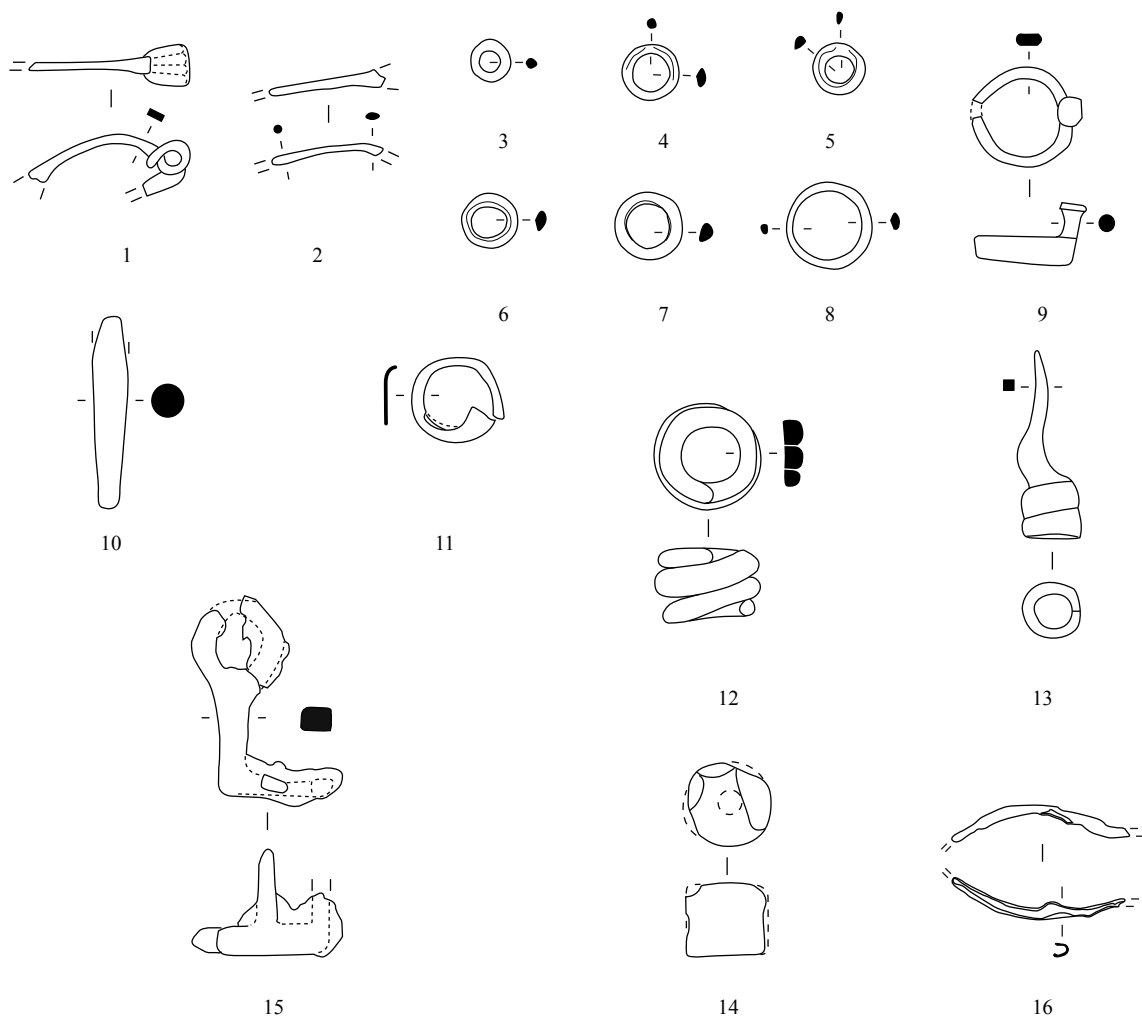
Planche 71, 23. 16440, n° 1808.
Chute de tige de section carrée. Fer.
L. 26 mm, S. 4 mm. 1 g.
E : 1145.7. N : 1152.3.*

Planche 71, 24. 16440, n° 1811.
Clou à tête hémisphérique pleine. Fer.
L. 29 mm, S. 4 mm. 4.4 g.
E : 1147.4. N : 1152.7.*

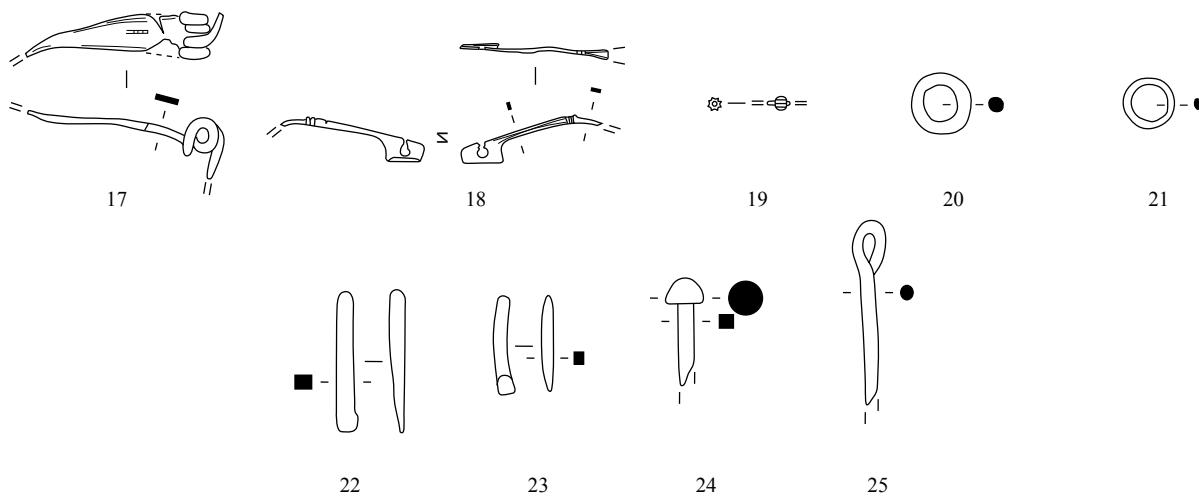
Planche 71, 25. 16440, n° 1810.
Tige indéterminée de section ronde dont l'extrémité est enroulée. Piton? Fer.
L. 50 mm, S. 4 mm. 3.6 g.
E : 1146. N : 1152.6.*

Autres petits mobiliers

16440, n° 440. Fragment de bracelet en roche noire.
16440, n° 385. Tige indéterminée en os.
16440, n° 452. Fragment de verre jaune.
16440, n° 450. Jeton.
16440, n° 455. Monnaie.
16440, n° 453. Monnaie.
16440, n° 1582. Monnaie.
16440, n° 466. Monnaie.
16440, n° 467. Monnaie.
16440, n° 1576. Monnaie.



AC-4-épandage



AC-5-épandage

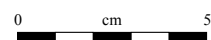


Planche 71. AC-4-épandage et AC-5-épandage

1-2, 9-15, 22-25 : fer; 3-8, 16-21 : alliage cuivreux.

Bâtiment C7

État 2.1 : LTD1b évoluée

C7-2-Pal 17684

Planche 72, 1. 17685, n° 883.

Fragment de flamme de lance de section nervurée avec impact sur une tranche. Fer.
L. 112 mm, l. 32 mm. 5.9 g.
E : 1159. N : 1153. Alt. : 572.83.
Type : 40.

Planche 72, 2. 17685, n° 884.

Fragment de douille écrasée à une extrémité et perforée. Fer.
L. 77 mm, ht. 22 mm, ép. 4 mm. 62.2 g.
E : 1159. N : 1154.2.*

C7-3-Ce 17595

Planche 72, 3. 17596, n° 813.

Fragment de clé à soulèvement de cheville avec une dent conservée et une partie du manche. Fer.
L. 30 mm, L. (dent) 18 mm. 13.5 g.
E : 1164. N : 1155.5. Alt. : 572.63.

Autres petits mobiliers

17596, n° 504. Monnaie.

C7-7-TP 17547

Planche 72, 4. 17548, n° 1045(2).

Fragment de panse de récipient réparée par un rivet solidarissant deux fragments de tôle. Base-cuivre.
L. 14 mm. 1.1 g.
E : 1162.3. N : 1159.67. Alt. : 572.78.

Autres petits mobiliers

17548, n° 1045-1. Monnaie.

C7-10-Ce 17522

Planche 72, 5. 17523, n° 806.

Anneau de section ronde avec traces d'usure. Base-cuivre.
Diam. 28 mm, S. 4,5 mm. 13.3 g.
E : 1168.38. N : 1162.15. Alt. : 572.74.

Planche 72, 6. 17523, n° 808.

Fragment de pied de gril avec quatre perforations dont une fragmentaire et montant du pied de section rectangulaire tandis que la partie horizontale du support présente une section rectangulaire creusée à proximité de l'angle de la pièce. Fer.
L. 100 mm, ht. 74 mm, S. 22 x 5 mm. 46.3 g.
E : 1169.4. N : 1161.5. Alt. : 573.36.

Planche 72, 7. 17523, n° 1048.

Petit tas en basalte fin avec traces de martelage sur toutes les faces. Lithique.
L. 130 mm, l. 81 mm, Ép. 28 mm. 690 g.
E : 1168.34. N : 1162.47. Alt. : 572.58.

Planche 72, 8. 17523, n° 564.

Deux fragments d'agrafe de réparation de céramique. Plomb.
L. 25 et 24 mm. 3.4 g.
E : 1168.3. N : 1162.3.*

Planche 72, 9. 17523, n° 574.

Fragment de barre de gril de section carrée avec extrémité circulaire. Fer.
L. 238 mm, S. 6 mm. 18.2 g.
E : 1168.8. N : 1159.8.*

Autres petits mobiliers

17523, n° 562. Fragment de bracelet en roche noire.

17523, n° 1040. Déchet de tabletterie à découpes circulaires.

17523, n° 807. Jeton.

17523, n° 599. Monnaie.

17523, n° 847. Fragment de grosse perle en verre bleu cobalt à section en «D» et décor de damier de filament blanc (Gebhard VIIed).

17523, n° 811. Fragment de peson.

17523, n° 1039. Fragment de plaque de foyer.

17523, n° 575. Fragments de plaque de foyer.

État 1 : LTD1b classique

C7-19-TP 17451

Planche 72, 10. 17452, n° 379.

Crampon de charpente dont une extrémité est lacunaire. Fer.
L. 129 mm, S. 10 x 8 mm. 59.9 g.
E : 1167.02. N : 1156. Alt. : 572.09.

C7-22-TP 17668

17669, n° 1028. Jeton.

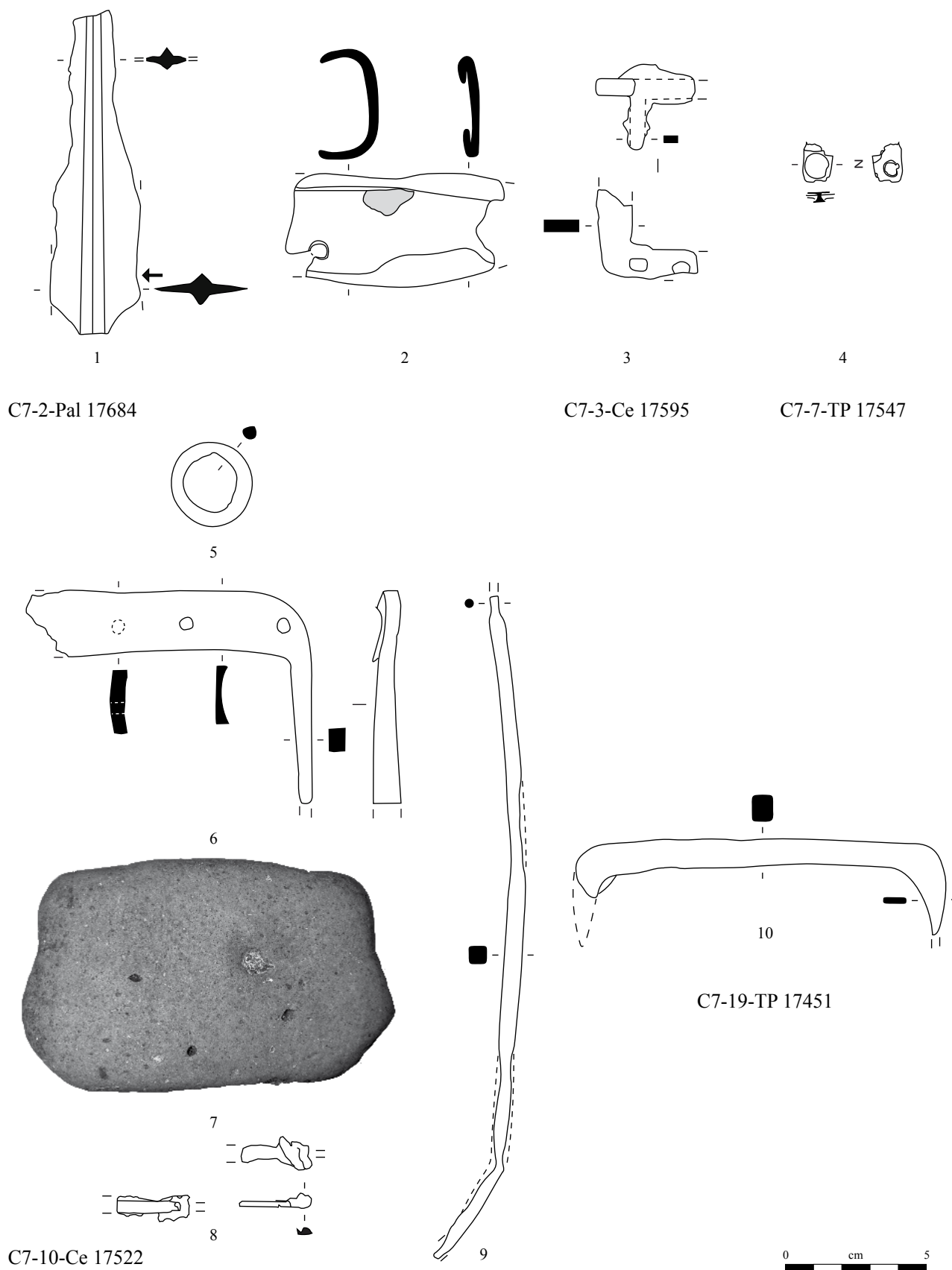


Planche 72. C7-2-Pal 17684 à C7-19-TP 17451

1-3, 6, 9-10 : fer; 4-5 : alliage cuivreux; 7 : basalte fin; 8 : plomb.

Bâtiment C6

Décapage

C6-1-décapage

Planche 73, 1. 17017, n° 46.

Fibule filiforme à quatre spires et corde externe et à arc tendu de section lenticulaire. Fer.

L. 41 mm, S. 3 x 2 mm. 2.4 g.

E : 1159.67. N : 1172.86. Alt. : 572.85.

Type : F33-3.

Planche 73, 2. 17017, n° 1706.

Arc de fibule en tôle triangulaire à bordure soulignée par une rainure. Fer.

L. 36 mm, l. (arc) 6 mm. 1.5 g.

E : 1168. N : 1176.*

Type : F22-2.

Planche 73, 3. 17017, n° 51.

Fibule de schéma La Tène moyenne à ressort à quatre spires et corde interne, arc coudé et pied attaché par une bague au-dessus de la tête. Fer.

L. 40 mm. 2.3 g.

E : 1168.15. N : 1173.66. Alt. : 572.84.

Type : F21.

Planche 73, 4. 17017, n° 1414.

Rivet de cotte de mailles à contreplaque et cupule sur la tête. Fer.

L. 19 mm, L. (utile) 12 mm, diam. 14 mm. 7.1 g.

E : 1166.6. N : 1172.5. Alt. : /.

Planche 73, 5. 17017, n° 1707.

Objet indéterminé constitué d'une barre de section triangulaire terminée par un anneau fragmentaire. Fer.

L. 28 mm, S. 10 x 5 mm, diam. 15 x 9 mm. 4.5 g.

E : 1162. N : 1175.*

Planche 73, 6. 17017, n° 44.

Bracelet à jonc lisse à section en «D» cassé sous l'effet de la corrosion. Fer.

Diam. 54 mm, S. 12 x 4 mm. 23 g.

E : 1162.48. N : 1174.71. Alt. : 572.88.

Type : F11-2.

Planche 73, 7. 17017, n° 48.

Langnette indéterminée de section rectangulaire dont la section s'affine à une extrémité. Pince à épiler? Fer.

L. 31 mm. 2 g.

E : 1159.12. N : 1159.64. Alt. : 572.88.

Planche 73, 8. 17017, n° 134.

Fragment d'élément de trousse de toilette composé d'un petit anneau fragmentaire avec le début d'une tige de section rectangulaire. Fer.

L. 16 mm, diam. 12 mm, S. 2,5 mm. 0.9 g.

E : 1159.2. N : 1173.45. Alt. : /.

Planche 73, 9. 17017, n° 45.

Fragment indéterminé de plat bombé avec une rainure centrale. Base-cuivre.

L. 11 mm. 0.7 g.

E : 1158.3. N : 1173.09. Alt. : 572.84.

Autres petits mobiliers

17017, n° 50. Fusaïole en terre cuite.

17017, n° 1354. Jeton.

17017, n° 1439. Monnaie.

17017, n° 1415. Monnaie.

17017, n° 52. Monnaie.

17017, n° 97. Monnaie.

17017, n° 136. Monnaie.

17017, n° 43. Monnaie.

État 2.1 : LTD1b évoluée

C6-2-TP 17659

Planche 73, 10. 17660, n° 954.

Fragment de pince à épiler constituée d'une tôle triangulaire légèrement courbée.

Base-cuivre.

L. 30 mm, ép. 1 mm. 0.4 g.

E : 1164. N : 1167.35.*

C6-5-Ce 17589

17590, n° 823. Monnaie.

17590, n° 819. Monnaie.

17590, n° 824. Monnaie.

17590, n° 822. Monnaie.

C6-7-Sb 17489

17490, n° 468. Jeton.

C6-11-TP 17653

Planche 73, 11. 17654, n° 1758.

Attache de situle ovoïde composée d'un anneau de section carrée aux angles arrondis prolongé par un plat fragmentaire. Fer.

L. 53 mm, diam. int. 17 mm, S. 5 mm. 16.8 g.

E : 1164.3. N : 1171.5.*

État 1 : LTD1b classique

C6-15-Fo art 17156

Planche 73, 12. 17157, n° 1352.

Demi-produit constitué d'une tige de section carrée puis circulaire appointée avec traces de martelage en surface. Base-cuivre.

L. 36 mm S. 4 x 3 mm. 0.9 g.

E : 1164.25. N : 1177.48. Alt. : 572.82.

Autres petits mobiliers

17157, n° 1353. Jeton.

17157, n° 1357. Jeton.

17157, n° 1358. Jeton.

C6-17-TP 17605

Planche 73, 13. 17606, n° 905.

Anneau à section en «D». Base-cuivre.

Diam. 15 mm, S. 4 x 2 mm. 2.8 g.

E : 1168.75. N : 1166.35. Alt. : 572.38.

C6-18-Sb 17607

Planche 73, 14. 17608, n° 812.

Fragment d'anneau de section ronde. Base-cuivre.

Diam. 26 mm, S. 3 mm. 3 g.

E : 1168.1. N : 1165.6. Alt. : 572.76.

C6-19-TP 17635

17636, n° 900. Fragment de *meta* en grès grossier.

C6-20-Sb 17169

17170, n° 1367. Fragment de plaque de foyer.

État 2.1 : LTD1b évoluée

C6-21-Sb 17132

17133, n° 374. Fragment de meule non étudié.

État 2 lato sensu : LTD1b évoluée-LTD2

C6-22-épandage

Planche 73, 15. 17073, n° 213.

Ardillon de fibule et ressort à quatre spires et corde externe haute. Fer.

L. 98 mm. 10.5 g.

E : 1162.2. N : 1175.72. Alt. : 572.91.

Type : F30.

Planche 73, 16. 17158, n° 1364.

Crochet constitué d'une tige de section carrée rivetée à une extrémité tandis que l'autre forme un «T» à l'autre extrémité. Trace de bois au niveau de l'extrémité rivetée. Fer.

L. 140 mm, S. 8 mm, L. (partie fichée) 60 mm, L. (table) 45 x 10 mm. 80.2 g.

E : 1162.8. N : 1174.85. Alt. : 572.92.

Planche 73, 17. 17073, n° 1731.

Extrémité de lame de serpette à croc. Fer.

L. 35 mm, l. 15 mm. 3.6 g.

E : 1161. N : 1173.*

Planche 73, 18. 17073, n° 212.

Sonde en cours de fabrication (?) constituée d'une tige de section ronde puis de section angulaire terminée par une trace de découpe. Base-cuivre.

L. 59 mm, S. 4 mm. 2.7 g.

E : 1163.96. N : 1172.43. Alt. : 572.91.

Planche 73, 19. 17158, n° 1363.

Petite cuillère à manche de section circulaire et anneau de suspension terminal. Fer.

L. 60 mm. 5.6 g.

E : 1162. N : 1174. Alt. : 572.85.

Planche 73, 20. 17073, n° 370.

Fragment de poucier. Base-cuivre.

L. 28 mm, S. 2 mm, diam. int. 34 mm. 2.9 g.

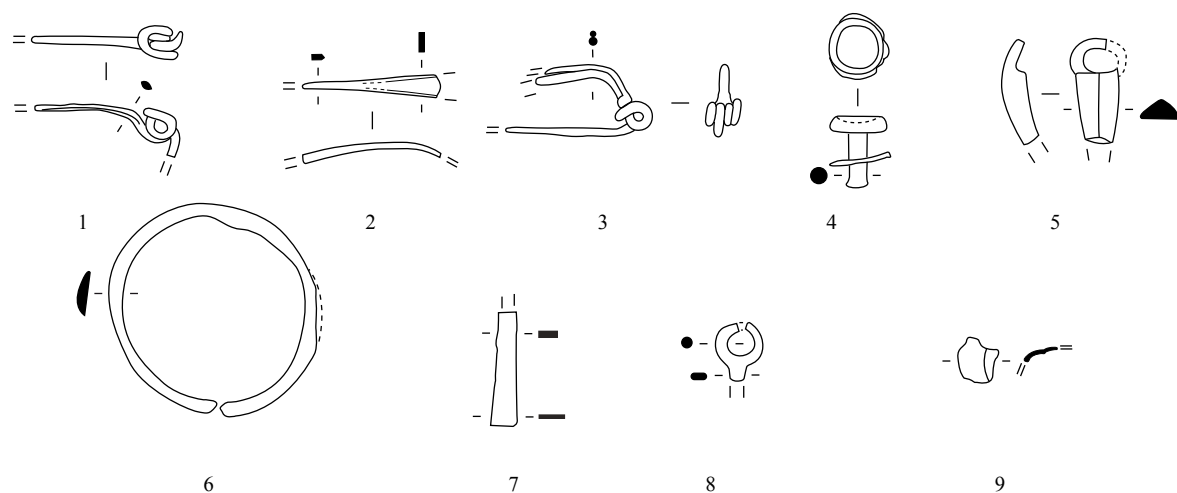
E : 1161.3. N : 1173.1. Alt. : 572.98.

Planche 73, 21. 17160, n° 1734.

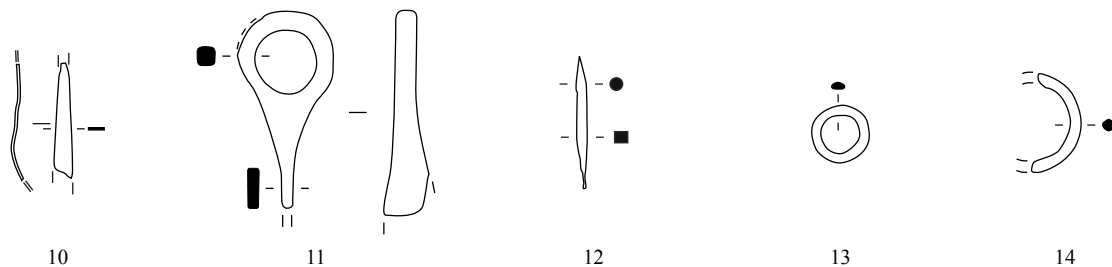
Fragment indéterminé de tige de section rectangulaire formant une sorte de crochet. Fer.

L. 67 mm, S. 8 x 7 mm. 26.6 g.

E : 1162. N : 1173.*



C6-1-décapage



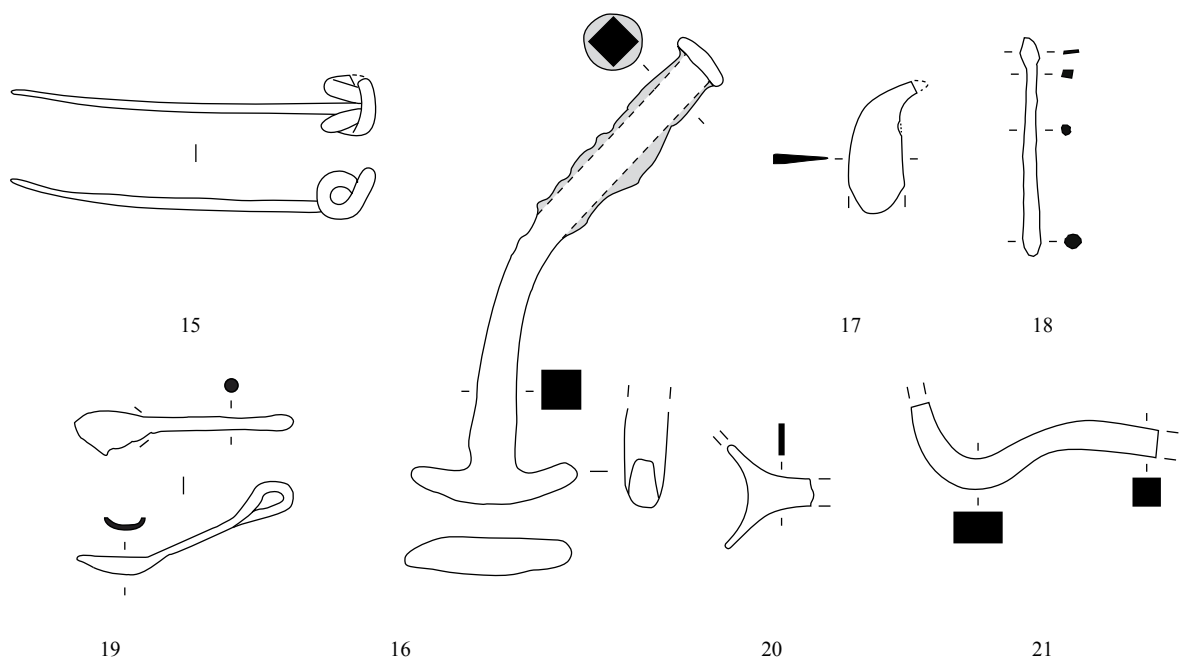
C6-2-TP 17659

C6-11-TP 17653

C6-15-Fo art 17156

C6-17-TP 17605

C6-18-Sb 17607



C6-22-épandage

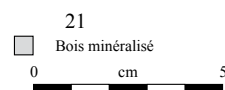


Planche 73. C6-1-décapage à C6-22-épandage

1-8, 11, 15-17, 19, 21 : fer; 9-10, 12-14, 18, 20 : alliage cuivreux.

Autres petits mobiliers

17073, n° 216. Monnaie.

17160, n° 1368. Monnaie.

Bâtiment C5

Décapage

C5-1-décapage

Planche 74, 1. 17010, n° 4.

Fibule à fixe-corde venant du dessous de l'arc, à ressort à six spires et à arc rubané coudé recouvrant le ressort et orné de lignes longitudinales. Base-cuivre.

L. 32 mm, L. (arc) 20 mm, l. (arc) 10 mm. 1.3 g.

E : 1149.85. N : 1189.3. Alt. : 572.03.

Type : B47-2.

Planche 74, 2. 17015, n° 60.

Fibule à ressort à quatre spires et corde interne et arc tendu de section ovale cassé au niveau du départ du pied ajouré. Base-cuivre.

L. 48 mm, L. (arc) 28 mm, l. (arc) 4 x 2 mm. 4 g.

E : 1162. N : 1183.06. Alt. : 572.96.

Type : B23-3.

Planche 74, 3. 17002, n° 54.

Ressort de fibule à deux spires conservées et corde interne avec départ d'un arc de tôle. Base-cuivre.

L. 8 mm. 0.6 g.

E : 1163.38. N : 1188.56. Alt. : 572.96.

Type : B22-0.

Planche 74, 4. 17010, n° 2.

Fragment d'anneau de section ronde. Base-cuivre.

L. 12 mm. 0.7 g.

E : 1150.4. N : 1189.6. Alt. : 573.02.

Planche 74, 5. 17002, n° 53.

Fragment indéterminé de bande incurvée avec une patine spéciale (niellée?) et des rainures latérales. Fragment de frette de fourreau, de bracelet, de manche d'ustensile de cuisine ? Base-cuivre.

L. 19 mm, l. 8 mm, ép. 2 mm. 1.6 g.

E : 1158.15. N : 1186.4. Alt. : 573.09.

Planche 74, 6. 17010, n° 1653.

Fragment de bracelet rubané à cinq cannelures et décor de points martelés. La fermeture est assurée par une terminaison en tenon. Base-cuivre.

L. 70 mm, l. 14 mm, ép. 2 mm. 11 g.

E : 1150. N : 1180.4. Alt. : 572.94.

Type : B31-1.

Planche 74, 7. 17070, n° 283.

Pointe de lance à douille courte et à section nervurée relativement mal conservée. Fer.

L. 127 mm, diam. 10 mm. 36.8 g.

E : 1159.5. N : 1178.6. Alt. : 572.9.

Type : 44.

Planche 74, 8. 17002, n° 314.

Extrémité de fer de lance de section nervurée et de forme triangulaire mal conservée. Echancrures? Fer.

L. 122 mm, l. max. 21 mm. 50.9 g.

E : /. N : /. *

Type : 40.

Planche 74, 9. 17070, n° 172.

Couteau à dos bombé et à lame incurvée et manche massif. Fer.

L. 136 mm, L. (lame) 90 mm, l. (lame) 15 mm,

L. (manche) 46 mm, S. (manche) 12 x 8 mm.

37.5 g.

E : 1160.9. N : 1178.1. Alt. : 572.94.

Type : 1-1.

Planche 74, 10. 17010, n° 73.

Serpette à douille et à lame à croc. Traces de bois minéralisé dans la douille. Fer.

L. 60 mm, diam. 9 x 6 mm. 11 g.

E : 1154.17. N : 1185.88. Alt. : /.

Planche 74, 11. 17070, n° 227.

Douille très corrodée indéterminée. Fer.

L. 42 mm, S. 16 mm. 30.5 g.

E : 1160.2. N : 1178.05. Alt. : 573.01.

Planche 74, 12. 17015, n° 58.

Fragment de tôle quadrangulaire repliée avec une perforation. Fer.

L. 53 mm, L. déplié 78 mm, l. 53 mm. 30 g.

E : 1163.17. N : 1181.7. Alt. : 572.92.

Autres petits mobiliers

17070, n° 228. Jeton.

17147, n° 1503. Jeton.

17070, n° 224. Monnaie.

État 2.1 : LTD1b évoluée

C5-2-occupation

17198, n° 1400. Jeton.

État 2.3 à 3 : fin LTD2a-Auguste

C5-4-épandage

Planche 74, 13. 16623, n° 545.

Fibule à ressort à quatre spires et corde interne à arc de tôle triangulaire à bordures soulignées par une rainure et à deux lignes centrales incisées. Base-cuivre.

L. 55 mm, L. (arc) 42 mm, l. (arc) 8 mm. 4.8 g.

E : 1151.9. N : 1181. Alt. : 572.96.

Type : B22-06.

Planche 74, 14. 16623, n° 542.

Fragment d'anneau à section en quart de rond. Base-cuivre.

L. 20 mm, diam. 24 mm, S. 2 x 5 mm. 1.2 g.

E : 1151.2. N : 1181. Alt. : 572.94.

Planche 74, 15. 16623, n° 1838.

Fragment de lime de section rectangulaire à voie oblique. Fer.

L. 53 mm, S. 8 x 5 mm. 6.3 g.

E : 1152.3. N : 1185.*

Planche 74, 16. 16623, n° 743.

Attache de paragnathide rivetée terminée par un anneau. Base-cuivre.

L. 34 mm, l. 11 mm, diam. 14 x 11 mm. 2.9 g.

E : 1149.34. N : 1187.4. Alt. : 572.95.

Planche 74, 17. 16623, n° 560.

Fragment de ceinturon constitué d'une tige de section rectangulaire terminée par une tête hémisphérique creuse. Base-cuivre.

L. 14 mm. 0.4 g.

E : 1150.6. N : 1183.5. Alt. : 572.95.

Planche 74, 18. 16623, n° 1524.

Fragment de croc à chaudron en forme de «T» et riveté à une extrémité. Fer.

L. 25 mm, L. (utile) 15 mm. 3.9 g.

E : 1152.1. N : 1184.2.*

Planche 74, 19. 16623, n° 558.

Piton à tige repliée. Fer.

L. 81 mm, S. 8 x 4 mm. 23 g.

E : 1150.5. N : 1188.4. Alt. : 573.

Autres petits mobiliers

16623, n° 550. Fragment de verre bleu.

16623, n° 509. Jeton.

16623, n° 541. Jeton.

16623, n° 544. Jeton.

16623, n° 549. Jeton.

16623, n° 563. Jeton.

16623, n° 564. Jeton.

16623, n° 741. Jeton.

16623, n° 510. Monnaie.

16623, n° 561. Monnaie.

16623, n° 540. Monnaie.

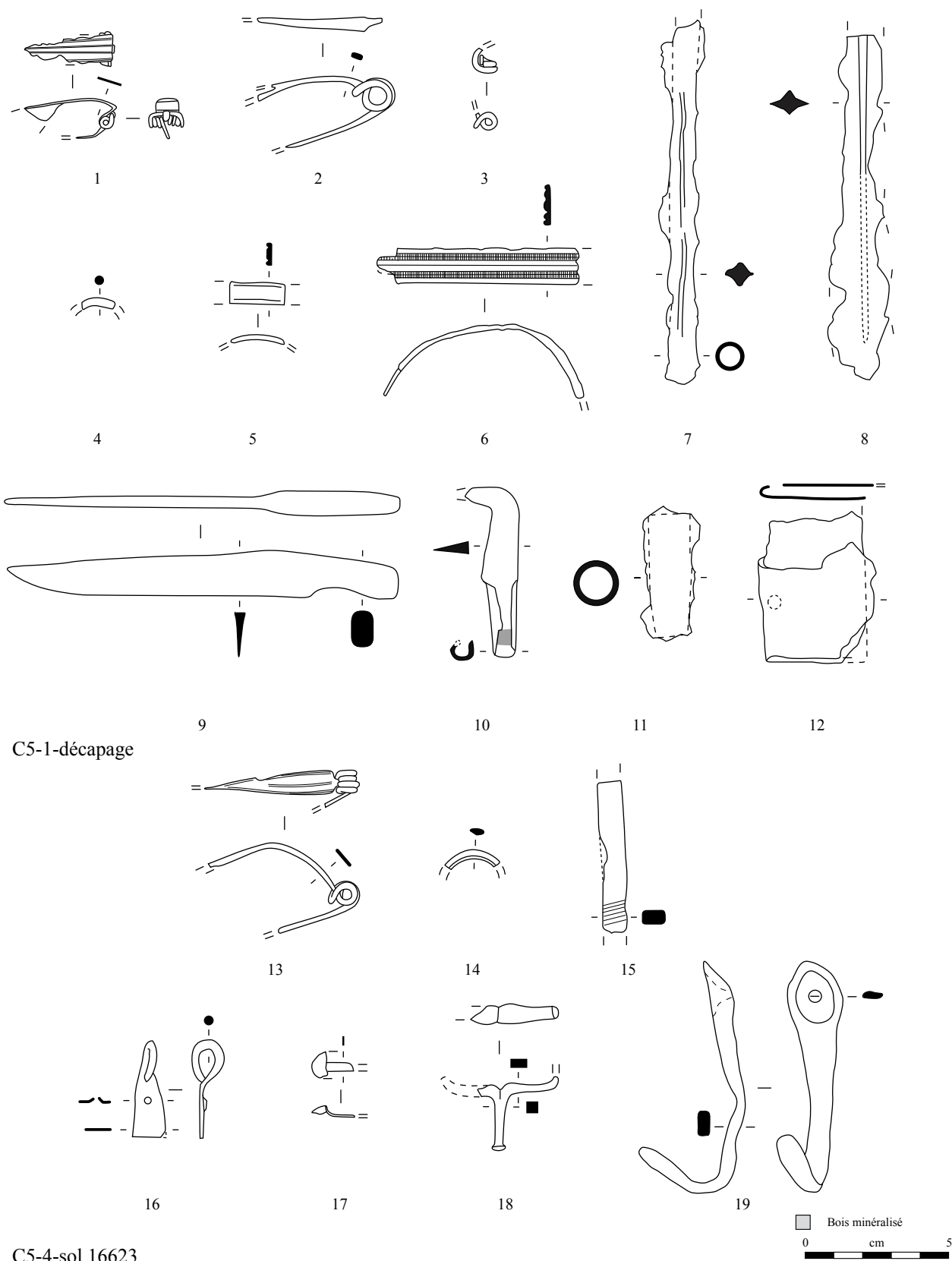


Planche 74. C5-1-décapage et C5-4-épandage

1-6, 13-14, 16-17 : alliage cuivreux; 7-12, 15, 18-19 : fer.

Bâtiment C5

État 2.2 à 2.3 : LTD2

C5-3-radier

Planche 75, 1. 17018, n° 1417.

Fibule à ressort à quatre spires et corde interne et arc tendu de tôle triangulaire fin à décor à échelle et bordures soulignées par une rainure. Base-cuivre.
L. 39 mm, L. (arc) 26 mm, l. (arc) 5 mm. 1.9 g.
E : 1158.65. N : 1175.8. Alt. : 572.9.
Type : B22-02.

Planche 75, 2. 17071, n° 262.

Fibule à ressort à quatre spires (deux conservées) et corde interne et arc tendu de tôle triangulaire fin à décor d'échelle séparé du pied par des lignes perpendiculaires. Base-cuivre.
L. 37 mm, L. (arc) 26 mm, l. (arc) 4 mm. 0.7 g.
E : 1159. N : 1175.1. Alt. : 572.92.
Type : B22-04.

Planche 75, 3. 17199, n° 1491.

Arc de fibule de tôle triangulaire large à bordures soulignées par une rainure. Base-cuivre.
L. 23 mm. 0.5 g.
E : 1160.9. N : 1187.5. Alt. : 573.14.
Type : B22-03.

Planche 75, 4. 17199, n° 1493.

Fibule à ressort à quatre spires et corde interne (deux conservées) à arc tendu de section losangique interrompu par des nodosités. Fer.
L. 77 mm, L. (arc) 63 mm, S. (arc) 4 x 3 mm. 6.9 g.
E : 1159.8. N : 1187.05. Alt. : 573.09.
Type : F24-1.

Planche 75, 5. 17018, n° 138.

Perle de section lenticulaire. Base-cuivre.
Diam. 12 mm, S. 2 x 4 mm. 1.3 g.
E : 1160.1. N : 1187.7. Alt. : 572.77.

Planche 75, 6. 17071, n° 230.

Fragment indéterminé de tôle incurvée avec bordure en bourrelet. Fragment de plaque de fourreau, d'umbo? Fer.
L. 75 mm, l. 42 mm, ép. 1 mm. 31.5 g.
E : 1158.3. N : 1176. Alt. : 572.93.

Planche 75, 7. 17071, n° 297.

Fragment d'outil indéterminé constitué d'une tige de section rectangulaire affinée à son extrémité. Panne de marteau et de tranchant de ciseau? Fer.
L. 38 mm, S. 11 x 7 mm. 14 g.
E : 1160.05. N : 1174.29. Alt. : 573.

Planche 75, 8. 17065, n° 1728.

Fragment de douille d'outil de fin diamètre avec présence de bois minéralisé à l'intérieur. Fer.
L. 38 mm, diam. 7 mm. 2.9 g.
E : 1150.8. N : 1183.4.*

Planche 75, 9. 17071, n° 1729.

Chute de demi-produit constitué d'un enroulement avec trace de découpe à une extrémité. Fer.
L. 28 mm, l. 16 mm. 9.3 g.
E : 1159. N : 1176.*

Planche 75, 10. 17065, n° 161.

Lime à soie lacunaire à partie active en forme d'ogive et voie perpendiculaire à son axe. Fer.
L. 162 mm, L. (partie active) 128 mm, S. 12 x 6 mm. 39.9 g.
E : 1152. N : 1182. Alt. : 572.91.

Planche 75, 11. 17071, n° 271.

Couteau à plaquettes avec rivet en position fonctionnelle et vestige de bois minéralisé sur la lame qui comporte encore trois perforations. La lame semble à dos droit et son tranchant rectiligne s'effile à son extrémité. Fer.
L. 224 mm, L. (manche) 24 x 5 mm. 140.1 g.
E : 1158.93. N : 1173.2. Alt. : 572.91.
Type : 1-2.

Planche 75, 12. 17071, n° 267.

Extrémité de lame de couteau. Fer.
L. 66 mm, l. 25 mm. 11.5 g.
E : 1158.9. N : 1176.2. Alt. : 572.96.

Planche 75, 13. 17071, n° 266.

Lèvre de vasque de simpulum soulignée par deux rainures. Base-cuivre.
L. 21 mm, diam. 56 mm, ht. 6 mm. 1 g.
E : 1158.4. N : 1177.8. Alt. : 572.96.

Planche 75, 14. 17065, n° 1727.

Objet indéterminé constitué d'une tôle dont chaque bord est rabattu pour former une petite boîte. Fer.
L. 46 mm, l. 31 mm, ht. 8 mm. 12.3 g.
E : 1151. N : 1181.5.*

Autres petits mobiliers

17071, n° 263. Jeton.

17071, n° 270. Jeton.

17071, n° 1778. Monnaie.

17199, n° 1583. Perle en roche noire.

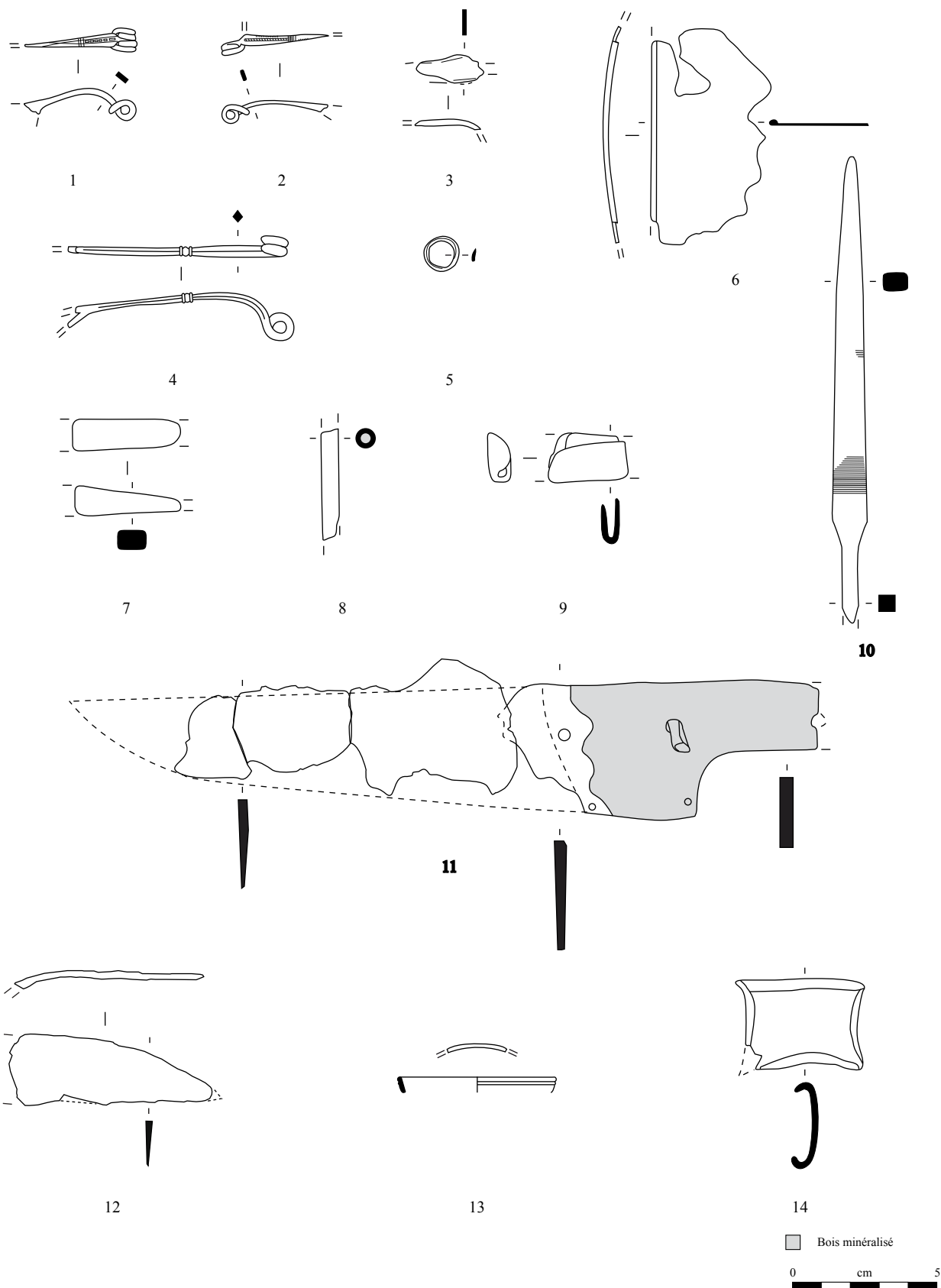


Planche 75. C5-3-radier

1-3, 5, 13 : alliage cuivreux; 4, 6-12, 14 : fer.

Bâtiment C5

Décapage

C5-5-épan dage ouest

Planche 76, 1. 17427, n° 414.

Fibule à disque médian à cache-ressort, arc en anse de panier à moulures longitudinales séparées du pied par un disque. Le pied est long surmonté d'une plate-forme rectangulaire et multifenestrée. Seule une partie du pied est manquante. Base-cuivre. L. 48 mm. 5.6 g.

E : 1152.5. N : 1179.3. Alt. : 573.19.

Type : B56-1.

Planche 76, 2. 17427, n° 380.

Anneau cannelé avec une cannelure centrale. Base-cuivre.

Diam. 15 mm, S. 4 x 2 mm. 2.6 g.

E : 1147. N : 1179. Alt. : 572.87.

Planche 76, 3. 17427, n° 418.

Aiguille pliée avec un chas circulaire large. Base-cuivre.

L. 16 mm, L. déplié 30 mm. 0.7 g.

E : 1148.7. N : 1179.4. Alt. : 573.26.

Planche 76, 4. 17427, n° 417.

Fragment d'applique décorative constituée d'une bande de tôle avec une ligne au repoussé. Base-cuivre.

L. 60 mm. 1.5 g.

E : 1152.9. N : 1179.3. Alt. : 572.69.

Planche 76, 5. 17427, n° 416.

Poinçon (?) de forme bipyramidale à l'extrémité frappée matée et l'extrémité active manquante. Fer.

L. 115 mm, L. (partie active) 93 mm. 90 g.

E : 1150.5. N : 1179.1. Alt. : 573.09.

Autres petits mobiliers

17427, n° 1411. Jeton.

17427, n° 425. Jeton.

État 2.3 : fin LTD2a-LTD2b à 3

C5-6-sol 17016

Planche 76, 6. 17016, n° 171.

Fragment de bracelet à jonc lisse de section ronde. Base-cuivre.

L. 31 mm, diam. int. 46 mm, S. 4 mm. 3.9 g.

E : 1158. N : 1183.2. Alt. : 573.03.

Type : B10-1.

Planche 76, 7. 17016, n° 1775.

Fragment de chute de tôle avec découpe de cisaille sur un bord. Base-cuivre.

L. 24 mm. 0.3 g.

E : 1158. N : 1183.2. Alt. : 573.03.

État 2 lato sensu : LTD1b évoluée-LTD2

C5-7-remblai 17069

Planche 76, 8. 17069, n° 1325.

Fibule à ressort à quatre spires (deux conservées) et corde interne et arc plié

tendu de tôle triangulaire large à ligne centrale et bordures soulignées par une ligne de points. Base-cuivre.

L. 46 mm, L. (arc) 31 mm, l. (arc) 11 mm. 2 g.

E : 1158.1. N : 1183.3. Alt. : 573.

Type : B22-01.

Planche 76, 9. 17069, n° 1326.

Fibule à ressort à quatre spires et corde interne et arc tendu de tôle triangulaire large à ligne centrale et bordures soulignées par une ligne de points. Base-cuivre.

L. 57 mm, L. (arc) 36 mm, l. (arc) 13 mm. 3.4 g.

E : 1157.9. N : 1183.2. Alt. : 573.04.

Type : B22-01.

Planche 76, 10. 17069, n° 1323.

Arc de fibule de schéma LT finale interrompu par nodosité et de section lenticulaire puis circulaire. Fer.

L. 48 mm, S. 4 x 3 mm. 2.8 g.

E : 1158.25. N : 1182.4. Alt. : 573.2.

Type : F04.

Planche 76, 11. 17069, n° 1328.

Ciseau droit à tête matée, manche de section circulaire et tranchant à simple biseau. Fer.

L. 45 mm, S. 6 mm. 7.4 g.

E : 1157.6. N : 1183.9. Alt. : 573.02.

Planche 76, 12. 17069, n° 1324.

Fragment de pince à épiler en cours de fabrication cassée au niveau du ressort comportant des traces de martelage sur les tranches. Base-cuivre.

L. 42 mm, L. (déplié) 60 mm. 1.6 g.

E : 1158.2. N : 1182.9. Alt. : 573.07.

Autres petits mobiliers

17069, n° 1366. Jeton.

17069, n° 1334. Fragment de plaque de foyer.

État 2.3 : fin LTD2a-LTD2b

C5-10-pouzzolane

Planche 76, 13. 17060, n° 144.

Anse en forme de buste masculin à drapé stylisé et tête dont les traits sont restitués à l'aide d'incisions. Base-cuivre.

L. 35 mm, diam. int. rest. 79 mm. 24.1 g.

E : 1158.2. N : 1185.3. Alt. : 573.13.

Planche 76, 14. 17060, n° 1359.

Piton à oeillet et à deux pattes. Fer.

L. 57 mm. 10.8 g.

E : 1161.3. N : 1187.61. Alt. : 573.12.

Planche 76, 15. 17060, n° 145.

Fibule filiforme à ressort à quatre spires et corde externe et à arc coudé de section lenticulaire interrompu par trois cannelures et pied triangulaire ajouré. Fer.

L. 52 mm, L. (arc) 28 mm, S. 2,5 x 2 mm. 3.4 g.

E : 1158.2. N : 1185.2. Alt. : 573.13.

Type : F34-4.

État 2.1 : LTD1b évoluée

C5-14-TP 17999-71

17999-72, n° 1076. Jeton.

17999-72, n° 1077. Jeton.

17999-72, n° 1078. Jeton.

17999-72, n° 1079. Jeton.

17999-72, n° 1080. Jeton.

C5-17-Fo art 17214

Planche 76, 16. 17213, n° 1737.

Attache de situle constituée d'un plat muni d'un rivet traversant d'où part une tige de section rectangulaire. Fer.

L. 42 mm. 14.8 g.

E : 1150.8. N : 1177.9.*

Planche 76, 17. 17213, n° 1736.

Ciseau droit constitué d'un petit manche de section rectangulaire et à tranchant à deux biseaux et à tête matée. Fer.

L. 50 mm, l. 10 x 6 mm. 8.5 g.

E : 1150.4. N : 1178.3.*

Planche 76, 18. 17213, n° 1735.

Marteau constitué d'une longue panne de section rectangulaire à inclinaison centrale avec un oeil asymétrique. Fer.

L. 110 mm, diam. (oeil) 12 x 11 mm, ép. 14 x 8 mm, L. (table) 12 x 4 mm. 63.1 g.

E : 1149.3. N : 1179.*

Planche 76, 19. 17213, n° 1739.

Piton constitué d'une tige de section carrée terminée par un enroulement. Fer.

L. 118 mm, S. 5 x 6 mm. 20.5 g.

E : 1150.2. N : 1179.1.*

C5-19-TP 17107

17106, n° 1361. Fragment de meule non étudié.

17106, n° 1476. Fragment de stylet en os avec renflement cassé au niveau de chaque extrémité.

État 1 : LTD1b classique

C5-23-TP 17221

17221, n° 1490. Fusaïole en terre cuite.

C5-25-TP 17166

17165, n° 1378. Jeton.

17165, n° 1689. Jeton.

C5-27-Fo 17153

17154, n° 1538. 28 jetons.

17154, n° 1336. Jeton.

17154, n° 1337. Jeton.

17154, n° 1343. Jeton.

17154. Fragment de plaque de foyer.

C5-28-Sb 17005

Planche 76, 20. 17006, n° 1667.

Pied de fibule de schéma La Tène moyenne avec long porte-ardillon. Fer.

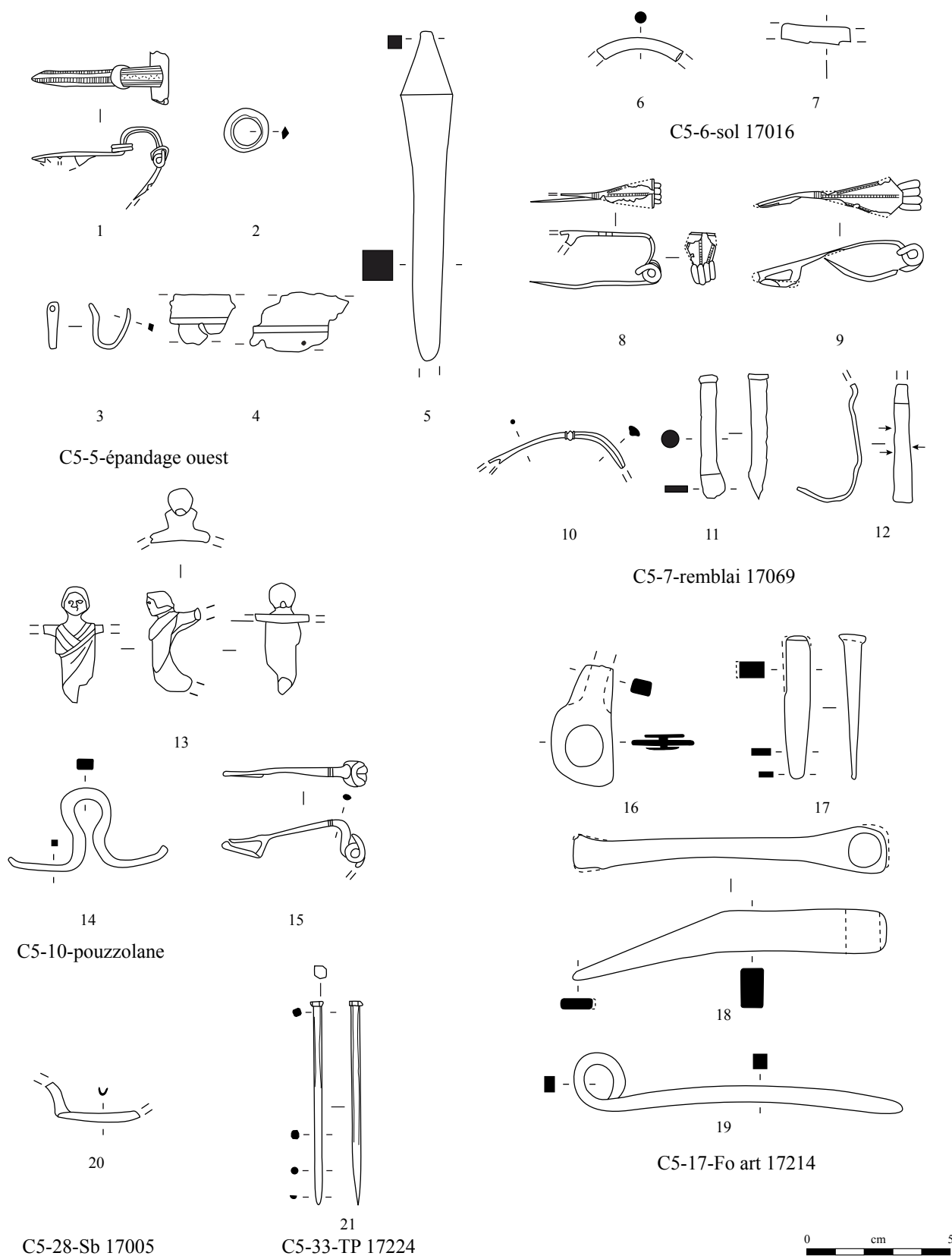


Planche 76. C5-5-épandage ouest à C5-17-Fo art 17214

1-4, 6-9, 12-13, 21 : alliage cuivreux; 5, 10-11, 14-20 : fer.

L. 34 mm. 1.7 g.
E : 1162.65. N : 1188.6.*
Type : F01-0.

Autres petits mobiliers

17006, n° 1484. Jeton.

C5-30-TP 17067

17068, n° 163. Fragment de hache polie.

C5-33-TP 17224

Planche 76, 21. 17225, n° 1555.

Ciselet avec tête massive à tige chanfreinée et tranchant droit à simple biseau. Base-cuivre.

L. 72 mm, S. 3 mm. 3.3 g.
E : 1148.1. N : 1186.2. Alt. : 573.06.

Autres petits mobiliers

17225, n° 1556. Fusaïole en terre cuite à section subtriangulaire concave puis convexe.

Bâtiment C5 sur cave

Décapage

C5C-1-décapage

Planche 77, 1. 17014, n° 39.

Hache miniature en pendentif dont le tranchant est oblique avec une perforation dans un angle et une douille formée par repli. Fer.

L. 33 mm. 8.6 g.
E : 1166.87. N : 1186.39. Alt. : 572.83.

Planche 77, 2. 18013, n° 35.

Fragment d'anneau de section ronde. Base-cuivre.

L. 13 mm, diam. 20 mm, S. 3 mm. 1.5 g.
E : 1170.8. N : 1185.27. Alt. : 572.85.

Planche 77, 3. 18013, n° 36.

Clou de chaussure. Fer.

Diam. 9 mm. 1.6 g.
E : 1170.99. N : 1186.36. Alt. : 572.71.

Planche 77, 4. 18013, n° 30.

Clou de chaussure. Fer.

Diam. 13 mm. 1 g.
E : 1171.45. N : 1184.45. Alt. : 572.86.

Planche 77, 5. 17020, n° 1774.

Fragment de miroir avec surface étamée. Base-cuivre.

L. 12 mm, ép. 2 mm. 0.8 g.
E : 1168. N : 1184.*

Planche 77, 6. 17020, n° 1708.

Chute de tige avec épaulement entre la soie de préhension et la découpe. Fer.

L. 48 mm, S. 4 mm et 4 x 8 mm. 4.3 g.
E : 1166.2. N : 1183.5.*

Planche 77, 7. 17020, n° 1459.

Chute de tige de section carrée à rectangulaire. Fer.

L. 73 mm, S. 3 mm. 5.5 g.

E : 1169. N : 1182.4.*

Planche 77, 8. 17014, n° 65.

Manche de petite clé avec anneau et panneton fragmentaires. Fer.

L. 42 mm. 7 g.
E : 1168.58. N : 1182.87. Alt. : 572.82.

Planche 77, 9. 17020, n° 1497.

Fragment indéterminé de tube avec une cannelure externe et une cannelure interne. Base-cuivre.

L. 12 mm. 3.1 g.
E : 1165.7. N : 1184.3.*

Autres petits mobiliers

17020, n° 1428. Monnaie.

17020, n° 1429. Monnaie.

17020, n° 1426. Monnaie.

17014, n° 64. Monnaie.

17014, n° 68. Monnaie.

17014, n° 1430. Monnaie.

État 4 lato sensu: époque romaine

C5C-2-piégeage

Planche 77, 10. 17044, n° 1434.

Fibule à ressort à quatre spires et corde externe haute à arc outrepassant de section lenticulaire. Fer.

L. 35 mm, S. 6 x 3 mm. 6.5 g.
E : 1165. N : 1184.4. Alt. : 573.01.
Type : F33-11..

Planche 77, 11. 18047, n° 103.

Clou de chaussure. Fer.

Diam. 14 mm. 3.4 g.
E : 1175.8. N : 1186.9. Alt. : /.

Planche 77, 12. 17044, n° 1413.

Extrémité de lame de forces à dos à butée. Fer.

L. 46 mm. 5.6 g.
E : 1166.15. N : 1186.45. Alt. : 572.78.

Planche 77, 13. 17044, n° 139.

Chute de bande de tôle tordue. Base-cuivre.

L. 47 mm, l. 4 mm, ép. 0.5 mm. 0.2 g.
E : 1167.8. N : 1186.

Planche 77, 14. 18047, n° 195.

Fragment de fer plat replié, grande virole? Fer.

L. 29 mm, S. 35 x 4 mm. 28.8 g.
E : 1177.5. N : 1187.1. Alt. : 572.68.

Planche 77, 15. 17044, n° 147.

Extrémité de barre de grill de section rectangulaire. Fer.

L. 35 mm. 4.6 g.
E : 1169.5. N : 1186.*

Planche 77, 16. 17044, n° 1715.

Petite douille. Fer.

L. 28 mm, diam. 11 mm. 3.7 g.
E : 1166.4. N : 1185.3.*

Planche 77, 17. 18047, n° 92.

Clou-rivet en une pièce à tête irrégulière. Base-cuivre.

L. 16 mm. 0.1 g.

E : 1170.65. N : 1183.63. Alt. : 572.78.

Planche 77, 18. 17044, n° 1466.

Fragment de bandage de roue à bordure incurvée. Fer.

L. 106 mm, l. 40 mm, ép. 4 mm. 67.1 g.
E : 1167.2. N : 1186.3.*

Planche 77, 19. 17044, n° 1716.

Tige indéterminée de section hémisphérique pliée à une extrémité où elle prend une section carrée. Outil, demi-produit? Fer.

L. 46 mm. 3.3 g.
E : 1168.2. N : 1184.6.*

Planche 77, 20. 18047, n° 88.

Fragment de ferrure avec deux perforations et un élargissement circulaire. Fer.

L. 59 mm. 9.5 g.
E : 1172.8. N : 1186.7. Alt. : 572.61.

Planche 77, 21. 17044, n° 1714.

Fragment de poinçon à emboutir (?) constitué d'une tige conique à extrémité mousse comportant une mouluration à partir de laquelle elle est de section carrée. Fer.

L. 55 mm. 10.3 g.
E : 1165.7. N : 1184.3.*

Planche 77, 22. 17044, n° 1437.

Fragment d'applique ajourée en forme de «Y». Base-cuivre.

L. 33 mm. 0.9 g.
E : 1164.7. N : 1186.2.*

Autres petits mobiliers

18047, n° 89. Fragment de fusaïole en terre cuite.

17044, n° 1420. Jeton.

17044, n° 1435. Jeton.

18047, n° 169. Jeton.

18047, n° 180. Jeton.

18047, n° 188. Jeton.

18047, n° 91. Jeton.

18047, n° 90. Jeton d'amphore.

18047, n° 166. Monnaie.

18047, n° 146. Monnaie.

18047, n° 85. Monnaie.

18047, n° 87. Monnaie.

18047, n° 2019. Fragment de perle en verre incolore translucide à décor de lignes spiralées jaunes (Gebhard IIIad).

18047, n° 2018. Fragment de perle torique en verre bleu cobalt à décor moucheté blanc opaque (Gebhard VIIId).

État 2.2 : LTD2a

C5C-4-combl sup

Planche 77, 23. 17098, n° 1313.

Fibule minuscule à quatre spires et corde externe et à arc cambré de section ronde. Argent.

L. 20 mm, L. (arc) 10 mm, S. 2 mm. 0.5 g.
E : 1167.9. N : 1185.6. Alt. : 572.33.

Type : B33-2.

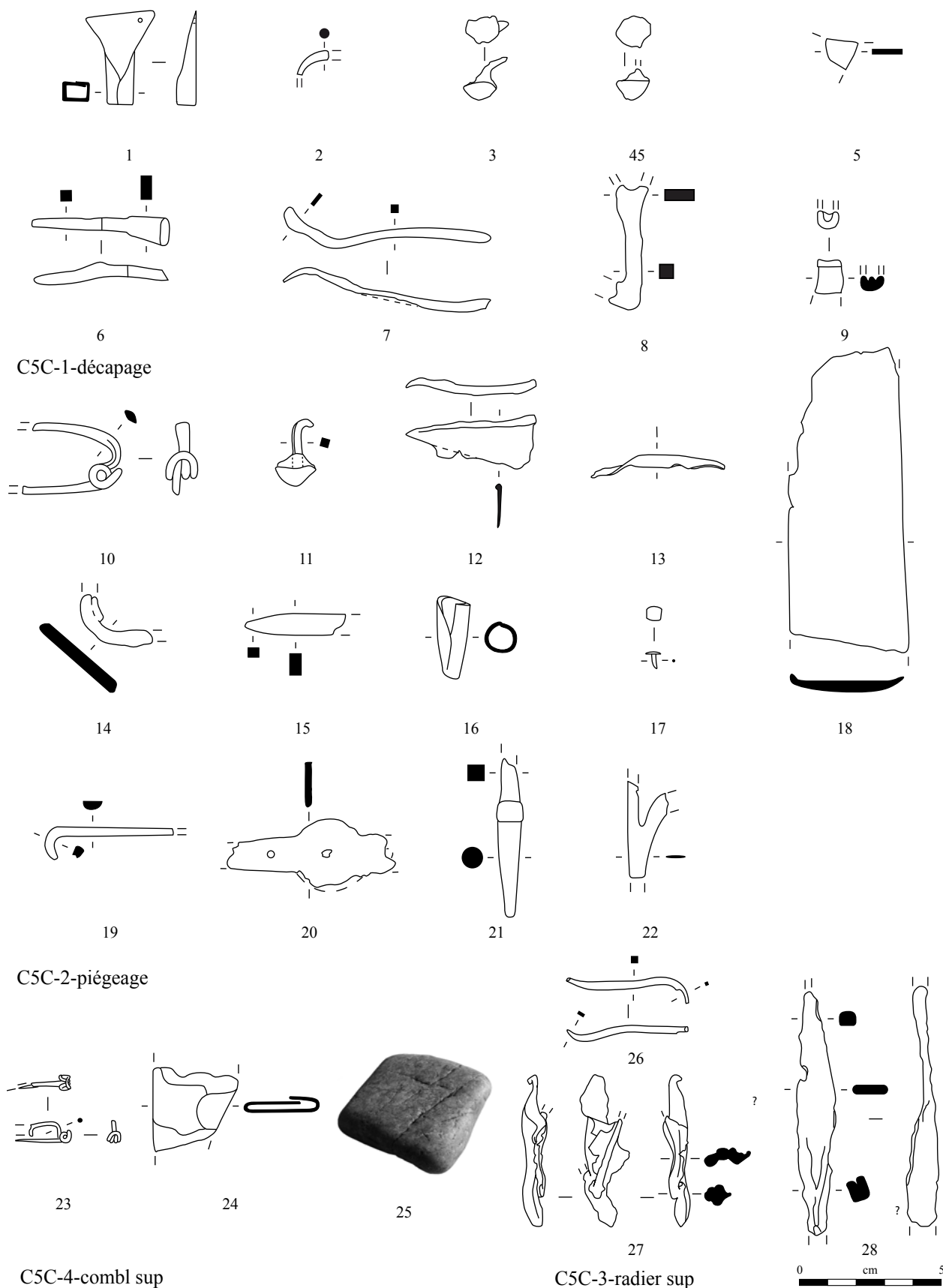


Planche 77. C5C-1-décapage à C5C-3-radier sup

1, 3-4, 6-8, 10-12, 14-16, 18-21, 24, 26, 28 : fer; 2, 5, 9, 13, 17, 22 : alliage cuivreux; 23 : argent; 25 : quartz; 27, plomb..

Planche 77, 24. 17045, n° 1717.

Chute de tôle repliée à deux reprises sur elle-même. Fer.

L. 30 mm. 5.8 g.

E : 1166.2. N : 1185.*

Planche 77, 25. 18122, n° 231.

Polissoir ou petite tablette de forme et de section quadrangulaire en quartz. Lithique.

L. 63 mm, l. 57 mm, ép. 18.5 mm. 119 g.

E : 1175.5. N : 1186.1.*

Autres petits mobiliers

18088, n° 2069. Dé rectangulaire en os avec ponctuation en ocelles.

17098, n° 1306. Fusaïole en terre cuite.

17098, n° 1467. Jeton percé, fusaïole.

18126, n° 223. Jeton percé, fusaïole.

17045, n° 1341. Jeton.

17098, n° 298. Jeton.

18088, n° 173 à 176. Jeton.

18088, n° 182. Jeton.

18088, n° 184. Jeton.

18088, n° 194. Jeton.

18121, n° 227. Jeton.

18121, n° 228. Jeton.

18121, n° 236. Jeton.

18122, n° 219. Jeton.

18125, n° 220. Jeton.

18125, n° 221. Jeton.

18126, n° 222. Jeton.

18138, n° 247. Jeton.

18138, n° 248. Jeton.

18121, n° 224. Jeton.

18088, n° 112. Jeton d'amphore.

18088, n° 154. Jeton d'amphore.

18088, n° 155. Jeton d'amphore.

18088, n° 156. Jeton d'amphore.

18119, n° 233. Jeton en amphore.

18121, n° 234. Jeton en amphore.

18122, n° 229. Jeton en amphore.

18122, n° 232. Jeton en amphore.

18123, n° 225. Jeton en amphore.

18125, n° 226. Jeton en amphore.

18126, n° 230. Jeton en amphore.

18125, n° 235. Moitié de jeton.

17045, n° 1300. Fragment de *meta* en grès grossier.

17045, n° 1482. Monnaie.

18088, n° 170. Monnaie.

18138, n° 246. Monnaie.

État 2.3 à 3: fin LTD2a-Auguste

C5C-3-radier sup**Planche 77, 26.** 18091, n° 3027.

Chute de tige de section carrée formant une sorte de crochet avec une soie à une extrémité et un biseau à l'autre. Fer.

L. 43 mm, S. 2,5 mm. 1.4 g.

E : 1175. N : 1185.7.

Planche 77, 27. 18004, n° 44.

Fragment d'agrafe de réparation de céramique. Plomb.

L. 52 mm. 14.1 g.

E : 1179. N : 1188.53. Alt. : 572.92.

Planche 77, 28. 18004, n° 49.

Chute de demi-produit à extrémité enroulée, prolongé par un plat de section changeante. Fer.

L. 85 mm, S. 12 x 3 mm. 15.9 g.

E : 1176. N : 1187.7. Alt. : 572.81.

Autres petits mobiliers

18005, n° 2043. Fragment de fusaïole réalisée dans un fond de récipient.

18004, n° 108. Jeton.

18004, n° 50. Jeton.

18004, n° 46. Fragment de plaque de foyer.

Bâtiment C5 sur cave

État 2.2 : LTD2a

C5C-5-combl med**Planche 78, 1.** 18240, n° 3029.

Ardillon et ressort de fibule à deux spires et corde externe basse. Fer.

L. 48 mm. 7.3 g.

E : 1179.2. N : 1186.8.*

Type : F10-1.

Planche 78, 2. 18093, n° 266.

Pendentif à tête de suidé avec pendentif annulaire cassé en raison de l'usure (?). La gueule est perforée latéralement et présente une cavité longitudinale triangulaire. Base-cuivre.

L. 40 mm, diam. int. (anneau) 8 mm. 24.2 g.

E : 1174.2. N : 1185.9. Alt. : 572.6.

Planche 78, 3. 18240, n° 2040.

Perle cannelée de section lenticulaire. Base-cuivre.

Diam. 14 mm, S. 3 x 2 mm. 4.4 g.

E : 1171.2. N : 1184.8. Alt. : /.

Planche 78, 4. 18093, n° 265.

Anneau de section lenticulaire. Base-cuivre.

Diam. 27 mm, S. 3 x 4,5 mm. 8.7 g.

E : 1174.8. N : 1186.3. Alt. : 572.

Planche 78, 5. 18093, n° 277.

Anneau de section ronde. Base-cuivre.

Diam. 15 mm, S. 3 mm. 2.8 g.

E : 1173.1. N : 1185.51. Alt. : 571.5.

Planche 78, 6. 18093, n° 250.

Fragment de lèvres verticale à bordure en bourrelet de cruche. Traces de tour ou rainure à l'intérieur. Base-cuivre.

Diam. ext. 121 mm, ht. 13 mm. 12.4 g.

E : 1179. N : 1188. Alt. : 571.8.

Planche 78, 7. 18093, n° 276.

Objet indéterminé en forme de cupule massif. Plomb.

Diam. 14 mm, ht. 9 mm. 9.1 g.

E : 1174.6. N : 1186.65. Alt. : 572.5.

Autres petits mobiliers

18093, n° 256. Jeton.

18093, n° 274. Jeton.

18093, n° 275. Jeton.

18093, n° 243. Fragment de meule.

18093, n° 249. Monnaie.

18093, n° 269. Monnaie.

18093, n° 252-2. Monnaie.

18093, n° 271. Monnaie.

18093, n° 252-1. Monnaie.

18093, n° 242. Fragment de mortier avec pied annulaire.

18093, n° 244. Fragment de plaque de foyer.

18093, n° 254. Fragment de plaque de foyer.

17150, n° 1382. Fragment de plaque de foyer avec bord en large bourrelet orné d'une gorge centrale.

18093, n° 255. Fragment de plaque de foyer avec rebord et angle conservé.

C5C-6-combl inf**Planche 78, 8.** 17151, n° 1675.

Fibule à ressort fragmentaire et à arc triangulaire cambré de section lenticulaire interrompu par des lignes et se terminant en section carrée. Base-cuivre.

L. 28. 1 g.

E : 1168. N : 1183.7.*

Type : B34-1.

Planche 78, 9. 17151, n° 1648.

Fragment de bracelet rubané à cinq cannelures dont deux ornées de points. Base-cuivre.

L. 18 mm, l. 9 mm, ép. 2 mm. 1 g.

E : 1169.1. N : 1185.2.*

Type : B30-1.

Planche 78, 10. 18242, n° 3068.

Fragment de bracelet à jonc plein de section ovale. Base-cuivre.

L. 32 mm, diam. 54 mm, S. 4 x 5 mm. 3.9 g.

E : 1173.5. N : 1186.*

Type : B10-2.

Planche 78, 11. 17151, n° 1342.

Fragment de lèvres de vaisselle métallique, pied de bassin, simpulum? Base-cuivre.

Diam. ext. 70 mm, ht. 12 mm. 7.8 g.

E : 1169.5. N : 1184.4. Alt. : 571.64.

Planche 78, 12. 17151, n° 1659.

Anneau d'écurie de section carrée avec la tige du piton qui est fragmentaire. Fer.

L. 46 mm, diam. 36 mm, S. 5 mm. 48.5 g.

E : 1167.8. N : 1183.8.*

Planche 78, 13. 18242, n° 2025.

Piton d'anneau de meuble composé d'un anneau à trois cannelures terminé par deux tiges dont une fragmentaire. Base-cuivre.

L. 34 mm, l. (attache) 14 mm, diam. int. 6 mm. 5.4 g.

E : 1175.8. N : 1186.35.*

Planche 78, 14. 17151, n° 1652.

Fragment d'anse de situle (?) constitué d'une tige massive en forme de «U» de section ronde surmontée par un anneau qui se développe perpendiculairement à l'axe de la tige. Base-cuivre.

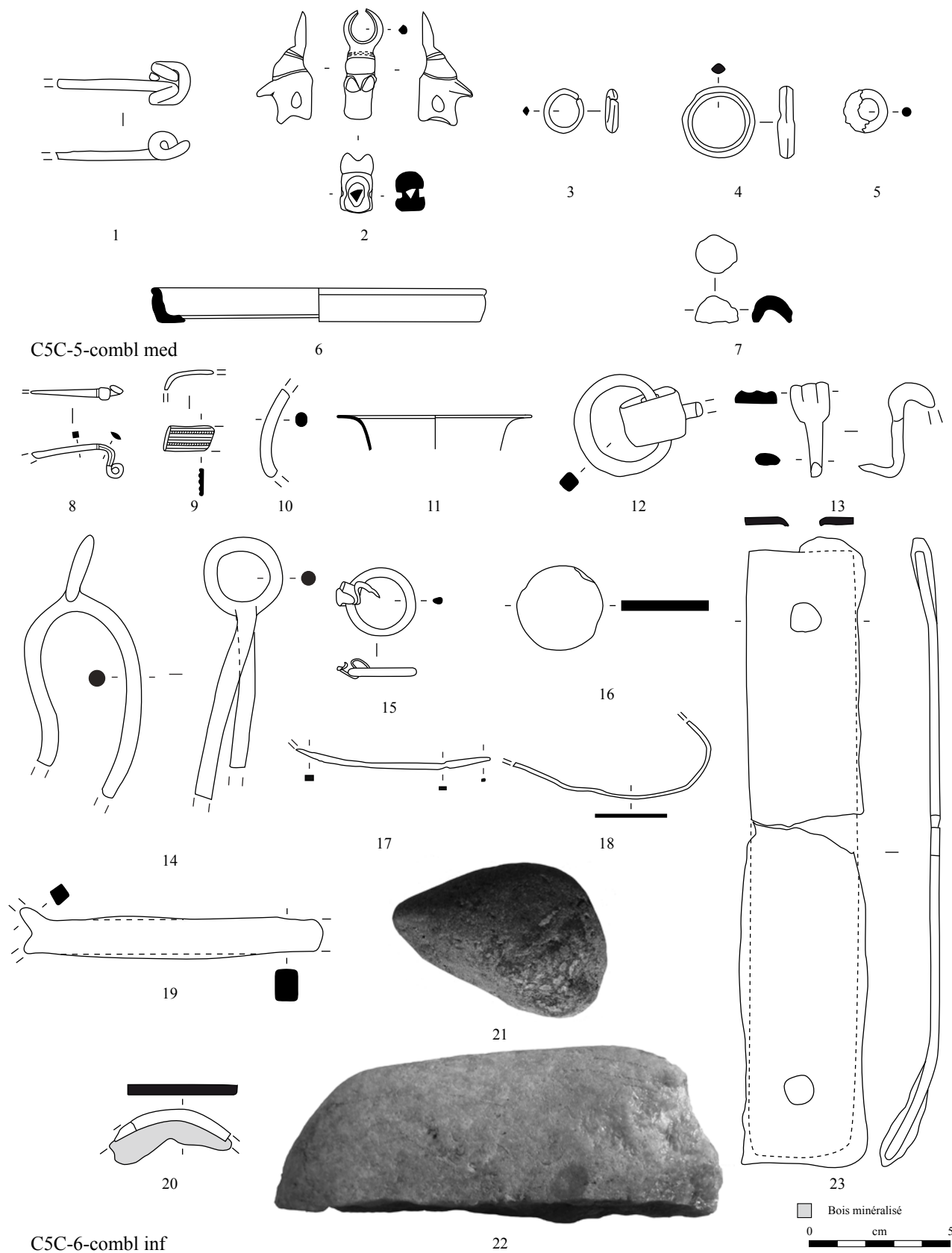


Planche 78. C5C-5-combl med à C5C-6-combl inf

1, 12, 18-19, 20, 23 fer; 2-7, 8-11, 14-15, 17 : alliage cuivreux; 16 : plomb; 21 : basalte fin; 22 : quartz.

L. 95 mm, S. 6 mm, diam. (anneau) 28 mm. 44.8 g.
E : 1165.9. N : 1184.1. Alt. : 572.08.

Planche 78, 15. 17151, n° 1663.
Anneau de meuble de section ronde lié à un piton constitué d'une tôle losangique. Base-cuivre.
L. 29 mm, diam. 24 mm, S. 3 x 2 mm. 3.7 g.
E : 1165.2. N : 1183.7.*

Planche 78, 16. 17151, n° 1658.
Poids en forme de disque. Plomb.
L. 31 mm, ép. 4 mm. 26.6 g.
E : 1168.1. N : 1184.6.*

Planche 78, 17. 17151, n° 1651.
Fragment de demi-produit constitué d'une tige de section rectangulaire avec un rétrécissement. Base-cuivre.
L. 70 mm, S. 3 x 2 mm. 1.9 g.
E : 1165.9. N : 1185.52. Alt. : 572.49.

Planche 78, 18. 18242, n° 2037.
Fragment indéterminé de bande de fer plat recourbée. Fer.
L. 70 mm, l. 26 mm, ép. 1 mm. 217 g.
E : 1175. N : 1185.*

Planche 78, 19. 17152, n° 1338.
Epaisse barre indéterminée de section rectangulaire avec anneau terminal fragmentaire de section losangique. Manche d'ustensile de cuisine? Fer.
L. 110 mm, ép. 12 x 8 mm. 85.5 g.
E : 1169.75. N : 1185.15. Alt. : 571.56.

Planche 78, 20. 18242, n° 2036b.
Fragment de frette de renfort constitué d'un plat circulaire présentant des vestiges de bois minéralisé à l'intérieur. Fer.
L. 41 mm, diam. rest. 55 mm. 95 g.
E : 1178.2. N : 1187.1.*

Planche 78, 21. 18242, n° 2034.
Broyon de forme et de section triangulaire en basalte fin. Lithique.
L. 78 mm. 179 g.
E : 1176.7. N : 1185.8.*

Planche 78, 22. 18242, n° 2031.
Fragment de table de travail en quartz jaune. Lithique.
L. 160 mm. 421 g.
E : 1170.8. N : 1184.6.*

Planche 78, 23. 18242, n° 2036a.
Ferrure complète incurvée avec une perforation à chaque extrémité. Fer.
L. 218 mm, l. 39 mm, ép. 3 mm. 200 g.
E : 1178. N : 1187.*

Autres petits mobiliers

18242, n° 2029. Broyon avec un poli accentué à une extrémité et cupule de préhension.
18242, n° 2033. Broyon en granit jaune de forme trapézoïdale avec l'extrémité la plus fine comportant des impacts ainsi qu'un cassure.
18242, n° 2024. Jeton percé, fusairole.

17151, n° 1670. Jeton.
17151, n° 1644. Monnaie.
18242, n° 2030. Fragment de mortier en pierre blanche.
18242, n° 2023. Perle asymétrique de section ronde en roche noire. Une face s'est détachée.
18242, n° 2035. Fragment de plaque de foyer.

Bâtiment C5 sur cave

État 2.2 : LTD2a

C5C-7-TP 18029

Planche 79, 1. 18030, n° 3092.
Aiguille en cours de fabrication (?) constituée d'une tige de section ronde appointée à une extrémité et élargie et de section lenticulaire à l'autre extrémité. Le chas ne semble pas avoir été réalisé. Fer.
L. 66 mm, S. 2 mm. 1.5 g.
E : 1177.2. N : 1190.47. Alt. : /.*

État 2.1 : LTD1b évoluée

C5C-8-TP 18215

18216, n° 2052. Fusairole en terre cuite.

État 2 lato sensu : LTD1b évoluée-LTD2

C5C-10-Fo 18007

18008, n° 55. Jeton.
18044, n° 107. Jeton.
18046, n° 102. Jeton.
18046, n° 123. Jeton.
18008, n° 24. Jeton.
18008, n° 25. Jeton.
18008, n° 26. Jeton.
18046, n° 98. Jeton d'amphore.
18046, n° 129. Monnaie.
18044, n° 144. Perle à ocelles bleues et blanches sous âme en bleu.
18046, n° 126. Fragment de plaque de foyer.

État 2.3 : fin LTD2a-LTD2b

C5C-11-TP 18011

Planche 79, 2. 18012, n° 75.
Fragment de meulet en grès de section rectangulaire avec face supérieure utilisée et face inférieure avec dépôt charbonneux. Les faces latérales sont aménagées et vraisemblablement utilisées. Lithique.
L. 70 mm, l. 58 mm, ép. 25 mm. 58 g.
E : 1180.4. N : 1176. Alt. : 572.74.

C5C-11-TP 18011

18012, n° 27. Jeton.

Décapage

C5C-12-décapage nord

Planche 79, 3. 18014, n° 2017.
Anneau à section en «D». Base-cuivre.
Diam. 16 mm, S. 6 x 4 mm. 3.1 g.
E : 1174.5. N : 1188.7. Alt. : 572.85.

Planche 79, 4. 18014, n° 100.
Fragment de manche de cuillère (?) composé d'une tige de section hémisphérique et départ du cuilléron. Fer.
L. 43 mm, S. 6 x 2,5 mm. 2.3 g.
E : 1174.76. N : 1188. Alt. : 572.86.

Planche 79, 5. 18014, n° 124.
Fragment de ferrure décorative avec une perforation. Base-cuivre.
L. 124 mm. 0.5 g.
E : 1173.55. N : 1185.85. Alt. : 572.83.

Planche 79, 6. 18014, n° 82.
Chute de tôle. Base-cuivre.
L. 18 mm. 0.1 g.
E : 1174.4. N : 1184. Alt. : 572.83.

Planche 79, 7. 18014, n° 99.
Tranchant à deux biseaux de ciselet à manche de section lenticulaire. Fer.
L. 31 mm, S. 6 x 3 mm. 2.8 g.
E : 1174.6. N : 1185.1. Alt. : 572.89.

Autres petits mobiliers

18014, n° 97. Broyon (?) en basalte.
18014, n° 76. Fragment de dé en os en cours de fabrication constitué d'un parallépipède rectangle avec trace de découpe..
18014, n° 118. Jeton.
18014, n° 119. Jeton.
18014, n° 62. Jeton.
18014, n° 63. Jeton.
18014, n° 72. Jeton.
18014, n° 78. Jeton.
18014, n° 83. Jeton.
17268, n° 1649. Monnaie.
18014, n° 77. Monnaie.
18014, n° 104. Fragment de perle en verre bleu cobalt à section en «D» (Gebhard VIc).

État 1 : LTD1b classique

C5C-18-TP 18135

Planche 79, 8. 18135, n° 1748.
Fragment indéterminé de bande de plat relativement massive avec un rabat triangulaire latéral. Fer.
L. 93 mm, l. 30 mm, ép. 2 mm. 37.7 g.
E : 1175. N : 1183.1. UF.

Autres petits mobiliers

18135, n° 1747. Jeton.
18135, n° 1752. Monnaie.

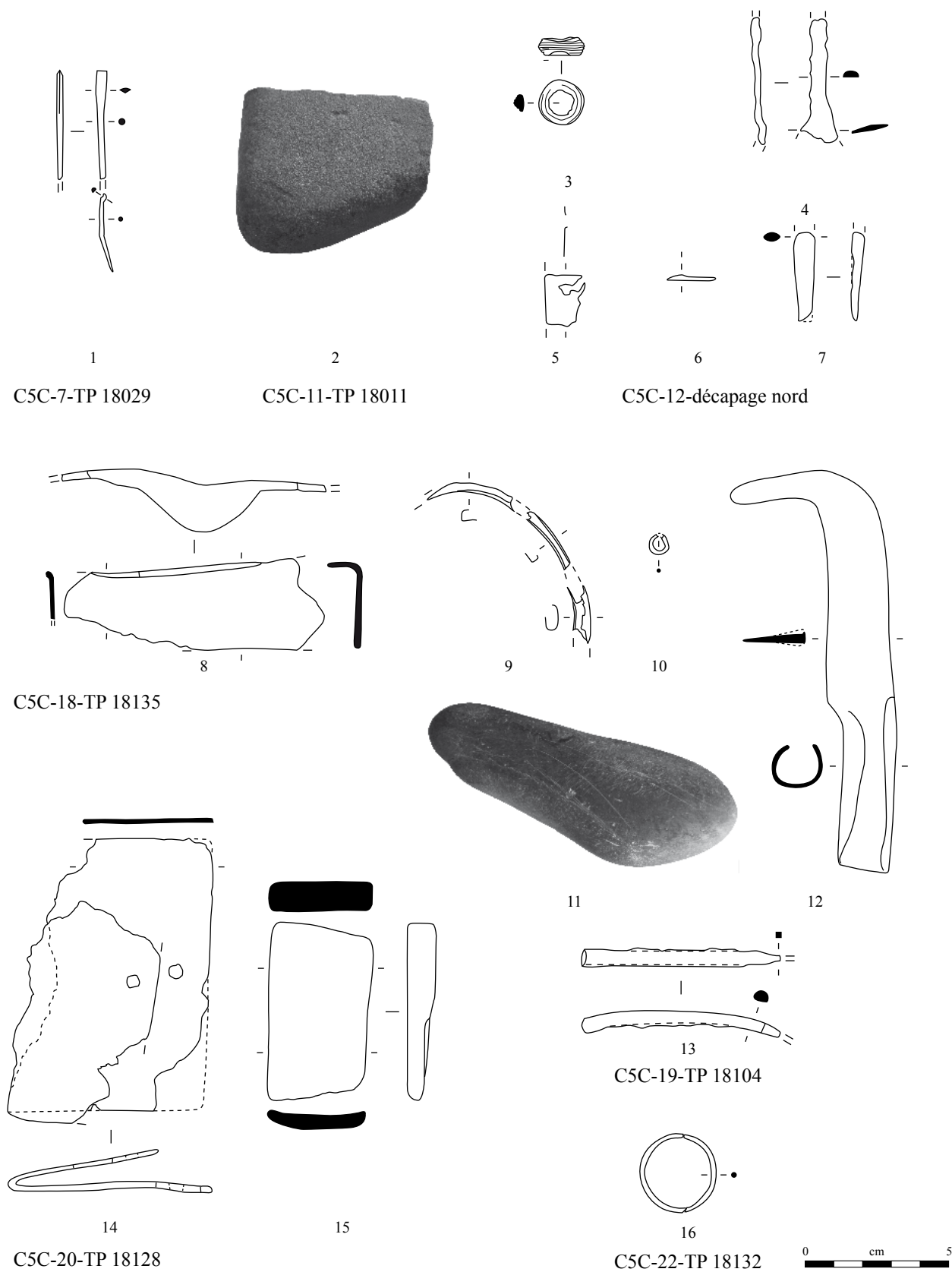


Planche 79. C5C-7-TP 18029 à C5C-20-TP 18128

1, 4, 7-8, 10, 12, 14-15 : fer; 2 : grès; 3, 5-6, 9, 13, 16 : alliage cuivreux; 11 : basalte.

C5C-19-TP 18104

Planche 79, 9. 18104, n° 240.

Fragments de bracelet tubulaire à jonc lisse à section en «D». Base-cuivre.
L. 104 mm, diam. rest. 52 mm, S. 9 x 4 mm. 4.9 g.
E : 1178.22. N : 1183.43. Alt. : 572.05.
Type : B21-1.

Planche 79, 10. 18104, n° 241.

Fragment d'anneau très fin de chaînette ou de cote de mailles. Fer.
Diam. 7 mm, S. 1 mm. 0.1 g.
E : 1178.42. N : 1183.26. Alt. : 572.33.

Planche 79, 11. 18104, n° 2073.

Aiguiseur constitué de section ovale en basalte fin. Lithique.
L. 70 mm, l. 58 mm, ép. 25 mm. 129 g.
E : 1178.32. N : 1183.13. Alt. : 572.3.

Planche 79, 13. 18104, n° 239.

Objet en cours de fabrication (?) constitué d'une tige à section en «D» et à extrémité de section carrée. Brûlé sur toute sa surface. Base-cuivre.
L. 70 mm, L. (actif) 64 mm, S. 5 x 4 mm. 10.8 g.
E : 1178.22. N : 1183.4. Alt. : 572.12.

Planche 79, 14. 18104, n° 3033.

Serpe à douille à lame rectiligne à croc. Fer.
L. 140 mm, diam. (douille) 18 x 15 mm, L. (lame) 85 mm, L. (douille) 55 mm. 70.2 g.
E : 1179. N : 1183.4.*

Autres petits mobiliers

18104, n° 238. Fusaïole en terre cuite.
18104. Fragment de perle à décor spiralé noir et blanc.

C5C-20-TP 18128

Planche 79, 14. 18129, n° 3065a.

Tôle indéterminée quadrangulaire repliée sur elle-même avec deux perforations médianes. Focet de serrure? Fer.
L. 100 mm, l. 96 mm, ép. 1,5 mm, L. déplié 115 mm. 280 g.
E : 1172.4. N : 1182.8.*

Planche 79, 15. 18129, n° 3065b.

Chute de bande de section légèrement incurvée à une extrémité et rectangulaire à l'autre. Fer. L. 63 mm, l. 34 mm, ép. 11 à 5 mm. 200 g.
E : 1172.5. N : 1182.9.*

C5C-22-TP 18132

Planche 79, 16. 18133, n° 270.

Grand anneau de section ronde. Base-cuivre.
Diam. 27 mm, S. 2 mm. 2 g.
E : 1172. N : 1182.7. Alt. : 572.7.

C5C-25-TP 18042

18043, n° 117. Jeton.

État 2.1 : LTD1b évoluée

C5C-28-TP 18253

18254, n° 3. Fragment de *catillus*.

Hors bâtiment, à proximité du bâtiment C5 sur cave

État 1 : LTD1b classique

HB-10-Fo art 18232

Planche 80, 1. 18232, n° 2068.

Fragment de tuyère avec embouchure à la perpendiculaire. Terre cuite.
L. 143 mm, diam. int. (embouchure) 22.5 mm. 376.5 g.
E : 1184.7. N : 1188.5. Alt. : 572.51.*

Planche 80, 2. 18232, n° 2056.

Anneau de section ronde. Base-cuivre.
Diam. 28 mm, S. 4 x 3 mm. 11 g.
E : 1188. N : 1188.8. Alt. : 572.45.

Planche 80, 3. 18232, n° 2047.

Applique décorative ajourée constituée de deux anneaux de tôle jointifs de section rectangulaire. Base-cuivre.
L. 12 mm, diam. (anneau) 20 mm. 0.1 g.
E : 1186.3. N : 1188.6.

Planche 80, 4. 18232, n° 2074.

Fragment de virole avec départ de soie et bois conservé. Fer.
Diam. 11 x 17 mm, ht. 17 mm. 7.2 g.
E : 1188.32. N : 1188.13. Alt. : 572.3.

Planche 80, 5. 18232, n° 3030.

Cuillère à manche de section rectangulaire et cuilléron de tôle. Fer.
L. 96 mm, S. 6,5 x 3,5 mm, L. (cuilléron) 31 x 28 mm. 9.7 g.
E : 1187.2. N : 1189.*

Planche 80, 6. 18232, n° 2045.

Chute de bande de section lenticulaire à bordure relevée. Fer.
L. 46 mm, l. 34 mm, ép. 5,5 mm. 58.7 g.
E : 1183.86. N : 1188.74. Alt. : 572.47.

Planche 80, 7. 18232, n° 3031.

Tige indéterminée de section carrée terminée par un fragment d'oeillet (?) quadrangulaire ou une découpe. Outil, demi-produit? Fer.
L. 38 mm. 5.1 g.
E : 1187.5. N : 1188.23.*

Planche 80, 8. 18232, n° 2071.

Fragment de lèvres de creuset de large diamètre. Terre cuite.
Diam. 155 mm, ht. 52 mm. 58.9 g.
E : 1184.6. N : 1188.8. Alt. : 572.33.

Planche 80, 9. 18232, n° 2044.

Fragment de creuset en forme de coupelle de large diamètre. Terre cuite.
Diam. 164 mm, ht. 41 mm. 80 g.
E : 1184.22. N : 1187.94. Alt. : /.

Planche 80, 10. 18232, n° 2072.

Fragment de demi-produit parallélépipédique avec multiples traces de découpe à pan oblique. Argent.
L. 46 mm, ht. 12 mm. 288 g.
E : 1187.2. N : 1188.6. Alt. : 572.29.

Planche 80, 11. 18232, n° 2070.

Brunissoir en quartz jaune circulaire avec une encoche volontaire. La surface présente un dépôt brunâtre. Lithique.
L. 114 mm. 400 g.
E : 1184.6. N : 1188.8. Alt. : 572.33.

HB-10-Fo 18232

18232, n° 1755. Monnaie.

18232, n° 1753. Monnaie.

18232, n° 1754. Monnaie.

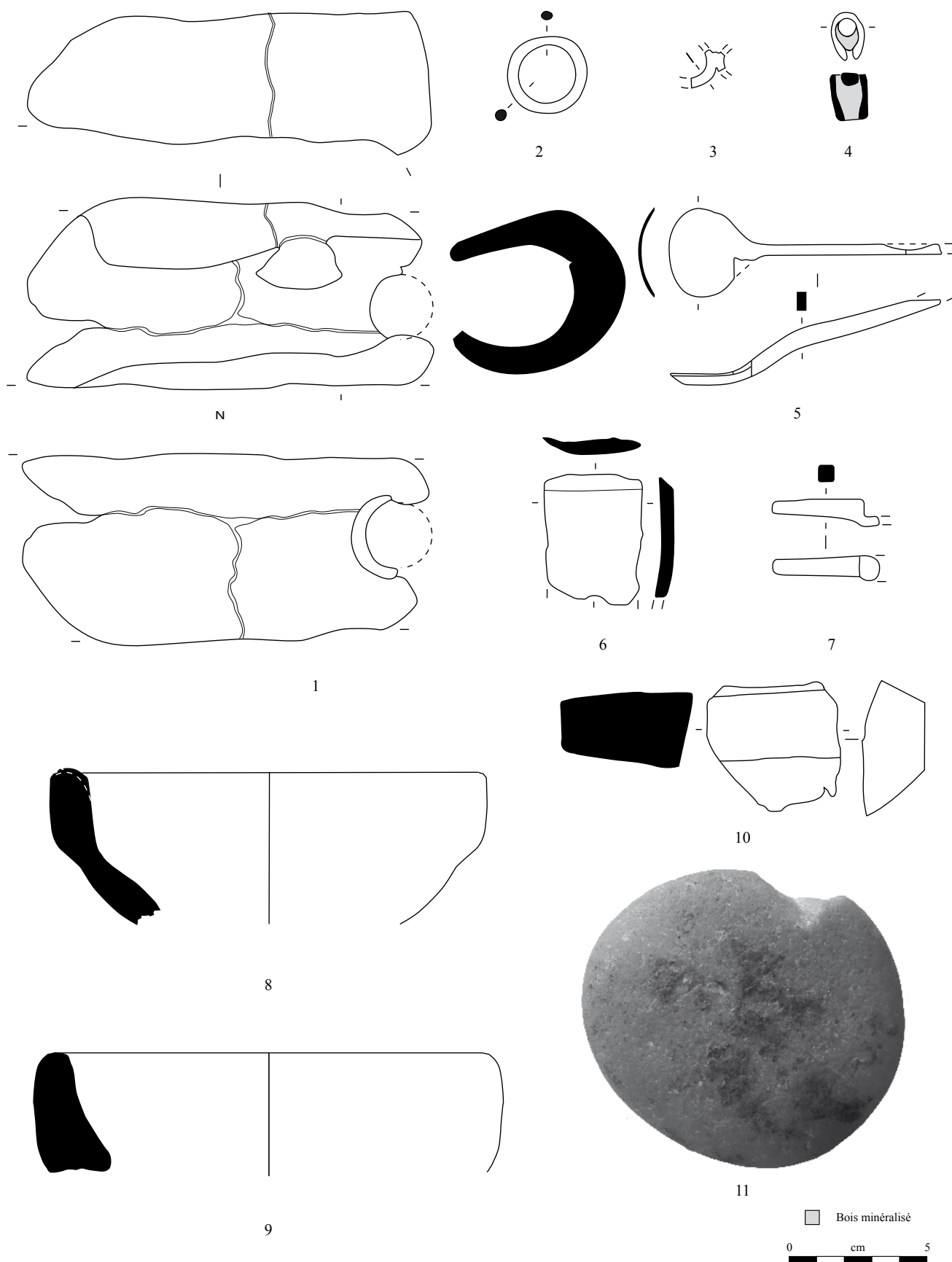


Planche 80. HB-10-Fo art 18232

1, 8-9 : terre cuite; 2-3 : alliage cuivreux; 4-7 : fer; 10 : plomb; 11 : quartz.

Type d'objet	UF	No	Description	Métal	NR	NMI	M(g)
C-1-décapage	<i>Décapage</i>						
Anneau d'écurie	17400	1744	Fragment d'anneau avec un attache de piton	Fer	1	1	14.7
Cabochon	17400	332	Cabochon avec trace de plomb	Base-cuivre	1	1	0.7
Cabochon	17400	341	Cabochon avec trace de plomb	Base-cuivre	1	1	0.6
Chute de tige appointée	17400	1746	Chute de tige	Fer	1	1	2.3
Clou de chaussure	16400	587	Clou de chaussure	Fer	1	1	2.1
Clou de chaussure	17400	317	Clou de chaussure	Fer	1	1	0.8
Clou de chaussure	17400	1743	Clou de chaussure à décor illisible	Fer	1	1	2.1
Coulure	16400	627	Coulure	Base-cuivre	1	1	3.9
Coulure	17400	1074	Coulure	Base-cuivre	1	1	4.7
Ferrure	17400		Fragment de ferrure	Fer	1	0	8.2
Ferrure	17400	366	Fragment de ferrure	Fer	1	0	23.3
Ferrure	17400	342	Fragment de ferrure avec clou en position fonctionnelle	Fer	1	1	55.9
Ferrure	17400	318	Fragment de ferrure d'angle	Fer	1	1	36.8
Fibule	17400	301	Spire de ressort et ardillon de fibule	Base-cuivre	1	1	5.8
Fibule	17469	453	Ressort de fibule à deux spires conservées et ardillon	Fer	1	1	0.7
Indéterminé plat	17400		Fragments de plat dont deux perforés	Fer	8	1	46.5
Indéterminé tige	17400	304	Fragment de tige pointue de section ronde	Base-cuivre	1	1	0.2
Indéterminé tige	17400	402	Tige de section ronde	Base-cuivre	1	0	0.4
Indéterminé tige	16400	1513	Tige de section ronde appointée	Base-cuivre	1	1	0.5
Indéterminé tige	17400	523	Tige en alliage cuivreux de section lenticulaire	Base-cuivre	1	1	0.3
Indéterminé tige	17400		Fragment de tige incurvée de section rectangulaire	Fer	1	1	11.7
Indéterminé tige	17400	395	Tige coudée	Fer	1	0	1
Indéterminé tôle	17400	324	Fragment de languette	Base-cuivre	1	0	0.4
Indéterminé tôle	16400	623	Fragment de tôle	Base-cuivre	1	1	0.6
Indéterminé tôle	17400	1060	Fragment de bande de tôle	Fer	1	0	5.7
Indéterminé tôle	17400	523	Fragment de bande de tôle et tige en alliage cuivreux.	Fer	1	0	13.8
Indéterminé tôle	17469		Fragment de tôle perforé	Fer	1	0	2.8
Indéterminé tôle	17400	320	Fragment de tôle repliée deux fois	Fer	1	1	6.4
Indéterminé tôle	17469		Fragments de tôle	Fer	11	1	53
Indéterminé tôle	17469		Frgt de tôle	Fer	1	0	2
Clou	17400	382	Clou de construction à tête hémisphérique creuse	Fer	1	1	44.9
Clou	17400	402	Fragment de clou de menuiserie	Fer	1	1	16
Clou	17400	323	Fragment de tige	Fer	1	0	11.1
Clou	17400	308	Fragment de tige de clou de construction	Fer	1	0	30.9
Clou	17400	344	Men.: 1 frgt	Fer	1	1	2.3
Clou	17469		Men.: 15 frgts; 27 tiges	Fer	42	15	222
Clou	16600		Men.: 3 frgts; 3 tiges	Fer	6	3	24
Clou	17400		Men.: 83 frgts; 132 tiges	Fer	215	83	1038
Clou	17400	340	Tige	Fer	1	0	5.6
Clou	17400	397	Tige	Fer	1	0	5
Rivet (bc)	17400	336	Clou-rivet en une pièce	Base-cuivre	1	1	0.6
Rivet (bc)	17400	322	Rivet par refoulement	Base-cuivre	1	1	0.1
Rivet (fer)	17400	325	Rivet à contreplaque	Fer	1	1	22.7
Rivet (fer)	17400	311	Rivet à contreplaque à tête hémisphérique creuse	Fer	1	1	28.5
CPL-1-décapage	<i>Décapage</i>						
Clou de chaussure	16403	328	Clou de chaussure sans décor	Fer	1	1	1.3
Coulure	16404	410	Coulure, objet refondu?	Base-cuivre	1	1	1.6
Ferrure	16403	323	Fragment de ferrure	Fer	1	1	8.7
Indéterminé plat	16404		Fragment de fer plat	Fer	1	0	11.7
Indéterminé plat	16404		Fragment de fer plat	Fer	1	1	8.1
Indéterminé tôle	16403	327	Fragment de tôle	Base-cuivre	1	1	0.3
Indéterminé tôle	16404	392	Fragment de bande de tôle	Fer	1	1	11.1
Indéterminé tôle	16403	341	Fragment de tôle	Fer	1	1	1
Clou	16403	324	Men.: 1 frgt	Fer	1	1	2
Clou	16404		Men.: 10 frgts; 22 tiges	Fer	32	10	108
Clou	16403		Men.: 8 frgts; 10 tiges	Fer	18	8	80
Clou	16403	325	Tige	Fer	1	0	1.2
Rivet (bc)	16404	408	Rivet par refoulement en une pièce	Base-cuivre	1	1	0.3
Scorie (fer)	16404	1526	Fragment de scorie	Fer	1	1	84
CPL-2-occupation ouest	<i>État 2 lato sensu : LTD1b évoluée-LTD2</i>						
Anneau (fer)	16407	621	Anneau de section ronde ouvert	Fer	1	1	7.5
Anneau (fer)	17500	489	Anneau ouvert	Fer	1	1	0.8
Cabochon	16405	1480	Cabochon	Base-cuivre	1	1	0.4
Cabochon	16405	790	Cabochon avec substance de fixation	Base-cuivre	1	1	1.2
Cabochon	17501	482	Cabochon en trace de plomb	Base-cuivre	1	1	0.1

Type d'objet	UF	No	Description	Métal	NR	NMI	M(g)
Cabochon	17500	495	Fragment de cabochon en trace de plomb	Base-cuivre	1	1	0.1
Chute de tôle repliée	17497	598	Chute de tôle replié sur lui-même et formant un angle droit	Base-cuivre	1	1	0.2
Clou de chaussure	16405	1408	Clou de chaussure sans décor	Fer	1	1	1.1
Coulure	17502	499	Coulure	Base-cuivre	1	1	0.8
Ferrure	16407		Fragment de ferrure	Fer	1	0	7.3
Ferrure	16407	739	Fragment de ferrure	Fer	1	1	33.5
Fibule	17499	809	Ressort de fibule en trois fragments	Base-cuivre	3	1	0.8
Fibule	17420	406	Ardillon de fibule	Base-cuivre	1	1	1.1
Fibule	16407	742	Spire de fibule	Base-cuivre	1	1	0.1
Fibule	17502	487	Fragment d'ardillon	Fer	1	1	0.7
Indéterminé plat	16407	622	Fragment de bande de fer plat	Fer	1	1	31.3
Indéterminé plat	17420		Fragment de bande de fer plat	Fer	4	0	14.5
Indéterminé plat	17502		Fragment de bande de fer plat incurvée	Fer	1	1	12.8
Indéterminé plat	16407		Fragment de bande de plat	Fer	1	0	4.1
Indéterminé plat	17420		Fragments de fer plat	Fer	4	1	55.3
Indéterminé tige	17496	478	Fragment de tige de section ronde appointée	Base-cuivre	1	1	2
Indéterminé tige	16407	1424	Fragment de tige indéterminée	Fer	1	1	13.4
Indéterminé tige	16405		Tige de section rectangulaire	Fer	1	1	6
Indéterminé tôle	16405	1403	Fragment de tôle perforée	Base-cuivre	1	1	1.1
Indéterminé tôle	16407	667	Fragment de bande de tôle	Fer	1	1	10
Indéterminé tôle	17497	493	Fragment de bande de tôle	Fer	1	1	6.5
Indéterminé tôle	17420		Fragment de tôle	Fer	41	1	2
Indéterminé tôle	17499		Fragment de tôle	Fer	1	1	10.7
Indéterminé tôle	16405		Fragments de tôle	Fer	2	1	6.4
Clou	16405	596	Clou à tête hémisphérique creuse	Fer	1	1	5.2
Clou	17498		Constr.: 1 frgt	Fer	1	1	29
Clou	17500		Men.: 2 frgts; 1 tige	Fer	3	2	15
Clou	17420		Men.: 24 frgts dont 1 à tête hémisphérique creuse; 52 tiges	Fer	76	24	248
Clou	16407		Men.: 25 frgts; 34 tiges	Fer	59	25	408
Clou	17498		Men.: 3 frgts; 5 tiges	Fer	8	3	28
Clou	17501		Men.: 3 frgts; 7 tiges	Fer	10	3	42
Clou	16405		Men.: 48 frgts; 81 tiges	Fer	142	51	562
Clou	17496		Men.: 5 frgts; 10 tiges	Fer	15	5	66
Clou	17497		Men.: 5 frgts; 4 tiges	Fer	9	5	65
Clou	17499		Men.: 9 frgts dont un à tête hémisphérique creuse: 11 tiges	Fer	20	9	104
Clou	16405	1574	Tige	Fer	1	0	1.5
Clou	17503		Tige	Fer	1	1	7
Clou	17504		Tige	Fer	1	1	3
Clou	17502		Tige	Fer	1	1	16
Piton	17420	404	Piton fermé à oeillet percé à chaud	Fer	1	1	41.2
Rivet (bc)	16405	1575	Contreplaque de rivet	Base-cuivre	1	1	0.2
Rivet (bc)	17420	1067	Rivet par refoulement en une pièce	Base-cuivre	1	1	0.7
Scorie (fer)	17498	506	Petite calotte	Fer	1	1	38.8
CPL-3-sol ouest État 1 et 2 lato sensu : LTD1b-LTD2							
Anneau (fer)	17999-10	984	Anneau de section indéterminée	Fer	1	1	16.5
Brunissoir	16409	1500	Brunissoir en pierre rouge de l'Allier avec des traces d'usure et cupule de préhension?	Lithique	1	0	127.4
Ferrure	16409		Fragment de ferrure	Fer	1	1	12.1
Ferrure	17999-11		Fragment de ferrure repliée sur elle-même	Fer	1	1	32.6
Forces	17999-82		Deux lames de force fragmentaires cassées au niveau du début du ressort	Fer	2	1	8.4
Indéterminé objet	17999-84		Fragments informes brûlés	Fer	3	1	24
Indéterminé plat	17999-10		Fragments de fer plat	Fer	3	1	26.9
Indéterminé tige	17999-10	973	Tige de section ronde appointée	Base-cuivre	1	1	0.3
Indéterminé tige	17999-13	977	Tige de section ronde appointée	Base-cuivre	1	1	1.3
Indéterminé tige	17999-10		Fragment de tige qui semble biseauté très mal conservée	Fer	3	1	11.3
Indéterminé tôle	16409	1420	Fragment de tôle	Fer	1	1	9.2
Indéterminé tôle	17694		Fragment de tôle	Fer	2	1	6
Indéterminé tôle	17999-13	974	Fragment de tôle	Fer	1	1	6
Indéterminé tôle	16409	1466	Fragment de tôle repliée	Fer	1	0	34
Clou	16409		Clou de construction	Fer	1	1	37
Clou	16409	1494	Clou de construction	Fer	1	1	176

Type d'objet	UF	No	Description	Métal	NR	NMI	M(g)
Clou	17220		Constr.: 1 frgt	Fer	1	1	21
Clou	17694		Men.: 2 frgts; 1 tige	Fer	3	2	20
Clou	17999-13		Men.: 21 frgts; 22 tiges	Fer	43	21	130
Clou	17999-16		Men.: 3 frgt; 10 tiges	Fer	13	3	125
Clou	17999-11		Men.: 4 frgts; 6 tiges	Fer	10	4	40
Clou	17999-84		Men.: 4 frgts; 6 tiges dont 1 tête hémisphérique creuse	Fer	10	4	71
Clou	17999-8		Men.: 4 frgts; 8 tiges	Fer	12	4	55
Clou	17999-10		Men.: 4 frgts; 9 tiges	Fer	13	4	118
Clou	17999-82		Men.: 5 frgts; 8 tiges	Fer	13	5	114
Clou	17999-13	985	Tête de clou	Fer	1	1	6
Rivet (bc)	16409	674	Clou-rivet à tête hémisphérique creuse	Base-cuivre	1	1	0.1
Scorie (fer)	17999-15		Scories informes	Fer	2	1	134
Scorie (fer)	16409	1493	Une calotte (144 g) et deux scories informes	Fer	3	1	236
CPL-4-épardage est	<i>État 2 lato sensu : LTD1b évoluée-LTD2</i>						
Anneau (fer)	17521	533	Anneau de section carrée	Fer	1	1	42.8
Chute de tôle	17521	539b	Chute de tôle	Base-cuivre	1	1	0.42
Crampon	17521	1038	Crampon	Fer	1	1	85.9
Crampon	17521		Fragment de crampon	Fer	1	1	5.2
Ferrure	17430		Fragment de ferrure	Fer	1	0	32.8
Ferrure	17521		Fragment de ferrure	Fer	1	1	6.8
Ferrure	17520	517	Fragment de ferrure avec clou de fixation	Fer	1	1	46.2
Ferrure	17430	522	Fragment de ferrure avec départ du clou de fixation	Fer	1	1	15.2
Indéterminé plat	17521		Bande de section rectangulaire	Fer	1	1	3
Indéterminé plat	17521		Fragment de bande de fer plat	Fer	1	0	38.6
Indéterminé plat	17521		Fragments de fer plat	Fer	5	0	18
Indéterminé plat	17430		Fragments de fer plat	Fer	2	1	16.4
Indéterminé tige	17521	561	Fragment de tige, d'arc de fibule?	Base-cuivre	1	1	0.2
Indéterminé tige	17521	547	Tige de section lenticulaire	Base-cuivre	1	1	1.1
Indéterminé tige	17430	589	Fragment de tige	Fer	1	1	24.5
Indéterminé tige	17521	532	Fragment de tige et de tôle avec une spire de fibule	Fer	3	1	7.6
Indéterminé tige	17074	265	Tige de section ronde	Fer	1	1	1.4
Indéterminé tige	17520		Tige de section rectangulaire	Fer	1	1	3.3
Indéterminé tôle	17430	424	Fragment de bande de tôle	Base-cuivre	1	0	0.3
Indéterminé tôle	17430	960	Fragment de tôle avec un bord conservé	Base-cuivre	1	1	0.3
Indéterminé tôle	17521	536	Tôle repliée. Récupération?	Base-cuivre	1	1	1
Indéterminé tôle	17521	815	Fragment de bande de tôle	Fer	1	0	31.7
Indéterminé tôle	17074		Fragment de tôle	Fer	1	1	3
Indéterminé tôle	17430	580	Fragment de tôle	Fer	1	0	10.2
Indéterminé tôle	17520		Fragment de tôle	Fer	1	1	2
Indéterminé tôle	17521		Fragment de tôle	Fer	1	0	2
Indéterminé tôle	17521		Fragments de tôle	Fer	5	0	34
Indéterminé tôle	17430	412	Fragment de tôle avec trace rouge de feu	Fer	1	1	2.4
Indéterminé tôle	17521	529	Fragment de tôle avec un clou	Fer	1	0	19.3
Indéterminé tôle	17430		Fragments de tôle	Fer	12	1	76.7
Indéterminé tôle	17521	528	Fragments de tôle dont une en alliage cuivreux	Fer	4	1	14.9
Indéterminé tôle	17074		Tôles irrégulières	Fer	3	0	3
Clou	17430	525	Clou de menuiserie	Fer	1	1	18
Clou	17074		Men.: 11 frgts ; 11 tiges	Fer	22	11	151
Clou	17520		Men.: 16 frgts; 15 tiges	Fer	31	16	132
Clou	17521		Men.: 46 frgts; 67 tiges	Fer	113	46	631
Clou	17430		Men.: 59 frgts ; 64 tiges	Fer	123	59	628
Clou	17521	519	Tête de rivet/clou hémisphérique creuse	Fer	1	1	5.7
Clou	17430	408	Tige	Fer	1	0	0.5
Clou	17521	550	Tige	Fer	1	0	15.9
Piton	17430	577	Fragment de piton à oeillet par enroulement	Fer	1	1	6.4
Piton	17430	378	Piton fermé à oeillet percé à tige recourbée	Fer	1	1	40.8
Scorie (fer)	17521	552	Fragment de calotte	Fer	1	1	112
CPL-5-sol est	<i>État 1 et 2 lato sensu : LTD1b-LTD2</i>						
Cabochon	17693	537	Cabochon en trace de plomb	Base-cuivre	1	1	0.4
Indéterminé tôle	17999-86	961	Fragment de bande de tôle dont une partie est enroulée	Fer	1	1	35.9
Indéterminé tôle	17999-213	1638	Fragment de tôle quadrangulaire	Fer	1	1	60
Indéterminé tôle	17999-213	1640	Fragments de bande de tôle.	Fer	1	0	54.3
Clou	17999-213		Men.: 15 frgts; 16 tiges	Fer	31	15	256
Clou	17999-86		Men.: 2 frgts; 2 tiges	Fer	4	2	25
CPL-6-moderne	<i>Perturbations modernes</i>						
Ferrure	17401	315	Fragment de ferrure	Fer	1	0	31.7

Type d'objet	UF	No	Description	Métal	NR	NMI	M(g)
Clou	17401		Men.: 1 frgt; 2 tiges	Fer	3	1	19
C1-1-décapage	<i>Décapage</i>						
Chute de tige appointée	17050	1722	Chute de tige	Fer	1	1	0.9
Chute de tige appointée	16604	1787	Chute de tige avec trace de découpe	Fer	1	1	1.3
Clou de chaussure	16402	336	Clou de chaussure	Fer	1	1	1.3
Clou de chaussure	16603	355	Clou de chaussure	Fer	1	1	2
Clou de chaussure	16604	353	Clou de chaussure	Fer	1	1	1.6
Clou de chaussure	15571		Clous de chaussure	Fer	2	2	5.5
Clou de chaussure	17050		Clous de chaussure	Fer	3	3	3.6
Clou de chaussure	16604	356	Clou de chaussure	Fer	1	1	1
Clou de chaussure	16606	414	Clous de chaussure	Fer	2	2	5.5
Coulure	17050	252	Coulure	Base-cuivre	1	1	0.8
Ferrure	15401		Fragment de ferrure	Fer	1	1	10.4
Ferrure	16402	569	Fragment de ferrure	Fer	1	1	55
Ferrure	16402	574	Fragment de ferrure	Fer	1	0	20.3
Ferrure	16605		Fragment de ferrure	Fer	1	0	16.8
Ferrure	16605		Fragment de ferrure	Fer	1	0	19
Ferrure	16605		Fragment de ferrure	Fer	1	1	9.1
Fibule	16606	434	Ardillon et une spire de fibule	Base-cuivre	1	1	0.3
Indéterminé informe	17050		Frgts informes	Fer	3	1	8
Indéterminé plat	17050	1720	Fragment de fer plat avec des traces de martelage irrégulières. Demi-produit?	Fer	1	1	3.8
Indéterminé tige	16606	617	Tige de section ronde appointée	Base-cuivre	1	1	2
Indéterminé tige	16606		Tige de section ovale	Fer	1	1	14
Indéterminé tige	16402	307	Tige de section ronde	Fer	1	1	1.6
Indéterminé tige	16603	483	Tige de section ronde appointée	Fer	1	1	1.5
Indéterminé tige	17050	1719	Tige fendu par la moitié aplatie et tordue, demi-produit?	Fer	1	1	5
Indéterminé tôle	17050	116b	Fragment de tôle	Base-cuivre	1	1	0.1
Indéterminé tôle	17050	1515	Fragment de tôle circulaire, monnaie?	Base-cuivre	1	1	0.1
Indéterminé tôle	17050	116	Fragments de tôle indéterminés	Base-cuivre	2	1	0.7
Indéterminé tôle	16402		Fragment de tôle	Fer	1	1	5.2
Indéterminé tôle	16605		Fragment de tôle	Fer	1	1	7.3
Indéterminé tôle	17050		frgt de tôle avec bord droit et arrondi	Fer	1	0	13
Indéterminé tôle	17050		tôle quadrangulaire	Fer	1	1	4
Indéterminé tôle	17050		tôle rectangulaire	Fer	1	0	1
Maillon rapide	16603	347	Maillon rapide de section ronde	Fer	1	1	8.3
Clou	16402	584	Clou à tête hémisphérique creuse	Fer	1	1	19.1
Clou	16402	313	Clou de menuiserie fendu	Fer	1	1	10.8
Clou	17050		Constr.: 2 frgts; men.: 49 frgts; 67 tiges	Fer	118	51	624
Clou	16402	306	Men.: 1 frgt	Fer	1	1	2.8
Clou	16402	309	Men.: 1 frgt	Fer	1	1	21
Clou	16603	345	Men.: 1 frgt	Fer	1	1	13.3
Clou	15409		Men.: 1 frgt; 4 tiges	Fer	5	1	18
Clou	16606		Men.: 16 frgts; 8 tiges	Fer	24	16	161
Clou	15401	506	Men.: 2 frgts	Fer	2	2	29
Clou	16603		Men.: 2 frgts; 6 tiges	Fer	8	2	41
Clou	16605		Men.: 21 frgts; 26 tiges	Fer	47	21	243
Clou	16604		Men.: 4 frgts; 4 tiges	Fer	8	4	51
Clou	16402		Men.: 4 frgts; 9 tiges	Fer	13	4	77
Clou	15571		Men.: 8 frgts; 5 tiges	Fer	13	8	74
Clou	16402	316	Tige	Fer	1	0	2.2
Clou	16402	331	Tige	Fer	1	0	3.7
Clou	16402	332	Tige	Fer	1	0	0.8
Clou	16402	333	Tige	Fer	1	0	1.3
Clou	16402	335	Tige	Fer	1	0	1.1
Clou	16402	337	Tige	Fer	1	0	1.7
Clou	16402	338	Tige	Fer	1	0	0.9
Clou	16402	339	Tige	Fer	1	0	0.7
Scorie (fer)	16605		Fragment de scorie (de foyer? peu ferreuse)	Fer	1	1	15
C1-2-radier et sols	<i>État 2.2 à 2.3 : LTD2</i>						
Clou de chaussure	16613	402	Clou de chaussure	Fer	1	1	1.2
Coulure	15410	1757	Coulure	Base-cuivre	1	1	0.9
Ferrure	16855	1522	Fragment de ferrure	Fer	1	1	57.8
Indéterminé tige	18650		Fragment de tige de section rectangulaire	Fer	1	1	7.3
Clou	16655		Men.: 1 frgt	Fer	1	1	7
Clou	16657		Men.: 1 frgt	Fer	1	1	19

Type d'objet	UF	No	Description	Métal	NR	NMI	M(g)
Clou	18653		Men.: 1 frgt; 1 tige	Fer	2	1	32
Clou	16618		Men.: 1 frgt; 7 tiges	Fer	8	1	17
Clou	16613		Men.: 11 frgts; 10 tiges	Fer	21	11	58
Clou	16616		Men.: 11 frgts; 10 tiges	Fer	21	11	139
Clou	18650		Men.: 11 frgts; 12 tiges	Fer	23	11	102
Clou	16618		Tige	Fer	7	0	30
Scorie (fer)	18650		Scorie informe	Fer	1	1	7.5
C1 et C3-3-démontage radier	<i>État 1 à 2.1 : LTD1b</i>						
Coulure	17046	1350	Déchets, 2 coulures, contreplaque de rivet, tige fine	Base-cuivre	4	4	2.7
Indéterminé plat	17046		Fragment de bande de fer plat	Fer	1	0	7.7
Indéterminé tôle	17046		Fragment de tôle	Fer	1	1	7
Clou	17046		Men.: 19 frgts ; 27 tiges	Fer	46	19	220
C1-4-remblai	<i>État 2.1 à 2.2 : LTD1b évoluée-LTD2a</i>						
Indéterminé plat	18651	1511	Fragment de bande de fer plat	Fer	1	1	7.3
Indéterminé tôle	18651	1512	Fragment de tôle	Fer	1	0	0.2
Indéterminé tôle	18651		Fragments de tôle	Fer	6	1	13.6
Clou	18651		Men.: 21 frgts; 28 tiges	Fer	49	21	245
C1-5-épannage 18652	<i>État 2.2 à 2.3 : LTD2</i>						
Ferrure	18652	1529	Ferrure avec un clou en position fonctionnelle	Fer	1	1	24.8
Indéterminé tige	18652	1532	Fragment de tige de section ronde	Base-cuivre	1	1	0.2
Clou	18652		Tige	Fer	1	1	7
C1-7-TP 17089	<i>État 2.1 : LTD1b évoluée</i>						
Clou	17088		Men.: 1 frgt ; 3 tiges	Fer	4	1	12
C1-8-Fo 17084	<i>État 1 : LTD1b classique</i>						
Bracelet	18684	3088	Fragment de bracelet rubané à moulures longitudinales et incisions entre les moulures	Base-cuivre	1	1	1.9
Cabochon	17083	250	Cabochon avec trace de plomb	Base-cuivre	1	1	1.1
Ferrure	17083	222	Fragment de ferrure avec une contreplaque rivetée	Fer	1	1	61.9
Indéterminé plat	17083	1730	Fragment de fer plat	Fer	1	1	6.3
Indéterminé plat	17083		Plaque quadrangulaire	Fer	1	0	9
Indéterminé tige	17083		Tiges de section carrée	Fer	6	1	26
Indéterminé tôle	17083	1786	Fragments de tôle	Base-cuivre	5	1	1.3
Indéterminé tôle	17083		Fragment de bande de tôle	Fer	1	1	8.1
Clou	18684		Men.: 6 frgts; 2 tiges	Fer	8	6	64.8
Clou	17083		Men.: 10 frgts ; 24 tiges	Fer	34	10	215
Scorie (fer)	17083	247	Calotte	Fer	1	1	271
C1-9-TP 15575	<i>État 2.1 : LTD1b évoluée</i>						
Ferrure	15576	817	Fragments de ferrure	Fer	4	1	30.9
C1-10-Sb 15573	<i>État 2.1 : LTD1b évoluée</i>						
Clou	15574		Men.: 5 frgts; 6 tiges	Fer	11	5	56
C1-12-Fo 15527	<i>État 2.1 : LTD1b évoluée</i>						
Clou	15528		Tige	Fer	1	1	6
C1-13-TP 16642	<i>État 2.2 à 2.3 : LTD2</i>						
Clou	16642		Men.: 2 frgts; 4 tiges	Fer	6	2	40
C1-15-épannage 18662	<i>État 2.1 : LTD1b évoluée</i>						
Anneau (fer)	18662	1555	Anneau de section ronde	Fer	1	1	46.2
Cabochon	18662	1542	Cabochon	Base-cuivre	1	1	0.2
Cabochon	18662	1548	Fragment de cabochon	Base-cuivre	1	1	0.1
Coulure	18662	1550	Coulure	Base-cuivre	1	1	3.1
Ferrure	18662	1539	Fragment de ferrure	Fer	1	0	23.4
Ferrure	18662	1556	Fragment de ferrure	Fer	1	0	36.6
Indéterminé plat	18662	1567	Fragment de bande de fer plat	Fer	1	0	9.8
Indéterminé plat	18662	1588	Fragment de bande de fer plat	Fer	1	0	34.1
Indéterminé plat	18662	1560	Fragment de fer plat	Fer	1	0	3.9
Indéterminé plat	18662	1574	Fragment de fer plat	Fer	1	0	4
Indéterminé plat	18662	1587	Fragment de fer plat	Fer	1	1	13.9
Clou	18662	1544	Men.: 1 frgt	Fer	1	1	15
Clou	18662		Men.: 4 frgts, 7 tiges	Fer	11	4	666.2
Clou	18662	1540	Tige	Fer	1	0	2.5
Clou	18662	1562	Tige	Fer	1	0	11
Rivet (bc)	18662	1578	Clou-rivet à tête circulaire plate	Base-cuivre	1	1	0.61
Rivet (bc)	18662	1583	Clou-rivet en une pièce	Base-cuivre	1	1	0.1
C1-17-sol 17343	<i>État 1 : LTD1b classique</i>						
Coulure	17343	952b	Coulure	Base-cuivre	1	1	0.7
Ferrure	17343	912	Ferrure complète avec deux trous de fixation	Fer	1	1	46
Ferrure	15554	813	Fragment de ferrure	Fer	1	1	27.3

Type d'objet	UF	No	Description	Métal	NR	NMI	M(g)
Ferrure	17343	948	Fragment de ferrure	Fer	1	0	54.7
Fibule	17343	915	Ardillon de fibule	Base-cuivre	1	1	0.7
Indéterminé plat	17343	919	Fragment de fer plat incurvé	Fer	1	1	12.7
Indéterminé plat	17343		Fragments de fer plat	Fer	3	0	28.4
Indéterminé tige	17343	925	Fragment de tige de section ronde	Base-cuivre	1	1	0.1
Indéterminé tôle	17343	913	Fragment de bande de tôle	Base-cuivre	1	0	0.1
Indéterminé tôle	17343		Fragments de tôle	Fer	5	1	26.8
Clou	17343		Men.: 56 frgts; 56 tiges	Fer	112	56	842
Scorie (fer)	17343	921	Calotte	Fer	1	1	1200
Scorie (fer)	17343	955	Double calotte fragmentaire	Fer	1	1	265
Scorie (fer)	17343	938	Scorie très vitrifiée	Fer	1	1	18.9
C1-18-Fo art 17093	<i>État 1 : LTD1b classique</i>						
Ferrure	17063		Fragments de ferrure	Fer	2	0	21.5
Ferrure	17063	174	Fragment de ferrure avec clou en position fonctionnelle	Fer	1	1	31.3
Indéterminé informe	17063		Fragments informes	Fer	2	1	5
Indéterminé tôle	17063	178	Fragments de tôle enroulée et repliée. Récupération.	Base-cuivre	4	1	3.7
Indéterminé tôle	17063		Fragment de tôle à extrémité arrondie	Fer	2	1	8
Clou	17092		Men.: 1 frgt; 1 tige	Fer	2	1	15
Clou	17063		Men.: 45 frgts ; 44 tiges	Fer	89	45	506
C1-19-Fo 17091	<i>État 1 : LTD1b classique</i>						
Coulure	17090	1471	Coulure et petit fragment de tôle avec une rainure	Base-cuivre	2	2	7.4
Ferrure	17090	287	Fragment de ferrure	Fer	1	1	31.1
Clou	17090		Constr.: 1 frgt; men.: 14 frgts; 26 tiges	Fer	41	15	246
Scorie (fer)	17090	291	Calotte avec un fragment de fer plat pris dans la calotte	Fer	1	1	255
C1-20-Sb 18768	<i>État 1 à 2.1 : LTD1b</i>						
Ferrure	18678		Fragment de ferrure	Fer	1	1	59
Indéterminé plat	18678		Languette de fer plat	Fer	1	1	8.5
Clou	18678		Men.: 5 frgts; 7 tiges	Fer	12	5	72
C1-21-TP 16642	<i>État 2.2 à 2.3 : LTD2</i>						
Clou	16641		Men.: 5 frgts; 5 tiges	Fer	10	5	35
C1-22-Fo art 18676	<i>État 1 : LTD1b classique</i>						
Coulure	18676	1599c	Coulure	Base-cuivre	1	1	12.8
Indéterminé plat	18676	1593	Fragments de fer plat	Fer	8	1	42.2
Indéterminé tôle	18676		Fragment de bande de fer plat	Fer	1	0	7.1
Indéterminé tôle	18676	1597	Fragment de tôle	Fer	1	0	8.4
Indéterminé tôle	18676	1598	Fragments de tôle indéterminée	Fer	4	1	34.2
Clou	18676		Men.: 6 frgts; 8 tiges	Fer	14	6	88
C1-23-Fo 17141	<i>État 1 : LTD1b classique</i>						
Coulure	17141	1345	Coulure	Base-cuivre	1	1	0.4
Ferrure	17141	1347	Fragment de ferrure	Fer	1	1	37.3
Indéterminé plat	17141	1348	Bande de fer plat indéterminée	Fer	1	1	31.4
Clou	17141		Men.: 4 frgts; 7 tiges	Fer	11	4	55
C1-24-TP 16607	<i>État 2.3 : fin LTD2a-LTD2b</i>						
Clou	16607		Men.: 3 frgts; 3 tiges	Fer	6	3	50
C1-25-Pal 17062	<i>État 1 : LTD1b classique</i>						
Anneau (fer)	17062	189	Anneau de section carrée	Fer	1	1	26.1
Ferrure	17061		Ferrure rectangulaire avec 1 clou en position fonctionnelle	Fer	1	1	9
Indéterminé objet	17061	1726	Fragment de tôle de fer rivetée par un rivet en fer à une tôle d'alliage cuivreux. Fragment de chaudron? décor de meuble?	Fer	1	1	10.9
Indéterminé tôle	17061		Fragments de tôle	Fer	2	1	112.1
Clou	17061		Men.: 5 frgts; 12 tiges	Fer	17	5	80
C1-26-TP 17109	<i>État 1 : LTD1b classique</i>						
Indéterminé tôle	17108	1332	Fragment de tôle collé à un os	Base-cuivre	1	1	0
Indéterminé tôle	17108	1344	Fragment de bande de tôle	Fer	1	1	3.3
Clou	17108		Men.: 4 frgts; 4 tiges	Fer	4	4	52
C1-27-épannage 18665	<i>État 1 : LTD1b classique</i>						
Indéterminé tige	18665		Tiges indéterminés	Fer	4	1	48.8
Indéterminé tôle	18665		Fragments de tôle	Fer	6	1	48.3
Clou	18665		Men.: 34 frgts; 39 tiges	Fer	73	34	474
Scorie (fer)	18665		Fragments de scorie	Fer	4	1	108
C1-29-TP 17233	<i>État 1 : LTD1b classique</i>						
Anneau (fer)	17232	1521	Moitié d'anneau de section carrée	Fer	1	1	1.8
C1-30-Sb 17999-27	<i>État 1 : LTD1b classique</i>						
Clou	17999-28		Men.: 1 frgt; 1 tige	Fer	2	1	19.7

Type d'objet	UF	No	Description	Métal	NR	NMI	M(g)
C1-31-TP 17999-33	<i>État 1 : LTD1b classique</i>						
Clou	17999-34		Constr.: 1 frgt	Fer	1	1	58
Clou	17999-33		Men.: 1 frgt	Fer	1	1	12
C1-33-TP 18672	<i>État 1 : LTD1b classique</i>						
Indéterminé informe	18672		Fragment informe	Fer	1	1	1
Indéterminé tôle	18672		Fragment de tôle	Base-cuivre	1	1	0.4
C1-34-TP 15557	<i>État 1 : LTD1b classique</i>						
Clou	15558		Men.: 1 frgt; 1 tige	Fer	2	1	3.7
C2-1-décapage	<i>Décapage</i>						
Clou de chaussure	17021		Clous de chaussure	Fer	2	2	3.3
Ferrure	17042		Fragments de ferrures	Fer	3	1	21
Indéterminé tige	17042		Tige de section carrée	Fer	1	0	4
Indéterminé tige	17021		Tiges de section ronde	Fer	6	1	4.2
Indéterminé tôle	17021	1307	Fragments de bande de tôle	Base-cuivre	1	1	18.1
Indéterminé tôle	17042		Fragment de tôle	Fer	1	1	8.3
Indéterminé tôle	17021	1511	Fragment de tôle	Fer	1	1	4.3
Clou	16615		Tiges	Fer	2	1	11
Clou	17042		Constr.: 1 frgt; men.: 41 frgts; 59 tiges	Fer	101	42	452
Clou	16660		Men.: 1 frgt; 2 tiges	Fer	3	1	14
Clou	17042		Men.: 3 frgts; 2 tiges	Fer	5	3	32
Clou	17021		Men.: 34 frgts; 21 tiges	Fer	55	34	407
Rivet (bc)	17042	122	Rivet par refoulement en une pièce	Base-cuivre	1	1	0.2
Scorie (fer)	17042		Scorie ferreuse	Fer	1	1	19
Scorie (fer)	17021	162	Scorie informe	Fer	1	1	47.9
C2-2-radier	<i>État 2.2 à 2.3 : LTD2</i>						
Indéterminé plat	16636		Fragment de plat	Fer	1	1	4.5
Indéterminé plat	16636		Fragment de plat avec un rebord	Fer	1	0	9.2
Clou	16659		Men.: 1 frgt; 1 tige	Fer	2	1	19
Clou	16636		Men.: 2 frgt; 2 tiges	Fer	4	2	19
C2-3-sol 16643	<i>État 1 : LTD1b classique</i>						
Clou de chaussure	16643	1448	Clou de chaussure sans décor	Fer	1	1	1.6
Indéterminé tige	16643	1446	Tige de section ronde	Base-cuivre	1	1	0.2
Indéterminé tige	16643		Tige de section ronde	Fer	1	1	3.7
Clou	16643		Men.: 4 frgts; 6 tiges	Fer	10	4	48
C2-4-TP 17100	<i>État 2.1 : LTD1b évoluée</i>						
Anneau (fer)	17099	1732	Petit anneau de section circulaire	Fer	1	1	1
Indéterminé informe	17099		Fragments informes	Fer	3	1	5
Indéterminé tôle	17099	1304	Fragment de tôle	Fer	1	1	59.7
Clou	17099		Men.: 8 frgts ; 4 tiges	Fer	12	8	87
C2-6-TP 17162	<i>État 1 : LTD1b classique</i>						
Clou	17161		2 tiges	Fer	2	1	8
C2-7-TP 17148	<i>État 1 : LTD1b classique</i>						
Clou	17148		Men.: 1 frgt, 1 tige	Fer	2	1	7.9
C2-8-16268	<i>État 1 et 2 lato sensu : LTD1b-LTD2</i>						
Fibule	16266	976	Ardillon et une spire de fibule	Base-cuivre	1	1	0.7
Indéterminé tôle	16268		Fragment de bande de tôle	Fer	1	1	27.8
Clou	16268		Men.: 3 frgts; 1 tige	Fer	4	3	41
Clou	16266		Men.: 3 frgts; 5 tiges	Fer	8	3	49
Rivet (bc)	16266	963	Clou-rivet en une pièce	Base-cuivre	1	1	0.6
Ferrure	16283	964	Fragment de ferrure	Fer	1	1	18.2
C2-10-radier 17027	<i>État 2.3 : fin LTD2a-LTD2b</i>						
Ferrure	17027	1611	Fragment de ferrure	Fer	1	1	36.5
Indéterminé tôle	16285		Fragment de bande de tôle	Fer	1	1	21
Clou	16285		Men.: 1 frgt; 1 tige	Fer	2	1	20
Clou	17027		Men.: 3 frgts; 5 tiges	Fer	8	3	25
Scorie (fer)	16285	1039	Fragments de scorie informes	Fer	4	1	138
C2-12-épandage 16307	<i>État 1 à 2.2 : LTD1b classique-LTD2a</i>						
Ferrure	16307	1037	Fragment de large ferrure	Fer	1	1	72.5
Indéterminé tige	16307		Fragment de tige de section rectangulaire	Fer	1	1	12.9
Indéterminé tôle	16307		Fragments de tôle	Fer	4	1	10.1
Clou	16307		Constr.: 1 frgt; men.: 30 frgts; 39 tiges	Fer	70	31	374
Rivet (fer)	16307		Rivet à contreplaque	Fer	2	1	15
Scorie (fer)	16307	1042	Scories informes	Fer	7	1	124
Terre artisanale ind.	16307	1043	Fragment de terre cuite artisanale vitrifiée	Terre cuite	1	1	15.9
C2-13-cellier 16620	<i>État 1 à 2.1 : LTD1b</i>						
Indéterminé tige	16620		Tige de section irrégulière	Fer	1	1	20.8

Type d'objet	UF	No	Description	Métal	NR	NMI	M(g)
Clou	16620		Men.: 18 frgts; 19 tiges	Fer	37	18	189
C3-1-décapage	<i>Décapage</i>						
Clou de chaussure	16410	687	Clou de chaussure	Fer	1	1	1.8
Ferrure	15480	740	Fragment de ferrure	Fer	1	1	32.7
Ferrure	15683	1125	Fragment de ferrure avec un épaissement	Fer	1	0	16.4
Ferrure	15683	1124	Fragment de ferrure d'angle	Fer	1	1	29.5
Indéterminé plat	15480	1245	Fragment de bande de fer plat	Fer	1	1	7.8
Indéterminé plat	15480		Fragment de bande de plat	Fer	1	0	4.5
Indéterminé tige	15480	769	Tige de section lenticulaire	Base-cuivre	1	1	0.6
Indéterminé tige	15480		Tige de section rectangulaire	Fer	1	1	4.6
Clou	15480		Men.: 21 frgts; 27 tiges	Fer	48	21	174
Clou	15408		Men.: 3 frgts; 6 tiges	Fer	9	3	62
Clou	15480	1238	Tige	Fer	1	0	4
Clou	15683		Men.: 23 frgts; 48 tiges	Fer	71	23	411
Clou	15683	1126	Tige	Fer	1	0	11.8
Pincette	15683	854	Pince à épiler perdue	Base-cuivre	1	1	0
Rivet (fer)	15480	771	Rivet à contreplaque	Fer	2	1	48.8
C3-2-radier	<i>État 2.2 à 2.3 : LTD2</i>						
Clou de chaussure	16406		Clou de chaussure	Fer	1	1	1.5
Clou de chaussure	16406	673	Clou de chaussure sans décor	Fer	1	1	2
Ferrure	16406	536	Fragment de ferrure	Fer	1	1	7.4
Ferrure	16406	740	Fragment de ferrure	Fer	1	0	21.3
Ferrure	17300	879	Fragment de penture ou de ferrure	Fer	1	1	87.8
Indéterminé plat	16406	626	Fragment de bande de fer plat	Fer	1	1	6.8
Indéterminé tige	16406		Tige de section rectangulaire	Fer	1	0	4.8
Indéterminé tige	16406		Tige de section ronde	Fer	1	0	1.1
Indéterminé tige	16406	672	Tige et fragment informe en alliage cuivreux	Fer	2	1	8
Indéterminé tôle	16406	781	Fragment de tôle perforée	Base-cuivre	1	1	0.2
Indéterminé tôle	16406	744	Fragment de bande de tôle	Fer	1	1	14
Indéterminé tôle	16406		Fragments de tôle	Fer	4	0	15
Clou	16406	684	Men.: 1 frgt	Fer	1	1	2.1
Clou	16418		Men.: 1 frgt	Fer	1	1	10
Clou	16406		Men.: 88 frgts; 126 tiges	Fer	214	88	1105
Scorie (fer)	17300	922	Calotte de forge	Fer	1	1	255
Scorie (fer)	16406	1527	Fragment de scorie	Fer	1	1	63
C3-3-interface 17307	<i>État 2.1 à 2.2 : LTD1b évoluée-LTD2a</i>						
Coulure	17307	930	Coulure	Base-cuivre	1	1	2.4
Indéterminé tôle	17307	929	Fragment de tôle	Fer	1	0	4.4
Indéterminé tôle	17307	927	Fragments de tôle dont un angle perforé	Fer	1	1	38.4
Clou	17307		Men.: 22 frgts; 21 tiges	Fer	43	22	231
C3-3-solin	<i>État 2.1 à 2.2 : LTD1b évoluée-LTD2a</i>						
Indéterminé tôle	15700		Fragment de tôle	Fer	1	1	8
Clou	15700		Men.: 6 frgts; 10 tiges	Fer	16	6	73
C3-5-Pal 16443	<i>État 2.1 : LTD1b évoluée</i>						
Coulure	16444	1490	Coulure	Base-cuivre	1	1	0.5
Indéterminé tige	16444	427	Tige	Fer	1	1	2.1
Indéterminé tôle	16444		Fragment de tôle	Fer	1	1	5
Clou	16444		Men.: 4 frgts; 3 tiges	Fer	7	4	47
Clou	16444	420	Tige	Fer	1	0	0.6
Rivet (fer)	16444		Rivet à contreplaque	Fer	1	1	16
Rivet (fer)	16444	783	Rivet à contreplaque à tête hémisphérique creuse	Fer	1	1	10
Clou	17409		Men.: 4 frgts	Fer	4	4	72
C3-6-Sb 17408	<i>État 2.1 : LTD1b évoluée</i>						
Anneau (fer)	16408	681	Anneau de section rectangulaire	Fer	1	1	38.3
Cabochon	16408	573	Cabochon avec substance de fixation	Base-cuivre	1	1	0.8
Indéterminé plat	17406		Fragment de bande de fer plat	Fer	1	1	13.7
Indéterminé plat	16408		Fragments de fer plat	Fer	10	1	74
Indéterminé tôle	16408		Fragment de tôle	Fer	1	1	4
Clou	17406	1012	Men.: 8 frgts	Fer	8	8	89.4
Clou	16408		Men.: 21 frgts; 28 tiges	Fer	49	21	247
Clou	17406		Men.: 7 frgts; 8 tiges	Fer	15	7	165
Scorie (fer)	16408		Scories informes	Fer	3	1	48
C3-8-Sb 17359	<i>État 2.1 : LTD1b évoluée</i>						
Ferrure	17360		Fragment de ferrure	Fer	2	1	44
Clou	17360		Men.: 14 frgts; 16 tiges	Fer	30	14	294
Scorie (fer)	17360		Frgt de calotte	Fer	1	1	18

Type d'objet	UF	No	Description	Métal	NR	NMI	M(g)
C3-9-épandage	<i>État 1 à 2.1 : LTD1b</i>						
Anneau (fer)	17999-85	971	Anneau de section ronde	Fer	1	1	16.4
Fibule	17999-85	965	Ardillon de fibule	Base-cuivre	1	1	0.7
Indéterminé plat	16412	1492	Fragment de fer plat	Fer	1	1	14.3
Indéterminé tôle	16412		Fragment de tôle	Fer	2	1	3.1
Indéterminé tôle	17999-85	993	Fragments de bande de tôle	Fer	1	1	32
Clou	16412		Men.: 13 frgts; 5 tiges	Fer	18	5	141
Clou	17999-85	994	Men.: 1 frgt	Fer	1	1	5.9
Clou	17999-85		Men.: 1 frgt; 3 tiges	Fer	4	1	26
Rivet (fer)	17999-85		Rivet à contreplaque à tête hémisphérique creuse	Fer	1	1	12
Scorie (fer)	17999-85	995	Calotte de forge	Fer	1	1	84.1
Scorie (fer)	17999-85	990	Fragment de scorie accroché à une paroi de foyer	Fer	1	0	114
Scorie (fer)	17999-85	991	Fragments de scorie informe	Fer	15	0	79
C3-10-Fo 17478	<i>État 1 : LTD1b classique</i>						
Anneau (fer)	17479		Anneau de section illisible	Fer	1	1	15.6
Ferrure	16416	1460	Fragments de ferrure	Fer	2	1	70
Ferrure	17479		Fragment de ferrure dont un avec clou en position fonctionnelle	Fer	1	1	50.2
Indéterminé plat	16416	1458	Fragment de plat	Base-cuivre	1	1	3.5
Indéterminé tôle	17479		Fragment de tôle	Fer	4	1	19.7
Indéterminé tôle	16413		Fragments de tôle	Fer	6	1	12.3
Indéterminé tôle	16416		Fragments de tôle	Fer	4	1	17
Clou	16416		Constr.: 1 frgt; men.: 17 frgts; 19 tiges	Fer	37	18	227
Clou	17479	203	Men.: 1 frgt	Fer	1	1	10.2
Clou	16413		Men.: 11 frgts; 19 tiges	Fer	30	11	139
Clou	17479		Men.: 29 frgt; 48 tiges	Fer	77	29	384
C3-11-Fo art 17418	<i>État 2.1 : LTD1b évoluée</i>						
Indéterminé plat	17419		Bande rectangulaire de section rectangulaire	Fer	1	1	6
Indéterminé tôle	17419		Fragments de tôle	Fer	3	1	8
Clou	17419		Men.: 13 frgts; 13 tiges	Fer	26	13	126
Scorie (fer)	17419		Scorie argilo-sableuse	Fer	1	1	24
C3-12-Ce 15540	<i>État 2.1 : LTD1b évoluée</i>						
Indéterminé objet	15627		Fragment de bande de plat	Fer	1	1	20
Indéterminé plat	15627		Fragments de fine bande de fer plat	Fer	5	1	16.8
Indéterminé tôle	15627		Fragments de tôle	Fer	2	1	1.6
Clou	15627		Men.: 29 frgts; 25 tiges	Fer	54	29	353
Rivet (fer)	15627		Tige de clou-rivet par repli	Fer	1	1	4.5
C3-13-TP16464	<i>État 2.1 : LTD1b évoluée</i>						
Ferrure	16465		Fragment de ferrure	Fer	1	1	51.6
C3-14-TP 15704	<i>État 2.1 : LTD1b évoluée</i>						
Clou	15705		Men.: 2 frgts; 2 tiges	Fer	4	2	18
C3-15-sol 16411	<i>État 1 à 2.1 : LTD1b</i>						
Ferrure	16411	1410	Fragment de ferrure	Fer	1	1	21.7
Indéterminé plat	16411		Fragment de plat	Fer	1	1	15.3
Indéterminé tige	16411	1402	Tige de section ronde	Fer	1	1	0.2
Indéterminé tôle	16411	690	Fragment de tôle	Base-cuivre	1	1	0.1
Indéterminé tôle	16411	1407	Fragment de tôle	Fer	1	1	16.9
Clou	16411	1488	Fragment de rivet ou de clou à tête hémisphérique creuse	Fer	1	1	12
Clou	16411		Men.: 18 frgts; 24 tiges	Fer	42	18	290
Scorie (fer)	16411	1498	Fragment de double calotte	Fer	1	1	185
C3-16-Fo 16462	<i>État 1 à 2.1 : LTD1b</i>						
Indéterminé tôle	16463	1443	Fragment de bande de tôle pliée	Base-cuivre	1	1	2
Clou	16463		Men.: 1 frgt	Fer	1	1	9
C3-17-Pal 15640	<i>État 2.1 : LTD1b évoluée</i>						
Indéterminé tôle	15641		Fragments de tôle	Fer	3	1	15.6
Clou	15542		Men.: 1 frgt	Fer	1	1	7
Clou	15640		Men.: 1 frgts; 7 tiges	Fer	8	1	30
Clou	15641		Men.: 19 frgts; 22 tiges	Fer	41	19	253
C3-18-Fo 16460	<i>État 1 à 2.1 : LTD1b</i>						
Clou	16461		Men.: 2 frgts; 2 tiges	Fer	4	2	20
C3-19-TP 18693	<i>État 2.1 : LTD1b évoluée</i>						
Clou	18694		Men.: 1 frgt	Fer	1	1	8
C3 et C4-20-sol 17407	<i>État 1 à 2.1 : LTD1b</i>						
Rivet (bc)	17407	891	Rivet par refoulement en une pièce	Base-cuivre	1	1	0.5
C3-21-TP 17999-63	<i>État 1 : LTD1b classique</i>						
Clou	17999-64		Men.: 2 frgts; 1 tige	Fer	3	2	28

Type d'objet	UF	No	Description	Métal	NR	NMI	M(g)
C3-22-TP 15579	<i>État 1 : LTD1b classique</i>						
Clou	15580		Men.: 2 frgts	Fer	2	2	12
C3-23-TP 17414	<i>État 1 : LTD1b classique</i>						
Ferrure	17415		Fragment de ferrure	Fer	1	0	16.3
Ferrure	17415	1023	Fragment de ferrure	Fer	1	1	59.9
Clou	17415	1022	Clou de menuiserie	Fer	1	1	9.3
Clou	17415		Men.: 5 frgts; 9 tiges	Fer	14	5	72
C3-24-TP 17999-69	<i>État 1 : LTD1b classique</i>						
Indéterminé tôle	17999-70		Fragment de tôle	Fer	1	1	5
C3-25-sol 17066	<i>État 1 : LTD1b classique</i>						
Clou	17066		Tige	Fer	1	1	2
Rivet (fer)	17066		Clou rivet à tête hémisphérique et contre plaque rectangulaire	Fer	1	1	46
C3-26-Fo art 18668	<i>État 1 : LTD1b classique</i>						
Creuset	18403		2 lèvres et une panse de creuset	Terre cuite	3	2	3
Creuset	18403	1713	Fragment de creuset	Terre cuite	1	1	
Creuset	18403	1714	Fragment de creuset	Terre cuite	1	0	
Creuset	18404	1730	Fragments de creuset	Terre cuite	3	1	2.6
Creuset	18403	1728	Fragment de creuset	Terre cuite artisanal	1	0	
Déchet de fabrication	18654		Déchet de fabrication	Fer	1	1	6.6
Ferrure	18668	1673	Fragment de ferrure	Fer	1	1	22.4
Indéterminé plat	18654	1517	Fragment de fer plat	Fer	1	0	10.5
Indéterminé plat	18654	1518	Fragment de fer plat	Fer	1	1	6.5
Indéterminé plat	18654	1522	Fragment de fer plat	Fer	1	0	15.6
Indéterminé plat	18668	1647	Fragment de fer plat	Fer	1	1	9.2
Indéterminé tôle	18668	1677	Fragments de tôle	Fer	3	0	5.9
Indéterminé tôle	18668	1676	Fragments de tôle dont un plié sur lui-même	Fer	3	1	9.5
Indéterminé tôle	18654		Fragment de tôle	Fer	1	1	9
Indéterminé tôle	18668	1675	Fragment de tôle	Fer	1	0	32.8
Limaille	18403		Limaille, sels de cuivre	Base-cuivre	1	1	76.3
Clou	18404		Men.: 1 frgt, 1 tige	Fer	2	1	11.1
Clou	18654		Men.: 3 frgts; 4 tiges	Fer	7	3	28
Clou	18668	1680	Tige	Fer	1	1	6
Moule	18402		Frgts de moule avec négatif illisible	Terre cuite	4	0	4.3
C4-1-décapage	<i>Décapage</i>						
Cabochon	8005		Cabochon	Base-cuivre	1	1	1
Cabochon	8336		Cabochon avec substance de fixation	Base-cuivre	1	1	1
Indéterminé tige	8336		Fragment de tige de section ronde	Base-cuivre	1	1	1
Scorie (bc)	8336		Fragment de scorie	Base-cuivre	1	1	2
C4-2-radier	<i>État 2.3 : fin LTD2a-LTD2b</i>						
Clou	16441		Men.: 19 frgts; 22 tiges	Fer	41	19	192
Scorie (fer)	16441	1487	Calotte	Fer	1	1	213
C4-3-démontage radier	<i>État 2.2 à 2.3 : LTD2</i>						
Clou de chaussure	17410		Clous de chaussure	Fer	4	4	6.5
Coulure	17410	1776	Coulure et tige de section ronde	Base-cuivre	2	2	3.2
Ferrure	17410		Ferrure carrée	Fer	1	1	8
Indéterminé objet	17410	1750	Plat avec deux négatifs circulaires	Fer	1	1	0.5
Indéterminé plat	17410		Bandes de fer plat	Fer	2	1	19
Indéterminé tige	17410		Fragment de tige	Fer	1	0	9
Indéterminé tige	17410	355	Tige de section ronde appointée	Fer	1	1	0.6
Indéterminé tôle	17410	392	Fragment de tôle	Base-cuivre	1	0	0.3
Indéterminé tôle	17410	399b	Fragment de tôle	Base-cuivre	1	1	0.1
Indéterminé tôle	17410		Fragment de tôle	Fer	1	1	3.2
Clou	17410	364	Clou de construction	Fer	1	1	92.6
Clou	17410	403	Fragment de clou de menuiserie	Fer	1	1	16
Clou	17410		Men.: 39 frgts; 49 tiges	Fer	88	39	388
Clou	17310		Men.: 4 frgts; 5 tiges	Fer	9	4	54
Monnaie	17410	399a	Monnaie en bronze indéterminée	Bronze	1	1	1.02
Rivet (bc)	17410	357	Clou-rivet en une pièce	Base-cuivre	1	1	0.3
Scorie (fer)	17410	351	Scorie informe	Fer	1	1	41.3
C4-4-remblai romain	<i>État 4 lato sensu : époque romaine</i>						
Clou de chaussure	17411		Clou de chaussure	Fer	1	1	1.7
Indéterminé tige	17688	1025	Fragment de tige pointue de section ronde	Base-cuivre	1	1	0.7
Indéterminé tige	17411	471	Tige de section ronde appointée aux deux extrémités	Base-cuivre	1	1	0.1
Indéterminé tige	17411		Tige de section ronde	Fer	1	1	7.7
Indéterminé tôle	17411	1051	Fragment de tôle	Base-cuivre	1	1	0.1

Type d'objet	UF	No	Description	Métal	NR	NMI	M(g)
Indéterminé tôle	17411		Fragments de tôle	Fer	3	0	9.2
Indéterminé tôle	17411	470	Fragment de tôle perforé	Fer	1	1	0.1
Clou	17411	385	Fragment de clou de construction	Fer	1	1	44.2
Clou	17411		Men.: 12 frgts; 26 tiges	Fer	38	12	85
Clou	17688		Men.: 4 frgts; 10 tiges	Fer	14	4	109
Rivet (bc)	17411	1063	Rivet par refoulement en une pièce	Base-cuivre	1	1	0.7
Scorie (fer)	17411	362	Calotte de forge	Fer	1	1	88.1
C4-5-épandage	<i>État 2 lato sensu : LTD1b évoluée -LTD2</i>						
Coulure	16421	1737	Coulure	Base-cuivre	1	1	2
Clou	16421		Men.: 10 frgts; 16 tiges	Fer	26	10	167
C4-7-démontage	<i>État 2.2 à 2.3 : LTD2</i>						
Cabochon	17482	475	Cabochon avec trace de plomb	Base-cuivre	1	1	0.1
Clou de chaussure	17482	454	Clou de chaussure	Fer	1	1	0.8
Crampon	17482	368	Fragment de crampon	Fer	1	1	14.3
Ferrure	17482	1031	Fragment de ferrure	Fer	1	1	33.2
Indéterminé informe	17482		Frgt informe	Fer	1	1	3
Indéterminé plat	17482		Fragment de bande de plat	Fer	1	0	24.3
Indéterminé plat	17482		Fragment de bande de plat	Fer	1	1	16.5
Indéterminé tôle	17482		Fragment de tôle	Fer	1	1	4
Clou	17482		Men.: 50 frgts; 53 tiges	Fer	103	50	535
Scorie (fer)	17482		Scorie informe	Fer	1	1	11
C4-8-épandage	<i>État 1 et 2 lato sensu : LTD1b-LTD2</i>						
Clou de chaussure	16442	468	Clou de chaussure	Fer	1	1	0.5
Coulure	8356		Coulure	Base-cuivre	1	1	3
Coulure	8358		Coulure	Base-cuivre	1	1	4
Fibule	8358		Fragment d'ardillon de fibule avec une spire de ressort	Base-cuivre	1	1	
Fibule	8358		Fragment d'ardillon	Fer	1	1	2
Indéterminé plat	16442	405	Fragment de bande de plat replié sur lui-même	Fer	1	1	10.5
Indéterminé tôle	16442		Fragments de tôle	Fer	2	1	11.6
Clou	16415		Men.: 1 frgt; 2 tiges	Fer	3	1	13
Clou	16442		Men.: 4 frgts; 19 tiges	Fer	23	4	39
Rivet (bc)	16442	473	Clou-rivet à tête hémisphérique creuse et tige en fer	Base-cuivre	1	1	1.6
Rivet (bc)	16442	472	Clou-rivet en une pièce	Base-cuivre	1	1	0.3
C4-9-TP 17999-39	<i>État 2.1 : LTD1b évoluée</i>						
Scorie (fer)	17999-40	1041	Calotte de forge	Fer	1	1	193.9
C4-10-Fo art 17698	<i>État 2.1 : LTD1b évoluée</i>						
Cabochon	17699	860	Cabochon en trace de plomb	Base-cuivre	1	1	0.4
Ferrure	17699	1016	Fragments de ferrure	Fer	3	1	46.6
Ferrure	17699	1017	Fragments de ferrure	Fer	2	0	64.3
Indéterminé tige	17699	858	Fragment de tige	Base-cuivre	1	0	0.3
Indéterminé tôle	17699		Fragments de tôle	Fer	4	1	24.7
Clou	17699		Men.: 22 frgts; 35 tiges	Fer	57	22	434
Scorie (fer)	17699	859	Scorie avec plomb et base-cuivre	Fer	1	1	13.4
C4-11-Fo art 17686	<i>État 2.1 : LTD1b évoluée</i>						
Indéterminé tôle	17687	893	Fragments de tôle pliés	Fer	2	1	36.8
Clou	17687		Men.: 8 frgts; 6 tiges	Fer	14	8	112
C4-12-Fo 17372	<i>État 2.1 : LTD1b évoluée</i>						
Clou	17373		Men.: 2 frgts; 1 tige	Fer	3	2	13
C4-13-Fo art 17323	<i>État 2.1 : LTD1b évoluée</i>						
Ferrure	17324		Fragments de ferrure de deux ferrures différentes	Fer	7	2	165
Clou	17324		Men.: 8 frgts; 18 tiges	Fer	26	8	129
C4-14-Ce 16449	<i>État 2.1 : LTD1b évoluée</i>						
Ferrure	16450	583	Fragment de ferrure plié à deux reprises	Fer	1	1	5.5
Indéterminé informe	16450	571	Fragment informe	Base-cuivre	1	1	0.2
Indéterminé tôle	16450	531	Fragment de tôle	Base-cuivre	1	1	0.1
Indéterminé tôle	16450	585	Fragment de tôle perforé	Fer	1	1	2
Clou	16450		Men.: 8 frgts; 8 tiges	Fer	16	8	101
C4-15-Fo 17361	<i>État 1 : LTD1b classique</i>						
Creuset	17362	1011	12 fragments de creuset (lèvres et fonds), 137 fragments de creuset et de moules non identifiables et 6 fragments de déchets en alliage cuivreux	Terre cuite	155	12	299
Indéterminé plat	17362	1009	Fragment de bande de fer plat	Fer	1	1	3.6
Indéterminé plat	17363	1005	Fragment de plat	Fer	1	1	3.4
Indéterminé tôle	17363	1052	Fragments de tôle	Base-cuivre	3	1	3.3
Indéterminé tôle	17362	1010	Fragment de tôle	Fer	1	1	13.5
Clou	17363		Men.: 3 frgts; 4 tiges	Fer	7	3	48

Type d'objet	UF	No	Description	Métal	NR	NMI	M(g)
Scorie (fer)	17362	962	Scorie de foyer, très siliceuse	Fer	1	1	610
C4-17-TP 16496	<i>État 1 : LTD1b classique</i>						
Clou	16497		Tige	Fer	1	1	12
C4-19-Fo 17376	<i>État 1 : LTD1b classique</i>						
Clou	17377		Men.: 2 frgts; 1 tige	Fer	3	2	27
C4-20-TP 17999-37	<i>État 1 : LTD1b classique</i>						
Indéterminé tôle	17999-38		Fragments de tôle perforée	Fer	2	1	16
Clou	17999-38		Men.: 1 frgt; 1 tige	Fer	2	1	10
C4-21-TP 16452	<i>État 1 à 2.1 : LTD1b</i>						
Clou	16453		Men.: 2 frgts; 7 tiges	Fer	9	2	16
C4-22-TP 16424	<i>État 2.1 : LTD1b évoluée</i>						
Ferrure	16425	343	Fragment de ferrure	Fer	1	1	11.2
C4-23-TP 17382	<i>État 2.1 : LTD1b évoluée</i>						
Clou	17383		Tiges	Fer	2	1	8
C4-24-TP 16445	<i>État 2.1 : LTD1b évoluée</i>						
Coulure	16446	523	Fragment de demi-produit, de coulure	Base-cuivre	1	1	15.8
Clou	16446		Men.: 5 frgts; 12 tiges	Fer	17	5	96
C4-25-TP 16430	<i>État 2.1 : LTD1b évoluée</i>						
Clou	16437		Men.: 1 frgt	Fer	1	1	9
C4-26-TP 16426	<i>État 2.1 : LTD1b évoluée</i>						
Clou	16427		Tige	Fer	1	1	2
C4-29-TP 16472	<i>État 2.1 : LTD1b évoluée</i>						
Clou	16473		Tige	Fer	1	1	9
C5-1-décapage	<i>Décapage</i>						
Anneau (fer)	17070	261	Anneau de section carrée	Fer	1	1	11.2
Cabochon	17147	1379	Cabochon avec trace de plomb	Base-cuivre	1	1	0.3
Déchet de fabrication	17070	226	Déchet de fabrication	Fer	1	1	6.4
Indéterminé plat	17070		Fragment de bande de fer plat	Fer	1	1	10
Indéterminé plat	17070		Plaque quadrangulaire	Fer	1	0	11
Indéterminé plat	17147		Fragment de plat	Fer	1	1	7.2
Indéterminé tige	17015		Tige de section rectangulaire	Fer	1	1	4.2
Indéterminé tige	17010	74	Tige de section ronde appointée	Fer	1	1	0.2
Indéterminé tôle	17070		Fragment de tôle	Fer	1	1	3
Clou	17015		Men.: 10 frgts ; 5 tiges	Fer	15	10	99
Clou	17002		Men.: 3 frgts	Fer	3	3	23
Clou	17070		Men.: 16 frgts ; 33 tiges	Fer	49	16	200
Clou	17070	225	Tige	Fer	1	0	3
Clou	17147		Men.: 2 frgts; 18 tiges	Fer	20	2	95.5
Rivet (bc)	17002	55	Clou-rivet en une pièce	Base-cuivre	1	1	0.3
Rivet (bc)	17015	57	Clou-rivet en une pièce	Base-cuivre	1	1	0.1
Rivet (bc)	17147	1502	Clou-rivet avec tige en fer et bois minéralisé sous la tête	Base-cuivre	1	1	4.2
Scorie (fer)	17147		scorie argilo-sableuse	Fer	1	1	8
C5-2-occupation	<i>État 2.1 : LTD1b évoluée</i>						
Indéterminé tige	17198	1401	Fragment de grande tige de section carrée	Fer	1	1	16.4
Indéterminé tige	17198	1402	Tige	Fer	1	0	1.6
Clou	17198		Men.: 22 frgts; 23 tiges	Fer	45	22	259
C5-3-radier	<i>État 2.2 à 2.3 : LTD2</i>						
Chute de plaque	17199	1492	Fragment de plaque brûlé, partiellement fondu	Base-cuivre	1	1	8
Chute de tôle repliée	17018	1499	Chute de tôle repliée et partiellement fondue	Base-cuivre	1	1	14.8
Coulure	17018	168	Coulure	Base-cuivre	1	1	4
Coulure	17018	166	Coulure	Base-cuivre	1	1	1.9
Ferrure	17071	233	Fragment de ferrure	Fer	1	0	10.7
Ferrure	17071	295	Fragment de ferrure	Fer	1	1	15.3
Fibule	17065	159	Ardillon de fibule	Base-cuivre	1	1	0.6
Indéterminé plat	17065	160	Fragment de plat	Base-cuivre	1	1	1.7
Indéterminé plat	17018	1718	Fragment de fer plat avec une légère excroissance	Fer	1	1	3.5
Indéterminé tige	17199		Tige de section ronde	Fer	1	1	1.7
Indéterminé tige	17071		Tiges de section carrée	Fer	8	1	21
Indéterminé tôle	17071		Tôles rectangulaire et circulaire	Fer	2	1	1
Indéterminé tôle	17071		Tôles rectangulaires	Fer	3	0	4
Indéterminé tôle	17071	264	Fragment de bande de tôle	Fer	1	1	7.8
Indéterminé tôle	17071	269	Fragments de bande de tôle et une tige de clou	Fer	2	0	19
Indéterminé tôle	17199		Fragments de tôle	Fer	2	1	14.2
Clou	17065		Tiges	Fer	2	0	5
Clou	17071	296	Clou	Fer	1	1	20.8
Clou	17065		Men.: 19 frgts; 24 tiges	Fer	43	19	146

Type d'objet	UF	No	Description	Métal	NR	NMI	M(g)
Clou	17199		Men.: 3 frgts; 3 tiges	Fer	6	3	37
Clou	17071		Men.: 34 frgts; 53 tiges	Fer	87	34	313
Clou	17197		Men.: 7 frgts; 2 tiges	Fer	9	7	34
Rivet (bc)	17199	1559	Clou-rivet en une pièce à tête hémisphérique creuse	Base-cuivre	1	1	0.1
Rivet (bc)	17018	169	Clou-rivet en une pièce à tête hémisphérique pleine	Base-cuivre	1	1	1.4
Scorie (fer)	17071	294	Scorie informe	Fer	1	1	37.7
C5-4-épandage	<i>État 2.3 : fin LTD2a-LTD2b</i>						
Clou de chaussure	16623	566	Clou de chaussure sans décor	Fer	1	1	1.2
Ferrure	16623	559	Fragment de ferrure	Fer	1	1	9.5
Indéterminé plat	16623	565	Fragment de bande de fer plat	Fer	1	1	5.9
Indéterminé plat	16623		Fragment de bande de plat, chute?	Fer	1	0	9.1
Indéterminé tige	16623		Tige de section losangique	Fer	1	1	7.9
Clou	16623		Constr.: 1 clou; men.: 28 frgts; 45 tiges	Fer	74	29	355
C5-5-épandage ouest	<i>Décapage</i>						
Clou de chaussure	17427		Clous de chaussure dont un à 6 globules	Fer	2	2	2.6
Ferrure	17427		Fragment de ferrure	Fer	1	1	13
Indéterminé tige	17427	409	Tige de section ronde appointée	Base-cuivre	1	1	0.6
Indéterminé tige	17427		Tige de section ronde	Fer	1	1	0.4
Indéterminé tôle	17427		Fragments de tôle	Fer	2	0	4
Indéterminé tôle	17427		Tôles	Fer	7	1	45
Clou	17427		Men.: 24 frgts; 32 tiges	Fer	56	24	285
Scorie (fer)	17427		Calotte	Fer	1	1	213
C5-6-sol 17016	<i>État 2.1 : LTD1b évoluée</i>						
Rivet (bc)	17016	170	Clou-rivet en une pièce	Base-cuivre	1	1	0.1
C5-7-remblai 17069	<i>État 2 lato sensu : LTD1b évoluée -LTD2</i>						
Crampon	17069	1322	Crampon	Fer	1	1	16.3
Indéterminé plat	17069	1327	Fragment de fer plat recourbé à une extrémité	Fer	1	1	6.4
Indéterminé tige	17069		Tige	Fer	1	1	10
Indéterminé tôle	17069		Tôles rectangulaires	Fer	2	1	9
Clou	17069		Constr.: 1 frgt; men.: 19 frgts; 41 tiges	Fer	61	20	280
C5-10-pouzolane	<i>État 2.3 : fin LTD2a-LTD2b</i>						
Chute de tige appointée	17060	1725	Chute de tige	Fer	1	1	0.8
Clou de chaussure	17060		Clou de chaussure	Fer	1	1	2.3
Ferrure	17060		Ferrure rectangulaire avec 1 frgt en position fonctionnelle	Fer	1	1	4
Indéterminé tige	17060		Fragments de tige de section rectangulaire	Fer	2	1	5.3
Indéterminé tôle	17060		Fragments de tôle	Fer	4	0	19.3
Clou	17060		Constr.: 6 frgts; 6 tiges. Men.: 46 frgts; 63 tiges	Fer	121	52	767
C5-12-Sb 17289	<i>État 1 : LTD1b classique</i>						
Meule	17290		Fragment de meta en roche volcanique non vacuolaire	Fer	1	1	4
Clou	17290		Tige	Fer	1	1	4
C5-13-St 17182	<i>Non phasé</i>						
Clou	17182		Men.: 4 frgts; 2 tiges	Fer	6	4	58
C5-14-TP 17999-71	<i>État 2.1 : LTD1b évoluée</i>						
Clou	17999-72		Men.: 1 frgt	Fer	1	1	8
C5-16-Sb 17854	<i>État 2.1 : LTD1b évoluée</i>						
Anneau (fer)	17853	1597	Petit anneau de section ronde	Fer	1	1	1.4
Ferrure	17853	1599	Fragment de ferrure plié à une extrémité	Fer	1	1	13.2
C5-17-Fo art 17214	<i>État 2.1 : LTD1b évoluée</i>						
Indéterminé tige	17213	1485	Tige courbée massive de section carrée	Fer	1	1	50.4
Indéterminé tôle	17213		Fragments de tôle	Fer	2	1	6.8
Clou	17213		Men.: 2 frgts; 3 tiges	Fer	5	2	20
Piton	17213	1738	Piton à oeillet percé	Fer	1	1	45.2
C5-18-TP 17168	<i>État 2.1 : LTD1b évoluée</i>						
Clou	17167		Men.: 1 frgt	Fer	1	1	5
C5-19-TP 17107	<i>État 2.1 : LTD1b évoluée</i>						
Indéterminé tôle	17106	1495	Fragment de tôle	Base-cuivre	1	1	1
Clou	17106		Tige	Fer	1	1	2
Scorie (fer)	17106		Scorie argilo-sableuse	Fer	1	1	13
C5-20-TP 17082	<i>État 2.1 : LTD1b évoluée</i>						
Clou	17082		Constr.: 1 frgt	Fer	1	1	9
C5-21-TP 17003	<i>État 2 lato sensu : LTD1b évoluée -LTD2</i>						
Clou	17004		Tige	Fer	1	1	5
C5-22-TP 18051	<i>État 1 : LTD1b classique</i>						
Clou	18052		Men.: 1 frgt; 3 tiges	Fer	4	1	35
C5-23-TP 17221	<i>État 1 : LTD1b classique</i>						
Clou	17221		Men.: 1 frgt	Fer	1	1	15

Type d'objet	UF	No	Description	Métal	NR	NMI	M(g)
C5-24-TP 17200	<i>État 1 : LTD1b classique</i>						
Clou	17201		Tiges	Fer	2	1	6
C5-25-TP 17166	<i>État 1 : LTD1b classique</i>						
Fibule	17165	1381	Ardillon de fibule	Fer	1	1	2.1
Indéterminé tôle	17165	1389	Fragment de tôle arrondie	Fer	1	1	17.8
Clou	17165		Men.: 6 frgts; 8 tiges	Fer	14	6	76
C5-26-TP 17164	<i>État 1 : LTD1b classique</i>						
Indéterminé informe	17163		frgt informe	Fer	1	1	3
C5-30-TP 17067	<i>État 1 : LTD1b classique</i>						
Clou	17068		Men.: 2 frgts	Fer	2	2	13
C5-31-Fo 17043	<i>État 1 : LTD1b classique</i>						
Clou	17043		Tiges	Fer	4	1	28
C5-32-sol 17033	<i>État 2 lato sensu : LTD1b évoluée -LTD2</i>						
Clou	17033		Constr.: 1 frgt; men.: 6 frgts; 4 tiges	Fer	11	7	99
C5C-1-décapage	<i>Décapage</i>						
Chute de tige appointée	17014	1705	Chutes de tige appointée de section carrée	Fer	4	1	5.9
Clou de chaussure	17014	38	Clou de chaussure	Fer	1	1	1
Clou de chaussure	17014		Clou de chaussure à globule	Fer	1	1	1.7
Clou de chaussure	17020		Clous de chaussure	Fer	5	5	6.8
Coulure	17014	67	2 coulures (1,9 g), une goutte (0,4 g)	Base-cuivre	3	3	3
Coulure	17020	1480	Coulures	Base-cuivre	2	2	3.6
Crampon	17014		Crampon	Fer	1	1	40
Crampon	17014	69	Crampon de menuiserie	Fer	1	1	1
Crampon	17014		Fragment de petit crampon	Fer	1	1	2
Fibule	17014	66	Ressort de fibule à deux spires conservées	Base-cuivre	1	1	0.4
Fiche	17014		Fragment de fiche en «T»	Fer	1	1	18.3
Indéterminé plat	17020		Bande de fer plat	Fer	1	1	3
Indéterminé tige	17020	1442	Fragment de tige de section ronde	Base-cuivre	1	1	0.4
Indéterminé tige	17014	61	Fragment de tige indéterminée, clé?	Fer	1	1	20.7
Indéterminé tige	17014		Tige de section ronde	Fer	2	1	2.1
Indéterminé tôle	17014	67b	Fragments de tôle	Base-cuivre	2	1	0.7
Indéterminé tôle	17020		Fragment de tôle	Fer	1	1	1.6
Clou	17271		Men.: 1 frgt	Fer	1	1	6
Clou	17014		Men.: 38 frgts; 49 tiges	Fer	87	38	404
Clou	17020		Men.: 40 frgts; 34 frgts	Fer	74	40	406
Rivet (bc)	17014	62	Clou-rivet en une pièce	Base-cuivre	1	1	0.1
Rivet (bc)	18001	2020	Clou-rivet en une pièce à tête hémisphérique creuse	Base-cuivre	1	1	0.1
Rivet (fer)	17020		Contreplaque de rivet	Fer	1	1	1.3
Scorie (fer)	17014	59	Calotte	Fer	1	1	210
C5C-2-piéage	<i>État 4 lato sensu : époque romaine</i>						
Clou de chaussure	17044		Clous de chaussure	Fer	3	3	2.8
Ferrure	17044		Fragment de ferrure	Fer	1	1	8.2
Fibule	17044	1446	Ardillon de fibule	Fer	1	1	2
Indéterminé plat	18047	86	Fragment de fer plat triangulaire	Fer	1	1	1.7
Indéterminé tige	17044		Fragment de tige de section ronde	Fer	1	1	0.8
Indéterminé tôle	18047	192	Fragment de bande de tôle	Fer	1	1	4.2
Indéterminé tôle	17044	1453	Fragment de plaque légèrement bombé	Fer	1	1	46.4
Indéterminé tôle	18047	218	Fragment de tôle	Fer	1	0	4.3
Indéterminé tôle	18047		Fragment de tôle avec une perforation	Fer	1	0	31.5
Indéterminé tôle	18047		Tige de section rectangulaire	Fer	1	0	6.2
Clou	17044		Men.: 29 frgts; 32 tiges	Fer	61	29	274
Clou	18006		Men.: 3 frgts; 4 tiges	Fer	7	3	26
Clou	18047		Men.: 32 frgts; 25 tiges	Fer	57	32	360
Rivet (bc)	17044	1431	Rivet par refoulement dont la tête est repliée	Base-cuivre	1	1	0.3
C5C-3-radier sup	<i>État 2.3 : fin LTD2a-LTD2b</i>						
Indéterminé tige	18004	116	Fragment de tige de section ronde	Fer	1	1	1.3
Indéterminé tôle	18005	157	Fragment de bande de tôle	Base-cuivre	1	1	1.2
Clou	18004		Men.: 3 frgts; 4 tiges	Fer	7	3	41
Clou	18004	45	Tige	Fer	1	0	1.6
Clou	18005		Men.: 11 frgts; 10 tiges	Fer	21	11	144
C5C-4-combl sup	<i>État 2.2 : LTD2a</i>						
Anneau (fer)	18088		Anneau de section ronde	Fer	1	1	10
Cabochon	17098	299	Cabochon avec trace de plomb	Base-cuivre	1	1	0.8
Ferrure	17045	1463	Deux fragments de ferrure collés	Fer	1	1	11.8
Fibule	18088	113	Ardillon et une spire de ressort de fibule	Fer	1	1	1.1
Indéterminé plat	17045		Bande de plat	Fer	3	1	14

Type d'objet	UF	No	Description	Métal	NR	NMI	M(g)
Indéterminé plat	17045		Bande de plat	Fer	1	0	3
Indéterminé plat	18088		Fragments de bande de fer plat	Fer	3	1	23
Indéterminé tôle	18088	114	Fragment de tôle	Base-cuivre	1	1	0.3
Indéterminé tôle	18117		Fragment de bande de tôle	Fer	1	1	5.7
Clou	17045	1660	Men.: 1 frgt	Fer	1	1	11.7
Clou	18117		Men.: 1 frgt	Fer	1	1	5
Clou	18123		Men.: 1 frgt	Fer	1	1	9
Clou	18126		Men.: 1 frgt	Fer	1	1	9
Clou	17045		Men.: 18 frgts; 27 tiges	Fer	45	18	267
Clou	17057		Men.: 2 frgts	Fer	2	2	15
Clou	18120		Men.: 2 frgts	Fer	2	2	33
Clou	18119		Men.: 2 frgts; 1 tige	Fer	3	2	21
Clou	18088		Men.: 25 frgts; 26 tiges	Fer	65	31	405
Clou	18124		Men.: 3 frgts	Fer	3	3	25
Clou	17098		Men.: 4 frgts ; 8 tiges	Fer	12	4	75
Scorie (fer)	18120		Fragment de scorie	Fer	1	1	37
C5C-5-combl med	<i>État 2.2 : LTD2a</i>						
Cabochon	18093	273	Tête de cabochon	Base-cuivre	1	1	0.2
Ferrure	17150	1340	Fragment de ferrure arrachée au niveau d'une perforation	Fer	1	1	38.3
Indéterminé plat	18093		Fragment de bande de plat incurvée	Fer	1	0	28.3
Indéterminé plat	18093		Fragment de fer plat à section ogivale	Fer	1	1	16.1
Indéterminé tige	17150	1664	Fragment de tige pointue de section ronde	Base-cuivre	1	1	0.8
Indéterminé tôle	18093		Fragments de tôle	Fer	2	1	23.5
Indéterminé tôle	17150		Frgt de tôle	Fer	1	1	12
Clou	17150		Constr.: 2 frgts; men.: 23 frgts; 12 tiges	Fer	37	25	383
Clou	18093		Constr.: 2 frgts; men.: 25 frgts; 25 tiges	Fer	52	26	508
Clou	18240		Men.: 8 frgts; 10 tiges	Fer	18	8	159
C5C-6-combl inf	<i>État 2.2 : LTD2a</i>						
Anneau (fer)	17151	1645	Anneau de section ronde	Fer	1	1	49.7
Ferrure	17151	1657	Fragment de ferrure	Fer	1	1	39.8
Indéterminé objet	17152	1339	Deux barres de fer courbées à une extrémité et fortement oxydées	Fer	2	1	40.9
Indéterminé plat	18242	2027	Fragment de plat	Base-cuivre	1	1	0.6
Indéterminé plat	18242		Fragments de bande de fer plat	Fer	4	0	88.5
Indéterminé tige	17151		Grande tige	Fer	1	1	29
Indéterminé tige	18055		Tige de section rectangulaire	Fer	1	1	8.9
Clou	18242		Men.: 11 frgts; 19 tiges	Fer	30	11	226
Clou	17151		Men.: 4 frgts; 6 tiges	Fer	10	4	56
Clou	18055		Tiges	Fer	3	1	22.6
Rivet (bc)	17151	1672	Clou-rivet en une pièce	Base-cuivre	1	1	0.2
Scorie (fer)	17151	1671	Calotte	Fer	1	1	301
Scorie (fer)	17151	1661	Scories informes de foyer, de paroi de four très vitrifiée	Fer	1	1	57.9
C5C-7-TP 18029	<i>État 2.2 : LTD2a</i>						
Chute de tige appointée	18030	3091	Chute de tige	Fer	1	1	1.4
Indéterminé informe	18030		Fragment massif informe	Fer	1	1	36.2
Indéterminé objet	18030		Fragment informe	Fer	1	1	6.6
Indéterminé tôle	18030		Fragment de tôle	Base-cuivre	1	1	1.2
Clou	18030		Men.: 32 frgts. 55 tiges	Fer	87	32	421
C5C-8-TP 18215	<i>État 2.1 : LTD1b évoluée</i>						
Clou	18216		Tige	Fer	1	1	15
C5C-9-Sb 18018	<i>État 2.2 : LTD2a</i>						
Clou	18019		Men.: 10 frgts; 13 tiges	Fer	23	10	92
C5C-10-Fo 18007	<i>État 2 lato sensu : LTD1b évoluée -LTD2</i>						
Indéterminé tôle	18044	122	Fragment de bande de tôle	Fer	1	1	3.4
Clou	18008		Constr.: 1 frgt; men.: 2 frgts	Fer	3	3	43
Clou	18044		Men.: 1 frgt	Fer	1	1	4
Clou	18046	125	Men.: 1 frgt	Fer	1	1	18.3
Clou	18046		Men.: 1 frgt; 11 tiges	Fer	12	1	48
Clou	18008	121	Tige	Fer	1	0	1.4
C5C-11-TP 18011	<i>État 2.3 : fin LTD2a-LTD2b</i>						
Clou	18012		Men.: 1 frgt	Fer	1	1	8
C5C-12-décapage	<i>Décapage</i>						
Goutte	18013	29	Goutte	Base-cuivre	1	1	0.1
Indéterminé objet	18013	37	Fragment indéterminé tordu	Fer	1	1	4.6
Indéterminé tige	18013	28	Fragment de tige	Fer	1	1	3
Indéterminé tôle	18013	38	Fragment de tôle	Fer	1	1	6.1

Type d'objet	UF	No	Description	Métal	NR	NMI	M(g)
Clou	18013	39	Fragment de tête de clou	Fer	1	1	1.8
Clou	18013	94	Fragment de tête de clou	Fer	1	1	5.1
Clou	18013	109	Tête de clou	Fer	1	1	3.4
Clou	18013	31	Tige	Fer	1	0	7.8
Scorie (fer)	18013	34	Calotte de forge	Fer	1	1	190.4
Coulure	18014	127	Coulure	Base-cuivre	1	1	3.5
Indéterminé tige	18014	70	Fragment de tige pointue	Fer	1	1	0.6
Indéterminé tôle	18014		Fragments de tôle	Fer	3	1	18.8
Clou	18014		Men.: 18 frgts; 13 tiges	Fer	31	18	200
Clou	17268		Men.: 3 frgts; 3 tiges	Fer	6	3	39
Clou	18014	120	Tige	Fer	1	0	1.4
Rivet (fer)	18014		Rivet à contreplaque	Fer	1	1	14.9
C5C-13-TP 18279	<i>État 1 : LTD1b classique</i>						
Clou	18280		Tige	Fer	1	1	5
C5C-14-TP 18277	<i>État 1 : LTD1b classique</i>						
Clou	18278		Constr.: 1 frgt	Fer	1	1	26
C5C-15-TP 18275	<i>État 1 : LTD1b classique</i>						
Clou	18275		Men.: 2 frgts; 2 tiges	Fer	4	2	19
C5C-16-TP 18247	<i>État 1 : LTD1b classique</i>						
Clou	18248		Men.: 2 frgts	Fer	2	2	36
C5C-17-TP 18221	<i>État 1 : LTD1b classique</i>						
Clou	18222		Men.: 1 frgt	Fer	1	1	6
C5C-18-TP 18135	<i>État 1 : LTD1b classique</i>						
Indéterminé tige	18135	1749	Fines tiges de section rectangulaire	Fer	1	1	1
Clou	18135		Men.: 6 frgts, 1 tige	Fer	7	6	109
C5C-19-TP 18104	<i>État 1 : LTD1b classique</i>						
Anneau (fer)	18104	237	Anneau de section ronde	Fer	1	1	5.3
Indéterminé tige	18104	2042	Fragment de tige massive	Fer	1	1	55.5
Clou	18104		Men.: 11 frgts; 37 tiges	Fer	48	11	294
Scorie (fer)	18104		Scorie	Fer	1	1	67
C5C-21-TP 18130	<i>État 1 : LTD1b classique</i>						
Clou	18131		Men.: 1 frgt; 2 tiges	Fer	3	1	11
C5C-24-TP 18022	<i>État 1 : LTD1b classique</i>						
Ferrure	18023		Fragment de ferrure	Fer	1	1	31.3
Clou	18023		Men.: 2 frgts; 2 tiges	Fer	4	2	42
C5C-25-TP 18026	<i>État 1 : LTD1b classique</i>						
Clou	18026		Tiges	Fer	2	1	11
C5C-25-TP 18042	<i>État 1 : LTD1b classique</i>						
Clou	18043	106	Men.: 1 frgt	Fer	1	1	22.5
Clou	18043		Men.: 1 frgt; 2 tiges	Fer	3	1	15
C5C-26-Fo 17262	<i>État 2 lato sensu : LTD1b évoluée -LTD2</i>						
Clou	17263		Men.: 1 frgt	Fer	1	1	2
C5C-27-implantation parement	<i>État 2 lato sensu : LTD1b évoluée -LTD2</i>						
Clou	17284		Men.: 3 frgts; 2 tiges	Fer	5	3	44
C5C-30-TP 18031	<i>État 1 : LTD1b classique</i>						
Clou	18031		Men.: 1 frgt	Fer	1	1	6
C6-1-décapage	<i>Décapage</i>						
Anneau (fer)	17017	1419	Anneau de section carrée	Fer	1	1	1.4
Ferrure	17017	1479	Fragment de ferrure	Fer	1	0	5.5
Indéterminé informe	17017		Fragments informes	Fer	5	1	24
Indéterminé plat	17017		Fragment de bande de plat	Fer	1	0	1.7
Indéterminé tôle	17017	1416	Fragment de bande de tôle	Fer	1	0	8
Indéterminé tôle	17017	47	Fragment de bande de tôle	Fer	1	0	13
Indéterminé tôle	17017	90	Fragment de bande de tôle	Fer	1	0	6
Indéterminé tôle	17017	83	Fragment de tôle	Fer	1	0	2
Clou	17017		Men.: 27 frgts ; 43 tiges	Fer	70	27	304
C6-2-TP 17659	<i>État 2.1 : LTD1b évoluée</i>						
Clou	17660		Men.: 2 frgts; 1 tige	Fer	3	2	24
C6-3-TP 17611	<i>État 2.1 : LTD1b évoluée</i>						
Clou	17612		Men.: 2 frgts	Fer	2	2	19
C6-4-TP 17609	<i>État 2.1 : LTD1b évoluée</i>						
Clou	17610		Tige	Fer	1	1	6
C6-6-Sb 17603	<i>État 2.1 : LTD1b évoluée</i>						
Clou	17604		Tige	Fer	1	1	8
C6-7-Sb 17489	<i>État 2.1 : LTD1b évoluée</i>						
Cabochon	17490	469	Cabochon avec trace de plomb	Base-cuivre	1	1	0.1

Type d'objet	UF	No	Description	Métal	NR	NMI	M(g)
Indéterminé plat	17490		Fragment de bande de fer plat	Fer	1	0	19.8
Indéterminé plat	17490		Fragment de fer plat	Fer	1	1	8
Indéterminé tôle	17490		Fragment de tôle	Fer	1	0	5
Indéterminé tôle	17490		Fragment de tôle	Fer	1	1	4
Clou	17490		Men.: 11 frgts; 4 tiges	Fer	15	11	126
C6-8-TP 17303	<i>État 2.1 : LTD1b évoluée</i>						
Ferrure	17304	839	Fragment de ferrure plié	Fer	1	1	37.1
C6-9-17196	<i>État 2.1 : LTD1b évoluée</i>						
Clou	17072		Men.: 1 frgt	Fer	1	1	4
C6-10-17657	<i>État 1 : LTD1b classique</i>						
Clou	17658		Men.: 1 frgt; 2 tiges	Fer	3	1	34
C6-12-Sb 17052	<i>État 1 : LTD1b classique</i>						
Clou	17053		Men.: 2 frgts ; 2 tiges	Fer	4	2	16
C6-13-TP 17075	<i>État 1 : LTD1b classique</i>						
Clou	17076		Men.: 1 frgt	Fer	1	1	11
C6-14-Fo art 17126	<i>État 1 : LTD1b classique</i>						
Indéterminé tôle	17127	1733	Fragment de tôle d'alliage cuivreux collé à des restes de bois minéralisé	Base-cuivre	1	1	2.5
Clou	17127		Men.: 16 frgts; 39 tiges, brûlés très peu lisibles	Fer	55	16	309
C6-15-Fo art 17156	<i>État 1 : LTD1b classique</i>						
Clou	17157		Constr.: 1 frgt	Fer	1	1	30
Clou	17156		Men.: 1 frgt	Fer	1	1	55
C6-16-TP 17583	<i>État 1 : LTD1b classique</i>						
Clou	17584		Men.: 1 frgt; 1 tige	Fer	2	1	36
C6-22-épannage	<i>État 2 lato sensu : LTD1b évoluée -LTD2</i>						
Ferrure	17073	223	Fragment de ferrure	Fer	1	1	17.3
Fibule	17073	204	Ardillon de fibule	Base-cuivre	1	1	2.3
Indéterminé informe	17073		frgts informes	Fer	5	1	17
Indéterminé tige	17073	215	Tige de section ronde	Base-cuivre	1	1	1.5
Indéterminé tôle	17073	206	Fragment de bande de tole	Base-cuivre	1	1	0.8
Clou	17073	210	Clou	fer	1	1	20.2
Clou	17073	214	Men.: 1 frgt	Fer	1	1	5.5
Clou	17073	208	Men.: 1 frgt; 2 tiges	Fer	3	1	22.1
Clou	17073		Men.: 26 frgts ; 40 tiges	Fer	66	26	392
Clou	17158		Men.: 4 frgts; 7 tiges	Fer	11	4	87
Clou	17073	205	Tige	Fer	1	0	6.3
Clou	17073	207	Tige	Fer	1	0	4.1
Clou	17073	211	Tige	Fer	1	0	9
C7-1-TP 17999-81	<i>État 2.1 : LTD1b évoluée</i>						
Clou	17999-87		Men.: 1 frgt	Fer	1	1	12
C7-2-Pal 17684	<i>État 2.1 : LTD1b évoluée</i>						
Clou	17685		Men.: 5 frgts; 6 tiges	Fer	11	5	78
C7-3-Ce 17595	<i>État 2.1 : LTD1b évoluée</i>						
Anneau (fer)	17596		Anneau de section ronde	Fer	1	1	6.2
Cabochon	17596	503	Cabochon en trace de plomb	Base-cuivre	1	1	0.2
Cabochon	17596	802	Cabochon en trace de plomb	Base-cuivre	1	1	1.9
Cabochon	17596	803	Cabochon en trace de plomb	Base-cuivre	1	1	1.8
Coulure	17596	505	Coulure	Base-cuivre	1	1	10.6
Indéterminé plat	17596		Fragment de fer plat	Fer	1	1	13.6
Indéterminé tôle	17596		Fragments de tôle	Fer	9	1	64
Clou	17596		Men.: 33 frgts; 30 tiges	Fer	63	30	435
C7-4-TP 17631	<i>État 2.1 : LTD1b évoluée</i>						
Clou	17632		Tige	Fer	1	1	4
C7-5-TP 17561	<i>État 2.1 : LTD1b évoluée</i>						
Ferrure	17562		Fragment de ferrure	Fer	1	1	48.1
Indéterminé tôle	17562		Fragment de tôle	Fer	1	1	11.5
Clou	17562		Men.: 2 frgts et 4 tiges	Fer	6	2	35
C7-6-TP 17555	<i>État 2.1 : LTD1b évoluée</i>						
Clou	17556		Men.: 1 frgt	Fer	1	1	17
C7-7-TP 17547	<i>État 2.1 : LTD1b évoluée</i>						
Cabochon	17548	1045(3)	Cabochon avec fixation en plomb	Base-cuivre	1	1	1
C7-8-TP 17441	<i>État 2.1 : LTD1b évoluée</i>						
Anneau (fer)	17442		Fragment d'anneau de section ronde	Fer	1	1	5.4
C7-9-TP 17317	<i>État 2.1 : LTD1b évoluée</i>						
Clou	17318		Men.: 1 frgt	Fer	1	1	25
C7-10-Ce 17522	<i>État 2.1 : LTD1b évoluée</i>						

Type d'objet	UF	No	Description	Métal	NR	NMI	M(g)
Anneau (fer)	17523	1755	Anneau de sertissage constitué d'une bande de fer plat rivetée	Fer	1	1	21.7
Cabochon	17523	572	Cabochon en trace de plomb	Base-cuivre	1	1	0.2
Ferrure	17523	566	Fragment de ferrure	Fer	1	1	20.8
Ferrure	17523	565	Fragment de ferrure avec clou de fixation	Fer	1	1	46.7
Fibule	17523	569	Ressort de fibule à deux spires conservées	Base-cuivre	1	1	1
Indéterminé plat	17523		Fragments de bande de fer plat	Fer	1	1	12.6
Indéterminé tige	17523	956	Fragment de tige massive	Fer	1	1	49.3
Indéterminé tôle	17523	810a	Fragment de tôle circulaire	Base-cuivre	1	1	0.6
Indéterminé tôle	17523	573	Fragment de tôle	Fer	1	0	17.3
Indéterminé tôle	17523		Fragments de tôle	Fer	9	1	43
Indéterminé tôle	17523	567	Fragments de tôle	Fer	3	0	14.6
Maillon rapide	17523	1757	Maillon rapide de section rectangulaire	Fer	1	1	6.8
Clou	17523	563	Tige de clou de construction	Fer	1	1	27.2
Clou	17523	568	Tige de clou de construction	Fer	1	1	57.6
Clou	17523		Men.: 46 frgts; 31 tiges	Fer	77	46	721
Peson	17523	810b	Extrémité supérieure de peson pyramidal cassé au niveau de la perforation. Présence d'une cupule sur la face supérieure	Terre cuite	1	1	112.9
Rivet (bc)	17523	570	Clou-rivet en une pièce à tête hémisphérique creuse	Base-cuivre	1	1	0.4
C7-11-TP 17629	<i>État 2.1 : LTD1b évoluée</i>						
Clou	17630		Tige	Fer	1	1	2
C7-12-TP 17627	<i>État 1 : LTD1b classique</i>						
Clou	17627		Men.: 1 frgt	Fer	1	1	12
C7-13-TP 17563	<i>État 1 : LTD1b classique</i>						
Clou	17564		Tige	Fer	1	1	7
C7-14-TP 17551	<i>État 1 : LTD1b classique</i>						
Clou	17552		Men.: 1 frgt	Fer	1	1	8
C7-16-TP 17541	<i>État 1 : LTD1b classique</i>						
Clou	17541		Men.: 1 frgt	Fer	1	1	14
C7-17-TP 17506	<i>État 1 : LTD1b classique</i>						
Clou	17507		Men.: 1 frgt	Fer	1	1	9
C7-18-TP 17457	<i>État 1 : LTD1b classique</i>						
Clou	17458		Men.: 2 frgt; 1 tige	Fer	3	2	7
C7-20-TP 17315	<i>État 1 : LTD1b classique</i>						
Clou	17316		Tiges	Fer	2	1	24
C7-21-TP 17313	<i>État 1 : LTD1b classique</i>						
Clou	17314		Men.: 1 frgt	Fer	1	1	22
AC-1-décapage	<i>Décapage</i>						
Clou de ferrure	15414		Clou de ferrure	Fer	1	1	5.6
Ferrure	15414		Fragment de ferrure	Fer	1	1	26
Indéterminé plat	15414		Fragments de bande de fer plat	Fer	3	1	11.2
Indéterminé tige	15414		Tige de section ronde	Fer	1	1	4.3
Indéterminé tôle	8314		Fragment de tôle collé à du fer corrodé	Base-cuivre	1	1	1
Indéterminé tôle	15414		Fragment de bande de tôle	Fer	1	0	4.8
Indéterminé tôle	15414	542	Fragment de bande de tôle	Fer	1	1	32
Indéterminé tôle	15414		Fragments de tôle	Fer	16	1	71
Clou	15414		Men.: 33 frgts; 54 tiges	Fer	87	33	412
AC-2-sol	<i>État 1 et 2 lato sensu : LTD1b-LTD2</i>						
Clou	15712		Men.: 6 frgts; 5 tiges	Fer	11	6	73
Rivet (bc)	8384		Clou-rivet en une pièce à tête circulaire massive	Base-cuivre	1	1	1
AC-3-épandage	<i>Non phasé</i>						
Fibule	16431	349	Ressort de fibule avec deux spires conservées et tige torsadée	Fer	1	1	2
Clou	16431		Men.: 14 frgts; 18 tiges	Fer	32	14	133
Cabochon	8334		Cabochon	Base-cuivre	1	1	0.2
Coulure	8334		Coulure	Base-cuivre	1	1	15
Coulure	8311		Coulure	Base-cuivre	1	1	2
Coulure	8311		Coulure	Base-cuivre	1	1	4
Crampon	15416	787	Fragment de crampon	Fer	1	1	9.1
Fibule	8332	2	Fragment de porte ardillon de fibule	Base-cuivre	1	0	0.2
Clou	15403		Tiges	Fer	2	1	25
AC-4-épandage	<i>État 2 lato sensu : LTD1b évoluée-LTD2</i>						
Anneau (fer)	16420	357	Anneau de section ronde	Fer	1	1	19
Anneau (fer)	16420	511	Anneau déformé de section carrée	Fer	1	1	2.4
Coulure	16420	1514	Coulure	Base-cuivre	1	1	1
Coulure	16420	365	Coulure	Base-cuivre	1	1	3

Type d'objet	UF	No	Description	Métal	NR	NMI	M(g)
Coulure	16420	369	Coulure	Base-cuivre	1	1	2.7
Coulure	16420	363	Coulure, objet refondu?	Base-cuivre	1	1	24.9
Crampon	16420		Petit crampon	Fer	1	1	1.9
Indéterminé plat	16420	364	Fragment de plat	Base-cuivre	1	1	0.5
Indéterminé plat	16420	383	Fragment de bande de fer plat incurvée	Fer	1	0	18
Indéterminé tôle	16420	368	Fragment de tôle	Base-cuivre	1	0	0.1
Indéterminé tôle	16420	303	Fragment de tôle rivetée	Base-cuivre	1	1	1
Indéterminé tôle	16420		Fragment de bande de tôle	Fer	1	1	15.2
Indéterminé tôle	16420	375	Fragment de tôle	Fer	1	1	3.3
Clou	16420		Men.: 24 frgts; 38 tiges	Fer	62	24	309
Clou	16420	384	Tige	Fer	1	0	5.3
Rivet (bc)	16420	301	Tête de rivet	Base-cuivre	1	1	0.1
Rivet (bc)	16420	366	Tête de rivet hémisphérique creuse	Base-cuivre	1	1	0.3
Rivet (bc)	16420	397	Tête de rivet hémisphérique plein	Base-cuivre	1	1	1.3
Rivet (bc)	16420	374	Tige de rivet en une pièce par refoulement	Base-cuivre	1	1	0.9
AC-5-épandage			<i>État 1 et 2 lato sensu : LTD1b-LTD2</i>				
Clou de chaussure	16440		Clou de chaussure	Fer	1	1	1.6
Coulure	16440	465	Coulure et fragment de plat	Base-cuivre	2	2	3
Ferrure	16440	394	Fragment de ferrure	Fer	1	0	3.7
Ferrure	16440		Fragments de ferrure avec un clou en position fonctionnelle	Fer	4	1	27.8
Fibule	16440	395	Ressort de fibule avec une spire conservée	Base-cuivre	1	1	0.8
Indéterminé plat	16440	454	Fragment de fer plat coudé à l'angle droit	Fer	1	1	18.7
Indéterminé tige	16440	463	Tige de section ronde appointée	Fer	1	0	0.7
Indéterminé tôle	16440	1523	Fragment de tôle	Base-cuivre	1	1	0.4
Indéterminé tôle	16440	390	Fragment de tôle	Fer	1	1	1.7
Indéterminé tôle	16440	477	Fragment informe	Fer	1	0	9.9
Clou	16440	396	Men.: 1 frgt	Fer	1	1	14.8
Clou	16440		Men.: 23 frgts; 25 tiges	Fer	48	23	254
Rivet (fer)	16440	451	Tête de rivet, de clou à tête hémisphérique creuse	Fer	1	1	14.8
Rivet (fer)	16440	386	Tige et contreplaque de rivet	Fer	1	0	16
AC-6-St 15733			<i>État 2 lato sensu : LTD1b évoluée-LTD2</i>				
Indéterminé tôle	15734		Fragments de tôle	Fer	4	1	10.6
Clou	15734		Men.: 4 frgts; 4 tiges	Fer	8	4	47
HB-10-Fo 18232			<i>État 1 : LTD1b classique</i>				
Indéterminé tôle	18232	2057	Fragment de tôle	Base-cuivre	1	0	0.1
Indéterminé tôle	18232	2039	Fragment de tôle (angle)	Fer	1	1	14.9
Indéterminé tôle	18232		Fragment de tôle	Fer	1	1	14.2
Mobilier/Immobilier clou	18232		Constr.: 1 frgt; men.: 32 frgts; 34 tiges	Fer	67	33	453
Rivet (bc)	18232	3057	Clou-rivet en une pièce	Base-cuivre	1	1	0.1

ESPACE D

Décapage

D-1-décapage

Planche 81, 1. 18500, n° 1058.

Ressort de fibule à huit spires (quatre conservées), corde externe haute. Fibule à fixe corde? Base-cuivre.

L. 24 mm. 0.6 g.

E : 1140. N : 1197.24. Alt. : 573.14. UF.

Planche 81, 2. 18516, n° 1092.

Fragment de variante de fibule de Nauheim à arc triangulaire à encoche latérale et décor de trois lignes parallèles non équidistantes, perpendiculaires à l'axe de l'arc. Une spire du ressort est conservée. Base-cuivre.

L. 56 mm, L. (arc) 49 mm, l. (arc) 7 mm. 2.3 g.

E : 1139.05. N : 1202.84. Alt. : 573.27.

Type : B22-29.

Planche 81, 3. 18726, n° 1343.

Fragment de fibule de Nauheim à ressort à quatre spires à corde interne, arc de tôle triangulaire fin à bordures soulignées par une rainure. Seul le pied est manquant. Patine dorée, très bien conservée. Base-cuivre.

L. 41 mm, l. (arc) 3 mm. 2.3 g.

E : 1135.86. N : 1197.7. Alt. : 573.21.

Type : B22-03.

Planche 81, 4. 18726, n° 1716.

Fibule de Nauheim à ressort à quatre spires et corde interne, à arc de tôle triangulaire à décor médian d'échelle. Base-cuivre.

L. 25 mm, l. (arc) 25 mm. 2.6 g.

E : 1142.5. N : 1198. Alt. : 573.11.

Type : B22-02.

Planche 81, 5. 18543, n° 1213.

Fibule à tête couvrante et à ressort à huit spires (quatre conservées) et à fixe-corde à arc plat orné d'une ligne centrale. Base-cuivre.

L. 20 mm. 1.3 g.

E : 1138.46. N : 1200. Alt. : 573.19.

Type : B47-2.

Planche 81, 6. 18516, n° 1061.

Fragment de bracelet strié et torsadé à section en «D». Base-cuivre.

L. 34 mm, diam. rest. 54 mm, S. 5 x 7 mm. 6.2 g.

E : 1142.85. N : 1205.11. Alt. : 573.28.

Type : B10-12.

Planche 81, 7. 18726, n° 2010.

Anneau à section en «D». Base-cuivre.

Diam. 15 mm, S. 3 x 2 mm. 2.4 g.

E : 1139.53. N : 1199.47. Alt. : 573.2.

Planche 81, 8. 18726, n° 2008.

Fragment d'anneau de section ronde. Base-cuivre.

Diam. 23 mm, S. 2,5 mm. 1.6 g.

E : 1141.99. N : 1201.06. Alt. : 573.

Planche 81, 9. 18516, n° 1111.

Grand anneau de section ronde. Base-cuivre.

Diam. 25 mm, S. 3,5 mm. 5 g.

E : 1142.18. N : 1203.56. Alt. : 573.1.

Planche 81, 10. 18516, n° 1076.

Anneau-bague de section lenticulaire ouvert et écrasé. Base-cuivre.

L. 13 mm, S. 6 x 3 mm. 1.3 g.

E : 1146.1. N : 1202.67. Alt. : 573.19.

Planche 81, 11. 18726, n° 1359.

Clou de chaussure. Fer.

Diam. 11 mm. 1.4 g.

E : 1141.38. N : 1199.17. Alt. : 573.03.

Planche 81, 12. 18516, n° 1093.

Clou de chaussure. Fer.

Diam. 9 mm. 1 g.

E : 1139.05. N : 1202.84. Alt. : 573.27.

Planche 81, 13. 18516, n° 3011.

Fragment de gouttière d'orle tordue. Fer.

L. 27 mm. 4.8 g.

E : 1149. N : 1198.2.*

Type : Gouttière.

Planche 81, 14. 18516, n° 3008.

Aiguille à chas précédé d'une rainure et tige fragmentaire. Fer.

L. 25 mm. 1.1 g.

E : 1147.4. N : 1197.6.*

Planche 81, 15. 18726, n° 1379.

Fragment de pied de gril avec début du support latéral se développant à angle droit et une perforation à proximité de l'angle. Fer.

L. 68 mm. 22.7 g.

E : 1136.4. N : 1200.35. Alt. : 573.19.

Planche 81, 16. 18516, n° 1057.

Panne de marteau à extrémité arrondie. Fer.

L. 29 mm, l. 40 mm, ép. 13 mm. 53.8 g.

E : 1144.01. N : 1204.47. Alt. : 573.14.

Planche 81, 17. 18726, n° 1389.

Fragment indéterminé de quartz circulaire. Outil? Lithique.

L. 61 mm, l. 44, ép. 24 mm. 115.6 g.

E : 1144.32. N : 1201.24. Alt. : 573.02.

Planche 81, 18. 18726, n° 1345.

Demi-produit constitué d'une tige de section changeante entre le carré et le rectangle. Base-cuivre.

L. 87 mm, S. 3 x 1,5 mm. 2.3 g.

E : 1144.6. N : 1199.*

Planche 81, 19. 18726, n° 1398b.

Chute de plaque. Base-cuivre.

L. 16 mm, ép. 4,5 mm. 4 g.

E : 1132.6. N : 1201.5. Alt. : 573.28.

Planche 81, 20. 18516, n° 1104.

Chute de bande biseautée sur une face latérale. Base-cuivre.

L. 12 mm, l. 8 mm, ép. 2,5 mm. 0.9 g.

E : 1140.88. N : 1203.17. Alt. : 573.18.

Planche 81, 21. 18726, n° 1398a.

Chute de tige de section circulaire appointée. Base-cuivre.

L. 17,5 mm. 0.3 g.

E : 1132.57. N : 1201.56. Alt. : 573.28.

Planche 81, 22. 18516, n° 1148.

Chute de tige de section ronde. Fer.

L. 49 mm, S. 2,5 mm. 1.7 g.

E : 1147.68. N : 1197.86. Alt. : 573.07.

Planche 81, 23. 18516, n° 1053.

Chute de plaque triangulaire de section lenticulaire irrégulière avec deux découpes latérales. Fer.

L. 42 mm, l. 34 mm, ép. 6 mm. 26.6 g.

E : 1143.25. N : 1203.24. Alt. : 573.14.

Planche 81, 24. 18516, n° 1098.

Chute de bande de section rectangulaire découpée de tous les côtés. Fer.

L. 40 mm, l. 27 mm, ép. 7 mm. 35.5 g.

E : 1137.58. N : 1203.01. Alt. : 573.29.

Planche 81, 25. 18516, n° 3010.

Chute de bande de section rectangulaire pliée avec traces de découpe. Fer.

L. 49 mm, l. 48 mm, ép. 9 mm. 100 g.

E : 1148.7. N : 1199.4.*

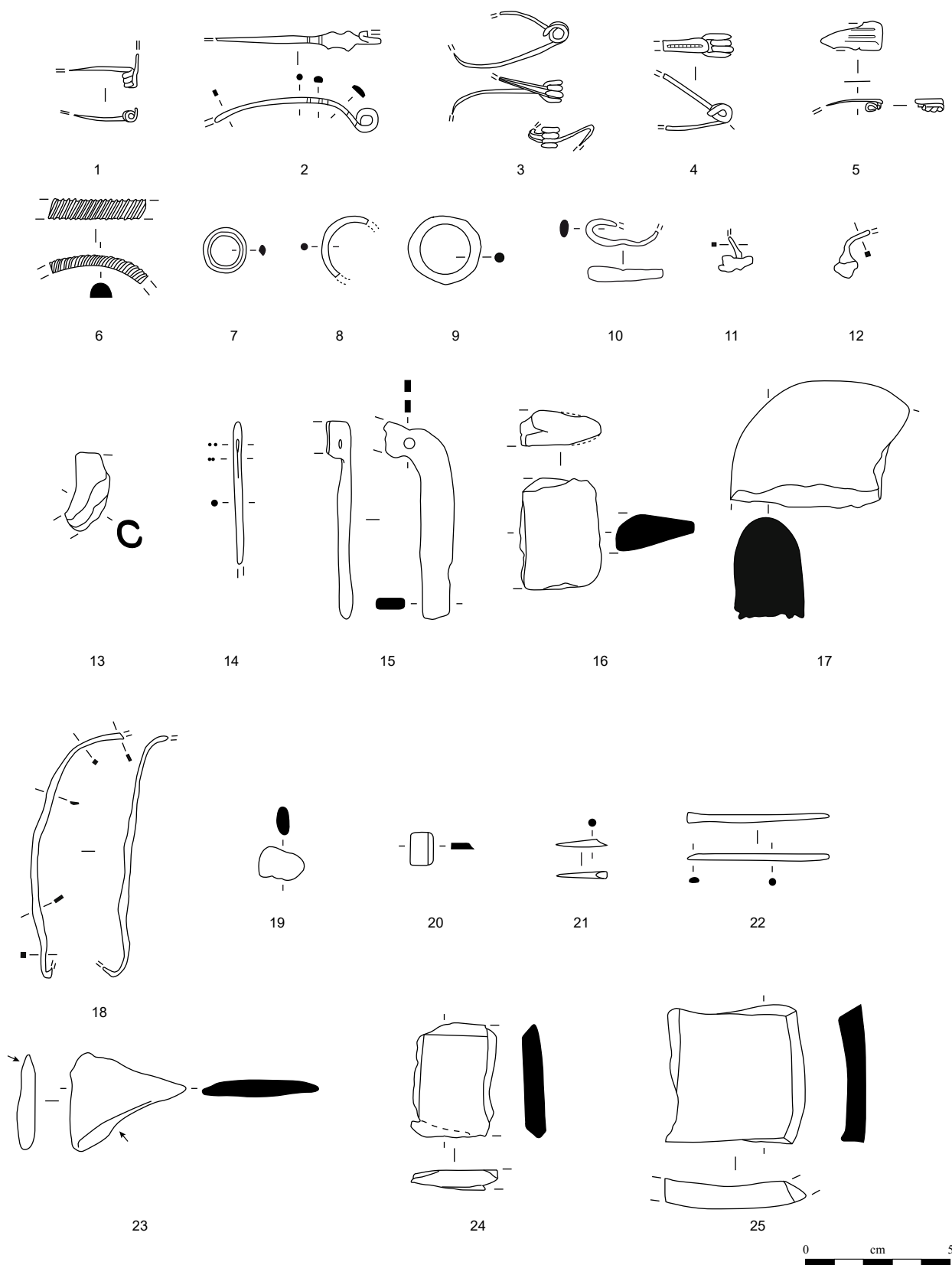


Planche 81. D-1-décapage

1, 8, 10-12, 16-18 : fer; 2-7, 9, 14-15 : alliage cuivreux; 13 : grès fin.

Espace D

Décapage

D-1-décapage

Planche 82, 1. 18726, n° 1380.

Pied de récipient avec découpes semi-circulaires et stries verticales. Base-cuivre.

L. 26 mm, 11.1 g.

E : 1136.11. N : 1198.8. Alt. : 573.16.

Planche 82, 2. 18726, n° 3041.

Butée de poignée de chaudron cylindrique avec tenon riveté. Fer.

Diam. 24 mm, ht. 19 mm. 42 g.

E : 1143. N : 1198.*

Planche 82, 3. 18516, n° 1164.

Fragment de miroir circulaire à bord biseauté. Base-cuivre.

L. 21 mm, diam. rest 64 mm. 0.8 g.

E : 1145.71. N : 1199.32. Alt. : 573.09.

Planche 82, 4. 18500, n° 3015.

Gond de section carrée et articulation de section ronde. Fer.

L. 77 mm, diam. utile 10 mm. 32.5 g.

E : 1144. N : 1199.*

Planche 82, 5. 18516, n° 3012.

Fragment de pêne contrecoudé. Fer.

L. 51 mm. 5.8 g.

E : 1148. N : 1199.35.*

Planche 82, 6. 18726, n° 3049.

Crampon atypique dont la barre supérieure est incurvée. Fer.

L. 49 mm, L. utile 18 mm. 15 g.

E : 1142. N : 1198.6.*

Planche 82, 7. 18516, n° 3013.

Contreplaque de rivet losangique avec tige en connexion. Fer.

L. 29 mm. 6.9 g.

E : 1147.5. N : 1199.2.*

Planche 82, 8. 18516, n° 1049.

Clou-rivet émaillé à longue tige pliée. Base-cuivre.

L. 28 mm, diam. 11 mm. 2.8 g.

E : 1146.42. N : 1203.6. Alt. : 573.13.

Planche 82, 9. 18516, n° 1051.

Clou-rivet émaillé à tige en fer. Base-cuivre et fer.

Diam. 15 mm, L. 15 mm. 5.4 g.

E : 1143.81. N : 1204.78. Alt. : 573.14.

Planche 82, 10. 18726, n° 1388.

Fragment de lèvre de dolium avec agrafe de réparation en plomb. Céramique et plomb.

L. 35 mm. 59.8 g.

E : 1144.89. N : 1201.1. Alt. : 573.62.

Planche 82, 11. 18516, n° 1052.

Fragment de ferrure décorative enroulée avec deux perforations. Base-cuivre.

Dim. 16 mm, ht. 16 mm. 1.1 g.

E : 1143.75. N : 1203.03. Alt. : 573.14.

Planche 82, 12. 18500, n° 1151.

Fragment d'applique constituée d'une tôle circulaire avec un renflement. Base-cuivre.

L. 19 mm, diam. rest. 40 mm. 0.7 g.

E : 1143.5. N : 1200.*

Planche 82, 13. 18500, n° 1152.

Fragment de gouttière. Base-cuivre.

L. 24 mm. 2.3 g.

E : 1145.7. N : 1201.*

Planche 82, 14. 18516, n° 3009.

Douille fragmentaire terminée par une tige de section carrée à angles chanfreinés. Fer.

L. 28 mm, diam. 14 mm, S. 10 mm. 21.4 g.

E : 1147. N : 1199.2.*

Planche 82, 15. 18726, n° 3050.

Tige de section ronde repliée à une extrémité. Fer.

L. 24 mm, S. 7 mm. 9.1 g.

E : 1139. N : 1199.3.*

Planche 82, 16. 18543, n° 3003.

Fragment de piton à oeillet par enroulement. Fer.

L. 47 mm. 21.8 g.

E : 1135. N : 1200.3.*

Planche 82, 17. 18516, n° 1066.

Fragment de fer plat triangulaire incurvé, lame? Fer.

L. 37 mm, l. 23 mm. 20.1 g.

E : 1144. N : 1202.2. Alt. : 573.13.

Planche 82, 18. 18726, n° 1386.

Fragment de plat de section lenticulaire. Fer.

L. 37 mm, l. 13 mm, ép. 3,5 mm. 23.7 g.

E : 1144.98. N : 1201.13. Alt. : 572.99.

Autres petits mobiliers

18726, n° 1337. Fragments de balsamaire en verre.

18726, n° 1392. Déchet de tabletterie avec trace de perforation circulaire.

18516, n° 1041. Fusaïole en terre cuite à section en «D».

18543, n° 1283. Fragment de hache polie.

18726, n° 1338. Jeton.

18726, n° 1361. Jeton.

18500, n° 1150. Monnaie.

18516, n° 1103. Monnaie.

18726, n° 1340. Monnaie.

18543, n° 1293. Monnaie.

18543, n° 1296. Monnaie.

18516, n° 1036. Monnaie.

18726, n° 1344. Monnaie.

18516, n° 1071. Monnaie.

18543, n° 1321. Monnaie.

18543, n° 1220. Fragment de paroi de foyer.

18543, n° 1210. Fragment de perle à décor en damier à fond brun et blanc strié par des rainures pourpres (Gebhard IXed).

18516, n° 1162. Perle tubulaire verte.

18726, n° 1339. Fragment d'anse en verre pourpre.

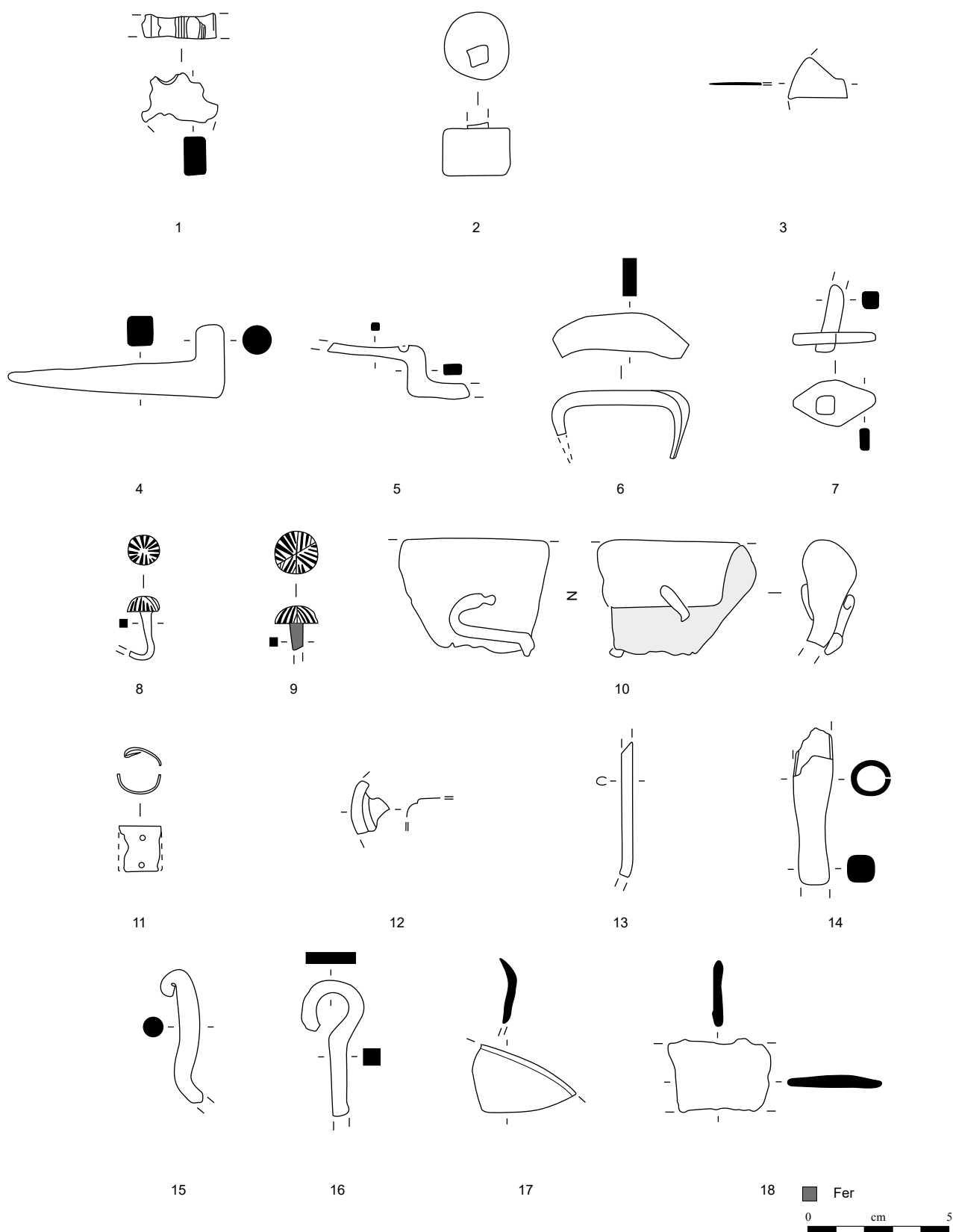


Planche 82. D-1-décapage

1, 8, 10-12, 16-18 : fer; 2-7, 9, 14-15 : alliage cuivreux; 13 : grès fin.

Espace D

État 4 lato sensu : époque romaine

D-2-gallo-romain

Planche 83, 1. 16259, n° 901.

Fibule à charnière rapportée et plaque losangique ornée d'un cabochon. Base-cuivre.

L. 29 mm. 1.6 g.

E : 1138.4. N : 1190.3.*

Type : B79-4.

Planche 83, 2. 17008, n° 40.

Fibule à charnière dans le prolongement de l'arc, à arc à moulures longitudinales et à pied triangulaire terminé par un bouton. Vestige d'une goupille en fer dans la charnière. La surface est recouverte de métal blanc. Base-cuivre.

L. 47 mm. 6.4 g.

E : 1147.8. N : 1193.8. Alt. : 573.06.

Type : B68-8.

Planche 83, 3. 17008, n° 82.

Fibule symétrique à charnière rapportée et loge centrale ornée d'un décor incisé complexe. Base-cuivre.

L. 26 mm. 2.5 g.

E : 1142.2. N : 1197.5. Alt. : 572.91.

Type : B79-6.

Planche 83, 4. 17009, n° 5.

Pied de fibule triangulaire à extrémité à protubérance. Base-cuivre.

L. 16 mm. 0.4 g.

E : 1144.9. N : 1191. Alt. : 573.9.

Type : B68-0.

Planche 83, 5. 17008, n° 11.

Ardillon de fibule à charnière de fibule. Base-cuivre.

L. 31 mm. 0.4 g.

E : 1143.5. N : 1189.4. Alt. : 573.9.

Planche 83, 6. 16259, n° 891.

Fibule à queue de paon à ressort protégé à huit spires, couvre-ressort incisé, arc à moulures longitudinales et disque médian orné d'un décor rayonnant et pied comportant des ajours circulaires. Base-cuivre.

L. 43 mm. 9.1 g.

E : 1137.2. N : 1188.4. Alt. : 573.14.

Type : B56-2.

Planche 83, 7. 17008, n° 99.

Fragment de pied et pince moulurée de fibule de schéma La Tène moyenne. Base-cuivre.

L. 99 mm. 0.3 g.

E : 1146.7. N : 1194.5.*

Type : B21-3.

Planche 83, 8. 17008, n° 15.

Fibule pseudo-LT moyenne à ressort à quatre spires et corde interne et à arc coudé filiforme de section ronde cassé au niveau du pied. Base-cuivre.

L. 32 mm. 1.7 g.

E : 1138.5. N : 1191.75. Alt. : 572.74.

Type : B21-3.

Planche 83, 9. 17008, n° 135.

Fibule à fixe-corde à ressort à huit spires et à arc coudé rubané recouvrant la tête et comportant des moulures longitudinales. Base-cuivre.

L. 27 mm. 1.1 g.

E : 1143.6. N : 1195.3. Alt. : 572.80.

Type : B47-2.

Planche 83, 10. 17024, n° 107.

Fibule à fixe-corde se développant au dessus de l'arc, à ressort à six spires et à arc rubané coudé recouvrant le ressort. Base-cuivre.

L. 21 mm. 1.8 g.

E : 1142.5. N : 1193.4. Alt. : 572.76.

Type : B47-1.

Planche 83, 11. 17024, n° 111.

Fibule complète à disque médian à ressort à huit spires et fixe-corde et plaquettes, à arc en anse de panier à moulures longitudinales séparées du pied par un disque. Le pied triangulaire est long, multifenestré et surmonté d'une plate-forme rectangulaire. Base-cuivre.

L. 49 mm. 7 g.

E : 1143.5. N : 1193.4. Alt. : 572.76.

Type : B46-2.

Planche 83, 12. 17008, n° 85.

Fibule à ressort à quatre spires et corde interne et arc tendu de tôle triangulaire fin à bordures soulignées par une rainure. Base-cuivre.

L. 36 mm, L. (arc) 31 mm, l. (arc) 4 mm. 1.5 g.

E : 1148.7. N : 1193.5.*

Type : B22-02.

Planche 83, 13. 17008, n° 89.

Fibule à ressort à quatre spires et corde interne et arc tendu de tôle triangulaire fin à bordures soulignées par une rainure. Le pied est ajouré. Base-cuivre.

L. 45 mm, L. (arc) 28 mm, l. (arc) 4 mm. 2.6 g.

E : 1144.22. N : 1191.3. Alt. : 573.02.

Type : B22-03.

Planche 83, 14. 17008, n° 101.

Fibule à ressort à quatre spires (deux conservées) et corde interne et arc tendu de tôle triangulaire fin à décor d'échelle et bordures soulignées par une rainure. Seul le pied est manquant. Base-cuivre.

L. 36 mm, L. (arc) 27 mm, l. (arc) 5 mm. 1.6 g.

E : 1144. N : 1191.*

Type : B22-02.

Planche 83, 15. 17008, n° 21.

Fibule à ressort à quatre spires et corde interne (non ill.) et départ d'arc tendu de tôle triangulaire fin très dégradé. Base-cuivre.

L. 22 mm. 1.2 g.

E : 1144.5. N : 1189.4. Alt. : /.

Type : B22-0.

Planche 83, 16. 16621, n° 616.

Arc filiforme de fibule tendu de section carrée à pied ajouré. Le ressort est

manquant. Base-cuivre.

L. 29 mm, L. (arc) 16 mm, S. 2 mm. 0.2 g.

E : 1148. N : 1191.9. Alt. : 573.11.

Type : B23-1.

Planche 83, 17. 17024, n° 109.

Ardillon complet et ressort à quatre spires (deux conservées) et corde interne à patine gallo-romaine. Fibule de type pseudo-LT moyenne? Base-cuivre.

L. 37,5 mm. 1.1 g.

E : 1149.5. N : 1194.1. Alt. : 572.78.

Type : B20-0.

Planche 83, 18. 16621, n° 526.

Fibule à coquille à ressort très fragmentaire. Fer.

L. 24 mm. 1.3 g.

E : 1145.13. N : 1196.4. Alt. : 573.1.

Type : F25-1.

Planche 83, 19. 17024, n° 1462.

Fibule complète à ressort à quatre spires et corde externe haute, arc outrepassant de section lenticulaire et pied long triangulaire ajouré. Fer.

L. 84 mm, L. (arc) 50 mm, l. (pied) 34 mm. 11.3 g.

E : 1148.3. N : 1195.4. Alt. : 573.02.

Type : F33-11.

Planche 83, 20. 17008, n° 1702.

Fibule à arc coudé et ressort à quatre spires et corde interne et arc cambré filiforme dont le coude est orné d'une perle. Fer.

L. 28 mm, l. (arc) 21 mm. 1.5 g.

E : 1147.5. N : 1191.6.*

Type : F24-3.

Planche 83, 21. 17008, n° 94a.

Fibule à quatre spires et corde externe et arc coudé de section ronde. Fer.

L. 21 mm. 1.7 g.

E : 1147.5. N : 1195.*

Type : F33-09.

Planche 83, 22. 17008, n° 14.

Fibule à ressort à quatre spires et corde externe et arc cambré de section lenticulaire. Fer.

L. 28 mm, S. (arc) 6 x 3 mm. 4.8 g.

E : 1144.8. N : 1194.3.*

Type : F33-7.

Planche 83, 23. 16614, n° 1638.

Arc de fibule de section losangique avec départ du pied. Fer.

L. 40 mm, S. (arc) 2,5 mm. 1.6 g.

E : 1149.6. N : 1186.5. Alt. : 573.07.

Type : F03.

Planche 83, 24. 17008, n° 29.

Ressort de fibule à quatre spires (trois conservées) et corde externe haute avec départ d'arc filiforme de section rubanée. Fer.

L. 13 mm. 2.6 g.

E : 1147. N : 1190.5.*

Type : F33-0.

Planche 83, 25. 16259, n° 18061806.

Ressort de fibule à quatre spires et corde

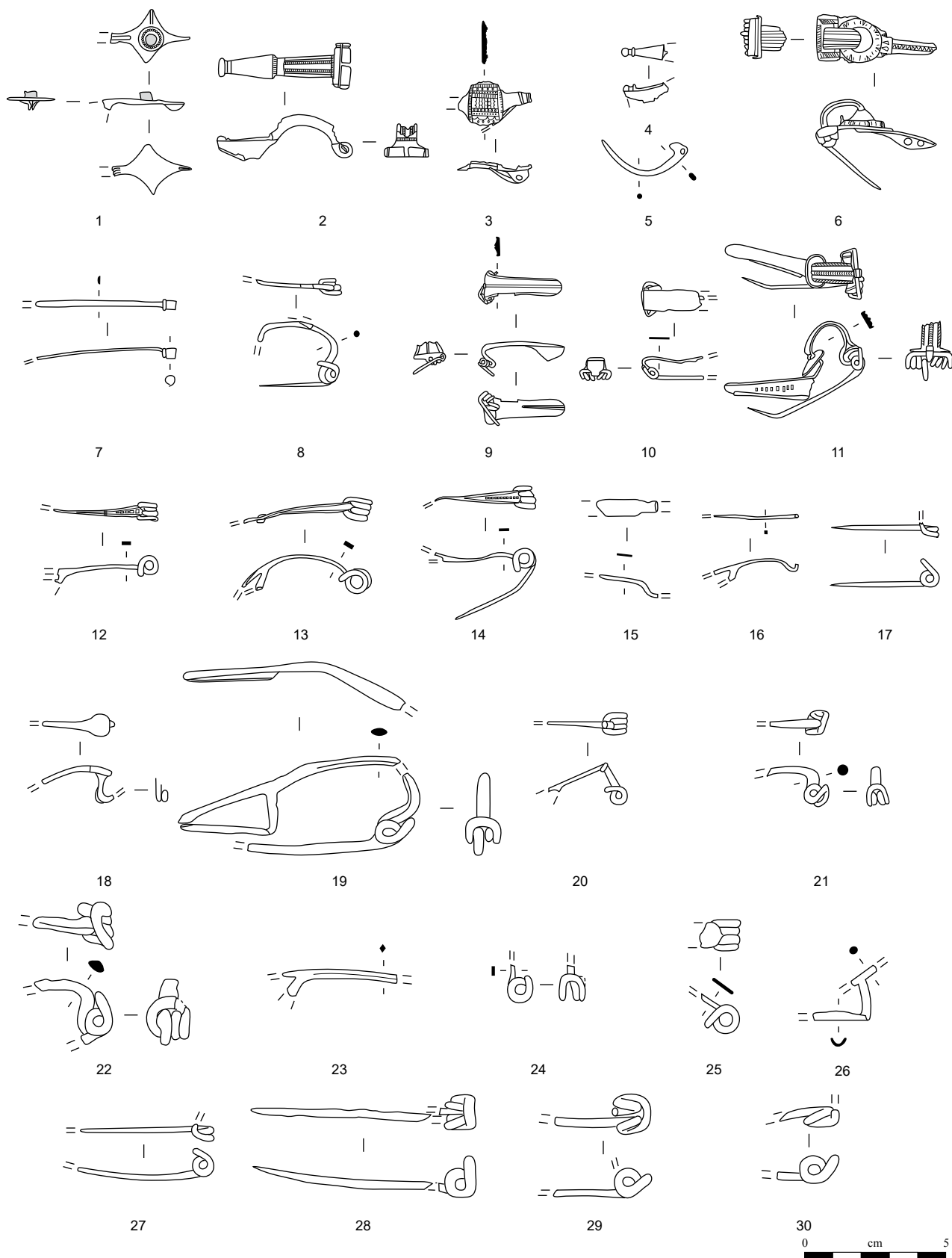


Planche 83. D-2-gallo-romain

1-17 : alliage cuivreux; 18-30 : fer.

interne et départ d'un arc de tôle. Fer.
L. 14 mm, l. (arc) 9 mm. 2.6 g.
E : 1140.3. N : 1191.*
Type : F22-1.

Planche 83, 26. 17008, n° 1703.
Fragment de pied de fibule à pied triangulaire dans le prolongement de l'arc. Fer.
L. 22 mm. 1.4 g.
E : 1146.8. N : 1190.2.*

Planche 83, 27. 17104, n° 1407.
Ressort à quatre spires (deux conservées) et corde interne. Fer.
L. 49 mm. 2 g.
E : 1145. N : 1195.*
Type : F20.

Planche 83, 28. 18522, n° 1095.
Ardillon et ressort de fibule quatre spires à corde externe haute avec départ d'arc filiforme. Fer.
L. 79 mm. 4.4 g.
E : 1147. N : 1199.37. Alt. : 573.99.
Type : F33-0.

Planche 83, 29. 16614, n° 641.
Ressort de fibule à deux spires et corde externe basse. Fer.
L. 34 mm. 4.2 g.
E : 1150. N : 1192.*
Type : F10-1.

Planche 83, 30. 16621, n° 525.
Fragment de ressort de fibule à quatre spires (deux conservées) et corde externe haute. Fer.
L. 19 mm. 2 g.
E : 1144.23. N : 1194.16. Alt. : 573.16.
Type : F30.

Espace D

État 4 lato sensu : époque romaine

D-2-gallo-romain

Planche 84, 1. 16259, n° 922.
Fragment d'anneau de section ronde. Base-cuivre.
L. 10 mm, diam. 18 mm, S. 2,5 mm. 0.5 g.
E : 1141.3. N : 1189.6. Alt. : /.*

Planche 84, 2. 16259, n° 1029.
Fragment d'anneau de section ronde. Base-cuivre.
L. 23 mm, diam. 28 mm, S. 4 mm. 2 g.
E : 1141.8. N : 1188.3.*

Planche 84, 3. 16614, n° 1814.
Fragment d'anneau de section lenticulaire. Base-cuivre.
L. 8 mm, diam. 10 mm, S. 4 x 2,5 mm. 0.3 g.
E : 1149. N : 1184.64. Alt. : 573.01.

Planche 84, 4. 16259, n° 1028.
Fragment d'anneau à cinq cannelures très usées. Base-cuivre.
L. 21 mm, diam. 28 mm, S. 6 x 3 mm. 1.8 g.
E : 1141.2. N : 1189.5.*

Planche 84, 5. 17008, n° 33a.
Anneau de section losangique. Base-cuivre.
Diam. 16 mm, S. 3 x 5 mm. 3.4 g.
E : 1146.3. N : 1189.2. Alt. : / UF.

Planche 84, 6. 17008, n° 33b.
Anneau de section subcirculaire. Base-cuivre.
Diam. 17 mm, S. 3 mm. 4.6 g.
E : 1146.4. N : 1189.15. Alt. : / UF.

Planche 84, 7. 17008, n° 84.
Anneau de section ronde. Base-cuivre.
Diam. 18 mm, S. 3 mm. 3.1 g.
E : 1148.3. N : 1190.6.*

Planche 84, 8. 17008, n° 293.
Perle de section hémisphérique. Base-cuivre.
Diam. 11, S. 4 mm. 2.6 g.
E : 1147. N : 1192.9. Alt. : 572.7.

Planche 84, 9. 17103, n° 1474.
Anneau de section ronde. Base-cuivre.
Diam. 16 mm. 1.9 g.
E : 1146.1. N : 1194.1. Alt. : 572.80.

Planche 84, 10. 17008, n° 37.
Fragment d'anneau de section ronde. Base-cuivre.
Diam. 16 mm, S. 3,5 mm. 2.6 g.
E : 1139. N : 1194.8.*

Planche 84, 11. 18420, n° 1697.
Grand anneau de section ronde. Base-cuivre.
Diam. 24 mm, S. 4,5 mm. 10.2 g.
E : 1140.72. N : 1198.63. Alt. : 572.83.

Planche 84, 12. 17008, n° 128.
Bague avec un plateau losangique orné de trois ocelles et un anneau fragmentaire de section triangulaire. Base-cuivre.
L. 23 mm, L. (plateau) 14 x 9 mm. 1.8 g.
E : 1148.9. N : 1189. Alt. : 573.05.
Type : 7.

Planche 84, 13. 17009, n° 9.
Clou de chaussure sans décor. Fer.
Diam. 13 mm. 1.9 g.
E : 1150. N : 1188.1. Alt. : 573.02.

Planche 84, 14. 17024, n° 106.
Pince à épiler de trousse de toilette avec un anneau de suspension et une tige comportant un renflement médian. Base-cuivre.
L. 61 mm, l. 7 mm. 9 g.
E : 1148. N : 1195. Alt. : 572.74.

Planche 84, 15. 16259, n° 1837.
Rivet de cotte de mailles ou de bouclier à cupule centrale. Fer.
L. 15 mm, diam. 12 mm. 3.5 g.
E : 1141.8. N : 1191.5.*

Planche 84, 16. 17008, n° 34.
Boucle de ceinturon ou de lorica en forme de «D» de section circulaire. Base-cuivre.
Diam. 19 x 14 mm, S. max. 4 mm. 2.9 g.
E : 1143.6. N : 1193.4. Alt. : / UF.

Planche 84, 17. 17104, n° 1404.
Attache de ceinture niellée à tête de taureau stylisée, cassée au niveau de la fixation dont ne subsiste qu'une partie de la perforation. Base-cuivre.
L. 37 mm. 16.9 g.
E : 1145.1. N : 1196. Alt. : 572.78.

Planche 84, 18. 18858, n° 2079.
Attache de ceinturon à anneau circulaire et bouton rectangulaire orné de lignes incisées. Base-cuivre.
Diam. 20 mm, ht. 13 mm, S. 4,5 mm. 8.5 g.
E : 1137.6. N : 1199.5.*
Type : B44-1.

Planche 84, 19. 17008, n° 1785.
Fragment de pendant de harnais (?) composé d'un plat orné de lignes perpendiculaires d'où part une tige formant un anneau. Base-cuivre.
L. 19 mm. 0.4 g.
E : 1144.5. N : 1189.4.

Planche 84, 20. 18521, n° 1081.
Pendant de harnais émaillé constitué de deux éléments mobiles. La première partie de forme losangique est émaillée sur l'une de ses faces et munie d'un bouton à son extrémité distale et d'une bélière à son extrémité proximale. Sa bordure est incisée. La seconde partie de forme circulaire est décorée d'un disque émaillé et concentrique sur une face, tandis que l'autre est dotée d'un rivet de fixation de section carrée sur l'autre face. Base-cuivre.
L. 42 mm. 2.1 g.
E : 1146.4. N : 1199.6.*

Planche 84, 21. 16259, n° 765.
Piton à oeillet avec anneau en position fonctionnelle. Fer.
L. 39 mm, L. (utile) 15 mm, diam. (anneau) 20 mm. 9.1 g.
E : 1137.5. N : 1190.2. Alt. : /.*

Planche 84, 22. 17008, n° 1779.
Applique de caisse de char avec décor de ying-yang au repoussé. Base-cuivre.
L. 60 mm, ép. 0,5 mm. 6 g.
E : / N : / Alt. : /.*

Planche 84, 23. 16614, n° 438.
Alène à soie et extrémité de section ronde. Fer.
L. 44 mm, S. 3 mm. 1.6 g.
E : 1145.43. N : 1187.03. Alt. : 572.9.

Planche 84, 24. 16614, n° 1786.
Panne de petit marteau terminée par un biseau à une extrémité et par un épaulement suivi d'un plat à l'autre (vestige d'un oeil rectangulaire). Fer.
L. 61 mm. 13.8 g.
E : 1144. N : 1190.4.*

Planche 84, 25. 17103, n° 1473.
Fragment de dent de râteau composée d'une tige bipyramidale avec une extrémité subcirculaire tandis que l'autre

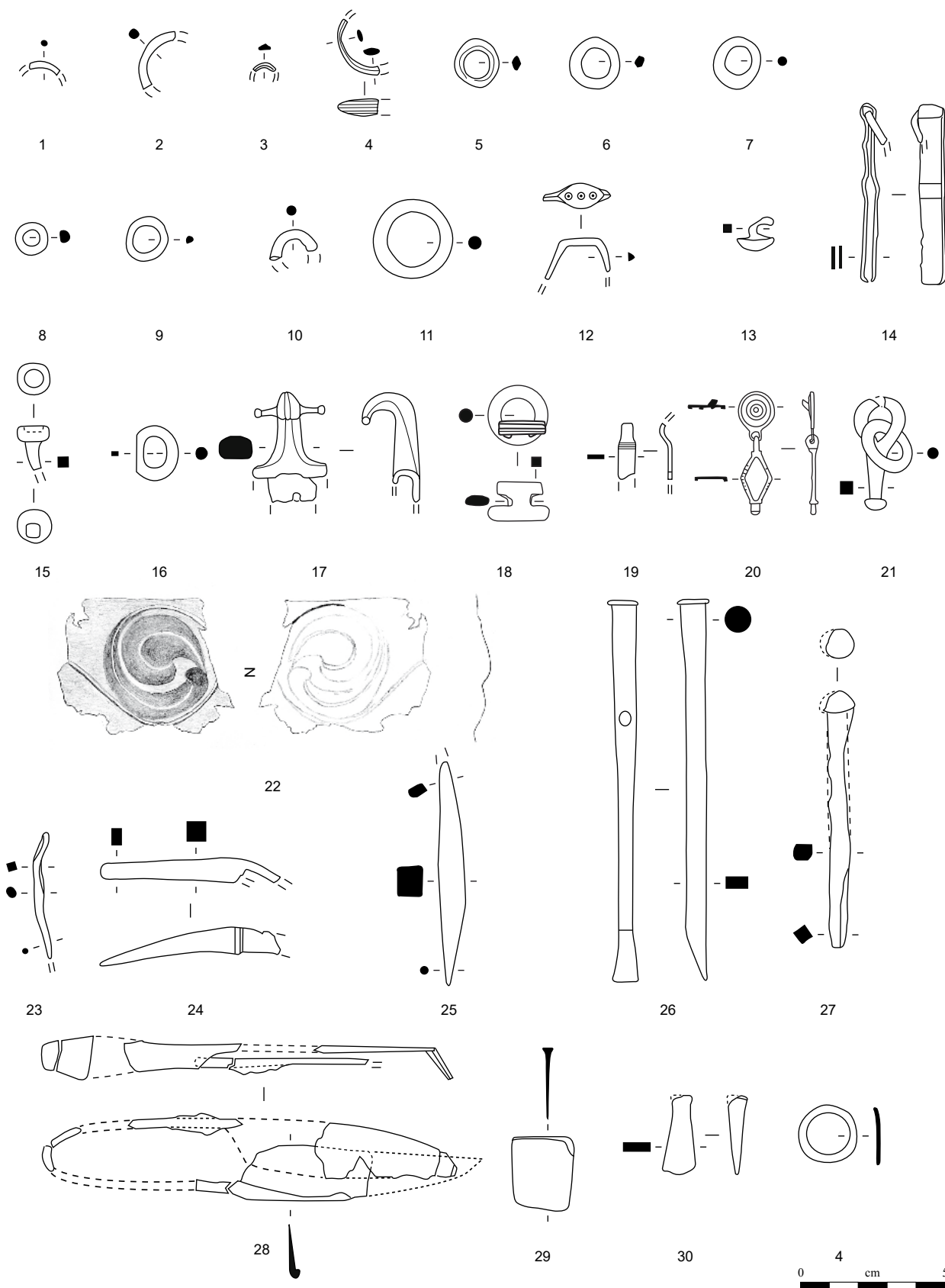


Planche 84. D-2-gallo-romain

1-12, 14, 16-20, 22 : alliage cuivreux; 13, 15, 21, 23-30 : fer.

de section rectangulaire est cassée. Fer.
L. 76 mm, ép. 10 mm. 25.6 g.
E : 1147.8. N : 1196.4. Alt. : 572.78.

Planche 84, 26. 17008, n° 133.
Bédane à tête matée, à manche de section circulaire puis rectangulaire et à tranchant à simple biseau légèrement évasé. Perforation circulaire au centre de l'objet. Fer.
L. 131 mm, L (tranchant) 18 mm, l. (tranchant) 9 mm. 41.5 g.
E : 1144.2. N : 1194.8. Alt. : 572.75.

Planche 84, 27. 17008, n° 16.
Clou à tête hémisphérique pleine. Fer.
L. 87 mm. 26 g.
E : 1142.3. N : 1191.*

Planche 84, 28. 17009, n° 79.
Forces très fragmentaires avec les deux lames à butée collées et un ressort présentant un épaississement sommital. Fer.
L. rest. 150 mm, l. (lame) 20 mm. 15 g.
E : 1147.3. N : 1187.4. Alt. : 573.95.

Planche 84, 29. 17019, n° 1436.
Angrois à sommet écrasé. Fer.
L. 25 mm, l. 21 mm. 7.4 g.
E : 1144.1. N : 1197.2.*

Planche 84, 30. 17008, n° 1701.
Angrois à tête matée et à extrémité évasée. Fer.
L. 27 mm, l. (base) 11. 4.3 g.
E : 1149. N : 1192.1.*

Planche 84, 31. 16621, n° 620.
Virole avec partie supérieure écrasée. Fer.
Diam. 19 mm, ht. 19 mm. 12.5 g.
E : 1146.8. N : 1191.6. Alt. : 573.13.

Espace D

État 4 lato sensu : époque romaine

D-2-gallo-romain

Planche 85, 1. 17019, n° 100.
Demi-produit constitué d'une tige de section rectangulaire. Base-cuivre.
L. 50 mm, S. 1 x 4 mm. 0.9 g.
E : 1139.5. N : 1194.9. Alt. : /.

Planche 85, 2. 17008, n° 1412.
Chute de plaque de section trapézoïdale. Base-cuivre.
L. 17 mm, S. 4 x 2 mm. 0.3 g.
E : 1147.3. N : 1196.*

Planche 85, 3. 16614, n° 1520.
Demi-produit constitué d'une tige de section carrée avec traces de martelage. Base-cuivre.
L. 29 mm, S. 2 mm. 0.7 g.
E : 1143.5. N : 1190.5.*

Planche 85, 4. 16259, n° 894.
Chute de tôle à découpe circulaire repliée à plusieurs reprises. Base-cuivre.
L. 50 mm. 14.7 g.
E : 1136.6. N : 1191.1.*

Planche 85, 5. 16259, n° 912.
Chute de plat à bord biseauté. Base-cuivre.
L. 31 mm. 1.3 g.
E : 1139.9. N : 1188.9. Alt. : 573.17.

Planche 85, 6. 17008, n° 237.
Chute de tôle trapézoïdale percée. Base-cuivre.
L. 22 mm. 0.3 g.
E : 1145. N : 1195.5. Alt. : 572.74.

Planche 85, 7. 16259, n° 948.
Chute de tôle avec trace de découpe à la cisaille sur un bord. Base-cuivre.
L. 35 mm. 2.5 g.
E : 1140. N : 1188.9.*

Planche 85, 8. 18410, n° 3028.
Chute de tige de section carrée. Fer.
L. 52 mm, S. 2 mm. 2.2 g.
E : 1145.2. N : 1195.*

Planche 85, 9. 16614, n° 1789a.
Chute de tige de section rectangulaire. Fer.
L. 58 mm, S. 3 mm. 3 g.
E : 1149.4. N : 1185.1.*

Planche 85, 10. 16614, n° 1789b.
Chute de tige de section quadrangulaire avec trace de découpe. Fer.
L. 29 mm, S. 2 mm. 1.5 g.
E : 1149.3. N : 1185.*

Planche 85, 11. 18522, n° 3048.
Chute de plaque triangulaire de section rectangulaire avec découpe curviligne. Fer.
L. 47 mm, ép. 6 mm. 20.9 g.
E : 1146.4. N : 1198.3.*

Planche 85, 12. 17104, n° 1488.
Poids circulaire. Plomb.
Diam. 30 mm, ép. 5 mm. 24.8 g.
E : 1146. N : 1195.7. Alt. : 572.88.

Planche 85, 13. 17103, n° 1475.
Fragment de lame de petit couteau pliant (?) à dos incurvé et tranchant droit. Fer.
L. 57 mm, L. (lame) 57 mm, l. (lame) 11 mm. 4.9 g.
E : 1148. N : 1196.15. Alt. : 572.80.
Type : 5-4.

Planche 85, 14. 18408, n° 3084.
Fragment de couteau avec un manche à douille et large lame fragmentaire. Fer.
L. 103 mm, l. (lame) 50 mm. 44.3 g.
E : 1142.5. N : 1199.4.*
Type : 4-2.

Planche 85, 15. 16259, n° 913.
Attache de situle à patte triangulaire. Fer.
L. 43 mm, diam. (anneau) 10 mm. 10.5 g.
E : 1139.95. N : 1189.75. Alt. : 573.17.

Planche 85, 16. 18410, n° 1685.
Fragment de lèvre de casserole ou de simpulum. Base-cuivre.
Diam. 80 mm, ht. 11 mm. 1.8 g.
E : 1145.11. N : 1195.12. Alt. : 573.04.

Planche 85, 17. 18420, n° 1698.
Objet indéterminé constitué d'une languette à bordure biseautée présentant un rivet médian. Base-cuivre.
L. 32 mm, l. 19 mm, ép. 3 mm. 8.1 g.
E : 1141.61. N : 1199.33. Alt. : 572.79.

Planche 85, 18. 17008, n° 131.
Fragment de barre de gril de section rectangulaire à extrémité matée. Fer.
L. 137 mm, S. 7 x 8 mm. 34 g.
E : 1144.6. N : 1189.4. Alt. : 572.75.

Planche 85, 19. 16259, n° 1034.
Barre de gril complète de section rectangulaire matée aux deux extrémités. Fer.
L. 240 mm, S. 5,5 x 3 mm. 27.5 g.
E : 1142. N : 1190.3.*

Planche 85, 20. 16614, n° 518.
Barre de gril avec petit crochet à une extrémité. Fer.
L. 207 mm, S. 5,5 x 3,5 mm. 20.5 g.
E : 1149.9. N : 1180.2. Alt. : 572.98.

Planche 85, 21. 17024, n° 70.
Fragment de crochet de crémaillère cassé au niveau de sa torsade. Fer.
L. 136 mm, S. 10 mm. 60 g.
E : 1140.8. N : 1190.7. Alt. : 572.6. UF.

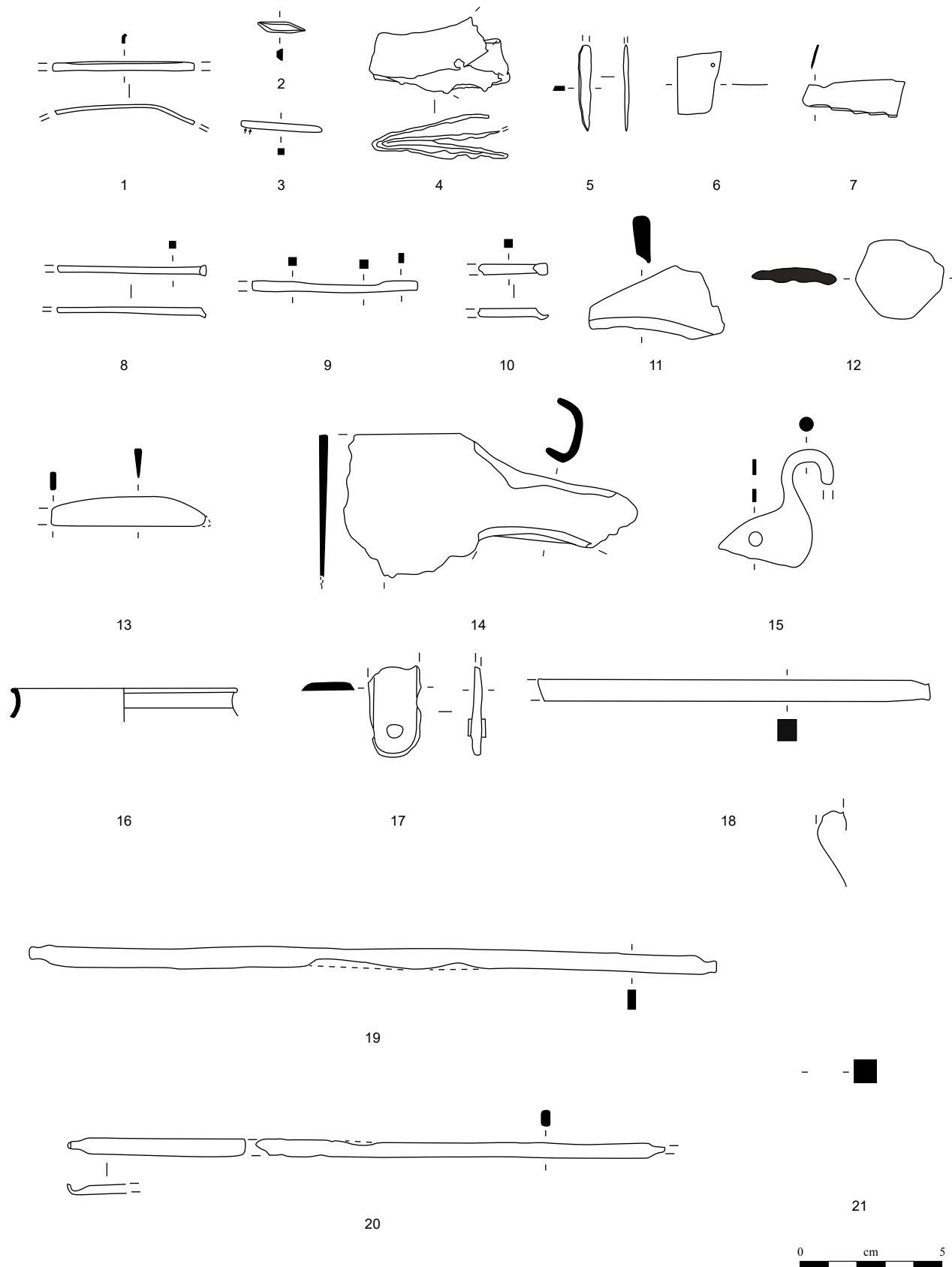


Planche 85. D-2-gallo-romain

1-7, 16-17 : alliage cuivreux; 8-11, 13-15, 19-21 : fer; 12 : plomb.

Espace D

État 4 lato sensu : époque romaine

D-2-gallo-romain

Planche 86, 1. 17019, n° 1410.

Bouton de meuble comportant une boule surmontant un plat et terminé par une tige présentant une extrémité matée. Base-cuivre.

L. 18 mm, l. 15 mm. 4.0 g.

E : 1141.7. N : 1197.2.*

Planche 86, 2. 17008, n° 130.

Clé à manche mouluré, panneton excentré et à soulèvement de cheville et translation. Base-cuivre.

L. 44 mm, L. (dent) 14 mm. 22.5 g.

E : 1147.72. N : 1194.18. Alt. : 572.84.

Planche 86, 3. 17103, n° 1477.

Pêne contrecoudé constitué d'une tige de section carrée repliée à deux reprises. Fer.

L. 196 mm, S. 6 mm. 14.2 g.

E : 1146. N : 1194.5. Alt. : 572.82.

Planche 86, 4. 17008, n° 137.

Pêne de serrure contrecoudé plié en son centre. Fer.

L. 136 mm, S. 3 mm. 9.5 g.

E : 1143. N : 1192.5. Alt. : 572.7.

Planche 86, 5. 17104, n° 1405.

Fragment de ferrure décorative constituée d'une tôle avec une bordure repliée et une perforation. Base-cuivre.

L. 46 mm, l. 23 mm. 2.9 g.

E : 1144. N : 1194.9. Alt. : 572.78.

Planche 86, 6. 18420, n° 1696.

Lève-loquet avec anneau cassé et bras doublement coudé complet. Fer.

L. 149 mm, S. 12 x 5 mm. 42.5 g.

E : 1139.79. N : 1198.88. Alt. : 573.01.

Planche 86, 7. 17019, n° 98.

Fragment de gouttière pliée. Base-cuivre.

L. 66 mm, l. 5 mm. 0.5 g.

E : 1147. N : 1197.3.*

Planche 86, 8. 18858, n° 3082.

Fragment de ferrure terminée par une extrémité circulaire perforée. Fer.

L. 105 mm, S. 13 x 4 mm. 30.4 g.

E : 1137.5. N : 1200.5.*

Planche 86, 9. 18563, n° 1314.

Fragment d'objet indéterminé constitué d'une tôle incurvée et perforée terminée par une douille. Fer.

L. 56 mm, diam. 14 x 10 mm. 23.5 g.

E : 1148.75. N : 1200.2. Alt. : 572.87.

Planche 86, 10. 17008, n° 229.

Tige de section hémisphérique pliée. Base-cuivre.

L. 23 mm, S. 3 x 2 mm. 0.8 g.

E : 1148. N : 1196.1.

Planche 86, 11. 16614, n° 1790.

Fragment d'anneau de sertissage

constitué d'un plat enroulé avec trace de bois minéralisé. Fer.

Diam. 12 mm. 2.4 g.

E : 1148.3. N : 1187.*

Planche 86, 12. 16259, n° 924.

Fragment d'anneau de chaînette. Base-cuivre.

Diam. 9 mm. 0.4 g.

E : 1137.8. N : 1188.7.

Planche 86, 13. 16621, n° 568.

Bande de tôle indéterminée repliée sur elle-même. Base-cuivre.

L. 24 mm. 0.7 g.

E : 1151.58. N : 1192.6. Alt. : 573.21.

Planche 86, 14. 17008, n° 1700.

Coin de calage constitué d'un plat de section triangulaire incurvée. Fer.

L. 36 mm, ht. 34 mm. 18.2 g.

E : 1141.6. N : 1193.2.*

Planche 86, 15. 16259, n° 896.

Applique conique avec perforation centrale. Base-cuivre.

Diam. 16 mm, ht. 5 mm. 0.8 g.

E : 1140. N : 1187.6. Alt. : /.*

Planche 86, 16. 17008, n° 146b.

Objet indéterminé constitué d'une tôle quadrangulaire décorée d'ocelles. Base-cuivre.

L. 17 mm, l. 11 mm, ép. 1 mm. 0.4 g.

E : 1148.2. N : 1193.4.*

Planche 86, 17. 17008, n° 80.

Fragment indéterminé de languette de section triangulaire puis circulaire. Lame de serpette? Fer.

L. 48 mm. 4 g.

E : 1147.3. N : 1191.2.

Planche 86, 18. 16621, n° 514.

Fragment d'applique décorative ajourée. Applique de fourreau? Base-cuivre.

L. 35 mm. 0.5 g.

E : 1145. N : 1195.*

Planche 86, 19. 16621, n° 1788.

Clou avec trace d'alliage cuivreux coulé en surface. Clou émaillé non fini ou trace d'exposition au feu? Fer et alliage cuivreux.

L. 37 mm. 11.7 g.

E : 1147. N : 1194.3.

Autres petits mobiliers

17024. Fragment d'antéfixe en terre cuite.

16259, n° 893. Fragment de bracelet.

16259, n° 927. Fragment de bracelet en roche noire.

17103, n° 1498. Andouiller de cerf scié.

17008, n° 72. Tige en os terminée par une perforation marquée par une partie quadrangulaire.

17008, n° 232. Fragment de verre bleu.

16624, n° 590. Fragment de verre indéterminé.

17008, n° 141. Fragment de verre indéterminé.

17008, n° 26. Fragment de verre

indéterminé.

16259, n° 895. Jeton.

16259, n° 897. Jeton.

16614, n° 443. Jeton.

16614, n° 481. Jeton.

17008, n° 1452. Jeton.

17008, n° 25. Jeton.

17008, n° 30. Jeton.

17104, n° 1406. Jeton.

17105, n° 1387. Jeton.

17105, n° 1397. Jeton.

17105, n° 1398. Jeton.

18850, n° 1727. Jeton.

18522, n° 1084. Jeton d'amphore.

16259, n° 898. Monnaie.

17019, n° 1445. Monnaie.

17008, n° 234. Monnaie.

18521, n° 1080. Monnaie.

17008, n° 96. Monnaie.

16259, n° 1027. Monnaie.

17008, n° 78. Monnaie.

17105, n° 1486. Monnaie.

17008, n° 23. Monnaie.

17008, n° 87. Monnaie.

16259, n° 914. Monnaie.

17008, n° 88. Monnaie.

17104, n° 1487. Monnaie.

16614, n° 1581. Monnaie.

17024, n° 108. Monnaie.

17024, n° 110. Monnaie.

16259, n° 971. Monnaie.

17008, n° 1438. Monnaie.

16259, n° 899. Monnaie.

17105, n° 1384. Monnaie.

17008, n° 6. Monnaie.

17104, n° 1489. Monnaie.

16614, n° 476. Monnaie.

17008, n° 7. Monnaie.

17009, n° 75. Monnaie.

17008, n° 92. Monnaie.

17019, n° 1314. Fragment de perle en verre bleu cobalt à section en «D» et filament ondulé jaune opaque (Gebhard VIIFc).

17877, n° 1647. Fragment de perle torique en verre bleu cobalt à décor moucheté blanc opaque (Gebhard VIId).

16259, n° 965. Grain de collier sphérique en verre bleu à section en «D» de type Gebhard VIb.

17008, n° 18. Perle en roche noire.

17008, n° 1534. Perle en verre bleu clair opaque à décor oculé blanc, bleu et blanc et bleu opaque.

17008, n° 217. Perle indéterminée (perdue?).

17103, n° 1500. Petite perle sphérique bleue à section en «D» et filament blanc (Gebhard VIab).

16259, n° 885. Pion en verre.

17877, n° 1669. Fragment de statuette en terre blanche.

18563, n° 1315. Fragment de verre.

16259, n° 926. Goulot de récipient en verre.

16621, n° 575. Monnaie.

16621, n° 642. Tête de statuette en terre blanche.

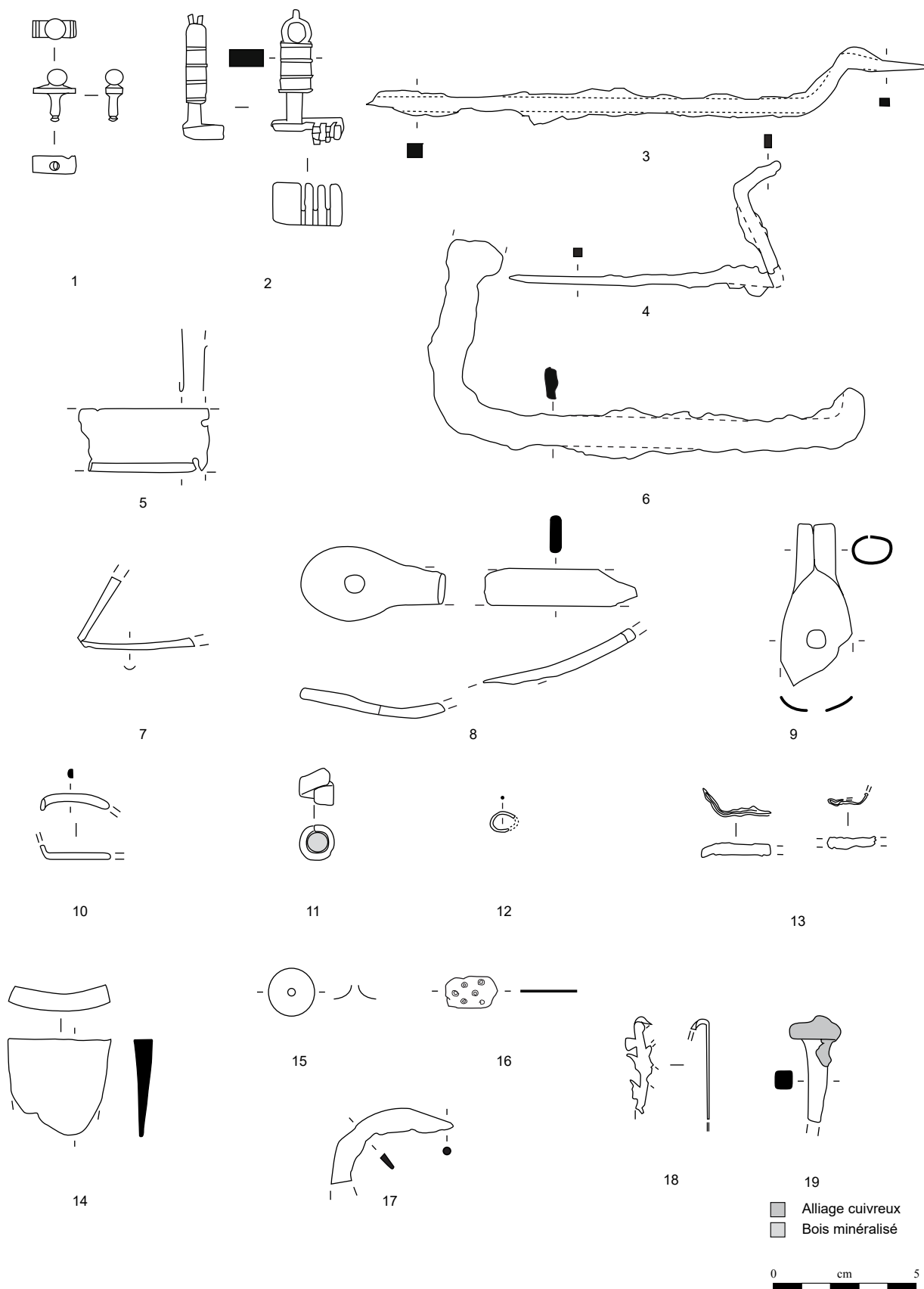


Planche 86. D-2-gallo-romain

1-2, 5, 7, 10, 12-13, 15-16, 18 : alliage cuivreux; 3-4, 6, 8-11, 14, 17 : fer; 19 : fer et alliage cuivreux

Espace D

État 2.3 à 3 : fin LTD2a-Auguste

D-3-radriers petit module

Planche 87, 1. 17085, n° 1595.

Pendentif en forme de lunule à décor de double rangée d'oves, ourlées sur les deux bords d'un fin grènetis souligné par une moulure, prolongé à ses deux extrémités et sous le croissant par des palmettes en « fleur de lys ». La lunule est reliée à une chaîne de facture en queue de renard ou loop in loop. Or.

L. 23 mm. 2.9 g.

E : 1143.5. N : 1196.5.*

Planche 87, 2. 16258, n° 1056.

Ressort de fibule à quatre spires (trois conservées) et corde interne et départ d'arc de tôle. Base-cuivre.

L. 7 mm. 0.2 g.

E : 1134.2. N : 1197.6. Alt. : /.

Type : B22-0.

Planche 87, 3. 18547, n° 1218.

Ferret de ceinture à l'extrémité moulurée et constitué de deux languettes perforées pour être rivetées. Base-cuivre.

L. 26 mm, l. 6,5 mm. 1.4 g.

E : 1140.08. N : 1198.23. Alt. : 573.13.

Planche 87, 4. 18819, n° 1715.

Fragment d'anse de gobelet type Idria cassé au niveau de son attache inférieure et de son poucier doté d'une poulie. Base-cuivre.

L. 50 mm, diam. int. rest. 79 mm. 18.7 g.

E : 1139.85. N : 1197.46. Alt. : 573.

Autres petits mobiliers

17085, n° 209. Monnaie.

18560, n° 1234. Monnaie.

16258, n° 889. Fragment de perle torique en verre bleu cobalt à décor moucheté blanc opaque de type Gebhard VIIId.

État 4 lato sensu : époque romaine

D-5-Fo 17873

Planche 87, 5. 17282, n° 1650.

Fibule à disque médian à ressort à plaquette et deux spires conservées et à arc outrepassant de section circulaire orné d'une ligne de points médiane et un long pied triangulaire à multiples ajours circulaires. Base-cuivre.

L. 87 mm, L. (arc) 53 mm, l. (pied) 34 mm. 5.7 g.

E : 1144.95. N : 1195.9. Alt. : 572.6.

Type : B46-1.

Planche 87, 6. 17282, n° 1654.

Fibule à ressort à quatre spires (deux conservées) et corde interne et arc mouluré triangulaire à bordures soulignées par une rainure marquée et interrompu par des stries obliques pour terminer par une

section carrée. Base-cuivre.

L. 52 mm. 2.5 g.

E : 1146.3. N : 1195.15. Alt. : 572.3.

Type : B22-25.

Planche 87, 7. 17282, n° 1666.

Fragment de bracelet tubulaire de section fine à décor continu de rainures perpendiculaires à l'axe du jonc. Base-cuivre.

L. 40 mm, diam. int. 69 mm, S. 4 x 5 mm. 2.1 g.

E : 1145.6. N : 1195.7.*

Type : B22-3.

Planche 87, 8. 17282, n° 1630.

Fragment d'anneau de section ronde. Base-cuivre.

Diam. 16 mm, S. 3 mm. 0.6 g.

E : 1145.1. N : 1195.3.*

Planche 87, 9. 17282, n° 1633.

Talon de lance à douille détérioré avec trace de bois minéralisé à l'intérieur. Fer.

L. 66 mm, diam. rest. 8 mm. 26.2 g.

E : 1146. N : 1196.*

Type : 2.

Planche 87, 10. 17282, n° 1635.

Pince d'orle en gouttière avec bois minéralisé à l'intérieur. Fer.

L. 31 mm. 16.6 g.

E : 1145.7. N : 1195.3.*

Type : Gouttière.

Planche 87, 11. 17282, n° 1673.

Fragment de renfort d'essieu de section incurvée avec une perforation. Fer.

L. 185 mm, l. 40 mm, ép. 7 mm. 226.4 g.

E : 1144.8. N : 1195.5. Alt. : 572.64.

Planche 87, 12. 17282, n° 1550.

Boucle de harnais, sous-ventrière (?) à anneau rectangulaire de section circulaire et hémisphérique. Fer.

L. 47 mm, l. 34 mm. 20.5 g.

E : 1146.4. N : 1196. Alt. : 572.76.

Planche 87, 13. 17282, n° 5001.

Pêne contrecoudé constitué d'une tige de section carrée. Fer.

L. 114 mm, S. 6 x 4 mm. 12.4 g.

E : 1146.3. N : 1196.2.*

Planche 87, 14. 17282, n° 1740.

Chute de tige de section rectangulaire coupée aux deux extrémités. Fer.

L. 93 mm. 7.8 g.

E : 1146.4. N : 1194.8.*

Planche 87, 15. 17282, n° 1674a.

Chute de tôle avec trace de cisaille. Fer.

L. 55 mm. 7 g.

E : 1145.8. N : 1196.2.

Planche 87, 16. 17282, n° 1674b.

Objet indéterminé en deux parties constitué d'un plat avec une découpe circulaire et deux perforations et d'une bande de plat perforée et pliée. Fer.

L. 139 mm, L. déplié 152 mm. 49.1 g.

E : 1145.8. N : 1196.2.

Autres petits mobiliers

17282, n° 1549. Jeton.

17282, n° 1656. Monnaie.

17282, n° 1662. Monnaie.

17282, n° 1628. Fragment de perle en verre brun à décor spiralé jaune (Gebhard IXad).

17282, n° 1593. Petite perle sphérique en verre bleu à section en «D» et décor à quatre ocelles jaunes, bleu et blanc et bleu opaque.

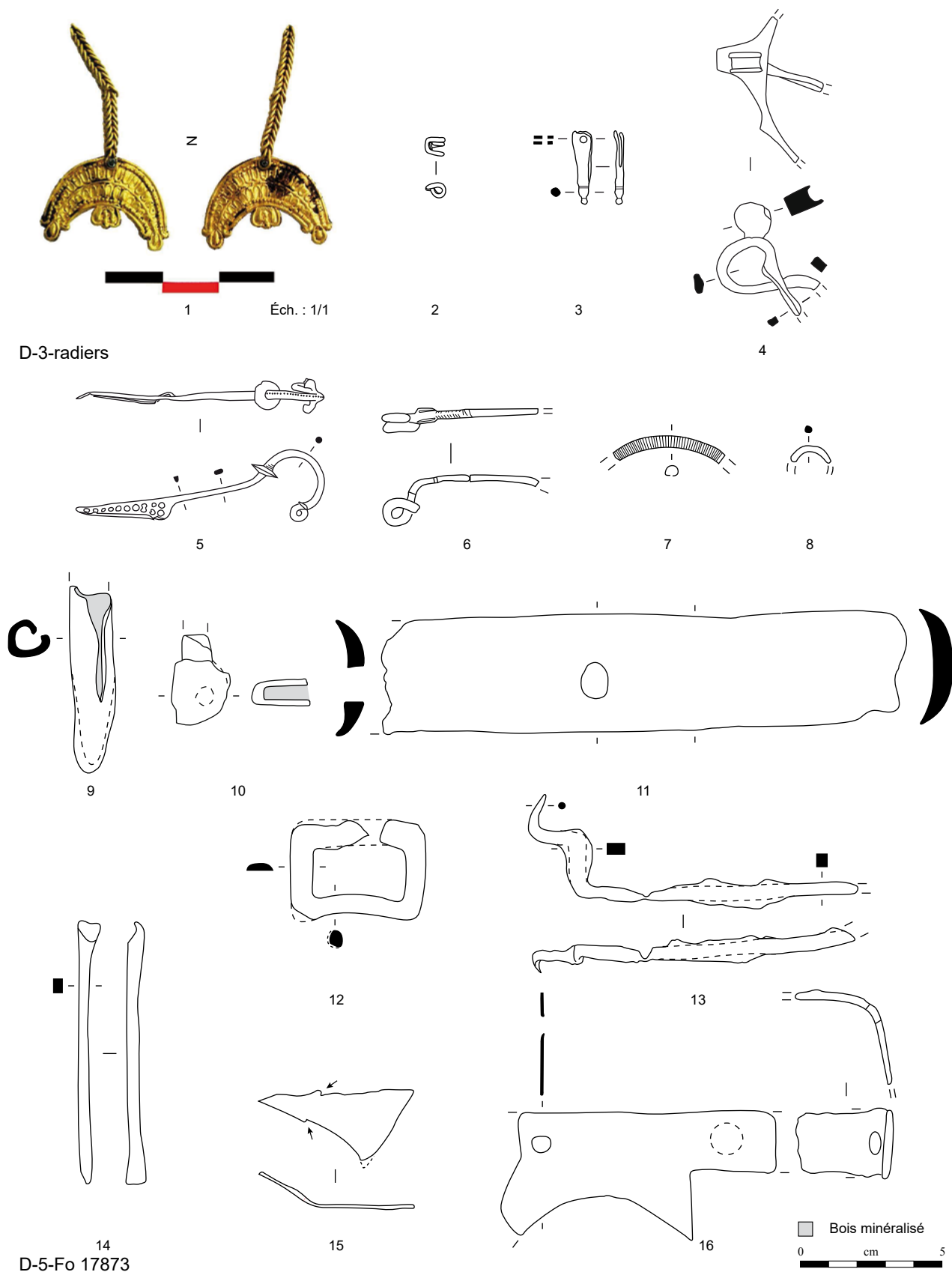


Planche 87. D-3-radriers petit module et D-5-Fo 17873

1 : or; 2-8 : alliage cuivreux; 9-16 : fer.

Esapce D

État 2-GR : LTD2-époque romaine

D-6-pavage 17026

Planche 88, 1. 17026, n° 1526.

Croc à viande à deux dents dont une fragmentaire. Fer.

L. 261 mm, S. 6 mm. 59.5 g.

E : 1147. N : 1188.2. Alt. : 573.09.

Planche 88, 2. 17026, n° 129.

Fibule à arc recouverte de métal blanc profilé complète de petite taille, à arc angulaire et pied triangulaire terminé par une protubérance. Base-cuivre.

L. 24 mm. 1.4 g.

E : 1145. N : 1188.1. Alt. : 572.98.

Type : B68-9.

Planche 88, 3. 17026, n° 1536.

Anneau de section lenticulaire. Base-cuivre.

Diam. 14 mm, S. 4,5 x 3 mm. 2.6 g.

E : 1144.7. N : 1188.3.*

Planche 88, 4. 17026, n° 1525.

Fragment de rebord de coque d'umbo. Fer.

L. 72 mm. 20.6 g.

E : 1145.95. N : 1188.9. Alt. : 573.11.

Type : Indéterminé.

Planche 88, 5. 17026, n° 1537.

Extrémité de sonde en forme d'olive. Base-cuivre.

L. 21 mm, S. 4,5 mm. 1.7 g.

E : 1147.5. N : 1188.7.*

Planche 88, 6. 17026, n° 1524.

Forces complètes à ressort en «U» et à lame à dos convexe à butée. Fer.

L. 152 mm, S. 4,5 x 3 mm, L. (lame) 86 mm, l. (lame) 23 mm. 55.7 g.

E : 1145.95. N : 1188.9. Alt. : 572.99.

Planche 88, 7. 17026, n° 1529.

Fragment de ferrure décorative constituée d'une bande de tôle perforée avec ligne au repoussé. Base-cuivre.

L. 39 mm. 1.1 g.

E : 1147.2. N : 1188.9. Alt. : 572.99.

Planche 88, 8. 17026, n° 1444.

Fragment d'angle de foncet de serrure avec entrée en «L» et une perforation. Fer.

L. 27 mm. 4 g.

E : 1145. N : 1187.9.*

Planche 88, 9. 17026, n° 1560.

Fragment d'agrafe de réparation de céramique avec une tige conservée. Plomb.

L. 39 mm. 14.3 g.

E : 1147. N : 1188.7.*

Autres petits mobiliers

17026, n° 132. Fragment de verre indéterminé.

17026, n° 1425. Monnaie.

17026, n° 1558. Monnaie.

État 1 : LTD1b classique

D-7-TP 17192

Planche 88, 10. 17191, n° 1393.

Lame de forces cassée au niveau de l'articulation du ressort. Fer.

L. 132 mm, l. (lame) 21 mm. 34.3 g.

E : 1137.55. N : 1188.83. Alt. : 572.99.

Planche 88, 11. 17191, n° 1375.

Aiguille cassée au niveau du chas. Base-cuivre.

L. 84 mm, S. 2 mm. 1.7 g.

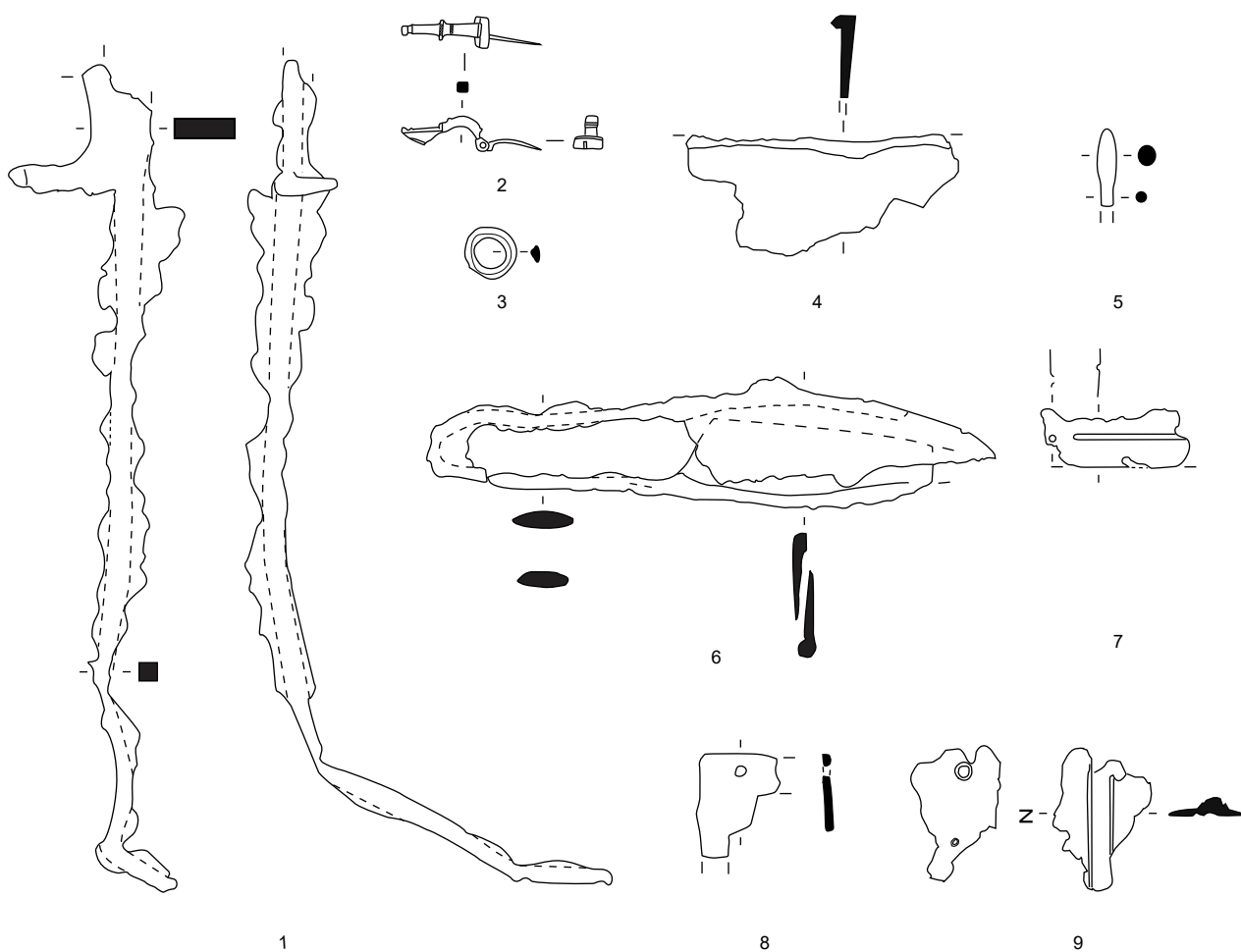
E : 1136.87. N : 1188.8. Alt. : 573.07.

Planche 88, 12. 17191, n° 1394.

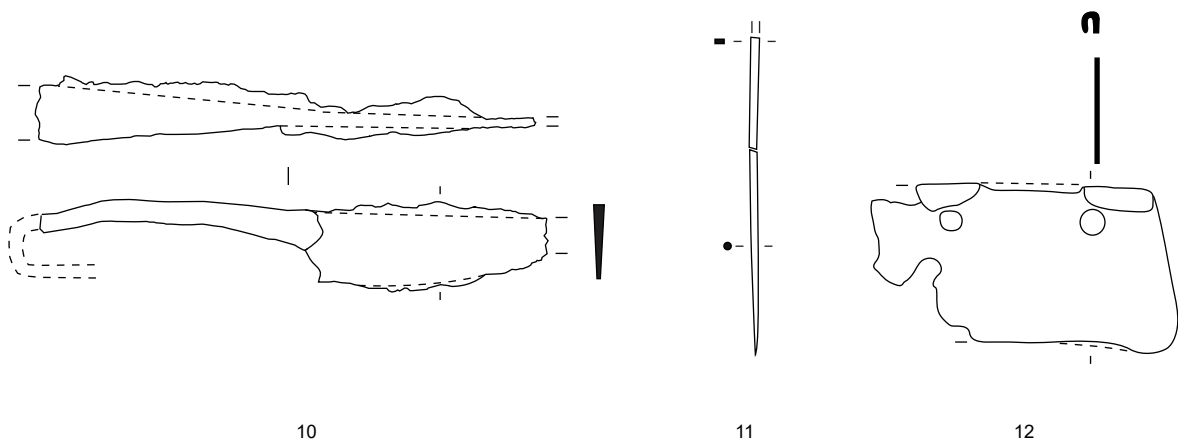
Fragment d'élément de serrure constitué d'une plaque trapézoïdale à gouttière avec deux perforations. Fer.

L. 82 mm, l. 43 mm. 26.5 g.

E : 1137.2. N : 1188.7. Alt. : 573.



D-6-pavage 17026



D-7-TP 17192

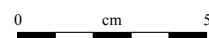


Planche 88. D-6-Pavage 17026 et D-7-TP 17192

1, 4, 6, 8, 10, 12 : fer; 2-3, 5, 7, 11 : alliage cuivreux; 9 : plomb.

Espace D

Non phasé

D-8-amas de mobilier 17231

Planche 89, 1. 17230, n° 1562.

Fibule à ressort à quatre spires (deux conservées) et corde interne et arc de tôle triangulaire fin à décor d'échelle et lignes séparant le pied de l'arc. Base-cuivre.

L. 24 mm, l. (arc) 4,5 mm. 1.1 g.

E : 1138.55. N : 1186.9. Alt. : 573.06.

Type : B22-04.

Planche 89, 2. 17230, n° 1567.

Ressort de fibule à quatre spires et corde interne et départ d'un arc de tôle. Base-cuivre.

L. 25 mm. 1.1 g.

E : 1138.55. N : 1186.5. Alt. : 573.13.

Type : B22-0.

Planche 89, 3. 17230, n° 1585.

Ressort de fibule à quatre spires conservées unilatéralement. Base-cuivre.

L. 16 mm. 1.6 g.

E : 1139.09. N : 1190.9. Alt. : 573.07.

Planche 89, 4. 17230, n° 1541.

Fragment d'objet indéterminé constitué d'une bande à arête centrale. Arc de fibule, de boucle de ceinturon? Base-cuivre.

L. 64 mm. 0.6 g.

E : 1139.22. N : 1185.13. Alt. : 572.92.

Planche 89, 5. 17230, n° 1622.

Demi-produit constitué d'une tige de section carrée appointée aux deux extrémités. Base-cuivre.

L. 30 mm, S. 4 mm. 1.1 g.

E : 1142.6. N : 1187. Alt. : /.

Planche 89, 6. 17230, n° 1565.

Abraseur polyédrique de forme parallélépipédique en basalte fin, avec des traces d'abrasion sur chaque face. Cassé au feu? Lithique.

L. 53 mm, l. 34 mm, Ép. min. 26 mm. 86 g.

E : 1138.4. N : 1188.5.*

Planche 89, 7. 17230, n° 1573.

Fragment de table de travail en quartz et surface irrégulière et traces de percussion. Lithique.

L. 90 mm, Ép. 13 mm. 152.3 g.

E : 1138.8. N : 1187.9. Alt. : 573.06.

Planche 89, 8. 17230, n° 1623.

Chute de bande de section rectangulaire légèrement bombée. Fer.

L. 23 mm, l. 27 mm, ép. 8 mm. 30.6 g.

E : 1142. N : 1187.52. Alt. : /.

Planche 89, 9. 17230, n° 1612.

Chute de tôle triangulaire avec plusieurs découpes. Fer.

L. 72 mm. 8.8 g.

E : 1139.77. N : 1190.74. Alt. : 572.91.

Planche 89, 10. 17230, n° 1625.

Objet indéterminé constitué d'un plat à bord crénelé avec une gouttière et des traces de rivets. Orle? Fer.

L. 61 mm. 8.8 g.

E : 1142. N : 1187.52. Alt. : /.

Planche 89, 11. 17230, n° 1624.

Agrafe de réparation de céramique. Plomb.

L. 40 mm, L. utile 10 mm. 19.5 g.

E : 1142.6. N : 1187.1. Alt. : /.

Planche 89, 12. 17852, n° 1610.

Butée de poignée de chaudron cylindrique avec tenon de préhension. Fer.

Diam. 22 mm, ht. 18 mm. 26.5 g.

E : 1138.76. N : 1191.25. Alt. : 573.01.

Planche 89, 13. 17230, n° 1646.

Fragment d'objet indéterminé constitué d'un plat avec une arête centrale sur une face tandis que l'autre comporte une cupule. Raté de coulée? Base-cuivre.

L. 62 mm, l. 14 mm. 5.8 g.

E : 1138.9. N : 1188.3.*

Autres petits mobiliers

17230, n° 1517. Déchet de tabletterie à découpes circulaires.

17230, n° 1518. Déchet de tabletterie à découpes circulaires.

17230, n° 1519. Déchet de tabletterie à découpes circulaires.

17230, n° 1571. Déchet de tabletterie à découpes circulaires.

17230, n° 1545. Jeton percé, fusaïole.

17230, n° 1584. Fragment de verre indéterminé.

17230, n° 1586. Fragment de verre indéterminé.

17230, n° 1546. Jeton.

17230, n° 1614. Jeton.

17230, n° 1543. Monnaie.

17230, n° 1540. Monnaie.

17230, n° 1547. Fragment de mortier en roche volcanique finement vacuolaire.

17230, n° 1566. Peigne en os de forme semi-circulaire avec perforation et dents cassées.

17230, n° 1568. Perle en verre bleu-vert clair.

17230, n° 1582. Stylet en os avec pointe précédée d'un renflement et effaceur en olive.

État 4 lato sensu : époque romaine

D-9-Fo 18804

Planche 89, 14. 18803, n° 2015.

Fragment de fibule à pied rapporté de schéma pseudo-LT moyenne à arc rubané triangulaire comportant trois cannelures parallèles à l'axe de l'arc. Pied filiforme avec bague comportant trois boutons incisés encadrés par deux lignes. Base-cuivre.

L. 41 mm, l. (arc) 4,5 mm. 1.2 g.

E : 1145.1. N : 1197.65.*

Type : B21-4.

Planche 89, 15. 18803, n° 1687.

Fragment de lime de section hémisphérique à soie, cassée au deux extrémités. Fer.

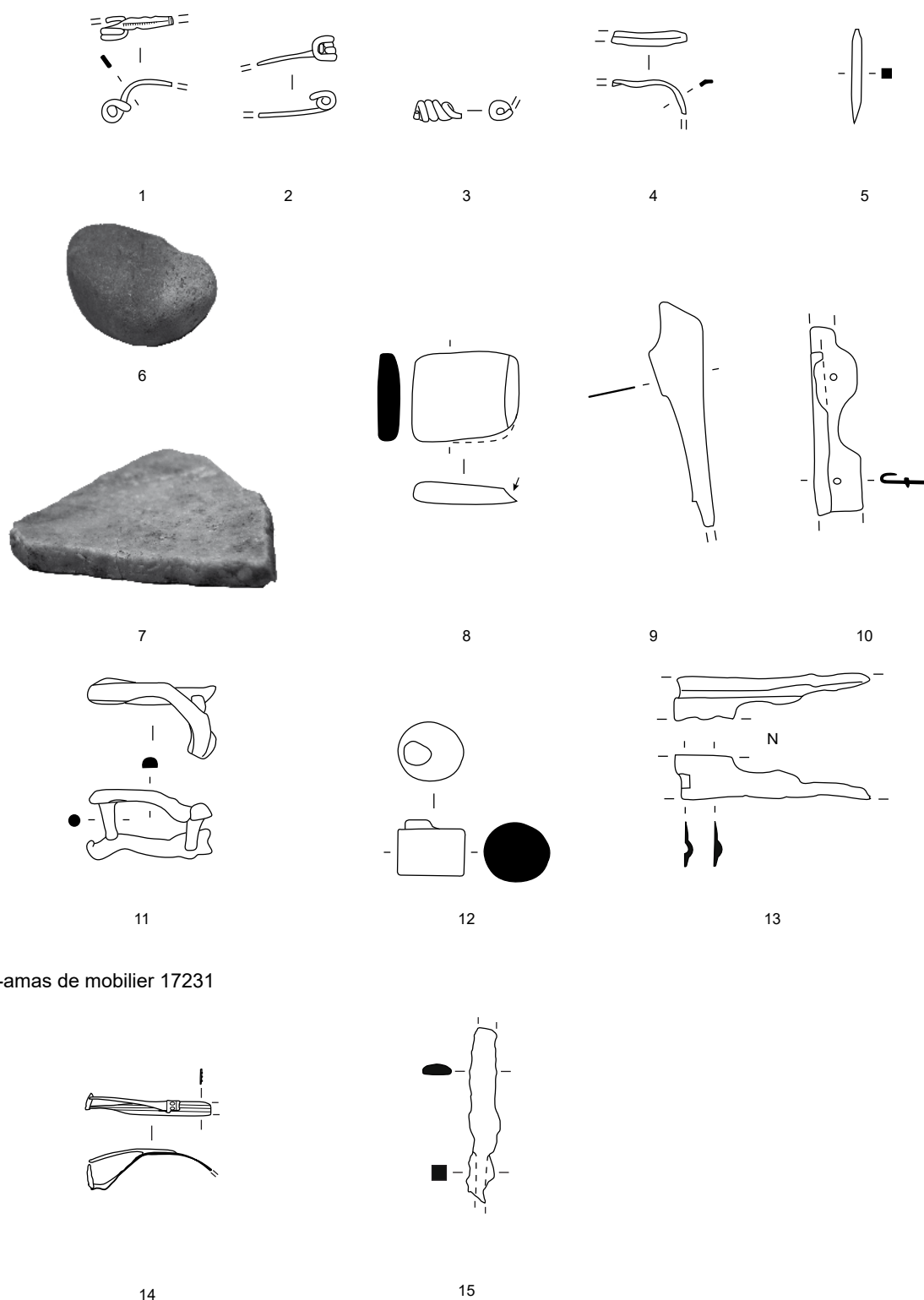
L. 56 mm, S. 10 x 4 mm. 4.5 g.

E : 1144.36. N : 1197.45. Alt. : 572.84.

Autres petits mobiliers

18803, n° 1733. Fragment de bracelet en roche noire.

18803, n° 1690. Jeton.



D-8-amas de mobilier 17231

D-9-Fo 18803

0 cm 5

Planche 89. D-8-amas de mobilier 17231 et D-9-Fo 18804

1-5, 13-14 : alliage cuivreux; 6 : basalte; 7 : quartz; 8-10, 12, 15 : fer; 11 : plomb.

Espace D

État 1 à 2.1 : LTD1b

D-10-sol état laténien

Planche 90, 1. 18747, n° 1374.
Ardillon de fibule terminé par une spire du ressort. Fer.
L. 66 mm. 2.3 g.
E : 1142.9. N : 1198.2. Alt. : /.

Planche 90, 2. 18747, n° 3069.
Ressort de fibule à quatre spires et corde interne très fragmentaire. Fer.
L. 9 mm. 2.9 g.
E : 1142.3. N : 1197.9.*
Type : F20.

Planche 90, 3. 18747, n° 3040.
Perle de section hémisphérique. Fer.
Diam. 13 mm, S. 5 x 10 mm. 5.1 g.
E : 1141.6. N : 1198.3.*

Planche 90, 4. 18899, n° 3081b.
Chute de tige de section carrée. Fer.
L. 36 mm, S. 4 mm. 7.4 g.
E : 1140.5. N : 1197.9.*

Planche 90, 5. 18899, n° 3081a.
Chute de tige de section carrée repliée à proximité de la découpe. Fer.
L. 38 mm, S. 4 mm. 9 g.
E : 1140.4. N : 1197.96.*

Planche 90, 6. 18747, n° 3039.
Chute de tige atypique de section carrée puis de section sub-circulaire. Fer.
L. 56 mm, S. 5 mm. 12.6 g.
E : 1140.3. N : 1198.4.*

Planche 90, 7. 18400, n° 1692.
Petit couteau cassé au niveau de la lame et de l'anneau de suspension perforé dans le manche, à dos droit. Fer.
L. 76 mm. 17.3 g.
E : 1142.5. N : 1198.34. Alt. : 572.93.
Type : 2-0.

Planche 90, 8. 18899, n° 1688.
Rasoir à poignée sinueuse de section rectangulaire cassé au niveau de la lame. Fer.
L. 96 mm. 26.7 g.
E : 1140.2. N : 1198.27. Alt. : 573.05.

Planche 90, 9. 18400, n° 1708.
Anneau en fer de section en «D». Fer.
Diam. 29 mm, S. 4 x 5 mm. 13.6 g.
E : 1143. N : 1198.2.*

Autres petits mobiliers

18747, n° 1363. Jeton.
18747, n° 1372. Jeton.
18747, n° 1375. Monnaie.
18747, n° 1365. Monnaie.
18747, n° 1364. Monnaie.

État 2 lato sensu : fin LTD1b-LTD2

D-11-radier 18423

Planche 90, 10. 18423, n° 1701.
Piton ouvert à extrémité enroulée. Fer.
L. 78 mm. 24.3 g.
E : 1148.18. N : 1197.21. Alt. : 572.79.

Non phasé

D-14-TP 18415

Planche 90, 11. 18551, n° 1222.
Objet en cours de fabrication constitué d'un fer plat replié et enroulé à une extrémité tandis que l'autre s'affine et présente un ressaut. Manche d'ustensile? Fer.
L. 125 mm. 59.4 g.
E : 1146. N : 1199.88. Alt. : 572.89.

État 1 : LTD1b classique

D-12-couches charbonneuses

Planche 90, 12. 18425, n° 1738.
Clef de type "lève-loquet", fonctionnant par translation. L'objet est presque entièrement conservé à l'exception d'une partie du panneton, à deux coudes à angles droits. La tige, terminée par un anneau perpendiculaire, est de section rectangulaire. Fer.
L. 205 mm, S. 11 x 6 mm, diam. (anneau) 22 mm. 74 g.
E : 1147.31. N : 1198.72. Alt. : 572.82.

Planche 90, 13. 18425, n° 2009.
Fragment de crampon. Fer.
L. 56 mm, L. utile 27 mm. 18.6 g.
E : 1147.31. N : 1199. Alt. : 572.82.

Planche 90, 14. 18424, n° 1735.
Chute de plomb de forme triangulaire incisée en son centre. Plomb.
L. 110 mm, l. 16 mm, ép. 2 mm. 35.1 g.
E : 1147.6. N : 1197.83.*

Autres petits mobiliers

18425, n° 1704. Jeton.
18425, n° 1736. Fragment supérieur de peson cassé au niveau de l'attache.
18424, n° 1702. Fragment de verre mosaïqué.

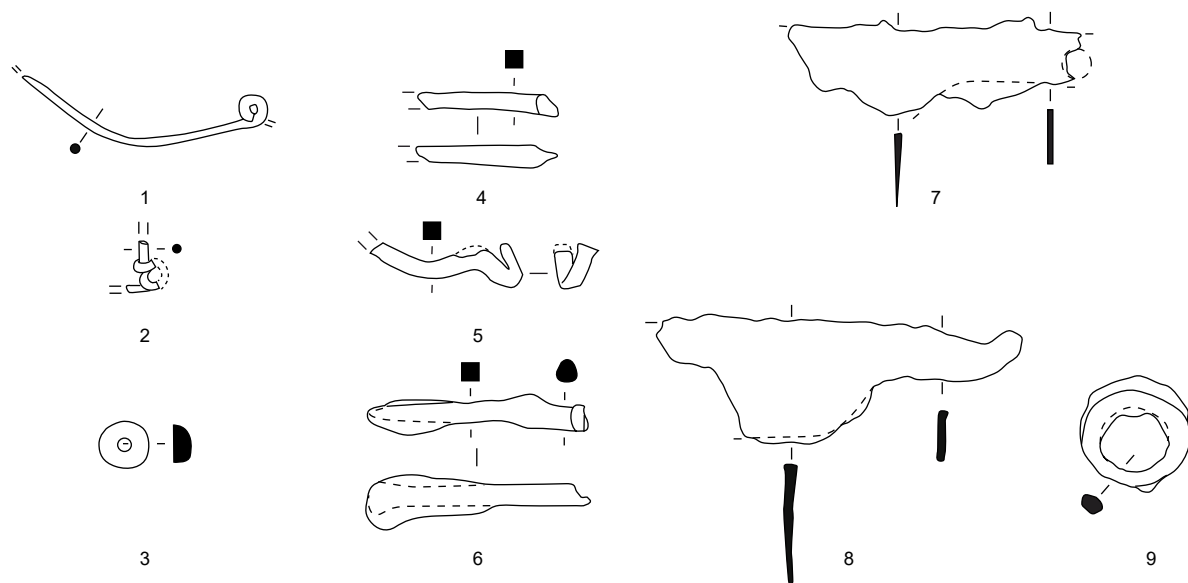
État 1 à 2.1 : LTD1b

D-15-épandage 17283

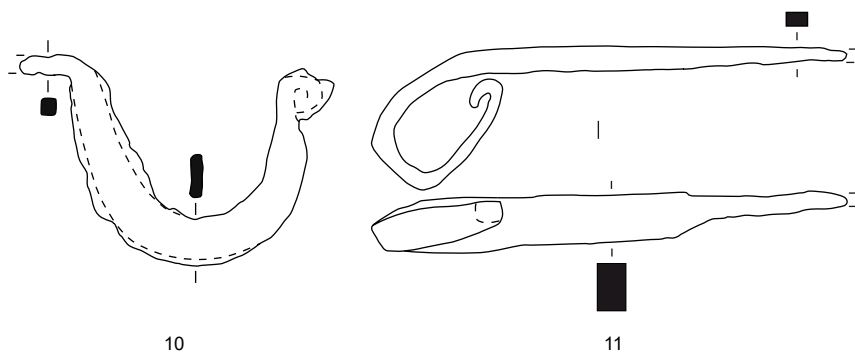
Planche 90, 15. 17283, n° 1553a.
Fibule à ressort à quatre spires et corde interne et arc tendu de tôle triangulaire fin à bordures soulignées par une rainure et lignes séparant l'arc du pied. Base-cuivre.
L. 23 mm, l. (arc) 6 mm. 1.6 g.
E : 1143.2. N : 1190.3. Alt. : 572.78.
Type : B22-05.

Planche 90, 16. 17283, n° 1553b.
Arc tendu de tôle triangulaire fin à bordures soulignées par une rainure. Base-cuivre.
L. 37 mm, l. (arc) 4 mm. 0.5 g.
E : 1143.2. N : 1190.3. Alt. : 572.78.
Type : B22-05.

Planche 90, 17. 17283, n° 1552.
Fragment d'élément de serrure constitué de barre de section rectangulaire avec une extrémité circulaire et un plat jointif qui se développe à la perpendiculaire de la barre. Fer.
L. 90 mm. 59.1 g.
E : 1144.2. N : 1189.2. Alt. : 572.78.

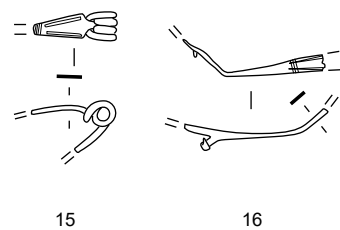


D-10-sol laténien

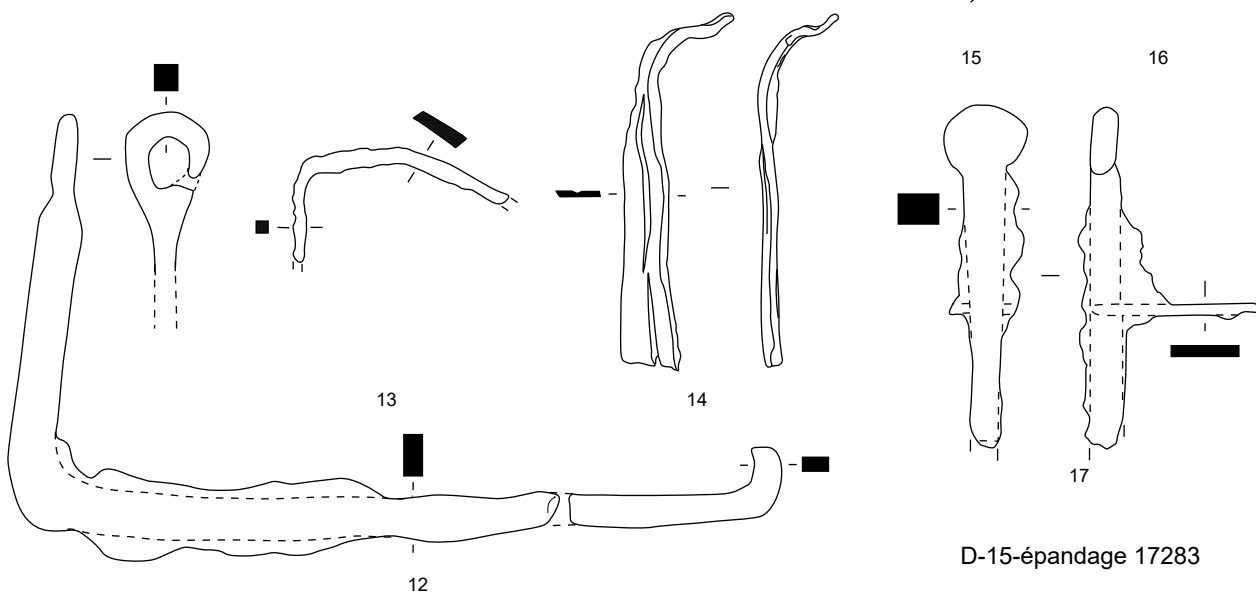


D-11-radier 18423

D-14-TP 18415



D-15-épandage 17283



D-12-couches charbonneuses

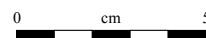


Planche 90. D-10-sol état laténien à D-15-épandage 17283

1-13, 17 : fer; 14 : plomb; 15-16 : alliage cuivreux.

Bâtiment D1

Décapage

D1-1-décapage

18542, n° 1286. Monnaie.

Non phasé

D1-2-épendage

Planche 91, 1. 17857, n° 1616.
Demi-produit complet constitué d'une tige de section ovale ondulée. Base-cuivre.
L. 91 mm, S. 4 x 2 mm. 3 g.
E : 1137.5. N : 1195.90. Alt. : 573.26.

État 2.1 : LTD1b évoluée

D1-3-TP 17882

Planche 91, 2. 17883, n° 1627.
Lame de forces avec dos convexe à butée et tranchant droit. Fer.
L. 132 mm, L. (lame) rest. 120 mm, l. (lame) 28 mm. 29.2 g.
E : 1135.9. N : 1195.4.*

D1-5-Sb 18816

Planche 91, 3. 18815, n° 1700.
Clou de chaussure avec traces de quatre globules (trois visibles). Fer.
Diam. 13 mm. 2.3 g.
E : 1132.21. N : 1202.64. Alt. : 573.29.

D1-9-TP 18865

Planche 91, 4. 18864, n° 1725.
Anneau à section en quart de rond. Base-cuivre.
Diam. 17 mm, S. 4 mm. 2 g.
E : 1135.25. N : 1197.2. Alt. : /.*

D1-10-TP 18869

Planche 91, 5. 18868, n° 1699.
Perle de section ronde. Base-cuivre.
Diam. 16 mm, S. 6 mm. 3.7 g.
E : 1133.71. N : 1201.47. Alt. : 573.32.

D1-12-TP 18896

18895, n° 1695. Fusaïole en terre cuite.

État 1 : LTD1b classique

D1-13-TP 18810

18809, n° 1661. Monnaie.

D1-14-Sb 18822

Planche 91, 6. 18822, n° 1665.
Fragment de ressort de fibule à quatre spires (deux conservées) et corde interne. Base-cuivre.
L. 38 mm. 1.3 g.
E : 1137.95. N : 1202.94. Alt. : 573.14.
Type : B20-0.

Planche 91, 7. 18821, n° 3078.
Fragment de pelle à feu cassée au niveau du départ du manche et de son extrémité active. Fer.
L. 44 mm. 18.8 g.
E : 1137.86. N : 1203.2.*

Autres petits mobiliers

18822, n° 1660. Monnaie.

D1-17-TP 18863

Planche 91, 8. 18862, n° 1707.
Fragment de piton à oeillet percé à tige pliée. Fer.
L. 81 mm, diam. (anneau) 32 mm. 42.3 g.
E : 1132.3. N : 1199.1.*

D1-19-TP 18880

Planche 91, 9. 18879, n° 1671.
Fragment de grand crampon à dos hémisphérique. Fer.
L. 97 mm, S. 7 mm. 31.5 g.
E : 1138.25. N : 1201.3. Alt. : 573.3.

Non phasé

D1-20-TP 18407

18406, n° 1694. Monnaie.

Bâtiment D3

Décapage

D3-1-décapage

Planche 91, 10. 18808, n° 1664.
Perle (?) de section hémisphérique et de forme irrégulière. Raté? Base-cuivre.
Diam. 20 mm. 2.3 g.
E : 1145.55. N : 1202.08.*

Planche 91, 11. 18808, n° 3080a.
Chute de barre de section trapézoïdale. Fer.
L. 24 mm, S. 8 x 6 mm. 6.7 g.
E : 1144.1. N : 1202.3.*

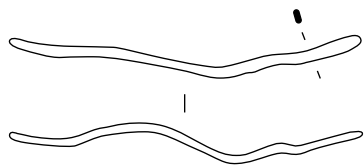
Planche 91, 12. 18808, n° 3080b.
Chute de bande à découpe oblique. Fer.
L. 25,5 mm, S. 12 x 4 mm. 7 g.
E : 1144. N : 1202.4.*

Planche 91, 13. 18808, n° 3079.
Fragment de ferrure avec rivet en alliage cuivreux en position fonctionnelle. Fer et base-cuivre.
L. 31 mm. 2.7 g.
E : 1143.2. N : 1202.3.*

Planche 91, 14. 18808, n° 1667.
Auberon (?) de section ronde composé d'une tige enroulée à une extrémité. Fer.
L. 97 mm, S. 3 mm. 6.8 g.
E : 1144. N : 1201.8. Alt. : X.

Autres petits mobiliers

18520, n° 1063. Fragment de perle en verre violet.
18520, n° 1298. Perle en verre bleu à décor oculé.



1

D1-2-épandage



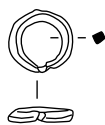
2

D1-3-TP 17882



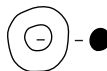
3

D1-5-Sb 18816



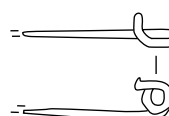
4

D1-9-TP 18865



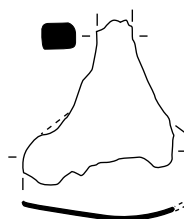
5

D1-10-TP 18869

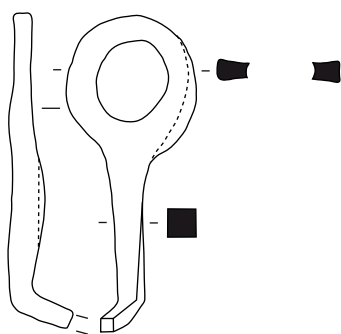


6

D1-14-Sb 18822

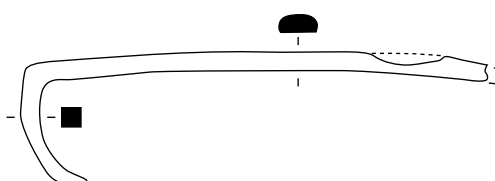


7



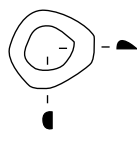
8

D1-17-TP 18863



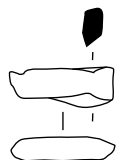
9

D1-19-TP 18880

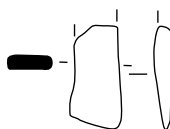


10

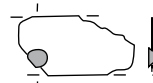
D3-1-décapage



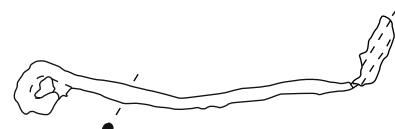
11



12



13



14

■ Alliage cuivreux

0 cm 5

Planche 91. D1-2-épandage à D1-19-TP 18880, D3-1-décapage

1, 4-6, 10 : alliage cuivreux; 2-3, 7-9, 11-12, 14 : fer; 13 : fer et alliage cuivreux.

Bâtiment D3

État 1 : LTD1b classique

D3-2-cailloutis 18549

Planche 92, 1. 18549, n° 1244.

Fragment de ferrure avec deux trous de fixation. Fer.

L. 120 mm, l. 23 mm, ép. 3 mm. 36.8 g.
E : 1142.22. N : 1203.42. Alt. : 573.13.

Planche 92, 2. 18549, n° 1342.

Anneau de section ronde légèrement facetée à l'intérieur. Base-cuivre.

Diam. 18 mm, S. 5 mm. 6.2 g.
E : 1141.17. N : 1202.2. Alt. : X.

Autres petits mobiliers

18549, n° 2046. Fragment de terre cuite artisanale.

D3-3-Solin 18552

Planche 92, 3. 18552, n° 3074.

Fragment de lime à extrémité en demi-rond. Fer.

L. 60 mm, S. 10,5 x 5 mm. 14.7 g.
E : 1144.8. N : 1203.*

Planche 92, 4. 18552, n° 1355.

Objet en cours de fabrication, chute atypique constituée d'une tige de section carrée terminée par un fer plat incurvé à son extrémité. Fer.

L. 49 mm, l. 17 mm. 17.8 g.
E : 1144.99. N : 1202.83. Alt. : X.

Planche 92, 5. 18552, n° 1354.

Fragment de crampon composé d'une barre de section rectangulaire avec un départ de tige de section carrée. Fer.

L. 50 mm. 20.4 g.
E : 1144.51. N : 1202.93. Alt. : /.

Planche 92, 6. 18552, n° 3073.

Chute de tôle triangulaire fragmentaire et légèrement tordue. Fer.

L. 39 mm. 6 g.
E : 1144.8. N : 1203.2.*

Planche 92, 7. 18552, n° 3075.

Objet en cours de fabrication, chute atypique constituée d'une tige de section triangulaire, puis lenticulaire. Fer.

L. 45 mm. 5.6 g.
E : 1144.3. N : 1203.45.*

Planche 92, 8. 18552, n° 3076.

Crampon de charpente constitué d'une tige de section rectangulaire pliée à angle droit. Fer.

L. 40 mm. 15.1 g.
E : 1144.65. N : 1203.05.*

Autres petits mobiliers

18552, n° 1683. Fusaïole en terre cuite.

18552, n° 1684. Fusaïole en terre cuite.

D3-5-épandage 18531

18531, n° 1352. Jeton.

État 2 lato sensu : fin LTD1b-LTD2

D3-6-Solin 18548

Planche 92, 9. 18548, n° 1396.

Fragment d'anneau de section ronde. Base-cuivre.

Diam. 14 mm. 0.4 g.
E : 1149.4. N : 1204.27. Alt. : 573.1.

Planche 92, 10. 18548, n° 3004.

Chute de barre de section rectangulaire. Fer.

L. 37 mm, S. 10 x 5 mm. 8.2 g.
E : 1149.3. N : 1204.35.*

État 2.1 : LTD1b évoluée

D3-7-TP 18553

Planche 92, 11. 18554, n° 1332.

Chute de bande de section rectangulaire à angles arrondis. Fer.

L. 69 mm, l. 43 mm, ép. 15 mm. 226.4 g.
E : 1144. N : 1203.9. Alt. : 573.1.

Planche 92, 12. 18554, n° 1729.

Panneton de clé à au moins deux dents dont une conservée partiellement. Fer.

L. 40 mm. 19 g.
E : 1144.2. N : 1203.6.*

Planche 92, 13. 18554, n° 1331.

Fragment de ferrure massive avec trou de fixation. Fer.

L. 57 mm, l. 16 mm, ép. 4 mm. 36 g.
E : 1144.09. N : 1203.95. Alt. : 573.1.

D3-8-TP 18892

Planche 92, 14. 18891, n° 1669.

Crampon de charpente. Fer.

L. 105 mm. 66.1 g.
E : 1143.9. N : 1201.9. Alt. : 572.98.

Planche 92, 15. 18891, n° 3077.

Fragment de ferrure constitué d'une bande de plat perforé et circulaire à son extrémité. Fer.

L. 69 mm. 15.6 g.
E : 1144. N : 1201.9.*

Planche 92, 16. 18891, n° 1670.

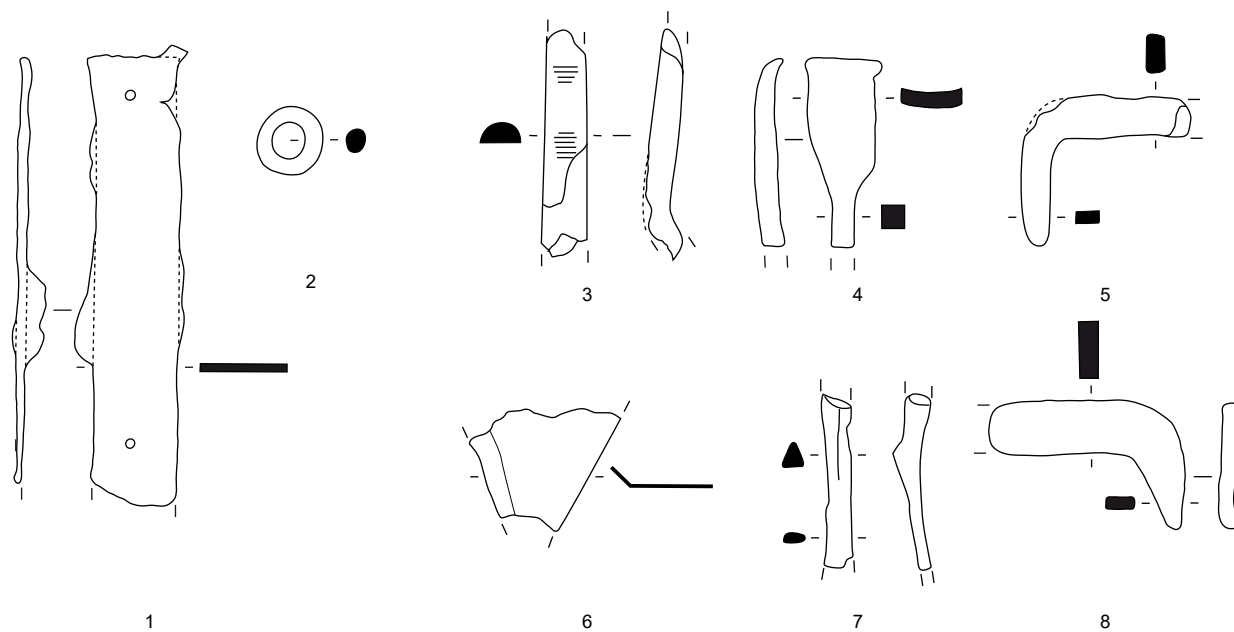
Chute de barre de section circulaire aplatie à une extrémité. Fer.

L. 130 mm, S. 7 mm. 19.7 g.
E : 1144.2. N : 1201.85. Alt. : 572.98.

D3-9-TP 18750

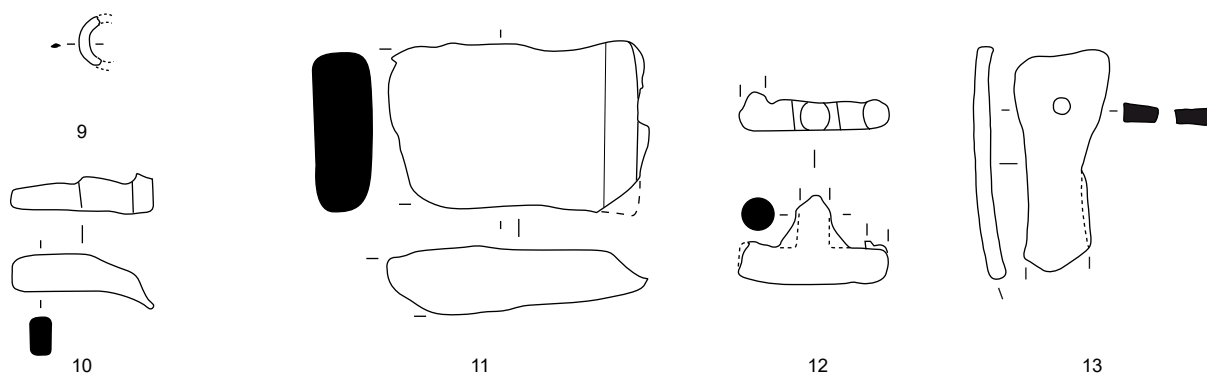
18750, n° 1383. Jeton.

18750, n° 1382. Fragment d'anse et de col de récipient en verre.



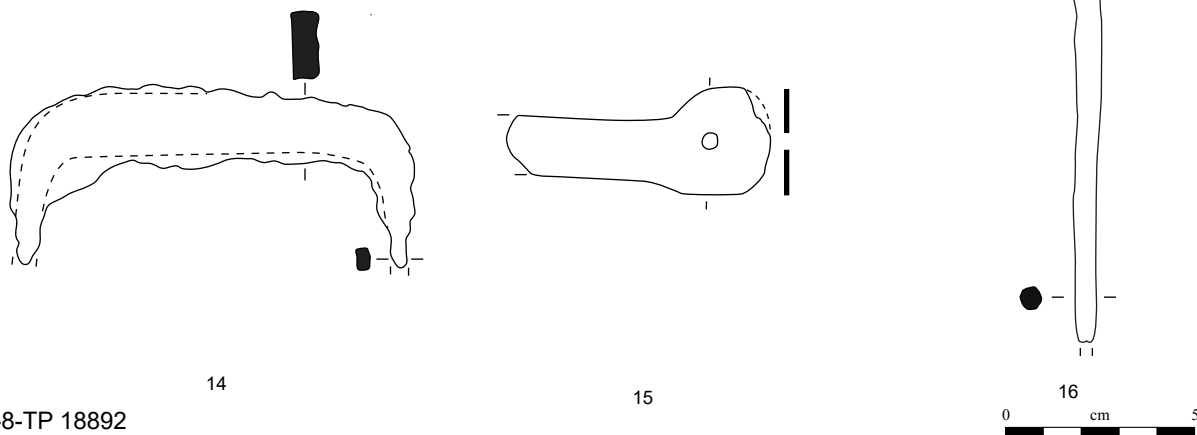
D3-2-cailloutis 18549

D3-3-Solin 18552



D3-6-Solin 18548

D3-7-TP 18553



D3-8-TP 18892

Planche 92. D3-2-cailloutis 18549 à D3-8-TP 18892

1, 3-8, 10-16 : fer; 2, 9 : alliage cuivreux.

Bâtiment D3

État 1 : LTD1b classique

D3-5-épandage 18531

Planche 93, 1. 18531, n° 1239.

Fragment de douille avec bois minéralisé à l'intérieur. Fer.
L. 48 mm. 14.1 g.
E : 1143.48. N : 1203.26. Alt. : 573.1.

Planche 93, 2. 18531, n° 1349.

Chute de bande de section rectangulaire. Fer.
L. 62 mm. 11 g.
E : 1143.6. N : 1202.81. Alt. : /.

Planche 93, 3. 18531, n° 1237.

Chute de bande de section rectangulaire avec deux découpes. Fer.
L. 32 mm, ép. 11 mm. 64.7 g.
E : 1143.7. N : 1203.32. Alt. : 573.06.

Planche 93, 4. 18531, n° 1350a.

Crampon de charpente. Fer.
L. 75 mm. 40 g.
E : 1143.37. N : 1202.63. Alt. : /.

Planche 93, 5. 18531, n° 1350b.

Crampon de charpente. Fer.
L. 81 mm. 40 g.
E : 1143.42. N : 1202.63. Alt. : /.

Planche 93, 6. 18531, n° 1347.

Crampon de charpente. Fer.
L. 105 mm. 52.1 g.
E : 1143.06. N : 1202.36. Alt. : X.

Planche 93, 7. 18531, n° 1241.

Fragment de ferrure avec clou en position fonctionnelle. Fer.
L. 102 mm, l. 16 mm, ép. 3 mm. 47.6 g.
E : 1143.6. N : 1202.62. Alt. : 573.04.

Planche 93, 8. 18531, n° 1240.

Fragment de ferrure. Fer.
L. 104 mm, l. 23 mm, ép. 2 mm. 30.4 g.
E : 1143.3. N : 1203.3. Alt. : 573.11.

Planche 93, 9. 18531, n° 1238.

Fragment de foncet de serrure circulaire avec entrée rectangulaire et tôle légèrement bombée sur les bords et repliée à deux reprises au-dessus de l'accueilage. Fer.
L. 110 mm, diam. rest. 120 mm, ép. 2,5 mm. 50.9 g.
E : 1143.6. N : 1203.04. Alt. : 573.08.

Planche 93, 10. 18531, n° 1346.

Fragment de tôle indéterminé à bordure incurvée avec rivet en alliage cuivreux en position fonctionnelle, réparation? Fer et alliage cuivreux.
L. 70 mm. 46 g.
E : 1143.03. N : 1202.17. Alt. : /.

Planche 93, 11. 18531, n° 1243.

Deux tôles indéterminées collées par la corrosion (?) et superposées. Une tôle est repliée sur elle-même. Fer.
L. 70 mm. 34.4 g.
E : 1142.73. N : 1202.53. Alt. : 573.09.

Planche 93, 12. 18531, n° 1242.

Objet en cours de fabrication constitué de tiges de section rectangulaire dont une droite et les deux autres formant un «V». Gril? Fer.
L. 74 mm. 31.5 g.
E : 1142.58. N : 1202.94. Alt. : 573.11.

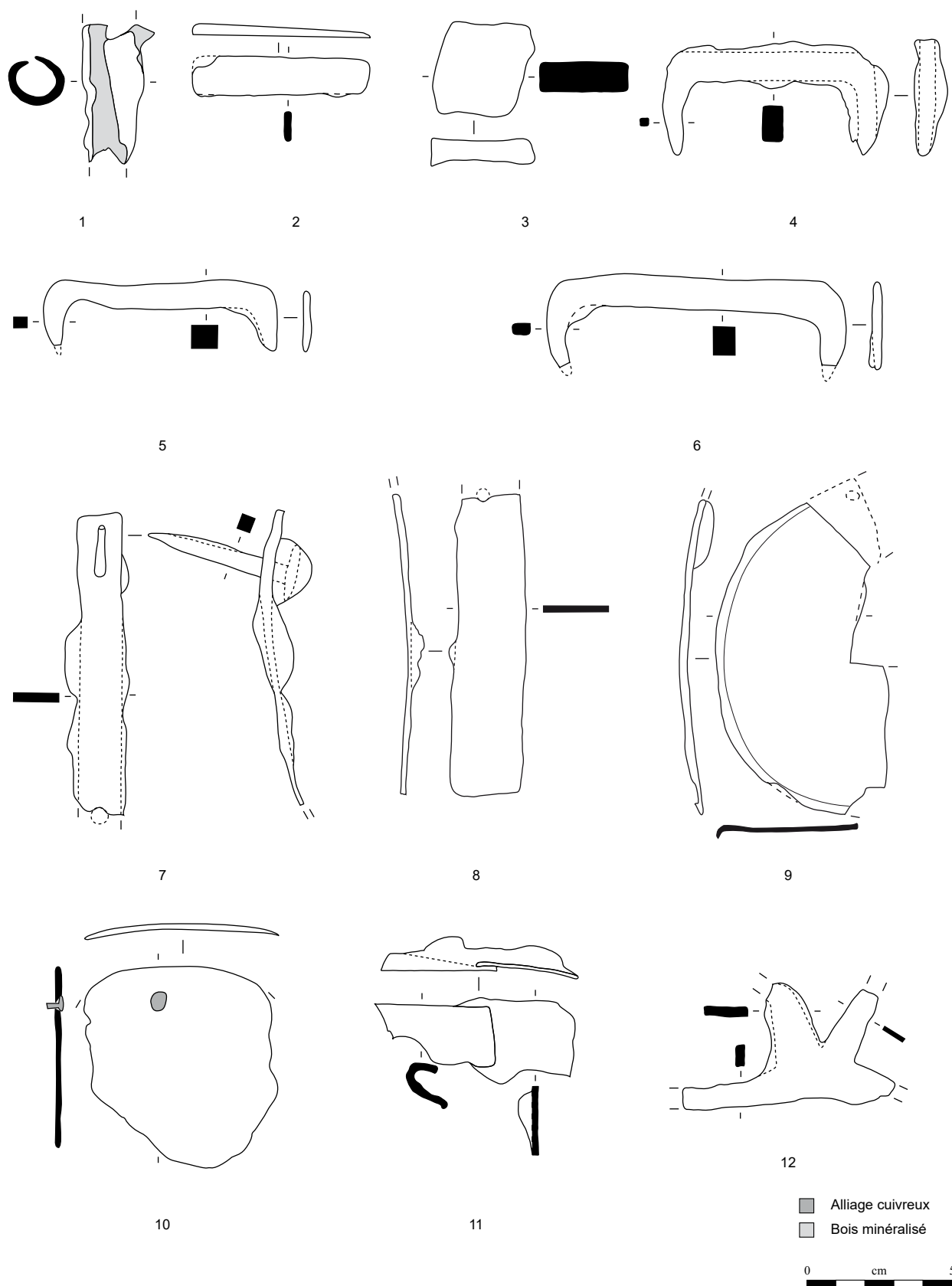


Planche 93. D3-5-épandage 18531

Fer excepté 10, fer et alliage cuivreux.

Type d'objet	UF	No	Description	Métal	NR	NMI	M(g)
D-1-décapage	<i>Décapage</i>						
Cabochon	18516	1130	Cabochon avec substance de fixation	Base-cuivre	1	1	0.6
Cabochon	18516	1163	Fragment de cabochon	Base-cuivre	1	1	0.2
Cabochon	18726	2007	Fragment de cabochon	Base-cuivre	1	1	0.1
Chute de tige appointée	18726	3083	Chutes de tige	Fer	3	3	6.5
Chute de tôle	18726	2011	Chute de tôle triangulaire repliée sur un angle.	Base-cuivre	1	1	0.6
Clou de chaussure	17056	1533	Clou de chaussure	Fer	1	1	2.2
Clou de chaussure	18543	1258	Clou de chaussure	Fer	1	1	1.2
Clou de chaussure	18500		Clou de chaussure	Fer	1	1	1.9
Clou de chaussure	17876		Clou de chaussure à décor de petits globules	Fer	1	1	1.6
Clou de chaussure	18543	1212	Clou de chaussure explosé	Fer	1	1	2.3
Clou de chaussure	18726		Clous de chaussure	Fer	4	4	5.4
Clou de chaussure	18543		Clous de chaussure à dix globules et illisible	Fer	2	2	3.2
Coulure	18500	1746	Coulure	Base-cuivre	1	1	0.6
Coulure	18516	1043	Coulure	Base-cuivre	1	1	7.9
Coulure	18726	2012	Coulure	Base-cuivre	1	1	1.4
Ferrure	18516	1042	Ferrure d'angle	Fer	1	1	59.9
Ferrure	18516	1108	Fragment de ferrure	Fer	1	0	12.3
Ferrure	18516	1142	Fragment de ferrure	Fer	1	0	6.8
Ferrure	18516	1055	Fragment de ferrure bombée et perforée	Fer	1	0	7.3
Ferrure	18726		Fragments de ferrure	Fer	4	1	19.4
Fibule	18543	1297	Ardillon de fibule	Fer	1	1	1.9
Indéterminé objet	18726	2013	Deux plaques superposées dans le même axe avec une des deux repliée à angle droit	Fer	1	1	93.4
Indéterminé plat	18726	1391	Deux fragments de plat indéterminés	Fer	2	0	19.2
Indéterminé plat	18726	2014	Fragment de bande de fer plat	Fer	1	1	12
Indéterminé plat	18500	1175	Fragment de bande de fer plat incurvée	Fer	1	1	2.7
Indéterminé plat	18516	1072	Fragment de fer plat.	Fer	1	0	9.8
Indéterminé plat	18726	1385	Fragment de plat	Fer	1	1	17.8
Indéterminé plat	18500		Fragment de plat plié	Fer	1	1	13.3
Indéterminé plat	18516		Fragments de fer plat	Fer	2	0	14.3
Indéterminé plat	18543		Fragments de fer plat	Fer	9	1	48.8
Indéterminé plat	18543	1223	Fragment de plat	Plomb	1	1	12.9
Indéterminé tige	18516	1124	Petite tige irrégulière de section ronde	Base-cuivre	1	1	0.1
Indéterminé tôle	18543	1219	Fragment de tôle	Base-cuivre	1	1	0.2
Indéterminé tôle	18726	1387	Fragment de tôle	Base-cuivre	1	0	1.9
Indéterminé tôle	18726	1390	Fragment de tôle	Base-cuivre	1	1	0.6
Indéterminé tôle	18876	1659	Fragment de tôle	Base-cuivre	1	1	1.2
Indéterminé tôle	18500	1745	Fragment de tôle	Base-cuivre	1	1	0.6
Indéterminé tôle	18726	1362	Fragment de bande de tôle légèrement incurvée	Fer	1	1	4.6
Indéterminé tôle	17876		Fragment de tôle	Fer	1	1	2.5
Indéterminé tôle	18876		Fragment de tôle	Fer	1	1	34.5
Indéterminé tôle	18516	1048	Fragment de tôle incurvée avec une perforation	Fer	1	1	19.6
Indéterminé tôle	18715		Fragments de tôle indéterminé	Fer	4	1	18.4
Indéterminé tôle	18500		Fragment de tôle perforé	Fer	1	1	19.4
Indéterminé tôle	18516		Fragments informes	Fer	5	0	41.8
Indéterminé tôle	18516		Fragments de tôle	Fer	12	0	117.1
Indéterminé tôle	18726		Fragments de tôle	Fer	3	0	10.9
Clou	18516		Constr.: 2 frgts; men.: 52 frgts; 35 tiges	Fer	89	54	601
Clou	18726		Constr.: 2 frgts; men.: 55 frgts; 53 tiges	Fer	110	57	957
Clou	18524		Constr.: 1 frgt	Fer	1	1	40
Clou	18525		Men.: 1 frgt	Fer	1	1	14
Clou	17056		Men.: 1 frgt, 2 tiges	Fer	3	1	32
Clou	18876		Men.: 1 frgts; 3 tiges	Fer	4	1	20
Clou	17876		Men.: 13 frgts; 15 tiges	Fer	28	13	175
Clou	18562		Men.: 2 frgts; 1 tige	Fer	3	2	24
Clou	18500		Men.: 2 frgts; 6 tiges	Fer	8	2	33
Clou	18526		Men.: 3 frgts; 3 tiges	Fer	6	3	40
Clou	18543		Men.: 32 frgts; 43 tiges	Fer	75	32	333
Clou	18500		Men.: 6 frgts; 3 tiges	Fer	9	6	31.5
Clou	18715		Men.: 8 frgts; 4 tiges	Fer	12	8	100
Clou	18516	1149	Tige	Fer	1	0	1.8
Clou	17875		Tige	Fer	1	1	6
Perle	18500	1744	Perle à section en quart de rond	Base-cuivre	1	1	1.9
Rivet (bc)	18543	1253	Clou-rivet en une pièce à tête hémisphérique pleine	Base-cuivre	1	1	0.2

Type d'objet	UF	No	Description	Métal	NR	NMI	M(g)
Rivet (fer)	18726		Rivet à contreplaque et tête hémisphérique creuse et tige de clou-rivet par repli	Fer	2	2	27.7
Scorie (fer)	18715	1325	Fragment de scorie vitrifiée	Fer	1	1	127.2
Scorie (fer)	18516		Fragments de scorie	Fer	2	1	40
Scorie (fer)	18726		Fragments de scorie	Fer	3	1	9.8
Scorie (fer)	18516	1056	Scorie	Fer	1	1	57.7
Scorie (fer)	18726		Scorie avec objet collé	Fer	1	1	25
Scorie (fer)	18876	1658	Scorie de foyer	Fer	1	1	48.4
Scorie (fer)	18562	1322	Scorie informe	Fer	1	1	72.6
Scorie (fer)	18516	1062	Scories informes	Fer	2	1	26
D-2-gallo-romain	<i>État 4 lato sensu : époque romaine</i>						
Anneau (fer)	17008		Anneau	Fer	1	1	5
Anneau (fer)	17008		Anneau de section carrée	Fer	1	1	11
Anneau (fer)	16259	892	Anneau de section ronde	Fer	1	1	9.5
Anneau (fer)	17008	95	Anneau de section ronde	Fer	1	1	14
Anneau (fer)	17019		Fragment d'anneau	Fer	1	1	4
Anneau (fer)	16614		Fragment d'anneau de section ronde	Fer	1	1	6.2
Cabochon	18521	1047	Cabochon	Base-cuivre	1	1	0.7
Cabochon	16614	1827	Cabochon avec trace de plomb	Base-cuivre	1	1	1
Chute de tige appointée	17008	1704	Cinq chutes de tige de section carrée	Fer	5	1	9.9
Clou de chaussure	17104		3 clous de chaussure dont deux avec relief	Fer	3	3	3.6
Clou de chaussure	16624		Clou de chaussure	Fer	1	1	0.8
Clou de chaussure	16259		Clous de chaussure	Fer	12	12	13.9
Clou de chaussure	16614	428	Clous de chaussure	Fer	2	2	1.7
Clou de chaussure	17008		Clous de chaussure	Fer	17	17	28
Clou de chaussure	17008		Clous de chaussure dont trois à globules illisible et un à huit globules	Fer	25	25	36.7
Crampon	17008		Crampon	Fer	1	1	25
Crampon	17008		Crampons	Fer	2	2	8
Crampon	17008	1	Crampon	Fer	1	1	10
Ferrure	17105	1380	Fragments de ferrure	Fer	5	1	132.8
Ferrure	17008		Ferrure	Fer	1	0	11
Ferrure	17008	32	Ferrure	Fer	1	0	11
Ferrure	16614		Fragment de ferrure	Fer	1	0	13
Ferrure	17008		Fragment de ferrure	Fer	1	0	14.9
Ferrure	17008	1460	Fragment de ferrure	Fer	1	0	30.9
Ferrure	17008	81	Fragment de ferrure	Fer	1	0	23
Ferrure	17008	93	Fragment de ferrure	Fer	1	0	10
Ferrure	17008	236	Fragment de ferrure avec deux perforations	Fer	1	1	13.9
Ferrure	16614		Fragments de ferrure	Fer	6	1	37.4
Ferrure	18858		Fragments de ferrure	Fer	2	1	73
Ferrure	16259		Fragments de ferrure avec un clou en position fonctionnelle	Fer	9	1	94
Goutte	17019	1454	Goutte	Base-cuivre	1	1	0.6
Indéterminé objet	16614		Tige en forme de T, gouttière?	Fer	1	1	4.4
Indéterminé plat	17008		Fer plat légèrement courbe	Fer	1	0	8
Indéterminé plat	17008		Fers plats rectangulaires	Fer	2	0	13
Indéterminé plat	17008	12	Fragment de bande de fer plat	Fer	1	1	20
Indéterminé plat	17024		Fragment de bande de fer plat	Fer	1	0	10.5
Indéterminé plat	17024		Fragment de bande de fer plat	Fer	1	1	6
Indéterminé plat	18522		Fragment de bande de fer plat	Fer	1	1	32
Indéterminé plat	17019		Fragments de fer plat	Fer	2	1	17
Indéterminé plat	17103	1494	Fragment de fer plat	Fer	1	0	43.3
Indéterminé plat	18408		Fragment de plat	Fer	1	1	5.2
Indéterminé plat	16614		Fragment de plat triangulaire	Fer	1	0	1.8
Indéterminé plat	16614		Fragments de bande de plat	Fer	1	0	11.8
Indéterminé plat	16614		Fragments de bande de plat	Fer	4	1	22.7
Indéterminé plat	17877		Fragments de fer plat	Fer	3	1	26.6
Indéterminé plat	18521		Languette de fer plat tordue	Fer	1	1	6.8
Indéterminé plat	16259	900	Fragments de plat	Plomb	2	1	24.2
Indéterminé tige	16259	1030	Tige de section carrée	Base-cuivre	1	1	0.1
Indéterminé tige	17019	1443	Tige de section ronde appointée	Base-cuivre	1	1	0.2
Indéterminé tige	17009	77	Tige de section ronde	Base-cuivre	1	1	0.3
Indéterminé tige	17008		Quatre tiges de section ronde et une de section rectangulaire	Fer	5	1	4.9
Indéterminé tige	17008		Tige de section carrée	Fer	1	0	8

Type d'objet	UF	No	Description	Métal	NR	NMI	M(g)
Indéterminé tige	16259	956	Tige de section rectangulaire pliée	Fer	1	1	4.7
Indéterminé tige	16614		Tige de section ronde	Fer	1	1	0.4
Indéterminé tige	17105	1396	Tige de section ronde	Fer	1	1	0.9
Indéterminé tige	16624		Tiges indéterminées dont une avec un élargissement de la section	Fer	2	1	13.5
Indéterminé tôle	16259	903	Fragment de tôle	Base-cuivre	1	1	0.3
Indéterminé tôle	16624	589	Fragment de tôle	Base-cuivre	1	1	0.1
Indéterminé tôle	17008	1451	Fragment de tôle	Base-cuivre	1	1	2
Indéterminé tôle	17103	1469	Fragments de tôle	Base-cuivre	1	1	0.7
Indéterminé tôle	16614		Fragment de tôle	Fer	1	1	11
Indéterminé tôle	17008		Fragment de tôle	Fer	1	0	4
Indéterminé tôle	17008	1447	Fragment de tôle	Fer	1	1	31.2
Indéterminé tôle	17019	1315	Fragment de tôle	Fer	1	1	0.9
Indéterminé tôle	17022		Fragment de tôle triangulaire	Fer	1	1	1.5
Indéterminé tôle	16259		Fragments de tôle	Fer	15	1	45
Indéterminé tôle	16614		Fragments de tôle	Fer	2	0	8.9
Indéterminé tôle	17008		Fragments de tôle	Fer	2	1	25
Indéterminé tôle	18858		Rivet à conteplaque à tête hémisphérique creuse	Fer	1	1	27
Indéterminé tôle	17008		Tôles rectangulaires	Fer	3	0	12
Indéterminé tôle	17008	22	Fragment de tôle	Plomb	1	0	1.6
Clou	17008	1690	Clou de menuiserie	Base-cuivre	1	1	6.1
Clou	16624	594	Clou brûlé intact	Fer	1	1	0.4
Clou	16259		Clou de construction	Fer	1	1	20
Clou	16614		Constr.: 1 frgt; men.: 97 frgts; 111 tiges	Fer	209	98	991
Clou	17008	10	Men.: 1 frgt	Fer	1	1	18
Clou	17008	71	Men.: 1 frgt	Fer	1	1	8
Clou	18408		Men.: 1 frgt; 6 tiges	Fer	7	1	33.3
Clou	18563		Men.: 10 frgts; 9 tiges	Fer	19	10	112
Clou	17104		Men.: 12 frgts, 23 tiges	Fer	35	12	206.5
Clou	18521		Men.: 12 frgts; 11 tiges	Fer	23	12	174
Clou	18420		Men.: 12 frgts; 14 tiges	Fer	26	12	114
Clou	16624		Men.: 15 frgts; 13 tiges	Fer	28	15	120
Clou	17105		Men.: 2 frgts; 2 tiges	Fer	4	2	42
Clou	17024		Men.: 27 frgts ; 14 tiges	Fer	41	27	291
Clou	17008		Men.: 315 frgts; 368 tiges	Fer	683	315	3334
Clou	18858		Men.: 5 frgts; 8 tiges	Fer	13	5	62.5
Clou	17019		Men.: 53 frgts ; 65 tiges	Fer	118	53	635
Clou	17022		Men.: 6 frgts ; 8 tiges	Fer	14	6	45
Clou	18522		Men.: 6 frgts; 4 tiges	Fer	10	6	85
Clou	17877		Men.: 6 frgts; 5 tiges	Fer	11	6	97
Clou	16259		Men.: 74 frgts; 101 tiges	Fer	175	74	840
Clou	17103	1468	Tête de clou	Fer	1	1	9.5
Clou	18850		Tige	Fer	1	1	1
Clou	17008	17	Tiges	Fer	5	0	51
Piton	17008		Piton en T	Fer	1	1	9
Rivet (bc)	17008	27	6 fragments de tôle (2,2 g) et 1 rivet par refoulement en une pièce (0,2 g)	Base-cuivre	7	1	2.4
Rivet (bc)	17009	76	Contreplaque de rivet	Base-cuivre	1	1	0.4
Rivet (fer)	17008		Contreplaque de rivet	Fer	1	1	2
Scorie (fer)	16614		Calotte (142 g) et fragment de scorie (35 g)	Fer	2	1	177
Scorie (fer)	17008	31	Fragment de calotte	Fer	1	1	103
Scorie (fer)	18408		Scorie informe	Fer	1	1	4.5
Clou de chaussure	16621	529	Clou de chaussure	Fer	1	1	1
Clou de chaussure	16621	533	Clou de chaussure	Fer	1	1	0.4
Clou de chaussure	16621	530	Clou de chaussure	Fer	1	1	0.3
Clou de chaussure	16621	527	Clou de chaussure sans décor	Fer	1	1	2.3
Clou de chaussure	16621	528	Clou de chaussure sans décor	Fer	1	1	0.9
Clou de chaussure	16621	532	Clou de chaussure sans décor	Fer	1	1	1.4
Clou de chaussure	16621	534	Clou de chaussure sans décor	Fer	1	1	1.1
Clou de chaussure	16621		Clous de chaussure	Fer	16	16	24
Clou de chaussure	16621	513	Clous de chaussure sans décor	Fer	2	2	4.3
Fibule	16621	619	Ardillon de fibule et une spire de ressort	Base-cuivre	1	1	1.5
Indéterminé plat	16621	644	Fragment de plat	Base-cuivre	1	1	0.2
Indéterminé tige	16621		Tiges de section ronde et de section ovale	Fer	2	1	6.7
Clou	16621		Men.: 43 frgts; 48 tiges	Fer	91	43	355

Type d'objet	UF	No	Description	Métal	NR	NMI	M(g)
D-3-radiers petit module	<i>État 2.2 à 2.3 : LTD2</i>						
Ferrure	16258		Fragment de ferrure	Fer	1	1	20.6
Ferrure	16626	1528	Fragments de ferrure et indéterminé informe	Fer	4	1	24
Indéterminé tige	16258		Fragment informe	Base-cuivre	1	1	0.3
Indéterminé tige	18819		Tige de section carrée massive	Fer	1	1	9.8
Maillon rapide	16258		Maillon rapide de section carrée	Fer	1	1	18.6
Clou	18547		Men.: 1 frgt	Fer	1	1	7
Clou	18560		Men.: 1 frgt	Fer	1	1	9
Clou	17229		Men.: 1 frgt; 1 tige	Fer	2	1	19
Clou	16258		Men.: 12 frgts; 18 tiges	Fer	30	12	136
Clou	18819		Men.: 2 frgts, 3 tiges	Fer	5	2	6.6
Clou	17085		Men.: 7 frgts, 1 tige	Fer	8	7	70
Rivet (bc)	16626	615	Clou-rivet en une pièce	Base-cuivre	1	1	0.2
D-4-Fo 17999-205	<i>État 2.1 : LTD1b évoluée</i>						
Ferrure	17999-206		Fragment de ferrure	Fer	1	1	57
Indéterminé plat	17999-206		Fragment de bande de fer plat	Fer	1	1	23
Indéterminé tôle	17999-206		Fragments de tôle	Fer	3	1	18
Clou	17999-206		Men.: 5 frgts; 2 tiges	Fer	7	5	52
Scorie (fer)	17999-206		Scorie	Fer	1	1	17.9
D-5-Fo 17873	<i>État 4 lato sensu : époque romaine</i>						
Cabochon	17282	1551	Cabochon	Base-cuivre	1	1	0.4
Déchet de fabrication	17282	1629	Déchet de fabrication	Fer	1	1	50
Ferrure	17282	1631	Fragment de ferrure	Fer	1	1	27.1
Ferrure	17282	1655	Fragment de ferrure	Fer	1	0	24
Indéterminé plat	17282	1594	Fragment de bande de fer plat	Fer	1	1	9
Indéterminé tôle	17282		Deux fragments de tôle collés	Fer	1	1	14.3
Clou	17282		Constr.: 1 frgt	Fer	1	1	77
Clou	17282		Men.: 27 frgts; 15 tiges	Fer	42	27	329
Clou	17282	1636	Tige	Fer	1	0	0.7
Rivet (bc)	17282	1634	Grand rivet par refoulement arraché	Base-cuivre	1	1	2.1
Rivet (fer)	17282		Rivet à contreplaque à tête hémisphérique creuse	Fer	1	1	14.8
Scorie (fer)	17282		Scorie informe	Fer	1	1	33.3
D-6-Pavage 17026	<i>État 2-GR : LTD1b évoluée-époque romaine</i>						
Ferrure	17026	1557	Fragment de ferrure	Fer	1	1	11.6
Indéterminé tige	17026	1523	Fragment de tige de section ronde pointue	Base-cuivre	1	1	0.8
Indéterminé tôle	17026	1528	Fragment de tôle rectangulaire	Fer	1	1	13.5
Clou	17026		Men.: 5 frgts ; 2 tiges	Fer	7	5	47
Clou	17026	1530	Tige de clou	Fer	1	0	13.5
Piton	17026	1572	Piton à deux tiges de fixation	Fer	1	1	29.8
D-7-TP 17192	<i>État 1 : LTD1b classique</i>						
Cabochon	17191	1369	Cabochon avec trace de plomb	Base-cuivre	1	1	1.2
Ferrure	17191	1370	Fragment de ferrure	Fer	1	1	11.1
Indéterminé plat	17191	1373	Fragments de bande de fer plat incurvé	Fer	3	1	30.3
Indéterminé tige	17191	1372	Très fine tige de section ronde	Base-cuivre	1	1	0.1
Indéterminé tige	17191	1374	Très fine tige de section ronde	Base-cuivre	1	0	0.1
Indéterminé tôle	17191	1391	Fragments de tôle	Fer	4	1	8.8
Indéterminé tôle	17191	1390	Fragments de tôle	Fer	5	0	26
Clou	17191		Men.: 8 frgts; 3 tiges	Fer	11	8	91
Rivet (bc)	17191	1392	Tige de clou-rivet en une pièce	Base-cuivre	1	1	1.1
D-8-amas de mobilier 17231	<i>Non phasé</i>						
Cabochon	17852	1608	Cabochon avec trace de plomb	Base-cuivre	1	1	0.5
Cabochon	17852	1609	Cabochon avec trace de plomb	Base-cuivre	1	1	0.3
Clou de chaussure	17230		Clou de chaussure	Fer	1	1	1.5
Coulure	17230	1620	Déchets en alliage cuivreux, coulure et tôle	Base-cuivre	3	3	2.6
Ferrure	17230	1516	Fragment de ferrure	Fer	1	1	16.2
Fibule	17230	1592	Ardillon de fibule	Fer	1	1	1.1
Indéterminé plat	17230		Fragment de plat	Fer	1	0	5.6
Indéterminé tige	17230	1590	Tige de section ronde appointée	Base-cuivre	1	1	0.6
Indéterminé tôle	17230	1591	Fragment de bande de tôle recourbée	Base-cuivre	1	1	0.3
Indéterminé tôle	17852		Fragment de bande de tôle	Fer	1	1	5.3
Indéterminé tôle	17230	1615	Fragment de tôle	Fer	1	0	12.1
Clou	17230	1542	Clou de construction	Fer	1	1	63.6
Clou	17230		Men.: 25 frgts; 35 tiges	Fer	60	25	381
Clou	17852		Men.: 3 frgts; 3 tiges	Fer	6	3	27
Monnaie	17230	1563	Monnaie indéterminée	Indéterminée	1	1	1.88
Rivet (bc)	17230	1613	Clou-rivet à tête hémisphérique creuse	Base-cuivre	1	1	1.3

Type d'objet	UF	No	Description	Métal	NR	NMI	M(g)
Rivet (bc)	17230	1665	Clou-rivet en une pièce	Base-cuivre	1	1	0.5
Rivet (bc)	17230	1575	Clou-rivet en une pièce à tête hémisphérique creuse	Base-cuivre	1	1	0.3
Scorie (fer)	17230		Scorie argilo-sableuse	Fer	1	1	11
Scorie (fer)	17230	1621	Scorie informe	Fer	1	1	29.4
D-9-Fo 18804	<i>État 4 lato sensu : époque romaine</i>						
Clou	18803		Men.: 4 frgts, 1 tige	Fer	5	4	31
Scorie (fer)	18803		Calotte	Fer	1	1	21
D-10-sol état laténien	<i>État 1 à 2.1 : LTD1b</i>						
Cabochon	18747	1366	Cabochon avec substance de fixation	Base-cuivre	1	1	0.4
Chute de tôle repliée	18747		Chute de tôle repliée sur elle-même	Base-cuivre	1	1	0.2
Goutte	18747	1367	Goutte	Base-cuivre	1	1	0.4
Indéterminé tige	18747	1373	Fragment de tige de section ronde appointée	Base-cuivre	1	1	0.2
Indéterminé tôle	18747		Fragments de tôle	Fer	7	1	24.6
Clou	18899		Men.: 1 frgt	Fer	1	1	3.3
Clou	18400		Men.: 1 frgt, 1 tige	Fer	2	1	20.3
Clou	18747		Men.: 11 frgts; 20 tiges	Fer	31	11	106
Clou	18747		Tige de clou de construction	Fer	1	1	16.7
D-11-radier 18423	<i>État 2 lato sensu : LTD1b évoluée-LTD2</i>						
Clou	18423		Men.: 8 frgts; 4 tiges	Fer	12	8	99
D-12-couches charbonneuses	<i>État 1 : LTD1b classique</i>						
Ferrure	18425	1737	Fragment de ferrure	Fer	1	0	14
Ferrure	18425	1703	Fragment de ferrure avec une perforation	Fer	1	1	18.9
Ferrure	18425	1736	Fragment de ferrure presque complète cassée au niveau d'un perforation	Fer	1	0	16.2
Clou	18424		Men.: 9 frgts; 1 tige	Fer	10	9	89
D-13-TP 17869	<i>État 2.1 : LTD1b évoluée</i>						
Cabochon	17870	1626	Cabochon avec trace de plomb	Base-cuivre	1	1	0.9
D-14-TP 18415	<i>Non phasé</i>						
Clou	18551		Men.: 2 frgts; 2 tiges	Fer	4	2	15
D1-1-décapage	<i>Décapage</i>						
Coulure	18542	1211	Coulure	Base-cuivre	1	1	2.2
Indéterminé tôle	18542		Fragment de bande de tôle	Fer	1	1	4.7
Clou	18542		Men.: 3 frgts; 2 tiges	Fer	5	3	32
Scorie (fer)	18542		Scorie informe	Fer	1	1	4.7
D1-2-épandage	<i>Non phasé</i>						
Indéterminé tôle	17857	1617	Fragments de tôle légèrement courbe avec une perforation	Fer	1	1	53.9
Clou	17872		Men.: 5 frgts; 1 tige	Fer	6	5	25
Clou	17857		Men.: 7 frgts; 15 tiges	Fer	23	7	75
Rivet (fer)	17857		Contreplaque de rivet	Fer	1	1	10.5
Scorie (fer)	17857	1618	Scorie informe	Fer	1	1	38.2
D1-3-TP 17882	<i>État 2.1 : LTD1b évoluée</i>						
Clou	17883		Men.: 1 frgt; 1 tige	Fer	2	1	16
D1-4-TP 17758	<i>État 2.1 : LTD1b évoluée</i>						
Ferrure	18757		Fragment de ferrure	Fer	1	1	27
Indéterminé plat	18757		Fragment de bande de fer plat	Fer	1	1	30
Clou	18757		Men.: 3 frgts; 4 tiges	Fer	7	3	20
D1-6-Sb 17818	<i>État 2.1 : LTD1b évoluée</i>						
Clou	18817		Men.: 3 frgts; 1 tige	Fer	4	3	28
D1-7-Sb 18840	<i>État 2.1 : LTD1b évoluée</i>						
Ferrure	18839		Fragment de ferrure	Fer	1	1	13.8
Clou	18839		Men.: 3 frgts; 3 tiges	Fer	6	3	31
D1-8-Sb 18849	<i>État 2.1 : LTD1b évoluée</i>						
Clou	18849		Men.: 3 frgts; 4 tiges	Fer	7	3	40
D1-9-TP 18865	<i>État 2.1 : LTD1b évoluée</i>						
Clou	18864		Men.: 1 frgt, 1 tige	Fer	2	1	31
D1-10-TP 18869	<i>État 2.1 : LTD1b évoluée</i>						
Clou	18868		Men.: 1 frgt	Fer	1	1	12
D1-11-TP 18871	<i>État 2.1 : LTD1b évoluée</i>						
Clou	18870		Men.: 3 frgts; 2 tiges	Fer	5	3	51
D1-12-TP 18896	<i>État 2.1 : LTD1b évoluée</i>						
Clou	18895		Tiges	Fer	2	1	8
D1-13-TP 18810	<i>État 1 : LTD1b classique</i>						
Clou	18809		Men.: 5 frgts; 9 tiges	Fer	14	5	69
D1-14-Sb 18822	<i>État 1 : LTD1b classique</i>						
Indéterminé tôle	18821		Fragment de bande de fer plat	Fer	1	0	18

Type d'objet	UF	No	Description	Métal	NR	NMI	M(g)
Clou	18821		Constr.: 1 frgt; men.: 6 frgts, 9 tiges	Fer	16	7	97
D1-15-épandage 18847	<i>État 1 : LTD1b classique</i>						
Clou	18847		Constr.: 2 clous; men.: 4 frgts; 3 tiges	Fer	9	6	97
D1-18-TP 18873	<i>État 1 : LTD1b classique</i>						
Clou	18872		Clou dont l'extrémité de la tige est enroulée	Fer	1	1	22
D3-1-décapage	<i>Décapage</i>						
Indéterminé tôle	18808		Fragments de bande de tôle	Fer	2	1	3.2
Indéterminé tôle	18520		Fragment de bande de tôle	Fer	1	0	16.1
Indéterminé tôle	18520		Fragment de tôle	Fer	1	1	6
Clou	18808		Men.: 8 frgts, 6 tiges	Fer	14	8	40.9
Clou	18520		Men.: 5 frgts; 3 tiges	Fer	8	5	37
Scorie (fer)	18808	1394	Fragments de scories vitrifiées	Fer	12	1	41.3
Scorie (fer)	18808	1395	Fragments de scories vitrifiées	Fer	5	1	11.7
Scorie (fer)	18520	1245	Scorie informe	Fer	1	1	28.8
Scorie (fer)	18520	1236	Scories vitrifiées	Fer	4	1	82.7
D3-2-cailloutis 18549	<i>État 1 : LTD1b classique</i>						
Ferrure	18549		Fragments de ferrure	Fer	2	1	21.5
Indéterminé tige	18549	1247	Fragment indéterminé	Fer	1	0	11.7
Clou	18549	1249	Men.: 1 frgt	Fer	1	1	12
Clou	18549	1341	Men.: 2 frgts; 2 tiges	Fer	4	2	19.5
Scorie (fer)	18549	1250	Fragment de scorie vitrifiée	Fer	1	1	13.9
Scorie (fer)	18549	1246	Scorie vitrifiée	Fer	1	1	25.8
Scorie (fer)	18549	1248	Scories vitrifiées	Fer	5	1	41.9
D3-3-Solin 18552	<i>État 1 : LTD1b classique</i>						
Indéterminé plat	18552	1356	Fragment de bande de fer plat	Fer	1	0	6.5
Indéterminé plat	18552	1353	Fragment de fer plat	Fer	1	1	19.3
Clou	18552		Men.: 5 frgts, 5 tiges	Fer	10	5	77
Scorie (fer)	18552		Eclats de scorie et de calotte	Fer	18	1	140
D3-4-TP 18860	<i>État 1 : LTD1b classique</i>						
Indéterminé tôle	18829		Fragment de bande de tôle	Fer	1	1	5.4
D3-5-épandage 18531	<i>État 1 : LTD1b classique</i>						
Ferrure	18531	1351	Fragment de large ferrure rectangulaire percée en son centre	Fer	1	1	52.4
Indéterminé tôle	18531	1348	Fragment de bande de tôle incurvée	Fer	1	0	19.3
Indéterminé tôle	18531		Fragment de tôle	Fer	3	0	12
Clou	18531		Constr.: 1 frgt; men.: 9 frgts; 9 tiges	Fer	19	9	180
Clou	18531		Tige de clou à extrémité enroulée	Fer	1	0	8
Scorie (fer)	18531	1251	Scorie informe vitrifiée	Fer	1	1	45.8
D3-6-Solin 18548	<i>État 2 lato sensu : LTD1b évoluée-LTD2</i>						
Indéterminé plat	18548		Fragment de bande de plat	Fer	1	1	14.2
Clou	18548		Men.: 2 frgts	Fer	2	2	21
D3-7-TP 18553	18554		Fragment de tôle	Fer	1	1	25
Scorie (fer)	18554	1326	Scorie vitrifiée, paroi de foyer	Fer	7	1	120.9
D3-8-TP 18892	<i>État 2.1 : LTD1b évoluée</i>						
Indéterminé plat	18891	1668	Fragment de bande de fer plat	Fer	1	1	10.1
Clou	18891		Men.: 4 frgts, 4 tiges	Fer	8	4	41.4
D4-1-TP 17999-212	<i>État 1 : LTD1b classique</i>						
Clou	17999-212		Men.: 1 frgt	Fer	1	1	13
D4-2-TP 16336	<i>État 1 : LTD1b classique</i>						
Crampon	16337	1045	Crampon	Fer	1	1	34.4
Indéterminé tôle	16337		Fragment de tôle replié	Base-cuivre	1	1	0.3
Clou	16337		Men.: 13 frgts; 3 tiges	Fer	16	13	154

BÂTIMENT

GALLO-ROMAIN

NORD ET

BÂTIMENT G

Décapage

BGRN-1-nettoyage

Planche 94, 1. 18503, n° 1003.
Médailon composé d'un denier de Vespasien enchâssé dans un cercle constitué d'une tige à deux cannelures reliée par un axe à terminaison bouletée. Argent.
Diam. 22 mm. 5.2 g.
E : 1154.32. N : 1210.38. Alt. : 573.2.

Planche 94, 2. 18503, n° 1007.
Fragment de fibule de Nauheim à ressort à quatre spires (deux conservées) et corde interne et à arc de tôle triangulaire ornée d'un décor d'échelle et de lignes séparant l'arc du pied. Base-cuivre.
L. 36 mm, L. (arc) 30 mm, l. (arc) 4 mm. 1.3 g.
E : 1158. N : 1210.69. Alt. : 573.15.
Type : B22-04.

Planche 94, 3. 18503, n° 1006.
Ressort écrasé de fibule à quatre spires et corde interne. Base-cuivre.
L. 30 mm. 1.5 g.
E : 1152.5. N : 1212.2. Alt. : 573.15.
Type : B20-0.

Planche 94, 4. 18503, n° 1015.
Fragment de fibule à deux spires (une conservée) et corde externe basse. Fer.
L. 68 m. 3.2 g.
E : 1155.8. N : 1208.2. Alt. : 573.24.
Type : F10-1.

Planche 94, 5. 18503, n° 1013.
Fragment d'anneau de section lenticulaire. Base-cuivre.
L. 20 mm, diam. 28 mm, S. 4,5 x 2 mm. 2.1 g.
E : 1149.8. N : 1207.98. Alt. : 573.21.

Planche 94, 6. 18503, n° 1016.
Clou de chaussure. Fer.
Diam. 10 mm. 1.3 g.
E : 1150.16. N : 1207.3. Alt. : 573.23.

Planche 94, 7. 18503, n° 3036.
Douille fragmentaire. Fer.
L. 41 mm, diam. 14 mm. 8.5 g.
E : 1157.1. N : 1210.3.*

Planche 94, 8. 18503, n° 3021.
Angrois à extrémité manquante. Fer.
L. 36 mm. 5.7 g.
E : 1155.7. N : 1206.3.*

Planche 94, 9. 18503, n° 3014.
Spatule constituée d'une tige de section rectangulaire terminée par un plat

triangulaire. Fer.
L. 93 mm, S. 8 x 4 mm. 11.8 g.
E : 1153.4. N : 1210.*

Planche 94, 10. 18503, n° 3019.
Fragment de tranchant de hache ou d'herminette. Fer.
L. 33 mm. 14.6 g.
E : 1154.6. N : 1207.5.*

Planche 94, 11. 18503, n° 3020.
Chute de barre à soie de préhension. Fer.
L. 50 mm, l. 15 mm. 14.7 g.
E : 1154.3. N : 1202.4.*

Planche 94, 12. 18515, n° 1077.
Réparation de céramique sous la forme d'une masse écrasée de part et d'autre de la perforation de la céramique. Plomb.
L. 54 mm, ép. 9 mm. 81 g.
E : 1149.7. N : 1203.5.*

Planche 94, 13. 18503, n° 1011.
Stylet (?) composé d'une tige de section circulaire avec découpe à son extrémité. Fer.
L. 82 mm. 2.8 g.
E : 1154.04. N : 1211.8. Alt. : 573.11.

Planche 94, 14. 18503, n° 1029.
Stylet avec spatule ornée d'une cannelure et tige active manquante. Le manche est facetté. Fer.
L. 80 mm. 1.8 g.
E : 1155.15. N : 1210.92. Alt. : 573.16.

Planche 94, 15. 18503, n° 3022.
Fragment indéterminé constitué d'une bande de plat ondulé. Renfort de moyeu? Fer.
L. 46 mm. 14.3 g.
E : 1153.9. N : 1206.3.*

Planche 94, 16. 18503, n° 1005.
Fragment de cadre en tôle repliée. Base-cuivre.
L. 35 mm. 0.8 g.
E : 1152.94. N : 1204.65. Alt. : 573.15.

Autres petits mobiliers

18503, n° 1017. Jeton.
18503, n° 1174. Jeton.
18503, n° 1179. Jeton.
18515, n° 1064. Jeton.
18503, n° 1087. Monnaie.
18503, n° 1014. Monnaie.
18515, n° 1065. Fragment d'anse de récipient en verre.

État 4 lato sensu : époque romaine

BGRN-2-Fo 18887

Planche 94, 17. 18569, n° 1291.
Arc outrepassant de fibule filiforme de section lenticulaire à pied long triangulaire. Fer.
L. 82 mm, L. (arc) 50 mm, L. (pied) 35 mm. 4.6 g.
E : 1159.24. N : 1208.59. Alt. : 573.11.
Type : F33-11.

Planche 94, 18. 18523, n° 1091.
Fragment de fibule filiforme à ressort à quatre spires et corde externe, à arc dégradé cambré (?) de section lenticulaire. Le pied et l'ardillon sont manquants. Fer.
L. 57 mm, S. 4 x 2 mm. 4.5 g.
E : 1159.93. N : 1212.35. Alt. : 573.35.
Type : F33-7.

Planche 94, 19. 18523, n° 1075.
Fragment d'attache de ceinture dont seuls le bouton et le départ de l'anneau sont conservés. Base-cuivre.
Ht 15 mm, diam. 38 mm. 4.7 g.
E : 1158.08. N : 1212.49. Alt. : 573.18.
Type : B43-1.

Planche 94, 20. 18523, n° 3043.
Virole de pilum fragmentée de section carrée avec des ergots dans les angles supérieurs. Fer.
L. 59 mm, diam. 23 mm. 104.5 g.
E : 1160.3. N : 1210.8.*

Planche 94, 21. 18569, n° 1303.
Fragment de lingot de section trapézoïdale avec trace de découpe. Plomb.
L. 30 mm. 29.2 g.
E : 1160.8. N : 1210.4.*

Planche 94, 22. 18569, n° 1300.
Demi-produit constitué d'une tige martelée de section changeante (rectangulaire, hémisphérique et triangulaire). Base-cuivre.
L. 54 mm. 0.8 g.
E : 1158.42. N : 1210.81. Alt. : 573.83.

Planche 94, 23. 18569, n° 1302.
Poids romain en forme de coussin avec deux surfaces planes de 2,5 onces. Plomb.
Diam. 25 mm, ép. 19 mm. 67.7 g.
E : 1159.7. N : 1209.5.

Planche 94, 24. 18523, n° 3044.
Tige indéterminée de section rectangulaire ondulée. Renfort de moyeu? Fer.
L. 51 mm. 3.2 g.
E : 1160.2. N : 1210.3.

Planche 94, 25. 18569, n° 1289.
Fiche en «T». Fer.
L. 40 mm. 5.7 g.
E : 1157.46. N : 1208.88. Alt. : 573.14.

Autres petits mobiliers

18569, n° 1292. Intaille en pâte de verre brun-orangé à représentation de bige en mouvement.
18523, n° 1203. Jeton percé, fusaïole.
18523, n° 1208. Jeton.
18523, n° 1205. Monnaie.
18523, n° 1221. Monnaie.
18569, n° 1299. Monnaie.
18569, n° 1304. Monnaie.
18569, n° 1305. Monnaie.
18523, n° 1074. Monnaie.
18523, n° 1209. Fragment de verre mosaïqué bleu avec décor oculé blanc.

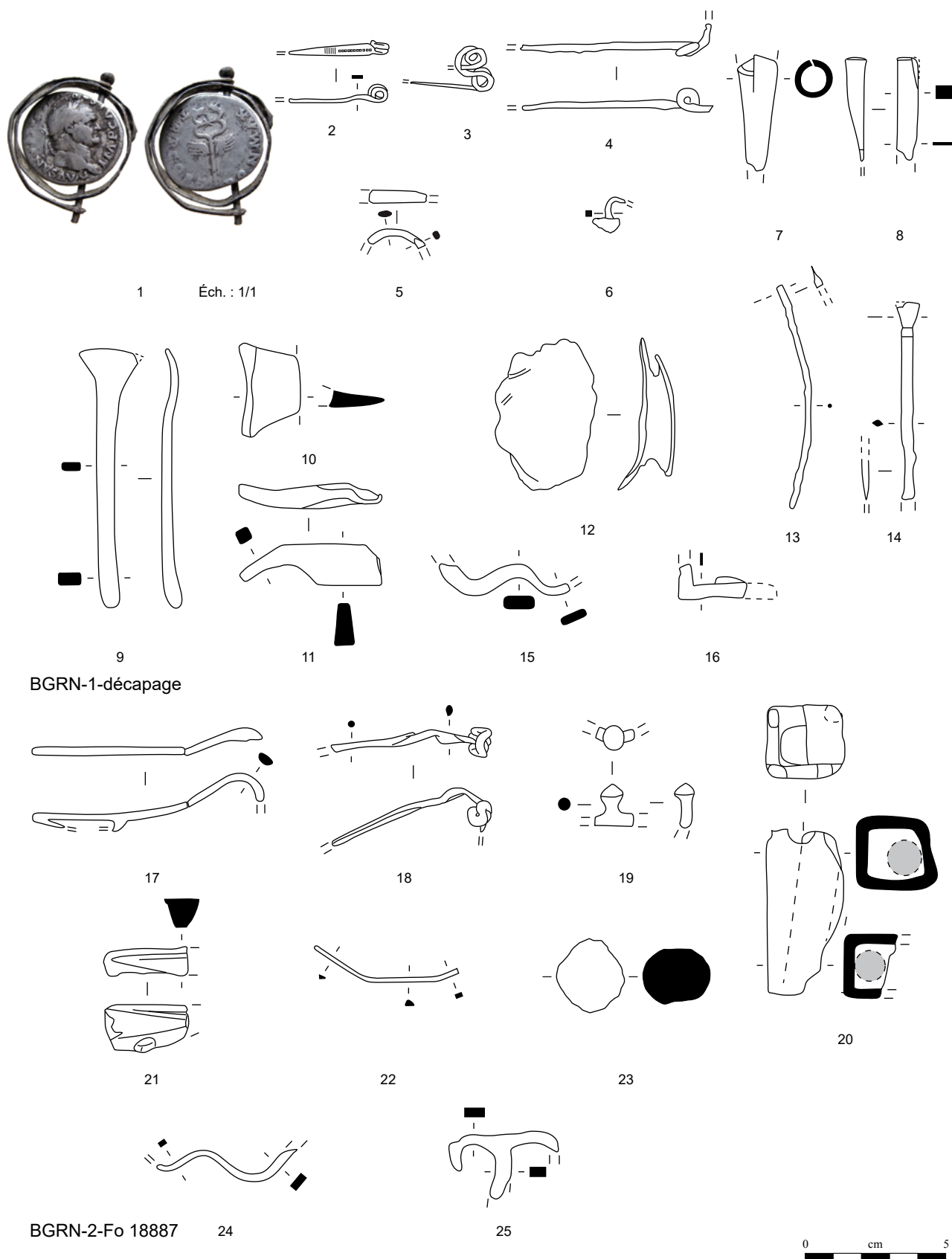


Planche 94. BGRN-1-nettoyage et BGRN-2-Fo 18887

1 : argent; 2-3, 5, 16, 19, 22; 4, 6-11, 13-15, 17-18, 20, 24-25 : fer; 12, 21, 23 : plomb.

Bâtiment gallo-romain nord

État 4 lato sensu : époque romaine

BGRN-3-Fo 18528

Planche 95, 1. 18528, n° 1155.

Boucle de ceinture constituée d'un fragment de tige de section triangulaire formant un «U». Base-cuivre.
L. 28 mm, l. 23 mm. 2.1 g.
E : 1155.44. N : 1202.27. Alt. : 572.96.

BGRN-6-démolition 16622

Planche 95, 2. 16622, n° 592.

Perle à section en «D». Base-cuivre.
Diam. 12 mm, S. 3 x 6 mm. 4.5 g.
E : 1156.4. N : 1197.4. Alt. : 573.14.

Planche 95, 3. 16622, n° 572.

Anneau de section ronde. Base-cuivre.
Diam. 13 mm, S. 3,5 mm. 1.7 g.
E : 1151.7. N : 1195.2. Alt. : 573.24.

Planche 95, 4. 16622, n° 552.

Anneau à section en «D». Base-cuivre.
Diam. 13 mm, S. 2 mm. 1 g.
E : 1151. N : 1195. Alt. : 573.29.

Planche 95, 5. 16622, n° 1817.

Anneau à section en quart de rond avec traces d'usure. Base-cuivre.
Diam. 16 mm, S. 6 x 3 mm. 3.8 g.
E : 1150.5. N : 1191.*

Planche 95, 6. 16622, n° 579.

Fragment d'anneau de section ronde. Base-cuivre.
L. 12 mm, diam. 16 mm, S. 3 mm. 0.6 g.
E : 1155.1. N : 1196.3. Alt. : 573.04.

Planche 95, 7. 16622, n° 1792.

Clou de chaussure. Fer.
Diam. 11 mm. 1.7 g.
E : 1152.3. N : 1192.5.*

Autres petits mobiliers

16622, n° 593. Monnaie.

BGRN-7-16627

Planche 95, 8. 16627, n° 643.

Fragment de grelot sphérique légèrement facetté à la patine étamée. Base-cuivre.
Diam. 24 mm, ht. 15 mm. 5.7 g.
E : 1154. N : 1194.5. Alt. : 573.05.

Planche 95, 9. 16627, n° 649.

Aiguille à chas circulaire cassée à son extrémité. Base-cuivre.
L. 32 mm. 1.5 g.
E : 1156.89. N : 1194.83. Alt. : 573.44.

Planche 95, 10. 16627, n° 647.

Fragment de plat indéterminé terminé par une réparation rivetée. Fer.
L. 28 mm. 5.2 g.
E : 1154.21. N : 1194. Alt. : 572.98.

Planche 95, 11. 16627, n° 1793.

Chute de tôle sous la forme de languette à découpe latérale. Fer.
L. 79 mm, l. 10 mm, ép. 2 mm. 6.1 g.
E : 1157. N : 1194.3.*

Planche 95, 12. 16627, n° 648.

Fragment de serpe à manche de section carrée qui se développe latéralement pour former un tronçon incurvé plat à bordure intérieure biseautée. Fer.
L. 66 mm, S. 10 mm. 33.4 g.
E : 1153.8. N : 1193.8. Alt. : 572.96.

Autres petits mobiliers

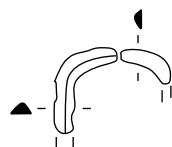
16627, n° 650. Déchet de tabletterie à découpe circulaire.
16627, n° 1389. Déchet de tabletterie à découpes circulaires.

Non phasé

BGRN-9-TP 18836

Planche 95, 13. 18556, n° 1397.

Abraseur polyédrique opportuniste en tuf. Lithique.
L. 33 mm, l. 22 mm, ht. 18 mm. 2.8 g.
E : 1148.12. N : 1204.13. Alt. : 573.04.



1

BGRN-3-Fo 18528



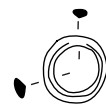
2



3



4



5



6

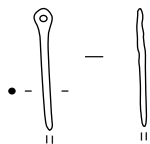


7

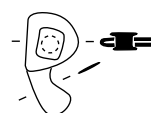
BGRN-6-démolition 16622



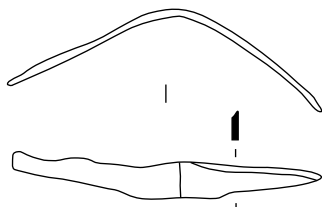
8



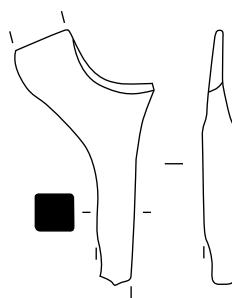
9



10



11



12

BGRN-7-remblai 16627



13

BRGN-9-TP 18836

■ Alliage cuivreux

0 cm 5

Planche 95. BGRN-3-Fo 18528 à BGRN-9-TP 18836

1-6, 8-9 : alliage cuivreux; 7, 10-12 : fer; 13 : tuf.

Bâtiment C

État 2.2 à 2.3 : LTD2

G-1-radier

Planche 96, 1. 18506, n° 3018.

Arc de fibule de section losangique cassé au niveau du début du ressort. Fer.

L. 46 mm, S. 4 x 3 mm. 1.9 g.

E : 1154.5. N : 1206.8.*

Type : F03.

Planche 96, 2. 18506, n° 1089.

Fragment d'arc outrepassant de fibule filiforme de section lenticulaire à pied ajouré. Fer.

L. 39 mm, L. (arc) 26 mm, S. 3 x 2 mm. 1.5 g.

E : 1156.67. N : 1210. Alt. : 573.23.

Type : F33-11.

Planche 96, 3. 18506, n° 1110.

Fibule filiforme à ressort à quatre spires (deux conservées) et corde externe haute à arc cambré de section lenticulaire. Fer.

L. 38 mm, S. 5 x 2 mm. 3.8 g.

E : 1156.3. N : 1209.97. Alt. : 573.26.

Type : F33-7.

Planche 96, 4. 18506, n° 1123.

Fragment de fibule à ressort à quatre spires à corde interne à arc de tôle triangulaire. Le pied est manquant. Fer.

L. 31 mm, S. 5 x 2 mm. 6.6 g.

E : 1153.72. N : 1208.25. Alt. : 573.17.

Type : F22-1.

Planche 96, 5. 18506, n° 1102.

Fibule à ressort à quatre spires et corde interne et arc triangulaire de tôle. Fer.

L. 35 mm, S. 7 x 4 mm. 6.8 g.

E : 1155.02. N : 1210.64. Alt. : 573.23.

Type : F22-1.

Planche 96, 6. 18506, n° 1094.

Arc de fibule filiforme de section losangique à pied triangulaire long. Fer.

L. 86 mm, S. 3 mm. 4.4 g.

E : 1156.62. N : 1209.74. Alt. : 573.2.

Type : F03.

Planche 96, 7. 18506, n° 1105.

Fragment de fibule à ressort à quatre spires et corde externe haute avec ardillon et départ d'arc filiforme. Fer.

L. 34 mm. 4 g.

E : 1156.08. N : 1211.36. Alt. : 573.22.

Type : F33-0.

Planche 96, 8. 18506, n° 1141.

Fragment d'ardillon et de spire de ressort de fibule. Fer.

L. 64 mm. 2.3 g.

E : 1156.41. N : 1208.02. Alt. : 573.11.

Planche 96, 9. 18506, n° 1119.

Fragment de ressort de fibule à une spire conservée et ardillon presque complet tordu. Fer.

L. 40 mm. 2.2 g.

E : 1154.87. N : 1208.43. Alt. : 573.2.

Planche 96, 10. 18506, n° 3017.

Fragment d'aiguille cassée au niveau du chas. Fer.

L. 37 mm, S. 2,5 mm. 0.9 g.

E : 1153.7. N : 1210.3.*

Planche 96, 11. 18506, n° 1134.

Fragment d'aiguille avec départ du chas. Fer.

L. 39 mm, S. 2 mm. 0.6 g.

E : 1156.03. N : 1208.75. Alt. : 573.24.

Planche 96, 12. 18506, n° 1147.

Aiguille cassée au niveau du chas. Fer.

L. 121 mm, S. 2,5 mm. 4.5 g.

E : 1155.94. N : 1208.02. Alt. : 573.19.

Planche 96, 13. 18506, n° 1101.

Chute de tige de section circulaire irrégulière aplatie à une extrémité. Fer.

L. 69 mm. 1.9 g.

E : 1155.14. N : 1210.64. Alt. : 573.23.

Planche 96, 14. 18506, n° 1240.

Fragment de maillon de chaîne en huit composé d'une tige de section carrée. Fer.

L. 81 mm. 21.8 g.

E : 1155.63. N : 1208.55. Alt. : 573.12.

Planche 96, 15. 18506, n° 1099.

Fragment de bandage de roue de section bombée. Fer.

L. 163 mm, l. 46 mm, ép. 3 mm. 178.1 g.

E : 1157.08. N : 1212.62. Alt. : 573.16.

Planche 96, 16. 18506, n° 3067.

Fragment indéterminé de fer plat de forme triangulaire, cassé au niveau d'un coude. Mors de pince, fragment de crampon? Fer.

L. 80 mm, ép. 3 mm. 14 g.

E : 1155.2. N : 1204.*

Planche 96, 17. 18506, n° 3016.

Fragment de croc constitué d'une tige en Y avec une partie basse matée et une partie haute fragmentaire de section rectangulaire. Fer.

L. 28 mm. 6.3 g.

E : 1153.7. N : 1208.7.*

Autres petits mobiliers

18506, n° 1125. Fragment de tige en os.

18506, n° 1109. Monnaie.

18506, n° 1137. Fragment de perle.

18506, n° 1146. Fragment de récipient en verre.

18517, n° 1138. Monnaie.

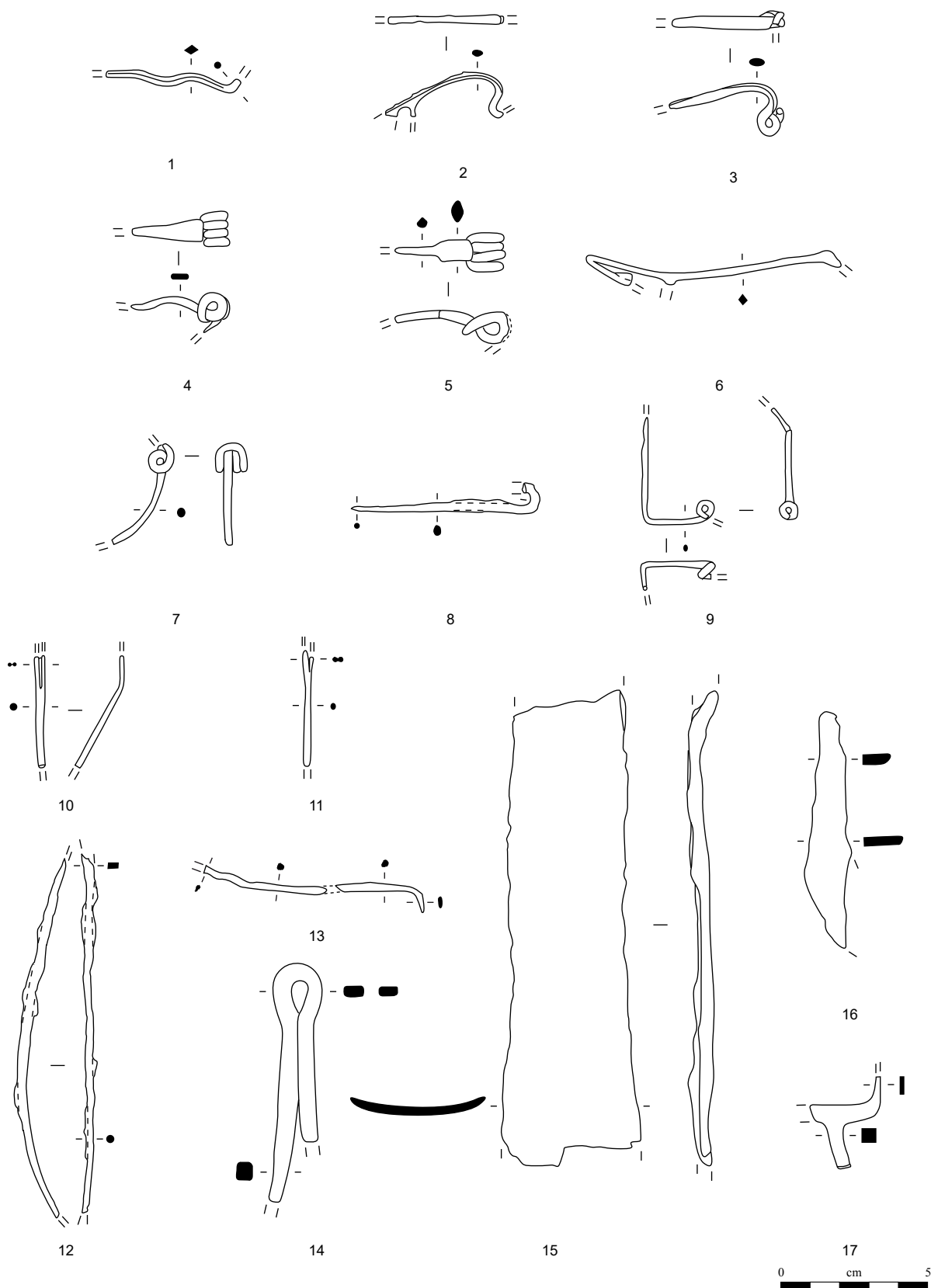


Planche 96. G-1-radier

Fer.

Bâtiment C

État 1 et 2 lato sensu : LTD1b-LTD2

G-2-cailloutis

Planche 97, 1. 18508, n° 1027.

Fragment d'arc interrompu de fibule, de section lenticulaire. Fer.

L. 83 mm, S. 6 x 2,5 mm. 5.4 g.

E : 1157.28. N : 1198.64. Alt. : 573.17.

Type : F34-3.

Planche 97, 2. 18518, n° 3005.

Fibule filiforme à ressort à quatre spires et corde externe haute et à arc cambré de section hémisphérique. Fer.

L. 105 mm, S. 4 x 3,5 mm. 11.2 g.

E : 1154. N : 1208.6.*

Type : F33-8.

Planche 97, 3. 18519, n° 1229.

Arc de fibule filiforme à arc cambré cassé au niveau du pied. Fer.

L. 56 mm, L. (arc) 52 mm, S. 4 x 2 mm. 3.6 g.

E : 1154.98. N : 1212.78. Alt. : 573.15.

Type : F03.

Planche 97, 4. 18519, n° 1224.

Fibule à ressort à quatre spires et corde interne et à arc tendu de section lenticulaire puis rectangulaire. Complète à l'exception du porte-ardillon. Fer.

L. 85 mm, L. (arc) 58 mm, S. 4 x 2 mm. 11.2 g.

E : 1154.76. N : 1210.69. Alt. : 573.15.

Type : F23-3.

Planche 97, 5. 18518, n° 1168.

Fibule de Nauheim à arc triangulaire avec décor de lignes d'échelle sur ses bords. Le ressort est démembré ou non fini et le pied complet trapézoïdal ajouré. Base-cuivre.

L. 58 mm, L. (arc) 32 mm, l. (arc) 7 mm. 1.5 g.

E : 1152.25. N : 1200.03. Alt. : 573.02.

Type : B22-10.

Planche 97, 6. 18519, n° 1204.

Fragment d'arc de fibule de Nauheim décoré de deux échelles en bordure. Base-cuivre.

L. 6 mm. 0.3 g.

E : 1152.41. N : 1212.05. Alt. : 573.09.

Type : B22-01.

Planche 97, 7. 18508, n° 1034.

Anneau de section lenticulaire. Base-cuivre.

Diam. 13 mm, S. 3 mm. 1.8 g.

E : 1151.73. N : 1200.76. Alt. : 573.12.

Planche 97, 8. 18519, n° 1186.

Pendant d'oreille constitué d'un anneau formant un coude. Base-cuivre.

Diam. 23 mm, S. 1,5 mm. 0.7 g.

E : 1154.68. N : 1202.8. Alt. : 573.17.

Planche 97, 9. 18519, n° 3001.

Fragment de bouterolle à pince triangulaire. Fer.

L. 39 mm, S. 5 x 4 mm. 4.3 g.

E : 1156.2. N : 1210.7.*

Planche 97, 10. 18519, n° 1235.

Fragment d'aiguille à rainure avant le chas. Fer.

L. 20 mm. 1.2 g.

E : 1155.49. N : 1211.57. Alt. : 573.17.

Planche 97, 11. 18519, n° 3002.

Fragment de ciselet constitué d'une tige de section ronde aplatie à son extrémité dont le manche s'élargit à proximité de la cassure. Fer.

L. 37 mm. 1 g.

E : 1152.7. N : 1207.4.*

Planche 97, 12. 18519, n° 1230.

Fragment d'outil à soie indéterminé dont l'extrémité active est manquante. Fer.

L. 96 mm. 8.4 g.

E : 1155.01. N : 1210.05. Alt. : 573.15.

Planche 97, 13. 18508, n° 1025.

Fragment indéterminé mal conservé comportant une barre de section rectangulaire terminée par une tige (soie?). Fer.

L. 64 mm. 6.1 g.

E : 1154.82. N : 1201.7. Alt. : 573.14.

Planche 97, 14. 18519, n° 1233.

Virole ouverte. Fer.

Diam. 23 mm, ht. 13 mm. 27.5 g.

E : 1155.21. N : 1209.39. Alt. : 573.13.

Planche 97, 15. 18508, n° 1024.

Virole fermée. Fer.

Diam. 19 mm, ht. 26 mm. 16.1 g.

E : 1150.15. N : 1201.77. Alt. : 573.1.

Planche 97, 16. 18519, n° 1191.

Serpette à aileron et une lame droite incurvée à son extrémité. Fer.

L. 130 mm, diam. (aileron) 24 mm. 53.8 g.

E : 1156. N : 1205.7.*

Planche 97, 17. 18518, n° 1197.

Fragment d'aiguiseur de section carrée en grès fin. Lithique.

L. 69 mm, S. 44 x 29 mm. 138.6 g.

E : 1151.59. N : 1209.05. Alt. : 573.09.

Planche 97, 18. 18519, n° 1232.

Fragment de polissoir ou de broyeur en granit à section en «D». Lithique.

L. 70 mm. 158 g.

E : 1155.13. N : 1212.81. Alt. : 573.15.

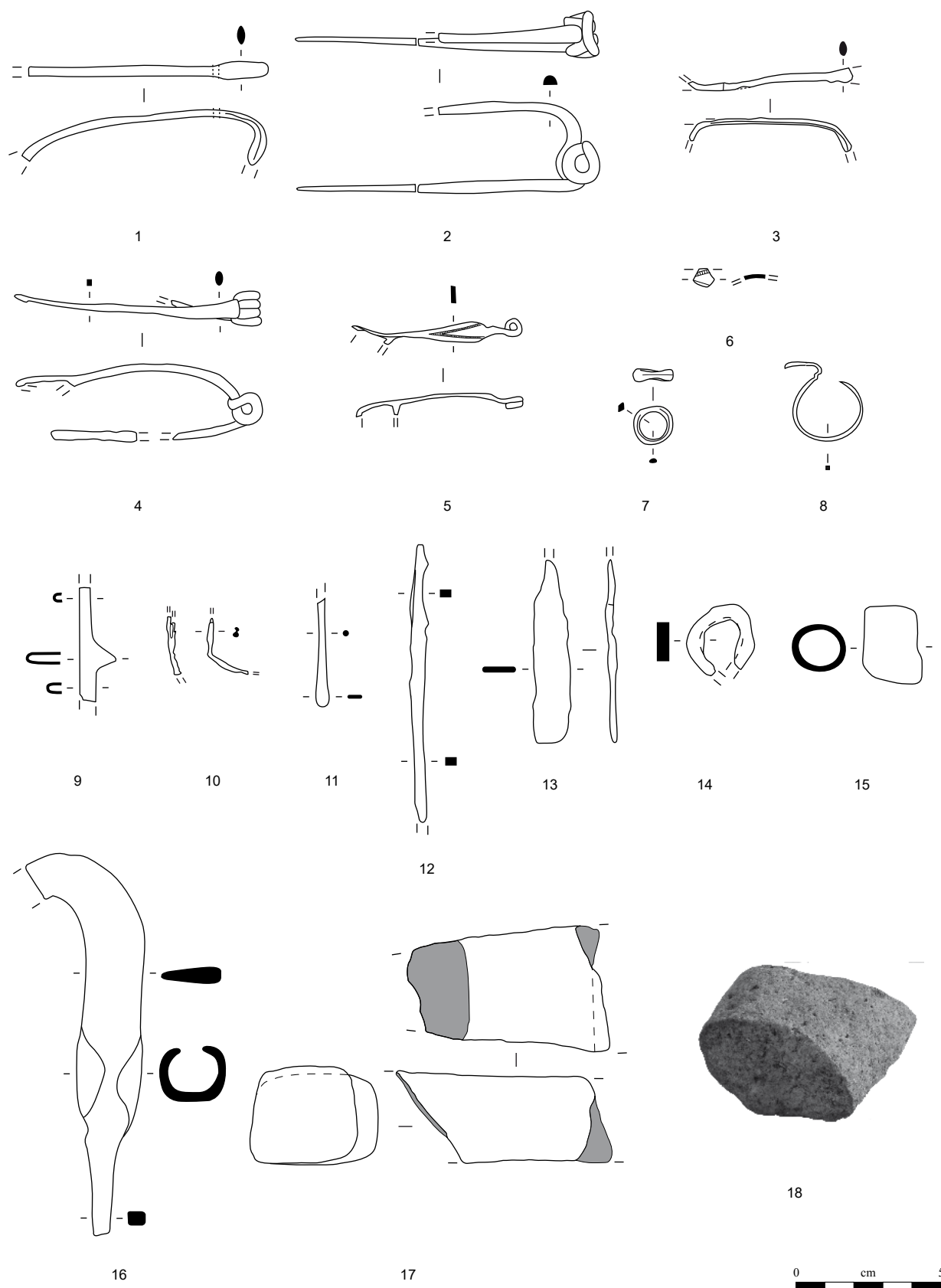


Planche 97. G-2-cailloutis

1-4, 9-16 : fer; 2-8 : alliage cuivreux; 17 : grès fin; 18 granit.

Bâtiment C

État 1 et 2 lato sensu : LTD1b-LTD2

G-2-cailloutis

Planche 98, 1. 18519, n° 1214.

Chute de tige de section rectangulaire avec trace de découpe et martelage. Base-cuivre.

L. 28 mm. 0.6 g.

E : 1154.78. N : 1210.87. Alt. : 573.15.

Planche 98, 2. 18519, n° 1156.

Chute de bandelette de tôle repliée. Base-cuivre.

L. 14 mm. 0.3 g.

E : 1153.56. N : 1202.41. Alt. : 573.16.

Planche 98, 3. 18508, n° 3071.

Chute de tôle avec trace de découpe circulaire. Base-cuivre.

L. 13 mm. 0.2 g.

E : 1150.1. N : 1211.12.*

Planche 98, 4. 18519, n° 1157.

Chute de tôle repliée avec trace de découpe circulaire. Base-cuivre.

L. 22 m, L. déplié 36 mm. 1.3 g.

E : 1151.48. N : 1205.1. Alt. : 573.12.

Planche 98, 5. 18508, n° 1023.

Chute de bande de section rectangulaire irrégulière avec découpes latérales. Fer.

L. 66 mm, l. 41 mm, ép. 15 mm. 167.3 g.

E : 1152.49. N : 1199.24. Alt. : 573.05.

Planche 98, 6. 18508, n° 3006.

Chute de plaque quadrangulaire avec trace de découpe dans un angle. Fer.

L. 39 mm, l. 31 mm, ép. 7 mm. 33.3 g.

E : 1152.3. N : 1210.55.*

Planche 98, 7. 18519, n° 1190.

Fragment de couteau à manche de section circulaire et départ de la lame à dos droit. Fer.

L. 103 mm, l. (lame) 16,5 mm. 27.1 g.

E : 1157.54. N : 1203.44. Alt. : 573.07.

Type : 0-0.

Planche 98, 8. 18519, n° 1259.

Ressort de serrure à deux lames parallèles à une tige principale terminée par un anneau. Fer.

L. 96 mm. 33.4 g.

E : 1156.38. N : 1212.72. Alt. : 573.14.

Planche 98, 9. 18519, n° 1159.

Crochet constitué d'un plat avec une perforation à une extrémité et une tige de section rectangulaire. Fer.

L. 60 mm, L. utile 25 mm. 28.3 g.

E : 1156.72. N : 1198.12. Alt. : 573.08.

Planche 98, 10. 18519, n° 1281.

Piton à œillet à deux branches. Fer.

L. 50 mm. 13.6 g.

E : 1157.14. N : 1212.13. Alt. : 573.13.

Planche 98, 11. 18519, n° 3000.

Piton à œillet (?) avec anneau de section rectangulaire. Fer.

L. 55 mm. 35.1 g.

E : 1156.2. N : 1199.8.*

Planche 98, 12. 18519, n° 1263.

Piton à œillet à deux branches. Fer.

L. 61 mm. 32.3 g.

E : 1156.52. N : 1212.42. Alt. : 573.12.

Planche 98, 13. 18519, n° 1198.

Agrafe de réparation de céramique. Plomb.

L. 40 mm, L. utile 6 mm. 12.5 g.

E : 1152.87. N : 1207.9. Alt. : 573.07.

Planche 98, 14. 18519, n° 1257.

Fragment de douille. Fer.

L. 37 mm, diam. int. 12 mm. 12.9 g.

E : 1156.28. N : 1212.55. Alt. : 573.14.

Planche 98, 15. 18508, n° 1115.

Contreplaque de rivet circulaire. Fer.

L. 21 mm. 2.6 g.

E : 1150.27. N : 1211.93. Alt. : 573.1.

Planche 98, 16. 18519, n° 1185.

Contreplaque de rivet circulaire. Fer.

Diam. 21 mm, ép. 0,5 mm. 2.3 g.

E : 1154.66. N : 1202.49. Alt. : 573.16.

Planche 98, 17. 18508, n° 3007.

Fragment indéterminé de fer plat affiné à une extrémité. Fer.

L. 64 mm. 21.9 g.

E : 1153. N : 1210.*

Planche 98, 18. 18519, n° 1271.

Fragment indéterminé de grande bande de plat. Fer.

L. 173 mm, l. 14 mm, ép. 3 mm. 57.1 g.

E : 1157.08. N : 1212.11. Alt. : 573.13.

Planche 98, 19. 18519, n° 1192.

Fragment indéterminé de grande tige incurvée de section circulaire. Jonc de torque, anse, demi-produit ? Base-cuivre.

L. 115 mm, S. 5,5 mm. 35 g.

E : 1158.02. N : 1205.76. Alt. : 573.08.

Autres petits mobiliers

18519, n° 1177. Fragment de bracelet.

18519, n° 1265. Fusaïole en terre cuite.

18519, n° 1254. Extrémité de polissoir ou de broyeur.

18518, n° 1196. Fragment d'ambre.

18508, n° 1113. Perle, pommeau d'épée en roche noire ? constitué d'un anneau avec une perforation carrée.

18519, n° 1189. Jeton en amphore.

18508, n° 1028. Monnaie.

18508, n° 1116. Monnaie.

18508, n° 1054. Monnaie.

18508, n° 1026. Monnaie.

18519, n° 1167. Anneau en os de section ronde.

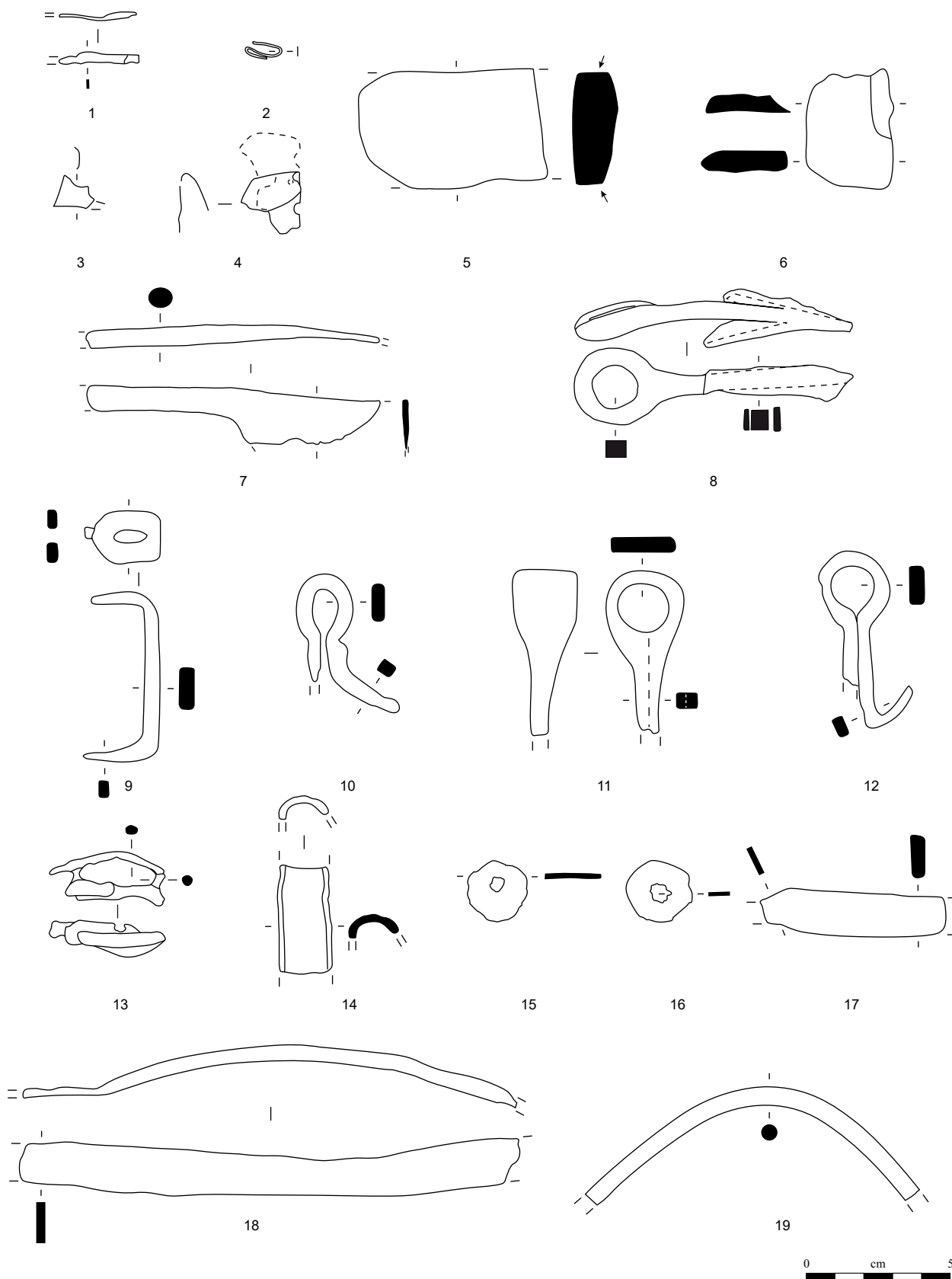


Planche 98. G-2-cailloutis

1-4, 19 : alliage cuivreux; 5-12, 14-18 : fer; 13 : plomb.

Bâtiment G1/D2

État 2.1 : LTD1b évoluée

G1/D2-1-TP18585

Planche 99, 1. 18584, n° 2208.

Fibule à ressort à quatre spires et corde externe haute et à arc cambré de section lenticulaire interrompu par une perle moulurée, puis de section losangique. Non brûlée. Fer.
L. 30 mm, S. 6 x 2 mm. 2.1 g.
E : 1157.38. N : 1200.3.
Type : F34-4.

Planche 99, 2. 18584, n° 1451.

Pied de fibule. Base-cuivre.
L. 16 mm. 1 g.
E : 1157.8. N : 1200.16.*

Planche 99, 3. 18584, n° 2351.

Grand anneau brûlé de section ronde. Base-cuivre.
Diam. 29 mm, S. 8 mm. 17.4 g.
E : 1157.2. N : 1200.1.*

Planche 99, 4. 18584, n° 1445.

Perle de section lenticulaire. Base-cuivre.
Diam. 15 mm, S. 5 x 3 mm. 4 g.
E : 1156.9. N : 1200.35.*

Planche 99, 5. 18584, n° 1469.

Fragment d'anneau de section ronde. Base-cuivre.
L. 20 mm, diam. 26 mm, S. 2,5 x 2 mm. 0.4 g.
E : 1157.5. N : 1200.54.

Planche 99, 6. 18584, n° 1411a.

Fragment de bracelet à jonc plein et section en «D». Base-cuivre.
L. 68 mm, S. 6 x 4 mm, diam. int. 76 mm. 8.1 g.
E : 1157.7. N : 1200.6.*
Type : B10-4.

Planche 99, 7. 18584, n° 1456.

Fragment de ferrure avec un clou collé en surface, peu ou pas brûlé. Fer.
L. 83 mm, l. 26 mm, ép. 3 mm. 62.4 g.
E : 1157.03. N : 1200.48.*

Planche 99, 8. 18712, n° 2139.

Extrémité de ferrure avec une perforation et une tige de clou collée en surface. Fer.
L. 86 mm, l. 35 mm, ép. 1 mm. 50 g.
E : 1157.54. N : 1200.58.*

Planche 99, 9. 18584, n° 1440.

Ferrure complète avec deux perforations et deux tiges de clou. Fer.
L. 77 mm, l. 20 mm, ép. 1 mm. 36.3 g.
E : 1157.54. N : 1200.1.*

Planche 99, 10. 18584, n° 1411b.

Fragment de ferrure avec tiges de clou agglomérées, collé à 1411a. Fer.
L. 44 mm, l. 22 mm, ép. 1 mm. 47.5 g.
E : 1157.14. N : 1200.25.*

Planche 99, 11. 18584, n° 1486.

Panse de vaisselle composée de deux tôles rivetées et pliées. Lèvre de situle? Base-cuivre.
L. 39 mm. 6.8 g.
E : 1157.14. N : 1200.3.*

Planche 99, 12. 18584, n° 1498.

Fragment de ferrure décorative. Base-cuivre.
L. 18 mm, l. 9 mm, ép. 0,5 mm. 0.4 g.
E : 1157.42. N : 1200.49.*

Planche 99, 13. 18584, n° 1415.

Fragment de pied de trépied (?) non brûlé constitué d'une barre formant un angle droit rivetée à son sommet. Fer.
L. 102 mm, S. 14 x 18 mm. 123 g.
E : 1157.63. N : 1200.54.*

Planche 99, 14. 18649, n° 2403.

Perle à section en quart de rond. Base-cuivre.
Diam. 15 mm, S. 5 x 2,5 mm. 3.3 g.
E : 1157.48. N : 1200.54.*

Planche 99, 15. 18649, n° 2415.

Fragment de tôle incurvée sur un bord, plaque de fourreau? Fer.
L. 22 mm. 3.8 g.
E : 1157.55. N : 1200.35.*

Planche 99, 16. 18646, n° 2362.

Fragment de tôle circulaire replié sur lui-même à deux reprises. Base-cuivre.
L. 32 mm. 3 g.
E : 1156.95. N : 1200.03.*

Planche 99, 17. 18649, n° 2423.

Fragment indéterminé de barre de section rectangulaire. Outil? Fer.
L. 43 mm. 61.5 g.
E : 1157.43. N : 1200.48.*

Planche 99, 18. 18646, n° 2368.

Contreplaque de rivet circulaire. Fer.
Diam. 25 mm, ép. 1 mm. 5.2 g.
E : 1157.11. N : 1200.49.*

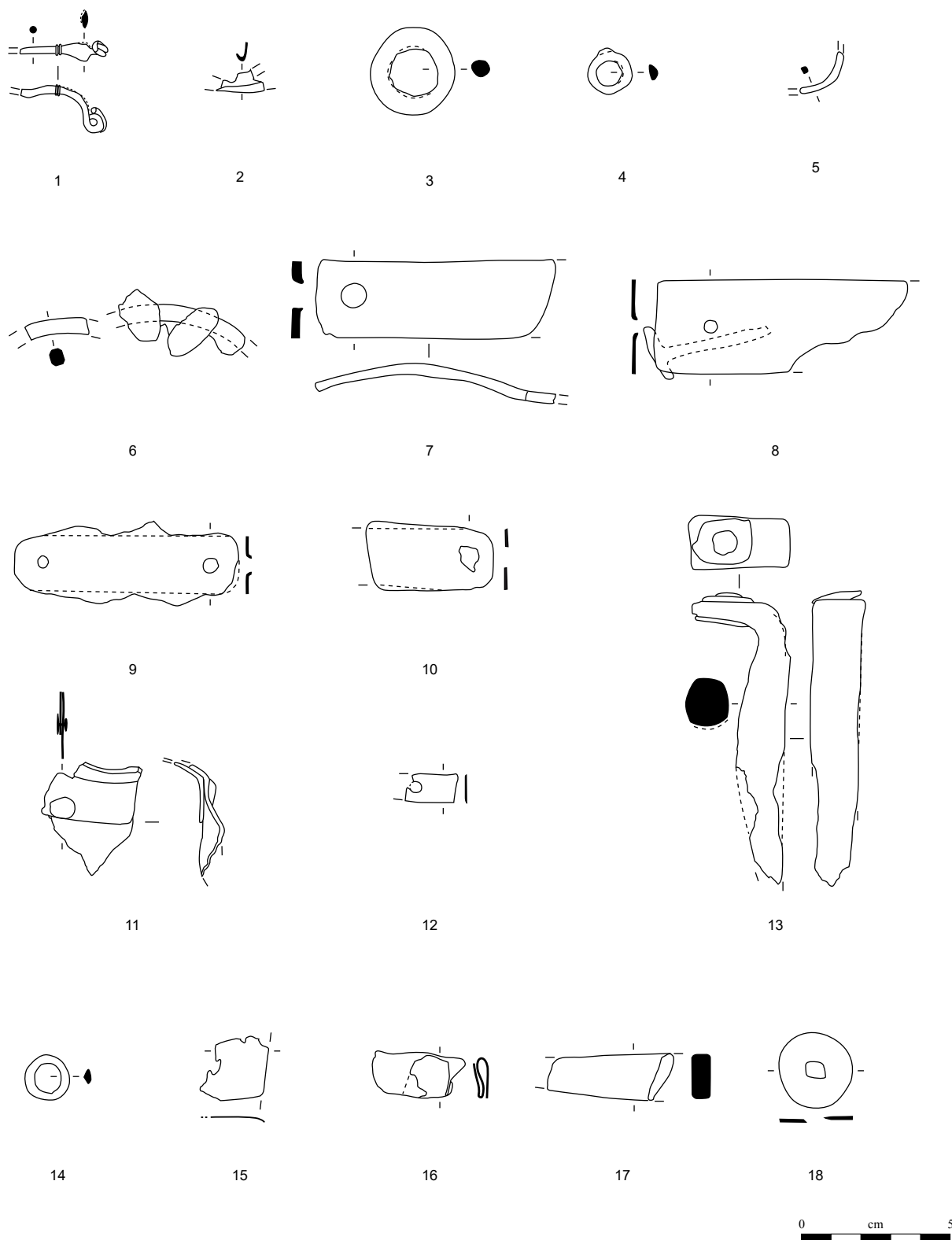


Planche 99. G1/D2-1-TP18585, remplissages supérieurs

1, 7-10, 13, 15, 17-18 : fer; 2-6, 11-12, 14, 16 : alliage cuivreux.

Bâtiment G1/D2

État 2.1 : LTD1b évoluée

G1/D2-1-TP18585

Planche 100, 1. 18709, n° 2278.

Perle cannelée. Base-cuivre.
Diam. 19 mm, S. 6 x 4 mm. 10.4 g.
E : 1157.22. N : 1200.58.*

Planche 100, 2. 18709, n° 2477.

Fragment d'anneau à section en «D». Base-cuivre.
Diam. 15 mm, S. 4 x 3 mm. 0.8 g.
E : 1157.02. N : 1200.31.*

Planche 100, 3. 18712, n° 2106.

Grand anneau brûlé de section lenticulaire. Base-cuivre.
Diam. 30 mm, S. 7 x 4,5 mm. 16.9 g.
E : 1157.01. N : 1200.65.*

Planche 100, 4. 18709, n° 2207.

Fragment de bracelet rubané à moulures longitudinales ornées d'incisions et à terminaison à tenon. Base-cuivre.
L. 47 mm, l. 8 mm, ép. 2 mm. 2.4 g.
E : 1157.32. N : 1200.47.*
Type : B31-1.

Planche 100, 5. 18709, n° 2206.

Fragment de bracelet rubané à cinq moulures longitudinales ornées d'incisions. Base-cuivre.
L. 10 mm, ép. 2 mm. 8 g.
E : 1157.48. N : 1200.53.*
Type : B30-1.

Planche 100, 6. 18711, n° 2241c.

Fragment de plaque de fourreau à gouttière collé à une fine bande de tôle, frette? Fer.
L. 22 mm. 6.4 g.
E : 1157.42. N : 1200.46.*

Planche 100, 7. 18709, n° 2186.

Fragment de plaque de fourreau constitué d'une tôle à bords convergents. Fer.
L. 37 mm. 8.1 g.
E : 1157.04. N : 1200.43.*

Planche 100, 8. 18710, n° 2223a.

Fragment de plaque de fourreau à gouttière. Fer.
L. 24 mm. 6.5 g.
E : 1157.08. N : 1200.11.*

Planche 100, 9. 18711, n° 2236.

Fragment de pontet-plaque replié sur lui-même. Fer.
L. 29 mm, l. 20 mm. 21.6 g.
E : 1157.53. N : 1200.4.*

Planche 100, 10. 18712, n° 2114.

Fragment de panse de récipient constitué de deux tôles brûlées et pliées avec un rivet en position fonctionnelle. Base-cuivre.
L. 48 mm. 10.2 g.
E : 1157.48. N : 1200.18.*

Planche 100, 11. 18710, n° 2212b.

Deux fragments de tôle dont une rivetée en alliage cuivreux. Vaisselle? Fer et base-cuivre.
L. 20 mm. 6.1 g.
E : 1157.62. N : 1200.32.*

Planche 100, 12. 18709, n° 2306.

Deux fragments indéterminés de tôle, collés, avec plusieurs perforations. Foncet de serrure? Fer.
L. 62 mm. 31.7 g.
E : 1157.58. N : 1200.41.*

Planche 100, 13. 18710, n° 2214.

Clou lié à un rivet en alliage cuivreux brûlé sur le même axe. Fer et base-cuivre.
L. 54 mm, L. (clou bronze) 21. 36.9 g.
E : 1157.21. N : 1200.47.*

Planche 100, 14. 18709, n° 2291b.

Contreplaque de rivet. Fer.
L. 18 mm. 2.9 g.
E : 1156.97. N : 1200.45.*

Planche 100, 15. 18709, n° 2189.

Piton à extrémité enroulée dont l'anneau est fragmentaire. Fer.
L. 77 mm, S. 8 x 5 mm. 31.5 g.
E : 1157.25. N : 1200.16.*

Planche 100, 17. 18710, n° 2223b.

Barre indéterminée en deux fragments dont un perforé. Manche? Fer.
L. 62 mm, l. 22 mm, ép. 8 mm. 20.7 g.
E : 1157.27. N : 1200.62.*

Planche 100, 18. 18712, n° 2127.

Deux tiges indéterminées de section changeante. Fibule, demi-produit, fragment d'aiguille? Base-cuivre.
L. 61 mm. 0.9 g.
E : 1157.37. N : 1200.62.*

Autres petits mobiliers

18584, n° 2170. Jeton.

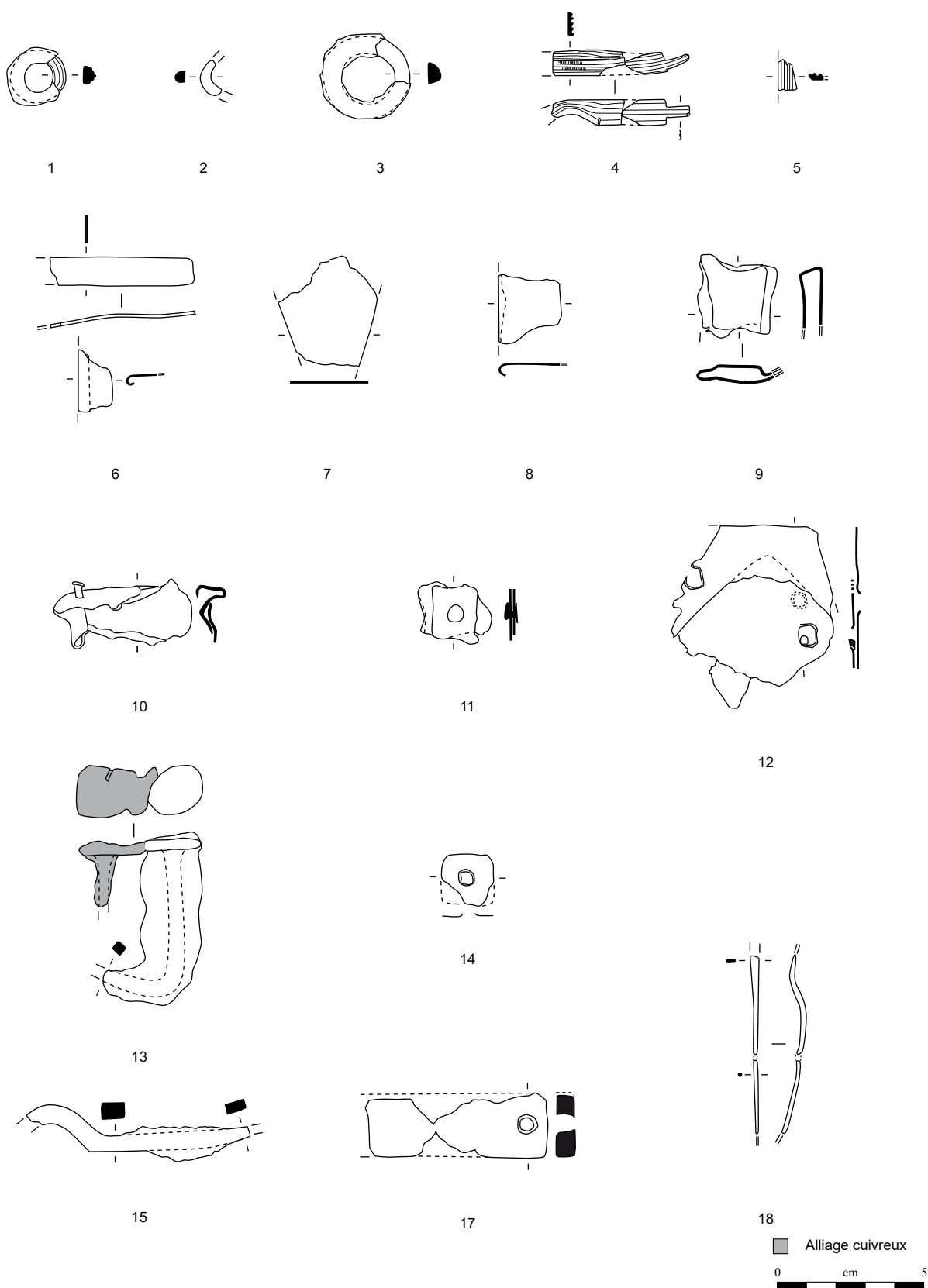


Planche 100. G1/D2-1-TP18585, remplissages inférieurs

1-5, 10, 18 : alliage cuivreux; 6-9, 12, 14-17 : fer; 11, 13 : fer et alliage cuivreux.

Bâtiment G1/D2

État 2.1 : LTD1b évoluée

G1/D2-2-TP 18573

Planche 101, 1. 18572, n° 1311c.
Pique-boeuf constitué d'une tige enroulée. Fer.
Diam. 32 mm, ht. 25 mm. 40 g.
E : 1157.25. N : 1198.6.

Planche 101, 2. 18572, n° 1311b.
Élément de sertissage constitué d'un bande de fer plat incurvée en son centre qui comporte des vestiges de bois minéralisé sur sa face interne et présente une perforation à chaque extrémité. Fer.
L. 178 mm, l. 24 mm, ép. 2 mm, diam. int. rest. 100 mm. 205 g.
E : 1157.3. N : 1198.55.

Planche 101, 3. 18572, n° 1311a.
Fragment de ferrure. Fer.
L. 142 mm, l. 23 mm, ép. 2 mm. 135 g.
E : 1157.2. N : 1198.5.

G1/D2-5-Sb 17038

Planche 101, 4. 17037, n° 1710.
Fibule à ressort à deux spires conservées et arc filiforme tendu à section circulaire. Fer.
L. 60 mm, L. (arc) 50 mm, S. 3 mm. 6.3 g.
E : 1155.3. N : 1196.8.*
Type : F03.

Planche 101, 5. 17037, n° 242.
Fragment de lame de forces cassée à son extrémité avec la moitié du ressort de section rectangulaire. Fer.
L. 122 mm, l. (lame) 24 mm. 20.1 g.
E : 1155.3. N : 1195.9. Alt. : 572.9.

Autres petits mobiliers

17038, n° 1183. Fragment de plaque de foyer.

Décapage

G1/D2-6-décapage

Planche 101, 6. 17036, n° 1450.
Fibule à ressort à quatre spires et corde interne et à arc filiforme tendu de section losangique interrompu par des lignes incisées. Seuls le pied et une partie de l'ardillon sont manquants. Base-cuivre.
L. 51 mm, L. (arc) 27 mm, S. 2 mm. 1.7 g.
E : 1153.3. N : 1194.2.*
Type : B23-1.

Planche 101, 7. 17036, n° 1365.
Fibule à ressort à quatre spires et corde interne et arc tendu de tôle triangulaire fin à bordures ornées de stries et lignes séparant l'arc du pied. Seul le pied est manquant. Base-cuivre.
L. 33 mm, L. (arc) 28 mm, l. (arc) 3 mm. 1.5 g.
E : 1151.6. N : 1197. Alt. : 573.03.
Type : B22-05.

Planche 101, 8. 18910, n° 1742.
Arc de fibule de Nauheim de tôle triangulaire à bordures soulignées par une ligne de points. Base-cuivre.
L. 27 mm, L. (arc) 25 mm, l. (arc) 6 mm. 0.4 g.
E : 1153. N : 1199.*
Type : B22-12.

Planche 101, 9. 17036, n° 191.
Contreplaque de rivet repliée sur elle-même. Récupération? Base-cuivre.
Diam. 11 mm. 0.2 g.
E : 1152.4. N : 1195.42. Alt. : 572.93.

Planche 101, 10. 17036, n° 1478.
Fer de lance presque complète à flamme en feuille de laurier et à section à nervure centrale. La douille est fixée sur la face latérale droite par un rivet. Fer.
L. 196 mm, diam (douille) 21 mm, L. (douille) 58 mm, L. (flamme) 138. 103.7 g.
E : 1152. N : 1197.8. Alt. : 573.05.
Type : 44.

Planche 101, 11. 17036, n° 1433.
Pique-boeuf constitué d'une tige enroulée. Fer.
Diam. 28 mm, ht. 39 mm. 69.4 g.
E : 1156.1. N : 1195.8. Alt. : 573.03.

Planche 101, 12. 17036, n° 1456.
Douille très fine. Outil? Fer.
L. 78 mm, diam. 9 mm. 17.2 g.
E : 1152.1. N : 1195.4.*

Planche 101, 13. 17036, n° 102.
Objet indéterminé constitué d'une tôle épaisse en gouttière bouchée à une des extrémités par du plomb. Base-cuivre.
L. 78 mm, diam. 7 mm. 9 g.
E : 1154. N : 1193.5. Alt. : 573.

Autres petits mobiliers

17036, n° 195. Fragment de verre indéterminé.
17036, n° 194. Monnaie.

État 1 : LTD1b classique

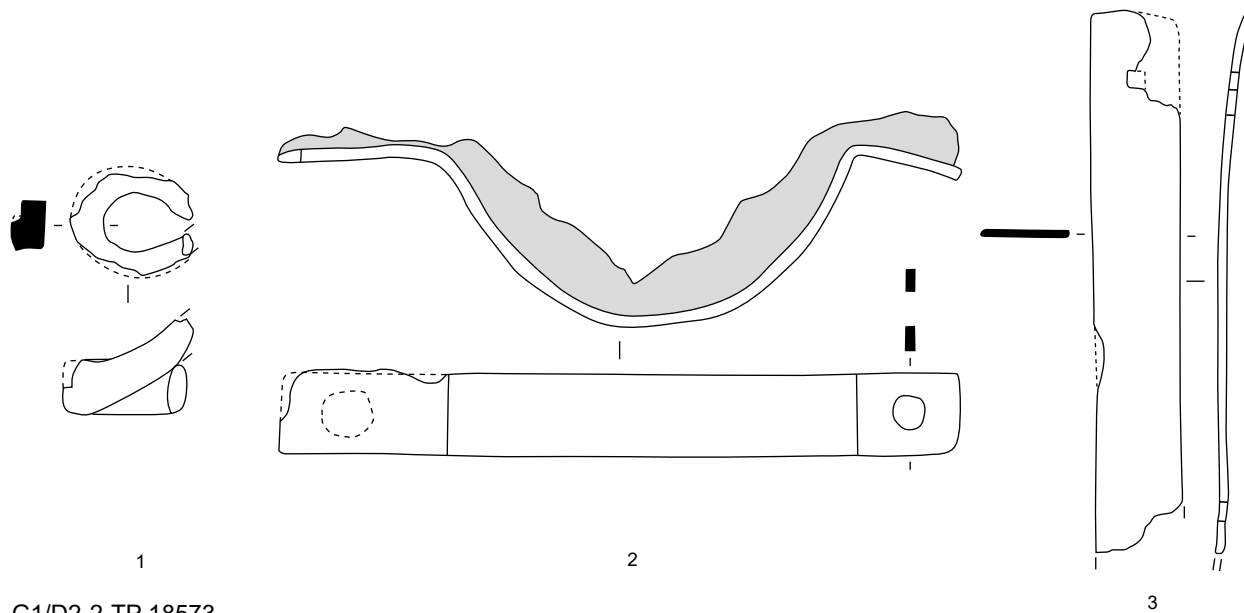
G1/D2-7-TP 17102

Planche 101, 14. 17101, n° 1335.
Perle de section ronde exposée au feu. Base-cuivre.
Diam. 16 mm, S. 4 mm. 3.9 g.
E : 1156.45. N : 1197.3. Alt. : 572.47-572.75.

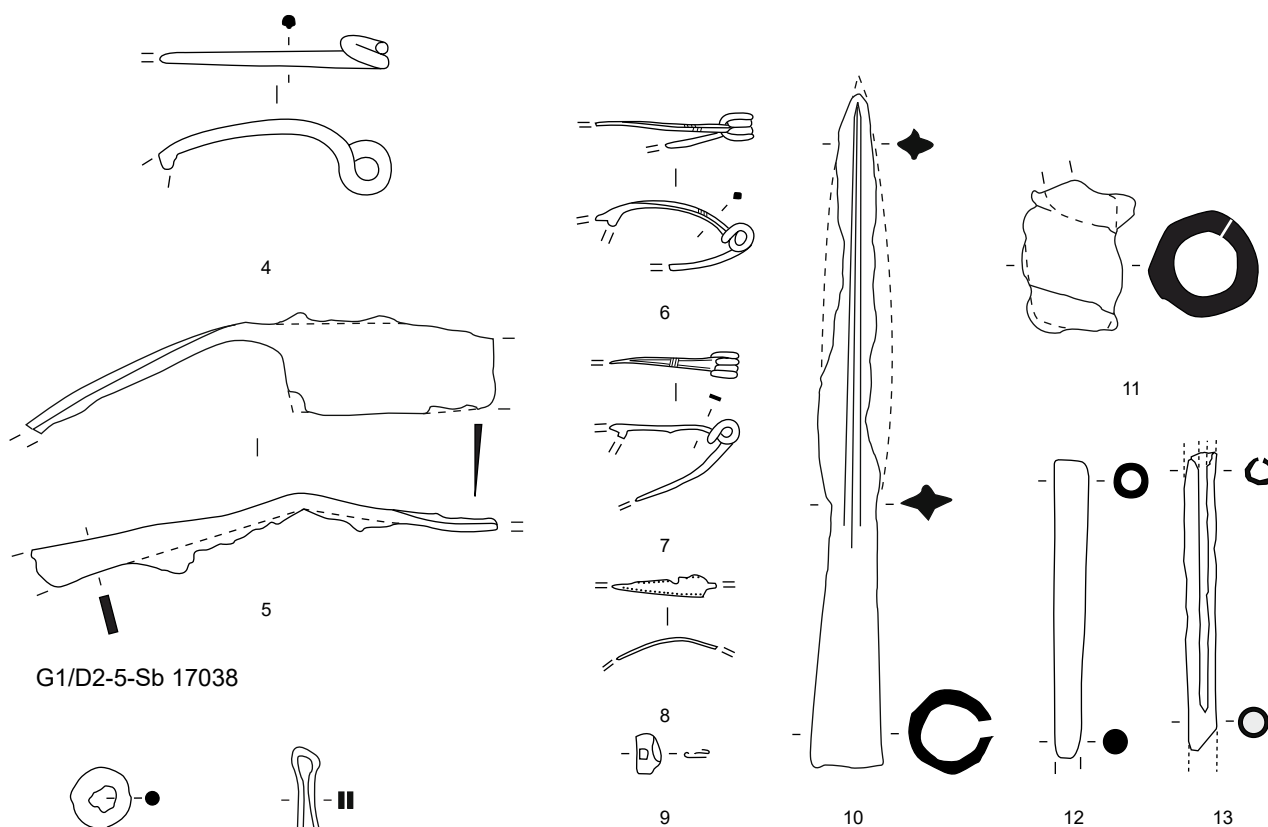
Planche 101, 15. 17101, n° 1316.
Pince à épiler dont les mors sont fragmentaires. Base-cuivre.
L. 34 mm, l. 4 mm. 1.4 g.
E : 1158.5. N : 1197.3. Alt. : 573.05.

Autres petits mobiliers

17101, n° 1333. Perle en os.



G1/D2-2-TP 18573



G1/D2-5-Sb 17038

G1/D2-6-décapage

G1/D2-7-TP 17102

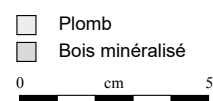


Planche 101. G1/D2-2-TP 18573 à G1/D2-7-TP 17102

1-5, 10-12 : fer; 6-9, 13-15 : alliage cuivreux.

Bâtiment G1

État 2.1 : LTD1b évoluée

G1-1-TP 18806

Planche 102, 1. 18805, n° 2080.
Serpette à soie et lame rectiligne avec un croc à son extrémité. Fer.
L. 99 mm, L. (lame) 71 mm, l. (lame) 20 mm.
31.5 g.
E : 1147.2. N : 1199.4. Alt. : /.

G1-3-TP 18533

Planche 102, 2. 18534, n° 3052.
Virole écrasée avec perforation. Fer.
L. 22 mm. 3.6 g.
E : 1147.2. N : 1201.65.*

Planche 102, 3. 18534, n° 3053.
Chute de plaque avec traces de découpe sur ses deux faces latérales. Fer.
L. 38 mm, l. 22 mm, ép. 7 mm. 39.3 g.
E : 1147. N : 1201.23.*

G1-5-TP 18637

Planche 102, 4. 18636, n° 3051.
Crampon de charpente. Fer.
L. 84 mm. 57.2 g.
E : 1153.4. N : 1207.5.

Autres petits mobiliers

18716, n° 1741. Jeton.

G1-9-TP 18579

Planche 102, 5. 18644, n° 1335.
Chute de bande de tôle repliée. Base-cuivre.
L. 13 mm. 1.6 g.
E : 1151.04. N : 1207.79. Alt. : 572.9.

Autres petits mobiliers

18578, n° 1310. Fusaïole en terre cuite.
18644, n° 1336. Jeton.

G1-10-TP 18576

Planche 102, 6. 18576, n° 1308.
Rouelle avec moyeu proéminent et huit rayons fragmentaires. La jante est manquante. Base-cuivre.
L. 33 mm. 4.2 g.
E : 1155.6. N : 1201.8. Alt. : 572.62.

Bâtiment G2

État 4 lato sensu : époque romaine

G2-1-Fo 18717

Planche 102, 7. 18823, n° 1686.
Crampon de charpente cassé aux extrémités. Fer.
L. 101 mm. 49.8 g.
E : 1141.2. N : 1199.77. Alt. : 572.93.

G2-5-Fo 18717

Planche 102, 8. 18716, n° 1360.
Fragment d'arc de fibule de Nauheim à bordure soulignée par une rainure avec départ du ressort. Base-cuivre.
L. 29 mm. 0.6 g.
E : 1158. N : 1208.1.*
Type : B22-03.

État 2.1 : LTD1b évoluée

G2-8-Sb 18588

Planche 102, 9. 18588, n° 1313.
Tronçon d'aiguiseur de section quadrangulaire en grès fin exposé au feu. Lithique.
L. 76 mm, l. 48 mm, ép. 44 mm. 167 g.
E : 1150.7. N : 1206.15. Alt. : 572.83.

Bâtiment G3

État 2.1 : LTD1b évoluée

G3-5-TP 18633

Planche 102, 10. 18632, n° 3047.
Tranchant de ciseau droit à double biseau. Fer.
L. 45 mm, S. 8 x 12 mm. 17.5 g.
E : 1158. N : 1211.9.*

G3-6-TP 18742

Planche 102, 11. 18741, n° 3038.
Extrémité de lève-loquet cassé au niveau du départ du manche. Fer.
L. 93 mm. 41.4 g.
E : 1157. N : 1212.3.*

G3-9-TP 18781

Planche 102, 12. 18780, n° 3037.
Butée de poignée de chaudron cylindrique

avec tenon riveté. Fer.
Diam. 17 mm, ht. 20 mm. 22.3 g.
E : 1156.7. N : 1212.*

G3-10-TP 18746

Planche 102, 13. 18745, n° 1357.
Fragment de virole d'outil massif avec un ressaut. Fer.
Diam. 35 mm, ht. 31 mm. 44.8 g.
E : 1152.2. N : 1212.55.*

État 1 à 2.1 : LTD1b

G3-12-TP 18736

Planche 102, 14. 18736, n° 1370.
Fragment indéterminé de bande épaisse incurvée de section trapézoïdale. Base-cuivre.
L. 91 mm, diam. rest. 197 mm, ép. 2 mm. 6.5 g.
E : 1155.96. N : 1212.46. Alt. : 573.61.

État 1 : LTD1b classique

G3-13-TP 18719

18718, n° 1327. Fragment de perle en ambre.

G3-14-TP 18721

18720, n° 1330. Fragment de meule.

G3-3-TP 18641

18640, n° 1317. Jeton.

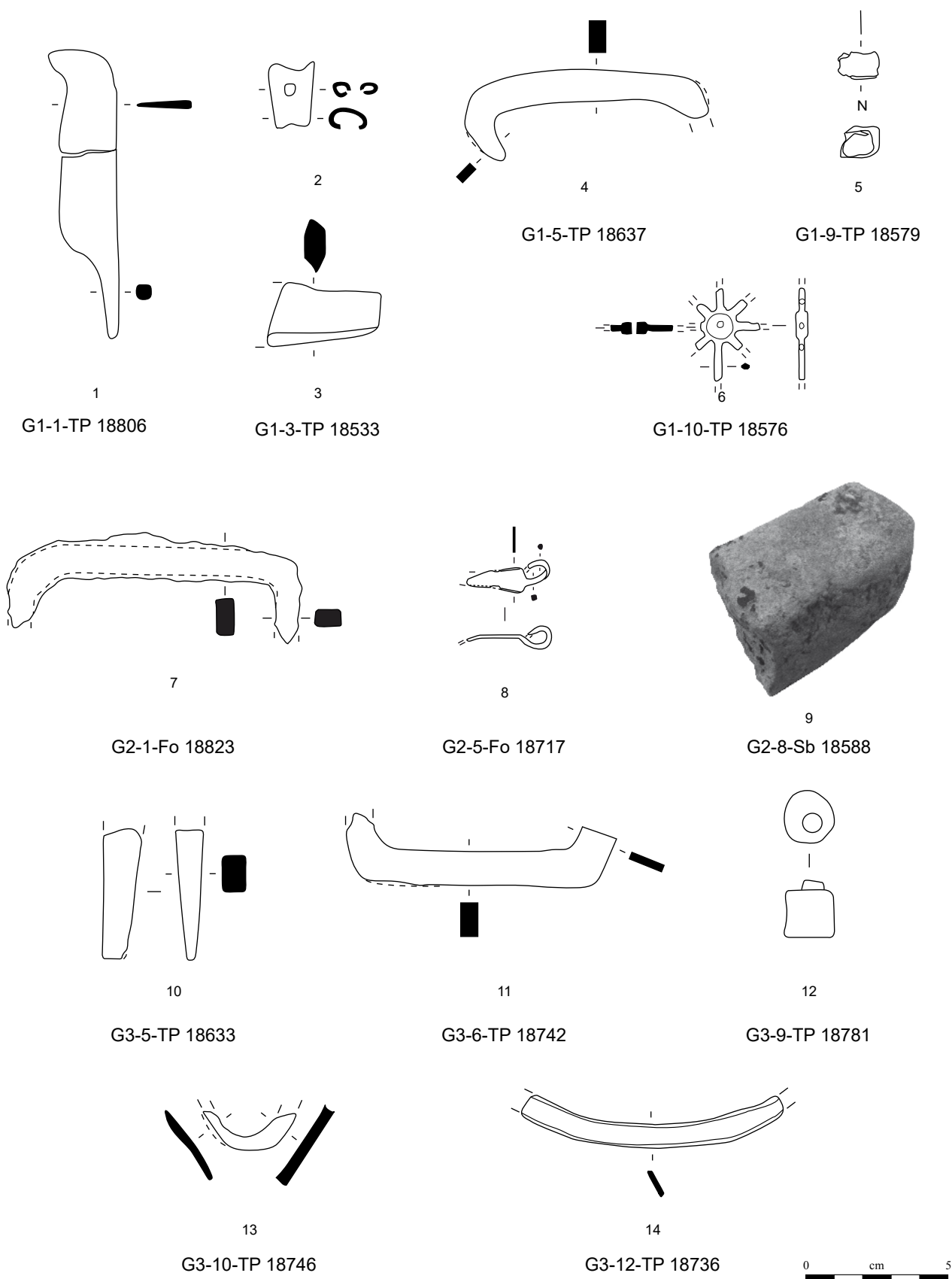


Planche 102. Structures des bâtiments G1, G2 et G3

1-4, 7, 10-13 : fer; 5-6, 8, 14 : alliage cuivreux; 9 : grès fin.

Bâtiment G4

Décapage

G4-1-18502, décapage

Planche 103, 1. 18502, n° 1002.
Ressort de fibule à quatre spires (deux conservées) et corde interne. Base-cuivre.
L. 41 mm. 1.1 g.
E : 1145.37. N : 1208.12. Alt. : 573.22.
Type : B20-0.

Planche 103, 2. 18502, n° 1082.
Anneau de section en quart de rond. Base-cuivre.
Diam. 10,5 mm, S. 4,5 x 3,5 mm. 3 g.
E : 1147. N : 1210.6.*

Planche 103, 3. 18502, n° 1078.
Agrafe de réparation avec céramique encore prise dans l'attache. Plomb.
L. 42 mm, L. utile 4 mm. 14.2 g.
E : 1145.2. N : 1209.5.*

Planche 103, 4. 18433, n° 3056.
Fragment indéterminé de tige torsadée. Élément de parure, fragment d'ustensile de toilette ? Base-cuivre.
L. 20 mm. 0.4 g.
E : 1145.5. N : 1211.6.*

Planche 103, 5. 18502, n° 1022.
Fragment indéterminé de tôles en fer et en alliage cuivreux rivetées par un rivet en alliage cuivreux. Fragment de chaudron ? Base-cuivre et fer.
L. 25 mm. 4.9 g.
E : /. N : /. Alt. : /.

Autres petits mobiliers

18502, n° 1079. Monnaie.
18502, n° 1083. Monnaie.
18502, n° 1068. Fragment d'anse de récipient en verre.

État 4 lato sensu : époque romaine

G4-2-18504, démolition

Planche 103, 6. 18504, n° 3024.
Fibule filiforme à ressort à quatre spires et corde interne à arc cambré de section ovale à nodosité entourée de cannelure. Fer.
L. 30 mm, S. 5 x 3 mm. 3.2 g.
E : 1146.2. N : 1210.*
Type : F24-3.

Planche 103, 7. 18504, n° 1060.
Extrémité de poignée de coffre bouletée avec un petit appendice. Base-cuivre.
L. 22 mm, S. 4 mm. 3.2 g.
E : 1147.66. N : 1211.28. Alt. : 573.18.

Planche 103, 8. 18504, n° 1030.
Anneau de section lenticulaire. Base-cuivre.
Diam. 14 mm, S. 4 x 2,5 mm. 2.4 g.
E : 1147.24. N : 1210.33. Alt. : 573.18.

Planche 103, 9. 18504, n° 1067.
Gouge à manche de section rectangulaire, tête percute et large tranchant légèrement évasé. Fer.
L. 117 mm, L. (tranchant) 24 mm. 110.4 g.
E : 1146.7. N : 1208.5.*

Planche 103, 10. 18504, n° 3025.
Fragment d'aiguille cassée au niveau du chas. Fer.
L. 46 mm, S. 3 mm. 1.2 g.
E : 1147.4. N : 1211.3.*

Planche 103, 11. 18504, n° 3026.
Chute de tige de section quadrangulaire repliée sur elle-même, aplatie à une extrémité et découpée à l'autre. Fer.
L. 28 mm. 3.7 g.
E : 1145.3. N : 1207.8.*

Planche 103, 12. 18504, n° 3023.
Butée de poignée de chaudron cylindrique. Le tenon riveté n'est pas lisible. Fer.
Diam. 16 mm, ht. 14 mm. 15.9 g.
E : 1145.8. N : 1210.3.*

Planche 103, 13. 18504, n° 3072.
Piton à oeillet de coffre formant un anneau par repli. Base-cuivre.
L. 22 mm. 1.3 g.
E : 1147.2. N : 1212.3.*

Autres petits mobiliers

18504, n° 1059. Fragment d'anse de récipient en verre.

État 2.2 à 2.3 : LTD2

G4-3-radier

Planche 103, 14. 18512, n° 1021.
Fragment de fibule à ressort à quatre spires (trois conservées) et corde externe et à arc de section lenticulaire outrepassant le ressort. Base-cuivre.
L. 25 mm, L. (arc) 22 mm. 0.9 g.
E : 1145.3. N : 1207.16. Alt. : 573.22.
Type : B33-1.

Planche 103, 15. 18512, n° 1018.
Objet indéterminé constitué d'une tige fendue terminée par un bouton rectangulaire massif. Pince à épiler, élément d'assemblage ? Base-cuivre.
L. 40 mm. 1.6 g.
E : 1144.68. N : 1206.07. Alt. : 573.12.

Planche 103, 16. 18514, n° 1294.
Fragment de croc à viande en forme de «Y». Fer.
L. 22 mm. 5.4 g.
E : 1146.05. N : 1206.04. Alt. : 573.05.

État 1 : LTD1b classique

G4-4-sol 18807

18807, n° 1376. Jeton percé, fusaïole.

Bâtiment G

État 2.3 : fin LTD2a-LTD2b

G-3-Fo 18594

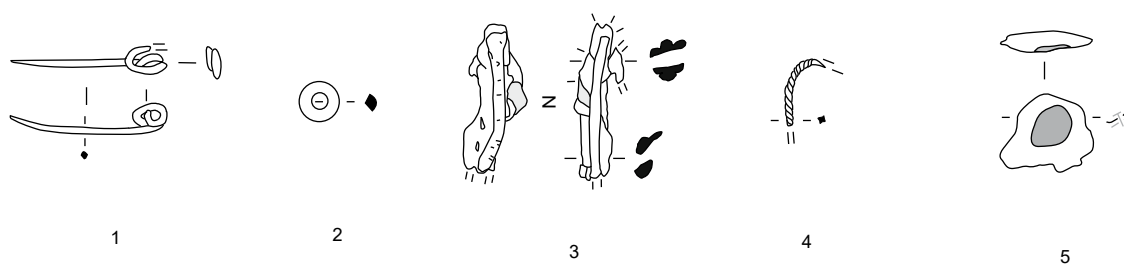
Planche 103, 17. 18594, n° 1378.
Fibule filiforme à ressort à quatre spires et corde externe haute, arc outrepassant filiforme de section losangique, à pied triangulaire grillagé à quatre perforations. Base-cuivre.
L. 47 mm, L. (arc) 17 mm, L. (pied) 27 mm. 1.6 g.
E : 1150.4. N : 1206.2.*
Type : B33-1.

Planche 103, 18. 18432, n° 2078.
Fragment de fibule filiforme à arc outrepassant le ressort de section lenticulaire et pied ajouré fragmentaire. Base-cuivre.
L. 25 mm, L. (arc) 22 mm. 0.5 g.
E : 1150.4. N : 1206.85.*
Type : B33-1.

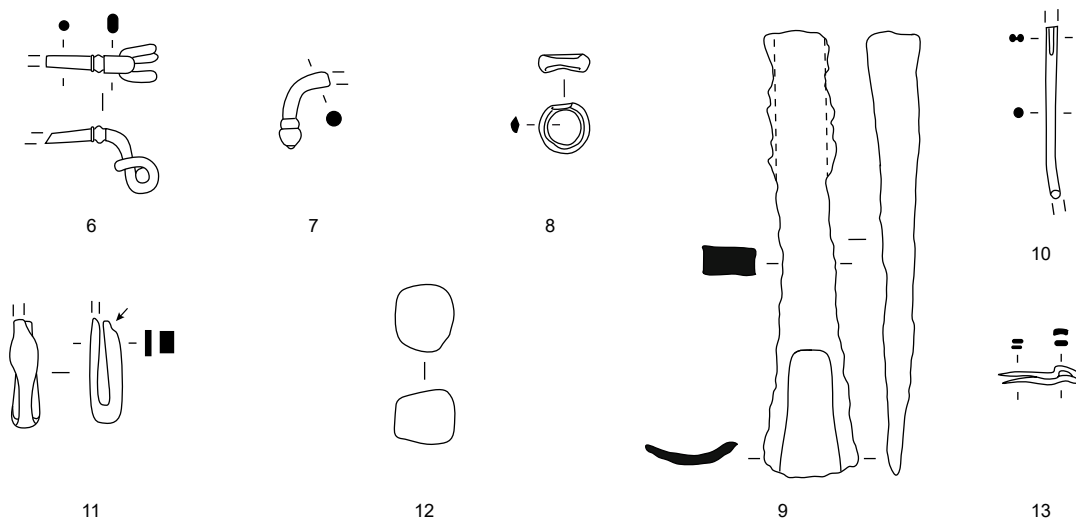
Planche 103, 19. 18432, n° 2006.
Aiguiseur en grès de section trapézoïdale avec deux enlèvements de matière. Lithique.
L. 136 mm, S. 47 x 36 mm. NP.
E : 1150.6. N : 1207.1.*

Autres petits mobiliers

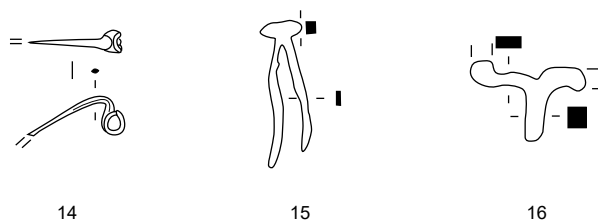
18593, n° 1324. Fragment de *catillus* en grès grossier blanc.
18593, n° 1323. Fragment de mortier non étudié.



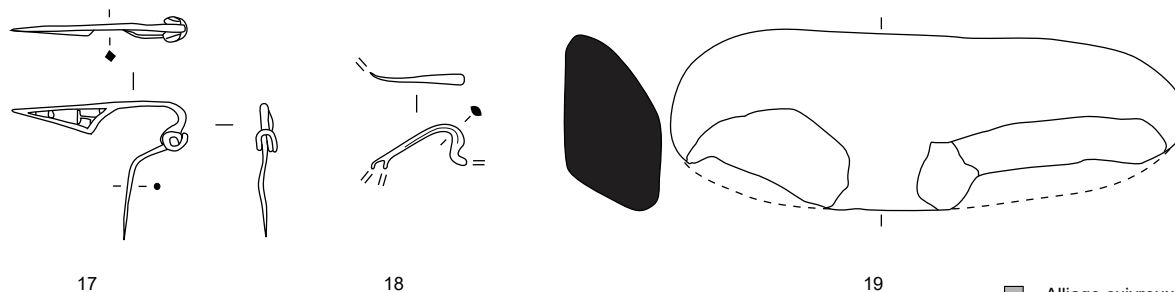
G4-1-décapage



G4-2-démolition



G4-3-radier



G-3-Fo 18594

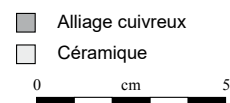


Planche 103. G4-1-18502, décapage à G4-3-radier et G-3-Fo 18594

1-2, 4, 7-8, 13-15, 17-18: alliage cuivreux; 3 : plomb; 5 : fer et alliage cuivreux; 6, 9-12, 16 : fer; 19 : grès.

Type d'objet	UF	No	Description	Métal	NR	NMI	M(g)
BGRN-1-nettoyage	<i>Décapage</i>						
Coulure	18779		Coulure	Base-cuivre	1	1	2.7
Coulure	18779		Fragment de coulure	Base-cuivre	1	1	1.4
Crampon	18501		Crampon de menuiserie et petit crampon	Fer	2	2	4.8
Ferrure	18503	1008	Fragment de ferrure	Fer	1	1	4.3
Ferrure	18503	1178	Fragment de ferrure	Fer	1	0	5.2
Indéterminé objet	18503		Fragment informe	Fer	1	1	18.8
Indéterminé tige	18503	1009	Fine tige de section rectangulaire	Base-cuivre	1	1	0.1
Indéterminé tôle	18503	1180	Fragment de tôle	Base-cuivre	1	1	0.5
Indéterminé tôle	18515		Fragments de tôle	Base-cuivre	1	1	0.4
Indéterminé tôle	18503		Fragments de tige de section ronde	Fer	3	0	3.8
Indéterminé tôle	18503		Fragments de tôle	Fer	8	1	45
Indéterminé tôle	18779		Fragment de tôle	Fer	1	0	5
Indéterminé tôle	18779		Fragment de tôle	Fer	1	1	5
Clou	18544		Constr.: 2 frgts; men.: 4 frgts; 1 tige	Fer	7	6	101
Clou	18779		Men.: 2 frgts; 4 tiges	Fer	6	2	30
Clou	18501		Men.: 21 frgts, 25 tiges	Fer	46	21	218.1
Clou	18529		Men.: 6 frgts; 7 tiges	Fer	13	6	57
Clou	18503		Men.: 60 frgts; 92 tiges	Fer	152	60	955
Clou	18515		Men.: 8 frgts; 6 tiges	Fer	14	8	90
Clou	18544	1295	Tige	Fer	1	0	7.1
Rivet (bc)	18503	1010	Clou-rivet en une pièce par refoulement	Base-cuivre	1	1	0.4
Scorie (fer)	18503		Fragments de scorie	Fer	4	1	71
BGRN-2-Fo 18887	<i>État 4 lato sensu : époque romaine</i>						
Anneau (fer)	18523	1032	Fragment d'anneau ou maillon rapide de section	Fer	1	1	4
Cabochon	18523	1207	Cabochon	Base-cuivre	1	1	0.6
Coulure	18569	1301	Coulure	Base-cuivre	1	1	10.7
Crampon	18569	1290	Tige de crampon tordue appointée et de section rectangulaire	Fer	1	1	3.3
Ferrure	18523	1073	Fragment de ferrure	Fer	1	1	18.6
Indéterminé plat	18523		Fragment de fer plat	Fer	1	1	2.8
Indéterminé tige	18523	1096	Fragment de tige de section quadrangulaire	Fer	1	1	11.8
Indéterminé tôle	18523	1206	Fragment de tôle	Base-cuivre	1	1	0.5
Clou	18704		Men.: 1 frgt	Fer	1	1	18
Clou	18569		Men.: 5 frgts; 2 tiges	Fer	7	5	44
Clou	18523		Men.: 9 frgts; 8 tiges	Fer	17	9	95
Rivet (fer)	18523	1088	Rivet à contreplaque	Fer	1	1	19.8
Rivet (fer)	18569	1306	Rivet à contreplaque à tête hémisphérique creuse	Fer	1	1	30.8
Scorie (fer)	18704		Calotte	Fer	1	1	66
BGRN-3-Fo 18528	<i>État 4 lato sensu : époque romaine</i>						
Clou	18528		Men.: 1 frgt	Fer	1	1	9
Scorie (fer)	18528		Fragment de scorie	Fer	1	1	4
BGRN-4-Fo 17193	<i>État 4 lato sensu : époque romaine</i>						
Ferrure	17193		Fragment de ferrure	Fer	1	1	20.4
Indéterminé tôle	17193		Fragment de bande de tôle	Fer	1	1	4.4
Clou	17193		Men.: 1 frgt; 1 tige	Fer	2	1	16
BGRN-6-démolition 16622	<i>État 4 lato sensu : époque romaine</i>						
Chute de tige appointée	16622		Chute de tige de section carrée appointée	Fer	1	1	2.6
Clou de chaussure	16622	551	Clou de chaussure	Fer	1	1	1.2
Clou de chaussure	16622	553	Clou de chaussure sans décor	Fer	1	1	2
Indéterminé plat	16622		Langue de fer plat	Fer	1	1	28
Indéterminé tôle	16622		Fragment de tôle	Base-cuivre	1	1	0.1
Clou	16622		Men.: 20 frgts; 18 tiges	Fer	38	20	173
BGRN-7-16627	<i>État 4 lato sensu : époque romaine</i>						
Chute de tige appointée	16627	1794	Chutes de tige	Fer	2	1	4
Clou	16627		Clou à tête rectangulaire	Fer	1	1	10.7
Clou	16627		Men.: 6 frgts ;6 tiges	Fer	12	6	67
Scorie (fer)	16627	645	Fragments de scorie informe	Fer	4	1	26
Scorie (fer)	16627	646	Scorie informe	Fer	1	1	16.4
BGRN-8-Tranchée mur 16332	<i>État 4 lato sensu : époque romaine</i>						
Indéterminé tôle	16333		Fragment de tôle	Fer	1	1	3.6
Clou	16333		Men.: 1 frgt; 3 tiges	Fer	4	1	22
BGRN-10-moderne	<i>Perturbations modernes</i>						
Indéterminé tige	18511		Tige de section ronde courbée et aplatie à une extrémité	Fer	1	1	1.4
G-1-radier	<i>État 2.2 à 2.3 : LTD2</i>						
Anneau (fer)	18506	1118	Anneau de section ronde	Fer	1	1	6.1

Type d'objet	UF	No	Description	Métal	NR	NMI	M(g)
Coulure	18506	1122	Coulure	Base-cuivre	1	1	0.7
Crampon	18506	1107	Fragment de tige de crampon	Fer	1	1	3.9
Ferrure	18506	1039	Fragment de ferrure	Fer	1	0	8.4
Ferrure	18506	1086	Fragment de ferrure	Fer	1	0	8.3
Ferrure	18506	1100	Fragment de ferrure	Fer	1	0	12.4
Ferrure	18506	1112	Fragment de ferrure	Fer	1	0	8.2
Ferrure	18506	1143	Fragment de ferrure d'angle	Fer	1	1	9.1
Ferrure	18506	1114	Fragment de fine ferrure	Fer	1	0	4.3
Ferrure	18506		Fragments de ferrure	Fer	4	0	26
Indéterminé tige	18506		Fragment de tige aplatie à une extrémité	Fer	1	0	2.8
Indéterminé tige	18506		Fragment de tige aplatie à une extrémité	Fer	1	0	2.8
Indéterminé tige	18506	1136	Tige de section ronde appointée	Fer	1	0	1.4
Indéterminé tôle	18506		Fragment de tôle	Base-cuivre	1	1	0.1
Indéterminé tôle	18506	1106	Fragment de tôle	Fer	1	1	12.6
Clou	18506	1097	Fragment de tige de clou	Fer	1	0	7.4
Clou	18506	1085	Fragment de tige repliée	Fer	1	0	4
Clou	18506		Men.: 77 frgts; 84 tiges	Fer	161	77	882
Rivet (bc)	18506		Rivet en une pièce à tige matée	Base-cuivre	1	1	1
Rivet (fer)	18506		Clou-rivet à contreplaque à tête hémisphérique creuse	Fer	1	1	27.5
Scorie (fer)	18506		Trois calottes (45 g, 125 g, 67 g), une scorie informe	Fer	4	3	246.4
G-1-radier 18506							
Ferrure	18517	1128	Fragment de ferrure	Fer	1	1	2.5
Fibule	18517	1133	Fragment d'ardillon et de ressort de fibule	Fer	1	1	0.6
Indéterminé barre	18517	1145	Fragment de barre de section rectangulaire	Fer	1	1	24.4
Indéterminé tige	18517	1131	Fragment de tige de section ronde appointée, ardillon de fibule?	Base-cuivre	1	1	0.3
Indéterminé tige	18517	1117	Fragment de tige de section carrée matée à une extrémité	Fer	1	1	14.1
Indéterminé tôle	18517	1126	Fragment de tôle	Fer	1	0	2.4
Indéterminé tôle	18517		Fragments de tôle	Fer	4	1	13
Clou	18517		Constr.: 3 frgts; men.: 25 frgts; 24 tiges	Fer	52	28	342
Rivet (fer)	18517	1144	Rivet à contreplaque à tête hémisphérique creuse	Fer	1	1	42.3
Scorie (bc)	18517	1132	Scorie en alliage cuivreux	Base-cuivre	1	1	2.4
Scorie (fer)	18517	1121	Scorie de forge	Fer	1	1	29.5
Scorie (fer)	18517	1127	Scorie de forge	Fer	1	1	55.2
G-2-cailloutis <i>État 1 et 2 lato sensu : LTD1b-LTD2</i>							
Cabochon	18508	1044	Cabochon	Base-cuivre	1	1	0.1
Cabochon	18519	1176	Cabochon	Base-cuivre	1	1	0.3
Cabochon	18519	1215	Cabochon décoratif	Base-cuivre	1	1	0.3
Coulure	18508		Coulure	Base-cuivre	1	1	1.5
Coulure	18508	1129	Coulure	Base-cuivre	1	1	0.7
Déchet de fabrication	18518	1166	Déchet de fabrication	Fer	1	1	6.8
Ferrure	18508	1038	Fragment de bande de fer plat	Fer	1	0	26.2
Ferrure	18508	1120	Fragment de ferrure	Fer	1	1	14.1
Ferrure	18519	1216	Fragment de ferrure	Fer	1	1	32.3
Ferrure	18519	1264	Fragment de ferrure	Fer	1	0	31.4
Ferrure	18518	1188	Fragment de ferrure recourbée	Fer	1	1	18.9
Ferrure	18508	1135	Fragment de ferrure repliée	Fer	1	0	20.4
Fiche	18519	1260	Fiche à tête rectangulaire	Fer	1	1	38.5
Fiche	18519		Fiche à tête rectangulaire asymétrique	Fer	1	1	24
Indéterminé objet	18508		Fragment de bande de fer plat affiné à une extrémité	Fer	1	1	5.1
Indéterminé plat	18519	1160	Fragment de bande de fer plat fine repliée	Fer	1	0	5.5
Indéterminé plat	18508	1046	Fragment de fer plat	Fer	1	1	14.1
Indéterminé plat	18518		Fragment de fer plat	Fer	1	0	10.2
Indéterminé plat	18518	1153	Fragment de fer plat	Fer	1	1	14.1
Indéterminé plat	18519	1154	Fragment de fer plat replié	Fer	1	1	9.8
Indéterminé plat	18519	1217	Fragments de fer plat indéterminé avec une perforation et une partie plus épaisse.	Fer	1	1	91.4
Indéterminé tige	18519	1226	Fragment de tige de section ronde	Base-cuivre	1	1	0.5
Indéterminé tôle	18519	1227	Fragment de tôle	Base-cuivre	1	0	0.1
Indéterminé tôle	18518	1173	Fragment de tôle enroulée	Base-cuivre	1	0	0.5
Indéterminé tôle	18518	1200	Fragment de tôle repliée	Base-cuivre	1	1	0.9
Indéterminé tôle	18519		Fragments de tôle	Base-cuivre	1	0	0.1
Indéterminé tôle	18519	1199	Tôle repliée	Base-cuivre	1	0	0.6
Indéterminé tôle	18519	1172	Fragment de bande de tôle	Fer	1	0	2.8
Indéterminé tôle	18508		Fragment de tôle	Fer	1	1	24.2
Indéterminé tôle	18519	1194	Fragment de tôle	Fer	1	0	26.1

Type d'objet	UF	No	Description	Métal	NR	NMI	M(g)
Indéterminé tôle	18519	1282	Fragment de tôle (découpée ?)	Fer	1	0	22.5
Indéterminé tôle	18519		Fragments de tôle	Fer	6	0	47
Indéterminé tôle	18519	1225	Fragments de tôle	Fer	4	1	9.1
Clou	18519	1262	Clou de construction (battitures dans la corrosion ?)	Fer	1	1	50.9
Clou	18508		Constr.: 1 frgt; men.: 21 frgts; 28 tiges	Fer	50	22	299
Clou	18518		Constr.: 1 frgt; men.: 52 frgts; 49 tiges	Fer	102	53	638
Clou	18519		Constr.: 3 frgts; men.: 74 frgts; 55 tiges	Fer	132	77	1178
Piton	18519	1261	Fragment piton à oeillet percé	Fer	1	1	35.8
Rivet (bc)	18519	1252	Clou-rivet en une pièce à tête hémisphérique pleine	Base-cuivre	1	1	1.5
Rivet (bc)	18519	1165	Fragment de tôle pris dans un rivet décoratif	Base-cuivre	1	1	0.5
Scorie (fer)	18518	1169	Calotte	Fer	1	1	82.2
Scorie (fer)	18518	1201	Calotte	Fer	1	1	50.9
Scorie (fer)	18519	1231	Fragment de calotte	Fer	1	1	33.4
Scorie (fer)	18518	1158	Scorie informe	Fer	1	1	38.5
Scorie (fer)	18518	1171	Scorie informe	Fer	1	1	3.1
Scorie (fer)	18518		Scories dont deux calottes (90 g et 176 g)	Fer	8	2	266
Scorie (fer)	18519	1228	Scories informes	Fer	3	1	37.2
Table de travail (lithique)	18519	1285	Plan de travail avec une face servant de polissoir	Lithique	1	1	174.2
G-3-Fo 18594	<i>État 2.3 : fin LTD2a-LTD2b</i>						
Anneau (fer)	18594		Anneau à section rectangulaire	Fer	1	1	13.5
Clou	18594		Men.: 5 frgts; 3 tiges	Fer	8	5	57
Clou	18593		Men.: 13 frgts; 12 tiges	Fer	25	13	105
G-4-TP 18764	<i>Non phasé</i>						
Coulure	18763		Coulure	Base-cuivre	1	1	2.7
G1-1-TP 18806	<i>État 2.1 : LTD1b évoluée</i>						
Ferrure	18806		Fragment de ferrure avec clou en position fonctionnelle	Fer	1	1	13.5
Scorie (fer)	18806	1666	Calotte de forge	Fer	1	1	98.7
G1-2-TP 18782	<i>État 2.1 : LTD1b évoluée</i>						
Maillon rapide	18782		Petit maillon rapide	Fer	1	1	1.7
Clou	18782		Men.: 2 frgts	Fer	2	2	17
G1-3-TP 18533	<i>État 2.1 : LTD1b évoluée</i>						
Indéterminé tôle	18534		Fragments de tôle	Fer	3	1	10.3
G1-4-TP 18898	<i>État 2.1 : LTD1b évoluée</i>						
Clou	18897		Men.: 2 frgts	Fer	2	2	23.3
G1-5-TP 18637	<i>État 2.1 : LTD1b évoluée</i>						
Indéterminé plat	18636		Fragment de fer plat	Fer	6	1	81.3
Clou	18636		Men.: 7 frgts; 4 tiges	Fer	11	7	62
Paroi de foyer	18636		Fragments de paroi de foyer	Fer	4	1	28.8
Scorie (fer)	18636		Fragments de scorie	Fer	4	1	41.9
G1-6-TP 18614	<i>État 2.1 : LTD1b évoluée</i>						
Clou	18613		Men.: 2 frgts	Fer	2	2	21
G1-7-TP 18612	<i>État 2.1 : LTD1b évoluée</i>						
Clou	18611		Men.: 1 frgt; 1 tige	Fer	2	1	7
G1-8-TP 18598	<i>État 2.1 : LTD1b évoluée</i>						
Clou	18597		Men.: 1 frgt	Fer	1	1	5
G1-9-TP 18579	<i>État 2.1 : LTD1b évoluée</i>						
Clou	18644		Men.: 4 frgts; 9 tiges	Fer	13	4	53
Scorie (fer)	18644	1334	Fragments de scorie informe	Fer	13	1	91.5
Scorie (fer)	18644		Fragments de scorie	Fer	10	1	146
G1-10-TP 18576	<i>État 2.1 : LTD1b évoluée</i>						
Indéterminé tige	18576	1307	Fragment de tige de section ronde	Base-cuivre	1	1	0.7
Clou	18576		Tige	Fer	1	1	12
G1-12-TP 18435	<i>État 2.1 : LTD1b évoluée</i>						
Clou	18434		Men.: 2 frgts; 1 tige	Fer	3	2	16
G1-13-TP 18429	<i>État 2.1 : LTD1b évoluée</i>						
Clou	18428		Tige	Fer	1	1	1
G1-15-TP 18414	<i>État 2.1 : LTD1b évoluée</i>						
Clou	18414		Tige	Fer	1	1	2
G1/D2-1-TP18585	<i>État 2.1 : LTD1b évoluée</i>						
Ferrure	18584	2327a	Fragments de ferrure dont un arraché et frgts de tôle	Fer	2	1	40.9
Ferrure	18584	1443	Extrémité de ferrure	Fer	1	0	14.4
Ferrure	18712	2142b	Extrémité de ferrure	Fer	1	0	3
Ferrure	18709	2183	Extrémité de ferrure avec clou collé en surface	Fer	2	1	47.6
Ferrure	18712	2122	Extrémité de ferrure avec clou en position fonctionnelle	Fer	1	1	18.3
Ferrure	18709	2196	Extrémité de ferrure avec une perforation et une tige de clou collée en surface	Fer	1	0	39.5

Type d'objet	UF	No	Description	Métal	NR	NMI	M(g)
Ferrure	18584	1450b	Extrémité de ferrure pliée	Fer	1	0	13.4
Ferrure	18584	1609	Extrémité de ferrure pliée avec une perforation et deux fragments de clou collés en surface	Fer	3	1	49.1
Ferrure	18709	2322	Ferrure avec clou en position fonctionnelle et un clou et une tige agglomérés	Fer	3	1	24.4
Ferrure	18649	2432	Fragment de ferrure avec une perforation	Fer	1	1	6.4
Ferrure	18709	2311	Fragment de ferrure pliée	Fer	1	1	13
Ferrure	18648	2309	Fragment de ferrure pliée et tige de clou	Fer	2	1	14.5
Ferrure	18710	2221	Fragment de ferrure avec deux clous collés	Fer	1	1	21.3
Ferrure	18584	1438	Fragment de ferrure relativement épaisse avec clou en position fonctionnelle	Fer	1	1	23.8
Indéterminé informe	18709	2281	Fragment d'alliage cuivreux brûlé	Base-cuivre	1	1	0.4
Indéterminé informe	18709	2202	Fragments informes	Fer	2	0	9.8
Indéterminé informe	18584	1412	Fragment informe	Fer	1	0	9.1
Indéterminé informe	18709	2279	Fragment informe	Fer	1	0	7.6
Indéterminé informe	18712	2356	Fragment informe	Fer	1	0	10
Indéterminé informe	18584	1402	Fragment informe	Fer	1	0	21.8
Indéterminé informe	18709	2316	Fragment informe	Fer	1	0	40.5
Indéterminé informe	18712	2112	Fragment informe	Fer	1	1	14.1
Indéterminé informe	18712	2113	Fragment informe	Fer	1	0	17.1
Indéterminé plat	18584	1610b	Fragment de plat triangulaire	Fer	1	1	7.1
Indéterminé tôle	18649	2396	Fragment de tôle	Base-cuivre	1	0	2.1
Indéterminé tôle	18584	1411c	Fragment de tôle brûlée	Base-cuivre	1	1	1.2
Indéterminé tôle	18712	2102	Fragment de tôle, de ferrure	Base-cuivre	1	0	0.3
Indéterminé tôle	18709	2280b	Fragments de tôle	Fer	2	0	1.7
Indéterminé tôle	18584	2328b	Fragments de tôle	Fer	3	0	6.9
Indéterminé tôle	18712	2138	7 fragments de tôle et 12 tiges de clou	Fer	19	0	17.8
Indéterminé tôle	18711	2245	Fragment de bande de tôle collés	Fer	1	0	13.9
Indéterminé tôle	18712	2103	Fragment de bande de tôle	Fer	1	1	38.5
Indéterminé tôle	18649	2438	Fragment de bande de tôle	Fer	1	1	7
Indéterminé tôle	18709	2185b	Fragment de bande de tôle	Fer	1	0	6.6
Indéterminé tôle	18711	2238	Fragment de bande de tôle	Fer	1	0	3.5
Indéterminé tôle	18711	2251b	Fragment de bande de tôle tordue	Fer	1	0	19.6
Indéterminé tôle	18584	1493b	Fragment de fine bande de tôle	Fer	1	0	1.5
Indéterminé tôle	18646	2377	Fragment de fine bande de tôle	Fer	1	1	6.6
Indéterminé tôle	18584	1490	Fragment de tôle	Fer	1	0	2.3
Indéterminé tôle	18648	2468	Fragment de tôle	Fer	1	0	5.1
Indéterminé tôle	18649	2440	Fragment de tôle	Fer	1	0	0.6
Indéterminé tôle	18711	2247b	Fragment de tôle	Fer	1	1	3.2
Indéterminé tôle	18711	2355b	fragment de tôle	Fer	1	0	0.8
Indéterminé tôle	18712	2116	Fragment de tôle	Fer	1	0	5.9
Indéterminé tôle	18647	2389	Fragments de tôle	Fer	1	0	23.2
Indéterminé tôle	18710	2257	Fragments de tôle avec un clou et 8 tiges	Fer	13	1	38.7
Indéterminé tôle	18584	1409	Fragment de bande de tôle	Fer	1	0	34.3
Indéterminé tôle	18584	1460	Fragment de bande de tôle	Fer	1	0	5.5
Indéterminé tôle	18709	2194	Fragment de bande de tôle	Fer	1	0	24.8
Indéterminé tôle	18584	1453	Fragment de bande de tôle repliée	Fer	1	1	3
Indéterminé tôle	18584	1434	Fragment de tôle	Fer	1	0	11.7
Indéterminé tôle	18648	2467	Fragment de tôle	Fer	1	0	6.3
Indéterminé tôle	18709	2200	Fragment de tôle	Fer	1	0	1
Indéterminé tôle	18712	2131	Fragment de tôle	Fer	1	0	1.5
Indéterminé tôle	18712	2137	Fragment de tôle	Fer	1	0	0.5
Indéterminé tôle	18584	1605	Fragment de tôle avec bordure incurvée et perforation	Fer	1	0	9.9
Indéterminé tôle	18711	2249	Fragment de tôle avec deux tiges collées	Fer	1	0	24.6
Indéterminé tôle	18710	2216	Fragments de tôle avec tige de clou collée	Fer	3	1	11.5
Indéterminé tôle	18709	2478	Fragments de tôle brûlée et pliée	Fer	3	1	0.9
Indéterminé tôle	18584	2474a	Fragments de tôle	Fer	4	0	8
Indéterminé tôle	18712	2155b	Fragments de tôle	Fer	2	0	4.2
Indéterminé tôle	18709	2291c	Fragments de tôle	Fer	4	0	3.1
Indéterminé tôle	18711	2250b	Fragments de tôle	Fer	4	1	7.5
Indéterminé tôle	18584	1417a	Tôle pliée	Fer	1	0	20
Clou	18647		Men.: 10 frgts, 18 tiges dont éléments brûlés et agglomérés	Fer	28	10	247.1
Clou	18584		Men.: 118 frgts, 150 tiges dont éléments brûlés et agglomérés	Fer	268	118	1958
Clou	18646		Men.: 14 frgts, 28 tiges dont éléments brûlés et agglomérés	Fer	42	14	272.1
Clou	18648		Men.: 18 frgts, 52 tiges dont éléments brûlés et agglomérés	Fer	70	18	440.7
Clou	18585		Men.: 3 frgts, 26 tiges dont éléments brûlés et agglomérés	Fer	29	3	50.1

Type d'objet	UF	No	Description	Métal	NR	NMI	M(g)
Clou	18649		Men.: 37 frgts, 14 tiges dont éléments brûlés et agglomérés	Fer	51	37	512.6
Clou	18711		Men.: 38 frgts, 104 tiges dont éléments brûlés et agglomérés	Fer	142	38	527
Clou	18710		Men.: 46 frgts, 89 tiges dont éléments brûlés et agglomérés	Fer	135	46	713.7
Clou	18712		Men.: 66 frgts, 78 tiges dont éléments brûlés et agglomérés	Fer	144	66	784.9
Clou	18709		Men.: 96 frgts, 153 tiges dont éléments brûlés et agglomérés	Fer	249	96	1470.1
Rivet (bc)	18711	2254	Clou-rivet	Base-cuivre	1	1	0.1
Rivet (fer)	18648	2461	Contreplaque de rivet arrachée	Fer	1	0	9
Rivet (fer)	18584	2348	Rivet à contreplaque	Fer	1	1	9.3
Rivet (fer)	18649	2430	Rivet à contreplaque	Fer	1	1	33.8
Rivet (fer)	18712	2152	Rivet à contreplaque à tête hémisphérique creuse avec une tige de clou agglomérée	Fer	1	1	37.6
G1/D2-2-TP 18573 <i>État 2.1 : LTD1b évoluée</i>							
Clou	18572		Tige	Fer	1	1	1
G1/D2-3-TP 18575 <i>État 2.1 : LTD1b évoluée</i>							
Indéterminé tôle	18574		Fragments de tôle	Fer	2	1	13.4
G1/D2-4-TP 17095 <i>État 1 : LTD1b classique</i>							
Chute de tôle repliée	17095	1643	Chute de tôle repliée	Base-cuivre	1	1	6
G1/D2-5-Sb 17038 <i>État 1 : LTD1b classique</i>							
Déchet de fabrication	17037	1423	Déchet de fabrication	Fer	1	1	8.3
Clou	17037		Men.: 1 frgt, 1 tige	Fer	2	1	11
Scorie (fer)	17038	1184	Scorie	Fer	1	1	26.7
G1/D2-6-décapage <i>Décapage</i>							
Déchet de fabrication	17036		Déchet de fabrication	Fer	1	1	25.9
Ferrure	17036		Fragment de ferrure	Fer	1	0	12.7
Ferrure	17036	1709	Fragment de ferrure avec deux rivets en alliage cuivreux	Fer	1	1	11.8
Goutte	17036	1432	Goutte	Base-cuivre	1	1	0.4
Indéterminé plat	17036	1501	Fine bande de fer plat	Fer	1	1	3.8
Indéterminé plat	17036		Fragment de languette de fer plat	Fer	1	0	6.3
Indéterminé tige	17036	1440	Fragment de tige de section rectangulaire	Fer	1	1	3.1
Indéterminé tôle	17036	192	Fragment de languette incurvée. Chute?	Base-cuivre	1	1	0.2
Indéterminé tôle	17036	1422	Fragment de tôle pliée	Fer	1	1	2.6
Indéterminé tôle	17036	1449	Fragment de tôle très fine	Fer	1	0	42.9
Maillon rapide	17036	1409	Maillon rapide de section carrée	Fer	1	1	14.6
Clou	17036	1427	Clou de menuiserie	Fer	1	1	9.1
Clou	17036		Men.: 22 frgts ; 18 tiges	Fer	40	22	252
Rivet (fer)	17036		Rivet à contreplaque	Fer	1	1	5.4
Scorie (bc)	17036	1455	Scorie d'alliage cuivreux	Base-cuivre	1	1	10
Scorie (fer)	17036	1457	Calotte de forge	Fer	1	1	100.3
Scorie (fer)	17036	1424	Scorie informe	Fer	1	1	8.2
Scorie (fer)	17036	165	Scorie(168,4 g), 2 parois de four (50 g) dont une avec trace de tuyère ou d'armature	Fer	3	1	218.4
G2-2-TP 18785 <i>État 2.1 : LTD1b évoluée</i>							
Clou	18784		Men.: 1 frgt	Fer	1	1	6
G2-3-TP 18774 <i>État 2.1 : LTD1b évoluée</i>							
Clou	18773		Tige	Fer	1	1	5
G2-4-Sb 18744 <i>État 2.1 : LTD1b évoluée</i>							
Rivet (fer)	18743		Clou-rivet par repli	Fer	1	1	10
G2-5-Fo 18717							
Fibule	18716	1328	Fragment de ressort de fibule avec une spire conservée	Base-cuivre	1	1	0.5
Rivet (bc)	18716	1329	Clou-rivet en une pièce	Base-cuivre	1	1	0.9
G2-6-Fo 18635 <i>État 4 lato sensu : époque romaine</i>							
Indéterminé plat	18634		Fragment de plat	Fer	1	1	8.9
Clou	18634		Men.: 1 frgt	Fer	1	1	3
G2-7-TP 18627 <i>État 2.1 : LTD1b évoluée</i>							
Clou	18626		Men.: 1 frgt; 1 tige	Fer	2	1	11
G2-8-Sb 18588 <i>État 2.1 : LTD1b évoluée</i>							
Ferrure	18588		Fragment de ferrure avec clou en position fonctionnelle	Fer	1	1	7.3
G3-1-TP 18746 <i>État 2.1 : LTD1b évoluée</i>							
Clou	18746		Men.: 2 frgts, 1 tige	Fer	3	2	20.3
G3-2-TP 18643 <i>État 2.1 : LTD1b évoluée</i>							
Indéterminé tôle	18642		Fragments de tôle	Base-cuivre	7	1	0.8
Clou	18642		Men.: 5 frgts; 7 tiges	Fer	12	5	70
G3-3-TP 18641 <i>État 2.1 : LTD1b évoluée</i>							
Coulure	18640		Fragment de coulure	Base-cuivre	1	1	0.2
Indéterminé objet	18640		Fragments massifs informes, déchet?	Fer	8	1	54.8
Clou	18640		Men.: 1 frgt	Fer	1	1	5

Type d'objet	UF	No	Description	Métal	NR	NMI	M(g)
G3-4-Sb 18728	<i>État 2.1 : LTD1b évoluée</i>						
Indéterminé tôle	18727		Fragment de tôle	Fer	1	1	20.34
Clou	18727		Men.: 6 frgts; 11 tiges	Fer	17	6	92
Piton	18727		Manche d'ustensile, piton fermé percé?	Fer	1	1	20.3
Rivet (bc)	18727	1368	Rivet à tête hémisphérique creuse et tige en fer	Base-cuivre et Fer	1	1	
G3-5-TP 18633	<i>État 2.1 : LTD1b évoluée</i>						
Indéterminé tôle	18632		Fragment de tôle et de tige	Fer	1	1	5.3
Clou	18632		Tige	Fer	1	1	2
G3-6-TP 18742	<i>État 2.1 : LTD1b évoluée</i>						
Indéterminé tôle	18741		Fragments de tôle	Fer	3	1	10.8
Clou	18741		Men.: 2 frgts; 2 tiges	Fer	4	2	24
Scorie (fer)	18741		Calotte	Fer	1	1	48
G3-7-Sb 18730	<i>État 2.1 : LTD1b évoluée</i>						
Clou	18729		Men.: 2 frgts dont un à grand tête circulaire; 1 tige	Fer	3	2	45
G3-8-TP 18772	<i>État 2.1 : LTD1b évoluée</i>						
Clou	18771		Tige	Fer	1	1	6
G3-9-TP 18781	<i>État 2.1 : LTD1b évoluée</i>						
Anneau (fer)	18780		Anneau de section ronde	Fer	1	1	12
G3-10-TP 18746	<i>État 2.1 : LTD1b évoluée</i>						
Indéterminé plat	18745	1358	Fragment de bande de plat coudé de section rectangulaire	Base-cuivre	1	1	0.5
G3-11-TP 18789	<i>État 2.1 : LTD1b évoluée</i>						
Indéterminé tige	18788	1371	Petite tige	Base-cuivre	1	1	0.1
G3-12-TP 18736	<i>État 1 à 2.1 : LTD1b</i>						
Clou	18735		Men.: 1 frgt	Fer	1	1	8
Clou	18736		Men.: 1 frgt	Fer	1	1	15.6
G3-13-TP 18719	<i>État 1 : LTD1b classique</i>						
Ferrure	18718		Fragment de ferrure	Fer	1	1	5.7
G3-14-TP 18721	<i>État 1 : LTD1b classique</i>						
Clou	18720		Men.: 1 frgt; 1 tige	Fer	2	1	21
G3-15-TP 18706	<i>État 1 : LTD1b classique</i>						
Clou	18705		Men.: 1 frgt	Fer	1	1	14
G3-16-Sb 18738	<i>État 1 : LTD1b classique</i>						
Clou	18737		Tige	Fer	1	1	4
G4-1-18502, décapage	<i>Décapage</i>						
Indéterminé objet	18502		Fragments de plomb	Plomb	8	1	68.5
Clou	18502		Men.: 38 frgts; 40 tiges	Fer	78	38	415
G4-2-18504, démolition	<i>État 4 lato sensu : époque romaine</i>						
Clou de chaussure	18504	1035	Clou de chaussure	Fer	1	1	1
Clou de chaussure	18504	1050	Clou de chaussure	Fer	1	1	1.1
Clou de chaussure	18504	1031	Clou de chaussure presque neuf	Fer	1	1	2.5
Clou de chaussure	18504		Clous de chaussure	Fer	23	18	69.1
Indéterminé plat	18504		Fragments de plat	Fer	6	1	35.4
Indéterminé tôle	18504		Fragments de tôle	Fer	3	1	7
Clou	18504		Men.: 51 frgts; 52 tiges	Fer	103	51	536
Rivet (bc)	18504	1020	Clou-rivet en une pièce	Base-cuivre	1	1	0.5
Rivet (bc)	18504	1019	Clou-rivet en une pièce à tête hémisphérique creuse	Base-cuivre	1	1	1.3
Rivet (bc)	18504	1045	Clou-rivet en une pièce par refoulement	Base-cuivre	1	1	0.5
G4-3-radier	<i>État 2.2 à 2.3 : LTD2</i>						
Clou	18512		Men.: 1 frgts; 2 tiges	Fer	3	1	19
G4-4-sol 18807	<i>État 1 : LTD1b classique</i>						
Clou	18807		Clou de construction	Fer	1	1	33.9
Clou	18807		Men.: 8 frgts; 7 tiges	Fer	15	8	71.2
G4-5-TP 18796	<i>Non phasé</i>						
Clou	18795		Men.: 1 frgt; 1 tige	Fer	2	1	36

BÂTIMENT H

Bâtiment H, F et C5C

Décapage

H, F et C5C-1-décapage

Planche 104, 1. 18003, n° 2.

Fragment de ressort de fibule à quatre spires (deux conservées) et corde interne et ardillon complet. Base-cuivre.

L. 71 mm. 2.9 g.

E : 1172.44. N : 1191.13. Alt. : 572.85.

Type : B20-0.

Planche 104, 2. 18003, n° 3054.

Arc de fibule de tôle triangulaire avec départ du pied. Fer.

L. 31 mm. 0.5 g.

E : 1180. N : 1182.*

Type : F22-1.

Planche 104, 3. 18003, n° 23.

Anneau de section ronde. Base-cuivre.

Diam. 14 mm, S. 2,5 x 4 mm. 2.3 g.

E : 1179.06. N : 1177.99. Alt. : 572.84.

Planche 104, 4. 18003, n° 10.

Clou de chaussure. Fer.

Diam. 13 mm. 3 g.

E : 1174.38. N : 1182.81. Alt. : 572.84.

Planche 104, 5. 18003, n° 7.

Clou de chaussure. Fer.

Diam. 12 mm. 2.0 g.

E : 1173.28. N : 1188.16. Alt. : 572.85.

Planche 104, 6. 18003, n° 6.

Fragment de pontet à attache en forme d'ogive avec un terminaison circulaire. Fer.

L. 56 mm, l. 29 mm. 12.2 g.

E : 1173.42. N : 1187.4. Alt. : 572.82.

Planche 104, 7. 18003, n° 134.

Fragment d'orle en gouttière et patte de fixation fragmentaire. Fer.

L. 54 mm. 20.1 g.

E : 1182.6. N : 1153.5. Alt. : 574.08.

Type : Gouttière.

Planche 104, 8. 18003, n° 3035.

Fragment de gouttière de bouterolle anguleuse. Fer.

L. 40 mm. 5.6 g.

E : 1176.7. N : 1178.5.*

Planche 104, 9. 18003, n° 2001.

Fragment de forces à grande lame cassée au niveau du ressort. Forces de drapier? Fer.

L. 186 mm, L. (lame) 168 mm, l. (lame) 28 mm. 75.8 g.

E : 1182.76. N : 1164.81. Alt. : 572.73.

Planche 104, 10. 18003, n° 3034.

Fragment de lame de forces. Fer.

L. 84 mm, L. (lame) min. 77 mm, l. (lame) 21 mm. 13.2 g.

E : 1180.3. N : 1173.4.*

Planche 104, 11. 18003, n° 115.

Chute de plaque triangulaire. Base-cuivre.

L. 15 mm, ép. 1 mm. 0.8 g.

E : 1170.2. N : 1191.31. Alt. : 572.85.

Planche 104, 12. 18003, n° 52.

Chute de tige de section carrée appointée avec trace de découpe. Base-cuivre.

L. 40 mm, S. 2 mm. 0.5 g.

E : 1174.3. N : 1167.2. Alt. : 572.94.*

Planche 104, 13. 18003, n° 95.

Demi-produit constitué d'une tige de section carrée. Base-cuivre.

L. 20 mm, S. 3 mm. 1 g.

E : 1179.49. N : 1181. Alt. : 572.76.

Planche 104, 14. 18003, n° 2050.

Fragment de réparation de panse de vaisseau constitué d'une tôle circulaire avec plusieurs perforations en bordure. Base-cuivre.

L. 106 mm, diam. rest. 104 mm, ép. 1 mm. 9.5 g.

E : 1181.71. N : 1164.60. Alt. : 572.73.

Planche 104, 15. 18003, n° 2022.

Fragment de lame de couteau à dos droit et lame incurvée. Fer.

L. 194 mm, l. (lame) 51 mm. 117 g.

E : 1181.69. N : 1164.33. Alt. : 573.76.

Type : 1-0.

Planche 104, 16. 18003, n° 1140.

Clavette de char en forme de lunette cassée au niveau d'un des cerclages avec une tige de section carrée munie d'une rainure centrale à proximité de la tête. Fer.

L. 145 mm, L. utile 116 mm, S. 10 mm. 79.8 g.

E : 1187.6. N : 1155.7. Alt. : 572.54.

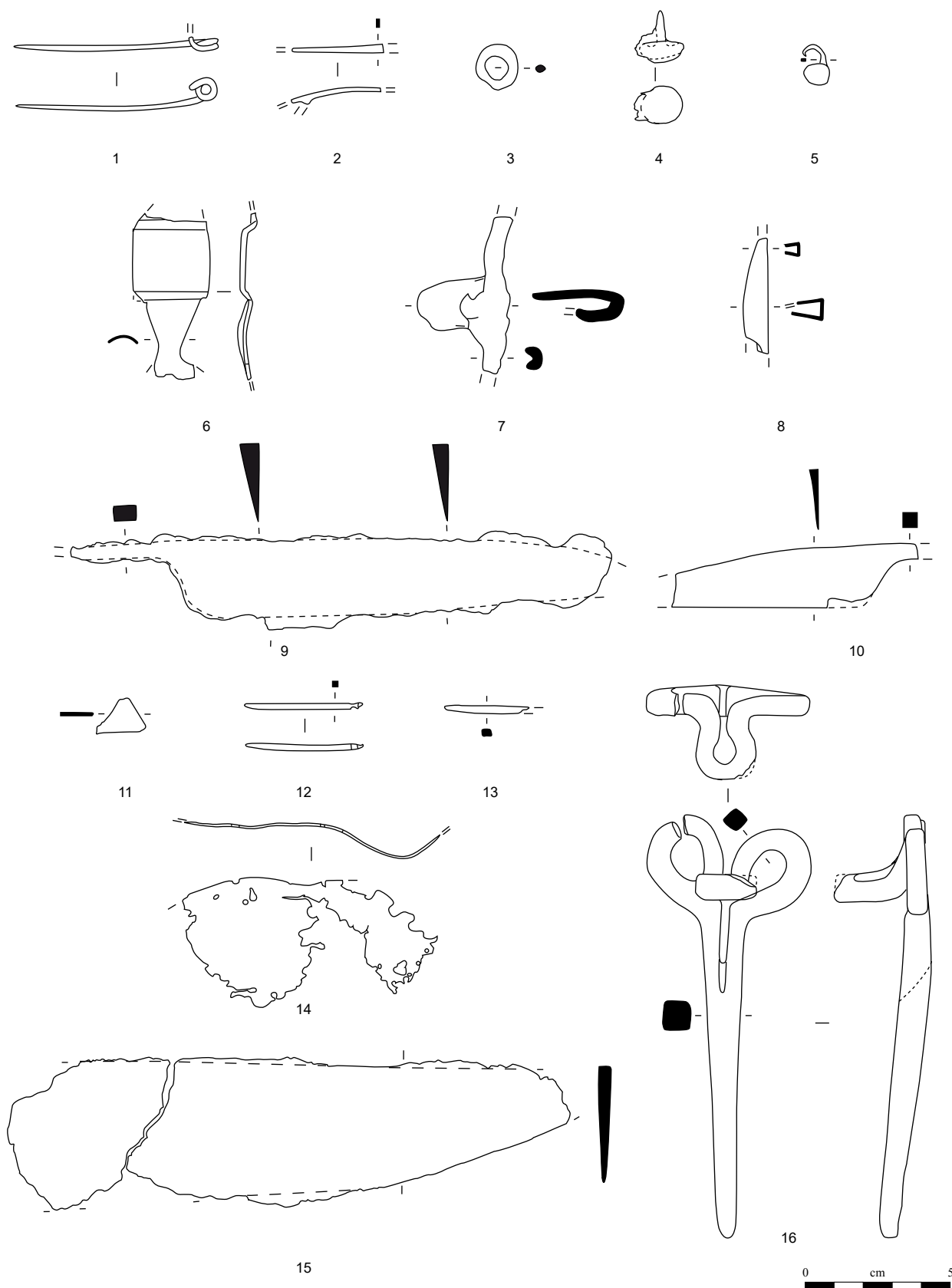


Planche 104. H, F et C5C-1-décapage

1, 3, 11-14 : alliage cuivreux; 1, 4-10, 15-16 : grès fin.

Bâtiment H, F et C5C

Décapage

H, F et C5C-1-décapage

Planche 105, 1. 18003, n° 2063.

Fragment de tige indéterminé de section ronde qui devient rectangulaire à une extrémité. Fer.

L. 153 mm, S. 10 mm. 38.3 g.

E : 1185.18. N : 1161.3. Alt. : 572.64.

Planche 105, 2. 18003, n° 19.

Fragment indéterminé de tôle percée avec le départ d'une languette. Base-cuivre.

L. 24 mm. 0.6 g.

E : 1170. N : 1192. Alt. : 572.83.

Planche 105, 3. 18003, n° 33.

Fragment indéterminé de bande de tôle pliée relativement large. Fer.

L. 150 mm, l. 46 mm. 61.1 g.

E : 1173.87. N : 1179.2. Alt. : 572.84.

Planche 105, 4. 18003, n° 32.

Fragment indéterminé de fer plat quadrangulaire. Fer.

L. 85 mm, l. 74 mm. 99.4 g.

E : 1180.3. N : 1178.34. Alt. : 572.8.

Autres petits mobiliers

18003, n° 373. Fragment de bois de cerf travaillé.

18003, n° 3. Deux jetons.

18003, n° 190. Jeton.

18003, n° 93. Jeton.

18003, n° 135. Jeton d'amphore.

18003, n° 8. Monnaie.

18003, n° 268. Monnaie.

18003, n° 54. Monnaie.

18003, n° 56. Monnaie.

18003, n° 2483. Monnaie.

18003, n° 1751. Monnaie.

18003, n° 18. Monnaie.

18003, n° 41. Monnaie.

18003, n° 257. Monnaie.

18003, n° 53. Fragment de perle en verre.

Bâtiment H

Décapage

H-1-décapage

Planche 105, 5. 18028, n° 58.

Clou de construction. Fer.

L. 228 mm, L. utile 234 mm, S. 12 mm. 116.4 g.

E : 1180.37. N : 1168.24. Alt. : 572.67.

Planche 105, 6. 18028, n° 67.

Fragment de crampon de charpente. Fer.

L. 98 mm. 49.4 g.

E : 1184.64. N : 1165. Alt. : 572.88.

Autres petits mobiliers

18028, n° 132. Jeton.

18028, n° 133. Jeton.

18028, n° 60. Jeton.

18028, n° 66. Jeton.

18028, n° 71. Jeton.

18028, n° 74. Jeton.

18028, n° 73. Jeton d'amphore.

18028, n° 61. Monnaie.

17051, n° 1458. Monnaie.

État 2 lato sensu : fin LTD1b-LTD2

H-2-épandage

18054, n° 130. Jeton.

18054, n° 161. Jeton.

18054, n° 181. Jeton.

18054, n° 191. Jeton.

18054, n° 158. Monnaie.

État 2.1 : LTD1b évoluée

H-6-sol 18053

18053, n° 111. Cristal de roche taillé, briquet (?).

H-7-TP 18067

Planche 105, 7. 18067, n° 2003.

Fragment de réparation de céramique sous la forme d'un élément massif écrasé sur chaque face de la panse, avec de la céramique prise dans le repli. Plomb.

L. 40 mm, L. utile 5 mm. 46.4 g.

E : 1176.98. N : 1175.48.*

Autres petits mobiliers

18067, n° 2002. Jeton.

18067, n° 2005. Fragment de plaque de foyer avec bordure.

18067, n° 2004. Fragment de plaque de foyer avec un angle droit et la bordure.

H-8-TP 18141

Planche 105, 8. 18141.

Aiguiseur en marbre de section triangulaire utilisé sur son petit côté. Lithique.

L. 129 mm, l. 32 mm, ht. 23 mm. 132 g.

E : 1182.5. N : 1173.62.

Autres petits mobiliers

18141. Fragment de paroi de foyer.

H-9-Pal 18145

18146, n° 2077. Fusaïole en terre cuite.

État 1 : LTD1b classique

H-20-Ce 18075

Planche 105, 9. 18076, n° 215.

Anneau de section lenticulaire, peut-être recouvert de métal blanc. Base-cuivre.

Diam. 16 mm, S. 3,5 mm. 2.8 g.

E : 1174.2. N : 1171.4. Alt. : 572.63.

Planche 105, 10. 18076, n° 3093.

Anneau passe-guide de type Verna composé d'un anneau ovale de section losangique, à la base duquel est disposée une languette. Base-cuivre.

L. 51 mm, diam. 51 x 32 mm, S. 10 x 7 mm. NP.

E : 1174.3. N : 1172.15. Alt. : /.*

Autres petits mobiliers

18076, n° 186. Deux jetons.

18076, n° 159. Jeton.

18076, n° 160. Jeton.

18076, n° 167. Jeton.

18076, n° 177. Jeton.

18076, n° 185. Jeton.

18076, n° 187. Jeton.

18076, n° 193. Jeton.

18076, n° 196. Jeton.

18076, n° 197. Jeton.

18076, n° 216. Jeton.

18076, n° 198. Jeton.

18076, n° 199. Jeton.

18076, n° 200. Jeton.

18076, n° 201. Jeton.

18076, n° 202. Jeton.

18076, n° 203. Jeton.

18076, n° 205. Jeton.

18076, n° 206. Jeton.

18076, n° 207. Jeton.

18076, n° 208. Jeton.

18076, n° 209. Jeton.

18076, n° 210. Jeton.

18076, n° 211. Jeton.

18076, n° 212. Jeton.

18076, n° 213. Jeton.

18076, n° 214. Jeton.

18076, n° 163. Monnaie.

H-21-TP 18049

Planche 105, 11. 18050, n° 3094.

Anneau écrasé de section circulaire. Or.

L. 35 mm, S. 2 mm, diam. int. 19 mm. 7.8 g.

E : 1183.78. N : 1166.71. Alt. : 572.69.

Type : 2.

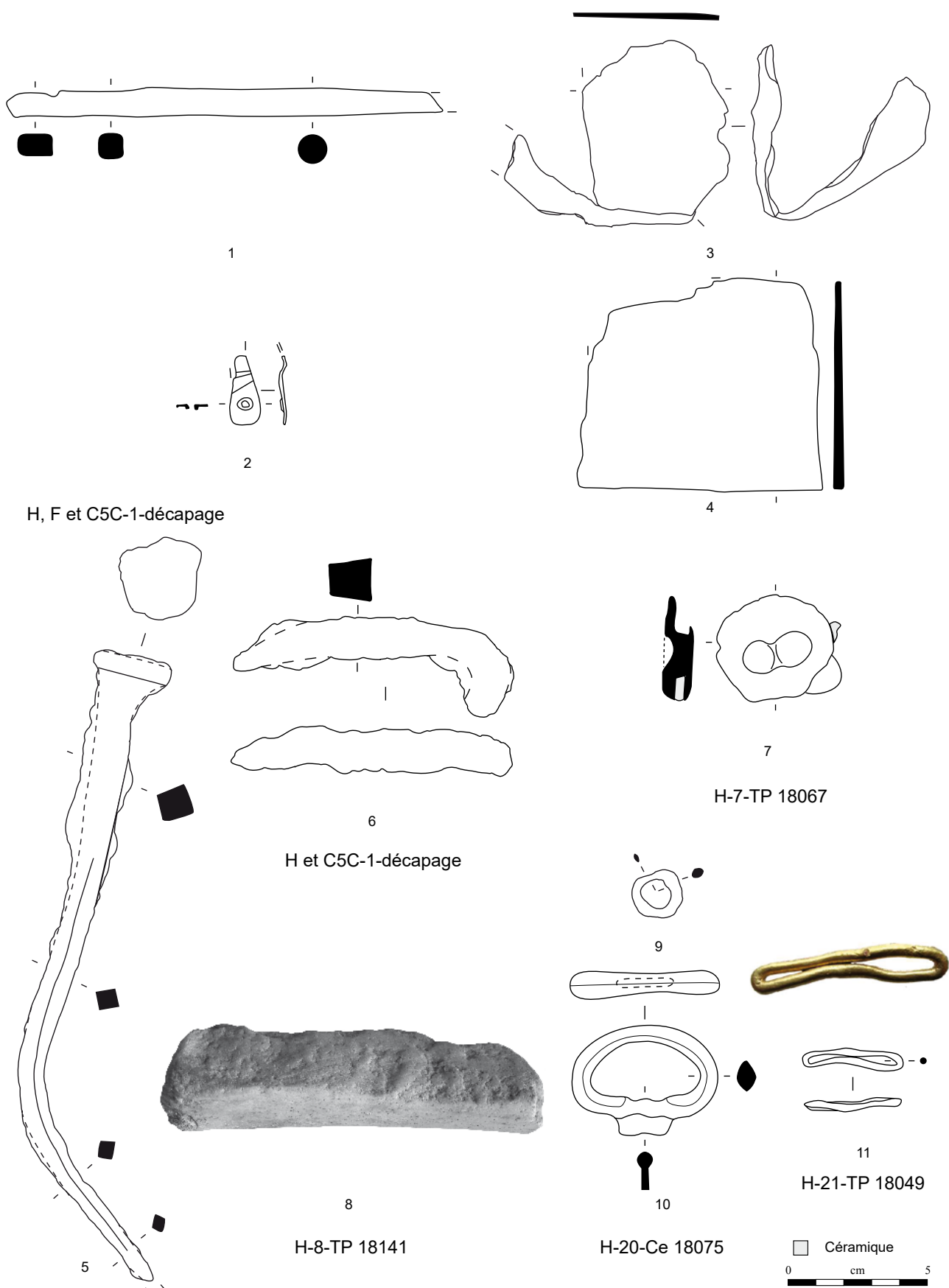


Planche 105. H, F et C5C-1-décapage à H-21-TP 18049

1, 3-6 fer; 2, 9-10 : alliage cuivreux; 7 : plomb; 8 : marbre; 11 : or.

Type d'objet	UF	No	Description	Métal	NR	NMI	M(g)
H, F et C5C-1-décapage	<i>Décapage</i>						
Cabochon	18003	20	Fragment de cabochon	Base-cuivre	1	1	0.3
Coulure	18003	2048	Coulure	Base-cuivre	1	1	9.9
Ferrure	18003	40	Ferrure légèrement bombée aux extrémités arrondies avec traces de deux rivets	Fer	1	1	16.5
Indéterminé barre	18003	2021	Fragment de barre	Fer	1	1	30.7
Indéterminé plat	18003	13	Fragment de bande de fer plat	Fer	1	0	4.4
Indéterminé plat	18003	48	Fragment de bande de fer plat	Fer	1	0	31
Indéterminé plat	18003	9	Fragment de fer plat	Fer	1	0	6.8
Indéterminé plat	18003		Fragments de plat	Fer	8	0	65
Indéterminé plat	18003	5	Fragment de plat	Fer	1	1	1.4
Indéterminé tige	18003	136	Fragment de tige pointue de section ronde, ardillon de fibule, tige d'épingle?	Base-cuivre	1	1	1.1
Indéterminé tige	18003	2062	Fragment de tige indéterminé	Fer	1	1	33.1
Indéterminé tôle	18003	805	Fragment de tôle tordue avec rivet en position fonctionnelle et une perforation	Base-cuivre	1	1	1.1
Indéterminé tôle	18003	145	Fragment de tôle	Base-cuivre	1	0	0.4
Indéterminé tôle	18003	1	Fragment de tôle	Fer	1	1	3.2
Indéterminé tôle	18003	4	Fragment de tôle	Fer	1	0	0.4
Indéterminé tôle	18003		Fragments de tôle	Fer	1	0	105
Clou	18003		Constr.: 3 frgts; men.: 101 frgts; 148 tiges	Fer	252	104	1498
Clou	18003	21	Tige de clou tordue	Fer	1	0	17.8
Rivet (bc)	18003	17	Clou-rivet en une pièce à tête ronde plate	Base-cuivre	1	1	0.1
Scorie (fer)	18003	14	Calotte de forge	Fer	1	1	41.5
H-1-décapage	<i>Décapage</i>						
Fiche	18028		Fiche en «T»	Fer	1	1	4.5
Goutte	18028	68	Goutte	Base-cuivre	1	1	0.2
Indéterminé plat	18028	69	Fragment de fer plat	Fer	1	1	5.5
Indéterminé tôle	18028		Fragment de tôle	Fer	1	1	4.4
Clou	18028		Constr.: 2 frgts; men.: 15 frgts; 30 tiges	Fer	47	17	304
Clou	17051		Men.: 1 frgt	Fer	1	1	8
Clou	18060		Tige	Fer	1	1	16
Scorie (fer)	18028	57	Petite calotte	Fer	1	1	33.5
Scorie (fer)	18028	59	Petite calotte	Fer	1	1	37.7
H-2-épandage	<i>État 2 lato sensu : LTD1b évoluée-LTD2</i>						
Clou de chaussure	18054		Clou de chaussure à décor de six globules	Fer	1	1	1.5
Indéterminé tôle	18054		Fragment de tôle rivetée avec une contreplaque	Fer	1	0	7.2
Indéterminé tôle	18054		Fragments de tôle	Fer	4	1	13.7
Clou	18054		Men.: 8 frgts; 20 tiges	Fer	28	8	144
Clou	18054		Tige de clou de construction	Fer	1	1	30.6
H-3-TP 17461	<i>État 2.1 : LTD1b évoluée</i>						
Clou	17462		Men.: 1 frgt; 3 tiges	Fer	4	1	26
H-4-Sb 17485	<i>État 2.1 : LTD1b évoluée</i>						
Clou	17486		Men.: 1 frgt; 1 tige	Fer	2	1	15
H-5-Sb 17489	<i>État 2.1 : LTD1b évoluée</i>						
Clou	17489		Tige	Fer	1	1	3
H-6-sol 18053	<i>État 2.1 : LTD1b évoluée</i>						
Clou	18053		Men.: 10 frgts; 11 tiges	Fer	21	10	147
H-7-TP 18067	<i>État 2.1 : LTD1b évoluée</i>						
Indéterminé tôle	18067		Fragments de tôle	Fer	5	1	21
Clou	18067		Men.: 16 frgts; 17 tiges	Fer	33	16	175
H-8-TP 18141	<i>État 2.1 : LTD1b évoluée</i>						
Anneau (fer)	18141		Anneau de section ronde	Fer	1	1	24.8
Clou	18141		Men.: 4 frgts; 9 tiges	Fer	13	4	58
H-9-Pal 18145	<i>État 2.1 : LTD1b évoluée</i>						
Clou	18146		Men.: 4 frgts, 4 tiges	Fer	8	4	44.5
H-10-TP 18151	<i>État 2.1 : LTD1b évoluée</i>						
Clou	18152		Men.: 2 frgts; 1 tige	Fer	3	2	22.1
H-11-TP 18153	<i>État 2.1 : LTD1b évoluée</i>						
Clou	18154		Tige	Fer	1	1	9
H-13-TP 18177	<i>État 2.1 : LTD1b évoluée</i>						
Clou	18178		Men.: 1 frgt	Fer	1	1	7
H-14-TP 18214	<i>État 1 : LTD1b classique</i>						
Clou	18214		Men.: 1 frgt	Fer	1	1	17
H-15-TP 18211	<i>État 1 : LTD1b classique</i>						
Clou	18212		Men.: 1 frgt	Fer	1	1	10

Type d'objet	UF	No	Description	Métal	NR	NMI	M(g)
H-16-TP 18209	<i>État 1 : LTD1b classique</i>						
Clou	18210		Men.: 1 frgt	Fer	1	1	10
H-17-TP 18159	<i>État 1 : LTD1b classique</i>						
Clou	18160		Tige	Fer	1	1	1
H-19-TP 18144	<i>État 1 : LTD1b classique</i>						
Clou	18144		Tige	Fer	1	1	6
H-20-Ce 18075	<i>État 1 : LTD1b classique</i>						
Indéterminé tôle	18076	204	Fragment de tôle	Base-cuivre	1	0	0.6
Clou	18076		Men.: 13 frgts; 12 tiges	Fer	25	13	164
H-21-TP 18049	<i>État 1 : LTD1b classique</i>						
Clou	18050		Tige	Fer	1	1	1
H-22-TP 17527	<i>État 1 : LTD1b classique</i>						
Clou	17527		Men.: 4 frgts; 10 tiges	Fer	14	4	88

BÂTIMENT F

Non phasé

F-2-sol 17510

Autres petits mobiliers

17510, n° 950. Fusaïole en terre cuite.

État 2 lato sensu : fin LTD1b-LTD2

F-3-Ct 17470

Planche 106, 1. 17472, n° 1097.

Fibule à ressort à quatre spires et corde interne et arc filiforme de section ronde. Fer.

L. 30 mm, S. 2 mm. 4.8 g.

E : 1179.4. N : 1158.48. Alt. : 572.38.

Type : F23-0.

Planche 106, 2. 17471, n° 1107.

Fragment de fléau de balance cassé au niveau de l'anneau central. Base-cuivre.

L. 25 mm. 0.5 g.

E : 1179.56. N : 1157.47. Alt. : 572.68.

Planche 106, 3. 17472, n° 1105.

Fragment de pique-boeuf constitué d'une tige enroulée. Fer.

Diam. 29 mm, ht. 26 mm. 118 g.

E : 1179.23. N : 1157.3. Alt. : 572.23.

Planche 106, 4. 17472, n° 1102.

Fragment de ferrure décorative. Base-cuivre.

L. 27 mm, l. 12 mm, ép. 0,5 mm. 0.5 g.

E : 1180.1. N : 1157.79. Alt. : 572.15.

Planche 106, 5. 17474, n° 1104.

Fragment indéterminé de tôle à bordure circulaire. Fer.

L. 70 mm, diam. 212 mm, ép. 1,5 mm. 80.2 g.

E : 1178.8. N : 1157.7. Alt. : 571.77.

Autres petits mobiliers

17471, n° 1096. Jeton.

17472, n° 1091. Jeton.

17472, n° 1093. Jeton.

17472, n° 1094. Jeton.

17473, n° 1092. Jeton.

17474, n° 1090. Jeton.

17474, n° 1095. Jeton.

17480, n° C. Monnaie.

17480, n° D. Monnaie.

17480, n° E. Monnaie.

17480, n° F. Monnaie.

17480, n° G. Monnaie.

17480, n° H. Monnaie.

17480, n° A. Monnaie.

17480, n° B. Monnaie.

17471, n° 1103. Monnaie.

17472, n° 1101. Fragment de mortier en basalte.

17475, n° 1088. Fragment de mortier en basalte.

17475, n° 1108. Fragment de plaque de foyer.

État 2.1 : LTD1b évoluée

F-8-TP 18109

Planche 106, 6. 18110, n° 217.

Fragment de ferrure incurvée. Fer.

L. 46 mm, ép. 2 mm. 5 g.

E : 1182.29. N : 1159.4. Alt. : 572.93.

F-11-TP 18087

18087, n° 162. Fragment de plaque de foyer.

F-12-Fo 17999-92

Planche 106, 7. 17999-1, n° 946.

Fragment de ferrure décorative constituée d'une bande de tôle perforée et tordue. Base-cuivre.

L. 50 mm, l. 19 mm, ép. 0,5 mm. 0.4 g.

E : 1180.52. N : 1159.79. Alt. : 572.44.

F-14-TP 17508

Autres petits mobiliers

17509, n° 901. Fragment de *catillus* en roche volcanique vacuolaire.

17509, n° 902. Fragment de plaque de foyer.

État 1 : LTD1b classique

F-16-TP 18113

Planche 106, 8. 18114, n° 3032.

Fragment d'oeil de marteau. Fer.

L. 15 mm, ht. 27 mm. 10.4 g.

E : 1182.1. N : 1161.9.*

Autres petits mobiliers

18114, n° 172. Jeton.

18114, n° 168. Fragment de plaque de foyer.

F-18-TP 18094

Planche 106, 9. 18097, n° 3070.

Perle de section ronde. Base-cuivre.

Diam. 16 mm, S. 3 mm. 2.8 g.

E : 1187.5. N : 1166.5. Alt. : 572.01. UF.

Autres petits mobiliers

18097. Fragment de paroi de foyer.

État 2.1 : LTD1b évoluée

F-10-Fo 18098

Planche 106, 10. 18099, n° 319.

Anneau de section en quart de rond. Base-cuivre.

Diam. 28 mm, S. 7 x 4 mm. 11.5 g.

E : 1187.7. N : 1156.48.*

Planche 106, 11. 18099, n° 310.

Fragment de ressort de fibule à trois spires conservées unilatéralement. Base-cuivre.

L. 10 mm. 0.9 g.

E : 1187.35. N : 1173.4. Alt. : 573.46.

Type : B10-2.

Planche 106, 12. 18099, n° 306.

Fragments de tôle de bracelet tubulaire en cours de fabrication dont deux fragments comportent encore une âme organique. Base-cuivre.

L. 10 mm, S. 8 x 7 mm. 4.5 g.

E : 1188.1. N : 1155.2.*

Type : B21-1.

Planche 106, 13. 18099, n° 313.

Fragment de bracelet tubulaire à jonc inorné en cours de fabrication? Base-cuivre.

L. 21 mm. 1.8 g.

E : 1189.1. N : 1156.7.*

Type : B21-1.

Planche 106, 14. 18099, n° 321.

Fragment de bracelet ouvert de section lenticulaire en cours de fabrication. Base-cuivre.

L. 100 mm, S. 3 x 2 mm. 6.2 g.

E : 1188.38. N : 1156.18.*

Type : B10-3.

Planche 106, 15. 18099, n° 316.

Fragment de jante de rouelle avec anneau extérieur présentant un renflement (bandage) et deux départs de rayon. Base-cuivre.

L. 37 mm, diam. rest. 53 mm. 1.7 g.

E : 1188.65. N : 1155.12.*

Planche 106, 16. 18099, n° 355.

Élément de serrure constitué d'une tôle rectangulaire à gouttière avec deux perforations qui comportent encore un rivet en position fonctionnelle. Fer.

L. 95 mm, l. 6 mm. 91.8 g.

E : 1187.4. N : 1156.25.*

Planche 106, 17. 18099, n° 317.

Fragment de ferrure décorative. Base-cuivre.

L. 68 mm, l. 14 mm, ép. 1 mm. 3.9 g.

E : 1189. N : 1155.65.*

Planche 106, 18. 18099, n° 315.

Clou-rivet en une pièce. Base-cuivre.

L. 18 mm. 0.3 g.

E : 1187.5. N : 1157.6.*

Planche 106, 19. 18099, n° 356.

Maillon rapide de section carrée. Fer.

Diam. 40 x 36 mm, S. 6 mm. 22.4 g.

E : 1187.3. N : 1156.38.*

Planche 106, 20. 18099, n° 311.

Fragment de cabochon. Base-cuivre.

L. 10 mm, diam. 15 mm. 0.2 g.

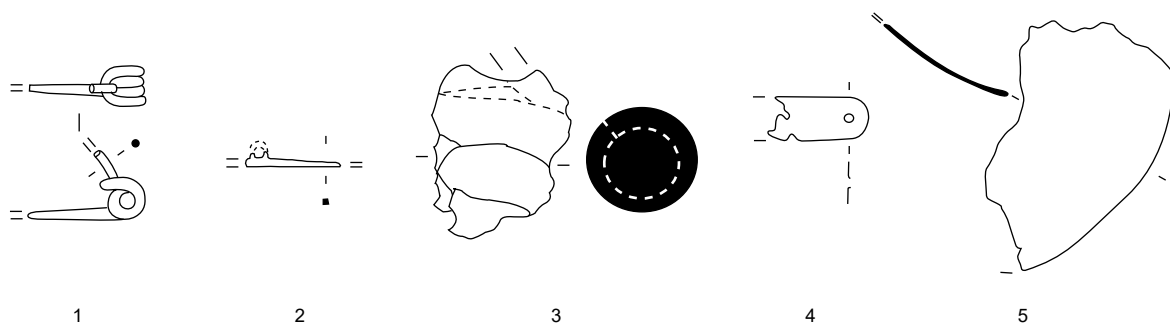
E : 1189.3. N : 1155.8.*

Planche 106, 21. 18099, n° 324.

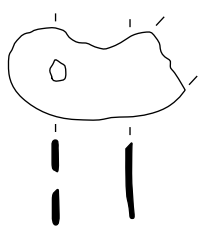
Clou massif décoratif cassé au niveau de sa pointe. Base-cuivre.

L. 43 mm, S. 4 mm, diam. 13 mm. 7.8 g.

E : 1188.23. N : 1156.5.*



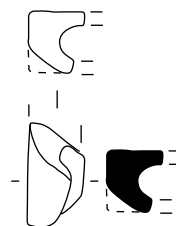
F-3-Ct 17470



F-8-TP 18109



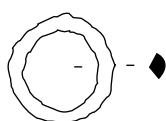
F-12-Fo 17999-92



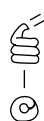
F-16-TP 18113



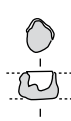
F-18-TP 18094



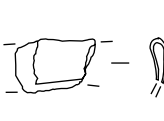
10



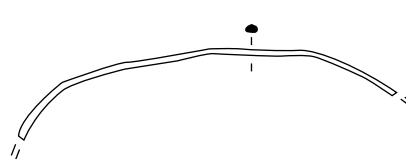
11



12



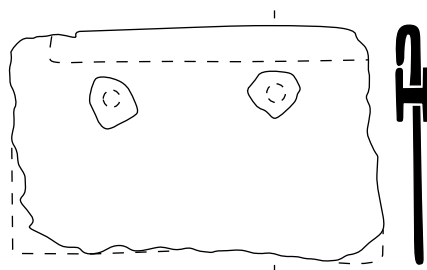
13



14



15



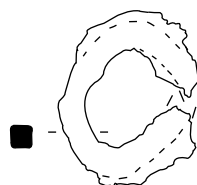
16



17



18



19



20



21

Organique minéralisé

F-10-Fo 18098

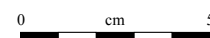


Planche 106. F-3-Ct 17470 à F-18-TP 18094 et F-10-Fo 18098

1, 3, 5-6, 8, 16, 19 : fer; 2, 4, 7, 9-15, 17-18, 20-21 : alliage cuivreux.

Bâtiment F

État 2.1 : LTD1b évoluée

F-10-Fo 18098

Planche 107, 1. 18099, n° 360.

Marteau de dinandier à oeil excentré et à table rectangulaire. Fer.

L. 126 mm, diam. (oeil) 14 x 12 mm, S. 22 x 14 mm. 195.8 g.

E : 1188.67. N : 1154.58.*

Planche 107, 2. 18099, n° 304.

Fragment de lingotière à alvéoles dont cinq alvéoles carrées sont conservées. Terre cuite.

L. 56 mm, ép. 9 mm, diam. (alvéole) 14 x 11 mm. 27.5 g.

E : 1188.13. N : 1156.66.*

Planche 107, 3. 18099, n° 302.

Abraseur polyédrique en basalte fin avec six faces dont deux avec usure marquée pour l'emplacement pour les doigts. Lithique.

L. 63 mm, l. 56 mm, ht. 35 mm. NP.

E : 1188.54. N : 1154.82.*

Planche 107, 4. 18099, n° 387.

Marteau de forme parallélipédique en quartz avec trace d'utilisation grossière à une extrémité et encoche pour faciliter la préhension. Lithique.

L. 121 mm, l. 79 mm, ht. 66 mm. 1098 g.

E : 1188.3. N : 1157.4.*

Planche 107, 5. 18099.

Extrémité d'aiguiseur avec trace d'utilisation sur la face supérieure et latérale, de section triangulaire en basalte fin. Lithique.

L. 43 mm, l. 39 mm, ht. 15.5 mm. 33 g.

E : 1187.9. N : 1156.7.*

Planche 107, 6. 18099, n° 357.

Gouge à corps massif de section circulaire à extrémité matée et tranchant évasé à gorge marquée et à un biseau. Fer.

L. 130 mm, L. (tranchant) 15 mm, S. 10 x 7 mm. 71.4 g.

E : 1188.62. N : 1155.04.*

Planche 107, 7. 18099, n° 362.

Fragment d'outil à tige de section ronde avec une tête hémisphérique pleine matée. Fer.

L. 87 mm, S. 6 mm. 16.8 g.

E : 1188.6. N : 1155.6.*

Planche 107, 8. 18099, n° 303.

Fragment de martyr constitué d'une épaisse plaque à cupule centrale comportant un écrasement à sa base. Plomb.

L. 68 mm, l. 58 mm, ép. 8 mm, ép. 10 mm. 189 g.

E : 1188.17. N : 1155.9.*

Planche 107, 9. 18099, n° 320.

Ciselet composé d'une tige pointue à une extrémité et biseautée à l'autre. Base-cuivre.

L. 58 mm, S. 3 mm. 2.8 g.

E : 1188.37. N : 1156.15.*

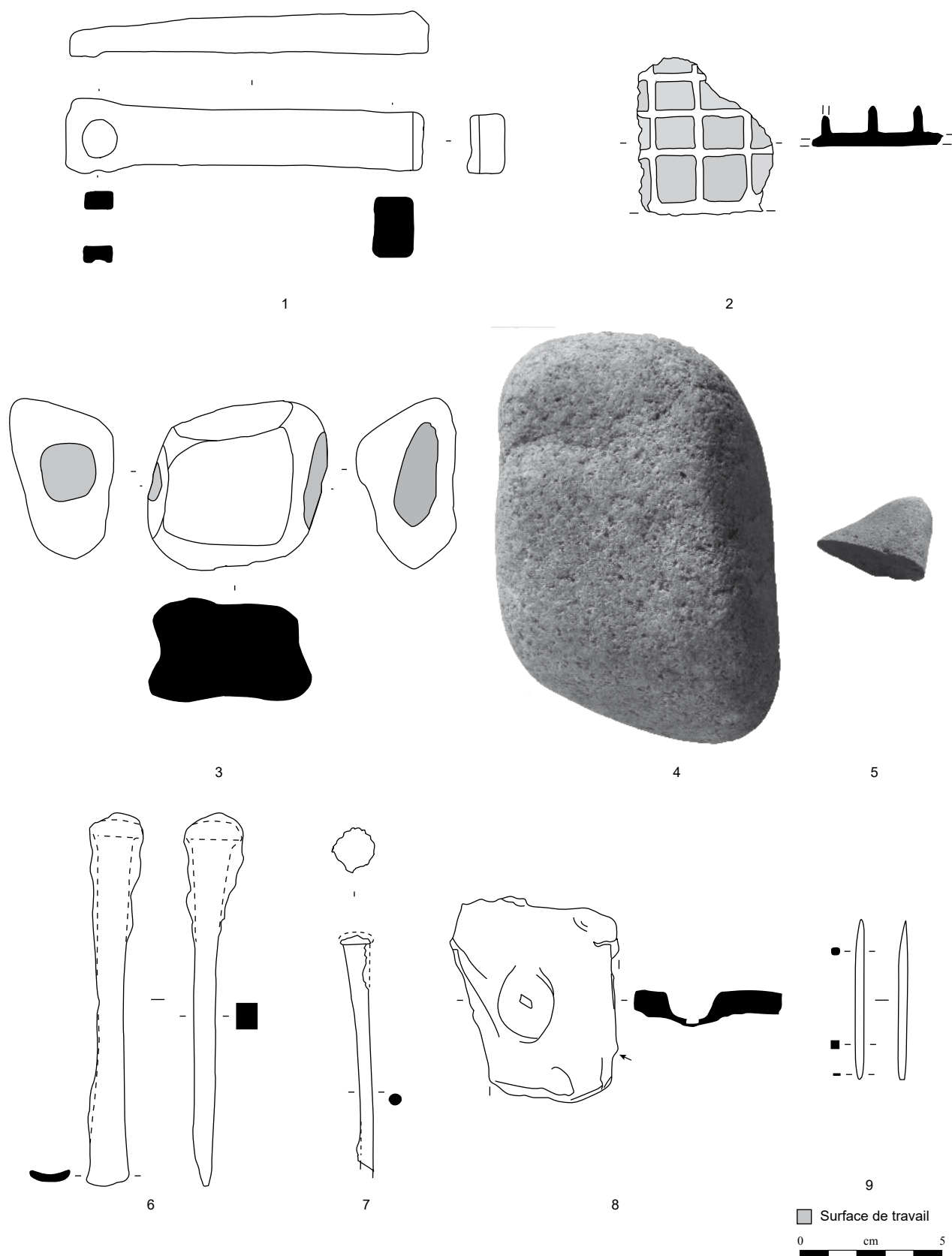


Planche 107. F-10-Fo 18098, production

1, 6-7 : fer; 2 : terre cuite; 3, 5 : basalte fin; 4 : granit; 8 : plomb; 9 : alliage cuivreux.

Bâtiment F

État 2.1 : LTD1b évoluée

F-10-Fo 18098

Planche 108, 1. 18099, n° 2085.

Clavette de char en demi-lune avec perforation centrale et tige de section rectangulaire. La bordure externe de la demi-lune est légèrement endommagée. Fer.

L. 144 mm, S. 11 x 6 mm. 51.1 g.

E : 1188.68. N : 1156.16.*

Planche 108, 2. 18099, n° 364.

Fragment d'objet indéterminé constitué d'une grande rondelle avec anneau central circulaire. Fragment d'applique de montant de caisse de char? Fer.

Diam. ext. 50 mm, diam. int. 15 mm, ép. 4 mm. 19.9 g.

E : 1188. N : 1155.7.*

Planche 108, 3. 18099, n° 2083.

Frette de moyeu de char constituée d'un cerclage de section triangulaire avec un rabat épaissi à une extrémité et un système de sertissage à tenon riveté. Fer.

Diam. ext. 120 mm, diam. int. 104 mm, l. 60 mm. 92.5 g.

E : 1189.2. N : 1155.92.*

Planche 108, 4. 18099, n° 2084.

Boîte à moyeu constituée d'un cerclage de section rectangulaire avec une perforation. Fer.

Diam. ext. 83 mm, diam. int. 72 mm, l. 33 mm. 129 g.

E : 1189.2. N : 1156.1.*

Planche 108, 5. 18099, n° 2082.

Renfort d'essieu (?) constitué d'un grand clou de construction tordu. Fer.

L. 154 mm, L. rest. 198 mm, S. 10 mm. 75.7 g.

E : 1189.10. N : 1156.63.*

Planche 108, 6. 18099, n° 1144.

Fragment de bandage de roue à bordure légèrement incurvée. Fer.

L. 124 mm, 1.38 mm, ép. 3,5 mm. 55.2 g.

E : 1189.3. N : 1156.5.*

Autres petits mobiliers

18099, n° 305. Déchet de tabletterie avec deux trous circulaires montrant une section biseautée (enlèvement de matière de chaque côté du fragment).

18099, n° 325. Fusaïole en terre cuite.

18098, n° 261. Jeton.

18098, n° 262. Jeton.

18099, n° 330. Jeton.

18099, n° 331. Jeton.

18099, n° 332. Jeton.

18099, n° 333. Jeton.

18099, n° 334. Jeton.

18099, n° 335. Jeton.

18099, n° 336. Jeton.

18099, n° 337. Jeton.

18099, n° 338. Jeton.

18099, n° 339. Jeton.

18099, n° 340. Jeton.

18099, n° 342. Jeton.

18099, n° 343. Jeton.

18099, n° 344. Jeton.

18099, n° 345. Jeton.

18099, n° 346. Jeton.

18099, n° 347. Jeton.

18099, n° 378. Jeton.

18099, n° 380. Jeton.

18099, n° 388. Jeton.

18099, n° 373. Fragment de meule.

18099, n° 318. Monnaie.

18099, n° 312. Monnaie.

18099, n° 314. Monnaie.

18099, n° 323. Monnaie.

18098, n° 263. Monnaie.

18099, n° 348. Perle en ambre à section en «D».

18099, n° 350. Fragment de plaque de foyer.

18099, n° 366. Fragment de plaque de foyer.

18099, n° 365. Fragment de plaque de foyer avec bord sub-triangulaire.

18099, n° 332. Fragment de terre cuite artisanale.

18099, n° 349. Fragment de terre cuite artisanale.

18099, n° 375. Fragment de terre cuite artisanale.

18099, n° 377. Fragment de terre cuite artisanale.

18099, n° 372. Fragment de terre cuite artisanale ou de torchis.

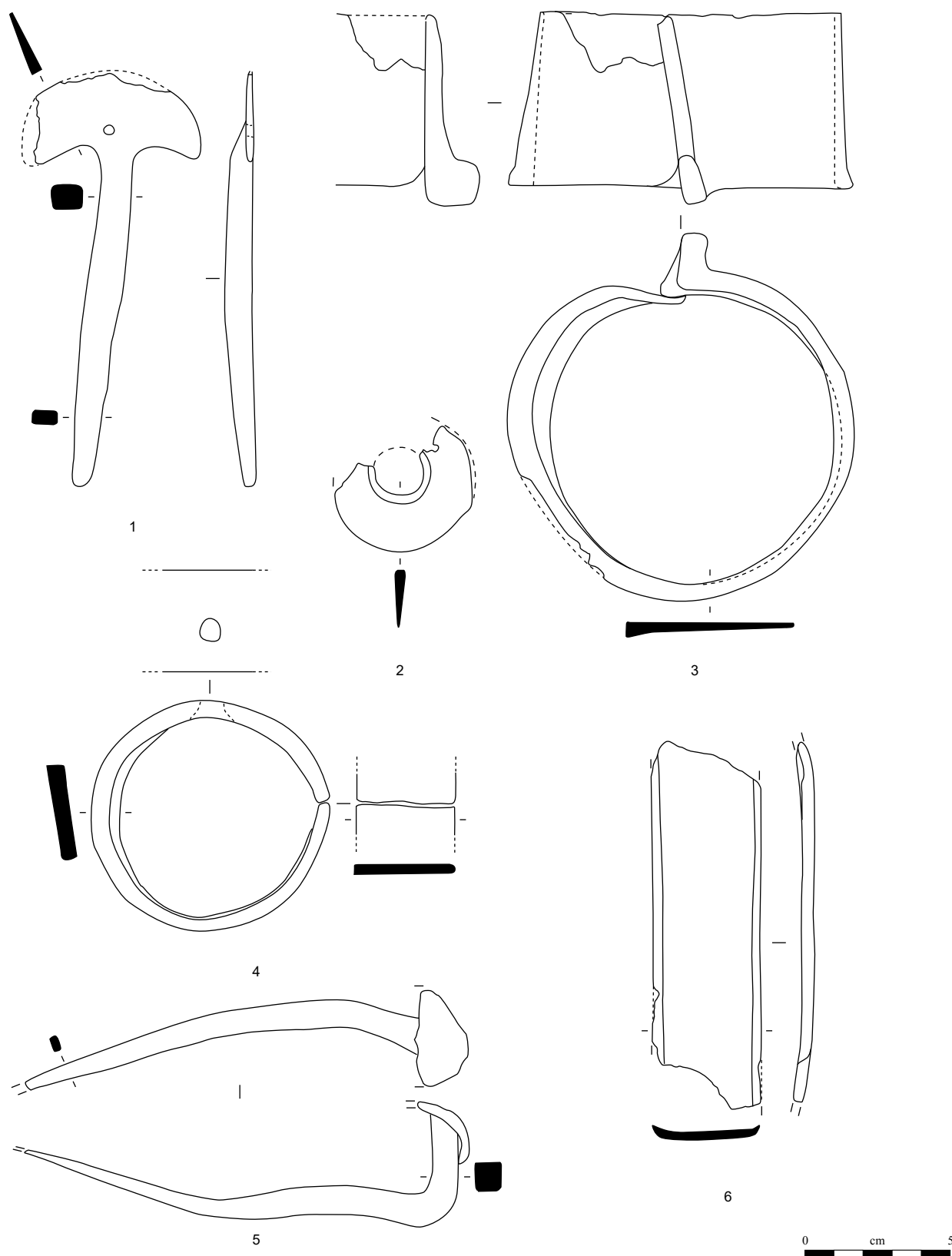


Planche 108. F-10-Fo 18098, transport

Fer

Type d'objet	UF	No	Description	Métal	NR	NMI	M(g)
F-2-sol 17510	<i>Non phasé</i>						
Clou	17510		Men.: 2 frgts; 1 tige	Fer	3	2	19
Rivet (bc)	17510	947	Clou-rivet en une pièce	Base-cuivre	1	1	0.9
F-3-Ct 17470	<i>État 2 lato sensu : LTD1b évoluée-LTD2</i>						
Anneau (bc)	17475		Fragment d'anneau de section lenticulaire	Base-cuivre	1	1	0.6
Ferrure	17475	1098	Ferrure avec bords rentrants et rivet	Fer	1	1	2.9
Indéterminé objet	17475	1087	Fragment de terre cuite artisanale?	Terre cuite	1	1	0
Indéterminé plat	17472		Fragment de plat	Fer	1	1	17
Clou	17471		Men.: 2 frgt; 1 tige	Fer	3	2	25
Clou	17473		Men.: 2 frgts; 1 tige	Fer	3	2	33
Clou	17475		Men.: 5 frgts; 8 tiges	Fer	13	5	45
Clou	17480		Men.: 5 frgts; 8 tiges	Fer	13	5	77
Clou	17472		Men.: 7 frgts; 7 tiges	Fer	14	7	95
Clou	17471	1089	Tige	Fer	1	0	10.4
Scorie (fer)	17475	1100	Calotte	Fer	1	1	65.4
Scorie (fer)	17475	1099	Calotte de forge	Fer	1	1	41
F-4-St mod 18056	<i>État 2.1 : LTD1b évoluée</i>						
Clou	18057		Men.: 1 frgt	Fer	1	1	7
F-5-TP 18191	<i>État 2.1 : LTD1b évoluée</i>						
Clou	18192		Men.: 2 frgts	Fer	2	2	24
F-6-TP 18189	<i>État 2.1 : LTD1b évoluée</i>						
Clou	18190		Men.: 1 frgt	Fer	1	1	12
F-7-TP 18181	<i>État 2.1 : LTD1b évoluée</i>						
Clou	18181		Men.: 1 frgt	Fer	1	1	4
F-8-TP 18109	<i>État 2.1 : LTD1b évoluée</i>						
Indéterminé tôle	18110		Fragments de tôle	Fer	8	1	44.2
Clou	18110		Tiges	Fer	2	1	6
F-9-TP 18105	<i>État 2.1 : LTD1b évoluée</i>						
Indéterminé plat	18106		Fragments de plat	Fer	3	1	14.3
Clou	18106		Men.: 1 frgt	Fer	1	1	17
F-10-Fo 18098	<i>État 2.1 : LTD1b évoluée</i>						
Coulure	18099	322	Coulure	Base-cuivre	1	1	2.1
Ferrure	18099	384	Fragment de ferrure	Fer	1	1	9.3
Indéterminé Lithique	18099	383	Fragment de pierre atypique	Lithique	1	0	0
Indéterminé Lithique	18099	301	Galet avec un éclat latéral	Lithique	1	1	0
Indéterminé tôle	18098	258	Fragment informe	Base-cuivre	1	0	0.2
Indéterminé tôle	18098	259	Fragment informe	Base-cuivre	1	1	0.1
Indéterminé tôle	18099	363	Fragment de bande de tôle	Fer	1	0	7.8
Indéterminé tôle	18099	351	Fragment de tôle	Fer	1	0	26
Indéterminé tôle	18099	361	Fragments de tôle	Fer	1	0	2.2
Clou	18098	260	Men.: 1 frgt	Fer	1	1	5.6
Clou	18099	353	Men.: 10 frgts; 10 tiges	Fer	20	10	108
Clou	18099	352	Men.: 14 frgts; 34 tiges	Fer	48	14	126
Clou	18099	358	Men.: 3 frgts; 1 tige	Fer	4	3	31
Clou	18099		Men.: 3 frgts; 3 tiges	Fer	6	3	33.5
Clou	18099	359	Men.: 6 frgts	Fer	6	6	62.1
F-11-TP 18087	<i>État 2.1 : LTD1b évoluée</i>						
Indéterminé plat	18087		Fragment de bande de plat	Fer	1	1	12.3
Clou	18087		Men.: 7 frgts	Fer	7	7	60
F-12-Fo 17999-92	<i>État 2.1 : LTD1b évoluée</i>						
Ferrure	17999-1	945	Fragments de ferrure qui se croisent	Fer	1	1	32.5
Indéterminé tôle	17999-1		Fragment de tôle	Fer	1	1	2
Indéterminé tôle	17999-1		Fragment de tôle fine pliée	Fer	1	0	40
Rivet (fer)	17999-1	944	Rivet à contreplaque cassé en son centre	Fer	1	1	43.1
F-13-St 17691	<i>État 2.1 : LTD1b évoluée</i>						
Clou	17692		Men.: 2 frgts; 1 tige	Fer	3	2	10
F-14-TP 17508	<i>État 2.1 : LTD1b évoluée</i>						
Clou	17509		Men.: 1 frgt	Fer	1	1	11
F-15-Sb 17463	<i>État 2.1 : LTD1b évoluée</i>						
Clou	17464		Men.: 1 frgt	Fer	1	1	12
F-16-TP 18113	<i>État 1 : LTD1b classique</i>						
Ferrure	18114		Fragment de ferrure	Fer	1	1	15.5
Clou	18114		Men.: 3 frgts; 3 tiges	Fer	6	3	28
F-17-TP 18111	<i>État 1 : LTD1b classique</i>						
Clou	18112		Men.: 1 frgt	Fer	1	1	15

Type d'objet	UF	No	Description	Métal	NR	NMI	M(g)
F-18-TP 18094	<i>État 1 : LTD1b classique</i>						
Indéterminé plat	18097		Fragments de fer plat dont un plié. Brûlés	Fer	4	1	69.5
Clou	18097		Men.: 4 frgts; 7 tiges. Brûlés	Fer	11	4	113
F-19-TP 17511	<i>État 1 : LTD1b classique</i>						
Clou	17512		Men.: 1 frgt	Fer	1	1	4
F-20-TP 17491	<i>État 1 : LTD1b classique</i>						
Rivet (bc)	17492	483	Clou-rivet en une pièce	Base-cuivre	1	1	0.7
Scorie (fer)	17492		scorie argilo-sableuse	Fer	1	1	25
F-21-Pal 17488	<i>État 1 : LTD1b classique</i>						
Clou	17488		Tige	Fer	1	1	10
F-22-Fo 18115	<i>Non phasé</i>						
Clou	18116		Men.: 6 frgts; 8 tiges	Fer	14	6	105.1

BÂTIMENT E

Décapage

E-1-décapage

Planche 109, 1. 17724, n° 620.

Extrémité de bracelet à terminaisons ouvertes bouletées et précédées de cannelures. Base-cuivre.

L. 22 mm. 2.4 g.

E : 1157.48. N : 1131.48. Alt. : 573.18.

Type : B13-2.

Planche 109, 2. 17747, n° 641.

Aiguiseur de forme subrectangulaire et de section triangulaire en basalte fin. Une seule face comporte des traces d'abrasion. Lithique.

L. 98 mm, l. 36 mm, ép. 16 mm. 99.9 g.

E : 1160.3. N : 1136. Alt. : 573.19.

Planche 109, 3. 17722, n° 622.

Anneau avec trace d'usure de section ronde. Base-cuivre.

Diam. 18 mm, S. 3 x 2 mm. 1.4 g.

E : 1152.8. N : 1134. Alt. : 574.15.

Planche 109, 4. 17767, n° 646.

Fragment d'anneau à section en quart de rond. Base-cuivre.

L. 11 mm, diam. 16 mm, S. 5 x 3 mm. 0.9 g.

E : 1156. N : 1139.*

Planche 109, 5. 17722, n° 623.

Deux chutes de plat dont une avec des perforations circulaires. Base-cuivre.

L. 31 mm, l. 6 mm, ép. 1,5 mm. 1.8 g.

E : 1154.76. N : 1137.9. Alt. : 573.22.

Planche 109, 6. 17767, n° 650.

Rivet par refoulement à tête comportant un surcreusement. Base-cuivre.

Diam. 7 mm, L. utile 2 mm. 0.6 g.

E : 1157. N : 1139.2. Alt. : 573.13.

Autres petits mobiliers

17700, n° 630. Monnaie.

17747, n° 638. Perle en ambre.

Bâtiment E1

Décapage

E1-1-décapage

17767, n° 651. Fusaïole en terre cuite.

Non phasé

E1-2-épandage

Planche 109, 7. 17780, n° 652.

Écuille avec deux agrafes de réparation en tôle de bronze. Base-cuivre.

L. 22 mm. NP.

E : 1157.65. N : 1134.78. Alt. : /.

Planche 109, 8. 17801, n° 653.

Chute de bande de section rectangulaire à angles arrondis avec trace de découpe sur deux côtés. Fer.

L. 49, l. 45, ép. 17 mmQ. 140 g.

E : 1153.2. N : 1139.1. Alt. : 573.02.

Planche 109, 9. 17801, n° 654.

Fiche en «T». Fer.

L. 63 mm, L. (table) 23 x 10 mm. 18 g.

E : 1154.5. N : 1138.2. Alt. : 573.15.

E1-3-Sb 17768

17769, n° 647. Monnaie.

17769, n° 648. Monnaie.

État 2.1 : LTD1b évoluée

E1-4-Sb 17757

Planche 109, 10. 17815, n° 657.

Table de travail de forme triangulaire avec trace d'abrasion sur le côté fin et une face supérieure comportant des traces de martelage. Lithique.

L. 141 mm, l. 65 mm, Ép. 38 mm. <500 g.

E : 1135. N : 1154.5. Alt. : 573.03.

Autres petits mobiliers

17815, n° 656. Jeton.

E1-9-TP 17770

Planche 109, 11. 17771, n° 660.

Clé à panneton lacunaire à deux dents conservées et anneau cassé. Fer.

L. 50 mm, L. (dent) 25 mm. 24.8 g.

E : 1158. N : 1130.7. Alt. : 573.06.

Autres petits mobiliers

17771, n° 661. Fragment de paroi de foyer.

E1-10-Fo 17762

Planche 109, 12. 17763, n° 659.

Fragment d'orle de section rectangulaire avec patte de fixation rivetée. Fer.

L. 110 mm, S. 8 x 5 mm. 26.5 g.

E : 1157.6. N : 1133.3. Alt. : 573.08.

Type : Rectangulaire.

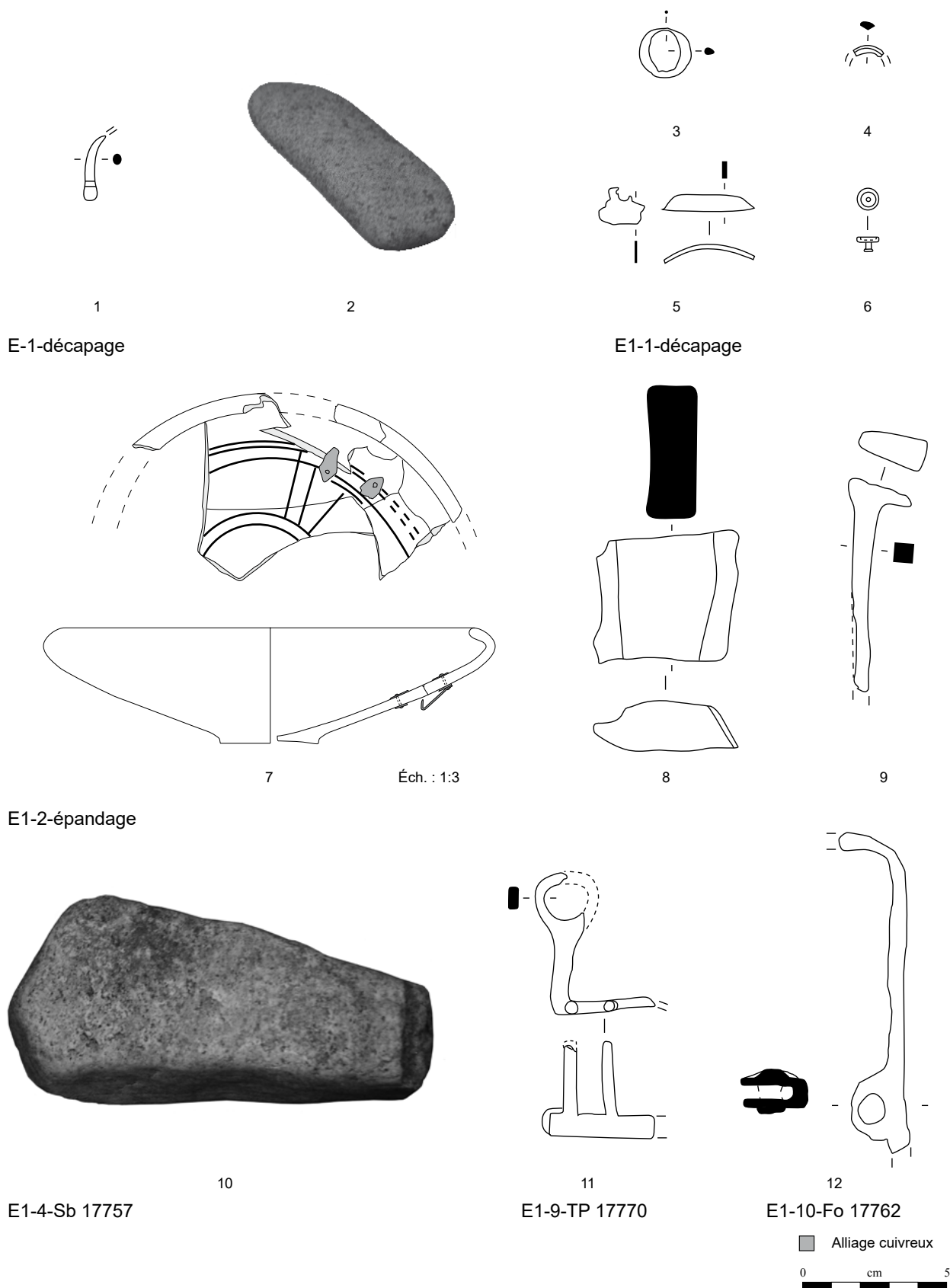


Planche 109. E-1-décapage à E1-10-Fo 17762

1, 3-6 : alliage cuivreux; 2 : basalte fin; 7 : céramique et alliage cuivreux; 8-9, 11-12 : fer; 13 : granit.

Bâtiment E1

État 2.1 : LTD1b évoluée

E1-11-Sb 17742

Planche 110, 1. 17742, n° 658.

Fragment de surface de travail rectangulaire ou carrée en granit, avec face supérieure délitée présentant des traces de percussion, tandis que le petit côté du rectangle est poli par abrasion. Les longs côtés sont bouchardés. Lithique.
L. 114 mm., l. 104 mm, Ép. 47 mm. 830 g.
E : 1153.8. N : 1136.35. Alt. : 573.1.

Bâtiment E2

État 2.1 : LTD1b évoluée

E2-4-TP 17766

Planche 110, 2. 17750, n° 1754.

Fragment de barre de gril avec extrémité amincie. Fer.

L. 144 mm, S. 9 x 3 mm. 15.2 g.
E : 1161.35. N : 1136.6.*

Bâtiment E3

Décapage

E3-1-décapage

17725, n° 628. Dé rectangulaire en cours de fabrication d'un parallélépipède rectangle en os.

État 2.1 : LTD1b évoluée

E3-2-TP 17425

Planche 110, 3. 17426, n° 1082.

Poids sphérique constitué d'un basalte fin sphérique poli. Lithique.
L 57 x 70 mm. 399.3 g.
E : 1171.48. N : 1149.26. Alt. : 573.02.

Autres petits mobiliers

17426, n° 1081. Fragment de plaque de foyer.

E3-3-Pal 17727

Planche 110, 4. 17728, n° 634.

Fragment de gouttière de bouterolle de fourreau. Fer.
L. 26 mm, S. 4 x 3 mm. 1 g.
E : 1173. N : 1138.*

Planche 110, 5. 17728, n° 675.

Fragment indéterminé de tige de section ronde (?) puis de section rectangulaire. Fer.
L. 94 mm, S. 8 mm. 33.7 g.
E : 1173.5. N : 1137.5. Alt. : 572.89.

Autres petits mobiliers

17728, n° 632. Fragment de plaque de foyer.

E3-5-TP 17740

Planche 110, 6. 17739, n° 676.

Anneau de section ronde. Base-cuivre.
Diam. 15 mm, S. 3 mm. 1.8 g.
E : 1173.75. N : 1140.5. Alt. : 572.91.

Esplanade

Non phasé

ESP-1-Fo 17710

Planche 110, 7. 17711, n° 1787.

Lame d'émondoir avec manche à plaquette avec bois minéralisé et tranchant incurvé externe. Fer.

L. 57 mm, l. (lame) 13 mm. 24.3 g.
E : 1164.6. N : 1127.6.*

Autres petits mobiliers

17711, n° 635. Fusaïole en terre cuite.

ESP-2-Fo 22481

Planche 110, 8. 22481, n° 675.

Manipule constitué d'une bande à section en «D» avec extrémités élargies et perforées, dont une fragmentaire. Fer.
L. 137 mm. 49 g.
E : 1191.9. N : 1080.
Type : Manipule.

ESP-3-Fo 22471

Planche 110, 9. 22471, n° 801.

Fragment de marteau en granit constitué d'un parallélépipède rectangle avec six faces, dont une arrondie présentant de nombreuses traces de percussion. Lithique.
L. 102 mm, l. 60 mm. 695 g.
E : 1194.2. N : 1107.45.*

Hors ensemble, tombe

Décapage

HET-1-décapage

Planche 110, 10. 17843, n° 367.

Fibule complète à charnière dans le prolongement de l'arc, à arc symétrique triangulaire orné d'une loge à émail comportant un point central en alliage cuivreux et à pied mouluré à bouton terminal. Base-cuivre.
L. 66 mm, L. (arc) 27 mm, L. (arc) 13 mm. 3.8 g.
E : 1152.81. N : 1085.2. Alt. : 572.95.*
Type : B68-5.

Planche 110, 11. 17843, n° 666.

Demi-produit constitué d'une tige de section changeante, circulaire et carrée. Base-cuivre.
L. 31 mm, S. 3 mm. 1.9 g.
E : 1151.8. N : 1082.93. Alt. : 572.93.

Planche 110, 12. 17843, n° 665.

Chute de tige de section carrée. Base-cuivre.
L. 38 mm, S. 2,5 mm. 1.9 g.
E : 1152.63. N : 1082.37. Alt. : 572.95.

Planche 110, 13. 17843, n° 668.

Fragment de chute de tige de section rectangulaire. Base-cuivre.
L. 10. 0.6 g.
E : 1152.32. N : 1085.26. Alt. : 572.97.

Planche 110, 14. 17843, n° 663.

Demi-produit constitué d'une tige de section carrée. Plomb.
L. 35 mm, S. 4 mm. 2 g.
E : 1151.7. N : 1082.93. Alt. : 573.

Planche 110, 15. 17843, n° 372.

Fragment de ressort de pince à épiler de trousse de toilette avec la perforation du rivet de fixation. Base-cuivre.
L. 12 mm. 0.8 g.
E : 1151.9. N : 1082.*

Planche 110, 16. 17843, n° 667.

Rivet émaillé. Base-cuivre.
Diam. 14 mm, L. 12 mm. 5.5 g.
E : 1152.3. N : 1084.14. Alt. : 572.95.

Autres petits mobiliers

17843, n° 664. Fragment de verre indéterminé.

17843, n° 677. Jeton.

17843, n° 662. Monnaie.

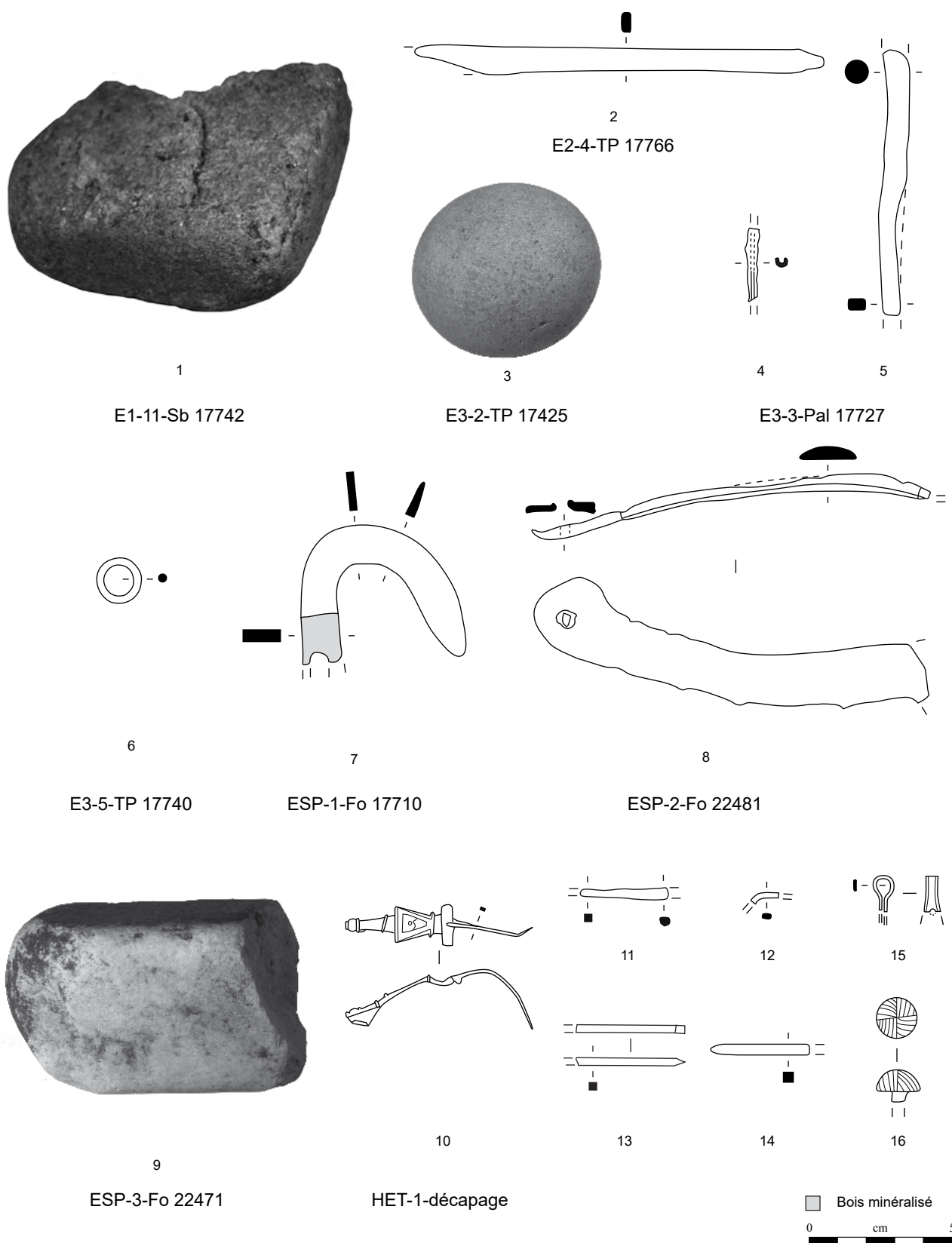


Planche 110. E1-11-Sb 17742 à E3-5-TP 17740, ESP-1-Fo 17710 ESP-3-Fo 22471 et HET-1-décapage

1, 9 : granit; 2, 4-5, 7-8 : fer; 3 : basalte fin; 6, 10-13, 15-16 : alliage cuivreux; 14 : plomb.

Type d'objet	UF	No	Description	Métal	NR	NMI	M(g)
E-1-décapage	<i>Décapage</i>						
Cabochon	17747	642	Cabochon avec trace de plomb	Base-cuivre	1	1	0.4
Clou de chaussure	17724	643	Clou de chaussure	Fer	1	1	1.5
Clou de chaussure	17724	645	Clou de chaussure	Fer	1	1	1.1
Clou de chaussure	17724	621	Clou de chaussure	Fer	1	1	1.5
Clou	17724		Men.: 16 frgts; 12 tiges	Fer	28	16	151
Clou	17700		Tige	Fer	1	1	8
Clou	17723		Tige	Fer	2	1	3
Scorie (fer)	17724	644	Scorie fortement vitrifiée	Fer	1	1	13.2
E1 et E2-1-décapage	<i>Décapage</i>						
Clou	17726		Men.: 1 frgt	Fer	1	1	8
E1-1-décapage	<i>Décapage</i>						
Cabochon	17767	649	Cabochon en trace de plomb	Base-cuivre	1	1	0.8
Ferrure	17767		Fragment de ferrure	Fer	1	1	12.5
Clou	17722		Men.: 1 frgt	Fer	1	1	10
Clou	17767		Men.: 4 frgts; 2 tiges	Fer	6	4	33
Rivet (bc)	17722	624	Rivet par refoulement	Base-cuivre	1	1	0.4
E1-2-épanage	<i>Non phasé</i>						
Clou	17780		Men.: 1 frgt	Fer	1	1	10
Clou	17842		Men.: 1 frgt	Fer	1	1	26
Clou	17801		Men.: 4 frgts; 3 tiges	Fer	7	4	33
E1-4-Sb 17757	<i>État 2.1 : LTD1b évoluée</i>						
Clou	17815		Tige	Fer	2	1	8
E1-5-TP 17789	<i>État 2.1 : LTD1b évoluée</i>						
Indéterminé tôle	17790		Fragment de tôle	Fer	1	1	21
E1-6-TP 17787	<i>État 2.1 : LTD1b évoluée</i>						
Clou	17788		Men.: 1 frgt; 1 tige	Fer	2	1	14
E1-7-TP 17778	<i>État 2.1 : LTD1b évoluée</i>						
Clou	17779		Men.:1 frgts; 3 tiges	Fer	4	1	16
E1-8-TP 17774	<i>État 2.1 : LTD1b évoluée</i>						
Maillon rapide	17775		Maillon rapide de section carrée	Fer	1	1	9
Clou	17775		Tige	Fer	1	1	20
E1-9-TP 17770	<i>État 2.1 : LTD1b évoluée</i>						
Ferrure	17771		Fragments de ferrure	Fer	3	1	16.7
Indéterminé plat	17771		Fragment de bande de fer plat	Fer	1	1	15.1
Clou	17772	625	Tige	Fer	1	1	3.1
E1-10-Fo 17762	<i>État 2.1 : LTD1b évoluée</i>						
Ferrure	17762		Fragment de ferrure	Fer	1	1	7.5
Clou	17762		Men.: 4 frgts; 2 tiges	Fer	6	4	30
E1-11-Sb 17742	<i>État 2.1 : LTD1b évoluée</i>						
Ferrure	17741		Fragment de ferrure	Fer	1	1	11.7
E1-12-Sb 17720	<i>État 2.1 : LTD1b évoluée</i>						
Clou	17721		Tige	Fer	1	1	3
E1-14-TP 17837	<i>État 1 : LTD1b classique</i>						
Indéterminé tôle	17839		Fragment de tôle perforée à deux reprises	Fer	1	1	20
Clou	17839		Men.: 2 frgts	Fer	2	2	15.8
E1-15-TP 17818	<i>État 1 : LTD1b classique</i>						
Clou	17819		Men.: 1 frgt	Fer	1	1	16
E1-16-Sb 17816	<i>État 1 : LTD1b classique</i>						
Indéterminé tôle	17817		Fragment de tôle	Fer	1	1	2.7
E1-17-Sb 17783	<i>État 1 : LTD1b classique</i>						
Clou	17784		Tiges	Fer	4	1	19
E1-18-Sb 17736	<i>État 1 : LTD1b classique</i>						
Clou	17736		Men.: 1 frgt	Fer	1	1	10
E2-1-Sb 17764	<i>État 2.1 : LTD1b évoluée</i>						
Clou	17765		Men.: 6 frgts; 8 tiges	Fer	14	6	88
E2-2-TP 17759	<i>État 2.1 : LTD1b évoluée</i>						
Clou	17758		Men.: 2 frgts; 3 tiges	Fer	5	2	24
E2-3-Ce 17751	<i>État 2.1 : LTD1b évoluée</i>						
Clou	17751		Tige	Fer	1	1	17
E2-4-TP 17766	<i>État 2.1 : LTD1b évoluée</i>						
Indéterminé tige	17750	639	Fragment de tige de section lenticulaire	Base-cuivre	1	1	0.7
Indéterminé tôle	17750		Fragments de tôle	Fer	2	1	13
Clou	17750		Men.: 3 frgts; 8 tiges	Fer	11	3	48
Scorie (fer)	17750	640	Scorie informe	Fer	1	1	64.4
E3-1-décapage	<i>Décapage</i>						
Clou de chaussure	17725	631	Clou de chaussure sans décor	Fer	1	1	2

Type d'objet	UF	No	Description	Métal	NR	NMI	M(g)
Clou	17725		Tige	Fer	1	1	5
E3-2-TP 17425	<i>État 2.1 : LTD1b évoluée</i>						
Clou	17426		Men.: 2 frgts; 1 tige	Fer	3	2	37
E3-3-TP 17727	<i>État 2.1 : LTD1b évoluée</i>						
Cabochon	17728	633	Fragment de cabochon avec trace de plomb	Base-cuivre	1	1	0.4
Clou	17728		Tige	Fer	1	1	18
E3-4-TP 17729	<i>État 2.1 : LTD1b évoluée</i>						
Clou	17729		Men.: 1 frgt	Fer	1	1	28
E3-5-TP 17740	<i>État 2.1 : LTD1b évoluée</i>						
Indéterminé tôle	17739		Fragment de tôle	Fer	1	1	9.3
Clou	17739		Men.: 6 frgts; 6 tiges	Fer	12	6	69
E3-6-Fo 17731	<i>Non phasé</i>						
Clou	17732		Tige	Fer	1	1	4
E3-7-TP 17999-2	<i>État 2.1 : LTD1b évoluée</i>						
Clou	17999-2		Men.: 7 frgts; 14 tiges	Fer	21	7	103
ESP-1-Fo 17710	<i>Non phasé</i>						
Ferrure	17711		Fragment de large ferrure	Fer	1	1	63.9
Indéterminé objet	17711		Fragments indéterminés brûlés	Fer	10	1	92.4
Indéterminé tôle	17711		Fragments de tôle indéterminée brûlée	Fer	5	1	27.4
Clou	17711		Constr. 1 frgt; men.: 42 frgts; 58 tiges brûlés	Fer	101	43	860
ESP-2-Fo 22481	<i>Non phasé</i>						
Ferrure	22481		Fragments de ferrure	Fer	3	2	17.5
Indéterminé objet	22481	859	Frgt informe	Fer	1	1	17.4
Indéterminé tôle	22481		3 frgts de tôle	Fer	3	1	11.6
Clou	22481		Men.: 8 frgts, 10 tiges	Fer	18	8	173
ESP-3-Fo 22471	<i>Non phasé</i>						
Ferrure	22471		2 frgts de ferrure dont un avec clou en position fonctionnelle	Fer	2	1	32
Clou	22471		Men.: 1 frgt	Fer	1	1	6.8
ESP-4-Fo 22470	<i>Non phasé</i>						
Clou	22470		Men.: 1 frgt, 1 tige	Fer	2	1	8.7
HET-1-décapage	<i>Décapage</i>						
Chute de tôle repliée	17843	670	Chute de tôle repliée	Base-cuivre	1	1	0.6
Clou	17843		Men.: 5 frgts; 7 tiges	Fer	12	5	50
HET-2-SEP 17845	<i>État 5</i>						
Clou	17846		Men.: 1 frgt	Fer	1	1	15

BÂTIMENT Q

Décapage

Q-1-décapage

Planche 111, 1. 22001, n° 820.
Fragment d'épée de section lenticulaire avec légère nervure centrale. Fer.
L. 180 mm, l. 33 mm. 96.4 g.
E : 1218.8. N : 1112.*

Planche 111, 2. 22003, n° 205.
Broyon constitué d'un galet de basalte avec deux faces utilisées. Lithique.
L. 159, l. 68 mm. 673 g.
E : 1222.40. N : 1129.6. Alt. : 571.84.

Planche 111, 3. 22001, n° 204.
Fragment d'aiguiseur parallélépipédique rectangle en grès fin dont toutes les faces semblent utilisées. Le centre est très usé. Lithique.
L. 52 mm, l. 29 mm. 75.9 g.
E : 1218.35. N : 1112.17. Alt. : 572.17.

Planche 111, 4. 22003, n° 823.
Ciseau composé d'une tête massive avec un léger rétrécissement, un manche de section ronde et un tranchant fragmentaire dont le biseau forme une section en «D». Fer.
L. 35 mm, S. 7 mm. 5.9 g.
E : 1233.5. N : 1119.*

Planche 111, 5. 22003, n° 200.
Ciseau droit à soie et à manche de section rectangulaire terminé par un tranchant droit à deux biseaux courts. Fer.
L. 92 mm, L. (tranchant) 14 mm. 25.8 g.
E : 1217.25. N : 1131. Alt. : 572.09.

Planche 111, 6. 21600, n° 2631.
Douille fragmentaire ouverte. Fer.
L. 50 mm, diam. 17 mm. 30 g.
E : 1219. N : 1127. Alt. : /.*

Planche 111, 7. 22001, n° 821.
Chute de tige de section quadrangulaire. Fer.
L. 19 mm. 1 g.
E : 1218.5. N : 1112.8.*

Autres petits mobiliers

22001, n° 202. Jeton.
22003, n° 728. Monnaie.
22003, n° 727. Monnaie.
22027, n° 307. Lèvre de récipient hellénistique à décor reticulé ou en filet à lèvre pourpre à filament blanc et corps translucide à filaments jaunes.

État 2 lato sensu : fin LTD1b-LTD2

Q-2-Cit 20662

Planche 111, 8. 20663, n° S1025.
Fibule à nodosité entière à ressort à quatre spires et corde interne, à arc triangulaire cambré relativement massive au niveau de la tête. Il est interrompu par un bouton arrondi suivi d'une loge décorée de stries et présente une section losangique, après la nodosité. Le pied ajouré est triangulaire. Argent.
L. 55 mm, L. (arc) 26 mm. 4.6 g.
E : 1217.1. N : 1116.4. Alt. : 572.12.
Type : B24-4.

Planche 111, 9. 20663, n° S1029.
Fibule à charnière dans le prolongement de l'arc, à arc étroit cambré de forme et de section triangulaire avec décor d'une double ligne formant un «V» au-dessus de la tête. Le pied triangulaire plein comporte un bouton rapporté. L'axe de la charnière comporte une perle à chaque extrémité. Base-cuivre.
L. 65 mm, L. (arc) 44 mm, l. (arc) 9 mm. 8.8 g.
E : 1217.45. N : 1116.38. Alt. : 571.97.
Type : B68-1.

Planche 111, 10. 20663, n° S1042.
Fragment de bracelet à jonc lisse de section ovale. Base-cuivre.
L. 59 mm, S. 4 x 2 mm. 2.6 g.
E : 1217.24. N : 1116.71. Alt. : 571.8.
Type : B10-2.

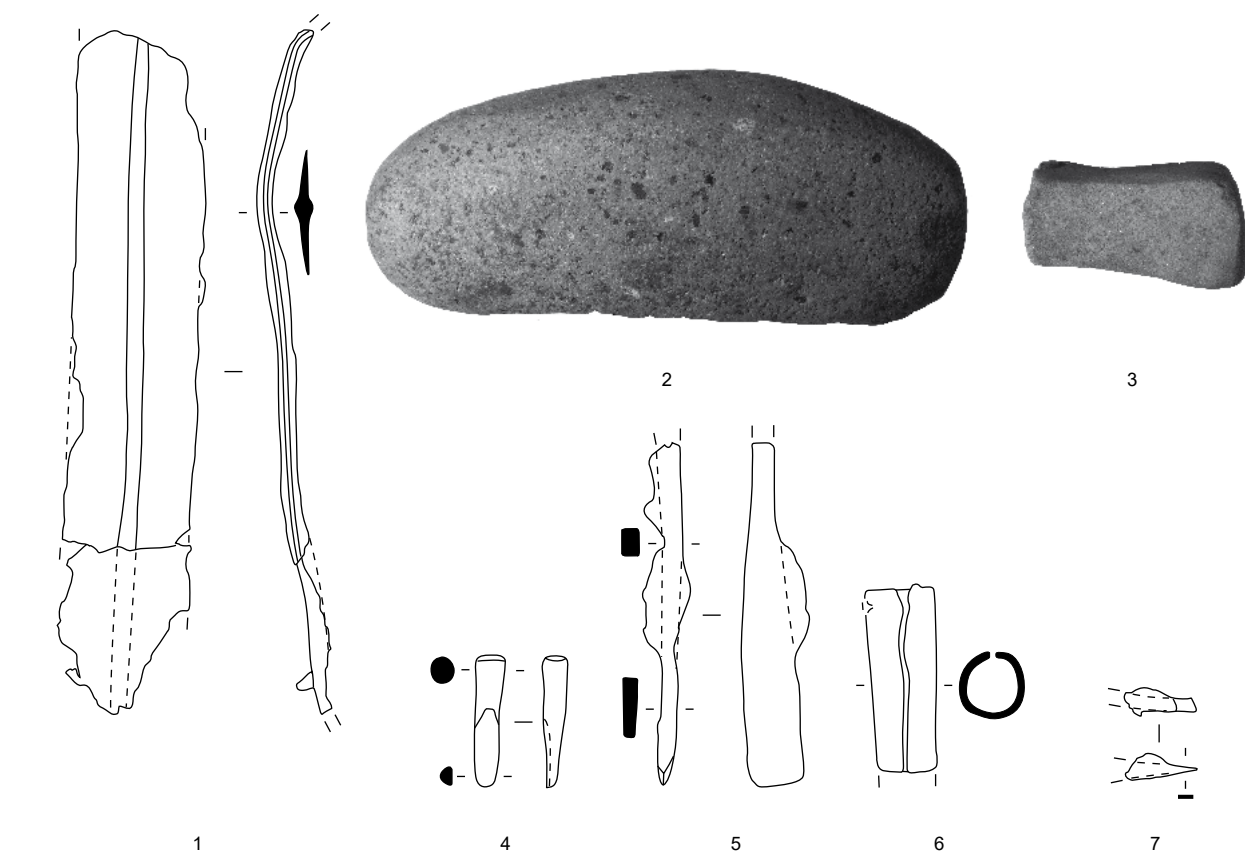
Planche 111, 11. 20662, n° S1054.
Perle cannelée de section lenticulaire. Base-cuivre.
Diam. 11 mm, S. 4.5 x 2 mm. 2 g.
E : 1216.9. N : 1116.53.*

Planche 111, 12. 20663, n° S1026.
Couteau fragmentaire à tranchant arraché à dos droit et manche à plaquette plié au niveau de la lame. Fer.
L. 118 mm, l. (lame) 26 mm. 36.2 g.
E : 1217.38. N : 1116.24. Alt. : 572.12.
Type : 0-0.

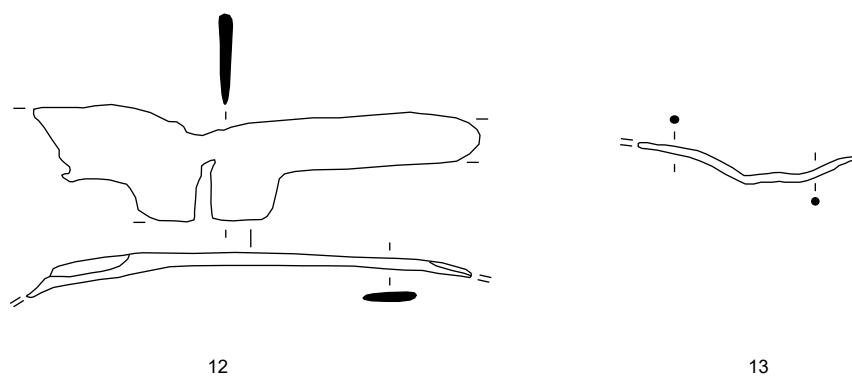
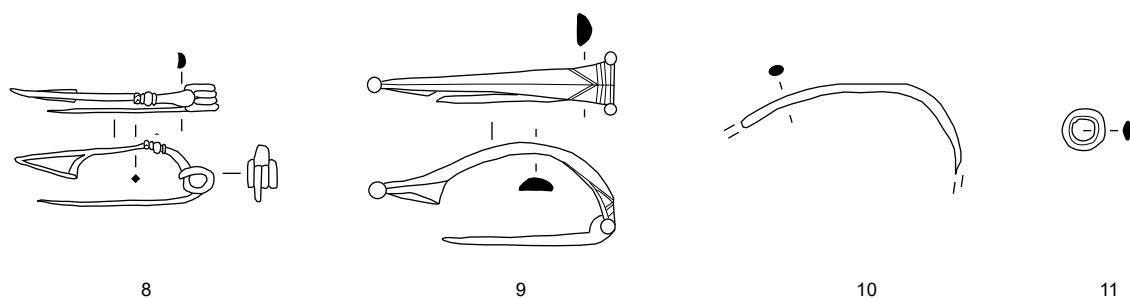
Planche 111, 13. 20663, n° S1035.
Fragment indéterminé de tige de section ronde appointée. Base-cuivre.
L. 58 mm, S. 1.5 mm. 1.1 g.
E : 1217.2. N : 1116.5.*

Autres petits mobiliers

20663, n° S1037. Fragment de polissoir, de table de travail en quartz ?
20663, n° S1036. Jeton.
20663, n° S1048. Monnaie.
20662, n° S1061. Monnaie.
20662, n° S1051. Monnaie.
20662, n° S1052. Monnaie.
20663, n° S1038. Monnaie.
20663, n° S1044. Monnaie.
20662, n° S1060. Monnaie.
20663, n° S1057. Monnaie.



Q-1-décapage



Q-2-Cit 20662

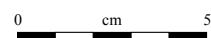


Planche 111. Q-1-décapage et Q-2-Cit 20662

1, 4-7, 12 : fer; 2 : basalte; 3 : grès; 8 : argent; 9-11, 13 : alliage cuivreux.

Bâtiment Q

État 2 lato sensu : fin LTD1b-LTD2

Q-3-Bs 22005

Planche 112, 1. 21615, n° 1509.

Perle à section en «D». Base-cuivre.
Diam. 16 mm, S. 6 x 8 mm. 9.4 g.
E : 1225. N : 1109.02. Alt. : 571.52.*

Planche 112, 2. 21615, n° 2630.

Pointe de flèche à une barbelure de section lenticulaire et à douille. Seule l'extrémité distale est fragmentaire. Fer.
L. 76 mm, diam. (douille) 10 mm. 20.7 g.
E : 1225.94. N : 1109.65.*

Planche 112, 3. 22005-1, n° 578.

Agrafe de harnais composée de deux bandes de tôle perforée à deux reprises et reliée par un anneau. Une face présente des décors constitués de rainures perpendiculaires à l'axe de la pièce et d'incisions ornant son extrémité. Base-cuivre.
L. 67 mm, l. 7 mm, diam. (anneau) 14 mm. 4 g.
E : 1223.22. N : 1107.58. Alt. : 572.03.

Planche 112, 4. 22005-2, n° 825.

Extrémité de pointe de lance de section nervurée. Fer.
L. 60 mm, l. max. 15 mm. 15.8 g.
E : 1224.26. N : 1108.8.*
Type : 40.

Planche 112, 5. 22005-2, n° 541.

Ressort de fibule à six spires (trois conservées) et corde externe basse avec arc écrasé sur le ressort. Fer.
L. 14 mm. 4 g.
E : 1227.69. N : 1110.68. Alt. : 571.3.
Type : F10-3.

Planche 112, 6. 22005-3, n° 458.

Ressort de fibule à quatre spires et corde externe haute avec départ de l'ardillon. Fer.
L. 29 mm. 1.6 g.
E : 1226.95. N : 1110.32. Alt. : 571.75.
Type : F30.

Planche 112, 7. 22005-3, n° 331.

Fibule à ressort à deux spires conservées à arc tendu mouluré triangulaire à bordures soulignées par un renflement et arête centrale. Le pied complet est trapézoïdal et ajouré. Base-cuivre.
L. 57 mm, L. (arc) 33 mm, l. (arc) 8 mm. 2.6 g.
E : 1227.21. N : 1109.76. Alt. : 571.74.
Type : B22-21.

Planche 112, 8. 22005-3, n° 463.

Manipule de bouclier constitué d'une bande de fer plat de section arrondie terminée par un élargissement à chaque extrémité. Fer.
L. 125 mm, l. 14 mm. 30.2 g.
E : 1222.43. N : 1107.78. Alt. : 572.01.
Type : Manipule.

Planche 112, 9. 22005-3, n° 330.

Applique constituée d'une tôle oblongue perforée aux deux extrémités. Base-cuivre.
L. 47 mm, l. 17 mm. 2.3 g.
E : 1227.26. N : 1110. Alt. : 571.72.

Autres petits mobiliers

22005-3, n° 459. Fusaïole en terre cuite à section en «D» avec une pâte à gros dégraissant.

22005-3, n° 462. Fusaïole ou perle à section en «D» en terre cuite.

21615, n° 1508. Fusaïole, jeton percé.

21615, n° 1512. Jeton.

21615, n° 1513. Jeton.

22005-3, n° 466. Jeton.

22005-3, n° 467. Jeton.

22005-2, n° 577. Monnaie.

22005-3, n° 468. Monnaie.

22005-1, n° 726. Monnaie.

22005-2, n° 542. Fragment de mortier en roche volcanique peu vacuolaire.

22005-2, n° 535. Perle en verre brun à décor spiralé blanc opaque (Gebhard IXbd).

Q-4-TP 22023

Planche 112, 10. 22023, n° 301.

Grand anneau à section en «D» avec trace d'usure. Base-cuivre.
Diam. 32 mm, S. 4 mm. 12.3 g.
E : 1224.3. N : 1119.15. Alt. : 571.77.

Planche 112, 11. 22023-1, n° 338.

Chaînette constituée de neuf maillons connectés et trois fragmentaires. Fer.
L. 38 mm, diam. (anneau) 6 mm. 2.2 g.
E : 1224.46. N : 1118.74. Alt. : 571.59.

Planche 112, 12. 22023, n° 309.

Manche de couteau à plaquette et à lame à dos plat et tranchant droit. Fer.
L. 66 mm. 19.5 g.
E : 1224.4. N : 1119.2. Alt. : 571.69.
Type : 0-0.

Planche 112, 13. 22023-1, n° 342.

Fragment d'attache d'anse de situle constituée d'une tige de section

rectangulaire terminée par un plat losangique perforé. Fer.
L. 69 mm. 25.8 g.
E : 1224.43. N : 1118.54. Alt. : 571.67.

Planche 112, 14. 22023, n° 325.

Lame de couteau à tranchant droit et dos incurvé avec départ d'un manche à soie de section rectangulaire. L'extrémité de la lame est cassée. Fer.
L. 85 mm, l. (lame) 20 mm. 20.9 g.
E : 1224. N : 1119.25. Alt. : 571.83.
Type : 5-1.

Planche 112, 15. 22023, n° 341.

Fragment de gueule de mors de pince à extrémité élargie. Fer.
L. 90 mm. 65.1 g.
E : 1223.6. N : 1119.75. Alt. : 571.63.

Planche 112, 16. 22023, n° 343.

Fragment de meulet en grès dont deux bords parallèles sont conservés ainsi que la cuvette centrale. Lithique.
L. 95 mm, ép. 17 mm. 218 g.
E : 1223.54. N : 1119.06. Alt. : 571.61.

Planche 112, 17. 22023, n° 327.

Piton à extrémité matée pour caisse de soutènement de char. Une tôle quadrangulaire provient du même sachet. Fer.
L. 55 mm. 26.2 g.
E : 1223.8. N : 1119.2. Alt. : 571.7.

Planche 112, 18. 22023, n° 328.

Fragment d'anneau de sertissage, de frette, constitué d'une bande de plat incurvée. Fer.
L. 56 mm, S. 25 x 4 mm. 14.7 g.
E : 1224.05. N : 1119.17. Alt. : 571.7.

Autres petits mobiliers

22023, n° 324. Fragments de plaque de foyer.

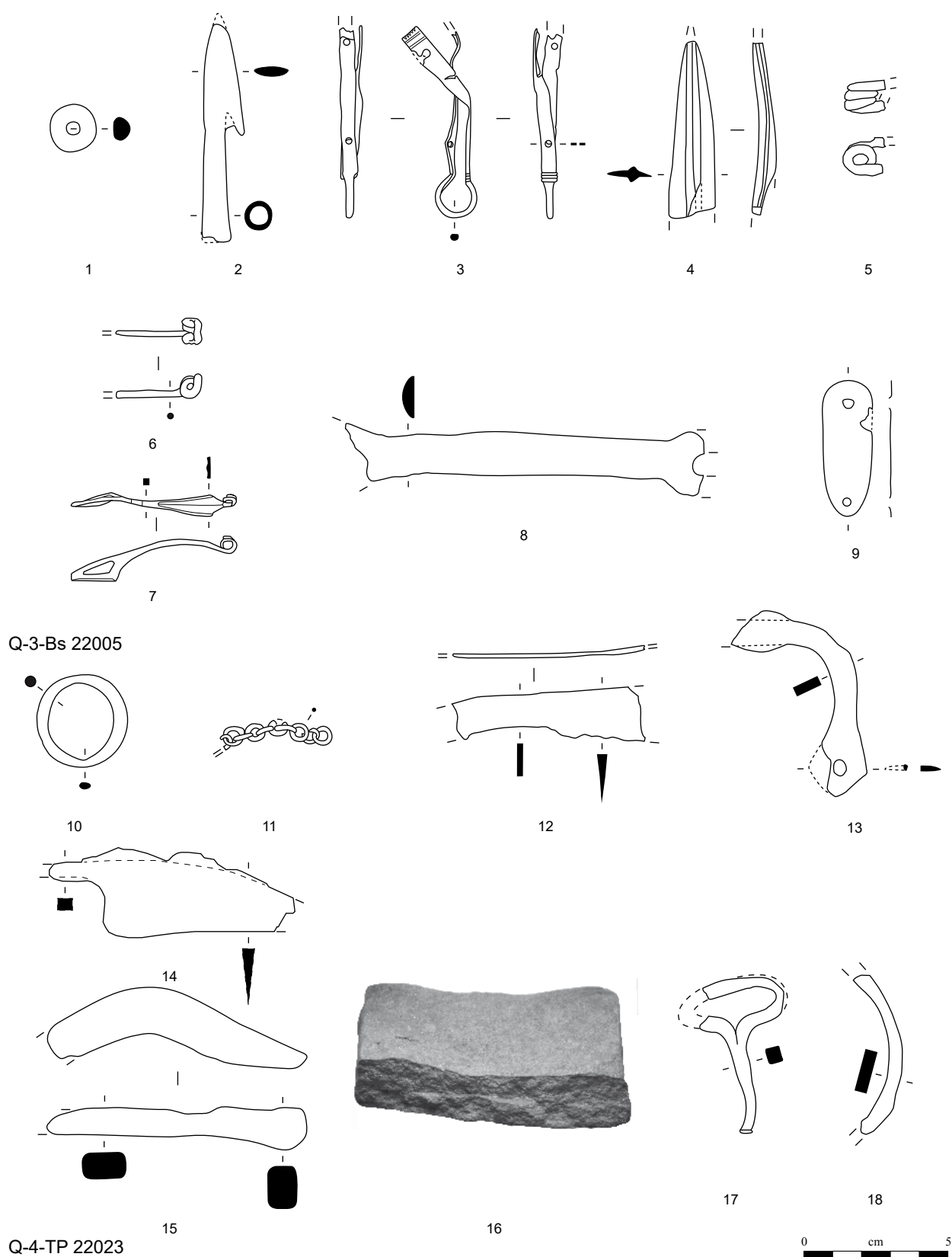


Planche 112. Q-3-Bs 22005 et Q-4-TP 22023

1, 3, 7, 9-10 : alliage cuivreux; 2, 4-6, 8, 11-15, 17-18; 16 : grès.

Bâtiment Q

État 2 lato sensu : fin LTD1b-LTD2

Q-6-TP 22058

Planche 113, 1. 22058, n° 836.

Fragment d'outil à soie et à manche de section conique. Fer.

L. 74 mm, S. 8 mm. 11 g.

E : 1216.6. N : 1132.4.*

Planche 113, 2. 22058, n° 837.

Fragment indéterminé de barre de section rectangulaire perforée avec le début d'un épaississement. Fer.

L. 74 mm, S. 12 x 5 mm. 14 g.

E : 1216.4. N : 1132.*

Planche 113, 3. 22058, n° 683.

Fragments de miroir à bord biseauté. Base-cuivre.

L. max. 16 mm, Ép. 1.5 mm. 5.8 g.

E : 1217.32. N : 1132.42. Alt. : 571.83.

Planche 113, 4. 22058, n° 534.

Éléments de serrure constitués de deux plaques rectangulaires presque complètes à bordure doublée. Une plaque présente six perforations en bordure et deux plus larges, carrée et rectangulaire au centre. La seconde ne compte que deux perforations. Ces deux plaques ont été retrouvées collées. Fer.

L. 110 mm, l. 70 mm et L. 96 mm, l. 55 mm. 152 g.

E : 1217.34. N : 1132.42. Alt. : 571.83.

État 2.2 : LTD2a

Q-7-Fo 20774

20775, n° S1063. Boule de pigment bleu.

État 2 lato sensu : fin LTD1b-LTD2

Q-8-TP 20701

Planche 113, 5. 20701, n° TRA2001.

Fragment de lame de section triangulaire. Fer.

L. 31 mm, l. 16.5 mm. 8 g.

E : 1225.8. N : 1114.5.*

Type : 0-0.

Planche 113, 6. 20701, n° TRA2002.

Fragment de barre de gril de section rectangulaire. Fer.

L. 124 mm, S. 8 x 3 mm. 18.6 g.

E : 1225.4. N : 1114.3.*

État 1 : LTD1b classique

Q-12-Pal 20660

Planche 113, 7. 20660, n° S1047.

Fragment de ferrure pliée. Fer.

L. 60 mm, l. 21 mm. 23.7 g.

E : 1209.9. N : 1122.35. Alt. : 572.17.

Autres petits mobiliers

20661, n° S1049. Monnaie.

Q-14-Fo 20695

Planche 113, 8. 20668, n° S1023.

Anneau cannelé à section en quart de rond. Base-cuivre.

Diam. 30 mm, S. 8 x 4 mm. 15.8 g.

E : 1209. N : 1125.16. Alt. : 572.24.

Q-15-Fo 20711

Planche 113, 9. 20712, n° S1053.

Attache d'anse de situle à pattes carrées dont l'une comporte encore sa contreplaque. Fer.

L. 91 mm, diam. (attache) 43 mm, S. (attache) 8 mm. 31.8 g.

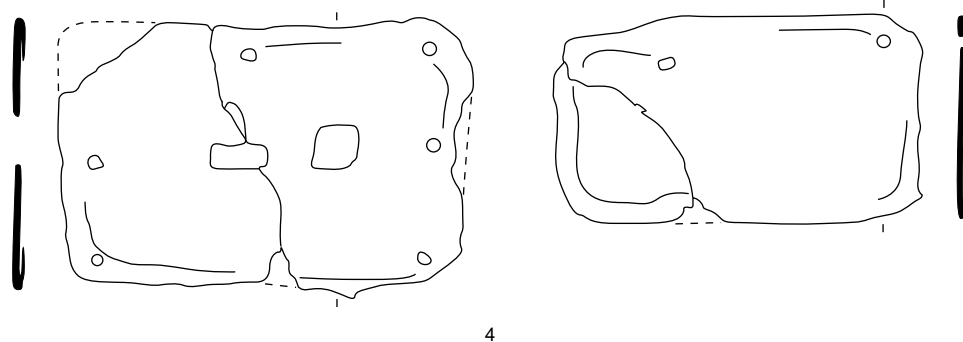
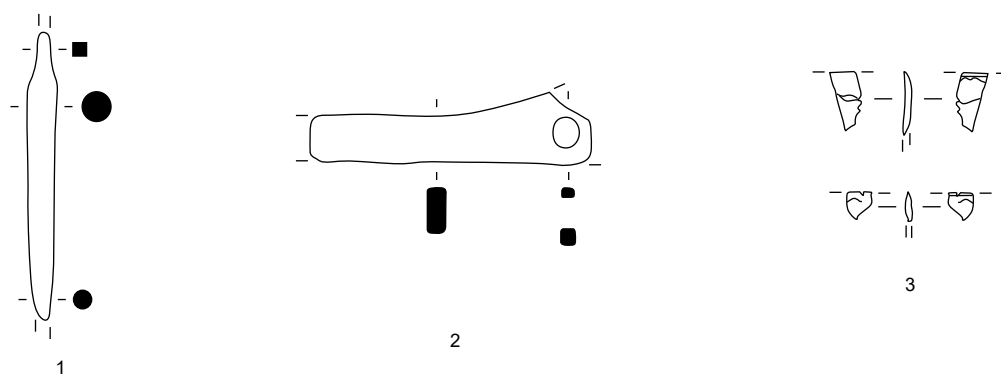
E : 1220. N : 1118.6. Alt. : 571.93.

Planche 113, 10. 21635, n° 2637.

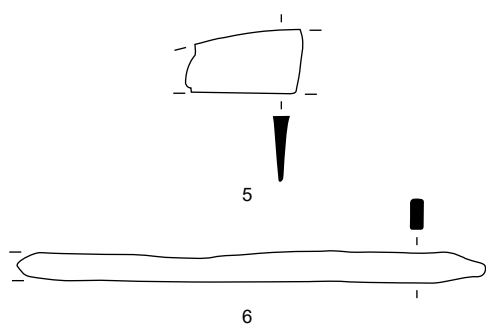
Chute de tige de section carrée terminée par un écrasement de section triangulaire. Fer.

L. 54 mm, S. 6 mm. 7.3 g.

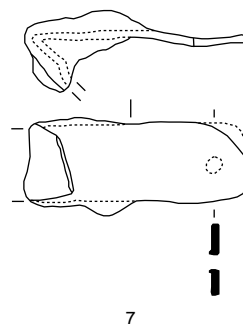
E : 1220. N : 1118.*



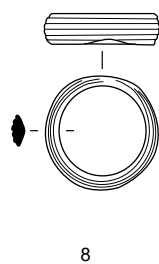
Q-6-TP 22058



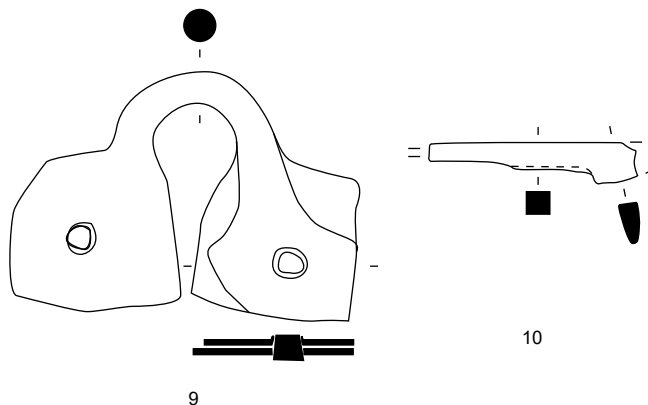
Q-8-TP 20701



Q-12-Pal 20660



Q-14-Fo 20695



Q-15-Fo 20711

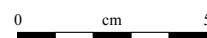


Planche 113. Q-6-TP 22058, Q-8-TP 20701, Q-12-Pal 20660, Q-14-Fo 20695 et Q-15-Fo 20711

1-2, 4-7, 9-10 : fer; 3, 8 : alliage cuivreux.

Bâtiment Q

État 1 : LTD1b classique

Q-10-TP 20653

Planche 114, 1. 20654, n° S1005.

Entrée de bouterolle située du côté avers du fourreau et constituée d'une tôle à gouttière ornée de lignes incisées horizontales. Cette entrée présente un élargissement en son centre. Fer.
L. 17 mm, l. rest. 61 mm. 12.2 g.
E : 1212.3. N : 1115.1.*

Planche 114, 2. 20654, n° S1015.

Talon de lance à douille. Fer.
L. 68 mm, diam. 16 x 20 mm. 38.4 g.
E : 1212.35. N : 1114.22. Alt. : 572.24.*
Type : 2.

Planche 114, 3. 20654, n° S1010.

Décrottoir à douille cassé ou usé à l'extrémité de la douille. Fer.
L. 89 mm, diam. (douille) 24 mm. 34.7 g.
E : 1212.6. N : 1114.8. Alt. : 572.14.*

Planche 114, 4. 20654, n° S1017.

Fragment de barre de gril de section rectangulaire à extrémité matée. Fer.
L. 154 mm, S. 9 x 4 mm. 31.7 g.
E : 1212.68. N : 1114.23. Alt. : 572.22.*

Planche 114, 5. 20654, n° S1016.

Barre de gril complète de section rectangulaire à extrémité matée. Fer.
L. 366 mm, S. 9 x 4 mm. 131.2 g.
E : 1212.48. N : 1114.27. Alt. : 572.25.*

Planche 114, 6. 20654, n° S1020.

Fragment de lame de couteau à dos droit. Fer.
L. 100 mm. 21 g.
E : 1212.51. N : 1114.84. Alt. : 572.23.*
Type : 0-0.

Planche 114, 7. 20654, n° S1013.

Anneau en forme de goutte de section ronde. Fer.
Diam. 74 x 48 mm, S. 9 mm. 71.4 g.
E : 1212.6. N : 1114.91. Alt. : 572.12.*

Planche 114, 8. 20654, n° S1009.

Fragment indéterminé de barre de section incurvée relativement épaisse. Support de gril, demi-produit ? Fer.
L. 99 mm, l. 18 mm, Ép. 5 mm. 30.2 g.
E : 1212.7. N : 1115.3. Alt. : 572.16.*

Planche 114, 9. 20654, n° S1008.

Réparation de collerette de chaudron constituée d'une plaque rectangulaire avec rivets en alliage cuivreux à tige enroulée et en fer, avec traces d'arrachage. Fer.
L. 151 mm, l. 80 mm. 74.7 g.
E : 1212.3. N : 1113.82. Alt. : 572.12.*

Planche 114, 10. 20654, n° S1055.

Fragment de collerette de chaudron constituée de deux tôles collées et rivetées. Fer.
L. 58 mm. 45.6 g.
E : 1212.5. N : 1114.81.*

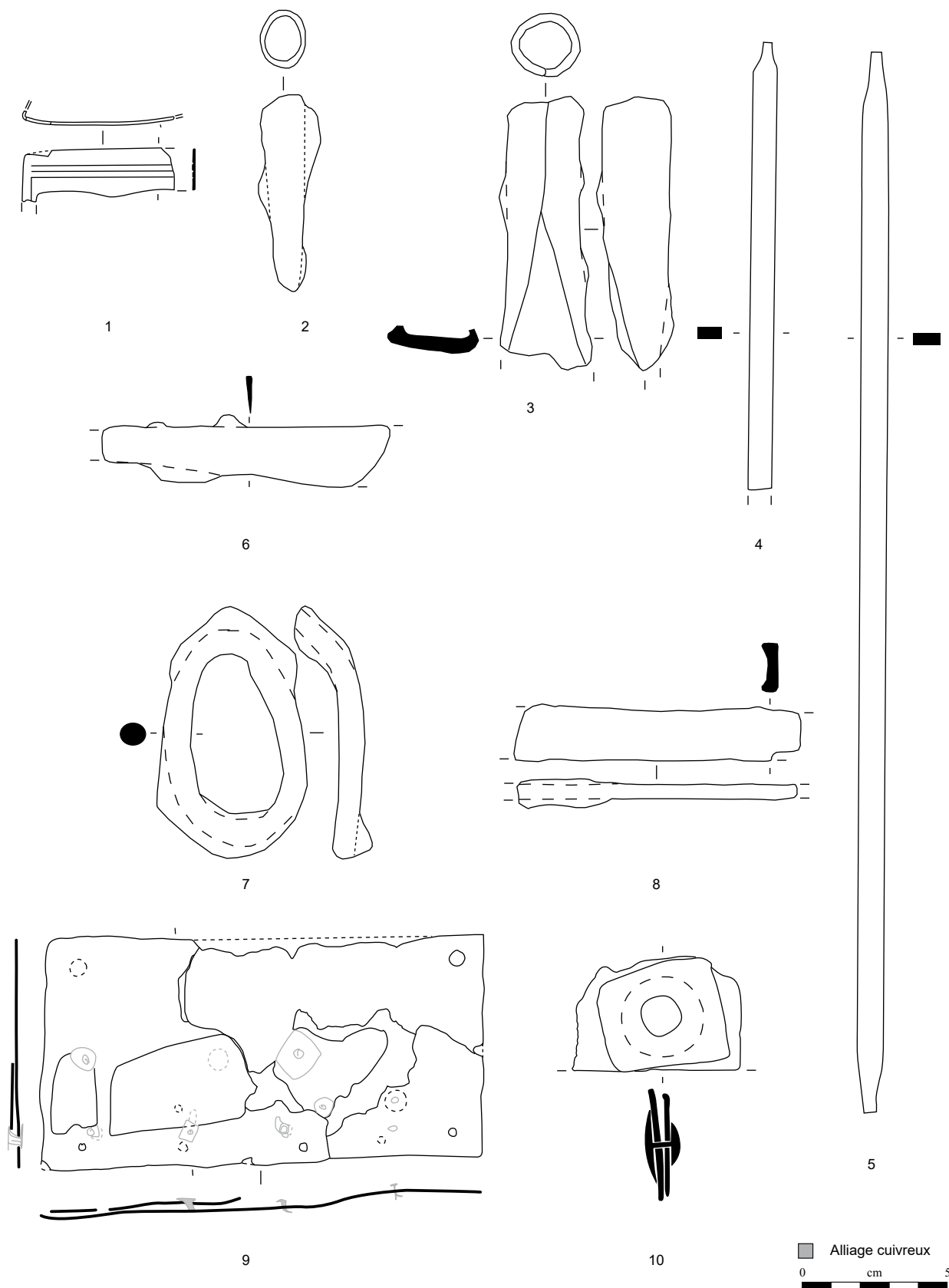


Planche 114. Q-10-TP 20653

Fer excepté 9, fer et alliage cuivreux

Bâtiment Q

État 1 : LTD1b classique

Q-10-TP 20653

Planche 115, 1. 20654, n° S1014.
Clou de menuiserie fragmentaire. Fer.
L. 35 mm. 15.9 g.
E : 1212.73. N : 1115.2. Alt. : 572.17.*

Planche 115, 2. 20654, n° S1012.
Clou de menuiserie fragmentaire. Fer.
L. 56 mm. 25.8 g.
E : 1212.53. N : 1115.07. Alt. : 572.12.*

Planche 115, 3. 20654, n° S1011.
Clou de menuiserie fragmentaire. Fer.
L. 43 mm. 10.5 g.
E : 1212.68. N : 1114.73. Alt. : 572.14.*

Planche 115, 4. 20654, n° S1018.
Fragment de tige de section carrée. Fer.
L. 95 mm. 34.5 g.
E : 1212.83. N : 1115.01. Alt. : 572.16.*

Planche 115, 5. 20654, n° S1006.
Fragment de crampon. Fer.
L. 91 mm. 51.5 g.
E : 1212.55. N : 1114.8. Alt. : 572.08.*

Planche 115, 6. 20654, n° S1056a.
Fragment de ferrure avec une perforation.
Fer.
L. 150 mm, l. 27 mm, Ép. 2 mm. 76.8 g.
E : 1212.6. N : 1115. Alt. : 572.14.*

Planche 115, 7. 20654, n° S1001.
Fragment de ferrure élargie à son
extrémité. Fer.
L. 69 mm, l. 26 mm, Ép. 2 mm. 20.1 g.
E : 1212.5. N : 1114.75.*

Planche 115, 8. 20654, n° S1021.
Fragment de ferrure. Fer.
L. 99 mm, l. 28 mm, Ép. 1 mm. 30.1 g.
E : 1212.38. N : 1114.71. Alt. : 572.26.*

Planche 115, 9. 20654, n° S1002.
Fragment de ferrure. Fer.
L. 39 mm, l. 16 mm, Ép. 1 mm. 4.3 g.
E : 1212.52. N : 1114.8.*

Planche 115, 10. 20654, n° S1007.
Grande ferrure comportant au minimum
deux perforations. Fer.
L. 216 mm, l. 60 mm, Ép. 2.5 mm. 170.3 g.
E : 1212.8. N : 1114.84. Alt. : 572.13.*

Planche 115, 11. 20654, n° S1056b.
Grande ferrure complète avec deux
perforations. Fer.
L. 245 mm, l. 54 mm, Ép. 2 mm. 184 g.
E : 1212.6. N : 1115. Alt. : 572.14.*

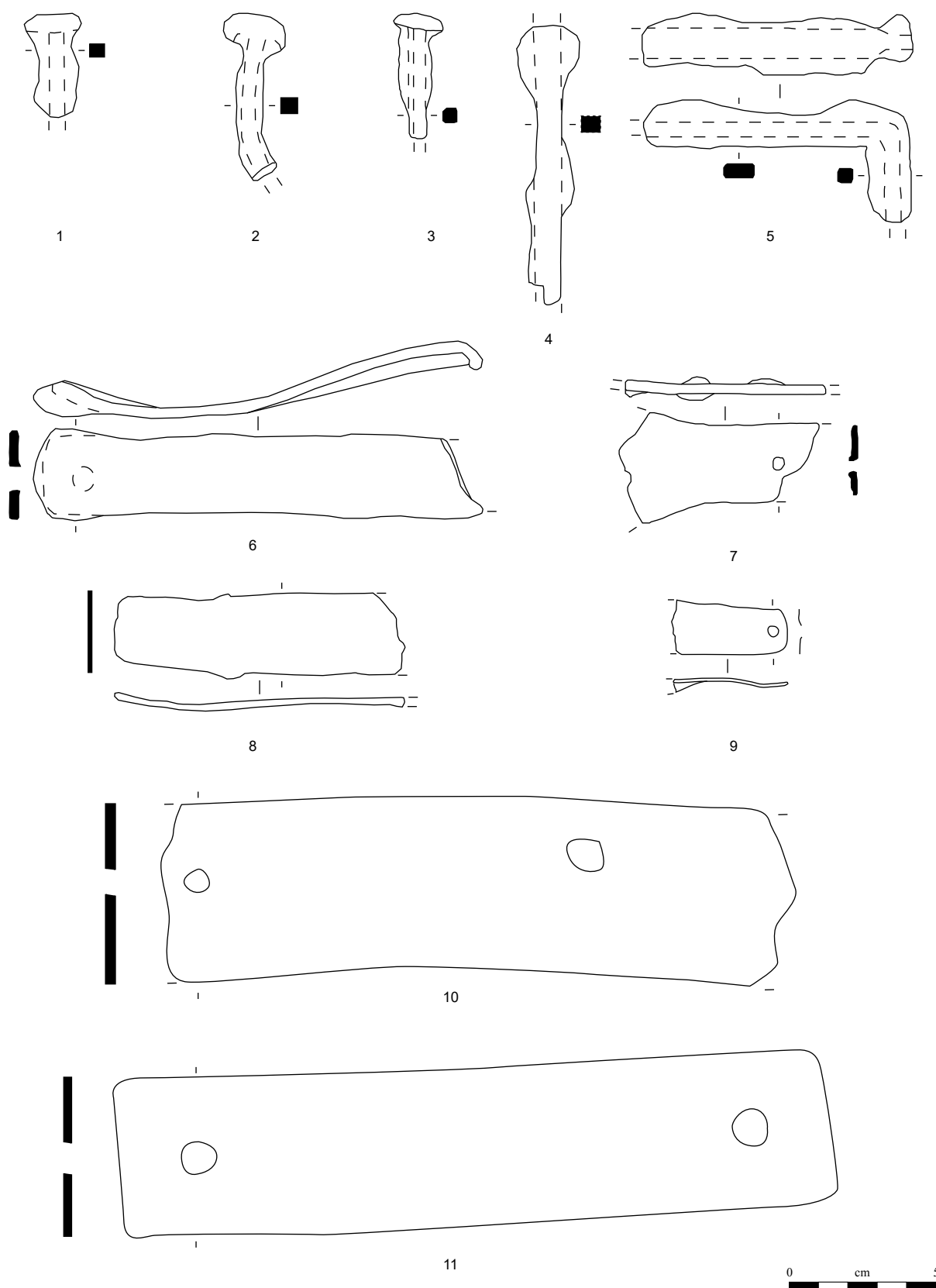


Planche 115. Q-10-TP 20653 (quincaillerie)

Fer.

Bâtiment Q

État 1 : LTD1b classique

Q-11-TP 20680

Planche 116, 1. 20681, n° S1030.
Bracelet à double système d'épissures complet à jonc lisse de section circulaire. Base-cuivre.
Diam. int. 50 mm, S. 2 mm. 4.4 g.
E : 1210.65. N : 1112.62. Alt. : 572.14.
Type : B12-2.

Planche 116, 2. 20681, n° S1041.
Extrémité de lance dont l'empennage asymétrique est fragmentaire et replié sur la nervure de la lance. Fer.
L. 88 mm, l. 22 mm. 33.7 g.
E : 1210.65. N : 1112.62. Alt. : 572.14.
Type : 41.

Planche 116, 3. 20681, n° S1046.
Partie active d'une lime en forme d'ogive, de section arrondie sur une face et plane sur l'autre. Fer.
L. 142 mm, S. max. 5 x 18 mm. 36.7 g.
E : 1210.65. N : 1112.62. Alt. : 572.14.

Planche 116, 4. 20681, n° S1031.
Fragment de gouttière peu prononcée à patine dorée. Base-cuivre.
L. 38 mm, l. 4 mm. 0.3 g.
E : 1210.65. N : 1112.62. Alt. : 572.14.

Planche 116, 5. 20681, n° S1039.
Clou de menuiserie. Fer.
L. 33 mm. 10.3 g.
E : 1210.65. N : 1112.62. Alt. : 572.14.

Planche 116, 6. 20681, n° S1040.
Rivet à contreplaque à tête hémisphérique creuse. Fer.
L. 50 mm, L. utile 36 mm. 45.6 g.
E : 1210.65. N : 1112.62. Alt. : 572.14.

Planche 116, 7. 20681, n° S1032.
Grande tige indéterminée de section carrée. Broche, barre de gril? Fer.
L. 434 mm, S. 7 mm. 131.1 g.
E : 1210.65. N : 1112.62. Alt. : 572.14.

État 1 à 2.1 : LTD1b

Q-18-TP 20697

Planche 116, 8. 20697, n° S1069.
Pied de fibule de schéma La Tène finale avec départ d'un arc filiforme de section circulaire. Fer.
L. 26 mm. 1.1 g.
E : 1211.45. N : 1110.3.*
Type : F03.

Planche 116, 9. 20698, n° S1050.
Lime à soie, de forme foliacée et de section lenticulaire, avec traces de rainures sur les deux faces. Fer.
L. 146 mm, L. (soie) 35 mm, L. (partie active) 111 mm. 30.7 g.
E : 1211.6. N : 1110.55. Alt. : 572.3.*

État 1 : LTD1b classique

Q-20-TP 21606

Planche 116, 10. 21607, n° 1501.
Objet indéterminé composé d'un plat rectangulaire perforé, avec gouttières latérales et terminé par une tige de section carrée. Outil, pelle à feu, objet en cours de fabrication? Fer.
L. 120 mm, l. 46 mm, S. (manche) 11 mm. 87.4 g.
E : 1226.7. N : 1112.8. Alt. : 571.05.*

Non phasé

Q-22-Fo 21640

Planche 116, 11. 21641, n° 2102.
Pied de fibule de schéma La Tène finale avec début d'un arc de tôle. Fer.
L. 22 mm. 0.5 g.
E : 1218.45. N : 1127.25.*
Type : F22-1.

Planche 116, 12. 21641, n° 2635.
Anneau massif de section hémisphérique. Fer.
Diam. 28 x 25 mm, diam. 4.5 x 10 mm. 23.4 g.
E : 1218.52. N : 1127.25. Alt. : 571.64.*

Planche 116, 13. 21641, n° 2103.
Perle à section en «D». Fer.
Diam. 19 mm, S. 10 x 7 mm. 10.9 g.
E : 1218.4. N : 1127.05.*

Planche 116, 14. 21640, n° 1522.
Grand rivet émaillé à tige en fer. Base-cuivre et fer.
L. 8 mm, diam. 27 mm. 18.7 g.
E : 1218.5. N : 1127.3. Alt. : 571.64.*

Planche 116, 15. 21641, n° 2104.
Fragment de plaque de fourreau constitué d'une tôle à gouttière. Fer.
L. 17 mm. 1.7 g.
E : 1218.2. N : 1127.4.*

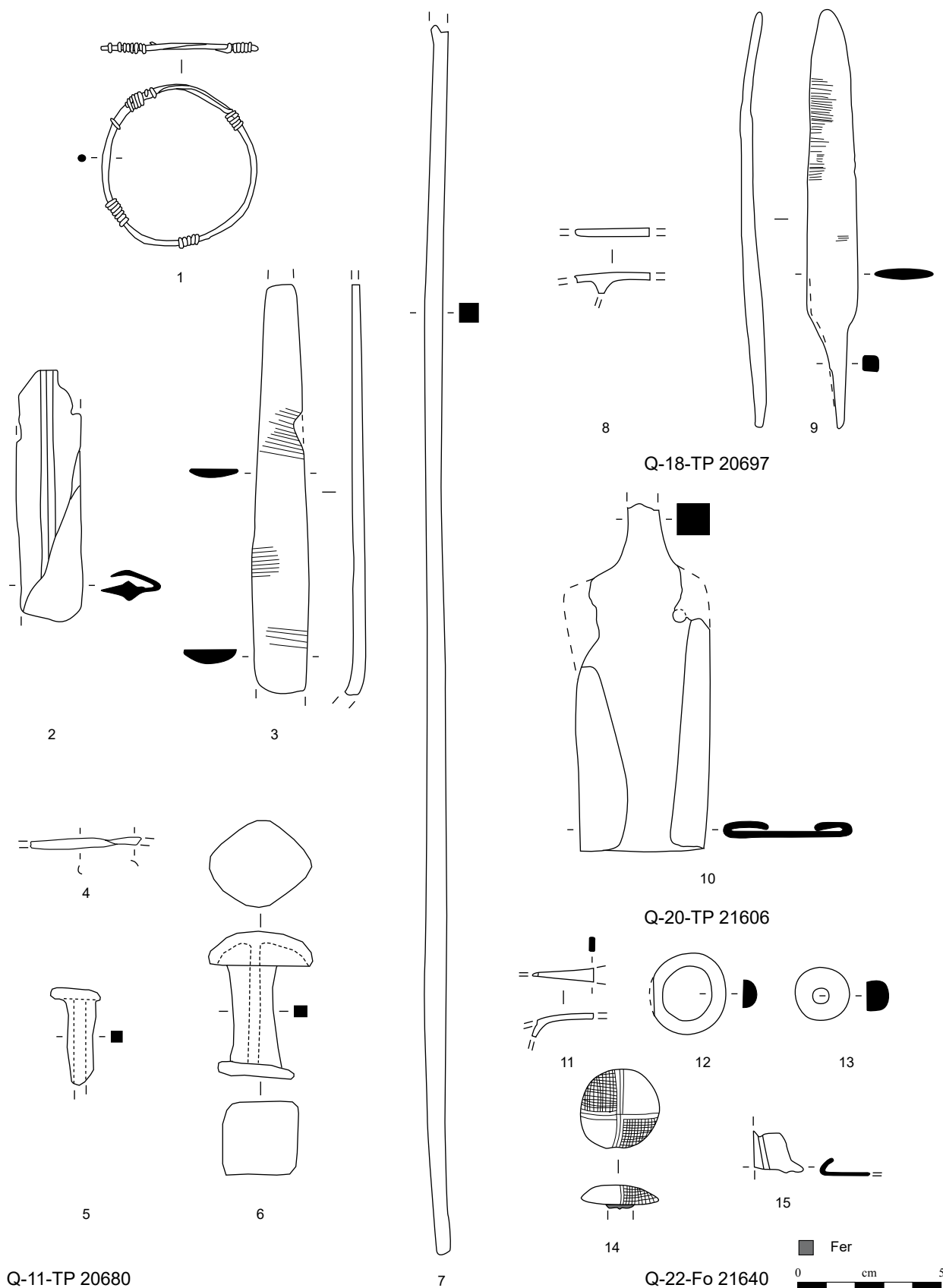


Planche 116. Q-11-TP 20680, Q-18-TP 20697, Q-20-TP 21606 et Q-22-Fo 21640

1, 4 : alliage cuivreux; 2-3, 513, 15 : fer; 14 : alliage cuivreux et fer.

Bâtiment Q

Non phasé

Q-23-Fo 21642

Planche 117, 1. 21643, n° 1519.

Fragment de lame de couteau. Fer.

L. 55 mm, l. 13 mm. 9.2 g.

E : 1221. N : 1127.6. Alt. : 571.71.*

Type : 0-0.

Q-24-Fo 22007

Planche 117, 2. 22007, n° 827.

Ressort de fibule à quatre spires et corde externe haute avec départ de l'arc filiforme de section circulaire et de l'ardillon. Fer.

L. 18 mm. 2.5 g.

E : 1231.2. N : 1131.2.*

Type : F33-0.

Autres petits mobiliers

22007-1, n° 398. Jeton.

22007-1, n° 400. Jeton.

22007-1, n° 402. Fragment de plaque de foyer à rebord quadrangulaire large, légèrement arrondi.

Q-26-TP 22014

Planche 117, 3. 22014, n° 300.

Lève-loquet constitué d'une tige de section rectangulaire terminée par une anneau auquel est connecté un autre anneau de section carrée. Fer.

L. 226 mm, diam. (anneau) 24 mm, S. (anneau) 5 x 8 mm, S. (panneton) 6 x 10 mm. 178 g.

E : 1225.1. N : 1128.95. Alt. : 571.65.

Q-28-TP 22038

Planche 117, 4. 22038, n° 332.

Perle de section losangique. Base-cuivre.

Diam. 14 mm, S. 3 x 4 mm. 3.1 g.

E : 1233.76. N : 1122.74. Alt. : 571.5.

Q-29-TP 22039

22039-1, n° 344. Monnaie.

Q-27-TP 22036

Planche 117, 5. 22036, n° 832.

Fragment de plaque de fourreau (?) constitué d'une tôle avec gouttière latérale. Fer.

L. 22 mm. 1 g.

E : 1231.7. N : 1120.4.*

Planche 117, 6. 22036, n° 831.

Gouge à soie de section quadrangulaire, à manche de section ronde et tranchant fragmentaire. La gorge formée au niveau du tranchant peut être due à un éclat de la surface de l'objet. Fer.

L. 112 mm, S. 8 mm. 29 g.

E : 1231.4. N : 1120.1.*

Planche 117, 7. 22036, n° 460.

Outil à soie dont le manche est constitué d'un plat de section rectangulaire à bords latéraux convergents. Fer.

L. 72 mm, l. 11 mm, Ép. 2.5 mm. 16.2 g.

E : 1231.82. N : 1120.43. Alt. : 571.64.

État 1 : LTD1b classique

Q-32-TP 22061

Planche 117, 8. 22061-1, n° 540.

Fragment d'arc de fibule de tôle triangulaire avec stries perpendiculaires à l'axe de l'arc. Base-cuivre.

L. 38 mm. 0.9 g.

E : 1228.7. N : 1119.55. Alt. : 571.43.

Type : B22-0.

Planche 117, 9. 22061-1, n° 838.

Deux fragments de maillons de chaîne

connectés. Fer.

Diam. 22 mm, S. 2.5 x 4.5 mm. 3.4 g.

E : 1228.9. N : 1119.55.*

Planche 117, 10. 22061-1, n° 839.

Fragment de tige tordue de section carrée. Fer.

L. 42 mm, S. 8 mm. 7.6 g.

E : 1228.7. N : 1119.3.*

Planche 117, 11. 22061-1, n° 544.

Serpe à large douille dont le tranchant est cassé au niveau de la courbure de la lame. La douille contient du bois minéralisé. Fer.

L. 190 mm, diam. (douille) 37 x 31 mm. 408 g.

E : 1228.8. N : 1119.46. Alt. : 571.63.

Autres petits mobiliers

22061-1, n° 543. Fragment de plaque de foyer.

État 2 lato sensu : fin LTD1b-LTD2

Q-34-TP 20739

20740. Fragment de *catillus* en grès grossier.

20740. Petit fragment de *catillus* en roche volcanique vacuolaire.

Q-36-St 22065

Planche 117, 12. 22065, n° 840.

Fragment de petite lame de forces à fil et dos droit à butée avec départ du ressort, et cassée au niveau de la pointe. Fer.

L. 90 mm, l (lame) 19 mm. 15.7 g.

Type d'objet	UF	No	Description	Métal	NR	NMI	M(g)
Q-1-décapage	<i>Décapage</i>						
Coulure	22001	214	Fragment de coulure	Base-cuivre	1	1	0.5
Indéterminé objet	22001	822	Fragment informe	Fer	1	1	6.1
Indéterminé plat	22001		Fragment de bande de fer plat	Fer	1	1	19
Indéterminé plat	22003	203	Fragment de bande de fer plat	Fer	1	1	13.6
Indéterminé plat	22006		Fragment de fer plat	Fer	1	1	2
Indéterminé tige	22035		Tige de section rectangulaire	Fer	1	1	2.7
Indéterminé tôle	22003	212	Fragment de tôle repliée	Fer	1	1	16.4
Clou	22001		Constr.: 1 frgt; men.: 11 frgts, 17 tiges	Fer	29	11	166.9
Clou	22028		Men.: 2 frgts, 11 tiges	Fer	13	2	39.7
Clou	22035		Men.: 3 frgts, 3 tiges	Fer	6	3	20.6
Clou	22024		Men.: 4 frgts, 1 tige	Fer	5	4	26.3
Clou	22006		Men.: 4 frgts, 13 tiges	Fer	17	4	97
Clou	22003		Men.: 4 frgts, 7 tiges	Fer	11	4	55.3
Rivet (fer)	22001		Rivet à contreplaque	Fer	1	1	10.7
Q-2-Cit 20662	<i>État 2 lato sensu : LTD1b évoluée-LTD2</i>						
Ferrure	20663	S1070	Extrémité de ferrure avec perforation	Fer	1	1	16.2
Indéterminé tige	20663	S1034	Fragment de tige très fine de section rectangulaire	Fer	1	1	0.8
Indéterminé tôle	20663	S1043	Fragment de tôle	Fer	1	1	6.7
Clou	20663		Men.: 2 frgts	Fer	2	2	12.1
Q-3-Bs 22005	<i>État 2 lato sensu : LTD1b évoluée-LTD2</i>						
Ferrure	22005-2	538	Fragment de ferrure avec une perforation	Fer	1	1	34.6

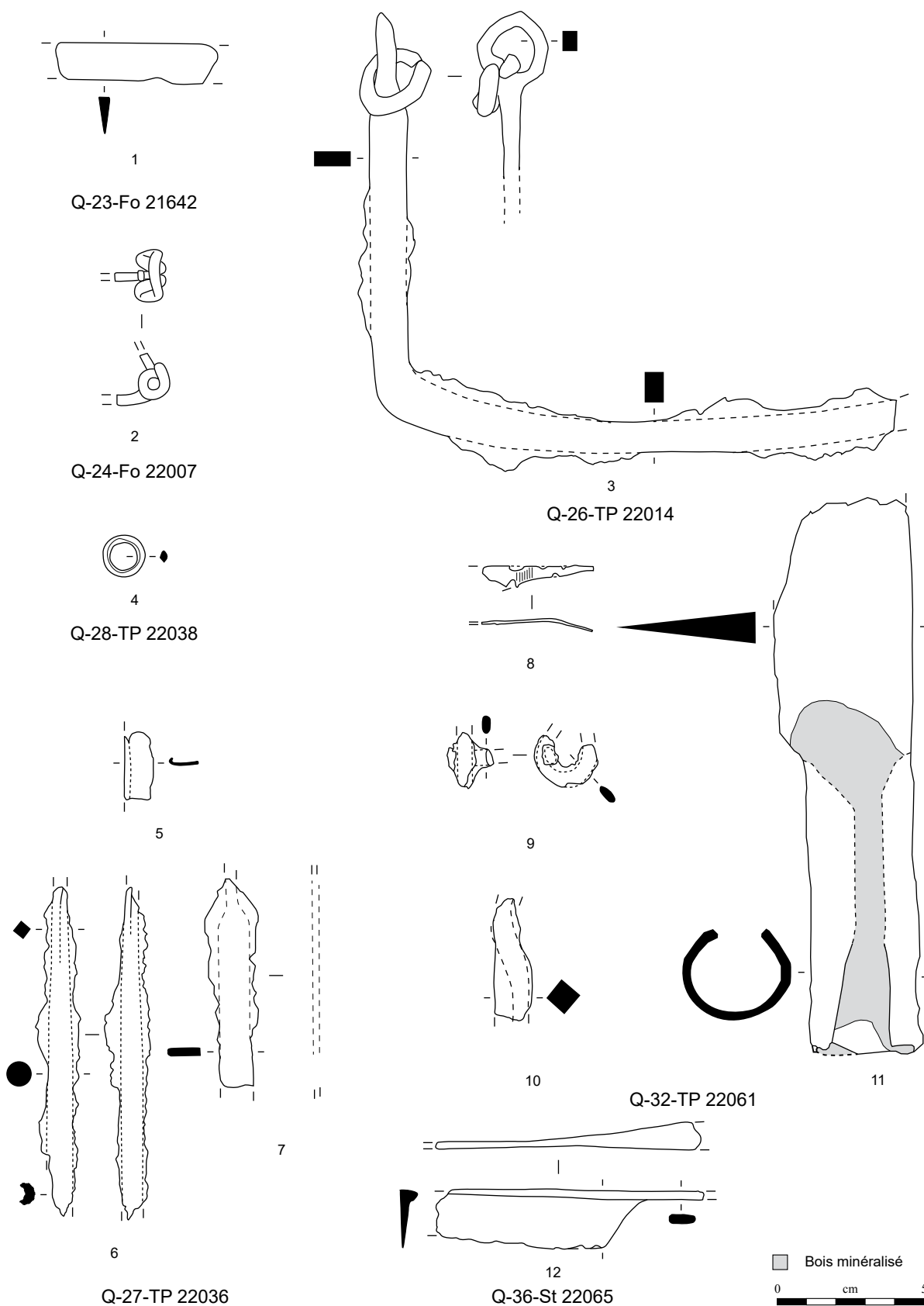


Planche 117. Q-23-Fo 21642 à Q-36-St 22065

1-3, 5-7, 9-12: fer; 4, 8 : alliage cuivreux.

Type d'objet	UF	No	Description	Métal	NR	NMI	M(g)
Indéterminé tige	22005-2		Tige de section rectangulaire	Fer	1	1	6.5
Indéterminé tôle	22005-2		Fragment de tôle	Fer	1	1	1.9
Indéterminé tôle	22005-3		Fragment de tôle	Fer	1	1	2.8
Indéterminé tôle	22005-1	725	Fragment de tôle	Fer	1	1	9.8
Indéterminé tôle	21615		Fragments de tôle	Fer	2	1	7.4
Clou	22005-1		Constr.: 1 frgt; men.: 15 frgts, 16 tiges	Fer	32	16	145.7
Clou	21615		Men.: 10 frgt, 17 tiges	Fer	27	10	170.8
Clou	22005-3		Men.: 10 frgts, 28 tiges	Fer	38	10	100
Clou	22005-2		Men.: 13 frgts, 13 tiges	Fer	26	13	215
Rivet (fer)	22005-2		Rivet à contre-plaque	Fer	1	1	15.6
Q-4-TP 22023 <i>État 2 lato sensu : LTD1b évoluée-LTD2</i>							
Cabochon	22023-1	340	Cabochon avec substance de fixation	Base-cuivre	1	1	0.5
Ferrure	22023	303	Fragment de large ferrure avec perforation	Fer	1	0	72.4
Ferrure	22023	305	Fragments de ferrure	Fer	4	1	5.9
Indéterminé plat	22023	339	Fragment de bande de fer plat.	Fer	1	0	6.5
Indéterminé plat	22023		Fragments de fer plat	Fer	10	1	21.1
Indéterminé tige	22023		Fragments de tiges rondes	Fer	2	1	1.8
Indéterminé tôle	22023	337	Fragment de tôle	Base-cuivre	1	1	0.1
Indéterminé tôle	22023	829	Fragment de tôle perforée.	Fer	1	1	6.8
Indéterminé tôle	22023		Fragment de tôles avec rivet	Fer	1	0	6.2
Indéterminé tôle	22023	311	Fragments de tôle	Fer	2	0	2
Indéterminé tôle	22023	306	Fragments de tôle avec une rivet de fixation dans un angle avec une partie repliée.	Fer	2	1	14.5
Clou	22023		Constr.: 1 frgt; men.: 33 frgts, Tap.: 1 frgt, 50 tiges	Fer	85	35	488.1
Clou	22023	326	Men.: 1 frgt, 2 tiges	Fer	3	1	50.7
Rivet (bc)	22023	304	Rivet à tige matée	Base-cuivre	1	1	0.4
Scorie (fer)	22023	334	Scorie informe type B	Fer	1	1	12.2
Q-5-Fo 22031 <i>État 2 lato sensu : LTD1b évoluée-LTD2</i>							
Indéterminé tige	22031	830	Fragment de tige indéterminée	Fer	1	1	9.1
Clou	22031		Men.: 3 frgts, 4 tiges	Fer	7	3	35.4
Q-6-TP 22058 <i>État 2 lato sensu : LTD1b évoluée-LTD2</i>							
Indéterminé informe	22058		Objets informes	Fer	3	1	8.7
Clou	22058		Men.: 6 frgts, 2 tiges	Fer	8	6	89
Q-7-Fo 20774 <i>État 2.2 : LTD2a</i>							
Coulure	20774	S1062	Coulure	Base-cuivre	1	1	1.9
Ferrure	20775	S1067	Fragment de ferrure	Fer	1	1	52.4
Clou	20775		Tige	Fer	1	0	1
Clou	20775	S1065	Tige	Fer	1	1	8.8
Q-8-TP 20701 <i>État 2 lato sensu : LTD1b évoluée-LTD2</i>							
Clou	20701		Men.: 4 frgts; 10 tiges	Fer	14	4	70
Q-10-20653 <i>État 1 : LTD1b classique</i>							
Clou	20653	S1058	Clou de menuiserie	Fer	1	1	18.6
Clou	20653	S1059	Clou de menuiserie	Fer	1	1	20.6
Q-11-TP 20680							
Clou	20681	S1045	Men.: 2 frgts dont 1 à tête hémisphérique creuse	Fer	2	2	8
Clou	20681	S1033	Tige	Fer	1	0	5.5
Q-13-Fo 20648 <i>État 1 : LTD1b classique</i>							
Indéterminé tôle	20648		Fragment de tôle	Fer	1	1	3.2
Clou	20648		Men.: 3 frgts; 7 tiges	Fer	10	3	64
Scorie (fer)	20648		Fragment de scorie	Fer	1	1	5
Q-15-Fo 20711 <i>État 1 : LTD1b classique</i>							
Indéterminé plat	20712		Fragment de bande de fer plat	Fer	1	1	1.5
Indéterminé tôle	21635		Fragments de tôle	Fer	2	1	4.8
Clou	20712		Men.: 6 frgts; 16 tiges	Fer	21	6	76
Clou	21635		Men.: 9 frgts; 22 tiges	Fer	31	9	137
Q-16-TP 20731 <i>État 1 : LTD1b classique</i>							
Clou	20731		Constr: 1 frgt; men.: 2 frgts; 2 tiges	Fer	5	3	57
Q-17-Sb 22020 <i>État 1 : LTD1b classique</i>							
Clou	22020		Tige	Fer	1	0	5.1
Q-18-TP 20697 <i>État 1 : LTD1b classique</i>							
Indéterminé plat	20697		Fragment de plat	Fer	1	1	4.2
Clou	20697		Men.: 11 frgts; 23 tiges	Fer	34	11	1148
Q-19--TP 20791 <i>État 1 : LTD1b classique</i>							
Clou	20792		Men.: 1 frgt	Fer	1	1	15
Q-21-TP 21610 <i>Non phasé</i>							
Indéterminé plat	21611	1503	Fragment de bande de fer plat	Fer	1	1	32.7

Type d'objet	UF	No	Description	Métal	NR	NMI	M(g)
Clou	21611		Men.: 13 frgts; 9 tiges	Fer	22	13	152
Q-22-Fo 21640	<i>Non phasé</i>						
Clou de chaussure	21641		Clou de chaussure	Fer	1	1	2
Ferrure	21641		Frament de ferrure	Fer	1	1	4.6
Clou	21641		Men.: 17 frgts; 46 tiges	Fer	63	17	229
Q-23-Fo 21642	<i>Non phasé</i>						
Clou	21643		Men.: 3 frgts; 4 tiges	Fer	7	3	42
Rivet (bc)	21643	1518	Clou-rivet en une pièce à tête hémisphérique creuse	Base-cuivre	1	1	0.2
Q-24-Fo 22007	<i>Non phasé</i>						
Fibule	22007	826	Ressort de fibule avec une spire et le départ de l'ardillon	Fer	1	1	8.5
Indéterminé plat	22007	399	Fragment de bande de fer plat	Fer	1	1	19.5
Indéterminé tige	22007		Fragment de tige à section lenticulaire	Fer	1	1	0.9
Indéterminé tige	22007		Fragments de tiges à section ronde	Fer	2	1	9.8
Indéterminé tige	22007		Fragments de tiges rectangulaires	Fer	5	1	15.6
Indéterminé tôle	22007		Fragment de tôle perforée	Fer	1	0	3.8
Indéterminé tôle	22007		Fragment de tôle repliée sur elle-même	Fer	1	0	7.3
Indéterminé tôle	22007		Fragments de tôles	Fer	2	1	4.4
Clou	22007		Men.: 15 frgts, 41 tiges	Fer	56	15	176.5
Rivet (fer)	22007		Rivet à contre-plaque	Fer	1	1	18.9
Scorie (fer)	22007-1	401	Scorie informe	Fer	1	1	31.1
Scorie (fer)	22007		Scories informes	Fer	2	1	19.8
Q-25-TP 22012	<i>Non phasé</i>						
Indéterminé tôle	22012	335	Fragments de tôle	Fer	5	1	4.2
Clou	22012-1		Men.: 3 frgts, 5 tiges	Fer	8	3	30.7
Q-26-TP 22014	<i>Non phasé</i>						
Clou	22014		Constr.: 1 frgt, 1 tige	Fer	2	1	20.6
Q-27-TP 22036	<i>Non phasé</i>						
Indéterminé plat	22036	464	Fragment de bande de fer plat	Fer	1	0	9.4
Indéterminé plat	22036	465	Fragment de bande de fer plat.	Fer	1	1	4.8
Indéterminé tige	22036		Fragments de tiges à section ronde	Fer	4	1	2
Clou	22036		Men.: 10 frgts, 15 tiges	Fer	25	10	128
Q-28-TP 22038	<i>Non phasé</i>						
Anneau (fer)	22038-1	835	Fragment d'anneau de section quadrangulaire	Fer	1	1	6.3
Indéterminé plat	22038	333	Fragment de bande de fer plat.	Fer	1	1	29.7
Indéterminé tôle	22038	336	Fragment de bande de tôle	Fer	1	1	13.4
Clou	22038-1	834	Men.: 1 frgt	Fer	1	1	5.8
Clou	22038-1		Men.: 7 frgts, 11 tiges	Fer	18	7	87
Q-29-TP 22039	<i>Non phasé</i>						
Indéterminé tige	22039		Fragments de tiges de section rectangulaire	Fer	3	1	8
Clou	22039		Men.: 7 frgts, 19 tiges	Fer	26	7	107
Q-30-TP 22042	<i>Non phasé</i>						
Indéterminé tige	22042		Fragment de tige de section rectangulaire	Fer	1	1	4.4
Clou	22042		Men.: 7 frgts, 6 tiges	Fer	13	7	86.8
Q-31-TP 22048	<i>Non phasé</i>						
Clou	22048		Men.: 2 frgts, 2 tiges	Fer	4	2	23
Q-32-TP 22061	<i>État 1 : LTD1b classique</i>						
Ferrure	22061-1	536	Fragment de ferrure arrachée et pliée au niveau du clou de fixation encore en position fonctionnelle	Fer	1	1	43
Indéterminé tôle	22061-1		Fragment de tôles	Fer	1	1	1.4
Clou	22061-1		Men.: 4 frgts, 8 tiges	Fer	12	4	47
Q-33-TP 22022	<i>État 2 lato sensu : LTD1b évoluée-LTD2</i>						
Anneau (fer)	22022-1	828	Anneau de section ronde	Fer	1	1	11.6
Indéterminé tige	22022-1		Fragments de tiges rectangulaires	Fer	2	1	2.9
Indéterminé tôle	22022	329	Fragment de tôle	Fer	1	1	2
Clou	22022-1		Tiges	Fer	10	1	36
Q-34-TP 20739	<i>État 2 lato sensu : LTD1b évoluée-LTD2</i>						
Clou	20740		Tige	Fer	1	1	2
Q-35-22011	<i>État 1 et 2 lato sensu : LTD1b-LTD2</i>						
Cabochon	22011	302	Cabochon avec substance de fixation	Base-cuivre	1	1	0.6
Indéterminé tôle	22011	299	Fragments de tôle dont une avec un rivet de fixation	Fer	1	1	25.7
Clou	22011		Men.: 1 frgt, 1 tige	Fer	2	1	9
Rivet (fer)	22011	308	Contreplaque de rivet.	Fer	1	1	1.9
Q-36-St 22065	<i>État 2 lato sensu : LTD1b évoluée-LTD2</i>						
Clou	22065		Men.: 1 frgt	Fer	1	1	13
Q-37-Fo 22054	<i>État 2 lato sensu : LTD1b évoluée-LTD2</i>						
Clou	22054		Men.: 2 frgts; 5 tiges	Fer	7	2	30.7

BÂTIMENT K

Décapage

K-1-décapage

Planche 118, 1. 20621, n° S2001.

Fragment de fibule filiforme à ressort à quatre spires (deux conservées) et corde externe haute et arc cambré de section ronde, cassée au niveau du départ du pied. Fer.

L. 36 mm, L. (arc) 30 mm, S. 2 mm. 0.9 g.

E : 1241.63. N : 1131.2. Alt. : 572.09.

Type : F33-5.

Planche 118, 2. 20621, n° S2002.

Fragment de passoire à lèvre déversée et panse globulaire. Présence d'une légère cannelure sur la face interne visible de la lèvre. Base-cuivre.

Diam. ext. 60 mm, ht. 27 mm. 18 g.

E : 1241.5. N : 1131.7. Alt. : 572.1.

Autres petits mobiliers

20626, n° S2041. Aiguiseur non retrouvé.

État 2 lato sensu : fin LTD1b-LTD2

K-2-radier de sol

Planche 118, 3. 20613, n° S2007.

Fragment de ressort avec départ de l'ardillon et une spire conservée. Base-cuivre.

L. 18 mm. 0.6 g.

E : 1249.3. N : 1126. Alt. : 571.86.

Planche 118, 4. 20657, n° S2137.

Fragment de bracelet tubulaire à jonc fin à section en «D» orné de groupes de trois lignes perpendiculaires à l'axe du jonc. Base-cuivre.

L. 40 mm, diam. int. 51 mm, S. 2,5 x 4 mm. 1.3 g.

E : 1247.1. N : 1124.6. Alt. : 571.35.

Type : B22-4.

Planche 118, 5. 20657, n° S2120.

Fragment de coque d'umbo constitué d'une tôle incurvée avec un épaississement sur sa bordure. Fer.

L. 62 mm. 18.4 g.

E : 1249.09. N : 1124.27. Alt. : 571.44.

Type : Indéterminé.

Planche 118, 6. 20657, n° S2153.

Fragment d'ailette d'umbo constitué d'une tôle trapézoïdale avec deux traces de rivet. Fer.

L. (ailette) 107 mm, l. (ailette) 66 mm. 34.1 g.

E : 1244.88. N : 1126.88. Alt. : 571.42.

Type : Indéterminé.

Planche 118, 7. 20613, n° S2091.

Fragment de collerette de chaudron constitué de deux tôles rivetées à proximité d'une perforation non rivetée. Fer.

L. 75 mm. 53.6 g.

E : 1245.31. N : 1125.73. Alt. : 571.45.

Planche 118, 8. 20657, n° S2116.

Bordure inférieure de collerette de chaudron constituée d'une tôle avec trois perforations et une bordure épaissie. Fer.

L. 52 mm. 25.5 g.

E : 1248.81. N : 1123.98. Alt. : 571.44.

Planche 118, 9. 20613, n° S2032.

Fragment de barre de gril composée d'une bande de fer plat terminée par une extrémité matée. Fer.

L. 60 mm, l. 11 mm, ép. 3 mm. 8.1 g.

E : 1243.26. N : 1125.82. Alt. : 571.95.

Planche 118, 10. 20613, n° S2079.

Clé à soulèvement de cheville et translation à anneau et panneton à trois dents (deux conservées). Fer.

L. 53 mm, L. (dent) 27 mm, diam. (anneau) 24 mm. 35.8 g.

E : 1248.35. N : 1124.78. Alt. : 571.49.

Planche 118, 11. 20657, n° S2167.

Fragment de manipule de section rectangulaire, relativement long et terminé par un élargissement où est inséré un rivet. Fer.

L. 133 mm, l. 11 mm, ép. 4,5 mm. 41.6 g.

E : 1246.5. N : 1126.08. Alt. : 571.45.

Planche 118, 12. 20657, n° S2139.

Crampon à dos plat. Fer.

L. 65 mm, L. utile 25 mm. 12 g.

E : 1246.68. N : 1127.28. Alt. : 571.48.

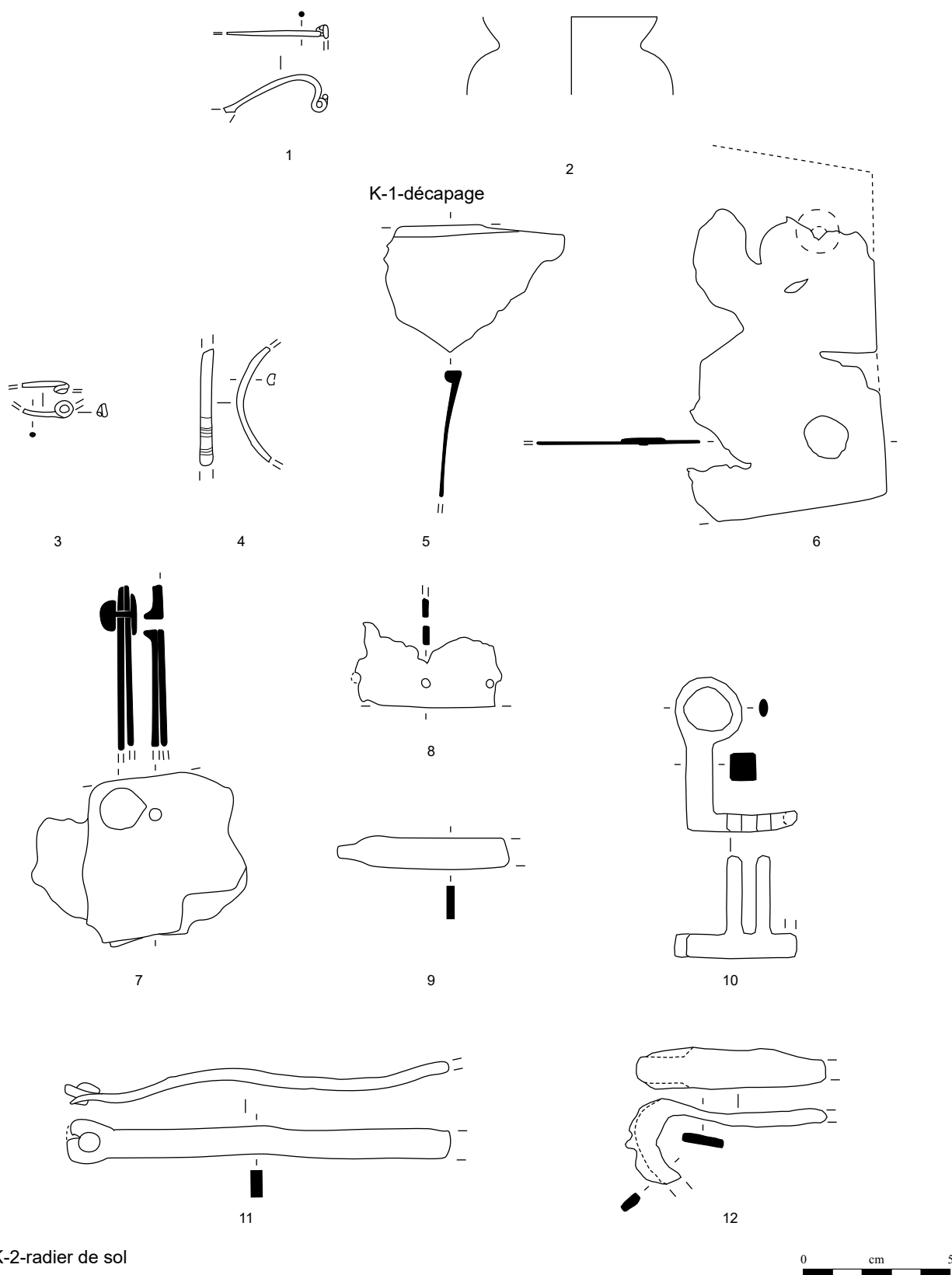


Planche 118. K-1-décapage et K-2-radier de sol

1, 5-12 : fer; 2-4 : alliage cuivreux.

Bâtiment K

État 2 lato sensu : fin LTD1b-LTD2

K-2-radier de sol

Planche 119, 1. 20613, n° S2008.

Racloir à douille avec rivet de fixation et tranchant à dos et lame incurvés. Fer.

L. 154 mm, diam. (douille) 23 mm, l. (tranchant) 98 mm. 105.2 g.

E : 1249.3. N : 1126. Alt. : 571.86.

Planche 119, 2. 20613, n° S2009.

Mors de pince cassé au niveau de l'articulation. Fer.

L. 118 mm. 55.4 g.

E : 1249.7. N : 1125.53. Alt. : 571.81.

Planche 119, 3. 20657, n° S2135.

Serpette à douille dont l'extrémité du tranchant est fortement recourbée. Fer.

L. 122 mm, diam. 17 mm. 34.3 g.

E : 1247.08. N : 1125. Alt. : 571.39.

Planche 119, 4. 20613, n° S2074.

Petite serpette à douille dont le tranchant est peu marqué. Fer.

L. 75 mm, diam. (douille) 14 mm. 20.3 g.

E : 1244.01. N : 1125.53. Alt. : 571.53.

Planche 119, 5. 20613, n° S2077.

Fragment de tige indéterminée repliée à son extrémité. Clou? Fer.

L. 78 mm. 16.7 g.

E : 1246.7. N : 1123.87. Alt. : 571.5.

Planche 119, 6. 20657, n° S2118.

Fragment de ciseau composé d'un manche anguleux terminé en son extrémité fine par un tranchant à simple biseau. Fer.

L. 63 mm, S. 7 mm. 9.8 g.

E : 1248.6. N : 1124.7. Alt. : 571.44.

Planche 119, 7. 20613, n° S2033.

Lame de couteau à deux manches, dont seule une soie ou une petite douille est conservée. La lame présente une section triangulaire. Fer.

L. 132 mm, l. 28 mm. 46.8 g.

E : 1247.8. N : 1128.16. Alt. : 571.97.

Planche 119, 8. 20657, n° S2144.

Valet d'établi, tas de cordonnier (?) composé d'une tige avec trace de bois minéralisé, terminée par une tête rectangulaire disposée à la perpendiculaire de la tige et repliée à son extrémité. Fer.

L. 120 mm, L. (table) 29 x 16 mm. 48.3 g.

E : 1247.05. N : 1123.88. Alt. : 571.44.

Planche 119, 9. 20657, n° S2119.

Ciseau droit composé d'une partie active trapézoïdale légèrement incurvée et terminée par une tige (soie?) de section circulaire. Fer.

L. 76 mm, l. 17 mm, S. 7 mm. 16.2 g.

E : 1249.06. N : 1124.18. Alt. : 571.43.

Planche 119, 10. 20613, n° S2267.

Outil (ciseau, bédane) à douille dont le sommet de la douille est matée. Fer.

L. 86 mm, diam. 17 mm. 33.4 g.

E : 1246.3. N : 1121.9.*

Planche 119, 11. 20613, n° S2092.

Tête de clou ou objet indéterminé constitué d'une tôle circulaire de section lenticulaire pliée en son centre. Fer.

Diam. 61 x 55 mm, ép. 3 mm. 24.3 g.

E : 1246. N : 1125.01. Alt. : 571.49.

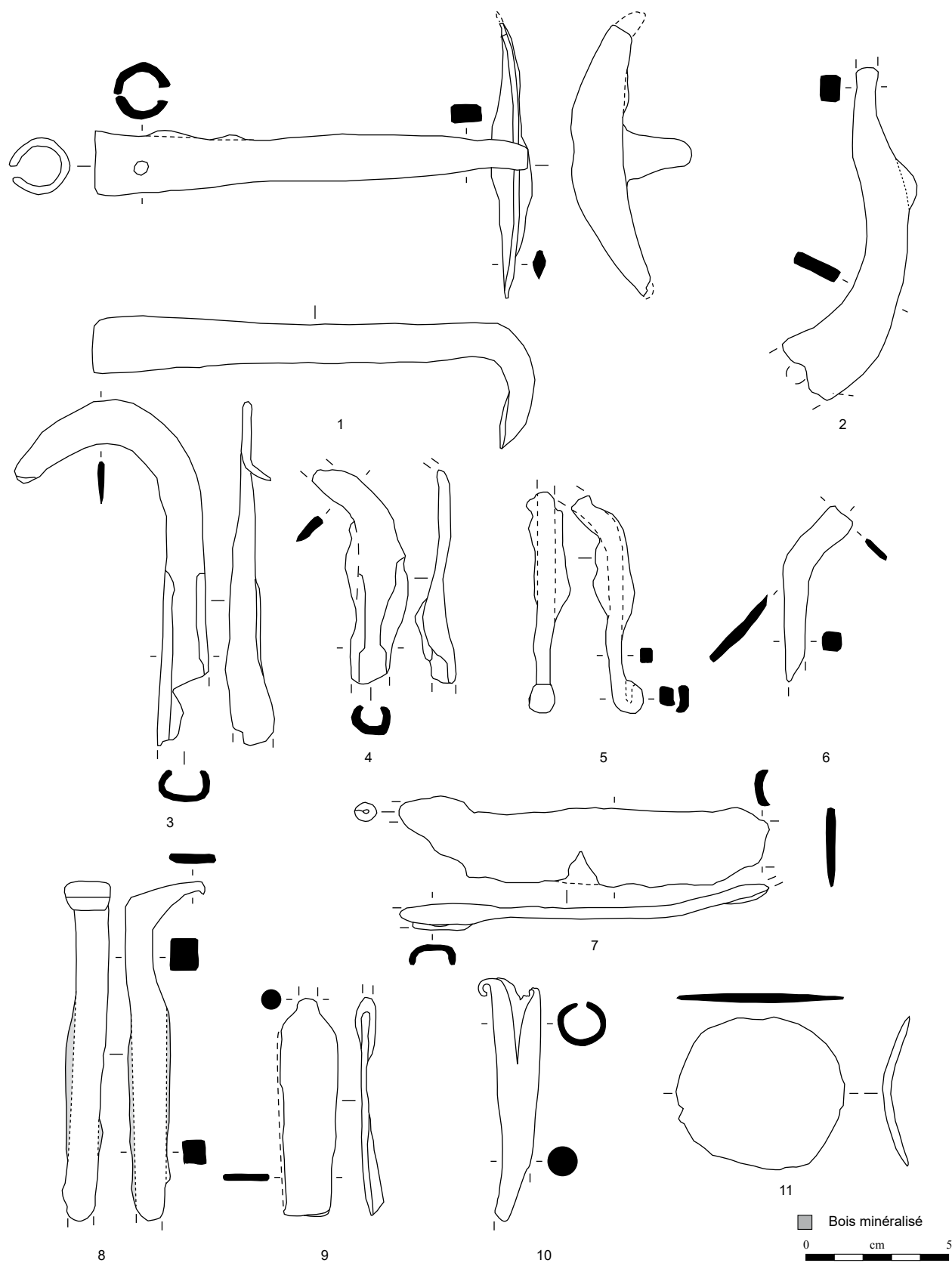


Planche 119. K-2-radier de sol

Fer.

Bâtiment K

État 2 lato sensu : fin LTD1b-LTD2

K-2-radier de sol

Planche 120, 1. 20657, n° S2138.

Fragment de demi-produit constitué d'une tige de section ronde à ovale terminée à une extrémité par une section carrée, martelée, irrégulière. Base-cuivre.
L. 115 mm, S. 3 x 2,5 mm. 6.8 g.
E : 1247.52. N : 1127.1. Alt. : 571.42.

Planche 120, 2. 20657, n° S2152.

Demi-produit complet constitué d'une tige de section ovale. Base-cuivre.
L. 105 mm, S. 5 x 3 mm. 6.4 g.
E : 1246.76. N : 1127.42. Alt. : 571.43.

Planche 120, 3. 20613, n° S2024.

Virole composée d'une bande de fer plat enroulée. Fer.
Diam. 17 mm, ht. 23 mm. 12.7 g.
E : 1249.39. N : 1124.55. Alt. : 571.91.

Planche 120, 4. 20613, n° S2268.

Virole constituée d'une tige enroulée. Fer.
Diam. 16 mm, ht. 9 mm. 3.8 g.
E : 1248.1. N : 1126.31.*

Planche 120, 5. 20657, n° S2128.

Chute de tige de section circulaire avec trace de découpe. Plomb.
L. 29 mm, S. 4 mm. 2.9 g.
E : 1249. N : 1124.85. Alt. : 571.45.

Planche 120, 6. 20613, n° S2010.

Fragment indéterminé de bande de tôle incurvée. Base-cuivre.
L. 43 mm, l. 8 mm, ép. 1 mm. 4.3 g.
E : 1249. N : 1125.2. Alt. : 571.95.

Planche 120, 7. 20613, n° S2080.

Fragment de tige pliée de section ronde. Fer.
L. 57 mm, S. 10 mm. 28.6 g.
E : 1249.77. N : 1125.3. Alt. : 571.4.

Planche 120, 8. 20657, n° S2145.

Fragment de tôle circulaire repliée par la moitié sur elle-même. Fragment de plateau de balance ? Base-cuivre.
L. 32 mm. 3.2 g.
E : 1246.88. N : 1123.3. Alt. : 571.43.

Autres petits mobiliers

20613, n° S2044. Jeton.

20657, n° S2131. Jeton.

20613, n° S2005. Monnaie.

20657, n° S2143. Monnaie.

État 2.1 : LTD1b évoluée

K-3-Cit 20618

Planche 120, 9. 20623, n° S2064.

Couteau ou outil à soie présentant encore du bois minéralisé et une lame à dos droit et un tranchant incurvé. Fer.
L. 151 mm, L. (soie) 71 mm, L. (lame) 80 mm, l. (lame) 20 mm. 46.8 g.
E : 1248.1. N : 1135.05.*
Type : 2-2.

Planche 120, 10. 20623, n° S2048.

Enclume sous la forme d'un bloc rectangulaire avec encoche pour mortaise (?), une surface rouge martelée bordée par un cadre sans coloration. Lithique.
L. 310 mm, l. 180 mm ht. 80 mm. NP.
E : 1247.6. N : 1135.9.*

Planche 120, 10. 20623, n° S2047.

Enclume sous la forme d'un bloc rectangulaire avec encoche pour mortaise (?), une surface rouge martelée bordée par un cadre sans coloration. Lithique.
L. 374 mm, L. 216 mm, ép. 79 mm. NP.
E : 1247.6. N : 1135.86.*

Autres petits mobiliers

20623, n° S2089. Déchet de tabletterie à découpes circulaires.

20623, n° S2065. Jeton.

20623, n° S2066. Jeton.

20623, n° S2067. Jeton.

20623, n° S2068. Jeton.

20623, n° S2069. Jeton.

20623, n° S2078. Jeton.

20623, n° S2088. Jeton.

20623, n° S2207. Jeton.

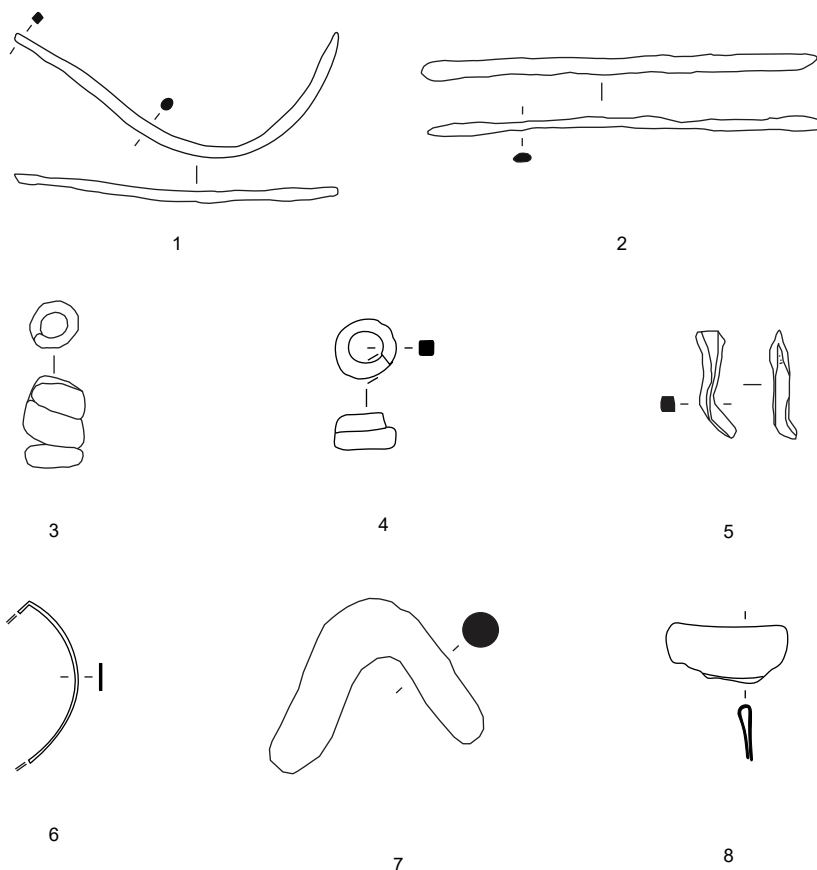
20623, n° S2087. Neuf jetons.

20623, n° S2049. Fragment de *catillus* en grès grossier hétérogène.

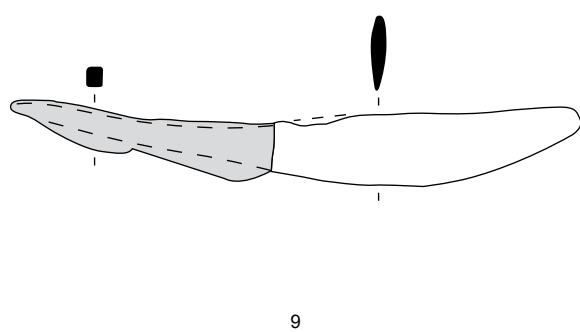
20623, n° S2045. Monnaie.

20623, n° S2070. Fragment de bracelet en verre pourpre à section en «D» (Gebhard 36).

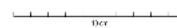
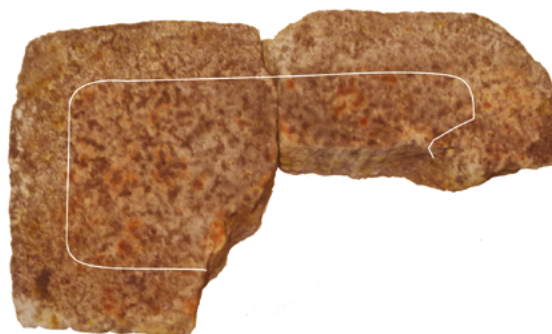
20623, n° S2042. Fragments d'une plaque de foyer à rebord triangulaire.



K-2-radier de sol

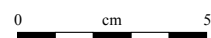


9



10

Bois minéralisé



K-3-Cit 20618

Planche 120. K-2-radier de sol et K-3-Cit 20618

1-2, 5, 8 : alliage cuivreux; 3-4, 7, 9 : fer; 5 : plomb; 10 : lithique.

Bâtiment K

État 2.2 : LTD2a

K-4-Ce 20607

Planche 121, 1. 20608, n° S2266.

Perle à section en «D». Fer.
Diam. 13 mm, S. 10 x 5 mm. 6.4 g.
E : 1240.9. N : 1130.5.*

Planche 121, 2. 20608, n° S2256.

Fragment de chaîne constituée d'un maillon en huit relié à un anneau. Fer.
L. 24 mm, diam. 15 mm. 7.5 g.
E : 1240.55. N : 1130.75.*

Planche 121, 3. 20608, n° S2255.

Manche d'outil à tête massive de section circulaire conique. Fer.
L. 79 mm, S. 10 mm. 29.4 g.
E : 1241. N : 1130.9.*

Planche 121, 4. 20608, n° S2038.

Fragment de tas à table quadrangulaire mal conservée avec une queue de section rectangulaire. Fer.
L. 50 mm, l. 26 mm. 60.6 g.
E : 1240.8. N : 1130.2.*

Planche 121, 5. 20608, n° S2028a.

Chute de bande de section trapézoïdale. Fer.
L. 135 mm, l. 22 mm, ép. 9 mm. 110.1 g.
E : 1241.27. N : 1130.8. Alt. : 571.80.

Planche 121, 6. 20608, n° S2027.

Chute de bande, de demi-produit à section rectangulaire à angles supérieurs

chanfreinés, trace de découpe à une extrémité et scorification à l'autre. Fer.
L. 161 mm, l. 37 mm, ép. 7 mm. 270 g.
E : 1241.27. N : 1130.8. Alt. : 571.80.

Planche 121, 7. 20608, n° S2269.

Chute de bande de section ovale avec scorification de surface. Fer.
L. 14 mm, l. 13 mm, ép. 6 mm. 4.3 g.
E : 1240.9. N : 1130.3.*

Planche 121, 8. 20608, n° S2034.

Chute de bande triangulaire de section rectangulaire avec une surface scorifiée. Fer.
L. 44 mm, l. 22 mm, ép. 6 mm. 42.6 g.
E : 1241.42. N : 1128.72. Alt. : 571.82.

Planche 121, 9. 20608, n° S2028b.

Anneau de section carrée. Fer.
Diam. 24 mm, S. 8 mm. 20 g.
E : 1241.27. N : 1130.8. Alt. : 571.80.

Autres petits mobiliers

20608, n° S2176. Raté de fabrication d'un dé en os avec présence d'ocelles sur une face et extrémité cassée.

20608, n° S2039. Jeton.

20608, n° S2040. Jeton.

20608, n° S2025. Trois jetons.

20608, n° S2013. Monnaie.

20608, n° S2023. Monnaie.

20608, n° S2021. Monnaie.

État 2 lato sensu : fin LTD1b-LTD2

K-6-TP 20616

Planche 121, 10. 20617, n° S2096.

Couteau à manche à plaquette et à lame à dos et tranchant anguleux. Trace de bois minéralisé sur le manche. Fer.
L. 114 mm, l. (manche) 7 mm, l. (lame) 35 mm. 38.5 g.
E : 1246.93. N : 1125.35. Alt. : 571.34.
Type : 5-2.

K-7-Sb 22037

Planche 121, 11. 22037, n° 724.

Fragment indéterminé de plat terminé par un anneau. Manche d'ustensile, piton? Fer.
L. 57 mm. 19.7 g.
E : 1236.07. N : 1131.71. Alt. : 571.71.

K-8-Pal 20619

Planche 121, 12. 20619, n° S2022.

Couteau à soie à anneau terminal et lame fragmentaire. Fer.
L. 107 mm, L. (manche) 66 mm. 28.5 g.
E : 1242.86. N : 1128.1. Alt. : 572.03.
Type : 2-0.

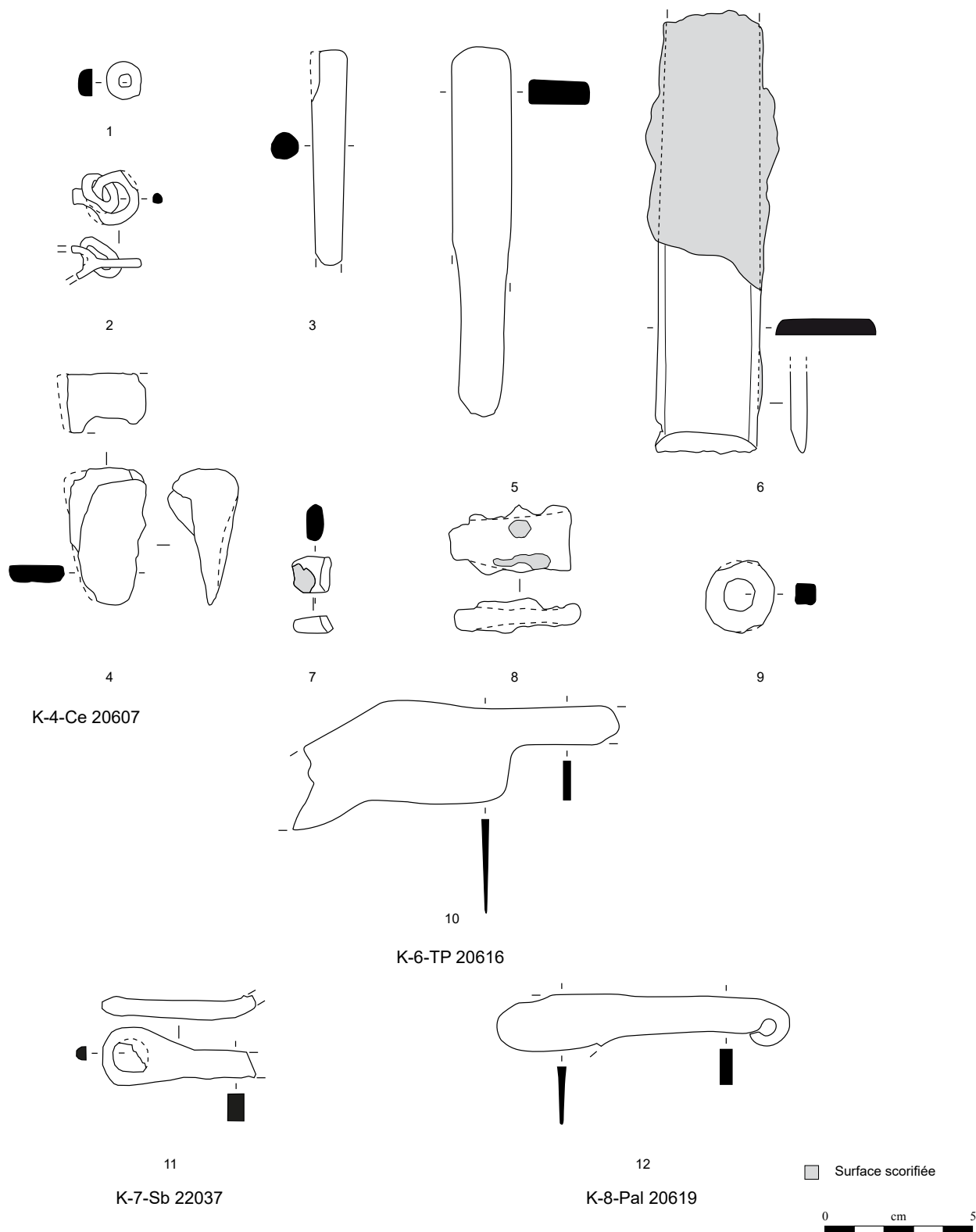


Planche 121. K-4-Ce 20607 à K-8-Pal 20619

Fer.

Bâtiment K

État 2.2 : LTD2a

K-10-Cave combl ind

Planche 122, 1. 20611, n° S2157.

Manche d'ustensile indéterminé composé d'une barre de section rectangulaire aplatie et percée à une extrémité. Fer.
L. 91 mm, S. 9 mm, diam int. (anneau) 13 mm.
68.1 g.
E : 1245.4. N : 1128.36. Alt. : 571.44.

Planche 122, 2. 20625, n° S2107.

Bracelet tubulaire presque complet à extrémités lacunaires. Fer.
Diam. 93 mm, S. 10,5 mm. 84.2 g.
E : 1244.81. N : 1123.33. Alt. : 571.4.
Type : F2.

Autres petits mobiliers

20611, n° S2098. Jeton.
20611, n° S2018. Monnaie.
20611, n° S2014. Monnaie.

K-11-Cave niv som 20603

Planche 122, 3. 20603, n° S2012.

Perle cannelée à section en «D». Base-cuivre.
Diam. 15 mm, S. 5 x 3 mm. 2.4 g.
E : 1243.8. N : 1130.42. Alt. : 571.84.

Planche 122, 4. 20647, n° S2133.

Fragment de manche de couteau (?) avec départ de l'anneau de suspension. Fer.
L. 36 mm, S. 5 x 14 mm. 13.2 g.
E : 1251.14. N : 1127. Alt. : 571.43.
Type : 0-0.

Planche 122, 5. 20603, n° S2165.

Doigtier de passoire complet. Base-cuivre.
L. 42 mm. 6 g.
E : 1246.18. N : 1130.26.*

Planche 122, 6. 20603, n° S2011.

Abraseur polyédrique en grès de section trapézoïdale. Lithique.
L. 42 mm, ép. 18 mm. 27.8 g.
E : 1244.32. N : 1130.05. Alt. : 571.82.

Autres petits mobiliers

20603, n° S2162. Monnaie.
20603, n° S2020. Monnaie.

K-12-Cave niv som 20612

20612, n° S2019. Monnaie.
20612, n° S2016. Monnaie.

K-13-Cave combl sup

Planche 122, 7. 20622, n° S2258.

Perle à section en «D». Fer.
Diam. 13 mm, S. 8 x 4,5 mm. 6.2 g.
E : 1245.3. N : 1130.72.*

Planche 122, 8. 20628, n° S2259a.

Perle à section en «D» dont la soudure s'est désolidarisée. Fer.
Diam. 15 mm, S. 6 x 9 mm. 9 g.
E : 1246.7. N : 1131.45.*

Planche 122, 9. 20628, n° S2259b.

Perle à section en «D». Fer.
Diam. 15 mm, S. 6 x 11 mm. 10 g.
E : 1246.8. N : 1131.56.*

Planche 122, 10. 20628, n° S2182.

Fragment de bracelet à section lenticulaire avec une rainure centrale longitudinale. Base-cuivre.
L. 34 mm, l. 5 mm, diam. 50 mm. 0.5 g.
E : 1246.23. N : 1129.86.*
Type : B10-7.

Planche 122, 11. 20622, n° S2179.

Fragment d'oeil d'outil. Fer.
Ht 36 mm, diam (oeil) 30 mm. 45.6 g.
E : 1245.8. N : 1131.85. Alt. : 571.45.

Planche 122, 12. 20622, n° S2164.

Demi-produit constitué d'une tige de section carrée. Base-cuivre.
L. 19 mm, S. 2 mm. 0.1 g.
E : 1246.3. N : 1132.05. Alt. : 571.35.

Planche 122, 13. 20622, n° S2036.

Objet indéterminé circulaire avec deux excroissances. Coulure, poids, fond de creuset? Plomb.
Diam. 29 x 31 mm, ép. 4,5 mm. 29.6 g.
E : 1246.2. N : 1129.73. Alt. : 571.11.*

Autres petits mobiliers

20628, n° S2183. Fusaïole en terre cuite.
20622, n° S2174. Jeton.
20628, n° S2055. Jeton.
20628, n° S2071. Jeton.
20628, n° S2160. Jeton.
20628, n° S2184. Jeton.

20628, n° S2186. Jeton.
20628, n° S2187. Jeton.
20628, n° S2180. Monnaie.
20628, n° S2247. Fragment de mortier en roche volcanique peu vacuolaire.

K-14-Cave combl med

Planche 122, 14. 20631, n° S2155.

Fragment de tige de section ronde. Base-cuivre.
L. 9 mm, diam. 28 mm, S. 3 x 4 mm. 0.9 g.
E : 1244.3. N : 1130.2.*

Autres petits mobiliers

20631, n° S2105. Jeton.

K-15-Cave combl inf

Planche 122, 15. 20632, n° S2189.

Très fin ressort de fibule à quatre spires (deux conservées) et corde interne. Base-cuivre.
L. 15 mm. 0.2 g.
E : 1244.13. N : 1130.9. Alt. : 570.71.
Type : B20-0.

Planche 122, 16. 20632, n° S2214.

Extrémité de flans monétaires coulés en chapelet constituée de deux boules reliées par un petit canal. Base-cuivre.
L. 22 mm, diam. max. 12 mm. 2 g.
E : 1244.82. N : 1130.09.*

Planche 122, 17. 20741, n° S2197.

Ferrure d'angle avec un rivet émaillé en base-cuivre, en position fonctionnelle. Fer et base-cuivre.
L. 122 mm, l. 19 mm, ép. 3 mm. 74.8 g.
E : 1243.86. N : 1130.74. Alt. : 570.71.

Autres petits mobiliers

20632, n° S2159. Jeton.
20632, n° S2161. Jeton.
20741, n° S2194. Jeton.
20741, n° S2232. Jeton.
20741, n° S2234. Jeton.
20741, n° S2241. Jeton.
20741, n° S2243. Jeton en amphore.
20741, n° S2245. Jeton en amphore.
20632, n° S2054. Boule de pigment bleu.

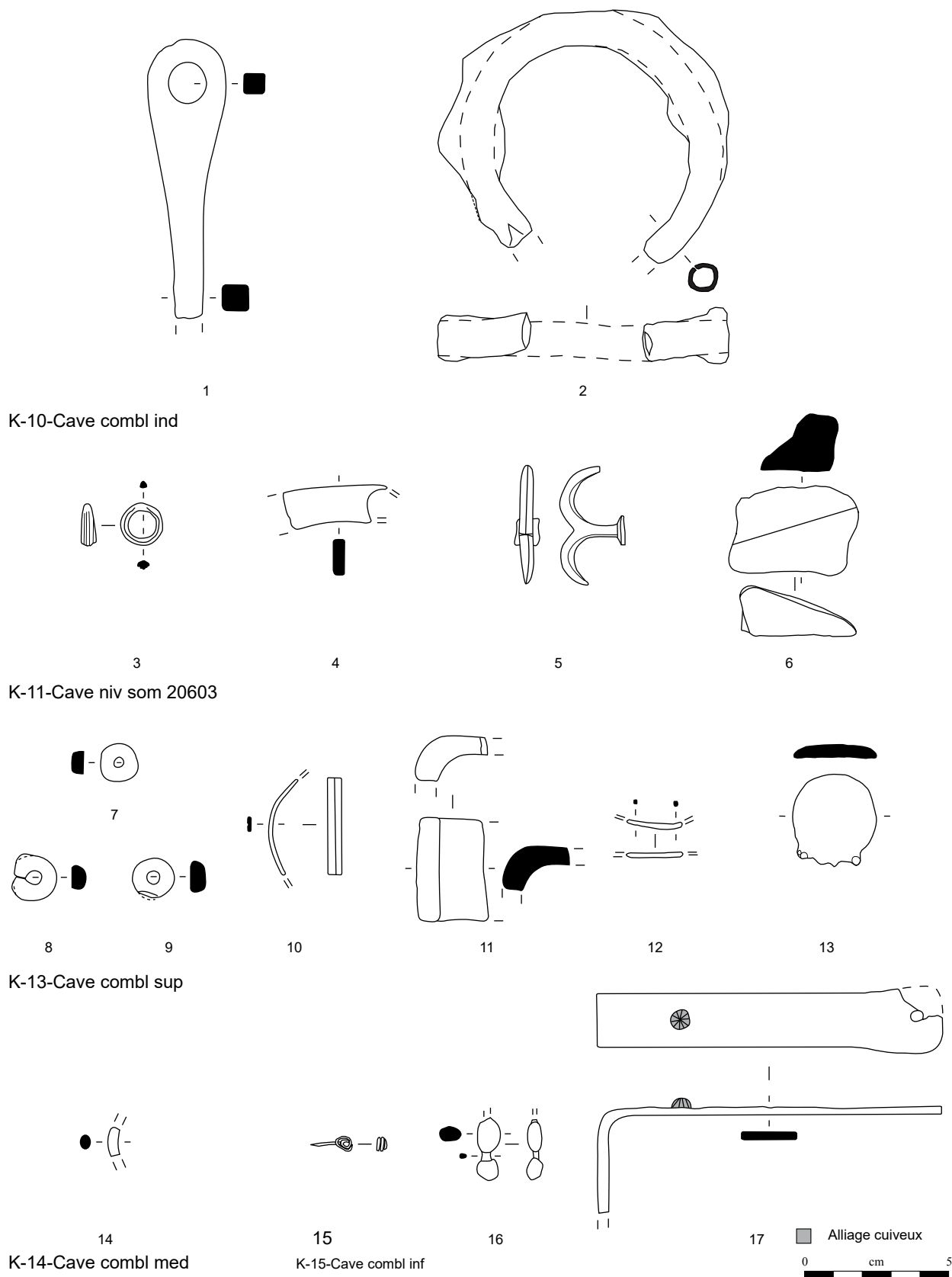


Planche 122. K-10-Cave combl ind à K-15-Cave combl inf

1-2, 4, 7-9, 11 : fer; 3, 5, 10, 12-16 : alliage cuivreux; 6 : grès; 17 : fer et alliage cuivreux.

Bâtiment K

État 2.2 : LTD2a

K-16-Cave utilisation

Planche 123, 1. 20760, n° S2229.

Applique composée d'une tôle carrée avec bordure soulignée par une ligne en relief. Deux fois deux perforations pour rivet sont lisibles au niveau des angles. Base-cuivre.

L. 31 mm, l. 29 mm. 1.5 g.

E : 1246.1. N : 1130.2.*

Planche 123, 2. 20760.

Grand meulet cylindrique ou table abrasive de grès avec traces irrégulières d'abrasions rectilignes larges. Lithique. L. 335 mm, diam. max 160 mm, diam. min 133 mm. NP.

E : 1246.3. N : 1130.4.*

Annexe du bâtiment K

État 2.1 à 2.2 : LTD1b évoluée-LTD2a

K-21-Fo art 20636

Planche 123, 3. 20636, n° S2251.

Fragment de fibule à ressort à quatre spires et corde externe haute et à arc filiforme de section lenticulaire. Fer.

L. 17 mm, S. 6 x 3 mm. 5.7 g.

E : 1251.6. N : 1127.8.*

Type : F33-7.

Planche 123, 4. 20761, n° S2263a.

Perle à section en «D». Fer.

Diam. 16 mm, S. 11 x 6 mm. 9 g.

E : 1251. N : 1127.8.*

Planche 123, 5. 20761, n° S2263b.

Perle à section en «D». Fer.

Diam. 15 mm, S. 10 x 5 mm. 8.2 g.

E : 1251.1. N : 1127.9.*

Planche 123, 6. 20761, n° S2225.

Fragment de vasque de passoire. Base-cuivre.

L. 19 mm. 1.2 g.

E : 1251.1. N : 1127.6. Alt. : 571.25.*

Planche 123, 7. 20761, n° S2262.

Extrémité de pointe de lance à arête centrale et flancs concaves en deux fragments. La section de l'extrémité distale est difficile à lire. Fer.

L. 105 mm, l. 28 mm. 32.9 g.

E : 1251.7. N : 1127.6.*

Type : 30.

Planche 123, 8. 20636, n° S2056.

Talon de lance à douille fragmentaire dans sa partie haute avec une perforation de rivet. Fer.

L. 81 mm, diam. 21 mm. 27.1 g.

E : 1251.28. N : 1127. Alt. : 571.44.

Type : 2.

Planche 123, 9. 20636, n° S2244.

Martyr constitué d'une masse parallélépipédique avec cupule centrale non traversante, sur une face. Traces d'impacts en surface. Plomb.

L. 37 mm, l. 33 mm, ép. 12 mm, diam. (cupule) 4,5 mm. 102.6 g.

E : 1251.1. N : 1128.75. Alt. : 571.72.

Planche 123, 10. 20636, n° S2252.

Tranchant de ciseau droit constitué d'un plat à double biseau renforcé. Fer.

L. 18 mm, l. (tranchant) 19 mm. 2.9 g.

E : 1251.3. N : 1127.3.*

Planche 123, 11. 20636, n° S2072.

Flans monétaires en chapelet composés de plusieurs disques reliés les uns aux autres et comportant tous un globule central. Base-cuivre.

L. 52 mm. 3.5 g.

E : 1251.8. N : 1128.*

Planche 123, 12. 20636, n° S2059.

Fragment de poinçon indéterminé constitué d'une tige massive de section ronde terminée par une pointe de section lenticulaire. Fer.

L. 62 mm, S. 16 x 12 mm. 36.5 g.

E : 1252.1. N : 1127.7.*

Autres petits mobiliers

20761, n° S1064. Anneau en os à section cannelée en «D».

État 2.2 à 2.3 : LTD2

K-20-radier de sol annexe

Planche 123, 13. 20633, n° S2249.

Chute de tige de section circulaire avec découpe latérale. Fer.

L. 15 mm. 0.6 g.

E : 1252.4. N : 1128.4.*

K-25-TP 20645

Planche 123, 14. 20645, n° S2248.

Clou de tapissier. Fer.

L. 22 mm, L. utile 16 mm. 2.1 g.

E : 1243.9. N : 1123.9.*

Planche 123, 15. 20645, n° S2073.

Perle cannelée à section lenticulaire. Base-cuivre.

Diam. 16 mm, S. 6 x 3,5 mm. 4.7 g.

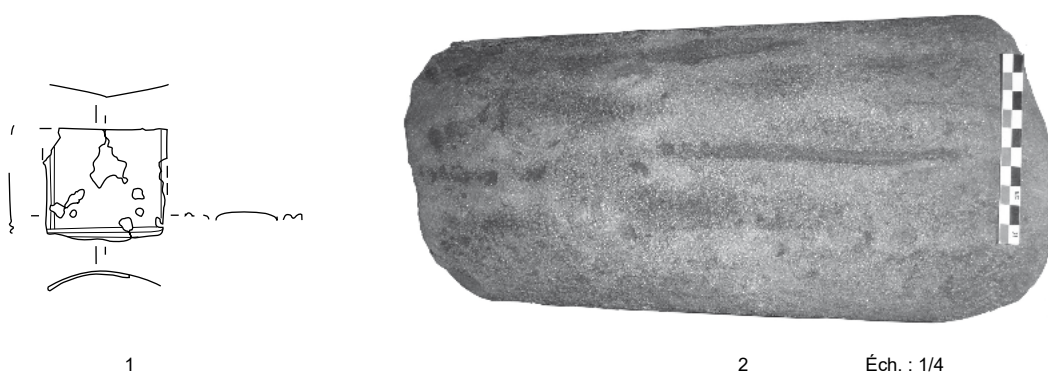
E : 1244.19. N : 1124.27. Alt. : 571.51. UF.

Planche 123, 16. 20645, n° S2097.

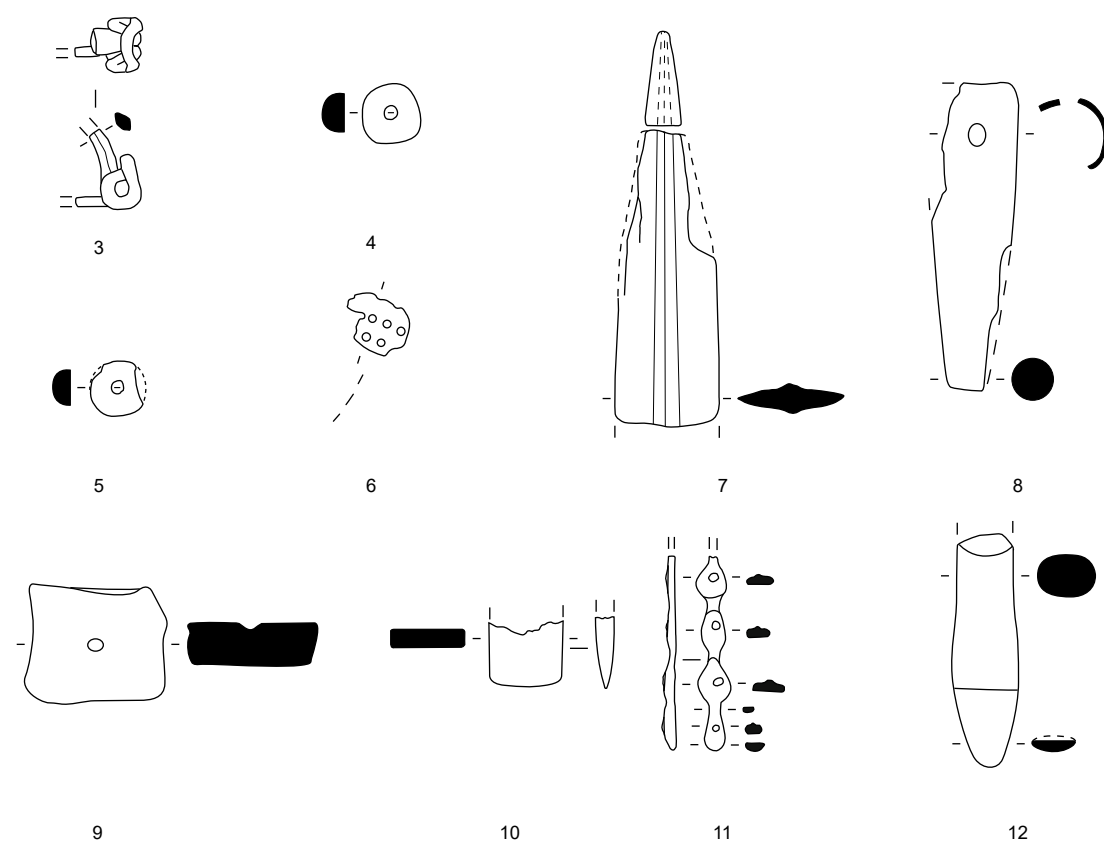
Anneau de section en «D». Base-cuivre.

Diam. 18 mm, S. 3 x 2,5 mm. 1.9 g.

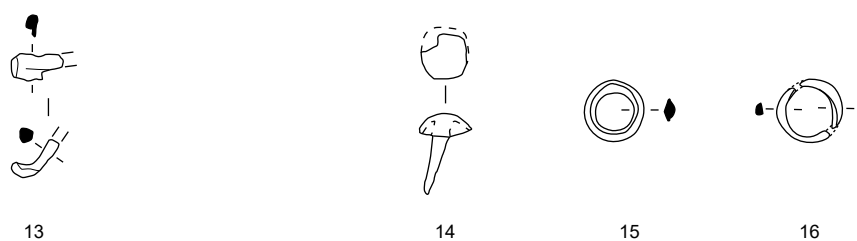
E : 1241.93. N : 1123.72. Alt. : 571.46.



K-16-Cave utilisation



K-21-Fo 20636



K-20-radier de sol annexe

K-25-TP 20645

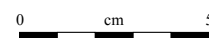


Planche 123. K-16-Cave utilisation à K-25-TP 20645

1, 6, 11, 15-16 : alliage cuivreux; 2 : grès; 3-5, 7-8, 10, 12-14 : fer; 9 plomb.

Type d'objet	UF	No	Description	Métal	NR	NMI	M(g)
K-1-décapage	<i>Décapage</i>						
Ferrure	20621	S2257	Extrémité de ferrure avec deux perforations dans les angles	Fer	1	1	5.8
Clou	20621		Tige	Fer	1	1	9
K-2-radier de sol	<i>État 2 lato sensu : LTD1b évoluée-LTD2</i>						
Cabochon	20657	S2117	Cabochon décoratif avec substance de collage	Base-cuivre	1	1	0.5
Cabochon	20613	S2004	Cabochon décoratif avec une patine dorée et une substance de collage sous la tête	Base-cuivre	1	1	0.7
Ferrure	20657	S2115	Fragment de ferrure	Fer	1	0	6.4
Ferrure	20613	S2090	Fragment de ferrure	Fer	1	0	12.9
Ferrure	20613	S2093	Fragment de ferrure	Fer	1	0	3
Ferrure	20657	S2147	Fragment de ferrure	Fer	1	0	2.6
Ferrure	20613	S2075	Fragment de ferrure avec trace de tôle collée par la corrosion en son centre	Fer	1	1	87.4
Ferrure	20657	S2140	Fragment de ferrure décorative à extrémité terminée en triangle.	Fer	1	1	32.8
Ferrure	20613	S2081	Fragment de ferrure terminé par un empattement (?)	Fer	1	0	17
Ferrure	20613	S2076	Fragment de longue ferrure	Fer	1	0	50.8
Indéterminé objet	20613		Bande de fer plat ondulée	Fer	1	1	3.5
Indéterminé plat	20613	S2094	Fragment de bande de fer plat ondulée	Fer	1	1	4.5
Indéterminé plat	20657	S2141	Fragment de bande de plat	Fer	1	0	2.9
Indéterminé plat	20657	S2124	Fragment de fer plat	Fer	1	1	17
Indéterminé plat	20613		Fragment de fer plat triangulaire	Fer	1	0	9
Indéterminé tôle	20657	S2125	Fragments de tôle	Fer	3	0	1.4
Indéterminé tôle	20657	S2146	Fragments de tôle	Fer	2	0	7.4
Indéterminé tôle	20613		Fragments de bande de tôle	Fer	2	0	7.4
Indéterminé tôle	20657	S2170	Fragment de bande de tôle	Fer	1	0	4
Indéterminé tôle	20613	S2043	Fragment de tôle	Fer	1	1	3.2
Indéterminé tôle	20657	S2132	Fragment de tôle	Fer	1	0	5.5
Indéterminé tôle	20657	S2169	Fragment de tôle replié sur un bord et recourbé sur un autre. Traces violacées de contact avec le feu	Fer	1	0	5.3
Indéterminé tôle	20613		Fragments de tôle	Fer	3	0	11.7
Indéterminé tôle	20613		Fragments de tôle	Fer	4	0	21
Clou	20657	S2109	Clou	Fer	1	1	20.5
Clou	20613		Men.: 164 frgts, 171 tiges	Fer	335	164	1370
Clou	20657		Men.: 20 frgts; 52 tiges	Fer	72	20	337
Clou	20657	S2136	Tige	Fer	1	0	20.1
Clou	20657	S2114	Tige de clou	Fer	1	0	2.1
Clou	20657	S2149	Tige de clou de construction	Fer	1	0	26.6
Clou	20657	S2110	Tiges de clou	Fer	2	0	8.4
K-3-Cit 20618	<i>État 2.1 : LTD1b évoluée</i>						
Ferrure	20623	S2084	Fragment de ferrure	Fer	1	1	22.8
Indéterminé objet	20623	S2224	Fragment informe, fragment de fibule?	Fer	1	1	12.9
Indéterminé plat	20623		Fragment de fer plat	Fer	1	0	2.5
Indéterminé plat	20623		Fragment de plat	Fer	1	1	6
Clou	20623	S2086	Clou	Fer	1	1	12
Clou	20623	S2063	Fragment de clou	Fer	1	1	20.1
Clou	20623	S2083	Men.: 1 frgt	Fer	1	1	12.7
Clou	20623	S2082	Men.: 2 frgt	Fer	2	2	12.2
Clou	20623		Men.: 5 frgts; 1 tige	Fer	6	5	55
Clou	20623	S2085	Tige de clou	Fer	1	0	7.7
Scorie (bc)	20623	S2046	Scories d'alliage cuivreux	Base-cuivre	2	2	27.5
K-4-Ce 20607	<i>État 2.2 : LTD2a</i>						
Ferrure	20608	S2265	Fragments de ferrure	Fer	2	1	33
Indéterminé objet	20608	S2027	Fragment de tige avec virole constituée d'une bande de plat dont la bordure est soulignée par deux bourrelets	Base-cuivre	1	1	1.8
Indéterminé plat	20608	S2035	Fragment de fer plat	Fer	1	1	3.3
Indéterminé tôle	20608		Fragments de tôle	Fer	16	1	43
Clou	20627		Men.: 1 frgt	Fer	1	1	20
Clou	20608		Men.: 39 frgts; 59 tiges	Fer	108	39	590
Clou	20608	S2037	Tige de clou	Fer	1	0	41.7
Rivet (fer)	20608		Contreplaques de rivet dont une encore connectée à la tige	Fer	2	1	19.9
K-5-Pai 20605	<i>État 2 lato sensu : LTD1b évoluée-LTD2</i>						
Anneau (fer)	20606	S2015	Anneau de section ronde	Fer	1	1	20.1
Clou	20606		Men.: 3 frgts; 3 tiges; 1 clou-rivet à contreplaque	Fer	7	4	31
Rivet (fer)	20606		Rivet en une pièce	Fer	1	1	12
K-6-TP 20616	<i>État 2 lato sensu : LTD1b évoluée-LTD2</i>						
Clou	20617		Men.: 5 frgts; 13 tiges	Fer	18	5	161

Type d'objet	UF	No	Description	Métal	NR	NMI	M(g)
K-7-Sb 22037	<i>État 2 lato sensu : LTD1b évoluée-LTD2</i>						
Indéterminé objet	22037	833	Fragment informe	Fer	1	1	2.9
Indéterminé tôle	22037		Fragment de tôle	Fer	1	1	0.75
Clou	22037		Men.: 4 frgts, 6 tiges	Fer	10	4	31
K-8-Pal 20619	<i>État 2.1 : LTD1b évoluée</i>						
Indéterminé barre	20619		Fragment de barre de section rectangulaire	Fer	1	1	25
Clou	20619		Men.: 8 frgts; 7 tiges	Fer	15	8	121
K-9-TP 20609	<i>État 2.1 : LTD1b évoluée</i>						
Clou	20610		Tige	Fer	1	1	6
K-10-Cave combl ind	<i>État 2.2 : LTD2a</i>						
Ferrure	20625	S2101	Fragment de ferrure avec une perforation	Fer	1	1	14.5
Indéterminé plat	20625	S2106	Fragments de bande de plat courbée	Fer	5	1	6.6
Indéterminé tôle	20602	S2156	Fragment de bande de tôle de section rectangulaire	Base-cuivre	1	1	0.3
Clou	20611		Men.: 14 frgts; 15 tiges	Fer	29	14	158
Clou	20625		Men.: 2 frgts; 11 tiges	Fer	13	2	58
Clou	20602		Men.: 28 frgt; 23 tiges	Fer	51	28	329
Scorie (fer)	20611		Scorie argilo-sableuse	Fer	1	1	34
K-11-Cave niv som 20603	<i>État 2.2 : LTD2a</i>						
Clou	20647		Tiges	Fer	5	0	63
Clou	20603	S2017	Fragment de clou de menuiserie	Fer	1	1	13.1
Clou	20647	S2134	Fragment de tête de clou	Fer	1	1	6.9
Clou	20603		Men.: 2 frgts; 7 tiges	Fer	9	2	21.1
K-12-Cave niv som 20612	<i>État 2.2 : LTD2a</i>						
Clou	20612		Men.: 4 frgts; 8 tiges	Fer	12	4	91
K-13-Cave combl sup	<i>État 2.2 : LTD2a</i>						
Anneau (fer)	20622	S2029	Anneau de section rectangulaire	Fer	1	1	17.6
Ferrure	20622	S2177	Fragment de ferrure avec un clou en position fonctionnelle	Fer	1	0	14.3
Ferrure	20622	S2171	Fragment de ferrure massive incurvée	Fer	1	1	29.2
Indéterminé tôle	20622	S2173	Fragment de bande de tôle pliée	Fer	1	1	20.4
Indéterminé tôle	20622	S2178	Fragment de tôle	Fer	1	0	7.5
Clou	20622	S2175	Fragment de clou de menuiserie	Fer	1	1	29.1
Clou	20622	S2030	Men.: 1 frgt	Fer	1	1	26.3
Clou	20628		Men.: 35 frgts; 59 tiges	Fer	94	35	603
Clou	20622		Men.: 7 frgts; 14 tiges	Fer	21	14	158
K-14-Cave combl med	<i>État 2.2 : LTD2a</i>						
Clou	20631		Men.: 1 frgt; 2 tiges	Fer	3	1	22
Rivet (bc)	20631	S2103	Rivet en un pièce à tige matée et tête plate	Base-cuivre	1	1	0.3
Scorie (fer)	20631	S2206	Scories informes	Fer	5	1	28.5
K-15-Cave combl inf	<i>État 2.2 : LTD2a</i>						
Coulure	20741	S2196	Coulure	Base-cuivre	1	1	1.8
Fibule	20741	S2226	Fragment d'ardillon de fibule avec une spire du ressort	Fer	1	1	1.2
Indéterminé plat	20741	S2195	Fragment de bande de fer plat	Fer	1	1	3
Indéterminé plat	20741	S2198	Fragment de plat en forme d'ogive avec un fragment d'alliage cuivreux collé	Fer	1	1	13.2
Clou	20632		Men.: 6 frgts; 4 tiges	Fer	10	6	121.1
Clou	20632	S2148	Men.: 2 frgts	Fer	2	2	63
Clou	20741		Men.: 8 frgts; 15 tiges	Fer	23	8	200
Clou	20741	S2199	Tige de clou	Fer	1	0	12.6
K-16-Cave utilisation	<i>État 2.2 : LTD2a</i>						
Indéterminé tige	20760		Tiges de section ronde	Fer	2	1	13
Clou	20760		Men.: 2 frgts; 5 tiges. Brûlés? Très détériorés.	Fer	7	2	49
K-17-Fo 22062	<i>État 2 lato sensu : LTD1b évoluée-LTD2</i>						
Indéterminé informe	22062-1		Fragment informe	Fer	1	1	2.6
Indéterminé tige	22062-1		Fragment de tige de section hémisphérique	Fer	1	1	5.35
Indéterminé tôle	22062-1	539	Fragments de tôle	Fer	6	1	12.8
Clou	22062-1		Men.: 5 frgts, 12 tiges	Fer	17	5	31
K-18-TP 20664	<i>État 2.2 : LTD2a</i>						
Clou	20665		Men.: 1 frgt; 4 tiges	Fer	5	1	17.1
K-19-TP 20666	<i>État 2.2 : LTD2a</i>						
Clou	20667		1 tige	Fer	1	1	1
K-23-TP 20678	<i>État 2.2 : LTD2a</i>						
Clou	20678		Men.: 1 frgt	Fer	1	1	9
Clou	20679		Tiges	Fer	4	1	15
K-24-TP 20677	<i>État 2.2 : LTD2a</i>						
Indéterminé tôle	20677	S2154	Fragments de tôles indéterminées parfois superposées	Fer	9	1	63
Clou	20677		Men.: 1 frgt	Fer	1	1	5

Type d'objet	UF	No	Description	Métal	NR	NMI	M(g)
K-25-TP 20645	<i>Non phasé</i>						
Clou	20645		5 tiges	Fer	5	1	21
K-26-TP 20658	<i>Non phasé</i>						
Indéterminé tôle	20659	S2126	Bande de tôle ondulée	Fer	1	0	9.1
Indéterminé tôle	20659	S2121	Deux fragments de bande de tôle collés par la corrosion	Fer	2	1	21.1
K-27-TP 20672	<i>État 2.2 : LTD2a</i>						
Clou	20673		11 tiges	Fer	11	1	39
Clou	20674		Tige	Fer	1	1	10
K-29-TP 20652	<i>Non phasé</i>						
Clou	20652		Men.: 1 frgt	Fer	1	1	15
K-20-radier de sol annexe	<i>État 2.2 à 2.3 : LTD2</i>						
Coulure	20635	S2057	Coulure	Base-cuivre	1	1	4.4
Coulure	20637	S2052	Coulure	Base-cuivre	1	1	2
Coulure	20637	S2058	Coulure	Base-cuivre	1	1	0.6
Coulure	20637	S2151	Coulure	Base-cuivre	1	1	0.3
Coulure	20637	S2053	Coulure avec départ de canal de coulée	Base-cuivre	1	1	15.1
Goutte	20637	S2150	Goutte	Base-cuivre	1	1	0.9
Indéterminé tôle	20633	S2205	Fragment de tôle	Fer	1	1	1.2
Indéterminé tôle	20637	S2163	Plaque fine de section rectangulaire	Fer	1	1	1.1
Clou	20633		Men.: 2 frgts; 4 tiges	Fer	6	2	16
Clou	20633		Men.: 3 frgts; 12 tiges	Fer	15	3	45
K-21-Fo art 20636	<i>État 2.1 à 2.2 : Ltd1b évoluée-LTD2a</i>						
Coulure	20761	S2246	2 coulures issues de refonte d'objet?	Base-cuivre	2	2	60.5
Coulure	20636	S2100	Coulure	Base-cuivre	1	1	1.9
Indéterminé plat	20636	S2060	Fragment de bande de fer plat	Fer	1	1	15.4
Indéterminé plat	20636	S2236	Fragment de fer plat triangulaire	Fer	1	0	24.5
Indéterminé tôle	20761	S2242	Fragment de tôle	Base-cuivre	1	1	0.3
Indéterminé tôle	20761	S2230	Fragment de tôle	Fer	1	1	3.7
Clou	20761		Men.: 15 frgts; 56 tiges	Fer	71	15	318
Clou	20636		Constr.: 1 frgt; men.: 12 frgts; 36 tiges	Fer	49	13	104
Piton	20636	S2200	Fragment de piton ouvert	Fer	1	1	3
Rivet (fer)	20761		Contreplaque de rivet avec la tige en position fonctionnelle	Fer	1	1	3

BÂTIMENT U

Décapage

U, K et Q-1-décapage

Planche 124, 1. 20601, n° S1068.
Ressort de fibule à quatre spires et corde externe haute avec départ d'arc filiforme de section circulaire. Fer.
L. 16 mm. 6.6 g.
E : 1262. N : 1115.*
Type : F33-0.

Planche 124, 2. 20601, n° S1022.
Pied de fibule trapézoïdal. Fer.
L. 29 mm. 1.6 g.
E : 1269.3. N : 1114.7.*

Planche 124, 3. 20601, n° S1004.
Ressort à quatre spires et corde externe haute et ardillon. Base-cuivre.
L. 47 mm. 1.6 g.
E : 1268.5. N : 1115.*
Type : B30.

Planche 124, 4. 20601, n° S1027.
Perle à section en quart de rond. Base-cuivre.
Diam. 13 mm, S. 4 x 5 mm. 2.5 g.
E : 1218.8. N : 1117.17. Alt. : 572.09.

Autres petits mobiliers

20601, n° S1003. Monnaie.
20601, n° S2168. Fragment de perle en verre incolore à section en «D» (Gebhard IIIc).

U-1-décapage

Planche 124, 5. 20639, n° S2254.
Fragment de chute de bande. Fer.
L. 24 mm, l. 15 mm, ép. 7 mm. 7.5 g.
E : 1114. N : 1151.*

U-2-épandage 20720

Planche 124, 6. 20720, n° S2260.
Fibule à ressort à quatre spires et corde interne et à arc de tôle triangulaire. Cet exemplaire est cassé au niveau du pied et de l'ardillon. Fer.
L. 54 mm, S. 6 x 4 mm. 9 g.
E : 1279. N : 1114.*
Type : F22-1.

Planche 124, 7. 20720, n° S2261.
Tranchant de ciselet à double biseau cassé au niveau du début du corps de l'outil ou de sa soie, de section carrée. Fer.
L. 33 mm, l. (tranchant) 8,5 mm. 2.7 g.
E : 1277. N : 1114.1.*

Non phasé

U-3-épandage 20706

Planche 124, 8. 20706, n° S2227.
Anneau cannelé à section en «D». Base-cuivre.
Diam. 22 mm S. 4,5 x 2 mm. 1.6 g.
E : 1270. N : 1121.3. Alt. : 571.54.*

Autres petits mobiliers

20706, n° S2190. Polissoir irrégulier en pierre rouge-jaune avec trace de travail sur cinq faces.

État 1 à 2.1 : LTD1b

U-4-remblai 20638

Planche 124, 9. 20638, n° S2223.
Fragment de clé composée d'une tige coudée à angle droit d'où partent deux tiges perpendiculaires l'une à l'autre. Fer.
L. 128 mm. 40.5 g.
E : 1273.8. N : 1113.2.*

Planche 124, 10. 20638, n° S2050.
Ferrure repliée sur elle-même avec rivet en position fonctionnelle. Fer.
L. 87 mm, l. 18 mm, ép. 3 mm. 43.7 g.
E : 1273.56. N : 1113.7.*

Planche 124, 11. 20638, n° S2051.
Gâche de verrou constituée d'un plat de forme ogivale avec deux tiges recourbées à chaque extrémité. Fer.
L. 49 mm, L. utile 13 mm. 18.5 g.
E : 1273. N : 1112.9.*

U-5-cailloutis 20771

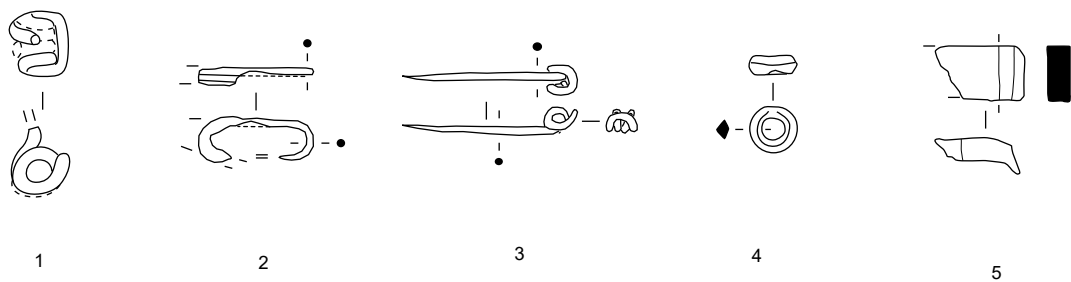
Planche 124, 12. 20771, n° S2222.
Tranchant d'herminette composé d'un plat en forme de quart de rond biseauté sur sa partie circulaire. Fer.
L. 94 mm, L. 68 mm, L. (tranchant) 97 mm. 75.3 g.
E : 1273.8. N : 1114. Alt. : 571.2.

Planche 124, 13. 20771, n° S2264.
Fragment de ferrure décorative. Base-cuivre.
L. 22 mm. 0.3 g.
E : 1275.3. N : 1113.3.*

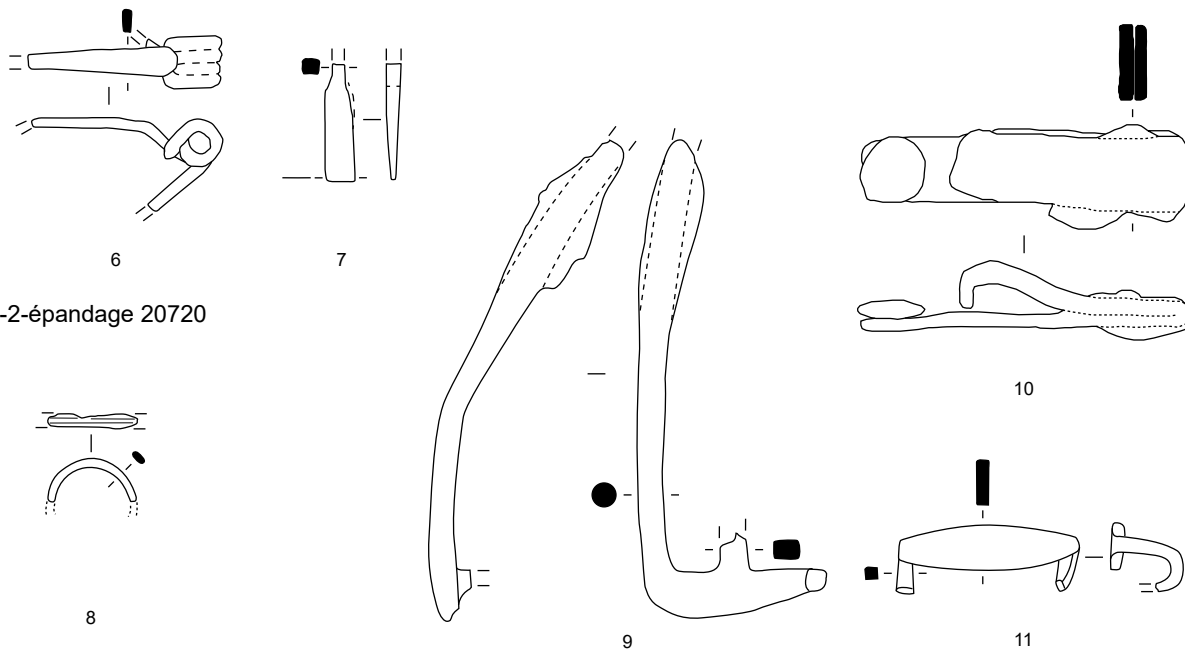
Autres petits mobiliers

20771, n° S2233. Monnaie.
20771, n° S2221. Monnaie.
20771, n° S2219. Fragment de perle en verre bleu cobalt à section en «D» (Gebhard VIc).

Type d'objet	UF	No	Description	Métal	NR	NMI	M(g)
U, K-Q-1-décapage <i>Décapage</i>							
Ferrure	20601	S2026	Fragment de ferrure	Fer	1	1	29.8
Indéterminé plat	20601		Fragment de bande de fer plat courbé	Fer	1	1	4
Indéterminé plat	20601		Fragment de plat	Fer	1	0	15
Indéterminé tôle	20601		Fragment de tôle	Fer	1	1	3
Clou	20601	S2218	Clou	Fer	1	1	23.8
Clou	20601	S3274	Tige de clou	Fer	1	0	0.5
U-1-décapage <i>Décapage</i>							
Indéterminé tôle	20639		Fragment de tôle	Fer	1	1	5
Clou	20762		Men.: 2 frgts; 4 tiges	Fer	6	2	39
Clou	20639		Men.: 4 frgts; 5 tiges	Fer	9	4	51
U-2-épandage 20720 <i>Non phasé</i>							
Indéterminé plat	20720		Fragment de plat	Fer	1	1	3.7
Indéterminé tôle	20720		Fragment de bande de tôle élargie à ces deux extrémités	Fer	1	1	9
Clou	20720		Men.: 15 frgts; 41 tiges	Fer	56	15	257
U-3-épandage 20706 <i>Non phasé</i>							
Scorie (fer)	20706		Scorie	Fer	1	1	46
U-4-remblai 20638 <i>État 1 à 2.1 : LTD1b</i>							
Coulure	20638	S2193	Coulure	Base-cuivre	1	1	3.4
Crampon	20638	S2051b	Crampons	Fer	2	2	20
Clou	20638		Men.: 1 frgt; 3 tiges	Fer	4	1	34
U-5-cailloutis 20771 <i>État 1 à 2.1 : LTD1b</i>							
Indéterminé tige	20771		Tige de section ovale	Fer	1	1	0.6
Clou	20771		Constr.: 1 frgt; men.: 11 frgts dont un à tête hémisphérique creuse; 18 tiges	Fer	30	12	264
U-6-épandage 20710 <i>Non phasé</i>							
Clou	20710		Men.: 2 frgts	Fer	2	2	7



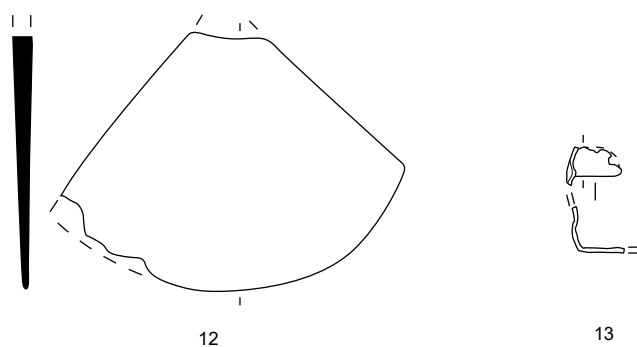
U, K et Q-1-décapage



U-2-épandage 20720

U-3-épandage 20706

U-4-remblai 20638



U-5-cailloutis 20771

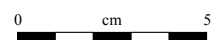


Planche 124. U, K et Q-1-décapage à U-5-cailloutis 20771

1-2, 5-7, 9-12: fer; 3-4, 8, 13 : alliage cuivreux.

BÂTIMENT L

État 2.2 à 2.3 : LTD2

L-2-sol

Planche 125, 1. 20040, n° TRB2019.
Ardillon et ressort de fibule à deux spires (une conservée) et corde externe basse. Fer.
L. 54 mm. 6.9 g.
E : 1238.47. N : 1096.75. Alt. : 571.68.
Type : F10-1.

Planche 125, 2. 20040, n° TRB2011.
Perle (?) constituée d'une tôle enroulée.
Base-cuivre.
Diam. 6 mm. 0.2 g.
E : 1238.82. N : 1093.64. Alt. : 571.33.

Planche 125, 3. 20040, n° TRB2016.
Frette de moyeu à bordure en bourrelet

triangulaire fondue. Une pastille d'or apparaît en surface. Base-cuivre.
Diam. 71 mm. 34.8 g.
E : 1233.2. N : 1097.2. Alt. : 571.84.

Planche 125, 4. 20104, n° S3123.
Fragment de frette de moyeu brûlée.
Base-cuivre.
L. 30 mm. 7.8 g.
E : 1239.4. N : 1097.96. Alt. : 571.68.

Planche 125, 5. 20040, n° TRB2015.
Fragment de frette de moyeu fendue en deux parties et brûlée. Base-cuivre.
L. 44 mm. 6.7 g.
E : 1239.14. N : 1098.15. Alt. : 571.68.

Autres petits mobiliers

20040, n° TRB5001. Hache polie en pierre verte.
20104, n° S3233. Jeton.

20040, n° TRB2012. Monnaie.
20104, n° S3124. Monnaie.

État 1 : LTD1b classique

L-3-TP 20053

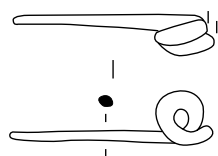
20053, n° TRB2027. Petite perle sphérique à section en «D» en verre rouge opaque à filet blanc central.

Non phasé

L-12-TP 22049

Planche 125, 7. 22049, n° 461.
Grand anneau de section ronde avec trace d'usure. Base-cuivre.
Diam. 35 mm, S. 5 mm. 11.7 g.
E : 1231.5. N : 1109.3. Alt. : 571.73.

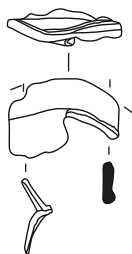
Type d'objet	UF	No	Description	Métal	NR	NMI	M(g)
L-1-décapage	<i>Décapage</i>						
Ferrure	22004		Fragments de ferrure	Fer	3	1	12.9
Indéterminé informe	22004	824	Fragment informe	Fer	1	1	2.4
Indéterminé plat	22004	209	Fragment de bande de fer plat	Fer	1	1	4.5
Clou	22004		Men.: 9 frgts, 12 tiges	Fer	21	9	92.9
L-2-sol	<i>État 2.2 à 2.3 : LTD2</i>						
Clou de chaussure	20104	S3267	Clou de chaussure avec des globules	Fer	1	1	0.9
Ferrure	20104	S3125	Fragment de ferrure	Fer	1	1	2.8
Ferrure	20040	TRB2013	Grand fragment de ferrure avec perforations excentrées	Fer	1	1	145.6
Indéterminé plat	20040	S3185	Fragment de fer plat	Fer	1	1	17.4
Indéterminé tige	20040	TRB2021	Tige de section ronde	Fer	1	1	2.7
Indéterminé tôle	20040	TRB2014	Fragment de tôle repliée et collée	Base-cuivre	1	1	0.9
Clou	20040	TRB2017	Fragment de clou de menuiserie	Fer	1	1	11.6
Clou	20040	TRB2022	Men.: 1 frgt	Fer	1	1	19.2
Clou	20040	TRB2008	Men.: 1 frgt, 4 tiges	Fer	5	1	55.8
Clou	20104	S3122	Men.: 3 frgt; 3 tiges	Fer	6	3	34.4
Clou	20040	TRB2024	Tige	Fer	1	0	1.7
Clou	20040	TRB2007	Tige de clou	Fer	1	0	5.3
Clou	20040	TRB2009	Tige de clou	Fer	1	0	1.1
Clou	20040	TRB2018	Tige de clou	Fer	1	0	13.9
Clou	20040	TRB2020	Tige de clou	Fer	1	0	1.6
Clou	20040	TRB2023	Tige de clou	Fer	1	0	2.3
Clou	20040	TRB2026	Tige de clou	Fer	1	0	4.5
Clou	20040	TRB2025	Tige de clou	Fer	1	0	4.7
Scorie (fer)	20040	S3278	Scorie	Fer	1	1	108
L-4-pouzzolane	<i>État 1 : LTD1b classique</i>						
Clou	20109		Tige	Fer	1	1	4
L-5-TP 20110	<i>État 1 : LTD1b classique</i>						
Clou	20110		Men.: 1 frgt	Fer	1	1	14
L-6-TP 20105	<i>État 1 : LTD1b classique</i>						
Clou	20106		Tige	Fer	1	1	15
L-7-Pai 20102	<i>État 2 lato sensu : LTD1b évoluée-LTD2</i>						
Clou	20103		Men.: 11 frgts; 14 tiges	Fer	15	11	115
L-8-Pai 20100	<i>État 2 lato sensu : LTD1b évoluée-LTD2</i>						
Indéterminé plat	20100	B5003	Fragment de plat	Fer	1	1	10.8
Clou	20101		Men.: 2 frgts; 2 tiges	Fer	4	2	12
Rivet (fer)	20101		Rivet en une pièce	Fer	1	1	4.8
L-10-Pai 22050	<i>État 2 lato sensu : LTD1b évoluée-LTD2</i>						
Clou	22050		Men.: 1 frgt	Fer	1	1	15
L-11-Dr 22008	<i>Perturbations modernes</i>						
Clou de chaussure	22008	213	Clou de chaussure à tête illisible	Fer	1	1	1.9
Clou	22008		Men.: 1 frgt	Fer	1	1	5.8
L-12-TP 22049	<i>Non phasé</i>						
Indéterminé tôle	22049	537	Fragment de tôle	Fer	1	1	6.6
Clou	22049		Men.: 10 frgts, 9 tiges	Fer	19	10	48



1



2



4



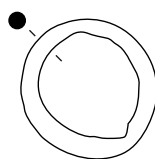
5



3



L-2-sol



6

L-12-TP 22049

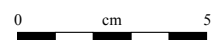


Planche 125. L-2-sol et L-12-TP 22049

1 : fer; 2, 4-6 : alliage cuivreux; 3 : alliage cuivreux et or.

BÂTIMENT N

Décapage

N-1-décapage

Planche 126, 1. 21055, n° 1088.

Deux spires de ressort de fibule. Base-cuivre.

L. 7 mm. 0.2 g.

E : 1247.77. N : 1075.64. Alt. : 571.84.

Planche 126, 2. 21055, n° 1110.

Anneau de section hémisphérique. Base-cuivre.

Diam. 17 mm, S. 4 x 3 mm. 3.0 g.

E : 1250. N : 1074.40. Alt. : 571.76.

Planche 126, 3. 21055, n° 1083.

Chute de tige de section ronde avec trace de découpe à une extrémité et de martelage à l'autre. Base-cuivre.

L. 29 mm, S. 3 mm. 0.8 g.

E : 1251.2. N : 1078.34. Alt. : 571.76.

Planche 126, 4. 21055, n° 1075.

Attache de seau constituée d'une tige de section ronde terminée par un plat de section triangulaire rivetée. Fer.

L. 47 mm, S. 8 mm. 25.8 g.

E : 1255.57. N : 1081.55. Alt. : 571.62.

Planche 126, 5. 21055, n° 1109.

Forces presque complètes à l'exception d'une extrémité de lame. Fer.

L. 172 mm, L. (lame) rest. 110 mm, L. (ressort) 70 mm, l. (lame) 26 mm. 94.7 g.

E : 1248. N : 1074.25. Alt. : 571.72.

Planche 126, 6. 21055, n° 1096.

Extrémité de lame de forces de section triangulaire. Fer.

L. 44 mm, l. 13 mm. 11.1 g.

E : 1247.44. N : 1080.68. Alt. : 571.76.

Planche 126, 7. 21055, n° 1074.

Fragment de ferrure décorative constituée d'une bande de plat perforée. Base-cuivre.

L. 24 mm, l. 11 mm, ép. 1 mm. 1.8 g.

E : 1253.52. N : 1080.94. Alt. : 571.70.

Planche 126, 8. 21055, n° 1077.

Ferrure décorative complète avec deux perforations. Base-cuivre.

L. 46 mm, l. 8 mm. 1.8 g.

E : 1257.25. N : 1081.74. Alt. : 571.67.

Planche 126, 9. 21055, n° 1089.

Extrémité de piton ouvert en forme de «U» avec un petit enroulement à une extrémité. Fer.

L. 50 mm. 21.4 g.

E : 1248.59. N : 1079.41. Alt. : 571.84.

Autres petits mobiliers

21055, n° 1114. Éclat de verre incolore.

21055, n° 1081. Jeton.

21055, n° 1218. Jeton.

21055, n° 1351. Jeton.

21055, n° 1094. Jeton.

21055, n° 1145. Monnaie.

21055, n° 1080. Monnaie.

21055, n° 1111. Monnaie.

21055, n° 1076. Monnaie.

21055, n° 1112. Monnaie.

22489, n° 503. Monnaie.

20001 B4, n° S3036. Fragment de perle en verre bleu cobalt à section en «D» (Gebhard VIc).

21055, n° 776. Fragment de perle oculée en verre vert opaque à oeil en verre blanc à centre bleu.

Perturbations modernes

N-2-drains modernes

Planche 126, 10. 20010, n° S3137.

Fragment indéterminé de tige de section rectangulaire à l'extrémité évasée. Moderne? Fer.

L. 57 mm, S. 11 x 6 mm. 30.6 g.

E : 1244.5. N : 1068.75. Alt. : 574.8.

Planche 126, 11. 20010, n° S3138.

Plaque rectangulaire avec des bordures conservées sur trois côtés et cassées sur le dernier. Extrémité de pelle à feu, clavette, moderne? Fer.

L. 58 mm, l. 52 mm, ép. 3 mm. 46.2 g.

E : 1244.5. N : 1068.75. Alt. : 574.8.

État 2.2 à 2.3 : LTD2

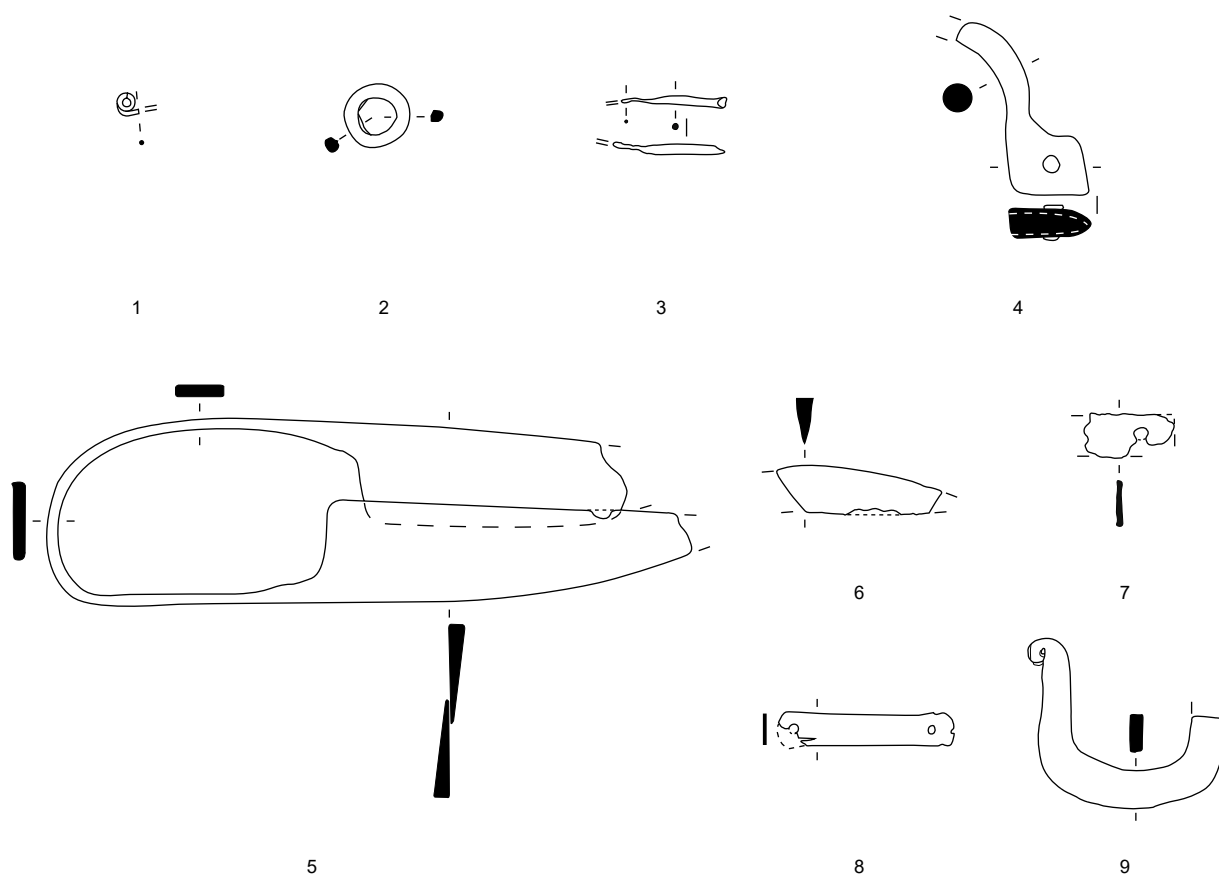
N-4-Fo 21263 sup

21264, n° 1384. Fragment de bracelet de section ovale en roche noire.

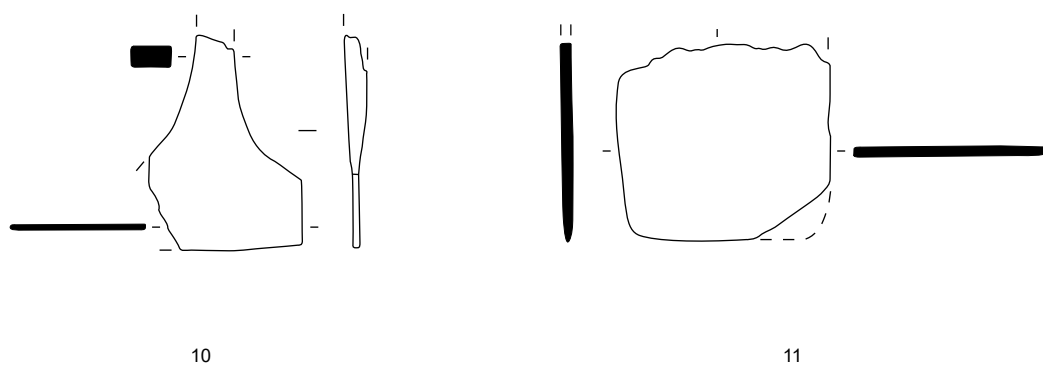
21264, n° 1385. Fragment de bracelet de section ronde en roche noire.

21264, n° 1340. Jeton.

21264, n° 1332. Monnaie.



N-1-décapage



N-2-drains modernes

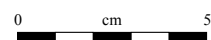


Planche 126. N-1-décapage et N-2-drains modernes

1-3, 7-8 : alliage cuivreux; 4-6, 9-11 : fer.

Bâtiment N

État 2.2 à 2.3 : LTD2

N-5-Pal 22506

Planche 127, 1. 22461, n° 128.

Fibule à ressort à quatre spires (trois conservées) et corde interne et à arc de tôle triangulaire fin à décor à échelle et ligne interrompant le décor. Le pied est fragmentaire. Base-cuivre.

L. 73 mm, L. (arc) 56 mm, l. (arc) 5,5 mm. 5.1 g.

E : 1232.69. N : 1067.77. Alt. : 571.89.

Type : B22-04.

Planche 127, 2. 22461, n° 180.

Élément de serrure constitué d'une tôle rectangulaire à bordure repliée avec au moins deux rivets latéraux et une perforation excentrée. Fer.

L. 88 mm, l. 54 mm. 42.7 g.

E : 1231.32. N : 1067. Alt. : 571.81.

Planche 127, 3. 22461, n° 912.

Chute de tôle repliée sur elle-même à plusieurs reprises. Plomb.

L. 30 mm. 10.2 g.

E : 1233.5. N : 1070.*

Planche 127, 4. 22506, n° 561.

Fragment d'agrafe de réparation avec une tige conservée. Plomb.

L. 38 mm, L. utile 8,5 mm. 6.4 g.

E : 1235.86. N : 1071.91. Alt. : 571.9.

Planche 127, 5. 22506, n° 555.

Grand anneau de section ronde. Fer.

Diam. 84 mm, S. 9 mm. 134 g.

E : 1236. N : 1072. Alt. : 571.72.

Autres petits mobiliers

22461, n° 114. Dé parallélépipédique en os comportant quatre faces ornées de points ocellés. Les chiffres 3, 4, 5 et 6 sont représentés sur ces faces.

22461, n° 195. Jeton.

22506, n° 723. Jeton.

22506, n° 803. Jeton.

22506, n° 807. Jeton.

22506, n° 808. Jeton.

22506, n° 809. Jeton.

22506, n° 681. Monnaie.

22506, n° 804. Monnaie.

22461, n° 571. Monnaie.

État 2.2 : LTD2a

N-6-Fo 20007

20008, n° TRB3004. Broyon de basalte.

20008, n° TRB3008. Déchet de tabletterie à découpes circulaires en os.

20008, n° TRB3002. Jeton.

20008, n° TRB3007. Jeton.

20008, n° TRB3005. Monnaie.

20008, n° TRB3001. Bordure de plaque de foyer.

État 2.1 : LTD1b évoluée

N-7-Pal 22460

Planche 127, 6. 22460, n° 772.

Perle à section losangique avec cannelure centrale. Base-cuivre.

Diam. 13 mm, S. 6 x 3 mm. 2.9 g.

E : 1234.5. N : 1069.8. Alt. : 571.99. UF.

Planche 127, 7. 22460, n° 849.

Maillon de chaîne en huit ouvert. Fer.

L. 53 mm, S. 7 mm. 44.6 g.

E : 1235.7. N : 1069.7.*

Planche 127, 8. 22460, n° 813.

Grand ciseau droit constitué d'une tête fortement matée, d'une tige de section carrée à angle chanfreiné et à tranchant fragmentaire. Fer.

L. 201 mm, S. 19 x 17 mm. 295 g.

E : 1236.36. N : 1066.11. Alt. : 571.8.

Autres petits mobiliers

22460, n° 112. Jeton.

22460, n° 115. Jeton.

22460, n° 121. Jeton.

22460, n° 345. Jeton d'amphore.

22460, n° 148. Monnaie.

22460, n° 140. Monnaie.

22460, n° 295. Monnaie.

22460, n° 178. Perle ou pommeau d'épée en roche noire constitué d'un fragment de disque présentant une perforation centrale quadrangulaire avec une face plane et une section en «D».

N-9-Sb 20139

20140, n° S3223. Monnaie.

N-10-Fo 20034

Planche 127, 9. 20035, n° S3273a.

Fragment de lame de section triangulaire pliée. Fer.

L. 92 mm, l. 17 mm. 31 g.

E : 1239.45. N : 1068.25. Alt. : 572.1.

Type : 0-0.

Planche 127, 10. 20035, n° S3339.

Fragment indéterminé de bande de tôle avec une perforation rectangulaire et une autre circulaire. Focet de serrure? Fer.

L. 52 mm, l. 31 mm. 10.8 g.

E : 1239.5. N : 1069.6.*

Autres petits mobiliers

20035, n° S3048. Monnaie.

20035, n° S3052. Monnaie.

20035, n° S3049. Monnaie.

20035. Fragment de plaque de foyer.

État 1 : LTD1b classique

N-11-Sb 20017

Planche 127, 11. 20017, n° TRB2001.

Entrée de bouterolle de fourreau présentant un décor de lignes incisées horizontales sur chaque face. Les gouttières sont cassées directement en dessous de l'entrée. Fer.

L. 21 mm, l. 43 mm. 9.1 g.

E : 1238.84. N : 1070.3. Alt. : 571.75.*

État 2 lato sensu : fin LTD1b-LTD2

N-12-Fo 21077

Planche 127, 12. 21081, n° 1327.

Passoire, paumelle sous la forme d'une coupelle avec plusieurs perforations centrales et une bordure légèrement épaissie. Fer.

Diam. 66 mm, ht. 19 mm. 56.5 g.

E : 1247.35. N : 1072.40. Alt. : 571.53.

Type : B22-08.

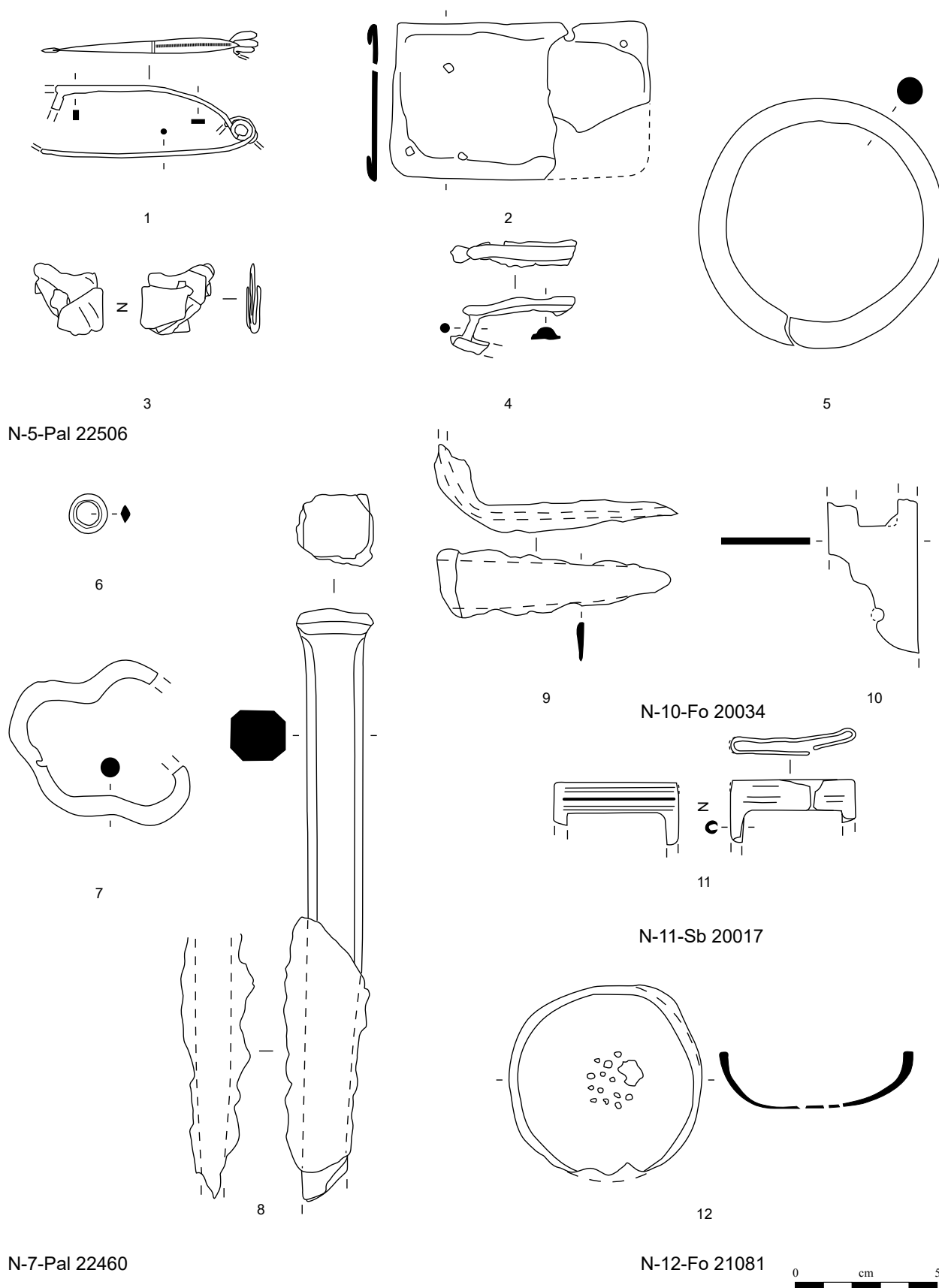


Planche 127. N-5-Pal 22506 à N-12-Fo 21077

1, 6 : alliage cuivreux; 2, 5, 7-12 : fer; 3-4 plomb.

Bâtiment N

État 1 : LTD1b classique

N-15-Fo 21114

Planche 128, 1. 21114, n° 710.
Perle à section en «D». Base-cuivre.
Diam. 12 mm, S. 4 x 2,5 mm. 1.5 g.
E : /. N : /. Alt. : 571.97.*

Autres petits mobiliers

21114, n° 1140. Monnaie.

N-16-Sb 21112

21112, n° 1323. Monnaie.

N-18-Fo 21091

21091, n° 1123. Jeton.
21091, n° 1124. Jeton.

N-21-Sb 20093

20094, n° S3118. Moitié de fusaïole en terre cuite.

N-22-Fo 20061

Planche 128, 2. 20062, n° S3334.
Anneau de section rectangulaire. Fer.
Diam. 35 mm, S. 11 x 4 mm. 14.5 g.
E : 1246.3. N : 1066.2.*

Planche 128, 3. 20062, n° S3336.
Fragment indéterminé de plat présentant un coude. Fer.
L. 132 mm, S. 13 x 4 mm. 51 g.
E : 1247. N : 1067.*

Planche 128, 4. 20062, n° S3064.
Grand cabochon décoratif avec substance de collage et tôle en fer sur laquelle était fixé le cabochon. Base-cuivre et fer.
Diam. 19 mm, ht. 9 mm. 10.1 g.
E : 1249. N : 1064. Alt. : 571.6.

Autres petits mobiliers

20062, n° S3074. Dé rectangulaire en os avec points ocellés sur les quatre faces principales avec trois, quatre, cinq et six.
20062, n° S3066. Déchet de tabletterie composé d'une corne sciée.
20062, n° S3065. Jeton.
20062, n° S3069. Perle en os à section en «D».

N-23-Fo 20031

Planche 128, 5. 20032, n° S3045.
Arc de fibule filiforme de section losangique. Base-cuivre.
L. 23 mm, S. (arc) 2,5 mm. 0.3 g.
E : 1242.2. N : 1069. Alt. : 571.72.*
Type : B23-1.

Planche 128, 6. 20033, n° S3338.
Fragment d'anneau de section rectangulaire. Fer.
Diam. 22 mm, S. 4 x 2 mm. 4.5 g.
E : 1241.35. N : 1070.4.*

Planche 128, 7. 20033, n° S3337.
Fragment de barre de grill avec fixation fragmentaire. Fer.
L. 70 mm, S. 12 x 3,5 mm. 14.2 g.
E : 1242.07. N : 1068.57.*

Autres petits mobiliers

20033, n° S3269. Jeton percé, fusaïole.
20032, n° S3318. Fragment de *catillus* en grès grossier.

N-25-Sb 20019

20020, n° S3162. Jeton.

N-26-Sb 20017

Planche 128, 8. 20018, n° S3188.
Grand rivet émaillé à tige en fer. Base-cuivre et fer.
Diam. 20 mm. 14.3 g.
E : 1237.5. N : 1072.5.*

Autres petits mobiliers

20018, n° S3176. Fusaïole en terre cuite.
20018, n° S3189. Jeton.

N-27-Sb 20015

20016, n° S3157. Trois jetons.

N-28-Sb 20011

Planche 128, 9. 20012, n° S3283.
Pied et barre de support de grill avec pied recourbé à l'angle droit et la présence d'une ou deux perforations sur le support. Fer.
L. 111 mm, ht. 53 mm, S. 5 mm. 58.3 g.
E : 1239.86. N : 1066.63. Alt. : 571.72.

Planche 128, 10. 20012, n° S3255.
Fragment de manche de couteau à plaquette avec départ de la lame. Fer.
L. 67 mm, L. (manche) 51 mm. 17.9 g.
E : 1239.7. N : 1066.43. Alt. : 571.75.
Type : 0-0.

Planche 128, 11. 20012, n° S3322.
Extrémité d'ustensile indéterminé constituée d'une barre de section rectangulaire comportant une perforation ovale. Fer.
L. 106 mm, S. 6 x 10 mm. 37.6 g.
E : 1239.7. N : 1066.43. Alt. : 571.75.

Planche 128, 12. 20012, n° S3285.
Grande barre indéterminée de section circulaire. Outil, demi-produit, objet? Fer.
L. 180 mm, S. 20 x 18 mm. 317 g.
E : 1239.76. N : 1066.46. Alt. : 571.71.

État 2 lato sensu : fin LTD1b-LTD2

N-33-Fo 21077

21077, n° 1328. Fragment de sole de foyer.

Non phasé

N-37-Fo 21452

Planche 128, 13. 21452, n° 976.
Fibule à ressort à quatre spires et corde externe haute et arc tendu filiforme très détérioré. Fer.
L. 25 mm. 5.2 g.
E : 1248.38. N : 1075.74.*
Type : F33-0.

Planche 128, 14. 21452, n° 1451.
Fragment d'orle en gouttière écrasée. Fer.
L. 59 mm, l. 17 mm. 10.1 g.
E : 1248. N : 1075.5.*
Type : Gouttière.

État 1 : LTD1b classique

N-38-Ce 20026

20026, n° S3186. Jeton.

N-40-Sb 21112

Planche 128, 15. 21113, n° 1483.
Petit tas en forme de «T» à table rectangulaire fragmentaire. Fer.
L. 55 mm, S. 13 x 10 mm, L. (table) 28 x 10 mm. 36.3 g.
E : 1239.5. N : 1073.1.*

N-41-Fo 22495

Planche 128, 16. 22495, n° 379.
Fibule à ressort à quatre spires (trois conservées) et corde interne à arc tendu de tôle triangulaire interrompu par une perle. Fer.
L. 34 mm. 4 g.
E : 1233.2. N : 1061.79. Alt. : 571.87.
Type : F24-2.

État 2 lato sensu : fin LTD1b-LTD2

N-42-Pal 20029

Planche 128, 17. 20030, n° TRB2005.
Anneau à section lenticulaire. Base-cuivre.
Diam. 26 mm, S. 8 x 4 mm. 11.8 g.
E : 1238.47. N : 1082.94. Alt. : 571.7.

Autres petits mobiliers

20030, n° TRB2004. Monnaie.
20030, n° TRB2006. Monnaie.

État 1 : LTD1b classique

N-47-TP 21441

21442, n° 2625. Fragment de *catillus* en grès grossier.

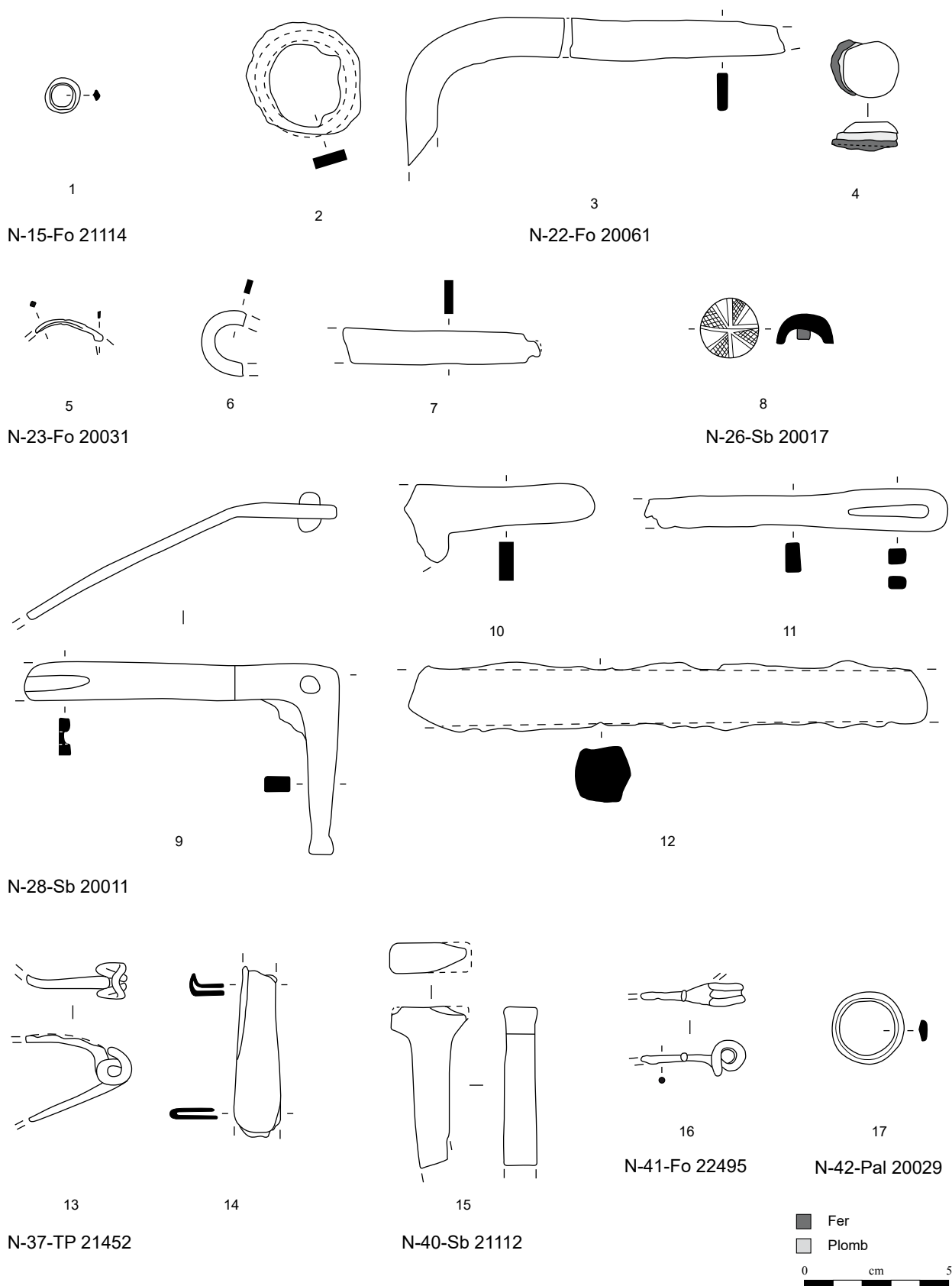


Planche 128. N-15-Fo 21114 à N-42-Pal 20029

1, 5, 17 : alliage cuivreux; 2-3, 6-7, 9-16 : fer; 4, 8, alliage cuivreux et fer.

Type d'objet	UF	No	Description	Métal	NR	NMI	M(g)
N-1-décapage	<i>Décapage</i>						
Chute de tôle	21055	1478	Chute de tôle triangulaire	Fer	1	1	7.3
Clou de chaussure	21055		Clou de chaussure	Fer	2	2	2
Clou de chaussure	22489	862	Clou de chaussure à quatre globules	Fer	1	1	1.6
Coulure	20001B2	S3029	Fragment de coulure	Base-cuivre	1	1	0.8
Déchet de fabrication	21055		Déchet de fabrication	Fer	1	1	3
Ferrure	21055	1106	Fragment de ferrure	Fer	1	1	67
Fibule	20001 A1	S3163	Spire de ressort de fibule	Base-cuivre	1	1	0.1
Fibule	22489	861	Frgt d'ardillon avec départ du ressort	Fer	1	1	0.7
Goutte	21055	1138	Goutte	Base-cuivre	1	1	0.1
Indéterminé plat	21055	1091	Fragment de bande de fer plat	Fer	1	1	17.5
Indéterminé tige	21055		Fragment de tige de section changeante	Fer	1	1	5.9
Indéterminé tige	22489		Frgt de section carrée et circulaire	Fer	1	1	0.7
Indéterminé tige	21055		Tige de section ronde appointée	Fer	1	1	1.5
Indéterminé tige	21055	1402	Tige indéterminée	Fer	1	1	0.8
Indéterminé tige	21055	1404	Tige indéterminée	Fer	1	1	1.7
Indéterminé tôle	21055	1103	Fragment de tôle	Base-cuivre	1	1	0.1
Indéterminé tôle	21055	1092	Fragment de bande de tôle	Fer	1	0	43.3
Indéterminé tôle	21055		Fragment de tôle	Fer	1	0	4.2
Indéterminé tôle	21055	1220	Fragment de tôle avec deux bords conservés	Fer	1	0	9
Indéterminé tôle	21055	1078	Fragment de tôle triangulaire	Fer	1	1	4.8
Clou	20339		Men.: 1 frgt	Fer	1	1	6
Clou	21055		Men.: 49 frgts; 87 tiges	Fer	136	49	842
Clou	22489		Men.:12 frgts, 13 tiges	Fer	25	12	150.7
Clou	20884		Tige	Fer	1	1	1
Clou	21055	1107	Tige de clou	Fer	1	0	6.8
Rivet (fer)	20001C3	S3022	Rivet à contreplaque et tête hémisphérique creuse	Fer	1	1	24
N-2-drains modernes	<i>Perturbations modernes</i>						
Ferrure	20010	S3173	Fragment de ferrure d'angle	Fer	1	1	56.7
Clou	20010		Men.: 1 frgt	Fer	1	1	6
Clou	20401		Men.: 2 frgts; 7 tiges	Fer	9	2	26
N-3-Pal 20027	<i>État 2.3 : fin LTD2a-LTD2b</i>						
Clou	20028		Tige	Fer	1	1	5
N-4-Fo 21263 med	<i>État 2.2 à 2.3 : LTD2</i>						
Clou	21335		Men.: 1 frgt	Fer	1	1	3
Clou	21335		Men.: 5 frgts; 7 tiges	Fer	12	5	63
Indéterminé plat	21264	1342	Fragment de bande de fer plat	Fer	1	1	15.5
Indéterminé plat	21264	1341	Fragment de plat	Fer	1	0	16.3
Clou	21264	1343	Tête de clou	Fer	1	1	6.4
N-5-Pal 22506	<i>État 2.2 à 2.3 : LTD2</i>						
Ferrure	22461		Fragments de ferrures	Fer	2	1	7.5
Indéterminé informe	22506		Fragments informes	Fer	6	1	14.1
Indéterminé plat	22461		Fragments de bande de fer plat	Fer	2	1	4.2
Indéterminé tige	22506	558	Tige de section ronde terminée par un plat fragmentaire, chute? fragment d'aiguille?	Base-cuivre	1	1	0.2
Indéterminé tige	22506	865	Frgt de tige indéterminée	Fer	2	1	20.8
Indéterminé tôle	22506	559	Fragment de bande de tôle perforée	Base-cuivre	1	1	0.3
Clou	22461	917	Men.: 1 frgt	Fer	1	1	3.55
Clou	22461		Men.: 8 frgts, 29 tiges	Fer	37	8	149
Rivet (bc)	22506	560	Contreplaque de rivet quadrangulaire avec tige encore en connection	Base-cuivre	1	1	0.5
N-6-Fo 20007	<i>État 2.2 : LTD2a</i>						
Indéterminé objet	20008		Fibule?	Fer	5	1	28
Clou	20008		Men.: 7 frgts; 5 tiges	Fer	12	7	196
N-7-Pal 22460	<i>État 2.1 : LTD1b évoluée</i>						
Indéterminé objet	22460	847	Fragment de pointe de lance nervurée?	Fer	1	1	14.3
Indéterminé tôle	22460	848	Frgt de bande de tôle avec hypothétique clou en position fonctionnelle	Fer	1	1	17
Clou	22460		Men.: 7 frgts, 11 tiges	Fer	18	7	91.8
N-8-TP 21292	<i>État 2.1 : LTD1b évoluée</i>						
Clou	21293		2 tiges	Fer	2	1	6
N-9-Sb 20139	<i>État 2.1 : LTD1b évoluée</i>						
Clou	20140		Tige	Fer	1	1	6
N-10-Fo 20034	<i>État 2.1 : LTD1b évoluée</i>						
Anneau (fer)	20035	S3273b	Anneau de section ronde	Fer	1	1	21

Type d'objet	UF	No	Description	Métal	NR	NMI	M(g)
Indéterminé tôle	20035	S3051	Grand fragment de plaque avec une perforation dans un angle	Fer	1	1	82.3
Clou	20035		Men.: 13 frgts; 8 tiges	Fer	21	13	211
Scorie (fer)	20035	S3050	Scorie laiteuse	Fer	1	1	10.2
N-11-Pal 20017	<i>État 1 : LTD1b classique</i>						
Indéterminé plat	20022		Fragment de bande de fer plat	Fer	1	1	11
Clou	20022		Men.: 1 frgt; 3 tiges	Fer	4	1	27
N-12-Fo 21077							
Indéterminé tige	21081		Tige de section carrée	Fer	1	1	26
Clou	21081		Men.: 8 frgts; 3 tiges	Fer	11	8	82
N-13-TP 21290	<i>État 1 : LTD1b classique</i>						
Clou	21291		Men.: 1 frgt; 5 tiges	Fer	6	1	51
N-14-TP 21288	<i>État 1 : LTD1b classique</i>						
Clou	21289		Men.: 1 frgt	Fer	1	1	9
N-15-Fo 21114	<i>État 1 : LTD1b classique</i>						
Clou	21114		Men.: 1 frgt	Fer	1	1	14
Clou	21115		Men.: 1 frgt	Fer	1	1	6
N-17-Fo 21091	<i>État 1 : LTD1b classique</i>						
Anneau (fer)	21092		Anneau	Fer	1	1	11
Ferrure	21092	1169	Fragment de ferrure	Fer	1	0	53.5
Ferrure	21092	1148	Fragment de ferrure avec rivet	Fer	1	0	3.3
Indéterminé plat	21092	1157	Fragment de fer plat	Fer	1	1	2.5
Clou	21092		Men.: 31 frgts; 42 tiges	Fer	73	31	387
Rivet (bc)	21092	1401	Clou-rivet en une pièce	Base-cuivre	1	1	0.4
N-19-Sb 21017	<i>État 1 : LTD1b classique</i>						
Clou	21017		Men.: 1 frgt	Fer	1	1	17
N-20-Sb 20831	<i>État 1 : LTD1b classique</i>						
Clou	20831		Men.: 1 frgt	Fer	1	1	11
N-21-Sb 20093	<i>État 1 : LTD1b classique</i>						
Clou	20094		Tige	Fer	1	1	1
N-22-Fo 20061	<i>État 1 : LTD1b classique</i>						
Ferrure	20062	S3335	Fragments de ferrure dont la partie médiane est tordue	Fer	5	1	14
Indéterminé plat	20062	S3071	Fragments de plat avec partie incurvée	Fer	2	1	25.3
Indéterminé plat	20062	S3063	Fragments de bande de plat	Fer	1	0	12.9
Indéterminé tôle	20062	S3068	Fragments de tôles	Fer	1	1	16.2
Clou	20062	S3073	Fragment de clou de menuiserie	Fer	1	1	21
Clou	20062		Men.: 23 frgts; 80 tiges	Fer	103	23	714
Clou	20062	S3070	Tête de clou	Fer	1	1	6.3
Clou	20062	S3067	Tige de clou	Fer	1	0	4.3
N-23-Fo 20031	<i>État 1 : LTD1b classique</i>						
Indéterminé tôle	20033		Fragments de tôle	Fer	2	1	9
Indéterminé tôle	20032		Fragments de tôle	Fer	5	0	21.8
Indéterminé tôle	20032	S3047	Fragments de tôle d'épaisseurs variées	Fer	4	0	22.8
Clou	20033		Men.: 2 frgt, 1 tige	Fer	3	2	10
Clou	20032		Men.: 4 frgts; 5 tiges	Fer	9	4	68
Rivet (bc)	20032	S3046	Rivet en une pièce à tige matée	Base-cuivre	1	1	1.6
N-26-Sb 20017	<i>État 1 : LTD1b classique</i>						
Indéterminé plat	20018		Fragment de bande de plat	Fer	1	1	1.4
Clou	20018		Tige	Fer	1	0	2
N-27-Sb 20015	<i>État 1 : LTD1b classique</i>						
Clou	20015		Men.: 1 frgt	Fer	1	1	5
Clou	20016		Men.: 3 frgts; 2 tiges	Fer	5	3	40
N-28-Sb 20011	<i>État 1 : LTD1b classique</i>						
Indéterminé barre	20012	S3284	Grande barre de section rectangulaire	Fer	1	1	91
Indéterminé objet	20012	S3281	Fragment de barre de section rectangulaire	Fer	1	1	32.4
N-29-TP 20070	<i>Non phasé</i>						
Clou	20070		Men.: 1 frgt	Fer	1	1	10
Clou	20071		Men.: 5 frgts; 5 tiges	Fer	10	5	81
N-30-Fo 20404	<i>Non phasé</i>						
Cabochon	20405	D3009	Cabochon	Base-cuivre	1	1	0.8
Ferrure	20405	D3005	Extrémité de ferrure	Fer	1	1	24.4
Clou	20405		Men.: 3 frgts; 10 tiges	Fer	13	3	67
N-31-Fo 22531	<i>Non phasé</i>						
Clou	22531		Tiges	Fer	3	1	11.3
N-32-TP 21243	<i>État 1 : LTD1b classique</i>						
Rivet (fer)	21244		Rivet en une pièce à contreplaque	Fer	1	1	6

Type d'objet	UF	No	Description	Métal	NR	NMI	M(g)
N-34-TP 21282	<i>Non phasé</i>						
Clou	21282		Tiges	Fer	2	1	9
N-35-TP 21283	<i>Non phasé</i>						
Clou	21283		Men.: 2 frgts; 2 tiges	Fer	4	2	25
N-36-TP 21380	<i>Non phasé</i>						
Clou	21381		Tige	Fer	1	1	2
N-37-Fo 21452	<i>Non phasé</i>						
Clou	21452		Men.: 3 frgts; 6 tiges	Fer	9	3	59
N-38-Ce 20026	<i>État 1 : LTD1b classique</i>						
Fibule	20026	S3166	Fragments de ressort et d'arc très fragmentés (Nauheim?)	Base-cuivre	1	1	1.3
Indéterminé plat	20026	S3160	Fragment de bande de plat de section rectangulaire	Fer	1	1	8.4
Clou	20026		Men.: 8 frgts; 12 tiges	Fer	20	8	117
N-42-Pal 20029	<i>État 2.3 : fin LTD2a-LTD2b</i>						
Ferrure	20030	TRB2028	Fragment de ferrure avec vestige d'une perforation à chaque extrémité	Fer	1	1	20.8
Ferrure	20030	TRB2002	Fragments de tôle avec ferrures de forme angulaire mais non quadrangulaire	Fer	1	1	94.7
Clou	20029		Men.: 1 clou à tête hémisphérique creuse; 11 frgts; 25 tiges	Fer	37	12	260
N-43-TP 22544	<i>État 2.2 à 2.3 : LTD2</i>						
Ferrure	22544	552	Fragment de large ferrure avec deux perforations	Fer	1	1	66
Indéterminé informe	22544		Frgts informes	Fer	4	1	8.3
Clou	22544		Men.: 1 frgt, 1 tige	Fer	2	1	24.5
N-44-Fo 20068	<i>État 2.3 : fin LTD2a-LTD2b</i>						
Clou	20068		Men.: 1 frgt	Fer	1	1	7
Clou	20069		Men.: 6 frgts; 2 tiges	Fer	8	6	39
N-46-TP 20023	<i>Non phasé</i>						
Clou	20024		Men.: 3 frgts	Fer	3	3	18

BÂTIMENT P

Décapage

P-1-décapage

Planche 129, 1. 21006, n° 1013.

Ressort de fibule à quatre spires et corde interne. Fer.
L. 21 mm. 8 g.
E : 1265.78. N : 1075.73. Alt. : 571.89.
Type : F20.

Planche 129, 2. 21006, n° 1019.

Fibule à ressort à quatre spires et corde externe haute et arc filiforme cambré de section lenticulaire. Le pied ajouré est cassé au niveau du porte-ardillon. Fer.
L. 80 mm, L. (arc) 55 mm. 11 g.
E : 1264.36. N : 1076.82. Alt. : 571.83.
Type : F33-7.

Planche 129, 3. 21006, n° 1312.

Fragment de tôle de fourreau avec gouttière. Fer.
L. 26 mm. 2 g.
E : 1268.49. N : 1081.65. Alt. : 571.70.

Planche 129, 4. 21006, n° 1037.

Chute de tige de section circulaire écrasée à une extrémité. Base-cuivre.
L. 33 mm, S. 2,5 mm. 0.5 g.
E : 1262.42. N : 1075.19. Alt. : 571.72.

Planche 129, 5. 21006, n° 1022.

Demi-produit constitué d'une tige de section carrée. Base-cuivre.
L. 53 mm, S. 4 mm. 3.4 g.
E : 1266.28. N : 1078.21. Alt. : 571.6.

Planche 129, 6. 21006, n° 1018bis.

Dent de râteau constituée d'une tige de section ronde dans sa partie proximale et carrée et repliée à son autre extrémité. Fer.
L. 88 mm, S. 8 mm. 10.7 g.
E : 1265.27. N : 1076.39. Alt. : 571.89.

Planche 129, 7. 21006, n° 1018.

Grande tige indéterminée de section ronde. Fer.
L. 263 mm, S. 6 mm. 38.9 g.
E : 1265.27. N : 1076.39. Alt. : 571.89.

Planche 129, 7. 21006, n° 1071.

Serpette à douille et à lame en croissant de lune ouvert. Fer.
L. 101 mm, diam. 18 mm. 38.1 g.
E : 1263. N : 1081.09. Alt. : 571.74.

Planche 129, 9. 21006, n° 1056.

Tas constitué d'une barre massive avec une extrémité matée. Fer.
L. 94 mm, S. 15 mm. 161.4 g.
E : 1261.68. N : 1081.40. Alt. : 571.71.

Planche 129, 10. 21006, n° 1318.

Extrémité enroulée de demi-produit. Fer.
L. 40 mm, ép. 4,5 mm. 10.1 g.
E : 1270.19. N : 1078.78. Alt. : 571.73.

Planche 129, 11. 21006, n° 1045.

Couteau à lame à dos convexe et tranchant concave et à manche à soie. Fer.
L. 102 mm, l. (lame) 16 mm, S. (manche) 5 x 4 mm. 10.1 g.
E : 1263.75. N : 1078.44. Alt. : 571.78.
Type : 5-3.

Planche 129, 12. 21006, n° 1028.

Élément de trousse de toilette constitué d'une tige de section circulaire terminée par un anneau. Base-cuivre.
L. 20 mm. 1.3 g.
E : 1264.51. N : 1080.47. Alt. : 571.76.

Planche 129, 13. 21006, n° 1026.

Cure-ongle ou scalptorium constitué d'une tige de section circulaire aplatie à son extrémité. Base-cuivre.
L. 41 mm, S. 2 mm. 0.9 g.
E : 1264.68. N : 1081.68. Alt. : 571.75.

Planche 129, 14. 21006, n° 1021.

Piton ouvert à extrémité enroulée. Fer.
L. 64 mm. 20 g.
E : 1265.09. N : 1077.28. Alt. : 571.76.

Planche 129, 15. 21054, n° 1105.

Fragment indéterminé constitué d'un plat maté avec départ d'une tige. Clavette, moderne? Fer.
L. 37 mm, l. 14 mm. 7.7 g.
E : 1257.6. N : 1079.40. Alt. : 571.80.

Planche 129, 16. 21006, n° 1059.

Clé à manche terminé par un anneau de section hémisphérique et à panneton à une dent retournée vers l'anneau. Fer.
L. 118 mm, diam. int. 14 mm. 50.7 g.
E : 1266.40. N : 1080.37. Alt. : 571.73.

Planche 129, 17. 21006, n° 1042.

Élément de serrure constituée d'une tôle quadrangulaire à gouttière avec une perforation et un rivet en position fonctionnelle. Fer.
L. 83 mm. 61.6 g.
E : 1263.25. N : 1079.90. Alt. : 571.73.

Planche 129, 18. 21006, n° 1104.

Ferrure décorative repliée sur elle-même et constituée d'une bande terminée par deux excroissances circulaires et perforées à trois reprises. Fer.
L. 143 mm, l. 55 mm. 68.1 g.
E : 1268. N : 1082. Alt. : 571.61.*

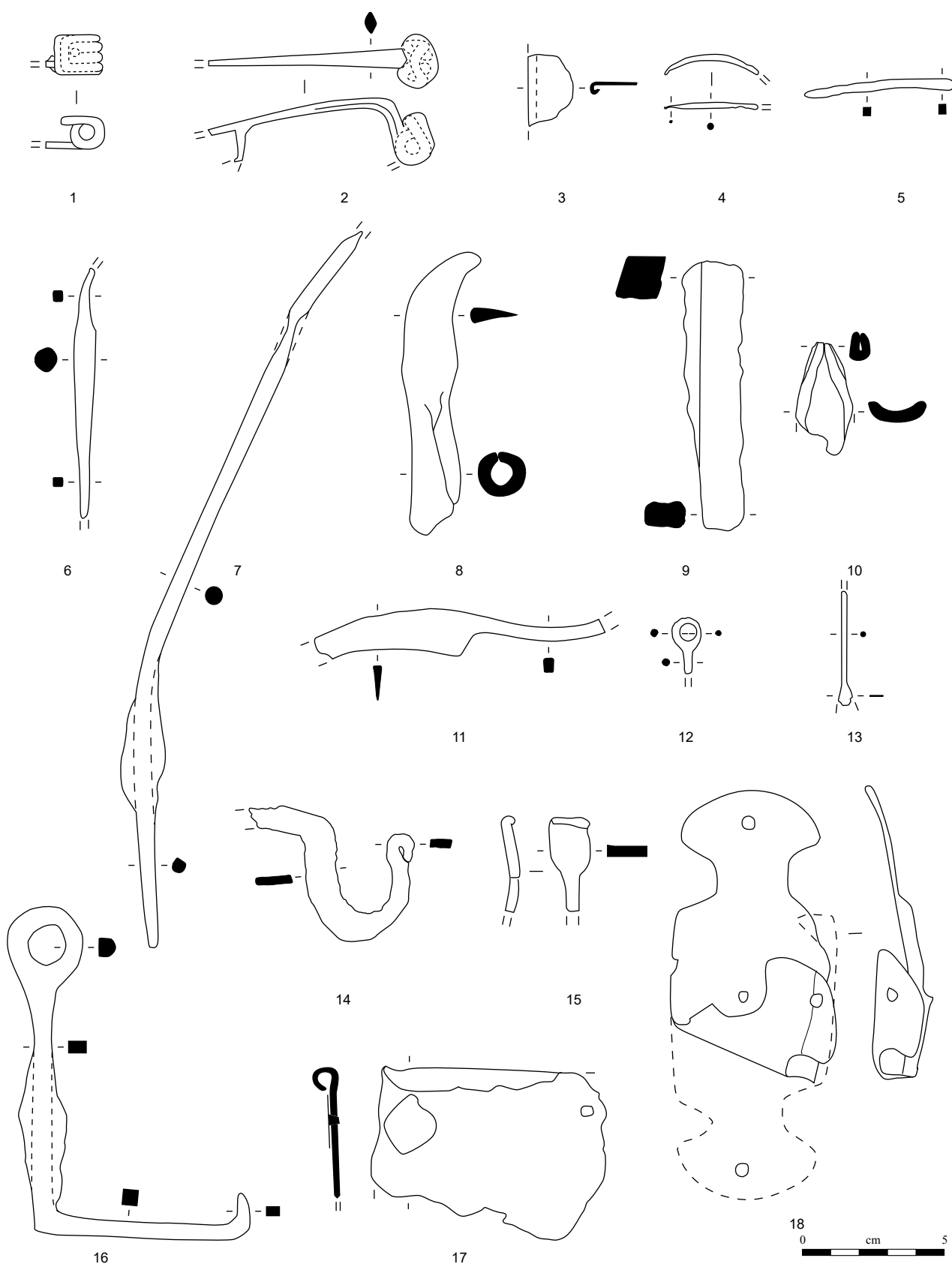


Planche 129. P-1-décapage

1-3, 6-11, 14-18 : fer; 4-5, 12-13 : alliage cuivreux.

Bâtiment P

État 2.2 : LTD2a

P-1-Pal 21021

Planche 130, 1. 21021, n° 1237.
Fragment d'anneau ou de maillon rapide de section circulaire. Fer.
Diam. 55 mm, S. 4,5 mm. 18.9 g.
E : 1263.77. N : 1076.05. Alt. : 571.77.

Autres petits mobiliers

21006, n° 1317. Jeton.
21006, n° 1035. Monnaie.
21006, n° 1213. Monnaie.
21006, n° 1034. Monnaie.
21006, n° 1032. Monnaie.
21006, n° 1335. Demi-anneau en os à section carrée avec arête interne.

P-2-Fy 21023

Planche 130, 2. 21023, n° 1477.
Fragment de croc à viande avec une dent conservée et une fixation indéterminée. Fer.
L. 40 mm. 8.4 g.
E : 1267.6. N : 1080.*

Autres petits mobiliers

21023, n° 1430. Fragment de plaque de foyer.

P-3-Solin 21082

21082, n° 1471. Fragment de bracelet à section ovale en roche noire.

P-7-TP 21317

21317, n° 1450. Jeton.

P-8-Solin 21094

21094, n° 1268. Jeton.

État 1 : LTD1b classique

P-13-Fo 21135

21136, n° 1156. Jeton.

P-14-Fo 21699-58

Planche 130, 3. 21699-59, n° 1441.
Fragment de clé à soulèvement de cheville et translation. Fer.
L. 63 mm, L. (dent) 24,5 mm, diam. (anneau) 13 x 10. 27.3 g.
E : 1262.85. N : 1081.37.*

Autres petits mobiliers

21699-59, n° 1440. Fragment de bracelet en roche noire.

État 2.1 : LTD1b évoluée

P-10-Fo 21116

Planche 130, 4. 21117, n° 1147.
Brochette constituée d'une grande tige de section quadrangulaire dont une extrémité est terminée par un biseau de section rectangulaire et l'autre recourbée. Fer.
L. 344 mm, S. 6.5 mm. 60.6 g.
E : 1266.2. N : 1078.27. Alt. : 571.29.

État 2.3 : fin LTD2a-LTD2b

P-17-décapage 21168

Planche 130, 5. 21168, n° 1339.
Perle de section circulaire. Base-cuivre.
Diam. 20 mm, S. 5 mm. 7.4 g.
E : 1267.5. N : 1081.86. Alt. : 571.66.

Planche 130, 6. 21168, n° 1490.
Chaînette dont l'anneau terminal est relié à deux autres petits anneaux. Fer.
L. 26 mm, diam. (anneau) 6,5 mm. 2.4 g.
E : 1263.2. N : 1080.2.*

Planche 130, 7. 21168, n° 1355.

Fragment de virole à sommet écrasé. Fer.
Diam. (anneau) 20 mm, ht. 23 mm. 14.4 g.
E : 1266.55. N : 1076.23. Alt. : 571.64.

Planche 130, 8. 21168, n° 1489.

Fragment indéterminé de plat avec gouttière. Réparation de fourreau? Fer.
L. 26 mm. 1.6 g.
E : 1265.2. N : 1078.5.*

Planche 130, 9. 21168, n° 1273.

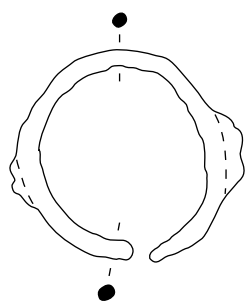
Fragment de crémaillère constitué d'une tige torsadée terminée par un anneau. Fer.
L. 105 mm, S. 14 mm, diam. (anneau) 22 x 19 mm. 83 g.
E : 1267.15. N : 1081.81. Alt. : 571.63.

Planche 130, 10. 21168, n° 1275.

Bande de fer plat indéterminée incurvée avec une rainure et une perforation. Vaisselle? Fer.
L. 154 mm. 84.3 g.
E : 1267.44. N : 1079.85. Alt. : 571.61.

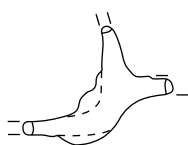
Autres petits mobiliers

21168, n° 1364. Jeton.
21168, n° 1366. Jeton.
21168, n° 1416. Jeton.
21168, n° 1337. Jeton.
21168, n° 1338. Jeton.
21168, n° 1445. Monnaie.



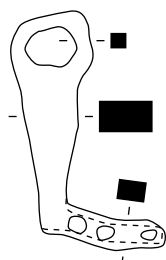
1

P-1-Pal 21021



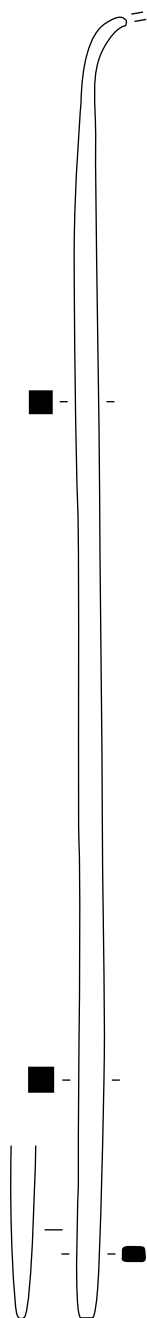
2

P-2-Fy 21023



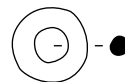
3

P-14-Fo 21699-58



4

P-10-Fo 21116



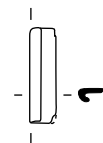
5



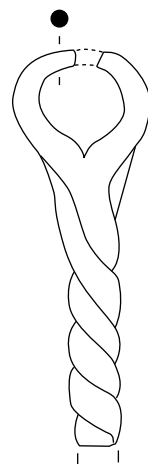
6



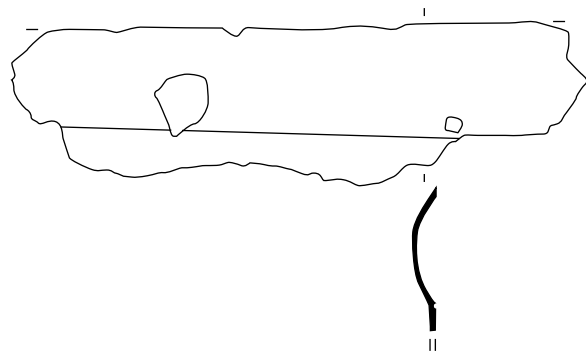
7



8



9



10

P-17-décapage 21168

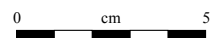


Planche 130. P-1-Pal 21021 à P-17-décapage 21168

Fer, excepté 5, alliage cuivreux

Type d'objet	UF	No	Description	Métal	NR	NMI	M(g)
P-1-décapage	<i>Décapage</i>						
Anneau (fer)	21006	1025	Anneau de section circulaire	Fer	1	1	17
Clou de chaussure	21006	1104	Clou de chaussure	Fer	1	1	0.7
Clou de chaussure	21006		Clous de chaussure sans décor	Fer	2	2	2.4
Crampon	21006	1029	Crampon	Fer	1	1	1.9
Ferrure	21006	1012	Extrémité de ferrure pliée avec perforation	Fer	1	0	4.8
Ferrure	21006	1058	Ferrure tordue avec une perforation	Fer	1	1	65.1
Ferrure	21006	1336	Fragment de ferrure avec clou en position fonctionnelle	Fer	1	0	34.2
Ferrure	21006	1027	Fragment de ferrure large et incurvée	Fer	1	0	38.4
Indéterminé objet	21006	1316	Fragment de cabochon, perforé en son centre, applique?	Base-cuivre	1	1	0.1
Indéterminé objet	21006	1016	Plat triangulaire	Fer	1	1	7.6
Indéterminé plat	21006	1017	Bande de fer plat	Fer	1	1	14
Indéterminé plat	21006	1031	Fragment de bande de fer plat	Fer	1	0	8.1
Indéterminé plat	21006	1072	Fragment de bande de fer plat	Fer	1	1	7.8
Indéterminé plat	21006	1314	Fragment de bande de fer plat	Fer	1	0	6.1
Indéterminé plat	21006	1315	Fragment de bande de fer plat	Fer	1	0	3.5
Indéterminé plat	21006	1033	Fragment de bande de plat	Fer	1	1	9.9
Indéterminé plat	21006	1044	Fragment de fer plat	Fer	1	1	4.9
Indéterminé tige	21006	1057	Tige de section ronde appointée	Fer	1	1	0.6
Indéterminé tôle	21006	1024	Fragment de tôle	Fer	1	1	6.8
Indéterminé tôle	21006	1041	Fragment de tôle	Fer	1	0	2.3
Indéterminé tôle	21006	1066	Fragment de tôle	Fer	1	0	1.6
Indéterminé tôle	21006	1313	Fragment de tôle avec un léger rebord	Fer	1	0	20.2
Indéterminé tôle	21006	1046	Fragment de tôle avec une découpe	Fer	1	0	3.5
Clou	21006		Men.: 11 frgts; 24 tiges	Fer	35	11	140
Clou	21054		Men.: 8 frgts; 3 tiges	Fer	11	8	104
Clou	21006	1011	Tige de clou	Fer	1	0	26.6
Piton	21006	1070	Piton à oeillet par enroulement	Fer	1	1	15
Rivet (fer)	21006	1054	Contreplaque de rivet	Fer	1	0	2.4
Rivet (fer)	21006	1069	Rivet à contreplaque et tête hémisphérique creuse	Fer	1	1	21.6
Clou	21021		Men.: 2 frgts; 4 tiges	Fer	6	2	25
P-2-Fy 21023	<i>État 2.2 : LTD2a</i>						
Clou	21023		Men.: 1 frgt; 2 tiges	Fer	3	1	18.8
P-4-Solin 21234	<i>État 2.2 : LTD2a</i>						
Clou	21234		Tiges	Fer	6	1	13.4
P-5-épannage 21022	<i>État 2.2 : LTD2a</i>						
Crampon	21022		Fragment de crampon	Fer	1	1	8
Clou	21022		Men.: 1 frgt	Fer	1	1	5
P-6-Fy 21031	<i>État 2.2 : LTD2a</i>						
Clou	21031		Tige	Fer	1	1	4
P-8-Solin 21094	<i>État 2.2 : LTD2a</i>						
Clou	21094		Men.: 8 frgts; 6 tiges	Fer	14	8	125
P-9-TP 21229	<i>État 2.2 : LTD2a</i>						
Indéterminé tôle	21230	1460	Fragments de tôle	Fer	7	1	14.3
Clou	21230		Men.: 4 frgts; 2 tiges	Fer	6	4	44.8
P-10-Fo 21116	<i>État 2.1 : LTD1b évoluée</i>						
Clou	21117		Men.: 6 frgts; 2 tiges	Fer	8	6	50
P-11-TP 21699-157	<i>État 2.1 : LTD1b évoluée</i>						
Clou	21699-158		Tige	Fer	1	1	1
P-12-TP 21682	<i>État 2.1 : LTD1b évoluée</i>						
Clou	21683		Men.: 1 frgt; 5 tiges	Fer	6	1	15
P-13-Fo 21135	<i>État 1 : LTD1b classique</i>						
Clou	21136		Men.:2 frgts; 3 tiges	Fer	5	2	24
P-14-Fo 21699-58	<i>État 1 : LTD1b classique</i>						
Clou	21233		Men.: 2 frgts; 9 tiges	Fer	11	2	46
Clou	21699-59		Men.: 4 frgts; 1 tige	Fer	5	4	43
Rivet (bc)	21233	1438	Clou-rivet en une pièce à tête hémisphérique pleine	Base-cuivre	1	1	1.6
P-15-TP 21337	<i>Non phasé</i>						
Clou	21338		Men.: 1 frgt	Fer	1	1	12
P-16-TP 21312	<i>Non phasé</i>						
Clou	21311		Men.: 2 frgts, 1 tige	Fer	3	2	24.5
Clou	21313		Tiges	Fer	3	1	3.9

Type d'objet	UF	No	Description	Métal	NR	NMI	M(g)
P-17-décapage 21168	<i>État 2.3 : fin LTD2a-LTD2b</i>						
Chute de tige appointée	21168	1491	Chute de tige	Fer	1	1	3.1
Ferrure	21168	1365	Fragment de ferrure	Fer	1	1	17.5
Indéterminé tige	21168		Tige de section rectangulaire	Fer	1	1	3
Indéterminé tôle	21168		Fragments de bande de tôle	Fer	2	0	9.6
Indéterminé tôle	21168	1274	Fragment de tôle	Fer	1	1	12.1
Clou	21168		Men.: 50 frgts; 79 tiges	Fer	129	50	690
Rivet (fer)	21168		Rivet à contreplaque à tête hémisphérique creuse	Fer	1	1	14.1
Rivet (fer)	21168		Rivet en une pièce	Fer	1	1	6.9

BÂTIMENT M

Décapage

M-1-décapage

Planche 131, 1. 21331, n° 918.

Raté de fabrication de fibule de Nauheim à arc triangulaire fin avec un décor à échelle inachevé d'où part une spire du ressort sur le même plan. Base-cuivre.
L. 40 mm, L. (arc) 32 mm, l. (arc) 5 mm. 1 g.
E : 1272.5. N : 1056.65. Alt. : 571.92.
Type : B22-04.

Planche 131, 2. 20001-8, n° S3041.

Ardillon de fibule. Base-cuivre.
L. 47 mm. 0.7 g.
E : 1256. N : 1066.*

Planche 131, 3. 21019, n° 527.

Fibule à ressort à quatre spires et corde externe haute, à arc filiforme cambré à section en quart de rond. Le pied est manquant. Fer.
L. 42 mm, S. 6 x 4 mm. 12.9 g.
E : 1273.40. N : 1064.75. Alt. : 572.42.
Type : F33-7.

Planche 131, 4. 21007, n° 1473.

Ressort de fibule à quatre spires (deux conservées) et corde externe. Fer.
L. 50 mm. 3.1 g.
E : 1266.7. N : 1072.3.*
Type : F30.

Planche 131, 5. 21019, n° 1476.

Fibule à ressort à quatre spires et corde externe et arc de section circulaire. Fer.
L. 45 mm. 5.4 g.
E : /. N : /. Alt. : /.*
Type : F33-5.

Planche 131, 6. 21019, n° 625.

Maillon de chaînette ouvert. Base-cuivre.
Diam. 4 mm, S. 2 x 1 mm. 0.1 g.
E : 1259.75. N : 1063.86. Alt. : 571.48. UF.

Planche 131, 7. 20001 14A, n° S3042.

Fragment d'anneau de section ronde. Base-cuivre.
Diam. 18 mm, S. 4 mm. 1.8 g.
E : 1267.9. N : 1064.3. Alt. : 571.9.

Planche 131, 8. 20001 A6, n° S3039.

Perle à section en «D». Base-cuivre.
Diam. 12 mm, S. 4 x 2 mm. 1.6 g.
E : 1257.9. N : 1063.9. Alt. : 571.84.

Planche 131, 9. 21272, n° 888.

Perle avec décor de deux incisions en bordure. Base-cuivre.
Diam. 11 mm, S. 9 x 4 mm. 4.1 g.
E : 1269.79. N : 1053.39. Alt. : 572.02.

Planche 131, 10. 21019, n° 555.

Perle en quart de rond. Base-cuivre.
Diam. 12 mm, S. 5 x 4 mm. 1.3 g.
E : 1269.64. N : 1059.61. Alt. : 572.48.

Planche 131, 11. 21019, n° 506.

Anneau de section lenticulaire avec une arête centrale. Base-cuivre.
Diam. 22 mm, S. 4 x 2 mm. 5.6 g.
E : 1272.31. N : 1053. Alt. : 572.45.

Planche 131, 12. 21019, n° 541.

Anneau de section hémisphérique. Base-cuivre.
Diam. 11 mm, S. 2 mm. 1.4 g.
E : 1257.90. N : 1052.17. Alt. : 572.5.

Planche 131, 13. 21019, n° 799.

Fragment de bracelet à épissures avec deux épissures conservées. Base-cuivre.
L. 22 mm. 0.3 g.
E : 1256.2. N : 1057.48. Alt. : 571.88.
Type : B12-1.

Planche 131, 14. 21272, n° 765.

Fragment de bague à chaton inorné. Base-cuivre.
L. 15 mm, diam. int. 18 mm. 2.6 g.
E : 1267.5. N : 1057.39. Alt. : 571.88.
Type : 6.

Planche 131, 15. 21019, n° 512.

Fragment d'anneau-bague de section lenticulaire. Base-cuivre.
Diam. rest. 16 mm, S. 2 mm. 0.4 g.
E : 1274.39. N : 1056.97. Alt. : 572.04.
Type : 1.

Planche 131, 16. 21019, n° 556.

Boucle de ceinturon ou de harnais de forme circulaire et de section rectangulaire. La partie où passe l'aiguillon est de section hémisphérique. Fer.
L. 36 mm, l. 40 mm, S. 11 x 3 mm et 7 x 4 mm. 20.7 g.
E : 1274.75. N : 1058.85. Alt. : 572.04.

Planche 131, 17. 21019, n° 557.

Agrafe de ceinturon à anneau triangulaire et bouton rectangulaire orné d'une ligne médiane incisée. Base-cuivre.
L. 26 mm, diam. (anneau) 24 x 20 mm, L. (bouton) 22 mm. 13.6 g.
E : 1266.65. N : 1063.27. Alt. : 571.94.
Type : B51-1.

Planche 131, 18. 21019, n° 560.

Talon de lance à douille. Fer.
L. 58 mm, diam. 14 mm. 26.2 g.
E : 1266.2. N : 1062. Alt. : 571.96.
Type : 2.

Planche 131, 19. 20001, n° S3126.

Fer de lance très détérioré à douille dont le clou est arraché. La flamme a une section nervurée. L'objet a éclaté peu après la radiographie et est documenté uniquement grâce à cette dernière. Fer.
L. 178 mm, diam. 21 mm. 135.8 g.
E : 1247.45. N : 1068.2.
Type : 44.

Planche 131, 20. 21221, n° 1499.

Fragment de pince de bouterolle du groupe Ludwigshafen. Fer.
L. 34 mm. 3.5 g.
E : 1263.32. N : 1051.6.*

Planche 131, 21. 21019, n° 605.

Anneau de frette de fourreau à bordure en relief et arête centrale. Base-cuivre.
Diam. 19 mm, S. 11 x 5 mm. 4.9 g.
E : 1272.95. N : 1059.55. Alt. : 572.05. UF.

Planche 131, 22. 20001 14B, n° S3044.

Fragment d'orle en gouttière avec patte de fixation rivetée. Base-cuivre.
L. 53 mm. 1.7 g.
E : 1266.81. N : 1066.49.

Planche 131, 23. 21180, n° 822.

Fragment d'épée de section lenticulaire. Fer.
L. 94 mm, S. 28 x 4 mm. 39.4 g.
E : 1261.75. N : 1058.84. Alt. : 571.91.

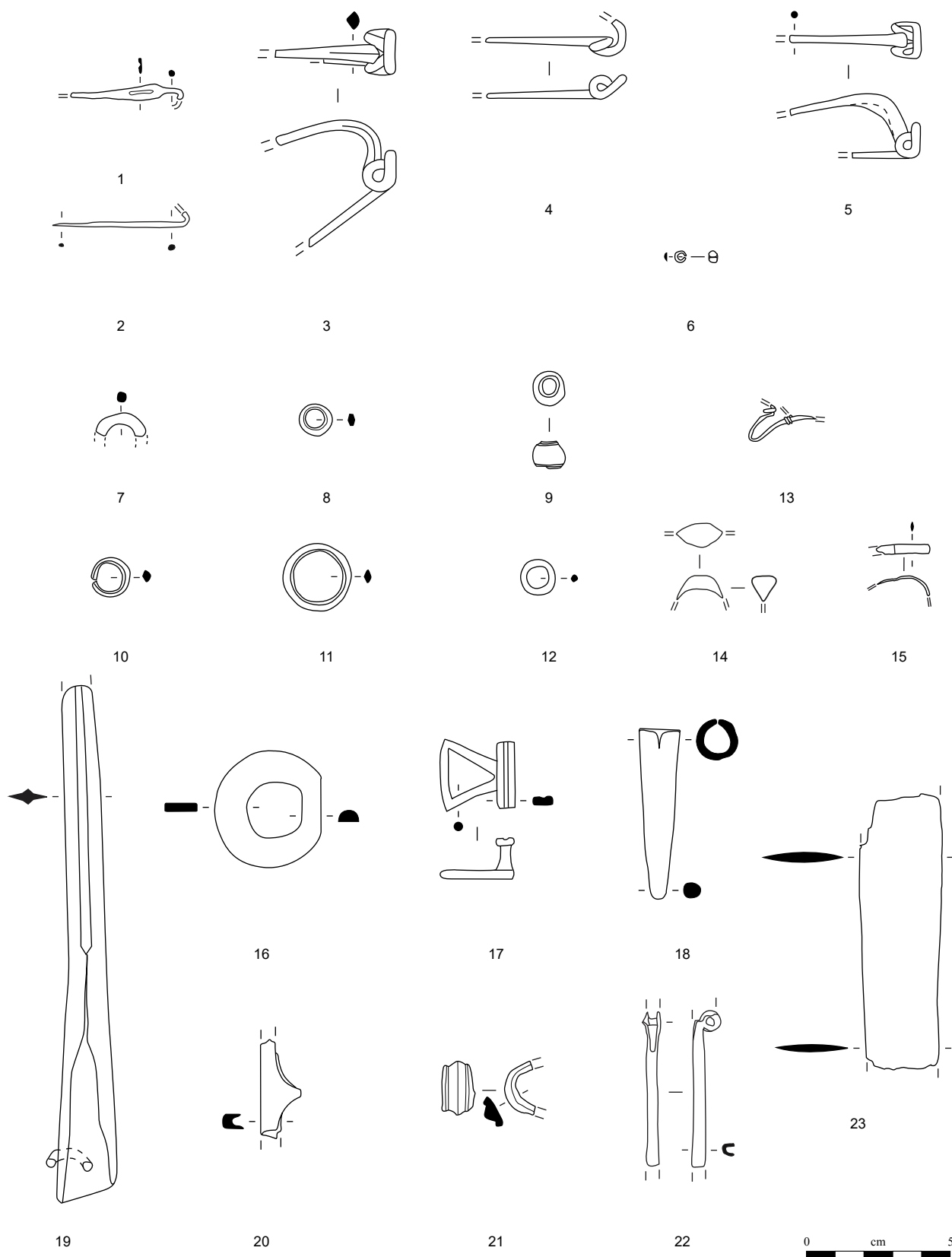


Planche 131. M-1-décapage

1-2, 6-15, 17, 21-22 : alliage cuivreux; 3-5, 16, 18-20, 23 : fer.

Bâtiment M

Décapage

M-1-décapage

Planche 132, 1. 21171, n° 793.

Petites forces dont ne manquent que les extrémités. Fer.

L. 154 mm, l. (ressort) 14 x 9 mm, l. (lame) 22 mm, L. (lame) 50 mm. 51.8 g.

E : 1276.57. N : 1054.25. Alt. : 572.

Planche 132, 2. 21019, n° 522.

Fragment de ressort de forces avec départ de la lame. Fer.

L. 59 mm. 15.7 g.

E : 1262.18. N : 1055.97. Alt. : 572.49.

Planche 132, 3. 21272, n° 920.

Extrémité de lame de forces à dos convexe à butée. Fer.

L. 84 mm, l. 24 mm. 17 g.

E : 1268.24. N : 1057.2. Alt. : 571.92.

Planche 132, 4. 21019, n° 750.

Tas composé d'une tête mycomorphe et d'une base de section circulaire. Fer.

L. 32 mm, S. 20 mm, L. (table) 31 x 26 mm. 68.7 g.

E : 1245.2. N : 1051.85. Alt. : 571.56.

Planche 132, 5. 20804, n° S3268.

Aiguille pliée à chas circulaire. Base-cuivre.

L. 22 mm. 0.2 g.

E : 1272. N : 1066.*

Planche 132, 6. 21179, n° 879.

Ciseau à soie à long manche de section ronde et tranchant aplati fragmentaire à deux biseaux. Fer.

L. 170 mm, L. rest. (tranchant) 15 mm. 42.4 g.

E : 1274.5. N : 1054.46. Alt. : 572.03.

Planche 132, 7. 21171, n° 804a.

Chute de bande de section rectangulaire à bordures renflées, découpée à une extrémité et fendue à l'autre. Fer.

L. 108 mm, l. 28 mm, ép. 9 mm. 136.6 g.

E : 1275.38. N : 1054.48. Alt. : 572.01.

Planche 132, 8. 21019, n° 573.

Chute de barre de section quadrangulaire à découpe en bec de dauphin. Fer.

L. 25 mm, S. 11 x 11 mm. 16 g.

E : 1267.43. N : 1063.98. Alt. : 571.97.

Planche 132, 9. 21007, n° 1349.

Objet en cours de fabrication, demi-produit constitué d'une bande de fer plat torsadé et épaissi à une extrémité avec des traces d'impacts de martelage. Fer.

L. 236 mm, S. 12 x 4 mm. 64.6 g.

E : 1265.65. N : 1078.29. Alt. : 571.64. UF.

Planche 132, 10. 21007, n° 643.

Chute de tige de section losangique avec une extrémité brûlée et découpée. Fer.

L. 35 mm, S. 5 x 3,5 mm. 5.6 g.

E : 1247.90. N : 1061.45. Alt. : 571.92. UF.

Planche 132, 11. 20001B8, n° S3040.

Demi-produit constitué d'une tige recourbée de section rectangulaire. Base-cuivre.

Diam. 14 mm, S. 2,5 x 2 mm. 0.6 g.

E : 1255.45. N : 1066.1. Alt. : 571.93.

Planche 132, 12. 21019, n° 502.

Chute de plaque constituée d'un objet à section ovale découpé. Base-cuivre.

L. 19 mm, ép. 5 mm. 6.1 g.

E : 1268.55. N : 1052.08. Alt. : 572.04.

Planche 132, 13. 21019, n° 921.

Raté de coulée de clochette apparaissant sous la forme d'une clochette ajourée. Base-cuivre.

Diam. 44 mm, ht. 40 mm, ép. 3 mm. 65.7 g.

E : 1275. N : 1054.71. Alt. : 571.91. UF.

Planche 132, 14. 21019, n° 571.

Virole constituée d'une bande de tôle. Fer.

Diam. 18 mm, S. 16 x 3 mm. 6.8 g.

E : 1271.85. N : 1063.25. Alt. : 571.97.

Planche 132, 15. 21221, n° 914.

Fragment de manche d'outil conique de section carrée à angles chanfreinés. Fer.

L. 70 mm, S. 9 mm. 24.3 g.

E : 1258.12. N : 1055.63. Alt. : 571.94.

Planche 132, 16. 21179, n° 783.

Plateau de balance circulaire avec une perforation conservée. Base-cuivre.

Diam. 34 mm, ht. 3 mm. 0.9 g.

E : 1271.79. N : 1054.31. Alt. : 572.

Planche 132, 17. 21019, n° 511.

Poids parallélépipédique avec gouttière incurvée. Plomb.

L. 31 mm, ép. 4 mm. 26.5 g.

E : 1271.63. N : 1054.75. Alt. : 572.53.

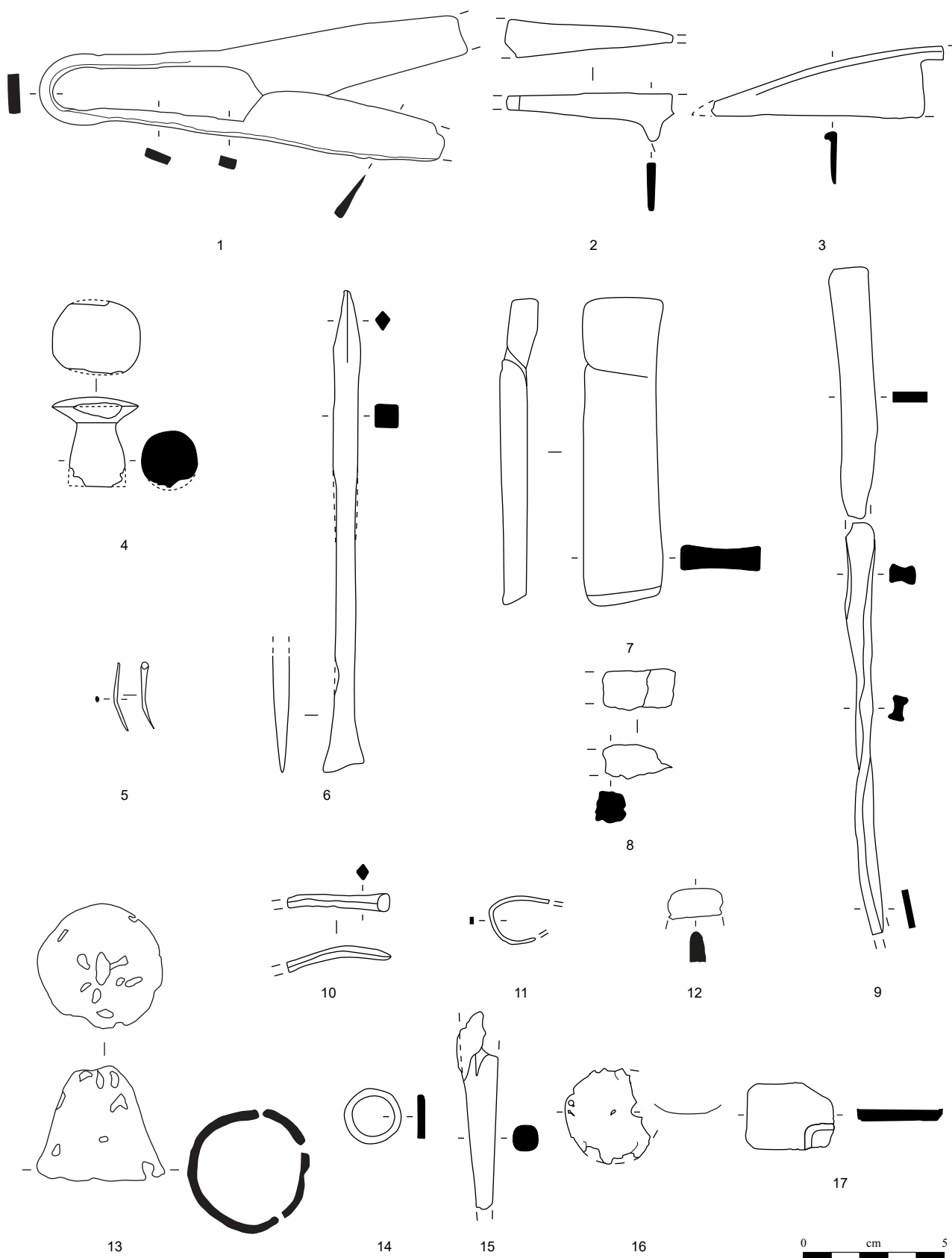


Planche 132. M-1-décapage

1-4, 6-10, 14-15 : fer; 5, 11-13, 16 : alliage cuivreux; 17 : plomb.

Bâtiment M

Décapage

M-1-décapage

Planche 133, 1. 21221, n° 768.

Clé à translation et soulèvement de cheville à trois dents tournées vers le haut. Fer.

L. 80 mm, L. (dent) 60 mm, diam. ext. (anneau) 24 mm. 160.8 g.

E : 1260.52. N : 1051.98. Alt. : 571.70.

Planche 133, 2. 21221, n° 813.

Penture avec une fixation à une extrémité. L'autre extrémité fragmentaire est repliée. Fer.

L. 120 mm, S. 14 x 4 mm. 47.6 g.

E : 1262.3. N : 1053.60. Alt. : 571.9.

Planche 133, 3. 21019, n° 503.

Anneau d'écurie à pignon à deux branches et anneau de section losangique. Fer.

L. 62 mm, diam. 60 mm, S. 10 x 8 mm. 78.6 g.

E : 1264.73. N : 1056.71. Alt. : 572.04.

Planche 133, 4. 21221, n° 934.

Verrou fragmentaire constitué d'une boîte de tôle rectangulaire ouverte sur un côté et prolongée dans son petit et son grand côté par des tôles appliquées, dont une dotée d'une perforation rectangulaire. Les deux sont munies d'une fixation rivetée. Fer.

L. 95 mm. 34 g.

E : 1265.68. N : 1055.32. Alt. : 571.95.

Planche 133, 5. 20001 13C, n° S3034.

Anneau de sertissage constitué d'une bande de tôle. Fer.

Diam. 40 mm, ht. 26 mm. 32.1 g.

E : 1265.03. N : 1068.7. Alt. : 571.99.

Planche 133, 6. 21171, n° 805.

Anneau de sertissage, frette constituée d'une bande de plat ouverte. Fer.

Diam. int. 40 mm, S. 9 x 2 mm. 11.2 g.

E : 1275.35. N : 1054.93. Alt. : 572.

Planche 133, 7. 21179, n° 798.

Anneau de sertissage constitué d'une bande de tôle perforée à deux reprises. Fer.

Diam. int. 22 mm, S. 15 x 4 mm. 26.5 g.

E : 1270.14. N : 1052.85. Alt. : 571.98.

Planche 133, 8. 21005, n° 1472.

Fragment de chaîne à maillons réalisés par repli. Fer.

L. 35 mm. 2.8 g.

E : 1266.1. N : 1072.9.*

Planche 133, 9. 21019, n° 567.

Bande de fer plat indéterminée coudée à deux reprises et perforée à une extrémité tandis que l'autre extrémité comporte une encoche latérale. Élément de serrure? Fer.

L. 71 mm. 25.4 g.

E : 1275.13. N : 1062.27. Alt. : 572.03.

Planche 133, 10. 21221, n° 1600.

Fragment de tige torsadée d'instrument lié au feu. Fer.

L. 110 mm, S. 7 mm. 24.8 g.

E : 1261.3. N : 1050.8.*

Planche 133, 11. 20001, n° S3033.

Grande tige indéterminée de section carrée terminée par un anneau lacunaire.

Fragment de clé, ustensile ? Fer.

L. 150 mm. 25.5 g.

E : /. N : /. Alt. : /.non

Planche 133, 12. 21221, n° 912.

Fragment de pignon fermé. Fer.

L. 38 mm. 11.3 g.

E : 1258.4. N : 1055.4. Alt. : 572.05.

Planche 133, 13. 21171, n° 804b.

Fragment de douille ouverte. Fer.

L. 40 mm, diam. 12 mm. 8.3 g.

E : 1275.45. N : 1054.55. Alt. : 572.01.*

Planche 133, 14. 20001-B5-B6, n° S3043.

Bande de tôle indéterminée comportant une nervure excentrée et des terminaisons triangulaires appointées de section carrée.

Base-cuivre.

L. 86 mm, L. rest. 212 mm, l. 5 mm. 4.7 g.

E : 1250. N : 1066.5. Alt. : 571.85.

Planche 133, 15. 21019, n° 646.

Tige indéterminée appointée à une extrémité et terminée par un anneau séparé de la tige par un rétrécissement. Élément de set de toilette, cure-ongle, cure-dent, ardillon de fibule? Base-cuivre.

L. 30 mm. 0.3 g.

E : 1260.01. N : 1065.7. Alt. : 571.86. UF.

Autres petits mobiliers

20001 B10, n° S3037. Dé rectangulaire en os avec points ocellés sur les trois faces avec les chiffres trois, quatre, six et une face avec au moins quatre ocelles.

21007, n° 1347. Balle de fronde en pierre sphérique.

20196, n° S3289. Objet en os ou déchet de tabletterie indéterminé.

21019, n° 2545. Ogive en amphore.

21019, n° 566. Éclat de récipient en verre bleu.

21001, n° 670. Éclat de verre indéterminé.

21019, n° 604. Fragment de verre bleu.

21221, n° 808. Fragments de verre bleu.

21019, n° 582. Deux jetons.

21019, n° 583. Deux jetons.

21019, n° 694. Deux jetons.

20142, n° S3178. Jeton.

21001, n° 597. Jeton.

21007, n° 1348. Jeton.

21019, n° 2712. Jeton.

21019, n° 2713. Jeton.

21019, n° 518. Jeton.

21019, n° 521. Jeton.

21019, n° 572. Jeton.

21019, n° 575. Jeton.

21019, n° 623. Jeton.

21019, n° 628. Jeton.

21019, n° 657. Jeton.

21019, n° 658. Jeton.

21019, n° 661. Jeton.

21019, n° 729. Jeton.

21179, n° 780. Jeton.

21221, n° 699. Jeton.

21699-154, n° 1449. Jeton.

21007, n° 1200. Jeton.

21019, n° 621. Moitié de jeton.

21272, n° 894. Fragment de lingotière à alvéoles circulaires (six conservées).

21019, n° 536. Fragment de *catillus* non étudié.

21334, n° 528. Fragment de *meta* de meule en arkose.

21019, n° 529. Fragment de meule non étudié.

21019, n° 885. Monnaie.

21019, n° 534. Monnaie.

21019, n° 612. Monnaie.

21221, n° 994. Monnaie.

21019, n° 526. Monnaie.

21019, n° 630. Monnaie.

20001A4-B4 A5-B5, n° S3026. Monnaie.

21008, n° 2711. Monnaie.

21221, n° 833. Monnaie.

21008, n° 1353. Monnaie.

21019, n° 505. Monnaie.

21019, n° 508. Monnaie.

21019, n° 513. Monnaie.

21019, n° 569. Monnaie.

21019, n° 616. Monnaie.

21019, n° 732. Monnaie.

21019, n° 736. Monnaie.

21019, n° 738. Monnaie.

21019, n° 836. Monnaie.

21019, n° 880. Monnaie.

21019, n° 942. Monnaie.

21019, n° 902. Monnaie.

21019, n° 631. Monnaie.

21019, n° 558. Monnaie.

21019, n° 581. Monnaie.

21171, n° 856. Monnaie.

21019, n° 615. Monnaie.

21019, n° 714. Monnaie.

21019, n° 632. Perle en verre pourpre à décor spiralé de filament blanc (Gebhard IXad).

21019, n° 766. Perle verte à ocelles jaune et bleu.

21007, n° 672. Nodule de pigment bleu.

21019, n° 791. Fragment de plaque de foyer décorée de ligne et de croix, fragment d'acrotère?

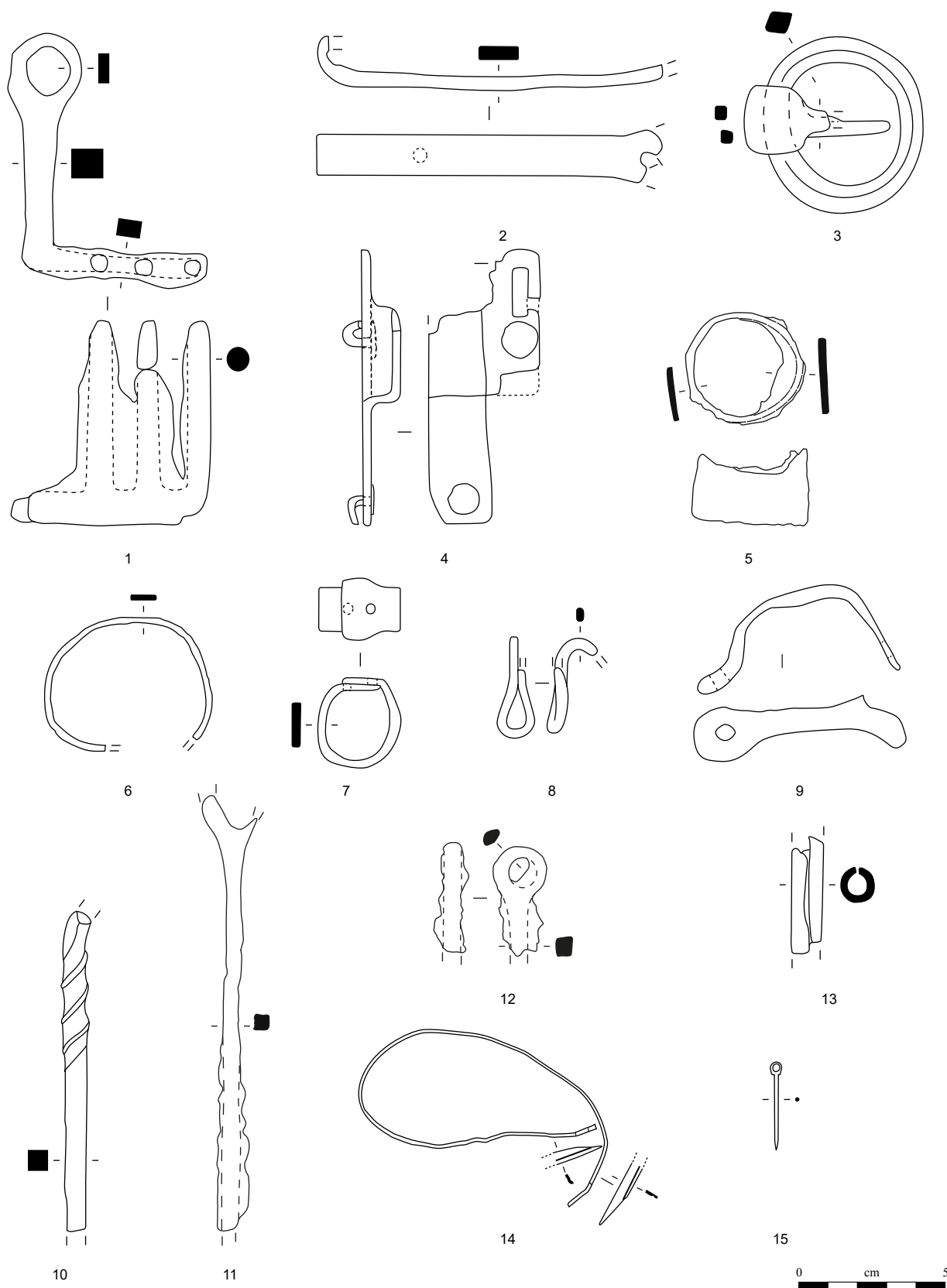


Planche 133. M-1-décapage

1-13 : fer; 14-15 : alliage cuivreux.

Bâtiment M

Perturbations modernes

M-2-Perturbations modernes

Planche 134, 1. 21009, n° 1132.

Douille fragmentaire. Fer.

L. 36 mm, diam. 14 mm. 12.8 g.

E : 1256.62. N : 1070.38. Alt. : 571.73.

Planche 134, 2. 21009, n° 1131.

Perle de section hémisphérique. Fer.

Diam. 14 mm, S. 8 x 6 mm. 6.8 g.

E : 1256.86. N : 1070.3. Alt. : 571.73.

État 3 : fin LTD2b-Auguste

M-3-nettoyage radier 20052

Planche 134, 3. 20050, n° S3056.

Fragment de douille maté à une extrémité avec une perforation. Fer.

L. 54 mm, diam. int. 24 mm. 21.7 g.

E : 1270.15. N : 1067.77. Alt. : 571.92.

Planche 134, 4. 20050, n° S3062.

Chute de tige appointée de section carrée. Fer.

L. 58 mm, S. 3 mm. 1.4 g.

E : 1273.47. N : 1066.58. Alt. : 571.94.

Planche 134, 5. 20050, n° S3061.

Agrafe constituée d'une tige section carrée. Base-cuivre.

L. 30 mm, S. 2,5 mm. 1 g.

E : 1272.5. N : 1069.01. Alt. : 571.93.

Planche 134, 6. 20050, n° S3296.

Fragment de penture constituée d'une bande de tôle repliée sur elle-même et formant une boucle. Fer.

L. 42 mm, l. 26 mm, ép. 2 mm. 20 g.

E : 1272.5. N : 1067.1. Alt. : 571.94.

Planche 134, 7. 20050, n° S3128.

Gond de section carrée à angles chanfreinés. Fer.

L. 84 mm, S. 9 mm. 35.4 g.

E : 1272.58. N : 1068.3. Alt. : 571.89.

Planche 134, 8. 20050, n° S3248.

Plaque indéterminée de section triangulaire à rectangulaire, avec une cupule. Fer.

L. 85 mm. 31.4 g.

E : 1272.7. N : 1068.6.*

Planche 134, 9. 20050, n° S3054.

Tige indéterminée appointée de section ronde. Fer.

L. 6 mm, S. 3 mm. 1.5 g.

E : 1274.5. N : 1067.56. Alt. : /.

Autres petits mobiliers

20050, n° S3060. Monnaie.

20050, n° S3057. Monnaie.

20050, n° S3361. Monnaie.

20050, n° S3059. Monnaie.

M-3-radier 20052

Planche 134, 10. 21052, n° 716.

Bracelet à épissures complet à jonc de section lenticulaire. Les épissures sont constituées de six et sept enroulements de section plate. Base-cuivre.

Diam. int. 60 mm, S. 3 mm. 7.8 g.

E : 1277.24. N : 1059.64. Alt. : 571.76.

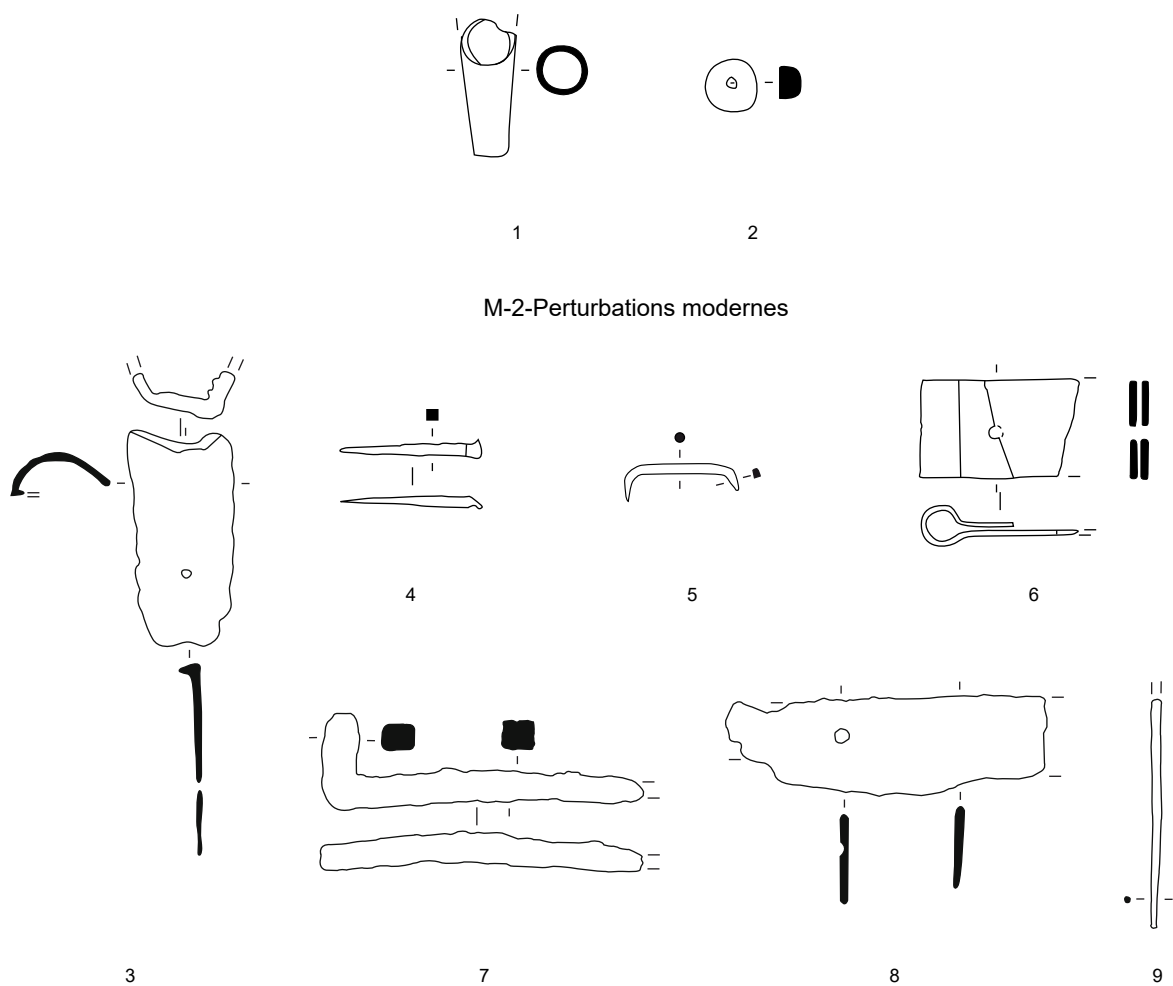
Type : B12-1.

Planche 134, 11. 21052, n° 715.

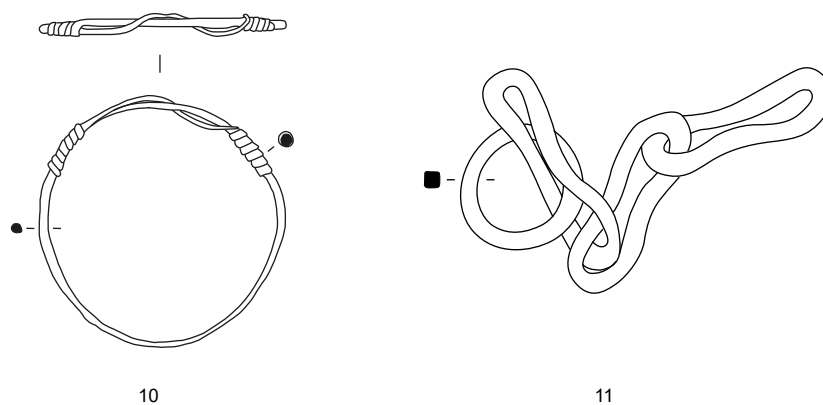
Fragment de chaîne avec trois maillons en «8» et un maillon circulaire. Fer.

L. 108 mm, diam. (anneau) 32 mm, S. (anneau) 4 mm, L. (maillon) 54 mm. 54.6 g.

E : 1276.90. N : 1060.35. Alt. : 571.76.



M-3-nettoyage radier 20052



M-3-radier 20052

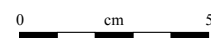


Planche 134. M-2-Perturbations modernes à M-3-radier 20052

1-4, 6-9, 11 : fer; 5, 10 : alliage cuivreux.

Bâtiment M

État 3 : fin LTD2b-Auguste

M-4-radier d'amphore 20099

Planche 135, 1. 20099, n° S3119.

Agrafe de ceinturon à bouton rectangulaire et anneau circulaire. Base-cuivre.

Diam. 20 mm, ht. 16 mm, L. (bouton) 8 mm. 12.8 g.

E : 1273.45. N : 1067.68. Alt. : /.

Type : B44-2.

Planche 135, 2. 20099, n° S3121.

Pointe de lance asymétrique de section nervurée. Fer.

L. 80 mm, l. 18 mm. 25.8 g.

E : 1273.6. N : 1066.77. Alt. : /.

Type : 41.

Planche 135, 3. 20129, n° S3152.

Chute de barre avec trace de découpe en bec de dauphin. Fer.

L. 63 mm, S. 8 mm. 16.8 g.

E : 1273.45. N : 1067.49.

Planche 135, 4. 20129, n° S3141.

Spatule composée d'une tige de section ronde terminée à chaque extrémité par un plat triangulaire. Fer.

L. 65 mm, S. 5 mm, l. 17 mm. 6.3 g.

E : 1273.7. N : 1066.56.*

Planche 135, 5. 20129, n° S3156.

Crampon complet. Fer.

L. 57 mm, L. utile 33 mm. 15 g.

E : 1273.23. N : 1067.11.

Planche 135, 6. 20129, n° S3181.

Fragment de tôle indéterminée quadrangulaire perforée dans les angles. Fer.

L. 51 mm, l. 39 mm, ép. 1 mm. 16.6 g.

E : 1273.2. N : 1066.4.

Planche 135, 7. 20129, n° S3165.

Fragment de ferrure décorative avec une perforation. Base-cuivre.

L. 50 mm, l. 15 mm, ép. 0,5 mm. 5.1 g.

E : 1273.6. N : 1067.3.

Autres petits mobiliers

20129, n° S3159. Brunissoir (?) en pierre rouge très lisse.

20129, n° S3135. Jeton.

20129, n° S3150. Jeton.

20129, n° S3177. Monnaie.

20129, n° S3132. Monnaie.

20099, n° S3120. Fragment de récipient en millefiori vert avec rouge et jaune.

20129, n° S3291. Fragment de récipient en verre.

M-5-chape 20130

Planche 135, 8. 21130, n° 1405.

Garde de poignard anthropomorphe à extrémité bouletée et poignée cannelée.

Base-cuivre.

L. 48 mm. 42.5 g.

E : 1274. N : 1068.34.

Planche 135, 9. 20130, n° S3187.

Clé à lève-loquet à anneau terminal et panneton doublement coudé. Fer.

L. 215 mm, diam. (anneau) 20 mm, S. 5 x 9 mm. 52 g.

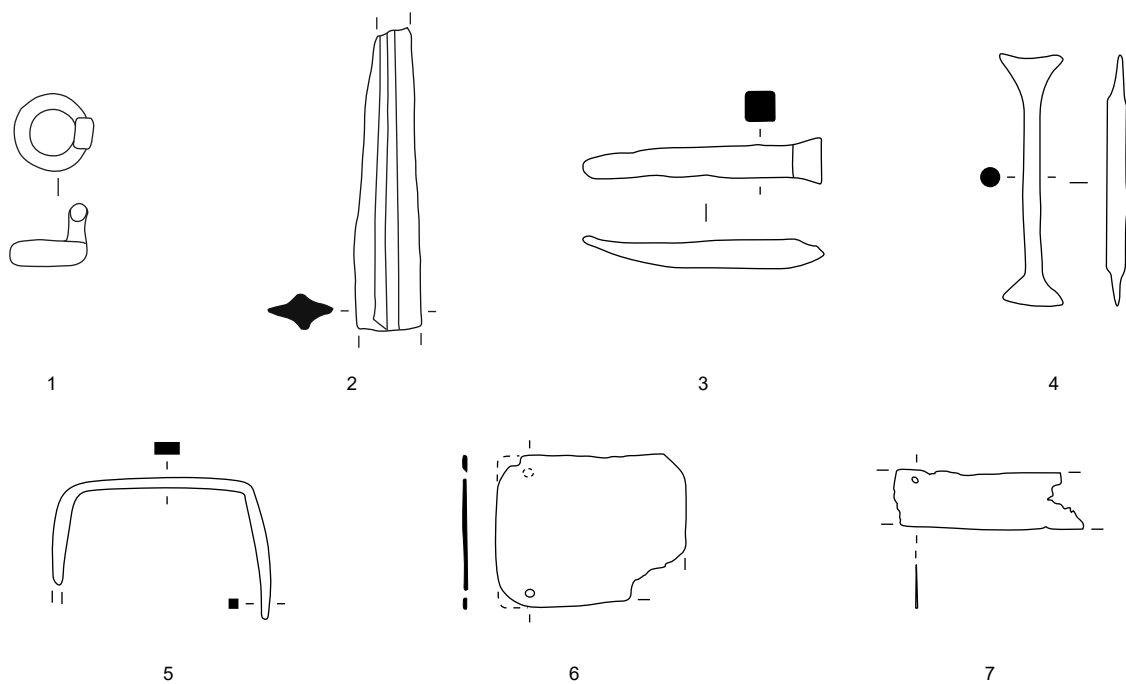
E : 1273.78. N : 1066.1. Alt. : 571.87.

Planche 135, 10. 21130, n° 1609.

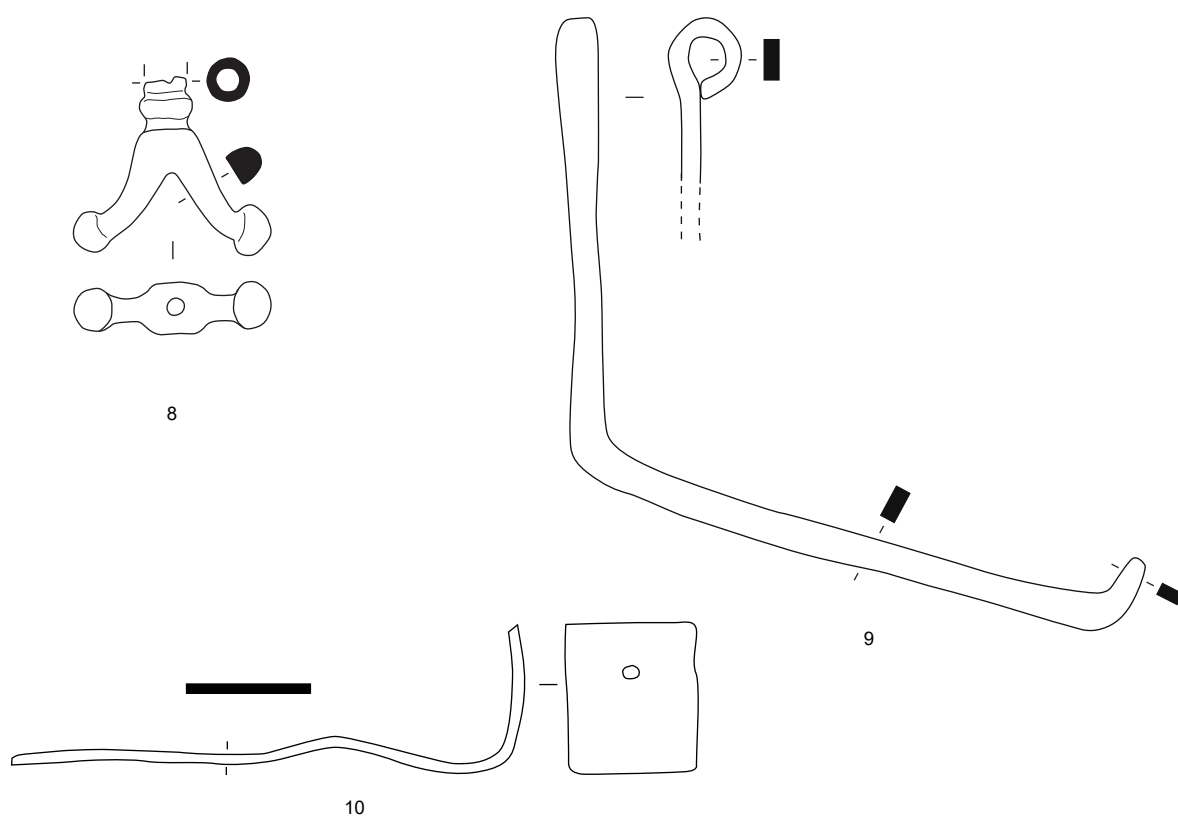
Ferrure d'angle. Fer.

L. 136 mm, l. 33 mm, ép. 2 mm. 84.8 g.

E : 1273.29. N : 1070.5. Alt. : 571.77. UF.



M-4-radier d'amphore 20099



M-5-chape 20130

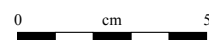


Planche 135. M-4-radier d'amphore 20099 et M-5-chape 20130

1, 7-8 : alliage cuivreux; 2-6, 9-10 : fer.

Bâtiment M

État 3 : fin LTD2b-Auguste

M-6-Cit 21279

Planche 136, 1. 21280, n° 763.

Chute de barre à section changeante triangulaire. Base-cuivre.

L. 24 mm. 5.3 g.

E : 1270.7. N : 1063.1. Alt. : 571.85.

État 2.3 : fin LTD2a-LTD2b

M-14-radier 20039

Planche 136, 2. 20039, n° S3319b.

Perle cannelée à section en «D». Base-cuivre.

Diam. 17 mm. 4.1 g.

E : 1266.2. N : 1066.3. Alt. : 574.9.

Planche 136, 3. 21039.

Clou de chaussure à bol hexagonal. Fer.

Diam. 16 mm. 2.4 g.

E : 1266.5. N : 1064.*

Planche 136, 4. 20039, n° S3202.

Applique de caisse de char en forme de goutte avec décor de ying-yang au repoussé. Une perforation est documentée à l'extrémité où la tôle est repliée. Base-cuivre.

L. 66 mm. NP.

E : 1265.15. N : 1064.80.

Planche 136, 5. 20039, n° S3319a.

Foncet de serrure en trois fragments dont une tôle avec perforation, une avec plaque rivetée et un hypothétique fragment de pêne (?) constitué d'une barre de section rectangulaire. Fer et base-cuivre.

L. 102 mm et L. 116 mm, L. déplié 170 mm, L. (barre) 126 mm. NP.

E : 1266.1. N : 1066.2. Alt. : 574.9.

Autres petits mobiliers

21280, n° 2550. Monnaie.

21280, n° 2552. Monnaie.

21280, n° 2544. Fragment de plaque de foyer.

21280, n° 2547. Fragment de plaque de foyer.

21280, n° 2546. Fragment de plaque de foyer avec départ du rebord.

21280, n° 903. Fragment de récipient en verre bleu avec départ d'une côte.

21280, n° 995. Fragment de verre mosaïqué.

M-16-sol 211

Planche 136, 6. 21127, n° 760.

Mors de pince à épiler. Fer.

L. 69 mm, l. 8 mm. 4.4 g.

E : 1274.27. N : 1060.83. Alt. : 571.91.

Planche 136, 7. 21127, n° 726.

Chute de tôle à bordure irrégulière avec deux traces de découpe ou de perforation

circulaire. Base-cuivre.

L. 30 mm, diam. (perforation) 6 mm. 0.9 g.

E : 1273.40. N : 1058.89. Alt. : 571.99.

Planche 136, 8. 21127, n° 2602.

Fragment de pontet constitué d'un plat terminé par une attache percée et emboutie. Fer.

L. 53 mm, diam. 20 mm, l. 13 mm, ép. 1 mm. 8.3 g.

E : 1274.35. N : 1060.9.*

M-17-Solin 20081

Planche 136, 9. 20081, n° S3326.

Clou de construction. Fer.

L. 184 mm, S. 15 mm. 154 g.

E : 1263. N : 1066.*

Autres petits mobiliers

20081, n° S3161. Jeton en amphore.

A diagram showing a cross-section of a cell. At the top is a nucleus, represented by a small square inside a larger hexagon, which is itself inside a larger circle. Below the nucleus is a vertical line representing the nuclear envelope. At the bottom is a large, bean-shaped vacuole with a dashed line indicating its membrane.

Déplié

9

0 cm 5

349

Bâtiment M

État 2.3 : fin LTD2a-LTD2b

M-18-Pal 20087

Planche 137, 1. 20088, n° S3184.
Anneau de section lenticulaire. Base-cuivre.
Diam. 29 mm, S. 4 x 3 mm. 13 g.
E : 1260.3. N : 1065.7. Alt. : 571.48.*

Planche 137, 2. 20088, n° S3113.
Anneau à section lenticulaire. Base-cuivre.
Diam. 27 mm, S. 6 x 3 mm. 8.1 g.
E : 1252.7. N : 1066.64. Alt. : 571.97.

Planche 137, 3. 20088, n° S3112.
Anneau à section en «D». Base-cuivre.
Diam. 24 mm, S. 6 x 3 mm. 8.3 g.
E : 1253.3. N : 1067.8. Alt. : 571.59.

Planche 137, 4. 20088, n° S3330.
Fragment de plaque de fourreau avec gouttière conservée et tôle dont l'angle est plié. Fer.
L. 33 mm. 5.3 g.
E : 1260.4. N : 1065.4.*

Planche 137, 5. 20088, n° S3154.
Ferrure entière élargie à ses deux extrémités percées. Manipule? Fer.
L. 129 mm, S. 13 x 3 mm. 56.8 g.
E : 1252.8. N : 1066.85. Alt. : 571.53.

M-19-Pal 20816

Planche 137, 6. 20817, n° S3343.
Croisière fragmentaire dont une branche est cassée. Fer.
L. 44 mm. 6.5 g.
E : 1273.45. N : 1065.2. Alt. : 571.45.

M-20-Blocs 21015

Planche 137, 7. 21015, n° 684.
Perle de section losangique cannelée. Base-cuivre.
Diam. 16 mm, S. 5 x 3,5 mm. 4.0 g.
E : 1275.09. N : 1051.64. Alt. : 571.86.

Autres petits mobiliers

21015, n° 678. Fragment de *catillus* en grès grossier hétérométrique.
21015, n° 677. Monnaie.
21015, n° 991. Monnaie.

M-21-remblai 21102

Planche 137, 8. 21102, n° 712.
Bracelet tubulaire presque complet à section en «D» large sans décor lisible en surface. Une terminaison est conservée. Base-cuivre.
L. 73 mm, diam. int. 55 mm, S. 14 x 8 mm. 16.2 g.
E : 1278.44. N : 1052.3. Alt. : 571.78.
Type : B21-1.

Autres petits mobiliers

21102, n° 688. Jeton.

M-22-Angle solin

Planche 137, 9. 21273, n° 887.
Ressort de fibule à quatre spires (deux conservées) et corde interne et ardillon. Base-cuivre.
L. 44 mm. 1.2 g.
E : 1274.6. N : 1058.41. Alt. : 572.02.
Type : B20-0.

Planche 137, 10. 21273, n° 784.
Clou de chaussure à relief de croix et de globules. Fer.
Diam. 22 mm. 4.6 g.
E : 1271.76. N : 1054.3. Alt. : 572.

Planche 137, 11. 21273, n° 892.
Fragment indéterminé de bande de fer plat de section vaguement triangulaire. Fer.
L. 73 mm, l. 16 mm, ép. 4 mm. 30.6 g.
E : 1271.06. N : 1057.97. Alt. : 571.96.

Planche 137, 12. 21273, n° 723.
Chute de tôle avec trois découpes circulaires et plusieurs découpes droites de cisaille non ébarbées. Base-cuivre.
L. 40 mm, diam. (perforation) 24 mm. 0.8 g.
E : 1274.09. N : 1058.84. Alt. : 571.99.

Autres petits mobiliers

21273, n° 790. Broyon.
21273, n° 727. Monnaie.
21273, n° 781. Monnaie.

M-23-TP 21355

Planche 137, 13. 21356, n° 2629.
Javelin head à douille présentant un enroulement et à flamme constituée d'une tige de section circulaire, à proximité de la douille, et carrée en direction de son

extrémité distale. Les deux extrémités sont lacunaires. Fer.
L. 204 mm, diam. int. 14 mm, S. 12 x 8 mm. 127 g.
E : 1261. N : 1056. Alt. : 571.69.

M-24-TP 21404

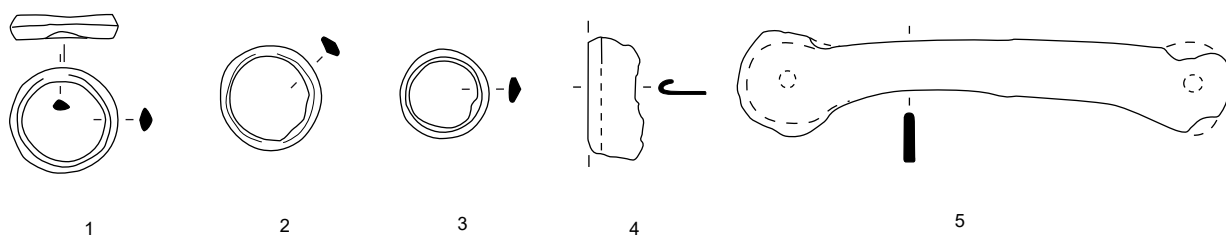
Planche 137, 14. 21405, n° 1605.
Petite douille fragmentaire. Fer.
L. 46 mm, diam. 10 mm. 10.3 g.
E : 1265.9. N : 1049.45.*

M-25-Sb 21459

Planche 137, 15. 21460, n° 2534.
Chute de plaque avec découpe irrégulière. Base-cuivre.
L. 33 mm. 0.6 g.
E : 1269.5. N : 1054.3. Alt. : 571.75.

M-212-TP 21150

Planche 137, 16. 21150, n° 728.
Fiche en forme de «T». Fer.
L. 34 mm, S. 9 mm, L. (table) 35 x 12 mm. 10.8 g.
E : 1275.01. N : 1050.68. Alt. : 571.9.

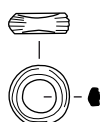


M-18-Pal 20087



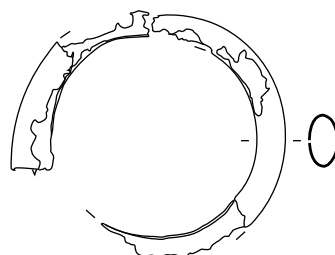
6

M-19-Pal 20816



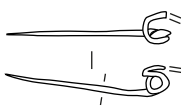
7

M-20-Blocs 21015

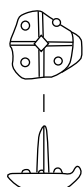


8

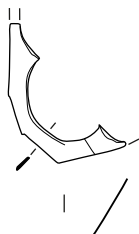
M-21-remblai 21102



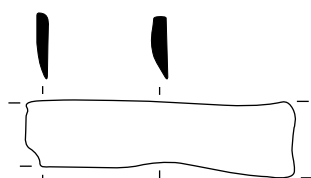
9



10



12



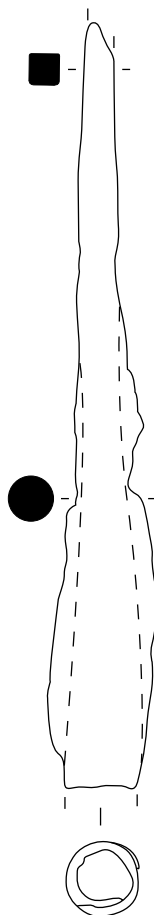
11

M-22-Angle solin



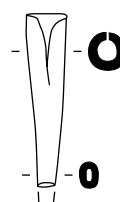
15

M-25-Sb 21459



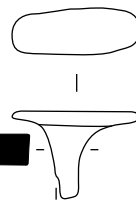
13

M-23-TP 21355



14

M-24-TP 21404



16

M-212-TP 21150

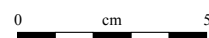


Planche 137. M-18-Pal 20087 à M-25-Sb 21459 et M-212-TP 21150

1-3, 7-9, 12, 15 : alliage cuivreux; 3-6, 10-11, 13-14, 16 : fer.

Bâtiment M

État 2.2 à 2.3 : LTD2

M-26-TP 21699-19

Planche 138, 1. 21699-20, n° 2517.
Phalère constituée d'une tôle circulaire avec décor de cercles concentriques et repli. Base-cuivre.
Diam. 42 mm. 3.5 g.
E : 1272.9. N : 1057.*

État 2.3 : fin LTD2a-LTD2b

M-27-épandage 20063

Planche 138, 2. 20063, n° S3081.
Perle à section en «D». Base-cuivre.
Diam. 12 mm, S. 4 x 2 mm. 1.6 g.
E : 1253.8. N : 1066.6. Alt. : 571.79.

Planche 138, 3. 20063, n° S3084.
Anneau à section ronde. Base-cuivre.
Diam. 16 mm, S. 2,5 mm. 1.9 g.
E : 1252.1. N : 1065. Alt. : 571.82.

Planche 138, 4. 20063, n° S3085.
Fragment de bracelet à jonc lisse et à section en «D» et lenticulaire. Base-cuivre.
L. 30 mm, diam. int. 59 mm, S. 4 x 3 mm. 1.5 g.
E : 1255.5. N : 1067.05. Alt. : 571.79.
Type : B10-4.

Planche 138, 5. 20063, n° S3294.
Fragment de tuyère avec embouchure conique. Terre cuite.
L. 31 mm. NP.
E : 1255.2. N : 1065.8.*

Planche 138, 6. 20063, n° S3086.
Demi-produit constitué d'une tige de section carrée irrégulière. Base-cuivre.
L. 33 mm, S. 3 mm. 1.2 g.
E : 1254. N : 1064.1. Alt. : 571.79.

Planche 138, 7. 20063, n° S3087.
Ciseau constitué d'une barre de section rectangulaire décrivant une boucle et terminée par un tranchant à double biseau. Fer.
L. 53 mm, S. 9 mm. 17 g.
E : 1257.3. N : 1064.3. Alt. : 571.79.

Planche 138, 8. 20063, n° S3260.
Fragments de pelle à feu à manche de section carrée et partie active lacunaire. Fer.
L. 104 mm, l. min. 62 mm. 72 g.
E : 1251.3. N : 1067.42. Alt. : 571.9.

Planche 138, 9. 20063, n° S3333.
Butée de chaudron avec tenon de fixation. Fer.
Diam. 18 mm, ht. 18 mm. 16.5 g.
E : 1256.3. N : 1068.4.*

Planche 138, 10. 20063, n° S3091.
Attache de poignée de chaudron. Fer.
L. 34 mm, diam. int. 18 mm, l. (anneau) 30 mm. 50.4 g.
E : 1259.2. N : 1067.55. Alt. : 571.81.

Autres petits mobiliers

20063, n° S3210. Monnaie.
20063, n° S3209. Monnaie.
20063, n° S3078. Monnaie.
20063, n° S3083. Monnaie.
20063, n° S3082. Monnaie.
20063, n° S3308a. Monnaie.
20063, n° S3075. Perle en ambre à section en «D».
20063, n° S3308b. Fragment de plaque de foyer.

M-28-Angle du radier 21142

Planche 138, 11. 21142, n° 1239.
Aiguille à chas circulaire fragmentaire avec une rainure centrale longitudinale sur une face. Base-cuivre.
L. 18 mm. 0.5 g.
E : 1262.6. N : 1071.75. Alt. : 571.61.

Autres petits mobiliers

21142, n° 1199. Fragment de perle en verre incolore.

M-29-TP 21674

Planche 138, 12. 21675, n° 2640a.
Fragment indéterminé de bande de tôle tordue et repliée. Fer.
L. 224 mm, l. 19 mm, ép. 1 mm. 35.1 g.
E : 1255.9. N : 1060.5.*

Planche 138, 13. 21675, n° 2640b.
Fragments de barre de grill avec extrémité amincie. Fer.
L. 192 mm, l. 12 mm, ép. 3 mm. 40.1 g.
E : 1255.84. N : 1060.45.*

M-30-Sb 21175

Planche 138, 14. 21176, n° 1492.
Ciseau complet à soie, à manche conique et à tranchant à double biseau. Fer.
L. 84 mm, L. (partie active) 69 mm, S. 9 mm. 12.3 g.
E : 1273. N : 1052.5.*

M-33-TP 21699-76

21699-77, n° 2607. Fragment de *catillus* en roche volcanique vacuolaire.
21699-77, n° 2626. Fragment de *meta* en arkose non étudié.

M-40-TP 21511

Planche 138, 15. 21512, n° 962.
Chaton de bague inorné cassé au niveau du départ de l'anneau. Base-cuivre. 0.5 g.
E : 1262.4. N : 1059.4.*
Type : 6.

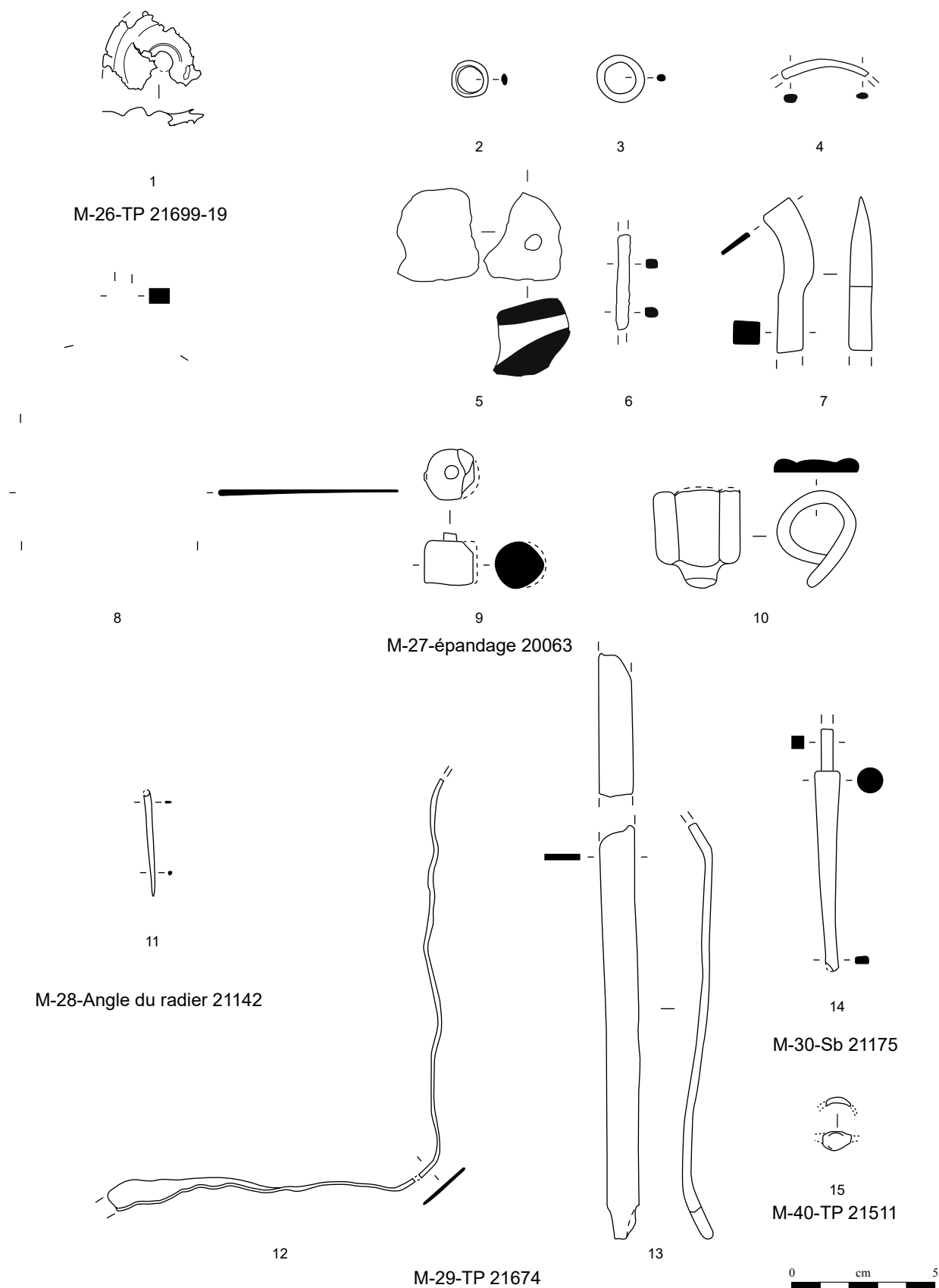


Planche 138. M-26-TP 21699-19 à M-33-TP 21699-76 et M-40-TP 21511

1-4, 6, 11, 15 : alliage cuivreux; 5 : terre cuite; 7-10, 12-14 : fer.

Bâtiment M

État 2.3 : fin LTD2a-LTD2b

M-34-TP 21699-54

Planche 139, 1. 21699-55, n° 2567.
Ciseau de tourneur constitué d'un manche de section carrée terminé par un un tranchant oblique à double biseau. Fer.
L. 85 mm. 8.7 g.
E : 1268. N : 1051.6. Alt. : 571.96.

M-35-TP 21699-52

Planche 139, 2. 21699-53, n° 998.
Fragment de cerclage de seau constitué d'une bande de tôle à bords renflés sur deux côtés. Base-cuivre.
L. 81 mm, l. 33 mm. 6 g.
E : 1276. N : 1058. Alt. : 572.

M-42-Sb 21465

21466, n° 2591. Jeton.

M-43-TP 21414

21415, n° 937. Jeton.

M-44-TP 21357

21358, n° 2733. Jeton.

M-47-TP 21309

21310, n° 996. Dé parallélépipédique en os.

M-49-St 21225

21226, n° 939. Hypothétique fragment d'objet en quartzite en cours d'élaboration, petite *meta*?
21226, n° 940. Monnaie.

M-50-sol 21206

Planche 139, 3. 21206, n° 882.
Rivet de tôle enroulée non utilisé. Base-cuivre.
L. 13 mm. 0.2 g.
E : 1267.42. N : 1057.7. Alt. : 572.

Autres petits mobiliers

21206, n° 883. Jeton.

M-52-Sablière 21175

21175, n° 1431. Fragment de paroi de foyer.
21175. Fragment de plaque de foyer.

M-53-radier 21124

Planche 139, 4. 21124, n° 852.
Outil à soie, à manche conique dont le tranchant est manquant. Fer.
L. 74 mm, S. 6 mm. 14.2 g.
E : 1279.16. N : 1059.24.

État 2.2 à 2.3 : LTD2

M-54-TP 21699-83

21699-84, n° 2561. Perle en verre incolore

à section en «D» (Gebhard IIIc).

État 2.3 : fin LTD2a-LTD2b

M-56-Fo 20218

20218, n° S3222. Monnaie.

M-58-sol 21016

21016, n° 606. Paroi de foyer, torchis brûlé?

M-59-épandage 21063

21063, n° 664. Jeton.
21063, n° 665. Jeton.
21063, n° 666. Jeton.
21063, n° 696. Jeton.
21063, n° 663. Nodule de pigment bleu.

M-60-TP 21699-33

21699-34, n° 966. Monnaie.

État 2.2 à 2.3 : LTD2

M-63-Foyer

Planche 139, 5. 22280, n° 601.
Fragment d'anse de section rectangulaire terminée par un anneau dégagé dans la continuité de l'anse. Fer.
L. 125 mm, S. 8 x 6 mm. 42.2 g.
E : 1265.55. N : 1048.10. Alt. : 572.03.

État 2.2 : LTD2a

M-64-radier 21080

Planche 139, 6. 21080, n° 1008.
Ardillon et spire de fibule. Base-cuivre.
L. 50 mm. 0.9 g.
E : 1272.33. N : 1075.36. Alt. : 571.84.

Planche 139, 7. 21080, n° 1067.
Gouttière tordue. Base-cuivre.
L. 32 mm, S. 4 x 3 mm. 0.7 g.
E : 1272.94. N : 1080.67. Alt. : 571.76.

Planche 139, 8. 21080, n° 1002.
Rivet avec deux contreplaques. Fer.
L. 112 mm. 18.6 g.
E : 1273.7. N : 1076.47. Alt. : 571.89.

Autres petits mobiliers

21080, n° 1122. Bille en verre translucide cassée en partie.
21080, n° 1121. Monnaie.
21080, n° 1001. Monnaie.

M-65-Ce 22255

Planche 139, 9. 22255-2, n° 427.
Fragment de bracelet rubané à cinq cannelures longitudinales dont une, au centre, ornée de stries incisées. Base-cuivre.
L. 21 mm, l. 8 mm, ép. 2 mm. 0.9 g.
E : 1254.6. N : 1048.6. Alt. : 571.81.
Type : B30-1.

Autres petits mobiliers

22255, n° 419. Jeton.
22255, n° 441. Jeton.
22255-2, n° 443. Jeton.
21149, n° 775. Fragment de *catillus* en grès lité hétérométrique. Trace de rubéfaction sur la partie sujette au frottement.
22255, n° 450. Monnaie.

M-66-Puits 22214

Planche 139, 10. 22214-1, n° 642.
Fragment de ferrure décorative avec ligne centrale incisée et une perforation. Base-cuivre.
L. 16 mm. 0.2 g.
E : 1245.63. N : 1049.85. Alt. : 571.32.

Planche 139, 11. 22214-2, n° 731.
Demi-produit constitué d'une tige de section quadrangulaire changeante avec traces de martelage. Base-cuivre.
L. 36 mm, S. 2 mm. 0.5 g.
E : 1244.4. N : 1049.6. Alt. : 571.23.

Planche 139, 12. 22214-5, n° 749.
Fragment d'objet indéterminé constitué d'une tôle formant un tube s'élargissant à une extrémité. Bec verseur de bassin? Base-cuivre.
L. 31 mm. 3.3 g.
E : 1245.21. N : 1049.66. Alt. : 570.52.

Planche 139, 13. 22214-5, n° 745.
Demi-produit constitué d'une tige de section quadrangulaire avec traces de martelage. Base-cuivre.
L. 56 mm, S. 2 mm. 1 g.
E : 1244.47. N : 1049.04. Alt. : 570.58.

Planche 139, 14. 22214-5, n° 747.
Fragment de bandage de roue constitué d'un plat massif à rebord incurvé présentant les vestiges d'un rivet. Fer.
L. 87 mm, l. min. 35 mm, ép. 4.5 mm. 54.5 g.
E : 1244.93. N : 1049.90. Alt. : 570.61.

Planche 139, 15. 22214-5, n° 874.
Fragment de lame de forces à dos à butée. Fer.
L. 54 mm, l. 30 mm. 20.4 g.
E : 1244.7. N : 1048.7.*

Autres petits mobiliers

22214-4, n° 743. Fusaïole en terre cuite réalisée dans une panse de céramique.
22214-4, n° 756. Jeton percé, fusaïole.
22214-4, n° 750. Fragment d'os long cassé et lustré. Déchet de tabletterie?
22214-4, n° 755. Cinq jetons.
22214-4, n° 757. Deux jetons.
22214-2, n° 665. Jeton.
22214-5, n° 781. Jeton.
22214-4, n° 776. *Catillus* entier en basalte vacuolaire.
22214-5, n° 777. *Meta* complète en grès hétérométrique lité.
22214-2, n° 718. Monnaie.

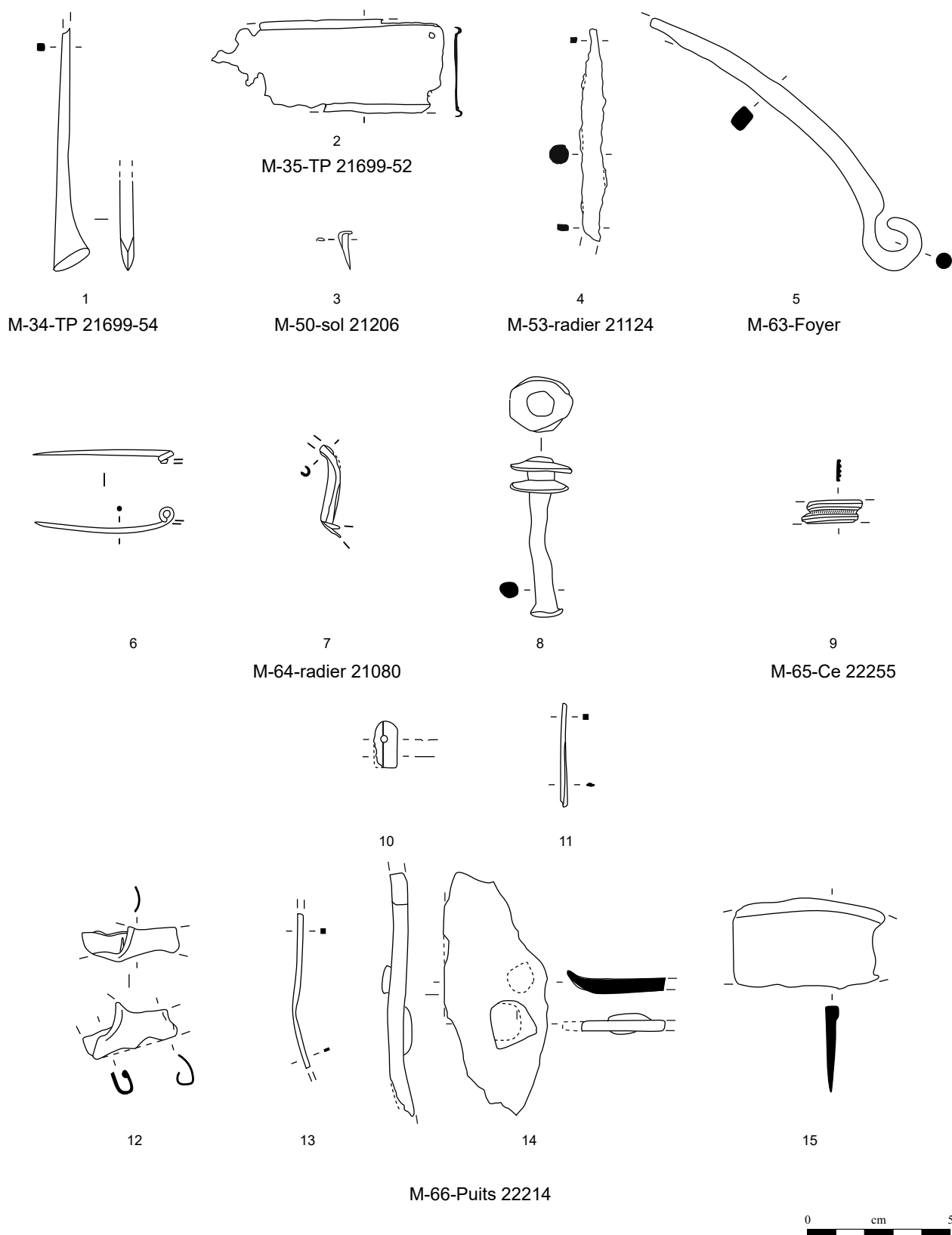


Planche 139. M-34-TP 21699-54 à M-66-Puits 22214

1, 4-5, 8, 14-15 : fer; 2-3, 6-7, 9-13 : alliage cuivreux.

22214-5, n° 759. Monnaie.
 22214-3, n° 798. Fragment de mortier en roche volcanique finement vacuolaire.
 22214, n° 921. Mortier à lèvre triangulaire à fond plat.
 22214-2, n° 637. Fragment de perle en ambre.
 22214-4, n° 741. Grosse perle en verre brun à décor spiralé blanc opaque (Gebhard IXbd).
 22214-2, n° 963. Fragment de plaque de foyer avec un grand rebord arrondi. La plaque devait être circulaire.
 22214-4, n° 742. Fragment de plaque de foyer.

Bâtiment M

État 2.2 : LTD2a

M-67-Sb 21121

Planche 140, 1. 21121, n° 769.
 Fragment d'épissure de bracelet décorée d'une rainure. Base-cuivre.
 L. 14 mm. 0.6 g.
 E : 1251.95. N : 1058.97. Alt. : 571.67.
 Type : B12-1.

Autres petits mobiliers

21121, n° 771. Jeton.
 21121, n° 770. Monnaie.

M-68-Pal 20173

Planche 140, 2. 20174, n° S3231.
 Fragment de collerette de chaudron constitué d'une tôle en alliage cuivreux, rivetée à une tôle en fer par un rivet en alliage cuivreux. Base-cuivre et fer.
 L. 33 mm. 5 g.
 E : 1263. N : 1065.07. Alt. : 571.78.

Autres petits mobiliers

20174, n° S3197. Jeton percé, fusaïole.

M-69-radier 20249

Planche 140, 3. 20891, n° S3242.
 Fragment de collerette de chaudron composée de deux tôles assemblées par deux rivets. Fer.
 L. 53 mm. 18.4 g.
 E : 1262.1. N : 1066.38. Alt. : 571.74.

M-71-Pal 21089

Planche 140, 4. 21090, n° 830.
 Ardillon et une spire de fibule. Base-cuivre.
 L. 61 mm. 1.8 g.
 E : 1256.83. N : 1062.67. Alt. : 571.79.

Planche 140, 5. 21089, n° 1481.
 Bague à chaton circulaire, épaulement marqué et plateau surmontant un anneau fragmentaire. Fer.
 L. 19 mm, L. (plateau) 16 x 13 mm. 6.8 g.
 E : 1256.7. N : 1062.4.*
 Type : 8.

Planche 140, 6. 21090, n° 853.
 Grande aiguille dont le chas circulaire et aplati est replié. Base-cuivre.
 L. 74 mm, S. 2 mm. 1.7 g.
 E : 1255.97. N : 1061.65. Alt. : 571.85.

Planche 140, 7. 21090, n° 831.
 Butée de chaudron cylindrique. Le tenon n'est pas lisible. Fer.
 Diam. 26 x 28 mm, ép. 12 mm. 42.6 g.
 E : 1255.15. N : 1061.77. Alt. : 571.84.

Planche 140, 8. 20090, n° S3114.
 Abraseur opportuniste en pouzzolane très vacuolaire. Lithique.
 L. 31 mm, l. 20 mm. 91.9 g.
 E : 1259.1. N : 1064.1. Alt. : 571.79.

Autres petits mobiliers

21089, n° 660. Jeton.
 21090, n° 811. Jeton.
 21090, n° 812. Jeton.
 21090, n° 829. Jeton.
 21090, n° 839. Jeton.
 21090, n° 840. Jeton.
 21090, n° 841. Jeton.
 21090, n° 843. Jeton.
 21090, n° 844. Jeton.
 21090, n° 845. Jeton.
 21090, n° 846. Jeton.
 21090, n° 847. Jeton.
 21090, n° 848. Jeton.
 21090, n° 854. Jeton.
 20090, n° S3190. Monnaie.

M-72-sol 21033

Planche 140, 9. 21033, n° 1047.
 Anneau de section irrégulière. Base-cuivre.
 Diam. 14 mm, S. 2,5 mm. 0.6 g.
 E : 1273.35. N : 1075.26. Alt. : 571.83.

Planche 140, 10. 21033, n° 1100.
 Chute de tôle triangulaire. Base-cuivre.
 L. 22 mm. 0.3 g.
 E : 1272.11. N : 1074.49. Alt. : 571.82.

Planche 140, 11. 21033, n° 1099.
 Chute de barre de section rectangulaire coupée dans le sens vertical. Fer.
 L. 43 mm, S. 10 x 3 mm. 2.3 g.
 E : 1272.40. N : 1074.76. Alt. : 571.74.

Planche 140, 12. 21033, n° 1097.
 Bracelet ovale à jonc de section triangulaire. Fer.
 Diam. 85 x 66 mm, S. 4 mm. 15.3 g.
 E : 1272.86. N : 1074.65. Alt. : 571.76.
 Type : F11-1.

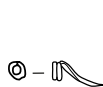
Planche 140, 13. 21033, n° 1116.
 Objet indéterminé constitué d'une plaque quadrangulaire à bords concaves, avec le début d'un appendice en gouttière au milieu d'un des côtés. Fer.
 L. 40 mm, l. 42 mm, ép. 4 mm. 33.5 g.
 E : 1272.7. N : 1074.8. Alt. : 571.81.

M-73-sol 21128

Planche 140, 14. 21128, n° 2562.
 Anneau de section lenticulaire large avec trace d'usure. Base-cuivre.
 Diam. 28 mm, S. 9 x 3 mm. 18.6 g.
 E : 1276.4. N : 1060.15. Alt. : 572. UF.

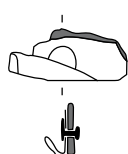
Autres petits mobiliers

20194, n° S3145. Fragment de plaque de foyer.
 20194, n° S3167. Fragment de plaque de foyer.
 20194, n° S3168. Fragment de plaque de foyer.
 20194, n° S3169. Fragment de plaque de foyer.
 20194, n° S3170. Fragment de plaque de foyer.
 20194, n° S3171. Fragment de plaque de foyer.
 20194, n° S3257. Fragment de plaque de foyer à rebord arrondi.



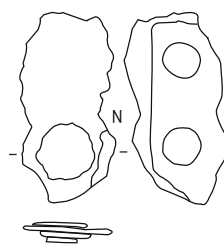
1

M-67-Sb 21121



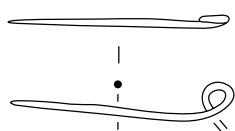
2

M-68-Pal 20173

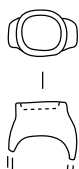


3

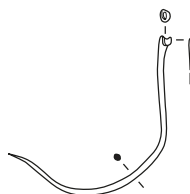
M-69-radier 20249



4

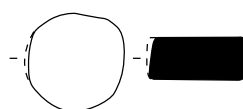


5

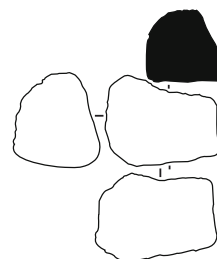


6

M-71-Pal 21089



7



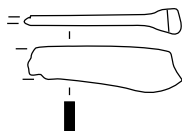
8



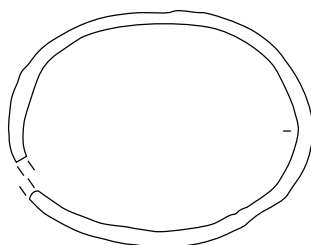
9



10

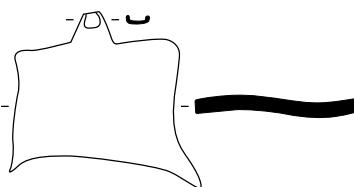


11

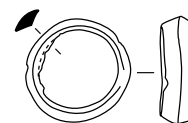


12

M-72-sol 21033



13



14

M-73-sol 21128

■ Fer

0 cm 5

Planche 140. M-67-Sb 21121 à M-73-sol 21128

1, 4, 6, 9-10, 14 : alliage cuivreux; 2 : fer et alliage cuivreux; 3, 5, 7, 11-13 : fer; 8 : pouzzolane.

Bâtiment M

État 2.2 : LTD2a

M-72-sol 21033

Planche 141, 1. 21033, n° 1050.

Hache à oeil à tranchant à dos droit légèrement incurvé. Fer.

L. 185 mm, L. (tranchant) 60 mm, L. (table) 39 x 37 mm, diam. (oeil) 34 x 32 mm. 1256 g.
E : 1272.74. N : 1075.04. Alt. : 571.77.

Planche 141, 2. 21033, n° 1051.

Coin à tête fortement matée. Fer.

L. 120 mm, S. 26 x 11 mm, L. (table) 34 x 30 mm. 305 g.
E : 1272.74. N : 1075.07. Alt. : 571.79.

Planche 141, 3. 21033, n° 1115.

Herminette à oeil et à marteau de forme rectangulaire. Fer.

L. 144 mm, L. (tranchant) 62 mm, L. (table) 32 x 16 mm, diam. (oeil) 20 x 22 mm. 485 g.
E : 1272.7. N : 1074.8. Alt. : 571.79.

Planche 141, 4. 21033, n° 1007.

Herminette à douille ouverte et tranchant triangulaire incurvé. Fer.

L. 115 mm, L. (lame) 120 mm, L. (tranchant) 82 mm, diam. int. 33 x 29 mm. 450 g.
E : 1272.84. N : 1075.19. Alt. : 571.81.

Planche 141, 5. 21033, n° 2750.

Anneau de sertissage constitué d'une bande de fer plat formant un cercle maintenu par un rivet à contreplaque. Fer.
Diam. int. 64 mm, l. 24 mm, ép. 2 mm. 86.6 g.
E : 1272.80. N : 1075.12. Alt. : 571.79.

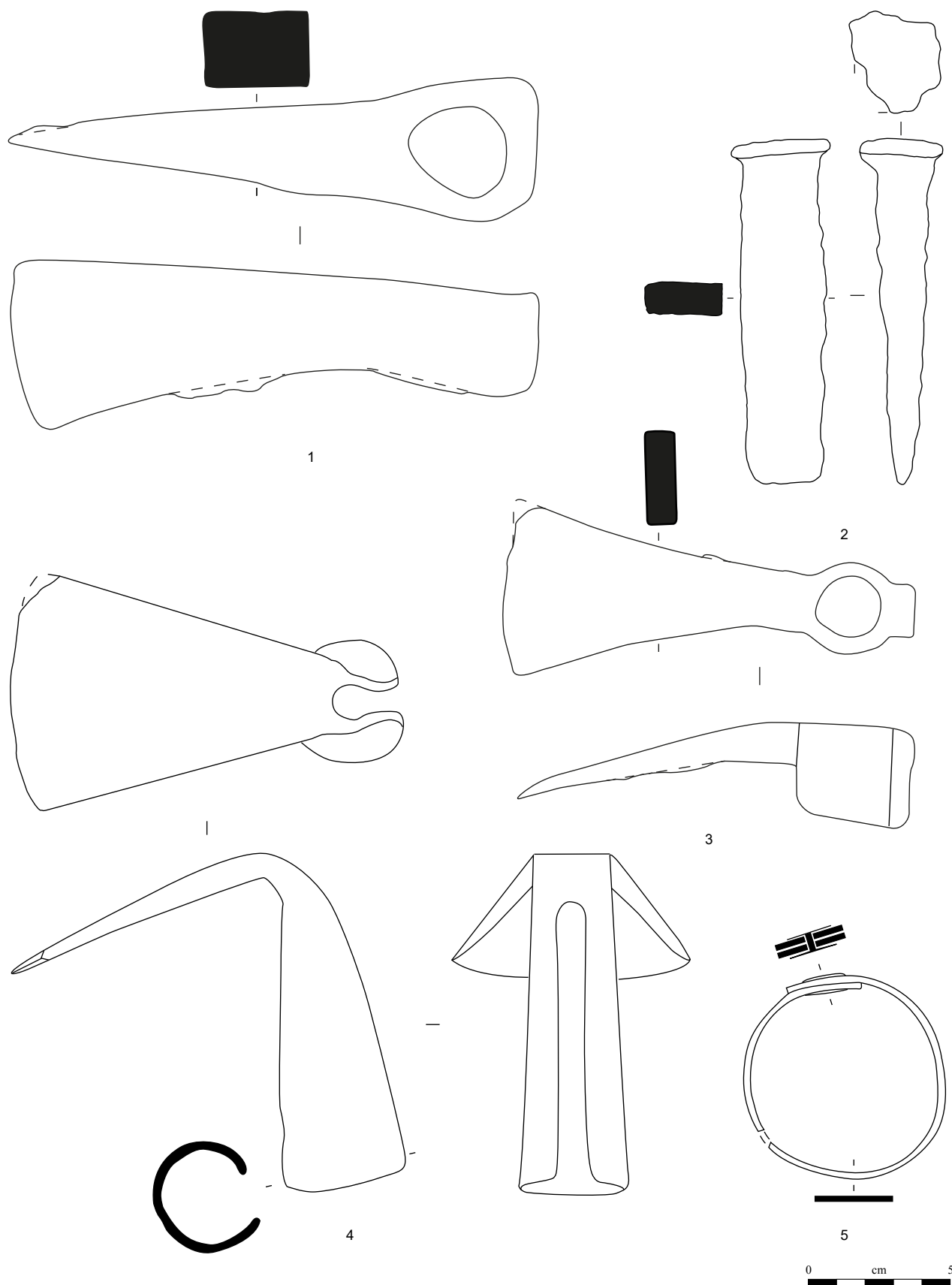


Planche 141. M-72-sol 21033

Fer.

Bâtiment M

État 2.2 : LTD2a

M-74-radier 21020

Planche 142, 1. 21020, n° 1159.
Fragment de lèvre de situle ou de bassin constituée d'une tôle en alliage cuivreux vaguement triangulaire, bombée avec un pli et un rivet en fer fragmentaire. Fer et base-cuivre.
L. 60 mm. 12.7 g.
E : 1273.7. N : 1073.7. Alt. : 571.76.

Autres petits mobiliers

21020, n° 1163. Monnaie.

M-75-sol 21138

Planche 142, 2. 21138, n° 1485.
Fragment indéterminé de tige de section ronde pliée à angle droit et terminée par un anneau. Crochet de crémaillère, clé? Fer.
L. 97 mm, S. 6 mm. 25.4 g.
E : 1265.3. N : 1075.8.*

M-76-Solin 21143

Planche 142, 3. 21143, n° 1442.
Ressort de fibule à deux spires conservées avec départ de l'ardillon. Base-cuivre.
L. 18 mm. 0.3 g.
E : 1270.2. N : 1071.3.*

Planche 142, 4. 21143, n° 1216.
Extrémité d'anse de seau ou de situle en crochet. Fer.
L. 44 mm, S. 6 x 3 mm. 4.7 g.
E : 1263.76. N : 1069.37. Alt. : 571.81.

Planche 142, 5. 21143, n° 1487.
Fragment indéterminé de tôle triangulaire avec une gouttière. Base-cuivre.
L. 34 mm. 3.2 g.
E : 1271.24. N : 1070.68. Alt. : 571.73.

Planche 142, 6. 21143, n° 1461.
Marteau de dinandier à oeil excentré et à panne légèrement incurvée, à l'extrémité active circulaire. Fer.
L. 106 mm, S. 16 mm, diam. (oeil) 19 mm. 140 g.
E : 1272.8. N : 1070.8. Alt. : 571.73.

Autres petits mobiliers

21143, n° 1164. Monnaie.

21143, n° 1414. Perle en roche noire à perforation excentrée.

M-77-Sb 21174

Planche 142, 7. 21174, n° 1272.
Fibule à ressort à quatre spires et corde interne et à arc tendu de tôle triangulaire fin relativement épais, à bordures soulignées par une rainure. Le pied est manquant. Base-cuivre.
L. 50 mm, L. (arc) 34 mm, l. (arc) 4 mm. 3.7 g.
E : 1268.05. N : 1069.92. Alt. : 571.66.
Type : B22-03.

Planche 142, 8. 21174, n° 1395.

Fragment indéterminé de tige de section carrée avec un repli à une extrémité. Bracelet, poignée de meuble, demi-produit? Base-cuivre.
L. 25 mm, S. 4 mm. 2.5 g.
E : 1272.18. N : 1072.51.

Planche 142, 9. 21174, n° 1376.

Fragment indéterminé de tôle repliée sur elle-même pour entourer un élément circulaire. Elle comporte une perforation et le vestige d'un rivet sur le même axe central. Fer.
L. 64 mm, diam. int. 14 x 18 mm. 48.9 g.
E : 1270.65. N : 1071.48.

Planche 142, 10. 21174, n° 1374.

Manche à plaquette de petit couteau à lame fragmentaire à dos convexe. Fer.
L. 51 mm, L. (manche) 31 mm. 4.5 g.
E : 1270.35. N : 1071.45.
Type : 2-0.

Planche 142, 11. 21174, n° 1300.

Chute de tôle triangulaire pliée à son extrémité. Base-cuivre.
L. 15 mm. 0.3 g.
E : 1269.54. N : 1071.35.

Autres petits mobiliers

21174, n° 1368. Monnaie.

M-78-TP 21193

Planche 142, 12. 21193, n° 1493.
Fragment d'orle de section rectangulaire avec patte de fixation comportant encore un rivet en position fonctionnelle. Fer.
L. 101 mm, S. 6 x 3 mm. 24.7 g.
E : 1263.9. N : 1070.4.*
Type : Rectangulaire.

M-79-St 21253

Planche 142, 13. 21253, n° 1601.
Maillon de chaîne en huit. Fer.
L. 97 mm, S. 6 mm. 64.3 g.
E : 1279.18. N : 1057.85.*

M-80-Sb 21699-43

Planche 142, 14. 21699-43, n° 1457.
Chute de tige de section carrée appointée. Fer.
L. 41 mm, S. 2 mm. 1 g.
E : 1273. N : 1059.2.*

M-81-Foyer 21699-93

Planche 142, 15. 21699-93, n° 2639.
Chute de tige de section carrée appointée et pliée à deux reprises. Fer.
L. 32 mm, S. 4 mm. 2.4 g.
E : 1276.1. N : 1062.35.*

M-82-sol 20137

20137, n° S3174. Monnaie.

M-85-Seuil 20077

20077, n° S3110. Fragment de récipient en verre mosaïqué.

M-87-Pal 20155

20156, n° S3182. Fusaïole (?) composée d'un jeton percé en panse d'amphore.
20156, n° S3147. Deux jetons dont un très grand en amphore.
20156, n° S3155. Monnaie.

M-90-radier 21012

21012, n° 1141. Monnaie.

M-91-Solin 21053

21053, n° 2580. Fragment de *catillus* à oeillet irrégulier usé.

M-93-sol 21137

21137, n° 1162. Fragment de perle torique en verre bleu cobalt à décor moucheté blanc opaque (Gebhard VIIId).

M-98-TP 21699-106

21699-107, n° 2610. Aiguiseur non retrouvé.
21699-107, n° 2628. Fragment de bracelet de section circulaire fragmentaire en roche noire.
21699-107, n° 2609. Jeton.

M-101-TP 21183

21184, n° 1236. Monnaie.

M-102-TP 21379

21379, n° 1443. Jeton.

M-103-TP 21376

21375, n° 1447. Jeton.

M-105-sol 21267

Planche 142, 16. 21267, n° 904.
Fragment de tôle de passoire. Base-cuivre.
L. 18 mm. 0.2 g.
E : 1263.83. N : 1062.53. Alt. : 571.9.

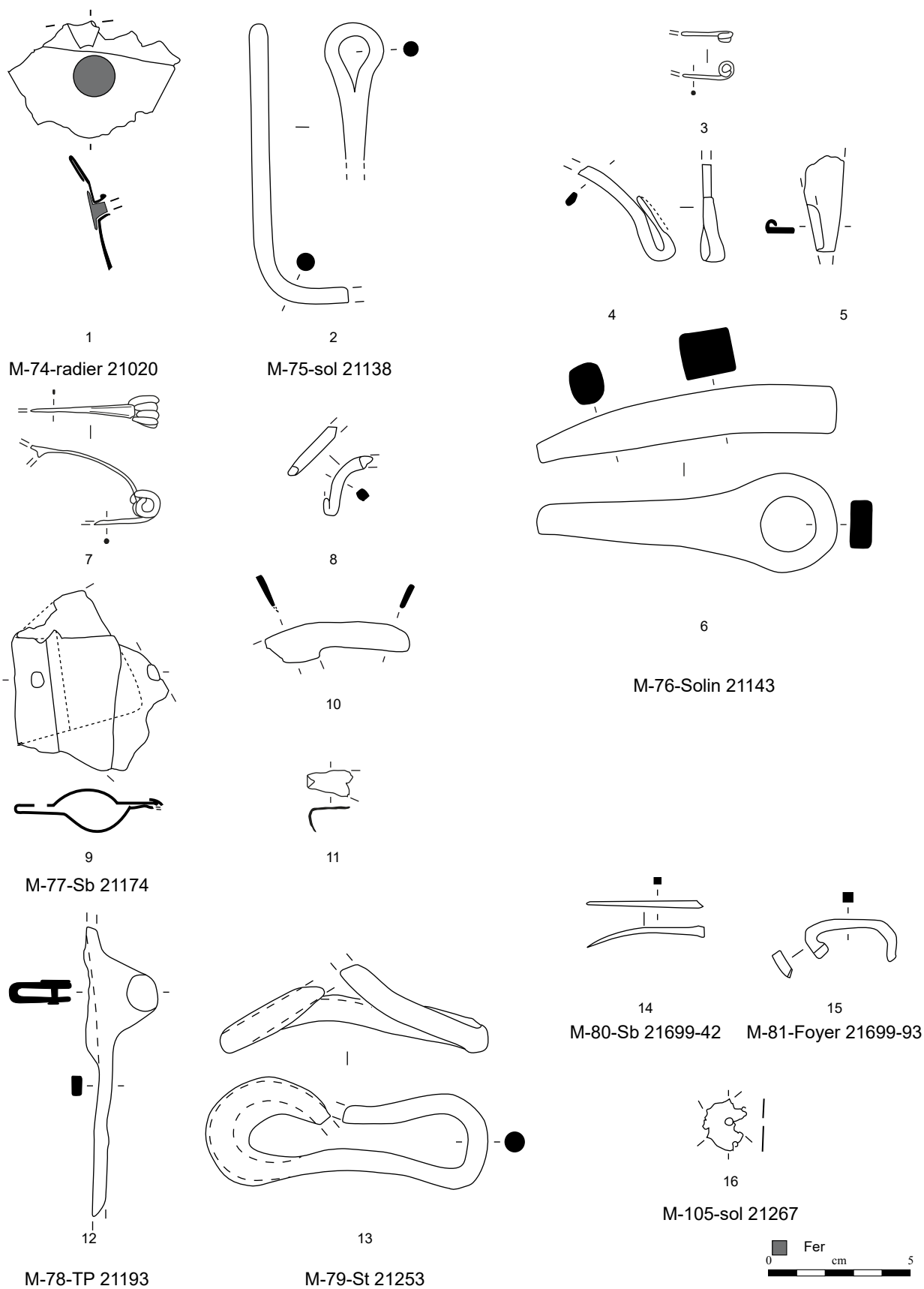


Planche 142. M-74-radier 21020 à M-105-sol 21267

1 : alliage cuivreux et fer; 2, 4, 6, 9-10, 12-15 : fer; 3, 5, 7-8, 11, 16 : alliage cuivreux.

Bâtiment M

État 2.1 à 2.2 : LTD1b évoluée-LTD2a

M-111-Démontage radier 20080

Planche 143, 1. 21152, n° 1179.

Fibule à ressort à quatre spires et corde interne, à arc tendu de tôle triangulaire fin relativement massif à bordures soulignées par une rainure. Le pied et l'ardillon sont manquants et le ressort semble démantelé. Base-cuivre.

L. 70 mm, L. (arc) 46 mm, l. (arc) 4 mm. 4.5 g.
E : 1264.26. N : 1070.43. Alt. : 571.63.
Type : B22-03.

Planche 143, 2. 21152, n° 1345.

Fragment de bracelet à jonc à arête centrale longitudinale en relief. Base-cuivre.

L. 26 mm, diam. int. 71 mm, S. 4 x 2 mm. 1.5 g.
E : 1265.4. N : 1075.2. Alt. : 573.83.
Type : B10-6.

Planche 143, 3. 21152, n° 1160.

Fragment de bracelet à jonc à une arête centrale longitudinale en relief. Base-cuivre.

L. 41 mm, diam. rest. 56 mm, S. 4,5 x 3 mm. 2.2 g.
E : 1274.77. N : 1073.19. Alt. : 572.01.
Type : B10-6.

Planche 143, 4. 21152, n° 1174.

Anneau de section hémisphérique avec une arête centrale. Base-cuivre.
Diam. 16 mm, S. 6 x 3 mm. 3.6 g.
E : 1264.63. N : 1069.02. Alt. : 571.66.

Planche 143, 5. 21152, n° 1172.

Vasque de passoire avec lèvre déversée. Base-cuivre.
Diam. 107 mm, ht. 34 mm. 5.7 g.
E : 1272.40. N : 1076. Alt. : 571.76.

Planche 143, 6. 21152, n° 1437.

Couteau à manche à plaquettes maintenues par deux rivets en position fonctionnelle et à lame à dos droit et tranchant à l'extrémité arrondie. Fer.
L. 140 mm, L. (lame) 110 mm, l. (lame) 31 mm. 42.9 g.
E : 1266.60. N : 1070.85. Alt. : 571.76.
Type : 1-3.

Planche 143, 7. 21152, n° 1198.

Barre de grill ployée à plusieurs reprises, de section rectangulaire à extrémité matée. Fer.
L. 193 mm, S. 8 x 4 mm. 43.9 g.
E : 1266.8. N : 1071.82. Alt. : 571.81.

Planche 143, 8. 21152, n° 1178.

Coin à tête matée. Fer.
L. 50 mm, S. 6 x 27 mm. 59 g.
E : 1264.71. N : 1071.88. Alt. : 571.81.

Planche 143, 9. 21152, n° 1161.

Chute de tige de section ovale aplatie coupée à une extrémité et appointée à l'autre. Base-cuivre.
L. 40 mm. 1.6 g.
E : 1266.47. N : 1075.33. Alt. : 571.74.

Planche 143, 10. 21152, n° 1196.

Chute de tôle avec trois bords conservés. Base-cuivre.
L. 22 mm. 0.3 g.
E : 1266.45. N : 1071.64. Alt. : 571.81.

Planche 143, 11. 21152, n° 1167.

Chute de bande de tôle rectangulaire coupée à une extrémité. Base-cuivre.
L. 15 mm, l. 5 mm. 0.1 g.
E : 1266.14. N : 1073.11. Alt. : 571.74.

Planche 143, 12. 21152, n° 1206.

Large gouttière incurvée. Base-cuivre.
L. 99 mm, S. 8 x 9 mm. 9.3 g.
E : 1269.18. N : 1073.57. Alt. : 571.6.

Planche 143, 13. 21152, n° 1209.

Élément de serrure constituée d'une tôle quadrangulaire avec une bordure en gouttière et une perforation quadrangulaire. Fer.
L. 76 mm, l. 58 mm. 46.3 g.
E : 1268.42. N : 1073.49. Alt. : 571.56.

Planche 143, 14. 21152, n° 1173.

Objet indéterminé massif constitué d'une tige avec deux coudes opposés. Une extrémité termine par un plat triangulaire tandis que l'autre, de section circulaire, est rivetée à une plaque triangulaire. Fer.
L. 125 mm, L. (base) 58 x 20 mm, S. 16 x 4 mm. 107.4 g.
E : 1273.60. N : 1075.90. Alt. : 571.86.

Autres petits mobiliers

21152, n° 1201. Dé parallélépipédique en os avec quatre faces à points ocellés (3,4,5,6 points).

21152, n° 1180. Monnaie.

21152, n° 1165. Monnaie.

21152, n° 1217. Nodule d'ocre.

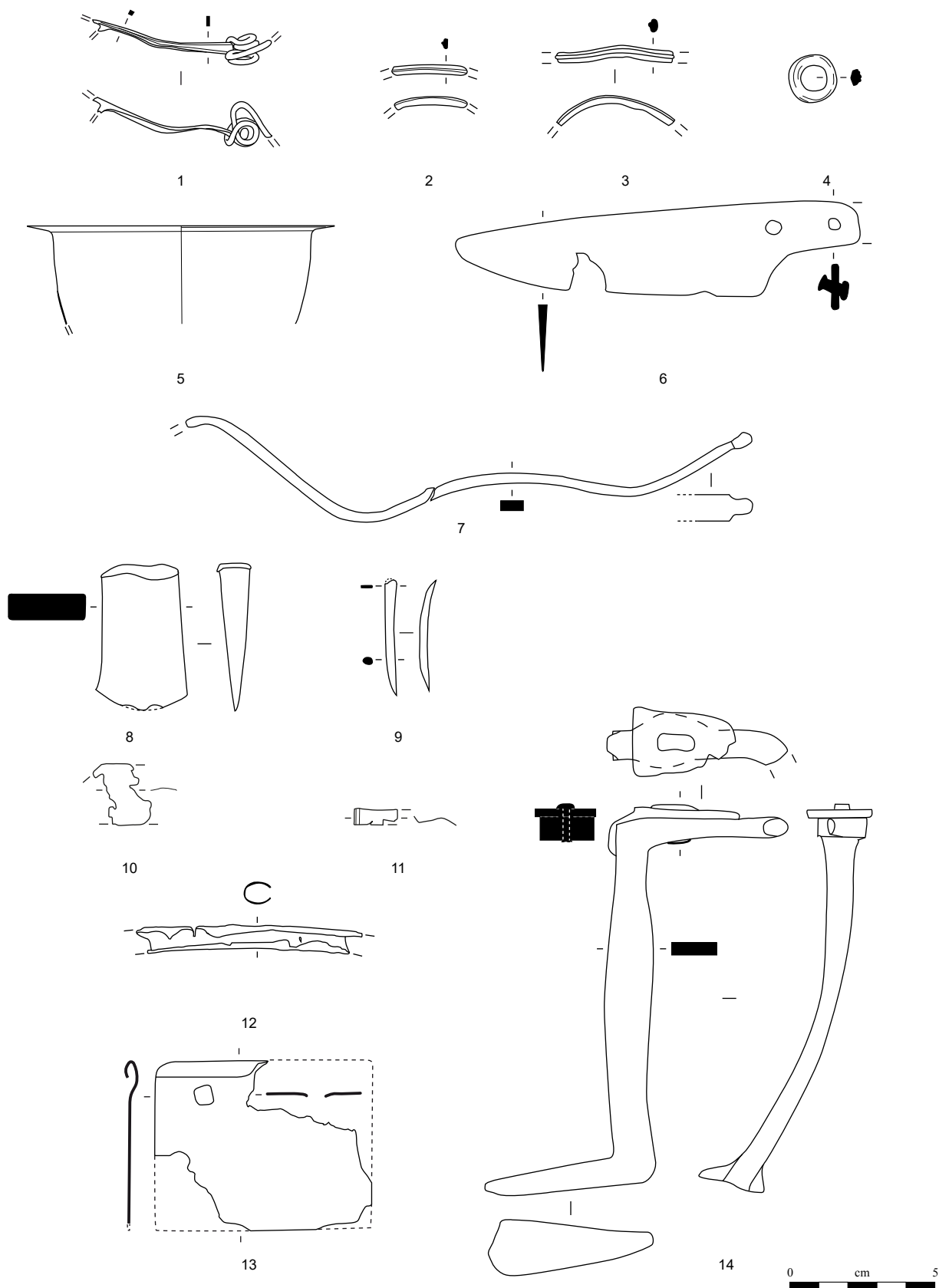


Planche 143. M-111-Démontage radier 20080

1-5, 9-12 : alliage cuivreux; 6-8, 13-14 : fer.

Bâtiment M

État 2.1 : LTD1b évoluée

M-211-sol 21167

Planche 144, 1. 21167, n° 1242.

Arc tendu de tôle triangulaire à bordure soulignée par une rainure et pied trapézoïdal ajouré. Base-cuivre.

L. 56 mm, L. (arc) 42 mm, l. (arc) 6 mm. 0.9 g.

E : 1270. N : 1074. Alt. : 571.49.*

Type : B22-03.

Planche 144, 2. 21167, n° 1299.

Fibule à ressort à quatre spires et corde interne à arc tendu filiforme de section quadrangulaire et fausse perle incisée sur la tête. Cassée au niveau du pied. Base-cuivre.

L. 37 mm, S. 2 mm. 2.1 g.

E : 1276. N : 1070. Alt. : 571.49.

Type : B23-1.

Planche 144, 3. 21167, n° 1469.

Ressort de fibule à quatre spires et corde externe haute avec départ d'arc filiforme. Fer.

L. 20 mm. 7.7 g.

E : 1268.8. N : 1074.3.*

Type : F33-0.

Planche 144, 4. 21167, n° 1227.

Fragment de bracelet à double système d'épissures avec une épissure de chaque système conservée. Le jonc est de section circulaire. Base-cuivre.

L. 73 mm, S. 2 mm. 2.4 g.

E : 1275.60. N : 1075.01. Alt. : 571.5.

Type : B12-2.

Planche 144, 5. 21167, n° 1192.

Anneau de section ronde. Base-cuivre.

Diam. 18 mm, S. 3 mm. 3.2 g.

E : 1264.22. N : 1070.26. Alt. : 571.66.

Planche 144, 6. 21167, n° 1235.

Anneau de section lenticulaire avec arête centrale. Base-cuivre.

Diam. 30 mm, S. 6 x 4 mm. 11.8 g.

E : 1270.40. N : 1075.36. Alt. : 571.72.

Planche 144, 7. 21167, n° 1297.

Anneau à section en «D». Base-cuivre.

Diam. 17 mm, S. 3,5 x 4,5 mm. 5.1 g.

E : 1268.87. N : 1074.99. Alt. : 571.53.

Planche 144, 8. 21167, n° 1470.

Ciseau droit à manche de section circulaire, tête matée et tranchant droit à double biseau. Fer.

L. 44 mm, S. 11 mm. 12.8 g.

E : 1268.4. N : 1074.35.*

Planche 144, 9. 21167, n° 1234.

Manche d'herminette à douille fermée du côté du tranchant avec un coude à l'angle droit. Fer.

L. 124 mm, diam. int. 27 mm. 221 g.

E : 1270.42. N : 1075.45. Alt. : 571.71.

Planche 144, 10. 21167, n° 1228.

Fragment de ciseau à corps de section circulaire, cassé à son extrémité active et d'un emmanchement à soie. L'outil est déformé. Fer.

L. 140 mm, L. (soie) 29 mm, S. 12 mm. 32.9 g.

E : 1270.6. N : 1075.21. Alt. : 571.48.

Planche 144, 11. 21167, n° 1189.

Fragment de lame de faux de section triangulaire, à manche massif de section rectangulaire et à fixation par un rivet maté au départ de la lame et vestige d'un ergot. Fer.

L. 133 mm, l. (lame) 26 mm. 68.1 g.

E : 1264.75. N : 1072.1. Alt. : 571.89.

Planche 144, 12. 21165, n° 1407.

Émondoir à lame angulaire au tranchant tourné vers l'extérieur et douille écrasée. Fer.

L. 124 mm, diam. int. (douille) 12 x 30 mm. 103 g.

E : 1269.75. N : 1075.1.

Planche 144, 13. 21167, n° 1233.

Racloir quadrangulaire de section triangulaire sur sa largeur et lenticulaire sur sa longueur. La partie médiane du tranchant est fragmentaire. Fer.

L. 81 mm, l. 48 mm. 54.2 g.

E : 1270.39. N : 1075.5. Alt. : 571.71.

Planche 144, 14. 21167, n° 1182.

Scalptorium composé d'un anneau usé, séparé par une boule d'une languette subtriangulaire à l'extrémité de laquelle deux petites encoches sont marquées (une sur chaque face). Base-cuivre.

L. 60 mm, diam. (anneau) 20 mm. 9.8 g.

E : 1270.15. N : 1074.8. Alt. : 571.54.

Planche 144, 15. 21167, n° 1226.

Ferrure décorative avec perforation et extrémité à bordure ciselée. Base-cuivre.

L. 29 mm, l. 18 mm. 2.5 g.

E : 1263.27. N : 1073.34. Alt. : 571.59.

Planche 144, 16. 21167, n° 1190.

Bande de fer plat indéterminé incurvé avec un pli à l'extrémité. Cerclage de situle? Fer.

L. 67 mm, l. 13 mm. 17.8 g.

E : 1265.37. N : 1072.40. Alt. : 571.89.

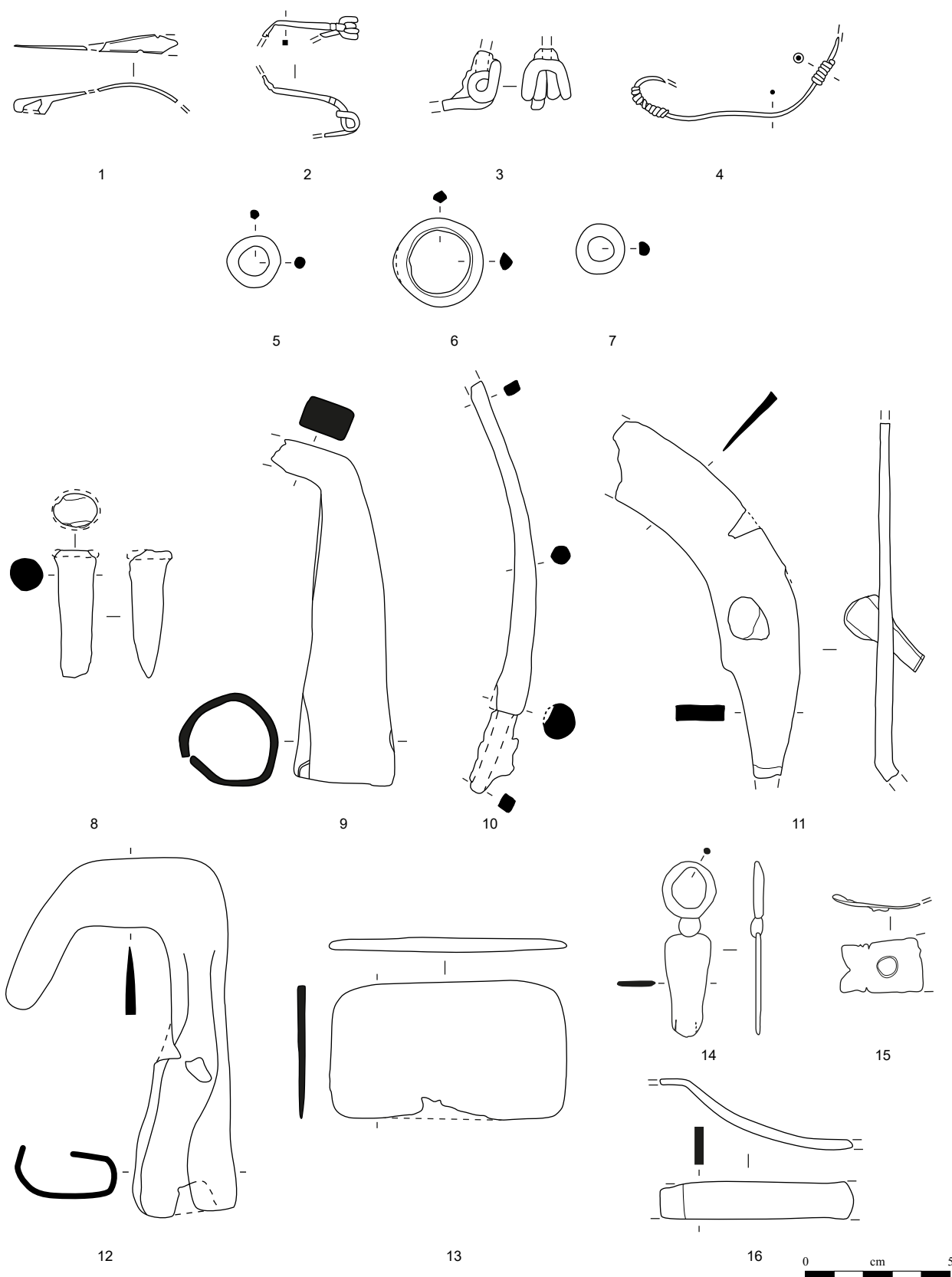


Planche 144. M-211-sol 21167

1-2, 4-7, 14-15 : alliage cuivreux; 3, 8-13, 16 : fer.

Bâtiment M

État 2.1 : LTD1b évoluée

M-211-sol 21167

Planche 145, 1. 21167, n° 1183.

Élément de crémaillère constitué d'une tige torsadée perforée à une extrémité et dans laquelle passe un fragment d'anneau de section circulaire. Une autre perforation est visible en radiographie au-dessus de l'autre extrémité. Fer.

L. 140 mm, S. 10 mm. 111 g.

E : 1269.49. N : 1073.90. Alt. : 571.56.

Planche 145, 2. 21167, n° 1386.

Fragments de lèvre de récipient, de poêle constitué d'une tôle incurvée et repliée à sa base. Fer.

L. 146 mm, diam. rest 212 mm. 271 g.

E : 1268.10. N : 1076.71.

Planche 145, 3. 21167, n° 1232.

Croc à viande avec une tige de section circulaire et deux dents conservées. Fer.

L. 208 mm, S. 8 mm, L. (dent) 32 mm. 68.2 g.

E : 1270.15. N : 1070.2. Alt. : 571.51.

Planche 145, 4. 21167, n° 1186.

Barre indéterminée de section rectangulaire terminée en biseau à une extrémité. Tisonnier, demi-produit? Fer.

L. 284 mm, S. 9 mm. 92.1 g.

E : 1269.15. N : 1072.56. Alt. : 571.67.

Planche 145, 5. 21165, n° 1408.

Fragment de collerette de chaudron constitué d'une tôle incurvée avec trois rivets à sa base. Fer.

L. 112 mm, l. 74 mm. 75.5 g.

E : 1271.2. N : 1074.8. Alt. : 571.46.*

Planche 145, 6. 21167, n° 1264.

Butée de chaudron cylindrique avec rivet

maté. Fer.

Diam. 22 mm, ht. 17 mm. 25.7 g.

E : 1269.14. N : 1070.79. Alt. : 571.65.

Planche 145, 7. 21167, n° 1267.

Fragment indéterminé de bande de fer plat dont l'extrémité s'élargit. Fer.

L. 128 mm, S. 8 x 4 mm. 30.2 g.

E : 1268.11. N : 1071.86. Alt. : 571.54.

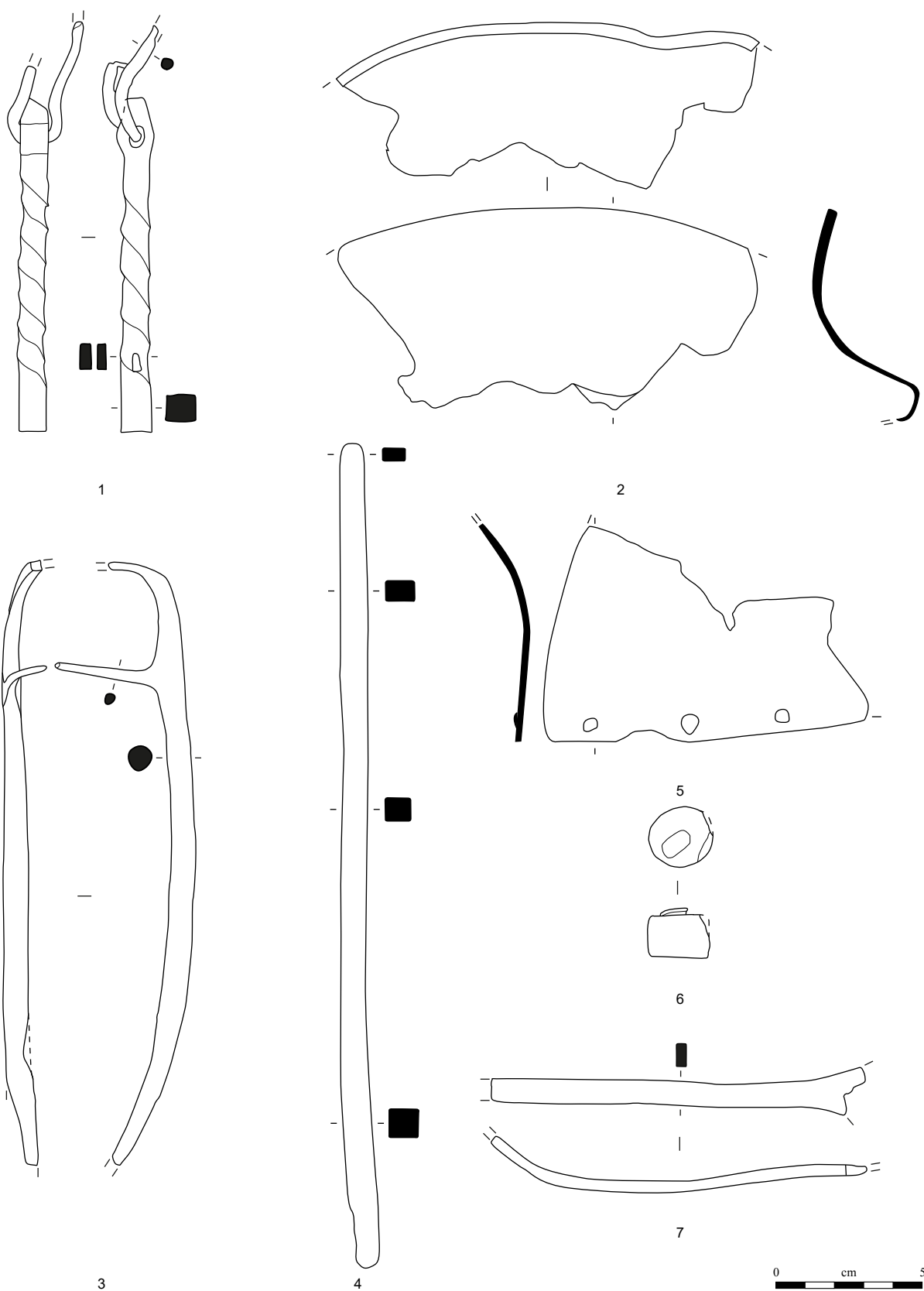


Planche 145. M-211-sol 21167

Fer.

Bâtiment M

État 2.1 : LTD1b évoluée

M-211-sol 21167

Planche 146, 1. 21167, n° 1184.

Fragments de gouttière massive avec un élargissement à sa base. Base-cuivre.

L. 178 mm, S. 8 x 7 mm. 20.4 g.

E : 1269.40. N : 1073.68. Alt. : 571.59.

Planche 146, 2. 21167, n° 1244.

Fragments de gouttière massive presque fermée par endroits. Base-cuivre.

L. 76 mm, S. 8 x 7 mm. 15.2 g.

E : 1269.2. N : 1073.45. Alt. : 571.63.

Planche 146, 3. 21167, n° 1354.

Fragments de gouttière massive presque fermée par endroits. Base-cuivre.

L. 110 mm, S. 8 mm. 13.7 g.

E : 1269.27. N : 1073.31. Alt. : 571.6.

Planche 146, 4. 21167, n° 1212.

Grande ferrure arrachée avec clou en position fonctionnelle. Fer.

L. 150 mm, L. rest. 220 mm, l. 20 mm, ép. 4 mm. 104 g.

E : 1263.31. N : 1073.33. Alt. : 571.53.

Planche 146, 5. 21167, n° 1265.

Grand maillon rapide dont les branches se superposent. La section est circulaire puis quadrangulaire au niveau du chevauchement. Fer.

Diam. int. 48 x 32 mm, S. 12 mm. 181.5 g.

E : 1268.26. N : 1071.12. Alt. : 571.54.

Planche 146, 6. 21167, n° 1322.

Élément de serrure constitué d'une tôle quadrangulaire avec un bord en gouttière et deux perforations. Fer.

L. 66 mm, l. 52 mm. 24.8 g.

E : 1269.75. N : 1076.6. Alt. : 571.58.

Planche 146, 7. 21167, n° 1187.

Élément de serrure constitué d'une tôle rectangulaire avec un bord en gouttière. Il demeure difficile à préciser si l'autre bord de cet objet est conservé. Fer.

L. 98 mm, l. 62 mm. 59.4 g.

E : 1270.2. N : 1074.95. Alt. : 571.51.

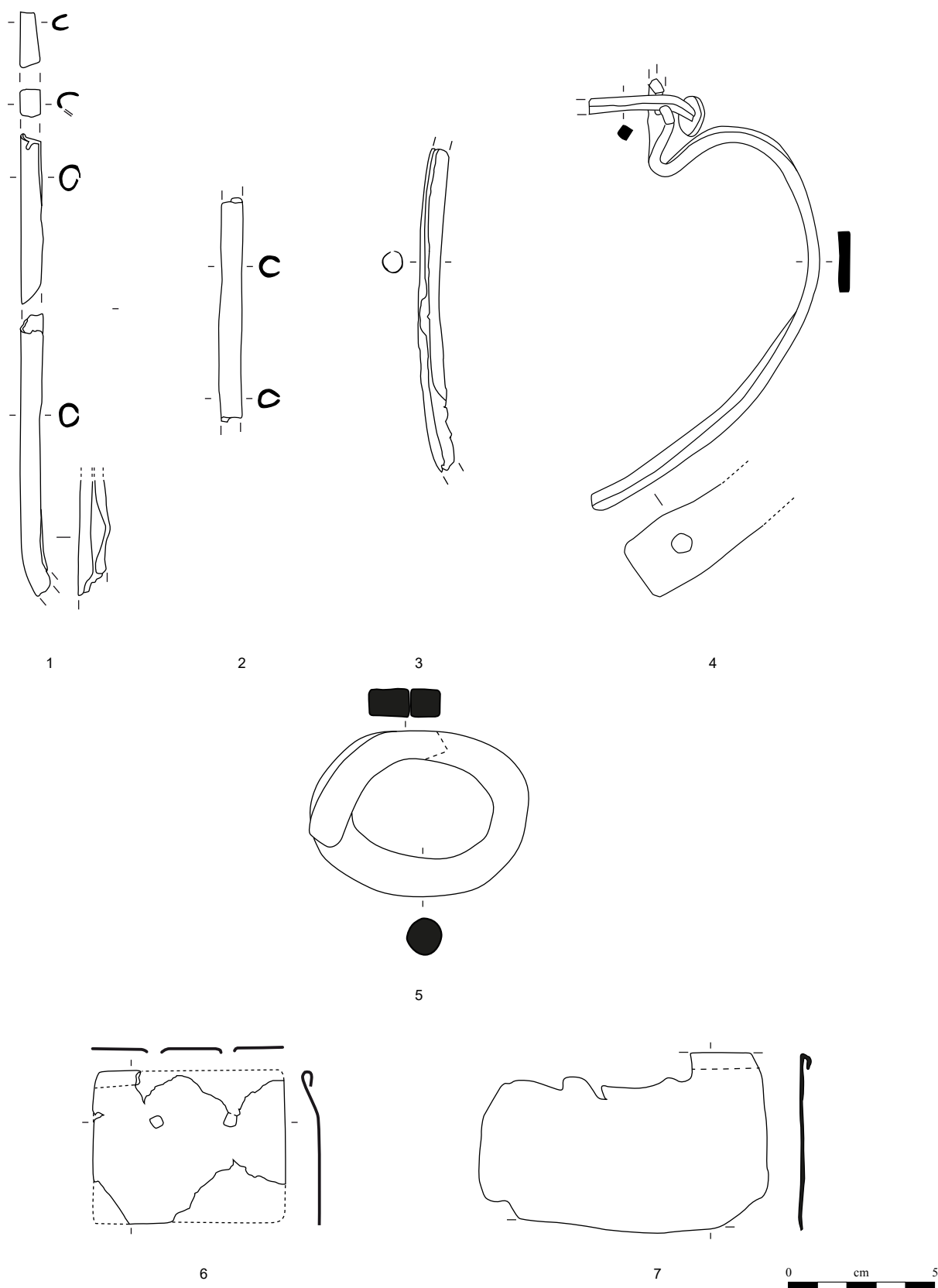


Planche 146. M-211-sol 21167

1-3 : alliage cuivreux; 4-7 : fer.

Bâtiment M

État 1 à 2.2 : LTD1b à LTD2a

M-112-sol de cailloutis 21220

Planche 147, 1. 21220, n° 746.

Pince dont les deux mors à gueule droite sont conservés ainsi qu'une partie des manches de section sub-circulaire. Fer.
L. 142 mm, L. (pince) 22 mm, L. (gueule) 62 mm. 84 g.
E : 1278.95. N : 1058.74. Alt. : 571.94.

Planche 147, 2. 21220, n° 749.

Extrémité de manche de pince de section quadrangulaire à angles chanfreinés terminée par un bouton conique. Fer.
L. 90 mm, S. 6 mm. 13.4 g.
E : 1277.36. N : 1058.45. Alt. : 571.94.

Planche 147, 3. 21220, n° 747.

Fragment indéterminé de languette de tôle de section rectangulaire. Base-cuivre.
L. 20 mm, l. 9 mm. 0.7 g.
E : 1278.95. N : 1058.76. Alt. : 571.93.

Autres petits mobiliers

21220, n° 759. Perle en os à section en «D».

M-114-Fo 21699-65 combl sup

Planche 147, 4. 21088, n° 1283.

Fragments de lame de scie large avec une perforation. Fer.
L. 97 mm, l. 43 mm, ép. 2 mm. 48.1 g.
E : 1272.2. N : 1070.93. Alt. : 571.80.

Planche 147, 5. 21088, n° 1288.

Fragment de chaudron avec une bordure inférieure doublée avec deux rivets en alliage cuivreux. Ce fragment de collerette est réparé par un plat quadrangulaire fixé par deux rivets en fer. Un autre fragment de réparation, non représenté,

est composé d'un rivet à contreplaque comprenant encore un fragment de tôle rivetée. Fer et base-cuivre.
L. 113 mm, l. 66 mm. 238 g.
E : 1272.86. N : 1071.2. Alt. : 571.73.

Planche 147, 6. 21088, n° 1281.

Fragment d'entrave constitué d'une bande de fer plat circulaire terminée par repli perforé. Hypothétique présence d'une perforation à l'autre extrémité. Fer.
L. 126 mm, diam. int. 82 mm, S. 11 x 5 mm. 69.1 g.
E : 1272.51. N : 1070.8. Alt. : 571.82.

Planche 147, 7. 21088, n° 1330.

Anneau d'écurie avec piton à extrémité matée. Fer.
Diam. 80 mm, S. 8 mm, L. utile 18. 92.8 g.
E : 1272.5. N : 1070.6. Alt. : 571.52.*

Planche 147, 8. 21088, n° 1291.

Anneau de sertissage, frette, constitué d'une bande de plat. Fer.
Diam. int. 52 x 47 mm, S. 8 x 3 mm. 33.8 g.
E : 1272.90. N : 1071.06. Alt. : 571.72.

Planche 147, 9. 21088, n° 1331.

Anneau de sertissage, frette, constitué d'une bande de plat. Fer.
Diam. 43 mm, S. 18 x 4 mm. 57.1 g.
E : 1272.3. N : 1070.4. Alt. : 571.52.*

Planche 147, 10. 21088, n° 1279.

Auberon (?) constitué d'une tige de section ronde à oeillet formé par enroulement. Fer.
L. 138 mm, S. 6 mm. 32.2 g.
E : 1272.76. N : 1070.8. Alt. : 571.77.

Autres petits mobiliers

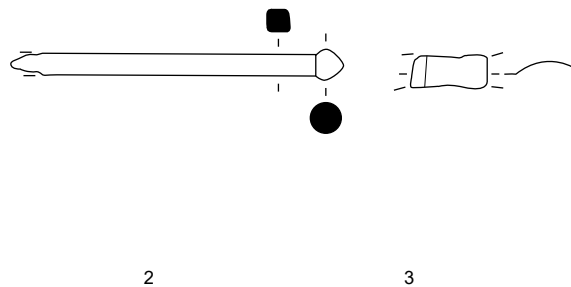
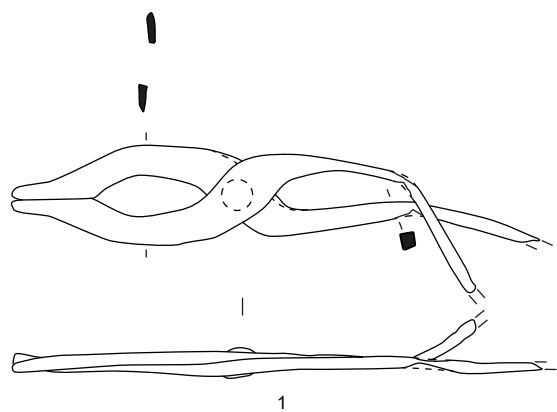
21088, n° 1286. Pierre indéterminée qui semble sculptée en forme de sphère annelée en tuf.
21088, n° 1290. Jeton.

État 2.1 : LTD1b évoluée

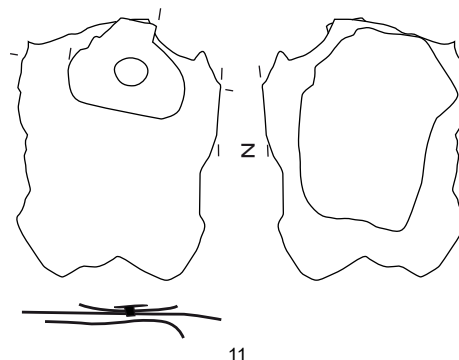
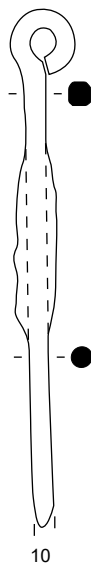
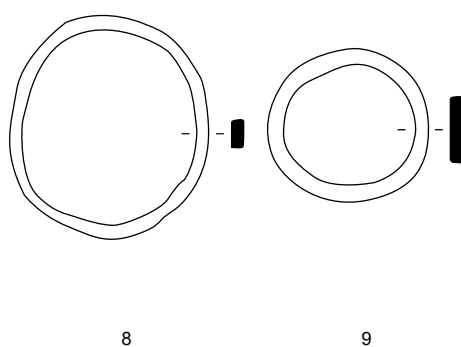
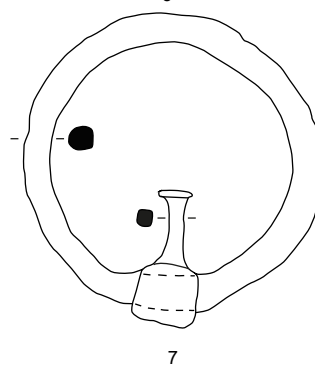
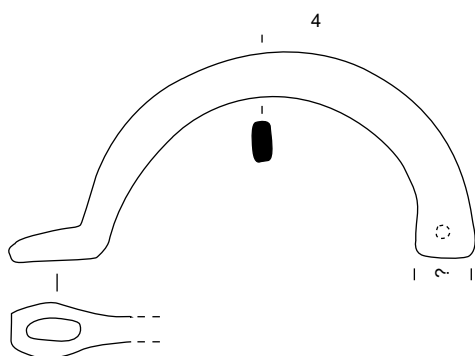
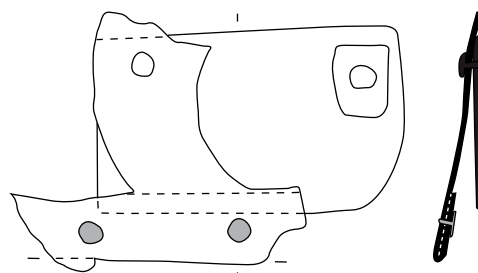
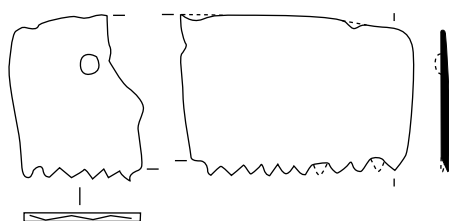
M-115-Fo 21699-65 combl inf

Planche 147, 11. 21699-65, n° 1525.

Trois fragments indéterminés de tôle très mal conservée et tenus par la corrosion. Une tôle rivetée circulaire laisse penser à une attache de pontet avec le début du passant. Il pourrait également s'agir d'un fragment de collerette de chaudron au vu de l'ensemble du mobilier. Fer.
L. 70 mm. 44.9 g.
E : 1273.68. N : 1071.2.*



M-112-sol de cailloutis 21220



M-114-Fo 21699-65 combi sup

M-115-Fo 21699-65 combi inf

■ Alliage cuivreux

0 cm 5

Planche 147. M-112-sol de cailloutis 21220 à M-115-Fo 21699-65 combi inf

1-2, 4, 6-11 : fer; 3 : alliage cuivreux; 5 : fer et alliage cuivreux.

Bâtiment M

État 2.1 : LTD1b évoluée

M-116-Pal 20064

Planche 148, 1. 20065, n° S3100.

Bracelet de petite taille à jonc lisse de section en «D». Base-cuivre.

Diam. int. 41 mm, s: 3,5 mm. 6.2 g.

E : 1249.4. N : 1064.4. Alt. : 571.65.

Type : B11-2.

Planche 148, 2. 20065, n° S3092.

Bec de bassin à bec verseur constitué d'un tube de tôle enroulée terminé par un replat de fixation circulaire. Base-cuivre.

L. 34 mm, diam. int 8 mm. 6.1 g.

E : 1249.88. N : 1064.5. Alt. : 571.83.

Planche 148, 3. 20065, n° S3093.

Fragment de petite dallette de calcaire. Plan de travail? Lithique.

L. 95 mm. 237 g.

E : 1249.97. N : 1064.4. Alt. : 571.82.

Planche 148, 4. 20065, n° S3107.

Manche de louche de section rectangulaire terminé par un cuilléron lacunaire. Fer.

L. 398 mm, S. 11 x 4 mm, diam. (cuilléron) 113 mm. 96.6 g.

E : 1249.28. N : 1064.3. Alt. : 571.7.

Autres petits mobiliers

20065, n° S3095. Mollette en basalte.

20065, n° S3106. Petite bille en verre incolore, reste de production?

20065, n° S3096. Jeton.

20065, n° S3105. Jeton.

20065, n° S3104. Jeton en amphore.

20065, n° S3204. Monnaie.

20065, n° S3099. Monnaie.

20065, n° S3205. Monnaie.

20065, n° S3101. Monnaie.

20065, n° S3094. Fragment de perle en verre pourpre à décor en damier bleu et pourpre opaque (Gebhard XIed).

M-118-sol 21699-80

Planche 148, 5. 21699-80, n° 999.

Ciseau droit à soie, à manche conique et à tranchant à deux biseaux. Fer.

L. 101 mm, L. (soie) 34 mm, L. (partie active) 67 mm, l. (tranchant) 3 mm, S. 8 mm. 26.6 g.

E : 1273.26. N : 1060.

Planche 148, 6. 21699-80, n° 2566.

Fragment de tôle à bordure renflée. Base-cuivre.

L. 18 mm. 0.3 g.

E : 1276.05. N : 1058.92. Alt. : 571.95.

Autres petits mobiliers

21699-80, n° 2571. Jeton.

21699-80, n° 2574. Jeton.

M-119-TP 20813

Planche 148, 7. 20823, n° S3341.

Anneau de section ronde. Base-cuivre.

Diam. 20 mm, S. 2 mm. 1.2 g.

E : 1270.5. N : 1065.3.*

M-120-Pal 21131

Planche 148, 8. 21132, n° 1608.

Fragment d'anneau de section rectangulaire. Fer.

Diam. 26 mm, S. 4 x 8 mm. 5.7 g.

E : 1250. N : 1063.82.*

Autres petits mobiliers

21064, n° 675. Jeton.

21064, n° 730. Monnaie.

M-121-Ce 22204

Planche 148, 9. 22204, n° 273.

Rivet émaillé avec départ de tige en fer.

Base-cuivre et fer.

L. 10 mm, diam. 12 mm. 3.2 g.

E : 1253.7. N : 1049.5.*

Autres petits mobiliers

22204, n° 53. Bouton en os, moderne?

22204, n° 238. Jeton percé, fusaïole.

22204, n° 236. Jeton.

22204, n° 263. Jeton.

21070, n° 1258. Jeton.

22204, n° 449. Monnaie.

22308, n° 445. Monnaie.

21070, n° 2735. Fragment de mortier en roche volcanique à feldspaths.

22308, n° 610. Fragment de perle en ambre.

22204, n° 262. Fragment de plaque de foyer.

M-122-Pal 21169

Planche 148, 10. 21170, n° 1255.

Fibule filiforme à ressort à quatre spires et corde externe haute et arc outrepassant de section lenticulaire. Fer.

L. 76 mm, L. (arc) 50 mm, S. 5 mm. 16.3 g.

E : 1259.97. N : 1071.95. Alt. : 571.65.

Type : F33-11.

Planche 148, 11. 21170, n° 1253.

Aiguille cassée au niveau du départ du chas. Fer.

L. 38 mm. 0.7 g.

E : 1259.89. N : 1071.78. Alt. : 571.64.

Planche 148, 12. 21170, n° 1254.

Chute de tige de section carrée avec un coude de section quadrangulaire, aplatie à une extrémité. Fer.

L. 35 mm, S. 2 mm. 1.8 g.

E : 1259.90. N : 1071.96. Alt. : 571.64.

Autres petits mobiliers

21170, n° 1257. Jeton.

21170, n° 1245. Fragment de récipient en verre brun, moulé avec cannelure.

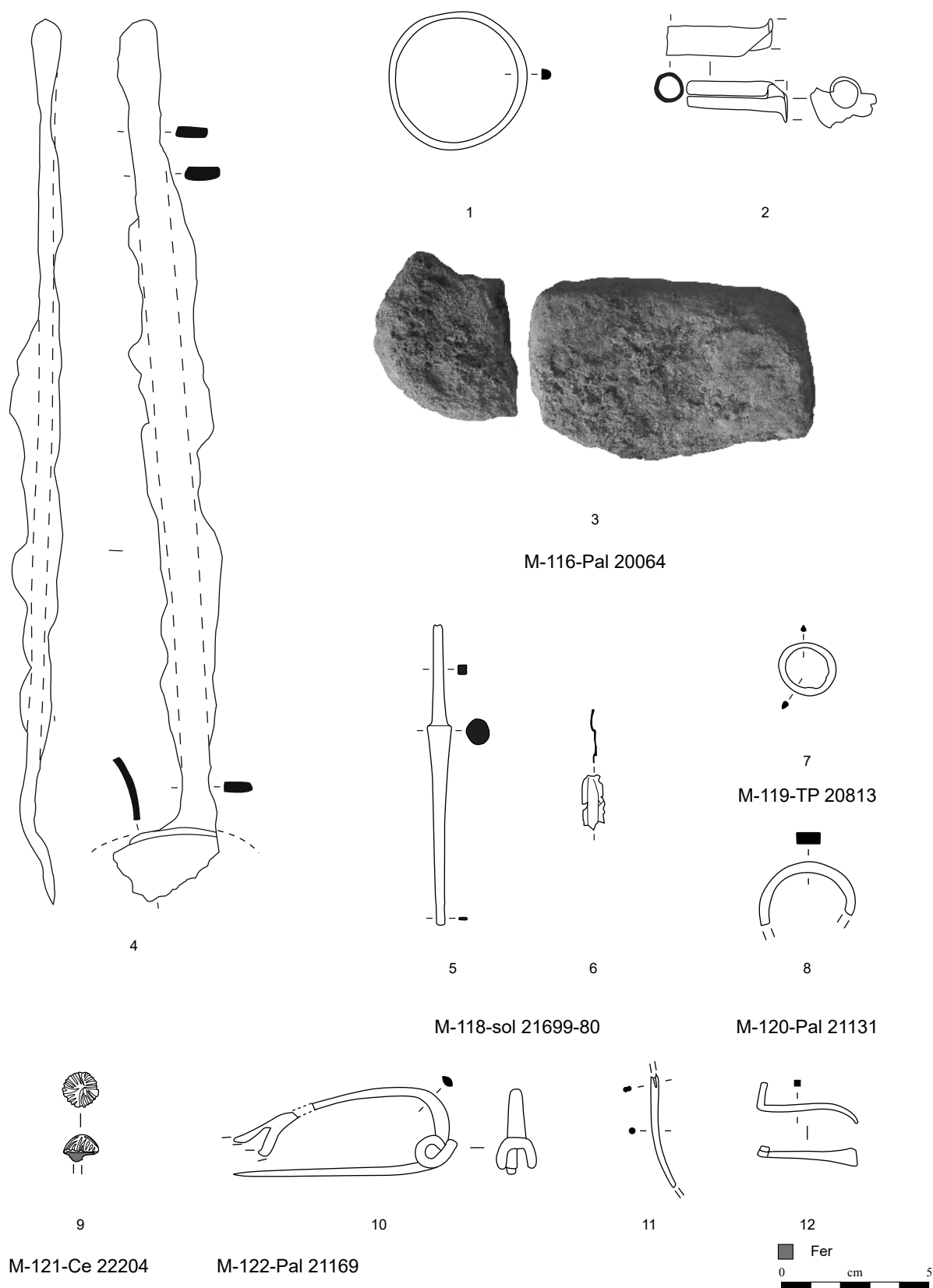


Planche 148. M-116-Pal 20064 à M-122-Pal 21169

1-2, 6-7 : alliage cuivreux; 3 : calcaire; 4-5, 8, 10-12 : fer; 9 : alliage cuivreux et fer.

Bâtiment M

État 2.1 : LTD1b évoluée

M-117-sol 20084

Planche 149, 1. 21084, n° 884.

Fibule à ressort à quatre spires et corde interne, à arc tendu de tôle triangulaire à décor poinçonné de deux demi-cercles latéraux et de lignes perpendiculaires. Seul le pied est manquant. Base-cuivre. L. 44 mm, L. (arc) 38 mm, l. (arc) 9 mm. 4.9 g. E : 1264.95. N : 1060.52. Alt. : 571.91. Type : B22-09.

Planche 149, 2. 20084, n° S3111.

Racloir à tranchant à lame droite et dos incurvé et manche terminé par un appendice. Trace ligneuse au niveau du manche. Fer. L. 148 mm, L. (lame) 83 mm, l. (lame) 40 mm, S. 8 mm. 90.7 g. E : 1261.3. N : 1066.46. Alt. : 571.82.

Planche 149, 3. 21084, n° 2593.

Chute de tôle triangulaire avec trace de cisaille. Base-cuivre. L. 41 mm, l. 19 mm, ép. 1 mm. 1.6 g. E : 1264.75. N : 1065.48.*

Planche 149, 4. 20084, n° S3297.

Anneau indéterminé de section rectangulaire d'où part une tige en gouttière. Élément de serrure? Fer. L. 48 mm. 6.1 g. E : 1266.56. N : 1066.55. Alt. : 574.9.

Planche 149, 5. 20084, n° S3309.

Foncet de serrure circulaire arrachée avec bordure doublée et trace d'une entrée rectangulaire. De nombreux rivets maintiennent la doublure, à intervalles réguliers. Deux clous sont encore en position fonctionnelle. Cet objet a disparu. Fer. L. 230 mm, ép. 3 mm. NP. E : 1266.6. N : 1065.6. Alt. : 574.9.

Autres petits mobiliers

20084, n° S3196. Monnaie.

20084, n° S3312. Fragment de lèvre de mortier en grès hétérométrique.

20084, n° S3301. Fragment de plaque de foyer à rebord arrondi.

20084, n° S3295. Fragment de plaque de foyer à rebord arrondi fin.

20084, n° S3302. Fragment de plaque de foyer à rebord fin arrondi.

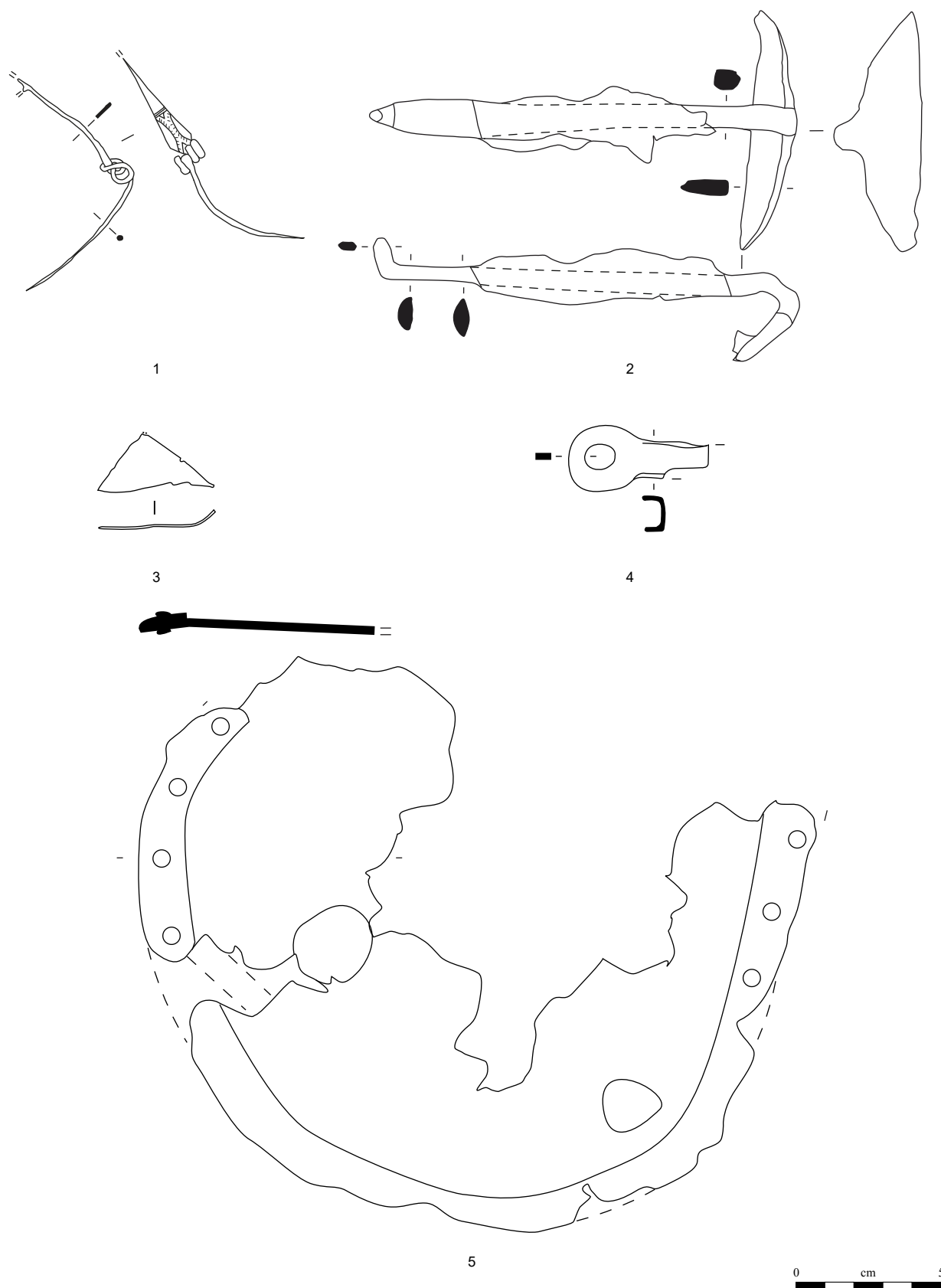


Planche 149. M-117-sol 20084

1, 3 : alliage cuivreux; 2, 4-5 : fer.

Bâtiment M

État 2.1 : LTD1b évoluée

M-123-Cave 21341

Planche 150, 1. 21342, n° 2501.

Fragment de bracelet tubulaire à décor de triangles remplis d'un damier de lignes obliques et entourés de lignes perpendiculaires à l'axe du jonc. Une extrémité est conservée. Base-cuivre.
L. 64 mm, diam. int. 60 mm, S. 15 x 9 mm. 9.3 g.
E : 1257.5. N : 1053.8.*
Type : B21-6.

Planche 150, 2. 21342, n° 2515.

Anneau à section en quart de rond. Base-cuivre.
Diam. 17 mm, S. 3 x 4 mm. 3 g.
E : 1258. N : 1053.25. Alt. : 571.37.

Planche 150, 3. 21342, n° 997.

Fragment de lame de forces à tranchant en triangle rectangle. Fer.
L. 78 mm, l. 24 mm. 34 g.
E : 1257.58. N : 1055.3. Alt. : 571.31.

Planche 150, 4. 21342, n° 2514.

Fragment de collerette de chaudron en fer, rivetée à deux reprises à une tôle en alliage cuivreux. Fer et base-cuivre.
L. 43 mm, diam. int. 170 mm. 8.4 g.
E : 1257.55. N : 1053.45. Alt. : 571.39.

Planche 150, 5. 21342, n° 868.

Fragment de mors constitué d'un anneau connecté à une tige terminée par deux anneaux, elle-même connectée à une pièce identique. Fer.
L. 44 mm, L. (canon) 50 mm, diam. 16 mm. 16.4 g.
E : 1258.60. N : 1054.72. Alt. : 572.05.

Planche 150, 6. 21342, n° 2611.

Fragment indéterminé de tige de section carrée terminée par un anneau. Piton, extrémité d'ustensile ? Fer.
L. 64 mm, S. 10 mm. 56 g.
E : 1257.65. N : 1053.7.*

Planche 150, 7. 21342, n° 2504.

Fragment indéterminé de tôle pliée sur elle-même et rivetée. Fer.
L. 43 mm, l. 52 mm. 35.5 g.
E : 1257.86. N : 1054.5.*

Autres petits mobiliers

21342, n° 2520. Fusaïole en terre cuite composée d'un tesson circulaire percé.

21342, n° 2503. Jeton.

21342, n° 2535. Jeton.

21342, n° 2620. Jeton.

21342, n° 2621. Jeton.

21342, n° 2622. Jeton.

21342, n° 2623. Jeton.

21342, n° 2624. Jeton.

21342, n° 2502. Monnaie.

21342, n° 2518. Monnaie.

21342, n° 993. Monnaie.

21342, n° 2619. Boule de pigment bleu.

M-125-TP 21588

Planche 150, 12. 21699-37, n° 974.

Ressort de fibule à six spires et corde externe relativement haute. Base-cuivre.
L. 8 mm. 1.6 g.
E : 1269.52. N : 1057.64.*
Type : B10-2.

Planche 150, 13. 21699-37, n° 952.

Extrémité distale d'épée constituée d'un plat triangulaire de section lenticulaire. Fer.
L. 56 mm, S. 22 x 3 mm. 11 g.
E : 1269.7. N : 1057.46. Alt. : 571.41.

Planche 150, 14. 21699-37, n° 953.

Fragment indéterminé de plat en forme de crochet. Fer.
L. 48 mm, S. 14 x 2,5 mm. 14.7 g.
E : 1269.48. N : 1057.4. Alt. : 571.44.

Planche 150, 15. 21699-37, n° 2523.

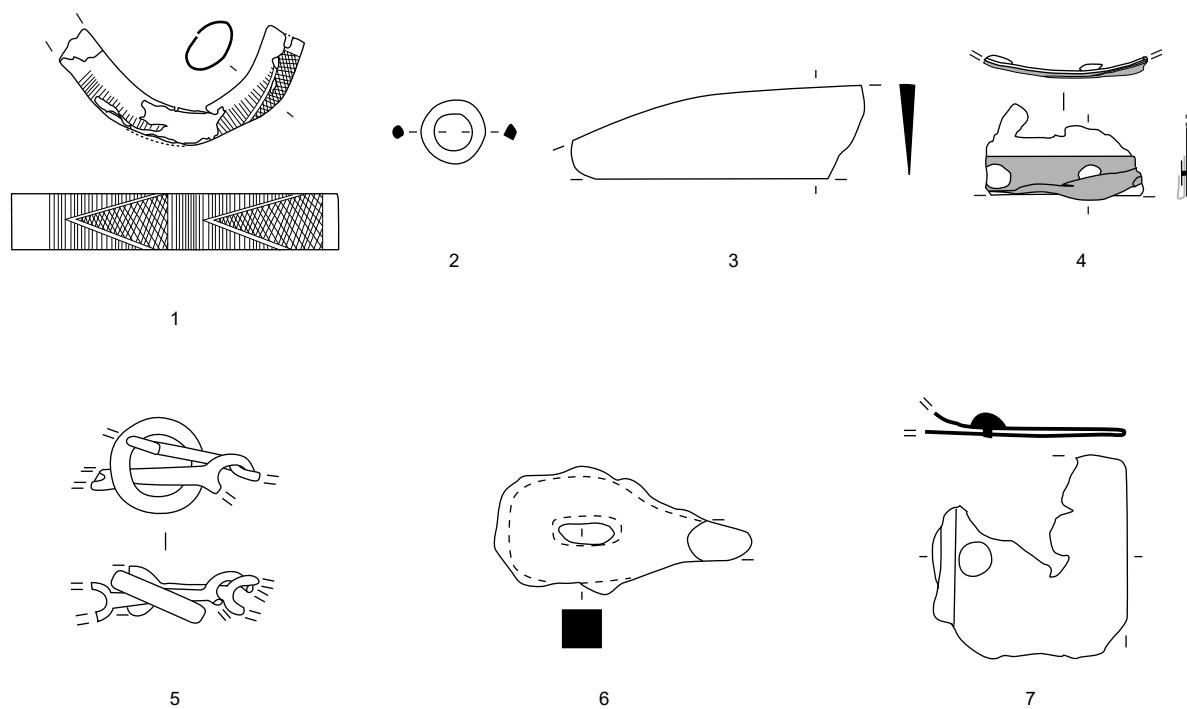
Fragment indéterminé de tôle quadrangulaire avec deux angles conservés dont un avec une perforation. Fer.
L. 86 mm, l. 70 mm, ép. 1 mm. 33.4 g.
E : 1269.75. N : 1057.6. Alt. : 571.

Planche 150, 16. 21699-37, n° 954.

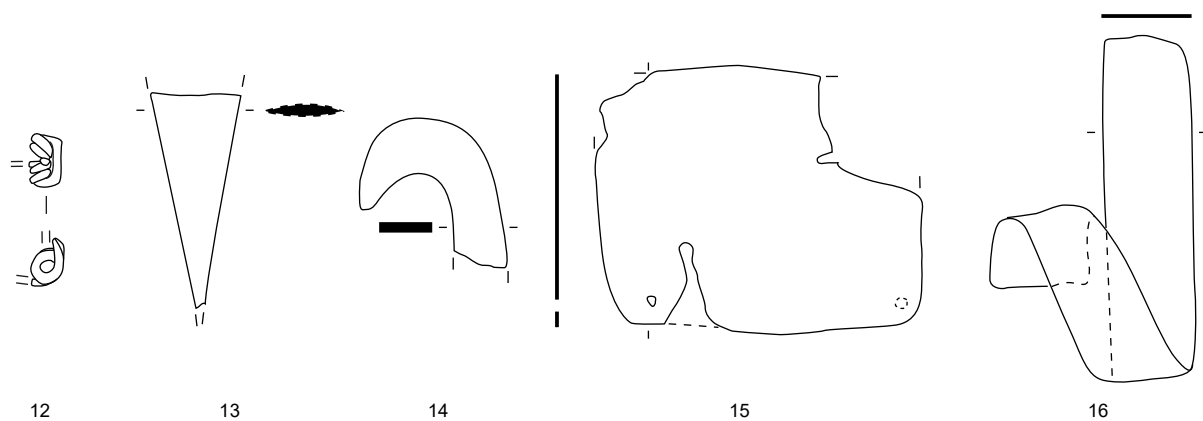
Fragment indéterminé de bande de tôle repliée à deux reprises. Fer.
L. 158 mm, l. 24 mm, ép. 1 mm. 62.9 g.
E : 1269.72. N : 1057.46. Alt. : 571.42.

Autres petits mobiliers

21699-37, n° 2522. Fragment de bracelet en roche noire à section en quart de rond.



M-123-Cave 21341



M-125-TP 21588

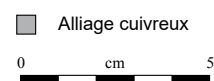


Planche 150. M-123-Cave 21341 et M-125-TP 21588

1-2, 12 : alliage cuivreux; 3, 5-7, 13-16 : fer; 4 : fer et alliage cuivreux.

Bâtiment M

État 2.1 : LTD1b évoluée

M-126-TP 21699-11

Planche 151, 1. 21699-12, n° 1436.
Outil à soie avec manche de section carrée à angles chanfreinés. Fer.
L. 160 mm, L. (soie) 50 mm, S. 11 mm. 61 g.
E : 1270.83. N : 1074.06.*

Planche 151, 2. 21699-12, n° 1435.
Anneau d'écurie de section rectangulaire connecté à un piton à deux branches. Fer.
Diam. 90 mm, S. 10 x 8 mm. 119 g.
E : 1270.6. N : 1073.95.*

M-127-Ce 20201

Planche 151, 3. 21699-30, n° 2597.
Fragment de fer plat indéterminé présentant un angle droit. Pied de gril, clé, crampon? Fer.
L. 79 mm, S. 14 x 5 mm. 25.5 g.
E : 1271.4. N : 1068.7.*

M-227-Charbons 21699-8

Planche 151, 4. 21699-8, n° 2519.
Fragment d'applique constituée d'une tôle avec une rainure au repoussé. Base-cuivre.
L. 26 mm. 0.2 g.
E : 1273.17. N : 1060.15. Alt. : 571.94.

M-128-TP 21558

Planche 151, 5. 21699-25, n° 2105.
Fragment de manche à ailerons de serpette. Fer.
L. 50 mm, diam. (douille) 11 x 5 mm. 9.8 g.
E : 1269.55. N : 1057.32.*

M-129-TP 21699-130

Planche 151, 6. 21699-131, n° 2638.
Fragment de petite douille. Fer.
L. 37 mm, diam. 11 mm. 7.3 g.
E : 1264.6. N : 1059.7.*

M-130-TP 21684

Planche 151, 7. 21684, n° 2636.
Plat indéterminé de section triangulaire. Chute, fragment de petite lame? Fer.
L. 32 mm, l. 6 mm. 1.3 g.
E : 1269.6. N : 1079.25.*

M-131-Petit blocs

Planche 151, 8. 21676, n° 2632.
Élément de serrure constitué d'une tôle quadrangulaire à bord en gouttière. Fer.
L. 60 mm, l. 52 mm. 25.3 g.
E : 1272.3. N : 1070.4.*

Planche 151, 9. 21676, n° 2634.
Chute de tige de section carrée. Fer.
L. 56 mm, S. 3 mm. 2.4 g.
E : 1272.75. N : 1070.83.*

Planche 151, 10. 21676, n° 2633.
Chute de tige de section carrée. Fer.
L. 42 mm, S. 4 mm. 4.4 g.
E : 1272.41. N : 1070.45.*

M-132-Pal 21388

Planche 151, 11. 21389, n° 2531.
Chute de tige de section circulaire. Base-cuivre.
L. 25 mm. 0.4 g.
E : 1241.25. N : 1056.5.*

Autres petits mobiliers

21389, n° 949. Jeton.
21389, n° 948. Monnaie.

M-133-TP 21214

Planche 151, 12. 21215, n° 1301.
Virole dont la bande est écrasée avec les vestiges d'une soie à l'intérieur. Fer.
Diam. 10 mm, S. 14 x 2 mm. 3.3 g.
E : 1261.60. N : 1072.82. Alt. : 571.64.

M-134-Ce 21201

Planche 151, 13. 21202, n° 764.
Fibule à ressort à quatre spires et corde interne et arc triangulaire fin à bordures soulignées par une rainure. Base-cuivre.
L. 36 mm, L. (arc) 26 mm, L. (arc) 3 mm. 1 g.
E : 1268. N : 1059.40. Alt. : 571.88. UF.
Type : B22-03.

Planche 151, 14. 21202, n° 2553.
Fragment de lame de faux (?) constituée d'un fer plat incurvé de section triangulaire. Fer.
L. 134 mm, l. max. 35 mm. 54.9 g.
E : 1267.85. N : 1060.*

M-136-Sb 21322

21323, n° 1370. Monnaie.

M-137-épandage 20171

20171, n° S3293. Fragment de paroi de foyer.

M-138-Sb 20157

20158, n° S3221. Monnaie.

M-140-TP 20192

20193, n° S3194. Dé rectangulaire en os avec quatre faces ocellées comportant trois, quatre, cinq et six points.

M-149-TP 21216

21217, n° 1304. Jeton.

M-155-TP 21680

21681, n° 1394. Monnaie.

M-158-Sb 21528

21529, n° 2585. Jeton.

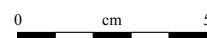
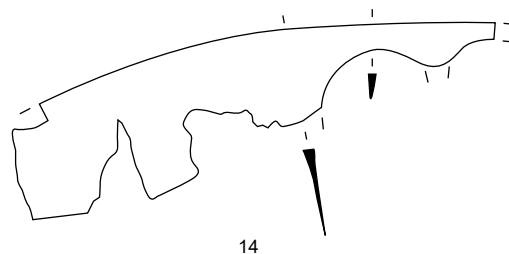
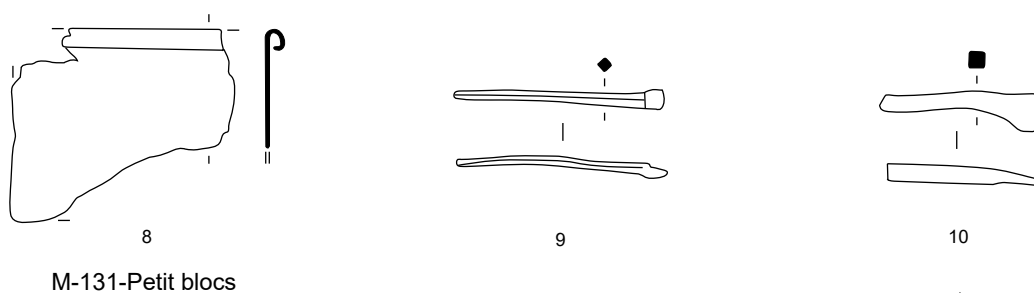
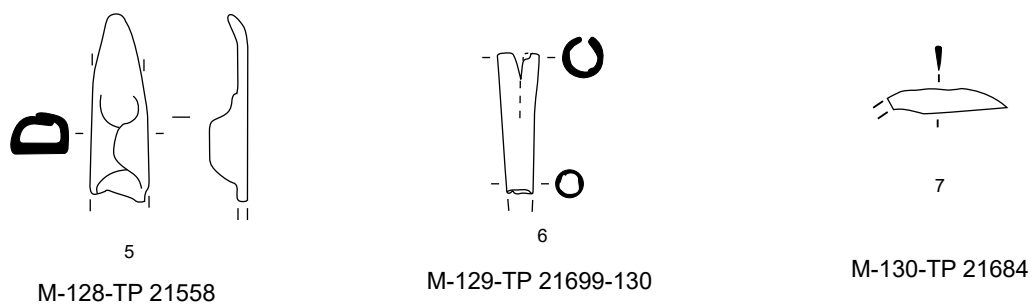
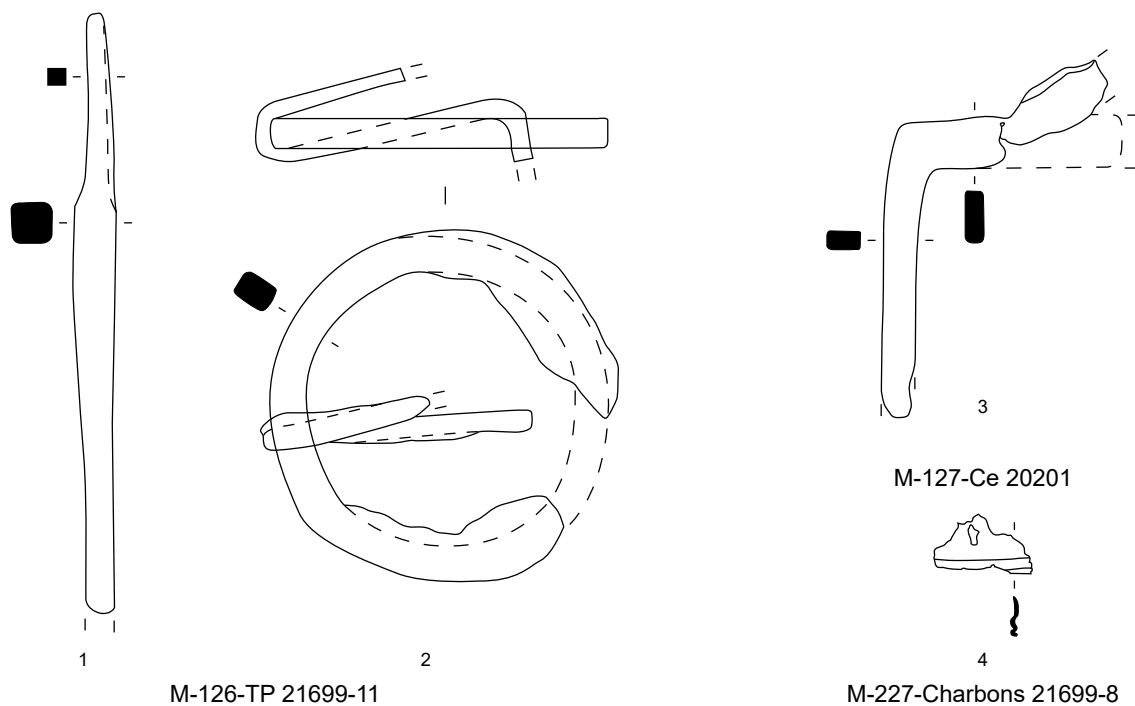


Planche 151. M-126-TP 21699-11 à M-134-Ce 21201

1-3, 4-10, 12, 14 : fer; 4, 11, 13 : alliage cuivreux.

Bâtiment M

État 1 à 2.1 : LTD1b

M-161-Sb 21592

Planche 152, 1. 21592, n° 2589a.
Fragment de gouttière de bouterolle ouverte avec vestiges d'une entretoise. Fer.
L. 28 mm. 4 g.
E : 1268.1. N : 1057.2.*

Planche 152, 2. 21592, n° 2589b.
Fragment d'anneau de sertissage constitué d'une bande de tôle formant un cerclage écrasé. Fer.
L. 28 mm et L. 52 mm, ht. 22 mm. 12.5 g.
E : 1268. N : 1057.*

M-162-démontage Fy 21011

Planche 152, 3. 21072, n° 1120.
Fibule à ressort à quatre spires et corde interne, avec vestige d'un anneau de chaînette en fer, à arc tendu mouluré triangulaire, à ligne centrale et bordures en relief incisées et à pied trapézoïdal ajouré. Seul l'ardillon est manquant. Base-cuivre et fer.
L. 84 mm, L. (arc) 48 mm, l. (arc) 5 mm, L. (pied) 25 mm. 6.3 g.
E : 1262. N : 1076.89. Alt. : 571.62.
Type : B22-22.

Planche 152, 4. 21072, n° 1480.
Contreplaque de rivet circulaire. Fer.
L. 30 mm. 4.2 g.
E : 1262.05. N : 1076.6.*

Planche 152, 5. 21072, n° 1133.
Tige indéterminée de section carrée avec une perforation rectangulaire. Goupille, marteau, élément de crémaillère? Fer.
L. 130 mm, S. 12 mm. 60.9 g.
E : 1261.84. N : 1076.77. Alt. : 571.74.

État 2.1 : LTD1b évoluée

M-163-TP 21699-35

21699-36, n° 967-1. Monnaie.
21699-36, n° 967-2. Monnaie.

État 1 et 2 lato sensu : LTD1b-LTD2

M-165-décapage 21519

Planche 152, 6. 21519, n° 2516.
Chute de tôle repliée à trois reprises. Base-cuivre.
L. 22 mm. 0.9 g.
E : 1272. N : 1059. Alt. : 571.93.

État 1 : LTD1b classique

M-166-Fo 21699-21

Planche 152, 7. 21699-22, n° 2584.
Chute de bande de section rectangulaire. Fer.
L. 43 mm, l. 36 mm, ép. 10 mm. 68.7 g.
E : 1275.4. N : 1060.35.*

Autres petits mobiliers

21699-22, n° 992. Monnaie.

M-167-Fo 21457

Planche 152, 8. 21458, n° 2509.
Maillon de chaîne en huit dont la partie centrale est jointive. Fragment de chaîne de ceinturon? Fer.
L. 64 mm. 19.6 g.
E : 1268.75. N : 1053.9.*

M-168-Pal 21343

Planche 152, 9. 21344, n° 1604.
Fragment de bouterolle avec départ de pince ou d'entretoise. Fer.
L. 16 mm. 4.6 g.
E : 1263.5. N : 1054.8.*

M-169-Fo 21208

Planche 152, 10. 21209, n° 1498.
Chute de barre de section quadrangulaire avec trace de découpe et torsion. Fer.
L. 61 mm, S. 10 x 8 mm. 17.8 g.
E : 1254.6. N : 1052.*

Planche 152, 11. 21209, n° 1495a.
Butée de poignée de chaudron cylindrique avec tenon riveté. Fer.
Diam. 20 mm, ht. 19 mm. 24.9 g.
E : 1255. N : 1052.72.*

Planche 152, 12. 21209, n° 1495b.
Butée de poignée de chaudron cylindrique avec tenon riveté. Fer.
Diam. 19 mm, ht. 14 mm. 18.1 g.
E : 1255.2. N : 1052.8.*

Planche 152, 13. 21209, n° 1496.
Fragment d'orle de section rectangulaire avec deux pattes de fixation conservées comportant encore leur rivet. Fer.
L. 143 mm, S. 6 x 4 mm. 37 g.
E : 1254.8. N : 1052.4.*
Type : Rectangulaire.

M-171-Sb 21073

Planche 152, 14. 21074, n° 705.
Anneau de section ronde. Base-cuivre.
Diam. 17 mm, S. 2,5 mm. 3.4 g.
E : 1257.39. N : 1057.11. Alt. : 571.77.

M-172-St 21056

Planche 152, 15. 21056, n° 586.
Fibule à ressort à quatre spires (trois conservées) et corde interne et arc triangulaire tendu à décor de ligne serpentiforme pointillée et bordures soulignées par une rainure. Base-cuivre.
L. 28 mm, l. (arc) 7 mm. 2.1 g.
E : 1256.71. N : 1060.97. Alt. : 572.52.
Type : B22-13.

Autres petits mobiliers

21056, n° 585. Deux jetons.
21056, n° 654. Deux jetons.

21056, n° 695. Deux jetons.
21056, n° 587. Jeton.
21056, n° 589. Jeton.
21056, n° 593. Jeton.
21056, n° 633. Jeton.
21056, n° 656. Jeton.
21056, n° 655. Quatre jetons.
21056, n° 588. Trois jetons.

M-173-Sb 20811

Planche 152, 16. 20812, n° S3360.
Fragment de panse de vaisselle constituée d'une tôle avec rivet enroulé et bordure conservée. Base-cuivre.
L. 34 mm. 1.7 g.
E : 1269.5. N : 1064.65.

Autres petits mobiliers

20812, n° S3359. Fragment de plaque de foyer.

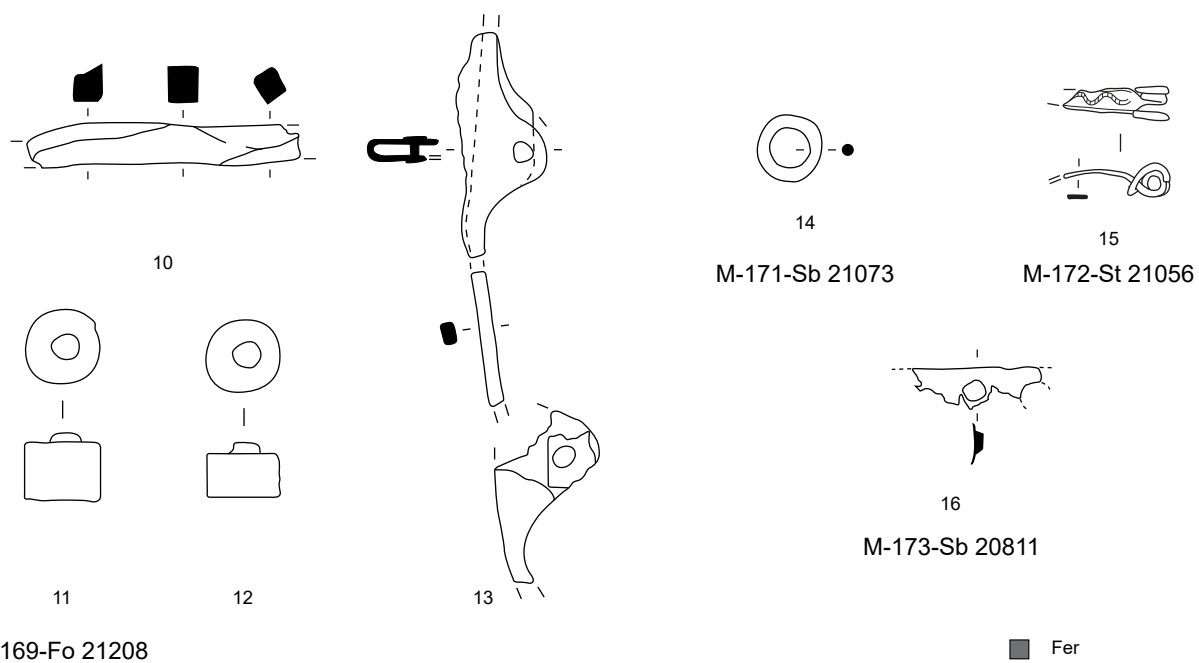
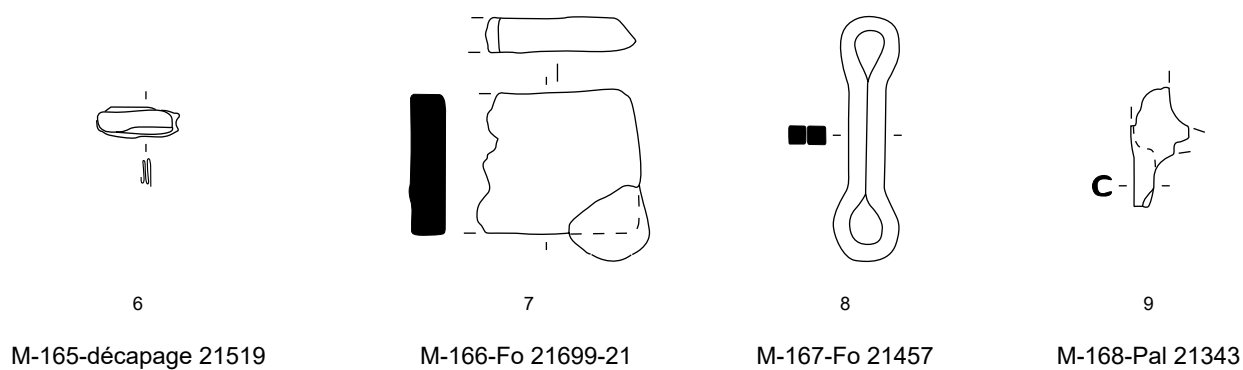
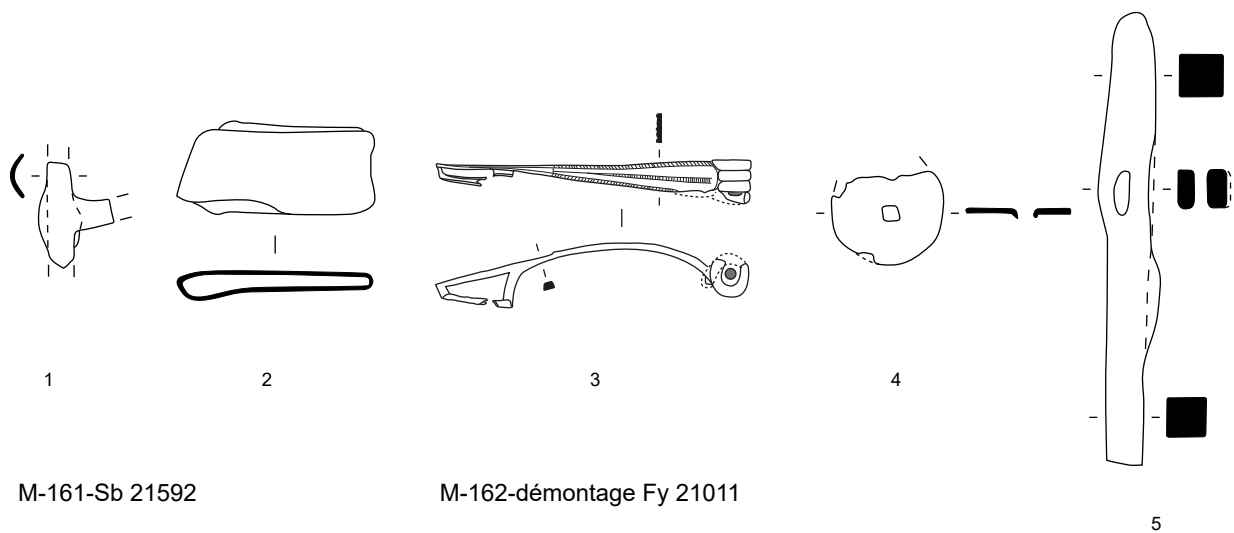


Planche 152. M-161-Sb 21592 à M-173-Sb 20811

1-2, 4-5, 7-13 : fer; 3, 6, 14-16 : alliage cuivreux.

Bâtiment M

État 1 : LTD1b classique

M-174-Fo art 20291

Planche 153, 1. 20292, n° S3286.

Foncet de serrure de forme rectangulaire à entrée en «L» et rebord légèrement replié. Fer.

L. 138 mm, l. 108 mm. 92 g.

E : 1269.94. N : 1066.88. Alt. : 571.77.

Planche 153, 2. 20292, n° S3271.

Aiguiseur en schiste de forme parallélépipédique, très usé en son centre. Lithique.

L. 140 mm, l. 28 mm, ht. 12 à 21 mm. 136 g.

E : 1269.95. N : 1067.2. Alt. : 570.98.

Autres petits mobiliers

20292, n° S3266. Fragment de bord de plaque de foyer à rebord large comportant une rainure centrale.

20292, n° S3256. Fragment de plaque de foyer.

20292, n° S3251. Fragment de terre cuite artisanale et fragments de fer indéterminés.

M-175-Fo 20288

Planche 153, 3. 20288, n° S3232.

Anneau de section ronde. Base-cuivre. Diam. 18 mm, S. 2 mm. 1.2 g.

E : 1270.46. N : 1064.2. Alt. : 571.71.

Planche 153, 4. 20288, n° S3228.

Aiguille à chas fragmentaire. Base-cuivre. L. 28 mm. 0.2 g.

E : 1269.86. N : 1063.6. Alt. : 571.71.

Planche 153, 5. 20288, n° S3235.

Fragment de pontet à attache circulaire emboutie avec un petit appendice. Fer.

L. 38 mm, l. 30 mm. 9.2 g.

E : 1270.3. N : 1064.4. Alt. : 571.73.*

Planche 153, 6. 20288, n° S3131.

Anse de gobelet de type Idria à attache cordiforme et poulie de couvercle. Seules les extrémités du poucier sont manquantes. Base-cuivre.

L. 80 mm, diam. int. rest. 51 mm. 28.7 g.

E : 1270.2. N : 1064.5. Alt. : 572.18.*

M-176-TP 20165

Planche 153, 7. 20166, n° S3143.

Aiguille à chas circulaire. Base-cuivre.

L. 36 mm. 0.4 g.

E : 1263.2. N : 1064.96. Alt. : 571.81.

M-178-Fo art 20204

Planche 153, 8. 20205, n° S3244.

Fragment de bracelet tubulaire à jonc lisse écrasé. Base-cuivre.

L. 44 mm, diam. ext. 90 mm. 6.9 g.

E : 1271.8. N : 1069.*

Type : B21-1.

Autres petits mobiliers

20205, n° S3200. Perle oculée à

protubérances en verre brun orné de filament jaune.

20848. Fragment de plaque de foyer.

Planche 153, 8. 20205, n° S3245.

Fragments de bracelet tubulaire à jonc lisse écrasé. Base-cuivre.

L. 41 mm, diam. ext. rest. 48 mm. 8.7 g.

E : 1271.22. N : 1066.57. Alt. : 571.66.

Type : B21-1.

M-179-Fo 20252

Planche 153, 9. 20252, n° S3239.

Tas à table fortement bombée et tige massive. Fer.

L. 82 mm, S. 13 mm, L. (table) 16 x 22 mm. 67.3 g.

E : 1257.15. N : 1067. Alt. : 571.78.

M-180-TP 20230

Planche 153, 10. 20231, n° S3279.

Fragment médian d'épée de section lenticulaire. Fer.

L. 83 mm, l. 4.5 x 25 mm. 39.5 g.

E : 1270.41. N : 1066.2. Alt. : 571.64.

M-228-TP 21101

Planche 153, 11. 21101, n° 703.

Clé à translation par élévation et à manche à anneau terminal de section carrée. Fer.

L. 217 mm, diam. (anneau) 72 mm. 91.9 g.

E : 1245.83. N : 1049.81. Alt. : 571.77.

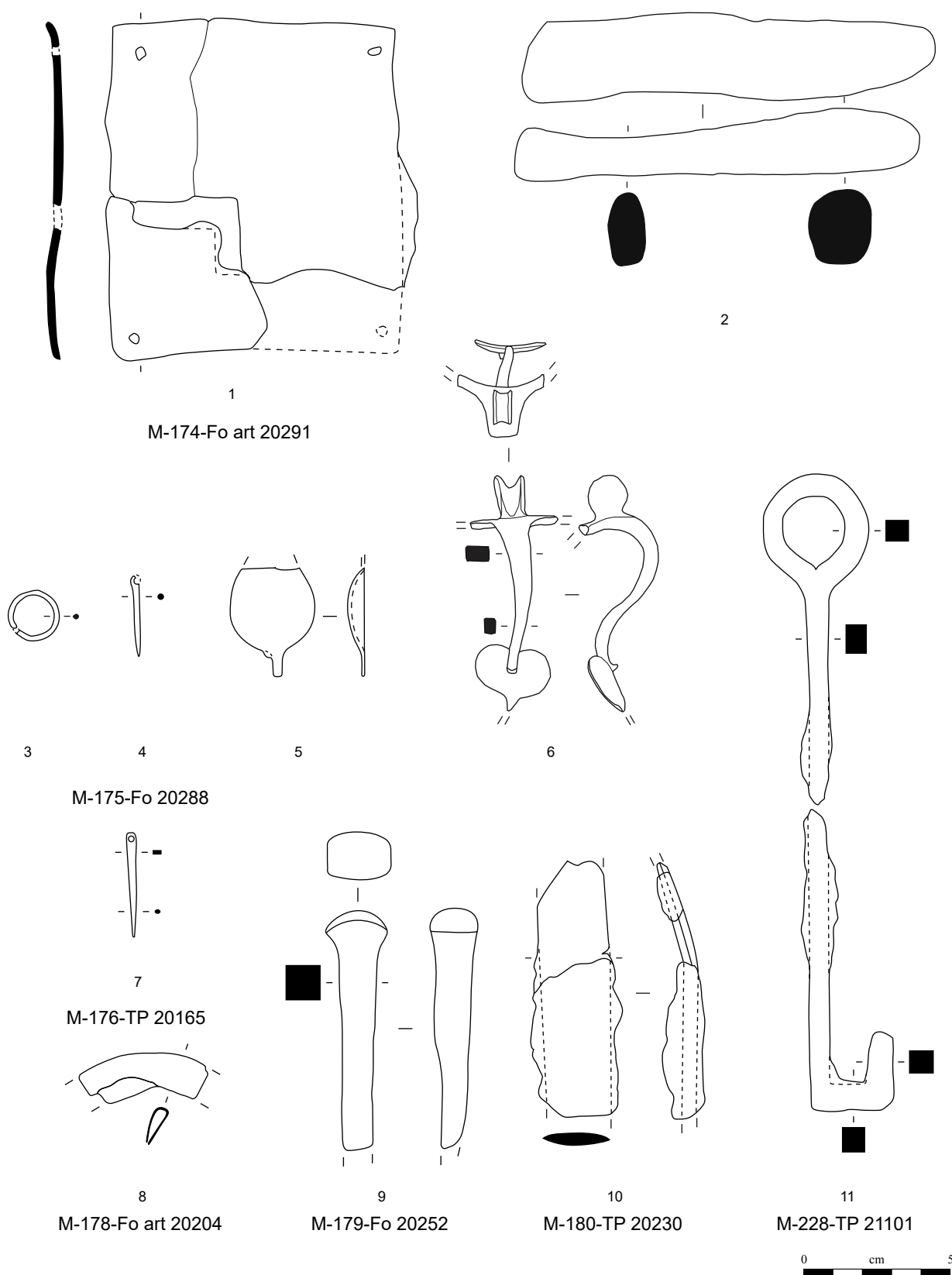


Planche 153. M-174-Fo art 20291 à M-228-TP 21101

1, 5, 9-11 : fer; 2 : schiste; 3-4, 6-8 : alliage cuivreux.

Bâtiment M

Non phasé

État 1 : LTD1b classique

M-229-Fo 21106

Planche 154, 1. 21106, n° 875.

Arc de fibule de section ronde et vestige du pied de schéma La Tène finale. Fer.

L. 54 mm, S. 3 mm. 2.7 g.

E : 1279.74. N : 1058.95. Alt. : 571.99.

Type : F03.

Autres petits mobiliers

21106, n° 876. Monnaie.

21106, n° 740. Monnaie.

21106, n° 741. Monnaie

21106, n° 878. Fragment de plaque de foyer avec décor ondulé.

M-231-TP 20091

Planche 154, 2. 20092, n° S3117.

Fragment de cotte de mailles repliée sur elle-même. Fer.

L. 48 mm, diam. (anneau) 6 à 7 mm. 42.9 g.

E : 1256.92. N : 1064.52. Alt. : 571.82.

M-170-TP 21097

Planche 154, 3. 21098, n° 745.

Fragment de phalère composée d'une tôle circulaire à lignes incisées concentriques et perforation centrale. Base-cuivre.

L. 20 mm, diam. 40 mm. 0.3 g.

E : 1244.78. N : 1051.25. Alt. : 571.63.

Planche 154, 4. 21154, n° 772, 751 et 777.

Pointe de lance constituée d'un emmanchement à douille et d'une flamme à large empennage dont les bordures sont repliées sur le centre et d'une longue pointe de section losangique, repliée à deux reprises dans le sens de la longueur de la flamme. Fer.

L. 429 mm, L. déplié 860 mm, L. (douille) 62 mm, L. (flamme) 798 mm, l. (flamme) 113 mm. 551.4 g.

E : 1244.88. N : 1051.55. Alt. : 571.32.

Type : 42.

M-183-Fo 20220

20221, n° S3224. Monnaie.

M-185-Fo 20289

20289, n° S3259. Fragment de chenet en terre cuite composé d'un parallélépipède rectangle.

M-186-Pal 20300

20299, n° S3325. Fragment de mortier dont le profil complet est conservé en roche volcanique peu vacuolaire.

M-194-décapage 20815

20815, n° S3225. Monnaie.

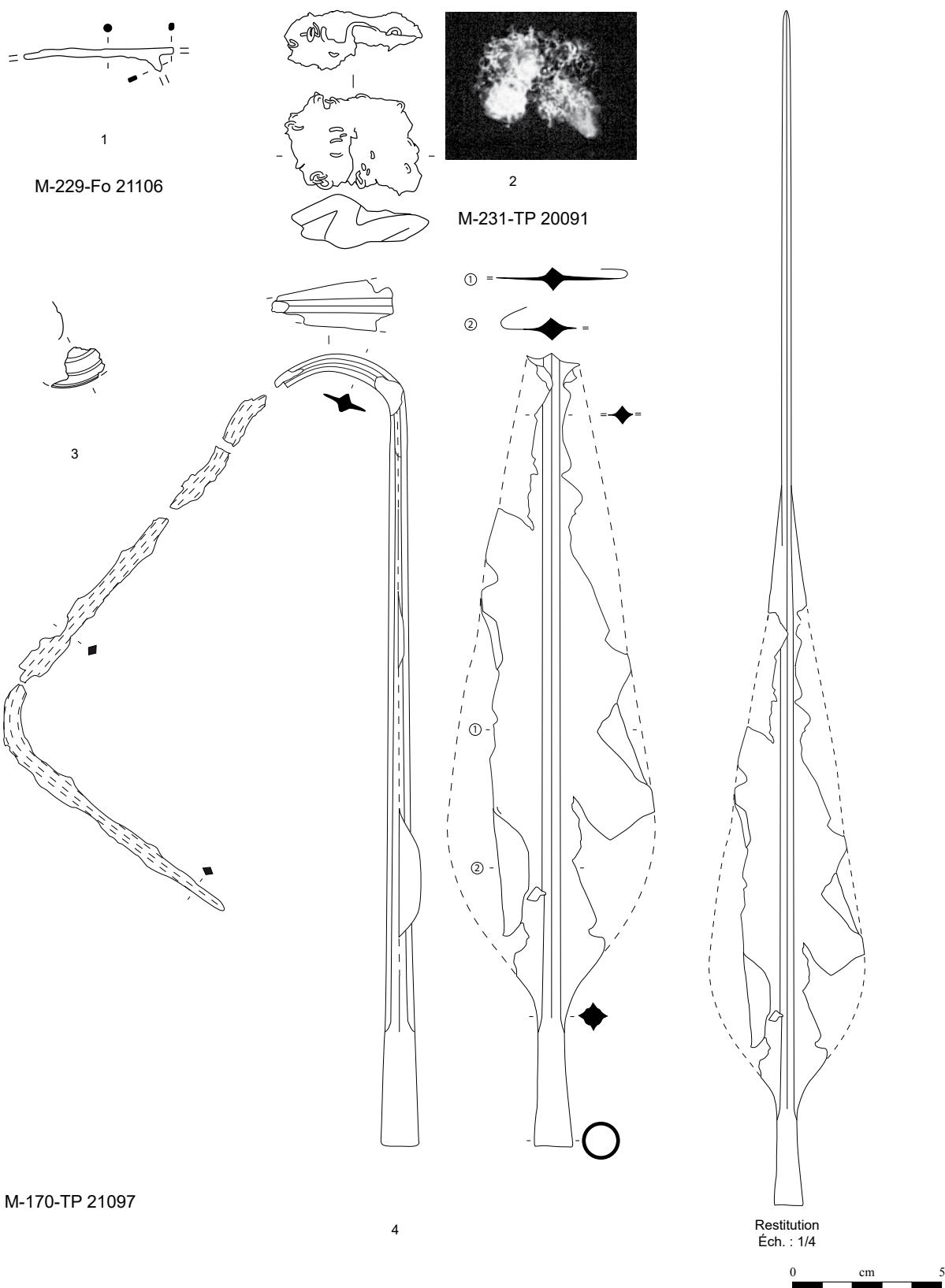


Planche 154. M-229-Fo 21106, M-231-TP 20091 et M-170-TP 21097

Fer, excepté 3, alliage cuivreux.

Bâtiment M

État 1 à 2.2: LTD1b-LTD2a

M-196-Sb 21402

Planche 155, 1. 21403, n° 930.
Chute de plaque de section trapézoïdale.
Base-cuivre.
L. 30 mm, l. 5 mm, ép. 1.5 mm. 0.9 g.
E : 1265.85. N : 1050.50. Alt. : 571.99.

Autres petits mobiliers

21403, n° 930. Poids parallélépipédique en grès fin avec bélière.

Non phasé

M-201-TP 21686

Planche 155, 2. 21687, n° 2590.
Élément de serrure constituée d'une tôle quadrangulaire à bord en gouttière et à deux perforations. Fer.
L. 74 mm, l. 54 mm. 48.6 g.
E : 1265.6. N : 1071.38.*

M-203-Fy 21172

21172, n° 1432. Fragment de plaque de foyer.

M-204-Sb 21690

21691, n° 986. Monnaie.

M-207-TP 20161

20162, n° S3300. Fragment de perle en verre à décor en damier à spirales blanches et lignes brunes sur fond bleu.

M-210-Foyer 21093

21093, n° 1429. Fragment de plaque de foyer.

M-211-sol 21167

21167, n° 1231. Jeton.
21167, n° 1243. Jeton.
21167, n° 1382. Fragment de plaque de foyer.

M-213-TP 21259

Planche 155, 3. 21260, n° 754.
Fragment de phalère dont l'extérieur est incisé de cercles concentriques et le centre présente une perforation. Base-cuivre.
L. 26 mm, diam. 42 mm. 0.5 g.
E : 1274.37. N : 1052.55. Alt. : 571.99.*

État 2.1 : LTD1b évoluée

M-214-TP 20824

Planche 155, 4. 20825, n° S3249.
Fragment indéterminé de plat circulaire avec le début d'une tige de section carrée pliée en angle droit. Fer.
L. 34 mm. 13.7 g.
E : 1267.76. N : 1065.5. Alt. : 571.74.

Autres petits mobiliers

20825, n° S3243. Fragment d'embouchure de moule avec départ du canal de coulée.

M-216-sol 21699-103

21699-103, n° 895. Fragment de plaque de foyer.

Non phasé

M-215-détecteur

Planche 155, 5. 22590, n° 2734.
Fibule à ressort à quatre spires et corde interne à arc de tôle triangulaire large avec ligne centrale et bordures à décor d'échelle et pied ajouré. Seule l'extrémité du pied est manquante. Base-cuivre.
L. 50 mm, L. (arc) 36 mm, l. (arc) 12 mm. 2.9 g.
E : 1260.18. N : 1070.39. UF.
Type : B22-01.

Planche 155, 6. 22590, n° 2726.
Bague à chaton ovale séparé de l'anneau par deux cannelures incisées à anneau lisse de section ovale. Le chaton présente des décors géométriques de chevrons potentiellement émaillés. Base-cuivre.
L. 23 mm, diam. int. 16 mm, L. (plateau) 12 x 8 mm. 3.3 g.
E : 1265.8. N : 1061.1. UF.
Type : 7.

Planche 155, 7. 22590, n° 2716.
Fragment de plaque de fourreau à gouttière. Base-cuivre.
L. 16 mm. 0.3 g.
E : 1274. N : 1062.*

Planche 155, 8. 22590, n° 2731.
Plaque de réparation de céramique constituée d'une tôle circulaire incurvée avec une bordure présentant huit perforations, dont trois comportant encore leur rivet en une pièce. Plomb.
Diam. 87 x 82 mm, L. utile 6 mm. 82 g.
E : 1252. N : 1051.75.*

Planche 155, 9. 22590, n° 2707.
Deux pieds de cruche de type Gallarate en forme de faséole à extrémités munies d'ergots crénelés avec brasure. Base-cuivre.
L. 50 mm, ép. 7 mm, diam. rest. 97 mm. 60.2 g.
E : 1264.9. N : 1056.35. UF.

Planche 155, 10. 22590, n° 2710.
Frette de fourreau complète constituée d'une bande de tôle formant une boucle. Les bordures sont soulignées par une rainure incisée. Base-cuivre.
L. 56 mm, l. 7 mm. 2.1 g.
E : 1260. N : 1074.3. UF.

Planche 155, 11. 22590, n° 2705.
Fragment de lame de section triangulaire à dos droit et tranchant droit légèrement incurvé. Fer.
L. 64 mm, l. 13 mm. 8.9 g.
E : 1268.3. N : 1049.15. UF.
Type : 0-0.

Planche 155, 12. 22590, n° 2706.
Attache de situle constituée d'une tige de section rectangulaire terminée par un plat triangulaire perforé et riveté. Fer.
L. 50 mm. 5.5 g.
E : 1268.9. N : 1049.3. UF.

Planche 155, 13. 22590, n° 2728.
Plaque indéterminée rectangulaire avec un angle perforé. Fer.
L. 142 mm, l. 68 mm, ép. 2 mm. 150 g.
E : 1275.7. N : 1056.7. UF.

Autres petits mobiliers

22590, n° 2702. Monnaie.
22590, n° 2703. Monnaie.
22590, n° 2701. Monnaie.

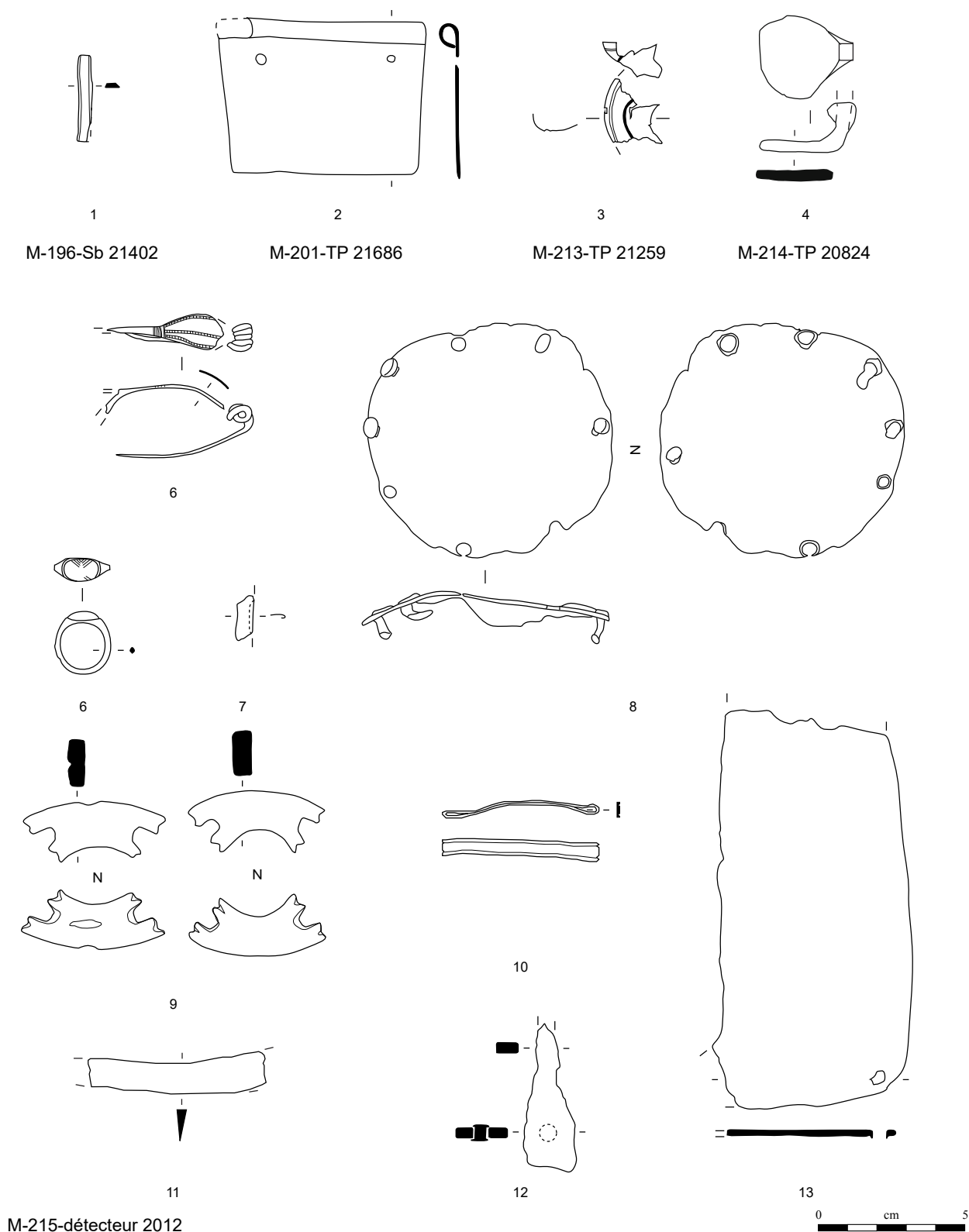


Planche 155. M-196-Sb 21402 à M-215-détecteur

1, 3, 6-7, 9-10 : alliage cuivreux; 2, 4, 11-13 : fer; 8 : plomb.

Type d'objet	UF	No	Description	Métal	NR	NMI	M(g)
M-1-décapage	<i>Décapage</i>						
Anneau (fer)	21019	923	Anneau avec objet informe collé en surface	Fer	1	1	7.8
Anneau (fer)	21019	561	Fragment d'anneau ou de maillon rapide de section circulaire	Fer	1	1	1.5
Cabochon	21007	2730	Cabochon	Base-cuivre	1	1	0.9
Cabochon	21007	1398	Cabochon avec fixation en plomb	Base-cuivre	1	1	1
Cabochon	21019	545	Cabochon avec substance de fixation	Base-cuivre	1	1	0.3
Cabochon	21019	551	Cabochon avec substance de fixation	Base-cuivre	1	1	0.4
Cabochon	21019	617	Cabochon avec substance de fixation	Base-cuivre	1	1	0.7
Cabochon	21019	530	Cabochon décoratif	Base-cuivre	1	1	0.6
Cabochon	21363	932	Cabochon décoratif	Base-cuivre	1	1	0.4
Cabochon	20001-09	S3130	Cabochon décoratif avec substance de collage	Base-cuivre	1	1	0.1
Cabochon	21019	614	Gros cabochon avec substance de fixation	Base-cuivre	1	1	0.3
Chute de bande	21007	1475	Chute de bande	Fer	1	1	8.5
Chute de tige appointée	21007	1474	Chute de tige	Fer	1	1	1.2
Chute de tige appointée	21019	1367	Chute de tige à extrémité aplatie	Fer	1	1	2.8
Chute de tôle	21019	619	Chute de tôle (?) avec une perforation	Base-cuivre	1	1	0.3
Chute de tôle repliée	21331	917	Chute de tôle repliée sur elle-même	Base-cuivre	1	1	0.4
Clou de chaussure	20001	S3327	Clou de chaussure	Fer	1	1	2
Clou de chaussure	21019		Clou de chaussure	Fer	1	1	3.6
Clou de chaussure	21171	855	Clou de chaussure à décor de globule	Fer	1	1	1.6
Clou de chaussure	21334	889	Clou de chaussure à décor de six globules	Fer	1	1	1.3
Clou de chaussure	20001 14B	S3201	Clou de chaussure à quatre globules	Fer	1	1	2.2
Clou de ferrure	21005		Clou de ferrure	Fer	1	1	5
Clou de ferrure	21019		Clou de ferrure	Fer	1	1	6.2
Coulure	20001 14B	S3027	Coulure	Base-cuivre	1	1	2.6
Coulure	21019	584	Coulure	Base-cuivre	1	1	3.6
Coulure	21179	797	Coulure	Base-cuivre	1	1	1.2
Coulure	21019	698	Coulure avec marques ligneuses	Base-cuivre	1	1	1.3
Coulure	20001 14B	S3028	Coulures	Base-cuivre	2	2	8
Coulure	21180	809	Fragment informe, coulure	Base-cuivre	1	1	0.6
Crampon	21699-154	1456	Crampon fragmentaire	Fer	1	1	9.4
Déchet de fabrication	21019	2511	Déchet de fabrication	Fer	1	1	15.1
Fer à cheval	21019	564	Fragment de fer à cheval avec clou de ferrure.	Fer	1	1	12.6
Ferrure	20001B10	S3024	Fragment de ferrure	Fer	1	1	15
Ferrure	21019	537	Fragment de ferrure avec clou en position fonctionnelle	Fer	1	1	10.7
Ferrure	21019	594	Fragment de ferrure avec clou en position fonctionnelle et fragment de fer plat très corrodé	Fer	2	1	154.7
Ferrure	21180	810	Fragment de ferrure avec une perforation	Fer	1	1	2.3
Ferrure	21019	546	Fragment de ferrure	Fer	1	0	20
Ferrure	21019	550	Fragment de ferrure	Fer	1	0	7.4
Goutte	20001 14B	S3030	Deux gouttes, coulures	Base-cuivre	3	3	1.8
Goutte	21019	507	Goutte	Base-cuivre	1	1	0.5
Indéterminé informe	21001	599	Fragment informe	Fer	1	1	2.8
Indéterminé objet	21019	532	Fragment informe	Fer	1	1	5.3
Indéterminé plat	21019	874	Petit fragment de plat incurvé.	Base-cuivre	1	1	0.4
Indéterminé plat	21363		Bande de fer plat	Fer	1	1	4.2
Indéterminé plat	21008		Fer plat triangulaire	Fer	1	1	7.2
Indéterminé plat	21019	504	Fragment de bande de fer plat	Fer	1	1	18.2
Indéterminé plat	21019	553	Fragment de bande de fer plat	Fer	1	0	3.7
Indéterminé plat	21019	579	Fragment de bande de fer plat	Fer	1	0	3
Indéterminé plat	21019	517	Fragment de bande de fer plat incurvé	Fer	1	1	38.2
Indéterminé plat	21019	563	Fragment de bande de fer plat, décoré?	Fer	1	0	1.1
Indéterminé plat	21019	574	Fragment de bande de plat	Fer	1	0	2.5
Indéterminé plat	20001B6	S3032	Fragment de bande de plat sinueux	Fer	1	1	9.6
Indéterminé plat	21019	539	Fragment de plat	Fer	1	0	5.5
Indéterminé plat	21019	578	Fragment de plat	Fer	1	0	1.9
Indéterminé plat	21019	906	Fragment de plat	Fer	1	0	2.6
Indéterminé plat	21005		Fragments de bande de fer plat	Fer	4	1	19
Indéterminé tige	21001	890	Grande tige de section ronde appointée	Base-cuivre	1	0	0.4
Indéterminé tige	21019	544	Tige de section circulaire	Base-cuivre	1	1	0.1
Indéterminé tige	21019	501	Tige de section ronde	Base-cuivre	1	1	0.5
Indéterminé tige	21019	559	Tige de section ronde	Base-cuivre	1	0	0.1
Indéterminé tige	21019	618	Tige de section ronde appointée	Base-cuivre	1	0	0.3
Indéterminé tige	21179	782	Tige de section carrée	Fer	1	1	6.2
Indéterminé tôle	21019	924	Fragment de tôle	Base-cuivre	1	0	0.1

Type d'objet	UF	No	Description	Métal	NR	NMI	M(g)
Indéterminé tôle	21001	1371	Fragment de bande de tôle	Base-cuivre	1	1	1.1
Indéterminé tôle	21179	796	Fragment de tôle	Base-cuivre	1	1	0.1
Indéterminé tôle	21019	568	Tôle circulaire avec une perforation	Base-cuivre	1	1	0.3
Indéterminé tôle	21007	1350	Fragment de bande de tôle	Fer	1	0	3.7
Indéterminé tôle	20124		Fragment de tôle	Fer	1	1	2
Indéterminé tôle	21019	1391	Fragment de tôle	Fer	1	0	8.2
Indéterminé tôle	21019	510	Fragment de tôle	Fer	1	0	4
Indéterminé tôle	21019	542	Fragment de tôle	Fer	1	0	2.6
Indéterminé tôle	21019	697	Fragment de tôle	Fer	1	0	2.4
Indéterminé tôle	21171	807b	Fragment de tôle	Fer	1	1	2.1
Indéterminé tôle	20001 B10	S3031	Fragment de tôle	Fer	1	1	41.1
Indéterminé tôle	21019	919	Fragment de tôle quadrangulaire avec perforation	Fer	1	0	12.3
Indéterminé tôle	21019	2714	Fragment de tôle repliée	Fer	1	0	3
Indéterminé tôle	20001		Fragments de tôle	Fer	2	1	7
Indéterminé tôle	21007	1372	Fragments de tôle	Fer	3	1	21.8
Indéterminé tôle	21019		Fragments de tôle	Fer	6	0	11.3
Indéterminé tôle	21019	595	Fragments de tôle	Fer	15	1	42.1
Indéterminé tôle	21019	600	Fragments de tôle	Fer	3	0	23.1
Indéterminé tôle	21179	826	Fragments de tôle	Fer	2	1	4
Indéterminé tôle	21221	935	Fragments de tôle	Fer	4	1	10.4
Clou	21099		Tiges	Fer	2	1	15
Clou	20001 A6	S3006	Clou	Fer	1	1	7.8
Clou	20001B7	S3010	Clou de construction	Fer	1	1	33.9
Clou	21001	836	Clou de construction	Fer	1	1	57.7
Clou	21008		Clou de construction	Fer	1	1	33.4
Clou	21019	671	Clou de construction	Fer	1	1	85.3
Clou	20001C6	S3007	Clou de menuiserie entier	Fer	1	1	16.1
Clou	21019		Constr. 1 frgt; men.: 68 frgts; 105 tiges	Fer	174	69	1007
Clou	21221		Constr.: 1 frgt; men.: 22 frgts; 9 tiges	Fer	32	23	203
Clou	21019	540	Têtes de clou	Fer	2	2	1
Clou	20001C9	S3012	Fragment de clou de construction	Fer	1	1	43.7
Clou	20001	S3018	Fragment de clou de menuiserie	Fer	1	1	14.2
Clou	20001A7	S3003	Fragment de clou de menuiserie	Fer	1	1	4.2
Clou	20001B10	S3016	Fragment de clou de menuiserie	Fer	1	1	9
Clou	20001B6	S3013	Fragment de clou de menuiserie	Fer	1	1	18.3
Clou	20001C10	S3005	Fragment de clou de menuiserie	Fer	1	1	18.3
Clou	20001C10	S3011	Fragment de clou de menuiserie	Fer	1	1	15.3
Clou	20001C7	S3008	Fragment de clou de menuiserie	Fer	1	1	10.9
Clou	20001C7	S3014	Fragment de clou de menuiserie	Fer	1	1	2.7
Clou	20001-B5	S3001	Fragment de clou de menuiserie et de tôle	Fer	1	1	23.8
Clou	21019	543	Fragment de tête de clou	Fer	1	1	1.7
Clou	20001B10	S3004	Fragment de tige repliée	Fer	1	0	3.1
Clou	21007	1073	Grosse tige de clou	Fer	1	0	39.5
Clou	21007	648	Men. : 1 frgt	Fer	1	1	9.2
Clou	21019	516	Men. : 1 frgt	Fer	1	1	12.1
Clou	21019	620	Men. : 1 frgt	Fer	1	1	2
Clou	21002		Men.: 1 frgt; 1 tige	Fer	2	1	20.9
Clou	21334		Men.: 3 frgts; 3 tiges	Fer	6	3	47
Clou	20184		Men.: 1 clou	Fer	1	1	7
Clou	20169		Men.: 1 frgt	Fer	1	1	6
Clou	20199		Men.: 1 frgt	Fer	1	1	8
Clou	20284		Men.: 1 frgt	Fer	1	1	8
Clou	21001	596	Men.: 1 frgt	Fer	1	1	6.4
Clou	21007	673	Men.: 1 frgt	Fer	1	1	2.7
Clou	21019	515	Men.: 1 frgt	Fer	1	1	5.2
Clou	21019	538	Men.: 1 frgt	Fer	1	1	6.7
Clou	21019	601	Men.: 1 frgt	Fer	1	1	7
Clou	21019	627	Men.: 1 frgt	Fer	1	1	5
Clou	21019	636	Men.: 1 frgt	Fer	1	1	15.1
Clou	21019	644	Men.: 1 frgt	Fer	1	1	14.9
Clou	21019	645	Men.: 1 frgt	Fer	1	1	8.4
Clou	21019	692	Men.: 1 frgt	Fer	1	1	14.8
Clou	20187		Men.: 1 frgt; 1 tige	Fer	2	1	14
Clou	21007		Men.: 10 frgts; 13 tiges	Fer	23	10	77
Clou	21207		Men.: 10 frgts; 5 tiges	Fer	15	10	101
Clou	21383		Men.: 10 frgts; 5 tiges	Fer	15	10	111

Type d'objet	UF	No	Description	Métal	NR	NMI	M(g)
Clou	21179		Men.: 12 frgts; 5 tiges	Fer	17	12	125
Clou	20196		Men.: 2 frgts	Fer	2	2	22
Clou	20001	S3002	Men.: 2 frgts; 3 tiges	Fer	5	2	71.1
Clou	20804		Men.: 2 frgts; 4 tiges	Fer	6	2	46
Clou	21038		Men.: 22 frgts; 17 tiges	Fer	39	22	248
Clou	21171		Men.: 3 clous complets, 9 frgts; 3 tiges	Fer	15	12	150
Clou	20344		Men.: 3 frgts; 2 tiges	Fer	5	3	24
Clou	20001		Men.: 32 frgts dont 1 hémisphérique creux; 43 tiges	Fer	75	32	537
Clou	21363		Men.: 4 frgts	Fer	4	4	39
Clou	21266		Men.: 4 frgts; 1 tige	Fer	5	4	42
Clou	21699-154		Men.: 4 frgts; 9 tiges	Fer	13	4	75
Clou	21331		Men.: 5 frgts; 2 tiges	Fer	7	5	45
Clou	21005		Men.: 57 frgts; 63 tiges	Fer	120	57	767
Clou	21008		Men.: 8 frgts; 15 tiges	Fer	23	8	134
Clou	21180		Men.: 9 frgts; 6 tiges	Fer	15	9	113
Clou	21272		Men.: 2 frgts	Fer	2	2	9
Clou	20001B6	S3023	Tête de clou	Fer	1	1	10.2
Clou	21007	1214	Tête de clou	Fer	1	1	6.9
Clou	21019	535	Tête de clou	Fer	1	1	5.4
Clou	20001 A6	S3025	Tête de clou (?)	Fer	1	1	4.1
Clou	20150	S3299	Tête de clou de construction	Fer	1	1	29
Clou	21019	227	Tête de clou?	Fer	1	1	4.2
Clou	20001 14A		Tige	Fer	1	0	30
Clou	21019	2708	Tige	Fer	1	0	10.6
Clou	21019	554	Tige	Fer	1	0	3.8
Clou	21019	642	Tige	Fer	1	0	14.8
Clou	21019	659	Tige	Fer	1	0	0.7
Clou	21180	823	Tige	Fer	1	0	16.4
Clou	20150	S3193	Tige	Fer	1	0	2
Clou	20001B10	S3021	Tige de clou	Fer	1	0	2
Clou	20001C9	S3019	Tige de clou	Fer	1	0	3.2
Clou	21001	598	Tige de clou	Fer	1	1	3.9
Clou	21019	565	Tige de clou	Fer	1	1	1.5
Clou	21019	580	Tige de clou	Fer	1	1	1.3
Clou	21019	649	Tige de clou	Fer	1	0	0.9
Clou	21019	653	Tige de clou	Fer	1	0	3.2
Clou	21171	794	Tige de clou	Fer	1	0	2.2
Clou	21221	913	Tige de clou	Fer	1	0	2
Clou	20001 A6	S3017	Tige de clou	Fer	1	0	3.8
Clou	20001C9	S3020	Tige de clou	Fer	1	0	4.1
Clou	20001	S3009	Tige de clou de menuiserie	Fer	1	0	3
Clou	20001C9	S3015	Tiges de clou	Fer	3	0	11.5
Monnaie	21171	807a	Monnaie	Potin	1	1	
Perle	21019	576	Anneau de section ronde	Base-cuivre	1	1	2
Perle	21001	2732	Anneau cannelé à section losangique et à trois cannelures dont une centrale	Base-cuivre	1	1	5.2
Rivet (bc)	21699-7	2627	Clou-rivet en une pièce	Base-cuivre	1	1	0.2
Rivet (bc)	21019	514	Rivet de réparation d'objet en tôle par enroulement	Base-cuivre	1	1	0.9
Rivet (bc)	21019	525	Rivet en une pièce	Base-cuivre	1	1	0.3
Rivet (bc)	21019	533	Rivet en une pièce	Base-cuivre	1	1	0.3
Rivet (bc)	21019	613	Rivet en une pièce à tige matée	Base-cuivre	1	1	2.5
Rivet (fer)	21019		Clou-rivet à tête hémisphérique creuse	Fer	1	1	2.9
Rivet (fer)	21038		Clou-rivet par repli	Fer	1	1	33
Rivet (fer)	21221	911	Rivet à contreplaque à tête hémisphérique creuse	Fer	1	1	30.8
Rivet (fer)	21005		Rivet à tête hémisphérique creuse à contre-plaque	Fer	1	1	25
Rivet (fer)	21019		Tige de clou-rivet par repli	Fer	1	1	2
Scorie (bc)	21334	2555	Scorie	Base-cuivre	1	1	12.9
Scorie (fer)	21179	788	Calotte de raffinage (?) Très coulée	Fer	1	1	188
Scorie (fer)	21179	779	Fragments de scorie	Fer	2	1	100
Scorie (fer)	21019	559	Fragment de calotte	Fer	1	0	111.2
Scorie (fer)	21005		Fragment de scorie	Fer	1	1	13
Scorie (fer)	21272	893	Fragment de scorie coulée de fer	Fer	1	1	1.9
Scorie (fer)	21007		Scorie	Fer	1	1	16.3
Scorie (fer)	21272		Scorie	Fer	1	1	14
Scorie (fer)	21019	603	Scorie informe	Fer	1	1	27.6
Scorie (fer)	21019		Scories	Fer	1	1	65

Type d'objet	UF	No	Description	Métal	NR	NMI	M(g)
M-2-Perturbations modernes	<i>Perturbations modernes</i>						
Clou	20079		Men.: 1 frgt	Fer	1	1	5
Clou	21009	1127	Men.: 1 frgt	Fer	1	1	2.3
Clou	21014	1143	Men.: 1 frgt	Fer	1	1	16.9
Clou	21058		Men.: 1 frgt; 5 tiges	Fer	6	1	35
Clou	21009		Men.: 2 frgts, 5 tiges	Fer	7	5	29
M-3-radier 20052	<i>État 3 : fin LTD2b-Auguste</i>						
Indéterminé plat	21052	719	Fine bande de fer plat	Fer	1	1	5.5
Indéterminé tige	21052	717	Tige de section ronde	Fer	1	1	0.7
Clou	21052	721	Men.: 1 frgt	Fer	1	1	7.5
Clou	21052	722	Men.: 1 frgt	Fer	1	1	5.4
Clou	21052		Men.: 7 frgts; 5 tiges	Fer	12	7	108
Clou	21052	718	Tige de clou	Fer	1	0	3.3
Crampon	20050	S3055	Fragment de crampon.	Fer	1	1	9
Ferrure	20050	S3290	Fragment de ferrure avec une perforation	Fer	1	0	14
Ferrure	20050	S3304	Fragment de ferrure une perforation	Fer	1	0	58
Indéterminé plat	20050	S3253	Fragment de bande de plat incurvée	Fer	1	1	28.1
Maillon rapide	20050	S3053	Maillon rapide	Fer	1	1	2.9
Clou	20050		Men.: 19 frgts; 14 tiges	Fer	33	19	183
M-4-radier d'amphore 20099	<i>État 3 : fin LTD2b-Auguste</i>						
Ferrure	20129	S3146	Extrémité de ferrure	Fer	1	1	8.5
Indéterminé objet	20129	S3164	Fragment de pièce technique, de ressort de serrure? composé d'un plat vaguement rectangulaire avec trace de découpe dans un angle, d'où part une tige de section ronde	Fer	1	1	5.1
Indéterminé plat	20129	S3142	Fragment de fer plat tordu et arraché	Fer	1	1	12.5
Indéterminé tôle	20129	S3183	Fragment de tôle	Base-cuivre	1	1	0.3
Indéterminé tôle	20129		Fragment de tôle	Fer	1	0	5
Indéterminé tôle	20129	S3151	Fragments de tôles	Fer	2	1	5.4
Clou	20129		Constr: 1 frgt; men.: 17 frgts; 13 tiges	Fer	31	18	309
Scorie (fer)	20129	S3199	Calotte	Fer	2	1	178.1
M-5-Chape 20130	<i>État 3 : fin LTD2b-Auguste</i>						
Cabochon	20130	S3134	Cabochon décoratif	Base-cuivre	1	1	0.7
Indéterminé tige	20130	S3148	Fragment de tige de section rectangulaire	Fer	1	1	22.7
Indéterminé tôle	20130	S3133	Fine bande de tôle	Fer	1	1	2.4
Indéterminé tôle	20130	S3136	Fragment de tôle	Fer	1	0	5.1
M-6-Cit 21279	<i>État 3 : fin LTD2b-Auguste</i>						
Indéterminé barre	21280	2549	Fragment de barre de section rectangulaire	Fer	1	1	67
Indéterminé tôle	21280		Bande de fer plat	Fer	1	1	7.1
Clou	21280		Men.: 9 frgts; 7 tiges	Fer	16	9	108.4
Scorie (fer)	21280	2551	Fragment de scorie	Fer	1	1	20.7
Table de travail (lithique)	21280	2554	Table de travail, pierre-enclume?	Lithique	1	1	2900
M-7-Fo 21699-31	<i>État 3 : fin LTD2b-Auguste</i>						
Clou	21699-32		Men.: 1 frgt; 3 tiges	Fer	4	1	22
M-8-sol 21677	<i>État 3 : fin LTD2b-Auguste</i>						
Clou	21677		Men.: 2 frgts dont un à tête hémisphérique creuse	Fer	2	2	12
M-8-TP 21699-81	<i>État 3 : fin LTD2b-Auguste</i>						
Clou	21699-82		Men.: 1 frgt	Fer	1	1	5.7
M-9-Solin 21524	<i>État 3 : fin LTD2b-Auguste</i>						
Clou	21524		Men.: 2 frgts	Fer	2	2	26
M-10-sol 21278	<i>État 3 : fin LTD2b-Auguste</i>						
Clou	21278		Men.: 1 frgt	Fer	1	1	18.3
M-11-radier 21274	<i>État 3 : fin LTD2b-Auguste</i>						
Clou	21274		1 tige	Fer	1	1	4
M-12-Solin 21153	<i>État 3 : fin LTD2b-Auguste</i>						
Clou	21153		3 tiges	Fer	3	1	19
M-13-radier 20052	<i>État 3 : fin LTD2b-Auguste</i>						
Clou	20052		Men.: 8 frgts; 6 tiges	Fer	14	8	86
M-14-radier 20039	<i>État 2.3 : fin LTD2a-LTD2b</i>						
Ferrure	20039		Fragments de ferrure	Fer	3	1	12
Clou	20039	S3310	Men.: 18 frgts; 27 tiges	Fer	45	18	272
Clou	21039		Men.: 5 frgts; 8 tiges	Fer	13	5	83
Rivet (fer)	20039		Clou-rivet par repli	Fer	1	1	18.5
Scorie (bc)	20039	S3127	Fragments de scories d'alliage cuivreux et laiteuses	Base-cuivre	3	3	102
M-16-sol 21127	<i>État 2.3 : fin LTD2a-LTD2b</i>						
Clou	21127	725	Tige	Fer	1	1	1.3
Clou	21699-4		Men.: 2 frgts, 2 tiges	Fer	4	2	41

Type d'objet	UF	No	Description	Métal	NR	NMI	M(g)
M-17-Solin 20081	<i>État 2.3 : fin LTD2a-LTD2b</i>						
Clou	20081		Constr: 2 frgts; men.: 5 frgts; 13 tiges	Fer	20	7	152
M-18-Pal 20087	<i>État 2.3 : fin LTD2a-LTD2b</i>						
Indéterminé plat	20088	S3140	Fragment de bande de plat	Fer	1	1	20.2
Clou	20088		Men.: 9 frgts; 20 tiges	Fer	29	9	166
Rivet (bc)	20088	S3195	Rivet en une pièce	Base-cuivre	1	1	0.2
M-20-Blocs 21015	<i>État 2.3 : fin LTD2a-LTD2b</i>						
Clou de ferrure	21015	683	Clou de ferrure à tige de section rectangulaire	Fer	1	1	0.8
Coulure	21015	702	Coulure	Base-cuivre	1	1	0.5
Indéterminé tôle	21015	685	Fragment de tôle	Fer	1	1	1.5
Scorie (fer)	21015	686	Scorie	Fer	1	1	5.9
M-21-remblai 21102	<i>État 2.3 : fin LTD2a-LTD2b</i>						
Coulure	21102	690	Coulure	Base-cuivre	1	1	1.8
Clou	21102		Men.: 3 frgts	Fer	3	3	27
M-22-Angle solin	<i>État 2.3 : fin LTD2a-LTD2b</i>						
Indéterminé barre	21273	789	Fragment de barre	Fer	1	1	19
Indéterminé tige	21273		Tige de section ronde appointée	Fer	1	1	1
Indéterminé tôle	21273	756	Fragment de tôle	Fer	1	1	15.3
Clou	21273		Men.: 10 frgts; 2 tiges	Fer	12	10	69
Rivet (bc)	21273	787	Tête de rivet avec une tôle perforée	Base-cuivre	2	1	0.2
M-23-TP 21355	<i>État 2.3 : fin LTD2a-LTD2b</i>						
Clou	21356		Tige	Fer	1	1	4
M-25-TP 21459	<i>État 2.3 : fin LTD2a-LTD2b</i>						
Indéterminé tôle	21460	2101	Fragments de tôle incurvée	Fer	15	1	95.3
Clou	21460		Men.: 3 frgts; 2 tiges	Fer	5	2	47
M-26-TP 21699-19	<i>État 2.2 à 2.3 : LTD2</i>						
Ferrure	21699-20	2513	Fragment de ferrure plié à l'angle droit	Fer	1	1	17.3
Indéterminé tôle	21699-20	2588	Fragment de bande de tôle et fragments de tôle	Fer	5	1	40.7
M-27-épandage 20063	<i>État 2.3 : fin LTD2a-LTD2b</i>						
Ferrure	20063	S3332	Extrémités de ferrure perforée	Fer	2	1	9.5
Ferrure	20063	S3077	Fragment de ferrure	Fer	1	1	32.2
Indéterminé tige	20063	S3088	Tige repliée, fragment d'agrafe de réparation?	Plomb	1	1	33.3
Indéterminé tôle	20063	S3079	Fragment de tôle	Fer	1	1	2.6
Indéterminé tôle	20063	S3080	Fragment de tôle	Fer	1	0	2.7
Clou	20063	S3089	Clou	Fer	1	1	11
Clou	20063	S3076	Fragment de clou de menuiserie avec céramique dans la gangue de corrosion	Fer	1	1	2.3
Clou	20063	S3307	Men.: 2 frgts; 1 tige	Fer	4	2	22
Clou	20063		Men.: 30 frgts; 44 tiges	Fer	74	30	409
Clou	20063	S3090	Tige	Fer	1	0	12.6
M-28-Angle du radier 21142	<i>État 2.3 : fin LTD2a-LTD2b</i>						
Indéterminé tôle	21142	1238	Fragment de bande de tôle	Fer	1	1	3.2
Clou	21142		Men.: 22 frgts; 36 tiges	Fer	68	22	342
M-30-Sb 21175	<i>État 2.3 : fin LTD2a-LTD2b</i>						
Clou	21176		Men.: 6 frgts	Fer	6	6	61
Scorie (fer)	21176	816	Fragment de calotte	Fer	1	1	64.1
M-31-TP 21699-39	<i>État 2.3 : fin LTD2a-LTD2b</i>						
Clou	21699-40		Men.: 1 frgt	Fer	1	1	18
M-32-TP 21699-85	<i>État 2.3 : fin LTD2a-LTD2b</i>						
Clou	21699-86		Men.: 1 frgt	Fer	1	1	7
M-34-TP 21699-54	<i>État 2.3 : fin LTD2a-LTD2b</i>						
Indéterminé tôle	21699-55	958	Fragment de tôle	Fer	1	0	4.6
M-35-TP 21699-52	<i>État 2.3 : fin LTD2a-LTD2b</i>						
Clou	21699-53		Men.: 1 frgt	Fer	1	1	6
Clou	21699-109		Men.: 1 frgt	Fer	1	1	3
M-36-St 21688	<i>État 2.1 : LTD1b évoluée</i>						
Clou	21689	1446	Tige	Fer	1	1	5.6
M-37-TP 21598	<i>État 2.3 : fin LTD2a-LTD2b</i>						
Indéterminé objet	21599	2605	Fragment de tôle	Fer	1	1	2
M-38-Sb 21590	<i>État 2.3 : fin LTD2a-LTD2b</i>						
Cabochon	21591	2598	Cabochon	Base-cuivre	1	1	0.4
Cabochon	21591	2599	Cabochon	Base-cuivre	1	1	0.1
Ferrure	21591	2600	Ferrure avec rivet en position fonctionnelle	Fer	1	1	29.1
M-39-Sb 21548	<i>État 2.3 : fin LTD2a-LTD2b</i>						
Clou	21548		Men.: 1 clou et 1 frgt	Fer	2	2	29
M-41-TP 21495	<i>État 2.3 : fin LTD2a-LTD2b</i>						

Type d'objet	UF	No	Description	Métal	NR	NMI	M(g)
Clou	21496		Men.: 1 frgt	Fer	1	1	13
M-42-Sb 21465	<i>État 2.3 : fin LTD2a-LTD2b</i>						
Clou	21466		Men.: 2 frgts, 2 tiges	Fer	4	2	28
M-43-TP 21414	<i>État 2.3 : fin LTD2a-LTD2b</i>						
Clou	21415		Men.: 1 frgt	Fer	1	1	9
M-44-TP 21357	<i>État 2.3 : fin LTD2a-LTD2b</i>						
Clou	21358		Men.: 11 frgts; 11 tiges	Fer	22	11	141.6
Clou	21358	936	Tête de clou	Fer	1	1	12
M-45-Fo 21339	<i>État 2.3 : fin LTD2a-LTD2b</i>						
Indéterminé tige	21340		Tige de section ronde	Fer	1	1	27
Rivet (bc)	21339	2594	Clou-rivet en une pièce	Base-cuivre	1	1	0.3
M-46-Solin 21327	<i>État 2.3 : fin LTD2a-LTD2b</i>						
Indéterminé tige	21328	1602	Tige indéterminée	Fer	1	1	10
Clou	21328		Men.: 1 frgt	Fer	1	1	10
M-48-TP 21255	<i>État 2.3 : fin LTD2a-LTD2b</i>						
Clou	21255		Men.: 2 frgts; 1 tige	Fer	3	2	12
M-49-St 21225	<i>État 2.3 : fin LTD2a-LTD2b</i>						
Indéterminé plat	21226	938	Fragment de fer plat	Fer	1	1	19.8
Clou	21226		Men.: 2 frgts; 4 tiges	Fer	6	2	47
M-50-sol 21206	<i>État 2.3 : fin LTD2a-LTD2b</i>						
Clou	21206	881	Men.: 1 frgt	Fer	1	1	7.7
Clou	21206		Men.: 14 frgts; 3 tiges	Fer	17	14	141
M-51-radier 21195	<i>État 2.3 : fin LTD2a-LTD2b</i>						
Clou	21195		Clou complet	Fer	1	1	16
M-52-Sablière 21175	<i>État 2.3 : fin LTD2a-LTD2b</i>						
Clou	21175		Tiges	Fer	2	1	13
M-53-radier 21124	<i>État 2.3 : fin LTD2a-LTD2b</i>						
Indéterminé plat	21124	825	Bande de fer plat aplati à une extrémité	Fer	1	1	35.3
Indéterminé tôle	21124	824	Fragment de tôle avec une contreplaque de rivet	Fer	1	1	6.5
Scorie (bc)	21124	817	Scorie	Base-cuivre	1	1	16.1
Scorie (bc)	21124	827	Scorie	Base-cuivre	1	1	2.4
Scorie (bc)	21124	828	Scorie	Base-cuivre	1	1	1
M-55-TP 20274	<i>État 2.3 : fin LTD2a-LTD2b</i>						
Clou	20274		Tiges	Fer	5	0	25
M-56-Fo 20218	<i>État 2.3 : fin LTD2a-LTD2b</i>						
Indéterminé tôle	20219	S3230	Fragment de tôle perforé	Base-cuivre	1	1	0.2
M-57-TP 20067	<i>État 2.3 : fin LTD2a-LTD2b</i>						
Clou	20067		Men.: 1 frgt	Fer	1	1	15
M-58-sol 21016	<i>État 2.3 : fin LTD2a-LTD2b</i>						
Coulure	21016	609	Coulure	Base-cuivre	1	1	4
Clou	21016		Men.: 8 frgts; 2 tiges	Fer	10	8	134
M-59-épandage 21063	<i>État 2.3 : fin LTD2a-LTD2b</i>						
Indéterminé tige	21063		Tige	Fer	1	1	15
Indéterminé tôle	21063	970	Fragment de tôle	Fer	1	1	4.8
Clou	21063		Men.: 9 frgts; 8 tiges	Fer	17	9	135
Scorie (fer)	21063	S3340	Scorie	Fer	1	1	45.1
M-60-TP 21699-33	<i>État 2.3 : fin LTD2a-LTD2b</i>						
Indéterminé objet	21699-34	963	Fragment informe	Base-cuivre	1	1	1.1
Indéterminé tôle	21699-34	964	Fragment de bande de tôle	Fer	1	1	6.7
Indéterminé tôle	21699-34		Fragment de tôle	Fer	1	0	2
Clou	21699-33		Men.: 1 frgt	Fer	1	1	2
Clou	21699-34		Men.: 2 frgts	Fer	2	2	21
M-61-TP 21417	<i>État 2.3 : fin LTD2a-LTD2b</i>						
Clou	21417		Men.: 2 frgts	Fer	2	2	25
M-62-Pal 20250	<i>État 2.3 : fin LTD2a-LTD2b</i>						
Coulure	20251	S3345	Coulure	Base-cuivre	1	1	26.3
M-64-radier 21080	<i>État 2.2 : LTD2a</i>						
Chute de tige appointée	21080	1065	Chute de tige avec trace de découpe	Fer	1	1	0.7
Chute de tôle	21080	1005	Chute de tôle triangulaire	Fer	1	1	2.6
Ferrure	21080	1010	Fragment de ferrure avec perforation	Fer	1	1	6.9
Ferrure	21080	1393	Fragment de ferrure pliée	Fer	1	0	29.8
Indéterminé objet	21080	1006	Tête de clou ou contreplaque de rivet	Fer	1	1	1.3
Indéterminé tige	21080	1062	Tige de section circulaire	Fer	1	1	4.9
Indéterminé tige	21080	1030	Tige de section rectangulaire	Fer	1	1	4.6
Indéterminé tige	21080	1063	Tige indéterminé	Fer	1	1	1.6
Indéterminé tôle	21080	1060	Fragment de bande de tôle plié	Fer	1	0	12.2

Type d'objet	UF	No	Description	Métal	NR	NMI	M(g)
Indéterminé tôle	21080	1009	Fragment de tôle	Fer	1	1	3.6
Indéterminé tôle	21080	1061	Fragment de tôle	Fer	1	0	3.4
Maillon rapide	21080	1003	Maillon rapide ouvert de section carrée	Fer	1	1	7.2
Clou	21080	1004	Clou de construction à tige fine	Fer	1	1	17.6
Clou	21080		Men.: 3 frgts; 5 tiges	Fer	8	3	44
M-65-Ce 22255	<i>État 2.2 : LTD2a</i>						
Ferrure	22255	658	Fragment de ferrure avec une perforation	Fer	1	1	20.6
Ferrure	22255-2	787	Fragments de ferrure	Fer	2	1	33.2
Indéterminé tôle	22255-2		Frmts de bande de tôle	Fer	2	1	9.8
Indéterminé tôle	22255	432	Fragment de tôle	Fer	1	1	2.5
Clou	22255-2		Constr. : 1 frgt	Fer	1	1	25.9
Clou	22255		Men. : 5 frgts, 7 tiges	Fer	13	5	39.7
Clou	22255-2		Men. : 8 frgts, 26 tiges	Fer	34	8	118.6
Clou	21149		Men.: 3 frgts; 6 tiges	Fer	9	3	50
M-66-Puits 22214	<i>État 2.2 : LTD2a</i>						
Anneau (fer)	22214-4	748	Anneau de section circulaire.	Fer	1	1	8.5
Cabochon	22214-2	638	Cabochon	Base-cuivre	1	1	0.3
Ferrure	22214-5	738	Fragment de ferrure avec clou en position fonctionnelle	Fer	1	1	17.9
Ferrure	22214		Frmt de ferrure avec une perforation	Fer	1	1	20.1
Fibule	22214	873	Ressort de fibule à corde externe à deux spires conservées	Fer	1	1	5
Indéterminé tige	22214-5	737	Fragment de tige de section ronde	Base-cuivre	1	1	0.9
Indéterminé tige	22214		Frmt de tige de section rectangulaire légèrement incurvée	Fer	1	1	3.5
Indéterminé tôle	22214	875	1 frgt de tôle ?	Fer	1	0	30.8
Indéterminé tôle	22214-5	746	Fragment de bande de tôle	Fer	1	0	3.4
Indéterminé tôle	22214-5		Fragment de tôle	Fer	1	0	7.1
Indéterminé tôle	22214-5		Fragment de tôle triangulaire	Fer	1	0	3.85
Indéterminé tôle	22214-4	740	Fragment de tôle	Fer	1	0	0.7
Clou	22214		Constr. : 1 frgt, men. : 17 frgts, 40 tiges	Fer	57	17	467.9
Clou	22214-5		Men.: 1 frgt, 11 tiges	Fer	12	1	81
Clou	22214	917	Tige	Fer	1	1	5
Rivet (fer)	22214		Rivet à contre-plaque	Fer	1	1	14.8
Scorie (fer)	22214		Scories informes	Fer	18	1	185.2
Scorie (fer)	22214-4	744	Scorie de foyer très vitrifiée	Fer	1	1	11.3
Scorie (fer)	22214-5		Scories	Fer	2	1	25.3
M-68-Pai 20173	<i>État 2.2 : LTD2a</i>						
Ferrure	20174	S3329	Fragment de ferrure arrachée	Fer	1	1	94
Clou	20174		Men.: 2 frgts; 7 tiges	Fer	9	2	27
Scorie (fer)	20174		Fragment de scorie	Fer	1	1	10
M-71-Pai 21089	<i>État 2.2 : LTD2a</i>						
Indéterminé plat	20090	S3115	Fragment de bande de plat	Fer	1	1	17.7
Indéterminé tige	21089	651	Fine tige de section carrée	Fer	1	1	0.2
Indéterminé tôle	20090	S3116	Fragment de tôle	Fer	1	1	19.5
Clou	21090		Tiges	Fer	6	1	27
Clou	21089		Men.: 12 frgts; 21 tiges	Fer	33	12	188
Clou	20090		Men.: 2 frgts; 4 tiges	Fer	6	2	32
Clou	21089	652	Tête de clou ou de rivet à tête hémisphérique creuse	Fer	1	1	13.1
M-72-sol 21033	<i>État 2.2 : LTD2a</i>						
Demi-produit (fe)	21033	1053	Masse en cours de compactage.	Fer	1	1	3800
Ferrure	21033	1117	Fragment de ferrure avec clou en position fonctionnelle	Fer	1	1	17
Indéterminé plat	21033	1118a	Fragment de bande de fer plat	Fer	1	0	13.2
Indéterminé plat	21033	1098	Fragment de fer plat aplatie à une extrémité	Fer	1	1	2.9
Indéterminé tôle	21033	1052	Fragment de tôle brûlée	Fer	1	0	0.3
Indéterminé tôle	21033	1048	Fragment de tôle riveté par une contreplaque de rivet	Fer	1	1	9.6
Clou	21033	1049	Fragment de tête de clou	Fer	1	1	2
Clou	21033		Men.: 10 frgts, dont 2 clous complets; 4 tiges	Fer	14	10	132
Clou	21033	1098	Tige de clou	Fer	1	1	2.5
Rivet (fer)	21033	1610	Contreplaque de rivet	Fer	1	0	10.1
M-73-sol 21128	<i>État 2.2 : LTD2a</i>						
Crampon	20128	S3247	Fragment de crampon	Fer	1	1	2.4
Ferrure	21128	2596	Fragment de ferrure	Fer	1	1	2.6
Clou	21128		Men.: 3 clous, 5 frgts; 5 tiges	Fer	13	8	89.8
Rivet (fer)	21128		Rivet à contreplaque à tête hémisphérique creuse à tige tordue	Fer	1	1	29
M-74-radier 21020	<i>État 2.2 : LTD2a</i>						
Déchet de fabrication	21020	1068	Masse informe, déchet de fabrication	Fer	1	1	24.5
Clou	21020		Men.: 5 frgts; 4 tiges	Fer	9	5	61
M-75-sol 21138	<i>État 2.2 : LTD2a</i>						

Type d'objet	UF	No	Description	Métal	NR	NMI	M(g)
Anneau (fer)	21138	1484	Anneau de section rectangulaire	Fer	1	1	11.3
Clou	21138		Men.: 2 frgts	Fer	2	2	25
M-76-Solin 21143	<i>État 2.2 : LTD2a</i>						
Ferrure	21143	1369	Deux ferrures de largeur différente dont une complète avec les deux rivets de fixation	Fer	2	2	46.6
Ferrure	21143	1412	Fragment de ferrure tordue	Fer	1	0	32.47
Indéterminé tôle	21143	1486	Fragment de bande de tôle riveté à un autre fragment de bande de tôle.	Fer	1	1	14
Indéterminé tôle	21143	1415	Fragment de tôle	Fer	1	1	2.4
Clou	21143		Men.: 15 frgts; 15 tiges	Fer	30	15	252.1
M-77-Sb 21174	<i>État 2.2 : LTD2a</i>						
Clou de chaussure	21174	1358	Clou de chaussure fragmentaire	Fer	1	1	1.3
Goutte	21174	1357	Goutte	Base-cuivre	1	1	0.3
Indéterminé plat	21174	1375	Fragment de bande de plat	Fer	1	1	11.8
Indéterminé plat	21174	1368	Fragment de fer plat	Fer	1	1	
Indéterminé tôle	21174	1378	Fragment de tôle	Fer	1	0	1.6
Clou	21174		Men.: 9 frgts; 2 tiges	Fer	11	9	113
Clou	21193		Men.: 13 frgts; 13 tiges	Fer	26	13	190
M-79-St 21253	<i>État 2.2 : LTD2a</i>						
Clou	21253		Men.: 2 frgts	Fer	2	2	26
M-80-Sb 21699-43	<i>État 2.2 : LTD2a</i>						
Indéterminé tige	21699-43	1455	Tige de section ronde appointée	Fer	1	1	1.8
Indéterminé tige	21699-43	1458	Tige indéterminée de section carrée pliée à deux reprises	Fer	1	1	0.7
Indéterminé tôle	21699-43	1453	Fragment de tôle incurvée	Fer	1	1	21.9
Clou	21699-43		Men.: 1 clou, 1 tige	Fer	2	1	27.2
M-82-sol 20137	<i>État 2.2 : LTD2a</i>						
Clou	20137		Tiges	Fer	3	1	6
Clou	20237		Tige	Fer	1	1	9
M-83-radier 20041	<i>État 2.2 : LTD2a</i>						
Clou	20041		Men.: 1 frgt	Fer	1	1	8
M-84-Solin 20046	<i>État 2.2 : LTD2a</i>						
Clou	20047		Tige	Fer	1	1	17
M-86-sol 20125	<i>État 2.2 : LTD2a</i>						
Crampon	20125	S3276	Fragment de crampon	Fer	1	1	6.5
Clou	20125	S3192	Tige de clou repliée	Fer	1	1	5
M-87-Pal 20155	<i>État 2.2 : LTD2a</i>						
Clou	20156		Men.: 2 frgts; 2 tiges	Fer	4	2	28
M-88-TP 20175	<i>État 2.2 : LTD2a</i>						
Piton	20176	S3180	Fragment de tige terminée par un anneau percé à chaud, piton à oeillet?	Fer	1	1	16.6
M-89.TP 21699-44	<i>État 2.2 : LTD2a</i>						
Clou	21699-45		Men.: 2 frgts	Fer	2	2	19
M-90-radier 21012	<i>État 2.2 : LTD2a</i>						
Indéterminé tôle	21012	873	Fragment de grande tôle incurvé	Fer	1	1	24.1
Clou	21012		Men.: 6 frgts; 15 tiges	Fer	21	6	150
M-92-Pal 21120	<i>État 2.2 : LTD2a</i>						
Clou	21120		Men.: 7 frgts; 7 tiges	Fer	14	7	75
M-93-sol 21137	<i>État 2.2 : LTD2a</i>						
Clou	21137		Men.: 3 frgts	Fer	3	3	14
M-94-TP 21140	<i>État 2.2 : LTD2a</i>						
Clou	21141		Men.:1 frgts	Fer	1	1	13
M-95-Pal 21163	<i>État 2.2 : LTD2a</i>						
Clou	21163		Men.: 3 frgts; 2 tiges	Fer	5	3	56
M-96-TP 21181	<i>État 2.2 : LTD2a</i>						
Clou	21182		Men.: 1 frgt; 2 tiges	Fer	3	1	12
M-97-TP 21699-13	<i>État 2.2 : LTD2a</i>						
Clou	21699-14		Men.: 1 frgt	Fer	1	1	6
M-98-TP 21699-106	<i>État 2.2 : LTD2a</i>						
Indéterminé tôle	21699-107	2608	Fragments de bande de tôle dont une repliée sur elle-même	Fer	3	1	45.4
Clou	21699-107		Men.: 9 frgts; 8 tiges	Fer	17	9	145
M-99-TP 21384	<i>État 2.2 : LTD2a</i>						
Clou	21385		Men.: 3 frgts; 1 tige	Fer	4	3	47
M-100-sol 21699-5	<i>État 2.2 : LTD2a</i>						
Coulure	21699-5	2595	Coulure	Base-cuivre	1	1	0.2
M-104-Sb 21364	<i>État 2.2 : LTD2a</i>						
Clou	21365		Men.: 1 frgt	Fer	1	1	6

Type d'objet	UF	No	Description	Métal	NR	NMI	M(g)
M-105-sol 21267	<i>État 2.2 : LTD2a</i>						
Clou	21267		Men.: 11 frgts; 8 tiges	Fer	19	11	215
M-106-St 21247	<i>État 2.2 : LTD2a</i>						
Clou	21438		Men.: 1 frgt	Fer	1	1	14
M-107-TP 21187	<i>État 2.2 : LTD2a</i>						
Clou	21187		Men.: 1 frgt	Fer	1	1	3
M-107-TP 21296	<i>État 2.2 : LTD2a</i>						
Coulure	21297	1363	Coulure	Base-cuivre	1	1	0.6
Indéterminé plat	21297	1361	Fragment de bande de fer plat	Fer	1	1	6.6
Indéterminé tige	21297	1360	Très fine tige appointée de section ronde	Base-cuivre	1	1	0.1
Clou	21297	1362	Tige de clou et fragment de tige	Fer	2	1	16
M-108-TP 21188	<i>État 2.2 : LTD2a</i>						
Indéterminé plat	21189	1248	Langnette de fer plat pliée. Frette?	Fer	1	1	7.2
Indéterminé tôle	21189	1250	Fragment de tôle	Fer	1	1	10.8
M-109-Solin 21198	<i>État 2.2 : LTD2a</i>						
Clou	21199		Men.: 11 frgts; 1 tige	Fer	12	11	153.3
M-110-TP 21190	<i>État 2.2 : LTD2a</i>						
Clou	21191		Tiges	Fer	2	1	5
M-111-Démontage radier 20080	<i>État 2.1 à 2.2 : LTD1b évoluée-LTD2a</i>						
Cabochon	21152	1207	Cabochon avec substance de fixation	Base-cuivre	1	1	0.6
Déchet de fabrication	21152	1211	Déchet de fabrication	Fer	1	1	25.8
Ferrure	21152	1177	Fragment de ferrure	Fer	1	1	2.4
Indéterminé objet	21152	1276	Fragment de barre de pliée à une extrémité.	Fer	1	1	47.6
Indéterminé plat	21152	1197	Langnette de fer plat	Fer	1	1	7.1
Indéterminé tôle	21152	1175	Fragment de tôle avec décor au repoussé	Base-cuivre	1	1	0.2
Indéterminé tôle	21152	1158	Tôle avec décor au repoussé	Base-cuivre	1	1	1
Indéterminé tôle	21152	1176	Fragment de tôle indéterminé	Fer	1	1	20.4
Clou	21152	1210	Grande tige de clou de construction	Fer	1	1	85.4
Clou	20136		Men.: 2 frgts	Fer	2	2	85
Clou	21152		Men.: 7 frgts; 12 tiges	Fer	19	7	118
Clou	21152	1208	Tige de clou de construction	Fer	1	1	77.8
Piton	21152	1166	Piton à oeillet	Fer	1	1	33
M-112-sol de cailloutis 21220	<i>État 1 à 2.2 : LTD1b-LTD2a</i>						
Anneau (fer)	21220	757	Anneau de section indéterminée	Fer	1	1	4.3
Crampon	21220	748	Tige de crampon	Fer	1	1	9.2
Ferrure	21220	944	Grand fragment de fer plat et ferrure	Fer	2	1	67
Indéterminé tôle	21220	946	Fragment de bande de tôle	Fer	1	1	3
Clou	21220		Men.: 1 frgt; 4 tiges	Fer	5	1	56.8
Clou	21220	758	Tige de clou	Fer	1	0	4.9
M-113-sol d'amphore 20138	<i>État 2.1 à 2.2 : LTD1b évoluée-LTD2a</i>						
Clou	20238		Constr.: 1 frgt; men.: 7 frgts; 2 tiges	Fer	10	8	72
Clou	20138		Men.: 2 clous, 1 frgt; 4 tiges	Fer	7	3	39
Clou	20138	S3191	Tige	Fer	1	0	29.5
Clou	20238		Tige	Fer	1	0	6
M-114-Fo 21699-65 combi sup	<i>État 2.1 à 2.2 : LTD1b évoluée-LTD2a</i>						
Crampon	21088	1284	Crampon	Fer	1	1	33.6
Ferrure	21088	1280	Extrémité de ferrure	Fer	1	0	10.5
Indéterminé plat	21088	1324	Fer plat perforé	Fer	1	1	5
Indéterminé tôle	21088	1282	Fragment de tôle avec un rebord en relief	Fer	1	1	23.4
Indéterminé tôle	21088	1287	Fragment de tôle brûlée	Fer	1	1	5.6
Indéterminé tôle	21088	1289	Fragments de tôle brûlée	Fer	1	0	5.7
Clou	21088	1278	Tête de clou	Fer	1	1	10.2
M-116-Pal 20064	<i>État 2.1 : LTD1b évoluée</i>						
Clou	20065		Men.: 9 frgts; 12 tiges	Fer	21	9	110
M-117-sol 20084	<i>État 2.1 : LTD1b évoluée</i>						
Clou	20084		Men.: 1 frgt	Fer	1	1	18
Rivet (fer)	20084	S3287	Rivet à contreplaque à tête hémisphérique creuse	Fer	1	1	44
Scorie (bc)	20084	S3198	Scorie en alliage cuivreux	Base-cuivre	1	1	2.5
Scorie (fer)	21084	2603	Scorie	Fer	1	1	19.6
Scorie (fer)	20172	S3306	Scorie vitrifiée atypique bleuté et très lourde.	Fer	1	1	62
M-118-sol 21699-80	<i>État 2.1 : LTD1b évoluée</i>						
Indéterminé tôle	21699-80	2565	Fragment de tôle	Base-cuivre	1	0	0.9
Indéterminé tôle	21699-80	2568	Fragment de tôle avec une perforation.	Fer	1	1	4.4
Clou	21699-80		Men.: 2 clous, 14 frgts; 9 tiges	Fer	25	16	212.3
M-120-Pal 21131	<i>État 2.1 : LTD1b évoluée</i>						
Ferrure	21065	733	Extrémité de ferrure avec une perforation	Fer	1	1	22.8

Type d'objet	UF	No	Description	Métal	NR	NMI	M(g)
Indéterminé plat	21065	737	Deux plats collés et rivetés	Fer	1	1	9.1
Indéterminé tige	21132		Grande tige de section ronde	Fer	1	1	22.8
Indéterminé tôle	21065	735	Angle de tôle avec une perforation pour sa fixation	Fer	1	1	22.3
Indéterminé tôle	21132		Fragments de tôle	Fer	6	1	44
Maillon rapide	21132	1607	Maillon rapide	Fer	1	1	10.1
Clou	21065		Tige	Fer	1	1	3
Clou	21132		Men.: 81 frgts; 66 tiges	Fer	147	81	1335
Piton	21132	1606	Piton à oeillet percé	Fer	1	1	29
Rivet (fer)	21132		Fragment de tôle avec un clou-rivet à tête hémisphérique creuse en position fonctionnelle	Fer	1	1	14
M-121-Ce 22204	<i>État 2.1 : LTD1b évoluée</i>						
Indéterminé tige	22204		2 frgts de tige de section rectangulaire	Fer	2	1	4.6
Clou	22308		Men. : 1 frgt, 6 tiges	Fer	7	1	39.6
Clou	21071		Men.: 3 clous, 11 frgts; 6 tiges	Fer	20	14	174.4
Clou	21131		Men.: 1 frgt, 2 tiges	Fer	3	1	17.5
Clou	22204		Men.: 3 frgts, 24 tiges	Fer	27	3	110.7
Clou	21070		Men.: 3 frgts; 4 tiges	Fer	7	3	38
Clou	21147		Men.:1 frgt	Fer	1	1	7
M-122-Pal 21169	<i>État 2.1 : LTD1b évoluée</i>						
Clou de ferrure	21170		Clou de ferrure	Fer	1	1	3
Ferrure	21170	1259	Fragment de ferrure	Fer	1	1	3.8
Indéterminé tige	21170	1246	Tige de section ronde.	Fer	1	1	2.3
Indéterminé tôle	21170	1252	Fragment de tôle	Base-cuivre	1	1	0.1
Indéterminé tôle	21170		Fragments de tôle	Fer	2	1	4
Clou	21170		Men.: 15 frgts; 35 tiges	Fer	50	15	255
M-123-Cave 21341	<i>État 2.1 : LTD1b évoluée</i>						
Chaîne	21342	1603	Deux anneaux fragmentaires connectés de section ronde	Fer	1	1	4.1
Clou décoratif	21342	2518	Tête de clou en alliage cuivreux avec perforation liée à l'arrachage de la tige	Base-cuivre	1	1	8.8
Ferrure	21342		Fragment de ferrure	Fer	1	1	33
Ferrure	21342	2614	Fragments de ferrure avec un clou en position fonctionnelle	Fer	3	1	106.3
Indéterminé plat	21342	2617	Fragment de bande de fer plat	Fer	1	0	27.4
Indéterminé plat	21342	2507	Fragment de bande de plat	Fer	1	1	13.9
Indéterminé plat	21342	869	Fragment de fer plat plié	Fer	1	1	34.7
Indéterminé tôle	21342	2618	Fragment de tôle, cabochon?	Base-cuivre	1	1	0.8
Indéterminé tôle	21342	2510	Fragment de bande de tôle	Fer	1	0	10.7
Indéterminé tôle	21342	2612	Fragment de fer plat	Fer	1	0	90
Indéterminé tôle	21342	2508	Fragment de tôle	Fer	1	0	2.5
Indéterminé tôle	21342	2613	Fragment de tôle	Fer	1	0	18
Indéterminé tôle	21342	2615	Fragment de tôle	Fer	1	0	19.4
Indéterminé tôle	21342		Fragments de tôle	Fer	5	1	22.5
Indéterminé tôle	21342	2616	Fragments de tôle et de plat	Fer	3	0	24
Clou	21342		Constr. : 2 frgts; men.: 19 frgts; 43 tiges	Fer	44	21	477.2
Clou	21342	2506	Men.: 1 frgt	Fer	1	1	14.2
Clou	21342	2512	Men.: 1 frgt	Fer	1	1	25.1
Clou	21342		Men.: 27 frgts; 52 tiges	Fer	79	27	474.5
Clou	21342	2505	Tige	Fer	1	0	1.5
Rivet (fer)	21342		Contreplaque de rivet	Fer	1	1	4
M-125-TP 21588	<i>État 2.1 : LTD1b évoluée</i>						
Indéterminé tôle	21699-37	951	Fragment de bande de tôle avec une perforation excentrée	Fer	1	1	8.4
Indéterminé tôle	21699-37	955	Fragment de tôle	Fer	1	0	12.9
Indéterminé tôle	21699-37	965	Tôle indéterminée	Fer	1	0	7.9
Clou	21699-37	975	Constr. : 1 frgt	Fer	1	1	41.8
Clou	21699-37	969	Men.: 1 frgt	Fer	1	1	17.8
Clou	21699-37	977	Men.: 1 frgt	Fer	1	1	16.3
Clou	21699-37	968	Tête de clou à tête hémiphérique creuse	Fer	1	1	19.4
M-126-TP 21699-11	<i>État 2.1 : LTD1b évoluée</i>						
Indéterminé tôle	21699-12	1434	Grand fragment de bande de tôle pliée	Fer	1	1	154
M-127-Ce 20201	<i>État 2.1 : LTD1b évoluée</i>						
Indéterminé plat	21699-30	2601	Fragment de barre incurvée massive	Fer	1	1	110
Indéterminé tôle	21699-30	2604	Fragment de tôle pliée	Fer	1	1	14.7
Indéterminé tôle	21699-30		Fragments de tôle	Fer	3	0	25
Clou	21699-30		Men.: 6 frgts; 11 tiges	Fer	17	6	104
M-128-TP 21558	<i>État 2.1 : LTD1b évoluée</i>						
Indéterminé plat	21699-25		Fragments de bande de fer plat	Fer	2	0	9.9
Indéterminé tôle	21699-25		Fragments de tôle	Fer	3	1	4.8
Clou	21699-25		Men.: 10 frgts; 22 tiges	Fer	32	10	148

Type d'objet	UF	No	Description	Métal	NR	NMI	M(g)
M-129-TP 21699-130	<i>État 2.1 : LTD1b évoluée</i>						
Clou	21699-131		Men.: 4 frgts; 8 tiges	Fer	12	4	73.1
M-130-TP 21684	<i>État 2.1 : LTD1b évoluée</i>						
Clou	21684		Men.: 4 frgts; 1 tige	Fer	13	4	65
M-131-Petit blocs	<i>État 2.1 : LTD1b évoluée</i>						
Clou	21676		Men.: 5 frgts; 1 tige	Fer	6	5	38
M-132-Pal 21388	<i>État 2.1 : LTD1b évoluée</i>						
Agrafe de réparation	21389	2530	Agrafe de réparation de vaisselle céramique	Plomb	1	1	6.7
Cabochon	21389	947	Cabochon décoratif	Base-cuivre	1	1	1.2
Clou	21389		Men.: 4 frgts; 7 tiges	Fer	11	4	63
M-133-TP 21214	<i>État 2.1 : LTD1b évoluée</i>						
Indéterminé plat	21215		Fragment de plat	Fer	1	1	4
Clou	21215		Men.: 1 frgt; 1 tige	Fer	2	1	9
M-134-Ce 21201	<i>État 2.1 : LTD1b évoluée</i>						
Indéterminé tôle	21202		Fragment de tôle avec une perforation	Fer	1	1	11
Clou	21202		Men.: 10 frgts; 6 tiges	Fer	16	10	168.4
Scorie (fer)	21202		Fragment de scorie	Fer	1	1	10
Scorie (fer)	21202	2552	Fragment de scorie	Fer	1	1	73.7
M-135-TP 21558	<i>État 2.1 : LTD1b évoluée</i>						
Ferrure	21559	2526	Fragment de ferrure avec un clou en position fonctionnelle	Fer	1	1	15.9
Indéterminé plat	21559	2539	Bande de fer plat	Fer	1	0	9.1
Indéterminé plat	21559	2537	Fragment de bande de fer plat	Fer	1	1	16.3
Indéterminé plat	21559	2538	Fragment de plat	Fer	1	1	10.8
Indéterminé tige	21559	2540	Tige de section circulaire	Base-cuivre	1	1	0.3
Clou	21559	2536	Men.: 1 frgt	Fer	1	1	14.6
Clou	21558		Men.: 4 frgts; 2 tiges	Fer	6	4	44
Clou	21559	2577	Tige	Fer	1	0	19.8
M-136-Sb 21322	<i>État 2.1 : LTD1b évoluée</i>						
Indéterminé plat	21323		Fragment de bande de plat	Fer	1	1	2.5
Indéterminé tôle	21323	1454	Deux tôles superposées	Fer	1	1	3.1
Clou	21323		Men.: 5 frgts; 10 tiges	Fer	15	5	95.3
M-137-épandage 20171	<i>État 2.1 : LTD1b évoluée</i>						
Clou	20171	S3298	Men.: 1 frgt	Fer	1	1	15
Scorie (fer)	20171	317	Scorie informe, coulée?	Fer	1	1	76.7
M-138-Sb 20157	<i>État 2.1 : LTD1b évoluée</i>						
Clou	20158		Men.: 3 frgts; 5 tiges	Fer	8	3	52
M-139-Sb 20159	<i>État 2.1 : LTD1b évoluée</i>						
Clou	20160		Men.: 2 frgts; 3 tiges	Fer	5	2	36
M-140-TP 20192	<i>État 2.1 : LTD1b évoluée</i>						
Clou	20193		Men.: 1 frgt	Fer	1	1	8
M-141-TP 20206	<i>État 2.1 : LTD1b évoluée</i>						
Clou	20207		Men.: 1 frgt	Fer	1	1	5
M-142-TP 20807	<i>État 2.1 : LTD1b évoluée</i>						
Coulure	20808	S3351	Coulure	Base-cuivre	1	1	2.1
M-143-TP 20813	<i>État 2.1 : LTD1b évoluée</i>						
Scorie (bc)	20814	S3354	Scorie	Base-cuivre	1	1	0.9
M-144-TP 21410	<i>État 2.1 : LTD1b évoluée</i>						
Clou	21411		Tige	Fer	1	1	3
M-145-Sb 21294	<i>État 2.1 : LTD1b évoluée</i>						
Scorie (fer)	21295	1356	Scorie de foyer, de fer, d'alliage cuivreux	Fer	1	1	16.3
M-146-Fo 21276	<i>État 2.1 : LTD1b évoluée</i>						
Clou	21277		Men.: 6 frgts; 8 tiges	Fer	14	6	110
M-147-F1 21271	<i>État 2.1 : LTD1b évoluée</i>						
Clou	21271		Tige	Fer	1	1	3
M-148-TP 21245	<i>État 2.1 : LTD1b évoluée</i>						
Clou	21246		Tige	Fer	1	1	3
M-149-TP 21216	<i>État 2.1 : LTD1b évoluée</i>						
Clou	21217		Men.:1 tige	Fer	1	1	6
M-150-Solin 21699-96	<i>État 2.1 : LTD1b évoluée</i>						
Clou	21699-96		Men.: 2 frgts, 4 tiges	Fer	6	2	30.9
M-151-St 21699-88	<i>État 2.1 : LTD1b évoluée</i>						
Indéterminé tige	21699-89		Tige de section rectangulaire	Fer	1	1	2.2
M-152-épandage 21699-123	<i>État 2.1 : LTD1b évoluée</i>						
Clou	21699-123		Men.: 10 frgts; 2 tiges	Fer	12	10	111
M-153-Sb 21699-117	<i>État 2.1 : LTD1b évoluée</i>						
Clou	21699-118		Men.: 1 frgt; 7 tiges	Fer	8	1	31

Type d'objet	UF	No	Description	Métal	NR	NMI	M(g)
M-154-Ce 21699-104	<i>État 2.1 : LTD1b évoluée</i>						
Indéterminé plat	21699-105		Fragment de bande de fer plat	Fer	1	1	4.9
Clou	21699-105		Men.: 7 frgts; 12 tiges	Fer	19	7	130
M-155-TP 21680	<i>État 2.1 : LTD1b évoluée</i>						
Clou	21681		Tige	Fer	1	1	1
M-156-TP 21546	<i>État 2.1 : LTD1b évoluée</i>						
Clou	21547		Tige	Fer	1	1	8.8
M-157-TP 21532	<i>État 2.1 : LTD1b évoluée</i>						
Clou	21533		Men.: 1 frgt	Fer	1	1	15
M-158-Sb 21528	<i>État 2.1 : LTD1b évoluée</i>						
Clou	21529		Men.: 1 frgt	Fer	1	1	8
M-159-TP 21424	<i>État 2.1 : LTD1b évoluée</i>						
Indéterminé plat	21425		Languette de fer plat	Fer	1	1	2
Clou	21425		1 tige	Fer	1	1	4.7
M-160-Sb 21157	<i>État 2.1 : LTD1b évoluée</i>						
Clou	21158		Men.: 7 frgts; 7 tiges	Fer	14	7	134
M-161-Sb 21592	<i>État 1 à 2.1 : LTD1b</i>						
Clou	21592		Men.: 2 frgts; 1 tige	Fer	3	2	7
Scorie (fer)	21592		Scorie	Fer	1	1	15
M-162-Démontage Fy 21011	<i>État 1 à 2.1 : LTD1b</i>						
Ferrure	21072	1135	Fragment de ferrure	Fer	1	1	21.3
Ferrure	21072	1134	Fragment de ferrure et rivet à contreplaque	Fer	1	1	48.3
Indéterminé plat	21072		Fragment de fer plat	Fer	1	1	8.3
Indéterminé tôle	21072	1136	Fragment de tôle	Fer	1	1	21.7
Clou	21072		Men.: 8 frgts dont un à tête hémisphérique creuse; 13 tiges	Fer	21	8	127
M-164-décapage 21699-159	<i>État 1 à 2.1 : LTD1b</i>						
Indéterminé plat	21699-159		Fragment de plat triangulaire	Fer	1	1	5.5
Indéterminé tige	21699-159		Tiges de section rectangulaire	Fer	2	1	3.8
Clou	21699-159		Men.: 3 frgts; 1 tige	Fer	4	3	35
M-165-décapage 21519	<i>État 1 et 2 lato sensu : LTD1b-LTD2</i>						
Clou	21519		Men.: 4 frgts; 2 tiges	Fer	6	4	54
M-166-Fo 21699-21	<i>État 1 : LTD1b classique</i>						
Clou	21699-22		Men.: 3 frgts; 1 tige	Fer	4	3	35
M-168-Pal 21343	<i>État 1 : LTD1b classique</i>						
Clou	21344		Men.: 4 frgts; 1 tige	Fer	5	4	67
M-169-Fo 21208	<i>État 1 : LTD1b classique</i>						
Chute de tige appointée	21209	1497	Chute de tige avec trace de découpe	Fer	1	1	3.1
Ferrure	21209	1494	Ferrure et anneau de sertissage	Fer	2	1	80
Indéterminé plat	21209		Fragment de plat	Fer	1	1	13.1
Clou	21209		Men.: 14 frgts; 16 tiges	Fer	30	14	274
M-170-TP 21097	<i>État 1 : LTD1b classique</i>						
Indéterminé plat	21154	753	Fragment de bande de plat, de tôle large	Fer	1	1	126.9
Indéterminé tôle	21154	801	Fragments de tôle	Base-cuivre	1	1	2
Clou	21154	752	Men.: 1 frgt	Fer	1	1	22.2
Clou	21154		Men.: 1 frgt; 5 tiges	Fer	6	1	17
M-171-Sb 21073	<i>État 1 : LTD1b classique</i>						
Clou	21074		Men.: 1 frgt; 3 tiges	Fer	4	1	25
M-172-St 21056	<i>État 1 : LTD1b classique</i>						
Indéterminé tôle	21056	590	Fragment de tôle	Base-cuivre	1	1	0.1
Clou	21056		Men.: 4 frgts; 30 tiges	Fer	34	4	87
Clou	21056	592	Men.: 1 frgt	Fer	1	1	6.4
M-174-Fo art 20291	<i>État 1 : LTD1b classique</i>						
Coulure	20292	S3350	Coulure	Base-cuivre	1	1	5.1
Ferrure	20292	S3237	Fragment de ferrure	Fer	1	1	18.5
Ferrure	20292	S3272	Fragment de ferrure	Fer	1	0	41.6
Indéterminé plat	20292	S3282 (2)	Fragment de bande de fer plat	Fer	1	0	8
Indéterminé plat	20292	S3275	Fragment de plat	Fer	1	1	8.5
Indéterminé tôle	20292	S3282	Fragment de tôle	Fer	1	1	5.2
Clou	20292	S3261	Men.: 1 frgt	Fer	1	1	13.1
Clou	20292	S3344	Men.: 1 frgt	Fer	1	1	13.1
M-175-Fo 20287	<i>État 1 : LTD1b classique</i>						
Clou	20189		Men.: 1 frgt	Fer	1	1	8
M-175-Fo 20288	<i>État 1 : LTD1b classique</i>						
Coulure	20288	S3349	Coulure	Base-cuivre	1	1	5.1
Clou	20288		Men.: 1 frgt	Fer	1	1	8
M-176-TP 20165	<i>État 1 : LTD1b classique</i>						

Type d'objet	UF	No	Description	Métal	NR	NMI	M(g)
Ferrure	20166	S3144	Extrémité de ferrure	Fer	1	1	11.2
Clou	20166		Men.: 1 frgt	Fer	1	1	10
M-178-Fo art 20204	<i>État 1 : LTD1b classique</i>						
Coulure	20205	S3238	Coulure	Base-cuivre	1	1	0.5
Indéterminé plat	20298		Fragment de bande de fer plat	Fer	1	1	2.7
Clou	20205		Men.: 2 frgts; 4 tiges	Fer	6	2	35
Clou	20298		Men.: 2 frgts; 4 tiges	Fer	6	2	47
Scorie (bc)	20298	S3311	Fragments de scorie laiteuse	Base-cuivre	7	1	17.7
Scorie (fer)	20205	S3280	Calotte	Fer	1	1	232
M-179-Fo 20252	<i>État 1 : LTD1b classique</i>						
Clou	20252		Men.: 3 frgts; 5 tiges	Fer	8	3	51
Clou	20252	S3236	Tige	Fer	1	0	43
M-180-TP 20230	<i>État 1 : LTD1b classique</i>						
Chute de tige changeante	20231	S3352	Chute de tige passée au feu	Base-cuivre	1	1	0.4
Indéterminé informe	20231	S3254	Fragment informe	Fer	1	1	3
Indéterminé tôle	20231	S3270	Fragment informe	Fer	1	1	1.7
Clou	20231	S3250	Tête de clou	Fer	1	1	98.2
M-181-TP 20163	<i>État 1 : LTD1b classique</i>						
Clou	20164		Tige	Fer	1	1	22
M-182-Sb 20214	<i>État 1 : LTD1b classique</i>						
Indéterminé barre	20215	S3328	Fragment de barre massive, demi-produit?	Fer	1	1	57.7
Scorie (fer)	20215	S3264	Calotte avec présence d'alliage cuivreux	Fer	1	1	
M-183-Fo 20220	<i>État 1 : LTD1b classique</i>						
Clou	20221		Men.: 1 frgt; 2 tiges	Fer	3	1	20
M-184-TP 20224	<i>État 1 : LTD1b classique</i>						
Clou	20225		Men.: 1 frgt	Fer	1	1	2.7
M-185-Fo 20289	<i>État 1 : LTD1b classique</i>						
Indéterminé tige	20289	S3229	Tige de section ronde	Base-cuivre	1	1	0.1
Clou	20289		Men.: 2 frgts; 3 tiges	Fer	5	2	22
Rivet (fer)	20289		Rivet à contreplaque	Fer	1	1	5.5
Scorie (fer)	20289	S3246	Scorie	Fer	1	1	16.2
M-185-TP 20269	<i>État 1 : LTD1b classique</i>						
Clou	20269		Men.: 4 frgts; 2 tiges	Fer	6	4	41
M-186-Pal 20300	<i>État 1 : LTD1b classique</i>						
Scorie (bc)	20300	S3358	Scorie	Base-cuivre	1	1	0.9
M-187-Sb 20818	<i>État 1 : LTD1b classique</i>						
Clou	20819		Men.: 1 frgt	Fer	1	1	8
Clou	20819	S3342	Men.: 1 frgt	Fer	1	1	2.1
Clou	21699-127		Men.: 1 frgt; 2 tiges	Fer	3	1	21
M-188-TP 21359	<i>État 1 : LTD1b classique</i>						
Clou	21359		Men.: 4 frgts; 3 tiges	Fer	7	4	90.4
M-189-Pal 21503	<i>État 1 : LTD1b classique</i>						
Indéterminé plat	21504	2569	Bande de fer plat massive. Trace de bois minéralisé sur une face	Fer	1	0	82.3
M-190-TP 21509	<i>État 1 : LTD1b classique</i>						
Chute de tôle repliée	21509	922	Chute de tôle pliée et repliée	Base-cuivre	1	1	1
M-191-TP 21568	<i>État 1 : LTD1b classique</i>						
Clou	21568		Men.: 1 frgt	Fer	1	1	9
M-192-TP 21699-2	<i>État 1 : LTD1b classique</i>						
Clou	21699-3		Men.: 1 clou et 1 frgt	Fer	2	2	24
M-193-Sb 21699-50	<i>État 1 : LTD1b classique</i>						
Ferrure	21699-51	961	Fragment de ferrure	Fer	1	1	6.7
M-194-décapage 20815	<i>État 1 : LTD1b classique</i>						
Cabochon	20815	S3226	Cabochon avec substance de fixation	Base-cuivre	1	1	0.6
Coulure	20815	S3346	Coulure	Base-cuivre	1	1	12.5
Coulure	20815	S3348	Coulure	Base-cuivre	1	1	0.5
Coulure	20815	S3356	Coulure, demi-produit brûlé	Base-cuivre	1	1	6.5
Ferrure	20815	S3263	Fragment de ferrure	Fer	1	1	41
Goutte	20815	S3347	Goutte	Base-cuivre	1	1	0.3
Scorie (bc)	20815	S3355	Scorie	Base-cuivre	1	1	0.9
M-195-Fy 21224	<i>État 1 à 2.2: LTD1b-LTD2a</i>						
Clou	21224		Men.: 1 frgt; 1 tige	Fer	2	1	14
M-196-Sb 21402	<i>État 1 à 2.2: LTD1b-LTD2a</i>						
Clou	21403	929	Men.: 1 frgt	Fer	1	1	42
Clou	21403		Men.: 9 frgts; 3 tiges	Fer	12	9	113.9
M-198-TP 20820	<i>Non phasé</i>						
Clou	20821		Men.: 1 frgt	Fer	1	1	9
M-198-TP 21374	<i>Non phasé</i>						

Type d'objet	UF	No	Description	Métal	NR	NMI	M(g)
Indéterminé tôle	21374		Fragment de tôle	Fer	1	1	0.7
M-199-TP 21471	<i>Non phasé</i>						
Clou	21472		Men.: 1 frgt	Fer	1	1	7
M-200-TP 21491	<i>Non phasé</i>						
Clou	21492		Tige	Fer	1	1	1
M-201-TP 21686	<i>Non phasé</i>						
Ferrure	21687	1452	Fragment de ferrure	Fer	1	1	92.4
Clou	21687		Men.: 12 frgts; 12 tiges	Fer	24	12	252
M-202-TP 21210	<i>Non phasé</i>						
Indéterminé objet	21210	850	Fragment de tôle de fer avec un rivet et une tôle en alliage cuivreux	Base-cuivre	2	1	5
Clou	21210	851	Tête de clou	Fer	1	1	2.3
M-203-Fy 21172	<i>Non phasé</i>						
Clou	21172		Men.: 1 frgt	Fer	1	1	4
M-204-Sb 21690	<i>Non phasé</i>						
Clou	21691		Men.: 3 frgts	Fer	3	3	23
M-206-TP 20133	<i>Non phasé</i>						
Clou	20134		Tige	Fer	1	1	1
M-207-TP 20161	<i>Non phasé</i>						
Clou	20162		Men.: 2 frgts; 4 tiges	Fer	6	2	43
M-208-Sb 20809	<i>Non phasé</i>						
Scorie (bc)	20810	S3353	Scorie	Base-cuivre	1	1	1.2
M-209-TP 21066	<i>Non phasé</i>						
Clou	21067		Men.: 1 frgt	Fer	1	1	34
M-211-sol 21167	<i>État 2.1 : LTD1b évoluée</i>						
Anneau (fer)	21167	1390	Anneau de section carrée	Fer	1	1	19.3
Crampon	21167		Fragment de crampon	Fer	1	1	11.6
Ferrure	21167	1266	Fragment de ferrure avec un clou en position fonctionnelle	Fer	1	0	73.8
Ferrure	21167	1263	Fragment de ferrure avec une perforation	Fer	1	1	16
Indéterminé plat	21167	1334	Bande de fer plat incurvée	Fer	1	0	2.8
Indéterminé plat	21167	1193	Fragment de bande de fer plat pliée	Fer	1	0	7.3
Indéterminé plat	21165	1406	Fragment de plat	Fer	1	1	11.9
Indéterminé plat	21167		Fragments de bande de fer plat	Fer	2	0	11.3
Indéterminé tôle	21167	1188	Angle aigu de tôle	Fer	1	1	21.5
Indéterminé tôle	21167	1261	Fragment de tôle avec un bord épaissi	Fer	1	0	24.2
Indéterminé tôle	21167	1387	Fragment de tôle bombée à rebord épaissi	Fer	1	0	48.1
Indéterminé tôle	21167		Fragments de tôle	Fer	4	1	10.3
Clou	21167	1260	Clou de construction	Fer	1	1	58
Clou	21167	1185	Constr. : 1 tige	Fer	1	0	74.1
Clou	21167	1262	Constr. : 1 tige	Fer	1	0	38.1
Clou	21167		Constr.: 1 frgt	Fer	1	1	92
Clou	21167	1229	Men. : 1 frgt	Fer	1	1	18.1
Clou	21167		Men.: 119 frgts; 124 tiges	Fer	243	119	1910
Clou	21167	1381	Tige de clou	Fer	1	0	7.1
M-214-TP 20824	<i>État 2.1 : LTD1b évoluée</i>						
Scorie (bc)	20825	S3357	Scorie	Base-cuivre	1	1	0.9
M-215-détecteur	<i>Non phasé</i>						
Coulure	22590	2727	Coulure	Base-cuivre	1	1	11.1
Fibule	22590	2729	Fragment de ressort à une spire conservée et son ardillon	Base-cuivre	1	1	0.4
M-217-radier 21699-9	<i>État 2.1 : LTD1b évoluée</i>						
Indéterminé tôle	21699-9	2704	Fragment de tôle triangulaire	Base-cuivre	1	1	0.8
M-218-TP 21696	<i>État 2.3 : fin LTD2a-LTD2b</i>						
Indéterminé tige	21697		Fragment de tige de section rectangulaire	Fer	1	1	3.4
M-227-Charbons 21699-8	<i>État 2.1 : LTD1b évoluée</i>						
Clou	21699-8		Men.: 1 frgt; 1 tige	Fer	2	1	13
M-228-TP 21101	<i>Non phasé</i>						
Indéterminé tôle	21101	739	Fragment de bande de tôle pliée	Fer	1	1	17.6
Clou	21101		Men.: 2 frgts; 3 tiges	Fer	5	2	38
M-229-Fo 21106	<i>Non phasé</i>						
Indéterminé plat	21107		Fragment de bande de fer plat	Fer	1	1	4.4
Clou	21107		Men.: 11 frgts dont une tête hémisphérique creuse; 7 tiges	Fer	18	11	163
M-230-Fo 20216	<i>État 2.1 : LTD1b évoluée</i>						
Clou	20217		Tige	Fer	1	1	5
M-231-TP 20091	<i>Non phasé</i>						
Clou	20092		Men.: 2 frgts; 2 tiges	Fer	4	2	19

BÂTIMENT R

Décapage

R-1-décapage

Planche 156, 1. 22201, n° 6.

Fibule à ressort à quatre spires (deux conservées) et corde interne, à arc tendu triangulaire fin à bordures soulignées par une rainure, lignes interrompant l'arc et décor d'échelle central. Le pied ajouré est cassé. Base-cuivre.

L. 45 mm, L. (arc) 28 mm, l. (arc) 4 mm. 2.2 g.
E : 1257.84. N : 1038.67. Alt. : 572.19.
Type : B22-02.

Planche 156, 2. 22201, n° 421.

Arc de fibule cambré interrompu par deux perles de section lenticulaire au niveau de la tête et filiforme losangique à proximité du pied. Fer.

L. 85 mm, S. 8 x 4 mm. 8.9 g.
E : 1256. N : 1037.40. Alt. : 572.13.
Type : F34-3.

Planche 156, 3. 22205, n° 80.

Anneau de chaînette de section circulaire. Fer.

Diam. 7 mm, S. 1 mm. 0.1 g.
E : 1263.10. N : 1047.63. Alt. : 572.19.

Planche 156, 4. 22208, n° 220.

Perle à section en «D». Base-cuivre.
Diam. 13 mm, S. 4 x 2 mm. 1.6 g.
E : 1264.11. N : 1037.97. Alt. : 572.18.

Planche 156, 5. 22201, n° 438.

Anneau à section en «D». Base-cuivre.
Diam. 15 mm, S. 2,5 mm. 2.8 g.
E : 1252.8. N : 1045.8. Alt. : 572.03. UF.

Planche 156, 6. 22208, n° 87.

Spatule complète constituée d'un manche de section rectangulaire avec un anneau terminal et une partie active en forme de rame de section lenticulaire. Fer.

L. 144 mm, l. 16 mm, diam. (anneau) 12 mm. 29.7 g.
E : 1269.2. N : 1043.1. Alt. : 572.08.

Planche 156, 7. 22201, n° 44.

Extrémité de poinçon à partie perforante de section triangulaire et à manche de

section hexagonale. Fer.

L. 46 mm, S. 6 mm. 9.3 g.
E : 1262.41. N : 1041.29. Alt. : 572.17.

Planche 156, 8. 22201, n° 266.

Chute de bande de section rectangulaire avec deux découpes. Fer.

L. 51 mm, ép. 8 mm. 61.2 g.
E : 1241.8. N : 1049.5. Alt. : 571.96.

Planche 156, 9. 22239, n° 154.

Chute de bande de section rectangulaire. Fer.

L. 48 mm, ép. 6 mm. 54.2 g.
E : 1273.84. N : 1044.79. Alt. : 572.1.

Planche 156, 10. 22206, n° 232.

Butée de poignée de chaudron avec vestige du rivet maté. Fer.

Diam. 17 mm, ht. 10. 16.6 g.
E : 1261.68. N : 1046.3. Alt. : 572.15.

Planche 156, 11. 22201, n° 45.

Croc à chaudron avec deux dents conservées dont une branche est fragmentaire. La fixation est réalisée à l'aide d'un rivet au niveau d'une plaque quadrangulaire. Fer.

L. 48 mm. 8 g.
E : 1258.11. N : 1037.33. Alt. : 572.18.

Planche 156, 12. 22205, n° 104.

Cuillère dont seuls le cuilléron et le départ du manche de section ovale sont conservés. Fer.

L. 38 mm, l. 26 x 20 mm, S. 3,5 x 4 mm. 3.5 g.
E : 1262.6. N : 1043.25.

Planche 156, 13. 22239, n° 272.

Barre de gril constituée d'un tige courbée de section carrée terminée par un amincissement. Fer.

L. 216 mm, S. 4 mm. 19.5 g.
E : 1274.7. N : 1045.45. Alt. : 572.05.

Planche 156, 14. 22201, n° 227.

Rivet à contreplaque dont la tête est pliée. Harnachement? Base-cuivre.

L. 15 mm, diam. 11 mm. 2.5 g.
E : 1246.94. N : 1048.69. Alt. : 572.04.

Planche 156, 15. 22201, n° 10.

Manche de clé à anneau proximal. Fer.

L. 117 mm, diam. 36 x 33 mm. 45.3 g.
E : 1262.98. N : 1037.98. Alt. : 572.14.

Planche 156, 16. 22205, n° 628.

Tige indéterminée de section carrée coudée à trois reprises et terminée par un appendice de section ronde. Demi-produit? Fer.

L. 336 mm, s. 6 mm. 49.2 g.
E : 1266. N : 1048.5. Alt. : 572.01.

Planche 156, 17. 22206, n° 33.

Fragment de ferrure décorative avec perforation quadrangulaire. Base-cuivre.

L. 22 mm, l. 10 mm, ép. 1 mm. 1.7 g.
E : 1259.78. N : 1046.25. Alt. : 572.17.

Planche 156, 18. 22205, n° 76.

Petit clou à tête hémisphérique pleine. Clou de fixation d'umbo? Fer.

L. 21 mm, L. utile 18 mm. 0.7 g.
E : 1263.22. N : 1048.26. Alt. : 572.19.

Planche 156, 19. 22201, n° 21.

Anneau d'écurie constitué d'un anneau de section rectangulaire à piton fragmentaire. Fer.

L. 66 mm, diam. 66 mm. 31 g.
E : 1259.84. N : 1038. Alt. : 572.17.

Autres petits mobiliers

22403, n° 648. Broyon, galet avec les faces latérales présentant des traces d'utilisation.

22209, n° 88. Jeton percé, fusaïole.

22205, n° 78. Fragment de hache polie néolithique.

22201, n° 25. Jeton.

22201, n° 27. Jeton.

22201, n° 32. Jeton.

22201, n° 40. Jeton.

22205, n° 39. Jeton.

22209, n° 77. Jeton.

22201, n° 17. Moitié de jeton.

22201, n° 453. Monnaie.

22201, n° 18. Monnaie.

22206, n° 22. Monnaie.

22201, n° 14. Monnaie.

22201, n° 3. Monnaie.

22206, n° 23. Monnaie.

22239, n° 57. Monnaie.

22208, n° 63. Fragment de paroi de foyer vitrifiée.

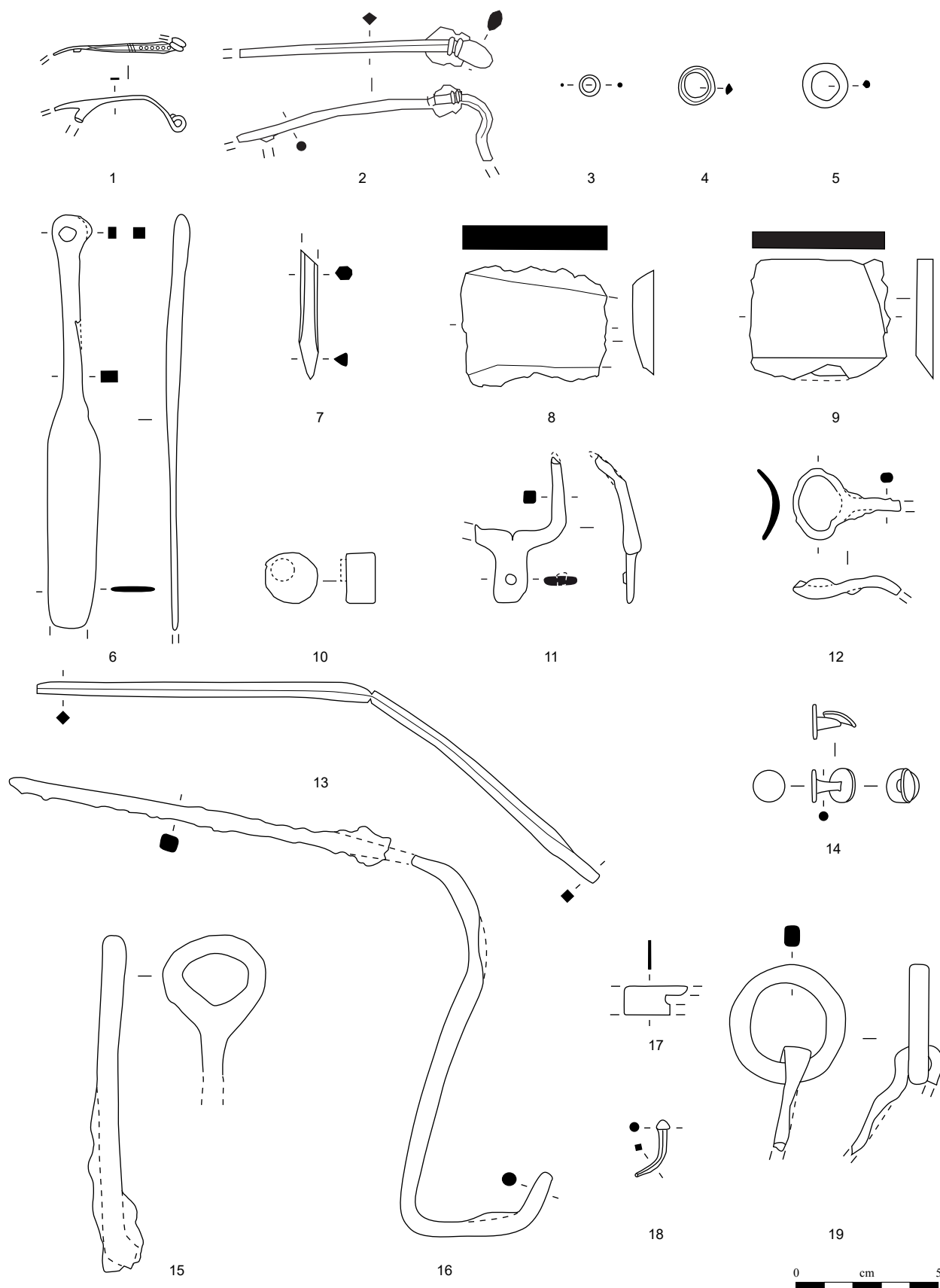


Planche 156. R-1-décapage

1, 3-5, 17 : alliage cuivreux; 2, 6-13, 15-19 : fer.

Bâtiment R

État 3 : fin LTD2b-Auguste

R-2-épandage 22225

Planche 157, 1. 22225, n° 877.

Grand fragment de tige appointée de section circulaire. Demi-produit? Fer.

L. 195 mm, S. 9 mm. 46.5 g.

E : 1262.3. N : 1042.4.*

R-3-radier 22227

Planche 157, 2. 22227, n° 433.

Clé à translation et soulèvement de cheville à panneton à deux dents fragmentaires tournées vers le haut et anneau de suspension. Fer.

L. 58 mm, diam. (anneau) 22 mm. 25.1 g.

E : 1258.2. N : 1045.8. Alt. : 572.06.

R-4-radier 22229

Planche 157, 3. 22229, n° 60.

Fragment de bracelet tubulaire à jonc lisse de section ronde. Presque complet.

Base-cuivre.

Diam. int. 46 mm, S. 6 mm. 2.6 g.

E : 1263.17. N : 1037.9. Alt. : 572.22.

Type : B21-1.

Planche 157, 4. 22229, n° 717.

Fragment de fer de lance à nervure centrale à flamme triangulaire. Fer.

L. 170 mm, l. max. 18 mm. 63.7 g.

E : 1263.40. N : 1047.7. Alt. : 572.04.

Type : 40.

Planche 157, 5. 22229, n° 796.

Manche de pince de forgeron constituée d'une tige de section ronde présentant à son extrémité une courbure ainsi que les reliefs de l'articulation. Fer.

L. 316 mm, S. 8 mm. 142 g.

E : 1264.26. N : 1046.94. Alt. : 572.06.

Planche 157, 6. 22229, n° 881.

Fragment de manche de pince terminée par une gueule de mors de section rectangulaire avec rivet d'articulation de la pince en position fonctionnelle. Fer.

L. 265 mm, S. 12 x 4 mm. 119.2 g.

E : 1265.3. N : 1047.6. Alt. : 572.06.

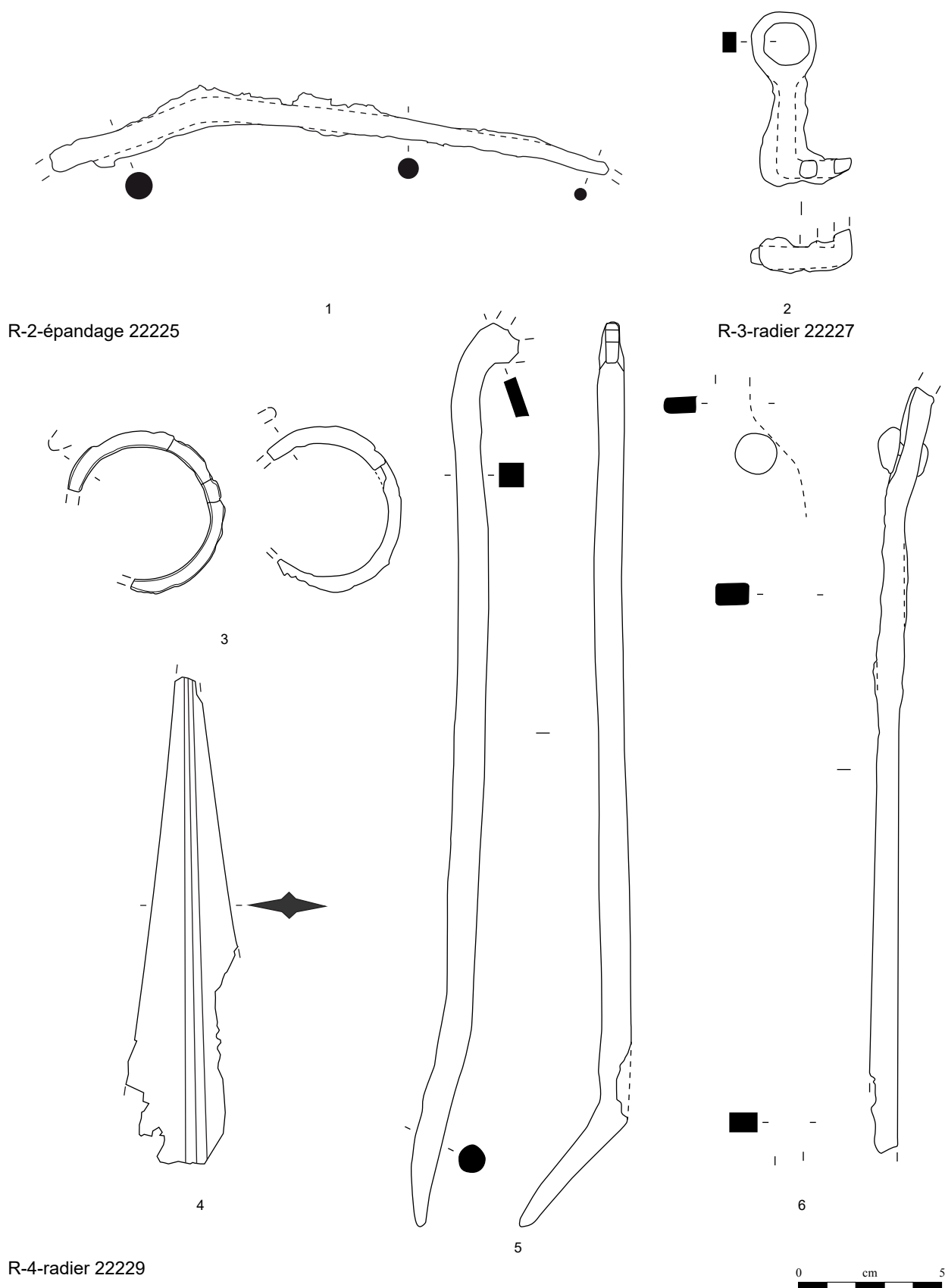


Planche 157. R-2-épandage 22225 à R-4-radier 22229

Fer, excepté 3, alliage cuivreux

Bâtiment R

État 3 : fin LTD2b-Auguste

R-4-radier 22229

Planche 158, 1. 22229, n° 105.

Fine lame de forces à fil et dos convexes à butée. Fer.

L. 114 mm, L. (lame) 84 mm, l. (lame) 20 mm. 24.7 g.

E : 1263.86. N : 1047.40. Alt. : 572.06.

Planche 158, 2. 22229, n° 882.

Fragment de douille avec restes de bois minéralisé à l'intérieur. Fer.

L. 38 mm. 5.4 g.

E : 1265.1. N : 1048.05. Alt. : 572.05.

Planche 158, 3. 22229, n° 734.

Perle tubulaire de l'âge du Bronze constituée d'une tôle enroulée écrasée à une extrémité. Base-cuivre.

L. 35 mm, S. 3 mm. 1.5 g.

E : 1264.8. N : 1046.65. Alt. : 572.01.

Planche 158, 4. 22229, n° 90.

Chute de tôle triangulaire repliée. Base-cuivre.

L. 28 mm. 2.1 g.

E : 1264. N : 1047.56. Alt. : 572.06.

Planche 158, 5. 22229, n° 883.

Fragment de couteau à dos et tranchant droit et extrémité pointue manquante et à manche à soie de section rectangulaire.

Fer.

L. 81 mm, l. (lame) 22 mm. 29 g.

E : 1266.5. N : 1048.3. Alt. : 572.06.

Type : 2-1.

Planche 158, 6. 22229, n° 884.

Fragment de barre de gril pliée de section rectangulaire avec une extrémité matée.

Fer.

L. 195 mm, S. 4 x 6 mm. 33.9 g.

E : 1245.77. N : 1046.92. Alt. : /.

Planche 158, 7. 22229, n° 91.

Anneau d'écurie de section quadrangulaire avec piton fermé complet. Fer.

L. 74 mm, diam. 35 mm, S. 7 mm. 44.7 g.

E : 1264.09. N : 1047.96. Alt. : 572.06.

Planche 158, 8. 22229, n° 50.

Poids de forme bitronconique et de section circulaire. Billon.

L. 16 mm, S. max. 6 mm. 3.9 g.

E : 1262.75. N : 1046.43. Alt. : 572.15.

Autres petits mobiliers

22229, n° 93. Monnaie.

22229, n° 448. Monnaie.

R-5-radier 22230

Planche 158, 9. 22230, n° 423.

Verrou constitué de deux tôles superposées dont une bombée, rivetées l'une à l'autre et le tout fixé par quatre perforations dans chaque angle. Fer.

L. 108 mm, l. 70 mm, ht. 18 mm. 184 g.

E : 1264.84. N : 1043.88. Alt. : 572.09.

Autres petits mobiliers

22230, n° 446. Monnaie.

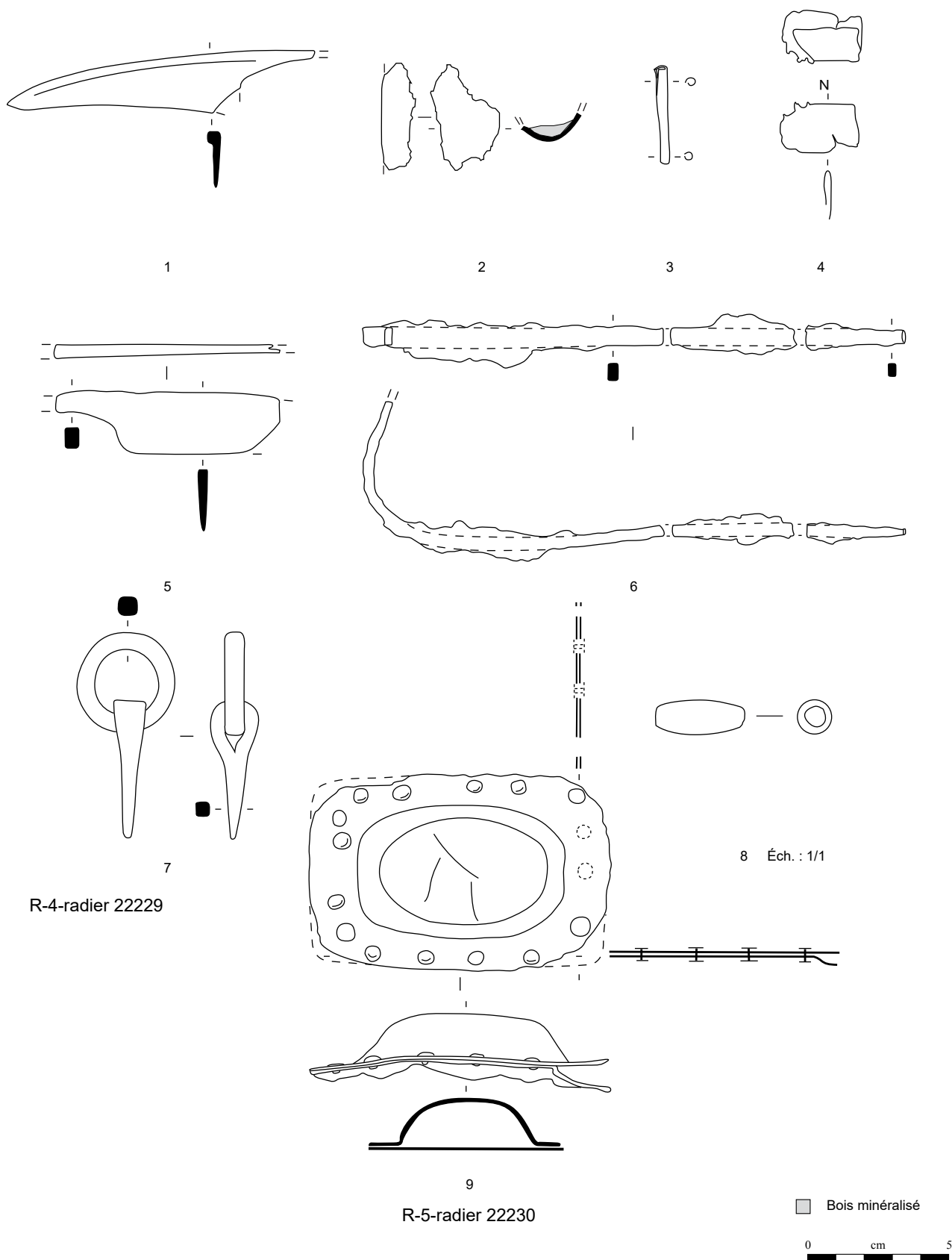


Planche 158. A1 à A4-décapage, R-4-radier 22229 et R-5-radier 22230

1-2, 5-7, 9 : fer; 3-4 : alliage cuivreux; 1 : billon.

Bâtiment R

État 3 : fin LTD2b-Auguste

R-6-radier 22231

Planche 159, 1. 22231, n° 915.

Anneau à section lenticulaire. Base-cuivre.

Diam. 31 mm, S. 6 x 4 mm. 11.2 g.

E : 1269.56. N : 1047.18.

Planche 159, 2. 22231, n° 916.

Anneau à section lenticulaire. Base-cuivre.

Diam. 26 mm, S. 6 x 3 mm. 7.9 g.

E : 1269.55. N : 1047.5.

Planche 159, 3. 22231, n° 886.

Poinçon à emboutir à manche conique, à tête massive avec traces d'impact et extrémité mousse. Fer.

L. 51 mm, S. 10 mm. 17.4 g.

E : 1272.9. N : 1047.45.*

Planche 159, 4. 22231, n° 914.

Fragment de cerclage de seau constitué d'une bande de tôle à bordure en relief avec trou de fixation quadrangulaire. Base-cuivre.

L. 25 mm, l. 18 mm. 0.7 g.

E : 1270.25. N : 1048.1.

Planche 159, 5. 22231, n° 887.

Fragment de crampon de menuiserie dont seule la partie fixée dans le bois est conservée. Fer.

L. 54 mm. 18.9 g.

E : 1273. N : 1047.48.*

R-7-épandage 22237

Planche 159, 6. 22237, n° 108.

Fiche à tête en T». Fer.

L. 79 mm, L. (table) 28 x 16 mm, L. (utile) 72 mm. 26.7 g.

E : 1275.51. N : 1039.5. Alt. : 572.11.

R-8-radier 22272

Planche 159, 7. 22272, n° 901.

Fabricat de fibule à arc interrompu de forme triangulaire irrégulier avec vestige d'une spire du ressort. Fer.

L. 40 mm. 2.3 g.

E : 1267.9. N : 1047.*

Type : F04.

Planche 159, 8. 22272, n° 902.

Chute de bande de tôle. Fer.

L. 19 mm, l. 6 mm, ép. 2 mm. 0.9 g.

E : 1267.92. N : 1047.3.*

Autres petits mobiliers

22272, n° 321. Monnaie.

R-9-radier 22273

Planche 159, 9. 22273, n° 412.

Extrémité de bouterolle de poignard à manche anthropomorphe triangulaire avec un bouton proximal et deux boutons latéraux ornés de stries peu lisibles. Les gouttières sont cassées au-dessus de ces boutons. Base-cuivre.

L. 35 mm, l. utile 24 mm. l. 28 mm. 13 g.

E : 1261.65. N : 1043.82. Alt. : 571.95.

Planche 159, 10. 22273, n° 903.

Fragment de lime de forme ogivale à section en demi-rond. Fer.

L. 30 mm, S. 7 x 3 mm. 2.1 g.

E : 1263.7. N : 1044.63.*

Planche 159, 11. 22273, n° 317.

Demi-produit constitué d'une tige tordue de section facettée à circulaire à extrémité aplatie. Base-cuivre.

L. 42 mm, S. 2 mm. 0.9 g.

E : 1266.7. N : 1046.3. Alt. : 572.

Autres petits mobiliers

22273, n° 426. Fragment de verre incolore à reflet vert. Moderne?

22273, n° 312. Éclat de verre bleu.

22273, n° 313. Jeton.

22273, n° 316. Jeton.

22273, n° 320. Monnaie.

22273, n° 452. Monnaie.

22273, n° 456. Monnaie.

22273, n° 451. Monnaie.

R-10-TP 22356

Planche 159, 12. 22356, n° 643.

Fibule à ressort à quatre spires et corde externe haute et à arc filiforme coudé de schéma La Tène moyenne avec attache du pied au-dessus de la tête. Fer.

L. 34 mm, S. (arc) 1,5 mm. 1.5 g.

E : 1268.6. N : 1046.8. Alt. : 572.06.

Type : F31-1.

R-11-Pal 22386

Planche 159, 13. 22386, n° 790.

Chute de plaque de forme triangulaire avec trace de découpe. Fer.

L. 40 mm, ép. 10 mm. 20 g.

E : 1272.8. N : 1044.46. Alt. : 571.99.

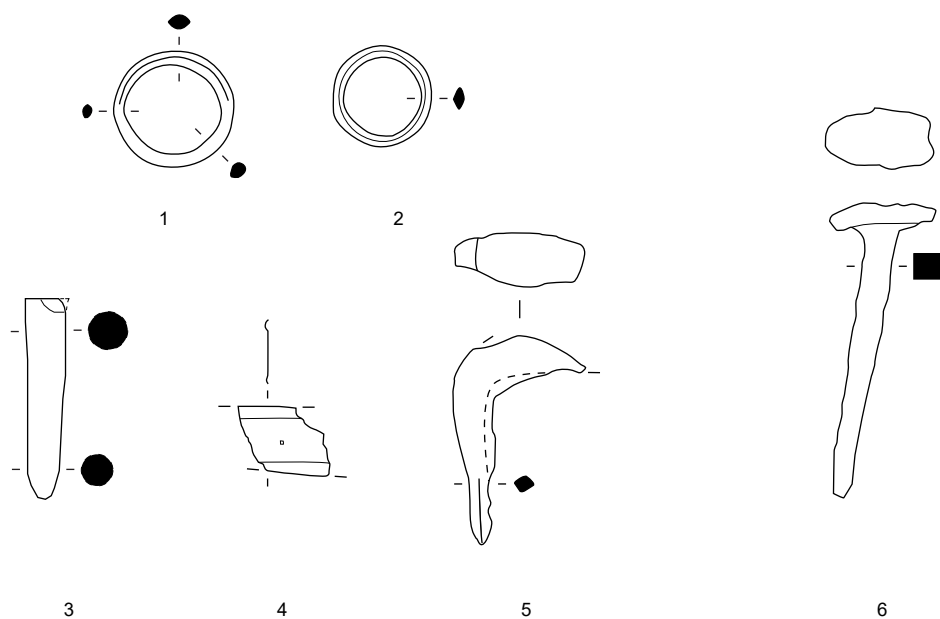
R-12-épandage 22224

22224, n° 240. Monnaie.

R-13-épandage 22238

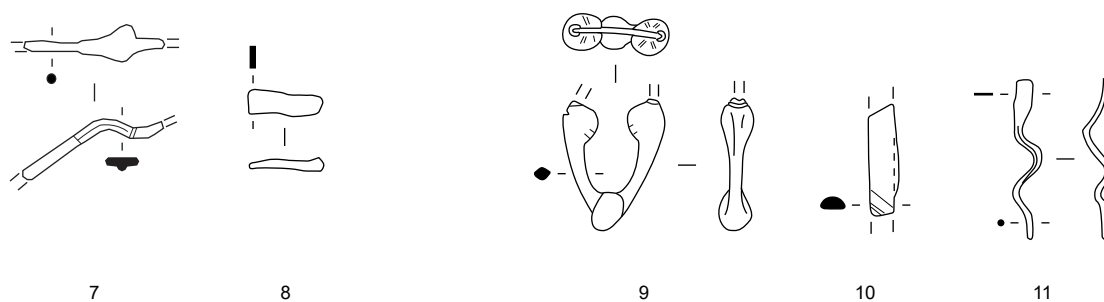
22238, n° 153. Monnaie.

22238, n° 455. Monnaie.



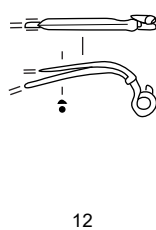
R-6-radier 22231

R-7-épandage 22237

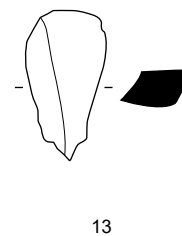


R-8-radier 22272

R-9-radier 22273



R-10-TP 22356



R-11-Pal 22386

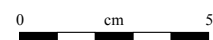


Planche 159. R-6-radier 22231 à R-11-Pal 22386

1-2, 4, 9, 11 : alliage cuivreux; 3-, 5-8, 10, 12-13 : fer.

Bâtiment R

État 2.3 à 3 : fin LTD2a-Auguste

R-17-épandage 22232

Planche 160, 1. 22232, n° 237.

Extrémité de mors (?) composé d'un anneau rectangulaire à section en «D» avec un départ de tige prolongeant l'un des grands côtés du rectangle. Fer.
L. 38 mm, S. 7 x 2,5 mm, diam. (boucle) 27 x 16 mm. 8.5 g.
E : 1275.90. N : 1046.55. Alt. : 572.14.

Planche 160, 2. 22232, n° 221.

Pied de cruche de type Kelheim constitué d'une bande de plat perforée aux deux extrémités et brasée. Base-cuivre.
L. 50 mm, ép. 5 mm, diam. rest. 86 mm. 23 g.
E : 1274.90. N : 1045.39. Alt. : 572.14.

Autres petits mobiliers

22232, n° 231. Fragment de bracelet de section ovale légèrement facettée en roche noire.

État 2.3 : fin LTD2a-LTD2b

R-18-radier 22223

Planche 160, 3. 22223, n° 876.

Talon de lance à douille. Fer.
L. 39 mm, diam. 18 mm. 17.8 g.
E : 1261.7. N : 1038.5.*
Type : 2.

R-19-sol 22234

Planche 160, 4. 22234, n° 888.

Chute de tige de section changeante comportant une extrémité de section triangulaire et une autre plate incurvée. Fer.
L. 84 mm, l. 8 mm. 12.8 g.
E : 1270.03. N : 1038.1.*

R-20-sol 22236

Planche 160, 5. 22236, n° 889.

Fragment de fibule avec ressort à quatre spires (deux conservées) et corde externe et arc cambré de section lenticulaire. Fer.
L. 48 mm. 4.6 g.
E : 1273.8. N : 1040.8.*
Type : F33-7.

R-21-radier 22243

Planche 160, 6. 22243, n° 894.

Chute de tige de section quadrangulaire et élargie au niveau de la découpe. Fer.
L. 48 mm. 9.3 g.
E : 1267.4. N : 1039.56.*

R-22-Pal 22278

Planche 160, 7. 22278, n° 794.

Lève-loquet avec tige coudée de section rectangulaire à anneau terminal comportant encore un anneau en connexion. Fer.
L. 110 mm, S. 8 x 4,5 mm, diam. (anneau) 20 mm. 24 g.
E : 1275.8. N : 1038.60. Alt. : 572.08.

R-23-Fo 22285

Planche 160, 8. 22285, n° 904.

Extrémité de manche de pince constitué d'une tige de section carrée terminée par un sphère massive. Fer.
L. 164 mm, S. 10 mm, diam. (extrémité) 14 mm. 69.5 g.
E : 1265.4. N : 1038.6.*

Planche 160, 9. 22285, n° 729.

Fragment de fer plat plié à angle droit à une extrémité et comportant une extrémité élargie. Ferrure, demi-produit? Fer.
L. 142 mm, l. 13 mm, ép. 4 mm. 49 g.
E : 1265.8. N : 1038.2.*

Autres petits mobiliers

22278, n° 931. Fusaïole à section en «D» en terre cuite.

22278, n° 934. Jeton.

22278, n° 935. Jeton.

22278, n° 936. Jeton.

22278, n° 937. Jeton.

22278, n° 938. Jeton.

22278, n° 939. Jeton.

22278, n° 940. Jeton.

22278, n° 943. Jeton.

22278-1, n° 708. Jeton.

22278, n° 922. Bord extérieur de *meta* en roche volcanique grumeleuse peu vaculaire.

22278, n° 920. Mortier en grès grossier à lèvre triangulaire à petit pied annulaire.

22278, n° 947. Fragment de plaque de foyer avec un grand rebord arrondi.

22278-1, n° 417. Stylet en os à pointe séparée du manche par un renflement et à spatule réalisée par un simple biseau du manche de section circulaire.

R-24-Fo 22316

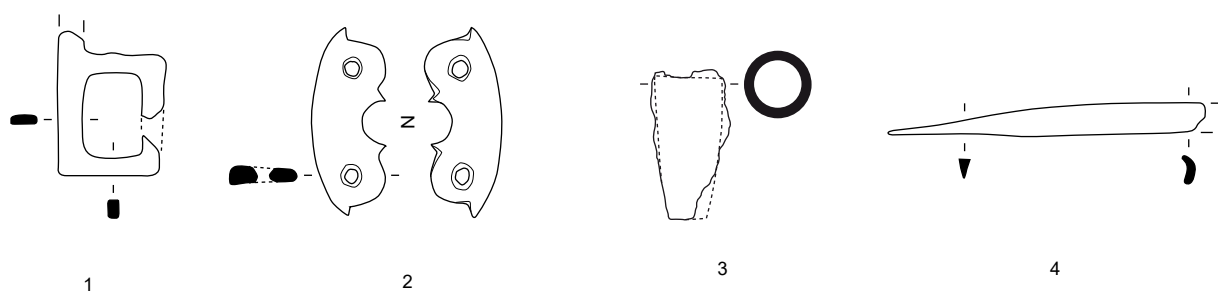
Planche 160, 10. 22316, n° 510.

Sonde ovulaire cassée au niveau du manche et munie d'un bouton cannelé. Base-cuivre.
L. 56 mm, S. (sonde) 3 mm. 2.8 g.
E : 1277.2. N : 1038. Alt. : 571.79.

R-25-Sb 22313

Planche 160, 11. 22313, n° 606.

Fragment d'agrafe de harnais constituée d'une bande de tôle à extrémité arrondie rivetée à un autre fragment de tôle qui comporte un décor de trois ocelles disposées en triangle. Base-cuivre.
L. 84 mm, l. 13 mm. 6.4 g.
E : 1273.7. N : 1046. Alt. : 572.05.



1

2

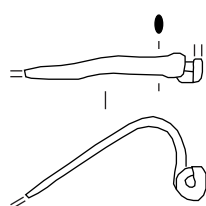
3

4

R-17-épandage 22232

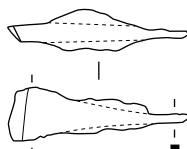
R-18-radier 22223

R-19-sol 22234



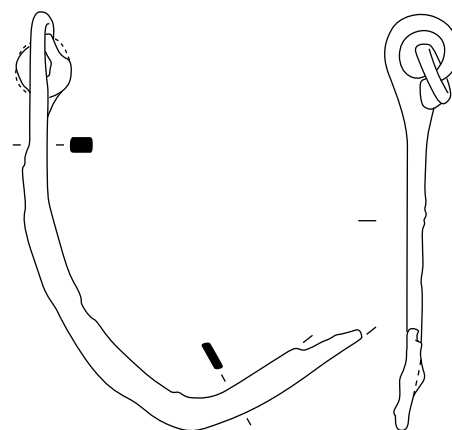
5

R-20-sol 22236



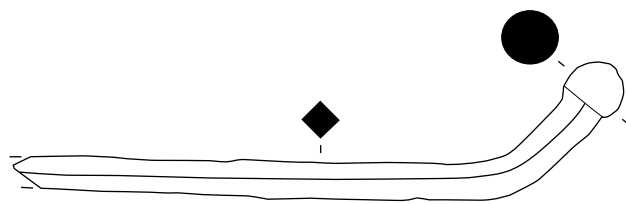
6

R-21-radier 22243



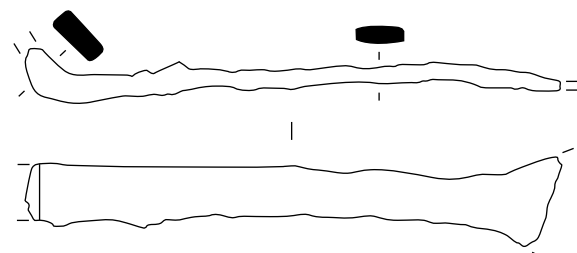
7

R-22-Pal 22278

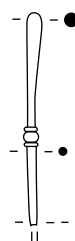


8

R-23-Fo 22285

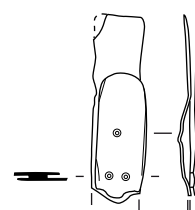


9



10

R-24-Fo 22316



11

R-25-Sb 22313

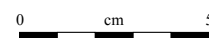


Planche 160. R-17-épandage 22232 à R-25-Sb 22313

1, 3-9: fer; 2: 10-11 : alliage cuivreux.

Bâtiment R

État 2.3 : fin LTD2a-LTD2b

R-26-Pal 22321

Planche 161, 1. 22321, n° 218.

Fragment de ressort de fibule avec début d'arc filiforme de section quadrangulaire. Fer. L. 18 mm, S. 2 mm. 1 g.
E : 1257.95. N : 1039.7. Alt. : 572.17.

Planche 161, 2. 22321, n° 926.

Perle à section en «D». Base-cuivre. Diam. 12 mm, S. 7 x 3 mm. 4.2 g.
E : 1258.2. N : 1039.5.*

Planche 161, 3. 22321, n° 927.

Fragment de plaque de fourreau avec une gouttière latérale. Base-cuivre. L. 32 mm. 1.2 g.
E : 1257.2. N : 1038.7.

Planche 161, 4. 22321, n° 930.

Extrémité de pelle à feu avec départ du manche et partie active lacunaire. Fer. L. 74 mm, l. rest. 56 mm, ép. 4 mm. 71.3 g.
E : 1257. N : 1038.5.*

Planche 161, 5. 22321, n° 928.

Fragment indéterminé de plaque circulaire avec perforation centrale dotée d'un rebord. Élément de char? Fer. L. 66 mm, diam. int. 16 mm, ép. 4 mm, diam. 103 mm. 26.5 g.
E : 1258.5. N : 1040.*

Autres petits mobiliers

22321, n° 716. Cinq jetons.
22321, n° 948. Jeton.
22321, n° 949. Jeton.
22321, n° 950. Jeton.
22321, n° 952. Jeton.
22321, n° 954. Jeton.
22321, n° 955. Jeton.
22321, n° 956. Jeton.
22321, n° 957. Jeton.
22321, n° 958. Jeton.
22321, n° 941. Jeton en amphore.
22321, n° 953. Jeton en amphore.
22321, n° 959. Jeton en amphore.
22321, n° 942. Fragments de plaque de foyer.

R-27-TP 22408

Planche 161, 6. 22408, n° 773.

Marteau lithique composé d'une pierre de section quadrangulaire avec traces de percussion à une extrémité et traces de bouchardage à l'autre. Lithique. L. 98 mm, l. 72 mm. 529 g.
E : 1269.85. N : 1043.7.*

R-28-radier 22240

Planche 161, 7. 22240, n° 891.

Abraseur polyédrique sous la forme d'une boule facettée en basalte fin. Lithique. L. 42 mm, S. 38 mm. 80.1 g.
E : 1268.17. N : 1042.25. Alt. : 572.13.

Planche 161, 8. 22240, n° 890.

Abraseur polyédrique constitué d'un grès allongé de section triangulaire dont une face présente trois pans, alors que l'autre, opposée, est plane. Lithique. L. 85 mm, S. 37 x 21 mm. 86 g.
E : 1267.57. N : 1042.65. Alt. : 572.13.

Autres petits mobiliers

22240, n° 54. Fusaïole en terre cuite à section quadrangulaire légèrement bombée et concave dans ses différentes faces.

R-29-TP 22324

Planche 161, 9. 22324, n° 784.

Fragment de ferrure avec clou en position fonctionnelle. Fer. L. 72 mm, L. (utile) 40 mm. 21.6 g.
E : 1267.48. N : 1048.28. Alt. : 572.04. UF.

Autres petits mobiliers

22324, n° 615. Monnaie.

R-30-nettoyage 22349

22349, n° 710. Deux jetons.

R-31-TP 22294

22294, n° 965. Fragment de meule à va-et-vient, en roche volcanique vacuolaire.

R-34-TP 22354

22354, n° 713. Jeton.

État 2.2 : LTD2a

R-36-radier 22247

Planche 161, 10. 22247, n° 895.

Anneau à section en quart de rond. Base-cuivre. Diam. 24 mm, S. 5 x 2,5 mm. 3.1 g.
E : 1271. N : 1044.45.

Planche 161, 11. 22247, n° 489.

Anneau à section en «D». Fer. Diam. 25 mm, S. 7 x 4 mm. 7.5 g.
E : 1271.7. N : 1041.5. Alt. : 572.11.

Planche 161, 12. 22247, n° 413.

Pince à épiler avec mors, décorée de deux lignes latérales terminées en triangle. Le centre du ressort présente une rainure longitudinale. Les deux mors sont excentrés. Base-cuivre. L. 48 mm, l. 7 mm. 2.6 g.
E : 1272.35. N : 1041.6. Alt. : 572.12.

Autres petits mobiliers

22247, n° 234. Jeton.
22247, n° 229. Fragment de récipient en verre brun miel.

R-37-sol d'amphore 22233

Planche 161, 13. 22233, n° 106.

Perle à section en «D». Base-cuivre. Diam. 10 mm, S. 4 x 2 mm. 1.6 g.
E : 1267.44. N : 1038.54. Alt. : 572.01.

Planche 161, 14. 22233, n° 102.

Fragment de barre de gril de section rectangulaire avec extrémité fragmentaire de section carrée. Fer. L. 64 mm, S. 10 x 5 mm. 16.2 g.
E : 1268.47. N : 1038.46. Alt. : 572.01.

Autres petits mobiliers

22233, n° 960. Abraseur opportuniste en tuf.
22233, n° 101. Jeton.
22233, n° 73. Jeton.

R-38-TP 22394

Planche 161, 15. 22394, n° 907.

Fragment d'orle à gouttière. Fer. L. 43 mm, S. 16 x 7 mm. 13.1 g.
E : 1275.8. N : 1040.8.*
Type : Gouttière.

R-39-TP 22449

Planche 161, 16. 22449, n° 785.

Rivet émaillé à tige en fer. Base-cuivre et fer. L. 13 mm, diam. 15 mm. 7.9 g.
E : 1258.44. N : 1041.85. Alt. : 572.13.

R-41-Fo 22245

Planche 161, 17. 22245, n° 437.

Perle de section circulaire. Base-cuivre. Diam. 14 mm, S. 4 mm. 4.5 g.
E : 1256.22. N : 1040.25. Alt. : 572.07.

Autres petits mobiliers

22245, n° 442. Jeton.

R-43-TP 22341

22341, n° 671. Monnaie.

R-49-TP 22384

22384, n° 640. Fragment de perle en ambre.

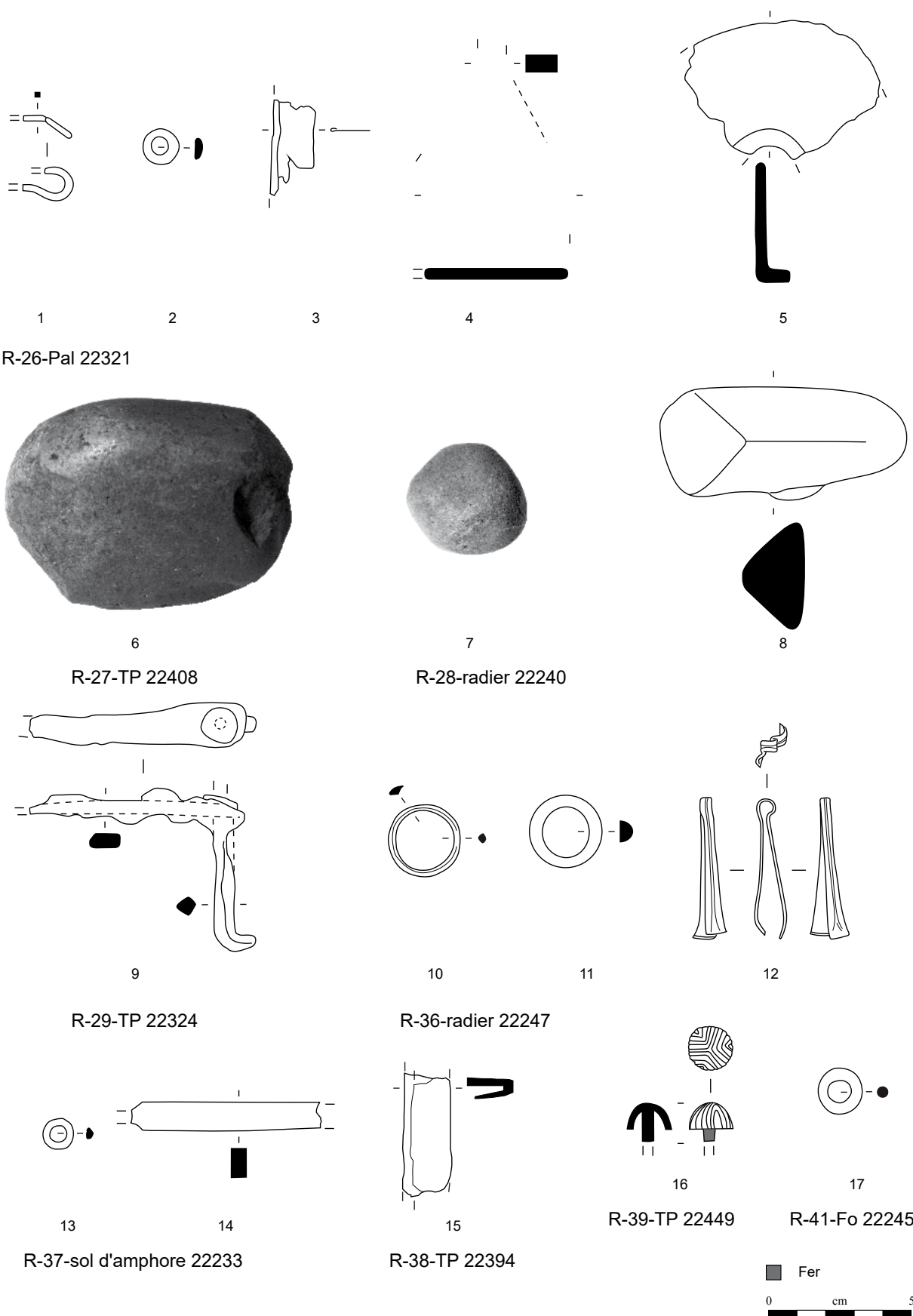


Planche 161. R-26-Pal 22321 à R-41-Fo 22245

1, 5-6, 9, 14-15 : fer; 2-3, 10-13, 17 : alliage cuivreux; 6 : lithique indéterminé; 7 : basalte fin; 8 : grès; 16 : alliage cuivreux et fer.

Bâtiment R

État 2.2 : LTD2a

R-40-Fossé 22271

Planche 162, 1. 22271, n° 705.

Ressort de fibule à quatre spires (deux conservées) et corde interne avec ardillon complet. Base-cuivre.

L. 32 mm. 0.5 g.

E : 1264.7. N : 1045. Alt. : 571.65.

Type : B20-0.

Planche 162, 2. 22271, n° 602.

Perle de section losangique. Base-cuivre.
Diam. 25 mm, S. 6 x 4 mm. 10.6 g.

E : 1264.55. N : 1045.45. Alt. : 571.82.

Planche 162, 3. 21145, n° 2556.

Anneau avec surface très corrodée ou brûlée. Base-cuivre.

Diam. 17 mm, S. 6 mm. 5.2 g.

E : 1271.8. N : 1050.*

Planche 162, 4. 21145, n° 861.

Frette de renfort de fourreau constituée d'une fine tige de section hémisphérique repliée à son extrémité. Fer.

L. 28 mm, S. 3 x 1,5 mm. 0.3 g.

E : 1273. N : 1050.2. Alt. : 572.15.

Planche 162, 5. 21699-41, n° 972.

Fragment d'orle de section rectangulaire avec patte de fixation comportant encore un rivet en position fonctionnelle. Fer.

L. 106 mm, S. 7 x 4 mm, ép. 6 mm. 32.6 g.

E : 1272. N : 1050.7.

Type : Rectangulaire.

Planche 162, 6. 21699-41, n° 960.

Tranchet à pied avec tranchant incurvé à section en triangle isocèle et fixation à soie dans laquelle du bois minéralisé est conservé. Fer.

L. 135 mm, L. (tranchant) 53 mm, S. 8 mm. 32.7 g.

E : 1271.4. N : 1050.7. Alt. : 571.78.

Planche 162, 7. 21145, n° 1488.

Manche conique de section circulaire d'outil à soie. La partie active est manquante. Fer.

L. 87 mm, S. 9 mm. 18 g.

E : 1271.7. N : 1050.2.*

Planche 162, 8. 22271-B, n° 899.

Ciseau de tourneur (?) dont la partie active est manquante et dont le manche de section ronde s'affine vers une soie, de section carrée, précédée d'une virole. Fer.

L. 149 mm, S. 8 mm. 49.1 g.

E : 1263.75. N : 1044.5.*

Planche 162, 9. 21145, n° 2533.

Aiguille à chas circulaire. Base-cuivre.

L. 34 mm. 0.4 g.

E : 1271.86. N : 1050.62.*

Planche 162, 10. 21145, n° 864.

Aiguille dont il ne subsiste que la tige et le départ du chas. Fer.

L. 56 mm, S. 2,5 mm. 1.6 g.

E : 1273.29. N : 1051.48. Alt. : 572.16.

Planche 162, 11. 21145, n° 908.

Objet en cours de fabrication constitué d'une tige de section carrée aplatie à son extrémité évasée. Base-cuivre.

L. 45 mm. 2.5 g.

E : 1270.3. N : 1049.3. Alt. : 571.83.

Planche 162, 12. 21145, n° 863.

Chute de bande de tôle tordue et repliée à une extrémité. Base-cuivre.

L. 32 mm. 0.3 g.

E : 1273.05. N : 1051.16. Alt. : 572.1.

Planche 162, 13. 21145, n° 910.

Chute de bande. Base-cuivre.

L. 11 mm, l. 6 mm, ép. 2 mm. 0.4 g.

E : 1270.65. N : 1049.26. Alt. : 571.79.

Planche 162, 14. 21145, n° 819.

Chute de tige de section ronde coupée à l'extrémité la plus épaisse. Base-cuivre.

L. 44 mm, S. 1 x 3 mm. 0.9 g.

E : 1272.79. N : 1050.90. Alt. : 572.01.

Planche 162, 15. 22271, n° 527.

Demi-produit constitué d'une tige de section rectangulaire. Base-cuivre.

L. 46 mm, S. 3 x 1 mm. 1.6 g.

E : 1268.65. N : 1047.72. Alt. : 571.7.

Planche 162, 16. 21145, n° 866.

Anneau terminal d'ustensile cassé au niveau du départ du manche. Fer.

L. 56 mm. 34.6 g.

E : 1271.5. N : 1050.3. Alt. : 571.99.*

Planche 162, 17. 22351, n° 647.

Applique de char constituée d'une tôle rectangulaire, légèrement incurvée, à décor ajouré. Base-cuivre.

L. 89 mm, l. 67 mm. NP.

E : 1268.17. N : 1039.64. Alt. : 572.13.

Planche 162, 18. 22271, n° 512.

Fragment d'éperon (?) cassé au niveau de l'aiguillon et constitué d'une bande incurvée de section quadrangulaire à angles chanfreinés avec deux élargissements. Fer.

L. 67 mm. 15.1 g.

E : 1263.7. N : 1043.7. Alt. : 571.83.

Autres petits mobiliers

22271-C, n° 627. Dix jetons.

22271-2, n° 752. Jeton.

22271-2, n° 753. Jeton.

22271-C, n° 613. Jeton.

22271-C, n° 614. Jeton.

22271-C, n° 711. Jeton.

22271-C, n° 655. Fragment de mortier à lèvres triangulaire et léger renflement en grès blanc lité à muscovite.

22271-3, n° 735. Perle à section en «D» à âme incolore violacée avec zigzag de filament jaune appliqué au milieu du jonc (Gebhard IIIcd).

22271-C, n° 964. Fragment de plaque de foyer avec un grand rebord fragmentaire.

21145, n° 909. Déchet de tabletterie tubulaire avec trois cannelures incisées. Fragment de charnière?

22271, n° 526. Fragment de déchet de tour en os constitué d'une partie massive de forme tronconique terminée dans son extrémité la plus fine par une tige de section ronde fragmentaire séparée de la partie tronconique par un léger ressaut. Des cercles concentriques sont incisés sur la partie tronconique.

22271, n° 525. Andouiller de bois de cerf terminé par une perforation ou une encoche.

21699-41, n° 2572. Jeton.

21699-41, n° 2573. Jeton.

21699-41, n° 971. Jeton.

22271, n° 511. Jeton.

22271, n° 530. Jeton.

22271, n° 531. Jeton.

22271, n° 600. Jeton.

22271, n° 611. Jeton.

22271, n° 612. Jeton.

22271, n° 754. Jeton.

22271, n° 923. Deux fragments de *meta* en grès grossier dont la partie passive de la *meta* comporte des traces de charbon.

21699-41, n° 2582. Fragment de *catillus* avec un oeil rond.

22271, n° 435. Fragment de *catillus* en grès grossier hétérométrique.

21699-41, n° 2579. Grande molette pour meule à va-et-vient en roche vacuolaire.

22271, n° 706. Monnaie.

21145, n° 858. Monnaie.

21145, n° 859. Monnaie.

21145, n° 862. Monnaie.

21699-41, n° 2560. Monnaie.

22271, n° 513. Monnaie.

22271, n° 532. Monnaie.

21699-41, n° 2559. Monnaie.

21699-41, n° 2564. Monnaie.

21699-41, n° 2558. Monnaie.

22271, n° 620. Monnaie.

22271, n° 672. Monnaie.

22271, n° 533. Monnaie.

22271, n° 707. Monnaie.

22271, n° 529. Perle en os à section en «D».

22271, n° 933. Pion en verre incolore circulaire.

21145, n° 818. Fragment de plaque de foyer avec décor de ligne onnée.

22271. Fragment de plaque de foyer.

22271-B. Fragment de plaque de foyer.

22351, n° 618. Fragment de perle ou de récipient mosaïqué bleu à filaments blancs.

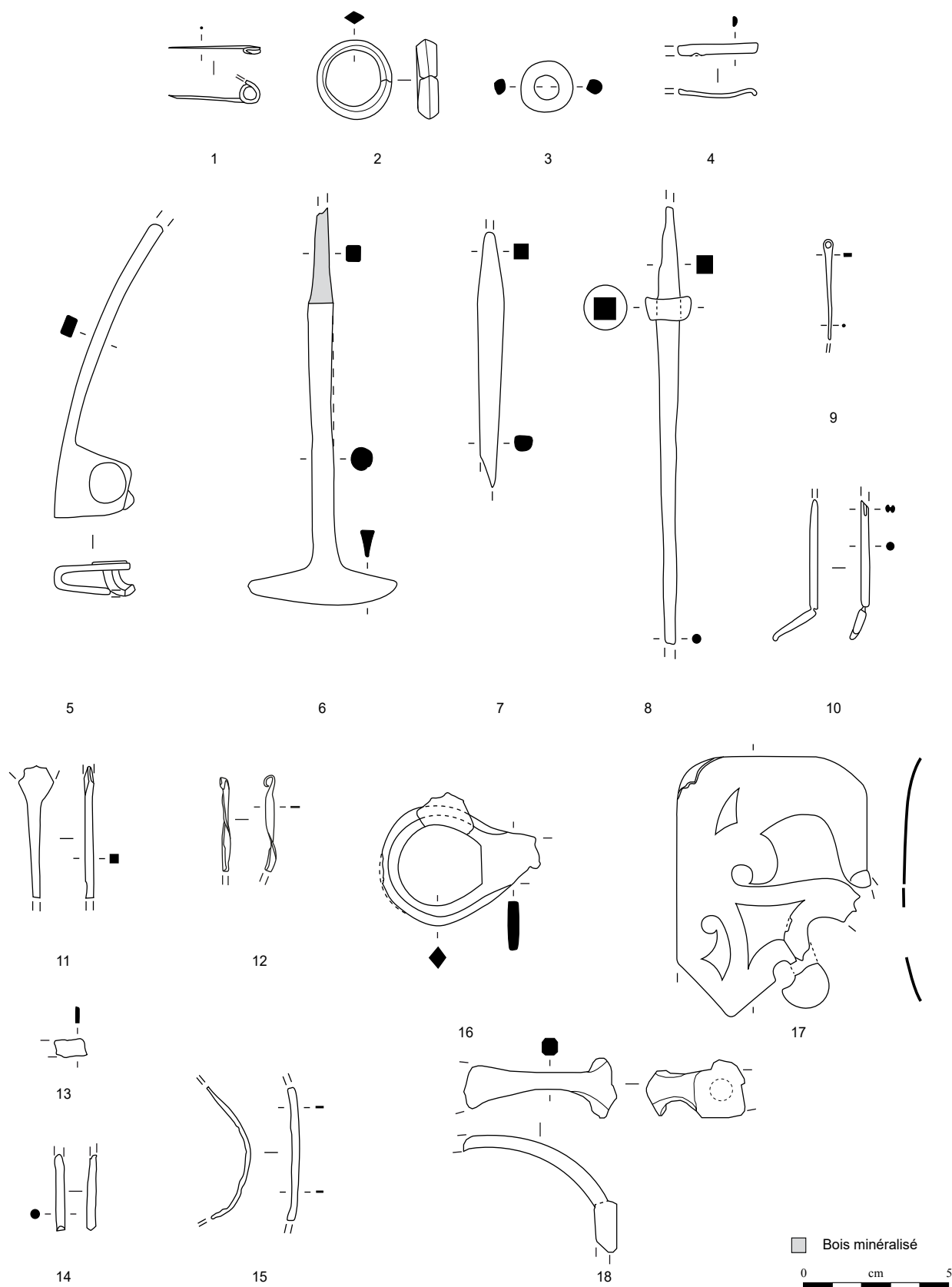


Planche 162. R-40-Fossé 22271

1-3, 9, 11-15, 17 : alliage cuivreux; 3-8, 10, 16, 18 : fer.

Bâtiment R

État 2.1 : LTD1b évoluée

R-54-Pal 22228

Planche 163, 1. 22207, n° 31.

Fragment de ciseau à soie constitué d'une tige de section carrée terminée par un tranchant (?) évasé dont l'extrémité est manquante. Fer.
L. 59 mm. 15.8 g.
E : 1258.84. N : 1048.28. Alt. : 572.15.

Planche 163, 2. 22207, n° 46.

Tranchant d'herminette constitué d'un plat de forme triangulaire à tranchant incurvé. Fer.
L. 72 mm, L. (tranchant) 69 mm. 80.3 g.
E : 1259.82. N : 1049.05. Alt. : 572.04.

Planche 163, 3. 22207, n° 20.

Couteau à manche de section carrée et à lame à tranchant droit et dos incurvé. Fer.
L. 124 mm, L. (lame) 106 mm, l. (lame) 24 mm. 29.5 g.
E : 1258.84. N : 1048.28. Alt. : 572.15.
Type : 2-3.

Planche 163, 4. 22207, n° 37.

Poids constitué d'un plat circulaire. Plomb.
Diam. 16 x 19 mm, ép. 2 mm. 3.9 g.
E : 1258.56. N : 1047.05. Alt. : 572.1.

Planche 163, 5. 22357, n° 639.

Arc de fibule constitué d'une tôle triangulaire à bordures soulignées par une rainure avec départ du pied. Base-cuivre.
L. 40 mm, L. (arc) 38 mm, l. (arc) 4 mm. 1 g.
E : 1257.55. N : 1046. Alt. : 571.75.
Type : B22-03.

Planche 163, 6. 22228, n° 603.

Perle de section losangique. Base-cuivre.
Diam. 12 mm, S. 3 x 2 mm. 1.7 g.
E : 1258.38. N : 1046.2. Alt. : 571.72.

Planche 163, 7. 21068, n° 691.

Anneau-bague de section hémisphérique peu fragmentaire. Base-cuivre.
Diam. 19 mm, S. 2 mm. 0.9 g.
E : 1265.79. N : 1050.36. Alt. : 572.
Type : 1.

Planche 163, 8. 22228, n° 174.

Extrémité de pointe de lance à section à arête à flanc concave. Fer.
L. 67 mm, l. 17 mm. 16.4 g.
E : 1262.1. N : 1049.07. Alt. : 571.78.
Type : 30.

Planche 163, 9. 22228, n° 83.

Fragment médian de pointe de lance à arête à flanc concave. Fer.
L. 42 mm, l. 17 mm. 12.3 g.
E : 1257.94. N : 1047.06. Alt. : 572.19.
Type : 30.

Planche 163, 10. 22228, n° 598.

Talon de lance à douille (?) très fragmentaire. Fer.
L. 84 mm, diam. 54 x 36 mm. 50.7 g.

E : 1260.2. N : 1045.8. Alt. : 571.70.

Type : 2.

Planche 163, 11. 21068, n° 682.

Bord de frette de moyeu triangulaire avec rainure sur la pointe externe. Base-cuivre.
L. 11 mm, diam. ext. 120 mm, diam. int. 99 mm, , ht. 6 mm. 6.9 g.
E : 1266.06. N : 1051.40. Alt. : 571.94.

Planche 163, 12. 21068, n° 2099.

Fragment de lèvres de situle en bourrelet avec deux perforations inférieures. Base-cuivre.
L. 18 mm, diam. 40 mm. 5.9 g.
E : 1263.7. N : 1050.18.*

Planche 163, 13. 22228, n° 645a.

Agrafe de réparation de céramique. Plomb.
L. 41 mm, L. utile 7 mm. 16.3 g.
E : 1258.4. N : 1046.6. Alt. : 571.8.

Planche 163, 14. 22228, n° 645b.

Agrafe de réparation de céramique. Plomb.
L. 45 mm, L. utile 6 mm. 20.1 g.
E : 1258.3. N : 1046.5. Alt. : 571.8.

Planche 163, 15. 21068, n° 681.

Manche torsadé à deux reprises, terminé par un plat. Fer.
L. 246 mm, S. 13 x 7 mm. 160.9 g.
E : 1265.29. N : 1050.02. Alt. : 572.

Planche 163, 16. 22228, n° 604.

Chute de tôle repliée sur elle-même. Base-cuivre.
L. 35 mm. 4.8 g.
E : 1257. N : 1046.90. Alt. : 571.69.

Planche 163, 17. 21068, n° 1292.

Clé à translation et soulèvement de cheville à panneton à une dent conservée et à manche à anneau de suspension. Fer.
L. 58 mm, diam. ext. 22 mm. 17.7 g.
E : 1264.15. N : 1050.1.*

Planche 163, 18. 22228, n° 597.

Piton ouvert à extrémité enroulée. Fer.
L. 110 mm, L. utile 40 mm. 45.7 g.
E : 1259.16. N : 1048. Alt. : 571.75.

Planche 163, 19. 22361, n° 636.

Objet indéterminé en forme d'agrafe constitué d'une fine tige de section circulaire repliée et appointée à chaque extrémité. Base-cuivre.
L. 45 mm, S. 2 mm. 0.9 g.
E : 1261.6. N : 1048.4. Alt. : 571.82.

Planche 163, 20. 21069, n° 1479.

Fragment indéterminé de bande de fer plat légèrement ondulée rivetée à une autre bande. Cerclage? Fer.
L. 133 mm, l. 26 mm. 52.6 g.
E : 1263.8. N : 1050.3.*

Autres petits mobiliers

22228, n° 775. Talon de hache néolithique.
22228, n° 81. Éclat de verre bleu.
21069, n° 928. Jeton.
22228, n° 659. Jeton.
22357, n° 666. Jeton.
22228, n° 265. Monnaie.
21069, n° 2557. Fragment de mortier de basalte.

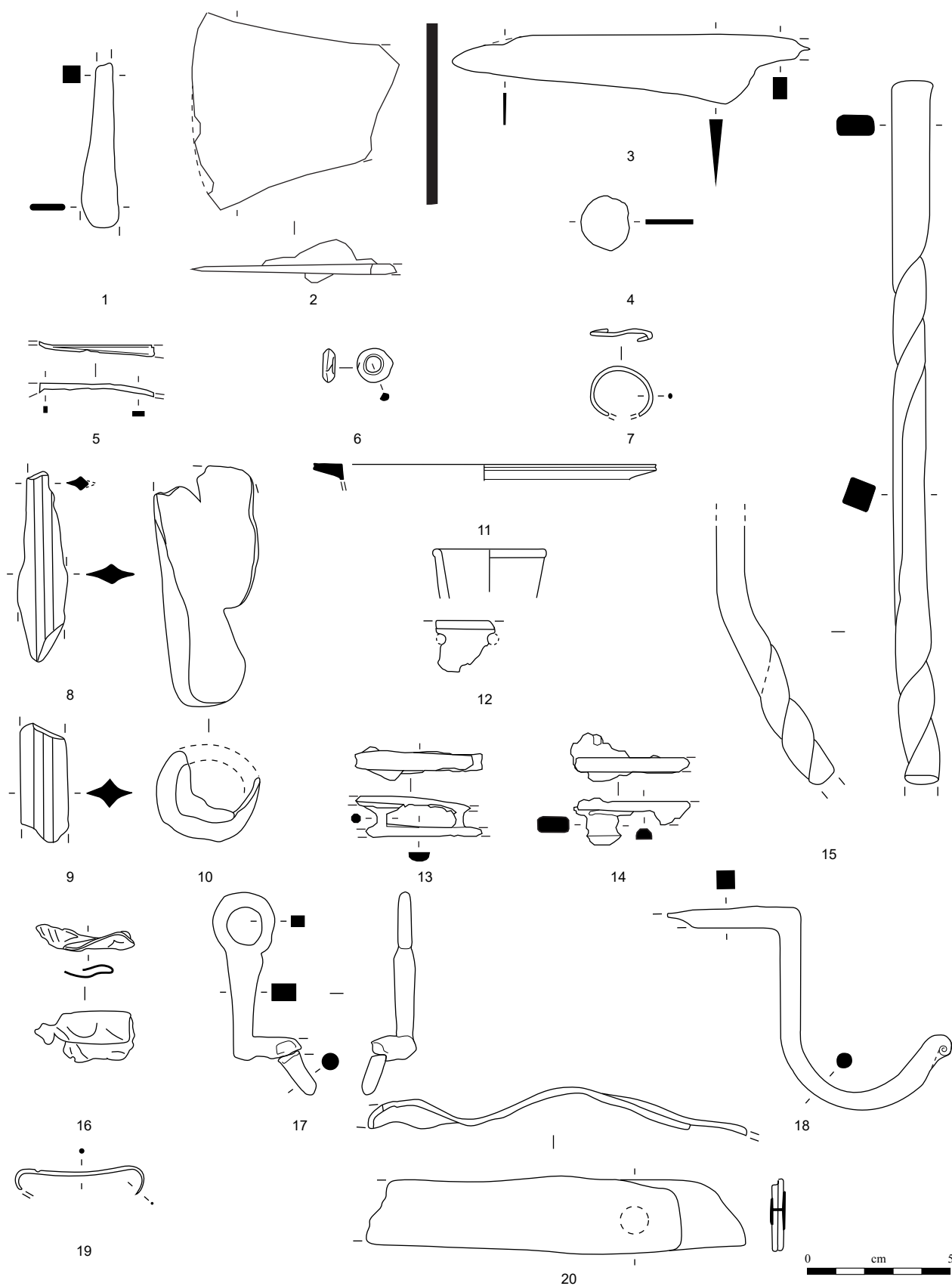


Planche 163. R-54-Pal 22228

1-3, 8-10, 15, 17-18, 20 : fer; 4, 13-14 : plomb; 5-7, 11-12, 16, 19 : alliage cuivreux.

Bâtiment R

État 2.1 : LTD1b évoluée

R-55-St 22242

Planche 164, 1. 22242-2, n° 780.

Fragment d'orle à gouttière avec patte de fixation comportant encore son rivet et du bois minéralisé à l'intérieur. Fer.

L. 64 mm. 23.6 g.

E : 1272.8. N : 1038.99. Alt. : 572.82.

Type : Gouttière.

Planche 164, 2. 22242-2, n° 788.

Fragment de gouttière d'orle. Fer.

L. 64 mm. 18.6 g.

E : 1271.8. N : 1038.96. Alt. : 571.82.

Type : Gouttière.

Planche 164, 3. 22242, n° 892.

Poinçon à soie et une partie active conique de section circulaire. Fer.

L. 60 mm, S. 4 mm. 5.3 g.

E : 1272.5. N : 1039.62.*

Planche 164, 4. 22242-2, n° 789.

Aiguiseur devenu presque circulaire en son centre tant il a été utilisé. Lithique.

L. 95 mm, S. 17 x 27 mm. 88.2 g.

E : 1271.78. N : 1038.94. Alt. : 571.82.

Planche 164, 5. 22242, n° 430.

Très petit couteau à manche de section rectangulaire et à lame triangulaire à dos droit et tranchant oblique. Fer.

L. 79 mm, L. (lame) 35 mm, l. (lame) 12 mm, L. (manche) 44 mm. 8.2 g.

E : 1273.35. N : 1039. Alt. : 572.05.

Type : 2-1.

Planche 164, 6. 22242, n° 415.

Poignée de coffre composée d'une tige de section losangique en forme d'oméga, moulurée à chaque extrémité. Base-cuivre.

L. 38 mm, S. 3 mm. 2.7 g.

E : 1273.2. N : 1038.95. Alt. : 572.05.

Planche 164, 7. 22242, n° 893.

Fragment de cotte de mailles enroulé sur lui-même. Fer.

L. 48 mm, diam. (mailles) 7 mm. 26.1 g.

E : 1272.3. N : 1039.1.*

Autres petits mobiliers

22242-2, n° 715. Deux jetons.

22242-2, n° 786. Monnaie.

22242, n° 444. Monnaie.

22242, n° 454. Monnaie.

22242-2. Fragment de plaque de foyer.

R-53-sol 22222

Planche 164, 8. 22222, n° 434.

Fibule à ressort à quatre spires (deux conservées) à corde externe haute, à arc couvrant massif au niveau de la tête, coudé avec une perle entourée de deux cannelures. Le pied est manquant. Fer.

L. 29 mm. 10.9 g.

E : 1258.2. N : 1037.6. Alt. : 572.17.

Type : F34-2.

Planche 164, 9. 22222, n° 107.

Tôle indéterminée repliée ou gouttière écrasée. Base-cuivre.

L. 20 mm, S. 3 x 1 mm. 0.2 g.

E : 1259.42. N : 1040.7. Alt. : 572.12.

Autres petits mobiliers

22222, n° 439. Jeton.

22222, n° 758. Monnaie.

R-56-TP 21395

Planche 164, 10. 21395, n° 931.

Pointe de lance ondulée cassée au niveau du début de la douille et de la pointe. La flamme présente une section lenticulaire. Fer.

L. 142 mm. 50 g.

E : 1267.2. N : 1050.2.*

Type : 12.

Autres petits mobiliers

21395, n° 2606. Fragment de *catillus* en grès hétérométrique blanc.

R-57-Sb 22305

Planche 164, 11. 22305, n° 491.

Perle à trois cannelures. Base-cuivre.

Diam. 35 mm, S. 4 mm. 8.5 g.

E : 1274.7. N : 1045.2. Alt. : 571.94.

R-58-TP 22317

Planche 164, 12. 22317, n° 609.

Fragment de barre de gril de section rectangulaire terminée par une tige de section ronde. Fer.

L. 132 mm, S. 14 x 2 mm. 41.9 g.

E : 1261.3. N : 1046.55. Alt. : 572.15.

R-59-Fo 22329

Planche 164, 13. 22329, n° 905.

Tranchant de ciseau droit avec une extrémité tranchante à double biseau et à corps de section rectangulaire. Fer.

L. 49 mm, l. (tranchant) 18 mm. 14.7 g.

E : 1259.2. N : 1039.7.*

Autres petits mobiliers

22329, n° 714. Deux jetons.

R-60-Fo 22348

Planche 164, 14. 22348, n° 906.

Objet indéterminé constitué d'une tige conique dont l'extrémité large présente une sphère moulurée. L'objet est cassé aux deux extrémités. Pièce de char (?). Fer.

L. 88 mm, S. 14 mm. 33.5 g.

E : 1261.7. N : 1043.4.*

Autres petits mobiliers

22348, n° 668. Jeton.

R-61-TP 22355

Planche 164, 15. 22355, n° 619.

Clou de chaussure à relief de quatre globules et bol peu prononcé. Fer.

Diam. 14 mm. 2 g.

E : 1269.10. N : 1039.08. Alt. : 571.04.

R-62-Sb 21178

Planche 164, 16. 21178, n° 815.

Tête de rivet émaillé. Fer.

Diam. 14 mm, L. 9 mm. 4 g.

E : 1273.25. N : 1051.7. Alt. : 571.99.

R-67-TP 22340

22340, n° 661. Jeton.

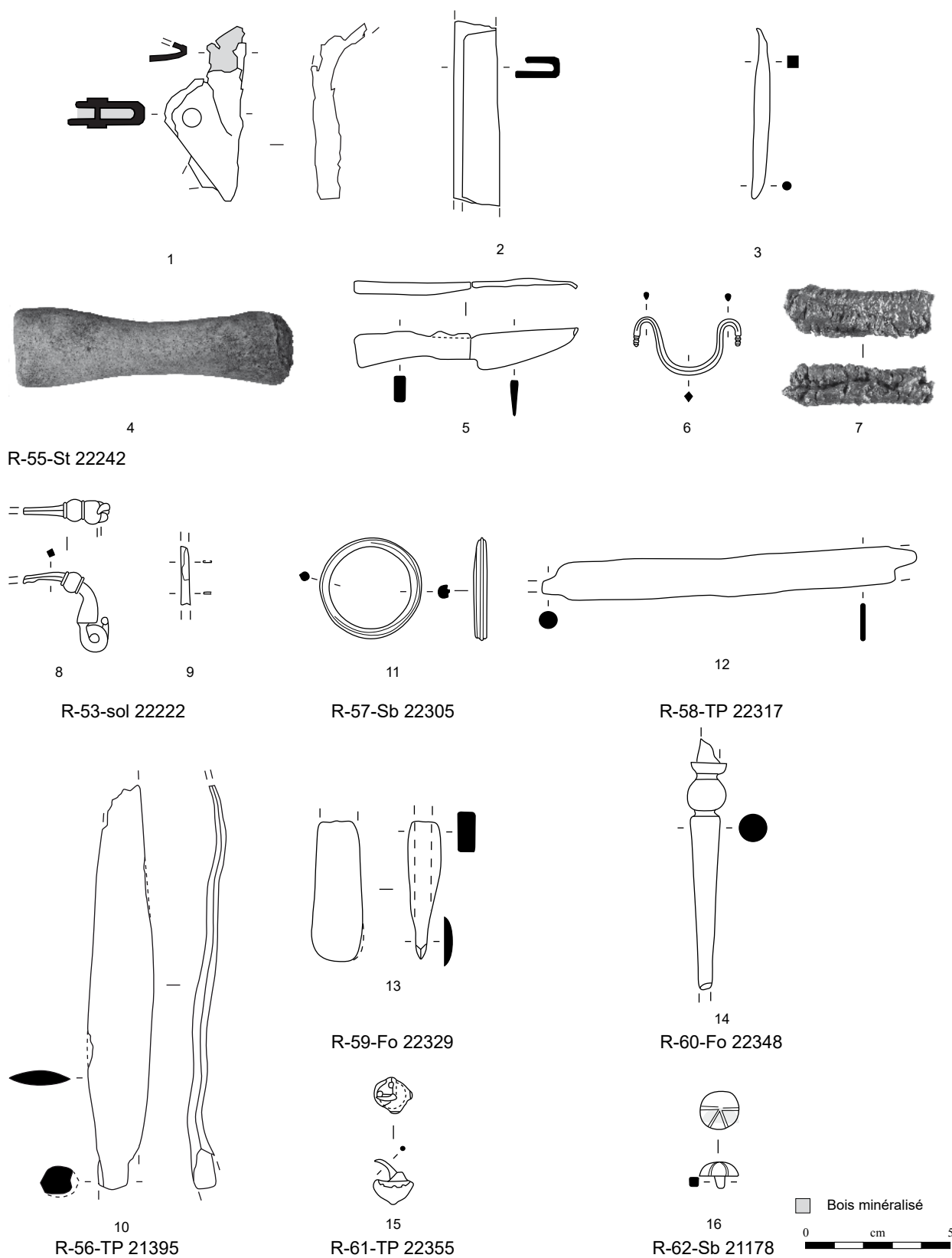


Planche 164. R-55-St 22242 à R-62-Sb 21178

1-3, 5, 7-8, 10, 12-16: fer; 4 : lithique indéterminé; 6, 9, 11 : alliage cuivreux.

Bâtiment R

État 1 : LTD1b classique

R-70-Fo art 22252

Planche 165, 1. 22252, n° 896.

Fragment de bandage de roue de section lenticulaire avec une surface plane. Les bordures ne sont pas conservées. Fer.
L. 130 mm, l. 32 mm, ép. 3 mm. 35.8 g.
E : 1259.4. N : 1048.7.*

Planche 165, 2. 22252, n° 797.

Fragment de bandage de roue constituée d'un plat massif à section en «D» très aplatie. Les rebords internes sont visibles. Fer.
L. 101, l. 41 mm, ép. 5 mm. 75.4 g.
E : 1259. N : 1048.5.*

Planche 165, 3. 22252, n° 605.

Ferrure décorative complète voilée de forme ovale avec deux perforations à chaque extrémité. Base-cuivre.
L. 37 mm, l. 21 mm. 2.1 g.
E : 1259.3. N : 1048.16. Alt. : 571.99.

Planche 165, 4. 22252-2, n° 898.

Fragment indéterminé de fer plat perforé. Fer.
L. 39 mm, ép. 2 mm. 5.8 g.
E : 1258.5. N : 1048.85.*

R-71-Pal 22343

Planche 165, 5. 22343, n° 650.

Ressort de fibule à quatre spires et corde interne avec départ d'un arc tendu filiforme de section circulaire. Fer.
L. 23 mm, S. 2,5 mm. 5.9 g.
E : 1261. N : 1040.6. Alt. : 572.09.
Type : F23-1.

Planche 165, 6. 22343, n° 656.

Fragments de bracelet tubulaire à jonc décoré de lignes de points et de section en «D». Base-cuivre.
Diam. int. 53 mm, S. 7 x 12 mm. 2.8 g.
E : 1260.7. N : 1040. Alt. : 571.98.
Type : B21-7.

Planche 165, 7. 22343, n° 733.

Manche d'outil de section ronde terminé par une soie avec une virole constituée

d'une bande de tôle en alliage cuivreux. Fer et base-cuivre.
L. 53 mm, diam. (virole) 9 mm. 17.6 g.
E : 1262.95. N : 1040.21. Alt. : 572.15.

Autres petits mobiliers

22343, n° 712. Jeton.

R-72-TP 22332

Planche 165, 8. 22332, n° 596.

Anneau de section rectangulaire à cannelures longitudinales. Base-cuivre.
Diam. 16 mm, S. 5 x 8 mm. 6.2 g.
E : 1269.03. N : 1047.92. Alt. : 571.94.

Planche 165, 9. 22332, n° 774.

Grand abraseur opportuniste en pierre ponce de forme trapézoïdale et de section rectangulaire présentant une face latérale utilisée. Lithique.
L. 120 mm, l. 33 mm. 198 g.
E : 1268.35. N : 1046.7.*

Autres petits mobiliers

22332. Fragment de plaque de foyer.

R-73-Fo 22284

Planche 165, 10. 22284, n° 607.

Ressort à quatre spires et corde externe basse avec ardillon complet. Base-cuivre.
L. 42 mm. 1.4 g.
E : 1264.90. N : 1044. Alt. : 571.75.
Type : B10-1.

Autres petits mobiliers

22284, n° 662. Jeton.

22284, n° 663. Jeton.

22284, n° 664. Jeton.

22284, n° 669. Jeton.

22284, n° 670. Jeton.

R-74-TP 21108

Planche 165, 11. 21109, n° 2587.

Fragment de boîte à moyeu constituée d'un plat de section triangulaire incurvée et terminé sur un côté. Fer.
L. 53 mm, l. 39 mm. 40 g.
E : 1279.3. N : 1049.45.*

R-75-Fo 22385

Planche 165, 12. 22385, n° 634.

Virole constituée d'une tige enroulée. Fer.
Ht. 32 mm, diam. ext. 22 mm. 37.2 g.
E : 1266.5. N : 1048.32. Alt. : 571.99.

R-79-TP 22338

22338. Fragment de plaque de foyer.

R-82-Fo 22374

22374, n° 646. Fragment de perle à section ovale en roche noire.

État 1 et 2 lato sensu : LTD1b-LTD2

R-84-TP 22344

22344, n° 660. Jeton.

État 1 : LTD1b classique

R-87-TP 22387

22387, n° 951. Jeton.

État 2.1 : LTD1b évoluée

R-88-épandage 22221

22221, n° 261. Monnaie.

22221. Fragment de plaque de foyer.

État 2.3 : fin LTD2a-LTD2b

R-91-TP 22347

22347, n° 667. Jeton.

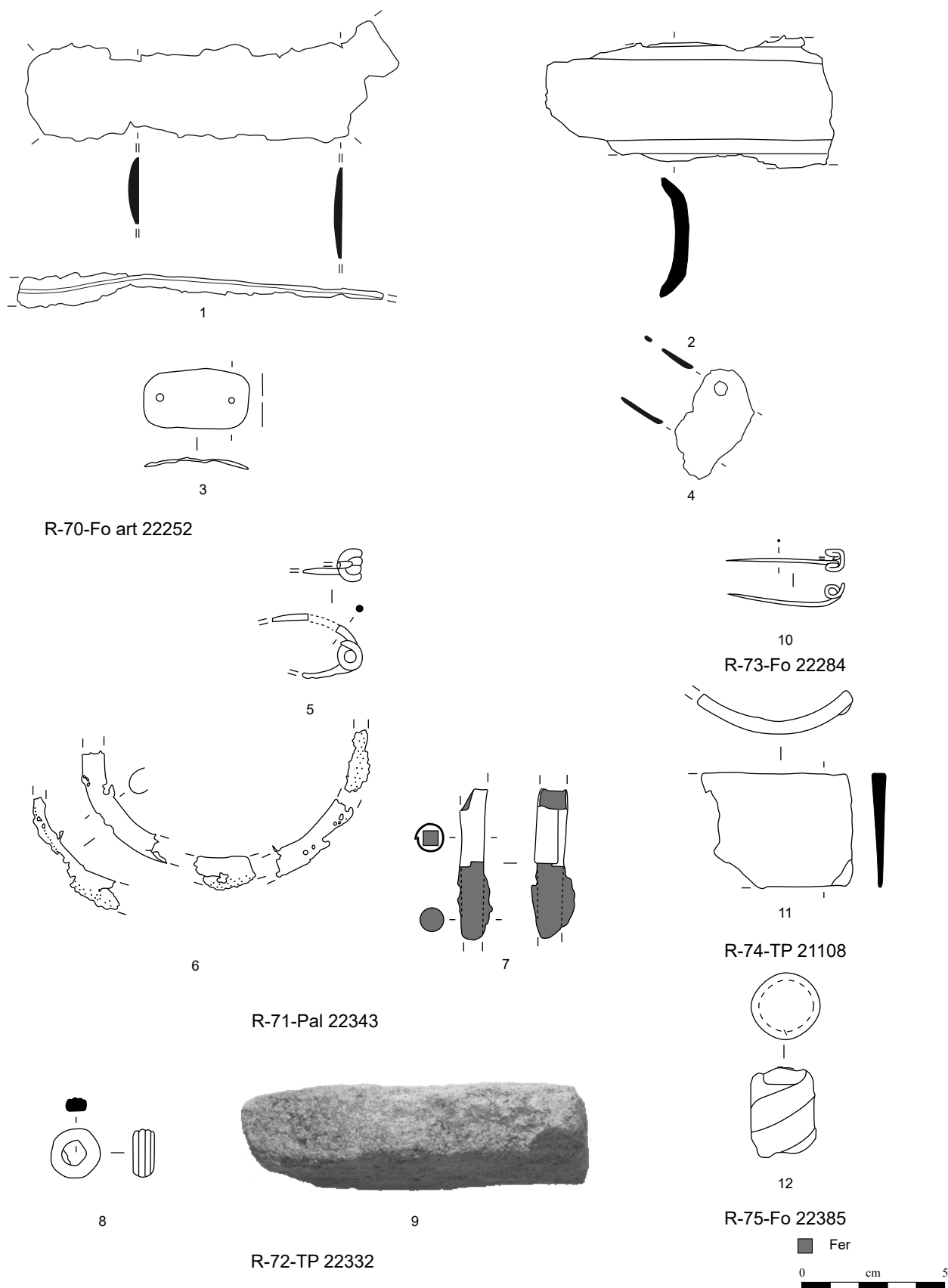


Planche 165. R-70-Fo art 22252 à R-75-Fo 22385

1-4, 4-5, 11-12 : fer; 2, 6, 8, 10 : alliage cuivreux; 7 : fer et alliage cuivreux; 9 : pierre ponce.

Type d'objet	UF	No	Description	Métal	NR	NMI	M(g)
R-1-décapage	<i>Décapage</i>						
Anneau (fer)	22201		Fragment d'anneau de section ronde	Fer	1	1	9.9
Cabochon	22208	86	Cabochon	Base-cuivre	1	1	1.5
Clou de chaussure	22209	92	Clou de chaussure de petit module	Fer	1	1	1.2
Clou de chaussure	22201	34	Tige de clou de chaussure	Fer	1	1	0.4
Crampon	22206	929	Tige de crampon rectangulaire.	Fer	1	1	0.7
Ferrure	22208	222	Ferrure complète pliée à deux reprises avec deux perforations	Fer	1	1	70.2
Ferrure	22208	65	Fragment de deux ferrures connectées par un rivet	Fer	1	1	16
Ferrure	22208		Frgt de ferrure avec perforation	Fer	1	0	15.1
Ferrure	22239		Frgt de ferrure avec une perforation	Fer	1	1	15.6
Indéterminé objet	22239		Deux fragments de plat dont un avec une courbure et une tige, demi-produit?	Fer	3	1	26.4
Indéterminé plat	22239		Fragment de fer plat	Fer	1	1	1
Indéterminé plat	22208	225	Fragment de bande de fer plat	Fer	1	1	10.7
Indéterminé tige	22202	5	Fragment de tige de section circulaire	Base-cuivre	1	1	0.3
Indéterminé tige	22206		2 frgts de tige de section rectangulaire	Fer	2	1	1.4
Indéterminé tige	22201	43	Fragment de tige de section rectangulaire	Fer	1	1	0.5
Indéterminé tige	22201	12	Tige de section rectangulaire	Fer	1	1	5.2
Indéterminé tôle	22208		Frmts de tôles	Fer	2	1	3.9
Indéterminé tôle	22201		Frmts de tôles	Fer	3	1	4.4
Indéterminé tôle	22208	95	Fragment de bande de tôle.	Fer	1	1	2.1
Indéterminé tôle	22201	28	Fragment de tôle avec bordures repliées.	Fer	1	0	2.4
Indéterminé tôle	22239		Fragment de tôle avec une perforation quadrangulaire	Fer	1	1	3.6
Indéterminé tôle	22206		Frgt de tôle	Fer	1	1	4.6
Clou	22202	4	Clou à tête hémisphérique creuse	Fer	1	1	5.7
Clou	22202		Constr. : 1 frgt	Fer	1	1	30.1
Clou	22209		Men. : 1 frgt, 3 tiges	Fer	4	1	14.8
Clou	22202		Men. : 3 frgts, 7 tiges	Fer	10	3	62.3
Clou	22208		Men. : 43 frgts, 34 tiges	Fer	78	43	409.2
Clou	22239		Men. : 6 frgts, 6 tiges	Fer	12	6	76.5
Clou	22205		Men. : 7 frgts, 3 tiges	Fer	10	7	54.8
Clou	22205	15	Men.: 1 frgt	Fer	1	1	22.2
Clou	22205	36	Men.: 1 clou	Fer	1	1	7.4
Clou	22206	7	Men.: 1 frgt	Fer	1	1	7.6
Clou	22209	74	Men.: 1 frgt	Fer	1	1	1.9
Clou	22208	69	Men.: 1 frgt, 1 tige	Fer	2	1	7.8
Clou	21032		Men.: 11 frgts; 16 tiges	Fer	29	11	181
Clou	22201	9	Men.: 3 frgts, 1 tige	Fer	4	3	27.1
Clou	22201		Men.: 3 frgts, 9 tiges	Fer	12	3	45.2
Clou	22206		Men.: 9 frgts, 18 tiges	Fer	27	9	90
Clou	22205	11	Tête de clou	Fer	1	1	3.4
Clou	22208	97	Tête de clou	Fer	1	1	4.4
Clou	22208	103	Tête de clou hémisphérique creuse	Fer	1	1	3.4
Clou	22208	226	Tête de clou.	Fer	1	1	4
Clou	22205	35	Tige	Fer	1	1	2.5
Rivet (bc)	22202	41	Clou-rivet en une pièce à tête circulaire plate	Base-cuivre	1	1	2.4
Rivet (fer)	22205	82	Rivet à contreplaque dont la contreplaque est manquante	Fer	1	1	7
Rivet (fer)	22209	89	Rivet en une pièce à tige matée par écrasement	Fer	1	1	7.5
Scorie (bc)	22201	16	Scorie d'alliage cuivreux, de verre? très vitrifiée	Base-cuivre	1	1	2.7
Scorie (fer)	22239		1 frgt de calotte	Fer	1	1	67.5
Scorie (fer)	22239		Deux calottes (120 g et 33.7 g)	Fer	2	2	153.7
Scorie (fer)	22239	59	Fragment de calotte	Fer	1	1	119
Scorie (fer)	22239		Fragments de scorie informe	Fer	9	1	49.8
Scorie (fer)	22209	100	Fragments de scories informes	Fer	2	1	10.7
Scorie (fer)	22239	56	Scorie informe	Fer	1	1	12.5
Scorie (fer)	22239	268	Scorie informe type C	Fer	1	1	65
Scorie (fer)	22239	269	Scorie informe type C	Fer	1	1	71.7
R-2-épandage 22225	<i>État 3 : fin LTD2b-Auguste</i>						
Clou	22225		Men.: 1 frgt, 3 tiges	Fer	4	1	8.1
R-3-radier 22227	<i>État 2.3 : fin LTD2a-LTD2b</i>						
Clou	22227		Men. : 1 frgt	Fer	1	1	9.3
R-4-radier 22229	<i>État 2.3 : fin LTD2a-LTD2b</i>						
Crampon	22229		Frmts d'un même crampon	Fer	2	1	6.8
Crampon	22229		Fragments de crampon	Fer	3	1	17.8

Type d'objet	UF	No	Description	Métal	NR	NMI	M(g)
Ferrure	22229	323	Fragment de ferrure avec une perforation	Fer	1	0	16.7
Ferrure	22229	233	Fragment de grande ferrure à extrémité circulaire	Fer	1	1	33.5
Indéterminé objet	22229	68	Fragment informe	Fer	1	1	3.1
Indéterminé objet	22229	885	Fragments de ferrure, de support de gril?	Fer	3	0	10.4
Clou	22229		Men. : 22 frgts, 53 tiges	Fer	75	22	325.4
Clou	22229	67	Men. : 1 frgt	Fer	1	1	20.2
Indéterminé tôle	22271-C		Fragment de bande de tôle	Fer	1	1	11.7
Clou	22271-C		Constr. : 2 frgts	Fer	2	2	74.5
Clou	22271-A		Men. : 1 frgt	Fer	1	1	12.7
Clou	22271-C		Men. : 3 frgts, 2 tiges	Fer	5	2	72.9
R-5-radier 22230	<i>État 2.3 : fin LTD2a-LTD2b</i>						
Indéterminé plat	22230		Fragments de bande de fer plat	Fer	1	1	9.8
Indéterminé tôle	22230		Fragments de tôle dont une bande	Fer	2	1	46.3
Clou	22230		Men.: 47 frgts, 60 tiges	Fer	107	47	566
Rivet (bc)	22230	436	Rivet en une pièce à petite tête circulaire plate	Base-cuivre	1	1	0.4
Scorie (fer)	22230		Scorie informe	Fer	1	1	8.7
R-6-radier 22231	<i>État 2.3 : fin LTD2a-LTD2b</i>						
Clou	22231		Men. : 7 frgts, 18 tiges et un clou de tapissier	Fer	25	7	122.7
Scorie (fer)	22231		Frgts de scories	Fer	3	1	86.8
R-7-épandage 22237	<i>État 2.3 : fin LTD2a-LTD2b</i>						
Clou	22237		Men. : 1 frgt, 5 tiges	Fer	6	1	25.5
Clou	22237	239	Men.: 1 frgt, 1 tige	Fer	2	1	13.6
R-8-radier 22272	<i>État 2.3 : fin LTD2a-LTD2b</i>						
Clou	22272		Men. : 1 frgt, 7 tiges	Fer	8	1	14.6
Scorie (fer)	22272		Frgt de calotte de forge (50.1g) et 9 scories	Fer	10	1	78.6
R-9-radier 22273	<i>État 2.3 : fin LTD2a-LTD2b</i>						
Indéterminé tige	22273		Tiges indéterminées dont une de section rectangulaire	Fer	2	1	3.7
Indéterminé tôle	22273		Frgts de tôles	Fer	3	1	9.4
Clou	22273		Constr. : 1 frgt	Fer	1	1	22.2
Clou	22273		Men. : 29 frgts, 52 tiges	Fer	81	29	302.3
Rivet (bc)	22273	425	Rivet en une pièce à tête circulaire plate	Base-cuivre	1	1	0.3
Scorie (fer)	22273		2 frgts calottes de forge (57.9g et 36.8g) et 52 scories	Fer	54	2	671
Scorie (fer)	22273	314	Scorie informe	Fer	1	0	8.3
R-10-TP 22356	<i>État 2.3 : fin LTD2a-LTD2b</i>						
Clou	22356		Men.: 1 frgt	Fer	1	1	8.4
R-11-Pal 22386	<i>État 2.3 : fin LTD2a-LTD2b</i>						
Déchet de fabrication	22386		Déchet de fabrication	Fer	1	1	11.6
Ferrure	22386	783	Fragment de ferrure	Fer	1	1	23.4
Clou	22386		Men.: 3 frgts, 1 tige	Fer	4	3	24.55
Piton	22386	908	Extrémité de piton fermé par enroulement	Fer	1	1	19.2
Rivet (fer)	22386	791	Fragment de contreplaque de rivet	Fer	1	1	6.6
Scorie (fer)	22386		Scories informes	Fer	3	1	27.9
R-12-épandage 22224	<i>État 2.3 : fin LTD2a-LTD2b</i>						
Indéterminé tôle	22224	424	Fragment de tôle	Base-cuivre	1	1	2
R-13-épandage 22238	<i>État 2.3 : fin LTD2a-LTD2b</i>						
Clou	22238		Men.: 7 frgts, 9 tiges	Fer	16	7	66.2
R-14-TP 22244	<i>État 2.3 : fin LTD2a-LTD2b</i>						
Clou	22244		Tige	Fer	1	1	7
Scorie (fer)	22244		Scories	Fer	2	1	19.1
R-15-radier 22274	<i>État 2.3 : fin LTD2a-LTD2b</i>						
Anneau (fer)	22274		Anneau de section ronde	Fer	1	1	7.7
Ferrure	22274		Frgt de ferrure avec une perforation	Fer	1	1	7.8
Clou	22274		Men. : 5 frgts, 14 tiges	Fer	17	5	87.8
Scorie (fer)	22274		2 frgts calottes (76.5g et 41.1g) et 43 scories	Fer	45	2	426.6
R-16-radier 22293	<i>État 2.3 : fin LTD2a-LTD2b</i>						
Clou	22293		Men. : 3 frgts	Fer	3	3	39
R-18-radier 22223	<i>État 2.3 : fin LTD2a-LTD2b</i>						
Indéterminé tôle	22223	420	Frgts de tôle	Fer	7	1	8.5
Clou	22223		Men. : 10 frgts, 16 tiges	Fer	26	10	107.8
Scorie (fer)	22223		Scorie	Fer	1	1	1.7
R-19-sol 22234	<i>État 2.3 : fin LTD2a-LTD2b</i>						
Clou	22234		Men. : 3 frgts, 1 tige	Fer	4	1	34.9
R-20-sol 22236	<i>État 2.2 : LTD2a</i>						
Clou	22236		Men. : 2 frgts, 5 tiges	Fer	7	2	42.9
R-21-radier 22243	<i>État 2.3 : fin LTD2a-LTD2b</i>						
Crampon	22243		Fragment de crampon	Fer	1	1	5.4

Type d'objet	UF	No	Description	Métal	NR	NMI	M(g)
Ferrure	22243	641	Fragment de large ferrure avec une perforation	Fer	1	1	15.5
Indéterminé plat	22243		1 frgt de bande de fer plat	Fer	1	1	8.7
Clou	22243		Men. : 23 frgts, 14 tiges	Fer	37	23	270.2
Scorie (fer)	22243		Scorie dont une calotte	Fer	5	1	193.4
R-22-Pal 22278	<i>État 2.3 : fin LTD2a-LTD2b</i>						
Anneau (fer)	22278	932	Anneau de section carrée	Fer	1	1	8.5
Indéterminé plat	22278	793	Fragment de large bande de fer plat légèrement incurvée à une extrémité	Fer	1	1	30.3
Clou	22278		Constr. : 1 frgt; men. : 7 frgts, 6 tiges	Fer	14	8	141.7
Scorie (fer)	22278	944	Scorie informe très vitrifiée	Fer	2	1	13.7
R-23-Fo 22285	<i>État 2.3 : fin LTD2a-LTD2b</i>						
Clou	22285		Men. : 1 frgt, 2 tiges	Fer	3	1	19.3
Scorie (fer)	22285		Frgts de scories	Fer	3	1	5.8
R-24-Fo 22316	<i>État 2.3 : fin LTD2a-LTD2b</i>						
Clou	22316		Men. : 2 frgts, 1 tige	Fer	3	2	24.6
R-25-Sb 22313	<i>État 2.3 : fin LTD2a-LTD2b</i>						
Clou	22313		Men. : 1 frgt, 3 tiges	Fer	4	1	39.7
R-26-Fossé 22321							
Cabochon	22321	924	Cabochon	Base-cuivre	1	1	0.5
Coulure	22321	925	Coulure	Base-cuivre	1	1	2.3
Indéterminé tige	22321	961	Tige de section rectangulaire. Demi-produit?	Fer	13	1	17.9
Indéterminé tôle	22321	814	Fragment de tôle	Base-cuivre	1	1	0.1
Clou	22321		Men. : 13 frgts, 7 tiges	Fer	20	13	179.9
Perle	22321	704	Perle à section en «D»	Base-cuivre	1	1	2.3
Scorie (fer)	22321		Frgts de calottes (118.3g et 9.6g)	Fer	2	2	127.9
Scorie (fer)	22321		Calotte (322 g), 3 fragments de calotte et 9 scories informes	Fer	13	4	659
R-28-radier 22240	<i>État 2.3 : fin LTD2a-LTD2b</i>						
Indéterminé plat	22240	657	Fragment de bande de fer plat repliée sur elle-même	Fer	1	1	28.9
Clou	22240		Men. : 6 frgts, 6 tiges	Fer	12	6	87.4
R-29-Sb 22331							
Clou	22331		Men. : 3 frgts, 4 tiges	Fer	7	3	44.6
R-30-nettoyage 22349	<i>État 2.3 : fin LTD2a-LTD2b</i>						
Clou	22349		Men. : 3 frgts, 3 tiges	Fer	6	3	30.9
R-32-Solin 22235	<i>État 2.3 : fin LTD2a-LTD2b</i>						
Clou	22235		Tiges	Fer	2	1	5.1
R-33-TP 22241	<i>État 2.3 : fin LTD2a-LTD2b</i>						
Clou	22241		Men. : 2 frgt, 2 tiges	Fer	4	2	16.8
R-34-TP 22354	<i>État 2.3 : fin LTD2a-LTD2b</i>						
Clou	22354		Tige	Fer	1	0	1.9
R-35-Sb 22367	<i>État 2.3 : fin LTD2a-LTD2b</i>						
Clou	22367		Men. : 1 frgt	Fer	1	1	11.15
R-36-radier 22247	<i>État 2.2 : LTD2a</i>						
Clou	22247		Men. : 3 frgts, 7 tiges	Fer	10	3	28.1
R-37-sol d'amphore 22233	<i>État 2.2 : LTD2a</i>						
Clou	22233		Men. : 8 frgts, 3 tiges	Fer	11	8	85.5
R-38-TP 22394	<i>État 2.2 : LTD2a</i>						
Clou	22394		Men. : 2 frgts	Fer	2	2	8.9
R-40-Fossé 22271	<i>État 2.2 : LTD2a</i>						
Coulure	21699-41	2563	Coulure	Base-cuivre	1	1	13.3
Crampon	21699-41	978	Crampon massif cassé au milieu de la barre centrale	Fer	1	1	49.2
Ferrure	22271		Frgts de ferrure	Fer	3	1	33.7
Goutte	21145	2532	Gouttes	Base-cuivre	2	2	0.9
Indéterminé plat	22271		Fragment de bande de fer plat légèrement incurvée	Fer	1	1	8.6
Indéterminé plat	21145	957	Fragment de fer plat avec un élargissement à une extrémité	Fer	1	1	4.5
Indéterminé plat	21145	956	Fragment de fine bande de fer plat	Fer	1	0	4
Indéterminé tige	21145	785	Tige de section carrée	Fer	1	1	15.9
Indéterminé tôle	22271-B	900	2 frgts de tôle incurvée	Fer	2	1	43.9
Indéterminé tôle	21699-41	980	Fragment de tôle	Fer	1	0	2.9
Indéterminé tôle	21699-41	979	Fragments de tôle	Fer	2	1	8.5
Indéterminé tôle	22271		Frgt de tôle	Fer	1	1	8.4
Clou	21145	860	Clou dont la tête a brûlé	Fer	1	1	13.6
Clou	22271		Constr. : 1 tige	Fer	1	1	26.3
Clou	22271-B		Men. : 11 frgts, 19 tiges	Fer	30	11	267.8
Clou	22271		Men. : 25 frgts, 50 tiges	Fer	75	25	601.4

Type d'objet	UF	No	Description	Métal	NR	NMI	M(g)
Clou	22351		Men. : 4 frgt, 5 tiges	Fer	9	4	48.2
Clou	21145		Men.: 21 frgts; 28 tiges	Fer	49	21	314.6
Clou	21699-41		Men.: 6 frgts; 10 tiges	Fer	16	6	139
Clou	22271	528	Tête de clou de construction.	Fer	1	1	27.4
Clou	21145	899	Tige	Fer	1	0	1.3
Clou	21145	897	Tige de clou	Fer	1	0	5.7
Scorie (fer)	22271-B		2 calottes (91.6 g, 26.6 g) et 13 scories	Fer	15	2	205.9
Scorie (fer)	21699-41		3 calottes, 10 frgts de scories informe	Fer	13	3	629
Scorie (fer)	22271		4 calottes de forge (110.9 g, 193 g, 85.8 g, 85.6 g) et 52 scories informes	Fer	56	4	1203.6
Scorie (fer)	21145		Calotte et fragment de scorie	Fer	2	1	175.3
Scorie (fer)	21145	898	Deux fragments de scories	Fer	2	1	60.2
Scorie (fer)	21145		Deux scories dont une calotte	Fer	2	1	86.6
Scorie (fer)	21145	820	Fragment de scorie	Fer	1	1	19.7
Scorie (fer)	21145	857	Scorie	Fer	1	1	39.8
R-41-Fo 22245 <i>État 2.2 : LTD2a</i>							
Ferrure	22245	422	Ferrure complète arrachée avec une perforation à chaque extrémité	Fer	1	1	37.1
Indéterminé tôle	22245		Frgt de tôle	Fer	1	1	7.4
Clou	22245		Men. : 9 frgts, 9 tiges	Fer	18	9	95.3
Clou	22245	414	Tête de clou	Fer	1	1	10.2
Scorie (fer)	22245		2 frgts de calottes (46.8 g et 227.8 g) et 17 scories	Fer	19	2	582.9
Scorie (fer)	22245	322	Calotte	Fer	1	1	308
R-42-TP 22325 <i>État 1 à 2.2 : LTD1b-LTD2a</i>							
Indéterminé tige	22325		Frgt de tige de section rectangulaire	Fer	1	1	8.6
Clou	22325		Men. : 1 frgt, 3 tiges	Fer	4	1	15.2
R-44-Fo 22339 <i>État 1 à 2.2 : LTD1b-LTD2a</i>							
Clou	22339		Men. : 1 tige	Fer	1	1	3.6
Scorie (fer)	22339		2 frgts de scories	Fer	2	1	19.5
R-45-Fo 22373 <i>État 1 à 2.2 : LTD1b-LTD2a</i>							
Indéterminé tôle	22373	635	Fragments de tôle	Base-cuivre	3	1	0.1
Clou	22373		2 tiges	Fer	2	1	2.75
R-46-Sb 22303 <i>État 2.2 : LTD2a</i>							
Clou	22303		Men. : 1 frgt, 1 tige	Fer	2	1	16.2
R-47-St 22352 <i>État 2.2 : LTD2a</i>							
Clou	22352		Men.: 1 frgt	Fer	1	1	18.15
R-48-TP 22353 <i>État 2.2 : LTD2a</i>							
Clou	22353		2 tiges	Fer	2	1	14.8
R-50-TP 22410 <i>État 2.2 : LTD2a</i>							
Clou	22410		Men.: 1 clou	Fer	1	1	23.7
R-51-TP 22432 <i>État 2.2 : LTD2a</i>							
Clou	22432		Men.: 4 frgts, 2 tiges	Fer	6	4	30
R-53-sol 22222 <i>État 2.1 : LTD1b évoluée</i>							
Indéterminé plat	22222	71	Fragment de fer plat de section changeante	Fer	1	1	23.8
R-54-Pal 22228 <i>État 2.1 : LTD1b évoluée</i>							
Anneau (fer)	22228	633	Anneau de section ronde	Fer	1	1	39.4
Cabochon	22207	19	Cabochon	Base-cuivre	1	1	0.9
Coulure	21069	927	Coulure	Base-cuivre	1	1	1.6
Déchet de fabrication	22228		Déchet de fabrication (bord découpé?)	Fer	1	1	2.4
Ferrure	21069	926	Ferrure avec un clou de fixation	Fer	1	1	21.8
Indéterminé plat	22228	644	Fragment d'épaisse bande de fer plat	Fer	1	0	29.2
Indéterminé plat	22228	79	Fragment de bande de fer plat	Fer	1	1	10
Indéterminé plat	22228	880	Fragment de fer plat	Fer	1	0	12.2
Indéterminé plat	22228	878	Fragment de fer plat de forme triangulaire	Fer	1	0	27.6
Indéterminé plat	22228	879	Fragment de fer plat indéterminé	Fer	1	0	16.2
Indéterminé tige	22228		Tige avec partie épaissie, outil ?	Fer	1	1	7.3
Indéterminé tôle	22228	264	Fragment de tôle	Base-cuivre	1	1	0.3
Indéterminé tôle	22207	24	Fragment de tôle	Base-cuivre	1	1	0.2
Indéterminé tôle	22228	599	Fragment de tôle	Base-cuivre	1	1	0.2
Indéterminé tôle	22228		Frgts de tôles	Fer	9	1	26.7
Clou	22228		Constr. : 1 frgt	Fer	1	1	7
Clou	22228		Men. : 37 frgts, 41 tiges	Fer	70	39	478.7
Clou	21068		Men.: 7 frgts; 21 tiges	Fer	28	7	127
Clou	22207	8	Tige	Fer	1	1	1.7
Clou	22228	61	Tige	Fer	1	1	2.3
Clou	22361		Tige	Fer	1	0	9.35

Type d'objet	UF	No	Description	Métal	NR	NMI	M(g)
Clou	22228	84	Tige de clou	Fer	1	1	2
Scorie (fer)	22228		1 calotte (152.8g) et 4 scories	Fer	5	1	102.7
Scorie (fer)	22228	96	Fragments de scorie	Fer	2	0	49.9
R-55-St 22242	<i>État 2.1 : LTD1b évoluée</i>						
Cabochon	22242	457	Cabochon	Base-cuivre	1	1	0.6
Crampon	22242-2	778	Fragment de crampon arraché.	Fer	1	1	19.1
Ferrure	22242-2	795	Fragment de ferrure avec une perforation	Fer	1	1	6.1
Indéterminé plat	22242-2	792	Fragment de bande de fer plat	Fer	1	1	6.8
Indéterminé plat	22242		Fragment de fer plat dont une languette	Fer	2	1	6
Indéterminé tige	22242		1 frgt de tige section ovale creuse ?	Fer	1	1	2.9
Indéterminé tige	22242-2		Fragment de tige indéterminée de section rectangulaire	Fer	1	1	8.5
Indéterminé tôle	22242		1 frgt de tôle	Fer	1	1	2.25
Clou	22242-2		Men. : 8 frgts, 3 tiges	Fer	11	8	165.6
Clou	22242		Men.: 2 clous, 12 frgts, 11 tiges	Fer	25	14	177.7
R-59-Fo 22329	<i>État 2.1 : LTD1b évoluée</i>						
Anneau (fer)	22329		Anneau à section en D	Fer	1	1	31.2
Ferrure	22329		Extrémité de ferrure	Fer	1	1	11.1
Clou	22329		Men. : 1 frgt, 4 tiges	Fer	5	1	39.9
Scorie (fer)	22329		1 calotte de forge et 2 frgts de calottes de forge (136.7g, 35.5g et 92.9g) et 2 scories	Fer	5	3	290.1
R-60-Fo 22348	<i>État 2.1 : LTD1b évoluée</i>						
Indéterminé plat	22348		Frgt de bande de fer plat repliée de forme triangulaire	Fer	1	1	16
Indéterminé tige	22348	617	Tige de section ronde pliée	Base-cuivre	1	1	1
Indéterminé tôle	22348		2 frgts de tôle	Fer	2	1	5.2
Clou	22369		6 tiges	Fer	6	1	7.7
Clou	22348		Men. : 10 frgts, 15 tiges	Fer	25	10	156
Scorie (fer)	22348		Frgts de scories	Fer	4	1	30.4
R-62-Sb 21178	<i>État 2.1 : LTD1b évoluée</i>						
Clou	21178		Men.: 5 frgts; 5 tiges	Fer	10	5	65
R-63-St 22288	<i>État 2.1 : LTD1b évoluée</i>						
Déchet de fabrication	22288		Déchets de fabrication	Fer	1	1	2.9
Clou	22288		Men. : 2 tiges	Fer	2	1	19.6
R-64-Fo 22283	<i>État 2.1 : LTD1b évoluée</i>						
Clou	22283		Men. : 1 frgt, 1 tige	Fer	2	1	9.1
R-65-TP 22217	<i>État 2.1 : LTD1b évoluée</i>						
Clou	22217		Men. : 1 frgt, 1 tige	Fer	2	1	10.1
R-66-TP 22323	<i>État 2.1 : LTD1b évoluée</i>						
Clou	22323		Men. : 1 frgt, 1 tige	Fer	2	1	13.9
R-68-TP 22406	<i>État 2.1 : LTD1b évoluée</i>						
Clou	22406		Tiges	Fer	2	1	22.7
R-69-TP 22430	<i>État 2.1 : LTD1b évoluée</i>						
Clou	22430		Men.: 1 frgt	Fer	1	1	7.4
R-70-Fo art 22252	<i>État 1 : LTD1b classique</i>						
Cabochon	22252	629	Cabochon	Base-cuivre	1	1	0.2
Ferrure	22252	654	Fragment de ferrure à extrémité circulaire perforée	Fer	1	1	11.8
Indéterminé tôle	22252-2		Fragment de bande de tôle	Fer	1	1	2.2
Indéterminé tôle	22252	897	Fragments de tôle	Fer	6	1	39
Clou	22252		Men. : 25 frgts, 32 tiges	Fer	57	25	328.3
Rivet (fer)	22252	897	Rivet à contreplaque en une pièce	Fer	1	1	5.4
R-71-Sb 22343	<i>État 1 : LTD1b classique</i>						
Ferrure	22343		Extrémité de ferrure	Fer	1	1	15.4
Clou	22343		Men. : 7 frgts, 5 tiges	Fer	12	7	68.8
R-73-Fo 22284	<i>État 1 : LTD1b classique</i>						
Indéterminé tôle	22284	608	Fragments de tôle.	Base-cuivre	2	1	0.6
Clou	22284		Men. : 6 frgts, 3 tiges	Fer	9	6	81
Scorie (fer)	22284		1 frgt de scorie	Fer	1	1	6
R-74-TP 21108	<i>État 1 : LTD1b classique</i>						
Cabochon	21109	2586	Cabochon avec substance de fixation	Base-cuivre	1	1	0.3
R-75-Fo 22385	<i>État 1 : LTD1b classique</i>						
Indéterminé plat	22385	630	Fragment de bande de fer plat.	Fer	1	1	14.1
Indéterminé plat	22385	631	Fragment de fer plat.	Fer	1	0	25.8
Indéterminé tôle	22385		2 fragments de tôles dont une avec clou en position fonctionnelle	Fer	2	1	19.2
Clou	22385		Men.: 3 frgts, 1 tige	Fer	4	3	38.3
Scorie (fer)	22385		1 scorie informe	Fer	1	1	25.9
R-76-Ce 21122	<i>État 1 : LTD1b classique</i>						
Indéterminé tôle	21123		Fragment de tôle	Fer	2	1	5.1
Clou	21123		Men.: 23 frgts; 22 tiges	Fer	44	23	307

Type d'objet	UF	No	Description	Métal	NR	NMI	M(g)
R-77-TP 21699-74	<i>État 1 : LTD1b classique</i>						
Clou	21699-75		Men.: 1 frgt	Fer	1	1	4
R-78-TP 22276	<i>État 1 : LTD1b classique</i>						
Indéterminé plat	22276		Frgt de bande de fer plat	Fer	1	1	6
Clou	22276		Men. : 3 frgts, 8 tiges	Fer	11	3	56.8
R-80-TP 22411	<i>État 1 : LTD1b classique</i>						
Clou	22411		Tiges	Fer	2	1	4.2
R-81-Sb 22424	<i>État 1 : LTD1b classique</i>						
Clou	22424		Tige	Fer	1	0	1.4
Scorie (fer)	22424		Fragment de calotte de forge	Fer	1	1	37.9
R-83-TP 22318	<i>État 1 et 2 lato sensu : LTD1b-LTD2</i>						
Clou	22318		Men. : 1 frgt	Fer	1	1	11.5
R-84-TP 22344	<i>État 1 et 2 lato sensu : LTD1b-LTD2</i>						
Clou	22344		Men. : 2 frgts	Fer	2	2	13.5
Scorie (fer)	22344		Frgts de scories	Fer	2	1	3.6
R-85-TP 22345	<i>État 1 et 2 lato sensu : LTD1b-LTD2</i>						
Indéterminé tige	22345		Frgt de tige de section rectangulaire	Fer	1	1	2.3
Clou	22345		Men. : 1 frgt, 1 tige	Fer	2	1	9.2
R-86-TP 22291	<i>Non phasé</i>						
Clou	22291		Men. : 1 frgt, 1 tige	Fer	2	1	14.4
Scorie (fer)	22291		Scorie Informe	Fer	1	1	14.3
R-87-TP 22387	<i>État 1 : LTD1b classique</i>						
Clou	22387		Tige	Fer	1	1	4.5
R-88-épandage 22221	<i>État 2.1 : LTD1b évoluée</i>						
Clou	22221		Men. : 3 frgts, 1 tige	Fer	4	1	34.8
R-89-Sb 22390	<i>État 2.2 : LTD2a</i>						
Clou	22388		Tige	Fer	1	1	9.2
R-90-Tranchée 22279	<i>Perturbations modernes</i>						
Clou	22279		Men.: 4 frgts, 5 tiges	Fer	9	4	46.8
R-91-TP 22347	<i>État 2.3 : fin LTD2a-LTD2b</i>						
Clou	22347		Men. : 1 frgt, 1 tige	Fer	2	1	19.4

BÂTIMENT O

Décapage

O-1-décapage

Planche 166, 1. 22539, n° 868.

Fibule à ressort à quatre spires et corde interne et à arc de tôle triangulaire fragmentaire avec une nervure centrale. Le ressort est démantelé. Fer.
L. 48 mm. 9.4 g.
E : 1214. N : 1055.*
Type : F22-3.

Planche 166, 2. 20338, n° S4009.

Perle à section en «D». Base-cuivre.
Diam. 9 mm, S. 4 mm. 1.6 g.
E : 1265.7. N : 1068.2. Alt. : 572.51.

Planche 166, 3. 20338, n° S4061.

Angrois à tête matée et bordure latérale fragmentaire. Fer.
L. 23 mm, l. 12 mm. 3.4 g.
E : /. N : /. Alt. : /*

Planche 166, 4. 20338, n° S4013.

Attache de baudrier ou agrafe de ceinturon à anneau triangulaire et bouton rectangulaire. Présence d'une tôle collée sur l'anneau. Base-cuivre.
L. 22 mm, L. (bouton) 16 mm, diam. (anneau) 22 mm. 10.6 g.
E : 1210.95. N : 1060.15. Alt. : 572.43.
Type : B51-2.

Planche 166, 5. 20338, n° E2027.

Fragment de foncec de serrure avec entrée quadrangulaire. Fer.
L. 68 mm. 26.1 g.
E : 1211.8. N : 1053.5. Alt. : 572.59.

Autres petits mobiliers

20408, n° E2044. Fragment de bracelet en verre bleu à section en «D» (Gebhard 38).
22511, n° 484. Jeton.
20338. Fragment de bracelet en verre bleu à section en «D» avec trace d'incisions (Gebhard 38, forme 94).
20338, n° S4041. Perle en os à section en «D» avec deux petites gorges parallèles sur une face.

État 2.2 : LTD2a

O-2-Fo art 20415

Planche 166, 6. 20416, n° E2039.

Perle brûlée ? Base-cuivre.
Diam. 20 mm. 11.3 g.
E : 1210.9. N : 1057.1. Alt. : 572.27.

Planche 166, 7. 22549, n° 967.

Arc de fibule de section lenticulaire puis circulaire. Fer.
L. 32 mm. 2.7 g.
E : 1212.2. N : 1056.1.
Type : F03.

Planche 166, 8. 20416, n° E2048.

Abraseur polyédrique à cupule de préhension ou fonctionnelle (?) en basalte fin. Lithique.
L. 57 mm, l. 43 mm, ép. 32 mm. 149 g.
E : 1211.41. N : 1056.42.*

Planche 166, 9. 20416, n° E2031.

Ciseau à manche massif, tête matée et tranchant évasé à deux biseaux. Fer.
L. 110 mm, L. (tranchant) 22 mm, S. 11 mm. 80.2 g.
E : 1211.61. N : 1056.6.*

Planche 166, 10. 20416, n° E2036.

Demi-produit constitué d'une tige de section circulaire appointée à une extrémité. Base-cuivre.
L. 69 mm, S. 3 mm. 1.9 g.
E : 1211.8. N : 1057.5. Alt. : 572.31.

Planche 166, 11. 20416, n° E2029.

Demi-produit complet constitué d'une tige de section hémisphérique appointée aux deux extrémités. Base-cuivre.
L. 121 mm, S. 3,5 x 3 mm. 4.2 g.
E : 1212.2. N : 1056.4. Alt. : 572.27.

Planche 166, 12. 20416, n° E2049.

Extrémité de mèche constituée d'une tige de section ronde présentant une gorge latérale en forme de virgule. Fer.
L. 23 mm, S. 5 mm. 0.5 g.
E : 1211.83. N : 1056.94.*

Planche 166, 13. 22549, n° 968.

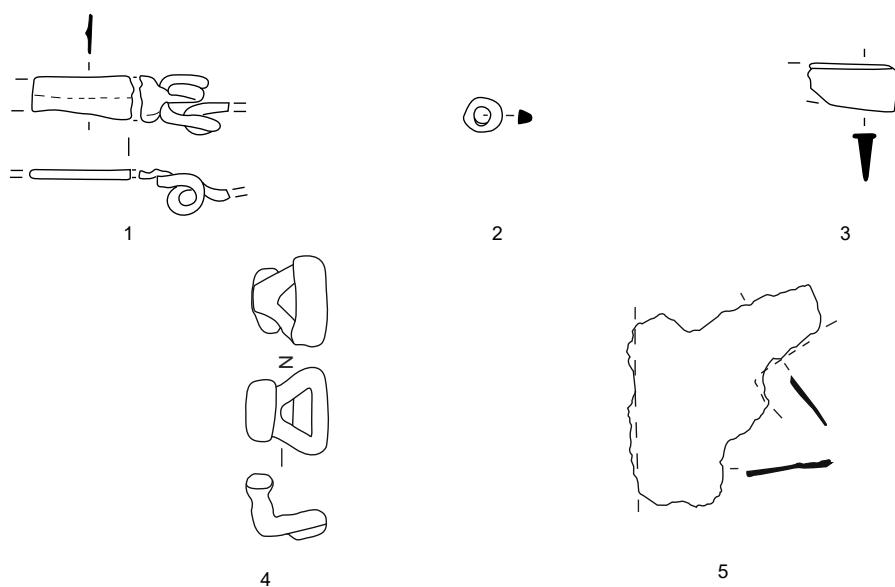
Chute de demi-produit constitué d'une barre à douille fermée par chevauchement. Fer.
L. 68 mm, l. 22 mm, ép. 9 mm. 41.7 g.
E : 1212. N : 1056.

Planche 166, 14. 20416, n° E2050.

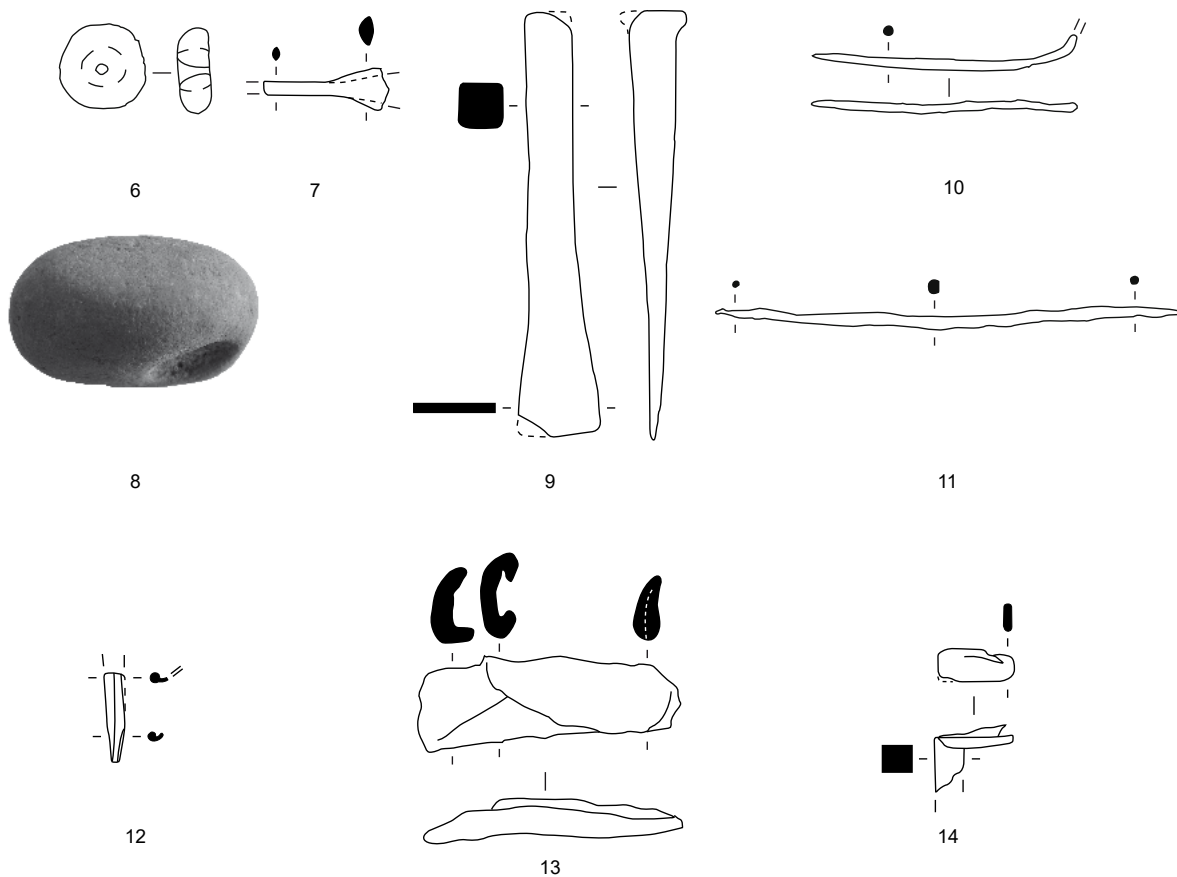
Fragment indéterminé constitué d'une tige de section carrée terminée par un plat fendu. Fer.
L. 15 mm, L. (table) 20 mm. 2.7 g.
E : 1211.9. N : 1057.03.*

Autres petits mobiliers

20416, n° E2041. Fragment de bracelet à section en «D» en roche noire.



O-1-décapage



O-2-Fo art 20415

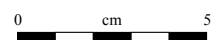


Planche 166. O-1-décapage et O-2-Fo art 20415

1-2, 4, 6, 10-11 : alliage cuivreux; 3, 5, 7, 9, 12-14 : fer; 8 : basalte fin.

Bâtiment O

État 2.2 : LTD2a

O-3-Fo art 20395

Planche 167, 1. 20396, n° E2020.

Arc de fibule cambré triangulaire interrompu par un bouton rainuré. Base-cuivre.

L. 40 mm, S. 4 x 2 mm. 1 g.

E : 1211.65. N : 1063.27. Alt. : 572.18.

Type : B34-1.

Planche 167, 2. 20396, n° E2021.

Fragment de bracelet à jonc lisse à section en «D». Base-cuivre.

L. 25 mm, diam. 66 mm, S. 4 x 6 mm. 3 g.

E : 1210.56. N : 1062.6. Alt. : 572.27.

Type : B10-4.

Planche 167, 3. 20396, n° E2022.

Fragment d'anneau de section circulaire. Base-cuivre.

L. 23 mm, diam. 28 mm, S. 4 mm. 1.4 g.

E : 1212.06. N : 1062.79. Alt. : 572.18.

Planche 167, 4. 22476, n° 913.

Trois tôles indéterminées solidarisées par un rivet. Fer.

L. 45 mm, ép. 7 mm. 13.1 g.

E : 1213.1. N : 1063.3.*

Planche 167, 5. 20396, n° S4025.

Aiguille à chas circulaire. Base-cuivre.

L. 33 mm, S. 1,5 mm. 0.3 g.

E : 1181.5. N : 1069.1. Alt. : /.

Planche 167, 6. 20396, n° E2002.

Table de travail quadrangulaire en quartz jaune de section quadrangulaire avec traces de percussion sur la face supérieure et de poli sur les faces latérales. Lithique.

L. 104 mm, l. 86 mm, ht. 28 mm. 332 g.

E : 1211.38. N : 1063.47. Alt. : 572.24.

Planche 167, 7. 20396, n° E2009.

Applique ajourée constituée d'une tôle avec une perforation centrale et deux départs d'anneaux latéraux. Base-cuivre.

L. 19 mm. 0.3 g.

E : 1212.39. N : 1062.6. Alt. : 572.36.

Autres petits mobiliers

20396, n° E2011. Jeton percé.

20396, n° E2003. Deux jetons.

20396, n° E2004. Jeton.

20396, n° E2023. Fragment d'anneau de section carrée en os.

20396, n° E2014. Boule de pigment bleu.

État 2 lato sensu : fin LTD1b-LTD2

O-17-Pal 22520

Planche 167, 8. 22517, n° 495.

Fragment de petite virole constituée d'une bande de tôle. Base-cuivre.

L. 9 mm, diam. 7 mm. 0.2 g.

E : 1224.38. N : 1054.24. Alt. : 572.17.

Planche 167, 9. 22520, n° 817.

Pendentif-cage en ronde-bosse, en forme de bâtiment composé d'une base rectangulaire dont chaque angle comporte un petit pied et est surmonté par une boule moulurée qui constitue la base d'un toit triangulaire. Un anneau mouluré en forme d'esses se développe dans la continuité du toit. Base-cuivre.

L. 50 mm, base 24 x 21 mm. NP.

E : 1226.3. N : 1053.35.*

Autres petits mobiliers

22520, n° 548. Déchet de tabletterie à découpes circulaires en os.

22520, n° 566. Deux jetons.

22520, n° 567. Deux jetons.

22520, n° 563. Jeton.

22520, n° 962. Jeton en amphore.

22520, n° 565. Trois jetons.

22517, n° 507. Monnaie.

22520, n° 572. Monnaie.

22520, n° 573. Monnaie.

22520, n° 624. Manche d'outil en bois de cerf constitué d'un cylindre incurvé comportant une perforation centrale rectangulaire et un décor d'ocelles sur toutes les faces.

O-6-Sb 20368

20369, n° D2004. Monnaie.

O-4-Fo art 22504

Planche 167, 10. 22545, n° 551.

Fragment de pied de fibule avec arc de section circulaire. Fer.

L. 20 mm. 0.5 g.

E : 1221.06. N : 1051.90. Alt. : 572.41.

Planche 167, 11. 22545, n° 869.

Ressort de fibule à au moins huit spires (quatre spires conservées unilatéralement), renforcé par un axe en fer avec vestige de l'ardillon. Fer.

L. 30 mm. 2.4 g.

E : 1220.8. N : 1052.3.

Type : F10-4.

Planche 167, 12. 22504, n° 492.

Fragment de bracelet à jonc lisse de section ovale. Base-cuivre.

L. 36 mm, diam. 58 mm, S. 6,5 mm. 6.9 g.

E : 1212. N : 1064. Alt. : 572.18.

Type : B10-2.

Planche 167, 13. 22476, n° 674.

Rivet en une pièce à tige de section ovale à tête hémisphérique pleine. Le dessous de la tête présente une ligne en relief. Coupé à une extrémité. Base-cuivre.

L. 25 mm, S. 4 x 3 mm, diam. 13 mm. 3 g.

E : 1212.9. N : 1063.3.*

Planche 167, 14. 22504, n° 498.

Fragment de lame de scie de section lenticulaire. Fer.

L. 108 mm, l. 26 mm, ép. 2 mm. 75.9 g.

E : 1213.39. N : 1064. Alt. : 572.19.

Planche 167, 15. 22504, n° 515.

Grande lame de couteau à dos droit, tranchant incurvé et manche incliné. Fer.

L. 126 mm, l. 23 mm. 36.3 g.

E : 1213.07. N : 1064.09. Alt. : 572.16.

Type : 1-4.

Autres petits mobiliers

22504, n° 502. Jeton percé, fusaïole.

22476, n° 477. Jeton.

22476, n° 478. Jeton.

22476, n° 149. Monnaie.

État 1 à 2.1 : LTD1b

O-11-Sb 20390

20390, n° E2028. Jeton.

20390, n° S4004. Monnaie.

Non phasé

O-16-TP 22397

20397, n° D2005. Monnaie.

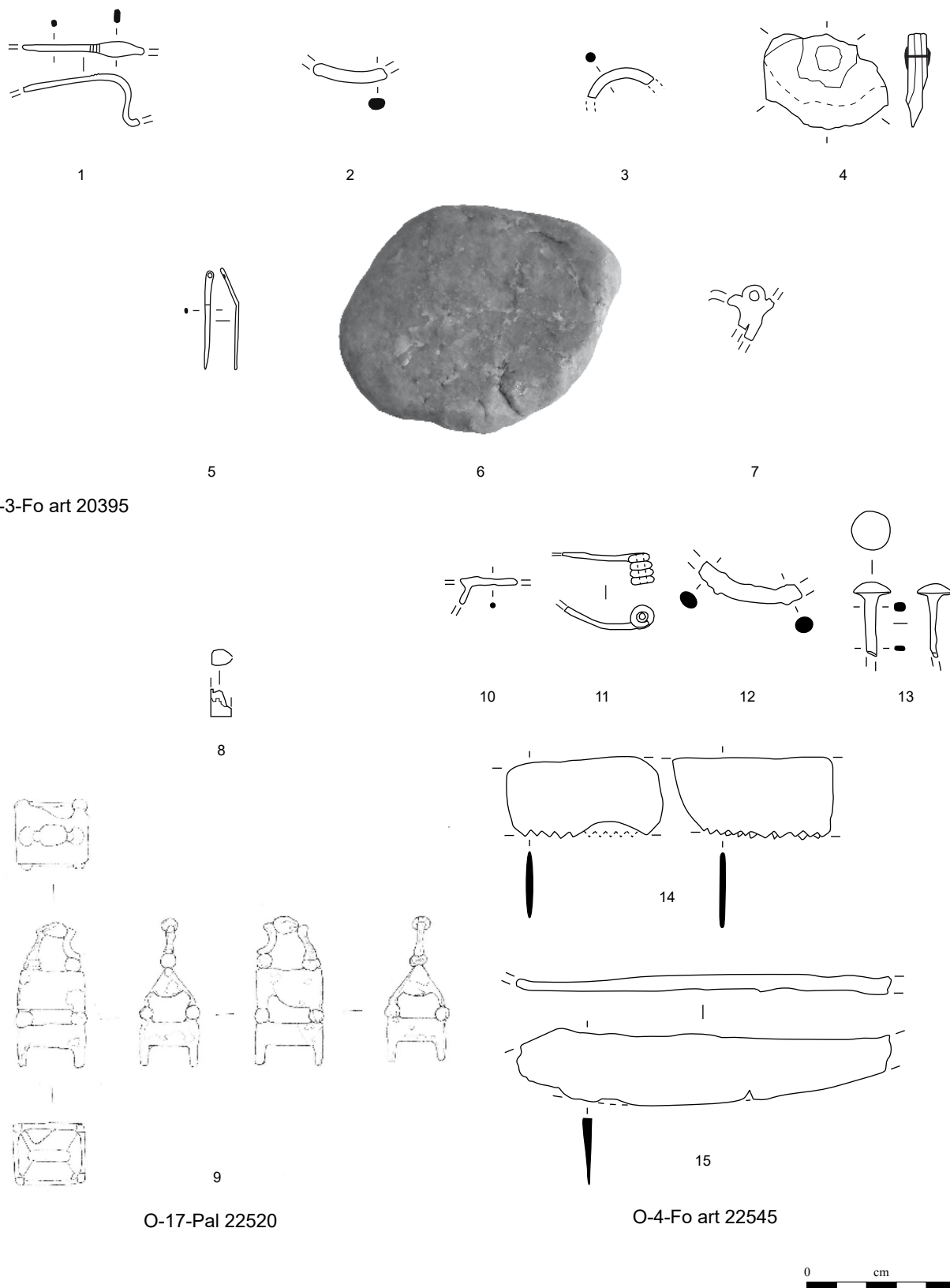


Planche 167. O-3-Fo art 20395 à O-17-Pal 22520

1-3, 5, 7-9, 12-13 : alliage cuivreux; 4, 10-11, 14-15 ; fer; 6 : quartz.

Type d'objet	UF	No	Description	Métal	NR	NMI	M(g)
O-1-décapage	<i>Décapage</i>						
Indéterminé plat	22539		Frgts de bande de fer plat	Fer	2	1	5.2
Clou	22479		Men.: 1 frgt, 1 tige	Fer	2	1	10.4
Clou	22568		Men.: 1 frgt, 6 tiges	Fer	7	1	31
Clou	22521		Men.: 3 frgts	Fer	3	3	46.2
Clou	22539		Men.: 5 frgts, 6 tiges	Fer	11	5	57.7
Clou	20338		Tige	Fer	1	0	1
Piton	22539	517	Piton fermé par enroulement dont la tige est fragmentaire	Fer	1	1	11.5
O-2-Fo art 20415	<i>État 2.2 : LTD2a</i>						
Coulure	20416	E2035	Coulures	Base-cuivre	3	3	3.4
Indéterminé tige	20416		Fines tiges de section ronde	Fer	2	1	1.8
Indéterminé tige	22549		Fragment de tige de section changeante	Fer	1	1	1.4
Indéterminé tôle	20416	E2042	Fragment de bande de tôle. Exposée au feu ?	Fer	1	1	34.4
Indéterminé tôle	22549	968	Fragment de tôle pliée sur son bord conservé	Fer	1	1	7.9
Clou	20416		Constr: 1 clou; men.: 12 frgts; 14 tiges	Fer	27	13	303
Clou	22549		Men.: 11 frgts, 28 tiges	Fer	39	13	187.3
Scorie (bc)	20416	E2038	Scorie, grosse coulure, matière première récupérée	Base-cuivre	1	1	39.8
Scorie (fer)	22549		Scories informes	Fer	6	1	68.6
O-3-Fo art 20395	<i>État 2.2 : LTD2a</i>						
Cabochon	20396	E2025	Fragment de cabochon décoratif	Base-cuivre	1	1	0.1
Clou de chaussure	22476		Clou de chaussure	Fer	1	1	0.4
Coulure	20396	E2008	Coulure	Base-cuivre	1	1	1.2
Ferrure	20396	E2013	Fragment de ferrure	Fer	1	1	10.4
Ferrure	20396	E2016	Fragment de ferrure	Fer	1	0	11
Ferrure	20396	E2051	Fragment de ferrure	Fer	1	1	9
Indéterminé plat	20396	E2017	Fragment de bande de fer plat exposée au feu	Fer	1	0	30.4
Indéterminé plat	20396	E2018	Fragment de bande de plat	Fer	1	0	5
Indéterminé plat	22476		Fragment de bande de plat	Fer	1	1	6.5
Indéterminé plat	20396	E2015	Fragment de bande de plat circulaire	Fer	1	0	8.9
Indéterminé plat	20396		Fragment de fine bande de fer plat	Fer	4	1	13
Indéterminé tige	20396	E2006	Tige	Base-cuivre	1	1	1.2
Indéterminé tige	22476	858	Tige de section lenticulaire	Fer	1	1	2.7
Indéterminé tôle	20396	E2005	Fragment de tôle	Base-cuivre	1	0	0.1
Indéterminé tôle	20396	E2024	Fragment de tôle	Base-cuivre	1	0	0.1
Indéterminé tôle	22476		Frgts de tôle dont un perforé	Fer	4	1	11.3
Indéterminé tôle	20396	E2007	Fragment de bande de tôle	Fer	1	1	5.7
Indéterminé tôle	20396	E2010	Fragment de bande de tôle	Fer	1	0	7.2
Indéterminé tôle	20396	E2012	Fragment de tôle	Fer	1	0	2.8
Indéterminé tôle	22476		Fragment de tôle	Fer	4	1	8.8
Clou	20396		Men.: 46 frgts dont 1 à tête hémisphérique creuse; 99 tiges	Fer	145	46	875
Clou	22476		Men.: 83 frgts; 34 tiges	Fer	83	34	389.7
Piton	20396	E2040	Piton à oeillet percé	Fer	1	1	40.1
Scorie (fer)	20396	E2019	Scorie de forge	Fer	1	1	13.7
O-4-Fo 22545	<i>État 2 lato sensu : LTD1b évoluée-LTD2</i>						
Ferrure	22545	549	Fragment de ferrure.	Fer	1	1	45.2
Indéterminé tôle	22545	550	Fragment de tôle avec une perforation circulaire	Base-cuivre	1	1	0.3
Clou	22545		Men.: 5 frgts, 2 tiges	Fer	7	5	61.75
O-5-Fo 20340							
Ferrure	20341	D3001	Fragment de ferrure	Fer	1	1	24.6
Clou	20341		Men.: 9 frgts; 13 tiges	Fer	22	9	86
O-6-Sb 20368	<i>État 2 lato sensu : LTD1b évoluée-LTD2</i>						
Indéterminé plat	20369	D2003	Fragment de plat légèrement circulaire	Fer	1	1	36.8
Clou	20369	D2001	Men.: 1 frgt	Fer	1	1	23
Clou	20369		Men.: 2 frgts; 2 tiges	Fer	4	2	24
O-7-Pal 22468	<i>État 2 lato sensu : LTD1b évoluée-LTD2</i>						
Ferrure	22468	852	Frgt de ferrure	Fer	1	1	5.3
Clou	22468		Men.: 1 frgt, 4 tiges	Fer	5	1	25
O-8-TP 22504	<i>État 2 lato sensu : LTD1b évoluée-LTD2</i>						
Ferrure	22504	516	Fragment de ferrure.	Fer	1	1	10.6
Clou	22504		Men.: 31 frgts; 47 tiges	Fer	78	31	465
O-9-Sb 22550	<i>État 2 lato sensu : LTD1b évoluée-LTD2</i>						
Clou	22550-1		Men.: 4 frgts	Fer	4	4	45.3
O-10-Fo 22562	<i>État 2 lato sensu : LTD1b évoluée-LTD2</i>						
Clou	22562		Men.: 1 frgt, 2 tiges	Fer	3	1	12.2
O-11-Sb 20390	<i>État 1 à 2.1 : LTD1b</i>						
Ferrure	20390	E2026	Fragment de ferrure avec un clou	Fer	2	1	20.1

Type d'objet	UF	No	Description	Métal	NR	NMI	M(g)
O-12-Sb 22503	<i>État 2.2 à 2.3 : LTD2</i>						
Indéterminé tige	22503		Tiges indéterminées	Fer	3	1	2.8
Clou	22503		Men.: 6 frgts, 8 tiges	Fer	14	6	95
O-13-TP 22477	<i>Non phasé</i>						
Clou	22477		Men.: 1 frgt, 1 tige	Fer	2	1	7.6
O-14-TP 22559	<i>Non phasé</i>						
Clou	22559		Men.: 1 frgt	Fer	1	1	8.5
O-15-TP 22533	<i>État 2 lato sensu : LTD1b évoluée-LTD2</i>						
Clou	22533		Men.: 1 clou	Fer	1	1	6.4
O-17-Pal 22520	<i>État 2 lato sensu : LTD1b évoluée-LTD2</i>						
Indéterminé informe	22520		Frgts indéterminés	Fer	4	1	6.7
Indéterminé tôle	22520		Frgts de plaque en fer	Fer	2	1	19.3
Clou	22520		Men.: 1 clou, 8 frgts, 19 tiges	Fer	28	9	191

BÂTIMENT S

Bâtiments S, O et N

Décapage

S, O, N-1-décapage

Planche 168, 1. 22451, n° 119.

Anneau de section circulaire avec des traces d'usure. Base-cuivre.
Diam. 22 mm, S. 2 x 1 mm. 0.9 g.
E : 1234.3. N : 1081.65. Alt. : 571.9.

Planche 168, 2. 22451, n° 841.

Perle à section en «D». Fer.
Diam. 19 mm, S. 11 x 6 mm. 7 g.
E : 1219.2. N : 1074.5.*

Planche 168, 3. 22465, n° 850.

Bague à intaille disparue et châton ovale avec anneau de section ronde. Fer.
Diam. 18 x 13 mm. 3.5 g.
E : 1220.5. N : 1077.8.*
Type : 9.

Planche 168, 4. 22466, n° 851a.

Chute de tige de section carrée. Fer.
L. 19 mm. 1 g.
E : 1224. N : 1078.*

Planche 168, 5. 22466, n° 851b.

Chute de tige de section carrée. Fer.
L. 20 mm. 0.7 g.
E : 1224. N : 1078.*

Planche 168, 6. 22466, n° 851c.

Chute de tige de section carrée pliée à proximité de la découpe. Fer.
L. 40 mm. 6 g.
E : 1224.2. N : 1078.2.*

Planche 168, 7. 22451, n° 394.

Chute de tige de section carrée. Fer.
L. 35 mm. 1.3 g.
E : 1220.6. N : 1073.1.*

Autres petits mobiliers

22451, n° 150. Jeton.
22451, n° 482. Jeton.
22451, n° 499. Jeton.
22451, n° 500. Jeton.
22451, n° 523. Jeton.
22451, n° 945. Monnaie.

Bâtiment S

Décapage

S-1-décapage

22466, n° 124. Jeton.
22466, n° 129. Jeton.
22466, n° 134. Jeton.
22466, n° 141. Jeton.
22466, n° 680. Jeton.
22466, n° 676. Monnaie.
22505, n° 504. Monnaie.
22466, n° 131. Perle en os à section en «D».

État 2 lato sensu : fin LTD1b-LTD2

S-3-Fo 20074

Planche 168, 8. 20074, n° S3108.

Extrémité de manche d'ustensile culinaire (croc à viande, pelle à feu) constitué d'une tige terminée par une plat de section rectangulaire. Fer.
L. 103 mm, ép. 7,5 mm. 74.4 g.
E : 1123.4. N : 1180. Alt. : 572.17.*

État 2.2 : LTD2a

S-4-Ce 20372

Planche 168, 9. 20373, n° D3002.

Fibule de Nauheim à ressort quatre spires (trois conservées) et corde interne, à arc triangulaire rubané, pied ajouré légèrement fragmentaire. Le pied est replié sous l'arc. Base-cuivre.
L. 29 mm, L. déplié 54 mm, L. (arc) 34 mm, l. (arc) 6 mm. 2.5 g.
E : 1218. N : 1066. Alt. : 572.21.
Type : B22-03.

Planche 168, 10. 20373, n° D3004a.

Éclat latéral de table de tas avec écrasement en surface. Fer.
Ht 30 mm. 47.2 g.
E : 1217.5. N : 1065.9. Alt. : 571.95.

Autres petits mobiliers

22556, n° 720. Jeton percé, fusaïole.
20373, n° E2043. Deux jetons.
22556, n° 721. Jeton.
20373, n° D3007. Monnaie.
20373, n° D3008. Monnaie.

État 2.1 à 2.2 : LTD1b évoluée-LTD2a

S-5-P 22490

22490-2, n° 522. Jeton.
22490, n° 486. Monnaie.
22490, n° 682. Monnaie.
22490, n° 487. Monnaie.
22490, n° 800. Fragment de mortier en roche volcanique finement vacuolaire.

État 2.3 à 3 : fin LTD2a-Auguste

S-6-Bs 22452

Planche 168, 11. 22452-2, n° 367.

Fibule à ressort à quatre spires (deux conservées) et corde interne et à arc de tôle triangulaire à bordures soulignées par une rainure. Le pied fragmentaire est ajouré. Base-cuivre.
L. 43 mm, L. (arc) 28 mm, l. (arc) 5 mm. 1.7 g.
E : 1226.05. N : 1072.3. Alt. : 571.94.
Type : B22-03.

Planche 168, 12. 22452, n° 470.

Fragment de ressort de fibule à deux spires conservées et corde interne. Base-cuivre.
L. 9 mm. 0.4 g.

E : 1229. N : 1073.8.

Type : B20-0.

Planche 168, 13. 22452-2, n° 844.

Ressort de fibule à quatre spires et corde externe basse. Fer.
L. 17 mm. 8.2 g.
E : 1232. N : 1077.
Type : F10-2.

Planche 168, 14. 22452, n° 383.

Perle à section en «D» avec canal d'usure. Base-cuivre.
Diam. 11 mm, S. 4 x 2,5 mm. 2.5 g.
E : 1234.43. N : 1079.08. Alt. : 571.77.

Planche 168, 15. 22452, n° 352.

Fragment d'anneau de section ronde. Base-cuivre.
L. 22 mm, diam. 28 mm, S. 4 mm. 1.3 g.
E : 1226.1. N : 1071.97. Alt. : 571.98.

Planche 168, 16. 22452, n° 353.

Fragment de bracelet à jonc lisse déplié de section ovale. Base-cuivre.
L. 97 mm, S. 3 mm. 6.5 g.
E : 1225.99. N : 1072.35. Alt. : 571.99.
Type : B10-2.

Planche 168, 17. 22452, n° 354.

Fragment de tôle avec une ligne au repoussé. Base-cuivre.
L. 29 mm. 1.5 g.
E : 1226. N : 1072.2. Alt. : 572.

Planche 168, 18. 22452, n° 120.

Pendeloque de ceinture du Bronze final composée d'un anneau avec une tige de section circulaire moulurée. Base-cuivre.
L. 28 mm, diam. 16 mm. 2 g.
E : 1231.2. N : 1076.46. Alt. : 571.8.

Planche 168, 19. 22452, n° 909.

Chute de barre de section circulaire. Fer.
L. 23 mm, S. 13 x 11 mm. 5.5 g.
E : 1227.1. N : 1073.2.*

Planche 168, 20. 22452, n° 910.

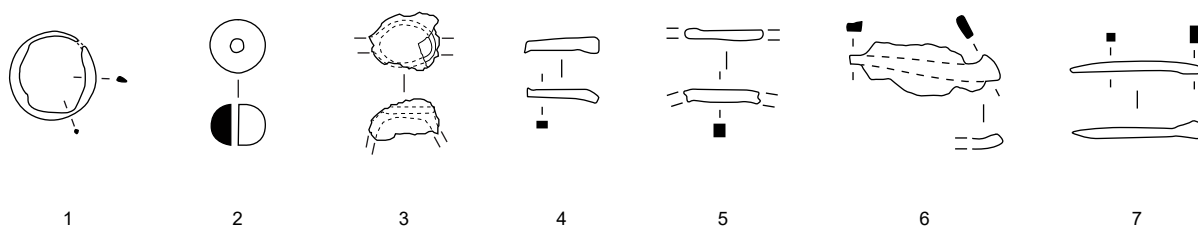
Chute de barre de section quadrangulaire. Fer.
L. 31 mm, S. 7 mm. 6.1 g.
E : 1226. N : 1072.2.*

Planche 168, 21. 22452, n° 911.

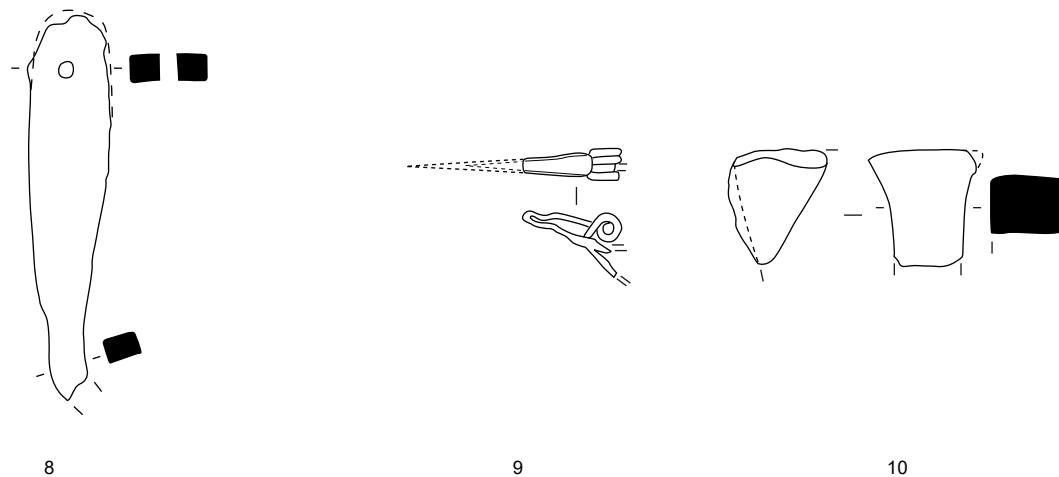
Chute de bande à bords convergents de section rectangulaire avec découpe aux deux extrémités. Fer.
L. 43 mm, l. 19 mm. 6.9 g.
E : 1228. N : 1073.5.*

Autres petits mobiliers

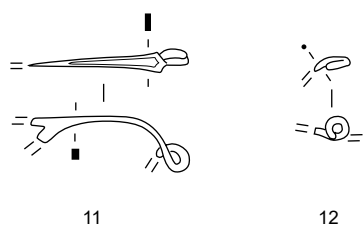
22452, n° 384. Dé parallélépipédique en os comportant quatre faces ornées de points ocellés. Les chiffres 3, 4, 5 et 6 sont représentés sur ces faces.
22452, n° 123. Déchet de tabletterie à découpes circulaires en os.
22452-2, n° 361. Jeton percé, fusaïole.
22452-2, n° 389. Jeton percé, fusaïole.
22452, n° 469. Objet en os indéterminé hémisphérique comportant une croix incisée au sommet du dôme ainsi qu'une



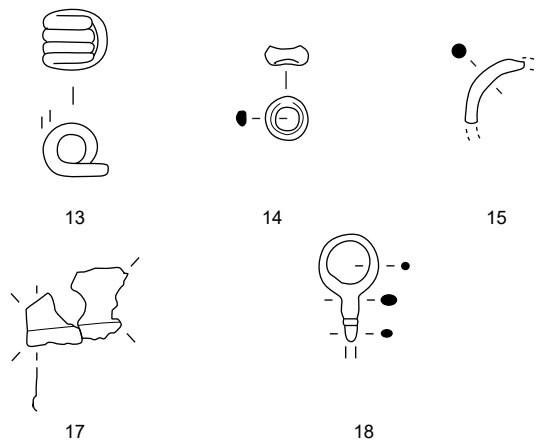
S, O, N-1-décapage



S-3-Fo 20074



S-4-Ce 20372



S-6-Bs 22452

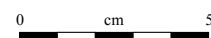
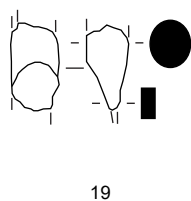


Planche 168. S, O, N-1-décapage à S-6-Bs 22452

1, 9, 11-12, 14-16 : alliage cuivreux; 2-8, 10, 13, 19-21.

légère gouttière et une petite cavité sur sa face plane. Fragment d'outil?

22452, n° 117. Jeton.

22452, n° 284. Jeton.

22452, n° 347. Jeton.

22452, n° 348. Jeton.

22452, n° 349. Jeton.

22452, n° 722. Jeton.

22452-1, n° 356. Jeton.

22452-1, n° 357. Jeton.

22452-1, n° 360. Jeton.

22452-1, n° 374. Jeton.

22452-2, n° 355. Jeton.

22452-2, n° 358. Jeton.

22452-2, n° 359. Jeton.

22452-2, n° 390. Jeton.

22452-4, n° 471. Jeton.

22452-2, n° 472. Jeton en fond de Camp. B.

22452-4, n° 805. Moitié de jeton.

22452, n° 966. Fragment de bord de *meta* en grès.

22452, n° 508. Monnaie.

22452, n° 118. Monnaie.

22452, n° 296. Monnaie.

22452-2, n° 397. Monnaie.

22452, n° 293. Monnaie.

22452-5, n° 47. Monnaie.

22452, n° 138. Fragment de lèvre de mortier en basalte vacuolaire.

22452, n° 113. Fragment de perle à section en «D» à âme brun miel et à décor spiralé jaune (Gebhard, pl. 50).

22452, n° 286. Perle en os à section en «D».

Bâtiment S

État 2 lato sensu : fin LTD1b-LTD2

S-7-Pt 22474

Planche 169, 1. 22474-2, n° 496.

Fibule à ressort à quatre spires (deux conservées) et corde interne à arc tendu filiforme de section losangique. Le pied fragmentaire est ajouré. Base-cuivre.
L. 48 mm, L. (arc) 25 mm, S. 3 mm. 2.1 g.
E : 1223.40. N : 1072.8. Alt. : 571.99.
Type : B23-1.

Planche 169, 2. 22474, n° 116.

Perle à section en «D». Base-cuivre.
Diam. ext. 12 mm, S. 8 x 3 mm. 3.8 g.
E : 1221.28. N : 1073.95. Alt. : 572.19.

Planche 169, 3. 22474, n° 135.

Fragment d'anneau de section ronde. Base-cuivre.
L. 10 mm, diam. 14 mm, S. 2 mm. 0.3 g.
E : 1222.74. N : 1073.87. Alt. : 572.24.

Planche 169, 4. 22474, n° 111.

Distributeur de courroie constitué d'un anneau central terminé par une tige, présentant deux appendices latéraux bouletés. Deux anneaux de section circulaire sont reliés à l'anneau central. Des traces d'usure sont perceptibles sur tous les anneaux, donnant notamment à l'anneau central une forme vaguement

quadrangulaire. Base-cuivre.

L. 81 mm, diam. (anneau) 56 mm, S. 9 mm. 228 g.

E : 1224. N : 1074.3. Alt. : 571.56.

Planche 169, 5. 22474-2, n° 547.

Fragment de lame de faux en trois parties formant un coude et à section triangulaire renforcée. Fer.
L. 170 mm, l. 19 mm. 47.2 g.
E : 1222.6. N : 1072.8. Alt. : 571.6.

Planche 169, 6. 22474-3, n° 554.

Aiguiseur de forme parallélépipédique utilisé sur deux faces dont l'une présente un léger ressaut. Lithique.
L. 144 mm, S. 41 mm. 324 g.
E : 1223.4. N : 1073.4. Alt. : 571.43.

Planche 169, 7. 22474, n° 857.

Fragment de dent de croc à viande constitué d'une tige de section rectangulaire coudée et appointée. Fer.
L. 37 mm, S. 5 x 3,5 mm. 3.7 g.
E : 1223.4. N : 1073.5.*

Planche 169, 8. 22474, n° 187.

Fragment indéterminé de tôle d'alliage cuivreux avec une couverture en métal blanc. Base-cuivre.
Diam. 6 mm. 0.1 g.
E : 1223.34. N : 1074. Alt. : 572.24.

Planche 169, 9. 22474, n° 292.

Fragment de ferrure décorative. Base-cuivre.
L. 23 mm, l. 13 mm. 0.4 g.
E : 1222.31. N : 1074.24. Alt. : 572.15.

Autres petits mobiliers

22474-2, n° 520. Dé parallélépipédique en os comportant quatre faces ornées de points ocellés. Les chiffres 3, 4, 5 et 6 sont représentés sur ces faces.

22474-2, n° 501. Jeton.

22474-2, n° 524. Jeton.

22474-4, n° 574. Monnaie.

22474-2, n° 396. Monnaie.

22474, n° 194. Monnaie.

22474, n° 298. Monnaie.

22474-4, n° 488. Monnaie.

22474-4, n° 575. Monnaie indéterminée.

22474, n° 196. Monnaie.

22474-2, n° 505. Monnaie.

22474-2, n° 506. Monnaie.

22474, n° 376. Fragment de perle à section en «D» à âme bleue et décor moucheté blanc (Gebhard VIIId).

S-9-Pal 22524

Planche 169, 10. 22516, n° 867.

Fragment de bague à chaton mal conservé à épaulement marqué et à anneau de section lenticulaire. Fer.
Diam. 22 mm, S. 6 x 3 mm. 3.3 g.
E : 1224. N : 1081.*
Type : 8.

Planche 169, 11. 22524, n° 562.

Fragment d'agrafe de réparation de céramique. Plomb.
L. 37 mm. 8.3 g.
E : 1223.8. N : 1081. Alt. : 572.03.

Autres petits mobiliers

22524, n° 564. Jeton.

22524, n° 570. Monnaie.

22524, n° 569. Monnaie.

État 2.2 à 2.3 : LTD2

S-13-TP 22501

22501, n° 806. Deux jetons.

Non phasé

S-19-Fo 22499

Planche 169, 12. 22499, n° 364.

Lancette (?) fragmentaire à manche de section rectangulaire et à partie active de section lenticulaire. Fer.
L. 61 mm. 10.1 g.
E : 1221.87. N : 1076.43. Alt. : 572.17.

S-21-TP 22478

Planche 169, 13. 22478, n° 147.

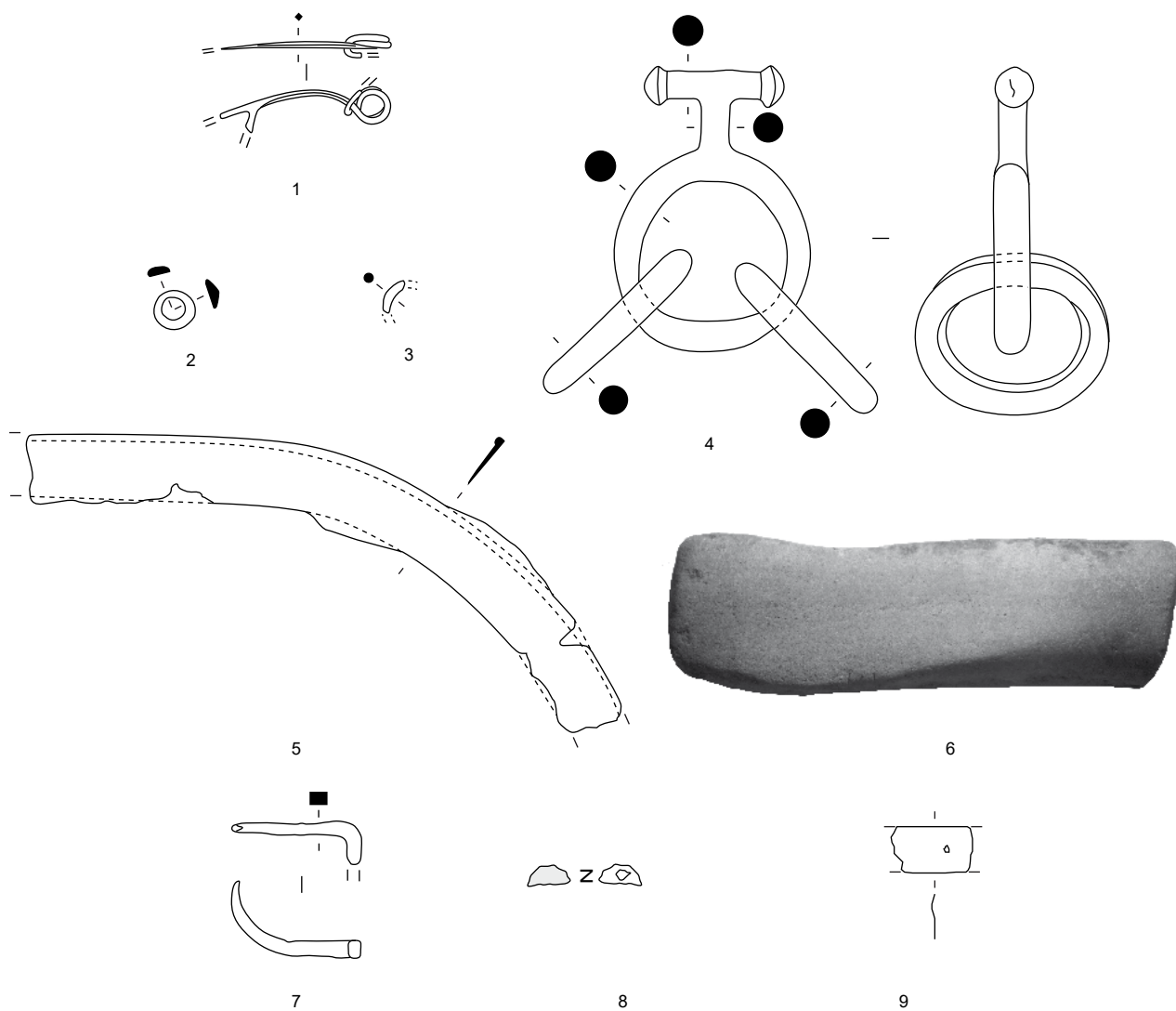
Petit anneau de section ronde. Base-cuivre.
Diam. 13 mm, S. 2,5 mm. 1.8 g.
E : 1218.81. N : 1073.07. Alt. : 572.1.

Planche 169, 14. 22478, n° 145.

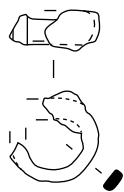
Ressort de fibule à quatre spires et corde externe basse. Fer.
L. 43 mm. 5.6 g.
E : 1218.13. N : 1073.28. Alt. : 572.19.
Type : F10-2.

Autres petits mobiliers

22478, n° 146. Monnaie.

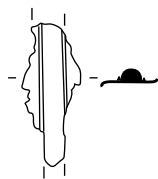


S-7-Pt 22474

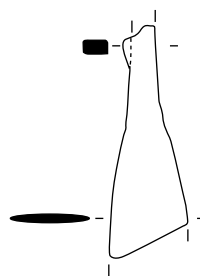


10

S-9-Pal 22524

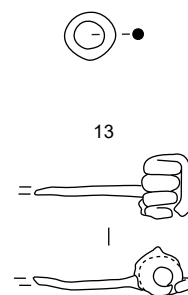


11



12

S-19-Fo 22499



14

S-21-TP 22478

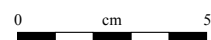


Planche 169. S-7-Pt 22474 à S-21-TP 22478

1-4, 8-9, 12 : alliage cuivreux; 5, 7, 10, 12, 14 : fer; 6 : grès; 11 plomb.

Bâtiment S

État 2.2 à 2.3 : LTD2

S-10-Pal 22473

Planche 170, 1. 22473, n° 182.

Perle de section en quart de rond avec trace d'usure. Base-cuivre.

Diam. 15 mm, S. 4 x 2,5 mm. 4 g.

E : 1217.26. N : 1076.1. Alt. : 571.98.

Planche 170, 2. 22473, n° 277.

Anneau de section ronde. Brûlé. Base-cuivre.

Diam. 22 mm, S. 3 mm. 3.9 g.

E : 1217.60. N : 1076.2. Alt. : 571.99.

Planche 170, 3. 22473, n° 198.

Anneau de section circulaire. Base-cuivre.

Diam. 16 mm, S. 3 mm. 1.7 g.

E : 1218.1. N : 1076.7. Alt. : 572.08.

Planche 170, 4. 22473, n° 184.

Fragment de cure-oreille constitué d'une tige de section circulaire terminée par une petit cuilléron. Base-cuivre.

L. 29 mm, S. 3,5 x 2,5 mm. 1.5 g.

E : 1217.5. N : 1075.9. Alt. : 571.98.

Planche 170, 5. 22473, n° 856.

Fragment de virole constituée d'une bande de tôle incurvée avec du bois minéralisé à l'intérieur. Fer.

Diam. ext. 12 mm, ht. 18 mm. 4.5 g.

E : 1217.8. N : 1077.3.*

Planche 170, 6. 22473, n° 283.

Bande de plat de section rectangulaire avec anneau terminal fragmentaire. Trace de bois minéralisé. Extrémité d'ustensile, de couteau ou de piton? Fer.

L. 71 mm, diam. ext. (anneau) 28 mm, S. 10 x 5 mm. 26.2 g.

E : 1217. N : 1076.3. Alt. : 571.95.

Planche 170, 7. 22473, n° 185.

Clavette de char à boucle simple et tige de section carrée aux angles chanfreinés. Fer.

L. 64 mm, diam. (anneau) 46 x 29 mm, S. 8 mm. 35.5 g.

E : 1219. N : 1075.8. Alt. : 572.05.

Planche 170, 8. 22473, n° 177.

Couteau à lame à tranchant droit et dos et manche incurvé. Le manche est massif de section rectangulaire. Présence de bois minéralisé sur le manche. L'extrémité de la lame est manquante. Son anneau de suspension est déconnecté. Fer.

L. 256 mm, L. (manche) 118 mm, L. (lame) rest. 160 mm. Diam. (anneau) 32 mm. 269 g.

E : 1217.35. N : 1075.88. Alt. : 572.

Type : 4-1.

Autres petits mobiliers

22473, n° 281. Jeton percé, fusaïole.

22473, n° 282. Jeton percé, fusaïole.

22473, n° 179. Jeton.

22473, n° 197. Monnaie.

22473, n° 183. Monnaie.

22473, n° 181. Monnaie.

22473, n° 279. Monnaie.

22473, n° 199. Monnaie.

22473, n° 278. Monnaie.

22473, n° 186. Monnaie.

22473, n° 144. Fragment de mortier en roche volcanique grumeleuse peu vacuolaire.

État 1 à 2.1 : LTD1b

S-23-TP 22497

Planche 170, 9. 22497, n° 366.

Extrémité d'arc de fibule triangulaire avec départ du pied. Base-cuivre.

L. 22 mm. 0.2 g.

E : 1233.33. N : 1073.90. Alt. : 571.31.

Type : B22-0.

Planche 170, 10. 22497, n° 381.

Bracelet complet fermé par crochets à jonc lisse de section lenticulaire. Base-cuivre.

Diam. 40 x 31 mm, S. 1,5 x 2,5 mm. 1.8 g.

E : 1232.88. N : 1072.59. Alt. : 571.71.

Type : B14-1.

Planche 170, 11. 22497, n° 475.

Chute de demi-produit constitué d'un fer plat terminé par un écrasement enroulé. Fer.

L. 87 mm, S. 21 x 3 mm. 29.5 g.

E : 1233.26. N : 1073.34. Alt. : 571.35.

Planche 170, 12. 22497, n° 382.

Demi-produit constitué d'une barre de section trapézoïdale. Base-cuivre.

L. 36 mm, S. 10 x 7 mm. 8.2 g.

E : 1233.14. N : 1074.69. Alt. : 571.57.

Planche 170, 13. 22497, n° 481.

Fragment de lame de forces avec bordure épaissie. Fer.

L. 66 mm, l. 22 mm. 19.1 g.

E : 1273.26. N : 1074.13. Alt. : 571.57.

Planche 170, 14. 22497, n° 480.

Fragment de miroir circulaire à bord biseauté. Recolle avec 388. Base-cuivre.

L. 78 mm, diam. 84 mm, ép. 1 mm. 5.6 g.

E : 1232.92. N : 1074.2. Alt. : 571.33.

Planche 170, 14. 22497, n° 388.

Fragment de miroir circulaire à bordure biseauté. Recolle avec 480. Base-cuivre.

L. 78 mm, diam. 84 mm, ép. 1 mm. 7.4 g.

E : 1232.92. N : 1074.2. Alt. : 571.33.

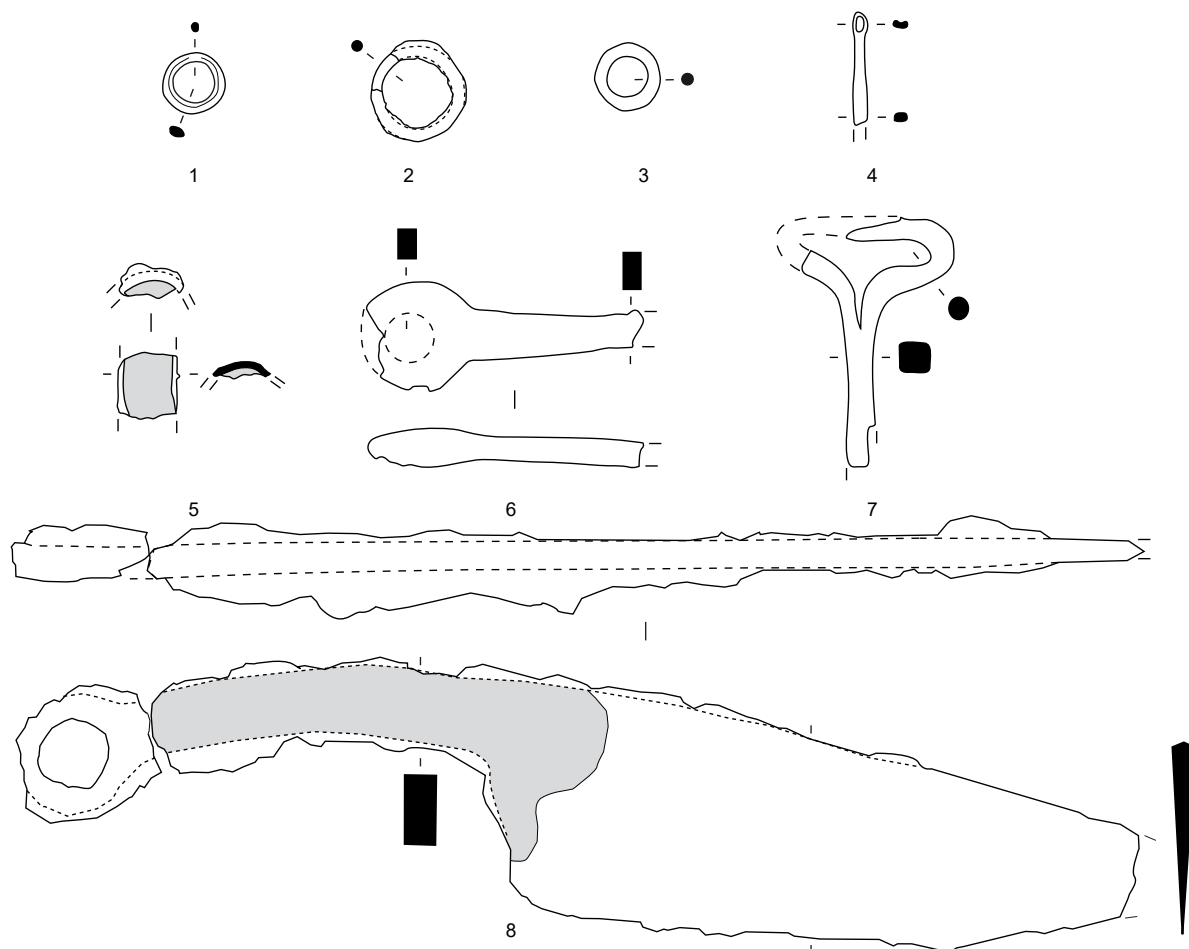
Autres petits mobiliers

22497, n° 483. Jeton.

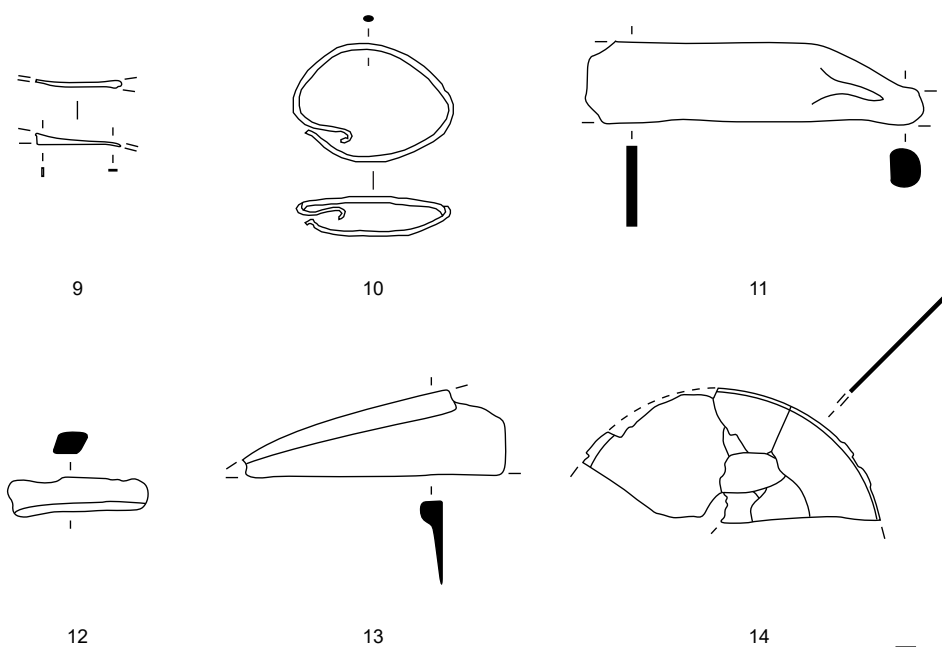
État 1 : LTD1b classique

S-25-Pal 22574

22574, n° 568. Monnaie.



S-10-Pal 22473



S-23-TP 22497

Bois minéralisé

0 cm 5

Planche 170. S-10-Pal 22473 et S-23-TP 22497

1-4, 9-10, 12, 14 : alliage cuivreux; 5-8, 11, 13 : fer.

Type d'objet	UF	No	Description	Métal	NR	NMI	M(g)
S, O, N-1-décapage	<i>Décapage</i>						
Coulure	22451	392	Coulure	Base-cuivre	1	1	0.6
Indéterminé informe	22451		Fragments informes	Fer	3	1	7.3
Indéterminé tôle	22451		Frgt de tôle pliée	Fer	1	1	0.4
Indéterminé tôle	22451	51	Fragment de tôle pliée	Fer	1	0	23.6
Clou	22451	125	Men.: 1 frgt	Fer	1	1	8
Clou	22451		Men.: 2 clous, 16 frgts, 32 tiges	Fer	50	18	239.8
S-1-décapage	<i>Décapage</i>						
Fer à cheval	22467	290	Fragment de plaque incurvée avec cinq perforations latérales. Fer à cheval. Moderne	Fer	1	1	96.2
Ferrure	22467		Fragment de ferrure avec une perforation	Fer	1	1	12.2
Indéterminé tôle	22466	126	Fragment de bande de tôle	Base-cuivre	1	1	1.3
Clou	22467		Constr.: 1 tige; men.: 2 clous, 11 frgts, 23 tiges	Fer	37	13	228.5
Clou	22465		Men.: 1 clou, 6 frgts, 10 tiges	Fer	17	7	93.1
Clou	22466		Men.: 1 clou, 6 frgts, 21 tiges	Fer	27	7	121.6
Scorie (fer)	22466		2 frgts de scorie	Fer	2	1	6.7
S-3-Fo 20074	<i>État 2 lato sensu : LTD1b évoluée-LTD2</i>						
Indéterminé objet	20075	S3331	Fragment de tôle d'où part une tige	Fer	1	1	3
Indéterminé tôle	20075	S3129	Fragment de tôle	Fer	1	1	0.7
Indéterminé tôle	20075		Fragments de tôle	Fer	2	0	8.2
Clou	20075		Men.: 11 frgt; 14 tiges	Fer	25	11	119
Clou	20075	S3109	Tiges	Fer	2	0	4.5
S-4-Ce 20372	<i>État 2.2 : LTD2a</i>						
Indéterminé plat	20373	D3004b	Fragment de plat avec bord légèrement biseauté	Base-cuivre	1	1	1.1
Indéterminé tige	22556	677	Fragment de tige de section ronde	Base-cuivre	1	1	0.2
Indéterminé tôle	22556	679	Fragment de tôle triangulaire, chute?	Base-cuivre	1	1	0.1
Clou	20373	D3006	Men.: 1 frgt	Fer	1	1	23.4
Clou	20373		Men.: 2 frgts; 1 tige	Fer	3	2	29
Clou	22556		Men.: 4 frgts, 3 tiges	Fer	7	4	53.8
S-5-P 22490	<i>État 2.1 à 2.2 : LTD1b évoluée-LTD2a</i>						
Indéterminé informe	22490-1		2 frgts informes	Fer	2	1	2.5
Clou	22490-1		Men.: 2 frgts, 2 tiges	Fer	4	2	32.5
S-6-Bs 22452	<i>État 2.3 à 3 : fin LTD2a-Auguste</i>						
Indéterminé informe	22452-1	842	Fragment informe	Fer	1	1	17.6
Indéterminé objet	22452-1	843	Fragment informe	Fer	1	1	9.3
Indéterminé tige	22452	351	Fragment de tige de section ronde	Base-cuivre	1	1	1
Indéterminé tige	22452-2	368	Tige de section ronde	Base-cuivre	1	1	0.4
Indéterminé tôle	22452-2		Frgt de tôle	Fer	1	1	7
Clou	22452		Constr.: 1 frgt; men.: 22 frgts, 27 tiges	Fer	50	23	240.8
Clou	22452-2	845	Men.: 1 frgt	Fer	1	1	12
Clou	22452-2		Men.: 10 frgts, 7 tiges	Fer	17	7	103.4
Clou	22452-1		Men.: 8 frgts, 31 tiges	Fer	39	8	184
Clou	22452	350	Tête hémisphérique creuse de clou.	Fer	1	1	7
S-7-Pt 22474	<i>État 2 lato sensu : LTD1b évoluée-LTD2</i>						
Anneau (fer)	22474-3	557	Anneau avec corrosion due à l'eau	Fer	1	1	28
Coulure	22474-2	497	Coulure	Base-cuivre	1	1	1.1
Déchet de fabrication	22474-2		Déchets de fabrication	Fer	2	2	14.3
Déchet de fabrication	22474-1		Frgt de déchets de fabrication	Fer	1	1	7.5
Ferrure	22474-2	518	Grande ferrure complète avec une perforation à chaque extrémité.	Fer	1	1	100
Indéterminé informe	22474-3		Frgts informes	Fer	3	1	5.6
Indéterminé informe	22474		Fragments informes	Fer	3	1	8.35
Indéterminé plat	22474		Fragment de bande fer plat avec une extrémité légèrement plus épaisse	Fer	2	1	2.8
Indéterminé tôle	22474-3		2 frgts dont un fragment de bande de tôle	Fer	2	1	6.9
Indéterminé tôle	22474-2	521	Fragment de bande de tôle	Fer	1	0	11.1
Indéterminé tôle	22474-2	556	Fragment de bande de tôle. Est resté dans l'eau.	Fer	1	1	39.6
Indéterminé tôle	22474-2		Frgt de bande de tôle	Fer	2	0	3.8
Clou	22474-3		2 tiges	Fer	2	1	4.7
Clou	22474	137	Clou de tapissier	Fer	1	1	0.9
Clou	22474-2	519	Men.: 1 frgt	Fer	1	1	17.4
Clou	22474-2	553	Men.: 1 frgt, 3 tiges	Fer	1	1	19.5
Clou	22474-2		Men.: 15 frgts, 20 tiges	Fer	35	15	201.2
Clou	22474		Men.: 6 frgts, 28 tiges	Fer	34	6	98
Clou	22474-1		Men.: 1 frgt, 1 tige	Fer	2	1	10
Scorie (fer)	22474-3		Frgts de scories	Fer	8	1	47.9
Scorie (fer)	22474		Frgt de scorie	Fer	1	1	5

Type d'objet	UF	No	Description	Métal	NR	NMI	M(g)
S-9-Pal 22524	<i>État 2 lato sensu : LTD1b évoluée-LTD2</i>						
Indéterminé plat	22516		1 frgt plat triangulaire, 1 frgt indéterminé, 3 frgts indéterminés	Fer	5	1	12.2
Clou	22516		Men.: 3 frgts, 1 tige	Fer	4	3	41.5
Indéterminé tige	22524		5 frgts indéterminés dont deux tiges et une tôle	Fer	5	1	15.6
Indéterminé tige	22524		Frgt de tige de section circulaire	Fer	1	1	1
Clou	22524		Men.: 4 frgts, 8 tiges	Fer	12	4	79
S-10-Pal 22473	<i>État 2.2 à 2.3 : LTD2</i>						
Fibule	22473	855	Fragment de ressort de fibule avec une spire conservée et départ de l'ardillon	Fer	1	1	0.8
Fibule	22473	853	Frgt de ressort de fibule à deux spires conservées	Fer	1	1	2.5
Indéterminé informe	22473		16 frgts informes	Fer	16	1	14
Indéterminé plat	22473	854	Frgts de bande de fer plat incurvé	Fer	2	1	13
Indéterminé tige	22473		Tiges indéterminées	Fer	2	1	2.9
Indéterminé tôle	22473		5 frgts de tôle dont 1 en forme d'ogive, 1 à bord replié, 1 avec 2 bord cassés, 1 semblant être replié sur lui-même.	Fer	5	1	14.5
Clou	22473		Men.: 1 clou, 27 frgt, 95 tiges	Fer	123	28	623
Rivet (fer)	22473		Contreplaque de rivet	Fer	1	1	3
S-11-TP 22541	<i>État 2.2 à 2.3 : LTD2</i>						
Clou	22541		Men.: 2 frgts	Fer	4	2	25.9
S-12-TP 22534	<i>État 2.2 à 2.3 : LTD2</i>						
Indéterminé tôle	22534	545	Fragments de tôle avec une perforation	Base-cuivre	12	1	1.7
Clou	22534		Tige	Fer	1	1	1.9
S-13-TP 22501	<i>État 2.2 à 2.3 : LTD2</i>						
Clou	22501		Men.: 1 frgt	Fer	1	1	14.3
S-14-Sb 22498	<i>État 2.2 à 2.3 : LTD2</i>						
Clou	22498		Men.: 1 frgt	Fer	1	1	1.8
S-15-Sb 22496	<i>État 2.2 à 2.3 : LTD2</i>						
Indéterminé informe	22496		1 frgt informe	Fer	1	1	1.5
Clou	22496		Men.: 4 frgts, 2 tiges	Fer	6	4	57.2
S-16-Pal 20406	<i>État 2.2 : LTD2a</i>						
Clou	20406		Tige	Fer	1	1	14
S-17-Dr 20059	<i>Perturbations modernes</i>						
Clou	20059		Tige	Fer	1	1	5
S-19-Fo 22499	<i>Non phasé</i>						
Clou	22499		Men.: 1 frgt	Fer	1	1	8.9
S-20-Fo 22512	<i>Non phasé</i>						
Indéterminé tôle	22512	494	Fragment de bande de tôle	Fer	1	1	5.4
Indéterminé tôle	22512	514	Fragment de tôle très fine repliée à plusieurs reprises	Fer	1	1	13
Clou	22512		Men.: 1 frgt, 1 tige	Fer	2	1	21.8
S-21-TP 22478	<i>Non phasé</i>						
Ferrure	22478		Fragment de ferrure avec clou en position fonctionnelle	Fer	1	1	9.7
Indéterminé tôle	22478	139	Fragments de tôle	Base-cuivre	5	1	0.6
Clou	22478		Tiges	Fer	4	1	6.4
S-22-TP 22475	<i>Non phasé</i>						
Indéterminé informe	22475		Frgt informe	Fer	1	1	1.6
Clou	22475		Men.: 3 frgts, 10 tiges	Fer	13	5	73.4
S-23-TP 22497	<i>État 1 à 2.1 : LTD1b</i>						
Cabochon	22497	365	Cabochon	Base-cuivre	1	1	0.8
Ferrure	22497	476	Fragment de ferrure	Fer	1	1	29.5
Indéterminé objet	22497	863	Fragment de douille avec tige à l'intérieur	Fer	1	1	8.5
Indéterminé tôle	22497		Fragment de bande de tôle, 1 frgt de tôle	Fer	2	1	17.2
Clou	22497		Men.: 6 frgts, 11 tiges	Fer	17	6	129.5

VOIES OUEST DU BÂTIMENT R

Décapage

VO-1-décapage

Planche 171, 1. 22563, n° 870.
Fragment d'orle de section rectangulaire avec patte de fixation. Fer.
L. 55 mm. 17.7 g.
E : 1221.8. N : 1058.1.*
Type : Rectangulaire.

État 2 lato sensu : fin LTD1b-LTD2

VO-2-Pal 22457 et 22491

Planche 171, 2. 22457, n° 190.
Spatule-sonde à spatule fine en forme de rame et sonde ovulaire pliée au niveau de la tige médiane. Base-cuivre.
L. 144 mm, L. (spatule) 46 mm, l. (spatule) 8 mm. 3.5 g.
E : 1234.8. N : 1057.45. Alt. : 572.08.

Autres petits mobiliers

22457, n° 275. Jeton.
22457, n° 294. Monnaie.
22457, n° 297. Monnaie.

VO-3-Fo 22459

22459, n° 228. Jeton.

Non phasé

VO-4-TP 22484

Planche 171, 3. 22484, n° 285.
Anneau de section lenticulaire avec trace d'usure. Base-cuivre.
Diam. 27 mm, S. 6 x 2,5 mm. 8.4 g.
E : 1234.1. N : 1049.5. Alt. : 572.17.

État 2 lato sensu : fin LTD1b-LTD2

VO-7-TP 22458

Planche 171, 4. 22458, n° 136.
Petite anneau de chaînette. Fer.
Diam. 6 mm, S. 1,5 mm. 0.1 g.
E : 1233.7. N : 1049.6. Alt. : 572.18.

Non phasé

VO-8-Fo 22527

22527, n° 576. Monnaie.

VO-9-Fo 22482

Planche 171, 5. 22500, n° 362.
Fragment d'anneau de section lenticulaire. Base-cuivre.
Diam. 16 mm, S. 5 x 2 mm. 1.3 g.
E : 1230.94. N : 1051.32. Alt. : 572.04.

Planche 171, 6. 22500, n° 363.
Fragment de bracelet à jonc lisse de section ovale en partie écrasé sur lui-même. Base-cuivre.
L. 32 mm, S. 5 x 3 mm. 8.2 g.
E : 1230.86. N : 1052.03. Alt. : 572.09.
Type : B10-2.

Planche 171, 7. 22500, n° 370.
Fragment proximal de manche de poignard anthropomorphe avec moulurations. Base-cuivre.
L. 38 mm, S. 20 mm. 41.8 g.
E : 1230.91. N : 1052. Alt. : 572.08.

État 2.3 : fin LTD2a-LTD2b

VO-10-Pal 22212

Planche 171, 8. 22212, n° 99.
Fibule à ressort à quatre spires et corde interne, à arc tendu filiforme de section ronde à petit pied triangulaire attaché sur l'arc par une pince précédée de moulures. Base-cuivre.
L. 38 mm, L. (arc) 24 mm. 1.4 g.
E : 1240.32. N : 1040.42. Alt. : 572.28.
Type : B21-1.

Planche 171, 9. 22212, n° 189.
Fragment d'anneau de section ronde. Base-cuivre.
L. 21 mm, diam. 21 mm, S. 3 mm. 1.4 g.
E : 1237.9. N : 1044. Alt. : 572.07.

Planche 171, 10. 22212, n° 151.
Perle à section en «D». Base-cuivre.
Diam. 13 mm, S. 5 x 2 mm. 2.4 g.
E : 1240.7. N : 1041.83. Alt. : 572.12.

Planche 171, 11. 22212, n° 216.
Deux extrémités de lame de forces collées par la corrosion à dos à butée. Fer.
L. 64 mm, l. (lame) 16 mm. 16.3 g.
E : 1240.58. N : 1041.88. Alt. : 572.12.

Planche 171, 12. 22212, n° 223.
Extrémité de lame de section triangulaire. Fer.
L. 31 mm, l. 23 mm. 10.9 g.
E : 1236.7. N : 1044.62. Alt. : 572.1.
Type : 0-0.

Autres petits mobiliers

22212, n° 219. Jeton.
22212, n° 173. Monnaie.
22212, n° 217. Bord de plaque de foyer à lèvres triangulaire et quadrangulaire.

VO-11-Fo 22275

22275, n° 403. Fragment de meule à va-et-vient ou support de frappe.

État 1 : LTD1b classique

VO-13-Fo 22269

Planche 171, 13. 22269, n° 429.
Fragment de phalère en tôle circulaire bombée en son centre avec une bordure soulignée par une rainure. Base-cuivre.
L. 38 mm, diam. 54 mm. 0.9 g.
E : 1245.34. N : 1037.33. Alt. : 572.

Autres petits mobiliers

22269, n° 440. Jeton.
22269, n° 447. Monnaie.

VO-14-Fo 22211

Planche 171, 14. 22211, n° 85.
Chute de tige de section carrée avec écrasement à une extrémité. Fer.
L. 32 mm. 1.8 g.
E : 1240.59. N : 1039.73. Alt. : 572.28.

Non phasé

VO-19-épandage 22210

Planche 171, 15. 22210, n° 175.
Fibule à ressort à une spire conservée et à arc de tôle triangulaire fin tendu avec décor à échelle et ligne interrompant l'arc. Le pied et l'ardillon sont lacunaires. Base-cuivre.
L. 45 mm, L. arc(30 mm, l. (arc) 4 mm. 0.7 g.
E : 1243.34. N : 1039.40. Alt. : 572.16.
Type : B22-02.

Planche 171, 16. 22210, n° 176.
Fragment de mors de pince à épiler constitué d'une bande de tôle triangulaire avec une bordure soulignée par une rainure. Base-cuivre.
L. 50 mm, l. 8 mm. 0.6 g.
E : 1242.58. N : 1039.07. Alt. : 572.27.

Autres petits mobiliers

22210, n° 143. Jeton.

État 1 et 2 lato sensu : LTD1b-LTD2

VO-25-sol 22462

22462, n° 485. Monnaie.

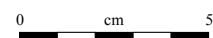
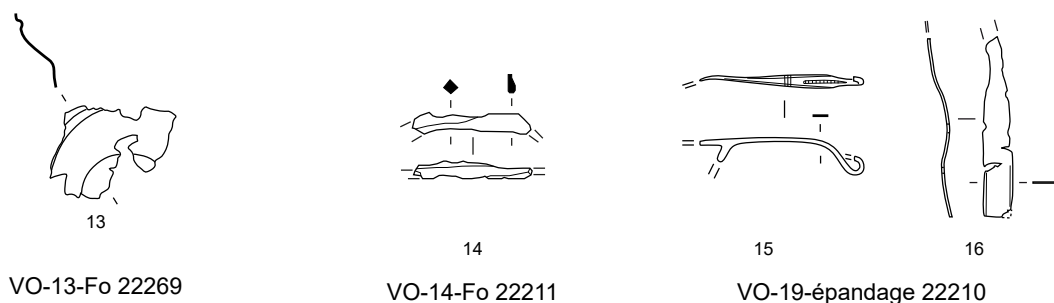
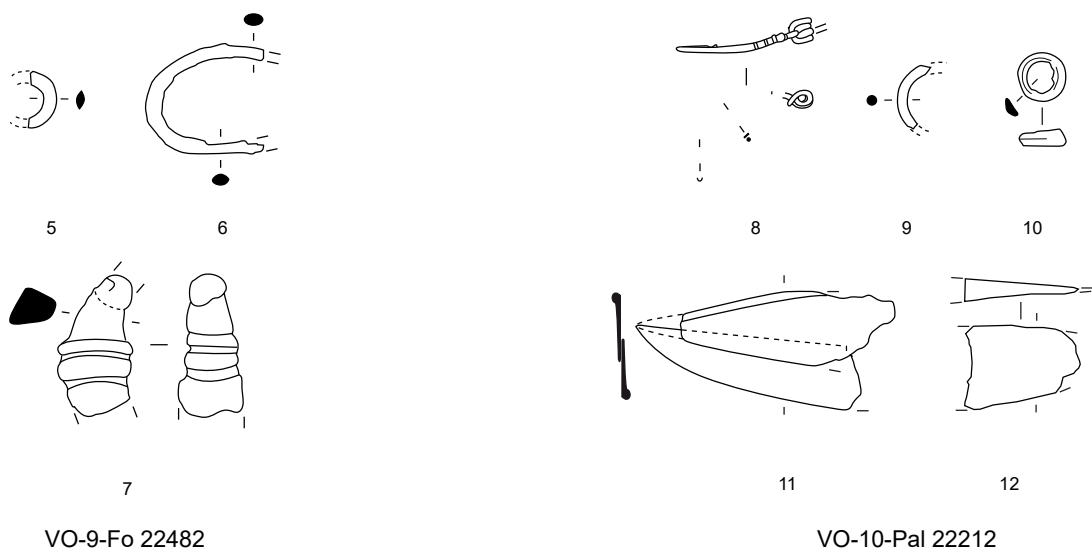
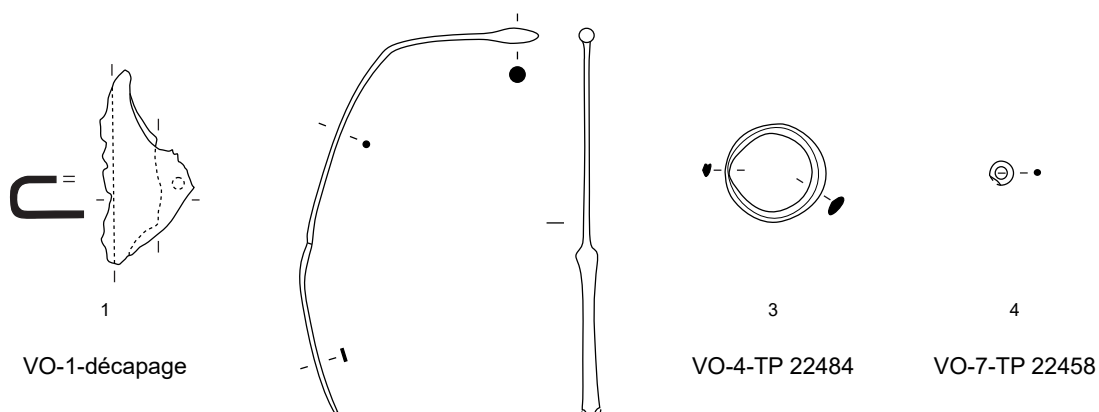


Planche 171. VO-1-décapage à VO-19-épandage 22210

1, 4, 11-12, 14 : fer; 2-3, 7-10, 13, 15-16 : alliage cuivreux.

Type d'objet	UF	No	Description	Métal	NR	NMI	M(g)
VO-1-décapage	<i>Décapage</i>						
Indéterminé tôle	22519	546	Fragment de bande de tôle	Base-cuivre	1	1	0.6
Indéterminé tôle	22563		Fragment de tôle	Fer	1	1	2.6
Clou	22563		Men.: 1 frgt, 3 tiges	Fer	5	2	38.3
Clou	22519		Men.: 3 frgts, 1 tige	Fer	4	3	34.1
VO-2-Pal 22457 et 22491	<i>État 2 lato sensu : LTD1b évoluée-LTD2</i>						
Clou	22457		Men.: 2 frgts	Fer	2	2	21.1
Scorie (fer)	22457		Frgts de scories	Fer	5	1	19
VO-3-Fo 22459	<i>État 2 lato sensu : LTD1b évoluée-LTD2</i>						
Indéterminé tôle	22459	192	Fragment de tôle repliée	Fer	1	1	8.6
Clou	22459		Tige	Fer	2	1	6.2
VO-4-TP 22484	<i>Non phasé</i>						
Clou	22484		Men.: 1 frgt	Fer	1	1	10.9
VO-5-Fo 22510	<i>Non phasé</i>						
Anneau (fer)	22510	866	Frgt d'anneau de section lenticulaire	Fer	1	1	7.9
Indéterminé informe	22510		Frgts informes	Fer	2	1	2.2
Clou	22510		Men.: 2 frgts, 6 tiges	Fer	8	2	24
Scorie (fer)	22510		10 frgts de scories dont une calotte (94 g)	Fer	10	1	131
Clou	22525		Tige	Fer	1	1	9.9
VO-7-TP 22458	<i>État 2 lato sensu : LTD1b évoluée-LTD2</i>						
Ferrure	22458	130	Fragment de plat triangulaire avec tige traversante	Fer	1	1	11.6
Goutte	22458	132	Goutte	Base-cuivre	1	1	1
Indéterminé informe	22458		Fragment informe	Fer	1	1	2.5
Indéterminé tôle	22458		Fragment de tôle	Fer	1	1	1.2
Clou	22458		Men.: 4 frgts, 1 tige	Fer	5	4	29.8
VO-9-Fo 22482	<i>Non phasé</i>						
Ferrure	22482	346	Fragment de ferrure	Fer	1	0	7.7
Ferrure	22482	291	Fragment de ferrure avec une perforation	Fer	1	1	12
Ferrure	22500	371	Fragment de ferrure avec une perforation	Fer	1	1	9.6
Indéterminé informe	22500		Frgts indéterminés	Fer	3	1	6.7
Indéterminé tige	22482	860	Fragment de tige de section rectangulaire courbée	Fer	1	1	6.5
Indéterminé tige	22500	864	Fragments de tige courbée de section ovale très mal conservée	Fer	2	1	6.1
Indéterminé tôle	22482		Frgt de tôle	Fer	1	1	3.9
Indéterminé tôle	22500	473	Fragment de tôle repliée à plusieurs reprises. Corrosion typique d'une immersion dans l'eau	Fer	1	1	62.3
Clou	22482		Men.: 2 frgt, 9 tiges	Fer	11	2	70.1
Clou	22500		Men.: 2 frgts, 8 tiges	Fer	10	2	50
Scorie (fer)	22500	474	Scorie	Fer	1	1	82.4
VO-10-Fossé 22212	<i>État 2.3 : fin LTD2a-LTD2b</i>						
Ferrure	22212	172	Ferrure complète arrachée avec clou en position fonctionnelle et perforation	Fer	1	1	48
Indéterminé tige	22212		Fragment de tige de section circulaire	Fer	1	1	1.6
Clou	22212		Men.: 9 frgts, 15 tiges	Fer	24	9	92.5
VO-11-Fo 22275	<i>État 2.3 : fin LTD2a-LTD2b</i>						
Clou	22275		Men.: 8 frgts, 11 tiges	Fer	19	8	88.7
Rivet (bc)	22275	616	Rivet en une pièce à tête circulaire plate	Base-cuivre	1	1	0.8
VO-12-Sb 22270	<i>État 1 : LTD1b classique</i>						
Clou	22270		Men.: 1 frgt	Fer	1	1	13.5
VO-13-Fo 22269	<i>État 1 : LTD1b classique</i>						
Indéterminé tôle	22269	428	Fragment de tôle avec décor au repoussé	Base-cuivre	1	1	0.4
Clou	22269		Men.: 1 frgt, 1 tige	Fer	2	1	13.3
VO-14-Fo 22211	<i>État 1 : LTD1b classique</i>						
Clou	22211		Men.: 3 frgts, 2 tiges	Fer	5	3	13.3
VO-19-épandage 22210	<i>Non phasé</i>						
Cabochon	22210	72	Cabochon	Base-cuivre	1	1	0.4
Ferrure	22210	70	Fragment de ferrure	Fer	1	0	4.2
Ferrure	22210	109	Fragment de ferrure avec une perforation	Fer	1	1	31.2
Indéterminé plat	22210	64	Fragment de bande de fer plat	Fer	1	1	5.9
Clou	22210	62	Grande tête de clou	Fer	1	1	13.3
Clou	22210		Men.: 1 frgt, 4 tiges	Fer	5	1	12
VO-20-Fo 22213	<i>Non phasé</i>						
Indéterminé informe	22213		Fragment informe	Fer	1	1	1.1
Clou	22213		Tiges	Fer	7	1	10.5
VO-21-épandage 22218	<i>Non phasé</i>						
Indéterminé tôle	22218		Frgt de tôle	Fer	1	1	1.9
Clou	22218		Men.: 1 frgt, 2 tiges	Fer	3	1	17.2

Type d'objet	UF	No	Description	Métal	NR	NMI	M(g)
VO-22-TP 22253	<i>Non phasé</i>						
Clou	22253	188	Clou de construction	Fer	1	1	112
Clou	22253		Tige	Fer	1	1	8.9
VO-23-TP 22262	<i>Non phasé</i>						
Scorie (fer)	22262	267	Fragments de scorie informe	Fer	11	0	23.2
VO-24-TP 22507	<i>État 2 lato sensu : LTD1b évoluée-LTD2</i>						
Clou	22507		Men.: 2 frgts	Fer	2	2	22.7

BÂTIMENT T

Décapage

T-1-décapage

Planche 172, 1. 21707, n° 96.

Fibule à ressort à quatre spires et corde externe haute, arc cambré déformé filiforme de section losangique, cassé au niveau du début du pied. L'ardillon est conservé en grande partie. Fer.
L. 70 mm, L. (arc) 50 mm, S. 3 mm. 11.8 g.
E : 1175.12. N : 1041.46. Alt. : 573.14.
Type : F33-6.

Planche 172, 2. 21707, n° 98.

Fibule de type pseudo-La Tène moyenne à ressort à quatre spires et corde interne et arc filiforme dont la surface a disparu en arc de cercle coudé au niveau du pied. Base-cuivre.
L. 40 mm, S. 2 mm. 0.8 g.
E : 1174.57. N : 1039.5. Alt. : 573.15.
Type : B21-3.

Planche 172, 3. 21707, n° 494.

Fibule à tête couvrante à arc triangulaire et ressort à six spires (trois conservées) et corde externe basse. Fer.
L. 90 mm, L. (arc) 58 mm, l. (arc) 18 mm. 15.1 g.
E : 1162.69. N : 1056.54.
Type : F12-1.

Planche 172, 4. 21707, n° 92.

Perle avec trace d'usure et section en quart de rond. Base-cuivre.
Diam. 16 mm, S. 5 x 4 mm. 2.9 g.
E : 1177.85. N : 1041.10. Alt. : 573.13.

Planche 172, 5. 21707, n° 202.

Fragment d'anneau de section ronde. Base-cuivre.
L. 22 mm, diam. 34 mm, S. 5 mm. 3.1 g.
E : 1177.35. N : 1028.76. Alt. : 573.17.

Planche 172, 6. 21707, n° 15.

Perle de section cannelée. Base-cuivre.
Diam. 16 mm, S. 3 x 2,5 mm. 2.8 g.
E : 1178.05. N : 1048.25. Alt. : 574.01.

Planche 172, 7. 21707, n° 91.

Perle à section en «D». Fer.
Diam. 11 mm, S. 4 g.
E : 1178.01. N : 1042.00. Alt. : 573.24.

Planche 172, 8. 21707, n° 4.

Rasoir à lame large et manche incurvé terminé par un enroulement ou un anneau fragmentaire. Fer.
L. 81 mm, l. 43 mm. 21.1 g.
E : 1175.42. N : 1048.65. Alt. : 574.06.

Planche 172, 9. 21707, n° 18.

Fragment de spatule à manche de section rectangulaire orienté à la perpendiculaire de la partie active triangulaire, au tranchant oblique. Fer.
L. 68 mm, S. 14 x 4 mm. 16.8 g.
E : 1175.7. N : 1050.7. Alt. : 574.06.

Planche 172, 10. 21707, n° 5.

Lime à manche de section rectangulaire et à soie. Les dents ne sont pas lisibles. Fer.
L. 112 mm, L. (partie active) 87 mm, L. (soie) 25 mm, S. 10 x 3,5 mm. 25 g.
E : 1175.33. N : 1048.39. Alt. : 574.03.

Planche 172, 11. 21707, n° 359.

Fragment de gouttière légèrement tordue. Base-cuivre.
L. 79 mm. 3.7 g.
E : 1180.13. N : 1049.

Planche 172, 12. 21707, n° 9.

Chute de tige de section circulaire qui semble irrégulière. Fer.
L. 102 mm, S. 8 mm. 37.2 g.
E : 1175.25. N : 1048.75. Alt. : 574.07.

Planche 172, 13. 21707, n° 2073.

Tige de section ronde puis rectangulaire. Chute? Fer.
L. 34 mm. 2.3 g.
E : 1177. N : 1040.*

Autres petits mobiliers

21707, n° 97. Fusaïole en terre cuite.
21707, n° 22. Fragment de pâte de verre bleue.
21707, n° 49. Jeton.
21707, n° 7. Monnaie.
21707, n° 53. Monnaie.
21707, n° 86. Monnaie.
21707, n° 90. Fragment de grosse perle en verre incolore translucide à décor de lignes spiralées jaunes (Gebhard IIIcd).
21707, n° 477. Perle en verre bleu à décor oculé.

T-2-décapage sur radier 21709

Planche 172, 14. 21708, n° 37.

Fibule filiforme à arc outrepassant à ressort à quatre spires et corde externe haute, arc outrepassant de section lenticulaire et grand pied triangulaire ajouré. Fer.
L. 66 mm, L. (arc) 43 mm, S. 5 x 2,5 mm. 8.8 g.
E : 1178.75. N : 1035.37. Alt. : 574.11.
Type : F33-11.

Planche 172, 15. 21708, n° 42.

Ressort de fibule à quatre spires et corde interne avec départ d'arc filiforme de section circulaire. Fer.
L. 21 mm. 4.8 g.
E : 1177.8. N : 1034.99. Alt. : 574.11.
Type : F23-0.

Planche 172, 16. 21708, n° 2077.

Ressort à quatre spires (deux conservées) et corde externe haute avec le départ d'un arc filiforme tendu de section ovale. Fer.
L. 21 mm. 2.1 g.
E : 1177. N : 1039.*
Type : F33-1.

Planche 172, 17. 21708, n° 2075.

Arc de fibule filiforme cambré de section losangique, cassé au niveau du ressort et de la partie supérieure du pied. Fer.

L. 57 mm, L. (arc) 46 mm, S. 4 mm. 3 g.
E : 1178.3. N : 1035.*
Type : F03.

Planche 172, 18. 21708, n° 210.

Ardillon de fibule. Fer.
L. 34 mm. 0.7 g.
E : 1177.40. N : 1028.57. Alt. : 573.17.

Planche 172, 19. 21708, n° 2076.

Ressort écrasé de fibule à quatre spires et corde interne. Fer.
L. 44 mm. 4.2 g.
E : 1180. N : 1036.*
Type : F20.

Planche 172, 20. 21708, n° 25.

Anneau ouvert de chaînette. Base-cuivre.
Diam. 4 mm. 0.1 g.
E : 1179.76. N : 1038.27. Alt. : 574.06.

Planche 172, 21. 21708, n° 185.

Fragment de miroir. Base-cuivre.
L. 17 mm, ép. 2 mm. 1.6 g.
E : 1179.2. N : 1034.96. Alt. : 573.13.

Planche 172, 22. 21708, n° 2081.

Tête d'outil matée à manche de section ronde. La partie active est manquante. Fer.
L. 53 mm, S. 10 mm. 14.7 g.
E : 1180.3. N : 1040.*

Planche 172, 23. 21708, n° 2079.

Chute de tige de section circulaire terminée par une découpe oblique. Fer.
L. 76 mm, S. 3,5 mm. 2.8 g.
E : 1180. N : 1033.*

Planche 172, 24. 21708, n° 2074.

Aiguille à chas rectangulaire précédé d'une gouttière. Fer.
L. 70 mm. 1.1 g.
E : 1180. N : 1036.5.*

Planche 172, 25. 21708, n° 2080.

Gouge à soie à corps conique terminé par un tranchant lacunaire formant une gorge dans sa partie conservée. Fer.
L. 113 mm, L. (soie) 22 mm, S. 12 mm. 24.4 g.
E : 1175. N : 1037.*

Planche 172, 26. 21708, n° 186.

Fragment d'oeil de marteau asymétrique. Fer.
L. 44 mm, ht. 32 à 37 mm. 66.6 g.
E : 1181.5. N : 1033.81. Alt. : 573.08.

Planche 172, 27. 21708, n° 2078.

Chute de tige de section subcarrée. Fer.
L. 39 mm, S. 5 mm. 3.3 g.
E : 1179. N : 1036.*

Planche 172, 28. 21708, n° 21.

Chute de bande avec deux bords conservés dont l'un plus épais. Fer.
L. 31 mm, ép. 5 mm. 19.8 g.
E : 1181.7. N : 1040.25. Alt. : 574.01.

Planche 172, 29. 21708, n° 41.

Chute de bande quadrangulaire légèrement incurvée. Fer.
L. 28 mm, ép. 5 mm. 13.4 g.
E : 1178.95. N : 1034. Alt. : 574.11.

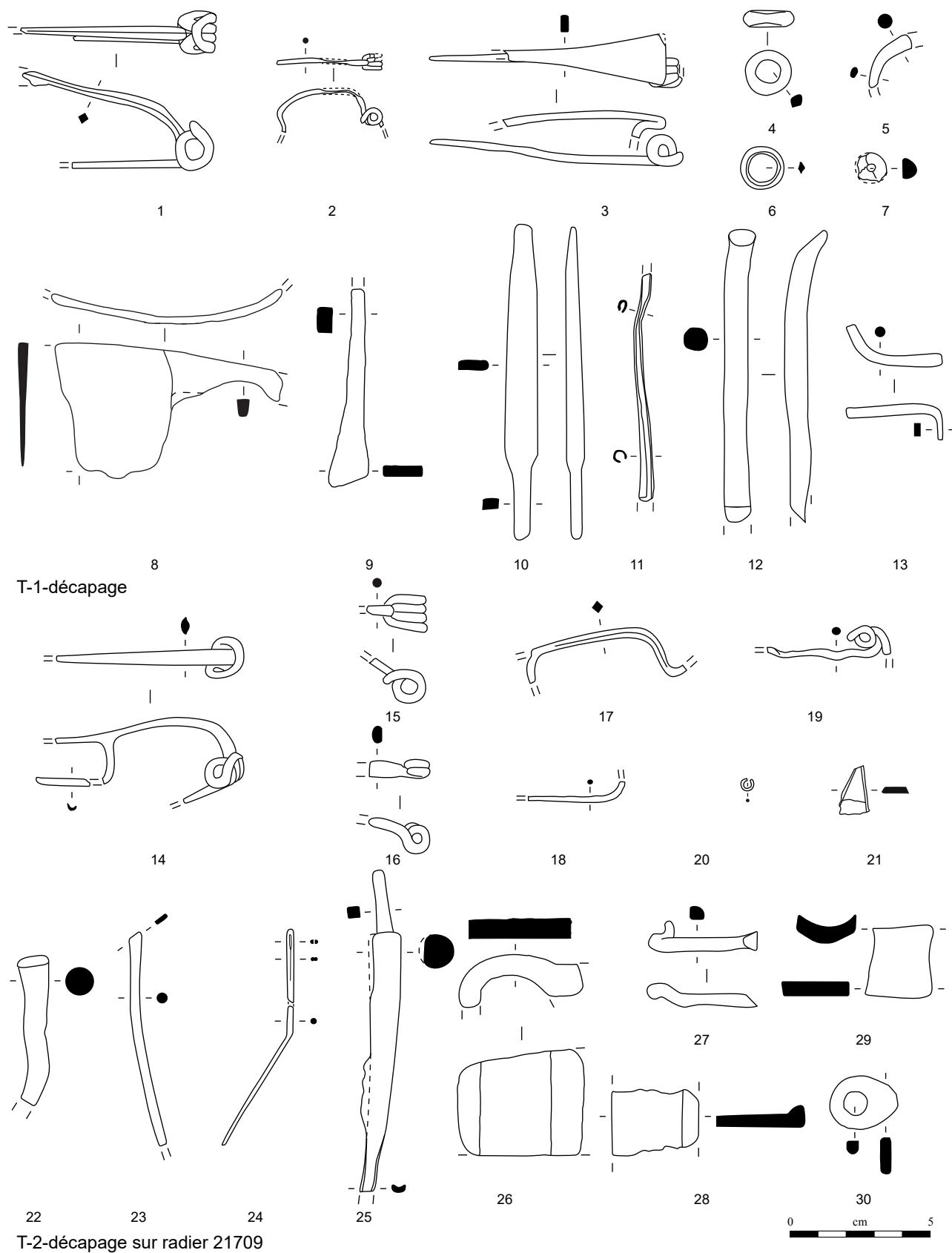


Planche 172. T-1-décapage et T-2-décapage sur radier 21709

1, 3, 7-10, 12-19, 22-30 : fer; 2, 4-6, 11, 20-21 : alliage cuivreux.

Planche 172, 30. 21708, n° 29.
Anneau indéterminé à section en «D» avec une excroissance plate. Fer.
L. 24 mm. 6.3 g.
E : 1180.40. N : 1038. Alt. : 574.1.

Autres petits mobiliers

21708, n° 191. Jeton.
21708, n° 38. Jeton.
21708, n° 180. Monnaie.

Bâtiment T

État 2.3 à 3 : fin LTD2a-Auguste

T-3-radier 21709

Planche 173, 1. 21709, n° 2083.
Fibule filiforme à arc cambré et ressort à quatre spires (deux conservées) et corde externe haute. L'arc cambré est de section lenticulaire. Fer.
L. 54 mm. 13.8 g.
E : 1173. N : 1040.3.*
Type : F33-7.

Planche 173, 2. 21709, n° 276.
Fibule à ressort à quatre spires et corde externe haute, arc cambré filiforme de section lenticulaire. Le pied et l'ardillon sont manquants. Fer.
L. 41 mm, S. 6 x 3 mm. 6 g.
E : 1175.40. N : 1044. Alt. : 573.12.
Type : F33-7.

Planche 173, 3. 21709, n° 320.
Anneau de section triangulaire. Base-cuivre.
Diam. 14 mm, S. 4,5 x 3 mm. 2.6 g.
E : 1180.63. N : 1037.6.

Planche 173, 4. 21709, n° 2082.
Ciseau droit avec un manche de section circulaire et un tranchant évasé à deux biseaux. Fer.
L. 58 mm, L. (tranchant) 8 mm, S. 4 mm. 5.1 g.
E : 1176.2. N : 1037.*

Planche 173, 5. 21709, n° 321.
Croc à viande à trois dents et à fixation par tige matée. Fer.
L. 80 mm, L. (fixation) 20 mm. 39.1 g.
E : 1181.36. N : 1034.8.

Décapage

T-4-décapage 21782

Planche 173, 6. 21782, n° 334.
Fibule à ressort à quatre spires (deux conservées) et corde interne et arc tendu de tôle triangulaire. Fer.
L. 48 mm, S. 7 x 2 mm. 6.2 g.
E : 1176.36. N : 1040.91.
Type : F22-1.

Planche 173, 7. 21782, n° 322.
Perle de section ronde. Base-cuivre.
Diam. 12 mm. 1.2 g.
E : 1181.58. N : 1034.6.

Planche 173, 8. 21782, n° 304.
Perle à section en «D». Base-cuivre.
Diam. 10 mm. 2.4 g.
E : 1179.66. N : 1033.77.

Planche 173, 9. 21782, n° 333.
Fragment de plaque de fourreau à gouttière. Fer.
L. 40 mm. 7.2 g.
E : 1179.34. N : 1041.13.

Planche 173, 10. 21782, n° 326.
Fragment indéterminé de tôle de fer repliée avec deux rivets en alliage cuivreux en position fonctionnelle. Vaisselle? Fer et base-cuivre.
L. 71 mm. 40.1 g.
E : 1181.45. N : 1035.34.

Planche 173, 11. 21782, n° 327.
Ciseau droit à soie avec manche légèrement tordu en forme de cône renversé et tranchant évasé à deux biseaux. Fer.
L. 152 mm, L. (soie) 32 mm, L. (partie active) 120 mm, S. 11 mm, l. (tranchant) 18 mm. 52.5 g.
E : 1181.27. N : 1037.05.

Planche 173, 12. 21782, n° 317.
Fragment indéterminé de bande de fer plat incurvé rivetée (?) à un autre fragment. Cerclage, frette? Fer.
L. 82 mm, diam. int. rest. 79 mm. 36.7 g.
E : 1177.91. N : 1035.85.

Planche 173, 13. 21782, n° 332.
Fragment indéterminé de tôle avec une bordure repliée. Plaque de fourreau? Fer.
L. 70 mm. 26.1 g.
E : 1181.7. N : 1040.52.

Autres petits mobiliers

21782, n° 244. Fusaïole conique en terre cuite.
21782, n° 247. Jeton.
21782, n° 325. Monnaie.
21782, n° 246. Monnaie.
21782, n° 303. Monnaie.

État 1 : LTD1b classique

T-7-Sb 21776

Planche 173, 14. 21777, n° 313.
Tige indéterminée de section triangulaire. Base-cuivre.
L. 18 mm, S. 5 x 3 mm. 0.8 g.
E : 1181.53. N : 1031.8.

Non phasé

T-10-Ce 21759

Planche 173, 15. 21760, n° 391.
Lève-loquet constitué d'une barre incurvée de section rectangulaire qui s'affine à une extrémité. Fer.
L. 139 mm, S. 11 x 6 mm. 69.2 g.
E : 1177. N : 1043.4. Alt. : 573.01.

T-11-Fo 21771

Planche 173, 16. 21772, n° 2091.
Chute de tige de section carrée pliée à proximité de la découpe. Fer.
L. 38 mm, S. 4 mm. 3.6 g.
E : 1177.7. N : 1030.32.*

T-12-Fo 21793

Planche 173, 17. 21793, n° 2085.
Pointe de flèche à douille et à flamme à une barbelure. Les extrémités distale et proximale sont fragmentaires. Fer.
L. 70 mm, diam. 9 mm. 10.1 g.
E : 1180.3. N : 1035.2.*

Perturbations modernes

T-14-Fo 21713

21714, n° 47. Monnaie.

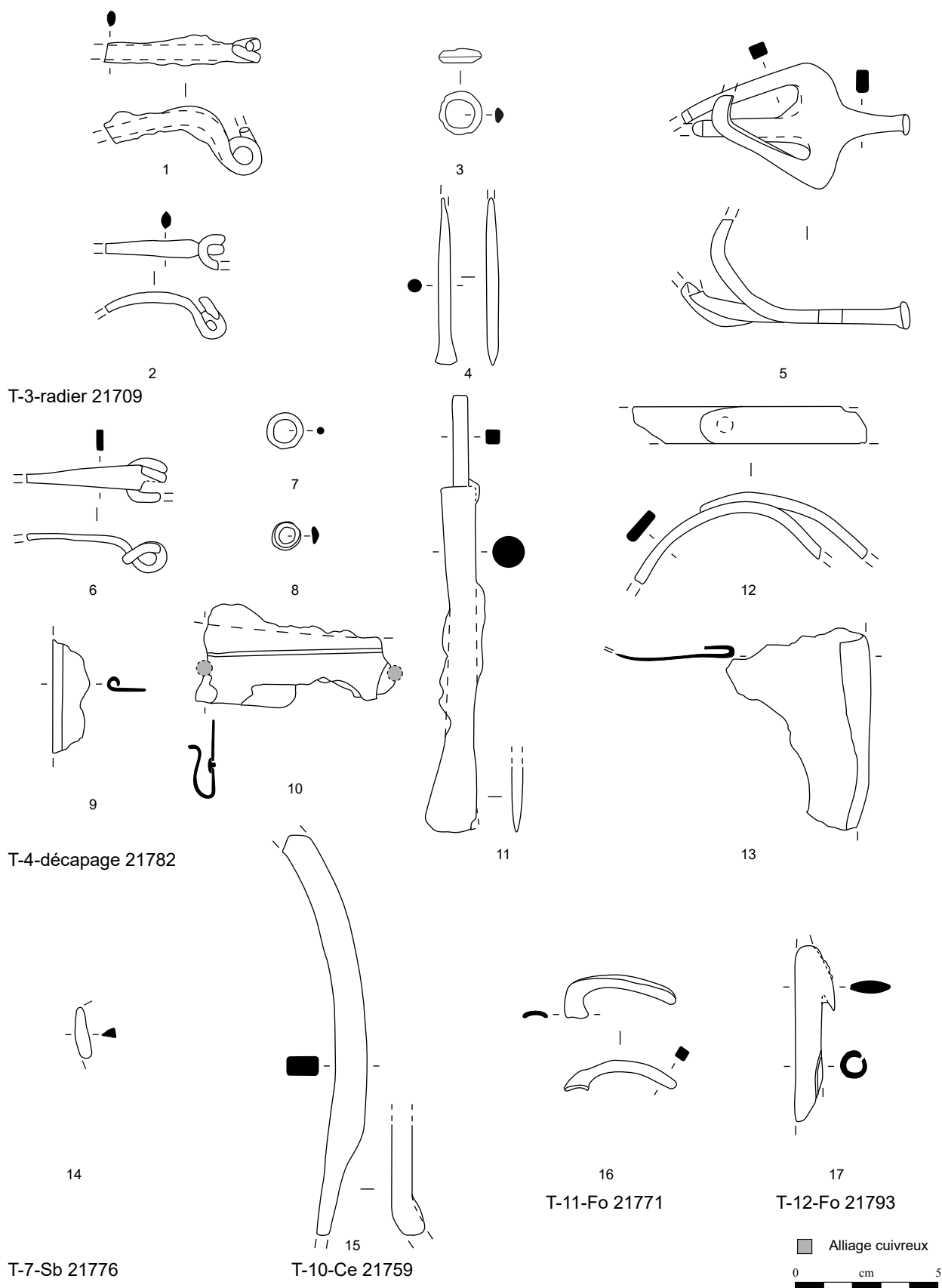


Planche 173. T-3-radier 21709 à T-12-Fo 21793

1-2, 4-6, 9, 11-13, 15-17 : fer; 3, 7-8, 14 : alliage cuivreux; 10 : fer et alliage cuivreux.

Type d'objet	UF	No	Description	Métal	NR	NMI	M(g)
T-1-décapage	<i>Décapage</i>						
Clou de chaussure	21707		Clou de chaussure	Fer	1	1	0.9
Clou de chaussure	21707	10	Clou de chaussure	Fer	1	1	0.8
Clou de chaussure	21707	12	Clou de chaussure	Fer	1	1	1.6
Clou de chaussure	21707	31	Clou de chaussure	Fer	1	1	1.1
Clou de chaussure	21707	56	Clou de chaussure	Fer	1	1	1.6
Clou de chaussure	21707	59	Clou de chaussure	Fer	1	1	2.1
Clou de chaussure	21707	88	Clou de chaussure	Fer	1	1	1.7
Clou de chaussure	21707	89	Clou de chaussure	Fer	1	1	1
Clou de chaussure	21707	95	Clou de chaussure	Fer	1	1	1.5
Clou de chaussure	21707	110	Clou de chaussure avec globules	Fer	1	1	2.5
Crampon	21707	57	Crampon dont les tiges sont doublement repliées	Fer	1	1	5.1
Ferrure	21707	199	Extrémité de ferrure à bords divergents	Fer	1	1	13
Ferrure	21707	14	Ferrure avec clou de fixation en position fonctionnelle	Fer	1	1	14.5
Ferrure	21707	648	Ferrure avec une ou deux perforations	Fer	1	0	36.4
Indéterminé objet	21707	83	Fragment de tôle avec une rainure en relief. Applique?	Base-cuivre	1	1	0.4
Indéterminé plat	21707	3	Fragment de bande de fer plat soudé à une extrémité	Fer	1	1	17.7
Indéterminé plat	21707	50	Fragment de bande de plat	Fer	1	0	6.7
Indéterminé tige	21707	48	Deux tiges collées	Fer	1	1	1.7
Indéterminé tige	21707	17	Tige de section circulaire	Fer	1	1	0.6
Indéterminé tige	21707	16	Tige de section rectangulaire coudée	Fer	1	1	6.3
Indéterminé tôle	21707	13	Fragment de tôle	Fer	1	0	2.9
Indéterminé tôle	21707	11	Fragment de tôle à bords convergents. Plaque de fourreau?	Fer	1	1	12.9
Indéterminé tôle	21707		Tôle	Fer	1	0	7
Clou	21707	54	Clou de petite taille	Fer	1	1	0.9
Clou	21707	55	Fragment de tête de clou ou de contreplaque	Fer	1	1	2
Clou	21707	6	Men.: 1 frgt	Fer	1	1	6.5
Clou	21758		Men.: 12 frgts; 17 tiges	Fer	29	12	154
Clou	21707		Men.: 12 frgts; 8 tiges	Fer	20	12	118
Clou	21706		Men.: 3 frgts; 2 tiges	Fer	5	3	34
Clou	21707	32	Petit clou	Fer	1	1	1.4
Clou	21707	33	Tête de clou	Fer	1	1	0.9
Clou	21707	58	Tête de clou	Fer	1	1	3.1
Clou	21707	94	Tige de clou	Fer	1	0	21.7
Rivet (fer)	21703	34	Tige de clou-rivet par repli	Fer	1	1	3.7
Scorie (fer)	21707	360	Double calotte	Fer	1	1	124
T-2-décapage sur radier 21709	<i>Décapage</i>						
Cabochon	21708	39	Cabochon avec substance de fixation	Base-cuivre	1	1	0.4
Clou de chaussure	21708		Clous de chaussures	Fer	6	6	9.5
Clou de chaussure	21708	187	Clou de chaussure	Fer	1	1	2.2
Clou de chaussure	21708	190	Clou de chaussure	Fer	1	1	2
Clou de chaussure	21708	195	Clou de chaussure	Fer	1	1	1.2
Clou de chaussure	21708	240	Clou de chaussure	Fer	1	1	1.7
Clou de chaussure	21708	241	Clou de chaussure	Fer	1	1	2.1
Clou de ferrure	21708		Clous de ferrure	Fer	3	1	3.2
Coulure	21708	8	Coulure	Base-cuivre	1	1	4
Crampon	21708	188	Crampon	Fer	1	1	3
Ferrure	21708	26	Extrémité de ferrure avec perforation	Fer	1	1	17.3
Ferrure	21708	28	Ferrure ou manipule avec rivet en position fonctionnelle	Fer	1	1	29.4
Ferrure	21708	30	Fragment de ferrure avec une perforation	Fer	1	0	57.3
Indéterminé plat	21708	189	Fragment de fer plat, chute?	Fer	1	0	3.2
Indéterminé plat	21708	43	Petite plaque ovale avec perforation centrale	Fer	1	1	3.1
Indéterminé tige	21708	198	Tige de section appointée	Fer	1	1	1
Indéterminé tige	21708		Tiges de section rectangulaire	Fer	4	1	10.2
Indéterminé tige	21708		Tige de section ronde	Fer	1	1	1
Indéterminé tige	21708	194	Tige de section ronde	Fer	1	1	1.1
Indéterminé tôle	21708	52	Fragment de tôle	Base-cuivre	1	1	0.1
Indéterminé tôle	21708	40	Deux tôles collées dont l'une est légèrement incurvée en bordure.	Fer	1	1	30.7
Indéterminé tôle	21708	197	Fragment de bande de tôle	Fer	1	0	3.4
Indéterminé tôle	21708	44	Fragment de tôle	Fer	1	0	3.7
Indéterminé tôle	21708	27	Fragment de tôle (recolle avec 26)	Fer	1	0	3.6
Clou	21708		Men.: 79 frgts, trois à tête hémisphérique creuse; 90 tiges	Fer	169	79	815
Clou	21708	45	Tige de clou	Fer	1	0	2.6

Type d'objet	UF	No	Description	Métal	NR	NMI	M(g)
T-3-radier 21709	<i>État 2.3 à 3 : fin LTD2a-Auguste</i>						
Clou de chaussure	21709	118	Clou de chaussure	Fer	1	1	1.3
Clou de chaussure	21709	115	Clou de chaussure fragmentaire	Fer	1	1	0.9
Ferrure	21709	114	Extrémité de ferrure	Fer	1	1	7.6
Ferrure	21709		Extrémité de ferrure avec une perforation	Fer	1	0	10.5
Ferrure	21709		Extrémité de ferrure pliée avec une perforation	Fer	1	0	16.4
Ferrure	21709	319	Fragment de ferrure avec une perforation	Fer	1	0	35.3
Indéterminé barre	21709		Barre de section rectangulaire	Fer	1	1	18.2
Indéterminé objet	21709	123	Fragment informe	Fer	1	1	6.7
Indéterminé plat	21709	116	Fragment de bande de fer plat	Fer	1	1	3.5
Indéterminé plat	21709	125	Fragment de bande de fer plat	Fer	1	0	5.3
Indéterminé tige	21709		Tige de section ronde	Fer	1	1	1.8
Indéterminé tôle	21709	122	Fragment de tôle	Fer	1	0	7
Clou	21709	117	Men. : 1 frgt	Fer	1	1	3.2
Clou	21709	124	Men.: 1 frgt	Fer	1	1	10.3
Clou	21709		Men.: 37 frgts; 26 tiges	Fer	63	37	516.1
Clou	21709	113	Tête de clou arrachée ou contreplaque de rivet	Fer	1	1	2.8
Clou	21709	277	Tige de clou	Fer	1	0	4.3
T-4-décapage 21782	<i>Décapage</i>						
Ferrure	21782	245	Extrémité de ferrure	Fer	1	1	3.3
Ferrure	21782	329	Fragment de ferrure pliée avec une perforation	Fer	1	0	23.5
Indéterminé plat	21782	248	Fragment de bande de plat	Fer	1	1	10.4
Indéterminé plat	21782	318	Fragment de bande de plat incurvée	Fer	1	0	5
Indéterminé plat	21782	328	Tige et fragment de plat à bords convergents	Fer	2	0	25.1
Indéterminé tôle	21782	323	Fragment de tôle	Base-cuivre	1	1	0.1
Indéterminé tôle	21782	249	Fragment de tôle	Fer	1	0	3.7
Clou	21782		Men.: 4 frgts; 7 tiges	Fer	11	4	55
Clou	21782	250	Tige	Fer	1	0	2.5
Clou	21782	324	Tige de clou	Fer	1	0	7.6
T-5-Fo 21846	<i>État 2 lato sensu : LTD1b évoluée-LTD2</i>						
Indéterminé tige	21847		Tige de section rectangulaire	Base-cuivre	1	1	0.3
Clou	21847		Men.: 1 frgt; 4 tiges	Fer	5	1	17
T-6-Fo art 21783	<i>État 2 lato sensu : LTD1b évoluée-LTD2</i>						
Indéterminé tôle	21784	295	Grand fragment de tôle	Base-cuivre	1	1	2.7
Clou	21784	297	Clou	Fer	1	1	4
Clou	21784	298	Tige	Fer	1	0	6.8
Clou	21784	299	Tige de clou de construction	Fer	1	1	53.6
T-7-Sb 21776	<i>État 1 : LTD1b classique</i>						
Ferrure	21777		Fragment de ferrure	Fer	1	1	24.9
Indéterminé tôle	21777		Grand fragment de tôle	Fer	1	1	49.2
Clou	21777		Men.: 3 frgts; 6 tiges	Fer	9	3	65.3
T-8-TP 21774	<i>État 1 : LTD1b classique</i>						
Clou	21775		Men.: 1 frgt	Fer	1	1	14.3
T-9-Fo 21704	<i>Non phasé</i>						
Indéterminé objet	21705	51	Bande de fer plat incurvée et oblique. Cerclage? Anneau de sertissage?	Fer	1	1	10
Indéterminé tôle	21705		Fragment de tôle	Fer	1	1	3
Clou	21705		Men.: 3 frgts; 3 tiges	Fer	6	3	24
T-10-Ce 21759	<i>Non phasé</i>						
Indéterminé objet	21760	393	Tige indéterminée, présence d'une gouttière?	Fer	1	1	32
Clou	21759		Men.: 1 frgt; 4 tiges	Fer	5	1	24
Clou	21760		Men.: 8 frgts; 21 tiges	Fer	29	8	207
T-11-Fo 21771	<i>Non phasé</i>						
Clou	21772		Men.: 2 frgts; 3 tiges	Fer	5	2	29
T-12-Fo 21793	<i>Non phasé</i>						
Indéterminé plat	21793		Fragment de bande de fer plat	Fer	1	1	5.1
Clou	21793		Men.: 2 frgts; 2 tiges	Fer	4	2	44
T-13-TP 21795	<i>Non phasé</i>						
Clou	21795		Men.: 1 frgt; 1 tige	Fer	2	1	11

HÉMICYCLE DE RÉUNION, THÉÂTRE

Décapage

TH-1-décapage

Planche 174, 1. 20305, n° S4029.

Épingle à tête moulurée. Base-cuivre.
L. 103 mm. 3.7 g.
E : /. N : /. Alt. : /. *

Planche 174, 2. 21831, n° 382.

Fibule filiforme à ressort à quatre spires (deux conservées) et corde externe haute et à arc cambré de section lenticulaire. Fer.
L. 54 mm, L. (arc) 44 mm, S. 6 x 4 mm. 6.3 g.
E : 1181.65. N : 1061.6. Alt. : 572.75.
Type : F33-7.

Planche 174, 3. 21752, n° 82.

Ressort de fibule arraché avec une spire conservée et corde partant dans le prolongement de l'ardillon. Fer.
L. 50 mm. 2.6 g.
E : 1175.83. N : 1074.65. Alt. : 573.97. UF.
Type : F00.

Planche 174, 4. 21831, n° 394.

Perle de section hémisphérique. Fer.
Diam. 12 mm, S. 10 x 5 mm. 5.8 g.
E : 1183. N : 1061.2. Alt. : 572.74.

Planche 174, 5. 21899-258, n° 149.

Fragment de perle à trois cannelures. Base-cuivre.
L. 17 mm, diam. ext. 30 mm. 1 g.
E : 1159.55. N : 1056.27. Alt. : 573.41.

Planche 174, 6. 21752, n° 2088.

Fragment d'orle en gouttière. Fer.
L. 40 mm, S. 6 mm. 4.2 g.
E : 1173. N : 1055. *
Type : Gouttière.

Planche 174, 7. 21763, n° 2098.

Talon de lance à douille. Fer.
L. 69 mm, diam. 19 mm. 34.8 g.
E : 1156. N : 1082. *
Type : 2.

Planche 174, 8. 21752, n° 164.

Pointe de flèche à soie à extrémité de section ronde matée et corps de section quadrangulaire. Fer.
L. 78 mm, S. 5 mm. 9.7 g.
E : 1170.63. N : 1050.86. Alt. : 573.24.

Planche 174, 9. 21717, n° 87.

Ciseau composé d'une tige matée épaissie en son centre et d'où part un tranchant fragmentaire triangulaire large. Le tranchant a été plié dans sa partie conservée. Fer.
L. 68 mm, L. (tranchant) 39 mm, S. 8 mm. 17.4 g.
E : 1181.52. N : 1052.7. *

Planche 174, 10. 21752, n° 109.

Ciseau droit à tête matée, manche de section circulaire et tranchant à deux biseaux de section hémisphérique. Fer.
L. 28 mm, S. 7 mm. 3.5 g.
E : 1173.10. N : 1053.83. Alt. : 573.09.

Planche 174, 11. 21752, n° 80.

Spatule avec partie centrale épaissie et lame évasée. Fer.
L. 57 mm, S. 6 mm. 30.8 g.
E : 1176.32. N : 1074.28. Alt. : 573.94. UF.

Planche 174, 12. 20336, n° D1002.

Chute de tige de section carrée appointée. Fer.
L. 40 mm, S. 3 mm. 2.7 g.
E : 1160.4. N : 1067.85. *

Planche 174, 13. 21770, n° 2090.

Chute de tige de section carrée appointée. Fer.
L. 42 mm, S. 3 mm. 1.6 g.
E : 1163.7. N : 1049.8. *

Planche 174, 14. 21899-258, n° 234.

Chute de tige de section ronde repliée pour former un anneau. Fer.
L. 42 mm, S. 3,5 mm. 2 g.
E : 1161.8. N : 1057.5. Alt. : 573.17.

Planche 174, 15. 20330, n° S4064.

Chute de tige de section carrée appointée. Fer.
L. 36 mm, S. 3 mm. 1.6 g.
E : 1167.6. N : 1066.9. *

Planche 174, 16. 21757, n° 2089.

Chute de tige de section carrée en forme de «S». Fer.
L. 30 mm, S. 3 mm. 1.4 g.
E : 1158.2. N : 1060.5. *

Planche 174, 17. 21831, n° 383.

Chute de barre de section rectangulaire facettée avec découpe latérale. Base-cuivre.
L. 26 mm, ép. 4 mm. 2.6 g.
E : 1181.26. N : 1061.25.

Planche 174, 18. 21752, n° 159.

Chute de tôle repliée. Base-cuivre.
L. 8 mm. 0.2 g.
E : 1173.84. N : 1054.74. Alt. : 573.01.

Planche 174, 19. 21841, n° 218.

Chute de tôle repliée. Fer.
L. 25 mm. 4 g.
E : 1157.73. N : 1075.67. Alt. : 573.36.

Planche 174, 20. 21831, n° 396.

Petit couteau à manche à soie et à lame à dos et tranchant rectiligne. Fer.
L. 48 mm. 2.9 g.
E : 1182.4. N : 1061.03. Alt. : 572.75.
Type : 2-0.

Planche 174, 21. 21752, n° 81.

Cuillère de poêle carénée à lèvre déversée. Présence de deux rivets près de la lèvre. Fer.
L. 127 mm, diam. 140 mm, ht. 47 mm. 22.9 g.
E : 1175.66. N : 1073.88. Alt. : 574.04. UF.

Planche 174, 22. 21752, n° 99.

Pince à épiler complète à bordures soulignées par une rainure. Base-cuivre.
L. 38 mm, l. 7 mm. 2.1 g.
E : 1174.16. N : 1053.67. Alt. : 573.07.

Planche 174, 23. 21841, n° 491.

Anneau de section circulaire connecté à une tige de section circulaire. Fragment d'instrument de toilette, d'extrémité de balance? Fer.
L. 42 mm, S. 3 mm. 2.9 g.
E : 1161.42. N : 1058.22.

Planche 174, 24. 21841, n° 208.

Rivet à tête plate décorée de cercles concentriques. Base-cuivre.
L. 7 mm, diam. 8 mm. 0.2 g.
E : 1159.25. N : 1074.25. Alt. : 573.16.

Planche 174, 25. 21740, n° 73.

Maillon rapide. Fer.
Diam. 8 mm, S. 1 mm. 0.1 g.
E : 1165.53. N : 1077. Alt. : 574.

Planche 174, 26. 21752, n° 163.

Fragment de maillon de chaîne en «8». Fer.
L. 48 mm, S. 7 mm. 8.4 g.
E : 1171.10. N : 1051.66. Alt. : 573.11.

Planche 174, 27. 21752, n° 2087.

Anneau de section subcirculaire. Fer.
Diam. 53 mm, S. 6 mm. 24.4 g.
E : 1172.52. N : 1057.5. *

Planche 174, 28. 21752, n° 230.

Fragment indéterminé de tige de section subquadrangulaire avec oeillet perforé. Fragment de manche ou de piton, d'entrave, objet moderne? Fer.
L. 38 mm, S. 8 mm. 9.2 g.
E : 1176.64. N : 1054.83. Alt. : 573.06.

Planche 174, 29. 21770, n° 266.

Objet indéterminé en forme de fer à cheval avec un plat de section triangulaire central d'où partent deux tiges de section rectangulaire. Fer.
L. 56 mm, S. 13 x 6 mm. 30.2 g.
E : 1163.85. N : 1049.05. Alt. : 573.21.

Planche 174, 30. 21841, n° 206.

Fragment de fer plat triangulaire avec deux bords conservés. Fer.
L. 45 mm, ép. 6 mm. 17.9 g.
E : 1159.55. N : 1074.35. Alt. : 573.16.

Planche 174, 31. 21841, n° 209.

Bandelette dentelée indéterminée de section rectangulaire. Fer.
L. 32 mm, l. 7 mm. 1.9 g.
E : 1159.76. N : 1073.81. Alt. : 573.16.

Planche 174, 32. 21752, n° 204.

Tige indéterminée de section circulaire surmontée par un plat. Fer.
L. 15 mm. 1.9 g.
E : 1172.98. N : 1055.13. Alt. : 573.07.

Autres petits mobiliers

20330, n° E1001. Fragment de bracelet en

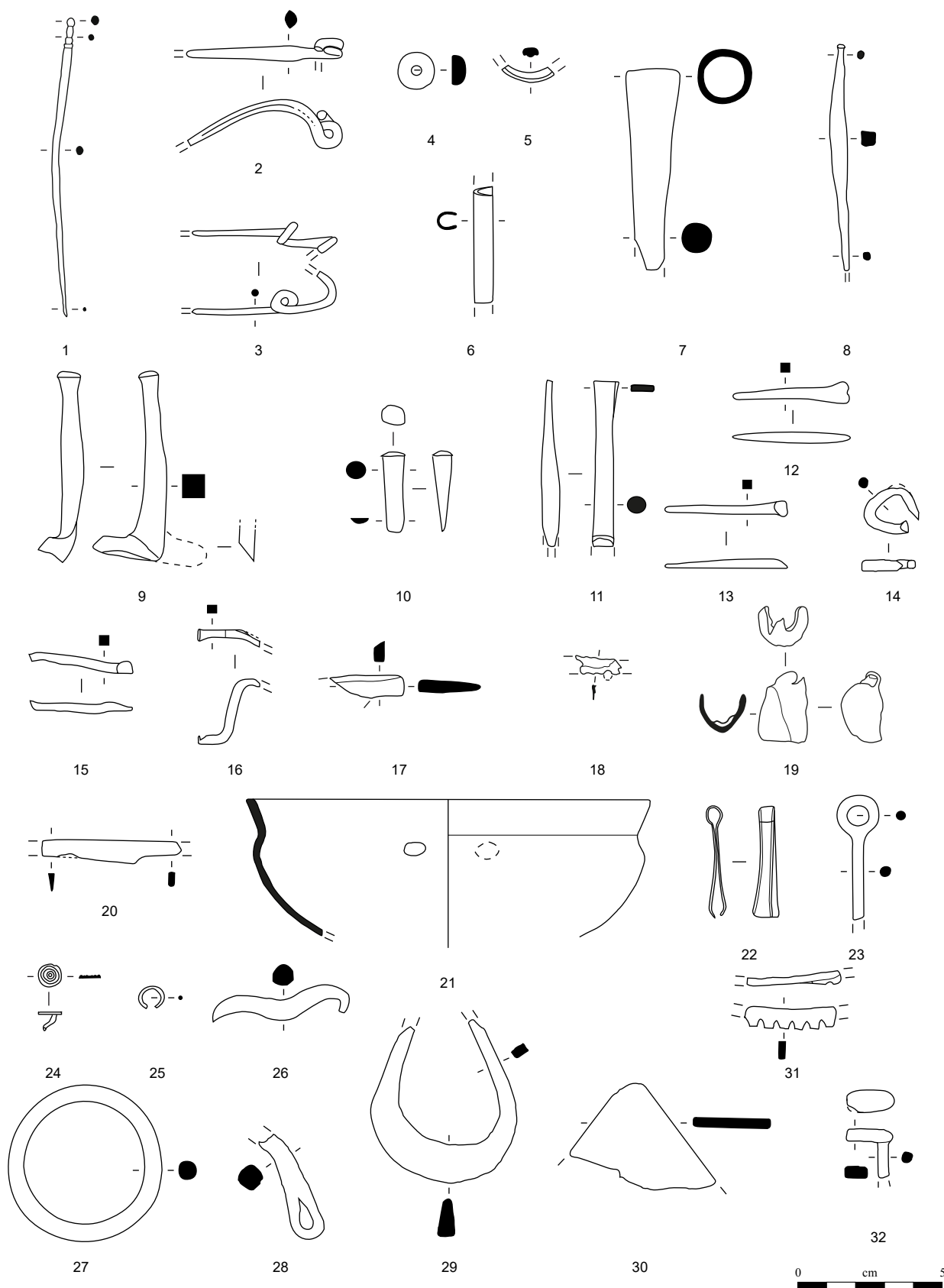


Planche 174. TH-1-décapage

1, 5, 17-18, 22, 24 : alliage cuivreux; 2-4, 6-16, 19-21, 23, 25-30 : fer.

verre bleu à section en D (Gebhard 38).
21717, n° 20. Fusaïole, jeton percé.
21828, n° 440. Jeton.
21752, n° 142. Jeton en amphore.
21770, n° 265. Jeton en amphore.
21831, n° 384. Jeton en amphore.
21752, n° 158. Monnaie.
21717, n° 192. Monnaie.
21752, n° 203. Monnaie.

Théâtre

Perturbations modernes

TH-2-Moderne

Planche 175, 1. 20322, n° S4066.

Tige d'épingle. Base-cuivre.
L. 68 mm, S. 2,5 mm. 2.7 g.
E : 1182.1. N : 1065.3.*

Planche 175, 2. 21735, n° 425.

Ardillon complet de fibule. Base-cuivre.
L. 57 mm. 1.3 g.
E : 1172. N : 1062.1.*

Planche 175, 3. 21899-90, n° 2095.

Fibule filiforme à ressort à quatre spires et corde externe haute et arc cambré de section lenticulaire. Seul le pied est manquant. Fer.
L. 35 mm, L. (arc) 30 mm, S. (arc) 2 mm. 2.8 g.
E : 1177.9. N : 1071.4.*
Type : F33-7.

Planche 175, 4. 21716, n° 60.

Ciseau droit à tête fortement matée et tranchant à deux biseaux. Fer.
L. 38 mm, S. 19 x 12 mm. 33.7 g.
E : 1166.15. N : 1052.3. Alt. : 574.22.

Planche 175, 5. 21899-90, n° 459.

Tranchet à pied à emmanchement à soie et lame incurvée. Fer.
L. 114 mm, L. (tranchant) 33 mm, S. 5 mm. 44.8 g.
E : 1177.8. N : 1071.5. Alt. : 572.97.

Planche 175, 6. 21845, n° 447.

Douille écrasée sur une face latérale. Fer.
L. 51 mm, diam. 17 mm. 15.8 g.
E : 1183.35. N : 1062.39. Alt. : 572.74.

Planche 175, 7. 21716, n° 171.

Couteau miniature bimétallique à manche en alliage cuivreux à volute et dos incurvé et tranchant droit effilé vers la pointe. Fer et alliage cuivreux.
L. 132 mm, L. (lame) 90 mm, L. (manche) 42 mm, l. (manche) 12 mm. 33 g.
E : 1163.90. N : 1072.8. Alt. : 572.56.
Type : 2-5.

Planche 175, 8. 21715, n° 2084.

Tôle indéterminée découpée de forme trapézoïdale avec perforation et repli. Fer.
L. 50 mm. 18.1 g.
E : 1164. N : 1058.5.*

Planche 175, 9. 21716, n° 214.

Balle de chasse écrasée en forme d'hémisphère. Plomb.

Diam. 12 mm. 2.8 g.
E : 1163.90. N : 1072.8. Alt. : 572.56.

Autres petits mobiliers

21899-90, n° 458. Déchet de tabletterie à découpes circulaires en os.

21716, n° 178. Monnaie.

Décapage

TH-3-décapage

Planche 175, 10. 21718, n° 488.

Fibule filiforme à arc de section losangique. Seule une spire du ressort est conservée. Fer.
L. 66 mm, S. 4,5 mm. 3.6 g.
E : 1164.1. N : 1051.*
Type : F03.

Planche 175, 11. 21718, n° 1.

Éperon à perforation latérale, à plaque centrale découpée et munie d'un aiguillon à la base moulurée. Fer.
L. 64 mm, diam. (anneau) 10 mm. 5.6 g.
E : 1164.40. N : 1052.67. Alt. : 574.24.

Autres petits mobiliers

21718, n° 2. Monnaie.

État 4 lato sensu : époque romaine

TH-4-décapage ouest

Planche 175, 12. 21739, n° 130.

Fer de rabot (?) constitué d'un plat incurvé et maté à une extrémité et biseauté à l'autre extrémité. Fer.
L. 52 mm. 19 g.
E : 1159.9. N : 1070.93. Alt. : 573.02.

Autres petits mobiliers

21739, n° 128. Éclats de récipient bleu et naturel.

21739, n° 139. Fragment de verre indéterminé.
21739, n° 135. Monnaie.

21739, n° 138. Fragment de plaque de foyer.

État 5 : Antiquité tardive-Haut Moyen-Âge

TH-5-Fo 21899-45

Planche 175, 13. 21899-45, n° 492.

Cabochon vestimentaire composé d'une cupule avec deux attaches triangulaires. Base-cuivre.
Diam. 7 mm. 0.1 g.
E : 1157.6. N : 1074.08.

État 4.2 : IIe s. ap. J.-C.

TH-7-démolition

21738, n° 182. Jeton.

TH-8-Fo 21727

Planche 175, 14. 21728, n° 176.

Ressort à quatre spires et corde interne et

ardillon de fibule. Base-cuivre.
L. 36 mm. 1.8 g.
E : 1168. N : 1075.40. Alt. : 572.64.
Type : B20-0.

Autres petits mobiliers

21727, n° 72. Fragment de récipient en verre.

21728, n° 177. Monnaie.

TH-9-démolition 21722

Planche 175, 15. 21722, n° 100.

Anneau-bague de section lenticulaire. Base-cuivre.
Diam. 19 mm, S. 2 x 1 mm. 1.3 g.
E : 1166.29. N : 1065.63. Alt. : 572.73.
Type : 1.

Planche 175, 16. 21722, n° 102.

Fragment de panne de marteau de faible épaisseur de forme rectangulaire à oeil circulaire. Fer.
L. 47 mm, diam. (oeil) 9 mm, S. 10 x 8 mm. 37.1 g.
E : 1167.45. N : 1065.05. Alt. : 572.66.

Planche 175, 17. 20335, n° S4063.

Fragment d'outil à manche massif de section ronde et tête matée. L'extrémité active est manquante. Fer.
L. 44 mm, S. 4,5 mm. 5.8 g.
E : 1166.75. N : 1070.3.*

Planche 175, 18. 21722, n° 105.

Aiguille complète à chas rectangulaire. Fer.
L. 93 mm. 2.8 g.
E : 1166.41. N : 1073.83. Alt. : 572.69.

Autres petits mobiliers

21722, n° 106. Éclat de verre indéterminé.
20335, n° S4039. Fragment de tige en verre bleu de section ronde, anse de balsamaire?

21722, n° 463. Fragment de *catillus* en grès grossier.

21722, n° 173. Monnaie.

21722, n° 175. Monnaie.

21722, n° 174. Monnaie.

TH-11-remblai 21723

Planche 175, 19. 20384, n° S4006.

Fibule à manchette à ressort à quatre spires et corde interne, arc en anse de panier rubané à moulure longitudinale et pied rapporté sur le sommet de l'arc à griffe comportant l'inscription «RIT». Base-cuivre.
L. 36 mm, l. 6 mm. 1.9 g.
E : 1169.12. N : 1069.9. Alt. : 572.63.
Type : B21-4.

Planche 175, 20. 20384, n° S4035.

Bague à chaton ovale à épaulement peu marqué et anneau en partie plié se développant horizontalement. L'intaille a disparue ainsi qu'une partie de l'anneau. Fer.

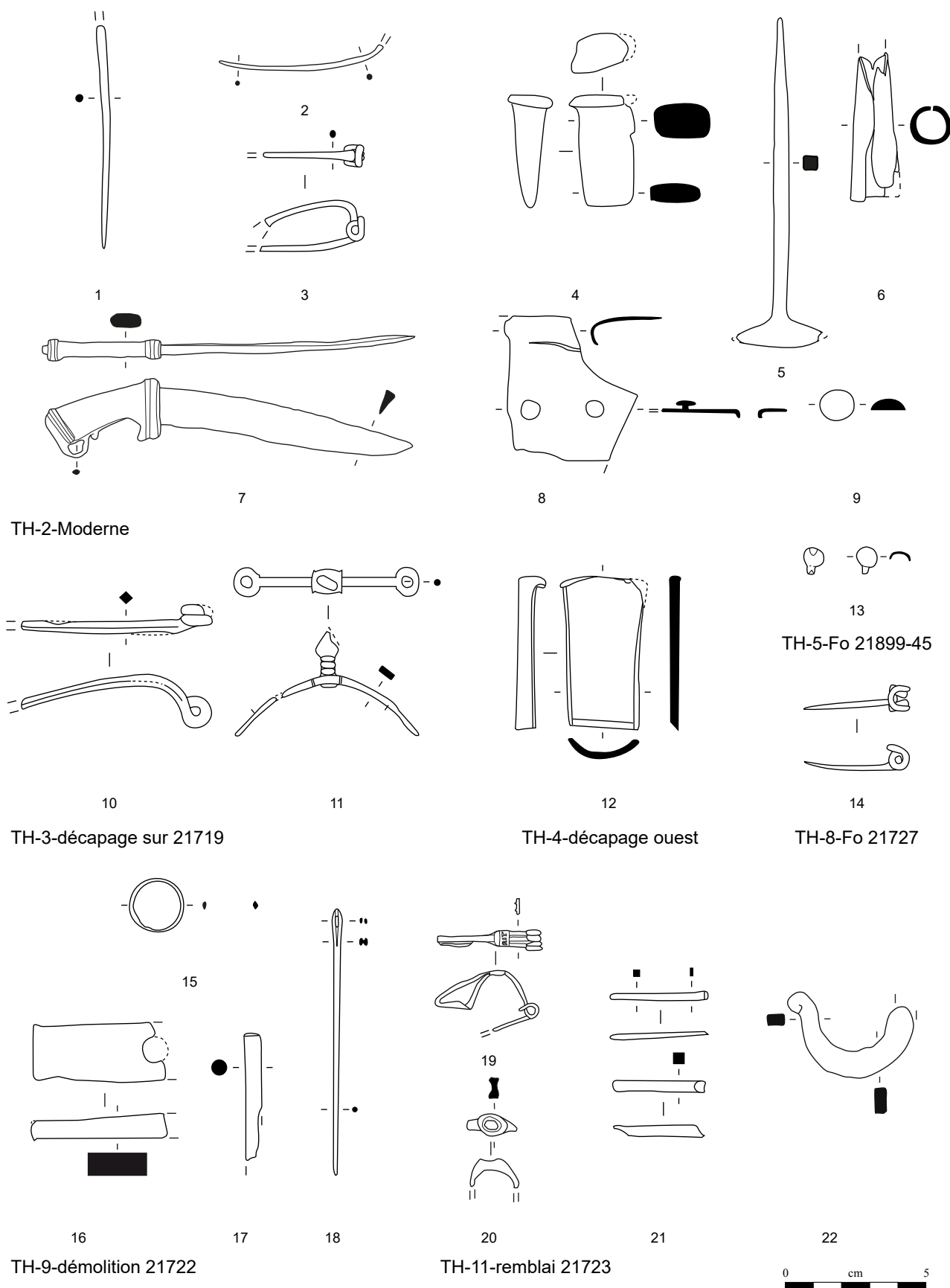


Planche 175. TH-2-Moderne à TH-11-remblai 21723

1-2, 13-15, 19 : alliage cuivreux; 3-6, 8, 10-12, 16-18, 20-22 : fer; 7 : fer et alliage cuivreux; 9 : plomb.

L. 18 mm, diam. int. 15 mm, L. (plateau) 10 x 8 mm. 1.1 g.
E : 1169.75. N : 1071.42. Alt. : 572.58.
Type : 10.

Planche 175, 21. 21723, n° 2097.
Deux chutes de tige de section carrée. Fer.
S. 34 mm, S. 2 mm et S. 2 x 1 mm. 3.9 g.
E : 1164.5. N : 1070.2.*

Planche 175, 22. 20384, n° S4002.
Fragment de piton ouvert à extrémité enroulée. Fer.
L. 44 mm, S. 9 x 4 mm. 7.5 g.
E : 1170.22. N : 1069.66. Alt. : 572.72.

Autres petits mobiliers

21723, n° 464. Fragment de calcaire avec rainure. Élément architectural décoratif?
21723. Fragment de verre bleu.

TH-14-TP 21764

21765, n° 267. Monnaie.

Théâtre

État 4.1 : Claude-fin 1^{er} s. ap. J.-C.

TH-15-démolition 21720

Planche 176, 1. 20385, n° S4036.
Fragment de fibule (?) à arc profilé triangulaire avec une partie à gorge centrale et des moulurations au niveau du pied. Base-cuivre.
L. 51 mm, S. 5 x 3 mm. 5 g.
E : 1170.4. N : 1072.8. Alt. : 572.87.
Type : B68-7.

Planche 176, 2. 21720, n° 169.
Fibule entière à charnière à arc en arc de cercle à bordures incisées et gorge centrale ornée d'une ligne serpentiforme en relief. Le pied triangulaire est plein et surmonté par un petit bouton. Base-cuivre.
L. 26 mm. 2.8 g.
E : 1172.40. N : 1073. Alt. : 572.98.
Type : B68-4.

Planche 176, 3. 21720, n° 170.
Ressort de fibule à quatre spires (deux conservées) et corde interne. Base-cuivre.
L. 11 mm. 1.5 g.
E : 1174.7. N : 1074.2. Alt. : 572.72.
Type : B20-0.

Planche 176, 4. 20385, n° S4038.
Chute de bande de tôle repliée sur elle-même à trois reprises avec traces de cisaille latérales. Base-cuivre.
L. 31 mm. 0.4 g.
E : 1171.68. N : 1073.25. Alt. : 572.92.

Planche 176, 5. 21720, n° 79a.
Ciseau à soie constitué d'une tige de section carrée et à tranchant évasé partiellement endommagé. Fer.
L. 52 mm. 9 g.
E : 1173.27. N : 1075.77. Alt. : 573.02.

Planche 176, 6. 21720, n° 79b.
Dent de râteau constituée d'une tige de section ronde à soie. Fer.
L. 66 mm, S. 6 mm. 16.1 g.
E : 1173.35. N : 1075.81. Alt. : 573.02.

Autres petits mobiliers

20385, n° S4037. Tête d'épingle en os conique, précédée de deux cannelures.
21720, n° 481. Fragment de terre cuite indéterminée, bec verseur, élément architectural?

TH-16-démolition 20326

Planche 176, 7. 20326, n° S4005.
Fibule à charnière coulée en une pièce, à arc delphiniforme et loge d'email (vert-jaune) sur la nageoire caudale et sur les yeux, avec un point central pour marquer l'iris, décor incisé pour figurer les écailles et pied triangulaire plein sous le bec du dauphin. Argent.
L. 42 mm. 4.4 g.
E : 1177.3. N : 1059.2. Alt. : 572.63.
Type : B78-1.

TH-17-Solin 21742

Planche 176, 8. 20313, n° S4047.
Clou de chaussure. Fer.
Diam. 11 m. 2.1 g.
E : 1172.95. N : 1067.33. Alt. : 573.03.

Hémicycle de réunion

État 3 : fin LTD2b-Auguste

TH-18-radier 21753

Planche 176, 9. 21753, n° 253.
Clou de chaussure tardo-républicain à relief de croix et de globules et à bol hexagonal. Fer.
Diam. 20 mm. 7 g.
E : 1172. N : 1054.32. Alt. : 572.95.

Planche 176, 10. 21753, n° 292.
Clou de chaussure. Fer.
diam. 13 mm. 2.3 g.
E : 1168.1. N : 1063.35.

Planche 176, 11. 21753, n° 259.
Tête matée d'outil de section circulaire. Fer.
L. 46 mm, S. 6 x 5 mm. 12.5 g.
E : 1159.36. N : 1052.8. Alt. : 573.11.

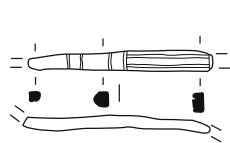
Planche 176, 12. 21779, n° 375.
Fragment de lime (?) à soie et à partie active en demi-rond. Fer.
L. 76 mm, S. 8 x 3 mm. 26.6 g.
E : 1179.54. N : 1053.38. Alt. : 573.71.

Planche 176, 13. 21753, n° 2086.
Fragment d'outil à soie à manche de section conique et partie active manquante pliée. Fer.
L. 63 mm, S. 6 mm. 9.7 g.
E : 1174.1. N : 1056.05.*

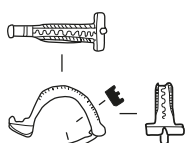
Planche 176, 14. 21753, n° 255.
Chute de tôle pliée à trois perforations circulaires. Base-cuivre.
L. 28 mm. 0.4 g.
E : 1177.57. N : 1037.03. Alt. : 573.12.

Planche 176, 15. 21753, n° 257.
Chute de tôle avec deux découpes quadrangulaires. Base-cuivre.
L. 21 mm. 0.7 g.
E : 1169.53. N : 1052.93. Alt. : 573.12.

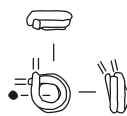
Planche 176, 16. 21779, n° 482.
Couteau à manche à plaquette et anneau de suspension et à lame à dos droit et à tranchant convexe. Du bois minéralisé est encore visible sur le manche. Ce couteau est plié au niveau du départ de la lame. Fer.
L. 286 mm, L. (lame) 206 mm, l. (lame) 40 mm, diam. (anneau) 30 mm, S. 5 mm, L. (manche) 80 mm, S. (manche) 15 x 6 mm. 164.4 g.
E : 1182.3. N : 1058.7. Alt. : 572.77.
Type : 1-1.



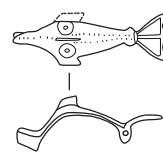
1



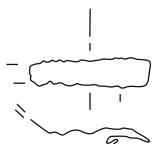
2



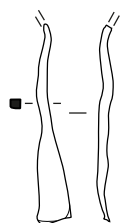
3



7



4



5



6

TH-16-démolition 20326



8

TH-15-démolition 21720

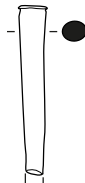
TH-17-Solin 21742



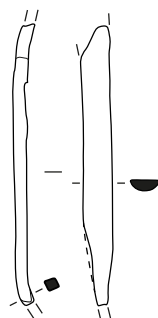
9



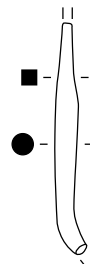
10



11



12



13

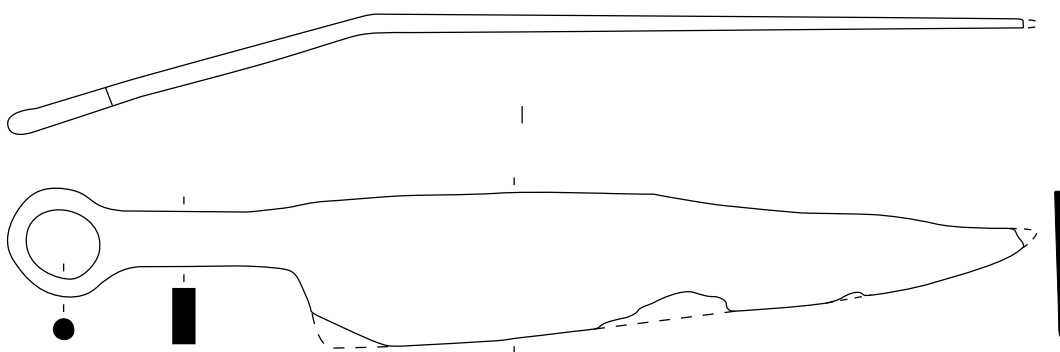


Déplié

14



15



16

TH-18-radier 21753

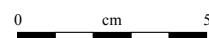


Planche 176. TH-15-démolition 21720 à TH-18-radier 21753

1-4, 14-15 : alliage cuivreux; 5-6, 8- 13, 16 : fer; 7 : argent.

Hémicycle de réunion

État 3 : fin LTD2b-Auguste

TH-21-radier 21832

Planche 177, 1. 21832, n° 385.

Bague à chaton inorné qui devait peut-être comporter une inscription trop peu lisible. L'anneau de section hémisphérique est en partie manquant. Base-cuivre.
L. 13 mm, diam. int. 12 mm. 1.3 g.
E : 1167.25. N : 1061.46. Alt. : 572.92.
Type : 6.

Planche 177, 2. 21832, n° 405.

Extrémité de manche de simpulum à bordures soulignées par deux rainures. Base-cuivre.
L. 23 mm, ép. 2 mm. 3.1 g.
E : 1167.42. N : 1061.93. Alt. : 572.91.

Autres petits mobiliers

21753, n° 258. Jeton.

21753, n° 262. Monnaie.

21753, n° 263. Perle en os de section carrée.

TH-20-radier 21842

21842, n° 395. Monnaie.

TH-22-TP 21824

Planche 177, 3. 21825, n° 404.

Fibule à ressort à quatre spires (trois conservées) et corde interne à arc filiforme de section ronde interrompu par un perle. Base-cuivre.
L. 39 mm, S. 2 mm. 2.5 g.
E : 1170.11. N : 1052.62. Alt. : 573.09.
Type : B24-1.

TH-23-TP 21818

Planche 177, 4. 21819, n° 2093.

Objet indéterminé. Douille écrasée, chute de barre? Fer.
L. 33 mm. 26.4 g.
E : 1174.42. N : 1056.62.*

TH-24-aménagement 21761

Planche 177, 5. 21761, n° 150.

Ressort de fibule à quatre spires et corde externe haute. Fer.
L. 60 mm. 4.4 g.
E : 1158.10. N : 1057.04. Alt. : 573.46.
Type : F30.

Planche 177, 6. 21761, n° 144.

Anneau de section ovale. Base-cuivre.
Diam. 10 mm, S. 2 x 1 mm. 0.6 g.
E : 1160.3. N : 1058.90. Alt. : 573.33.

Autres petits mobiliers

21761, n° 2009. Monnaie.

État 2.1 : LTD1b évoluée

TH-25-radier 21899-2

Planche 177, 7. 21899-2, n° 2008.

Fiche composée d'une tige de section rectangulaire avec tête à angle droit. Fer.
L. 45 mm, S. 8 x 5 mm. 19 g.
E : 1184.72. N : 1160.

Autres petits mobiliers

21899-2, n° 415. Jeton.

21899-2, n° 414. Monnaie.

21899-2, n° 412. Monnaie.

État 2-GR : LTD1b évoluée-époque romaine

TH-26-Remblai 20310

Planche 177, 8. 20310, n° S4015.

Fragment de bande de plat tordue. Base-cuivre.
L. 39 mm, l. 7 mm. 2.4 g.
E : 1172. N : 1068. Alt. : /.

Autres petits mobiliers

20310, n° S4056. Monnaie.

TH-27-sol 21719

Planche 177, 9. 21719, n° 65.

Fragment d'arc de fibule de section losangique et départ d'un pied ajouré. Fer.
L. 24 mm. 0.7 g.
E : 1165.45. N : 1053.6. Alt. : 574.17.
Type : F03.

Autres petits mobiliers

21719, n° 61. Monnaie.

État 2 lato sensu : fin LTD1b-LTD2

TH-28-interface 21865

Planche 177, 10. 21865, n° 406.

Fibule à quatre spires et corde interne et arc cambré de section lenticulaire. Le pied ajouré est fragmentaire. Fer.
L. 47 mm, L. (arc) 36 mm, S. 3 x 5 mm. 5.7 g.
E : 1182.2. N : 1060.3. Alt. : 572.72.
Type : F23-5.

Autres petits mobiliers

21865, n° 480. Jeton.

21865, n° 407. Monnaie.

21865, n° 408. Monnaie.

TH-32-Sb 21899-7

Planche 177, 11. 21899-8, n° 421.

Ciseau droit à tête matée et tranchant évasé lacunaire. Fer.
L. 101 mm, S. 9 mm. 51.6 g.
E : 1177.65. N : 1051.75. Alt. : 572.83.

TH-33-TP 21887

Planche 177, 12. 21887, n° 484.

Fragment de couteau à plaquette dont la lame est fragmentaire. Le manche comporte encore des traces de bois ainsi qu'un rivet en position fonctionnelle et une perforation. Fer.
L. 113 mm, l. (lame) 38 mm. 47.3 g.
E : 1168.9. N : 1052.8. Alt. : 572.8.*
Type : 1-3.

TH-37-TP 21899-26

Planche 177, 13. 21899-26, n° 418.

Fragment d'anneau de section changeante. Base-cuivre.
L. 19 mm, diam. 26 mm, S. 5 x 4 mm. 2.2 g.
E : 1187.32. N : 1059.76. Alt. : 572.6.

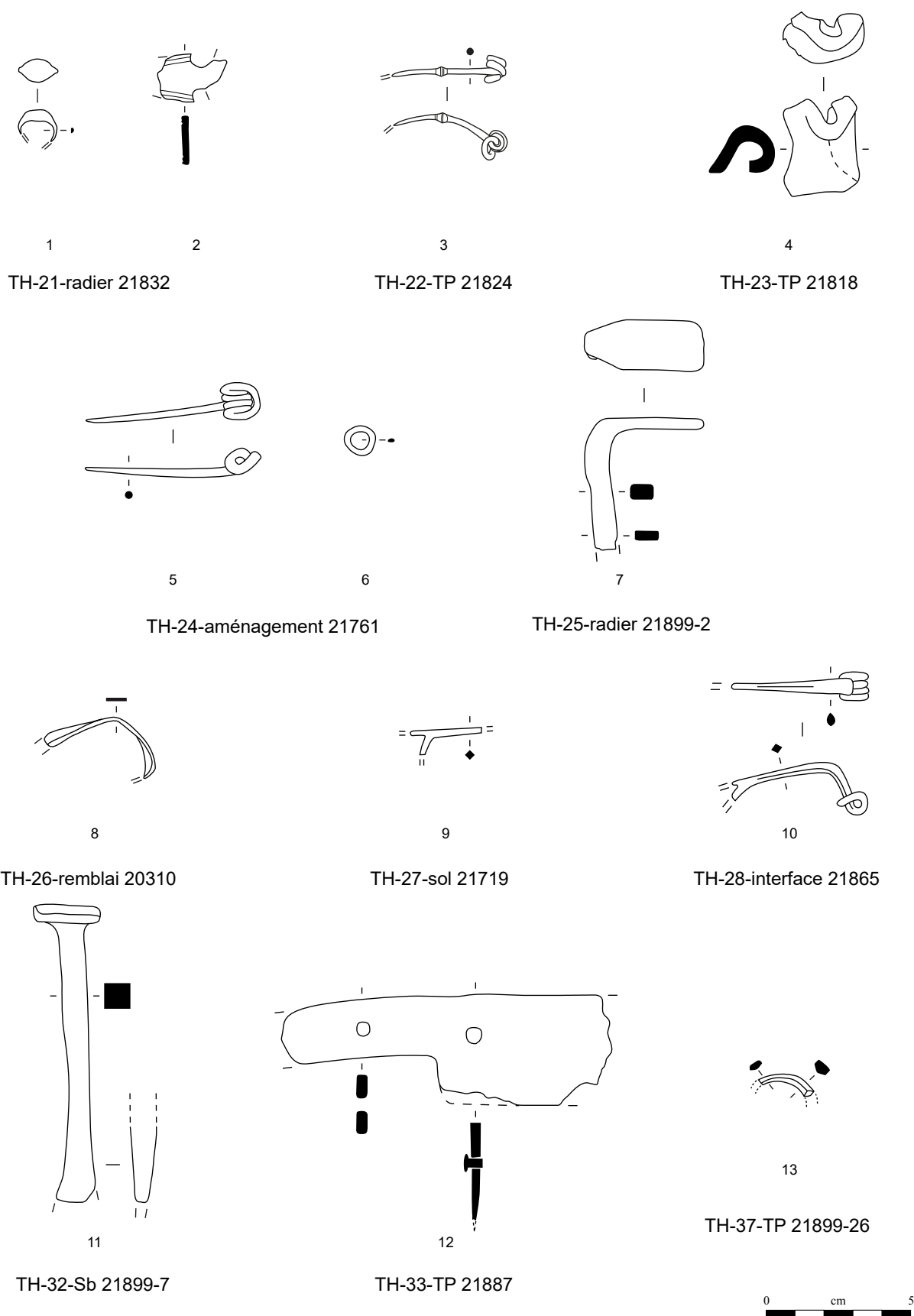


Planche 177. TH-21-radier 21832 à TH-37-TP 21899-26

1-3, 6, 13 : alliage cuivreux; 4-5, 7-12 : fer.

Hémicycle de réunion

État 2.1 : LTD1b évoluée

TH-29-cailloutis 21780

Planche 178, 1. 21780, n° 369.

Arc de fibule filiforme cambré de section en quart de ronde, cassé au niveau du pied et du ressort. Fer.

L. 76 mm, L. (arc) 54 mm, S. 6 x 4 mm. 5.4 g.

E : 1174.24. N : 1058. Alt. : 573.74.

Type : F03.

Planche 178, 2. 21780, n° 362.

Fibule de Nauheim à arc triangulaire fin à bordures soulignées par une rainure. Deux spires du ressort à corde interne sont conservées. Base-cuivre.

L. 66 mm, L. (arc) 48 mm, l. 4,5 mm. 2.5 g.

E : 1175.4. N : 1056.32. Alt. : 573.04.

Type : B22-03.

Planche 178, 3. 21781, n° 462.

Ardillon de fibule et ressort à corde interne (deux spires conservées). Base-cuivre.

L. 20 mm. 0.6 g.

E : 1180.10. N : 1053.96. Alt. : 572.75.

Type : B20-0.

Planche 178, 4. 21781, n° 400.

Fragment de casque italique avec bourrelet inférieur orné de lignes parallèles portant des incisions obliques et couvre-nuque à décor pointillé en vaguelette. Base-cuivre.

L. 192 mm, ép. (bourrelet) 7 mm. 176 g.

E : 1180.45. N : 1056.4. Alt. : 572.71.

Planche 178, 5. 21781, n° 374.

Anneau à section en D avec décor de chevrons sur le pourtour. Base-cuivre.

Diam. 25 mm, S. 8 x 6 mm. 20.6 g.

E : 1182.17. N : 1058.53. Alt. : 573.74.

Planche 178, 6. 21781, n° 388.

Perle en forme de tonneau à bordures soulignées à chaque extrémité par des cannelures. Base-cuivre.

Diam. 10 mm, S. 6 x 3 mm. 3.0 g.

E : 1184.16. N : 1056.58. Alt. : 572.86.

Planche 178, 7. 21781, n° 305.

Perle en «D» avec une cannelure soulignant ses deux extrémités. Base-cuivre.

Diam. 12 mm, S. 10 x 4,5 mm. 4.7 g.

E : 1180.15. N : 1033.24.

Planche 178, 8. 21781, n° 307.

Fragment de pontet constitué d'une bande de tôle avec deux coudes à angle droit.

L'attache est circulaire ou en ogive. Fer.

L. 46 mm. 11.1 g.

E : 1181.17. N : 1032.81.

Planche 178, 9. 21781, n° 343.

Fragment de tête massive d'outil avec écrasement et début du corps de section circulaire. Fer.

L. 21 mm, S. 13 mm. 8.1 g.

E : 1177.45. N : 1055.88. Alt. : 573.80.

Planche 178, 10. 21781, n° 341.

Poucier de passoire dont il manque les deux extrémités. Base-cuivre.

L. 38 mm. 7.4 g.

E : 1176.8. N : 1054.54. Alt. : 573.81.

Planche 178, 11. 21781, n° 312.

Fragment de miroir circulaire à bord biseauté sur un côté. Base-cuivre.

L. 26 mm, ép. 2 mm. 4.2 g.

E : 1180.95. N : 1031.24.

Planche 178, 12. 21781, n° 398.

Rivet émaillé avec tige en fer. Base-cuivre et fer.

L. 14 mm, diam. 24 mm. 25 g.

E : 1180.72. N : 1058.6. Alt. : 572.77.

Planche 178, 13. 21781, n° 390b.

Cabochon. Base-cuivre.

L. 10 mm. 1.2 g.

E : 1178.35. N : 1059.49. Alt. : 572.76.

Planche 178, 14. 21781, n° 376.

Cabochon percé par la tige d'attache avec contreplaque ou tôle à laquelle il était fixé à l'origine. Base-cuivre.

Diam. 8 mm. 0.6 g.

E : 1172.38. N : 1054.39. Alt. : 572.94.

Planche 178, 15. 21780, n° 364.

Fragment de tôle en forme de «L» avec une perforation à une extrémité. Recolle avec 363. Fer.

L. 205, ép. 1 mm. 50.7 g.

E : 1175.75. N : 1056.08. Alt. : 573.04.

Planche 178, 15. 21780, n° 363.

Fragment de tôle en forme de «L» avec une perforation à une extrémité. Recolle avec 364, cassure ancienne. Fer.

L. 205 mm, ép. 1 mm. 53.7 g.

E : 1175.7. N : 1056.12. Alt. : 573.04.

Planche 178, 16. 21781, n° 2068.

Fragment de ferrure incurvée en forme de «U» pouvant servir de poignée ou d'attache. Fer.

L. 73 mm, S. 4 x 10 mm. 37 g.

E : 1177. N : 1062.

Planche 178, 17. 21781, n° 354.

Fragment de ferrure décorative constituée d'une bande de tôle pliée et perforée. Base-cuivre.

L. 19 mm. 0.5 g.

E : 1181.15. N : 1058.68. Alt. : 573.29.

Autres petits mobiliers

21781, n° 386. Éclat de roche noire.

21781, n° 461. Fragment de récipient en verre.

21780, n° 380. Jeton.

21781, n° 310. Jeton.

21781, n° 387. Monnaie.

21781, n° 499. Monnaie.

21781, n° 390a. Monnaie.

21781, n° 340. Monnaie.

21781, n° 497. Monnaie.

21781, n° 389. Monnaie.

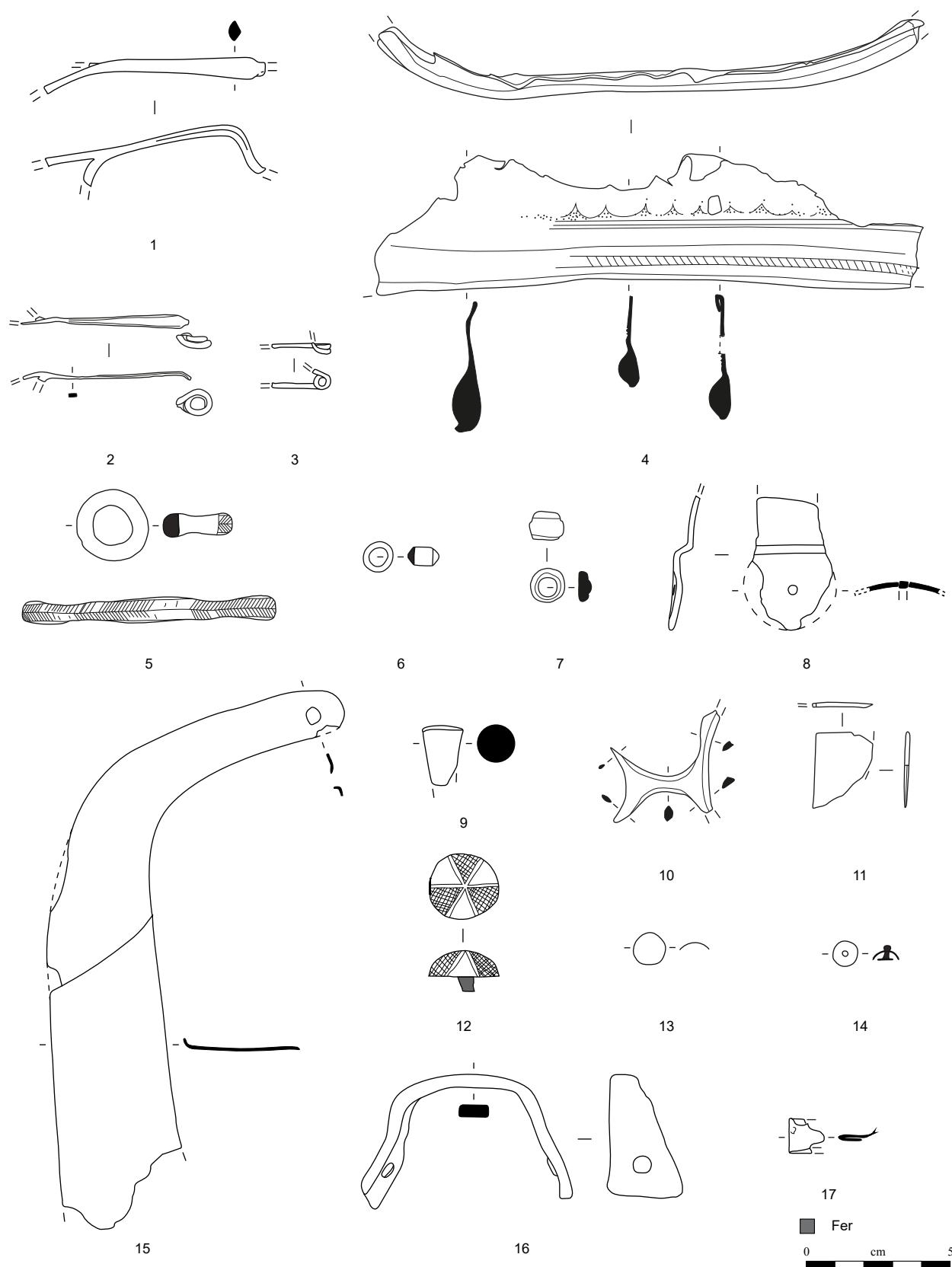


Planche 178. TH-29-cailloutis 21780

1, 8-9, 15-16 : fer; 2-7, 10-14, 17 : alliage cuivreux.

Hémicycle de réunion

État 2 lato sensu : fin LTD1b-LTD2

TH-13-TP 21899-38

Planche 179, 1. 21899-38, n° 2026.
Arc de fibule de Nauheim avec moulures interrompant l'arc et lignes de points soulignant les bordures. Il est plié à proximité du pied fragmentaire. Base-cuivre.
L. 52 mm, L. (arc) 47 mm, l. (arc) 9 mm. 2 g.
E : 1161.5. N : 1061.6.*
Type : B22-27.

État 2.1 à 2.2 : LTD1b évoluée-LTD2a

TH-30-Démontage cailloutis 21780

Planche 179, 2. 21899-209, n° 2023.
Fragment de pied de fibule de schéma La Tène moyenne (?) constitué d'une fine tige de section rectangulaire avec un repli terminal. Base-cuivre.
L. 27 mm. 0.1 g.
E : 1175.2. N : 1058.4.*
Type : B01-0.

Planche 179, 3. 21899-212, n° 2057.
Ardillon de fibule. Fer.
L. 28 mm. 0.5 g.
E : 1175.2. N : 1057.3.*

Planche 179, 4. 21899-211, n° 2015.
Anneau à section en cannelé. Base-cuivre.
Diam. 25 mm, S. 4 x 7 mm. 8.9 g.
E : 1172.8. N : 1056.8.*

Planche 179, 5. 21899-236, n° 2013.
Fragment de plaque de fourreau à gouttière. Base-cuivre.
L. 13 mm. 2.2 g.
E : 1179.5. N : 1054.7.*

Planche 179, 6. 21899-234, n° 2065.
Fragment proximal d'épée ou de poignard constitué d'une tige avec départ de plat de section lenticulaire. Très mal conservé. Fer.
L. 31 mm, S. 4 x 24 mm. 8.1 g.
E : 1183.7. N : 1057.3.*

Planche 179, 7. 21899-215, n° 2053.
Poinçon constitué d'un manche de section rectangulaire avec un épaississement

à son centre puis conique. L'extrémité active est manquante. Fer.
L. 150 mm, S. 12 mm. 60.4 g.
E : 1174.7. N : 1054.8.*

Planche 179, 8. 21899-204, n° 2056.
Fragment d'oeil de marteau. Fer.
L. 23 mm, ht. 37 mm. 25.3 g.
E : 1169.4. N : 1061.2.*

Planche 179, 9. 21899-223, n° 2072.
Tas à queue de forme parallélépipédique rectangle à table quadrangulaire arrondie. Fer.
L. 54 mm, S. 26 x 20 mm, L. (table) 31 x 26 mm. 483 g.
E : 1180.7. N : 1061.3.*

Planche 179, 10. 21899-233, n° 2070.
Fragment indéterminé de plat avec un rebord et une extrémité ogivale de section lenticulaire ou triangulaire. Fragment de lance? Fer.
L. 80 mm. 23.4 g.
E : 1181.3. N : 1057.3.*

Planche 179, 11. 21899-208, n° 2100.
Chute de tôle triangulaire. Base-cuivre.
L. 26 mm. 0.4 g.
E : 1172.7. N : 1059.2.*

Planche 179, 12. 21899-212, n° 2042.
Fragment indéterminé de bande de tôle avec deux élargissements avec un rivet en alliage cuivreux en position fonctionnelle. Fer et alliage cuivreux.
L. 136 mm. 66.8 g.
E : 1175.3. N : 1057.3.*

Autres petits mobiliers

21899-233, n° 2019. Charnière tubulaire en os.
21899-233, n° 2020. Extrémité d'andouiller de bois de cerf scié et percé.
21899-204, n° 2011. Andouiller de bois de cerf scié avec deux encoches à sa base.
21899-236, n° 2021. Jeton.
21899-214, n° 2018. Jeton en amphore.
21899-222, n° 2016. Fragment de meule indéterminée en grès moyen hétérométrique.
21899-216, n° 2014. Monnaie.
21899-236, n° 2012. Fragment de paroi de foyer.

État 2.1 : LTD1b évoluée

TH-31-Sb 20314

Planche 179, 13. 20315, n° S4053.
Fragment de fléau de balance (?) constitué d'un plat avec un renflement perforé. Fer.
L. 95 mm. 13.7 g.
E : 1181.8. N : 1069.7.*

Planche 179, 14. 20315, n° S4016.
Broyon pour travail à plat de forme ergonomique avec dépression pour placer deux doigts. Lithique.
L. 83 mm, l. 50 mm, ht. 37 mm. 185 g.
E : 1181.47. N : 1069.95. Alt. : /.

Planche 179, 15. 20315, n° S4012.
Fragment d'angle de tablette abrasive en basalte à grain fin de forme rectangulaire, avec faces supérieure, inférieure et latérale présentant des traces de travail et de poli. Lithique.
L. 100 mm, l. 72 mm, ép. 33 mm. 325 g.
E : 1181.55. N : 1070.1. Alt. : /.

Planche 179, 16. 20315, n° S4014.
Fragment de meulet en grès fin dont seule une partie angulaire est conservée, avec traces d'abrasion sur les deux faces principales. Lithique.
L. 65 mm. 105 g.
E : 1181.72. N : 1069.38. Alt. : /.

Autres petits mobiliers

20315, n° S4008. Fragment de broyon ou de polissoir en basalte fin.

État 2 lato sensu : fin LTD1b-LTD2

TH-38-TP 21899-9

21899-9, n° 424a. Monnaie.

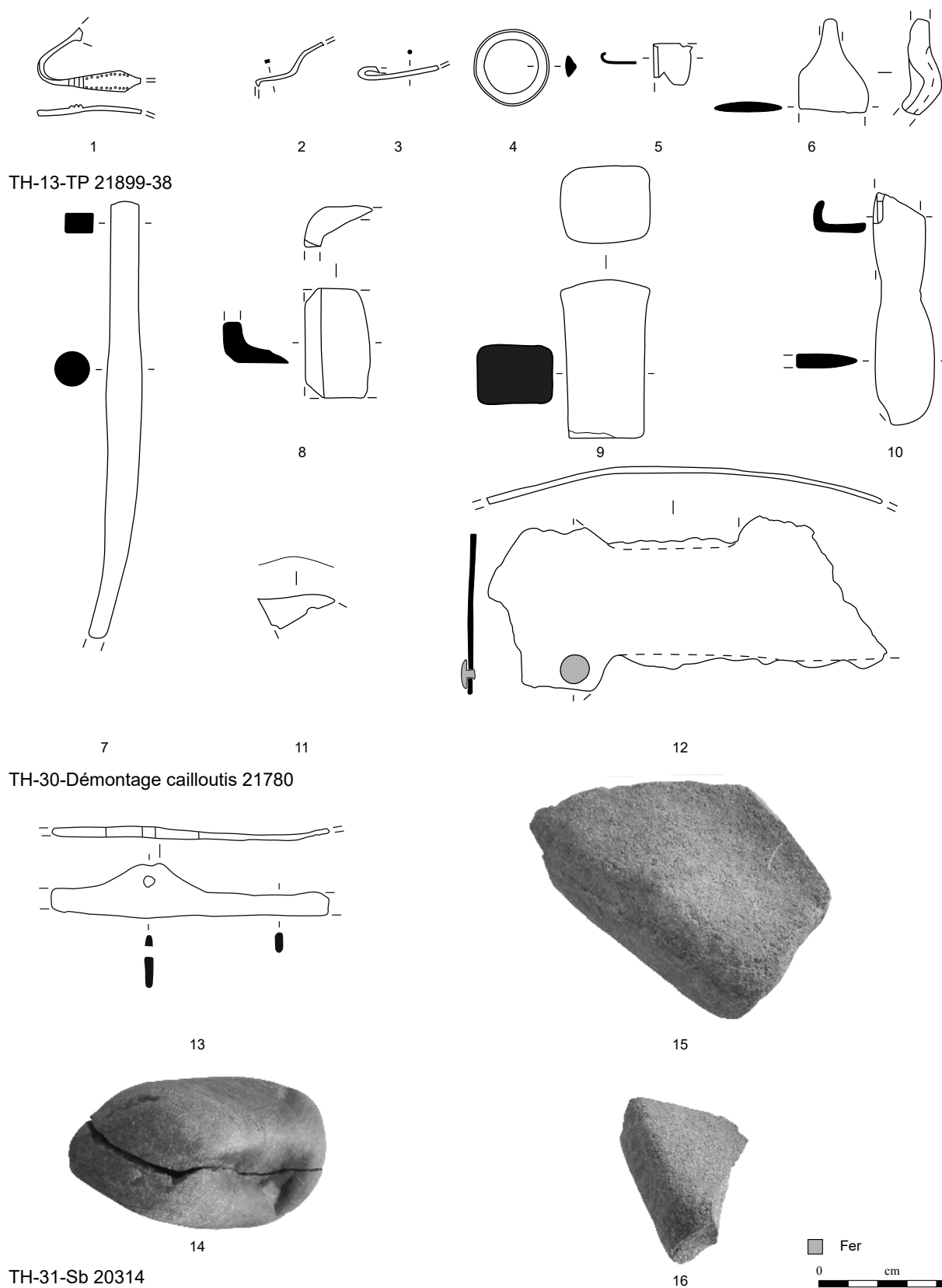


Planche 179. TH-13-TP 21899-38 à TH-31-Sb 20314

1-2, 4-5, 11 : alliage cuivreux; 3, 6-10, 13 : fer; 12 : fer et alliage cuivreux; 14 : pierre indéterminée; 15 : basalte fin; 16 : grès fin.

Hémicycle de reunion

État 2 lato sensu : fin LTD1b-LTD2

TH-39-Fo 21899-31

Planche 180, 1. 21899-32, n° 2094.
Petite douille cassée aux deux extrémités.
Fer.
L. 33 mm, diam. 9 mm. 5.4 g.
E : 1164.7. N : 1052.4.*

État 2.1 : LTD1b évoluée

TH-41-Sb 21868

Planche 180, 2. 21868, n° 426.
Objet indéterminé en forme de «L» de section triangulaire avec une extrémité comportant un plat perforé. Un tige se développe à la perpendiculaire du «L». Élément de fixation? Fer.
L. 121 mm, diam. 26 mm. 63 g.
E : 1172.2. N : 1051.69. Alt. : 572.88.

État 1 : LTD1b classique

TH-40-sol 20343

Planche 180, 3. 20343, n° S4031.
Fragment d'orle de section rectangulaire avec deux pattes de fixation dont une où subsistent les restes d'un rivet. Fer.
L. 136 mm, S. 4 x 6 mm. 54.8 g.
E : 1171.18. N : 1070.44. Alt. : 572.90.
Type : Rectangulaire.

Planche 180, 4. 20343, n° S4055.
Fragment d'orle rectangulaire à une patte de fixation, avec les restes d'un rivet en position fonctionnelle. Fer.
L. 114 mm, S. 6 x 2 mm. 19 g.
E : 1173. N : 1068.*
Type : Rectangulaire.

Planche 180, 5. 20343, n° S4034.
Ferrure décorative constituée d'une bande de tôle repliée sur une bordure avec vestige de deux rivets. Base-cuivre.
L. 45 mm, l. 8 mm. 1.9 g.
E : 1171.2. N : 1068.89. Alt. : 572.89.

Planche 180, 6. 20343, n° S4017.
Fragment d'herminette à œil dont seule une partie de l'œil est manquante. Le tranchant évasé à fil incurvé forme un angle proche de l'angle droit avec l'œil. Fer.
L. 118 mm, L. (tranchant) 58 mm. 236.1 g.
E : 1175. N : 1070. Alt. : 572.97.

Autres petits mobiliers

20343, n° S4010. Jeton.
20343, n° S4030. Stylet en os avec décrochement au niveau de la pointe qui est plusieurs fois retaillée.

État 1 et 2 lato sensu : LTD1b-LTD2

TH-44-Fo 20328

20329, n° S4022. Monnaie.
20329, n° S4011. Monnaie.

TH-45-épandage 20417

Planche 180, 7. 20417, n° S4050.
Perle cannelée à section en «D». Base-cuivre.
Diam. 13 mm, S. 5 x 3 mm. 2.2 g.
E : 1169.58. N : 1078.35. Alt. : 573.15.

Planche 180, 8. 20417, n° S4049.
Clou ou rivet à tête hémisphérique creuse. Fer.
L. 16 mm, diam. 20 x 23 mm. 9.5 g.
E : 1170.1. N : 1076.60. Alt. : 573.10.

Planche 180, 9. 20417, n° S4065.
Ciselet à manche de section ronde et tête massive écrasée avec un tranchant à deux biseaux. Le manche est plié à proximité du tranchant. Fer.
L. 116 mm, S. 7 mm. 17.1 g.
E : 1170.1. N : 1078.23.*

Planche 180, 10. 20417, n° S4052.
Large coin de calage constitué d'une tôle quadrangulaire incurvée avec une extrémité matée. La partie tranchante est repliée. Fer.
L. 48 mm, l. 51 mm. 52 g.
E : 1171.65. N : 1078.10. Alt. : 573.11.

Planche 180, 11. 20417, n° S4048.
Fragment de ferrure avec une perforation conservée. Fer.
L. 139 mm, l. 22 mm, ép. 2 mm. 42.3 g.
E : 1169.90. N : 1078.94. Alt. : 573.09.

Autres petits mobiliers

20417, n° S4051. Perle en ambre à section en «D».

TH-46-épandage 21899-27

Planche 180, 12. 21899-27, n° 433.
Anneau de section ronde. Fer.
diam. 39 mm. 10.7 g.
E : 1167.98. N : 1062.29. Alt. : 572.79.

Autres petits mobiliers

21899-27, n° 437. Déchet de tabletterie à découpes circulaires en os.
21899-27, n° 434. Monnaie.
21899-27, n° 435. Monnaie.

TH-47-épandage 21762

Planche 180, 13. 21762, n° 153.
Pied de fibule triangulaire ajouré. Fer.
L. 31 mm. 1.3 g.
E : 1172.12. N : 1051.57. Alt. : 573.07.

Planche 180, 14. 21762, n° 157.
Chute en cours de compactage constituée d'un fer plat replié à plusieurs reprises sur lui-même et découpé à son extrémité. Fer.
L. 68 mm. 66.1 g.
E : 1172.56. N : 1051.90. Alt. : 573.05.

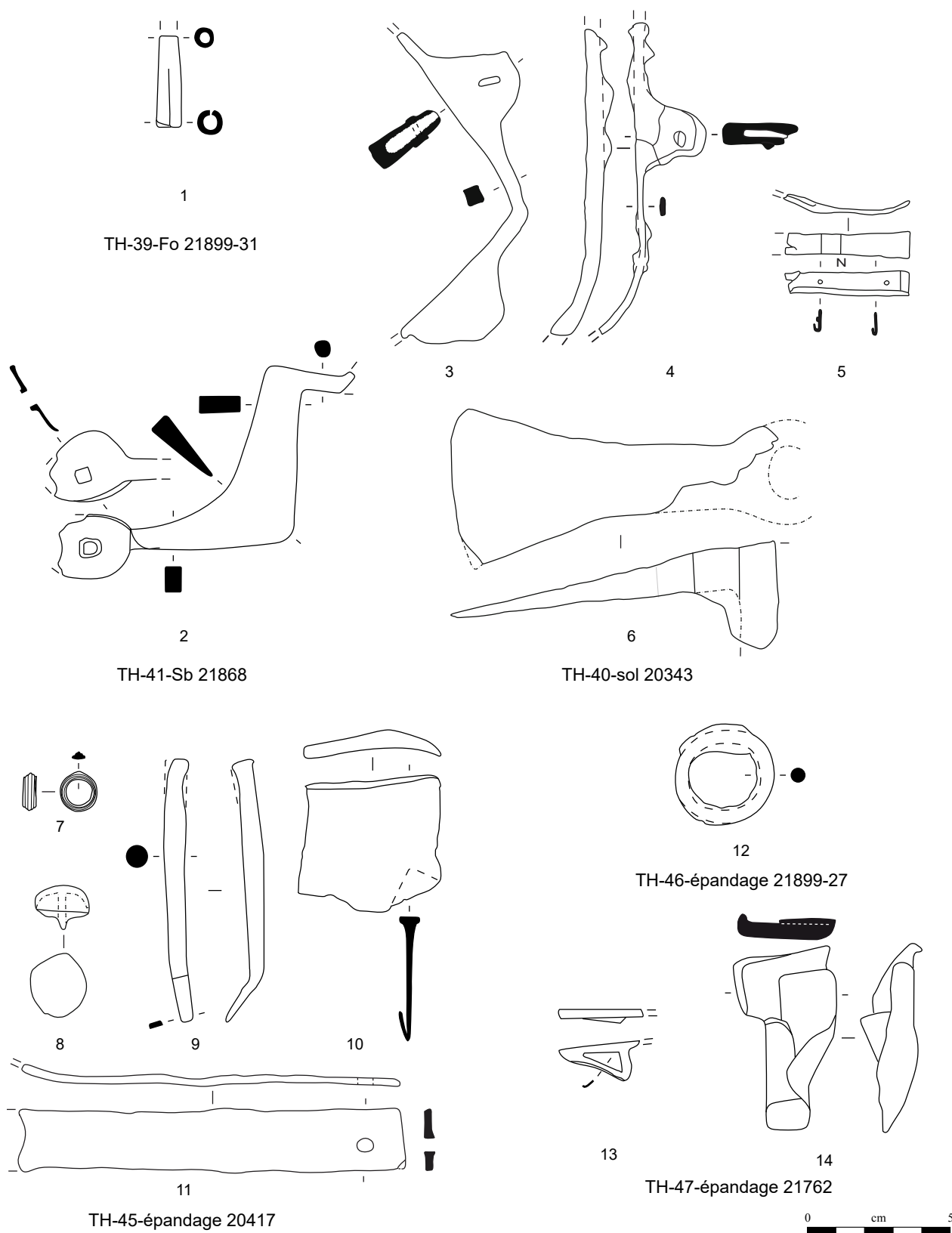


Planche 180. TH-39-Fo 21899-31 à TH-47-épandage 21762

1-4, 6, 8-14: fer; 5, 7 : alliage cuivreux.

Hémicycle de reunion

Non phasé

TH-49-Fo 21899-196

Planche 181, 1. 21899-197, n° 278.
Phalère composée d'un cercle massif à bordure repliée et ornée d'incisions sur son pli et son rebord. Le repli de la bordure est prolongé par deux appendices rectangulaires ajourés. Une perforation est probable à proximité d'un appendice. Base-cuivre.

Diam. 62 mm, ht. 15 mm, diam. (perforation) 7 x 5 mm. 54.8 g.

E : 1176.01. N : 1075.72. Alt. : 572.94.

TH-50-Fo 21899-198

Planche 181, 2. 21899-199, n° 2096.

Ardillon de fibule. Fer.

L. 64 mm. 2.4 g.

E : /. N : /*

Hors contexte

TH-55-HC (théâtre)

Planche 181, 3. HC (théâtre), n° 483.
Fibule à ressort fragmentaire, arc outrepassant le ressort de section losangique et pied multifenestré lacunaire. Base-cuivre.

L. 50 mm, L. (arc) 33 mm, S. (arc) 4 x 6 mm. 1.3 g.

Type : B33-1.

Planche 181, 4. HC (théâtre), n° 283.

Fragment de miroir à bord biseauté. Base-cuivre.

L. 23 mm, ép. 2 mm. 3.3 g.

Planche 181, 5. HC (théâtre), n° 2542.

Rivet à tête émaillée à tige en fer. Base-cuivre et fer.

L. 13 mm, diam. 20 mm. 13.1 g.

Planche 181, 6. HC (théâtre), n° 2525.

Applique décorative constituée d'une tôle circulaire percée en son centre. Base-cuivre.

Diam. 26 mm, ht. 5 mm. 1.3 g.

Planche 181, 7. HC (théâtre), n° 444.

Outil fragmentaire constitué d'une tige de section ronde à extrémité écrasée. Fer.

L. 54 mm, S. 4,5 mm. 9.4 g.

Planche 181, 8. HC (théâtre), n° 2641.

Objet indéterminé sous la forme d'un tube circulaire cannelé massif avec un appendice perforé quadrangulaire. Base-cuivre.

Ht. 31 mm, diam. 24 mm. 64.6 g.

Planche 181, 9. HC (théâtre), n° 2736.

Chute de plaque avec traces de découpe sur tous ses côtés. Or.

L. 13 mm, ép. 2 mm. 2.8 g.

E : /. N : /. Alt. : /.

Autres petits mobiliers

HC (théâtre), n° 2000. Jeton.

HC (théâtre), n° 2022. Jeton.

HC (théâtre), n° 487. Jeton.

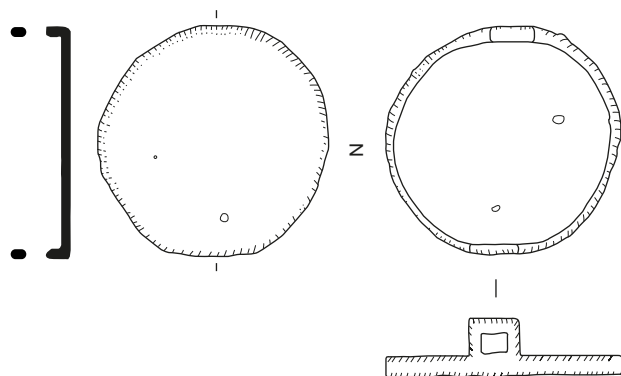
HC (théâtre), n° 2721. Monnaie.

HC (théâtre), n° 2722. Monnaie.

HC (théâtre), n° 490. Monnaie.

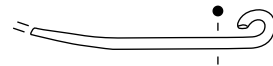
HC (théâtre), n° 2004. Fragment de perle en ambre.

HC (théâtre), n° 486. Pion en os à bordure biseauté.



1

TH-49-Fo 21899-196

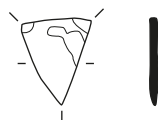


2

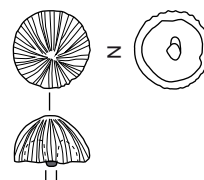
TH-50-Fo 21899-198



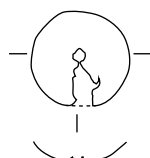
3



4



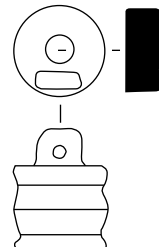
5



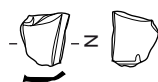
6



7



8



9

TH-51-HC théâtre

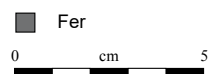


Planche 181. TH-49-Fo 21899-196, TH-50-Fo 21899-198 et TH-55-HC (théâtre)

1, 3-4, 6, 8 : alliage cuivreux; 2, 7 : fer; 5 alliage cuivreux et fer; 9 : or.

Type d'objet	UF	No	Description	Métal	NR	NMI	M(g)
TH-1-décapage	<i>Décapage</i>						
Anneau (fer)	21831	382	Anneau ovale de section rectangulaire	Fer	1	1	6.3
Anneau (fer)	21717	201	Fragment d'anneau de section rectangulaire	Fer	1	1	0.6
Chute de tige appointée	21770	264	Chute de tige de section carrée avec découpe à une extrémité	Fer	1	1	2
Clou de chaussure	21717	273	Clou de chaussure	Fer	1	1	0.7
Clou de chaussure	21752	141	Clou de chaussure	Fer	1	1	1.7
Clou de chaussure	20336	D4001	Clou de chaussure à globule et cône relativement bien conservé	Fer	1	1	2.1
Clou de chaussure	21757		Clou de chaussure sans décor	Fer	1	1	2.8
Clou de chaussure	21717		Clous de chaussure à décor illisible	Fer	2	2	6.3
Clou de chaussure	21752		Clous de chaussure dont un à décor de globule illisible	Fer	2	2	3.8
Clou de ferrure	21752		Clou de ferrure	Fer	1	1	5.3
Coulure	21841	216	Coulure	Base-cuivre	1	1	0.5
Ferrure	21752	162	Extrémité de ferrure avec rivet en position fonctionnelle	Fer	1	1	24.2
Ferrure	21752	233	Fragment de ferrure	Fer	1	0	19.7
Ferrure	21752		Fragment de ferrure avec contreplaque et extrémité matée de rivet	Fer	1	0	9.9
Ferrure	21717	111	Fragment de ferrure avec une perforation	Fer	1	1	7.2
Indéterminé tige	21841	219	Fragment de barre, de tige de section carrée. Demi-produit?	Fer	1	1	12.8
Indéterminé tige	21717		Tige de section rectangulaire	Fer	1	1	0.9
Indéterminé tige	21752		Tiges de section rectangulaire	Fer	3	1	2.5
Indéterminé tige	21717	19	Tige de section ronde	Fer	1	0	2.6
Indéterminé tôle	21899-258	236	Fragment de tôle	Base-cuivre	1	1	0.3
Indéterminé tôle	21752	228	Fragment de tôle avec perforation	Base-cuivre	1	0	0.5
Indéterminé tôle	21752	232	Fragment de tôle avec trois bords conservés	Base-cuivre	1	1	0.5
Indéterminé tôle	21752	231	Fragment de bande de tôle	Fer	1	0	20.7
Indéterminé tôle	21717		Fragments de tôle	Fer	2	0	19.6
Indéterminé tôle	21752	160	Fragment de tôle	Fer	1	1	1.3
Indéterminé tôle	21752	161	Fragment de tôle	Fer	1	0	2.8
Indéterminé tôle	21813		Fragment de tôle	Fer	1	1	2
Indéterminé tôle	21717		Tôle	Fer	1	1	4
Clou	20301		Men.: 1 frgt	Fer	1	1	10
Clou	20303		Men.: 1 frgt	Fer	1	1	6
Clou	20345		Men.: 1 frgt	Fer	1	1	10
Clou	21828	442	Men.: 1 frgt	Fer	1	1	9
Clou	20302		Men.: 1 frgt; 1 tige	Fer	2	1	16
Clou	21757		Men.: 1 frgts	Fer	1	1	5.6
Clou	21770		Men.: 11 frgts dont un à tête hémisphérique creuse; 5 tiges	Fer	16	11	150
Clou	20330		Men.: 2 frgts	Fer	2	2	11
Clou	21751		Men.: 2 frgts	Fer	2	2	14.3
Clou	21717		Men.: 2 frgts; 3 tiges	Fer	5	2	22
Clou	21752		Men.: 23 frgts; 35 tiges	Fer	58	23	312
Clou	21813		Men.: 3 frgts; 3 tiges	Fer	6	3	19
Clou	20336		Men.: 4 frgts; 6 tiges	Fer	10	4	46
Clou	21899-189		Men.: 6 frgts; 2 tiges	Fer	8	6	69
Clou	21763		Men.: 9 frgts; 6 tiges	Fer	15	9	165.4
Clou	21740	75	Petit clou de menuiserie	Fer	1	1	2.6
Clou	21752	205	Tête de clou	Fer	1	1	4.1
Clou	21831	397	Tige	Fer	1	1	1.5
Clou	21841		Tige	Fer	1	1	18
Clou	20303	S4024	Tige de clou	Fer	1	0	11.8
Clou	20336	D1001	Tige de clou	Fer	1	0	2
Clou	21740	76	Tige de clou	Fer	1	0	3
Clou	21899-258	147	Tige de clou pliée	Fer	1	0	4.7
Rivet (bc)	20347	S4054	Clou-rivet en une pièce à tête hémisphérique et tige en fer	Base-cuivre	1	1	0.2
Rivet (bc)	21813	349	Tête et tige de clou-rivet en une pièce à tête plate	Base-cuivre	2	1	0.8
Rivet (fer)	21752		Rivet à extrémité matée et contreplaque	Fer	2	1	15.7
TH-2-Moderne	<i>Perturbations modernes</i>						
Ferrure	21899-275	2002	Ferrure incurvée	Fer	1	1	23
Indéterminé tige	21899-90		Tige	Fer	1	1	2.5
Clou	21899-90		Constr. : 1 frgt; men.: 3 frgts; 3 tiges	Fer	7	4	76
Clou	20320		Tiges	Fer	2	1	9
Clou	21715	495	Tige	Fer	1	1	2

Type d'objet	UF	No	Description	Métal	NR	NMI	M(g)
TH-4-décapage ouest	<i>État 4 lato sensu : époque romaine</i>						
Clou de chaussure	21739	131	Clou de chaussure	Fer	1	1	1.2
Clou de chaussure	21739	68	Clou de chaussure	Fer	1	1	1
Clou de chaussure	21739	69	Clou de chaussure	Fer	1	1	2.2
Clou de chaussure	21739	85	Clou de chaussure	Fer	1	1	2
Clou de chaussure	21739	133	Plaque rivetée et deux clous de chaussure	Fer	2	1	10.5
Indéterminé objet	21739	71	Tige massive terminée par un enroulement plus large. Demi-produit?	Fer	1	1	21.6
Indéterminé tige	21739	70	Tige de section facetée et extrémité aplatie. Demi-produit, rivet?	Base-cuivre	1	1	1.2
Indéterminé tige	21739	134	Tige de section ronde	Base-cuivre	1	1	0.5
Indéterminé tôle	21739	140	Fragment de tôle circulaire	Fer	1	1	1.1
Clou	21739	136	Tige de clou	Fer	1	0	4.7
Clou	21739	215	Tige de clou	Fer	1	1	1.3
TH-5-Fo 21899-45	<i>État 5</i>						
Indéterminé tige	21899-46	217	Tige de section ronde	Base-cuivre	1	1	0.1
Rivet (bc)	21899-45	2005	Rivet en une pièce	Base-cuivre	1	1	0.7
TH-6-Gallo-romain	<i>État 4 lato sensu : époque romaine</i>						
Rivet (fer)	21754	274	Rivet à contreplaque à tête hémisphérique creuse. La contre-plaque est manquante.	Fer	1	1	18.3
TH-7-démolition	<i>État 4.2 : Ile s. ap. J.-C.</i>						
Clou de chaussure	21737		Clous de chaussure à décor illisible et une tige	Fer	4	4	6.4
Clou de chaussure	21737	237	Clou de chaussure	Fer	1	1	0.8
Clou de chaussure	21737	238	Clou de chaussure	Fer	1	1	1.1
Clou de chaussure	21738	272	Clou de chaussure	Fer	1	1	1.1
Clou de chaussure	21738		Clous de chaussures dont un à huit globules	Fer	3	3	5.6
Clou	21737	239	Men. : 1 frgt	Fer	1	1	2.6
Clou	21738		Men.: 10 frgts; 5 tiges	Fer	15	10	94
Clou	21737		Men.: 21 frgts; 15 tiges	Fer	36	21	206
Rivet (fer)	21738		Clou rivet par repli	Fer	1	1	20
Rivet (fer)	21737		Rivet à contreplaque à extrémité matée	Fer	1	1	14.8
TH-8-Fo 21727	<i>État 4.2 : Ile s. ap. J.-C.</i>						
Déchet de fabrication	21728	77	Déchet de fabrication	Fer	1	1	5.7
TH-9-démolition 21722	<i>État 4.2 : Ile s. ap. J.-C.</i>						
Cabochon	21722	172	Cabochon avec substance de fixation	Base-cuivre	1	1	0.1
Clou de chaussure	21722	103	Clou de chaussure	Fer	1	1	2.5
Clou de chaussure	20335	S4062	Clou de chaussure à décor de 14 globules	Fer	1	1	
Clou	20335		Men.: 8 clous, 11 frgts; 16 tiges	Fer	33	19	179
Rivet (bc)	21722	107	Clou-rivet décoratif à tête hémisphérique pleine	Base-cuivre	1	1	1
TH-10-Solin 20309	<i>État 4.2 : Ile s. ap. J.-C.</i>						
Clou	20309	S4042	Tête de clou	Fer	1	1	2.6
TH-11-remblai 21723	<i>État 4.2, construction : début Ile s. ap. J.-C.</i>						
Clou de ferrure	21723		Clou de ferrure	Fer	1	1	1.6
Clou	21723		Men.: 9 frgts; 1 tiges	Fer	10	9	76
Clou	20384		Men.: 3 frgts; 4 tiges	Fer	7	3	38
TH-12-remblai 21712	<i>État 4.2, construction : début Ile s. ap. J.-C.</i>						
Clou	21712		Men.: 5 frgts; 6 tiges	Fer	11	5	49
TH-13-TP 21899-38	<i>État 1 et 2 lato sensu : LTD1b-LTD2</i>						
Indéterminé tôle	21899-38	443	Tôle en forme de goutte	Base-cuivre	1	1	0.5
TH-15-démolition 21720	<i>État 4.1 : Claude-fin I^{er} s. ap. J.-C.</i>						
Clou	21720		Clou rivet à tête hémisphérique	Fer	1	1	3.1
Clou	21720		Men.: 13 frgts; 6 tiges	Fer	19	13	120
Clou	20385		Men.: 4 clous; 12 frgts; 5 tiges	Fer	21	16	121
TH-17-Solin 21742	<i>État 4.1 : Claude-fin I^{er} s. ap. J.-C.</i>						
Indéterminé tôle	20313	S4019	Fragment de tôle	Base-cuivre	1	1	0.1
Clou	20313	S4044	Men.: 1 frgt	Fer	1	1	5.7
Clou	20313	S4045	Tige de clou	Fer	1	0	3.9
Clou	20313	S4046	Tige de clou	Fer	1	0	2.3
TH-18-radier 21753	<i>État 2.3 : fin LTD2a-LTD2b</i>						
Coulure	21753	260	Coulure	Base-cuivre	1	1	2
Coulure	21753	290	Coulure	Base-cuivre	1	1	9.2
Indéterminé plat	21753		Fragment bande de fer plat	Fer	1	1	2.3
Indéterminé tôle	21753	261	Bande de tôle repliée	Base-cuivre	1	1	0.7
Indéterminé tôle	21753	254	Fragment tubulaire	Base-cuivre	1	1	8.4
Indéterminé tôle	21753		Fragment de tôle	Fer	1	0	4.2
Indéterminé tôle	21753	256	Fragment de tôle	Fer	1	1	2.5

Type d'objet	UF	No	Description	Métal	NR	NMI	M(g)
Clou	21753	84	Men. : 1 frgt	Fer	1	1	13
Clou	21753		Men.: 16 frgts; 6 tiges	Fer	22	16	151.5
Clou	21779		Men.: 5 frgt; 4 tiges	Fer	9	5	58
TH-19-Solin 21843 <i>État 2.3 : fin LTD2a-LTD2b</i>							
Clou	21843		Men.: 1 frgt; 1 tige	Fer	2	1	7
TH-23-TP 21818 <i>État 2.3 : fin LTD2a-LTD2b</i>							
Indéterminé plat	21819	420	Fragment de bande de fer plat	Fer	1	1	13.9
Clou	21819		Men.: 9 frgts; 8 tiges	Fer	17	9	112
Clou	21819	429	Tige de clou	Fer	1	0	3.1
TH-24-Aménagement 21761 <i>État 2.3 : fin LTD2a-LTD2b</i>							
Clou de chaussure	21761	143	Clou de chaussure	Fer	1	1	0.6
Indéterminé tôle	21761	346	Fragment de tôle	Base-cuivre	1	1	0.6
Indéterminé tôle	21761	151	Fragment de bande de tôle	Fer	1	1	1.5
Clou	21761	145	Men.: 1 frgt	Fer	1	1	12.2
TH-25-radier 21899-2 <i>État 2.1 : LTD1b évoluée</i>							
Anneau (fer)	21899-2	423	Grand anneau de section circulaire	Fer	1	1	35.6
Crampon	21899-2	2001	Crampon	Fer	1	1	25
Goutte	21899-2	2025	Goutte	Base-cuivre	1	1	1
Indéterminé tige	21899-2	2024	Tige indéterminée	Base-cuivre	1	1	0.1
Clou	21899-2	485	Men. : 1 frgt	Fer	1	1	5.4
Clou	21899-2	417	Men.: 1 frgt	Fer	1	1	13.9
Clou	21899-2		Men.: 4 frgts; 11 tiges	Fer	15	4	56
TH-26-Remblai 20310 <i>État 2-GR : LTD1b évoluée-époque romaine</i>							
Clou	20310		Men.: 1 frgt; 2 tiges	Fer	3	1	25
TH-27-sol 21719 <i>État 2-GR : LTD1b évoluée-époque romaine</i>							
Indéterminé objet	21719	63	Fragment de barre et deux fragments de tôle	Fer	1	1	36.2
Indéterminé plat	21719	62	Fragment de bande de fer plat	Fer	1	1	8.7
Indéterminé plat	21719	108	Fragment de fer plat	Fer	1	0	6.1
Indéterminé plat	21719	66	Fragment de plat	Fer	1	0	6.3
Indéterminé tige	21719	64	Tige de section carrée	Fer	1	1	9.1
Indéterminé tôle	21719	67	Fragment de bande de tôle	Fer	1	1	4.8
TH-28-interface 21865 <i>État 2 lato sensu : LTD1b évoluée-LTD2</i>							
Déchet de fabrication	21865		Déchet de fabrication	Fer	1	1	8.4
Indéterminé objet	21865		Déchet de fabrication?	Fer	1	1	52.6
Indéterminé tige	21865	2092	Fragment de tige torsadée	Fer	1	1	5.6
Indéterminé tôle	21865		Fragment de bande de fer plat	Fer	1	1	4.3
Clou	21865		Men.: 10 frgts; 11 tiges	Fer	21	10	83
Rivet (bc)	21865	410	Rivet en une pièce par refoulement à tête circulaire plate	Base-cuivre	1	1	0.2
TH-29-cailloutis 21780 <i>État 2.1 : LTD1b évoluée</i>							
Clou de chaussure	21781	373	Clou de chaussure à décor illisible	Fer	1	1	2.3
Clou de chaussure	21781	460	Clou de chaussure sans décor	Fer	1	1	2.1
Coulure	21781	308	Coulure	Base-cuivre	1	1	2.4
Ferrure	21781	348	Ferrure avec deux perforations.	Fer	1	1	54.4
Ferrure	21781	306	Ferrure pliée avec une perforation.	Fer	1	1	36.1
Indéterminé objet	21780	367	Tôle avec rivet en position fonctionnelle	Base-cuivre	1	1	1.1
Indéterminé objet	21781	401	Fragments informes	Fer	5	1	34.8
Indéterminé plat	21781	357	Fragment de plat	Base-cuivre	1	1	0.3
Indéterminé plat	21780	370	Fragment de bande de fer plat	Fer	1	1	7.5
Indéterminé tige	21781	338	Tige de section ronde appointée	Base-cuivre	1	1	0.3
Indéterminé tige	21781	371	Tige de section ronde appointée et courbée	Base-cuivre	1	0	1.6
Indéterminé tôle	21780	381	Deux fragments de bande de tôle collée par la corrosion	Fer	1	1	25.5
Indéterminé tôle	21780	366	Fragment de bande de tôle	Fer	1	0	5.5
Indéterminé tôle	21780	368	Fragment de tôle	Fer	1	0	8.1
Indéterminé tôle	21781	352	Fragment de tôle	Fer	1	1	6.7
Clou	21781	356	Men. : 1 frgt	Fer	1	1	7.9
Clou	21781	377	Men.: 1 frgt	Fer	1	1	15.7
Clou	21781	353	Tige	Fer	1	0	2.5
Clou	21781	361	Tige	Fer	1	0	3.2
Clou	21781	372	Tige	Fer	1	0	1.5
Clou	21781	399	Tige	Fer	1	0	22
Clou	21781	337	Tige de clou	Fer	1	0	4.8
Clou	21781	339	Tige de clou	Fer	1	0	8.3
Clou	21781	358	Tige de clou	Fer	1	0	23.4
Rivet (fer)	21781	311	Fragment de contreplaque de rivet	Fer	1	1	1.8
Scorie (fer)	21781	403	Scorie	Fer	1	1	34.2
Scorie (fer)	21781	402	Scorie, déchet	Fer	1	1	11

Type d'objet	UF	No	Description	Métal	NR	NMI	M(g)
TH-30-Démontage cailloutis 21780	<i>État 2.1 à 2.2 : LTD1b évoluée-LTD2a</i>						
Ferrure	21899-212	2069	Extrémité de ferrure	Fer	1	1	14.5
Ferrure	21899-204	2058	Ferrure repliée sur elle-même	Fer	1	1	20.4
Ferrure	21899-225	2047	Fragment de ferrure	Fer	1	1	12.2
Ferrure	21899-233	2060	Fragment de ferrure	Fer	1	1	8.8
Indéterminé objet	21899-215	2063	Fragment de bande de tôle replié à deux reprises	Fer	1	1	8.6
Indéterminé objet	21899-208	2062	Fragment informe	Fer	1	1	5
Indéterminé objet	21899-232	2066	Fragments informes	Fer	3	1	15
Indéterminé plat	21899-211	2059	Fragment de bande de plat	Fer	1	1	21
Indéterminé plat	21899-215	2061	Fragment de bande de plat	Fer	1	1	44.9
Indéterminé tige	21899-236		Fragment de tige de section rectangulaire	Fer	1	1	10.7
Indéterminé tige	21899-232	2064	Tige	Fer	1	1	7.2
Indéterminé tôle	21899-207	2045	Fragment de bande de tôle	Fer	1	1	11.2
Indéterminé tôle	21899-233	2048	Fragment de bande de tôle	Fer	1	0	3.6
Indéterminé tôle	21899-236	2050	Fragment de bande de tôle	Fer	1	1	8.6
Indéterminé tôle	21899-208		Fragment de tôle	Fer	1	1	13
Indéterminé tôle	21899-233	2046	Fragment de tôle	Fer	1	1	37
Indéterminé tôle	21899-233	2049	Fragment de tôle	Fer	1	0	67
Indéterminé tôle	21899-237		Fragment de tôle	Fer	1	0	6
Indéterminé tôle	21899-236	2044	Fragment de tôle de grande dimension incurvé	Fer	1	0	53
Indéterminé tôle	21899-210	2043	Fragment de tôle perforé	Fer	1	1	12
Indéterminé tôle	21899-237	2017	Grand fragment de tôle	Fer	1	1	39
Clou	21899-236		Constr.: 1 frgt; men.: 8 frgts; 15 tiges	Fer	24	9	186
Clou	21899-233	2054	Men.: 1 frgt	Fer	1	1	14
Clou	21899-233		Men.: 1 frgt; 2 tiges	Fer	3	1	30
Clou	21899-207		Men.: 1 frgt; 3 tiges	Fer	4	1	19.1
Clou	21899-234		Men.: 1 frgt; 3 tiges	Fer	4	1	14
Clou	21899-224		Men.: 1 frgt; 4 tiges	Fer	5	1	22
Clou	21899-227		Men.: 1 frgt; 4 tiges	Fer	5	1	26
Clou	21899-212		Men.: 2 frgts	Fer	2	2	23
Clou	21899-229		Men.: 2 frgts	Fer	2	2	10
Clou	21899-210		Men.: 2 frgts; 2 tiges	Fer	4	2	27
Clou	21899-211		Men.: 3 frgts; 2 tiges	Fer	5	3	44
Clou	21899-232		Men.: 3 frgts; 3 tiges	Fer	6	3	30
Clou	21899-235		Men.: 3 frgts; 4 tiges	Fer	7	3	38
Clou	21899-215		Men.: 4 frgts; 4 tiges	Fer	8	4	37.3
Clou	21899-208		Men.: 5 frgts; 3 tiges	Fer	8	5	41
Clou	21899-237		Men.: 6 frgts; 7 tiges	Fer	13	6	100
Clou	21899-209		Tige	Fer	1	0	11
Clou	21899-214		Tige	Fer	1	1	2
Clou	21899-231		Tige	Fer	1	0	4
Clou	21899-236	2055	Tige	Fer	1	0	2.6
Clou	21899-238		Tige	Fer	1	0	2
Clou	21899-222		Tiges	Fer	2	1	14.9
Scorie (fer)	21899-232		Fragment de scorie	Fer	1	1	19
Scorie (fer)	21899-226	2052	Scorie	Fer	1	1	38
Scorie (fer)	21899-232	2051	Scorie	Fer	1	1	80
Scorie (fer)	21899-232	2067	Scorie	Fer	1	1	113
TH-31-Sb 20314	<i>État 2.1 : LTD1b évoluée</i>						
Indéterminé tige	20315	S4028	Fragment de tige massive indéterminée	Fer	1	1	35.2
Clou	20315		Men.: 2 clous; 3 tiges	Fer	5	2	35
TH-34-TP 21883	<i>État 2 lato sensu : LTD1b évoluée-LTD2</i>						
Clou	21884	428	Men.: 1 frgt	Fer	1	1	6.6
TH-36-TP 21899-175	<i>État 2 lato sensu : LTD1b évoluée-LTD2</i>						
Clou	21899-175		Men.: 1 frgt	Fer	1	1	8
TH-38-TP 21899-9	<i>État 2 lato sensu : LTD1b évoluée-LTD2</i>						
Clou	21899-9		Men.: 2 frgts	Fer	2	2	25
TH-39-Fo 21899-31	<i>État 2 lato sensu : LTD1b évoluée-LTD2</i>						
Indéterminé plat	21899-32		Bande de fer plat	Fer	1	1	15.6
Clou	21899-32		Tiges	Fer	2	1	6.2
TH-40-sol 20343	<i>État 1 : LTD1b classique</i>						
Scorie (fer)	20343	S4033	Calotte	Fer	1	1	110.1
Scorie (fer)	20343	S4032	Scorie	Fer	1	1	46.4
TH-41-Sb 21868	<i>État 2.1 : LTD1b évoluée</i>						
Clou	21868	422	Men.: 1 frgt	Fer	1	1	15.8
Clou	21868		Men.: 2 frgts	Fer	2	2	16.9

Type d'objet	UF	No	Description	Métal	NR	NMI	M(g)
TH-42-TP 21899-125	<i>État 2 lato sensu : LTD1b évoluée-LTD2</i>						
Clou	21899-125		Men.: 1 frgt	Fer	1	1	2
TH-43-TP 20362	<i>État 2 lato sensu : LTD1b évoluée-LTD2</i>						
Clou	20363	D2002	Tige	Fer	1	1	27.3
TH-44-Fo 20328	<i>État 1 et 2 lato sensu : LTD1b-LTD2</i>						
Clou	20329	S4007	Men.: 1 frgt	Fer	1	1	8.2
Clou	20329		Men.: 3 frgts	Fer	3	3	23
TH-45-épan dage 20417	<i>État 1 et 2 lato sensu : LTD1b-LTD2</i>						
Clou	20417		Men.: 8 frgts; 12 tiges	Fer	20	8	150
TH-46-épan dage 21899-27	<i>État 1 et 2 lato sensu : LTD1b-LTD2</i>						
Indéterminé plat	21899-27	430	Fragment de bande de fer plat	Fer	1	1	14.1
Indéterminé tôle	21899-27	436	Fragment de bande de tôle	Fer	1	1	11
Clou	21899-27	432	Men.: 1 frgt	Fer	1	1	6.8
Clou	21899-27	431	Tige de clou	Fer	1	0	3
Clou	21899-27	438	Tige de clou	Fer	1	0	1.8
TH-47-épan dage 21762	<i>État 1 et 2 lato sensu : LTD1b-LTD2</i>						
Ferrure	21762	193	Extrémité de ferrure	Fer	1	0	18.1
Ferrure	21762	152	Fragments de large bande de tôle avec un perforation. Ferrure	Fer	2	0	33.2
Indéterminé plat	21762	156	Fragment de bande de fer plat à bords convergents, incurvé et légèrement plié à une extrémité	Fer	1	1	45.6
TH-48-sol 21899-28	<i>État 1 et 2 lato sensu : LTD1b-LTD2</i>						
Clou	21899-28		Men.: 1 frgt; 2 tiges	Fer	3	1	32
TH-49-Fo 21899-196	<i>Non phasé</i>						
Indéterminé plat	21899-197	279	Fragment de bande de fer plat incurvée	Fer	1	1	7.4
TH-50-Fo 21899-198	<i>Non phasé</i>						
Clou	21899-199		Men.: 1 frgt	Fer	1	1	6
TH-51-TP 21899-86	<i>État 2 lato sensu : LTD1b évoluée-LTD2</i>						
Clou	21899-87		Men.: 7 frgts; 5 tiges	Fer	12	7	108.3
TH-52-remblai orchestra	<i>État 4.1 : Claude-fin 1^{er} s. ap. J.-C.</i>						
Indéterminé tige	21899-241		Tige de section ronde appointée	Fer	1	1	7
Clou	21899-241		Men.: 2 frgts; 2 tiges	Fer	4	2	29
TH-55-HC (théâtre)	<i>Hors contexte</i>						
Clou de chaussure	HC (théâtre)	2003	Clou de chaussure	Fer	1	1	1.7
Clou de chaussure	HC (théâtre)	498	Clous de chaussure sans décor lisible	Fer	2	2	3
Indéterminé objet	HC (théâtre)	493	Fragment informe	Fer	1	0	0.2
Indéterminé tige	HC (théâtre)	496	Tige de section carrée très corrodée	Base-cuivre	1	0	3.3
Clou	HC (théâtre)	126	Fragment de tête de clou ou contreplaque de rivet	Fer	1	1	1.3
Clou	HC (théâtre)	2007	Men.: 1 frgt	Fer	1	1	3.3
Clou	HC (théâtre)	280	Tige de clou	Fer	1	0	1.1
Clou	HC (théâtre)	489	Tige de clou	Fer	1	0	2.5
Scorie (fer)	HC (théâtre)	2725	Grande calotte	Fer	1	1	1129

SANCTUAIRE

Galerie gallo-romaine, branche nord

Décapage

SCTGRN-1-décapage

Planche 182, 1. 8128.

Fibule à ressort à quatre spires et corde interne et arc coudé à tête couvrante. Fer. L. 38 mm. NP. E : 1142.1. N : 1138.1. Type : F25-2.

Planche 182, 2. 9006.

Fibule à ressort à quatre spires et corde externe haute et arc filiforme outrepassant de section lenticulaire. Le pied est cassé au niveau du début du porte-ardillon. Fer. L. 71 mm. 14 g. E : 1118.2. N : 1136.6. Alt. : /. Type : F33-11.

Planche 182, 3. 19050, n° 45.

Fibule à ressort à quatre spires et corde externe haute à arc cambré de section circulaire. Fer. L. 29 mm, S. 3 mm. 5.8 g. E : 1114.3. N : 1137.8.* Type : F33-5.

Planche 182, 4. 19050, n° 35.

Fibule à ressort à quatre spires et corde interne à arc de tôle tendu triangulaire à décor d'échelle et bordures soulignées par une rainure interrompue par des lignes perpendiculaires. Base-cuivre. L. 26 mm, l. (arc) 9 mm. 2.3 g. E : 1114. N : 1138.* Type : B22-02.

Planche 182, 5. 8109.

Ardillon de fibule avec début de spire. Base-cuivre. L. 51 mm. NP. E : 1142.35. N : 1138.2.*

Planche 182, 6. 9119.

Fibule géométrique complète à charnière rapportée, à arc perforé en forme de goutte, orné de cercles concentriques. Base-cuivre. L. 38 mm. NP. E : 1135.8. N : 1133.1. Alt. : /. Type : B79-2.

Planche 182, 7. 9098.

Fibule à ressort à quatre spires et corde interne et à arc triangulaire interrompu par un bouton et cassé à cet endroit. L'arc est orné d'un décor d'échelle. Base-cuivre. L. 32 mm. NP. E : 1120.8. N : 1137.3. Alt. : /. Type : B24-2.

Planche 182, 8. 9000.

Arc de fibule de Nauheim constitué d'une tôle triangulaire avec bordures soulignées

par une rainure incisée et deux rainures perpendiculaires à l'axe de l'arc. Base-cuivre. L. 31 mm, L.(arc) 23 mm, l. (arc) 3,5 mm. NP. E : 1151.2. N : 1138. Alt. : /. Type : B22-05.

Planche 182, 9. 9004.

Fibule à ressort à quatre spires et corde interne et arc de tôle triangulaire très fragmentaire. Base-cuivre. L. 14 mm. NP. E : 1115.2. N : 1138. Type : B22-0.

Planche 182, 10. 9045.

Perle de section hémisphérique. Base-cuivre. Diam. ext. 8 mm, S. 2 mm. 3 g. E : 1115.1. N : 1136.8. Alt. : /.

Planche 182, 11. 9125.

Fragment de fléau de balance à oeillet de suspension et l'oeillet central. Chaque oeillet comporte un anneau de chaînette. Deux petits ressauts sont présents au niveau de l'oeillet central. Base-cuivre. L. total 56 mm, L. bras 39 mm, S. 2 mm, diam. int. 2 mm. 2.1 g. E : 1136.7. N : 1139. Alt. : /.

Perturbations modernes

SCTGRN-2-perturbations modernes

Planche 182, 12. 10016, n° 407.

Perle de section en ogive. Base-cuivre. Diam. ext. 17 mm, S. 4 x 8 mm. 7.5 g. E : 1132. N : 1128. Alt. : /.

Planche 182, 13. 11192, n° 362.

Petit anneau de section losangique ayant brûlé. Base-cuivre. Diam. 14 mm, S. 4 x 5 mm. 3.7 g. E : 1135. N : 1132. Alt. : /.

Planche 182, 14. 10016, n° 67.

Fragment de pointe de javeline à douille dont la pointe est cassée. Les deux côtés de la flamme de section lenticulaire sont asymétriques. Fer. L. 118 mm, L. douille 68 mm, L. flamme 50 mm, diam. int. douille 11 mm, diam. ext. douille 14 mm. 54.9 g. E : 1120.15. N : 1118. Alt. : 573.2. Type : 11.

Planche 182, 15. 10016, n° 3.

Fragment de frette de gladius constitué d'une bande avec quatre rainures en relief, repliée à une extrémité. Base-cuivre. L. 40 mm, l. 9 mm, ép. 2 mm. 3.4 g. E : 1120. N : 1116. Alt. : /.

État 4 lato sensu : époque romaine

SCTGRN-3-remblais

Planche 182, 16. 8111.

Ardillon de fibule très corrodé. Base-cuivre. L. 55 mm. NP. E : 1140.2. N : 1140.6.*

Planche 182, 17. 8124.

Anneau de section ovale. Base-cuivre. Diam. 26 mm, S. 6 x 3 mm. 10 g. E : 1138.5. N : 1138.2.*

Planche 182, 18. 9260.

Anneau d'écurie constitué d'un anneau de section rectangulaire amincie en son centre et d'un tenon de fixation cannelé. Fer. L. 62 mm, diam. 39 mm. 33 g. E : 1125.75. N : 1136. Alt. : /.

Planche 182, 19. 19056, n° 46.

Fragment d'orle en gouttière avec bois minéralisé à l'intérieur. Fer. L. 161 mm, S. 9 x 6 mm. 22.2 g. E : 1115.5. N : 1138.5.* Type : Gouttière.

État 4.3 : IIIe-IVe s. ap. J.-C.

SCTGRN-4-démolition

Planche 182, 20. 11081, n° 117.

Perle à quatre cannelures peu lisibles. Base-cuivre. Diam. 15 mm, S. 4 x 8 mm. 3.8 g. E : 1127.05. N : 1134.41. Alt. : 573.57.

Planche 182, 21. 11092, n° 2016.

Chute de tige de section carrée appointée avec une découpe légèrement concave. Fer. L. 22 mm. 1.6 g. E : 1134. N : 1132. Alt. : /.

Planche 182, 22. 10064, n° 32.

Chute de tôle repliée deux fois sur elle-même. Base-cuivre. L. 14 mm, l. 11 mm. 2 g. E : 1125.20. N : 1135.25. Alt. : 573.62.

Planche 182, 23. 10037, n° 50.

Pied de récipient constitué d'une bande légèrement incurvée, amincie aux deux extrémités. Base-cuivre. L. 22 mm, l. 13 mm, E. 2 mm. 3.4 g. E : 1125.2. N : 1137.5. Alt. : /.

SCTGRN-5-Fo 10061

Planche 182, 24. 10062, n° 401.

Fragment de bracelet à jonc lisse de section ovale. Trois traces de cisaille ou de marteau (?) sont présentes avant la cassure. Base-cuivre. L. 26 mm, diam. rest. 72 mm, S. 3 x 2 mm. 2.2 g. E : 1125.7. N : 1138.1. Alt. : /. Type : B10-2.

État 4.2 : II^e s. ap. J.-C.

SCTGRN-8-démolition

Planche 182, 25. 10020, n° 8.

Aiguille cassée au niveau du chas. Base-cuivre. L. 72 mm, S. 2,5 mm. 1.7 g. E : 1123.1. N : 1137.57. Alt. : 573.99.

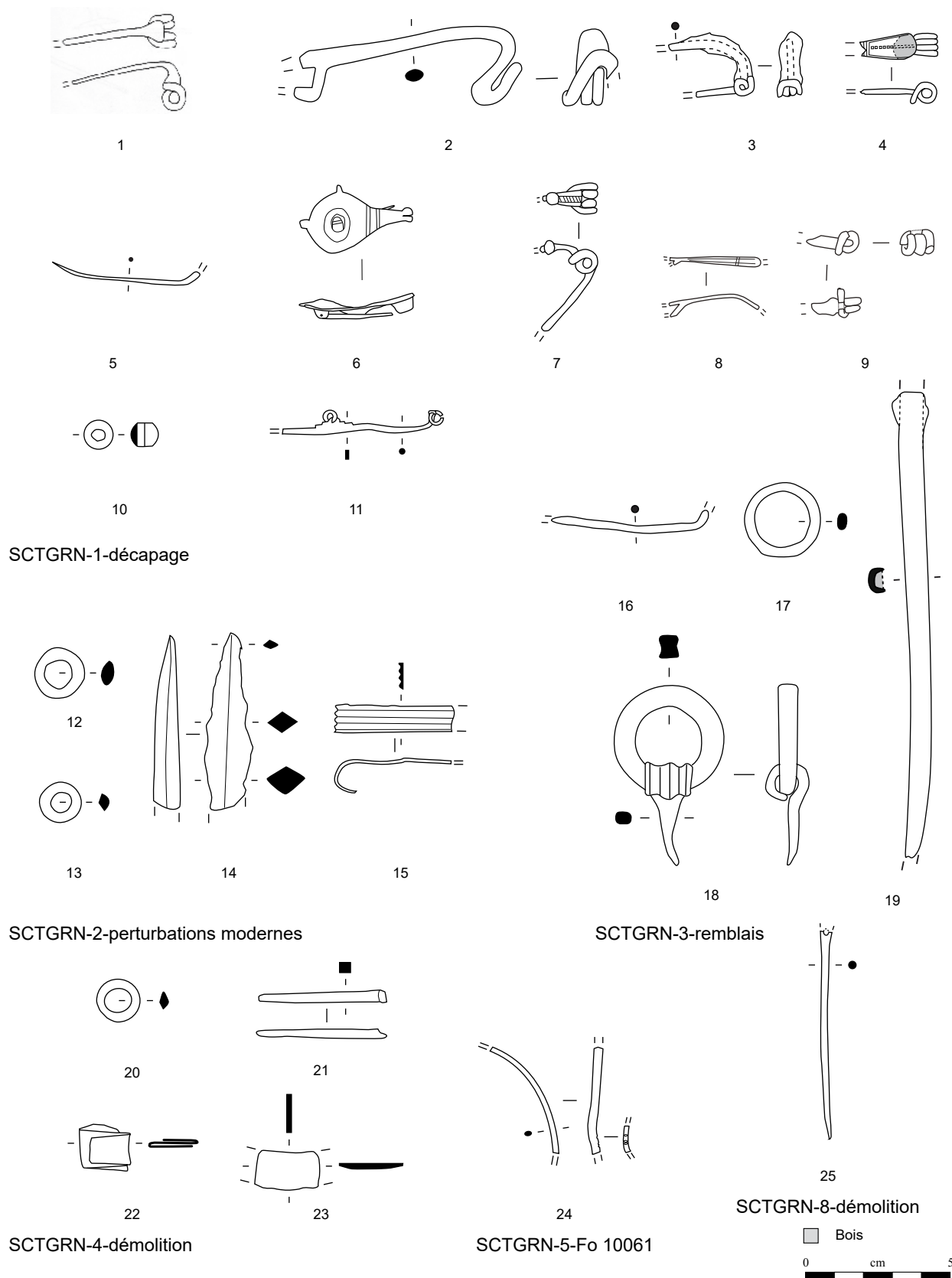


Planche 182. SCTGRN-1-décapage à SCTGRN-8-démolition

1-3, 14, 18-19, 21 : fer; 4-13, 15-17, 20, 22-25 : alliage cuivreux (1, tiré de Faye 1995, n° 123).

Galerie gallo-romaine, branche nord

État 3 : fin LTD2b-Auguste

SCTGRN-9-dallettes

Planche 183, 1. 19055, n° 110.

Fibule à ressort à quatre spires et corde externe haute et à arc tendu de section circulaire. Fer.

L. 21 mm. NP.

E : 1120.7. N : 1137.9.

Type : F33-1.

Planche 183, 2. 19055, n° 39-40.

Fibule à ressort à quatre spires et corde externe haute et à arc outrepassant de section rubanée puis triangulaire. Fer.

L. 105 mm. 4.6 g.

E : 1121. N : 1138.

Type : F33-12. .

État 2-GR : LTD1b évoluée-époque romaine

SCTGRN-11-niveaux laténiens

Planche 183, 3. 8131.

Extrémité d'arc de tôle triangulaire et pied de fibule trapézoïdal ajouré. Base-cuivre.

L. 31 mm. NP.

E : 1138. N : 1136.

Type : B22-0.

Planche 183, 4. 8127, n° 1.

Ressort long étroit à corde externe à deux spires conservées. Base-cuivre.

L. 15 mm. NP.

E : 1140.2. N : 1140.4.

Planche 183, 5. 9319, n° 1.

Pied de fibule de schéma La Tène moyenne à bague moulurée précédée de deux loges rectangulaires ornées d'incisions en damier. Base-cuivre.

L. 25 mm. 2.1 g.

E : 1134.7. N : 1133.8. Alt. : /.

Type : B21-2.

Planche 183, 6. 8126.

Anneau coudé écrasé dont les deux parties ne sont pas jointives. Or.

L. 25 mm. 3 g.

E : 1141. N : 1141.8.

Type : 2.

Planche 183, 7. 9258.

Petit anneau de section losangique. Base-cuivre.

Diam. 12 mm, S. 3 x 6 mm. 3.5 g.

E : 1121.9. N : 1137.1. Alt. : /.

Planche 183, 8. 9319, n° 5.

Fragment d'orle en gouttière avec patte de fixation terminale. Fer.

L. 56 mm, l. (gouttière) 12 mm. 19 g.

E : 1133.4. N : 1139.2.

Type : Gouttière.

Planche 183, 9. 9319, n° 4.

Fragment d'orle en gouttière. Fer.

L. 133 mm, l. 12 mm. 27 g.

E : 1133. N : 1139.

Type : Gouttière.

Planche 183, 10. 9319, n° 2.

Fragment d'assemblage de menuiserie composé de deux bandes de fer plat jointes par deux clous. Fer.

L. 76 mm, ép. utile 10 mm. 23 g.

E : 1116. N : 1136.

Galerie gallo-romaine, branche est

État 4 lato sensu : époque romaine

SCTGRE-1-décapage

Planche 183, 11. 8100.

Quatre fragments de clochette à système de fixation à bélière avec deux perforations sommitales. Base-cuivre.

L. 22 mm. 18 g.

E : 1138. N : 1138.

Perturbations modernes

SCTGRE-2-perturbations modernes

Planche 183, 12. 10049, n° 603.

Petit anneau de section ronde irrégulière. Base-cuivre.

Diam. 16 mm, S. 4 mm. 2 g.

E : 1135.5. N : 1122. Alt. : /.

Planche 183, 13. 12010, n° 2028.

Chute de tige de section rectangulaire pointue avec une découpe droite. Fer.

L. 42 mm. 2.6 g.

E : 1130. N : 1117. Alt. : /.*

État 4 lato sensu : époque romaine

SCTGRE-3-remblais

Planche 183, 14. 11144, n° 299.

Fragment de bracelet méandrique constitué d'un fil de section ronde formant des «S» juxtaposés. Base-cuivre.

L. 23 mm, diam. 50 mm, S. 2 mm, l. 8 mm. 2 g.

E : 1138.75. N : 1126.95. Alt. : 573.44.

Type : B41-1.

Planche 183, 15. 10174, n° 400.

Fragment de grand anneau de section ronde. Base-cuivre.

L. 23 mm, diam. 30 mm, S. 3,5 mm. 3.1 g.

E : 1138.5. N : 1125.2. Alt. : /.

Planche 183, 16. 11144, n° 241.

Fragment d'anneau de section ronde. Base-cuivre.

L. 18 mm, diam. 19 mm, S. 2 mm. 0.7 g.

E : 1137.62. N : 1126.46. Alt. : 573.48.

Planche 183, 17. 10175, n° 2009.

Chute de tige de section carrée appointée. Fer.

L. 27 mm. 1 g.

E : 1140. N : 1124. Alt. : /.

Planche 183, 18. 11128, n° 293.

Chute de tige de section carrée appointée.

Fer.

L. 35 mm. 2.2 g.

E : 1128. N : 1130. Alt. : /.

Planche 183, 19. 10175, n° 2008.

Chute de bande de section rectangulaire.

Fer.

L. 64 mm. 9 g.

E : 1140. N : 1124. Alt. : /.

Planche 183, 20. 15213, n° 35.

Pêne contrecoudé de section rectangulaire et carrée avec deux extrémités pointues.

Fer.

L. 205 mm, S.8x5 mm. 39.5 g.

E : 1139.2. N : 1120.1. Alt. : 573.29.

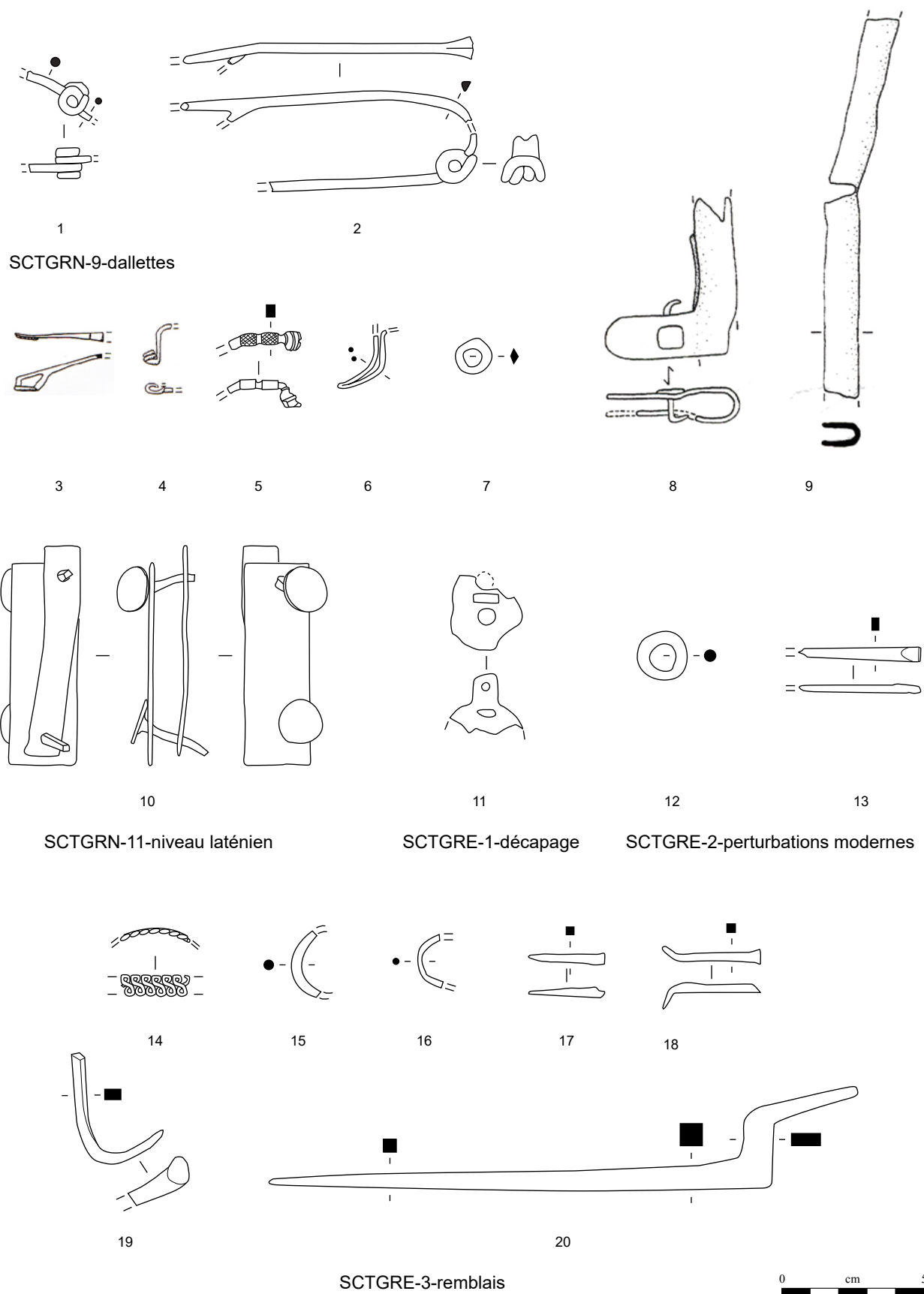


Planche 183. SCTGRN-9-dallettes à SCTGRE-3-remblais

1-2, 8-10, 13, 17-20 : fer; 3-5, 7, 11-12, 14-16 : alliage cuivreux; 6 : or (3-4, tirés de Faye 1995, n^{os} 87 et 152; 8-9, tirés d'Orengo 2003, pl. 57, n^{os} 5 et 6).

Galerie gallo-romaine, branche est

État 4.3 : IIIe-IVe s. ap. J.-C.

SCTGRE-4-démolition

Planche 184, 1. 12028, n° 130.

Fibule à queue de paon à cache-ressort et à arc en anse de panier interrompu par un disque à décor de cercles concentriques et pied trapézoïdal ajouré dont le porte-ardillon est manquant. Base-cuivre.
L. 34 mm. 8.7 g.
E : 1139.6. N : 1111.75. Alt. : 573.76.
Type : B56-1.

Planche 184, 2. 15208, n° 38.

Fibule à ressort à quatre spires et corde interne à arc de tôle triangulaire à décor d'échelle. Base-cuivre.
L. 18 mm, l. (arc) 4.5 mm. 1.5 g.
E : 1141.84. N : 1124. Alt. : 573.48.
Type : B22-02.

Planche 184, 3. 11161, n° 2091.

Ressort de fibule à quatre spires (trois conservées) et corde interne avec départ d'un arc de tôle. Base-cuivre.
L. 12 mm., 2.9 g.
E : 1133. N : 1127.8. Alt. : /.*
Type : B22-0.

Planche 184, 4. 12028, n° 181.

Grand anneau de section ovale. Base-cuivre.
Diam. 27 mm, S. 5 x 7 mm. 15.6 g.
E : 1132.87. N : 1113.3. Alt. : 573.78.

Planche 184, 5. 12028, n° 133.

Petit anneau de section ronde. Base-cuivre.
Diam. 15 mm, S. 3 mm. 2.6 g.
E : 1139.37. N : 1111.8. Alt. : 573.79.

Planche 184, 6. 12028, n° 175.

Dent de râtelier constituée d'une tige avec un épaissement au centre et un petit appendice à une extrémité. Fer.
L. 73 mm, S. 5 mm. 8.1 g.
E : 1140. N : 1112.5. Alt. : /.*

Planche 184, 7. 11078, n° 2007.

Fragment indéterminé composé d'un fragment de tige amincie avec deux faces présentant une gorge. Fer.
L. 44 mm, S. 7 mm. 14.7 g.
E : 1132. N : 1128. Alt. : /.

Planche 184, 8. 12028, n° 204.

Fragment indéterminé de plat en forme de «pique», de goutte. Extrémité d'attache de cruche? Base-cuivre.
L. 10 mm, l. 10 mm, E. 2 mm. 0.6 g.
E : 1136.03. N : 1110.45. Alt. : 573.63.

SCTGRE-8-Pt 13031

Planche 184, 9. 13031, n° 215.

Ressort à quatre spires et corde interne avec départ d'arc de tôle. Base-cuivre.
L. 10 mm. 0.8 g.

E : 1137.5. N : 1109.6. Alt. : 573.11.
Type : B22-0.

SCTGRE-9-Fo 15278

Planche 184, 10. 15277, n° 2005.

Fragment de panne de marteau, cassée au niveau de l'extrémité active. Fer.
L. 27 mm, l. 30 mm, E. 7/3 mm. 21.4 g.
E : 1139.2. N : 1119.*

État 4.2 : II^e s. ap. J.-C.

SCTGRE-18-sol 12063

Planche 184, 11. 12063, n° 729.

Fibule à ressort à quatre spires et corde interne et arc de tôle triangulaire à décor d'échelle et bordures soulignées par une rainure avec ligne interrompant le décor d'échelle. Seule une partie du porte-ardillon est manquante. Base-cuivre.
L. 41 mm, L. (arc) 24 mm, l. (arc) 3.5 mm. 1.9 g.
E : 1125.85. N : 1112.37. Alt. : 573.73.
Type : B22-02.

Planche 184, 12. 12063, n° 677.

Perle de section hémisphérique. Base-cuivre.
Diam. 13 mm, S. 3 x 6 mm. 2 g.
E : 1129.35. N : 1115.85. Alt. : 573.68.

Planche 184, 13. 12063, n° 2040.

Objet indéterminé constitué d'une tôle avec une partie présentant un ourlet qui s'interrompt et une autre plus fine, à bord ondulé. L'exemplaire a une corrosion dure qui empêche une détermination plus approfondie. Fragment de récipient? Fer.
L. 93 mm, l. 17 mm, Ép. 4 mm.. 18.4 g.
E : 1138.4. N : 1113.7. Alt. : 573.47.

Planche 184, 14. 12063, n° 724.

Fragment de plateau de balance composé d'une tôle circulaire avec une perforation carrée et de légers rebords. Base-cuivre.
Diam. 45 mm, ép. 1 mm. 2.3 g.
E : 1128.3. N : 1114.7. Alt. : 573.64.

SCTGRE-19-sol 13015

Planche 184, 15. 13015, n° 22.

Arc de section circulaire de fibule filiforme avec début du pied. Base-cuivre.
L. 29 mm. 0.5 g.
E : 1142.05. N : 1107.6. Alt. : 573.66.
Type : B23-2.

État 4.1 : I^{er} s. ap. J.-C.

SCTGRE-21-Mur 12043

Planche 184, 16. 12043, n° 17.

Ressort à quatre spires et corde externe haute et ardillon complet plié. Fer.
L. 65 mm, L. rest. 95 mm. 5.4 g.
E : 1141. N : 1119. Alt. : 573.70.
Type : F30.

État 3 : fin LTD2b-Auguste

SCTGRE-25-niveau d'argile

Planche 184, 17. 15212, n° 62.

Petit anneau de section ronde. Base-cuivre.
Diam. 13 mm, S. 2 mm. 1.9 g.
E : 1141.2. N : 1120. Alt. : 573.56.

État 2-GR : LTD1b évoluée-époque romaine

SCTGRE-26-empierrement

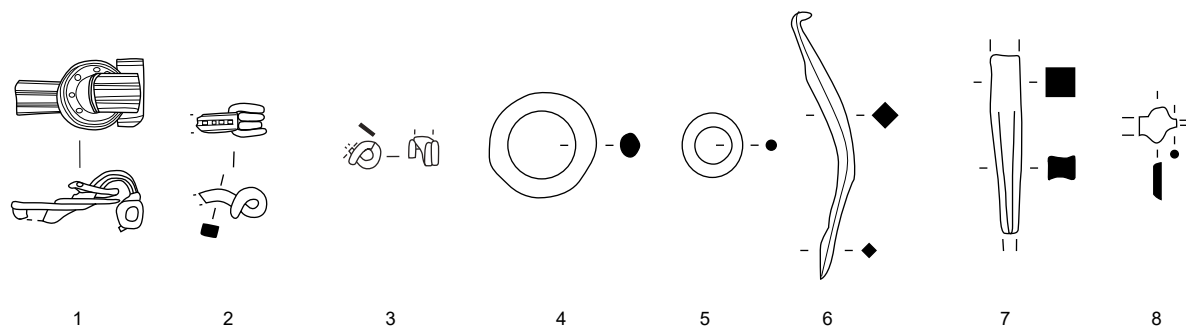
Planche 184, 18. 15269, n° 203.

Fragment de charnière composée d'une bande de tôle repliée pour former une boucle comportant des traces de bois d'un côté. Les deux parties de la charnière sont maintenues avec un rivet. Fer.
L. 118 mm, l. 28 mm, diam. int. 4 mm. 33.4 g.
E : 1142. N : 1120.*

SCTGRE-27-remblai

Planche 184, 19. 12118, n° 2054.

Fragment de gouttière de bouterolle de fourreau avec une tôle repliée dans la gouttière. Fer.
L. 26 mm, S. 5 x 6 mm. 2.1 g.
E : 1139.1. N : 1126.4. Alt. : /.*

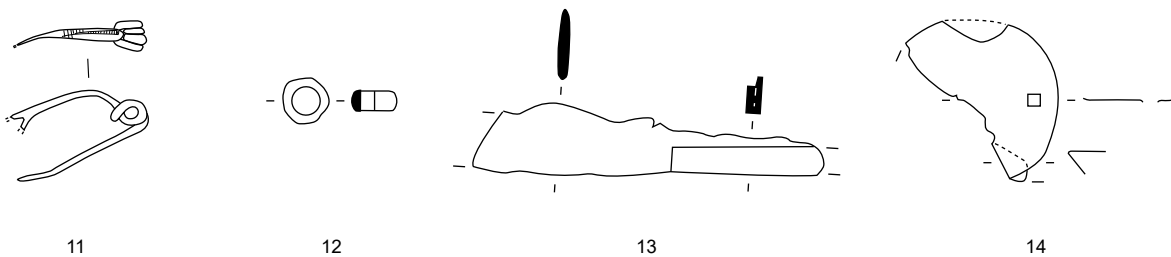


SCTGRE-4-démolition

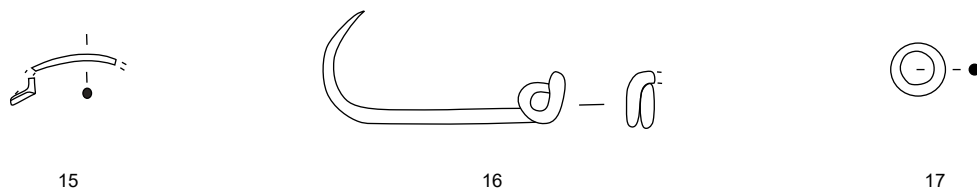


SCTGRE-8-Pt 13031

SCTGRE-9-Fo 15278



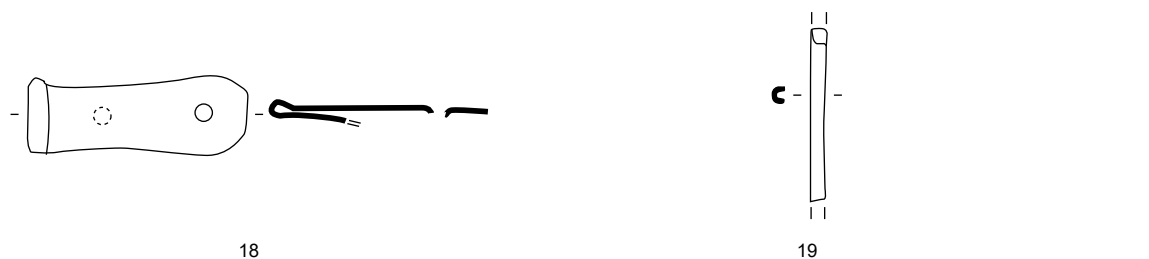
SCTGRE-18-sol 12063



SCTGRE-19-sol 13015

SCTGRE-21-Mur 12043

SCTGRE-25-niveau d'argile



SCTGRE-26-empierrement

SCTGRE-27-remblai

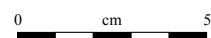


Planche 184. SCTGRE-4-démolition à SCTGRE-27-remblai

1-5, 8-9, 11-12, 1-17 : alliage cuivreux; 6-7, 10, 13, 18-19 : fer.

Galerie laténienne, radiers de sol

État 2-GR : LTD1b évoluée-époque romaine

SCTG-1-interface LT-GR

Planche 185, 1. 11116, n° 172.

Fibule de Nauheim à ressort à quatre spires et corde interne et à arc de tôle triangulaire à décor en échelle peu lisible, replié sur le ressort. Base-cuivre.

L. 34 mm, L. (arc) 28 mm, l. (arc) 5.5 mm. 2.1 g.

E : 1127.80. N : 1132.90. Alt. : 573.48.

Type : B22-04.

Planche 185, 2. 11138, n° 226.

Fibule à ressort à quatre spires et corde interne à arc filiforme de section ronde en anse de panier. Le pied fragmentaire semble libre. Base-cuivre.

L. 19 mm, S. 2.5 mm. 2.6 g.

E : 1132.15. N : 1130.12. Alt. : 573.46.

Type : B23-5.

Planche 185, 3. 15231, n° 198.

Ardillon complet avec début du ressort. Base-cuivre.

L. 45 mm. 0.8 g.

E : 1142. N : 1119.2. Alt. : 573.59.

Planche 185, 4. 19051, n° 33.

Anneau de section losangique. Base-cuivre.

Diam. 14 mm, S. 4,5 x 6 mm. 4 g.

E : 1137.2. N : 1137.3.*

Planche 185, 5. 11138, n° 221.

Perle avec trois cannelures usées. Base-cuivre.

Diam. 15 mm, S. 5 x 7 mm. 4.5 g.

E : 1131.65. N : 1131.34. Alt. : 573.42.

Planche 185, 6. 11138, n° 240.

Petit anneau cassé de section losangique. Base-cuivre.

Diam. 20 mm, S. 4 x 6 mm. 5.1 g.

E : 1130.15. N : 1132.6. Alt. : 573.6.

Planche 185, 7. 19051, n° 120.

Lance à flamme de forme losangique de section lenticulaire à douille de grand diamètre avec encore deux rivets en position fonctionnelle. La flamme est pliée. Fer.

L. 149 mm, L. (douille) 68 mm, L. rest. (flamme) 81 mm, diam. (douille) 27 mm. 90 g.

E : 1137.5. N : 1136.8.*

Type : 11.

Planche 185, 8. 11124, n° 717.

Fragment de petit pendentif en forme de hache à douille dont un angle du tranchant est manquant. Fer.

L. 34 mm. 16 g.

E : 1128. N : 1133.52. Alt. : 573.5.

Planche 185, 9. 19051, n° 50.

Pièce de louve constituée d'une barre triangulaire de section rectangulaire pliée et terminée par un anneau massif précédé d'un ressaut qui laisse supposer une articulation. Fer.

L. 83 mm, diam ext. 28 mm. 113.2 g.

E : 1137.8. N : 1137.7.*

Planche 185, 10. 19051, n° 48.

Coulure. Or.

L. 10 mm. 0.2 g.

E : 1137.5. N : 1137.5.*

Planche 185, 11. 11150, n° 2036.

Chute de tige de section carrée pointue avec une découpe droite. Fer.

L. 49 mm. 2.1 g.

E : 1134. N : 1130. Alt. : /.

Planche 185, 12. 11124, n° 201.

Fragment de collerette de chaudron constituée d'une tôle repliée pour former un ourlet avec deux perforations. Fer.

L. 59. 4.9 g.

E : 1129.72. N : 1133.50. Alt. : 573.30.

Planche 185, 13. 10170, n° 105.

Fragment de tôle repliée. Base-cuivre.

L. 21 mm, l. 7 mm, E. 0,5 mm. 1.1 g.

E : 1124.2. N : 1128.55. Alt. : 573.53.

Planche 185, 14. 13012, n° 10.

Fragment de foncet de serrure avec entrée en «L» composée d'une tôle carrée aux angles arrondis, avec des trous pour la fixation dans chaque angle. Un basalte, collé sur la surface de l'objet, n'a pas pu être enlevé. Son poids en est donc faussé. Présence d'alliage cuivreux. Fer et base-cuivre.

L. 135 mm. NP.

E : 1128. N : 1133.5. Alt. : /.

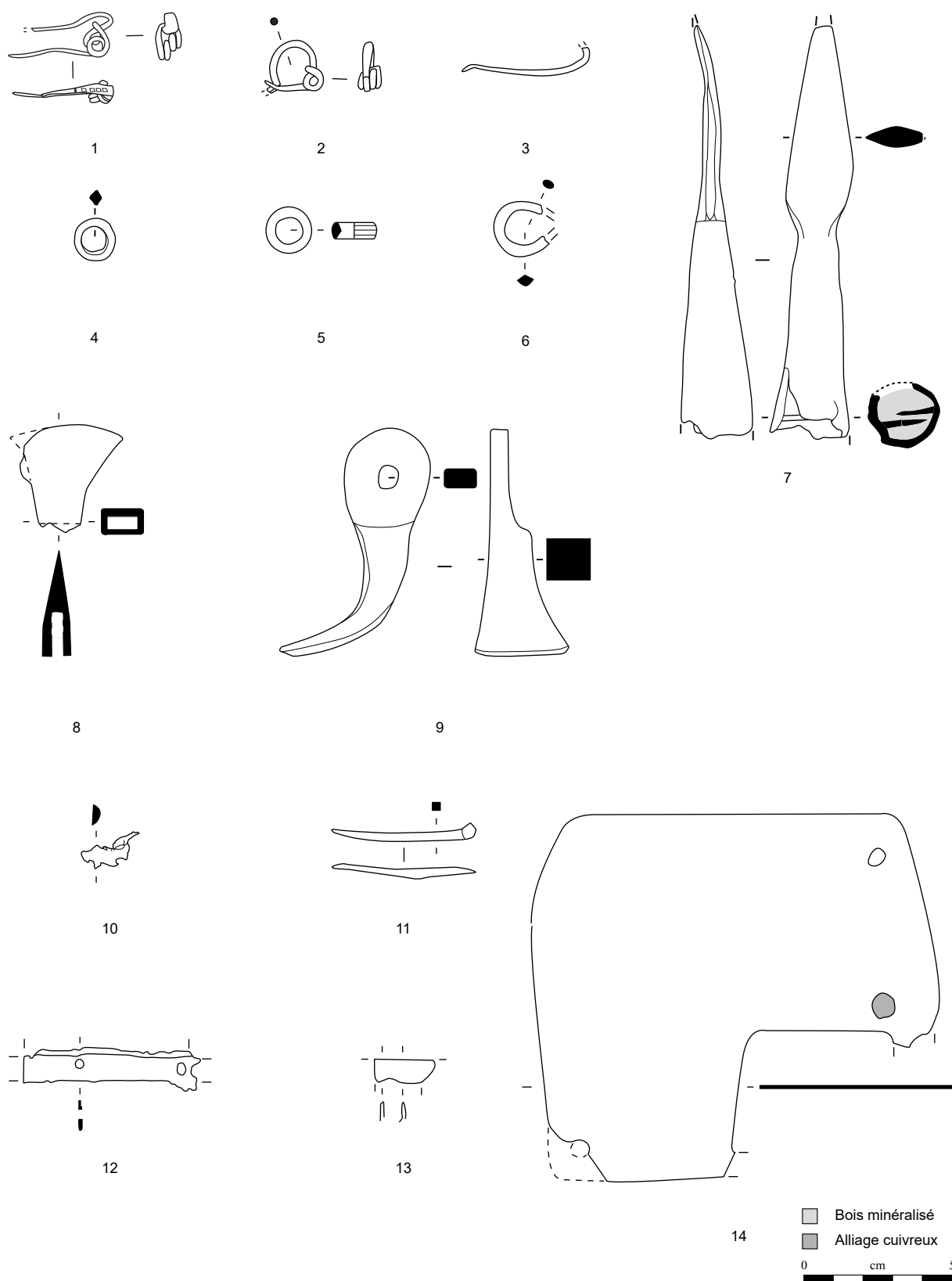


Planche 185. SCTG-1-interface LT-GR

1-6,13 : alliage cuivreux; 7-9, 11-12 : fer; 10 : or; 14 : fer et alliage cuivreux.

Galerie laténienne, radiers de sol

État 2.3 : fin LTD2a-LTD2b

SCTG-4-empierrements nord entrée

Planche 186, 1. 15201, n° 50.

Fibule à ressort à quatre spires et corde interne, à arc filiforme outrepassant de section losangique et à pied multifenestré comportant un cabochon décoratif en or sur une jonction du cadre de l'ajour. Base-cuivre et or.

L. 102 mm, L. (arc) 50 mm, L. (pied) 48 mm. 3.1 g.

E : 1130.35. N : 1119.26. Alt. : 573.43.

Type : B23-4.

Planche 186, 2. 15201, n° 42.

Porte-ardillon triangulaire plein. Fer.

L. 40 mm. 1.9 g.

E : 1134.8. N : 1119.5. Alt. : 573.52.

Planche 186, 3. 15201, n° 32.

Fragment de fibule de schéma La Tène moyenne à arc filiforme de section ovale et bague de fixation du pied. Seule une spire du ressort est conservée. Fer.

L. 45 mm. 3.1 g.

E : 1134.09. N : 1121.31. Alt. : 573.48.

Type : F01-2.

Planche 186, 4. 15201, n° 54.

Fragment de bracelet à jonc rectiligne de section ovale présentant deux fragments d'épissures. Base-cuivre.

L. 65 mm, S. 1 mm, l. 2 mm. 1.7 g.

E : 1137. N : 1120. Alt. : 573.55.

Type : B12-1.

Planche 186, 5. 15201, n° 2014.

Chute de tige de section carrée appointée avec une découpe légèrement concave. Fer.

L. 32 mm. 1.3 g.

E : 1134.3. N : 1119.7.*

Planche 186, 6. 15201, n° 2016.

Chute de tige de section carrée appointée avec une découpe légèrement concave. Fer.

L. 24 mm. 0.6 g.

E : 1130.5. N : 1119.2.*

Planche 186, 7. 15201, n° 2015.

Chute de tige de section carrée appointée avec une découpe légèrement concave. Fer.

L. 30 mm. 1 g.

E : 1134.2. N : 1119.5.*

Planche 186, 8. 15201, n° 31.

Dent de rateau constituée d'une tige de section carrée courbée avec un épaissement et une extrémité pointue de section ronde. Fer.

L. 70 mm, S. 2-5 mm. 11.8 g.

E : 1134.34. N : 1120. Alt. : 573.49.*

Planche 186, 9. 15201, n° 28.

Fragment de lèvres de récipient de section triangulaire. Base-cuivre.

L. 12 mm, ht. 4 mm. 0.6 g.

E : 1136. N : 1119.6. Alt. : 573.45.

SCTG-5-empierrements sud entrée

Planche 186, 10. 12037, n° 512.

Fibule à ressort à quatre spires et corde interne avec départ d'un arc de tôle à décor en échelle et ardillon complet. Base-cuivre.

L. 45 mm. 2.2 g.

E : 1136. N : 1116. Alt. : 573.4.

Type : B22-04.

Planche 186, 11. 12068, n° 651.

Fibule à ressort à quatre spires et corde externe basse, arc filiforme tendu de section ronde replié sur lui-même. Le pied est manquant. La fibule semble avoir été mutilée. Base-cuivre.

L. 47 mm. 4 g.

E : 1136.1. N : 1112.13. Alt. : 573.36.

Type : B11-1.

Planche 186, 12. 12037, n° 531.

Petit anneau à section en quart de rond. Base-cuivre.

Diam. 15 mm, S. 3 x 4 mm. 2 g.

E : 1137.2. N : 1114.34. Alt. : 573.45.

Planche 186, 13. 12037, n° 2009.

Grand anneau à trois cannelures. Base-cuivre.

Diam. 29 mm, S. 6 x 8 mm. 16.1 g.

E : 1135.1. N : 1110. Alt. : /.*

Planche 186, 14. 12037, n° 507.

Petit anneau à section en quart de rond. Base-cuivre.

Diam. 16 mm, S. 3,5 x 4,5 mm. 4 g.

E : 1138.55. N : 1115.65. Alt. : 573.49.

Planche 186, 15. 12037, n° 2017.

Fragment de grand anneau à section en quart de rond. Base-cuivre.

Diam. 26 mm, S. 3 x 8 mm. 5.1 g.

E : 1136.5. N : 1112.4. Alt. : /.*

Planche 186, 16. 12037, n° 560.

Grand anneau de section losangique avec un rétrécissement. Base-cuivre.

Diam. 23 mm, S. 3 x 6 mm. 6 g.

E : 1136.9. N : 1115.2. Alt. : 573.47.

Planche 186, 17. 12068, n° 588.

Talon de lance à douille. La douille a été formée par enroulement dont la superposition est toujours visible, tout comme la perforation de fixation du rivet. Fer.

L. 66 mm, diam. int. 18 mm, diam. ext. 20 mm. 28.5 g.

E : 1132.46. N : 1116.33. Alt. : 573.29.

Type : 2.

Planche 186, 18. 12037, n° 343.

Extrémité distale d'épée avec traces de coups sur le tranchant de l'épée. La section de l'épée est lenticulaire. Fer.

L. 250 mm, l. max. 40 mm, l. min. 6 mm, ép. 4 mm. 125.1 g.

E : 1137.84. N : 1114.9. Alt. : 573.49.

Planche 186, 19. 12037, n° 344.

Couteau à soie plate élargie à la fin du manche, à dos sinueux concave vers la pointe et à une lame effilée. Fer.

L. 226 mm, L. (lame) rest. 166 mm, l. (lame) 21 mm. 64.7 g.

E : 1137.5. N : 1115. Alt. : 573.6.

Type : 3-1.

Planche 186, 20. 12037, n° 556.

Fragment de tôle de passoire repliée sur elle-même. Base-cuivre.

L. 24 mm, l. (déplié) 25 mm. 0.9 g.

E : 1136.5. N : 1113.1. Alt. : 573.51.

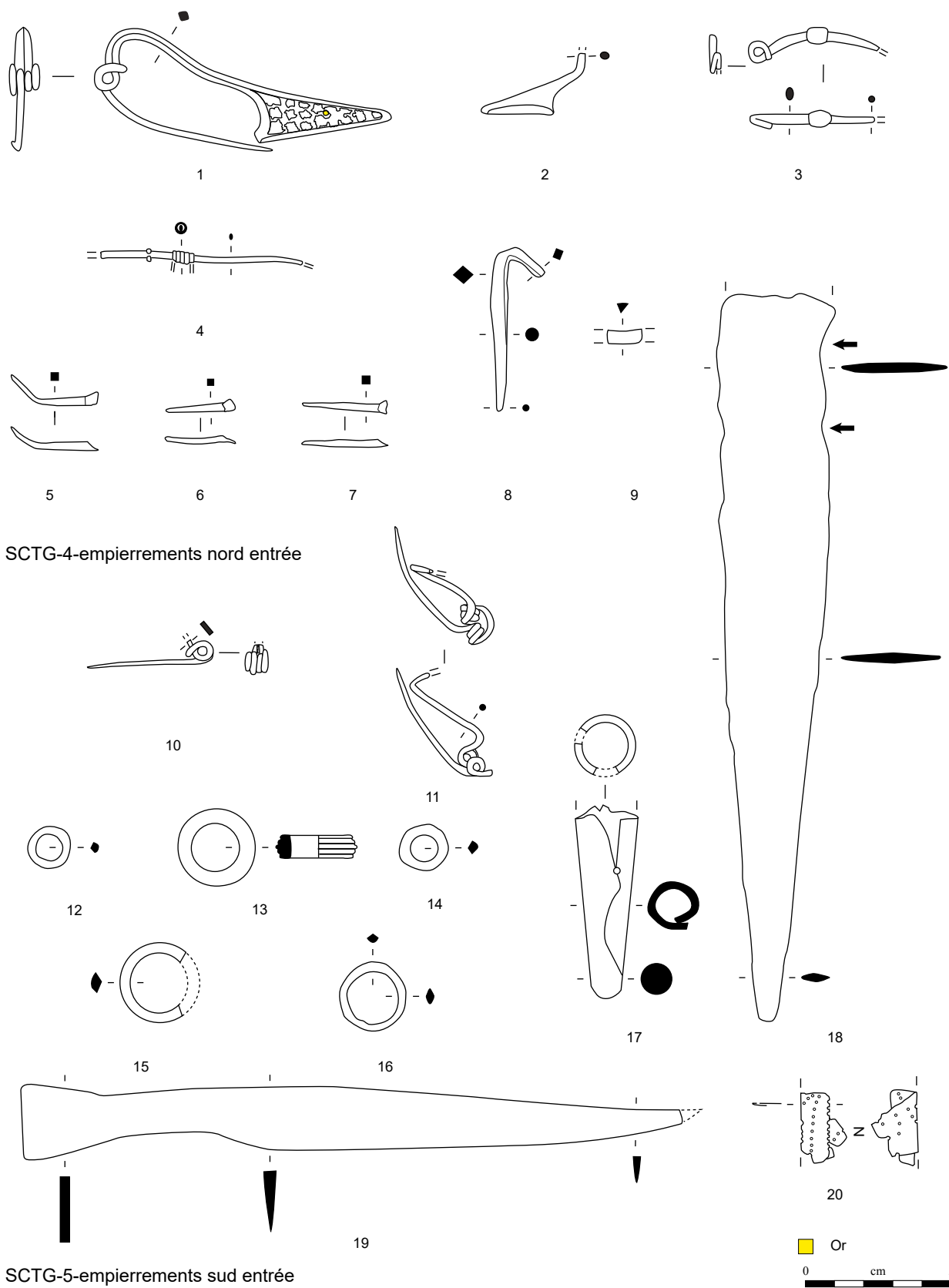


Planche 186. SCTG-4-empierrements nord entrée et SCTG-5-empierrements sud entrée

1 : alliage cuivreux et or; 2-3, 5-8, 17-19 : fer; 4, 9-11, 12-16, 20 : alliage cuivreux.

Galerie laténienne, radiers de sol

État 2.3 : fin LTD2a-LTD2b

SCTG-5-empierrements sud entrée

Planche 187, 1. 12037, n° 513.

Panneton à trois dents tournées vers le haut, cassé au niveau du départ de la tige. Fer.

L. 40 mm, L (dent) 20 mm, S. 5x9, S. (dents) 5 mm. 16.4 g.

E : 1137.45. N : 1115.56. Alt. : 573.49.

Planche 187, 2. 12037, n° 502.

Pêne contrecoudé de serrure à rotation. Tige de section rectangulaire avec deux coudes à angle droit. L'objet est plié sur sa plus grande longueur. Fer.

L. 130 mm, S. 4x2 mm. 8.3 g.

E : 1135.35. N : 1114.63. Alt. : 573.55.

Planche 187, 3. 12068, n° 606.

Clou-rivet émaillé à tige matée. Base-cuivre.

Diam. 21 mm, l. 12 mm. 11.1 g.

E : 1138.12. N : 1115.17. Alt. : 573.46.

SCTG-6-dépôt de faune sur empierrement

Planche 187, 4. 11186, n° 382.

Fragment d'anse de seau, de situle de section ronde avec un seul crochet de fixation conservé. Fer.

L. 120 mm, S. 4 mm, diam. int. 5 mm. 14.2 g.

E : 1134. N : 1124. Alt. : 573.35.

Planche 187, 5. 11186, n° 2093.

Fragment de tige de clou de section carrée. Base-cuivre.

L. 60 mm, S. 5 mm. 9 g.

E : 1134.5. N : 1130.4. Alt. : /*

SCTG-7-niveaux d'occupation

Planche 187, 6. 10134, n° 2003.

Chute de tige de section carrée pointue avec une découpe en bec de dauphin. Fer.

L. 25 mm. 1.1 g.

E : 1120. N : 1132. Alt. : /.

Galerie laténienne, occupation

État 2.2 : LTD2a

SCTG-8-occupation nord

Planche 187, 7. 9341, n° 1.

Fibule complète à ressort à quatre spires et corde interne et à arc de tôle triangulaire à bordures soulignées par une rainure et lignes interrompant le décor. Base-cuivre.

L. 46 mm, L. (arc) 23 mm, l. (arc) mm. NP.

E : 1117.4. N : 1132.4. Alt. : /.

Type : B22-05.

Planche 187, 8. 12547, n° 732.

Fibule à ressort à quatre spires et corde interne et à arc de tôle triangulaire très corrodé à décor d'échelle et lignes et bordures soulignées par une rainure. Cassée au début du pied. Base-cuivre.

L. 35 mm, L. (arc) 24 mm, l. (arc) 4.5 mm. 1.8 g.

E : 1110.72. N : 1131.24. Alt. : 573.63.

Type : B22-02.

Planche 187, 9. 11199, n° 496.

Ressort à quatre spires et corde interne et arc de fibule triangulaire très corrodé à bordures soulignées par une rainure. Base-cuivre.

L. 25 mm, l. (arc) 5 mm. 2 g.

E : 1133.80. N : 1130.22. Alt. : 572.87.

Type : B22-03.

Planche 187, 10. 9222.

Arc de fibule triangulaire de tôle à bordures soulignées par une rainure et décor en damier. Base-cuivre.

L. 22. NP.

E : 1118.4. N : 1132.1. Alt. : /.

Type : B22-15.

Planche 187, 11. 9340.

Fibule à ressort à quatre spires et corde interne et arc élargi à proximité de l'arc. Seul le pied est fragmentaire. Argent.

L. 22 mm. NP.

E : 1117.8. N : 1133.9. Alt. : /*

Type : B22-30.

Planche 187, 12. 9338.

Fibule à ressort à quatre spires fragmentaires et corde interne dépliée et à arc de section circulaire. Fer.

L. 96 mm, L. (arc) 47 mm. NP.

E : 1119.3. N : 1131.7.

Type : F23-1.

Planche 187, 13. 11199, n° 2068.

Fragment de fibule dont le ressort à quatre spires et corde externe a été démantelé volontairement. Fer.

L. 39 mm. 3.6 g.

E : 1131.2. N : 1130.3. Alt. : /*

Type : F30.

Planche 187, 14. 9224.

Fibule à ressort à quatre spires et corde externe haute et arc cambré filiforme de section lenticulaire. Fer.

L. 89 mm. 9 g.

E : 1119.9. N : 1134.1. Alt. : /.

Type : F33-7.

Planche 187, 15. 11199, n° 397.

Fibule à ressort à quatre spires et corde interne et à arc tendu de section circulaire. Seule une partie du porte-ardillon et l'ardillon manquent. Fer.

L. 77 mm. 9.4 g.

E : 1130.91. N : 1132.05. Alt. : 573.56.

Type : F23-1.

Planche 187, 16. 11199, n° 2069.

Fibule à ressort à quatre spires (deux conservées) et corde externe haute et arc filiforme cambré de section lenticulaire. Fer.

L. 40 mm. 3.3 g.

E : 1131.2. N : 1130.8. Alt. : /*

Type : F33-7.

Planche 187, 17. 9221.

Fibule complète à ressort à quatre spires et corde externe haute et à arc cambré de section lenticulaire et pied triangulaire. Fer.

L. 55 mm. 7 g.

E : 1117.8. N : 1131.1. Alt. : /.

Type : F33-7.

Planche 187, 18. 9218, n° 2.

Ressort de fibule à quatre spires et corde interne. Base-cuivre.

L. 7 mm. NP.

E : 1119. N : 1129.6. Alt. : /.

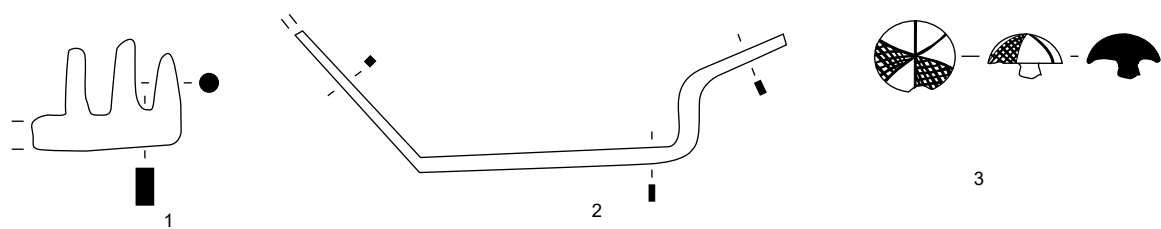
Type : B20-0.

Planche 187, 19. 9224.

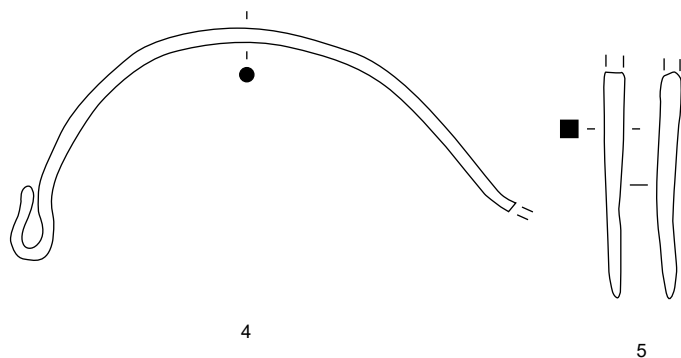
Ardillon de fibule avec une spire de ressort. Base-cuivre.

L. 41 mm. NP.

E : 1118.2. N : 1131.3.

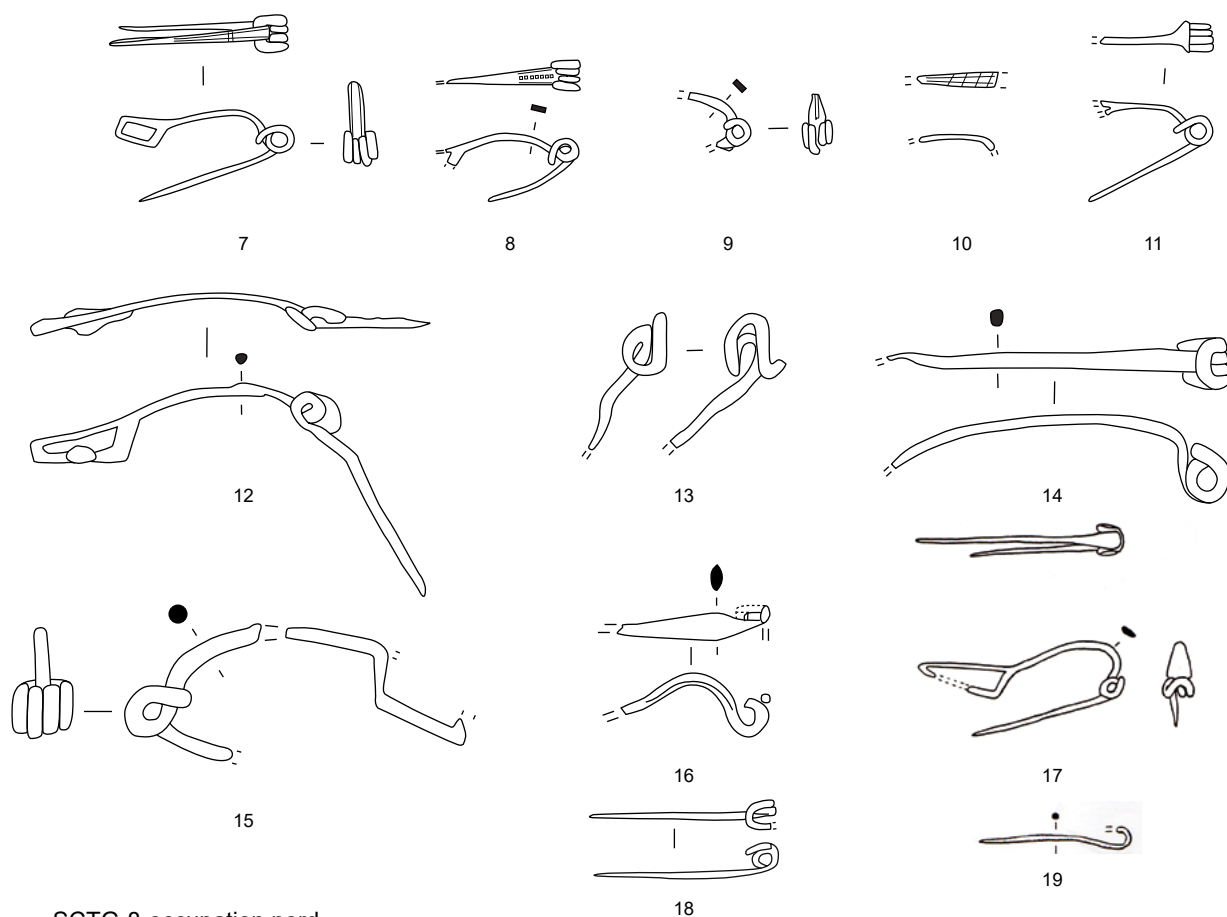


SCTG-5-empierrements sud entrée



SCTG-7-niveaux d'occupation état 2.3

SCTG-6-dépôt de faune sur empierrement



SCTG-8-occupation nord

0 cm 5

Planche 187. A SCTG-5-empierrements sud entrée à SCTG-8-occupation nord1-2, 4, 6, 12-17 : fer; 3, 5, 7-10, 18-19 : alliage cuivreux; 11 : argent (17 et 19, tirés de Faye 1995, n^{os} 70 et 160).

Galerie laténienne, occupation

État 2.2 : LTD2a

SCTG-8-occupation nord

Planche 188, 1. 12538, n° 380.

Petit anneau à section en quart de rond. Base-cuivre.

Diam. 12 mm, S. 2 x 5 mm. 3 g.

E : 1110.3. N : 1131.2. Alt. : 573.78.

Planche 188, 2. 11191, n° 441.

Petit anneau de section ronde. Base-cuivre.

Diam. 16 mm, S. 3 mm. 2.7 g.

E : 1128.87. N : 1131.50. Alt. : 573.05.

Planche 188, 3. 9221, n° 1.

Petit anneau de section losangique. Base-cuivre.

Diam. 17 mm, S. 3 x 5 mm. 3.2 g.

E : 1116.1. N : 1131.15. Alt. : /.

Planche 188, 4. 9339.

Perle de section hémisphérique. Base-cuivre.

Diam. 9 mm, S. 2,5 x 4 mm. 1.8 g.

E : 1117.8. N : 1130.36. Alt. : /.

Planche 188, 5. 12547, n° 731.

Anneau-bague de section circulaire à décor perlé, réalisé à l'aide de stries sur le corps de la bague. Base-cuivre.

Diam. int. 15 mm, S. 2 mm. 2.1 g.

E : 1110.84. N : 1131.35. Alt. : 573.65.

Type : 1.

Planche 188, 6. 9292, n° 1.

Fragment d'orle de section rectangulaire avec patte comportant encore un rivet en connexion. Fer.

Diam. 82 mm, S. 4 x 6 mm. 23 g.

E : 1118. N : 1129.

Type : Rectangulaire.

Planche 188, 7. 12593, n° 2065.

Chute de tige de section carrée pointue avec une découpe légèrement concave. Fer.

L. 18 mm. 0.3 g.

E : 1110.8. N : 1130.7. Alt. : /.*

Planche 188, 8. 9292, n° 2.

Chute de tige de section carrée pointue avec une découpe légèrement concave. Fer.

L. 36 mm. 2 g.

E : 1118. N : 1128.3. Alt. : /.

Planche 188, 9. 12593, n° 2066.

Chute de tige de section carrée et rectangulaire pointue avec une découpe légèrement concave. Fer.

L. 28 mm. 1.5 g.

E : 1111.8. N : 1131.2. Alt. : /.

Planche 188, 10. 12593, n° 2064.

Chute de tige de section carrée pointue avec une découpe droite. Fer.

L. 29 mm. 1.5 g.

E : 1109.3. N : 1131.2. Alt. : /.*

Planche 188, 11. 9084.

Chute de tige de section carrée pointue avec une découpe légèrement concave. Fer.

L. 85 mm. 12 g.

E : 1118.2. N : 1130.3. Alt. : /.

Planche 188, 12. 9221.

Fragment de demi-produit dont la section rectangulaire s'alterne entre les deux extrémités. Argent.

L. 50 mm. 0.4 g.

E : 1117.1. N : 1131.5. Alt. : /.

Planche 188, 13. 12547, n° 427.

Fragment de croc à viande composé de trois dents avec le départ du manche. Fer.

L. 44 mm, S. dent 3x4 mm. 14 g.

E : 1114.53. N : 1129.52. Alt. : 573.74.

Planche 188, 14. 12538, n° 597.

Cuillère à manche de section carrée avec petit anneau à son extrémité. Fer.

L. 74 mm, S. 2 mm, diam. int. 3 mm. 5.9 g.

E : 1110.17. N : 1130.55. Alt. : 573.77.

Planche 188, 15. 11191, n° 2061.

Fragment de manche de couteau de section rectangulaire, avec le commencement de la lame. Fer.

L. 61 mm, S. (manche) 6,6 mm. 11.4 g.

E : 1128. N : 1130. Alt. : /.

Type : 0-0.

Planche 188, 16. 12547, n° 730.

Couteau à soie plate et à anneau ouvert, à dos légèrement convexe. La lame fortement incurvée est dans la continuité du manche, sans décrochement. Fer.

L. 229 mm, L. (manche) 50 mm, L. (lame) 157 mm. 63.9 g.

E : 1110.75. N : 1131.56. Alt. : 573.64.

Type : 1-4.

Planche 188, 17. 9338, n° 1.

Fragment d'assemblage de menuiserie composé d'une bande de fer plat soudée à une extrémité et perforée par un clou. Fer.

L. 76 mm. 130 g.

E : 1119. N : 1130. Alt. : /.

Planche 188, 18. 9338, n° 2.

Fragment d'assemblage de menuiserie composé d'une bande de fer plat perforée par un clou. Fer.

L. 50 mm. 66 g.

E : 1119. N : 1130. Alt. : /.

Planche 188, 19. 9338, n° 3.

Fragment d'assemblage de menuiserie composé d'une bande de fer plat soudée en son centre et perforée par un clou. Fer.

L. 110 mm. 38 g.

E : 1119. N : 1130. Alt. : /.

Planche 188, 20. 11199, n° 494.

Poignée de coffre avec une partie centrale de section carrée et deux extrémités de section ronde. Fer.

L. 44 mm, S. 3 mm. 3.6 g.

E : 1133.04. N : 1131.06. Alt. : /.

Planche 188, 21. 11199, n° 425.

Clou décoratif à tête plate. Base-cuivre.

15. 2.1 g.

E : 1133.25. N : 1130.70. Alt. : 572.85.

Planche 188, 22. 9221, n° 3.

Fragment de gouttière. Base-cuivre.

L. 44 mm, l. 3 mm. 0.8 g.

E : 1116.3. N : 1131.24. Alt. : /.

Planche 188, 23. 11199, n° 714.

Fragment d'étui composé d'une tôle enroulée formant un tube présentant une extrémité fermée. Base-cuivre.

10. 1 g.

E : 1132.6. N : 1130.5. Alt. : /.*

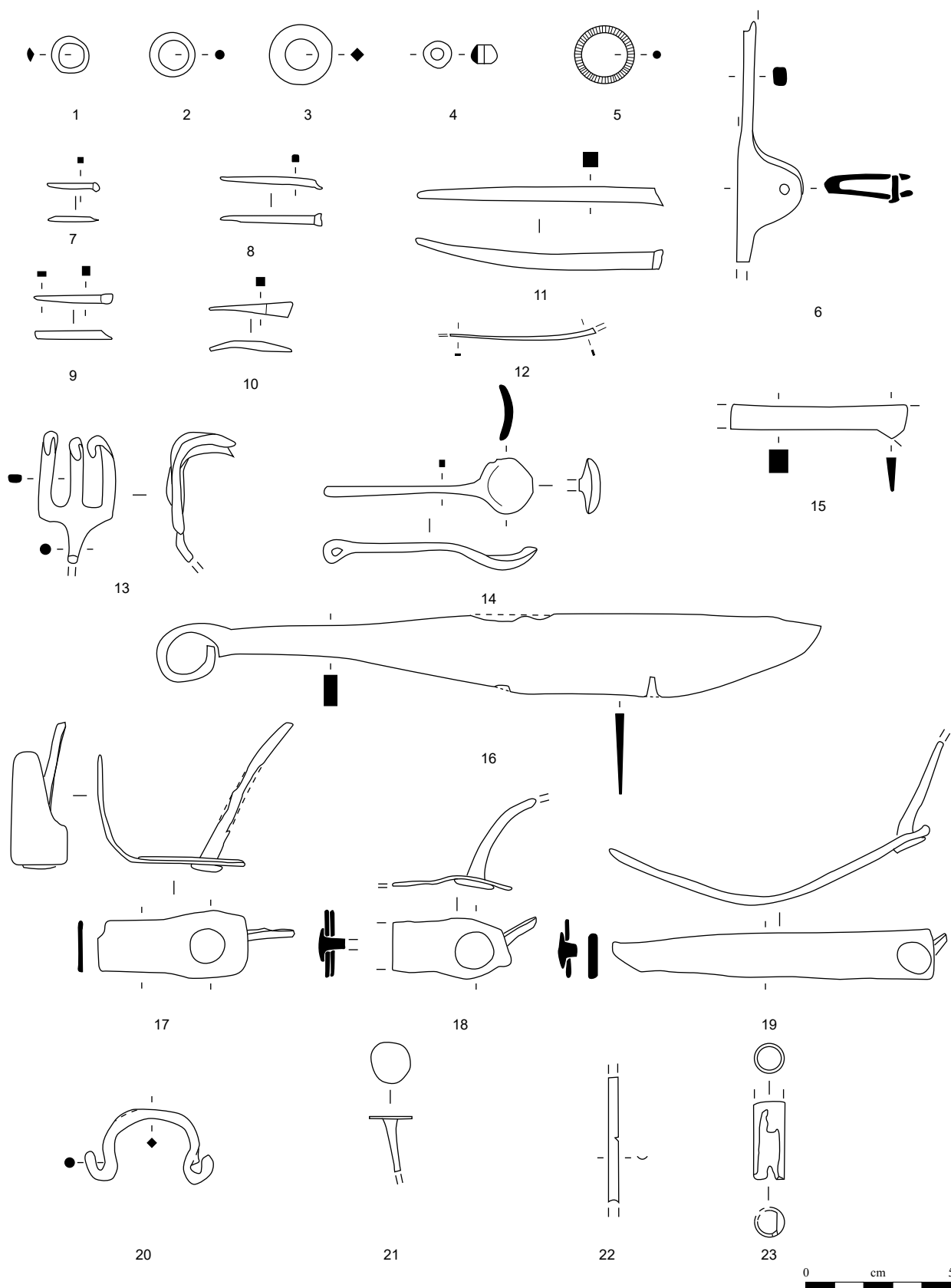


Planche 188. SCTG-8-occupation nord

1-5, 21-23 : alliage cuivreux; 6-11, 13-20 : fer; 12 : argent.

Galerie laténienne, occupation

État 2.2 : LTD2a

SCTG-8-occupation nord

Planche 189, 1. 9338.

Fragment de torque constitué d'une grande tige de section ronde avec une extrémité enroulée. L'autre extrémité est lacunaire. Fer.

L. 341 mm, S. 3 mm. 13.1 g.

E : 1119. N : 1130.6. Alt. : /.

SCTG-9-occupation ouest

Planche 189, 2. 13706, n° 2053.

Fragment de fibule à ressort à quatre spires (deux conservées) et corde externe haute, à arc coudé et pied de schéma La Tène moyenne rattaché au-dessus de la tête. Fer.

L. 46 mm. 5.8 g.

E : 1095.2. N : 1112.8. Alt. : /.

Type : F31-1.

Planche 189, 3. 13709, n° 370.

Fibule à ressort à quatre spires et corde interne à arc tendu filiforme de section losangique interrompu par des lignes incisées. Base-cuivre.

L. 35 mm, L. (arc) 21 mm. 1.4 g.

E : 1097.89. N : 1113.40. Alt. : 574.15.

Type : B23-1.

Planche 189, 4. 13707, n° 455.

Bracelet à jonc lisse plein de section ronde à extrémités empatées et moulurées. Mise à part une terminaison

bouletée, l'exemplaire est complet. Il a été volontairement ouvert. Base-cuivre.

L. 188 mm, S. 3 mm. 7.6 g.

E : 1095.7. N : 1113.8. Alt. : 573.94.

Type : B13-2.

Planche 189, 5. 13711, n° 491.

Fragment de manipule composé d'un fer plat à extrémité circulaire perforée. Fer.

L. 110 mm, l. 10 mm, E. 3 mm, diam. int. 5 mm. 30.5 g.

E : 1096. N : 1111. Alt. : 574.16.

Type : Manipule.

Planche 189, 6. 13711, n° 417.

Fond de récipient (situle, cruche) très corrodé composé d'un disque de tôle de bronze troué avec trace de tour circulaire et un trou à l'emplacement du point de fixation du récipient. La tôle est légèrement bombée. Base-cuivre.

L. 70 mm. NP.

E : 1095.1. N : 1111.2. Alt. : /.

Planche 189, 7. 13706, n° 463.

Potence constituée d'une barre de section rectangulaire formant un «U» renversé, terminée par un anneau de suspension à une extrémité et par une pointe à l'autre extrémité. Fer.

L. 440 mm, l. 240 mm, S. 14x12 mm, diam. int. (anneau) 28 mm. 3500 g.

E : 1095.2. N : 1112.6. Alt. : 573.75.

Planche 189, 8. 13577, n° 2044.

Chute de tige de section carrée pointue avec une découpe en bec de dauphin. Fer.

L. 41 mm. 2 g.

E : 1095.3. N : 1121.7. Alt. : /.

Planche 189, 9. 13577, n° 2043.

Chute de tige de section carrée appointée avec une découpe légèrement concave. Fer.

L. 40 mm. 2.1 g.

E : 1095.3. N : 1120.7. Alt. : /.

Planche 189, 10. 13577, n° 2045.

Boucle de harnais rectangulaire avec ardillon en connexion. Fer.

L. 26 mm, l. 16 mm, S. 2x3 mm. 3 g.

E : 1094.8. N : 1120.9. Alt. : /.

Planche 189, 11. 13707, n° 474.

Fragments d'applique circulaire avec une large perforation centrale de section incurvée. Une rainure souligne le bord de l'objet. Base-cuivre.

L. 30 mm. 2.1 g.

E : 1095.2. N : 1113.45. Alt. : 574.04.

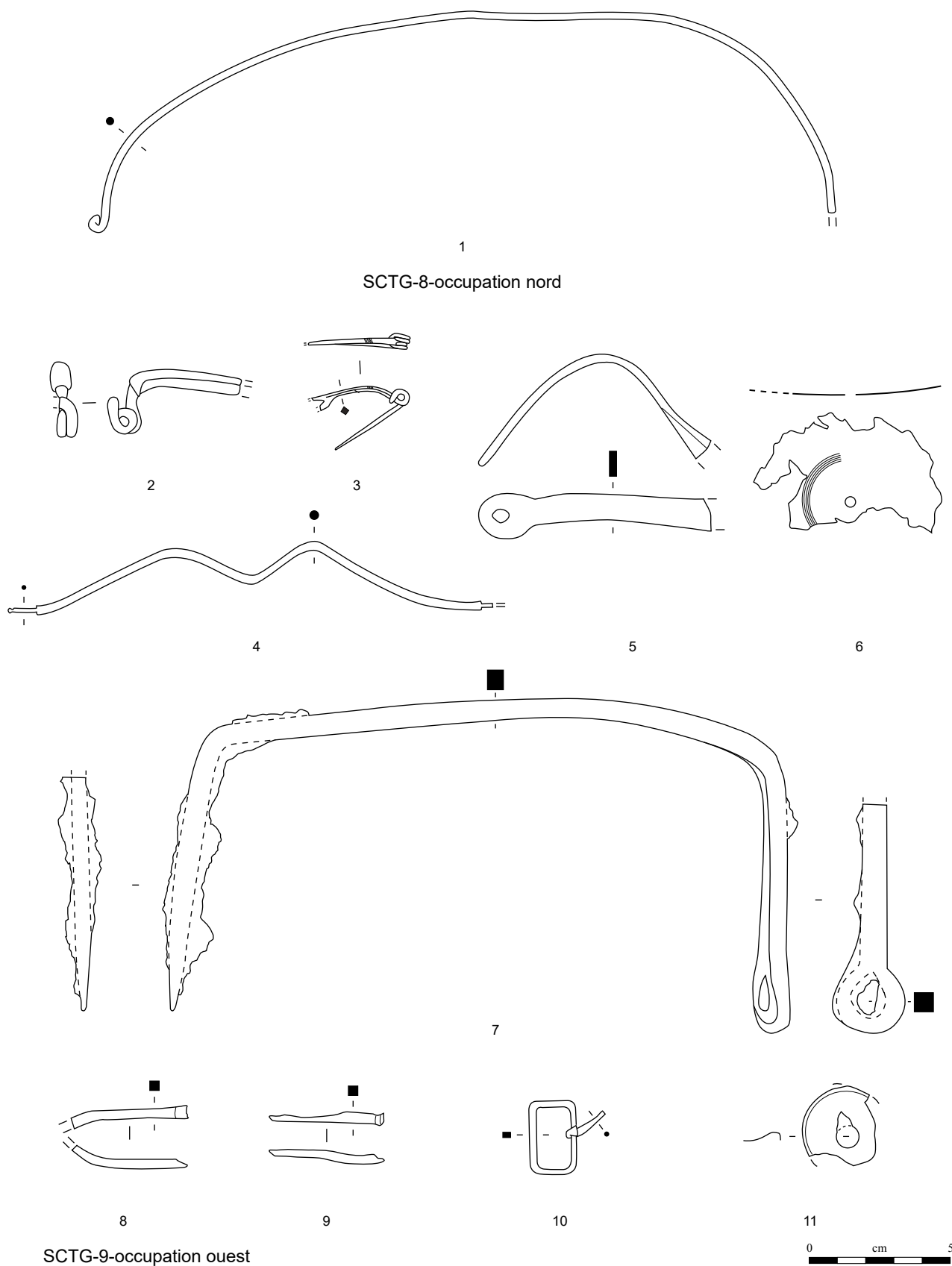


Planche 189. SCTG-8-occupation nord et SCTG-9-occupation ouest

1-2, 5, 7-10 : fer; 3-4, 6, 11 : alliage cuivreux.

Galerie laténienne, occupation

État 2.2 : LTD2a

SCTG-10-occupation sud

Planche 190, 1. 12926, n° 548.
Fragment d'applique circulaire avec une large perforation centrale de section incurvée. Deux rainures soulignent le ressaut de l'applique. Base-cuivre.
L. 35 mm. 1 g.
E : 1107.05. N : 1090.8. Alt. : 574.03.

État 2 lato sensu : fin LTD1b-LTD2

SCTG-11-occupation est nord entrée

Planche 190, 2. 12071, n° 2044.
Fibule à ressort à quatre spires (deux conservées) et corde interne et à arc coudé dont le coude est orné d'une perle. Fer.
L. 29 mm. 2.1 g.
E : 1140.2. N : 1115. Alt. : /.*
Type : F24-4.

Planche 190, 3. 15237, n° 142.
Bracelet à jonc plein de section ronde à extrémités bouletées, fermé par chevauchement. Base-cuivre.
Diam. int. 48 mm, S. 5 mm. 35.6 g.
E : 1134.8. N : 1119. Alt. : 573.3.
Type : B13-2.

Planche 190, 4. 15230, n° 110.
Petit anneau de section losangique. Base-cuivre.
Diam. 20 mm, S. 4 mm. 4 g.
E : 1136.7. N : 1119. Alt. : 573.19.*

Planche 190, 5. 15230, n° 101.
Applique en forme de tonneau coupé par la moitié dans le sens de la longueur. Deux petites griffes (une est manquante) à l'intérieur permettent sa fixation sur du tissu ou du cuir. Base-cuivre.
L. 12 mm, l. 8 mm. 0.3 g.
E : 1136.6. N : 1119.54. Alt. : 573.36.

Planche 190, 6. 12071, n° 2043.
Chute de tige de section carrée pointue avec une découpe en bec de dauphin. Fer.
L. 38 mm. 1.7 g.
E : 1139. N : 1113.5. Alt. : /.*

Planche 190, 7. 15237, n° 148.
Chutes de bande de tôle enroulée. Base-cuivre.
L. 52 mm, l. 14 mm. 1.3 g.
E : 1134.8. N : 1120. Alt. : 573.3.

Planche 190, 8. 12071, n° 633.
Fragment de miroir circulaire à bordure biseautée. Base-cuivre.
L. 11 mm, l. 25 mm, E. 2 mm. 3 g.
E : 1137.32. N : 1116.67. Alt. : 573.39.

Planche 190, 9. 15237, n° 138.
Fragment d'applique en forme de croissant composée d'une tôle aux bords ciselés comportant un trou de fixation. Fer.
L. 42 mm, l. 18 mm. 9.2 g.
E : 1136. N : 1118.8. Alt. : 573.20.

État 2.2 : LTD2a

SCTG-12-occupation est sud entrée

Planche 190, 10. 13039, n° 168.
Bague à extrémité en double spirale opposée. Le corps est scindé en deux pour former les deux spirales. Seule la moitié de la bague est conservée. Base-cuivre.
Diam. 21 mm, S. 2 x 1 mm. 0.4 g.
E : 1137.34. N : 1108.47. Alt. : 573.52.
Type : 4.

Planche 190, 11. 13049, n° 2017.
Pointe de poinçon de section ronde. Fer.
L. 41 mm, S. 7 mm. 6.2 g.
E : 1136.8. N : 1109.1. Alt. : /.*

Planche 190, 12. 13039, n° 228.
Pied de situle ou de cruche creux à paroi intérieure convexe et paroi extérieure concave. Une partie des parois est lacunaire, sans que l'on puisse établir si ce manque est dû à un défaut de coulée ou

si il est volontaire. Base-cuivre.
L. 42 mm, l. 15 mm, Ép. 1,5 mm. 15.5 g.
E : 1135.75. N : 1111.25. Alt. : 573.41.

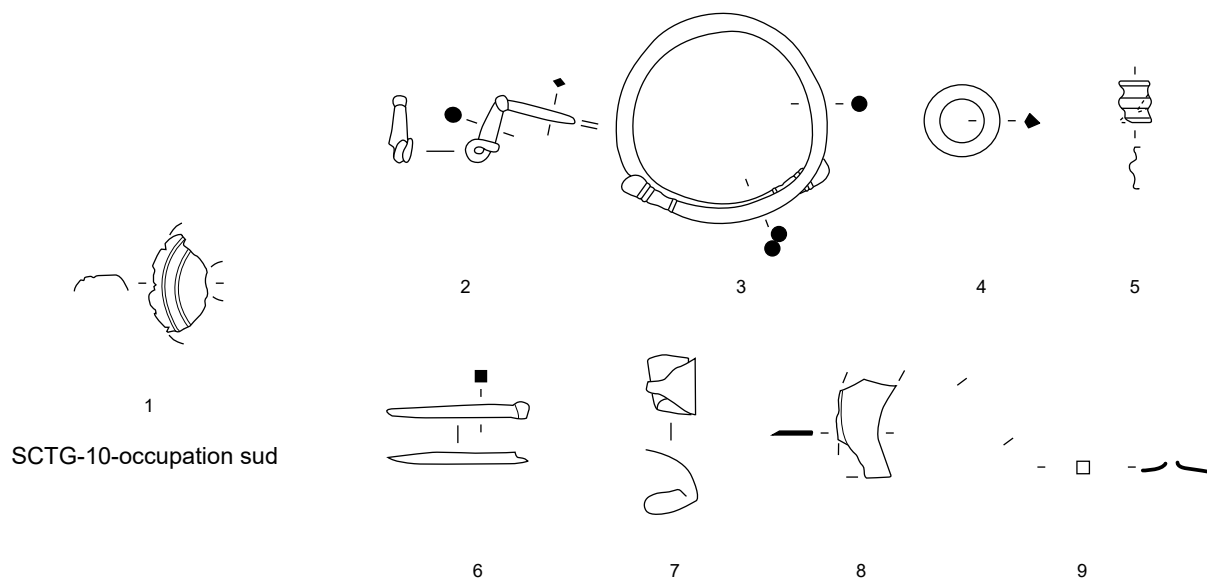
Planche 190, 13. 13039, n° 181.
Couteau à soie carrée et à anneau percé, à dos courbe et à lame droite. Présence de bois sur le manche et le départ de la lame. Fer.
L. 215 mm, L. (lame) 134 mm, diam. (anneau) 10 mm. 68.6 g.
E : 1136.46. N : 1111.74. Alt. : 573.10.
Type : 1-1.

Planche 190, 14. 13059, n° 260.
Poids hémisphérique avec une face bombée et une face plane. Plomb.
Diam. 12 mm, ht. 5 mm. 3 g.
E : 1137.78. N : 1106.5. Alt. : 573.34.

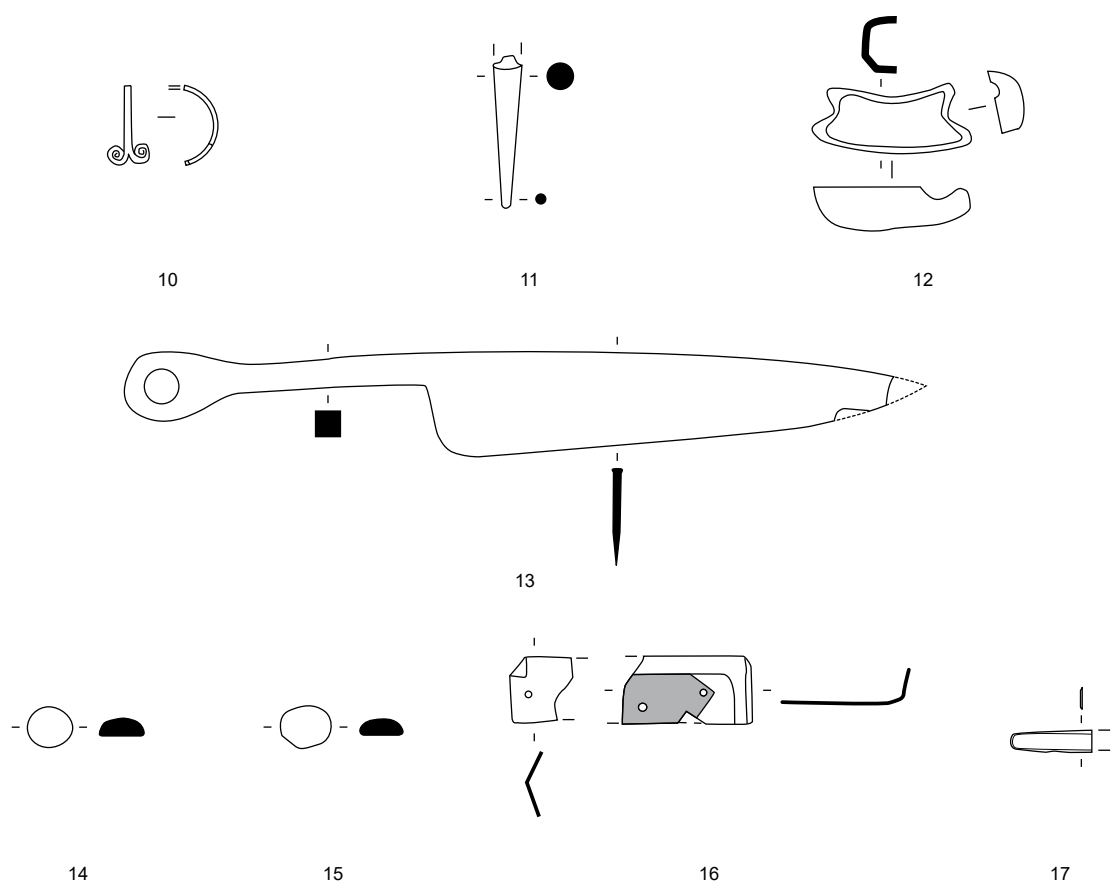
Planche 190, 15. 13038, n° 206.
Poids hémisphérique avec une face bombée et une face plane. Plomb.
Diam. 13 mm, ép. 3 mm. 3.2 g.
E : 1137.3. N : 1106.7. Alt. : 573.4.

Planche 190, 16. 13059, n° 267.
Fragment de ferrure décorative (?) qui paraît étamé ou poli. Une substance blanche semble composer un cadre autour de la surface étamée ou présentant des traces de polissage. Trois trous de fixation sont présents. L'objet est replié à ses deux extrémités. Base-cuivre.
L. 57 mm, l. 19 mm, diam. (perforation) 2 mm. 2.9 g.
E : 1137.2. N : 1106. Alt. : 573.33.

Planche 190, 17. 13038, n° 154.
Fragment de ferrure décorative constituée d'une tôle rainurée avec trace de brasure. Base-cuivre.
L. 22 mm, l. 16 mm, E. 1 mm. 0.3 g.
E : 1136.6. N : 1108.45. Alt. : 573.56.



SCTG-11-occupation est nord entrée



SCTG-12-occupation est sud entrée

■ Métal blanc

0 cm 5

Planche 190. SCTG-10-occupation sud

1, 3-5, 7-8, 10, 12, 16-17 : alliage cuivreux; 2, 6, 9, 11, 13 : fer; 14-15 : plomb.

Galerie laténienne, sols

État 2 lato sensu : fin LTD1b-LTD2

SCTG-13-sol d'amphore nord

Planche 191, 1. 10235, n° 351.

Fibule à ressort à quatre spires et corde externe basse à arc tendu et pied de schéma La Tène moyenne fixé par une perle. Fer.

L. 62 mm. 13.4 g.

E : 1123.75. N : 1130.57. Alt. : 573.43.

Type : F11-1.

Planche 191, 2. 10264, n° 326.

Ardillon complet et ressort de fibule à quatre spires et corde interne. Fer.

L. 66 mm. 3.3 g.

E : 1125.25. N : 1132.3. Alt. : 573.4.

Type : F20.

Planche 191, 3. 11225, n° 470.

Petit anneau de section ronde. Base-cuivre.

Diam. 14 mm, S. 2 mm. 2 g.

E : 1134.7. N : 1133.5. Alt. : /.

Planche 191, 4. 10257, n° 281.

Fragment d'anneau-bague de section lenticulaire. Argent.

L. 13 mm. 0.2 g.

E : 1125.43. N : 1129.13. Alt. : /.

Type : 1.

Planche 191, 5. 10237, n° 246.

Talon de lance à douille avec bois minéralisé à l'intérieur. Fer.

L. 10 mm. 10.1 g.

E : 1122.6. N : 1132.2. Alt. : 573.48.

Type : 2.

Planche 191, 6. 11254, n° 515.

Plaque de fourreau repliée deux fois sur elle-même. Présence de gouttière à chaque bordure. Fer.

L. 97 mm, l. 47 mm, ép. 1,5 mm. 21.5 g.

E : 1126.1. N : 1132.1. Alt. : /.

Planche 191, 7. 10264, n° 305.

Fragment de charnière avec un rivet et le départ de l'anneau d'articulation de la charnière. Fer.

L. 37 mm, l. 17 mm, E. 2 mm. 3 g.

E : 1125.48. N : 1131.26. Alt. : 573.3.

Planche 191, 8. 12585, n° 667.

Fragment de charnière composée d'une tôle repliée. Fer.

L. 30 mm, l. 21 mm. 4.3 g.

E : 1114.42. N : 1131.13. Alt. : 573.69.

SCTG-14-sol de cailloutis

Planche 191, 9. 10327, n° 377.

Ardillon et ressort de fibule dont seule une spire est conservée. Fer.

L. 75 mm. 6.3 g.

E : 1124.5. N : 1132.2. Alt. : 573.39.

Planche 191, 10. 10093, n° 232.

Espaceur de collier, décoration de coiffure (?) constitué d'un fil de section ronde enroulé de manière hélicoïdale.

Base-cuivre.

Diam. 8 mm, S. 1 mm. 0.8 g.

E : 1123.38. N : 1120.83. Alt. : 573.59.

Planche 191, 11. 10327, n° 378.

Fragment de chaîne de suspension de fourreau comportant une maille en «8» avec une bague centrale, un anneau de section ronde assemblé dans une des boucles et un départ de tige de la prochaine maille dans l'autre. Fer.

L. 70 mm, S. 3 mm, diam. int. (anneau) 13 mm. 17.6 g.

E : 1124. N : 1138. Alt. : 573.39.

Planche 191, 12. 10093, n° 239.

Fragment de pied de récipient composé d'une bande de plat légèrement incurvée de section hémisphérique. Trace de brasure. Base-cuivre.

L. 24 mm, l. 6 mm, E. 2 mm. 1.8 g.

E : 1125.64. N : 1120.36. Alt. : 573.6.

SCTG-14-sol d'amphore 10192

Planche 191, 13. 10192, n° 2011.

Fragment de barre de gril (?) constituée d'un long fer plat aminci à une extrémité et plié à l'autre. Fer.

L. 143 mm, S. 6x4 mm. 20.4 g.

E : 1124. N : 1132. Alt. : /.

SCTG-17-sol d'amphore ouest

Planche 191, 14. 13692, n° 2057.

Chute de tige de section carrée pointue avec une découpe à double biseau excentré. Fer.

L. 42 mm. 1.1 g.

E : 1095.3. N : 1118. Alt. : /.

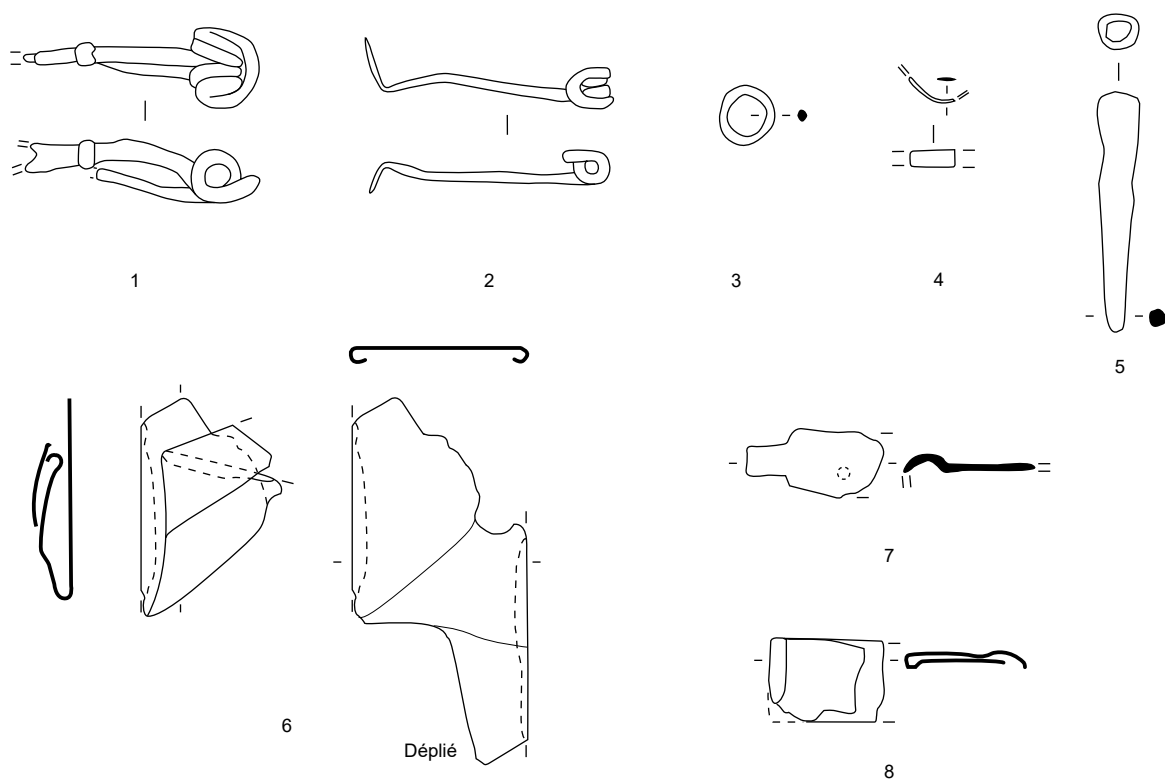
SCTG-18-sol d'amphore sud

Planche 191, 15. 12901, n° 103.

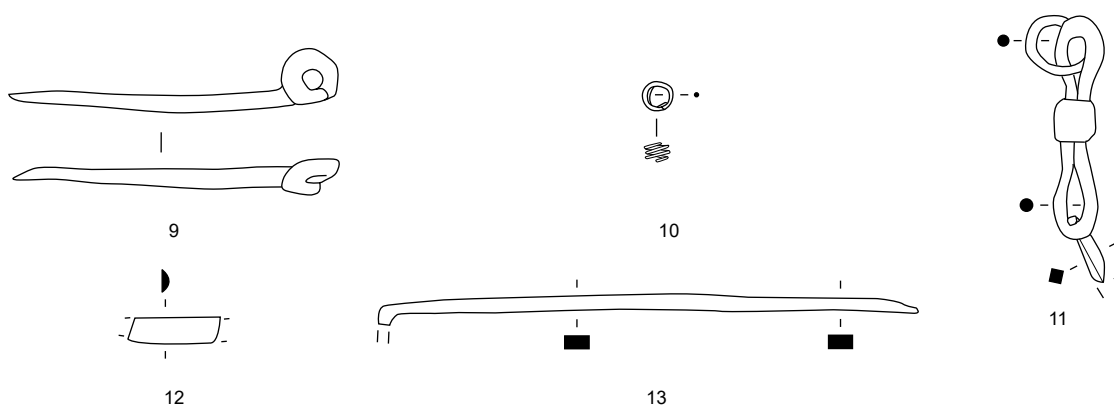
Mors à canon droit rudimentaire composé d'un anneau rectangulaire aux extrémités arrondies auxquelles sont joints deux anneaux circulaires. Fer.

L. 140 mm, S. 7 mm, diam. int. (anneau circulaire) 20-25, diam. int. (anneau rectangulaire) 88x10 mm. 65.1 g.

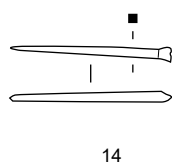
E : 1110. N : 1092.3.*



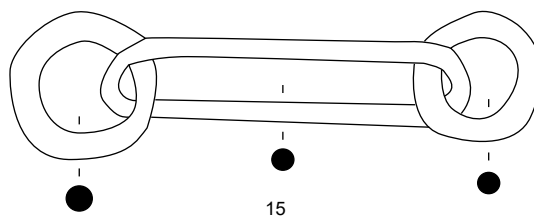
SCTG-13-sol d'amphore nord



SCTG-14-sol de cailloutis



SCTG-17-sol d'amphore ouest



SCTG-18-sol d'amphore sud

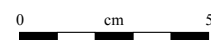


Planche 191. SCTG-13-sol d'amphore nord à SCTG-18-sol d'amphore sud

1-2, 5-9, 11, 13-15 : fer; 3, 10, 12 : alliage cuivreux; 4 : argent.

Galerie laténienne, sols

État 2 lato sensu : fin LTD1b-LTD2

SCTG-19-sol d'amphore est nord entrée

Planche 192, 1. 15239, n° 116.

Fibule de schéma la Tène moyenne à ressort à dix spires (cinq conservées) et corde externe, à arc en arc de cercle de section circulaire et perle avec début du retour du pied. Fer.
L. 45 mm. 4.2 g.
E : 1133.4. N : 1120.4. Alt. : 573.42.
Type : F11-4.

Planche 192, 2. 11221, n° 463.

Fibule à ressort à quatre spires et corde interne à arc filiforme tendu de section losangique. Seul le pied manque. Fer.
L. 67 mm, S. 3.5 mm. 9.4 g.
E : 1135.14. N : 1132.53. Alt. : 573.03.
Type : F23-2.

Planche 192, 3. 11222, n° 444.

Ressort à quatre spires (trois conservées) et à corde externe haute et ardillon. Fer.
L. 66 mm. 3.4 g.
E : 1134.68. N : 1127.26. Alt. : 572.96.
Type : F30.

Planche 192, 4. 15239, n° 115.

Fibule à ressort à quatre spires et corde externe haute, à arc outrepasant de section rubanée et grand pied triangulaire ajouré. Le ressort est volontairement démantelé. Fer.
L. déplié 175 mm, L. 146 mm, L. (arc) 84 mm, L. (pied) 58 mm. NP.
E : 1133. N : 1119.9. Alt. : 573.47.
Type : F33-12.

Planche 192, 5. 11220, n° 447.

Grand anneau avec deux gorges et un renflement central. Base-cuivre.
Diam. 25 mm, S. 4 x 8 mm. 9.6 g.
E : 1128.87. N : 1131.50. Alt. : 573.05.

Planche 192, 6. 15239, n° 243.

Poids fragmentaire constitué d'un cylindre de section ronde amincie aux deux extrémités. Plomb.
L. 44 mm. 17.9 g.
E : 1133.4. N : 1120.2. Alt. : 573.32.

Planche 192, 7. 11220, n° 452.

Coin de frappe monétaire (?) très corrodé ou butée de chaudron. Une petite cupule est présente sur une face. Fer.
22. 32.1 g.
E : 1136.04. N : 1129.9. Alt. : /.

Planche 192, 8. 11220, n° 460.

Fond de creuset. Électrum.
Diam. 26 mm, ht. 4.5 mm. 9.8 g.
E : 1135.69. N : 1130.37. Alt. : 573.11.

Planche 192, 9. 11219, n° 2088.

Chute de tige de section rectangulaire avec trace de découpe. Base-cuivre.
L. 28 mm. 0.6 g.
E : 1136. N : 1126. Alt. : /.

Planche 192, 10. 11221, n° 716.

Fragment d'aiguille cassée au niveau du chas. Base-cuivre.
L. 35 mm. 0.5 g.
E : 1134. N : 1132. Alt. : /.

Planche 192, 11. 11220, n° 451.

Fragment de fonce à entrée rectangulaire et un trou de fixation. Fer.
L. 42 mm, l. 49 mm, E. 1 mm. 10.6 g.
E : 1136.07. N : 1129.70. Alt. : 573.10.

Planche 192, 12. 11219, n° 493.

Frette de renfort constituée d'une bande de tôle formant un cercle joint aux deux extrémités par un rivet. Fer.
Diam. int. 55 mm, S. 22 x 2 mm. 51.4 g.
E : 1136.5. N : 1127.5. Alt. : 573.13.

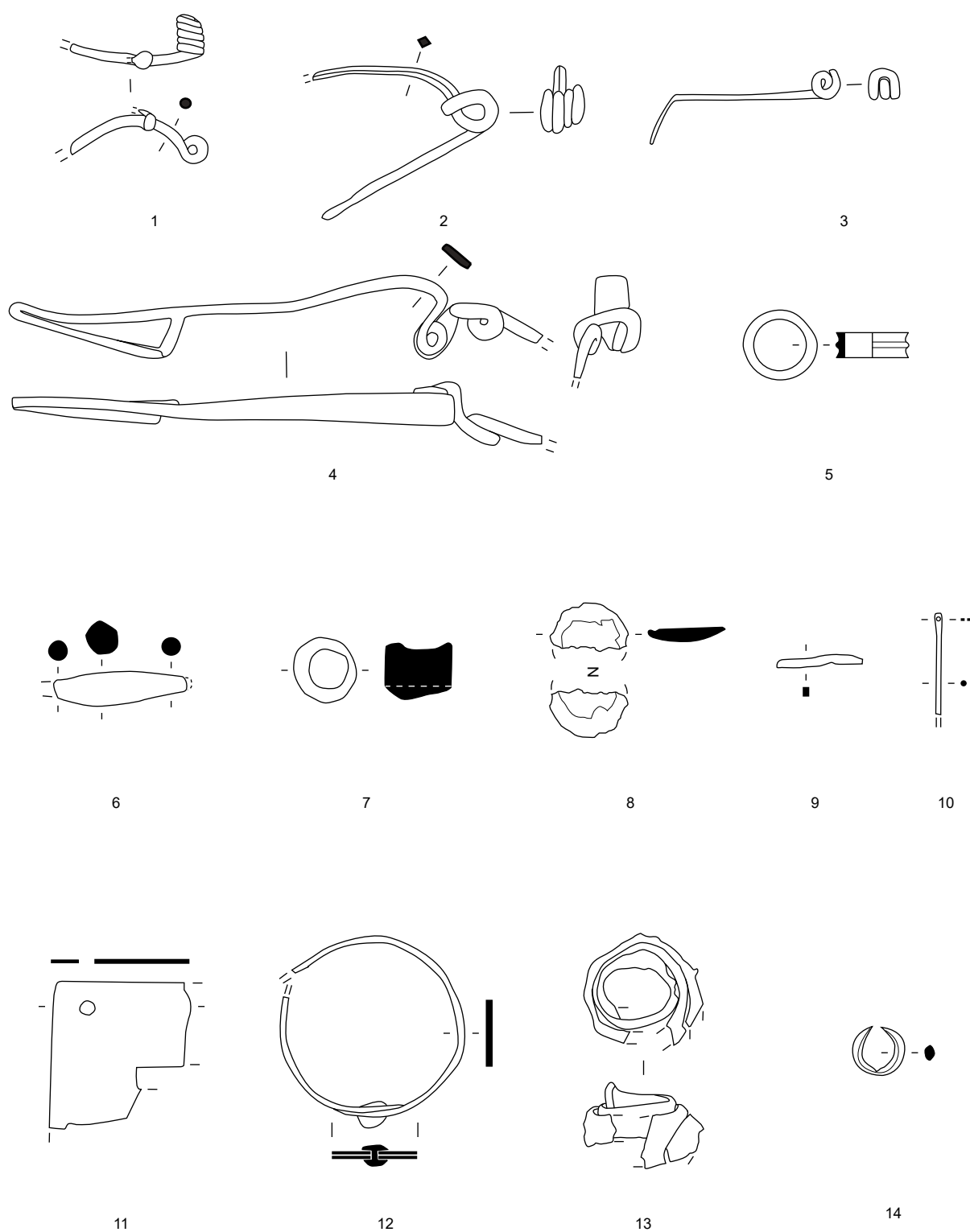
Planche 192, 13. 11220, n° 466.

Ressort de serrure (?) composé d'une bande de tôle enroulée en spirale. Fer.
Diam. 40 mm. 23.2 g.
E : 1135.83. N : 1131.56. Alt. : 573.15.

SCTG-19-sol d'amphore est nord entrée

Planche 192, 14. 13040, n° 164.

Boucle d'oreille constituée d'un anneau ouvert aux extrémités pointues, de section ronde légèrement facettée. Base-cuivre.
Diam. 18 mm, S. 3,5 x 5 mm. 3.1 g.
E : 1140.07. N : 1111.07. Alt. : 573.67.



SCTG-19-sol d'amphore est nord entrée

SCTG-20-sol d'amphore
est sud entrée

0 cm 5

Planche 192. SCTG-19-sol d'amphore est nord entrée et SCTG-20-sol d'amphore est sud entrée

1-4, 7, 11-13 : fer; 5, 9-10, 14 : alliage cuivreux; 6 : plomb; 8 : électrum.

Galerie laténienne, sols

État 2 lato sensu : fin LTD1b-LTD2

SCTG-22-sol dans galerie est

Planche 193, 1. 13014, n° 17.

Fibule à ressort à quatre spires et corde externe haute et à arc filiforme cambré de section lenticulaire. Fer.

L. 30 mm. 5.8 g.

E : 1141.46. N : 1110.05. Alt. : /.

Type : F33-7.

Planche 193, 2. 13014, n° 16.

Perle de section losangique. Base-cuivre.

Diam. 10 mm, S. 3 x 5 mm. 3.6 g.

E : 1141.3. N : 1109. Alt. : 573.70.

Planche 193, 3. 13014, n° 145.

Maillon de chaîne ovale de section carrée. Fer.

L. 92 mm, S. 6 mm. 22.2 g.

E : 1142. N : 1112. Alt. : /.

État 2.1 : LTD1b évoluée

SCTG-25-remblai sol nord

Planche 193, 4. 12587, n° 741.

Fibule à ressort à quatre spires et corde externe haute et à arc filiforme cambré de section losangique. Seuls le pied et une partie de l'ardillon manquent. Fer.

L. 58 mm, S. 5,5 x 5 mm. 11.9 g.

E : 1113.96. N : 1130.31. Alt. : 573.53.

Type : F33-6.

Planche 193, 5. 12519, n° 452.

Ardillon complet et ressort de fibule à quatre spires (trois conservées) et corde externe haute. Fer.

L. 66 mm. 2.8 g.

E : 1123.20. N : 1131. Alt. : 573.13.

Type : F30.

Planche 193, 6. 12587, n° 703.

Petit couteau à soie plate et à anneau soudé, dos légèrement courbe et à lame à dos droit et tranchant effilé à sa pointe. Fer.

L. 130 mm, L. (manche) 42 mm, L. (lame) 77 mm, l. (lame) 15 mm. 16.1 g.

E : 1110.88. N : 1131.44. Alt. : 573.61.

Type : 2-1.

Planche 193, 7. 12587, n° 757.

Talon de lance à douille. Fer.

L. 86 mm, diam. int. 13 mm, diam. ext. 17 mm. 70.5 g.

E : 1114.6. N : 1132.27. Alt. : 573.51.

Type : 2.

SCTG-26-remblai sol est

Planche 193, 8. 13060, n° 306.

Fibule de Nauheim à ressort fragmentaire à arc de tôle trapézoïdal et pied ajouré trapézoïdal. Un décor d'échelle est situé au centre de l'arc ainsi que sur ses bordures. Base-cuivre.

L. 62 mm, L. (arc) 39 mm, l. (arc) 13 mm. 2.1 g.

E : 1137.22. N : 1111. Alt. : 573.43.

Type : B22-01.

Planche 193, 9. 13060, n° 355.

Fibule à ressort à quatre spires (deux conservées) et corde interne et départ d'arc de tôle et l'extrémité de l'arc à bordures soulignées par une rainure et pied trapézoïdal ajouré complet. Base-cuivre.

L. 39 mm. 1.1 g.

E : 1137.9. N : 1107.3. Alt. : 573.22.

Type : B22-03.

Planche 193, 10. 13060, n° 349.

Fragment de bracelet tubulaire à décor de rainures longitudinales. La partie centrale du jonc est soulignée par deux rainures et un autre ensemble de deux rainures apparaît sur un bord de la tôle. Base-cuivre.

L. 38 mm. 2.1 g.

E : 1136.3. N : 1107.2. Alt. : 573.20.

Type : B21-5.

Planche 193, 11. 13060, n° 369.

Fragment de bracelet à jonc plein lisse de section ovale. Base-cuivre.

L. 23 mm, diam. int. 75 mm, S. 4 x 3 mm. 2.5 g.

E : 1135.5. N : 1106.7. Alt. : 573.06.

Type : B10-3.

Planche 193, 12. 12107, n° 972.

Fragment de petit anneau de section ronde. Base-cuivre.

Diam. 17 mm, S. 4 mm. 2 g.

E : 1137.6. N : 1113.35. Alt. : 573.14.

Planche 193, 13. 13060, n° 2024.

Alène à corps conique avec une soie de section quadrangulaire. Fer.

L. 86 mm, S. tige 8 mm, S. soie 5 mm. 15.9 g.

E : 1137.2. N : 1109.1. Alt. : /.*

Planche 193, 14. 13060, n° 300.

Fragment de cerclage supérieur de situle constitué d'un fragment de fer plat de forme arrondie présentant un coude à une extrémité. Cette partie est plus large et comporte un trou de fixation. Fer.

L. 72 mm, l. 20 mm, Ép. 2 mm, diam. int. 5 mm. 32.3 g.

E : 1136.5. N : 1107.65. Alt. : 573.34.

Planche 193, 15. 13060, n° 334.

Fragment de panse de vaisselle réparée à tôle repliée deux fois avec un rivet. Base-cuivre.

6. 0.6 g.

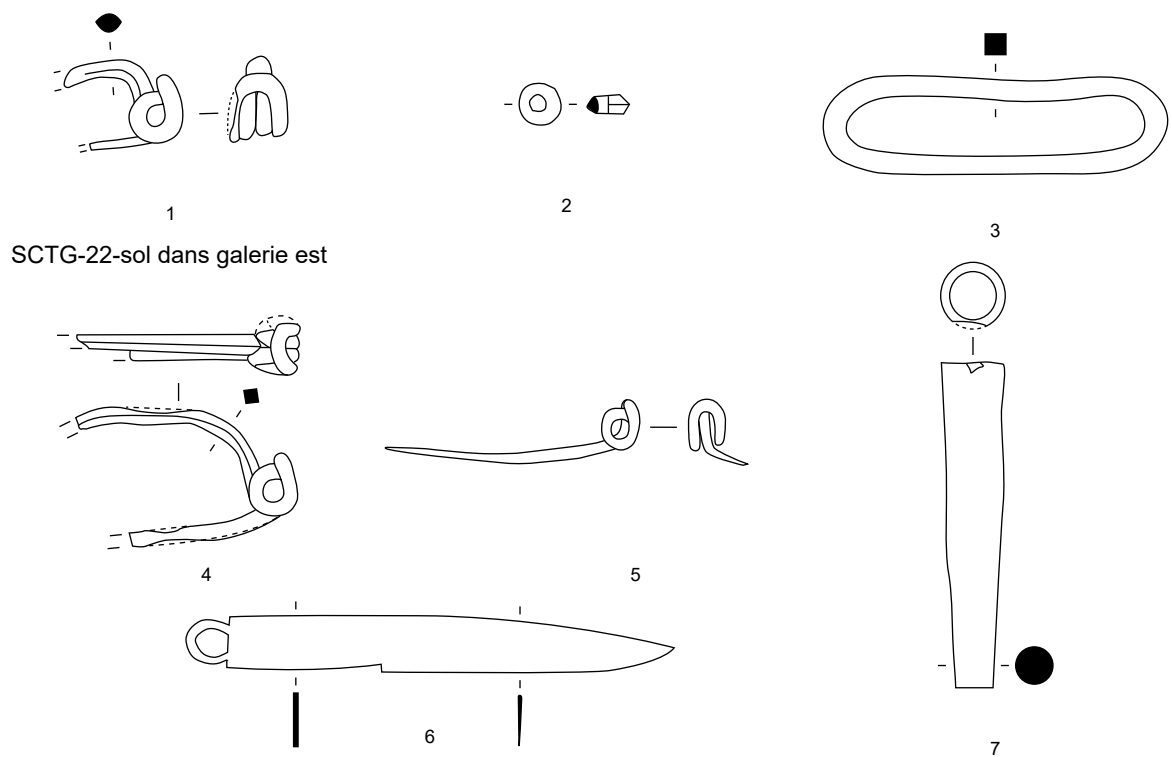
E : 1136.56. N : 1109.35. Alt. : 573.24.

Planche 193, 16. 13060, n° 303.

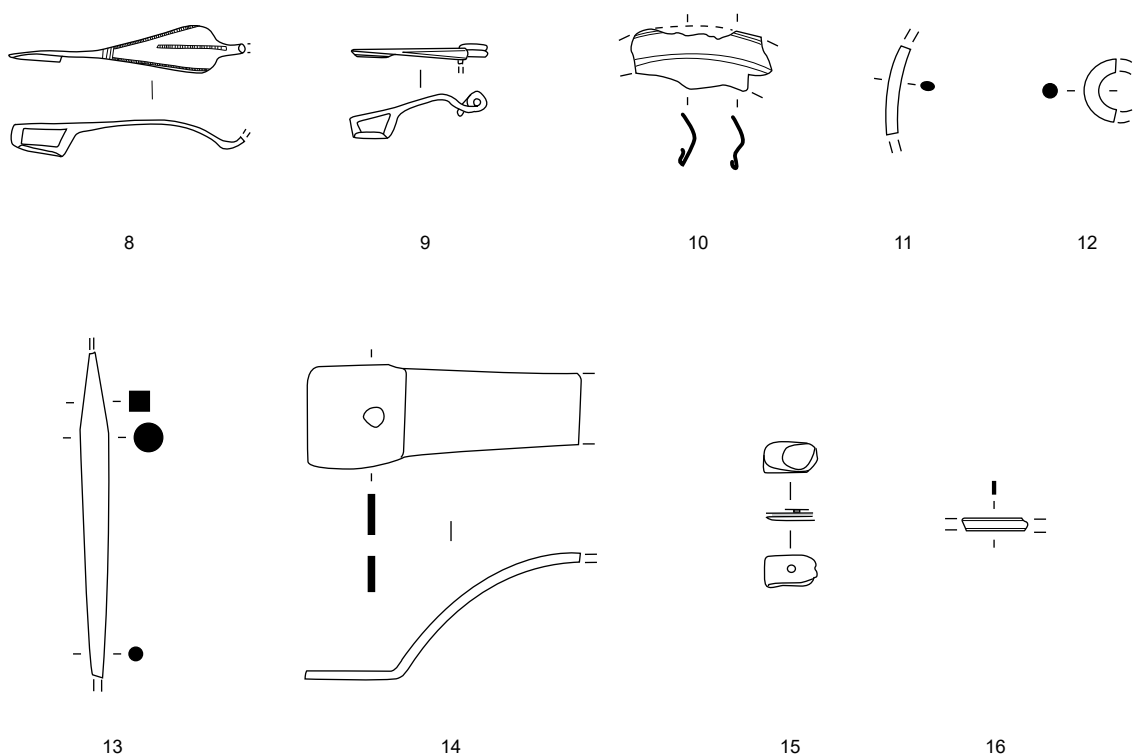
Fragment d'applique décorative de tôle décorée de deux rainures soulignant ses bords. Base-cuivre.

L. 17 mm, S. 3x1 mm. 0.8 g.

E : 1136.45. N : 1108.2. Alt. : 573.37.



SCTG-25-remblai sol nord



SCTG-26-remblai sol est

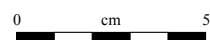


Planche 193. SCTG-22-sol dans galerie est à SCTG-26-remblai sol est

1, 4-7, 13-14 : fer; 2, 8-12, 15-156 : alliage cuivreux.

Galerie laténienne, palissades

État 2.3 : fin LTD2a-LTD2b

SCTG-27-Pal ext. sud

Planche 194, 1. 12904, n° 454.

Fragment d'arc de fibule filiforme de section circulaire avec départ du porte-ardillon. Fer.
L. 44 mm. 1.7 g.
E : 1111.05. N : 1088.47. Alt. : 574.01.
Type : F03.

Planche 194, 2. 12904, n° 351.

Fragment d'aiguillon constitué d'une bande de fer plat de section arrondie, enroulée de manière hélicoïdale sur quatre tours. L'extrémité pointue manque. Fer.
23. 32.5 g.
E : 1111.25. N : 1088.32. Alt. : 574.03.

Planche 194, 3. 12904, n° 2077.

Fragment de clou décoratif à tête pleine hémisphérique. Fer.
8. 2.5 g.
E : 1111.5. N : 1088.9. Alt. : /.

SCTG-28-Pal ext. est

Planche 194, 4. 13032, n° 251.

Fibule à ressort à une spire conservée et à arc cambré de section lenticulaire interrompu par une nodosité, puis de section circulaire. Fer.
L. 31 mm. 3.4 g.
E : 1141.2. N : 1108.5.*
Type : F34-4.

Planche 194, 5. 13032, n° 2076.

Fibule à ressort à deux spires conservées et corde externe et à arc tendu de section circulaire. Fer.
L. 20 mm. 2.1 g.
E : 1141.2. N : 1108.5.*
Type : F33-1.

Planche 194, 6. 13032, n° 258.

Porte-ardillon trapézoïdal plein. Fer.
L. 54 mm. 5.1 g.
E : 1140.7. N : 1105.9.*

Planche 194, 7. 13051, n° 246.

Fibule à ressort à trois spires (une conservée) et corde interne à arc filiforme cambré de section circulaire. Le pied complet est trapézoïdal ajouré. Base-cuivre.
L. 52 mm, L. (arc) 30 mm. 1.2 g.
E : 1140. N : 1107. Alt. : /.
Type : B23-2.

Planche 194, 8. 13055, n° 248.

Anneau à protubérances par rangée disposée de chaque côté du jonc et sur celui-ci. La protubérance, sans pendants latéraux, sert à sa suspension. Base-cuivre.
Diam. 24 mm, S. 4 mm. NP.
E : 1141. N : 1107.85. Alt. : 573.28.

Planche 194, 9. 13052, n° 245.

Perle à trois cannelures. Base-cuivre.
Diam. 14 mm, S. 3 x 4 mm. 2.7 g.
E : 1140.75. N : 1108.85. Alt. : 573.32.

Planche 194, 10. 13052, n° 243.

Grand anneau de section ronde. Base-cuivre.
Diam. 34 mm, S. 6 mm. 18.1 g.
E : 1140.8. N : 1108.9. Alt. : 573.32.

Planche 194, 11. 13050, n° 2019.

Fragment d'orle de section rectangulaire avec une pince de fixation fragmentaire. Fer.
L. 41 mm, S. 6 x 4 mm. 6.3 g.
E : 1141.4. N : 1107. Alt. : /.*
Type : Rectangulaire.

Planche 194, 12. 13050, n° 2018.

Fragment d'orle à section rectangulaire avec patte de fixation. Fer.
L. 98 mm, l. (pince) 24 mm, S. 5 x 8 mm. 26.9 g.
E : 1141.2. N : 1106.5. Alt. : /.*
Type : Rectangulaire.

Planche 194, 13. 13032, n° 2016.

Angrois triangulaire comportant des traces de martelage sur le côté le plus épais. Fer.
L. 52 mm, S. 11x5/5x5 mm. 18.7 g.
E : 1140.8. N : 1107.*

Planche 194, 14. 13061, n° 2026.

Chute atypique, objet en cours de fabrication composé d'une tige de section carrée et rectangulaire repliée deux fois et aplatie en son centre. Une extrémité est fendue et l'un des bras présente une trace de découpe légèrement concave tandis que l'autre extrémité est aplatie. Fer.
L. 118 mm. 11.9 g.
E : 1140. N : 1105.5. Alt. : /.

Planche 194, 15. 13032, n° 250.

Fragment de chute de section carrée avec une extrémité pointue enroulée et de section circulaire. La chute présente une découpe légèrement concave. Fer.
L. 36 mm. 3.2 g.
E : 1141. N : 1107.6.*

Planche 194, 16. 13050, n° 298.

Fragment de cerclage de seau constitué d'une bande de tôle avec quatre perforations de rivet, un rebord en gouttière et des traces de corrosion de fer. Base-cuivre.
L. 99 mm, l. 8 mm. 1.7 g.
E : 1141.07. N : 1105.68. Alt. : 573.40.

Planche 194, 17. 13052, n° 242.

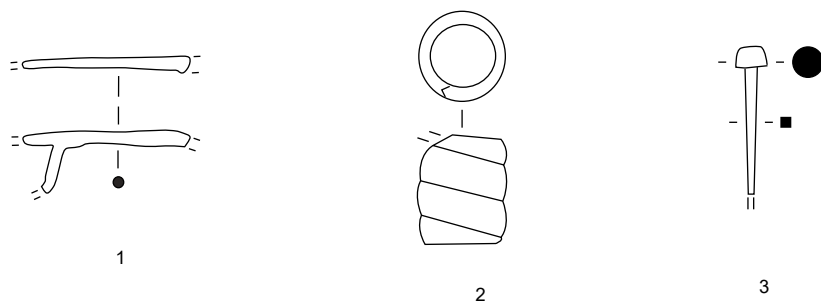
Pêne contrecoudé de section carrée, cassé à son extrémité. Fer.
L. 132 mm, S. 4 mm. 8.8 g.
E : 1140.7. N : 1108.6. Alt. : 573.32.

Planche 194, 18. 13055, n° 249.

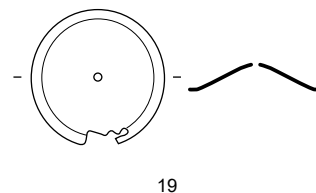
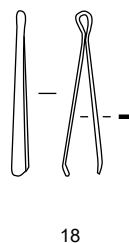
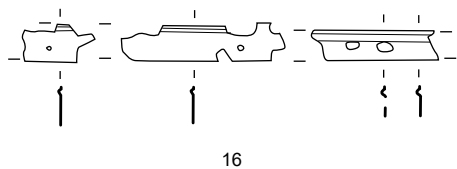
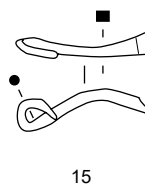
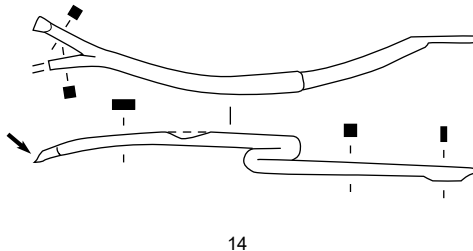
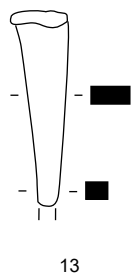
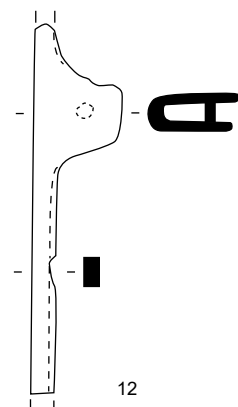
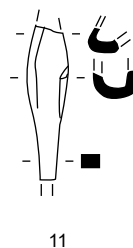
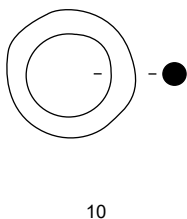
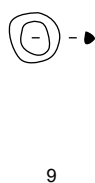
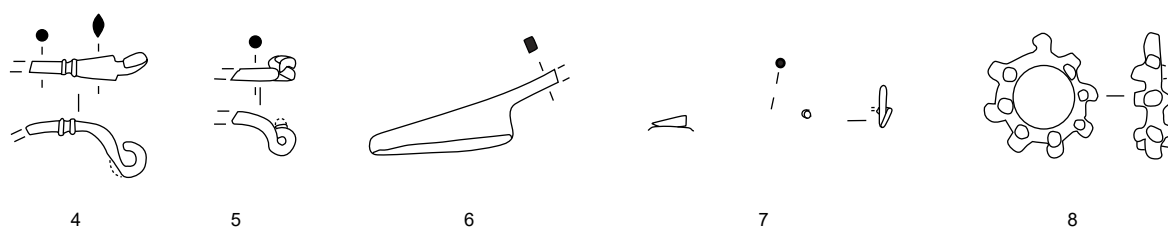
Pince à épiler complète constituée d'une bande de tôle formant une boucle et présentant deux extrémités légèrement recourbées. Base-cuivre.
L. 44 mm, l. 4 mm, E. mm, S. 4x1 mm. 1.5 g.
E : 1140.7. N : 1107.8. Alt. : 573.26.

Planche 194, 19. 13032, n° 163.

Applique circulaire bombée percée en son centre. Base-cuivre.
L. 35 mm. 2.9 g.
E : 1140.32. N : 1108.78. Alt. : 573.67.



SCTG-27-Pal ext. sud



SCTG-28-Pal ext. est

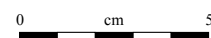


Planche 194. SCTG-27-Pal ext. sud et SCTG-28-Pal ext. est

1-6, 11-15, 17 : fer; 7-10, 16, 18-19 : alliage cuivreux.

Galerie laténienne, palissades

État 2.2 à 2.3 : LTD2

SCTG-29-Pal ext. nord

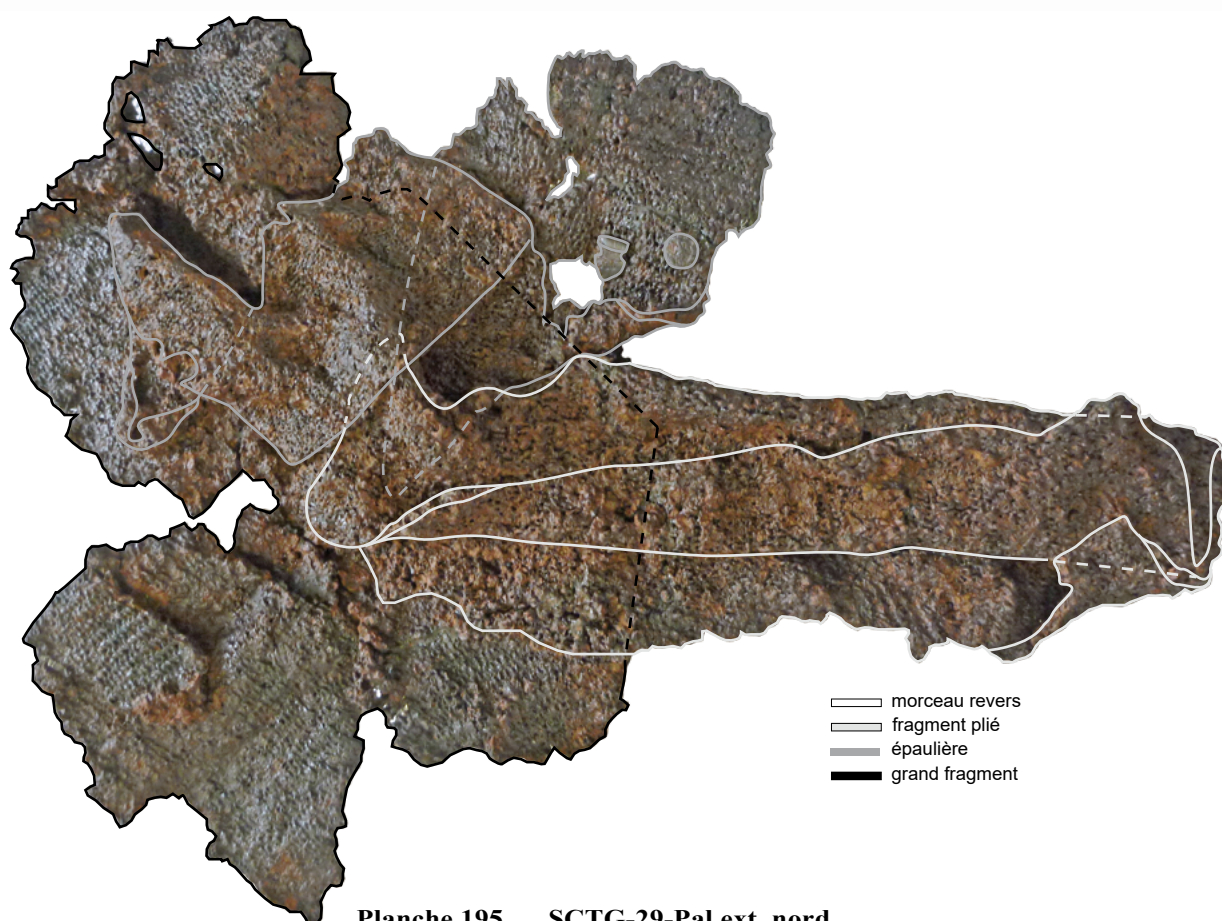
Planche 195, 1. 19045, n° 24a.

Cotte de mailles fragmentaire en quatre parties dont un fragment d'épaule avec éléments du système de fixation riveté.

Fer.

L. 620 mm, l. 500 mm. 5000 g.

E : 1122.8. N : 1138. Alt. : 573.66 à 73.



- morceau revers
- fragment plié
- épaulière
- grand fragment

Planche 195. SCTG-29-Pal ext. nord

Fer.

Galerie laténienne, palissades

État 2.2 à 2.3 : LTD2

SCTG-29-Pal ext. nord

Planche 196, 1. 19045, n° 24b.

Umbo du bouclier à ailettes trapézoïdales à deux rivets médians et coque à rebord. Les ailettes, dont l'une repliée sur la coque, présentent des traces d'arrachage. Fer.

L. cons. 112 mm, L. rest. 122 mm, ht (coque) 58 mm. 71.8 g.

E : 1122.65. N : 1137.6. Alt. : 573.66 à 73.

Type : Nierstein.

Planche 196, 2. 19045, n° 24c.

Umbo du bouclier à ailettes trapézoïdales (une manquante) à deux rivets situés dans l'angle de l'ailette et coque à rebord présentant des traces de découpe à la cisaille. L'ailette conservée présente des traces d'arrachage. Fer.

L. cons. 120 mm, L. rest. 154 mm ht (coque) rest. 70 mm. 46.3 g.

E : 1122.92. N : 1137.8. Alt. : 573.66 à 73.

Type : Nîmes.

Planche 196, 3. 19045, n° 24d.

Umbo du bouclier à ailettes rectangulaires à un rivet médian, dont l'un encore en position fonctionnelle et à coque à rebord. Fer.

L. 149 mm, ht (coque) 68 mm. 87.3 g.

E : 1122.85. N : 1137.7. Alt. : 573.66 à 73.

Type : Sion.

Planche 196, 4. 19045, n° 24e.

Umbo du bouclier à ailettes trapézoïdales fragmentaires à coque à rebord présentant une trace d'impact en son centre. Fer.

L. 95 mm, ht (coque) 56 mm. 72.4 g.

E : 1122.65. N : 1137.75. Alt. : 573.66 à 73.

Type : Indéterminé.

Planche 196, 5. 19045, n° 24z.

Fragment d'ailette d'umbo. Fer.

L. 40 mm. 11.2 g.

E : 1122.75. N : 1137.7. Alt. : 573.66 à 73.

Type : Indéterminé.

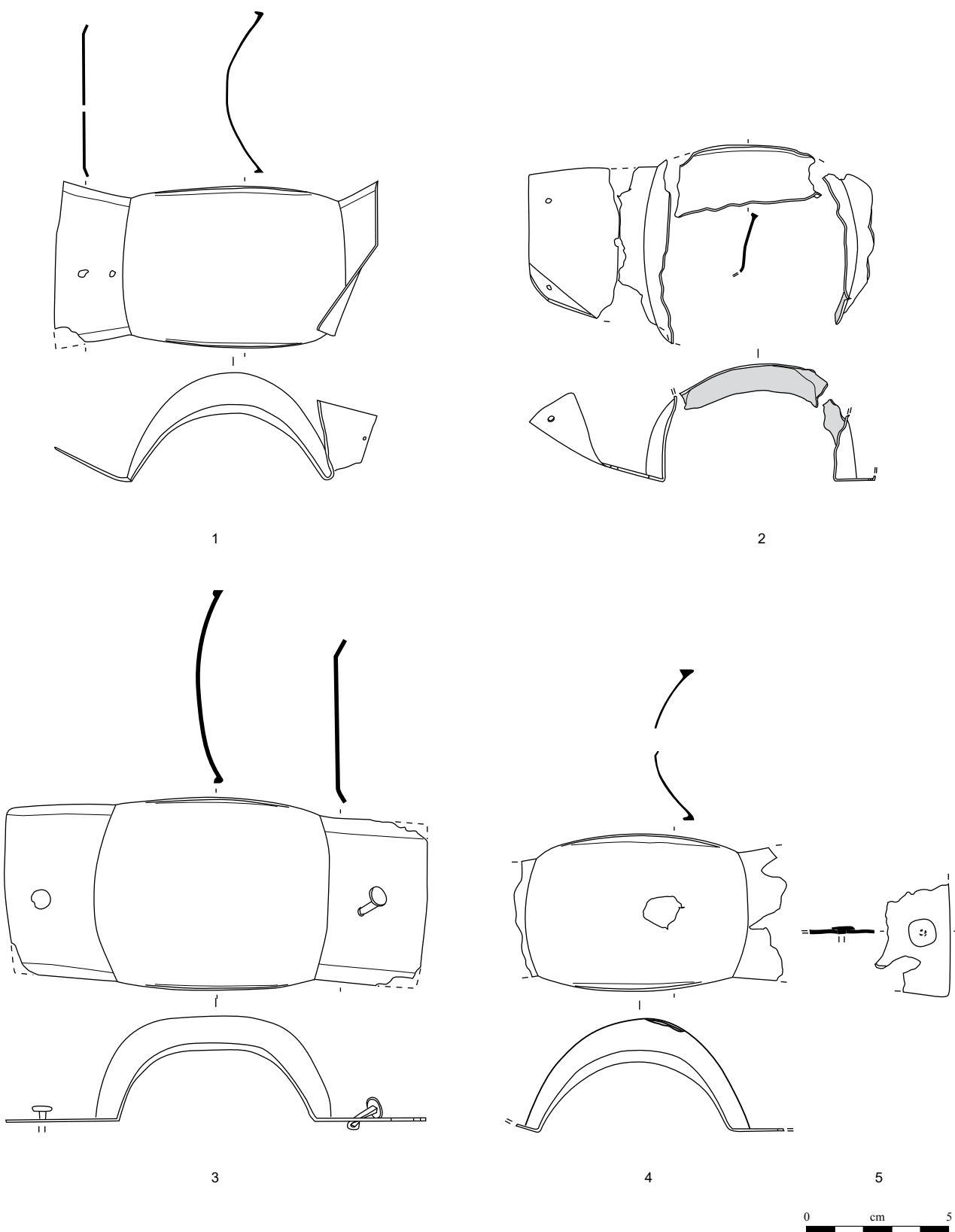


Planche 196. SCTG-29-Pal ext. nord

Fer.

Galerie laténienne, palissades

État 2.2 à 2.3 : LTD2

SCTG-29-Pal ext. nord

Planche 197, 1. 19045, n° 23.

Crête de sanglier-enseigne ajourée avec gouttière sommitale. Base-cuivre.

L. 355 mm, l. 43 à 52 mm, diam. (gouttière) 4 mm. NP.

E : 1122.3. N : 1138. Alt. : 573.66.

Planche 197, 2. 19045, n° 24f.

Fragment de plaque proximale de fourreau. Fer.

L. 342 mm, l. max 41 mm, ép. 1 mm. 159.6 g.

E : 1122.82. N : 1137.65. Alt. : 573.66 à 73.

Planche 197, 3. 19045, n° 24t.

Manipule déformé. Fer.

L. 151 mm, l. 22 mm. 89.6 g.

E : 1123. N : 1138.3.

Planche 197, 4. 19045, n° 24v.

Fragment de tôle perforée. Fer.

L. 51 mm. 18.6 g.

E : 1123. N : 1138.3.

Planche 197, 5. 19045, n° 24g.

Ferrure avec clous en position fonctionnelle. Fer.

L. 101 mm, S. 17 x 5 mm. 63.4 g.

E : 1123. N : 1138.3.

Planche 197, 6. 19045, n° 24y.

Fragment de tôle perforée. Fer.

L. 52 mm. 17.2 g.

E : 1123.1. N : 1138.4.

Planche 197, 6. 19045, n° 24x.

Clou complet. Fer.

L. 56 mm. 15.8 g.

E : 1123.1. N : 1138.4.

Planche 197, 8. 19031, n° 14.

Tête de rivet émaillé avec négatif de la tige. Fer.

Diam. 13 mm. 5.2 g.

E : 1122.7. N : 1138.6. Alt. : 573.85.*

Planche 197, 9. 19063, n° 67.

Anneau de section ronde. Base-cuivre.

Diam. 14 mm, S. 3 mm. 2.1 g.

E : 1114. N : 1138.8.*

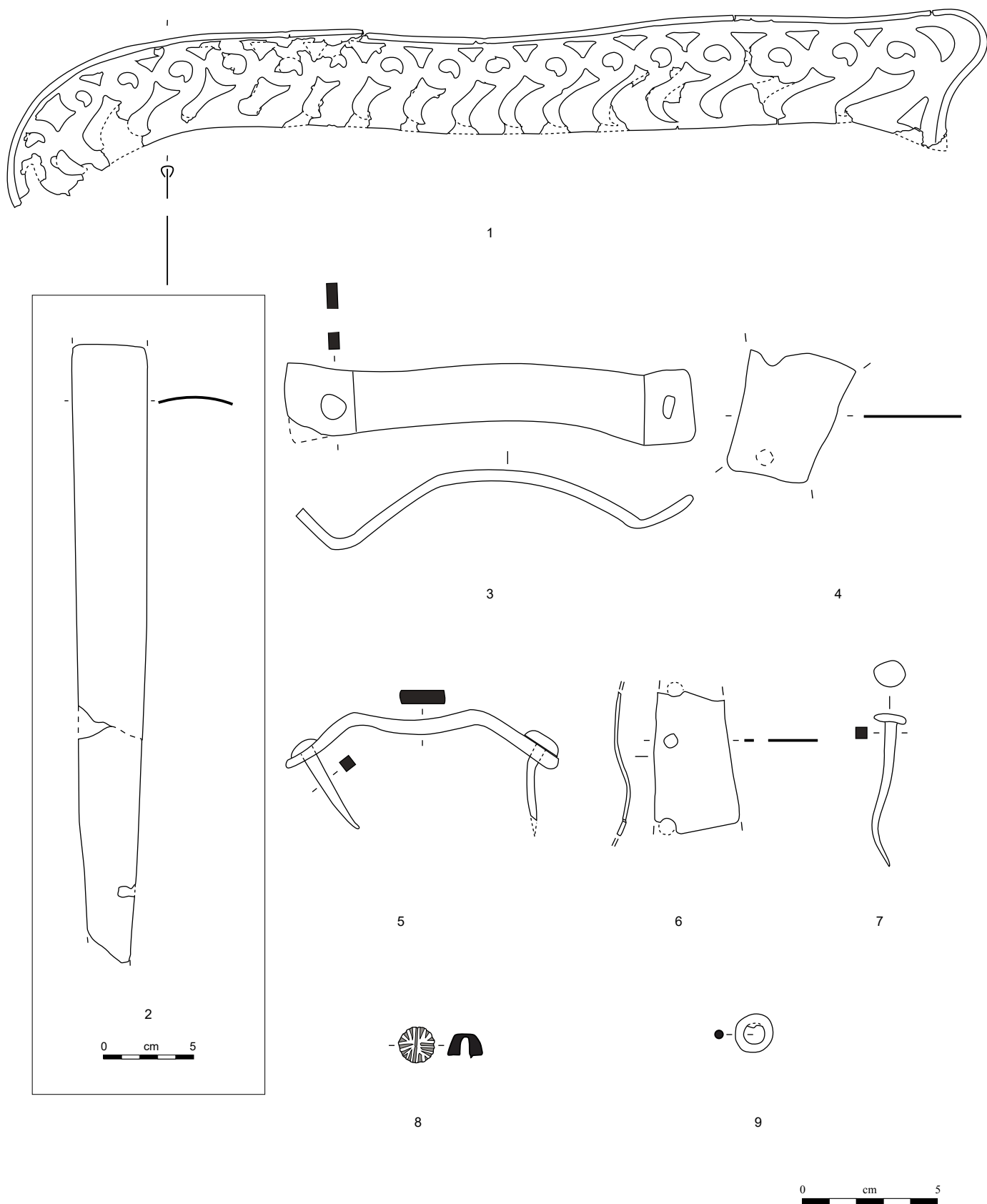


Planche 197. SCTG-29-Pal ext. nord

1, 9 : alliage cuivreux; 2-8 : fer.

Galerie laténienne, trous de poteau

État 2 lato sensu : fin LTD1b-LTD2

SCTG-31-TP 10260

Planche 198, 1. 10180, n° 283.

Petit anneau de section ovale. Base-cuivre.

Diam. 18 mm, S. 4 mm. 6.6 g.

E : 1120.64. N : 1129.8. Alt. : 573.33.

SCTG-33-TP 11216

Planche 198, 2. 11216, n° 474.

Fibule à arc triangulaire à bordures soulignées par une rainure et pied trapézoïdal ajouré replié sur l'arc. Base-cuivre.

L. 36 mm, L. rest. 48 mm, L. (arc) 27 mm, l. (arc) 3.5 mm. 1 g.

E : 1135. N : 1131.96. Alt. : /.

Type : B22-03.

SCTG-37-TP 11243

Planche 198, 3. 11243, n° 2076.

Fragment de bouterolle constitué d'un fragment de gouttière d'où partent deux barettes ou deux pinces. Fer.

L. 62 mm. 6.9 g.

E : 1133.5. N : 1126.3. Alt. : /.

SCTG-38-TP 11244

Planche 198, 4. 11244, n° 492.

Petit anneau de section losangique. Base-cuivre.

Diam. 17 mm, S. 3 x 4 mm. 2.6 g.

E : 1133.95. N : 1122.8. Alt. : /.

SCTG-38-TP 11244

Planche 198, 5. 11244, n° 499.

Fragment de collerette de chaudron (?) pliée deux fois, avec la trace d'un rivet en bronze. Fer.

L. 32 mm, l. 54 mm, Ép. 1 mm.. 6.5 g.

E : 1134. N : 1124. Alt. : /.

SCTG-44-TP 12090

Planche 198, 6. 12089, n° 910.

Grand anneau de section losangique. Base-cuivre.

Diam. 26 mm, S. 3,5 x 5 mm. 5.8 g.

E : 1134.7. N : 1112. Alt. : 573.17.

SCTG-55-TP 13301

Planche 198, 7. 13229, n° 403.

Petit anneau de section losangique interne et ronde externe. Base-cuivre.

Diam. 14 mm, S. 4 x 5 mm. 6.1 g.

E : 1106.15. N : 1093.55. Alt. : 573.83.

SCTG-60-TP 13549

Planche 198, 8. 13550, n° 144.

Fragment de bracelet à jonc plein à section en «D» avec des rainures sur chaque face latérale. Base-cuivre.

L. 30 mm, S. 3 mm, l. 3 mm. 1.2 g.

E : 1106.61. N : 1129.30. Alt. : 574.04.

Type : B10-8.

SCTG-66-TP 15284

Planche 198, 9. 15284, n° 263.

Petit anneau de section en quart de rond. Base-cuivre.

Diam. 15 mm, S. 4 x 6 mm. 3.4 g.

E : 1141.1. N : 1120.1. Alt. : 572.33.*

Galerie laténienne, occupation

État 2 lato sensu : fin LTD1b-LTD2

SCTG-70-occupation 12106

Planche 198, 10. 12106, n° 965.

Fragment de grand anneau de section ronde. Base-cuivre.

Diam. 17 mm, S. 4 mm. 3.2 g.

E : 1134.92. N : 1114.94. Alt. : 573.3.

Planche 198, 11. 12106, n° 980.

Petit anneau de section ronde. Base-cuivre.

Diam. 17 mm, S. 2,5 x 3 mm. 2.3 g.

E : 1134.86. N : 1114.87. Alt. : 573.23.

Planche 198, 12. 12106, n° 971.

Petit anneau de section rectangulaire. Base-cuivre.

Diam. 15 mm, S. 3 x 2 mm. 1.1 g.

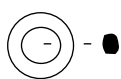
E : 1133.95. N : 1115.9. Alt. : 573.39.

Planche 198, 13. 12106, n° 962.

Fragment de pêne contrecoudé pour serrure à rotation de section rectangulaire. Fer.

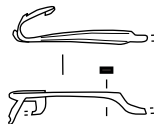
L. 92 mm, S. 5x5/5x3 mm. 10 g.

E : 1134.93. N : 1115.14. Alt. : 573.44.



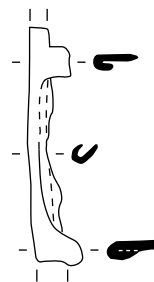
1

SCTG-31-TP 10260



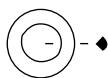
2

SCTG-33-TP 11216

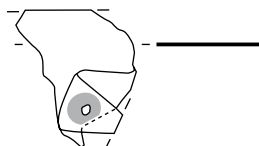


3

SCTG-37-TP 11243

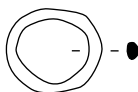


4



5

SCTG-38-TP 11244



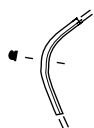
6

SCTG-44-TP 12090



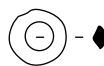
7

SCTG-55-TP 13301



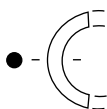
8

SCTG-60-TP 13549

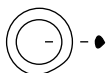


9

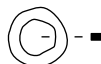
SCTG-66-TP 15284



10

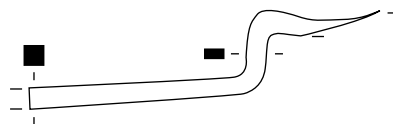


11



12

SCTG-70-Occupation 12106



13

■ Alliage cuivreux

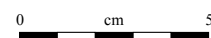


Planche 198. SCTG-31-TP 10260 à SCTG-70-occupation 12106

1-2, 4, 6-12 : alliage cuivreux; 3, 5, 13 : fer.

Porche d'entrée

État 4 lato sensu : époque romaine

SCTPE-1-remblais

Planche 199, 1. 12033, n° 271.
Ressort à quatre spires (trois conservées) et corde interne avec départ d'un arc de tôle. Base-cuivre.
L. 8 mm. 0.7 g.
E : 1139.6. N : 1112.85. Alt. : 573.47.
Type : B22-0.

Planche 199, 2. 12033, n° 235.
Ardillon complet et une spire de ressort. Base-cuivre.
L. 52 mm. 1.2 g.
E : 1141.55. N : 1112.9. Alt. : 573.47.

Planche 199, 3. 12027, n° 87.
Perle de section en demi-lune avec des cannelures sur les bords. Base-cuivre.
Diam. 26 mm, S. 3 mm. 2.5 g.
E : 1139.8. N : 1114.3. Alt. : 573.77.

Planche 199, 4. 12027, n° 109.
Petit anneau de section ronde à l'extérieur et de section facettée à l'intérieur. Base-cuivre.
Diam. 16 mm, S. 3 x 4 mm. 4 g.
E : 1140.1. N : 1116.3. Alt. : 573.76.

Planche 199, 5. 12033, n° 256.
Petit anneau de section ronde. Base-cuivre.
Diam. 16 mm, S. 4 mm. 5.1 g.
E : 1141.5. N : 1113.9. Alt. : /.

Planche 199, 6. 12033, n° 288.
Perle de section triangulaire. Base-cuivre.
Diam. 13 mm, S. 4 x 7 mm. 3.6 g.
E : 1139.15. N : 1112.75. Alt. : 573.47.

Planche 199, 7. 12033, n° 255.
Petit anneau de section ronde. Base-cuivre.
Diam. 18 mm, S. 4 mm. 5.4 g.
E : 1137.57. N : 1113.33. Alt. : 573.47.

Planche 199, 8. 12027, n° 91.
Fragment de grand anneau de section ronde. Base-cuivre.
L. 17 mm, diam. 26 mm, S. 3 mm. 1.6 g.
E : 1139.8. N : 1113.5. Alt. : 573.74.

Planche 199, 9. 12033, n° 239.
Fragment de grand anneau de section ronde. Base-cuivre.
L. 22 mm, diam. 29 mm, S. 3 x 4 mm. 2.1 g.
E : 1139. N : 1113.42. Alt. : 573.47.

Planche 199, 10. 12027, n° 2030.
Chute de tige de section carrée pointue avec une découpe droite. Fer.
L. 28 mm. 1.1 g.
E : 1140. N : 1114.8. Alt. : /.

Planche 199, 11. 12033, n° 261.
Attache de situle pliée à deux pattes ovales perforées. Fer.
L. 36 mm, S. 2,5 mm, diam. int. 2 mm. 4.8 g.
E : 1139.95. N : 1112.75. Alt. : 573.47.

Planche 199, 12. 12033, n° 2035.
Tête de clou de décoration, discoïde avec départ de tige. Fer.
L. 33 mm. 10.1 g.
E : 1141. N : 1114.8. Alt. : /.*

Planche 199, 13. 12033, n° 2016.
Fragment de plat épais incurvé avec décor excisé. Fragment de récipient, de tintinnabulum, de statue? Base-cuivre.
L. 20 mm, l. 16 mm, E. 5 mm. 8.9 g.
E : 1141.2. N : 1115.2. Alt. : /.*

Planche 199, 14. 12033, n° 302.
Fragment indéterminé de tige de section ronde avec deux épaississements. Fragment de récipient? Fer.
L. 89 mm, l. 9 à 11 mm, S. 4 mm. 16.4 g.
E : 1139.9. N : 1111.9. Alt. : 573.69.

État 2-GR : LTD1b évoluée-époque romaine

SCTPE-2-passe artificielle

Planche 199, 15. 12069, n° 594.
Perle avec trois cannelures. Base-cuivre.
Diam. 19 mm, S. 5 x 7,5 mm. 6.2 g.
E : 1139.56. N : 1113.61. Alt. : 573.5.

Planche 199, 16. 12069, n° 2042.
Fragment d'orle avec bois minéralisé à l'intérieur de la gouttière. Fer.
L. 29 mm. 2.2 g.
E : 1140. N : 1112.8. Alt. : /.
Type : Gouttière.

État 2.2 : LTD2a

SCTPE-3-occupation

Planche 199, 17. 12074, n° 778.
Fibule à ressort à quatre spires et corde interne et à arc de tôle triangulaire à décor d'échelle et à bordures soulignées par une rainure. Base-cuivre.
L. 31 mm, l. (arc) 3 mm. 1.6 g.
E : 1135.38. N : 1132. Alt. : 573.42.
Type : B22-02.

Planche 199, 18. 12074, n° 2117.
Fibule à ressort à quatre spires et corde interne et à arc de tôle triangulaire tendu à bordures soulignées par une rainure. Seules les extrémités du pied et de l'ardillon sont manquantes. Base-cuivre.
L. 39 mm, L. (arc) 23 mm, l. (arc) 4 mm. 1.5 g.
E : 1136.5. N : 1117. Alt. : 573.18.
Type : B22-03.

Planche 199, 19. 12074, n° 743.
Fibule à ressort à quatre spires et corde interne et à arc de tôle triangulaire inorné avec début du pied. L'ardillon est complet. Fer.
L. 38 mm, L. (arc) 24 mm, l. (arc) 4.5 mm. 3 g.
E : 1136.95. N : 1115.62. Alt. : 573.29.
Type : F22-1.

Planche 199, 20. 12074, n° 763.
Fragment d'arc de Nauheim avec début du pied. Base-cuivre.
L. 15 mm. 0.1 g.

E : 1140.15. N : 1113.8. Alt. : 573.4.
Type : B22-0.

Planche 199, 21. 12074, n° 709.
Ressort à quatre spires (trois conservées) et corde externe haute et ardillon. Base-cuivre.
L. 35 mm. 1 g.
E : 1136.96. N : 1114.36. Alt. : 573.32.
Type : B30.

Planche 199, 22. 12074, n° 2086.
Fibule très dégradée à ressort à deux spires conservées et corde interne à arc cambré de section lenticulaire. Fer.
L. 30 mm. 4.5 g.
E : 1135.6. N : 1113.2. Alt. : /.*
Type : F23-5.

Planche 199, 23. 12074, n° 2005.
Fragment de bracelet à jonc lisse à section en «D». Cet exemplaire semble ouvert volontairement. Base-cuivre.
L. 62 mm, diam. 55 mm, S. 3 mm. 4.7 g.
E : 1136.4. N : 1116.2. Alt. : /.*
Type : B10-4.

Planche 199, 24. 12074, n° 847.
Bracelet à jonc plein lisse de section en «D» fermé par chevauchement. Une des terminaisons est cassée, sinon l'exemplaire est complet. Base-cuivre.
Diam. int. 35 mm, S. 2 x 3 mm. 6.6 g.
E : 1136.85. N : 1112.52. Alt. : 573.2.
Type : B13-1.

Planche 199, 25. 12078, n° 785.
Perle de section en D. Base-cuivre.
Diam. 15 mm, S. 2,5 x 5 mm. 3.1 g.
E : 1138.05. N : 1113.36. Alt. : 573.33.

Planche 199, 26. 12074, n° 2000.
Petit anneau à cannelures usées. Base-cuivre.
Diam. 17 mm, S. 4 x 5 mm. 5.3 g.
E : 1134.9. N : 1117.1. Alt. : /.*

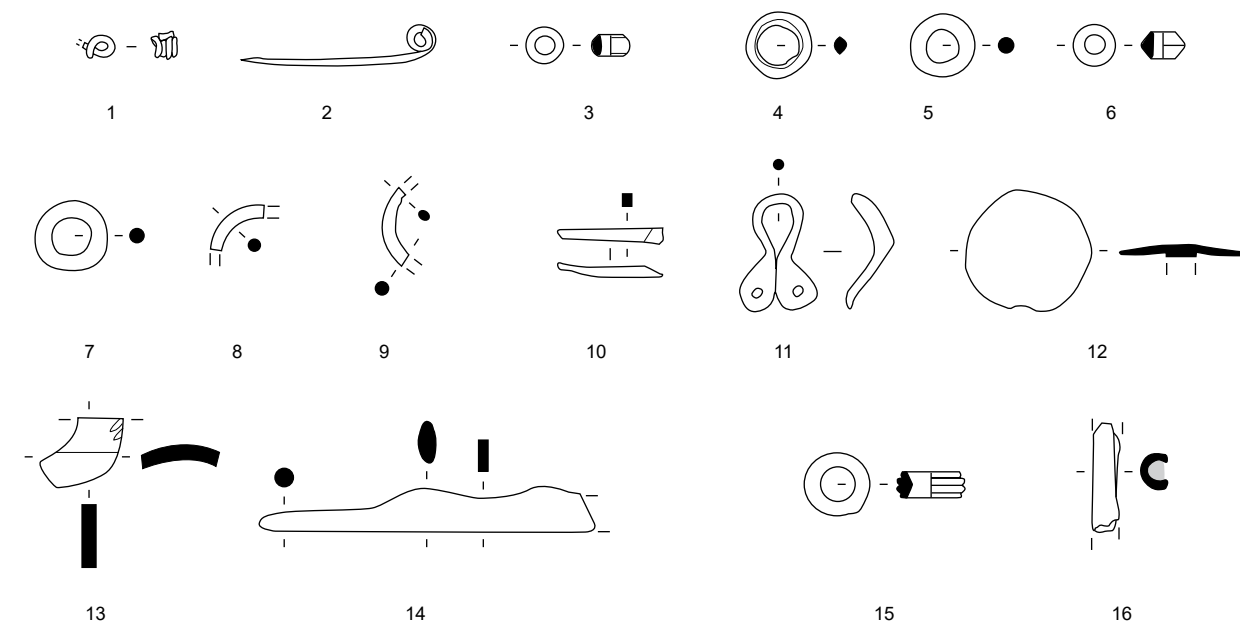
Planche 199, 27. 12074, n° 695.
Perle à trois cannelures. Base-cuivre.
Diam. 18 mm, S. 4 x 6 mm. 4.3 g.
E : 1137.55. N : 1114. Alt. : 573.41.

Planche 199, 28. 12074, n° 742.
Petit anneau de section ronde. Base-cuivre.
Diam. 17 mm, S. 4 mm. 3.4 g.
E : 1136.26. N : 1113.64. Alt. : 573.32.

Planche 199, 29. 12074, n° 726.
Perle de section en quart de rond avec cannelures. Base-cuivre.
Diam. 17 mm, S. 3 x 4,5 mm. 3.2 g.
E : 1136. N : 1115. Alt. : /.

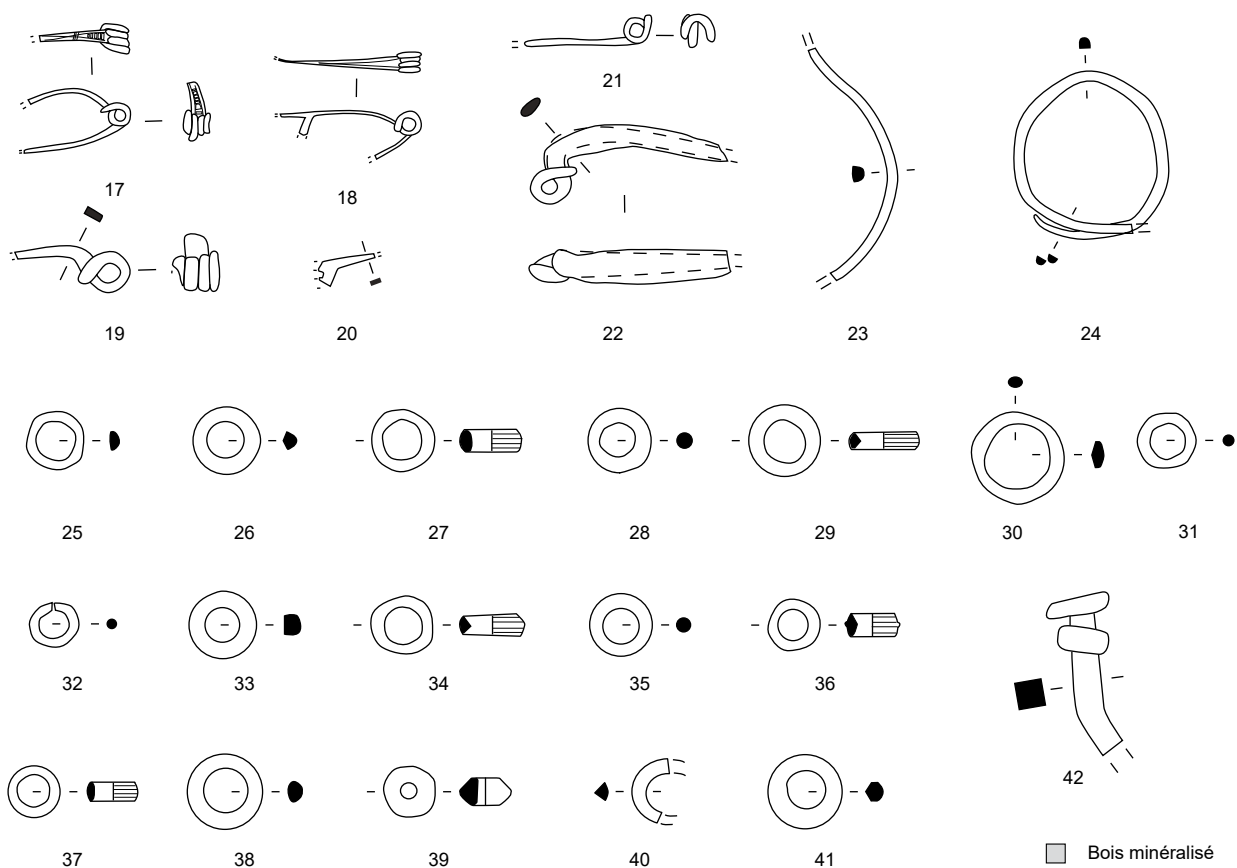
Planche 199, 30. 12074, n° 607.
Grand anneau à section en D. Base-cuivre.
Diam. 23 mm, S. 3 x 7,5 mm. 6.4 g.
E : 1138.85. N : 1113.5. Alt. : 573.31.

Planche 199, 31. 12074, n° 774.
Petit anneau de section ronde. Base-cuivre.
Diam. 14 mm, S. 2,5 mm. 2.6 g.
E : 1139.76. N : 1113.4. Alt. : 573.2.



SCTPE-1-remblais

SCTPE-2-passe artificielle



SCTPE-3-occupation

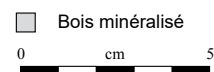


Planche 199. SCTPE-1-remblais à SCTPE-3-occupation (parures)

1-9, 13, 15, 17-18, 20-21, 23-41 : alliage cuivreux; 10-12, 14, 16, 19, 22 : fer; 42 : fer et alliage cuivreux.

Planche 199, 32. 12074, n° 693.
Petit anneau de section ronde non jointif.
Base-cuivre.
Diam. 11 mm, S. 2 mm. 1.4 g.
E : 1137.1. N : 1114.04. Alt. : 573.43.

Planche 199, 33. 12074, n° 2001.
Petit anneau à section en «D». Base-cuivre.
Diam. 17 mm, S. 4 x 5 mm. 6.4 g.
E : 1135.4. N : 1114.2. Alt. : /*

Planche 199, 34. 12074, n° 767.
Perle à trois cannelures. Base-cuivre.
Diam. 16 mm, S. 3 x 4 mm. 4.5 g.
E : 1136.08. N : 1112.28. Alt. : 573.47.

Planche 199, 35. 12074, n° 719.
Petit anneau de section ronde. Base-cuivre.
Diam. 17 mm. 4.2 g.
E : 1136. N : 1114.65. Alt. : 573.64.*

Planche 199, 36. 12074, n° 735.
Perle à trois cannelures. Base-cuivre.
Diam. 15 mm, S. 3,5 x 6 mm. 3.5 g.
E : 1134.7. N : 1111.9. Alt. : 573.32.*

Planche 199, 37. 12098, n° 996.
Perle de section en «D» avec cinq cannelures. Base-cuivre.
Diam. 14 mm, S. 2,5 x 5 mm. 2.4 g.
E : 1115.78. N : 1139.6. Alt. : 573.22.

Planche 199, 38. 12074, n° 746.
Petit anneau à section en D. Base-cuivre.
Diam. 19 mm, S. 4 x 5,5 mm. 6.5 g.
E : 1135.45. N : 1112.2. Alt. : 573.32.

Planche 199, 39. 12079, n° 781.
Perle à section en «D». Base-cuivre.
Diam. 14 mm, S. 5 x 8 mm. 6.7 g.
E : 1140.16. N : 1115.2. Alt. : 573.36.

Planche 199, 40. 12079, n° 855.
Fragment de petit anneau de section en quart de rond. Base-cuivre.
Diam. 15 mm, S. 4 mm. 2.3 g.
E : 1138.55. N : 1115.9. Alt. : 573.37.

Planche 199, 41. 12074, n° 2006.
Petit anneau de section ronde à l'extérieur et angulaire à l'intérieur. Base-cuivre.
Diam. 20 mm, S. 5 x 5 mm. 7.5 g.
E : 1136.3. N : 1116.4. Alt. : /*

Planche 199, 42. 12079, n° 751.
Fragment de clou avec un anneau en bronze sous la tête. Fer et base-cuivre.
14. 11.1 g.
E : 1141.68. N : 1115.24. Alt. : 573.32.

Porche d'entrée

État 2.2 : LTD2a

SCTPE-3-occupation

Planche 200, 1. 12074, n° 635.
Plaque de fourreau composée d'une bande de tôle avec un petit renflement marqué par une rainure, le long de chaque bord. La largeur de la bande rétrécit d'une extrémité à l'autre. Sa corrosion mouchetée laisse envisager la présence d'un décor (chagrinage?). Fer.
L. 99 mm, l. 28 à 31 mm. 22.5 g.
E : 1137.24. N : 1114.87. Alt. : 573.36.

Planche 200, 2. 12074, n° 2082.
Fragment de gouttière de bouterolle. Fer.
L. 70 mm, S. gouttière 4 x 5 mm. 3.6 g.
E : 1136.2. N : 1112.8. Alt. : /*

Planche 200, 3. 12074, n° 934.
Fragment d'extrémité distale de plaque de fourreau. Cet exemplaire, fortement plissé, présente par endroits des fragments de gouttière. Fer.
L. 155 mm, l. 48 mm, E. 1 mm. 44.3 g.
E : 1136.2. N : 1116.6. Alt. : /*

Planche 200, 4. 12074, n° 694.
Extrémité distale de lame d'épée avec découpe perpendiculaire à la lame. La section est lenticulaire. Fer.
L. 128 mm, l. max. 29 mm, ép. 3 mm. 35.2 g.
E : 1136.9. N : 1114.77. Alt. : 573.4.

Planche 200, 5. 12074, n° 935.
Fragment d'aiguille à chas en forme d'ogive avec une concavité entre le chas et l'extrémité proximale de l'aiguille. Base-cuivre.
L. 59 mm, diam. int. 2x1,5 mm. 1.1 g.
E : 1136.5. N : 1116.1. Alt. : 573.2.

Planche 200, 6. 12074, n° 849.
Fragment d'outil à soie d'identification incertaine avec départ de soie et une partie active cassée. Fer.
L. 90 mm, l. 11 mm, S. 12x3 mm. 17.1 g.
E : 1135.28. N : 1112.7. Alt. : 573.44.

Planche 200, 7. 12074, n° 2004.
Virole (?) constituée d'une bande de tôle enroulée. Base-cuivre.
Diam. 17 mm, S. 1 x 5 mm. 0.7 g.
E : 1135.2. N : 1114.2. Alt. : /*

Planche 200, 8. 12074, n° 704.
Fléau de balance à oeillet central, cassé au niveau d'un oeillet de suspension. Le second oeillet de suspension comporte un anneau de chaînette en connexion. Base-cuivre.
L. 129 mm, L. bras 68 mm, diam. int. 1 mm. NP.
E : 1136.96. N : 1114.24. Alt. : 573.33.

Planche 200, 9. 12074, n° 718.
Fragment de plateau de balance hémisphérique avec un léger ressaut. Cet exemplaire est très corrodé. Base-cuivre.
Diam. 39 mm. NP.
E : 1136.78. N : 1114.33. Alt. : 573.33.

Planche 200, 10. 12074, n° 717.
Fragment de plateau de balance conservé sous la forme d'un tôle bombée. Cet exemplaire est très corrodé. Base-cuivre.
L. 34 mm. 1.7 g.
E : 1136.75. N : 1114.45. Alt. : 573.31.

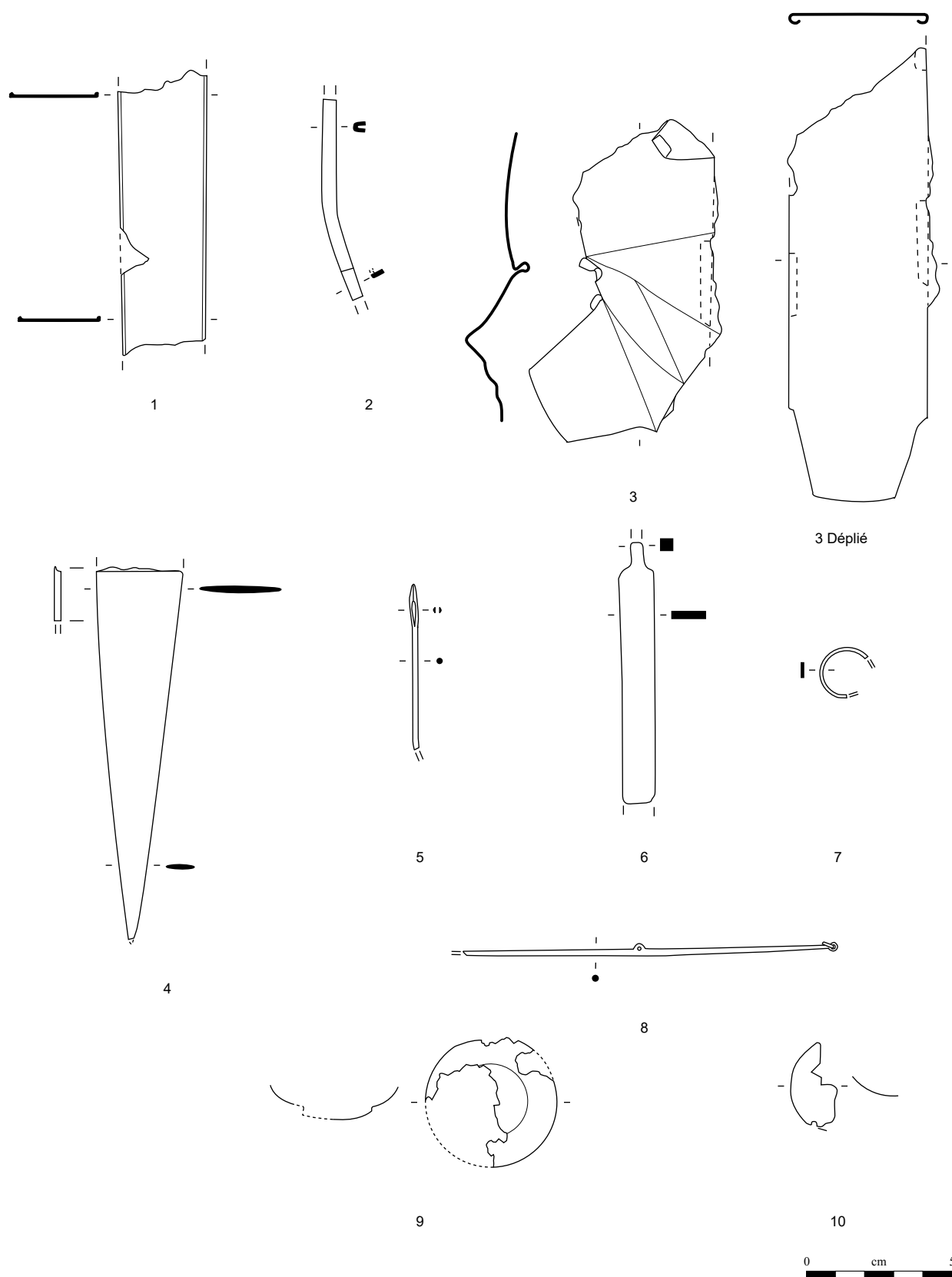


Planche 200. SCTPE-3-occupation (armement, activités artisanales et poids et mesures)

1-7 : fer; 8-10 : alliage cuivreux.

Porche d'entrée

État 2.2 : LTD2a

SCTPE-3-occupation

Planche 201, 1. 12074, n° 738.

Fragment de collerette de chaudron. La tôle présente une gorge et un ourlet comportant de nombreux trous de rivet, tous les 20 mm. Le second fragment, également doublé, pourrait correspondre à la fixation de l'anneau du chaudron. Sept perforations irrégulières sont conservées. Fer.

L. 135 mm, l. 76 mm, Ép. 1 à 4 mm. 77.7 g.
E : 1134.8. N : 1112.8.*

Planche 201, 2. 12074, n° 2085.

Fragment de chaudron. Grande tôle avec des découpes/cassures rondes, des traces de rivet et un bord replié pour permettre la pose de rivets. Fer.

L. 125 mm. 167.1 g.
E : 1137.2. N : 1115.2. Alt. : 573.11.

Planche 201, 3. 12074, n° 994.

Fragment de cerclage de seau constitué d'une bande de tôle repliée sans trace de perforation. Fer.

L. 137 mm, l. 15 mm, Ép. 1 mm. 19.3 g.
E : 1140.1. N : 1112.15. Alt. : 573.3.

Planche 201, 4. 12074, n° 752.

Piton de caisse de char à oeillet par enroulement avec une contreplaque à l'extrémité de la tige. Fer.

L. 97 mm, L. utile 63 mm, S. (tige) 5 mm, S. (anneau) 6 mm, diam. int. 15 mm.. 25.3 g.
E : 1136.6. N : 1116. Alt. : 573.29.

Planche 201, 5. 12074, n° 2084.

Fragment de clé ou de fermoir de porte composé d'une grande tige de section carrée avec un oeillet et une extrémité coudée. Fer.

L. 136 mm, S. 8 mm, diam. int. 11 mm. 58.8 g.
E : 1137.06. N : 1114. Alt. : /.

Planche 201, 6. 12074, n° 753.

Frette de renfort constituée d'une bande de tôle formant un cercle joint aux deux extrémités par deux rivets. Fer.

Diam. 52 mm, S. 2 x 19 mm. 40.9 g.
E : 1136.93. N : 1114. Alt. : 573.3.

Planche 201, 7. 12074, n° 638.

Tige indéterminée de section ronde avec des cannelures. Fer.

L. 59 mm, S. 8 mm. 22.2 g.
E : 1137.28. N : 1114. Alt. : 573.38.

Planche 201, 8. 12079, n° 859.

Fragment de tige indéterminée de section ronde avec une extrémité aplatie de section ovale. Base-cuivre.

L. 30 mm, S. 4 mm. 1.7 g.
E : 1138.16. N : 1114.76. Alt. : 573.32.

État 2 lato sensu : fin LTD1b-LTD2

SCTPE-5-TP 13067

Planche 201, 9. 13064, n° 309.

Fragment de grand anneau de section ronde. Base-cuivre.

Diam. 26 mm, S. 4 mm. 3.7 g.
E : 1134.84. N : 1110.85. Alt. : 573.42.

SCTPE-10-TP 12105

Planche 201, 10. 12105, n° 1019.

Fragment de bracelet à épissures à jonc plein lisse. Les épissures sont désolidarisées. Base-cuivre.

L. 44 mm, S. 1 mm. 1 g.
E : 1135. N : 1114.6. Alt. : 573.15.
Type : B12-1.

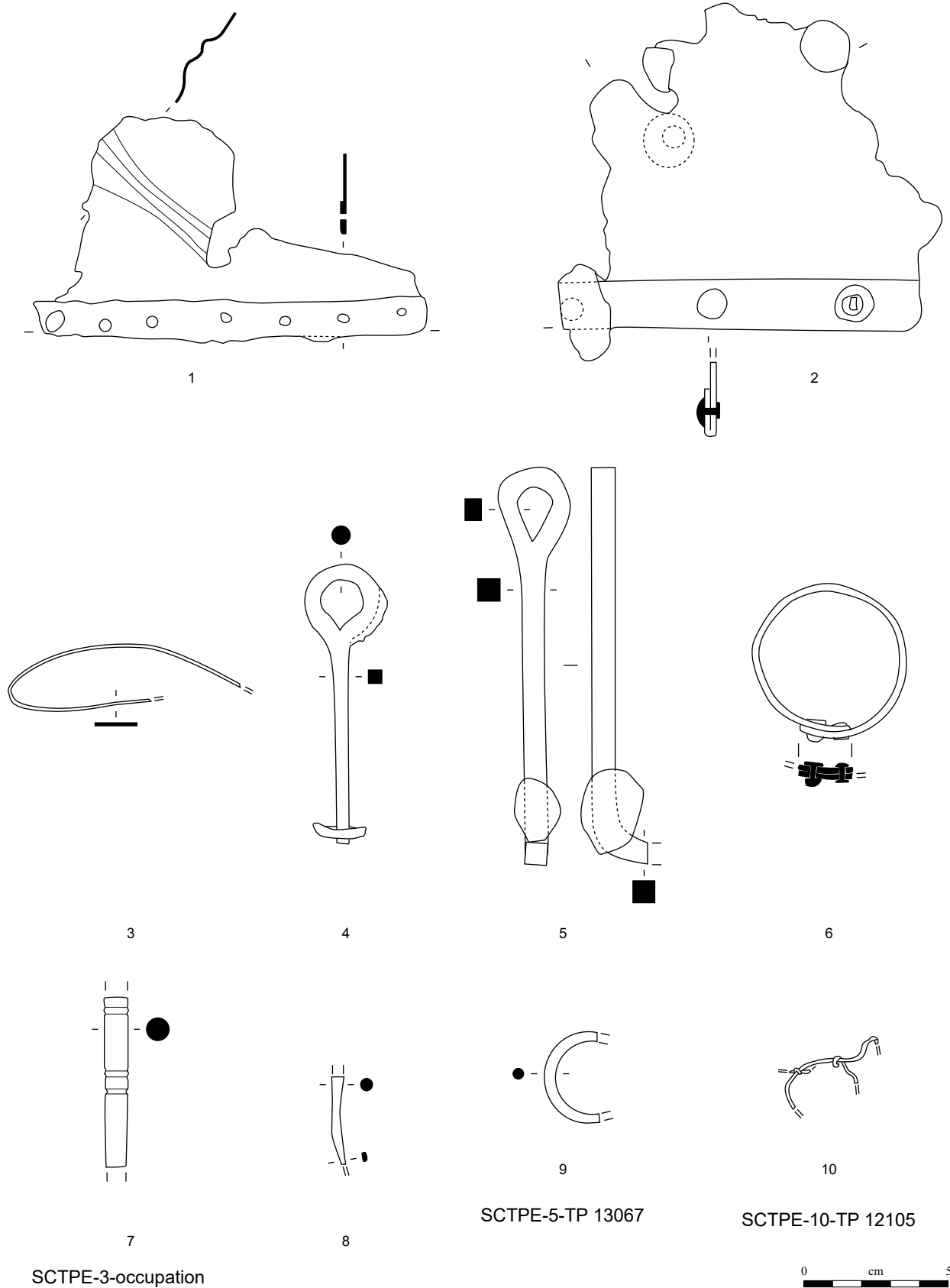


Planche 201. SCTPE-3-occupation à SCTPE-10-TP 12105

1-7, 9 : fer; 8, 10 : alliage cuivreux.

Fossé périphérique, branche nord

Décapage

SCTFN-1-décapage

Planche 202, 1. 13548, n° 123.
Fragment d'arc de fibule filiforme de section losangique. Base-cuivre.
L. 32 mm. 0.5 g.
E : 1104.3. N : 1131.2. Alt. : /.
Type : B23-1.

Planche 202, 2. 9083.
Fibule à ressort à trois spires et corde interne et arc tendu de section circulaire. Fer.
L. 35 mm. NP.
E : 1116.2. N : 1128.3. Alt. : /.
Type : F23-1.

Planche 202, 3. 12003, n° 1.
Ardillon complet et ressort de fibule à quatre spires et corde interne. Fer.
L. 87 mm. 5.9 g.
E : 1136. N : 1130. Alt. : /.
Type : F20.

Planche 202, 4. 13002, n° 2.
Petit anneau à section en «D». Base-cuivre.
Diam. 17 mm, S. 2 x 4 mm. 3 g.
E : 1126.4. N : 1131. Alt. : /.

Planche 202, 5. 13520, n° 94.
Fragment de pince de fixation d'orle à gouttière avec rivet en position fonctionnelle. Fer.
L. 34 mm. 8.7 g.
E : 1099.45. N : 1131.52. Alt. : 574.20.
Type : Gouttière.

Planche 202, 6. 13520, n° 152.
Fragment d'umbo de bouclier avec une partie de la coque et le départ des ailettes. Cet exemplaire semble avoir été écrasé compte tenu de la faible hauteur de la spina. Fer.
L. 102 mm, l. (spina) 40 mm, ép. 1 mm. 28.5 g.
E : 1099.92. N : 1131.77. Alt. : 574.20.
Type : Gournay VI.

Planche 202, 7. 13002, n° 4.
Chute de tige de section changeante ronde et carrée avec traces de martelage sur un côté et traces de découpe aux deux extrémités. Base-cuivre.
L. 50 mm, S. 4x5/4x4 mm. 7.9 g.
E : 1126.5. N : 1132. Alt. : /.

Planche 202, 8. 12521, n° 925.
Chute de tôle de forme triangulaire avec deux traces de cisaille sur un bord. Fer.
L. 51 mm. 6.7 g.
E : 1119. N : 1131.87. Alt. : 573.22.

Perturbations modernes

SCTFN-2-perturbations modernes

Planche 202, 9. 13505, n° 55.
Fragment de ressort de fibule. Base-cuivre.
L. 7 mm. 0.2 g.
E : 1097.2. N : 1129.8. Alt. : /.

Planche 202, 10. 13509, n° 199.
Petit anneau de section hexagonale. Base-cuivre.
Diam. 15 mm, S. 4 x 4 mm. 2.5 g.
E : 1099. N : 1127. Alt. : /.

Planche 202, 11. 13505, n° 53.
Tranchant de ciseau évasé constitué d'un fer plat de section rectangulaire à deux biseaux. Fer.
L. 30 mm, l. 11 mm, S. 9x4 mm. 7.3 g.
E : 1097. N : 1130.4. Alt. : /.

Planche 202, 12. 13509, n° 2031.
Chute de tige de section carrée pointue. La tige est simplement aplatée. Fer.
L. 38 mm. 0.9 g.
E : /. N : /. Alt. : /.

Planche 202, 13. 13508, n° 2006.
Fragment d'applique constituée d'une bande de tôle tordue comportant une rainure centrale. Base-cuivre.
L. 24 mm, S. 1x2 mm. 0.5 g.
E : 1098. N : 1129.6. Alt. : /.

État 4 lato sensu : époque romaine

SCTFN-3-complements gallo-romains

Planche 202, 14. 11160, n° 285.
Grand anneau à cinq cannelures. Base-cuivre.
Diam. 30 mm, S. 4 x 7 mm. 20.5 g.
E : 1129.10. N : 1134.50. Alt. : 573.45.

Planche 202, 15. 11134, n° 751.
Grand anneau de section ronde. Base-cuivre.
Diam. 31 mm, S. 4,5 x 6 mm. 15 g.
E : 1093.4. N : 1131. Alt. : 573.36.

Planche 202, 16. 12505, n° 83.
Petit anneau de section ovale. Base-cuivre.
Diam. 13 mm, S. 3 x 5 mm. 3.9 g.
E : 1113.2. N : 1130.2. Alt. : 573.73.

Planche 202, 17. 9295.

Petit anneau de section en quart de rond. Base-cuivre.
Diam. 15 mm, S. 4 x 5 mm. 3.3 g.
E : 1117.4. N : 1133.02. Alt. : /.

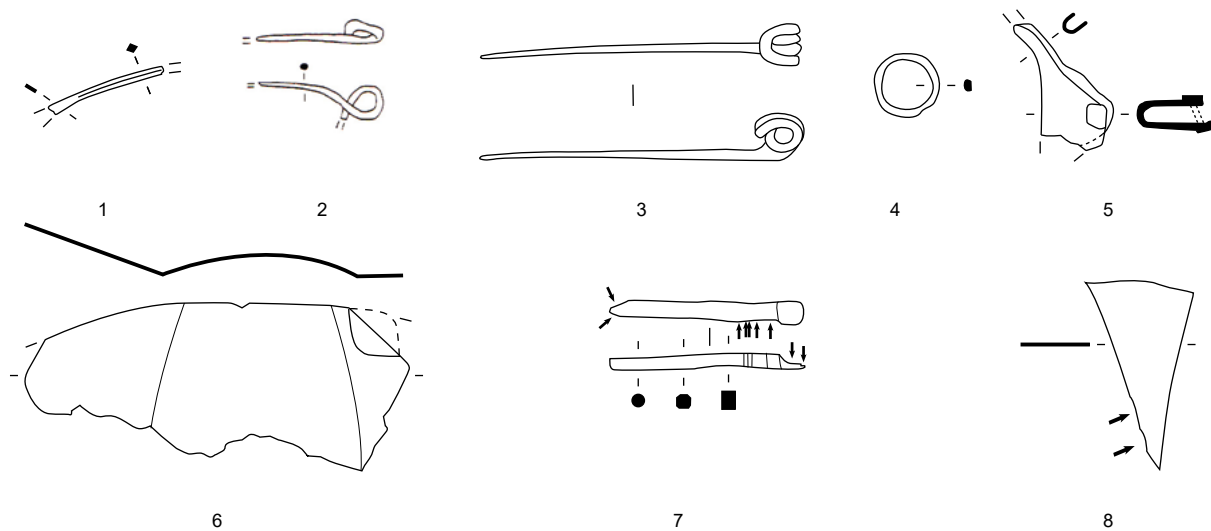
Planche 202, 18. 12505, n° 97.
Fragment d'un grand anneau de section ronde. Base-cuivre.
L. 18 mm, diam. 28 mm, S. 4 x 7 mm. 10.4 g.
E : 1114.24. N : 1132. Alt. : 573.89.

Planche 202, 19. 9223.
Fragment de grand anneau de section ronde. Base-cuivre.
L. 23 mm, diam. 27 mm, S. 3 mm. 2.4 g.
E : 1117.2. N : 1133.2. Alt. : /.

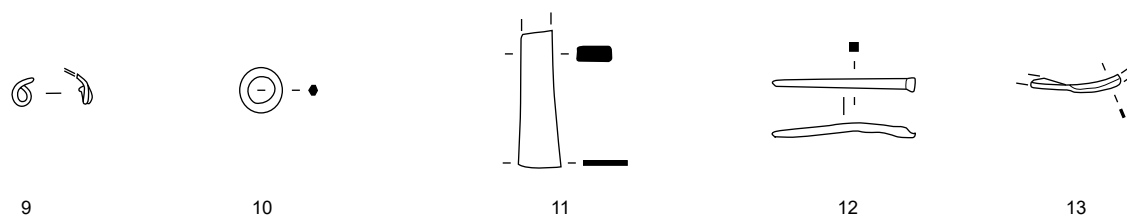
Planche 202, 20. 11045, n° 715.
Applique vestimentaire en forme de tonneau coupé par la moitié, dans le sens de la longueur. Deux petites griffes à l'intérieur permettent sa fixation sur du tissu ou du cuir. Base-cuivre.
L. 16 mm, l. 11 mm. 0.6 g.
E : 1129.5. N : 1133.8. Alt. : /.

Planche 202, 21. 11194, n° 364.
Fragment de bracelet à jonc plein lisse de section ronde, à extrémité en forme de tête de palmipède ornée de lignes de petits ronds poinçonnés. Base-cuivre.
L. 66 mm, diam. int. 70 mm, S. 3 mm. 7.5 g.
E : 1133.9. N : 1132. Alt. : 573.16.
Type : B16-2.

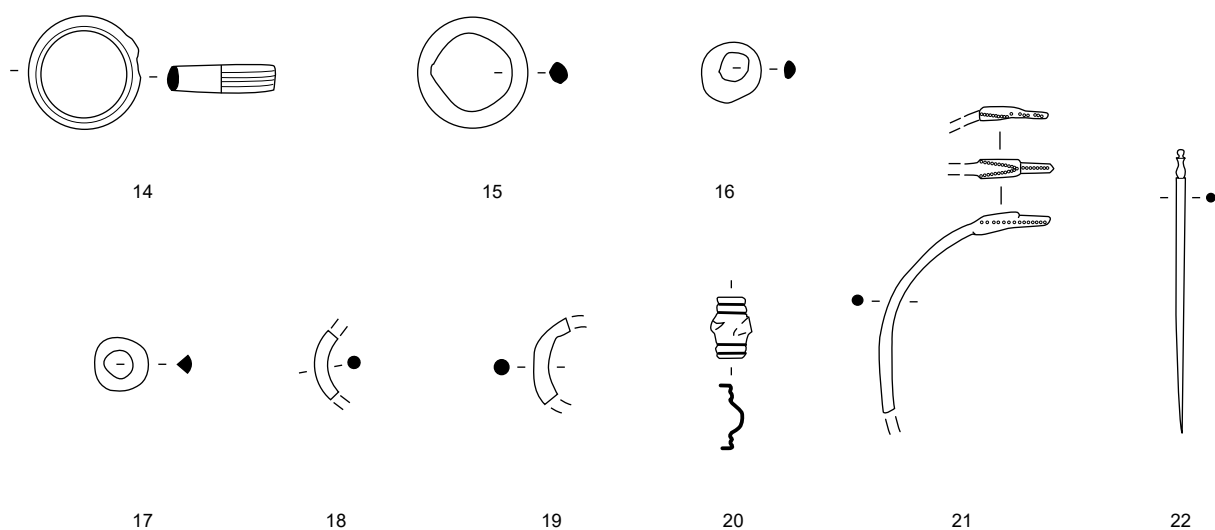
Planche 202, 22. 11080, n° 96.
Épingle à tête non débordante moulurée complète. L'extrémité bouletée est précédée d'une partie vasiforme. La tige est de section ronde.. Base-cuivre.
L. 75 mm. 1.3 g.
E : 1132. N : 1128.8. Alt. : 573.51.



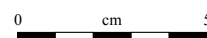
SCTFN-1-décapage



SCTFN-2-perturbations modernes



SCTFN-3-complements gallo-romains

**Planche 202. SCTFN-1-décapage à SCTFN-3-complements gallo-romains**

1, 4, 7, 9-10, 13, 14-22 : alliage cuivreux; 2-3, 5-6, 8, 11-12 : fer (2, tiré de Faye 1995, n° 77).

Fossé périphérique, branche nord

État 4 lato sensu : époque romaine

SCTFN-3-comblements gallo-romains

Planche 203, 1. 11044, n° 33.

Fibule de type pseudo-La Tène moyenne à ressort à deux spires conservées et pied fragmentaire. L'arc coudé à deux reprises est de section ronde. Base-cuivre.
L. 44 mm. 1.8 g.
E : 1133.05. N : 1131.04. Alt. : 573.74.
Type : B21-3.

Planche 203, 2. 11026, n° 23.

Ardillon de fibule à charnière avec butée. Base-cuivre.
L. 29 mm. 0.3 g.
E : 1127. N : 1131.29. Alt. : 573.75.

Planche 203, 3. 10243, n° 238.

Fibule de Nauheim à ressort à quatre spires et corde interne et à arc de tôle triangulaire à décor central d'échelle, bordures soulignées par une rainure et lignes interrompant le décor. Le pied fragmentaire est ajouré et l'ardillon complet. Base-cuivre.
L. 42 mm, L. (arc) 24 mm, l. (arc) 3.5 mm. 3 g.
E : 1121.41. N : 1131.9. Alt. : 573.52.
Type : B22-02.

Planche 203, 4. 11044, n° 44.

Fibule de Nauheim à ressort à quatre spires et corde interne et arc de tôle triangulaire à décor d'échelle interrompu par des lignes perpendiculaires à l'axe de l'arc et bordures soulignées par une rainure. Seuls une partie du porte-ardillon et l'ardillon manquent. Base-cuivre.
L. 32 mm, L. (arc) 21 mm, l. 5 mm. 1.1 g.
E : 1132.78. N : 1132. Alt. : 573.71.
Type : B22-02.

Planche 203, 5. 10155, n° 99.

Arc filiforme de fibule cambré de section lenticulaire interrompu par deux lignes incisées puis de section ronde, avec pied ajouré. Base-cuivre.
L. 33 mm. 0.8 g.
E : 1123.4. N : 1131.8. Alt. : 573.57.
Type : B34-1.

Planche 203, 6. 12505, n° 127.

Fibule à ressort à quatre spires et corde interne et arc filiforme tendu, de section circulaire. Base-cuivre.
L. 32 mm. 3.7 g.
E : 1111.35. N : 1131.9. Alt. : 573.77.
Type : B23-2.

Planche 203, 7. 11006, n° 9.

Ressort de fibule à quatre spires (deux conservées) et corde interne. Base-cuivre.
L. 10 mm. 0.6 g.
E : 1126.5. N : 1131.87. Alt. : 573.74.
Type : B20-0.

Planche 203, 8. 11080, n° 80.

Ressort à quatre spires (deux conservées) et corde interne et ardillon complet. Base-cuivre.
L. 40 mm. 1 g.
E : 1133.2. N : 1131.2. Alt. : 573.53.
Type : B20-0.

Planche 203, 9. 11087, n° 121.

Ardillon complet et ressort de fibule à quatre spires et corde interne. Base-cuivre.
L. 50 mm. 1.7 g.
E : 1126.37. N : 1130.5. Alt. : 573.56.
Type : B20-0.

Planche 203, 10. 11045, n° 50.

Arc de tôle triangulaire tordu à bordures soulignées par une rainure et ressort de fibule à quatre spires et corde interne. Base-cuivre.
L. 21 mm, l. (arc) 6.5 mm. 1.7 g.
E : 1130.67. N : 1133.15. Alt. : 573.67.
Type : B22-03.

Planche 203, 11. 11080, n° 725-1.

Fibule à ressort à quatre spires (deux conservées) et corde externe haute et arc filiforme cambré de section circulaire. Fer.
L. 45 mm. 3.2 g.
E : 1133.4. N : 1131.2. Alt. : /.*
Type : F33-5.

Planche 203, 12. 11174, n° 343.

Fibule à ressort à quatre spires (deux conservées) et corde externe et arc filiforme tendu de section lenticulaire. Le pied complet est trapézoïdal ajouré. Fer.
L. 77 mm, L. (arc) 41 mm, S. 5 x 3,5 mm. 5.4 g.
E : 1131. N : 1131. Alt. : 573.2.
Type : F33-3.

Planche 203, 13. 11156, n° 290.

Fibule à ressort à quatre spires (deux conservées) et corde interne et arc tendu filiforme de section losangique. Fer.
L. 52 mm, S. 3 mm. 3.2 g.
E : 1128.66. N : 1129.68. Alt. : 573.66.
Type : F23-2.

Planche 203, 14. 11080, n° 725-2.

Fibule à ressort à quatre spires (deux conservées) et corde externe haute et arc filiforme cambré de section lenticulaire. Fer.
L. 23 mm. 1.2 g.
E : 1132.8. N : 1130.8. Alt. : /.*
Type : F33-7.

Planche 203, 15. 12505, n° 2058.

Arc de fibule filiforme outrepassant de section lenticulaire avec une partie du pied. Fer.
L. 29 mm. 1.1 g.
E : 1112.8. N : 1129.6. Alt. : /.*
Type : F33-11.

Planche 203, 16. 12008, n° 49-1.

Fibule à ressort à quatre spires et corde externe haute à arc de section lenticulaire outrepassant le ressort cassé au début du pied. Fer.
L. 56 mm. 5.3 g.

E : 1137. N : 1129.6.*

Type : F33-11.

Planche 203, 17. 12541, n° 395.

Fibule à ressort à quatre spires et corde externe haute et arc coudé de section circulaire. Seule une partie du porte-ardillon est manquante. Fer.
L. 43 mm. 2.7 g.
E : 1110. N : 1133. Alt. : 573.85.
Type : F33-9.

Planche 203, 18. 13663, n° 229.

Fibule à ressort à quatre spires et corde externe démantelé et à arc cambré filiforme de section lenticulaire. Fer.
L. 49 mm. 6.5 g.
E : 1105.9. N : 1132.29. Alt. : 574.03.
Type : F33-7.

Planche 203, 19. 12008, n° 49-2.

Ressort à quatre spires et corde externe haute avec départ d'ardillon et d'arc de section circulaire. Fer.
L. 56 mm. 3.2 g.
E : 1136.8. N : 1130.1.*
Type : F33-0.

Planche 203, 20. 12505, n° 68.

Fibule omega complète à extrémité enroulée vers l'intérieur de l'anneau et ardillon fragmentaire. Fer.
L. 28 mm. 1.5 g.
E : 1113. N : 1130. Alt. : 573.91.
Type : F80.

Planche 203, 21. 11184, n° 384a.

Ressort de fibule à quatre spires (deux conservées) et corde interne et ardillon presque complet. Fer.
L. 72 mm. 4.3 g.
E : 1133. N : 1131. Alt. : /.
Type : F20.

Planche 203, 22. 10027, n° 15.

Ressort à quatre spires et corde externe basse de fibule filiforme de schéma La Tène moyenne. Fer.
L. 42 mm. 4.5 g.
E : 1124.65. N : 1130.45. Alt. : 573.75.
Type : F10-2.

Planche 203, 22. 11076, n° 123.

Ardillon et ressort de fibule à quatre spires et corde externe basse. Fer.
L. 57 mm. 3.3 g.
E : 1132. N : 1130.13. Alt. : 573.40.
Type : F10-2.

Planche 203, 24. 11187, n° 387.

Ressort de fibule à quatre spires et corde externe haute et ardillon. Fer.
L. 58 mm. 5.7 g.
E : 1135. N : 1131. Alt. : /.
Type : F30.

Planche 203, 25. 11080, n° 92.

Ardillon complet et ressort à quatre spires (deux conservées) et corde externe haute. Fer.
L. 62 mm. 4.5 g.
E : 1133.28. N : 1131.45. Alt. : 573.46.
Type : F30.

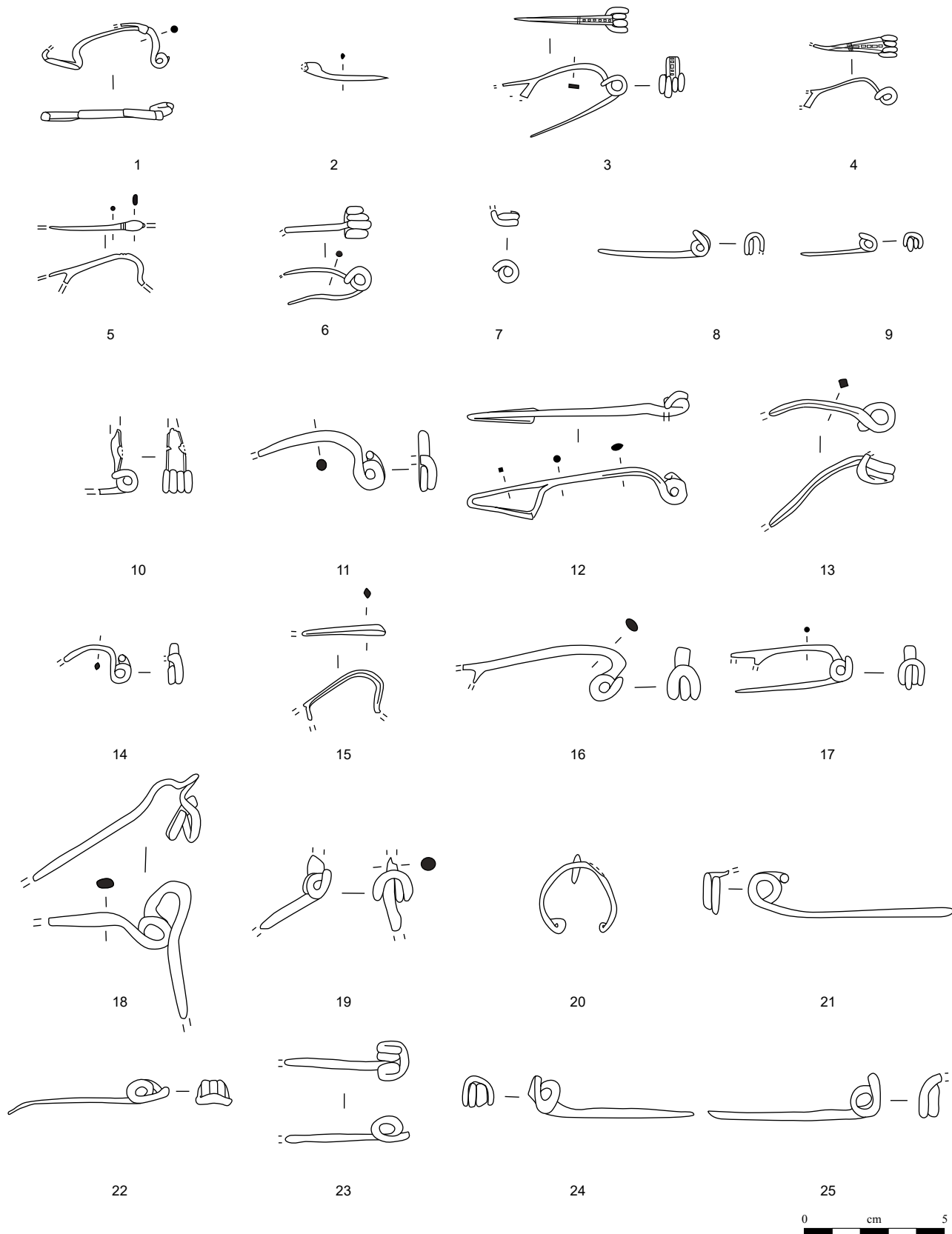


Planche 203. SCTFN-3-complements gallo-romains (fibules)

1-10 : alliage cuivreux; 11-25 : fer.

Fossé périphérique, branche nord

État 4 lato sensu : époque romaine

SCTFN-3-comblements gallo-romains

Planche 204, 1. 10129, n° 228.

Talon de lance à douille. Fer.
L. 51 mm. 13.9 g.
E : 1120.36. N : 1130.28. Alt. : 573.37.
Type : 2.

Planche 204, 2. 11159, n° 2038.

Fragment de gouttière avec un fragment de tôle conservé à l'intérieur. Fer.
L. 40 mm, l. 6 mm. 4.6 g.
E : 1128.7. N : 1133.2. Alt. : /*

Planche 204, 3. 11187, n° 2054.

Fragment de plaque de fourreau (?) avec une gouttière conservée. Fer.
L. 37 mm, l. 20 mm, ép. 1 mm. 3.7 g.
E : 1134. N : 1130. Alt. : /.

Planche 204, 4. 11159, n° 2039.

Rivet d'umbo à tête hémisphérique creuse fichée dans un fragment de tôle. Fer.
Diam. (tête) 14 mm. 3.8 g.
E : 1128.9. N : 1133.1. Alt. : /*
Type : Clou-rivet.

Planche 204, 5. 11189, n° 2058.

Fragment d'orle de section rectangulaire avec patte fragmentaire. Fer.
L. 65 mm, S. 3 x 7 mm. 8.4 g.
E : 1127.1. N : 1133.2. Alt. : /*
Type : Rectangulaire.

Planche 204, 6. 11189, n° 356.

Ailette trapézoïdale d'umbo à deux perforations. Fer.
L. 105. 46.1 g.
E : 1125.82. N : 1131.78. Alt. : 573.32.
Type : Gournay V.

Planche 204, 7. 12008, n° 19.

Fragment d'attache verticale de lorica segmentata composé d'un plat terminé par un crochet du type Corbridge B/C. Base-cuivre.
L. 56 mm, S. 2 mm, l. 8 mm. 3.2 g.
E : 1138.4. N : 1131.2. Alt. : /*

Planche 204, 8. 12539, n° 407.

Herminette à douille et à tranchant arrondi. Fer.
L. 96 mm, l. 36 mm, diam. int. 20x24 mm. 141.6 g.
E : 1130.72. N : 1112.8. Alt. : 573.72.

Planche 204, 9. 11187, n° 2055.

Spatule composée d'une tige de section carrée avec une extrémité aplatie. Seule l'extrémité proximale de l'objet est conservée. Fer.
L. 72 mm, S. 3/2x10 mm. 8.1 g.
E : 1134. N : 1130. Alt. : /.

Planche 204, 10. 10258, n° 294.

Alène constituée d'une tige carrée puis de

section circulaire appointée. Base-cuivre.
L. 70 mm, S. 4x3 mm. 3.8 g.
E : 1124. N : 1130. Alt. : /.

Planche 204, 11. 11194, n° 2063.

Outil indéterminé à soie constitué d'une tige de section ronde avec une soie située après un léger décrochement. Fer.
L. 85 mm, S. 8 mm. 13.5 g.
E : 1132. N : 1132. Alt. : /.

Planche 204, 12. 10258, n° 296.

Chute de plaque triangulaire. Base-cuivre.
L. 22 mm, l. 12 mm, E. 2 mm. 1.9 g.
E : 1124. N : 1130. Alt. : /.

Planche 204, 13. 11045, n° 730.

Demi-produit constitué d'une barre de section trapézoïdale. Base-cuivre.
L. 28 mm, S. 5 mm. 2.4 g.
E : 1130. N : 1132. Alt. : /.

Planche 204, 14. 10129, n° 78.

Chute de tige de section carrée pointue avec une découpe comportant une base légèrement convexe. Fer.
L. 16 mm. 40.5 g.
E : 1120.33. N : 1131.06. Alt. : 573.55.

Planche 204, 15. 10026, n° 2000.

Chute de tige de section carrée pointue avec une découpe légèrement concave. Fer.
L. 30 mm. 1.9 g.
E : 1122. N : 1130. Alt. : /.

Planche 204, 16. 11156, n° 2037.

Chute de tige de section carrée pointue avec une découpe légèrement concave. Fer.
L. 30 mm. 1.2 g.
E : 1128. N : 1128. Alt. : /.

Planche 204, 17. 12516, n° 2062.

Chute de tige de section carrée pointue très aplatie avec une découpe légèrement concave. Fer.
L. 30 mm. 0.9 g.
E : 1110.4. N : 1131.4. Alt. : /.

Planche 204, 18. 11076, n° 2006.

Chute de tige de section carrée avec une découpe à double biseau décentré. Fer.
L. 32 mm. 2.3 g.
E : 1130. N : 1130. Alt. : /.

Planche 204, 19. 12008, n° 2027.

Chute de tige de section carrée avec une découpe simplement aplatie. Fer.
L. 36 mm. 1.6 g.
E : 1137.3. N : 1130.8. Alt. : /*

Planche 204, 20. 11044, n° 2002.

Chute de tige de section carrée pointue avec une découpe aplatie droite. Fer.
L. 38 mm. 1.5 g.
E : 1132. N : 1130. Alt. : /.

Planche 204, 21. 10129, n° 80.

Chute de tige de section quadrangulaire pointue avec une découpe droite. Fer.
L. 38 mm. 1.5 g.

E : 1120.2. N : 1131.62. Alt. : 573.55.

Planche 204, 22. 11174, n° 2048.

Chute de tige de section carrée pointue avec une découpe légèrement concave. Fer.
L. 41 mm. 1.7 g.
E : 1131. N : 1130.7. Alt. : /*

Planche 204, 23. 10187, n° 2010.

Chute de tige de section carrée pointue avec une découpe en bec de dauphin. Fer.
L. 42 mm. 2.1 g.
E : 1124. N : 1130. Alt. : /.

Planche 204, 24. 9220, n° 3.

Chute de tige de section carrée pointue avec une découpe en bec de dauphin. Fer.
L. 42 mm. 2 g.
E : 1118.2. N : 1130.32. Alt. : /.

Planche 204, 25. 10258, n° 2020.

Chute de tige de section carrée pointue avec une découpe légèrement concave. Fer.
L. 43 mm. 1.9 g.
E : 1127.4. N : 1131.7. Alt. : /*

Planche 204, 26. 11159, n° 2040.

Chute de tige de section carrée pointue avec une découpe légèrement concave. Fer.
L. 44 mm. 1.8 g.
E : 1129.4. N : 1133.5. Alt. : /*

Planche 204, 27. 11187, n° 2057.

Chute de tige de section carrée pointue avec une découpe légèrement concave. Fer.
L. 44 mm. 2.3 g.
E : 1134. N : 1130. Alt. : /.

Planche 204, 28. 11080, n° 2009.

Chute de tige de section carrée pointue avec une découpe à double biseau excentré. Fer.
L. 46 mm. 2.3 g.
E : 1132. N : 1130. Alt. : /.

Planche 204, 29. 11149, n° 2035.

Chute de tige de section carrée pointue avec une découpe légèrement concave. Fer.
L. 51 mm. 3.2 g.
E : 1132. N : 1132. Alt. : /.

Planche 204, 30. 10129, n° 77.

Chute de tige de section carrée pointue avec une découpe légèrement concave. Fer.
L. 53 mm. 2.4 g.
E : 1120.4. N : 1130.7. Alt. : 573.52.

Planche 204, 31. 10129, n° 78.

Chute de tige de section carrée pointue avec une découpe légèrement concave. Cette chute est issue d'une concentration de 17 fragments de tiges. Fer.
L. 24 mm. 40.5 g.
E : 1120.33. N : 1131.06. Alt. : 573.55.

Planche 204, 32. 9294, n° 1.

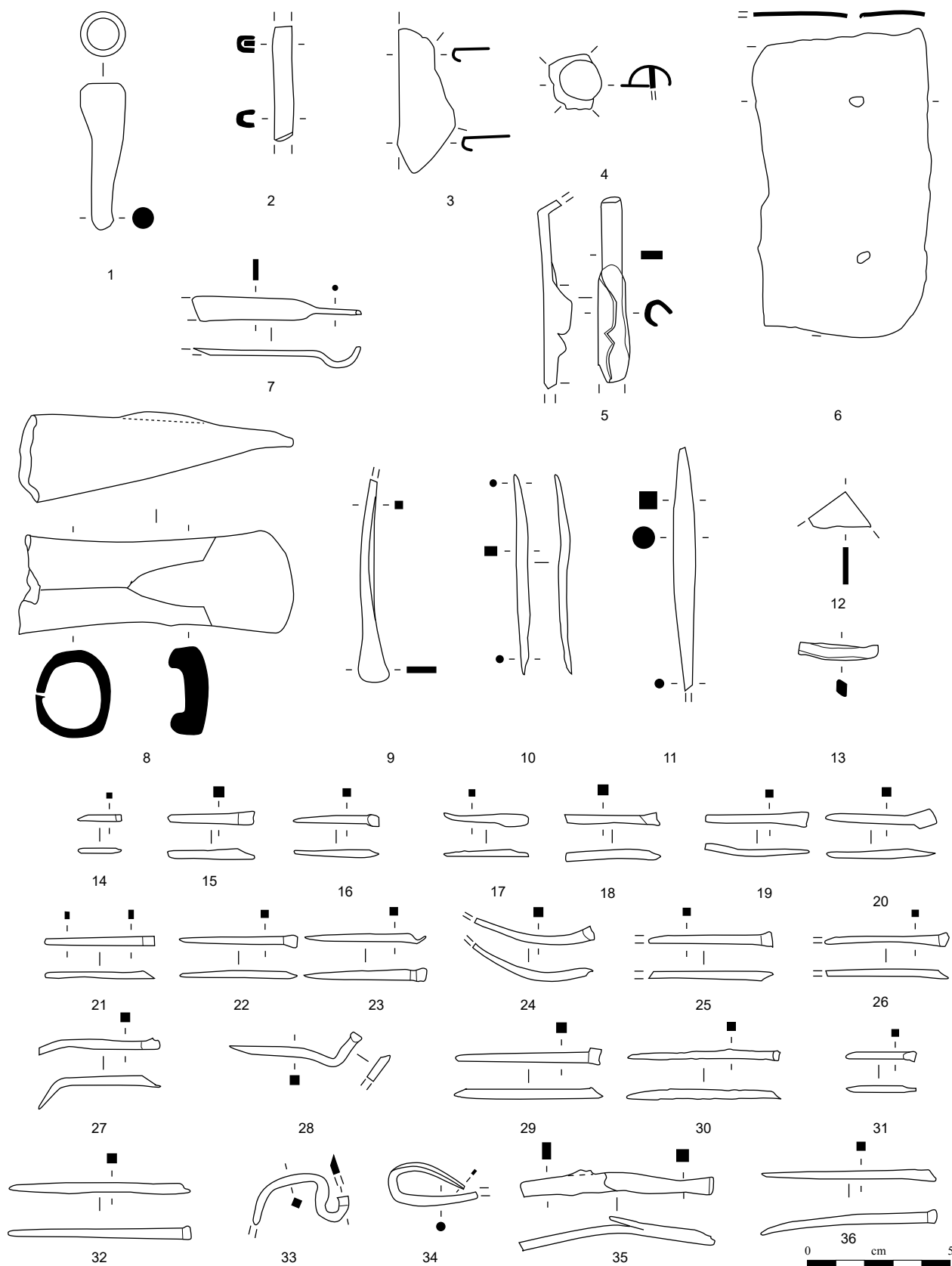


Planche 204. SCTFN-3-complements gallo-romains (armement et activités artisanales)

1-6, 8-11, 14-36 : fer; 7, 12-13 : alliage cuivreux.

Chute de tige de section carrée pointue avec une découpe légèrement concave. Fer.

L. 64 mm. 3 g.

E : 1118.2. N : 1130.3. Alt. : /.

Planche 204, 33. 11118, n° 229.

Chute de tige de section carrée présentant deux coudes et une découpe droite. Fer.

L. 34 mm. 2.1 g.

E : 1129.01. N : 1131.45. Alt. : 573.39.

Planche 204, 34. 11076, n° 120.

Chute de tige de section ronde puis rectangulaire. Fer.

L. 32 mm. 2.5 g.

E : 1131.96. N : 1131.6. Alt. : 573.48.

Planche 204, 35. 11174, n° 2047.

Chute de bande fendue en son centre avec une découpe présentant des traces de dégorgement. Fer.

L. 68 mm. 8.4 g.

E : 1131.2. N : 1131.5. Alt. : /.*

Planche 204, 36. 9294, n° 2.

Chute de tige de section carrée pointue avec une découpe légèrement concave. Fer.

L. 61 mm. 3 g.

E : 1118.2. N : 1130.3. Alt. : /.

Fossé périphérique, branche nord

État 4 lato sensu : époque romaine

SCTFN-3-comblements gallo-romains

Planche 205, 1. 11187, n° 354.

Fragment de collerette de chaudron. Le récipient comporte une lèvre à bord droit. Le rivetage de la partie en alliage cuivreux s'effectue à la base de la collerette qui est doublée pour permettre la fixation du fond du récipient. Ce dernier n'est présent que sous la forme d'une bande de tôle repliée vers le haut de la collerette, à une extrémité. Fer.

L. 382 mm, l. 61 mm, ép. 1 à 4 mm. 392.2 g.

E : 1135.50. N : 1131.20. Alt. : 573.07.

Planche 205, 2. 11084, n° 256.

Petit couteau à plaquettes, à lame à dos légèrement convexe et à tranchant sinueux. Une perforation de rivet est visible, près de la lame. Fer.

L. 104 mm, L. (lame) 80 mm, l. (lame) 15 mm. 8.4 g.

E : 1130.02. N : 1133.75. Alt. : 573.39.

Type : 2-4.

Planche 205, 3. 12008, n° 2024.

Fragment d'anse de seau constitué d'un fer plat avec une extrémité aplatie présentant une gorge à rebords légèrement prononcés. Fer.

L. 83 mm, l. 7 à 16 mm, Ép. 2 à 3 mm.. 12.9 g.

E : 1137.3. N : 1131.1. Alt. : /.*

Planche 205, 4. 11189, n° 2059.

Fragment de barre de gril constitué d'un fer plat avec départ d'une soie matée. Fer.

L. 50 mm, S. 3x8 mm. 5.2 g.

E : 1127.2. N : 1132.8. Alt. : /.*

Planche 205, 5. 11202, n° 385.

Fragment de chenet (?) constitué d'une grande tige avec deux angles droits et une

extrémité de section ronde. Fer.

L. 140 mm, S. 10 mm. 36.1 g.

E : 1133.66. N : 1132.90. Alt. : 573.38.

Planche 205, 6. 11187, n° 370.

Fragment de crémaillère constituée d'un anneau et d'un maillon de chaîne en forme de huit. Deux tiges, formant vraisemblablement un maillon en huit et un maillon rapide, complètent cet ensemble. Fer.

L. 107 mm, S. (anneau) 3x4 mm, S. (maillon) 4x4mm, diam. int. 31 mm. 35.8 g.

E : 1135.79. N : 1130. Alt. : 572.96.

Planche 205, 7. 11184, n° 378.

Fragment de louche constitué d'un fragment de tôle formant une calotte. Fer.

L. 71 mm, l. 70 mm, Ép. 2 mm. 38 g.

E : 1132. N : 1130. Alt. : /.

Planche 205, 8. 12516, n° 2061.

Fragment d'ustensile lié au feu (?) composé d'une bande de fer plat légèrement torsadée. Fer.

L. 58 mm, l. 6 mm, S. 6x3 mm. 4.4 g.

E : 1110.2. N : 1131.3. Alt. : /.*

Planche 205, 9. 12505, n° 188.

Fragment de pied de récipient sous la forme d'un plat plié sur un bord avec un décor fait de rainures. Base-cuivre.

L. 17 mm, l. 12 mm, Ép. 1 mm. 2.1 g.

E : 1114.5. N : 1130.4. Alt. : 573.84.

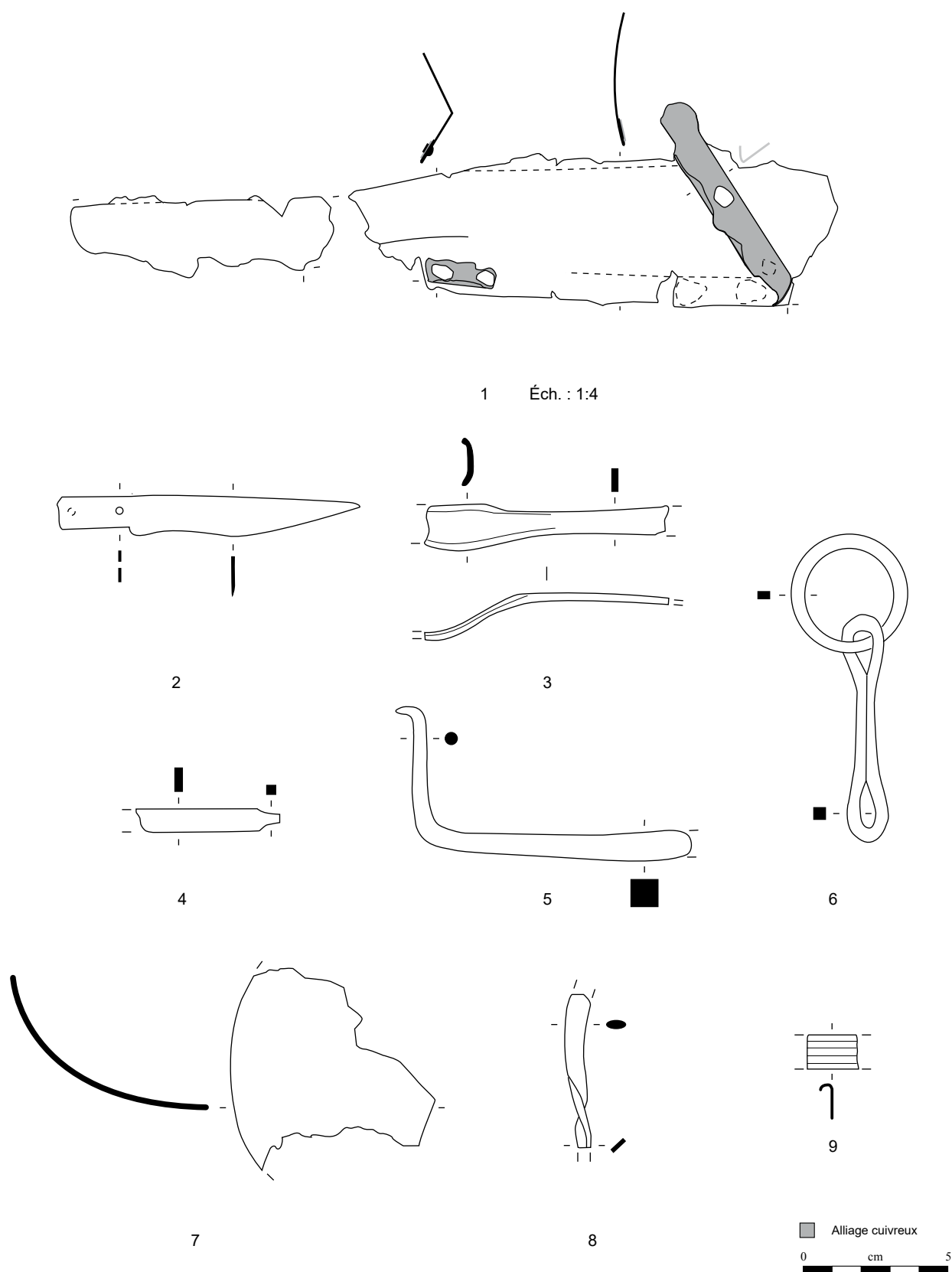


Planche 205. SCTFN-3-complements gallo-romains (activités culinaires)

1 : fer et alliage cuivreux, 2-8 : fer; 9 : alliage cuivreux.

Fossé périphérique, branche nord

État 4 lato sensu : époque romaine

SCTFN-3-comblements gallo-romains

Planche 206, 1. 11118, n° 277.

Clé à translation, relèvement de cheville, tige forgée contrepercée à chaud et trois dents tournées vers le haut. Fer.

L. totale 63 mm, l. 46 mm, S. 10x7 mm, diam. int. 15 mm., 54.2 g.

E : 1128.87. N : 1134.71. Alt. : 573.42.

Planche 206, 2. 11174, n° 338.

Clé à translation, relèvement de cheville, tige forgée contrepercée à chaud, deux dents tournées vers le haut. Fer.

L. 64 mm, L. (panneton) 28 mm. 31.1 g.

E : 1130.10. N : 1131.4. Alt. : 573.

Planche 206, 3. 11184, n° 326.

Tige de clé forgé à anneau contrepercé à chaud. Fer.

L. 49 mm, l. 14 mm, E. 2,5 mm, diam. int. 10 mm. 6.7 g.

E : 1133.25. N : 1130.6. Alt. : 573.3.

Planche 206, 4. 11080, n° 748.

Clé à rotation pleine à panneton brut. Base-cuivre.

L. 30 mm, S. 2x3 mm, diam. int. 8 mm. 2.5 g.

E : 1131.2. N : 1131.2. Alt. : 573.45.

Planche 206, 5. 11127, n° 215.

Extrémité de manche de clé avec trace de plomb à l'intérieur. Base-cuivre.

L. 37 mm, l. 27 mm, E. 3 mm. 23.7 g.

E : 1129.02. N : 1129.85. Alt. : 573.30.

Planche 206, 6. 13562, n° 366.

Fragment de foncet plié avec entrée de clé en «L» avec un rivet de fixation, au centre. Fer.

L. 73 mm, L. déplié 78 mm, l. 65 mm, diam. int. 7 mm. 31.78 g.

E : 1107.02. N : 1132.04. Alt. : 573.98.

Planche 206, 7. 11184, n° 2053.

Pêne contrecoudé pour serrure à rotation (?) composé d'une tige avec deux angles et deux extrémités pointues de section rectangulaire. Fer.

L. 60 mm, S. 3,5 mm. 4.9 g.

E : 1132.5. N : 1130.4. Alt. : /.

Planche 206, 8. 11126, n° 2029.

Fragment de pêne contrecoudé de serrure à rotation. Fer.

L. 30 mm, S. 3x5 mm. 2.2 g.

E : 1134. N : 1130. Alt. : /.

Planche 206, 9. 11194, n° 363.

Pêne vertical à axe fonctionnant par basculement avec une serrure à rotation et un ressort contrebuté. Fer.

L. 83 mm, S. 2x10 mm. 7.6 g.

E : 1132.9. N : 1132.8. Alt. : 573.16.

Planche 206, 10. 11259, n° 502.

Pêne vertical à axe fonctionnant par basculement avec une serrure à rotation et un ressort contrebuté. Fer.

L. 58 mm, S. 1x5 mm. 4 g.

E : 1132.35. N : 1132.15. Alt. : 572.84.

Planche 206, 11. 11184, n° 347.

Auberon (?) constitué d'une tige de section carrée repliée en anneau à son extrémité. Fer.

L. 105 mm, S. 4 mm, diam. int. 8 mm. 9.6 g.

E : 1133.15. N : 1131.65. Alt. : 574.04.

Planche 206, 12. 11202, n° 394.

Fragment d'assemblage de menuiserie composé d'une bande de fer plat coudée à une extrémité et perforée par une tige de section carrée. Fer.

L. (tige) 74 mm, L. (ferrure) 54 mm, l. 20 mm. 28.7 g.

E : 1132. N : 1132. Alt. : /.

Planche 206, 13. 12008, n° 2023.

Penture à noeud dite flamande constituée d'un fer plat recourbé et riveté. L'autre extrémité présente un trou de fixation. Fer.

L. 113 mm, l. 14 mm, S. 6 mm, diam. int. 12 mm. 39.6 g.

E : 1137.2. N : 1130.9. Alt. : /.*

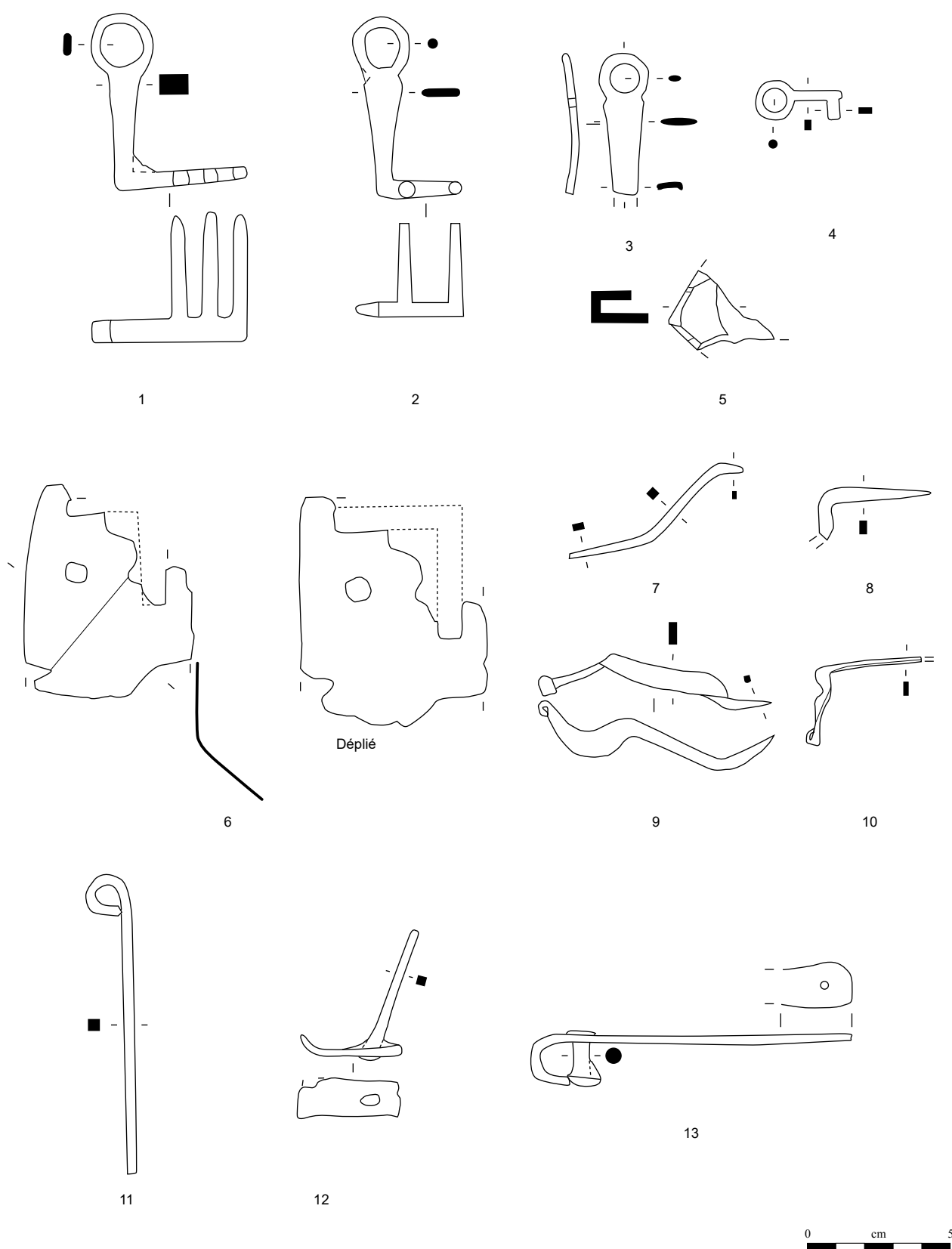


Planche 206. SCTFN-3-complements gallo-romains (huisserie)

1-3, 6-13 : fer; 4-5 : alliage cuivreux.

Fossé périphérique, branche nord

État 4 lato sensu : époque romaine

SCTFN-3-comblements gallo-romains

Planche 207, 1. 10129, n° 81.

Rasoir dont le manche comporte des bords légèrement recourbés. Fer.

L. 85 mm, S. lame 24x3, S. manche 14x3 mm. 9.4 g.

E : 1120.36. N : 1130.4. Alt. : 573.54.

Planche 207, 2. 9220, n° 2.

Fragment de miroir constitué d'une tôle étamée avec un bord en biseau. Base-cuivre.

L. 20 mm, l. 14 mm, E. 1 mm. 1.5 g.

E : 1118.2. N : 1130.15. Alt. : /.

Planche 207, 3. 11181, n° 330.

Clou décoratif de caisse de char bouleté et conique. Fer.

L. 56 mm, L. (utile) 14 mm, diam. 31 mm. 18.4 g.

E : 1133.58. N : 1132.81. Alt. : 573.25.

Planche 207, 4. 12516, n° 348.

Rivet émaillé à tige en fer. Base-cuivre et fer.

14. 7.8 g.

E : 1108.7. N : 1131.65. Alt. : 573.8.

Planche 207, 5. 10241, n° 329.

Fragment d'applique ajourée (?) constituée d'un fragment de tige de section hémisphérique formant un cercle duquel repart un autre fragment de tige. Base-cuivre.

L. 20 mm, l. 4 mm, E. 1,5 mm, diam. int. 10 mm. 1.1 g.

E : 1121.1. N : 1128. Alt. : /.

Planche 207, 6. 12505, n° 70.

Fragment d'applique constituée d'une bande de tôle pliée et décorée de rainures internes. Base-cuivre.

L. 81 mm, l. 5 mm, E. 1,5 mm. 2 g.

E : 1113.2. N : 1128.4. Alt. : /.*

Planche 207, 7. 11087, n° 82.

Maillon rapide de section carrée. Fer.

Diam. 10 mm, S. 2 mm. 0.6 g.

E : 1127.17. N : 1131.23. Alt. : 573.63.

Planche 207, 8. 11084, n° 2012.

Clou décoratif à tête hémisphérique pleine massive. Fer.

L. 15 mm. 17.7 g.

E : 1134. N : 1130. Alt. : /.

Planche 207, 9. 10258, n° 2019.

Anneau de sertissage composé d'un fragment de tige de section ronde enroulée de manière hélicoïdale. La section diminue d'une extrémité à l'autre. Fer.

L. 20 mm, S. 5 (tige)mm, diam. int. 21x16 mm. 15 g.

E : 1126.8. N : 1132.3. Alt. : /.*

Planche 207, 10. 10129, n° 83.

Anneau de sertissage constitué d'un fil de section circulaire qui forme une boucle à la jonction entre ses deux extrémités. Fer.

Diam. 37 mm, S. 3 mm. 4.8 g.

E : 1121.54. N : 1130.65. Alt. : 573.57.

Planche 207, 11. 12516, n° 379.

Petit anneau indéterminé de section ronde avec élargissement sur un quart du diamètre. La section est en forme de «D» au niveau de l'élargissement. L'intérieur forme également un «D». Base-cuivre.

Diam. 7 mm, S. 1 mm. 0.6 g.

E : 1112.77. N : 1130.5. Alt. : 572.71.

Planche 207, 12. 11051, n° 40.

Fragment indéterminé de tôle aux bords repliés. Fragment de tôle de récupération? Base-cuivre.

L. 13 mm, l. 13 mm. 0.9 g.

E : 1128.64. N : 1132.93. Alt. : 573.71.

Non phasé

SCTFN-4-Fosse 11265

Planche 207, 13. 11264, n° 523.

Ressort à quatre spires et corde externe haute de fibule filiforme à arc tendu de section ronde. Fer.

L. 23 mm. 2.9 g.

E : 1132. N : 1131. Alt. : /.

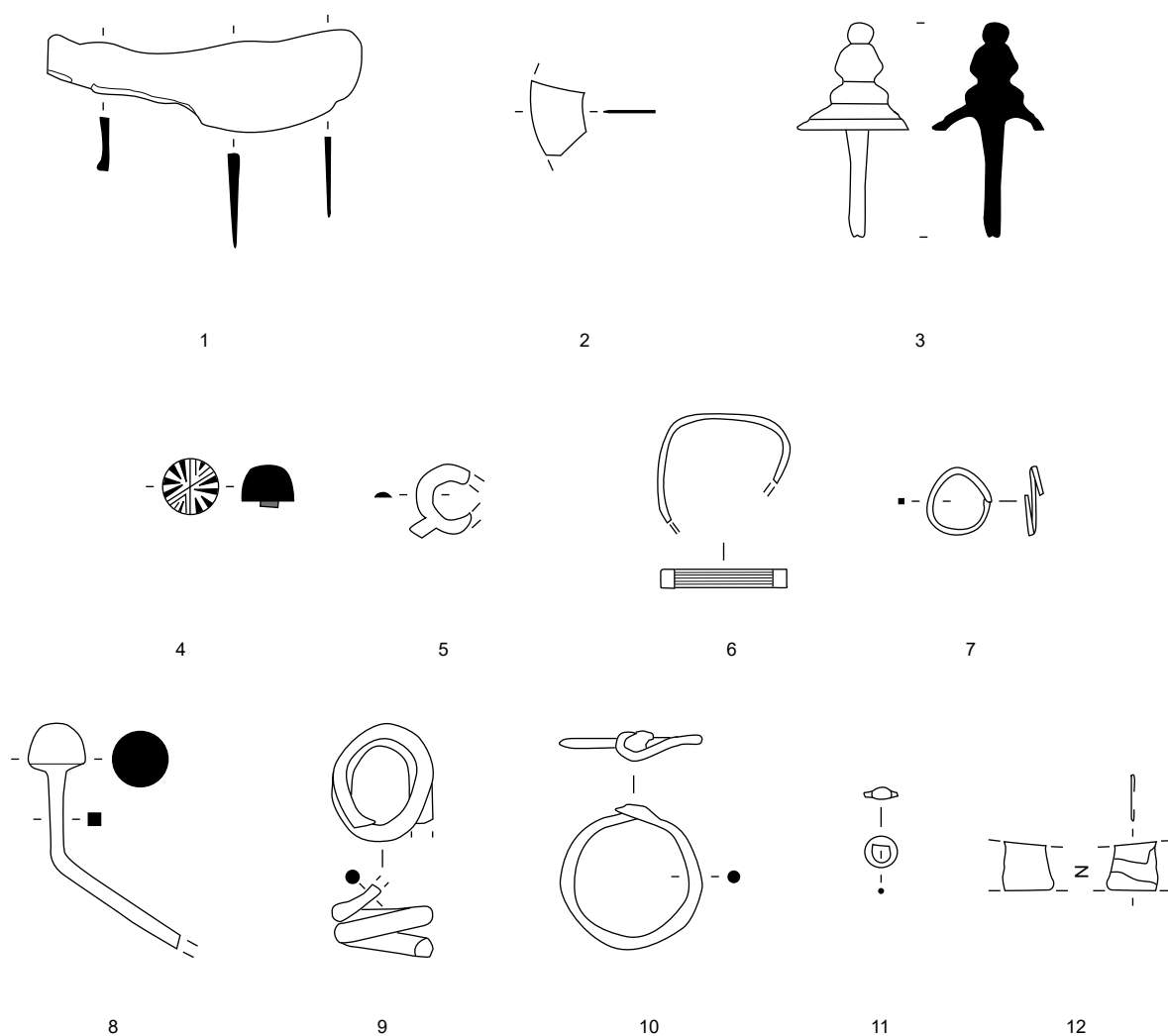
Type : F33-1.

Planche 207, 14. 11264, n° 2079.

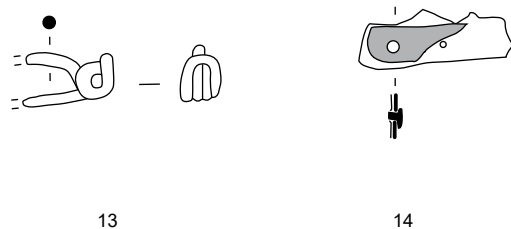
Fragment de chaudron composé d'une bande de tôle en fer rivetée à une bande de tôle en bronze. Fer, base-cuivre.

L. 40 mm, l. 15 mm. 10.5 g.

E : 1133.7. N : 1131.7. Alt. : /.*



SCTFN-3-complements gallo-romains



SCTFN-4-Fosse 11265

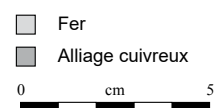


Planche 207. SCTFN-3-complements gallo-romains (autres catégories) à SCTFN-4-Fosse 11265

1, 3, 7-10, 13 : fer; 2, 5-6, 11-12 : alliage cuivreux; 4 : alliage cuivreux et fer; 14 : fer et alliage cuivreux.

Fossé périphérique, branche nord

État 1.2 : LTD1b classique

SCTFN-5-arrachage de la palissade

Planche 208, 1. 13730, n° 523.

Petit anneau de section hexagonale. Base-cuivre.

Diam. 14 mm, S. 4 x 4 mm. 2.5 g.

E : 1106.1. N : 1131.65. Alt. : /.

Planche 208, 2. 11227, n° 465.

Perle de section en «D». Base-cuivre.

Diam. 11 mm, S. 3 x 5 mm. 2.1 g.

E : 1135.9. N : 1129.1. Alt. : 573.27.

Planche 208, 3. 12604, n° 926.

Fragment de bouterolle ajourée à extrémité triangulaire munie de pinces arrondies surmontées par des globules. Fer.

L. 88 mm, l. pince 32 mm, S. 4x5 mm. 33.9 g.

E : 1110.18. N : 1130.64. Alt. : 573.63.

Planche 208, 4. 11197, n° 2067.

Chute de bande avec une découpe légèrement concave et une trace de martelage. Fer.

L. 64 mm. 8 g.

E : 1130.8. N : 1130.9. Alt. : /.*

Planche 208, 5. 12596, n° 868.

Fragment de ferrure décorative constituée d'une bande de tôle aux bordures repliées présentant deux perforations de fixation. Base-cuivre.

L. 26 mm, diam. int. 1 mm. 0.8 g.

E : 1110.62. N : 1131.19. Alt. : 573.53.

Planche 208, 6. 11227, n° 2089.

Rivet émaillé à tige en fer. Base-cuivre et fer.

10. 3.3 g.

E : 1134. N : 1129. Alt. : /.

Planche 208, 7. 12604, n° 888.

Collier ou torque à fermoir replié et jonc de section circulaire. Fer.

Diam. 126 mm, S. 3 mm. 19.9 g.

E : 1111.3. N : 1127.7. Alt. : 573.42.

Planche 208, 8. 12604, n° 900.

Foncet de serrure avec trou de fixation et bois minéralisé en surface. L'entrée de serrure est rectangulaire. Fer.

L. 95 mm, l. 51 mm, E. 1 mm, diam. int. (entrée) 5x17, diam. int. (fixation) 3,5 mm. 52.7 g.

E : 1111.45. N : 1129.45. Alt. : 573.45.

État 1.1 : fin LTD1a-LTD1b classique

SCTFN-6-calage de la palissade

Planche 208, 9. 13740, n° 657.

Petit anneau de section facettée à l'intérieur et ronde à l'extérieur. Base-cuivre.

Diam. 21 mm, S. 6 mm. 7.1 g.

E : / . N : / . Alt. : /.

SCTFN-7-occupation piégée

Planche 208, 10. 12518, n° 448.

Extrémité distale de bouterolle. Une pince ronde et l'extrémité sont en gouttière, tandis que la partie intermédiaire est de section rectangulaire. Un fragment de tôle est toujours pris dans la gouttière proximale. Fer.

L. 102 mm, l. pince 7 mm, S. gouttière 4x5 mm. 8.5 g.

E : 1123.4. N : 1131. Alt. : 573.16.

Planche 208, 11. 12518, n° 2063.

Fragment de gouttière. Fer.

L. 52 mm, l. gouttière 6x6 mm. 4.2 g.

E : 1117.1. N : 1131.2. Alt. : /.*

Planche 208, 12. 12518, n° 392.

Fragment d'entrée de bouterolle avec la barrette supérieure, la gouttière et un bouton décoratif. Le bouton et la barrette devaient apparaître sur la plaque avers. Fer.

L. 39 mm, l. 52 mm, S. gouttière 5 x 5 mm. 7.8 g.

E : 1118.9. N : 1131.15. Alt. : 573.31.

Planche 208, 13. 12518, n° 2121.

Fibule à ressort à quatre spires et corde externe basse et arc filiforme en arc de cercle de section ronde. Fer.

L. 48 mm. 4.2 g.

E : 1121.1. N : 1131.5. Alt. : 572.66.

Type : F11-3.

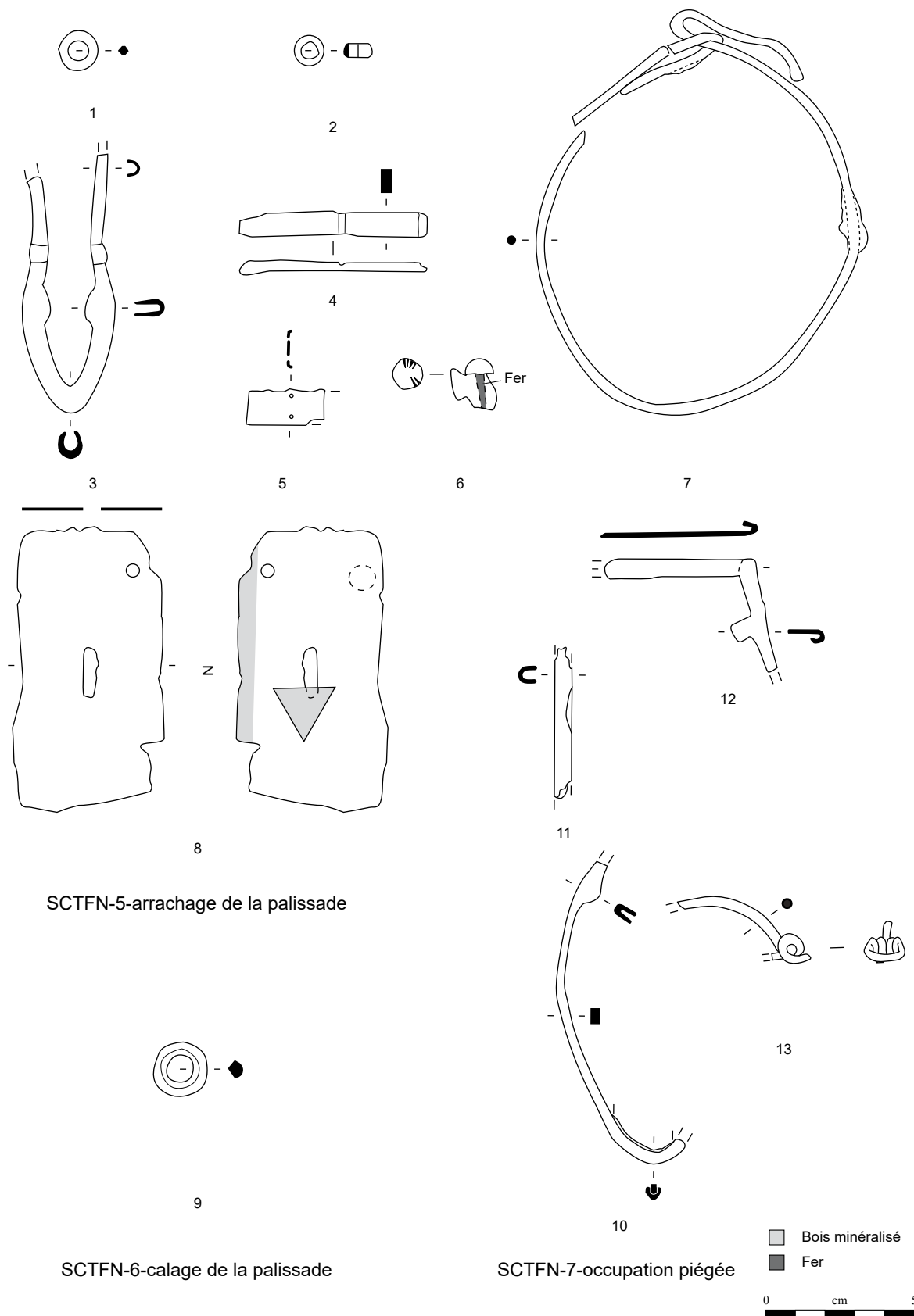


Planche 208. SCTFN-5-arrachage de la palissade à SCTFN-7-occupation piégée

1-2, 5, 9 : alliage cuivreux; 3-4, 7-8, 10-13 : fer; 6 : alliage cuivreux et fer.

Fossé périphérique, branche nord

État 1 perturbé : LTD1b classique ?

SCTFN-8-Comblement inférieur perturbé

Planche 209, 1. 11204, n° 392.

Fragment de deux plaques de fourreau jointives. Seul un bord est conservé. Fer.
L. 55 mm, l. 40 mm, E. 1,5 mm. 31.1 g.
E : 1136. N : 1133. Alt. : 573.15.

Planche 209, 2. 11203, n° 464.

Fragments de deux plaques de fourreau collées par la corrosion. Un fragment de gouttière est conservé sur un des bords, tandis que l'autre gouttière manque. Les deux plaques ne sont plus jointives. (UF réattribuée ex 11221). Fer.
L. 86 mm, l. 55 mm. 81.9 g.
E : 1135.80. N : 1132.35. Alt. : 573.12.

Planche 209, 3. 11203, n° 469.

Extrémité distale de deux plaques de fourreau repliées deux fois. (UF réattribuée ex 11221). Fer.
L. 132 mm, L. (déplié) 238 mm, l. 35 mm, ép. 1 mm. 69 g.
E : 1135.85. N : 1131.9. Alt. : 573.04.

Planche 209, 4. 11204, n° 393.

Fragment d'agrafe ou de barrette de fourreau avec un départ de gouttière. Fer.
L. 29 mm. 3.8 g.
E : 1136. N : 1133. Alt. : 573.15.

Planche 209, 5. 11204, n° 391.

Fragment de bouterolle pliée dont il ne subsiste que la gouttière et une pince arrondie. Fer.
L. 80 mm, S. gouttière 6x5 mm. 7 g.
E : 1135.45. N : 1132.20. Alt. : 573.11.

Planche 209, 6. 11203, n° 419.

Fragment de plaque avers de fourreau repliée sur elle-même. Deux hypothétiques traces de pinces rondes de bouterolle (13x22mm) et un fragment de gouttière de deux centimètres sont lisibles sur un bord. Très corrodé. Fer.
L. 125 mm, L. (dépliée) 184 mm, l. 52 mm, ép. 1,5 mm. 131.4 g.
E : 1134. N : 1132.09. Alt. : 573.16.

Planche 209, 7. 11203, n° 388.

Fibule mutilée au ressort démantelé et au pied replié en direction du ressort à quatre spires et corde interne. L'arc filiforme tendu présente une arête centrale. Fer.
L. 32 mm, L. (déplié) 43 mm. 3.3 g.
E : 1134.57. N : 1130.50. Alt. : 573.34.
Type : F23-6.

Planche 209, 8. 11226, n° 480.

Ressort de fibule à quatre spires (deux conservées) et corde interne. Base-cuivre.
L. 12 mm. 0.6 g.
E : 1135.57. N : 1130.29. Alt. : /.
Type : B20-0.

Planche 209, 9. 11203, n° 416.

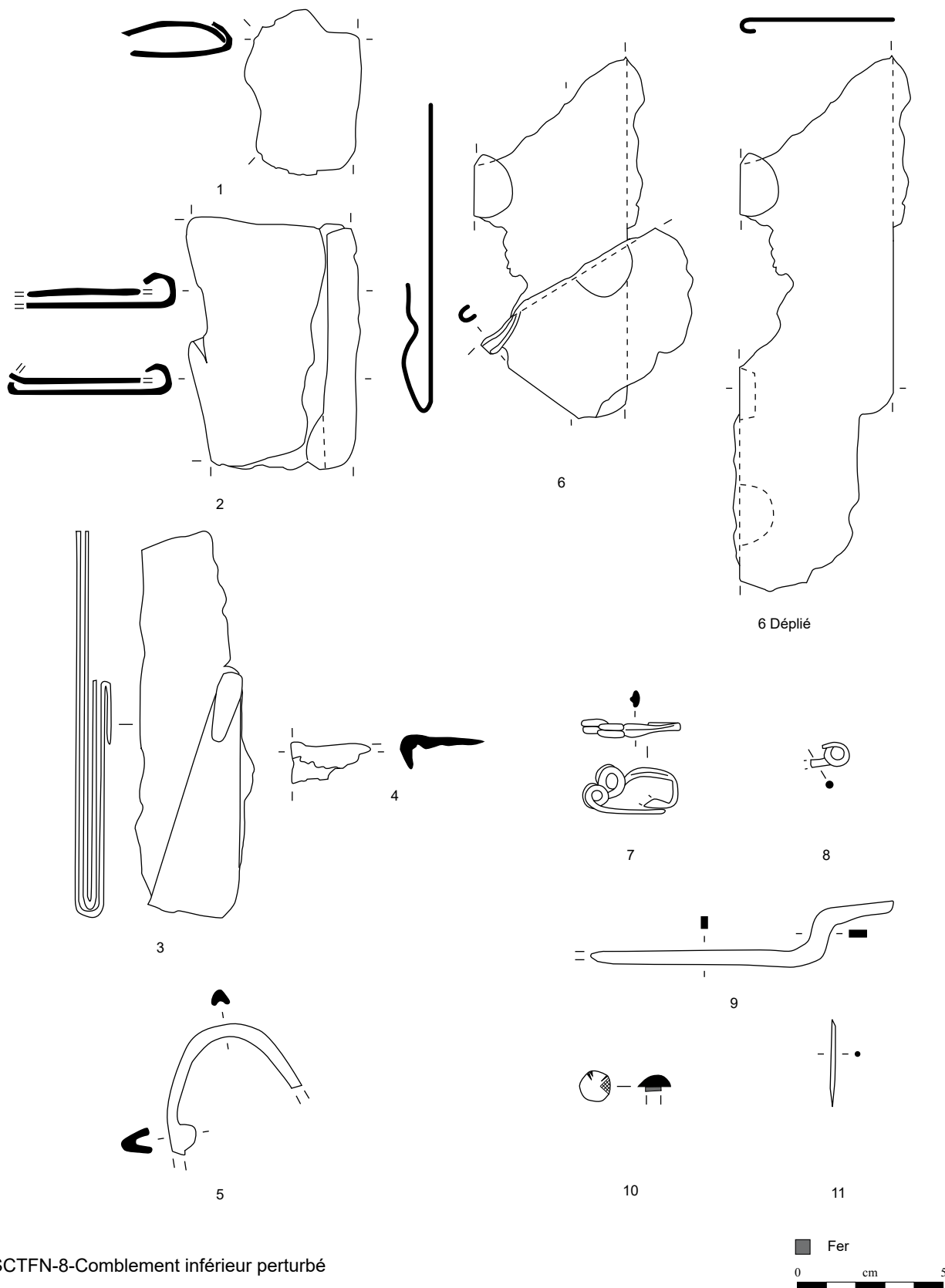
Pêne contrecoudé de serrure à rotation. Fer.
L. 104 mm, S. 3x6 mm. 11.7 g.
E : 1134. N : 1131.70. Alt. : 573.

Planche 209, 10. 11203, n° 411.

Clou-rivet émaillé à tige en fer fragmentaire. Base-cuivre et fer.
10. 1.9 g.
E : 1126. N : 1130. Alt. : 573.21.

Planche 209, 11. 11203, n° 414.

Alène (?) constituée d'une tige de section ronde appointée aux deux extrémités. Base-cuivre.
L. 30 mm, S. 2 mm. 0.6 g.
E : 1111. N : 1117. Alt. : 573.15.



SCTFN-8-Comblement inférieur perturbé

Planche 209. SCTFN-8-Comblement inférieur perturbé

1-7, 9 : fer; 8, 11 : alliage cuivreux; 10 : alliage cuivreux et fer.

Fossé périphérique, branche est

Décapage

SCTFE-1-décapage

Planche 210, 1. 12129, n° 1023.

Fragment de bracelet à jonc plein de section ronde à extrémité bouletée et moulurée. Base-cuivre.

L. 42 mm, S. 3,5 mm. 5.5 g.

E : 1136.6. N : 1118.1. Alt. : 573.04.

Type : B13-2.

État 4 lato sensu : époque romaine

SCTFE-2-complements gallo-romains

Planche 210, 2. 13024, n° 15.

Fibule pseudo-La Tène moyenne complète, à ressort à quatre spires et corde interne, à arc coudé et pied triangulaire attaché sur l'arc par une bague moulurée. Base-cuivre.

L. 74 mm. 10.7 g.

E : 1133.15. N : 1105.3. Alt. : 573.77.

Type : B21-3.

Planche 210, 3. 13024, n° 66.

Fibule complète à cache-ressort et à arc rubané inorné, à pied trapézoïdal ajouré sous l'arc. Base-cuivre.

L. 37 mm. 7 g.

E : 1136.5. N : 1107.8. Alt. : 573.8.

Type : B57-1.

Planche 210, 4. 13024, n° 65.

Variante de fibule d'Aucissa complète de petite taille à charnière dans le prolongement de l'arc et à arc en anse de panier à moulurations longitudinales et à pied dans son prolongement. Base-cuivre.

L. 21 mm. 1.5 g.

E : 1136.8. N : 1107.15. Alt. : 573.71.

Type : B68-3.

Planche 210, 5. 11018, n° 24.

Fibule à ressort à quatre spires et corde interne et arc de tôle triangulaire à décor en échelle incisé. Seul le porte-ardillon est fragmentaire. Base-cuivre.

L. 35 mm, L. (arc) 24 mm, l. (arc) 3.5 mm. 2 g.

E : 1136.2. N : 1129.55. Alt. : 573.74.

Type : B22-04.

Planche 210, 6. 11195, n° 404.

Fibule complète à ressort à quatre spires et corde externe haute et à arc coudé rubané et pied triangulaire ajouré. Fer.

L. 76 mm, L. (arc) 42 mm, l. (arc) 7.5 mm, L. (pied) 25 mm. 7.1 g.

E : 1135. N : 1129. Alt. : 573.05.

Type : F33-10.

Planche 210, 7. 13024, n° 113.

Fragment d'orle en gouttière réparée par une orle de section rectangulaire avec deux pinces de fixation à rivet en position fonctionnelle. Fer.

L. 185 mm, l. (pince) 24 mm, S. (réparation) 6x4 mm. 46.1 g.

E : 1136.45. N : 1106.2. Alt. : 573.50.

Type : Rectangulaire.

Planche 210, 8. 13024, n° 2012.

Fragment de bouterolle constitué d'une gouttière d'où part une barrette. Fer.

L. 38 mm, l. 4x6 mm. 2 g.

E : 1135. N : 1107.1. Alt. : /.*

Planche 210, 9. 13028, n° 88.

Fragment d'orle à gouttière avec une patte de fixation rivetée. Fer.

L. 132. 27.5 g.

E : 1137. N : 1106. Alt. : /.

Type : Gouttière.

Planche 210, 10. 13024, n° 106.

Fragment de manche d'outil constitué d'une tige de section ronde à extrémité biseautée mal conservée. Fer.

L. 59 mm, S. 10 mm. 27.5 g.

E : 1137.3. N : 1105.9. Alt. : 573.55.

Planche 210, 11. 13024, n° 110.

Fragment de petit marteau constitué d'une tige de section changeante entre le carré et le rond à oeil fragmentaire. Fer.

L. 45 mm, S. 11-12 mm. 27.2 g.

E : 1135.7. N : 1106.9. Alt. : 573.55.

Planche 210, 12. 11177, n° 315.

Chute de tige de section carrée pointue avec une découpe droite. Fer.

L. 22 mm. 0.5 g.

E : 1133.4. N : 1124.3. Alt. : 573.31.

Planche 210, 13. 13024, n° 2013.

Chute de tige de section carrée avec une découpe légèrement concave. Fer.

L. 25 mm. 1.4 g.

E : 1136.2. N : 1107.4. Alt. : /.*

Planche 210, 14. 11177, n° 2051.

Chute de tige de section carrée avec une découpe en bec de dauphin. Fer.

L. 33 mm. 3.3 g.

E : 1133.5. N : 1122.9. Alt. : /.*

Planche 210, 15. 11195, n° 764.

Chute de tige de section carrée pointue avec une découpe en bec de dauphin. Fer.

L. 35 mm. 2.2 g.

E : 1130. N : 1126. Alt. : /.

Planche 210, 16. 13024, n° 2014.

Chute de tige de section carrée pointue, avec une découpe légèrement concave. Fer.

L. 36 mm. 1.7 g.

E : 1136.3. N : 1107.3. Alt. : /.*

Planche 210, 17. 11195, n° 765.

Chute de tige de section ronde puis rectangulaire, avec une découpe légèrement concave. Fer.

L. 50 mm. 6.3 g.

E : 1130. N : 1126. Alt. : /.

Planche 210, 18. 13024, n° 67.

"Feuille" constituée d'une tôle de forme triangulaire comportant trois lobes sur chacun des côtés du triangle, alors qu'une

tige se développe à sa base. Base-cuivre.

L. 21 mm, E. 0,5 mm. 1.2 g.

E : 1136.3. N : 1106.15. Alt. : 573.74.

Planche 210, 19. 13028, n° 75.

"Feuille" (?) constituée d'une tôle de forme lenticulaire prolongée par une petite tige légèrement enroulée. Base-cuivre.

L. 15 mm, l. 8 mm, E. 0,5 mm. 0.5 g.

E : 1135.7. N : 1105.4. Alt. : 573.61.

Planche 210, 20. 13028, n° 74.

Tête de cheval, de chevreuil ou de renard avec un petit appendice à la base du cou de l'animal. Elle a pu servir à l'ornementation d'un récipient. Base-cuivre.

L. 19 mm. NP.

E : 1135.5. N : 1108.4. Alt. : 573.67.

Planche 210, 21. 11195, n° 724.

Gâche de verrou par glissement. Fer.

L. 50 mm, L. utile 14 mm. 11.6 g.

E : 1134.05. N : 1126.6. Alt. : /.

Planche 210, 22. 11188, n° 420.

Auberon (?) cassé à l'extrémité et constitué d'une tige de section carrée formant un anneau à son extrémité. Fer.

L. 62 mm, S. 2,5 mm, diam. int. 4 mm. 3.9 g.

E : 1134.85. N : 1124.25. Alt. : 573.14.

Planche 210, 23. 13028, n° 97.

Tôle de renfort (?) constituée d'une grande plaque en forme ovale, coupée dans le sens de la largeur, comportant six perforations et deux rivets par refoulement encore en place. Fer.

L. 81 mm, l. 109 mm, E. 1 mm, diam. trous 4-7 mm. 68.1 g.

E : 1137.18. N : 1110.48. Alt. : 573.46.

1-5, 18-20 : alliage cuivreux; 6-17, 21-23 : fer.

Fossé périphérique, branche est

État 1.2 : LTD1b classique

SCTFE-5-arrachage palissade nord entrée

Planche 211, 1. 15257, n° 185.

Anneau de section ronde à canal d'usure prononcée. Base-cuivre.

Diam. 14 mm, S. 2,5 mm. 1.8 g.

E : 1136. N : 1121.3. Alt. : 573.22.

Planche 211, 2. 15257, n° 189-2.

Petit anneau de section ronde. Fer.

Diam. 16 mm, S. 3 mm. 1.7 g.

E : 1136.2. N : 1123.2. Alt. : 576.06.

Planche 211, 3. 15257, n° 187.

Bracelet à jonc ouvert plein, de section en «D», décoré de quatre lignes pointillées formées de points martelés. Cet exemplaire est complet. Base-cuivre.

Diam. int. 52 mm, S. 3 x 7 mm. 21.7 g.

E : 1135.5. N : 1119.4. Alt. : 573.21.

Type : B16-1.

Planche 211, 4. 15257, n° 189-1.

Flamme de lance cassée au commencement de l'emmanchement, en forme de feuille de laurier à nervure centrale. Très corrodée. Fer.

9. 97.6 g.

E : 1136.2. N : 1123.2. Alt. : 576.06.

Type : 43.

Planche 211, 5. 15257, n° 208.

Fragment d'orle en gouttière avec un fragment de la pince de fixation et du bois minéralisé à l'intérieur. Fer.

L. 25 mm, l. 9 mm, S. 5 mm. 1.8 g.

E : 1135.8. N : 1121. Alt. : 573.03.

Type : Gouttière.

Planche 211, 6. 15257, n° 238.

Fragment de bouterolle du groupe Ludwigshafen composée d'une gouttière et de deux pinces décoratives triangulaires proches l'une de l'autre. Fer.

L. 50 mm, S. 4x3 mm. 3.2 g.

E : 1137.2. N : 1135. Alt. : 573.10.

Planche 211, 7. 15257, n° 188.

Manipule composé d'une bande de fer plat de section rectangulaire avec deux extrémités élargies et trouées. Une des extrémités est pliée près de l'élargissement. Fer.

L. 120 mm, l. 11 mm, E. 3 mm, diam. int. 4 mm. 32.6 g.

E : 1136.3. N : 1121.7. Alt. : 573.12.

Type : Manipule.

Planche 211, 8. 15257, n° 156.

Étui composé d'une tôle enroulée formant un cylindre légèrement conique. Une substance blanchâtre (plomb) se trouve à l'intérieur et bouche l'extrémité de l'objet. Base-cuivre.

L. 31 mm, diam. int. 12 mm. 9 g.

E : 1134.2. N : 1119.5. Alt. : 573.21.

Planche 211, 9. 15257, n° 167.

Sonde de trousse de toilette (?) composée d'une tige de section ronde avec un trou de suspension et extrémité mousse. Les deux fragments ont été cassés à la fouille. Base-cuivre.

L. 61 mm, S. 2,5 mm, Ø int. 2 mm. 2.3 g.

E : 1136.5. N : 1121.1. Alt. : 573.09.

Planche 211, 10. 11231, n° 428-1.

Fragment de foncet avec entrée de clé rectangulaire pour clé à rotation. Fer.

L. total 71 mm, L. entrée 23 mm, l. totale 39, L.

entrée 8 mm, E. 1 mm. 12.4 g.

E : 1136.4. N : 1128.7. Alt. : 573.16.

Planche 211, 11. 11258, n° 522.

Foncet avec entrée de clé rectangulaire composée d'une bande de tôle. Fer.

L. 40 mm, l. 20 mm, E. 2 mm. 4.9 g.

E : 1134. N : 1131.4. Alt. : 572.73.

Planche 211, 12. 15257, n° 207.

Fragment indéterminée de tige de section rectangulaire et de forme triangulaire. Arc de fibule? Fer.

L. 53 mm. 2.2 g.

E : 1137.2. N : 1122.2. Alt. : 573.10.

SCTFE-6-arrachage palissade sud entrée

Planche 211, 13. 13081, n° 404.

Deux spires d'un grand ressort de fibule. Fer.

L. 14 mm. 2.3 g.

E : 1136.8. N : 1111.2.

Planche 211, 14. 13078, n° 2070.

Grand anneau de section ronde. Base-cuivre.

Diam. 20 mm, S. 2 mm. 1.2 g.

E : 1137.1. N : 1105.8. Alt. : /.*

Planche 211, 15. 13081, n° 2000.

Fragment de bracelet à jonc plein lisse à section en «D». Base-cuivre.

L. 40 mm, diam. int. 60 mm, S. 3 x 5 mm. 4 g.

E : 1136.8. N : 1109.5. Alt. : 572.5.

Type : B10-4.

Planche 211, 16. 13081, n° 391.

Fragment d'orle de section rectangulaire tordue à 2 reprises, avec deux pattes de fixation dont une avec un rivet en position fonctionnelle et du bois minéralisé, dans la seconde patte. Fer.

L. 257 mm, l. (pinces) 19 mm, S. 3-4 x 6 mm. 11 g.

E : 1137.04. N : 1109.02. Alt. : 573.13.

Type : Rectangulaire.

Planche 211, 17. 13081, n° 392.

Fragment de bouterolle à gouttière avec une pince triangulaire et un départ de barrette. Cet élément peut également être interprété comme une pièce de renfort à l'entrée du fourreau. Fer.

L. 34 mm, l. 36 mm, S. gouttière 5x5 mm. 3.5 g.

E : 1137.11. N : 1108.93. Alt. : 572.98.

Planche 211, 18. 13081, n° 393.

Fragment de bouterolle en gouttière avec une pince triangulaire. La pince décorative a été ouverte. Fer.

L. 55 mm, S. pince 5x6 mm. 2.3 g.

E : 1137.14. N : 1108.91. Alt. : 573.02.

Planche 211, 19. 13081, n° 449.

Pendant de harnais constitué d'une applique ajourée en forme de goutte à extrémité bifide. Base-cuivre.

L. 67 mm, l. 45 mm, E. 0,5 mm. 2.3 g.

E : 1136.8. N : 1109.96. Alt. : 572.54.

État 1.1 : fin LTD1a-LTD1b classique

SCTFE-7-calage palissade

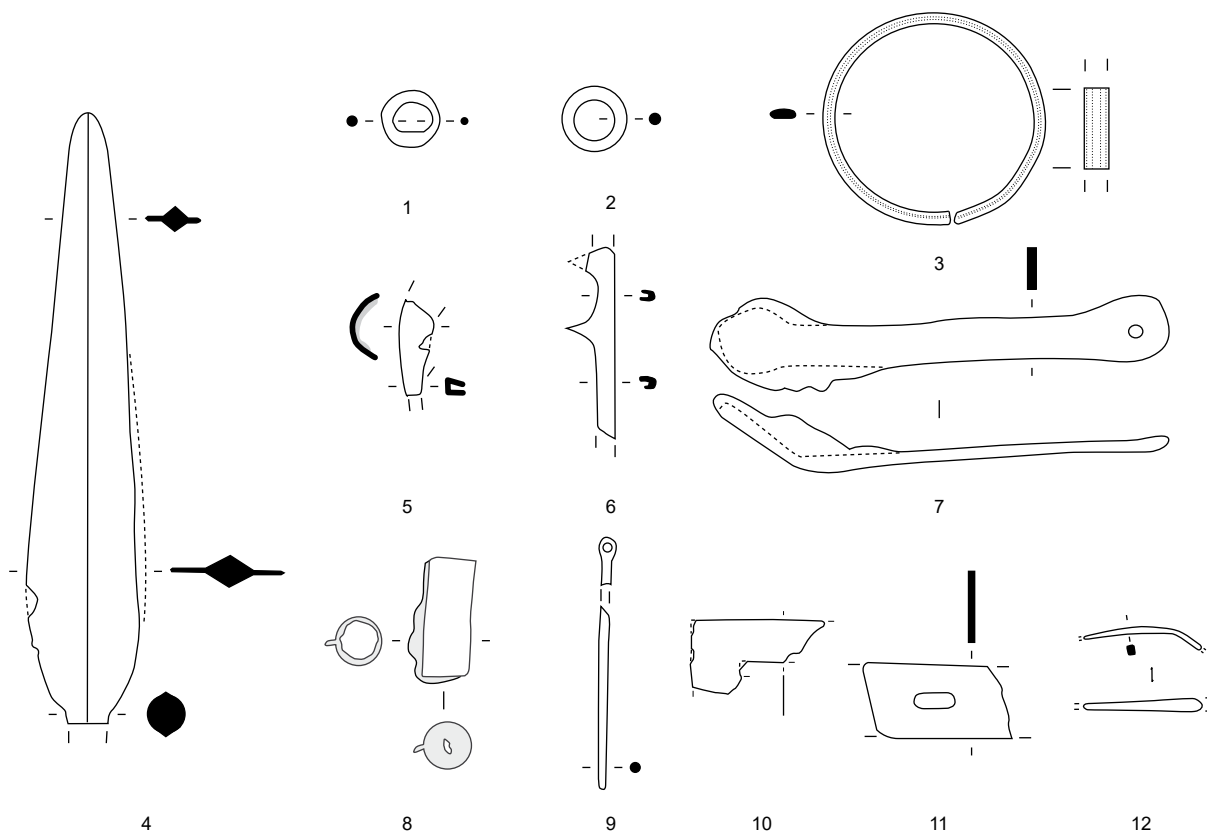
Planche 211, 20. 12109, n° 1005.

Fragment d'épissure de bracelet ou terminaison de bracelet méandrique constitué d'un fil très fin. Base-cuivre.

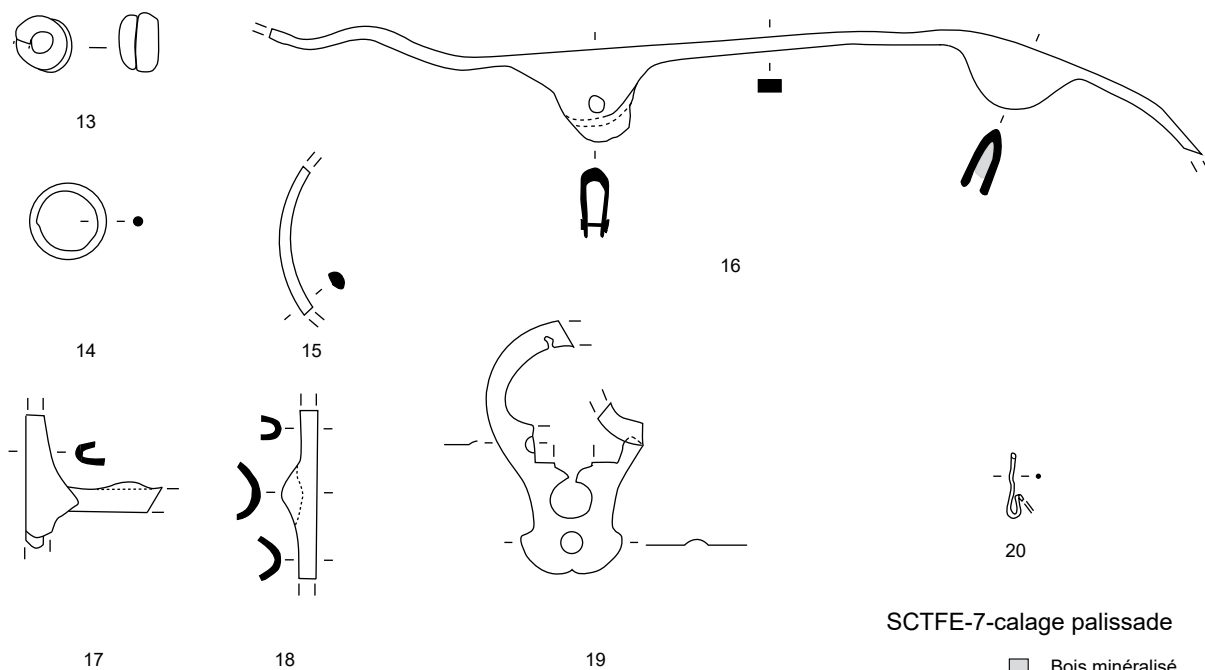
L. 17 mm. 0.5 g.

E : 1132.46. N : 1115.65. Alt. : 572.95.

Type : B12-1.



SCTFE-5-arrachage palissade nord entrée



SCTFE-6-arrachage palissade sud entrée

SCTFE-7-calage palissade

Bois minéralisé
Plomb

0 cm 5

Planche 211. SCTFE-5-arrachage palissade nord entrée à SCTFE-7-calage palissade

1-3, 8-9, 14-15, 19-20 : alliage cuivreux; 4-7, 10-13, 16-18 : fer.

Fossé périphérique, branche est

Décapage

SCTFS-1-décapage

Planche 212, 1. 12986, n° 2120.
Fibule à ressort à quatre spires et corde interne et arc de tôle triangulaire à bordures soulignées par une rainure. Base-cuivre.
L. 30 mm. 1.3 g.
E : 1111.7. N : 1092.*
Type : B22-03.

État 4 lato sensu : époque romaine

SCTFS-2-comblement gallo-romain

Planche 212, 2. 13217, n° 147.
Petit anneau de section en «D». Base-cuivre.
Diam. 15 mm, S. 4 x 5 mm. 4.7 g.
E : 1112.5. N : 1092.5. Alt. : /.

SCTFS-3-fosse 13211

Planche 212, 3. 13212, n° 128.
Fibule à ressort à une spire conservée et arc filiforme cambré de section circulaire. Base-cuivre.
L. 30 mm. 1.2 g.
E : 1097.72. N : 1091.85. Alt. : 574.27.
Type : B03.

Planche 212, 4. 13212, n° 338.
Chute de tôle triangulaire avec deux coins repliés. Base-cuivre.
L. 13 mm, l. 13 mm. 1.5 g.
E : 1096.95. N : 1092.20. Alt. : 574.19.

État 4 lato sensu : époque romaine

SCTFS-5-fosse 13219

Planche 212, 5. 13220, n° 536.
Arc de fibule outrepassant de section lenticulaire avec bague décorative et partie supérieure du pied. Fer.
L. 57 mm. 1.6 g.
E : 1114. N : 1092.
Type : F34-3.

État 1.2 : LTD1b classique

SCTFS-6-arrachage palissade

Planche 212, 6. 13239, n° 322.
Perle à section en «D». Base-cuivre.
Diam. 13 mm, S. 4 x 5 mm. 4.3 g.
E : 1103.88. N : 1092.56. Alt. : 574.09.

Planche 212, 7. 13252, n° 352.
Fragment de petit anneau de section ovale. Base-cuivre.
Diam. 14 mm, S. 3 x 1 mm. 1.3 g.
E : 1097. N : 1093.6. Alt. : 574.24.

Planche 212, 8. 13297, n° 2069.
Fragment de bracelet à jonc lisse plein de section ovale. Base-cuivre.
L. 58 mm. 9.7 g.
E : 1113. N : 1092.6. Alt. : /.
Type : B10-2.

Planche 212, 9. 13251, n° 351.
Chute de plat triangulaire. Base-cuivre.
L. 16 mm. 1.3 g.
E : 1097.53. N : 1093.10. Alt. : 574.17.

Planche 212, 10. 13243, n° 2030.
Fragment d'anse de seau, de situle constituée d'une grande tige incurvée aux extrémités de section carrée, tandis que le milieu est plus épais et de section ronde. Fer.
L. 192 mm, S. 3-6 mm.. 19.6 g.
E : 1091.5. N : 1099.5. Alt. : /.*

Fossé périphérique, branche ouest

Décapage

SCTFO-1-décapage

Planche 212, 11. 13545, n° 362.
Petit anneau de section en quart de rond. Base-cuivre.
Diam. 16 mm, S. 4 x 5 mm. 4.4 g.
E : 1095.83. N : 1110.74. Alt. : 574.24.

Planche 212, 12. 13521, n° 63.
Virole de pilum de forme carrée avec un décor strié sur la bordure distale. La virole est écrasée à cette extrémité. Fer.
L. 17 mm, l. 22 mm, diam. int. 15x13 mm.. 9.8 g.
E : 1094.99. N : 1124.28. Alt. : 574.19.

Planche 212, 13. 13545, n° 2039.
Fragment d'outil constitué d'une tige de section hexagonale. Fer.
L. 31 mm, S. 7 mm. 7.7 g.
E : 1095. N : 1128. Alt. : /.

Planche 212, 14. 13545, n° 2038.
Chute de barre de section carrée avec une découpe droite. Fer.
L. 41 mm. 16.9 g.
E : 1096. N : 1128. Alt. : /.

Planche 212, 15. 12803, n° 2076.
Chute de tige de section carrée pointue avec une découpe droite. Fer.
L. 36 mm. 0.8 g.
E : 1098. N : 1115. Alt. : /.

Perturbations modernes

SCTFO-2-perturbations modernes

Planche 212, 16. 13538, n° 2034.
Fragment d'arc de fibule coudé de section rectangulaire. Fer.
L. 51 mm. 2.6 g.
E : 1097. N : 1130. Alt. : /.
Type : F03.

Planche 212, 17. 13541, n° 296.
Anse de récipient (?) composée d'une tige de section quadrangulaire à angles arrondis, coudée à une extrémité. Base-cuivre.
L. 69 mm, S. 5 x 2,5 mm. 3.4 g.
E : 1094.2. N : 1122.6. Alt. : /.

Planche 212, 18. 13538, n° 2035.
Fragment de battant de cloche composé d'une tige terminée par une pointe en forme de crochet. L'anneau servant à la suspension du battant est cassé. Fer.
L. 54 mm, S. 3x3 mm. 1.7 g.
E : 1097.5. N : 1131.4. Alt. : /.

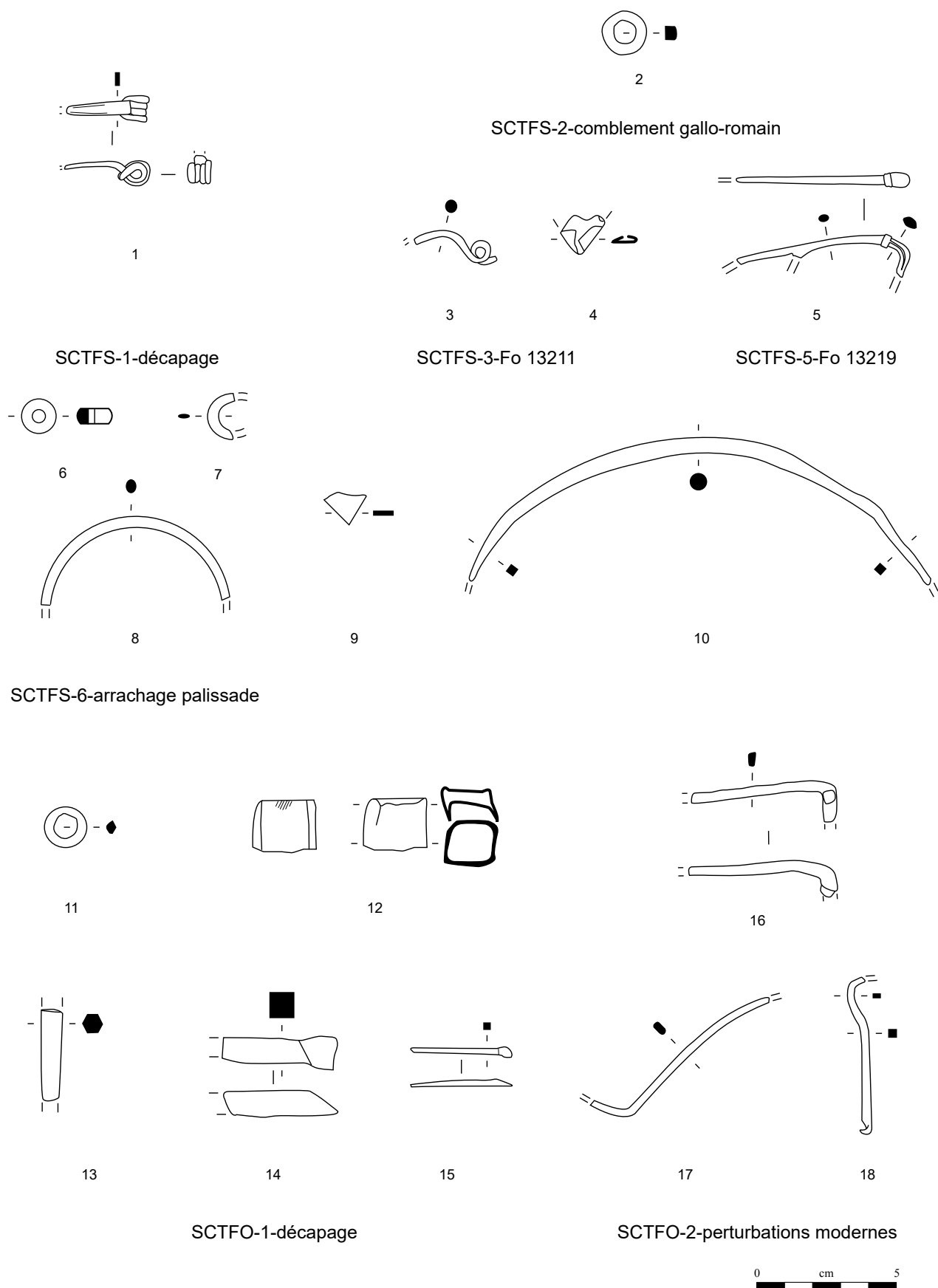


Planche 212. SCTFS-1-décapage à SCTFO-2-perturbations modernes

1-4, 6-9, 11, 17 : alliage cuivreux; 5, 10, 12-16, 19 : fer.

Fossé périphérique, branche ouest

État 1.2 : LTD1b classique

SCTFO-3-arrachage palissade

Planche 213, 1. 13699, n° 358.

Fibule à quatre spires et corde interne à arc triangulaire fin de tôle à bordures soulignées par une rainure, cassée au début du pied. Base-cuivre.

L. 29 mm, L. (arc) 20 mm, l. (arc) 4 mm. 1.1 g.
E : 1095. N : 1126.98. Alt. : 574.11.
Type : B22-03.

Planche 213, 2. 13696, n° 406.

Agrafe de ceinturon constituée d'un anneau de section losangique cassé et d'un bouton émaillé sphérique, à décor géométrique posé sur une languette légèrement décalée vers le haut par rapport à l'axe de l'anneau. Base-cuivre.

L. 34 mm, S. 5 x 6 mm, diam. rest. 28 mm. 16 g.
E : 1095.26. N : 1123.1. Alt. : 573.11.
Type : B41-1.

Planche 213, 3. 13698, n° 361.

Fragment de bracelet à jonc lisse plein de section ronde. Cet exemplaire est plié. Base-cuivre.

L. 46 mm, S. 2,5 mm. 1.6 g.
E : 1093.79. N : 1125.40. Alt. : 573.93.
Type : B10-1.

Planche 213, 4. 13697, n° 2051.

Chute de tige de section carrée avec une découpe légèrement concave. Fer.

L. 30 mm. 1.2 g.
E : 1095.3. N : 1124.5. Alt. : /.

Planche 213, 5. 13697, n° 2052.

Chute de tige de section carrée pointue avec une découpe légèrement concave. Fer.

L. 45 mm. 1.9 g.
E : 1094.8. N : 1124.3. Alt. : /.

Planche 213, 6. 13696, n° 2049.

Chute de tige de section carrée avec une découpe aplatie droite. Fer.

L. 34 mm. 1.6 g.
E : 1095.5. N : 1123.7. Alt. : /.

Planche 213, 7. 13697, n° 484.

Chute de tige de section carrée pointue avec une découpe présentant des marques de dégorgement. Fer.

L. 39 mm. 1.8 g.
E : 1095.24. N : 1124.02. Alt. : 574.11.

Planche 213, 8. 13696, n° 509.

Chute de tige de section carrée pointue avec une découpe en bec de dauphin. Fer.

L. 60 mm, S. 4 mm. 2.5 g.
E : 1095.43. N : 1123.32. Alt. : 574.15.

Planche 213, 9. 13696, n° 502.

Chute de tige de section carrée pointue avec une découpe légèrement concave. Fer.

L. 60 mm, S. 2 mm. 2.3 g.
E : 1095.59. N : 1123.61. Alt. : 574.19.

Planche 213, 10. 13695, n° 2047.

Chute de tige de section carrée avec une découpe droite. Fer.

L. 54 mm. 3.8 g.
E : 1094.5. N : 1122.6. Alt. : /.

Planche 213, 11. 13697, n° 2050.

Chute de tige de section carrée pointue avec une découpe légèrement concave. Fer.

L. 54 mm. 2.6 g.
E : 1094.6. N : 1124.6. Alt. : /.

Planche 213, 12. 13696, n° 495.

Chute de tige de section rectangulaire pointue avec une découpe légèrement concave. Fer.

L. 60 mm. 4 g.
E : 1095.98. N : 1123.72. Alt. : 574.22.

Planche 213, 13. 13696, n° 2048.

Chute de tige de section ronde et carrée avec une découpe légèrement concave. Fer.

L. 30 mm, S. 5 mm. 3.4 g.
E : 1094.6. N : 1123.4. Alt. : /.

Planche 213, 14. 13696, n° 503.

Fragment de foncet à entrée de clé en «L». Fer.

L. 50 mm, l. 29 mm, ép. 2 mm. 5.3 g.
E : 1095.55. N : 1123.4. Alt. : 574.2.

Planche 213, 15. 13698, n° 359.

Fragment de rondelle ou de contreplaque de rivet. Base-cuivre.

Diam. 19 mm. 1.3 g.
E : 1095.22. N : 1125.30. Alt. : 573.94.

Planche 213, 16. 13696, n° 497.

Piton fermé à oeillet par enroulement. L'extrémité de la tige de l'oeillet est soudée à la tige de section rectangulaire du piton. Fer.

L. 98 mm, S. 9 x 8 mm. 28 g.
E : 1095.83. N : 1123.38. Alt. : 574.18.

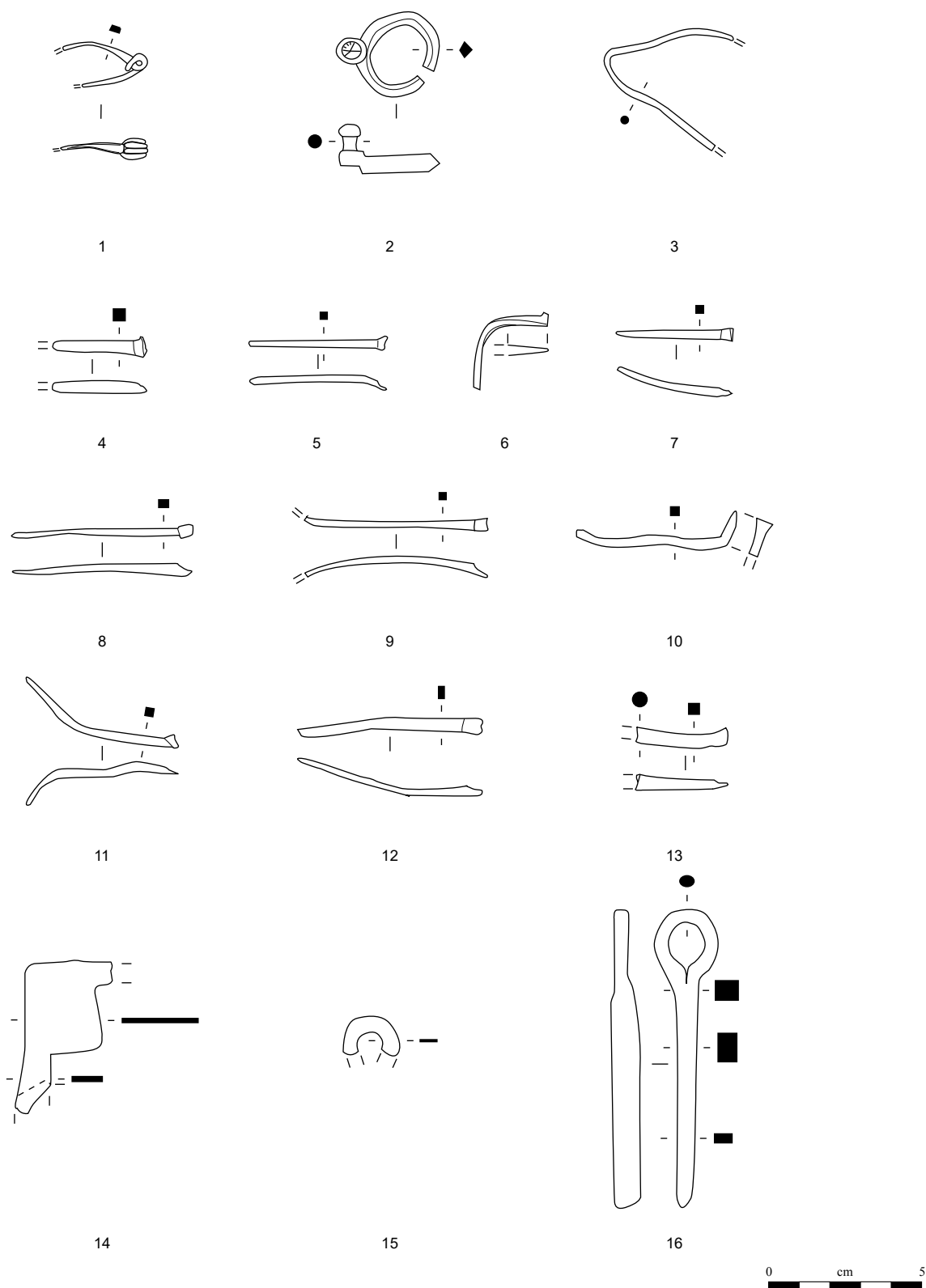


Planche 213. SCTFO-3-arrachage palissade

1-2, 15 : alliage cuivreux; 3-14, 16 : fer.

Enclos A

Décapage

SCTA-1-décapage

Planche 214, 1. 9075.

Ardillon complet et ressort de fibule à une spire conservée. Fer.

L. 42 mm. NP.

E : 1116.2. N : 1120.7.

Planche 214, 2. 12700, n° 125.

Fragment d'objet de toilette ou de médecine constitué d'une tige de section hexagonale et ronde à une extrémité. Base-cuivre.

L. 56 mm, S. 2 mm. 1.6 g.

E : 1115. N : 1122. Alt. : /.

État 4 lato sensu : époque romaine

SCTA-2-remblais

Planche 214, 3. 9217.

Ardillon et ressort de fibule à une spire conservée. Fer.

L. 39 mm. NP.

E : 1116.1. N : 1127.9.

Planche 214, 4. 9282.

Fragment d'anneau de section hémisphérique. Base-cuivre.

L. 14 mm, diam. 16 mm, S. 3 x 2 mm. 1.3 g.

E : 1120. N : 1118. Alt. : /.

Planche 214, 5. 9074.

Fragment d'anneau de section ronde. Base-cuivre.

Diam. 21 mm, S. 4 x 3 mm. 1.5 g.

E : 1119.87. N : 1120.53. Alt. : /.

Planche 214, 6. 10250, n° 277.

Perle de section losangique. Base-cuivre.

Diam. 13 mm, S. 4 x 5 mm. 3.3 g.

E : 1126.8. N : 1126.4. Alt. : 573.44.

Planche 214, 7. 10092, n° 220.

Perle de section avec trois facettes à l'intérieur et circulaire à l'extérieur. Base-cuivre.

Diam. 11 mm, S. 3 x 5 mm. 2.3 g.

E : 1125.18. N : 1124. Alt. : 573.51.

Planche 214, 8. 10066, n° 39.

Petit anneau de section ronde. Base-cuivre.

Diam. 16 mm, S. 3 mm. 2.7 g.

E : 1121.87. N : 1118.92. Alt. : 573.79.

Planche 214, 9. 9081.

Fragment de bracelet tubulaire à rainures longitudinales, aplati avec une perforation. Base-cuivre.

L. 32 mm, S. 10 x 4 mm. 2.1 g.

E : 1116.2. N : 1127.3. Alt. : /.

Type : B21-5.

Planche 214, 10. 10249, n° 285.

Fragment de bracelet tubulaire constitué d'une tôle enroulée sur elle-même, avec un pli sur un bord de la tôle. Une des

extrémités est finie. Base-cuivre.

L. 28 mm, l. 10 mm. 1.6 g.

E : 1126.5. N : 1128.4. Alt. : 573.36.

Type : B21-1.

Planche 214, 11. 10250, n° 2018.

Fragment de gouttière (?). Fer.

L. 25 mm, S. 4 x 2 mm. 1 g.

E : 1126. N : 1126. Alt. : /.

Planche 214, 12. 9217, n° 3.

Fragment de cerclage de seau constitué d'une large bande de tôle aux rebords soulignés par un bourrelet. Base-cuivre.

L. 21 mm, l. 22 mm, ép. 0,5 mm. 1.2 g.

E : 1116.6. N : 1126.95. Alt. : /.

Planche 214, 13. 10250, n° 2017.

Chute de barre de section carrée avec une découpe légèrement concave. Fer.

L. 35 mm, S. 7 mm. 12 g.

E : 1126. N : 1126. Alt. : /.

SCTA-3-démolition

Planche 214, 14. 10052, n° 27.

Fragment de collerette de chaudron aplatie constituée d'une tôle avec un ourlet, perforé régulièrement tous les 22 mm. Trois perforations sont conservées. Fer.

L. 83 mm. 20.2 g.

E : 1121.70. N : 1121.03. Alt. : 573.71.

SCTA-5-empierrement 10119

Planche 214, 15. 10119, n° 65.

Fragment d'applique circulaire trouée en son centre de section incurvée. Un décor de stries orne la bordure extérieure. Base-cuivre.

L. 32 mm. 1.2 g.

E : 1122.9. N : 1119.7. Alt. : 573.72.

SCTA-7-TP 10218

Planche 214, 16. 10218, n° 2015.

Fragment de gouttière de bouterolle. Fer.

L. 46 mm, S. 3 x 4 mm. 2.7 g.

E : 1122.15. N : 1120.2. Alt. : /.

État 2-GR: LTD1b évoluée-époque romaine

SCTA-8-interface LT-GR

Planche 214, 17. 10113, n° 68.

Ardillon de fibule à charnière à perforation excentrée. Base-cuivre.

L. 33 mm. 0.5 g.

E : 1120.15. N : 1119.59. Alt. : 573.67.

Planche 214, 18. 10095, n° 165.

Maillon de chaînette ouvert de section ronde. Base-cuivre.

Diam. 6 mm, S. 1 mm. 0.6 g.

E : 1124. N : 1122. Alt. : 574.19.

Planche 214, 19. 10095, n° 164.

Disque décoratif de *lorica segmentata* avec un décor de pétales stylisés composé de petits trapèzes aux angles arrondis marqués par deux lignes successives. Le

centre du disque est percé et comporte un

petit replat pour sa fixation. Base-cuivre.

Diam. 17 mm. 1.2 g.

E : 1125.3. N : 1123.1. Alt. : 573.53.

Planche 214, 20. 10227, n° 2027.

Chute de tige de section carrée pointue, avec une découpe légèrement concave. Fer.

L. 59 mm, S. 4 x 3 mm. 4.1 g.

E : 1124. N : 1118. Alt. : /.

Planche 214, 21. 10094, n° 195.

Fragment de barre de gril constituée d'un fer plat étroit avec soie terminale matée. Fer.

L. 167 mm, S. 2 x 10 mm. 21.6 g.

E : 1124.62. N : 1121.23. Alt. : 573.66.

Planche 214, 22. 10094, n° 56.

Butée de chaudron biconique à tenon de fixation. Fer.

L. 16 mm, ht. 21 mm. 27.2 g.

E : 1125.43. N : 1121.82. Alt. : 573.64.

Planche 214, 23. 10289, n° 2023.

Fragment de support extérieur de gril constitué d'une barre coudée avec un décrochement avant le coude du pied. La section de l'objet diminue depuis le coude. Fer.

L. 117 mm, S. 8,5 mm. 45.1 g.

E : 1126.1. N : 1122.3. Alt. : /.

Planche 214, 24. 10200, n° 2014.

Fragment de pêne contrecoudé pour serrure à rotation de section rectangulaire. Fer.

L. 60 mm, S. 5 mm. 9.4 g.

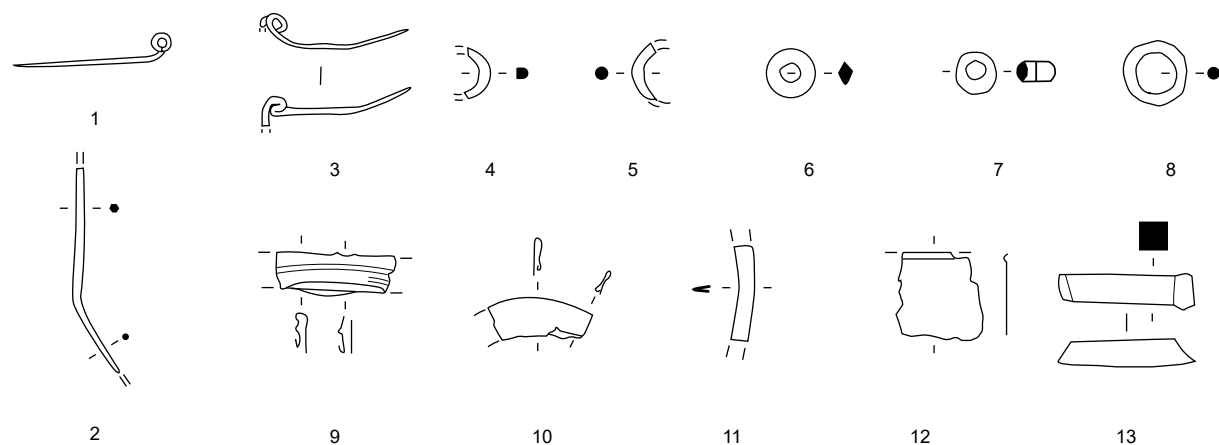
E : 1122.7. N : 1119.3. Alt. : /.

Planche 214, 25. 10280, n° 443.

Fragment d'anneau de sertissage de section rectangulaire. Fer.

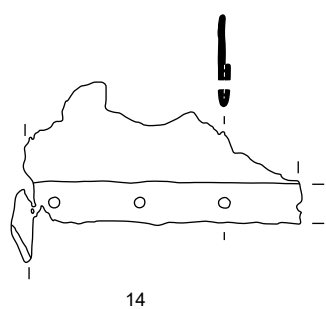
Diam. int. 10 mm, S. 3 x 5 mm. 10.2 g.

E : 1124.69. N : 1120.98. Alt. : /.



SCTA-1-décapage

SCTA-2-remblais

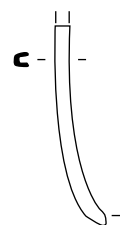


SCTA-3-démolition



15

SCTA-5-empierrement 10119



16

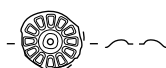
SCTA-7-TP 10218



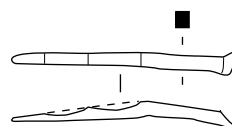
17



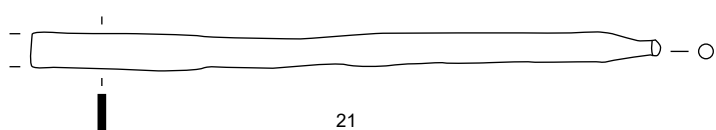
18



19



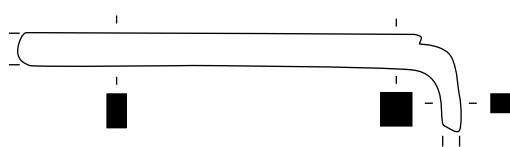
20



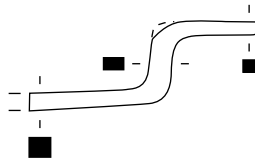
21



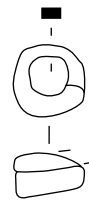
22



23



24



25

SCTA-8-interface LT-GR

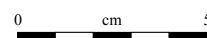


Planche 214. SCTA-1-décapage à SCTA-8-interface LT-GR

1, 3, 10, 13-14, 16, 20-25 : fer; 2, 4-10, 12, 15, 17-19 : alliage cuivreux.

Enclos A

État 1 et 2 lato sensu : LTD1b-LTD2

SCTA-9-sol laténien

Planche 215, 1. 10089, n° 51.

Fragment de bouterolle avec barrette et gouttière de chaque côté. Deux fragments de plaque sont conservés sous la barrette. Cet objet est très corrodé. Fer.
L. 31 mm, l. 50 mm, 10 g.
E : 1124.36. N : 1122.56. Alt. : 573.61.

Planche 215, 2. 10089, n° 280.

Agrafe de fourreau constituée d'une fine bande de tôle repliée aux deux extrémités. (Réattribuée, ancienne UF 10094). Fer.
L. 58 mm, l. 7 mm, ép. 2 mm. 3.9 g.
E : 1124.7. N : 1121.9. Alt. : 573.48.

Planche 215, 3. 10090, n° 333.

Barrette de bouterolle de fourreau et fragment de gouttière. La corrosion ne permet pas de déterminer la jonction entre la barrette et la gouttière. Fer.
L. 14 mm, l. 47 mm, ép. 2 mm. 2.5 g.
E : 1123.95. N : 1121.78. Alt. : /.

Planche 215, 4. 10089, n° 54.

Gouttière de bouterolle tordue. Fer.
L. 21 mm, S. (gouttière) 4 x 4 mm. 1.4 g.
E : 1124.37. N : 1122.33. Alt. : 573.63.

Planche 215, 5. 10083, n° 47.

Fragment de bouterolle constituée d'un fragment de gouttière d'où part une barrette ou une pince décorative. Fer.
L. 21 mm, S (gouttière) 4 x 4 mm. 1.1 g.
E : 1124.11. N : 1124.38. Alt. : 573.63.

Planche 215, 6. 10284, n° 334.

Fragment de bouterolle constituée d'un fragment de gouttière et d'une pince décorative triangulaire. Fer.
L. 39 mm, l. (pince) 11 mm, S. (gouttière) 4x5 mm. 2.4 g.
E : 1123.7. N : 1125.3. Alt. : /.

Planche 215, 7. 10195, n° 145.

Arc cambré de fibule filiforme, de section lenticulaire puis circulaire, interrompu par des lignes perpendiculaires à l'axe de l'arc. Base-cuivre.
L. 40 mm. 0.8 g.
E : 1124.7. N : 1124.3. Alt. : 573.55.
Type : B34-1.

Planche 215, 8. 11613, n° 369.

Clou-rivet émaillé à tige en fer fragmentaire. Base-cuivre et fer.
14. 5.3 g.
E : 1124.70. N : 1125.41. Alt. : 573.45.

État 2.3 : fin LTD2a-LTD2b

SCTA-10-fossé branche sud

Planche 215, 9. 10193, n° 159.

Fibule de Nauheim complète à ressort à quatre spires et corde interne et arc triangulaire fin à décor d'échelle incisé et pied trapézoïdal ajouré. Base-cuivre.
L. 41 mm, L. (arc) 21 mm, l. (arc) 3 mm. 2.2 g.
E : 1121. N : 1119.58. Alt. : 573.59.
Type : B22-04.

Planche 215, 10. 10216, n° 316.

Fibule de Nauheim complète à ressort à quatre spires et corde interne à arc triangulaire fin à décor d'échelle incisé et à pied trapézoïdal ajouré. Base-cuivre.
L. 42 mm, L. (arc) 21 mm, l. (arc) 3 mm. 2.1 g.
E : 1120.75. N : 1119.45. Alt. : 573.51.
Type : B22-04.

Planche 215, 11. 10245, n° 335.

Fibule de Nauheim complète à ressort à quatre spires et corde interne à arc triangulaire fin à décor d'échelle incisé et à pied trapézoïdal ajouré. L'ardillon est en connexion avec le pied. Base-cuivre.
L. 42 mm, L. (arc) 21 mm, l. (arc) 3 mm. 1.7 g.
E : 1122.8. N : 1120. Alt. : 573.5.
Type : B22-04.

Planche 215, 12. 9208.

Petit anneau de section en quart de rond. Base-cuivre.
Diam. 14 mm, S. 3 x 4 mm. 2.6 g.
E : 1118.63. N : 1118.98. Alt. : /.

Planche 215, 13. 10193, n° 156.

Perle de section bombée large et avec deux cannelures sur les bordures. Base-cuivre.
Diam. 12 mm, S. 3 x 8 mm. 3.7 g.
E : 1122.7. N : 1118.2. Alt. : 573.65.

Planche 215, 14. 10193, n° 153.

Petit anneau de section en quart de rond. Base-cuivre.
Diam. 15 mm, S. 3,5 x 4 mm. 2.3 g.
E : 1121.4. N : 1119.63. Alt. : 573.65.

Planche 215, 15. 10215, n° 215.

Pointe de lance à flamme de section losangique. Fer.
L. 60, l., S. max. 10x13 mm. 15.5 g.
E : 1123.1. N : 1120.1. Alt. : 573.61.
Type : 20.

Planche 215, 16. 10310, n° 385.

Fragment de bédane dont la tête percute est manquante, ainsi qu'une partie du tranchant. Le corps est de section rectangulaire. Fer.
L. 66 mm, l. 7 mm, S. 7x9 mm. 20.5 g.
E : 1126. N : 1123. Alt. : 573.35.

Planche 215, 17. 10193, n° 160.

Aiguille à chas rond. La tige aplatie est munie d'un bord biseauté, coupe-fil? Base-cuivre.
L. 32 mm, S. 2 mm, diam. int. 1,5 mm. 0.7 g.
E : 1121.19. N : 1119.58. Alt. : 573.59.

Planche 215, 18. 10193, n° 162.

Fragment indéterminé de tôle perforée avec deux bords repliés, dont un dentelé. Base-cuivre.
L. 17 mm, l. 12 mm, diam. int. 1 mm.. 0.5 g.
E : 1121.17. N : 1119. Alt. : 573.6.

Planche 215, 19. 10193, n° 152.

Fragment de ferrure décorative constituée d'une bande de tôle avec deux rainures le long de chacun de ses bords. Base-cuivre.
L. 14 mm, l. 6 mm, E. 0,5 mm. 0.8 g.
E : 1121.4. N : 1119.8. Alt. : 573.59.

Planche 215, 20. 10245, n° 322.

Fragment de ferrure décorative constituée d'une bande de tôle avec trace de rivet. Base-cuivre.
L. 23 mm, l. 23 mm, E. 0,5 mm. 1.3 g.
E : 1123.78. N : 1119.68. Alt. : 573.41.

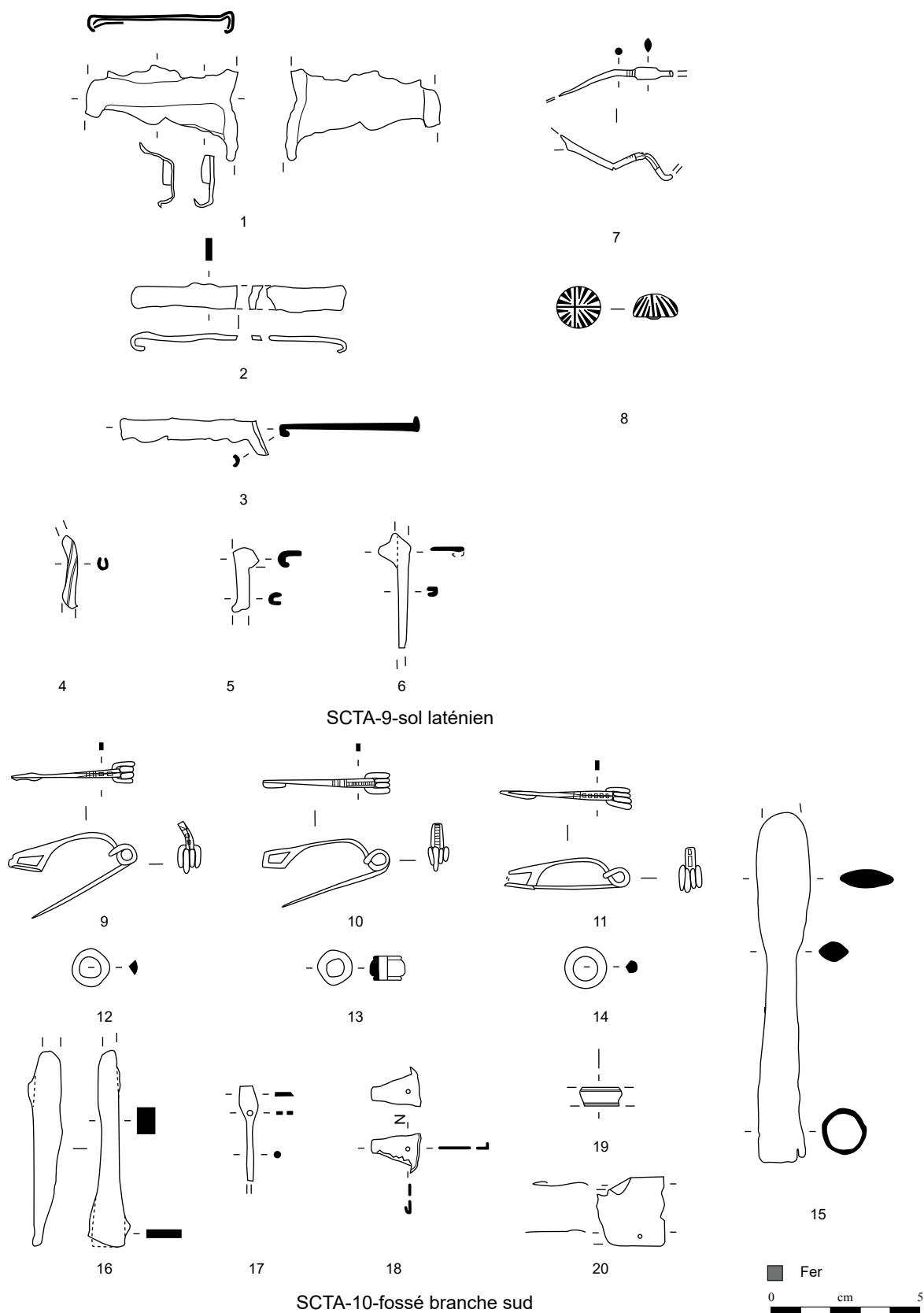


Planche 215. SCA-9-sol laténien à SCA-10-fossé branche sud

1-6, 15-16 : fer; 7-14, 17-20 : alliage cuivreux.

Enclos A

État 2,3 : fin LTD2a-LTD2b

SCTA-11-fossé branche est

Planche 216, 1. 10304, n° 357.

Talon de lance à douille. Fer.
L. 49 mm, diam. int. 15 mm, diam. ext. 20 mm.
16.2 g.
E : 1126.2. N : 1126.9. Alt. : 573.29.
Type : 2.

Planche 216, 2. 10304, n° 2024.

Chute de tige de section carrée pointue, avec une découpe en bec de dauphin. Fer.
L. 30 mm. 1.9 g.
E : 1125.2. N : 1126.8. Alt. : /*

SCTA-12-fossé branche nord

Planche 216, 3. 10254, n° 330.

Arc de fibule de Nauheim à bordures soulignées par une rainure et des incisions et partie médiane présentant des lignes perpendiculaires à l'arc du jonc dont il ne reste qu'une spire du ressort. Le porte-ardillon est complet. Base-cuivre.
L. 35 mm, l. (arc) 3 mm, L. (arc) 20 mm. 0.7 g.
E : 1122.59. N : 1127.02. Alt. : /*
Type : B22-07.

Planche 216, 4. 10256, n° 272.

Fibule de Nauheim dont il ne manque que l'extrémité du porte-ardillon, à ressort à quatre spires et corde interne et à arc triangulaire fin à bordures incisées et décor interrompu. Base-cuivre.
L. 39 mm, L. (arc) 27 mm, l. (arc) 2.5 mm.
2.1 g.
E : 1124.6. N : 1126.8. Alt. : 573.4.
Type : B22-05.

Planche 216, 5. 10254, n° 266.

Arc de fibule filiforme cambré de section circulaire. Fer.
L. 25 mm. 0.4 g.
E : 1123. N : 1127.09. Alt. : 573.43.
Type : F03.

Planche 216, 6. 10256, n° 273.

Fragment de bande de tôle à patine bleu-noire, avec un bord souligné par deux rangs de deux rainures. Base-cuivre.
L. 20 mm, l. 12 mm, E. 0,5 mm. 0.9 g.
E : 1124.5. N : 1126.8. Alt. : 573.4.

SCTA-13-fossé branche ouest

Planche 216, 7. 12705, n° 431.

Fibule en forme d'omega complète à terminaison retournée vers l'extérieur et anneau de section circulaire. Fer.
L. 51 mm, diam. (anneau) 34 x 24 mm. 3.6 g.
E : 1115. N : 1123.4. Alt. : 573.66.
Type : F80.

Planche 216, 8. 12705, n° 889.

Fragment d'ardillon et ressort de fibule à quatre spires (deux conservées) et corde externe haute. Fer.
L. 59 mm. 3.5 g.

E : 1114.8. N : 1121.53. Alt. : 573.7.
Type : F30.

Planche 216, 9. 12705, n° 955.

Extrémité repliée d'arc de fibule triangulaire à bordures soulignées par une rainure et pied ajouré. Base-cuivre.
L. 34 mm. 0.9 g.
E : 1115.13. N : 1124.58. Alt. : 573.62.
Type : B22-03.

Planche 216, 10. 12714, n° 975.

Enclumette à table rectangulaire facettée. Fer.
L. 32 mm, S. (tige) 9x12 mm, L. (table) 29x16 mm, ép. (table) 6 mm. 26.1 g.
E : 1116.8. N : 1118.41. Alt. : 573.68.

Planche 216, 11. 12715, n° 2071.

Talon de lance (?) à douille. Fer.
L. 82 mm, diam. int. 8 mm, diam. ext. 12 mm.
26.2 g.
E : 1114.6. N : 1123.5. Alt. : /*
Type : 2.

État 1 et 2 lato sensu : LTD1b-LTD2

SCTA-14-Fo 10058

Planche 216, 12. 10157, n° 94.

Fibule de Nauheim entière dont il manque l'extrémité de l'ardillon, à ressort à quatre spires et corde interne et à arc triangulaire orné de trois lignes de points estampés et pied trapézoïdal ajouré. Base-cuivre.
L. 52 mm, L. (arc) 30 mm ; l. (arc) 7.5 mm.
2.5 g.
E : 1121.77. N : 1125.27. Alt. : 573.08.
Type : B22-11.

Enclos B

Décapage

SCTB-1-décapage

Planche 216, 13. 9059, n° 1.

Extrémité de bracelet bouleté creux. Fer.
Diam. 17 mm. 17.4 g.
E : 1116.63. N : 1104.91. Alt. : /*
Type : F16-1.

Planche 216, 14. 11337, n° 188.

Petit anneau de section ronde. Base-cuivre.
Diam. 12 mm, S. 3 mm. 1.9 g.
E : 1119.3. N : 1107.35. Alt. : 573.97.

Planche 216, 15. 11346, n° 185.

Perle à section en quart de rond. Base-cuivre.
Diam. 13 mm, S. 3 x 6 mm. 3.7 g.
E : 1115.80. N : 1106.15. Alt. : 573.88.

Planche 216, 16. 9061, n° 1.

Fragment de paragnathide (?) constituée d'une tôle bombée de faible épaisseur avec une perforation sur un côté et une autre, hypothétique, dans son prolongement. Fer.
L. 76 mm, l. 50 mm, diam. int. 1 mm.. 20.2 g.
E : 1117.59. N : 1106.59. Alt. : /*

Planche 216, 17. 12910, n° 765.

Charnière de casque pour la fixation des paragnathides. Bande de tôle avec les deux extrémités triangulaires repliées et rivetées, l'une sur l'autre, pour former un tube. Un fragment de tôle de la coque du casque est encore pris dans le rivet de la charnière. Base-cuivre.
L. 29 mm, l. 20 mm, diam. int. charnière 6 mm. 4.6 g.
E : 1112. N : 1099. Alt. : /*

État 1 et 2 lato sensu : LTD1b-LTD2

SCTB-2-comblement branche nord

Planche 216, 18. 11310, n° 104.

Fibule à ressort à quatre spires et corde interne et arc de tôle triangulaire à bordures soulignées par une rainure et lignes interrompant le décor. L'ardillon est manquant. Base-cuivre.
L. 37 mm, L. (arc) 18 mm, l. (arc) 3 mm. 1.4 g.
E : 1121.42. N : 1106.70. Alt. : 573.81.
Type : B22-05.

Planche 216, 19. 11325, n° 124.

Grand anneau de section ronde. Trace d'usure nette. Base-cuivre.
Diam. 28 mm, S. 5 x 4 mm. 6.5 g.
E : 1122.30. N : 1106.38. Alt. : 573.75.

Planche 216, 20. 9129, n° 1.

Petit anneau de section losangique. Base-cuivre.
Diam. 15 mm, S. 3 x 6 mm. 2.7 g.
E : 1116.96. N : 1106.46. Alt. : /*

Planche 216, 21. 11311, n° 434.

Anneau à protubérances en deux fragments. Base-cuivre.
Diam. 24 mm, S. 3 mm. 2 g.
E : 1120.6. N : 1106.3. Alt. : 573.23.

Planche 216, 22. 9129, n° 3.

Fragment de lèvres de récipient à section en «L» avec l'angle extérieur arrondi. Base-cuivre.
L. 22 mm, diam. rest. 72 mm. 2.1 g.
E : 1118.25. N : 1106.4. Alt. : /*

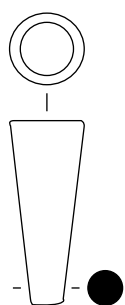
Planche 216, 23. 9129, n° 4.

Chute de tige de section carrée appointée. Fer.
L. 104 mm. 2 g.
E : 1115.2. N : 1106.7. Alt. : /*

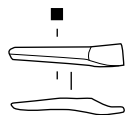
SCTB-4-comblement branche ouest

Planche 216, 24. 13236, n° 328.

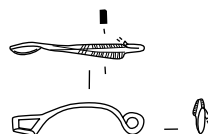
Fragment de bracelet tubulaire à décor incisé composé de stries disposées à la diagonale de l'axe du jonc. Base-cuivre.
L. 27 mm. 0.9 g.
E : 1113.25. N : 1101.15. Alt. : 573.91.
Type : B21-0.



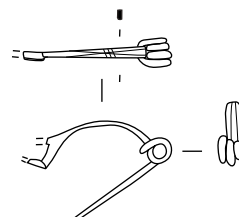
1



2



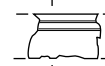
3



4



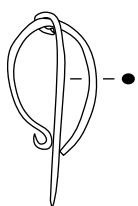
5



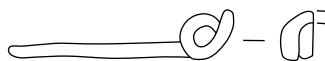
6

SCTA-11-fossé branche est

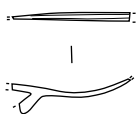
SCTA-12-fossé branche nord



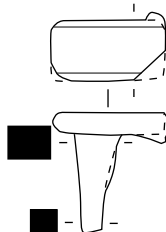
7



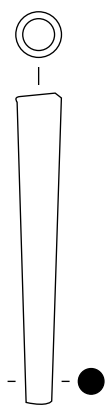
8



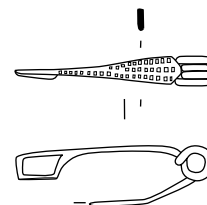
9



10



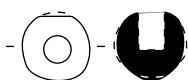
11



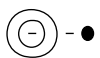
12

SCTA-13-fossé branche ouest

SCTA-14-Fo 10058



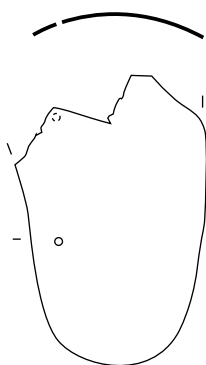
13



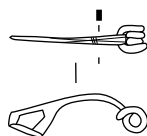
14



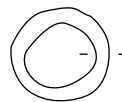
15



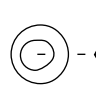
16



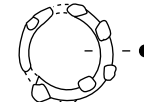
18



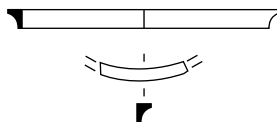
19



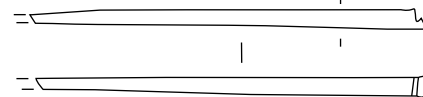
20



21

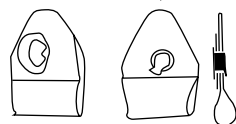


22



23

SCTB-2-comblement branche nord



17

SCTB-1-décapage



24

SCTB-4-comblement branche ouest

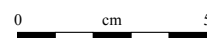


Planche 216. SCTA-11-fossé branche est à SCTB-4-comblement branche ouest

1-2, 7-8, 10-11, 13, 16, 23 : fer; 3-6, 9, 12, 17-22 : alliage cuivreux.

Enclos C

Décapage

SCTC-1-décapage

Planche 217, 1. 13201, n° 37.

Fragment d'arc de fibule filiforme de section losangique avec départ du pied. Fer.

L. 32 mm. 2.3 g.

E : 1104.97. N : 1095.7. Alt. : 574.08.

Type : F03.

Planche 217, 2. 13201, n° 28.

Fragment de lèvre de récipient courbée, de section triangulaire avec une trace de brasure. Base-cuivre.

L. 28 mm, l. 5 mm, S. 5 x 4 mm. 4 g.

E : 1102.8. N : 1093.77. Alt. : 574.18.

Planche 217, 3. 13201, n° 35.

Fragment de miroir constitué d'un plat étamé. Base-cuivre.

L. 18 mm, E. 1,5 mm.. 2.1 g.

E : 1104.36. N : 1095.67. Alt. : 574.1.

Planche 217, 4. 13201, n° 58.

Manche de clé à anneau de suspension sans panneton. Fer.

L. 60 mm. 5.5 g.

E : 1104.98. N : 1093.1. Alt. : 574.1.

État 1 et 2 lato sensu : LTD1b-LTD2

SCTC-2-TP 12919

Planche 217, 5. 12920, n° 2078.

Chute de bande de section rectangulaire pliée. Fer.

L. 52 mm. 11.8 g.

E : /. N : /. Alt. : /.

SCTC-5-TP 12975

Planch2 mme 217, 6. 12975, n° 928.

Fibule de Nauheim à ressort à quatre spires (deux conservées) et corde interne et à arc à décor d'échelle au centre et sur les bordures latérales, interrompu par des lignes perpendiculaires à proximité du pied trapézoïdal ajouré. Base-cuivre.

L. 61 mm, L. (arc) 38 mm, l. (arc) 12 mm. 2.2 g.

E : 1103.35. N : 1103.5.*

Type : B22-02.

SCTC-6-épandage 13202

Planche 217, 7. 13204, n° 339.

Petit anneau de section ronde. Base-cuivre.

Diam. 18 mm, S. 2 mm. 1 g.

E : 1103.11. N : 1102.60. Alt. : 573.98.

Planche 217, 8. 13202, n° 150.

Petit anneau à section en quart de rond. Base-cuivre.

Diam. 15 mm, S. 2,5 x 3 mm. 2.2 g.

E : 1107.94. N : 1100.35. Alt. : 573.94.

Planche 217, 9. 13202, n° 291.

Clou décoratif à tête hémisphérique creuse. Fer.

L. 53 mm. 9.2 g.

E : 1106.45. N : 1101.57. Alt. : 574.02.

Planche 217, 10. 13204, n° 2055.

Chute de tige de section carrée avec une découpe droite. Fer.

L. 55 mm. 2.8 g.

E : 1105.2. N : 1102.8. Alt. : /.*

Planche 217, 11. 13204, n° 2029.

Fragment de chute de tôle. Fer.

L. 37 mm. 2 g.

E : 1104.5. N : 1103.1. Alt. : /.*

SCTC-7-TP 13233

Planche 217, 12. 13234, n° 264.

Petit anneau de section losangique. Base-cuivre.

Diam. 20 mm, S. 3 mm. 2.4 g.

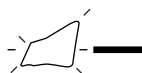
E : 1110.43. N : 1100. Alt. : 573.86.



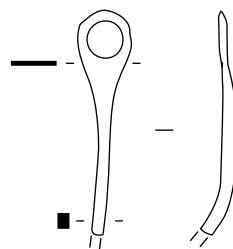
1



2

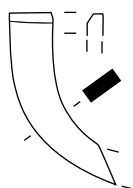


3



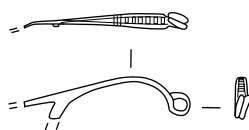
4

SCTC-1-décapage



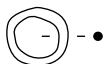
5

SCTC-2-TP 12919

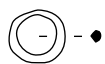


6

SCTC-5-TP 12975



7



8



9

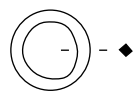
SCTC-6-épandage 13202



10



11



12

SCTC-7-TP 13233

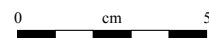


Planche 217. SCTC-1-décapage à SCTC-7-TP 13233

1, 4-5, 9-11 : fer; 2-3, 6-8, 12 : alliage cuivreux.

Temple à galerie périphérique

Décapage

SCTT-1-décapage

Planche 218, 1. 13514, n° 52.

Fibule de Nauheim complète à ressort à quatre spires et corde interne et arc triangulaire à losangique, à décor en échelle sur les bords et en partie médiane. Le pied trapézoïdal est ajouré et légèrement plié. Base-cuivre.

L. 61 mm, L. (arc) 36 mm, l. (arc) 14 mm. 0.9 g.

E : 1105.3. N : 1111.2. Alt. : 573.66.

Type : B22-01.

Planche 218, 2. 15000, n° 10.

Fragment de bague à chaton inorné. Les épaules sont concaves et le corps fragmentaire de section ovale. Base-cuivre.

L. 23 mm, diam. int. 20 mm, S. 1,5 x 3 mm. 2.6 g.

E : 1107.55. N : 1112. Alt. : 574.04.

Type : 6.

Planche 218, 3. 13530, n° 86.

Fragment d'aiguille à chas rond. Base-cuivre.

L. 33 mm, S. 2 mm, diam. int. 1,5 mm. 0.4 g.

E : 1098.81. N : 1108.45. Alt. : 574.16.

Planche 218, 4. 12800, n° 2073.

Chute de tige de section rectangulaire pointue avec une découpe droite. Fer.

L. 60 mm. 4.5 g.

E : 1096.1. N : 1116.3. Alt. : /*

Planche 218, 5. 15011, n° 305.

Manche d'ustensile de cuisine (?) composé d'une douille conique terminée par un anneau percé avec bois minéralisé à l'intérieur de la douille. Fer.

L. 87 mm, diam. int. (anneau) 8 mm, diam. int. (douille) 8 mm. 18.7 g.

E : 1101.5. N : 1106.7. Alt. : 574.03.

État 5 : Antiquité tardive-Haut Moyen-Âge

SCTT-3-Fo 15008

Planche 218, 6. 15008, n° 45.

Fibule à ressort à quatre spires et corde externe haute à arc tendu de section triangulaire. Fer.

L. 38 mm. 4.5 g.

E : 1140.18. N : 1120.8. Alt. : 573.53.

Type : F33-4.

État 4.2 : Ile s. ap. J.-C.

SCTT-6-Mur 15001

Planche 218, 7. 15001, n° 1.

Fragment de miroir circulaire constitué d'un plat étamé sur les deux faces et présentant une bordure biseautée. Base-cuivre.

L. 32 mm, l. 7 mm.. 1.1 g.

E : 1102. N : 1112. Alt. : /*

SCTT-7-TP 13559

Planche 218, 8. 13559, n° 203.

Moitié de grand anneau de section ronde. Base-cuivre.

Diam. 33 mm, S. 4 mm. 5.8 g.

E : 1100.1. N : 1112.4. Alt. : 574.24.

SCTT-10-Mur 12802

Planche 218, 9. 12802, n° 2075.

Anse de seau constituée d'une bande de fer plat formant un demi-cercle avec une extrémité bouletée. Fer.

L. 152 mm, l. 9 mm, Ép. 2 mm.. 17.9 g.

E : 1095.8. N : 1117. Alt. : /*

Structure sur poteaux D

État 1 et 2 lato sensu : LTD1b-LTD2

SCTD-2-épandage

Planche 218, 10. 13666, n° 266.

Fibule de Nauheim complète à ressort à quatre spires et corde interne, à arc triangulaire orné d'un décor d'échelle, à bordures soulignées par une rainure et lignes interrompant le décor. Le pied est trapézoïdal ajouré. Base-cuivre.

L. 44 mm, L. (arc) 22 mm, l. (arc) 4 mm. 2.3 g.

E : 1096.92. N : 1108.08. Alt. : 574.21.

Type : B22-02.

Planche 218, 11. 13543, n° 121.

Fibule de Nauheim à ressort à une spire conservée et à arc triangulaire fin à bordures soulignées par une rainure et à pied trapézoïdal ajouré. La majeure partie du ressort et l'ardillon sont manquants. Base-cuivre.

L. 40 mm, L. (arc) 24 mm, l. (arc) 4 mm. 0.9 g.

E : 1097. N : 1113.97. Alt. : 574.19.

Type : B22-03.

Planche 218, 12. 15062, n° 205.

Arc de fibule triangulaire orné d'un décor d'échelle central à bordures soulignées par une rainure et lignes interrompant le décor. Base-cuivre.

L. 35 mm, L. (arc) 31 mm, l. (arc) 4.5 mm. 0.7 g.

E : 1103.95. N : 1107.39. Alt. : 573.93.

Type : B22-02.

Planche 218, 13. 15047, n° 168.

Pied de fibule trapézoïdal replié sur lui-même. Base-cuivre.

L. 10 mm. 0.1 g.

E : 1104.24. N : 1106.18. Alt. : 573.99.

Planche 218, 14. 15045, n° 2001.

Fragments de fibule filiforme avec une spire conservée et une partie de l'arc de section circulaire. Fer.

L. 34 mm. 1.8 g.

E : 1101.4. N : 1106.8. Alt. : /*

Type : F03.

Planche 218, 15. 13714, n° 401.

Ardillon complet et ressort à quatre spires (deux conservées) et corde externe haute. Base-cuivre.

L. 44 mm. 1 g.

E : 1111.53. N : 1100.01. Alt. : /*

Type : B30.

Planche 218, 16. 13668, n° 265.

Ardillon complet et ressort à quatre spires et corde externe haute. Fer.

L. 84 mm. 7.7 g.

E : 1098.13. N : 1108.03.

Type : F30.

Planche 218, 17. 13675, n° 285.

Ressort de fibule à six petites spires et corde externe avec axe médian. Base-cuivre.

L. 10 mm. 0.3 g.

E : 1100.54. N : 1107.11. Alt. : /*

Type : B10-2.

Planche 218, 18. 15066, n° 190.

Perle avec cinq cannelures. Base-cuivre.

Diam. 14 mm, S. 3 x 5 mm. 2.9 g.

E : 1100.65. N : 1106.4. Alt. : 574.04.

Planche 218, 19. 15050, n° 144.

Fragment de bracelet à jonc plein lisse, de section ronde. L'extrémité conservée est pointue et légèrement torsadée et permet d'identifier un bracelet à épissures. Base-cuivre.

L. 51 mm, S. 2 mm. 1.1 g.

E : 1101.22. N : 1109.53.

Type : B12-1.

Planche 218, 20. 15047, n° 165.

Fragment de bracelet tubulaire à décor de chevrons alternés. Base-cuivre.

L. 58 mm. 5.7 g.

E : 1104.38. N : 1105.4. Alt. : 573.99.

Type : B21-2.

Planche 218, 21. 15046, n° 125.

Applique bobine faisant partie d'un cingulum. Base-cuivre.

12. 3.2 g.

E : 1106.9. N : 1102.13. Alt. : 573.96.

Planche 218, 22. 15060, n° 199.

Talon de lance à soie conique. L'individu est très corrodé. Fer.

L. 94 mm. 41.3 g.

E : 1101.55. N : 1111.38. Alt. : 573.96.

Type : 1.

Planche 218, 23. 13542, n° 87.

Talon de lance à douille. Fer.

L. 87 mm, diam. int. 11 mm, diam. ext. 18 mm. 30.5 g.

E : 1098.70. N : 1108.60. Alt. : 574.16.

Type : 2.

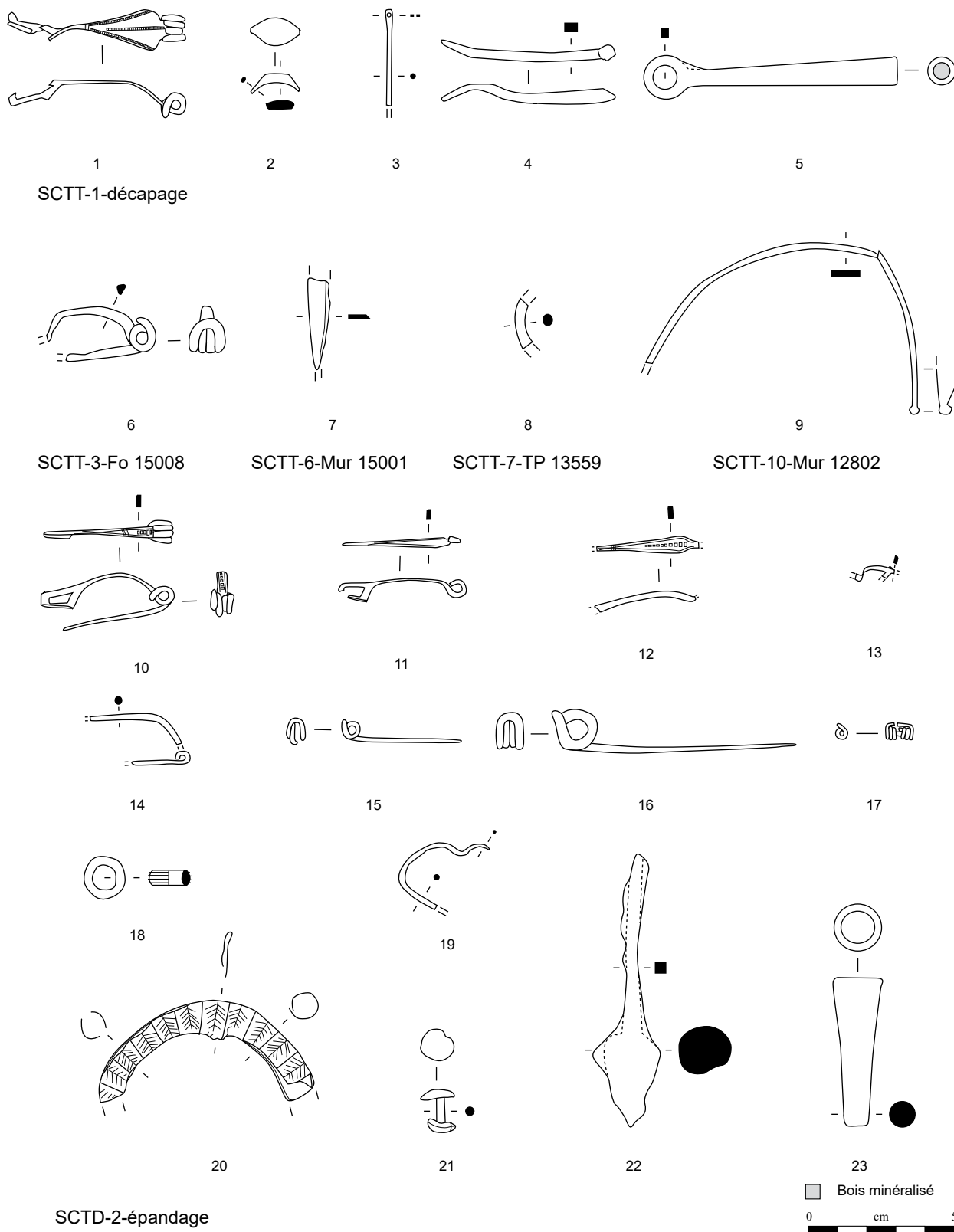


Planche 218. SCTT-1-décapage à SCTD-2-épannage

1-3, 7-8, 10-13, 15, 17-21 : alliage cuivreux; 4-6, 14, 16, 22-23 : fer.

Structure sur poteaux D

État 1 et 2 lato sensu : LTD1b-LTD2

SCTD-2-épandage

Planche 219, 1. 13717, n° 464.

Extrémité de poutier de passoire constituée d'un plat de section biseautée avec un petit appendice. Base-cuivre.

L. 23 mm, l. 6 mm, Ép. 2 mm. 1.4 g.

E : 1109.1. N : 1108.3. Alt. : 573.84.

Planche 219, 2. 13543, n° 102.

Fragment de doigtier constitué d'une tige courbée à section en «D» dont l'épaisseur diminue à une extrémité. Base-cuivre.

L. 19 mm, l. 5 mm, S. 4 mm. 3.1 g.

E : 1097.84. N : 1112.07. Alt. : 574.17.

Planche 219, 3. 15045, n° 153.

Réparation de panse vaisselle constituée d'un rivet par refoulement en une pièce avec un fragment de tôle rivetée. Base-cuivre.

9. 1.6 g.

E : 1101.10. N : 1106.47. Alt. : /.

Planche 219, 4. 15051, n° 119.

Fragment de collerette de chaudron constituée d'un fragment de tôle de bronze circulaire collée à une tôle de fer. Elle est fixée par deux rivets en fer. Fer et base-cuivre.

L. 24 mm, l. 18 mm. 3.6 g.

E : 1101.20. N : 1109.55. Alt. : 574.06.

Planche 219, 5. 15034, n° 112.

Fragment de collerette de chaudron constitué d'un fragment de tôle de bronze

avec trace de perforation collée à une tôle de fer. Fer et base-cuivre.

L. 20 mm, Ép. (bc) 1mm, Ép. (fer) 2mm. 4.7 g.

E : 1101.79. N : 1112.92. Alt. : 574.02.

Planche 219, 6. 15046, n° 155.

Chute de tige de section carrée, aplatie à l'extrémité découpée. Base-cuivre.

L. 53 mm. 4.2 g.

E : 1104.20. N : 1106.31. Alt. : /.

Planche 219, 7. 15047, n° 120.

Chute de bande de section rectangulaire à découpe à double biseau. Fer.

L. 23 mm. 2.7 g.

E : 1104.5. N : 1106.7. Alt. : 574.03.

Planche 219, 8. 15074, n° 2000.

Clou émaillé à tige en fer comportant encore des restes blancs d'émail. Décors illisibles à part un triangle. Base-cuivre.

L. 20 mm 5.7 g.

E : 1101. N : 1107. Alt. : /.

Planche 219, 9. 15035, n° 118.

Fragment d'applique formée d'une bande de tôle en forme de «L» avec deux perforations, dont une ronde et l'autre en forme de huit. Base-cuivre.

L. 37 mm, l. 10/16 mm, E. 0,5 mm. 1 g.

E : 1102.37. N : 1113.38. Alt. : 574.02.

Planche 219, 10. 15069, n° 210.

Fragment de ferrure décorative avec une perforation. Base-cuivre.

L. 12 mm, l. 16 mm, E. 0,5 mm. 0.4 g.

E : 1105.60. N : 1106.78. Alt. : 573.92.

Planche 219, 11. 13665, n° 2056.

Clou de décoration en fer avec rondelle

en bronze sous la tête. Fer et base-cuivre.

17. 16.6 g.

E : 1096.4. N : 1108.3. Alt. : /.

Planche 219, 12. 15031, n° 58.

Fragment de tige de clou décoratif. Base-cuivre.

L. 23 mm, S. 3 mm. 1.3 g.

E : 1100.70. N : 1114.75. Alt. : 574.06.

Planche 219, 13. 13675, n° 273.

Fragment indéterminé de bande de plat spiralée avec une extrémité qui semble être brasée. Base-cuivre.

L. 18 mm, S. 2 mm, diam. int. 5 mm.. 4 g.

E : 1099.07. N : 1107.81. Alt. : 574.09.

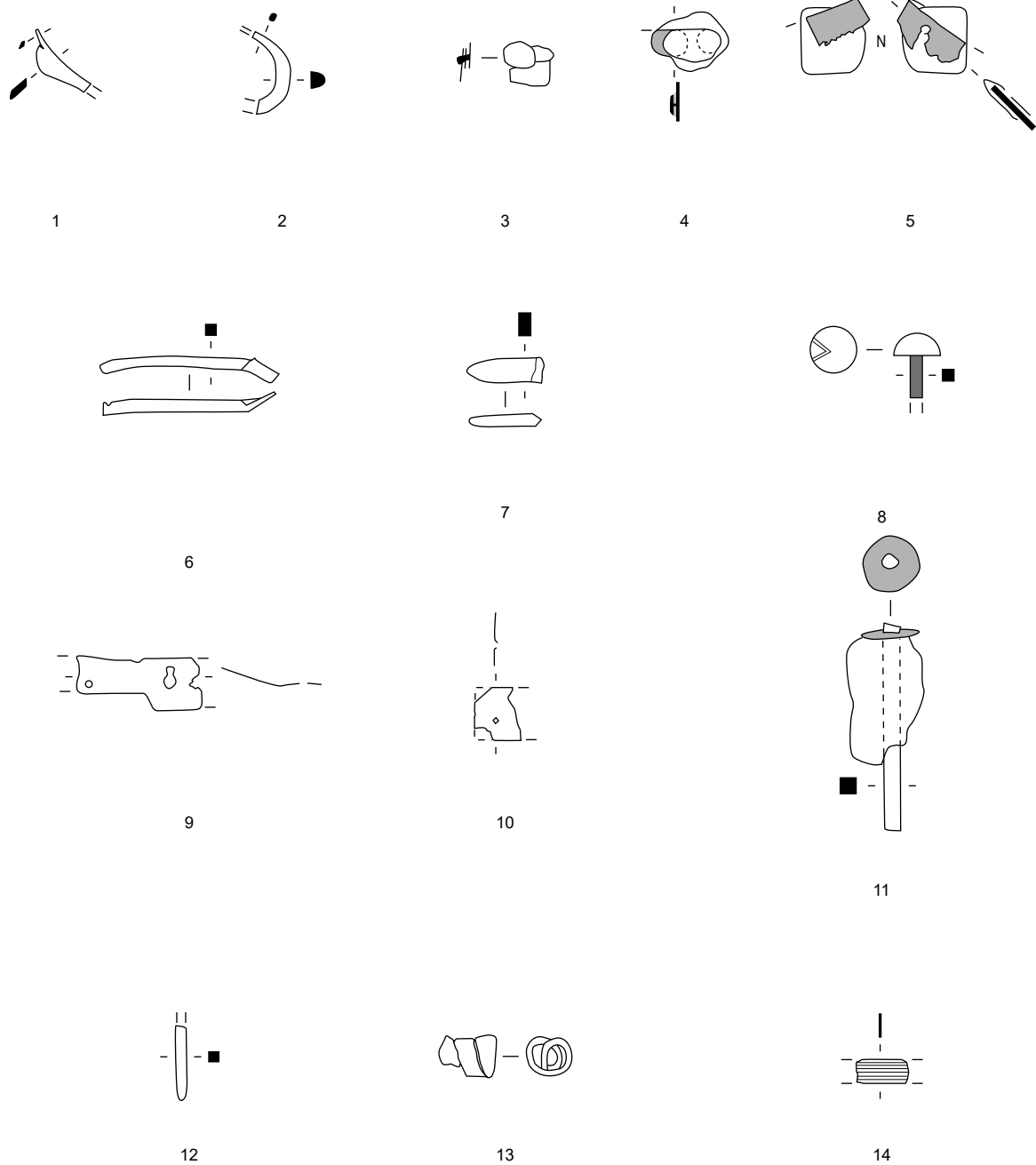
SCTD-3-TP 15073

Planche 219, 14. 15073, n° 216.

Fragment de ferrure décorative avec sept rainures. Base-cuivre.

L. 15 mm, l. 7 mm, E. 1 mm. 0.4 g.

E : 1102.4. N : 1112.6. Alt. : 573.67.*



SCTD-2-épandage

SCTD-3-TP 15073

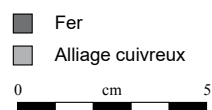


Planche 219. SCTD-2-épandage et SCTD-3-TP 15073

1-3, 6, 8, 9-10, 12-14 : alliage cuivreux; 2-5, 8, 11 : fer et alliage cuivreux; 7 : fer.

Cour et cuves E

Décapage

SCTE-1-décapage

Planche 220, 1. 12000, n° 55.

Fibule complète à fixe-corde, réalisée à l'aide d'une tôle triangulaire et ressort à huit spires et corde externe, à arc rubané orné de lignes longitudinales et pied triangulaire ajouré. Base-cuivre.
L. 53 mm. 5.3 g.
E : 1124. N : 1115. Alt. : /.
Type : B47-1.

Planche 220, 2. 12000, n° 58.

Fibule à collerette complète à ressort à fixe-corde et plaquettes à six spires, à arc trapézoïdal interrompu par un disque et à pied triangulaire multi-fenestré. Base-cuivre.
L. 52 mm. 5.2 g.
E : 1135.8. N : 1117. Alt. : /.
Type : B46-3.

Planche 220, 3. 12000, n° 61.

Fibule à ressort à quatre spires et corde interne à arc de tôle triangulaire à décor d'échelle et bordures soulignées par une rainure et lignes interrompant le décor. Base-cuivre.
L. 31 mm, L. (arc) 24 mm, l. (arc) 4 mm. 2 g.
E : 1137. N : 1114. Alt. : /.
Type : B22-02.

Planche 220, 4. 12000, n° 394.

Fibule à ressort à quatre spires (deux conservées) et corde interne et arc de tôle triangulaire à bordures soulignées par une rainure. Base-cuivre.
L. 32 mm, L. (arc) 23 mm, l. (arc) 5 mm. 1.7 g.
E : /. N : /. Alt. : 573.65.
Type : B22-03.

Planche 220, 5. 9204.

Fibule à ressort à quatre spires et corde interne à arc de tôle triangulaire à décor d'échelle et bordures soulignées par une rainure. Seule l'extrémité du pied est manquante. Base-cuivre.
L. 43 mm, L. (arc) 23 mm, l. (arc) 3,5 mm. 2.4 g.
E : 1119.7. N : 1115.8.
Type : B22-07.

Planche 220, 6. 12000, n° 66.

Fibule à ressort à quatre spires (deux conservées) et corde interne et arc coudé couvrant le ressort. Fer.
L. 35 mm. 4.2 g.
E : /. N : /. Alt. : 573.65.
Type : F25-2.

Planche 220, 7. 12000, n° 75.

Fibule à ressort à quatre spires et corde externe haute à arc filiforme cambré de section losangique et pied plein trapézoïdal. Seule une partie de l'ardillon est manquante. Fer.
L. 93. 16.2 g.
E : /. N : /. Alt. : /.
Type : F33-6.

Planche 220, 8. 12000, n° 24.

Fibule filiforme à ressort à quatre spires et corde externe haute à arc cambré de section lenticulaire. Seul le porte-ardillon manque. Fer.
L. 82 mm. 14.6 g.
E : /. N : /. Alt. : /.
Type : F33-7.

Planche 220, 9. 9146.

Ardillon complet et ressort de fibule à corde externe haute. Fer.
L. 63 mm. NP.
E : 1118.5. N : 1115.2.
Type : F30.

Planche 220, 10. 15270, n° 259.

Porte-ardillon triangulaire ajouré de fibule filiforme de section ronde. Fer.
L. 51 mm. 1.9 g.
E : 1133. N : 1121.4. Alt. : /.
Type : F03.

Planche 220, 11. 13500, n° 57.

Petit anneau à section en «D». Base-cuivre.
Diam. 15 mm, S. 3 x 5 mm. 3 g.
E : 1093.58. N : 1124.45. Alt. : /.

Planche 220, 12. 12000, n° 2.

Perle de section ovale. Base-cuivre.
Diam. 13 mm, S. 3 mm. 2.9 g.
E : 1134. N : 1134. Alt. : /.

Planche 220, 13. 15270, n° 267.

Perle de section en quart de rond. Base-cuivre.
Diam. 16 mm, S. 3 x 5 mm. 5.3 g.
E : 1130.1. N : 1121. Alt. : /.*

Planche 220, 14. 12000, n° 37.

Petit anneau de section losangique. Base-cuivre.
Diam. 14 mm, S. 3 x 5 mm. 2.4 g.
E : /. N : /. Alt. : /.

Planche 220, 15. 12000, n° 59.

Petit anneau de section ovale. Base-cuivre.
Diam. 17 mm, S. 4 x 5 mm. 5 g.
E : /. N : /. Alt. : /.

Planche 220, 16. 9023.

Fragment de petit anneau de section ronde. Base-cuivre.
Diam. 11 mm, S. 2 mm. 1.1 g.
E : 1117.66. N : 1118.4. Alt. : /.

Planche 220, 17. 9065.

Fragment d'anneau de section en «D». Base-cuivre.
L. 8 mm, diam. 15 mm, S. 2,5 x 6 mm. 0.7 g.
E : 1116.82. N : 1110.4. Alt. : /.

Planche 220, 18. 10080, n° 402.

Fragment de bracelet à jonc plein lisse de section ronde. Base-cuivre.
L. 26 mm, diam. int. 66 mm, S. 2 mm. 1.1 g.
E : 1122. N : 1114. Alt. : /.
Type : B10-1.

Planche 220, 19. 11048, n° 43.

Fragment de pendentif avec une bélière

de suspension et un départ de tige de section rectangulaire. Base-cuivre.
L. 20 mm. 1.8 g.
E : 1129.24. N : 1123.91. Alt. : 573.59.

Planche 220, 20. 12000, n° 2106.

Mailon de cotte de maille composé d'un petit anneau aux extrémités aplaties et rivetées. Fer.
S. 1,5x1 mm, diam. int. 6 mm. 0.4 g.
E : /. N : /. Alt. : /.

Planche 220, 21. 12000, n° 2115.

Talon de lance à douille. Fer.
L. 61 mm, diam. int. 8 mm, diam. ext. 10 mm. 16.6 g.
E : /. N : /. Alt. : /.
Type : 2.

Planche 220, 22. 12000, n° 2114.

Fragment de brochette ou de tisonnier composé d'une tige pointue à une extrémité et torsadée à l'autre. Fer.
L. 91 mm, S. 3,5 mm. 4.9 g.
E : /. N : /. Alt. : /.

Planche 220, 23. 12504, n° 23.

Fragment de pied de récipient constitué d'une bande de plat incurvée de section trapézoïdale. Base-cuivre.
L. 55 mm, l. 11 à 13 mm, Ép. 3 mm. 11.4 g.
E : /. N : /. Alt. : /.

Planche 220, 24. 15270, n° 287.

Butée de chaudron biconique facettée avec tenon de fixation. Fer.
L. 16 mm, l. 21 mm. 25.1 g.
E : 1132. N : 1121.2.*

Planche 220, 25. 12000, n° 1138.

Élément de forme ovale avec une face bombée et une face plane. Balle de mousquet? Plomb.
Diam. 10 mm, ht. 3 mm. 1.8 g.
E : /. N : /. Alt. : /.

Planche 220, 26. 12000, n° 93.

Chute de tôle losangique pliée. Base-cuivre.
L. 25 mm. 1.1 g.
E : /. N : /. Alt. : /.

Planche 220, 27. 12000, n° 4.

Aiguille complète à chas circulaire. Base-cuivre.
L. 32 mm. 0.3 g.
E : /. N : /. Alt. : /.

Planche 220, 28. 9018.

Aiguille cassée au niveau du chas. Base-cuivre.
L. 45 mm, l. 6 mm, E. 2 mm, diam. int. 3 mm. 5.2 g.
E : 1115.4. N : 1125.2. Alt. : /.

Planche 220, 29. 15270, n° 273.

Fragment d'aiguille identifiable grâce à la concavité située près du chas. Fer.
L. 42 mm, S. 2 mm. 1.2 g.
E : 1134.5. N : 1118.9.

Planche 220, 30. 9015.

Fragment de miroir carré constitué d'un

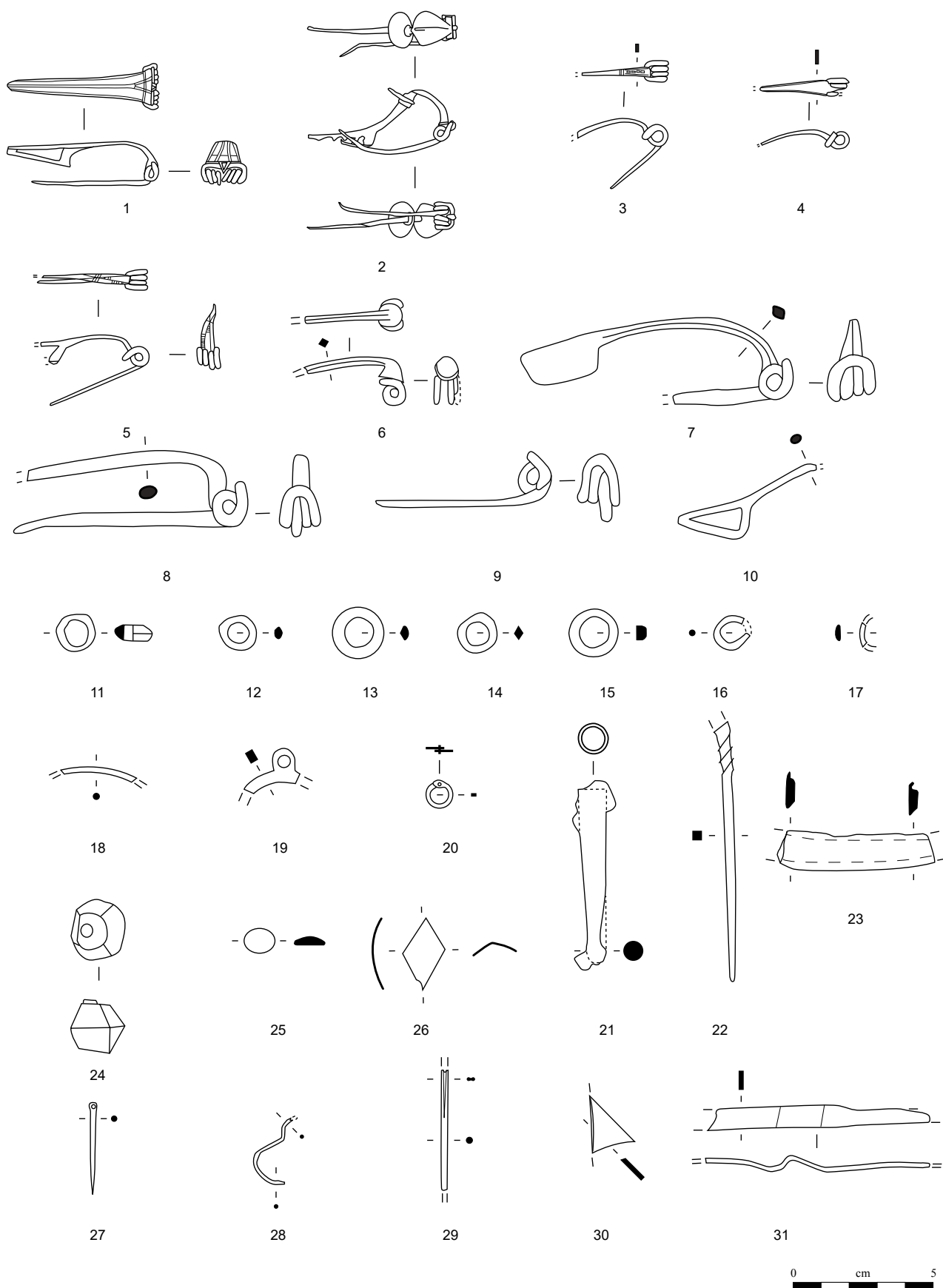


Planche 220. SCTE-1-décapage

1-5, 11-19, 23, 26-28, 30 : alliage cuivreux; 6-10, 20-22, 24, 29, 31 : fer; 25 : plomb.

plat étamé sur une face et présentant une tranche biseautée rectiligne. Base-cuivre.
L. 22 mm, l. 14 mm, ép. 2 mm. 2.1 g.
E : 1116.5. N : 1126.7. Alt. : /.*

Planche 220, 31. 13501, n° 241.
Fragment indéterminé de fer plat rectangulaire plié plusieurs fois. Fragment de renfort de moyeu? Fer.
L. 78 mm, l. 8 mm, E. 2 mm. 6.9 g.
E : 1140.5. N : 1107.8. Alt. : /.

Cour et cuves E

Décapage

SCTE-1-décapage

Planche 221, 1. 12000, n° 410.
Clé à anneau à panneton à trois dents brisées, garde verticale pour serrure à soulèvement et à translation de cheville. Fer.
L. 40 mm. 11.2 g.
E : /. N : /. Alt. : /.

Planche 221, 2. 15270, n° 245.
Clé avec anneau contrepercé et à panneton à quatre dents, dont trois sur le même axe et la dernière en dessous. Fer.
L. 91 mm, l. 96 mm, S. 5x9 mm, diam. int. 10x8 mm. 86.8 g.
E : 1129.9. N : 1119. Alt. : 573.58.

Planche 221, 3. 12000, n° 17.
Clé à translation dont il ne manque qu'une partie de l'anneau du manche. Le panneton a une section rectangulaire et deux coudes à angle droit. Fer.
L. 133 mm, S. 7x7 mm, S. panneton 4x8 mm, diam. int. 6 mm.. 53.4 g.
E : /. N : /. Alt. : /.

Perturbations modernes

SCTE-2-perturbations modernes

Planche 221, 4. 11003, n° 11.
Ardillon et ressort de fibule à quatre spires et corde externe basse. Fer.
L. 33 mm. 2.1 g.
E : 1129.9. N : 1126.74. Alt. : 573.79.
Type : F10-2.

État 4 lato sensu : époque romaine

SCTE-3-remblai cours

Planche 221, 5. 11169, n° 323.
Fibule complète de type Nertomarus à cache-ressort, ornée de lignes ondulées de points, à arc rectangulaire à moulures longitudinales et pied trapézoïdal plein. Base-cuivre.
L. 50 mm. 9.9 g.
E : 1133.66. N : 1127.67. Alt. : /.
Type : B57-3.

Planche 221, 6. 11169, n° 304.
Fibule complète à charnière dans le prolongement de l'arc et arc interrompu par une grande nodosité et pied

triangulaire plein surmonté par un bouton. Base-cuivre.
L. 28 mm. 1.9 g.
E : 1132.64. N : 1124.75. Alt. : 573.38.
Type : B68-10.

Planche 221, 7. 12045, n° 367.
Fibule à ressort à quatre spires (deux conservées) et corde externe haute et arc cambré de section lenticulaire interrompu par trois lignes en relief. L'arc est plié et cassé au début du pied. Base-cuivre.
L. 28 mm, L. (arc) déplié 32 mm. 0.9 g.
E : 1132.9. N : 1111.6. Alt. : 573.68.
Type : B34-1.

Planche 221, 8. 11106, n° 146.
Fibule complète à ressort à quatre spires et corde interne, à arc triangulaire à bordures soulignées par une ligne interrompue par une nodosité ornée de stries obliques. Le pied est triangulaire ajouré et l'ardillon ouvert. Base-cuivre.
L. 60 mm, L. (arc) 31 mm, l. (arc) 5 mm. 3.9 g.
E : 1131.38. N : 1130.32. Alt. : 573.38.
Type : B24-2.

Planche 221, 9. 15217, n° 52.
Fibule à ressort à quatre spires (deux conservées) et corde externe haute à arc triangulaire interrompu par une nodosité moulurée et début du pied ajouré. Fer.
L. 68 mm. 6.6 g.
E : 1135.6. N : 1119.8. Alt. : 573.5.
Type : F34-5.

Planche 221, 10. 12081, n° 999.
Fibule à nodosité à ressort à quatre spires et corde externe haute à arc cambré interrompu par une nodosité, avec une ailette naissante. Base-cuivre.
L. 29 mm. 2.4 g.
E : 1132.4. N : 1115.4. Alt. : 573.25.
Type : B24-4.

Planche 221, 11. 11303, n° 21.
Fibule de Nauheim complète à ressort à quatre spires et corde interne, à arc triangulaire orné d'un décor central en échelle, à bordures soulignées par une rainure et lignes interrompant le décor. Le pied est trapézoïdal ajouré. Base-cuivre.
L. 48 mm, L. (arc) 26 mm, l. (arc) 4 mm. 2.7 g.
E : 1123.72. N : 1106.1. Alt. : 573.95.
Type : B22-02.

Planche 221, 12. 11102, n° 125.
Fibule à ressort à une spire conservée et arc de tôle triangulaire à décor en échelle et ligne interrompant le décor et pied ajouré fragmentaire. Base-cuivre.
L. 38 mm, L. (arc) 24 mm, l. (arc) 4 mm. 1.1 g.
E : 1133.30. N : 1125.45. Alt. : 573.52.
Type : B22-04.

Planche 221, 13. 10158, n° 97.
Arc de fibule de Nauheim à bordures soulignées par une rainure. Base-cuivre.
L. 16 mm. 0.2 g.
E : 1122.2. N : 1130. Alt. : 573.52.
Type : B22-03.

Planche 221, 14. 15288, n° 274.
Fragment de porte-ardillon trapézoïdal ajouré. Base-cuivre.
L. 26 mm. 0.7 g.
E : 1131.9. N : 1120.7. Alt. : /.*

Planche 221, 15. 12036, n° 342.
Arc de fibule triangulaire de section rectangulaire avec départ du pied. Fer.
L. 40 mm. 0.9 g.
E : 1135. N : 1115.5. Alt. : 573.5.
Type : F22-1.

Planche 221, 16. 11122, n° 720.
Fibule à ressort à quatre spires et corde interne et à arc tendu de section circulaire. Fer.
L. 39 mm. 1.5 g.
E : 1132. N : 1128. Alt. : /.
Type : F23-1.

Planche 221, 17. 11106, n° 169.
Arc de fibule de section rectangulaire outrepassant et porte-ardillon triangulaire à grand ajour. Fer.
L. 58 mm, l. (arc) 4.5. 2.2 g.
E : 1130.67. N : 1129.45. Alt. : 573.43.
Type : F33-12.

Planche 221, 18. 9253.
Fibule à ressort à quatre spires et corde interne avec début d'arc filiforme de section circulaire. Base-cuivre.
L. 14 mm. NP.
E : 1114.5. N : 1135.2. Alt. : /.*
Type : B23-2.

Planche 221, 19. 12045, n° 424.
Fragment de fibule à arc en anse de panier de section hémisphérique et petit porte-ardillon. Fibule hallstattienne ou LTB2? Fer.
L. 35 mm. 1.7 g.
E : 1126.5. N : 1114. Alt. : 573.75.

Planche 221, 20. 15217, n° 73.
Ardillon et ressort de fibule à deux spires (une conservée) et corde externe basse. Fer.
L. 57 mm. 3.4 g.
E : 1135.10. N : 1133.3. Alt. : 573.40.
Type : F10-1.

Planche 221, 21. 11114, n° 165.
Ardillon complet et une spire de ressort de fibule. Base-cuivre.
L. 36 mm. 0.4 g.
E : 1133.21. N : 1122. Alt. : 573.5.

Planche 221, 22. 11327, n° 142.
Ressort à une spire conservée et ardillon complet de fibule. Base-cuivre.
L. 38 mm. 1 g.
E : 1129.4. N : 1109.27. Alt. : 573.86.

Planche 221, 23. 10147, n° 2005.
Ardillon et ressort de fibule à deux spires (une conservée) et corde externe basse. Fer.
L. 32 mm. 1.2 g.
E : 1122. N : 1110. Alt. : /.
Type : F10-1.

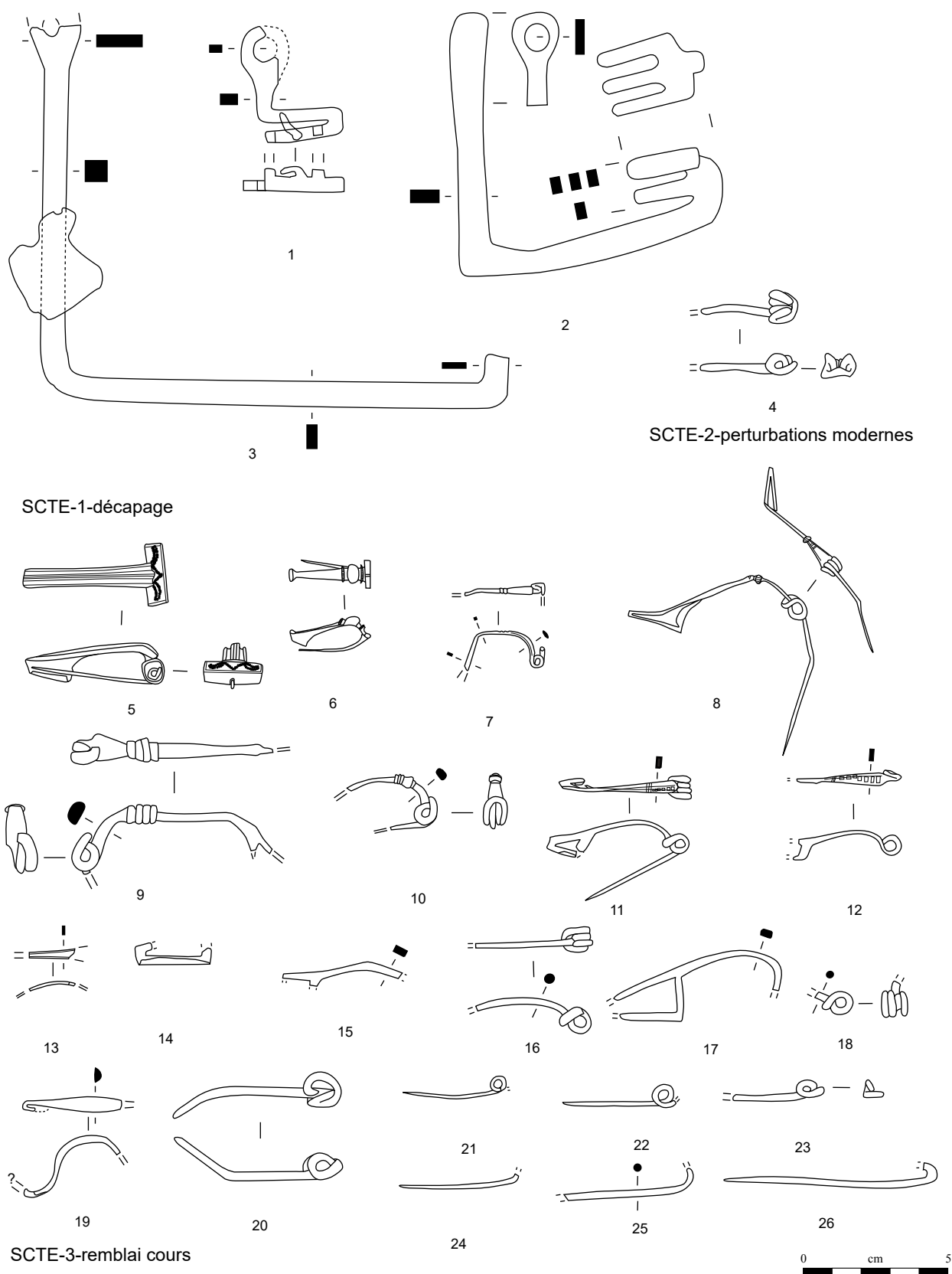


Planche 221. SCTE-1-décapage à SCTE-3-remblai cours (fibules)

1-4, 9, 15-17, 19-20, 23 : fer; 5-8, 10-14, 18, 21-22, 24-26 : alliage cuivreux.

Planche 221, 24. 15288, n° 284.
Ardillon complet et départ du ressort.
Base-cuivre.
L. 41 mm. 0.5 g.
E : 1133.2. N : 1121.3. Alt. : /.*

Planche 221, 25. 9253.
Ardillon de fibule très corrodé. Base-cuivre.
L. 45 mm. NP.
E : 1114.7. N : 1135.1. Alt. : /.*

Planche 221, 26. 15288, n° 291.
Ardillon complet avec début d'une spire.
Base-cuivre.
L. 72 mm. 1.8 g.
E : 1133. N : 1120.6. Alt. : /.*

Cour et cuves E

État 4 lato sensu : époque romaine

SCTE-3-remblai cours

Planche 222, 1. 12081, n° 856.
Bracelet à jonc plein lisse, à section en «D» en trois fragments. L'exemplaire s'amincit en direction des terminaisons.
Base-cuivre.
L. 112 mm, S. 3 mm, l. 5 mm. 2.9 g.
E : 1132.4. N : 1112.05. Alt. : 573.62.
Type : B10-4.

Planche 222, 2. 13027, n° 85.
Fragment de bracelet à jonc lisse plein, à section en «D» avec un décor de stries diagonales par rapport à l'axe du jonc. Les stries n'apparaissent que sur les bords de l'objet, probablement à cause de l'usure de ce dernier. Base-cuivre.
L. 25 mm, Diam. 66 mm, S. 2 mm, l. 3 mm.. 0.5 g.
E : 1136.04. N : 1109.37. Alt. : 573.23.
Type : B10-10.

Planche 222, 3. 11334, n° 184.
Fragment d'épissure de bracelet. Base-cuivre.
L. 5 mm. 0.6 g.
E : 1125.64. N : 1108.5. Alt. : 573.82.
Type : B12-1.

Planche 222, 4. 11106, n° 153.
Fragment d'épissure de bracelet. Base-cuivre.
L. 15 mm. 0.4 g.
E : 1131.53. N : 1129.27. Alt. : 573.3.
Type : B12-1.

Planche 222, 5. 11320, n° 710.
Fragment de bracelet tubulaire avec un décor de deux rainures centrales.. Base-cuivre.
L. 17 mm. 0.6 g.
E : 1128.4. N : 1106. Alt. : 573.84.
Type : B21-5.

Planche 222, 6. 10158, n° 93.
Perle de section hémisphérique. Base-cuivre.
Diam. 14 mm, S. 4 x 6 mm. 5 g.
E : 1121.85. N : 1129.9. Alt. : 573.59.

Planche 222, 7. 11090, n° 90.
Petit anneau de section ronde. Base-cuivre.
Diam. 15 mm, S. 2,5 mm. 2.1 g.
E : 1133.36. N : 1126.92. Alt. : 573.54.

Planche 222, 8. 11102, n° 148.
Petit anneau de section losangique. Base-cuivre.
Diam. 11 mm, S. 2 x 3 mm. 2.1 g.
E : 1125.7. N : 1133.6. Alt. : 573.46.

Planche 222, 9. 11183, n° 324.
Quart de perle de section en «D» à deux cannelures. Base-cuivre.
L. 13 mm, S. 3 x 2 mm. 0.8 g.
E : 1131.8. N : 1122.5. Alt. : 573.4.

Planche 222, 10. 12012, n° 25.
Fragment de grand anneau de section ovale. Base-cuivre.
L. 20 mm, diam. 25 mm, S. 2 x 5 mm. 2 g.
E : 1138.1. N : 1120.2. Alt. : /.*

Planche 222, 11. 12081, n° 863.
Petit anneau de section ronde. Base-cuivre.
Diam. 16 mm, S. 3 mm. 1.9 g.
E : 1132.17. N : 1116.78. Alt. : 574.08.

Planche 222, 12. 13027, n° 72.
Fragment de petit anneau de section ronde. Base-cuivre.
Diam. 15 mm, S. 2 mm. 0.8 g.
E : 1136.35. N : 1109.02. Alt. : 573.52.

Planche 222, 13. 11320, n° 69.
Ferret de ceinture (?) composé de deux fragments de bande de tôle comportant deux perforations et un écartement entre les deux tôles, au niveau du second rivet. Base-cuivre.
L. 15 mm. 0.5 g.
E : 1125.5. N : 1106.7. Alt. : /.

Planche 222, 14. 11169, n° 2044.
Pendentif en forme de hache miniature à douille pleine, à tranchant strié décoré d'incisions sur une face et à trou de suspension au centre. Fer.
L. 42 mm. 26.5 g.
E : 1133.2. N : 1127.3. Alt. : /.

Planche 222, 15. 11114, n° 143.
Bague avec l'inscription *Si das, dabo, (si tu donnes, je te donnerai)*. La tête a une forme d'ogive que traverse une barre gravée séparant les deux parties de l'inscription. L'épaule est concave et le corps de section ovale. Base-cuivre.
Diam. 17-19 mm, S.2 x 1 mm. 2 g.
E : 1132.4. N : 1123.43. Alt. : 573.40.
Type : 7.

Planche 222, 16. 11169, n° 305.
Sanglier en ronde-bosse en position arc-bouté pour faire face. Sa tête, tendue dans l'axe du corps comporte des yeux émaillés, des écoutes ovales dressées et un museau terminé par un disque. Elle est marquée par une forte dépression

naso-frontale. La crête sommitale est bien distincte des écoutes et striée jusqu'à la queue afin de figurer les soies. Le corps est ramassé avec des flancs arrondis. Les pattes antérieures sont courtes et droites, tandis que les postérieures sont lancées vers l'arrière du corps. La queue est tressée et détachée de l'arrière-train. Base-cuivre.
L. 40 mm, l. 16 mm, ht. 18 mm. NP.
E : 1133.92. N : 1125.65. Alt. : 573.39.

Planche 222, 17. 10028, n° 22.
Tige indéterminée recourbée à une extrémité et pointue à l'autre. Dent de râteau? Fer.
L. 54 mm. 1.6 g.
E : 1120.20. N : 1128.8. Alt. : 573.73.

Planche 222, 18. 11106, n° 2020.
Fragment de petite lime (?) en forme d'ogive comportant des rainures obliques. Fer.
L. 50 mm. 3.2 g.
E : 1131.2. N : 1128.5. Alt. : /.

Planche 222, 19. 12045, n° 399.
Virole avec une extrémité matée. Fer.
L. 20 mm. 16.5 g.
E : 1129.34. N : 1111.7. Alt. : 573.74.

Planche 222, 20. 11102, n° 2085.
Chute de tige de section ronde, puis carrée. Base-cuivre.
L. 35 mm, S. 1,5 à 2,5 mm. 1.2 g.
E : 1133.4. N : 1125.1. Alt. : /.*

Planche 222, 21. 11334, n° 193.
Fragment de demi-produit constitué d'une tige de section variant entre le rond et le ovale. Base-cuivre.
L. 74 mm. 2.4 g.
E : 1126.3. N : 1110. Alt. : 573.81.

Planche 222, 22. 11106, n° 2021.
Chute de tige de section carrée présentant un petit renflement pour une soie de préhension. Fer.
L. 41 mm. 2.4 g.
E : 1130.8. N : 1129.3. Alt. : /.*

Planche 222, 23. 11196, n° 2066.
Chute de barre de section rectangulaire aplatie à une extrémité avec une découpe droite. Fer.
L. 55 mm, 6.5 g.
E : 1128. N : 1130. Alt. : /.

Planche 222, 24. 15288, n° 2004.
Chute de bande avec une découpe légèrement concave. Fer.
L. 32 mm. 2.7 g.
E : 1130.2. N : 1121.4.*

Planche 222, 25. 11146, n° 2034.
Chute de barre de section carrée avec une découpe à base légèrement convexe. Fer.
L. 50. 10.9 g.
E : 1130. N : 1125. Alt. : /.

Planche 222, 26. 12558, n° 790.
Chute de bande avec deux découpes en

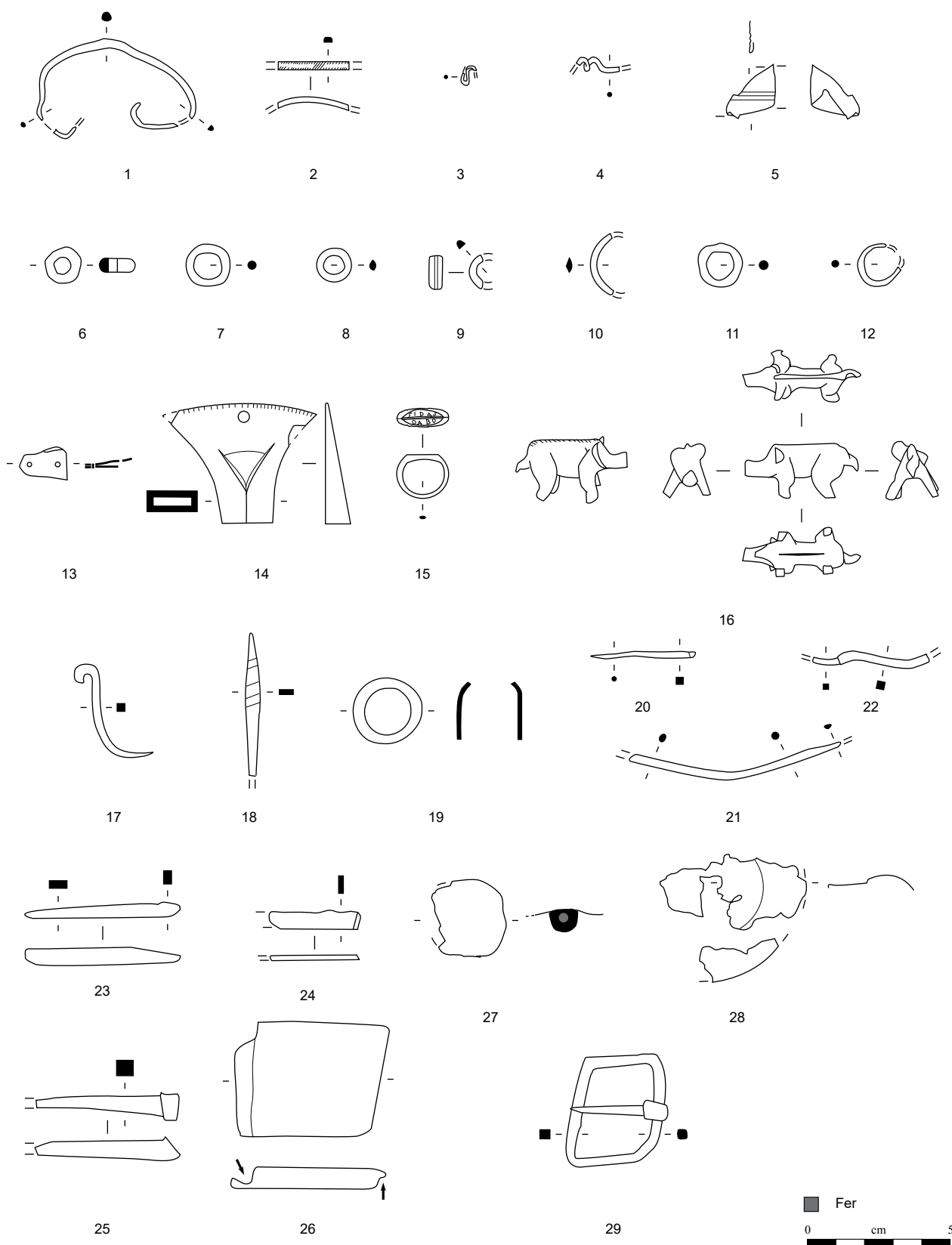


Planche 222. SCTE-3-remblai cours

1-13, 20-21, 28 : alliage cuivreux; 14, 17-19, 22-26, 29 : fer; 27 : alliage cuivreux et fer.

bec de dauphin. Fer.
L. 51 mm, 71.3 g.
E : 1112.8. N : 1134.3. Alt. : 573.62.

Planche 222, 27. 9225.
Applique circulaire à bélière comportant une tige en fer à l'intérieur. Base-cuivre et fer.
L. 27 mm, 4.8 g.
E : 1117.6. N : 1134.8. Alt. : /.

Planche 222, 28. 11320, n° 77.
Fragments de phalère constituée d'une tôle avec un trou central et un rebord bombé. Base-cuivre.
L. 65 mm, 3.1 g.
E : 1134.25. N : 1126.30. Alt. : 573.46.

Planche 222, 29. 11302, n° 5.
Boucle de sous-ventrière à anneau rectangulaire. Fer.
L. 38 mm, l. 30 mm, 16 g.
E : 1120. N : 1109. Alt. : /.

Cour et cuves E

État 4 lato sensu : époque romaine

SCTE-3-remblai cours

Planche 223, 1. 11108, n° 126.
Clé à rotation bipartite, fer et base-cuivre, avec une bouterolle et deux rouets, une tige creuse avec manche bouleté comportant un trou pour y couler du plomb. Fer, base-cuivre et plomb.
L. 78 mm, L. (panneton) 46 mm, diam. int. (tige) 7 mm, 121 g.
E : 1134.94. N : 1122.42. Alt. : 573.53.

Planche 223, 2. 10130, n° 76.
Pêne contrecoudé composé d'une tige de section rectangulaire courbée à l'angle droit et cassée à une extrémité. L'autre extrémité se termine en pointe. Fer.
L. 173 mm, S. 4x2 mm, 12.4 g.
E : 1120.4. N : 1130.7. Alt. : 573.52.

Planche 223, 3. 12045, n° 432.
Pêne contrecoudé de serrure à rotation de section rectangulaire. Fer.
L. 121 mm, S. 2,5 x 4,5 mm, 10.2 g.
E : 1126.9. N : 1115.7. Alt. : 573.75.

Planche 223, 4. 11106, n° 2022.
Fragment de pêne contrecoudé de serrure à rotation. Fer.
L. 40 mm, S. 4/4x2 mm, 3 g.
E : 1131.7. N : 1128.6. Alt. : /.*

Planche 223, 5. 12510, n° 84.
Fragment de *lorica segmentata* (?) de forme trapézoïdale avec un bord replié, une perforation, une trace de rivet fixant une partie de tôle repliée. Fer.
L. 101 mm, l. 67 mm, E. 11 mm, diam. int. 3,5 mm., 36.5 g.
E : 1110.10. N : 1136.9. Alt. : 572.93.

Planche 223, 6. 11320, n° 732.
Clou-rivet émaillé à tige en fer. Base-cuivre et fer.
L. 17.66 g.
E : 1128.40. N : 1104.2. Alt. : 573.85.

Planche 223, 7. 12507, n° 2116.
Clou décoratif en fer avec rondelle en bronze sous la tête. Fer.
L. 60 mm, diam. 18 mm, 5.8 g.
E : 1129.6. N : 1131. Alt. : /.

Planche 223, 8. 11058, n° 63.
Ferrure décorative composée d'une bande de tôle avec un trou angulaire à chaque extrémité et une section biseautée. Base-cuivre.
L. 58 mm, l. 7 mm, E. 1 mm, 3.1 g.
E : 1131.4. N : 1126.7. Alt. : 573.59.

Planche 223, 9. 11168, n° 309.
Fragment d'applique, de rondelle ou de contreplaque de rivet décoratif. Base-cuivre.
Diam. 20 mm, 3.1 g.
E : 1133.79. N : 1126.78. Alt. : 573.35.

Planche 223, 10. 11053, n° 48.
Maillon rapide de section ronde. Fer.
Diam. 20 mm, S. 2 mm, 2.2 g.
E : 1132.85. N : 1122.71. Alt. : 573.65.

Planche 223, 11. 12045, n° 358.
Stylet composé d'une tige de section ronde appointée. La spatule arrondie à sa base présente un décrochement par rapport à l'axe de l'objet. Fer.
L. 119 mm, S. 5 mm, 9 g.
E : 1133.45. N : 1111.1. Alt. : 573.72.

Planche 223, 12. 11168, n° 321.
Stylet composé d'une tige pointue de section ronde aplatie à une extrémité. Fer.
L. 85 mm, S. 3 mm, 2.3 g.
E : 1133.50. N : 1129. Alt. : 573.40.

Planche 223, 13. 15221, n° 95.
Fragment d'agrafe de fourreau (?) constitué d'une fine bande de tôle repliée à une extrémité. Fer.
L. 22 mm, l. 5 mm, 0.7 g.
E : 1133. N : 1118.

Planche 223, 14. 15288, n° 277.
Grande tige indéterminée de section ronde appointée à une extrémité et cassée et légèrement pliée à l'autre. Fer.
L. 172 mm, S. 3,5 à 10 mm, 47.1 g.
E : 1129.8. N : 1119.75.

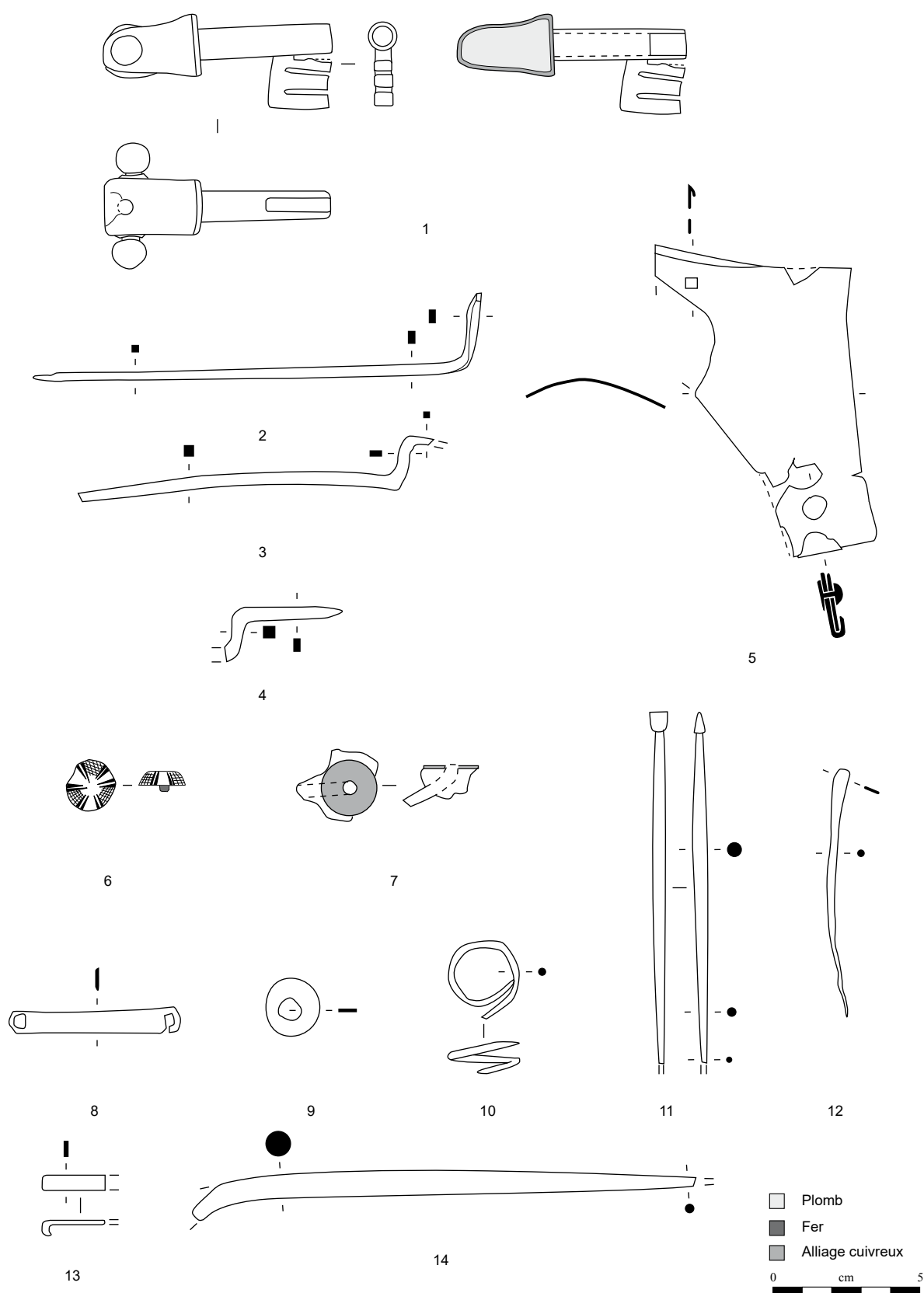


Planche 223. SCTE-3-remblai cours

1 : fer, alliage cuivreux et plomb; 2-5, 10-14 : fer; 6-7 : alliage cuivreux et fer; 8-9 : alliage cuivreux.

Cour et cuves E

État 3 : fin LTD2b-Auguste

SCTE-5-Fo 13035

Planche 224, 1. 13037, n° 161.

Fibule à ailettes naissantes complète, à ressort à quatre spires et corde interne, à arc triangulaire orné d'un décor en échelle et interrompu par une nodosité striée et moulurée et une ailette peu prononcée. Le pied est triangulaire ajouré. Base-cuivre. L. 59 mm. 4.3 g.
E : 1133.3. N : 1110. Alt. : 573.33.
Type : B24-3.

État 2-GR : LTD1b évoluée-époque romaine

SCTE-6-interface LT-GR

Planche 224, 2. 11133, n° 246.

Fibule à ressort à quatre spires (deux conservées) et corde interne et arc triangulaire de tôle à bordures soulignées par une rainure. Le pied est fragmentaire. Base-cuivre. L. 35 mm, L. (arc) 24 mm, l. (arc) 4 mm. 0.9 g.
E : 1129.75. N : 1125.41. Alt. : 573.46.
Type : B22-03.

Planche 224, 3. 11356, n° 238.

Fibule de Nauheim à ressort à quatre spires et corde interne à arc de tôle triangulaire à décor d'échelle. Seule une partie du pied est manquante. Base-cuivre. L. 37 mm, L. (arc) 25 mm, l. (arc) 3 mm. 1.6 g.
E : 1128.2. N : 1108.1.*
Type : B22-04.

Planche 224, 4. 12073, n° 810.

Fibule à ressort à une spire conservée et arc de tôle triangulaire cambré interrompu par une nodosité et pied replié sur l'arc. Base-cuivre. L. 44 mm. 1.4 g.
E : 1126. N : 1114.46. Alt. : 573.89.
Type : B34-1.

Planche 224, 5. 12073, n° 799.

Fibule à ressort à quatre spires et corde externe haute et à arc cambré de section lenticulaire cassé au niveau du pied qui est ajouré. Fer. L. 58 mm, L. (arc) 50 mm, S. 5,5 x 2.5 mm. 5.7 g.
E : 1130.45. N : 1111.75. Alt. : 573.64.
Type : F33-7.

Planche 224, 6. 12073, n° 820.

Fibule à ressort à quatre spires (deux conservées) et corde interne à arc coudé dont le coude est orné d'une petite perle et pied ajouré fragmentaire. Fer. L. 41 mm, L. (arc) 24 mm. 2.2 g.
E : 1131. N : 1111.1. Alt. : /.
Type : F24-4.

Planche 224, 7. 12112, n° 1015.

Fragment de grand anneau de section ronde. Base-cuivre. Diam. 29 mm, S. 4 mm. 1.7 g.

E : 1134.6. N : 1114.7. Alt. : 573.22.

Planche 224, 8. 12073, n° 824.

Fragment de grand anneau de section losangique. Base-cuivre. Diam. 24 mm, S. 3 x 5 mm. 2.5 g.
E : 1127.35. N : 1114.31. Alt. : 573.77.

Planche 224, 9. 11111, n° 728.

Attache de frette de fourreau à trois cannelures en relief. Base-cuivre. L. 17 mm, l. 11 mm, S. 2 mm, diam. int. 15 mm. 2.7 g.
E : 1127.4. N : 1129.25. Alt. : 573.53.

Planche 224, 10. 12073, n° 823.

Attache de *lorica segmentata* à anneau de section carrée avec un plat triangulaire de section rectangulaire. Base-cuivre. L. 17 mm, E. 4 mm, diam. int. 6x5 mm. 2.9 g.
E : 1131.86. N : 1114.2. Alt. : 573.78.

Planche 224, 11. 12073, n° 2047.

Fragment d'angrois comportant des traces de martelage sur le côté le plus épais. Fer. L. 67 mm, S. 9x6 mm. 15.2 g.
E : 1127.2. N : 1113.2. Alt. : /.*

Planche 224, 12. 12073, n° 813.

Chute de bande de section rectangulaire à angles arrondis. La découpe présente deux biseaux asymétriques. Fer. L. 31 mm, l. 8 mm, E. 5,5 mm, S. 8x5,5 mm. 7.4 g.
E : 1125.47. N : 1110.97. Alt. : 573.8.

Planche 224, 13. 12073, n° 985.

Chute de tôle repliée trois fois avec une autre tôle à l'intérieur. Base-cuivre. L. 11 mm, l. 8 mm. 1.2 g.
E : 1127.2. N : 1112.8. Alt. : /.*

Planche 224, 14. 11133, n° 2086.

Demi-produit constitué d'une tige de section trapézoïdale. Base-cuivre. L. 19 mm. 0.4 g.
E : 1128. N : 1124. Alt. : /.

Planche 224, 15. 11133, n° 2030.

Chute de tige de section carrée pointue avec une découpe à double biseau excentré. Fer. L. 38 mm. 1.5 g.
E : 1127. N : 1124. Alt. : /.

Planche 224, 16. 11133, n° 2031.

Chute de tige de section carrée pointue avec une découpe en bec de dauphin. Fer. L. 38 mm. 1.5 g.
E : 1127. N : 1124. Alt. : /.

Planche 224, 17. 11123, n° 2028.

Chute de tige de section carrée pointue avec une découpe légèrement concave. La découpe est repliée. Le pli peut être dû à un rétrécissement du métal lors du refroidissement après la découpe ou à un coup de marteau. Fer. L. 46 mm. 2.9 g.
E : 1128. N : 1126. Alt. : /.

Planche 224, 18. 10165, n° 2006.

Chute de tige de section ronde avec une découpe droite. Fer. L. 47 mm. 2.4 g.
E : 1123.1. N : 1111.2. Alt. : /.*

Planche 224, 19. 12073, n° 806.

Fragment de cerclage de seau constitué d'une large bande de tôle aux rebords soulignés par un bourrelet avec perforation carrée. Base-cuivre. L. 47 mm, l. 23 mm, Ép. 0,5 mm. 3.4 g.
E : 1127.7. N : 1112.25. Alt. : 573.65.

Planche 224, 20. 11123, n° 197.

Extrémité d'anse de récipient de section lenticulaire recourbée à une extrémité. Base-cuivre. L. 37 mm, S. 2x3 mm. 2.1 g.
E : 1129.25. N : 1127.90. Alt. : 573.36.

Planche 224, 21. 11153, n° 269.

Palâtre avec bouterolle pour serrure à rotation, clé à tige pleine et panneton coudé à 90° à droite. Fer. L. 42 mm, l. 25 mm, diam. int. 8 mm. 6.7 g.
E : 1128. N : 1124.14. Alt. : 573.51.

Planche 224, 22. 12073, n° 2007.

Fragment de fléau de balance cassé au niveau de l'oeillet central. Il ne subsiste donc qu'un seul bras également cassé au niveau de l'oeillet de suspension. Base-cuivre. L. 69 mm, S. 2 mm. 1.2 g.
E : 1128.2. N : 1113.6. Alt. : /.*

Planche 224, 23. 11354, n° 340.

Fragment de pince à épiler. Il manque l'extrémité des deux branches. Fer. L. 35 mm, l. 5 mm, E. 1 mm. 4.7 g.
E : 1128.4. N : 1108.27. Alt. : 573.79.

Planche 224, 24. 11123, n° 202.

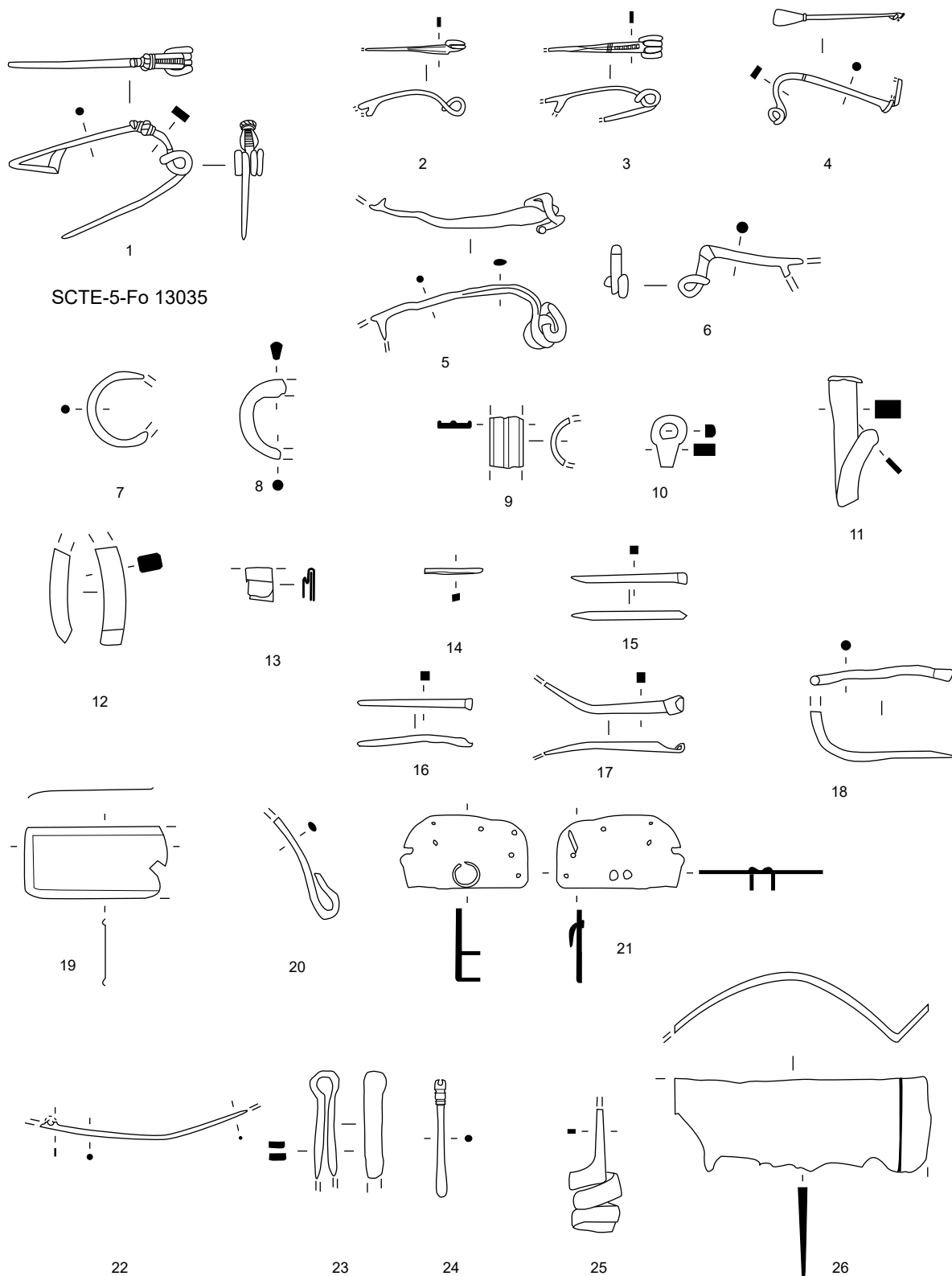
Sonde de trousse de toilette composée d'une tige présentant une extrémité épaissie et des cannelures et un anneau de suspension cassé à l'autre extrémité. Base-cuivre. L. 39 mm, S. 3 mm. 2.1 g.
E : 1129.7. N : 1128. Alt. : 573.52.

Planche 224, 25. 11153, n° 272.

Aiguillon constituée d'une bande de tôle enroulée terminée par une pointe. Fer. L. 40 mm, l. (bande) 5 mm, diam. int. 13 mm. 8.6 g.
E : 1127.42. N : 1124.40. Alt. : 573.52.

Planche 224, 26. 12073, n° 2049.

Fragment de boîte à moyeu formé d'une bande de tôle de section triangulaire présentant une extrémité repliée. Fer. L. 84 mm, l. 31 mm, S. 1-3 mm, diam. int. 92 mm. 40.5 g.
E : 1127.4. N : 1112. Alt. : /.*



SCTE-5-Fo 13035

SCTE-6-interface LT-GR

0 cm 5

Planche 224. SCTE-5-Fo 13035 et SCTE-6-interface LT-GR

1-4, 7-10, 13-14, 19-20, 22, 24 : alliage cuivreux; 5-6, 11-12, 15-18, 21, 23, 25-26 : fer.

Cour et cuves E

État 1 et 2 lato sensu : LTD1b-LTD2

SCTE-7-sol de cailloutis

Planche 225, 1. 10203, n° 200.

Ressort à six spires et corde externe basse avec départ d'arc de section circulaire. Fer.
L. 21 mm. 2.5 g.
E : 1121.8. N : 1115.9. Alt. : 573.69.
Type : F10-3.

Planche 225, 2. 11372, n° 339.

Arc de fibule schéma La Tène moyenne de section circulaire puis losangique, avec perle de fixation du pied. Fer.
L. 77 mm. 9.5 g.
E : 1128.25. N : 1106.97. Alt. : 573.76.
Type : F01-1.

Planche 225, 3. 11374, n° 401.

Fibule à ressort à quatre spires (deux conservées) et corde interne et à arc de tôle triangulaire à décor d'échelle et à bordures soulignées par une rainure. Base-cuivre.
L. 38 mm, L. (arc) 23 mm, l. (arc) 3.5 mm. 1.4 g.
E : 1129.95. N : 1109.26. Alt. : 573.68.
Type : B22-02.

Planche 225, 4. 9374.

Fibule complète à ressort à quatre spires et corde interne et à arc de tôle triangulaire à décor d'échelle central et à bordures soulignées par une rainure. Base-cuivre.
L. 43 mm, L. (arc) 23 mm, l. (arc) 4 mm. 2 g.
E : 1120. N : 1115. Alt. : /.
Type : B22-02.

Planche 225, 5. 10204, n° 345.

Fibule de Nauheim à ressort à une spire conservée et arc de tôle triangulaire à décor d'échelle centrale, bordures soulignées par une rainure et lignes interrompant le décor. Cassée au niveau du début du pied ajouré. Base-cuivre.
L. 43 mm, L. (arc) 33 mm, l. (arc) 5 mm. 1.4 g.
E : 1123.05. N : 1115.48. Alt. : 573.66.
Type : B22-02.

Planche 225, 6. 12083, n° 292.

Fibule à ressort à quatre spires (deux conservées) et corde interne à arc de tôle triangulaire à bordures soulignées par une rainure. Le pied est partiellement conservé. Base-cuivre.
L. 37 mm, L. (arc) 24 mm, l. (arc) 3.5 mm. 1 g.
E : 1124.6. N : 1110.4. Alt. : 573.75.
Type : B22-03.

Planche 225, 7. 11380, n° 262.

Fibule à ressort à quatre spires et corde interne et arc filiforme de section quadrangulaire, interrompu par des lignes incisées. Base-cuivre.
L. 33 mm, L. (arc) 23 mm, S. 2 mm. 1.1 g.
E : 1127.6. N : 1107.6. Alt. : 573.82.
Type : B23-1.

Planche 225, 8. 12556, n° 423.

Fibule à ressort à quatre spires et corde

interne et arc filiforme de section lenticulaire. Fer.
L. 28 mm. 3.9 g.
E : 1126.7. N : 1114. Alt. : 573.75.
Type : F23-5.

Planche 225, 9. 11372, n° 531.

Ressort à quatre spires et corde interne de fibule filiforme à arc cambré de section lenticulaire. Fer.
L. 41 mm. 4 g.
E : 1128.6. N : 1107.2. Alt. : /.
Type : F23-5.

Planche 225, 10. 15287, n° 271.

Fibule à ressort à quatre spires et corde externe haute à arc filiforme coudé rubané. Seul le porte-ardillon est manquant. Fer.
L. 41 mm. 2.7 g.
E : 1129.3. N : 1121.1.*
Type : F33-10.

Planche 225, 11. 15287, n° 272.

Fibule à ressort à une spire conservée et arc cambré de section lenticulaire. Fer.
L. 32 mm. 1.8 g.
E : 1132.1. N : 1120.8.*
Type : F03.

Planche 225, 12. 13058, n° 268.

Fibule à ressort à quatre spires et corde interne à arc filiforme tendu plié de section circulaire. Fer.
L. 66 mm, 6.3 g.
E : 1134.3. N : 1106.9. Alt. : 573.56.
Type : F23-1.

Planche 225, 13. 15070, n° 182.

Ardillon complet et ressort à quatre spires et corde interne. Fer.
L. 58 mm. 2.3 g.
E : 1102.95. N : 1105.2. Alt. : 573.97.
Type : F20.

Planche 225, 14. 11355, n° 349.

Ressort de fibule à quatre spires et corde externe haute et ardillon fragmentaire. Base-cuivre.
L. 29 mm. 1.2 g.
E : 1127.73. N : 1107.69. Alt. : 573.36.
Type : B30.

Planche 225, 15. 11355, n° 355.

Ressort à une spire conservée et ardillon de fibule. Fer.
L. 41 mm. 1.1 g.
E : 1128.31. N : 1107.77. Alt. : 573.11.

Planche 225, 16. 8080.

Perle de section hémisphérique. Base-cuivre.
Daim. 18 mm, S. 3,5 x 5 mm. 5 g.
E : 1128.3. N : 1136.9.

Planche 225, 17. 11305, n° 22.

Perle avec trois cannelures. Base-cuivre.
Diam. 12 mm, S. 3 x 4 mm. 2.7 g.
E : 1124.5. N : 1105.55. Alt. : 573.82.

Planche 225, 18. 11382, n° 415.

Fragment de grand anneau de section ovale, à intérieur facetté. Base-cuivre.
L. 24 mm, diam. 25 mm, S. 3,5 x 6,5 mm. 4.8 g.

E : 1129.42. N : 1110.40. Alt. : 573.65.

Planche 225, 19. 10266, n° 309.

Fragment d'applique vestimentaire en bande de tôle aux deux extrémités enroulées en forme de douille. Base-cuivre.
L. 50 mm. 1.9 g.
E : 1126.50. N : 1125.7. Alt. : /.

Planche 225, 20. 11167, n° 448.

Bague à chaton dont la pierre a disparu. Le chaton est donc visible sur le pourtour de la tête qui est légèrement surélevée, par rapport aux épaules convexes. La section du corps de la bague est rectangulaire. Il manque également une partie du corps à moins qu'il ne soit pas jointif (?). Fer.
Diam ext. 16 mm, Diam. int. 13 mm, S. 1,5 x 3 mm. 2.3 g.
E : 1127.60. N : 1129.02. Alt. : 573.35.
Type : 9.

Planche 225, 21. 10204, n° 279.

Clou de chaussure à quatre globules et à croix, bol marqué à fond rond. Fer.
L. 16 mm, diam. (tête) 14 mm. 4.5 g.
E : 1121. N : 1114.5. Alt. : /.*

Planche 225, 22. 11305, n° 47.

Clou de chaussure à huit globules et bol peu marqué. Fer.
L. 11 mm, diam. (tête) 10 mm. 1 g.
E : 1124.18. N : 1109.87. Alt. : 573.8.

Planche 225, 23. 10205.

Clou de chaussure à cinq globules et bol marqué à fond plat. Fer.
L. 9 mm, diam. (tête) 11 mm. 2.1 g.
E : 1124.5. N : 1115. Alt. : /.*

Planche 225, 24. 12553, n° 428.

Fragment de bracelet à jonc lisse plein de section ovale. Base-cuivre.
L. 25 mm, diam. int. 40 mm, S. 3 x 1 mm. 0.8 g.
E : 1112.9. N : 1129.20. Alt. : /.
Type : B10-2.

Planche 225, 25. 12503, n° 134.

Fragment de bracelet tubulaire à jonc fin orné de deux rainures longitudinales. Base-cuivre.
L. 50 mm, S. 4 mm. 2.7 g.
E : 1113.7. N : 1130. Alt. : 573.8.
Type : B22-5.

Planche 225, 26. 12084, n° 2050.

Fragment de gouttière de bouterolle. Fer.
L. 57 mm, S. 4 x 4 mm. 2.4 g.
E : 1126. N : 1114. Alt. : /.

Planche 225, 27. 11305, n° 34.

Fragment de pointe de flèche à flamme de section losangique. Il manque l'extrémité de la flamme et seule une partie de la douille est conservée. Fer.
9. 15.1 g.
E : 1121.72. N : 1106.18. Alt. : 573.86.

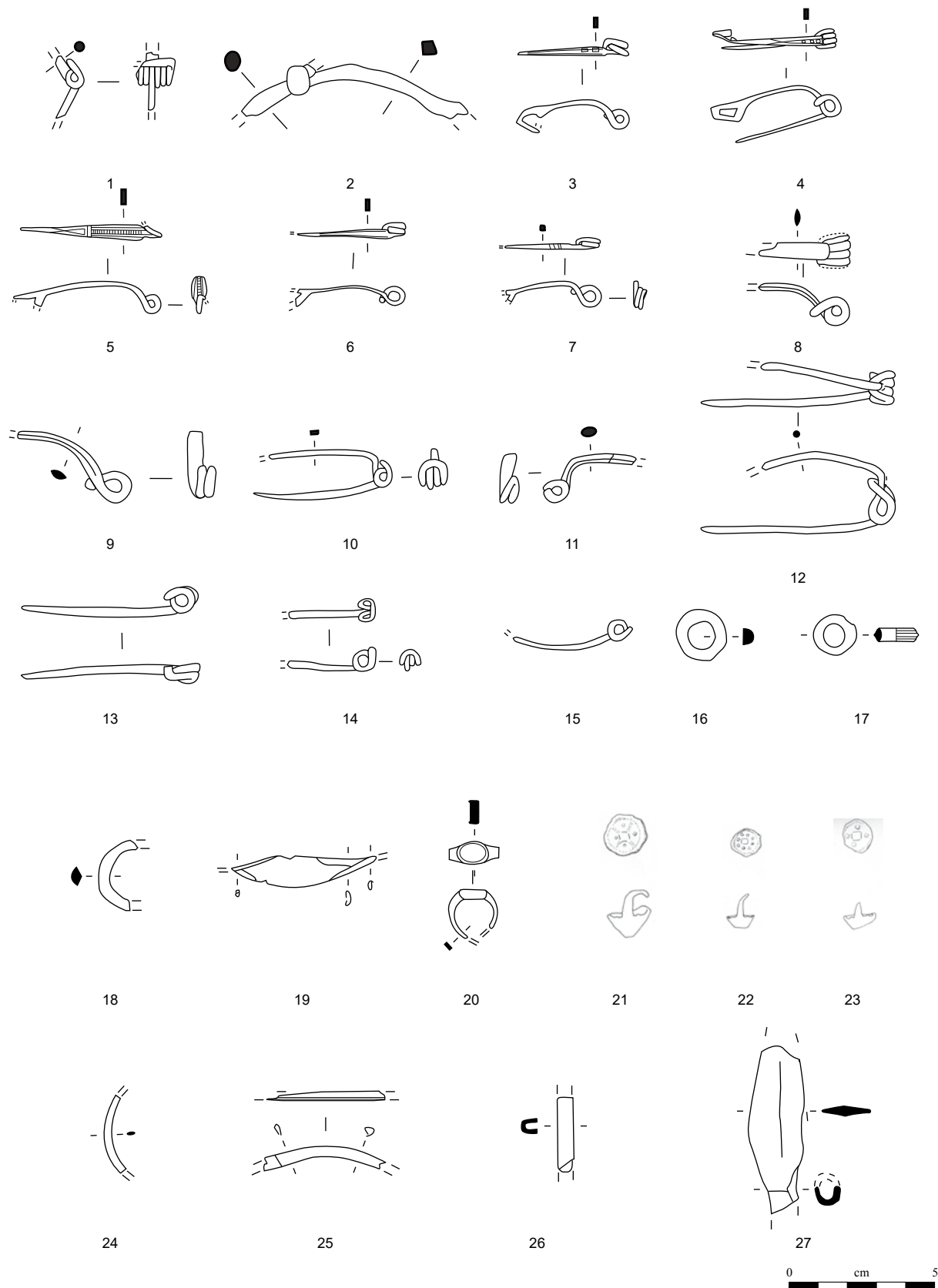


Planche 225. SCTE-7-sol de cailloutis

1-2, 8-13, 15, 20-23, 26-27 : fer; 3-7, 14, 16-19, 24-25 : alliage cuivreux.

Cour et cuves E

État 1 et 2 lato sensu : LTD1b-LTD2

SCTE-7-sol de cailloutis

Planche 226, 1. 13902, n° 125.

Fragment de cerclage de seau constitué d'un grand fer plat de section rectangulaire plié en forme de «S». Fer.

L. 223 mm, l. 8 mm, ép. 3 mm. 29.7 g.

E : 1126.94. N : 1113. Alt. : 573.64.

Planche 226, 2. 11383, n° 413.

Fragment de pêne contrecoudé de serrure à rotation. Fer.

L. 58 mm, S. 4x3/4x4 mm. 3.7 g.

E : 1128. N : 1110.08. Alt. : 573.75.

Planche 226, 3. 11355, n° 2082.

Objet indéterminé, pêne (?) constitué d'une tige de section carrée appointée à ses deux extrémités et présentant deux angles droits. Interprété comme stimulus dans la publication du sanctuaire. Fer.

L. 76 mm, S. 5 mm. 12.2 g.

E : 1126. N : 1106. Alt. : /.

Planche 226, 4. 11374, n° 398.

Clou-rivet émaillé à tige en fer. Base-cuivre et fer.

15. 9.4 g.

E : 1129.7. N : 1109.08. Alt. : 573.66.

Planche 226, 5. 11382, n° 409.

Fragment de chaîne composée d'un fer plat avec oeillet à chaque extrémité. Un des oeillets est fragmentaire. Fer.

L. 63 mm, l. 11 mm, E. 5 mm, diam. int. 10 mm. 21.9 g.

E : 1129.76. N : 1110. Alt. : 573.66.

Planche 226, 6. 11372, n° 532.

Anneau de sertissage. Fer.

Diam. 16 mm, S. 4 mm, diam. int. 8 mm. 3.2 g.

E : 1128.8. N : 1107. Alt. : /.*

Planche 226, 7. 12084, n° 921.

Aiguille complète à chas circulaire. Base-cuivre.

L. 33 mm. 0.3 g.

E : 1198. N : 1120. Alt. : 573.7.

Planche 226, 8. 12087, n° 949.

Extrémité triangulaire de scie égoïne avec une voie composée de triangles isocèles. Fer.

L. 45 mm, l. 23 mm, E. 2 mm. 6.1 g.

E : 1131.1. N : 1108.88. Alt. : 573.67.

Planche 226, 9. 11372, n° 2084.

Angrois de forme triangulaire et de section rectangulaire à l'extrémité matée. Fer.

L. 44 mm, S. 5x8 mm. 6.1 g.

E : 1128. N : 1126. Alt. : /.

Planche 226, 10. 11167, n° 298.

Fragment de demi-produit de section ronde avec des traces de martelage. La section change et présente un angle. Base-cuivre.

L. 47 mm, S. 6 mm. 7.4 g.

E : 1128.4. N : 1127.7. Alt. : 573.44.

Planche 226, 11. 11166, n° 2041.

Chute de tige de section carrée pointue avec une découpe légèrement concave. Fer.

L. 24 mm. 0.6 g.

E : 1128. N : 1124. Alt. : /.

Planche 226, 12. 13058, n° 2021.

Chute de tige de section carrée pointue avec une découpe droite. Fer.

L. 35 mm. 4.7 g.

E : 1137.1. N : 1107.2. Alt. : /.*

Planche 226, 13. 11372, n° 2083.

Chute de tige de section carrée pointue avec une découpe droite. Fer.

L. 51 mm. 1.9 g.

E : 1128.7. N : 1106.1. Alt. : /.*

Planche 226, 14. 12084, n° 860.

Chute de plaque présentant des bords biseautés irréguliers. Fer.

L. 35 mm. 2.8 g.

E : 1127. N : 1112.8. Alt. : 573.68.

Planche 226, 15. 11345, n° 181.

Fragment d'embout de timon ou de fusée de char constitué d'une tôle circulaire avec un centre évidé à un ourlet. La tôle présente des ondulations concentriques ainsi qu'une perforation volontaire devant servir à sa fixation. Fer.

Diam. 108 mm, diam. int. 40 mm. 8 g.

E : 1115. N : 1106. Alt. : /.

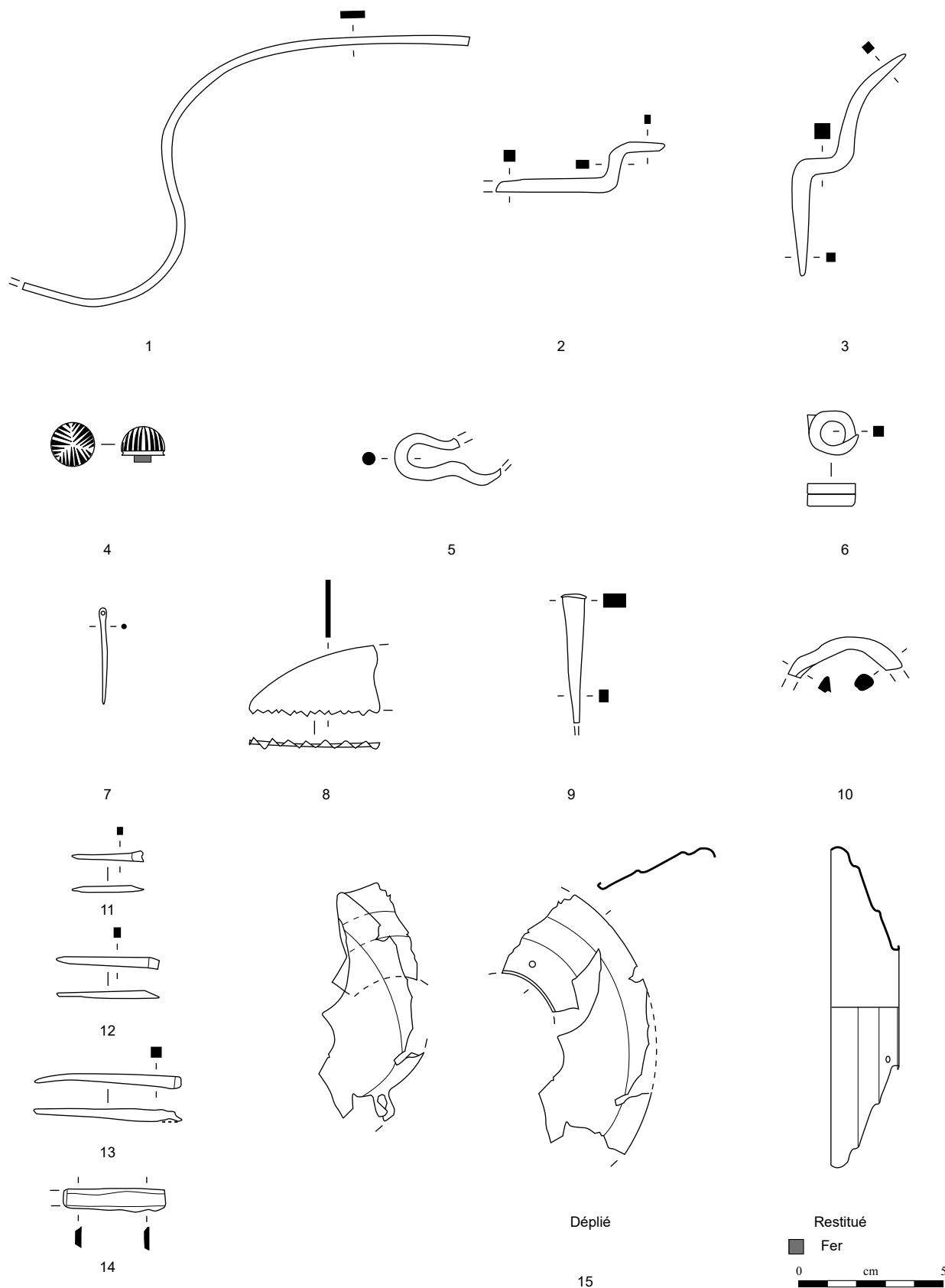


Planche 226. SCTE-7-sol de cailloutis

1-3, 5-6, 8-9, 11-15 : fer; 4 : alliage cuivreux et fer; 7, 10 : alliage cuivreux.

Cour et cuves E

État 1 et 2 lato sensu : LTD1b-LTD2

SCTE-8-pavage amphore

Planche 227, 1. 12113, n° 2119.
Fragment de pied et vestige d'un fin arc de fibule de Nauheim. Base-cuivre.
L. 20 mm. 0.4 g.
E : 1129. N : 1113.5.*
Type : B22-0.

Planche 227, 2. 11342, n° 2087.
Fragment de gouttière. Base-cuivre.
L. 28 mm, l. 4 mm. 2.6 g.
E : 1126. N : 1108. Alt. : /.

SCTE-9-Cuve 11356

Planche 227, 3. 11357, n° 239.
Fibule à ressort à quatre spires et corde interne et arc triangulaire fin orné d'un décor d'échelle central, à bordures soulignées par une rainure et lignes interrompant l'arc. Seul le pied est fragmentaire. Base-cuivre.
L. 37 mm, L. 18.5 mm, l. (arc) 3 mm. 1.7 g.
E : 1128. N : 1108.1. Alt. : 573.72.
Type : B22-02.

SCTE-11-Cuve 12082

Planche 227, 4. 12085, n° 880.
Fibule à ressort à quatre spires et corde interne et à arc de tôle triangulaire à décor d'échelle à bordures soulignées par une rainure avec des lignes interrompant le décor. Base-cuivre.
L. 39 mm, L. (arc) cons. 21 mm, l. (arc) 35 mm. 1.7 g.
E : 1128.44. N : 1114.17. Alt. : 573.54.
Type : B22-02.

Planche 227, 5. 12085, n° 872.
Fragment d'épissure de bracelet. Base-cuivre.
L. 12 mm. 0.5 g.
E : 1129.15. N : 1114.6. Alt. : 573.59.
Type : B12-1.

Planche 227, 6. 12085, n° 892.
Chute de tôle triangulaire pliée à une extrémité. Base-cuivre.
L. 29 mm. 1.9 g.
E : 1128.62. N : 1114.6. Alt. : 573.56.

Planche 227, 7. 12085, n° 871.
Boucle supérieure de pince à épiler. Base-cuivre.
L. 11 mm, S. 2 mm. 0.2 g.
E : 1129.36. N : 1114.58. Alt. : 573.6.

Édicule

État 4 lato sensu : époque romaine

SCTED-1-nettoyage 12086

Planche 227, 8. 12086, n° 890.
Grand anneau à trois cannelures. Base-cuivre.
Diam. 26 mm, S. 4 x 6 mm. 7.8 g.
E : 1128.6. N : 1106.6. Alt. : 573.7.

SCTED-2-passe mécanique 12035

Planche 227, 9. 12035, n° 339.
Fibule de type Langton Down complète à cache-ressort et arc rectangulaire à rainures longitudinales et pied triangulaire ajouré. L'ardillon est légèrement tordu. Base-cuivre.
L. 37 mm. 7 g.
E : 1134. N : 1107.2. Alt. : 573.72.
Type : B57-1.

Planche 227, 10. 12035, n° 330-1.
Fibule à cache-ressort et à arc échancré lisse de section triangulaire et pied triangulaire ajouré. Base-cuivre.
L. 37 mm. 4.4 g.
E : 1134.2. N : 1105.64. Alt. : 573.68.
Type : B57-2.

Planche 227, 11. 12035, n° 347.
Fibule de type pseudo-La Tène moyenne complète, à ressort à quatre spires et corde interne, à arc coudé et pied triangulaire attaché sur le sommet de la tête par une bague moulurée. Base-cuivre.
L. 64 mm. 8.2 g.
E : 1133.6. N : 1106.65. Alt. : 573.73.
Type : B21-3.

Planche 227, 12. 12035, n° 356.
Fibule géométrique à charnière rapportée et arc cruciforme mouluré avec partie centrale carrée entourée d'un cadre incisé. Seul un fragment de l'ardillon manque. Base-cuivre.
L. 26 mm. 2 g.
E : 1131.8. N : 1109. Alt. : 573.72.
Type : B79-3.

Planche 227, 13. 12035, n° 373.
Fibule complète ouverte, à charnière dans le prolongement de l'arc et à arc à protubérances latérales interrompu par une collerette. Le pied est triangulaire plein. Base-cuivre.
L. (ouverte) 56 mm, L. (fermée) 31 mm. 3.7 g.
E : 1133.9. N : 1106.8. Alt. : 573.76.
Type : B68-6.

Planche 227, 14. 12035, n° 369-2.
Fibule filiforme à ressort à quatre spires et corde externe haute et à arc outrepassant de section circulaire, avec un décor rapporté, réparation constituée d'un fil à proximité du pied triangulaire ajouré. Fer.
L. 79 mm. 12.5 g.
E : 1132. N : 1106.45. Alt. : 573.74.
Type : F33-13.

Planche 227, 15. 12035, n° 315.
Fibule à ressort à quatre spires (deux conservées) et corde interne et à arc de tôle triangulaire à décor d'échelle central et bordures soulignées par une rainure avec des lignes interrompant le décor. Le pied est partiellement conservé. Base-cuivre.
L. 42 mm, L. (arc) 30 mm, l. (arc) 5 mm. 1.6 g.
E : 1135.05. N : 1106.8. Alt. : 573.81.
Type : B22-02.

Planche 227, 16. 12035, n° 371.
Ardillon complet de fibule avec départ d'une spire. Base-cuivre.
L. 44 mm. 0.5 g.
E : 1134.5. N : 1107. Alt. : 573.83.

Planche 227, 17. 12035, n° 387.
Ardillon complet et ressort à quatre spires (deux conservées) et corde interne dépliée. Base-cuivre.
L. 47 mm. 1.1 g.
E : 1130.3. N : 1107.15. Alt. : 573.75.
Type : B20-0.

Planche 227, 18. 12035, n° 341.
Extrémité de système de fixation de bracelet à terminaison en forme de disque plat percé. Base-cuivre.
L. 14 mm, diam. int. 3 mm, ép. 2 mm. 1.7 g.
E : 1134. N : 1108. Alt. : 573.77.
Type : B32-1.

Planche 227, 19. 12035, n° 374.
Fragment de bague à chaton avec une pastille de verre jaune gravée représentant un quadrupède. Son épaulement très court est suivi d'un corps de section ovale. La pastille est fixée par serti clos. Base-cuivre.
Diam. int. 16 mm, S. 2 mm. 1.5 g.
E : 1131.7. N : 1108.9. Alt. : 573.68.
Type : 10.

Planche 227, 20. 12035, n° 391.
Extrémité d'objet en cuir ou en tissu constitué d'une tôle enroulée en forme de cône tronqué de sa pointe avec deux griffes triangulaires de fixation. Base-cuivre.
9. 0.6 g.
E : 1130.98. N : 1105.95. Alt. : 543.88.

Planche 227, 21. 12035, n° 446.
Perle à section en quart de rond. Base-cuivre.
Diam. 16 mm, S. 3 x 4,5 mm. 4 g.
E : 1135.04. N : 1105.6. Alt. : 573.67.*

Planche 227, 22. 12035, n° 317.
Perle avec cinq cannelures. Base-cuivre.
Diam. 21 mm, S. 6 x 5 mm. 5.4 g.
E : 1133.9. N : 1107.74. Alt. : 573.84.

Planche 227, 23. 12035, n° 350.
Petit anneau de section ronde. Base-cuivre.
Diam. 15 mm, S. 2 mm. 3 g.
E : 1132.15. N : 1106.7. Alt. : 573.8.

Planche 227, 24. 12035, n° 340.
Attache de récipient (?) composée d'une tôle de forme rectangulaire avec un triangle apposé à une longueur du rectangle et deux perforations. Une rainure décorative surligne ses bords. L'exemplaire est cassé au niveau d'une perforation. Base-cuivre.
L. 36 mm, S. 2,5 mm, diam. int. 2 mm. 4.9 g.
E : 1133.75. N : 1107.85. Alt. : 573.72.

Planche 227, 25. 12035, n° 2036.
Fragment de gouttière incurvée de

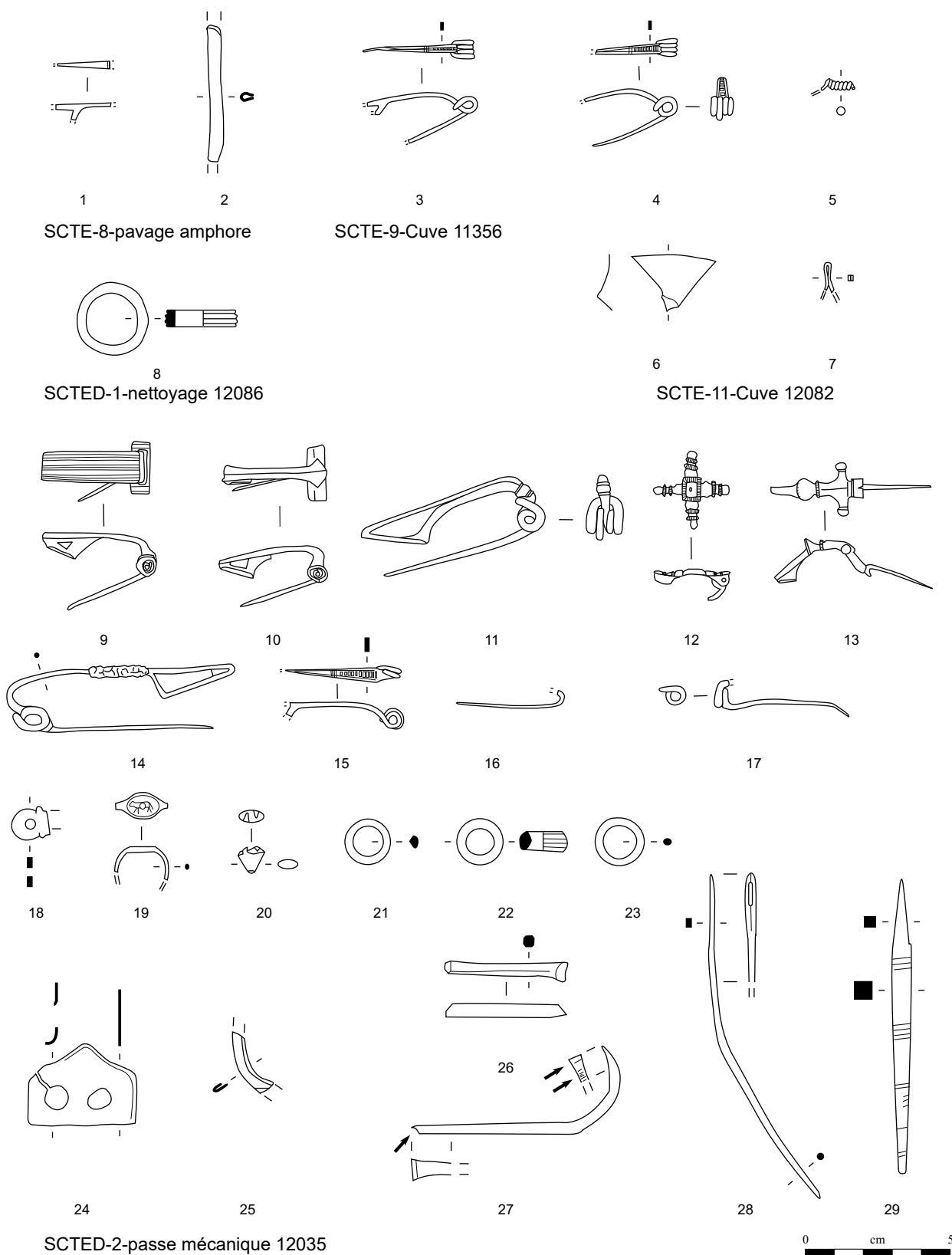


Planche 227. SCTE-8-pavage amphore à SCTED-2-passe mécanique 12035

1-13, 15-25 : alliage cuivreux; 14, 26-29 : fer.

bouterolle. Fer.
L. 25 mm, S. 3x5 mm. 1.3 g.
E : 1133.1. N : 1107. Alt. : /.*

Planche 227, 26. 12035, n° 2037.
Chute de tige de section facettée variant entre une forme octogonale et une forme ronde. Elle présente une découpe légèrement concave. Fer.
L. 46 mm. 5.2 g.
E : 1135. N : 1107. Alt. : /.*

Planche 227, 27. 12035, n° 336.
Chute de tige de section carrée coupée aux deux extrémités avec une découpe légèrement concave et une découpe avec des marques de dégorgement. Fer.
L. 75 mm. 7.8 g.
E : 1135. N : 1106.56. Alt. : 573.7.

Planche 227, 28. 12035, n° 384.
Aiguille à chas rectangulaire avec deux concavités de chaque côté du chas. Fer.
L. 122 mm, S. 2 mm. 3.3 g.
E : 1130.7. N : 1106. Alt. : 573.79.

Planche 227, 29. 12035, n° 357.
Lime de section carrée avec une soie et des rainures visibles sur la surface. Fer.
L. 104 mm, S. soie 7/5 mm. 17.6 g.
E : 1132.8. N : 1105.4. Alt. : 573.81.

Extérieur nord

État 1 : LTD1b classique

SCTX-1-Pal 19034

Planche 228, 1. 19033, n° 15.
Fibule à ressort à quatre spires et corde externe et arc filiforme tendu de section circulaire. Fer.
L. 35 mm, 6 mm. 4.7 g.
E : 1112.42. N : 1139.36. Alt. : 573.94.*
Type : F33-1.

Planche 228, 2. 19033, n° 12.
Bague constituée d'un fil de section ronde coudé. Or.
Diam. 19 mm, S. 1,5 mm. 3.471 g.
E : 1111.97. N : 1139.2. Alt. : 574.09.
Type : 2.

Planche 228, 3. 19033, n° 9.
Bague constituée d'un fil de section ronde coudé. Or.
Diam. 22 mm, S. 1,5 mm. 3.544 g.
E : 1112. N : 1139. Alt. : 574.06.
Type : 2.

Planche 228, 4. 19033, n° 38.
Bague constituée d'un fil de section ronde coudé. Or.
Diam. 16 mm, S. 1,5 mm. 2.413 g.
E : 1113.5. N : 1138.7.*
Type : 2.

Planche 228, 5. 19074, n° 73.
Virole ouverte avec bois minéralisé à l'intérieur. Fer.
Ht 17, diam. 16 mm. 12.8 g.
E : 1112.37. N : 1137.8.*

Planche 228, 6. 19074, n° 91.
Fragment de lame de couteau. Fer.
L. 63 mm. 16.9 g.
E : 1112.35. N : 1137.5.*
Type : 0-0.

État 2 lato sensu : fin LTD1b-LTD2

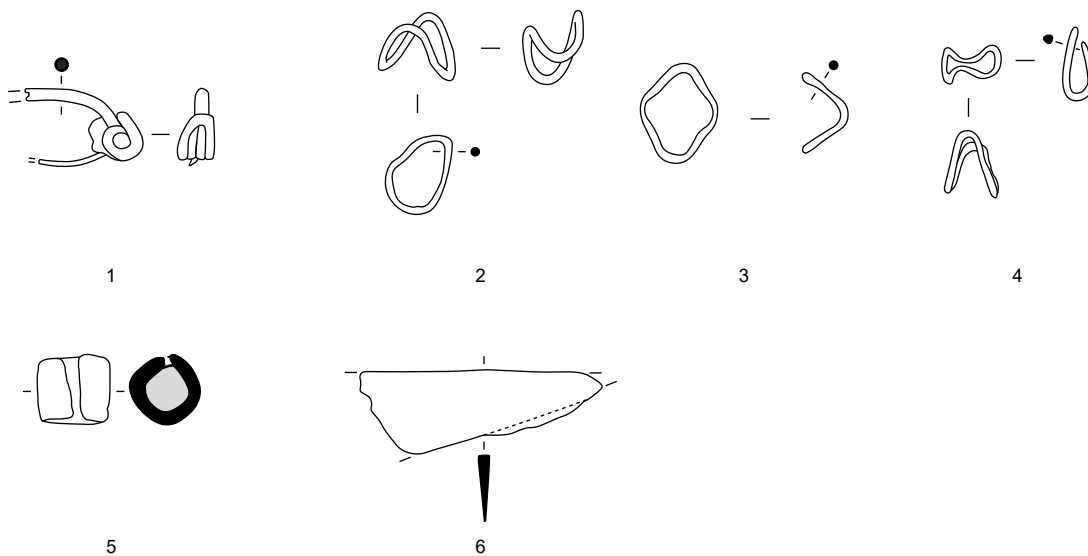
SCTX-3-sol 19035

Planche 228, 7. 19035, n° 20.
Objet à douille terminé par un plat incurvé avec une perforation. Fer.
L. 78 mm, diam. int. 7,5 mm. 16.9 g.
E : 1122.35. N : 1139. Alt. : 573.72.*

Planche 228, 8. 19035, n° 18.
Extrémité de pointe de lance de section à arête centrale et flancs concaves. Fer.
L. 61 mm. 18.3 g.
E : 1122.8. N : 1138.8. Alt. : 573.73.*
Type : 30.

SCTX-8-Fy 19083

Planche 228, 9. 19083, n° 75.
Pique-boeuf constitué d'une tige enroulée. Fer.
L. 68 mm, diam. 27 mm. 7.8 g.
E : 1120.6. N : 1139.



SCTX-1-Pal 19034



SCTX-3-sol 19035



SCTX-8-Fy 19083

Bois minéralisé

0 cm 5

Planche 228. SCTX-1-Pal 19034 à SCTX-8-Fy 19083

1, 5-9 : fer; 2-4 : or.

Hors contexte

HC(sanctuaire)

Planche 229, 1. HC(sanctuaire), n° 2095.

Fibule à charnière rapportée à arc discoïde, ornée d'un bouton central et de cercles concentriques guillochés. Base-cuivre.

Diam. 25 mm. 5.5 g.

E : /. N : /. Alt. : /.

Type : B79-1.

Planche 229, 2. HC(sanctuaire), n° 158.

Fibule à ressort à trois spires et corde interne et à arc triangulaire de tôle à bordures ornées d'incisions et lignes perpendiculaires à l'arc. La patine est très bleu clair. Base-cuivre.

L. 40 mm, L. (arc) 31 mm, l. (arc) 2 mm. 1.1 g.

Type : B22-14.

Planche 229, 3. HC(sanctuaire), n° 1044.

Fibule à ressort à quatre spires et corde interne et arc de tôle triangulaire. Fer.

L. 30 mm. 3.4 g.

Type : F22-1.

Planche 229, 4. HC(sanctuaire), n° 1046.

Ressort de fibule de schéma LT moyenne à six spires et corde externe basse et arc de section circulaire en arc de cercle. Fer.

L. 24 mm. 5.8 g.

Type : F11-4.

Planche 229, 5. HC(sanctuaire), n° 3003.

Fibule de schéma LT moyenne à ressort à quatre spires et corde interne, à arc filiforme coudé à deux reprises et pied de schéma La Tène moyenne rattaché sur l'arc, au-dessus de la tête. Fer.

L. 39 mm. 2.3 g.

Type : F21.

Planche 229, 6. HC(sanctuaire), n° 3004.

Fibule à ressort à quatre spires et corde interne et à arc filiforme tendu de section circulaire. Fer.

L. 26 mm. 2.3 g.

Type : F23-1.

Planche 229, 7. HC(sanctuaire), n° 255.

Fibule à ressort à trois spires et corde interne et à arc tendu de section circulaire. Fer.

L. 30 mm. 6 g.

Type : F23-1.

Planche 229, 8. HC(sanctuaire), n° 290.

Fibule à ressort à quatre spires (deux conservées) et corde externe haute et à arc cambré de section lenticulaire. Fer.

L. 33 mm. 1.6 g.

Type : F33-7.

Planche 229, 9. HC(sanctuaire), n° 52.

Fibule à ressort à deux spires conservées et à arc filiforme cambré de section carrée. Fer.

L. 28 mm, S. 2 mm. 1.2 g.

Type : F03.

Planche 229, 10. HC(sanctuaire), n° 373.

Fibule à ressort à quatre spires et corde externe haute et à arc outrepassant le ressort de section lenticulaire. Le pied est manquant. Fer.

L. 47 mm. 6.7 g.

Type : F33-11.

Planche 229, 11. HC(sanctuaire), n° 765.

Fibule à ressort à quatre spires (deux conservées) et corde externe haute et à arc filiforme tendu de section lenticulaire. Fer.

L. 28 mm. 3.2 g.

Type : F33-3.

Planche 229, 12. HC(sanctuaire), n° 1035.

Fibule à ressort à quatre spires et corde externe haute et à arc tendu filiforme de section circulaire. Fer.

L. 47 mm. 8.5 g.

Type : F33-1.

Planche 229, 13. HC(sanctuaire), n° 469.

Fibule à ressort à quatre spires (deux conservées) et corde externe haute, à arc cambré de section lenticulaire. Fer.

L. 35 mm. 2.2 g.

Type : F33-7.

Planche 229, 14. HC(sanctuaire), n° 2123.

Fibule à ressort à quatre spires et corde externe haute et à arc filiforme cambré de section lenticulaire interrompue, puis de section circulaire. Fer.

L. 31 mm. 3.9 g.

Type : F34-4.

Planche 229, 15. HC(sanctuaire), n° 2118.

Fibule à ressort à quatre spires et corde interne et à arc coudé orné d'une perle au niveau du coude. Fer.

L. 32 mm. 2.3 g.

Type : F24-4.

Planche 229, 16. HC(sanctuaire), n° 2122.

Fibule filiforme coudée à ressort à quatre spires et corde interne et à arc coudé légèrement couvrant. Fer.

L. 36 mm. 2.3 g.

Type : F24-4.

Planche 229, 17. HC(sanctuaire), n° 37.

Pied de fibule triangulaire plein avec arc de section ronde. Fer.

L. 65 mm, S. 8 mm. 3 g.

Type : F03.

Planche 229, 18. HC(sanctuaire), n° 289.

Extrémité d'arc de section ronde avec porte-ardillon triangulaire ajouré. Fer.

L. 45 mm. 0.8 g.

Type : F03.

Planche 229, 19. HC(sanctuaire), n° 22.

Ardillon et ressort de fibule. Base-cuivre.

L. 40 mm. 0.7 g.

Planche 229, 20. HC(sanctuaire), n° 164.

Ressort à quatre spires et corde externe et ardillon complet de fibule. Base-cuivre.

L. 61 mm. 2.3 g.

Type : B30.

Planche 229, 21. HC(sanctuaire), n° 73.

Fragment de bracelet tubulaire. Base-cuivre.

L. 14 mm. 0.8 g.

Type : B21-1.

Planche 229, 22. HC(sanctuaire), n° 1033.

Petite frette vestimentaire faite d'une bande de tôle repliée aux deux extrémités. Base-cuivre.

L. 9 mm, l. 5 mm, Ép. 1 mm. 0.6 g.

Planche 229, 23. HC(sanctuaire), n° 89.

Anneau-bague déformé à section lenticulaire ornée de stries alternées. Base-cuivre.

Diam. int. 17 mm. 0.5 g.

Type : 1.

Planche 229, 24. HC(sanctuaire), n° 1042.

Fragment de bracelet à jonc plein lisse, à section en «D». Base-cuivre.

L. 48 mm, diam. int. 44 mm, S. 4 mm. 6.2 g.

Type : B10-4.

Planche 229, 25. HC(sanctuaire), n° 1036.

Fragment de cotte de mailles, de chaînette (?) composée de mailles de trois diamètres différents. Cet objet est trop corrodé pour comprendre les connexions entre les différentes mailles. Fer.

L. 23 mm, diam. int. (anneau) 6 x 9 mm, S. 1 mm. 5.7 g.

Planche 229, 26. HC(sanctuaire), n° 88.

Fragment de bouterolle avec entretoise et gouttière et départ d'une entretoise cassée. Base-cuivre.

L. 17 mm, l. 21 mm. 2.1 g.

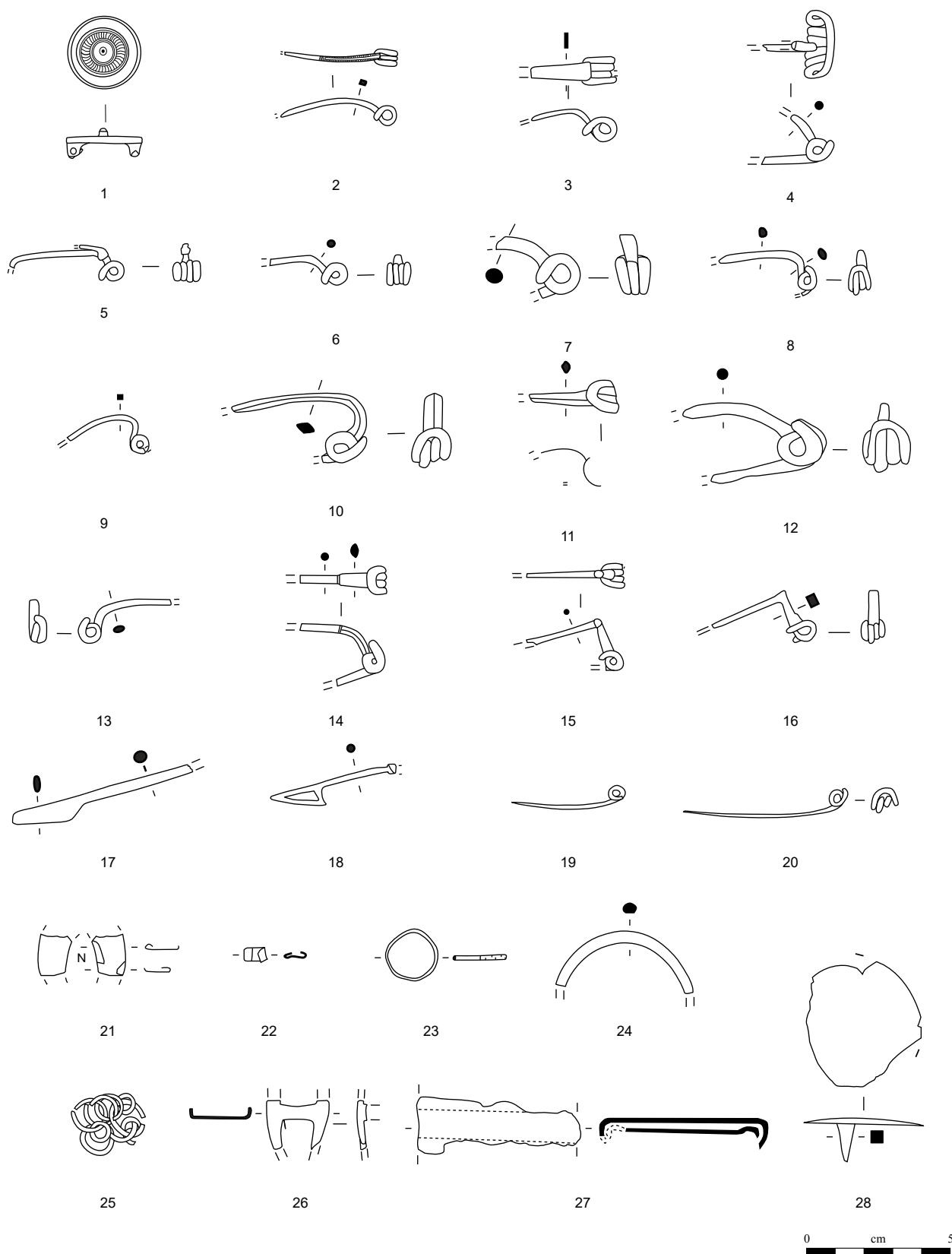


Planche 229. Mobilier hors contexte issu du sanctuaire (parures et armement)

1-2, 19-24, 26 : alliage cuivreux; 3-18, 25, 27-28 : fer.

Planche 229, 27. HC(sanctuaire), n° 656.

Agrafe de fourreau avec un fragment de tôle du fourreau conservé sous la frette. Cet exemplaire est très corrodé. Fer.
L. 58 mm. 21.9 g.

Planche 229, 28. HC(sanctuaire), n° 3019.

Clou-rivet discoïde d'umbo. Fer.
Diam. 58 mm, l. utile 14 mm. 12 g.
Type : Clou-rivet.

Hors contexte

Planche 230, 1. HC(sanctuaire), n° 3006.

Fragment de ressort de forces à boucle plus large que la poignée. Fer.
L. 46 mm. 6.5 g.

Planche 230, 2. HC(sanctuaire), n° 3018.

Fragment d'emporte-pièce avec la douille active conservée. Fer.
L. 39 mm, diam. (partie active) 8 mm. NP.

Planche 230, 3. HC(sanctuaire), n° 3014.

Fragment de tas. Fragment de tige de section carrée, surmontée d'un épaississement qui est fortement maté. Fer.
L. 23 mm, diam. (tête) 15 mm. 15 g.

Planche 230, 4. HC(sanctuaire), n° 3016.

Virole avec trou de fixation. Fer.
L. 19 mm, diam. 11 x 13 mm. 3.1 g.

Planche 230, 5. HC(sanctuaire), n° 3012.

Chute de barre avec une découpe légèrement concave. Fer.
L. 23 mm. 4.7 g.

Planche 230, 6. HC(sanctuaire), n° 1065.

Chute de barre de section rectangulaire avec une découpe légèrement concave. Fer.
L. 41 mm. 7.2 g.

Planche 230, 7. HC(sanctuaire), n° 3011.

Fragment de demi-produit constitué d'une tige de section ronde massive, puis de section subovale irrégulière. Base-cuivre.
L. 20 mm. 6.5 g.

Planche 230, 8. HC(sanctuaire), n° 2021.

Chute de tige de section carrée et ronde à l'extrémité découpée. Base-cuivre.
L. 24 mm. 1 g.

Planche 230, 9. HC(sanctuaire), n° 3020.

Fragment d'attache d'anse de situle (?) constituée d'un plat incurvé terminé par un anneau et par un épaississement à l'autre extrémité. Fer.
L. 60 mm, diam. int. (anneau) 6 mm. 12.1 g.

Planche 230, 10. HC(sanctuaire), n° 1047.

Pêne contrecoudé de serrure à rotation de section rectangulaire. Une extrémité est appointée. Fer.
L. 136 mm. 9.7 g.

Planche 230, 11. HC(sanctuaire), n° 432.

Poids sphérique. Plomb.
Diam. 27 mm. 102 g.

Planche 230, 12. HC(sanctuaire), n° 1041.

Boucle de harnais complète à anneau circulaire et ardillon. Fer.
Diam. int. 32 mm, S. 5 x 4 mm. 11.9 g.

Planche 230, 13. HC(sanctuaire), n° 2020.

Fragment d'éperon (?) constitué d'un fragment de plat bombé de section rectangulaire avec aiguillon de section carrée. Fer.
L. 29 mm, S. 4 x 9 mm. 12.2 g.

Planche 230, 14. HC(sanctuaire), n° 288.

Fragment d'aiguillon (?) constitué d'une tige enroulée formant un anneau en spirale. Fer.
L. 15 mm, diam. 16 mm. 6.2 g.

Planche 230, 15. HC(sanctuaire), n° 1000.

Clou-rivet émaillé avec émail conservé, à fond incurvé, légèrement creux et tige en fer fragmentaire. Base-cuivre et fer.
Diam. 21 mm, ht. 11 mm. 15.5 g.

Planche 230, 16. HC(sanctuaire), n° 3008.

Clou émaillé à tête hémisphérique creuse et tige matée. Fer.
Diam. 17 mm, L. utile 2,5 mm. 4 g.

Planche 230, 17. HC(sanctuaire), n° 2014.

Fragment de ferrure décorative à décor en damier. Base-cuivre.
L. 17 mm, l. 2 mm. 0.5 g.

Planche 230, 18. HC(sanctuaire), n° 2095.

Fragment d'applique circulaire avec une rainure soulignant sa bordure et une trace de perforation près cette dernière. Base-cuivre.
L. 28 mm. 0.7 g.

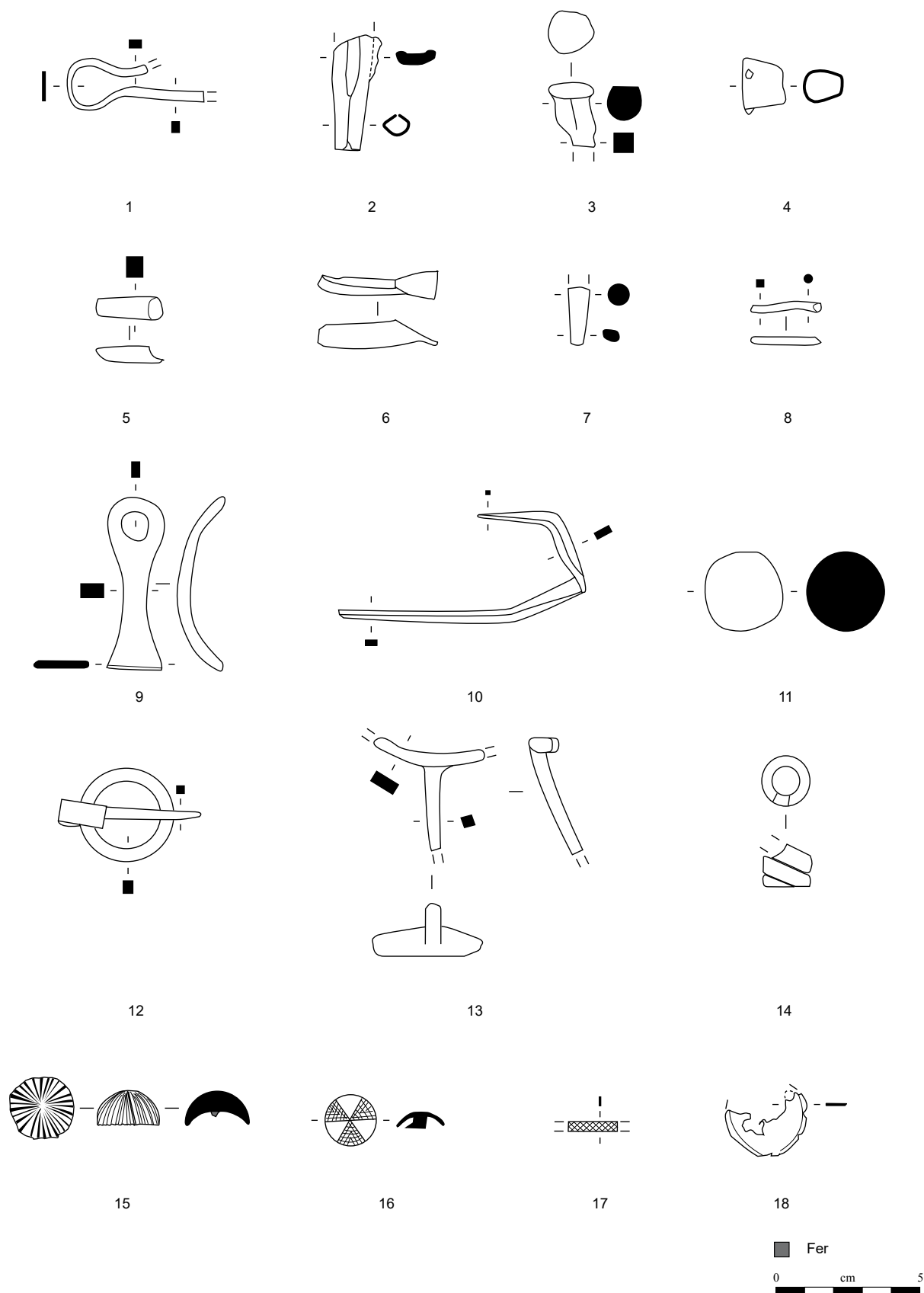


Planche 230. Mobilier hors contexte issu du sanctuaire (autres catégories)

1-6, 10, 12-14, 16 : fer; 7-8, 17-18 : alliage cuivreux; 11 : plomb; 15 alliage cuivreux et fer.

Type d'objet	UF	No	Description	Métal	NR	NMI	M(g)
SCTGRN-1-décapage	<i>Décapage</i>						
Cabochon	19053	36	Cabochon écrasé	Base-cuivre	1	1	0.4
Crampon	19026	27	Fragment de crampon	Fer	1	1	2.9
Indéterminé tige	9006		Fragment de tige de section rectangulaire	Base-cuivre	1	0	0.5
Indéterminé tôle	19052	34	Fragment de tôle	Base-cuivre	1	1	0.9
Clou	19050		Men.: 15 frgts; 12 tiges	Fer	27	15	194.3
Clou	19053		Men.: 4 frgts; 8 tiges	Fer	12	4	48.5
Clou	19025		Men.: 5 frgts; 3 tiges	Fer	8	5	63.7
SCTGRN-2-perturbations modernes	<i>Perturbations modernes</i>						
Chute de tôle	10212	198	Chute de tôle passée au feu	Fer	1	1	6.1
Clou	10034		Tiges	Fer	2	1	10.1
Rivet (bc)	10016	6	Rivet par refoulement à tige ronde en une pièce	Base-cuivre	1	1	1.7
SCTGRN-3-remblais	<i>État 4 lato sensu : époque romaine</i>						
Ferrure	19027		Ferrure complète avec deux perforations	Fer	1	1	39.2
Ferrure	19056		Fragment de ferrure	Fer	1	1	68.8
Fibule	8138		Fragment d'ardillon de fibule	Base-cuivre	1	1	
Indéterminé tôle	8119		Fragment de bande de tôle replié	Base-cuivre	1	1	1
Clou	10196		Constr.: 1 frgt	Fer	1	1	23.6
Clou	10196		Men.: 2 clous, 7 frgts, 4 tiges	Fer	13	9	67.2
Clou	19056		Men.: 7 frgts; 7 tiges	Fer	14	7	109.7
Clou	10196	146	Men.: 9 frgts, 14 tiges	Fer	23	9	74.8
Rivet (fer)	10196	2012	Clou-rivet par repli	Fer	1	1	7.2
SCTGRN-4-démolition	<i>État 4.3 : III^e- IV^e s. ap. J.-C.</i>						
Cabochon	10035	21	Cabochon décoratif	Base-cuivre	1	1	1.2
Indéterminé plat	11092		Frgt de fer plat	Fer	1	0	3.4
Clou	11081		Men.: 1 frgt, 3 tiges	Fer	4	1	21
Clou	10037		Men.: 1 frgt. , 3 tiges	Fer	4	1	23.9
Clou	10131		Men.: 1 frgt, 1 tige	Fer	2	1	15.4
Clou	11092	2015	Men.: 14 frgts, 1 clou spécial à extrémité aplatie; 9 tiges	Fer	23	15	122.7
Clou	11083		Men.: 2 frgts	Fer	2	2	13.4
Clou	11082		Men.: 3 frgts	Fer	3	3	15.5
Clou	11092		Men.: 4 frgts, 7 tiges	Fer	11	4	57.3
Clou	10133		Men.: 6 frgts, 3 tiges, dont une très longue et très fine.	Fer	9	6	58.1
SCTGRN-5-Fo 10061	<i>État 4.3 : III^e- IV^e s. ap. J.-C.</i>						
Clou	10062		Constr. 1 frgt	Fer	1	1	16.4
Clou	10062		Men.: 2 frgts, 1 tige	Fer	3	2	28.3
SCTGRN-6-Mur 12573	<i>État 4.2 : II^e s. ap. J.-C.</i>						
Clou	12573		Tiges	Fer	2	1	11.7
SCTGRN-7-Mur 10117	<i>État 4.2 : II^e s. ap. J.-C.</i>						
Clou	10117		Men.: 2 frgts, 1 tige	Fer	3	2	23.4
SCTGRN-9-dallettes	<i>État 3 : fin LTD2b-Auguste</i>						
Indéterminé plat	19055	47	Fragment de plat relativement épais	Base-cuivre	1	1	2.8
Clou	19055		Men.: 12 frgts; 3 tiges	Fer	15	6	179.2
SCTGRN-10-démolition argile verte	<i>État 3 : fin LTD2b-Auguste</i>						
Clou	12514		Men.: 1 clou	Fer	1	1	10
Clou	19054		Men.: 5 frgts; 8 tiges	Fer	13	5	72.6
SCTGRN-11-interface LT-GR	<i>État 2-GR : LTD1b évoluée-époque romaine</i>						
Indéterminé plat	19058	54	Fragment de plat triangulaire	Base-cuivre	1	1	7.8
Clou	19058		Men.: 3 frgts; 5 tiges	Fer	8	3	49.1
Clou	19060		Men.: 3 frgts; 5 tiges	Fer	8	3	81.4
SCTGRE-2-perturbations modernes	<i>Perturbations modernes</i>						
Cabochon	10049	604	Cabochon décoratif avec trace de substance blanchâtre	Base-cuivre	1	1	1
Clou de chaussure	10049		Clou de chaussure à 7 globules avec un bol marqué	Fer	1	1	3.2
Ferrure	10049	175	Frgt de ferrure large avec trace de rivet	Fer	1	1	24.1
Indéterminé objet	10049	603	Fragment de clochette?	Base-cuivre	1	0	3.5
Indéterminé tôle	12010	123	Frgt de bande de tôle courbé	Base-cuivre	1	0	0.5
Clou	10049		Constr.: 1 clou	Fer	1	1	11.7
Clou	12011		Constr.: 1 frgt	Fer	1	1	28.3
Clou	12023		Men.: 1 frgt	Fer	1	1	7.6
Clou	12010		Men.: 3 frgts, 7 tiges	Fer	10	3	81.7
Clou	10049		Men.: 4 frgts, 5 tiges	Fer	9	4	62.1
Clou	12011		Men.: 8 frgts, 5 tiges	Fer	13	8	103.1
SCTGRE-3-remblais	<i>État 4 lato sensu : époque romaine</i>						
Clou de chaussure	10221	233	Clou de chaussure à 12 globules et bol à fond plat	Fer	1	1	2.1
Fibule	11129	762	Spire et départ d'arc de fibule	Base-cuivre	1	1	0.6

Type d'objet	UF	No	Description	Métal	NR	NMI	M(g)
Fibule	10292	397	Ardillon de fibule	Fer	1	1	0.8
Indéterminé tôle	12054	540	Frgt de tôle	Base-cuivre	1	1	2.6
Clou	13018		Men.: 1 frgt de tête carré, 1 tige	Fer	2	1	14.5
Clou	10174		Tige	Fer	1	1	4.2
Clou	11038		Tige	Fer	1	1	6.5
Clou	11039	30	Tige	Fer	1	1	3.3
Clou	10176		Tiges	Fer	2	1	5.2
Clou	15200		Men.: 1 clou, 2 frgts, Tr	Fer	3	3	32.2
Clou	15205		Men.: 1 frgt, 1 tige	Fer	2	1	12
Clou	11041		Men.: 1 clou, 8 tiges	Fer	9	1	31.5
Clou	10152		Men.: 1 clou	Fer	1	1	6.5
Clou	10277		Men.: 1 clou et 4 frgts, 2 tiges	Fer	7	5	48.9
Clou	11040		Men.: 1 clou, 3 frgts, 1 tiges	Fer	5	4	31.5
Clou	11067		Men.: 1 clou, 8 frgts, 7 tiges	Fer	16	9	81.3
Clou	11144		Men.: 1 clou, 9 frgts, 8 tiges	Fer	18	10	105.2
Clou	10136		Men.: 1 frgt, 1 tige	Fer	2	1	13.9
Clou	11129		Men.: 1 frgt	Fer	1	1	4.1
Clou	10298		Men.: 1 frgt	Fer	1	1	8.3
Clou	10175		Men.: 1 frgts, 1 tige	Fer	2	1	4.3
Clou	11128		Men.: 2 frgts	Fer	2	2	11.2
Clou	10278		Men.: 3 clous, 5 frgts, 1 tige	Fer	9	8	63.2
Clou	10151		Men.: 3 frgts, 3 tiges	Fer	6	3	21.2
Clou	10221		Men.: 4 frgts, 4 tiges	Fer	8	4	48.1
Clou	12054		Men.: 5 frgts, 1 tige	Fer	6	5	44.1
Clou	10292		Men.: 6 frgts, 7 tiges	Fer	13	6	69.8
Rivet (bc)	10221	234	Clou-rivet en une pièce à tête hémisphérique pleine	Base-cuivre	1	1	1.6
Rivet (bc)	11041	37	Tête de clou-rivet en une pièce à tête hémisphérique creuse, avec trace de la tige sous la tête	Base-cuivre	1	1	0.3
Rivet (fer)	11144	2033	Clou-rivet par repli	Fer	1	1	5.1
Rivet (fer)	10174	2007	Tige de clou-rivet par repli	Fer	1	1	2.3
SCTGRE-4-démolition	<i>État 4.3 : III^e- IV^e s. ap. J.-C.</i>						
Cabochon	12028	121	Cabochon décoratif	Base-cuivre	1	1	0.5
Cabochon	15208	41-1	Cabochon décoratif avec trace de substance blanchâtre	Base-cuivre	1	1	1.1
Cabochon	11161	2092	Cabochon décoratif avec un rebord et des traces de plomb et de corrosion ferreuse sur sa face cachée	Base-cuivre	1	1	5.6
Clou de chaussure	12028	140	Clous de chaussure dont 1 sans globule non utilisé, pas usé et 1 sans globule	Fer	2	2	2.9
Clou de chaussure	12028	176	Clou de chaussure à 6 globules très peu marqués	Fer	1	1	1.9
Clou de chaussure	11078		Clou de chaussure, sans globule à bol peu marqué et anneau hexagonal	Fer	1	1	1.5
Crampon	12028	2031	Clou tordu ayant une fonction de crampons	Fer	1	1	9.9
Ferrure	12028	208	Frgt de fer plat perforé, ferrure. Une extrémité conservée	Fer	1	1	8.5
Indéterminé barre	12028	163	Frgt de barre feuilletée par la corrosion.	Fer	1	1	27.4
Indéterminé plat	12028	129	Frgt d'une bande de fer plat.	Fer	1	0	17.9
Indéterminé plat	12028	124	Frgt de fer plat de forme triangulaire, avec une cavité	Fer	1	1	4.6
Indéterminé tige	11094	86	Frgt de tige	Fer	1	0	2
Indéterminé tige	11078	98	Frgt de tige de section rectangulaire	Fer	1	0	1.9
Indéterminé tôle	12028	2091	Frgt de tôle avec un angle, récipient?	Base-cuivre	1	0	1
Indéterminé tôle	12028	177	2 frgts de tôle	Fer	2	0	7.4
Indéterminé tôle	15208	43	Frgt de tôle percée	Fer	1	0	1.3
Indéterminé tôle	12028	146	Frgt de tôle présentant un bord en arc de cercle conservé	Fer	1	0	7.5
Clou	10153		Tige	Fer	1	1	2.8
Clou	13016	40	Clou décoratif à tête hémisphérique creuse	Fer	1	1	20.8
Clou	12028		Constr.: 2 frgts	Fer	2	2	30
Clou	12029	2032	Clou à tête en forme de haricot et tige de section rectangulaire	Fer	1	1	9.3
Clou	12028	173	Frgt de clou de décoration à tête hémisphérique creuse	Fer	1	1	3.4
Clou	15208		Men.: 1 clou, 6 frgts, 7 tiges	Fer	14	7	80.6
Clou	11094	87	Men.: 1 clou de coffret	Fer	1	1	0.7
Clou	11094		Men.: 1 clou, 3 frgts, 3 tiges	Fer	7	4	42.8
Clou	11161		Men.: 1 clou, 8 frgts, 9 tiges	Fer	18	9	83.8
Clou	12028	150	Men.: 1 tête de clou	Fer	1	1	4.3
Clou	11077		Men.: 2 frgts, 1 tige	Fer	3	2	8.7
Clou	11066		Men.: 2 frgts, 1 tige	Fer	3	2	14.2
Clou	12029		Men.: 3 frgts	Fer	3	3	24.2
Clou	12028		Men.: 4 clou, 26 frgts; 22 tiges	Fer	52	30	231.5
Clou	11078		Men.: 9 frgts, 5 tiges	Fer	14	9	76.9
Clou	11078	94	Tête de clou/rivet à tête hémisphérique	Fer	1	1	2.7

Type d'objet	UF	No	Description	Métal	NR	NMI	M(g)
Piton	12028	174	Frgt de piton fermé à oeillet par perforation	Fer	1	1	18.8
Rivet (bc)	15208	41-2	Clou-rivet en une pièce avec trace d'une tige en fer à tête hémisphérique creuse.	Base-cuivre et fer	1	1	0.9
Rivet (fer)	12028		Contreplaque de rivet	Fer	1	1	2.9
SCTGRE-6-terrazzo 12019	<i>État 4.3 : III^e- IV^e s. ap. J.-C.</i>						
Clou	12019		Men.: 1 frgt	Fer	1	1	8.8
SCTGRE-7-Mur 12040	<i>État 4.3 : III^e- IV^e s. ap. J.-C.</i>						
Clou	12040		Men.: 3 frgts, 3 tiges	Fer	6	3	42.1
SCTGRE-8-Pt 13031	<i>État 4.3 : III^e- IV^e s. ap. J.-C.</i>						
Fibule	13030	408	Ressort de fibule à deux spires conservées et une partie de l'ardillon	Base-cuivre	1	1	0.6
Indéterminé tige	13031		Tige à extrémité à section ronde et petite tige courbée	Fer	2	0	11
Clou	13091		1 tige	Fer	1	1	3.6
Clou	13092		1 tige	Fer	1	1	12.6
Clou	13031		Constr.: 1 clou; men.: 4 frgts, 1 tige	Fer	6	5	66.6
Clou	13030		Men.: 1 frgt, 3 tiges	Fer	4	1	27.3
SCTGRE-9-Fo 15278	<i>État 4.3 : III^e- IV^e s. ap. J.-C.</i>						
Indéterminé tôle	15278	249	Frgt de bande de tôle de plomb	Plomb	1	0	3.6
Clou	15277		Men: 7 frgts, 7 tiges	Fer	14	7	77.4
SCTGRE-10-démolition							
Ferrure	12053	459	Frgt de ferrure avec rivet cassé aux deux extrémités.	Fer	1	1	9.6
Ferrure	12022	40	Frgt de ferrure	Fer	1	1	?
Indéterminé barre	12034	453	Frgt de barre feuilletée par la corrosion	Fer	1	0	31.9
Clou	12034		Men.: 1 clou, 3 frgts, 2 tiges	Fer	6	4	46.7
Clou	12053		Men.: 1 clou, 6 frgts	Fer	7	7	56.1
SCTGRE-11-Mur 15232	<i>État 4.2 : II^e s. ap. J.-C.</i>						
Clou	15232		Men: 1 clou, 2 frgts, 2 tiges	Fer	5	3	36.5
SCTGRE-12-Mur 12014	<i>État 4.2 : II^e s. ap. J.-C.</i>						
Clou	12014		Men.: 1 frgt, 1 tige	Fer	2	1	8.2
Rivet (bc)	13021	226	Deux têtes de clou-rivet avec le départ d'une tige en fer	Base-cuivre	2	1	0.6
SCTGRE-14-Mur 10135	<i>État 4.2 : II^e s. ap. J.-C.</i>						
Clou	10290		Tiges	Fer	2	1	10.1
SCTGRE-15-Mur 12021	<i>État 4.2 : II^e s. ap. J.-C.</i>						
Clou	12021		Men.: 1 frgt	Fer	1	1	11.4
SCTGRE-16-Mur 12025	<i>État 4.2 : II^e s. ap. J.-C.</i>						
Ferrure	12025	20	Frgt de ferrure pliée avec une perforation	Fer	1	1	31.8
SCTGRE-17-Mur 12032	<i>État 4.2 : II^e s. ap. J.-C.</i>						
Clou	12032		Men.: 3 frgts, 3 tiges	Fer	6	3	37.5
SCTGRE-18-sol 12063	<i>État 4.2 : II^e s. ap. J.-C.</i>						
Ferrure	12063		Extrémité de ferrure avec perforation	Fer	1	1	14.9
Indéterminé tôle	12063		Fragment de bande de tôle.	Fer	1	0	7.4
Clou	12063		Men.: 1 frgt	Fer	1	1	10.5
SCTGRE-19-sol 13015	<i>État 4.2 : II^e s. ap. J.-C.</i>						
Clou	13015		Men.: 1 frgt	Fer	1	1	4
SCTGRE-20-Mur 15206	<i>État 4.1 : I^{er} s. ap. J.-C.</i>						
Clou	15206		Men: 7 frgts, 1 tige	Fer	8	7	51.4
SCTGRE-22-démolition	<i>État 4.1 : I^{er} s. ap. J.-C.</i>						
Clou	12042		Men.: 1 frgt, 2 tiges	Fer	3	1	22.9
SCTGRE-23-Mur 12039	<i>État 4.1 : I^{er} s. ap. J.-C.</i>						
Indéterminé plat	12039	30	Frgt de fer plat rectangulaire	Fer	1	0	5
SCTGRE-24-Mur 12038	<i>État 4.1 : I^{er} s. ap. J.-C.</i>						
Cabochon	12038	329-1	Cabochon décoratif	Base-cuivre	1	1	0.5
Clou	12038		Men.: 1 frgt, 2 tiges	Fer	3	1	6.9
Rivet (bc)	12038	264	Clou-rivet en une pièce à tête hémisphérique creuse	Base-cuivre	1	1	0.4
SCTGRE-25-niveau d'argile	<i>État 3 : fin LTD2b-Auguste</i>						
Crampon	15212	65	Frgt de crampon	Fer	1	1	2.4
Indéterminé tôle	15212	64	Frgt de tôle bombée avec angle droit conservé	Fer	1	0	9.9
Clou	15212		Men: 8 frgts, 8 tiges	Fer	16	8	86.9
SCTGRE-26-empierrement	<i>État 2-GR : LTD1b évoluée-époque romaine</i>						
Coulure	15269	200	Coulure	Base-cuivre	1	1	1.3
SCTGRE-27-remblai	<i>État 2-GR : LTD1b évoluée-époque romaine</i>						
Indéterminé tige	12118	2053	Tige de section carrée avec deux coudes à l'angle droit	Fer	1	0	2.2
Indéterminé tôle	12118		2 frgts de tôle collés	Fer	1	0	3.9
Clou	12118		Men.: 3 fr, 1 tige	Fer	4	3	44.1
SCTG-1-interface LT-GR	<i>État 2-GR : LTD1b évoluée-époque romaine</i>						
Cabochon	11124	222	Fragment de cabochon décoratif avec un rebord	Base-cuivre	1	1	1

Type d'objet	UF	No	Description	Métal	NR	NMI	M(g)
Charnière	15231	82	Frgt de charnière avec deux trous de fixation	Fer	1	1	17.5
Ferrure	19051	61	Fragment de ferrure	Fer	1	1	22.5
Ferrure	19051		Fragment de ferrure avec clou en position fonctionnelle	Fer	1	1	14.3
Indéterminé informe	19051	62	Fragment informe	Fer	1	1	4.4
Indéterminé plat	19051	60	Fragment de languette de section lenticulaire	Base-cuivre	1	1	0.3
Indéterminé tige	19051	44	Tige de section ronde	Base-cuivre	1	1	0.1
Indéterminé tôle	19051	43	Fragment de bande de tôle pliée	Base-cuivre	1	1	2.8
Indéterminé tôle	19051	51	Fragment de languette de tôle	Base-cuivre	1	1	0.2
Indéterminé tôle	19051	54	Fragment de tôle circulaire	Base-cuivre	1	1	3.5
Indéterminé tôle	19051		Fragments de bande de tôle	Fer	3	1	18
Indéterminé tôle	11124		Frgt de tôle en forme de languette	Fer	1	0	4.4
Indéterminé tôle	11116		Frgt de tôle, languette	Fer	1	0	2.1
Indéterminé tôle	11138	2032	Petit frgt de tôle trapézoïdale	Fer	1	0	1.3
Clou	11138		Constr.: 1 frgt	Fer	1	1	26.3
Clou	15231		Men.: 1 frgt, 3 tiges	Fer	4	1	17.2
Clou	19051		Men.: 12 frgts; 15 tiges	Fer	27	12	205.2
Clou	11115		Men.: 2 clous, 1 tige	Fer	3	2	13.5
Clou	11138		Men.: 2 clous, 7 frgts, 11 tiges	Fer	20	9	98.9
Clou	11150		Men.: 2 frgts, 1 tige	Fer	4	2	22.1
Clou	11116		Men.: 3 clous, 5 frgts, 3 tiges	Fer	11	8	77
Clou	10170		Men.: 5 frgts, 4 tiges	Fer	9	5	45.8
Piton	11115	158	Piton fermé par enroulement de section ronde	Fer	2	1	17.2
SCTG-2-empierrements sud			<i>État 2.3 : fin LTD2a-LTD2b</i>				
Indéterminé tige	13265	342	Frgt de tige de section ronde	Base-cuivre	1	0	0.7
SCTG-3-empierrements nord			<i>État 2.3 : fin LTD2a-LTD2b</i>				
Clou	12545		Tige	Fer	1	1	2.8
Clou	12542		Men.: 1 clou, 4 tiges	Fer	5	1	19.2
SCTG-4-empierrements nord entrée			<i>État 2.3 : fin LTD2a-LTD2b</i>				
Anneau (fer)	15201	27	Grand anneau de section ronde	Fer	1	1	23.6
Clou de chaussure	15201	46	Clous de chaussure sans globules et tige de clou de chaussure	Fer	3	3	2.1
Indéterminé tôle	15201	33	Frgt de tôle	Base-cuivre	1	1	0.4
Indéterminé tôle	15201	61	Frgt de tôle bombée et trouée, trace de rivet.	Base-cuivre	1	0	0.1
Indéterminé tôle	15201		Frgt de bande de tôle	Fer	1	0	2.5
Indéterminé tôle	15201	29	Frgt de tôle avec début d'un petite gouttière.	Fer	1	1	2
Indéterminé tôle	15201	30	Frgt de tôle perforée	Fer	1	0	3.7
Clou	15201		Constr.: 1 frgt	Fer	1	1	26.7
Clou	15203		Men.: 3 frgts; 7 tiges	Fer	10	3	44.7
Clou	15201		Men.: 4 clous, 28 frgts, 25 tiges	Fer	57	32	300
Piton	15201	2013	Piton ouvert composée d'une tige de section rectangulaire en forme de crochet avec les deux extrémités pointues.	Fer	1	1	4.1
SCTG-5-empierrements sud entrée			<i>État 2.3 : fin LTD2a-LTD2b</i>				
Anneau (fer)	12062	2099	Anneau de section circulaire	Fer	1	1	16.1
Anneau (fer)	12037	501	Frgt d'anneau de section ronde	Fer	1	1	?
Cabochon	12037	572	Cabochon décoratif avec trace de substance blanchâtre.	Base-cuivre	1	1	0.8
Cabochon	12037	2010	Fragment de cabochon décoratif	Base-cuivre	2	1	0.4
Cabochon	12068	652	Fragment de cabochon décoratif avec un rebord.	Base-cuivre	1	1	0.7
Clou de chaussure	12068		Clou de chaussure à 6 globules et bol marqué	Fer	1	1	1.7
Ferrure	12068		Extrémité de ferrure de forme triangulaire avec la pointe du triangle cassée.	Fer	1	1	5.5
Ferrure	12037	539	Extrémité de ferrure de section lenticulaire terminée en arrondi avec une perforation.	Fer	1	1	20.2
Ferrure	10138	110	Frgt de ferrure, frgt de tôle perforée.	Fer	1	1	9.6
Ferrure	10138	110	Frgt de ferrure, frgt de tôle perforée.	Fer	1	1	9.6
Fibule	12037	515	Ardillon de fibule complet	Base-cuivre	1	1	0.4
Fibule	12037	530	Ressort de fibule à quatre spires (deux conservées) à corde indéterminée	Base-cuivre	1	1	0.3
Goutte	12037	536	Goutte	Base-cuivre	1	1	0.5
Goutte	12037	558	Goutte	Base-cuivre	1	1	0.5
Indéterminé tige	12037	509	Fragment de tige de section ronde	Base-cuivre	1	1	0.1
Indéterminé tige	12037	2038	2 frgts de tige de section ronde	Fer	2	0	2.7
Indéterminé tige	11185	2100	Tige de section rectangulaire avec un épaississement à une extrémité. Cette partie est également matée. Huisserie?	Fer	1	1	3.8
Indéterminé tôle	12037	516	Frgt de tôle	Base-cuivre	1	0	1.5
Indéterminé tôle	12037	567	Frgts de tôle collés ensemble, recyclage?	Fer	1	0	26.5
Clou	10138		Constr.: 1 frgt	Fer	1	1	24.2
Clou	11185		Constr.: 1 frgt	Fer	1	1	12.6

Type d'objet	UF	No	Description	Métal	NR	NMI	M(g)
Clou	12037		Constr.: 5 frgts	Fer	5	5	148.6
Clou	12068	2041	Frgt de tige de section carrée terminée par une tête biconique massive. Frgt de clou de décoration?	Fer	1	1	10
Clou	12062		Men.: 2 frgts, 6 tiges	Fer	8	2	24.3
Clou	12037		Men.: 23 frgts, 23 tiges	Fer	46	23	288.2
Clou	10138		Men.: 3 frgts; 3 tiges	Fer	6	3	47.6
Clou	12068		Men.: 4 clous, 9 frgts, 24 tiges	Fer	37	13	166.6
Clou	11185		Men.: 5 clous, 9 frgts, 6 tiges	Fer	20	15	119.3
Rivet (bc)	12037	537	Clou-rivet en une pièce à tête circulaire plate	Base-cuivre	1	1	0.2
Rivet (fer)	12037	521	Contreplaque de rivet	Fer	1	1	4
Rivet (fer)	12037	2102	Contreplaque de rivet ronde	Fer	1	1	3.9
SCTG-6-dépôt de faune sur empierrement			<i>État 2.3 : fin LTD2a-LTD2b</i>				
Clou	11186		Constr.: 1 frgt	Fer	1	1	18.8
Clou	11186		Men.: 3 frgts, 1 piton ouvert	Fer	4	4	40.2
SCTG-7-niveaux d'occupation état 2.3			<i>État 2.3 : fin LTD2a-LTD2b</i>				
Clou	10134		Men.: 4 frgts, 3 tiges	Fer	7	4	58.3
SCTG-8-occupation nord			<i>État 2.2 : LTD2a</i>				
Cabochon	12512	359	Cabochon décoratif	Base-cuivre	1	1	0.4
Cabochon	9292		Cabochon décoratif	Base-cuivre	1	1	0.4
Cabochon	9340		Cabochon décoratif	Base-cuivre	1	1	1
Cabochon	9222		Fragment de cabochon décoratif	Base-cuivre	1	1	0.2
Cabochon	9339		Frgt de cabochon/rivet avec une perforation centrale ou arrachage de la tige	Base-cuivre	1	1	0.6
Ferrure	12538	456	Extrémité de ferrure avec une perforation ronde	Fer	1	1	13
Goutte	9292		Goutte	Base-cuivre	1	1	0.4
Indéterminé tôle	9339		Fragments de bande de tôle	Base-cuivre	4	0	0.4
Indéterminé tôle	9221		Fragment de tôle	Base-cuivre	1	0	0.3
Indéterminé tôle	9339		Fragments de tôle	Base-cuivre	2	0	0.4
Indéterminé tôle	9338		Fragments de tôle	Base-cuivre	5	0	0.5
Indéterminé tôle	12512	118	Frgt de tôle	Base-cuivre	1	0	0.7
Indéterminé tôle	11191	2060	Frgts de tôle bombée et perforée	Fer	6	0	44.3
Indéterminé tôle	12538	461	Fragment de tôle triangulaire tordu	Fer	1	1	0.9
Indéterminé tôle	11199		Frgt de tôle	Fer	1	0	4.1
Indéterminé tôle	11199	495	Frgt de tôle	Fer	1	0	8.6
Indéterminé tôle	11199	497	Frgt de tôle à bords en dents de scie non alternées avec une perforation	Fer	1	1	9.3
Indéterminé tôle	11191	442	Large bande de tôle collée avec une autre bande de tôle de plus petite largeur	Fer	1	0	15.1
Clou	12567		Tige	Fer	1	1	5.2
Clou	11199	2070	Clou dont la pointe a été repliée pour former un anneau	Fer	1	1	10.7
Clou	12547		Constr.: 1 frgt; men.: 3 frgts, 2 tiges	Fer	6	4	55.9
Clou	12593		Constr.: 1 frgt; men.: 2 frgts, 3 tiges	Fer	6	3	53.1
Clou	11199		Constr.: 2 frgts	Fer	2	2	49.4
Clou	11191		Men.: 1 clou, 14 frgts, 11 tiges	Fer	26	15	149.8
Clou	10275		Men.: 1 frgt, 1 tige	Fer	2	1	10.6
Clou	12512		Men.: 1 frgt	Fer	1	1	7.1
Clou	11199		Men.: 4 clous, 18 frgts, 14 tiges	Fer	36	22	245.4
Clou	12538		Men.: 5 frgts, 4 tiges	Fer	9	5	41.9
Rivet (bc)	9222		Clou-rivet en une pièce à tête hémisphérique creuse	Base-cuivre	1	1	1.1
SCTG-9-occupation ouest			<i>État 2.2 : LTD2a</i>				
Cabochon	13711	448	Cabochon décoratif	Base-cuivre	1	1	0.7
Ferrure	13707	459	Frgt de ferrure avec traces de bois et rivet conservé	Fer	1	1	18
Fibule	13577	2041	Fragment d'arc de fibule triangulaire de section lenticulaire	Fer	1	1	0.7
Fibule	13711	2054	Spire de fibule avec début d'ardillon	Fer	1	1	1.7
Indéterminé objet	13706	453	Frgt de tôle à rebord, s'amincit en direction de l'extrémité de l'objet	Fer	1	1	4.6
Indéterminé plat	13577	2042	Fer plat avec traces de petits rivets	Fer	1	0	11
Indéterminé plat	13711		Frgts de fer plat	Fer	2	0	4.1
Indéterminé tige	13707	461	Frgt de barre/tige de section carrée importante, tordue	Fer	1	0	31.8
Indéterminé tôle	13707	460	Frgt de tôle	Fer	1	0	10.9
Clou	13711		Constr.: 1 frgt; men.: 12 frgts, 18 tiges	Fer	31	13	202
Clou	13710		Constr.: 1 frgt	Fer	1	1	42.8
Clou	13707	454	Men.: 1 frgt	Fer	1	1	11
Clou	13707		Men.: 1 frgt	Fer	1	1	21.2
Clou	13709		Men.: 1 frgt	Fer	1	1	10
Clou	13706		Men.: 2 frgts	Fer	2	2	25
Clou	13577		Men.: 3 frgts, 2 tiges	Fer	5	3	44.5

Type d'objet	UF	No	Description	Métal	NR	NMI	M(g)
Clou	13707		Men.: 5 frgts, 6 tiges	Fer	11	5	80.8
Rivet (bc)	13707	457	Tête de clou-rivet en une pièce	Base-cuivre	1	1	0.2
Rivet (bc)	13706	456	Clou-rivet en une pièce à tête hémisphérique creuse, à tige en fer figée dans une gangue de corrosion ferreuse contenant du bois minéralisé	Base-cuivre et fer	1	1	1.6
Rivet (fer)	13711		Contreplaque de rivet	Fer	1	1	2.4
Virole	13706	458	Virole cassée et ouverte	Fer	1	1	10.8
SCTG-11-occupation est nord entrée	<i>État 2.2 : LTD2a</i>						
Cabochon	12071	629	Cabochon décoratif avec trace de substance blanchâtre	Base-cuivre	1	1	1.1
Cabochon	15237	141	Cabochon décoratif avec trace de substance blanchâtre	Base-cuivre	1	1	1.3
Clou de chaussure	15237	91	Clou de chaussure ordinaire	Fer	1	1	3.5
Coulure	15237	184	Coulure	Base-cuivre	1	1	3.4
Ferrure	15237	2017	Frgt de bande de fer plat avec trace de rivet, ferrure	Fer	1	1	25.3
Indéterminé objet	15237	151	Objet circulaire massif	Base-cuivre	1	1	3.6
Indéterminé objet	15230	103	Clou avec courbure de la tige d'où part une gouttière?	Fer	1	1	10.8
Indéterminé objet	12071	2045	Frgt de tige pointu avec le départ d'une tôle. Fragment de pique-boeuf?	Fer	1	1	3.1
Indéterminé tige	15237		Frgt de tige de section rectangulaire	Fer	1	0	
Indéterminé tige	15237	92	Frgt de tige de section ronde repliée	Fer	1	0	0.9
Indéterminé tôle	12071	2013	Frgts de tôle	Base-cuivre	4	0	0.5
Indéterminé tôle	15237	150	Frgt de bande de tôle	Fer	1	0	5.7
Indéterminé tôle	15237	250	Frgts de tôle avec trou de fixation et angle droit conservé	Fer	3	0	16
Clou	12071		Constr.: 1 frgt	Fer	1	1	21.7
Clou	15237		Men.: 1 clou, 14 frgts, 26 tiges	Fer	41	15	188.5
Clou	15230		Men.: 2 frgts, 5 tiges	Fer	7	2	38.9
Clou	12071		Men.: 6 frgts, 7 tiges	Fer	13	6	94.1
Clou	15230	99	Tige	Fer	1	0	3.5
Rivet (bc)	12071	620	Rivet par refoulement en une pièce à tête hémisphérique creuse avec un fragment de tôle encore pris à l'intérieur	Base-cuivre	1	1	1.2
Rivet (fer)	15237	2018	Clou-rivet par repli	Fer	1	1	54.4
SCTG-12-occupation est sud entrée	<i>État 2.2 : LTD2a</i>						
Anneau (fer)	13038	194	Anneau de section carrée	Fer	1	1	3.9
Cabochon	13038	204	Fragments de cabochon décoratif	Base-cuivre	3	1	0.8
Clou de chaussure	13039		Clou de chaussure	Fer	1	1	2.7
Coulure	13038	2005	Coulures	Base-cuivre	2	2	2.5
Ferrure	13038	160	Extrémité de ferrure arrondie avec une perforation	Fer	1	1	4.4
Ferrure	13059	263	Extrémité de ferrure décorative en forme de goutte avec une perforation au centre de la goutte	Fer	1	1	4.2
Ferrure	13039	167	Extrémité de ferrure tordue au niveau du trou de fixation.	Fer	5	1	40.6
Ferrure	13039	174	Extrémité de ferrure, avec une perforation carrée	Fer	1	0	13.7
Ferrure	13039		Frgt de ferrure	Fer	1	0	2.7
Fiche	13039		Fiches en «T» de section rectangulaire	Fer	2	2	12.7
Indéterminé plat	13039	159	Fer plat courbé en forme d'ogive tronquée. Frgt d'anse?	Fer	1	1	11.6
Indéterminé tige	13039		1 frgt à section ronde, 1 frgt à section rectangulaire	Fer	2	0	2
Indéterminé tige	13059		Petite tige de section carrée	Fer	1	0	1.1
Indéterminé tige	13039	183	Tige	Fer	1	0	0.7
Indéterminé tige	13038	191	Tige de section ronde	Fer	1	0	2.3
Indéterminé tôle	13038	236	Frgts de tôle	Base-cuivre	3	1	0.8
Indéterminé tôle	13038	195	Frgt de tôle	Fer	1	0	1.8
Maillon rapide	13039	225	Maillon rapide de section ovale	Fer	1	1	3.9
Clou	13059		Constr.: 1 frgt; men.: 2 frgts, 7 tiges	Fer	10	3	88.7
Clou	13049		Men.: 12 frgts, 5 tiges	Fer	17	12	161.9
Clou	13039		Men.: 16 frgts, 32 tiges	Fer	48	16	282.7
Clou	13038		Men.: 3 frgts, 4 tiges	Fer	7	3	35.7
Clou	13038	193	Tige de clou	Fer	1	1	3.1
Rivet (bc)	13039	171	Clou-rivet en une pièce à tête hémisphérique creuse	Base-cuivre	1	1	0.8
Rivet (bc)	12092	2097	Clou-rivet en une pièce à tête hémisphérique creuse.	Base-cuivre	1	1	0.4
Rivet (bc)	13038	192	Clou-rivet en une pièce, Tpl	Base-cuivre	1	1	0.6
SCTG-13-sol d'amphore 10124	<i>État 2 lato sensu : LTD1b évoluée-LTD2</i>						
Cabochon	10124	71	Cabochon décoratif avec trace de substance blanchâtre	Base-cuivre	1	1	2.2
Clou	10125		Men.: 1 frgt	Fer	1	1	5
Déchet de fabrication	10257	612	Déchet de fabrication	Fer	1	1	19.7
Ferrure	10143	87	Extrémité de ferrure tordue avec deux perforations de diamètre différent, dont une excentrée	Fer	1	1	23.4
Indéterminé tôle	10235	261	Frgt de tôle	Fer	1	0	11.3

Type d'objet	UF	No	Description	Métal	NR	NMI	M(g)
Indéterminé tôle	11225	536	Frgt de tôle avec bords arrondis	Fer	1	0	12.6
Clou	10235	359	1 tige	Fer	1	0	3
Clou	10264	328	1 tige	Fer	1	0	2.2
Clou	10264		Constr.: 1 frgt	Fer	1	1	16.4
Clou	10237		Men.: 1 clou	Fer	1	1	14.6
Clou	10299		Men.: 1 clou, 2 frgts, 1 tige	Fer	4	3	13.1
Clou	10235		Men.: 1 clou, 3 frgts, 3 tiges	Fer	7	4	48.1
Clou	11225		Men.: 1 frgt	Fer	1	1	7.2
Clou	10236		Men.: 2 frgts, 3 tiges	Fer	5	2	16.3
Clou	11254		Men.: 2 frgts, 3 tiges	Fer	5	2	23.2
Clou	10143		Men.: 3 frgts, 4 tiges	Fer	7	3	33.7
Clou	10264		Men.: 3 frgts, 1 tige	Fer	4	3	15.9
Clou	10257		Men.: 4 frgts, 1 tige	Fer	5	4	29.3
Rivet (fer)	10143	2004	Rivet à refoulement, à contreplaque (?) décoratif à tête hémisphérique creuse. La contreplaque est manquante	Fer	1	1	17.7
SCTG-14-sol d'amphore 10192 <i>État 2 lato sensu : LTD1b évoluée-LTD2</i>							
Clou	10192		Men.: 6 frgts, 10 tiges	Fer	16	6	79.6
Indéterminé tôle	10093	82	Frgt de tôle bombé	Base-cuivre	1	1	1.2
Clou	10093		Men.: 3 frgts, 1 clou à très large tête plate, décoration, 8 tiges	Fer	12	4	62.9
Clou	10327		Men.: 3 frgts, 2 tiges	Fer	5	3	33.1
SCTG-15-Fy 10312 <i>État 2 lato sensu : LTD1b évoluée-LTD2</i>							
Ferrure	10312	373	Frgts de ferrure, perforée à un endroit	Fer	9	1	39.1
SCTG-16-Foyer 12580 <i>État 2 lato sensu : LTD1b évoluée-LTD2</i>							
Clou	12580		Men.: 1 frgt, 3 tiges	Fer	4	1	25.3
SCTG-17-sol d'amphore ouest <i>État 2 lato sensu : LTD1b évoluée-LTD2</i>							
Cabochon	12801	443	Cabochon décoratif avec trace de substance blanchâtre	Base-cuivre	1	1	0.7
Indéterminé tige	13544	2037	Fragment de tige de section ronde courbée	Fer	1	1	1.4
Indéterminé tôle	13692	476	Frgts de tôle avec deux côtés à angle droit préservé. Trace d'une petite gouttière sur l'angle	Fer	4	0	46.4
Clou	13544		Tige	Fer	1	1	2.9
Clou	13693		Tiges	Fer	4	1	16.9
Clou	13692		Men.: 2 frgts	Fer	1	1	21.1
Clou	12801		Men.: 3 frgts	Fer	3	3	20.5
Rivet (fer)	13693		Contreplaque de rivet	Fer	1	1	2.7
Rivet (fer)	12801	440	Gros rivet à contreplaque à tête hémisphérique creuse	Fer	1	1	20.4
Scorie (fer)	12801	2100	Frgt de scorie grise dense, paroi de foyer?	Fer	1	1	30.5
SCTG-18-sol d'amphore sud <i>État 2 lato sensu : LTD1b évoluée-LTD2</i>							
Clou	13277		Men.: 1 frgt, 1 tige	Fer	2	1	17.9
SCTG-19-sol d'amphore est nord entrée <i>État 2 lato sensu : LTD1b évoluée-LTD2</i>							
Crampon	11220	2073	Crampon de menuiserie	Fer	1	1	1.6
Ferrure	11210	479	Bande de fer plat perforée, ferrure	Fer	1	1	19.8
Ferrure	11221	458	Frgt de ferrure avec une perforation	Fer	1	1	47.1
Ferrure	11220	468	Frgt de ferrure pliée avec une perforation	Fer	1	1	28
Fibule	11219	2103	Ressort de fibule à quatre spires (deux conservées) et corde interne	Base-cuivre	1	1	0.9
Indéterminé tôle	11221		Frgts de tôle très fine	Fer	3	0	18.7
Clou	15239		Constr.: 1 clou	Fer	1	1	29.4
Clou	11220		Constr.: 1 frgt	Fer	1	1	40.5
Clou	11221		Constr.: 1 frgt	Fer	1	1	17.6
Clou	11219		Constr.: 2 frgts	Fer	2	2	61.1
Clou	11219		Men.: 2 clous, 8 frgts, 3 tiges	Fer	13	10	114.2
Clou	11222		Men.: 3 frgts, 5 tiges	Fer	8	3	41.1
Clou	11221		Men.: 3 frgts; 3 tiges	Fer	6	3	52.5
Clou	11220		Men.: 4 frgts; 2 tiges	Fer	6	4	67.7
Perle	15239	124	Fragment de perle à section en «D»	Fer	1	1	0.1
SCTG-21-Fy 15243 <i>État 2.1 : LTD1b évoluée</i>							
Clou	15243		Men.: 1 frgt, 1 tige	Fer	2	1	8.5
SCTG-22-sol dans galerie est <i>État 2 lato sensu : LTD1b évoluée-LTD2</i>							
Cabochon	13014	29	Fragment de cabochon décoratif avec trace de substance blanchâtre	Base-cuivre	1	1	0.4
Ferrure	13014	19	Frgt de ferrure avec deux perforations	Fer	1	1	18
Indéterminé tôle	13014	2010	Fragment de tôle triangulaire, extrémité de crampon?	Fer	1	1	1.4
Clou	13014	2011	Frgts de clou à tête ovale	Fer	2	2	12.4
Clou	13014		Men.: 9 frgts, 11 tiges	Fer	20	9	136.5
SCTG-23-Fy 11130 <i>État 2.1 : LTD1b évoluée</i>							
Clou	11130		Men.: 3 frgts, 1 tige	Fer	4	3	42
Perle	11130	365	Perle en section en demi-lune	Base-cuivre	1	1	3.2

Type d'objet	UF	No	Description	Métal	NR	NMI	M(g)
SCTG-25-remblai sol nord	<i>État 2.1 : LTD1b évoluée</i>						
Anneau (fer)	12519	441	Petit anneau de section carrée	Fer	1	1	2.6
Indéterminé plat	12587	736	Frgt de bande de fer plat	Fer	1	0	5.4
Indéterminé tige	12517	283	Frgt de tige pointue de section ronde	Base-cuivre	1	0	0.5
Indéterminé tige	12517	210	Frgt tordu de tige de section ronde pointue	Fer	1	0	1.8
Indéterminé tôle	12587	755	Frgt de tôle en forme de lunule avec une perforation	Base-cuivre	1	1	0.3
Indéterminé tôle	12519	455	Frgt de tôle avec un bord droit conservé	Fer	1	0	6.9
Clou	12519	442	Tige	Fer	1	0	1.4
Clou	12517	2063	Clou de menuiserie avec coude à l'angle droit et extrémité de section rectangulaire	Fer	1	1	8.7
Clou	12587		Constr. 1 frgt	Fer	1	1	13.7
Clou	12517		Men.: 4 frgts, 2 tiges	Fer	6	4	4.3
Clou	12519		Men.: 7 frgts, 1 frgt de clou de décoration à tête hémisphérique creuse, 2 tiges	Fer	9	7	58.5
Clou	12587		Men.: 8 frgts, 6 tiges	Fer	14	8	89
Rivet (bc)	12587	756	Clou-rivet en une pièce à tête hémisphérique creuse, à tige en fer avec trace d'une substance blanchâtre sous la tête	Base-cuivre	1	1	0.4
Rivet (bc)	12587	758	Clou-rivet en une pièce à tête hémisphérique creuse, à tige en fer	Base-cuivre et fer	1	1	1.3
Scorie (fer)	12587		Scories de forge	Fer	3	1	59.6
SCTG-26-remblai sol est	<i>État 2.1 : LTD1b évoluée</i>						
Cabochon	13060	344	Fragment de cabochon décoratif avec un rebord	Base-cuivre	1	1	1.1
Cabochon	13060	337	Frgt de cabochon décoratif	Base-cuivre	1	1	0.4
Coulure	13060	323	Coulure	Base-cuivre	1	1	1.8
Ferrure	13060	276	Frgt de ferrure massive avec deux traces de rivets au tiers de sa largeur	Fer	1	1	75.4
Ferrure	13060	301	Frgt de ferrure tordue avec deux perforations	Fer	2	1	19.6
Fiche	13045	363	Fiche en «T».	Fer	1	1	20.7
Goutte	13060	347	Goutte	Base-cuivre	1	1	1.3
Goutte	13060	447	Goutte	Base-cuivre	1	1	0.7
Indéterminé plat	13060	2025	Frgt de tige de section rectangulaire s'amincissant en direction de l'extrémité de l'objet	Fer	1	1	9.6
Indéterminé tige	13060	365	Frgt de tige de section triangulaire	Base-cuivre	1	0	0.6
Indéterminé tige	13060	299	Amas de tiges et de tôle dont une losangique	Fer	10	0	55.4
Indéterminé tôle	13060	308	Frgt de tôle	Fer	1	0	3.6
Clou	13060	2023	Clou à la tige enroulée en spirale fermée	Fer	1	1	11.3
Clou	13060	2022	Clou à tête en huit	Fer	1	1	3.7
Clou	12107		Constr.: 2 frgts	Fer	2	2	41.9
Clou	13060		Men.: 27 frgts, 19 tiges	Fer	46	27	427.1
Clou	12107		Men.: 3 frgts, 8 tiges	Fer	11	3	91.1
Rivet (bc)	13060	302	Tête hémisphérique de clou-rivet en une pièce avec trace de la tige sous la tête et substance blanchâtre	Base-cuivre	1	1	0.8
SCTG-27-Pal ext. sud	<i>État 2.3 : fin LTD2a-LTD2b</i>						
Clou	12904		Men.: 5 frgts, 7 tiges	Fer	12	5	53.3
SCTG-28-Pal ext. est	<i>État 2.3 : fin LTD2a-LTD2b</i>						
Clou de chaussure	13032		Clou de chaussure	Fer	1	1	1.2
Fibule	13052	2020	Fragment de ressort à deux spires conservées et d'ardillon	Fer	2	1	5.9
Indéterminé plat	13052		Frgt de fer plat	Fer	1	0	3.2
Indéterminé tôle	13055		Frgts de tôle	Fer	4	0	5.6
Clou	13057		1 tige	Fer	1	1	3.9
Clou	13032		Constr.: 2 frgts	Fer	2	2	54.2
Clou	13052		Contr.: 2 frgts; men.: 10 frgts, 18 tiges	Fer	30	12	193.8
Clou	13050		Men.: 1 frgt, 2 tiges	Fer	3	1	12.6
Clou	13061		Men.: 1 frgt	Fer	1	1	8.2
Clou	13050		Men.: 12 frgts, 9 tiges	Fer	21	12	150.2
Clou	13032		Men.: 13 frgts, 1 clou de décoration, sans globule; 18 tiges	Fer	32	14	231.8
Clou	13055		Men.: 3 frgts, 1 tige	Fer	4	3	32.5
Clou	13051		Men.: 9 frgts, 9 tiges	Fer	18	9	106.9
Rivet (bc)	13056	2007	Deux têtes de clou-rivet en une pièce à tête hémisphérique creuse, trace de tige et substance blanchâtre sous la tête.	Base-cuivre	1	1	1.4
SCTG-29-Pal ext. est	<i>État 2.2 à 2.3 : LTD2</i>						
Indéterminé plat	19029	21	Fragment de bande de fer plat	Fer	1	1	14.8
Ferrure	19031	16	Fragment de ferrure	Fer	1	1	10.4
Ferrure	19031	17	Fragment de ferrure d'angle avec rivet en position fonctionnelle	Fer	1	1	16.6
Clou	19045	31	Fragment de tige	Fer	1	0	15.2
Clou	19031		Men.: 1 frgt; 2 tiges	Fer	3	1	23.3

Type d'objet	UF	No	Description	Métal	NR	NMI	M(g)
SCTG-30-Solin 10160	<i>État 2.2 à 2.3 : LTD2</i>						
Clou	10160		Men.: 2 frgts, 1 tige	Fer	3	2	10.2
SCTG-31-TP 10260	<i>État 2 lato sensu : LTD1b évoluée-LTD2</i>						
Clou de chaussure	10180		Clou de chaussure à 10 globules et bol à fond plat	Fer	1	1	1.2
Clou	10180		Constr.: 1 frgt	Fer	1	1	21.7
Clou	10180		Men.: 1 clou et 4 frgts, 13 tiges	Fer	18	5	66.6
Clou	10229		Men.: 3 frgts, 3 tiges	Fer	6	3	26.5
SCTG-32-TP 10323	<i>État 2 lato sensu : LTD1b évoluée-LTD2</i>						
Clou	10324		Constr.: 1 frgt	Fer	1	1	26.9
SCTG-34-TP 11239	<i>État 2 lato sensu : LTD1b évoluée-LTD2</i>						
Indéterminé tige	11239	2090	Frgts de tige	Base-cuivre	2	0	0.4
Clou	11239		Men.: 1 clou, 4 frgts, 4 tiges	Fer	9	5	52.3
SCTG-35-TP 11240	<i>État 2 lato sensu : LTD1b évoluée-LTD2</i>						
Clou	11240		1 tige	Fer	1	1	7
SCTG-36-TP 11241	<i>État 2 lato sensu : LTD1b évoluée-LTD2</i>						
Clou	11241		1 tige	Fer	1	1	5.2
SCTG-37-TP 11243	<i>État 2 lato sensu : LTD1b évoluée-LTD2</i>						
Clou	11243		1 tige	Fer	1	1	1.2
SCTG-38-TP 11244	<i>État 2 lato sensu : LTD1b évoluée-LTD2</i>						
Clou	11244		Constr.: 1 frgt	Fer	1	1	35.8
SCTG-39-TP 11245	<i>État 2 lato sensu : LTD1b évoluée-LTD2</i>						
Clou	11245		1 tige	Fer	1	1	3.7
SCTG-40-TP 11247	<i>État 2 lato sensu : LTD1b évoluée-LTD2</i>						
Clou	11247		Men.: 1 frgt	Fer	1	1	17.7
SCTG-41-TP 11248	<i>État 2 lato sensu : LTD1b évoluée-LTD2</i>						
Anneau (fer)	11248	491	Anneau de section carrée avec départ de tige, piton?	Fer	1	1	2.4
SCTG-43-TP 12005	<i>État 2 lato sensu : LTD1b évoluée-LTD2</i>						
Clou	12006		Men.: 1 frgt	Fer	1	1	8
SCTG-44-TP 12090	<i>État 2 lato sensu : LTD1b évoluée-LTD2</i>						
Indéterminé tige	12089	2051	Tige de section ronde terminée en forme d'ogive?	Fer	1	1	8.3
Rivet (bc)	12089	877	Rivet par refoulement à tige ronde en une pièce à tête circulaire plate	Base-cuivre	1	1	1
SCTG-45-TP 12543	<i>État 2 lato sensu : LTD1b évoluée-LTD2</i>						
Clou	12543		Men.: 1 frgt, 1 tige	Fer	2	1	12.9
SCTG-46-TP 12551	<i>État 2 lato sensu : LTD1b évoluée-LTD2</i>						
Clou	12552		1 tige	Fer	1	1	5.4
SCTG-47-TP 12554	<i>État 2 lato sensu : LTD1b évoluée-LTD2</i>						
Clou	12554		1 tige	Fer	1	1	1.5
Clou	12555		1 tige	Fer	1	1	3.4
SCTG-48-TP 12565	<i>État 2 lato sensu : LTD1b évoluée-LTD2</i>						
Indéterminé tôle	12561		Frgt de tôle bombé	Fer	1	0	5.9
Clou	12561		Men.: 3 frgts, 8 tiges	Fer	11	3	41.5
SCTG-49-TP 12577	<i>État 2 lato sensu : LTD1b évoluée-LTD2</i>						
Clou	12577		Men.: 2 frgts, 1 tige	Fer	3	2	20.4
SCTG-50-TP 12913	<i>État 2 lato sensu : LTD1b évoluée-LTD2</i>						
Clou	12923		Men.: 1 frgt	Fer	1	1	3.8
SCTG-52-TP 13298	<i>État 2 lato sensu : LTD1b évoluée-LTD2</i>						
Clou	13208		Frgt de tige	Fer	1	1	7.4
SCTG-54-TP 13207	<i>État 2 lato sensu : LTD1b évoluée-LTD2</i>						
Fiche	13227		Fiche en «T»	Fer	2	1	35.8
Clou	13227		Constr.: 2 frgts, men.: 6 frgts, 2 tiges	Fer	10	8	127.5
SCTG-55-TP 13301	<i>État 2 lato sensu : LTD1b évoluée-LTD2</i>						
Clou	13229		Men.: 1 frgt, 1 tige	Fer	2	1	16.7
Clou	13229		Men.: 1 frgt, 1 tige	Fer	2	1	7.9
SCTG-56-TP 13245	<i>État 2 lato sensu : LTD1b évoluée-LTD2</i>						
Clou	13246		Men.: 1 frgt, 1 tête de clou ou de rivet carrée	Fer	2	2	14.1
SCTG-57-TP 13247	<i>État 2 lato sensu : LTD1b évoluée-LTD2</i>						
Indéterminé plat	13248		Frgt de fer plat	Fer	1	0	20.2
Clou	13248		Men.: 1 frgt (14,2), 2 tiges	Fer	3	1	20.3
SCTG-58-TP 13506	<i>État 2 lato sensu : LTD1b évoluée-LTD2</i>						
Clou	13507		Men.: 1 clou et 2 frgts, 4 tiges	Fer	7	3	30.6
SCTG-59-TP 13533	<i>État 2 lato sensu : LTD1b évoluée-LTD2</i>						
Indéterminé tôle	13532	104	Frgt de tôle perforée et incurvée présentant un repli avec des traces de bois minéralisé	Fer	1	0	7.7
SCTG-60-TP 13549	<i>État 2 lato sensu : LTD1b évoluée-LTD2</i>						
Clou	13550		Men.: 3 frgts, 2 tiges	Fer	5	3	44.7

Type d'objet	UF	No	Description	Métal	NR	NMI	M(g)
SCTG-61-TP 13551	<i>État 2 lato sensu : LTD1b évoluée-LTD2</i>						
Clou	13552		Men.: 2 frgts	Fer	2	2	26.1
SCTG-62-TP 13578	<i>État 2 lato sensu : LTD1b évoluée-LTD2</i>						
Clou	13579		Men.: 1 frgt	Fer	1	1	11.2
SCTG-65-TP 15210	<i>État 2 lato sensu : LTD1b évoluée-LTD2</i>						
Clou	15210		Men.: 1 clou, 1 tige	Fer	2	1	13.2
SCTG-67-TP 12249	<i>État 2 lato sensu : LTD1b évoluée-LTD2</i>						
Clou	12250		1 tige	Fer	1	1	3.8
SCTG-68-TP 12255	<i>État 2 lato sensu : LTD1b évoluée-LTD2</i>						
Clou	12256		Men.: 1 frgt	Fer	1	1	14
SCTG-69-TP 15219	<i>État 2.2 à 2.3 : LTD2</i>						
Indéterminé tôle	15218		Frgt de tôle	Fer	1	0	1.8
Indéterminé tôle	15218		Frgt de tôle	Fer	1	0	5.2
Clou	15218		Men.: 1 frgt, 1 tige	Fer	2	1	12.1
SCTG-70-occupation 12106	<i>État 2 lato sensu : LTD1b évoluée-LTD2</i>						
Indéterminé tôle	12106	982	Frgt de tôle de section légèrement bombée d'un côté	Fer	1	0	7
Clou	12106		Men.: 2 frgts, 2 tiges	Fer	4	2	25.2
SCTPE-1-remblais	<i>État 4 lato sensu : époque romaine</i>						
Anneau (fer)	12033	305	Frgt d'anneau de section rectangulaire	Fer	1	1	2.9
Cabochon	12033	2092	Cabochon décoratif	Base-cuivre	1	1	0.5
Cabochon	12027	99	Cabochon décoratif	Base-cuivre	1	1	0.1
Cabochon	12033	183	Fragment de cabochon décoratif	Base-cuivre	1	1	0.3
Clou de chaussure	12033		Clous de chaussures, dont un à six globules et bol marqué et un très usé	Fer	2	2	2.5
Ferrure	12033	2034	Extrémité de ferrure avec une largeur plus grande à l'endroit de la perforation	Fer	1	1	15.3
Indéterminé barre	12033		Frgt de barre	Fer	1	0	15.4
Indéterminé plat	12051	634	Bande de fer plat	Fer	1	0	10.8
Indéterminé tôle	12033		Frgt de fine bande de tôle ondulée	Fer	1	0	1
Clou	12033		Constr.: 5 frgts	Fer	5	5	92.2
Clou	12033	265	Men.: 1 frgt	Fer	1	1	8.6
Clou	12027		Men.: 2 frgts, 5 tiges	Fer	7	2	11.2
Clou	12033		Men.: 26 frgts, 31 tiges	Fer	57	26	299.7
Rivet (fer)	12033	2033	2 clous-rivets par repli	Fer	1	1	13.9
Virole	12033	243	Virole	Fer	1	1	8.2
SCTPE-2-passe artificielle	<i>État 2-GR : LTD1b évoluée-époque romaine</i>						
Clou	12069	593	Men.: 1 frgt	Fer	1	1	13.5
Clou	12069		Men.: 4 frgts, 8 tiges	Fer	12	4	53.5
SCTPE-3-occupation	<i>État 2.2 : LTD2a</i>						
Anneau (fer)	12074	762	Anneau de section rectangulaire	Fer	1	1	29.6
Anneau (fer)	12074	913	Anneau de section ronde	Fer	1	1	18.1
Cabochon	12074	1162	Cabochon décoratif	Base-cuivre	1	1	0.6
Cabochon	12080	884	Cabochon décoratif	Base-cuivre	1	1	0.1
Cabochon	12074	835	Cabochon décoratif avec trace de substance blanchâtre fixée sur une tôle de fer	Base-cuivre	1	1	1.6
Cabochon	12074	827	Cabochon décoratif avec trace de substance blanchâtre	Base-cuivre	1	1	1.4
Cabochon	12074	2003	Cabochon décoratif avec un rebord.	Base-cuivre	1	1	1.2
Cabochon	12074	689	Cabochon décoratif fissuré avec trace de substance blanchâtre	Base-cuivre	1	1	0.5
Cabochon	12078	788	Deux cabochons décoratifs avec trace de substance blanchâtre	Base-cuivre	2	2	2.2
Cabochon	12074	932	Fragments de cabochon décoratif	Base-cuivre	5	1	1.4
Cabochon	12072	614	Fragment de cabochon décoratif avec un rebord	Base-cuivre	1	1	0.5
Cabochon	12074	685	Fragment de cabochon décoratif	Base-cuivre	1	1	0.7
Cabochon	12074	2002	Frgt de cabochon décoratif	Base-cuivre	1	1	0.4
Cabochon	12074	865	Frgt de cabochon décoratif	Base-cuivre	1	1	0.3
Coulure	12074	687	Coulure	Base-cuivre	1	1	0.4
Ferrure	12074		Frgts de ferrure de largeur différente	Fer	3	3	23.3
Goutte	12080	843	Goutte	Base-cuivre	1	1	0.1
Indéterminé informe	12080	840	Frgt informe	Base-cuivre	1	0	0.2
Indéterminé objet	12074	776	Frgt de barre indéterminé, avec deux sections rectangulaires entourant une partie centrale de section ronde, une extrémité cassée et l'autre en tête de dauphin. Une pièce semble être rajoutée à une extrémité. Fragment de demi-produit?	Fer	1	1	388.6
Indéterminé objet	12074	2080	Frgt de tige de section rectangulaire avec deux retrécissements près de l'extrémité, lui donnant une forme anthropomorphe. Huisserie?	Fer	1	1	3.1

Type d'objet	UF	No	Description	Métal	NR	NMI	M(g)
Indéterminé plat	12074	795	Bande de fer plat	Fer	1	0	5.8
Indéterminé plat	12074	712	Frgt de fer plat	Fer	1	0	2.3
Indéterminé tige	12074	809	Fragment de tige de section ronde appointée	Base-cuivre	1	1	0.2
Indéterminé tige	12079	761	Frgt de tige	Fer	1	0	3.3
Indéterminé tige	12074	2083	Frgt de tige de section ronde s'amincissant en direction de l'extrémité de l'objet. Fragment d'outil, de talon?	Fer	1	1	18.9
Indéterminé tôle	12074	740	Frgt de tôle	Base-cuivre	1	0	0.7
Indéterminé tôle	12074	779	Frgt de tôle tordu	Base-cuivre	1	0	0.5
Indéterminé tôle	12074	2088	Frgt de tôle avec une gorge et un bord plié	Fer	1	0	8.7
Indéterminé tôle	12074	2087	Frgt de tôle avec une gorge	Fer	1	0	11.9
Indéterminé tôle	12074		Frmts de tôle	Fer	4	0	23.7
Clou	12078	748	1 tige	Fer	1	0	3.1
Clou	12078	780	1 tige	Fer	1	0	3.1
Clou	12078	805	1 tige	Fer	1	0	10.7
Clou	12079	802	1 tige	Fer	1	1	9.4
Clou	12101		1 tige	Fer	1	1	1.9
Clou	12074	864	Clou de construction	Fer	1	1	25.6
Clou	12074		Constr.: 9 frgts, 1 tige	Fer	10	9	309
Clou	12074	777	Tige de clou de construction	Fer	1	0	24.9
Clou	12074	772	Tige de clou de construction	Fer	1	0	23
Clou	12100		Men.: 1 frgt	Fer	1	1	10.9
Clou	12078		Men.: 2 frgts, 3 tiges	Fer	5	2	35.7
Clou	12095		Men.: 4 frgts, 2 tiges	Fer	6	4	49.1
Clou	12074		Men.: 57 frgts, 53 tiges	Fer	110	57	757
Clou	12074	834	Clou décoratif	Fer	1	1	4.5
Clou	12074	2081	Tête de clou décoratif	Fer	1	1	2.5
Paroi de foyer	12079	801	Frmts de paroi de foyer	Fer	6	1	44.6
Perle	12074	725	Petit anneau de section ronde	Base-cuivre	1	1	4.3
Rivet (bc)	12074	2015	Clou-rivet en une pièce à tête hémisphérique creuse, à tige en fer avec une gangue de corrosion sous la tête	Base-cuivre	1	1	1.8
Rivet (bc)	12074	2094	Clou-rivet en une pièce avec trace de substance blanchâtre sous la tête	Base-cuivre	1	1	0.1
Rivet (bc)	12074	881	Fragment de clou-rivet en une pièce	Base-cuivre	1	1	1
Rivet (bc)	12074	771	Très petit clou-rivet en une pièce	Base-cuivre	1	1	0.1
Rivet (fer)	12074	2079	Clou-rivet refoulé	Fer	1	1	8.9
Rivet (fer)	12074	716	Rivet à contreplaque	Fer	1	1	22.7
SCTPE-4-TP 12105	<i>État 2 lato sensu : LTD1b évoluée-LTD2</i>						
Clou	12103		Men.: 1 frgt, 1 tige	Fer	2	1	11.4
SCTPE-5-TP 13067	<i>État 2 lato sensu : LTD1b évoluée-LTD2</i>						
Indéterminé tige	13064	335	Frgt de tige de section ronde	Base-cuivre	1	0	1.8
Clou	13064		Men.: 2 frgts, 6 tiges	Fer	8	2	49.6
SCTPE-6-TP 13053	<i>État 2 lato sensu : LTD1b évoluée-LTD2</i>						
Clou	13054		Men.: 1 frgt, 3 tiges	Fer	4	1	23.9
Clou	13053		Men.: 2 frgts, 1 tige	Fer	3	2	20.7
SCTPE-7-TP 12226	<i>État 2 lato sensu : LTD1b évoluée-LTD2</i>						
Indéterminé tôle	12226		Frgt de tôle	Fer	1	0	3.9
SCTFN-1-décapage	<i>Décapage</i>						
Cabochon	13520	131	Cabochon décoratif avec trace de substance blanchâtre	Base-cuivre	1	1	0.4
Ferrure	12007	11	Extrémité de ferrure avec une perforation ronde et un élargissement au niveau de la perforation	Fer	1	1	15.1
Ferrure	13520	96	Fragment de ferrure composée d'une tôle incurvée avec deux perforations et des traces de bois sur sa face interne.	Fer	3	1	10.7
Indéterminé tige	13003	7	Frgt de tige de section ronde	Base-cuivre	1	0	3
Indéterminé tige	13612	202	Frgt de tige de section ronde pointue	Fer	1	0	0.8
Indéterminé tige	12003	5	Grande tige de section carrée	Fer	1	0	17.6
Indéterminé tige	13612	202	Tige de section ronde pointue	Fer	1	0	1.7
Clou	13615		1 frgt de tige	Fer	1	1	2.6
Clou	13612		Constr.: 1 frgt de tige; men.: 6 frgts, 7 tiges	Fer	14	7	92
Clou	12592		Men.: 1 frgt, 1 clou de décoration, 2 tiges	Fer	4	1	10.2
Clou	12007		Men.: 1 frgt, 1 tige	Fer	2	1	8.2
Clou	12521		Men.: 1 frgt	Fer	1	1	9
Clou	13003		Men.: 1 frgt, 1 tige	Fer	2	1	10.6
Clou	13520		Men.: 2 frgts, 10 tiges	Fer	12	2	28.3
Clou	12003		Men.: 2 frgts, 1 tige	Fer	3	2	30.8
Clou	13548		Men.: 3 frgts, 1 tige	Fer	4	3	30.2
Clou	10008		Men.: 4 frgts	Fer	4	4	24
Clou	13002		Men.: 5 frgts, 2 tiges	Fer	7	5	62.5

Type d'objet	UF	No	Description	Métal	NR	NMI	M(g)
Penture	12003	5	Frgt de penture. Frgt d'une large bande de fer plat avec deux perforations. Les deux extrémités sont cassées.	Fer	1	1	77.3
SCTFN-2-perturbations modernes	<i>Perturbations modernes</i>						
Applique décorative	13508	60	Languette avec rainures centrales	Base-cuivre	1	1	
Cabochon	13509	221	Cabochon décoratif	Base-cuivre	1	1	0.5
Cabochon	13509	200	Fragment de cabochon décoratif avec trace de substance blanchâtre	Base-cuivre	1	1	0.5
Ferrure	13509	215	Extrémité de ferrure, avec un perforation ronde	Fer	1	1	2.8
Clou	13505		Men.: 1 frgt, 1 tige	Fer	2	1	8.4
Clou	13509		Men.: 10 frgts, 14 tiges	Fer	24	10	119.9
SCTFN-3-complements gallo-romains	<i>État 4 lato sensu : époque romaine</i>						
Anneau (fer)	11134	227	Anneau de section carrée	Fer	1	1	12.4
Anneau (fer)	11118	216	Frgt d'anneau de section carrée	Fer	1	1	1.7
Anneau (fer)	11006	12	Frgt d'anneau de section ronde	Fer	1	1	1.6
Anneau (fer)	13562	494	Gros anneau à section rectangulaire	Fer	1	1	9.3
Cabochon	11118	281	Cabochon de décoration	Base-cuivre	1	1	0.7
Cabochon	11033	27	Cabochon décoratif avec trace d'une substance blanchâtre	Base-cuivre	1	1	0.5
Cabochon	10025	13	Cabochon décoratif avec trace de substance blanchâtre	Base-cuivre	1	1	0.6
Charnière	11175	2050	Fragment de charnière? avec le départ de deux tiges à une extrémité	Fer	1	1	8.3
Clou de chaussure	11084	114	Clou de chaussure, illisible	Fer	1	1	1.4
Clou de chaussure	11045	36	Tête de clou de chaussure, à 17 petits globules	Fer	1	1	1.8
Clou décoratif	11194	2062	Clou décoratif	Fer	1	1	11.3
Coulure	10258	295	Coulure	Base-cuivre	1	1	7.1
Crampon	12008	2025	Frgts de crampon de menuiserie	Fer	2	1	8.8
Crampon	12008	18	Crampon formant un rectangle fermé	Fer	1	1	13.8
Crampon	12516	155	Frgt de crampon de menuiserie	Fer	1	1	7.1
Ferrure	11118	2026	Frgts de ferrures différentes avec chacune une perforation	Fer	2	2	21
Ferrure	12008		3 frgts de tôle perforée, largeur des bandes différentes	Fer	3	3	20.7
Ferrure	11085	75	Extrémité de ferrure avec clou de fixation. Présente un rétrécissement à vers l'extrémité conservée.	Fer	1	1	12.7
Ferrure	11187	395	Extrémité de ferrure avec une perforation	Fer	1	1	3.3
Ferrure	10258	2021	Extrémité de ferrure avec une perforation, légèrement repliée sur les bords	Fer	1	1	10.6
Ferrure	11173	737	Ferrure complète avec deux perforations	Fer	1	1	46.8
Ferrure	11187	395	Ferrure d'angle	Fer	1	1	5.6
Ferrure	11202	2071	Frgt de ferrure	Fer	1	1	4
Ferrure	11076	156	Frgt de ferrure	Fer	1	1	7.7
Ferrure	11149		Frgt de ferrure avec rivet	Fer	1	1	11.5
Ferrure	11194	2064	Frgts de ferrure avec une perforation	Fer	3	1	6.7
Ferrure	11160	296	Frgt de ferrure, de penture? constituée d'un fragment de fer plat troué. Une extrémité est conservée.	Fer	1	1	47.1
Ferrure	12541		Frgt de ferrure, fer plat perforé	Fer	1	1	11.1
Ferrure	11187	395	Frgt de ferrure	Fer	1	1	15.7
Ferrure	12505	2056	Frgt de tôle avec les bords non parallèles et une perforation, ferrure, fourreau?	Fer	1	1	6.7
Fibule	12505	88	Fragment d'ardillon de fibule	Base-cuivre	1	1	0.4
Fibule	11184	384c	Ardillon complet de fibule	Fer	1	1	1.1
Fibule	11184	384b	Ardillon complet de fibule et début de spire	Fer	1	1	1.6
Fibule	11118	219	Ardillon de fibule	Fer	1	1	
Fibule	11187	345	Ardillon de fibule	Fer	1	1	1.5
Fibule	11080	2011	Frgt d'ardillon de fibule	Fer	1	1	1.8
Fiche	11084	2014	Fiche composée d'une extrémité plate pliée à l'angle droit par rapport à la tige	Fer	1	1	5.7
Indéterminé informe	12008	2026	Masse informe vaguement cubique	Fer	1	0	22.3
Indéterminé objet	9220	1	Anneau à section en «D» avec élargissement de la section sur un quart du diamètre. L'intérieur est également en forme de «D».	Base-cuivre	1	1	1.1
Indéterminé plat	10099		1 frgt de fer plat	Fer	1	0	6.3
Indéterminé plat	11076	127	Frgt de barre triangulaire	Fer	1	1	27.5
Indéterminé plat	11201		Frgt de fer plat triangulaire plié	Fer	1	0	7.5
Indéterminé plat	12008		Frgt de fer plat, légèrement plus large à une extrémité	Fer	1	0	4.3
Indéterminé plat	11194		Frgts de fer plat	Fer	2	0	8.9
Indéterminé tige	10145	86	Frgt de tige de section ronde.	Base-cuivre	1	0	1.4
Indéterminé tige	11079		Frgt de tige avec un angle net, de section carrée	Fer	1	0	4.4
Indéterminé tige	11187	2056	Frgt de tige de section ronde avec une extrémité aplatie	Fer	1	1	3.3
Indéterminé tige	12505		Tige de section rectangulaire recourbée.	Fer	1	0	5.5

Type d'objet	UF	No	Description	Métal	NR	NMI	M(g)
Indéterminé tige	11118		Tige de section ronde pointue	Fer	1	0	0.8
Indéterminé tige	11134		Tige droite de section carrée, pointue aux deux extrémité, fiche?	Fer	1	0	4.9
Indéterminé tôle	12541	2012	Frgt de bande de tôle ondulée	Base-cuivre	1	0	1.1
Indéterminé tôle	11202	394	Frmts de tôle	Base-cuivre	2	1	0.3
Indéterminé tôle	11118	726	Frgt de tôle	Fer	1	0	23.5
Indéterminé tôle	11184		Frmts de tôle, dont l'un en forme de languette	Fer	3	0	5.7
Indéterminé tôle	11187	395	Bande de tôle	Fer	1	0	6.9
Indéterminé tôle	11080		Frgt de bande de tôle	Fer	1	0	1.4
Indéterminé tôle	11187	395	Frgt de bande de tôle avec une gorge à une extrémité	Fer	1	0	24.6
Indéterminé tôle	11084		Frgt de languette en tôle	Fer	1	0	0.9
Indéterminé tôle	11149	265	Frgt de tôle	Fer	1	0	5.1
Indéterminé tôle	11194	2064	Frgt de tôle	Fer	3	0	2.4
Indéterminé tôle	11194	2064	Frgt de tôle avec un ressaut. Seul un bord droit est conservé. Fragment de récipient?	Fer	3	1	24.5
Indéterminé tôle	11173	737	Frgt de tôle avec une perforation	Fer	1	0	10.6
Indéterminé tôle	11159	297	Frgt de tôle bombé avec perforation.	Fer	1	0	8.9
Indéterminé tôle	11149	284	Frgt de tôle en demi-cercle.	Fer	1	0	10
Indéterminé tôle	11149		Frgt de tôle en forme de languette	Fer	1	0	2.9
Indéterminé tôle	11079		Frgt de tôle légèrement bombé	Fer	1	0	1.4
Indéterminé tôle	12008		Frgt de tôle recourbé, 2 frmts de tôle bombés	Fer	1	0	11.6
Indéterminé tôle	11159		Frmts de tôle	Fer	2	0	13
Indéterminé tôle	11259	501	Tôle repliée sur elle-même avec une découpe circulaire.	Fer	1	1	20.8
Indéterminé tôle	12505		Très très fine bande de tôle	Fer	1	0	0.3
Clou	10005		Tige	Fer	1	1	2.6
Clou	10011		Tige	Fer	1	1	2
Clou	10241		Tige	Fer	1	1	1.4
Clou	11006		Tige	Fer	1	1	2
Clou	11027		Tige	Fer	1	1	4.8
Clou	11075	91	Tige	Fer	1	1	1.8
Clou	11088		Tige	Fer	1	1	2
Clou	11118	211	Tige	Fer	1	0	2.7
Clou	11160		Tige	Fer	1	1	11.4
Clou	11118	294	Tige à extrémité brûlée	Fer	1	0	4
Clou	11020		Tiges	Fer	2	2	9.7
Clou	11033		Tiges	Fer	2	1	9.3
Clou	11061		Tiges	Fer	2	1	3.9
Clou	11259		Tiges	Fer	2	0	5.9
Clou	12562		Tiges	Fer	2	1	3.7
Clou	10190		Tiges	Fer	3	1	13.3
Clou	10024		Tiges	Fer	4	1	9
Clou	11080	2010	Clou utilisé en tant que crochet	Fer	1	1	5
Clou	10233		Constr.: 1 frgt	Fer	1	1	16.1
Clou	11187		Constr.: 1 frgt	Fer	1	1	26.8
Clou	11189		Constr.: 1 frgt	Fer	1	1	28
Clou	11194		Constr.: 1 frgt	Fer	1	1	24.3
Clou	11206		Constr.: 1 frgt	Fer	1	1	30.3
Clou	10178		Constr.: 2 clous	Fer	2	2	32.9
Clou	10187		Constr.: 2 frgts	Fer	2	2	37.2
Clou	11173		Constr.: 2 frgts	Fer	2	2	37.8
Clou	12505		Constr.: 3 frgts, 1 tige, men.: 1 clou, 34 frgts, 41 tiges	Fer	80	38	433.1
Clou	11149		Contr.: 1 clou; men.: 2 clous, 19 frgts, 16 tiges	Fer	38	22	260.5
Clou	11187	395	Clou à tête aplatie formant deux lobes perpendiculaires à l'axe de la tige	Fer	1	1	13.3
Clou	10026		Men.: 2 frgts	Fer	2	2	7.9
Clou	11236		Men.: 1 clou, 1 tige	Fer	2	1	30.1
Clou	10232		Men.: 1 clou et 4 frgts, 1 tige	Fer	6	5	48.8
Clou	11159		Men.: 1 clou, 11 frgts, 10 tiges	Fer	22	12	141.2
Clou	11184		Men.: 1 clou, 27 frgts, 21 tiges	Fer	49	28	315.7
Clou	11044		Men.: 1 clou, 4 frgts, 2 tiges	Fer	7	5	16.9
Clou	11105		Men.: 1 frgt	Fer	1	1	11.1
Clou	11074		Men.: 1 frgt, 9 tiges	Fer	10	1	23.8
Clou	11050		Men.: 1 frgt, 1 tige	Fer	2	1	6.7
Clou	12505	279	Men.: 1 frgt	Fer	1	1	6.2
Clou	11043		Men.: 1 frgt	Fer	1	1	6
Clou	11051		Men.: 1 frgt, 1 tige	Fer	2	1	9.2

Type d'objet	UF	No	Description	Métal	NR	NMI	M(g)
Clou	11099		Men.: 1 frgt	Fer	1	1	7.6
Clou	11079		Men.: 1 frgt, 1 tige	Fer	2	1	13.3
Clou	11259		Men.: 1 frgt, 3 tiges	Fer	4	1	21.8
Clou	11080	2008	Men.: 10 frgts et 1 clou décoratif à tête losangique, 5 tiges	Fer	16	11	74.2
Clou	12008		Men.: 10 frgts, 12 tiges	Fer	22	10	146.9
Clou	11084		Men.: 11 frgts, 11 tiges	Fer	22	11	121.2
Clou	11173		Men.: 12 frgts, 5 tiges	Fer	17	12	136.5
Clou	11174		Men.: 14 frgts, 14 tiges	Fer	28	14	164.9
Clou	10187		Men.: 19 frgts; 27 tiges	Fer	46	19	228.1
Clou	11087		Men.: 1 clou, 4 frgts, 3 tiges	Fer	8	5	38.2
Clou	11044		Men.: 2 clous, 3 frgts, 3 tiges	Fer	8	5	17.4
Clou	11187		Men.: 2 clous, 32 frgts, 8 tiges	Fer	42	34	452.4
Clou	11134		Men.: 2 clous, 7 frgts, 9 tiges	Fer	18	9	79.6
Clou	11057		Men.: 2 frgts dont un avec les bords facettés, 3 tiges	Fer	5	2	20.6
Clou	11065		Men.: 2 frgts, 2 tiges	Fer	4	2	14.5
Clou	12541		Men.: 2 frgts, 7 tiges	Fer	9	2	40.9
Clou	11175		Men.: 2 frgts, 5 tiges	Fer	7	2	37.4
Clou	11156		Men.: 2 frgts, 7 tiges	Fer	9	2	40
Clou	10102		Men.: 2 frgts, 4 tiges	Fer	6	2	33.8
Clou	10186		Men.: 2 frgts, 8 tiges	Fer	10	2	42.1
Clou	10145		Men.: 2 frgts, 1 tige	Fer	3	2	13
Clou	11189		Men.: 3 clous, 9 frgts, 9 tiges	Fer	21	12	132.3
Clou	11127		Men.: 3 frgts, 2 tiges	Fer	5	3	25.5
Clou	10104		Men.: 3 frgts, 3 tiges	Fer	6	3	30.2
Clou	10258		Men.: 3 frgts, 14 tiges	Fer	17	3	61
Clou	10103		Men.: 3 frgts 4 tiges	Fer	7	3	38.6
Clou	11126		Men.: 3 frgts, 3 tiges	Fer	6	3	50.6
Clou	11194		Men.: 4 clous, 12 frgts, 14 tiges	Fer	30	16	193.9
Clou	11118		Men.: 4 clous, 13 frgts, 5 tiges	Fer	22	17	140.8
Clou	12516		Men.: 4 frgts, 9 tiges	Fer	13	4	56
Clou	11201		Men.: 4 frgts, 2 tiges	Fer	6	4	43.1
Clou	13562		Men.: 4 frgts, 2 tiges.	Fer	6	4	42.3
Clou	11206		Men.: 4 frgts, 2 tiges	Fer	6	4	75.9
Clou	10155		Men.: 5 frgts, 2 tiges	Fer	7	5	32.7
Clou	10233		Men.: 5 frgts, 5 tiges	Fer	10	5	47
Clou	10178		Men.: 5 frgts, 3 tiges	Fer	8	5	45.3
Clou	11045		Men.: 5 frgts; 4 tiges	Fer	9	5	44.6
Clou	11253		Men.: 5 frgts, 3 tiges	Fer	8	5	52.1
Clou	11085		Men.: 6 frgts; 1 tige	Fer	7	6	39.4
Clou	10099		Men.: 6 frgts; 6 tiges	Fer	12	6	52.9
Clou	10025		Men.: 6 frgts, 2 tiges	Fer	8	6	56
Clou	11202		Men.: 6 frgts, 7 tiges	Fer	13	6	94.7
Clou	11076		Men.: 7 frgts, 4 tiges	Fer	11	7	49.9
Clou	11149	245	Tête de clou	Fer	1	1	2
Perle	11201	383	Petit anneau de section losangique	Base-cuivre	1	1	2.9
Piton	12539	409	Frgt de piton à oeillet	Fer	1	1	3.8
Rivet (bc)	10025	17	Rivet par refoulement à tige ronde en une pièce	Base-cuivre	1	1	0.8
Rivet (bc)	10101	60	Tête de rivet à refoulement en une pièce à tête hémisphérique plein	Base-cuivre	1	1	3.3
Rivet (bc)	9295	2	Clou-rivet en une pièce à tête hémisphérique creuse, à tige en fer et trace d'une substance blanchâtre sous la tête.	Base-cuivre et fer	1	1	1.2
Rivet (fer)	11173	737	Clou-rivet par repli	Fer	1	1	11.9
Rivet (fer)	12505	2059	Clou-rivet par repli à tête circulaire plate	Fer	1	1	4.7
Rivet (fer)	11134	253	Contreplaque de rivet	Fer	1	1	1.7
Rivet (fer)	11175	2049	Contreplaque de rivet avec partie de tige de part et d'autre	Fer	1	1	5.9
Rivet (fer)	11181	331	Rivet à contreplaque à tête circulaire plate	Fer	1	1	9.3
Rivet (fer)	11084	2013	Rivet décoratif à tête hémisphérique creuse entier	Fer	1	1	5.2
Scorie (fer)	11159		Scorie de foyer	Fer	1	1	7.3
Scorie (fer)	12539	408	Scorie informe	Fer	1	1	3.4
Scorie (fer)	11175		Scories de forge et frgt de foyer agglomérés	Fer	5	1	112.8
Scorie (fer)	11187		Trois scories de forge et un culot	Fer	4	1	96.1
Virole	12505	62	Virole. Petit anneau de section rectangulaire	Fer	1	1	7
SCTFN-4-Fosse 11265			<i>Non phasé</i>				
Déchet de fabrication	11264		Déchet de fabrication	Fer	1	1	11.7
Indéterminé objet	11265	529	Frgt de barre massive formant un ovale avec le départ d'une barre légèrement renflée sur les rebords d'une de ces faces. Extrémité d'outil, d'ustensile?	Fer	1	1	35.3

Type d'objet	UF	No	Description	Métal	NR	NMI	M(g)
Clou	11264		Constr.: 2 frgts	Fer	2	2	41.7
Clou	11264		Men.: 7 frgts, 6 tiges	Fer	13	7	128.5
SCTFN-5-arrachage de la palissade			<i>État 1.2 : LTD1b classique</i>				
Clou de chaussure	11227		Clou de chaussure, à globules illisible et bol marqué	Fer	1	1	1.2
Ferrure	11257	727	Frgt de ferrure	Fer	1	1	5.6
Ferrure	11227	483	Frgt de ferrure avec un rebord replié et un rivet de fixation	Fer	1	1	16.4
Indéterminé barre	12603	2068	Frgt de barre	Fer	1	1	34.2
Indéterminé objet	12596	2067	Fer plat de section rectangulaire avec une extrémité divisée en deux parties de section rectangulaire. L'autre extrémité est de section ronde.	Fer	1	1	3.4
Indéterminé plat	12598	870	Frgt de bande de fer plat de section rectangulaire diminuant d'une extrémité à l'autre	Fer	1	0	14.6
Indéterminé tige	11252	2094	Frgt de tige	Base-cuivre	1	0	0.8
Indéterminé tôle	13581	329	Frgt de tôle perforée	Base-cuivre	1	1	0.5
Indéterminé tôle	12596		Frgt de bande de tôle	Fer	1	0	2.8
Indéterminé tôle	11251		Frgt de fer plat	Fer	1	0	6.4
Indéterminé tôle	11260		Frgt de tôle	Fer	1	0	8.4
Indéterminé tôle	12603	895	Frgt de tôle	Fer	1	0	7.4
Clou	11227	478	Tige	Fer	1	0	8
Clou	13582	305	Clou décoratif à tête hémisphérique creuse	Fer	1	1	17.9
Clou	11227		Constr.: 1 frgt	Fer	1	1	41.7
Clou	12598		Constr.: 1 frgt; men.: 3 frgts, 3 tiges	Fer	7	4	55.2
Clou	12603		Constr.: 2 frgts, men.: 2 frgts, 6 tiges	Fer	10	4	90.5
Clou	13581		Frgt de tige	Fer	1	1	1.9
Clou	11260		Men.: 1 clou, 5 frgts, 3 tiges	Fer	9	6	62.2
Clou	13682		Men.: 1 clou	Fer	1	1	13.1
Clou	13584		Men.: 1 frgt	Fer	1	1	5.1
Clou	13677		Men.: 1 frgt	Fer	1	1	6.6
Clou	13683		Men.: 1 frgt	Fer	1	1	14.1
Clou	13685		Men.: 1 frgt	Fer	1	1	7.7
Clou	13739		Men.: 1 frgt	Fer	1	1	10.5
Clou	11197		Men.: 12 frgts, 7 tiges	Fer	19	12	123.6
Clou	13737		Men.: 2 frgts	Fer	2	2	18.7
Clou	11223		Men.: 2 frgts, 4 tiges	Fer	6	2	31.6
Clou	12527		Men.: 2 frgts	Fer	2	2	19
Clou	12596		Men.: 3 frgts, 7 tiges	Fer	10	3	63
Clou	13586		Men.: 3 frgts, 3 tiges	Fer	6	3	31.8
Clou	11251		Men.: 5 frgts	Fer	5	5	43.2
Clou	11252		Men.: 5 frgts, 3 tiges	Fer	8	5	57
Clou	11257		Men.: 6 frgts, 4 tiges	Fer	10	6	90.9
Clou	11227		Men.: 7 frgts; 3 tiges	Fer	10	7	79.9
Rivet (fer)	13583	2046	Clou-rivet en une pièce	Fer	1	1	12.9
Rivet (fer)	12603	897	Rivet à contreplaque décoratif	Fer	1	1	35.5
Rivet (fer)	12598	862	Rivet à contreplaque décoratif	Fer	1	1	36.6
SCTFN-6-calage de la palissade			<i>État 1.1 : fin LTD1a-LTD1b classique</i>				
Indéterminé plat	12606	2069	Frgt de bande de fer plat replié à une extrémité	Fer	1	0	3.5
Indéterminé tige	12606		Tige de section ronde.	Fer	1	0	0.8
SCTFN-7-occupation piégée			<i>État 1.1 : fin LTD1a-LTD1b classique</i>				
Ferrure	12518		Frgt de ferrure avec perforation	Fer	1	1	2
Indéterminé tige	12518		Frgt de tige de section ronde très fine	Fer	1	0	0.7
Indéterminé tôle	12518	364	Frgts de tôle légèrement bombés	Base-cuivre	6	0	1.2
Clou	12518		Men.: 10 frgts, 6 tiges	Fer	16	10	115.6
SCTFN-8-Comblement inférieur perturbé			<i>État 1.2 : LTD1b classique perturbé</i>				
Cabochon	11226	481	Fragment de cabochon décoratif	Base-cuivre	1	1	0.5
Cabochon	11226	489	Fragment de cabochon décoratif avec trace de substance blanchâtre.	Base-cuivre	1	1	1.1
Crampon	11226	2075	Fragment de crampon de menuiserie	Fer	1	1	6
Ferrure	11203		Fragments de ferrure	Fer	3	1	8
Ferrure	11226	476	Extrémité de ferrure avec une perforation	Fer	1	1	19.5
Ferrure	11203	436	Frgt de bande de tôle avec des angles peu prononcés, trace de rivet, ferrure d'angle?	Fer	1	1	19.4
Ferrure	11226	2074	Frgts de ferrure constituée de tôles pliées, dont une avec une trace de perforation	Fer	4	1	43.7
Ferrure	11226	485	Bande de tôle pliée avec deux perforations et une gorge centrale, bande aux rebords repliés et une tôle bombée	Fer	3	1	175.2
Fibule	11203	396	Fragment d'ardillon de fibule avec début de spire	Fer	1	1	0.4
Indéterminé objet	11203	421	Frgt de tôle en demi-rond, trace de rivet peu lisible.	Fer	1	0	20

Type d'objet	UF	No	Description	Métal	NR	NMI	M(g)
Indéterminé plat	11203		Frgt de fer plat triangulaire.	Fer	1	0	2.4
Indéterminé tige	11203	418	Tige de section rectangulaire.	Fer	1	0	12.6
Indéterminé tôle	11203	422	Frgt de tôle avec un bord droit	Base-cuivre	1	1	0.4
Indéterminé tôle	11203	2072	Frgt de tôle bombé	Fer	1	0	17
Clou	11203	438	Tige	Fer	1	0	7.1
Clou	11226		Constr.: 1 frgts	Fer	1	1	27.2
Clou	11203		Men.: 12 frgts, 10 tiges	Fer	22	12	147.1
Clou	11204		Men.: 3 frgts, 4 tiges	Fer	7	3	39.7
Clou	11226		Men.: 5 frgts, 12 tiges	Fer	17	5	108
Rivet (bc)	11203	389	Clou-rivet en une pièce à tête criculaire plate	Base-cuivre	1	1	0.1
Rivet (fer)	11226	476	Rivet à contreplaque à tête plate discoïde légèrement creuse	Fer	1	1	24.9
Scorie (fer)	11203		Scorie de forge	Fer	1	1	42.8
SCTFE-1-décapage		<i>Décapage</i>					
Ferrure	13007	6	Frgt de ferrure avec deux perforations	Fer	1	1	23.6
Clou	13007	2009	1 clou de menuiserie	Fer	1	1	13.6
Clou	13010		Constr.: 1 clou; men.: 2 frgts, 1 tige	Fer	4	3	38
Clou	12129		Men.: 1 frgt	Fer	1	1	11.8
Clou	13007		Men.: 9 frgts, 2 tiges	Fer	11	9	85.4
SCTFE-2-complements gallo-romains		<i>État 4 lato sensu : époque romaine</i>					
Anneau (fer)	13024	111	Anneau de section ronde	Fer	1	1	6.2
Clou de chaussure	13024		Clous de chaussure dont 1 à 6 globules et bol très marqué et 1 à 8 globules et bol peu marqué	Fer	2	2	2.5
Ferrure	13024	119	Extrémité de ferrure, avec deux perforations rondes	Fer	1	1	26.2
Ferrure	13024		Frgt de ferrure, rivet toujours présent	Fer	1	1	6.6
Fiche	13024	133	Fiche de fonction indéterminée en forme de «L» avec des traces de bois sur la longueur de la tige. La tige est de section ronde puis carrée	Fer	1	1	12.2
Indéterminé barre	13028	2015	Frgt de barre de section en ogive tronquée à bord droit	Fer	1	0	10.2
Indéterminé plat	11195		Frgt de fer plat	Fer	1	0	4.9
Indéterminé tôle	13024	134	Frgt de tôle	Base-cuivre	1	0	0.7
Indéterminé tôle	13024		Frgt de tôle	Fer	1	0	2.9
Indéterminé tôle	13024	77	Frgt de tôle	Fer	1	0	1.4
Indéterminé tôle	11195	367	Frgt de tôle légèrement bombée	Fer	1	0	29
Indéterminé tôle	13024	135	Languette de tôle	Fer	1	0	1.2
Indéterminé tôle	13028	99	Languette de tôle	Fer	1	0	5.3
Indéterminé tôle	11195		Languette de tôle très fine	Fer	1	0	2.4
Clou	11086		Tiges	Fer	2	1	12.6
Clou	11018		Tiges	Fer	8	1	17.2
Clou	11195	2065	Clou avec une pointe divisée en deux parties par une paille (?) dans le métal de la tige	Fer	1	1	7
Clou	13024	146	Clou de construction	Fer	1	1	25.9
Clou	13024		Constr. : 2 clous; men.: 1 clou, 6 frgts, 1 tige	Fer	10	9	102.8
Clou	13024		Men.: 1 clou, 13 tiges	Fer	14	1	34.6
Clou	11188		Men.: 1 clou, 5 frgts, 5 tiges	Fer	11	6	68.8
Clou	13029		Men.: 1 frgt	Fer	1	1	10.9
Clou	13028		Men.: 1 frgt, 2 tiges	Fer	3	1	18.6
Clou	11195		Men.: 14 frgts, 14 tiges	Fer	28	14	177.6
Clou	11178		Men.: 2 frgts	Fer	2	2	15.1
Clou	11177	2052	Men.: 4 frgts, 1 clou de décoration, 6 tiges	Fer	11	5	63
Clou	13024	136	Tête de clou avec arrachage de la tige	Fer	1	1	2.2
Rivet (bc)	13024	118	Clou-rivet en 1 pièce à tête hémisphérique creuse	Base-cuivre	1	1	0.6
Rivet (bc)	11178	316	Clou-rivet en une pièce à tête hémisphérique creuse	Base-cuivre	1	1	0.4
Rivet (bc)	13024	124	Clou-rivet en une pièce à tête hémisphérique creuse	Base-cuivre	1	1	0.2
Rivet (bc)	15235	98	Clou-rivet en une pièce à tête hémisphérique creuse	Base-cuivre	1	1	0.4
Rivet (bc)	11018	18	Rivet par refoulement en une pièce	Base-cuivre	1	1	1
Rivet (fer)	11178		Contreplaque de rivet arrachée	Fer	1	1	1.1
SCTFE-3-Fo 15234		<i>État 4 lato sensu : époque romaine</i>					
Clou	15233		Men.: 1 frgt, 1 tige	Fer	2	1	8.1
SCTFE-4-interface galerie/arrachage		<i>État 2.1 : LTD1b évoluée</i>					
Ferrure	15248	140	Frgt de ferrure avec deux perforations	Fer	1	1	5.6
Rivet (bc)	15248	131	Fragment de contreplaque de rivet carré	Base-cuivre	1	1	0.3
SCTFE-5-arrachage palissade nord entrée		<i>État 1.2 : LTD1b classique</i>					
Ferrure	11231	428-3	Ferrures complètes avec trois perforations dont deux très proches et quatre fragments de bande de tôle tordue dont une présentant deux perforations très proches	Fer	4	1	11.3
Ferrure	11231	428-2	Fragment de ferrure avec deux perforations très proches dont une en relief et quatre fragments de bande de tôle tordue dont une présentant trois perforations.	Fer	4	1	11.3

Type d'objet	UF	No	Description	Métal	NR	NMI	M(g)
Fibule	11230	430	Spire de fibule	Base-cuivre	1	1	0.3
Indéterminé tige	11258	2078	Tige longue courbée à angle droit, section illisible, trop mal conservée.	Fer	1	0	14.1
Indéterminé tôle	15274	244	Frgt de tôle	Fer	1	0	6.7
Clou	15276		Tige	Fer	1	0	1.8
Clou	15274		Men.: 1 clou, 6 frgts, 4 tiges	Fer	11	7	63.1
Clou	15275		Men.: 5 frgts, 4 tiges	Fer	9	5	57.6
Clou	11258		Men.: 2 frgts, 3 tiges	Fer	5	2	57.6
Clou	11230		Men.: 4 frgts, 1 tige	Fer	5	4	59.1
SCTFE-6-arrachage palissade sud entrée			<i>État 1.2 : LTD1b classique</i>				
Cabochon	13083	405	Fragment de cabochon décoratif	Base-cuivre	1	1	0.4
Cabochon	13081	396	Frgts d'un cabochon décoratif avec trace de plomb. Trop fragmentaire, non illustré	Base-cuivre	5	1	0.7
Fiche	13080	2027	Fiche en «T» complète	Fer	1	1	12.9
Indéterminé tige	13081	397	Tige de section ronde appointée	Base-cuivre	1	1	0.4
Indéterminé tige	13081		Frgt de tige de section ronde pointue.	Fer	1	0	1.9
Indéterminé tôle	12108	1020	Frgts de tôle dont un avec un bord circulaire et un replié	Base-cuivre	5	0	1.1
Clou	13080		Constr.: 1 frgt	Fer	1	1	29.5
Clou	12108		Constr.: 3 frgts	Fer	3	3	89.8
Clou	13083		Men.: 1 frgt; Trd	Fer	1	1	13.8
Clou	12116		Men.: 2 frgts, 1 tige	Fer	3	2	18.6
Clou	13079		Men.: 2 frgts	Fer	2	2	27.1
Clou	13081		Men.: 2 frgts	Fer	2	2	19.1
Clou	13074		Men.: 3 frgts	Fer	3	3	33.7
SCTFE-7-calage palissade			<i>État 1.1 : fin LTD1a-LTD1b classique</i>				
Clou	12109		Tige	Fer	1	1	1.7
SCTFS-1-décapage			<i>Décapage</i>				
Cabochon	12922	538	Frgts de cabochon décoratif avec trace de substance blanchâtre	Base-cuivre	5	1	0.5
Ferrure	12922	551	Frgt de ferrure avec une perforation, cassé aux deux extrémités	Fer	1	1	3.4
Indéterminé plat	12922		Frgt de bande de fer plat déchiré	Fer	1	0	10.2
Clou	12986		Constr.: 1 frgt, men.: 2 frgts	Fer	3	3	38.3
Clou	12907		Constr.: 3 frgts; men.: 3 frgts, 4 tiges	Fer	10	6	87.4
Clou	12922		Men.: 2 frgts, 6 tiges	Fer	8	2	28.4
Clou	12915		Men.: 2 frgts, 1 tige	Fer	3	2	18.3
SCTFS-2-comblement gallo-romain			<i>État 4 lato sensu : époque romaine</i>				
Clou	13217		2 frgts de tige	Fer	2	1	8.4
Clou de chaussure	13263		Clou de chaussure très corrodé	Fer	1	1	1.5
Clou	13263		Men.: 17 frgts, 1 clou de décoration à tête hémisphérique creuse; 25 tiges	Fer	42	17	253.6
Clou	13263	538	Tige de clou repliée	Fer	1	0	3
SCTFS-3-fosse 13211			<i>État 4 lato sensu : époque romaine</i>				
Anneau (fer)	13212	378	Anneau de section ronde, trace de soudure nette	Fer	1	1	2.1
Clou	13212		Tige	Fer	1	1	8.9
Rivet (bc)	13212	129	Clou-rivet en une pièce à tête hémisphérique creuse à tige en fer (?) sous une gangue de corrosion	Base-cuivre	1	1	0.3
SCTFS-4-fosse 13218			<i>État 4 lato sensu : époque romaine</i>				
Clou	13218		Men.: 1 frgt, 2 tiges	Fer	3	1	18.2
SCTFS-5-fosse 13219			<i>État 4 lato sensu : époque romaine</i>				
Cabochon	13220	542	Fragment de cabochon décoratif	Base-cuivre	1	1	0.8
Cabochon	13220	541	Fragment de cabochon décoratif avec trace de substance blanchâtre	Base-cuivre	1	1	0.4
Clou	13220	539	Très gros clou de construction	Fer	1	1	133.8
SCTFS-6-arrachage palissade			<i>État 1.2 : LTD1b classique</i>				
Cabochon	13238	304	Substance blanchâtre de fixation de cabochon	Plomb	1	1	0.5
Indéterminé tige	13244	659	Tige de section ronde appointée	Base-cuivre	1	0	0.2
Clou	13297		Constr.: 1 clou	Fer	1	1	15.9
Clou	13279		Constr.: 1 frgt; men.: 1 frgt	Fer	2	2	36.7
Clou	13285		Constr.: 1 frgt	Fer	1	1	18
Clou	13237		Men.: 1 frgt, 2 tiges	Fer	3	1	28.1
Clou	12914		Men.: 1 frgt	Fer	1	1	12.4
Clou	13242		Men.: 1 frgt, 3 tiges	Fer	4	1	20.2
Clou	13286		Men.: 2 frgts, 1 tige	Fer	3	2	26.6
Clou	13244		Men.: 2 frgts	Fer	2	2	15.9
Clou	13239		Men.: 3 frgts	Fer	3	3	30.7

Type d'objet	UF	No	Description	Métal	NR	NMI	M(g)
SCTFO-1-décapage	<i>Décapage</i>						
Chaîne	13521	2032	Trois maillons de chaîne circulaire en connexion	Fer	1	1	4.2
Ferrure	13521		Frgt de ferrure, trace de perforation le long d'une cassure	Fer	1	1	12.1
Indéterminé informe	13545	357	Fragment bronze, plomb?	Base-cuivre	1	0	?
Indéterminé tôle	12803	543	Frgts de tôle.	Base-cuivre	1	0	1
Indéterminé tôle	13545		Frgt de tôle	Fer	1	0	6.4
Clou	13521	69	2 frgts de tige recourbée en «L»	Fer	2	2	4
Clou	13521	61	Clou décoratif, tête hémisphérique creuse soudée à une plaque ronde	Fer	1	1	15.6
Clou	13521		Constr.: 1 frgt; men.: 7 frgts dont 1 à grosse tête plate arrondie et fine section; 11 tiges	Fer	19	8	107.7
Clou	13521	70	Frgt de tige recourbée en «L»	Fer	1	1	2.3
Clou	13649		Men.: 1 frgt	Fer	1	1	9.4
Clou	13545		Men.: 2 frgts, 6 tiges	Fer	8	2	28.9
Clou	12817		Men.: 2 frgts, 1 tige	Fer	3	2	34.1
Clou	12803		Men.: 5 frgts, 4 tiges	Fer	9	5	59.6
SCTFO-2-perturbations modernes	<i>Perturbations modernes</i>						
Crampon	13538	2036	Fragment de crampon de menuiserie.	Fer	1	1	12.7
Indéterminé tige	13541		Tige de section rectangulaire irrégulière.	Fer	1	0	2.1
Clou	13537		1 tige	Fer	1	1	2
Clou	13538		Men.: 1 frgt, 3 tiges	Fer	4	1	42.8
SCTFO-3-arrachage palissade	<i>État 1.2 : LTD1b classique</i>						
Anneau (fer)	13695	535	Anneau à section carrée	Fer	1	1	5
Fibule	13699	360	Ardillon complet avec une spire de ressort.	Base-cuivre	1	1	1.2
Indéterminé tôle	13696	499	Frgts de tôle	Fer	2	0	4.1
Indéterminé tôle	13696	510	Langue de tôle	Fer	1	0	1.6
Indéterminé tôle	13696	508	Tôle avec bord finis et une très petite perforation	Fer	1	0	3.2
Clou	13697		Constr.: 1 clou, 2 tiges	Fer	3	1	17.1
Clou	13736		Constr.: 1 clou, 1 tige	Fer	2	1	37.9
Clou	13741		Constr.: 1 frgt; men.: 4 frgts	Fer	5	5	58.7
Clou	13696	511	Constr.: 1 frgt	Fer	1	1	43.5
Clou	13695		Frgt de tige	Fer	1	0	1.3
Clou	13697	482	Frgt de tige	Fer	1	0	4.6
Clou	13703		Frgt de tige	Fer	1	1	1.3
Clou	13695	527	Men: 1 clou	Fer	1	1	15.3
Clou	13695	528	Men: 1 clou	Fer	1	1	18.4
Clou	13696	496	Men: 1 frgt	Fer	1	1	17.3
Clou	13696	498	Men: 1 frgt	Fer	1	1	10.3
Clou	13696	500	Men: 1 frgt	Fer	1	1	10.9
Clou	13696	504	Men: 1 frgt	Fer	1	1	8.9
Clou	13696	505	Men: 1 frgt	Fer	1	1	14.2
Clou	13696	512	Men: 1 frgt	Fer	1	1	8.9
Clou	13696	515	Men: 1 frgt	Fer	1	1	6.2
Clou	13696	516	Men: 1 frgt	Fer	1	1	6.1
Clou	13696	520	Men: 1 frgt	Fer	1	1	8.3
Clou	13697	485	Men: 1 frgt	Fer	1	1	8.5
Clou	13696		Men.: 4 frgts, 1 à tête excentrée; 1 tige	Fer	5	4	45.7
Clou	13695	524	Tige	Fer	1	0	3.2
Clou	13695	525	Tige	Fer	1	0	1.5
Clou	13695	526	Tige	Fer	1	0	1.7
Clou	13695	530	Tige	Fer	1	0	3.5
Clou	13695	531	Tige	Fer	1	0	6.7
Clou	13695	532	Tige	Fer	1	0	3.5
Clou	13696	501	Tige	Fer	1	0	3.4
Clou	13696	507	Tige	Fer	1	0	4.9
Clou	13696	513	Tige	Fer	1	0	4.3
Clou	13696	514	Tige	Fer	1	0	2.5
Clou	13696	518	Tige	Fer	1	0	1.4
SCTFO-4-calage palissade	<i>État 1.1 : fin LTD1a-LTD1b classique</i>						
Indéterminé tige	13745		Très très fine tige de bronze	Base-cuivre	1	0	0.4
Clou	13745		Men.:1 clou	Fer	1	1	8.5
SCTA-1-décapage	<i>Décapage</i>						
Clou	10067		Men.: 2 frgts, 1 tige	Fer	3	2	12.5
SCTA-2-remblais	<i>État 4 lato sensu : époque romaine</i>						
Cabochon	9217	2	Cabochon décoratif	Base-cuivre	1	1	0.7
Cabochon	10054	30	Cabochon décoratif avec trace de substance blanchâtre	Base-cuivre	1	1	0.7

Type d'objet	UF	No	Description	Métal	NR	NMI	M(g)
Clou de chaussure	10228	224	Clou de chaussure à globules illisibles	Fer	1	1	5
Coulure	10250	278	Frgt de coulure	Base-cuivre	1	1	3.3
Indéterminé informe	9286		Fragment informe	Base-cuivre	1	0	0.3
Indéterminé tôle	10056	55	Frgt de tôle avec deux traces de perforation: l'une en forme de lune et l'autre carré?	Fer	1	0	3.8
Clou	10018		1 tige	Fer	1	1	1.6
Clou	10041		1 tige	Fer	1	1	0.6
Clou	10046		1 tige	Fer	1	1	5
Clou	10074		1 tige	Fer	1	1	1.6
Clou	10228		1 tige	Fer	1	0	2.2
Clou	10097		2 tiges	Fer	2	1	2.6
Clou	10076		4 tiges	Fer	4	1	17
Clou	10070		5 tiges	Fer	5	1	20.1
Clou	10249	2016	Clou de décoration à tête discoïde	Fer	1	1	10.3
Clou	10249		Constr.: 1 frgt	Fer	1	1	24.5
Clou	10056		Men.: 1 frgt, 3 tiges	Fer	4	1	21.9
Clou	10228	248	Men.: 1 frgt	Fer	1	1	4.9
Clou	10177		Men.: 1 frgt, 2 tiges	Fer	3	1	13.6
Clou	10068		Men.: 2 frgts, 2 tiges	Fer	4	2	35.2
Clou	10107		Men.: 3 frgts, 2 tiges	Fer	5	3	22.2
Clou	10126		Men.: 4 frgts, 3 tiges	Fer	7	4	38.9
Clou	10250		Men.: 4 frgts, 6 tiges	Fer	10	4	50.6
Clou	10249		Men.: 5 frgts, 10 tiges	Fer	15	5	56.4
Clou	10087		Men.: 6 frgts et 2 têtes, 7 tiges	Fer	15	8	83.1
Clou	10066		Men.: 8 frgts, 12 tiges	Fer	20	8	128.8
Rivet (bc)	9213		Rivet par refoulement à tige ronde en une pièce	Base-cuivre	1	1	2.2
Rivet (bc)	9331		Deux clous-rivets en une pièce avec trace de substance blanchâtre sous l'un et une tige en fer pour l'autre	Base-cuivre et fer	2	2	2
Rivet (fer)	10126	2002	Rivet à contreplaque décoratif	Fer	1	1	10.9
SCTA-3-démolition			<i>État 4 lato sensu : époque romaine</i>				
Indéterminé tôle	10045	26	Frgt de tôle avec un trou de fixation	Base-cuivre	1	1	0.6
Clou	10052		2 tiges	Fer	2	1	4.2
Clou	10055		Men.: 1 frgt, 2 tiges	Fer	3	1	5.4
Clou	10073		Men.: 1 frgt	Fer	1	1	11.6
Clou	10072		Men.: 2 frgts, 5 tiges	Fer	7	2	26.3
Clou	10071		Men.: 2 frgts, 4 tiges	Fer	6	2	30.6
Clou	10047		Men.: 4 frgts, 5 tiges	Fer	9	4	35.7
Clou	10045		Men.: 5 frgts, 5 tiges	Fer	10	5	44.3
Clou	10045	25	Tige de clou de construction	Fer	1	1	31.4
SCTA-4-Fo 10168			<i>État 4 lato sensu : époque romaine</i>				
Clou	10169		Men.: 2 frgts; 1 tige	Fer	3	2	17.1
SCTA-6-Fo 12701			<i>État 4 lato sensu : époque romaine</i>				
Cabochon	12702	497	Cabochon décoratif avec trace de substance blanchâtre	Base-cuivre	1	1	0.1
Indéterminé tôle	12702	401	Frgt de tôle	Base-cuivre	1	0	0.5
Clou	12702	924	Constr.: 1 frgt	Fer	1	1	29.4
Clou	12702		Men.: 1 frgt, 2 tiges	Fer	3	1	16.9
SCTA-7-TP 10218			<i>État 4 lato sensu : époque romaine</i>				
Clou	10218		Constr.: 2 frgts	Fer	2	2	25
Clou	10218		Men.: 9 frgts, 1 frgt de crampon, 3 tiges	Fer	13	9	82.2
SCTA-8-interface LT-GR			<i>État 2-GR : LTD1b évoluée-époque romaine</i>				
Anneau (fer)	10289	2022	Frgt d'anneau à section rectangulaire	Fer	1	1	7.5
Cabochon	10213	216	Cabochon décoratif avec trace de substance blanchâtre	Base-cuivre	1	1	0.6
Cabochon	10222	608	Fragment de cabochon décoratif avec trace de substance blanchâtre	Base-cuivre	1	1	0.1
Clou de chaussure	10289		3 clous de chaussure, dont un à neuf globules, un à six globules conservés (huit à l'origine) et un sans globule	Fer	3	3	5.4
Clou de chaussure	10199	237	Clou de chaussure à globules illisibles	Fer	1	1	3
Crampon	10094	199	Petit crampon de menuiserie	Fer	1	1	0.9
Ferrure	10200	2013	Frgt de ferrure, applique en forme de goutte? perforation et décrochement	Fer	1	1	5.5
Fibule	10094	2028	Fragments de ressort à quatre spires (deux conservées) et corde interne	Fer	2	1	1
Clou	10095	163	Tige	Fer	1	0	7.5
Clou	10094		Constr.: 1 frgt	Fer	1	1	10.6
Clou	10314		Constr.: 1 tige	Fer	1	1	13.5
Clou	10280		Men.: 1 frgt, 1 tige	Fer	2	1	14.5
Clou	10289	406	Men.: 1 frgt	Fer	1	1	8.3

Type d'objet	UF	No	Description	Métal	NR	NMI	M(g)
Clou	10213	210	Men.: 1 frgt	Fer	1	1	8.4
Clou	10096		Men.: 1 frgt, 2 tiges	Fer	3	1	13.5
Clou	10289		Men.: 13 frgts, 13 tiges	Fer	26	13	144.2
Clou	10199		Men.: 15 frgts, 5 tiges	Fer	20	15	94.9
Clou	10222		Men.: 2 frgts, 2 tiges	Fer	4	2	15.8
Clou	10095		Men.: 2 frgts	Fer	2	2	11.4
Clou	12704		Men.: 2 frgts, 4 tiges	Fer	6	2	24.3
Clou	10238		Men.: 2 frgts, 3 tiges	Fer	5	2	17.5
Clou	10220		Men.: 2 frgts, 1 tige	Fer	3	2	20
Clou	10213		Men.: 3 frgts, 1 tige	Fer	4	3	23.2
Clou	10314		Men.: 3 frgts, 6 tiges	Fer	9	3	41.3
Clou	10227		Men.: 4 frgts, 2 tiges	Fer	6	4	36.2
Clou	10200		Men.: 4 frgts, 3 tiges	Fer	7	4	46
Clou	10094		Men.: 7 frgts, 15 tiges	Fer	22	7	114.9
Clou	10113		Men.: 9 frgts, 4 tiges	Fer	13	9	96.3
Clou	10199	161	Tige de clou	Fer	1	0	0.9
SCTA-9-sol laténien			<i>État 1 et 2 lato sensu : LTD1b-LTD2</i>				
Goutte	10253	313	Goutte	Base-cuivre	1	1	0.5
Indéterminé tôle	10053	298	Frgt de tôle	Base-cuivre	1	1	0.8
Clou	10162		Tige	Fer	1	1	2.7
Clou	10053		Men.: 1 frgt	Fer	1	1	4.5
Clou	10253		Men.: 1 frgt	Fer	1	1	8.3
Clou	10065		Men.: 2 frgts, 1 tige	Fer	3	2	9.4
Clou	10305	712	Tige	Fer	1	1	2.1
Rivet (fer)	10089	53	Contreplaque de rivet	Fer	1	0	2.5
SCTA-10-fossé branche sud			<i>État 2.3 : fin LTD2a-LTD2b</i>				
Ferrure	10310	375	Extrémité de ferrure, perforée à un endroit	Fer	1	1	7.3
Ferrure	10216	214	Fragment de ferrure très large, légèrement incurvé, avec rivet conservé	Fer	1	1	73.4
Ferrure	10310	2026	Frgt de ferrure avec une perforation	Fer	1	1	6.1
Ferrure	10245	263	Frgt de ferrure étroite avec une perforation et un rivet conservé	Fer	1	1	7.1
Goutte	10216	609	Goutte	Base-cuivre	1	1	0.4
Goutte	10216	609	Goutte	Base-cuivre	1	1	1.3
Indéterminé informe	10193	155	Frgt en forme d'ogive	Base-cuivre	1	0	0.9
Indéterminé plat	10310		Frgt de plat	Base-cuivre	1	0	0.7
Indéterminé plat	10245	253	Frgt de bande de fer plat avec les bords biseautés	Fer	1	0	8.1
Indéterminé tige	10302	352	Frgt de tige de section ronde.	Fer	1	0	8.5
Indéterminé tôle	10211	201	Frgt de languette de tôle	Fer	1	0	2.7
Indéterminé tôle	10193	208	Frgt de tôle	Fer	1	0	10
Clou	10193	180	Tige	Fer	1	0	1.2
Clou	10193	181	Tige	Fer	1	0	3.6
Clou	10331		Tige	Fer	1	1	6.6
Clou	10211	207	Tige	Fer	1	1	13.2
Clou	10247		Tiges	Fer	3	1	8.7
Clou	10216		Constr.: 1 clou, men.: 15 frgt, 13 tiges	Fer	29	16	20
Clou	10310	364	Constr.: 1 frgt	Fer	1	1	18.2
Clou	10193	179	Men.: 1 clou	Fer	1	1	7.4
Clou	10310	371	Men.: 1 frgt	Fer	1	1	5.6
Clou	10193		Men.: 1 frgt, 1 tige	Fer	2	1	8.2
Clou	10193	182	Men.: 1 frgt	Fer	1	1	5.5
Clou	10302		Men.: 1 frgt	Fer	1	1	9
Clou	10216		Men.: 12 frgts, 9 tiges	Fer	21	12	80.5
Clou	10193		Men.: 2 frgts	Fer	2	2	12.9
Clou	10121		Men.: 2 frgts, 2 tiges	Fer	4	2	19.4
Clou	10120		Men.: 2 frgts, 1 tige	Fer	3	2	18.2
Clou	10310		Men.: 3 frgts	Fer	3	1	12.7
Clou	10216		Men.: 3 frgts, 2 tiges	Fer	5	3	10.4
Clou	10342		Men.: 1 frgt, 1 tige	Fer	2	1	14.8
Clou	10216	410	Tige	Fer	1	0	7
Rivet (bc)	10193	154	Clou-rivet en une pièce à tête circulaire plate	Base-cuivre	1	1	1.2
Rivet (bc)	10211	213	Clou-rivet en une pièce à tête circulaire plate	Base-cuivre	1	1	0.4
SCTA-11-fossé branche est			<i>État 2.3 : fin LTD2a-LTD2b</i>				
Indéterminé tôle	10309	365	Deux tôles rivetées	Fer	1	0	31.4
Clou	10248	264	1 tige	Fer	1	0	3.8

Type d'objet	UF	No	Description	Métal	NR	NMI	M(g)
Clou	10311	366	1 tige coudée	Fer	1	0	8.6
Clou	10248		2 tiges	Fer	2	1	5.5
Clou	10311		Constr.: 1 frgt	Fer	1	1	23.7
Clou	10311		Men.: 1 frgt, 1 tige	Fer	2	1	10.6
Clou	10304		Men.: 2 frgts, 5 tiges	Fer	7	2	11.4
Clou	10309		Men.: 3 frgts, 1 tige	Fer	6	4	43.1
Rivet (fer)	10309	2025	Clou-rivet par repli décoratif à tête hémisphérique creuse	Fer	1	1	5.5
SCTA-12-fossé branche nord	<i>État 2.3 : fin LTD2a-LTD2b</i>						
Anneau (fer)	10315	388	Anneau à section rectangulaire	Fer	1	1	17.9
Clou	10315	390	1 tige	Fer	1	0	3
Clou	10315	391	1 tige	Fer	1	1	4
Clou	10239		Men.: 1 frgt, 4 tiges	Fer	5	1	26.8
Clou	10254		Men.: 3 frgts, 4 tiges	Fer	7	3	22.8
Clou	10256		Men.: 3 frgts, 4 tiges	Fer	7	3	42.9
SCTA-13-fossé branche ouest	<i>État 2.3 : fin LTD2a-LTD2b</i>						
Cabochon	12705	434	Cabochon décoratif avec trace de substance blanchâtre	Base-cuivre	1	1	1.4
Ferrure	12705	922	Frgt de ferrure avec une tête de clou qui la transperce. Casée aux deux extrémités.	Fer	1	1	12.6
Ferrure	12714	970	Frgt de tôle perforée	Fer	1	1	2.3
Fibule	12705	896	Fragment d'ardillon de fibule	Fer	1	1	1.7
Goutte	12705	897	Goutte	Base-cuivre	1	1	0.2
Indéterminé plat	12703	2070	Frgt de long fer plat de section rectangulaire, barre de grill, de crampon?	Fer	1	0	16.6
Indéterminé tige	12705	914	Frgt de tige de section losangique	Base-cuivre	1	0	0.5
Indéterminé tôle	12705	912	Frgt de bande de tôle	Fer	1	0	3.6
Indéterminé tôle	12714	967	Frgt de bande de tôle légèrement plié	Fer	1	0	3.5
Indéterminé tôle	12714	976	Frgts de tôle	Fer	3	0	16
Clou	12705	909	1 tige	Fer	1	0	3.1
Clou	12713		1 tige	Fer	1	1	0.9
Clou	12714		Constr.: 1 frgt; men.: 4 frgts, 4 tiges	Fer	9	5	70.6
Clou	12715		Constr.: 1 frgt; men.: 2 frgts, 2 tiges	Fer	5	3	42.6
Clou	12703		Men.: 2 frgts	Fer	2	2	9.8
Clou	12705		Men.: 6 frgts, 6 tiges	Fer	12	6	73.5
Rivet (fer)	12715	2072	Petit clou-rivet à repli	Fer	1	1	3.7
SCTB-1-décapage	<i>Décapage</i>						
Clou de chaussure	11323		7 clous de chaussures, crampons lisibles sur certains	Fer	7	7	8.8
Indéterminé objet	9060		Anneau formé d'une tige de section ronde formant un entre-lacs de trois boucles. Anneau de vêtement moderne?	Fer	1	1	1.2
Indéterminé plat	9061		Fragment de plat	Base-cuivre	1	0	1.8
Indéterminé plat	13206		Frgt de fer plat	Fer	1	0	9.2
Clou	11336		Men.: 1 frgt	Fer	1	1	11.6
Clou	11375		Men.: 2 frgts, 7 tiges	Fer	9	2	31.1
Clou	11323		Men.: 8 frgts, 6 tiges	Fer	14	8	56.4
Rivet (bc)	9036		Rivet par refoulement en une pièce	Base-cuivre	1	1	0.9
Rivet (bc)	9061	2	Tête de clou-rivet en 1 pièce à tête hémisphérique creuse, avec trace de substance blanchâtre sous la tête	Base-cuivre	1	1	0.6
Rivet (fer)	11375	749	Contreplaque de rivet	Fer	1	1	11.9
SCTB-2-comblement branche nord	<i>État 1 et 2 lato sensu : LTD1b-LTD2</i>						
Cabochon	11312	439	Cabochon décoratif	Base-cuivre	1	1	0.6
Cabochon	9129	2	Cabochon décoratif	Base-cuivre	1	1	0.6
Ferrure	11310	431	Frgt de ferrure	Fer	1	1	5.8
Indéterminé tôle	11310	103	Frgt de tôle	Fer	1	0	1.4
Indéterminé tôle	11325		Frgts de tôle	Fer	5	0	6.5
Clou	11338		1 tige	Fer	1	1	6.1
Clou	11310	107	1 tige	Fer	1	0	5.8
Clou	11310	108	1 tige	Fer	1	0	1.9
Clou	11330		3 tiges	Fer	3	1	17.7
Clou	11310		Men.: 1 clou, 6 frgts, 3 tiges	Fer	10	7	84.9
Clou	11325		Men.: 1 frgt, 1 tige	Fer	2	1	24.3
Clou	11310	102	Men.: 1 frgt	Fer	1	1	6.3
Clou	11310	101	Men.: 1 frgt	Fer	1	1	9.4
Virole	11325	136	Virole ouverte à bande large de section rectangulaire	Fer	1	1	20.3
SCTB-3-comblement branche est	<i>État 1 et 2 lato sensu : LTD1b-LTD2</i>						
Clou	11332		1 tige	Fer	1	1	1.3
SCTB-4-comblement branche ouest	<i>État 1 et 2 lato sensu : LTD1b-LTD2</i>						
Cabochon	13236	353	Cabochon décoratif avec trace de substance blanchâtre	Base-cuivre	1	1	0.4

Type d'objet	UF	No	Description	Métal	NR	NMI	M(g)
Clou	13236		Constr.: 1 frgt; men.: 3 frgts, 3 têtes de clou rondes, 4 tiges	Fer	11	7	86.9
Clou	12974		Men.: 1 frgt	Fer	1	1	4
Clou	12964		Men.: 1 frgt, 3 tiges	Fer	4	1	23.9
Perle	13236	321	Perle de section en «D»	Fer	1	1	4.9
SCTC-1-décapage	<i>Décapage</i>						
Indéterminé tige	13201		Frgt de tige de section rectangulaire	Fer	1	0	1.2
Indéterminé tôle	13200		Un fragment de tôle et un fragment de tôle replié	Fer	2	0	9
Maillon rapide	13200	271	Maillon rapide de section carrée	Fer	1	1	6.9
Clou	13200		Constr.: 1 frgt	Fer	1	1	23.6
Clou	13201		Men.: 3 frgts, 4 tiges	Fer	7	3	25.6
Clou	13200		Men.: 9 frgts, 11 tiges	Fer	20	9	85.4
Rivet (fer)	13200		Contreplaque de rivet	Fer	1	1	1
SCTC-3-TP 12933	<i>État 1 et 2 lato sensu : LTD1b-LTD2</i>						
Clou	12934		Constr.: 1 tige; men.: 1 frgt, 1 tige	Fer	3	2	28.4
SCTC-5-TP 12975	<i>État 1 et 2 lato sensu : LTD1b-LTD2</i>						
Clou	12976		Constr.: 1 frgt; men.: 4 frgts, 8 tiges	Fer	13	5	73.7
SCTC-6-épandage 13202	<i>État 1 et 2 lato sensu : LTD1b-LTD2</i>						
Anneau (fer)	13276	373	Frgt d'anneau ouvert de section carrée	Fer	1	1	8.8
Clou de chaussure	13202		Clous de chaussures	Fer	2	2	1.9
Indéterminé informe	13202	2008	Frgt informe	Base-cuivre	1	0	0.5
Indéterminé tôle	13202	158	Frgt de tôle	Base-cuivre	1	1	0.3
Indéterminé tôle	13204	2004	Frgt de tôle	Base-cuivre	1	1	1.2
Indéterminé tôle	13202		Frgt de tôle rectangulaire	Fer	1	0	3.6
Indéterminé tôle	13204	2028	Frgt percé et plié	Fer	1	0	5.6
Clou	13204		Men.: 2 frgts, 7 tiges	Fer	9	2	33.1
Clou	13202		Men.: 8 frgts, 6 tiges	Fer	14	8	73.6
Rivet (bc)	13202	288	Clou-rivet en une pièce à tête hémisphérique creuse	Base-cuivre	1	1	1
SCTC-8-TP 13295	<i>État 1 et 2 lato sensu : LTD1b-LTD2</i>						
Indéterminé plat	13296		Frgt de fer plat	Fer	1	0	2.1
Clou	13296		Men.: 2 frgts	Fer	2	2	11.2
SCTT-1-décapage	<i>Décapage</i>						
Anneau (fer)	15010	67	Anneau de section ronde	Fer	1	1	18.7
Coulure	15000	8	Frgt de coulure	Base-cuivre	1	1	0.7
Ferrure	15010	75	Extrémité de ferrure avec une perforation	Fer	1	1	6.8
Ferrure	13530	91	Fragment de ferrure avec trace de bois et deux perforations	Fer	1	1	6.5
Ferrure	15010	86	Frgt de ferrure avec une perforation.	Fer	1	1	1.4
Fiche	13529		1 longue fiche en «T», une fiche à tête carrée massive	Fer	2	1	17
Indéterminé plat	12800	445	Frgt de bande de fer plat avec les bords avec les angles en biseau	Fer	1	0	6.2
Indéterminé plat	12804		Frgt de barre	Fer	1	0	18.3
Indéterminé tige	15018	25	Frgt de tige pointue à une extrémité de section ronde	Base-cuivre	1	0	0.2
Indéterminé tige	15000	9	Frgt de tige de section carrée	Fer	1	0	0.7
Indéterminé tige	12800	445	Frgt de tige se séparant en deux parties	Fer	1	0	1.8
Indéterminé tôle	15016	19	Frgt de tôle	Base-cuivre	1	1	0.2
Indéterminé tôle	13530		Frgt de tôle	Fer	1	0	2.5
Maillon rapide	12813	699	Maillon rapide de section rectangulaire	Fer	1	1	0.8
Clou	15014		1 tige	Fer	1	1	4.9
Clou	15027		1 tige	Fer	1	1	4.5
Clou	15009		Men: 1 frgt, 1 tige	Fer	2	1	13.1
Clou	15021		Men: 1 frgt, 3 tiges	Fer	4	1	14.2
Clou	15010		Men: 2 frgts, 1 frgt de décoration à tête hémisphérique creuse	Fer	2	2	19.2
Clou	15000		Men: 4 clous, 1 frgts, 2 tiges	Fer	7	4	38.1
Clou	15025		Men: 4 frgts, 4 tiges	Fer	8	4	48.6
Clou	15022		Men: 7 frgts, 12 tiges	Fer	19	7	125.2
Clou	15012		Men: 8 frgts, 6 tiges	Fer	14	8	67.9
Clou	12804		Men.: 1 frgt, 1 frgt de clou de décoration à tête hémisphérique creuse ; 1 tige	Fer	2	1	12.3
Clou	12813		Men.: 1 frgt	Fer	1	1	7.4
Clou	12800		Men.: 2 frgts, 4 tiges	Fer	6	2	30
Clou	13531		Men.: 3 frgts, 2 tiges	Fer	5	3	25.5
Clou	13529		Men.: 8 frgts, 13 tiges	Fer	21	8	90.3
Piton	12800	2074	Fragment de piton fermé à oeillet par perforation	Fer	1	1	4.5
Piton	13529	2033	Frgt de piton par enroulement	Fer	1	1	5.7
Rivet (bc)	15000	5	Rivet par refoulement en une pièce	Base-cuivre	1	1	0.5
SCTT-2-perturbations modernes	<i>Perturbations modernes</i>						
Indéterminé plat	12500		Frgt de fer plat	Fer	1	0	8.4

Type d'objet	UF	No	Description	Métal	NR	NMI	M(g)
Clou	12500		Men.: 3 frgts dont 1 moderne, 1 tige	Fer	4	2	31.1
SCTT-3-Fo 15008	<i>État 5</i>						
Rivet (bc)	15007	105	Fragment de contreplaque de rivet ronde	Base-cuivre	1	1	0.9
SCTT-4-Fo 15563	<i>État 4.3 à 5 : Antiquité tardive à Haut Moyen âge</i>						
Indéterminé plat	13564	2040	Fer plat tordu	Fer	1	0	5
Indéterminé tige	13563	521	Frgt de tige de section ronde	Base-cuivre	1	0	0.2
Clou	13564		3 tiges	Fer	3	1	24.7
Clou	13563		Men.: 2 frgts, 1 tige	Fer	3	2	26
SCTT-5-Fo 13597	<i>État 4.3 à 5 : Antiquité tardive à Haut Moyen âge</i>						
Ferrure	13598	223	Extrémité de ferrure de coffret, avec trace d'un rivet et une perforation	Fer	1	1	4.3
SCTT-6-Mur 15001	<i>État 4.2 : II^e s. ap. J.-C.</i>						
Indéterminé tôle	15001	2	Frgt de tôle replié	Base-cuivre	1	1	0.3
SCTT-7-TP 13559	<i>État 4.2 : II^e s. ap. J.-C.</i>						
Clou	13559		1 frgt de tige	Fer	1	1	1.7
SCTT-8-Mur 13525	<i>État 4.2 : II^e s. ap. J.-C.</i>						
Coulure	13525	78	Coulure	Base-cuivre	1	1	2.2
Clou	13525		Men.: 1 frgt	Fer	1	1	3.9
SCTT-9-Mur 13523	<i>État 4.2 : II^e s. ap. J.-C.</i>						
Clou de chaussure	13523		Clou de chaussure à 8 globules et bol peu marqué	Fer	1	1	1.2
Clou	13523		Men.: 1 frgt, 1 clou de décoration à tête hémisphérique creuse, 4 tiges	Fer	6	2	29.1
SCTT-10-Mur 12802	<i>État 4.2 : II^e s. ap. J.-C.</i>						
Clou	12802		Men.: 3 frgts, 5 tiges	Fer	8	3	44.5
SCTT-12-Solive 15605	<i>État 4.1 : I^{er} s. ap. J.-C.</i>						
Rivet (bc)	13606	224	Rivet par refoulement en une pièce	Base-cuivre	1	1	0.6
SCTD-1-TP 15077	<i>État 1 et 2 lato sensu : LTD1b-LTD2</i>						
Clou	15077		Men.: 1 frgt, 1 tige	Fer	2	1	12.6
SCTD-2-épannage	<i>État 1 et 2 lato sensu : LTD1b-LTD2</i>						
Anneau (fer)	13646	238	Anneau de section rectangulaire	Fer	1	1	17.6
Anneau (fer)	13627	237	Anneau de section ronde	Fer	1	1	1.4
Anneau (fer)	15046	159	Petit anneau de section carrée	Fer	1	1	1.3
Cabochon	15046	146	Cabochon décoratif	Base-cuivre	1	1	0.3
Cabochon	15046	154	Cabochon décoratif	Base-cuivre	1	1	0.5
Cabochon	15045	127	Cabochon décoratif avec trace de substance blanchâtre	Base-cuivre	1	1	0.4
Cabochon	15050	136	Cabochon décoratif avec trace de substance blanchâtre	Base-cuivre	1	1	1.8
Clou de chaussure	15045	152	Clou de chaussure à globules illisibles	Fer	1	1	1.2
Coulure	15063	211	Coulure	Base-cuivre	1	1	1.2
Ferrure	13543	90	Extrémité de ferrure avec une perforation ronde	Fer	1	1	6.9
Fibule	13667	2575	Fragment d'ardillon de fibule	Base-cuivre	1	1	0.3
Fibule	15034	114	Fragment de ressort de fibule	Fer	1	1	2.4
Indéterminé informe	15034	129	Frgt avec bord arrondi d'un côté et cassé de l'autre	Base-cuivre	1	0	1.6
Indéterminé informe	15061	174	Frgt informe	Fer	1	0	6.1
Indéterminé objet	15047	212	Fer plat terminé par un appendice replié et maté avec un bord biseauté	Fer	1	1	5.9
Indéterminé objet	13543	89	Tôle légèrement bombée en son centre en forme d'ogive tronquée avec trace de deux perforations. Fragment d'applique?	Fer	1	1	14.7
Indéterminé objet	15063	224	Fragment de plat circulaire	Plomb	1	1	3.1
Indéterminé plat	15076	215	Frgt de plat	Base-cuivre	1	0	0.8
Indéterminé plat	13543	107	Fer plat carré massif	Fer	1	0	6.4
Indéterminé plat	15030	34	Frgt de bande de fer plat	Fer	1	0	4.5
Indéterminé plat	15061	176	Frgt de fer plat, angle droit conservé	Fer	1	0	9.8
Indéterminé tige	13543	95	Frgt de tige courbée de section rectangulaire terminée par un anneau, moderne, corrosion légèrement verte	Fer	1	0	1.6
Indéterminé tige	15062	181	Frgt de tige de section rectangulaire	Fer	1	0	6.2
Indéterminé tige	15066	191	Frgt de tige de section ronde courbée	Fer	1	0	0.3
Indéterminé tige	15063	221	Frgt de tige recourbée de section carrée	Fer	1	0	0.3
Indéterminé tige	15074	201	Frgt de tige recourbée	Fer	1	0	3.8
Indéterminé tige	13675	272	Tige à section ronde avec un décrochement?	Fer	1	1	3.3
Indéterminé tôle	15051	133	Frgt de bande de tôle très fine	Base-cuivre	1	1	0.2
Indéterminé tôle	13543	83	Frgt de tôle	Base-cuivre	1	1	1.5
Indéterminé tôle	15031	57	Frgt de tôle	Base-cuivre	1	1	0.3
Indéterminé tôle	15046	166	Frgt de tôle	Base-cuivre	1	1	0.3
Indéterminé tôle	15060	173	Frgt de tôle	Base-cuivre	1	1	0.2
Indéterminé tôle	13714	400	Frgts de bande de tôle	Base-cuivre	3	1	0.6
Indéterminé tôle	15046	157	Tubulure composée d'une tôle enroulée	Base-cuivre	1	1	1.2

Type d'objet	UF	No	Description	Métal	NR	NMI	M(g)
Indéterminé tôle	15064	217	Frgt de bande de tôle	Fer	1	0	2
Indéterminé tôle	15061	175	Frgt de bande de tôle trapézoïdale	Fer	1	0	1.5
Indéterminé tôle	13715		Frgt de languette de tôle	Fer	1	0	2.5
Indéterminé tôle	15030	59	Frgt de tôle	Fer	1	0	0.2
Indéterminé tôle	13543	122	Frgt de tôle avec trace d'un rivet	Fer	1	0	8.1
Indéterminé tôle	15030	60	Frgt de tôle triangulaire repliée	Fer	1	0	1
Clou	13628		1 frgt de tige	Fer	1	1	3.3
Clou	15036		1 tige	Fer	1	1	1
Clou	15045		3 tiges	Fer	3	1	6.9
Clou	15074		3 tiges	Fer	3	1	9.1
Clou	15035		5 tiges	Fer	5	1	18.2
Clou	15063		6 tiges	Fer	6	0	18.2
Clou	13665		Constr.: 1 frgt; men.: 1 frgt	Fer	2	2	30.8
Clou	13675	275	Frgt de tige	Fer	1	1	5.7
Clou	15061		Men: 1 frgt	Fer	1	1	5.1
Clou	15030		Men: 1 frgt, 2 tiges	Fer	3	1	13.4
Clou	15031		Men: 1 frgt	Fer	1	1	9.7
Clou	15033		Men: 1 frgt, 2 tiges	Fer	3	1	11.8
Clou	15047		Men: 2 frgts, 2 tiges	Fer	4	2	22
Clou	13627		Men.: 1 frgt	Fer	1	1	11.3
Clou	13632		Men.: 1 frgt	Fer	1	1	12.7
Clou	13670		Men.: 1 frgt	Fer	1	1	18.9
Clou	13714		Men.: 1 frgt	Fer	1	1	12.6
Clou	13715		Men.: 1 frgt	Fer	1	1	9.1
Clou	13717		Men.: 6 frgts, 4 tiges	Fer	10	6	70.3
Clou	15063	235	Tête de clou	Fer	1	1	1.3
Perle	15063	222	Perle à section en «D»	Fer	1	0	1
Rivet (bc)	15032	55	Clou-rivet en une pièce avec les traces d'une substance blanchâtre sous la tête à tête hémisphérique creuse	Base-cuivre	1	1	0.6
Rivet (bc)	15051	122	Clou-rivet en une pièce à tête hémisphérique creuse	Base-cuivre	1	1	0.3
Rivet (bc)	15050	147	Clou-rivet en une pièce à tête hémisphérique creuse, à tige en fer avec trace d'une substance blanchâtre sous la tête.	Base-cuivre	1	1	1.3
Rivet (bc)	15051	135	Clou-rivet en une pièce à tête hémisphérique creuse, à tige en fer avec trace d'une substance blanchâtre sous la tête	Base-cuivre	1	1	0.3
Rivet (bc)	15060	177	Clou-rivet en une pièce à tête hémisphérique creuse, à tige en fer avec trace d'une substance blanchâtre sous la tête	Base-cuivre	1	1	0.6
Rivet (bc)	15061	179	Clou-rivet en une pièce, Thpl, avec une tôle encore fixée sous la tête	Base-cuivre	1	1	1.3
Rivet (bc)	13543	84	Clou-rivet en une pièce, Thrd	Base-cuivre	1	1	0.3
Rivet (bc)	13665	354	Clou-rivet en une pièce, Tpl	Base-cuivre	1	1	1
Rivet (bc)	13626	213	Contreplaque de rivet carrée	Base-cuivre	2	1	0.4
Rivet (bc)	13651	214	Rivet par refoulement à tige ronde en une pièce, Th	Base-cuivre	1	1	0.5
Rivet (bc)	13543	109	Rivet par refoulement à tige ronde en une pièce, Thpl	Base-cuivre	1	1	3.4
Rivet (bc)	13717	451	Rivet par refoulement à tige ronde en une pièce, Thpl	Base-cuivre	1	1	1.2
Rivet (bc)	15045	1123	Rivet par refoulement en une pièce	Base-cuivre	1	1	0.5
Rivet (fer)	13675	295	Rivet à contreplaque, Tpl	Fer	1	1	12
Rivet (fer)	13714	398	Rivet à contreplaque, Tpl. La contreplaque est courbée	Fer	1	1	12.4
Scorie (bc)	15060	172	Scorie de bronze	Base-cuivre	1	1	3.7
SCTE-1-décapage	<i>Décapage</i>						
Anneau (fer)	12000	26	Anneau de section ronde	Fer	1	1	52.5
Anneau (fer)	13000	367	Anneau de section ronde	Fer	1	1	2.2
Anneau (fer)	12000	51	Frgts d'un anneau de section carrée	Fer	2	1	5
Anneau (fer)	12000	47	Petit anneau de section rectangulaire	Fer	1	1	0.3
Cabochon	19017	3	Cabochon	Base-cuivre	1	1	0.1
Cabochon	12000	35	Cabochon décoratif	Base-cuivre	1	1	0.8
Cabochon	9204		Cabochon décoratif	Base-cuivre	1	1	0.7
Cabochon	12000	1102	Fragment de cabochon décoratif avec un rebord	Base-cuivre	1	1	0.8
Chaîne	12000	2112	3 frgts de chaîne	Fer	3	1	8.4
Chute de tige appointée	12000	2111	Chute de tige de section carrée pointue avec une découpe en bec de dauphin	Fer	1	1	1.5
Chute de tige appointée	9029		Chute de tige de section carrée pointue avec une découpe en bec de dauphin	Fer	1	1	2
Chute de tige appointée	12000	2108	Chute de tige de section carrée pointue avec une découpe légèrement concave	Fer	1	1	2.4
Chute de tige appointée	12000	2109	Chute de tige de section carrée pointue avec une découpe légèrement concave	Fer	1	1	2.4

Type d'objet	UF	No	Description	Métal	NR	NMI	M(g)
Chute de tige appointée	12000	2110	Chute de tige de section carrée pointue avec une découpe légèrement concave	Fer	1	1	1.4
Chute de tige appointée	15270	2007	Chute de tige de section carrée pointue avec une découpe légèrement concave	Fer	1	1	0.4
Chute de tige appointée	15270	2008	Chute de tige de section carrée pointue avec une découpe légèrement concave	Fer	1	1	0.6
Chute de tige changeante	15270	2009	Chute de tige de section quadrangulaire irrégulière (carrée, trapézoïdale) pointue avec une découpe légèrement concave	Fer	1	1	0.8
Clou de chaussure	15270	286	6 clous de chaussures sans globules, 4 à globules illisibles, 6 à 4 globules, 3 clous de sandale, 4 à tête massive sans globule, 2 à 5 globules, 2 à 6 globules, 2 à 9 globules, 1 à 7 globules et 1 à 8 globules, 1 à 10 globules incomplet	Fer	31	31	44.7
Clou de chaussure	12000		7 clous de chaussure, crampons visibles	Fer	7	7	9.4
Clou de chaussure	13501		Clou de chaussure sans globule	Fer	1	1	1.5
Clou de chaussure	12504		Clou de chaussure à 5 globules et bol marqué,	Fer	1	1	2
Clou de chaussure	15270	254	Clous de chaussures, 1 sans globule et lèvre repliée, 1 à croix et à 2 globules et bol marqué, 1 à 6 globules et bol pas marqué, 1 à 8 globules par groupe de deux, 1 sans globule	Fer	5	5	8.5
Clou de ferrure	10000	63	Clou de ferrure moderne.	Fer	1	1	8.6
Crampon	15270	296	Frgt de crampon de menuiserie dont l'extrémité de fixation est légèrement aplatie	Fer	1	1	2.7
Déchet de fabrication	15270	298	Déchets de fabrication	Fer	2	2	12.4
Ferrure	12000		1 frgt de bande de tôle avec trace de rivet, 1 frgt de tôle perforée	Fer	2	1	10.4
Ferrure	13501	34	Extrémité de ferrure avec trace de rivet discrète	Fer	1	1	18.6
Ferrure	12504		Frgt de ferrure	Fer	1	1	2
Fibule	12000	24	Ardillon complet de fibule avec départ d'une spire	Fer	1	1	2.1
Fiche	12000	2107	Grande fiche	Fer	1	1	37.8
Goutte	12000	53	Goutte	Base-cuivre	1	1	0.6
Goutte	9029		Goutte	Base-cuivre	1	1	0.4
Indéterminé objet	9008		Anneau formé d'une tige de section ronde formant un entre-lacs de trois boucles. Anneau de vêtement moderne?	Fer	1	1	1.3
Indéterminé plat	13000		1 frgt de barre, 1 frgt de fer plat	Fer	2	0	31
Indéterminé tige	15270	2006	2 frgts de tige de section ronde dont une pointue, ne recolte pas avec l'aiguille mais semble en être une partie	Fer	1	0	1.7
Indéterminé tige	12000	2113	Frgt de tige de section ronde s'amincissant en direction de l'extrémité de l'objet. Frgt d'outil?	Fer	1	1	4.2
Indéterminé tôle	9010		Fragments de tôle repliée	Base-cuivre	3	0	1.1
Indéterminé tôle	11048	42	Frgt de bande de tôle plié à l'angle droit	Base-cuivre	1	0	0.3
Indéterminé tôle	11048	39	Frgt de bande de tôle recourbée à une extrémité	Base-cuivre	1	1	0.4
Indéterminé tôle	12000	64	Frgt de tôle pliée	Base-cuivre	1	0	1.5
Indéterminé tôle	12000	418	Frgt de tôle repliée, frgt de récipient?	Base-cuivre	1	0	3
Indéterminé tôle	13500		Frgt de tôle	Fer	1	0	2.2
Indéterminé tôle	13501		Frgt de tôle	Fer	1	0	3.3
Indéterminé tôle	12905	457	Frgt de tôle avec un bord droit	Fer	1	0	5.6
Indéterminé tôle	13558		Frgt de tôle incurvée.	Fer	1	0	2.1
Indéterminé tôle	15270	297	Frgts de tôle	Fer	6	0	20.2
Indéterminé tôle	13500	24	Tôle repliée deux fois.	Fer	1	0	14.9
Maillon rapide	13000	5	Maillon rapide de section carrée	Fer	1	1	0.6
Maillon rapide	12000	52	Maillon rapide de section rectangulaire	Fer	1	1	5.6
Clou	11300		1 tige	Fer	1	1	1.5
Clou	13000		2 tiges	Fer	2	0	6.1
Clou	10000		Constr.: 1 clou	Fer	1	1	19.3
Clou	12900		Constr.: 1 frgt; men.: 10 frgts, 4 tiges	Fer	15	11	122.7
Clou	12000		Constr.: 1 tige	Fer	1	1	28.8
Clou	15258		Men.: 1 frgt	Fer	1	1	6.6
Clou	15270		Men.: 5 clous, 3 têtes, 28 frgts, 70 tiges	Fer	106	36	383.9
Clou	13000		Men.: 1 clou, 5 frgts; 1 tige	Fer	7	6	63.3
Clou	12504	31	Men.: 1 frgt	Fer	1	1	10.7
Clou	13513		Men.: 1 frgt, 1 tige	Fer	2	1	16.6
Clou	13536		Men.: 1 frgt à tête ovale et décentrée	Fer	1	1	5.3
Clou	13536		Men.: 1 frgt	Fer	1	1	13.8
Clou	13556		Men.: 1 frgt	Fer	1	1	6.2
Clou	12504		Men.: 2 frgts, 1 tige	Fer	3	2	14.4
Clou	13513		Men.: 3 frgts, 4 tiges	Fer	7	2	29.4
Clou	13500		Men.: 3 frgts, 4 tiges	Fer	7	3	42
Clou	10000		Men.: 4 frgts, 6 tiges	Fer	10	4	37.5
Clou	10001		Men.: 6 frgts, 3 tiges	Fer	9	6	44.1

Type d'objet	UF	No	Description	Métal	NR	NMI	M(g)
Clou	11048		Men.: 7 frgts, 1 frgt de clou de décoration à tête hémisphérique creuse, 6 tiges	Fer	13	7	67.1
Clou	12000		Men.: 8 clous, 80 frgts, 103 tiges	Fer	191	88	1047
Clou	13501		Men.: 8 frgts, 1 clou à tête carrée, 14 tiges	Fer	23	9	92.5
Clou	10000	416	Tige de clou	Fer	1	0	7.1
Piton	12000	411	Piton à oeillet par enroulement	Fer	1	1	11.7
Rivet (bc)	12000	65	Clou-rivet en une pièce à tête hémisphérique creuse	Base-cuivre	1	1	0.3
Rivet (bc)	9146		Clou-rivet en une pièce à tête hémisphérique creuse.	Base-cuivre	1	1	0.9
Rivet (bc)	12000	80	Clou-rivet en une pièce, Tpl	Base-cuivre	1	1	0.8
Rivet (bc)	12000	73	Clou-rivet en une pièce, Tpl.	Base-cuivre	1	1	0.6
Rivet (bc)	12504	28	Rivet par refoulement en une pièce, Tcpl.	Base-cuivre	1	1	0.4
Rivet (fer)	11048	2003	Clou-rivet par repli à tête hémisphérique creuse.	Fer	1	1	4.4
Rivet (fer)	12000	2103	Clou-rivet par repli	Fer	1	1	7.6
Rivet (fer)	12000	2104	Clou-rivet par repli	Fer	1	1	17.8
Rivet (fer)	12000	63	Contreplaque de rivet ronde	Fer	1	1	1.3
Rivet (fer)	12000	2105	Rivet à contreplaque	Fer	1	1	6.7
SCTE-2-perturbations modernes <i>Perturbations modernes</i>							
Anneau (fer)	11003	6	Anneau de section rectangulaire	Fer	1	1	3.2
Indéterminé tôle	15224	74	Frgts de tôle	Base-cuivre	2	1	0.5
Indéterminé tôle	12046		Frgt de tôle triangulaire	Fer	1	0	1.8
Clou	15224		Men: 1 frgt	Fer	1	1	3.7
Clou	10036		Men.: 1 frgt, 1 tige	Fer	2	1	26.7
Clou	11003		Men.: 2 clous, 2 frgts, 4 tiges	Fer	8	4	46.7
Clou	12046		Men.: 7 frgts, 4 tiges	Fer	11	7	82
SCTE-3-remblai cour <i>État 4 lato sensu : époque romaine</i>							
Anneau (fer)	12081	2101	Anneau de section carrée et frgt d'anneau de section ronde	Fer	2	2	4.6
Anneau (fer)	10188	136	Anneau de section carrée, légèrement déformé et avec les deux tiges se chevauchant au niveau de la soudure	Fer	1	1	1.6
Anneau (fer)	10188	131	Anneau de section ronde, dont les deux extrémité ne sont plus jointives	Fer	1	1	11.4
Cabochon	11320	750	Cabochon décoratif avec trace de substance blanchâtre collée sur un fragment ferreux	Base-cuivre	1	1	0.7
Charnière	10188	138	Frgt de charnière? avec un anneau proximal complet et début d'un autre anneau	Fer	1	1	11.6
Chute de tige	11169	2046	Frgt de tige de section carrée enroulée et fendue. Elle présente une trace de découpe en double biseau décentré	Fer	1	1	9.8
Chute de tige appointée	15288	2002	Chute de tige de section carrée pointue avec une découpe à double biseau décentré	Fer	1	1	0.5
Chute de tige appointée	10118	2001	Chute de tige de section carrée pointue avec une découpe droite	Fer	1	1	2.5
Chute de tige appointée	11106	2023	Chute de tige de section carrée pointue avec une découpe droite	Fer	1	1	0.8
Chute de tige appointée	11102	2019	Chute de tige de section carrée pointue avec une découpe en bec de dauphin	Fer	1	1	1.6
Chute de tige appointée	11102	2018	Chute de tige de section carrée pointue avec une découpe légèrement concave	Fer	1	1	2
Chute de tige appointée	11168	2042	Chute de tige de section carrée pointue avec une découpe légèrement concave	Fer	1	1	1.5
Chute de tige appointée	15288	2003	Chute de tige de section carrée pointue avec une découpe légèrement concave	Fer	1	1	1.3
Chute de tige appointée	10188	135	Chute de tige de section carrée pointue, repliée près de la découpe droite	Fer	1	1	1.5
Chute de tige appointée	10244	250	Chute de tige de section rectangulaire pointue. La découpe est aplatie	Fer	1	1	0.7
Clou de chaussure	11320		Clous de chaussures, dont 1 à 6 globules et bol peu marqué et 2 très usés	Fer	3	3	3.3
Clou de chaussure	15288	285	8 clous de chaussures sans globules, 3 à globules peu lisibles dont un avec des lignes peu lisibles, 1 à croix et 4 globules, 5 à 6 globules, 1 à 7 globules, 1 à 8 globules, 2 à 4 globules	Fer	21	21	31.7
Clou de chaussure	10230	235	Clou de chaussure à globules illisibles	Fer	1	1	1.2
Clou de chaussure	10130	72	Clou de chaussure fragmentaire à 5 globules conservés, 8 à l'origine?	Fer	1	1	0.7
Clou de chaussure	11055		Clou de chaussure sans globule à bol marqué	Fer	1	1	2
Clou de chaussure	15217	72	Clou de chaussure sans globule à bol marqué	Fer	1	1	1
Clou de chaussure	11106		Clou de chaussure, à 6 globules et à bol peu marqué	Fer	1	1	1.4
Clou de chaussure	15221	84	Clou de chaussure, à 7 globules et bol marqué	Fer	1	1	1.2
Clou de chaussure	11112		Clou de chaussure, à 8 globules et à bol marqué	Fer	1	1	1
Clou de chaussure	15217	70	Clou de chaussure, à globules illisibles	Fer	1	1	1

Type d'objet	UF	No	Description	Métal	NR	NMI	M(g)
Clou de chaussure	11108		Clou de chaussure, sans globule avec la lèvre repliée	Fer	1	1	0.7
Clou de chaussure	15217	69	Clou de chaussure, sans globule et à anneau octogonal	Fer	1	1	1.2
Clou de chaussure	11112	175	Clou de chaussure, sans globule et à lèvre replié	Fer	1	1	2.1
Clou de chaussure	11122		Clou de chaussure, Thpl, à 8 globules et bol peu marqué	Fer	1	1	2.7
Clou de chaussure	11034		Clou de chaussure à croix faiblement marquée	Fer	1	1	1.2
Coulure	12045	403	Coulure	Base-cuivre	1	1	2.6
Crampon	15217	81	Crampon de menuiserie	Fer	1	1	2.6
Ferrure	12507		Fer de tôle perforé, ferrure	Fer	1	1	2.9
Ferrure	12558	791	Ferrure avec deux perforations près des extrémités	Fer	1	1	19.5
Ferrure	11107		Frgt de ferrure	Fer	2	1	7.2
Ferrure	11046	35	Frgt de ferrure avec une perforation carrée	Fer	1	1	12.9
Ferrure	9343		Frgt de ferrure pliée	Fer	1	1	5.4
Fibule	11108	741	Fibule filiforme à ressort à quatre spires et corde externe à arc cambré fragmentaire	Fer	1	1	0
Fibule	11104	132	Ardillon de fibule	Fer	1	1	1.8
Indéterminé objet	12507	2060	Fragment de quincaillerie de fonction indéterminée composé d'une tige pointue à une extrémité et séparé en deux parties de section rectangulaire recourbée.	Fer	1	1	7.8
Indéterminé objet	12045	405	Frgt de tôle indéterminée avec des gorges prononcées composant un trapèze et présentant un trou. Frgt d'applique de char?	Fer	6	1	91.7
Indéterminé objet	11060	2005	Tige de section carrée avec extrémité pliée de section ovale	Fer	1	1	6.5
Indéterminé plat	10029		1 frgt de fer plat	Fer	1	0	3.5
Indéterminé plat	11169	2045	Fragment de tige de section carrée puis rectangulaire	Fer	1	1	20.8
Indéterminé plat	12081	853	Frgt de bande de tôle incurvée à une extrémité	Fer	1	0	3
Indéterminé plat	12045	438	Frgt de fer plat	Fer	1	0	11.3
Indéterminé plat	12081	832	Frgt de fer plat avec rebords repliés	Fer	1	0	10.4
Indéterminé plat	12081	851	Frgt de fer plat	Fer	1	0	2.1
Indéterminé tige	11320		Fragment de tige de section ronde	Fer	1	0	0.5
Indéterminé tige	11029	735	Frgt de tige de section carrée formant un crochet	Fer	1	0	3.4
Indéterminé tige	12081	836	Frgt de tige de section rectangulaire	Fer	1	0	0.4
Indéterminé tige	15288	294	Frgt de tige de section rectangulaire cassée aux deux extrémités	Fer	1	0	7.4
Indéterminé tige	15217	2011	Frgt de tige de section rectangulaire?	Fer	1	0	9
Indéterminé tige	11112	2024	Frgt de tige de section ronde	Fer	1	0	1.4
Indéterminé tige	15217	2012	Frgt de tige de section ronde pointue	Fer	1	0	0.7
Indéterminé tige	15288		Frgt de tige de section ronde puis rectangulaire	Fer	1	0	1.1
Indéterminé tige	15288	292	Frgt de tige de section triangulaire, frgt de fibule?	Fer	1	0	0.5
Indéterminé tige	15288	293	Frgt de tige massive de section rectangulaire pliée	Fer	1	0	4.5
Indéterminé tige	11102		Tige de section carrée repliée à une extrémité	Fer	1	0	2.5
Indéterminé tôle	15217		Fragment de tôle	Base-cuivre	1	1	0.2
Indéterminé tôle	12045	421	Frgt de bande de tôle	Base-cuivre	1	1	0.8
Indéterminé tôle	12045	2011	Frgt de tôle	Base-cuivre	1	0	0.4
Indéterminé tôle	10130	84	Frgt de tôle angulaire. Fragment de récipient, de renfort de coffre?	Base-cuivre	1	1	1.2
Indéterminé tôle	11013	17	Frgt de tôle.	Base-cuivre	1	1	0.5
Indéterminé tôle	12546	383	Frmts de tôle	Base-cuivre	16	0	1.9
Indéterminé tôle	13034	140	Frmts de tôle	Base-cuivre	3	1	0.4
Indéterminé tôle	12081	838	Frgt de deux tôles collées.	Fer	1	0	10
Indéterminé tôle	15221		Frgt de tôle	Fer	1	0	0.8
Indéterminé tôle	11169		Frgt de tôle bombé	Fer	1	0	9.2
Indéterminé tôle	11320	2080	Frgt de tôle repliée sur lui-même	Fer	2	0	2.5
Indéterminé tôle	11168		Tôle triangulaire pliée; frgt de tôle	Fer	2	0	5.3
Maillon rapide	11052	46	Maillon rapide de section rectangulaire	Fer	1	1	12
Clou	10146		1 tige	Fer	1	1	4.3
Clou	10188		1 tige	Fer	1	0	5
Clou	10230		1 tige	Fer	1	1	1.6
Clou	11013		1 tige	Fer	1	1	23.4
Clou	11014	15	1 tige	Fer	1	0	0.6
Clou	11028		1 tige	Fer	1	1	2.3
Clou	11117		1 tige	Fer	1	1	2.5
Clou	11120		1 tige	Fer	1	1	7.9
Clou	12588		1 tige	Fer	1	1	3
Clou	15042		1 tige	Fer	1	1	3
Clou	13027		10 tiges	Fer	10	1	27.5
Clou	10118		2 tiges	Fer	2	1	2.2
Clou	11110		2 tiges	Fer	2	1	4.3

Type d'objet	UF	No	Description	Métal	NR	NMI	M(g)
Clou	10009		3 tiges	Fer	3	1	10.1
Clou	10127		3 tiges	Fer	3	1	13.3
Clou	10130		3 tiges	Fer	3	1	10.4
Clou	12081	825	Clou de décoration	Fer	1	1	2.2
Clou	12081	878	Clou de décoration à tête hémisphérique creuse	Fer	1	1	14.2
Clou	15217	2010	Clou de menuiserie	Fer	1	1	3.8
Clou	11168	2043	Clou décoratif en forme de note de musique	Fer	1	1	5.7
Clou	11321	718	Clou décoratif à tête hémisphérique creuse	Fer	1	1	20.6
Clou	12045		Constr. 1 clou, 5 frgts	Fer	6	6	109.6
Clou	11102		Constr.: 1 frgt	Fer	1	1	14.9
Clou	11106		Constr.: 1 frgt	Fer	1	1	26.1
Clou	12510		Constr.: 1 frgt; men.: 3 frgts, 7 tiges	Fer	11	4	81.1
Clou	13561		Constr.: 1 frgt; men.: 2 frgts, 3 tiges	Fer	6	3	63.3
Clou	11169		Constr.: 2 frgts	Fer	2	2	36.1
Clou	11334		Constr.: 2 frgts	Fer	2	2	44.8
Clou	12081		Constr.: 2 frgts	Fer	2	2	52.1
Clou	12510	276	Frgt de tige de clou	Fer	1	0	14.5
Clou	10188	134	Men.: 1 clou, 1 tige	Fer	2	1	13.6
Clou	15217		Men.: 10 frgts, 22 tiges	Fer	32	10	165.2
Clou	15288		Men.: 25 frgts, 3 têtes, 55 tiges	Fer	83	28	320.1
Clou	15221		Men.: 3 frgts, 2 tiges	Fer	7	3	35.6
Clou	10147		Men.: 3 frgts, 5 tiges	Fer	8	3	32.2
Clou	11014		Men.: 1 clou, coffret; 2 tiges	Fer	3	1	4.2
Clou	11046		Men.: 1 clou, 1 tige	Fer	2	1	9.4
Clou	11122		Men.: 1 clou	Fer	1	1	7.8
Clou	11169		Men.: 1 clou, 13 frgts, 17 tiges	Fer	31	14	161.7
Clou	11017		Men.: 1 clou, 2 frgts, 1 tige	Fer	4	3	18.8
Clou	11319		Men.: 1 clou, 2 frgts, 1 tige	Fer	4	3	35.1
Clou	11107		Men.: 1 clou, 4 frgts, 4 tiges	Fer	9	5	33.6
Clou	12012		Men.: 1 clou, 5 frgts, 4 tiges	Fer	10	6	49.9
Clou	15264		Men.: 1 frgt	Fer	1	1	13
Clou	11015		Men.: 1 frgt	Fer	1	1	2.5
Clou	10007		Men.: 1 frgt, 1 tige	Fer	2	1	5.1
Clou	11059		Men.: 1 frgt	Fer	1	1	4.4
Clou	11047		Men.: 1 frgt	Fer	1	1	4.5
Clou	10188	136	Men.: 1 frgt	Fer	1	1	5.1
Clou	10043		Men.: 1 frgt	Fer	1	1	5.2
Clou	10114	69	Men.: 1 frgt	Fer	1	1	5.2
Clou	11052		Men.: 1 frgt, 1 tige	Fer	2	1	6.6
Clou	12948		Men.: 1 frgt, 1 tige	Fer	2	1	7.1
Clou	11090		Men.: 1 frgt, 3 tiges	Fer	4	1	19.6
Clou	10244		Men.: 1 frgt, 1 tige	Fer	2	1	9.8
Clou	11004		Men.: 1 frgt	Fer	1	1	7.2
Clou	11104		Men.: 1 frgt, 7 tiges	Fer	8	1	13.5
Clou	10259		Men.: 1 frgt, 1 tige	Fer	2	1	12.9
Clou	10158		Men.: 1 frgt, 1 tige	Fer	2	1	10.8
Clou	10006		Men.: 1 frgt, 5 tiges	Fer	6	1	19.6
Clou	11024		Men.: 1 frgt, 2 tiges	Fer	3	1	8.7
Clou	11196		Men.: 1 frgts , 1 tige	Fer	2	1	11.4
Clou	11320		Men.: 10 frgts, 5 tiges	Fer	15	10	89.1
Clou	12081		Men.: 11 frgts, 7 tiges	Fer	18	11	94.8
Clou	11106		Men.: 12 frgts, 12 tiges	Fer	24	12	102.6
Clou	12507		Men.: 15 frgts, 10 tiges	Fer	25	15	168.5
Clou	11112		Men.: 2 clous, 9 frgts; 9 tiges	Fer	20	11	84.3
Clou	11168		Men.: 2 clous, 10 frgts, 12 tiges	Fer	24	12	137.4
Clou	10029		Men.: 2 frgts, 7 tiges	Fer	9	1	31.7
Clou	10023		Men.: 2 frgts, 4 tiges	Fer	6	2	24.6
Clou	10088		Men.: 2 frgts, 1 tige	Fer	3	2	16.4
Clou	11049		Men.: 2 frgts	Fer	2	2	15.4
Clou	10179		Men.: 2 frgts	Fer	2	2	15.7
Clou	12546		Men.: 2 frgts, 6 tiges	Fer	8	2	34.7
Clou	11327		Men.: 2 frgts, 1 tige	Fer	3	2	23.7
Clou	10069		Men.: 2 frgts, 1 tige	Fer	3	2	10.3
Clou	11055		Men.: 2 frgts, 4 tiges	Fer	6	2	29.9
Clou	12045		Men.: 27 frgts, 30 tiges	Fer	57	27	296.6
Clou	11334		Men.: 27 frgts, 17 tiges	Fer	44	27	278.5

Type d'objet	UF	No	Description	Métal	NR	NMI	M(g)
Clou	10303		Men.: 3 frgts, 1 clou décoratif à tête hémisphérique creuse, 1 tige	Fer	5	4	23.6
Clou	10028		Men.: 3 frgts, 6 tiges	Fer	9	3	28.7
Clou	10148		Men.: 3 frgts	Fer	3	3	21
Clou	11107		Men.: 3 frgts, 1 tige	Fer	4	3	35.2
Clou	11097		Men.: 3 frgts, 1 tige	Fer	4	3	34.2
Clou	11098		Men.: 4 frgts, 5 tiges	Fer	9	4	25.7
Clou	11320		Men.: 4 frgts, 12 tiges	Fer	15	4	62.3
Clou	11302		Men.: 4 frgts, 5 tiges	Fer	9	4	39.2
Clou	11146		Men.: 4 frgts, 5 tiges	Fer	9	4	39.7
Clou	11108		Men.: 4 frgts; 2 tiges	Fer	6	4	52.3
Clou	11060		Men.: 5 frgts, 4 tiges	Fer	9	5	31
Clou	11114		Men.: 5 frgts, 4 tiges	Fer	9	5	32.7
Clou	11122		Men.: 5 frgts; 1 tige	Fer	6	5	28.1
Clou	11102		Men.: 6 frgts, 9 tiges	Fer	15	6	67.2
Clou	12036		Men.: 6 frgts, 9 tiges	Fer	15	6	102.7
Clou	11121		Men.: 7 frgts, 3 tiges	Fer	10	7	52.9
Clou	11103		Men.: 7 frgts, 4 tiges	Fer	11	7	78.4
Clou	10022		Men.: 7 frgts, 1 tige	Fer	8	7	61.5
Clou	12081	828	Men.: Clou de décoration	Fer	1	1	4.8
Clou	11301		Men.: 1 frgt, 1 tige	Fer	2	1	6
Clou	10130	79	Tige coudée	Fer	1	0	1.2
Clou	11058	54	Tige de clou	Fer	1	1	0.6
Clou	12045	2039	Tige de clou coudée à angle droit avec des traces de bois sur toute la tige.	Fer	1	0	4.5
Clou	15288	276	Tige de clou courbée	Fer	1	0	6
Perle	15288	278	Anneau avec trois petites cannelures.	Base-cuivre	1	1	8.7
Piton	11168	301	Frgt de piton à oeillet, composé d'un anneau à large section rectangulaire avec le départ d'une tige.	Fer	1	1	14.7
Piton	11102	2017	Piton fermé à oeillet par enroulement	Fer	1	1	5.3
Rivet (bc)	11321	722	Rivet par refoulement en une pièce à tête hémisphérique pleine	Base-cuivre	1	1	?
Rivet (fer)	11334	2081	Clou-rivet par repli	Fer	1	1	17.3
Rivet (fer)	11049	2004	Clou-rivet par repli	Fer	1	1	4.8
Rivet (fer)	15217	78	Rivet à contreplaque décoratif à tête hémisphérique creuse	Fer	1	1	20.9
Rivet (fer)	11122	2027	Tige et contreplaque d'un rivet à contreplaque.	Fer	1	1	22.6
SCTE-4-Fo 12077			<i>État 4.3 : III^e- IV^e s. ap. J.-C.</i>				
Clou	12077		Men.: 1 frgt	Fer	1	1	3.5
SCTE-5-Fo 13035			<i>État 3 : fin LTD2b-Auguste</i>				
Clou	13037	197	Clou décoratif à tête hémisphérique creuse	Fer	1	1	9.1
Rivet (bc)	13037	196	Clou-rivet en une pièce à tête hémisphérique pleine	Base-cuivre	1	1	0.6
SCTE-6-interface LT-GR			<i>État 2-GR : LTD1b évoluée-époque romaine</i>				
Cabochon	12073	2090	Fragment de cabochon décoratif	Base-cuivre	1	1	0.1
Cabochon	10173	123	Fragment de cabochon décoratif avec trace de substance blanchâtre.	Base-cuivre	1	1	1
Clou de chaussure	11111		Clou de chaussure, sans globule à bol marqué	Fer	1	1	0.7
Clou de chaussure	11123	190	Clou de chaussure, Tpl, sans globules et à bol peu marqué à fond plat.	Fer	1	1	0.8
Crampon	12073	2046	Crampon de menuiserie	Fer	1	1	5.1
Ferrure	11119	195	Frgt de ferrure	Fer	1	1	3.1
Ferrure	11133	244	Frgt de ferrure, deux perforations carrées. Plié à une extrémité.	Fer	1	1	13.1
Fibule	12073	814	Ardillon de fibule avec départ d'une spire	Base-cuivre	1	1	0.5
Fibule	11111	141	Ardillon de fibule	Fer	1	1	
Fibule	11133	220	Frgt d'ardillon de fibule	Fer	1	0	0.2
Fibule	12073	821	Ressort à quatre spires (deux conservées) et corde interne et fragment d'ardillon	Fer	1	1	0.9
Indéterminé tige	10173	116	Fragment de tige pliée à section en «D»	Base-cuivre	1	1	0.5
Indéterminé tige	10173	113	Tige de section ronde.	Base-cuivre	1	0	1
Indéterminé tige	12073	815	Frgt de tige de section ronde	Fer	1	0	4.4
Indéterminé tige	10173	119	Tige de section ronde.	Fer	1	0	0.3
Indéterminé tige	10173	124	Tige de section ronde.	Fer	1	0	0.3
Indéterminé tôle	11119	182	Frgt de bande de tôle tordu	Base-cuivre	1	0	1
Indéterminé tôle	10173	125	Frgt de tôle	Base-cuivre	1	1	0.5
Indéterminé tôle	12073	2008	Frgt de tôle	Base-cuivre	1	0	0.4
Indéterminé tôle	12073	792	Frgt de bande de tôle	Fer	1	0	6.5
Indéterminé tôle	12073	811	Frgt de bande de tôle	Fer	1	0	4.4

Type d'objet	UF	No	Description	Métal	NR	NMI	M(g)
Indéterminé tôle	11133	217	Frgt de tôle	Fer	1	0	2.1
Indéterminé tôle	12073	812	Frgt de tôle	Fer	1	0	13.7
Indéterminé tôle	10197	148	Frgt de tôle	Fer	1	0	1.1
Indéterminé tôle	12112	2052	Frgt de tôle avec un quart de rond découpé?	Fer	1	1	5.8
Indéterminé tôle	12073	793	Frgt de tôle avec une petite gorge	Fer	1	0	5.7
Indéterminé tôle	11354		Frmts de tôle	Fer	2	0	4.1
Maillon rapide	12073	2048	Maillon rapide de section ronde.	Fer	1	1	1.7
Clou	11136	719	1 tête de clou	Fer	1	1	1.3
Clou	11133	224	1 tige	Fer	1	0	7.2
Clou	12073	816	1 tige	Fer	1	0	2.1
Clou	10197		2 tiges	Fer	2	1	4.5
Clou	11147		4 tiges	Fer	4	1	11.1
Clou	10171		4 tiges	Fer	4	1	7
Clou	11304		Men.: 1 clou, 4 frgts, 2 tiges	Fer	7	5	59.9
Clou	10223		Men.: 1 frgt	Fer	1	1	3.9
Clou	11152		Men.: 1 frgt, 1 tige	Fer	2	1	7.6
Clou	11143		Men.: 1 frgt, 3 tiges	Fer	4	1	15.4
Clou	10172		Men.: 1 frgt, 2 tiges	Fer	3	1	10.5
Clou	11133		Men.: 10 frgts, 12 tiges	Fer	22	10	94.7
Clou	11354		Men.: 10 frgts, 14 tiges	Fer	24	10	107.9
Clou	10165		Men.: 2 frgts, 3 tiges	Fer	5	2	37.5
Clou	12073		Men.: 23 frgts, 24 tiges	Fer	47	23	252.4
Clou	11119		Men.: 3 frgts, 3 tiges	Fer	6	3	19.3
Clou	11356		Men.: 3 frgts, 2 tiges	Fer	5	3	27
Clou	12112		Men.: 3 frgts, 4 tiges	Fer	7	3	42.1
Clou	11123		Men.: 4 frgts, dont 1 de coffret?; 15 tiges	Fer	19	5	70.1
Clou	11136		Men.: 5 frgts, 2 tiges	Fer	7	5	29.8
Clou	10173		Men.: 5 frgts; 1 clou à section rectangulaire, 6 tiges	Fer	12	6	53.9
Rivet (bc)	10173	126	Clou-rivet en une pièce à tête hémisphérique creuse	Base-cuivre	1	1	0.9
Rivet (bc)	12073	2089	Clou-rivet en une pièce à tête hémisphérique creuse	Base-cuivre	1	1	0.3
Rivet (bc)	11133	225	Rivet par refoulement en une pièce à tête hémisphérique creuse	Base-cuivre	1	1	1.1
Rivet (fer)	11133	252	Clou-rivet en une pièce de décoration à large tête discoïde	Fer	1	1	10
SCTE-7-sol de cailloutis	<i>État 1 et 2 lato sensu : LTD1b-LTD2</i>						
Anneau (fer)	11372	533	Anneau de sertissage? Anneau formé de deux extrémités se chevauchant	Fer	1	1	3.1
Anneau (fer)	13900	92	Frgt d'anneau de section ronde, avec la tige pliée vers l'intérieur	Fer	2	1	19.4
Applique décorative	10204	174	Frgt de tôle avec une rainure	Base-cuivre	1	1	0.7
Applique décorative	11355	763	Frgt de tôle repliée à un bord avec un frgt de tige de section rectangulaire comportant trois rainures décoratives	Base-cuivre	2	1	0.3
Cabochon	11374	399	Cabochon décoratif	Base-cuivre	1	1	0.1
Cabochon	11372	261	Cabochon décoratif avec trace de substance blanchâtre	Base-cuivre	1	1	0.6
Cabochon	11314	435	Cabochon décoratif	Base-cuivre	1	1	0.1
Cabochon	10265	606	Fragment de cabochon décoratif	Base-cuivre	1	1	0.6
Clou de chaussure	13058		Clou de chaussure à globules illisibles	Fer	1	1	3.5
Ferrure	13058	259	Extrémité de ferrure avec un trou de fixation et un côté fini arrondi	Fer	1	0	13.1
Ferrure	10204	176	Fragment de ferrure d'angle, constitué d'un fragment de bande de tôle repliée à 90°, rivetée avec une contreplaque et une tige matée	Fer	1	1	6.4
Ferrure	12084	918	Frgt de ferrure composée d'une tôle avec deux rivets et une perforation	Fer	1	1	10.7
Indéterminé objet	11374	344	Fragment de foncet de serrure? de plaque décorative? composé d'une tôle ajourée.	Fer	1	1	5.5
Indéterminé objet	12087	958	Frgt de fer plat perforé avec une tige dans sa perforation. Huisserie?	Fer	1	1	3.6
Indéterminé plat	11314	432	Frgt de bande de fer plat	Fer	1	0	21.4
Indéterminé plat	11355		Frgt de fer plat	Fer	1	0	2.6
Indéterminé plat	13901	139	Frgt de fer plat	Fer	1	0	4.8
Indéterminé plat	11135	711	Grande bande de fer plat	Fer	1	0	26.3
Indéterminé tige	11374	408	Fragment de tige avec un fragment de tôle collé	Fer	1	1	9.6
Indéterminé tige	11355		Frgt de tige de section ronde	Fer	1	0	0.5
Indéterminé tige	10203	360	Tige de section rectangulaire avec un élargissement à une extrémité. Huisserie?	Fer	1	1	2.3
Indéterminé tige	13058	281	Tige de section ronde courbée en forme de «v». Fragment d'anse, de barre de grill?	Fer	1	1	37.4

Type d'objet	UF	No	Description	Métal	NR	NMI	M(g)
Indéterminé tôle	11355	745	Frgt de bande de tôle	Base-cuivre	1	1	1.2
Indéterminé tôle	12084	866	Frgt de tôle à bord circulaire	Base-cuivre	1	0	0.5
Indéterminé tôle	12084	869	Frgt de bande de tôle	Fer	1	0	1.5
Indéterminé tôle	13900	93	Frgt de bande de tôle	Fer	1	0	6.5
Indéterminé tôle	12084	854	Frgt de bande de tôle bombée	Fer	1	0	9.8
Indéterminé tôle	13901	108	Frmts de tôle	Fer	2	0	4.8
Indéterminé tôle	11383	410	Frgt de tôle en forme semi-circulaire avec des bords ondulés avec une perforation. Une bande de tôle part de chaque extrémité du demi-rond. Applique?	Fer	1	1	?
Indéterminé tôle	10204	171	Frgt de tôle incurvé	Fer	1	0	1.4
Indéterminé tôle	11372	533	Frmts de tôle rectangulaire légèrement incurvé et triangulaire	Fer	2	0	6.4
Indéterminé tôle	11379	406	Grand frgt de tôle avec trace de perforation	Fer	1	0	50.8
Indéterminé tôle	12084		Petite tôle triangulaire	Fer	1	0	0.7
Clou	10209		1 tige	Fer	1	1	1.7
Clou	10210		1 tige	Fer	1	1	1.8
Clou	10217		1 tige	Fer	1	1	1.8
Clou	11380		1 tige	Fer	1	1	4.3
Clou	13901	105	3 frgts de tige	Fer	3	0	2.9
Clou	11167		3 tiges	Fer	3	1	11.5
Clou	11166		4 tiges	Fer	4	1	7.9
Clou	11345		4 tiges	Fer	4	1	5.1
Clou	12083	294	Clou décoratif à tête hémisphérique creuse.	Fer	1	1	7.7
Clou	12083	294	Clou décoratif à tête hémisphérique creuse	Fer	1	1	7.6
Clou	13901	100	Frgt de tige	Fer	1	0	2.7
Clou	13901	101	Frgt de tige	Fer	1	0	4.3
Clou	15070		Men.: 1 frgt	Fer	1	1	11.7
Clou	11355		Men.: 1 clou, 11 frgts, 22 tiges	Fer	34	12	156
Clou	11374		Men.: 1 frgt; 3 tiges	Fer	4	1	16.5
Clou	11382		Men.: 1 frgt, 1 tige	Fer	2	1	9.4
Clou	13903		Men.: 1 frgt, 2 tiges	Fer	3	1	14.4
Clou	13058		Men.: 17 frgts, 12 tiges	Fer	29	17	219.3
Clou	11305		Men.: 2 frgts, 2 tiges	Fer	4	2	20.7
Clou	11359		Men.: 2 frgts	Fer	2	2	14.9
Clou	11361		Men.: 2 frgts, 1 tige	Fer	3	2	17.3
Clou	11343		Men.: 2 frgts, 1 tige	Fer	3	2	9.1
Clou	13900		Men.: 3 frgts, 2 tiges	Fer	5	3	33.4
Clou	11314		Men.: 3 frgts	Fer	3	3	38.2
Clou	10203		Men.: 4 frgts, 2 tiges	Fer	6	4	29
Clou	11379		Men.: 4 frgts, 1 tige	Fer	5	4	46.4
Clou	11313		Men.: 5 frgts, 3 tiges	Fer	8	5	55.7
Clou	13058		Men.: 5 frgts, 4 tiges	Fer	9	5	60.1
Clou	13901		Men.: 6 frgts, 6 tiges	Fer	12	6	89.5
Clou	13902		Men.: 7 frgts,, 5 tiges	Fer	12	7	72.4
Clou	10204		Men.: 8 frgts, 11 tiges	Fer	19	8	68.5
Clou	11372		Men.: 8 frgts, 11 tiges	Fer	19	8	89.9
Clou	12087		Men.: 8 frgts, 3 tiges	Fer	11	8	89.5
Clou	10266	307	Tige	Fer	1	0	7.8
Clou	13902	126	Tige de clou.	Fer	1	0	4.6
Rivet (bc)	13901	138	Clou-rivet en une pièce à tête hémisphérique pleine	Base-cuivre	1	1	0.3
Rivet (bc)	13901	132	Petit clou-rivet en une pièce à tête hémisphérique pleine	Base-cuivre	1	1	0.1
Rivet (bc)	11355	329	Rivet par refoulement en une pièce à tête hémisphérique pleine	Base-cuivre	1	1	1.4
Scorie (fer)	13901	141	Scorie de fer	Fer	1	1	4.4
Scorie (fer)	11374	408	Scorie de foyer	Fer	1	1	17.1
SCTE-8-pavage amphore État 1 et 2 lato sensu : LTD1b-LTD2							
Clou	11342		Constr.: 1 frgt	Fer	1	1	22.1
Clou	12113		Men.: 2 frgts, 2 tiges	Fer	4	2	33.9
Clou	11341		Men.: 4 frgts; 4 tiges	Fer	8	4	44
Clou	11342		Men.: 6 frgts; 10 tiges	Fer	16	6	77.8
SCTE-9-Cuve 11356 État 1 et 2 lato sensu : LTD1b-LTD2							
Clou	11360		Men.: 1 frgt	Fer	1	1	5.9
SCTE-10-Cuve 11376 État 1 et 2 lato sensu : LTD1b-LTD2							
Indéterminé tige	11376		Frgt de tige de section rectangulaire	Fer	1	0	9.4
SCTE-11-Cuve 12082 État 1 et 2 lato sensu : LTD1b-LTD2							
Indéterminé plat	12085	879	Frgt de fer plat	Fer	1	0	4.6
Clou	12085		Men.: 2 frgts, 4 tiges	Fer	6	2	34.6

Type d'objet	UF	No	Description	Métal	NR	NMI	M(g)
SCTE-12-niveau d'occupation 11369			<i>État 3 : fin LTD2b-Auguste</i>				
Clou	11369		Men.: 4 frgts, 2 tiges	Fer	6	4	41.3
SCTE-13-empierrement 11370			<i>État 2.3 : fin LTD2a-LTD2b</i>				
Clou	11370		Men.: 1 clou, 15 frgts, 12 tiges	Fer	28	16	147.5
SCTE-14-Fo 13560			<i>État 4 lato sensu : époque romaine</i>				
Clou	13502		Men.: 5 frgts, 5 tiges	Fer	10	5	54.7
SCTE-15-Fo 13254			<i>État 4 lato sensu : époque romaine</i>				
Clou	13259		Men.: 1 frgt, 3 tiges	Fer	4	1	12.3
SCTED-1-nettoyage 12086			<i>État 4 lato sensu : époque romaine</i>				
Cabochon	12086	903	Cabochon décoratif	Base-cuivre	1	1	0.3
Rivet (bc)	12086	885	Clou-rivet en une pièce à tête hémisphérique creuse	Base-cuivre	1	1	0.6
SCTED-2-passe mécanique 12035			<i>État 4 lato sensu : époque romaine</i>				
Cabochon	12035	215	Frgt de cabochon décoratif	Base-cuivre	1	1	0.4
Cabochon	12035	369-1	Tôle hémisphérique trouée à son sommet, frgt de clochette?	Base-cuivre	1	1	1.4
Clou de chaussure	12035		2 clous de chaussures, Tpl, sans globule	Fer	2	2	3.8
Indéterminé tige	12035	386	Frgt de tige très fine de section carrée	Fer	1	0	0.9
Clou	12035		Constr.: 3 frgts	Fer	3	3	51.4
Clou	12035	368	Frgt de tige tordue de section carrée	Fer	1	0	3.2
Clou	12035		Men.: 1 clou, 41 frgts	Fer	78	42	397
Rivet (bc)	12035	334	Clou-rivet en une pièce à tête hémisphérique creuse	Base-cuivre	1	1	0.3
Rivet (bc)	12035	365	Clou-rivet en une pièce à tête hémisphérique creuse	Base-cuivre	1	1	0.1
Rivet (bc)	12035	316	Clou-rivet en une pièce à tête plate losangique	Base-cuivre	1	1	0.7
Rivet (bc)	12035	318	Clou-rivet en une pièce à tête plate à bords relevés	Base-cuivre	1	1	0.6
Rivet (bc)	12035	352	Clou-rivet en une pièce à tête plate	Base-cuivre	1	1	0.1
SCTX-1-Pal 19034			<i>État 1 : LTD1b classique</i>				
Indéterminé objet	19078	74	Fragment informe	Fer	1	1	12.4
Clou	19044		Men.: 1 frgt; 4 tiges	Fer	5	1	31.1
Clou	19061		Men.: 4 frgts; 5 tiges	Fer	9	4	42.9
Rivet	19044	28	Rivet à contreplaque et tête plate	Fer	1	1	16.4
SCTX-2-sol 19028			<i>État 2 lato sensu : LTD1b évoluée-LTD2</i>				
Ferrure	19028	10	Fragment de ferrure	Fer	1	1	7
SCTX-3-sol 19035			<i>État 2 lato sensu : LTD1b évoluée-LTD2</i>				
Indéterminé tige	19035	25	Fragment de tige de section ovale	Base-cuivre	1	1	1
SCTX-4-sol 19057			<i>État 2 lato sensu : LTD1b évoluée-LTD2</i>				
Indéterminé tôle	19057	65	Fragment de tôle	Base-cuivre	1	1	0.5
SCTX-5-sol 19062			<i>État 2 lato sensu : LTD1b évoluée-LTD2</i>				
Rivet (bc)	19062	68	Clou-rivet à tête plate fragmentaire	Base-cuivre	1	1	0.7
SCTX-7-sol 19082			<i>État 2 lato sensu : LTD1b évoluée-LTD2</i>				
Indéterminé tige	19082	78	Fragment de tige de section ronde	Base-cuivre	1	1	0.2
Table de travail (lithique)	19082	80	Table de travail (lithique) avec traces de découpe (couteau)	Lithique	1	1	0
HC(sanctuaire)			<i>Hors contexte</i>				
Anneau (fer)		3021	Frgt de grand anneau de section carrée	Fer	1	1	14.6
Anneau (fer)		3022	Petit anneau de section ronde	Fer	1	1	8.3
Cabochon		2021	Cabochon décoratif	Base-cuivre	1	1	0.9
Cabochon		611	Cabochon décoratif	Base-cuivre	1	1	0.8
Cabochon		3002	Cabochon décoratif avec trace de substance blanchâtre.	Base-cuivre	1	1	1.2
Cabochon		97	Cabochon décoratif avec trace de substance blanchâtre.	Base-cuivre	1	1	1
Chaîne		3015	Frgt de maillon de chaîne en «8» de section ronde	Fer	1	1	7.8
Chaîne		626	Frgt de maillon de chaîne en huit.	Fer	1	1	12.4
Charnière		381	Charnière à encastrer traversée par deux rivets.	Fer	1	1	29.2
Clou de chaussure		302	Clous de chaussure, 1 à globules illisibles et 1 à 4 globules	Fer	2	2	2.6
Clou de chaussure		1067	Clou de chaussure	Fer	1	1	1.2
Clou de chaussure		93	Clou de chaussure complet à tige droite	Fer	1	1	1.6
Clou de chaussure		301	Clou de chaussure sans globule	Fer	1	1	0.3
Clou de chaussure		230	Clou de chaussure, à 8 globules et bol marqué	Fer	1	1	2.6
Clou de chaussure		231	Clous de chaussure	Fer	3	3	3.4
Clou de chaussure		257	Clous de chaussure, 1 à 4 globules et 3 à globules illisibles	Fer	4	4	4.4
Clou de chaussure			Clous de chaussure, dont 3 ordinaire, et 1 très usée, 2 à 6 globules dont 1 à bol très marqué, 1 à 7 globules et 1 à 8 globules.	Fer	7	7	14.6
Clou de chaussure		231	Clous de chaussure, sans globules	Fer	3	3	3.5
Clou de chaussure		3005	Clous de chaussures, dont 75 ordinaires, 1 à globules illisibles, 5 à tête massive, 11 sans globule à anneau octogonale, 20 à 4 globules, 6 à 6 globules dont 1 à languette partant de la lèvre, 2 à 5 globules, 7 clous de sandale, 1 jamais utilisé, 3 à 12 globules, 9 à 8 globules, 1 à 10 globules, 1 à 7 globules, 5 à petits globules (plus de dix), 3 à croix et 4 globules.	Fer	161	161	198.5
Clou décoratif		2097	Clou décoratif	Base-cuivre	1	1	4.3

Type d'objet	UF	No	Description	Métal	NR	NMI	M(g)
Coulure		1073	Coulure	Base-cuivre	1	1	2.6
Coulure		2098	Coulure	Base-cuivre	1	1	2.6
Coulure		433	Coulure	Base-cuivre	1	1	8.3
Ferrure		775	Frgt de décoration de coffre? constituée d'une tôle rectangulaire riveté avec un rivet en fer.	Base-cuivre	1	0	1.3
Ferrure		1064	Frgt de ferrure, fer plat perforé	Fer	1	0	13.9
Fibule		300	Ardillon complet de fibule avec une spire conservée	Base-cuivre	1	1	0.2
Goutte		2099	Goutte	Base-cuivre	1	1	1.6
Indéterminé objet		2096	Elément circulaire avec décor concentrique en relief et perforation centrale, fibule discoïde? Trace de brasage sur la face invisible	Base-cuivre	1	1	7.8
Indéterminé objet		2093	Frgt de miroir ? composé d'un plat avec deux rebords biseautés et un rond.	Base-cuivre	1	1	0.8
Indéterminé objet		3013	Barre de forme triangulaire avec une découpe à base légèrement convexe ou un écrasement, moderne?	Fer	1	1	17.5
Indéterminé objet		3010	Objet composé d'un cylindre avec une perforation centrale et un tassement sur une des faces. Poids? Moderne?	Fer	1	1	10.5
Indéterminé objet		3009	Poids, butée de chaudron ou autre élément cylindrique.	Fer	1	1	17.2
Indéterminé objet		1032	Elément de forme ronde avec une face bombée et une face plane. Balle de mousquet?	Plomb	1	1	2.7
Indéterminé objet		480	Elément de forme sub-circulaire avec une face bombée et une face plane. Balle de mousquet?	Plomb	1	1	2.4
Indéterminé objet		488	Elément de forme sub-circulaire avec une face bombée et une face plane. Balle de mousquet?	Plomb	1	1	1.7
Indéterminé plat		157	Frgt de fer plat recourbé, corrosion bizarre, moderne?	Fer	1	0	11.8
Indéterminé tige		38	Frgt de tige de section rectangulaire formant un crochet	Base-cuivre	1	1	1.4
Indéterminé tige		662	Tige de section ronde coudée, arc de fibule pseudo LT II?	Base-cuivre	1	1	2.3
Indéterminé tige		495	Frgt de tige de section carrée enroulée	Fer	1	0	5.7
Indéterminé tôle		2018	Frgt de bande de tôle avec un décrochement.	Base-cuivre	1	0	0.5
Indéterminé tôle		2022	Frgt de tôle arrondi avec trace de rivet et une patine jaune brillante	Base-cuivre	1	0	0.5
Indéterminé tôle		3000	Frgt de tôle en demi-lune	Base-cuivre	1	0	0.9
Indéterminé tôle		493	Frgt de tôle	Fer	1	0	1.4
Indéterminé tôle		1026	Frgts de tôle	Fer	5	0	15.9
Maillon rapide		1043	Maillon rapide de section rectangulaire	Fer	1	1	3.4
Clou		3017	Clou décoratif de menuiserie à tête hémisphérique creuse	Fer	1	1	2.8
Clou		496	Men.: 1 tête de clou	Fer	1	1	3.3
Perle		299	Fragment de grand anneau de section ronde	Base-cuivre	1	1	1.8
Perle		1028	Fragment de petit anneau de section rectangulaire	Base-cuivre	1	1	0.8
Perle		21	Fragment de petit anneau de section ronde	Base-cuivre	1	1	0.6
Perle		471	Perle de section en quart de rond	Base-cuivre	1	1	2.3
Perle		2	Perle de section losangique	Base-cuivre	1	1	3
Perle		3001	Perle de section losangique	Base-cuivre	1	1	3.7
Perle		396	Perle de section losangique	Base-cuivre	1	1	3.7
Perle		1038	Perle de section losangique avec canal d'usure	Base-cuivre	1	1	2.6
Perle		2020	Petit anneau de section losangique	Base-cuivre	1	1	1.9
Perle		470	Petit anneau de section ronde	Base-cuivre	1	1	2
Perle		472	Petit anneau de section ronde	Base-cuivre	1	1	1
Perle		2019	Petit anneau de section ronde avec corrosion de fer attachée	Base-cuivre	1	1	3.6
Perle		3007	Perle de section hémisphérique	Fer	1	1	5.8
Piton		374	Piton à tête enroulée	Fer	1	1	7.5
Rivet (bc)		23	Rivet par refoulement en une pièce	Base-cuivre	1	1	0.3
Rivet (bc)		2096	Tête de clou-rivet en 1 pièce à tête hémisphérique creuse, avec trace de substance blanchâtre sous la tête	Base-cuivre	1	1	0.5
Rivet (bc)		492	Tête de clou-rivet en 1 pièce à tête hémisphérique creuse, dont la tige a été arrachée	Base-cuivre	1	1	1.7
Rivet (bc)		303	Clou-rivet en une pièce à tête hémisphérique creuse, à tige en fer avec une substance blanchâtre à l'intérieur de la tête	Base-cuivre et fer	1	1	1.3
Scorie (foyer)		708	Scorie de fond de foyer	Fer	1	1	75.4

HORS BÂTIMENT ET HORS CONTEXTE

Hors bâtiment

État 2 lato sensu : fin LTD1b-LTD2

HB-1-Pal 16010

16011, n° 60. Monnaie.

16011, n° 59. Monnaie.

État 1 : LTD1b classique

HB-3-Sb 21231

Planche 231, 1. 21232, n° 1320.

Fragment de tôle triangulaire. Base-cuivre.

L. 26 mm. 0.3 g.

E : 1259.44. N : 1070.95. Alt. : 571.81.

Autres petits mobiliers

21232, n° 1306. Jeton.

21232, n° 1310. Jeton.

21232, n° 1311. Jeton.

État 2.1 : LTD1b évoluée

HB-4-Fo 21467

Planche 231, 2. 21468, n° 1397.

Deux maillons de chaînette. Base-cuivre.

L. 8 mm, diam. (maillon) 5 mm. 0.3 g.

E : 1254.31. N : 1079.95.

Planche 231, 3. 21468, n° 1396.

Lame de serpette en croissant de lune cassée au niveau du départ de la douille. Fer.

L. 63 mm, l. (lame) 17 mm. 23.7 g.

E : 1254.24. N : 1079.1.

Perturbations modernes

HB-5-drain 21078

Planche 231, 4. 21079, n° 774.

Perle de section ronde avec trace d'usure. Base-cuivre.

Diam. 9 mm, S. 2,5 mm. 0.9 g.

E : 1254.45. N : 1050.10. Alt. : /.

Planche 231, 5. 21079, n° 711.

Fragment de gouttière d'orle avec deux pinces de fixation circulaires rivetées. Présence hypothétique d'émail sur les rivets. Base-cuivre.

L. 50 mm. 1.9 g.

E : 1255.8. N : 1049.90. Alt. : 571.75.

Autres petits mobiliers

21079, n° 713. Fragment de perle torique en verre bleu cobalt à décor moucheté blanc opaque (Gebhard VIIId).

Non phasé

HB-6-Fo 22569

Planche 231, 6. 22569, n° 871.

Fragment d'outil à soie de section quadrangulaire et à manche conique fragmentaire. Fer.

L. 101 mm, S. 9 mm. 35.6 g.

E : 1238.6. N : 1052.5.*

HB-7-fouilles 1991

Planche 231, 7. 7308.

Arc de fibule filiforme cambré de section lenticulaire. Fer.

L. 62 mm, S. 4 x 2 mm. 9 g.

E : 1125.8. N : 1148.6.

Type : F03.

Planche 231, 8. 7252.

Fragment d'arc de fibule outrepassant ou en arc de cercle de section rubanée. Fer.

L. 26 mm. NP.

Type : F33-0.

Planche 231, 9. 7350.

Bague à épissures et jonc de section rectangulaire. Base-cuivre.

Diam. 20 mm. NP.

E : 1240. N : 1000.*

Type : 5.

Planche 231, 10. 7313.

Fibule complète à cache-ressort et arc à disque à décor concentrique avec perforation centrale et pied surmonté par un plat trapézoïdal, orné d'un dauphin. Base-cuivre.

L. 42 mm. NP.

E : 1148. N : 1080.

Type : B59-1.

Autres petits mobiliers

7793, n° 7793. Monnaie.

7874, n° 1. Monnaie.

7404, n° 7404-1. Monnaie.

7355, n° 7355-2. Monnaie.

7669, n° 7669-1. Monnaie.

7492, n° 7492-2. Monnaie.

HB-8-sondage 1992, no 6

Planche 231, 11. 8036.

Trousse de toilette avec pince à épiler, cure-ongle et scalpatorium composé d'une tige bifide, maintenus ensemble par une boucle à charnière rivetée. Fer.

L. 62 mm. NP.

E : 1128.5. N : 1080.5.*

HB-9-sondage 1992, no 5

Planche 231, 12. 8001.

Fragment de bracelet rubané à moulures longitudinales ornées de points incisés.

Base-cuivre.

L. 27 mm. NP.

E : 1148. N : 1080.

Type : B30-1.

État 1 : LTD1b classique

HB-11-Sb 20367

20391, n° S4027. Monnaie.

Non phasé

HB-21-sondage 1992 6

8081, n° 8081-1. Monnaie.

HB-22-prospections 1989

6004, n° 6004. Monnaie.

HB-24-sondage 1992

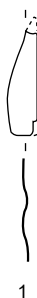
Planche 231, 13. 8201.

Extrémité de bracelet à terminaison bouletées précédées d'une cannelure. Le jonc est de section ovale. Base-cuivre.

L. 64 mm. NP.

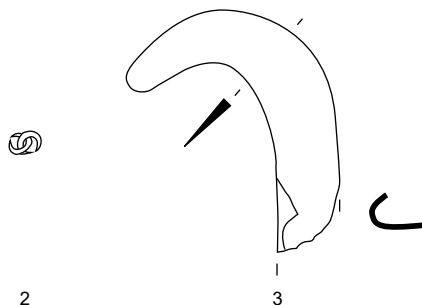
E : 989. N : 1135.5.*

Type : B13-2.



1

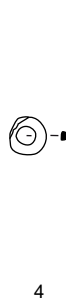
HB-3-Sb 21231



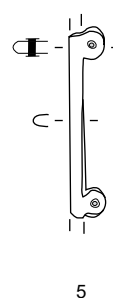
2

3

HB-4-Fo 21467

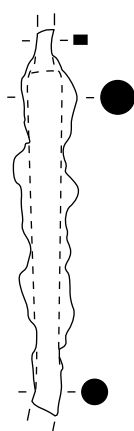


4



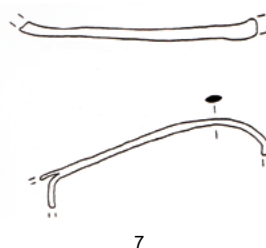
5

HB-5-drain 21078



6

HB-6-Fo 22569



7



10



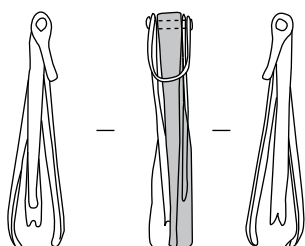
HB-7-fouilles 1991



8



9



11

HB-8-sondage 1992 6



12

HB-9-sondage 1992 5



13

HB-24-sondage 1992

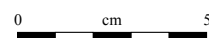


Planche 230. Mobilier hors bâtiment, HB-1-Pal 16010 à HB-24-sondage 1992

1-2, 4-5, 9-101, 12-13 : alliage cuivreux; 3, 7-8, 11 : fer.

Hors contexte 2005

HC2005

Planche 232, 1. HC2005, n° 1764.

Ressort de fibule à quatre spires et corde externe haute. Base-cuivre.

L. 27 mm. 1.6 g.

Type : B30.

Planche 232, 2. HC2005, n° 726.

Fragment d'orle en gouttière avec sa patte de fixation. Fer.

L. 40 mm. 11.1 g.

Type : Gouttière.

Planche 232, 3. HC2005, n° 1566.

Rivet émaillé par refoulement avec décor composé d'une ligne centrale et d'incisions en rayon. Base-cuivre.

Diam. 13 mm, ht 9 mm, L. utile 2 mm. 6 g.

Planche 232, 4. HC2005, n° 1158.

Butée de poignée de chaudron avec tenon excentré. Fer.

Diam. 18 mm, ht. 11 mm. 16.5 g.

Planche 232, 5. HC2005, n° 507.

Fragment de lèvres d'assiette, de coupe, à lèvres horizontale précédée d'un quart de rond. Base-cuivre.

L. 25 mm, diam. rest. 140 mm. 3 g.

Planche 232, 6. HC2005, n° 504.

Fragment de récipient composé d'une tôle avec trois rivets. Base-cuivre.

L. 33 mm. 2 g.

Planche 232, 7. HC2005, n° 525.

Aiguille cassée au niveau du chas. Base-cuivre.

L. 38 mm. 0.3 g.

Planche 232, 8. HC2005, n° 503.

Grande aiguille cassée au niveau du chas et pliée. Base-cuivre.

L. rest. 144 mm. 1.6 g.

Autres petits mobiliers

8206, n° 8206-1. Monnaie de Louis XIII.

Hors contexte 2006

HC2006

Planche 232, 9. HC2006, n° 1554.

Fibule à ressort à quatre spires et corde interne et à arc triangulaire fin à bordures soulignées par une rainure. Le pied et l'ardillon sont manquants. Base-cuivre.

L. 58 mm, L. (arc) 44 mm, l. (arc) 6,5 mm. 2.6 g.

Type : B22-03.

Planche 232, 10. HC2006, n° 1555.

Arc de fibule de tôle triangulaire large à bordures soulignées par une rainure et ligne centrale incisée. Des lignes perpendiculaires séparent le pied de l'arc. Base-cuivre.

L. 22 mm, l. (arc) 11,5 mm. 1.2 g.

Type : B22-06.

Planche 232, 11. HC2006, n° 1639.

Fibule à arc mouluré triangulaire à quatre spires (deux conservées) et corde interne. Base-cuivre.

L. 24 mm, l. (arc) 6.5 mm. 2.7 g.

Type : B22-21.

Planche 232, 12. HC2006, n° 1629.

Long pied de fibule triangulaire plein. Fer.

L. 50 mm. 3 g.

Planche 232, 13. HC2006, n° 1557.

Anneau-bague coudé de section ronde. Argent.

Diam. 20 x 28 mm, ht. 9 mm, S. 1.5 mm. 1 g.

Type : 2.

Planche 232, 14. HC2006, n° 1510.

Fragment d'attache d'anse de gobelet dont la partie inférieure est vaguement triangulaire. Base-cuivre.

L. 24 mm. 2.5 g.

Planche 232, 15. HC2006, n° 1384.

Pied de cruche massif avec extrémité en arc de cercle. Trace de brasure. Base-cuivre.

L. 32 mm, ép. 5 mm. 11.5 g.

Planche 232, 16. HC2006, n° 1561.

Manche de scalpel avec pince pour fixation de la lame de section carrée et jonction entre la pince et le corps du manche orné de moulurations. Le manche est de section en ogive. Base-cuivre.

L. 36 mm. 6.6 g.

Planche 232, 17. HC2006, n° 1556.

Tige indéterminée à anneau terminal et un décor de stries longitudinales et une extrémité biseautée. Instrument de toilette, scalptorium? Base-cuivre.

L. 36 mm. 1.5 g.

Planche 232, 18. HC2006, n° 909.

Rivet émaillé à tige en fer. Base-cuivre et fer.

Diam. 16 mm, ht. 9 mm. 6.6 g.

Planche 232, 19. HC2006, n° 703.

Tête de rivet émaillé avec tige en fer fragmentaire. Base-cuivre et fer.

Diam. 17 mm, ht. 13 mm. 18 g.

Planche 232, 20. HC2006, n° 1836.

Rivet émaillé à tige en fer brûlé. Base-cuivre et fer.

Diam. 19 mm, ht. 12 mm. 17.9 g.

Planche 232, 21. HC2006, n° 1562.

Agrafe de réparation de céramique. Plomb.

L. 36 mm. 8.9 g.

Planche 232, 22. HC2006, n° 1387.

Clé à translation et soulèvement de cheville et à panneton à trois dents. L'anneau sommital est manquant. Fer.

L. 46 mm, L. (panneton) 37 mm, L. (dent) 22 mm. 14.9 g.

Planche 232, 23. HC2006, n° 1375.

Ciseau de tailleur de pierre à tête légèrement matée et large tranchant évasé. Fer.

L. 77 mm, L. rest. (tranchant) 47 mm. 106 g.

Planche 232, 24. HC2006, n° 1377.

Aiguille à chas rectangulaire cassée. Fer.

L. 47 mm. 1.1 g.

Planche 232, 25. HC2006, n° 774.

Grande lame de couteau. Fer.

L. 193, l. 37 mm. 101.9 g.

Type : 1-0.

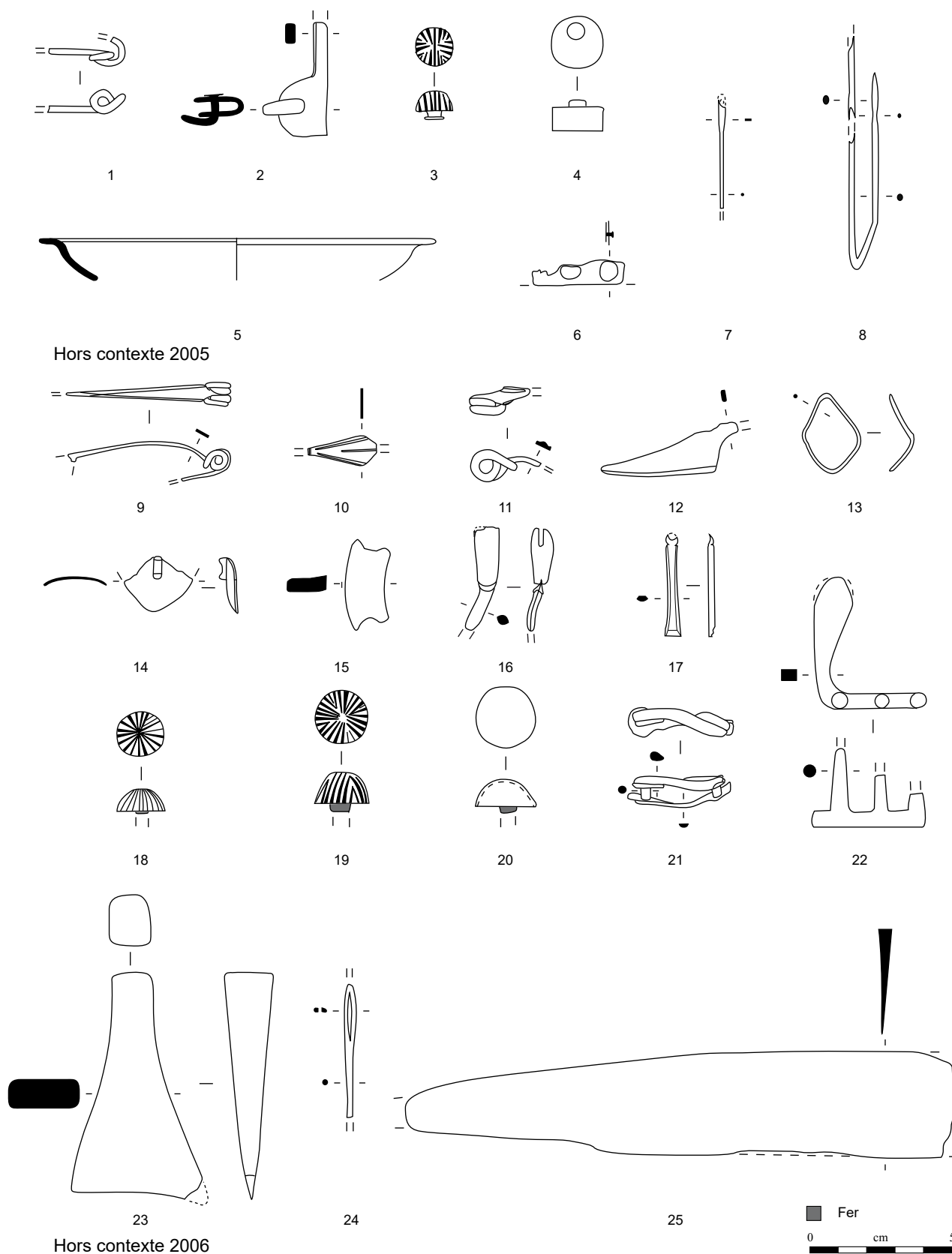


Planche 231. Mobilier hors contexte 2005 et 2006

1, 3, 5-11, 14-17 : alliage cuivreux; 2, 4, 12, 22-25 : fer; 13 : argent; 18-20 : alliage cuivreux et fer; 21 : plomb.

Hors contexte 2007

HC2007

Planche 233, 1. HC2007, n° 433.

Fibule à ressort à six spires et corde externe haute et à arc à ailettes naissantes. Fer.

L. 19 mm. 2.9 g.

Type : F34-6.

Planche 233, 2. HC2007, n° 1564.

Fibule à ressort à quatre spires (deux conservées) et corde interne et à arc tendu de tôle triangulaire fin et à bordures soulignées par une rainure. Base-cuivre.

L. 55 mm, L. (arc) 46 mm, L. (arc) 5,5 mm. 1.8 g.

Type : B22-03.

Planche 233, 3. HC2007, n° 432.

Fibule à charnière rapportée à arc circulaire ajouré et pied terminé par un bouton. La surface est recouverte du métal blanc. Base-cuivre.

L. 29 mm. 1.2 g.

Type : B79-5.

Planche 233, 4. HC2007, n° 1781.

Applique de tôle triangulaire décorée de lignes de points estampés. Base-cuivre.

L. 42 mm. 0.8 g.

Planche 233, 5. HC2007, n° 24.

Fragment de bracelet à jonc lisse de section lenticulaire. Base-cuivre.

L. 30 mm, diam. int. 52 mm, S. 3 x 5 mm. 2.3 g.

Type : B10-3.

Planche 233, 6. HC2007, n° 830.

Fragment indéterminé d'anneau. Raté, embouchure de tuyauterie? Plomb.

Diam. 24 mm. 5.4 g.

Planche 233, 7. HC2007, n° 672.

Cure-oreille constitué d'une tige avec un cuilléron à son extrémité. Base-cuivre.

L. 28 mm. 0.5 g.

Planche 233, 8. HC2007, n° 834.

Pied de récipient en forme de facéole. Base-cuivre.

L. 28 mm, ép. 2 mm. 3.2 g.

Planche 233, 9. HC2007, n° 1116.

Fragment d'attache d'anse de situle à patte triangulaire. Fer.

L. 34 mm. 6.7 g.

Planche 233, 10. HC2007, n° 426.

Fragment de clé avec deux dents conservées. Fer.

L. 34 mm, L. (dent) 16 mm. 11.3 g.

Planche 233, 11. HC2007, n° 671.

Fer à boeuf moderne réalisé à l'aide d'une plaque perforée à cinq reprises et munie d'un rabat. Fer.

L. 106 mm. 192.9 g.

Planche 233, 12. HC2007, n° 375.

Manche d'ustensile à anneau terminal. Fer.

L. 151 mm, diam. int. (anneau) 12 mm. NP.

Hors contexte 2008

HC2008

Planche 233, 13. HC2008, n° 2079.

Fibule filiforme à quatre spires et corde externe haute et pied triangulaire et à arc cambré filiforme de section lenticulaire interrompu. Fer.

L. 82 mm, L. (dépliée) 26 mm, L. rest. (arc) 53 mm. 12 g.

Type : F34-3.

Planche 233, 14. HC2008, n° 1743.

Arc cambré de fibule filiforme de section lenticulaire. Fer.

L. 42 mm. 1.6 g.

Type : F03.

Planche 233, 15. HC2008, n° 1272.

Fragment de fibule filiforme, à arc cambré de section lenticulaire et à ressort à corde externe haute et quatre spires (deux conservées). Fer.

L. 38 mm. 5 g.

Type : F33-7.

Planche 233, 16. HC2008, n° 3062.

Tête de clou-rivet émaillé. Base-cuivre.

Diam. 10 mm, ht. 5 mm. 2.2 g.

Planche 233, 17. HC2008, n° 3063.

Chute de plat découpé à chaque extrémité. Plomb.

L. 11 mm, l. 13 mm. ép. 2 mm. 1.7 g.

Planche 233, 18. HC2008, n° 2054.

Fragment de demi-produit constitué d'une tige de section trapézoïdale. Plomb.

L. 79 mm. 21.7 g.

Planche 233, 19. HC2008, n° 1266.

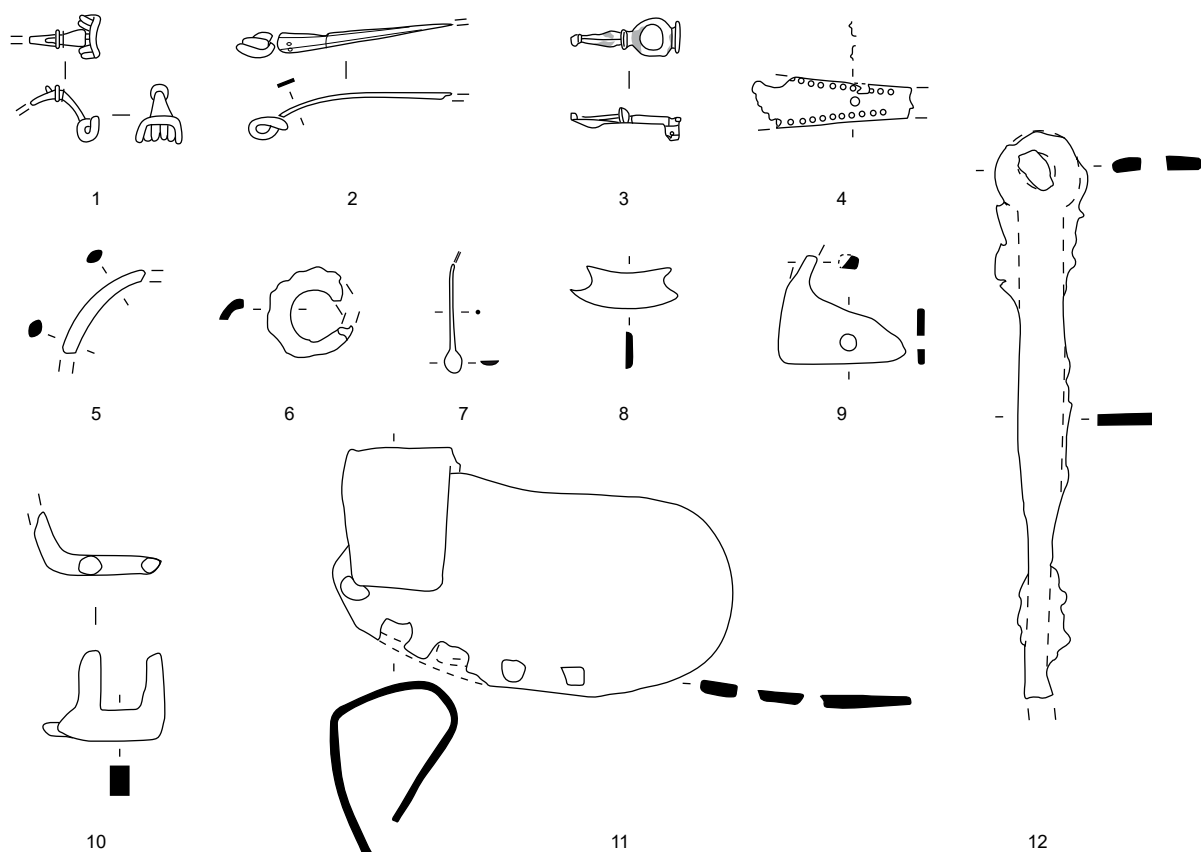
Lingot ou fond de creuset? Base-cuivre.

Diam. 33 mm, ht 17 mm. 33.7 g.

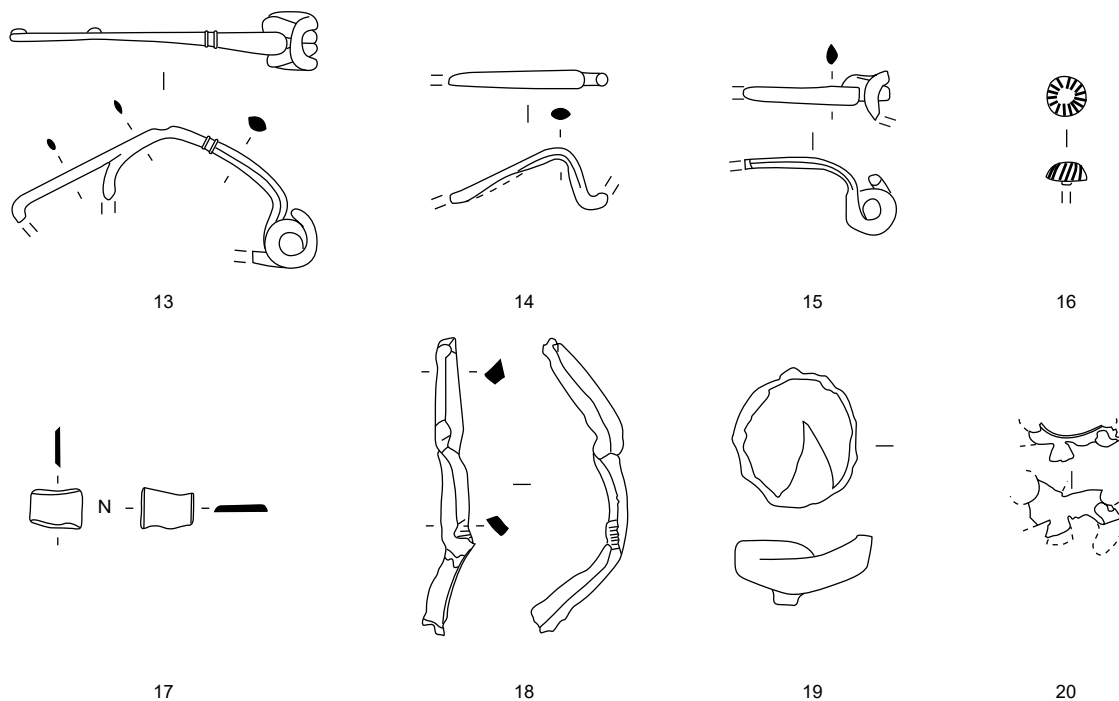
Planche 233, 20. HC2008, n° 3061.

Fragment d'applique constituée d'une tôle ajourée. Base-cuivre.

L. 25 mm. 0.7 g.



Hors contexte 2007



Hors contexte 2008

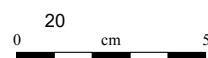


Planche 232. Mobilier hors contexte 2007 et 2008

1, 9-15 fer; 2-8, 16, 19-20 : alliage cuivreux; 17-18 : plomb.

Hors contexte 2010

HC2010

Planche 234, 1. HC2010, n° S3179.

Arc et pied de fibule de Nauheim à arc fin triangulaire orné de rainures longitudinales. Base-cuivre.

L. 42 mm, L. (arc) 30 mm, l. (arc) 3,5 mm. 0.7 g.

Type : B22-03.

Planche 234, 2. HC2010, n° S2181.

Fragment de fibule coudée à angle droit, à ressort à quatre spires (deux conservées) et corde interne, à arc coudé interrompu par un bouton décoratif. Fer.

L. 21 mm. 1.6 g.

Type : F24-4.

Planche 234, 3. HC2010, n° S2217.

Anneau de section losangique plate avec une bordure remontant sur les côtés. Base-cuivre.

Diam. 35 mm, S. 2 x 4 mm. 3.1 g.

Planche 234, 4. HC2010, n° S3227.

Aiguille cassée au niveau du chas. Base-cuivre.

L. 26 mm. 0.2 g.

Planche 234, 5. HC2010, n° S2212.

Chute de tige coupée aux deux extrémités. Argent.

L. 15 mm. 0.9 g.

Planche 234, 6. HC2010, n° TRB2029.

Écorçoir constitué d'une douille terminée par une partie active mousse. Fer.

L. 94 mm, diam. (douille) 25 mm. 93.6 g.

Planche 234, 7. HC2010, n° S4060.

Ciselet constitué d'un manche massif à tête matée biconique et d'une extrémité de section rectangulaire. Fer.

L. 102 mm, S. max. 7,5 mm. 19 g.

Planche 234, 8. HC2010, n° S4067.

Tranchant de curette. Fer.

L. 48 mm, L. (tranchant) 33 mm. 24.1 g.

Hors contexte 2011

HC2011

Planche 234, 9. HC2011, n° 709.

Arc de fibule tendu mouluré, à rainure centrale et bordure incisée, cassé au niveau du départ du pied. Base-cuivre.

L. 42 mm, L. (arc) 36 mm, l. (arc) 10 mm. 0.8 g.

Type : B22-24.

Planche 234, 10. HC2011, n° 1427.

Ressort de fibule à quatre spires et corde externe avec le départ de l'arc coudé rubané. Fer.

L. 28 mm, l. (arc) 4 mm. 1 g.

Type : F33-10.

Planche 234, 11. HC2011, n° 640.

Spire et ardillon de fibule. Fer.

L. 22 mm. 0.9 g.

Planche 234, 12. HC2011, n° 800.

Anneau-bague cassé, constitué d'un anneau ouvert de section lenticulaire, appointé à une extrémité. Base-cuivre.

L. 20 mm. S. 1,5 x 2,5 mm. 0.3 g.

Type : 1.

Planche 234, 13. HC2011, n° 1611.

Fragment indéterminé d'objet circulaire avec perforation centrale soulignée par une bordure. Rouelle? Base-cuivre.

L. 28 mm. 2.3 g.

Planche 234, 14. HC2011, n° 416.

Poids sphérique d'où une partie a été enlevée. Plomb.

L. 36 mm, ht. 30 mm. 195.5 g.

Planche 234, 15. HC2011, n° 1439.

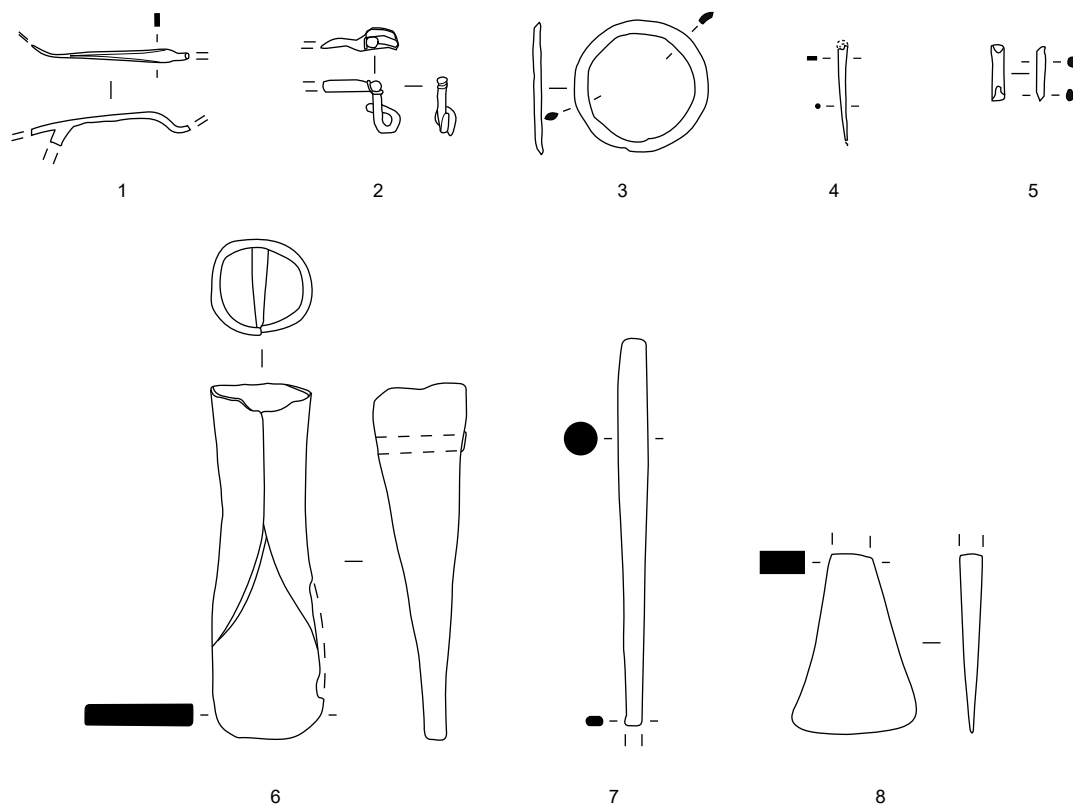
Marteau de forgeron à table rectangulaire, cassé au niveau de l'oeil. Fer.

L. 65 mm, L. (table) 21 mm, l. (table) 17 mm. 265 g.

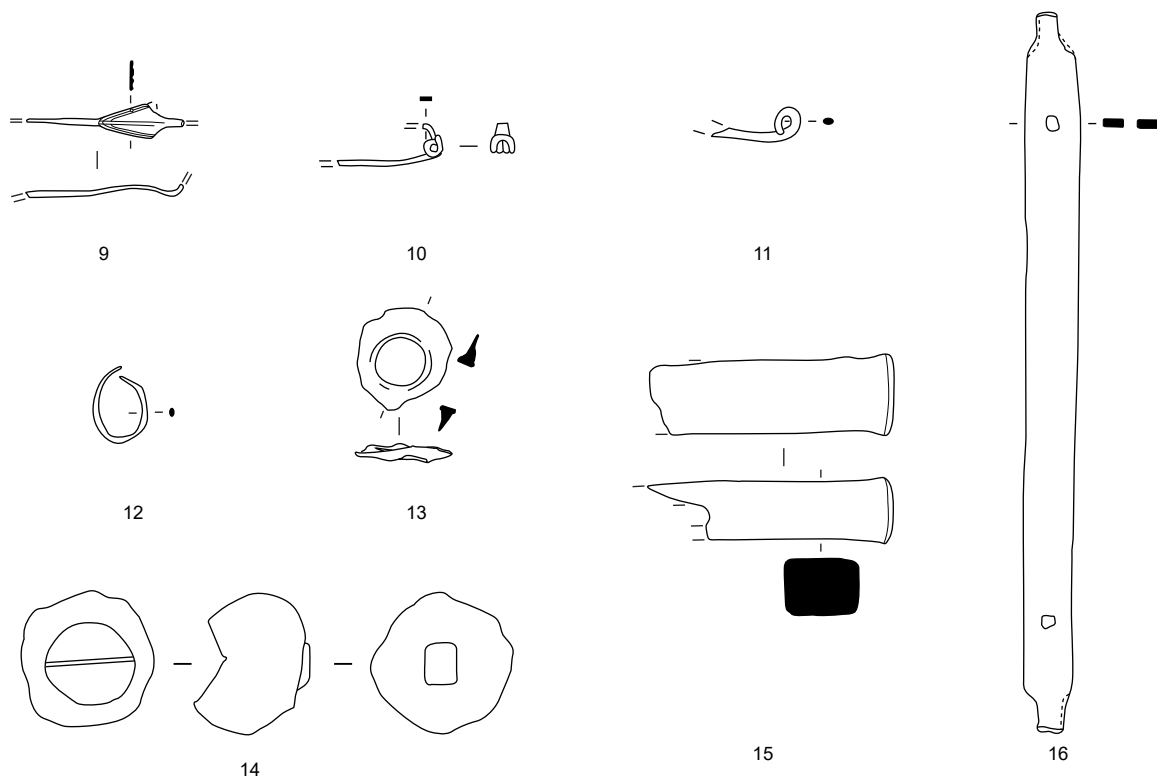
Planche 234, 16. HC2011, n° 347.

Barre de gril qui comporte deux perforations à proximité des extrémités matées. Fer.

L. 190 mm, l. 15 mm, ép. 3 mm. 37.3 g.



Hors contexte 2010



Hors contexte 2011

0 cm 5

Planche 233. Mobilier hors contexte 2010 et 2011

1, 3-4, 9, 12-13 : alliage cuivreux; 2, 6-8, 10-11, 15-16 : fer; 5 : argent; 14 : plomb.

Hors contexte 2012

HC2012

Planche 235, 1. HC2012, n° 30.

Fibule à ressort à une spire conservée avec un arc cambré de section lenticulaire. Fer.
L. 39 mm. 6.1 g.
Type : F03.

Planche 235, 2. HC2011, n° 213.

Deux spires de fibule d'un ressort à corde interne. Trace de découpe à une extrémité. Ressort récupéré? Base-cuivre.
L. 11 mm. 0.5 g.
Type : B20-0.

Planche 235, 3. HC2012, n° 161.

Ressort à une spire conservée et ardillon complet de fibule d'un grand module. Base-cuivre.
L. 71 mm. 4.1 g.

Planche 235, 4. HC2012, n° 625.

Fragment de bracelet de section ovale, à jonc décoré de deux lignes de points incisés. Les points d'une des lignes sont moins marqués (usure?). Patine atypique. Base-cuivre.
L. 33 mm, diam. 48 mm, S. 5 x 6 mm. 6.6 g.
Type : B10-9.

Planche 235, 5. HC2012, n° 688.

Fragment de perle de section lenticulaire avec deux cannelures. Base-cuivre.
L. 21 mm, diam. 24 mm, S. 6,5 x 4 mm. 3.1 g.

Planche 235, 6. HC2012, n° 48.

Grand anneau de section ronde. Base-cuivre.
Diam. 46 mm, S. 6 mm. 32.4 g.

Planche 235, 7. HC2012, n° 595.

Gros gond constitué d'une tige quadrangulaire terminée par une tige de section circulaire. Fer.
L. 95 mm, ht. 35 mm. 117 g.

Planche 235, 8. HC2012, n° 166.

Lingot parallélépipédique avec découpes latérales à chaque extrémité. Plomb.
L. 25 mm, ht. 6 mm, l. 16 mm. 19 g.

Planche 235, 9. HC2012, n° 693.

Fragment de tôle dont chaque extrémité est repliée sur une face. Plomb.
L. 19 mm. 1.4 g.

Planche 235, 10. HC2012, n° 694.

Chute de tôle de plomb. Plomb.
L. 18 mm, ép. 2,5 mm. 2 g.

Planche 235, 11. HC2012, n° 763.

Fragment de tôle de plomb repliée sur elle-même. Defixio? Plomb.
L. 22 mm. 6.4 g.

Planche 235, 12. HC2012, n° 155.

Fragment de bande de tôle repliée sur elle-même à trois reprises. Plomb.
L. 32 mm. 5.3 g.

Planche 235, 13. HC2012, n° 691.

Fragment de tôle repliée avec cinq perforations volontaires sur sa face lisse. Plomb.
L. 20 mm. 3.7 g.

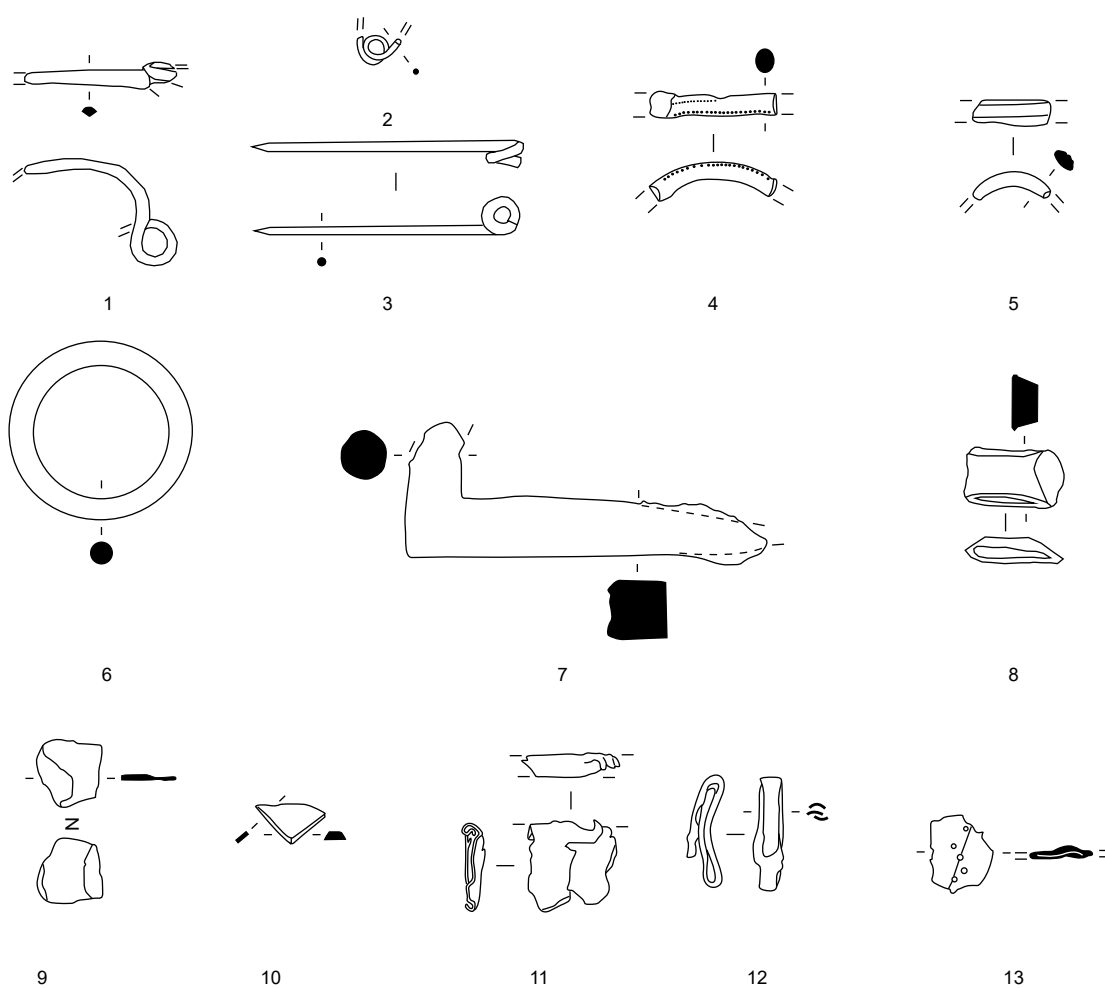


Planche 234. Mobilier hors contexte 2012

1, 7 : fer; 2-6 : alliage cuivreux; 8-13 : plomb.

Type d'objet	UF	No	Description	Métal	NR	NMI	M(g)
HB-1-Pal 16010	<i>État 2 lato sensu : LTD1b évoluée-LTD2</i>						
Goutte	16011	62	Goutte	Base-cuivre	1	1	0.4
Indéterminé plat	16011		Fragment de plat	Fer	1	1	9.2
Mobilier/Immobilier clou	16011		Tige	Fer	1	1	6
HB-2-TP 16105	<i>Non phasé</i>						
Mobilier/Immobilier clou	16106		Men.: 3 frgts; 6 tiges	Fer	9	3	65
HB-3-Sb 21231	<i>État 1 : LTD1b classique</i>						
Ferrure	21232	1319	Extrémité de ferrure avec rivet en position fonctionnelle	Fer	1	1	23.2
Indéterminé plat	21232	1307	Fine bande de plat	Fer	1	1	5.7
Indéterminé tôle	21232	1308	Fragment de tôle	Fer	1	1	0.6
HB-5-drain 21078	<i>Perturbations modernes</i>						
Mobilier/Immobilier clou	21079	676	Tige	Fer	1	1	9.2
HB-6-Fo 22569	<i>Non phasé</i>						
Mobilier/Immobilier clou	22569		Men.: 7 frgts, 3 tiges	Fer	10	7	115.5
HB-11-Sb 20367	<i>État 1 : LTD1b classique</i>						
Ferrure	20391	S4023	Fragment de ferrure	Fer	1	1	41.1
Indéterminé tôle	20391	S4003	Fragments de tôle	Fer	2	1	3.4
HB-13-TP 22019	<i>État 2 lato sensu : LTD1b évoluée-LTD2</i>						
Cabochon	22019	310	Cabochon avec substance de fixation	Base-cuivre	1	1	0.5
Indéterminé tôle	22019		Fragment de tôle	Fer	1	1	1.4
Mobilier/Immobilier clou	22019		Men.: 3 frgts, 10 tiges	Fer	13	3	58.3
HB-14-Puits 22463	<i>Perturbations modernes</i>						
Indéterminé tôle	22463	673	Fragment de tôle indéterminé. Récipient moderne?	Fer	1	1	610
Mobilier/Immobilier clou	22463		Men.: 2 frgts, 1 tige	Fer	3	2	17.5
HB-15-Fo 22570	<i>Non phasé</i>						
Indéterminé objet	22570	872	Fragment informe	Fer	1	1	37.75
Mobilier/Immobilier clou	22570		Men.: 2 frgts, 1 tige	Fer	3	2	22.8
HB-16-TP 22013	<i>Non phasé</i>						
Mobilier/Immobilier clou	22013		Men.: 1 frgt, 1 tige	Fer	2	1	8.4
HB-17-TP 22250	<i>État 1 à 2.1 : LTD1b</i>						
Mobilier/Immobilier clou	22250		Men.: 2 frgts, 2 tiges	Fer	4	2	18.5
HB-18-Drain 22453	<i>Non phasé</i>						
Clou de chaussure	22453	846	Clou de chaussure à tête illisible	Fer	1	1	1.8
Mobilier/Immobilier clou	22453		Men.: 4 frgts, 6 tiges	Fer	10	4	22
HB-19-Drain 22455	<i>Non phasé</i>						
Mobilier/Immobilier clou	22455		Men.: 1 frgt	Fer	1	1	6.2
HB-20-Fo 22472	<i>Non phasé</i>						
Ferrure	22472		Frgt de ferrure avec un clou en position fonctionnelle	Fer	1	1	22
Mobilier/Immobilier clou	22472		Men.: 1 clou à tête ovale, 2 tiges	Fer	3	1	19
HB-23-TP 16113	<i>Non phasé</i>						
Mobilier/Immobilier clou	16114		Men.: 1 frgt	Fer	1	1	7
HB	<i>Non phasé</i>						
Cabochon	20630	S2239	Cabochon	Base-cuivre	1	1	0.1
Clou de chaussure	20630	S2130	Clou de chaussure	Fer	1	1	2
Clou de chaussure	20630	S2250	Clou de chaussure	Fer	1	1	2
Clou de chaussure	20650	S2192	Tige de clou de chaussure	Fer	1	1	0.1
Indéterminé tôle	20655		Fragment de tôle	Fer	2	1	5
Indéterminé tôle	22454	380	Fragment de tôle passée au feu.	Fer	1	1	2.5
Mobilier/Immobilier clou	21133		Tiges	Fer	3	1	13
Mobilier/Immobilier clou	21134		Men.: 1 frgt	Fer	1	1	5.3
Mobilier/Immobilier clou	20650		Men.: 2 frgts	Fer	2	2	7
Mobilier/Immobilier clou	20655		Men.: 23 frgts; 42 tiges	Fer	65	23	355
Mobilier/Immobilier clou	20630		Men.: 5 frgts; 9 tiges	Fer	14	5	73
Mobilier/Immobilier clou	21235		Men.: 3 frgts	Fer	3	3	75.3
Mobilier/Immobilier clou	16644		Tige	Fer	1	1	2
Mobilier/Immobilier clou	21078		Tige	Fer	1	1	3
HC2005	<i>Hors contexte</i>						
Chute de tige quadrangulaire	HC2005	2019	Chute de tige de section carrée	Base-cuivre	1	1	1
Clou de chaussure	HC2005	1159	Clous de chaussure	Fer	2	2	2
Indéterminé tige	HC2005	1760	Fragment de tige courbée, clé?	Fer	1	1	81.3
Indéterminé tôle	HC2005	512	Tôle	Fer	1	0	24.4
Indéterminé tôle	HC2005	1151	Tôle ajourée de fourreau avec entretoise? Moderne?	Fer	1	0	3.1
Lingot	HC2005	304	Frgt de fond de patelle, de creuset, récupération	Base-cuivre	1	1	25.7
Perle	HC2005	510	Anneau de section lenticulaire	Base-cuivre	1	1	5.5
Perle	HC2005	512	Anneau de section ronde	Base-cuivre	1	1	2.5
Perle	HC2005	515	Anneau de section ronde	Base-cuivre	1	1	8.9

Type d'objet	UF	No	Description	Métal	NR	NMI	M(g)
Perle	HC2005	997	Anneau de section ronde avec trace d'usure	Base-cuivre	1	1	2
Perle	HC2005	517	Anneau à trois cannelures	Base-cuivre	1	1	2.3
Rivet (bc)	HC2005	1203	Clou-rivet en une pièce	Base-cuivre	1	1	0.7
Rivet (bc)	HC2005	1557	Tête de rivet hémisphérique pleine	Base-cuivre	1	1	4
HC2006	<i>Hors contexte</i>						
Agrafe de réparation	HC2006	762	Réparation de céramique sous la forme d'une masse écrasée	Plomb	1	1	46.1
Anneau (bc)	HC2006	1373	Fragment d'anneau à section en D écrasé	Base-cuivre	1	1	1.3
Cabochon	HC2006	771	Cabochon avec substance de fixation	Base-cuivre	1	1	0.2
Clou de chaussure	HC2006	1053	Clou de chaussure	Fer	1	1	0.6
Clou de chaussure	HC2006	1505	Clou de chaussure	Fer	1	1	1.5
Clou de chaussure	HC2006	698	Clou de chaussure	Fer	1	1	0.4
Clou de chaussure	HC2006	718	Clou de chaussure	Fer	1	1	0.6
Clou de chaussure	HC2006	719	Clou de chaussure	Fer	1	1	0.7
Clou de chaussure	HC2006	751	Clou de chaussure	Fer	1	1	0.3
Clou de chaussure	HC2006	757	Clou de chaussure	Fer	1	1	1.6
Clou de chaussure	HC2006	760	Clou de chaussure	Fer	1	1	1.9
Clou de chaussure	HC2006	1504	Clou de chaussure	Fer	1	1	2
Clou de chaussure	HC2006	1508	Clou de chaussure	Fer	1	1	2
Clou de chaussure	HC2006	699	Clou de chaussure	Fer	1	1	1.2
Clou de chaussure	HC2006	717	Clou de chaussure	Fer	1	1	1
Clou de chaussure	HC2006	750	Clou de chaussure	Fer	1	1	1.5
Clou de chaussure	HC2006	755	Clou de chaussure	Fer	1	1	0.6
Clou de chaussure	HC2006	756	Clou de chaussure	Fer	1	1	0.7
Clou de chaussure	HC2006	758	Clou de chaussure	Fer	1	1	1.5
Clou de chaussure	HC2006	759	Clou de chaussure	Fer	1	1	1.5
Clou de chaussure	HC2006	761	Clou de chaussure	Fer	1	1	1.5
Clou de chaussure	HC2006	1506	Clous de chaussure	Fer	6	6	2
Clou de chaussure	HC2006	1381	Clous de chaussure	Fer	10	10	15
Clou de chaussure	HC2006	908	Clous de chaussure dont un de fort diamètre à décor de 6 globules	Fer	3	3	10.1
Coulure	HC2006	1564	Coulure	Base-cuivre	1	1	6
Coulure	HC2006	1568	Coulure	Base-cuivre	1	1	1
Coulure	HC2006	1831	Coulures	Plomb	2	2	56
Coulure	HC2006	769	Coulure repliée	Plomb	1	1	34.4
Fibule	HC2006	700	Une spire de ressort de fibule	Fer	1	1	0.5
Indéterminé barre	HC2006	1379	Barre avec une douille. Moderne?	Fer	1	1	52.1
Indéterminé objet	HC2006	1511	Fragments informes	Base-cuivre	10	0	68
Indéterminé objet	HC2006	1832	Fragments informes	Base-cuivre	5	1	13.7
Indéterminé objet	HC2006	701	Fragment de virole ou de pique-boeuf à tige enroulée	Fer	1	1	7
Indéterminé objet	HC2006	1374	Fragment massif à tête matée	Fer	1	1	50
Indéterminé objet	HC2006	1546	Fragment de plomb circulaire	Plomb	1	1	
Indéterminé objet	HC2006	731	Fragment informe, balle de fronde	Plomb	1	1	2.1
Indéterminé objet	HC2006	705	Fragment massif avec deux perforation	Plomb	1	1	32.3
Indéterminé objet	HC2006	1823	Fragments informes et une réparation de céramique	Plomb	6	1	54
Indéterminé objet	HC2006	732	Pion, poids circulaire plat	Plomb	1	1	2.1
Indéterminé plat	HC2006	1558	Fragment de bande de plat	Base-cuivre	1	1	1.9
Indéterminé plat	HC2006	706	Fragment de plat	Base-cuivre	1	1	3.5
Indéterminé plat	HC2006	1569	Fragment de plat incurvé	Base-cuivre	1	1	4.3
Indéterminé plat	HC2006	1380	Fragment de bande de fer plat	Fer	1	1	9.2
Indéterminé plat	HC2006	775	Fragment de bande de fer plat	Fer	1	1	6.2
Indéterminé plat	HC2006	911	Fragment de bande de fer plat	Fer	1	1	30.3
Indéterminé plat	HC2006	773	Fragment de plat	Plomb	1	1	6.5
Indéterminé plat	HC2006	763	Fragment de plat perforé subcirculaire	Plomb	1	1	5.6
Indéterminé plat	HC2006	1551	Fragment de plomb avec trace d'incision	Plomb	1	1	1.1
Indéterminé plat	HC2006	1607	Fragments de plaque	Plomb	5	1	36.4
Indéterminé tige	HC2006	766	Fragment de tube aplati et incurvé	Plomb	1	1	41.5
Indéterminé tôle	HC2006	910	Fragment de tôle perforé	Base-cuivre	1	0	0.8
Mobilier/Immobilier clou	HC2006	1507	Tête de clou hémisphérique creuse	Fer	1	1	1.3
Mobilier/Immobilier clou	HC2006	1483	Tige	Fer	1	0	26
Monnaie	HC2006	1547	Monnaie gauloise indéterminée	Argent	1	1	
Perle	HC2006	1619	Anneau à section en «D»	Base-cuivre	1	1	4.5
Perle	HC2006	1559	Anneau de section lenticulaire	Base-cuivre	1	1	12.5
Perle	HC2006	704	Anneau de section lenticulaire	Base-cuivre	1	1	2
Perle	HC2006	1047	Anneau de section ronde	Base-cuivre	1	1	1.8
Perle	HC2006	768	Anneau de section ronde	Base-cuivre	1	1	1.7

Type d'objet	UF	No	Description	Métal	NR	NMI	M(g)
Perle	HC2006	707	Deux anneaux de section ronde et losangique	Base-cuivre	2	2	7.1
Perle	HC2006	1522	Fragment d'anneau de section ronde	Base-cuivre	1	1	1.4
Piton	HC2006	1378	Piton fermé par perforation	Fer	1	1	9.2
Rivet (bc)	HC2006	770	Clou-rivet en une pièce	Base-cuivre	1	1	0.5
Rivet (bc)	HC2006	764	Clou-rivet en une pièce à tête hémisphérique creuse	Base-cuivre	1	1	2
Rivet (bc)	HC2006	772	Tête de rivet hémisphérique creuse	Base-cuivre	1	1	0.2
Scorie (fer)	HC2006	1566	Calotte et scorie	Fer	2	1	510
Scorie (fer)	HC2006	1565	Fragment de scorie	Fer	1	1	71
HC2007	<i>Hors contexte</i>						
Scorie (fer)	HC2006	1563	Scorie	Fer	1	1	21.2
Agrafe de réparation	HC2007	1678	Fragments informes et une agrafe de réparation	Plomb	4	1	41.9
Aiguille	HC2007	434	Aiguille cassée au niveau du chas	Base-cuivre	1	1	0.7
Cabochon	HC2007	429	Cabochon avec un rebord	Plomb	1	1	5.8
Chute de tôle repliée	HC2007	1448	Chute de tôle repliée	Base-cuivre	1	1	2
Clou de chaussure	HC2007	1506	Clou de chaussure	Fer	5	5	7
Clou de chaussure	HC2007	1691	Clou de chaussure	Fer	1	1	1.4
Clou de chaussure	HC2007	436	Clou de chaussure	Fer	1	1	0.9
Clou de chaussure	HC2007	438	Clou de chaussure	Fer	1	1	0.5
Clou de chaussure	HC2007	439	Clou de chaussure	Fer	1	1	0.9
Clou de chaussure	HC2007	437	Clou de chaussure	Fer	1	1	0.7
Clou de chaussure	HC2007	435	Clou de chaussure à décor de globules illisible	Fer	1	1	1
Clou de ferrure	HC2007	1111	Clou de ferrure	Fer	1	1	2
Coulure	HC2007	1601bis	Coulure	Base-cuivre	1	1	4.4
Coulure	HC2007	1576	Coulure	Plomb	1	1	7.4
Ferrure	HC2007	1504	Fragment de ferrure	Fer	1	0	6.8
Fibule	HC2007	1577	Ardillon de fibule	Fer	1	1	0.8
Indéterminé objet	HC2007	1510	Objet indéterminé, moderne?	Base-cuivre	1	1	2.5
Indéterminé objet	HC2007	427	Fragment d'anneau avec départ de tige, piton?	Fer	1	1	24
Indéterminé objet	HC2007	1784	Fragment informe	Plomb	1	0	22
Indéterminé objet	HC2007	448	Plomb circulaire. Balle de mousquet?	Plomb	1	1	4.6
Indéterminé plat	HC2007	837	Fragment de plat arrondi	Base-cuivre	1	1	1.6
Indéterminé plat	HC2007	1386	2 fragments en fer plat + 1 clou	Fer	3	1	22.8
Indéterminé plat	HC2007	1408	Plaque informe	Plomb	1	1	47.3
Indéterminé tige	HC2007	1115	2 tiges et une bande légèrement bombée sur une face	Fer	3	1	56.5
Indéterminé tôle	HC2007	1682	Bande de tôle pliée	Base-cuivre	1	0	1.4
Indéterminé tôle	HC2007	1110	Fragment de bande de tôle	Base-cuivre	1	0	2.1
Indéterminé tôle	HC2007	190	Fragment de bande de tôle	Base-cuivre	1	0	0.7
Indéterminé tôle	HC2007	1112	Fragments de plat angulaire	Base-cuivre	2	0	15
Indéterminé tôle	HC2007	1385	Fragments de tôle	Base-cuivre	2	0	1.9
Indéterminé tôle	HC2007	1113	Fragments informes	Plomb	1	0	29.6
Maillon rapide	HC2007	831	Maillon rapide	Fer	1	1	12.5
Maillon rapide	HC2007	1677	Maillon rapide de section rectangulaire	Fer	1	1	19.7
Mobilier/Immobilier clou	HC2007	1676	Men.: 11 frgts; 14 tiges	Fer	25	11	150
Perle	HC2007	1578	Anneau de section ronde	Base-cuivre	1	1	2.9
Perle	HC2007	1579	Anneau de section hémisphérique avec trace d'usure	Base-cuivre	1	1	1.3
Perle	HC2007	880	Anneau de section lenticulaire	Base-cuivre	1	1	10
Perle	HC2007	1331	Fragment d'anneau de section ovale	Base-cuivre	1	1	4.6
Perle	HC2007	431	Perle de section hémisphérique	Base-cuivre	1	1	2.8
Perle	HC2007	882	Perle de section ronde	Base-cuivre	1	1	4.9
Perle	HC2007	1505	Anneau cannelé avec trace d'usure	Base-cuivre	1	1	1.7
Perle	HC2007	430	Perle avec une cannelure centrale large et deux plus petites sur les bords du jonc	Base-cuivre	1	1	8.1
Piton	HC2007	428	Piton à oeillet	Fer	1	1	28.7
Rivet (bc)	HC2007	1686	Tête de rivet en une pièce avec tige en fer	Base-cuivre	1	1	3.9
Rivet (bc)	HC2007	1681	Tête de rivet hémisphérique plein	Base-cuivre	1	1	1.7
Scorie (bc)	HC2007	1114	Scorie en alliage cuivreux	Base-cuivre	1	1	56.2
Scorie (fer)	HC2007	1762	Scorie informe	Fer	1	1	51.6
HC2008	<i>Hors contexte</i>						
Anneau (bc)	HC2008	3060	Anneau de section ronde	Base-cuivre	1	1	1.6
Clou de chaussure	HC2008	150	Clou de chaussure	Fer	1	1	1.1
Clou de chaussure	HC2008	151	Clou de chaussure	Fer	1	1	1
Coulure	HC2008	152	Coulure	Base-cuivre	1	1	14.2
Coulure	HC2008	1269	Coulure	Plomb	1	1	4.4
Creuset	HC2008	1710	Fragment de terre cuite artisanale (lingotière, creuset)	Terre cuite	1	0	
Ferrure	HC2008	2055	Fragment de ferrure décorative	Base-cuivre	1	1	1.1
Ferrure	HC2008	2059	Fragment de ferrure	Fer	1	1	6.1

Type d'objet	UF	No	Description	Métal	NR	NMI	M(g)
Ferrure	HC2008	2049	Fragments de ferrure	Fer	7	1	15
Ferrure	HC2008	2058	Fragments de ferrure	Fer	3	0	10.5
Ferrure décorative	HC2008	1273	Fragment de ferrure décorative	Base-cuivre	1	1	5.7
Fibule	HC2008	1309	Fibule de Nauheim très fragmentaire	Base-cuivre	1	1	1.4
Indéterminé objet	HC2008	1267	Fragment de pion ou de balle de mousquet hémisphérique	Plomb	1	1	4.6
Indéterminé objet	HC2008	1268	Fragment de plomb hémisphérique collé à une tôle ferreuse	Plomb	1	1	6.8
Indéterminé plat	HC2008	3064	Fragment de plat incurvé, lèvre de récipient déversée ?	Base-cuivre	1	1	2.5
Indéterminé plat	HC2008	1270	Fragment de plat percée	Base-cuivre	1	1	5.4
Indéterminé plat	HC2008	2060	Fragment de fer plat bombé	Fer	1	1	9
Indéterminé tige	HC2008	3058	Fragment de tige brûlée	Base-cuivre	1	0	7.4
Indéterminé tige	HC2008	1399	Tige de section ronde appointée aux deux extrémités	Base-cuivre	1	0	0.6
Indéterminé tôle	HC2008	149	Fragment de tôle repliée	Plomb	1	0	2
Indéterminé tôle	HC2008	148	Tôle repliée	Plomb	1	0	1.6
Mobilier/Immobilier clou	HC2008	1312	Men.: 4 frgts; 2 tiges	Fer	6	4	34.8
Perle	HC2008	140	Anneau de section ovale	Base-cuivre	1	1	2.6
Perle	HC2008	1280	Fragment d'anneau	Base-cuivre	1	1	3
Perle	HC2008	153	Fragment d'anneau de section en D	Base-cuivre	1	1	4
Perle	HC2008	3059	Perle très usée de section lenticulaire	Base-cuivre	1	1	2.2
Rivet (bc)	HC2008	139	Clou-rivet en une pièce	Base-cuivre	1	1	1.6
Scorie (fer)	HC2008	2067	Scorie informe, très vitrifié	Fer	1	1	6.5
Virole	HC2008	1279	Virole dont l'anneau est cassé (?)	Base-cuivre	1	1	1.3
HC2010			<i>Hors contexte</i>				
Agrafe de réparation	HC2010	S2216	Fragment d'agrafe de réparation de récipient	Plomb	1	1	3.6
Clou de chaussure	HC2010	206	Clou de chaussure	Fer	1	1	0.6
Clou de chaussure	HC2010	S3206	Clou de chaussure	Fer	1	1	1.4
Clou de chaussure	HC2010	S3207	Clou de chaussure	Fer	1	1	1.3
Coulure	HC2010	S3213	Coulure	Base-cuivre	1	1	3.4
Coulure	HC2010	S2213	Coulure	Base-cuivre	1	1	9.7
Indéterminé objet	HC2010	S3262	Plat avec tige rainurée en surface	Base-cuivre	1	1	1.8
Indéterminé objet	HC2010	S3241	Tige dont une extrémité forme un oeillet. Piton? Manche d'ustensile? Moraillon?	Fer	1	1	23
Indéterminé plat	HC2010	S3252	Fragment de plat triangulaire recourbé. Moderne?	Fer	1	1	32.5
Perle	HC2010	S2202	Fragment d'anneau	Base-cuivre	1	1	0.8
Rivet (bc)	HC2010	S3208	Rivet émaillé	Base-cuivre	1	1	3.4
HC2011			<i>Hors contexte</i>				
Agrafe de réparation	HC2011	471	Patch de réparation	Plomb	1	1	15.7
Agrafe de réparation	HC2011	2529	Réparation de vaisselle par refoulement. Présence de céramique dans la gouttière formée par le refoulement du plomb.	Plomb	1	1	12.4
Anneau (fer)	HC2011	468	Anneau de section ronde	Fer	1	1	12.6
Bracelet	HC2011	457	Fragment d'épissure de bracelet	Base-cuivre	1	1	0.2
Chute de tôle	HC2011	284	Chute de tôle triangulaire pliée avec trace de découpe	Base-cuivre	1	1	1.8
Chute en cours de compactage	HC2011	345	Barre en cours de compactage constituée de deux plats juxtaposés	Fer	1	1	38.3
Clou de chaussure	HC2011	473	Clous de chaussure sans relief	Fer	3	3	4.4
Clou de chaussure	HC2011	467	4 clous de chaussure dont deux à décor de 4 globules	Fer	4	4	5.7
Clou de chaussure	HC2011	181	Clou de chaussure	Fer	1	1	2.4
Coulure	HC2011	470	Coulure	Plomb	1	1	65.6
Coulure	HC2011	1428	Coulure	Plomb	1	1	4.3
Coulure	HC2011	221	Coulure	Plomb	1	1	4.2
Coulure	HC2011	286	Coulure	Plomb	1	1	3.2
Defixio	HC2011	282	Defixio (?) constituée d'une bande de tôle repliée à deux reprises et perforée.	Plomb	1	1	6.3
Defixio	HC2011	222	Defixio (?) constituée d'une bande de tôle repliée et perforée à deux reprises	Plomb	1	1	23.3
Demi-produit (pb)	HC2011	478	Fragment de demi-produit	Plomb	1	1	51.7
Fer à cheval	HC2011	469	Fragment de fer à cheval	Fer	1	1	13.6
Ferrure	HC2011	1015	Extrémité de ferrure	Fer	1	0	13.6
Ferrure	HC2011	441	Extrémité de ferrure	Fer	1	1	13.2
Indéterminé objet	HC2011	220	Tête de rivet, tête d'épingle	Base-cuivre	1	1	6.7
Indéterminé objet	HC2011	1195	Tube, gouttière	Base-cuivre	1	1	1.7
Indéterminé objet	HC2011	269	Tige de section ronde repliée à une extrémité qui est également aplatie.	Fer	1	0	2
Indéterminé objet	HC2011	1205	Fragment de plomb à fond plat et surface bombée. Poids, coulure, objet?	Plomb	1	1	5.4
Indéterminé objet	HC2011	474	Pastille de plomb à fond plat. Balle de mousquet?	Plomb	1	1	2.6

Type d'objet	UF	No	Description	Métal	NR	NMI	M(g)
Indéterminé objet	HC2011	2541	Réparation, coulure?	Plomb	1	0	14.2
Indéterminé plat	HC2011	832	Fragment de bande de plat avec présence d'alliage cuivreux	Fer	1	1	18.5
Indéterminé plat	HC2011	225	Fragment de bande de plat de section rectangulaire	Fer	1	1	9.1
Indéterminé plat	HC2011	268	Fragment de fine bande de fer plat	Fer	1	1	3.6
Indéterminé plat	HC2011	226	Fragment de plat	Fer	1	1	17.7
Indéterminé tige	HC2011	835	Tige coudée en «V» appointée aux deux extrémités	Fer	1	1	21.8
Indéterminé tôle	HC2011	2524	Fragment de bande de tôle de section lenticulaire, bracelet?	Base-cuivre	1	1	0.9
Indéterminé tôle	HC2011	814	Tôle repliée.	Base-cuivre	1	0	0.3
Indéterminé tôle	HC2011	1023	Fragment de tôle	Fer	1	0	4.3
Indéterminé tôle	HC2011	1516	Fragments de tôle	Fer	3	0	21
Indéterminé tôle	HC2011	1426	Tôle terminée par un rebord plus massif. Chaudron, moderne?	Fer	1	1	46.3
Indéterminé tôle	HC2011	287	Tôle	Plomb	1	0	1.3
Mobilier/Immobilier clou	HC2011	1517	Tige	Fer	1	0	3
Mobilier/Immobilier clou	HC2011	439	Tige de clou	Fer	1	0	3.7
Monnaie	HC2011	1118a	Monnaie indéterminée	Fer	1	0	
Perle	HC2011	1425	Anneau de section losangique	Base-cuivre	1	1	14.7
Perle	HC2011	454	Anneau de section ronde	Base-cuivre	1	1	1.8
Perle	HC2011	1515	Anneau de section ronde avec une trace d'usure	Base-cuivre	1	1	9.9
Perle	HC2011	212c	Fragment d'anneau de section circulaire	Base-cuivre	1	1	1
Perle	HC2011	446	Fragment d'anneau de section lenticulaire	Base-cuivre	1	1	0.5
Perle	HC2011	639	Fragment de perle à section en quart de rond	Base-cuivre	1	1	3
Perle	HC2011	2543	Perle à section en «D»	Base-cuivre	1	1	4.6
Perle	HC2011	1202	Anneau de section cannelée	Base-cuivre	1	1	3.3
Perle	HC2011	223	Perle à quatre cannelures	Base-cuivre	1	1	4.3
Piton	HC2011	1514	Piton ouvert dont il manque la pointe	Fer	1	1	19
Rivet (bc)	HC2011	453	Clou-rivet	Base-cuivre	1	1	0.5
Rivet (bc)	HC2011	1433	Clou-rivet en une pièce	Base-cuivre	1	1	2.5
Rivet (bc)	HC2011	472	Rivet en une pièce	Base-cuivre	1	1	2.2
Rivet (bc)	HC2011	1079	Rivet en une pièce et contreplaque	Base-cuivre	1	1	0.4
Rivet (bc)	HC2011	224	Tête de rivet prise dans du plomb	Base-cuivre	1	1	2
Rivet (fer)	HC2011	101	Contreplaque de rivet	Fer	1	1	2.5
HC2012	<i>Hors contexte</i>						
Agrafe de réparation	HC2012	162	Fragment d'agrafe de réparation de céramique constitué d'une tige aplatie sur une face	Plomb	1	1	2.8
Agrafe de réparation	HC2012	156	Fragment d'agrafe de réparation de céramique constitué d'une tige terminée par un rivet	Plomb	1	1	3.7
Agrafe de réparation	HC2012	690	Fragment d'agrafe de réparation de céramique constitué d'une tige terminée par un rivet	Plomb	1	1	3.1
Agrafe de réparation	HC2012	762	Fragment d'agrafe de réparation de céramique constitué d'une tige terminée par un rivet	Plomb	1	1	3.7
Anneau (bc)	HC2012	158	Anneau à section en «D»	Base-cuivre	1	1	4.1
Anneau (bc)	HC2012	170	Anneau de section ronde	Base-cuivre	1	1	3.6
Anneau (bc)	HC2012	171	Anneau de section ronde	Base-cuivre	1	1	2.4
Anneau (bc)	HC2012	244	Anneau de section ronde	Base-cuivre	1	1	2.7
Bracelet	HC2012	246	Fragment de bracelet à jonc de section lenticulaire	Base-cuivre	1	1	2.8
Cabochon	HC2012	372	Cabochon	Base-cuivre	1	1	0.1
Coulure	HC2012	766	Fragment de coulure	Base-cuivre	1	1	0.6
Coulure	HC2012	157	Coulure	Plomb	1	1	3.9
Coulure	HC2012	765	Coulure	Plomb	1	1	3.3
Goutte	HC2012	585	Goutte	Base-cuivre	1	1	0.4
Goutte	HC2012	695	Goutte	Plomb	1	1	0.9
Indéterminé plat	HC2012	584	Fragment de plat légèrement incurvé	Base-cuivre	1	1	1.7
Indéterminé tige	HC2012	761	Tige de section ronde.	Base-cuivre	1	1	2.1
Indéterminé tôle	HC2012	684	Fragment de bande de tôle	Base-cuivre	1	0	0.4
Indéterminé tôle	HC2012	169	Fragment de tôle	Base-cuivre	1	0	0.8
Indéterminé tôle	HC2012	686	Fragment de tôle	Base-cuivre	1	0	0.1
Indéterminé tôle	HC2012	687	Fragment de tôle avec une perforation	Base-cuivre	1	0	0.4
Indéterminé tôle	HC2012	760	Fragments de tôle	Base-cuivre	10	0	0.5
Indéterminé tôle	HC2012	622	Tôle repliée sur elle-même	Base-cuivre	1	0	1
Indéterminé tôle	HC2012	696	Fragment de bande de tôle incurvée	Plomb	1	0	1
Indéterminé tôle	HC2012	248	Fragment de tôle	Plomb	1	0	0.7
Indéterminé tôle	HC2012	692	Fragment de tôle	Plomb	1	0	5.5
Indéterminé tôle	HC2012	764	Fragment de tôle	Plomb	1	0	0.6
Mobilier/Immobilier clou	HC2012	167	Clou de tapissier	Fer	1	1	0.7

Type d'objet	UF	No	Description	Métal	NR	NMI	M(g)
Monnaie	HC2012	404	Flan de bronze (?)	Bronze	1	1	5.63
Objet en cours de fabrication	HC2012	586	Flan monétaire	Base-cuivre	1	1	
Perle	HC2012	49	Perle à section en «D»	Base-cuivre	1	1	4.9
Perle	HC2012	621	Perle de section lenticulaire	Base-cuivre	1	1	5
Perle	HC2012	29	Perle de section ovale	Base-cuivre	1	1	5.4
Perle	HC2012	626	Petite perle de section ronde	Base-cuivre	1	1	0.6
Perle	HC2012	243	Perle cannelée avec une cannelure centrale de section losangique	Base-cuivre	1	1	3.5
Rivet (bc)	HC2012	689	Rivet à tête hémisphérique creuse et tige rectangulaire.	Base-cuivre	1	1	0.2
Rivet (bc)	HC2012	767	Rivet en une pièce à tige matée	Base-cuivre	1	1	0.7
Vaisselle ind. (bc)	HC2012	685	Fragment de réparation de vaisselle avec tôle et rivet maté	Base-cuivre	1	1	0.7

Quatre têtes de clous, deux tiges, trois tôles, un ressort de fibule, une poignée de chaudron, un talon de lance, un fragment de panne de marteau... la composition des ensembles archéologiques ressemble souvent à un obscur inventaire à la Prévert auquel il est difficile de donner du sens.

Fruit d'une thèse de doctorat, cet ouvrage essaie de fournir des pistes pour mieux les interpréter en s'appuyant sur le corpus d'objets métalliques de l'*oppidum* de Corent. L'auteur exploite cette riche collection pour affiner notre compréhension du fonctionnement du centre de cette ville considérée comme la capitale des Arvernes avant la Conquête césarienne. Les ensembles de ses édifices publics sont confrontés aux assemblages des ateliers et des bâtiments résidentiels. La démarche conduit à la création d'un référentiel interprétatif. L'analyse souligne le dynamisme de l'activité économique du cœur de l'agglomération gauloise, dont l'évolution est abordée au regard de la sociologie des différents acteurs de la société laténienne.

Pour mener à bien cette réflexion, le propos se fonde dans un premier temps sur l'observation de quelque 43'000 fragments, dont 3'847 illustrés. L'étude vise à la collecte de l'ensemble des informations contenues dans chaque artefact pour traiter des problématiques variées, de la chronologie des principaux marqueurs de la période à la fonction de pièces particulières d'outillage ou de harnachement. Ces analyses s'appuient systématiquement sur la distribution spatiale et la taphonomie des mobiliers, des options qui offrent un éclairage supplémentaire sur les modes de consommation des objets métalliques à la fin de l'époque gauloise.



éditions mergoil

50€ TTC

dépôt légal novembre 2019

ISSN en cours

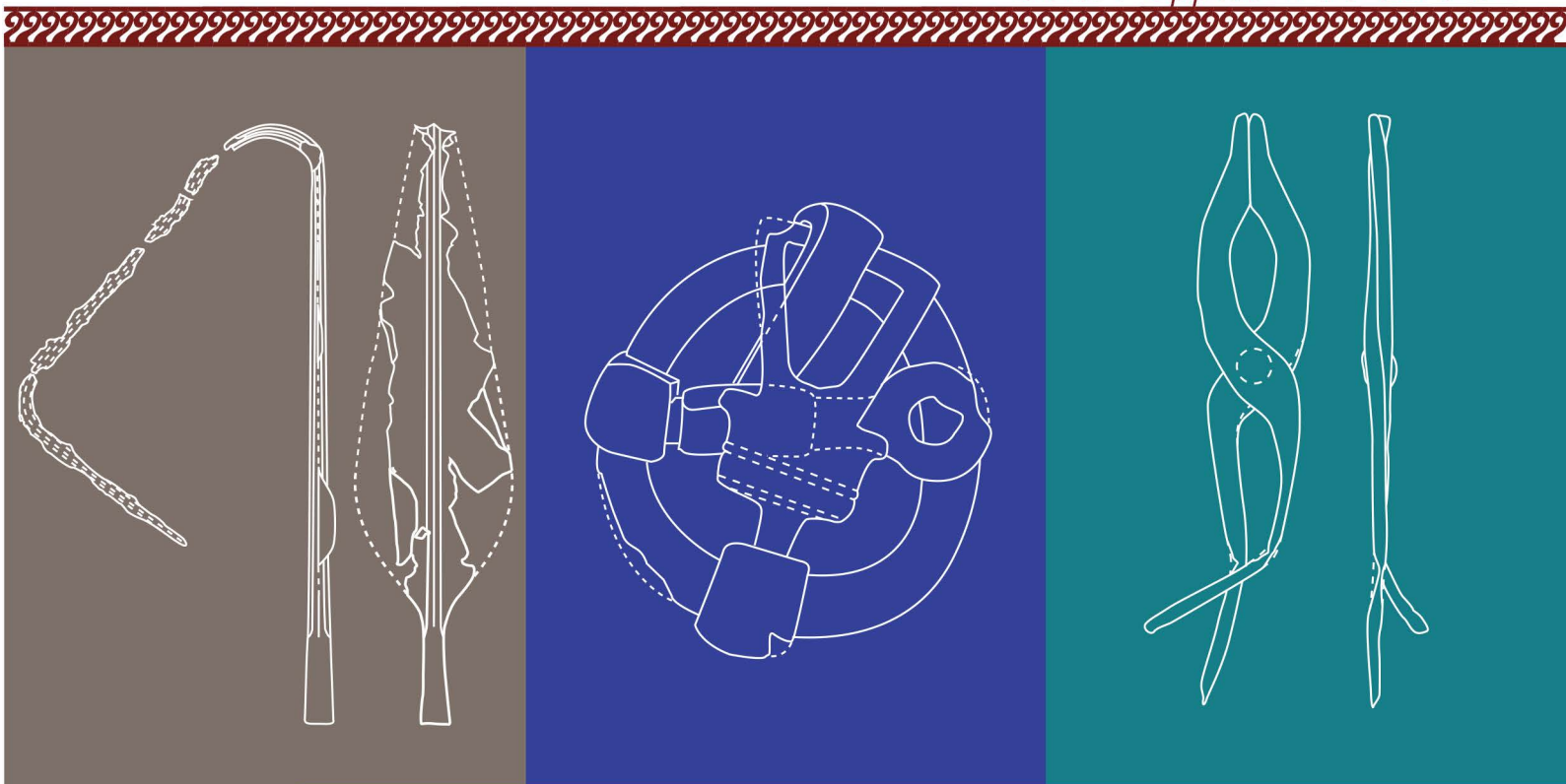
ISBN 978-2-35518-063-7



P_{roto}histoire E_{uropéenne} / 15

annexe vol.3

Série : Oppidum de Corent I



**Caractérisation des assemblages métalliques
d'une agglomération celtique**

le centre-ville de l'*oppidum* de Corent (Puy-de-Dôme, France)

Matthieu DEMIERRE



éditions mergoil

SOMMAIRE

Cat 1. Fibules à ressort à corde externe basse de la famille 1	3
Cat 2. Fibules à ressort à corde interne de la famille 2.....	4
Cat 3. Fibules à ressort à corde externe haute de la famille 3.....	11
Cat 4. Fibules à ressort à fixe-corde de la famille 4	14
Cat 5. Fibules à cache-ressort de la famille 5.....	14
Cat 6. Fibules à charnière dans le prolongement de l'arc de la famille 6.....	14
Cat 7. Fibules à charnière rapportée de la famille 7	15
Cat 8. Fibules pénannulaires de la famille 6	15
Cat 9. Fibules issues d'un seul état de l'habitat	15
Cat 10. Fibules issues de plusieurs états de l'habitat	17
Cat 11. Fibules issues du sanctuaire	20
Cat 12. Bracelets	22
Cat 13. Bagues	25
Cat 14. Perles	26
Cat 15. Clous de chaussure.....	37
Cat 16. Épées	43
Cat 17. Fourreaux d'épée	43
Cat 18. Agrafes de ceinturon à bouton circulaire	45
Cat 19. Agrafes de ceinturon à bouton rectangulaire.....	45
Cat 20. Pointes de lance.....	46
Cat 21. Talon de lance	46
Cat 22. Orles.....	47
Cat 23. Manipules et clou-rivets d'umbo	48
Cat 24. Umbones	48
Cat 25. Cottes de mailles.....	49
Cat 26. Militaria	49
Cat 27. Outils liés à la frappe du métal	50
Cat 28. Outils liés à la préhension	51
Cat 29. Outils liés à la découpe du métal	51
Cat 30. Outils liés à la finition du métal	52
Cat 31. Outils liés à la gestion du foyer	53
Cat 32. Tableau récapitulatif des déchets liés à la fonte des alliages cuivreux.....	54
Cat 33. Déchets liés à la fonte des alliages cuivreux illustrés.....	57
Cat 34. Demi-produits et chutes en alliage cuivreux.....	58
Cat 35. Objets en cours de fabrication en alliage cuivreux	62
Cat 36. Chutes et demi-produits en plomb	62
Cat 37. Chutes et demi-produits en métaux précieux	63
Cat 38. Chutes et demi-produits en fer	63
Cat 39. Scories par bâtiment et par état	70
Cat 40. Outils liés au travail du bois, de l'os et du cuir	72
Cat 41. Déchets de tabletterie	74
Cat 42. Outils liés au travail du cuir	75
Cat 43. Outils liés au travail du textile.....	75
Cat 44. Outils liés à l'agriculture	76
Cat 45. Outils liés au travail des matières plastiques.....	77
Cat 46. Outils polyvalents ou fragmentaires	77
Cat 47. Couteaux.....	81

Cat 48. Ustensiles culinaires.....	82
Cat 49. Récipients	84
Cat 50. Instruments de toilette.....	88
Cat 51. Miroirs et pincettes	88
Cat 52. Eléments liés au transport.....	89
Cat 53. Objets liés à l'écriture	92
Cat 54. Poids et mesures.....	92
Cat 55. Objets polyvalents	93
Cat 56. Clés, foncets et autres éléments de serrure et d'huissierie.....	99
Cat 57. Quincaillerie	102
Cat 58. Pièces de meuble.....	103
Cat 59. Objets indéterminés	104
Cat 60. Tableau de comptages des marqueurs chronologiques non traités	110
Cat 61. Tableau de comptages des marqueurs chronologiques après traitement	111
Cat 62. Composition, classification et interprétation des sols	112
Cat 63. Matrice de présence/absence de composition des trous de poteau.....	118
Cat 64. Composition, classification et interprétation des trous de poteau.....	120
Cat 65. Matrice de présence/absence de composition des structures longilignes	124
Cat 66. Composition, classification et interprétation des trous de poteau.....	126
Cat 67. Matrice de présence/absence de composition des fosses artisanales	128
Cat 68. Composition, classification et interprétation des fosses artisanales.....	129
Cat 69. Matrice de présence/absence de composition des structures de stockage	130
Cat 70. Composition, classification et interprétation des structures de stockage	131
Cat 71. Matrice de présence/absence de composition des structures liées à l'eau	132
Cat 72. Composition, classification et interprétation des structures liées à l'eau	132
Cat 73. Matrice de présence/absence de composition des fosses	133
Cat 74. Composition, classification et interprétation des fosses	135

Cat 1. Fibules à ressort à corde externe basse de la famille 1.

Groupe	Type	UF	No inv.	Bâtiment	État	Code Assemblage	Pl.	No
B10	1	22284	607	R	État 1	R-73-Fo 22284	165	10
B10	2	13675	285	Structure sur poteaux D	État 1 et 2 <i>lato sensu</i>	SCTD-2-épannage	218	17
B10	2	17430	800	Place du complexe C (est)	État 2 <i>lato sensu</i>	CPL-4-épannage est	47	4
B10	2	18099	310	F	État 2.1	F-10-Fo 18098	106	11
B10	2	21699-37	974	M	État 2.1	M-125-TP 21588	150	12
B10	3	14030	549	A1	État 1 à 2.1	A1-20-sol 14030	6	3
B11	1	12068	651	Galerie aménagement empierré	État 2.3	SCTG-5-empierrements sud entrée	186	11
F01	0	17006	1667	C5	État 1	C5-28-Sb 17005	76	20
F01	1	11372	339	Cuves et sols E	État 1 et 2 <i>lato sensu</i>	SCTE-7-sol de cailloutis	225	2
F01	2	15201	32	Galerie aménagement empierré	État 2.3	SCTG-4-empierrements nord entrée	186	3
F01	3	16246	1744	B corps principal	État 1 et 2 <i>lato sensu</i>	BCP-6-épannage	37	1
F01	4	18676	1599d	C1	État 1	C1-22-Fo art 18676	57	1
F01	5	14003	431	A1	État 2 <i>lato sensu</i>	A1-25-épannage est	16	3
F10	1	10147	2005	Cour du sanctuaire	État 4 <i>lato sensu</i>	SCTE-3-remblai cours	221	23
F10	1	15217	73	Cour du sanctuaire	État 4 <i>lato sensu</i>	SCTE-3-remblai cours	221	20
F10	1	15675	1734	A2	État 1 à 2.1	A2-13-épannage 15675	19	15
F10	1	16614	641	Espace D	État 4 <i>lato sensu</i>	D-2-gallo-romain	83	29
F10	1	17699	844	C4	État 2.1	C4-10-Fo art 17698	67	1
F10	1	18240	3029	C5 Cave	État 2.2	C5C-5-combl med	78	1
F10	1	18503	1015	Bâtiment gallo-romain nord	Décapage	BGRN-1-nettoyage	94	4
F10	1	20040	TRB2019	L	État 2.2 à 2.3	L-2-sol	125	1
F10	2	10027	15	FP, branche nord	État 4 <i>lato sensu</i>	SCTFN-3-complements gallo-romains	203	22
F10	2	11003	11	Cour du sanctuaire	Perturbations modernes	SCTE-2-perturbations modernes	221	4
F10	2	11076	123	FP, branche nord	État 4 <i>lato sensu</i>	SCTFN-3-complements gallo-romains	203	22
F10	2	14030	2073	A1	État 1 à 2.1	A1-20-sol 14030	6	2
F10	2	15646	1715	Cour intérieur A	Décapage	ACI-1-décapage	26	12
F10	2	22452-2	844	S	État 2.3 à 3	S-6-Bs 22452	168	13
F10	2	22478	145	S	Non phasé	S-21-TP 22478	169	14
F10	3	10203	200	Cour du sanctuaire	État 1 et 2 <i>lato sensu</i>	SCTE-7-sol de cailloutis	225	1
F10	3	15724	1718	A1 et A2	Décapage	A1 et A2-1-décapage	1	1
F10	3	16201	829	B	Décapage	B-1-décapage	35	5
F10	3	22005-2	541	Q	État 2 <i>lato sensu</i>	Q-3-Bs 22005	112	5
F10	4	15428	719	Cour intérieur A	Décapage	ACI-1-décapage	26	11
F10	4	22545	869	O	État 2 <i>lato sensu</i>	O-4-Fo 22545	166	16
F11	1	10235	351	Galerie niveau de sol	État 2 <i>lato sensu</i>	SCTG-13-sol d'amphore nord	191	1
F11	2	14030	583	A1	État 1 à 2.1	A1-20-sol 14030	6	1
F11	3	12518	2121	FP, branche nord	État 1.1	SCTFN-7-occupation piégée	208	13
F11	4	14027	2074	A1	État 2.1	A1-23-TP 14027	5	3
F11	4	15239	116	Galerie niveau de sol	État 2 <i>lato sensu</i>	SCTG-19-sol d'amphore est nord entrée	192	1
F11	4	16022	1753	A7	État 2.3	A7-3-sol	23	8
F11	4	HC(sanctuaire)	1046	Hors contexte	Hors contexte	HC(sanctuaire)	229	4
F12	1	16023	1756	A7	État 1 à 2.1	A7-10-remblai 16126	24	1
F12	1	21707	494	T	Décapage	T-1-décapage	172	3

Cat 2. Fibules à ressort à corde interne de la famille 2.

Groupe	Type	UF	N° inv.	Bâtiment	État	Code Assemblage	Pl.	No
B20	0	11006	9	FP, branche nord	État 4 <i>lato sensu</i>	SCTFN-3-complements gallo-romains	203	7
B20	0	11080	80	FP, branche nord	État 4 <i>lato sensu</i>	SCTFN-3-complements gallo-romains	203	8
B20	0	11087	121	FP, branche nord	État 4 <i>lato sensu</i>	SCTFN-3-complements gallo-romains	203	9
B20	0	11219	2103	Galerie niveau de sol	État 2 <i>lato sensu</i>	SCTG-19-sol d'amphore est nord entrée	Non. ill.	
B20	0	11226	480	FP, branche nord	État 1 perturbé	SCTFN-8-comblement inférieur perturbé	209	8
B20	0	12035	387	Edicule	État 4 <i>lato sensu</i>	SCTED-2-passe mécanique 12035	227	17
B20	0	14008	522	A1	État 2.2 à 2.3	A1-7-épan dage 14010	3	3
B20	0	15612	878	Cour entre A et B	Décapage	AB-1-décapage	34	5
B20	0	15646	1057	Cour intérieur A	Décapage	ACI-1-décapage	26	6
B20	0	15646	1097	Cour intérieur A	Décapage	ACI-1-décapage	26	7
B20	0	15663	1019	B corps principal	État 1	BCP-1-Ce 15520	36	5
B20	0	16049	154	A10	Décapage	A10-1-décapage	32	4
B20	0	16118	1635	A7	État 2.1 à 2.2	A7-4-radier	Non. ill.	
B20	0	16127	1818	A7	Décapage	A7-1-décapage	Non. ill.	
B20	0	16213	966	B corps principal	État 1 à 2.1	BCP-11-Sb 16212	38	13
B20	0	17024	109	Espace D	État 4 <i>lato sensu</i>	D-2-gallo-romain	83	17
B20	0	17363	1003	C4	État 1	C4-15-Fo 17361	68	1
B20	0	17420	1068	Place du complexe C (ouest)	État 2 <i>lato sensu</i>	CPL-2-occupation ouest	43	11
B20	0	17430	554	Place du complexe C (est)	État 2 <i>lato sensu</i>	CPL-4-épan dage est	47	2
B20	0	17521	534	Place du complexe C (est)	État 2 <i>lato sensu</i>	CPL-4-épan dage est	47	3
B20	0	18003	2	H et F	Décapage	H, F et C5C-1-décapage	104	1
B20	0	18502	1002	G4	Décapage	G4-1-18502, décapage	103	1
B20	0	18503	1006	Bâtiment gallo-romain nord	Décapage	BGRN-1-nettoyage	94	3
B20	0	18822	1665	D1	État 1	D1-14-Sb 18822	91	6
B20	0	20632	S2189	K	État 2.2	K-15-Cave combl inf	122	15
B20	0	21273	887	M	État 2.3	M-22-angle solin	137	9
B20	0	21720	170	Hémicycle gaulois/théâtre gallo-romain	État 4.1	TH-15-démolition 21720	176	3
B20	0	21728	176	Hémicycle gaulois/théâtre gallo-romain	État 4.2	TH-8-Fo 21727	175	14
B20	0	21781	462	Hémicycle gaulois/théâtre gallo-romain	État 2.1	TH-29-cailloutis 21780	178	3
B20	0	22271	705	R	État 2.2	R-40-Fossé 22271	162	1
B20	0	22452	470	S	État 2.3 à 3	S-6-Bs 22452	168	12
B20	0	8203	3	Ruelle entre A et C	Décapage	AC-1-décapage	69	1
B20	0	9218	2	Galerie niveau d'occupation	État 2.2	SCTG-8-occupation nord	187	18
B20	0	HC2011	213	Hors contexte	Hors contexte	HC2011	235	2
B21	1	15472	627	B corps principal	Décapage	B-1-décapage	35	1
B21	1	16408	613	C3	État 1 à 2.1	C3-7-Ce 17405	61	1
B21	1	22212	99	Voies ouest	État 2.3	VO-10-Fossé 22212	171	8
B21	2	9319	1	Galerie gallo-romaine, branche nord	État 2-GR	SCTGRN-11-niveaux laténiens	183	5
B21	3	11044	33	FP, branche nord	État 4 <i>lato sensu</i>	SCTFN-3-complements gallo-romains	203	1
B21	3	12035	347	Edicule	État 4 <i>lato sensu</i>	SCTED-2-passe mécanique 12035	227	11
B21	3	13024	15	FP, branche est	État 4 <i>lato sensu</i>	SCTFE-2-complements gallo-romains	210	2
B21	3	17008	15	Espace D	État 4 <i>lato sensu</i>	D-2-gallo-romain	83	8
B21	3	17008	99	Espace D	État 4 <i>lato sensu</i>	D-2-gallo-romain	83	7
B21	3	21707	98	T	Décapage	T-1-décapage	172	2
B21	4	16405	506	Place du complexe C (ouest)	État 2 <i>lato sensu</i>	CPL-2-occupation ouest	43	10

Groupe	Type	UF	N° inv.	Bâtiment	État	Code Assemblage	Pl.	No
B21	4	18803	2015	Espace D	État 4 <i>lato sensu</i>	D-9-Fo 18804	89	14
B21	4	20384	S4006	Hémicycle gaulois/théâtre gallo-romain	État 4.2, construction	TH-11-remblai 21723	175	19
B22	0	11161	2091	Galerie gallo-romaine, branche est	État 4.3	SCTGRE-4-démolition	184	3
B22	0	12033	271	Entrée	État 4 <i>lato sensu</i>	SCTPE-1-remblais	199	1
B22	0	12074	763	Entrée	État 2.2	SCTPE-3-occupation	199	20
B22	0	12113	2119	Cuves et sols E	État 1 et 2 <i>lato sensu</i>	SCTE-8-pavage d'amphore	227	1
B22	0	13031	215	Galerie gallo-romaine, branche est	État 4.3	SCTGRE-8-Pt 13031	184	8
B22	0	15473	803	B	Décapage	B-1-décapage	35	2
B22	0	15612	1345	Cour entre A et B	Décapage	AB-1-décapage	34	4
B22	0	15630	940	B corps principal	État 1	BCP-1-Ce 15520	36	2
B22	0	15630	972	B corps principal	État 1	BCP-1-Ce 15520	36	3
B22	0	15630	973	B corps principal	État 1	BCP-1-Ce 15520	36	4
B22	0	15646	1753	Cour intérieur A	Décapage	ACI-1-décapage	26	4
B22	0	15688	1130	A2	État 2.1	A2-7-Sb 15687	19	12
B22	0	16083	1633	A9	État 2.1	A9-4-sol 16083	33	14
B22	0	16258	1056	Espace D	État 2.3 à 3	D-3-radiers petit module	87	2
B22	0	16406	538	C3	État 2.2 à 2.3	C3-2-radier	60	5
B22	0	17002	54	C5	Décapage	C5-1-décapage	74	3
B22	0	17008	21	Espace D	État 4 <i>lato sensu</i>	D-2-gallo-romain	83	15
B22	0	17083	1464	C1	État 2.1	C1-8-Fo 17084	52	1
B22	0	17230	1567	Espace D	Non phasé	D-8-amas de mobilier 17231	89	2
B22	0	17400	337	C	Décapage	C-1-décapage	42	2
B22	0	18662	1580	C1	État 1 à 2.1	C1-15-épandage 18662	53	1
B22	0	20026	S3166	N	État 1	N-38-Ce 20026	Non. ill.	
B22	0	22061-1	540	Q	État 1	Q-32-TP 22061	117	8
B22	0	22497	366	S	État 1 à 2.1	S-23-TP 22497	170	9
B22	0	8131		Galerie gallo-romaine, branche nord	État 2-GR	SCTGRN-11-niveaux laténiens	183	3
B22	0	9004		Galerie gallo-romaine, branche nord	Décapage	SCTGRN-1-décapage	182	9
B22	0	HC2008	1309	Hors contexte	Hors contexte	HC2008	Non. ill.	
B22	1	13060	306	Galerie niveau de sol	État 2.1	SCTG-26-remblai sol est	193	8
B22	1	13514	52	Temple à galerie périphérique	Décapage	SCTT-1-décapage	218	1
B22	1	15449	675	B cour ouest	État 1 à 2.1	BCO-3-lambeaux de sol	40	15
B22	1	15450	556	B cour ouest	Décapage	BCO-1-décapage	40	1
B22	1	15559	1010	A8	Décapage	A8-1-décapage	30	3
B22	1	15646	1105	Cour intérieur A	Décapage	ACI-1-décapage	26	2
B22	1	16115	235	Hors bâtiment	Décapage	A4 et A7-1-décapage	21	7
B22	1	16409	657	Place du complexe C (ouest)	État 1 et 2 <i>lato sensu</i>	CPL-3-sol ouest	46	2
B22	1	16409	666	Place du complexe C (ouest)	État 1 et 2 <i>lato sensu</i>	CPL-3-sol ouest	46	1
B22	1	16440	417	Ruelle entre A et C	État 1 à 2 <i>lato sensu</i>	AC-5-épandage	71	17
B22	1	16531	1640	A7	État 1	A7-11-Solin 16552	25	10
B22	1	17069	1325	C5	État 2 <i>lato sensu</i>	C5-7-remblai 17069	76	8
B22	1	17069	1326	C5	État 2 <i>lato sensu</i>	C5-7-remblai 17069	76	9
B22	1	17504	485	Place du complexe C (ouest)	État 2 <i>lato sensu</i>	CPL-2-occupation ouest	43	12
B22	1	18519	1204	G	État 1 et 2 <i>lato sensu</i>	G-2-cailloutis	97	6
B22	1	22590	2734	M	Non phasé	M-215-détecteur	155	5
B22	2	10204	345	Cour du sanctuaire	État 1 et 2 <i>lato sensu</i>	SCTE-7-sol de cailloutis	225	5
B22	2	10243	238	FP, branche nord	État 4 <i>lato sensu</i>	SCTFN-3-complements gallo-romains	203	3
B22	2	11044	44	FP, branche nord	État 4 <i>lato sensu</i>	SCTFN-3-complements gallo-romains	203	4

Groupe	Type	UF	N° inv.	Bâtiment	État	Code Assemblage	Pl.	No
B22	2	11303	21	Cuves et sols E	État 4 <i>lato sensu</i>	SCTE-3-remblai cours	221	11
B22	2	11357	239	Cuves et sols E	État 1 et 2 <i>lato sensu</i>	SCTE-9-Cuve 11356	227	3
B22	2	11374	401	Cuves et sols E	État 1 et 2 <i>lato sensu</i>	SCTE-7-sol de cailloutis	225	3
B22	2	12000	61	Cour du sanctuaire	Décapage	SCTE-1-décapage	220	3
B22	2	12035	315	Edicule	État 4 <i>lato sensu</i>	SCTED-2-passe mécanique 12035	227	15
B22	2	12063	729	Galerie gallo-romaine, branche est	État 4.2	SCTGRE-18-sol 12063	184	10
B22	2	12074	778	Entrée	État 2.2	SCTPE-3-occupation	199	17
B22	2	12085	880	Cuves et sols E	État 1 et 2 <i>lato sensu</i>	SCTE-11-Cuve 12082	227	4
B22	2	12547	732	Galerie niveau d'occupation	État 2.2	SCTG-8-occupation nord	187	8
B22	2	12975	928	Enclos C	État 1 et 2 <i>lato sensu</i>	SCTC-5-TP 12975	217	6
B22	2	13666	266	Structure sur poteaux D	État 1 et 2 <i>lato sensu</i>	SCTD-2-épandage	218	10
B22	2	15062	205	Structure sur poteaux D	État 1 et 2 <i>lato sensu</i>	SCTD-2-épandage	218	12
B22	2	15208	38	Galerie gallo-romaine, branche est	État 4.3	SCTGRE-4-démolition	184	2
B22	2	15611	884	A2	État 2.3	A2-2-radier	19	2
B22	2	16049	150	A10	Décapage	A10-1-décapage	32	2
B22	2	16126	264	A7	État 1 à 2.1	A7-10-remblai 16126	24	4
B22	2	16406	1570	C3	État 2.2 à 2.3	C3-2-radier	60	2
B22	2	17008	85	Espace D	État 4 <i>lato sensu</i>	D-2-gallo-romain	83	12
B22	2	17008	101	Espace D	État 4 <i>lato sensu</i>	D-2-gallo-romain	83	14
B22	2	17018	1417	C5	État 2.2 à 2.3	C5-3-radier	75	1
B22	2	17046	1780	C3	État 1 à 2.1	C1 et C3-3-démontage radier	51	4
B22	2	17400	401	C	Décapage	C-1-décapage	42	1
B22	2	18726	1716	Espace D	Décapage	D-1-décapage	81	4
B22	2	19050	35	Galerie gallo-romaine, branche nord	Décapage	SCTGRN-1-décapage	182	4
B22	2	22201	6	R	Décapage	R-1-décapage	156	1
B22	2	22210	175	Voies ouest	Non phasé	VO-19-épandage 22210	171	15
B22	2	9374		Cour du sanctuaire	État 1 et 2 <i>lato sensu</i>	SCTE-7-sol de cailloutis	225	4
B22	3	12000	394	Cour du sanctuaire	Décapage	SCTE-1-décapage	220	4
B22	3	12986	2120	FP, branche sud	Décapage	SCTFS-1-décapage	212	1
B22	3	15559	1008	A8	Décapage	A8-1-décapage	30	4
B22	3	15612	1224	Cour entre A et B	Décapage	AB-1-décapage	34	3
B22	3	15646	1103	Cour intérieur A	Décapage	ACI-1-décapage	26	1
B22	3	15646	1744	Cour intérieur A	Décapage	ACI-1-décapage	26	5
B22	3	16006	23	A10	Décapage	A10-1-décapage	32	1
B22	3	16121	270	A10	Décapage	A10-1-décapage	32	3
B22	3	16201	862	B	Décapage	B-1-décapage	35	4
B22	3	17042	125	C2	Décapage	C2-1-décapage	58	1
B22	3	18726	1343	Espace D	Décapage	D-1-décapage	81	3
B22	3	8330	1	A1	Décapage	A1-1-décapage	2	2
B22	3	15520	532	B corps principal	État 1	BCP-1-Ce 15520	36	1
B22	3	16531	1348	A7	État 1	A7-11-Solin 16552	25	9
B22	3	17063	240	C1	État 1	C1-18-Fo art 17093	56	1
B22	3	17343	917	C1	État 1	C1-17-sol 17343	55	1
B22	3	18694	1740	C3	État 1	C3-19-TP 18693	63	8
B22	3	16582	1310	A2	État 1 à 2.1	A2-11-sol 16025	20	9
B22	3	12083	292	Cuves et sols E	État 1 et 2 <i>lato sensu</i>	SCTE-7-sol de cailloutis	225	6
B22	3	12705	955	Enclos A	État 2.3	SCTA-13-fossé branche ouest	216	9
B22	3	13543	121	Structure sur poteaux D	État 1 et 2 <i>lato sensu</i>	SCTD-2-épandage	218	11
B22	3	16451	747	C4	État 1 et 2 <i>lato sensu</i>	C4-8-épandage	66	2
B22	3	13699	358	FP, branche ouest	État 1.2	SCTFO-3-arrachage palissade	213	1

Groupe	Type	UF	N° inv.	Bâtiment	État	Code Assemblage	Pl.	No
B22	3	11216	474	Galerie (TP)	État 2 <i>lato sensu</i>	SCTG-33-TP 11216	198	2
B22	3	16133	265	A7	État 2 <i>lato sensu</i>	A7-8-Fo 16133	25	5
B22	3	8332	1	Ruelle entre A et C	État 2 <i>lato sensu</i>	AC-3-épan dage	70	9
B22	3	13060	355	Galerie niveau de sol	État 2.1	SCTG-26-remblai sol est	193	9
B22	3	21167	1242	M	État 2.1	M-211-sol 21167	144	1
B22	3	21202	764	M	État 2.1	M-134-Ce 21201	151	13
B22	3	21780	362	Hémicycle gaulois/théâtre gallo-romain	État 2.1	TH-29-cailloutis 21780	178	2
B22	3	22357	639	R	État 2.1	R-54-Fossé 22228	163	5
B22	3	21152	1179	M	État 2.1 à 2.2	M-111-démontage radier 20080	143	1
B22	3	11199	496	Galerie niveau d'occupation	État 2.2	SCTG-8-occupation nord	187	9
B22	3	12074	2117	Entrée	État 2.2	SCTPE-3-occupation	199	18
B22	3	20373	D3002	S	État 2.2	S-4-Ce 20372	168	9
B22	3	21174	1272	M	État 2.2	M-77-Sb 21174	142	7
B22	3	17199	1491	C5	État 2.2 à 2.3	C5-3-radier	75	3
B22	3	15611	883	A2	État 2.3	A2-2-radier	19	1
B22	3	16022	1391	A7	État 2.3	A7-3-sol	23	9
B22	3	22452-2	367	S	État 2.3 à 3	S-6-Bs 22452	168	11
B22	3	11133	246	Cour du sanctuaire	État 2-GR	SCTE-6-interface LT-GR	224	2
B22	3	10158	97	Cour du sanctuaire	État 4 <i>lato sensu</i>	SCTE-3-remblai cours	221	13
B22	3	11045	50	FP, branche nord	État 4 <i>lato sensu</i>	SCTFN-3-complements gallo-romains	203	10
B22	3	17008	89	Espace D	État 4 <i>lato sensu</i>	D-2-gallo-romain	83	13
B22	3	17411	1062	C4	État 4 <i>lato sensu</i>	C4-4-remblai romain	65	27
B22	3	18716	1360	G2	État 4 <i>lato sensu</i>	G2-5-Fo 18717	102	8
B22	3	HC2006	1554	Hors bâtiment	Hors contexte	HC2006	232	9
B22	3	HC2007	1564	Hors contexte	Hors contexte	HC2007	233	2
B22	3	HC2010	S3179	Hors contexte	Hors contexte	HC2010	234	1
B22	4	15612	871	Cour entre A et B	Décapage	AB-1-décapage	34	2
B22	4	16004	15	A7	Décapage	A7-2-décapage nord	23	4
B22	4	18503	1007	Bâtiment gallo-romain nord	Décapage	BGRN-1-nettoyage	94	2
B22	4	21331	918	M	Décapage	M-1-décapage	131	1
B22	4	15675	1132	A2	État 1 à 2.1	A2-13-épan dage 15675	19	18
B22	4	16023	111	A7	État 1 à 2.1	A7-10-remblai 16126	24	2
B22	4	10193	159	Enclos A	État 2.3	SCTA-10-fossé branche sud	215	9
B22	4	10216	316	Enclos A	État 2.3	SCTA-10-fossé branche sud	215	10
B22	4	10245	335	Enclos A	État 2.3	SCTA-10-fossé branche sud	215	11
B22	4	16009	129	A8	État 1 et 2 <i>lato sensu</i>	A8-2-épan dage	31	5
B22	4	17521	527	Place du complexe C (est)	État 2 <i>lato sensu</i>	CPL-4-épan dage est	47	1
B22	4	8328		A1	État 2 <i>lato sensu</i>	A1-25-épan dage est	16	1
B22	4	8346		A1	État 2 <i>lato sensu</i>	A1-25-épan dage est	16	2
B22	4	16118	1632	A7	État 2.1 à 2.2	A7-4-radier	23	6
B22	4	17071	262	C5	État 2.2 à 2.3	C5-3-radier	75	2
B22	4	22461	128	N	État 2.2 à 2.3	N-5-Pal 22506	127	1
B22	4	12037	512	Galerie aménagement empierré	État 2.3	SCTG-5-empierrements sud entrée	186	10
B22	4	16606	1637	C1	État 2.3	C1-1-décapage	50	2
B22	4	11116	172	Galerie niveau de sol	État 2-GR	SCTG-1-interface LT-GR	185	2
B22	4	11356	238	Cuves et sols E	État 2-GR	SCTE-6-interface LT-GR	224	3
B22	4	11018	24	FP, branche est	État 4 <i>lato sensu</i>	SCTFE-2-complements gallo-romains	210	5
B22	4	11102	125	Cour du sanctuaire	État 4 <i>lato sensu</i>	SCTE-3-remblai cours	221	12
B22	4	17230	1562	Espace D	Non phasé	D-8-amas de mobilier 17231	89	1
B22	5	15646	1107	Cour intérieur A	Décapage	ACI-1-décapage	26	3
B22	5	16201	825	B	Décapage	B-1-décapage	35	3

Groupe	Type	UF	N° inv.	Bâtiment	État	Code Assemblage	Pl.	No
B22	5	17036	1365	G1/D2	Décapage	G1/D2-6-décapage	101	7
B22	5	9000		Galerie gallo-romaine, branche nord	Décapage	SCTGRN-1-décapage	182	8
B22	5	17283	1553a	Espace D	État 1 à 2.1	D-15-épandage 17283	90	15
B22	5	17283	1553b	Espace D	État 1 à 2.1	D-15-épandage 17283	90	16
B22	5	17703	636	A1	État 1 à 2.1	A1-20-sol 14030	6	4
B22	5	10256	272	Enclos A	État 2.3	SCTA-12-fossé branche nord	216	4
B22	5	11310	104	Enclos B	État 1 et 2 <i>lato sensu</i>	SCTB-2-comblement branche nord	216	18
B22	5	9341	1	Galerie niveau d'occupation	État 2.2	SCTG-8-occupation nord	187	7
B22	5	16022	107	A7	État 2.3	A7-3-sol	23	10
B22	6	16623	545	C5	État 1 à 2.1	C5-4-épandage	74	13
B22	6	17042	113	C2	Décapage	C2-1-décapage	58	2
B22	6	HC2006	1555	Hors bâtiment	Hors contexte	HC2006	232	10
B22	7	10254	330	Enclos A	État 2.3	SCTA-12-fossé branche nord	216	3
B22	7	9204		Cour du sanctuaire	Décapage	SCTE-1-décapage	220	5
B22	8	16056	163	Cour intérieur A	État 1	ACI-6-Fo 16055	28	18
B22	9	21084	884	M	État 2.1	M-117-sol 20084	149	1
B22	10	18518	1168	G	État 1 et 2 <i>lato sensu</i>	G-2-cailloutis	97	5
B22	11	10157	94	Enclos A	État 2.3	SCTA-14-Fo 10058	216	12
B22	12	18910	1742	G1/D2	État 1	G1/D2-6-décapage	101	8
B22	13	21056	586	M	État 1	M-172-St 21056	152	15
B22	14	HC(sanctuaire)	158	Hors contexte	Hors contexte	HC(sanctuaire)	229	2
B22	15	9222		Galerie niveau d'occupation	État 2.2	SCTG-8-occupation nord	187	10
B22	21	16118	1634	A7	État 2.1 à 2.2	A7-4-radier	23	5
B22	21	22005-3	331	Q	État 2 <i>lato sensu</i>	Q-3-Bs 22005	112	7
B22	21	HC2006	1639	Hors bâtiment	Hors contexte	HC2006	232	11
B22	22	21072	1120	M	État 1 à 2.1	M-162-démontage Fy 21011	152	7
B22	23			2015 à mouluration				
B22	24	16246	930	B corps principal	État 1 et 2 <i>lato sensu</i>	BCP-6-épandage	37	2
B22	24	HC2011	709	Hors contexte	Hors contexte	HC2011	234	9
B22	25	16083	1392	A9	État 2.1	A9-4-sol 16083	33	13
B22	25	17282	1654	Espace D	État 4 <i>lato sensu</i>	D-5-Fo 17873	87	6
B22	26	15724	1189	A1 et A2	Décapage	A1 et A2-1-décapage	1	2
B22	27	21899-38	2026	Hémicycle gaulois/théâtre gallo-romain	État 2 <i>lato sensu</i>	TH-13-TP 21899-38	179	1
B22	28	16440	439	Ruelle entre A et C	État 1 à 2 <i>lato sensu</i>	AC-5-épandage	71	18
B22	29	HC		Arc interrompu, Faye 1995 1995, no 120				
B22	30	18516	1092	Espace D	Décapage	D-1-décapage	81	2
B22	30	8305		A1	Décapage	A1-1-décapage	2	1
B22	31	9340		Galerie niveau d'occupation	État 2.2	SCTG-8-occupation nord	187	11
B23	1	11380	262	Cuves et sols E	État 1 et 2 <i>lato sensu</i>	SCTE-7-sol de cailloutis	225	7
B23	1	13548	123	FP, branche nord	Décapage	SCTFN-1-décapage	202	1
B23	1	13709	370	Galerie niveau d'occupation	État 2.2	SCTG-9-occupation ouest	189	3
B23	1	15612	1219	Cour entre A et B	Décapage	AB-1-décapage	34	6
B23	1	15629	902	A8	Décapage	A8 et A4-1-décapage	30	21
B23	1	16621	616	Bâtiment gallo-romain nord	État 4 <i>lato sensu</i>	D-2-remblais gallo-romains	83	16
B23	1	17036	1450	G1/D2	Décapage	G1/D2-6-décapage	101	6
B23	1	20032	S3045	N	État 1	N-23-Fo 20031	128	5
B23	1	21167	1299	M	État 2.1	M-211-sol 21167	144	2
B23	1	22474-2	496	S	État 2 <i>lato sensu</i>	S-7-Pt 22474	169	1
B23	2	12505	127	FP, branche nord	État 4 <i>lato sensu</i>	SCTFN-3-complements gallo-romains	203	6

Groupe	Type	UF	N° inv.	Bâtiment	État	Code Assemblage	Pl.	No
B23	2	13015	22	Galerie gallo-romaine, branche est	État 4.2	SCTGRE-19-sol 13015	184	14
B23	2	13051	246	Galerie (palissade extérieur)	État 2.3	SCTG-28-Pal ext. est	194	7
B23	2	17063	175	C1	État 1	C1-18-Fo art 17093	56	2
B23	2	17482	455	C4	État 1 à 2.1	C4-7-démontage	Non. ill.	
B23	2	17482	456	C4	État 1 à 2.1	C4-7-démontage	65	36
B23	2	9253		Cour du sanctuaire	État 4 <i>lato sensu</i>	SCTE-3-remblai cours	221	18
B23	3	16039	144	A9	Décapage	A8-2-épandage	31	4
B23	3	17015	60	C5	Décapage	C5-1-décapage	74	2
B23	4	15201	50	Galerie aménagement empierré	État 2.3	SCTG-4-empierrements nord entrée	186	1
B23	5	11138	226	Galerie niveau de sol	État 2-GR	SCTG-1-interface LT-GR	185	3
B24	1	15612	821	Cour entre A et B	Décapage	AB-1-décapage	34	7
B24	1	15675	1114	A2	État 1 à 2.1	A2-13-épandage 15675	19	17
B24	1	15739	1197	A2	État 2.3	A2-2-radier	19	3
B24	1	16126	253	A7	État 1 à 2.1	A7-10-remblai 16126	24	3
B24	1	21825	404	Hémicycle gaulois/théâtre gallo-romain	État 3	TH-22-TP 21824	177	3
B24	2	11106	146	Cour du sanctuaire	État 4 <i>lato sensu</i>	SCTE-3-remblai cours	221	8
B24	2	16002	13	A3 et A4	Décapage	A4 et A7-1-décapage	21	6
B24	2	16406	618	C3	État 2.2 à 2.3	C3-2-radier	60	1
B24	2	9098		Galerie gallo-romaine, branche nord	Décapage	SCTGRN-1-décapage	182	7
B24	3	13037	161	Cour du sanctuaire	État 3	SCTE-5-Fo 13035	224	1
B24	3	16606	1636	C1	État 2.3	C1-1-décapage	50	1
B24	3	20663	S1025	Q	État 2 <i>lato sensu</i>	Q-2-Cit 20662	111	8
F20		10094	2028	Enclos A	État 2-GR	SCTA-8-interface LT-GR	Non. ill.	
F20		10264	326	Galerie niveau de sol	État 2 <i>lato sensu</i>	SCTG-13-sol d'amphore nord	191	2
F20		11184	384a	FP, branche nord	État 4 <i>lato sensu</i>	SCTFN-3-complements gallo-romains	203	21
F20		12003	1	FP, branche nord	Décapage	SCTFN-1-décapage	202	3
F20		12073	821	Cuves et sols E	État 2-GR	SCTE-6-interface LT-GR	Non. ill.	
F20		15070	182	Cour du sanctuaire	État 1 et 2 <i>lato sensu</i>	SCTE-7-sol de cailloutis	225	13
F20		16026	1751	A8	Non phasé	A8-2-épandage	31	3
F20		16213	1741	B corps principal	État 1 à 2.1	BCP-11-Sb 16212	38	12
F20		16322	1742	B cour ouest	Non phasé	BCO-7-Fo 16322	41	3
F20		16450	1734	C4	État 2.1	C4-14-Ce 16449	66	12
F20		17063	179	C1	État 1	C1-18-Fo art 17093	56	3
F20		17104	1407	Espace D	État 4 <i>lato sensu</i>	D-2-gallo-romain	83	27
F20		18747	3069	Espace D	État 1 à 2.1	D-10-sol état laténien	90	2
F20		21006	1013	P	Décapage	P-1-décapage	129	1
F20		21708	2076	T	Décapage	T-2-décapage sur radier 21709	172	19
F21		17017	51	C6	Décapage	C6-1-décapage	73	3
F21		HC(sanctuaire)	3003	Hors contexte	Hors contexte	HC(sanctuaire)	229	5
F22	1	12036	342	Cour du sanctuaire	État 4 <i>lato sensu</i>	SCTE-3-remblai cours	221	15
F22	1	12074	743	Entrée	État 2.2	SCTPE-3-occupation	199	19
F22	1	15450	858	B cour ouest	Décapage	BCO-1-décapage	40	2
F22	1	15616	1722	A8	Décapage	A8-2-épandage	31	1
F22	1	15629	1726	A8	Décapage	A8 et A4-1-décapage	30	20
F22	1	16259	1806	Espace D	État 4 <i>lato sensu</i>	D-2-gallo-romain	83	25
F22	1	16420	423	Ruelle entre A et C	État 2 <i>lato sensu</i>	AC-4-épandage	71	1
F22	1	18003	3054	H et F	Décapage	H, F et C5C-1-décapage	104	2
F22	1	18506	1102	G	État 2.2 à 2.3	G-1-radier	96	5
F22	1	18506	1123	G	État 2.2 à 2.3	G-1-radier	96	4
F22	1	20720	S2260	U	Non phasé	U-2-épandage 20720	124	6

Groupe	Type	UF	N° inv.	Bâtiment	État	Code Assemblage	Pl.	No
F22	1	21641	2102	Q	Non phasé	Q-22-Fo 21640	116	11
F22	1	21782	334	T	Décapage	T-4-décapage 21782	173	6
F22	1	8202		Ruelle entre A et C	Décapage	AC-1-décapage	69	4
F22	1	8343	2	A1	État 1 à 2.1	A1-20-sol 14030	6	5
F22	1	HC(sanctuaire)	1044	Hors contexte	Hors contexte	HC(sanctuaire)	229	3
F22	1	17302	853	C4	État 1	C4-18-TP 17301	66	17
F22	2	17017	1706	C6	Décapage	C6-1-décapage	73	2
F22	3	22539	868	O	Décapage	O-1-décapage	166	1
F23	0	16061	1708	A10	Décapage	A10-1-décapage	32	7
F23	0	21708	42	T	Décapage	T-2-décapage sur radier 21709	172	15
F23	0	17999-8	1761	Place du complexe C (ouest)	État 1 et 2 <i>lato sensu</i>	CPL-3-sol ouest	46	3
F23	0	16232	1749	B corps principal	État 2 <i>lato sensu</i>	BCP-5-Fo 16231	38	2
F23	0	17472	1097	F	État 2 <i>lato sensu</i>	F-3-Ct 17470	106	1
F23	1	9083		FP, branche nord	Décapage	SCTFN-1-décapage	202	2
F23	1	22343	650	R	État 1	R-71-Sb 22343	165	5
F23	1	13058	268	Cour du sanctuaire	État 1 et 2 <i>lato sensu</i>	SCTE-7-sol de cailloutis	225	12
F23	1	11199	397	Galerie niveau d'occupation	État 2.2	SCTG-8-occupation nord	187	15
F23	1	9338		Galerie niveau d'occupation	État 2.2	SCTG-8-occupation nord	187	12
F23	1	11122	720	Cour du sanctuaire	État 4 <i>lato sensu</i>	SCTE-3-remblai cours	221	16
F23	1	HC(sanctuaire)	3004	Hors contexte	Hors contexte	HC(sanctuaire)	229	6
F23	1	HC(sanctuaire)	255	Hors contexte	Hors contexte	HC(sanctuaire)	229	7
F23	2	16000	1704	A8	Décapage	A8-1-décapage	30	2
F23	2	11221	463	Galerie niveau de sol	État 2 <i>lato sensu</i>	SCTG-19-sol d'amphore est nord entrée	192	2
F23	2	16421	508	C4	État 2 <i>lato sensu</i>	C4-5-épannage	65	34
F23	2	11156	290	FP, branche nord	État 4 <i>lato sensu</i>	SCTFN-3-complements gallo-romains	203	13
F23	3	18519	1224	G	État 1 et 2 <i>lato sensu</i>	G-2-cailloutis	97	4
F23	4	16249	882	B cour nord	État 4 <i>lato sensu</i>	B-2-Fo 16248	35	29
F23	5	11372	531	Cuves et sols E	État 1 et 2 <i>lato sensu</i>	SCTE-7-sol de cailloutis	225	9
F23	5	12556	423	Cour du sanctuaire	État 1 et 2 <i>lato sensu</i>	SCTE-7-sol de cailloutis	225	8
F23	5	21865	406	Hémicycle gaulois/théâtre gallo-romain	État 2 <i>lato sensu</i>	TH-28-interface 21865	177	10
F23	5	12074	2086	Entrée	État 2.2	SCTPE-3-occupation	199	22
F23	6	11203	388	FP, branche nord	État 1 perturbé	SCTFN-8-Comblement inférieur perturbé	209	7
F24	1	17199	1493	C5	État 2.2 à 2.3	C5-3-radier	75	4
F24	2	22495	379	N	État 2 <i>lato sensu</i>	N-41-Fo 22495	128	16
F24	3	17008	1702	Espace D	État 4 <i>lato sensu</i>	D-2-gallo-romain	83	20
F24	4	12071	2044	Galerie niveau de sol	État 2-GR	SCTG-1-interface LT-GR	185	1
F24	4	12073	820	Cuves et sols E	État 2-GR	SCTE-6-interface LT-GR	224	6
F24	4	15428	527	Cour intérieur A	Décapage	ACI-1-décapage	35	7
F24	4	16014	1759	Cour intérieur A	Décapage	ACI-1-décapage	26	8
F24	4	18504	3024	G4	État 4 <i>lato sensu</i>	G4-2-18504, démolition	103	6
F24	4	HC(sanctuaire)	2118	Hors contexte	Hors contexte	HC(sanctuaire)	229	15
F24	4	HC(sanctuaire)	2122	Hors contexte	Hors contexte	HC(sanctuaire)	229	16
F24	4	HC2010	S2181	Hors contexte	Hors contexte	HC2010	234	2
F24	5	16008	52	Cour intérieur A	Non phasé	ACI-2-épannage	28	2
F25	1	16406	632	C3	État 2.2 à 2.3	C3-2-radier	60	4
F25	1	16621	526	Bâtiment gallo-romain nord	État 4 <i>lato sensu</i>	D-2-remblais gallo-romains	83	18
F25	2	12000	66	Cour du sanctuaire	Décapage	SCTE-1-décapage	220	6
F25	2	8128		Galerie gallo-romaine, branche nord	Décapage	SCTGRN-1-décapage	182	1

Cat 3. Fibules à ressort à corde externe haute de la famille 3.

Groupe	Type	UF	No inv.	Bâtiment	État	Code Assemblage	Pl.	No
B30		11355	349	Cuves et sols E	État 1 et 2 <i>lato sensu</i>	SCTE-7-sol de cailloutis	225	14
B30		12074	709	Entrée	État 2.2	SCTPE-3-occupation	199	21
B30		13714	401	Structure sur poteaux D	État 1 et 2 <i>lato sensu</i>	SCTD-2-épandage	218	15
B30		20601	S1004	U	Décapage	U, K-Q-1-décapage	124	3
B30		HC(sanctuaire)	164	Hors contexte	Hors contexte	HC(sanctuaire)	229	20
B30		HC2005	1764	Hors bâtiment	Hors contexte	HC2005	232	1
B33	1	18432	2078	G	Décapage	G-3-Fo 18594	103	18
B33	1	18512	1021	G4	État 2.2 à 2.3	G4-3-radier	103	14
B33	1	18594	1378	G	État 2.3	G-3-Fo 18594	103	17
B33	1	HC (théâtre)	483	Hémicycle gaulois/théâtre gallo-romain	Hors contexte	TH-55-HC (théâtre)	181	3
B33	2	17098	1313	C5 Cave	État 2.2	C5C-4-combl sup	77	23
B34	2	17410	358	C4	État 2.2 à 2.3	C4-3-démontage radier	65	11
B34	2	17482	906	C4	État 2.2 à 2.3	C4-7-démontage	65	12
B34	1	10155	99	FP, branche nord	État 4 <i>lato sensu</i>	SCTFN-3-complements gallo-romains	203	5
B34	1	10195	145	Enclos A	État 1 et 2 <i>lato sensu</i>	SCTA-9-sol laténien	215	7
B34	1	12045	367	Cour du sanctuaire	État 4 <i>lato sensu</i>	SCTE-3-remblai cours	221	7
B34	1	12073	810	Cuves et sols E	État 2-GR	SCTE-6-interface LT-GR	224	4
B34	1	17151	1675	C5 Cave	État 2.2	C5C-6-combl inf	78	8
B34	1	20396	E2020	O	État 2.2	O-3-Fo art 20395	167	1
B34	3	15420	530	Cour entre A et B	Décapage	AB-1-décapage	34	1
F30		11080	92	FP, branche nord	État 4 <i>lato sensu</i>	SCTFN-3-complements gallo-romains	203	25
F30		11187	387	FP, branche nord	État 4 <i>lato sensu</i>	SCTFN-3-complements gallo-romains	203	24
F30		11199	2068	Galerie niveau d'occupation	État 2.2	SCTG-8-occupation nord	187	13
F30		11222	444	Galerie niveau de sol	État 2 <i>lato sensu</i>	SCTG-19-sol d'amphore est nord entrée	192	3
F30		12043	17	Galerie gallo-romaine, branche est	État 4.1	SCTGRE-21-Mur 12043	184	16
F30		12519	452	Galerie niveau de sol	État 2.1	SCTG-25-remblai sol nord	193	5
F30		12705	889	Enclos A	État 2.3	SCTA-13-fossé branche ouest	216	8
F30		13668	265	Structure sur poteaux D	État 1 et 2 <i>lato sensu</i>	SCTD-2-épandage	218	16
F30		15428	750	Cour intérieur A	Décapage	ACI-1-décapage	26	13
F30		15630	1725	B corps principal	État 1	BCP-1-Ce 15520	36	6
F30		15675	1735	A2	État 1 à 2.1	A2-13-épandage 15675	19	16
F30		16621	525	Bâtiment gallo-romain nord	État 4 <i>lato sensu</i>	D-2-remblais gallo-romains	83	30
F30		17073	213	C6	État 2 <i>lato sensu</i>	C6-22-épandage	73	15
F30		21007	1473	M (ruelle)	Décapage	M-1-décapage	131	4
F30		21761	150	Hémicycle gaulois/théâtre gallo-romain	État 3	TH-24-aménagement 21761	177	5
F30		22005-3	458	Q	État 2 <i>lato sensu</i>	Q-3-Bs 22005	112	6
F30		22214	873	M (cours sud)	État 2.2	M-66-Puits 22214	Non ill.	
F30		8347		A1	État 2 <i>lato sensu</i>	A1-25-épandage est	16	4
F30		9146		Cour du sanctuaire	Décapage	SCTE-1-décapage	220	9
F30	0	15523	1709	A6	État 2.3 à 3	A6-4-sol 15523	29	17
F31	1	13706	2053	Galerie niveau d'occupation	État 2.2	SCTG-9-occupation ouest	189	2
F31	1	22356	643	R	État 3	R-10-TP 22356	159	12
F32	1	15449	643	B cour ouest	État 1 à 2.1	BCO-3-lambeaux de sol	40	16
F33	0	16400	460	C	Décapage	C-1-décapage	42	5
F33	0	16400	507	C	Décapage	C-1-décapage	42	6
F33	0	20601	S1068	U	Décapage	U, K-Q-1-décapage	124	1

Groupe	Type	UF	No inv.	Bâtiment	État	Code Assemblage	Pl.	No
F33	0	16442	479	C4	État 1 et 2 <i>lato sensu</i>	C4-8-épandage	66	1
F33	0	17482	1752	C4	État 2.2 à 2.3	C4-7-démontage	65	37
F33	0	16083	1765	A9	État 2.1	A9-4-sol 16083	33	15
F33	0	21167	1469	M	État 2.1	M-211-sol 21167	144	3
F33	0	18506	1105	G	État 2.2 à 2.3	G-1-radier	96	7
F33	0	11108	741	Cour du sanctuaire	État 4 <i>lato sensu</i>	SCTE-3-remblai cours	Non ill.	
F33	0	12008	49-2	FP, branche nord	État 4 <i>lato sensu</i>	SCTFN-3-complements gallo-romains	203	19
F33	0	17008	29	Espace D	État 4 <i>lato sensu</i>	D-2-gallo-romain	83	24
F33	0	18522	1095	Espace D	État 4 <i>lato sensu</i>	D-2-gallo-romain	83	28
F33	0	21452	976	N	Non phasé	N-37-Fo 21452	128	13
F33	0	22007	827	Q	Non phasé	Q-24-Fo 22007	117	2
F33	0	7252		Hors bâtiment	Non phasé	HB-7-fouilles 1991	231	8
F33	1	21708	2077	T	Décapage	T-2-décapage sur radier 21709	172	16
F33	1	19033	15	Sanctuaire Extérieur nord	État 1 et 2 <i>lato sensu</i>	SCTX-1-Pal 19034	228	1
F33	1	13032	2076	Galerie (palissade extérieur)	État 2.3	SCTG-28-Pal ext. est	194	5
F33	1	19055	110	Galerie gallo-romaine, branche nord	État 3	SCTGRN-9-dallettes	183	1
F33	1	HC(sanctuaire)	1035	Hors contexte	Hors contexte	HC(sanctuaire)	229	12
F33	1	11264	523	FP, branche nord	Non phasé	SCTFN-4-Fosse 11265	207	13
F33	2	15449	644	B cour ouest	État 1 et 2 <i>lato sensu</i>	BCO-3-lambeaux de sol	40	17
F33	3	17017	46	C6	Décapage	C6-1-décapage	73	1
F33	3	11174	343	FP, branche nord	État 4 <i>lato sensu</i>	SCTFN-3-complements gallo-romains	203	12
F33	3	HC(sanctuaire)	765	Hors contexte	Hors contexte	HC(sanctuaire)	229	11
F33	4	15008	45	Temple à galerie périphérique	État 5	SCTT-3-Fo 15008	218	6
F33	5	19050	45	Galerie gallo-romaine, branche nord	Décapage	SCTGRN-1-décapage	182	3
F33	5	20621	S2001	K	Décapage	K-1-décapage	118	1
F33	5	21019	1476	M	Décapage	M-1-décapage	131	5
F33	5	11080	725-1	FP, branche nord	État 4 <i>lato sensu</i>	SCTFN-3-complements gallo-romains	203	11
F33	6	12000	75	Cour du sanctuaire	Décapage	SCTE-1-décapage	220	7
F33	6	21707	96	T	Décapage	T-1-décapage	172	1
F33	6	12587	741	Galerie niveau de sol	État 2.1	SCTG-25-remblai sol nord	193	4
F33	7	12000	24	Cour du sanctuaire	Décapage	SCTE-1-décapage	220	8
F33	7	15612	877	Cour entre A et B	Décapage	AB-1-décapage	34	9
F33	7	16404	1718	Place du complexe C	Décapage	CPL-1-décapage	43	1
F33	7	21006	1019	P	Décapage	P-1-décapage	129	2
F33	7	21019	527	M	Décapage	M-1-décapage	131	3
F33	7	21831	382	Hémicycle gaulois/théâtre gallo-romain	Décapage	TH-1-décapage	174	2
F33	7	17430	578	Place du complexe C (est)	État 2 <i>lato sensu</i>	CPL-4-épandage est	47	6
F33	7	21170	1255	M (ruelle)	État 2.1	M-122-Pal 21169	148	10
F33	7	20636	S2251	K annexe	État 2.1 à 2.2	K-21-Fo art 20636	123	3
F33	7	11199	2069	Galerie niveau d'occupation	État 2.2	SCTG-8-occupation nord	187	16
F33	7	22236	889	R	État 2.2	R-20-sol 22236	160	5
F33	7	9221		Galerie niveau d'occupation	État 2.2	SCTG-8-occupation nord	187	17
F33	7	9224		Galerie niveau d'occupation	État 2.2	SCTG-8-occupation nord	187	14
F33	7	18506	1110	G	État 2.2 à 2.3	G-1-radier	96	3
F33	7	16605	1785	C1	État 2.3	C1-1-décapage	50	3
F33	7	8365		A1	État 2.3	A1-4-TP 8365	3	1
F33	7	21709	276	T	État 2.3 à 3	T-3-radier 21709	173	2
F33	7	21709	2083	T	État 2.3 à 3	T-3-radier 21709	173	1
F33	7	12073	799	Cuves et sols E	État 2-GR	SCTE-6-interface LT-GR	224	5
F33	7	11080	725-2	FP, branche nord	État 4 <i>lato sensu</i>	SCTFN-3-complements gallo-romains	203	14

Groupe	Type	UF	No inv.	Bâtiment	État	Code Assemblage	Pl.	No
F33	7	13663	229	FP, branche nord	État 4 <i>lato sensu</i>	SCTFN-3-complements gallo-romains	203	18
F33	7	17008	14	Espace D	État 4 <i>lato sensu</i>	D-2-gallo-romain	83	22
F33	7	18523	1091	Bâtiment gallo-romain nord	État 4 <i>lato sensu</i>	BGRN-2-Fo 18887	94	18
F33	7	HC(sanctuaire)	469	Hors contexte	Hors contexte	HC(sanctuaire)	229	13
F33	7	HC(sanctuaire)	290	Hors contexte	Hors contexte	HC(sanctuaire)	229	8
F33	7	HC2008	1272	Hors contexte	Hors contexte	HC2008	233	15
F33	7	21899-90	2095	Hémicycle gaulois/théâtre gallo-romain	Perturbations modernes	TH-2-moderne	175	3
F33	8	17400	1745	C	Décapage	C-1-décapage	42	4
F33	8	18518	3005	G	État 1 et 2 <i>lato sensu</i>	G-2-cailloutis	97	2
F33	8	13014	17	Galerie niveau de sol	État 2 <i>lato sensu</i>	SCTG-22-sol dans galerie est	193	1
F33	8	17410	1749	C4	État 2.2 à 2.3	C4-3-démontage radier	65	10
F33	8	17497	814	Place du complexe C (ouest)	État 2 <i>lato sensu</i>	CPL-2-occupation ouest	43	14
F33	9	16266	1743	C2	État 1 et 2 <i>lato sensu</i>	C2-8-16268	58	18
F33	9	12541	395	FP, branche nord	État 4 <i>lato sensu</i>	SCTFN-3-complements gallo-romains	203	17
F33	9	17008	94a	Espace D	État 4 <i>lato sensu</i>	D-2-gallo-romain	83	21
F33	10	15472	763	B corps principal	Décapage	B-1-décapage	35	6
F33	10	15287	271	Cour du sanctuaire	État 1 et 2 <i>lato sensu</i>	SCTE-7-sol de cailloutis	225	10
F33	10	11195	404	FP, branche est	État 4 <i>lato sensu</i>	SCTFE-2-complements gallo-romains	210	6
F33	10	HC2011	1427	Hors contexte	Hors contexte	HC2011	234	10
F33	11	21708	37	T	Décapage	T-2-décapage sur radier 21709	172	14
F33	11	9006		Galerie gallo-romaine, branche nord	Décapage	SCTGRN-1-décapage	182	2
F33	11	18506	1089	G	État 2.2 à 2.3	G-1-radier	96	2
F33	11	12008	49-1	FP, branche nord	État 4 <i>lato sensu</i>	SCTFN-3-complements gallo-romains	203	16
F33	11	12505	2058	FP, branche nord	État 4 <i>lato sensu</i>	SCTFN-3-complements gallo-romains	203	15
F33	11	17024	1462	Espace D	État 4 <i>lato sensu</i>	D-2-gallo-romain	83	19
F33	11	17044	1434	C5 Cave	État 4 <i>lato sensu</i>	C5C-2-piégeage	77	10
F33	11	18569	1291	Bâtiment gallo-romain nord	État 4 <i>lato sensu</i>	BGRN-2-Fo 18887	94	17
F33	11	HC(sanctuaire)	373	Hors contexte	Hors contexte	HC(sanctuaire)	229	10
F33	12	15239	115	Galerie niveau de sol	État 2 <i>lato sensu</i>	SCTG-19-sol d'amphore est nord entrée	192	4
F33	12	19055	39	Galerie gallo-romaine, branche nord	État 3	SCTGRN-9-dallettes	183	2
F33	12	19055	40	Galerie gallo-romaine, branche nord	État 3	SCTGRN-9-dallettes	183	2
F33	12	11106	169	Cour du sanctuaire	État 4 <i>lato sensu</i>	SCTE-3-remblai cours	221	17
F33	13	12035	369-2	Edicule	État 4 <i>lato sensu</i>	SCTED-2-passe mécanique 12035	227	14
F34	1	15712	1216	Ruelle entre A et C	État 1 et 2 <i>lato sensu</i>	AC-2-sol	69	12
F34	2	22222	434	R	État 2.1	R-53-sol 22222	164	8
F34	3	13220	536	FP, branche sud	État 4 <i>lato sensu</i>	SCTFS-5-fosse 13219	212	5
F34	3	15612	868	Cour entre A et B	Décapage	AB-1-décapage	34	10
F34	3	18508	1027	G	État 1 et 2 <i>lato sensu</i>	G-2-cailloutis	97	1
F34	3	22201	421	R	Décapage	R-1-décapage	156	2
F34	3	HC2008	2079	Hors contexte	Hors contexte	HC2008	233	13
F34	4	13032	251	Galerie (palissade extérieur)	État 2.3	SCTG-28-Pal ext. est	194	4
F34	4	17060	145	C5	État 2.3	C5-10-pouzzolane	76	15
F34	4	18584	2208	G1/D2	État 2.1	G1/D2-1-TP18585	99	1
F34	4	HC(sanctuaire)	2123	Hors contexte	Hors contexte	HC(sanctuaire)	229	14
F34	5	15217	52	Cour du sanctuaire	État 4 <i>lato sensu</i>	SCTE-3-remblai cours	221	9
F34	6	12081	999	Cour du sanctuaire	État 4 <i>lato sensu</i>	SCTE-3-remblai cours	221	10
F34	7	HC2007	433	Hors contexte	Hors contexte	HC2007	233	1

Cat 4. Fibules à ressort à fixe-corde de la famille 4

Groupe	Type	UF	No inv.	Bâtiment	État	Code Assemblage	Pl.	No
B46	1	17282	1650	Espace D	État 4 <i>lato sensu</i>	D-5-Fo 17873	87	5
B46	2	17024	111	Espace D	État 4 <i>lato sensu</i>	D-2-gallo-romain	83	11
B46	3	12000	58	Cour du sanctuaire	Décapage	SCTE-1-décapage	220	2
B47	1	12000	55	Cour du sanctuaire	Décapage	SCTE-1-décapage	220	1
B47	1	17008	135	Espace D	État 4 <i>lato sensu</i>	D-2-gallo-romain	83	9
B47	1	17010	4	C5	Décapage	C5-1-décapage	74	1
B47	1	17024	107	Espace D	État 4 <i>lato sensu</i>	D-2-gallo-romain	83	10
B47	1	18543	1213	Espace D	Décapage	D-1-décapage	81	5

Cat 5. Fibules à cache-ressort de la famille 5

Groupe	Type	UF	No inv.	Bâtiment	État	Code Assemblage	Pl.	No
B56	1	12028	130	Galerie gallo-romaine, branche est	État 4.3	SCTGRE-4-démolition	184	1
B56	1	17427	414	C5	État 1 et 2 <i>lato sensu</i>	C5-5-épannage ouest	76	1
B56	2	16259	891	Espace D	État 4 <i>lato sensu</i>	D-2-gallo-romain	83	6
B57	1	12035	339	Edicule	État 4 <i>lato sensu</i>	SCTED-2-passe mécanique 12035	227	9
B57	1	13024	66	FP, branche est	État 4 <i>lato sensu</i>	SCTFE-2-complements gallo-romains	210	3
B57	2	12035	330-1	Edicule	État 4 <i>lato sensu</i>	SCTED-2-passe mécanique 12035	227	10
B57	3	11169	323	Cour du sanctuaire	État 4 <i>lato sensu</i>	SCTE-3-remblai cours	221	5
B59	1	7313		Hors bâtiment	Non phasé	HB-7-fouilles 1991	231	10

Cat 6. Fibules à charnière dans le prolongement de l'arc de la famille 6

Groupe	Type	UF	No inv.	Bâtiment	État	Code Assemblage	Pl.	No
B68	0	17009	5	Espace D	Non phasé	D-2-gallo-romain	83	5
B68	1	20663	S1029	Q	État 2 <i>lato sensu</i>	Q-2-Cit 20662	111	9
B68	10	11169	304	Cour du sanctuaire	État 4 <i>lato sensu</i>	SCTE-3-remblai cours	221	6
B68	2	16406	745	C3	État 2.2 à 2.3	C3-2-radier	60	3
B68	3	13024	65	FP, branche est	État 4 <i>lato sensu</i>	SCTFE-2-complements gallo-romains	210	4
B68	4	21720	169	Hémicycle gaulois/théâtre gallo-romain	État 4.1	TH-15-démolition 21720	176	2
B68	5	17843	367	Hors ensemble (tombe)	Décapage	HET-1-décapage	110	10
B68	6	12035	373	Edicule	État 4 <i>lato sensu</i>	SCTED-2-passe mécanique 12035	227	13
B68	7	20385	S4036	Hémicycle gaulois/théâtre gallo-romain	État 4.1	TH-15-démolition 21720	176	1
B68	8	17008	40	Espace D	État 4 <i>lato sensu</i>	D-2-gallo-romain	83	2
B68	9	17026	129	Espace D	État 2-GR	D-6-pavage 17026	88	2

Cat 7. Fibules à charnière rapportée de la famille 7

Groupe	Type	UF	No inv.	Bâtiment	État	Code Assemblage	Pl.	No
B78	1	20326	S4005	Hémicycle gaulois/théâtre gallo-romain	État 4.1	TH-16-démolition 20326	176	7
B79	1	HC(sanctuaire)	2095	Hors contexte	Hors contexte	HC(sanctuaire)	229	1
B79	2	9119		Galerie gallo-romaine, branche nord	Décapage	SCTGRN-1-décapage	182	6
B79	3	12035	356	Edicule	État 4 <i>lato sensu</i>	SCTED-2-passe mécanique 12035	227	12
B79	4	16259	901	Espace D	État 4 <i>lato sensu</i>	D-2-gallo-romain	83	1
B79	5	HC2007	432	Hors contexte	Hors contexte	HC2007	233	3
B79	6	17008	82	Espace D	État 4 <i>lato sensu</i>	D-2-gallo-romain	83	3

Cat 8. Fibules pénannulaires de la famille 6

Groupe	Type	UF	No inv.	Bâtiment	État	Code Assemblage	Pl.	No
F80		12505	68	FP, branche nord	État 4 <i>lato sensu</i>	SCTFN-3-complements gallo-romains	203	20
F80		12705	431	Enclos A	État 1 et 2 <i>lato sensu</i>	SCTA-13-fossé branche ouest	216	7

Cat 9. Fibules issues d'un seul état de l'habitat

Groupe	Type	UF	No inv.	Bâtiment	État	Code Assemblage	Pl.	No
B10	1	22284	607	R	État 1	R-73-Fo 22284	165	10
B20	0	15663	1019	B corps principal	État 1	BCP-1-Ce 15520	036	05
B20	0	17363	1003	C4	État 1	C4-15-Fo 17361	068	01
B20	0	18822	1665	D1	État 1	D1-14-Sb 18822	091	06
B22	0	20026	S3166	N	État 1	N-38-Ce 20026	Non ill.	
B22	0	15630	940	B corps principal	État 1	BCP-1-Ce 15520	036	02
B22	0	15630	972	B corps principal	État 1	BCP-1-Ce 15520	036	03
B22	0	15630	973	B corps principal	État 1	BCP-1-Ce 15520	036	04
B22	0	22061-1	540	Q	État 1	Q-32-TP 22061	117	08
B22	01	16531	1640	A7	État 1	A7-11-Solin 16552	025	10
B22	03	16531	1348	A7	État 1	A7-11-Solin 16552	025	09
B22	03	15520	532	B corps principal	État 1	BCP-1-Ce 15520	036	01
B22	03	17343	917	C1	État 1	C1-17-sol 17343	055	01
B22	03	17063	240	C1	État 1	C1-18-Fo art 17093	056	01
B22	03	18694	1740	C3	État 1	C3-19-TP 18693	063	08
B22	08	16056	163	Cour intérieur A	État 1	ACI-6-Fo 16055	028	18
B22	13	21056	586	M	État 1	M-172-St 21056	152	15
B23	1	20032	S3045	N	État 1	N-23-Fo 20031	128	05
B23	2	17063	175	C1	État 1	C1-18-Fo art 17093	056	02
F01	0	17006	1667	C5	État 1	C5-28-Sb 17005	076	20
F01	4	18676	1599d	C1	État 1	C1-22-Fo art 18676	057	01
F03		16219	994	B corps principal	État 1	BCP-2-Fo 16218	036	17
F03		17037	1710	G	État 1	G1/D2-5-TP17038	101	04
F20		17063	179	C1	État 1	C1-18-Fo art 17093	056	03
F22	1	17302	853	C4	État 1	C4-18-TP 17301	066	17
F23	1	22343	650	R	État 1	R-71-Sb 22343	165	05
F30		15630	1725	B corps principal	État 1	BCP-1-Ce 15520	036	06
B10	2	18099	310	F	État 2.1	F-10-Fo 18098	106	11
B10	2	21699-37	974	M	État 2.1	M-125-TP 21588	150	12

Groupe	Type	UF	No inv.	Bâtiment	État	Code Assemblage	Pl.	No
B22	0	15688	1130	A2	État 2.1	A2-7-Sb 15687	019	12
B22	0	16083	1633	A9	État 2.1	A9-4-sol 16083	033	14
B22	0	17083	1464	C1	État 2.1	C1-8-Fo 17084	052	01
B22	03	21167	1242	M	État 2.1	M-211-sol 21167	144	01
B22	03	21202	764	M	État 2.1	M-134-Ce 21201	151	13
B22	03	22357	639	R	État 2.1	R-54-Fossé 22228	163	05
B22	09	21084	884	M	État 2.1	M-117-sol 20084	149	01
B22	25	16083	1392	A9	État 2.1	A9-4-sol 16083	033	13
B23	1	21167	1299	M	État 2.1	M-211-sol 21167	144	02
F10	1	17699	844	C4	État 2.1	C4-10-Fo art 17698	067	01
F11	4	14027	2074	A1	État 2.1	A1-23-TP 14027	005	03
F20		16450	1734	C4	État 2.1	C4-14-Ce 16449	066	12
F33	0	16083	1765	A9	État 2.1	A9-4-sol 16083	033	15
F33	0	21167	1469	M	État 2.1	M-211-sol 21167	144	03
F33	11	21170	1255	M	État 2.1	M-122-Pal 21169	148	10
B20	0	20632	S2189	K	État 2.2	K-15-Cave combl inf	122	15
B20	0	22271	705	R	État 2.2	R-40-Fossé 22271	162	01
B22	03	21174	1272	M	État 2.2	M-77-Sb 21174	142	07
B22	03	20373	D3002	S	État 2.2	S-4-Ce 20372	168	09
B33	2	17098	1313	C5 Cave	État 2.2	C5C-4-combl sup	077	23
B34	1	17151	1675	C5 Cave	État 2.2	C5C-6-combl inf	078	08
B34	1	20396	E2020	O	État 2.2	O-3-Fo art 20395	167	01
F03		22549	967	O	État 2.2	O-2-Fo art 20415	166	07
F10	1	18240	3029	C5 Cave	État 2.2	C5C-5-combl med	078	01
F30		22214	873	M	État 2.2	M-66-Puits 22214	Non ill.	
F33	7	22236	889	R	État 2.2	R-20-sol 22236	160	05
B24	1	21825	404	Hémicycle gaulois/théâtre gallo-romain	État 3	TH-22-TP 21824	177	03
F04		22272	901	R	État 3	R-8-radier 22272	159	07
F30		21761	150	Hémicycle gaulois/théâtre gallo-romain	État 3	TH-24-aménagement 21761	177	05
F31	1	22356	643	R	État 3	R-10-TP 22356	159	12
B20	0	21273	887	M	État 2.3	M-22-Angle solin	137	09
B21	1	22212	99	Voie ouest	État 2.3	VO-10-Fossé 22212	171	08
B22	02	15611	884	A2	État 2.3	A2-2-radier	019	02
B22	03	15611	883	A2	État 2.3	A2-2-radier	019	01
B22	03	16022	1391	A7	État 2.3	A7-3-sol	023	09
B22	04	16606	1637	C1	État 2.3	C1-1-décapage	050	02
B22	05	16022	107	A7	État 2.3	A7-3-sol	023	10
B24	1	15739	1197	A2	État 2.3	A2-2-radier	019	03
B24	3	16606	1636	C1	État 2.3	C1-1-décapage	050	01
B33	1	18594	1378	G	État 2.3	G-3-Fo 18594	103	17
F11	4	16022	1753	A7	État 2.3	A7-3-sol	023	08
F33	7	8365		A1	État 2.3	A1-4-TP 8365	003	01
F34	4	17060	145	C5	État 2.3	C5-10-pouzsolane	076	15

Cat 10. Fibules issues de plusieurs états de l'habitat

Groupe	Type	UF	No inv.	Bâtiment	État	Code Assemblage	Pl.	No
B10	1	22284	607	R	État 1	R-73-Fo 22284	165	10
B20	0	15663	1019	B corps principal	État 1	BCP-1-Ce 15520	36	5
B20	0	17363	1003	C4	État 1	C4-15-Fo 17361	68	1
B20	0	18822	1665	D1	État 1	D1-14-Sb 18822	91	6
B22	0	20026	S3166	N	État 1	N-38-Ce 20026	Non ill	
B22	0	15630	940	B corps principal	État 1	BCP-1-Ce 15520	36	2
B22	0	15630	972	B corps principal	État 1	BCP-1-Ce 15520	36	3
B22	0	15630	973	B corps principal	État 1	BCP-1-Ce 15520	36	4
B22	0	22061-1	540	Q	État 1	Q-32-TP 22061	117	8
B22	1	16531	1640	A7	État 1	A7-11-Solin 16552	25	10
B22	3	16531	1348	A7	État 1	A7-11-Solin 16552	25	9
B22	3	15520	532	B corps principal	État 1	BCP-1-Ce 15520	36	1
B22	3	17343	917	C1	État 1	C1-17-sol 17343	55	1
B22	3	17063	240	C1	État 1	C1-18-Fo art 17093	56	1
B22	3	18694	1740	C3	État 1	C3-19-TP 18693	63	8
B22	8	16056	163	Cour intérieur A	État 1	ACI-6-Fo 16055	28	18
B22	13	21056	586	M	État 1	M-172-St 21056	152	15
B23	1	20032	S3045	N	État 1	N-23-Fo 20031	128	5
B23	2	17063	175	C1	État 1	C1-18-Fo art 17093	56	2
F01	0	17006	1667	C5	État 1	C5-28-Sb 17005	76	20
F01	4	18676	1599d	C1	État 1	C1-22-Fo art 18676	57	1
F03		16219	994	B corps principal	État 1	BCP-2-Fo 16218	36	17
F03		17037	1710	G1/D2	État 1	G1/D2-5-TP17038	101	4
F20		17063	179	C1	État 1	C1-18-Fo art 17093	56	3
F22	1	17302	853	C4	État 1	C4-18-TP 17301	66	17
F23	1	22343	650	R	État 1	R-71-Sb 22343	165	5
F30		15630	1725	B corps principal	État 1	BCP-1-Ce 15520	36	6
B10	3	14030	549	A1	État 1 à 2.1	A1-20-sol 14030	6	3
B20	0	16213	966	B corps principal	État 1 à 2.1	BCP-11-Sb 16212	38	13
B21	1	16408	613	C3	État 1 à 2.1	C3-7-Ce 17405	61	1
B22	0	18662	1580	C1	État 1 à 2.1	C1-15-épannage 18662	53	1
B22	0	22497	366	S	État 1 à 2.1	S-23-TP 22497	170	9
B22	2	16126	264	A7	État 1 à 2.1	A7-10-remblai 16126	24	4
B22	2	17046	1780	C1	État 1 à 2.1	C1 et C3-3-démontage radier	51	4
B22	3	16582	1310	A2	État 1 à 2.1	A2-11-sol 16025	20	9
B22	4	15675	1132	A2	État 1 à 2.1	A2-13-épannage 15675	19	18
B22	4	16023	111	A7	État 1 à 2.1	A7-10-remblai 16126	24	2
B22	5	17703	636	A1	État 1 à 2.1	A1-20-sol 14030	6	4
B22	5	17283	1553a	Espace D	État 1 à 2.1	D-15-épannage 17283	90	15
B22	5	17283	1553b	Espace D	État 1 à 2.1	D-15-épannage 17283	90	16
B22	22	21072	1120	M	État 1 à 2.1	M-162-démontage Fy 21011	152	7
B24	1	15675	1114	A2	État 1 à 2.1	A2-13-épannage 15675	19	17
B24	1	16126	253	A7	État 1 à 2.1	A7-10-remblai 16126	24	3
F03		20697	S1069	Q	État 1 à 2.1	Q-18-TP 20697	116	8
F10	1	15675	1734	A2	État 1 à 2.1	A2-13-épannage 15675	19	15
F10	2	14030	2073	A1	État 1 à 2.1	A1-20-sol 14030	6	2
F11	2	14030	583	A1	État 1 à 2.1	A1-20-sol 14030	6	1
F12	1	16023	1756	A7	État 1 à 2.1	A7-10-remblai 16126	24	1
F20		16213	1741	B corps principal	État 1 à 2.1	BCP-11-Sb 16212	38	12

Groupe	Type	UF	No inv.	Bâtiment	État	Code Assemblage	Pl.	No
F20		18747	3069	Espace D	État 1 à 2.1	D-10-sol état laténien	90	2
F22	1	8343	2	A1	État 1 à 2.1	A1-20-sol 14030	6	5
F30		15675	1735	A2	État 1 à 2.1	A2-13-épandage 15675	19	16
B10	2	17430	800	Place du complexe C	État 2 <i>lato sensu</i>	CPL-4-épandage est	47	4
B20	0	17420	1068	Place du complexe C	État 2 <i>lato sensu</i>	CPL-2-occupation ouest	43	11
B20	0	17430	554	Place du complexe C	État 2 <i>lato sensu</i>	CPL-4-épandage est	47	2
B20	0	17521	534	Place du complexe C	État 2 <i>lato sensu</i>	CPL-4-épandage est	47	3
B21	4	16405	506	Place du complexe C	État 2 <i>lato sensu</i>	CPL-2-occupation ouest	43	10
B22	1	17504	485	Place du complexe C	État 2 <i>lato sensu</i>	CPL-2-occupation ouest	43	12
B22	1	17069	1325	C5	État 2 <i>lato sensu</i>	C5-7-remblai 17069	76	8
B22	1	17069	1326	C5	État 2 <i>lato sensu</i>	C5-7-remblai 17069	76	9
B22	3	8332	1	Ruelle entre A et C	État 2 <i>lato sensu</i>	AC-3-épandage	70	9
B22	3	16133	265	A7	État 2 <i>lato sensu</i>	A7-8-Fo 16133	25	5
B22	4	8328		A1	État 2 <i>lato sensu</i>	A1-25-épandage est	16	1
B22	4	8346		A1	État 2 <i>lato sensu</i>	A1-25-épandage est	16	2
B22	4	17521	527	Place du complexe C	État 2 <i>lato sensu</i>	CPL-4-épandage est	47	1
B22	21	22005-3	331	Q	État 2 <i>lato sensu</i>	Q-3-Bs 22005	112	7
B22	27	21899-38	2026	Voie	État 2 <i>lato sensu</i>	TH-13-TP 21899-38	179	1
B23	1	22474-2	496	S	État 2 <i>lato sensu</i>	S-7-Pt 22474	169	1
B24	4	20663	S1025	Q	État 2 <i>lato sensu</i>	Q-2-Cit 20662	111	8
F01	5	14003	431	A1	État 2 <i>lato sensu</i>	A1-25-épandage est	16	3
F03		17420	407	Place du complexe C	État 2 <i>lato sensu</i>	CPL-2-occupation ouest	43	13
F03		17430	556	Place du complexe C	État 2 <i>lato sensu</i>	CPL-4-épandage est	47	5
F03		16420	330	Ruelle entre A et C	État 2 <i>lato sensu</i>	AC-4-épandage	71	2
F04		17069	1323	C5	État 2 <i>lato sensu</i>	C5-7-remblai 17069	76	10
F10	3	22005-2	541	Q	État 2 <i>lato sensu</i>	Q-3-Bs 22005	112	5
F10	4	22545	869	O	État 2 <i>lato sensu</i>	O-4-Fo 22545	166	16
F22	1	16420	423	Ruelle entre A et C	État 2 <i>lato sensu</i>	AC-4-épandage	71	1
F23	0	16232	1749	B corps principal	État 2 <i>lato sensu</i>	BCP-5-Fo 16231	38	2
F23	0	17472	1097	F	État 2 <i>lato sensu</i>	F-3-Ct 17470	106	1
F23	2	16421	508	C4	État 2 <i>lato sensu</i>	C4-5-épandage	65	33
F23	5	21865	406	Hémicycle gaulois/théâtre gallo-romain	État 2 <i>lato sensu</i>	TH-28-interface 21865	177	10
F24	2	22495	379	N	État 2 <i>lato sensu</i>	N-41-Fo 22495	128	16
F30		8347		A1	État 2 <i>lato sensu</i>	A1-25-épandage est	16	4
F30		17073	213	C6	État 2 <i>lato sensu</i>	C6-22-épandage	73	15
F30		22005-3	458	Q	État 2 <i>lato sensu</i>	Q-3-Bs 22005	112	6
F33	7	17430	578	Place du complexe C	État 2 <i>lato sensu</i>	CPL-4-épandage est	47	6
F33	8	17497	814	Place du complexe C	État 2 <i>lato sensu</i>	CPL-2-occupation ouest	43	14
B10	2	18099	310	F	État 2.1	F-10-Fo 18098	106	11
B10	2	21699-37	974	M	État 2.1	M-125-TP 21588	150	12
B22	0	15688	1130	A2	État 2.1	A2-7-Sb 15687	19	12
B22	0	16083	1633	A9	État 2.1	A9-4-sol 16083	33	14
B22	0	17083	1464	C1	État 2.1	C1-8-Fo 17084	52	1
B22	3	21167	1242	M	État 2.1	M-211-sol 21167	144	1
B22	3	21202	764	M	État 2.1	M-134-Ce 21201	151	13
B22	3	22357	639	R	État 2.1	R-54-Fossé 22228	163	5
B22	9	21084	884	M	État 2.1	M-117-sol 20084	149	1
B22	25	16083	1392	A9	État 2.1	A9-4-sol 16083	33	13
B23	1	21167	1299	M	État 2.1	M-211-sol 21167	144	2
F10	1	17699	844	C4	État 2.1	C4-10-Fo art 17698	67	1
F11	4	14027	2074	A1	État 2.1	A1-23-TP 14027	5	3

Groupe	Type	UF	No inv.	Bâtiment	État	Code Assemblage	Pl.	No
F20		16450	1734	C4	État 2.1	C4-14-Ce 16449	66	12
F33	0	16083	1765	A9	État 2.1	A9-4-sol 16083	33	15
F33	0	21167	1469	M	État 2.1	M-211-sol 21167	144	3
F33	11	21170	1255	M	État 2.1	M-122-Pal 21169	148	10
B01	0	21899-209	2023	Hémicycle gaulois/théâtre gallo-romain	État 2.1 à 2.2	TH-30-démontage cailloutis 21780	179	2
B20	0	21781	462	Hémicycle gaulois/théâtre gallo-romain	État 2.1 à 2.2	TH-29-cailloutis 21780	178	3
B20	0	16118	1635	A7	État 2.1 à 2.2	A7-4-radier		
B22	3	21780	362	Hémicycle gaulois/théâtre gallo-romain	État 2.1 à 2.2	TH-29-cailloutis 21780	178	2
B22	3	21152	1179	M	État 2.1 à 2.2	M-111-démontage radier 20080	143	1
B22	4	16118	1632	A7	État 2.1 à 2.2	A7-4-radier	23	6
B22	21	16118	1634	A7	État 2.1 à 2.2	A7-4-radier	23	5
F03		21780	369	Hémicycle gaulois/théâtre gallo-romain	État 2.1 à 2.2	TH-29-cailloutis 21780	178	1
F33	7	20636	S2251	K	État 2.1 à 2.2	K-21-Fo art 20636	123	3
B20	0	20632	S2189	K	État 2.2	K-15-Cave combl inf	122	15
B20	0	22271	705	R	État 2.2	R-40-Fossé 22271	162	1
B22	3	21174	1272	M	État 2.2	M-77-Sb 21174	142	7
B22	3	20373	D3002	S	État 2.2	S-4-Ce 20372	168	9
B33	2	17098	1313	C5 Cave	État 2.2	C5C-4-combl sup	77	23
B34	1	17151	1675	C5 Cave	État 2.2	C5C-6-combl inf	78	8
B34	1	20396	E2020	O	État 2.2	O-3-Fo art 20395	167	1
F03		22549	967	O	État 2.2	O-2-Fo art 20415	166	7
F10	1	18240	3029	C5 Cave	État 2.2	C5C-5-combl med	78	1
F30		22214	873	M	État 2.2	M-66-Puits 22214		
F33	7	22236	889	R	État 2.2	R-20-sol 22236	160	5
B20	0	14008	522	A1	État 2.2 à 2.3	A1-7-épandage 14010	3	3
B22	0	16406	538	C3	État 2.2 à 2.3	C3-2-radier	60	5
B22	2	16406	1570	C3	État 2.2 à 2.3	C3-2-radier	60	2
B22	2	17018	1417	C5	État 2.2 à 2.3	C5-3-radier	75	1
B22	3	17199	1491	C5	État 2.2 à 2.3	C5-3-radier	75	3
B22	4	17071	262	C5	État 2.2 à 2.3	C5-3-radier	75	2
B22	4	22461	128	N	État 2.2 à 2.3	N-5-Pal 22506	127	1
B23	2	17482	456	C4	État 2.2 à 2.3	C4-7-démontage	65	36
B24	2	16406	618	C3	État 2.2 à 2.3	C3-2-radier	60	1
B33	1	18512	1021	G4	État 2.2 à 2.3	G4-3-radier	103	14
B34	2	17410	358	C4	État 2.2 à 2.3	C4-3-démontage radier	65	11
B34	2	17482	906	C4	État 2.2 à 2.3	C4-7-démontage	65	35
F03		16406	737	C3	État 2.2 à 2.3	C3-2-radier	60	7
F03		18506	3018	G	État 2.2 à 2.3	G-1-radier	96	1
F03		18506	1094	G	État 2.2 à 2.3	G-1-radier	96	6
F10	1	20040	TRB2019	L	État 2.2 à 2.3	L-2-sol	125	1
F22	1	18506	1123	G	État 2.2 à 2.3	G-1-radier	96	4
F22	1	18506	1102	G	État 2.2 à 2.3	G-1-radier	96	5
F24	1	17199	1493	C5	État 2.2 à 2.3	C5-3-radier	75	4
F25	1	16406	632	C3	État 2.2 à 2.3	C3-2-radier	60	4
F33	0	17482	1752	C4	État 2.2 à 2.3	C4-7-démontage	65	37
F33	0	18506	1105	G	État 2.2 à 2.3	G-1-radier	96	7
F33	7	17410	1749	C4	État 2.2 à 2.3	C4-3-démontage radier	65	10
F33	7	18506	1110	G	État 2.2 à 2.3	G-1-radier	96	3
F33	11	18506	1089	G	État 2.2 à 2.3	G-1-radier	96	2

Groupe	Type	UF	No inv.	Bâtiment	État	Code Assemblage	Pl.	No
B20	0	21273	887	M	État 2.3	M-22-Angle solin	137	9
B21	1	22212	99	Voies ouest	État 2.3	VO-10-Fossé 22212	171	8
B22	2	15611	884	A2	État 2.3	A2-2-radier	19	2
B22	3	15611	883	A2	État 2.3	A2-2-radier	19	1
B22	3	16022	1391	A7	État 2.3	A7-3-sol	23	9
B22	4	16606	1637	C1	État 2.3	C1-1-décapage	50	2
B22	5	16022	107	A7	État 2.3	A7-3-sol	23	10
B24	1	15739	1197	A2	État 2.3	A2-2-radier	19	3
B24	3	16606	1636	C1	État 2.3	C1-1-décapage	50	1
B33	1	18594	1378	G	État 2.3	G-3-Fo 18594	103	17
F11	4	16022	1753	A7	État 2.3	A7-3-sol	23	8
F33	7	8365		A1	État 2.3	A1-4-TP 8365	3	1
F34	4	17060	145	C5	État 2.3	C5-10-pouzsolane	76	15
B22	0	16258	1056	Espace D	État 2.3 à 3	D-3-radiers petit module	87	2
B22	3	22452-2	367	S	État 2.3 à 3	S-6-Bs 22452	168	11
B22	6	16623	545	C5	État 2.3 à 3	C5-4-épandage	74	13
F10	2	22452-2	844	S	État 2.3 à 3	S-6-Bs 22452	168	13
F30	0	15523	1709	A7	État 2.3 à 3	A6-4-sol 15523	29	17
F33	7	21709	2083	T	État 2.3 à 3	T-3-radier 21709	173	1
F33	7	21709	276	T	État 2.3 à 3	T-3-radier 21709	173	2

Cat 11. Fibules issues du sanctuaire

Groupe	Type	UF	No inv.	Bâtiment	État	Code Assemblage	Pl.	No
F11	3	12518	2121	FP, branche ouest	État 1.1	SCTFN-7-occupation piégée	208	13
B22	3	13699	358	FP, branche nord	État 1.2	SCTFO-3-arrachage palissade	213	1
B22	1	13060	306	Galerie niveau de sol	État 2.1	SCTG-26-remblai sol est	193	8
B22	3	13060	355	Galerie niveau de sol	État 2.1	SCTG-26-remblai sol est	193	9
F30		12519	452	Galerie niveau de sol	État 2.1	SCTG-25-remblai sol nord	193	5
F33	6	12587	741	Galerie niveau de sol	État 2.1	SCTG-25-remblai sol nord	193	4
B20	0	9218	2	Galerie niveau d'occupation	État 2.2	SCTG-8-occupation nord	187	18
B22	0	12074	763	Entrée	État 2.2	SCTPE-3-occupation	199	20
B22	2	12547	732	Galerie niveau d'occupation	État 2.2	SCTG-8-occupation nord	187	8
B22	2	12074	778	Entrée	État 2.2	SCTPE-3-occupation	199	17
B22	3	11199	496	Galerie niveau d'occupation	État 2.2	SCTG-8-occupation nord	187	9
B22	3	12074	2117	Entrée	État 2.2	SCTPE-3-occupation	199	18
B22	5	9341	1	Galerie niveau d'occupation	État 2.2	SCTG-8-occupation nord	187	7
B22	15	9222		Galerie niveau d'occupation	État 2.2	SCTG-8-occupation nord	187	10
B22	30	9340		Galerie niveau d'occupation	État 2.2	SCTG-8-occupation nord	187	11
B23	1	13709	370	Galerie niveau d'occupation	État 2.2	SCTG-9-occupation ouest	189	3
B30		12074	709	Entrée	État 2.2	SCTPE-3-occupation	199	21
F03		13577	2041	Galerie niveau d'occupation	État 2.2	SCTG-9-occupation ouest	Non ill.	
F22	1	12074	743	Entrée	État 2.2	SCTPE-3-occupation	199	19
F23	1	9338		Galerie niveau d'occupation	État 2.2	SCTG-8-occupation nord	187	12
F23	1	11199	397	Galerie niveau d'occupation	État 2.2	SCTG-8-occupation nord	187	15
F23	5	12074	2086	Entrée	État 2.2	SCTPE-3-occupation	199	22
F24	4	12071	2044	Galerie niveau d'occupation	État 2.2	SCTG-11-occupation est nord entrée	190	2
F30		11199	2068	Galerie niveau d'occupation	État 2.2	SCTG-8-occupation nord	187	13
F31	1	13706	2053	Galerie niveau d'occupation	État 2.2	SCTG-9-occupation ouest	189	2
F33	7	9224		Galerie niveau d'occupation	État 2.2	SCTG-8-occupation nord	187	14

Groupe	Type	UF	No inv.	Bâtiment	État	Code Assemblage	Pl.	No
F33	7	11199	2069	Galerie niveau d'occupation	État 2.2	SCTG-8-occupation nord	187	16
F33	7	9221		Galerie niveau d'occupation	État 2.2	SCTG-8-occupation nord	187	17
B11	1	12068	651	Galerie aménagement empierré	État 2.3	SCTG-5-empierrements sud entrée	186	11
B22	3	12705	955	Enclos A	État 2.3	SCTA-13-fossé branche ouest	216	9
B22	4	12037	512	Galerie aménagement empierré	État 2.3	SCTG-5-empierrements sud entrée	186	10
B22	4	10193	159	Enclos A	État 2.3	SCTA-10-fossé branche sud	215	9
B22	4	10216	316	Enclos A	État 2.3	SCTA-10-fossé branche sud	215	10
B22	4	10245	335	Enclos A	État 2.3	SCTA-10-fossé branche sud	215	11
B22	5	10256	272	Enclos A	État 2.3	SCTA-12-fossé branche nord	216	4
B22	7	10254	330	Enclos A	État 2.3	SCTA-12-fossé branche nord	216	3
B23	2	13051	246	Galerie (palissade extérieur)	État 2.3	SCTG-28-Pal ext. est	194	7
B23	4	15201	50	Galerie aménagement empierré	État 2.3	SCTG-4-empierrements nord entrée	186	1
F01	2	15201	32	Galerie aménagement empierré	État 2.3	SCTG-4-empierrements nord entrée	186	3
F03		12904	454	Galerie (palissade extérieur)	État 2.3	SCTG-27-Pal ext. sud	194	1
F03		10254	266	Enclos A	État 2.3	SCTA-12-fossé branche nord	216	5
F30		12705	889	Enclos A	État 2.3	SCTA-13-fossé branche ouest	216	8
F33	1	13032	2076	Galerie (palissade extérieur)	État 2.3	SCTG-28-Pal ext. est	194	5
F34	4	13032	251	Galerie (palissade extérieur)	État 2.3	SCTG-28-Pal ext. est	194	4
F80		12705	431	Enclos A	État 2.3	SCTA-13-fossé branche ouest	216	7
B20	0	11219	2103	Galerie niveau de sol	État 2 <i>lato sensu</i>	SCTG-19-sol d'amphore est nord entrée	Non ill.	
B22	3	11216	474	Galerie niveau de sol	État 2 <i>lato sensu</i>	SCTG-33-TP 11216	198	2
F11	1	10235	351	Galerie niveau de sol	État 2 <i>lato sensu</i>	SCTG-13-sol d'amphore nord	191	1
F11	4	15239	116	Galerie niveau de sol	État 2 <i>lato sensu</i>	SCTG-19-sol d'amphore est nord entrée	192	1
F20		10264	326	Galerie niveau de sol	État 2 <i>lato sensu</i>	SCTG-13-sol d'amphore nord	191	2
F23	2	11221	463	Galerie niveau de sol	État 2 <i>lato sensu</i>	SCTG-19-sol d'amphore est nord entrée	192	2
F30		11222	444	Galerie niveau de sol	État 2 <i>lato sensu</i>	SCTG-19-sol d'amphore est nord entrée	192	3
F33	7	13014	17	Galerie niveau de sol	État 2 <i>lato sensu</i>	SCTG-22-sol dans galerie est	193	1
F33	12	15239	115	Galerie niveau de sol	État 2 <i>lato sensu</i>	SCTG-19-sol d'amphore est nord entrée	192	4
B21	2	9319	1	Galerie gallo-romaine, branche nord	État 2-GR	SCTGRN-11-niveaux laténiens	183	5
B22	0	8131		Galerie gallo-romaine, branche nord	État 2-GR	SCTGRN-11-niveaux laténiens	183	3
B22	3	11133	246	Cuves et sols E	État 2-GR	SCTE-6-interface LT-GR	224	2
B22	4	11116	172	Galerie niveau de sol	État 2-GR	SCTG-1-interface LT-GR	185	1
B22	4	11356	238	Cuves et sols E	État 2-GR	SCTE-6-interface LT-GR	224	3
B23	5	11138	226	Galerie niveau de sol	État 2-GR	SCTG-1-interface LT-GR	185	2
B34	1	12073	810	Cuves et sols E	État 2-GR	SCTE-6-interface LT-GR	224	4
F20		12073	821	Cuves et sols E	État 2-GR	SCTE-6-interface LT-GR	Non ill.	
F20		10094	2028	Enclos A	État 2-GR	SCTA-8-interface LT-GR	Non ill.	
F24	4	12073	820	Cuves et sols E	État 2-GR	SCTE-6-interface LT-GR	224	6
F33	7	12073	799	Cuves et sols E	État 2-GR	SCTE-6-interface LT-GR	224	5

Cat 12. Bracelets

Groupe	Type	UF	No inv.	Bâtiment	État	Code Assemblage	Pl.	No
B10	1	10080	402	Cour du sanctuaire	Décapage	SCTE-1-décapage	220	18
B10	1	13698	361	FP, branche ouest	État 1.2	SCTFO-3-arrachage palissade	213	3
B10	1	17016	171	C5	État 2.1	C5-6-sol 17016	76	6
B10	2	10062	401	Galerie gallo-romaine, branche nord	État 4.3	SCTGRN-5-Fo 10061	182	24
B10	2	12553	428	Cour du sanctuaire	État 1 et 2 <i>lato sensu</i>	SCTE-7-sol de cailloutis	225	24
B10	2	13297	2069	FP, branche sud	État 1.2	SCTFS-6-arrachage palissade	212	8
B10	2	15420	634	Cour entre A et B	Décapage	AB-1-décapage	34	12
B10	2	15444	749	B corps principal	État 1	BCP-7-TP 15443	38	6
B10	2	15586	853	B corps principal	État 1	BCP-18-TP 15586	38	17
B10	2	16026	135	A8	Non phasé	A8-2-épannage	31	6
B10	2	16406	628	C3	État 2.2 à 2.3	C3-2-radier	60	8
B10	2	18242	3068	C5 Cave	État 2.2	C5C-6-combl inf	78	10
B10	2	20663	S1042	Q	État 2 <i>lato sensu</i>	Q-2-Cit 20662	111	10
B10	2	22452	353	S	État 2.3 à 3	S-6-Bs 22452	168	16
B10	2	22500	363	Voies ouest	Non phasé	VO-9-Fo 22482	171	6
B10	2	22504	492	O	État 2 <i>lato sensu</i>	O-8-TP 22504	167	11
B10	3	13060	369	Galerie niveau de sol	État 2.1	SCTG-26-remblai sol est	193	11
B10	3	15612	1134	Cour entre A et B	Décapage	AB-1-décapage	34	13
B10	3	18099	321	F	État 2.1	F-10-Fo 18098	106	14
B10	3	HC2007	24	Hors contexte	Hors contexte	HC2007	233	5
B10	3	HC2012	246	Hors contexte	Hors contexte	HC2012	Non ill.	
B10	4	12074	2005	Entrée	État 2.2	SCTPE-3-occupation	199	23
B10	4	12081	856	Cour du sanctuaire	État 4 <i>lato sensu</i>	SCTE-3-remblai cours	222	1
B10	4	13081	2000	FP, branche est	État 1.2	SCTFE-6-arrachage palissade sud entrée	211	15
B10	4	15429	1746	A8	Décapage	A8-1-décapage	30	5
B10	4	16005	33	A10	Décapage	A10-1-décapage	32	11
B10	4	16005	39	A10	Décapage	A10-1-décapage	32	10
B10	4	16066	194	A1	État 2.3	A1-2-radier	2	13
B10	4	16407	733	Place du complexe C (ouest)	État 2 <i>lato sensu</i>	CPL-2-occupation ouest	43	26
B10	4	16532	1367	Cour intérieur A	Décapage	ACI-1-décapage	26	21
B10	4	18584	1411a	G1/D2	État 2.1	G1/D2-1-TP18585	99	6
B10	4	20063	S3085	M	État 2.3	M-27-épannage 20063	138	4
B10	4	20396	E2021	O	État 2.2	O-3-Fo art 20395	167	2
B10	4	8318		C4	Décapage	C4-1-décapage	65	1
B10	4	HC(sanctuaire)	1042	Hors contexte	Hors contexte	HC(sanctuaire)	229	24
B10	5	15675	1117	A2	État 1 à 2.1	A2-13-épannage 15675	19	19
B10	6	21152	1160	M	État 2.1 à 2.2	M-111-démontage radier 20080	143	3
B10	6	21152	1345	M	État 2.1 à 2.2	M-111-démontage radier 20080	143	2
B10	7	15429	1248	A8	Décapage	A8-1-décapage	30	6
B10	7	20628	S2182	K	État 2.2	K-13-Cave combl sup	122	10
B10	8	13550	144	Galerie (TP)	État 2 <i>lato sensu</i>	SCTG-60-TP 13549	198	8
B10	9	HC2012	625	Hors contexte	Hors contexte	HC2012	235	4
B10	10	13027	85	Cour du sanctuaire	État 4 <i>lato sensu</i>	SCTE-3-remblai cours	222	2
B10	11	23003	143	Décapage	État 4 <i>lato sensu</i>	Fouille 2013	Non ill.	
B10	12	18516	1061	Espace D	Décapage	D-1-décapage	81	6
B11	1	15420	581	Cour entre A et B	Décapage	AB-1-décapage	34	11
B11	2	15403	500	Ruelle entre A et C	Non phasé	AC-3-épannage	70	10
B11	2	16169	298	A10	État 1	A10-4-TP 16169	33	7

Groupe	Type	UF	No inv.	Bâtiment	État	Code Assemblage	Pl.	No
B11	2	20065	S3100	M	État 2.1	M-116-Pal 20064	148	1
F11	1	21033	1097	M	État 2.2	M-72-sol 21033	140	11
F11	2	17017	44	C6	Décapage	C6-1-décapage	73	6
B12	1	11106	153	Cour du sanctuaire	État 4 <i>lato sensu</i>	SCTE-3-remblai cours	222	4
B12	1	11334	184	Cuves et sols E	État 4 <i>lato sensu</i>	SCTE-3-remblai cours	222	3
B12	1	12085	872	Cuves et sols E	État 1 et 2 <i>lato sensu</i>	SCTE-11-Cuve 12082	227	5
B12	1	12105	1019	Entrée	État 2 <i>lato sensu</i>	SCTPE-10-TP 12105	201	10
B12	1	12109	1005	FP, branche est	État 1.1	SCTFE-7-calage palissade	211	20
B12	1	15050	144	Structure sur poteaux D	État 1 et 2 <i>lato sensu</i>	SCTD-2-épandage	218	19
B12	1	15201	54	Galerie aménagement empierré	État 2.3	SCTG-4-empierrements nord entrée	186	4
B12	1	15472	978	B corps principal	Décapage	B-1-décapage	35	8
B12	1	15518	790	A1	État 2.2 à 2.3	A1-8-nettoyages solins	4	1
B12	1	16009	78	A8	État 1 et 2 <i>lato sensu</i>	A8-2-épandage	31	7
B12	1	16053	159	A6	État 2 <i>lato sensu</i>	A6-2-décapage 16053	29	16
B12	1	16066	191	A1	État 2.3	A1-2-radier	2	12
B12	1	17479	200	C3	État 1	C3-10-Fo 17478	62	1
B12	1	21019	799	M	Décapage	M-1-décapage	131	13
B12	1	21052	716	M	État 3	M-3-radier 20052	134	10
B12	1	21121	769	M (ruelle)	État 2.2	M-67-Sb 21121	140	1
B12	1	HC2011	457	Hors contexte	Hors contexte	HC2011	Non ill.	
B12	2	20681	S1030	Q	État 1	Q-11-20680	116	1
B12	2	21167	1227	M	État 2.1	M-211-sol 21167	144	4
B13	1	12074	847	Entrée	État 2.2	SCTPE-3-occupation	199	24
B13	2	12129	1023	FP, branche est	Décapage	SCTFE-1-décapage	210	1
B13	2	13707	455	Galerie niveau d'occupation	État 2.2	SCTG-9-occupation ouest	189	4
B13	2	15237	142	Galerie niveau d'occupation	État 2.2	SCTG-11-occupation est nord entrée	190	3
B13	2	17724	620	E	Décapage	E-1-décapage	109	1
B13	2	8201		Hors bâtiment	Non phasé	HB-24-sondage 1992	231	13
B13	2	17407	303	C3	État 1 à 2.1	C3 et C4-20-sol 17407	63	12
B14	1	22497	381	S	État 1 à 2.1	S-23-TP 22497	170	10
B14	1	15724	1184	A1 et A2	Décapage	A1 et A2-1-décapage	1	3
B15	1	17360	903	C3	État 2.1	C3-8-Sb 17359	59	16
B16	1	15257	187	FP, branche est	État 1.2	SCTFE-5-arrachage palissade nord entrée	211	3
B16	2	11194	364	FP, branche nord	État 4 <i>lato sensu</i>	SCTFN-3-complements gallo-romains	202	21
F16	1	9059	1	Enclos B	Décapage	SCTB-1-décapage	216	13
F2		20625	S2107	K	État 2.2	K-10-Cave combl ind	122	2
B21	0	13236	328	Enclos B	État 1 et 2 <i>lato sensu</i>	SCTB-4-comblement branche ouest	216	24
B21	0	15646	994	Cour intérieur A	Décapage	ACI-1-décapage	26	19
B21	0	16022	132	A7	État 2.3	A7-3-sol	23	11
B21	0	16405	609	Place du complexe C (ouest)	État 2 <i>lato sensu</i>	CPL-2-occupation ouest	43	25
B21	0	17999-213	1641	Place du complexe C (est)	État 1 et 2 <i>lato sensu</i>	CPL-5-sol est	49	1
B21	1	10249	285	Bâtiment A	État 4 <i>lato sensu</i>	SCTA-2-remblais	214	10
B21	1	15590	1226	A1	État 1 à 2.1	A1-21-décapage 15590	15	1
B21	1	15667	1058	A9	Décapage	A8-2-épandage	31	8
B21	1	16019	1621=96	Cour intérieur A	Non phasé	ACI-2-épandage	28	3
B21	1	16532	1614	Cour intérieur A	Décapage	ACI-1-décapage	26	20
B21	1	16543	1364	A2	État 2.1	A2-10-sol 16543	20	2
B21	1	17407	849	C3	État 1 et 2.1	C3 et C4-20-sol 17407	63	9
B21	1	18099	306	F	État 2.1	F-10-Fo 18098	106	12
B21	1	18099	313	F	État 2.1	F-10-Fo 18098	106	13
B21	1	18104	240	C5 Cave	État 1	C5C-19-TP 18104	79	9

Groupe	Type	UF	No inv.	Bâtiment	État	Code Assemblage	Pl.	No
B21	1	20205	S3244	M	État 1	M-178-Fo art 20204	153	8
B21	1	20205	S3245	M	État 1	M-178-Fo art 20204	153	8
B21	1	21102	712	M	État 2.3	M-21-remblai 21102	137	8
B21	1	22229	60	R	État 3	R-4-radier 22229	157	3
B21	1	HC(sanctuaire)	73	Hors contexte	Hors contexte	HC(sanctuaire)	229	21
B21	2	15047	165	Structure sur poteaux D	État 1 et 2 <i>lato sensu</i>	SCTD-2-épandage	218	20
B21	2	15588	872	A5	Décapage	A5-1-décapage	29	3
B21	2	17363	970	C4	État 1	C4-15-Fo 17361	68	3
B21	2	8342		A1	État 1 à 2.1	A1-20-sol 14030	6	7
B21	3	25000	43	Décapage	État 4 <i>lato sensu</i>	Fouille 2015	Non ill.	
B21	4	16543	1363	A2	État 2.1	A2-10-sol 16543	20	1
B21	5	11320	710	Cuves et sols E	État 4 <i>lato sensu</i>	SCTE-3-remblai cours	222	5
B21	5	13060	349	Galerie niveau de sol	État 2.1	SCTG-26-remblai sol est	193	10
B21	5	16066	1622	A1	État 2.3	A1-2-radier	2	14
B21	5	9081		Bâtiment A	État 4 <i>lato sensu</i>	SCTA-2-remblais	214	9
B21	6	21342	2501	M	État 2.1	M-123-Cave 21341	150	1
B21	7	22343	656	R	État 1	R-71-Sb 22343	165	6
B22	1	16408	582	C3	État 1 à 2.1	C3-7-Ce 17405	61	2
B22	2	8344	1	A1	État 1 à 2.1	A1-20-sol 14030	6	8
B22	3	17282	1666	Espace D	État 4 <i>lato sensu</i>	D-5-Fo 17873	87	7
B22	4	20657	S2137	K	État 2 <i>lato sensu</i>	K-2-radier de sol	118	4
B22	5	12503	134	Cour du sanctuaire	État 1 et 2 <i>lato sensu</i>	SCTE-7-sol de cailloutis	225	25
B30	1	17151	1648	C5 Cave	État 2.2	C5C-6-combl inf	78	9
B30	1	18684	3087 et 3088	C1	État 1	C1-8-Fo 17084	52	5
B30	1	18709	2206	G1/D2	État 2.1	G1/D2-1-TP18585	100	5
B30	1	22255-2	427	M	État 2.2	M-65-Ce 22255	139	9
B30	1	8001		Sondage 1992 5	Sondage 1992 5	HB-9-sondage 1992 5	231	12
B30	2	16453	1512	C4	État 1 à 2.1	C4-21-TP 16452	66	20
B31	1	17010	1653	C5	Décapage	C5-1-décapage	74	6
B31	1	18709	2207	G1/D2	État 2.1	G1/D2-1-TP18585	100	4
B32	1	12035	341	Edicule	État 4 <i>lato sensu</i>	SCTED-2-passe mécanique 12035	227	18
B41	1	11144	299	Galerie gallo-romaine, branche est	État 4 <i>lato sensu</i>	SCTGRE-3-remblais	183	14
B42	2	14006	437	A1	État 2.2 à 2.3	A1-7-épandage 14010	3	4
B43	3	23003	143	Décapage	État 4 <i>lato sensu</i>	Fouille 2013	Non ill.	

Cat 13. Bagues

Groupe	Type	UF	No inv.	Bâtiment	État	Code Assemblage	Pl.	No
B1	1	21019	512	M	Décapage	M-1-décapage	131	15
B1	1	21722	100	Hémicycle gaulois/théâtre gallo-romain	État 4.2	TH-9-démolition 21722	175	15
B1	1	18516	1076	Espace D	Décapage	D-1-décapage	81	10
B1	1	16141	1799	A7	État 2.1	A7-5-TP 1640	25	3
B1	2	15675	1116	A2	État 1 à 2.1	A2-13-épandage 15675	19	21
B1	2	16201	933	B	Décapage	B-1-décapage	35	9
B1	2	21068	691	R	État 2.1	R-54-Fossé 22228	163	7
B1	2	HC2011	800	Hors contexte	Hors contexte	HC2011	234	12
A1	3	15675	1118	A2	État 1 à 2.1	A2-13-épandage 15675	19	21
A1	3	10257	281	Galerie niveau de sol	État 2 <i>lato sensu</i>	SCTG-13-sol d'amphore nord	191	4
A2		8334		Ruelle entre A et C	État 2 <i>lato sensu</i>	AC-3-épandage	70	14
A2		HC2006	1557	Hors bâtiment	Hors contexte	HC2006	232	13
O2		18050	3094	H	État 1	H-21-TP 18049	105	11
O2		19033	9	Sanctuaire Extérieur nord	État 1 et 2 <i>lato sensu</i>	SCTX-1-Pal 19034	228	3
O2		19033	12	Sanctuaire Extérieur nord	État 1 et 2 <i>lato sensu</i>	SCTX-1-Pal 19034	228	2
O2		19033	38	Sanctuaire Extérieur nord	État 1 et 2 <i>lato sensu</i>	SCTX-1-Pal 19034	228	4
O2		8126		Galerie gallo-romaine, branche nord	État 2-GR	SCTGRN-11-niveaux laténiens	183	6
B3	1	12547	731	Galerie niveau d'occupation	État 2.2	SCTG-8-occupation nord	188	5
B3	2	HC(sanctuaire)	89	Hors contexte	Hors contexte	HC(sanctuaire)	229	23
B4		13039	168	Galerie niveau d'occupation	État 2.2	SCTG-12-occupation est sud entrée	190	10
B5		7350		Hors bâtiment	Non phasé	HB-7-fouilles 1991	231	9
B5		15615	839	A5	État 2.3	A5-2-sol 15615	29	7
B6		15000	10	Temple à galerie périphérique	Décapage	SCTT-1-décapage	218	2
B6		15630	939	B corps principal	État 1	BCP-1-Ce 15520	36	8
B6		15630	983	B corps principal	État 1	BCP-1-Ce 15520	36	9
B6		21272	765	M	Décapage	M-1-décapage	131	14
B6		21512	962	M	État 2.3	M-40-TP 21511	138	15
B6		21832	385	Hémicycle gaulois/théâtre gallo-romain	État 3	TH-21-radier 21832	177	1
B6		8056		C4	Décapage	C4-1-décapage	65	5
B7	1	22590	2726	M	État 1 à 2.1	M-215-détecteur	155	6
B7	2	17008	128	Espace D	État 4 <i>lato sensu</i>	D-2-gallo-romain	84	12
B7	3	11114	143	Cour du sanctuaire	État 4 <i>lato sensu</i>	SCTE-3-remblai cours	222	15
F8		17521	820	Place du complexe C (est)	État 2 <i>lato sensu</i>	CPL-4-épandage est	47	13
F8		17999-10	1792	Place du complexe C (ouest)	État 1 et 2 <i>lato sensu</i>	CPL-3-sol ouest	46	4
F8		21089	1481	M	État 2.2	M-71-Fossé 21089	140	5
F8		22516	867	S	État 2 <i>lato sensu</i>	S-9-Fé 22524	169	10
B8		17410	383	C4	État 2.2 à 2.3	C4-3-démontage radier	65	17
F9		11167	448	Cour du sanctuaire	État 1 et 2 <i>lato sensu</i>	SCTE-7-sol de cailloutis	225	20
F9		22465	850	S	Décapage	S-1-décapage	168	3
F10		12035	374	Edicule	État 4 <i>lato sensu</i>	SCTED-2-passe mécanique 12035	227	19
F10		20384	S4035	Hémicycle gaulois/théâtre gallo-romain	État 4.2, construction	TH-11-remblai 21723	175	20
B10		16405	1525	Place du complexe C (ouest)	État 2 <i>lato sensu</i>	CPL-2-occupation ouest	43	24

Cat 14. Perles

Type	UF	No inv.	Bâtiment	État	Code Assemblage	Pl.	No
	16000	17	A8	Décapage	A8-1-décapage	030	11
	16003	40	A7	Décapage	A7-1-décapage	022	02
	16017	86	A2	État 2.3	A2-3-sol 16017	019	06
Cannelée	16018	88	A3	Décapage	A3 et A2-1-décapage	021	01
	16030	91	A1	État 1 à 2.1	A1-20-sol 14030	006	15
	16026	157	A8	Non phasé	A8-2-épandage	031	10
	16056	171	Cour intérieur A	État 1	ACI-6-Fo 16055	028	20
	16056	172	Cour intérieur A	État 1	ACI-6-Fo 16055	028	19
	16068	200	A4	État 2.2 à 2.3	A4-2-radier	021	12
	16067	222	A1 et A2	État 2.2	A1 et A2-2-radier	001	06
	16074	229	A5	Décapage	A5-1-décapage	029	02
	16126	266	A7	État 1 à 2.1	A7-10-remblai 16126	024	05
	16121	269	A10	Décapage	A10-1-décapage	032	12
	16420	304	Ruelle entre A et C	État 2 <i>lato sensu</i>	AC-4-épandage	071	06
	16403	318a	Place du complexe C	Décapage	CPL-1-décapage	043	02
	16608	346	C1	État 1 à 2.1	C1-16-sol 16608	054	09
	16608	348	C1	État 1 à 2.1	C1-16-sol 16608	054	11
	16608	350	C1	État 1 à 2.1	C1-16-sol 16608	054	10
	16431	360	Ruelle entre A et C	État 2 <i>lato sensu</i>	AC-2-épandage	070	13
	16420	398	Ruelle entre A et C	État 2 <i>lato sensu</i>	AC-4-épandage	071	05
	16440	407	Ruelle entre A et C	État 1 et 2 <i>lato sensu</i>	AC-5-épandage	071	21
	16440	421	Ruelle entre A et C	État 1 et 2 <i>lato sensu</i>	AC-5-épandage	071	20
	16404	425	Place du complexe C	Décapage	CPL-1-décapage	043	04
	16606	445	C1	Décapage	C1-1-décapage	050	06
	16420	471	Ruelle entre A et C	État 2 <i>lato sensu</i>	AC-4-épandage	071	04
	16420	484	Ruelle entre A et C	État 2 <i>lato sensu</i>	AC-4-épandage	071	08
	16405	501	Place du complexe C (ouest)	État 2 <i>lato sensu</i>	CPL-2-occupation ouest	043	19
	16405	505	Place du complexe C (ouest)	État 2 <i>lato sensu</i>	CPL-2-occupation ouest	043	17
	16420	516	Ruelle entre A et C	État 2 <i>lato sensu</i>	AC-4-épandage	071	03
	16420	517	Ruelle entre A et C	État 2 <i>lato sensu</i>	AC-4-épandage	071	07
	16450	539	C4	État 2.1	C4-14-Ce 16449	066	14
	16623	542	C5	État 2.3 à 3	C5-4-épandage	074	14
	16622	552	Bâtiment gallo-romain nord	État 4 <i>lato sensu</i>	BGRN-6-démolition 16622	095	04
	16622	572	Bâtiment gallo-romain nord	État 4 <i>lato sensu</i>	BGRN-6-démolition 16622	095	03
	16622	579	Bâtiment gallo-romain nord	État 4 <i>lato sensu</i>	BGRN-6-démolition 16622	095	06
	16450	586	C4	État 2.1	C4-14-Ce 16449	066	13
	16622	592	Bâtiment gallo-romain nord	État 4 <i>lato sensu</i>	BGRN-6-démolition 16622	095	02
Cannelée	16405	606	Place du complexe C (ouest)	État 2 <i>lato sensu</i>	CPL-2-occupation ouest	043	22
	16405	607	Place du complexe C (ouest)	État 2 <i>lato sensu</i>	CPL-2-occupation ouest	043	20
Cannelée	16400	629	C	Décapage	C-1-décapage	042	10
	16405	631	Place du complexe C (ouest)	État 2 <i>lato sensu</i>	CPL-2-occupation ouest	043	18
Cannelée	16407	682	Place du complexe C (ouest)	État 2 <i>lato sensu</i>	CPL-2-occupation ouest	043	21
	16410	686	C3	État 2.3	C3-1-décapage	059	02
Cannelée	16411	689	C3	État 1 à 2.1	C3-15-sol 16411	063	01
	HC2006	704	Hors bâtiment	Hors contexte	HC2006		
	HC2006	707	Hors bâtiment	Hors contexte	HC2006		
Cannelée	16409	734	Place du complexe C (ouest)	État 1 et 2 <i>lato sensu</i>	CPL-3-sol ouest	046	07
	HC2006	768	Hors bâtiment	Hors contexte	HC2006		
	16211	834	B corps principal	État 1	BCP-22-Sb 16210	039	03

Type	UF	No inv.	Bâtiment	État	Code Assemblage	Pl.	No
	16211	835	B corps principal	État 1	BCP-22-Sb 16210	039	04
Cannelée	16253	871	B cour ouest	Non phasé	BCO-8-Fo 16252	041	05
	16257	884	B cour nord	Décapage	B-1-décapage	035	11
	16251	921	B corps principal	État 2 <i>lato sensu</i>	BCP-27-Sb 15481	039	05
	16259	922	Espace D	État 4 <i>lato sensu</i>	D-2-gallo-romain	084	01
	16236	938	B cour ouest	État 1 et 2 <i>lato sensu</i>	BCO-2-épannage 16238	040	10
	16213	949	B corps principal	État 1 à 2.1	BCP-11-Sb 16212	038	15
	16213	952	B corps principal	État 1 à 2.1	BCP-11-Sb 16212	038	14
	16238	957	B cour ouest	Non phasé	BCO-2-épannage 16238	040	07
	16238	996	B cour ouest	Non phasé	BCO-2-épannage 16238	040	08
	16219	997	B corps principal	État 1	BCP-2-Fo 16218	036	19
	16219	1008	B corps principal	État 1	BCP-2-Fo 16218	036	18
	16310	1010	B cour nord	État 1 à 2.1	BCN-9-Pal 16310	039	15
Cannelée	16239	1023	B cour ouest	Non phasé	BCO-6-Fo 16239	041	01
Cannelée	16259	1028	Espace D	État 4 <i>lato sensu</i>	D-2-gallo-romain	084	04
	16259	1029	Espace D	État 4 <i>lato sensu</i>	D-2-gallo-romain	084	02
	16352	1032	B cour ouest	Non phasé	BCO-10-16351	041	06
	HC2006	1047	Hors bâtiment	Hors contexte	HC2006		
	16169	1300	A10	État 1	A10-4-TP 16169	033	06
	16127	1301	A7	Décapage	A7-1-décapage	022	04
	16588	1313	A3	État 2 <i>lato sensu</i>	A3-3-décapage 16588	021	04
	16560	1330	A1	État 1 à 2.1	A1-20-sol 14030	006	17
Cannelée	16557	1353	Cour intérieur A	État 1 à 2.1	ACI-4-16557	028	16
	16580	1606	A2	État 1	A2-12-sol 16580	020	11
	16083	1613	A9	État 2.1	A9-4-sol 16083	033	16
	16557	1617	Cour intérieur A	État 1 à 2.1	ACI-4-16557	028	17
	HC2006	1619	Hors bâtiment	Hors contexte	HC2006		
Cannelée	16411	1432	C3	État 1 à 2.1	C3-15-sol 16411	066	03
	HC2006	1522	Hors bâtiment	Hors contexte	HC2006		
	HC2006	1559	Hors bâtiment	Hors contexte	HC2006		
	15590	1560	A1	État 1 à 2.1	A1-21-décapage 15590	015	02
	17010	2	C5	Décapage	C5-1-décapage	074	04
	17008	33a	Espace D	État 4 <i>lato sensu</i>	D-2-gallo-romain	084	05
	17008	37	Espace D	État 4 <i>lato sensu</i>	D-2-gallo-romain	084	10
	17008	84	Espace D	État 4 <i>lato sensu</i>	D-2-gallo-romain	084	07
	17050	115	C1 et C2	Décapage	C1-1-décapage	050	11
	17050	118	C1 et C2	Décapage	C1-1-décapage	050	09
	17018	138	C5	État 2.2 à 2.3	C5-3-radier	075	05
	17063	151	C1	État 1	C1-18-Fo art 17093	056	05
	17050	157	C1 et C2	Décapage	C1-1-décapage	050	08
	17063	176	C1	État 1	C1-18-Fo art 17093	056	06
	17083	220	C1	État 2.1	C1-8-Fo 17084	052	04
	17083	221	C1	État 2.1	C1-8-Fo 17084	052	03
Cannelée	17063	239	C1	État 1	C1-18-Fo art 17093	056	04
	17050	273	C1 et C2	Décapage	C1-1-décapage	050	10
	17008	293	Espace D	État 4 <i>lato sensu</i>	D-2-gallo-romain	084	08
Cannelée	17400	316	C	Décapage	C-1-décapage	042	11
	17400	334	C	Décapage	C-1-décapage	042	09
Cannelée	17410	353	C4	État 2.2 à 2.3	C4-3-démontage radier	065	13
Cannelée	17427	380	C5	État 1 et 2 <i>lato sensu</i>	C5-5-épannage ouest	076	02
	17410	388	C4	État 2.2 à 2.3	C4-3-démontage radier	065	15

Type	UF	No inv.	Bâtiment	État	Code Assemblage	Pl.	No
Cannelée	17410	389	C4	État 2.2 à 2.3	C4-3-démontage radier	065	14
	17411	396	C4	État 4 <i>lato sensu</i>	C4-4-remblai romain	065	27
	17430	420	Place du complexe C (est)	État 2 <i>lato sensu</i>	CPL-4-épandage est	047	07
Cannelée	HC2007	430	Hors contexte	Hors contexte	HC2007		
	HC2007	431	Hors contexte	Hors contexte	HC2007		
	17482	451	C4	État 2.2 à 2.3	C4-7-démontage	065	38
	17501	492	Place du complexe C (ouest)	État 2 <i>lato sensu</i>	CPL-2-occupation ouest	043	23
Cannelée	17521	559	Place du complexe C (est)	État 2 <i>lato sensu</i>	CPL-4-épandage est	047	11
	17430	582	Place du complexe C (est)	État 2 <i>lato sensu</i>	CPL-4-épandage est	047	08
	17523	806	C7	État 2.1	C7-10-Ce 17522	072	05
	17608	812	C6	État 1	C6-18-Sb 17607	073	14
Cannelée	17521	825	Place du complexe C (est)	État 2 <i>lato sensu</i>	CPL-4-épandage est	047	09
	17699	843	C4	État 2.1	C4-10-Fo art 17698	067	02
	17302	856	C4	État 1	C4-18-TP 17301	066	18
	17407	869	C3	État 1 et 2.1	C3 et C4-20-sol 17407	063	10
	17300	874	C3	État 2.2 à 2.3	C3-2-radier	060	10
	17300	876	C3	État 2.2 à 2.3	C3-2-radier	060	11
	17300	878	C3	État 2.2 à 2.3	C3-2-radier	060	09
	HC2007	880	Hors contexte	Hors contexte	HC2007		
	HC2007	882	Hors contexte	Hors contexte	HC2007		
	17419	898	C3	État 2.1	C3-11-Fo art 17418	062	08
	17606	905	C6	État 1	C6-17-TP 17605	073	13
	17310	908	C4	État 2.2 à 2.3	C4-3-démontage radier	065	12
Cannelée	17343	937	C1	État 1	C1-17-sol 17343	055	02
	17343	941	C1	État 1	C1-17-sol 17343	055	03
	17360	942	C3	État 2.1	C3-8-Sb 17359	059	17
	17363	964	C4	État 1	C4-15-Fo 17361	068	02
	17999-10	972	Place du complexe C (ouest)	État 1 et 2 <i>lato sensu</i>	CPL-3-sol ouest	046	08
	17999-12	978	Place du complexe C (ouest)	État 1 et 2 <i>lato sensu</i>	CPL-3-sol ouest	046	05
	17999-12	981	Place du complexe C (ouest)	État 1 et 2 <i>lato sensu</i>	CPL-3-sol ouest	046	06
	17999-12	982	Place du complexe C (ouest)	État 1 et 2 <i>lato sensu</i>	CPL-3-sol ouest	046	09
Cannelée	17409	1020	C3	État 2.1	C3-6-Sb 17408	059	15
	17046	1301	C3	État 1 à 2.1	C1 et C3-3-démontage radier	051	06
	17046	1302	C3	État 1 à 2.1	C1 et C3-3-démontage radier	051	05
	17099	1305	C2	État 2.1	C2-4-TP 17100	058	15
	17090	1308	C1	État 1	C1-19-Fo 17091	056	11
	HC2007	1331	Hors contexte	Hors contexte	HC2007		
	17101	1335	G1/D2	État 1	G1/D2-7-TP 17102	101	14
	17103	1474	Espace D	État 4 <i>lato sensu</i>	D-2-gallo-romain	084	09
Cannelée	HC2007	1505	Hors contexte	Hors contexte	HC2007		
	17026	1536	Espace D	État 2-GR	D-6-pavage 17026	088	03
	HC2007	1578	Hors contexte	Hors contexte	HC2007		
	HC2007	1579	Hors contexte	Hors contexte	HC2007		
	14013	432	A1	État 2 <i>lato sensu</i>	A1-26-épandage nord	018	03
Cannelée	14017	434	A1	État 1 à 2.1	A1-20-sol 14030	006	19
	14008	473	A1	État 2.2 à 2.3	A1-7-épandage 14010	003	05
	14031	546	A1	État 1 à 2.1	A1-20-sol 14030	006	18
	14016	2003	A1	État 2 <i>lato sensu</i>	A1-26-épandage nord	018	02
	17722	622	E1	Décapage	E1-1-décapage	109	03
	17767	646	E1	Décapage	E1-1-décapage	109	04
	17739	676	E3	État 2.1	E3-5-TP 17740	110	06

Type	UF	No inv.	Bâtiment	État	Code Assemblage	Pl.	No
	17282	1630	Espace D	État 4 <i>lato sensu</i>	D-5-Fo 17873	087	08
	HC2005	510	Hors bâtiment	Hors contexte	HC2005		
	HC2005	512	Hors bâtiment	Hors contexte	HC2005		
	HC2005	515	Hors bâtiment	Hors contexte	HC2005		
Cannelée	HC2005	517	Hors bâtiment	Hors contexte	HC2005		
	15408	537	C3	Décapage	C3-1-décapage	059	01
	15420	538	Cour entre A et B	Décapage	AB-1-décapage	034	15
	15414	543	Ruelle entre A et C	Décapage	AC-1-décapage	069	07
	15423	559	A2, A3 et A4	Décapage	A2 à A4-1-décapage	001	13
	15428	604	Cour intérieur A	Décapage	ACI-1-décapage	026	17
Cannelée	15429	619	A8	Décapage	A8-1-décapage	030	10
	15429	632	A8	Décapage	A8-1-décapage	030	08
	15429	651	A8	Décapage	A8-1-décapage	030	07
	15466	723	A6	Décapage	A6-1-décapage	029	10
Cannelée	15472	729	B corps principal	Décapage	B-1-décapage	035	12
Cannelée	15429	744	A8	Décapage	A8-1-décapage	030	09
	15443	746	B corps principal	État 1	BCP-7-TP 15443	038	09
Cannelée	15444	751	B corps principal	État 1	BCP-7-TP 15443	038	10
	15444	752	B corps principal	État 1	BCP-7-TP 15443	038	08
	15518	785	A1	État 2.2 à 2.3	A1-8-nettoyages solins	004	03
	15473	793	B	Décapage	B-1-décapage	035	10
	15518	797	A1	État 2.2 à 2.3	A1-8-nettoyages solins	004	04
	15584	823	B corps principal	État 1	BCP-17-TP 15584	038	16
	15613	885	A2	État 2.2 à 2.3	A2-9-TP 15614	019	14
	15633	923	A6	Décapage	A6-1-décapage	029	09
	15627	948	C3	État 2.1	C3-12-Ce 15540	062	10
	15646	993	Cour intérieur A	Décapage	ACI-1-décapage	026	16
	HC2005	997	Hors bâtiment	Hors contexte	HC2005		
	15629	1002	A8	Décapage	A8 et A4-1-décapage	030	22
	15663	1015	B corps principal	État 1	BCP-1-Ce 15520	036	10
	15559	1033	A8	Décapage	A8-1-décapage	030	12
	15658	1091	A9	État 2.1	A9-4-sol 16083	033	18
	15646	1106	Cour intérieur A	Décapage	ACI-1-décapage	026	18
	15667	1110	A9	Décapage	A8-2-épandage	031	09
	15612	1123	Cour entre A et B	Décapage	AB-1-décapage	034	14
	15721	1177	A2	État 2 à 3	A2-4-TP 15713	019	09
	15590	1178	A1	État 1 à 2.1	A1-21-décapage 15590	015	03
	15724	1186	A1 et A2	Décapage	A1 et A2-1-décapage	001	04
	15658	1247	A9	État 2.1	A9-4-sol 16083	033	17
	15669	1562	A1	État 2.1	A1-17-Fé 15669	005	01
	15646	1752	Cour intérieur A	Décapage	ACI-1-décapage	026	15
	HC2008	1280	Hors contexte	Hors contexte	HC2008		
	18003	23	H et F	Décapage	H, F et C5C-1-décapage	104	03
	HC2008	140	Hors contexte	Hors contexte	HC2008		
	HC2008	153	Hors contexte	Hors contexte	HC2008		
	18076	215	H	État 1	H-20-Ce 18075	105	09
	18093	265	C5 Cave	État 2.2	C5C-5-combl med	078	04
	18133	270	C5 Cave	État 1	C5C-22-TP 18132	079	16
	18093	277	C5 Cave	État 2.2	C5C-5-combl med	078	05
	18503	1013	Bâtiment gallo-romain nord	Décapage	BGRN-1-nettoyage	094	05
	18504	1030	G4	État 4 <i>lato sensu</i>	G4-2-18504, démolition	103	07

Type	UF	No inv.	Bâtiment	État	Code Assemblage	Pl.	No
	18508	1034	G	État 1 et 2 <i>lato sensu</i>	G-2-cailloutis	097	07
	18502	1082	G4	Décapage	G4-1-18502, décapage	103	02
	18516	1111	Espace D	Décapage	D-1-décapage	081	09
	18549	1342	D3	État 1	D3-2-cailloutis 18549	092	02
	18548	1396	D3	État 2 <i>lato sensu</i>	D3-6-Solin 18548	092	09
	18808	1664	D3	Décapage	D3-1-décapage	091	10
	18420	1697	Espace D	État 4 <i>lato sensu</i>	D-2-gallo-romain	084	11
	18868	1699	D1	État 2.1	D1-10-TP 18869	091	05
	18864	1725	D1	État 2.1	D1-9-TP 18865	091	04
	18726	2008	Espace D	Décapage	D-1-décapage	081	08
	18726	2010	Espace D	Décapage	D-1-décapage	081	07
	18014	2017	C5 Cave	Décapage	C5C-12-décapage nord	079	03
Cannelée	18240	2040	C5 Cave	État 2.2	C5C-5-combl med	078	03
	18099	319	F	État 2.1	F-10-Fo 18098	106	10
	18232	2056	Hors bâtiment	État 1	HB-10-Fo 18232	080	02
	18662	1566	C1	État 1 à 2.1	C1-15-épandage 18662	053	06
	18662	1546	C1	État 1 à 2.1	C1-15-épandage 18662	053	04
	18662	1571	C1	État 1 à 2.1	C1-15-épandage 18662	053	07
	18662	1557	C1	État 1 à 2.1	C1-15-épandage 18662	053	05
Cannelée	20603	S2012	K	État 2.2	K-11-Cave niv som 20603	122	03
Cannelée	20645	S2073	K	Non phasé	K-25-TP 20645	123	15
	20645	S2097	K	Non phasé	K-25-TP 20645	123	16
	HC2010	S2202	Hors contexte	Hors contexte	HC2010		
	20338	S4009	O	Décapage	O-1-décapage	166	02
	20396	E2022	O	État 2.2	O-3-Fo art 20395	167	03
Cannelée	20668	S1023	Q	État 1	Q-14-Fo 20695	113	08
	20601	S1027	U	Décapage	U, K-Q-1-décapage	124	04
Cannelée	20662	S1054	Q	État 2 <i>lato sensu</i>	Q-2-Cit 20662	111	11
	20001 A6	S3039	M	Décapage	M-1-décapage	131	08
	20001 14A	S3042	M	Décapage	M-1-décapage	131	07
	20063	S3081	M	État 2.3	M-27-épandage 20063	138	02
	20063	S3084	M	État 2.3	M-27-épandage 20063	138	03
	20088	S3112	M	État 2.3	M-18-Pal 20087	137	03
	20088	S3113	M	État 2.3	M-18-Pal 20087	137	02
	20416	E2039	O	État 2.2	O-2-Fo art 20415	166	06
	20030	TRB2005	N	État 2.3	N-42-Pal 20029	128	17
	20040	TRB2011	L	État 2.2 à 2.3	L-2-sol	125	03
Cannelée	20417	S4050	Hémicycle gaulois/théâtre gallo-romain	État 1 et 2 <i>lato sensu</i>	TH-45-épandage 20417	180	07
	20088	S3184	M	État 2.3	M-18-Pal 20087	137	01
Cannelée	20706	S2227	U	Non phasé	U-3-épandage 20706	124	08
Cannelée	21707	15	T	Décapage	T-1-décapage	172	06
	21707	92	T	Décapage	T-1-décapage	172	04
	21761	144	Hémicycle gaulois/théâtre gallo-romain	État 3	TH-24-aménagement 21761	177	06
Cannelée	21899-258	149	Hémicycle gaulois/théâtre gallo-romain	Décapage	TH-1-décapage	174	05
Cannelée	HC2011	223	Hors contexte	Hors contexte	HC2011		
	21782	304	T	Décapage	T-4-décapage 21782	173	08
Cannelée	21781	305	Hémicycle gaulois/théâtre gallo-romain	État 2.1	TH-29-cailloutis 21780	178	07
	21709	320	T	État 2.3 à 3	T-3-radier 21709	173	03
	21782	322	T	Décapage	T-4-décapage 21782	173	07

Type	UF	No inv.	Bâtiment	État	Code Assemblage	Pl.	No
	21033	1047	M	État 2.2	M-72-sol 21033	140	08
	21055	1110	N	Décapage	N-1-décapage	126	02
	21152	1174	M	État 2.1 à 2.2	M-111-démontage radier 20080	143	04
	21167	1192	M	État 2.1	M-211-sol 21167	144	05
Cannelée	HC2011	1202	Hors contexte	Hors contexte	HC2011		
	21167	1235	M	État 2.1	M-211-sol 21167	144	06
	21167	1297	M	État 2.1	M-211-sol 21167	144	07
	21168	1339	P	État 2.3	P-17-décapage 21168	130	05
	21019	506	M	Décapage	M-1-décapage	131	11
	21019	541	M	Décapage	M-1-décapage	131	12
	21019	555	M	Décapage	M-1-décapage	131	10
	21019	576	M	Décapage	M-1-décapage		
	HC2011	639	Hors contexte	Hors contexte	HC2011		
	21015	684	M	État 2.3	M-20-Blocs 21015	137	07
	21074	705	M	État 1	M-171-Sb 21073	152	14
	21114	710	N	État 1	N-15-Fo 21114	128	01
	21079	774	Hors bâtiment	Perturbations modernes	HB-5-drain 21078	231	04
	21272	888	M	Décapage	M-1-décapage	131	09
	21145	2556	R	État 2.2	R-40-Fossé 22271	162	03
	21781	374	Hémicycle gaulois/théâtre gallo-romain	État 2.1	TH-29-cailloutis 21780	178	05
Cannelée	21781	388	Hémicycle gaulois/théâtre gallo-romain	État 2.1	TH-29-cailloutis 21780	178	06
	21615	1509	Q	État 2 <i>lato sensu</i>	Q-3-Bs 22005	112	01
	HC2011	1515	Hors contexte	Hors contexte	HC2011		
	21899-26	418	Hémicycle gaulois/théâtre gallo-romain	État 2 <i>lato sensu</i>	TH-37-TP 21899-26	177	13
	HC2011	446	Hors contexte	Hors contexte	HC2011		
	HC2011	454	Hors contexte	Hors contexte	HC2011		
	HC2011	1425	Hors contexte	Hors contexte	HC2011		
	21342	2515	M	État 2.1	M-123-Cave 21341	150	02
	HC2011	2543	Hors contexte	Hors contexte	HC2011		
	21128	2562	M	État 2.2	M-73-sol 21128	140	13
			M	État 2.2	M-73-sol 21128		
	15627	1727	C3	État 2.1	C3-12-Ce 15540	062	11
Cannelée	21899-211	2015	Hémicycle gaulois/théâtre gallo-romain	État 2.1 à 2.2	TH-30-démontage cailloutis 21780	179	04
Cannelée	15519	912	B corps principal	État 1	BCP-1-Ce 15520	036	11
	15414	1749	Ruelle entre A et C	Décapage	AC-1-décapage	069	06
	16354	1816	B cour nord	État 1 à 2.1	BCN-11-TP 16353	039	16
	18662	1553	C1	État 1 à 2.1	C1-15-épandage 18662	053	03
	HC2008	3059	Hors contexte	Hors contexte	HC2008		
	18097	3070	F	État 1	F-18-TP 18094	106	09
	HC2012	29	Hors contexte	Hors contexte	HC2012		
	22474	116	S	État 2 <i>lato sensu</i>	S-7-Pt 22474	169	02
	22478	147	S	Non phasé	S-21-TP 22478	169	13
	22473	182	S	État 2.2 à 2.3	S-10-Fé 22473	170	01
	22473	198	S	État 2.2 à 2.3	S-10-Fé 22473	170	03
	22452	383	S	État 2.3 à 3	S-6-Bs 22452	168	14
	HC2012	49	Hors contexte	Hors contexte	HC2012		
	22038	332	Q	Non phasé	Q-28-TP 22038	117	04
	22233	106	R	État 2.2	R-37-sol d'amphore 22233	161	13
	22212	151	Voies ouest	État 2.3	VO-10-Fossé 22212	171	10

Type	UF	No inv.	Bâtiment	État	Code Assemblage	Pl.	No
	22208	220	R	Décapage	R-1-décapage	156	04
	22245	437	R	État 2.2	R-41-Fo 22245	161	17
	22201	438	R	Décapage	R-1-décapage	156	05
Cannelée	22305	491	R	État 2.1	R-57-Sb 22305	164	11
Cannelée	22332	596	R	État 1	R-72-TP 22332	165	08
Cannelée	22271	602	R	État 2.2	R-40-Fossé 22271	162	02
	22228	603	R	État 2.1	R-54-Fossé 22228	163	06
	22321	704	R	État 2.3	R-26-Fossé 22321		
Cannelée	HC2012	243	Hors contexte	Hors contexte	HC2012		
	HC2012	621	Hors contexte	Hors contexte	HC2012		
	HC2012	626	Hors contexte	Hors contexte	HC2012		
Cannelée	HC2012	688	Hors contexte	Hors contexte	HC2012	235	05
Cannelée	21001	2732	M	Décapage	M-1-décapage		
	22247	895	R	État 2.2	R-36-radier 22247	161	10
	22321	926	R	État 2.3	R-26-Fossé 22321	161	02
	8325		A1	État 2 <i>lato sensu</i>	A1-25-épandage est	016	05
	8064		A1	État 1 à 2.1	A1-20-sol 14030	006	14
	8064		A1	État 1 à 2.1	A1-20-sol 14030	006	11
	8054		C4	Décapage	C4-1-décapage	065	04
	8361		A1	État 1 à 2.1	A1-20-sol 14030	006	16
	8315		C4	État 2-GR	C4-1-décapage	065	03
	8080		Cour du sanctuaire	État 1 et 2 <i>lato sensu</i>	SCTE-7-sol de cailloutis	225	16
	18500	1744	Espace D	Décapage	D-1-décapage		
Cannelée	18684	3085	C1	État 1	C1-8-Fo 17084	052	02
	10066	39	Bâtiment A	État 4 <i>lato sensu</i>	SCTA-2-remblais	214	08
	10158	93	Cour du sanctuaire	État 4 <i>lato sensu</i>	SCTE-3-remblai cours	222	06
	10193	153	Enclos A	État 2.3	SCTA-10-fossé branche sud	215	14
Cannelée	10193	156	Enclos A	État 2.3	SCTA-10-fossé branche sud	215	13
	10092	220	Bâtiment A	État 4 <i>lato sensu</i>	SCTA-2-remblais	214	07
	10250	277	Bâtiment A	État 4 <i>lato sensu</i>	SCTA-2-remblais	214	06
	10180	283	Galerie (TP)	État 2 <i>lato sensu</i>	SCTG-31-TP 10260	198	01
	HC(sanctuaire)	396	Hors contexte	Hors contexte	HC(sanctuaire)		
	10174	400	Galerie gallo-romaine, branche est	État 4 <i>lato sensu</i>	SCTGRE-3-remblais	183	15
	10016	407	Galerie gallo-romaine, branche nord	Perturbations modernes	SCTGRN-2-perturbations modernes	182	12
	10049	603	Galerie gallo-romaine, branche est	Perturbations modernes	SCTGRE-2-perturbations modernes	183	12
	11090	90	Cour du sanctuaire	État 4 <i>lato sensu</i>	SCTE-3-remblai cours	222	07
	11102	148	Cour du sanctuaire	État 4 <i>lato sensu</i>	SCTE-3-remblai cours	222	08
	11346	185	Enclos B	Décapage	SCTB-1-décapage	216	15
Cannelée	11138	221	Galerie niveau de sol	État 2-GR	SCTG-1-interface LT-GR	185	05
	11138	240	Galerie niveau de sol	État 2-GR	SCTG-1-interface LT-GR	185	06
Cannelée	11160	285	FP, branche nord	État 4 <i>lato sensu</i>	SCTFN-3-complements gallo-romains	202	14
Cannelée	11183	324	Cour du sanctuaire	État 4 <i>lato sensu</i>	SCTE-3-remblai cours	222	09
	11192	362	Galerie gallo-romaine, branche nord	Perturbations modernes	SCTGRN-2-perturbations modernes	182	13
	11130	365	Galerie niveau de sol	État 2 <i>lato sensu</i>	SCTG-23-Fy 11130		
	11201	383	FP, branche nord	État 4 <i>lato sensu</i>	SCTFN-3-complements gallo-romains		
	11382	415	Cuves et sols E	État 1 et 2 <i>lato sensu</i>	SCTE-7-sol de cailloutis	225	18
	11311	434	Enclos B	État 1 et 2 <i>lato sensu</i>	SCTB-2-complement branche nord	216	21
	11225	470	Galerie niveau de sol	État 2 <i>lato sensu</i>	SCTG-13-sol d'amphore nord	191	03
	12000	2	Cour du sanctuaire	Décapage	SCTE-1-décapage	220	12

Type	UF	No inv.	Bâtiment	État	Code Assemblage	Pl.	No
	12012	25	Cour du sanctuaire	État 4 <i>lato sensu</i>	SCTE-3-remblai cours	222	10
	12000	37	Cour du sanctuaire	Décapage	SCTE-1-décapage	220	14
	12000	59	Cour du sanctuaire	Décapage	SCTE-1-décapage	220	15
	12505	83	FP, branche nord	État 4 <i>lato sensu</i>	SCTFN-3-complements gallo-romains	202	16
Cannelée	12027	87	Entrée	État 4 <i>lato sensu</i>	SCTPE-1-remblais	199	03
	12027	91	Entrée	État 4 <i>lato sensu</i>	SCTPE-1-remblais	199	08
	12505	97	FP, branche nord	État 4 <i>lato sensu</i>	SCTFN-3-complements gallo-romains	202	18
	12027	109	Entrée	État 4 <i>lato sensu</i>	SCTPE-1-remblais	199	04
	12028	133	Galerie gallo-romaine, branche est	État 4.3	SCTGRE-4-démolition	184	05
	12028	181	Galerie gallo-romaine, branche est	État 4.3	SCTGRE-4-démolition	184	04
	12033	255	Entrée	État 4 <i>lato sensu</i>	SCTPE-1-remblais	199	07
	12033	256	Entrée	État 4 <i>lato sensu</i>	SCTPE-1-remblais	199	05
	12033	288	Entrée	État 4 <i>lato sensu</i>	SCTPE-1-remblais	199	06
Cannelée	12035	317	Edicule	État 4 <i>lato sensu</i>	SCTED-2-passe mécanique 12035	227	22
	12035	350	Edicule	État 4 <i>lato sensu</i>	SCTED-2-passe mécanique 12035	227	23
	12538	380	Galerie niveau d'occupation	État 2.2	SCTG-8-occupation nord	189	01
	13002	2	FP, branche nord	Décapage	SCTFN-1-décapage	202	04
	13014	16	Galerie niveau de sol	État 2 <i>lato sensu</i>	SCTG-22-sol dans galerie est	193	02
	13027	72	Cour du sanctuaire	État 4 <i>lato sensu</i>	SCTE-3-remblai cours	222	12
	13217	147	FP, branche sud	État 4 <i>lato sensu</i>	SCTFS-2-complement gallo-romain	212	02
	13202	150	Enclos C	État 1 et 2 <i>lato sensu</i>	SCTC-6-épandage 13202	217	08
	13509	199	FP, branche nord	Perturbations modernes	SCTFN-2-perturbations modernes	202	10
	13559	203	Temple à galerie périphérique	État 4.2	SCTT-7-TP 13559	218	08
	13052	243	Galerie (palissade extérieur)	État 2.3	SCTG-28-Pal ext. est	194	10
	13052	245	Galerie (palissade extérieur)	État 2.3	SCTG-28-Pal ext. est	194	09
	13055	248	Galerie (palissade extérieur)	État 2.3	SCTG-28-Pal ext. est	194	08
	13234	264	Enclos C	État 1 et 2 <i>lato sensu</i>	SCTC-7-TP 13233	217	12
	13064	309	Entrée	État 2 <i>lato sensu</i>	SCTPE-5-TP 13067	201	09
	13204	339	Enclos C	État 1 et 2 <i>lato sensu</i>	SCTC-6-épandage 13202	217	07
	13252	352	FP, branche sud	État 1.2	SCTFS-6-arrachage palissade	212	07
	13545	362	FP, branche ouest	Décapage	SCTFO-1-décapage	212	11
	13229	403	Galerie (TP)	État 2 <i>lato sensu</i>	SCTG-55-TP 13301	198	07
	13740	657	FP, branche nord	État 1.1	SCTFN-6-calage de la palissade	208	09
	12079	751	Entrée	État 2.2	SCTPE-3-occupation	199	42
	13730	523	FP, branche nord	État 1.2	SCTFN-5-arrachage de la palissade	208	01
	13078	2070	FP, branche est	État 1.2	SCTFE-6-arrachage palissade sud entrée	211	14
Cannelée	11305	22	Cuves et sols E	État 1 et 2 <i>lato sensu</i>	SCTE-7-sol de cailloutis	225	17
	11325	124	Enclos B	État 1 et 2 <i>lato sensu</i>	SCTB-2-complement branche nord	216	19
	11337	188	Enclos B	Décapage	SCTB-1-décapage	216	14
	11134	751	FP, branche nord	État 4 <i>lato sensu</i>	SCTFN-3-complements gallo-romains	202	15
	11144	241	Galerie gallo-romaine, branche est	État 4 <i>lato sensu</i>	SCTGRE-3-remblais	183	16
	11191	441	Galerie niveau d'occupation	État 2.2	SCTG-8-occupation nord	188	02
	11220	447	Galerie niveau de sol	État 2 <i>lato sensu</i>	SCTG-19-sol d'amphore est nord entrée	192	05
	12035	446	Edicule	État 4 <i>lato sensu</i>	SCTED-2-passe mécanique 12035	227	21
	HC(sanctuaire)	470	Hors contexte	Hors contexte	HC(sanctuaire)		
	HC(sanctuaire)	471	Hors contexte	Hors contexte	HC(sanctuaire)		
	HC(sanctuaire)	472	Hors contexte	Hors contexte	HC(sanctuaire)		
	11227	465	FP, branche nord	État 1.2	SCTFN-5-arrachage de la palissade	208	02

Type	UF	No inv.	Bâtiment	État	Code Assemblage	Pl.	No
	11244	492	Galerie (TP)	État 2 <i>lato sensu</i>	SCTG-38-TP 11244	198	04
	12037	507	Galerie aménagement empierré	État 2.3	SCTG-5-empierrements sud entrée	186	14
	12037	531	Galerie aménagement empierré	État 2.3	SCTG-5-empierrements sud entrée	186	12
	12037	560	Galerie aménagement empierré	État 2.3	SCTG-5-empierrements sud entrée	186	16
Cannelée	12069	594	Entrée	État 2-GR	SCTPE-2-passe artificielle	199	15
	12074	607	Entrée	État 2.2	SCTPE-3-occupation	199	30
	12074	693	Entrée	État 2.2	SCTPE-3-occupation	199	32
Cannelée	12074	695	Entrée	État 2.2	SCTPE-3-occupation	199	27
	12074	719	Entrée	État 2.2	SCTPE-3-occupation	199	35
Cannelée	12074	735	Entrée	État 2.2	SCTPE-3-occupation	199	36
	12074	742	Entrée	État 2.2	SCTPE-3-occupation	199	28
	12074	746	Entrée	État 2.2	SCTPE-3-occupation	199	38
Cannelée	12074	767	Entrée	État 2.2	SCTPE-3-occupation	199	34
	12078	785	Entrée	État 2.2	SCTPE-3-occupation	199	25
	12073	824	Cuves et sols E	État 2-GR	SCTE-6-interface LT-GR	224	08
	12079	855	Entrée	État 2.2	SCTPE-3-occupation	199	40
	12081	863	Cour du sanctuaire	État 4 <i>lato sensu</i>	SCTE-3-remblai cours	222	11
Cannelée	12086	890	Edicule	État 4 <i>lato sensu</i>	SCTED-1-nettoyage 12086	227	08
	12089	910	Galerie (TP)	État 2 <i>lato sensu</i>	SCTG-44-TP 12090	198	06
	12106	965	Galerie occupation	État 2 <i>lato sensu</i>	SCTG-70-occupation 12106	198	10
	12106	971	Galerie occupation	État 2 <i>lato sensu</i>	SCTG-70-occupation 12106	198	12
	12107	972	Galerie niveau de sol	État 2.1	SCTG-26-remblai sol est	193	12
Cannelée	12037	2009	Galerie aménagement empierré	État 2.3	SCTG-5-empierrements sud entrée	186	13
	12074	725	Entrée	État 2.2	SCTPE-3-occupation		
	12074	774	Entrée	État 2.2	SCTPE-3-occupation	199	31
	12106	980	Galerie occupation	État 2 <i>lato sensu</i>	SCTG-70-occupation 12106	198	11
Cannelée	12098	996	Entrée	État 2.2	SCTPE-3-occupation	199	37
	12112	1015	Cuves et sols E	État 2-GR	SCTE-6-interface LT-GR	224	07
	HC(sanctuaire)	1028	Hors contexte	Hors contexte	HC(sanctuaire)		
	HC(sanctuaire)	1038	Hors contexte	Hors contexte	HC(sanctuaire)		
	13239	322	FP, branche sud	État 1.2	SCTFS-6-arrachage palissade	212	06
Cannelée	12074	2000	Entrée	État 2.2	SCTPE-3-occupation	199	26
	12074	2001	Entrée	État 2.2	SCTPE-3-occupation	199	33
	12074	2006	Entrée	État 2.2	SCTPE-3-occupation	199	41
	12037	2017	Galerie aménagement empierré	État 2.3	SCTG-5-empierrements sud entrée	186	15
	HC(sanctuaire)	2019	Hors contexte	Hors contexte	HC(sanctuaire)		
	HC(sanctuaire)	2020	Hors contexte	Hors contexte	HC(sanctuaire)		
	HC(sanctuaire)	2	Hors contexte	Hors contexte	HC(sanctuaire)		
	12079	781	Entrée	État 2.2	SCTPE-3-occupation	199	39
	11081	117	Galerie gallo-romaine, branche nord	État 4.3	SCTGRN-4-démolition	182	20
	13500	57	Cour du sanctuaire	Décapage	SCTE-1-décapage	220	11
	HC(sanctuaire)	3001	Hors contexte	Hors contexte	HC(sanctuaire)		
Cannelée	15066	190	Structure sur poteaux D	État 1 et 2 <i>lato sensu</i>	SCTD-2-épandage	218	18
	15257	185	FP, branche est	État 1.2	SCTFE-5-arrachage palissade nord entrée	211	01
	15284	263	Galerie (TP)	État 2 <i>lato sensu</i>	SCTG-66-TP 15284	198	09
	15270	267	Cour du sanctuaire	Décapage	SCTE-1-décapage	220	13
	15230	110	Galerie niveau d'occupation	État 2.2	SCTG-11-occupation est nord entrée	190	04

Type	UF	No inv.	Bâtiment	État	Code Assemblage	Pl.	No
	15212	62	Galerie gallo-romaine, branche est	État 3	SCTGRE-25-Niveau d'argile	184	17
	HC(sanctuaire)	21	Hors contexte	Hors contexte	HC(sanctuaire)		
	HC(sanctuaire)	299	Hors contexte	Hors contexte	HC(sanctuaire)		
Cannelée	15288	278	Cour du sanctuaire	État 4 <i>lato sensu</i>	SCTE-3-remblai cours		
	9221	1	Galerie niveau d'occupation	État 2.2	SCTG-8-occupation nord	188	03
	9129	1	Enclos B	État 1 et 2 <i>lato sensu</i>	SCTB-2-comblement branche nord	216	20
	9339		Galerie niveau d'occupation	État 2.2	SCTG-8-occupation nord	188	04
	9045		Galerie gallo-romaine, branche nord	Décapage	SCTGRN-1-décapage	182	10
	9282		Bâtiment A	État 4 <i>lato sensu</i>	SCTA-2-remblais	214	04
	9295		FP, branche nord	État 4 <i>lato sensu</i>	SCTFN-3-complements gallo-romains	202	17
	9074		Bâtiment A	État 4 <i>lato sensu</i>	SCTA-2-remblais	214	05
	9223		FP, branche nord	État 4 <i>lato sensu</i>	SCTFN-3-complements gallo-romains	202	19
	9023		Cour du sanctuaire	Décapage	SCTE-1-décapage	220	16
	9065		Cour du sanctuaire	Décapage	SCTE-1-décapage	220	17
	9258		Galerie gallo-romaine, branche nord	État 2-GR	SCTGRN-11-niveaux laténiens	183	07
	9208		Enclos A	État 2.3	SCTA-10-fossé branche sud	215	12
	12063	677	Galerie gallo-romaine, branche est	État 4.2	SCTGRE-18-sol 12063	184	12
Cannelée	12074	726	Entrée	État 2.2	SCTPE-3-occupation	199	29
	12033	239	Entrée	État 4 <i>lato sensu</i>	SCTPE-1-remblais	199	09
	18584	1445	G1/D2	État 2.1	G1/D2-1-TP18585	099	04
Cannelée	18709	2278	G1/D2	État 2.1	G1/D2-1-TP18585	100	01
	18649	2403	G1/D2	État 2.1	G1/D2-1-TP18585	099	14
	19051	33	Galerie niveau d'occupation	État 2-GR	SCTG-1-interface LT-GR	185	04
	19063	67	Galerie (palissade extérieur)	État 2.2 à 2.3	SCTG-29-Pal ext. nord	197	09
	HC2011	212c	Hors contexte	Hors contexte	HC2011		
	17050	116a	C1 et C2	Décapage	C1-1-décapage	050	07
Cannelée	20039	S3319b	M	État 2.3	M-14-radier 20039	136	02
Cannelée	16403	318b	Place du complexe C	Décapage	CPL-1-décapage	043	03
	16405	780b	Place du complexe C (ouest)	État 2 <i>lato sensu</i>	CPL-2-occupation ouest	043	16
	17008	33b	Espace D	État 4 <i>lato sensu</i>	D-2-gallo-romain	084	06
	16405	780a	Place du complexe C (ouest)	État 2 <i>lato sensu</i>	CPL-2-occupation ouest	043	15
	16238	958	B cour ouest	Non phasé	BCO-2-épandage 16238	040	09
	HC2006	1373	Hors bâtiment	Hors contexte	HC2006		
	16411	1430	C3	État 1 à 2.1	C3-15-sol 16411	070	11
	16416	1459	C3	État 1	C3-10-Fo 17478	062	02
	18013	35	C5 cave	Décapage	C5C-12-décapage	077	02
	HC2010	S2217	Hors contexte	Hors contexte	HC2010	234	03
	20288	S3232	M	État 1	M-175-Fo 20288	153	03
	21707	202	T	Décapage	T-1-décapage	172	05
	16614	1814	Espace D	État 4 <i>lato sensu</i>	D-2-gallo-romain	084	03
	18662	1534	C1	État 1 à 2.1	C1-15-épandage 18662	053	02
	15590	1560	A1	État 1 à 2.1	A1-21-décapage 15590		
	15466	727	A6	Décapage	A6-1-décapage	029	08
	16622	1817	Bâtiment gallo-romain nord	État 4 <i>lato sensu</i>	BGRN-6-démolition 16622	095	05
	16008	1828	Cour intérieur A	Non phasé	ACI-2-épandage	028	04
	17475		F	État 2 <i>lato sensu</i>	F-3-Ct 17470		
	16127	1739	A7	Décapage	A7-1-décapage		
	HC2008	3060	Hors contexte	Hors contexte	HC2008		
	22451	119	S	Décapage	S, O, N-1-décapage	168	01

Type	UF	No inv.	Bâtiment	État	Code Assemblage	Pl.	No
	22474	135	S	État 2 <i>lato sensu</i>	S-7-Pt 22474	169	03
	22212	189	Voies ouest	État 2.3	VO-10-Fossé 22212	171	09
	22473	277	S	État 2.2 à 2.3	S-10-Fé 22473	170	02
	22484	285	Voies ouest	Non phasé	VO-4-TP 22484	171	03
	22452	352	S	État 2.3 à 3	S-6-Bs 22452	168	15
	22500	362	Voies ouest	Non phasé	VO-9-Fo 22482	171	05
	22023	301	Q	État 2 <i>lato sensu</i>	Q-4-TP 22023	112	10
	22049	461	L	Non phasé	L-12-TP 22049	125	07
Cannelée	22460	772	N	État 2.1	N-7-Pal 22460	127	06
	HC2012	158	Hors contexte	Hors contexte	HC2012		
	HC2012	170	Hors contexte	Hors contexte	HC2012		
	HC2012	171	Hors contexte	Hors contexte	HC2012		
	HC2012	244	Hors contexte	Hors contexte	HC2012		
	HC2012	48	Hors contexte	Hors contexte	HC2012	235	06
	22231	916	R	État 3	R-6-radier 22231	159	02
	22231	915	R	État 3	R-6-radier 22231	159	01
	20823	S3341	M	État 2.1	M-119-TP 20813	148	07
	8331		Ruelle entre A et C	État 2 <i>lato sensu</i>	AC-3-épannage	070	12
	8403		Ruelle entre A et C	État 1 et 2 <i>lato sensu</i>	AC-2-sol	069	15
	8344		A1	État 1 à 2.1	A1-20-sol 14030	006	09
	8124		Galerie gallo-romaine, branche nord	État 4 <i>lato sensu</i>	SCTGRN-3-remblais	182	17
	8362		A1	État 1 à 2.1	A1-20-sol 14030	006	13
	8318		C4	Décapage	C4-1-décapage	065	02
	8353		Ruelle entre A et C	État 1 et 2 <i>lato sensu</i>	AC-2-sol	069	14
	8358		C4	État 1 et 2 <i>lato sensu</i>	C4-8-épannage	066	04
	8064		A1	État 1 à 2.1	A1-20-sol 14030	006	12
	8343		A1	État 1 à 2.1	A1-20-sol 14030	006	10
	15602	1765	B cour ouest	État 1	BCO-13-15601	041	08
	18584	1469	G1/D2	État 2.1	G1/D2-1-TP18585	099	05
	18584	2351	G1/D2	État 2.1	G1/D2-1-TP18585	099	03
	18712	2106	G1/D2	État 2.1	G1/D2-1-TP18585	100	03
	18709	2477	G1/D2	État 2.1	G1/D2-1-TP18585	100	02

Cat 15. Clous de chaussure

UF	No inv.	Bâtiment	État	Code Assemblage	PI.	No	NR
15400	514	A1	Décapage	A1-1-décapage			1
16005	31	A10	Décapage	A10-1-décapage			1
16002		A3 et A4	Décapage	A4 et A7-1-décapage			1
15466		A6	Décapage	A6-1-décapage			1
16003	131	A7	Décapage	A7-1-décapage			1
16003		A7	Décapage	A7-1-décapage			2
16003		A7	Décapage	A7-1-décapage			1
16004	45	A7	Décapage	A7-2-décapage nord			2
15429		A8	Décapage	A8-1-décapage			1
15471	707	A8	Décapage	A8-1-décapage			1
15471		A8	Décapage	A8-1-décapage			1
15616		A8	Décapage	A8-2-épandage			1
15667		A9	Décapage	A8-2-épandage			1
15428		Cour intérieur A	Décapage	ACI-1-décapage			7
15646		Cour intérieur A	Décapage	ACI-1-décapage			4
16014	1758	Cour intérieur A	Décapage	ACI-1-décapage	26	23	1
16201	826	B	Décapage	B-1-décapage			1
16201	827	B	Décapage	B-1-décapage			1
16201		B	Décapage	B-1-décapage			3
18503	1016	Bâtiment gallo-romain nord	Décapage	BGRN-1-nettoyage	94	6	1
16400	587	C	Décapage	C-1-décapage			1
17400	317	C	Décapage	C-1-décapage			1
17400	1743	C	Décapage	C-1-décapage			1
15571		C1	Décapage	C1-1-décapage			2
17050		C1 et C2	Décapage	C1-1-décapage			3
17014	38	C5 Cave	Décapage	C5C-1-décapage			1
17014		C5 Cave	Décapage	C5C-1-décapage			1
17020		C5 Cave	Décapage	C5C-1-décapage			5
18013	30	C5 cave	Décapage	C5C-12-décapage	77	4	1
18013	36	C5 cave	Décapage	C5C-12-décapage	77	3	1
16403	328	Place du complexe C	Décapage	CPL-1-décapage			1
17056	1533	Hors bâtiment	Décapage	D-1-décapage			1
17876		Espace D	Décapage	D-1-décapage			1
18500		Espace D	Décapage	D-1-décapage			1
18516	1093	Espace D	Décapage	D-1-décapage	81	12	1
18543	1212	Espace D	Décapage	D-1-décapage			1
18543	1258	Espace D	Décapage	D-1-décapage			1
18543		Espace D	Décapage	D-1-décapage			2
18726	1359	Espace D	Décapage	D-1-décapage	81	11	1
18726		Espace D	Décapage	D-1-décapage			4
17724	621	E	Décapage	E-1-décapage			1
17724	643	E	Décapage	E-1-décapage			1
17724	645	E	Décapage	E-1-décapage			1
17725	631	E3	Décapage	E3-1-décapage			1
18003	7	H et F	Décapage	H, F et C5C-1-décapage	104	5	1
18003	10	H et F	Décapage	H, F et C5C-1-décapage	104	4	1
20001	S3327	M	Décapage	M-1-décapage			1
20001 14B	S3201	M	Décapage	M-1-décapage			1
21019		M	Décapage	M-1-décapage			1

UF	No inv.	Bâtiment	État	Code Assemblage	Pl.	No	NR
21171	855	M	Décapage	M-1-décapage			1
21334	889	M	Décapage	M-1-décapage			1
21055		N	Décapage	N-1-décapage			2
22489	862	N	Décapage	N-1-décapage			1
21006	1104	P	Décapage	P-1-décapage			1
21006		P	Décapage	P-1-décapage			2
22201	34	R	Décapage	R-1-décapage			1
22209	92	R	Décapage	R-1-décapage			1
11323		Enclos B	Décapage	SCTB-1-décapage			7
12000		Cour du sanctuaire	Décapage	SCTE-1-décapage			7
12504		Cour du sanctuaire	Décapage	SCTE-1-décapage			1
13501		Cour du sanctuaire	Décapage	SCTE-1-décapage			1
15270	254	Cour du sanctuaire	Décapage	SCTE-1-décapage			5
15270	286	Cour du sanctuaire	Décapage	SCTE-1-décapage			31
21707	10	T	Décapage	T-1-décapage			1
21707	12	T	Décapage	T-1-décapage			1
21707	31	T	Décapage	T-1-décapage			1
21707	56	T	Décapage	T-1-décapage			1
21707	59	T	Décapage	T-1-décapage			1
21707	88	T	Décapage	T-1-décapage			1
21707	89	T	Décapage	T-1-décapage			1
21707	95	T	Décapage	T-1-décapage			1
21707	110	T	Décapage	T-1-décapage			1
21707		T	Décapage	T-1-décapage			1
21708	187	T	Décapage	T-2-décapage sur radier 21709			1
21708	190	T	Décapage	T-2-décapage sur radier 21709			1
21708	195	T	Décapage	T-2-décapage sur radier 21709			1
21708	240	T	Décapage	T-2-décapage sur radier 21709			1
21708	241	T	Décapage	T-2-décapage sur radier 21709			1
21708		T	Décapage	T-2-décapage sur radier 21709			6
20336	D4001	Hémicycle gaulois/théâtre gallo-romain	Décapage	TH-1-décapage			1
21717	273	Hémicycle gaulois/théâtre gallo-romain	Décapage	TH-1-décapage			1
21717		Hémicycle gaulois/théâtre gallo-romain	Décapage	TH-1-décapage			2
21752	141	Hémicycle gaulois/théâtre gallo-romain	Décapage	TH-1-décapage			1
21752		Hémicycle gaulois/théâtre gallo-romain	Décapage	TH-1-décapage			2
21757		Hémicycle gaulois/théâtre gallo-romain	Décapage	TH-1-décapage			1
16029		A7	État 1	A7-25-Sb 16028			1
15630		B corps principal	État 1	BCP-1-Ce 15520			3
16643	1448	C2	État 1	C2-3-sol 16643			1
16440		Ruelle entre A et C	État 1 à 2 <i>lato sensu</i>	AC-5-épannage			1
15675		A2	État 1 à 2.1	A2-13-épannage 15675			1
16304	1850	B cour nord	État 1 à 2.1	BCN-8-Pal 16303			1
16442	468	C4	État 1 à 2.1	C4-8-épannage			1
16623	566	C5	État 1 à 2.1	C5-4-épannage			1
16009		A8	État 1 et 2 <i>lato sensu</i>	A8-2-épannage			1
17427		C5	État 1 et 2 <i>lato sensu</i>	C5-5-épannage ouest			2
13202		Enclos C	État 1 et 2 <i>lato sensu</i>	SCTC-6-épannage 13202			2
15045	152	Structure sur poteaux D	État 1 et 2 <i>lato sensu</i>	SCTD-2-épannage			1

UF	No inv.	Bâtiment	État	Code Assemblage	PI.	No	NR
10204	279	Cour du sanctuaire	État 1 et 2 <i>lato sensu</i>	SCTE-7-sol de cailloutis	225	21	1
10205		Cour du sanctuaire	État 1 et 2 <i>lato sensu</i>	SCTE-7-sol de cailloutis	225	23	1
11305	47	Cuves et sols E	État 1 et 2 <i>lato sensu</i>	SCTE-7-sol de cailloutis	225	22	1
13058		Cour du sanctuaire	État 1 et 2 <i>lato sensu</i>	SCTE-7-sol de cailloutis			1
11227		FP, branche nord	État 1.2	SCTFN-5-arrachage de la palissade			1
16402	336	C1	État 2 <i>lato sensu</i>	C1-1-décapage			1
16405	1408	Place du complexe C (ouest)	État 2 <i>lato sensu</i>	CPL-2-occupation ouest			1
16405	1573	Place du complexe C (ouest)	État 2 <i>lato sensu</i>	CPL-2-occupation ouest	43	27	1
10180		Galerie (TP)	État 2 <i>lato sensu</i>	SCTG-31-TP 10260			1
17021		C2	État 2-GR	C2-1-décapage			2
10199	237	Enclos A	État 2-GR	SCTA-8-interface LT-GR			1
10289		Enclos A	État 2-GR	SCTA-8-interface LT-GR			3
11111		Cour du sanctuaire	État 2-GR	SCTE-6-interface LT-GR			1
11123	190	Cour du sanctuaire	État 2-GR	SCTE-6-interface LT-GR			1
18815	1700	D1	État 2.1	D1-5-Sb 17816	91	3	1
18054		H	État 2.1	H-2-épandage			1
22355	619	R	État 2.1	R-61-TP 22355	164	15	1
21781	373	Hémicycle gaulois/théâtre gallo-romain	État 2.1	TH-29-cailloutis 21780			1
21781	460	Hémicycle gaulois/théâtre gallo-romain	État 2.1	TH-29-cailloutis 21780			1
21174	1358	M	État 2.2	M-77-Sb 21174			1
22476		O	État 2.2	O-3-Fo art 20395			1
15237	91	Galerie niveau d'occupation	État 2.2	SCTG-11-occupation est nord entrée			1
13039		Galerie niveau d'occupation	État 2.2	SCTG-12-occupation est sud entrée			1
14009	429	A1	État 2.2 à 2.3	A1-7-épandage 14010			1
16613	402	C1	État 2.2 à 2.3	C1-2-radier et sols			1
16406	673	C3	État 2.2 à 2.3	C3-2-radier			1
16406		C3	État 2.2 à 2.3	C3-2-radier			1
17410		C4	État 2.2 à 2.3	C4-3-démontage radier			4
17482	454	C4	État 2.2 à 2.3	C4-7-démontage			1
20104	S3267	L	État 2.2 à 2.3	L-2-sol			1
13032		Galerie (palissade extérieur)	État 2.2 à 2.3	SCTG-28-Pal ext. est			1
16603	355	C1	État 2.3	C1-1-décapage			1
16604	353	C1	État 2.3	C1-1-décapage			1
16604	356	C1	État 2.3	C1-1-décapage			1
16606	414	C1	État 2.3	C1-1-décapage			2
16410	687	C3	État 2.3	C3-1-décapage			1
17060		C5	État 2.3	C5-10-pouzzolane			1
21039		M	État 2.3	M-14-radier 20039	136	3	1
21273	784	M	État 2.3	M-22-Angle solin	137	10	1
15201	46	Galerie aménagement empierré	État 2.3	SCTG-4-empierrements nord entrée			3
12068		Galerie aménagement empierré	État 2.3	SCTG-5-empierrements sud entrée			1
15523		A6	État 2.3 à 3	A6-4-sol 15523			3
15523		A6	État 2.3 à 3	A6-4-sol 15523			3
21709	115	T	État 2.3 à 3	T-3-radier 21709			1
21709	118	T	État 2.3 à 3	T-3-radier 21709			1
21753	253	Hémicycle gaulois/théâtre gallo-romain	État 3	TH-18-radier 21753	176	9	1
21753	292	Hémicycle gaulois/théâtre gallo-romain	État 3	TH-18-radier 21753	176	10	1

UF	No inv.	Bâtiment	État	Code Assemblage	Pl.	No	NR
21761	143	Hémicycle gaulois/théâtre gallo-romain	État 3	TH-24-aménagement 21761			1
16622	551	Bâtiment gallo-romain nord	État 4 <i>lato sensu</i>	BGRN-6-démolition 16622			1
16622	553	Bâtiment gallo-romain nord	État 4 <i>lato sensu</i>	BGRN-6-démolition 16622			1
16622	1792	Bâtiment gallo-romain nord	État 4 <i>lato sensu</i>	BGRN-6-démolition 16622	95	7	1
17411	361	C4	État 4 <i>lato sensu</i>	C4-4-remblai romain	65	28	1
17411		C4	État 4 <i>lato sensu</i>	C4-4-remblai romain			1
17044		C5 Cave	État 4 <i>lato sensu</i>	C5C-2-piégeage			3
18047	103	C5 Cave	État 4 <i>lato sensu</i>	C5C-2-piégeage	77	11	1
16259		Espace D	État 4 <i>lato sensu</i>	D-2-gallo-romain			12
16614	428	Espace D	État 4 <i>lato sensu</i>	D-2-gallo-romain			2
16624		Espace D	État 4 <i>lato sensu</i>	D-2-gallo-romain			1
17008		Espace D	État 4 <i>lato sensu</i>	D-2-gallo-romain			17
17008		Espace D	État 4 <i>lato sensu</i>	D-2-gallo-romain			25
17104		Espace D	État 4 <i>lato sensu</i>	D-2-gallo-romain			3
16621	513	Bâtiment gallo-romain nord	État 4 <i>lato sensu</i>	D-2-remblais gallo-romains			2
16621	527	Bâtiment gallo-romain nord	État 4 <i>lato sensu</i>	D-2-remblais gallo-romains			1
16621	528	Bâtiment gallo-romain nord	État 4 <i>lato sensu</i>	D-2-remblais gallo-romains			1
16621	529	Bâtiment gallo-romain nord	État 4 <i>lato sensu</i>	D-2-remblais gallo-romains			1
16621	530	Bâtiment gallo-romain nord	État 4 <i>lato sensu</i>	D-2-remblais gallo-romains			1
16621	532	Bâtiment gallo-romain nord	État 4 <i>lato sensu</i>	D-2-remblais gallo-romains			1
16621	533	Bâtiment gallo-romain nord	État 4 <i>lato sensu</i>	D-2-remblais gallo-romains			1
16621	534	Bâtiment gallo-romain nord	État 4 <i>lato sensu</i>	D-2-remblais gallo-romains			1
16621		Bâtiment gallo-romain nord	État 4 <i>lato sensu</i>	D-2-remblais gallo-romains			16
18504	1031	G4	État 4 <i>lato sensu</i>	G4-2-18504, démolition			1
18504	1035	G4	État 4 <i>lato sensu</i>	G4-2-18504, démolition			1
18504	1050	G4	État 4 <i>lato sensu</i>	G4-2-18504, démolition			1
18504		G4	État 4 <i>lato sensu</i>	G4-2-18504, démolition			23
10228	224	Enclos A	État 4 <i>lato sensu</i>	SCTA-2-remblais			1
10130	72	Cour du sanctuaire	État 4 <i>lato sensu</i>	SCTE-3-remblai cours			1
10230	235	Cour du sanctuaire	État 4 <i>lato sensu</i>	SCTE-3-remblai cours			1
11034		Cour du sanctuaire	État 4 <i>lato sensu</i>	SCTE-3-remblai cours			1
11055		Cour du sanctuaire	État 4 <i>lato sensu</i>	SCTE-3-remblai cours			1
11106		Cour du sanctuaire	État 4 <i>lato sensu</i>	SCTE-3-remblai cours			1
11108		Cour du sanctuaire	État 4 <i>lato sensu</i>	SCTE-3-remblai cours			1
11112	175	Cour du sanctuaire	État 4 <i>lato sensu</i>	SCTE-3-remblai cours			1
11112		Cour du sanctuaire	État 4 <i>lato sensu</i>	SCTE-3-remblai cours			1
11122		Cour du sanctuaire	État 4 <i>lato sensu</i>	SCTE-3-remblai cours			1
11320		Cuves et sols E	État 4 <i>lato sensu</i>	SCTE-3-remblai cours			3
15217	72	Cour du sanctuaire	État 4 <i>lato sensu</i>	SCTE-3-remblai cours			1
15217	70	Cour du sanctuaire	État 4 <i>lato sensu</i>	SCTE-3-remblai cours			1
15217	69	Cour du sanctuaire	État 4 <i>lato sensu</i>	SCTE-3-remblai cours			1
15221	84	Cour du sanctuaire	État 4 <i>lato sensu</i>	SCTE-3-remblai cours			1
15288	285	Cour du sanctuaire	État 4 <i>lato sensu</i>	SCTE-3-remblai cours			21
12035		Edicule	État 4 <i>lato sensu</i>	SCTED-2-passe mécanique 12035			2
13024		FP, branche est	État 4 <i>lato sensu</i>	SCTFE-2-complements gallo-romains			2
11045	36	FP, branche nord	État 4 <i>lato sensu</i>	SCTFN-3-complements gallo-romains			1
11084	114	FP, branche nord	État 4 <i>lato sensu</i>	SCTFN-3-complements gallo-romains			1
13263		FP, branche sud	État 4 <i>lato sensu</i>	SCTFS-2-complements gallo-romains			1
10221	233	Galerie gallo-romaine, branche est	État 4 <i>lato sensu</i>	SCTGRE-3-remblais			1
12033		Entrée	État 4 <i>lato sensu</i>	SCTPE-1-remblais			2

UF	No inv.	Bâtiment	État	Code Assemblage	Pl.	No	NR
21739	68	Hémicycle gaulois/théâtre gallo-romain	État 4 <i>lato sensu</i>	TH-4-décapage ouest			1
21739	69	Hémicycle gaulois/théâtre gallo-romain	État 4 <i>lato sensu</i>	TH-4-décapage ouest			1
21739	85	Hémicycle gaulois/théâtre gallo-romain	État 4 <i>lato sensu</i>	TH-4-décapage ouest			1
21739	131	Hémicycle gaulois/théâtre gallo-romain	État 4 <i>lato sensu</i>	TH-4-décapage ouest			1
21739	133	Hémicycle gaulois/théâtre gallo-romain	État 4 <i>lato sensu</i>	TH-4-décapage ouest			2
20313	S4047	Hémicycle gaulois/théâtre gallo-romain	État 4.1	TH-17-Solin 21742	176	8	1
13523		Temple à galerie périphérique	État 4.2	SCTT-9-Mur 13523			1
21737	237	Hémicycle gaulois/théâtre gallo-romain	État 4.2	TH-7-démolition			1
21737	238	Hémicycle gaulois/théâtre gallo-romain	État 4.2	TH-7-démolition			1
21737		Hémicycle gaulois/théâtre gallo-romain	État 4.2	TH-7-démolition			4
21738	272	Hémicycle gaulois/théâtre gallo-romain	État 4.2	TH-7-démolition			1
21738		Hémicycle gaulois/théâtre gallo-romain	État 4.2	TH-7-démolition			3
20335	S4062	Hémicycle gaulois/théâtre gallo-romain	État 4.2	TH-9-démolition 21722			1
21722	103	Hémicycle gaulois/théâtre gallo-romain	État 4.2	TH-9-démolition 21722			1
11078		Galerie gallo-romaine, branche est	État 4.3	SCTGRE-4-démolition			1
12028	176	Galerie gallo-romaine, branche est	État 4.3	SCTGRE-4-démolition			1
12028	140	Galerie gallo-romaine, branche est	État 4.3	SCTGRE-4-démolition			2
HC(sanctuaire)	231	Hors contexte	Hors contexte	HC(sanctuaire)			3
HC(sanctuaire)	1067	Hors contexte	Hors contexte	HC(sanctuaire)			1
HC(sanctuaire)	3005	Hors contexte	Hors contexte	HC(sanctuaire)			161
HC(sanctuaire)		Hors contexte	Hors contexte	HC(sanctuaire)			7
HC(sanctuaire)	257	Hors contexte	Hors contexte	HC(sanctuaire)			4
HC(sanctuaire)	301	Hors contexte	Hors contexte	HC(sanctuaire)			1
HC(sanctuaire)	231	Hors contexte	Hors contexte	HC(sanctuaire)			3
HC(sanctuaire)	230	Hors contexte	Hors contexte	HC(sanctuaire)			1
HC(sanctuaire)	302	Hors contexte	Hors contexte	HC(sanctuaire)			2
HC(sanctuaire)	93	Hors contexte	Hors contexte	HC(sanctuaire)			1
HC2005	1159	Hors bâtiment	Hors contexte	HC2005			2
HC2006	698	Hors bâtiment	Hors contexte	HC2006			1
HC2006	699	Hors bâtiment	Hors contexte	HC2006			1
HC2006	717	Hors bâtiment	Hors contexte	HC2006			1
HC2006	718	Hors bâtiment	Hors contexte	HC2006			1
HC2006	719	Hors bâtiment	Hors contexte	HC2006			1
HC2006	750	Hors bâtiment	Hors contexte	HC2006			1
HC2006	751	Hors bâtiment	Hors contexte	HC2006			1
HC2006	755	Hors bâtiment	Hors contexte	HC2006			1
HC2006	756	Hors bâtiment	Hors contexte	HC2006			1
HC2006	757	Hors bâtiment	Hors contexte	HC2006			1
HC2006	758	Hors bâtiment	Hors contexte	HC2006			1
HC2006	759	Hors bâtiment	Hors contexte	HC2006			1
HC2006	760	Hors bâtiment	Hors contexte	HC2006			1
HC2006	761	Hors bâtiment	Hors contexte	HC2006			1

UF	No inv.	Bâtiment	État	Code Assemblage	PI.	No	NR
HC2006	908	Hors bâtiment	Hors contexte	HC2006			3
HC2006	1053	Hors bâtiment	Hors contexte	HC2006			1
HC2006	1381	Hors bâtiment	Hors contexte	HC2006			10
HC2006	1504	Hors bâtiment	Hors contexte	HC2006			1
HC2006	1505	Hors bâtiment	Hors contexte	HC2006			1
HC2006	1506	Hors bâtiment	Hors contexte	HC2006			6
HC2006	1508	Hors bâtiment	Hors contexte	HC2006			1
HC2007	435	Hors contexte	Hors contexte	HC2007			1
HC2007	436	Hors contexte	Hors contexte	HC2007			1
HC2007	437	Hors contexte	Hors contexte	HC2007			1
HC2007	438	Hors contexte	Hors contexte	HC2007			1
HC2007	439	Hors contexte	Hors contexte	HC2007			1
HC2007	1506	Hors contexte	Hors contexte	HC2007			5
HC2007	1691	Hors contexte	Hors contexte	HC2007			1
HC2008	150	Hors contexte	Hors contexte	HC2008			1
HC2008	151	Hors contexte	Hors contexte	HC2008			1
HC2010	S3206	Hors contexte	Hors contexte	HC2010			1
HC2010	S3207	Hors contexte	Hors contexte	HC2010			1
HC2010	206	Hors contexte	Hors contexte	HC2010			1
HC2011	181	Hors contexte	Hors contexte	HC2011			1
HC2011	467	Hors contexte	Hors contexte	HC2011			4
HC2011	473	Hors contexte	Hors contexte	HC2011			3
HC (théâtre)	498	Hémicycle gaulois/théâtre gallo-romain	Hors contexte	TH-55-HC (théâtre)			2
HC (théâtre)	2003	Hémicycle gaulois/théâtre gallo-romain	Hors contexte	TH-55-HC (théâtre)			1
16239		B cour ouest	Non phasé	BCO-6-Fo 16239			1
17009	9	Espace D	Non phasé	D-2-gallo-romain	84	13	1
17230		Espace D	Non phasé	D-8-amas de mobilier 17231			1
20630	S2130	Hors bâtiment	Non phasé	HB			1
20630	S2250	Hors bâtiment	Non phasé	HB			1
20650	S2192	Hors bâtiment	Non phasé	HB			1
22453	846	Hors bâtiment	Non phasé	HB-18-Drain 22453			1
21641		Q	Non phasé	Q-22-Fo 21640			1
22008	213	L	Perturbations modernes	L-11-Dr 22008			1
10049		Galerie gallo-romaine, branche est	Perturbations modernes	SCTGRE-2-perturbations modernes			1

Cat 16. Épées

UF	No inv.	Bâtiment	État	Code Assemblage	Pl.	No
16133	292	A7	État 2 <i>lato sensu</i>	A7-8-Fo 16133	025	08
17479	150	C3	État 1	C3-10-Fo 17478	062	05
16406	633	C3	État 2.2 à 2.3	C3-2-radier	060	13
21180	822	M	Décapage	M-1-décapage	131	23
21699-37	952	M	État 2.1	M-125-TP 21588	150	13
20231	S3279	M	État 1	M-180-TP 20230	153	10
20817	S3343	M	État 2.3	M-19-Pal 20816	137	06
21130	1405	M	État 3	M-5-chape 20130	135	08
22001	820	Q	Décapage	Q-1-décapage	111	01
12037	343	Galerie niveau empierré	État 2.3	SCTG-5-empierrements sud entrée	186	18
12074	694	Galerie niveau d'occupation	État 2.2	SCTPE-3-occupation	200	04
21899-234	2065	Hémicycle gaulois/théâtre gallo-romain	État 2.1	TH-30-démontage cailloutis 21780	179	06
22500	370	Voies ouest	Non phasé	VO-9-Fo 22482	171	07

Cat 17. Fourreaux d'épée

Type	UF	No inv.	Bâtiment	État	Code Assemblage	Pl.	No
Anthropomorphe	22273	412	R	État 3	R-9-radier 22273	159	09
Giub2/Ldwhf	14026	2069	A1	État 2.2 à 2.3	A1-6-Solin 14026	003	02
Giub2/Ldwhf	18519	3001	G	État 1 et 2 <i>lato sensu</i>	G-2-cailloutis	097	09
Giub2/Ldwhf	21221	1499	M	Décapage	M-1-décapage	131	20
Giub2/Ldwhf	20017	TRB2001	N	État 1	N-11-Pal 20017	127	11
Giubiasco 2b	12518	448	FP, branche nord	État 1.1	SCTFN-7-occupation piégée	208	10
Giubiasco 2b	12518	2063	FP, branche nord	État 1.1	SCTFN-7-occupation piégée	208	11
Giubiasco 2b	12518	392	FP, branche nord	État 1.1	SCTFN-7-occupation piégée	208	12
Giubiasco 2b	11204	392	FP, branche nord	État 1 perturbé	SCTFN-8-Comblement inférieur perturbé	209	01
Giubiasco 2b	11203	464	FP, branche nord	État 1 perturbé	SCTFN-8-Comblement inférieur perturbé	209	02
Giubiasco 2b	11203	469	FP, branche nord	État 1 perturbé	SCTFN-8-Comblement inférieur perturbé	209	03
Giubiasco 2b	11204	393	FP, branche nord	État 1 perturbé	SCTFN-8-Comblement inférieur perturbé	209	04
Giubiasco 2b	11204	391	FP, branche nord	État 1 perturbé	SCTFN-8-Comblement inférieur perturbé	209	05
Giubiasco 2b	11203	419	FP, branche nord	État 1 perturbé	SCTFN-8-Comblement inférieur perturbé	209	06
Giubiasco 2b	11243	2076	Galerie (TP)	État 2 <i>lato sensu</i>	SCTG-37-TP 11243	198	03
Giubiasco 3	16083	1764	A9	État 2.1	A9-4-sol 16083	033	19
Giubiasco 3	16246	935	B corps principal	État 1 et 2 <i>lato sensu</i>	BCP-6-épannage	037	03
Giubiasco 3	18003	3035	H et F	Décapage	H, F et C5C-1-décapage	104	08
Gournay 3	15658	1031	A9	État 2.1	A9-4-sol 16083	033	20
Gournay 3b	12604	926	FP, branche nord	État 1.2	SCTFN-5-arrachage de la palissade	208	03
Ldwhf	18676	1596	C1	État 1	C1-22-Fo art 18676	057	02
Ldwhf	16406	1439	C3	État 2.2 à 2.3	C3-2-radier	060	14
Ldwhf	17699	1748	C4	État 2.1	C4-10-Fo art 17698	067	03
Ldwhf	20654	S1005	Q	État 1	Q-10-TP 20653	114	01
Ldwhf	15257	238	FP, branche est	État 1.2	SCTFE-5-arrachage palissade nord entrée	211	06
Ldwhf	13081	392	FP, branche est	État 1.2	SCTFE-6-arrachage palissade sud entrée	211	17

Type	UF	No inv.	Bâtiment	État	Code Assemblage	Pl.	No
Ldwhf	13081	393	FP, branche est	État 1.2	SCTFE-6-arrachage palissade sud entrée	211	18
Orme/Pîtres	HC(sanctuaire)	88	Hors contexte	Hors contexte	HC(sanctuaire)	229	26
Hors typologie	16135	290	A10	État 1	A10-2-Fo 16134	033	01
Indéterminé	14030	639	A1	État 1 à 2.1	A1-20-sol 14030	009	7
Indéterminé	14006	442	A1	État 2.2 à 2.3	A1-7-épandage 14010	003	07
Indéterminé	16127	1769	A7	Décapage	A7-1-décapage	022	06
Indéterminé	16022	1755	A7	État 2.3	A7-3-sol	023	12
Indéterminé	15667	1742	A9	Décapage	A8-2-épandage	031	11
Indéterminé	16048	1754	Cour intérieur A	Décapage	ACI-1-décapage	026	26
Indéterminé	16219	993	B corps principal	État 1	BCP-2-Fo 16218	036	20
Indéterminé	15683	1733	C3	Non phasé	C3-1-décapage	059	03
Indéterminé	17728	634	E3	État 2.1	E3-3-TP 17727	110	04
Indéterminé	18711	2241c	G1/D2	État 2.1	G1/D2-1-TP18585	100	06
Indéterminé	18709	2186	G1/D2	État 2.1	G1/D2-1-TP18585	100	07
Indéterminé	18710	2223a	G1/D2	État 2.1	G1/D2-1-TP18585	100	08
Indéterminé	21079	711	Hors bâtiment	Perturbations modernes	HB-5-drain 21078	231	05
Indéterminé	HC(sanctuaire)	656	Hors contexte	Hors contexte	HC(sanctuaire)	229	27
Indéterminé	20001 14B	S3044	M	Décapage	M-1-décapage	131	22
Indéterminé	21592	2589a	M	État 1 à 2.1	M-161-Sb 21592	152	01
Indéterminé	21344	1604	M	État 1	M-168-Pal 21343	152	09
Indéterminé	20088	S3330	M	État 2.3	M-18-Pal 20087	137	04
Indéterminé	22590	2716	M	Non phasé	M-215-détecteur	155	07
Indéterminé	22590	2710	M	Non phasé	M-215-détecteur	155	10
Indéterminé	21006	1312	P	Décapage	P-1-décapage	129	03
Indéterminé	21641	2104	Q	Non phasé	Q-22-Fo 21640	116	15
Indéterminé	22036	832	Q	Non phasé	Q-27-TP 22036	117	05
Indéterminé	22321	927	R	État 2.3	R-26-Fossé 22321	161	03
Indéterminé	21145	861	R	État 2.2	R-40-Fossé 22271	162	04
Indéterminé	10250	2018	Bâtiment A	État 4 <i>lato sensu</i>	SCTA-2-remblais	214	11
Indéterminé	10218	2015	Bâtiment A	État 4 <i>lato sensu</i>	SCTA-7-TP 10218	214	16
Indéterminé	10089	51	Enclos A	État 1 et 2 <i>lato sensu</i>	SCTA-9-sol laténien	215	01
Indéterminé	10090	333	Enclos A	État 1 et 2 <i>lato sensu</i>	SCTA-9-sol laténien	215	02
Indéterminé	10089	280	Enclos A	État 1 et 2 <i>lato sensu</i>	SCTA-9-sol laténien	215	03
Indéterminé	10089	54	Enclos A	État 1 et 2 <i>lato sensu</i>	SCTA-9-sol laténien	215	04
Indéterminé	10083	47	Enclos A	État 1 et 2 <i>lato sensu</i>	SCTA-9-sol laténien	215	05
Indéterminé	10284	334	Hors bâtiment	Premier âge du Fer	SCTA-9-sol laténien	215	06
Indéterminé	15221	95	Cour du sanctuaire	État 4 <i>lato sensu</i>	SCTE-3-remblai cours	223	13
Indéterminé	12084	2050	Cuves et sols E	État 1 et 2 <i>lato sensu</i>	SCTE-7-sol de cailloutis	225	26
Indéterminé	12035	2036	Edicule	État 4 <i>lato sensu</i>	SCTED-2-passe mécanique 12035	227	25
Indéterminé	13024	2012	FP, branche est	État 4 <i>lato sensu</i>	SCTFE-2-comblements gallo-romains	210	08
Indéterminé	11187	2054	FP, branche nord	État 4 <i>lato sensu</i>	SCTFN-3-comblements gallo-romains	204	02
Indéterminé	11159	2038	FP, branche nord	État 4 <i>lato sensu</i>	SCTFN-3-comblements gallo-romains	204	03
Indéterminé	11254	515	Galerie niveau de sol	État 2 <i>lato sensu</i>	SCTG-13-sol d'amphore nord	191	06
Indéterminé	19045	24f	Galerie (palissade extérieur)	État 2.2 à 2.3	SCTG-29-Pal ext. nord	197	02
Indéterminé	12118	2054	Galerie gallo-romaine, branche est	État 2-GR	SCTGRE-27-remblai	184	19
Indéterminé	12074	635	Entrée	État 2.2	SCTPE-3-occupation	200	01
Indéterminé	12074	2082	Entrée	État 2.2	SCTPE-3-occupation	200	02
Indéterminé	12074	934	Entrée	État 2.2	SCTPE-3-occupation	200	03

Type	UF	No inv.	Bâtiment	État	Code Assemblage	Pl.	No
Indéterminé	21782	333	T	Décapage	T-4-décapage 21782	173	09
Pontet	18003	6	H et F	Décapage	H, F et C5C-1-décapage	104	06
Pontet	21127	2602	M	État 2.3	M-16-sol 211	136	08
Pontet	18711	2236	G1/D2	État 2.1	G1/D2-1-TP18585	100	09
Pontet	20288	S3235	M	État 1	M-175-Fo 20288	153	05
Pontet	21781	307	Hémicycle gaulois/théâtre gallo-romain	État 2.1	TH-29-cailloutis 21780	178	08

Cat 18. Agrafes de ceinturon à bouton circulaire

Groupe	Type	UF	No inv.	Bâtiment	État	Code Assemblage	Pl.	No
F1	1	16247	854	B corps principal	État 1 et 2 <i>lato sensu</i>	BCN-1-épannage 16340	39	11
F1	1			Cave 23087	État 4, 3 au plus tôt	Fouille 2013	Non ill.	
F2	1	16411	1411	C3	État 1 à 2.1	C3-15-sol 16411	63	2
B41	1	13696	406	FP, branche ouest	État 1.2	SCTFO-3-arrachage palissade	213	2
B41	1					Prospection, Faye 1995 1995, no 335		
B41	2					Prospection Faye 1995 1995, no 332		
B41	2					Prospection Faye 1995, no 333		
B41	3	24024	430	Fouille 2014	Décapage	Fouille 2014	Non ill.	
B41	3					Prospection, Faye 1995, no 334		
B42	1	25334	497	Cave 25334	État 4, 2.3 au plus tôt	Fouille 2015	Non ill.	
B43	1	14006	420	A1	État 2.2 à 2.3	A1-7-épannage 14010	3	6
B43	1	17307	871	C3	État 2.1 à 2.2	C3-3-interface 17307	59	9
B43	1	18523	1075	Bâtiment gallo-romain nord	État 4 <i>lato sensu</i>	BGRN-2-Fo 18887	94	19
B43	2	18684	3086	C1	État 1	C1-8-Fo 17084	52	6
F43	1	16420	461	Ruelle entre A et C	État 2 <i>lato sensu</i>	AC-4-épannage	71	9
F43	2	15646	989	Cour intérieur A	Décapage	ACI-1-décapage	26	25

Cat 19. Agrafes de ceinturon à bouton rectangulaire

Groupe	Type	UF	No inv.	Bâtiment	État	Code Assemblage	Pl.	No
B44	1	16232	943	B corps principal	État 2 <i>lato sensu</i>	BCP-5-Fo 16231	38	3
B44	1	18858	2079	Espace D	État 4 <i>lato sensu</i>	D-2-gallo-romain	84	18
B44	1					Prospection, Faye 1995, no 336		
B44	2	20099	S3119	M	État 3	M-4-radier d'amphore 20099	135	1
B44	3	14001	423	A1	Décapage	A1-1-décapage	2	4
B51	1	21019	557	M	Décapage	M-1-décapage	131	17
B51	2	20338	S4013	O	Décapage	O-1-décapage	166	4
B51	3					Prospection, Faye 1995, no 337		

Cat 20. Pointes de lance

Type	UF	No inv.	Bâtiment	État	Code Assemblage	Pl.	No
10	16067	214	A1 et A2	État 2.2	A1 et A2-2-radier	1	10
11	19051	120	Galerie niveau d'occupation	État 2-GR	SCTG-1-interface LT-GR	185	7
12	10016	67	Galerie gallo-romaine, branche nord	Perturbations modernes	SCTGRN-2-perturbations modernes	182	14
13	21395	931	R	État 2.1	R-56-TP 21395	164	10
20	10215	215	Enclos A	État 1 et 2 <i>lato sensu</i>	SCTA-10-fossé branche sud	215	15
30	16349	1847	B cour nord	État 1 à 2.1	BCN-13-TP 16349	39	17
30	20761	S2262	K annexe	État 2.1	K-21-Fo art 20636	123	7
30	22228	174	R	État 2.1	R-54-Fossé 22228	163	8
30	22228	83	R	État 2.1	R-54-Fossé 22228	163	9
30	19035	18	Sanctuaire Extérieur nord	État 2 <i>lato sensu</i>	SCTX-3-sol 19035	228	8
40	18662	1568	C1	État 1 à 2.1	C1-15-épandage 18662	53	8
40	17002	314	C5	Décapage	C5-1-décapage	74	8
40	17685	883	C7	État 2.1	C7-2-Pal 17684	72	1
40	22005-2	825	Q	État 2 <i>lato sensu</i>	Q-3-Bs 22005	112	4
40	22229	717	R	État 3	R-4-radier 22229	157	4
41	16560	1390	A1	État 1 à 2.1	A1-20-sol 14030	9	5
41	20099	S3121	M	État 3	M-4-radier d'amphore 20099	135	2
41	20681	S1041	Q	État 1	Q-11-20680	116	2
42	21154	777	M	État 1	M-170-TP 21097	154	4
42	21154	751	M	État 1	M-170-TP 21097	154	4
42	21154	772	M	État 1	M-170-TP 21097	154	4
43	15727	1570	A1	État 1	A1-24-TP 15726	5	5
43	17300	373	C3	État 2.2 à 2.3	C3-2-radier	60	22
43	15257	189-1	FP, branche est	État 1.2	SCTFE-5-arrachage palissade nord entrée	211	4
44	17036	1478	G1/D2	Décapage	G1/D2-6-décapage	101	10
44	17070	283	C5	État 1 et 2 <i>lato sensu</i>	C5-1-décapage	74	7
44	20001	S3126	M	Décapage	M-1-décapage	131	19

Cat 21. Talon de lance

Type	UF	No inv.	Bâtiment	État	Code Assemblage	Pl.	No
1	15060	199	Structure sur poteaux D	État 1 et 2 <i>lato sensu</i>	SCTD-2-épandage	218	22
2	16543	1360	A2	État 2.1	A2-10-sol 16543	20	3
2	16247	941	B corps principal	État 1 et 2 <i>lato sensu</i>	BCN-1-épandage 16340	39	12
2	17406	1747	C3	État 1 à 2.1	C3-7-Ce 17405	61	6
2	16453	676	C4	État 1 à 2.1	C4-21-TP 16452	66	21
2	17282	1633	Espace D	État 4 <i>lato sensu</i>	D-5-Fo 17873	87	9
2	20636	S2056	K annexe	État 2.1 à 2.2	K-21-Fo art 20636	123	8
2	21019	560	M	Décapage	M-1-décapage	131	18
2	20654	S1015	Q	État 1	Q-10-TP 20653	114	2
2	22223	876	R	État 2.3	R-18-radier 22223	160	3
2	22228	598	R	État 2.1	R-54-Fossé 22228	163	10
2	10304	357	Enclos A	État 1 et 2 <i>lato sensu</i>	SCTA-11-fossé branche est	216	1
2	12715	2071	Enclos A	État 1 et 2 <i>lato sensu</i>	SCTA-13-fossé branche ouest	216	11
2	13542	87	Structure sur poteaux D	État 1 et 2 <i>lato sensu</i>	SCTD-2-épandage	218	23
2	12000	2115	Cour du sanctuaire	Décapage	SCTE-1-décapage	220	21
2	10129	228	FP, branche nord	État 4 <i>lato sensu</i>	SCTFN-3-complements gallo-romains	204	1

Type	UF	No inv.	Bâtiment	État	Code Assemblage	Pl.	No
2	10237	246	Galerie niveau de sol	État 2 <i>lato sensu</i>	SCTG-13-sol d'amphore nord	191	5
2	12587	757	Galerie niveau de sol	État 2.1	SCTG-25-remblai sol nord	193	7
2	12068	588	Galerie aménagement empierré	État 2.3	SCTG-5-empierrements sud entrée	186	17
2	21763	2098	Hémicycle gaulois/théâtre gallo-romain	Décapage	TH-1-décapage	174	7

Cat 22. Orles

Type	UF	No inv.	Bâtiment	État	Code Assemblage	Pl.	No
Gouttière	14030	556	A1	État 1 à 2.1	A1-20-sol 14030	8	6
Gouttière	8348		A1	État 2 <i>lato sensu</i>	A1-25-épandage est	16	6
Gouttière	15428	589	Cour intérieur A	Décapage	ACI-1-décapage	26	27
Gouttière	16201	852	B	Décapage	B-1-décapage	35	15
Gouttière	16201	1752	B	Décapage	B-1-décapage	35	16
Gouttière	17400	302	C	Décapage	C-1-décapage	42	14
Gouttière	16613	401	C1	État 2.2 à 2.3	C1-2-radier et sols	51	1
Gouttière	16404	1700	Place du complexe C	Décapage	CPL-1-décapage	43	5
Gouttière	18516	3011	Espace D	Décapage	D-1-décapage	81	13
Gouttière	17282	1635	Espace D	État 4 <i>lato sensu</i>	D-5-Fo 17873	87	8
Gouttière	18003	134	H et F	Décapage	H, F et C5C-1-décapage	104	7
Gouttière	HC2005	726	Hors bâtiment	Hors contexte	HC2005	232	2
Gouttière	21452	1451	N	Non phasé	N-37-Fo 21452	128	14
Gouttière	22394	907	R	État 2.2	R-38-TP 22394	161	15
Gouttière	22242-2	780	R	État 2.1	R-55-St 22242	164	1
Gouttière	22242-2	788	R	État 2.1	R-55-St 22242	164	2
Gouttière	13028	88	FP, branche est	État 4 <i>lato sensu</i>	SCTFE-2-complements gallo-romains	210	9
Gouttière	15257	208	FP, branche est	État 1.2	SCTFE-5-arrachage palissade nord entrée	211	5
Gouttière	13520	94	FP, branche nord	Décapage	SCTFN-1-décapage	202	5
Gouttière	9319	5	Galerie gallo-romaine, branche nord	État 2-GR	SCTGRN-11-niveaux laténiens	183	8
Gouttière	9319	4	Galerie gallo-romaine, branche nord	État 2-GR	SCTGRN-11-niveaux laténiens	183	9
Gouttière	19056	46	Galerie gallo-romaine, branche nord	État 4 <i>lato sensu</i>	SCTGRN-3-remblais	182	19
Gouttière	12069	2042	Entrée	État 2-GR	SCTPE-2-passe artificielle	199	16
Gouttière	21752	2088	Hémicycle gaulois/théâtre gallo-romain	Décapage	TH-1-décapage	174	6
Rectangulaire	8343		A1	État 1 à 2.1	A1-20-sol 14030	8	1
Rectangulaire	8343		A1	État 1 à 2.1	A1-20-sol 14030	8	2
Rectangulaire	8343		A1	État 1 à 2.1	A1-20-sol 14030	8	3
Rectangulaire	8343		A1	État 1 à 2.1	A1-20-sol 14030	8	4
Rectangulaire	8343		A1	État 1 à 2.1	A1-20-sol 14030	8	5
Rectangulaire	14030	2068	A1	État 1 à 2.1	A1-20-sol 14030	9	1
Rectangulaire	16560	1320	A1	État 1 à 2.1	A1-20-sol 14030	9	2
Rectangulaire	16560	1321	A1	État 1 à 2.1	A1-20-sol 14030	9	3
Rectangulaire	16560	189	A1	État 1 à 2.1	A1-20-sol 14030	9	4
Rectangulaire	15590	1169	A1	État 1 à 2.1	A1-21-décapage 15590	15	5
Rectangulaire	15590	1232	A1	État 1 à 2.1	A1-21-décapage 15590	15	6
Rectangulaire	15590	1167	A1	État 1 à 2.1	A1-21-décapage 15590	15	7
Rectangulaire	16059	249	A4 et A7	État 1 à 2.1	A7-10-remblai 16126	24	7
Rectangulaire	16141	1798	A7	État 2.1	A7-5-TP 16140	25	4
Rectangulaire	15646	1246	Cour intérieur A	Décapage	ACI-1-décapage	26	28

Type	UF	No inv.	Bâtiment	État	Code Assemblage	Pl.	No
Rectangulaire	16444	1740	C3	État 2.1	C3-5-Sb 16443	59	12
Rectangulaire	17521	1767	Place du complexe C (est)	État 2 <i>lato sensu</i>	CPL-4-épandage est	48	4
Rectangulaire	17763	659	E1	État 2.1	E1-10-Fo 17762	109	12
Rectangulaire	21209	1496	M	État 1	M-169-Fo art 21208	152	13
Rectangulaire	21193	1493	M	État 2.2	M-78-TP 21193	142	12
Rectangulaire	21699-41	972	R	État 2.2	R-40-Fossé 22271	162	5
Rectangulaire	13024	113	FP, branche est	État 4 <i>lato sensu</i>	SCTFE-2-complements gallo-romains	210	7
Rectangulaire	13081	391	FP, branche est	État 1.2	SCTFE-6-arrachage palissade sud entrée	211	16
Rectangulaire	11189	2058	FP, branche nord	État 4 <i>lato sensu</i>	SCTFN-3-complements gallo-romains	204	5
Rectangulaire	13050	2019	Galerie (palissade extérieur)	État 2.2 à 2.3	SCTG-28-Pal ext. est	194	11
Rectangulaire	13050	2018	Galerie (palissade extérieur)	État 2.2 à 2.3	SCTG-28-Pal ext. est	194	12
Rectangulaire	9292	1	Galerie niveau d'occupation	État 2.2	SCTG-8-occupation nord	188	6
Rectangulaire	20343	S4031	Hémicycle gaulois/théâtre gallo-romain	État 1	TH-40-sol 20343	180	3
Rectangulaire	20343	S4055	Hémicycle gaulois/théâtre gallo-romain	État 1	TH-40-sol 20343	180	4
Rectangulaire	22563	870	Voies ouest	Décapage	VO-1-décapage	171	1

Cat 23. Manipules et clou-rivets d'umbo

Type	UF	No inv.	Bâtiment	État	Code Assemblage	Pl.	No
Manipule	15590	1146	A1	État 1 à 2.1	A1-21-décapage 15590	15	4
Manipule	16003	137	A7	Décapage	A7-1-décapage	22	5
Manipule	16409	1474	Place du complexe C (ouest)	État 1 et 2 <i>lato sensu</i>	CPL-3-sol ouest	46	19
Manipule	22481	675	Esplanade	Non phasé	ESP-2-Fo 22481	110	8
Manipule	22005-3	463	Q	État 2 <i>lato sensu</i>	Q-3-Bs 22005	112	8
Manipule	20657	S2167	K	État 2 <i>lato sensu</i>	K-2-radier de sol	118	11
Manipule	15257	188	FP, branche est	État 1.2	SCTFE-5-arrachage palissade nord entrée	211	7
Manipule	19045	24t	Galerie (palissade extérieur)	État 2.2 à 2.3	SCTG-29-Pal ext. nord	197	3
Manipule	13711	491	Galerie niveau d'occupation	État 2.2	SCTG-9-occupation ouest	189	5
Clou-rivet	14030	585	A1	État 1 à 2.1	A1-20-sol 14030	7	4
Clou-rivet	15428	1761	Cour intérieur A	Décapage	ACI-1-décapage	26	29
Clou-rivet	HC(sanctuaire)	3019	Hors contexte	Hors contexte	HC(sanctuaire)	229	28
Clou-rivet	11159	2039	FP, branche nord	État 4 <i>lato sensu</i>	SCTFN-3-complements gallo-romains	204	4

Cat 24. Umbones

Type	UF	No inv.	Bâtiment	État	Code Assemblage	Pl.	No
Indéterminé	8343	23	A1	État 1 à 2.1	A1-20-sol 14030	7	3
Indéterminé	15663	1739	B corps principal	État 1	BCP-1-Ce 15520	36	15
Indéterminé	15663	1023	B corps principal	État 1	BCP-1-Ce 15520	36	16
Indéterminé	17307	928	C3	État 2.1 à 2.2	C3-3-interface 17307	59	10
Indéterminé	17026	1525	Espace D	État 2-GR	D-6-pavage 17026	88	4
Nîmes	19045	24c	Galerie (palissade extérieur)	État 1	SCTG-29-Pal ext. nord	196	2
Nîmes	20657	S2153	K	État 2 <i>lato sensu</i>	K-2-radier de sol	118	4
Nîmes	20657	S2120	K	État 2 <i>lato sensu</i>	K-2-radier de sol	118	5
Nierstein	15554	869	C1	État 1	C1-17-sol 17343	55	10
Nierstein	17324	1773	C4	État 2.1	C4-13-Fo art 17323	67	11
Nierstein	16405	520	Place du complexe C (ouest)	État 2 <i>lato sensu</i>	CPL-2-occupation ouest	45	1
Nierstein	19045	24b	Galerie (palissade extérieur)	État 1	SCTG-29-Pal ext. nord	196	1

Type	UF	No inv.	Bâtiment	État	Code Assemblage	Pl.	No
Sion	19045	24d	Galerie (palissade extérieur)	État 1	SCTG-29-Pal ext. nord	196	3
Sion?	8342	20	A1	État 1 à 2.1	A1-20-sol 14030	7	2
Gournay IV	19045	24e	Galerie (palissade extérieur)	État 1	SCTG-29-Pal ext. nord	196	4
Gournay IV	19045	24z	Galerie (palissade extérieur)	État 1	SCTG-29-Pal ext. nord	196	5
Gournay V	8422	22	A1	État 1 à 2.1	A1-20-sol 14030	7	1
Gournay V	11189	356	FP, branche nord	État 4 <i>lato sensu</i>	SCTFN-3-complements gallo-romains	204	6
Gournay VI	13520	152	FP, branche nord	Décapage	SCTFN-1-décapage	202	6

Cat 25. Cottes de mailles

UF	No inv.	Bâtiment	État	Code Assemblage	Pl.	No
17520	958	Place du complexe C (ouest)	État 2 <i>lato sensu</i>	CPL-2-occupation ouest	48	3
17017	1414	C6	Décapage	C6-1-décapage	73	4
20092	S3117	M	Non phasé	M-231-TP 20091	154	2
16259	1837	Espace D	État 4 <i>lato sensu</i>	D-2-gallo-romain	84	15
22242	893	R	État 2.1	R-55-ST 22242	164	7
HC(sanctuaire)	1036	Hors contexte	Hors contexte	HC(sanctuaire)	229	25
12000	2106	Cour du sanctuaire	Décapage	SCTE-1-décapage	220	20

Cat 26. Militaria

Type	UF	No inv.	Bâtiment	État	Code Assemblage	Pl.	No
Défensif	12008	19	FP, branche nord	État 4 <i>lato sensu</i>	SCTFN-3-complements gallo-romains	204	7
Défensif	10095	164	Enclos A	État 2-GR	SCTA-8-interface LT-GR	214	19
Défensif	12510	84	Cour du sanctuaire	État 4 <i>lato sensu</i>	SCTE-3-remblai cours	223	5
Défensif	12073	823	Cuves et sols E	État 2-GR	SCTE-6-interface LT-GR	224	10
Offensif	18523	3043	Bâtiment gallo-romain nord	État 4 <i>lato sensu</i>	BGRN-2-Fo 18887	94	20
Offensif	21356	2629	M	État 2.3	M-23-TP 21355	137	13
Offensif	13521	63	FP, branche ouest	Décapage	SCTFO-1-décapage	212	12
Fourniment	17008	34	Espace D	État 4 <i>lato sensu</i>	D-2-gallo-romain	84	16
Fourniment	17104	1404	Espace D	État 4 <i>lato sensu</i>	D-2-gallo-romain	84	17
Fourniment	18547	1218	Espace D	État 2.3 à 3	D-3-radiers petit module	87	3
Fourniment	18528	1155	Bâtiment gallo-romain nord	État 4 <i>lato sensu</i>	BGRN-3-Fo 18528	95	1
Fourniment	21019	556	M	Décapage	M-1-décapage	131	16
Fourniment	21019	605	M	Décapage	M-1-décapage	131	21
Fourniment	10016	3	Galerie gallo-romaine, branche nord	Perturbations modernes	SCTGRN-2-perturbations modernes	182	15
Fourniment	15046	125	Structure sur poteaux D	État 1 et 2 <i>lato sensu</i>	SCTD-2-épannage	218	21
Fourniment	11111	728	Cour du sanctuaire	État 2-GR	SCTE-6-interface LT-GR	224	9

Cat 27. Outils liés à la frappe du métal

Type	UF	No inv.	Bâtiment	État	Code Assemblage	Pl.	No
Marteau	16147	1802	A10	État 1	A10-3-Fo 16146	33	5
Marteau	16405	1713	Place du complexe C (ouest)	État 2 <i>lato sensu</i>	CPL-2-occupation ouest	44	3
Marteau	18662	1554	C1	État 1 à 2.1	C1-15-épannage 18662	53	9
Marteau	16411	1412	C3	État 1 à 2.1	C3-15-sol 16411	63	6
Marteau	16411	1489	C3	État 1 à 2.1	C3-15-sol 16411	63	7
Marteau	17213	1735	C5	État 2.1	C5-17-Fo 17214	76	18
Marteau	18516	1057	Espace D	Décapage	D-1-décapage	81	16
Marteau	16614	1786	Espace D	État 4 <i>lato sensu</i>	D-2-gallo-romain	84	24
Marteau	18114	3032	F	État 1	F-16-TP 18113	106	8
Marteau	18099	360	F	État 2.1	F-10-Fo 18098	107	1
Marteau	21143	1461	M	État 2.2	M-76-Solin 21143	142	6
Marteau	21708	186	T	Décapage	T-2-décapage sur radier 21709	172	26
Marteau	21722	102	Hémicycle gaulois/théâtre gallo-romain	État 4.2	TH-9-démolition 21722	175	16
Marteau	21899-204	2056	Hémicycle gaulois/théâtre gallo-romain	État 2.1 à 2.2	TH-30-démontage cailloutis 21780	179	8
Marteau	15277	2005	Galerie gallo-romaine, branche est	État 4.3	SCTGRE-9-Fo 15278	184	10
Marteau	13024	110	FP, branche est	État 4 <i>lato sensu</i>	SCTFE-2-complements gallo-romains	210	11
Marteau	HC2011	1439	Hors contexte	Hors contexte	HC2011	234	15
Marteau	23838	1075	Fouille 2013	Fouille 2013	Fouille 2013	Non ill.	
Percuteur lithique	18662	1590	C1	État 1 à 2.1	C1-15-épannage 18662	53	14
Percuteur lithique	17360	1085	C3	État 2.1	C3-8-Sb 17359	59	18
Percuteur lithique	17310	1014	C4	État 2.2 à 2.3	C4-3-démontage radier	65	23
Percuteur lithique	18099	387	F	État 2.1	F-10-Fo 18098	107	4
Percuteur lithique	22471	801	Esplanade	Non phasé	ESP-3-Fo 22471	110	9
Percuteur lithique	22408	773	R	État 2.3	R-27-TP 22408	161	6
Enclume	16016	219	A1	Décapage	A1-1-décapage	2	11
Enclume	15680	1736	B corps principal	État 1	BCP-21-TP 15679	39	2
Enclume	16407	1572	Place du complexe C (ouest)	État 2 <i>lato sensu</i>	CPL-2-occupation ouest	44	2
Enclume	16412	1442	C3	État 1	C3-9-épannage	61	7
Enclume	21113	1483	N	État 1	N-40-Sb 21112	128	15
Tas carré	17521	545	Place du complexe C (est)	État 2 <i>lato sensu</i>	CPL-4-épannage est	47	17
Tas carré	8351		Ruelle entre A et C	État 1 et 2 <i>lato sensu</i>	AC-2-sol	69	19
Tas carré	20608	S2038	K	État 2.2	K-4-Ce 20607	121	4
Tas carré	21006	1056	P	Décapage	P-1-décapage	129	9
Tas carré	24035	108	Fouille 2014	Fouille 2014	Fouille 2014	Non ill.	
Tas carré	24088	529	Fouille 2014	Fouille 2014	Fouille 2014	Non ill.	
Tas contre-coudé	17999-9	2303	Place du complexe C (ouest)	État 1 et 2 <i>lato sensu</i>	CPL-3-sol ouest	46	12
Tas myco-morphe	21019	750	M	Décapage	M-1-décapage	132	4
Tas ordinaire	20373	D3004a	S	État 2.2	S-4-Ce 20372	168	10
Tas ordinaire	21899-223	2072	Hémicycle gaulois/théâtre gallo-romain	État 2.1 à 2.2	TH-30-démontage cailloutis 21780	179	9
Tas rond	8375		A1	État 2 <i>lato sensu</i>	A1-25-épannage est	16	8
Tas rond	17999-213	1742	Place du complexe C (est)	État 1 et 2 <i>lato sensu</i>	CPL-5-sol est	49	4
Tas rond	20252	S3239	M	État 1	M-179-Fo 20252	153	9

Type	UF	No inv.	Bâtiment	État	Code Assemblage	Pl.	No
Martyr	18099	303	F	État 2.1	F-10-Fo 18098	107	8
Martyr	20636	S2244	K annexe	État 2.1 à 2.2	K-21-Fo art 20636	123	9
Tas?	12714	975	Enclos A	État 2.3	SCTA-13-fossé branche ouest	216	10
Tas?	HC(sanctuaire)	3014	Hors contexte	Hors contexte	HC(sanctuaire)	230	3
Tas lithique	17046	1329	C3	État 1 à 2.1	C1 et C3-3-démontage radier	51	7
Tas lithique	18676	2016	C1	État 1	C1-22-Fo art 18676	57	8
Tas lithique	18665	a	C1	État 1	C1-27-épannage 18665	57	9
Tas lithique	17523	1048	C7	État 2.1	C7-10-Ce 17522	72	7
Tas lithique	20623	S2047	K	État 2.1	K-3-Cit 20618	120	10
Tas lithique	20623	S2048	K	État 2.1	K-3-Cit 20618	120	10

Cat 28. Outils liés à la préhension

Type	UF	No inv.	Bâtiment	État	Code Assemblage	Pl.	No
Pince	17469	419	C	Décapage	C-1-décapage	42	16
Pince	17520	516	Place du complexe C (ouest)	État 2 <i>lato sensu</i>	CPL-2-occupation ouest	47	18
Pince	22023	341	Q	État 2 <i>lato sensu</i>	Q-4-TP 22023	112	15
Pince	20613	S2009	K	État 2 <i>lato sensu</i>	K-2-radier de sol	119	2
Pince	21220	746	M	État 1 à 2.2	M-112-sol de cailloutis 21220	147	1
Pince	21220	749	M	État 1 à 2.2	M-112-sol de cailloutis 21220	147	2
Pince	22229	796	R	État 3	R-4-radier 22229	157	5
Pince	22229	881	R	État 3	R-4-radier 22229	157	6
Pince	22285	904	R	État 2.3	R-23-Fo 22285	160	8
Pince	23095-1	733	Fouille 2013	Fouille 2013	Fouille 2013	Non ill.	

Cat 29. Outils liés à la découpe du métal

Type	UF	No inv.	Bâtiment	État	Code Assemblage	Pl.	No
Ciseau droit	16405	1714	Place du complexe C (ouest)	État 2 <i>lato sensu</i>	CPL-2-occupation ouest	44	13
Ciseau droit	17069	1328	C5	État 2 <i>lato sensu</i>	C5-7-remblai 17069	76	11
Ciseau droit	17213	1736	C5	État 2.1	C5-17-Fo 17214	76	17
Ciseau droit	18632	3047	G3	État 2.1	G3-5-TP 18633	102	10
Ciseau droit	22003	823	Q	Décapage	Q-1-décapage	111	4
Ciseau droit	20636	S2252	K annexe	État 2.1 à 2.2	K-21-Fo art 20636	123	10
Ciseau droit	22460	813	N	État 2.1	N-7-Pal 22460	127	8
Ciseau droit	21167	1470	M	État 2.1	M-211-sol 21167	144	8
Ciseau droit	22329	905	R	État 2.1	R-59-Fo 22329	164	13
Ciseau droit	21752	109	Hémicycle gaulois/théâtre gallo-romain	Décapage	TH-1-décapage	174	10
Ciseau droit	21716	60	Hémicycle gaulois/théâtre gallo-romain	Perturbations modernes	TH-2-moderne	175	4
Ciseau droit	25068	622	Fouille 2015	Fouille 2015	Fouille 2015	Non ill.	
Ciseau droit	25060-1	718	Fouille 2015	Fouille 2015	Fouille 2015	Non ill.	
Poinçon	20636	S2059	K annexe	État 2.1 à 2.2	K-21-Fo art 20636	123	12
Poinçon	21899-215	2053	Hémicycle gaulois/théâtre gallo-romain	État 2.1 à 2.2	TH-30-démontage cailloutis 21780	179	8
Poinçon à deux pointes	17427	416	C5	État 1 et 2 <i>lato sensu</i>	C5-5-épannage ouest	76	5
Tranche	17999-13	1760	Place du complexe C (ouest)	État 1 et 2 <i>lato sensu</i>	CPL-3-sol ouest	46	11

Cat 30. Outils liés à la finition du métal

Type	UF	No inv.	Bâtiment	État	Code Assemblage	Pl.	No
Ciselet	16405	1711	Place du complexe C (ouest)	État 2 <i>lato sensu</i>	CPL-2-occupation ouest	44	12
Ciselet	17430	410	Place du complexe C (est)	État 2 <i>lato sensu</i>	CPL-4-épandage est	47	15
Ciselet	18651	1503	C1	État 2.1 à 2.2	C1-4-remblai	51	9
Ciselet	17225	1555	C5	État 1	C5-33-TP 17224	76	21
Ciselet	18014	99	C5 Cave	Décapage	C5C-12-décapage nord	79	7
Ciselet	18519	3002	G	État 1 et 2 <i>lato sensu</i>	G-2-cailloutis	97	11
Ciselet	18099	320	F	État 2.1	F-10-Fo 18098	107	9
Ciselet	20417	S4065	Hémicycle gaulois/théâtre gallo-romain	État 1 et 2 <i>lato sensu</i>	TH-45-épandage 20417	180	9
Ciselet	HC2010	S4060	Hors contexte	Hors contexte	HC2010	234	7
Emporte-pièce	17999-213	1741	Place du complexe C (est)	État 1 et 2 <i>lato sensu</i>	CPL-5-sol est	49	5
Lime	14030	632b	A1	État 1 à 2.1	A1-20-sol 14030	10	2
Lime	17703	609	A1	État 1 à 2.1	A1-20-sol 14030	10	1
Lime	15738	1721	A3	État 2.3	A3-6-TP 15738	21	5
Lime	16238	968	B cour ouest	Non phasé	BCO-2-épandage 16238	40	13
Lime	17420	1766	Place du complexe C (ouest)	État 2 <i>lato sensu</i>	CPL-2-occupation ouest	44	15
Lime	17496	804	Place du complexe C (ouest)	État 2 <i>lato sensu</i>	CPL-2-occupation ouest	44	16
Lime	18654	1520	C3	État 1	C3-26-Fo art 18668	64	1
Lime	16623	1838	C5	État 2.3 à 3	C5-4-épandage	74	15
Lime	17065	161	C5	État 2.2 à 2.3	C5-3-radier	75	10
Lime	18803	1687	Espace D	État 4 <i>lato sensu</i>	D-9-Fo 18804	89	15
Lime	18552	3074	D3	État 1	D3-3-Solin 18552	92	3
Lime	20681	S1046	Q	État 1	Q-11-20680	116	3
Lime	20698	S1050	Q	État 1 à 2.1	Q-18--TP 20697	116	9
Lime	22273	903	R	État 3	R-9-radier 22273	159	10
Lime	21707	5	T	Décapage	T-1-décapage	172	10
Lime	21779	375	Hémicycle gaulois/théâtre gallo-romain	État 3	TH-18-radier 21753	176	12
Lime	11106	2020	Cour du sanctuaire	État 4 <i>lato sensu</i>	SCTE-3-remblai cours	222	18
Lime	12035	357	Edicule	État 4 <i>lato sensu</i>	SCTED-2-passe mécanique 12035	227	29
Poinçon	8339		A6	Décapage	A6-1-décapage	29	11
Poinçon	16411	1400	C	État 1 à 2.1	C3-15-sol 16411	63	3
Poinçon	22201	44	R	Décapage	R-1-décapage	156	7
Poinçon	13049	2017	Galerie niveau d'occupation	État 2.2	SCTG-12-occupation est sud entrée	190	11
Poinçon à décorer	16405	1712	Place du complexe C (ouest)	État 2 <i>lato sensu</i>	CPL-2-occupation ouest	44	14
Poinçon à décorer	22229	50	R	État 3	R-4-radier 22229	158	8
Poinçon à emboutir	17693	535	Place du complexe C (est)	État 1 et 2 <i>lato sensu</i>	CPL-5-sol est	49	6
Poinçon à emboutir	16420	1733	Ruelle entre A et C	État 2 <i>lato sensu</i>	AC-4-épandage	71	10
Poinçon à emboutir	17044	1714	C5 Cave	État 4 <i>lato sensu</i>	C5C-2-piégeage	77	21
Poinçon à emboutir	22231	886	R	État 3	R-6-radier 22231	159	3
Abraseur	15475	1767	B cour ouest	État 2 <i>lato sensu</i>	BCO-22-TP 15474	41	9
Abraseur	15724	1185	A1 et A2	Décapage	A1 et A2-1-décapage	41	11
Abraseur	18662	1582	C1	État 1 à 2.1	C1-15-épandage 18662	53	12
Abraseur	18662	1576	C1	État 1 à 2.1	C1-15-épandage 18662	53	15
Abraseur	18662	1575	C1	État 1 à 2.1	C1-15-épandage 18662	53	16
Abraseur	18665	b	C1	État 1	C1-27-épandage 18665	57	10

Type	UF	No inv.	Bâtiment	État	Code Assemblage	Pl.	No
Abraseur	17230	1565	Espace D	Non phasé	D-8-amas de mobilier 17231	89	6
Abraseur	18556	1397	G	Non phasé	BGRN-9-TP 18836	95	13
Abraseur	18099	302	F	État 2.1	F-10-Fo 18098	107	3
Abraseur	20603	S2011	K	État 2.2	K-11-Cave niv som 20603	122	6
Abraseur	20090	S3114	M	État 2.2	M-71-Fossé 21089	140	8
Abraseur	22240	891	R	État 2.3	R-28-radier 22240	161	7
Abraseur	22240	890	R	État 2.3	R-28-radier 22240	161	8
Abraseur	22332	774	R	État 1	R-72-TP 22332	165	9
Abraseur	20416	E2048	O	État 2.2	O-2-Fo art 20415	166	8
Abraseur	18404	1750	C3	État 1	C3-26-Fo art 18668	Non ill.	
Abraseur	22233	960	R	État 2.2	R-37-sol d'amphore 22233	Non ill.	
Tablette abrasive	17521	524	Place du complexe C (est)	État 2 <i>lato sensu</i>	CPL-4-épandage est	48	2
Tablette abrasive	16651	1852	C1	État 2.2 à 2.3	C1-2-radier et sols	51	3
Tablette abrasive	18676	1594	C1	État 1	C1-22-Fo art 18676	57	7
Tablette abrasive	17406	1047	C3	État 1 à 2.1	C3-7-Ce 17405	61	5
Tablette abrasive	20315	S4012	Hémicycle gaulois/théâtre gallo-romain	État 2.1	TH-31-Sb 20314	179	15

Cat 31. Outils liés à la gestion du foyer

Type	UF	No inv.	Bâtiment	État	Code Assemblage	Pl.	No
Pelle à feu	8352		C4	État 1 et 2 <i>lato sensu</i>	AC-2-sol	69	18
Pelle à feu	8352		C4	État 1 et 2 <i>lato sensu</i>	AC-2-sol	69	17
Pelle à feu	18821	3078	D1	État 1	D1-14-Sb 18822	91	7
Pelle à feu	20063	S3260	M	État 2.3	M-27-épandage 20063	138	8
Pelle à feu	22321	930	R	État 2.3	R-26-Fossé 22321	161	4

Cat 32. Tableau récapitulatif des déchets liés à la fonte des alliages cuivreux

	Couleure		Goutte		Scorie (bc)		Creuset			Lingotière		Moule		T. art. ind.		Paroi Fy		Total		
	NR	M	NR	M	NR	M	NR	NMI	M	NR	M	NR	M	NR	M	NR	M	NR	NMI	M (g)
A1	3	16.4	1	1														4	4	17.4
État 2 <i>lato sensu</i>	1	0.6																1	1	0.6
État 2.2	1	11.8																1	1	11.8
Décapage	1	4																1	1	4
État 1 à 2.1			1	1														1	1	1
A1 et A2					1	10.4												1	1	10.4
Décapage					1	10.4												1	1	10.4
A2	2	5																2	2	5
État 1	1	1																1	1	1
État 2.3	1	4																1	1	4
A4 et A7	1	5																1	1	5
État 1 à 2.1	1	5																1	1	5
A9	1	2.7																1	1	2.7
État 2.1	1	2.7																1	1	2.7
A10			1	0.8														1	1	0.8
Décapage			1	0.8														1	1	0.8
Cour entre A et B	1	0.4																1	1	0.4
Décapage	1	0.4																1	1	0.4
B corps principal	1	6.4	1	0.4						1	0							3	3	6.8
État 1	1	6.4	1	0.4						1	0							3	3	6.8
B cour ouest	2	11.9					1	1										3	3	11.9
État 2.3	1	7.4																1	1	7.4
Décapage	1	4.5					1	1										2	2	4.5
C	2	8.6														6	26.2	8	8	34.8
Décapage	2	8.6														6	26.2	8	8	34.8
Place du complexe C	1	1.6																1	1	1.6
Décapage	1	1.6																1	1	1.6
Place du complexe C (ouest)	1	0.8																1	1	0.8
État 2 <i>lato sensu</i>	1	0.8																1	1	0.8
C1	7	25.3																7	7	25.3
État 1	5	21.3																5	5	21.3
État 1 à 2.1	1	3.1																1	1	3.1
État 2.2 à 2.3	1	0.9																1	1	0.9
C1 et C2	1	0.8																1	1	0.8
Décapage	1	0.8																1	1	0.8
C2														11	141.9	10	73.2	21	21	215.1
État 1 à 2.2														1	15.9			1	1	15.9
État 2.2 à 2.3																9	60	9	9	60
État 2.3														10	126			10	10	126
Décapage																1	13.2	1	1	13.2
C3	6	5.6					13	8	14.6	9	19.4	8	7.2	2	23.3	13	112.3	51	46	182.4
État 1							13	8	14.6	9	19.4	8	7.2	2	23.3			32	27	64.5
État 1 à 2.1	4	2.7														13	112.3	17	17	115
État 2.1	1	0.5																1	1	0.5
État 2.2 à 2.3	1	2.4																1	1	2.4
C4	7	30			1	2	161	18	311.1	1	0					1	7.4	171	28	350.5
État 1							161	18	311.1	1	0							162	19	311.1
État 2.1	1	15.8																1	1	15.8
État 2.2 à 2.3	2	3.2														1	7.4	3	3	10.6

	Couleur		Goutte		Scorie (bc)		Creuset			Lingotière		Moule		T. art. ind.		Paroi Fy		Total		
	NR	M	NR	M	NR	M	NR	NMI	M	NR	M	NR	M	NR	M	NR	M	NR	NMI	M (g)
État 1 et 2 <i>lato sensu</i>	3	9																3	3	9
État 2 <i>lato sensu</i>	1	2																1	1	2
État 2-GR					1	2												1	1	2
État 4 <i>lato sensu</i>																		0	0	0
C5	2	5.9																2	2	5.9
État 2.2 à 2.3	2	5.9																2	2	5.9
C5 Cave	8	10.1	1	0.1														9	9	10.2
Décapage	8	10.1	1	0.1														9	9	10.2
C7	1	10.6																1	1	10.6
État 2.1	1	10.6																1	1	10.6
D1	1	2.2																1	1	2.2
Décapage	1	2.2																1	1	2.2
Espace D	6	12.5	2	1												1	4.4	9	9	17.9
État 1 à 2.1			1	0.4														1	1	0.4
État 4 <i>lato sensu</i>			1	0.6														1	1	0.6
Non phase	3	2.6																3	3	2.6
Décapage	3	9.9														1	4.4	4	4	14.3
G1																4	28.8	4	4	28.8
État 2.1																4	28.8	4	4	28.8
F	1	2.1								1	27.5			5		1	7.7	8	8	37.3
État 1																1	7.7	1	1	7.7
État 2.1	1	2.1								1	27.5			5				7	7	29.6
G	4	5.6			1	2.4												5	5	8
État 2.1	1	2.7																1	1	2.7
État 2.2 à 2.3	1	0.7			1	2.4												2	2	3.1
État 1 et 2 <i>lato sensu</i>	2	2.2																2	2	2.2
G1/D2			1	0.4	1	10												2	2	10.4
Décapage			1	0.4	1	10												2	2	10.4
G3	1	0.2																1	1	0.2
État 2.1	1	0.2																1	1	0.2
Batiment gallo-romain nord	3	14.8																3	3	14.8
État 4 <i>lato sensu</i>	1	10.7																1	1	10.7
Décapage	2	4.1																2	2	4.1
H			1	0.2												1	7	2	2	7.2
État 2.1																1	7	1	1	7
Décapage			1	0.2														1	1	0.2
H et F	1	9.9																1	1	9.9
Décapage	1	9.9																1	1	9.9
Q	2	2.4																2	2	2.4
État 2.2	1	1.9																1	1	1.9
Décapage	1	0.5																1	1	0.5
K	1	1.8			2	27.5												3	3	29.3
État 2.1					2	27.5												2	2	27.5
État 2.2	1	1.8																1	1	1.8
K annexe	8	84.8	1	0.9														9	9	85.7
État 2.1	2	60.5																2	2	60.5
État 2.1 à 2.2	1	1.9																1	1	1.9
État 2.2 à 2.3	5	22.4	1	0.9														6	6	23.3
N	1	0.8	1	0.1														2	2	0.9
Décapage	1	0.8	1	0.1														2	2	0.9
M	21	94.1	6	2.9	20	159.4				1	15	1	1.5	1	23	4	146.3	54	54	442.2
État 1	6	30.2	1	0.3	9	19.5								1	23			17	17	73

	Coulure		Goutte		Scorie (bc)		Creuset			Lingotière		Moule		T. art. ind.		Paroi Fy		Total		
	NR	M	NR	M	NR	M	NR	NMI	M	NR	M	NR	M	NR	M	NR	M	NR	NMI	M (g)
État 2.1	1	2.1			3	4.3						1	1.5			1	40	6	6	47.9
État 2.2	2	0.8	1	0.3														3	3	1.1
État 2.3	4	32.6			6	121.5										3	106.3	13	13	260.4
Non phase	1	11.1			1	1.2												2	2	12.3
Décapage	7	17.3	4	2.3	1	12.9				1	15							13	13	47.5
O	4	4.6			1	39.8												5	5	44.4
État 2.2	4	4.6			1	39.8												5	5	44.4
R	3	17.2	2	0.9	1	2.7										1	1.8	7	7	22.6
État 2.1	1	1.6																1	1	1.6
État 2.2	1	13.3	2	0.9														3	3	14.2
État 2.3	1	2.3																1	1	2.3
Décapage					1	2.7										1	1.8	2	2	4.5
Ruelle entre A et C	9	55.6																9	9	55.6
État 1 et 2 <i>lato sensu</i>	2	3																2	2	3
État 2 <i>lato sensu</i>	5	46.6																5	5	46.6
État 2-GR	2	6																2	2	6
S	2	1.7																2	2	1.7
État 2 <i>lato sensu</i>	1	1.1																1	1	1.1
Décapage	1	0.6																1	1	0.6
T	1	4																1	1	4
Décapage	1	4																1	1	4
U	1	3.4																1	1	3.4
État 1 à 2.1	1	3.4																1	1	3.4
Voies ouest			1	1														1	1	1
État 2 <i>lato sensu</i>			1	1														1	1	1
Théâtre	4	14.1	1	1												1	91	6	6	106.1
État 2.1	1	2.4	1	1														2	2	3.4
État 2.1 à 2.2																1	91	1	1	91
État 3	2	11.2																2	2	11.2
Décapage	1	0.5																1	1	0.5
Enclos A			4	2.4														4	4	2.4
État 1 et 2 <i>lato sensu</i>			1	0.5														1	1	0.5
État 2.3			3	1.9														3	3	1.9
Batiment A	1	3.3																1	1	3.3
État 4 <i>lato sensu</i>	1	3.3																1	1	3.3
Structure sur poteaux D	1	1.2			1	3.7												2	2	4.9
État 1 et 2 <i>lato sensu</i>	1	1.2			1	3.7												2	2	4.9
Temple a galerie peri-pherique	2	2.9																2	2	2.9
État 4.2	1	2.2																1	1	2.2
Décapage	1	0.7																1	1	0.7
Entrée	1	0.4	1	0.1												6	44.6	8	8	45.1
État 2.2	1	0.4	1	0.1												6	44.6	8	8	45.1
Galerie aménagement empierré			2	1														2	2	1
État 2.3			2	1														2	2	1
Galerie GR, branche est	1	1.3																1	1	1.3
État 2-GR	1	1.3																1	1	1.3
Galerie niveau de sol	1	1.8	2	2														3	3	3.8
État 2.1	1	1.8	2	2														3	3	3.8
Galerie niveau d'occupation	3	5.9	1	0.4														4	4	6.3

	Coulure		Goutte		Scorie (bc)		Creuset			Lingotière		Moule		T. art. ind.		Paroi Fy		Total		
	NR	M	NR	M	NR	M	NR	NMI	M	NR	M	NR	M	NR	M	NR	M	NR	NMI	M (g)
État 2.2	3	5.9	1	0.4														4	4	6.3
FP, branche nord	1	7.1																1	1	7.1
État 4 <i>lato sensu</i>	1	7.1																1	1	7.1
Cour du sanctuaire	1	2.6	2	1														3	3	3.6
État 4 <i>lato sensu</i>	1	2.6																1	1	2.6
Décapage			2	1														2	2	1
Hors bâtiment	3	7.9	1	0.4			2	2	138.9									6	6	147.2
État 1							2	2	138.9									2	2	138.9
État 2 <i>lato sensu</i>			1	0.4														1	1	0.4
Hors contexte	2	7																2	2	7
Décapage	1	0.9																1	1	0.9
Hors contexte	8	45.8	2	2	1	56.2	1	0										12	11	104
Hors contexte	8	45.8	2	2	1	56.2	1	0										12	11	104
Total général	144	559.1	35	20	30	314.1	178	29	464.6	13	61.9	9	8.7	19	188.2	49	550.7	477	328	2167.3

Cat 33. Déchets liés à la fonte des alliages cuivreux illustrés

Type	UF	No inv.	Bâtiment	État	Code Assemblage	Pl.	No
Coulure	8385		C4	État 1 et 2 <i>lato sensu</i>	C4-8-epandage	66	6
Creuset	18402	1732a	C3	État 1	C3-26-Fo art 18668	64	6
Creuset	18402	1732b	C3	État 1	C3-26-Fo art 18668	64	7
Creuset	18232	2071	Hors bâtiment	État 1	HB-10-Fo 18232	80	8
Creuset	18402	1732c	C3	État 1	C3-26-Fo art 18668	64	8
Creuset	18232	2044	Hors bâtiment	État 1	HB-10-Fo 18232	80	9
Creuset	18402	1732a	C3	État 1	C3-26-Fo art 18668	64	9
Creuset	17362	1011a	C4	État 1	C4-15-Fo 17361	68	9
Creuset	17362	1011b	C4	État 1	C4-15-Fo 17361	68	10
Creuset	17362	1011c	C4	État 1	C4-15-Fo 17361	68	11
Creuset	17362	1011d	C4	État 1	C4-15-Fo 17361	68	12
Creuset	17362	1011e	C4	État 1	C4-15-Fo 17361	68	13
Creuset	17362	1011f	C4	État 1	C4-15-Fo 17361	68	14
Lingotière	18099	304	F	État 2.1	F-10-Fo 18098	107	2
Lingotière	17362	1007	C4	État 1	C4-15-Fo 17361	68	5
Lingotière	18404	1711	C3	État 1	C3-26-Fo art 18668	64	11
Lingotière	18404	1722	C3	État 1	C3-26-Fo art 18668	64	12
Lingotière	18404	1721	C3	État 1	C3-26-Fo art 18668	64	13
Lingotière	18404	1723	C3	État 1	C3-26-Fo art 18668	64	14
Lingotière	18404	1731	C3	État 1	C3-26-Fo art 18668	64	15
Lingotière	18404	2064	C3	État 1	C3-26-Fo art 18668	64	16
Lingotière	18404	1717	C3	État 1	C3-26-Fo art 18668	64	17
Lingotière	15619	896	B corps principal	État 1	BCP-19-TP 15618	38	19
Moule	18404	1724	C3	État 1	C3-26-Fo art 18668	64	10
Objets refondus	17688	1027	C4	État 4 <i>lato sensu</i>	C4-4-remblai romain	65	29
Tuyère et bloc-tuyère	18232	2068	Hors bâtiment	État 1	HB-10-Fo 18232	80	1
Tuyère et bloc-tuyère	20063	S3294	M	État 2.3	M-27-épandage 20063	138	5

Cat 34. Demi-produits et chutes en alliage cuivreux

Type	UF	No inv.	Bâtiment	État	Code Assemblage	Pl.	No
Ch. de bande	15411	1148	A1 et A2	Décapage	A1 et A2-1-décapage	001	05
Ch. de bande	17363	1006	C4	État 1	C4-15-Fo 17361	068	06
Ch. de bande	18516	1104	Espace D	Décapage	D-1-décapage	081	20
Ch. de bande	21145	910	R	État 2.2	R-40-Fosse 22271	162	13
Ch. de barre	14008	644	A1	État 2.2 à 2.3	A1-7-épandage 14010	003	08
Ch. de barre	14003	438	A1	État 2 <i>lato sensu</i>	A1-25-épandage est	016	09
Ch. de barre	17411	413	C4	État 4 <i>lato sensu</i>	C4-4-remblai romain	065	32
Ch. de barre	21280	763	M	État 3	M-6-Cit 21279	136	01
Ch. de barre	21831	383	Hemicycle gaulois/theatre gallo-romain	Décapage	TH-1-décapage	174	17
Ch. de fer plat	15428	575	Cour interieur A	Décapage	ACI-1-décapage	027	01
Ch. de fer plat	16259	912	Espace D	État 4 <i>lato sensu</i>	D-2-gallo-romain	085	05
Ch. de fer plat	17722	623	E1	Décapage	E1-1-décapage	109	05
Ch. de fer plat	13251	351	FP, branche sud	État 1.2	SCTFS-6-arrachage palissade	212	09
Ch. de plaque	16238	870	B cour ouest	Non phase	BCO-2-épandage 16238	040	12
Ch. de plaque	17503	486	Place du complexe C (ouest)	État 2 <i>lato sensu</i>	CPL-2-occupation ouest	044	07
Ch. de plaque	8335		C4	État 2-GR	C4-1-décapage	065	06
Ch. de plaque	18726	1398b	Espace D	Décapage	D-1-décapage	081	19
Ch. de plaque	17008	1412	Espace D	État 4 <i>lato sensu</i>	D-2-gallo-romain	085	02
Ch. de plaque	18003	115	H et F	Décapage	H, F et C5C-1-décapage	104	11
Ch. de plaque	21019	502	M	Décapage	M-1-décapage	132	12
Ch. de plaque	21460	2534	M	État 2.3	M-25-TP 21459	137	15
Ch. de plaque	21403	930	M	État 1 à 2.2	M-196-Sb 21402	155	01
Ch. de plaque	10258	296	FP, branche nord	État 4 <i>lato sensu</i>	SCTFN-3-complements gallo-romains	204	12
Ch. de plaque	17199	1492	C5	État 2.2 à 2.3	C5-3-radier	Non ill.	
Ch. de tige changeante	8362		A1	État 1 à 2.1	A1-20-sol 14030	010	06
Ch. de tige changeante	17400	331	C	Décapage	C-1-décapage	042	15
Ch. de tige changeante	15480	739	C3	Décapage	C3-1-décapage	059	04
Ch. de tige changeante	13002	4	FP, branche nord	Décapage	SCTFN-1-décapage	202	07
Ch. de tige changeante	11102	2085	Cour du sanctuaire	État 4 <i>lato sensu</i>	SCTE-3-remblai cours	222	20
Ch. de tige changeante	HC(sanctuaire)	2021	Hors contexte	Hors contexte	HC(sanctuaire)	230	08
Ch. de tige changeante	20231	S3352	M	État 1	M-180-TP 20230	Non ill.	
Ch. de tige circulaire	16406	746	C3	État 2.2 à 2.3	C3-2-radier	060	18
Ch. de tige circulaire	18726	1398a	Espace D	Décapage	D-1-décapage	081	21
Ch. de tige circulaire	21055	1083	N	Décapage	N-1-décapage	126	03
Ch. de tige circulaire	21006	1037	P	Décapage	P-1-décapage	129	04
Ch. de tige circulaire	21152	1161	M	État 2.1 à 2.2	M-111-Demontage radier 20080	143	09
Ch. de tige circulaire	21389	2531	M	État 2.1	M-132-Pal 21388	151	11
Ch. de tige circulaire	21145	819	R	État 2.2	R-40-Fosse 22271	162	14
Ch. de tige quadrangulaire	16003	41	A7	Décapage	A7-1-décapage	022	11

Type	UF	No inv.	Bâtiment	État	Code Assemblage	Pl.	No
Ch. de tige quadrangulaire	16249	983	B cour nord	État 4 <i>lato sensu</i>	B-2-Fo 16248	035	30
Ch. de tige quadrangulaire	18651	1516	C1	État 2.1 à 2.2	C1-4-remblai	051	10
Ch. de tige quadrangulaire	18519	1214	G	État 1 et 2 <i>lato sensu</i>	G-2-cailloutis	098	01
Ch. de tige quadrangulaire	18003	52	H et F	Décapage	H, F et C5C-1-décapage	104	12
Ch. de tige quadrangulaire	17843	668	Hors ensemble (tombe)	Décapage	HET-1-décapage	110	13
Ch. de tige quadrangulaire	17843	665	Hors ensemble (tombe)	Décapage	HET-1-décapage	110	12
Ch. de tige quadrangulaire	11219	2088	Galerie niveau de sol	État 2 <i>lato sensu</i>	SCTG-19-sol d'amphore est nord entrée	192	09
Ch. de tige quadrangulaire	15046	155	Structure sur poteaux D	État 1 et 2 <i>lato sensu</i>	SCTD-2-épandage	219	06
Ch. de tige quadrangulaire	HC2005	2019	Hors bâtiment	Hors contexte	HC2005	Non ill.	
Ch. de tôle	16543	1358	A2	État 2.1	A2-10-sol 16543	020	04
Ch. de tôle	16543	1362	A2	État 2.1	A2-10-sol 16543	020	05
Ch. de tôle	15665	1047	Cour interieur A	Non phase	ACI-2-épandage	028	06
Ch. de tôle	16409	652	Place du complexe C (ouest)	État 1 et 2 <i>lato sensu</i>	CPL-3-sol ouest	046	16
Ch. de tôle	17430	591	Place du complexe C (est)	État 2 <i>lato sensu</i>	CPL-4-épandage est	047	20
Ch. de tôle	17521	590	Place du complexe C (est)	État 2 <i>lato sensu</i>	CPL-4-épandage est	047	21
Ch. de tôle	17363	1008	C4	État 1	C4-15-Fo 17361	068	07
Ch. de tôle	17016	1775	C5	État 2.1	C5-6-sol 17016	076	07
Ch. de tôle	17044	139	C5 Cave	État 4 <i>lato sensu</i>	C5C-2-piegeage	077	13
Ch. de tôle	18014	82	C5 Cave	Décapage	C5C-12-décapage nord	079	06
Ch. de tôle	16259	948	Espace D	État 4 <i>lato sensu</i>	D-2-gallo-romain	085	07
Ch. de tôle	17008	237	Espace D	État 4 <i>lato sensu</i>	D-2-gallo-romain	085	06
Ch. de tôle	18508	3071	G	État 1 et 2 <i>lato sensu</i>	G-2-cailloutis	098	03
Ch. de tôle	21127	726	M	État 2.3	M-16-sol 211	136	07
Ch. de tôle	21273	723	M	État 2.3	M-22-Angle solin	137	12
Ch. de tôle	21033	1100	M	État 2.2	M-72-sol 21033	140	09
Ch. de tôle	21174	1300	M	État 2.2	M-77-Sb 21174	142	11
Ch. de tôle	21152	1167	M	État 2.1 à 2.2	M-111-Demontage radier 20080	143	11
Ch. de tôle	21152	1196	M	État 2.1 à 2.2	M-111-Demontage radier 20080	143	10
Ch. de tôle	21084	2593	M	État 2.1	M-117-sol 20084	149	03
Ch. de tôle	21753	257	Hemicycle gaulois/theatre gallo-romain	État 3	TH-18-radier 21753	176	15
Ch. de tôle	21753	255	Hemicycle gaulois/theatre gallo-romain	État 3	TH-18-radier 21753	176	14
Ch. de tôle	21899-208	2100	Hemicycle gaulois/theatre gallo-romain	État 2.1 à 2.2	TH-30-Demontage cailloutis 21780	179	11
Ch. de tôle	12000	93	Cour du sanctuaire	Décapage	SCTE-1-décapage	220	26
Ch. de tôle	12085	892	Cuves et sols E	État 1 et 2 <i>lato sensu</i>	SCTE-11-Cuve 12082	227	06
Ch. de tôle	HC2011	284	Hors contexte	Hors contexte	HC2011	Non ill.	
Ch. de tôle	18726	2011	Espace D	Décapage	D-1-décapage	Non ill.	
Ch. de tôle	21019	619	M	Décapage	M-1-décapage	Non ill.	
Demi-pr. bande	16409	656	Place du complexe C (ouest)	État 1 et 2 <i>lato sensu</i>	CPL-3-sol ouest	046	17
Demi-pr. barre	16017	1616	A2	État 2.3	A2-3-sol 16017	019	07
Demi-pr. barre	16068	196	A4	État 2.2 à 2.3	A4-2-radier	021	15
Demi-pr. barre	16118	1826	A7	État 2.1 à 2.2	A7-4-radier	023	07
Demi-pr. barre	16026	161	A8	Non phase	A8-2-épandage	031	18
Demi-pr. barre	17410	387	C4	État 2.2 à 2.3	C4-3-demontage radier	065	18
Demi-pr. barre	22497	382	S	État 1 à 2.1	S-23-TP 22497	170	12

Type	UF	No inv.	Bâtiment	État	Code Assemblage	Pl.	No
Demi-pr. barre	11045	730	FP, branche nord	État 4 <i>lato sensu</i>	SCTFN-3-complements gallo-romains	204	13
Demi-pr. barre	11167	298	Cour du sanctuaire	État 1 et 2 <i>lato sensu</i>	SCTE-7-sol de cailloutis	226	10
Demi-pr. barre	HC(sanctuaire)	3011	Hors contexte	Hors contexte	HC(sanctuaire)	230	07
Demi-pr. tige changeante	15423	1750	A2, A3 et A4	Décapage	A2 a A4-1-décapage	001	14
Demi-pr. tige changeante	16560	1341	A1	État 1 à 2.1	A1-20-sol 14030	010	07
Demi-pr. tige changeante	15697	1765	A2	État 2.1	A2-6-TP 15696	019	10
Demi-pr. tige changeante	16121	262	A10	Décapage	A10-1-décapage	032	19
Demi-pr. tige changeante	16121	262b	A10	Décapage	A10-1-décapage	032	20
Demi-pr. tige changeante	15658	1712	A9	État 2.1	A9-4-sol 16083	033	23
Demi-pr. tige changeante	15450	1766	B cour ouest	Décapage	BCO-1-décapage	040	05
Demi-pr. tige changeante	16407	671	Place du complexe C (ouest)	État 2 <i>lato sensu</i>	CPL-2-occupation ouest	044	04
Demi-pr. tige changeante	18662	1564	C1	État 1 à 2.1	C1-15-épandage 18662	053	11
Demi-pr. tige changeante	17157	1352	C6	État 1	C6-15-Fo 17156	073	12
Demi-pr. tige changeante	18569	1300	Batiment gallo-romain nord	État 4 <i>lato sensu</i>	BGRN-2-Fo 18887	094	22
Demi-pr. tige changeante	17843	666	Hors ensemble (tombe)	Décapage	HET-1-décapage	110	11
Demi-pr. tige changeante	20657	S2138	K	État 2 <i>lato sensu</i>	K-2-radier de sol	120	01
Demi-pr. tige changeante	22214-2	731	M (cours sud)	État 2.2	M-66-Puits 22214	139	11
Demi-pr. tige changeante	22273	317	R	État 3	R-9-radier 22273	159	11
Demi-pr. tige changeante	20416	E2029	O	État 2.2	O-2-Fo art 20415	166	11
Demi-pr. tige circulaire	16116	248	A3	État 2 <i>lato sensu</i>	A3-2-radier	021	03
Demi-pr. tige circulaire	16405	597	Place du complexe C (ouest)	État 2 <i>lato sensu</i>	CPL-2-occupation ouest	044	06
Demi-pr. tige circulaire	17857	1616	D1	Non phase	D1-2-épandage	091	01
Demi-pr. tige circulaire	20657	S2152	K	État 2 <i>lato sensu</i>	K-2-radier de sol	120	02
Demi-pr. tige circulaire	20416	E2036	O	État 2.2	O-2-Fo art 20415	166	10
Demi-pr. tige circulaire	11334	193	Cuves et sols E	État 4 <i>lato sensu</i>	SCTE-3-remblai cours	222	21
Demi-pr. tige quadrangulaire	16067	197	A1 et A2	État 2.2	A1 et A2-2-radier	001	07
Demi-pr. tige quadrangulaire	16066	1611	A1	État 2.3	A1-2-radier	002	17
Demi-pr. tige quadrangulaire	14006	419	A1	État 2.2 à 2.3	A1-7-épandage 14010	003	09
Demi-pr. tige quadrangulaire	8350		A1	État 2 <i>lato sensu</i>	A1-25-épandage est	016	10
Demi-pr. tige quadrangulaire	16121	1431	A10	Décapage	A10-1-décapage	032	21
Demi-pr. tige quadrangulaire	16340	853a	B cour nord	Non phase	BCN-1-épandage 16340	039	08
Demi-pr. tige quadrangulaire	16340	853b	B cour nord	Non phase	BCN-1-épandage 16340	039	09
Demi-pr. tige quadrangulaire	16340	855	B cour nord	Non phase	BCN-1-épandage 16340	039	10

Type	UF	No inv.	Bâtiment	État	Code Assemblage	Pl.	No
Demi-pr. tige quadrangulaire	16605	1519	C1	Décapage	C1-1-décapage	050	16
Demi-pr. tige quadrangulaire	17151	1651	C5 Cave	État 2.2	C5C-6-combl inf	078	17
Demi-pr. tige quadrangulaire	18726	1345	Espace D	Décapage	D-1-décapage	081	18
Demi-pr. tige quadrangulaire	17019	100	Espace D	État 4 <i>lato sensu</i>	D-2-gallo-romain	085	01
Demi-pr. tige quadrangulaire	16614	1520	Espace D	État 4 <i>lato sensu</i>	D-2-gallo-romain	085	03
Demi-pr. tige quadrangulaire	17230	1622	Espace D	Non phase	D-8-amas de mobilier 17231	089	05
Demi-pr. tige quadrangulaire	18003	95	H et F	Décapage	H, F et C5C-1-décapage	104	13
Demi-pr. tige quadrangulaire	20622	S2164	K	État 2.2	K-13-Cave combl sup	122	12
Demi-pr. tige quadrangulaire	21006	1022	P	Décapage	P-1-décapage	129	05
Demi-pr. tige quadrangulaire	20001B8	S3040	M	Décapage	M-1-décapage	132	11
Demi-pr. tige quadrangulaire	20063	S3086	M	État 2.3	M-27-épandage 20063	138	06
Demi-pr. tige quadrangulaire	22214-5	745	M (cours sud)	État 2.2	M-66-Puits 22214	139	13
Demi-pr. tige quadrangulaire	22271	527	R	État 2.2	R-40-Fosse 22271	162	15
Demi-pr. tige quadrangulaire	11133	2086	Cour du sanctuaire	État 2-GR	SCTE-6-interface LT-GR	224	14
Lingot	14030	557	A1	État 1 à 2.1	A1-20-sol 14030	010	04
Lingot	18676	1599	C1	État 1	C1-22-Fo art 18676	057	06
Lingot	HC2008	1266	Hors contexte	Hors contexte	HC2008	233	19
Lingot	HC2005	304	Hors bâtiment	Hors contexte	HC2005		
Objet en cours de fabrication	14018	439	A1	État 2 <i>lato sensu</i>	A1-26-épandage nord	018	01
Objet en cours de fabrication	17430	422	Place du complexe C (est)	État 2 <i>lato sensu</i>	CPL-4-épandage est	047	20
Objet en cours de fabrication	17407	889	C3	État 1 et 2.1	C3 et C4-20-sol 17407	063	12
Objet en cours de fabrication	17073	212	C6	État 2 <i>lato sensu</i>	C6-22-épandage	073	18
Objet en cours de fabrication	17069	1324	C5	État 2 <i>lato sensu</i>	C5-7-remblai 17069	076	12
Objet en cours de fabrication	18104	239	C5 Cave	État 1	C5C-19-TP 18104	079	13
Objet en cours de fabrication	20632	S2214	K	État 2.2	K-15-Cave combl inf	122	16
Objet en cours de fabrication	20636	S2072	K annexe	État 2.1 à 2.2	K-21-Fo art 20636	123	11
Objet en cours de fabrication	21145	908	R	État 2.2	R-40-Fosse 22271	162	11
Objet en cours de fabrication	HC2012	586	Hors contexte	Hors contexte	HC2012	Non ill.	
Rate de coulée	21019	921	M	Décapage	M-1-décapage	132	13

Cat 35. Objets en cours de fabrication en alliage cuivreux

Type	UF	No inv.	Bâtiment	État	Code Assemblage	PI.	No
Bracelet	16406	628	C3	État 2.2 à 2.3	C3-2-radier	060	08
Bracelet	16407	733	Place du complexe C (ouest)	État 2 <i>lato sensu</i>	CPL-2-occupation ouest	043	26
Bracelet	18099	306	F	État 2.1	F-10-Fo 18098	106	12
Bracelet	18099	313	F	État 2.1	F-10-Fo 18098	106	13
Bracelet	18099	321	F	État 2.1	F-10-Fo 18098	106	14
Bracelet	8342		A1	État 1 à 2.1	A1-20-sol 14030	006	07
Fibule	15450	556	B cour ouest	Décapage	BCO-1-décapage	040	01
Fibule	21331	918	M	Décapage	M-1-décapage	131	01
Sonde	17073	212	C6	État 2 <i>lato sensu</i>	C6-22-épandage	73	18
Fibule	17430	422	Place du complexe C (est)	État 2 <i>lato sensu</i>	CPL-4-épandage est	47	20
Bracelet	17407	889	C3	État 1 et 2.1	C3 et C4-20-sol 17407	63	12
Pince à épiler	17069	1324	C5	État 2 <i>lato sensu</i>	C5-7-remblai 17069	76	12
Bracelet	14018	439	A1	État 2 <i>lato sensu</i>	A1-26-épandage nord	18	1
Gouttière	18662	1558	C1	État 1 à 2.1	C1-15-épandage 18662	54	7
Bracelet?	18104	239	C5 Cave	État 1	C5C-19-TP 18104	79	13
Flans monétaires	20636	S2072	K annexe	État 2.1 à 2.2	K-21-Fo art 20636	123	11
Flans monétaires	20632	S2214	K	État 2.2	K-15-Cave combi inf	122	16
Fibule?	21145	908	R	État 2.2	R-40-Fossé 22271	162	11
Rivet enroulé	21206	882	M	État 2.3	M-50-sol 21206	139	3
Aiguille	18030	3092	C5 Cave	État 2.2	C5C-7-TP 18029	79	1
Phalère?	16409	655	Place du complexe C (ouest)	État 1 et 2 <i>lato sensu</i>	CPL-3-sol ouest	46	20
Pendant de harnais ?	17063	158	C1	État 1	C1-18-Fo art 17093	56	8

Cat 36. Chutes et demi-produits en plomb

Type	UF	No inv.	Bâtiment	État	Code Assemblage	PI.	No
Chute	17050	1723	C1 et C2	Décapage	C1-1-décapage	050	17
Chute	18424	1735	Espace D	État 1	D-12-couches charbonneuse	090	14
Chute	HC2008	3063	Hors contexte	Hors contexte	HC2008	233	17
Chute	HC2012	694	Hors contexte	Hors contexte	HC2012	235	10
Chute	20657	S2128	K	État 2 <i>lato sensu</i>	K-2-radier de sol	120	05
Chute de tôle repliée	22461	912	N	État 2.2 à 2.3	N-5-Pal 22506	127	03
Coulure	HC2006	1831	Hors bâtiment	Hors contexte	HC2006	Non ill	
Coulure	HC2006	769	Hors bâtiment	Hors contexte	HC2006	Non ill	
Coulure	HC2008	1269	Hors contexte	Hors contexte	HC2008	Non ill	
Coulure	HC2011	1428	Hors contexte	Hors contexte	HC2011	Non ill	
Coulure	HC2012	157	Hors contexte	Hors contexte	HC2012	Non ill	
Coulure	HC2007	1576	Hors contexte	Hors contexte	HC2007	Non ill	
Coulure	HC2011	221	Hors contexte	Hors contexte	HC2011	Non ill	
Coulure	HC2011	286	Hors contexte	Hors contexte	HC2011	Non ill	
Coulure	HC2011	470	Hors contexte	Hors contexte	HC2011	Non ill	
Coulure	HC2012	765	Hors contexte	Hors contexte	HC2012	Non ill	
Demi-produit (pb)	18569	1303	Bâtiment gallo-romain nord	État 4 <i>lato sensu</i>	BGRN-2-Fo 18887	094	21
Demi-produit (pb)	17411	1059	C4	État 4 <i>lato sensu</i>	C4-4-remblai romain	065	31
Demi-produit (pb)	18232	2072	Hors bâtiment	État 1	HB-10-Fo 18232	080	10

Type	UF	No inv.	Bâtiment	État	Code Assemblage	Pl.	No
Demi-produit (pb)	HC2011	478	Hors contexte	Hors contexte	HC2011	Non ill	
Demi-produit (pb)	HC2008	2054	Hors contexte	Hors contexte	HC2008	233	18
Demi-produit (pb)	HC2012	166	Hors contexte	Hors contexte	HC2012	235	08
Demi-produit (pb)	17843	663	Hors ensemble (tombe)	Décapage	HET-1-décapage	110	14
Demi-produit (pb)	17520	826	Place du complexe C	État 2 <i>lato sensu</i>	CPL-2-épandage est	047	24
Goutte	HC2012	695	Hors contexte	Hors contexte	HC2012	Non ill	
Creuset (pb)	18232	2044	Hors bâtiment	État 1	HB-10-Fo 18232	80	9
Creuset (pb)	18232	2071	Hors bâtiment	État 1	HB-10-Fo 18232	80	8

Cat 37. Chutes et demi-produits en métaux précieux

Type	UF	No inv.	Bâtiment	État	Code Assemblage	Pl.	No
Ch. tige (ar)	17343	931	C1	État 1	C1-17-sol 17343	055	05
Ch. plaque (or)	HC (théâtre)	2736	Hémicycle gaulois/théâtre gallo-romain	Hors contexte	TH-55-HC (théâtre)	181	08
Demi-produit (ar)	9221		Galerie niveau d'occupation	État 2.2	SCTG-8-occupation nord	188	12
Fond de creuset (electrum)	11220	460	Galerie niveau de sol	État 2 <i>lato sensu</i>	SCTG-19-sol d'amphore est nord entrée	192	08
Coulure (or)	19051	48	Galerie niveau d'occupation	État 2-GR	SCTG-1-interface LT-GR	185	10
Ch. tige (ar)	HC	S2212	HC2010	Hors contexte	Hors contexte	234	03
Creuset (or)	17232	1011a	C4	État 1	C4-15-Fo 17361	68	9
Creuset (or)	17232	1011f	C4	État 1	C4-15-Fo 17361	68	14

Cat 38. Chutes et demi-produits en fer

Type	UF	No inv.	Bâtiment	État	Code Assemblage	Pl.	No
à soie	17020	1708	C5 Cave	Décapage	C5C-1-décapage	077	06
à soie	14008	2058	A1	État 2.2 à 2.3	A1-7-épandage 14010	003	13
à soie	11106	2021	Cour du sanctuaire	État 4 <i>lato sensu</i>	SCTE-3-remblai cours	222	22
atypique	18503	3020	Bâtiment gallo-romain nord	Décapage	BGRN-1-nettoyage	094	11
atypique	18552	3075	D3	État 1	D3-3-Solin 18552	092	07
atypique	18552	1355	D3	État 1	D3-3-Solin 18552	092	04
atypique	17430	1770	Place du complexe C (est)	État 2 <i>lato sensu</i>	CPL-4-épandage est	048	07
atypique	13061	2026	Galerie (palissade extérieur)	État 2.3	SCTG-28-Pal ext. est	194	14
bande	15450	624	B cour ouest	Décapage	BCO-1-décapage	040	04
bande	18516	1098	Espace D	Décapage	D-1-décapage	081	24
bande	18516	3010	Espace D	Décapage	D-1-décapage	081	25
bande	18808	3080b	D3	Décapage	D3-1-décapage	091	12
bande	20639	S2254	U	Décapage	U-1-décapage	124	05
bande	21007	1475	M (ruelle)	Décapage	M-1-décapage	Non ill.	
bande	21708	41	T	Décapage	T-2-décapage sur radier 21709	172	29
bande	21708	21	T	Décapage	T-2-décapage sur radier 21709	172	28
bande	22201	266	R	Décapage	R-1-décapage	156	08
bande	18129	3065b	C5 Cave	État 1	C5C-20-TP 18128	079	15
bande	18232	2045	Hors bâtiment	État 1	HB-10-Fo 18232	080	06
bande	18531	1349	D3	État 1	D3-5-épandage 18531	093	02

Type	UF	No inv.	Bâtiment	État	Code Assemblage	Pl.	No
bande	18531	1237	D3	État 1	D3-5-épannage 18531	093	03
bande	21699-22	2584	M	État 1	M-166-Fo 21699-21	152	07
bande	18662	1549	C1	État 1 à 2.1	C1-15-épannage 18662	053	10
bande	12920	2078	Enclos C	État 1 et 2 <i>lato sensu</i>	SCTC-2-TP 12919	217	05
bande	15047	120	Structure sur poteaux D	État 1 et 2 <i>lato sensu</i>	SCTD-2-épannage	219	07
bande	18508	1023	G	État 1 et 2 <i>lato sensu</i>	G-2-cailloutis	098	05
bande	11197	2067	FP, branche nord	État 1.2	SCTFN-5-arrachage de la palissade	208	04
bande	18554	1332	D3	État 2.1	D3-7-TP 18553	092	11
bande	20608	S2269	K	État 2.2	K-4-Ce 20607	121	07
bande	20608	S2028a	K	État 2.2	K-4-Ce 20607	121	05
bande	20608	S2027	K	État 2.2	K-4-Ce 20607	121	06
bande	20608	S2034	K	État 2.2	K-4-Ce 20607	121	08
bande	22452	911	S	État 2.3 à 3	S-6-Bs 22452	168	21
bande	22386	790	R	État 3	R-11-Pal 22386	159	14
bande	10175	2008	Galerie gallo-romaine, branche est	État 4 <i>lato sensu</i>	SCTGRE-3-remblais	183	19
bande	11174	2047	FP, branche nord	État 4 <i>lato sensu</i>	SCTFN-3-complements gallo-romains	204	35
bande	12558	790	Cour du sanctuaire	État 4 <i>lato sensu</i>	SCTE-3-remblai cours	222	26
bande	15288	2004	Cour du sanctuaire	État 4 <i>lato sensu</i>	SCTE-3-remblai cours	222	24
bande	17230	1623	Espace D	Non phasé	D-8-amas de mobilier 17231	089	08
bande	17801	653	E1	Non phasé	E1-2-épannage	109	08
barre	13545	2038	FP, branche ouest	Décapage	SCTFO-1-décapage	212	14
barre	15466	704	A6	Décapage	A6-1-décapage	029	14
barre	18808	3080a	D3	Décapage	D3-1-décapage	091	11
barre	21019	573	M	Décapage	M-1-décapage	132	08
barre	21209	1498	M	État 1	M-169-Fo art 21208	152	10
barre	18548	3004	D3	État 2 <i>lato sensu</i>	D3-6-Solin 18548	092	10
barre	21033	1099	M	État 2.2	M-72-sol 21033	140	10
barre	16406	1731	C3	État 2.2 à 2.3	C3-2-radier	060	16
barre	22452	910	S	État 2.3 à 3	S-6-Bs 22452	168	20
barre	22452	909	S	État 2.3 à 3	S-6-Bs 22452	168	19
barre	20129	S3152	M	État 3	M-4-radier d'amphore 20099	135	03
barre	10250	2017	Bâtiment A	État 4 <i>lato sensu</i>	SCTA-2-remblais	214	13
barre	11146	2034	Cour du sanctuaire	État 4 <i>lato sensu</i>	SCTE-3-remblai cours	222	25
barre	11196	2066	Cour du sanctuaire	État 4 <i>lato sensu</i>	SCTE-3-remblai cours	222	23
barre	HC(sanctuaire)	3012	Hors contexte	Hors contexte	HC(sanctuaire)	230	05
barre	HC(sanctuaire)	1065	Hors contexte	Hors contexte	HC(sanctuaire)	230	06
barre	18891	1670	D3	Non phasé	D3-8-TP 18892	092	16
plaque	15473	1700	B	Décapage	B-1-décapage	035	19
plaque	18516	1053	Espace D	Décapage	D-1-décapage	081	23
plaque	16411	1478	C3	État 1 à 2.1	C3-15-sol 16411	063	04
plaque	12084	860	Cuves et sols E	État 1 et 2 <i>lato sensu</i>	SCTE-7-sol de cailloutis	226	14
plaque	18508	3006	G	État 1 et 2 <i>lato sensu</i>	G-2-cailloutis	098	06
plaque	18534	3053	G1	État 2.1	G1-3-TP 18533	102	03
plaque	18650	3042	C1	État 2.2 à 2.3	C1-2-radier et sols	051	02
plaque	18522	3048	Espace D	État 4 <i>lato sensu</i>	D-2-gallo-romain	085	11
tige appointée	15428	1704	Cour intérieur A	Décapage	ACI-1-décapage	Non ill.	
tige appointée	16014	1762	Cour intérieur A	Décapage	ACI-1-décapage	Non ill.	
tige appointée	16604	1787	C1	Décapage	C1-1-décapage	Non ill.	
tige appointée	17014	1705	C5 Cave	Décapage	C5C-1-décapage	Non ill.	
tige appointée	17050	1722	C1 et C2	Décapage	C1-1-décapage	Non ill.	

Type	UF	No inv.	Bâtiment	État	Code Assemblage	Pl.	No
tige appointée	17400	1746	C	Décapage	C-1-décapage	Non ill.	
tige appointée	18726	3083	Espace D	Décapage	D-1-décapage	Non ill.	
tige appointée	20330	S4064	Hémicycle gaulois/théâtre gallo-romain	Décapage	TH-1-décapage	174	15
tige appointée	20336	D1002	Hémicycle gaulois/théâtre gallo-romain	Décapage	TH-1-décapage	174	12
tige appointée	21770	2090	Hémicycle gaulois/théâtre gallo-romain	Décapage	TH-1-décapage	174	13
tige appointée	21770	264	Hémicycle gaulois/théâtre gallo-romain	Décapage	TH-1-décapage	Non ill.	
tige appointée	21757	2089	Hémicycle gaulois/théâtre gallo-romain	Décapage	TH-1-décapage	174	16
tige appointée	21007	1474	M (ruelle)	Décapage	M-1-décapage	Non ill.	
tige appointée	21019	1367	M	Décapage	M-1-décapage	Non ill.	
tige appointée	12000	2108	Cour du sanctuaire	Décapage	SCTE-1-décapage	Non ill.	
tige appointée	12000	2110	Cour du sanctuaire	Décapage	SCTE-1-décapage	Non ill.	
tige appointée	12000	2111	Cour du sanctuaire	Décapage	SCTE-1-décapage	Non ill.	
tige appointée	12000	2109	Cour du sanctuaire	Décapage	SCTE-1-décapage	Non ill.	
tige appointée	12800	2073	Temple à galerie périphérique	Décapage	SCTT-1-décapage	218	04
tige appointée	12803	2076	FP, branche ouest	Décapage	SCTFO-1-décapage	212	15
tige appointée	15270	2008	Cour du sanctuaire	Décapage	SCTE-1-décapage	Non ill.	
tige appointée	15270	2007	Cour du sanctuaire	Décapage	SCTE-1-décapage	Non ill.	
tige appointée	9029		Cour du sanctuaire	Décapage	SCTE-1-décapage	Non ill.	
tige appointée	21209	1497	M	État 1	M-169-Fo art 21208	Non ill.	
tige appointée	14030		A1	État 1 à 2.1	A1-20-sol 14030	Non ill.	
tige appointée	16246	1745	B corps principal	État 1 et 2 <i>lato sensu</i>	BCP-6-épandage	Non ill.	
tige appointée	11166	2041	Cour du sanctuaire	État 1 et 2 <i>lato sensu</i>	SCTE-7-sol de cailloutis	226	11
tige appointée	11372	2083	Cuves et sols E	État 1 et 2 <i>lato sensu</i>	SCTE-7-sol de cailloutis	226	13
tige appointée	13058	2021	Cour du sanctuaire	État 1 et 2 <i>lato sensu</i>	SCTE-7-sol de cailloutis	226	12
tige appointée	13695	2047	FP, branche ouest	État 1.2	SCTFO-3-arrachage palissade	213	10
tige appointée	13696	509	FP, branche ouest	État 1.2	SCTFO-3-arrachage palissade	213	08
tige appointée	13696	2049	FP, branche ouest	État 1.2	SCTFO-3-arrachage palissade	213	06
tige appointée	13696	502	FP, branche ouest	État 1.2	SCTFO-3-arrachage palissade	213	09
tige appointée	13696	495	FP, branche ouest	État 1.2	SCTFO-3-arrachage palissade	213	12
tige appointée	13697	2050	FP, branche ouest	État 1.2	SCTFO-3-arrachage palissade	213	11
tige appointée	13697	2052	FP, branche ouest	État 1.2	SCTFO-3-arrachage palissade	213	05
tige appointée	13697	484	FP, branche ouest	État 1.2	SCTFO-3-arrachage palissade	213	07
tige appointée	13697	2051	FP, branche ouest	État 1.2	SCTFO-3-arrachage palissade	213	04
tige appointée	16053	156	A6	État 2 <i>lato sensu</i>	A6-2-décapage 16053	Non ill.	
tige appointée	13692	2057	Galerie niveau de sol	État 2 <i>lato sensu</i>	SCTG-17-sol d'amphore ouest	191	14
tige appointée	15658	1711	A9	État 2.1	A9-4-sol 16083	Non ill.	
tige appointée	18030	3091	C5 Cave	État 2.2	C5C-7-TP 18029	Non ill.	
tige appointée	21080	1065	M	État 2.2	M-64-radier 21080	Non ill.	
tige appointée	21699-93	2639	M	État 2.2	M-81-Foyer 21699-93	142	15
tige appointée	21699-43	1457	M	État 2.2	M-80-Sb 21699-43	142	14
tige appointée	12071	2043	Galerie niveau de sol	État 2.2	SCTG-11-occupation est nord entrée	190	06
tige appointée	12593	2064	Galerie niveau d'occupation	État 2.2	SCTG-8-occupation nord	188	10
tige appointée	12593	2065	Galerie niveau d'occupation	État 2.2	SCTG-8-occupation nord	188	07
tige appointée	12593	2066	Galerie niveau d'occupation	État 2.2	SCTG-8-occupation nord	188	09
tige appointée	13577	2044	Galerie niveau d'occupation	État 2.2	SCTG-9-occupation ouest	189	08
tige appointée	13577	2043	Galerie niveau d'occupation	État 2.2	SCTG-9-occupation ouest	189	09
tige appointée	9084		Galerie niveau d'occupation	État 2.2	SCTG-8-occupation nord	188	11
tige appointée	9292	2	Galerie niveau d'occupation	État 2.2	SCTG-8-occupation nord	188	08

Type	UF	No inv.	Bâtiment	État	Code Assemblage	Pl.	No
tige appointée	16406	1730	C3	État 2.2 à 2.3	C3-2-radier	060	19
tige appointée	17060	1725	C5	État 2.3	C5-10-pouzzolane	Non ill.	
tige appointée	21168	1491	P	État 2.3	P-17-décapage 21168	Non ill.	
tige appointée	10134	2003	Galerie niveau de sol	État 2.3	SCTG-7-niveaux d'occupation état 2.3	187	06
tige appointée	10304	2024	Enclos A	État 2.3	SCTA-11-fossé branche est	216	02
tige appointée	15201	2016	Galerie aménagement empierré	État 2.3	SCTG-4-empierrements nord entrée	186	06
tige appointée	15201	2015	Galerie aménagement empierré	État 2.3	SCTG-4-empierrements nord entrée	186	07
tige appointée	15201	2014	Galerie aménagement empierré	État 2.3	SCTG-4-empierrements nord entrée	186	05
tige appointée	15523	1710	A6	État 2.3 à 3	A6-4-sol 15523	Non ill.	
tige appointée	10227	2027	Enclos A	État 2-GR	SCTA-8-interface LT-GR	214	20
tige appointée	11123	2028	Cour du sanctuaire	État 2-GR	SCTE-6-interface LT-GR	224	17
tige appointée	11133	2030	Cour du sanctuaire	État 2-GR	SCTE-6-interface LT-GR	224	15
tige appointée	11133	2031	Cour du sanctuaire	État 2-GR	SCTE-6-interface LT-GR	224	16
tige appointée	11150	2036	Galerie niveau de sol	État 2-GR	SCTG-1-interface LT-GR	185	11
tige appointée	20050	S3062	M	État 3	M-3-nettoyage radier 20052	134	04
tige appointée	17008	1704	Espace D	État 4 <i>lato sensu</i>	D-2-gallo-romain	Non ill.	
tige appointée	16622		Bâtiment gallo-romain nord	État 4 <i>lato sensu</i>	BGRN-6-démolition 16622	Non ill.	
tige appointée	16627	1794	Bâtiment gallo-romain nord	État 4 <i>lato sensu</i>	BGRN-7-16627	Non ill.	
tige appointée	10026	2000	FP, branche nord	État 4 <i>lato sensu</i>	SCTFN-3-complements gallo-romains	204	15
tige appointée	10118	2001	Cour du sanctuaire	État 4 <i>lato sensu</i>	SCTE-3-remblai cours	Non ill.	
tige appointée	10129	80	FP, branche nord	État 4 <i>lato sensu</i>	SCTFN-3-complements gallo-romains	204	21
tige appointée	10129	78	FP, branche nord	État 4 <i>lato sensu</i>	SCTFN-3-complements gallo-romains	204	14
tige appointée	10129	78	FP, branche nord	État 4 <i>lato sensu</i>	SCTFN-3-complements gallo-romains	204	31
tige appointée	10129	77	FP, branche nord	État 4 <i>lato sensu</i>	SCTFN-3-complements gallo-romains	204	30
tige appointée	10175	2009	Galerie gallo-romaine, branche est	État 4 <i>lato sensu</i>	SCTGRE-3-remblais	183	17
tige appointée	10187	2010	FP, branche nord	État 4 <i>lato sensu</i>	SCTFN-3-complements gallo-romains	204	23
tige appointée	10188	135	Cour du sanctuaire	État 4 <i>lato sensu</i>	SCTE-3-remblai cours	Non ill.	
tige appointée	10244	250	Cour du sanctuaire	État 4 <i>lato sensu</i>	SCTE-3-remblai cours	Non ill.	
tige appointée	10258	2020	FP, branche nord	État 4 <i>lato sensu</i>	SCTFN-3-complements gallo-romains	204	25
tige appointée	11044	2002	FP, branche nord	État 4 <i>lato sensu</i>	SCTFN-3-complements gallo-romains	204	20
tige appointée	11076	2006	FP, branche nord	État 4 <i>lato sensu</i>	SCTFN-3-complements gallo-romains	204	18
tige appointée	11080	2009	FP, branche nord	État 4 <i>lato sensu</i>	SCTFN-3-complements gallo-romains	204	28
tige appointée	11102	2019	Cour du sanctuaire	État 4 <i>lato sensu</i>	SCTE-3-remblai cours	Non ill.	
tige appointée	11102	2018	Cour du sanctuaire	État 4 <i>lato sensu</i>	SCTE-3-remblai cours	Non ill.	
tige appointée	11106	2023	Cour du sanctuaire	État 4 <i>lato sensu</i>	SCTE-3-remblai cours	Non ill.	
tige appointée	11118	229	FP, branche nord	État 4 <i>lato sensu</i>	SCTFN-3-complements gallo-romains	204	33
tige appointée	11128	293	Galerie gallo-romaine, branche est	État 4 <i>lato sensu</i>	SCTGRE-3-remblais	183	18
tige appointée	11149	2035	Galerie gallo-romaine, branche nord	État 4 <i>lato sensu</i>	SCTFN-3-complements gallo-romains	204	29
tige appointée	11156	2037	FP, branche nord	État 4 <i>lato sensu</i>	SCTFN-3-complements gallo-romains	204	16
tige appointée	11159	2040	FP, branche nord	État 4 <i>lato sensu</i>	SCTFN-3-complements gallo-romains	204	26

Type	UF	No inv.	Bâtiment	État	Code Assemblage	Pl.	No
tige appointée	11168	2042	Cour du sanctuaire	État 4 <i>lato sensu</i>	SCTE-3-remblai cours	Non ill.	
tige appointée	11174	2048	FP, branche nord	État 4 <i>lato sensu</i>	SCTFN-3-complements gallo-romains	204	22
tige appointée	11177	315	FP, branche est	État 4 <i>lato sensu</i>	SCTFE-2-complements gallo-romains	210	12
tige appointée	11177	2051	FP, branche est	État 4 <i>lato sensu</i>	SCTFE-2-complements gallo-romains	210	14
tige appointée	11187	2057	FP, branche nord	État 4 <i>lato sensu</i>	SCTFN-3-complements gallo-romains	204	27
tige appointée	11195	764	FP, branche est	État 4 <i>lato sensu</i>	SCTFE-2-complements gallo-romains	210	15
tige appointée	12008	2027	FP, branche nord	État 4 <i>lato sensu</i>	SCTFN-3-complements gallo-romains	204	19
tige appointée	12027	2030	Entrée	État 4 <i>lato sensu</i>	SCTPE-1-remblais	199	10
tige appointée	12516	2062	FP, branche nord	État 4 <i>lato sensu</i>	SCTFN-3-complements gallo-romains	204	17
tige appointée	13024	2014	FP, branche est	État 4 <i>lato sensu</i>	SCTFE-2-complements gallo-romains	210	16
tige appointée	15288	2002	Cour du sanctuaire	État 4 <i>lato sensu</i>	SCTE-3-remblai cours	Non ill.	
tige appointée	15288	2003	Cour du sanctuaire	État 4 <i>lato sensu</i>	SCTE-3-remblai cours	Non ill.	
tige appointée	9220	3	FP, branche nord	État 4 <i>lato sensu</i>	SCTFN-3-complements gallo-romains	204	24
tige appointée	9294	1	FP, branche nord	État 4 <i>lato sensu</i>	SCTFN-3-complements gallo-romains	204	31
tige appointée	9294	2	FP, branche nord	État 4 <i>lato sensu</i>	SCTFN-3-complements gallo-romains	204	36
tige appointée	11092	2016	Galerie gallo-romaine, branche nord	État 4.3	SCTGRN-4-démolition	182	21
tige appointée	15665	1738	Cour intérieur A	Non phasé	ACI-2-épandage	Non ill.	
tige appointée	13509	2031	FP, branche nord	Perturbations modernes	SCTFN-2-perturbations modernes	202	12
tige quadrangulaire	9129	4	Enclos B	État 1 et 2 <i>lato sensu</i>	SCTB-2-complement branche nord	216	23
tige changeante	15270	2009	Cour du sanctuaire	Décapage	SCTE-1-décapage	Non ill.	
tige changeante	18747	3039	Espace D	État 1 à 2.1	D-10-sol état laténien	090	06
tige changeante	13696	2048	FP, branche ouest	État 1.2	SCTFO-3-arrachage palissade	213	13
tige changeante	13032	250	Galerie (palissade extérieur)	État 2.3	SCTG-28-Pal ext. est	194	15
tige changeante	11076	120	FP, branche nord	État 4 <i>lato sensu</i>	SCTFN-3-complements gallo-romains	204	34
tige changeante	11195	765	FP, branche est	État 4 <i>lato sensu</i>	SCTFE-2-complements gallo-romains	210	17
tige circulaire	18516	1148	Espace D	Décapage	D-1-décapage	081	22
tige circulaire	21899-258	234	Hémicycle gaulois/théâtre gallo-romain	Décapage	TH-1-décapage	174	14
tige circulaire	18651	3045	C1	État 2.1 à 2.2	C1-4-remblai	051	11
tige circulaire	20633	S2249	K annexe	État 2.2 à 2.3	K-20-radier de sol annexe	123	13
tige circulaire	10165	2006	Cour du sanctuaire	État 2-GR	SCTE-6-interface LT-GR	224	18
tige circulaire	12035	2037	Edicule	État 4 <i>lato sensu</i>	SCTED-2-passe mécanique 12035	227	26
tige quadrangulaire	15429	1237	A8	Décapage	A8-1-décapage	030	14
tige quadrangulaire	17020	1459	C5 Cave	Décapage	C5C-1-décapage	077	07
tige quadrangulaire	21007	643	M (ruelle)	Décapage	M-1-décapage	132	10
tige quadrangulaire	21708	2078	T	Décapage	T-2-décapage sur radier 21709	172	27
tige quadrangulaire	22451	394	S	Décapage	S, O, N-1-décapage	168	07
tige quadrangulaire	22466	851a	S	Décapage	S-1-décapage	168	04

Type	UF	No inv.	Bâtiment	État	Code Assemblage	Pl.	No
tige quadrangulaire	22466	851b	S	Décapage	S-1-décapage	168	05
tige quadrangulaire	22466	851c	S	Décapage	S-1-décapage	168	06
tige quadrangulaire	22001	821	Q	Décapage	Q-1-décapage	111	07
tige quadrangulaire	15680	1737	B corps principal	État 1	BCP-21-TP 15679	039	01
tige quadrangulaire	22211	85	Voies ouest	État 1	VO-14-Fo 22211	171	14
tige quadrangulaire	18899	3081a	Espace D	État 1 à 2.1	D-10-sol état laténien	090	05
tige quadrangulaire	18899	3081b	Espace D	État 1 à 2.1	D-10-sol état laténien	090	04
tige quadrangulaire	13204	2055	Enclos C	État 1 et 2 <i>lato sensu</i>	SCTC-6-épandage 13202	217	10
tige quadrangulaire	16440	1809	Ruelle entre A et C	État 1 et 2 <i>lato sensu</i>	AC-5-épandage	071	22
tige quadrangulaire	16440	1808	Ruelle entre A et C	État 1 et 2 <i>lato sensu</i>	AC-5-épandage	071	23
tige quadrangulaire	14016	2065	A1	État 2 <i>lato sensu</i>	A1-26-épandage nord	018	06
tige quadrangulaire	14016	2064	A1	État 2 <i>lato sensu</i>	A1-26-épandage nord	018	05
tige quadrangulaire	16421	1738	C4	État 2 <i>lato sensu</i>	C4-5-épandage	065	34
tige quadrangulaire	17420	1765	Place du complexe C (ouest)	État 2 <i>lato sensu</i>	CPL-2-occupation ouest	044	09
tige quadrangulaire	21170	1254	M (ruelle)	État 2.1	M-122-Pal 21169	148	12
tige quadrangulaire	21676	2633	M	État 2.1	M-131-Petit blocs	151	10
tige quadrangulaire	21676	2634	M	État 2.1	M-131-Petit blocs	151	09
tige quadrangulaire	18651	3046	C1	État 2.1 à 2.2	C1-4-remblai	051	12
tige quadrangulaire	18651	1505	C1	État 2.1 à 2.2	C1-4-remblai	051	13
tige quadrangulaire	14008	2061	A1	État 2.2 à 2.3	A1-7-épandage 14010	003	12
tige quadrangulaire	14008	2059	A1	État 2.2 à 2.3	A1-7-épandage 14010	003	10
tige quadrangulaire	14008	2060	A1	État 2.2 à 2.3	A1-7-épandage 14010	003	11
tige quadrangulaire	22243	894	R	État 2.3	R-21-radier 22243	160	06
tige quadrangulaire	12035	336	Edicule	État 4 <i>lato sensu</i>	SCTED-2-passe mécanique 12035	227	27
tige quadrangulaire	13024	2013	FP, branche est	État 4 <i>lato sensu</i>	SCTFE-2-complements gallo-romains	210	13
tige quadrangulaire	16614	1789b	Espace D	État 4 <i>lato sensu</i>	D-2-gallo-romain	085	10
tige quadrangulaire	16614	1789a	Espace D	État 4 <i>lato sensu</i>	D-2-gallo-romain	085	09
tige quadrangulaire	17282	1740	Espace D	État 4 <i>lato sensu</i>	D-5-Fo 17873	087	14
tige quadrangulaire	18410	3028	Espace D	État 4 <i>lato sensu</i>	D-2-gallo-romain	085	08
tige quadrangulaire	18504	3026	G4	État 4 <i>lato sensu</i>	G4-2-18504, démolition	103	11
tige quadrangulaire	21723	2097	Hémicycle gaulois/théâtre gallo-romain	État 4.2, construction	TH-11-remblai 21723	175	21
tige quadrangulaire	21772	2091	T	Non phasé	T-11-Fo 21771	173	16
tige quadrangulaire	12010	2028	Galerie gallo-romaine, branche est	Perturbations modernes	SCTGRE-2-perturbations modernes	183	13

Type	UF	No inv.	Bâtiment	État	Code Assemblage	Pl.	No
tôle	12521	925	FP, branche nord	Décapage	SCTFN-1-décapage	202	08
tôle	15633	929	A6	Décapage	A6-1-décapage	029	12
tôle	21055	1478	N	Décapage	N-1-décapage	Non ill.	
tôle	18552	3073	D3	État 1	D3-3-Solin 18552	092	06
tôle	13204	2029	Enclos C	État 1 et 2 <i>lato sensu</i>	SCTC-6-épandage 13202	217	11
tôle	21080	1005	M	État 2.2	M-64-radier 21080	Non ill.	
tôle	22272	902	R	État 3	R-8-radier 22272	159	08
tôle	16627	1793	Bâtiment gallo-romain nord	État 4 <i>lato sensu</i>	BGRN-7-16627	095	11
tôle	17282	1674a	Espace D	État 4 <i>lato sensu</i>	D-5-Fo 17873	087	15
tige circulaire	14047	2067	A1	État 1	A1-30-Ce 14047	018	10
tige quadrangu- laire	16405	1717	Place du complexe C (ouest)	État 2 <i>lato sensu</i>	CPL-2-occupation ouest	044	19
tige quadrangu- laire	16405	1716	Place du complexe C (ouest)	État 2 <i>lato sensu</i>	CPL-2-occupation ouest	044	20
bande	15708	1187	A1	État 2.1	A1-18-TP 15708	005	02
bande	12073	813	Cuves et sols E	État2-GR	SCTE-6-interface LT-GR	224	12
tige circulaire	21708	2079	T	Décapage	T-2-décapage sur radier 21709	172	23
demi-produit	15428	579	Cour intérieur A	Décapage	ACI-1-décapage	027	03
demi-produit	18004	49	C5 cave	État 2.2 à 2.3	C5C-3-radier sup	077	28
tige	21707	9	T	Décapage	T-1-décapage	172	12
en cours de compactage	21762	157	Hémicycle gaulois/théâtre gallo- romain	État 1 et 2 <i>lato sensu</i>	TH-47-épandage 21762	180	14
en cours de compactage	HC2011	345	Hors contexte	Hors contexte	HC2011	Non ill.	
demi-produit	21006	1318	P	Décapage	P-1-décapage	129	10
tige	21635	2637	Q	État 2.2	Q-15-Fo 20711	113	10
demi-produit	17071	1729	C5	État 2.2 à 2.3	C5-3-radier	075	09
demi-produit	22497	475	S	État 1 à 2.1	S-23-TP 22497	170	11
demi-produit	22549	968	O	État 2.2	O-2-Fo art 20415	166	13
demi-produit	21171	804a	M	Décapage	M-1-décapage	132	07
Demi-produit (fer)	17042	245	C2	Décapage	C2-1-décapage	058	08
Demi-produit (fer)	21033	1053	M	État 2.2	M-72-sol 21033	Non ill.	
Demi-produit (fer)	22239	154	R	Décapage	R-1-décapage	156	09
Objet en cours de fabrication	21007	1349	M (ruelle)	Décapage	M-1-décapage	132	09

Cat 39. Scories par bâtiment et par état

Bâtiment	NR	NMI	M (g)	Bâtiment	NR	NMI	M (g)
A1	6	5	585,2	G	22	14	842,4
État 1 à 2.1	1	1	123,6	État 1 et 2 lato sensu	16	8	511,3
État 2 lato sensu	1	1	127	État 2.2 à 2.3	6	6	331,1
État 2.2 à 2.3	3	2	124,7	G1	33	7	489,6
État 2.3	1	1	209,9	État 1 et 2 lato sensu	5	2	111,5
A10	2	2	87,3	État 2.1	28	5	378,1
Décapage	1	1	46	G1/D2	6	4	353,6
État 2 lato sensu	1	1	41,3	Décapage	5	3	326,9
A2	1	1	12,5	État 1	1	1	26,7
État 1	1	1	12,5	G3	1	1	48
A3	1	1	26	État 2.1	1	1	48
État 2.1	1	1	26	H	2	2	71,2
A3 et A4	1	1	49	Décapage	2	2	71,2
Décapage	1	1	49	H et F	1	1	41,5
A4 et A7	2	2	402	Décapage	1	1	41,5
État 1 à 2.1	2	2	402	F	3	3	131,4
A6	1	1	32	État 1	1	1	25
Décapage	1	1	32	État 2 lato sensu	2	2	106,4
A7	25	7	1226	E	1	1	13,2
Décapage	2	1	18	Décapage	1	1	13,2
État 1	1	1	43	E2	1	1	64,4
État 1 à 2.1	21	4	1000	État 2.1	1	1	64,4
Non phasé	1	1	165	Théâtre	9	9	1580,7
A8	4	4	84,1	État 1	2	2	156,5
Décapage	2	2	48,2	État 2.1	2	2	45,2
État 1 et 2 lato sensu	1	1	25,9	État 2.1 à 2.2	4	4	250
Non phasé	1	1	10	K	6	2	62,5
A9	1	1	18,6	État 2.2	6	2	62,5
Décapage	1	1	18,6	L	1	1	108
Cour entre A et B	3	3	358,9	État 2.2 à 2.3	1	1	108
Décapage	3	3	358,9	M	26	23	1366,1
Cour intérieur A	4	2	73	Décapage	9	7	520,7
Décapage	3	1	55	État 1	3	3	248,2
État 1 à 2.1	1	1	18	État 1 à 2.1	1	1	15
B	1	1	458	État 2.1	6	6	258,3
Décapage	1	1	458	État 2.2	1	1	10
B corps principal	4	4	101	État 2.3	3	3	115,1
Décapage	1	1	12	État 3	3	2	198,8
État 1	2	2	79	M (cours sud)	21	3	221,8
État 1 et 2 lato sensu	1	1	10	État 2.2	21	3	221,8
B cour ouest	1	1	1	M (ruelle)	1	1	16,3
État 1	1	1	1	Décapage	1	1	16,3
Bâtiment gallo-romain nord	11	5	183,4	N	1	1	10,2
Décapage	4	1	71	État 2.1	1	1	10,2
État 4 lato sensu	7	4	112,4	O	7	2	82,3
Place du complexe C	1	1	84	État 2.2	7	2	82,3
Décapage	1	1	84	Q	5	4	68,1
Place du complexe C (est)	1	1	112	État 1	1	1	5
État 2 lato sensu	1	1	112	État 2 lato sensu	1	1	12,2

Bâtiment	NR	NMI	M (g)	Bâtiment	NR	NMI	M (g)
Place du complexe C (ouest)	6	4	408,8	Non phasé	3	2	50,9
État 1 et 2 lato sensu	5	3	370	R	300	58	6769,7
État 2 lato sensu	1	1	38,8	Décapage	18	9	549,9
C1	11	8	2140,4	État 1	3	3	69,8
Décapage	1	1	15	État 1 à 2.2	2	1	19,5
État 1	8	5	1846,9	État 1 et 2 lato sensu	2	1	3,6
État 2.1	1	1	271	État 2.1	17	6	473,1
État 2.2 à 2.3	1	1	7,5	État 2.2	112	18	3311
C2	13	4	328,9	État 2.3	26	10	1001,5
Décapage	1	1	19	État 3	119	9	1327
État 1 à 2.2	7	1	124	Non phasé	1	1	14,3
État 2.3	4	1	138	S	11	3	59,6
État 2-GR	1	1	47,9	Décapage	2	1	6,7
C3	25	7	870,1	État 2 lato sensu	9	2	52,9
État 1 à 2.1	21	3	510,1	T	1	1	124
État 2.1	2	2	42	Décapage	1	1	124
État 2.2 à 2.3	2	2	318	U	1	1	46
C4	7	7	1170,7	Non phasé	1	1	46
État 1	1	1	610	Voies ouest	27	3	255,6
État 2.1	2	2	207,3	État 2 lato sensu	5	1	19
État 2.2 à 2.3	2	2	52,3	Non phasé	22	2	236,6
État 2.3	1	1	213	Hors contexte	7	6	1789,3
État 4 lato sensu	1	1	88,1	FP, branche nord	12	5	262,4
C5	4	4	271,7	État 1 perturbé	1	1	42,8
État 1 et 2 lato sensu	1	1	213	État 4 lato sensu	11	4	219,6
État 2.1	1	1	13	Galerie niveau de sol	4	2	90,1
État 2.2 à 2.3	2	2	45,7	État 2 lato sensu	1	1	30,5
C5 Cave	6	6	863,3	État 2.1	3	1	59,6
Décapage	2	2	400,4	Cuves et sols E	2	2	21,5
État 1	1	1	67	État 1 et 2 lato sensu	2	2	21,5
État 2.2	3	3	395,9	Total général	726	269	25096,4
D1	2	2	42,9				
Décapage	1	1	4,7				
Non phasé	1	1	38,2				
D3	50	8	441,3				
Décapage	17	2	53				
État 1	26	5	267,4				
État 2.1	7	1	120,9				
Espace D	21	16	803,8				
Décapage	12	8	406,7				
État 2.1	1	1	17,9				
État 4 lato sensu	6	5	338,8				
Non phasé	2	2	40,4				

Cat 40. Outils liés au travail du bois, de l'os et du cuir

Type	UF	No inv.	Bâtiment	État	Code Assemblage	PI.	No
Bédane	17063	153	C1	État 1	C1-18-Fo art 17093	56	9
Bédane	17008	133	Espace D	État 4 <i>lato sensu</i>	D-2-gallo-romain	84	26
Bédane	10310	385	Enclos A	État 2.3	SCTA-10-fossé branche sud	215	16
Bédane	25076-1	702	Fouille 2015	Fouille 2015	Fouille 2015	Non ill.	
Ciseau courbe	20657	S2118	K	État 2 <i>lato sensu</i>	K-2-radier de sol	119	6
Ciseau courbe	20063	S3087	M	État 2.3	M-27-épandage 20063	138	7
Ciseau de tourneur	21179	879	M	Décapage	M-1-décapage	132	6
Ciseau de tourneur	21699-55	2567	M	État 2.3	M-34-TP 21699-54	139	1
Ciseau droit (douille)	16009	1776	A8	État 1 et 2 <i>lato sensu</i>	A8-2-épandage	31	20
Ciseau droit (douille)	24524	817	Fouille 2014	Fouille 2014	Fouille 2014	Non ill.	
Ciseau droit (douille)	25095-1	815	Fouille 2015	Fouille 2015	Fouille 2015	Non ill.	
Ciseau droit (percutée)	20416	E2031	O	État 2.2	O-2-Fo art 20415	166	9
Ciseau droit (percutée)	21717	87	Hémicycle gaulois/théâtre gallo-romain	Décapage	TH-1-§	174	9
Ciseau droit (percutée)	21899-8	421	Hémicycle gaulois/théâtre gallo-romain	État 2 <i>lato sensu</i>	TH-32-Sb 21899-7	177	11
Ciseau droit (soie)	14030	561	A1	État 1 à 2.1	A1-20-sol 14030	10	8
Ciseau droit (soie)	8347		A1	État 2 <i>lato sensu</i>	A1-25-épandage est	16	7
Ciseau droit (soie)	22003	200	Q	Décapage	Q-1-décapage	111	5
Ciseau droit (soie)	22036	460	Q	Non phasé	Q-27-TP 22036	117	7
Ciseau droit (soie)	20657	S2119	K	État 2 <i>lato sensu</i>	K-2-radier de sol	119	9
Ciseau droit (soie)	20720	S2261	U	Non phasé	U-2-épandage 20720	124	7
Ciseau droit (soie)	21176	1492	M	État 2.3	M-30-Sb 21175	138	14
Ciseau droit (soie)	21167	1228	M	État 2.1	M-211-sol 21167	144	10
Ciseau droit (soie)	21699-80	999	M	État 2.1	M-118-sol 21699-80	148	5
Ciseau droit (soie)	22271-B	899	R	État 2.2	R-40-Fossé 22271	162	8
Ciseau droit (soie)	21782	327	T	Décapage	T-4-décapage 21782	173	11
Ciseau droit (soie)	21720	79a	Hémicycle gaulois/théâtre gallo-romain	État 4.1	TH-15-démolition 21720	176	5
Ciseau droit (tranchant)	16126	1807	A7	État 1 à 2.1	A7-10-remblai 16126	24	11
Ciseau droit (tranchant)	16246	932	B corps principal	État 1 et 2 <i>lato sensu</i>	BCP-6-épandage	37	4
Ciseau droit (tranchant)	18652	1526	C1	État 2.2 à 2.3	C1-5-épandage 18652	51	15
Ciseau droit (tranchant)	17482	864	C4	État 2.2 à 2.3	C4-7-démontage	65	40
Ciseau droit (tranchant)	22207	31	R	État 2.1	R-54-Fossé 22228	163	1
Ciseau droit (tranchant)	21709	2082	T	État 2.3 à 3	T-3-radier 21709	173	4
Ciseau droit (tranchant)	13505	53	FP, branche nord	Perturbations modernes	SCTFN-2-perturbations modernes	202	11
Coin	21033	1051	M	État 2.2	M-72-sol 21033	141	2

Type	UF	No inv.	Bâtiment	État	Code Assemblage	Pl.	No
Coin	21152	1178	M	État 2.1 à 2.2	M-111-démontage radier 20080	143	8
Couteau à deux mains	15619	887	B corps principal	État 1	BCP-19-TP 15618	38	18
Couteau à deux mains	20613	S2033	K	État 2 <i>lato sensu</i>	K-2-radier de sol	119	7
Fer de rabot ?	21739	130	Hémicycle gaulois/théâtre gallo-romain	Décapage	TH-4-décapage ouest	175	12
Gouge	16012	100	A1	Décapage	A1-1-décapage	2	10
Gouge	16003	138	A7	Décapage	A7-1-décapage	22	10
Gouge	16126	274	A7	État 1 à 2.1	A7-10-remblai 16126	24	10
Gouge	17063	244	C1	État 1	C1-18-Fo art 17093	56	10
Gouge	18504	1067	G4	État 4 <i>lato sensu</i>	G4-2-18504, démolition	103	9
Gouge	18099	357	F	État 2.1	F-10-Fo 18098	107	6
Gouge	22036	831	Q	Non phasé	Q-27-TP 22036	117	6
Gouge	21708	2080	T	Décapage	T-2-décapage sur radier 21709	172	25
Hache	16320	1040	B cour nord	Non phasé	BCN-3-Fo 16319	39	13
Hache	17155	1362	Place du complexe C (nord-est)	État 1 et 2 <i>lato sensu</i>	CPL-5-sol est	49	3
Hache	21033	1050	M	État 2.2	M-72-sol 21033	141	1
Hache	24524	818	Fouille 2014	Fouille 2014	Fouille 2014	Non ill.	
Herminette	17704	619	A1	État 2.2	A1-11-Solin 17704	4	7
Herminette	15727	1571	A1	État 1	A1-24-TP 15726	5	4
Herminette	16009	1775	A8	État 1 et 2 <i>lato sensu</i>	A8-2-épandage	31	16
Herminette	17521	530	Place du complexe C (est)	État 2 <i>lato sensu</i>	CPL-4-épandage est	47	14
Herminette	17001	343	Place du complexe C	Perturbations modernes	CPL-6-moderne	49	11
Herminette	15576	870	C1	État 2.1	C1-9-TP 15575	52	13
Herminette	20771	S2222	U	État 1 à 2.1	U-5-cailloutis 20771	124	12
Herminette	21033	1007	M	État 2.2	M-72-sol 21033	141	4
Herminette	21033	1115	M	État 2.2	M-72-sol 21033	141	3
Herminette	21167	1234	M	État 2.1	M-211-sol 21167	144	9
Herminette	22207	46	R	État 2.1	R-54-Fossé 22228	163	2
Herminette	20343	S4017	Hémicycle gaulois/théâtre gallo-romain	État 1	TH-40-sol 20343	180	6
Herminette	12539	407	FP, branche nord	État 4 <i>lato sensu</i>	SCTFN-3-complements gallo-romains	204	8
Herminette/ hache	16568	1771	A7	Décapage	A7-1-décapage	22	12
Herminette/ hache	17420	1764	Place du complexe C (ouest)	État 2 <i>lato sensu</i>	CPL-2-occupation ouest	44	18
Herminette/ hache	18503	3019	Bâtiment gallo-romain nord	Décapage	BGRN-1-nettoyage	94	10
Mèche	16001	1705	A2	Décapage	A2-1-décapage	1	17
Mèche	17042	112	C2	Décapage	C2-1-décapage	58	9
Mèche	20416	E2049	O	État 2.2	O-2-Fo art 20415	166	12
Poinçon	22242	892	R	État 2.1	R-55-St 22242	164	3
Racloir	20613	S2008	K	État 2 <i>lato sensu</i>	K-2-radier de sol	119	1
Racloir	20084	S3111	M	État 2.1	M-117-sol 20084	149	2
Racloir	25002	198	Fouille 2015	Fouille 2015	Fouille 2015	Non ill.	
Racloir ?	21167	1233	M	État 2.1	M-211-sol 21167	144	13
Scie	21088	1283	M	État 2.1 à 2.2	M-114-Fo 21699-65 combl sup	147	4
Scie	22504	498	O	État 2 <i>lato sensu</i>	O-8-TP 22504	167	12
Scie	12087	949	Cour du sanctuaire	État 1 et 2 <i>lato sensu</i>	SCTE-7-sol de cailloutis	226	8
Tranchet à pied	21699-41	960	R	État 2.2	R-40-Fossé 22271	162	6
Tranchet à pied	21899-90	459	Hémicycle gaulois/théâtre gallo-romain	Perturbations modernes	TH-2-moderne	175	5
Valet d'établi	20657	S2144	K	État 2 <i>lato sensu</i>	K-2-radier de sol	119	8

Cat 41. Déchets de tabletterie

Type	UF	No inv.	Bâtiment	État	Code Assemblage	Pl.	No
Découpe circ.	16627	650	Batiment gallo-romain nord	État 4 <i>lato sensu</i>	BGRN-7-16627		Non ill.
Découpe circ.	16219	1004	B corps principal	État 1	BCP-2-Fo 16218		Non ill.
Découpe circ.	16627	1389	Batiment gallo-romain nord	État 4 <i>lato sensu</i>	BGRN-7-16627		Non ill.
Découpe circ.	16118	1415	A7	État 2.1 a 2.2	A7-4-radier		Non ill.
Découpe circ.	HC2006	1567	Hors batiment	Hors contexte	HC2006		Non ill.
Découpe circ.	17300	855	C3	État 2.2 a 2.3	C3-2-radier		Non ill.
Découpe circ.	17360	943	C3	État 2.1	C3-8-Sb 17359		Non ill.
Découpe circ.	17523	1040	C7	État 2.1	C7-10-Ce 17522		Non ill.
Découpe circ.	17103	1498	Espace D	État 4 <i>lato sensu</i>	D-2-gallo-romain		Non ill.
Découpe circ.	17230	1517	Espace D	Non phase	D-8-amas de mobilier 17231		Non ill.
Découpe circ.	17230	1518	Espace D	Non phase	D-8-amas de mobilier 17231		Non ill.
Découpe circ.	17230	1519	Espace D	Non phase	D-8-amas de mobilier 17231		Non ill.
Découpe circ.	17230	1571	Espace D	Non phase	D-8-amas de mobilier 17231		Non ill.
Découpe circ.	18726	1392	Espace D	Decapage	D-1-decapage		Non ill.
Découpe circ.	18099	305	F	État 2.1	F-10-Fo 18098		Non ill.
Découpe circ.	20623	S2089	K	État 2.1	K-3-Cit 20618		Non ill.
Découpe circ.	20062	S3066	N	État 1	N-22-Fo 20061		Non ill.
Découpe circ.	20008	TRB3008	N	État 2.2	N-6-Fo 20007		Non ill.
Découpe circ.	21899-27	437	Hemicycle gaulois/theatre gallo-romain	État 1 et 2 <i>lato sensu</i>	TH-46-épan dage 21899-27		Non ill.
Découpe circ.	21899-90	458	Hemicycle gaulois/theatre gallo-romain	Perturbations modernes	TH-2-moderne		Non ill.
Découpe circ.	21899-233	2020	Hemicycle gaulois/theatre gallo-romain	État 2.1 a 2.2	TH-30-Demontage cailloutis 21780		Non ill.
Découpe circ.	22452	123	S	État 2.3 a 3	S-6-Bs 22452		Non ill.
Découpe circ.	22520	548	O	État 2 <i>lato sensu</i>	O-17-Fosse 22520		Non ill.
Découpe circ.	17400	1793	C	Decapage	C-1-decapage		Non ill.
Découpe circ.	11168	2101	Cour du sanctuaire	État 4 <i>lato sensu</i>	SCTE-3-remblai cours		Non ill.
Découpe circ.	15050	145	Structure sur poteaux D	État 1 et 2 <i>lato sensu</i>	SCTD-2-epandage		Non ill.
Découpe circ.	13051	162	Galerie (palissade exterieur)	État 2.3	SCTG-28-Pal ext. est		Non ill.
Découpe circ.	15217	79	Cour du sanctuaire	État 4 <i>lato sensu</i>	SCTE-3-remblai cours		Non ill.
Découpe circ.	15034	113	Structure sur poteaux D	État 1 et 2 <i>lato sensu</i>	SCTD-2-epandage		Non ill.
Découpe circ.	15051	162	Structure sur poteaux D	État 1 et 2 <i>lato sensu</i>	SCTD-2-epandage		Non ill.
Découpe circ.	12027	108	Entree	État 4 <i>lato sensu</i>	SCTPE-1-remblais		Non ill.
Découpe circ.	12074	2124	Entree	État 2.2	SCTPE-3-occupation		Non ill.
Découpe circ.	12028	137	Galerie gallo-romaine, branche est	État 4.3	SCTGRE-4-demolition		Non ill.
Découpe circ.	13901	120	Cuves et sols E	État 1 et 2 <i>lato sensu</i>	SCTE-7-sol de cailloutis		Non ill.
Demi-produit	17999-8	967	Place du complexe C (ouest)	État 1 et 2 <i>lato sensu</i>	CPL-3-sol ouest		Non ill.
Demi-produit	17725	628	E3	Decapage	E3-1-decapage		Non ill.
Demi-produit	18014	76	C5 Cave	Decapage	C5C-12-decapage nord		Non ill.
Demi-produit	18003	373	H et F	Decapage	H, F et C5C-1-decapage		Non ill.
Demi-produit	20608	S2176	K	État 2.2	K-4-Ce 20607		Non ill.
Demi-produit	21899-204	2011	Hemicycle gaulois/theatre gallo-romain	État 2.1 a 2.2	TH-30-Demontage cailloutis 21780		Non ill.
Demi-produit	22520	624	O	État 2 <i>lato sensu</i>	O-17-Fosse 22520		Non ill.
Demi-produit	22271	525	R	État 2.2	R-40-Fosse 22271		Non ill.

Cat 42. Outils liés au travail du cuir

Type	UF	No inv.	Bâtiment	État	Code Assemblage	Pl.	No
Alêne	16643	1447	C2	État 1	C2-3-sol 16643	58	14
Alêne	16614	438	Espace D	État 4 <i>lato sensu</i>	D-2-gallo-romain	84	23
Alêne	10258	294	FP, branche nord	État 4 <i>lato sensu</i>	SCTFN-3-comblements gallo-romains	204	10
Alêne	11203	414	FP, branche nord	État 1 perturbé	SCTFN-8-Comblement inférieur perturbé	209	11
Alêne	25051	2067	Fouille 2015	Fouille 2015	Fouille 2015	Non ill.	
Alêne	25334	377	Fouille 2015	Fouille 2015	Fouille 2015	Non ill.	
Emporte-pièce	16132	1780	A10	État 2.1	A10-8-TP 16131	33	11
Emporte-pièce	16169	299	A10	État 1	A10-4-TP 16169	33	8
Emporte-pièce	16660	1791	C2	Décapage	C2-1-décapage	58	11
Emporte-pièce	HC(sanctuaire)	3018	Hors contexte	Hors contexte	HC(sanctuaire)	230	2
Lancette	16132	1782	A10	État 2.1	A10-8-TP 16131	33	10
Lancette	22499	364	S	Non phasé	S-19-Fo 22499	169	12

Cat 43. Outils liés au travail du textile

Type	UF	No inv.	Bâtiment	État	Code Assemblage	Pl.	No
Aiguille (1)	15412	508	A2	État 2.1	A2-8-15412	19	13
Aiguille (4)	16008	51	Cour intérieur A	Non phasé	ACI-2-épandage	28	5
Aiguille (1)	16072	206	A5	Décapage	A5-1-décapage	29	4
Aiguille (4)	16132	1781	A10	État 2.1	A10-8-TP 16131	33	9
Aiguille (1)	16201	846	B	Décapage	B-1-décapage	35	17
Aiguille (1)	15630	941	B corps principal	État 1	BCP-1-Ce 15520	36	13
Aiguille (1)	15630	977	B corps principal	État 1	BCP-1-Ce 15520	36	12
Aiguille (1)	16250	873	B corps principal	État 2 <i>lato sensu</i>	BCP-27-Sb 15481	39	6
Aiguille (4)	17420	1065	Place du complexe C (ouest)	État 2 <i>lato sensu</i>	CPL-2-occupation ouest	44	17
Aiguille (1)	16402	310	C1	Décapage	C1-1-décapage	50	18
Aiguille (1)	18651	1507	C1	État 2.1 à 2.2	C1-4-remblai	51	8
Aiguille (4)	15576	848	C1	État 2.1	C1-9-TP 15575	52	12
Aiguille (1)	17410	356	C4	État 2.2 à 2.3	C4-3-démontage radier	65	19
Aiguille (1)	17410	384	C4	État 2.2 à 2.3	C4-3-démontage radier	65	20
Aiguille (1)	17324	911	C4	État 2.1	C4-13-Fo art 17323	67	16
Aiguille (1)	17699	1777	C4	État 2.1	C4-10-Fo art 17698	67	9
Aiguille (1)	17427	418	C5	État 1 et 2 <i>lato sensu</i>	C5-5-épandage ouest	76	3
Aiguille (4)	18516	3008	Espace D	Décapage	D-1-décapage	81	14
Aiguille (3)	17191	1375	Espace D	État 1	D-7-TP 17192	88	11
Aiguille (1)	16627	649	Bâtiment gallo-romain nord	État 4 <i>lato sensu</i>	BGRN-7-16627	95	9
Aiguille (4)	18506	1134	G	État 2.2 à 2.3	G-1-radier	96	11
Aiguille (4)	18506	1147	G	État 2.2 à 2.3	G-1-radier	96	12
Aiguille (4)	18506	3017	G	État 2.2 à 2.3	G-1-radier	96	10
Aiguille (4)	18519	1235	G	État 1 et 2 <i>lato sensu</i>	G-2-cailloutis	97	10
Aiguille (4)	18504	3025	G4	État 4 <i>lato sensu</i>	G4-2-18504, démolition	103	10
Aiguille (1)	20804	S3268	M	Décapage	M-1-décapage	132	5
Aiguille (1)	21142	1239	M	État 2.3	M-28-Angle du radier 21142	138	11
Aiguille (3)	21090	853	M	État 2.2	M-71-Fossé 21089	140	6
Aiguille (4)	21170	1253	M (ruelle)	État 2.1	M-122-Pal 21169	148	11
Aiguille (1)	20166	S3143	M	État 1	M-176-TP 20165	153	7
Aiguille (1)	20288	S3228	M	État 1	M-175-Fo 20288	153	4

Type	UF	No inv.	Bâtiment	État	Code Assemblage	Pl.	No
Aiguille (1)	21145	2533	R	État 2.2	R-40-Fossé 22271	162	9
Aiguille (4)	21145	864	R	État 2.2	R-40-Fossé 22271	162	10
Aiguille (1)	20396	S4025	O	État 2.2	O-3-Fo art 20395	167	5
Aiguille (4)	21708	2074	T	Décapage	T-2-décapage sur radier 21709	172	24
Aiguille (4)	21722	105	Hémicycle gaulois/théâtre gallo-romain	État 4.2	TH-9-démolition 21722	175	18
Aiguille (3)	10020	8	Galerie gallo-romaine, branche nord	État 4.2	SCTGRN-8-démolition	182	25
Aiguille (1)	11221	716	Galerie niveau de sol	État 2 <i>lato sensu</i>	SCTG-19-sol d'amphore est nord entrée	192	10
Aiguille (3)	12074	935	Entrée	État 2.2	SCTPE-3-occupation	200	5
Aiguille (2)	10193	160	Enclos A	État 2.3	SCTA-10-fossé branche sud	215	17
Aiguille (1)	13530	86	Temple à galerie périphérique	Décapage	SCTT-1-décapage	218	3
Aiguille (1)	9018		Cour du sanctuaire	Décapage	SCTE-1-décapage	220	28
Aiguille (1)	12000	4	Cour du sanctuaire	Décapage	SCTE-1-décapage	220	27
Aiguille (4)	15270	273	Cour du sanctuaire	Décapage	SCTE-1-décapage	220	29
Aiguille (1)	12084	921	Cuves et sols E	État 1 et 2 <i>lato sensu</i>	SCTE-7-sol de cailloutis	226	7
Aiguille (4)	12035	384	Edicule	État 4 <i>lato sensu</i>	SCTED-2-passe mécanique 12035	227	28
Aiguille (3)	HC2005	503	Hors bâtiment	Hors contexte	HC2005	232	8
Aiguille (3)	HC2005	525	Hors bâtiment	Hors contexte	HC2005	232	7
Aiguille (4)	HC2006	1377	Hors bâtiment	Hors contexte	HC2006	232	24
Aiguille (1)	HC2010	S3227	Hors contexte	Hors contexte	HC2010	234	4
Aiguille (1)	HC2007	434	Hors contexte	Hors contexte	HC2007	Non ill.	

Cat 44. Outils liés à l'agriculture

Type	UF	No inv.	Bâtiment	État	Code Assemblage	Pl.	No
Décrottoir	16406	1719	C3	État 2.2 à 2.3	C3-2-radier	60	21
Décrottoir	20654	S1010	Q	État 1	Q-10-TP 20653	114	3
Décrottoir	HC2010	S4067	Hors contexte	Hors contexte	HC2010	234	8
Décrottoir	HC2010	TRB2029	Hors contexte	Hors contexte	HC2010	234	6
Emondoir	17711	1787	Esplanade	Non phasé	ESP-1-Fo 17710	110	7
Emondoir	21165	1407	M	État 2.1	M-211-sol 21167	144	12
Faux	21167	1189	M	État 2.1	M-211-sol 21167	144	11
Faux	22474-2	547	S	État 2 <i>lato sensu</i>	S-7-Pt 22474	169	5
Faux	21202	2553	M	État 2.1	M-134-Ce 21201	151	4
Râteau	17103	1473	Espace D	État 4 <i>lato sensu</i>	D-2-gallo-romain	84	25
Râteau	21720	79b	Hémicycle gaulois/théâtre gallo-romain	État 4.1	TH-15-démolition 21720	176	6
Râteau	12028	175	Galerie gallo-romaine, branche est	État 4.3	SCTGRE-4-démolition	184	6
Râteau	15201	31	Galerie aménagement empierré	État 2.3	SCTG-4-empierrements nord entrée	186	8
Serpe	22061-1	544	Q	État 1	Q-32-TP 22061	117	11
Serpette (3)	16407	1434	Place du complexe C (ouest)	État 2 <i>lato sensu</i>	CPL-2-occupation ouest	44	1
Serpette (3)	17155	1356	Place du complexe C (nord-est)	État 1 et 2 <i>lato sensu</i>	CPL-5-sol est	49	7
Serpette (3)	17699	841	C4	État 2.1	C4-10-Fo art 17698	67	7
Serpette (5)	17073	1731	C6	État 2 <i>lato sensu</i>	C6-22-épandage	73	17
Serpette (4)	17010	73	C5	Décapage	C5-1-décapage	74	10
Serpette (2)	18104	3033	C5 Cave	État 1	C5C-19-TP 18104	79	14
Serpette (8)	16627	648	G	État 4 <i>lato sensu</i>	BGRN-7-16627	95	12
Serpette (7)	18519	1191	G	État 1 et 2 <i>lato sensu</i>	G-2-cailloutis	97	16
Serpette (5)	18805	2080	G1	État 2.1	G1-1-TP 18806	102	1

Type	UF	No inv.	Bâtiment	État	Code Assemblage	Pl.	No
Serpette (1)	20613	S2074	K	État 2 <i>lato sensu</i>	K-2-radier de sol	119	4
Serpette (1)	20657	S2135	K	État 2 <i>lato sensu</i>	K-2-radier de sol	119	3
Serpette (3)	21006	1071	P	Décapage	P-1-décapage	129	7
Serpette (6)	21699-25	2105	M	M	M-128-TP 21558	151	5
Serpette (1)	21468	1396	Hors bâtiment	État 2.1	HB-4-Fo 21467	231	3
Serpette (7)	25096	2062	Fouille 2015	Fouille 2015	Fouille 2015	Non ill.	
Serpette (8)	24556-1	901	Fouille 2014	Fouille 2014	Fouille 2014	Non ill.	
Serpette (7)	25090-1	814a	Fouille 2015	Fouille 2015	Fouille 2015	Non ill.	
Soc d'aire			Prospections, coll. Daniel no 42			Non ill.	

Cat 45. Outils liés au travail des matières plastiques

Type	UF	No inv.	Bâtiment	État	Code Assemblage	Pl.	No
Spatule	18503	3014	Bâtiment gallo-romain nord	Décapage	BGRN-1-nettoyage	94	9
Spatule	20129	S3141	M	État 3	M-4-radier d'amphore 20099	135	5
Spatule	22208	87	R	Décapage	R-1-décapage	156	6
Spatule	21707	18	T	Décapage	T-1-décapage	172	9
Spatule	21752	80	Hémicycle gaulois/théâtre gallo-romain	Décapage	TH-1-décapage	174	11
Spatule	11187	2055	FP, branche nord	État 4 <i>lato sensu</i>	SCTFN-3-comblements gallo-romains	204	9

Cat 46. Outils polyvalents ou fragmentaires

Type	UF	No inv.	Bâtiment	État	Code Assemblage	Pl.	No
Douille	17343	1769	C1	État 1	C1-17-sol 17343	55	7
Douille	17685	884	C7	État 2.1	C7-2-Pal 17684	72	2
Douille	17065	1728	C5	État 2.2 à 2.3	C5-3-radier	75	8
Douille	20613	S2267	K	État 2 <i>lato sensu</i>	K-2-radier de sol	119	10
Douille	20050	S3056	M	État 3	M-3-nettoyage radier 20052	134	3
Manche	17071	297	C5	État 2.2 à 2.3	C5-3-radier	75	7
Manche	21221	914	M	Décapage	M-1-décapage	132	15
Manche	13024	106	FP, branche est	État 4 <i>lato sensu</i>	SCTFE-2-comblements gallo-romains	210	10
Manche	13545	2039	FP, branche ouest	Décapage	SCTFO-1-décapage	212	13
Œil	17430	546	Place du complexe C (est)	État 2 <i>lato sensu</i>	CPL-4-épandage est	47	16
Œil	17699	1015	C4	État 2.1	C4-10-Fo art 17698	67	6
Œil	20622	S2179	K	État 2.2	K-13-Cave combl sup	122	11
Soie	16405	1709	Place du complexe C (ouest)	État 2 <i>lato sensu</i>	CPL-2-occupation ouest	44	11
Soie	16405	1710	Place du complexe C (ouest)	État 2 <i>lato sensu</i>	CPL-2-occupation ouest	44	10
Soie	18519	1230	G	État 1 et 2 <i>lato sensu</i>	G-2-cailloutis	97	12
Soie	22058	836	Q	État 2 <i>lato sensu</i>	Q-6-Fo 22058	113	1
Soie	21006	1018bis	P	Décapage	P-1-décapage	129	6
Soie	21124	852	M	État 2.3	M-53-radier 21124	139	4
Soie	21699-12	1436	M	État 2.1	M-126-TP 21699-11	151	1
Soie	21145	1488	R	État 2.2	R-40-Fossé 22271	162	7
Soie	22343	733	R	État 1	R-71-Sb 22343	165	7
Soie	21753	2086	Hémicycle gaulois/théâtre gallo-romain	État 3	TH-18-radier 21753	176	13
Soie	13060	2024	Galerie niveau de sol	État 2.1	SCTG-26-remblai sol est	193	13
Soie	12074	849	Entrée	État 2.2	SCTPE-3-occupation	200	6

Type	UF	No inv.	Bâtiment	État	Code Assemblage	Pl.	No
Soie	11194	2063	FP, branche nord	État 4 <i>lato sensu</i>	SCTFN-3-complements gallo-romains	204	11
Soie	22569	871	Hors bâtiment	Non phasé	HB-6-Fo 22569	231	6
Tête massive	14031	620	A1	État 1 à 2.1	A1-20-sol 14030	14	4
Tête massive	16049	151	A10	Décapage	A10-1-décapage	32	22
Tête massive	16201	849	B	Décapage	B-1-décapage	35	18
Tête massive	18099	362	F	État 2.1	F-10-Fo 18098	107	7
Tête massive	20608	S2255	K	État 2.2	K-4-Ce 20607	121	3
Tête massive	21708	2081	T	Décapage	T-2-décapage sur radier 21709	172	22
Tête massive	20335	S4063	Hémicycle gaulois/théâtre gallo-romain	État 4.2	TH-9-démolition 21722	175	17
Tête massive	21753	259	Hémicycle gaulois/théâtre gallo-romain	État 3	TH-18-radier 21753	176	11
Tête massive	21781	343	Hémicycle gaulois/théâtre gallo-romain	État 2.1	TH-29-cailloutis 21780	178	9
Tête massive	HC (théâtre)	444	Hémicycle gaulois/théâtre gallo-romain	Hors contexte	TH-55-HC (théâtre)	181	7
Angrois	15428	1703	Cour intérieur A	Décapage	ACI-1-décapage	27	2
Angrois	17008	1701	Espace D	État 4 <i>lato sensu</i>	D-2-gallo-romain	84	30
Angrois	17019	1436	Espace D	État 4 <i>lato sensu</i>	D-2-gallo-romain	84	29
Angrois	18503	3021	Bâtiment gallo-romain nord	Décapage	BGRN-1-nettoyage	94	8
Angrois	20338	S4061	O	Décapage	O-1-décapage	166	3
Angrois	13032	2016	Galerie (palissade extérieur)	État 2.3	SCTG-28-Pal ext. est	194	13
Angrois	12073	2047	Cuves et sols E	État 2-GR	SCTE-6-interface LT-GR	224	11
Angrois	11372	2084	Cuves et sols E	État 1 et 2 <i>lato sensu</i>	SCTE-7-sol de cailloutis	226	9
Forces	16009	1778	A8	État 1 et 2 <i>lato sensu</i>	A8-2-épandage	31	12
Forces	17999-8	1000	Place du complexe C (ouest)	État 1 et 2 <i>lato sensu</i>	CPL-3-sol ouest	46	10
Forces	15408	1234	C3	Décapage	C3-1-décapage	59	6
Forces	17324	910	C4	État 2.1	C4-13-Fo art 17323	67	15
Forces	17324	1771	C4	État 2.1	C4-13-Fo art 17323	67	13
Forces	17699	840	C4	État 2.1	C4-10-Fo art 17698	67	8
Forces	17044	1413	C5 Cave	État 4 <i>lato sensu</i>	C5C-2-piégeage	77	13
Forces	17009	79	Espace D	Non phasé	D-2-gallo-romain	84	28
Forces	17026	1524	Espace D	État 2-GR	D-6-pavage 17026	88	6
Forces	17191	1393	Espace D	État 1	D-7-TP 17192	88	10
Forces	17883	1627	D1	État 2.1	D1-3-TP 17882	91	2
Forces	17037	242	G1/D2	État 1	G1/D2-5-TP17038	101	5
Forces	18003	2001	H et F	Décapage	H, F et C5C-1-décapage	104	9
Forces	18003	3034	H et F	Décapage	H, F et C5C-1-décapage	104	10
Forces	22065	840	Q	État 2 <i>lato sensu</i>	Q-36-St 22065	117	12
Forces	21055	1096	N	Décapage	N-1-décapage	126	6
Forces	21055	1109	N	Décapage	N-1-décapage	126	5
Forces	21019	522	M	Décapage	M-1-décapage	132	2
Forces	21171	793	M	Décapage	M-1-décapage	132	1
Forces	21272	920	M	Décapage	M-1-décapage	132	3
Forces	22214-5	874	M (cours sud)	État 2.2	M-66-Puits 22214	139	15
Forces	22229	105	R	État 3	R-4-radier 22229	158	1
Forces	22497	481	S	État 1 à 2.1	S-23-TP 22497	170	13
Forces	22212	216	Voies ouest	État 2.3	VO-10-Fossé 22212	171	11
Forces	HC(sanctuaire)	3006	Hors contexte	Hors contexte	HC(sanctuaire)	230	1
Forces	17999-82		Place du complexe C (ouest)	État 1 et 2 <i>lato sensu</i>	CPL-3-sol ouest	Non ill.	
Virole	14014	467	A1	État 2 <i>lato sensu</i>	A1-26-épandage nord	18	7
Virole	15633	926	A6	Décapage	A6-1-décapage	29	13

Type	UF	No inv.	Bâtiment	État	Code Assemblage	Pl.	No
Viole	16009	1777	A8	État 1 et 2 <i>lato sensu</i>	A8-2-épandage	31	17
Viole	15619	1762	B corps principal	État 1	BCP-19-TP 15618	38	20
Viole	17999-8	1001	Place du complexe C (ouest)	État 1 et 2 <i>lato sensu</i>	CPL-3-sol ouest	46	13
Viole	17083	241	C1	État 2.1	C1-8-Fo 17084	52	7
Viole	16283	962	C2	Non phasé	C2-9-16283	58	19
Viole	16307	1835	C2	État 1 à 2.2	C2-12-épandage 16307	58	23
Viole	17042	1712	C2	Décapage	C2-1-décapage	58	4
Viole	16406	776	C3	État 2.2 à 2.3	C3-2-radier	60	17
Viole	16416	1839	C3	État 1	C3-10-Fo 17478	62	4
Viole	16453	1841	C4	État 1 à 2.1	C4-21-TP 16452	66	22
Viole	17362	1002	C4	État 1	C4-15-Fo 17361	68	4
Viole	16420	457	Ruelle entre A et C	État 2 <i>lato sensu</i>	AC-4-épandage	71	11
Viole	16420	464	Ruelle entre A et C	État 2 <i>lato sensu</i>	AC-4-épandage	71	12
Viole	18047	195	C5 Cave	État 4 <i>lato sensu</i>	C5C-2-piégeage	77	14
Viole	18232	2074	Hors bâtiment	État 1	HB-10-Fo 18232	80	4
Viole	16621	620	Bâtiment gallo-romain nord	État 4 <i>lato sensu</i>	D-2-remblais gallo-romains	84	31
Viole	18508	1024	G	État 1 et 2 <i>lato sensu</i>	G-2-cailloutis	97	15
Viole	18519	1233	G	État 1 et 2 <i>lato sensu</i>	G-2-cailloutis	97	14
Viole	18534	3052	G1	État 2.1	G1-3-TP 18533	102	2
Viole	18745	1357	G3	État 2.1	G3-10-TP 18746	102	13
Viole	20613	S2024	K	État 2 <i>lato sensu</i>	K-2-radier de sol	120	3
Viole	20613	S2268	K	État 2 <i>lato sensu</i>	K-2-radier de sol	120	4
Viole	21168	1355	P	État 2.3	P-17-décapage 21168	130	7
Viole	21019	571	M	Décapage	M-1-décapage	132	14
Viole	21215	1301	M	État 2.1	M-133-TP 21214	151	12
Viole	22385	634	R	État 1	R-75-TP 22385	165	12
Viole	22517	495	O	État 2 <i>lato sensu</i>	O-17-Fossé 22520	167	9
Viole	22473	856	S	État 2.2 à 2.3	S-10-Fé 22473	170	5
Viole	12074	2004	Entrée	État 2.2	SCTPE-3-occupation	200	7
Viole	12045	399	Cour du sanctuaire	État 4 <i>lato sensu</i>	SCTE-3-remblai cours	222	19
Viole	19074	73	Sanctuaire Extérieur nord	État 1 et 2 <i>lato sensu</i>	SCTX-1-Pal 19034	228	5
Viole	HC(sanctuaire)	3016	Hors contexte	Hors contexte	HC(sanctuaire)	230	4
Viole	11325	136	Enclos B	État 1 et 2 <i>lato sensu</i>	SCTB-2-comblement branche nord	Non ill.	
Viole	12033	243	Entrée	État 4 <i>lato sensu</i>	SCTPE-1-remblais	Non ill.	
Viole	12505	62	FP, branche nord	État 4 <i>lato sensu</i>	SCTFN-3-complements gallo-romains	Non ill.	
Viole	13706	458	Galerie niveau d'occupation	État 2.2	SCTG-9-occupation ouest	Non ill.	
Viole	HC2008	1279	Hors contexte	Hors contexte	HC2008	Non ill.	
Meulet	17482	1053	C4	État 2.2 à 2.3	C4-7-démontage	65	41
Meulet	18012	75	C5 Cave	État 2.3	C5C-11-TP 18011	79	2
Meulet	22023	343	Q	État 2 <i>lato sensu</i>	Q-4-TP 22023	112	16
Meulet	20315	S4014	Hémicycle gaulois/théâtre gallo-romain	État 2.1	TH-31-Sb 20314	179	16
Table abrasive	20760		K	État 2.2	K-16-Cave utilisation	123	2
Table de travail (lithique)	15590	1202	A1	État 1 à 2.1	A1-21-décapage 15590	Non ill.	
Table de travail (lithique)	16652	1438	C2	État 2.2 à 2.3	C2-2-radier	Non ill.	
Table de travail (lithique)	16413	1452	C3	État 1	C3-10-Fo 17478	Non ill.	
Table de travail (lithique)	16413	1457	C3	État 1	C3-10-Fo 17478	Non ill.	
Table de travail (lithique)	18519	1285	G	État 1 et 2 <i>lato sensu</i>	G-2-cailloutis	Non ill.	

Type	UF	No inv.	Bâtiment	État	Code Assemblage	Pl.	No
Table de travail (lithique)	HC2012	802	Hors contexte	Hors contexte	HC2012	Non ill.	
Table de travail (lithique)	21280	2554	M	État 3	M-6-Cit 21279	Non ill.	
Table de travail (lithique)	19082	80	Sanctuaire Extérieur nord	État 2 <i>lato sensu</i>	SCTX-7-sol 19082	Non ill.	
Table de travail (lithique)	19089	79	Sanctuaire Extérieur nord	État 2 <i>lato sensu</i>	SCTX-4-sol 19057	Non ill.	
Table de travail (lithique)	15475	1768	B cour ouest	État 2 <i>lato sensu</i>	BCO-22-TP 15474	41	10
Table de travail (lithique)	16660	1445	C2	Décapage	C2-1-décapage	58	7
Table de travail (lithique)	17310	892	C4	État 2.2 à 2.3	C4-3-démontage radier	65	24
Table de travail (lithique)	18242	2031	C5 Cave	État 2.2	C5C-6-combl inf	78	22
Table de travail (lithique)	17230	1573	Espace D	Non phasé	D-8-amas de mobilier 17231	89	7
Table de travail (lithique)	17815	657	E1	État 2.1	E1-4-Sb 17757	109	10
Table de travail (lithique)	17742	658	E1	État 2.1	E1-11-Sb 17742	110	1
Table de travail (lithique)	20065	S3093	M	État 2.1	M-116-Pal 20064	148	3
Table de travail (lithique)	20396	E2002	O	État 2.2	O-3-Fo art 20395	167	6
Aiguisoir	16126	295	A7	État 1 à 2.1	A7-10-remblai 16126	Non ill.	
Aiguisoir	17400	1057	C	Décapage	C-1-décapage	Non ill.	
Aiguisoir	17482	473	C4	État 2.2 à 2.3	C4-7-démontage	Non ill.	
Aiguisoir	17688	1026	C4	État 4 <i>lato sensu</i>	C4-4-remblai romain	Non ill.	
Aiguisoir	13058	282	Cour du sanctuaire	État 1 et 2 <i>lato sensu</i>	SCTE-7-sol de cailloutis	Non ill.	
Aiguisoir	15230	77	Galerie niveau d'occupation	État 2.2	SCTG-11-occupation est nord entrée	Non ill.	
Aiguisoir	20626	S2041	K	Décapage	K-1-décapage	Non ill.	
Aiguisoir	21699-107	2610	M	État 2.2	M-98-TP 21699-106	Non ill.	
Aiguisoir	17430	531	Place du complexe C (est)	État 2 <i>lato sensu</i>	CPL-4-épannage est	Non ill.	
Aiguisoir	15400	1770	A1	Décapage	A1-1-décapage	2	9
Aiguisoir	16002	20	A3 et A4	Décapage	A4 et A7-1-décapage	21	9
Aiguisoir	16008	56	Cour intérieur A	Non phasé	ACI-2-épannage	28	9
Aiguisoir	17521	1037	Place du complexe C (est)	État 2 <i>lato sensu</i>	CPL-4-épannage est	48	1
Aiguisoir	17695	868	Place du complexe C (est)	État 1 et 2 <i>lato sensu</i>	CPL-5-sol est	49	8
Aiguisoir	17343	1086	C1	État 1	C1-17-sol 17343	55	6
Aiguisoir	17999-85	992	C3	État 1 à 2.1	C3-9-épannage	61	9
Aiguisoir	16446	503	C4	État 2.1	C4-24-TP 16445	66	24
Aiguisoir	18104	2073	C5 Cave	État 1	C5C-19-TP 18104	79	11
Aiguisoir	18518	1197	G	État 1 et 2 <i>lato sensu</i>	G-2-cailloutis	97	17
Aiguisoir	18588	1313	G2	État 2.1	G2-8-Sb 18588	102	9
Aiguisoir	18432	2006	G	Décapage	G-3-Fo 18594	103	19
Aiguisoir	18141		H	État 2.1	H-8-TP 18141	105	8
Aiguisoir	18099		F	État 2.1	F-10-Fo 18098	107	5
Aiguisoir	17747	641	E1 et E2	Décapage	E-1-décapage	109	2
Aiguisoir	22001	204	Q	Décapage	Q-1-décapage	111	3
Aiguisoir	20292	S3271	M	État 1	M-174-Fo art 20291	153	2
Aiguisoir	22242-2	789	R	État 2.1	R-55-St 22242	164	4
Aiguisoir	22474-3	554	S	État 2 <i>lato sensu</i>	S-7-Pt 22474	169	6

Cat 47. Couteaux

Type	UF	No inv.	Bâtiment	État	Code Assemblage	Pl.	No
1-1	21779	482	Hémicycle gaulois/théâtre gallo-romain	État 3	TH-18-radier 21753	176	16
1-1	13039	181	Galerie niveau d'occupation	État 2.2	SCTG-12-occupation est sud entrée	190	13
1-2	14030	638	A1	État 1 à 2.1	A1-20-sol 14030	011	2
1-2	17071	271	C5	État 2.2 à 2.3	C5-3-radier	075	11
1-3	16067	223	A1 et A2	État 2.2	A1 et A2-2-radier	001	08
1-3	21152	1437	M	État 2.1 à 2.2	M-111-démontage radier 20080	143	06
1-3	21887	484	Hémicycle gaulois/théâtre gallo-romain	État 2 <i>lato sensu</i>	TH-33-TP 21887	177	12
1-3	18652	1524	C1	État 2.2 à 2.3	C1-5-épandage 18652	051	17
1-4	22504	515	O	État 2 <i>lato sensu</i>	O-8-TP 22504	167	13
1-4	12547	730	Galerie niveau d'occupation	État 2.2	SCTG-8-occupation nord	188	16
1-0	16003	43	A7	Décapage	A7-1-décapage	022	09
1-0	HC2006	774	Hors bâtiment	Hors contexte	HC2006	232	25
1-0	18003	2022	H et F	Décapage	H, F et C5C-1-décapage	104	15
2-1	16442	456	C4	État 1 et 2 <i>lato sensu</i>	C4-8-épandage	066	08
2-1	17070	172	C5	État 1 et 2 <i>lato sensu</i>	C5-1-décapage	074	09
2-1	22242	430	R	État 2.1	R-55-St 22242	164	05
2-1	22229	883	R	État 3	R-4-radier 22229	158	05
2-1	12587	703	Galerie niveau de sol	État 2.1	SCTG-25-remblai sol nord	193	06
2-2	20623	S2064	K	État 2.1	K-3-Cit 20618	120	09
2-3	16446	524	C4	État 2.1	C4-24-TP 16445	066	23
2-3	8346		A1	État 2 <i>lato sensu</i>	A1-25-épandage est	016	11
2-3	22207	20	R	État 2.1	R-54-Fossé 22228	163	03
2-4	11084	256	FP, branche nord	État 4 <i>lato sensu</i>	SCTFN-3-complements gallo-romains	205	02
2-5	21716	171	Hémicycle gaulois/théâtre gallo-romain	Perturbations modernes	TH-2-moderne	175	07
2-0	18400	1692	Espace D	État 1 à 2.1	D-10-sol état laténien	090	07
2-0	20619	S2022	K	État 2.1	K-8-Pal 20619	121	12
2-0	21174	1374	M	État 2.2	M-77-Sb 21174	142	10
2-0	21831	396	Hémicycle gaulois/théâtre gallo-romain	Décapage	TH-1-décapage	174	20
3-1	12037	344	Galerie aménagement empierré	État 2.3	SCTG-5-empierrements sud entrée	186	19
4-1	16560	1319	A1	État 1 à 2.1	A1-20-sol 14030	011	1
4-1	22473	177	S	État 2.2 à 2.3	S-10-Fé 22473	170	08
4-2	15646	1717	Cour intérieur A	Décapage	ACI-1-décapage	027	07
4-2	18408	3084	Espace D	État 4 <i>lato sensu</i>	D-2-gallo-romain	085	14
5-1	22023	325	Q	État 2 <i>lato sensu</i>	Q-4-TP 22023	112	14
5-2	20617	S2096	K	État 2 <i>lato sensu</i>	K-6-TP 20616	121	10
5-3	21006	1045	P	Décapage	P-1-décapage	129	11
5-4	17103	1475	Espace D	État 4 <i>lato sensu</i>	D-2-gallo-romain	085	13
0-0	17400	394	C	Décapage	C-1-décapage	042	18
0-0	17071	267	C5	État 2.2 à 2.3	C5-3-radier	075	12
0-0	18519	1190	G	État 1 et 2 <i>lato sensu</i>	G-2-cailloutis	098	07
0-0	20647	S2133	K	État 2.2	K-11-Cave niv som 20603	122	04
0-0	20654	S1020	Q	État 1	Q-10-TP 20653	114	06
0-0	20663	S1026	Q	État 2 <i>lato sensu</i>	Q-2-Cit 20662	111	12
0-0	20701	TRA201	Q	État 2 <i>lato sensu</i>	Q-8-TP 20701	113	05
0-0	20012	S3255	N	État 1	N-28-Sb 20011	128	10

Type	UF	No inv.	Bâtiment	État	Code Assemblage	Pl.	No
0-0	21643	1519	Q	Non phasé	Q-23-Fo 21642	117	01
0-0	16308	1746	B cour ouest	État 1 et 2 <i>lato sensu</i>	BCO-3-lambeaux de sol	040	19
0-0	16413	1722	C3	État 1	C3-10-Fo 17478	062	03
0-0	16403	1720	Place du complexe C	Décapage	CPL-1-décapage	043	06
0-0	17324	1772	C4	État 2.1	C4-13-Fo art 17323	067	14
0-0	22023	309	Q	État 2 <i>lato sensu</i>	Q-4-TP 22023	112	12
0-0	22212	223	Voies ouest	État 2.3	VO-10-Fossé 22212	171	12
0-0	22590	2705	M	Non phasé	M-215-détecteur	155	11
0-0	11191	2061	Galerie niveau d'occupation	État 2.2	SCTG-8-occupation nord	188	15
0-0	20035	S3273a	N	État 2.1	N-10-Fo 20034	127	09
0-0	19074	91	Sanctuaire Extérieur nord	État 1 et 2 <i>lato sensu</i>	SCTX-1-Pal 19034	228	06

Cat 48. Ustensiles culinaires

Type	UF	No inv.	Bâtiment	État	Code Assemblage	Pl.	No
Brochette	21117	1147	P	État 2.1	P-10-Fo 21116	130	4
Broche	16126	1388	A7	État 1 à 2.1	A7-10-remblai 16126	24	8
Chenet	11202	385	FP, branche nord	État 4 <i>lato sensu</i>	SCTFN-3-complements gallo-romains	205	5
Crémaillère	17407	872	C3	État 1 et 2.1	C3 et C4-20-sol 17407	63	11
Crémaillère	21167	1183	M	État 2.1	M-211-sol 21167	145	1
Crémaillère	21168	1273	P	État 2.3	P-17-décapage 21168	130	9
Crémaillère	17024	70	Espace D	État 4 <i>lato sensu</i>	D-2-gallo-romain	85	21
Crémaillère	11187	370	FP, branche nord	État 4 <i>lato sensu</i>	SCTFN-3-complements gallo-romains	205	6
Crémaillère	23059	658	Fouilles 2013			Non ill.	
Crémaillère	23095-2	712	Fouilles 2013			Non ill.	
Crémaillère	24447	956	Fouilles 2014			Non ill.	
Crémaillère	25391-1	945	Fouilles 2015			Non ill.	
Croc à viande	22201	45	R	Décapage	R-1-décapage	156	11
Croc à viande	8326		A1	État 2 <i>lato sensu</i>	A1-25-épannage est	16	12
Croc à viande	22474	857	S	État 2 <i>lato sensu</i>	S-7-Pt 22474	169	7
Croc à viande	17026	1526	Espace D	État 2-GR	D-6-pavage 17026	88	1
Croc à viande	21167	1232	M	État 2.1	M-211-sol 21167	145	3
Croc à viande	21023	1477	P	État 2.2	P-2-Fy 21023	130	4
Croc à viande	12547	427	Galerie niveau d'occupation	État 2.2	SCTG-8-occupation nord	188	13
Croc à viande	18506	3016	G	État 2.2 à 2.3	G-1-radier	96	7
Croc à viande	18514	1294	G4	État 2.2 à 2.3	G4-3-radier	103	16
Croc à viande	16623	1524	C5	État 2.3 à 3	C5-4-épannage	74	18
Croc à viande	21709	321	T	État 2.3 à 3	T-3-radier 21709	173	5
Croc à viande	24086-2	420	Fouilles 2014			Non ill.	
Croc à viande	24542	832	Fouilles 2014			Non ill.	
Cuillère	18014	100	C5 Cave	Décapage	C5C-12-décapage nord	79	4
Cuillère	22205	104	R	Décapage	R-1-décapage	156	12
Cuillère	18232	3030	Hors bâtiment	État 1	HB-10-Fo 18232	80	5
Cuillère	17158	1363	C6	État 2 <i>lato sensu</i>	C6-22-épannage	73	19
Cuillère	12538	597	Galerie niveau d'occupation	État 2.2	SCTG-8-occupation nord	188	14
Cuillère	16406	535	C3	État 2.2 à 2.3	C3-2-radier	60	15
Gril	16065	181	A7	Décapage	A7-1-décapage sud	23	1
Gril	16065	182	A7	Décapage	A7-1-décapage sud	23	2
Gril	15646	1716	Cour intérieur A	Décapage	ACI-1-décapage	27	12

Type	UF	No inv.	Bâtiment	État	Code Assemblage	Pl.	No
Gril	15414	702	Ruelle entre A et C	Décapage	AC-1-décapage	69	10
Gril	18726	1379	Espace D	Décapage	D-1-décapage	81	15
Gril	22239	272	R	Décapage	R-1-décapage	156	13
Gril	18684	3066	C1	État 1	C1-8-Fo 17084	52	8
Gril	17063	152	C1	État 1	C1-18-Fo art 17093	56	7
Gril	16413	1433	C3	État 1	C3-10-Fo 17478	62	6
Gril	20654	S1017	Q	État 1	Q-10-TP 20653	114	4
Gril	20654	S1016	Q	État 1	Q-10-TP 20653	114	5
Gril	20033	S3337	N	État 1	N-23-Fo 20031	128	7
Gril	20012	S3283	N	État 1	N-28-Sb 20011	128	9
Gril	17999-83	999	Place du complexe C (ouest)	État 1 et 2 <i>lato sensu</i>	CPL-3-sol ouest	46	21
Gril	20701	TRA202	Q	État 2 <i>lato sensu</i>	Q-8-TP 20701	113	6
Gril	20613	S2032	K	État 2 <i>lato sensu</i>	K-2-radier de sol	118	9
Gril	10192	2011	Galerie niveau de sol	État 2 <i>lato sensu</i>	SCTG-14-sol d'amphore 10192	191	13
Gril	10094	195	Enclos A	État 2-GR	SCTA-8-interface LT-GR	214	21
Gril	10289	2023	Enclos A	État 2-GR	SCTA-8-interface LT-GR	214	23
Gril	15627	1240	C3	État 2.1	C3-12-Ce 15540	62	13
Gril	17523	808	C7	État 2.1	C7-10-Ce 17522	72	6
Gril	17523	574	C7	État 2.1	C7-10-Ce 17522	72	9
Gril	17750	1754	E2	État 2.1	E2-4-TP 17766	110	2
Gril	22317	609	R	État 2.1	R-58-TP 22317	164	12
Gril	21152	1198	M	État 2.1 à 2.2	M-111-démontage radier 20080	143	7
Gril	22233	102	R	État 2.2	R-37-sol d'amphore 22233	161	14
Gril	21675	2640b	M	État 2.3	M-29-TP 21674	138	13
Gril	22229	884	R	État 3	R-4-radier 22229	158	6
Gril	17044	147	C5 Cave	État 4 <i>lato sensu</i>	C5C-2-piégeage	77	15
Gril	17008	131	Espace D	État 4 <i>lato sensu</i>	D-2-gallo-romain	85	18
Gril	16259	1034	Espace D	État 4 <i>lato sensu</i>	D-2-gallo-romain	85	19
Gril	16614	518	Espace D	État 4 <i>lato sensu</i>	D-2-gallo-romain	85	20
Gril	11189	2059	FP, branche nord	État 4 <i>lato sensu</i>	SCTFN-3-complements gallo-romains	205	4
Gril	HC2011	347	Hors contexte	Hors contexte	HC2011	234	16
Gril	23095-2	718	Fouilles 2013			Non ill.	
Gril	23151	835	Fouilles 2013			Non ill.	
Gril	25075-1	704	Fouilles 2015			Non ill.	
Louche	21752	81	Hémicycle gaulois/théâtre gallo-romain	Décapage	TH-1-décapage	174	21
Louche	14030	577	A1	État 1 à 2.1	A1-20-sol 14030	11	4
Louche	20065	S3107	M	État 2.1	M-116-Pal 20064	148	4
Louche	11184	378	FP, branche nord	État 4 <i>lato sensu</i>	SCTFN-3-complements gallo-romains	205	7
Potence	13706	463	Galerie niveau d'occupation	État 2.2	SCTG-9-occupation ouest	189	7
Trépied	18584	1415	G1/D2	État 2.1	G1/D2-1-TP18585	99	13
Ust. culinaire ind.	16431	1842	Ruelle entre A et C	État 2 <i>lato sensu</i>	AC-2-épandage	70	18
Ust. culinaire ind.	21221	1600	M	Décapage	M-1-décapage	133	10
Ust. culinaire ind.	15011	305	Temple à galerie périphérique	Décapage	SCTT-1-décapage	218	5
Ust. culinaire ind.	12000	2114	Cour du sanctuaire	Décapage	SCTE-1-décapage	220	22
Ust. culinaire ind.	20074	S3108	S	État 2 <i>lato sensu</i>	S-3-Fo 20074	168	8
Ust. culinaire ind.	21068	681	R	État 2.1	R-54-Fossé 22228	163	15
Ust. culinaire ind.	21145	866	R	État 2.2	R-40-Fossé 22271	162	16
Ust. culinaire ind.	12516	2061	FP, branche nord	État 4 <i>lato sensu</i>	SCTFN-3-complements gallo-romains	205	8
Ust. culinaire ind.	HC2007	375	Hors contexte	Hors contexte	HC2007	233	12

Cat 49. Récipients

Type	UF	No inv.	Bâtiment	État	Code Assemblage	Pl.	No
Chaudron	17042	123	C2	Décapage	C2-1-décapage	58	13
Chaudron	20063	S3091	M	État 2.3	M-27-épannage 20063	138	10
Chaudron	15590	1228	A1	État 1 à 2.1	A1-21-décapage 15590	15	10
Chaudron	15428	783	Cour intérieur A	Décapage	ACI-1-décapage	27	10
Chaudron	15449	647	B cour ouest	État 1 et 2 <i>lato sensu</i>	BCO-3-lambeaux de sol	40	21
Chaudron	17482	1753	C4	État 2.2 à 2.3	C4-7-démontage	65	43
Chaudron	16420	305	Ruelle entre A et C	État 2 <i>lato sensu</i>	AC-4-épannage	71	14
Chaudron	18726	3041	Espace D	Décapage	D-1-décapage	82	2
Chaudron	17852	1610	Espace D	Non phasé	D-8-amas de mobilier 17231	89	12
Chaudron	18780	3037	G3	État 2.1	G3-9-TP 18781	102	12
Chaudron	18504	3023	G4	État 4 <i>lato sensu</i>	G4-2-18504, démolition	103	12
Chaudron	20063	S3333	M	État 2.3	M-27-épannage 20063	138	9
Chaudron	21090	831	M	État 2.2	M-71-Fossé 21089	140	7
Chaudron	21167	1264	M	État 2.1	M-211-sol 21167	145	6
Chaudron	20174	S3231	M	État 2.2	M-68-Pal 20173	140	2
Chaudron	22206	232	R	Décapage	R-1-décapage	156	10
Chaudron	21209	1495a	M	État 1	M-169-Fo art 21208	152	11
Chaudron	21209	1495b	M	État 1	M-169-Fo art 21208	152	12
Chaudron	10094	56	Enclos A	État 2-GR	SCTA-8-interface LT-GR	214	22
Chaudron	15270	287	Cour du sanctuaire	Décapage	SCTE-1-décapage	220	24
Chaudron	HC2005	1158	Hors bâtiment	Hors contexte	HC2005	232	4
Chaudron	16066	1763	A1	État 2.3	A1-2-radier	2	15
Chaudron	8342	21	A1	État 1 à 2.1	A1-20-sol 14030	11	5
Chaudron	15590	1174	A1	État 1 à 2.1	A1-21-décapage 15590	15	9
Chaudron	8376		A1	État 1 à 2.1	A1-20-sol 14030	17	1
Chaudron	8376		A1	État 1 à 2.1	A1-20-sol 14030	17	2
Chaudron	8376		A1	État 1 à 2.1	A1-20-sol 14030	17	3
Chaudron	14014	468	A1	État 2 <i>lato sensu</i>	A1-26-épannage nord	18	8
Chaudron	16543	1844	A2	État 2.1	A2-10-sol 16543	20	8
Chaudron	16003	170	A7	Décapage	A7-1-décapage	22	7
Chaudron	16127	254	A7	Décapage	A7-1-décapage	22	8
Chaudron	15420	638	Cour entre A et B	Décapage	AB-1-décapage	34	16
Chaudron	15444	759	B corps principal	État 1	BCP-7-TP 15443	38	11
Chaudron	15444	760	B corps principal	État 1	BCP-7-TP 15443	38	11
Chaudron	15448	653	B cour ouest	État 1	BCO-15-15447	41	7
Chaudron	20654	S1008	Q	État 1	Q-10-TP 20653	114	10
Chaudron	20654	S1055	Q	État 1	Q-10-TP 20653	114	10
Chaudron	20613	S2091	K	État 2 <i>lato sensu</i>	K-2-radier de sol	118	7
Chaudron	20657	S2116	K	État 2 <i>lato sensu</i>	K-2-radier de sol	118	8
Chaudron	20891	S3242	M	État 2.2	M-69-radier 20249	140	3
Chaudron	21165	1408	M	État 2.1	M-211-sol 21167	145	5
Chaudron	21088	1288	M	État 2.1 à 2.2	M-114-Fo 21699-65 combi sup	147	5
Chaudron	21342	2514	M	État 2.1	M-123-Cave 21341	150	4
Chaudron	11124	201	Galerie niveau de sol	État 2-GR	SCTG-1-interface LT-GR	185	12
Chaudron	11244	499	Galerie (TP)	État 2 <i>lato sensu</i>	SCTG-38-TP 11244	198	5
Chaudron	12074	738	Entrée	État 2.2	SCTPE-3-occupation	201	1
Chaudron	12074	2085	Entrée	État 2.2	SCTPE-3-occupation	201	2
Chaudron	11187	354	FP, branche nord	État 4 <i>lato sensu</i>	SCTFN-3-complements gallo-ro-mains	205	1

Type	UF	No inv.	Bâtiment	État	Code Assemblage	Pl.	No
Chaudron	11264	2079	FP, branche nord	Non phasé	SCTFN-4-Fosse 11265	207	14
Chaudron	10052	27	Enclos A	État 4 <i>lato sensu</i>	SCTA-3-démolition	214	14
Chaudron	15051	119	Structure sur poteaux D	État 1 et 2 <i>lato sensu</i>	SCTD-2-épandage	219	4
Chaudron	15034	112	Structure sur poteaux D	État 1 et 2 <i>lato sensu</i>	SCTD-2-épandage	219	5
Récipient en fer	16009	95	A8	État 1 et 2 <i>lato sensu</i>	A8-2-épandage	31	21
Récipient en fer	21167	1386	M	État 2.1	M-211-sol 21167	145	2
Bassin	20065	S3092	M	État 2.1	M-116-Pal 20064	148	2
Bassin?	22214-5	749	M (cours sud)	État 2.2	M-66-Puits 22214	139	12
Cruche/Gobelet	15665	1249	Cour intérieur A	Non phasé	ACI-2-épandage	28	7
Cruche GR	17060	144	C5	État 2.3	C5-10-pouzzolane	76	13
Cruche	16133	272	A7	État 2 <i>lato sensu</i>	A7-8-Fo 16133	25	6
Cruche	18093	250	C5 Cave	État 2.2	C5C-5-combl med	78	6
Cruche ?	17151	1342	C5 Cave	État 2.2	C5C-6-combl inf	78	11
Cruche	16219	995	B corps principal	État 1	BCP-2-Fo 16218	36	22
Cruche	22590	2707	M	Non phasé	M-215-détecteur	155	9
Cruche	22232	221	R	État 2.3 à 3	R-17-épandage 22232	160	2
Cruche	13039	228	Galerie niveau d'occupation	État 2.2	SCTG-12-occupation est sud entrée	190	12
Cruche	HC2006	1384	Hors bâtiment	Hors contexte	HC2006	232	15
Cruche	HC2007	834	Hors contexte	Hors contexte	HC2007	233	8
Cruche			Prospections anciennes, coll. Daniel no 19			Non ill.	
Cruche			Prospections anciennes, coll. Daniel no 17			Non ill.	
Gobelet	18819	1715	Espace D	État 2.3 à 3	D-3-radiers petit module	87	4
Gobelet	20288	S3131	M	État 1	M-175-Fo 20288	153	6
Gobelet	HC2006	1510	Hors bâtiment	Hors contexte	HC2006	232	14
Passoire	16126	1612	A7	État 1 à 2.1	A7-10-remblai 16126	24	9
Passoire	16121	280	A10	Décapage	A10-1-décapage	32	18
Passoire	20603	S2165	K	État 2.2	K-11-Cave niv som 20603	122	5
Passoire	13543	102	Structure sur poteaux D	État 1 et 2 <i>lato sensu</i>	SCTD-2-épandage	219	2
Passoire	23023	134	Fouilles 2013			Non ill.	
Passoire	23840	1030	Fouilles 2013			Non ill.	
Passoire	24024	207	Fouilles 2014			Non ill.	
Passoire			Prospections anciennes, coll. Daniel no 2			Non ill.	
Passoire	16201	845	B	Décapage	B-1-décapage	35	20
Passoire	17050	181	C1 et C2	Décapage	C1-1-décapage	50	12
Passoire	17073	370	C6	État 2 <i>lato sensu</i>	C6-22-épandage	73	20
Passoire	21781	341	Hémicycle gaulois/théâtre gallo-romain	État 2.1	TH-29-cailloutis 21780	178	10
Passoire	13717	464	Structure sur poteaux D	État 1 et 2 <i>lato sensu</i>	SCTD-2-épandage	219	1
Passoire	23059	732	Fouilles 2013			Non ill.	
Passoire			Prospections anciennes, coll. Daniel no 25			Non ill.	
Passoire	16400	504	C	Décapage	C-1-décapage	42	17
Passoire	17501	497	Place du complexe C (ouest)	État 2 <i>lato sensu</i>	CPL-2-occupation ouest	45	6
Passoire	20621	S2002	K	Décapage	K-1-décapage	118	2
Passoire	20761	S2225	K annexe	État 2.1	K-21-Fo art 20636	123	6
Passoire	21081	1327	N	État 2 <i>lato sensu</i>	N-12-Fo 21077	127	12
Passoire	21267	904	M	État 2.2	M-105-sol 21267	142	16
Passoire	21152	1172	M	État 2.1 à 2.2	M-111-démontage radier 20080	143	5
Passoire	12037	556	Galerie aménagement empierré	État 2.3	SCTG-5-empierrements sud entrée	186	20
Passoire			Prospections anciennes, coll. Daniel no 1			Non ill.	
Seau	16067	215	A1 et A2	État 2.2	A1 et A2-2-radier	1	9
Seau	12008	2024	FP, branche nord	État 4 <i>lato sensu</i>	SCTFN-3-complements gallo-romains	205	3

Type	UF	No inv.	Bâtiment	État	Code Assemblage	Pl.	No
Seau	12802	2075	Temple à galerie périphérique	État 4.2	SCTT-10-Mur 12802	218	9
Seau	16006	35	A10	Décapage	A10-1-décapage	32	17
Seau	17050	140	C1 et C2	Décapage	C1-1-décapage	50	14
Seau	16266	970	C2	État 1 et 2 <i>lato sensu</i>	C2-8-16268	58	17
Seau	21055	1075	N	Décapage	N-1-décapage	126	4
Seau	12033	261	Entrée	État 4 <i>lato sensu</i>	SCTPE-1-remblais	199	11
Seau	12035	340	Edicule	État 4 <i>lato sensu</i>	SCTED-2-passe mécanique 12035	227	24
Seau	16200	820	B	Décapage	B-1-décapage	35	24
Seau	21699-53	998	M	État 2.3	M-35-TP 21699-52	139	2
Seau	14030	543	A1	État 1 à 2.1	A1-20-sol 14030	11	3
Seau	16121	258	A10	Décapage	A10-1-décapage	32	15
Seau	13050	298	Galerie (palissade extérieur)	État 2.3	SCTG-28-Pal ext. est	194	16
Seau	12074	994	Entrée	État 2.2	SCTPE-3-occupation	201	3
Seau	9217	3	Bâtiment A	État 4 <i>lato sensu</i>	SCTA-2-remblais	214	12
Seau	12073	806	Cuves et sols E	État 2-GR	SCTE-6-interface LT-GR	224	19
Seau	13902	125	Cuves et sols E	État 1 et 2 <i>lato sensu</i>	SCTE-7-sol de cailloutis	226	1
Seau/Situle	22280	601	M	État 2.2 à 2.3	M-63-Foyer	139	5
Seau/Situle	21143	1216	M	État 2.2	M-76-Solin 21143	142	4
Seau/Situle	11186	382	Galerie aménagement empierré	État 2.3	SCTG-6-dépôt de faune sur empièrrement	187	4
Seau/Situle	13541	296	FP, branche ouest	Perturbations modernes	SCTFO-2-perturbations modernes	212	17
Seau/Situle	13243	2030	FP, branche sud	État 1.2	SCTFS-6-arrachage palissade	212	10
Seau/Situle	11123	197	Cour du sanctuaire	État 2-GR	SCTE-6-interface LT-GR	224	20
Simpulum	21832	405	Hémicycle gaulois/théâtre gallo-romain	État 3	TH-21-radier 21832	177	2
Simpulum	24024	200	Fouilles récentes			Non ill.	
Simpulum			Prospections anciennes, coll. Daniel no 7			Non ill.	
Simpulum	16605	1521	C1	Décapage	C1-1-décapage	50	13
Simpulum	17071	266	C5	État 2.2 à 2.3	C5-3-radier	75	13
Simpulum-pas-soire	15517	522	A1	État 2.2 à 2.3	A1-9-Solin 15517	4	5
Simpulum-pas-soire	17698	848	C4	État 2.1	C4-10-Fo art 17698	67	5
Situle	17151	1652	C5 Cave	État 2.2	C5C-6-combl inf	78	14
Situle	17654	1758	C6	État 1	C6-11-TP 17653	73	11
Situle	17213	1737	C5	État 2.1	C5-17-Fo 17214	76	16
Situle	16259	913	Espace D	État 4 <i>lato sensu</i>	D-2-gallo-romain	85	15
Situle	22023-1	342	Q	État 2 <i>lato sensu</i>	Q-4-TP 22023	112	13
Situle	20712	S1053	Q	État 1	Q-15-TP 20711	113	9
Situle	21020	1159	M	État 2.2	M-74-radier 21020	142	1
Situle	22590	2706	M	Non phasé	M-215-détecteur	155	12
Situle	HC(sanctuaire)	3020	Hors contexte	Hors contexte	HC(sanctuaire)	230	9
Situle	HC2007	1116	Hors contexte	Hors contexte	HC2007	233	9
Situle	16017	84	A2	État 2.3	A2-3-sol 16017	19	8
Situle	13060	300	Galerie niveau de sol	État 2.1	SCTG-26-remblai sol est	193	14
Situle	15428	1758	Cour intérieur A	Décapage	ACI-1-décapage	27	11
Situle	16349	1848	B cour nord	État 1 à 2.1	BCN-13-TP 16349	39	18
Situle	17420	1066	Place du complexe C (ouest)	État 2 <i>lato sensu</i>	CPL-2-occupation ouest	45	5
Situle	18662	1551	C1	État 1 à 2.1	C1-15-épandage 18662	54	1
Situle	16444	522	C3	État 2.1	C3-5-Sb 16443	59	13
Situle	21020	1159	M	État 2.2	M-74-radier	142	1
Situle	21068	2099	R	État 2.1	R-54-Fossé 22228	163	12
V. ind. (bc)	13028	74	FP, branche est	État 4 <i>lato sensu</i>	SCTFE-2-complements gallo-romains	210	20

Type	UF	No inv.	Bâtiment	État	Code Assemblage	Pl.	No
V. ind. (bc)	16002	1609	A3 et A4	Décapage	A4 et A7-1-décapage	21	8
V. ind. (bc)	13711	417	Galerie niveau d'occupation	État 2.2	SCTG-9-occupation ouest	189	6
V. ind. (bc)	15201	28	Galerie aménagement empierré	État 2.3	SCTG-4-empierrements nord entrée	186	9
V. ind. (bc)	9129	3	Enclos B	État 1 et 2 <i>lato sensu</i>	SCTB-2-comblement branche nord	216	22
V. ind. (bc)	13201	28	Enclos C	Décapage	SCTC-1-décapage	217	2
V. ind. (bc)	8324		A1	Décapage	A1-1-décapage	2	5
V. ind. (bc)	17548	1045(2)	C7	État 2.1	C7-7-TP 17547	72	4
V. ind. (bc)	18584	1486	G1/D2	État 2.1	G1/D2-1-TP18585	99	11
V. ind. (bc)	18712	2114	G1/D2	État 2.1	G1/D2-1-TP18585	100	10
V. ind. (bc)	18003	2050	H et F	Décapage	H, F et C5C-1-décapage	104	14
V. ind. (bc)	20812	S3360	M	État 1	M-173-Sb 20811	152	16
V. ind. (bc)	13060	334	Galerie niveau de sol	État 2.1	SCTG-26-remblai sol est	193	15
V. ind. (bc)	15045	153	Structure sur poteaux D	État 1 et 2 <i>lato sensu</i>	SCTD-2-épannage	219	3
V. ind. (bc)	HC2005	504	Hors bâtiment	Hors contexte	HC2005	232	6
V. ind. (bc)	HC2012	685	Hors contexte	Hors contexte	HC2012	Non ill.	
V. ind. (bc) GR	HC2005	507	Hors bâtiment	Hors contexte	HC2005	232	5
V. ind. (bc) GR	18410	1685	Espace D	État 4 <i>lato sensu</i>	D-2-gallo-romain	85	16
V. ind. (bc) GR	18726	1380	Espace D	Décapage	D-1-décapage	82	1
V. ind. (bc) GR	10037	50	Galerie gallo-romaine, branche nord	État 4.3	SCTGRN-4-démolition	182	23
V. ind. (bc) GR	10093	239	Galerie niveau de sol	État 2 <i>lato sensu</i>	SCTG-14-sol de cailloutis	191	12
V. ind. (bc) GR	12505	188	FP, branche nord	État 4 <i>lato sensu</i>	SCTFN-3-complements gallo-romains	205	9
V. ind. (bc) GR	12504	23	Cour du sanctuaire	Décapage	SCTE-1-décapage	220	23

Cat 50. Instruments de toilette

Groupe	UF	No inv.	Bâtiment	État	Code Assemblage	Pl.	No
Trousse	17017	134	C6	Décapage	C6-1-décapage	073	08
Trousse	17024	106	Espace D	État 4 <i>lato sensu</i>	D-2-gallo-romain	084	14
Trousse	21006	1028	P	Décapage	P-1-décapage	129	12
Trousse	21006	1026	P	Décapage	P-1-décapage	129	13
Trousse	15257	167	FP, branche est	État 1.2	SCTFE-5-arrachage palissade nord entrée	211	09
Trousse	11123	202	Cour du sanctuaire	État 2-GR	SCTE-6-interface LT-GR	224	24
Trousse	23155-1	861	Fouille 2013	État 3	Cellier 23155	Non ill.	
Trousse	8036		Sondage 1992 6	Sondage 1992 6	HB-8-sondage 1992 6	231	11
Trousse	15611	864	A2	État 2.3	A2-2-radier	019	04
Trousse	17843	372	Hors ensemble (tombe)	Décapage	HET-1-décapage	110	15
Trousse	23006	642	Fouille 2013	Décapage	Fouille 2013	Non ill.	
Trousse					Prospection, Faye 1995, no 359	Non ill.	
Scalptorium	21167	1182	M	État 2.1	M-211-sol 21167	144	14
Sonde	17026	1537	Espace D	État 2-GR	D-6-pavage 17026	088	05
Sonde	22316	510	R	État 2.3	R-24-Fo 22316	160	10
Sonde	15629	1001	A8	Décapage	A8 et A4-1-décapage	030	24
Sonde	16005	24	A10	Décapage	A10-1-décapage	032	14
Sonde	24027	504	Fouille 2014	Décapage	Fouille 2014	Non ill.	
Sonde	25001	41	Fouille 2015	Décapage	Fouille 2015	Non ill.	
Cure-oreille	16308	857	B cour ouest	État 1 et 2 <i>lato sensu</i>	BCO-3-lambeaux de sol	040	20
Cure-oreille	22473	184	S	État 2.2 à 2.3	S-10-Fé 22473	170	04
Cure-oreille	HC2007	672	Hors contexte	Hors contexte	HC2007	233	07
Ind.	12700	125	Bâtiment A	Décapage	SCTA-1-décapage	214	02
Rasoir	18899	1688	Espace D	État 1 à 2.1	D-10-sol état laténien	090	08
Rasoir	15523	1708	A	État 2.3 à 3	A6-4-sol 15523	29	18
Rasoir	16047	145	A	État 1 et 2 <i>lato sensu</i>	ACI-7-TP 16046	28	21
Rasoir	21707	4	T	Décapage	T-1-décapage	172	08
Rasoir	10129	81	FP, branche nord	État 4 <i>lato sensu</i>	SCTFN-3-complements gallo-romains	207	01
Spatule-sonde	17302	365	C4	État 1	C4-18-TP 17301	066	19
Spatule-sonde	22457	190	Voies ouest	État 2 <i>lato sensu</i>	VO-2-Pal 22457 et 22491	171	02
Spatule-sonde	23122	877	Fouille 2013	État 1	Palissade 23122	Non ill.	
Spatule-sonde	25001	41	Fouille 2015	Décapage	Fouille 2015	Non ill.	
Spatule-sonde					Prospection, Faye 1995, no 361	Non ill.	
Scalpel	16062	187	A1	État 2.3	A1-2-radier	002	16
Scalpel	HC2006	1561	Hors bâtiment	Hors contexte	HC2006	232	16

Cat 51. Miroirs et pincettes

Groupe	Type	UF	No inv.	Bâtiment	État	Code Assemblage	Pl.	No
Miroir	0	16008	61	Cour intérieur A	Non phasé	ACI-2-épannage	028	11
Miroir	0	17020	1774	C5 Cave	Décapage	C5C-1-décapage	077	05
Miroir	0	22058	683	Q	État 2 <i>lato sensu</i>	Q-6-TP 22058	113	03
Miroir	0	21708	185	T	Décapage	T-2-décapage sur radier 21709	172	21
Miroir	0	HC (théâtre)	283	Hémicycle gaulois/théâtre gallo-romain	Hors contexte	TH-55-HC (théâtre)	181	4
Miroir	0	13201	35	Enclos C	Décapage	SCTC-1-décapage	217	03
Miroir	1	21781	312	Hémicycle gaulois/théâtre gallo-romain	État 2.1	TH-29-cailloutis 21780	178	11

Groupe	Type	UF	No inv.	Bâtiment	État	Code Assemblage	PI.	No
Miroir	1	18516	1164	Espace D	Décapage	D-1-décapage	082	03
Miroir	1	22497	388	S	État 1 à 2.1	S-23-TP 22497	170	14
Miroir	1	22497	480	S	État 1 à 2.1	S-23-TP 22497	170	14
Miroir	1	12071	633	Galerie niveau de sol	État 2.2	SCTG-11-occupation est nord entrée	190	08
Miroir	1	9220	2	FP, branche nord	État 4 <i>lato sensu</i>	SCTFN-3-complements gallo-romains	207	02
Miroir	1	15001	1	Temple à galerie périphérique	État 4.2	SCTT-6-Mur 15001	218	07
Miroir	2	9015		Cour du sanctuaire	Décapage	SCTE-1-décapage	220	30
Pincette	0	15683	854	C3	Non phasé	C3-1-décapage	Non ill.	
Pincette	0	15472	728	B corps principal	Décapage	B-1-décapage	035	21
Pincette	0	17660	954	C6	État 2.1	C6-2-TP 17659	073	10
Pincette	0	12085	871	Cuves et sols E	État 1 et 2 <i>lato sensu</i>	SCTE-11-Cuve 12082	227	07
Pincette	1	8323		A1	Décapage	A1-1-décapage	002	06
Pincette	1	17101	1316	G1/D2	État 1	G1/D2-7-TP 17102	101	15
Pincette	1	13055	249	Galerie (palissade extérieur)	État 2.3	SCTG-28-Pal ext. est	194	18
Pincette	1					Prospection, Faye 1995, no 360	Non ill.	
Pincette	2	22247	413	R	État 2.2	R-36-radier 22247	161	12
Pincette	2	22210	176	Voies ouest	Non phasé	VO-19-épandage 22210	171	16
Pincette	2	21752	99	Hémicycle gaulois/théâtre gallo-romain	Décapage	TH-1-décapage	174	22
Pincette	2	23105	592	Fouille 2013	Décapage	Fouille 2013	Non ill.	
Pincette	2	24092	1026	Fouille 2014	Décapage	Fouille 2014	Non ill.	
Pincette	3	21127	760	M	État 2.3	M-16-sol 211	136	6
Pincette	3	11354	340	Cuves et sols E	État 2-GR	SCTE-6-interface LT-GR	224	23

CAT 52. Éléments liés au transport

Type	UF	No inv.	Bâtiment	État	Code Assemblage	PI.	No
Bandage de roue	16307	1036	C2	État 1 à 2.2	C2-12-épandage 16307	58	21
Bandage de roue	16560	1325	A1	État 1 à 2.1	A1-20-sol 14030	10	14
Bandage de roue	17044	1466	C5 Cave	État 4 <i>lato sensu</i>	C5C-2-piégeage	77	18
Bandage de roue	17703	604	A1	État 1 à 2.1	A1-20-sol 14030	10	15
Bandage de roue	15420	600	Cour entre A et B	Décapage	AB-1-décapage	34	17
Bandage de roue	15402	812	A1	Décapage	A1-1-décapage	2	8
Bandage de roue	18506	1099	G	État 2.2 à 2.3	G-1-radier	96	15
Bandage de roue	22214-5	747	M (cours sud)	État 2.2	M-66-Puits 22214	139	14
Bandage de roue	22252	797	R	État 1	R-70-Fo art 22252	165	2
Bandage de roue	22252	896	R	État 1	R-70-Fo art 22252	165	1
Bandage de roue	18099	1144	F	État 2.1	F-10-Fo 18098	108	6
Bandage de roue	8353		Ruelle entre A et C	État 1 et 2 <i>lato sensu</i>	AC-2-sol	70	2
Boîte à moyeu	12073	2049	Cuves et sols E	État 2-GR	SCTE-6-interface LT-GR	224	26
Boîte à moyeu	18099	2084	F	État 2.1	F-10-Fo 18098	108	4
Boîte à moyeu	8386		Ruelle entre A et C	État 1 et 2 <i>lato sensu</i>	AC-2-sol	70	1
Boîte à moyeu	21109	2587	R	État 1	R-74-TP 21108	165	11
Frette de moyeu	20104	S3123	L	État 2.2 à 2.3	L-2-sol	125	4
Frette de moyeu	20040	TRB2016	L	État 2.2 à 2.3	L-2-sol	125	3
Frette de moyeu	20040	TRB2015	L	État 2.2 à 2.3	L-2-sol	125	5
Frette de moyeu	21068	682	R	État 2.1	R-54-Fossé 22228	163	11
Frette de moyeu	18099	2083	F	État 2.1	F-10-Fo 18098	108	3

Type	UF	No inv.	Bâtiment	État	Code Assemblage	Pl.	No
Renfort d'essieu	17282	1673	Espace D	État 4 <i>lato sensu</i>	D-5-Fo 17873	87	11
Renfort d'essieu	18099	2082	F	État 2.1	F-10-Fo 18098	108	5
Clavette	18099	2085	F	État 2.1	F-10-Fo 18098	108	1
Clavette	18003	1140	H et F	Décapage	H, F et C5C-1-décapage	104	16
Clavette	22473	185	S	État 2.2 à 2.3	S-10-Fé 22473	170	7
Clavette	15646	1233	Cour intérieur A	Décapage	ACI-1-décapage	27	6
Applique de caisse	20039	S3202	M	État 2.3	M-14-radier 20039	136	4
Applique de caisse	17008	1779	Espace D	État 4 <i>lato sensu</i>	D-2-gallo-romain	84	22
Applique de caisse	22351	647	R	État 2.2	R-40-Fossé 22271	162	17
Applique de caisse	8353	2	Ruelle entre A et C	État 1 et 2 <i>lato sensu</i>	AC-2-sol	70	3
Bouton de caisse GR	11181	330	FP, branche nord	État 4 <i>lato sensu</i>	SCTFN-3-complements gallo-romains	207	3
Piton à œillet	22023	327	Q	État 2 <i>lato sensu</i>	Q-4-TP 22023	112	17
Piton à œillet	8372		A1	État 1 à 2.1	A1-20-sol 14030	10	13
Piton à œillet	12074	752	Entrée	État 2.2	SCTPE-3-occupation	201	4
Piton à œillet	16259	765	Espace D	État 4 <i>lato sensu</i>	D-2-gallo-romain	84	21
Piton coudé	16304	1796	B cour nord	État 1 à 2.1	BCN-8-Pal 16303	39	14
Embout de timon	16059	238	A4 et A7	État 1 à 2.1	A7-10-remblai 16126	24	14
Embout de timon	11345	181	Cour du sanctuaire	État 1 et 2 <i>lato sensu</i>	SCTE-7-sol de cailloutis	226	15
Embout de timon	25414	715	Fouille 2015	Trou de poteau laténien		Non ill.	
Passe-guide Verna	18076	3093	H	État 1	H-20-Ce 18075	105	10
Passe-guide Hoppstädten	25012-1	101	Fouille 2015	Fosse laténienne	Fouille 2015	Non ill.	
Passe-guide	8388		C4	État 1 et 2 <i>lato sensu</i>	C4-8-épandage	66	5
Boucle	17282	1550	Espace D	État 4 <i>lato sensu</i>	D-5-Fo 17873	87	12
Boucle	11302	5	Cour du sanctuaire	État 4 <i>lato sensu</i>	SCTE-3-remblai cours	222	29
Boucle	HC(sanctuaire)	1041	Hors contexte	Hors contexte	HC(sanctuaire)	230	12
Boucle	13577	2045	Galerie niveau d'occupation	État 2.2	SCTG-9-occupation ouest	189	10
Distributeur de courroie	22474	111	S	État 2 <i>lato sensu</i>	S-7-Pt 22474	169	4
Distributeur de courroie	16232	1003	B corps principal	État 2 <i>lato sensu</i>	BCP-5-Fo 16231	38	5
Mors	17521	518	Place du complexe C (est)	État 2 <i>lato sensu</i>	CPL-4-épandage est	48	3
Mors	21342	868	M	État 2.1	M-123-Cave 21341	150	5
Mors	22232	237	R	État 2.3 à 3	R-17-épandage 22232	160	1
Mors	12901	103	Galerie niveau de sol	État 2 <i>lato sensu</i>	SCTG-18-sol d'amphore sud	191	15
Pendant de harnais	16408	577	C3	État 1 à 2.1	C3-7-Ce 17405	61	3
Pendant de harnais	17063	158	C1	État 1	C1-18-Fo art 17093	56	8
Pendant de harnais	14021	433	A1	État 2 <i>lato sensu</i>	A1-26-épandage nord	18	4
Pendant de harnais	18521	1081	Espace D	État 4 <i>lato sensu</i>	D-2-gallo-romain	84	20
Pendant de harnais	17008	1785	Espace D	État 4 <i>lato sensu</i>	D-2-gallo-romain	84	19
Pendant de harnais	8341		A1	État 1 à 2.1	A1-20-sol 14030	10	12
Pendant de harnais	13081	449	FP, branche est	État 1.2	SCTFE-6-arrachage palissade sud entrée	211	19
Pendant de harnais	22520	817	O	État 2 <i>lato sensu</i>	O-17-Fossé 22520	167	10
Applique de harnais	9225		Cour du sanctuaire	État 4 <i>lato sensu</i>	SCTE-3-remblai cours	222	27

Type	UF	No inv.	Bâtiment	État	Code Assemblage	Pl.	No
Agrafe de harnais	22313	606	R	État 2.3	R-25-Sb 22313	160	11
Agrafe de harnais	22005-1	578	Q	État 2 <i>lato sensu</i>	Q-3-Bs 22005	112	3
Agrafe de harnais	24913	1150			Fouille 2014	Non ill.	
Phalère	16013	66	A6	État 2.3 à 3	A6-4-sol 15523	29	19
Phalère	16409	655	Place du complexe C (ouest)	État 1 et 2 <i>lato sensu</i>	CPL-3-sol ouest	46	20
Phalère	21699-20	2517	M	État 2.2 à 2.3	M-26-TP 21699-19	138	1
Phalère	22269	429	Voies ouest	État 1	VO-13-Fo 22269	171	13
Phalère	11320	77	Cuves et sols E	État 4 <i>lato sensu</i>	SCTE-3-remblai cours	222	28
Phalère	21899-197	278	Hémicycle gaulois/théâtre gallo-romain	Non phasé	TH-49-Fo 21899-196	181	1
Phalère	21260	754	M	Non phasé	M-213-TP 21259	155	3
Phalère	21098	745	M	État 1	M-170-TP 21097	154	3
Eperon	21718	1	Hémicycle gaulois/théâtre gallo-romain	Décapage	TH-3-décapage	175	11
Eperon	HC(sanctuaire)	2020	Hors contexte	Hors contexte	HC(sanctuaire)	230	13
Eperon	25014	251			Fouille 2015	Non ill.	
Eperon	16232	1025	B	État 2 <i>lato sensu</i>	BCP-5-Fo 16231	38	3
Eperon	22271	512	R	État 2.2	R-40-Fossé 22271	162	18
Pique-bœuf	16229	876	B corps principal	État 1	BCP-28-Sb 16228	39	7
Pique-bœuf	17472	1105	F	État 2 <i>lato sensu</i>	F-3-Ct 17470	106	3
Pique-bœuf	17036	1433	G1/D2	Décapage	G1/D2-6-décapage	101	11
Pique-bœuf	15480	773	C3	Décapage	C3-1-décapage	59	5
Pique-bœuf	15712	1720	Ruelle entre A et C	État 1 et 2 <i>lato sensu</i>	AC-2-sol	70	4
Pique-bœuf	16059	1748	A4 et A7	État 1 à 2.1	A7-10-remblai 16126	24	15
Pique-bœuf	16420	1732	Ruelle entre A et C	État 2 <i>lato sensu</i>	AC-4-épandage	71	13
Pique-bœuf	16201	828	B	Décapage	B-1-décapage	35	22
Pique-bœuf	16121	1797	A10	Décapage	A10-1-décapage	32	23
Pique-bœuf	11153	272	Cour du sanctuaire	État 2-GR	SCTE-6-interface LT-GR	224	25
Pique-bœuf	12904	351	Galerie (palissade extérieur)	État 2.3	SCTG-27-Pal ext. sud	194	2
Pique-bœuf	HC(sanctuaire)	288	Hors contexte	Hors contexte	HC(sanctuaire)	230	14
Pique-bœuf	19083	75	Sanctuaire Extérieur nord	État 2 <i>lato sensu</i>	SCTX-8-Fy 19083	228	9
Pique-bœuf	18572	1311c	G1/D2	État 2.1	G1/D2-2-TP18573	101	1
Clou de ferrure	HC2007	1111	Hors contexte	Hors contexte	HC2007	Non ill.	
Clou de ferrure	21015	683	M	État 2.3	M-20-Blocs 21015	Non ill.	
Clou de ferrure	21019		M	Décapage	M-1-décapage	Non ill.	
Clou de ferrure	21723		Hémicycle gaulois/théâtre gallo-romain	État 4.2, construction	TH-11-remblai 21723	Non ill.	
Clou de ferrure	21170		M (ruelle)	État 2.1	M-122-Pal 21169	Non ill.	
Clou de ferrure	21708		T	Décapage	T-2-décapage sur radier 21709	Non ill.	
Clou de ferrure	15414		Ruelle entre A et C	Décapage	AC-1-décapage	Non ill.	
Clou de ferrure	21752		Hémicycle gaulois/théâtre gallo-romain	Décapage	TH-1-décapage	Non ill.	
Clou de ferrure	21005		M	Décapage	M-1-décapage	Non ill.	
Clou de ferrure	15612		Cour entre A et B	Décapage	AB-1-décapage	Non ill.	
Clou de ferrure	10000	63	Cour du sanctuaire	Décapage	SCTE-1-décapage	Non ill.	
Fer à cheval	21019	564	M	Décapage	M-1-décapage	Non ill.	
Fer à cheval	HC2011	469	Hors contexte	Hors contexte	HC2011	Non ill.	
Fer à cheval	22467	290	S	Décapage	S-1-décapage	Non ill.	
Fer à bœuf	HC2007	671	Hors contexte	Hors contexte	HC2007	233	11

Cat 53. Objets liés à l'écriture

Type	UF	No inv.	Bâtiment	État	Code Assemblage	Pl.	No
Boîte à sceau	15428	758	Cour intérieur A	Décapage	ACI-1-décapage	27	9
Boîte à sceau	16404	342	Place du complexe C	Décapage	CPL-1-décapage	43	8
Stylet (os)	17106	1476	C5	État 2.1	C5-19-TP 17107	Non ill.	
Stylet (os)	17230	1582	Espace D	Non phasé	D-8-amas de mobilier 17231	Non ill.	
Stylet (os)	22278-1	417	R	État 2.3	R-22-Fossé 22278	Non ill.	
Stylet (os)	20343	S4030	Hémicycle gaulois/théâtre gallo-romain	État 1	TH-40-sol 20343	Non ill.	
Stylet (os)					Collection Daniel, no 29	Non ill.	
Stylet	15428	1702	Cour intérieur A	Décapage	ACI-1-décapage	27	8
Stylet	18503	1029	Bâtiment gallo-romain nord	Décapage	BGRN-1-nettoyage	94	14
Stylet	11168	321	Cour du sanctuaire	État 4 <i>lato sensu</i>	SCTE-3-remblai cours	223	12
Stylet	12045	358	Cour du sanctuaire	État 4 <i>lato sensu</i>	SCTE-3-remblai cours	223	11

Cat 54. Poids et mesures

Groupe	UF	No inv.	Bâtiment	État	Code Assemblage	Pl.	No
Fléau	8343		A1	État 1 à 2.1	A1-20-sol 14030	10	9
Fléau	16126	1630	A7	État 1 à 2.1	A7-10-remblai 16126	24	13
Fléau	16405	605	Place du complexe C (ouest)	État 2 <i>lato sensu</i>	CPL-2-occupation ouest	44	15
Fléau	17471	1107	F	État 2 <i>lato sensu</i>	F-3-Ct 17470	106	2
Fléau	20315	S4053	Hémicycle gaulois/théâtre gallo-romain	État 2.1	TH-31-Sb 20314	179	13
Fléau	9125		Galerie gallo-romaine, branche nord	Décapage	SCTGRN-1-décapage	182	11
Fléau	12074	704	Entrée	État 2.2	SCTPE-3-occupation	200	8
Fléau	12073	2007	Cuves et sols E	État 2-GR	SCTE-6-interface LT-GR	224	22
Fléau			Prospection ancienne		Fond Daniel, no 3	Non ill.	
Fléau			Prospection ancienne		Fond Daniel, no 24	Non ill.	
Fléau	24525-1	804	Fouille 2014	Fouille 2014	Fouille 2014	Non ill.	
Fléau	24026	416	Fouille 2014	Fouille 2014	Fouille 2014	Non ill.	
Plateau	16135	275	A10	État 1	A10-2-Fo 16134	33	2
Plateau	18404	1720	C3	État 1	C3-26-Fo art 18668	64	2
Plateau	21179	783	M	Décapage	M-1-décapage	132	16
Plateau	12063	724	Galerie gallo-romaine, branche est	État 4.2	SCTGRE-18-sol 12063	184	14
Plateau	12074	717	Entrée	État 2.2	SCTPE-3-occupation	200	10
Plateau	12074	718	Entrée	État 2.2	SCTPE-3-occupation	200	9
Poids (bc)	8345		A1	État 1 à 2.1	A1-20-sol 14030	10	10
Poids (bc)	18676	1592	C1	État 1	C1-22-Fo art 18676	57	4
Poids (bc)	18676	1599b	C1	État 1	C1-22-Fo art 18676	57	3
Poids (bc)	16411	1497	C3	État 1 à 2.1	C3-15-sol 16411	63	5
Poids (billon)	22229	50	R	État 3	R-4-radier 22229	158	8
Poids (lithique)	21403	930	M	État 1 à 2.2	M-196-Sb 21402	Non ill.	
Poids (lithique)	16023	112	A7	État 1 à 2.1	A7-10-remblai 16126	24	12
Poids (lithique)	17426	1082	E3	État 2.1	E3-2-TP 17425	110	3
Poids (pb)	17151	1658	C5 Cave	État 2.2	C5C-6-combl inf	78	16
Poids (pb)	17104	1488	Espace D	État 4 <i>lato sensu</i>	D-2-gallo-romain	85	12
Poids (pb)	13038	206	Galerie niveau d'occupation	État 2.2	SCTG-12-occupation est sud entrée	190	15
Poids (pb)	13059	260	Galerie niveau d'occupation	État 2.2	SCTG-12-occupation est sud entrée	190	14
Poids (pb)	HC(sanctuaire)	432	Hors contexte	Hors contexte	HC(sanctuaire)	230	11

Groupe	UF	No inv.	Bâtiment	État	Code Assemblage	Pl.	No
Poids (pb)	HC2011	416	Hors contexte	Hors contexte	HC2011	234	14
Poids (pb)	18569	1302	Bâtiment gallo-romain nord	État 4 <i>lato sensu</i>	BGRN-2-Fo 18887	94	23
Poids (pb)	21019	511	M	Décapage	M-1-décapage	132	17
Poids (pb)	22207	R	R	État 2.1	R-54-Fossé 22228	163	4
Poids (pb)	15239	243	Galerie niveau de sol	État 2 <i>lato sensu</i>	SCTG-19-sol d'amphore est nord entrée	192	6

Cat 55. Objets polyvalents

Type	UF	No inv.	Bâtiment	État	Code Assemblage	Pl.	No
Agrafe de réparation	15667	1040	A9	Décapage	A8-2-épannage	31	14
Agrafe de réparation	18515	1077	G	Décapage	BGRN-1-nettoyage	94	12
Agrafe de réparation	18004	44	C5 cave	État 2.2 à 2.3	C5C-3-radier sup	77	27
Agrafe de réparation	17523	564	C7	État 2.1	C7-10-Ce 17522	72	8
Agrafe de réparation	17520	959	Place du complexe C (ouest)	État 2 <i>lato sensu</i>	CPL-4-épannage est	48	9
Agrafe de réparation	18726	1388	Espace D	Décapage	D-1-décapage	82	10
Agrafe de réparation	17026	1560	Espace D	État 2-GR	D-6-pavage 17026	88	9
Agrafe de réparation	17230	1624	Espace D	Non phasé	D-8-amas de mobilier 17231	89	11
Agrafe de réparation	17780	652	E1	Non phasé	E1-2-épannage	109	7
Agrafe de réparation	18519	1198	G	État 1 et 2 <i>lato sensu</i>	G-2-cailloutis	98	13
Agrafe de réparation	18502	1078	G4	Décapage	G4-1-18502, décapage	103	3
Agrafe de réparation	18067	2003	H	État 2.1	H-7-TP 18067	105	7
Agrafe de réparation	HC2006	762	Hors bâtiment	Hors contexte	HC2006	Non ill.	
Agrafe de réparation	HC2006	1562	Hors bâtiment	Hors contexte	HC2006	232	21
Agrafe de réparation	HC2007	1678	Hors contexte	Hors contexte	HC2007	Non ill.	
Agrafe de réparation	HC2010	S2216	Hors contexte	Hors contexte	HC2010	Non ill.	
Agrafe de réparation	HC2011	2529	Hors contexte	Hors contexte	HC2011	Non ill.	
Agrafe de réparation	HC2011	471	Hors contexte	Hors contexte	HC2011	Non ill.	
Agrafe de réparation	HC2012	156	Hors contexte	Hors contexte	HC2012	Non ill.	
Agrafe de réparation	HC2012	162	Hors contexte	Hors contexte	HC2012	Non ill.	
Agrafe de réparation	HC2012	690	Hors contexte	Hors contexte	HC2012	Non ill.	
Agrafe de réparation	HC2012	762	Hors contexte	Hors contexte	HC2012	Non ill.	
Agrafe de réparation	21389	2530	M	État 2.1	M-132-Pal 21388	Non ill.	
Agrafe de réparation	22590	2731	M	Non phasé	M-215-détecteur	155	8
Agrafe de réparation	22506	561	N	État 2.2 à 2.3	N-5-Pal 22506	127	4
Agrafe de réparation	22228	645a	R	État 2.1	R-54-Fossé 22228	163	13
Agrafe de réparation	22228	645b	R	État 2.1	R-54-Fossé 22228	163	14

Type	UF	No inv.	Bâtiment	État	Code Assemblage	Pl.	No
Agrafe de réparation	22524	562	S	État 2 <i>lato sensu</i>	S-9-Fé 22524	169	11
Anneau de sertissage	17703	603	A1	État 1 à 2.1	A1-20-sol 14030	13	11
Anneau de sertissage	16135	1803	A10	État 1	A10-2-Fo 16134	33	3
Anneau de sertissage	15428	612	Cour intérieur A	Décapage	ACI-1-décapage	27	18
Anneau de sertissage	15665	1042	Cour intérieur A	Non phasé	ACI-2-épannage	28	12
Anneau de sertissage	16402	570	C1	Décapage	C1-1-décapage	50	20
Anneau de sertissage	16407	630	Place du complexe C (ouest)	État 2 <i>lato sensu</i>	CPL-2-occupation ouest	45	7
Anneau de sertissage	16614	1790	Espace D	État 4 <i>lato sensu</i>	D-2-gallo-romain	86	11
Anneau de sertissage	18572	1311b	G1/D2	État 2.1	G1/D2-2-TP18573	101	2
Anneau de sertissage	20001 13C	S3034	M	Décapage	M-1-décapage	133	5
Anneau de sertissage	21171	805	M	Décapage	M-1-décapage	133	6
Anneau de sertissage	21179	798	M	Décapage	M-1-décapage	133	7
Anneau de sertissage	21088	1291	M	État 2.1 à 2.2	M-114-Fo 21699-65 combl sup	147	8
Anneau de sertissage	21088	1331	M	État 2.1 à 2.2	M-114-Fo 21699-65 combl sup	147	9
Anneau de sertissage	21592	2589b	M	État 1 à 2.1	M-161-Sb 21592	152	2
Anneau de sertissage	21033	2750	M	État 2.2	M-72-sol 21033	141	5
Anneau de sertissage	22023	328	Q	État 2 <i>lato sensu</i>	Q-4-TP 22023	112	18
Anneau de sertissage	10280	443	Enclos A	État 2-GR	SCTA-8-interface LT-GR	214	25
Anneau de sertissage	11372	532	Cuves et sols E	État 1 et 2 <i>lato sensu</i>	SCTE-7-sol de cailloutis	226	6
Anneau de sertissage	10258	2019	FP, branche nord	État 4 <i>lato sensu</i>	SCTFN-3-complements gallo-romains	207	9
Anneau de sertissage	10129	83	FP, branche nord	État 4 <i>lato sensu</i>	SCTFN-3-complements gallo-romains	207	10
Applique	14030	551	A1	État 1 à 2.1	A1-20-sol 14030	13	1
Applique	16560	1326	A1	État 1 à 2.1	A1-20-sol 14030	13	2
Applique	16068	195	A4	État 2.2 à 2.3	A4-2-radier	21	14
Applique	15588	1759	A5	Décapage	A5-1-décapage	29	5
Applique	16138	285	A7	État 1	A7-22-Sb 16137	25	14
Applique	15646	1754	Cour intérieur A	Décapage	ACI-1-décapage	26	24
Applique	15646	1073	Cour intérieur A	Décapage	ACI-1-décapage	27	19
Applique	18503	1005	Bâtiment gallo-romain nord	Décapage	BGRN-1-nettoyage	94	16
Applique	18662	1563	C1	État 1 à 2.1	C1-15-épannage 18662	54	2
Applique	17427	417	C5	État 1 et 2 <i>lato sensu</i>	C5-5-épannage ouest	76	4
Applique	17044	1437	C5 Cave	État 4 <i>lato sensu</i>	C5C-2-piégeage	77	22
Applique	17155	1403	Place du complexe C (nord-est)	État 1 et 2 <i>lato sensu</i>	CPL-5-sol est	49	2
Applique	18500	1151	Espace D	Décapage	D-1-décapage	82	12
Applique	16259	896	Espace D	État 4 <i>lato sensu</i>	D-2-gallo-romain	86	15
Applique	16621	514	Bâtiment gallo-romain nord	État 4 <i>lato sensu</i>	D-2-remblais gallo-romains	86	18
Applique	18232	2047	Hors bâtiment	État 1	HB-10-Fo 18232	80	3
Applique	HC(sanctuaire)	2095	Hors contexte	Hors contexte	HC(sanctuaire)	230	18
Applique	HC2007	1781	Hors contexte	Hors contexte	HC2007	233	4

Type	UF	No inv.	Bâtiment	État	Code Assemblage	Pl.	No
Applique	HC2008	3061	Hors contexte	Hors contexte	HC2008	233	20
Applique	20760	S2229	K	État 2.2	K-16-Cave utilisation	123	1
Applique	21699-8	2519	M	État 2.1	M-227-Charbons 21699-8	151	4
Applique	20129	S3165	M	État 3	M-4-radier d'amphore 20099	135	7
Applique	20396	E2009	O	État 2.2	O-3-Fo art 20395	167	7
Applique	22005-3	330	Q	État 2 <i>lato sensu</i>	Q-3-Bs 22005	112	9
Applique	10119	65	Bâtiment A	État 4 <i>lato sensu</i>	SCTA-5-empierrement 10119	214	15
Applique	15035	118	Structure sur poteaux D	État 1 et 2 <i>lato sensu</i>	SCTD-2-épandage	219	9
Applique	11168	309	Cour du sanctuaire	État 4 <i>lato sensu</i>	SCTE-3-remblai cours	223	9
Applique	10204	174	Cour du sanctuaire	État 1 et 2 <i>lato sensu</i>	SCTE-7-sol de cailloutis	Non ill.	
Applique	11355	763	Cuves et sols E	État 1 et 2 <i>lato sensu</i>	SCTE-7-sol de cailloutis	Non ill.	
Applique	13508	60	FP, branche nord	Perturbations modernes	SCTFN-2-perturbations modernes	Non ill.	
Applique	13508	2006	FP, branche nord	Perturbations modernes	SCTFN-2-perturbations modernes	202	13
Applique	10241	329	FP, branche nord	État 4 <i>lato sensu</i>	SCTFN-3-complements gallo-romains	207	5
Applique	12505	70	FP, branche nord	État 4 <i>lato sensu</i>	SCTFN-3-complements gallo-romains	207	6
Applique	12926	548	Galerie niveau d'occupation	État 2 <i>lato sensu</i>	SCTG-10-occupation sud	190	1
Applique	13060	303	Galerie niveau de sol	État 2.1	SCTG-26-remblai sol est	193	16
Applique	13032	163	Galerie (palissade extérieur)	État 2.3	SCTG-28-Pal ext. est	194	19
Applique	13707	474	Galerie niveau d'occupation	État 2.2	SCTG-9-occupation ouest	189	11
Applique	HC (théâtre)	2525	Hémicycle gaulois/théâtre gallo-romain	Hors contexte	TH-55-HC (théâtre)	181	6
Chaîne	15737	1724	A2	Décapage	A2-1-décapage	1	19
Chaîne	16126	1394	A7	État 1 à 2.1	A7-10-remblai 16126	24	17
Chaîne	16145	1800	A7	État 1	A7-20-TP 16144	25	12
Chaîne	17050	1724	C1 et C2	Décapage	C1-1-décapage	50	19
Chaîne	17520	521	Place du complexe C (ouest)	État 2 <i>lato sensu</i>	CPL-4-épandage est	48	10
Chaîne	18506	1240	G	État 2.2 à 2.3	G-1-radier	96	14
Chaîne	HC(sanctuaire)	3015	Hors contexte	Hors contexte	HC(sanctuaire)	Non ill.	
Chaîne	HC(sanctuaire)	626	Hors contexte	Hors contexte	HC(sanctuaire)	Non ill.	
Chaîne	20608	S2256	K	État 2.2	K-4-Ce 20607	121	2
Chaîne	21005	1472	M	Décapage	M-1-décapage	133	8
Chaîne	21342	1603	M	État 2.1	M-123-Cave 21341	Non ill.	
Chaîne	21458	2509	M	État 1	M-167-Fo 21457	152	8
Chaîne	21052	715	M	État 3	M-3-radier 20052	134	11
Chaîne	21253	1601	M	État 2.2	M-79-St 21253	142	13
Chaîne	22460	849	N	État 2.1	N-7-Pal 22460	127	7
Chaîne	22061-1	838	Q	État 1	Q-32-TP 22061	117	9
Chaîne	12000	2112	Cour du sanctuaire	Décapage	SCTE-1-décapage	Non ill.	
Chaîne	11382	409	Cuves et sols E	État 1 et 2 <i>lato sensu</i>	SCTE-7-sol de cailloutis	226	5
Chaîne	13521	2032	FP, branche ouest	Décapage	SCTFO-1-décapage	Non ill.	
Chaîne	13014	145	Galerie niveau de sol	État 2 <i>lato sensu</i>	SCTG-22-sol dans galerie est	193	3
Chaîne	21752	163	Hémicycle gaulois/théâtre gallo-romain	Décapage	TH-1-décapage	174	26
Chaînette	15629	969	A8	Décapage	A8 et A4-1-décapage	30	23
Chaînette	17400	309	C	Décapage	C-1-décapage	42	12
Chaînette	17400	326	C	Décapage	C-1-décapage	42	13
Chaînette	16450	556	C4	État 2.1	C4-14-Ce 16449	66	15
Chaînette	17482	459	C4	État 2.2 à 2.3	C4-7-démontage	65	39
Chaînette	16259	924	Espace D	État 4 <i>lato sensu</i>	D-2-gallo-romain	86	12
Chaînette	21468	1397	Hors bâtiment	État 2.1	HB-4-Fo 21467	231	2
Chaînette	21019	625	M	Décapage	M-1-décapage	131	6

Type	UF	No inv.	Bâtiment	État	Code Assemblage	Pl.	No
Chaînette	21168	1490	P	État 2.3	P-17-décapage 21168	130	6
Chaînette	22023-1	338	Q	État 2 <i>lato sensu</i>	Q-4-TP 22023	112	11
Chaînette	22205	80	R	Décapage	R-1-décapage	156	3
Chaînette	10095	165	Enclos A	État 2-GR	SCTA-8-interface LT-GR	214	18
Chaînette	21708	25	T	Décapage	T-2-décapage sur radier 21709	172	20
Chaînette	22458	136	Voies ouest	État 2 <i>lato sensu</i>	VO-7-TP 22458	171	4
Coin de calage	17008	1700	Espace D	État 4 <i>lato sensu</i>	D-2-gallo-romain	86	14
Coin de calage	20417	S4052	Hémicycle gaulois/théâtre gallo-romain	État 1 et 2 <i>lato sensu</i>	TH-45-épandage 20417	180	10
Douille	16002	12	A3 et A4	Décapage	A4 et A7-1-décapage	21	11
Douille	16133	278	A7	État 2 <i>lato sensu</i>	A7-8-Fo 16133	25	7
Douille	18503	3036	Bâtiment gallo-romain nord	Décapage	BGRN-1-nettoyage	94	7
Douille	17042	1713	C2	Décapage	C2-1-décapage	58	6
Douille	15627	1723	C3	État 2.1	C3-12-Ce 15540	62	12
Douille	16453	676	C4	État 1 à 2.1	C4-21-TP 16452	66	21
Douille	17070	227	C5	État 1 et 2 <i>lato sensu</i>	C5-1-décapage	74	11
Douille	17044	1715	C5 Cave	État 4 <i>lato sensu</i>	C5C-2-piégeage	77	16
Douille	17999-13	975	Place du complexe C (ouest)	État 1 et 2 <i>lato sensu</i>	CPL-3-sol ouest	46	14
Douille	17999-15	1759	Place du complexe C (ouest)	État 1 et 2 <i>lato sensu</i>	CPL-3-sol ouest	46	15
Douille	18516	3009	Espace D	Décapage	D-1-décapage	82	14
Douille	18531	1239	D3	État 1	D3-5-épandage 18531	93	1
Douille	18519	1257	G	État 1 et 2 <i>lato sensu</i>	G-2-cailloutis	98	14
Douille	17036	1456	G1/D2	Décapage	G1/D2-6-décapage	101	12
Douille	21171	804b	M	Décapage	M-1-décapage	133	13
Douille	21699-131	2638	M	État 2.1	M-129-TP 21699-130	151	6
Douille	21009	1132	M	Perturbations modernes	M-2-Perturbations modernes	134	1
Douille	21405	1605	M	État 2.3	M-24-TP 21404	137	14
Douille	21600	2631	Q	Décapage	Q-1-décapage	111	6
Douille	22229	882	R	État 3	R-4-radier 22229	158	2
Douille	21845	447	Hémicycle gaulois/théâtre gallo-romain	Perturbations modernes	TH-2-moderne	175	6
Douille	21899-32	2094	Hémicycle gaulois/théâtre gallo-romain	État 2 <i>lato sensu</i>	TH-39-Fo 21899-31	180	1
Entrave	16560	1316	A1	État 1 à 2.1	A1-20-sol 14030	14	1
Entrave	21088	1281	M	État 2.1 à 2.2	M-114-Fo 21699-65 combi sup	147	6
Etui	15257	156	FP, branche est	État 1.2	SCTFE-5-arrachage palissade nord entrée	211	8
Etui	11199	714	Galerie niveau d'occupation	État 2.2	SCTG-8-occupation nord	188	23
Ferrure déc.	8345		A1	État 1 à 2.1	A1-20-sol 14030	13	3
Ferrure déc.	16559	1337	A1	État 1 à 2.1	A1-22-sol 16559	15	11
Ferrure déc.	16059	238	A4 et A7	État 1 à 2.1	A7-10-remblai 16126	24	16
Ferrure déc.	15429	671	A8	Décapage	A8-1-décapage	30	15
Ferrure déc.	15667	1034	A9	Décapage	A8-2-épandage	31	15
Ferrure déc.	15612	1220	Cour entre A et B	Décapage	AB-1-décapage	34	18
Ferrure déc.	18014	124	C5 Cave	Décapage	C5C-12-décapage nord	79	5
Ferrure déc.	18516	1052	Espace D	Décapage	D-1-décapage	82	11
Ferrure déc.	17104	1405	Espace D	État 4 <i>lato sensu</i>	D-2-gallo-romain	86	5
Ferrure déc.	17026	1529	Espace D	État 2-GR	D-6-pavage 17026	88	7
Ferrure déc.	17999-1	946	F	État 2.1	F-12-Fo 17999-92	106	7
Ferrure déc.	17472	1102	F	État 2 <i>lato sensu</i>	F-3-Ct 17470	106	4
Ferrure déc.	18584	1498	G1/D2	État 2.1	G1/D2-1-TP18585	99	12
Ferrure déc.	HC(sanctuaire)	2014	Hors contexte	Hors contexte	HC(sanctuaire)	230	17
Ferrure déc.	HC2008	1273	Hors contexte	Hors contexte	HC2008	Non ill.	

Type	UF	No inv.	Bâtiment	État	Code Assemblage	Pl.	No
Ferrure déc.	21167	1226	M	État 2.1	M-211-sol 21167	144	15
Ferrure déc.	22214-1	642	M (cours sud)	État 2.2	M-66-Puits 22214	139	10
Ferrure déc.	21055	1074	N	Décapage	N-1-décapage	126	7
Ferrure déc.	21055	1077	N	Décapage	N-1-décapage	126	8
Ferrure déc.	21006	1104	P	Décapage	P-1-décapage	129	18
Ferrure déc.	22206	33	R	Décapage	R-1-décapage	156	17
Ferrure déc.	22231	914	R	État 3	R-6-radier 22231	159	4
Ferrure déc.	22252	605	R	État 1	R-70-Fo art 22252	165	3
Ferrure déc.	22474	292	S	État 2 <i>lato sensu</i>	S-7-Pt 22474	169	9
Ferrure déc.	10193	152	Enclos A	État 2.3	SCTA-10-fossé branche sud	215	19
Ferrure déc.	10245	322	Enclos A	État 2.3	SCTA-10-fossé branche sud	215	20
Ferrure déc.	10256	273	Enclos A	État 2.3	SCTA-12-fossé branche nord	216	6
Ferrure déc.	15069	210	Structure sur poteaux D	État 1 et 2 <i>lato sensu</i>	SCTD-2-épandage	219	10
Ferrure déc.	15073	216	Structure sur poteaux D	État 1 et 2 <i>lato sensu</i>	SCTD-3-TP 15073	219	14
Ferrure déc.	11058	63	Cour du sanctuaire	État 4 <i>lato sensu</i>	SCTE-3-remblai cours	223	8
Ferrure déc.	12596	868	FP, branche nord	État 1.2	SCTFN-5-arrachage de la palisade	208	5
Ferrure déc.	15237	138	Galerie niveau d'occupation	État 2.2	SCTG-11-occupation est nord entrée	190	9
Ferrure déc.	13059	267	Galerie niveau d'occupation	État 2.2	SCTG-12-occupation est sud entrée	190	16
Ferrure déc.	13038	154	Galerie niveau d'occupation	État 2.2	SCTG-12-occupation est sud entrée	190	17
Ferrure déc.	21781	354	Hémicycle gaulois/théâtre gallo-romain	État 2.1	TH-29-cailloutis 21780	178	17
Ferrure déc.	20343	S4034	Hémicycle gaulois/théâtre gallo-romain	État 1	TH-40-sol 20343	180	5
Ferrure déc.	20771	S2264	U	État 1 à 2.1	U-5-cailloutis 20771	124	13
Frette de renfort	18242	2036b	C5 Cave	État 2.2	C5C-6-combl inf	78	20
Gouttière	15429	1756	A8	Décapage	A8-1-décapage	30	13
Gouttière	16420	367	Ruelle entre A et C	État 2 <i>lato sensu</i>	AC-4-épandage	71	16
Gouttière	18651	1514	C1	État 2.1 à 2.2	C1-4-remblai	51	14
Gouttière	8337		C4	État 2-GR	C4-1-décapage	65	7
Gouttière	18500	1152	Espace D	Décapage	D-1-décapage	82	13
Gouttière	17019	98	Espace D	État 4 <i>lato sensu</i>	D-2-gallo-romain	86	7
Gouttière	21152	1206	M	État 2.1 à 2.2	M-111-démontage radier 20080	143	12
Gouttière	21167	1184	M	État 2.1	M-211-sol 21167	146	1
Gouttière	21167	1244	M	État 2.1	M-211-sol 21167	146	2
Gouttière	21167	1354	M	État 2.1	M-211-sol 21167	146	3
Gouttière	21080	1067	M	État 2.2	M-64-radier 21080	139	7
Gouttière	20681	S1031	Q	État 1	Q-11-TP 20680	116	4
Gouttière	11342	2087	Cuves et sols E	État 1 et 2 <i>lato sensu</i>	SCTE-8-pavage d'amphore	227	2
Gouttière	9221	3	Galerie niveau d'occupation	État 2.2	SCTG-8-occupation nord	188	22
Gouttière	21707	359	T	Décapage	T-1-décapage	172	11
Heurtoir, cumangle?	14030	632a	A1	État 1 à 2.1	A1-20-sol 14030	10	11
Heurtoir, cumangle?	15428	587	Cour intérieur A	Décapage	ACI-1-décapage	27	4
Heurtoir, cumangle?	15646	1092	Cour intérieur A	Décapage	ACI-1-décapage	27	5
Heurtoir, cumangle?	16406	1427	C3	État 2.2 à 2.3	C3-2-radier	60	20
Heurtoir, cumangle?	16408	576	C3	État 1 à 2.1	C3-7-Ce 17405	61	4
Rivet émaillé (bc)	17343	918	C1	État 1	C1-17-sol 17343	55	9
Rivet ém. (bc)	17307	1782	C3	État 2.1 à 2.2	C3-3-interface 17307	59	11

Type	UF	No inv.	Bâtiment	État	Code Assemblage	Pl.	No
Rivet ém. (bc)	17410	386	C4	État 2.2 à 2.3	C4-3-démontage radier	65	22
Rivet ém. (bc)	16403	326	Place du complexe C	Décapage	CPL-1-décapage	43	7
Rivet ém. (bc)	18516	1049	Espace D	Décapage	D-1-décapage	82	8
Rivet ém. (bc)	18516	1051	Espace D	Décapage	D-1-décapage	82	9
Rivet ém. (bc)	HC(sanctuaire)	1000	Hors contexte	Hors contexte	HC(sanctuaire)	230	15
Rivet ém. (bc)	HC2005	1566	Hors bâtiment	Hors contexte	HC2005	232	3
Rivet ém. (bc)	HC2006	909	Hors bâtiment	Hors contexte	HC2006	232	18
Rivet ém. (bc)	HC2006	703	Hors bâtiment	Hors contexte	HC2006	232	19
Rivet ém. (bc)	HC2006	1836	Hors bâtiment	Hors contexte	HC2006	232	20
Rivet ém. (bc)	HC2008	3062	Hors contexte	Hors contexte	HC2008	233	16
Rivet ém. (bc)	17843	667	Hors ensemble (tombe)	Décapage	HET-1-décapage	110	16
Rivet ém. (bc)	22204	273	M	État 2.1	M-121-Ce 22204	148	9
Rivet ém. (bc)	20018	S3188	N	État 1	N-26-Sb 20017	128	8
Rivet ém. (bc)	21640	1522	Q	Non phasé	Q-22-Fo 21640	116	14
Rivet ém. (bc)	22449	785	R	État 2.2	R-39-TP 22449	161	16
Rivet ém. (bc)	11613	369	Hors bâtiment	Premier âge du Fer	SCTA-9-sol laténien	215	8
Rivet ém. (bc)	15074	2000	Structure sur poteaux D	État 1 et 2 <i>lato sensu</i>	SCTD-2-épandage	219	8
Rivet ém. (bc)	11320	732	Cuves et sols E	État 4 <i>lato sensu</i>	SCTE-3-remblai cours	223	6
Rivet ém. (bc)	11374	398	Cuves et sols E	État 1 et 2 <i>lato sensu</i>	SCTE-7-sol de cailloutis	226	4
Rivet ém. (bc)	12516	348	FP, branche nord	État 4 <i>lato sensu</i>	SCTFN-3-complements gallo-romains	207	4
Rivet ém. (bc)	11227	2089	FP, branche nord	État 1.2	SCTFN-5-arrachage de la palissade	208	6
Rivet ém. (bc)	11203	411	FP, branche nord	État 1 perturbé	SCTFN-8-Comblement inf. pert.	209	10
Rivet ém. (bc)	12068	606	Galerie aménagement empierré	État 2.3	SCTG-5-empierrements sud entrée	187	3
Rivet ém. (bc)	21781	398	Hémicycle gaulois/théâtre gallo-romain	État 2.1	TH-29-cailloutis 21780	178	12
Rivet ém. (bc)	HC (théâtre)	2542	Hémicycle gaulois/théâtre gallo-romain	Hors contexte	TH-55-HC (théâtre)	181	5
Rivet ém. (fe)	HC(sanctuaire)	3008	Hors contexte	Hors contexte	HC(sanctuaire)	230	16
Rivet ém. (fe)	21178	815	R	État 2.1	R-62-Sb 21178	164	16
Rivet ém. (fe)	19031	14	Galerie (palissade extérieur)	État 2.2 à 2.3	SCTG-29-Pal ext. nord	197	8
Tôle de renfort	16067	212	A1 et A2	État 2.2	A1 et A2-2-radier	1	11
Tôle de renfort	16126	1626	A7	État 1 à 2.1	A7-10-remblai 16126	25	1
Tôle de renfort	18692	1599g	C1	État 1	C1-8-Fo 17084	52	10
Tôle de renfort	18129	3065a	C5 Cave	État 1	C5C-20-TP 18128	79	14
Tôle de renfort	18709	2306	G1/D2	État 2.1	G1/D2-1-TP18585	100	12
Tôle de renfort	21699-37	2523	M	État 2.1	M-125-TP 21588	150	15
Tôle de renfort	21174	1376	M	État 2.2	M-77-Sb 21174	142	9
Tôle de renfort	13028	97	FP, branche est	État 4 <i>lato sensu</i>	SCTFE-2-complements gallo-romains	210	23

Cat 56. Clés, foncets et autres éléments de serrure et d'huissierie

Type	UF	No inv.	Bâtiment	État	Code Assemblage	Pl.	No
Clé	16560	1370	A1	État 1 à 2.1	A1-20-sol 14030	12	3
Clé	15590	1229	A1	État 1 à 2.1	A1-21-décapage 15590	15	8
Clé	16543	1843	A2	État 2.1	A2-10-sol 16543	20	6
Clé	16029	126	A7	État 1	A7-25-Sb 16028	25	15
Clé	15665	1046	Cour intérieur A	Non phasé	ACI-2-épandage	28	8
Clé	16233	1050	B corps principal	État 1 et 2 <i>lato sensu</i>	BCP-6-épandage	37	7
Clé	16307	992	C2	État 1 à 2.2	C2-12-épandage 16307	58	22
Clé	16442	612	C4	État 1 et 2 <i>lato sensu</i>	C4-8-épandage	66	10
Clé	16414	1414	C4	État 1 et 2 <i>lato sensu</i>	C4-8-épandage	66	11
Clé	16420	404	Ruelle entre A et C	État 2 <i>lato sensu</i>	AC-4-épandage	71	15
Clé	17596	813	C7	État 2.1	C7-3-Ce 17595	72	3
Clé	17014	65	C5 Cave	Décapage	C5C-1-décapage	77	8
Clé	17008	130	Espace D	État 4 <i>lato sensu</i>	D-2-gallo-romain	86	2
Clé	18425	1738	Espace D	État 1	D-12-couches charbonneuse	90	12
Clé	18554	1729	D3	État 2.1	D3-7-TP 18553	92	12
Clé	18741	3038	G3	État 2.1	G3-6-TP 18742	102	11
Clé	17771	660	E1	État 2.1	E1-9-TP 17770	109	11
Clé	22014	300	Q	Non phasé	Q-26-TP 22014	117	3
Clé	20613	S2079	K	État 2 <i>lato sensu</i>	K-2-radier de sol	118	10
Clé	21006	1059	P	Décapage	P-1-décapage	129	16
Clé	21699-59	1441	P	État 1	P-14-Fo 21699-58	130	3
Clé	21221	768	M	Décapage	M-1-décapage	133	1
Clé	20130	S3187	M	État 3	M-5-chape 20130	135	9
Clé	21101	703	M	Non phasé	M-228-TP 21101	153	11
Clé	22201	10	R	Décapage	R-1-décapage	156	15
Clé	22227	433	R	État 3	R-3-radier 22227	157	2
Clé	22278	794	R	État 2.3	R-22-Fossé 22278	160	7
Clé	21068	1292	R	État 2.1	R-54-Fossé 22228	163	17
Clé	21760	391	T	Non phasé	T-10-Ce 21759	173	15
Clé	12037	513	Galerie aménagement empierré	État 2.3	SCTG-5-empierrements sud entrée	187	1
Clé	11118	277	FP, branche nord	État 4 <i>lato sensu</i>	SCTFN-3-complements gallo-romains	206	1
Clé	11174	338	FP, branche nord	État 4 <i>lato sensu</i>	SCTFN-3-complements gallo-romains	206	2
Clé	11184	326	FP, branche nord	État 4 <i>lato sensu</i>	SCTFN-3-complements gallo-romains	206	3
Clé	11080	748	FP, branche nord	État 4 <i>lato sensu</i>	SCTFN-3-complements gallo-romains	206	4
Clé	11127	215	FP, branche nord	État 4 <i>lato sensu</i>	SCTFN-3-complements gallo-romains	206	5
Clé	13201	58	Enclos C	Décapage	SCTC-1-décapage	217	4
Clé	12000	410	Cour du sanctuaire	Décapage	SCTE-1-décapage	221	1
Clé	15270	245	Cour du sanctuaire	Décapage	SCTE-1-décapage	221	2
Clé	11108	126	Cour du sanctuaire	État 4 <i>lato sensu</i>	SCTE-3-remblai cours	223	1
Clé	HC2006	1387	Hors bâtiment	Hors contexte	HC2006	232	22
Clé	HC2007	426	Hors contexte	Hors contexte	HC2007	233	10
Clé	18420	1696	Espace D	État 4 <i>lato sensu</i>	D-2-gallo-romain	86	6
Clé	12074	2084	Entrée	État 2.2	SCTPE-3-occupation	201	5
Clé	12000	17	Cour du sanctuaire	Décapage	SCTE-1-décapage	221	3
Clé	20638	S2223	U	État 1 a 2.1	SCTPE-3-occupation	124	9

Type	UF	No inv.	Bâtiment	État	Code Assemblage	Pl.	No
Foncet	13012	10	Galerie interface LT-GR	État 2-GR	SCTG-1-interface LT-GR	185	14
Foncet	11220	451	Galerie niveau de sol	État 2 <i>lato sensu</i>	SCTG-19-sol d'amphore est nord entrée	192	11
Foncet	13562	366	FP, branche nord	État 4 <i>lato sensu</i>	SCTFN-3-complements gallo-romains	206	6
Foncet	12604	900	FP, branche nord	État 1.2	SCTFN-5-arrachage de la palissade	208	8
Foncet	11231	428-1	FP, branche est	État 1.2	SCTFE-5-arrachage palissade nord entrée	211	10
Foncet	11258	522	FP, branche est	État 1.2	SCTFE-5-arrachage palissade nord entrée	211	11
Foncet	13696	503	FP, branche ouest	État 1.2	SCTFO-3-arrachage palissade	213	14
Foncet	14007	415	A1	État 2.2 à 2.3	A1-7-épandage 14010	3	16
Foncet	16560	1315	A1	État 1 à 2.1	A1-20-sol 14030	12	1
Foncet	14030	584	A1	État 1 à 2.1	A1-20-sol 14030	12	2
Foncet	15616	953	A8	Décapage	A8-2-épandage	31	22
Foncet	16061	1783	A10	Décapage	A10-1-décapage	32	24
Foncet	16083	1767	A9	État 2.1	A9-4-sol 16083	33	22
Foncet	16201	821	B	Décapage	B-1-décapage	35	27
Foncet	16201	843	B	Décapage	B-1-décapage	35	28
Foncet	16233	972	B corps principal	État 1 et 2 <i>lato sensu</i>	BCP-6-épandage	37	5
Foncet	17495	818	Place du complexe C (ouest)	État 2 <i>lato sensu</i>	CPL-2-occupation ouest	45	8
Foncet	16409	1481	Place du complexe C (ouest)	État 1 et 2 <i>lato sensu</i>	CPL-3-sol ouest	46	18
Foncet	15409	505	C1	Décapage	C1-1-décapage	50	22
Foncet	18662	1589	C1	État 1 à 2.1	C1-15-épandage 18662	54	3
Foncet	17090	275	C1	État 1	C1-19-Fo 17091	56	12
Foncet	17324	1763	C4	État 2.1	C4-13-Fo art 17323	67	12
Foncet	8351		Ruelle entre A et C	État 1 et 2 <i>lato sensu</i>	AC-2-sol	70	5
Foncet	8352		C4	État 1 et 2 <i>lato sensu</i>	AC-2-sol	70	6
Foncet	17026	1444	Espace D	État 2-GR	D-6-pavage 17026	88	8
Foncet	18531	1238	D3	État 1	D3-5-épandage 18531	93	9
Foncet	22058	534	Q	État 2 <i>lato sensu</i>	Q-6-TP 22058	113	4
Foncet	20039	S3319a	M	État 2.3	M-14-radier 20039	136	5
Foncet	20084	S3309	M	État 2.1	M-117-sol 20084	149	5
Foncet	20292	S3286	M	État 1	M-174-Fo art 20291	153	1
Foncet	20338	E2027	O	Décapage	O-1-décapage	166	5
Foncet	15429	681	A8	Décapage	A8-1-décapage	30	19
Element de serrure	17283	1552	Espace D	État 1 à 2.1	D-15-épandage 17283	90	17
Elément de serrure	21088	1279	M	État 2.1 à 2.2	M-114-Fo 21699-65 combl sup	147	10
Elément de serrure	11184	347	FP, branche nord	État 4 <i>lato sensu</i>	SCTFN-3-complements gallo-romains	206	11
Elément de serrure	11220	466	Galerie niveau de sol	État 2 <i>lato sensu</i>	SCTG-19-sol d'amphore est nord entrée	192	13
Elément de serrure	11188	420	FP, branche est	État 4 <i>lato sensu</i>	SCTFE-2-complements gallo-romains	210	22
Elément de serrure	11153	269	Cour du sanctuaire	État 2-GR	SCTE-6-interface LT-GR	224	21
Elément de serrure	17213	1739	C5	État 2.1	C5-17-Fo 17214	76	19
Elément de serrure	18808	1667	D3	Décapage	D3-1-décapage	91	14
Elément de serrure	18519	1259	G	État 1 et 2 <i>lato sensu</i>	G-2-cailloutis	98	8
Plaque à gouttière	17400	1072	C	Décapage	C-1-décapage	42	20
Plaque à gouttière	15450	623	B cour ouest	Décapage	BCO-1-décapage	40	6

Type	UF	No inv.	Bâtiment	État	Code Assemblage	Pl.	No
Plaque à gouttière	17074	289	Place du complexe C (nord-est)	État 2 <i>lato sensu</i>	CPL-4-épandage est	48	6
Plaque à gouttière	17191	1394	Espace D	État 1	D-7-TP 17192	88	12
Plaque à gouttière	18099	355	F	État 2.1	F-10-Fo 18098	106	16
Plaque à gouttière	21006	1042	P	Décapage	P-1-décapage	129	17
Plaque à gouttière	21152	1209	M	État 2.1 à 2.2	M-111-démontage radier 20080	143	13
Plaque à gouttière	21687	2590	M	Non phasé	M-201-TP 21686	155	2
Plaque à gouttière	21167	1322	M	État 2.1	M-211-sol 21167	146	6
Plaque à gouttière	21167	1187	M	État 2.1	M-211-sol 21167	146	7
Plaque à gouttière	21676	2632	M	État 2.1	M-131-Petit blocs	151	8
Plaque à gouttière	22461	180	N	État 2.2 à 2.3	N-5-Pal 22506	127	2
Pêne	17400	348	C	Décapage	C-1-décapage	42	22
Pêne	16604	458	C1	Décapage	C1-1-décapage	50	21
Pêne	18516	3012	Espace D	Décapage	D-1-décapage	82	5
Pêne	17103	1477	Espace D	État 4 <i>lato sensu</i>	D-2-gallo-romain	86	3
Pêne	17008	137		État 4 <i>lato sensu</i>	D-2-gallo-romain	86	4
Pêne	17282	5001	Espace D	État 4 <i>lato sensu</i>	D-5-Fo 17873	87	13
Pêne	12037	502	Galerie aménagement empierré	État 2.3	SCTG-5-empierrements sud entrée	187	2
Pêne	13052	242	Galerie (palissade extérieur)	État 2.3	SCTG-28-Pal ext. est	194	17
Pêne		962	Galerie occupation	État 2 <i>lato sensu</i>	SCTG-70-occupation 12106	198	13
Pêne	11184	2053	FP, branche nord	État 4 <i>lato sensu</i>	SCTFN-3-complements gallo-romains	206	7
Pêne	11126	2029	FP, branche nord	État 4 <i>lato sensu</i>	SCTFN-3-complements gallo-romains	206	8
Pêne	11194	363	FP, branche nord	État 4 <i>lato sensu</i>	SCTFN-3-complements gallo-romains	206	9
Pêne	11259	502	FP, branche nord	État 4 <i>lato sensu</i>	SCTFN-3-complements gallo-romains	206	10
Pêne	11203	416	FP, branche nord	État 1 perturbé	SCTFN-8-Complement inférieur perturbé	209	9
Pêne	10200	2014	Enclos A	État 2-GR	SCTA-8-interface LT-GR	214	24
Pêne	10130	76	Cour du sanctuaire	État 4 <i>lato sensu</i>	SCTE-3-remblai cours	223	2
Pêne	12045	432	Cour du sanctuaire	État 4 <i>lato sensu</i>	SCTE-3-remblai cours	223	3
Pêne	11106	2022	Cour du sanctuaire	État 4 <i>lato sensu</i>	SCTE-3-remblai cours	223	4
Pêne	11383	413	Cuves et sols E	État 1 et 2 <i>lato sensu</i>	SCTE-7-sol de cailloutis	226	2
Pêne	HC(sanctuaire)	1047	Hors contexte	Hors contexte	HC(sanctuaire)	230	10
Pêne	15213	35	Galerie gallo-romaine, branche est	État 4 <i>lato sensu</i>	SCTGRE-3-remblais	183	20
Gâche de verrou	20638	S2051	U	État 1 à 2.1	U-4-remblai 20638	124	11
Gâche de verrou	17482	1751	C4	État 2.2 à 2.3	C4-7-démontage	65	44
Gâche de verrou	14003	430	A1	État 2 <i>lato sensu</i>	A1-25-épandage est	17	6
Gâche de verrou	11195	724	FP, branche est	État 4 <i>lato sensu</i>	SCTFE-2-complements gallo-romains	210	21
Gond	20050	S3128	M	État 3	M-3-nettoyage radier 20052	134	7
Gond	18500	3015	Espace D	Décapage	D-1-décapage	82	4
Gond	HC2012	595	Hors contexte	Hors contexte	HC2012	235	7
Verrou	22230	423	R	État 3	R-5-radier 22230	158	9
Verrou	21221	934	M	Décapage	M-1-décapage	133	4

Type	UF	No inv.	Bâtiment	État	Code Assemblage	Pl.	No
Penture	20050	S3296	M	État 3	M-3-nettoyage radier 20052	134	6
Penture	8064		A1	État 1 à 2.1	A1-20-sol 14030	12	4
Penture	21221	813	M	Décapage	M-1-décapage	133	2
Penture	12008	2023	FP, branche nord	État 4 <i>lato sensu</i>	SCTFN-3-complements gallo-romains	206	13

Cat 57. Quincaillerie

Type	UF	No inv.	Bâtiment	État	Code Assemblage	Pl.	No
Anneau d'écurie	16019	89	Cour intérieur A	Non phasé	ACI-2-épannage	28	14
Anneau d'écurie	16238	1049	B cour ouest	Non phasé	BCO-2-épannage 16238	40	14
Anneau d'écurie	16400	640	C	Décapage	C-1-décapage	42	21
Anneau d'écurie	17999-213	1637	Place du complexe C (est)	État 1 et 2 <i>lato sensu</i>	CPL-5-sol est	49	10
Anneau d'écurie	18662	1591	C1	État 1 à 2.1	C1-15-épannage 18662	54	4
Anneau d'écurie	17698	851	C4	État 2.1	C4-10-Fo art 17698	67	10
Anneau d'écurie	17151	1659	C5 Cave	État 2.2	C5C-6-combl inf	78	12
Anneau d'écurie	21019	503	M	Décapage	M-1-décapage	133	3
Anneau d'écurie	21088	1330	M	État 2.1 à 2.2	M-114-Fo 21699-65 combl sup	147	7
Anneau d'écurie	21699-12	1435	M	État 2.1	M-126-TP 21699-11	151	2
Anneau d'écurie	22201	21	R	Décapage	R-1-décapage	156	19
Anneau d'écurie	22229	91	R	État 3	R-4-radier 22229	158	7
Anneau d'écurie	9260		Galerie gallo-romaine, branche nord	État 4 <i>lato sensu</i>	SCTGRN-3-remblais	182	18
Anneau d'écurie	15420	541	Cour entre A et B	Décapage	AB-1-décapage	34	19
Anneau d'écurie	16019	93	Cour intérieur A	Non phasé	ACI-2-épannage	28	15
Anneau d'écurie	17704	618	A1	État 2.2	A1-11-Solin 17704	4	6
Anneau d'écurie	17400	1744	C	C	Décapage	Non ill.	
Piton	15423	1732	A2, A3 et A4	Décapage	A2 à A4-1-décapage	1	16
Piton	16599	1350	Cour intérieur A	Décapage	ACI-1-décapage	27	17
Piton	15429	659	A8	Décapage	A8-1-décapage	30	17
Piton	15429	677	A8	Décapage	A8-1-décapage	30	18
Piton	16623	558	C5	État 2.3 à 3	C5-4-épannage	74	19
Piton	17060	1359	C5	État 2.3	C5-10-pouzzolane	76	14
Piton	18543	3003	Espace D	Décapage	D-1-décapage	82	16
Piton	18519	3000	G	État 1 et 2 <i>lato sensu</i>	G-2-cailloutis	98	11
Piton	18519	1263	G	État 1 et 2 <i>lato sensu</i>	G-2-cailloutis	98	12
Piton	18709	2189	G1/D2	État 2.1	G1/D2-1-TP18585	100	15
Piton	21055	1089	N	Décapage	N-1-décapage	126	9
Piton	21006	1021	P	Décapage	P-1-décapage	129	14
Piton	22228	597	R	État 2.1	R-54-Fossé 22228	163	18
Piton	20384	S4002	Hémicycle gaulois/théâtre gallo-romain	État 4.2, construction	TH-11-remblai 21723	175	22

Type	UF	No inv.	Bâtiment	État	Code Assemblage	Pl.	No
Piton	17343	916	C1	État 1	C1-17-sol 17343	55	8
Piton	17999-213	1639	Place du complexe C (est)	État 1 et 2 <i>lato sensu</i>	CPL-5-sol est	49	9
Piton	18423	1701	Espace D	État 2 <i>lato sensu</i>	D-11-radier 18423	90	10
Piton	18862	1707	D1	État 1	D1-17-TP 18863	91	8
Piton	18519	1281	G	État 1 et 2 <i>lato sensu</i>	G-2-cailloutis	98	10
Piton	13696	497	FP, branche ouest	État 1.2	SCTFO-3-arrachage palissade	213	16
Fiche	17801	654	E1	Non phasé	E1-2-épandage	109	9
Fiche	21150	728	M	État 2.3	M-212-TP 21150	137	16
Fiche	22237	108	R	État 3	R-7-épandage 22237	159	6
Fiche	21899-2	2008	Hémicycle gaulois/théâtre gallo-romain	État 2.1	TH-25-cailloutis 21899-2	177	7
Crochet	18519	1159	G	État 1 et 2 <i>lato sensu</i>	G-2-cailloutis	98	9
Crochet	17158	1364	C6	État 2 <i>lato sensu</i>	C6-22-épandage	73	16
Crampon de char-pente	16007	1840	Cour intérieur A	Décapage	ACI-1-décapage	27	14
Crampon de char-pente	16599	1351	Cour intérieur A	Décapage	ACI-1-décapage	27	15
Crampon de char-pente	18552	1354	D3	État 1	D3-3-Solin 18552	92	5
Crampon de char-pente	18552	3076	D3	État 1	D3-3-Solin 18552	92	8
Crampon de char-pente	18636	3051	G1	État 2.1	G1-5-TP 18637	102	4
Crampon de char-pente	17452	379	C7	État 1	C7-19-TP 17451	72	10
Crampon de char-pente	18891	1669	D3	Non phasé	D3-8-TP 18892	92	14
Crampon de char-pente	18531	1350a	D3	État 1	D3-5-épandage 18531	93	4
Crampon de char-pente	18531	1350b	D3	État 1	D3-5-épandage 18531	93	5
Crampon de char-pente	18531	1347	D3	État 1	D3-5-épandage 18531	93	6
Crampon de char-pente	18823	1686	G2	État 4 <i>lato sensu</i>	G2-1-Fo 18717	102	7
Crampon de char-pente	18028	67	H	Décapage	H-1-décapage	105	6

Cat 58. Pièces de meuble

Type	UF	No inv.	Bâtiment	État	Code Assemblage	Pl.	No
Piton	18504	3072	G4	État 4 <i>lato sensu</i>	G4-2-18504, démolition	103	13
Piton	18242	2025	C5 Cave	État 2.2	C5C-6-combl inf	78	13
Piton	18242	2025	C5 Cave	État 2.2	C5C-6-combl inf	78	13
Poignée	18504	1060	G4	État 4 <i>lato sensu</i>	G4-2-18504, démolition	103	7
Poignée	22242	415	R	État 2.1	R-55-St 22242	164	6
Poignée	11199	494	Galerie niveau d'occupation	État 2.2	SCTG-8-occupation nord	188	20
Bouton	17019	1410	Espace D	État 4 <i>lato sensu</i>	D-2-gallo-romain	86	1
Crampon	20050	S3061	M	État 3	M-13-radier 20052	134	5
Charnière	18662	1547	C1	État 1 à 2.1	C1-15-épandage 18662	54	5
Charnière (os)	21899-233	2019	Hémicycle gaulois/théâtre gallo-romain	État 2.1 à 2.2	TH-30-démontage cailloutis 21780	Non ill.	
Charnière	10188	138	Cour du sanctuaire	État 4 <i>lato sensu</i>	SCTE-3-remblai cours	Non ill.	
Charnière	10264	305	Galerie niveau de sol	État 2 <i>lato sensu</i>	SCTG-13-sol d'amphore nord	191	7
Charnière	HC(sanctuaire)	381	Hors contexte	Hors contexte	HC(sanctuaire)	Non ill.	
Charnière	11175	2050	FP, branche nord	État 4 <i>lato sensu</i>	SCTFN-3-comblements gallo-romains	Non ill.	

Type	UF	No inv.	Bâtiment	État	Code Assemblage	Pl.	No
Charnière	10264	305	Galerie niveau de sol	État 2 <i>lato sensu</i>	SCTG-13-sol d'amphore nord	191	7
Charnière	12585	667	Galerie niveau de sol	État 2 <i>lato sensu</i>	SCTG-13-sol d'amphore nord	191	8
Ferrure (angle)	16016	208	A1	Décapage	A1-1-décapage	Non ill.	
Ferrure (angle)	17400	318	C	Décapage	C-1-décapage	Non ill.	
Ferrure (angle)	15683	1124	C3	Décapage	C3-1-décapage	Non ill.	
Ferrure (angle)	18516	1042	Espace D	Décapage	D-1-décapage	Non ill.	
Ferrure (angle)	18506	1143	G	État 2.2 à 2.3	G-1-radier	Non ill.	
Ferrure (angle)	20741	S2197	K	État 2.2	K-15-Cave combl inf	122	17
Ferrure (angle)	20010	S3173	N	Perturbations modernes	N-2-drains modernes	Non ill.	
Ferrure (angle)	21130	1609	M	État 3	M-5-chape 20130	135	10
Ferrure (angle)	10204	176	Cour du sanctuaire	État 1 et 2 <i>lato sensu</i>	SCTE-7-sol de cailloutis	Non ill.	
Ferrure (angle)	11203	436	FP, branche nord	État 1 perturbé	SCTFN-8-Comblement inférieur perturbé	Non ill.	
Ferrure (angle)	11187	395	FP, branche nord	État 4 <i>lato sensu</i>	SCTFN-3-comblements gallo-romains	Non ill.	
Ferrure (angle)	19031	17	Galerie (palissade extérieur)	État 2.2 à 2.3	SCTG-29-Pal ext. nord	Non ill.	

Cat 59. Objets indéterminés

Type	UF	No inv.	Bâtiment	État	Code Assemblage	Pl.	No
Base-cuivre	15518	792	A1	État 2.2 à 2.3	A1-8-nettoyages solins	4	2
Base-cuivre	17703	601	A1	État 1 à 2.1	A1-20-sol 14030	14	9
Base-cuivre	14016	553	A1	État 2 <i>lato sensu</i>	A1-26-épandage nord	18	9
Base-cuivre	16075	1615	A4	État 2.2 à 2.3	A4-2-radier	21	13
Base-cuivre	15428	720	Cour intérieur A	Décapage	ACI-1-décapage	27	20
Base-cuivre	15629	966	A8	Décapage	A8 et A4-1-décapage	30	26
Base-cuivre	17400	319	C	Décapage	C-1-décapage	42	19
Base-cuivre	17430	423	Place du complexe C (est)	État 2 <i>lato sensu</i>	CPL-4-épandage est	48	7
Base-cuivre	17430	596	Place du complexe C (est)	État 2 <i>lato sensu</i>	CPL-4-épandage est	48	8
Base-cuivre	17042	288	C2	Décapage	C2-1-décapage	58	5
Base-cuivre	17162	1598	C2	État 1	C2-6-TP 17162	58	16
Base-cuivre	8331		Ruelle entre A et C	État 2 <i>lato sensu</i>	AC-3-épandage	70	15
Base-cuivre	17017	45	C6	Décapage	C6-1-décapage	73	9
Base-cuivre	17002	53	C5	Décapage	C5-1-décapage	74	5
Base-cuivre	17020	1497	C5 Cave	Décapage	C5C-1-décapage	77	9
Base-cuivre	18420	1698	Espace D	État 4 <i>lato sensu</i>	D-2-gallo-romain	85	17
Base-cuivre	17008	146b	Espace D	État 4 <i>lato sensu</i>	D-2-gallo-romain	86	16
Base-cuivre	17230	1541	Espace D	Non phasé	D-8-amas de mobilier 17231	89	4
Base-cuivre	17230	1646	Espace D	Non phasé	D-8-amas de mobilier 17231	89	13
Base-cuivre	18519	1192	G	État 1 et 2 <i>lato sensu</i>	G-2-cailloutis	98	19
Base-cuivre	17036	102	G1/D2	Décapage	G1/D2-6-décapage	101	13
Base-cuivre	18736	1370	G3	État 1 à 2.1	G3-12-TP 18736	102	14
Base-cuivre	18512	1018	G4	État 2.2 à 2.3	G4-3-radier	103	15
Base-cuivre	18003	19	H et F	Décapage	H, F et C5C-1-décapage	105	2
Base-cuivre	21019	646	M	Décapage	M-1-décapage	133	15
Base-cuivre	22214-5	749	M	État 2.2	M-66-Puits 22214	139	12
Base-cuivre	21143	1487	M	État 2.2	M-76-Solin 21143	142	5
Base-cuivre	21174	1395	M	État 2.2	M-77-Sb 21174	142	8
Base-cuivre	22361	636	R	État 2.1	R-54-Fossé 22228	163	19
Base-cuivre	22222	107	R	État 2.1	R-53-sol 22222	164	9
Base-cuivre	21777	313	T	État 1	T-7-Sb 21776	173	14
Base-cuivre	HC (théâtre)	2641	Hémicycle gaulois/théâtre gallo-romain	Hors contexte	TH-55-HC (théâtre)	181	8

Type	UF	No inv.	Bâtiment	État	Code Assemblage	Pl.	No
Base-cuivre	12516	379	FP, branche nord	État 4 <i>lato sensu</i>	SCTFN-3-complements gallo-romains	207	11
Base-cuivre	HC2006	1556	Hors bâtiment	Hors contexte	HC2006	232	17
Base-cuivre	HC2011	1611	Hors contexte	Hors contexte	HC2011	234	13
Base-cuivre et fer	18502	1022	G4	Décapage	G4-1-18502, décapage	103	5
Fer	15423	1729	A2, A3 et A4	Décapage	A2 à A4-1-décapage	1	16
Fer	14009	2062	A1	État 2.2 à 2.3	A1-7-épandage 14010	3	15
Fer	14008	2070b	A1	État 2.2 à 2.3	A1-7-épandage 14010	3	18
Fer	17703	610	A1	État 1 à 2.1	A1-20-sol 14030	10	3
Fer	14030	560	A1	État 1 à 2.1	A1-20-sol 14030	14	2
Fer	16560	1371	A1	État 1 à 2.1	A1-20-sol 14030	14	3
Fer	8374		A1	État 1 à 2.1	A1-20-sol 14030	14	5
Fer	14030	544	A1	État 1 à 2.1	A1-20-sol 14030	14	6
Fer	17703	606	A1	État 1 à 2.1	A1-20-sol 14030	14	7
Fer	8350		A1	État 2 <i>lato sensu</i>	A1-25-épandage est	17	7
Fer	15611	866	A2	État 2.3	A2-2-radier	19	5
Fer	16543	1357	A2	État 2.1	A2-10-sol 16543	20	7
Fer	16065	175	A7	Décapage	A7-1-décapage sud	23	3
Fer	16022	113	A7	État 2.3	A7-3-sol	23	14
Fer	16059	1750	A7	État 1 à 2.1	A7-10-remblai 16126	24	18
Fer	16023	1757	A7	État 1 à 2.1	A7-10-remblai 16126	24	19
Fer	16145	1801	A7	État 1	A7-20-Sb 16144	25	13
Fer	15637	1719	A5	Décapage	A5-1-décapage	29	6
Fer	15429	607	A8	Décapage	A8-1-décapage	30	16
Fer	16026	124	A8	État 1 et 2 <i>lato sensu</i>	A8-2-épandage	31	19
Fer	16121	276	A10	Décapage	A10-1-décapage	32	25
Fer	16083	1766	A9	État 2.1	A9-4-sol 16083	33	21
Fer	15612	1250	Cour entre A et B	Décapage	AB-1-décapage	34	21
Fer	16201	823	B	Décapage	B-1-décapage	35	25
Fer	15449	1706	B cour ouest	État 1 et 2 <i>lato sensu</i>	BCO-3-lambeaux de sol	40	18
Fer	16405	1715	Place du complexe C (ouest)	État 2 <i>lato sensu</i>	CPL-2-occupation ouest	45	4
Fer	18662	1541	C1	État 1 à 2.1	C1-15-épandage 18662	54	8
Fer	17042	104	C2	Décapage	C2-1-décapage	58	10
Fer	15408	1235	C3	Décapage	C3-1-décapage	59	7
Fer	16412	1721	C3	État 1 à 2.1	C3-9-épandage	61	8
Fer	17419	1756	C3	État 2.1	C3-11-Fo art 17418	62	9
Fer	18654	1521	C3	État 1	C3-26-Fo art 18668	64	3
Fer	16441	422	C4	État 2.3	C4-2-radier	65	8
Fer	16442	611	C4	État 1 et 2 <i>lato sensu</i>	C4-8-épandage	66	9
Fer	16450	567	C4	État 2.1	C4-14-Ce 16449	66	16
Fer	17363	951	C4	État 1	C4-15-Fo 17361	68	8
Fer	15414	1705	Ruelle entre A et C	Décapage	AC-1-décapage	69	8
Fer	15414	1236	Ruelle entre A et C	Décapage	AC-1-décapage	69	11
Fer	8353		Ruelle entre A et C	État 1 et 2 <i>lato sensu</i>	AC-2-sol	70	7
Fer	8353		Ruelle entre A et C	État 1 et 2 <i>lato sensu</i>	AC-2-sol	70	8
Fer	17017	1707	C6	Décapage	C6-1-décapage	73	5
Fer	17160	1734	C6	État 2 <i>lato sensu</i>	C6-22-épandage	73	21
Fer	17071	230	C5	État 2.2 à 2.3	C5-3-radier	75	6
Fer	17065	1727	C5	État 2.2 à 2.3	C5-3-radier	75	14
Fer	17044	1716	C5 Cave	État 4 <i>lato sensu</i>	C5C-2-piégeage	77	19
Fer	17152	1338	C5 Cave	État 2.2	C5C-6-combl inf	78	19
Fer	18135	1748	C5 Cave	État 1	C5C-18-TP 18135	79	8

Type	UF	No inv.	Bâtiment	État	Code Assemblage	Pl.	No
Fer	18232	3031	Hors bâtiment	État 1	HB-10-Fo art 18232	80	7
Fer	18726	1386	Espace D	Décapage	D-1-décapage	82	18
Fer	18563	1314	Espace D	État 4 <i>lato sensu</i>	D-2-gallo-romain	86	9
Fer	17008	80	Espace D	État 4 <i>lato sensu</i>	D-2-gallo-romain	86	17
Fer	17282	1674b	Espace D	État 4 <i>lato sensu</i>	D-5-Fo 17873	87	16
Fer	17230	1625	Espace D	Non phasé	D-8-amas de mobilier 17231	89	10
Fer	18503	3022	Bâtiment gallo-romain nord	Décapage	BGRN-1-nettoyage	94	15
Fer	16627	647	Bâtiment gallo-romain nord	État 4 <i>lato sensu</i>	BGRN-7-16627	95	10
Fer	18506	3067	G	État 2.2 à 2.3	G-1-radier	96	16
Fer	18508	1025	G	État 1 et 2 <i>lato sensu</i>	G-2-cailloutis	97	13
Fer	18649	2415	G1/D2	État 2.1	G1/D2-1-TP18585	99	15
Fer	18710	2223b	G1/D2	État 2.1	G1/D2-1-TP18585	100	17
Fer	18003	2063	H et F	Décapage	H, F et C5C-1-décapage	105	1
Fer	18099	364	F	État 2.1	F-10-Fo 18098	108	2
Fer	22058	837	Q	État 2 <i>lato sensu</i>	Q-6-TP 22058	113	2
Fer	20654	S1009	Q	État 1	Q-10-TP 20653	114	8
Fer	21607	1501	Q	État 1	Q-20-TP 21606	116	10
Fer	20613	S2092	K	État 2 <i>lato sensu</i>	K-2-radier de sol	119	11
Fer	22037	724	K	État 2 <i>lato sensu</i>	K-7-Sb 22037	121	11
Fer	20611	S2157	K	État 2.2	K-10-Cave combl ind	122	1
Fer	20010	S3137	N	Perturbations modernes	N-2-drains modernes	126	10
Fer	20010	S3138	N	Perturbations modernes	N-2-drains modernes	126	11
Fer	20035	S3339	N	État 2.1	N-10-Fo 20034	127	10
Fer	20012	S3322	N	État 1	N-28-Sb 20011	128	11
Fer	21054	1105	P	Décapage	P-1-décapage	129	15
Fer	21168	1275	P	État 2.3	P-17-décapage 21168	130	10
Fer	21019	567	M	Décapage	M-1-décapage	133	9
Fer	20050	S3248	M	État 3	M-13-radier 20052	134	8
Fer	21033	1116	M	État 2.2	M-72-sol 21033	140	13
Fer	21138	1485	M	État 2.2	M-75-sol 21138	142	2
Fer	21152	1173	M	État 2.1 à 2.2	M-111-démontage radier 20080	143	14
Fer	21167	1190	M	État 2.1	M-211-sol 21167	144	16
Fer	21167	1186	M	État 2.1	M-211-sol 21167	145	4
Fer	21699-65	1525	M	État 2.1	M-115-Fo 21699-65 combl inf	147	11
Fer	20084	S3297	M	État 2.1	M-117-sol 20084	149	4
Fer	21342	2611	M	État 2.1	M-123-Cave 21341	150	6
Fer	21699-37	953	M	État 2.1	M-125-TP 21588	150	14
Fer	21699-30	2597	M	État 2.1	M-127-Fo 20201	151	3
Fer	21684	2636	M	État 2.1	M-130-TP 21684	151	7
Fer	21072	1133	M	État 1 à 2.1	M-162-démontage Fy 21011	152	5
Fer	20825	S3249	M	État 2.1	M-214-TP 20824	155	4
Fer	22285	729	R	État 2.3	R-23-Fo 22285	160	9
Fer	21069	1479	R	État 2.1	R-54-Fossé 22228	163	20
Fer	22348	906	R	État 2.1	R-60-Fo 22348	164	14
Fer	20416	E2050	O	État 2.2	O-2-Fo art 20415	166	14
Fer	22473	283	S	État 2.2 à 2.3	S-10-Pal 22473	170	6
Fer	21708	29	T	Décapage	T-2-décapage sur radier 21709	172	30
Fer	21782	317	T	Décapage	T-4-décapage 21782	173	12
Fer	21841	491	Hémicycle gaulois/théâtre gallo-romain	Décapage	TH-1-décapage	174	23
Fer	21752	230	Hémicycle gaulois/théâtre gallo-romain	Décapage	TH-1-décapage	174	28

Type	UF	No inv.	Bâtiment	État	Code Assemblage	Pl.	No
Fer	21770	266	Hémicycle gaulois/théâtre gallo-romain	Décapage	TH-1-décapage	174	29
Fer	21841	206	Hémicycle gaulois/théâtre gallo-romain	Décapage	TH-1-décapage	174	30
Fer	21841	209	Hémicycle gaulois/théâtre gallo-romain	Décapage	TH-1-décapage	174	31
Fer	21752	204	Hémicycle gaulois/théâtre gallo-romain	Décapage	TH-1-décapage	174	32
Fer	21715	2084	Hémicycle gaulois/théâtre gallo-romain	Perturbations modernes	TH-2-moderne	175	8
Fer	21819	2093	Hémicycle gaulois/théâtre gallo-romain	État 3	TH-23-TP 21818	177	4
Fer	21780	364	Hémicycle gaulois/théâtre gallo-romain	État 2.1	TH-29-cailloutis 21780	178	15
Fer	21780	363	Hémicycle gaulois/théâtre gallo-romain	État 2.1	TH-29-cailloutis 21780	178	15
Fer	21899-233	2070	Hémicycle gaulois/théâtre gallo-romain	État 2.1 à 2.2	TH-30-démontage cailloutis 21780	179	10
Fer	21868	426	Hémicycle gaulois/théâtre gallo-romain	État 2.1	TH-41-Sb 21868	180	2
Fer	12063	2040	Galerie gallo-romaine, branche est	État 4.2	SCTGRE-18-sol 12063	184	13
Fer	12033	302	Entrée	État 4 <i>lato sensu</i>	SCTPE-1-remblais	199	14
Fer	12074	638	Entrée	État 2.2	SCTPE-3-occupation	201	7
Fer	11355	2082	Cuves et sols E	État 1 et 2 <i>lato sensu</i>	SCTE-7-sol de cailloutis	226	3
Fer	19035	20	Sanctuaire Extérieur nord	État 2 <i>lato sensu</i>	SCTX-3-sol 19035	228	7
Fer	21782	326	T	Décapage	T-4-décapage 21782	173	10
Base-cuivre	HC(sanctuaire)	2096	Hors contexte	Hors contexte	HC(sanctuaire)	Non ill.	
Base-cuivre	HC(sanctuaire)	2093	Hors contexte	Hors contexte	HC(sanctuaire)	Non ill.	
Base-cuivre	HC2007	1600	Hors contexte	Hors contexte	HC2007	Non ill.	
Base-cuivre	HC2007	1510	Hors contexte	Hors contexte	HC2007	Non ill.	
Base-cuivre	HC2010	S3262	Hors contexte	Hors contexte	HC2010	Non ill.	
Base-cuivre	HC2011	220	Hors contexte	Hors contexte	HC2011	Non ill.	
Base-cuivre	HC2011	1195	Hors contexte	Hors contexte	HC2011	Non ill.	
Base-cuivre	21210	850	M	Non phasé	M-202-TP 21210	Non ill.	
Base-cuivre	21006	1316	P	Décapage	P-1-décapage	Non ill.	
Base-cuivre	9217	1	Bâtiment A	État 4 <i>lato sensu</i>	SCTA-2-remblais	Non ill.	
Base-cuivre	11317	66	Cuves et sols E	État 1 et 2 <i>lato sensu</i>	SCTE-7-sol de cailloutis	Non ill.	
Base-cuivre	9220	1	FP, branche nord	État 4 <i>lato sensu</i>	SCTFN-3-complements gallo-romains	Non ill.	
Base-cuivre	15237	151	Galerie niveau d'occupation	État 2.2	SCTG-11-occupation est nord entrée	Non ill.	
Base-cuivre	10049	603	Galerie gallo-romaine, branche est	Perturbations modernes	SCTGRE-2-perturbations modernes	Non ill.	
Base-cuivre	21707	83	T	Décapage	T-1-décapage	Non ill.	
Base-cuivre	21780	367	Hémicycle gaulois/théâtre gallo-romain	État 2.1	TH-29-cailloutis 21780	Non ill.	
Base-cuivre	20608	S2027	K	État 2.2	K-4-Ce 20607	Non ill.	
Fer	14000		A1	Décapage	A1-1-décapage	Non ill.	
Fer	16434	358	A1	État 2.1	A1-13-TP 16433	Non ill.	
Fer	16066	190	A1	État 2.3	A1-2-radier	Non ill.	
Fer	14030	631	A1	État 1 à 2.1	A1-20-sol 14030	Non ill.	
Fer	16560	1345	A1	État 1 à 2.1	A1-20-sol 14030	Non ill.	
Fer	16560	1346	A1	État 1 à 2.1	A1-20-sol 14030	Non ill.	
Fer	15590	1176	A1	État 1 à 2.1	A1-21-décapage 15590	Non ill.	
Fer	14008		A1	État 2.2 à 2.3	A1-7-épandage 14010	Non ill.	
Fer	14006		A1	État 2.2 à 2.3	A1-7-épandage 14010	Non ill.	
Fer	16061	1784	A10	Décapage	A10-1-décapage	Non ill.	
Fer	16070	210	A4	État 2.2 à 2.3	A4-2-radier	Non ill.	

Type	UF	No inv.	Bâtiment	État	Code Assemblage	Pl.	No
Fer	16118		A7	État 2.1 à 2.2	A7-4-radier		Non ill.
Fer	15616	949	A8	État 1 et 2 <i>lato sensu</i>	A8-2-épannage		Non ill.
Fer	15616	950	A8	État 1 et 2 <i>lato sensu</i>	A8-2-épannage		Non ill.
Fer	15616	951	A8	État 1 et 2 <i>lato sensu</i>	A8-2-épannage		Non ill.
Fer	15616	952	A8	État 1 et 2 <i>lato sensu</i>	A8-2-épannage		Non ill.
Fer	15616	954	A8	État 1 et 2 <i>lato sensu</i>	A8-2-épannage		Non ill.
Fer	15616	956	A8	État 1 et 2 <i>lato sensu</i>	A8-2-épannage		Non ill.
Fer	15616	957	A8	État 1 et 2 <i>lato sensu</i>	A8-2-épannage		Non ill.
Fer	15616	958	A8	État 1 et 2 <i>lato sensu</i>	A8-2-épannage		Non ill.
Fer	15616	959	A8	État 1 et 2 <i>lato sensu</i>	A8-2-épannage		Non ill.
Fer	15616	960	A8	État 1 et 2 <i>lato sensu</i>	A8-2-épannage		Non ill.
Fer	15616	961	A8	État 1 et 2 <i>lato sensu</i>	A8-2-épannage		Non ill.
Fer	15616	962	A8	État 1 et 2 <i>lato sensu</i>	A8-2-épannage		Non ill.
Fer	15616	963	A8	État 1 et 2 <i>lato sensu</i>	A8-2-épannage		Non ill.
Fer	15616	964	A8	État 1 et 2 <i>lato sensu</i>	A8-2-épannage		Non ill.
Fer	16599	1355	Cour intérieur A	Décapage	ACI-1-décapage		Non ill.
Fer	16263		B corps principal	État 1 et 2 <i>lato sensu</i>	BCN-14-épannage 16263		Non ill.
Fer	15519	1728	B corps principal	État 1	BCP-1-Ce 15520		Non ill.
Fer	15519	801	B corps principal	État 1	BCP-1-Ce 15520		Non ill.
Fer	15519		B corps principal	État 1	BCP-1-Ce 15520		Non ill.
Fer	17061	1726	C1	État 1	C1-25-Pal 17062		Non ill.
Fer	15627		C3	État 2.1	C3-12-Ce 15540		Non ill.
Fer	17410	1750	C4	État 2.2 à 2.3	C4-3-démontage radier		Non ill.
Fer	18013	37	C5 cave	Décapage	C5C-12-décapage nord		Non ill.
Fer	17152	1339	C5 Cave	État 2.2	C5C-6-combl inf		Non ill.
Fer	18726	2013	Espace D	Décapage	D-1-décapage		Non ill.
Fer	16614		Espace D	État 4 <i>lato sensu</i>	D-2-gallo-romain		Non ill.
Fer	17711		Esplanade	Non phasé	ESP-1-Fo 17710		Non ill.
Fer	22481	859	Esplanade	Non phasé	ESP-2-Fo 22481		Non ill.
Fer	18508		G	État 1 et 2 <i>lato sensu</i>	G-2-cailloutis		Non ill.
Fer	HC(sanctuaire)	3013	Hors contexte	Hors contexte	HC(sanctuaire)		Non ill.
Fer	HC(sanctuaire)	3010	Hors contexte	Hors contexte	HC(sanctuaire)		Non ill.
Fer	HC(sanctuaire)	3009	Hors contexte	Hors contexte	HC(sanctuaire)		Non ill.
Fer	HC2006	701	Hors bâtiment	Hors contexte	HC2006		Non ill.
Fer	HC2006	1374	Hors bâtiment	Hors contexte	HC2006		Non ill.
Fer	HC2007	427	Hors contexte	Hors contexte	HC2007		Non ill.
Fer	HC2010	S3241	Hors contexte	Hors contexte	HC2010		Non ill.
Fer	HC2011	269	Hors contexte	Hors contexte	HC2011		Non ill.
Fer	20613		K	État 2 <i>lato sensu</i>	K-2-radier de sol		Non ill.
Fer	21152	1276	M	État 2.1 à 2.2	M-111-démontage radier 20080		Non ill.
Fer	21599	2605	M	État 2.3	M-37-TP 21598		Non ill.
Fer	20129	S3164	M	État 3	M-4-radier d'amphore 20099		Non ill.
Fer	21080	1006	M	État 2.2	M-64-radier 21080		Non ill.
Fer	20012	S3281	N	État 1	N-28-Sb 20011		Non ill.
Fer	20008		N	État 2.2	N-6-Fo 20007		Non ill.
Fer	22460	847	N	État 2.1	N-7-Pal 22460		Non ill.
Fer	21006	1016	P	Décapage	P-1-décapage		Non ill.
Fer	22239		R	Décapage	R-1-décapage		Non ill.
Fer	22239		R	Décapage	R-1-décapage		Non ill.
Fer	22229	885	R	État 3	R-4-radier 22229		Non ill.
Fer	22497	863	S	État 1 à 2.1	S-23-TP 22497		Non ill.
Fer	20075	S3331	S	État 2 <i>lato sensu</i>	S-3-Fo 20074		Non ill.

Type	UF	No inv.	Bâtiment	État	Code Assemblage	Pl.	No
Fer	9060		Enclos B	Décapage	SCTB-1-décapage	Non ill.	
Fer	15047	212	Structure sur poteaux D	État 1 et 2 <i>lato sensu</i>	SCTD-2-épannage	Non ill.	
Fer	13543	89	Structure sur poteaux D	État 1 et 2 <i>lato sensu</i>	SCTD-2-épannage	Non ill.	
Fer	9008		Cour du sanctuaire	Décapage	SCTE-1-décapage	Non ill.	
Fer	12507	2060	Cour du sanctuaire	État 4 <i>lato sensu</i>	SCTE-3-remblai cours	Non ill.	
Fer	12045	405	Cour du sanctuaire	État 4 <i>lato sensu</i>	SCTE-3-remblai cours	Non ill.	
Fer	11060	2005	Cour du sanctuaire	État 4 <i>lato sensu</i>	SCTE-3-remblai cours	Non ill.	
Fer	11374	344	Cuves et sols E	État 1 et 2 <i>lato sensu</i>	SCTE-7-sol de cailloutis	Non ill.	
Fer	12087	958	Cour du sanctuaire	État 1 et 2 <i>lato sensu</i>	SCTE-7-sol de cailloutis	Non ill.	
Fer	11265	529	FP, branche nord	Non phasé	SCTFN-4-Fosse 11265	Non ill.	
Fer	12596	2067	FP, branche nord	État 1.2	SCTFN-5-arrachage de la palissade	Non ill.	
Fer	11203	421	FP, branche nord	État 1 perturbé	SCTFN-8-Comblement inférieur perturbé	Non ill.	
Fer	15230	103	Galerie niveau d'occupation	État 2.2	SCTG-11-occupation est nord entrée	Non ill.	
Fer	12071	2045	Galerie niveau de sol	État 2.2	SCTG-11-occupation est nord entrée	Non ill.	
Fer	13706	453	Galerie niveau d'occupation	État 2.2	SCTG-9-occupation ouest	Non ill.	
Fer	12074	776	Entrée	État 2.2	SCTPE-3-occupation	Non ill.	
Fer	12074	2080	Entrée	État 2.2	SCTPE-3-occupation	Non ill.	
Fer	21760	393	T	Non phasé	T-10-Ce 21759	Non ill.	
Fer	21705	51	T	Non phasé	T-9-Fo 21704	Non ill.	
Fer	21719	63	Hémicycle gaulois/théâtre gallo-romain	État 2-GR	TH-27-sol 21719	Non ill.	
Fer	21865		Hémicycle gaulois/théâtre gallo-romain	État 2 <i>lato sensu</i>	TH-28-interface 21865	Non ill.	
Fer	21899-215	2063	Hémicycle gaulois/théâtre gallo-romain	État 2.1 à 2.2	TH-30-démontage cailloutis 21780	Non ill.	
Fer	21739	71	Hémicycle gaulois/théâtre gallo-romain	État 4 <i>lato sensu</i>	TH-4-décapage ouest	Non ill.	
Plomb	16615	1518	C2	Décapage	C2-1-décapage	58	12
Plomb	18093	276	C5 Cave	État 2.2	C5C-5-combl med	78	7
Plomb	20622	S2036	K	État 2.2	K-13-Cave combl sup	122	13
Plomb	21716	214	Hémicycle gaulois/théâtre gallo-romain	Perturbations modernes	TH-2-moderne	175	9
Plomb	12000	1138	Cour du sanctuaire	Décapage	SCTE-1-décapage	220	25
Plomb	HC2007	830	Hors contexte	Hors contexte	HC2007	233	6
Plomb	16543	1845	A2	État 2.1	A2-10-sol 16543	Non ill.	
Plomb	18502		G4	Décapage	G4-1-18502, décapage	Non ill.	
Plomb	HC(sanctuaire)	1032	Hors contexte	Hors contexte	HC(sanctuaire)	Non ill.	
Plomb	HC(sanctuaire)	480	Hors contexte	Hors contexte	HC(sanctuaire)	Non ill.	
Plomb	HC(sanctuaire)	488	Hors contexte	Hors contexte	HC(sanctuaire)	Non ill.	
Plomb	HC2006	731	Hors bâtiment	Hors contexte	HC2006	Non ill.	
Plomb	HC2006	1546	Hors bâtiment	Hors contexte	HC2006	Non ill.	
Plomb	HC2006	705	Hors bâtiment	Hors contexte	HC2006	Non ill.	
Plomb	HC2006	732	Hors bâtiment	Hors contexte	HC2006	Non ill.	
Plomb	HC2007	1784	Hors contexte	Hors contexte	HC2007	Non ill.	
Plomb	HC2007	448	Hors contexte	Hors contexte	HC2007	Non ill.	
Plomb	HC2008	1267	Hors contexte	Hors contexte	HC2008	Non ill.	
Plomb	HC2008	1268	Hors contexte	Hors contexte	HC2008	Non ill.	
Plomb	HC2011	1205	Hors contexte	Hors contexte	HC2011	Non ill.	
Plomb	HC2011	474	Hors contexte	Hors contexte	HC2011	Non ill.	
Plomb	HC2011	2541	Hors contexte	Hors contexte	HC2011	Non ill.	
Plomb	15063	224	Structure sur poteaux D	État 1 et 2 <i>lato sensu</i>	SCTD-2-épannage	Non ill.	

Cat 60. Tableau de comptages des marqueurs chronologiques non traités attribués à l'état le plus récent

	B01	B10	B11	B12	B20	B21	B22	B23	B24	B25	B33	B34	F01	F03	F04	F10	F11	F12	F20	F21	F22	F23	F24	F25	F30	F31	F33	F34	B4	Tubulaires	Epissures	Jonc lisse	
H. État 2.3		1			5	2	21	2	4		2	2	1	6	1	3	1				3	4	2	1	3		8	1		6	4	7	
H. État 2.2	1				4		6				1	2		2		1								1		2				10	1	5	
H. État 2.1		3			1	1	19	1	2					1		3	2	1	3		1				1		3			5	2	3	
H. État 1		1			3		13	2					2	2					1		1	1		1						5	2	3	
S. État 2.3			1		1		8	2					1	2			2		1			1		2		3	1			3	4	1	
S. État 2.2					1		8	1			1				1						1	3	1		1	1	5					1	
S. État 1 à 2.1							3									1															1	1	4
Paturl 3		1		1			6									3					1										7	2	4
Paturl 2b																	9																
Paturl 2a																	6																
Marcihac							1			1					1												2						
Gondle 1							2															4				6		1					2
Gondle 2								1			2																6		2				
Georgvie Elape 11							1								1							1				1							
Le Bay							6		1								4													2			
Pulvèrères 1																																	
Pulvèrères 2							1										4	2															1
Roanne 6							3																				1						
Roanne 5									1								1	2		1									2	2			
Roanne 4																	3	2													1		
Roanne 3								4	3								11	4													4		2
Roanne 2																	8															1	1
Roanne 1																	1														1		
Feurs 3					1			2	3								6	7			1	2									4		1
Feurs 2							6										6																
Feurs 1							4										4																

Cat 61. Tableau de comptages des marqueurs chronologiques après traitement

	F1	B22/F22	B23	B24	F23	F24	F33/B33	F34/B34	B4/F25/B24-3	Tubulaire	Epissures	Jonc lisse
H. État 2.3	3.00	14.91	1.58	3.58	2.58	1.00	8.67	2.92	1.50	3.91	2.08	3.50
H. État 2.2	2.50	12.78	1.96	1.96	3.33	3.83	10.17	3.00	0.50	0.91	2.08	5.50
H. État 2.1	4.50	21.97	1.96	1.96	3.00	1.00	6.67	0.00		8.42	1.58	6.50
H. État 1	3.50	21.89	2.88	1.88	3.25		2.75			7.75	2.25	3.50
S. État 2.3	2.00	10.17	2.66		1.50	1.50	3.50	1.50	0.50	1.00	2.17	0.83
S. État 2.2	1.00	10.42	1.75		3.57	1.17	9.50		0.50	1.00	1.17	1.83
S. État 1	1.00	3.00								2.00	1.67	4.33
Corent Décapage	5.00	44.50	7.25	4.25	8.25	2.25	24.50	3.00	5.00			
Marcilhac	0.00	1.00				0.50	2.00	0.50	1.00			
Gondole 1	0.00	2.00			3.00	1.00	6.00	1.60	1.00			2.00
Gondole 2	0.00		1.00		1.00	3.00	6.00	1.60	3.00	2.00		
Gergovie Etape 11	0.00				1.00	0.50	1.00	0.50				
Le Bay	0.00	6.00		1.00	1.00					2.00		
Patural 3	6.33	15.00								9.00	5.00	3.00
Patural 2b	14.67											
Patural 2a	10.33											
Roanne 6	0.00	1.50	0.50		1.33		0.50		3.00	1.50		
Roanne 5	0.50	1.50		0.50	0.33				1.00	0.50		
Roanne 4	1.50	1.00		0.50					1.00	0.50		
Roanne 3	6.83	4.50	3.00		2.50					3.83		1.33
Roanne 2	8.33	0.50			0.50					0.33	1.00	0.83
Roanne 1	6.83									1.33		0.83
Feurs 1	4.00											
Feurs 2	6.00											
Feurs 3	6.00	3.50	3.50		2.00					4.00		1.00
Pulvérières 2	4.00	1.00									1.00	

Cat 62. Composition, classification et interprétation des sols

Assemblage	Activités culinaires	Armement	Parure	Production	Poids et mesures	Toilette	Transport	NMI utilisé	NMI général	Classe	Interprétation
AC-4-épandage	1	1	8	7			1	18	55	1	Sols extérieurs proche de zones artisanales
CPL-3-sol ouest	1	1	9	9			1	21	86	1	Sols extérieurs proche de zones artisanales
CPL-4-épandage est		2	12	14			1	29	192	1	Sols extérieurs proche de zones artisanales
G-1-radier	1		8	11			1	21	105	1	Sols extérieurs proche de zones artisanales
SCTE-7-sol de cailloutis	1	2	24	9			1	36	149	1	Sols extérieurs avec pratiques cultuelles
A1-7-épandage 14010		2	5	8				15	40	2	Sols extérieurs proche de zones artisanales
C1-17-sol 17343		1	3	7				11	74	2	Espace de travail
C1-4-remblai				6				6	30	2	Espace de travail
C5-3-radier	3		6	9				18	94	2	Espace de travail
D-8-amas de mobilier 17231	1		5	8				14	56	2	Sols extérieurs proche de zones artisanales
K-20-radier de sol annexe				7				7	14	2	Espace de travail
K-2-radier de sol	2	2	2	14				20	220	2	Espace de travail
M-111-démontage radier 20080	3		3	5				11	32	2	Espace de travail
M-72-sol 21033			2	7				9	26	2	Dépôt simple d'outils
SCTG-12-occupation est sud entrée	2		2	3	2			9	59	2	Espace de travail
TH-18-radier 21753	1		2	7				10	36	2	Espace de travail
TH-30-démontage cailloutis 21780		2	3	8				13	79	2	Espace de travail
CPL-2-occupation ouest	2	3	22	23	1			51	208	3	Sols extérieurs proche de zones artisanales
G-2-cailloutis	1	1	8	23				33	217	3	Sols extérieurs proche de zones artisanales
M-211-sol 21167	5		7	7		1		20	157	4	Cuisine communautaire et rejets artisanaux
SCTD-2-épandage	4	3	15	4				26	92	4	Cuisine communautaire dans un cadre religieux
SCTG-8-occupation nord	4	1	19	7				31	102	4	Cuisine communautaire dans un cadre religieux
SCTPE-3-occupation	2	3	26	5	3		1	40	144	5	Dépôt par amoncellement
A7-10-remblai 16126	2	1	7	9	1		2	22	139	6	Commerce, extérieur
C3-15-sol 16411		1	2	4	1			8	32	6	Espace de travail
R-4-radier 22229	2	1	1	3	1			8	38	6	Espace de travail
SCTG-19-sol d'amphore est nord entrée			7	4	1			12	44	6	Espace de travail
AC-2-sol			3	4			3	10	19	7	Voie, espace extérieur
A1 et A2-2-radier	2	1	1	2				6	19	8	Activité courante avec une part d'artisanat

Assemblage	Activités culinaires	Armement	Parure	Production	Poids et mesures	Toilette	Transport	NMI utilisé	NMI général	Classe	Interprétation
A1-22-sol 16559			1	1				2	4	8	Activité courante avec une part d'artisanat
A1-25-épandage est	2	1	3	4				10	23	8	Dépôts ambigu/ activité courante
A2-11-sol 16025			1					1	6	8	Activité courante
A2-12-sol 16580			1	1				2	7	8	Activité courante avec une part d'artisanat
A2-2-radier			3			1		4	11	8	Dépôts ambigu/ activité courante
A4-2-radier			1	1				2	5	8	Activité courante avec une part d'artisanat
A7-3-sol		1	4					5	26	8	Activité courante
A7-4-radier			3	1				4	29	8	Activité courante avec une part d'artisanat
A9-4-sol 16083		2	6	3				11	74	8	Activité courante
AC-3-épandage			1					1	2	8	Activité courante
AC-3-épandage			1					1	2	8	Activité courante
AC-5-épandage			7	4				11	42	8	Espace extérieur
BCN-1-épandage 16340		2		3				5	7	8	Dépôts ambigu/ activité courante
BCO-2-épandage 16238			4	2				6	14	8	Activité courante avec une part d'artisanat
BCO-3-lambeaux de sol	2		3			1		6	52	8	Activité courante, culinaire
BCP-6-épandage		1	2	3				6	57	8	Activité courante avec une part d'artisanat
C1 et C3-3-démontage radier			3	4				7	27	8	Activité courante avec une part d'artisanat
C1-16-sol 16608			3					3	3	8	Activité courante
C1-27-épandage 18665				1				1	37	8	Activité courante avec une part d'artisanat
C1-2-radier et sols		1	1	3				5	44	8	Activité courante avec une part d'artisanat
C2-10-radier 17027				1				1	8	8	Activité courante avec une part d'artisanat
C2-3-sol 16643			1	1				2	8	8	Activité artisanale
C3-3-interface 17307		2		1				3	27	8	Activité courante avec une part d'artisanat
C3-9-épandage			1	2				3	16	8	Activité artisanale
C4-2-radier				1				1	22	8	Activité courante avec une part d'artisanat
C4-5-épandage			1	2				3	13	8	Activité courante avec une part d'artisanat
C5-6-sol 17016			1	1				2	3	8	Activité courante avec une part d'artisanat
C5-7-remblai 17069			3	2				5	29	8	Activité artisanale
C5C-3-radier sup				2				2	19	8	Activité courante avec une part d'artisanat
C6-22-épandage	2		2	2				6	46	8	Activité courante avec une part d'artisanat

Assemblage	Activités culinaires	Armement	Parure	Production	Poids et mesures	Toilette	Transport	NMI utilisé	NMI général	Classe	Interprétation
CPL-5-sol est			1	5				6	29	8	Sols extérieurs proche de zones artisanales
D1-2-épandage				2				2	16	8	Activité artisanale peu marquée
D-15-épandage 17283			2					2	3	8	Activité courante
D3-2-cailloutis 18549			1	3				4	9	8	Activité courante avec une part d'artisanat
D3-5-épandage 18531				4				4	20	8	Activité artisanale peu marquée
E1-2-épandage				1				1	9	8	Activité artisanale peu marquée
H-2-épandage			1					1	11	8	Activité courante
M-100-sol 21699-5				1				1	1	8	Activité artisanale peu marquée
M-117-sol 20084			1	5				6	10	8	Activité artisanale
M-131-Petit blocs				2				2	8	8	Activité artisanale peu marquée
M-137-épandage 20171				1				1	2	8	Activité artisanale peu marquée
M-13-radier 20052			1					1	21	8	Activité artisanale peu marquée
M-16-sol 21127		1		1		1		3	6	8	Activité courante avec une part d'artisanat
M-21-remblai 21102			1	1				2	5	8	Activité artisanale peu marquée
M-27-épandage 20063	2		3	3				8	46	8	Activité courante avec une part d'artisanat
M-28-angle du radier 21142				1				1	24	8	Activité artisanale peu marquée
M-4-radier d'amphore 20099		2		3				5	30	8	Activité artisanale
M-50-sol 21206				1				1	17	8	Activité artisanale peu marquée
M-53-radier 21124				4				4	6	8	Activité artisanale peu marquée
M-58-sol 21016				1				1	9	8	Activité artisanale peu marquée
M-59-épandage 21063				1				1	12	8	Activité courante avec une part d'artisanat
M-5-chape 20130		1						1	6	8	Activité courante
M-64-radier 21080			1	2				3	16	8	Activité courante avec une part d'artisanat
M-73-sol 21128			1					1	12	8	Activité courante
R-15-radier 22274				2				2	9	8	Activité artisanale peu marquée
R-18-radier 22223		1		1				2	13	8	Activité courante avec une part d'artisanat
R-19-sol 22234				1				1	2	8	Activité artisanale peu marquée
R-20-sol 22236			1					1	3	8	Activité courante
R-21-radier 22243				2				2	28	8	Activité artisanale peu marquée
R-36-radier 22247			1			1		2	6	8	Dépôts ambigu/ activité courante
R-53-sol 22222			1	1				1	3	8	Activité courante avec une part d'artisanat
R-5-radier 22230				1				1	52	8	Activité courante avec une part d'artisanat
R-6-radier 22231			2	2				4	13	8	Activité artisanale
R-8-radier 22272				3				3	4	8	Activité artisanale peu marquée
R-9-radier 22273		1		4				5	38	8	Espace de travail
SCTA-9-sol laténien		2	1	1				4	10	8	Activité du sanctuaire

Assemblage	Activités culinaires	Armement	Parure	Production	Poids et mesures	Toilette	Transport	NMI utilisé	NMI général	Classe	Interprétation
SCTC-6-épandage 13202			4	2				6	21	8	Activité courante avec une part d'artisanat
SCTE-8-pavage d'amphore			1					1	15	8	Activité courante
SCTFN-7-occupation piégée		1	1					2	13	8	Activité du sanctuaire
SCTG-11-occupation est nord entrée			5	3		1		9	42	8	Activité du sanctuaire
SCTG-13-sol d'amphore nord		2	4	1				7	35	8	Activité du sanctuaire
SCTG-17-sol d'amphore ouest				2				2	12	8	Activité courante avec une part d'artisanat
SCTG-22-sol dans galerie est			2					2	17	8	Activité courante
SCTG-26-remblai sol est	2		5	4				11	55	8	Activité du sanctuaire, artisanat
SCTG-5-empierrements sud entrée	2	2	10	2				16	97	8	Activité du sanctuaire
SCTG-70-occupation 12106			3					3	6	8	Activité du sanctuaire
SCTG-7-niveaux d'occupation état 2.3				1				1	5	8	Activité courante avec une part d'artisanat
SCTGRN-11-niveaux laténiens		1	5					6	7	8	Activité du sanctuaire
TH-25-cailloutis 21899-2				1				1	11	8	Activité courante avec une part d'artisanat
TH-27-sol 21719			1					1	5	8	Activité courante
TH-40-sol 20343		1		3				4	5	8	Activité courante avec une part d'artisanat
TH-45-épandage 20417			1	1				2	13	8	Activité artisanale
TH-47-épandage 21762			1	1				2	3	8	Activité courante avec une part d'artisanat
U-2-épandage 20720			1	1				2	19	8	Activité courante avec une part d'artisanat
VO-19-épandage 22210			1			1		2	7	8	Activité courante, domestique
A3-2-radier				1				1	6	8	Activité courante
M-118-sol 21699-80				1				1	19	8	Activité artisanale
SCTG-20-sol d'amphore sud entrée			1						1	8	Activité du sanctuaire
SCTX-3-sol 19035		1							1	8	Activité du sanctuaire
A1-26-épandage nord	1		2	5			1	9	38	9	Espace extérieur
C2-12-épandage 16307								9	40	9	Espace extérieur
L-2-sol			3	1			1	5	16	9	Dépôt ambigu?
M-14-radier 20039			2	3			1	6	32	9	Espace extérieur
R-17-épandage 22232	1						1	2	2	9	Espace extérieur, peu représentatif
SCTG-18-sol d'amphore sud							1	1	1	9	Espace extérieur, peu représentatif
SCTG-9-occupation ouest	2	1	5	3			1	12	46	9	Cuisine communautaire dans un cadre religieux
A1-2-radier	1		3	2				6	12	10	Activité courante, culinaire
A2-10-sol 16543	1	1	1	2				5	32	10	Activité courante, culinaire
A2-3-sol 16017	1		1	1				3	26	10	Activité courante, culinaire
A8-2-épandage	1		10	7		1		19	112	10	Boucherie ?
AC-2-épandage	1		2					3	18	10	Activité courante, culinaire

Assemblage	Activités culinaires	Armement	Parure	Production	Poids et mesures	Toilette	Transport	NMI utilisé	NMI général	Classe	Interprétation
ACI-2-épandage	1		4	3		1		9	56	10	Activité courante, culinaire
ACI-2-épandage	1		4	3		1		9	56	10	Activité courante, culinaire
C1-15-épandage 18662	1	1	7	5				14	31	10	Espace de travail
C1-5-épandage 18652	1			1				2	6	10	Boucherie
C2-8-16268	1		2					3	11	10	Activité courante, culinaire
C3 et C4-20-sol 17407	1		2	1				4	5	10	Activité courante, culinaire
C3-2-radier	1	2	9	7				19	115	10	Activité courante, culinaire
C4-8-épandage	1	1	7	2				11	23	10	Activité courante, culinaire
C5-4-épandage	1	2	3	1				7	40	10	Activité courante, culinaire
D-10-sol etat latenien	1		3	5		1		10	28	10	Activité courante, culinaire
D-3-radiers petit module	1		3					4	30	10	Activité courante, culinaire
D-6-pavage 17026	1	1	2	1		1		6	18	10	Activité courante, culinaire
G4-3-radier	1							1	1	10	Activité courante, culinaire
M-105-sol 21267	1							1	12	10	Activité courante, culinaire
M-74-radier 21020	1			1				2	7	10	Activité courante, culinaire
R-37-sol d'amphore 22233			1					2	10	10	Activité courante, culinaire
SCTG-14-sol d'amphore 10192	1							1	7	10	Activité courante, culinaire
SCTG-14-sol de cailloutis	1	1	2					4	12	10	Cuisine/consommation communautaire
SCTG-1-interface LT-GR	1	1	7	3				12	66	10	Cuisine/consommation communautaire
SCTG-25-remblai sol nord	1	1	2	1				5	30	10	Cuisine/consommation communautaire
T-3-radier 21709	1		5	1				7	52	10	Activité courante, culinaire
TH-21-radier 21832	1		1					2	2	10	Cuisine/consommation communautaire
TH-29-cailloutis 21780	1	2	8	4		1		16	35	10	Cuisine/consommation communautaire
M-69-radier 20249	1							1	1	10	Activité culinaire et autres
SCTE-6-interface LT-GR	2	2	12	8	1	2	2	29	102	11	Activité du sanctuaire, artisanat
A1-20-sol 14030	5	13	17	10	2		4	51	207	12	Dépôt mixte par accumulation
A1-29-seuil 14012									1	13	Pas d'activité
A4-4-sol									13	13	Pas d'activité
A7-23-sol 16218									2	13	Pas d'activité
A9-2-épandage									14	13	Pas d'activité
AB-2-épandage									1	13	Pas d'activité
BCN-14-épandage 16263									11	13	Pas d'activité
C2-2-radier									4	13	Pas d'activité
C5-32-sol 17033									7	13	Pas d'activité
D1-15-épandage 18847									6	13	Pas d'activité
D-11-radier 18423									9	13	Pas d'activité
F-2-sol 17510									3	13	Pas d'activité
F-2-sol 17510									3	13	Pas d'activité
G4-4-sol 18807									9	13	Pas d'activité

Assemblage	Activités culinaires	Armement	Parure	Production	Poids et mesures	Toilette	Transport	NMI utilisé	NMI général	Classe	Interprétation
H-6-sol 18053									10	13	Pas d'activité
M-10-sol 21278									1	13	Pas d'activité
M-11-radier 21274									1	13	Pas d'activité
M-152-épandage 21699-123									10	13	Pas d'activité
M-227-charbons 21699-8									2	13	Pas d'activité
M-51-radier 21195									1	13	Pas d'activité
M-75-sol 21138									4	13	Pas d'activité
M-82-sol 20137									2	13	Pas d'activité
M-86-sol 20125									2	13	Pas d'activité
M-8-sol 21677									2	13	Pas d'activité
M-90-radier 21012									7	13	Pas d'activité
M-93-sol 21137									3	13	Pas d'activité
P-5-épandage 21022									2	13	Pas d'activité
R-28-radier 22240									7	13	Pas d'activité
R-2-épandage 22225								0	2	13	Pas d'activité
R-3-radier 22227								0	2	13	Pas d'activité
R-7-épandage 22237									4	13	Pas d'activité
R-88-épandage 22221									1	13	Pas d'activité
SCTE-12-empierrement 11369									4	13	Pas d'activité
SCTE-13-empierrement 11370									16	13	Pas d'activité
SCTFE-4-interface galerie/arrachage									2	13	Pas d'activité
SCTG-10-occupation sud									1	13	Pas d'activité
SCTG-3-empierrements nord									2	13	Pas d'activité
SCTG-4-empierrements nord entrée									3	13	Pas d'activité
TH-46-épandage 21899-27									4	13	Pas d'activité
TH-48-sol 21899-28									1	13	Pas d'activité
VO-21-épandage 22218									2	13	Pas d'activité
VO-21-épandage 22218									2	13	Pas d'activité

Cat 63. Matrice de présence/absence de composition des trous de poteau

	Armement	Activités culinaires	Parure	Production	Transport	Toilette
SCTA-7-TP 10218						
SCTG-37-TP 11243						
E3-3-TP 17727						
M-231-TP 20091						
M-78-TP 21193						
M-23-TP 21355						
R-56-TP 21395						
R-38-TP 22394						
M-170-TP 21097						
BCN-13-TP 16349						
A7-5-TP 16140						
A1-24-TP 15726						
M-180-TP 20230						
Q-27-TP 22036						
G1/D2-1-TP18585						
Q-10-TP 20653						
Q-11-TP 20680						
C7-7-TP 17547						
C6-11-TP 17653						
G3-9-TP 18781						
K-6-TP 20616						
Q-8-TP 20701						
Q-15-TP 20711						
M-29-TP 21674						
M-35-TP 21699-52						
TH-33-TP 21887						
R-58-TP 22317						
SCTG-38-TP 11244						
BCP-7-TP 15443						
C4-24-TP 16445						
E2-4-TP 17766						
O-8-TP 22504						
Q-4-TP 22023						
SCTG-31-TP 10260						
SCTG-33-TP 11216						
SCTG-44-TP 12090						
SCTPE-10-TP 12105						
SCTC-5-TP 12975						
SCTPE-5-TP 13067						
SCTG-55-TP 13301						
SCTC-7-TP 13233						
SCTG-60-TP 13549						
SCTT-7-TP 13559						
A1-23-TP 14027						
SCTG-66-TP 15284						
BCP-17-TP 15584						
BCP-18-TP 15586						
A2-9-TP 15614						
BCN-11-TP 16353						
C2-4-TP 17100						
C5-25-TP 17166						
C6-17-TP 17605						
E3-5-TP 17740						
H-21-TP 18049						
F-18-TP 18094						
C5C-22-TP 18132						
G1-10-TP 18576						
C3-19-TP 18693						
D1-9-TP 18865						
D1-10-TP 18869						
K-25-TP 20645						
M-229-TP 21106						
M-40-TP 21511						
TH-22-TP 21824						
TH-37-TP 21899-26						
TH-13-TP 21899-38						
Q-28-TP 22038						
L-12-TP 22049						
R-72-TP 22332						
R-61-TP 22355						
R-10-TP 22356						
S-21-TP 22478						
VO-4-TP 22484						
A1-4-TP 8365						
A2-14-TP 15713						
A10-4-TP 16169						
C4-21-TP 16452						
G1/D2-5-TP17038						
C5C-19-TP 18104						
Q-18-TP 20697						

	Armement	Activités culinaires	Parure	Production	Transport	Toilette
M-143-TP 20813						
M-128-TP 21558						
Q-32-TP 22061						
SCTC-2-TP 12919						
C1-9-TP 15575						
BCP-19-TP 15618						
BCP-21-TP 15679						
A2-6-TP 15696						
A1-18-TP 15708						
A3-6-TP 15738						
A10-8-TP 16131						
A7-18-TP 16165						
A10-6-TP 16577						
G1/D2-4-TP17095						
C5-19-TP 17107						
D-7-TP 17192						
C5-33-TP 17224						
F-20-TP 17491						
D1-3-TP 17882						
C4-9-TP 17999-39						
C5C-7-TP 18029						
F-16-TP 18113						
C5C-20-TP 18128						
G1-3-TP 18533						
D-14-TP 18415						
D3-7-TP 18553						
G3-5-TP 18633						
G1-5-TP 18637						
G3-3-TP 18641						
G1-9-TP 18579						
G3-6-TP 18742						
G3-10-TP 18746						
G-4-TP 18764						
G1-1-TP 18806						
D3-8-TP 18892						
M-176-TP 20165						
M-214-TP 20824						
M-142-TP 20807						
M-133-TP 21214						
M-107-TP 21296						
M-25-TP 21459						
M-190-TP 21509						

	Armement	Activités culinaires	Parure	Production	Transport	Toilette
Q-15-TP 20711						
M-126-TP 21699-11						
M-34-TP 21699-54						
R-14-TP 22244						
R-86-TP 22291						
R-84-TP 22344						
R-75-TP 22385						
VO-7-TP 22458						
S-23-TP 22497						
G1/D2-7-TP 17102						
C4-18-TP 17301						
Q-6-TP 22058						
G1/D2-2-TP18573						
R-74-TP 21108						
M-213-TP 21259						
M-26-TP 21699-19						
ACI-7-TP 16046						
C6-2-TP 17659						

Cat 64. Composition, classification et interprétation des trous de poteau

	Activités culinaires	Armement	Parure	Production	Toilette	Transport	NMI utilisé	NMI total	Classe	Interprétation
A10-4-TP 16169			2	1			3	5	1	Dépôt simple à faciès mixte
A10-8-TP 16131				3			3	6	1	Dépôt simple à faciès mixte
A1-18-TP 15708				1			1	2	1	Dépôt simple à faciès mixte
A1-23-TP 14027			1				1	100	1	Dépôt ambigu
A1-24-TP 15726		1		1			2	9	1	Dépôt ambigu
A1-4-TP 8365			1				1	15	1	Dépôt ambigu
A2-14-TP 15713			1	1		1	3	6	2	Dépôt simple à faciès mixte/extérieur
A2-6-TP 15696				1			1	3	2	Dépôt ambigu
A2-9-TP 15614			1				1	2	2	Dépôt ambigu
A3-6-TP 15738				1			1	14	2	Dépôt ambigu
A7-18-TP 16165				1			1	3	2	Dépôt ambigu
A7-5-TP 16140		1	1				2	1	2	Dépôt d'armement
ACI-7-TP 16046							0	12	2	Activité du sanctuaire
BCN-11-TP 16353			1				1	2	2	Activité du sanctuaire
BCN-13-TP 16349	1	1					2	1	3	Activité courante, culinaire
BCP-17-TP 15584			1				1	2	3	Activité courante
BCP-18-TP 15586			1				1	2	3	Activité courante
BCP-19-TP 15618				2			2	6	3	Activité courante avec une part artisanale
BCP-21-TP 15679				2			2	2	3	Activité courante avec une part artisanale
BCP-7-TP 15443	1		5				6	2	3	Activité courante, culinaire
C1-9-TP 15575				2			2	6	3	Activité artisanale peu marquée
C2-4-TP 17100			1				1	1	3	Activité courante
C3-19-TP 18693			1				1	1	3	Activité courante
C4-18-TP 17301			2				2	16	4	Activité courante
C4-21-TP 16452			1	1			2	7	4	Activité courante avec une part artisanale
C4-24-TP 16445	1			1			2	7	4	Activité courante, culinaire
C4-9-TP 17999-39				1		1	2	53	4	Activité courante domestique et/ou artisanale
C5-19-TP 17107				1			1	3	4	Activité courante domestique
C5-25-TP 17166			1				1	2	5	Activité courante
C5-33-TP 17224				1			1	1	5	Activité courante
C5C-19-TP 18104			1	3			4	1	5	Activité courante
C5C-20-TP 18128				1			1	1	5	Activité courante
C5C-22-TP 18132			1				1	1	5	Activité courante
C5C-7-TP 18029				2			2	2	5	Activité courante
C6-11-TP 17653	1						1	12	5	Activité courante
C6-17-TP 17605			1				1	2	5	Activité courante
C6-2-TP 17659							0	8	5	Activité courante
C7-7-TP 17547	1						1	1	5	Activité courante

	Activités culinaires	Armement	Parure	Production	Toilette	Transport	NMI utilisé	NMI total	Classe	Interprétation
D1-10-TP 18869			1				1	1	5	Activité courante
D1-3-TP 17882				1			1	2	5	Activité courante
D-14-TP 18415				1			1	2	5	Activité courante
D1-9-TP 18865			1				1	8	5	Activité courante
D3-7-TP 18553				2			2	6	5	Activité courante
D-7-TP 17192				2			2	3	5	Activité courante
E2-4-TP 17766	1			1			2	2	5	Dépôt simple
E3-5-TP 17740			1				1	4	5	Activité courante
F-16-TP 18113				1			1	12	5	Activité courante
F-18-TP 18094			1				1	13	5	Activité courante
F-20-TP 17491				1			1	1	5	Activité courante
G1/D2-1-TP18585	2	3	11				16	12	5	Activité courante
G1/D2-2-TP18573							0	2	5	Activité courante
G1/D2-4-TP17095				1			1	1	5	Activité courante
G1/D2-5-TP17038			1	2			3	1	5	Activité courante
G1/D2-7-TP 17102			1				1	5	5	Activité courante
G1-10-TP 18576			1				1	6	5	Activité courante
G1-1-TP 18806				2			2	11	5	Activité courante
G1-3-TP 18533				3			3	1	5	Activité courante
G1-5-TP 18637				2			2	4	5	Activité courante
G1-9-TP 18579				3			3	1	5	Activité courante
G3-10-TP 18746				1			1	2	5	Activité courante
G3-3-TP 18641				1			1	3	5	Activité courante
G3-5-TP 18633				1			1	2	5	Activité courante
G3-6-TP 18742				1			1	1	5	Activité courante
G3-9-TP 18781	1						1	1	5	Activité courante
G-4-TP 18764				1			1	2	5	Activité courante
H-21-TP 18049			1				1	5	6	Dépôt d'outils/de parure ou ambigu
K-25-TP 20645			2				2	15	6	Activité courante avec une part artisanale
K-6-TP 20616	1						1	5	6	Activité courante avec une part artisanale
L-12-TP 22049			1				1	18	6	Dépôt d'outils/de parure ou ambigu
M-107-TP 21296				1			1	4	6	Activité courante avec une part artisanale
M-125-TP 21558		0	1	1			2	2	6	Activité courante avec une part artisanale
M-126-TP 21699-11				1			1	14	6	Activité courante avec une part artisanale
M-133-TP 21214				1			2	15	6	Dépôt d'outils/de parure ou ambigu
M-142-TP 20807				1			1	10	6	Activité courante avec une part artisanale
M-143-TP 20813			1	1			2	14	7	Activité artisanale peu marquée
M-170-TP 21097		1					1	4	7	Activité artisanale peu marquée
M-176-TP 20165				1			1	9	7	Activité artisanale peu marquée
M-180-TP 20230		1		1			2	2	7	Activité artisanale peu marquée
M-190-TP 21509				1			1	6	7	Activité artisanale peu marquée

	Activités culinaires	Armement	Parure	Production	Toilette	Transport	NMI utilisé	NMI total	Classe	Interprétation
M-213-TP 21259							0	16	7	Activité artisanale peu marquée
M-214-TP 20824				1			1	9	7	Activité artisanale peu marquée
M-229-TP 21106			1				1	3	7	Activité artisanale peu marquée
M-231-TP 20091		1					1	1	7	Activité artisanale peu marquée
M-23-TP 21355		1					1	3	7	Activité artisanale peu marquée
M-25-TP 21459				1			1	1	7	Activité artisanale peu marquée
M-26-TP 21699-19							0	2	7	Activité artisanale peu marquée
M-29-TP 21674	1						1	37	7	Activité artisanale peu marquée
M-34-TP 21699-54				1			1	2	7	Activité artisanale peu marquée
M-35-TP 21699-52	1						1	4	7	Activité artisanale peu marquée
M-40-TP 21511			1				1	5	7	Activité artisanale peu marquée
M-78-TP 21193		1					1	17	7	Activité artisanale peu marquée
Q-10-TP 20653	4	2		1			7	5	7	Activité artisanale peu marquée
Q-11-TP 20680		1	1	1			3	2	7	Activité artisanale peu marquée
Q-18-TP 20697			1	1			2	1	7	Activité artisanale peu marquée
Q-27-TP 22036		1		2			3	3	7	Dépôt ambigu
Q-28-TP 22038			1				1	4	7	Activité artisanale peu marquée
Q-32-TP 22061			1	1			2	11	7	Activité artisanale peu marquée
Q-4-TP 22023	3		1	2			6	7	7	Activité artisanale peu marquée
Q-6-TP 22058				1			1	4	7	Activité artisanale peu marquée
Q-8-TP 20701	2						2	3	7	Activité artisanale peu marquée
R-10-TP 22356			1				1	3	7	Activité artisanale peu marquée
R-14-TP 22244				1			1	5	7	Activité artisanale peu marquée
R-38-TP 22394		1					1	1	7	Activité artisanale peu marquée
R-56-TP 21395		1					1	4	7	Activité artisanale peu marquée
R-58-TP 22317	1						1	3	7	Activité artisanale peu marquée
R-61-TP 22355			1				1	3	7	Activité artisanale peu marquée
R-72-TP 22332			1				1	1	7	Activité artisanale peu marquée
R-74-TP 21108							0	3	7	Activité artisanale peu marquée
R-84-TP 22344				1			1	1	7	Activité artisanale peu marquée
R-86-TP 22291				1			1	2	7	Activité artisanale peu marquée
S-21-TP 22478			2				2	4	7	Activité artisanale peu marquée
S-23-TP 22497			2	3			5	1	7	Activité artisanale peu marquée
SCTA-7-TP 10218		1					1	2	7	Activité artisanale peu marquée
SCTC-2-TP 12919				1			1	3	7	Activité artisanale peu marquée
SCTC-5-TP 12975			1				1	2	7	Activité artisanale peu marquée
SCTG-31-TP 10260			2				2	1	7	Activité artisanale peu marquée
SCTG-33-TP 11216			1				1	9	7	Activité artisanale peu marquée
SCTG-37-TP 11243		1			1		2	2	8	Dépôt ambigu/mixte
SCTG-38-TP 11244	1		1		1		3	3	8	Activité courante, domestique
SCTG-60-TP 13549			1		1		2	3	8	Activité courante, domestique
SCTG-66-TP 15284			1		1		2	11	8	Activité courante, domestique
SCTPE-10-TP 12105			1		1		2	16	8	Activité courante, domestique

	Activités culinaires	Armement	Parure	Production	Toilette	Transport	NMI utilisé	NMI total	Classe	Interprétation
M-32-TP 21699-85					1		1	2	8	Activité courante, domestique
SCTPE-5-TP 13067			1			1	2	2	9	Activité courante, extérieur
M-8-TP 21699-81						1	1	6	9	Activité courante, extérieur
TH-51-TP 21899-86						1	1	1	9	Activité courante, extérieur
TH-38-TP 21899-9						1	1	3	9	Activité courante, extérieur
TH-13-TP 21899-38			1					5	10	Activité courante
TH-22-TP 21824			1					5	10	Activité courante
TH-33-TP 21887	1							4	10	Activité culinaire
TH-37-TP 21899-26			1					5	10	Activité courante
VO-4-TP 22484			1					5	10	Activité courante
VO-7-TP 22458				1				7	10	Activité artisanale peu marquée

Cat 65. Matrice de présence/absence de composition des structures longilignes

	Activités culinaires	Armement	Parure	Poids et mesures	Production	Toilette	Transport
M-168-Pal 21343							
M-19-Pal 20816							
SCTG-29-Pal ext. nord							
N-11-Sb 20017							
E3-3-Pal 17727							
M-18-Pal 20087							
C3-5-Pal 16443							
SCTA-10-fossé branche sud							
SCTA-13-fossé branche ouest							
SCTFN-5-arrachage de la palissade							
SCTFO-3-arrachage palissade							
R-26-Pal 22321							
SCTG-28-Pal ext. est							
C7-2-Pal 17684							
M-161-Sb 21592							
SCTA-11-fossé branche est							
SCTFE-5-arrachage palissade nord entrée							
SCTFE-6-arrachage palissade sud entrée							
A2-7-Sb 15687							
A7-25-Sb 16028							
BCN-9-Pal 16310							
BCP-11-Sb 16212							
BCP-22-Sb 16210							
C3-6-Sb 17408							
C5-28-Sb 17005							
C6-18-Sb 17607							
M-171-Sb 21073							
M-67-Sb 21121							
N-42-Pal 20029							
R-57-Sb 22305							
SCTA-12-fossé branche nord							
SCTB-4-comblement branche ouest							
D1-5-Sb 18816							
A1-17-Pal 15669							
S-9-Pal 22524							
C5-12-Sb 17289							
K-8-Pal 20619							
M-173-Sb 20811							
N-28-Sb 20011							
M-116-Pal 20064							
M-77-Sb 21174							

	Activités culinaires	Armement	Parure	Poids et mesures	Production	Toilette	Transport
SCTB-2-comblement branche nord							
SCTFS-6-arrachage palissade							
SCTX-1-Pal 19034							
M-71-Pal 21089							
VO-10-Pal 22212							
M-68-Pal 20173							
BCP-27-Sb 15481							
C3-8-Sb 17359							
D1-14-Sb 18822							
N-5-Pal 22506							
N-7-Pal 22460							
G1/D2-5-Sb 17038							
R-71-Pal 22343							
A3-4-Sb 16538							
BCN-15-Sb 16226							
M-132-Pal 21388							
M-145-Sb 21294							
M-182-Sb 20214							
M-186-Pal 20300							
M-196-Sb 21402							
M-208-Sb 20809							
M-30-Sb 21175							
M-62-Pal 20250							
M-80-Sb 21699-43							
N-40-Sb 21112							
R-11-Pal 22386							
TH-32-Sb 21899-7							
BCO-9-Sb 16313							
M-25-Sb 21459							
HB-1-Pal 16010							
BCO-4-Pal 15647							
R-22-Pal 22278							
VO-2-Pal 22457 et 22491							
R-40-Pal 22271							
R-54-Pal 22228							
S-10-Pal 22473							
SCTG-27-Pal ext. sud							
BCN-8-Pal 16303							
M-122-Pal 21169							
O-17-Pal 22520							
BCP-28-Sb 16228							
R-25-Sb 22313							
TH-31-Sb 20314							

Cat 66. Composition, classification et interprétation des trous de poteau

	Activités culinaires	Armement	Parure	Production	Poids et mesures	Toilette	Transport	NMI utilisé	NMI total	Classe	Interprétation
C3-5-Pal 16443	1	1		1				3	12	1	Activité courante
C7-2-Pal 17684		1		1				2	7	1	Activité courante
SCTG-28-Pal ext. est	1	1	5	1		1		9	50	1	Accumulation de dépôts cultuels
M-161-Sb 21592		1		1				2	5	1	Activité courante
M-18-Pal 20087		1	3					4	16	1	Accumulation de dépôts cultuels
R-26-Pal 22321		1	3	8				12	29	1	Espace de rejets artisanaux
SCTFN-5-arrachage de la palissade		2	4	1				7	87	1	Accumulation de dépôts cultuels
SCTA-13-fossé branche ouest		1	4	2				7	28	1	Activité du sanctuaire
SCTFE-6-arrachage palissade sud entrée		2	3				1	6	24	1	Accumulation de dépôts cultuels
SCTA-11-fossé branche est		1		1				2	12	1	Accumulation de dépôts cultuels
SCTA-10-fossé branche sud		1	6	4				11	68	1	Accumulation de dépôts cultuels
SCTFE-5-arrachage palissade nord entrée		4	3			1		8	33	1	Accumulation de dépôts cultuels
SCTFO-3-arrachage palissade		1	3	10				14	43	1	Accumulation de dépôts cultuels
E3-3-Pal 17727		1						1	4	2	Activité courante
M-168-Pal 21343		1						1	5	2	Activité courante
N-11-Sb 20017		1						1	1	2	Activité courante
M-19-Pal 20816		1						1	1	2	Activité courante
SCTG-29-Pal ext. nord		9						9	13	2	Accumulation de dépôts cultuels
C5-12-Sb 17289	1							1	2	3	Activité courante, culinaire
M-173-Sb 20811	1							1	1	3	Activité courante, culinaire
N-28-Sb 20011	2							2	6	3	Activité courante, culinaire
K-8-Pal 20619	1							1	10	3	Activité courante, culinaire
D1-5-Sb 18816			1					1	1	4	Activité courante
BCP-11-Sb 16212			4					4	22	4	Activité courante
BCP-22-Sb 16210			2					2	11	4	Activité courante
C5-28-Sb 17005			1					1	1	4	Activité courante
BCN-9-Pal 16310			1					1	15	4	Activité courante
A1-17-Pal 15669			1					1	4	4	Activité courante
C3-6-Sb 17408			1					1	5	4	Activité courante
C6-18-Sb 17607			1					1	1	4	Activité courante
M-171-Sb 21073			1					1	2	4	Activité courante
R-57-Sb 22305			1					1	1	4	Activité courante
M-67-Sb 21121			1					1	1	4	Activité courante
N-42-Pal 20029			1					1	15	4	Activité courante
A2-7-Sb 15687			1					1	3	4	Activité courante
SCTA-12-fossé branche nord			3					3	13	4	Activité du sanctuaire
SCTB-4-comblement branche ouest			2					2	12	4	Activité du sanctuaire

	Activités culinaires	Armement	Parure	Production	Poids et mesures	Toilette	Transport	NMI utilisé	NMI total	Classe	Interprétation
BCP-27-Sb 15481			1	1				2	10	5	Activité courante avec une part artisanale
D1-14-Sb 18822			1	1				2	9	5	Activité courante
C3-8-Sb 17359			2	1				3	18	5	Activité courante avec une part artisanale
R-71-Pal 22343			2	1				3	11	5	Activité courante avec une part artisanale
M-77-Sb 21174	1		2	2				5	18	5	Activité courante avec une part artisanale
M-71-Pal 21089	1		2	1				4	23	5	Activité courante avec une part artisanale
VO-10-Pal 22212	1		3	1				5	16	5	Activité courante avec une part artisanale
S-9-Pal 22524			1					1	12	5	Activité courante
N-5-Pal 22506			1	1				2	21	5	Activité courante avec une part artisanale
M-116-Pal 20064	2		1					3	12	5	Activité courante
G1/D2-5-Sb 17038								0	5	5	Activité courante
SCTX-1-Pal 19034	1		4	1				6	13	5	Dépôt de parure, activité du sanctuaire
SCTB-2-comblement branche nord	1		4	2				7	22	5	Activité du sanctuaire
SCTFS-6-arrachage palissade	1		3	1				5	20	5	Activité du sanctuaire
N-7-Pal 22460								0	12	5	Activité courante
BCO-4-Pal 15647				1				1	10	6	Activité artisanale peu marquée
HB-1-Pal 16010				1				1	3	6	Activité artisanale peu marquée
A3-4-Sb 16538				1				1	1	6	Activité artisanale peu marquée
BCN-15-Sb 16226				1				1	1	6	Activité artisanale peu marquée
BCO-9-Sb 16313				1				1	1	6	Activité artisanale peu marquée
VO-2-Pal 22457 et 22491				1		1		2	4	6	Activité artisanale peu marquée
M-196-Sb 21402				1				1	11	6	Activité artisanale peu marquée
M-182-Sb 20214				1				1	2	6	Activité artisanale peu marquée
N-40-Sb 21112				1				1	1	6	Activité artisanale peu marquée
M-145-Sb 21294				1				1	1	6	Activité artisanale peu marquée
M-132-Pal 21388				1				1	7	6	Activité artisanale peu marquée
M-80-Sb 21699-43				1				1	5	6	Activité artisanale peu marquée
M-30-Sb 21175				2				2	8	6	Activité artisanale peu marquée
M-62-Pal 20250				1				1	1	6	Activité artisanale peu marquée
M-25-Sb 21459				1				1	4	6	Activité artisanale peu marquée
R-22-Pal 22278				1				1	12	6	Activité artisanale peu marquée
R-11-Pal 22386				3				3	10	6	Activité artisanale peu marquée
TH-32-Sb 21899-7				1				1	1	6	Activité artisanale peu marquée
M-186-Pal 20300								0	1	6	Activité artisanale peu marquée
TH-31-Sb 20314					1			1	4	8	Activité artisanale peu marquée
BCP-28-Sb 16228							1	1	3	7	Activité courante, extérieur
BCN-8-Pal 16303			1				1	2	8	7	Activité courante, extérieur

	Activités culinaires	Armement	Parure	Production	Poids et mesures	Toilette	Transport	NMI utilisé	NMI total	Classe	Interprétation
SCTG-27-Pal ext. sud			1				1	2	8	7	Activité courante, extérieur
M-122-Pal 21169			1	2			1	4	23	7	Activité courante, extérieur
R-54-Pal 22228	3	2	3	6	1		1	16	81	7	Zone extérieure dédié aux rejets d'activité artisanale
R-40-Pal 22271	1	2	3	27			2	35	119	7	Zone extérieure dédié aux rejets d'activité artisanale
R-25-Sb 22313							1	1	2	7	Activité courante, extérieur
O-17-Pal 22520				1			1	2	13	7	Activité courante, extérieur
S-10-Pal 22473	1		5	1		1	1	9	43	7	Zone extérieure dédié aux rejets d'activité artisanale

Cat 67. Matrice de présence/absence de composition des fosses artisanales

	Armement	Activités culinaires	Production	Parure	Poids et mesures	Transport
C4-13-Fo art 17323						
C4-10-Fo art 17698						
K-21-Fo art 20636						
M-174-Fo art 20291						
C5-17-Fo 17214						
C1-18-Fo art 17093						
HB-10-Fo 18232						
O-4-Fo art 22545						
C3-11-Fo art 17418						
M-178-Fo art 20204						
O-2-Fo art 20415						
O-3-Fo art 20395						
C1-22-Fo art 18676						
C3-26-Fo art 18668						
F-10-Fo 18098						
R-70-Fo art 22252						

Cat 68. Composition, classification et interprétation des fosses artisanales

	Activités culinaires	Armement	Parure	Production	Poids et mesures	Transport	NMI utilisé	NMI total	Classe	Interprétation profane
K-21-Fo art 20636		1	1	5			7	22	1	Espace de travail gardé?
C4-10-Fo art 17698	1	1	2	5			8	36	1	Espace de travail et dépôt?
C4-13-Fo art 17323	1	1		3			4	15	1	Espace de travail gardé?
HB-10-Fo 18232	1		1	3			4	43	2	Espace de travail et domestique
O-4-Fo art 22545	1		4	1			5	85	2	Espace de travail et domestique
C1-18-Fo art 17093	1		6	3			9	59	2	Espace de travail et domestique
C5-17-Fo 17214	1			2			2	9	2	Espace de travail et domestique
C3-11-Fo art 17418			1	1			2	18	3	Espace de travail
O-2-Fo art 20415			2	8			10	43	3	Espace de travail
O-3-Fo art 20395								60	3	Espace de travail
M-178-Fo art 20204			2	3			5	9	3	Espace de travail à l'activité artisanale peu marquée
C3-26-Fo art 18668			0	15	1		16	30	4	Espace de travail
C1-22-Fo art 18676		1	1	3	2		7	15	4	Espace de travail
F-10-Fo 18098			3	9		5	17	62	5	Espace de travail proche de l'extérieur, dépôt?
M-174-Fo art 20291				1			1	7	6	Espace de travail à l'activité artisanale peu marquée
R-60-Fo 22348				1			1	6	6	Espace de travail à l'activité artisanale peu marquée
C4-11-Fo art 17686								9	7	Espace de travail non utilisé/remanié
R-70-Fo art 22252						2	2	34	7	Espace de travail non utilisé/remanié
T-6-Fo art 21783							7	3	7	Espace de travail non utilisé/remanié
C6-15-Fo 17156								1	7	Espace de travail non utilisé/remanié
M-120-Pal 21131							0	95	8	Démantèlement d'un

Cat 69. Matrice de présence/absence de composition des structures de stockage

	Ameublement	Activités culinaires	Poids et mesures	Armement	Transport	Parure	Production
K-15/16-Cave combl inf							
R-55-St 22242							
C5C-6-combl inf							
C3-12-Ce 15540							
C7-10-Ce 17522							
C5C-4/5-combl sup/med							
BCP-1-Ce 15520							
C3-7-Ce 17405							
M-123-Cave 21341							
H-20-Ce 18075							
C4-14-Ce 16449							
M-65-Ce 22255							
N-38-Ce 20026							
K-10/13/14-Cave combl ind							
K-4-Ce 20607							
M-134-Ce 21201							
Q-24-Fo 22007							
S-4-Ce 20372							
A1-30-Ce 14047							
C7-3-Ce 17595							

Cat 70. Composition, classification et interprétation des structures de stockage

	Activités culinaires	Armement	Aneublement	Parure	Production	Poids et mesures	Transport	NMI utilisé	NMI total	Classe	Interprétation profane
R-55-St 22242	1	1	1		1			4	22	1	Activité courante à part artisanal, stockage
C5C-6-combl inf	2		2	3	3	1		11	39	1	Activité courante à part artisanal, stockage
K-15/16-Cave combl inf			1	2	2	0	0	5	27	1	Activité courante à part artisanal, stockage
C7-10-Ce 17522	1			2				3	62	2	Activité courante, culinaire
C3-12-Ce 15540	1			2				3	37	2	Activité courante, culinaire
C5C-4/5-combl sup/med	1	0	0	7	2	0	0	10	77	2	Consommation de boisson et commerce
BCP-1-Ce 15520		1		14	5			20	111	3	Activité courante/ dépôt ambigu
M-123-Cave 21341	1			2	1		1	5	65	4	Activité courante proche de l'extérieur
H-20-Ce 18075				1			1	2	15	4	Activité courante proche de l'extérieur
C3-7-Ce 17405		1		2	1		1	5	47	4	Activité courante proche de l'extérieur
C4-14-Ce 16449				3				3	17	5	Activité courante
M-65-Ce 22255				1				1	22	5	Activité courante
N-38-Ce 20026				1				1	10	5	Activité courante
M-134-Ce 21201				1	3			4	15	6	Activité courante avec une part artisanale
S-4-Ce 20372				1	1			2	12	6	Activité courante avec une part artisanale
Q-24-Fo 22007				2	2			4	25	6	Activité courante avec une part artisanale
K-10/13/14-Cave combl ind				5	4	0	0	9	115	6	Activité courante, rejet artisanaux?
K-4-Ce 20607				1	5			6	52	6	Activité courante, rejet artisanaux?
A1-30-Ce 14047					2			2	6	7	Activité artisanale peu marquée
C7-3-Ce 17595					1			1	38	7	Activité artisanale peu marquée
C2-13-cellier 16620								0	19		Pas d'activité
T-10-Ce 21759								0	11		Pas d'activité
M-154-Ce 21699-104								0	8		Pas d'activité
M-121-Ce 22204								0	23		Pas d'activité
R-76-Fo 21122								0	24		Pas d'activité

Cat 71. Matrice de présence/absence de composition des structures liées à l'eau

	Activités culinaires	Armement	Parure	Transport	Production	Poids et mesures
Q-2-Cit 20662						
K-3-Cit 20618						
Q-3-Bs 22005						
S-7-Pt 22474						
M-66-Puits 22214						
F-3-Ct 17470						
S-6-Bs 22452						
M-6-Cit 21279						

Cat 72. Composition, classification et interprétation des structures liées à l'eau

	Activités culinaires	Armement	Parure	Production	Poids et mesures	Transport	NMI utilisé	NMI total	Classe	Interprétation
Q-2-Cit 20662	1		4				5	11	1	Activité courante avec une part artisanale
S-6-Bs 22452			7	3			10	56	1	Activité courante avec une part artisanale
M-6-Cit 21279				2			2	13	1	Activité courante avec une part artisanale
K-3-Cit 20618	1			2			3	16	2	Activité courante, culinaire
F-3-Ct 17470			2	2	1	1	6	31	3	Activité courante extérieur avec une part artisanale
Q-3-Bs 22005		2	3			1	6	52	3	Activité courante extérieur
S-7-Pt 22474	1		3	7		1	12	47	3	Activité courante extérieur avec une part artisanale
M-66-Puits 22214			1	6		1	8	36	3	Activité courante extérieur avec une part d'artisanat
S-5-P 22490							0	3	4	Pas d'activité

	Poids et mesures	Culinaire	Armement	Parure	Production	Transport	Toilette
N-12-Fo 21077							
P-10-Fo 21116							
Q-23-Fo 21642							
S-3-Fo 20074							
N-23-Fo 20031							
M-114-Fo 21699-65 combl sup							
N-10-Fo 20034							
Q-15-Fo 20711							
SCTFN-4-Fosse 11265							
A10-2-Fo 16134							
A7-8-Fo 16133							
BCP-2-Fo 16218							
E1-10-Fo 17762							
ESP-2-Fo 22481							
M-169-Fo 21208							
C3-10-Fo 17478							
M-175-Fo 20288							
VO-9-Fo 22482							
A10-3-Fo 16146							
N-37-Fo 21452							
Q-22-Fo 21640							
BCP-5-Fo 16231							
ACI-6-Fo 16055							
BCO-6-Fo 16239							
BCO-7-Fo 16322							
BCO-8-Fo 16252							
M-172-St 21056							
N-15-Fo 21114							
Q-14-Fo 20695							
SCTA-14-Fo 10058							
SCTE-5-Fo 13035							
TH-50-Fo 21899-198							
BCO-13-Fo 15601							
M-229-Fo 21106							
C1-19-Fo 17091							
C1-8-Fo 17084							
C4-15-Fo 17361							
R-41-Fo 22245							
R-73-Fo 22284							

	Poids et mesures	Culinaire	Armement	Parure	Production	Transport	Toilette
G-3-Fo 18594							
BCN-3-Fo 16319							
C1-23-Fo 17141							
D-4-Fo 17999-205							
ESP-1-Fo 17710							
HB-4-Fo 21467							
HB-6-Fo 22569							
M-166-Fo 21699-21							
M-179-Fo 20252							
M-185-Fo 20289							
Q-7-Fo 20774							
R-23-Fo 22285							
R-44-Fo 22339							
R-59-Fo 22329							
R-60-Fo 22348							
S-19-Fo 22499							
T-11-Fo 21771							
VO-14-Fo 22211							
VO-5-Fo 22510							
A10-6-Fo 16577							
C2-9-Fo 16283							
Q-13-Fo 20648							
R-75-Fo 22385							
TH-49-Fo 21899-196							
VO-13-Fo 22269							
R-24-Fo 22316							

Cat 74. Composition, classification et interprétation des fosses

	Activités culinaires	Armement	Parure	Production	Poids et mesures	Toilette	Transport	NMI utilisé	NMI total	Classe	Interprétation
E1-10-Fo 17762		1						1	6	1	Activité courante
C3-10-Fo 17478	2	1	2	1				6	73	1	Dépôt ambigu
BCP-5-Fo 16231		1	1				2	4	18	1	Activité courante extérieure
A7-8-Fo 16133	1	1	1					3	14	1	Activité courante
A10-2-Fo 16134		1			1			2	29	1	Activité courante
A10-3-Fo 16146		1		1				2	8	1	Activité courante
BCP-2-Fo 16218	1	1	3					5	9	1	Activité courante
N-37-Fo 21452		1	1					2	5	1	Activité courante
M-169-Fo 21208	2	1		2				5	21	1	Activité courante avec une part artisanale
M-175-Fo 20288	1	1	1	2				5	6	1	Activité courante avec une part artisanale
Q-22-Fo 21640		1	3					4	24	1	Activité courante
VO-9-Fo 22482		1	2	1				4	15	1	Activité courante avec une part artisanale
ESP-2-Fo 22481		1						1	13	1	Activité courante
SCTFN-4-Fosse 11265	1		1	1				3	13	2	Activité courante, culinaire
N-12-Fo 21077	1							1	10	2	Activité courante, culinaire
N-23-Fo 20031	1		1					2	11	2	Activité courante, culinaire
P-10-Fo 21116	1							1	7	2	Activité courante, culinaire
M-114-Fo 21699-65 combi sup	1			1				2	12	2	Activité courante, culinaire
N-10-Fo 20034	1			1				2	18	2	Activité courante, culinaire
Q-15-Fo 20711	1			2				3	22	2	Activité courante, culinaire
Q-23-Fo 21642	1							1	5	2	Activité courante, culinaire
BCO-13-Fo 15601			1					1	6	3	Activité courante
ACI-6-Fo 16055			3					3	8	3	Activité courante
BCO-8-Fo 16252			1					1	5	3	Activité courante
BCO-7-Fo 16322			1					1	16	3	Activité courante
BCO-6-Fo 16239			2					2	19	3	Activité courante
SCTA-14-Fo 10058			1					1	1	3	Dépôt de parure
SCTE-5-Fo 13035			1					1	1	3	Dépôt de parure
M-229-Fo 21106			1					1	13	3	Activité courante
M-172-St 21056			1					1	7	3	Activité courante
N-15-Fo 21114			1					1	3	3	Activité courante
Q-14-Fo 20695			1					1	1	3	Activité courante
C1-8-Fo 17084			3	2				5	22	4	Activité artisanale
C4-15-Fo 17361			2	4				6	36	4	Activité artisanale
C1-19-Fo 17091			1	3				4	22	4	Activité artisanale
R-73-Fo 22284			1	1				2	9	4	Activité artisanale
R-41-Fo 22245			1	3				4	16	4	Activité artisanale

	Activités culinaires	Armement	Parure	Production	Poids et mesures	Toilette	Transport	NMI utilisé	NMI total	Classe	Interprétation
G-3-Fo 18594			2	1				3	21	4	Activité artisanale
ESP-1-Fo 17710				1				1	47	5	Activité artisanale peu marquée
D-4-Fo 17999-205				1				1	9	5	Activité artisanale peu marquée
C1-23-Fo 17141				1				1	7	5	Activité artisanale peu marquée
A10-6-Fo 16577				1				1	13	5	Activité artisanale peu marquée
BCN-3-Fo 16319				1				1	1	5	Activité artisanale peu marquée
C2-9-Fo 16283				1				1	2	5	Activité artisanale peu marquée
R-44-Fo 22339				1				1	2	5	Activité artisanale peu marquée
M-166-Fo 21699-21				1				1	4	5	Activité artisanale peu marquée
VO-14-Fo 22211				1				1	4	5	Activité artisanale peu marquée
R-75-Fo 22385				2				2	7	5	Activité artisanale peu marquée
HB-4-Fo 21467				1				1	2	5	Activité artisanale peu marquée
R-60-Fo 22348				1				1	16	5	Activité artisanale peu marquée
R-59-Fo 22329				4				4	7	5	Activité artisanale peu marquée
R-23-Fo 22285				2				2	4	5	Activité artisanale peu marquée
S-19-Fo 22499				1				1	2	5	Activité artisanale peu marquée
VO-5-Fo 22510				1				1	5	5	Activité artisanale peu marquée
HB-6-Fo 22569				1				1	9	5	Activité artisanale peu marquée
T-11-Fo 21771				1				1	3	5	Activité artisanale peu marquée
Q-13-Fo 20648				1				1	5	5	Activité artisanale peu marquée
M-179-Fo 20252				1				1	4	5	Activité artisanale peu marquée
M-185-Fo 20289				1				1	5	5	Activité artisanale peu marquée
VO-13-Fo 22269							1	1	3	6	Activité courante extérieur
TH-49-Fo 21899-196							1	1	2	6	Activité courante extérieur
R-24-Fo 22316						1		1	3	7	Activité courante, domestique

Quatre têtes de clous, deux tiges, trois tôles, un ressort de fibule, une poignée de chaudron, un talon de lance, un fragment de panne de marteau... la composition des ensembles archéologiques ressemble souvent à un obscur inventaire à la Prévert auquel il est difficile de donner du sens.

Fruit d'une thèse de doctorat, cet ouvrage essaie de fournir des pistes pour mieux les interpréter en s'appuyant sur le corpus d'objets métalliques de l'*oppidum* de Corent. L'auteur exploite cette riche collection pour affiner notre compréhension du fonctionnement du centre de cette ville considérée comme la capitale des Arvernes avant la Conquête césarienne. Les ensembles de ses édifices publics sont confrontés aux assemblages des ateliers et des bâtiments résidentiels. La démarche conduit à la création d'un référentiel interprétatif. L'analyse souligne le dynamisme de l'activité économique du cœur de l'agglomération gauloise, dont l'évolution est abordée au regard de la sociologie des différents acteurs de la société laténienne.

Pour mener à bien cette réflexion, le propos se fonde dans un premier temps sur l'observation de quelque 43'000 fragments, dont 3'847 illustrés. L'étude vise à la collecte de l'ensemble des informations contenues dans chaque artefact pour traiter des problématiques variées, de la chronologie des principaux marqueurs de la période à la fonction de pièces particulières d'outillage ou de harnachement. Ces analyses s'appuient systématiquement sur la distribution spatiale et la taphonomie des mobiliers, des options qui offrent un éclairage supplémentaire sur les modes de consommation des objets métalliques à la fin de l'époque gauloise.



éditions mergoil

50€ TTC

dépôt légal novembre 2019

ISSN en cours

ISBN 978-2-35518-063-7

